

AUGUST 2014
STATENS VEGVESEN REGION ØST, PROSJEKT E16 KLØFTA-KONGSVINGER

Datarapport

Grunnundersøkelser, Vorma - Uåa

Profil 8600 – 13500

RAPPORT

OPPDRAGSNR. A028094
DOKUMENTNR. A028094-RP02-V-RAP-2000
VERSJON 2.0
UTGIVELSESDATO 29.08.2014
UTARBEIDET TFS
KONTROLLERT KrK
GODKJENT FGB

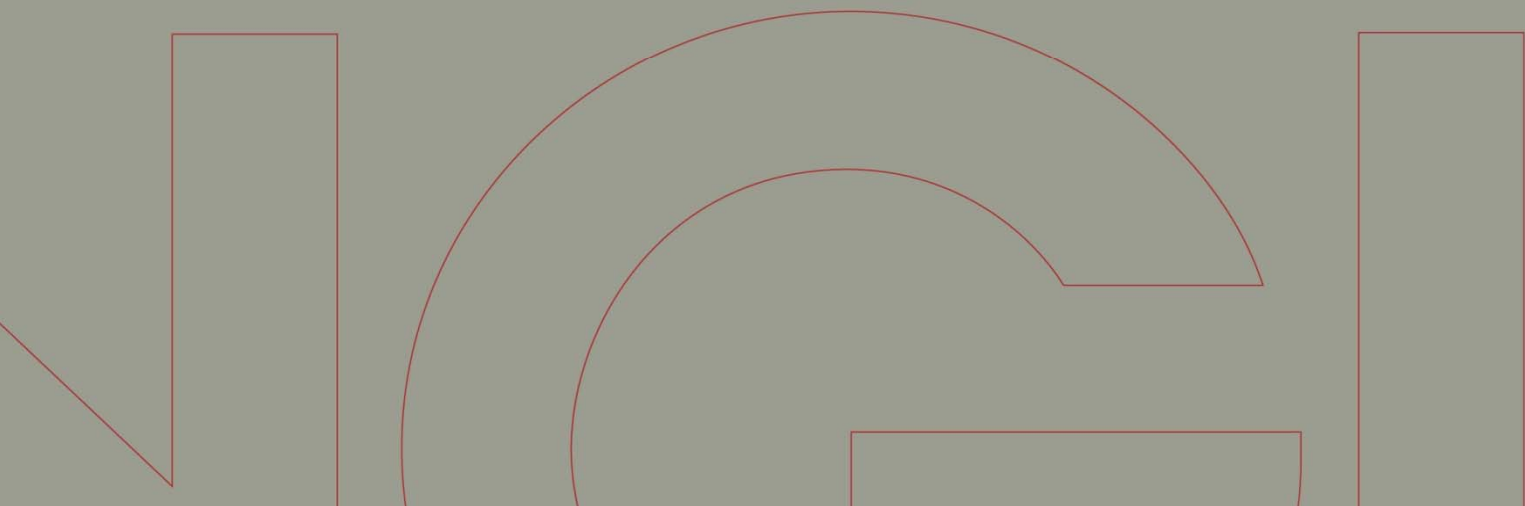


Rapport / Report

E16 Nybakk – Slomarka

Datarapport grunnundersøkelser. Vorma - Uåa Profil 8600 - 13500

20120491-02-R
22. november 2013
Rev. nr.: 01, 29. august 2014



Ved elektronisk overføring kan ikke konfidensialiteten eller autentisiteten av dette dokumentet garanteres. Adressaten bør vurdere denne risikoen og ta fullt ansvar for bruk av dette dokumentet.

Dokumentet skal ikke benyttes i utdrag eller til andre formål enn det dokumentet omhandler. Dokumentet må ikke reproduseres eller leveres til tredjemann uten eiers samtykke. Dokumentet må ikke endres uten samtykke fra NGL.

Neither the confidentiality nor the integrity of this document can be guaranteed following electronic transmission. The addressee should consider this risk and take full responsibility for use of this document.

This document shall not be used in parts, or for other purposes than the document was prepared for. The document shall not be copied, in parts or in whole, or be given to a third party without the owner's consent. No changes to the document shall be made without consent from NGL.



Prosjekt

Prosjekt: E16 Nybakk – Slomarka
Dokumenttittel: Datarapport grunnundersøkelser.
Vorma - Uåa
Profil 8600 - 13500
Dokumentnr.: 20120491-02-R
Dato: 22. november 2013
Rev. nr./rev. dato: 01 / 29. august 2014

Hovedkontor:
Pb. 3930 Ullevål Stadion
0806 Oslo

Avd Trondheim:
Pb. 1230 Sluppen
7462 Trondheim

T 22 02 30 00
F 22 23 04 48

Kontonr 5096 05 01281
Org. nr 958 254 318 MVA

ngi@ngi.no
www.ngi.no

Oppdragsgiver

Oppdragsgiver: COWI AS
Kontaktperson: Frode Geir Bjørvik
Kontraktreferanse: Avtaledokument mellom COWI AS og NGI
datert 01.03.2013

For NGI

Prosjektleder: Steinar Herman
Utarbeidet av: Tone Fallan Smaavik
Kontrollert av: Kristoffer Kåsin

Sammendrag

Norges Geotekniske Institutt (NGI) har på oppdrag fra COWI AS utført grunnundersøkelser i forbindelse med planleggingen av en 32 km lang firefelts motorveg (E16), fra Nybakk i vest til Slomarka i øst.

Rapporten omhandler delstrekning fra Vorma til Uåa.

Dette er en ren datarapport uten noen form for tolking.

Innhold

1	Innledning	6
2	Feltundersøkelser	7
2.1	Generelt	7
2.2	Sonderinger	7
2.3	Feltnålinger	8
2.4	Prøvetaking	8
3	Laboratorieundersøkelser	9
3.1	Generelt	9
3.2	Rutineforsøk	9
3.3	Ødometerforsøk	9
3.4	Treaksialforsøk	9

Tabeller

Tabell 1:	Utførte grunnundersøkelser
Tabell 2:	Utførte laboratorieundersøkelser

Bilag

Bilag 1	Tegnforklaring plan- og profiltegninger
---------	---

Tegninger

Tegning nr. 0016	Borplan, profil 7900 - 9100	M = 1:2000
Tegning nr. 0017	Borplan, profil 9100 - 10400	M = 1:2000
Tegning nr. 0018	Borplan, profil 10400 - 11600	M = 1:2000
Tegning nr. 0019	Borplan, profil 11600 - 12800	M = 1:2000
Tegning nr. 0020	Borplan, profil 12800 - 14000	M = 1:2000
Tegning nr. 208	Lengdeprofil, profil 8100 – 8800	HM = 1:200, LM = 1:1000
Tegning nr. 209	Lengdeprofil, profil 8800 – 9550	HM = 1:200, LM = 1:1000
Tegning nr. 210	Lengdeprofil, profil 9550 – 10300	HM = 1:200, LM = 1:1000
Tegning nr. 211	Lengdeprofil, profil 10300 – 11050	HM = 1:200, LM = 1:1000
Tegning nr. 212	Lengdeprofil, profil 11050 – 11800	HM = 1:200, LM = 1:1000
Tegning nr. 213	Lengdeprofil, profil 11800 – 12500	HM = 1:200, LM = 1:1000
Tegning nr. 214	Lengdeprofil, profil 12500 – 13250	HM = 1:200, LM = 1:1000
Tegning nr. 215	Lengdeprofil, profil 13250 – 14000	HM = 1:200, LM = 1:1000

Vedlegg

Vedlegg A	Dreietrykkssonderinger
Vedlegg B	Totalsonderinger
Vedlegg C	CPTU-sonderinger
Vedlegg D	Poretrykksmålinger
Vedlegg E	Laboratorieundersøkelser
Vedlegg F	Ødometerforsøk
Vedlegg G	Treaksialforsøk

1 Innledning

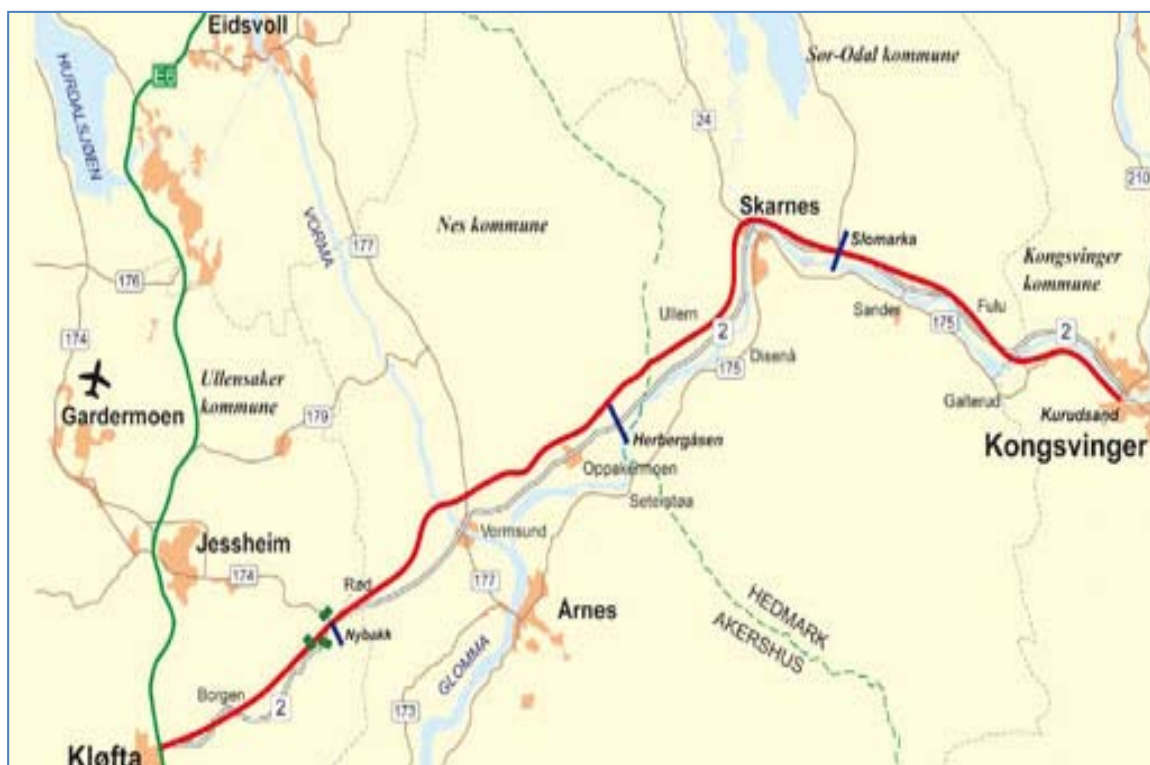
Statens Vegvesen Region Øst (SVRØ) utarbeider detalj- og reguleringsplan for ny E16 (tidligere Rv. 2) mellom Nybakk og Slomarka. Strekningen er 32 km lang og er en del av utbygging av ny E16 mellom Kløfta og Kongsvinger, se figur 1.

Første delstrekning mellom Kløfta og Nybakk ble åpnet i oktober 2007. Andre delstrekning mellom Slomarka og Kongsvinger er nå under bygging og er planlagt ferdigstilt i oktober 2014.

Hovedkonsulent for planarbeidet på strekningen Nybakk - Slomarka er Cowi AS. NGI er underkonsulent med ansvar for geoteknikk og ingeniørgeologi, herunder grunnundersøkelser.

Denne rapporten presenterer resultater fra utførte grunnundersøkelser på delstrekning Vorma til Uåa, profil 8600 - 13500. Undersøkelser på andre delstrekninger er presentert i egne rapporter.

Dette er en datarapport uten noen form for tolking av data.



Figur 1. Oversikt over strekningen

2 Feltundersøkelser

2.1 Generelt

Feltundersøkelsene ble utført fra november 2012 til mai 2014. Borplaner er utarbeidet av NGI og godkjent av oppdragsgiver.

I tillegg til egne borerigger og mannskap, ble Mesta AS leid inn som underleverandør. Mesta utførte i hovedsak innledende sonderinger, mens NGI utførte prøvetaking, CPTU-sonderinger og montering av poretrykksmålere.

Borpunktene er stukket ut og målt inn med GPS i koordinatsystemet EUref89 NTM sone 11, med høydesystem NN1954.

Tabell 1 viser oversikt over borpunkter, innmålte koordinater og type grunnundersøkelser som er utført i borpunktene.

Plassering av borpunktene er vist på borplaner, **tegning nr. 208-215**.

2.2 Sonderinger

2.2.1 Dreietrykksonderinger

Det er utført dreietrykksonderinger i 389 punkter på strekningen fra Vorma til Uåa. Boringene er utført til stopp mot fast grunn. Enkeltplott, borplan og lengdeprofiler viser stopp mot fast grunn som antatt berg. Hvor dybde til berg er kritisk bør dette verifiseres med totalsonderinger eller fjellkontrollboringer.

Formålet med dreietrykksonderinger er å kartlegge løsmassenes relative fasthet, identifisere laggrenser og til en viss grad type løsmasse. Resultater fra dreietrykksonderingene benyttes også til å identifisere potensielt kvikke/sensitive intervall i løsmasseprofilen.

Resultatene fra dreietrykksonderingene er vist som enkeltboringer i **vedlegg A**.

I tillegg er resultatene fra dreietrykksonderinger i punkter nærmest senterlinjen vist på lengdeprofiler, **tegning nr. 208-215**.

2.2.2 Totalsonderinger

Det er utført totalsonderinger i fem punkter på strekningen Nybakk til Vorma. Boringene er avsluttet med 3 m boring i berg.

Formålet med totalsonderingene er å verifisere bergoverflaten i borpunktene.

Resultatene fra totalsonderingene er vist som enkeltboringer i **vedlegg B**.

I tillegg er resultatene fra totalsonderinger i punkter nærmest senterlinjen vist på lengdeprofiler, **tegning nr. 208-215**.

2.3 Feltmålinger

2.3.1 CPTU-sonderinger

Det er utført trykksonderinger med poretrykkmålinger (CPTU) i totalt 64 borpunkt.

For å sikre metning av filteret for poretrykksmåleren er det forboret gjennom toppmassene.

Formålet med CPTU-sonderingene er mer nøyaktig kartlegging av laggrenser og danne grunnlag for bestemmelse av geotekniske jordartsparemetere, spesielt leiras skjærstyrke.

Alle trykksonderingene er utført av NGI.

Resultatene fra trykksonderingene er vist som enkeltboringer i **vedlegg C**.

I tillegg er resultatene fra CPTU-sonderinger i punkter nærmest senterlinjen vist på lengdeprofiler, **tegning nr. 208-215**.

2.3.2 Poretrykksmålinger

Det er satt ned vanlige hydrauliske poretrykksmålere og elektriske poretrykksmålere i 34 punkter. I hvert punkt er det som hovedregel satt ned 3 målere.

Hydrauliske målere er levert av Geonor AS, de elektriske målerne er levert av Geotech. Installasjon av målere er utført av NGI.

Avlesninger av poretrykksmålere er vist i **vedlegg D**.

I tillegg er resultatene fra poretrykksmålinger i punkter nærmest senterlinjen vist på lengdeprofiler, **tegning nr. 208-215**.

2.4 Prøvetaking

Det er tatt opp sylindrerprøver fra 34 borhull.

For prøvetaking er det benyttet Ø72 mm stempelprøvetaker.

Prøvetaking er utført av NGI.

3 Laboratorieundersøkelser

3.1 Generelt

Opptatte prøver er undersøkt i NGIs geotekniske laboratorium.

Undersøkelsene omfatter standard rutineforsøk, kornfordelingsanalyser samt ødometer- og treksialforsøk.

Tabell 2 viser oversikt over laboratorieundersøkelser.

3.2 Rutineforsøk

Rutineundersøkelser av uforstyrrede Ø72 mm sylinderprøver omfatter prøveåpning, materialbeskrivelse, bestemmelse av naturlig vanninnhold (w), plastisitets- (w_p) og flytegrense (w_l), romvekt (γ) og bestemmelse av skjærstyrke (s_u) ved konus- og enaksiale trykkforsøk. Det er også utført kornfordelingsforsøk på representative prøver.

Resultatene fra rutineundersøkelsene er vist på borprofiler i **vedlegg E**.

3.3 Ødometerforsøk

Det er utført 96 CRS ødometerforsøk på utvalgte prøvesylindre.

Hensikten med ødometerforsøkene er å bestemme leirens forkonsolideringstrykk p_c samt deformasjonsegenskaper.

Resultatene fra ødometerforsøkene er presentert i **vedlegg F**.

3.4 Treksialforsøk

Det er utført til sammen 194 treksialforsøk fra borhull på strekningen.

Hensikten med treksialforsøkene er å bestemme leirens skjærstyrke.

Resultatene fra treksialforsøk er oppsummert i **vedlegg G**.

Borhull- nummer	Koordinater			Bormetode					
	X	Y	Z	DrT	TOT	CPTU	RCPTU	Prøve	PZ
2001	1241436,70	94264,94	130,28	x					
2002	1241394,15	94291,38	129,87	x					
2007	1241263,33	94432,77	129,51	x					
2008	1241517,44	94342,51	132,98	x					
2009	1241429,46	94390,31	132,59	x		x		x	x
2012	1241287,56	94465,96	133,35	x					
2014	1241408,83	94458,46	140,58	x					
2015	1241355,12	94485,19	138,93	x					
2016	1241566,69	94438,96	142,08	x					
2017	1241476,04	94481,88	139,90	x					
2018	1241430,94	94503,37	146,04	x					
2019	1241378,22	94529,67	144,72	x					
2020	1241288,89	94574,62	130,74	x					
2023	1241610,13	94538,18	147,11	x					
2024	1241517,58	94575,92	142,75	x					
2025	1241471,28	94594,86	146,64	x					
2026	1241421,17	94619,89	143,72	x					
2027	1241329,98	94660,80	133,83	x					
2029	1240842,51	94877,19	121,44	x					
2030	1240854,49	94916,19	125,48	x					
2031	1241648,21	94639,55	156,14	x		x			
2032	1241553,65	94672,07	148,60	x					
2033	1241460,03	94711,98	142,30	x					
2034	1241368,97	94747,93	139,65	x					
2035	1241293,67	94772,16	140,37	x					
2038	1240855,59	94966,14	131,23	x					
2041	1241588,11	94769,14	150,02	x					
2042	1241494,69	94805,79	143,62	x					
2043	1241357,10	94849,45	145,10	x					
2045	1240857,48	95066,16	128,86	x					
2048	1241621,02	94872,92	145,22	x					
2049	1241525,00	94901,05	146,28	x					
2050	1241414,70	94931,17	138,71	x					
2053	1240867,61	95165,58	136,05	x					
2056	1241648,14	94973,84	139,75	x					
2057	1241550,97	94997,64	138,63	x					
2058	1241466,37	95016,87	133,77	x					
2059	1240887,48	95263,53	138,59	x					
2061	1240917,00	95359,01	147,85	x					
2063	1241572,51	95095,26	143,01	x					
2064	1241511,69	95105,87	129,27	x					
2066	1241542,02	95216,06	138,50	x					
2067	1240955,97	95451,02	147,77	x					
2071	1241003,99	95538,67	147,97	x					
2073	1241633,46	95537,05	144,88	x					
2074	1241060,52	95621,23	155,57	x					
2075	1241123,68	95702,68	156,96	x					
2076	1241643,31	95620,22	144,46	x					
2077	1241204,82	95779,47	156,76	x					

Borhull- nummer	Koordinater			Bormetode					
	X	Y	Z	DrT	TOT	CPTU	RCPTU	Prøve	PZ
2078	1241651,01	95676,01	145,92	x					
2079	1241267,46	95837,99	157,14	x					
2080	1241657,20	95725,59	149,16	x					
2081	1241338,93	95907,72	157,03	x					
2082	1241668,82	95816,10	157,90	x					
2084	1241682,21	95923,97	157,98	x					
2085	1241466,62	96061,18	157,28	x					
2086	1241701,74	96021,74	155,74	x					
2087	1241518,43	96146,84	156,61	x					
2088	1241713,09	96121,09	154,26	x					
2089	1241561,37	96237,02	155,77	x					
2090	1241724,40	96220,46	154,51	x					
2091	1241595,04	96331,14	155,69	x					
2092	1241735,90	96319,74	151,26	x					
2093	1241747,24	96419,14	154,98	x					
2094	1241620,56	96427,81	150,71	x					
2096	1241758,49	96518,47	152,41	x					
2097	1241644,85	96524,85	153,67	x					
2099	1241769,97	96617,83	153,44	x					
2100	1241669,14	96621,94	150,42	x					
2101	1241783,00	96717,02	154,00	x					
2102	1241799,67	96815,65	153,83	x					
2103	1241819,87	96913,44	153,57	x					
2104	1241843,49	97010,62	153,34	x					
2201	1241201,62	94515,31	127,24	x		x		x	x
2203	1241322,42	94424,64	132,14	x					
2204	1241257,25	94500,71	132,94	x					
2205	1241224,42	94538,07	127,88	x					
2206	1241191,86	94576,18	126,24	x					
2207	1241126,74	94652,27	126,82	x		x		x	x
2208	1241060,91	94728,64	121,74	x		x		x	x
2209	1241294,88	94533,25	136,13	x					
2210	1241262,04	94570,84	129,40	x					
2211	1241398,07	94489,99	142,61	x					
2212	1241332,39	94565,77	136,87	x		x		x	
2213	1241299,88	94604,06	130,21	x					x
2214	1241267,10	94642,10	133,58	x		x		x	
2215	1241202,07	94717,66	126,19	x					
2216	1241136,81	94793,15	130,35	x					
2217	1241378,43	94604,78	139,26	x					
2218	1241346,99	94641,51	132,39	x					
2219	1241473,45	94555,54	143,22	x					
2220	1241408,35	94631,42	141,00	x					
2221	1241375,53	94669,27	133,91	x		x	x		x
2222	1241342,89	94706,85	138,20	x		x	x	x	
2223	1241278,00	94782,98	139,59	x					
2224	1241212,66	94858,31	129,56	x					
2225	1241484,48	94696,35	146,24	x		x			
2226	1241451,67	94733,83	139,20	x		x			

Borhull- nummer	Koordinater			Bormetode					
	X	Y	Z	DrT	TOT	CPTU	RCPTU	Prøve	PZ
2227	1241418,85	94771,97	138,74	x		x			
2229	1241288,40	94923,71	134,53	x					
2230	1241560,98	94766,67	148,56	x					
2231	1241525,47	94802,11	146,15	x		x			
2232	1241489,81	94837,27	148,41	x					
2233	1241418,80	94907,35	140,65	x					
2234	1241347,74	94978,05	135,39	x					
2235	1241748,50	94752,57	152,68	x					
2236	1241670,26	94814,41	152,64	x					
2237	1241591,79	94876,40	145,69	x					
2238	1241552,34	94907,60	143,68	x					
2239	1241473,94	94969,84	138,23	x					
2240	1241395,75	95031,87	135,80	x					
2241	1241818,96	94851,88	156,13	x					
2242	1241734,10	94905,12	144,13	x					
2244	1241564,51	95011,46	137,27	x					
2245	1241787,87	95002,34	141,38	x					
2246	1241697,72	95045,88	139,85	x					
2247	1241611,18	95089,39	145,55	x					
2248	1241830,26	95105,25	143,75	x					
2249	1241736,04	95138,17	143,18	x					
2250	1241655,73	95176,20	131,76	x					
2251	1241860,89	95211,62	144,42	x		x			
2252	1241763,70	95234,25	135,50	x		x			
2253	1241666,18	95256,84	142,03	x		x			
2254	1241880,04	95320,94	136,67	x					
2255	1241780,44	95332,46	141,09	x					
2256	1241681,21	95344,23	145,63	x					
2257	1241886,58	95431,91	145,29	x		x			
2258	1241786,55	95432,41	153,71	x		x			
2259	1241681,85	95455,50	140,56	x		x			
2260	1241876,66	95534,79	145,08	x					
2261	1241775,07	95546,82	143,01	x					
2262	1241682,02	95521,48	141,49	x					
2263	1241864,44	95649,26	147,08	x		x			
2264	1241768,34	95643,49	146,20	x		x	x	x	x
2265	1241669,18	95594,57	142,07	x		x			
2266	1241846,00	95747,70	148,53	x					
2267	1241747,72	95729,28	150,11	x					
2268	1241649,38	95710,76	148,14	x					
2269	1241828,70	95843,71	158,36	x		x			
2270	1241729,92	95827,69	157,84	x		x		x	x
2271	1241622,10	95821,12	153,23	x		x			
2272	1241717,01	95926,90	158,64	x		x			
2273	1241710,81	96026,73	155,70	x		x			
2275	1241718,11	96226,30	154,02	x		x		x	x
2276	1241728,74	96325,80	151,16	x					
2277	1241888,66	96408,98	154,12	x					
2278	1241739,58	96425,20	155,05	x					

Borhull- nummer	Koordinater			Bormetode					
	X	Y	Z	DrT	TOT	CPTU	RCPTU	Prøve	PZ
2279	1241590,48	96441,07	152,08	x					
2280	1241750,23	96524,67	152,78	x			x		
2281	1241910,22	96607,78	154,53	x		x			
2283	1241612,04	96640,20	150,97	x			x		
2284	1241771,98	96723,42	154,04	x		x		x	x
2285	1241428,33	94562,71	148,50	x					
2286	1241545,90	94643,23	151,82	x					
2287	1241690,69	94634,11	158,44	x					
2288	1241631,85	94696,40	147,55	x					
2289	1241270,79	95035,23	126,19	x					
2290	1241487,33	95047,63	134,98	x					
2291	1241504,45	95132,16	128,42	x					
2292	1241581,45	95203,01	129,77	x					
2293	1241497,32	95271,67	141,90	x		x		x	x
2294	1241570,14	95272,15	129,47	x					
2295	1241503,22	95368,40	142,65	x					
2296	1241586,17	95353,64	131,69	x					
2297	1241492,34	95575,05	159,02	x					
3000	1241952,34	97144,71	152,50	x					
3001	1241863,44	97189,79	152,63	x					
3002	1241885,90	97234,28	152,00	x					
3003	1242095,28	97185,03	134,07	x					
3004	1242040,59	97212,20	150,74	x					
3005	1241977,32	97244,00	142,41	x					
3006	1241908,68	97278,84	152,00	x		x		x	x
3007	1241826,98	97328,14	150,39	x					
3008	1241725,09	97376,06	148,00	x					
3010	1241931,13	97323,14	151,12	x					
3011	1242128,67	97289,25	134,88	x					
3013	1241953,65	97368,38	150,39	x					
3014	1241862,76	97415,82	145,41	x					
3015	1241775,18	97464,87	148,24	x					
3016	1241742,88	97475,20	139,16	x					
3017	1241692,01	97504,32	148,68	x					
3019	1241978,79	97414,19	147,70	x		x		x	x
3020	1242177,97	97367,40	145,09	x					
3021	1242111,37	97421,31	131,22	x					
3022	1241987,55	97622,70	144,00	x					
3023	1241910,19	97503,46	143,06	x					
3024	1241821,48	97547,13	139,50	x					
3025	1241750,64	97582,78	135,13	x					
3026	1242019,56	97503,77	134,20	x					
3027	1242222,22	97456,66	148,81	x					
3028	1242133,14	97501,35	143,55	x					
3029	1242051,49	97546,87	132,25	x		x		x	x
3033	1242067,50	97591,47	140,25	x					
3034	1242268,23	97545,71	151,20	x					
3035	1242178,75	97590,65	150,95	x					
3036	1242089,38	97636,05	141,91	x					

Borhull- nummer	Koordinater			Bormetode					
	X	Y	Z	DrT	TOT	CPTU	RCPTU	Prøve	PZ
3037	1242000,37	97681,19	141,46	x					
3038	1241822,38	97770,77	142,50	x					
3039	1241732,69	97819,24	137,83	x					
3040	1241680,96	97875,89	129,53	x					
3041	1242112,05	97680,52	147,22	x					
3042	1242223,91	97679,94	150,55	x					
3043	1242134,82	97725,32	150,42	x			x	x	x
3044	1242045,51	97770,26	148,89	x					
3045	1241956,24	97815,40	148,83	x					
3046	1241873,57	97852,88	146,33	x					
3047	1241777,80	97905,90	135,96	x					
3048	1241702,51	97962,30	133,01	x					
3049	1242157,06	97769,95	146,99	x					
3050	1242362,07	97739,66	150,49	x					
3051	1242269,57	97777,72	150,21	x					
3052	1242176,84	97815,71	149,39	x					
3053	1242084,51	97853,73	141,38	x					
3054	1241992,02	97891,78	146,26	x					
3055	1241899,58	97927,98	148,32	x					
3056	1241807,01	97967,77	141,35	x					
3057	1241863,44	97989,99	142,57	x					
3058	1241717,44	97993,65	132,24	x					
3059	1242194,67	97862,53	149,48	x			x	x	x
3060	1242382,05	97856,16	144,00	x					
3061	1242298,79	97878,30	147,71	x					
3062	1242210,10	97910,24	149,03	x					
3063	1242114,46	97938,52	147,80	x					
3064	1242042,76	97959,90	136,16	x					
3065	1241942,25	97989,90	148,12	x					
3066	1241826,99	98024,35	137,29	x					
3068	1242223,33	97958,38	149,38	x					
3069	1242400,74	97975,43	138,00	x					
3070	1242332,25	97988,14	148,54	x			x	x	x
3071	1242233,64	98007,63	149,46	x					
3072	1242135,85	98025,94	149,44	x					
3073	1242072,76	98038,10	148,09	x					
3074	1241958,13	98083,36	129,26	x					
3076	1242241,87	98056,82	149,49	x					
3077	1242405,97	98090,74	134,46	x					
3078	1242347,69	98096,35	142,62	x					
3079	1242247,89	98106,27	149,36	x					
3080	1242137,51	98171,30	148,89	x		x			x
3081	1242072,98	98123,74	148,25	x					
3082	1241949,38	98134,83	132,69	x					
3083	1241830,18	98137,23	126,89	x					
3084	1242252,31	98156,25	149,33	x					
3085	1242256,69	98205,65	148,88		x				
3086	1242359,34	98241,67	134,55	x					
3087	1242264,44	98255,94	148,00		x				

Borhull- nummer	Koordinater			Bormetode					
	X	Y	Z	DrT	TOT	CPTU	RCPTU	Prøve	PZ
3088	1242162,28	98264,35	147,87	x					
3089	1242093,82	98269,14	145,94	x					
3090	1241962,00	98282,23	138,47	x					
3091	1241883,79	98285,82	123,75	x		x		x	x
3092	1242475,69	98291,89	147,00	x					
3093	1242364,85	98295,75	134,39	x					
3094	1242267,89	98301,19	147,49		x				
3095	1242166,92	98313,94	148,74	x					
3096	1242065,92	98323,43	136,16	x					
3097	1242270,24	98354,79	147,53		x				
3098	1242274,08	98405,18	142,77	x					
3099	1242174,83	98413,94	148,08	x					
3100	1241975,94	98430,75	126,91	x					
3101	1241984,28	98531,31	124,59	x					
3102	1242528,72	98382,91	145,78	x					
3103	1242474,65	98386,22	147,16	x					
3104	1242349,19	98398,71	142,26	x					
3105	1242278,67	98454,81	140,61	x					
3107	1242383,04	98495,80	140,79	x		x		x	x
3108	1242283,09	98504,67	139,58	x					
3109	1242184,43	98516,48	146,83	x					
3110	1242084,53	98522,58	144,04	x					
3111	1242287,91	98554,48	137,16	x					
3113	1242450,76	98592,37	144,07	x					
3114	1242392,23	98595,24	140,11	x					
3115	1242292,22	98604,72	133,43	x					
3116	1242198,24	98614,20	142,97	x					
3117	1242093,52	98621,33	142,03	x					
3118	1241998,76	98633,04	134,11	x					
3119	1242296,67	98653,49	133,17	x					
3121	1242400,96	98694,93	132,92	x					
3122	1242301,03	98704,05	132,06	x					
3123	1242199,52	98713,05	139,59	x					
3124	1242102,52	98721,17	140,88	x					
3125	1242002,67	98730,45	140,19	x					
3127	1242306,32	98753,66	133,47	x					
3129	1242391,29	98795,27	133,98	x					
3130	1242310,88	98803,37	129,60	x					
3131	1242211,03	98813,73	131,28	x					
3132	1242111,90	98824,79	140,49	x					
3133	1242012,36	98836,19	138,93	x					
3135	1242317,22	98852,59	128,24	x					
3137	1242417,54	98881,28	135,83	x		x	x	x	x
3138	1242325,33	98902,61	127,87	x					
3139	1242227,53	98921,11	128,57	x		x		x	x
3140	1242129,26	98939,81	136,11	x					
3141	1242076,37	98977,15	139,71	x					
3143	1242335,90	98951,13	126,81	x					
3145	1242444,15	98972,90	126,20	x					

Borhull- nummer	Koordinater			Bormetode					
	X	Y	Z	DrT	TOT	CPTU	RCPTU	Prøve	PZ
3146	1242347,51	98999,39	128,29	x					
3147	1242257,94	99048,64	140,71	x					
3148	1242155,48	99052,37	137,81	x		x		x	x
3150	1242361,92	99048,03	132,71		x				
Supplerende grunnundersøkelser 2014									
2303	1241140,49	94586,35	120,26	x					
2305	1241213,44	94547,48	125,92	x					
2306	1241194,28	94563,03	127,64	x					
2308	1241156,11	94594,16	123,67	x					
2309	1241134,59	94611,24	124,49	x					
2311	1241245,01	94586,22	128,73	x					
2312	1241206,16	94617,80	132,01	x		x		x	x
2313	1241167,38	94649,40	127,12	x					
2314	1241128,73	94681,02	123,79	x					
2315	1241089,91	94712,50	122,38	x					
2316	1241276,51	94624,99	131,44	x					
2317	1241237,79	94656,61	131,01	x					
2318	1241199,02	94688,22	125,24	x					
2319	1241160,21	94719,70	124,75	x					
2320	1241121,43	94751,28	124,79	x					
2321	1241308,07	94663,81	134,28	x					
2322	1241269,33	94695,38	132,58	x		x		x	x
2323	1241230,59	94726,92	127,27	x					
2324	1241191,79	94758,50	126,75	x					
2325	1241153,01	94790,08	130,66	x		x		x	x
2326	1241300,88	94734,13	138,37	x					
2327	1241262,14	94765,70	135,12	x					
2328	1241223,35	94797,27	134,64	x					
2329	1241184,57	94828,84	130,03	x					
2330	1241332,22	94773,10	144,88	x		x		x	x
2331	1241292,61	94803,62	142,57	x					
2332	1241253,05	94834,19	135,97	x		x		x	x
2333	1241213,46	94864,74	129,55	x					
2334	1241402,75	94784,85	141,05	x					
2335	1241361,74	94813,48	147,63	x					
2336	1241320,76	94842,06	141,47	x					
2337	1241279,75	94870,69	135,36	x					
2338	1241238,74	94899,23	132,89	x					
2339	1241431,55	94827,82	143,34	x					
2340	1241389,64	94854,95	146,90	x					
2341	1241347,65	94882,14	138,97	x					
2342	1241305,69	94909,29	134,99	x					
2343	1241263,70	94936,46	133,46	x					
2344	1241458,95	94871,66	146,75	x		x		x	x
2345	1241416,06	94897,34	141,48	x					
2346	1241373,21	94923,17	136,27	x					
2347	1241330,31	94948,86	135,18	x					
2348	1241287,48	94974,65	134,86	x					

Borhull- nummer	Koordinater			Bormetode					
	X	Y	Z	DrT	TOT	CPTU	RCPTU	Prøve	PZ
2349	1241484,77	94916,32	146,78	x					
2350	1241441,03	94940,65	139,41	x					
2351	1241397,39	94964,94	136,73	x					
2352	1241353,71	94989,28	135,39	x					
2353	1241310,02	95013,59	134,99	x					
2354	1241509,11	94961,96	139,36	x					
2355	1241420,21	95007,59	136,19	x					
2356	1241531,97	95008,28	138,44	x					
2358	1241553,28	95055,44	134,60	x					
2359	1241510,51	95075,97	129,80	x					
2360	1241455,06	95095,17	136,34	x					
2361	1241526,52	95121,41	134,73	x					
2362	1241483,11	95138,77	132,22	x					
2363	1241433,34	95157,99	139,21	x					
2364	1241638,18	95134,80	142,67	x					
2365	1241591,12	95151,50	141,60	x					
2366	1241544,04	95168,06	132,49	x		x		x	x
2367	1241496,72	95184,83	134,80	x					
2368	1241449,66	95201,68	140,82	x					
2369	1241607,53	95200,44	130,18	x					
2370	1241559,70	95215,43	133,14	x					
2371	1241512,20	95230,76	141,19	x		x		x	x
2372	1241461,32	95244,24	140,92	x					
2374	1241526,05	95277,13	139,38	x					
2375	1241477,97	95290,59	142,06	x					
2379	1241538,33	95323,79	142,20	x		x		x	x
2380	1241489,84	95315,69	142,79	x					
2382	1241596,67	95359,43	130,65	x					
2383	1241549,12	95370,94	140,67	x					
2409	1241740,70	95649,72	145,77	x		x			
2410	1241693,86	95657,79	145,19	x					
2411	1241645,57	95664,58	145,57	x		x		x	x
2412	1241594,93	95672,83	147,20	x					
2413	1241545,45	95680,81	148,93	x		x			
2428	1241759,46	95845,69	158,23	x		x			
2429	1241709,74	95851,06	158,21	x					
2430	1241660,07	95856,61	157,82	x		x		x	x
2435	1241620,68	95915,70	157,56	x					
2436	1241566,17	95917,11	157,88	x		x			
3300	1242027,58	96883,30	152,82	x					
3301	1241899,08	96925,08	153,77	x					
3302	1242045,59	96973,51	151,70	x					
3303	1241925,14	97016,36	153,36	x					
3304	1241734,54	97076,84	152,71	x					
3305	1241639,02	97106,90	151,41	x					
3306	1242044,27	97071,84	151,17	x					
3307	1241952,75	97103,94	152,83	x					
3308	1241757,73	97178,57	156,74	x					
3309	1241675,38	97211,22	151,57	x					

Borhull- nummer	Koordinater			Bormetode					
	X	Y	Z	DrT	TOT	CPTU	RCPTU	Prøve	PZ
3310	1241797,79	97273,24	149,93	x					
3311	1241709,05	97307,26	154,15	x					
3316	1241926,71	98826,78	140,20	x					
3320	1242440,70	99018,61	129,00	x					

Borhull- nummer	Koordinater			Utførte forsøk					
	X	Y	Z	Rutine	Korn- fordeling	Plastisitets- grenser	CAUA	CAUP	CRS
2009	1241429,46	94390,31	132,59	17	3	3	3	3	3
2201	1241201,62	94515,31	127,24	26	4	5	3	2	3
2207	1241126,74	94652,27	126,82	17	3	3	3	2	3
2208	1241060,91	94728,64	121,74	19	3	2	3	3	3
2212	1241332,39	94565,77	136,87	21	3	3	2	2	2
2214	1241267,10	94642,10	133,58	21	3	3	3	3	3
2222	1241342,89	94706,85	138,20	18	4	4	3	3	3
2264	1241768,34	95643,49	146,20	24	4	4	4	3	4
2270	1241729,92	95827,69	157,84	23	4	4	4	4	4
2275	1241718,11	96226,30	154,02	23	4	4	4	3	4
2284	1241771,98	96723,42	154,04	20	3	3	3	3	3
2293	1241497,32	95271,67	141,90	16	3	3	3	3	3
3006	1241908,68	97278,84	152,00	19	3	3	2	3	3
3019	1241978,79	97414,19	147,70	19	3	3	3	3	3
3029	1242051,49	97546,87	132,25	18	3	3	3	3	3
3043	1242134,82	97725,32	150,42	19	3	3	3	3	2
3059	1242194,67	97862,53	149,48	19	3	3	3	3	3
3070	1242332,25	97988,14	148,54	19	3	3	3	3	3
3091	1241883,79	98285,82	123,75	10	3	3	3	3	3
3107	1242383,04	98495,80	140,79	14	3	3	3	3	3
3137	1242417,54	98881,28	135,83	6	1	2	2		
3139	1242227,53	98921,11	128,57	21	3	3	3	2	3
3148	1242155,48	99052,37	137,81	19	3	3	3	3	3
Supplerende grunnundersøkelser 2014									
2312	1241206,16	94617,80	132,01	19	6	6	4	4	3
2322	1241269,33	94695,38	132,58	19	4	4	1	1	1
2325	1241153,01	94790,08	130,66	20	2	2	2	2	2
2330	1241332,22	94773,10	144,88	19	2	2	2	2	1
2332	1241253,05	94834,19	135,97	19	4	4	3	4	4
2344	1241458,95	94871,66	146,75	15	3	3	3	3	3
2366	1241544,04	95168,06	132,49	16	3	3	3	3	3
2371	1241512,20	95230,76	141,19	19	4	4	4	4	4
2379	1241538,33	95323,79	142,20	15	3	3	3	3	3
2411	1241645,57	95664,58	145,57	16	3	3	3	3	3
2430	1241660,07	95856,61	157,82	17	3	3	2	2	2

Plantegninger

Symbol	Metode	Symbol	Metode
○	Enkel sondering	▽	Trykksondering (CPTU)
●	Dreiesondering	⊕	Poretrykksmåling
◊	Dreietrykksondering	■	Setningsmåling
▼	Ramsondering	▣	Helningsmåling
☆	Fjellkontrollboring	⊗	In situ permeabilitetsmåling
⊕	Totalsondering	⊙	Prøveserie
+	Vingeboring	□	Prøvegrop

Nivåer og dybder (m)

118 ☆ $\frac{12,8}{-5,7}$ 18,5+3,0

Foran symbol: Punkt nr. (118)
 Over linjen: Kote terreng (12,8) eller elvebunn, sjøbunn ved boring i vann
 Ut for linjen: Boret dybde i løsmasser (18,5) + boret dybde i fjell (+3,0).
 Under linjen: Kote antatt fjell (-5, 7). Antas at fjell ikke er påtruffet angis ~.

Profiltegninger

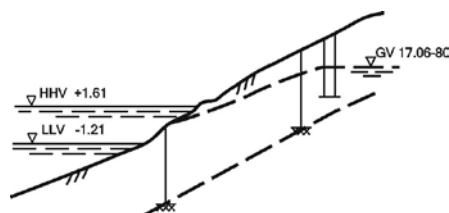
Konturlinjer

/// /// Terreng

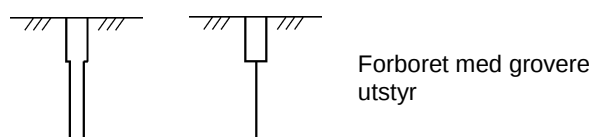
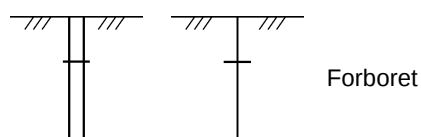
xxx --- xxx Berg

== ▽ == Vannstand

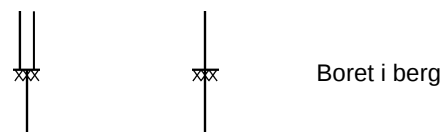
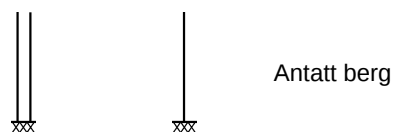
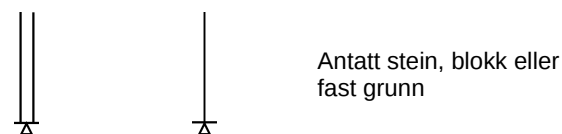
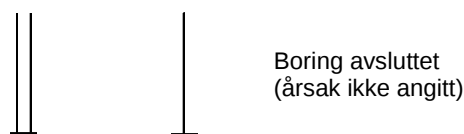
— ▽ — Grunnvannspeil

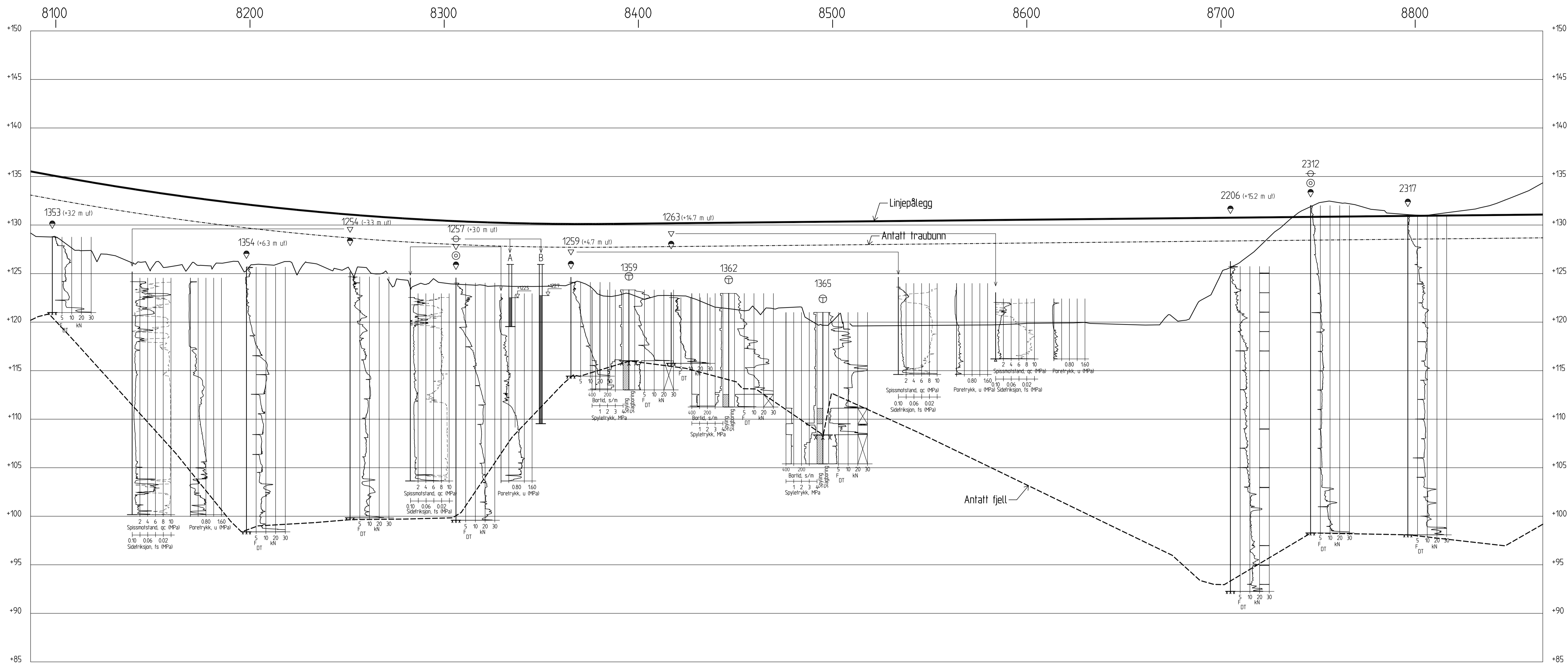


Forboring



Avslutning av boring





FORKLARINGER:

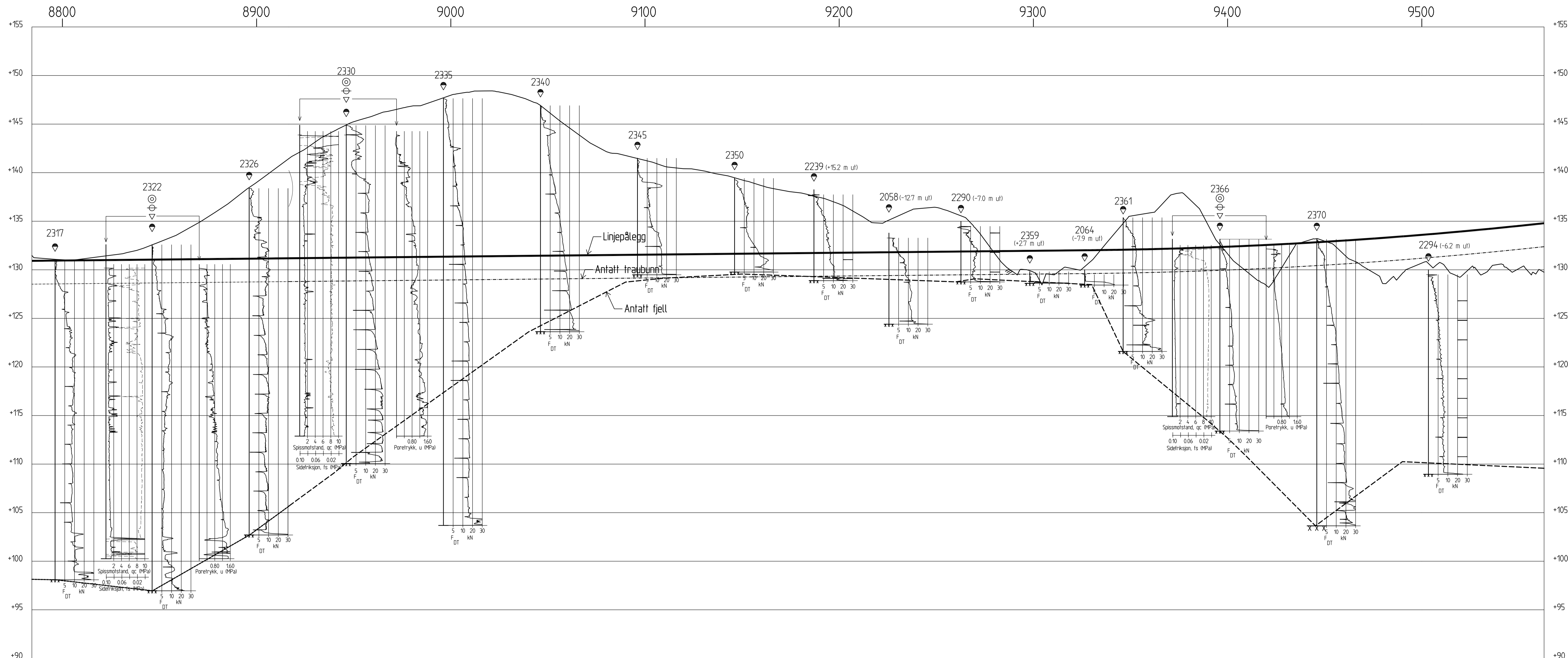
- Dreielektrykksendering
- ⊕ Totalsendering
- ▽ Trykksendering
- ⊙ Prøveserie
- ⊖ Poretrykksmåling

HENVISNINGER :

Tegning 016 Borplan

Rev	Beskrivelse	Dato	Tegn	Kontr	Godek
STATENS VEGVESEN REGION ØST E16 NYBAKK - SLOMARKA					Status Original format A1 Tegningens filnavn
Nybakk - Vorma Vorma - Uåa Lengdeprofil 8100 - 8800					Målestokk HM = 1 : 200 LM = 1 : 1000
NGI Sognsveien 72 - PO Boks 3830 Ullevål Stadion NO-0806 Oslo, Norway T: (+47) 22 02 30 00 F: (+47) 22 23 04 48 www.ngi.no					Dato 26.08.2014 Oppdragnr. 20120491
Konstr./Tegnet TS Tegningnr. 208					Kontrollert SHH Godkjent ON






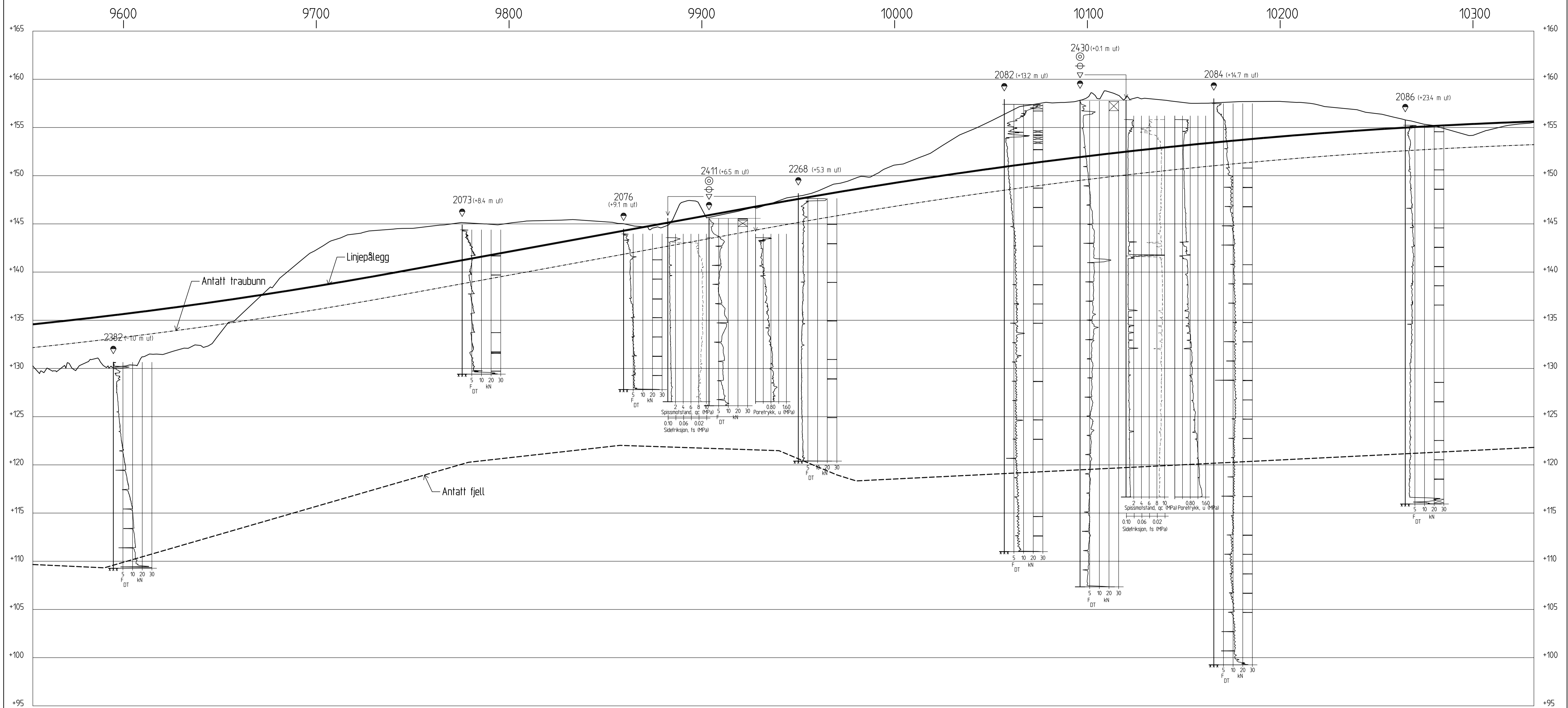
FORKLARINGER:

- ◆ Dreielektrykksondring
- ⊕ Totalsondring
- ▽ Trykksondring
- ⊙ Prøveserie
- ⊖ Poretrykksmåling

HENVISNINGER :

Tegning 016 Borplan
Tegning 017 Borplan

Rev	Beskrivelse	Dato	Tegn	Kontr	Gedkj
STATENS VEGVESEN REGION ØST E16 NYBAKK - SLOMARKA					Status Original format A1 Tegningens filnavn
Vormå - Uåa Lengdeprofil 8800 - 9550					Målestokk HM = 1 : 200 LM = 1 : 1000 
NGI Sognsveien 72 - PO Boks 3830 Ullevål Stadion NO-0806 Oslo, Norway T: (+47) 22 02 30 00 F: (+47) 22 23 04 48 www.ngi.no		Dato 26.08.2014 Oppdragsnr. 20120491	Konstr./Tegnet TS Tegningssnr. 209	Kontrollert SHH Godkjent ON	Rev.




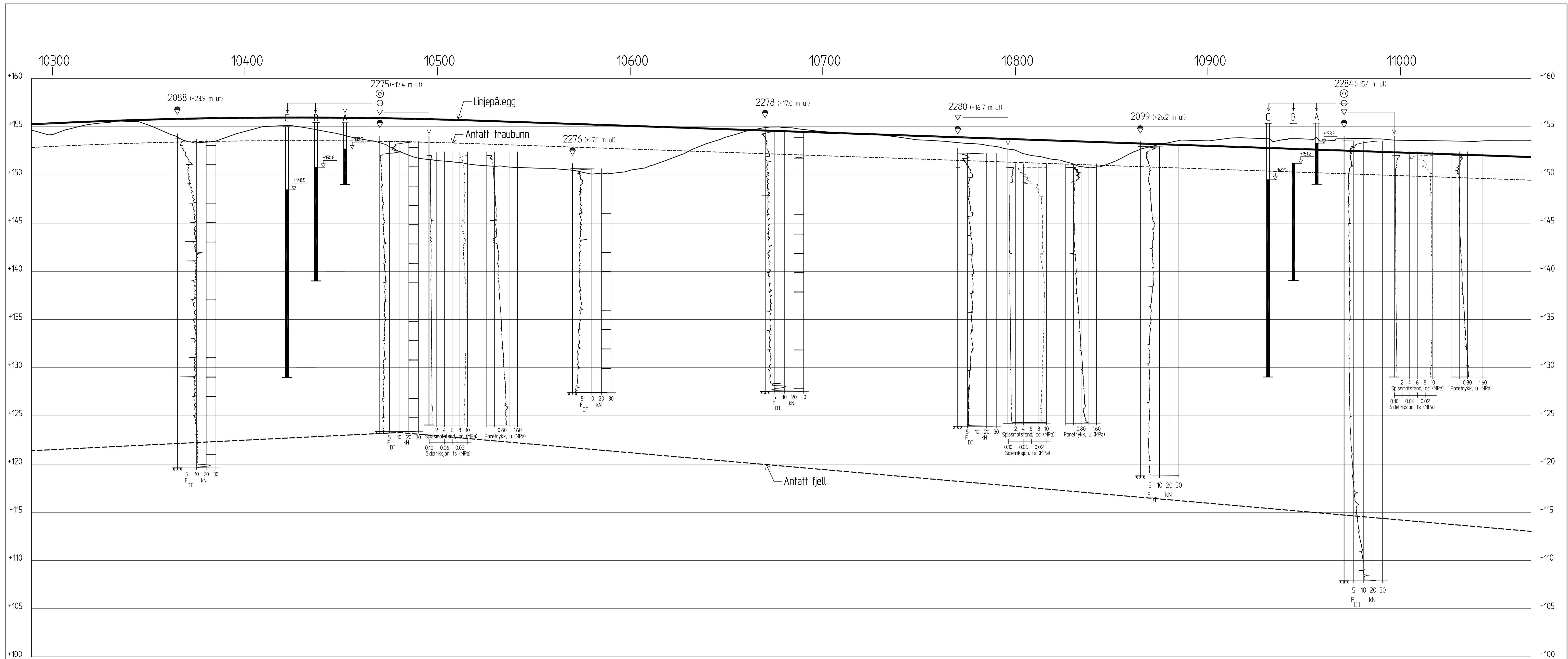
FORKLARINGER:

- Dreielektrykksondering
- ⊕ Totalsondering
- ▽ Trykksondering
- ⊙ Prøveserie
- ⊖ Poretrykksmåling

HENVISNINGER :

Tegning 017 Borplan

Rev	Beskrivelse	Dato	Tegn	Kontr	Godek
<p>STATENS VEGVESEN REGION ØST E16 NYBAKK - SLOMARKA</p>					
<p>Vorma - Uåa Lengdeprofil 9550 - 10300</p>					<p>Status Original format A1 Tegningens tittelnavn</p>
<p>NGI Sognsveien 72 - PO Boks 3930 Ullevål Stadion NO-0806 Oslo, Norway T: (+47) 22 02 30 00 F: (+47) 22 23 04 48 www.ngi.no</p>					<p>Målestokk HM = 1 : 200 LM = 1 : 1000</p> 
<p>Dato: 26.08.2014 Oppdragsnr: 20120491</p>		<p>Konstr./Tegnet: TS Tegningnr: 210</p>	<p>Kontrollert: SHH</p>	<p>Godeknt: ON</p>	<p>Rev:</p>



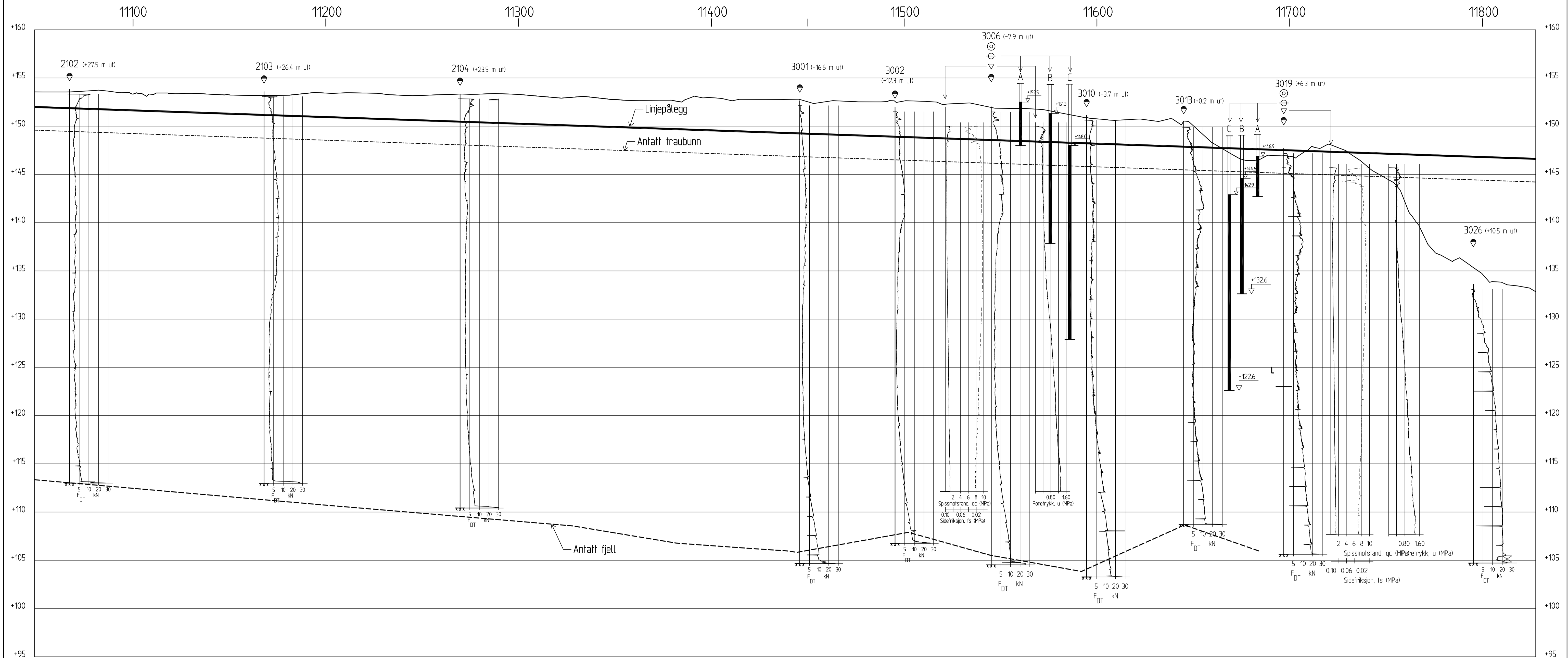
FORKLARINGER:

- ↕ Dreietrykkssondering
- ⊕ Totalsondering
- ▽ Trykksondering
- ⊙ Prøveserie
- ⊖ Poretrykksmåling

HENVISNINGER :

Tegning 017 Borplan
Tegning 018 Borplan

Rev.	Beskrivelse	Dato	Tegn.	Kontr.	Godk.
STATENS VEGVESEN REGION ØST E16 NYBAKK - SLOMARKA					Status Original format A1 Tegningens tittelnavn
Vormå - Uåa Lengdeprofil 10300 - 11050					Målestokk HM = 1: 200 LM = 1: 1000
NGI Sognsveien 72 - PO Boks 3930 Ullevål Stadion NO-0806 Oslo, Norway T: (+47) 22 02 30 00 F: (+47) 22 23 04 48 www.ngi.no					NGI
Dato: 26.08.2014 Oppdragsgiver:		Konstr./Tegnet: TS Tegningens:	Kontrollert: SHH	Godkjent: ON	Rev.
20120491		211			



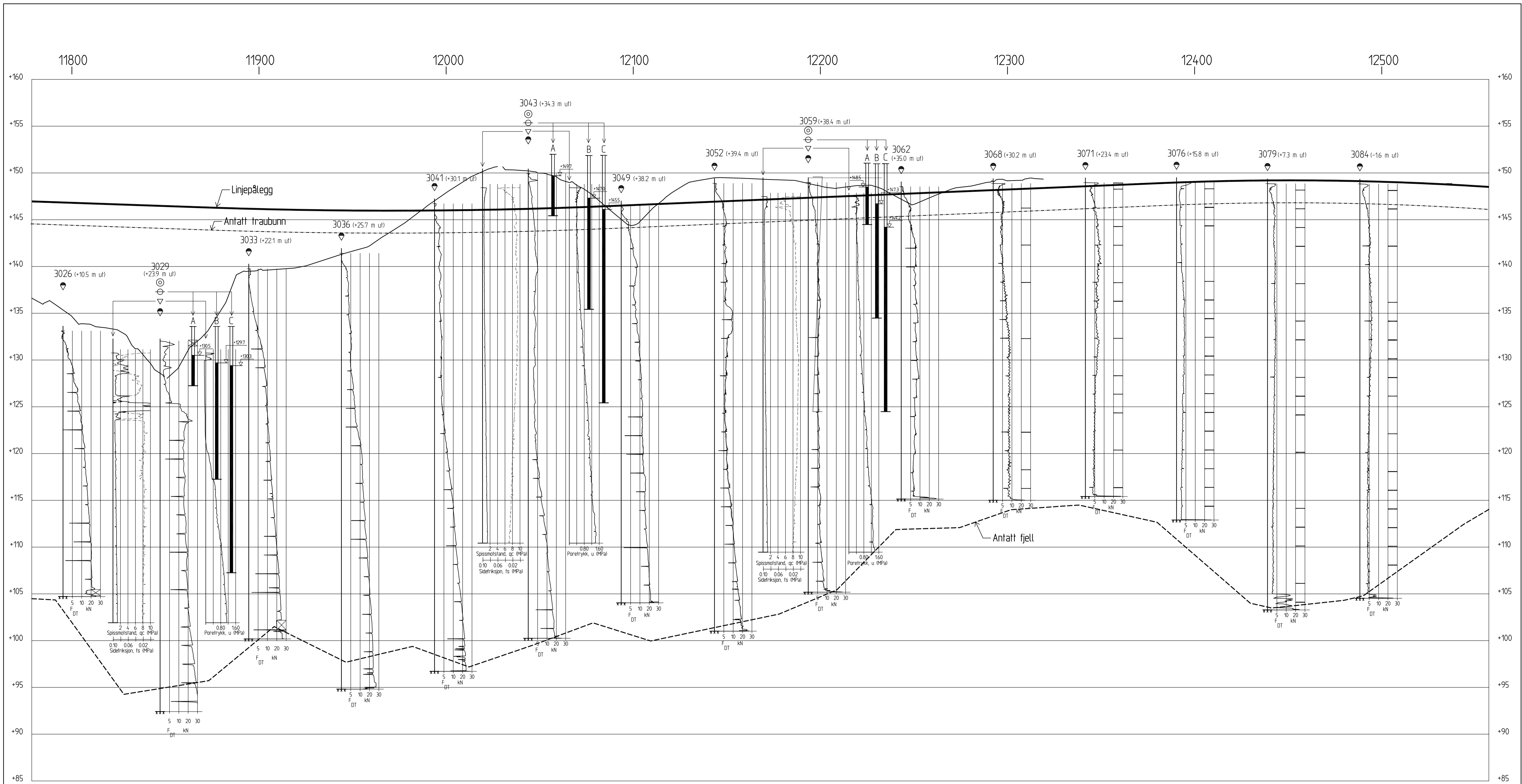
FORKLARINGER:

- Dreielektrykksondering
- ⊕ Totalsondering
- ▽ Trykksondering
- ⊙ Prøveserie
- ⊖ Poretrykksmåling

HENVISNINGER :

Tegning 018 Borplan
Tegning 019 Borplan

Rev	Beskrivelse	Dato	Tegn	Kontr	Ged
<p>STATENS VEGVESEN REGION ØST E16 NYBAKK - SLOMARKA</p> <p>Vorma - Uåa Lengdeprofil 11050 - 11800</p> <p>NGI Sognsveien 72 - PO Boks 3030 Ullevål Stadion NO-0806 Oslo, Norway T: (+47) 22 02 30 00 F: (+47) 22 23 04 48 www.ngi.no</p>					
<p>Status</p> <p>Original format A1 Tegningens tittelnavn</p>		<p>Målestokk</p> <p>HM = 1 : 200 LM = 1 : 1000</p>			
<p>Dato</p> <p>26.08.2014</p> <p>Oppdragsnr:</p> <p>20120491</p>		<p>Konstr./Tegnet</p> <p>TS</p> <p>Tegningens</p> <p>212</p>		<p>Kontrollert</p> <p>SHH</p> <p>Godkjent</p> <p>ON</p>	



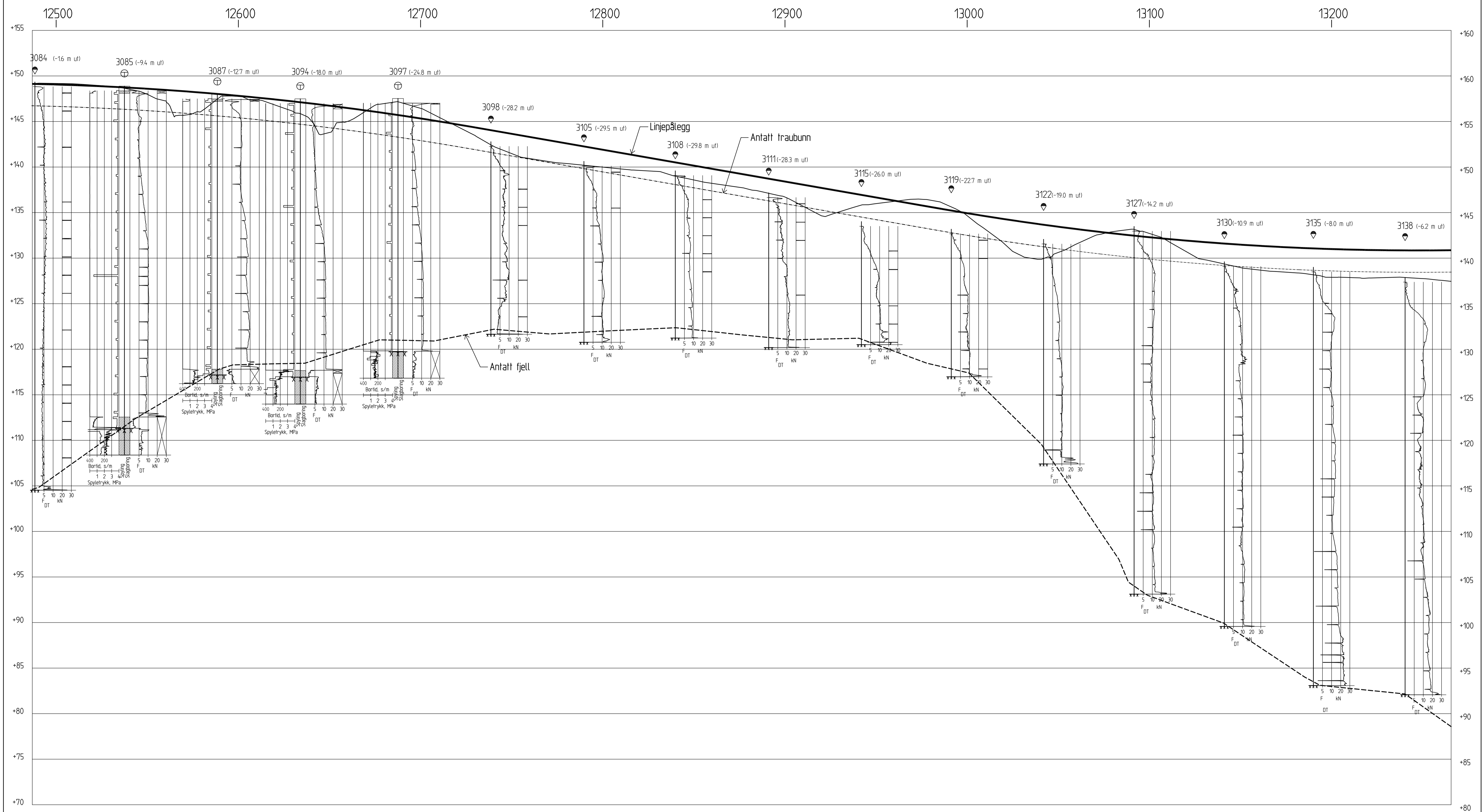
FORKLARINGER:

- ☉ Dreielektrykksendering
- ⊕ Totalsendering
- ▽ Trykksendering
- ⊙ Prøveserie
- ⊖ Poretrykksmåling

HENVISNINGER :

Tegning 019 Borplan

Rev	Beskrivelse	Dato	Tegn	Kontr	Godek
STATENS VEGVESEN REGION ØST E16 NYBAKK - SLOMARKA			Status Original format A1 Tegningens tittelnavn		
Vormå - Uåa Lengdeprofil 11800 - 12500			Målestokk HM = 1: 200 LM = 1: 1000		
NGI Sognsveien 72 - PO Boks 3030 Ullevål Stadion NO-0806 Oslo, Norway T: (+47) 22 02 30 00 F: (+47) 22 23 04 48 www.ngi.no		Dato 26.08.2014 Oppdragnr. 20120491	Konstr./Tegnet TS Tegningnr. 213	Kontrollert SHH	Godkjent ON



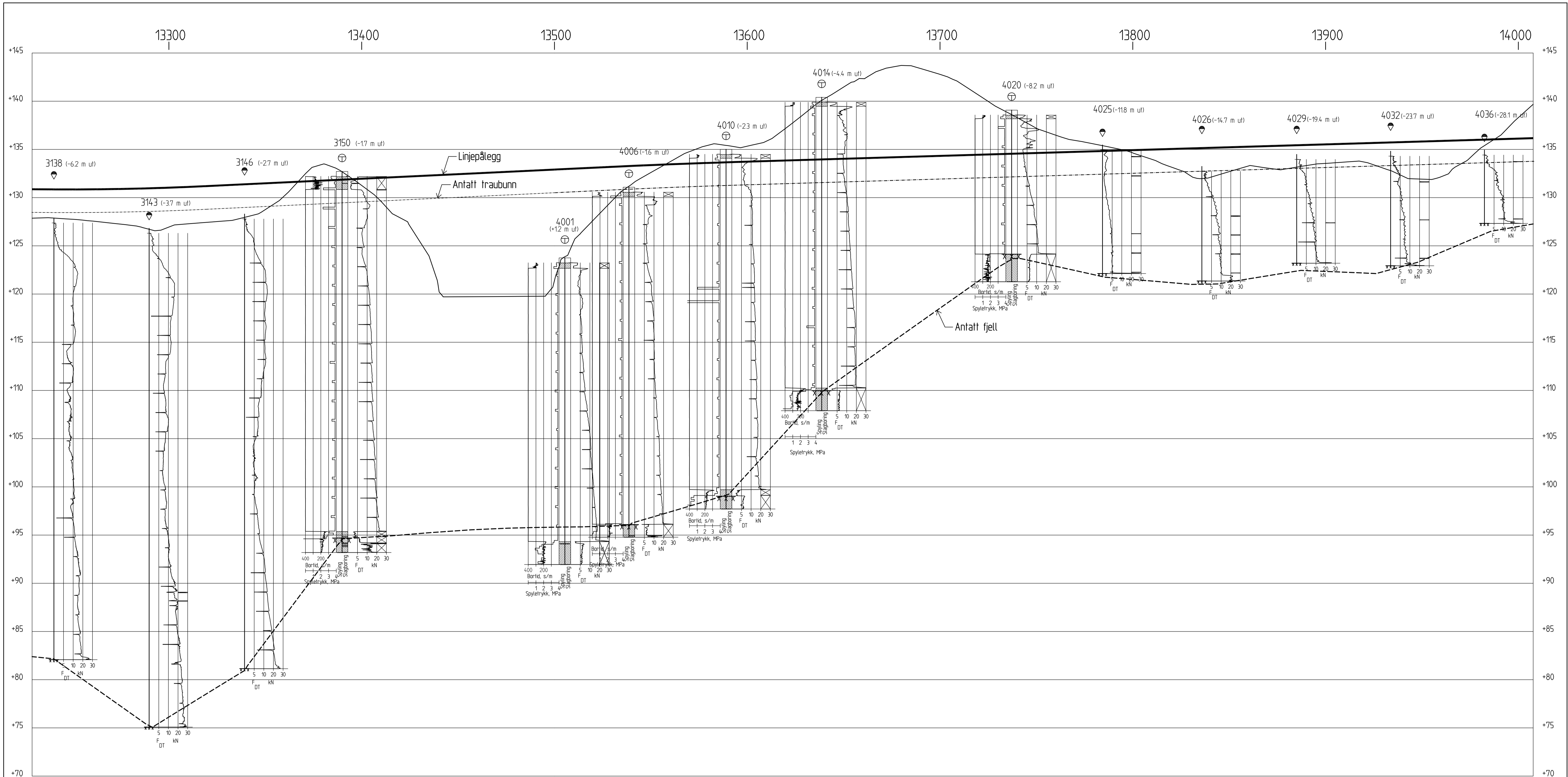
FORKLARINGER:

- Dreielektrykksondring
- ⊕ Totalsondring
- ▽ Trykksondring
- ⊙ Prøveserie
- ⊖ Poretrykksmåling

HENVISNINGER :

Tegning 019 Borplan
Tegning 020 Borplan

Rev	Beskrivelse	Dato	Tegn	Kontr	Godkj
<p>STATENS VEGVESEN REGION ØST E16 NYBAKK - SLOMARKA</p>					
<p>Vorma - Uåa Lengdeprofil 12500 - 13250</p>					<p>Målestokk HM = 1 : 200 LM = 1 : 1000</p>
<p>NGI Sognsveien 72 - PO Boks 3830 Ullevål Stadion NO-0806 Oslo, Norway T: (+47) 22 02 30 00 F: (+47) 22 23 04 48 www.ngi.no</p>		<p>Dato 26.08.2014</p>	<p>Konstr./Tegnet TS</p>	<p>Kontrollert SHH</p>	<p>Godkjent ON</p>
<p>20120491</p>			<p>214</p>		



FORKLARINGER:

- ▲ Dreielektrykksendering
- ⊙ Totalsendering
- ▽ Trykksendering
- ⊖ Prøveserie
- ⊖ Poretrykksmåling

HENVISNINGER :

Tegning 020 Borplan

Rev	Beskrivelse	Dato	Tegn	Kontr	Gedkj
STATENS VEGVESEN REGION ØST E16 NYBAKK - SLOMARKA					Status Original format A1 Tegningens tittelnavn
Vormå - Uåa Uåa - Dyståa Lengdeprofil 13250 - 14000					Målestokk HM = 1 : 200 LM = 1 : 1000
NGI Sognsveien 72 - PO Boks 3930 Lillevevl Stadion NO-0806 Oslo, Norway T: (+47) 22 02 30 00 F: (+47) 22 23 04 48 www.ngi.no					Dato 26.08.2014 Oppragsnr. 20120491
Konstr./Tegnet TS					Kontrollert SHH
Godkjent ON					Rev.
					215



Vedlegg A - Dreietrykksonderinger

Innhold

A1 Metode	2
A2 Resultater	2
A3 Referanser	2
Figurer	
Figur A1 – A389	

A1 Metode

Metoden benyttes for å bestemme lagdeling i løsmasser og dybder til fast grunn eller antatt fjell. Metoden gir ikke sikker påvisning av fjell.

Resultatene gir grunnlag for å identifisere jordarter og vurdere relativ fasthet i grunnen.

Metoden er velegnet for å bestemme sensitivitet i bløt leire.

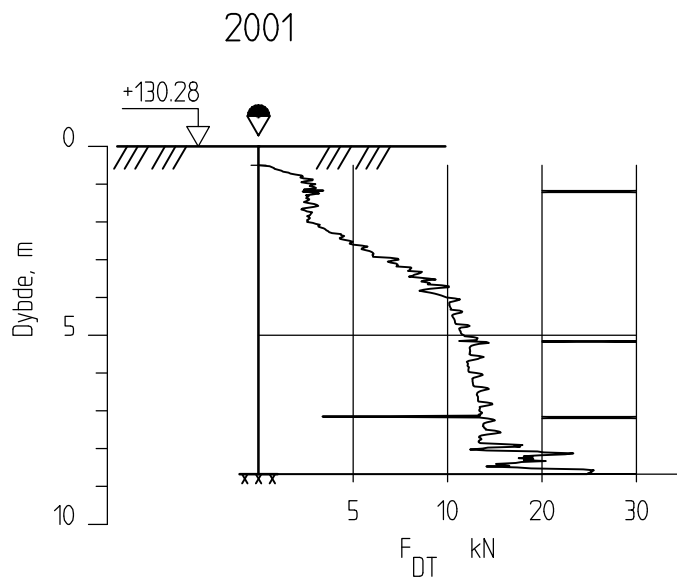
A2 Resultater

Resultatene er vist som enkeltboringer på figur A1 – A389.

A3 Referanser

/A1/ Veiledning for utførelse av dreietrykksondering.
Melding nr. 7, Norsk geoteknisk forening

/A2/ Håndbok 015, Feltundersøkelser
Statens vegvesen, august 1997



E16 Nybakk - Slomarka

Dreietrykkssondering
1:200

Borhull 2001

Posisjon: X 1241436.70 Y 94264.94

Dato boret :09.02.2013

Rapport nr.
20120491-02-R

Tegner
KjA

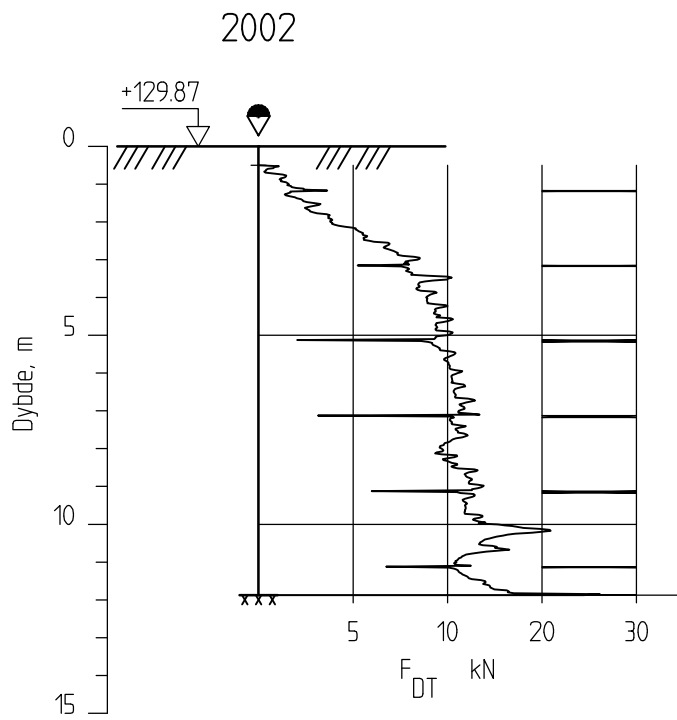
Kontrollert
TFS

Godkjent
StH

Figur nr.
A1

Dato:
05.11.2013





E16 Nybakk - Slomarka

Dreietrykkssondering
1:200

Borhull 2002

Posisjon: X 1241394.15 Y 94291.38

Dato boret :09.02.2013

Rapport nr.
20120491-02-R

Tegner
KjA

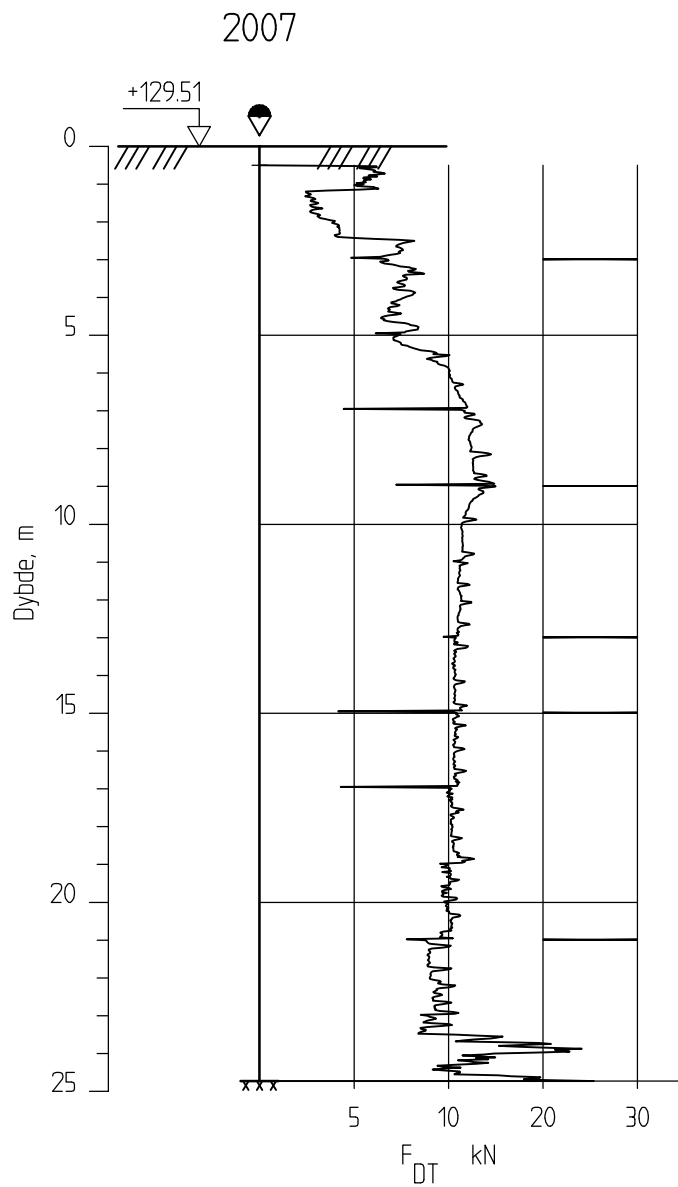
Kontrollert
TFS

Godkjent
StH

Figur nr.
A2

Dato:
05.11.2013





E16 Nybakk - Slomarka

Dreietrykkssondering
1:200

Borhull 2007

Posisjon: X 1241263.33 Y 94432.77

Dato boret :09.02.2013

Rapport nr.
20120491-02-R

Tegner
KjA

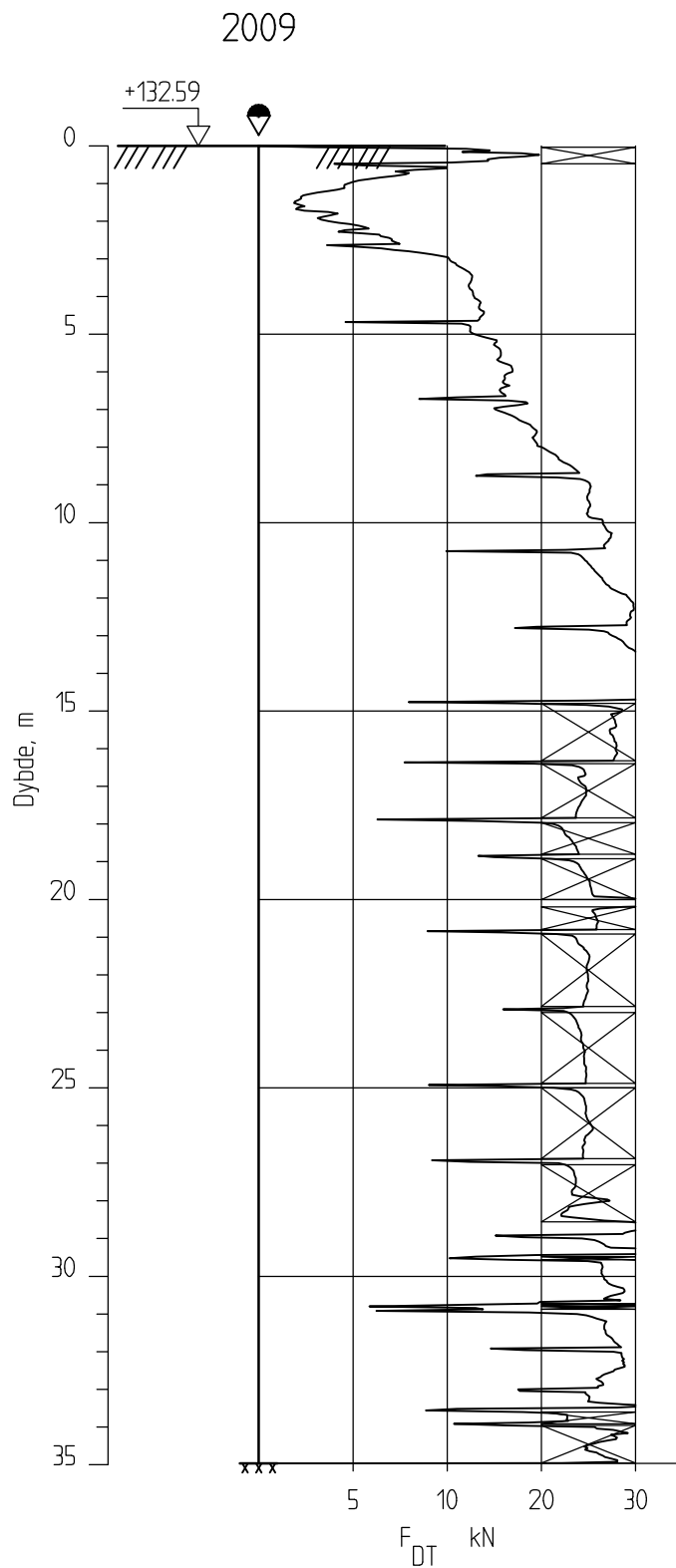
Kontrollert
TFS

Godkjent
StH

Figur nr.
A3

Dato:
05.11.2013





E16 Nybakk - Slomarka

Dreietrykkssondering
1:200

Borhull 2009

Posisjon: X 1241429.46 Y 94390.31

Dato boret :05.02.2013

Rapport nr.
20120491-02-R

Tegner
KjA

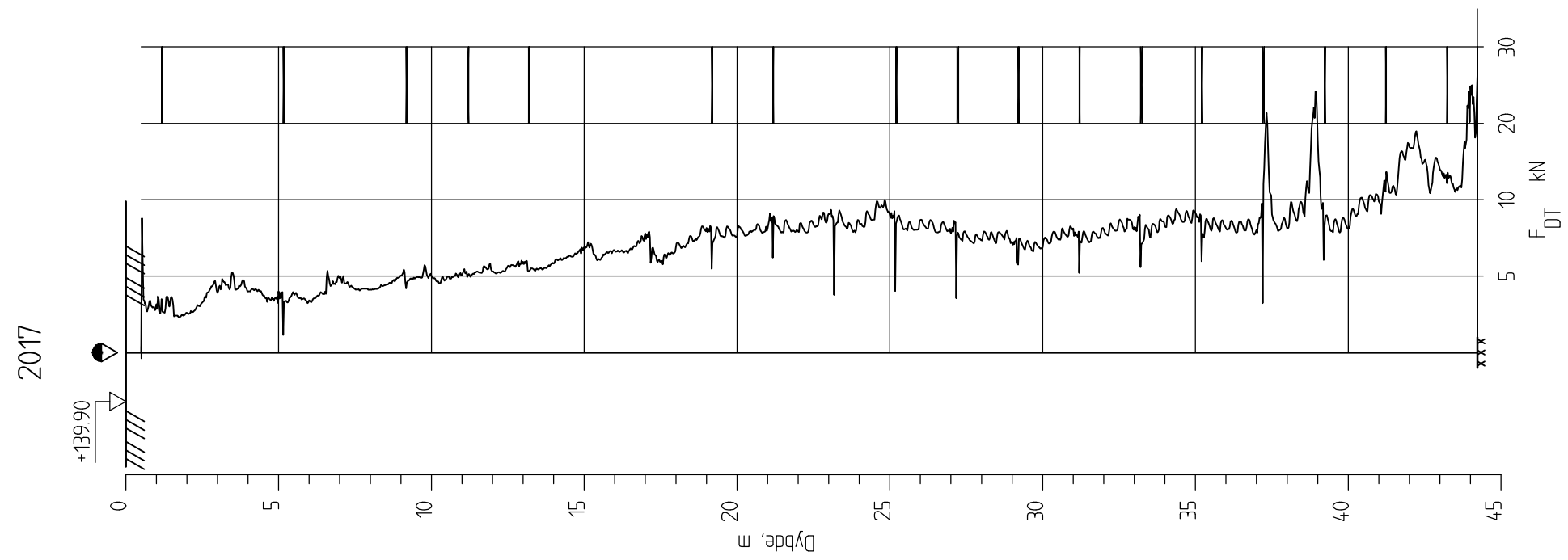
Kontrollert
TFS

Godkjent
StH

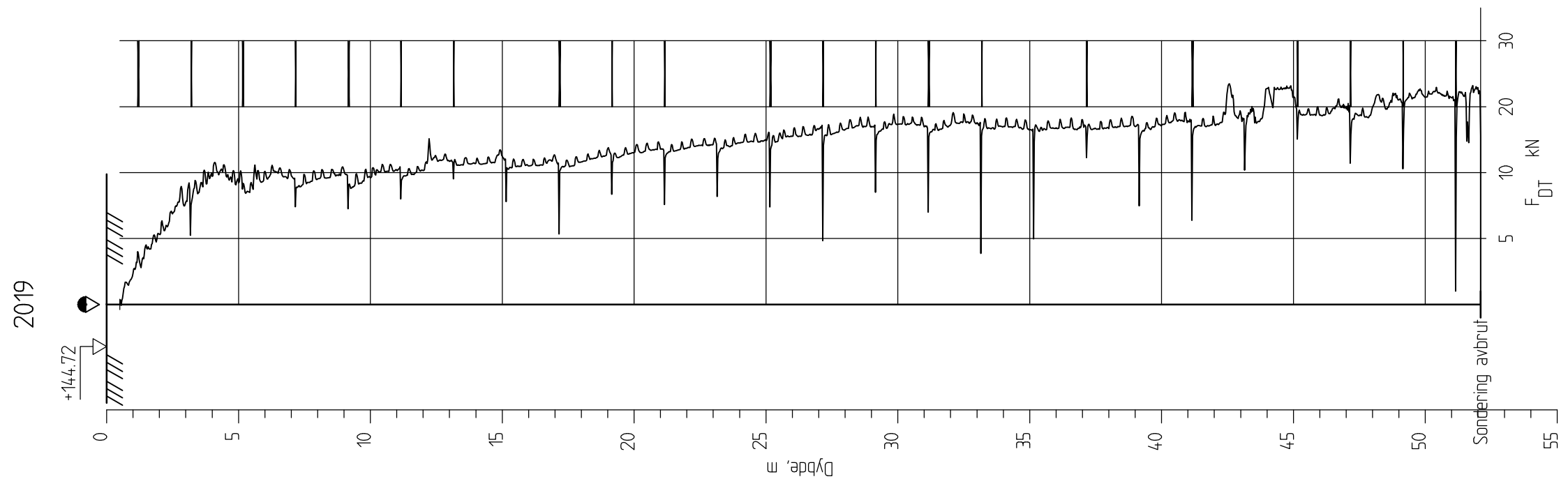
Figur nr.
A5

Dato:
05.11.2013

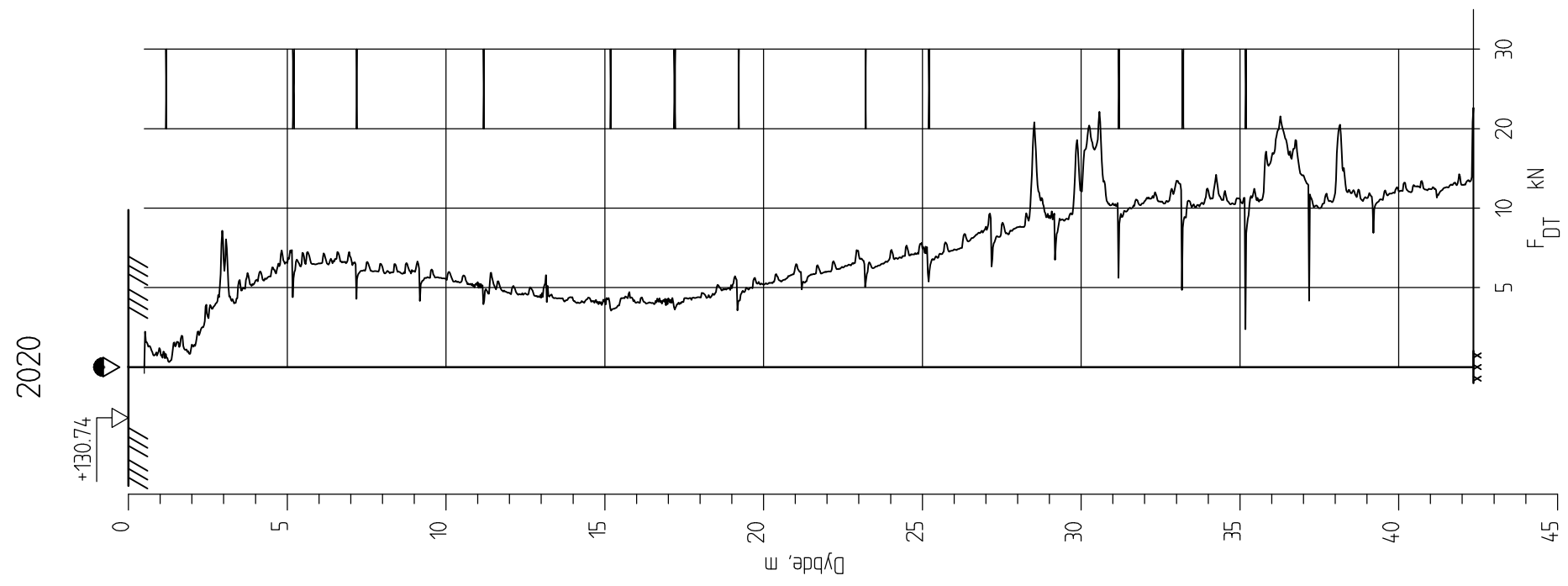




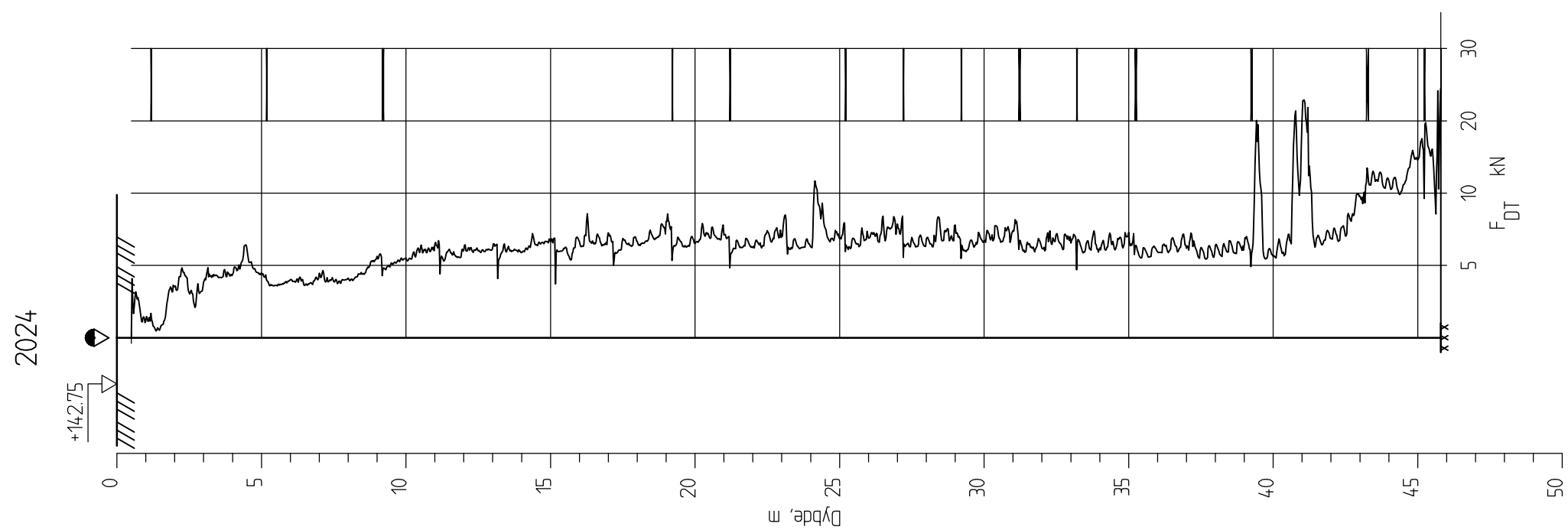
<p>E16 Nybakk - Slomarka</p> <p>Dreietrykksondering 1:200</p> <p>Borhull 2017 Posisjon: X 1241476.04 Y 94481.88 Dato boret :16.02.2013</p>	Rapport nr. 20120491-02-R	Figur nr. A10
	Tegner KJA	Dato: 05.11.2013
	Kontrollert TFS	
	Godkjent SH	



<p>E16 Nybakk - Slomarka</p> <p>Dreietrykkssondering 1:200</p> <p>Borhull 2019 Posisjon: X 1241378.22 Y 94529.67 Dato boret :09.02.2013</p>	Rapport nr. 20120491-02-R	Figur nr. A12
	Tegner KjA	Dato: 05.11.2013
	Kontrollert TFS	
	Godkjent SH	



<p>E16 Nybakk - Slomarka</p> <p>Dreietrykkssondering 1:200</p> <p>Borhull 2020 Posisjon: X 1241288.89 Y 94574.62 Dato boret :09.02.2013</p>	Rapport nr. 20120491-02-R	Figur nr. A13
	Tegner KJA	Dato: 05.11.2013
	Kontrollert TFS	
	Godkjent SH	



E16 Nybakk - Slomarka

Dreietrykkssondering
1:200

Borhull 2024

Posisjon: X 1241517.58 Y 94575.92

Dato boret :16.02.2013

Rapport nr.
20120491-02-R

Figur nr.
A15

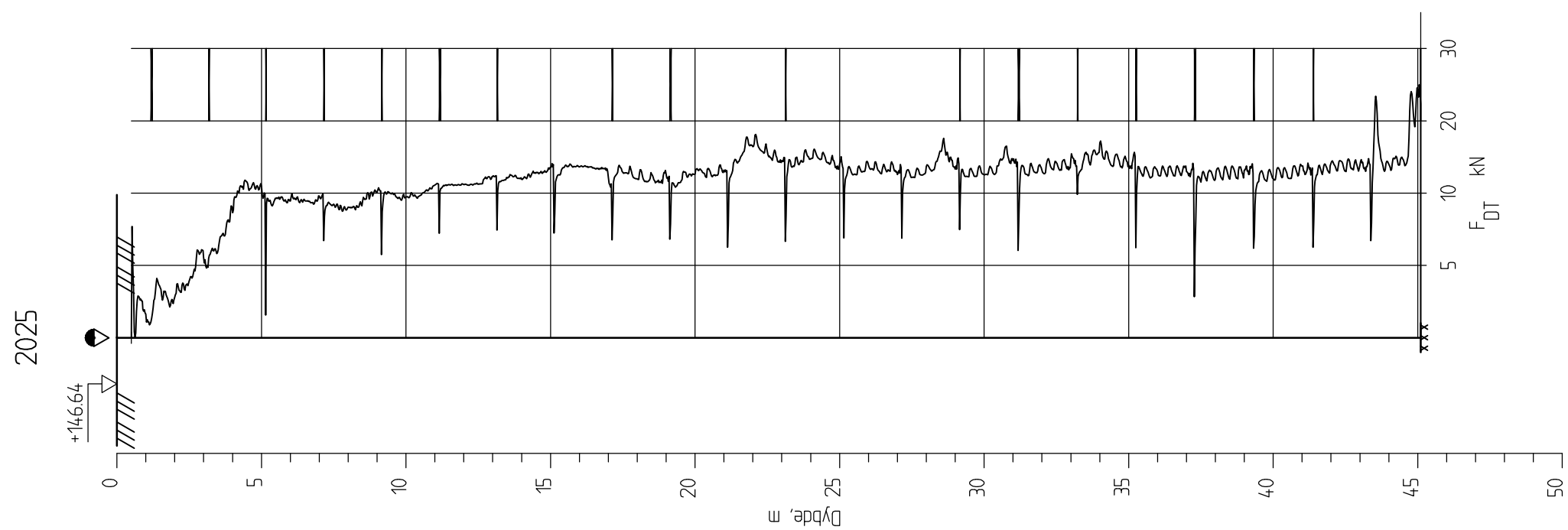
Tegner
KjA

Dato:
05.11.2013

Kontrollert
TFS

Godkjent
SH





E16 Nybakk - Slomarka

Dreietrykkssondering
1:200

Borhull 2025

Posisjon: X 1241471.28 Y 94594.86

Dato boret :15.02.2013

Rapport nr.
20120491-02-R

Figur nr.
A16

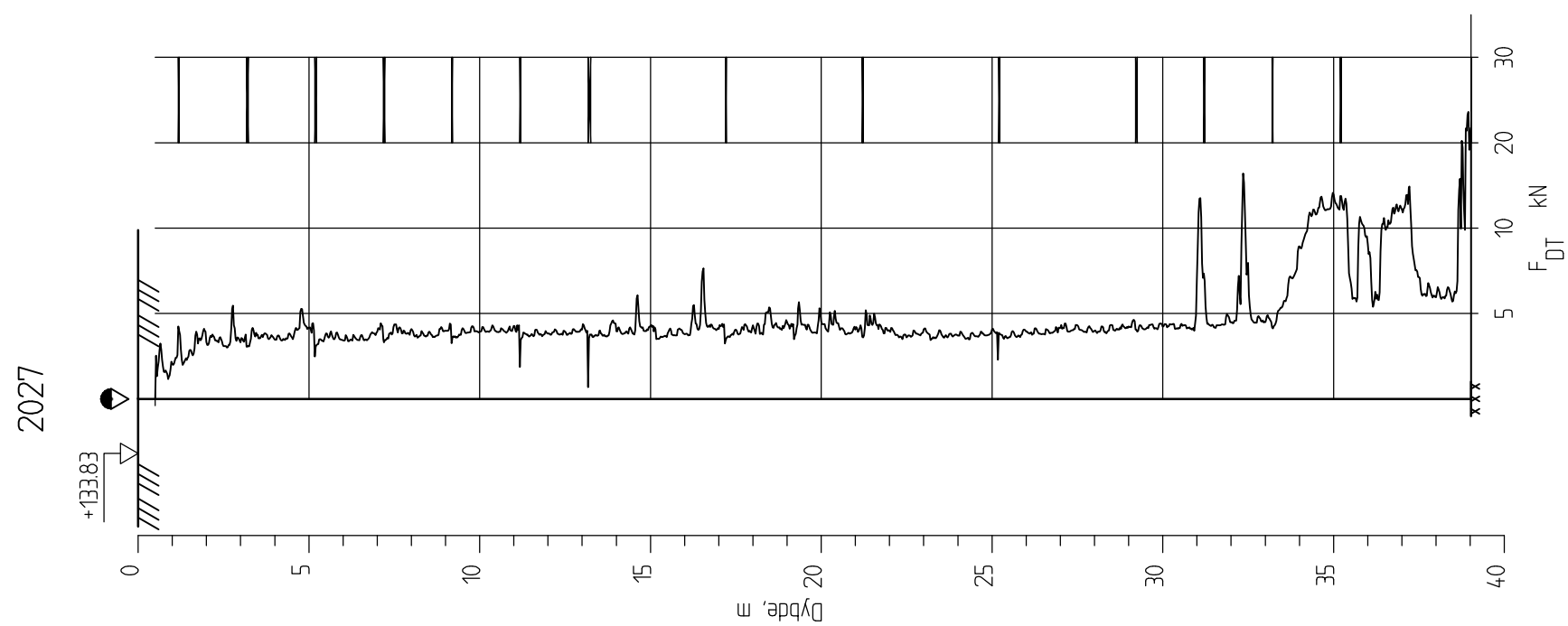
Tegner
KJA

Dato:
05.11.2013

Kontrollert
TFS

Godkjent
SH



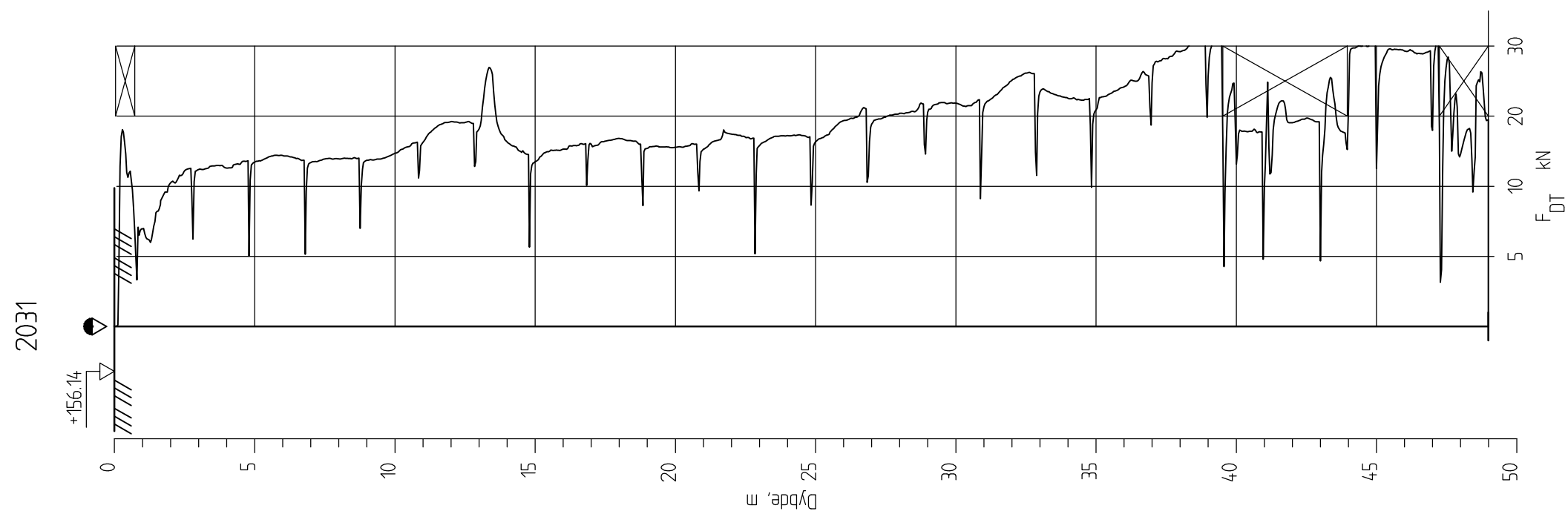


E16 Nybakk - Slomarka

Dreietrykkssondering
1:200

Borhull 2027
Posisjon: X 1241329.98 Y 94660.79 Dato boret :09.02.2013

Rapport nr. 20120491-02-R	Figur nr. A18
Tegner KJA	Dato: 05.11.2013
Kontrollert TFS	
Godkjent SH	



E16 Nybakk - Slomarka

Dreietrykkssondering
1:200

Borhull 2031

Posisjon: X 1241648.21 Y 94639.55

Dato boret :04.02.2013

Rapport nr.
20120491-02-R

Figur nr.
A21

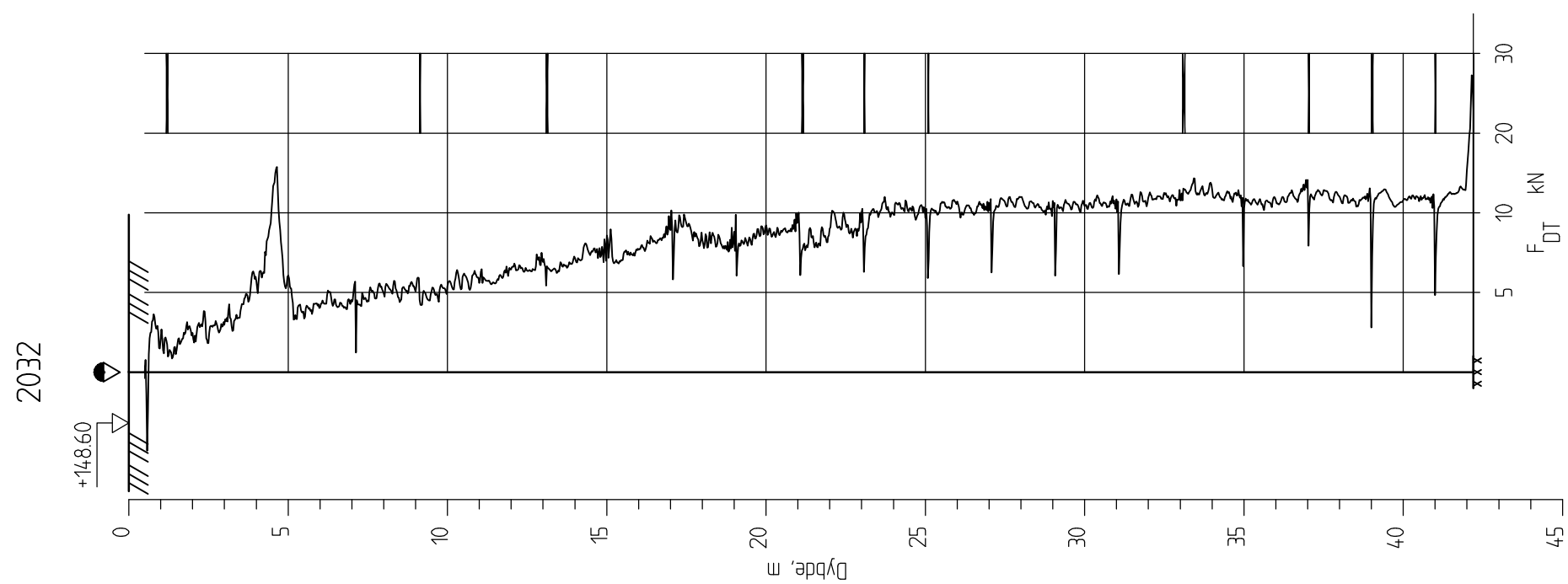
Tegner
KJA

Dato:
05.11.2013

Kontrollert
TFS

Godkjent
SH





E16 Nybakk - Slomarka

Dreietrykkssondering
1:200

Borhull 2032

Posisjon: X 1241553.65 Y 94672.07

Dato boret :14.02.2013

Rapport nr.
20120491-02-R

Figur nr.
A22

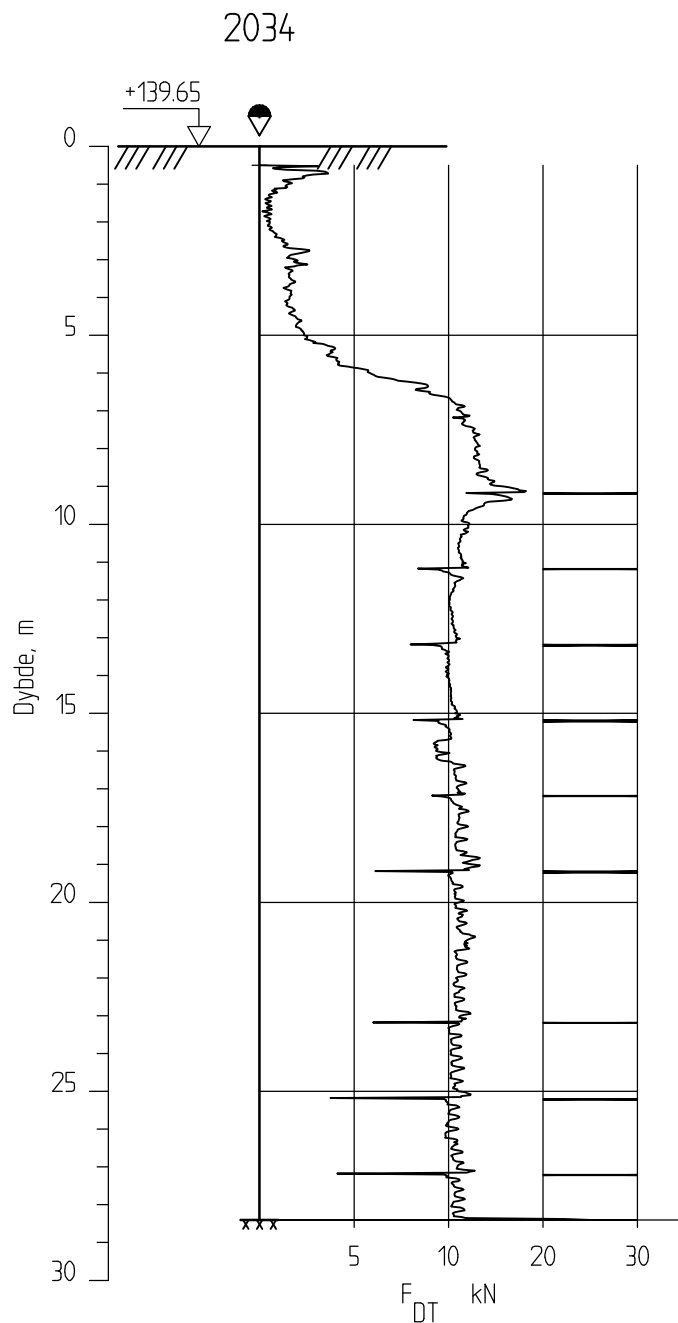
Tegner
KjA

Dato:
05.11.2013

Kontrollert
TFS

Godkjent
SH





E16 Nybakk - Slomarka

Dreietrykkssondering
1:200

Borhull 2034

Posisjon: X 1241368.97 Y 94747.93

Dato boret :14.02.2013

Rapport nr.
20120491-02-R

Figur nr.
A24

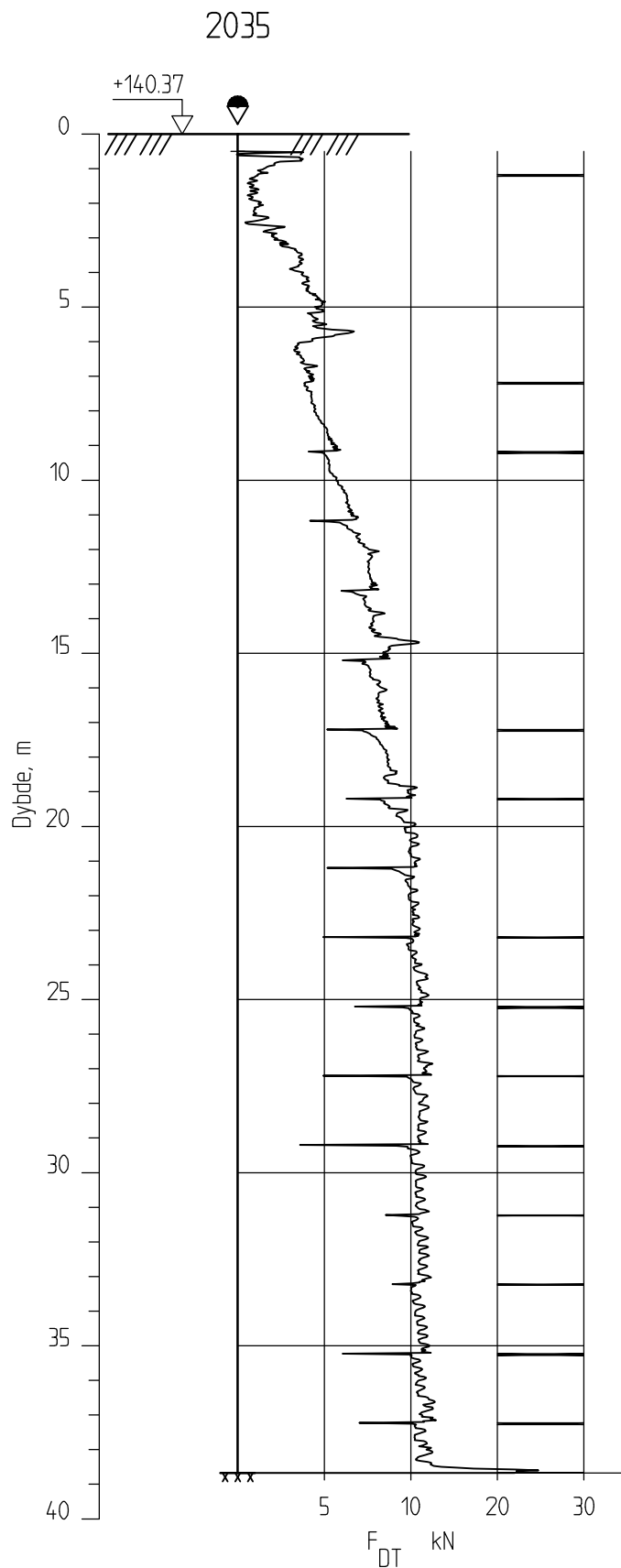
Tegner
KjA

Dato:
05.11.2013

Kontrollert
TFS

Godkjent
StH





E16 Nybakk - Slomarka

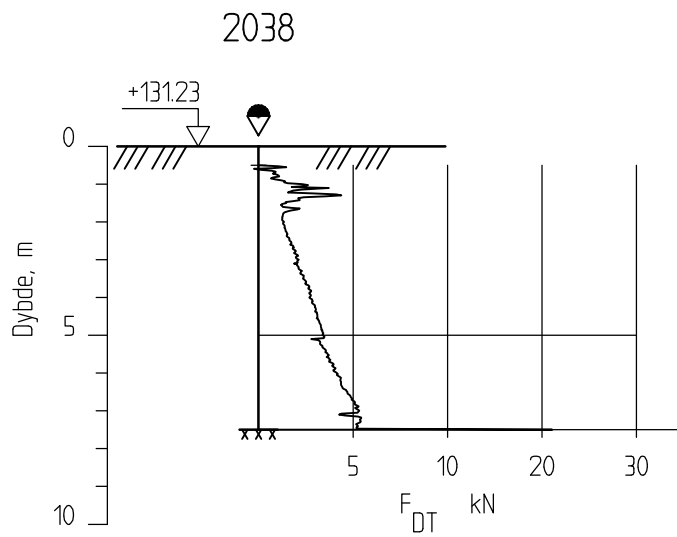
Dreietrykkssondering
1:200

Borhull 2035

Posisjon: X 1241293.67 Y 94772.16

Dato boret :14.02.2013

Rapport nr.
20120491-02-RFigur nr.
A25Tegner
KjADato:
05.11.2013Kontrollert
TFSGodkjent
StH



E16 Nybakk - Slomarka

Dreietrykkssondering
1:200

Borhull 2038

Posisjon: X 1240855.59 Y 94966.14

Dato boret :24.04.2013

Rapport nr.
20120491-02-R

Tegner
KjA

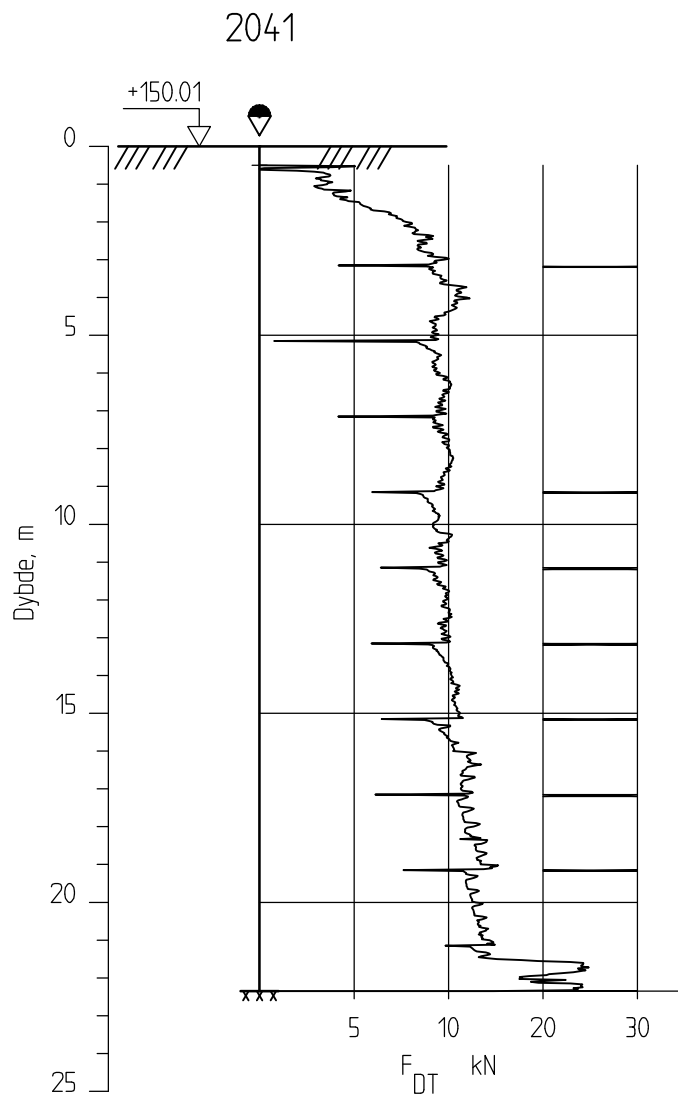
Kontrollert
TFS

Godkjent
StH

Figur nr.
A26

Dato:
05.11.2013





E16 Nybakk - Slomarka

Dreietrykkssondering
1:200

Borhull 2041
Posisjon: X 1241588.11 Y 94769.14

Dato boret :15.02.2013

Rapport nr.
20120491-02-R

Tegner
KjA

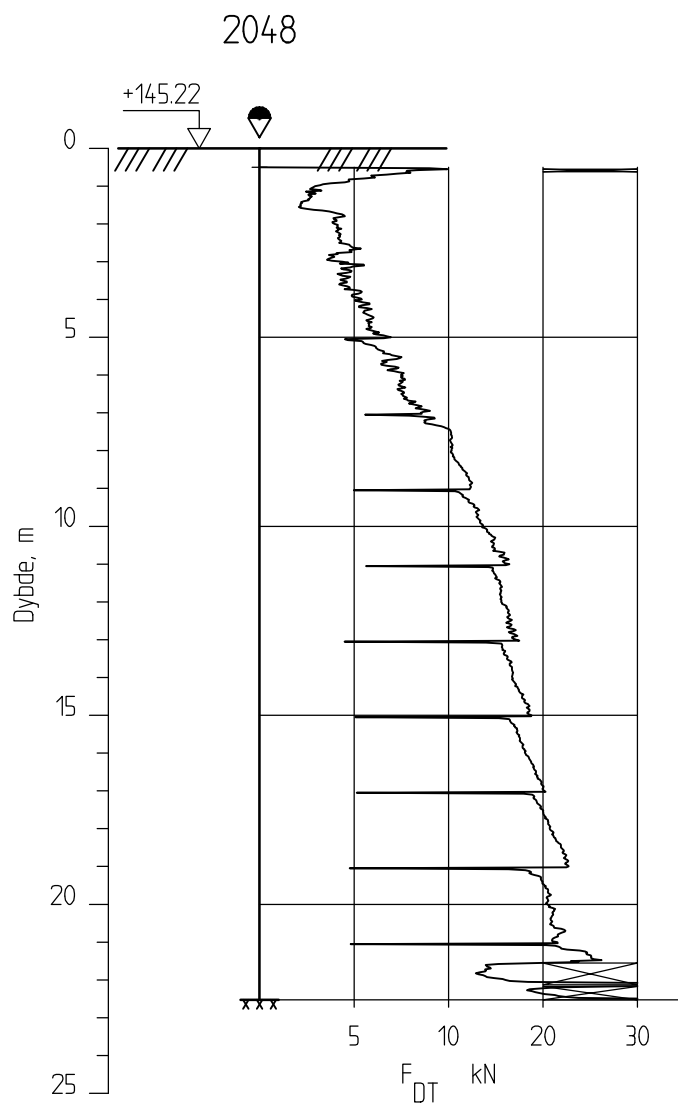
Kontrollert
TFS

Godkjent
StH

Figur nr.
A27

Dato:
05.11.2013





E16 Nybakk - Slomarka

Dreietrykkssondering
1:200

Borhull 2048

Posisjon: X 1241621.02 Y 94872.92

Dato boret :14.01.2013

Rapport nr.
20120491-02-R

Figur nr.
A31

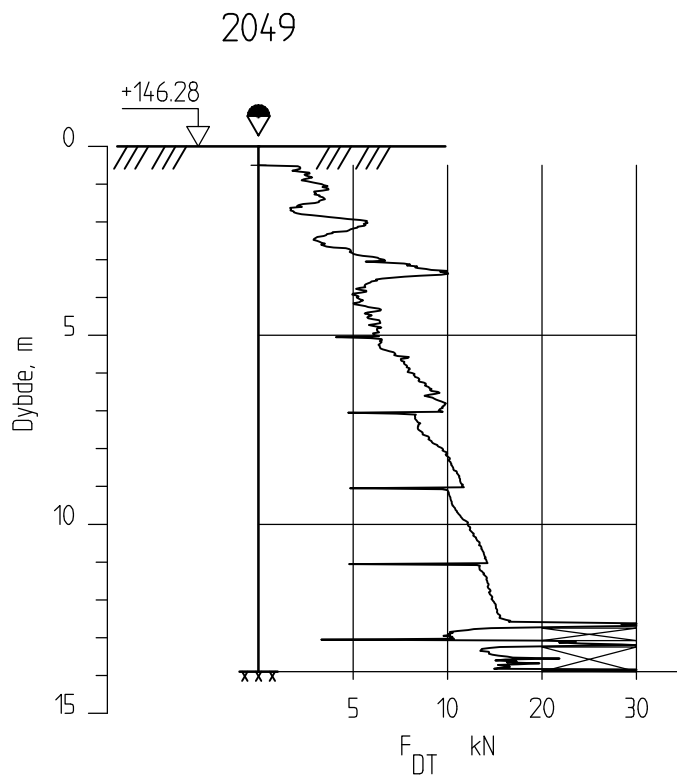
Tegner
KjA

Dato:
05.11.2013

Kontrollert
TFS

Godkjent
StH





E16 Nybakk - Slomarka

Dreietrykkssondering
1:200

Borhull 2049

Posisjon: X 1241525.00 Y 94901.05

Dato boret :14.01.2013

Rapport nr.
20120491-02-R

Tegner
KjA

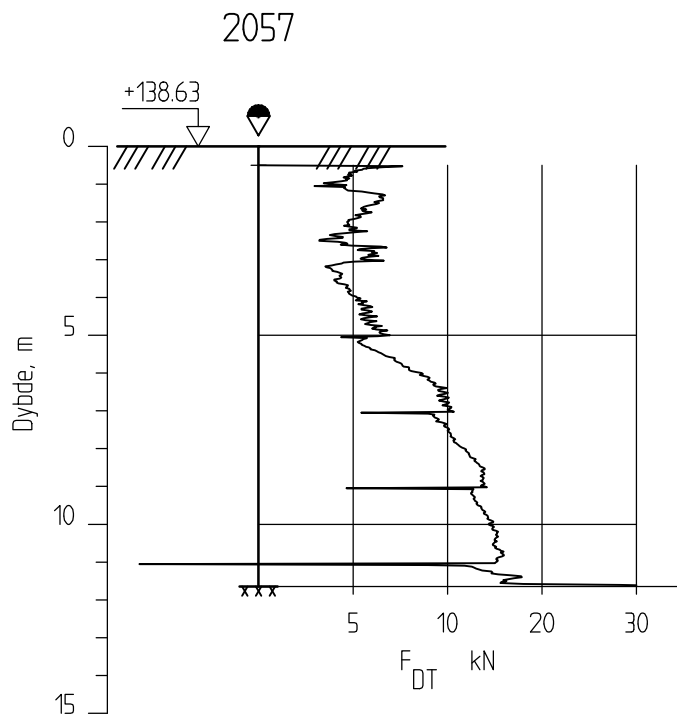
Kontrollert
TFS

Godkjent
StH

Figur nr.
A32

Dato:
05.11.2013





E16 Nybakk - Slomarka

Dreietrykksondering
1:200

Borhull 2057

Posisjon: X 1241550.97 Y 94997.64

Dato boret :14.01.2013

Rapport nr.
20120491-02-R

Figur nr.
A36

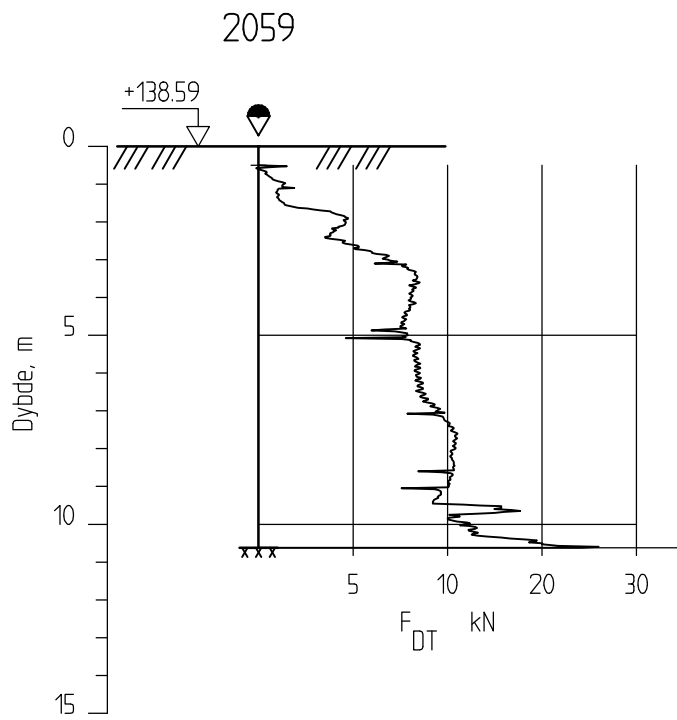
Tegner
KjA

Dato:
05.11.2013

Kontrollert
TFS

Godkjent
StH





E16 Nybakk - Slomarka

Rapport nr.
20120491-02-R

Figur nr.
A38

Dreietrykksondering
1:200

Tegner
KjA

Dato:
05.11.2013

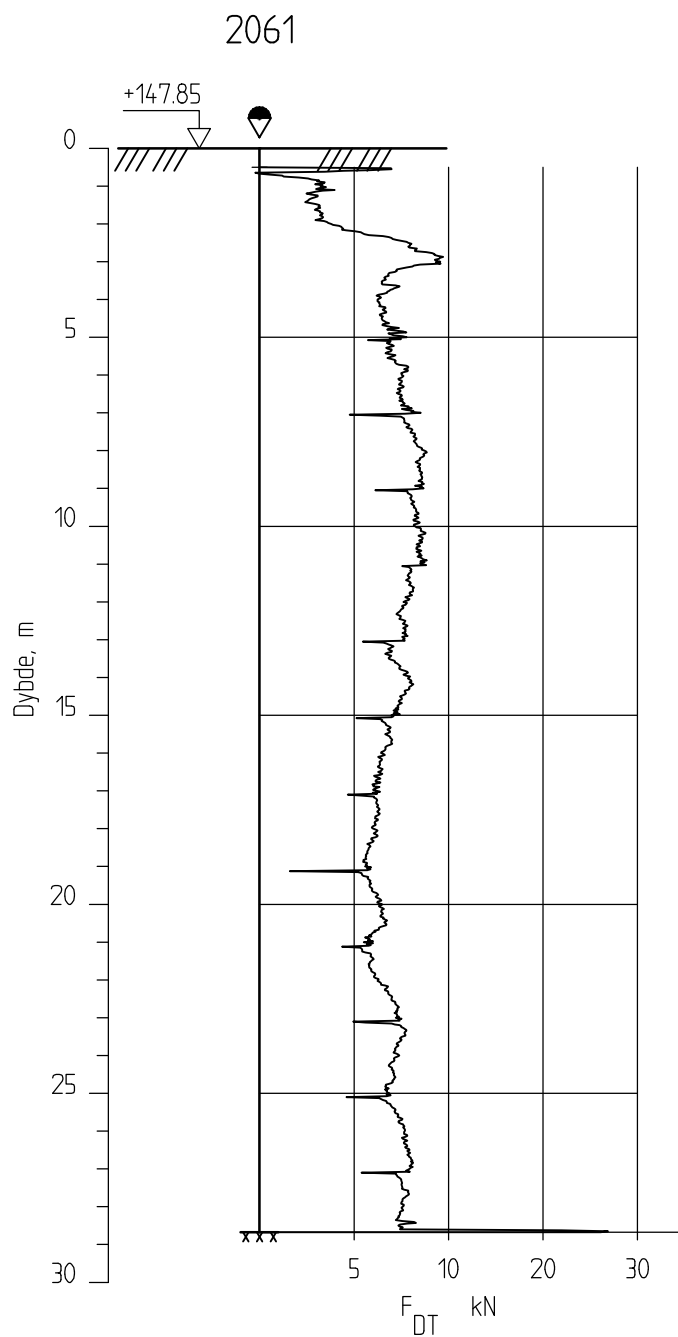
Borhull 2059
Posisjon: X 1240887.48 Y 95263.53

Dato boret :24.04.2013

Kontrollert
TFS

Godkjent
StH



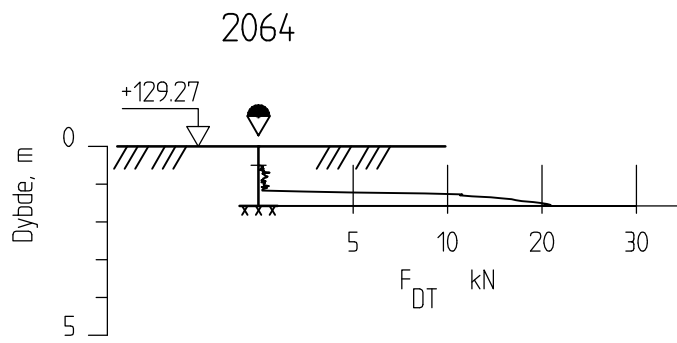


E16 Nybakk - Slomarka

Rapport nr.
20120491-02-RFigur nr.
A39Dreietrykkssondering
1:200Tegner
KjADato:
05.11.2013Borhull 2061
Posisjon: X 1240917.00 Y 95359.01

Dato boret :24.04.2013

Kontrollert
TFSGodkjent
StH



E16 Nybakk - Slomarka

Dreietrykkssondering
1:200

Borhull 2064
Posisjon: X 1241511.69 Y 95105.87

Dato boret :16.02.2013

Rapport nr.
20120491-02-R

Tegner
KjA

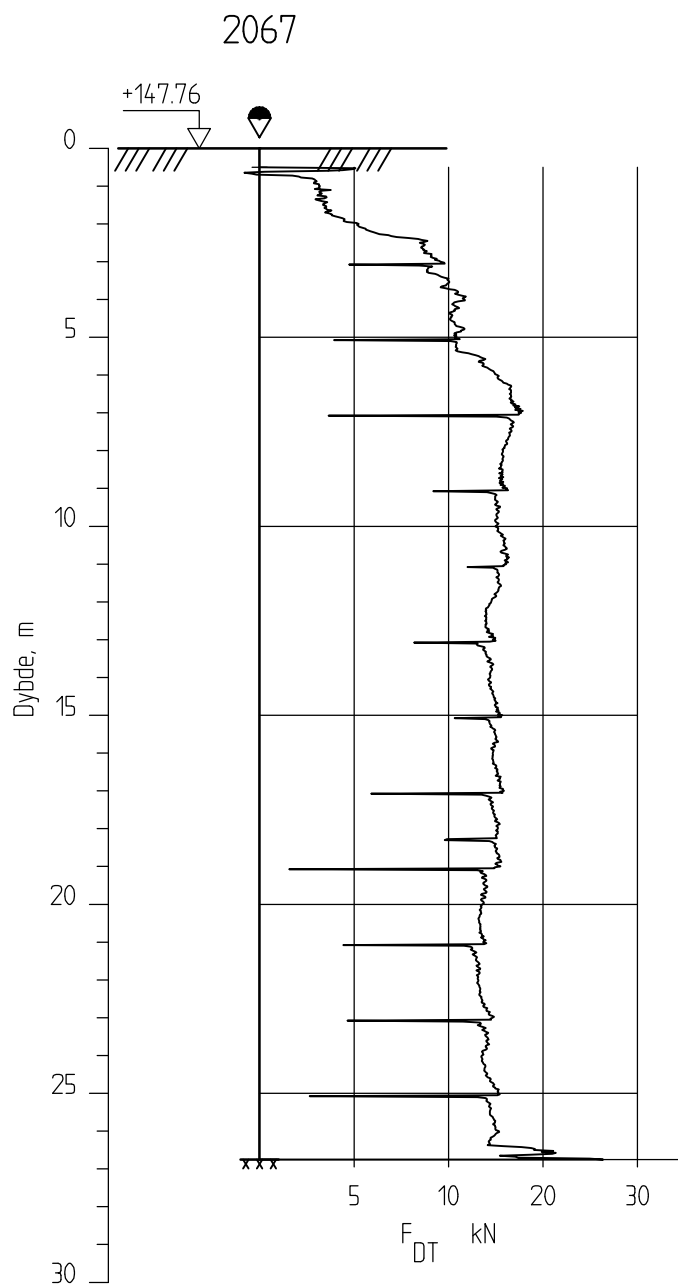
Kontrollert
TFS

Godkjent
StH

Figur nr.
A41

Dato:
05.11.2013





E16 Nybakk - Slomarka

Dreietrykkssondering
1:200

Borhull 2067

Posisjon: X 1240955.97 Y 95451.02

Dato boret :24.04.2013

Rapport nr.
20120491-02-R

Figur nr.
A43

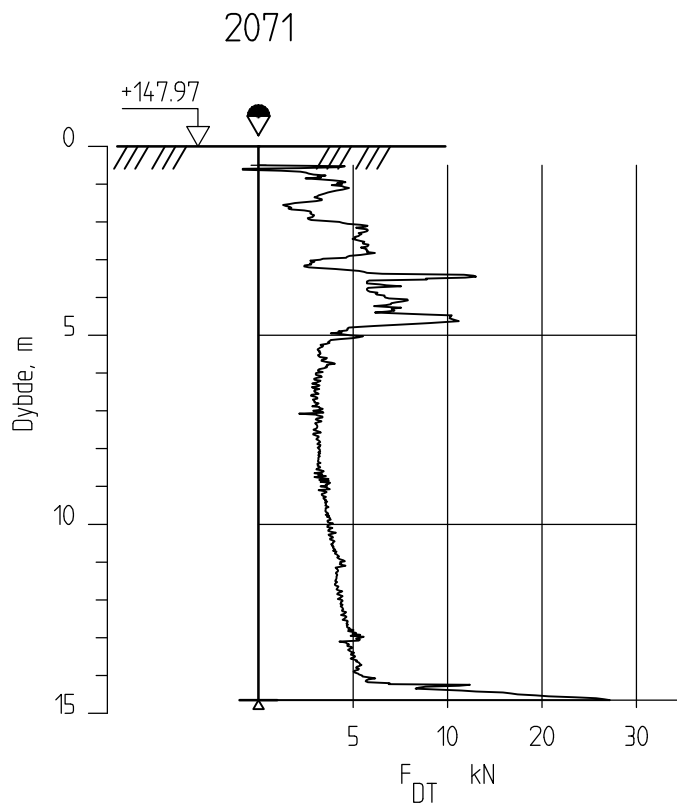
Tegner
KjA

Dato:
05.11.2013

Kontrollert
TFS

Godkjent
StH





E16 Nybakk - Slomarka

Dreietrykkssondering
1:200

Borhull 2071

Posisjon: X 1241003.99 Y 95538.67

Dato boret :24.04.2013

Rapport nr.
20120491-02-R

Tegner
KjA

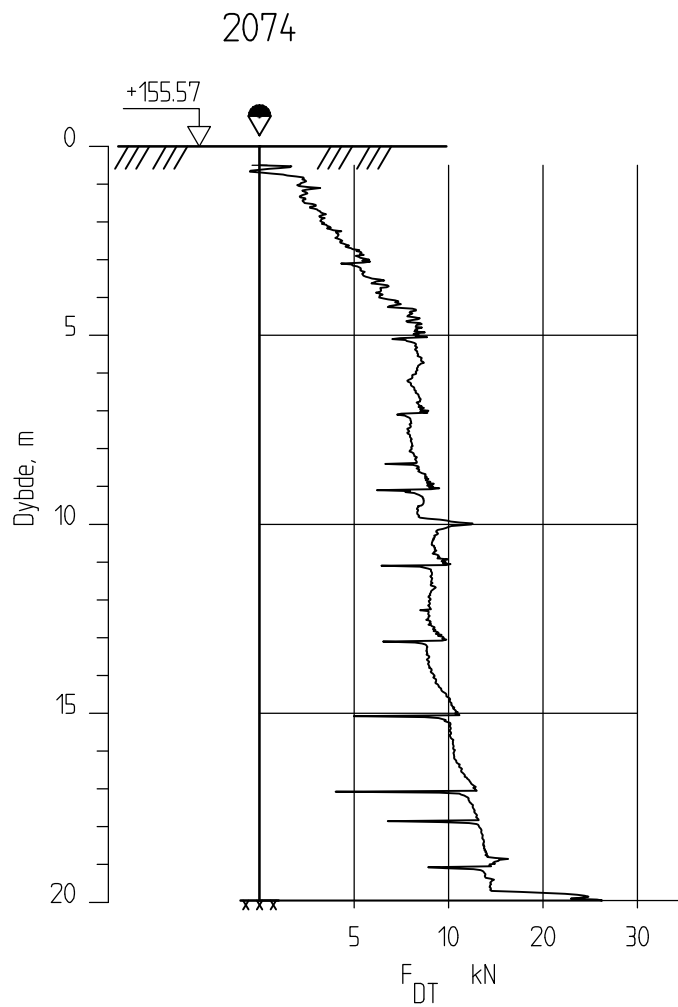
Kontrollert
TFS

Godkjent
StH

Figur nr.
A44

Dato:
05.11.2013





E16 Nybakk - Slomarka

Dreietrykksondering
1:200

Borhull 2074

Posisjon: X 1241060.52 Y 95621.23

Dato boret :24.04.2013

Rapport nr.
20120491-02-R

Figur nr.
A46

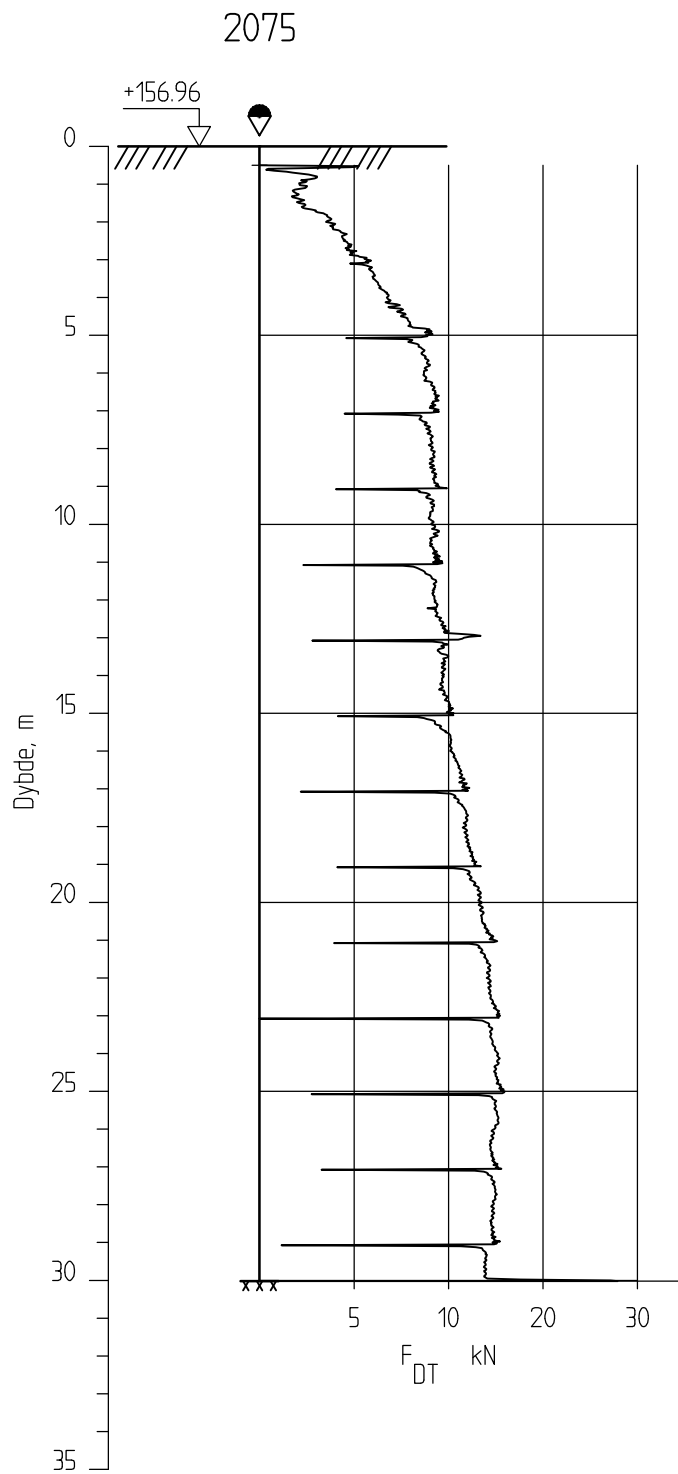
Tegner
KjA

Dato:
05.11.2013

Kontrollert
TFS

Godkjent
StH





E16 Nybakk - Slomarka

Dreietrykkssondering
1:200

Borhull 2075

Posisjon: X 1241123.68 Y 95702.68

Dato boret :25.04.2013

Rapport nr.
20120491-02-R

Figur nr.
A47

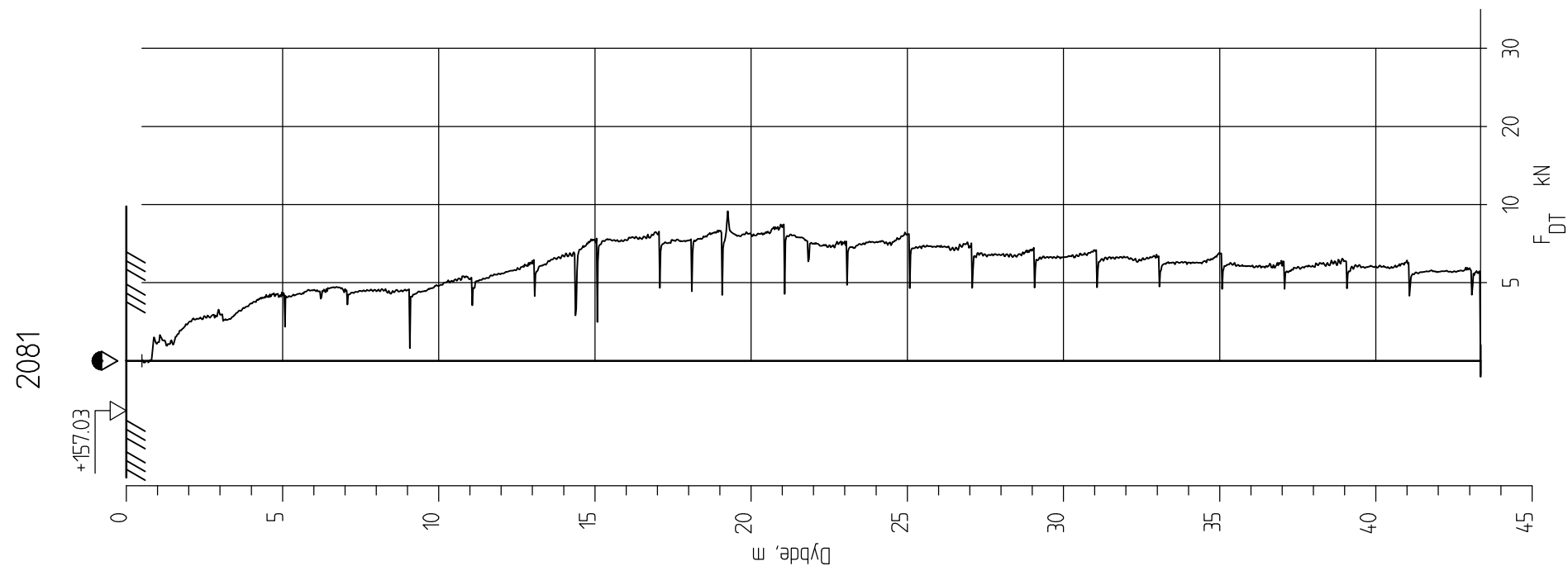
Tegner
KjA

Dato:
05.11.2013

Kontrollert
TFS

Godkjent
StH





E16 Nybakk - Slomarka

Dreietrykkssondering
1:200

Borhull 2081

Posisjon: X 1241338.93 Y 95907.72

Dato boret :25.04.2013

Rapport nr.
20120491-02-R

Figur nr.
A53

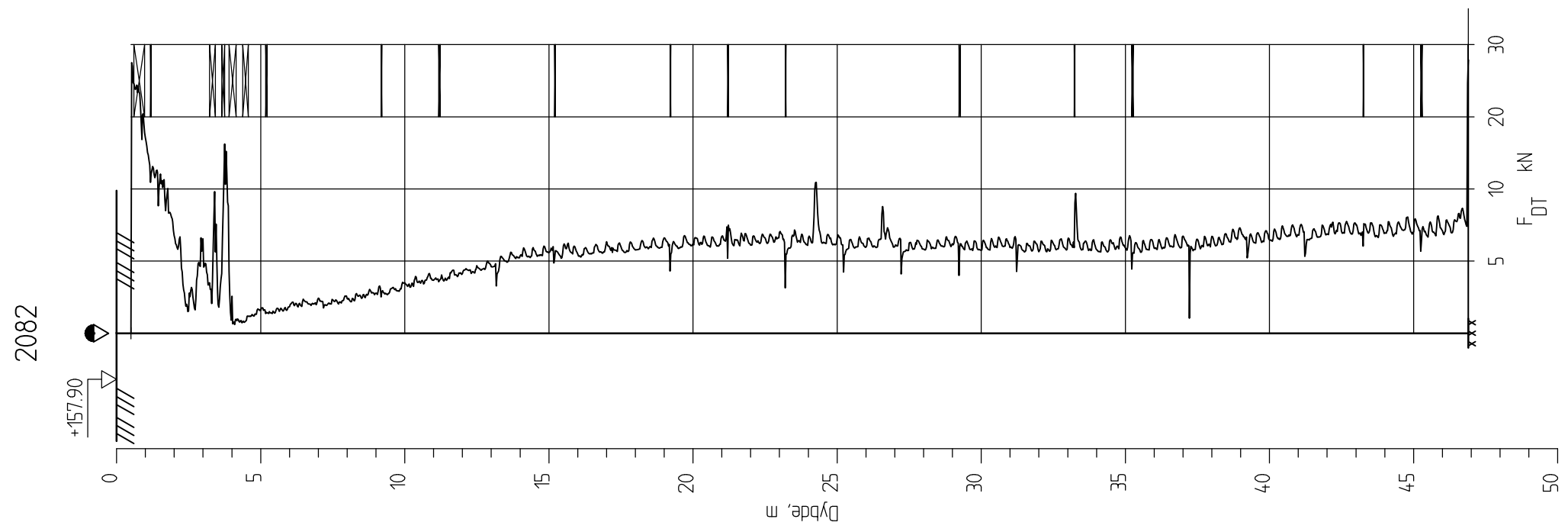
Tegner
KJA

Dato:
05.11.2013

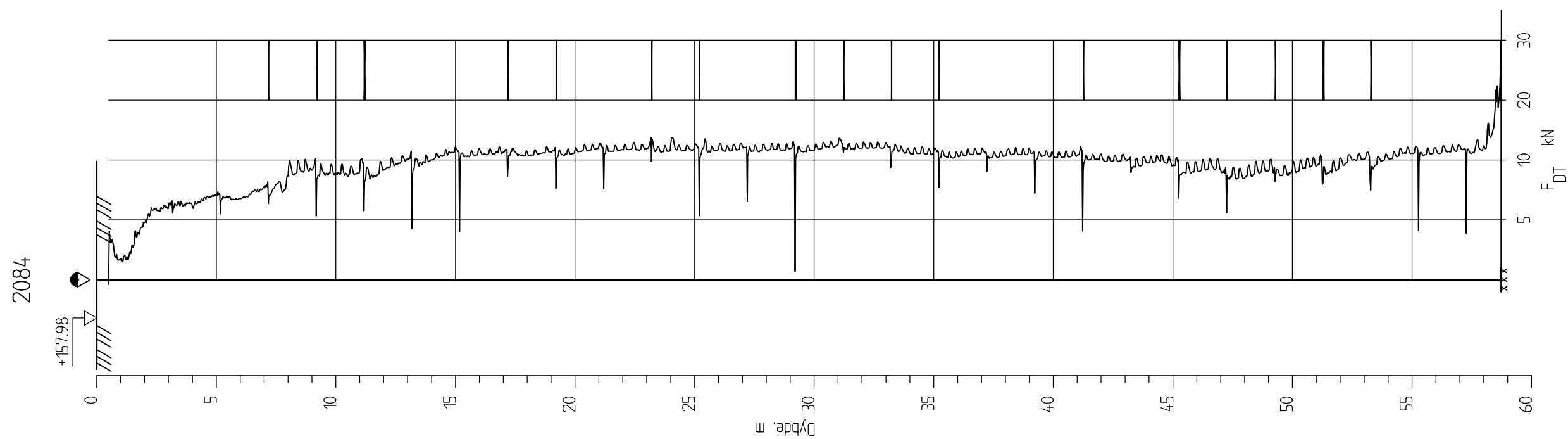
Kontrollert
TFS

Godkjent
SH





<p>E16 Nybakk - Slomarka</p> <p>Dreietrykkssondering 1:200</p> <p>Borhull 2082 Posisjon: X 1241668.82 Y 95816.10 Dato boret :17.02.2013</p>	Rapport nr. 20120491-02-R	Figur nr. A54
	Tegner KJA	Dato: 05.11.2013
	Kontrollert TFS	
	Godkjent SH	



E16 Nybakk - Slomarka

Dreietrykkssondering
1:200

Borhull 2084

Posisjon: X 1241682.21 Y 95923.97

Dato boret :17.02.2013

Rapport nr.
20120491-02-R

Figur nr.
A55

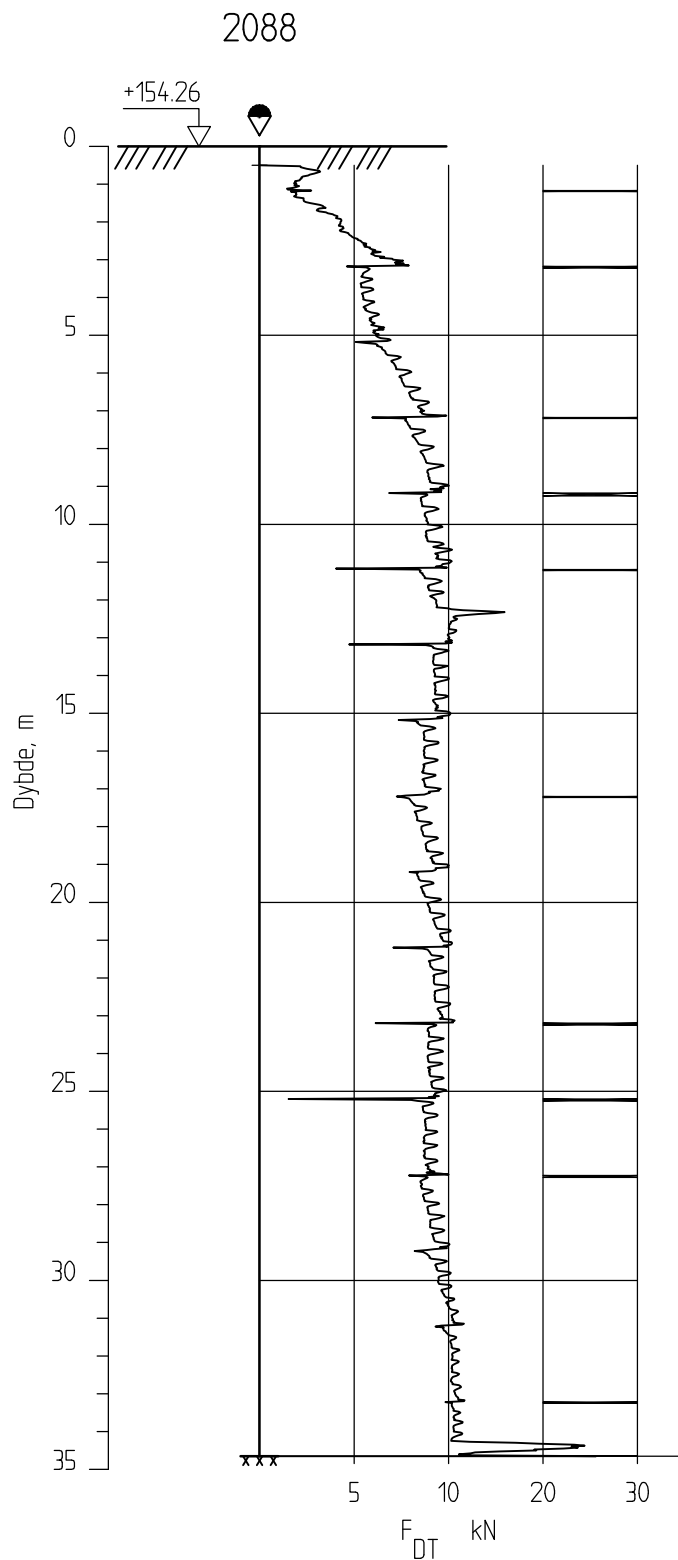
Tegner
KJA

Dato:
05.11.2013

Kontrollert
TFS

Godkjent
SH





E16 Nybakk - Slomarka

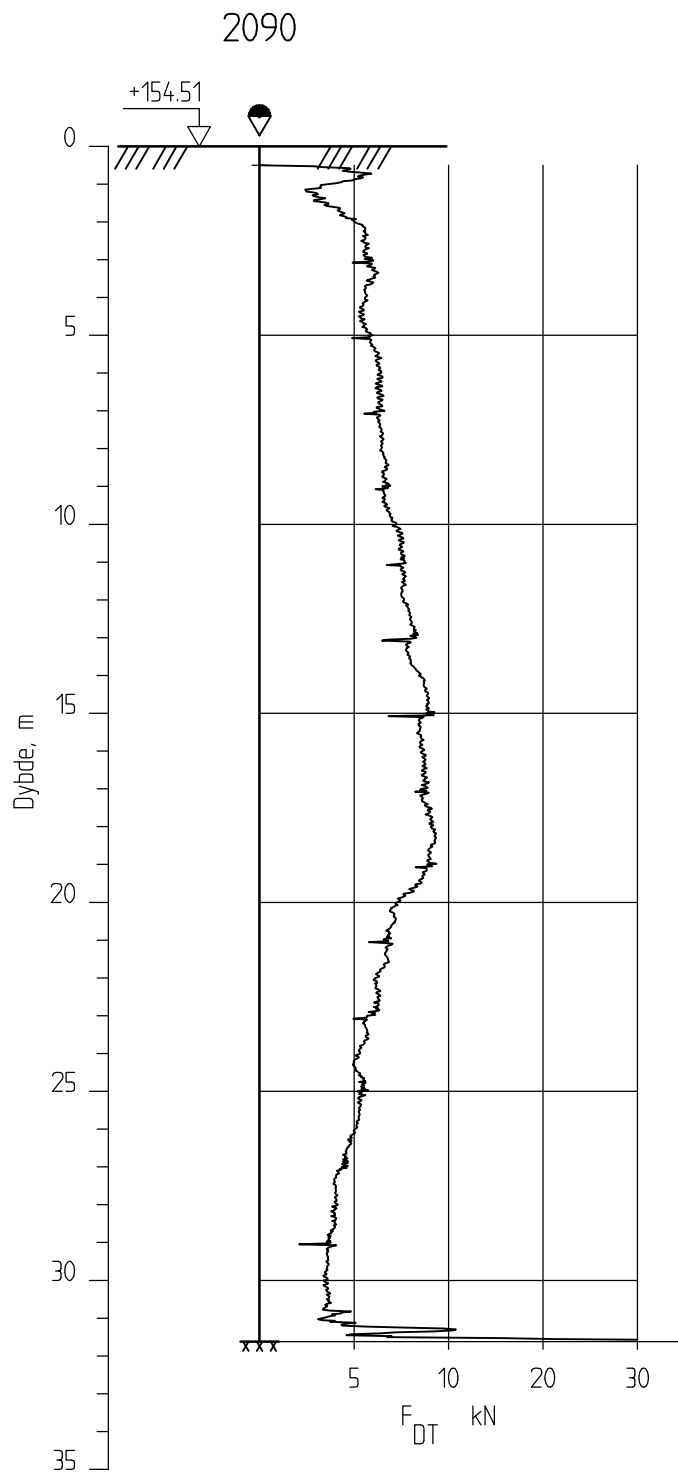
Dreietrykkssondering
1:200

Borhull 2088

Posisjon: X 1241713.09 Y 96121.09

Dato boret :17.02.2013

Rapport nr.
20120491-02-RFigur nr.
A59Tegner
KjADato:
05.11.2013Kontrollert
TFSGodkjent
StH



E16 Nybakk - Slomarka

Dreietrykksondring
1:200

Borhull 2090

Posisjon: X 1241724.40 Y 96220.46

Dato boret :17.01.2013

Rapport nr.
20120491-02-R

Tegner
KjA

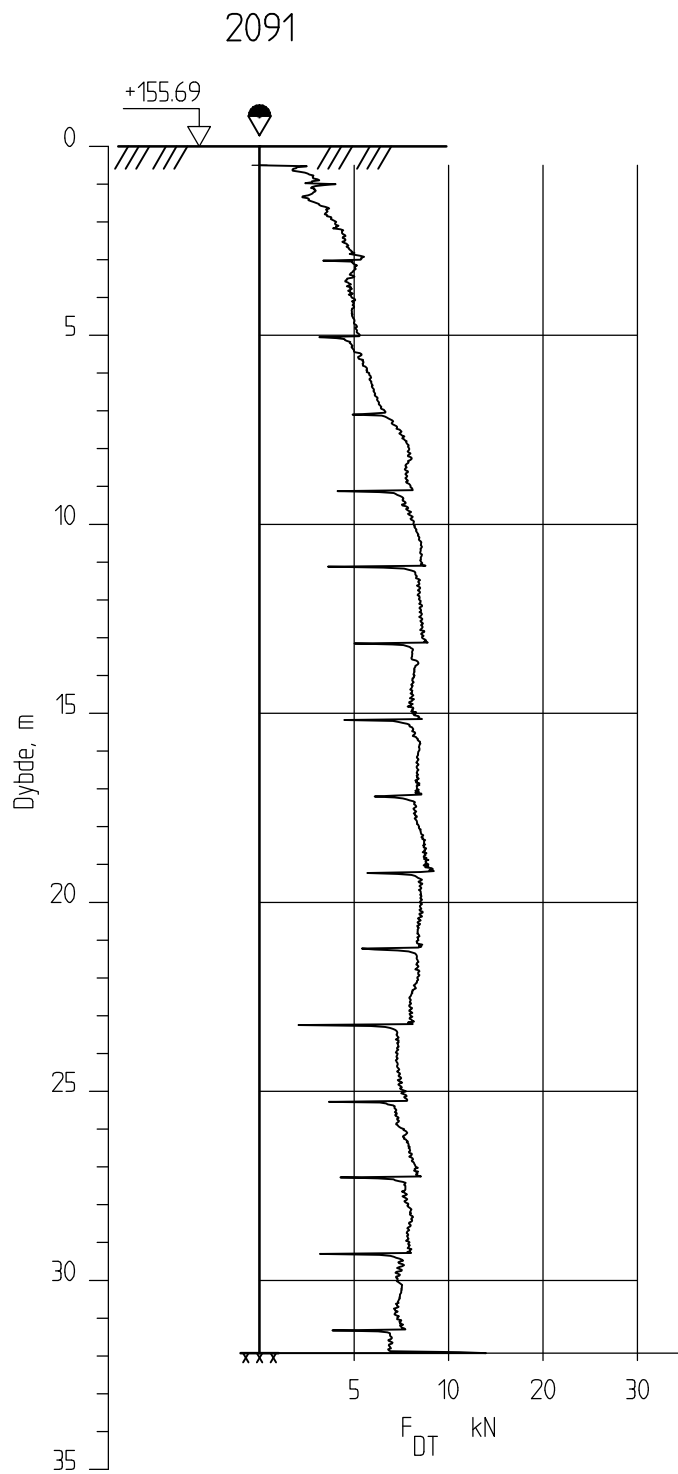
Kontrollert
TFS

Godkjent
StH

Figur nr.
A61

Dato:
05.11.2013





E16 Nybakk - Slomarka

Dreietrykksondring
1:200

Borhull 2091

Posisjon: X 1241595.04 Y 96331.14

Dato boret :07.05.2013

Rapport nr.
20120491-02-R

Tegner
KjA

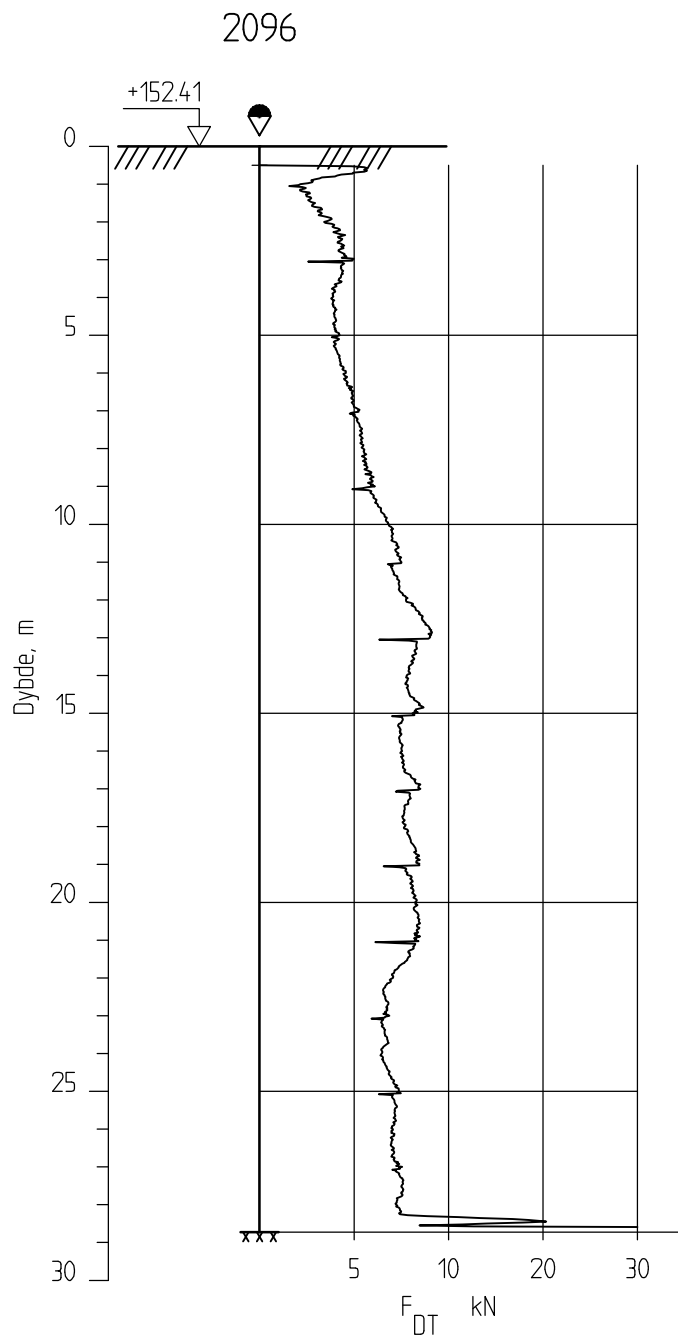
Kontrollert
TFS

Godkjent
StH

Figur nr.
A62

Dato:
05.11.2013





E16 Nybakk - Slomarka

Dreietrykkssondering
1:200

Borhull 2096

Posisjon: X 1241758.49 Y 96518.47

Dato boret :17.01.2013

Rapport nr.
20120491-02-R

Figur nr.
A66

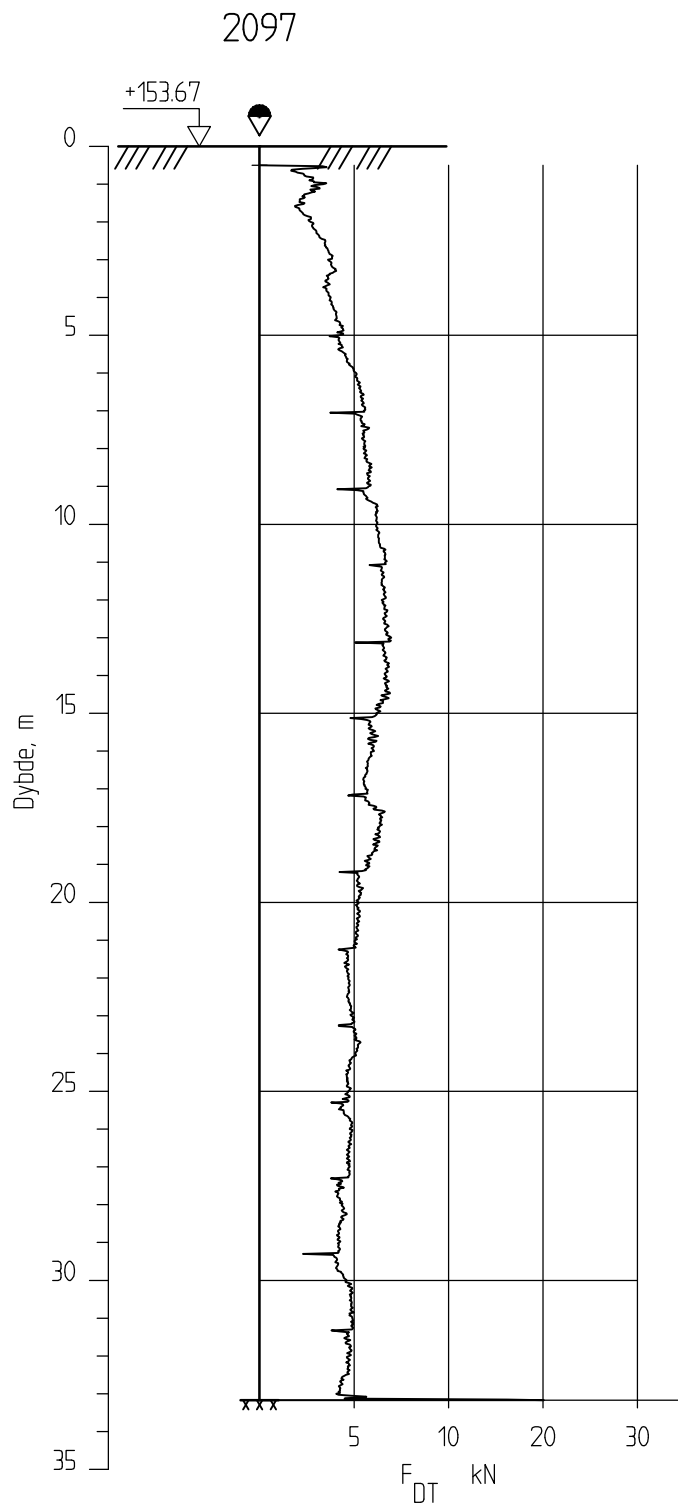
Tegner
KjA

Dato:
05.11.2013

Kontrollert
TFS

Godkjent
StH





E16 Nybakk - Slomarka

Dreietrykkssondering
1:200

Borhull 2097

Posisjon: X 1241644.85 Y 96524.85

Dato boret :07.05.2013

Rapport nr.
20120491-02-R

Figur nr.
A67

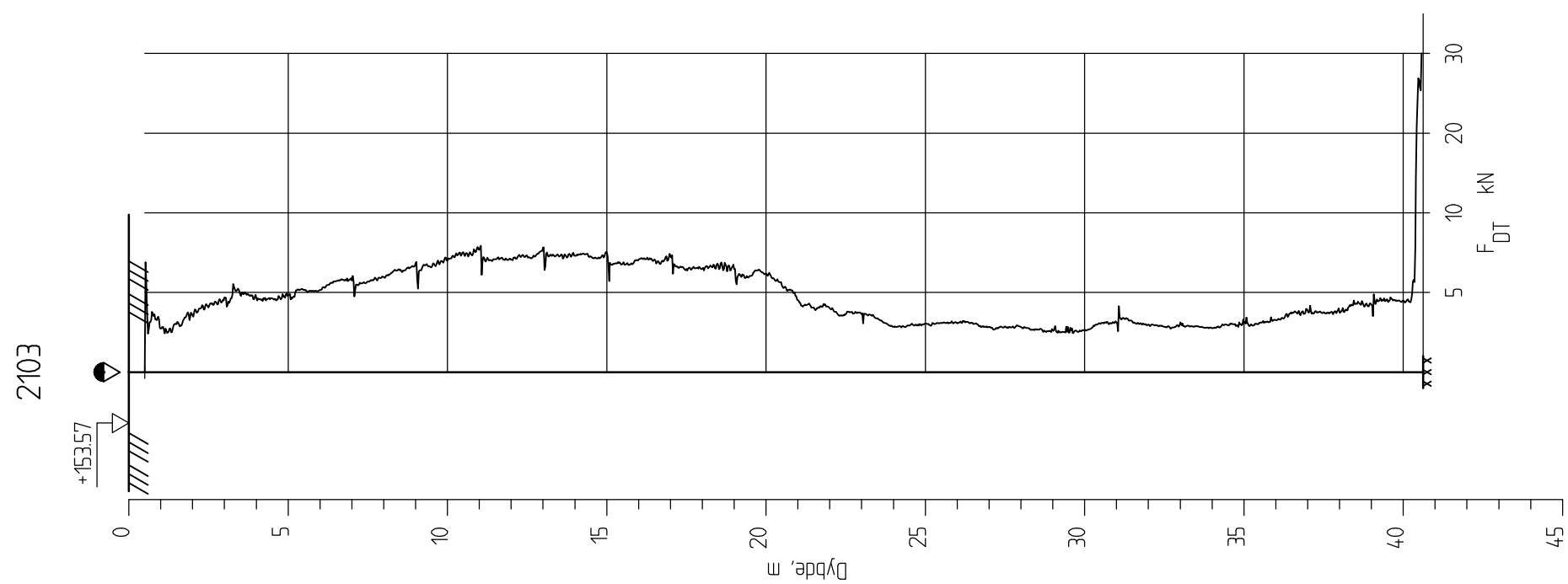
Tegner
KjA

Dato:
05.11.2013

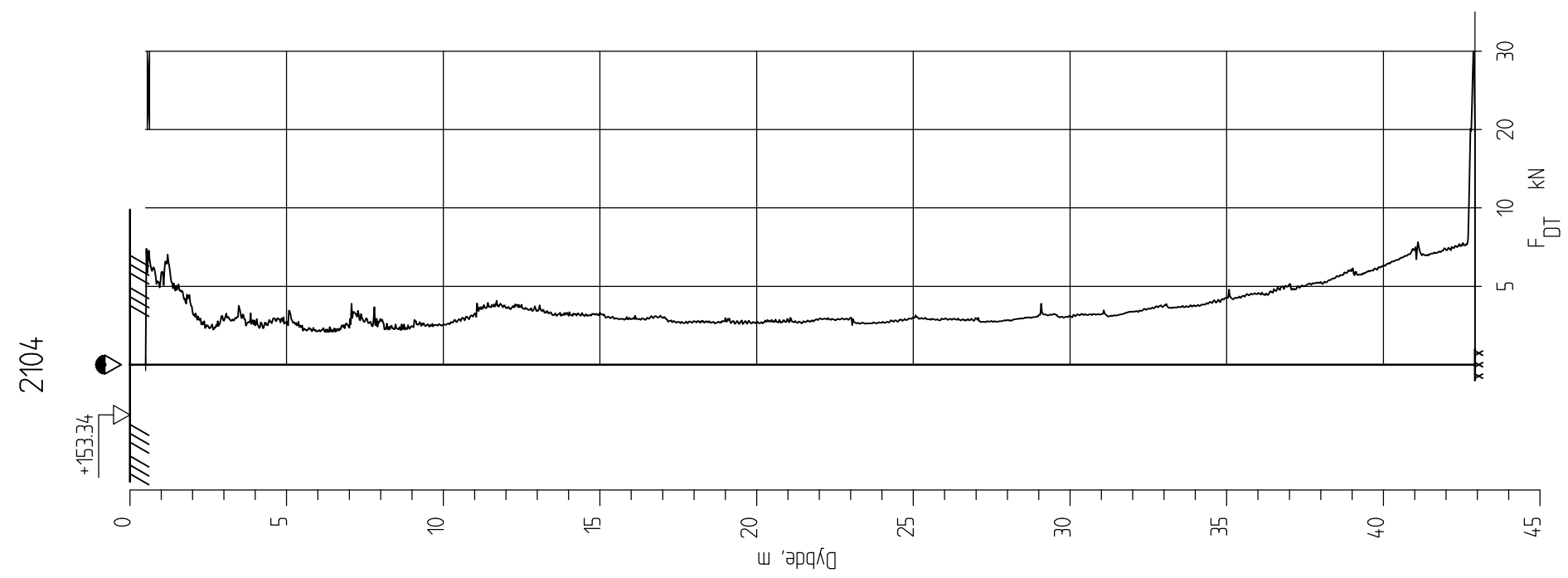
Kontrollert
TFS

Godkjent
StH

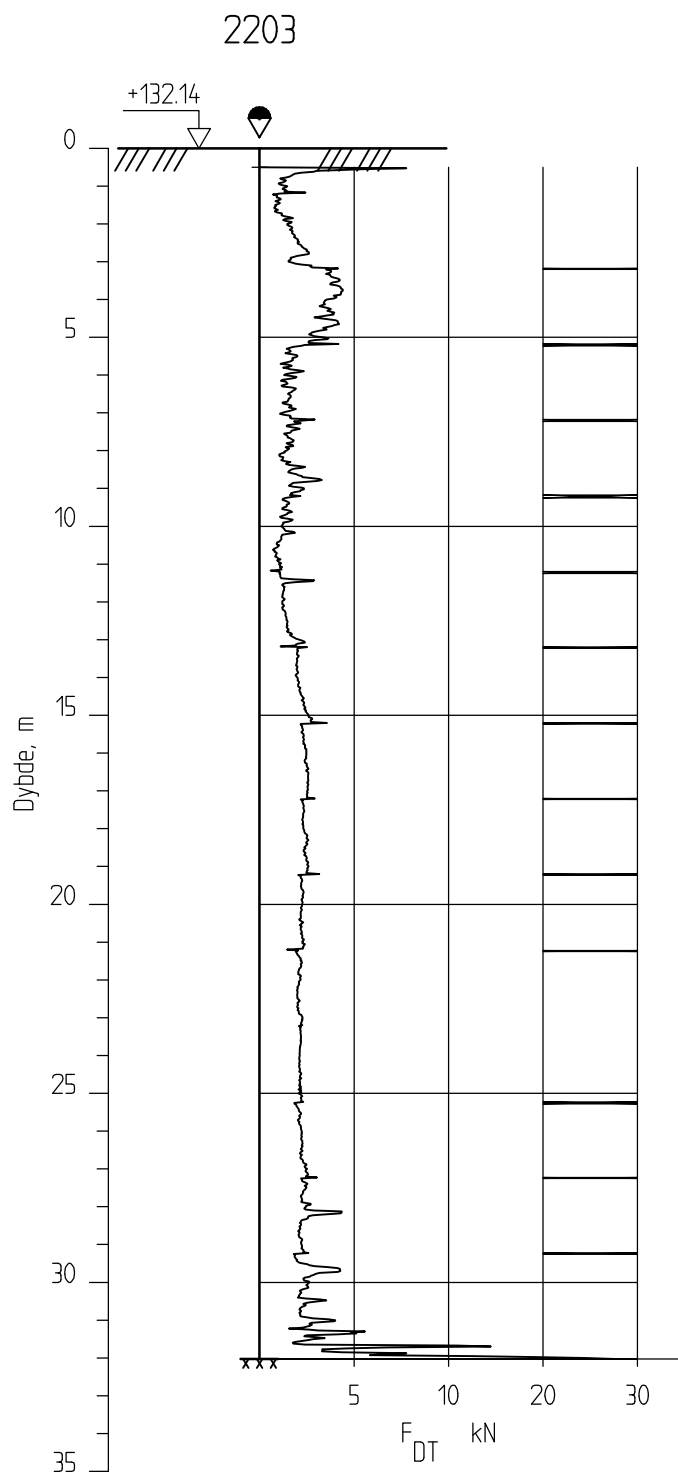




E16 Nybakk - Slomarka Dreietrykkssondering 1:200 Borhull 2103 Posisjon: X 1241819.87 Y 96913.44 Dato boret :16.01.2013	Rapport nr. 20120491-02-R	Figur nr. A72
	Tegner KjA	Dato: 05.11.2013
	Kontrollert TFS	
	Godkjent SH	



<p>E16 Nybakk - Slomarka</p> <p>Dreietrykkssondering 1:200</p> <p>Borhull 2104 Posisjon: X 1241843.49 Y 97010.62 Dato boret :16.01.2013</p>	Rapport nr. 20120491-02-R	Figur nr. A73
	Tegner KJA	Dato: 05.11.2013
	Kontrollert TFS	
	Godkjent SH	



E16 Nybakk - Slomarka

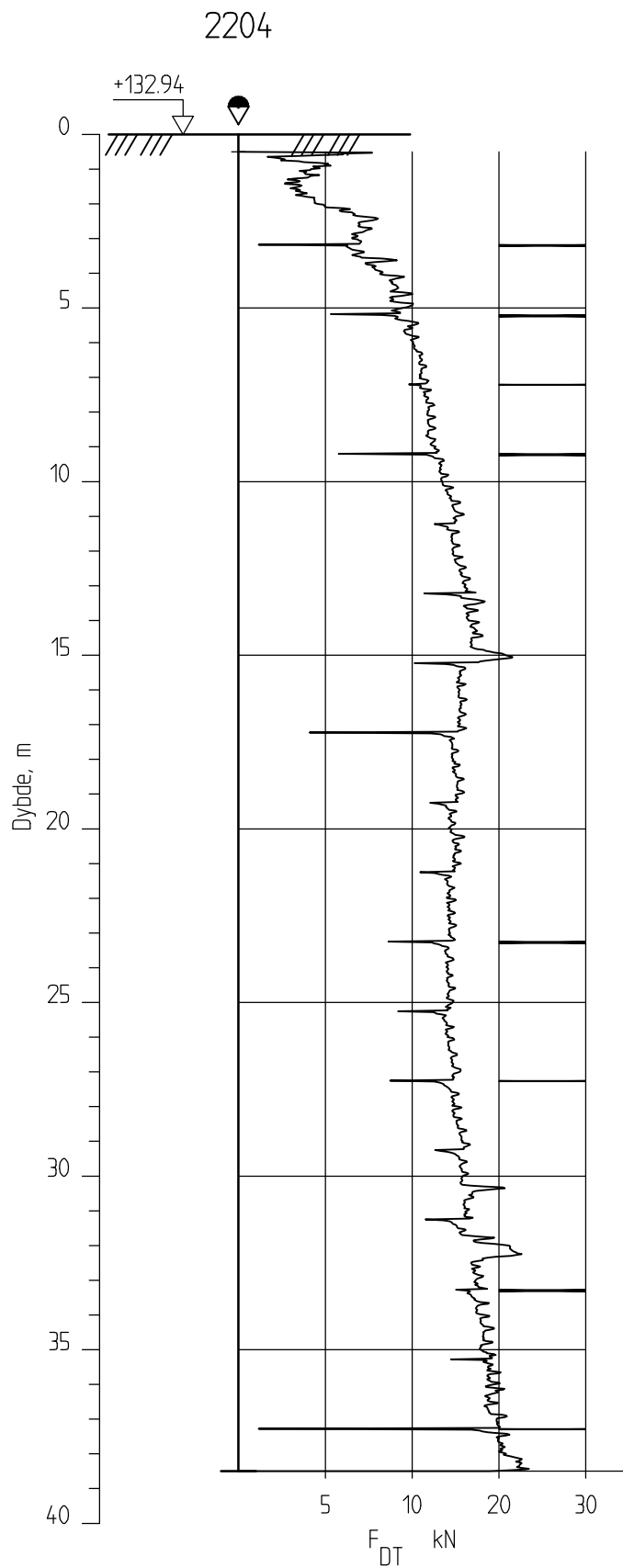
Dreietrykksondring
1:200

Borhull 2203

Posisjon: X 1241322.42 Y 94424.64

Dato boret :16.03.2013

Rapport nr.
20120491-02-RTegner
KjAKontrollert
TFSGodkjent
StHFigur nr.
A75Dato:
05.11.2013



E16 Nybakk - Slomarka

Dreietrykkssondering
1:200

Borhull 2204

Posisjon: X 1241257.25 Y 94500.71

Dato boret :15.03.2013

Rapport nr.
20120491-02-R

Figur nr.
A76

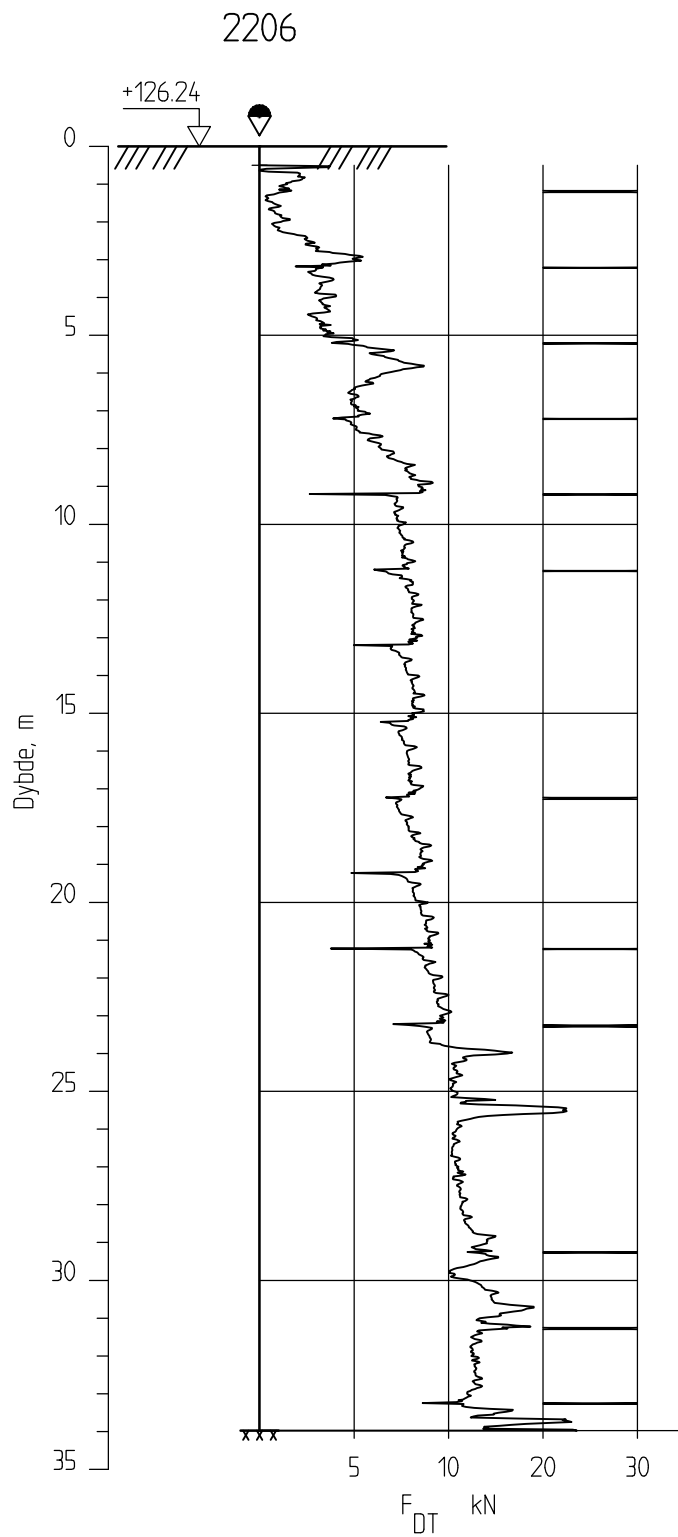
Tegner
KjA

Dato:
05.11.2013

Kontrollert
TFS

Godkjent
StH





E16 Nybakk - Slomarka

Dreietrykkssondering
1:200

Borhull 2206
Posisjon: X 1241191.86 Y 94576.18

Dato boret :10.03.2013

Rapport nr.
20120491-02-R

Tegner
KjA

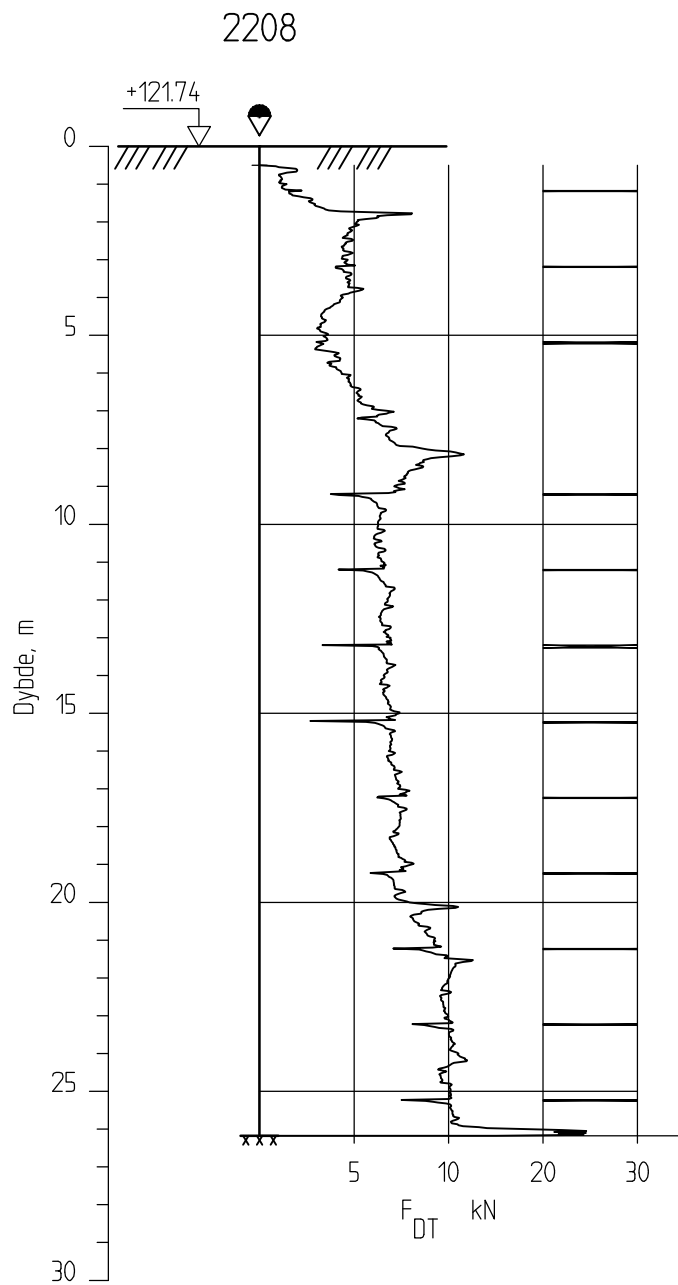
Kontrollert
TFS

Godkjent
StH

Figur nr.
A78

Dato:
05.11.2013





E16 Nybakk - Slomarka

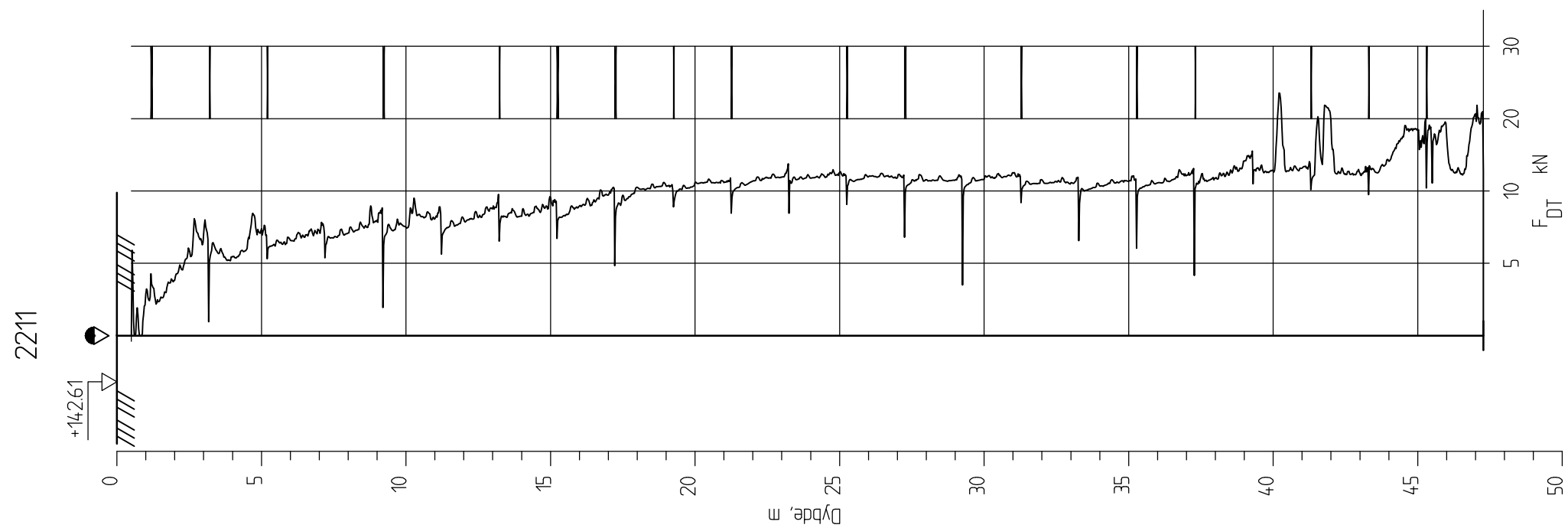
Dreietrykkssondering
1:200

Borhull 2208

Posisjon: X 1241060.91 Y 94728.64

Dato boret :09.03.2013

Rapport nr.
20120491-02-RFigur nr.
A80Tegner
KjADato:
05.11.2013Kontrollert
TFSGodkjent
StH



E16 Nybakk - Slomarka

Dreietrykkssondering
1:200

Borhull 2211

Posisjon: X 1241398.07 Y 94489.99

Dato boret :16.03.2013

Rapport nr.
20120491-02-R

Figur nr.
A83

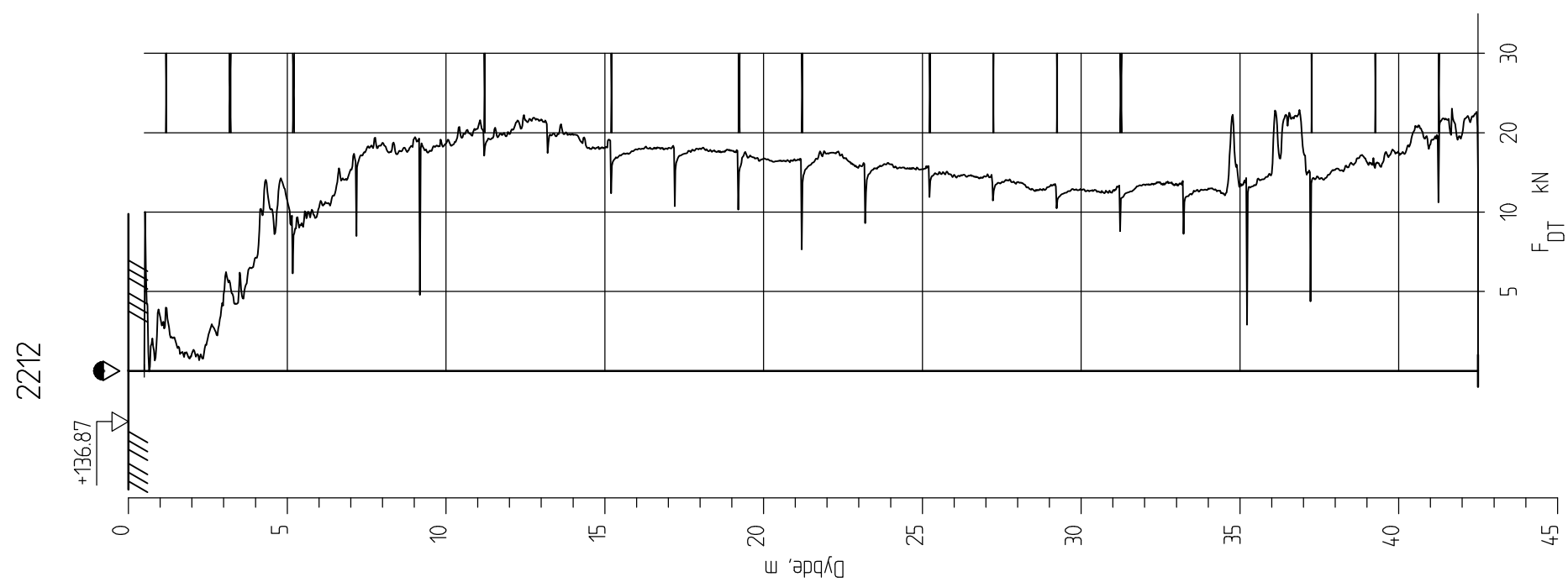
Tegner
KJA

Dato:
05.11.2013

Kontrollert
TFS

Godkjent
SH





E16 Nybakk - Slomarka

Dreietrykkssondering
1:200

Borhull 2212

Posisjon: X 1241332.39 Y 94565.77

Dato boret :15.03.2013

Rapport nr.
20120491-02-R

Figur nr.
A84

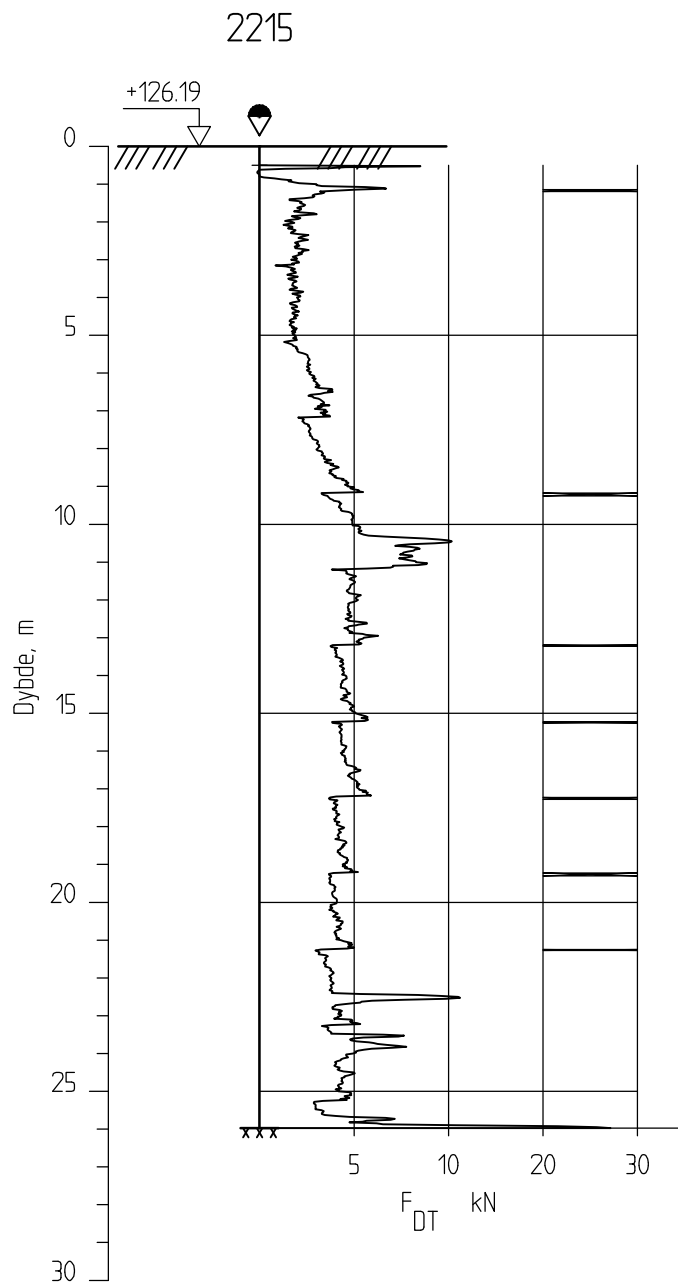
Tegner
KJA

Dato:
05.11.2013

Kontrollert
TFS

Godkjent
SH





E16 Nybakk - Slomarka

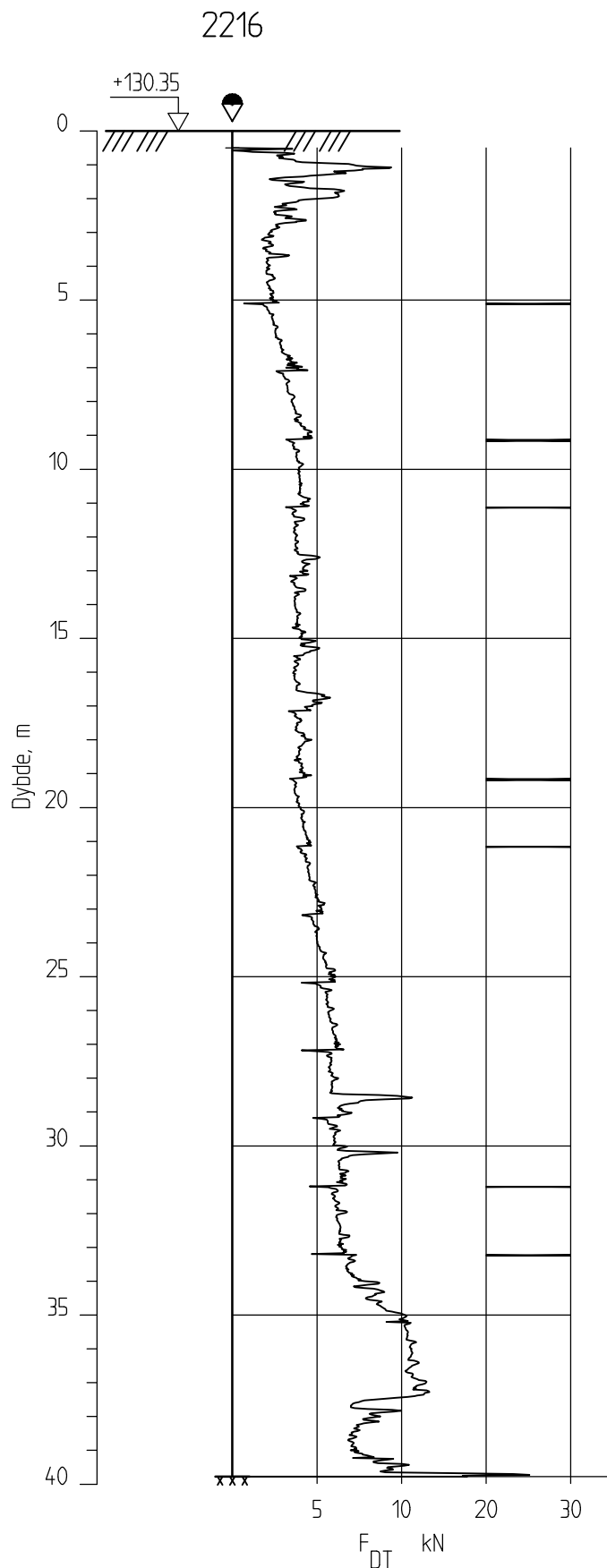
Dreietrykkssondering
1:200

Borhull 2215

Posisjon: X 1241202.06 Y 94717.65

Dato boret :10.03.2013

Rapport nr.
20120491-02-RFigur nr.
A87Tegner
KjADato:
05.11.2013Kontrollert
TFSGodkjent
StH



E16 Nybakk - Slomarka

Dreietrykksondring
1:200

Borhull 2216
Posisjon: X 1241136.81 Y 94793.15

Dato boret :09.03.2013

Rapport nr.
20120491-02-R

Tegner
KjA

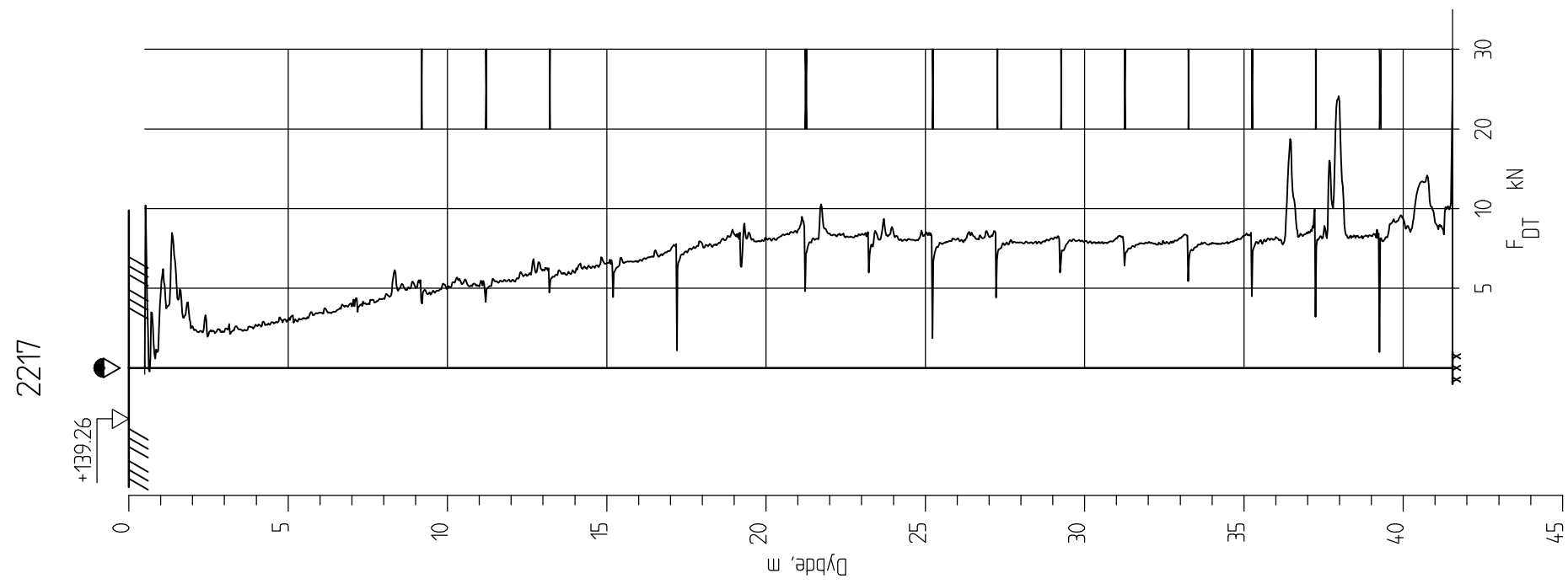
Kontrollert
TFS

Godkjent
StH

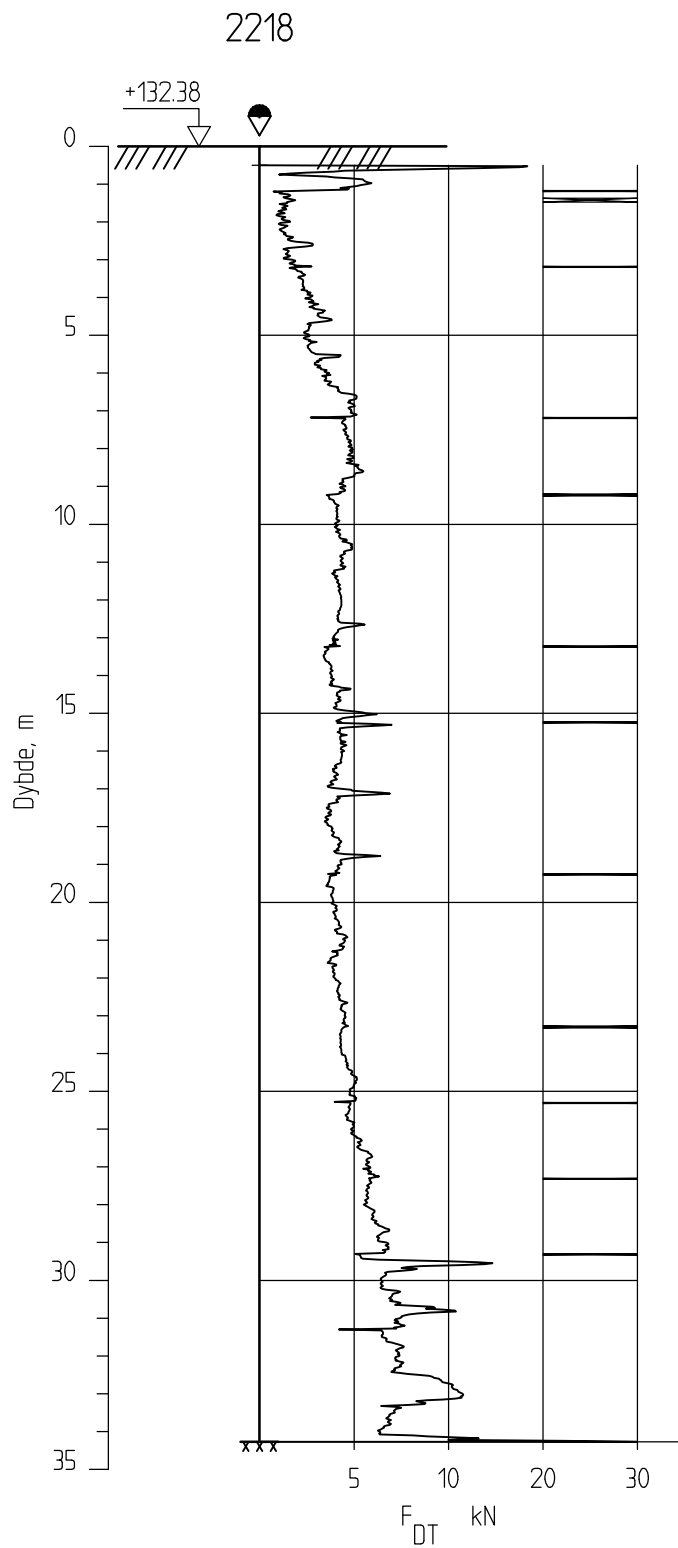
Figur nr.
A88

Dato:
05.11.2013





E16 Nybakk - Slomarka Dreietrykkssondering 1:200 Borhull 2217 Posisjon: X 1241378.43 Y 94604.78 Dato boret :10.03.2013	Rapport nr. 20120491-02-R	Figur nr. A89
	Tegner KJA	Dato: 05.11.2013
	Kontrollert TFS	
	Godkjent SH	



E16 Nybakk - Slomarka

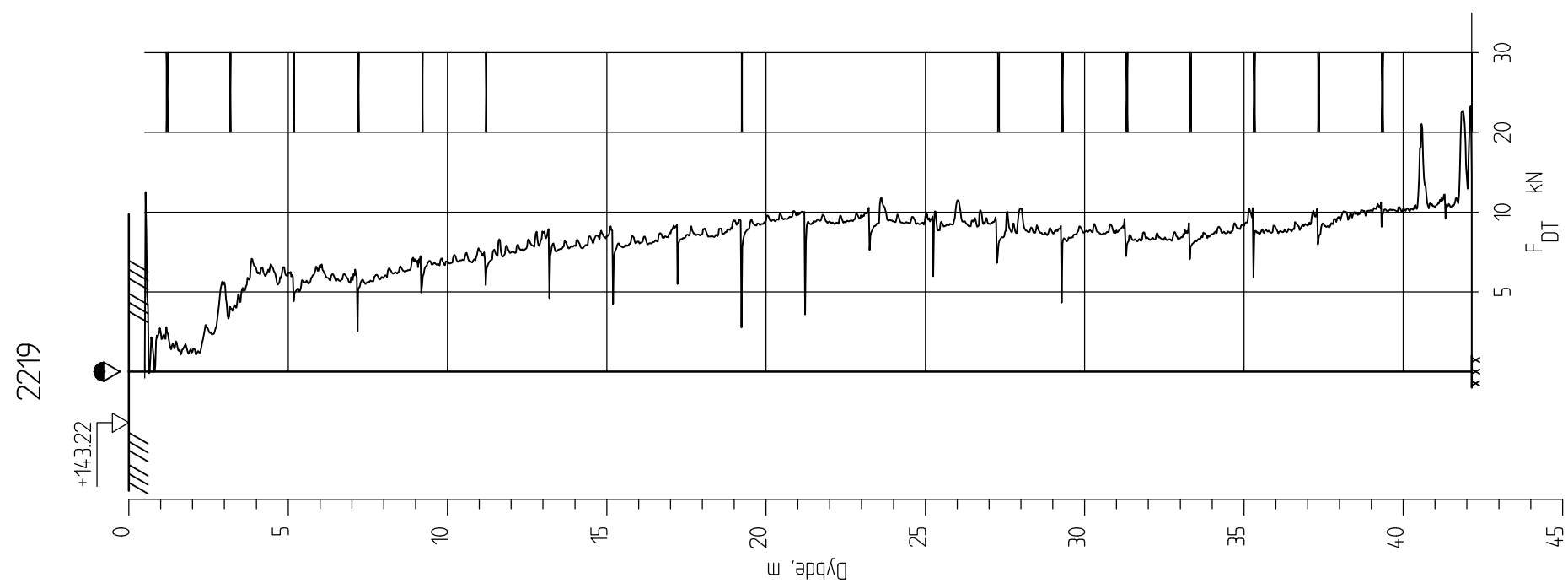
Dreietrykkssondering
1:200

Borhull 2218

Posisjon: X 1241346.99 Y 9464151

Dato boret :15.03.2013

Rapport nr.
20120491-02-RTegner
KjAKontrollert
TFSGodkjent
StHFigur nr.
A90Dato:
05.11.2013



E16 Nybakk - Slomarka

Dreietrykkssondering
1:200

Borhull 2219
Posisjon: X 1241473.45 Y 94555.54

Dato boret :16.03.2013

Rapport nr.
20120491-02-R

Figur nr.
A91

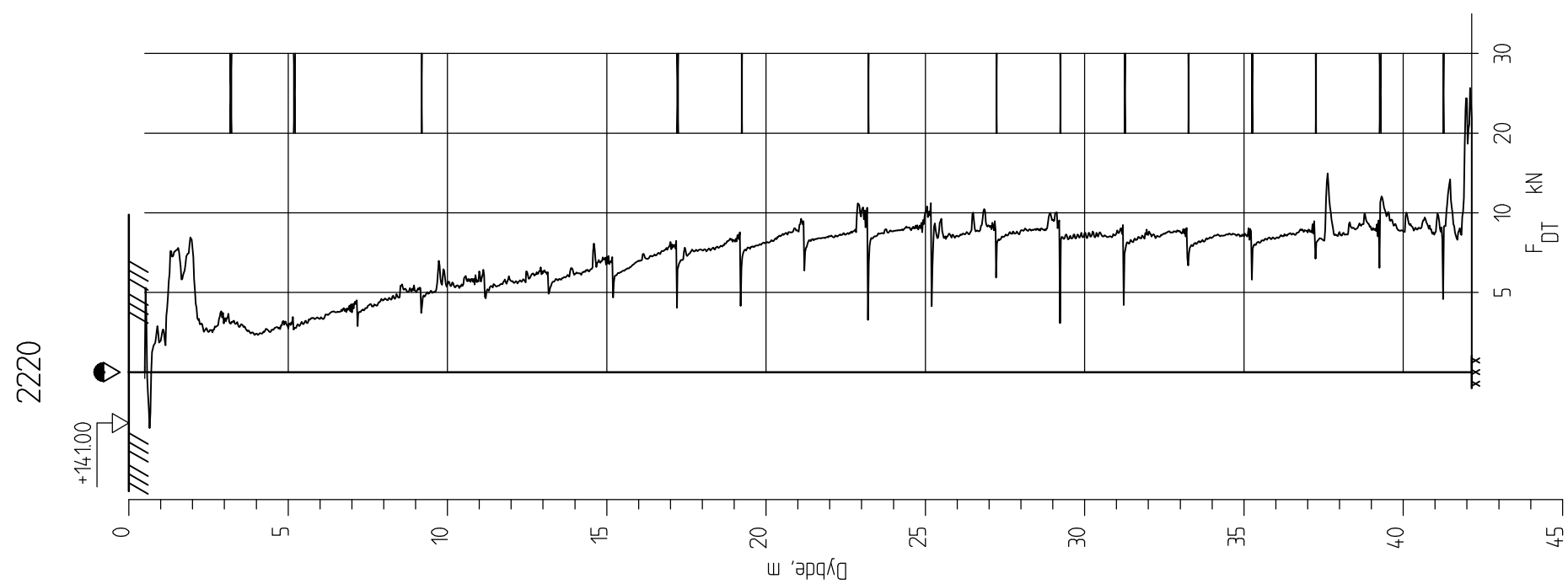
Tegner
KJA

Dato:
05.11.2013

Kontrollert
TFS

Godkjent
SH




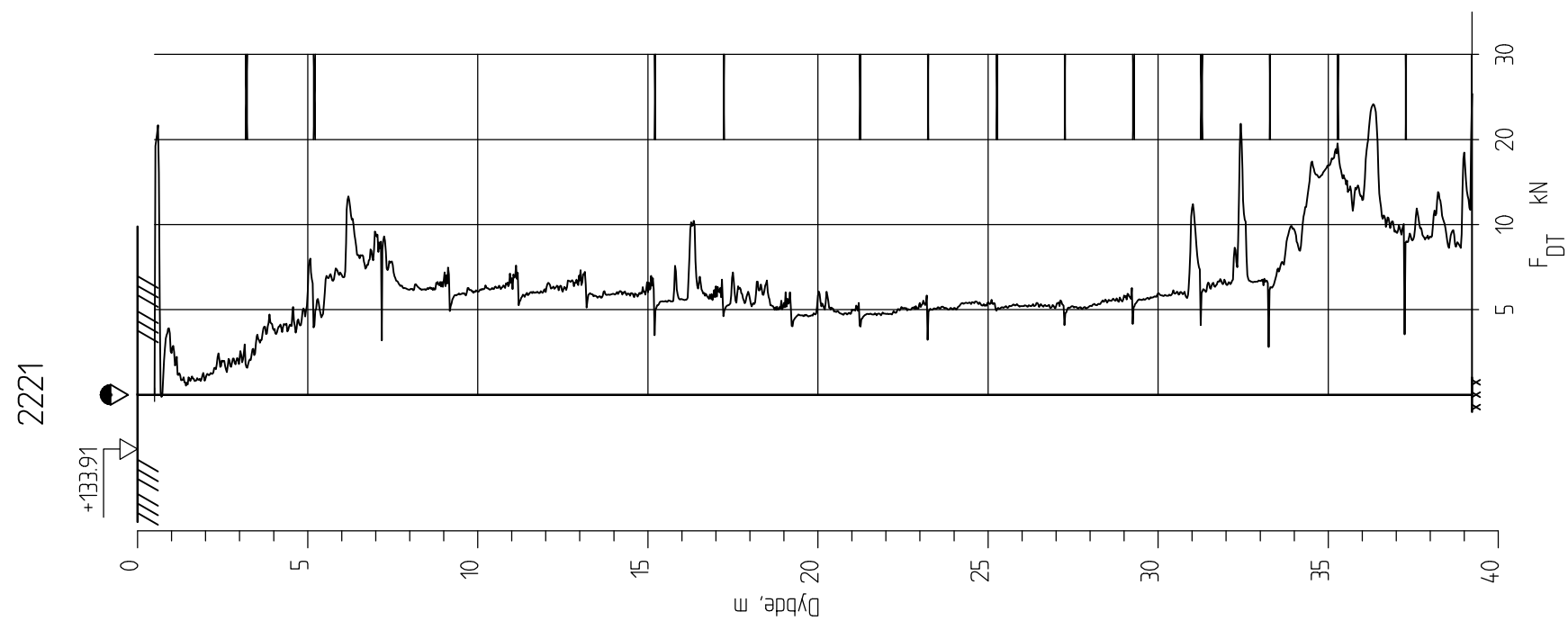


E16 Nybakk - Slomarka

Dreietrykkssondering
1:200

Borhull 2220
Posisjon: X 1241408.35 Y 9463142 Dato boret :10.03.2013


Rapport nr. 20120491-02-R	Figur nr. A92
Tegner KJA	Dato: 05.11.2013
Kontrollert TFS	
Godkjent SH	

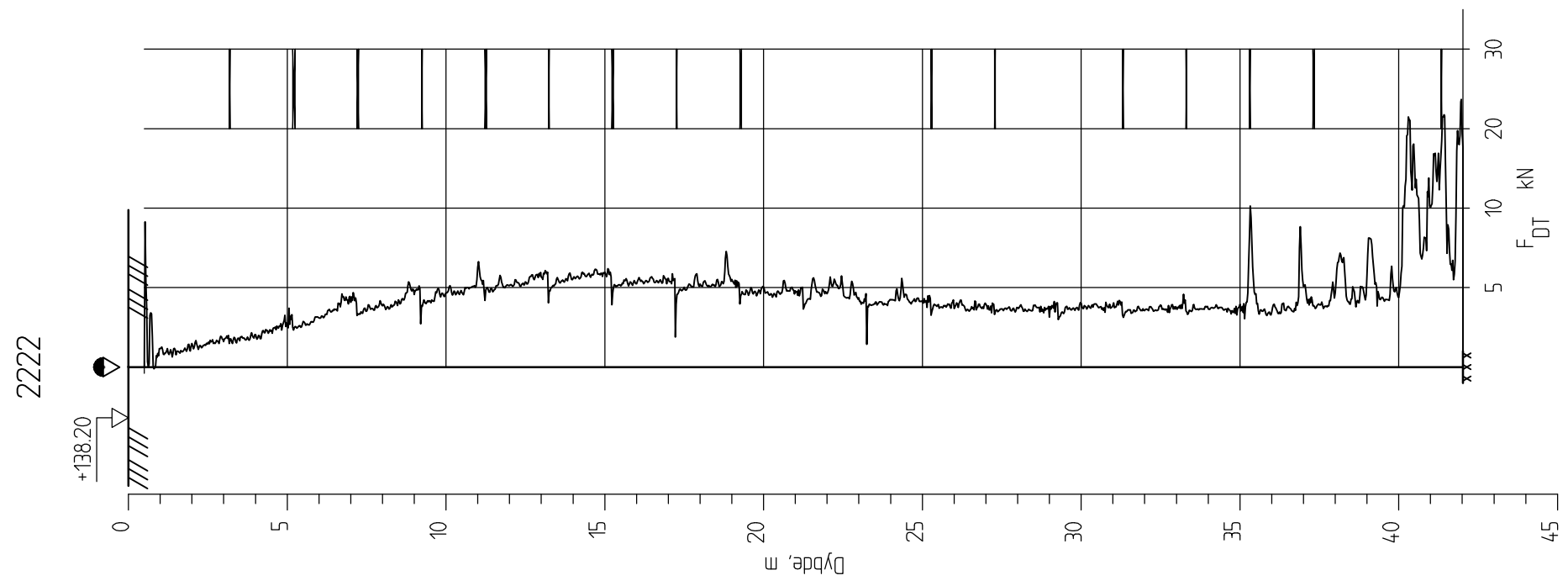


E16 Nybakk - Slomarka

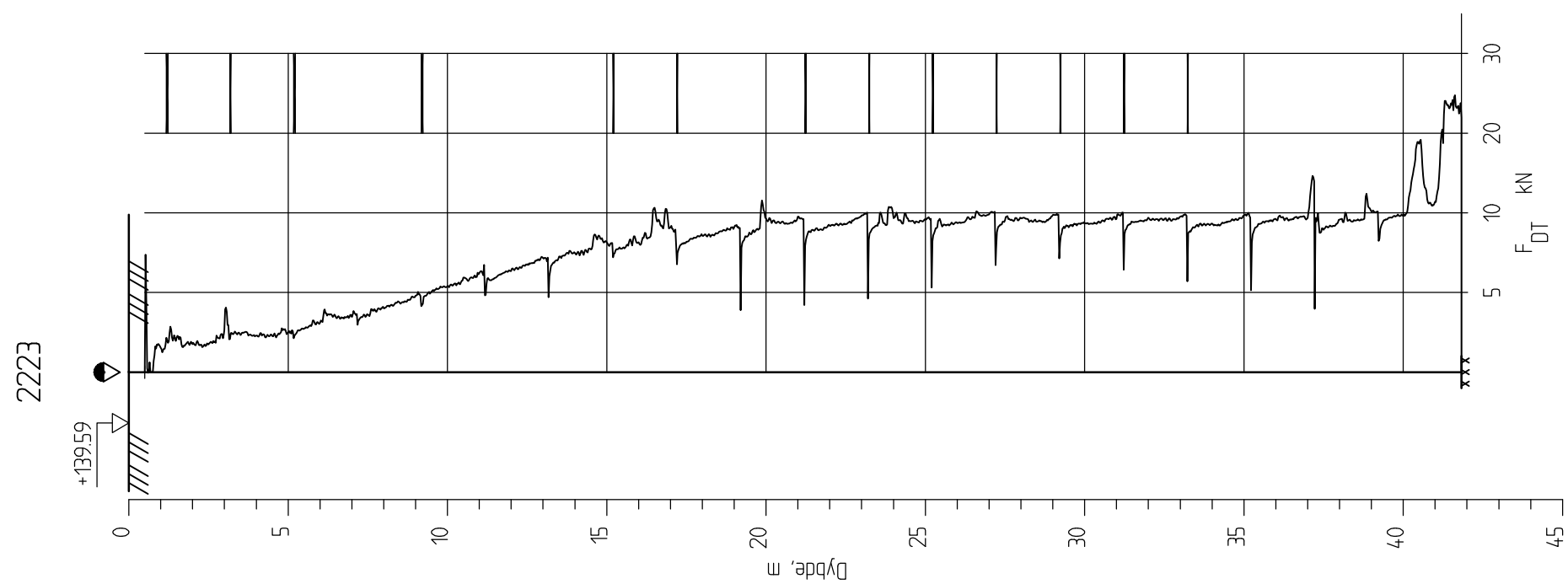
Dreietrykkssondering
1:200

Borhull 2221
Posisjon: X 1241375.53 Y 94669.27 Dato boret :10.03.2013

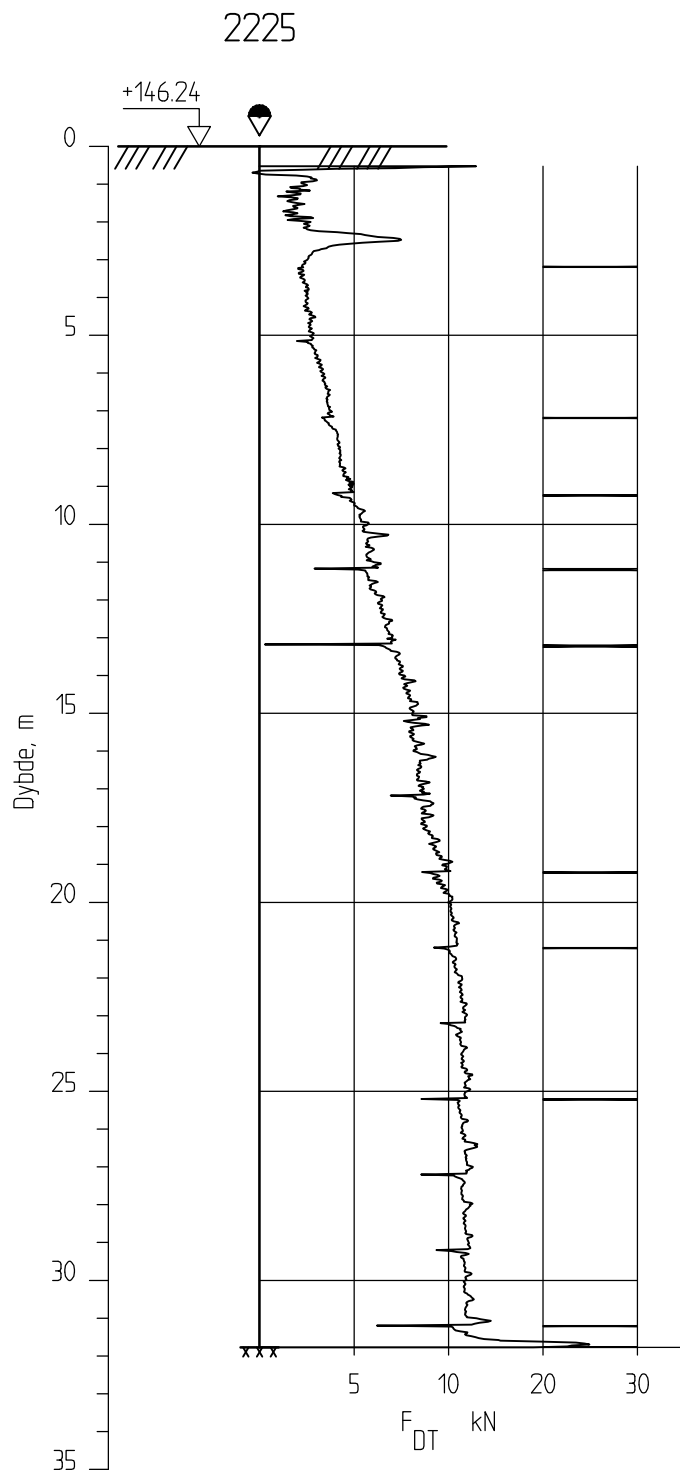
Rapport nr. 20120491-02-R	Figur nr. A93
Tegner KJA	Dato: 05.11.2013
Kontrollert TFS	
Godkjent SH	



<p>E16 Nybakk - Slomarka</p> <p>Dreietrykkssondering 1:200</p> <p>Borhull 2222 Posisjon: X 1241342.89 Y 94706.85 Dato boret :10.03.2013</p>	Rapport nr. 20120491-02-R	Figur nr. A94
	Tegner KJA	Dato: 05.11.2013
	Kontrollert TFS	
	Godkjent SH	



E16 Nybakk - Slomarka Dreietrykkssondering 1:200 Borhull 2223 Posisjon: X 1241278.00 Y 94782.98 Dato boret :09.03.2013	Rapport nr. 20120491-02-R	Figur nr. A95
	Tegner KJA	Dato: 05.11.2013
	Kontrollert TFS	
	Godkjent SH	



E16 Nybakk - Slomarka

Dreietrykkssondering
1:200

Borhull 2225

Posisjon: X 1241484.48 Y 94696.35

Dato boret :08.03.2013

Rapport nr.
20120491-02-R

Figur nr.
A97

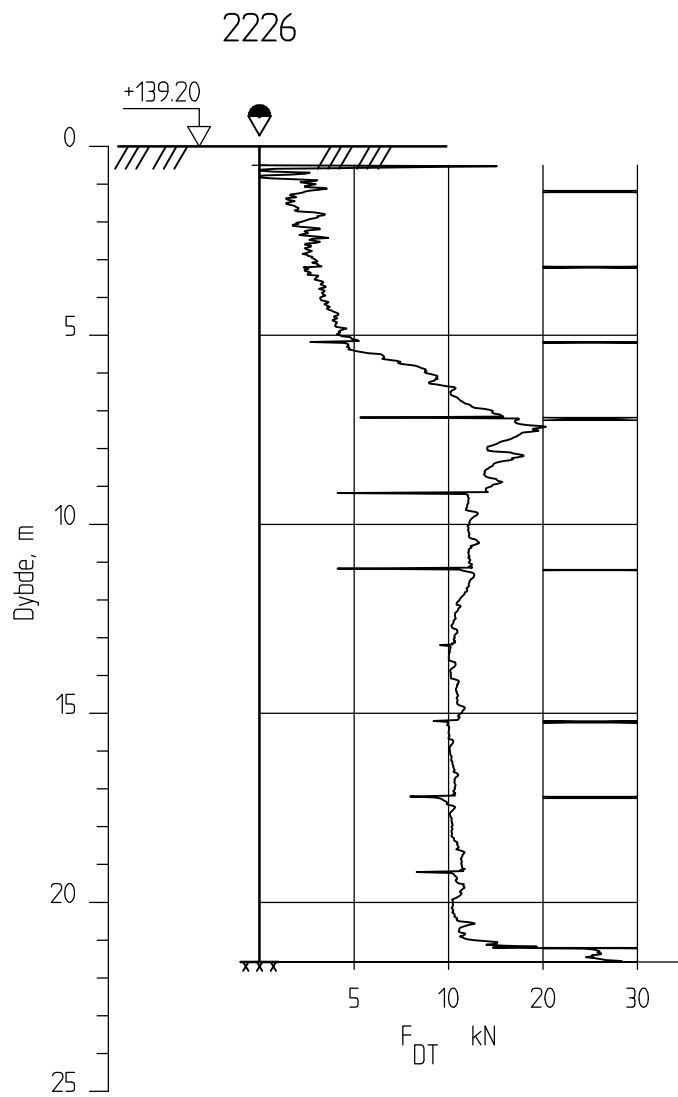
Tegner
KjA

Dato:
05.11.2013

Kontrollert
TFS

Godkjent
StH





E16 Nybakk - Slomarka

Dreietrykkssondering
1:200

Borhull 2226

Posisjon: X 1241451.67 Y 94733.83

Dato boret :09.03.2013

Rapport nr.
20120491-02-R

Figur nr.
A98

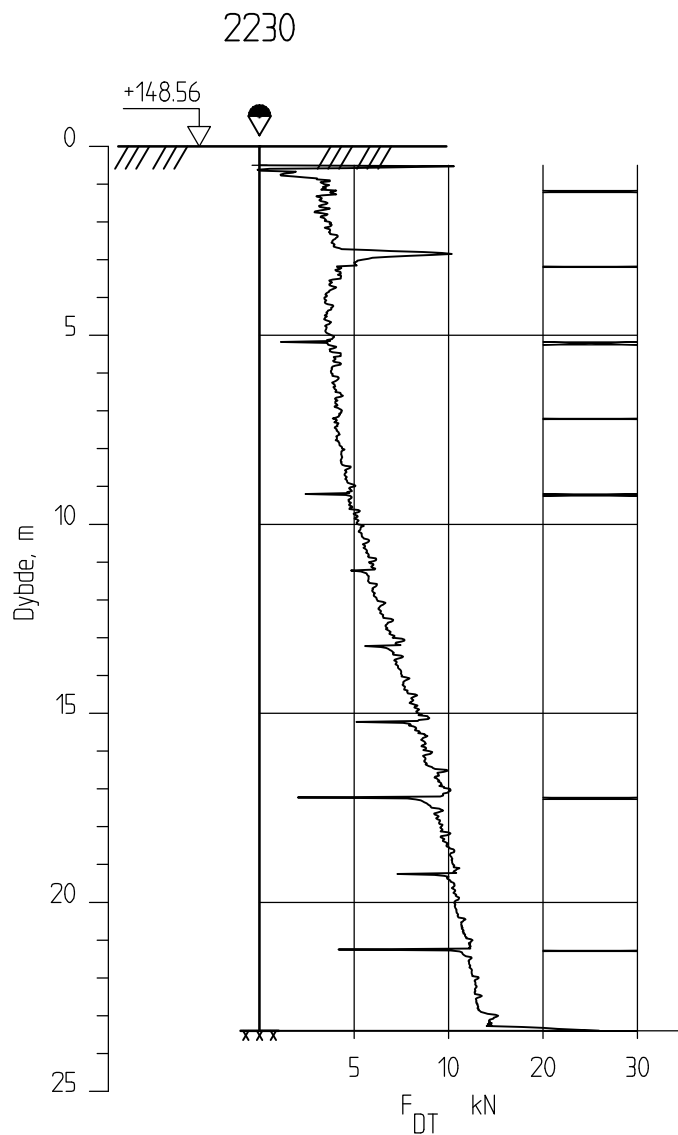
Tegner
KjA

Dato:
05.11.2013

Kontrollert
TFS

Godkjent
StH





E16 Nybakk - Slomarka

Dreietrykkssondering
1:200

Borhull 2230

Posisjon: X 1241560.98 Y 94766.66

Dato boret :09.03.2013

Rapport nr.
20120491-02-R

Figur nr.
A101

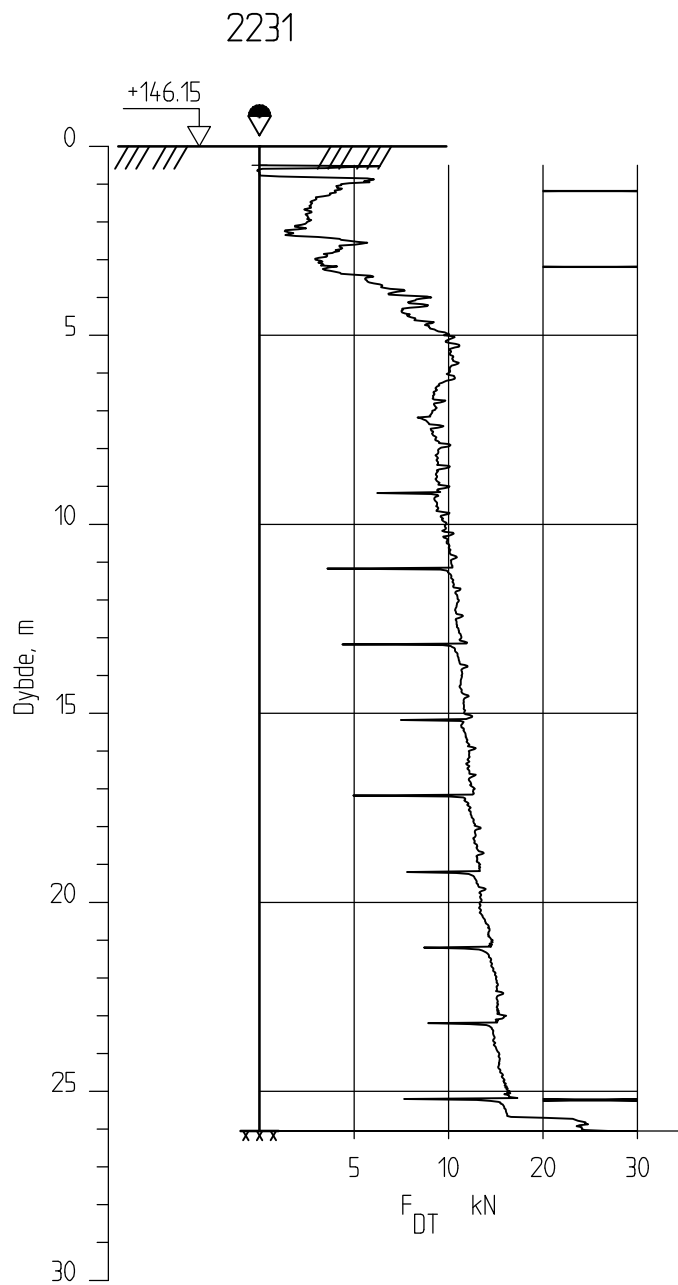
Tegner
KjA

Dato:
05.11.2013

Kontrollert
TFS

Godkjent
StH





E16 Nybakk - Slomarka

Dreietrykkssondering
1:200

Borhull 2231

Posisjon: X 1241525.47 Y 94802.11

Dato boret :09.03.2013

Rapport nr.
20120491-02-R

Figur nr.
A102

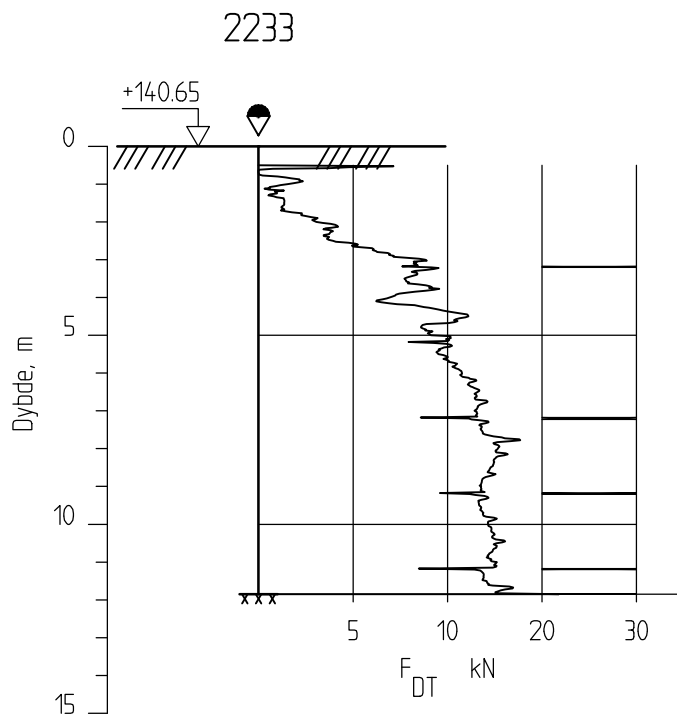
Tegner
KjA

Dato:
05.11.2013

Kontrollert
TFS

Godkjent
StH





E16 Nybakk - Slomarka

Dreietrykkssondering
1:200

Borhull 2233

Posisjon: X 1241418.80 Y 94907.35

Dato boret :07.03.2013

Rapport nr.
20120491-02-R

Tegner
KjA

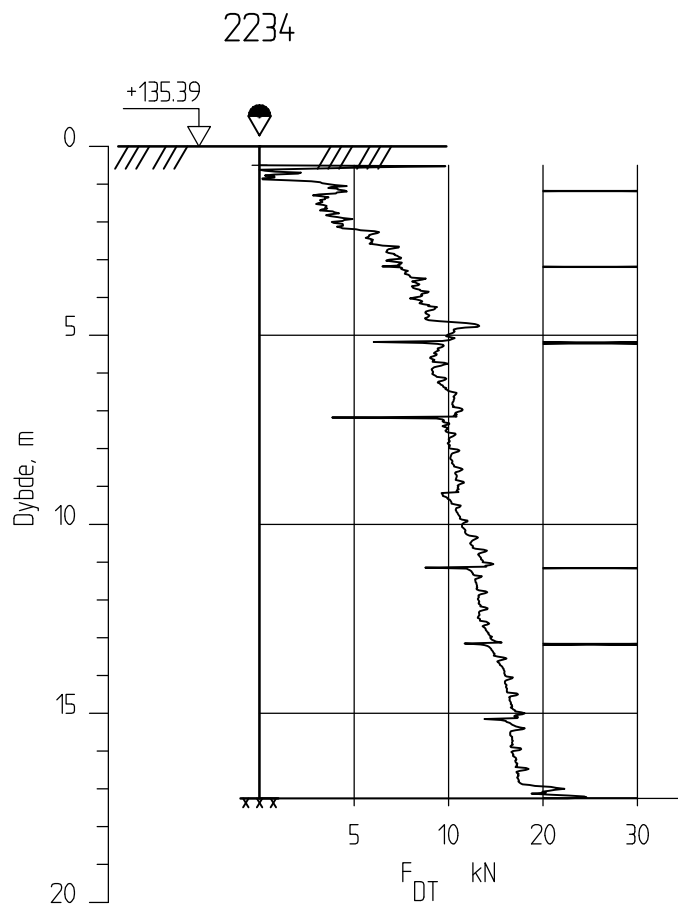
Kontrollert
TFS

Godkjent
StH

Figur nr.
A104

Dato:
05.11.2013





E16 Nybakk - Slomarka

Dreietrykkssondering
1:200

Borhull 2234

Posisjon: X 1241347.74 Y 94978.05

Dato boret :07.03.2013

Rapport nr.
20120491-02-R

Figur nr.
A105

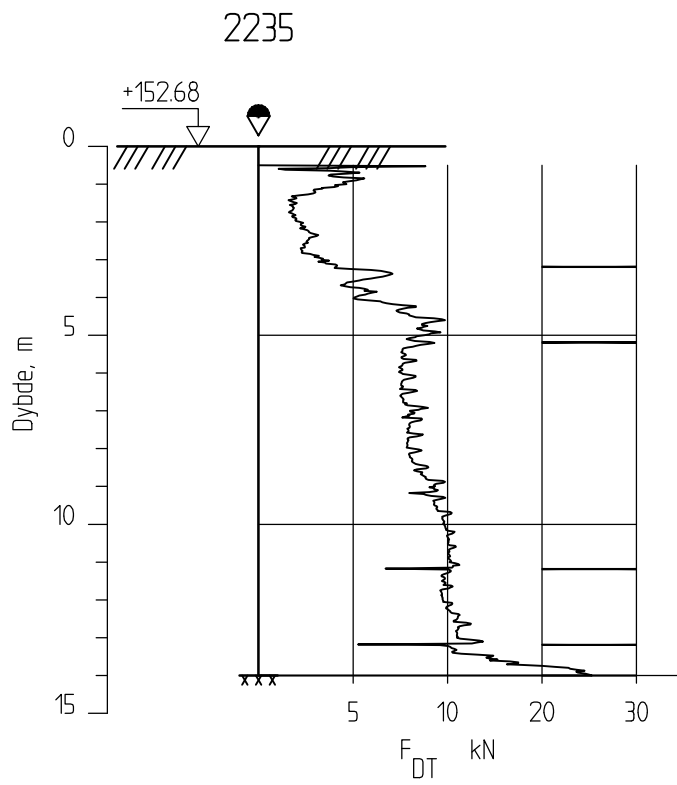
Tegner
KjA

Dato:
05.11.2013

Kontrollert
TFS

Godkjent
StH





E16 Nybakk - Slomarka

Rapport nr.
20120491-02-R

Figur nr.
A106

Dreietrykksondering
1:200

Tegner
KjA

Dato:
05.11.2013

Borhull 2235

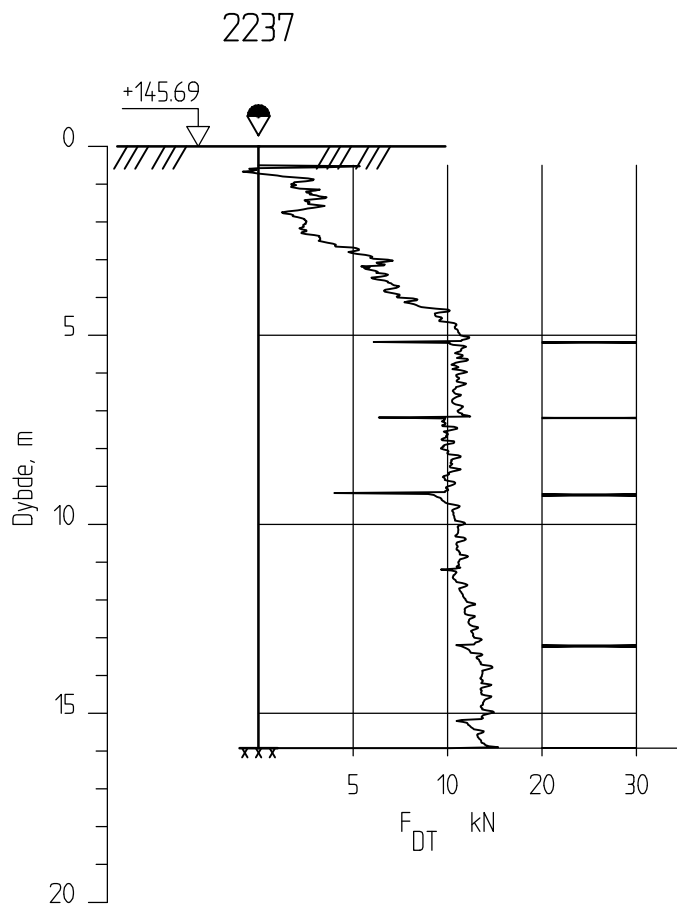
Posisjon: X 1241748.50 Y 94752.57

Dato boret :08.03.2013

Kontrollert
TFS

Godkjent
StH





E16 Nybakk - Slomarka

Dreietrykkssondering
1:200

Borhull 2237

Posisjon: X 1241591.79 Y 94876.40

Dato boret :08.03.2013

Rapport nr.
20120491-02-R

Tegner
KjA

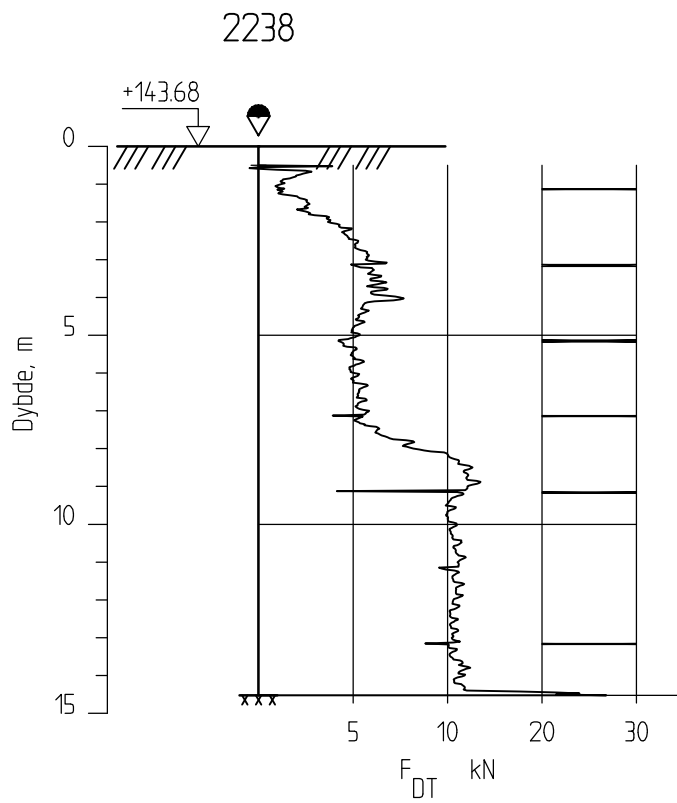
Kontrollert
TFS

Godkjent
StH

Figur nr.
A108

Dato:
05.11.2013





E16 Nybakk - Slomarka

Dreietrykkssondering
1:200

Borhull 2238

Posisjon: X 1241552.34 Y 94907.60

Dato boret :08.03.2013

Rapport nr.
20120491-02-R

Figur nr.
A109

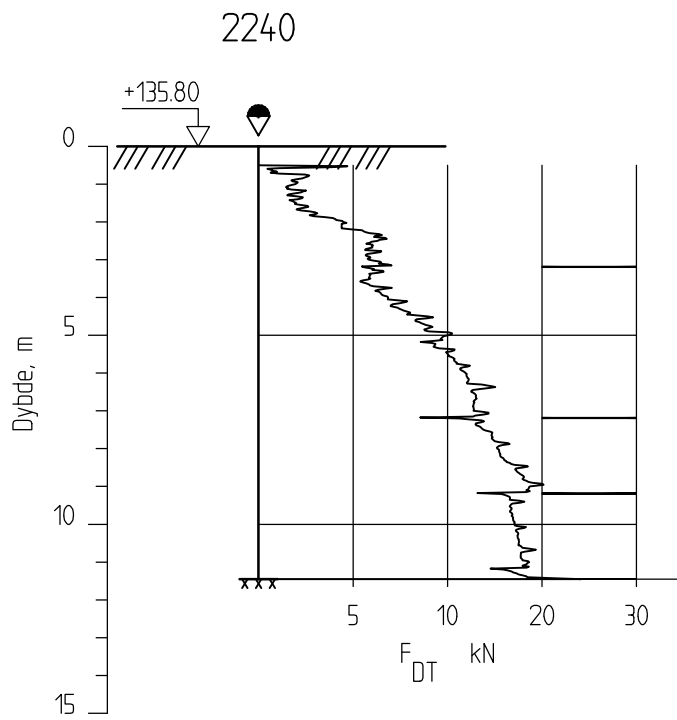
Tegner
KjA

Dato:
05.11.2013

Kontrollert
TFS

Godkjent
StH





E16 Nybakk - Slomarka

Dreietrykkssondering
1:200

Borhull 2240
Posisjon: X 1241395.75 Y 95031.87

Dato boret :07.03.2013

Rapport nr.
20120491-02-R

Tegner
KjA

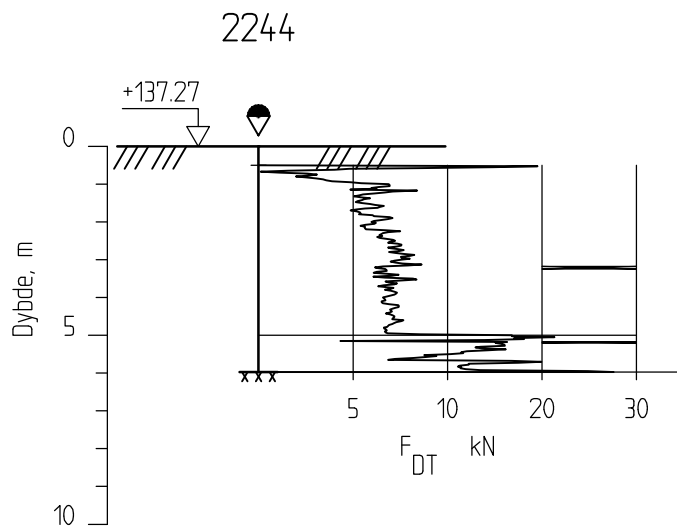
Kontrollert
TFS

Godkjent
StH

Figur nr.
A111

Dato:
05.11.2013





E16 Nybakk - Slomarka

Rapport nr.
20120491-02-R

Figur nr.
A114

Dreietrykkssondering
1:200

Tegner
KjA

Dato:
05.11.2013

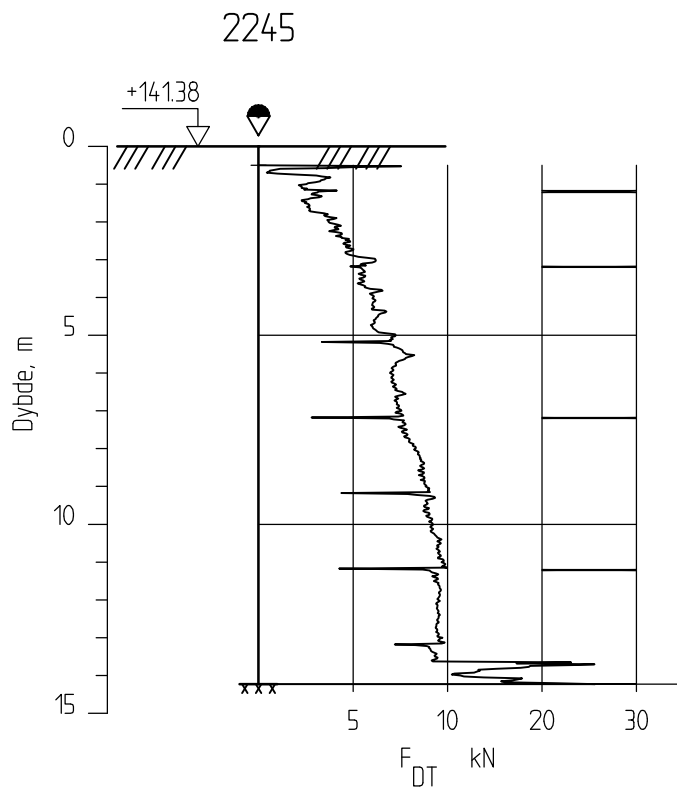
Borhull 2244
Posisjon: X 1241564.51 Y 95011.46

Dato boret :08.03.2013

Kontrollert
TFS

Godkjent
StH





E16 Nybakk - Slomarka

Dreietrykkssondering
1:200

Borhull 2245

Posisjon: X 1241787.87 Y 95002.34

Dato boret :02.03.2013

Rapport nr.
20120491-02-R

Tegner
KjA

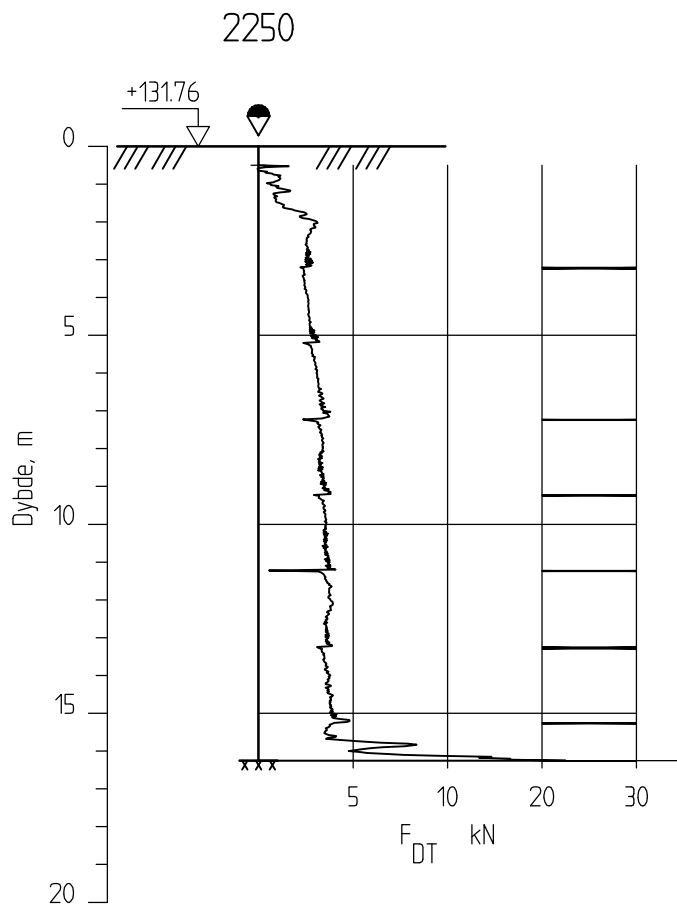
Kontrollert
TFS

Godkjent
StH

Figur nr.
A115

Dato:
05.11.2013





E16 Nybakk - Slomarka

Dreietrykksondering
1:200

Borhull 2250

Posisjon: X 1241655.73 Y 95176.20

Dato boret :03.03.2013

Rapport nr.
20120491-02-R

Figur nr.
A120

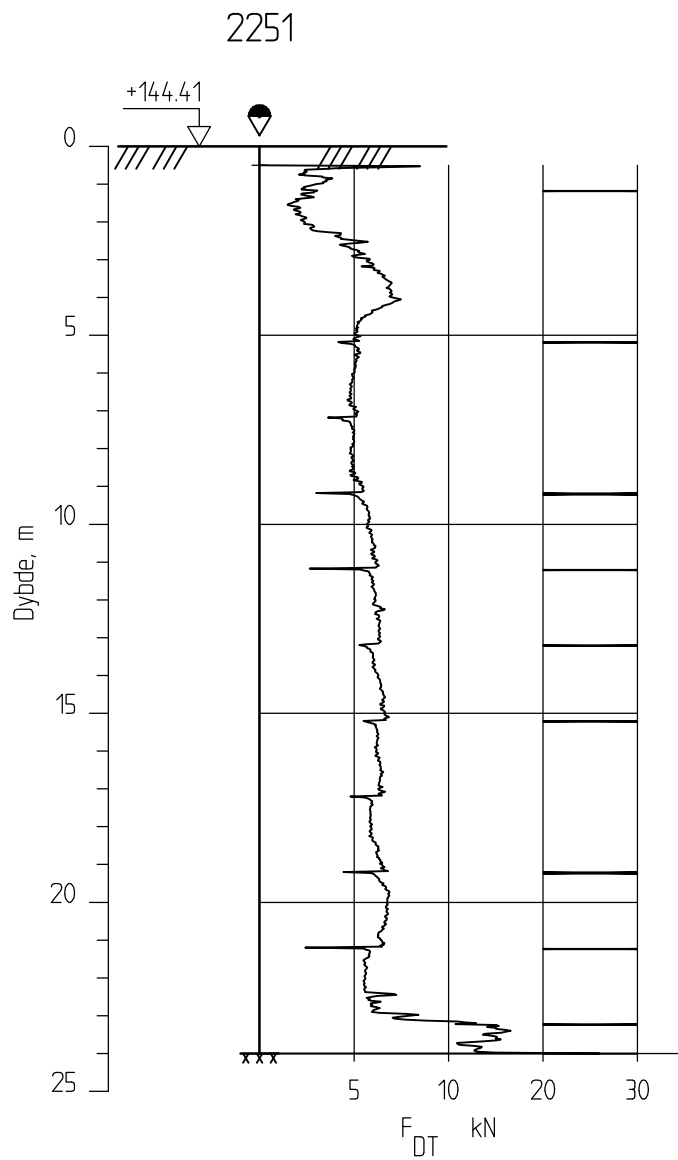
Tegner
KjA

Dato:
05.11.2013

Kontrollert
TFS

Godkjent
StH





E16 Nybakk - Slomarka

Dreietrykkssondering
1:200

Borhull 2251

Posisjon: X 1241860.89 Y 95211.62

Dato boret :02.03.2013

Rapport nr.
20120491-02-R

Tegner
KjA

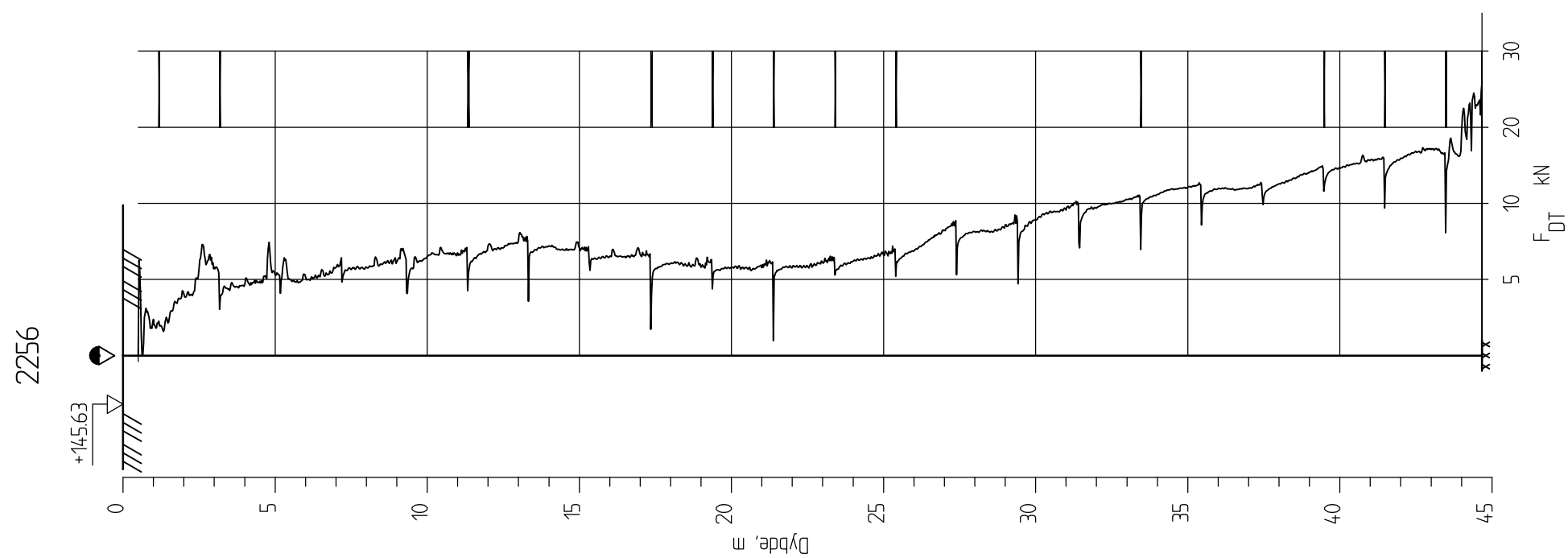
Kontrollert
TFS

Godkjent
StH

Figur nr.
A121

Dato:
05.11.2013






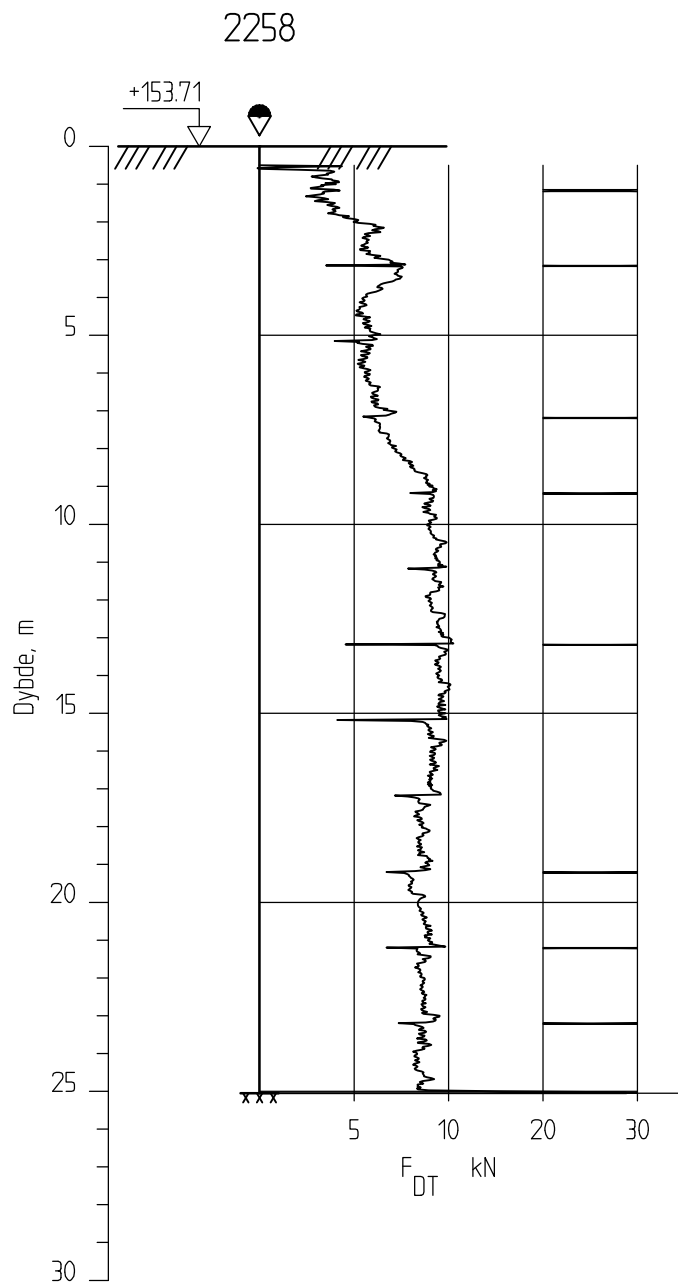
E16 Nybakk - Slomarka

Dreietrykkssondering
1:200

Borhull 2256
Posisjon: X 1241681.21 Y 95344.23

Dato boret :03.03.2013

Rapport nr. 20120491-02-R	Figur nr. A126
Tegner KJA	Dato: 05.11.2013
Kontrollert TFS	
Godkjent SH	



E16 Nybakk - Slomarka

Dreietrykkssondering
1:200

Borhull 2258

Posisjon: X 1241786.55 Y 95432.41

Dato boret :03.03.2013

Rapport nr.
20120491-02-R

Tegner
KjA

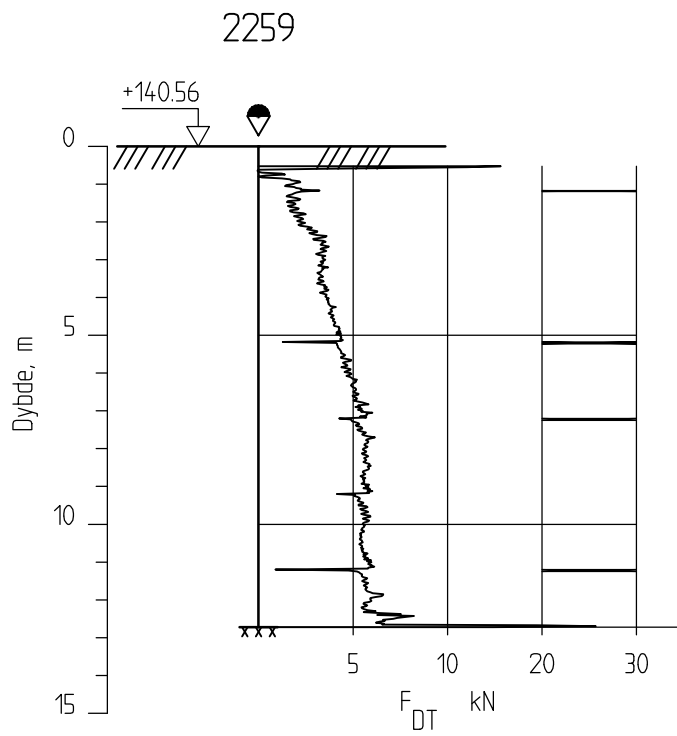
Kontrollert
TFS

Godkjent
StH

Figur nr.
A128

Dato:
05.11.2013





E16 Nybakk - Slomarka

Dreietrykkssondering
1:200

Borhull 2259
Posisjon: X 1241681.85 Y 95455.50

Dato boret :01.03.2013

Rapport nr.
20120491-02-R

Tegner
KjA

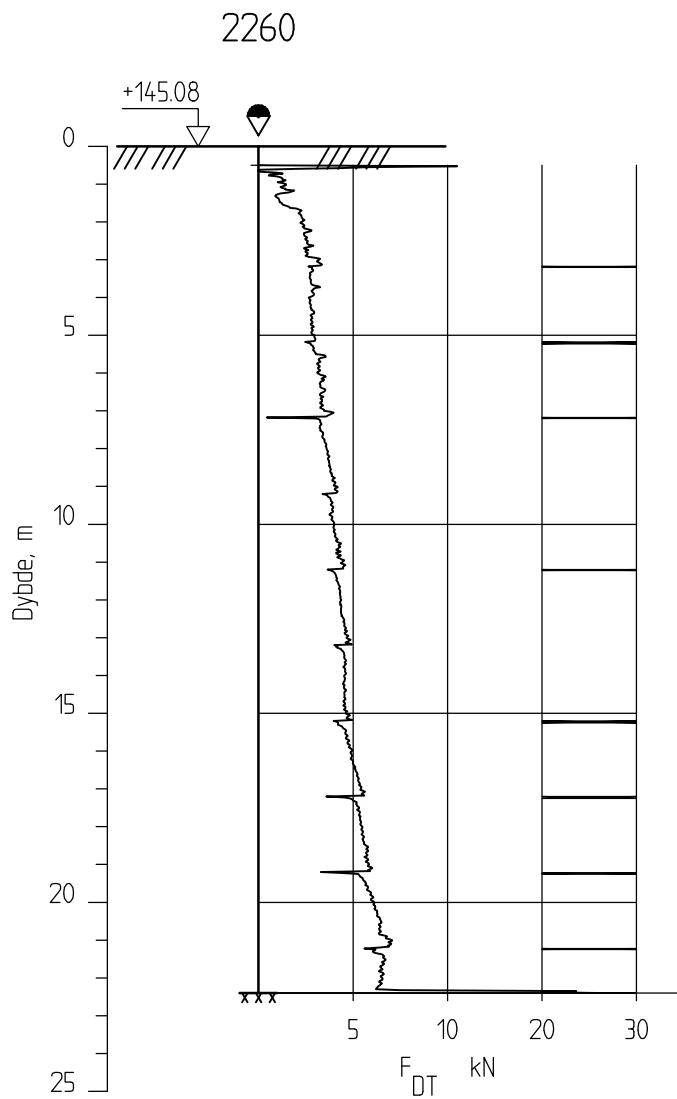
Kontrollert
TFS

Godkjent
StH

Figur nr.
A129

Dato:
05.11.2013





E16 Nybakk - Slomarka

Dreietrykkssondering
1:200

Borhull 2260

Posisjon: X 1241876.66 Y 95534.79

Dato boret :02.03.2013

Rapport nr.
20120491-02-R

Figur nr.
A130

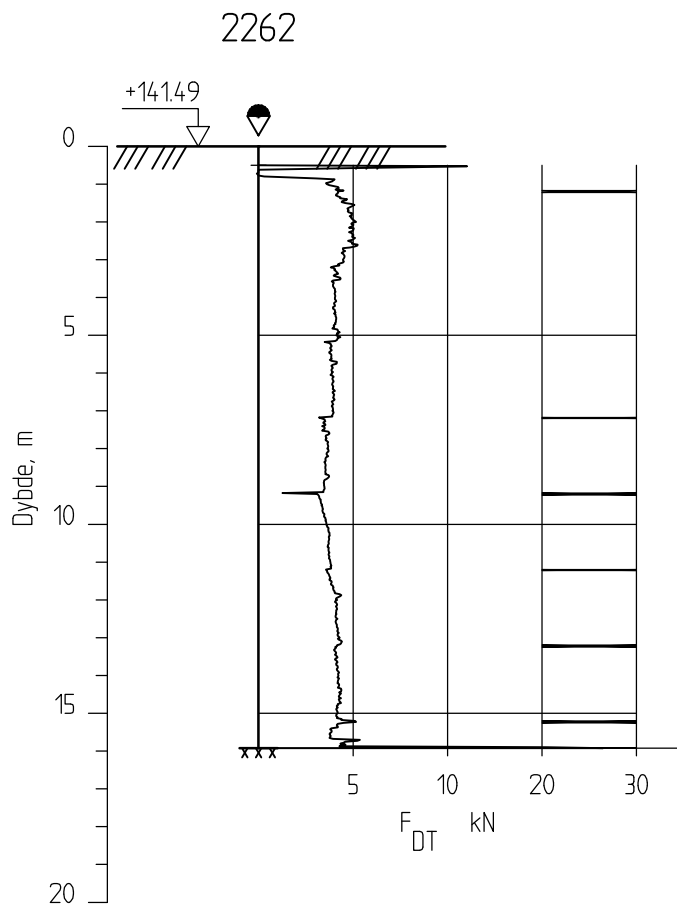
Tegner
KjA

Dato:
05.11.2013

Kontrollert
TFS

Godkjent
StH





E16 Nybakk - Slomarka

Dreietrykkssondering
1:200

Borhull 2262
Posisjon: X 1241682.01 Y 95521.48

Dato boret :01.03.2013

Rapport nr.
20120491-02-R

Tegner
KjA

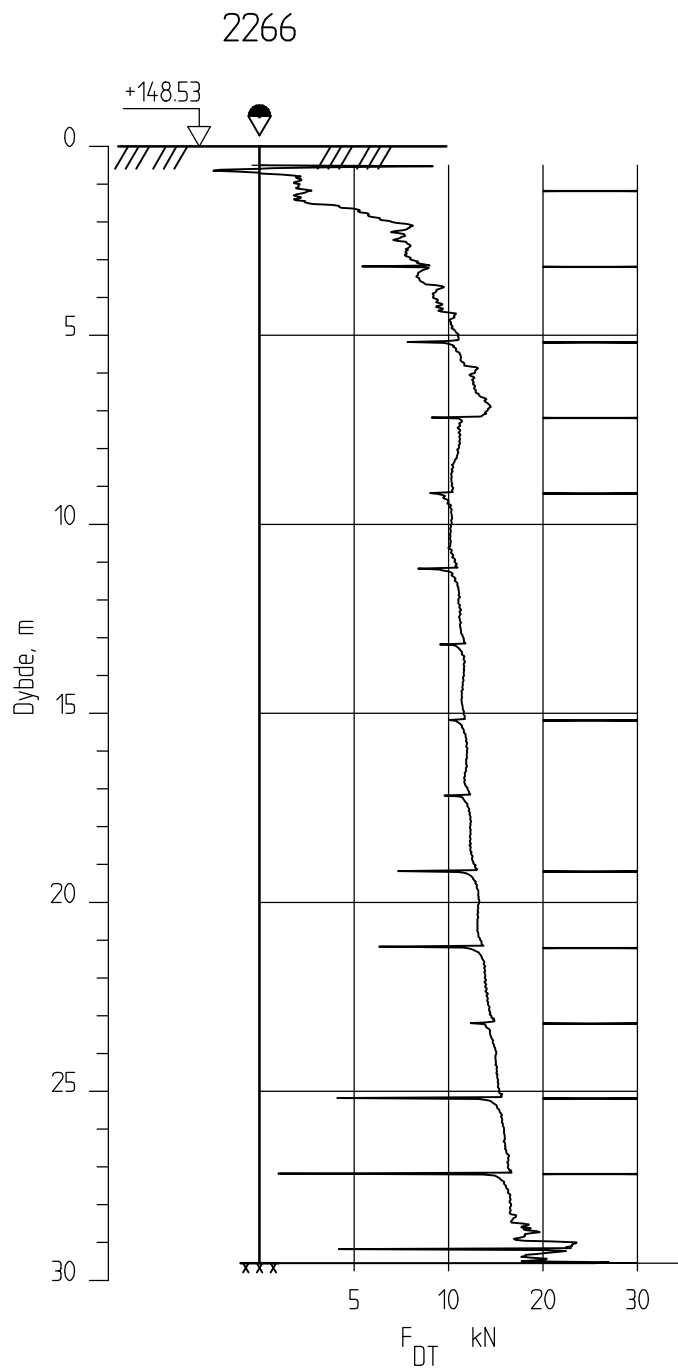
Kontrollert
TFS

Godkjent
StH

Figur nr.
A132

Dato:
05.11.2013





E16 Nybakk - Slomarka

Dreietrykkssondering
1:200

Borhull 2266

Posisjon: X 1241846.00 Y 95747.70

Dato boret :28.02.2013

Rapport nr.
20120491-02-R

Tegner
KjA

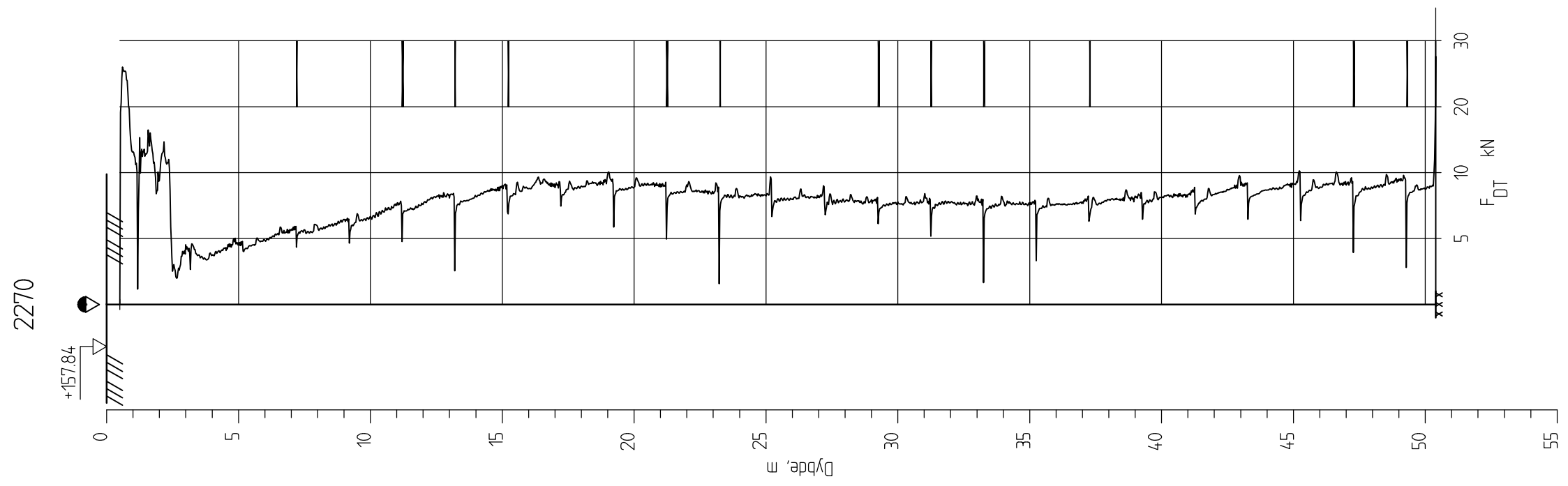
Kontrollert
TFS

Godkjent
StH

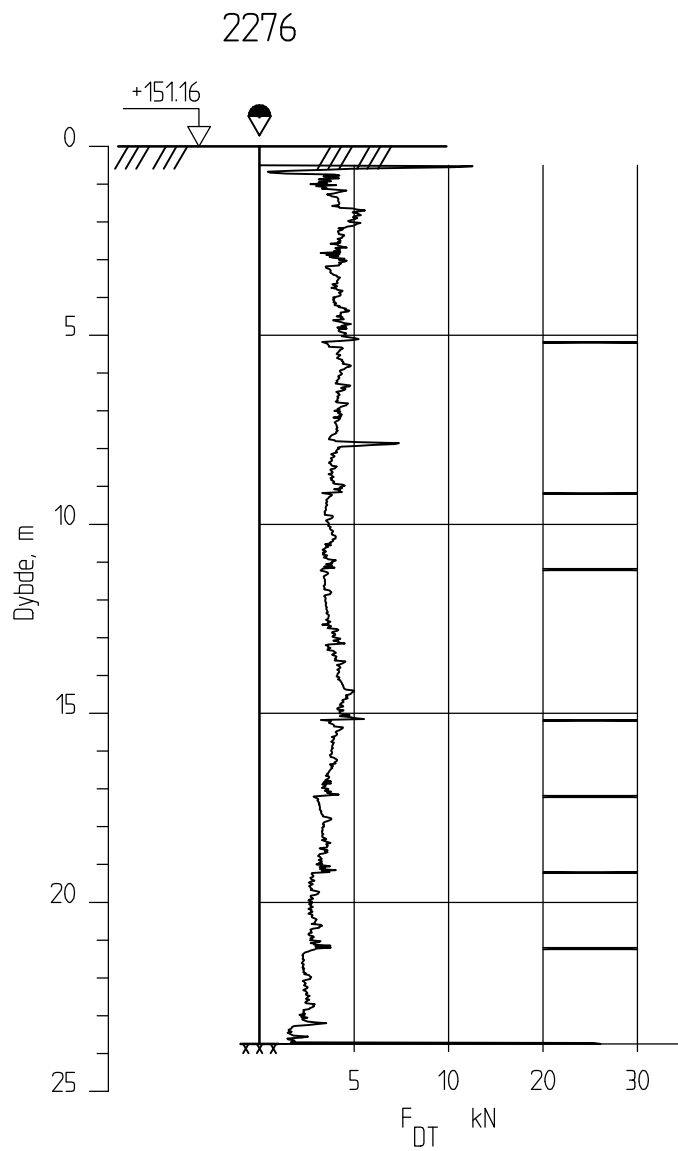
Figur nr.
A136

Dato:
05.11.2013





<p>E16 Nybakk - Slomarka</p> <p>Dreietrykkssondering Borprofil 1:200</p> <p>Borhull 2270 Posisjon: X 1241729.92 Y 95827.69 Dato boret :28.02.2013</p>	Rapport nr. 20120491-02-R	Figur nr. A140
	Tegner KJA	Dato: 05.11.2013
	Kontrollert TFS	
	Godkjent SH	



E16 Nybakk - Slomarka

Dreietrykksondering
1:200

Borhull 2276

Posisjon: X 1241728.74 Y 96325.80

Dato boret :24.02.2013

Rapport nr.
20120491-02-R

Tegner
KjA

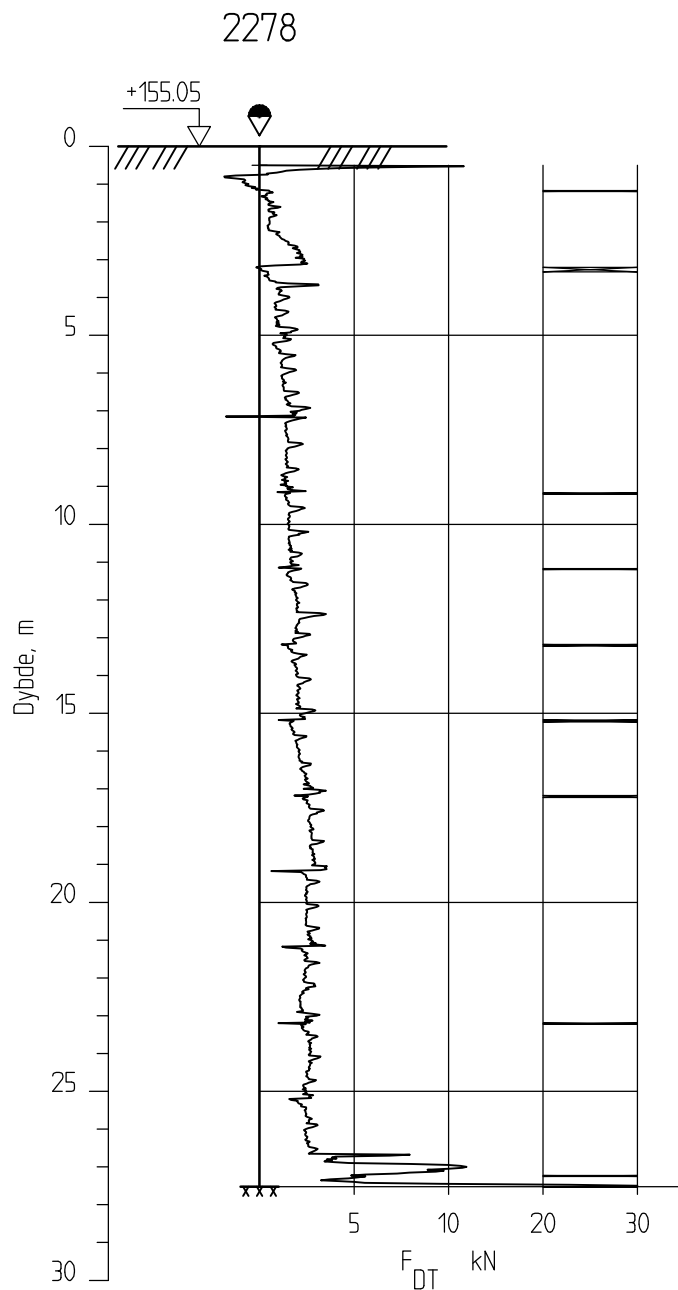
Kontrollert
TFS

Godkjent
StH

Figur nr.
A145

Dato:
05.11.2013





E16 Nybakk - Slomarka

Dreietrykkssondering
1:200

Borhull 2278

Posisjon: X 1241739.58 Y 96425.20

Dato boret :24.02.2013

Rapport nr.
20120491-02-R

Figur nr.
A147

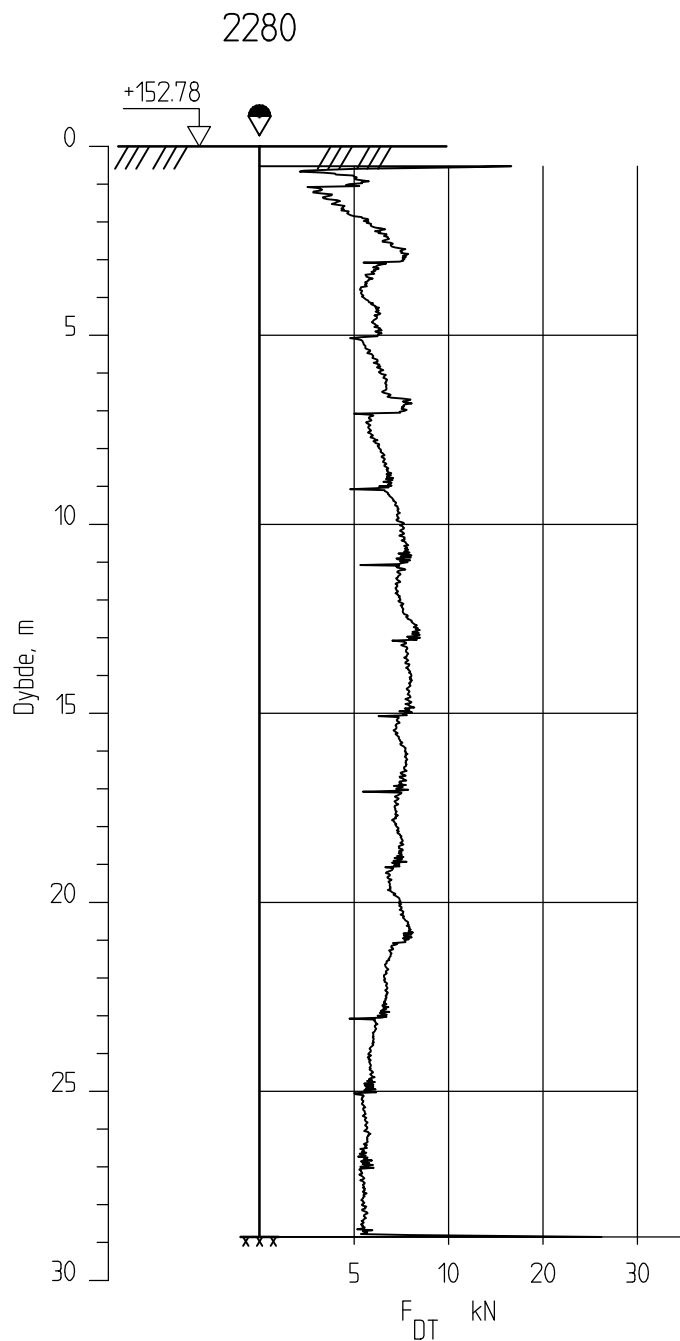
Tegner
KjA

Dato:
05.11.2013

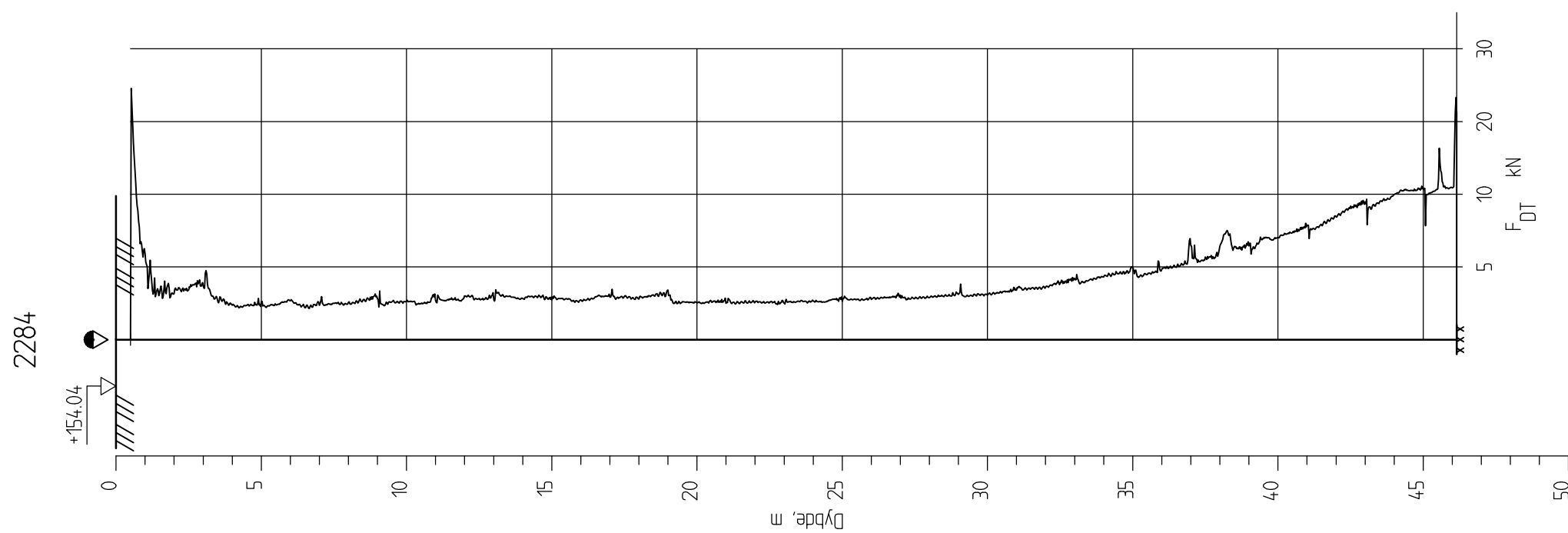
Kontrollert
TFS

Godkjent
StH

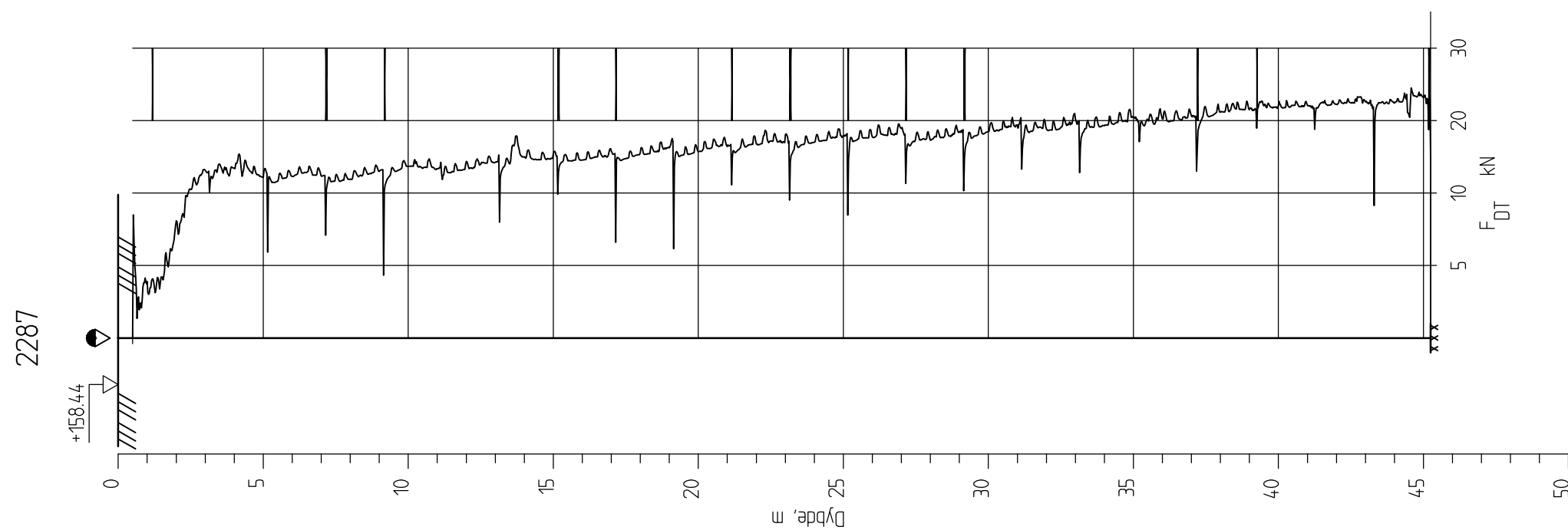




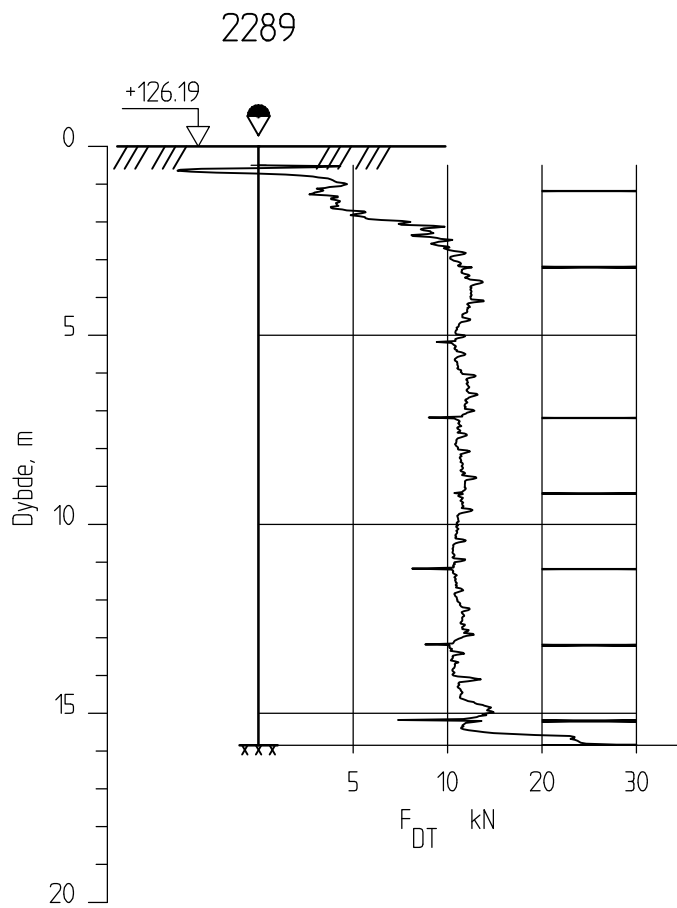
<p>E16 Nybakk - Slomarka</p> <p>Dreietrykksondering 1:200</p> <p>Borhull 2280 Posisjon: X 1241750.23 Y 96524.67</p>	<p>Rapport nr. 20120491-02-R</p>	<p>Figur nr. A149</p>
	<p>Tegner KjA</p>	<p>Dato: 05.11.2013</p>
<p>Kontrollert TFS</p>		
<p>Godkjent StH</p>		
<p style="text-align: right;">Dato boret :24.01.2013</p>		



E16 Nybakk - Slomarka Dreietrykkssondering 1:200 Borhull 2284 Posisjon: X 1241771.98 Y 96723.42 Dato boret :24.01.2013	Rapport nr. 20120491-02-R	Figur nr. A152
	Tegner KjA	Dato: 05.11.2013
	Kontrollert TFS	
	Godkjent SH	



<p>E16 Nybakk - Slomarka</p> <p>Dreietrykkssondering 1:200</p> <p>Borhull 2287 Posisjon: X 1241690.69 Y 94634.11 Dato boret :08.03.2013</p>	Rapport nr. 20120491-02-R	Figur nr. A155
	Tegner KJA	Dato: 05.11.2013
	Kontrollert TFS	
	Godkjent SH	



E16 Nybakk - Slomarka

Dreietrykkssondering
1:200

Borhull 2289

Posisjon: X 1241270.79 Y 95035.23

Dato boret :07.03.2013

Rapport nr.
20120491-02-R

Figur nr.
A157

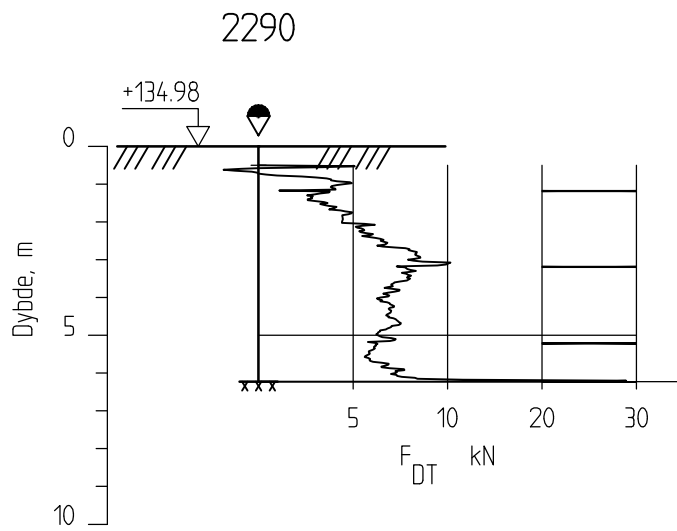
Tegner
KjA

Dato:
05.11.2013

Kontrollert
TFS

Godkjent
StH





E16 Nybakk - Slomarka

Rapport nr.
20120491-02-R

Figur nr.
A158

Dreietrykkssondering
1:200

Tegner
KjA

Dato:
05.11.2013

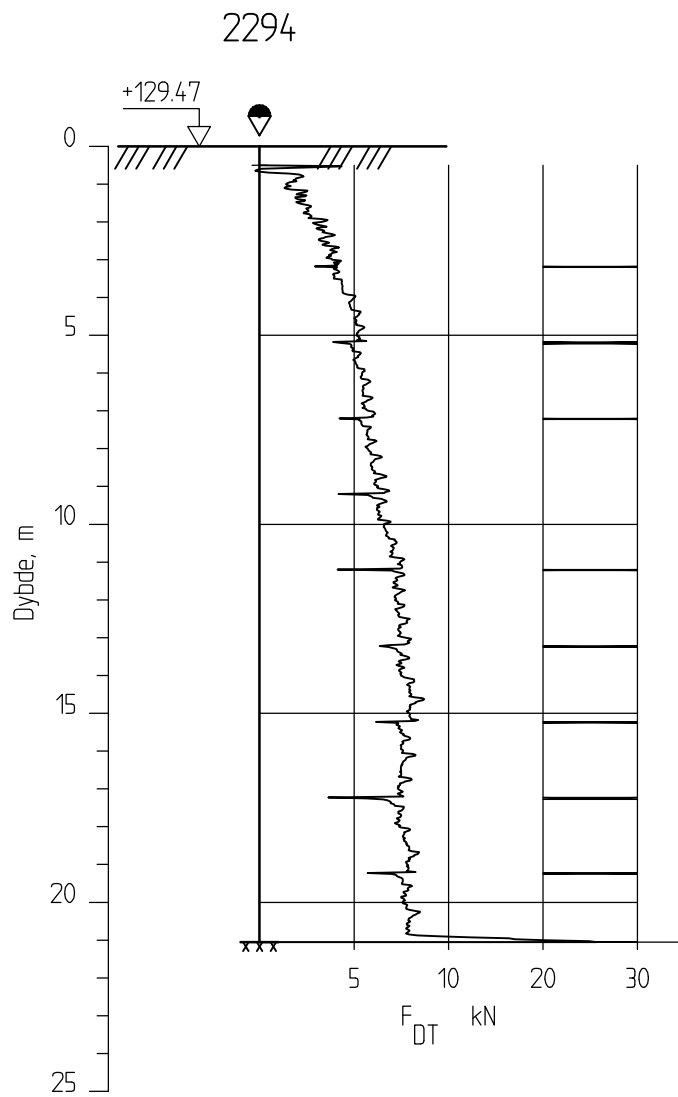
Borhull 2290
Posisjon: X 1241487.33 Y 95047.63

Dato boret :07.03.2013

Kontrollert
TFS

Godkjent
StH





E16 Nybakk - Slomarka

Dreietrykkssondering
1:200

Borhull 2294
Posisjon: X 1241570.14 Y 95272.15

Dato boret :07.03.2013

Rapport nr.
20120491-02-R

Tegner
KjA

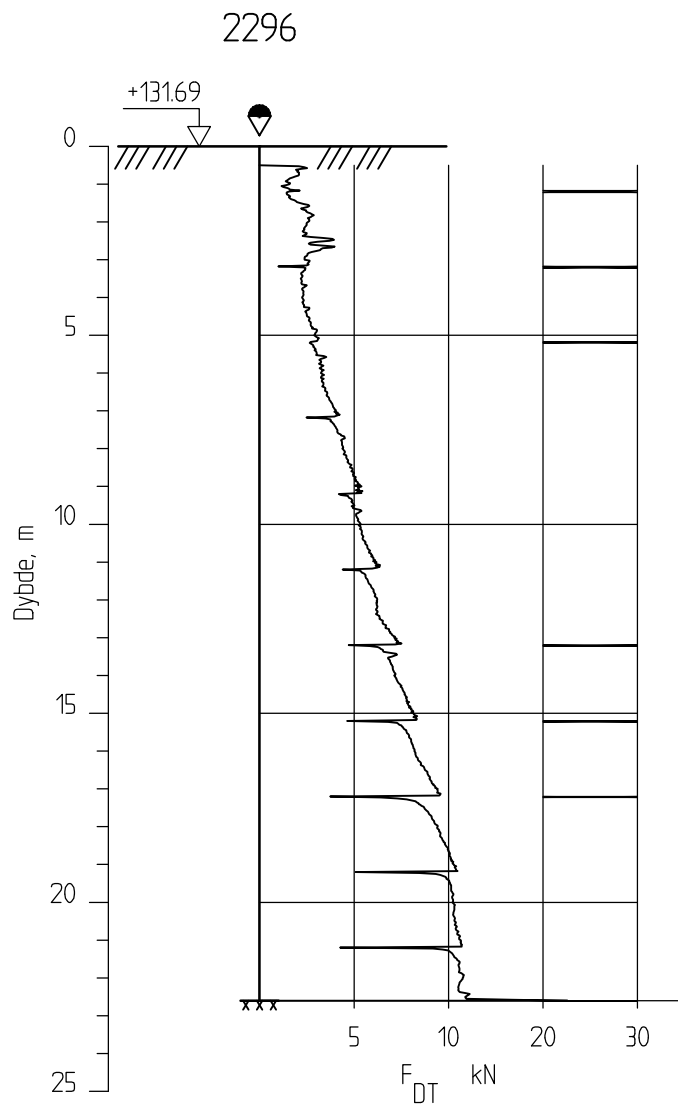
Kontrollert
TFS

Godkjent
StH

Figur nr.
A162

Dato:
05.11.2013





E16 Nybakk - Slomarka

Dreietrykkssondering
1:200

Borhull 2296

Posisjon: X 1241586.17 Y 95353.64

Dato boret :01.03.2013

Rapport nr.
20120491-02-R

Figur nr.
A164

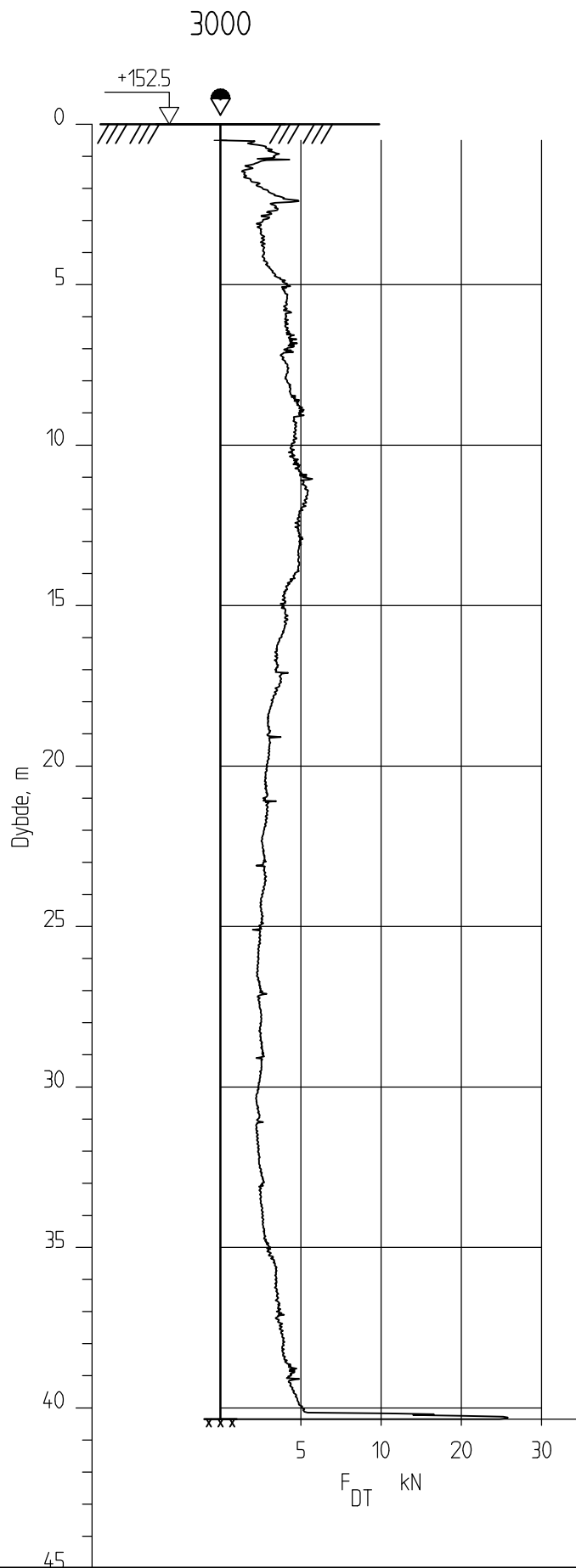
Tegner
KjA

Dato:
05.11.2013

Kontrollert
TFS

Godkjent
StH





E16 Nybakk - Slomarka

Dreietrykkssondering
1:200

Borhull 3000

Posisjon: X 1241952.34 Y 97144.71

Dato boret :17.01.2013

Rapport nr.
20120491-02-R

Tegner
KjA

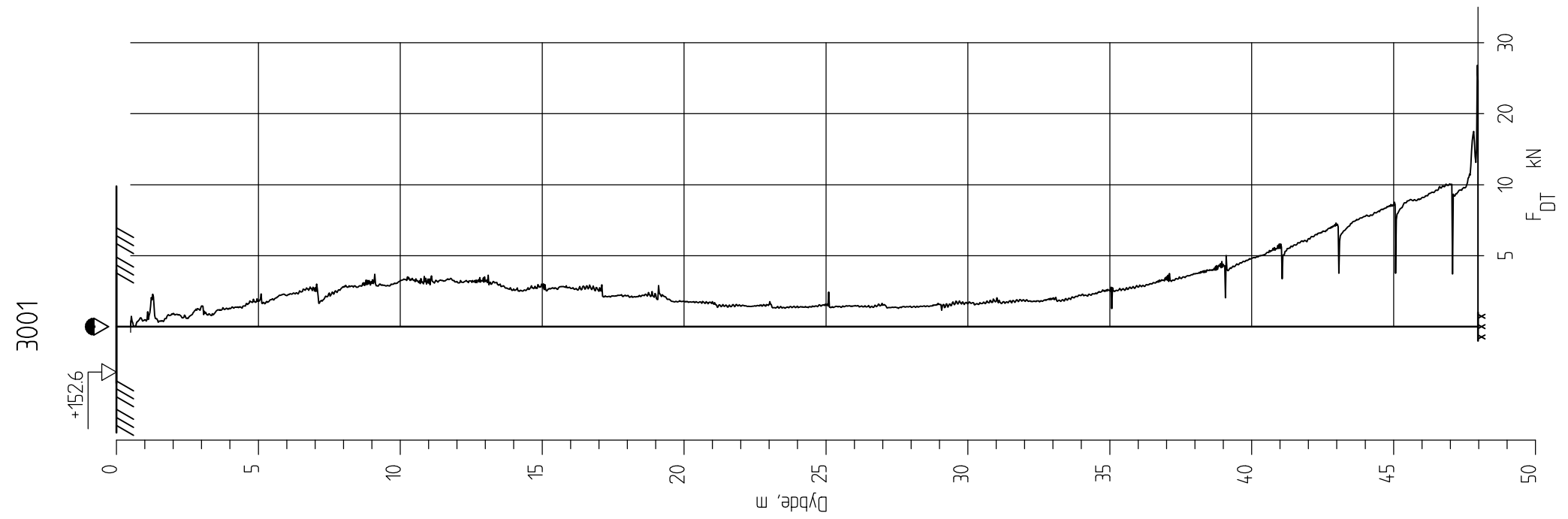
Kontrollert
TFS

Godkjent
StH

Figur nr.
A166

Dato:
05.11.2013





E16 Nybakk - Slomarka

Dreietrykkssondering
1:200

Borhull 3001

Posisjon: X 1241863.44 Y 97189.79

Dato boret :09.01.2013

Rapport nr.
20120491-02-R

Figur nr.
A167

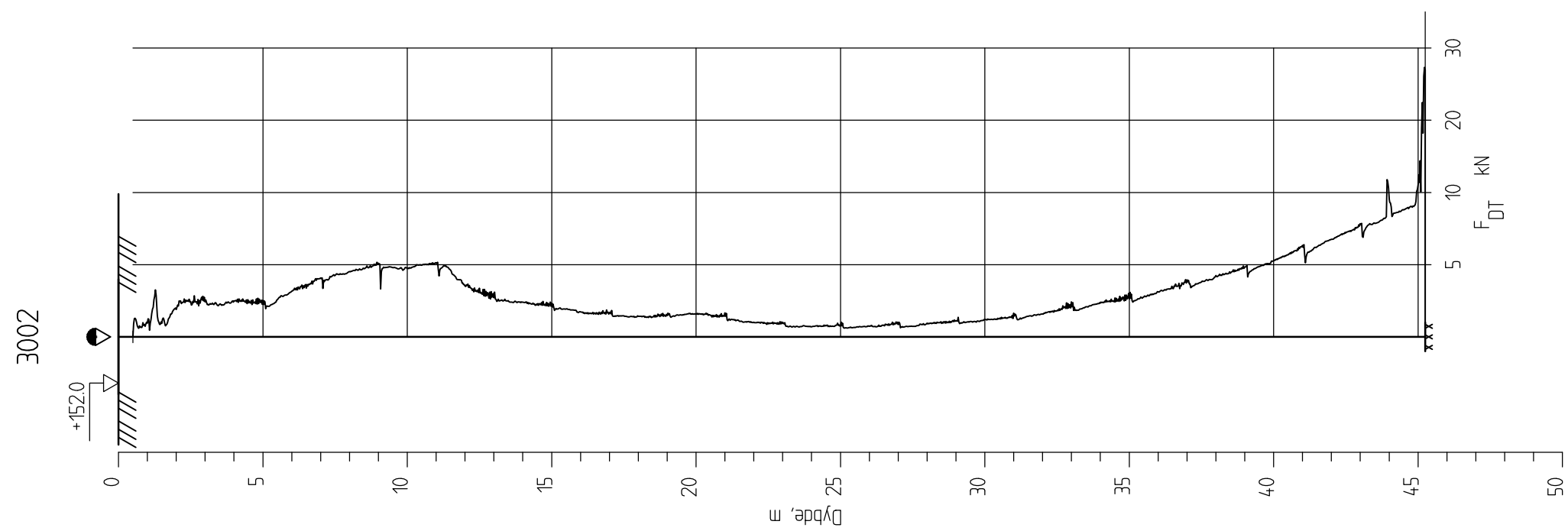
Tegner
KjA

Dato:
05.11.2013

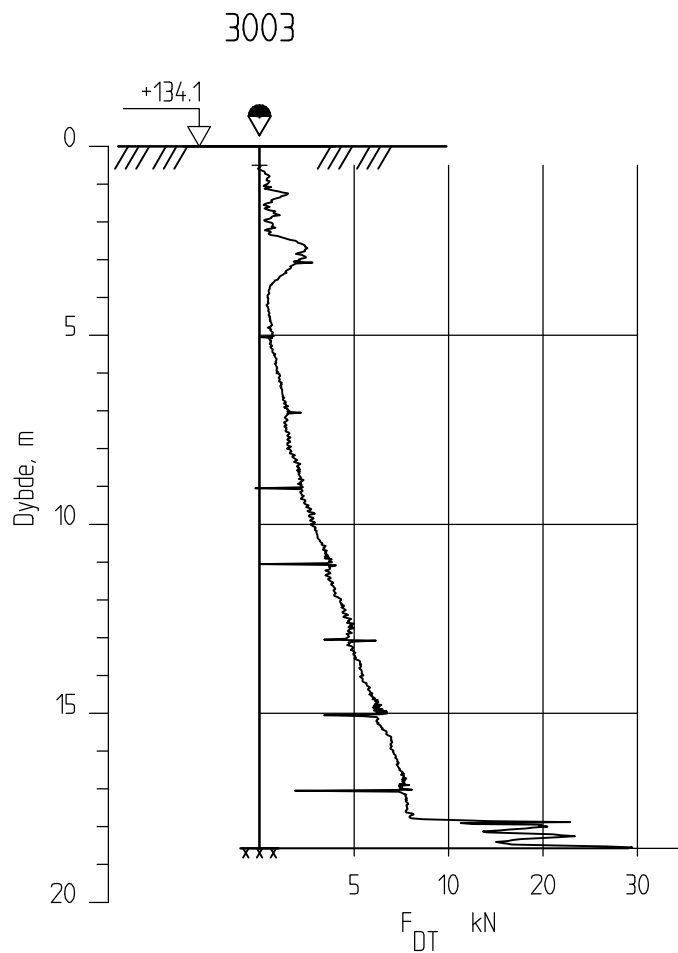
Kontrollert
TFS

Godkjent
SH





E16 Nybakk - Slomarka Dreietrykkssondering 1:200 Borhull 3002 Posisjon: X 1241885.90 Y 97234.28 Dato boret :09.01.2013	Rapport nr. 20120491-02-R	Figur nr. A168
	Tegner KjA	Dato: 05.11.2013
	Kontrollert TFS	
	Godkjent SH	



E16 Nybakk - Slomarka

Dreietrykkssondering
1:200

Borhull 3003

Posisjon: X 1242095.28 Y 97185.03

Dato boret :24.01.2013

Rapport nr.
20120491-02-R

Tegner
KjA

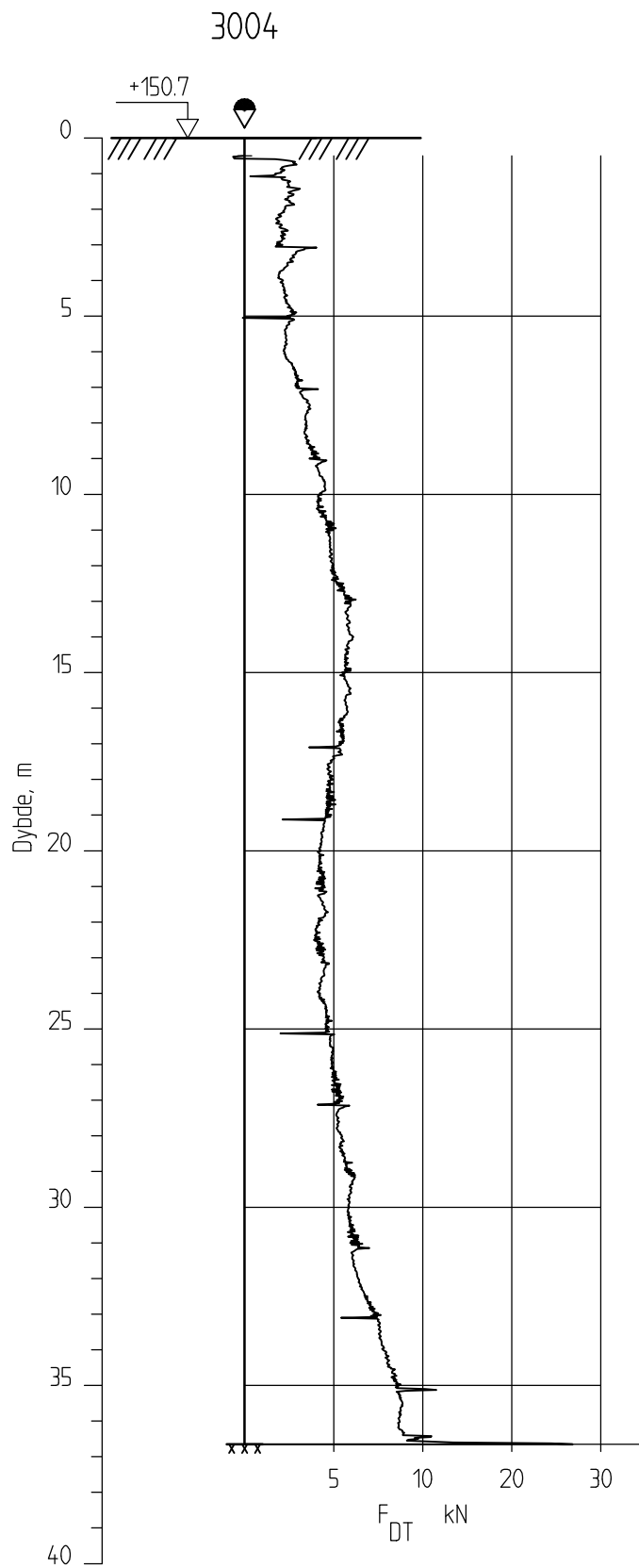
Kontrollert
TFS

Godkjent
StH

Figur nr.
A169

Dato:
05.11.2013





E16 Nybakk - Slomarka

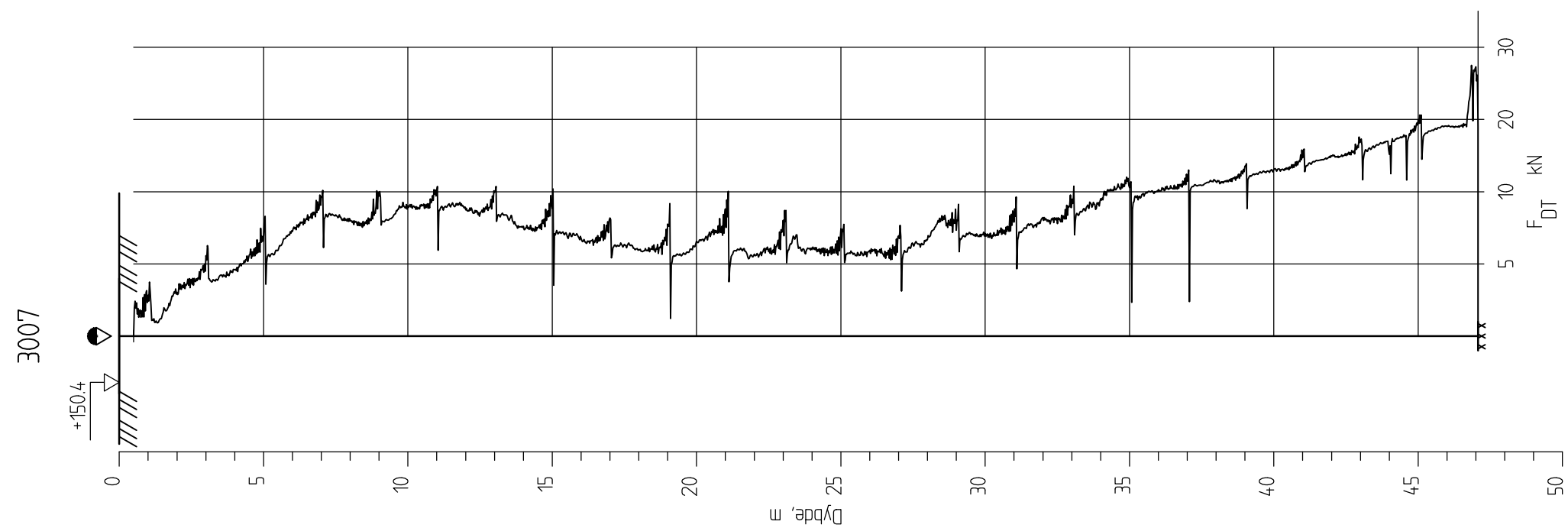
Dreietrykksondring
1:200

Borhull 3004

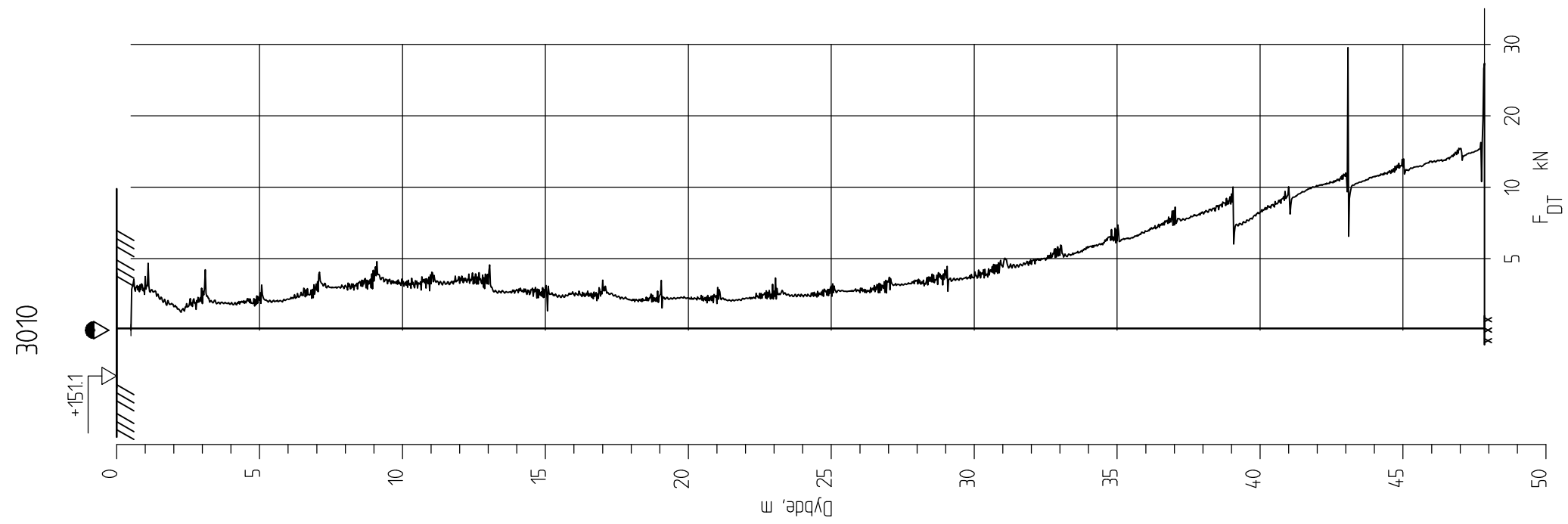
Posisjon: X 1242040.59 Y 97212.20

Dato boret :24.01.2013

Rapport nr.
20120491-02-RFigur nr.
A170Tegner
KjADato:
05.11.2013Kontrollert
TFSGodkjent
StH



E16 Nybakk - Slomarka Dreietrykkssondering 1:200 Borhull 3007 Posisjon: X 1241826.98 Y 97328.14 Dato boret :09.01.2013	Rapport nr. 20120491-02-R	Figur nr. A173
	Tegner KjA	Dato: 05.11.2013
	Kontrollert TFS	
	Godkjent SH	



E16 Nybakk - Slomarka

Dreietrykkssondering
1:200

Borhull 3010
Posisjon: X 1241931.13 Y 97323.14

Dato boret :14.01.2013

Rapport nr.
20120491-02-R

Figur nr.
A175

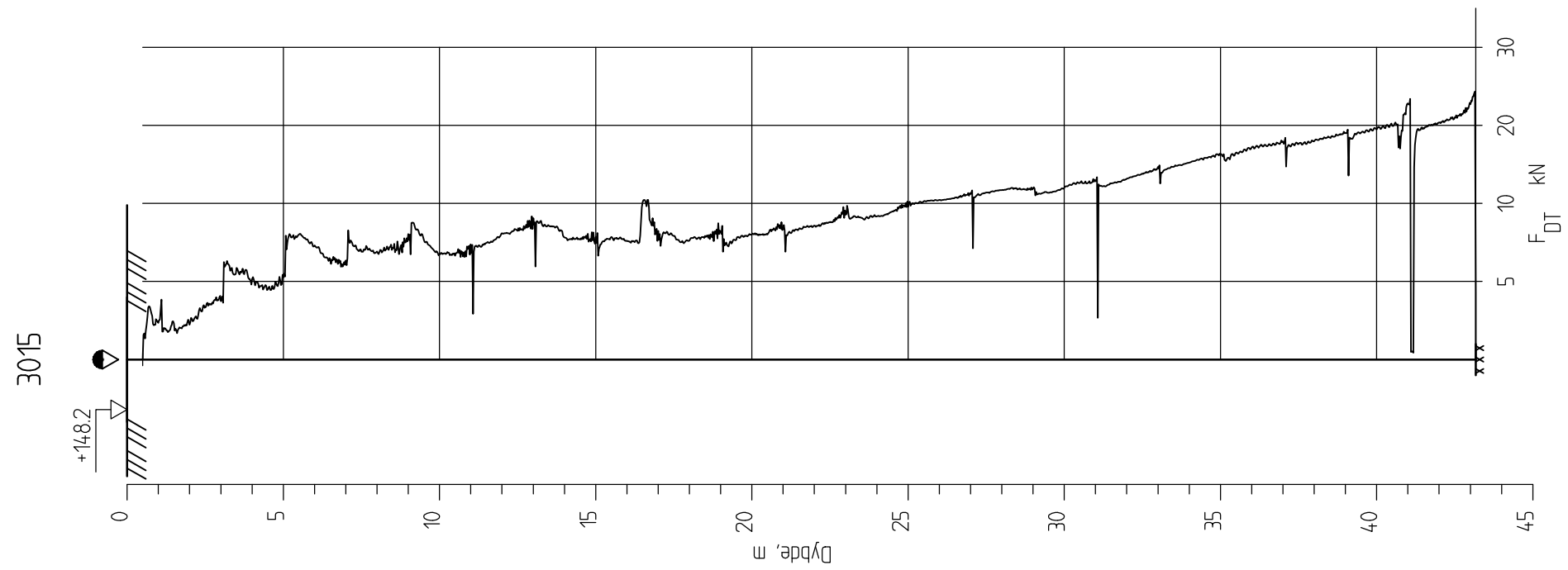
Tegner
KJA

Dato:
05.11.2013

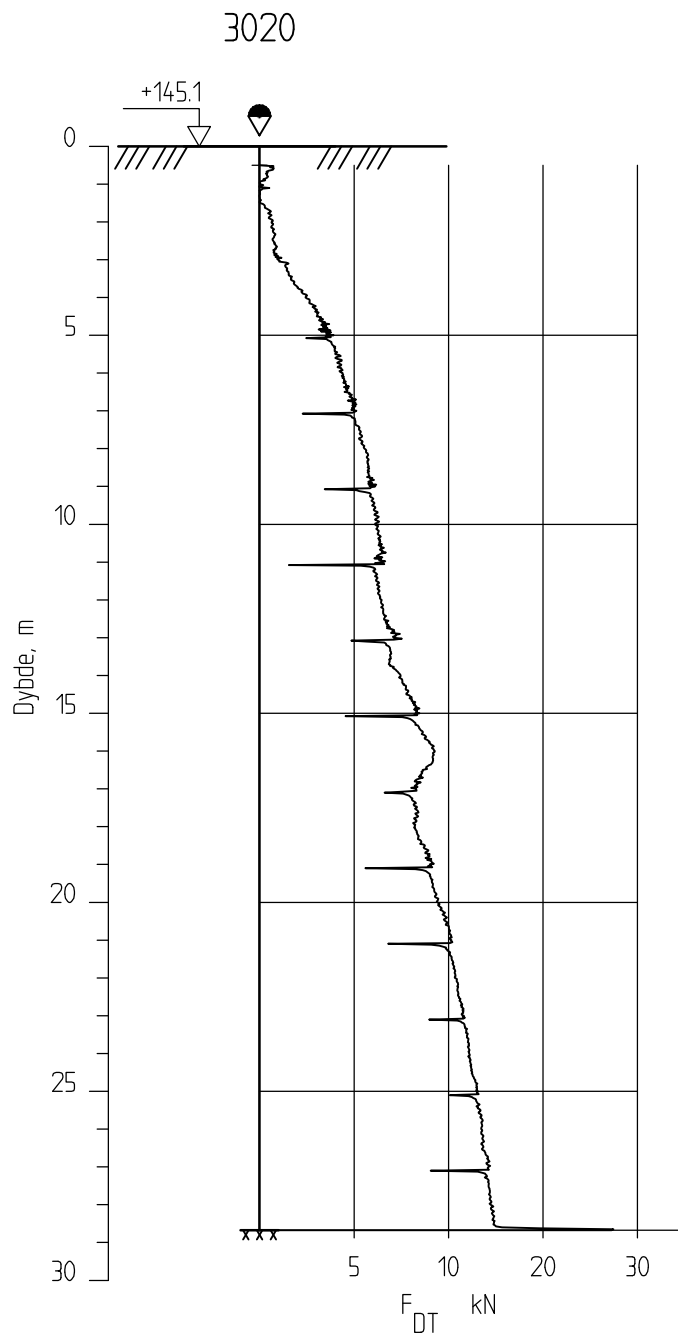
Kontrollert
TFS

Godkjent
SHH





<p>E16 Nybakk - Slomarka</p> <p>Dreietrykksondering 1:200</p> <p>Borhull 3015 Posisjon: X 1241775.18 Y 97464.87 Dato boret :17.01.2013</p>	Rapport nr. 20120491-02-R	Figur nr. A179
	Tegner KjA	Dato: 05.11.2013
	Kontrollert TFS	
	Godkjent SH	



E16 Nybakk - Slomarka

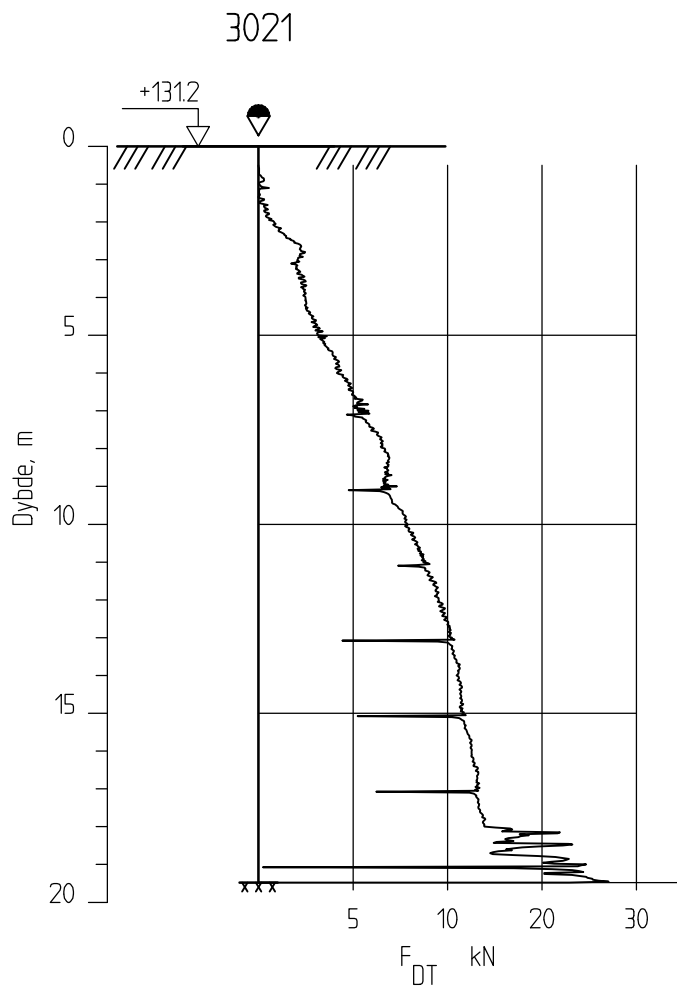
Dreietrykkssondering
1:200

Borhull 3020

Posisjon: X 1242177.97 Y 97367.40

Dato boret :03.01.2013

Rapport nr.
20120491-02-RTegner
KjAKontrollert
TFSGodkjent
StHFigur nr.
A183Dato:
05.11.2013



E16 Nybakk - Slomarka

Dreietrykkssondering
1:200

Borhull 3021
Posisjon: X 1242111.37 Y 97421.31

Dato boret :08.01.2013

Rapport nr.
20120491-02-R

Tegner
KjA

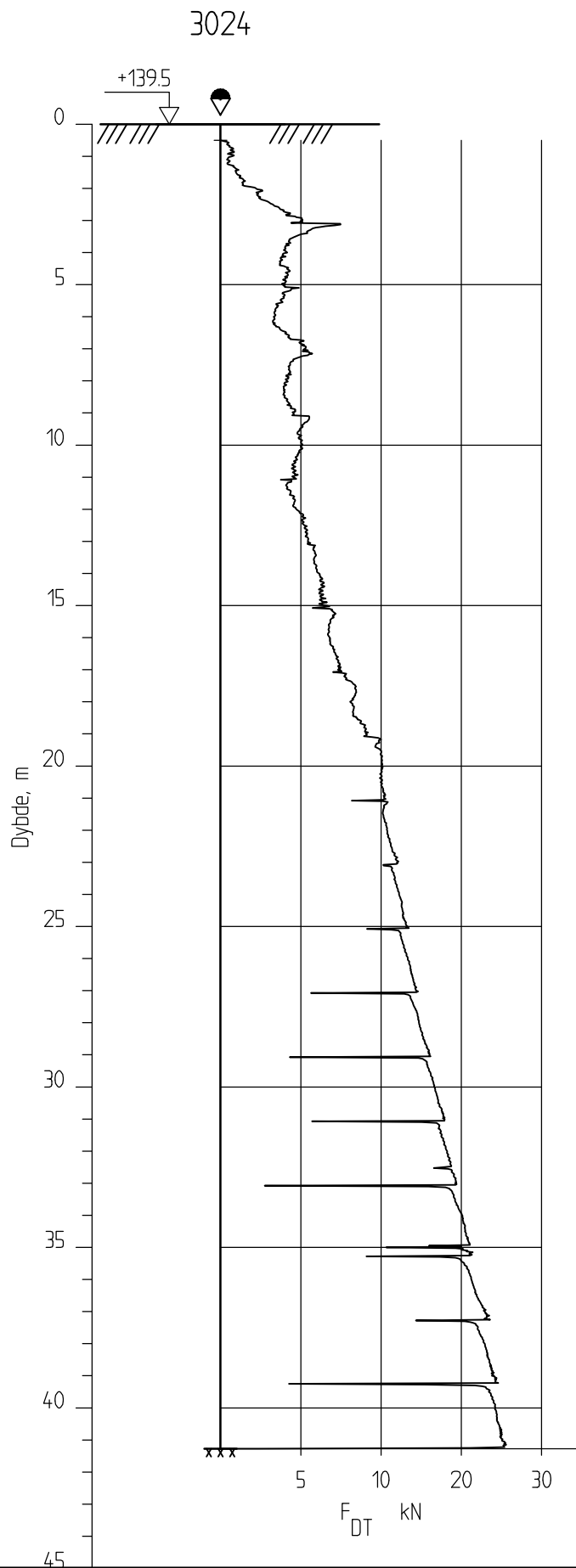
Kontrollert
TFS

Godkjent
STH

Figur nr.
A184

Dato:
05.11.2013



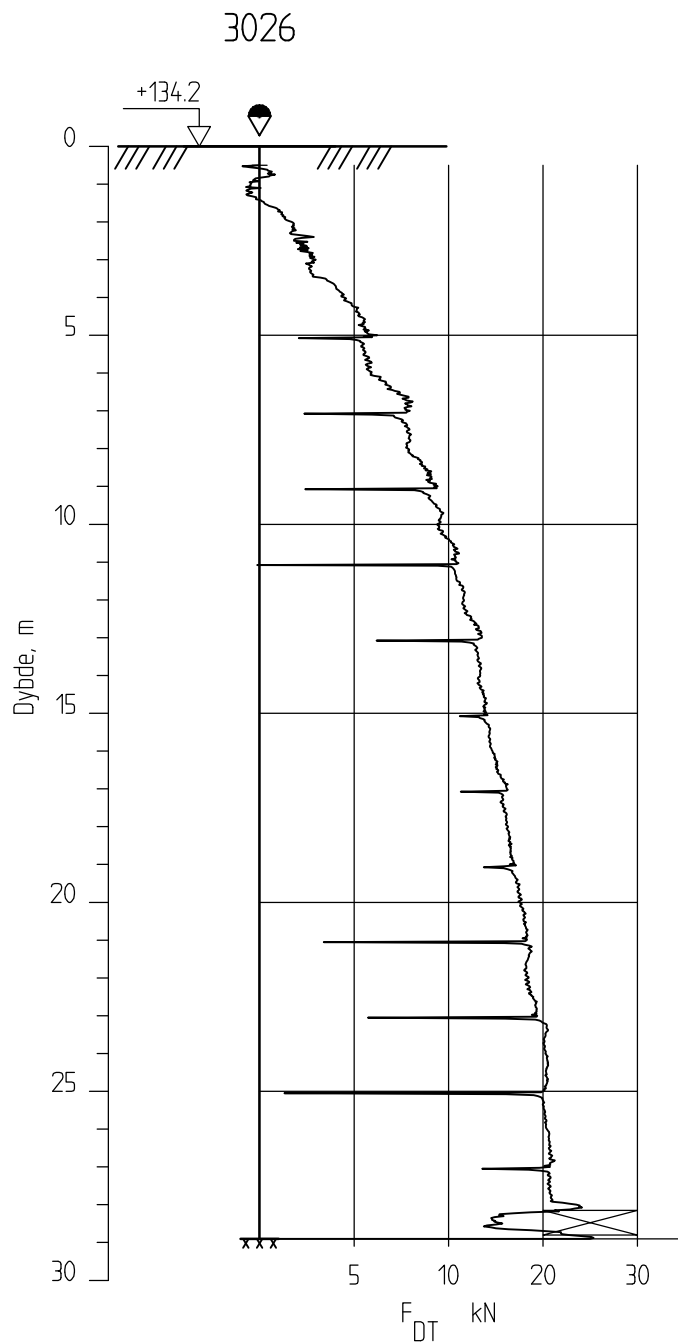


E16 Nybakk - Slomarka

Rapport nr.
20120491-02-RFigur nr.
A187Dreietrykksondring
1:200Tegner
KjADato:
05.11.2013Borhull 3024
Posisjon: X 1241821.48 Y 97547.13

Dato boret :15.01.2013

Kontrollert
TFS
Godkjent
StH



E16 Nybakk - Slomarka

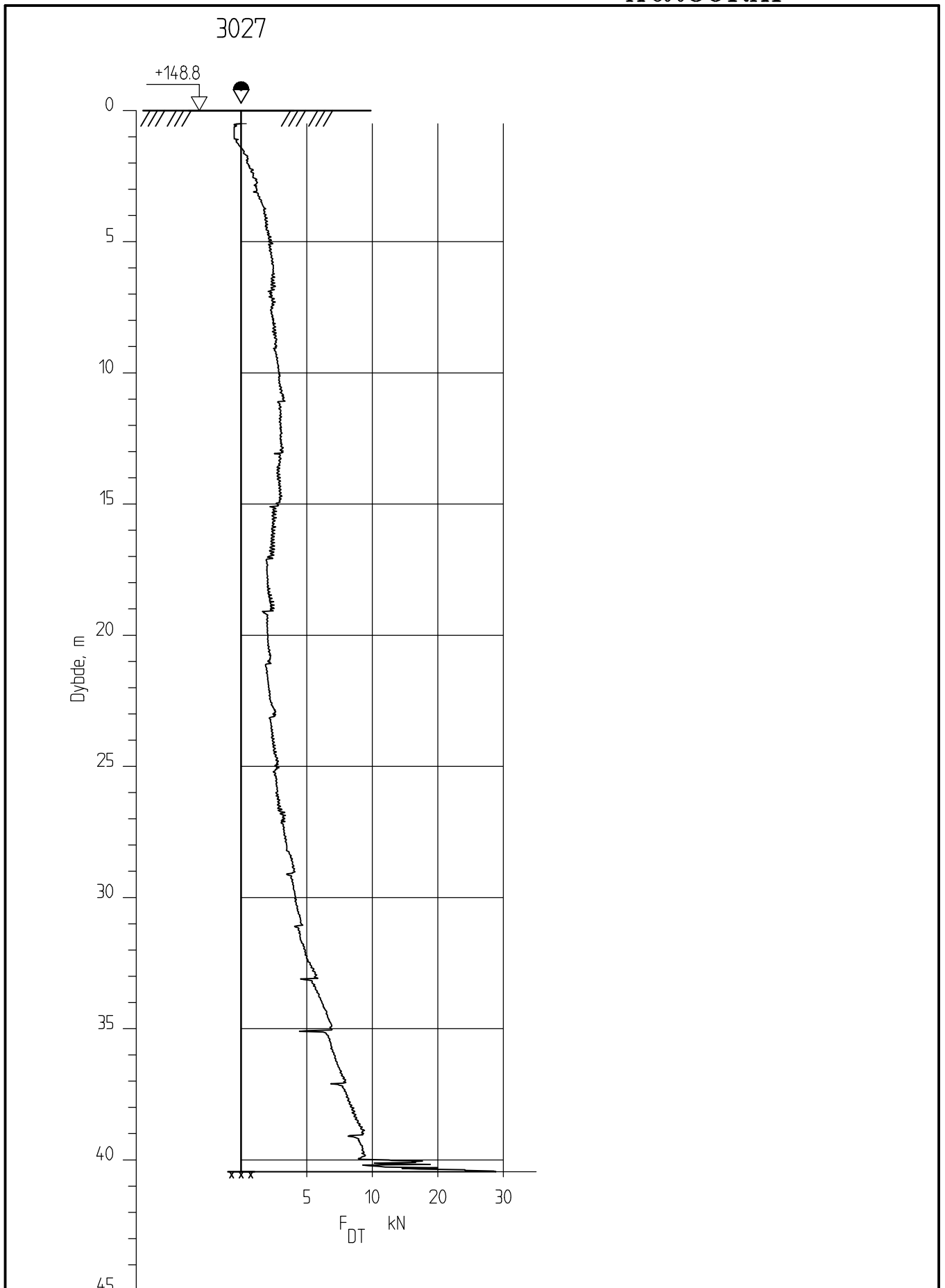
Dreietrykkssondering
1:200

Borhull 3026

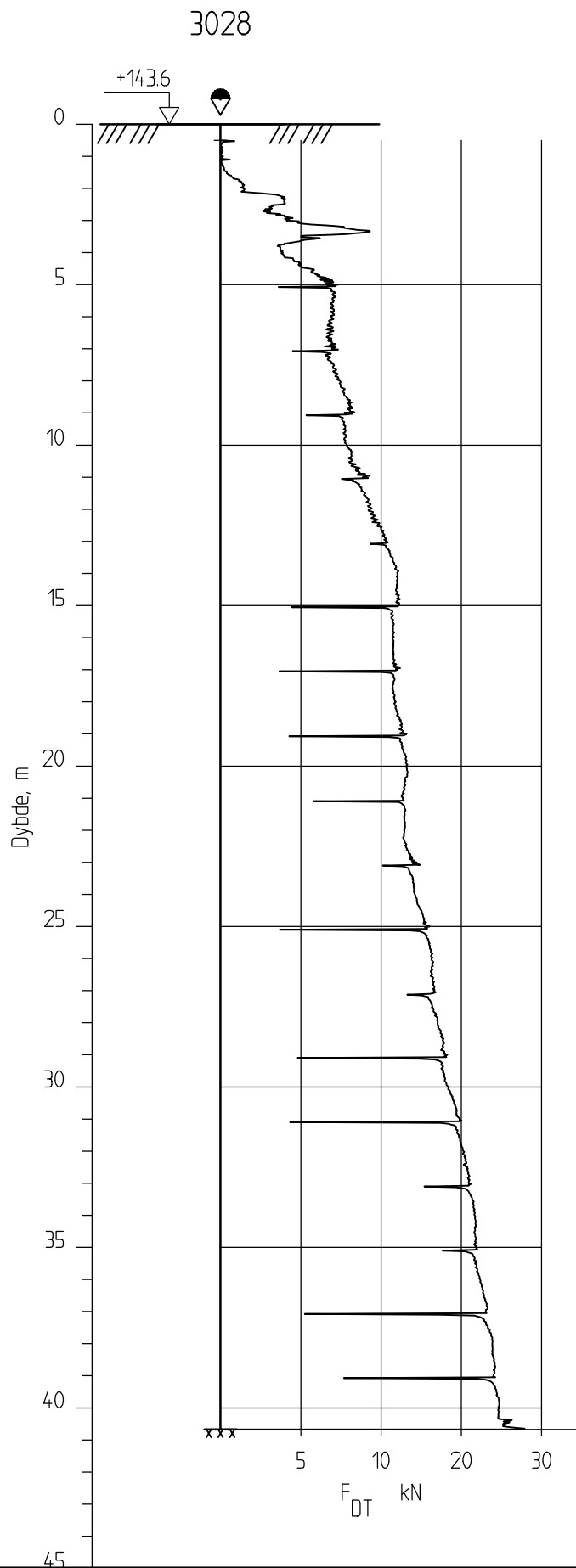
Posisjon: X 1242019.56 Y 97503.77

Dato boret :15.01.2013

Rapport nr.
20120491-02-RTegner
KjAKontrollert
TFSGodkjent
StHFigur nr.
A189Dato:
05.11.2013



<p>E16 Nybakk - Slomarka</p> <p>Dreietrykksondring 1:200</p> <p>Borhull 3027 Posisjon: X 1242222.22 Y 97456.66</p>	Rapport nr. 20120491-02-R	Figur nr. A190
	Tegner KjA	Dato: 05.11.2013
	Kontrollert TFS	
	Godkjent StH	
Dato boret :03.01.2013		



E16 Nybakk - Slomarka

Dreietrykkssondering
1:200

Borhull 3028
Posisjon: X 1242133.14 Y 97501.35

Dato boret :03.01.2013

Rapport nr.
20120491-02-R

Tegner
KjA

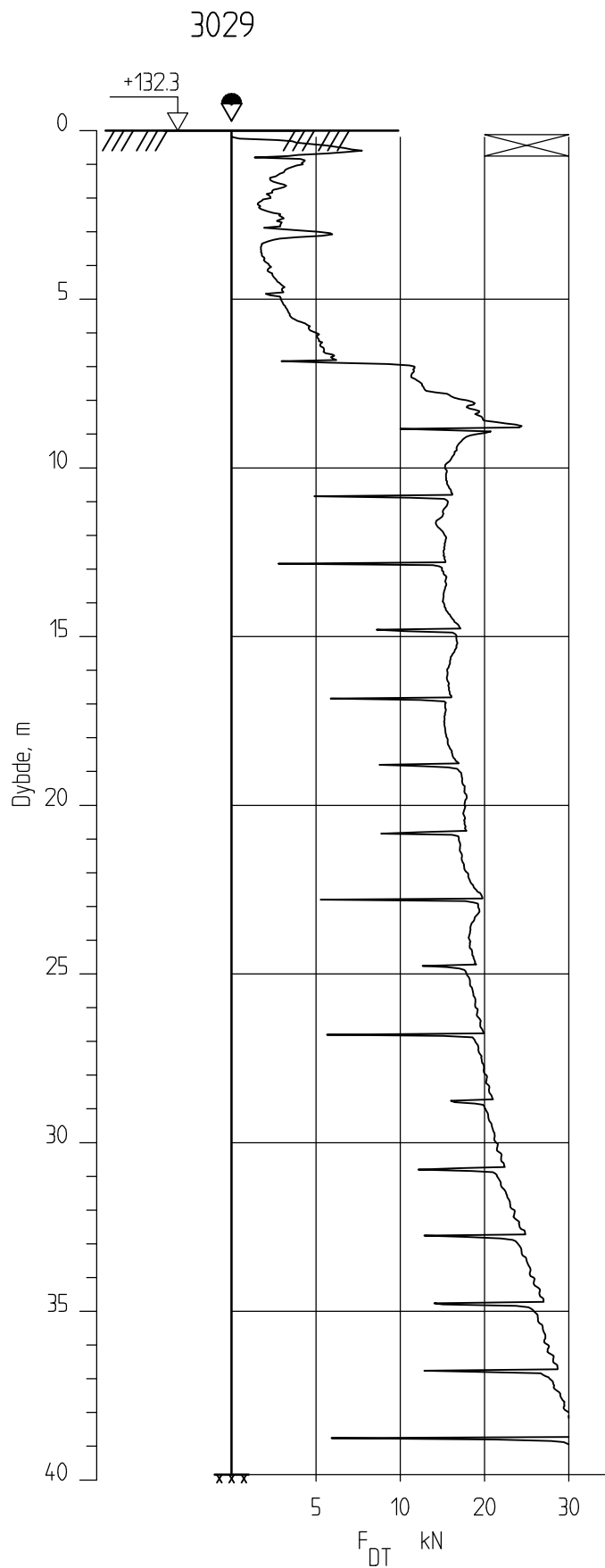
Kontrollert
TFS

Godkjent
StH

Figur nr.
A191

Dato:
05.11.2013





E16 Nybakk - Slomarka

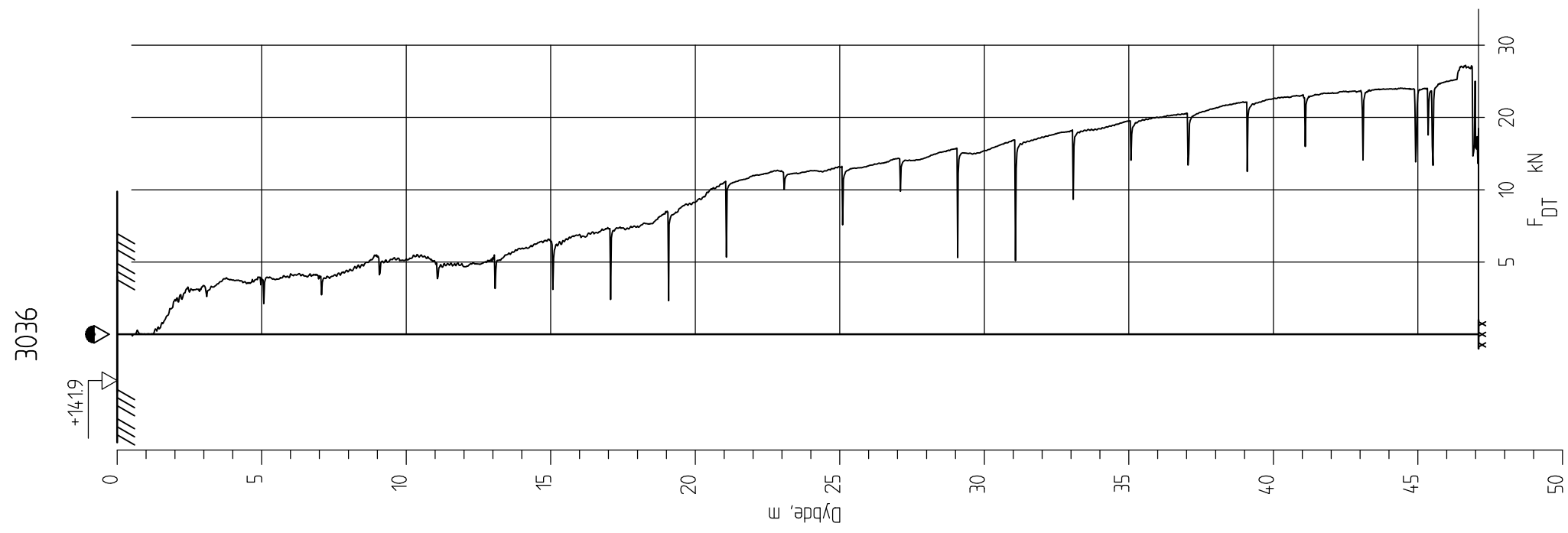
Dreietrykkssondering
1:200

Borhull 3029

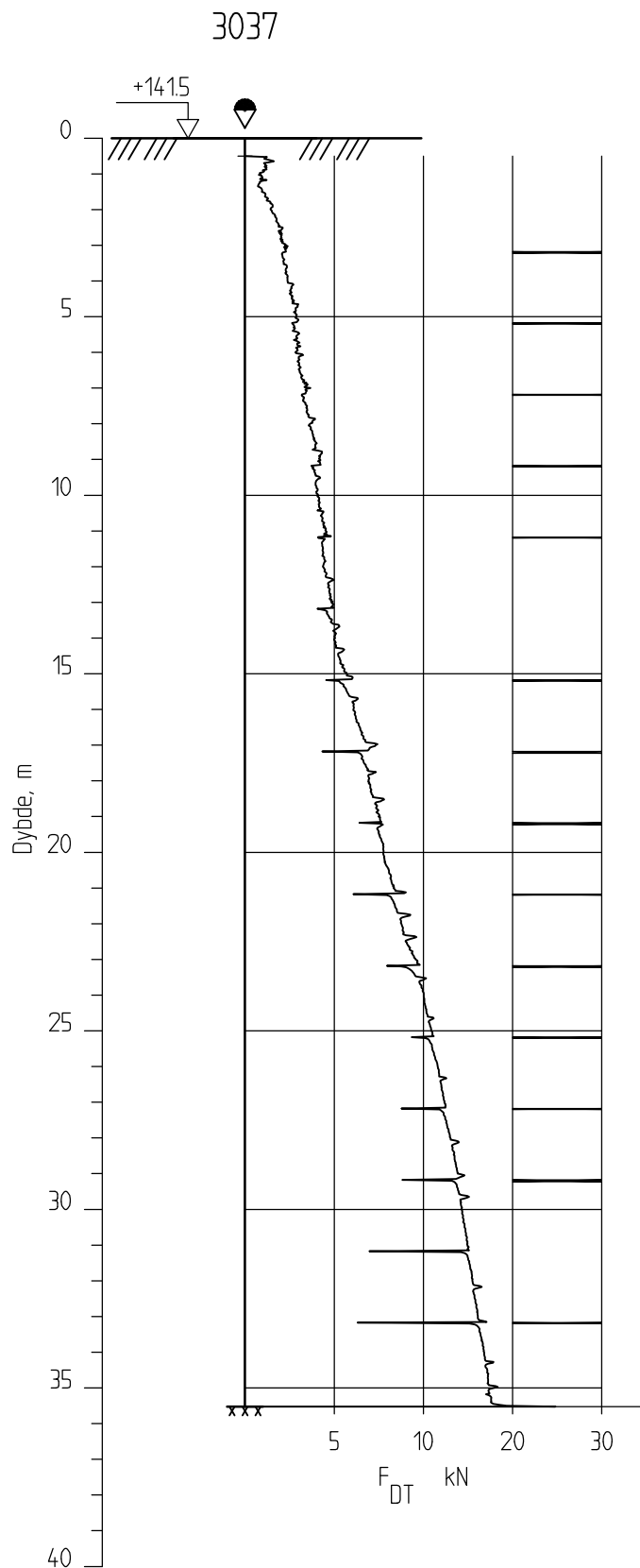
Posisjon: X 1242051.49 Y 97546.87

Dato boret :18.04.2013

Rapport nr.
20120491-02-RTegner
KjAKontrollert
TFSGodkjent
StHFigur nr.
A192Dato:
05.11.2013



<p>E16 Nybakk - Slomarka</p> <p>Dreietrykkssondering 1:200</p> <p>Borhull 3036 Posisjon: X 1242089.38 Y 97636.05 Dato boret :03.01.2013</p>	Rapport nr. 20120491-02-R	Figur nr. A196
	Tegner KjA	Dato: 05.11.2013
	Kontrollert TFS	
	Godkjent SH	



E16 Nybakk - Slomarka

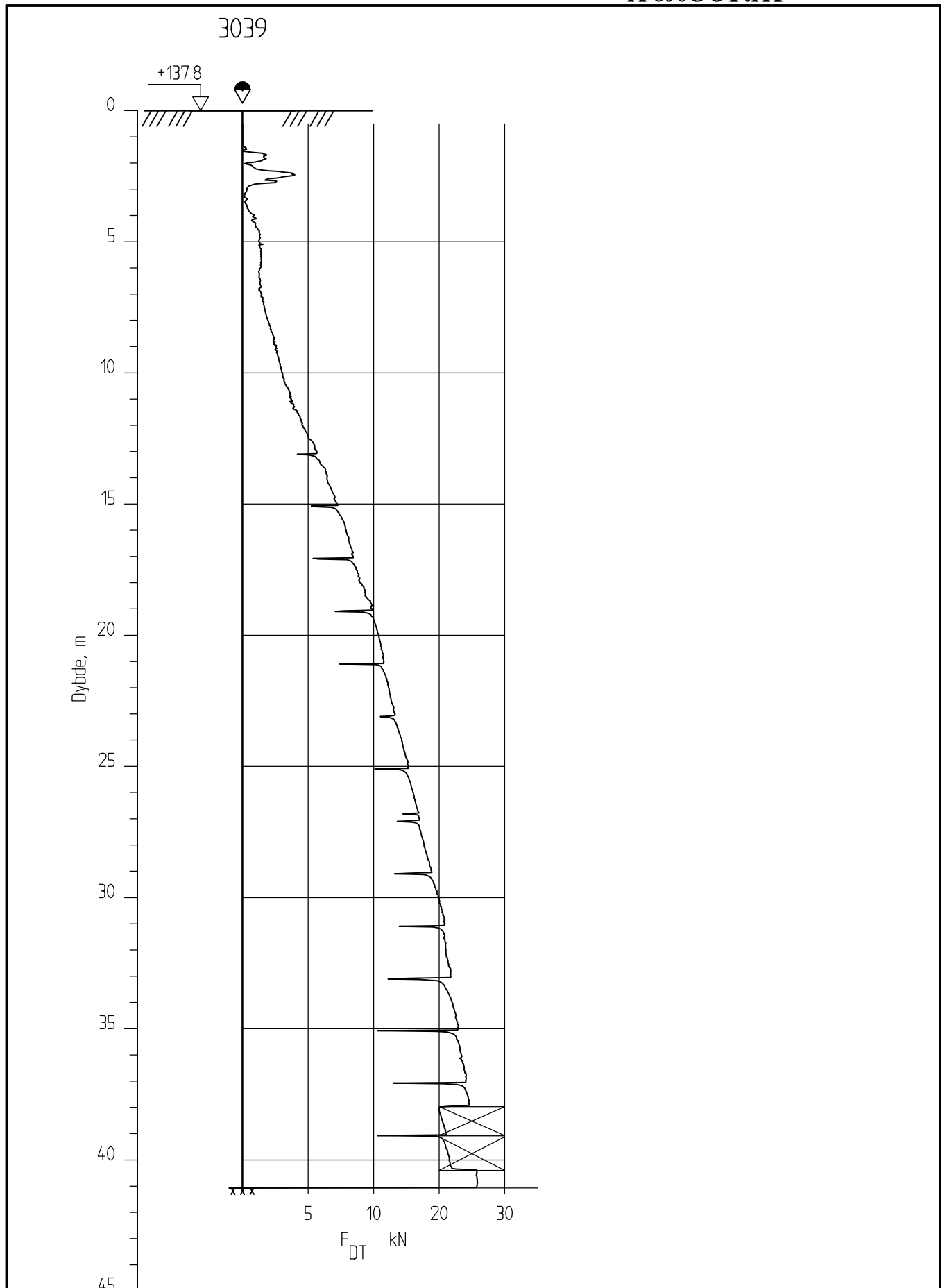
Dreietrykkssondering
1:200

Borhull 3037

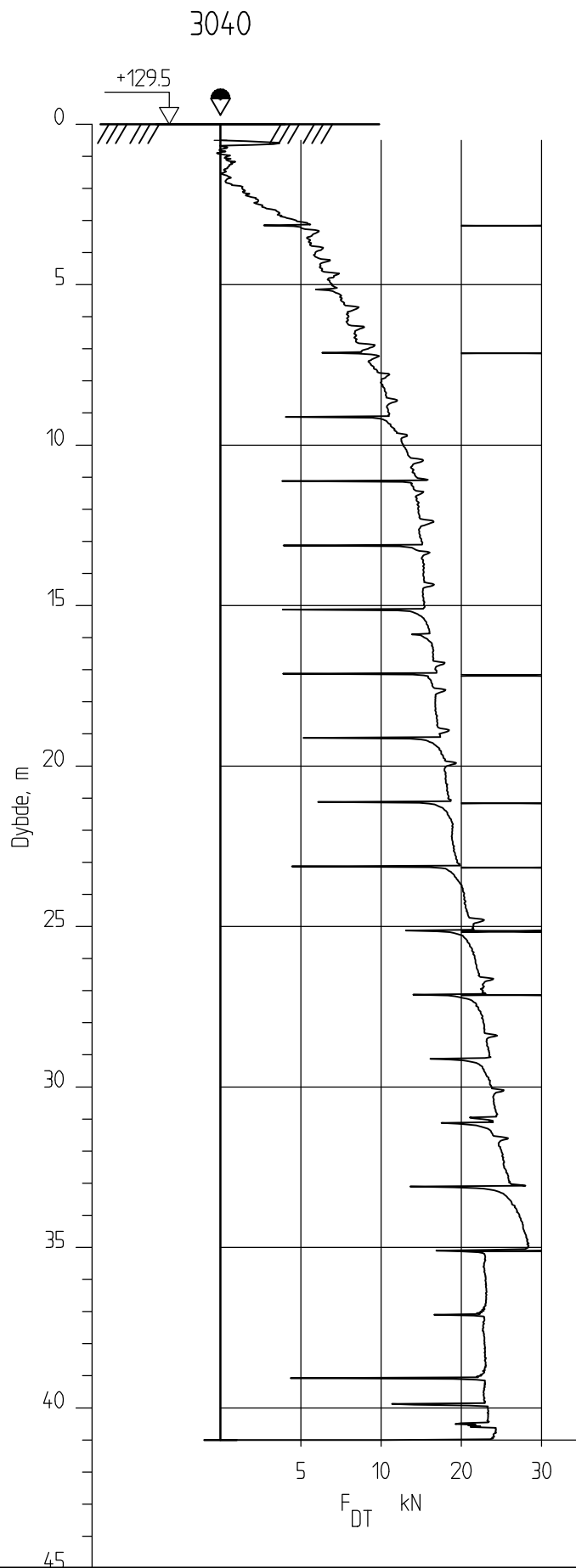
Posisjon: X 1242000.37 Y 97681.19

Dato boret :03.02.2013

Rapport nr.
20120491-02-RTegner
KjAKontrollert
TFSGodkjent
StHFigur nr.
A197Dato:
05.11.2013



E16 Nybakk - Slomarka		Rapport nr. 20120491-02-R	Figur nr. A199
Dreietrykkssondering 1:200		Tegner KjA	Dato: 05.11.2013
Borhull 3039 Posisjon: X 1241732.69 Y 97819.24		Kontrollert TFS	
Dato boret :08.01.2013		Godkjent StH	



E16 Nybakk - Slomarka

Dreietrykkssondering
1:200

Borhull 3040

Posisjon: X 1241680.96 Y 97875.89

Dato boret :08.02.2013

Rapport nr.
20120491-02-R

Tegner
KjA

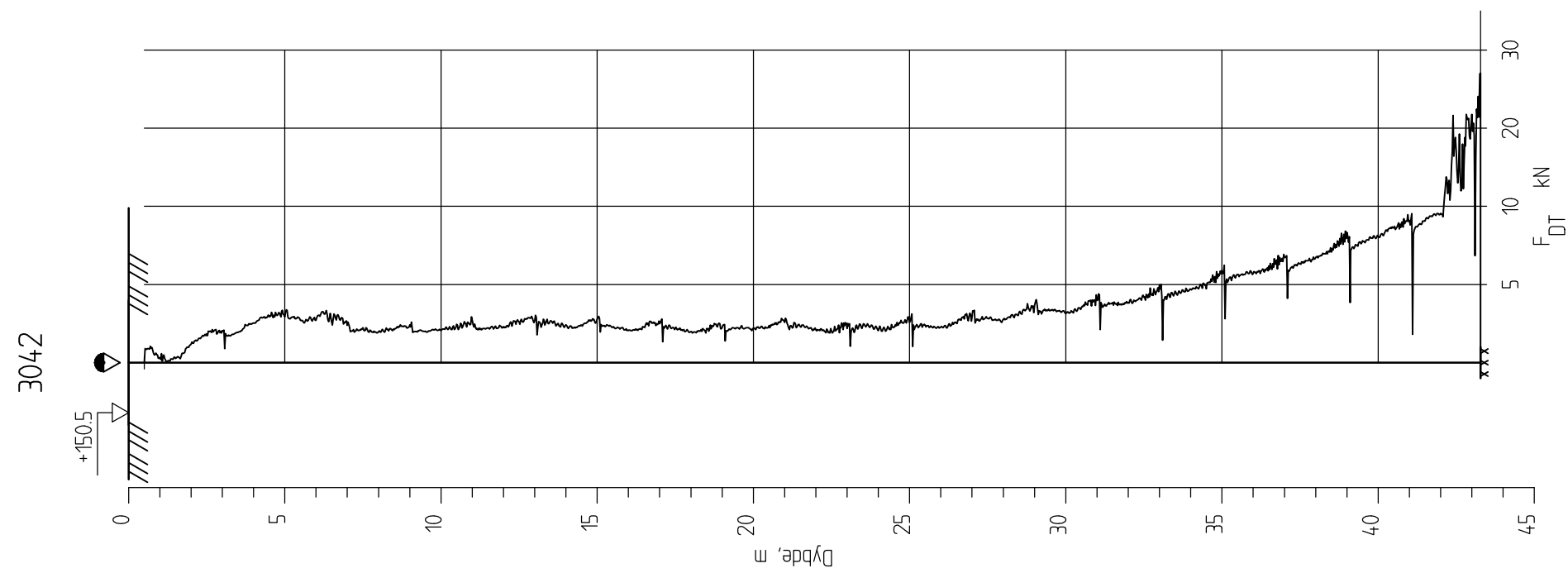
Kontrollert
TFS

Godkjent
StH

Figur nr.
A200

Dato:
05.11.2013





E16 Nybakk - Slomarka

Dreietrykkssondering
1:200

Borhull 3042

Posisjon: X 1242223.91 Y 97679.94

Dato boret :07.01.2013

Rapport nr.
20120491-02-R

Figur nr.
A202

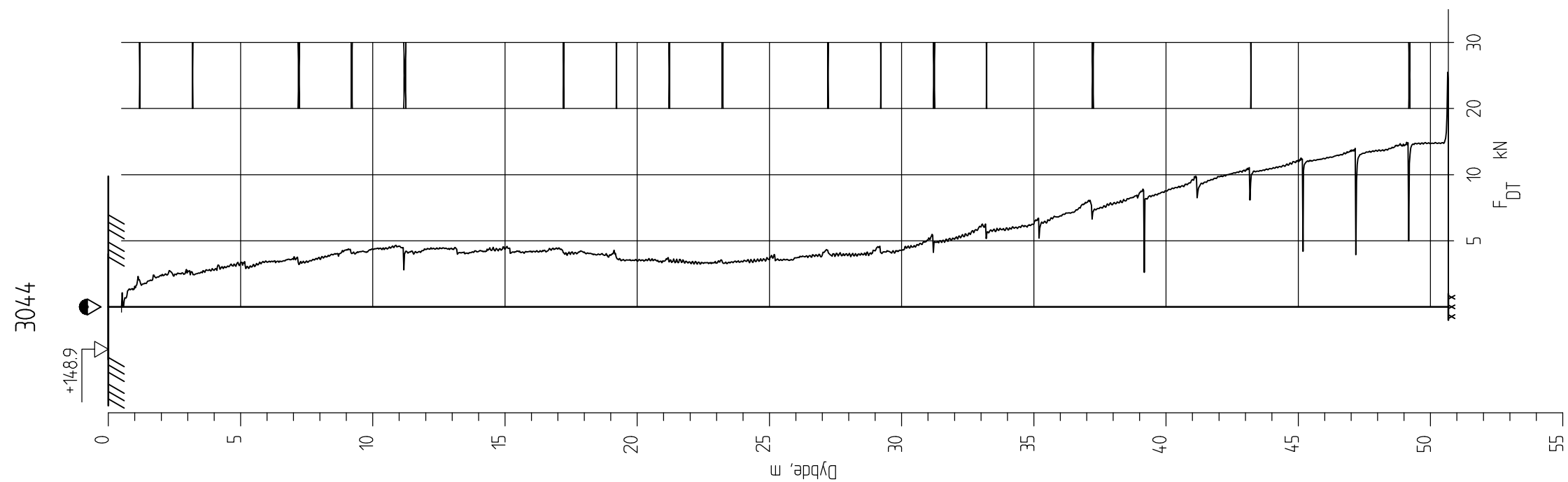
Tegner
KjA

Dato:
05.11.2013

Kontrollert
TFS

Godkjent
SH





E16 Nybakk - Slomarka

Dreietrykkssondering
1:200

Borhull 3044

Posisjon: X 1242045.51 Y 97770.26

Dato boret :03.02.2013

Rapport nr.
20120491-02-R

Figur nr.
A204

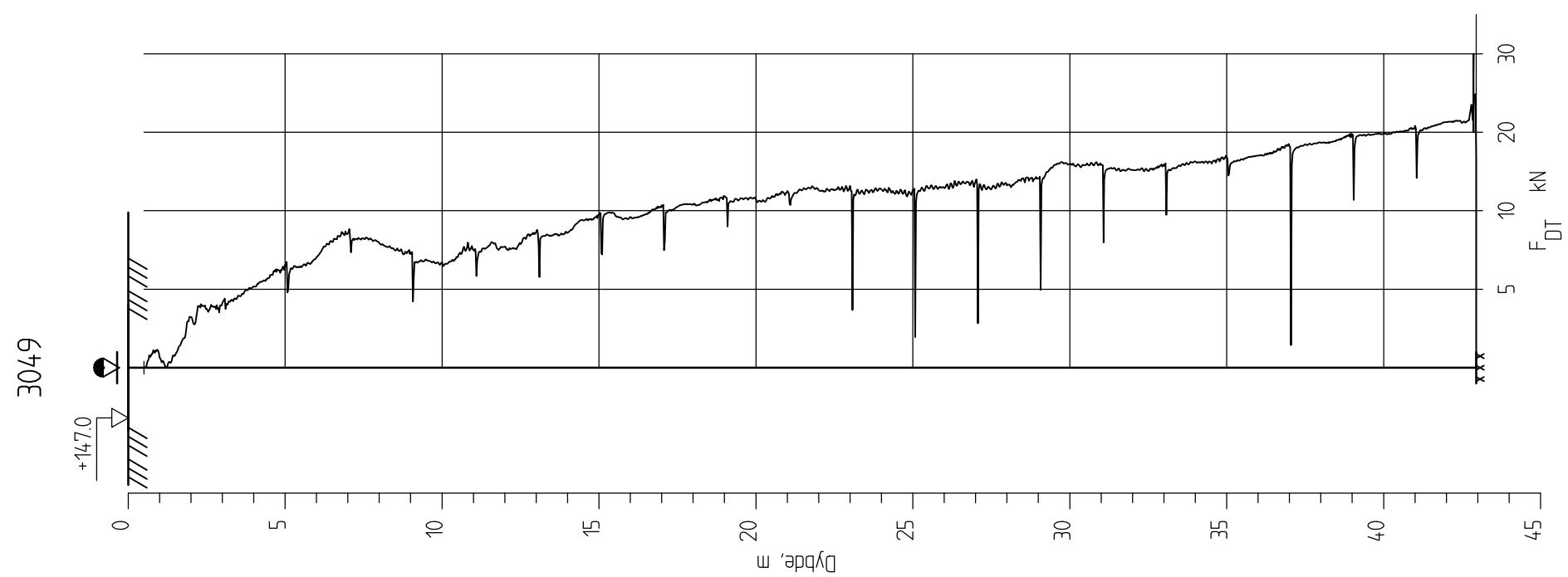
Tegner
KjA

Dato:
05.11.2013

Kontrollert
TFS

Godkjent
SH





E16 Nybakk - Slomarka

Dreietrykkssondering
1:200

Borhull 3049

Posisjon: X 1242157.06 Y 97769.95

Dato boret :02.01.2013

Rapport nr.
20120491-02-R

Figur nr.
A209

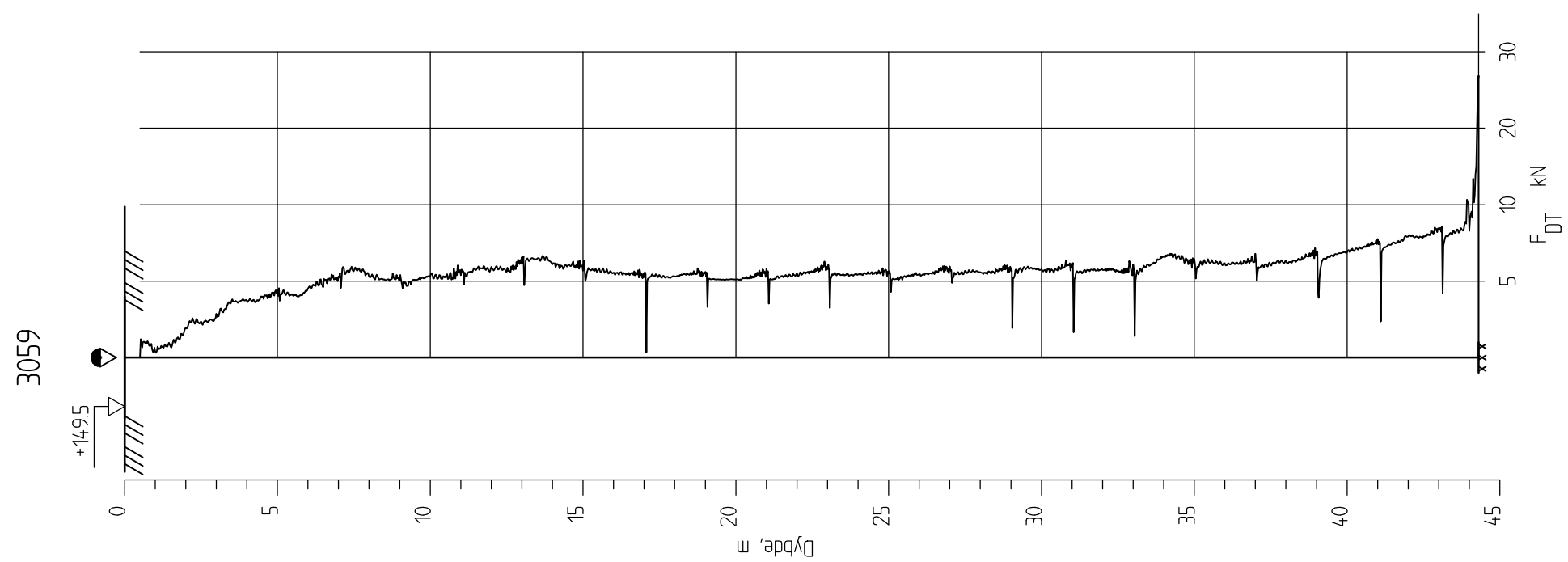
Tegner
KjA

Dato:
05.11.2013

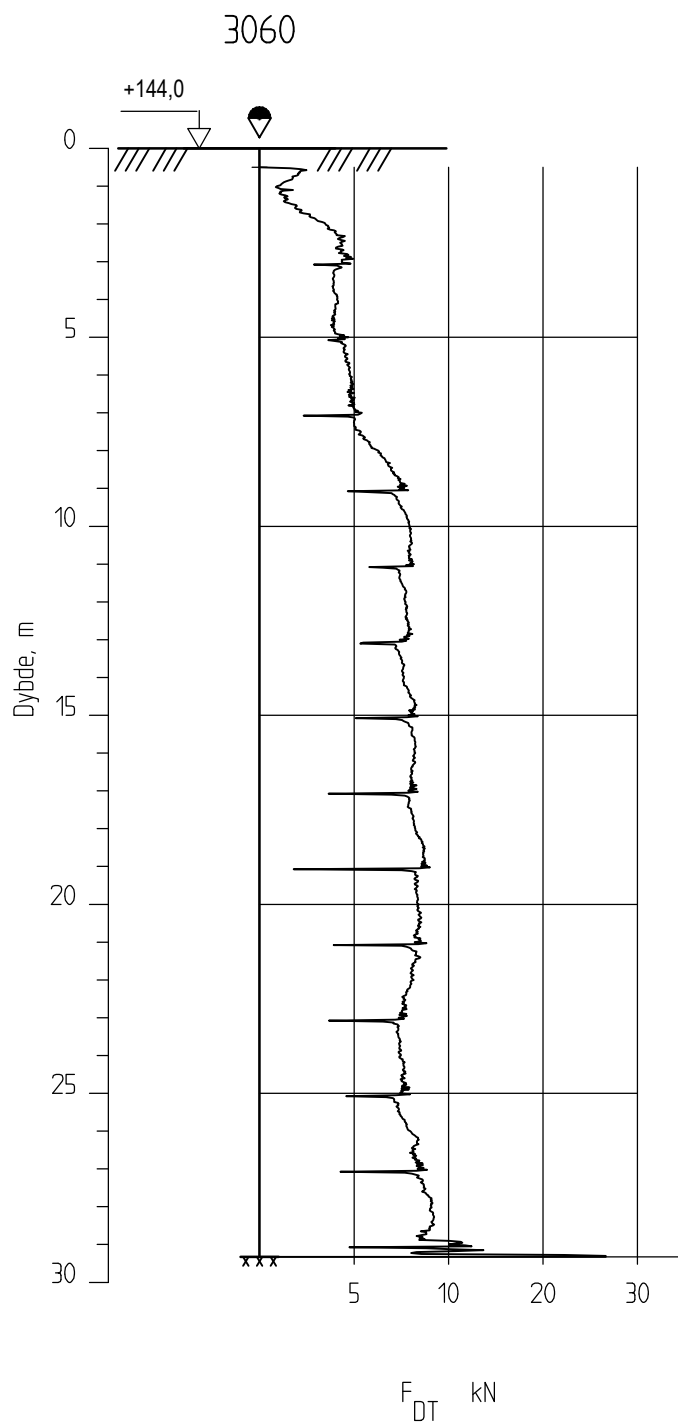
Kontrollert
TFS

Godkjent
SH





<p>E16 Nybakk - Slomarka</p> <p>Dreietrykkssondering 1:200</p> <p>Borhull 3059 Posisjon: X 1242194.67 Y 97862.53 Dato boret :02.01.2013</p>	Rapport nr. 20120491-02-R	Figur nr. A219
	Tegner KjA	Dato: 05.11.2013
	Kontrollert TFS	
	Godkjent SH	



E16 Nybakk - Slomarka

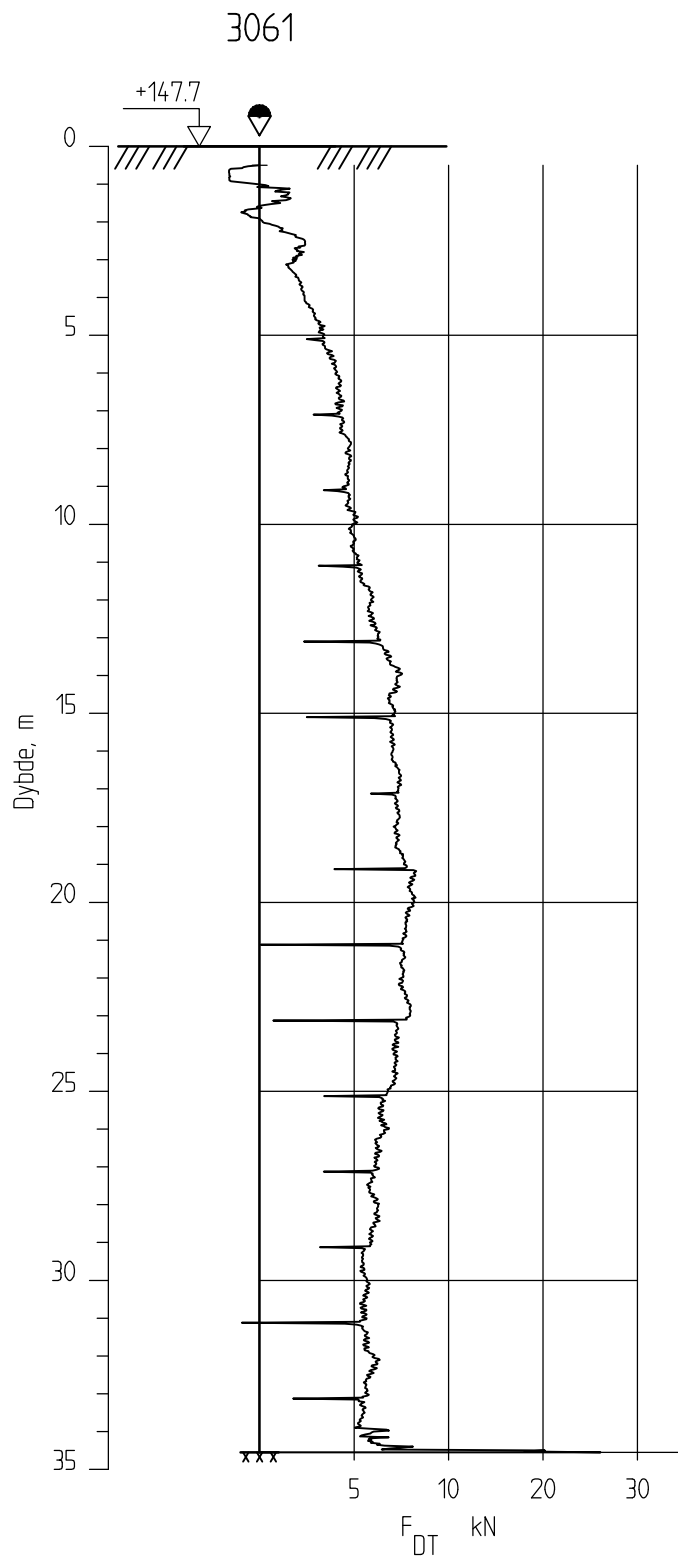
Dreietrykksondering
1:200

Borhull 3060

Posisjon: X 1242382.04 Y 97856.16

Dato boret :07.01.2013

Rapport nr.
20120491-02-RTegner
KjAKontrollert
TFSGodkjent
StHFigur nr.
A220Dato:
05.11.2013



E16 Nybakk - Slomarka

Dreietrykksondering
1:200

Borhull 3061

Posisjon: X 1242298.79 Y 97878.30

Dato boret :07.01.2013

Rapport nr.
20120491-02-R

Tegner
KjA

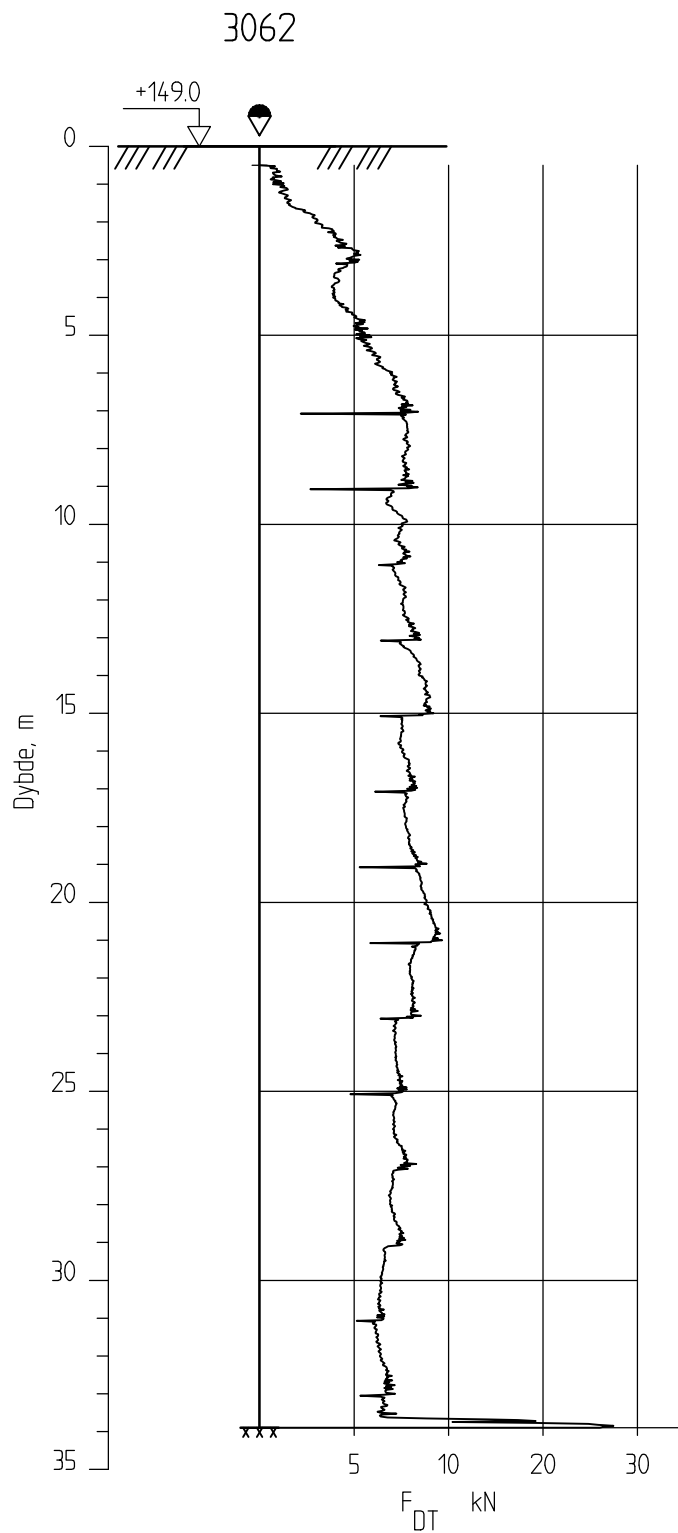
Kontrollert
TFS

Godkjent
StH

Figur nr.
A221

Dato:
05.11.2013



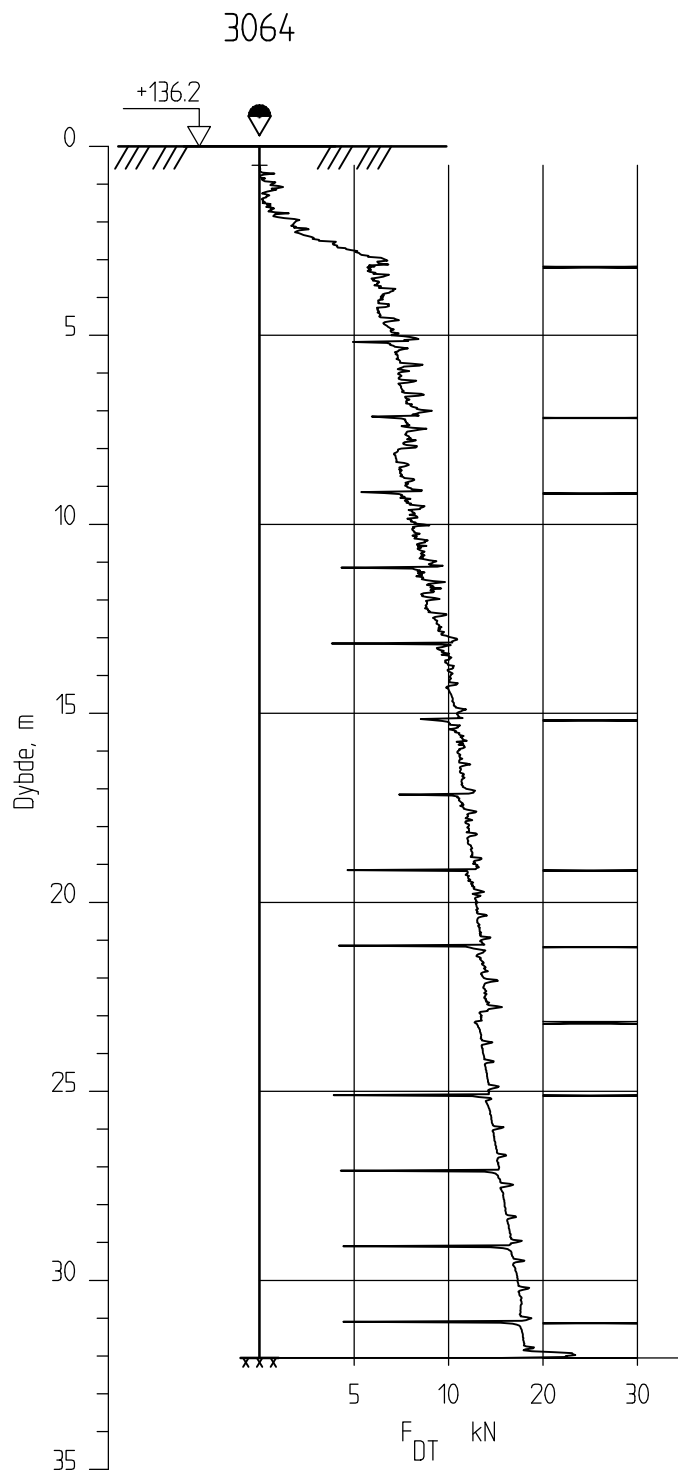


E16 Nybakk - Slomarka

Dreietrykkssondering
1:200Borhull 3062
Posisjon: X 1242210.10 Y 97910.24

Dato boret :02.01.2013

Rapport nr.
20120491-02-RTegner
KjAKontrollert
TFSGodkjent
StHFigur nr.
A222Dato:
05.11.2013



E16 Nybakk - Slomarka

Dreietrykksondring
1:200

Borhull 3064
Posisjon: X 1242042.76 Y 97959.90

Dato boret :03.02.2013

Rapport nr.
20120491-02-R

Tegner
KjA

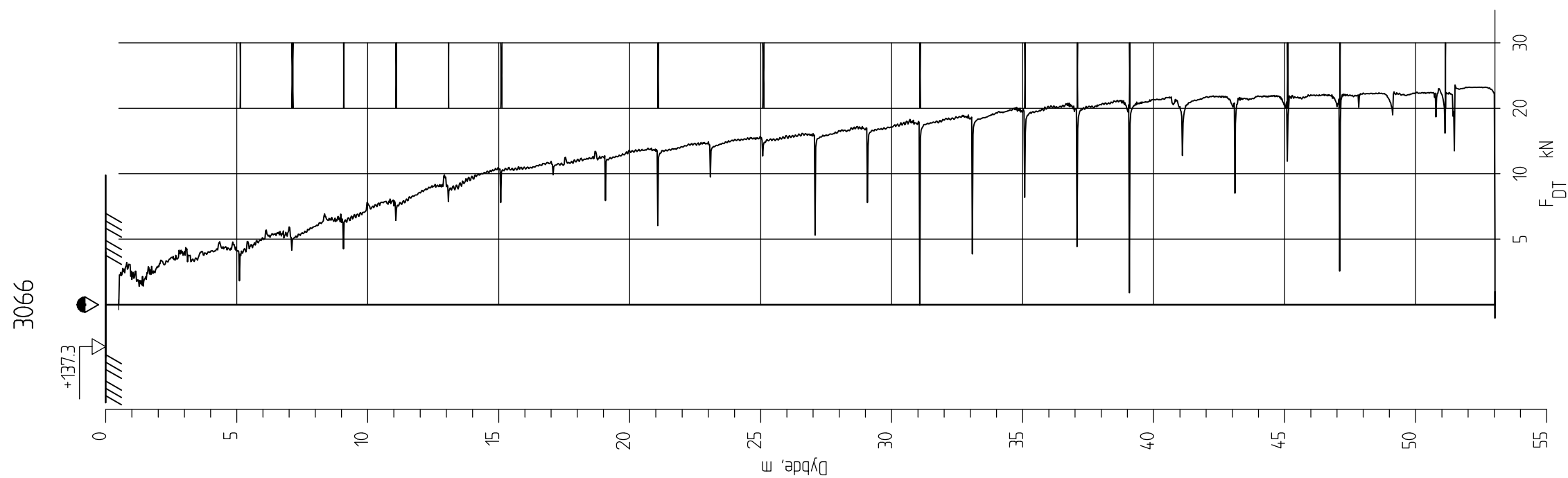
Kontrollert
TFS

Godkjent
StH

Figur nr.
A224

Dato:
05.11.2013




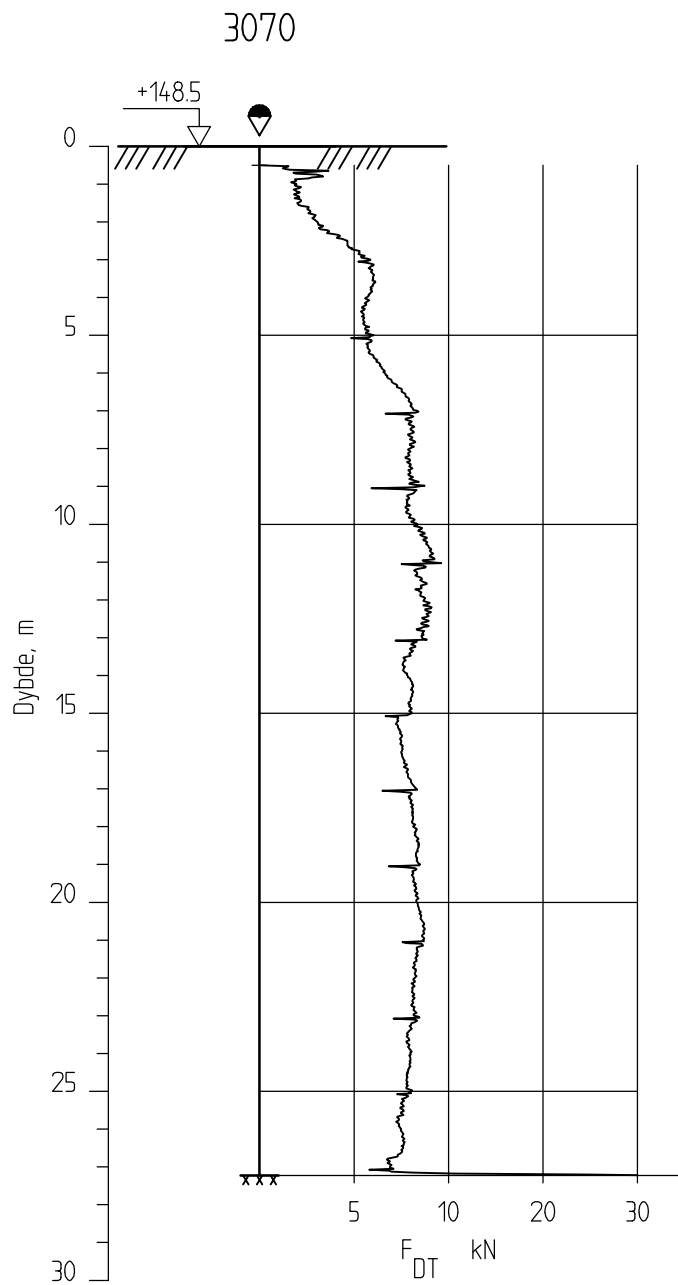


E16 Nybakk - Slomarka

Dreietrykkssondering
1:200

Borhull 3066
Posisjon: X 1241826.99 Y 98024.35 Dato boret :07.02.2013

Rapport nr. 20120491-02-R	Figur nr. A226
Tegner KjA	Dato: 05.11.2013
Kontrollert TFS	
Godkjent SH	



E16 Nybakk - Slomarka

Dreietrykkssondering
1:200

Borhull 3070

Posisjon: X 1242332.25 Y 97988.14

Dato boret :20.12.2012

Rapport nr.
20120491-02-R

Tegner
KjA

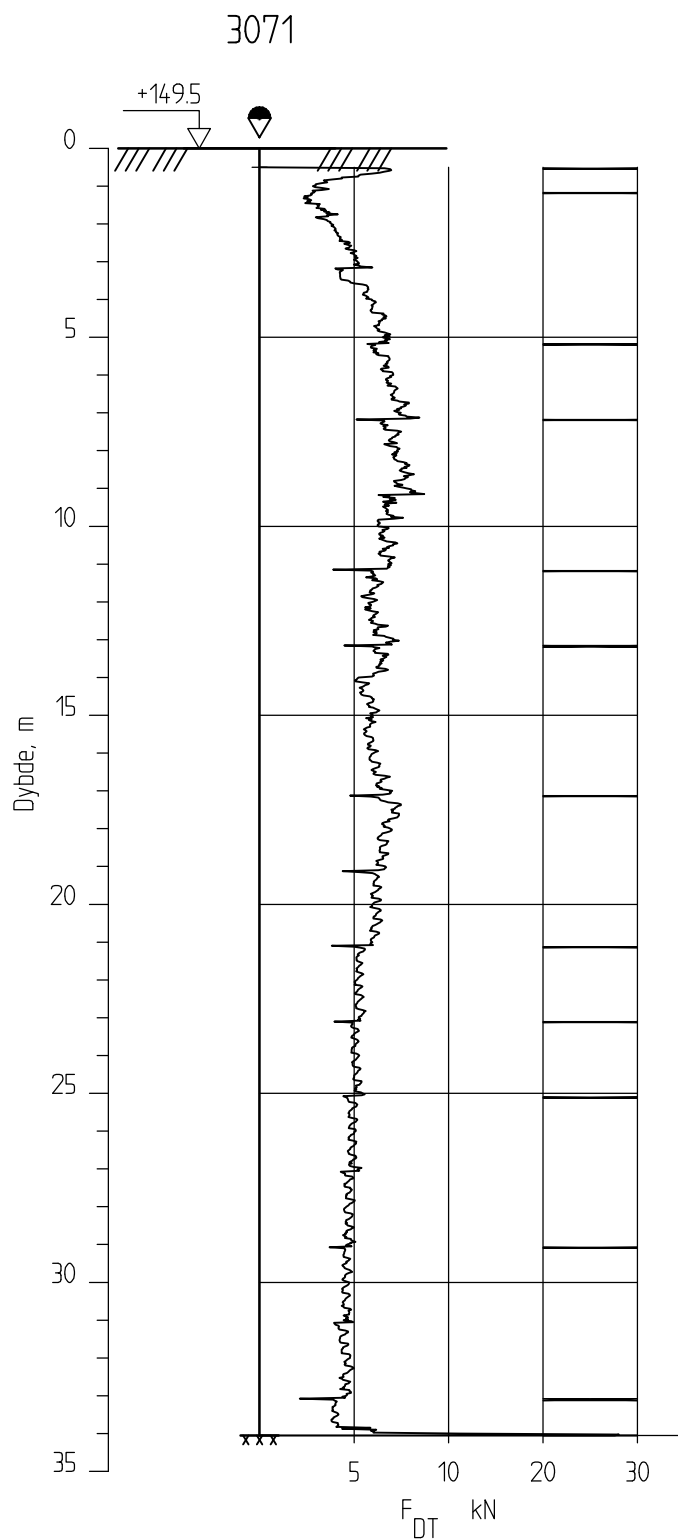
Kontrollert
TFS

Godkjent
StH

Figur nr.
A229

Dato:
05.11.2013





E16 Nybakk - Slomarka

Dreietrykkssondering
1:200

Borhull 3071

Posisjon: X 1242233.64 Y 98007.63

Dato boret :20.01.2013

Rapport nr.
20120491-02-R

Tegner
KjA

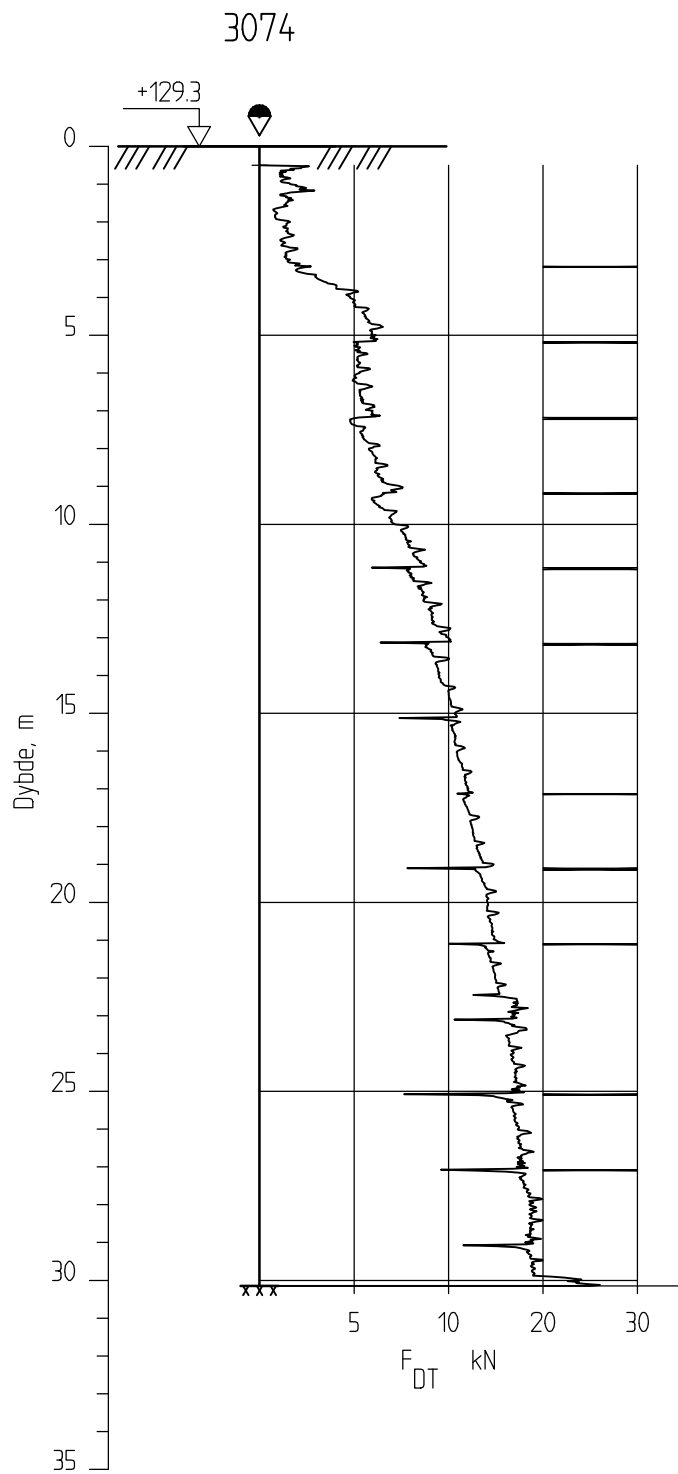
Kontrollert
TFS

Godkjent
StH

Figur nr.
A230

Dato:
05.11.2013



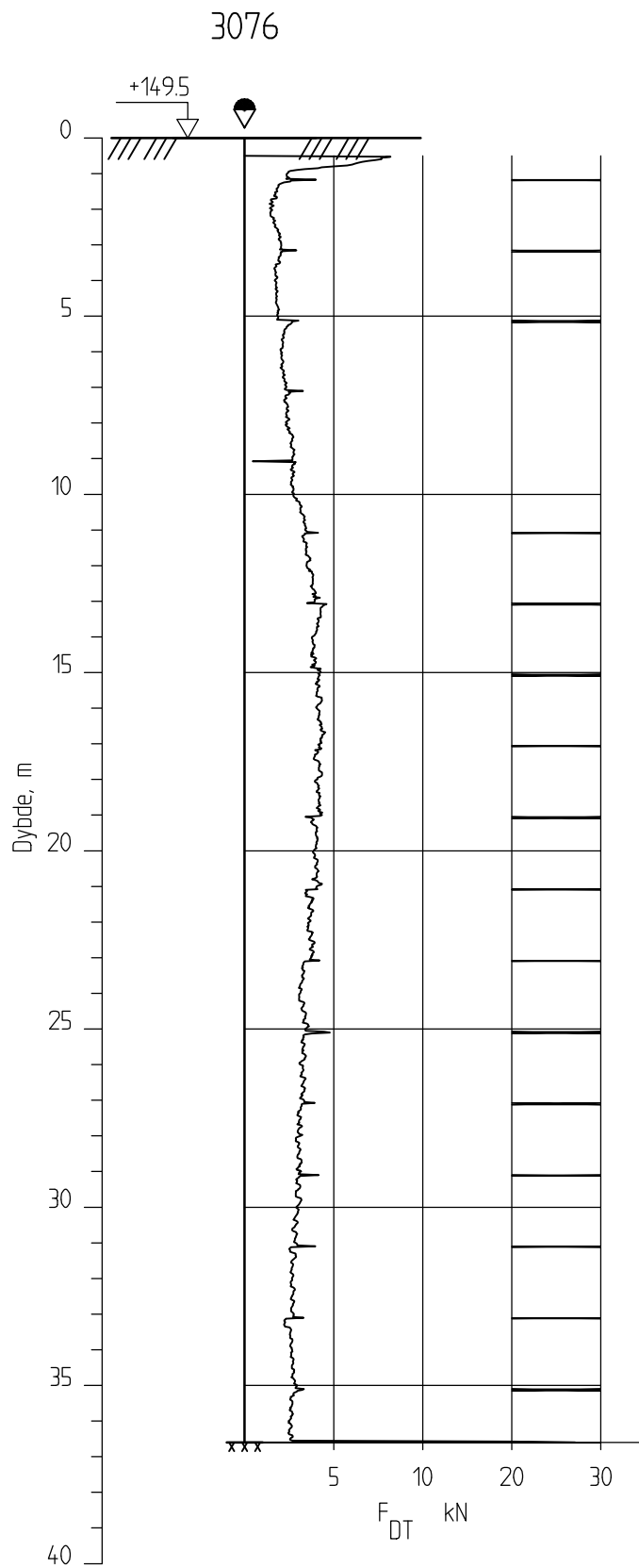


E16 Nybakk - Slomarka

Dreietrykkssondering
1:200Borhull 3074
Posisjon: X 1241958.13 Y 98083.36

Dato boret :03.02.2013

Rapport nr.
20120491-02-RTegner
KjAKontrollert
TFSGodkjent
StHFigur nr.
A233Dato:
05.11.2013



E16 Nybakk - Slomarka

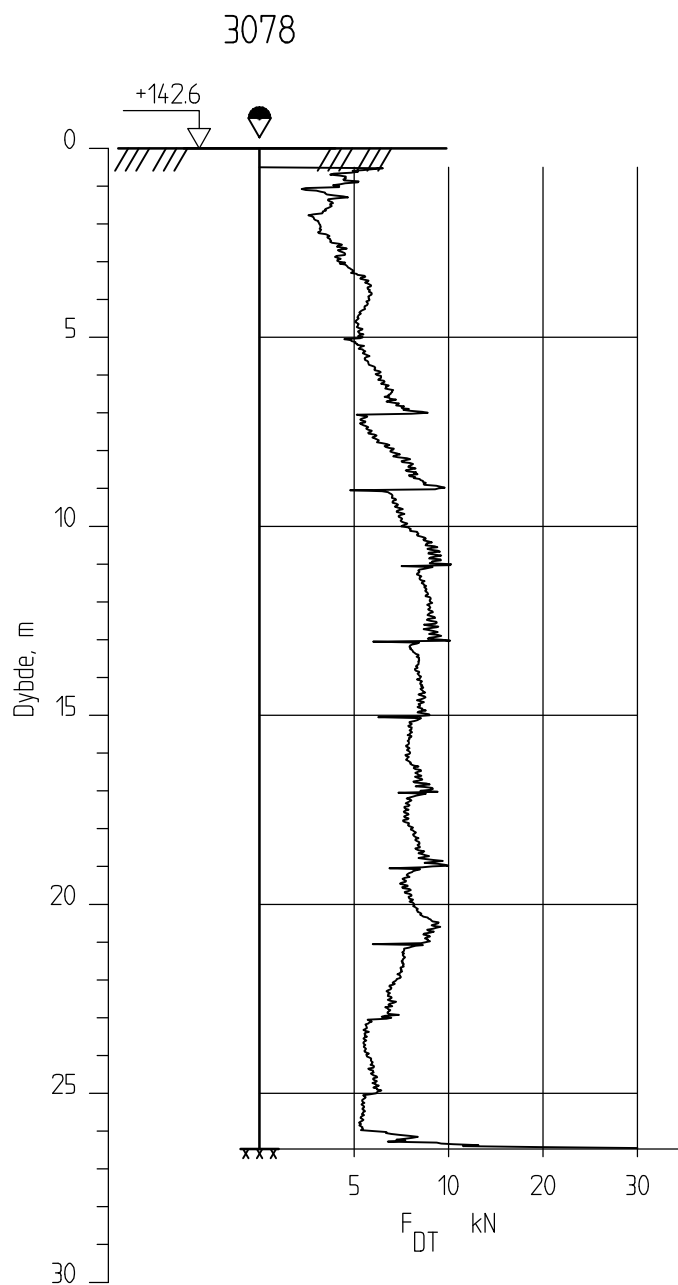
Dreietrykksondering
1:200

Borhull 3076

Posisjon: X 1242241.87 Y 98056.82

Dato boret :20.01.2013

Rapport nr.
20120491-02-RTegner
KjAKontrollert
TFSGodkjent
StHFigur nr.
A234Dato:
05.11.2013



E16 Nybakk - Slomarka

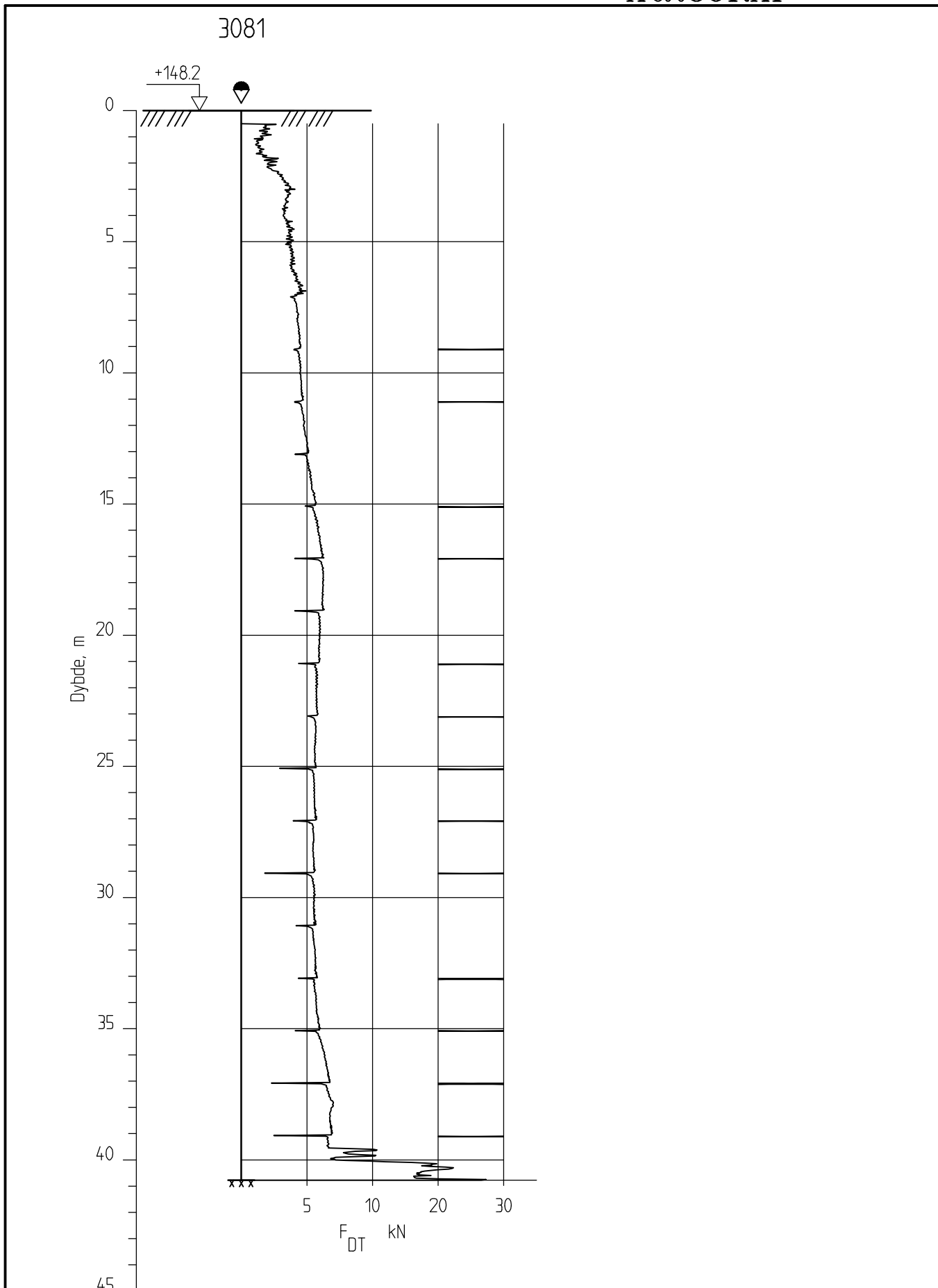
Dreietrykkssondering
1:200


Borhull 3078

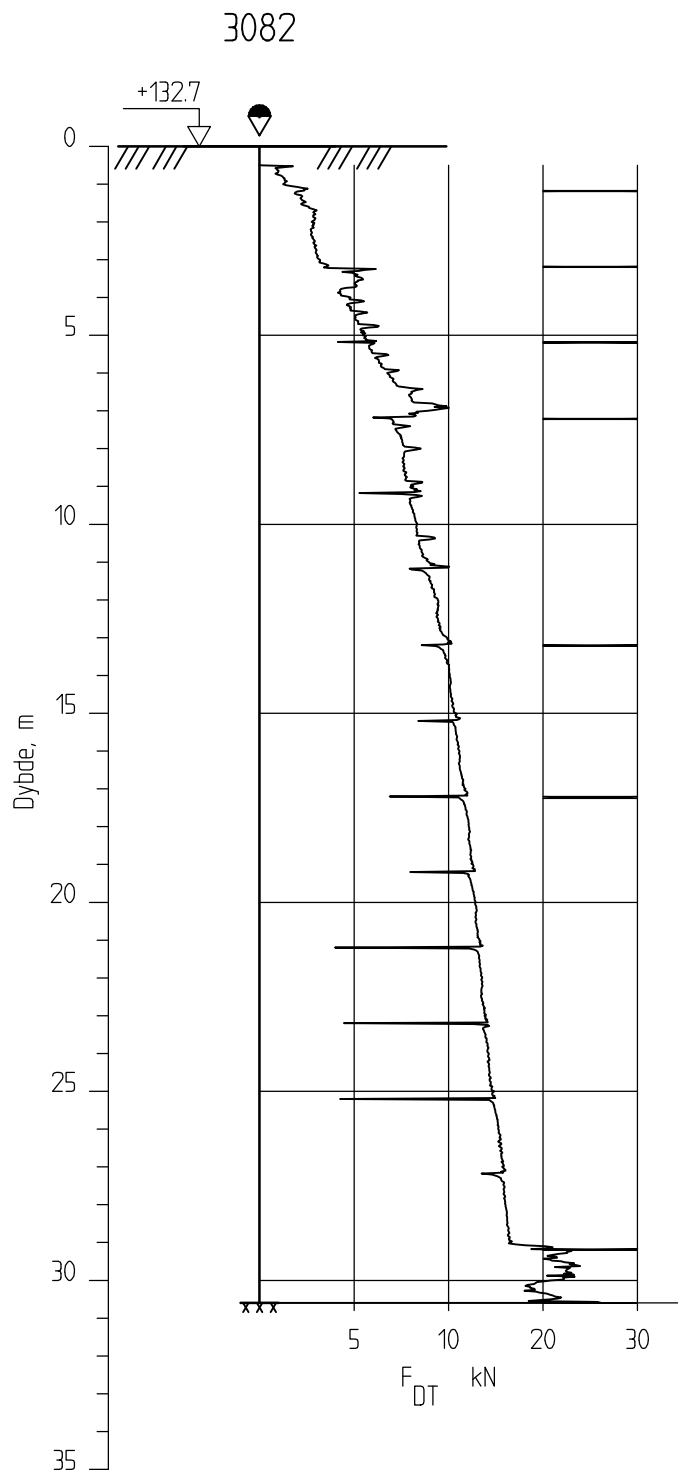
Posisjon: X 1242347.69 Y 98096.35

Dato boret :20.12.2012

Rapport nr.
20120491-02-RFigur nr.
A236Tegner
KjADato:
05.11.2013Kontrollert
TFSGodkjent
StH



E16 Nybakk - Slomarka	Rapport nr. 20120491-02-R	Figur nr. A239
	Tegner KjA	Dato: 05.11.2013
Dreietrykkssondering 1:200	Kontrollert TFS	
	Borhull 3081 Posisjon: X 1242072.98 Y 98123.74	
	Godkjent StH	



E16 Nybakk - Slomarka

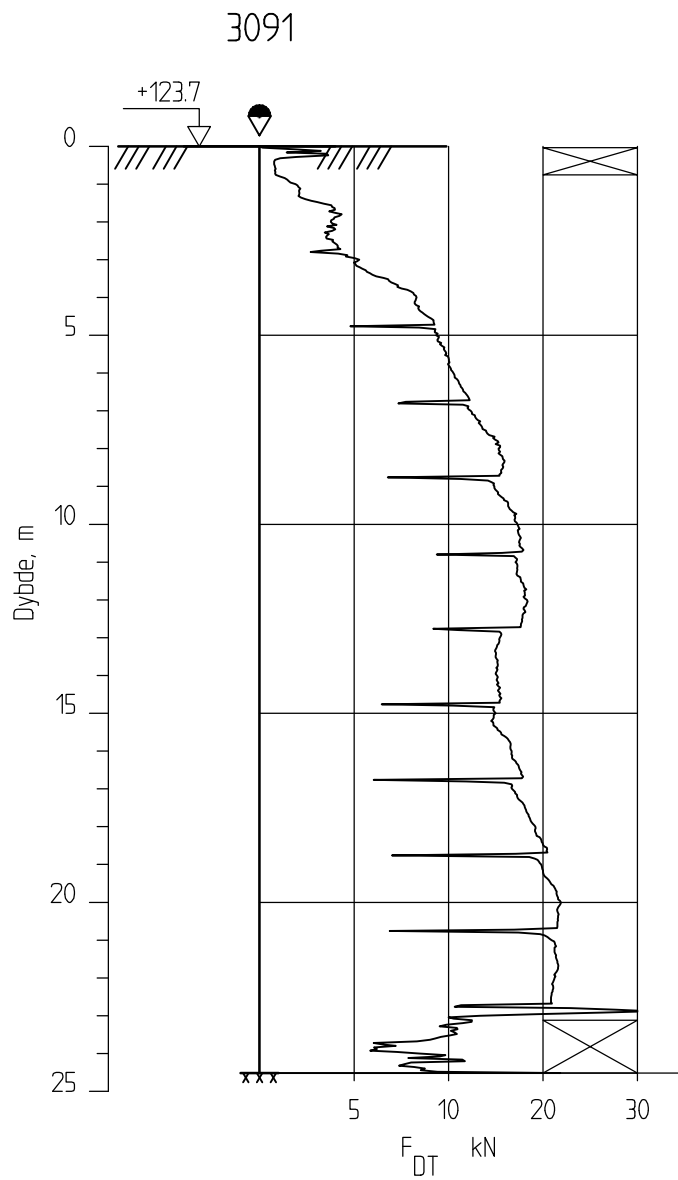
Dreietrykkssondering
1:200

Borhull 3082

Posisjon: X 1241949.38 Y 98134.83

Dato boret :08.02.2013

Rapport nr.
20120491-02-RFigur nr.
A240Tegner
KjADato:
05.11.2013Kontrollert
TFSGodkjent
StH



E16 Nybakk - Slomarka

Dreietrykksondering
1:200

Borhull 3091

Posisjon: X 1241883.79 Y 98285.82

Dato boret :06.12.2012

Rapport nr.
20120491-02-R

Tegner
KjA

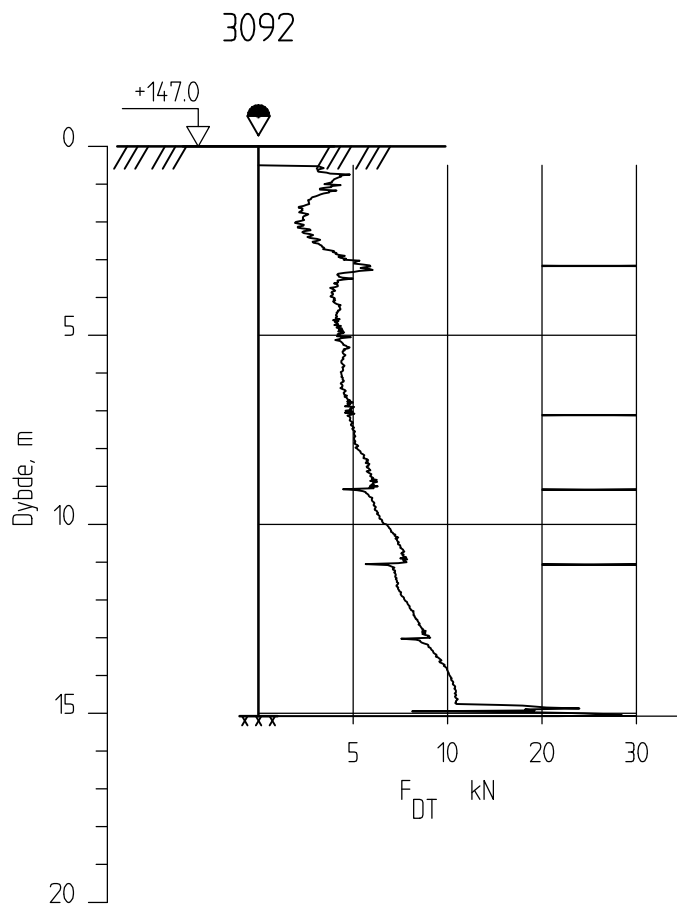
Kontrollert
TFS

Godkjent
StH

Figur nr.
A247

Dato:
05.11.2013





E16 Nybakk - Slomarka

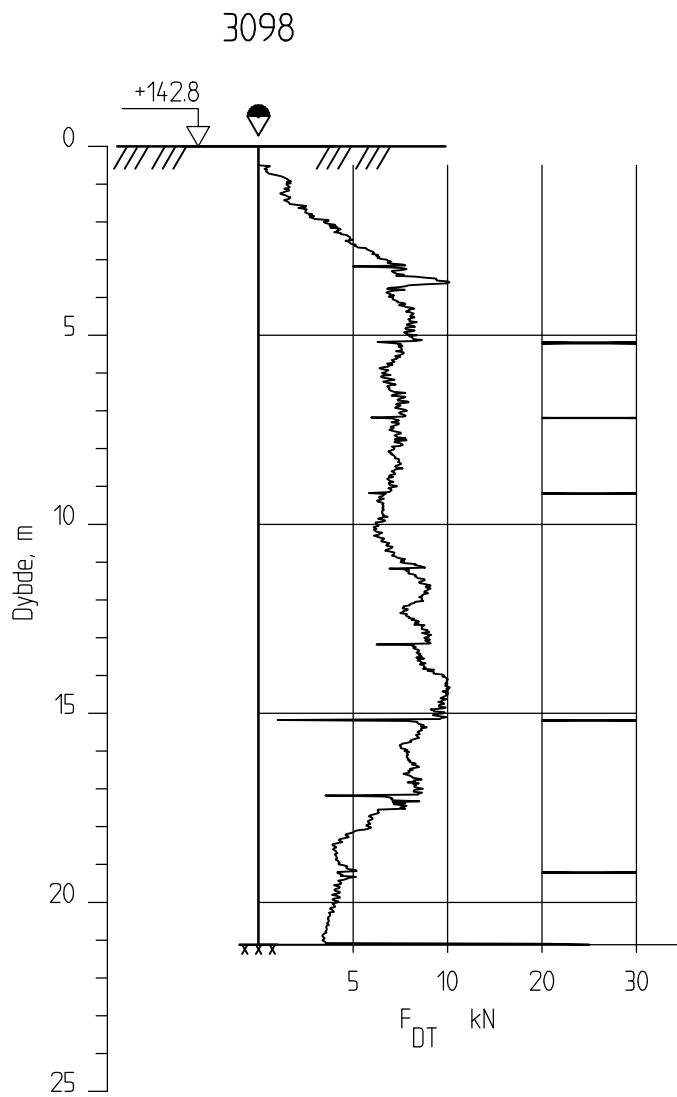
Dreietrykkssondering
1:200

Borhull 3092

Posisjon: X 1242475.69 Y 98291.89

Dato boret :04.01.2013

Rapport nr.
20120491-02-RFigur nr.
A248Tegner
KjADato:
05.11.2013Kontrollert
TFSGodkjent
StH



E16 Nybakk - Slomarka

Dreietrykkssondering
1:200

Borhull 3098

Posisjon: X 1242274.08 Y 98405.18

Dato boret :15.12.2012

Rapport nr.
20120491-02-R

Tegner
KjA

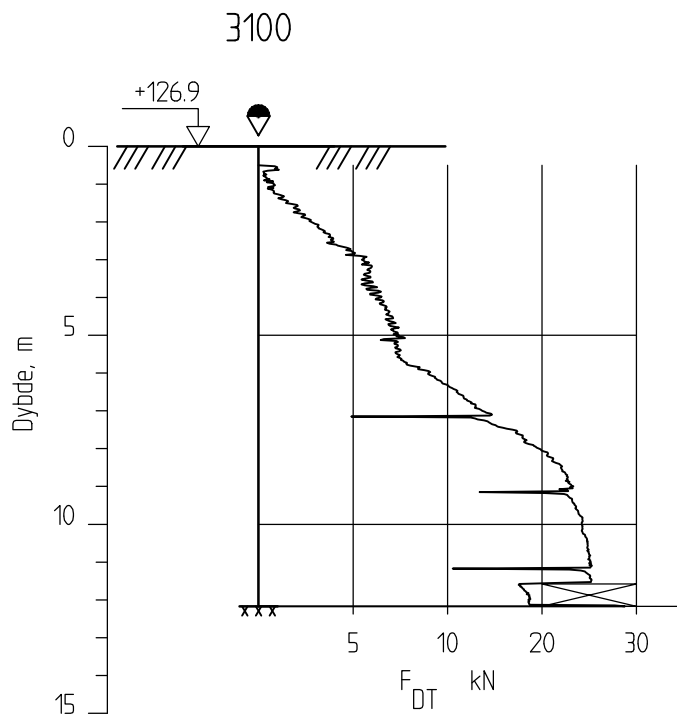
Kontrollert
TFS

Godkjent
StH

Figur nr.
A252

Dato:
05.11.2013





E16 Nybakk - Slomarka

Dreietrykkssondering
1:200

Borhull 3100

Posisjon: X 1241975.94 Y 98430.75

Dato boret :05.12.2012

Rapport nr.
20120491-02-R

Tegner
KjA

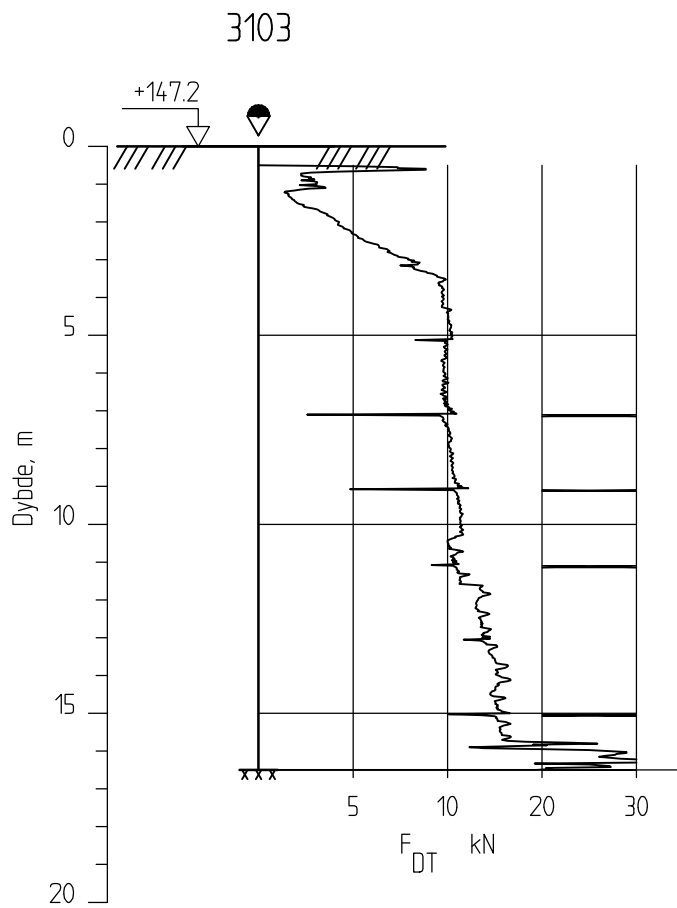
Kontrollert
TFS

Godkjent
StH

Figur nr.
A254

Dato:
05.11.2013





E16 Nybakk - Slomarka

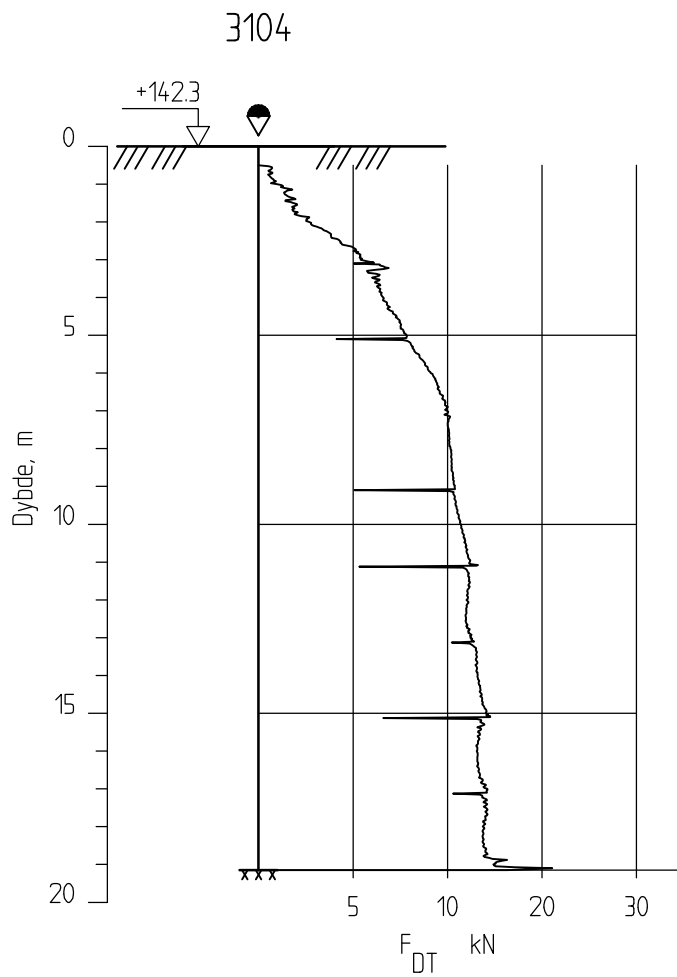
Dreietrykkssondering
1:200

Borhull 3103

Posisjon: X 1242474.65 Y 98386.21

Dato boret :04.01.2013

Rapport nr.
20120491-02-RFigur nr.
A257Tegner
KjADato:
05.11.2013Kontrollert
TFSGodkjent
StH

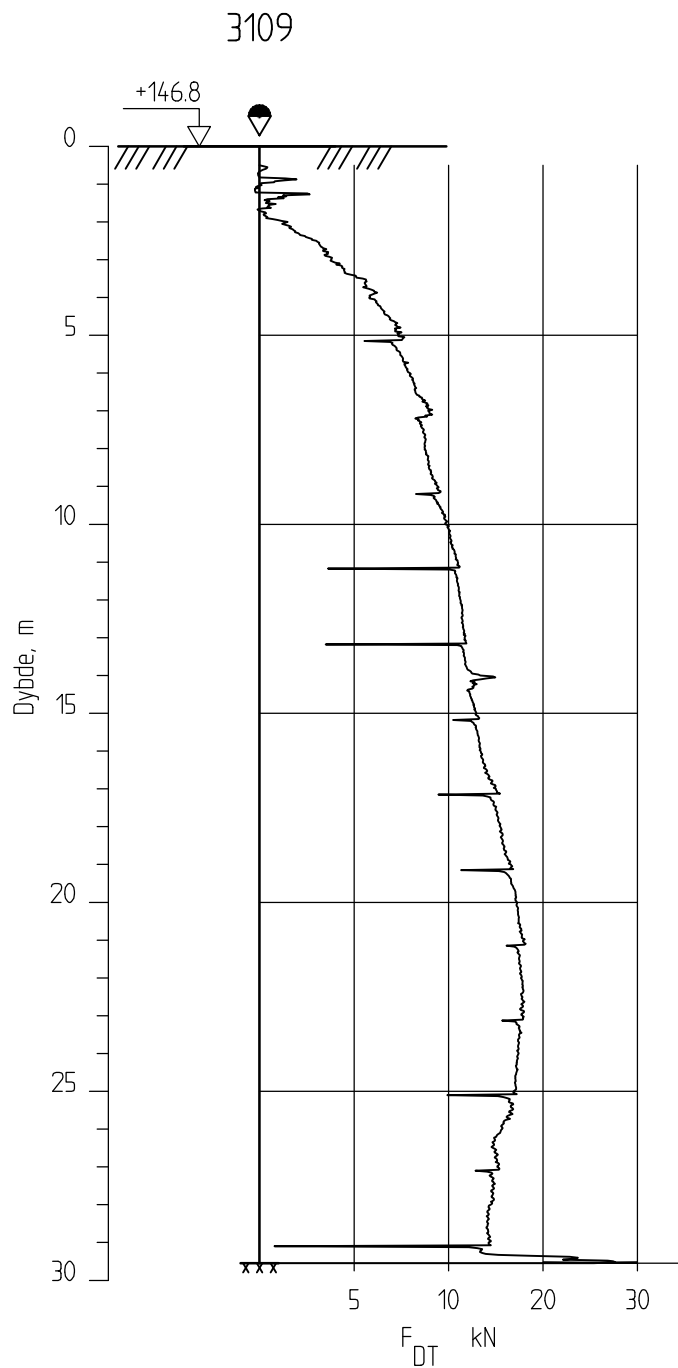


E16 Nybakk - Slomarka

Rapport nr.
20120491-02-RFigur nr.
A258Dreietrykksondering
1:200Tegner
KjADato:
05.11.2013Borhull 3104
Posisjon: X 1242349.19 Y 98398.71

Dato boret :14.11.2012

Kontrollert
TFS
Godkjent
StH



E16 Nybakk - Slomarka

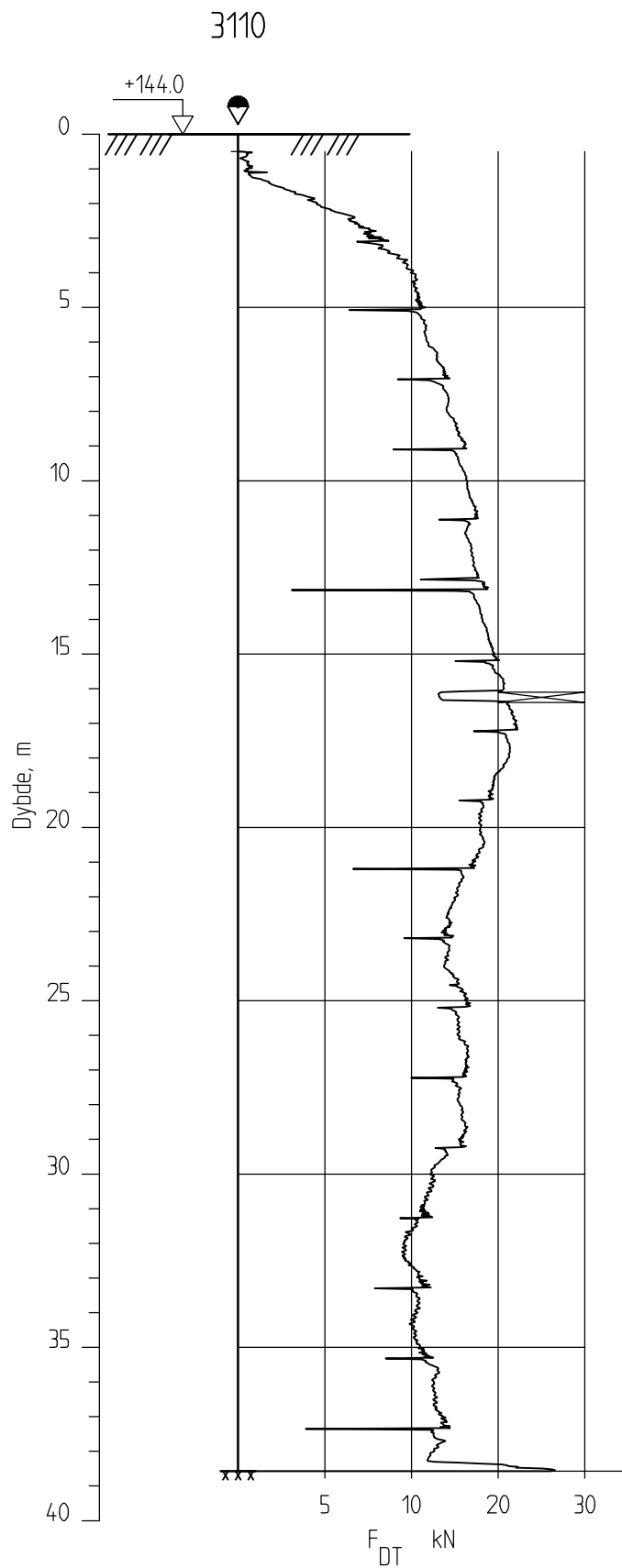
Dreietrykkssondering
1:200

Borhull 3109

Posisjon: X 1242184.43 Y 98516.48

Dato boret :14.11.2012

Rapport nr.
20120491-02-RTegner
KjAKontrollert
TFSGodkjent
StHFigur nr.
A262Dato:
05.11.2013



E16 Nybakk - Slomarka

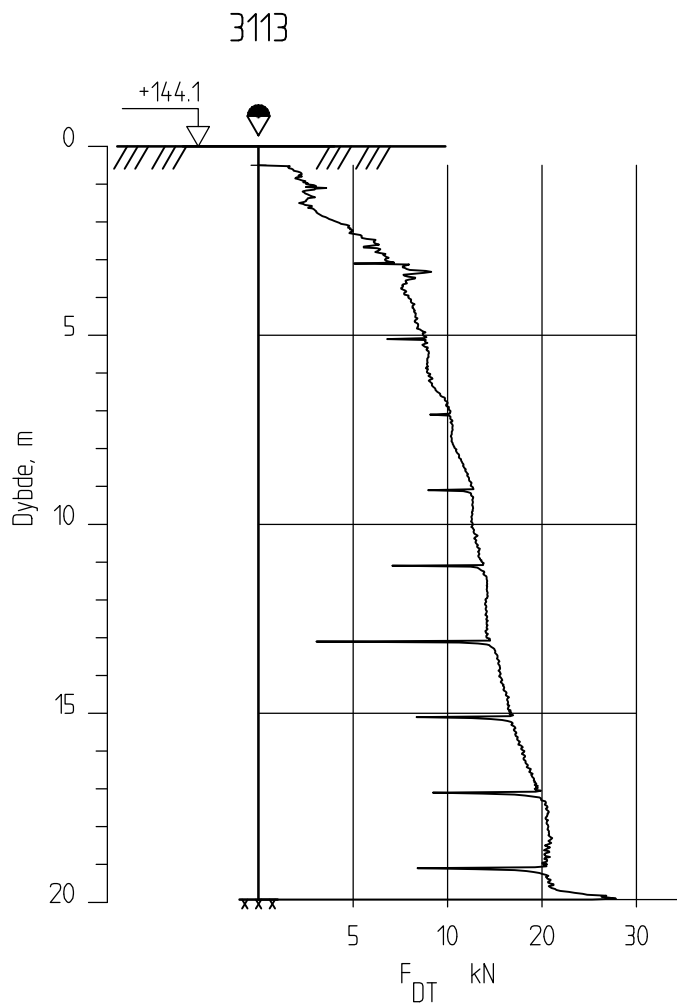
Dreietrykkssondering
1:200

Borhull 3110

Posisjon: X 1242084.53 Y 98522.57

Dato boret :05.12.2012

Rapport nr.
20120491-02-RFigur nr.
A263Tegner
KjADato:
05.11.2013Kontrollert
TFSGodkjent
StH



E16 Nybakk - Slomarka

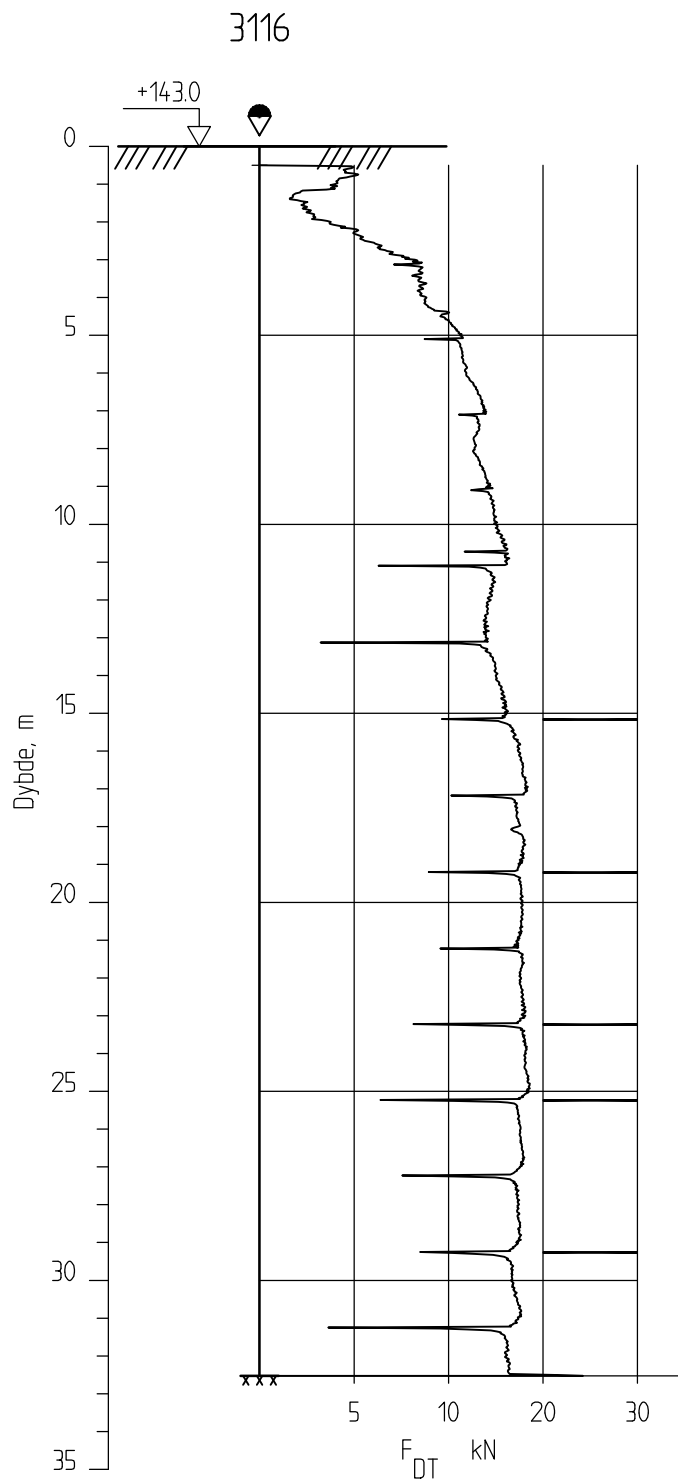
Dreietrykksondering
1:200

Borhull 3113

Posisjon: X 1242450.76 Y 98592.37

Dato boret :19.11.2012

Rapport nr.
20120491-02-RTegner
KjAKontrollert
TFSGodkjent
StHFigur nr.
A265Dato:
05.11.2013



E16 Nybakk - Slomarka

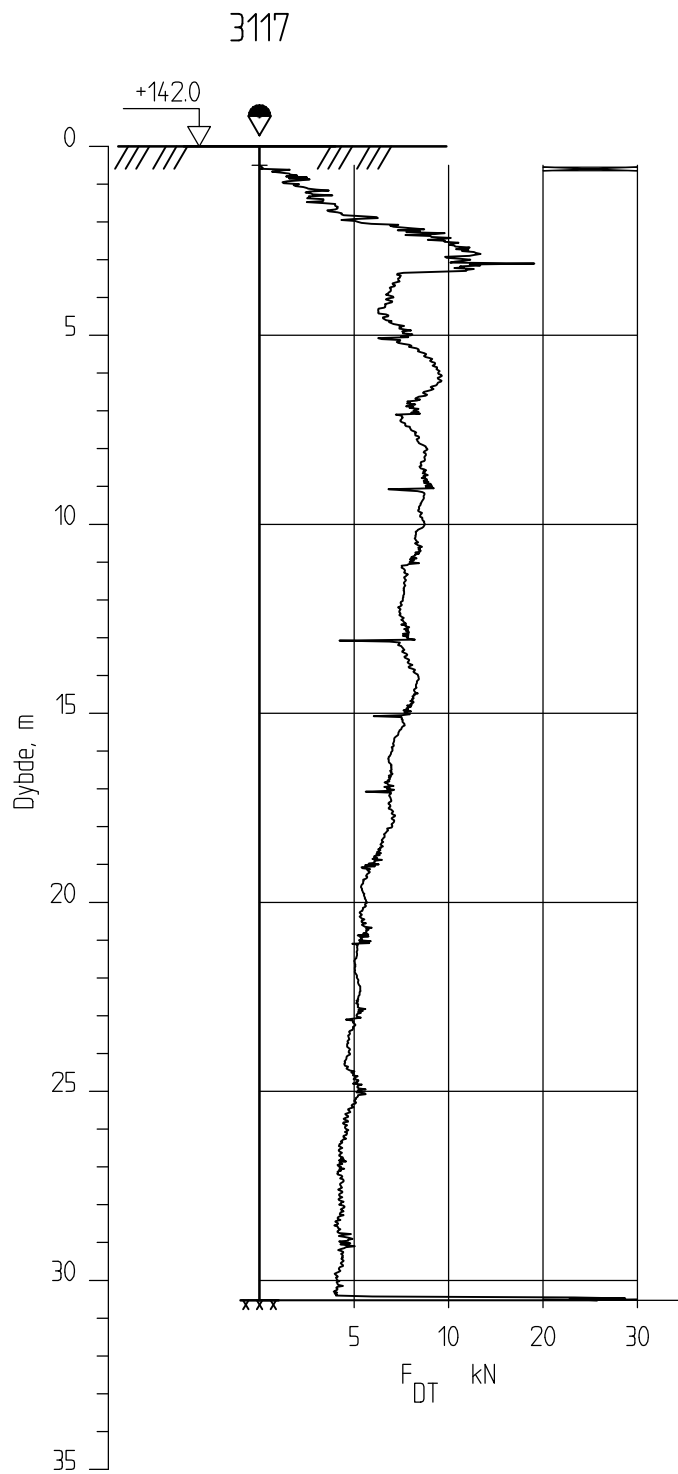
Dreietrykkssondering
1:200

Borhull 3116

Posisjon: X 1242198.24 Y 98614.20

Dato boret :14.12.2012

Rapport nr.
20120491-02-RTegner
KjAKontrollert
TFSGodkjent
StHFigur nr.
A268Dato:
05.11.2013



E16 Nybakk - Slomarka

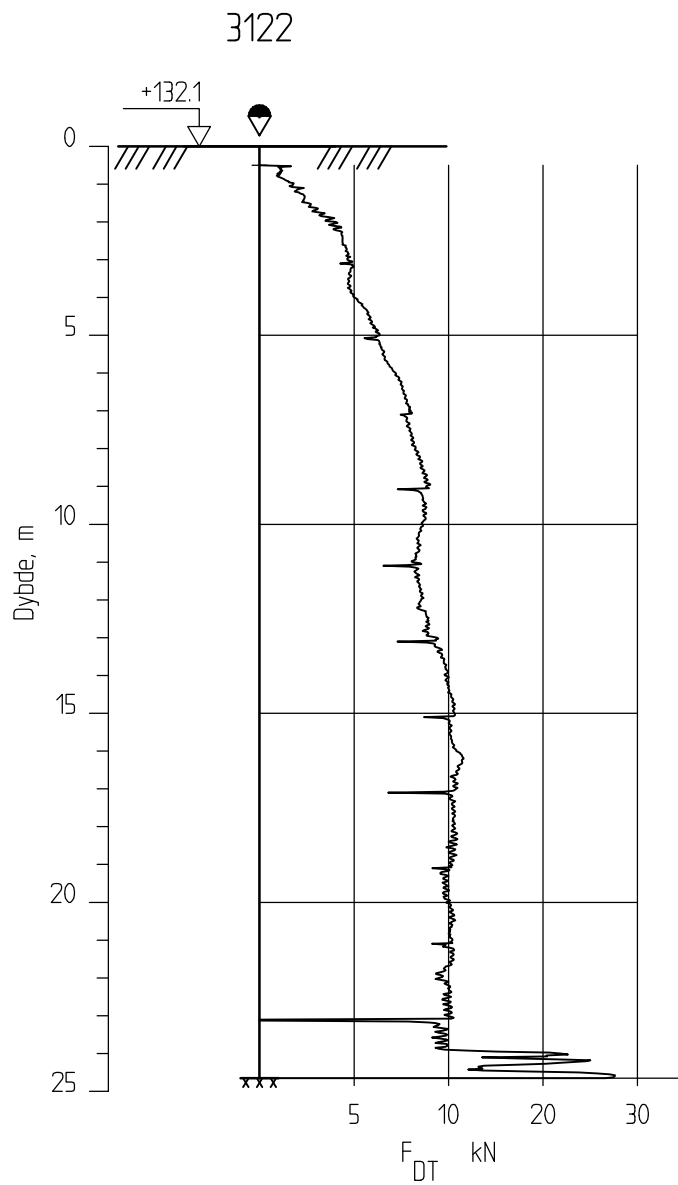
Dreietrykkssondering
1:200

Borhull 3117

Posisjon: X 1242093.52 Y 98621.32

Dato boret :05.12.2012

Rapport nr.
20120491-02-RFigur nr.
A269Tegner
KjADato:
05.11.2013Kontrollert
TFSGodkjent
StH



E16 Nybakk - Slomarka

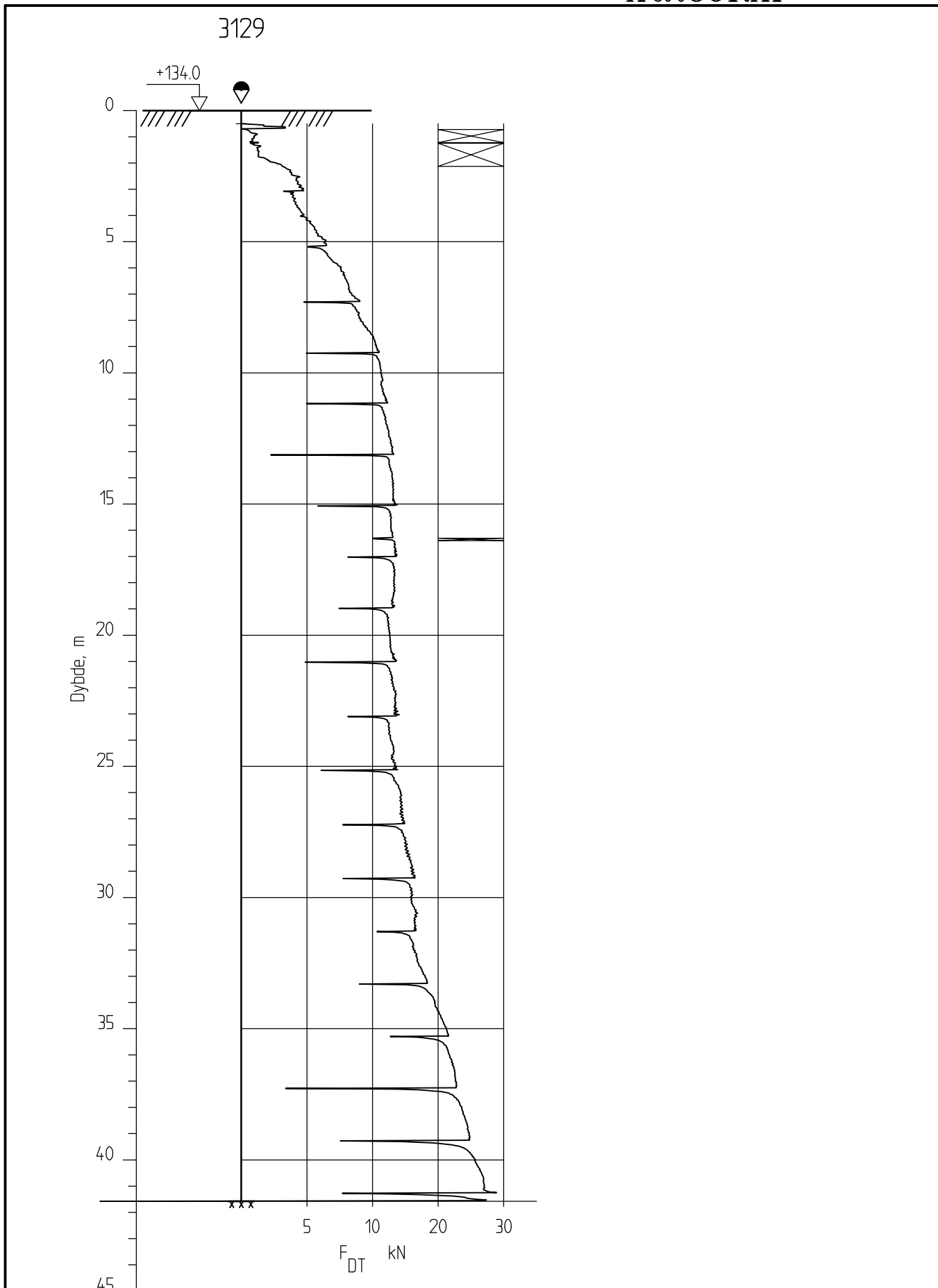
Dreietrykkssondering
1:200

Borhull 3122

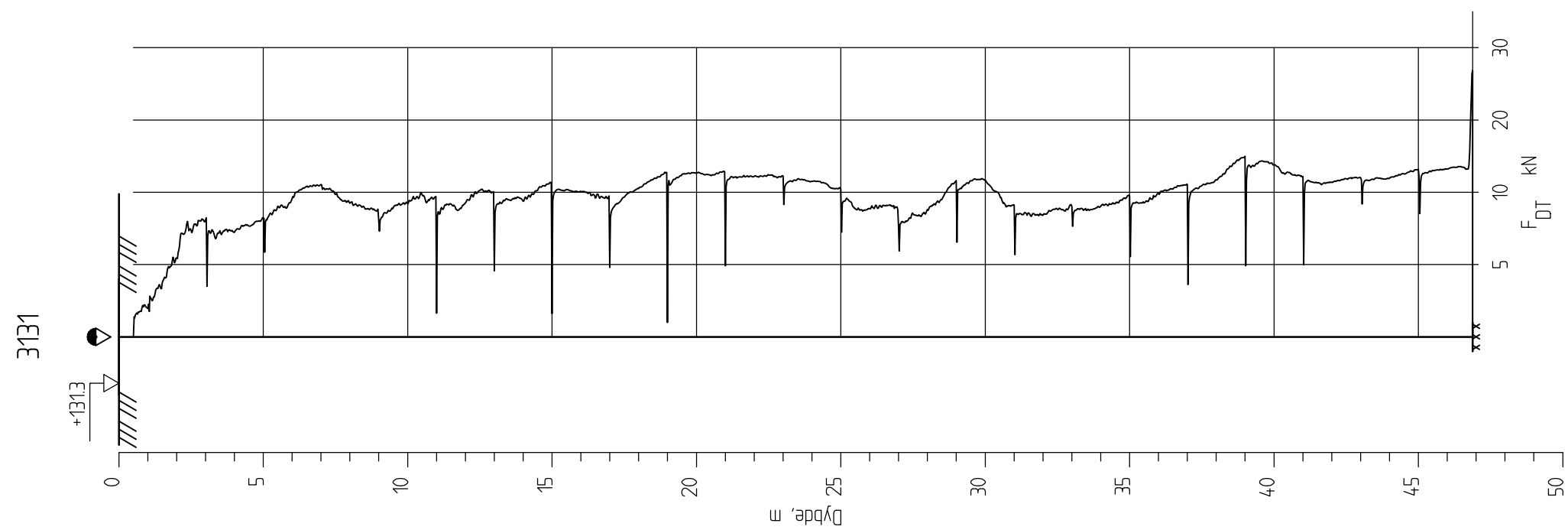
Posisjon: X 1242301.03 Y 98704.04

Dato boret :19.11.2012

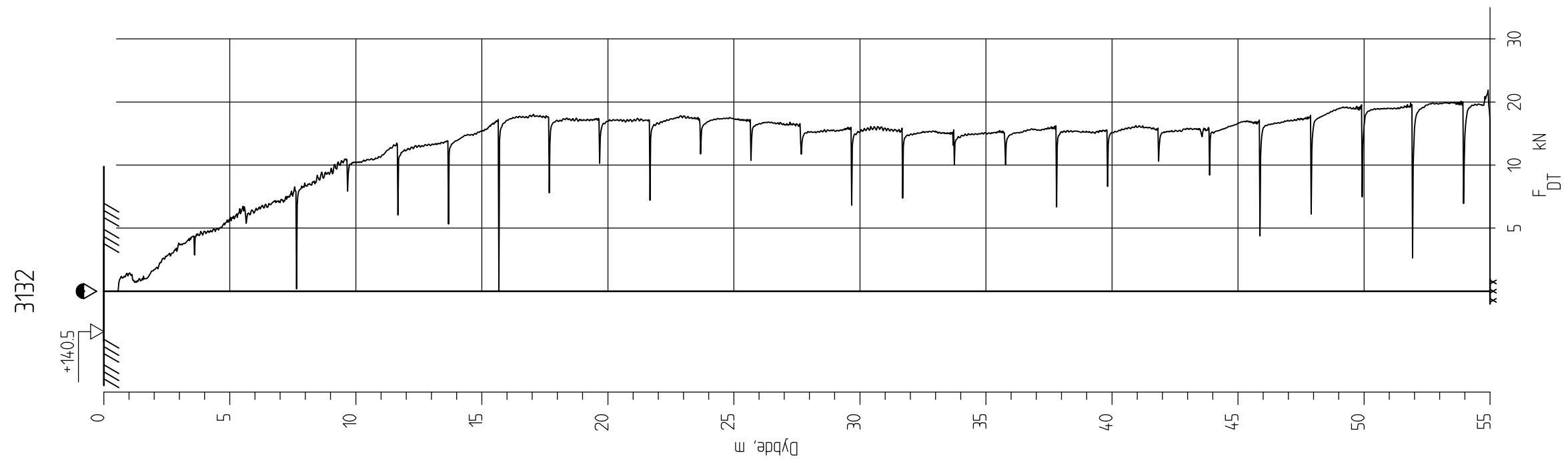
Rapport nr.
20120491-02-RFigur nr.
A273Tegner
KjADato:
05.11.2013Kontrollert
TFSGodkjent
StH



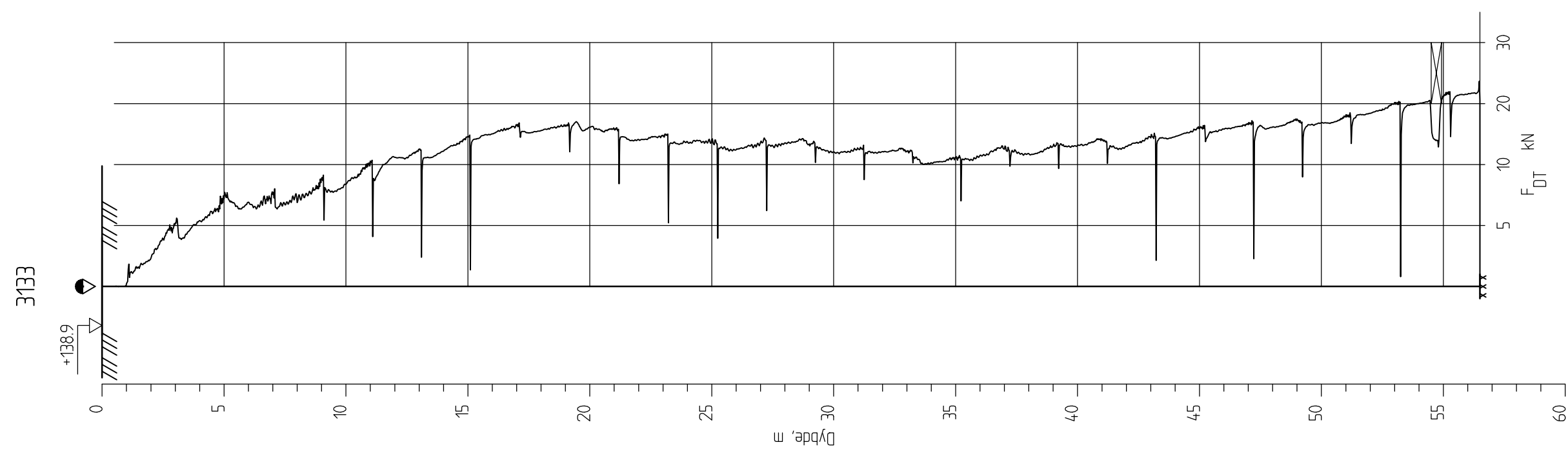
<p>E16 Nybakk - Slomarka</p> <p>Dreietrykkssondering 1:200</p> <p>Borhull 3129 Posisjon: X 1242391.29 Y 98795.27</p>	<p>Rapport nr. 20120491-02-R</p>	<p>Figur nr. A278</p>
	<p>Tegner KjA</p>	<p>Dato: 05.11.2013</p>
	<p>Kontrollert TFS</p>	
	<p>Godkjent StH</p>	



E16 Nybakk - Slomarka Dreietrykkssondering 1:200 Borhull 3131 Posisjon: X 1242211.02 Y 98813.73 Dato boret :22.11.2012	Rapport nr. 20120491-02-R	Figur nr. A280
	Tegner KjA	Dato: 05.11.2013
	Kontrollert TFS	
	Godkjent SH	



E16 Nybakk - Slomarka Dreietrykksondering 1:200 Borhull 3132 Posisjon: X 1242111.90 Y 98824.79 Dato boret :14.11.2012	Rapport nr. 20120491-02-R	Figur nr. A281
	Tegner KjA	Dato: 05.11.2013
	Kontrollert TFS	
	Godkjent SH	



E16 Nybakk - Slomarka

Dreietrykkssondering
1:200

Borhull 3133

Posisjon: X 1242012.36 Y 98836.19

Dato boret :04.12.2012

Rapport nr.
20120491-02-R

Figur nr.
A282

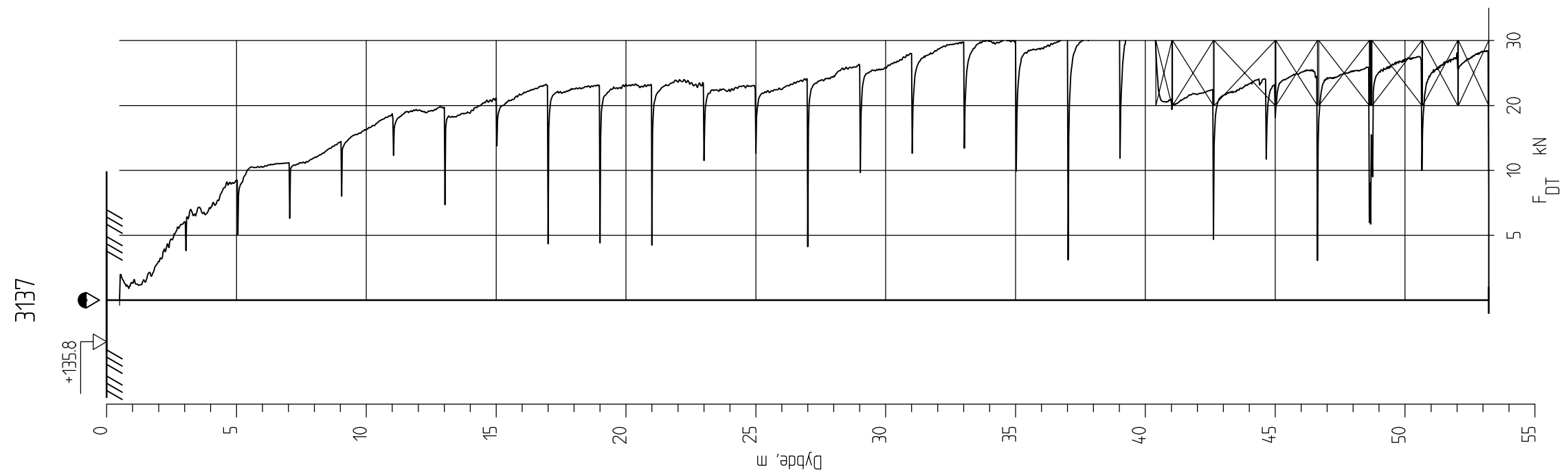
Tegner
KjA

Dato:
05.11.2013

Kontrollert
TFS

Godkjent
SH





E16 Nybakk - Slomarka

Dreietrykkssondering Borprofil
1:200

Borhull 3137

Posisjon: X 1242417.54 Y 98881.28

Dato boret :21.11.2012

Rapport nr.
20120491-02-R

Figur nr.
A284

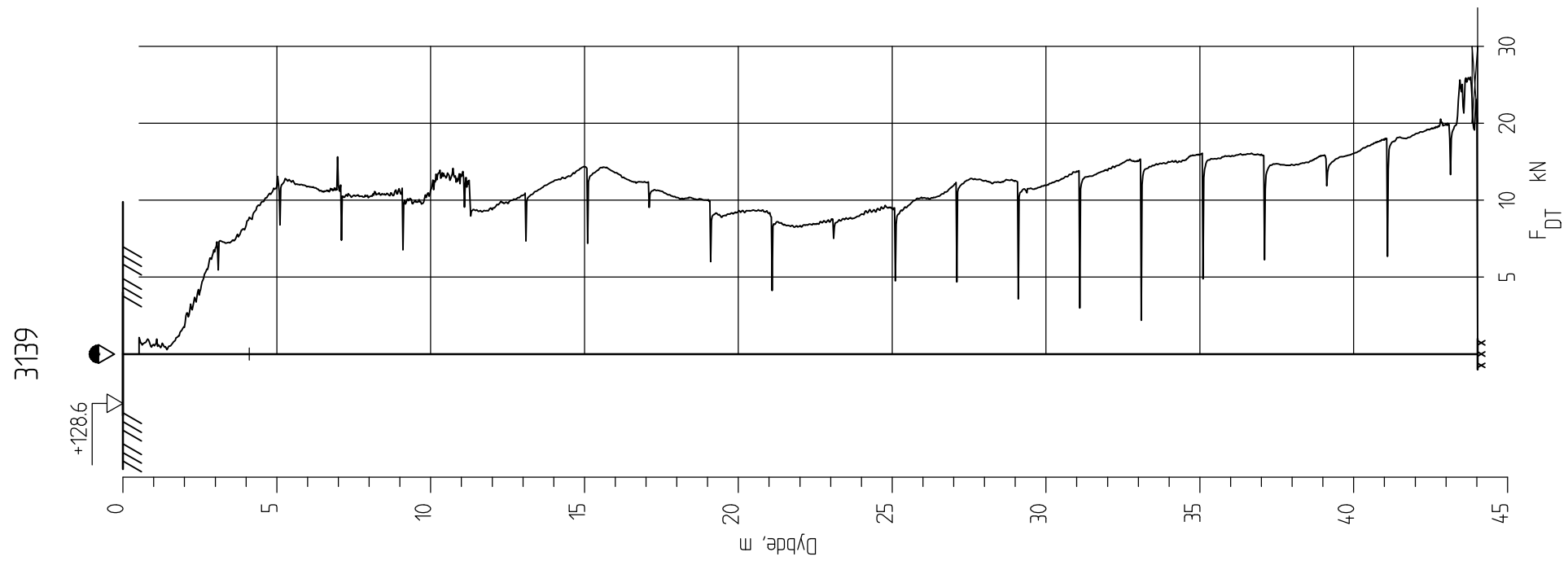
Tegner
KjA

Dato:
05.11.2013

Kontrollert
TFS

Godkjent
SH





E16 Nybakk - Slomarka

Dreietrykkssondering Borprofil
1:200

Borhull 3139
Posisjon: X 1242227.53 Y 98921.11

Dato boret :22.11.2012

Rapport nr.
20120491-02-R

Figur nr.
A286

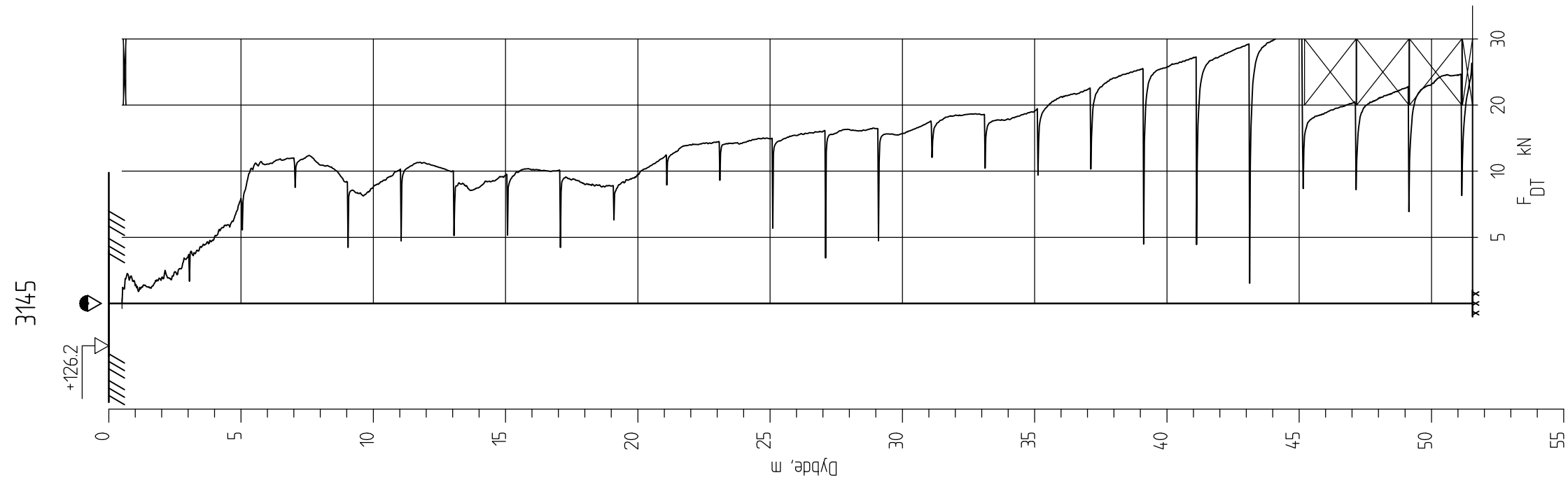
Tegner
KjA

Dato:
05.11.2013

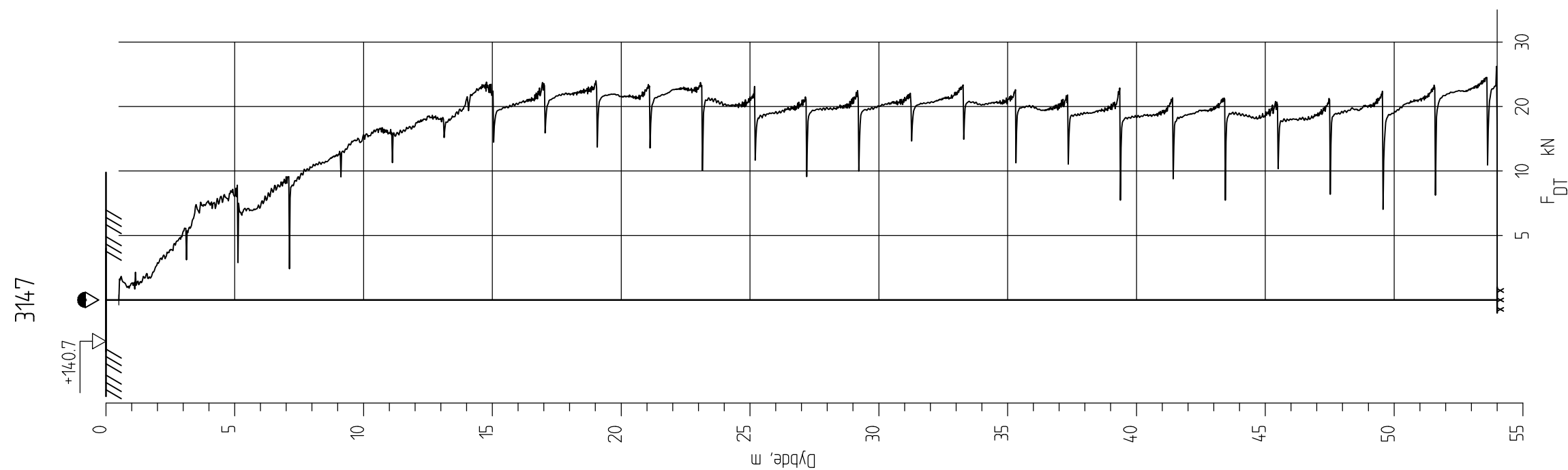
Kontrollert
TFS

Godkjent
SH





<p>E16 Nybakk - Slomarka</p> <p>Dreietrykkssondering 1:200</p> <p>Borhull 3145 Posisjon: X 1242444.15 Y 98972.90 Dato boret :22.11.2012</p>	Rapport nr. 20120491-02-R	Figur nr. A290
	Tegner KjA	Dato: 05.11.2013
	Kontrollert TFS	
	Godkjent SH	



E16 Nybakk - Slomarka

Dreietrykkssondering
1:200

Borhull 3147

Posisjon: X 1242257.94 Y 99048.63

Dato boret :03.12.2012

Rapport nr.
20120491-02-R

Figur nr.
A292

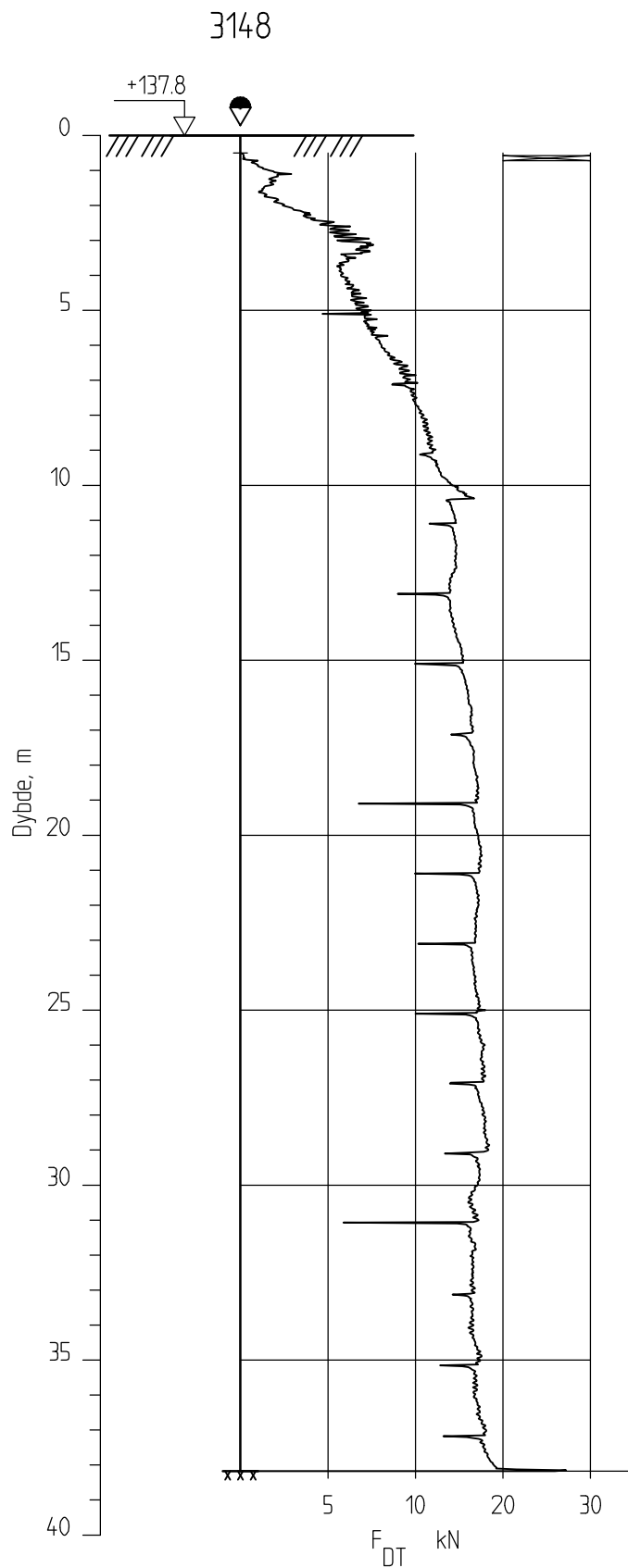
Tegner
KjA

Dato:
05.11.2013

Kontrollert
TFS

Godkjent
SH





E16 Nybakk - Slomarka

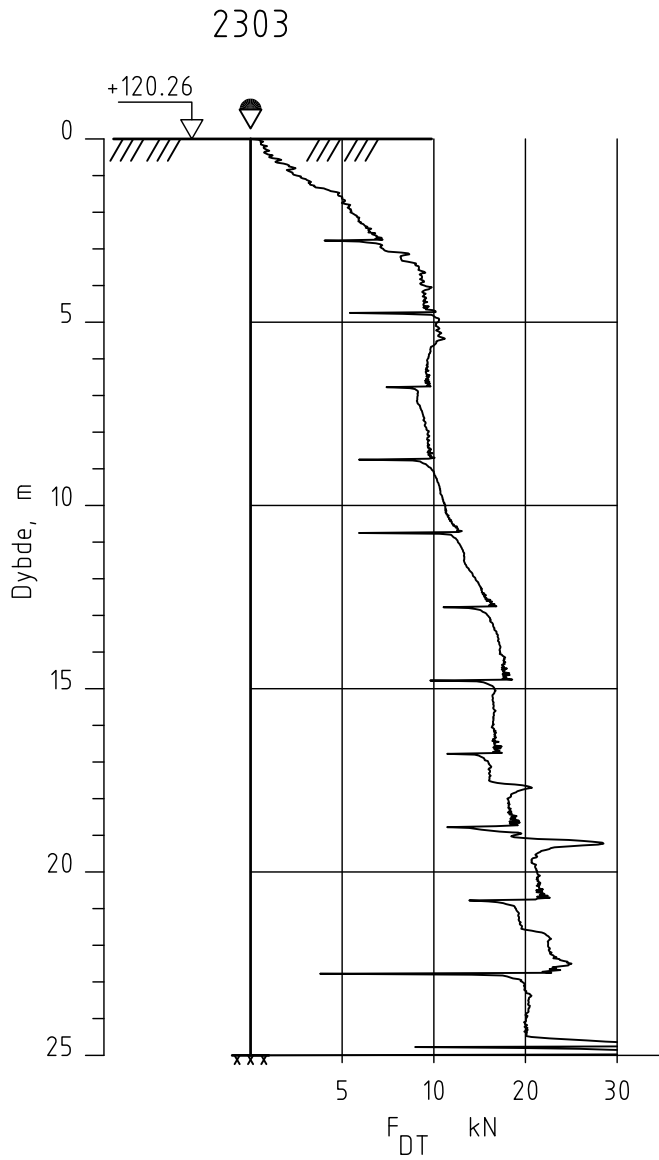
Dreietrykkssondering
1:200

Borhull 3148

Posisjon: X 1242155.48 Y 99052.37

Dato boret :22.11.2012

Rapport nr.
20120491-02-RTegner
KjAKontrollert
TFSGodkjent
StHFigur nr.
A293Dato:
05.11.2013



E16 Nybakk - Slomarka

Rapport nr.
20120491-2-R

Figur nr.
A294

Dreietrykksondering
M = 1 : 200

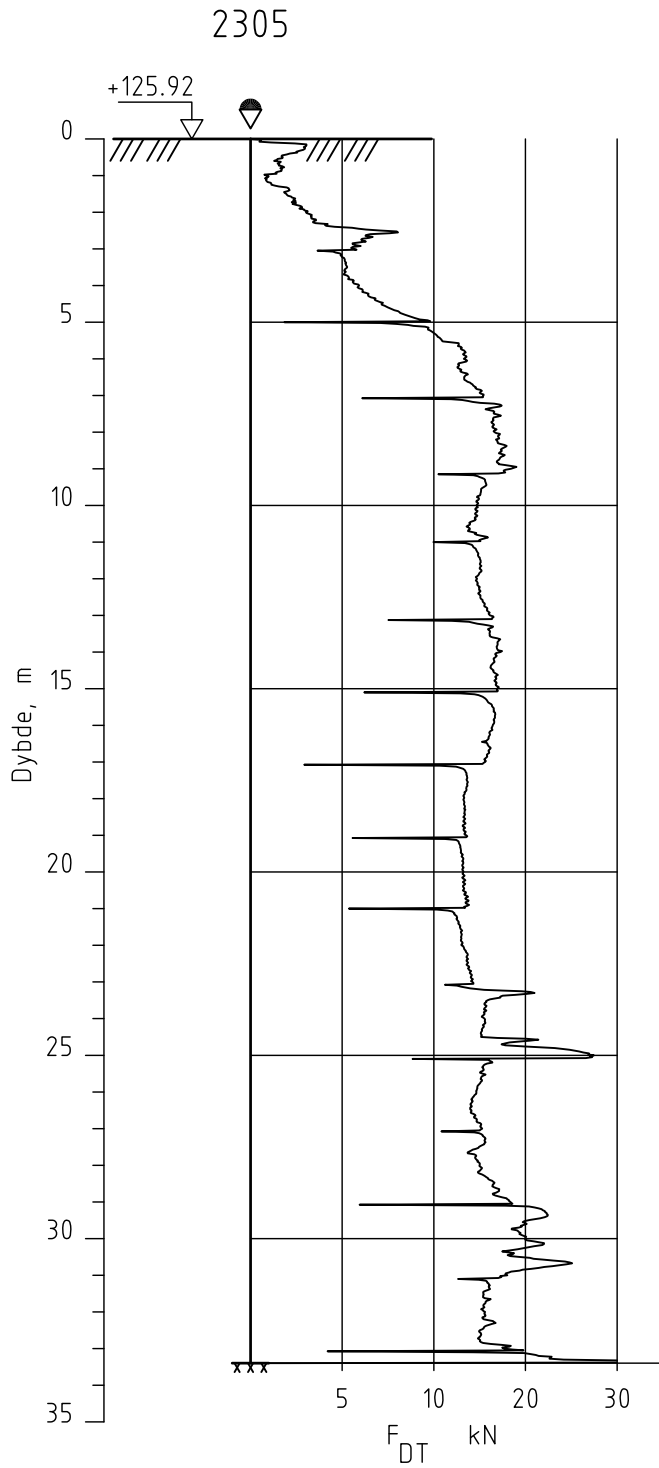
Tegner
JGr

Dato:
09.07.14

Borhull 2303
Posisjon: X 1241140.49 Y 94586.35 Dato boret :11.02.2014

Kontrollert
TFS
Godkjent
MaR




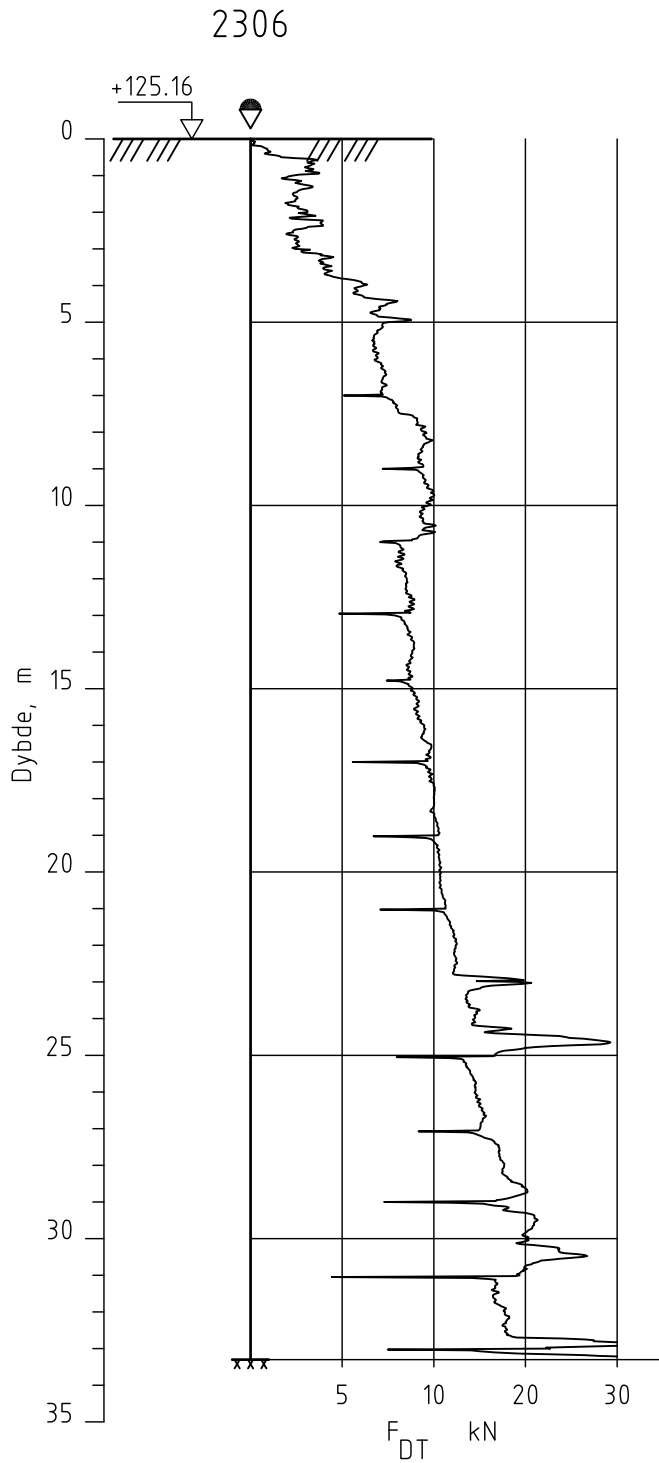


E16 Nybakk - Slomarka

Dreietrykksondering
M = 1 : 200

Borhull 2305
Posisjon: X 1241213.44 Y 94547.48 Dato boret :10.02.2014


Rapport nr. 20120491-2-R	Figur nr. A295
Tegner JGr	Dato: 09.07.14
Kontrollert TFS	
Godkjent MaR	

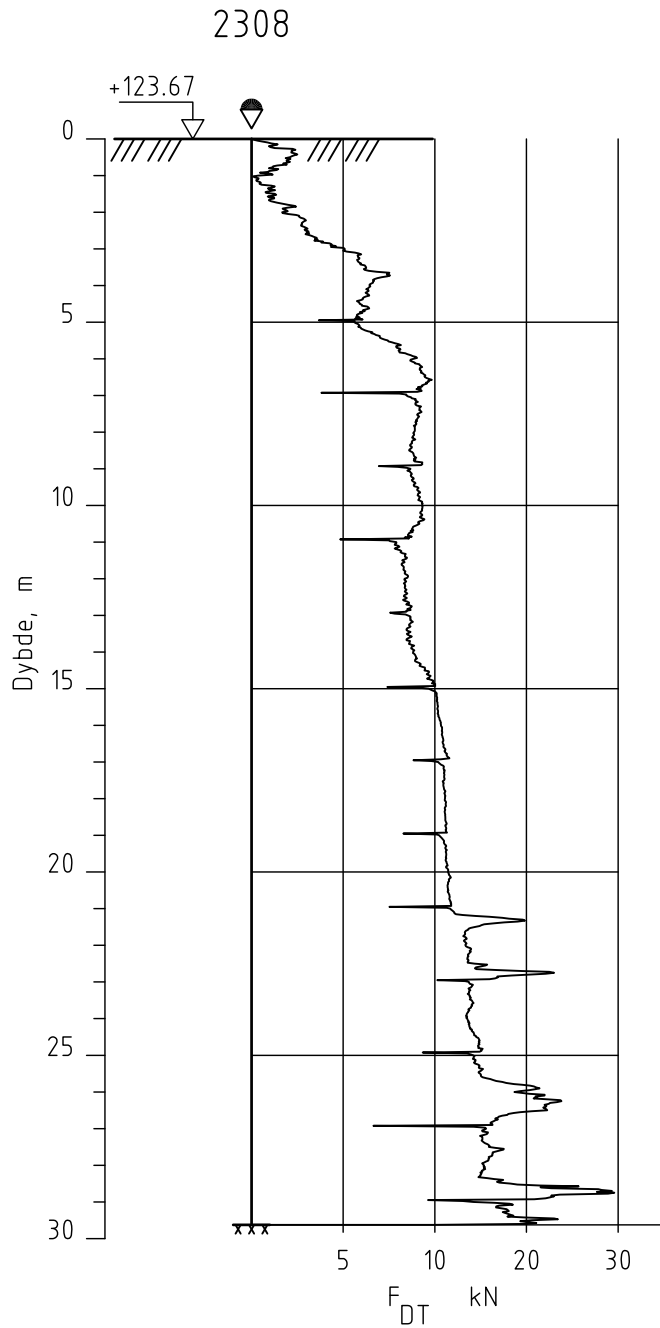


E16 Nybakk - Slomarka

Dreietrykksondering
M = 1 : 200

Borhull 2306
Posisjon: X 1241194.28 Y 94563.03 Dato boret :11.02.2014

Rapport nr. 20120491-2-R	Figur nr. A296
Tegner JGr	Dato: 09.07.14
Kontrollert TFS	
Godkjent MaR	



E16 Nybakk - Slomarka

Dreietrykksondering
M = 1 : 200

Borhull 2308

Posisjon: X 1241156.11 Y 94594.16

Dato boret :11.02.2014

Rapport nr.
20120491-2-R

Figur nr.
A297

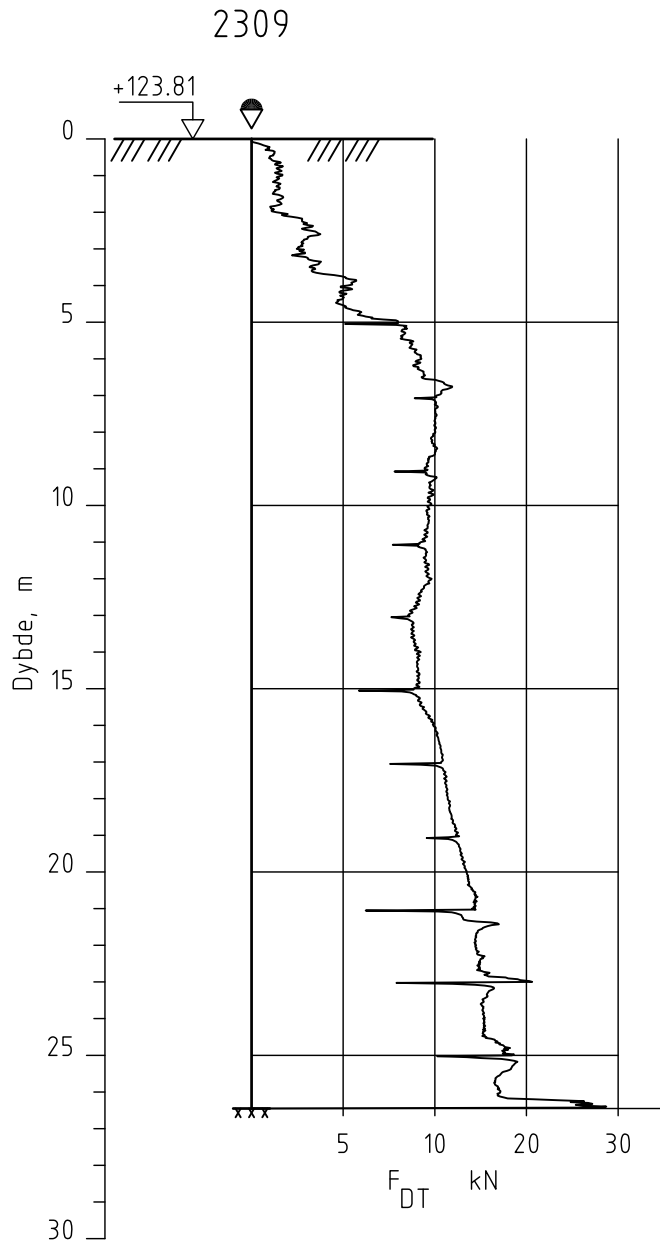
Tegner
JGr

Dato:
09.07.14

Kontrollert
TFS

Godkjent
MaR





E16 Nybakk - Slomarka

Dreietrykksondering
M = 1 : 200

Borhull 2309

Posisjon: X 1241134.59 Y 94611.24

Dato boret :11.02.2014

Rapport nr.
20120491-2-R

Figur nr.
A298

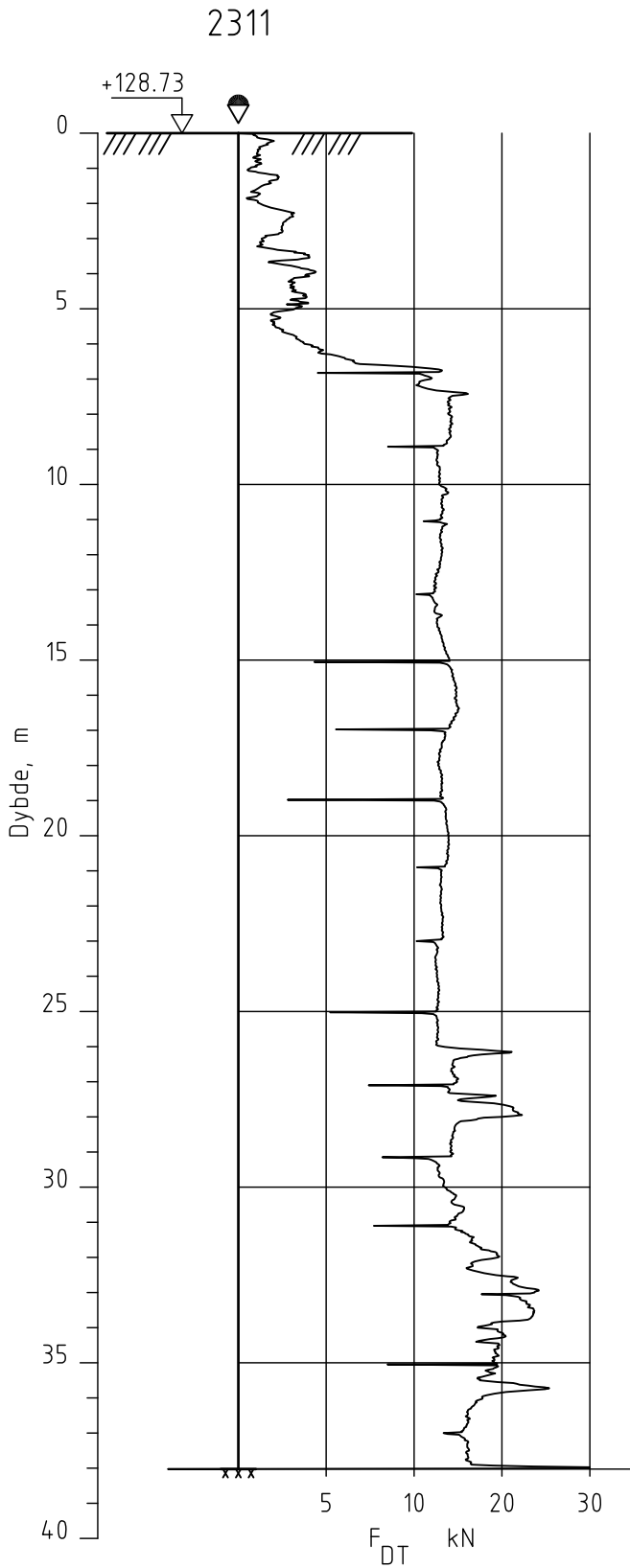
Tegner
JGr

Dato:
09.07.14

Kontrollert
TFS

Godkjent
MaR





E16 Nybakk - Slomarka

Rapport nr.
20120491-2-R

Figur nr.
A299

Dreietrykksondering
M = 1 : 200

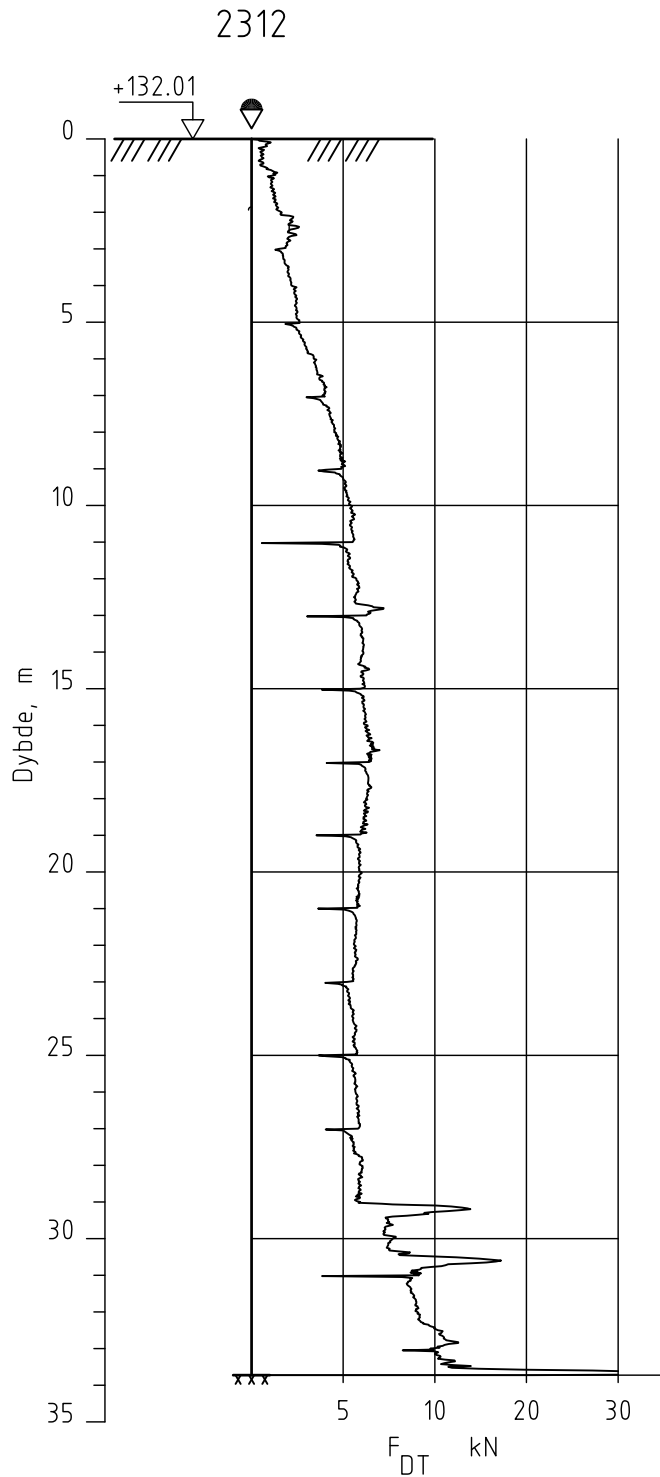
Tegner
JGr


Dato:
09.07.14

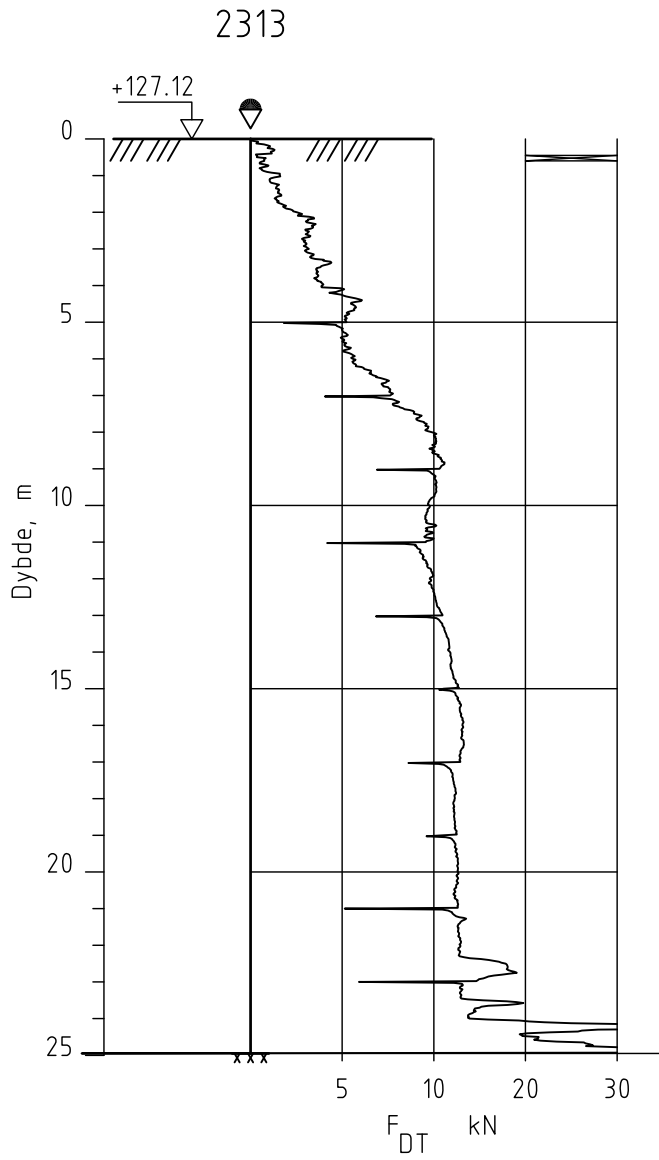
Borhull 2311
Posisjon: X 1241245.01 Y 94586.22 Dato boret :10.02.2014

Kontrollert
TFS
Godkjent
MaR





E16 Nybakk - Slomarka		Rapport nr. 20120491-2-R	Figur nr. A300
Dreietrykksondering M = 1 : 200		Tegner JGr	Dato: 09.07.14
Borhull 2312		Kontrollert TFS	
Posisjon: X 1241206.16 Y 94617.80 Dato boret :10.02.2014		Godkjent MaR	

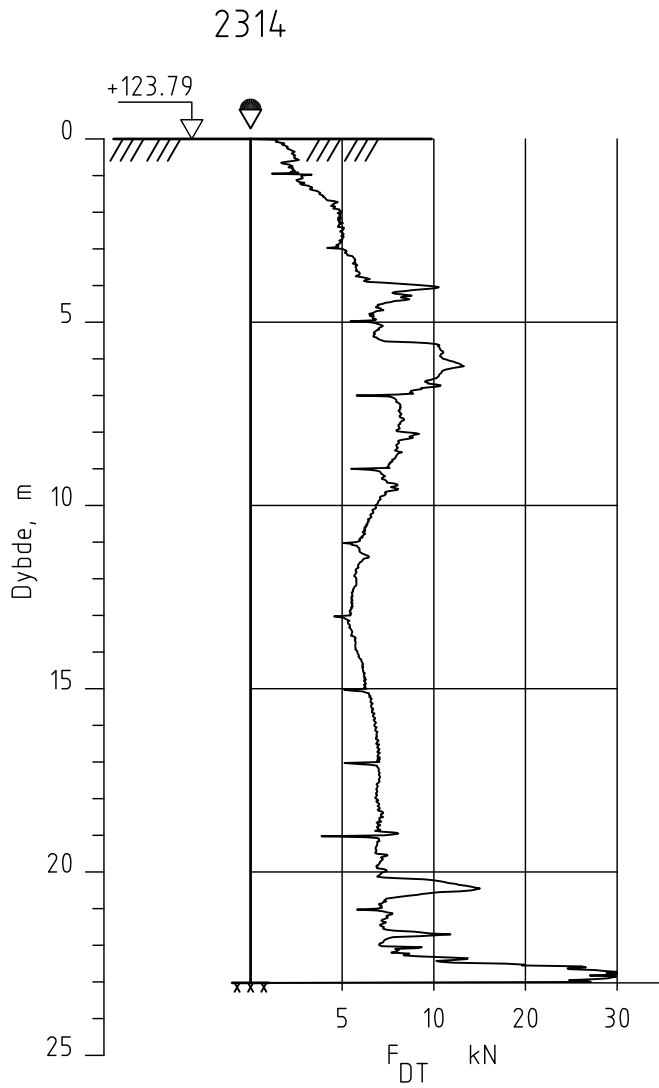


E16 Nybakk - Slomarka

Dreietrykkssondering
M = 1 : 200

Borhull 2313
Posisjon: X 1241167.38 Y 94649.40 Dato boret :10.02.2014

Rapport nr. 20120491-2-R	Figur nr. A301
Tegner JGr	Dato: 09.07.14
Kontrollert TFS	
Godkjent MaR	



E16 Nybakk - Slomarka

Rapport nr.
20120491-2-R

Figur nr.
A302

Dreietrykksondering
M = 1 : 200

Tegner
JGr

Dato:
09.07.14

Borhull 2314

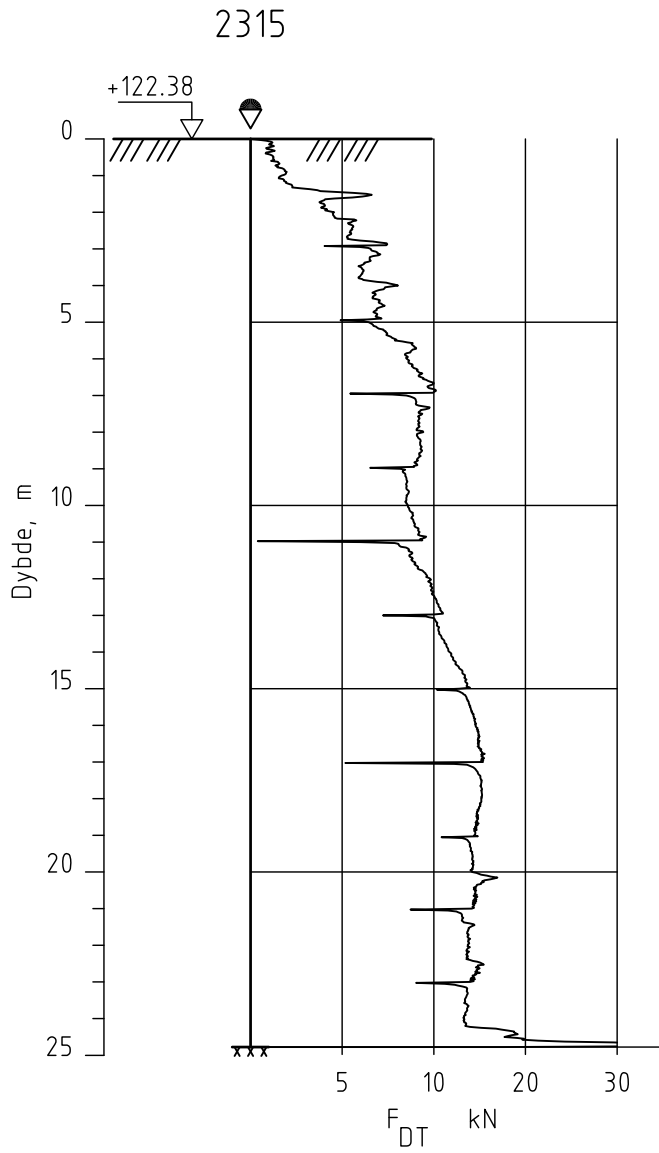
Posisjon: X 1241128.73 Y 94681.01

Dato boret :12.02.2014

Kontrollert
TFS

Godkjent
MaR




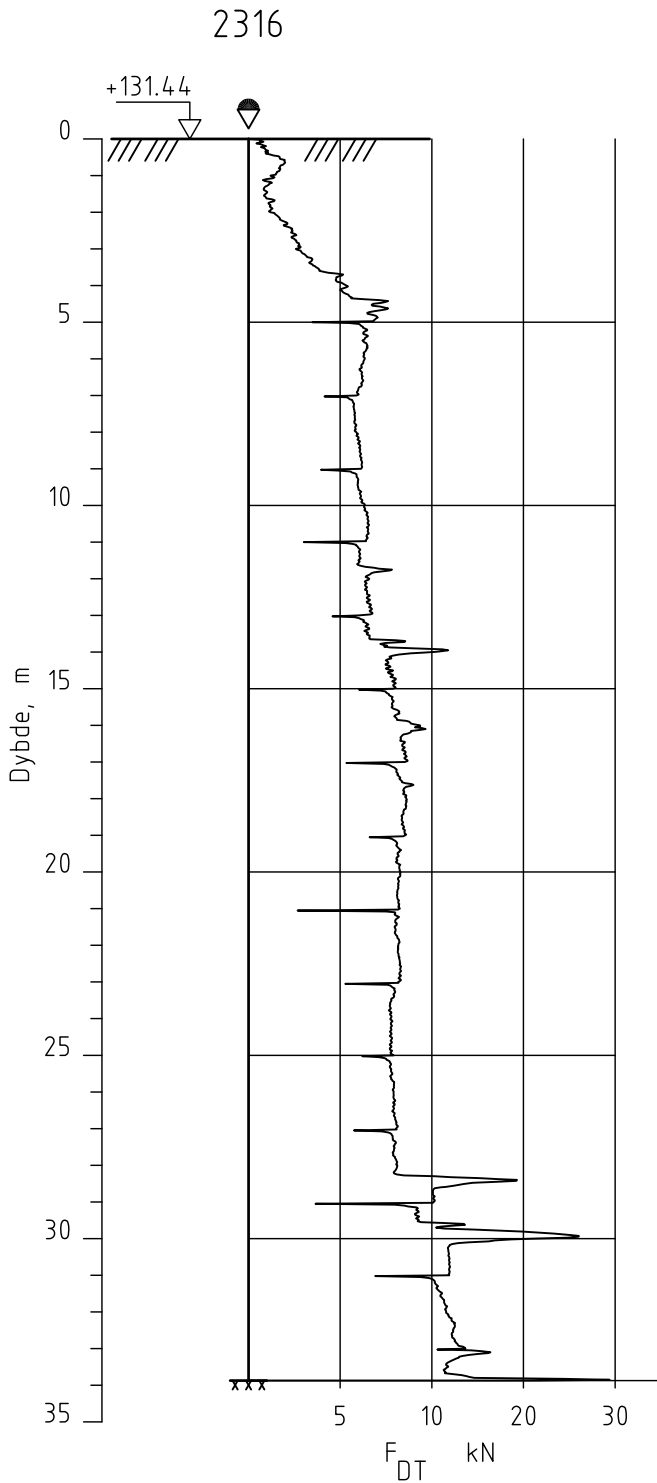


E16 Nybakk - Slomarka

Dreietrykksondering
M = 1 : 200

Borhull 2315
Posisjon: X 1241089.91 Y 94712.50 Dato boret :11.02.2014


Rapport nr. 20120491-2-R	Figur nr. A303
Tegner JGr	Dato: 09.07.14
Kontrollert TFS	
Godkjent MaR	

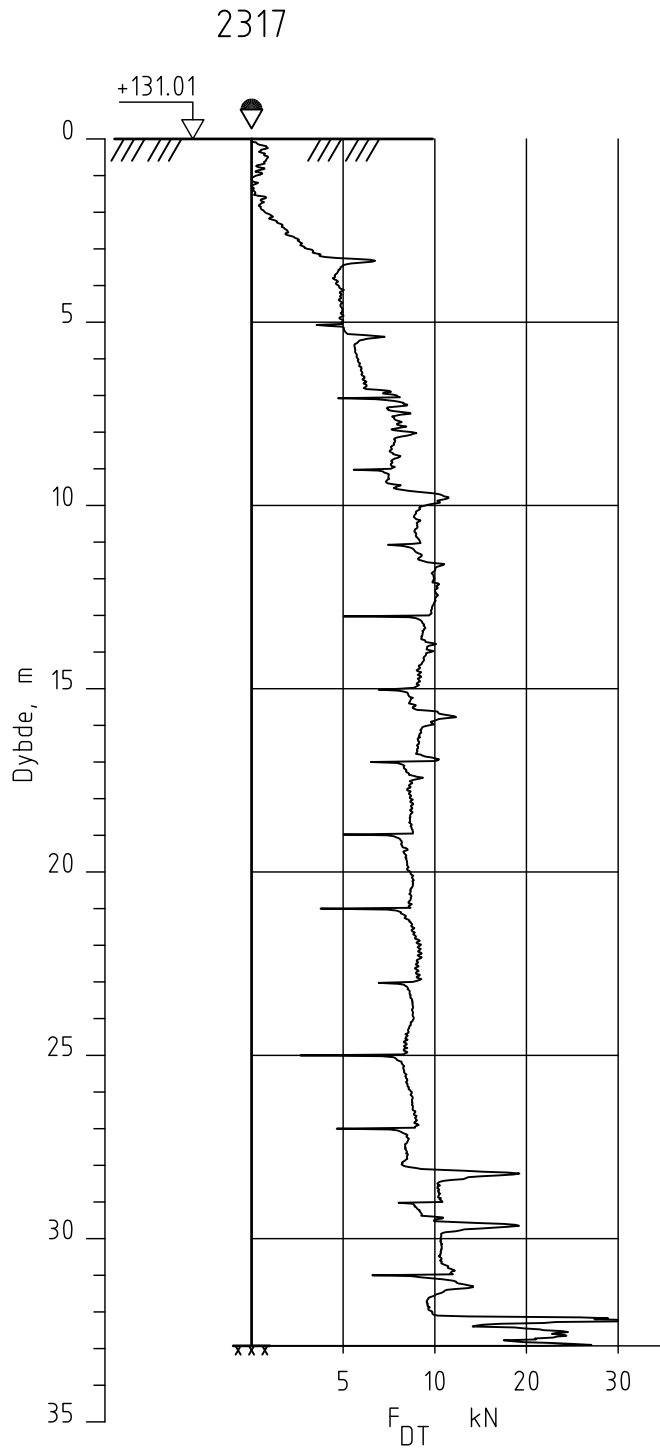


E16 Nybakk - Slomarka

Dreietrykksondering
M = 1 : 200

Borhull 2316
Posisjon: X 1241276.51 Y 94624.99 Dato boret :12.02.2014

Rapport nr. 20120491-2-R	Figur nr. A304
Tegner JGr	Dato: 09.07.14
Kontrollert TFS	
Godkjent MaR	



E16 Nybakk - Slomarka

Rapport nr.
20120491-2-R

Figur nr.
A305

Dreietrykksondering
M = 1 : 200

Tegner
JGr

Dato:
09.07.14

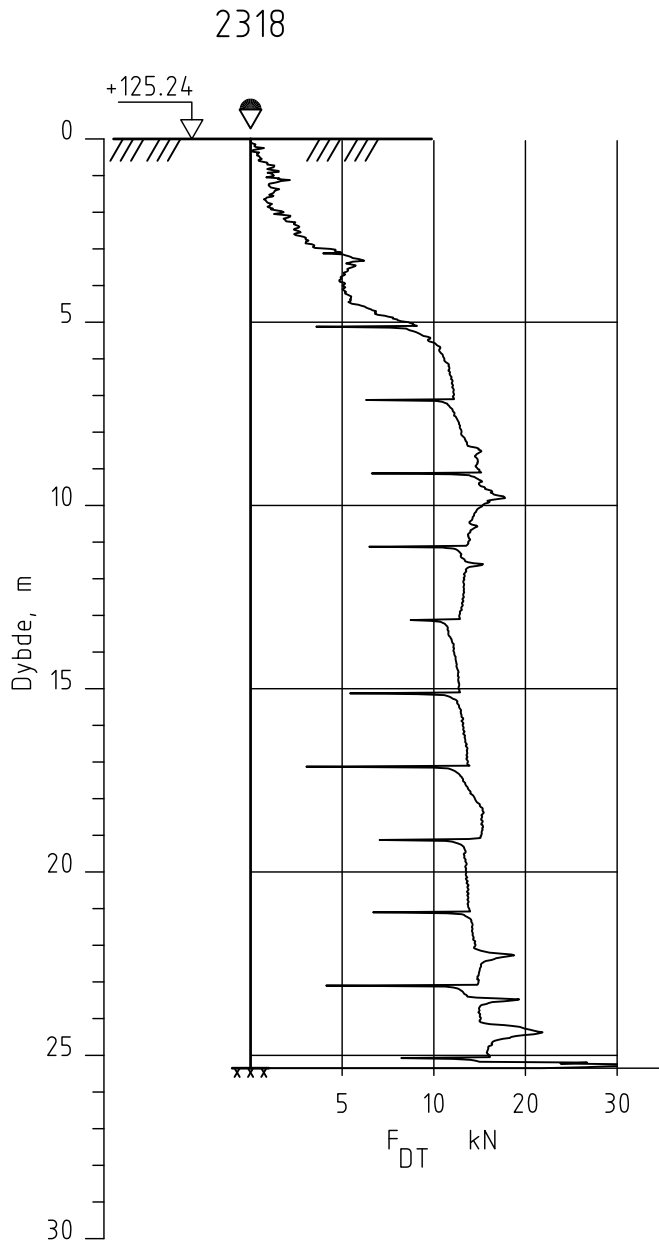
Borhull 2317

Posisjon: X 1241237.79 Y 94656.60 Dato boret :12.02.2014

Kontrollert
TFS

Godkjent
MaR





E16 Nybakk - Slomarka

Rapport nr.
20120491-2-R

Figur nr.
A306

Dreietrykksondering
M = 1 : 200

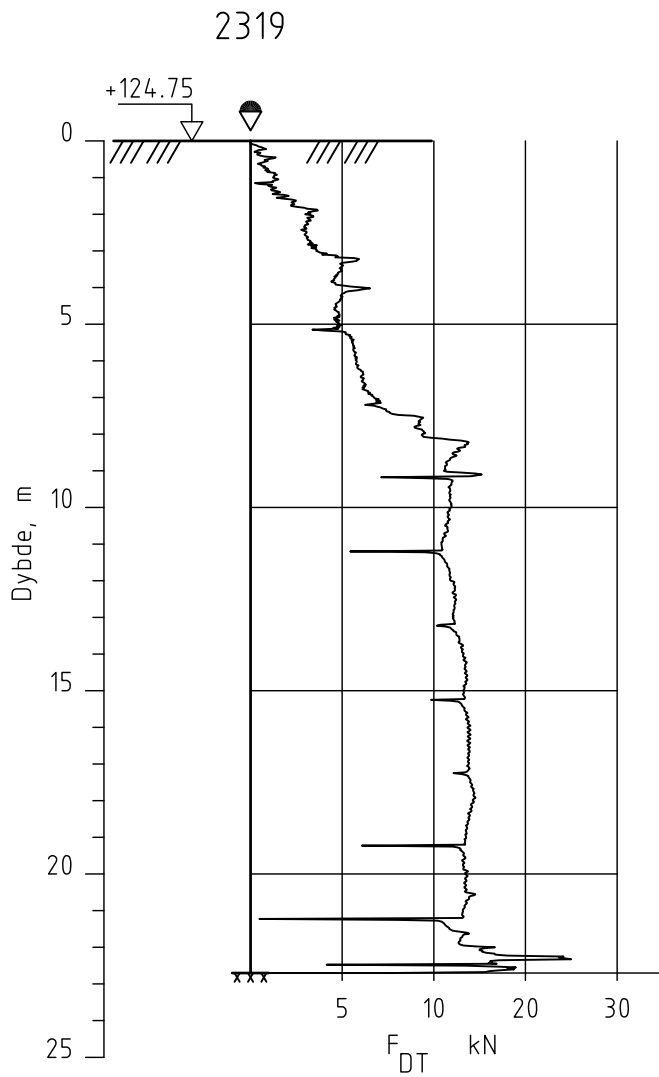
Tegner
JGr

Dato:
09.07.14

Borhull 2318
Posisjon: X 1241199.02 Y 94688.21 Dato boret :12.02.2014

Kontrollert
TFS
Godkjent
MaR





E16 Nybakk - Slomarka

Rapport nr.
20120491-2-R

Figur nr.
A307

Dreietrykksondering
M = 1 : 200

Tegner
JGr

Dato:
09.07.14

Borhull 2319

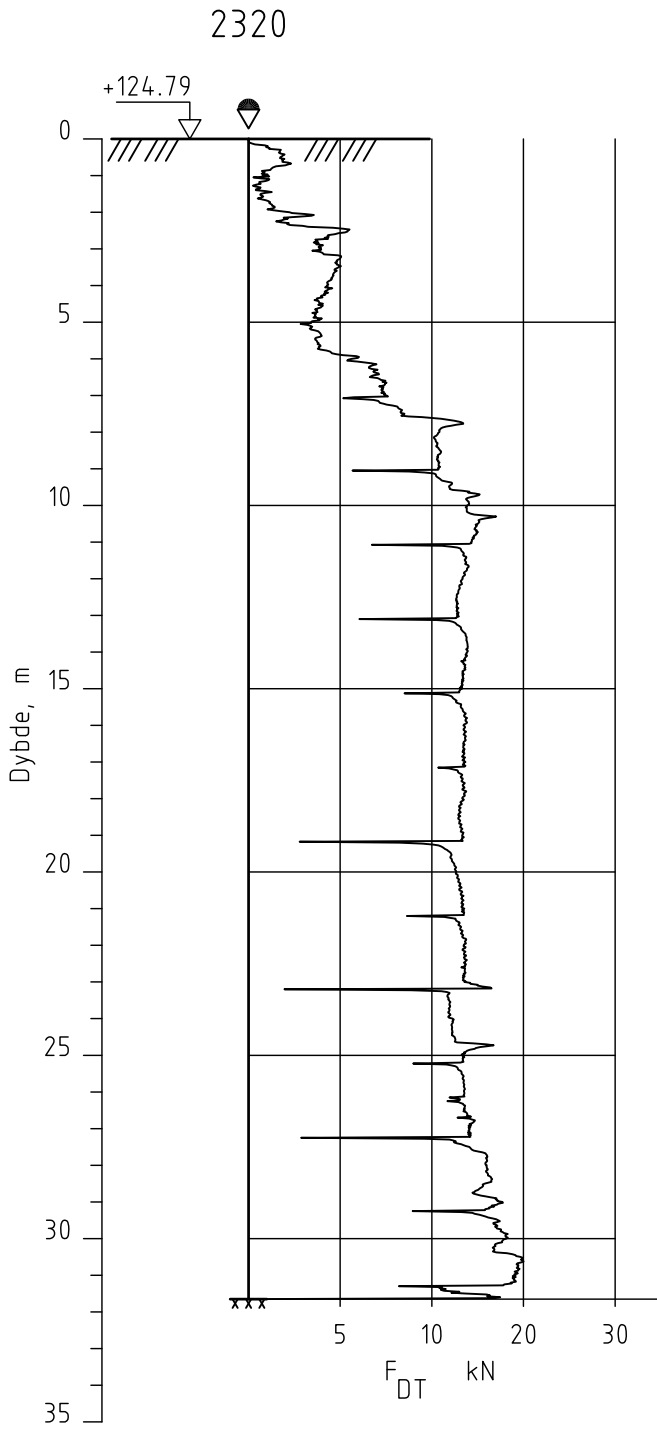
Posisjon: X 1241160.21 Y 94719.70

Dato boret :17.02.2014

Kontrollert
TFS

Godkjent
MaR





E16 Nybakk - Slomarka

Rapport nr.
20120491-2-R

Figur nr.
A308

Dreietrykksondering
M = 1 : 200

Tegner
JGr

Dato:
09.07.14

Borhull 2320
Posisjon: X 1241121.43 Y 94751.28

Dato boret :17.02.2014

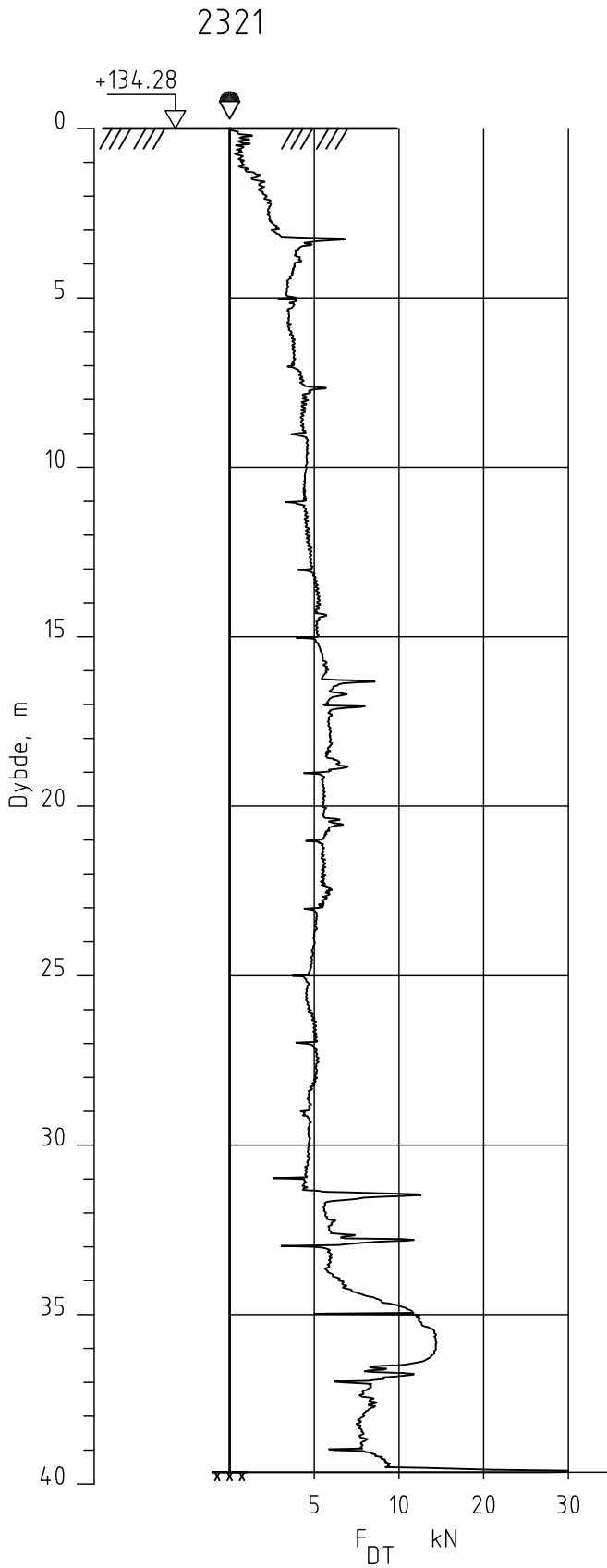
Kontrollert

TFS

Godkjent

MaR





E16 Nybakk - Slomarka

Rapport nr.
20120491-2-R

Figur nr.
A309

Dreietrykksondering
M = 1 : 200

Tegner
JGr

Dato:
09.07.14

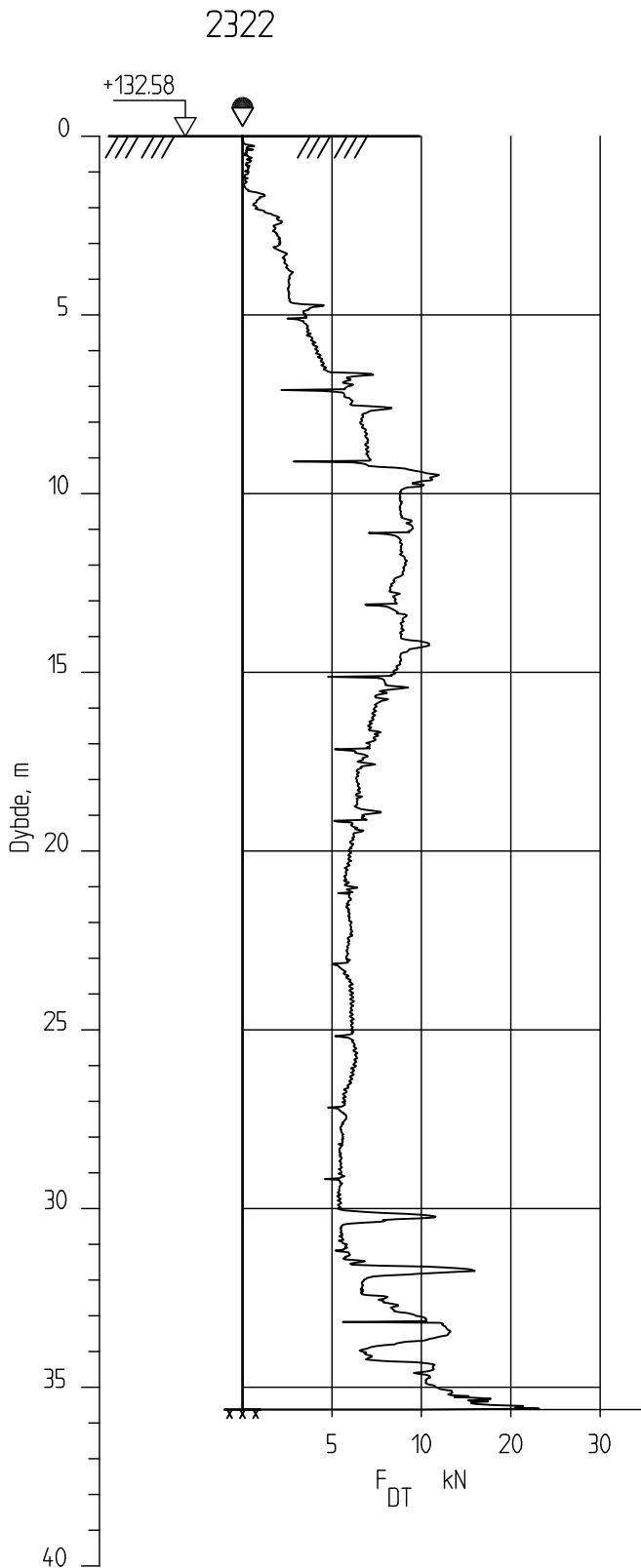
Borhull 2321

Kontrollert
TFS

Posisjon: X 1241308.06 Y 94663.81 Dato boret :12.02.2014

Godkjent
MaR





E16 Nybakk - Slomarka

Dreietrykksondering
M = 1 : 200

Borhull 2322
Posisjon: X 1241269.33 Y 94695.38

Dato boret :17.02.2014

Rapport nr.
20120491-2-R

Tegner
JGr

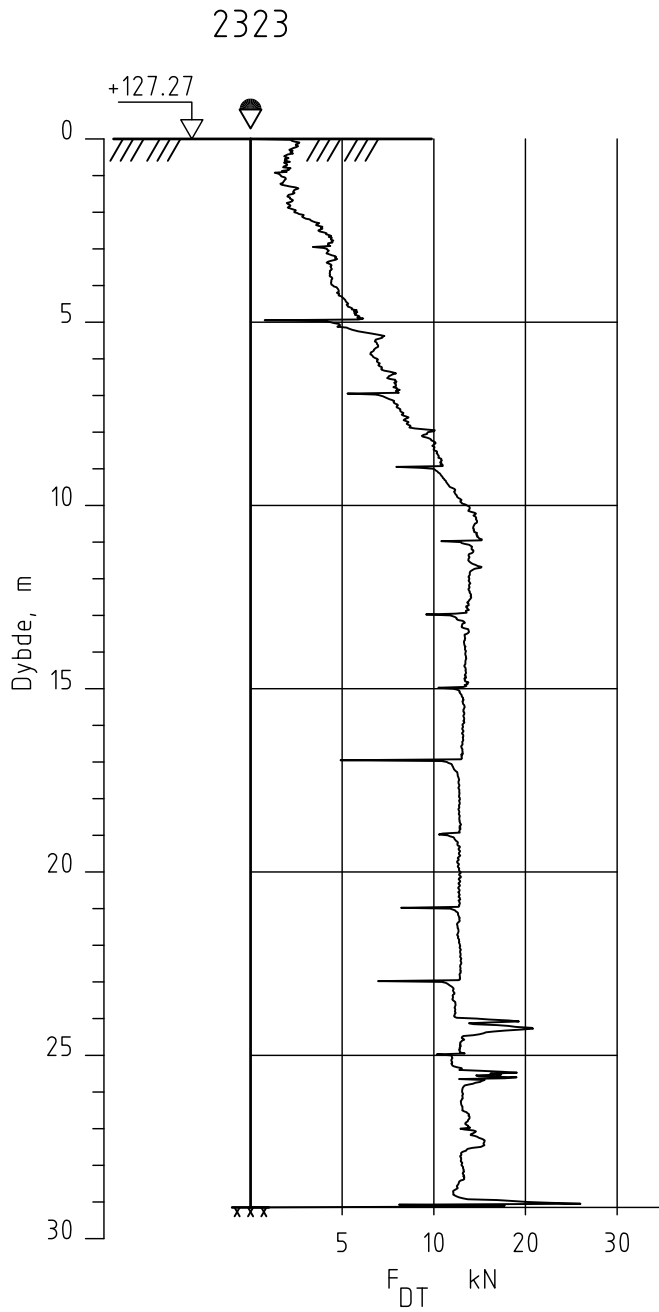
Kontrollert
TFS

Godkjent
MaR

Figur nr.
A310

Dato:
09.07.14




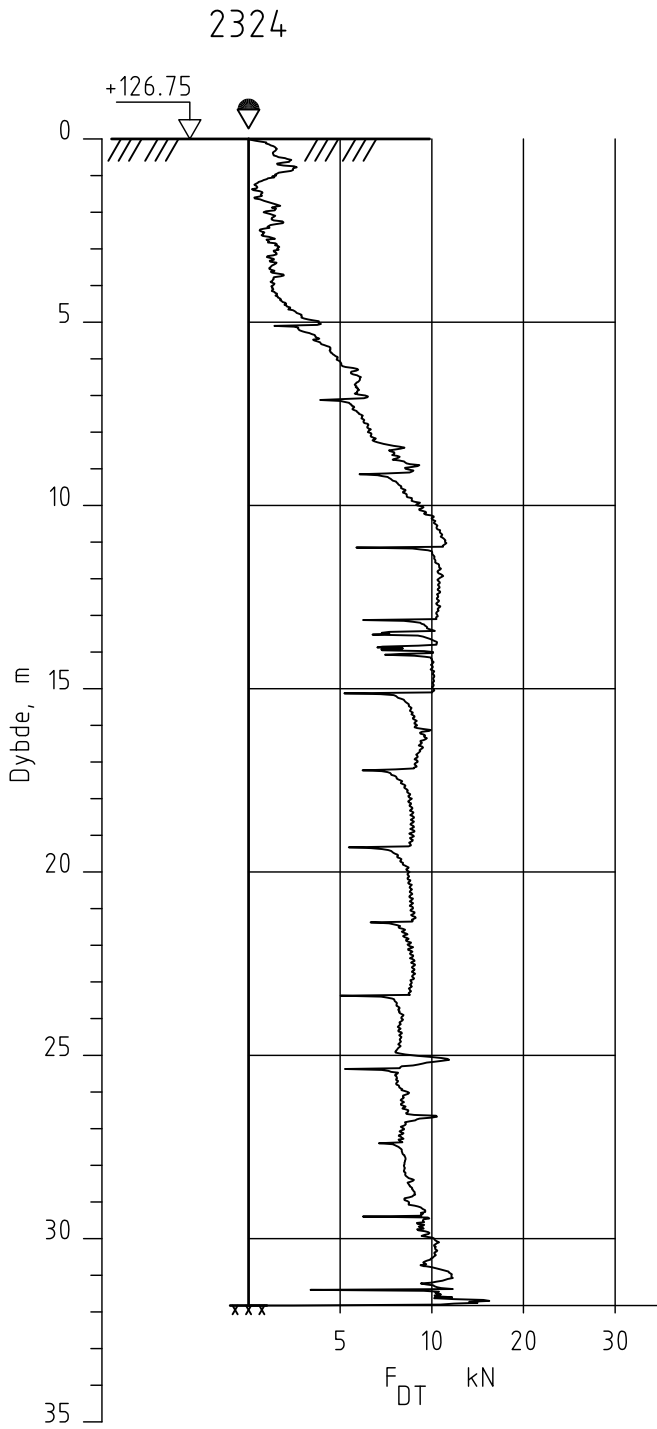


E16 Nybakk - Slomarka

Dreietrykkssondering
M = 1 : 200

Borhull 2323
Posisjon: X 1241230.59 Y 94726.92 Dato boret :17.02.2014


Rapport nr. 20120491-2-R	Figur nr. A311
Tegner JGr	Dato: 09.07.14
Kontrollert TFS	
Godkjent MaR	

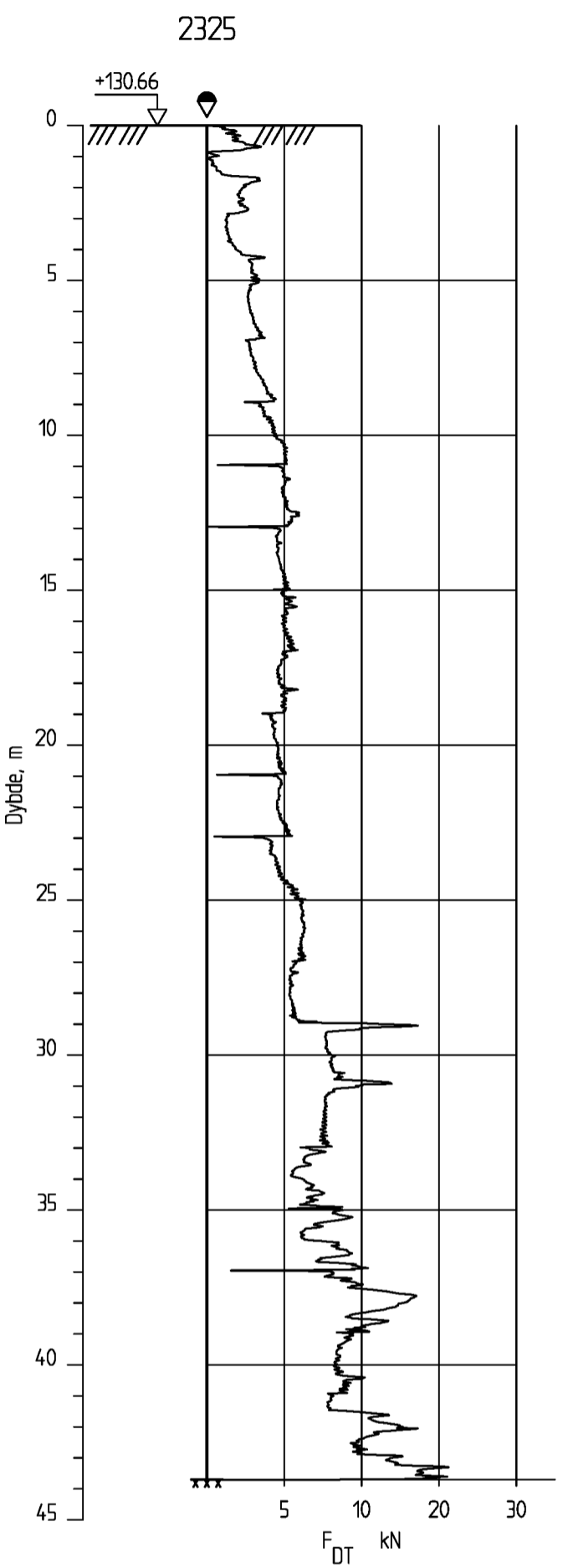


E16 Nybakk - Slomarka

Dreietrykksondering
M = 1 : 200

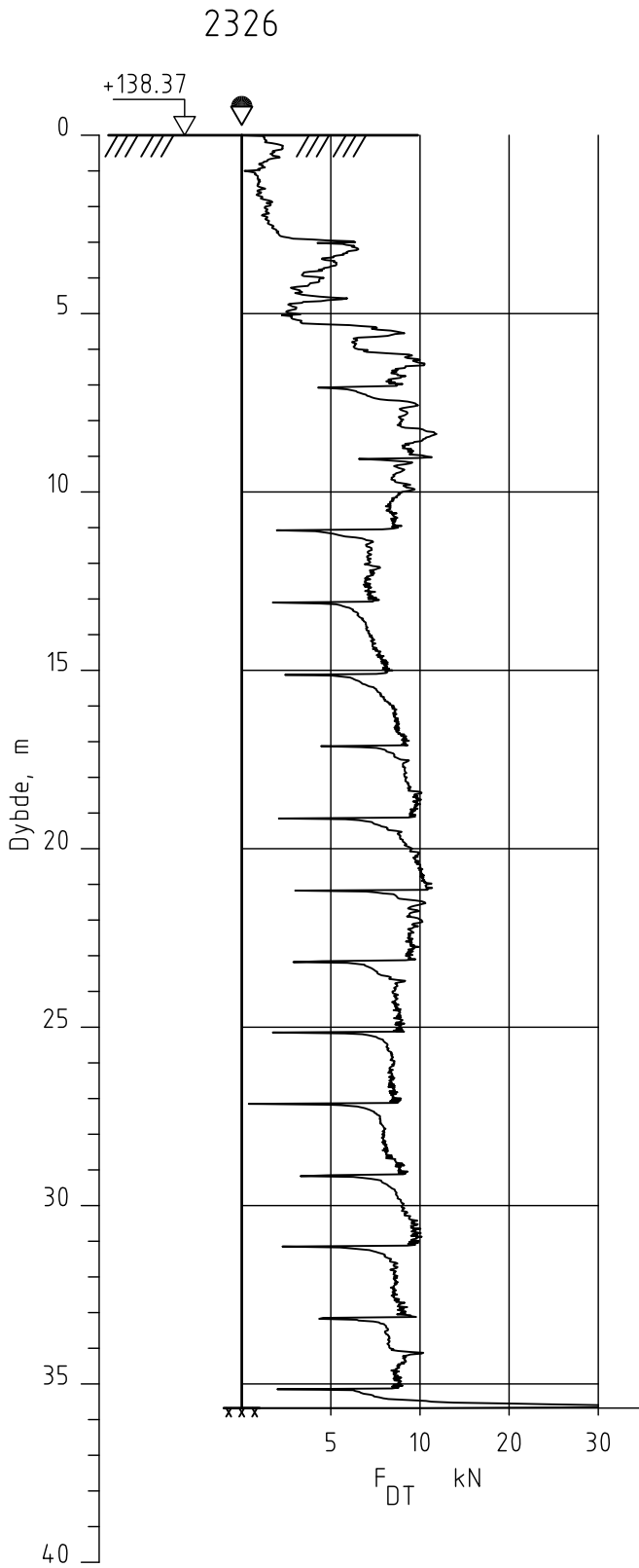
Borhull 2324
Posisjon: X 1241191.78 Y 94758.50 Dato boret :17.02.2014

Rapport nr. 20120491-2-R	Figur nr. A312
Tegner JGr	Dato: 09.07.14
Kontrollert TFS	
Godkjent MaR	



E16 Nybakk - Slomarka		Rapport nr. 20120491-2-R	Figur nr. A313
Dreiestrykkssondering M = 1 : 200		Tegner JGF	Dato: 09.07.14
Bor hull 2325 Posisjon: X 1241153.01 Y 94790.08		Kontrolleret TFS	
Dato boret :18.02.2014		Godkjent MAR	




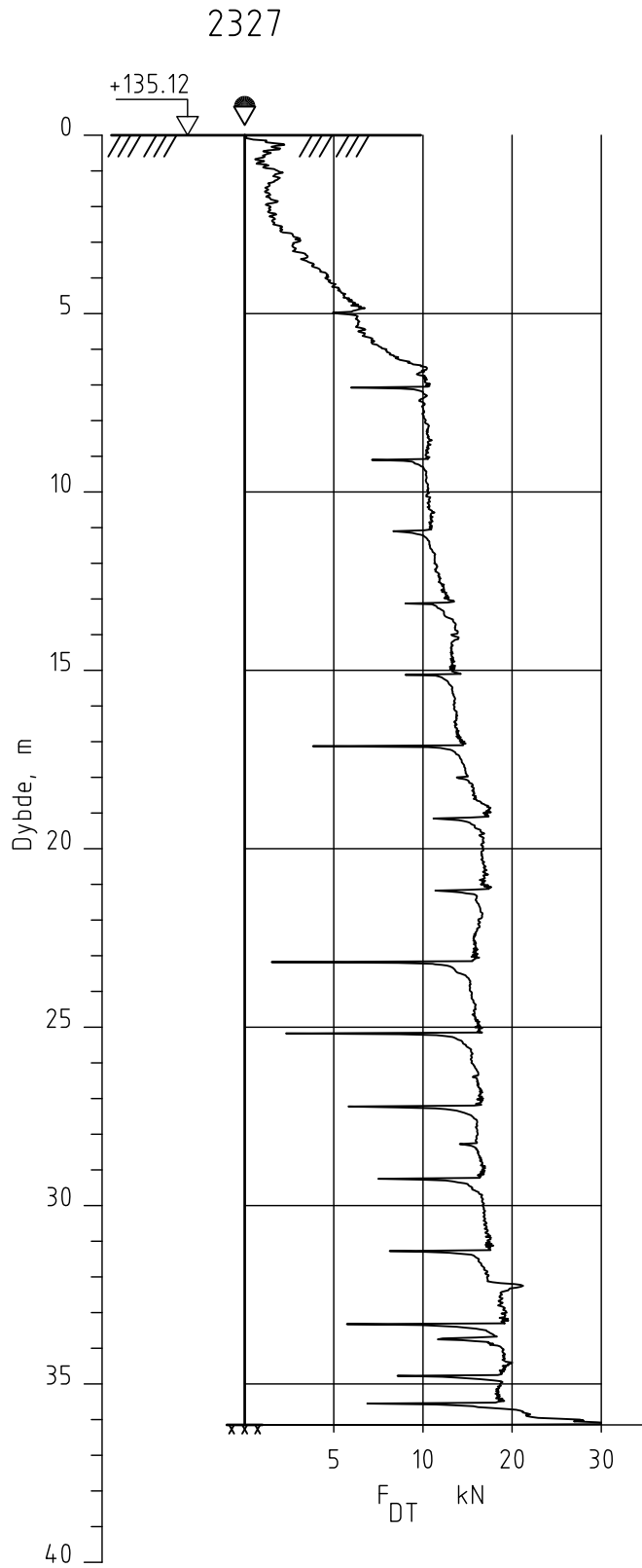


E16 Nybakk - Slomarka

Dreietrykksondering
M = 1 : 200

Borhull 2326
Posisjon: X 1241300.88 Y 94734.13 Dato boret :18.02.2014

Rapport nr. 20120491-2-R	Figur nr. A314
Tegner JGr	Dato: 09.07.14
Kontrollert TFS	 NGI
Godkjent MaR	



E16 Nybakk - Slomarka

Rapport nr.
20120491-2-R

Figur nr.
A315

Dreietrykksondering
M = 1 : 200

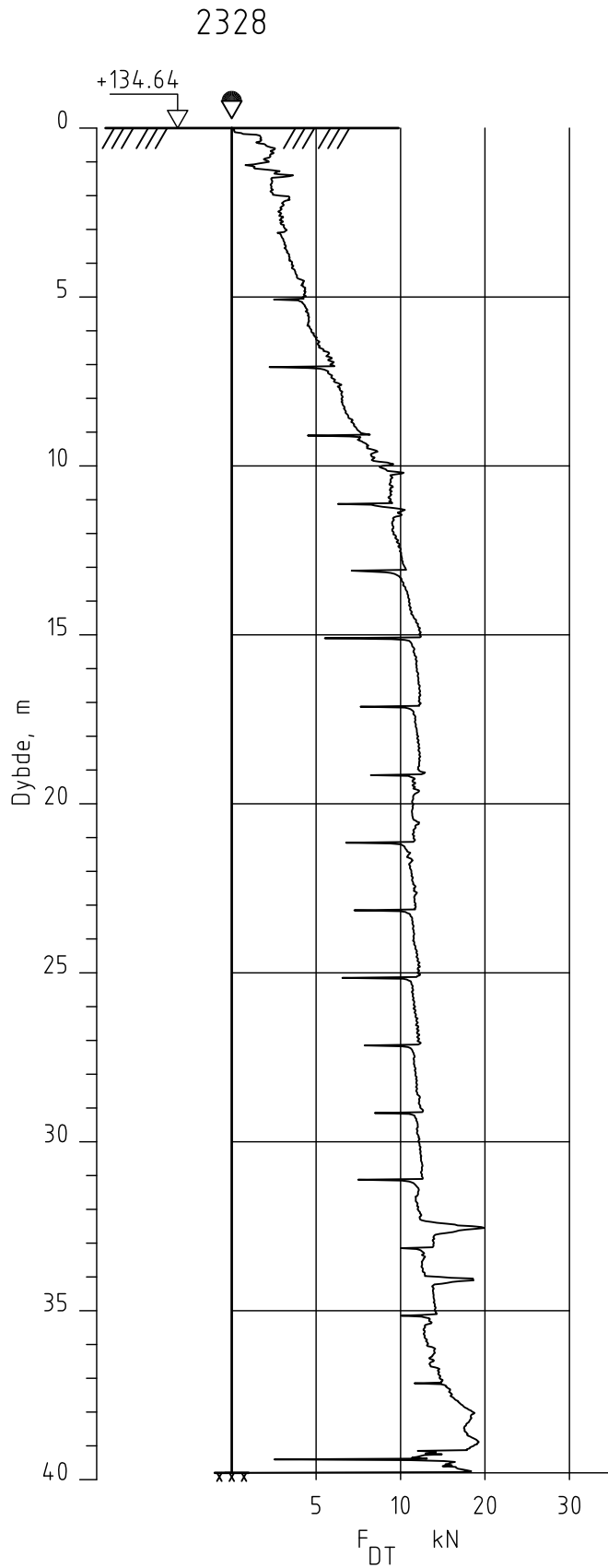
Tegner
JGr

Dato:
09.07.14

Borhull 2327
Posisjon: X 1241262.14 Y 94765.70 Dato boret :18.02.2014

Kontrollert
TFS
Godkjent
MaR





E16 Nybakk - Slomarka

Rapport nr.
20120491-2-R

Figur nr.
A316

Dreietrykksondering
M = 1 : 200

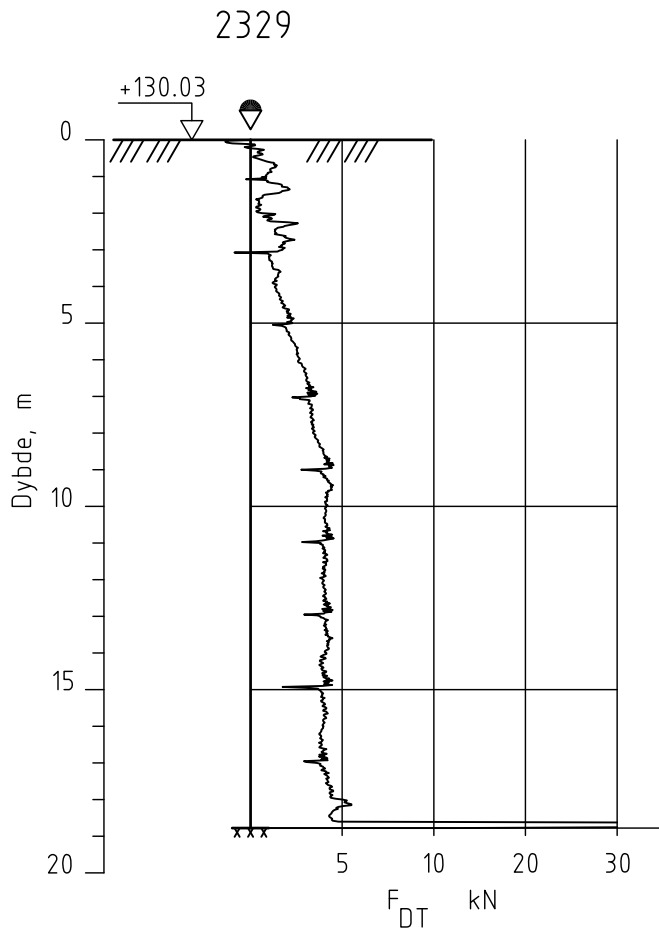
Tegner
JGr

Dato:
09.07.14

Borhull 2328
Posisjon: X 1241223.35 Y 94797.27 Dato boret :18.02.2014

Kontrollert
TFS
Godkjent
MaR





E16 Nybakk - Slomarka

Dreietrykksondering
M = 1 : 200

Borhull 2329
Posisjon: X 1241184.57 Y 94828.84 Dato boret :18.02.2014

Rapport nr.
20120491-2-R

Figur nr.
A317

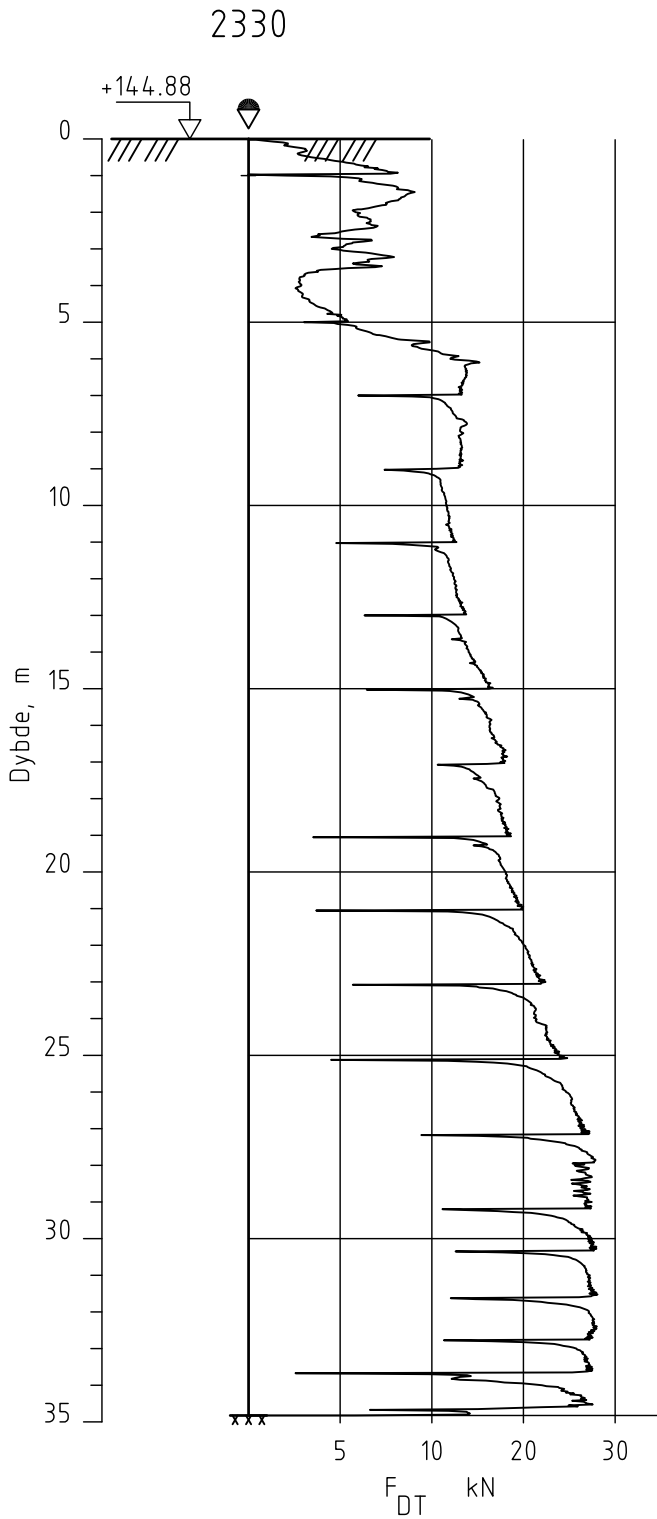
Tegner
JGr

Dato:
09.07.14

Kontrollert
TFS

Godkjent
MaR





E16 Nybakk - Slomarka

Rapport nr.
20120491-2-R

Figur nr.
A318

Dreietrykksondering
M = 1 : 200

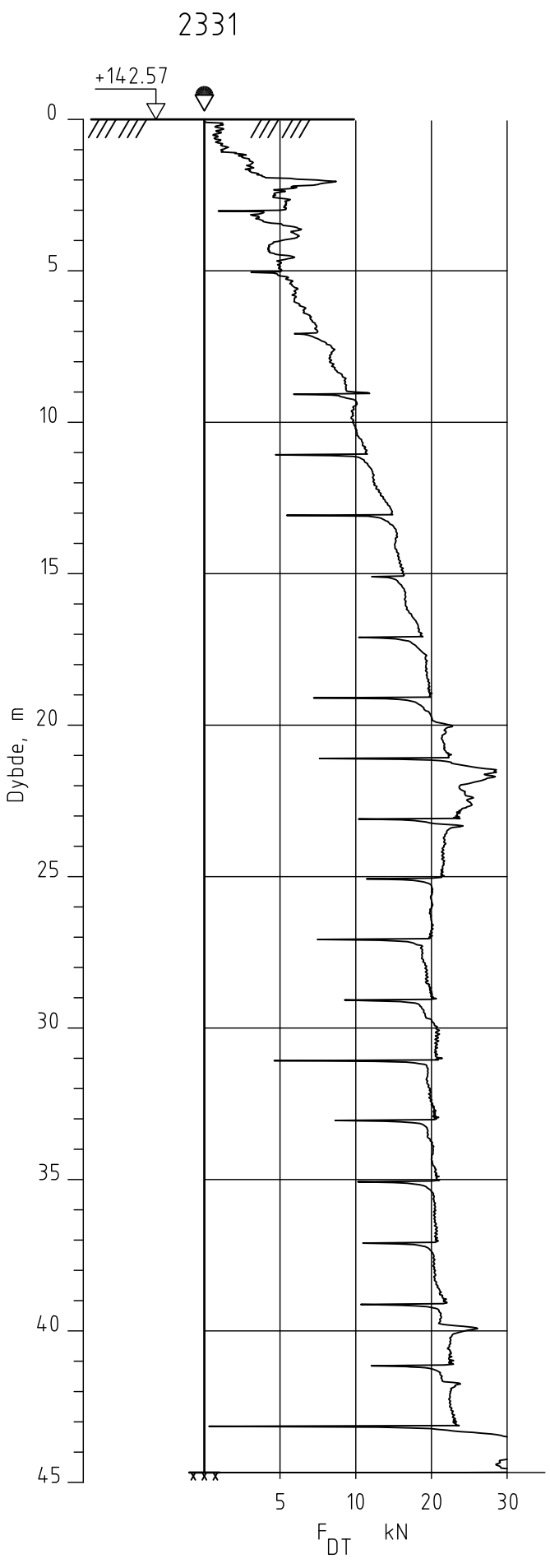
Tegner
JGr

Dato:
09.07.14

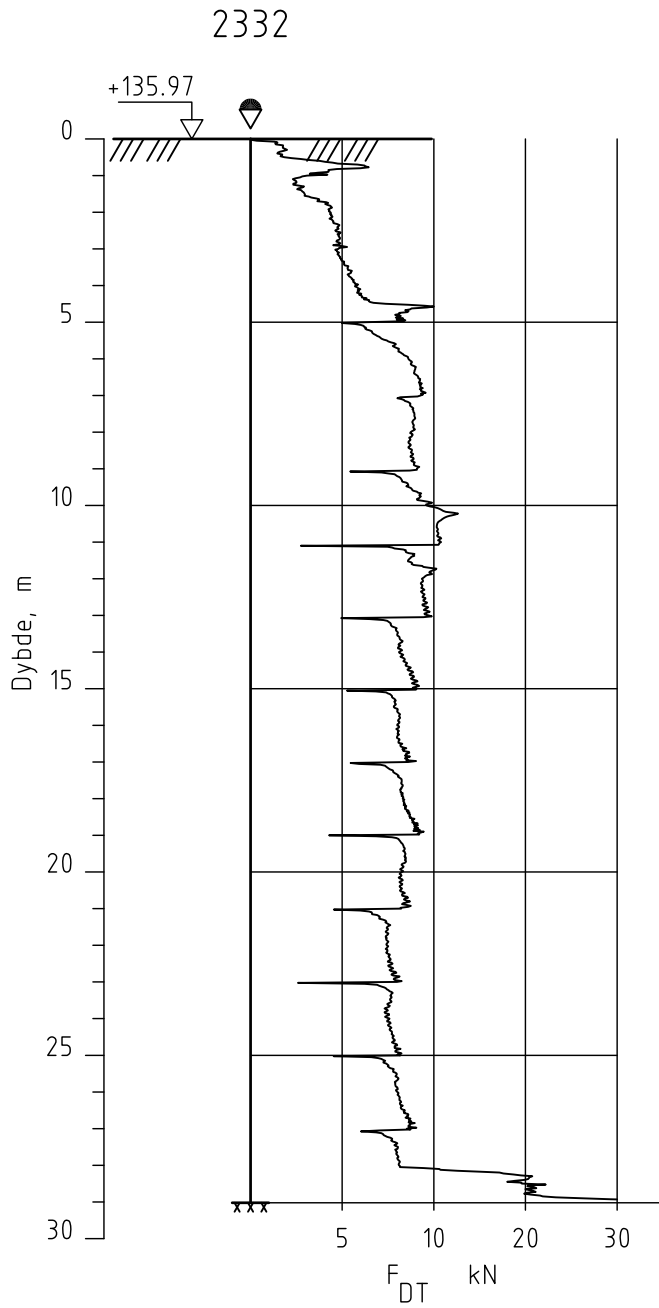
Borhull 2330
Posisjon: X 1241332.22 Y 94773.10 Dato boret :18.02.2014

Kontrollert
TFS
Godkjent
MaR





E16 Nybakk - Slomarka		Rapport nr. 20120491-2-R	Figur nr. A319
Dreietrykksondering M = 1 : 200		Tegner JGr	Dato 09.07.14
Borhull 2331 Posisjon: X 1241292.61 Y 94803.62		Kontrollert TFS	NGI
Dato boret :19.02.2014		Godkjent MDR	



E16 Nybakk - Slomarka

Dreietrykksondering
M = 1 : 200

Borhull 2332
Posisjon: X 1241253.05 Y 94834.19 Dato boret :20.02.2014

Rapport nr.
20120491-2-R

Figur nr.
A320

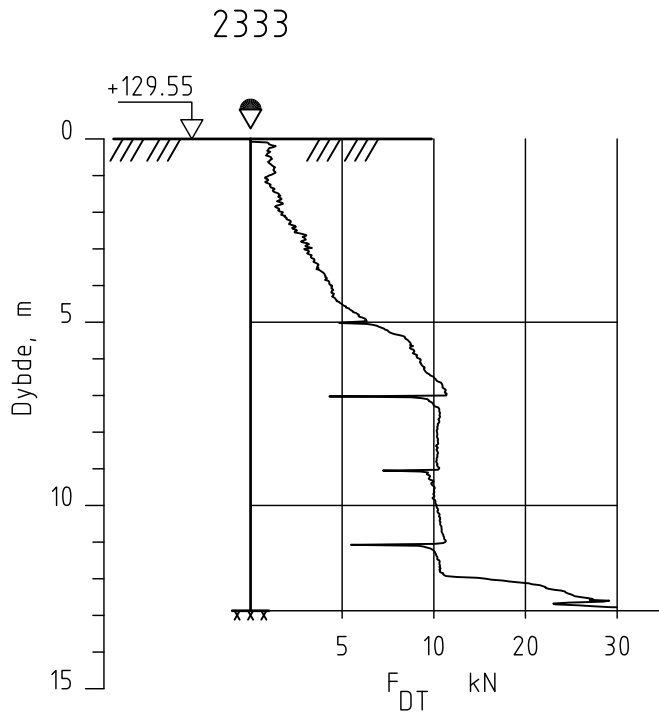
Tegner
JGr

Dato:
09.07.14

Kontrollert
TFS

Godkjent
MaR





E16 Nybakk - Slomarka

Dreietrykksondering
M = 1 : 200

Borhull 2333
Posisjon: X 1241213.46 Y 94864.74 Dato boret :20.02.2014

Rapport nr.
20120491-2-R

Figur nr.
A321

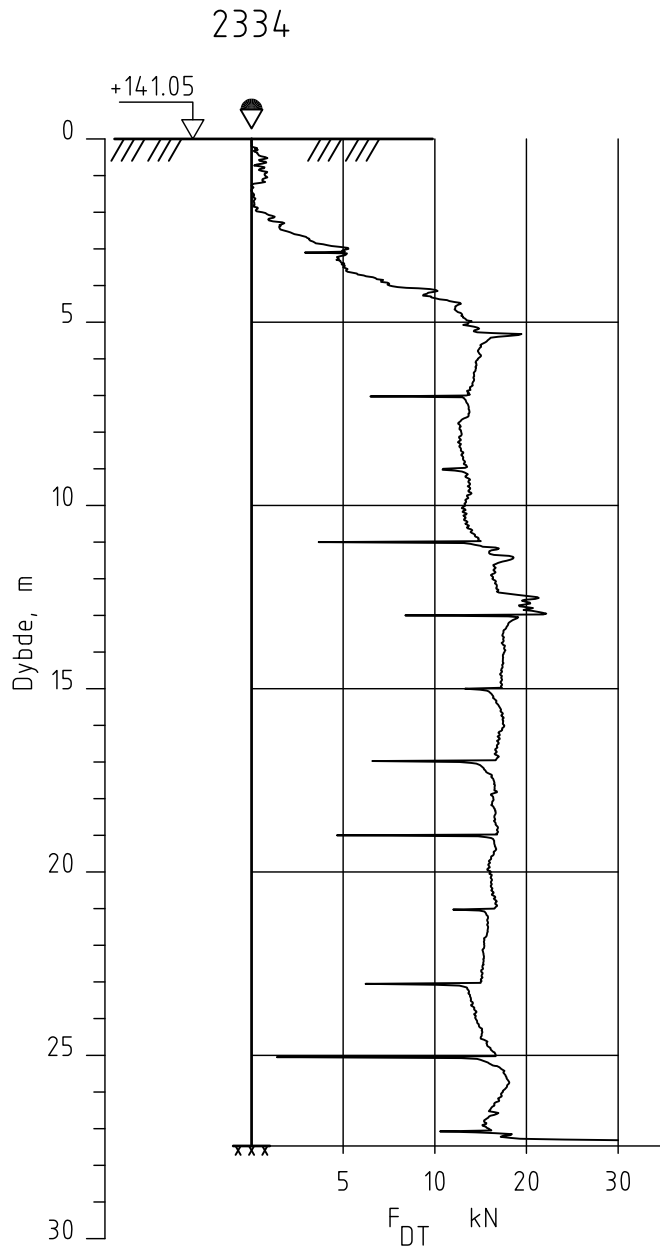
Tegner
JGr

Dato:
09.07.14

Kontrollert
TFS

Godkjent
MaR





E16 Nybakk - Slomarka

Rapport nr.
20120491-2-R

Figur nr.
A322

Dreietrykksondering
M = 1 : 200

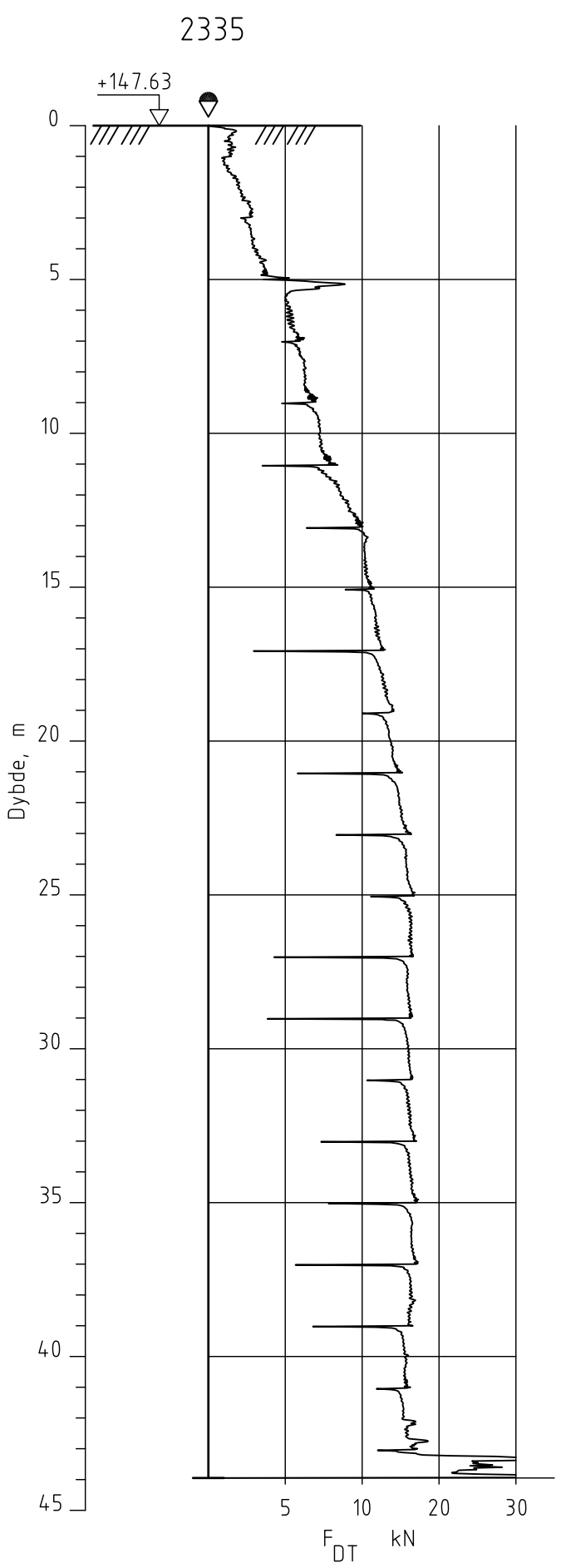
Tegner
JGr

Dato:
09.07.14

Borhull 2334
Posisjon: X 1241402.75 Y 94784.85 Dato boret :19.02.2014

Kontrollert
TFS
Godkjent
MaR



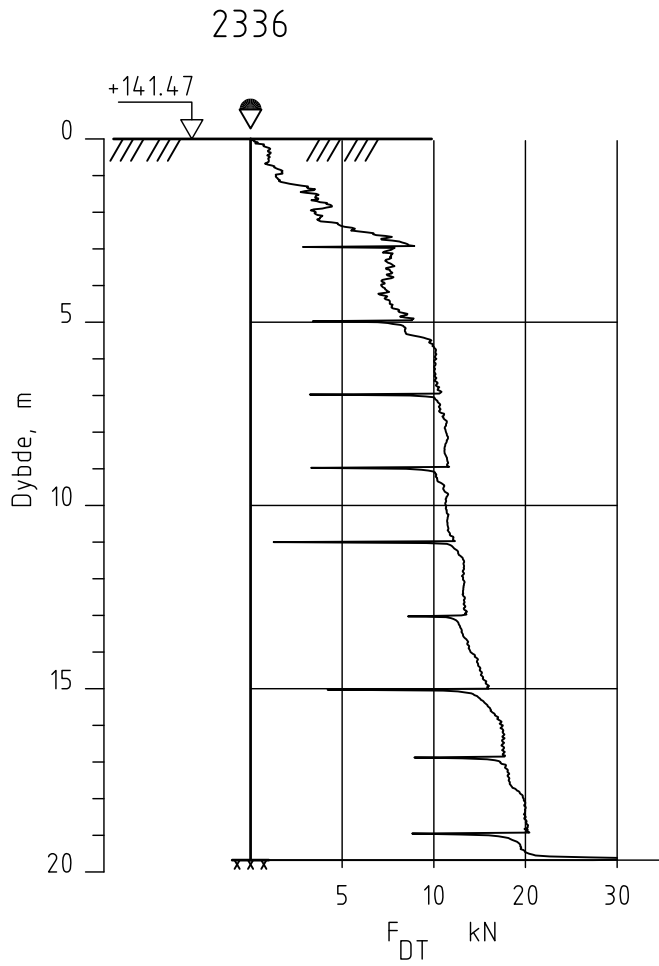


E16 Nybbakk - Slomarka

Dreietrykkssondering
 M = 1 : 200
 Borhull 2335
 Posisjon: X 1241361.74 Y 94813.48 Dato boret :19.02.2014

Rapport nr. 20120491-2-R	Figur nr. A323
Tegner JGR	Dato: 09.07.14
Kontrollerert TFS	
Godkjent MAR	





E16 Nybakk - Slomarka

Rapport nr.
20120491-2-R

Figur nr.
A324

Dreietrykksondering
M = 1 : 200

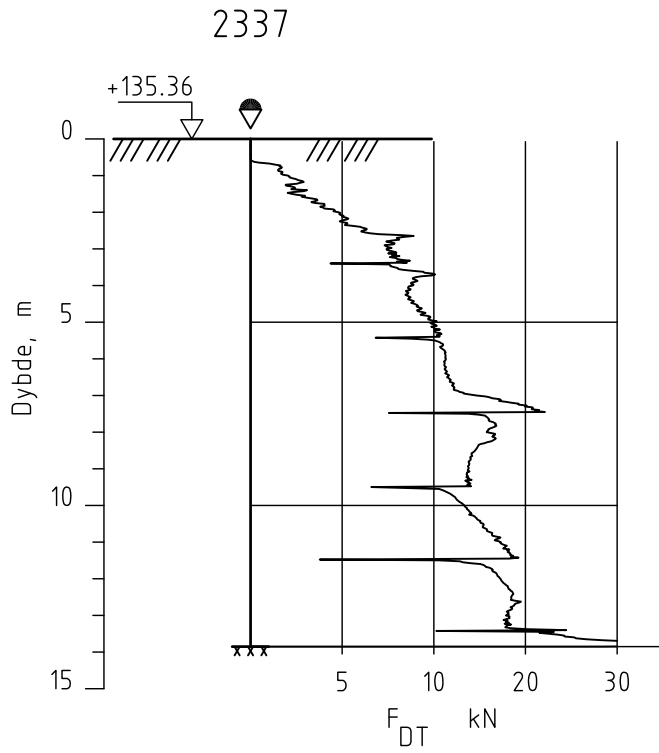
Tegner
JGr

Dato:
09.07.14

Borhull 2336
Posisjon: X 1241320.76 Y 94842.06 Dato boret :20.02.2014

Kontrollert
TFS
Godkjent
MaR





E16 Nybakk - Slomarka

Rapport nr.
20120491-2-R

Figur nr.
A325

Dreietrykksondering
M = 1 : 200

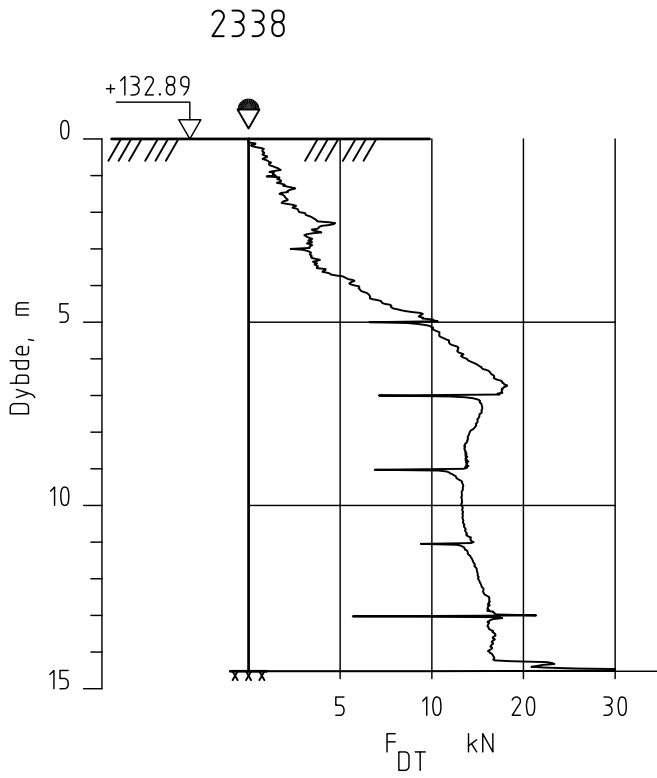
Tegner
JGr

Dato:
09.07.14

Borhull 2337
Posisjon: X 1241279.75 Y 94870.69 Dato boret :20.02.2014

Kontrollert
TFS
Godkjent
MaR





E16 Nybakk - Slomarka

Dreietrykksondering
M = 1 : 200

Borhull 2338
Posisjon: X 1241238.74 Y 94899.23 Dato boret :20.02.2014

Rapport nr.
20120491-2-R

Figur nr.
A326

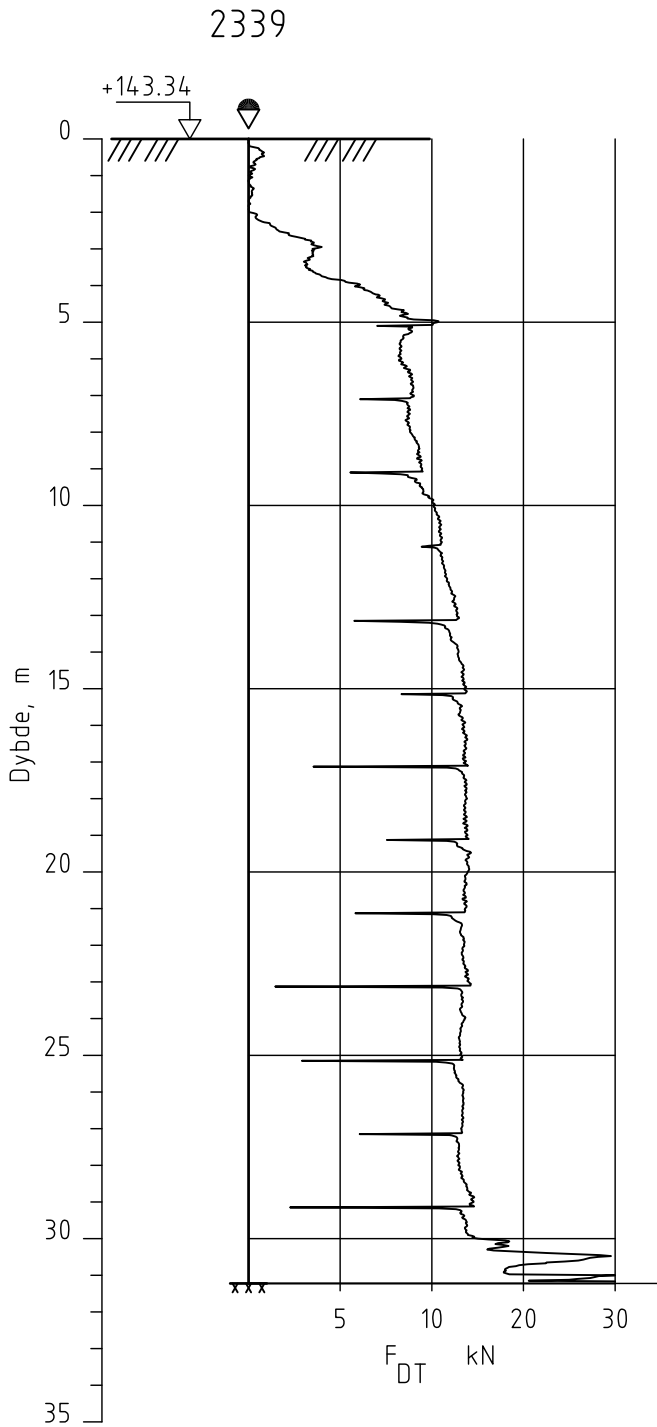
Tegner
JGr

Dato:
09.07.14

Kontrollert
TFS

Godkjent
MaR




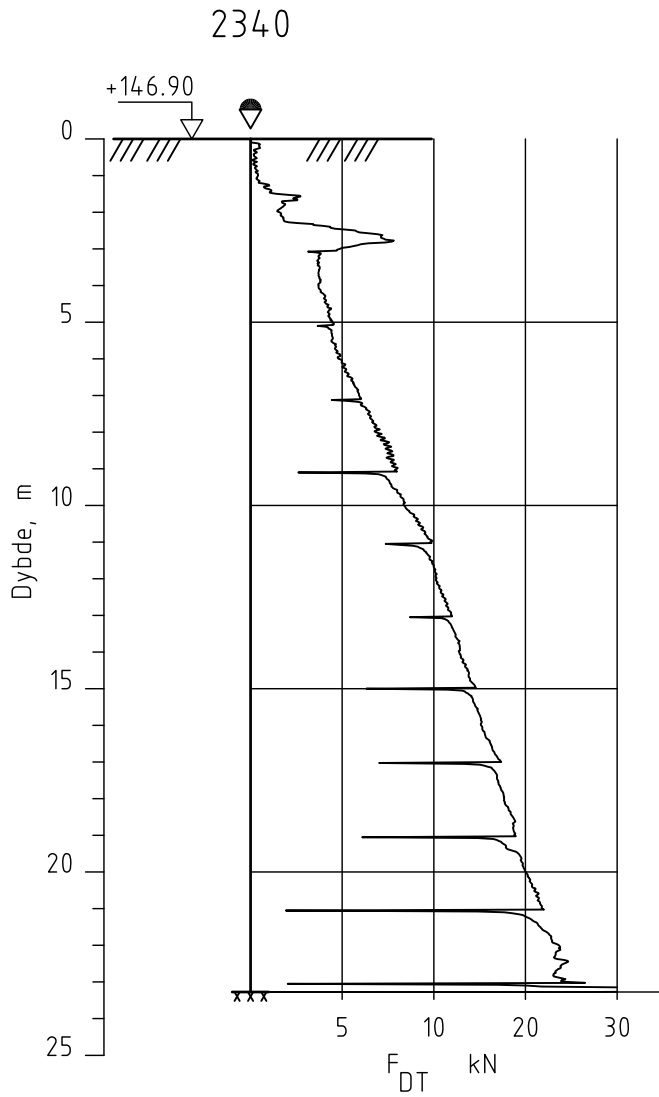


E16 Nybakk - Slomarka

Dreietrykksondering
M = 1 : 200

Borhull 2339
Posisjon: X 1241431.54 Y 94827.82 Dato boret :20.02.2014

Rapport nr. 20120491-2-R	Figur nr. A327
Tegner JGr	Dato: 09.07.14
Kontrollert TFS	
Godkjent MaR	



E16 Nybakk - Slomarka

Rapport nr.
20120491-2-R

Figur nr.
A328

Dreietrykksondering
M = 1 : 200

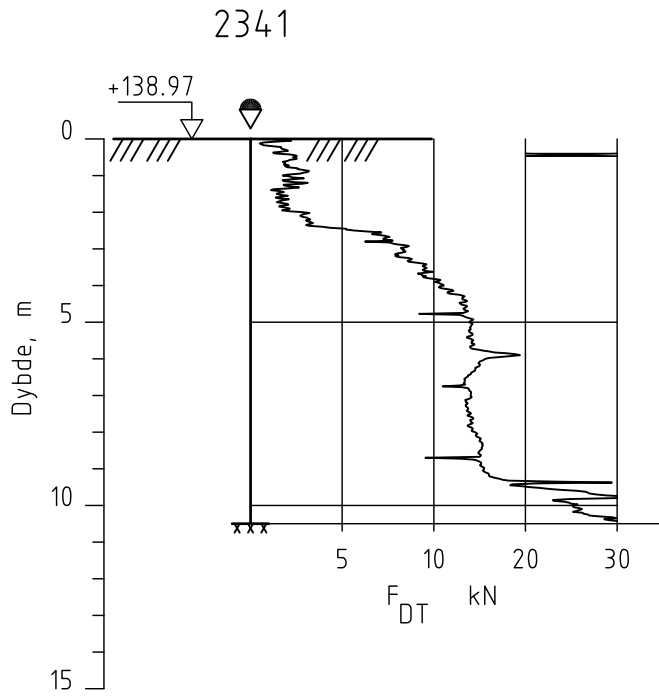
Tegner
JGr

Dato:
09.07.14

Borhull 2340
Posisjon: X 1241389.64 Y 94854.95 Dato boret :20.02.2014

Kontrollert
TFS
Godkjent
MaR





E16 Nybakk - Slomarka

Dreietrykksondering
M = 1 : 200

Borhull 2341
Posisjon: X 1241347.65 Y 94882.14 Dato boret :20.02.2014

Rapport nr.
20120491-2-R

Figur nr.
A329

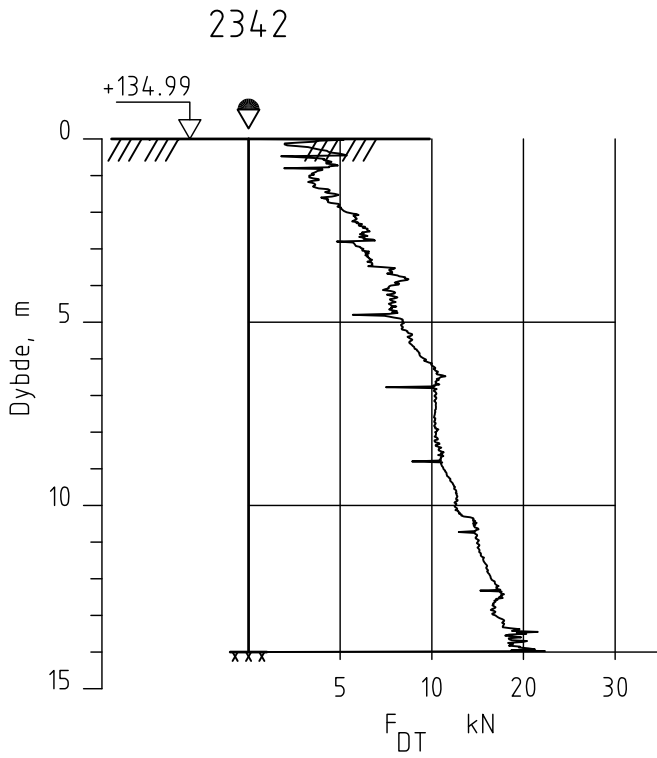
Tegner
JGr

Dato:
09.07.14

Kontrollert
TFS

Godkjent
MaR





E16 Nybakk - Slomarka

Dreietrykksondering
M = 1 : 200

Borhull 2342
Posisjon: X 1241305.69 Y 94909.29 Dato boret :20.02.2014

Rapport nr.
20120491-2-R

Figur nr.
A330

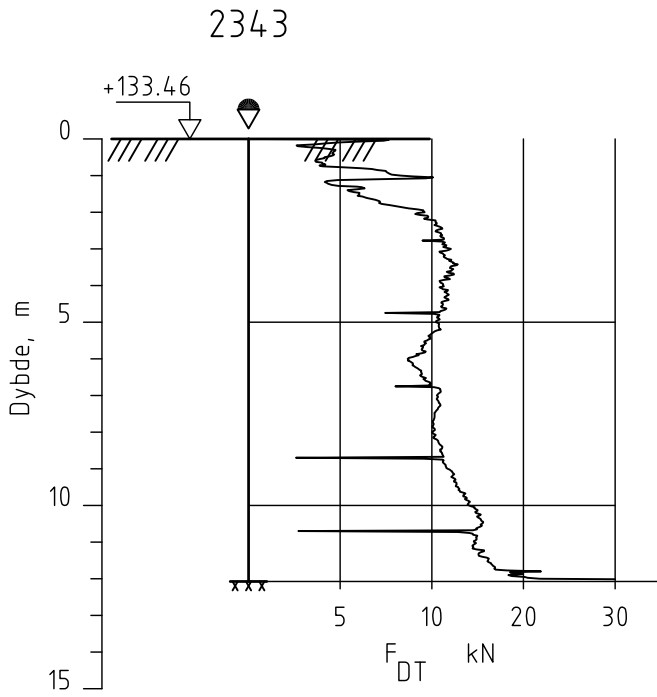
Tegner
JGr

Dato:
09.07.14

Kontrollert
TFS

Godkjent
MaR





E16 Nybakk - Slomarka

Dreietrykksondering
M = 1 : 200

Borhull 2343
Posisjon: X 1241263.70 Y 94936.46 Dato boret :20.02.2014

Rapport nr.
20120491-2-R

Figur nr.
A331

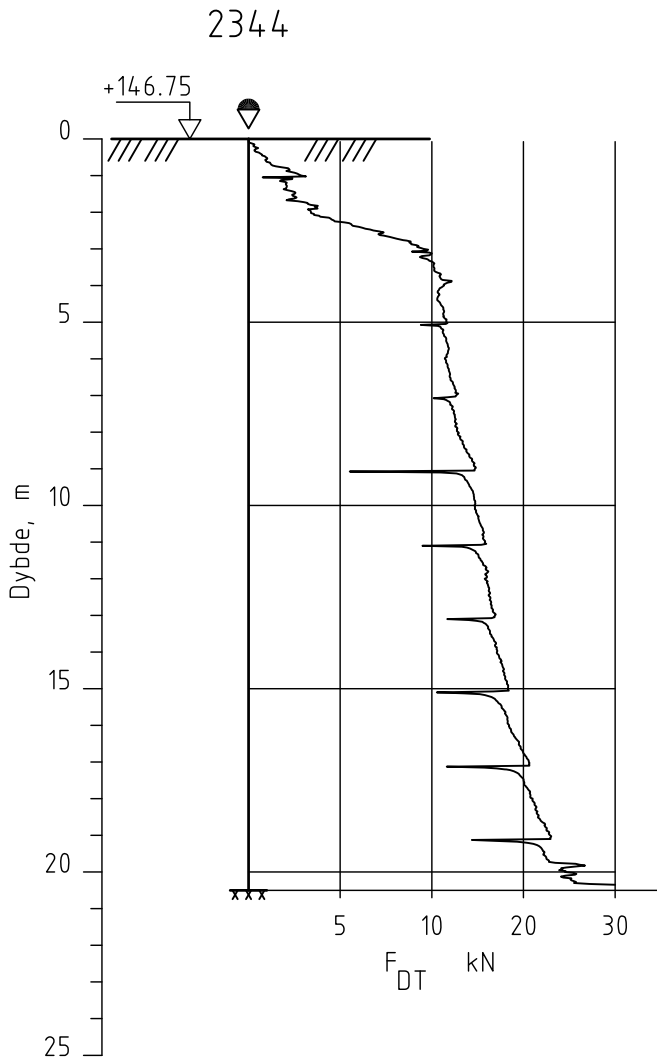
Tegner
JGr

Dato:
09.07.14

Kontrollert
TFS

Godkjent
MaR





E16 Nybakk - Slomarka

Dreietrykkssondering
M = 1 : 200

Borhull 2344

Posisjon: X 1241458.95 Y 94871.65 Dato boret :20.02.2014

Rapport nr.
20120491-2-R

Figur nr.
A332

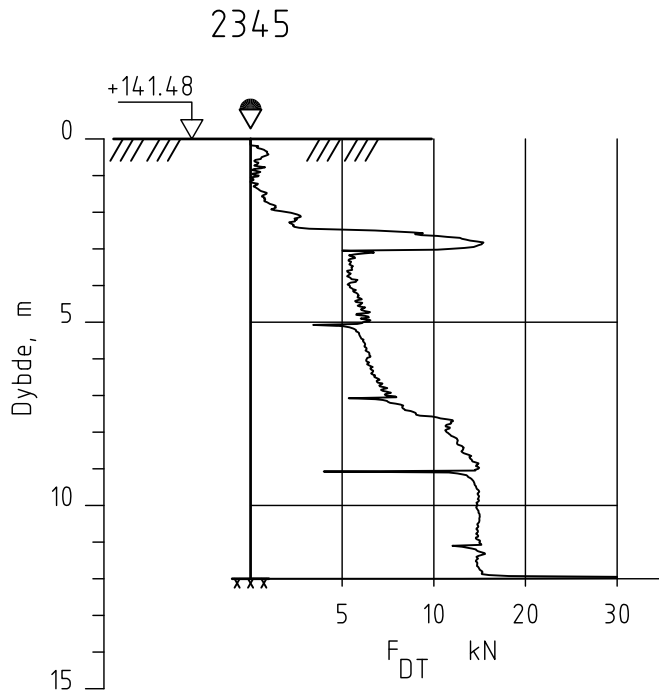
Tegner
JGr

Dato:
09.07.14

Kontrollert
TFS

Godkjent
MaR





E16 Nybakk - Slomarka

Dreietrykksondering
M = 1 : 200

Borhull 2345
Posisjon: X 1241416.06 Y 94897.34 Dato boret :20.02.2014

Rapport nr.
20120491-2-R

Figur nr.
A333

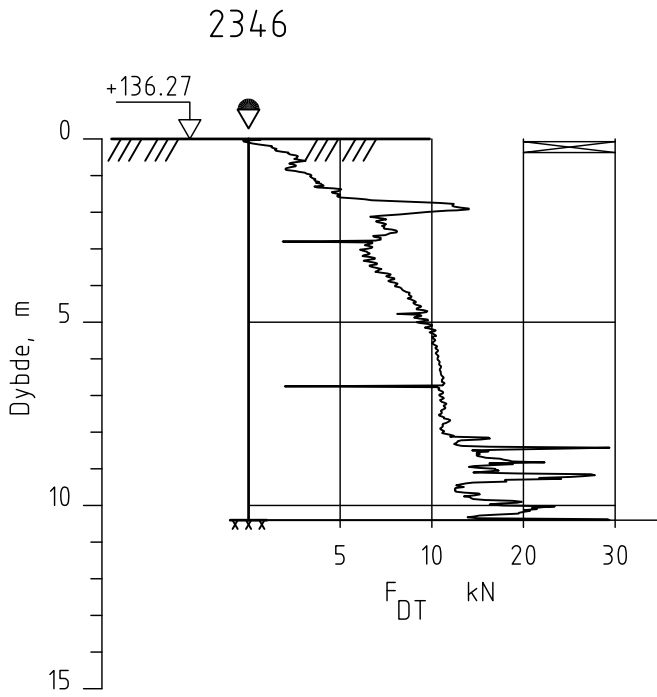
Tegner
JGr

Dato:
09.07.14

Kontrollert
TFS

Godkjent
MaR





E16 Nybakk - Slomarka

Dreietrykksondering
M = 1 : 200

Borhull 2346

Posisjon: X 1241373.21 Y 94923.16

Dato boret :20.02.2014

Rapport nr.
20120491-2-R

Figur nr.
A334

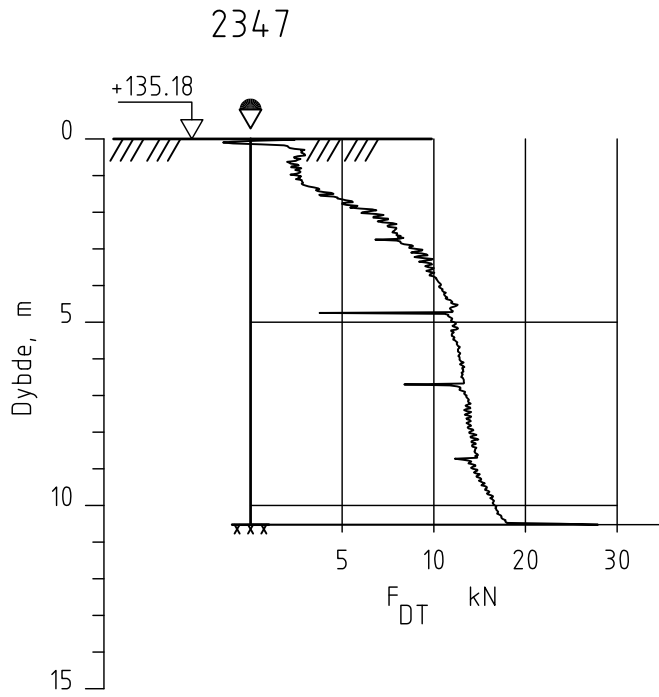
Tegner
JGr

Dato:
09.07.14

Kontrollert
TFS

Godkjent
MaR





E16 Nybakk - Slomarka

Dreietrykksondering
M = 1 : 200

Borhull 2347
Posisjon: X 1241330.31 Y 94948.85 Dato boret :20.02.2014

Rapport nr.
20120491-2-R

Figur nr.
A335

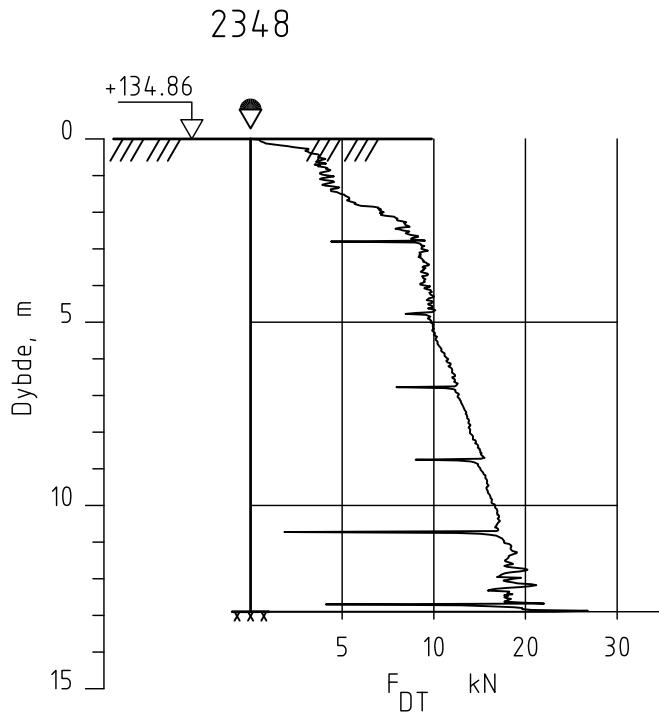
Tegner
JGr

Dato:
09.07.14

Kontrollert
TFS

Godkjent
MaR





E16 Nybakk - Slomarka

Dreietrykkssondering
M = 1 : 200

Borhull 2348
Posisjon: X 1241287.48 Y 94974.65 Dato boret :24.02.2014

Rapport nr.
20120491-2-R

Figur nr.
A336

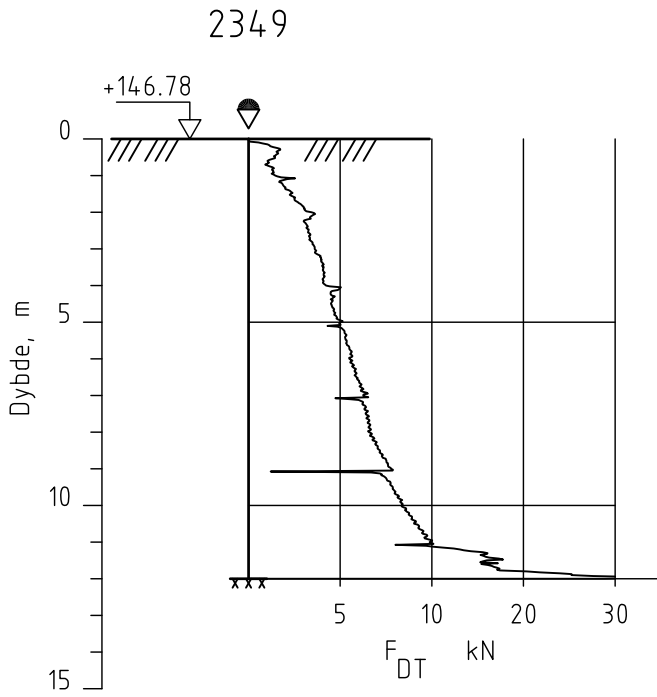
Tegner
JGr

Dato:
09.07.14

Kontrollert
TFS

Godkjent
MaR





E16 Nybakk - Slomarka

Dreietrykksondering
M = 1 : 200

Borhull 2349
Posisjon: X 1241484.77 Y 94916.32 Dato boret :24.02.2014

Rapport nr.
20120491-2-R

Figur nr.
A337

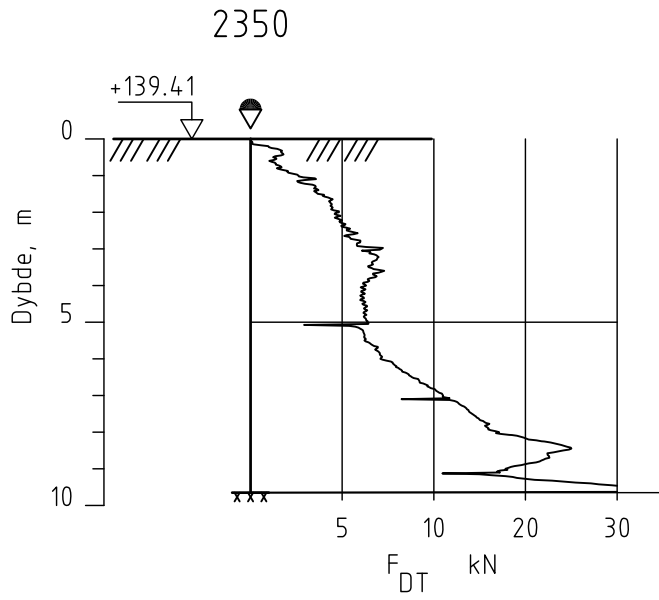
Tegner
JGr

Dato:
09.07.14

Kontrollert
TFS

Godkjent
MaR





E16 Nybakk - Slomarka

Dreietrykksondering
M = 1 : 200

Borhull 2350
Posisjon: X 1241441.03 Y 94940.65 Dato boret :24.02.2014

Rapport nr.
20120491-2-R

Figur nr.
A338

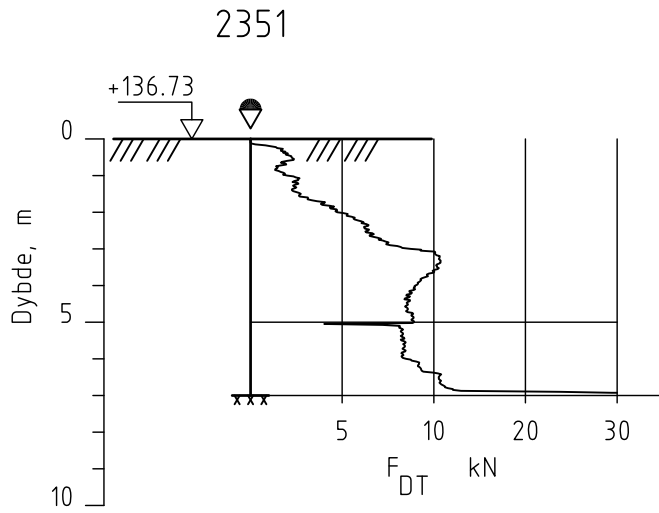
Tegner
JGr

Dato:
09.07.14

Kontrollert
TFS

Godkjent
MaR





E16 Nybakk - Slomarka

Dreietrykksondering
M = 1 : 200

Borhull 2351

Posisjon: X 1241397.39 Y 94964.94 Dato boret :24.02.2014

Rapport nr.
20120491-2-R

Figur nr.
A339

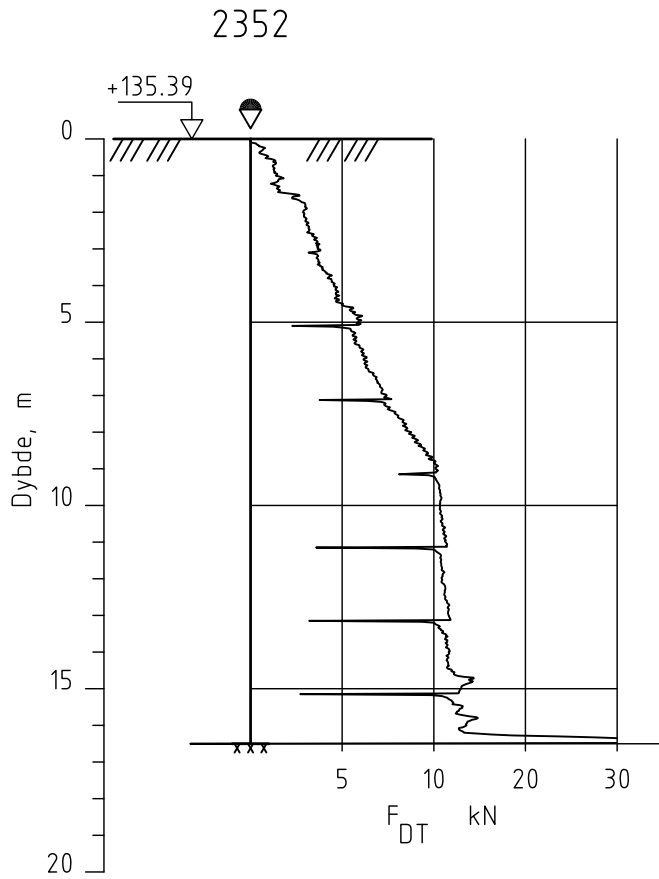
Tegner
JGr

Dato:
09.07.14

Kontrollert
TFS

Godkjent
MaR




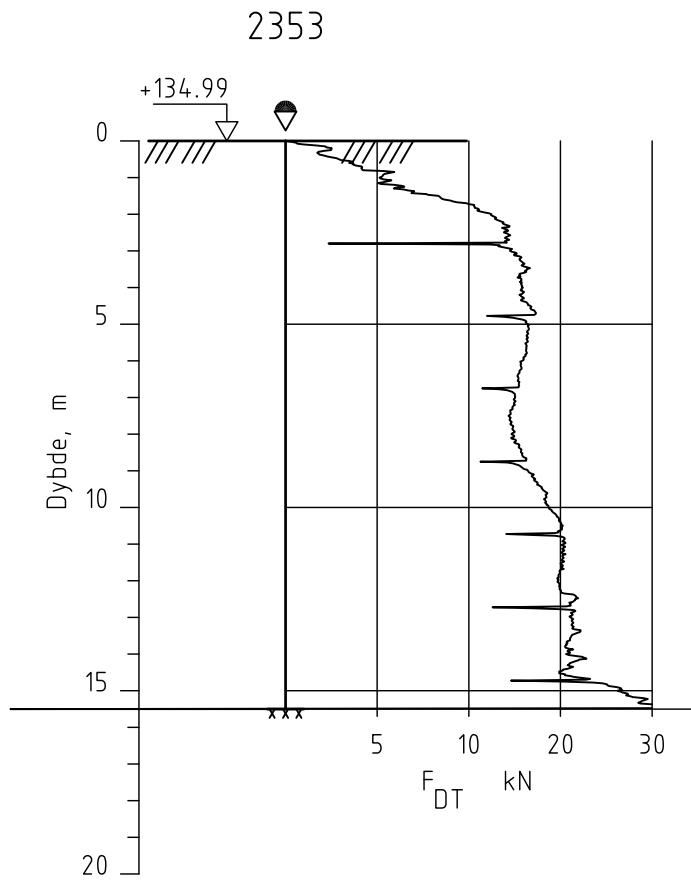



E16 Nybakk - Slomarka

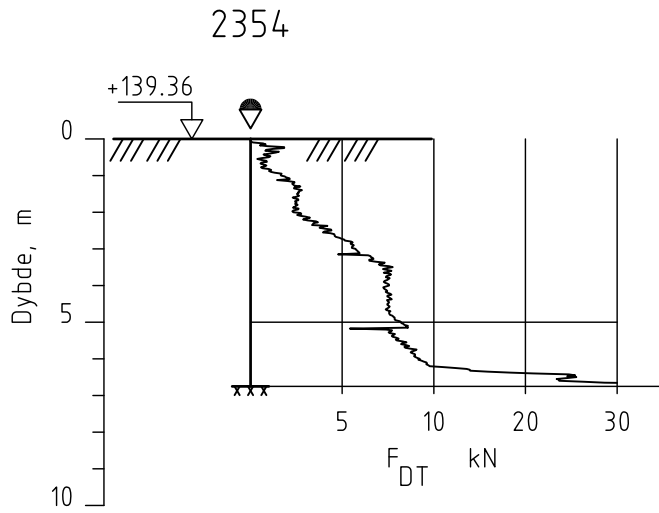
Dreietrykksondering
M = 1 : 200

Borhull 2352
Posisjon: X 1241353.71 Y 94989.28 Dato boret :24.02.2014

Rapport nr. 20120491-2-R	Figur nr. A340
Tegner JGr	Dato: 09.07.14
Kontrollert TFS	
Godkjent MaR	



E16 Nybakk - Slomarka		Rapport nr. 20120491-2-R	Figur nr. A341
Dreietrykksondering M = 1 : 200		Tegner JGr	Dato: 09.07.14
Borhull 2353		Kontrollert TFS	
Posisjon: X 1241310.02 Y 95013.59 Dato boret :24.02.2014		Godkjent MaR	



E16 Nybakk - Slomarka

Dreietrykksondering
M = 1 : 200

Borhull 2354

Posisjon: X 1241509.11 Y 94961.96

Dato boret :24.02.2014

Rapport nr.
20120491-2-R

Figur nr.
A342

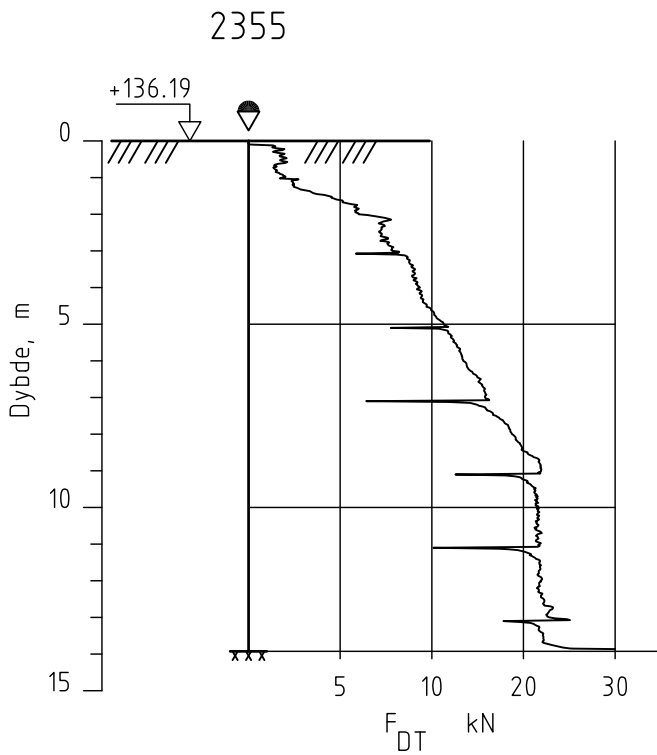
Tegner
JGr

Dato:
09.07.14

Kontrollert
TFS

Godkjent
MaR





E16 Nybakk - Slomarka

Dreietrykksondering
M = 1 : 200

Borhull 2355

Posisjon: X 1241420.21 Y 95007.59 Dato boret :24.02.2014

Rapport nr.
20120491-2-R

Figur nr.
A343

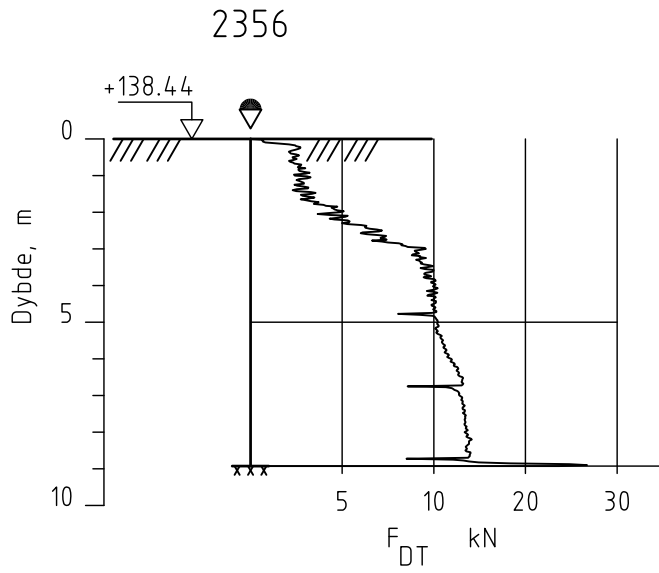
Tegner
JGr

Dato:
09.07.14

Kontrollert
TFS

Godkjent
MaR





E16 Nybakk - Slomarka

Rapport nr.
20120491-2-R

Figur nr.
A344

Dreietrykksondering
M = 1 : 200

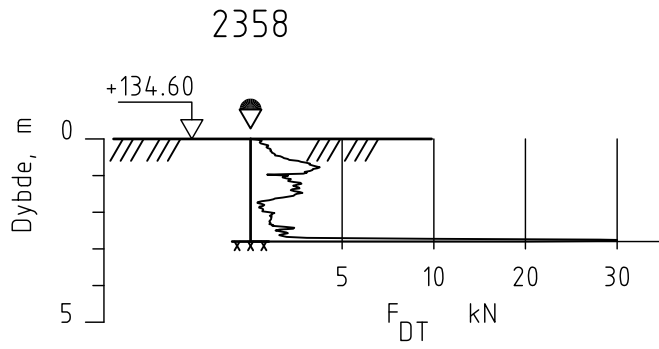
Tegner
JGr

Dato:
09.07.14

Borhull 2356
Posisjon: X 1241531.97 Y 95008.28 Dato boret :24.02.2014

Kontrollert
TFS
Godkjent
MaR





E16 Nybakk - Slomarka

Dreietrykksondering
M = 1 : 200

Borhull 2358
Posisjon: X 1241553.28 Y 95055.43 Dato boret :04.03.2014

Rapport nr.
20120491-2-R

Figur nr.
A345

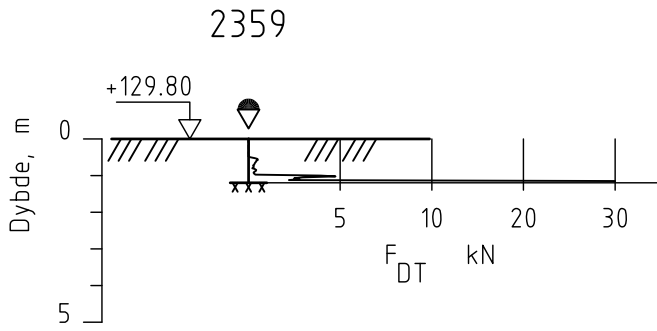
Tegner
JGr

Dato:
09.07.14

Kontrollert
TFS

Godkjent
MaR





E16 Nybakk - Slomarka

Dreietrykksondering
M = 1 : 200

Borhull 2359

Posisjon: X 1241510.51 Y 95075.97

Dato boret :03.03.2014

Rapport nr.
20120491-2-R

Figur nr.
A346

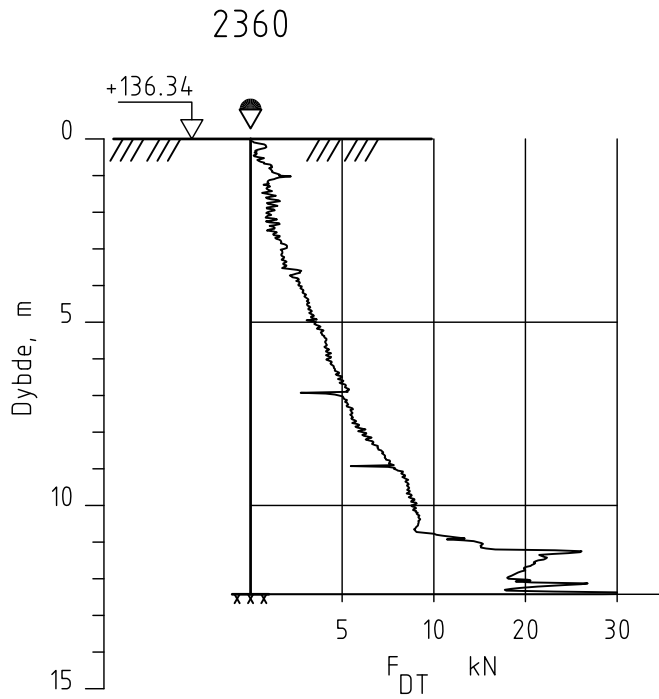
Tegner
JGr

Dato:
09.07.14

Kontrollert
TFS

Godkjent
MaR





E16 Nybakk - Slomarka

Rapport nr.
20120491-2-R

Figur nr.
A347

Dreietrykkssondering
M = 1 : 200

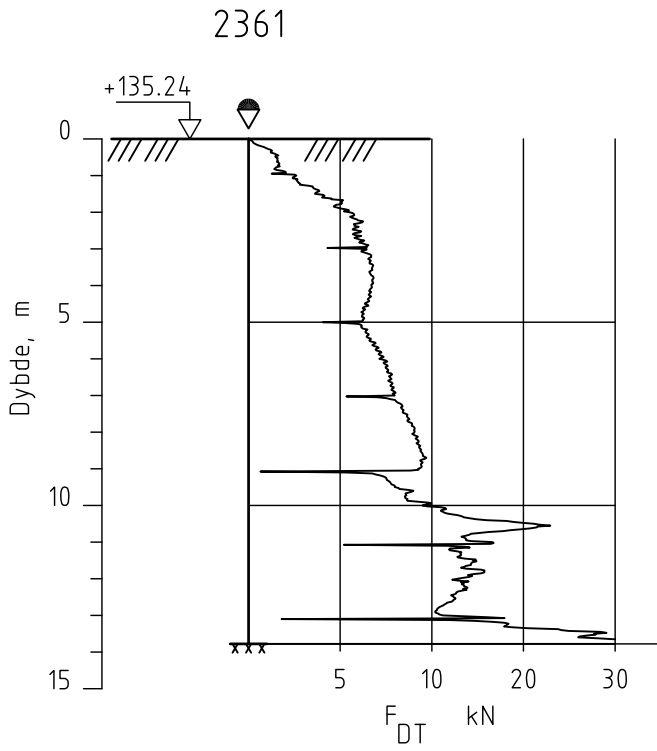
Tegner
JGr

Dato:
09.07.14

Borhull 2360
Posisjon: X 1241455.06 Y 95095.17 Dato boret :03.03.2014

Kontrollert
TFS
Godkjent
MaR





E16 Nybakk - Slomarka

Dreietrykksondering
M = 1 : 200

Borhull 2361

Posisjon: X 1241526.52 Y 95121.41

Dato boret :04.03.2014

Rapport nr.
20120491-2-R

Figur nr.
A348

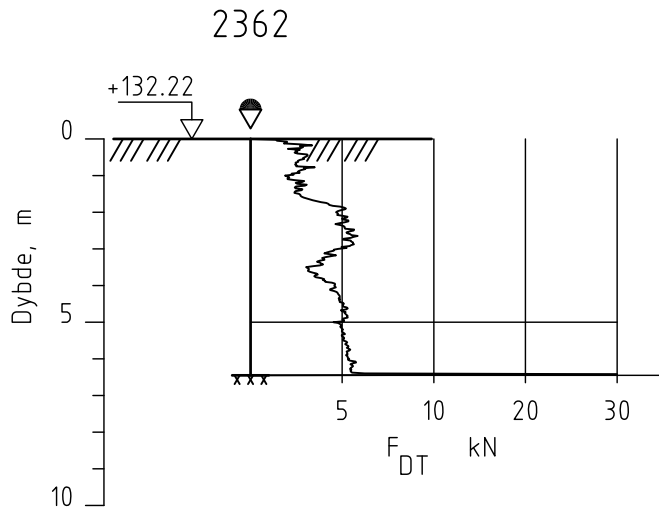
Tegner
JGr

Dato:
09.07.14

Kontrollert
TFS

Godkjent
MaR





E16 Nybakk - Slomarka

Dreietrykksondering
M = 1 : 200

Borhull 2362
Posisjon: X 1241483.11 Y 95138.76

Dato boret :24.02.2014

Rapport nr.
20120491-2-R

Figur nr.
A349

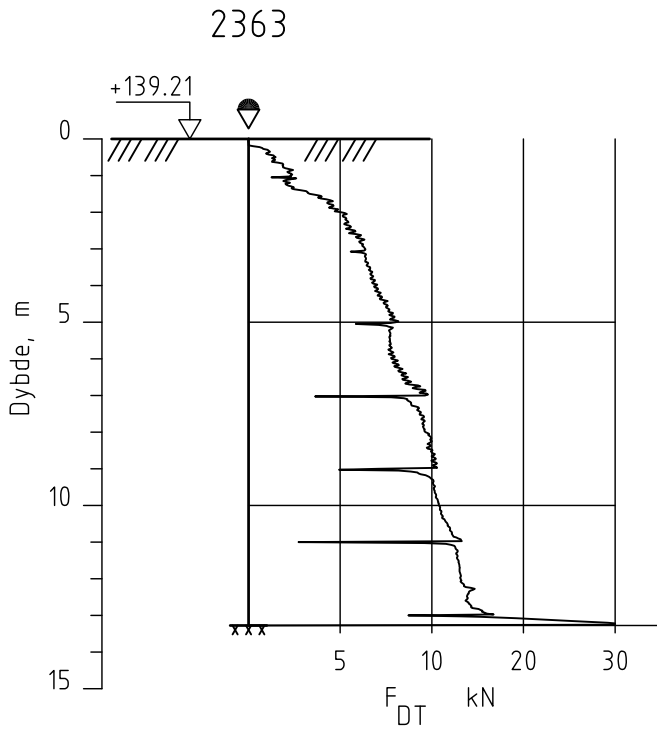
Tegner
JGr

Dato:
09.07.14

Kontrollert
TFS

Godkjent
MaR





E16 Nybakk - Slomarka

Dreietrykkssondering
M = 1 : 200

Borhull 2363
Posisjon: X 1241433.34 Y 95157.99 Dato boret :24.02.2014

Rapport nr.
20120491-2-R

Figur nr.
A350

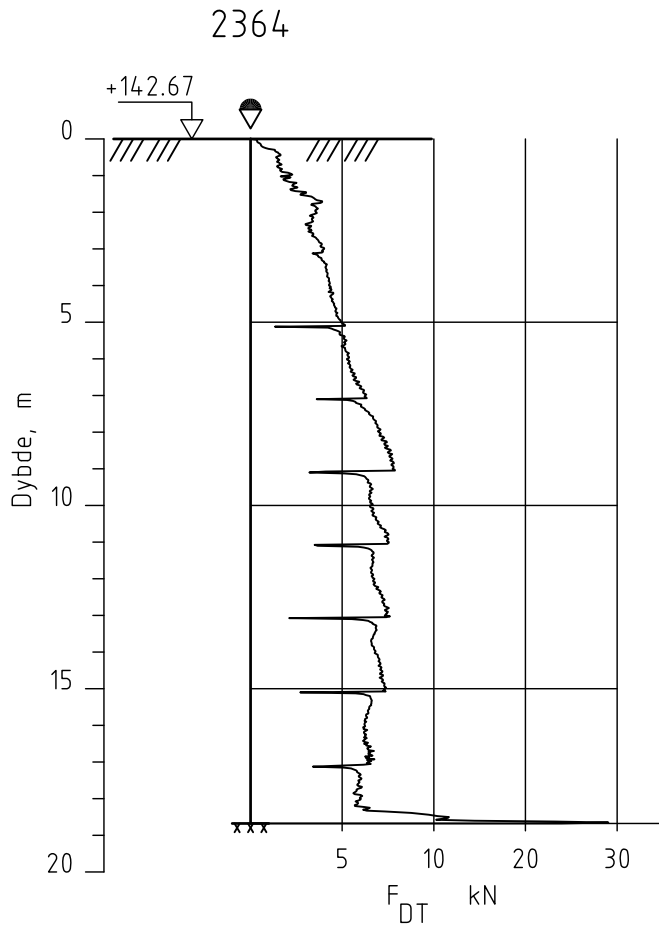
Tegner
JGr

Dato:
09.07.14

Kontrollert
TFS

Godkjent
MaR





E16 Nybakk - Slomarka

Dreietrykksondering
M = 1 : 200

Borhull 2364

Posisjon: X 1241638.18 Y 95134.80

Dato boret :04.03.2014

Rapport nr.
20120491-2-R

Figur nr.
A351

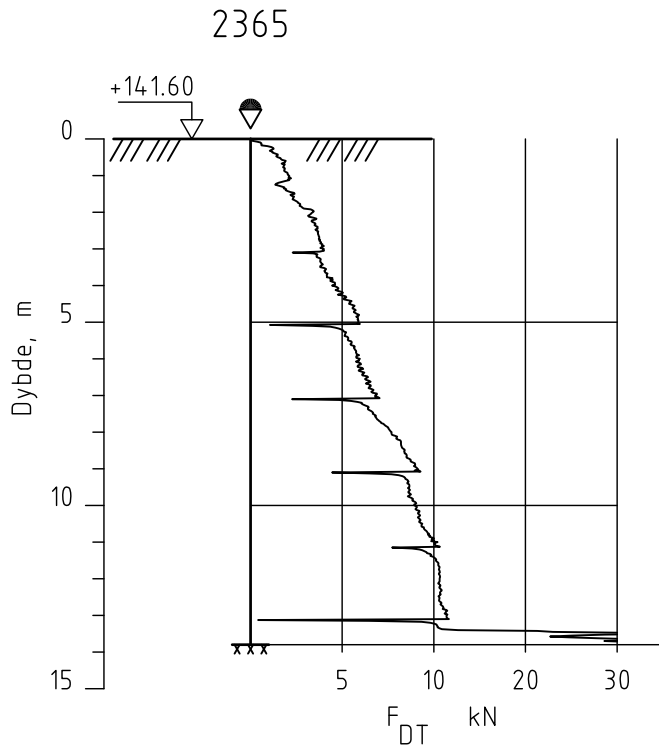
Tegner
JGr

Dato:
09.07.14

Kontrollert
TFS

Godkjent
MaR





E16 Nybakk - Slomarka

Rapport nr.
20120491-2-R

Figur nr.
A352

Dreietrykkssondering
M = 1 : 200

Tegner
JGr

Dato:
09.07.14

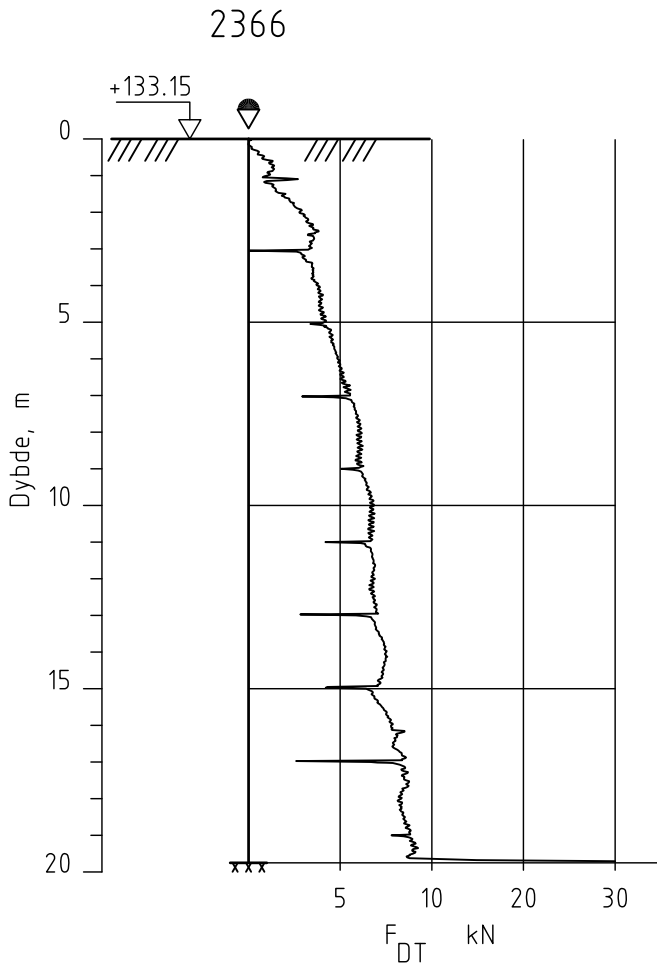
Borhull 2365
Posisjon: X 1241591.12 Y 95151.50

Dato boret :04.03.2014

Kontrollert
TFS

Godkjent
MaR





E16 Nybakk - Slomarka

Rapport nr.
20120491-2-R

Figur nr.
A353

Dreietrykkssondering
M = 1 : 200

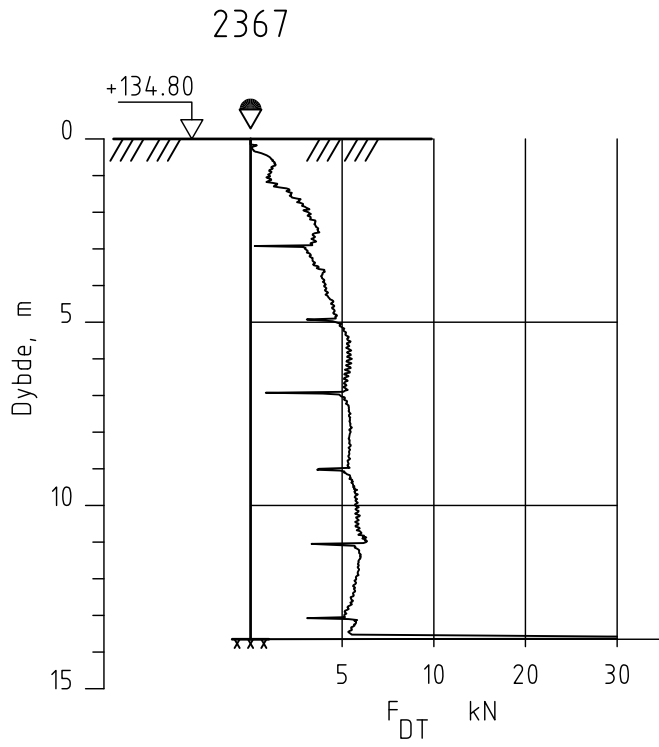
Tegner
JGr

Dato:
09.07.14

Borhull 2366
Posisjon: X 1241544.04 Y 95168.06 Dato boret :04.03.2014

Kontrollert
TFS
Godkjent
MaR



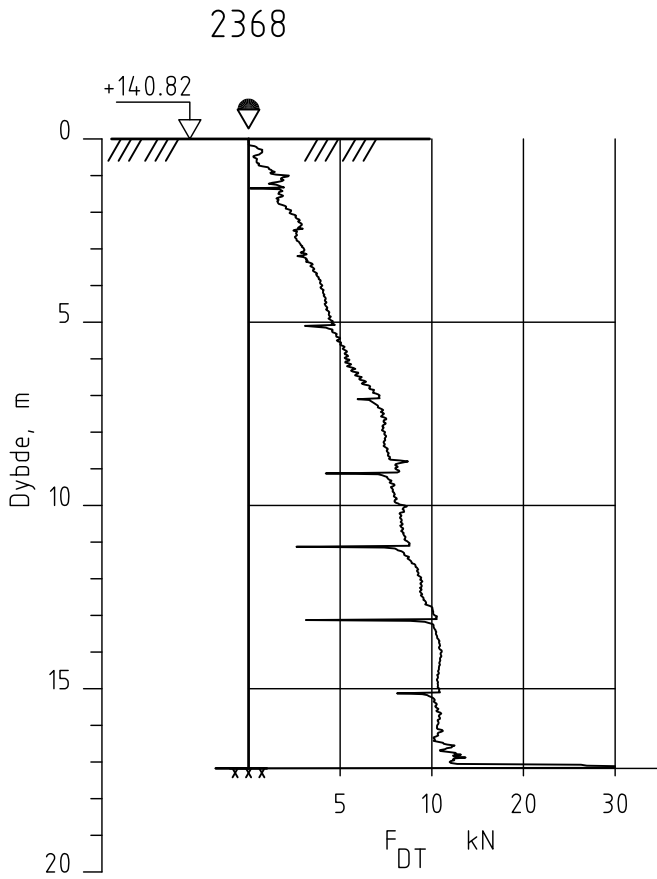


E16 Nybakk - Slomarka

Dreietrykksondering
M = 1 : 200

Borhull 2367
Posisjon: X 1241496.72 Y 95184.83 Dato boret :24.02.2014

Rapport nr. 20120491-2-R	Figur nr. A354
Tegner JGr	Dato: 09.07.14
Kontrollert TFS	
Godkjent MaR	



E16 Nybakk - Slomarka

Dreietrykksondering
M = 1 : 200

Borhull 2368
Posisjon: X 1241449.66 Y 95201.68 Dato boret :24.02.2014

Rapport nr.
20120491-2-R

Figur nr.
A355

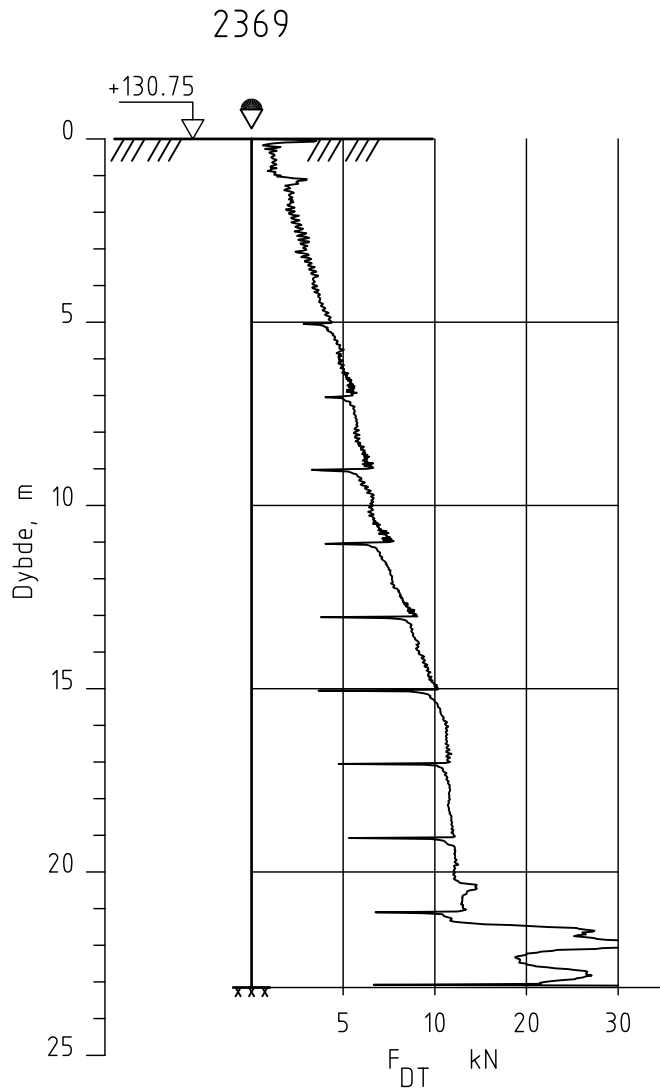
Tegner
JGr

Dato:
09.07.14

Kontrollert
TFS

Godkjent
MaR





E16 Nybakk - Slomarka

Dreietrykksondering
M = 1 : 200

Borhull 2369
Posisjon: X 1241607.53 Y 95200.44 Dato boret :04.03.2014

Rapport nr.
20120491-2-R

Figur nr.
A356

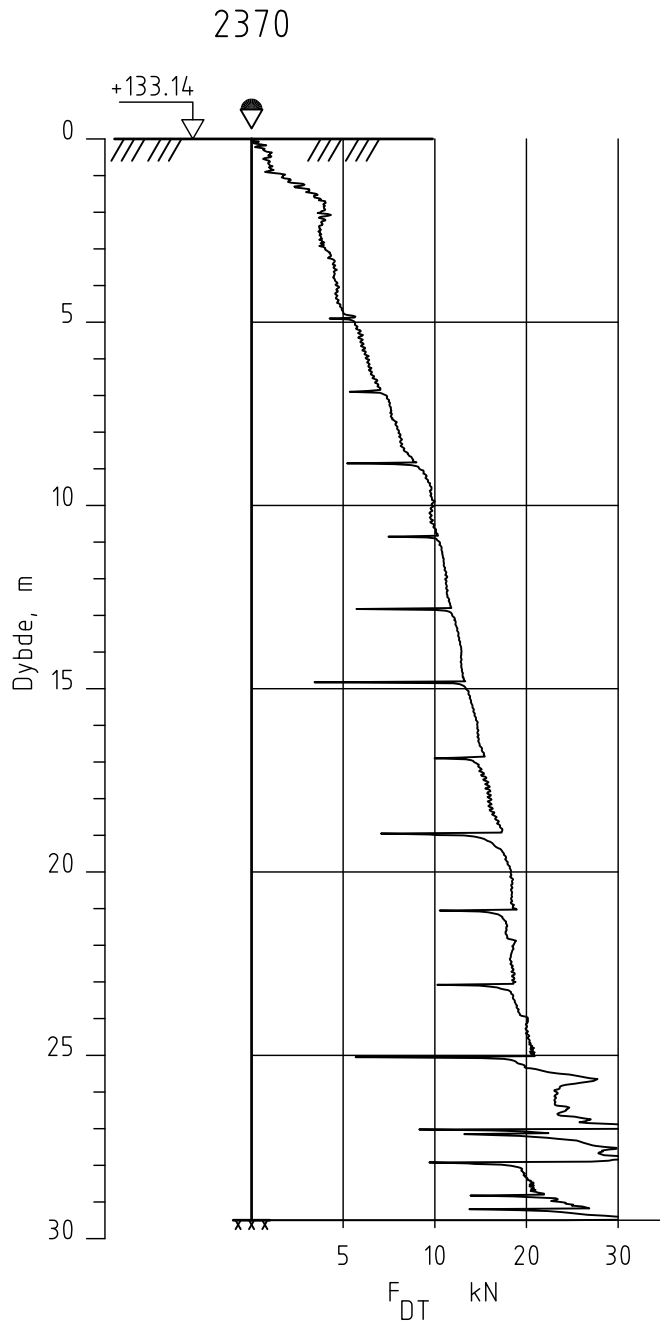
Tegner
JGr

Dato:
09.07.14

Kontrollert
TFS

Godkjent
MaR




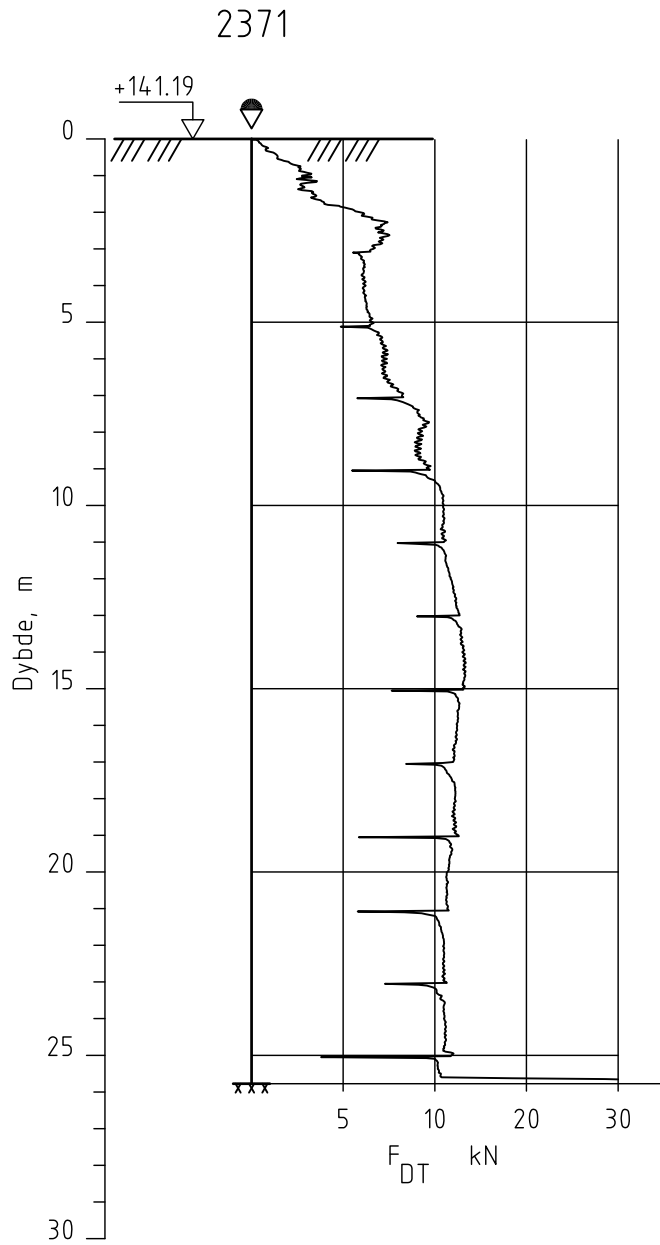


E16 Nybakk - Slomarka

Dreietrykkssondering
M = 1 : 200

Borhull 2370
Posisjon: X 1241559.70 Y 95215.43 Dato boret :03.03.2014

Rapport nr. 20120491-2-R	Figur nr. A357
Tegner JGr	Dato: 09.07.14
Kontrollert TFS	
Godkjent MaR	



E16 Nybakk - Slomarka

Dreietrykkssondering
M = 1 : 200

Borhull 2371

Posisjon: X 1241512.20 Y 95230.76 Dato boret :03.03.2014

Rapport nr.
20120491-2-R

Figur nr.
A358

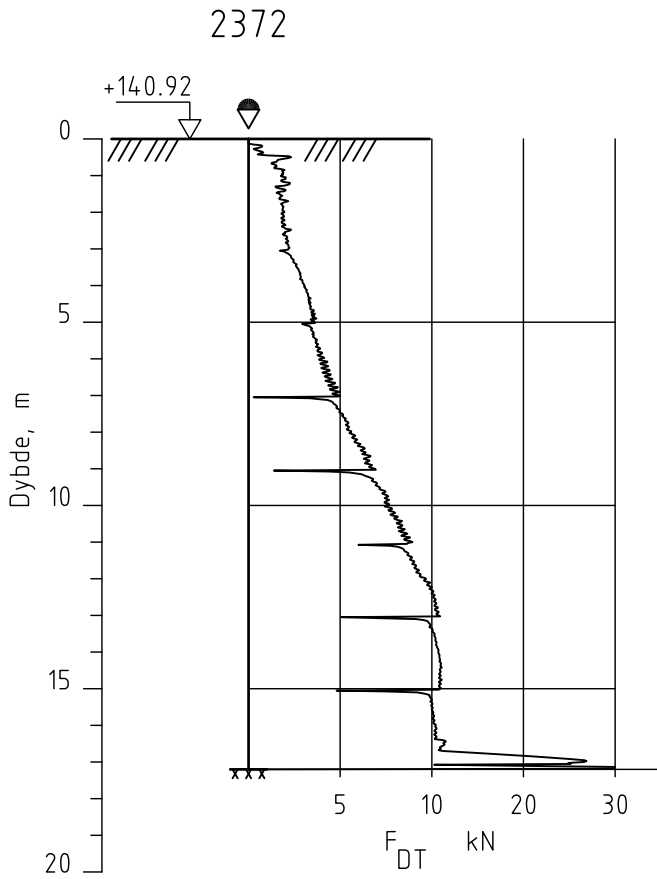
Tegner
JGr

Dato:
09.07.14

Kontrollert
TFS

Godkjent
MaR





E16 Nybakk - Slomarka

Dreietrykksondering
M = 1 : 200

Borhull 2372
Posisjon: X 1241461.32 Y 95244.24 Dato boret :24.02.2014

Rapport nr.
20120491-2-R

Figur nr.
A359

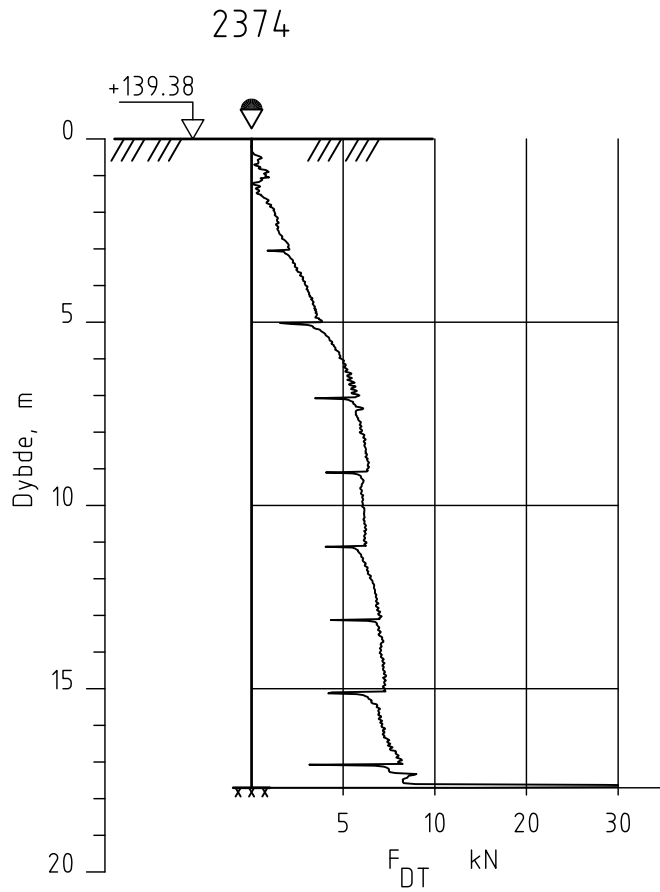
Tegner
JGr

Dato:
09.07.14

Kontrollert
TFS

Godkjent
MaR





E16 Nybakk - Slomarka

Rapport nr.
20120491-2-R

Figur nr.
A360

Dreietrykksondering
M = 1 : 200

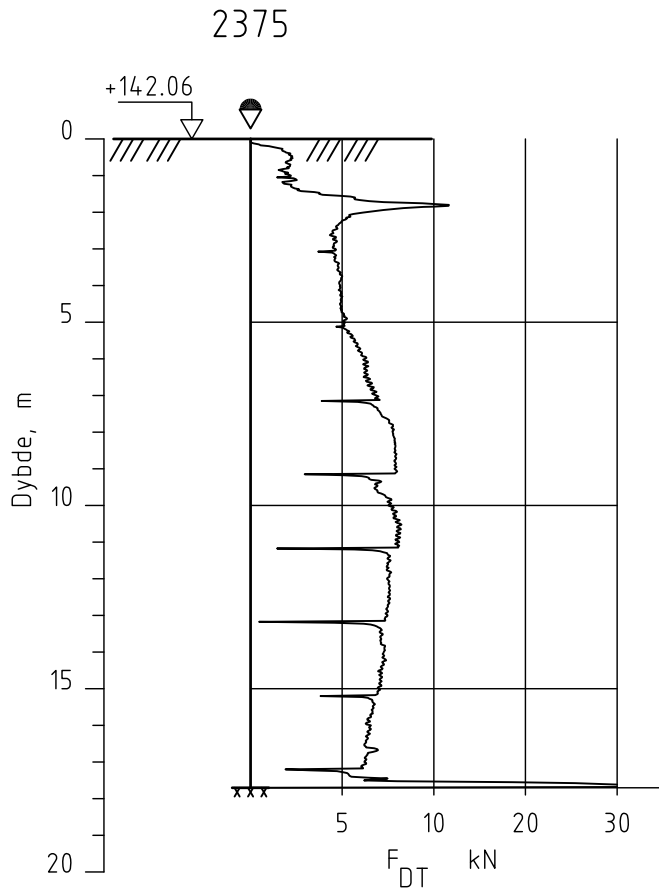
Tegner
JGr

Dato:
09.07.14

Borhull 2374
Posisjon: X 1241526.05 Y 95277.13 Dato boret :03.03.2014

Kontrollert
TFS
Godkjent
MaR





E16 Nybakk - Slomarka

Dreietrykksondering
M = 1 : 200

Borhull 2375
Posisjon: X 1241477.97 Y 95290.59 Dato boret :24.02.2014

Rapport nr.
20120491-2-R

Figur nr.
A361

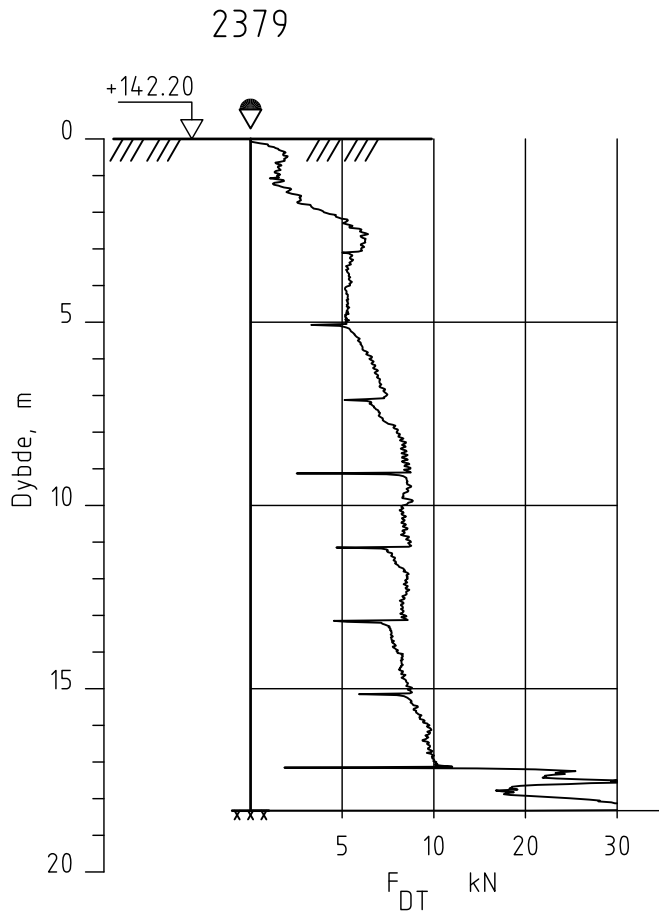
Tegner
JGr

Dato:
09.07.14

Kontrollert
TFS

Godkjent
MaR





E16 Nybakk - Slomarka

Rapport nr.
20120491-2-R

Figur nr.
A362

Dreietrykksondering
M = 1 : 200

Tegner
JGr

Dato:
09.07.14

Borhull 2379
Posisjon: X 1241538.33 Y 95323.79 Dato boret :03.03.2014

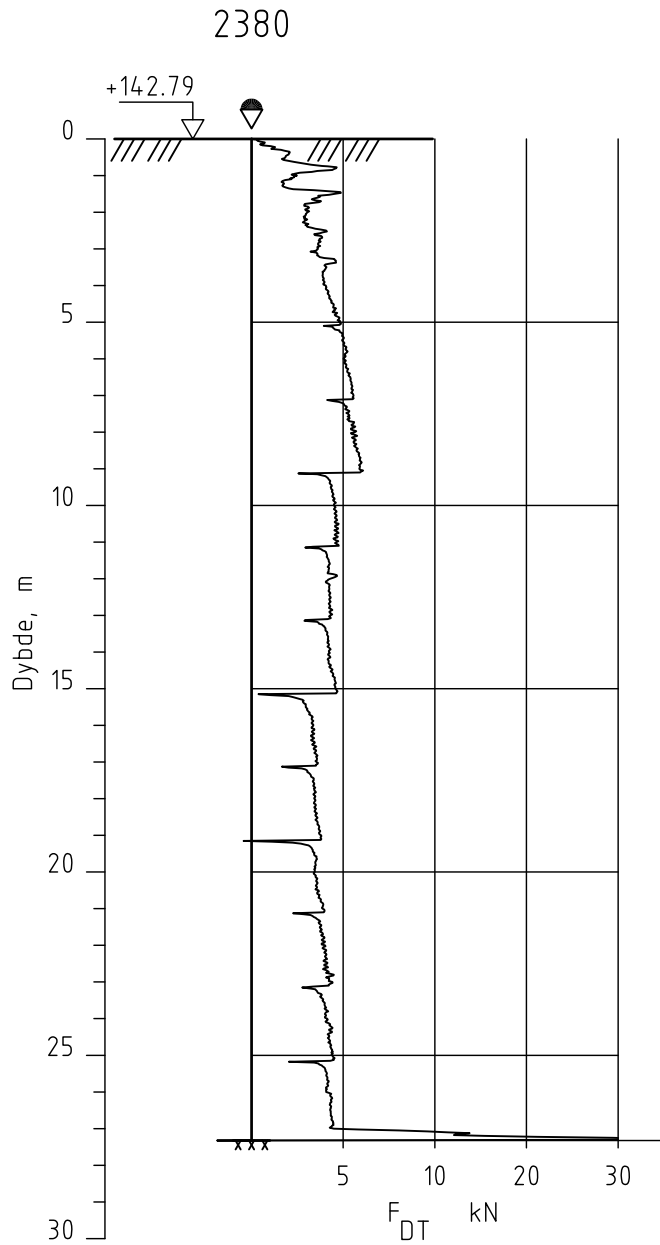
Kontrollert

TFS

Godkjent

MaR




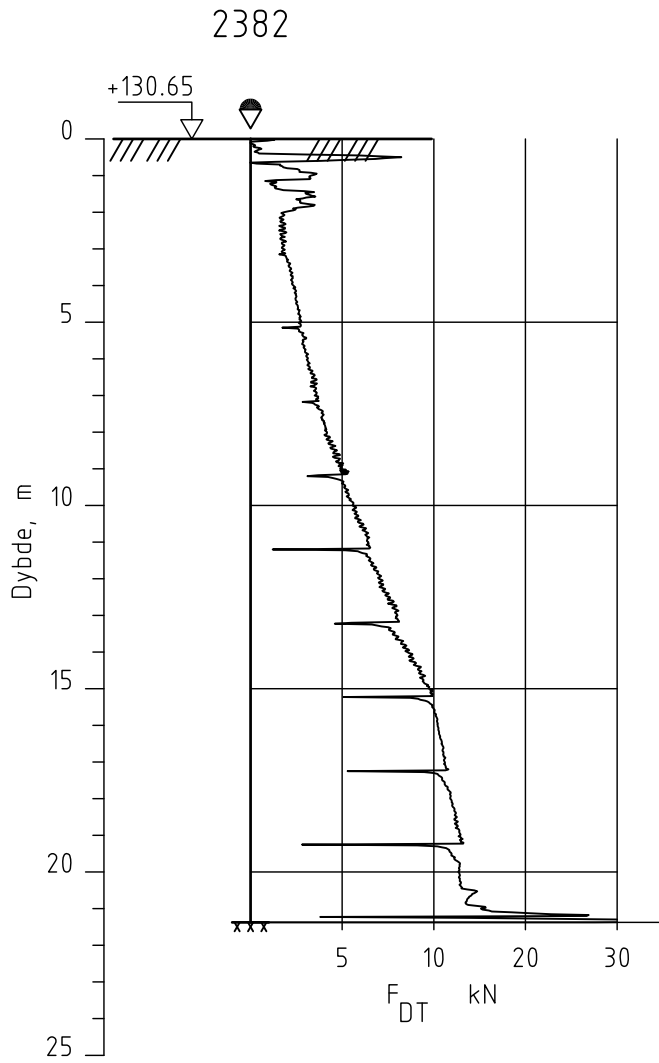


E16 Nybakk - Slomarka

Dreietrykksondering
M = 1 : 200

Borhull 2380
Posisjon: X 1241489.84 Y 95315.69 Dato boret :24.02.2014

Rapport nr. 20120491-2-R	Figur nr. A363
Tegner JGr	Dato: 09.07.14
Kontrollert TFS	
Godkjent MaR	



E16 Nybakk - Slomarka

Dreietrykksondering
M = 1 : 200

Borhull 2382
Posisjon: X 1241596.67 Y 95359.43 Dato boret :03.03.2014

Rapport nr.
20120491-2-R

Figur nr.
A364

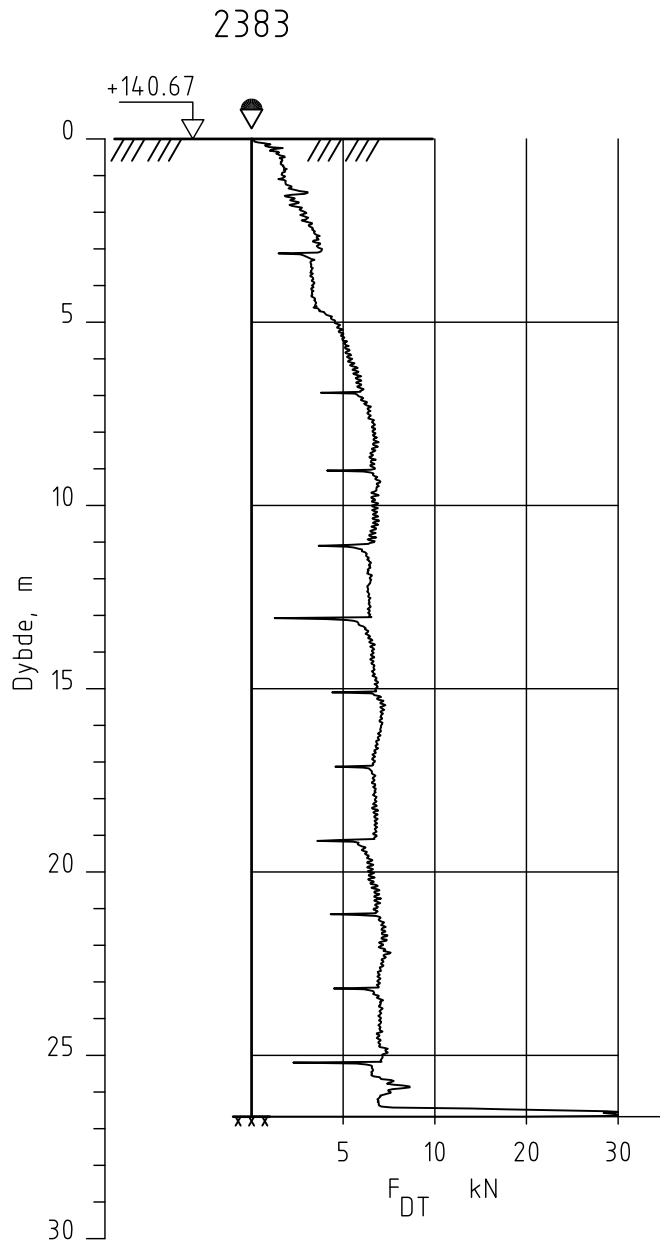
Tegner
JGr

Dato:
09.07.14

Kontrollert
TFS

Godkjent
MaR





E16 Nybakk - Slomarka

Rapport nr.
20120491-2-R

Figur nr.
A365

Dreietrykksondering
M = 1 : 200

Tegner
JGr

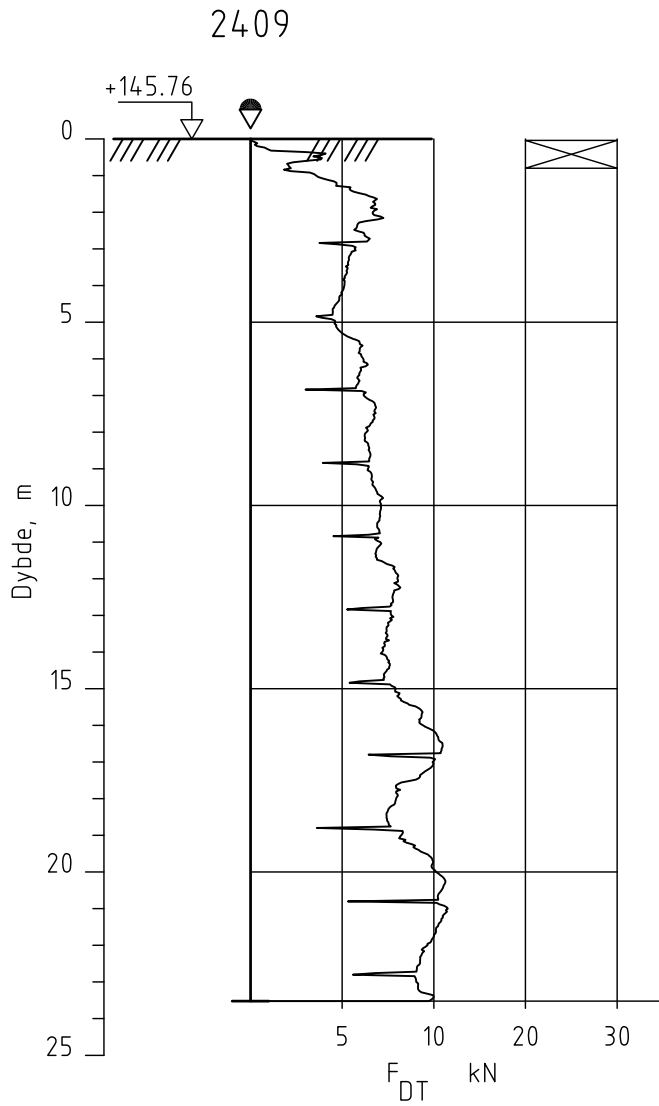
Dato:
09.07.14

Borhull 2383
Posisjon: X 1241549.12 Y 95370.94 Dato boret :03.03.2014

Kontrollert
TFS

Godkjent
MaR




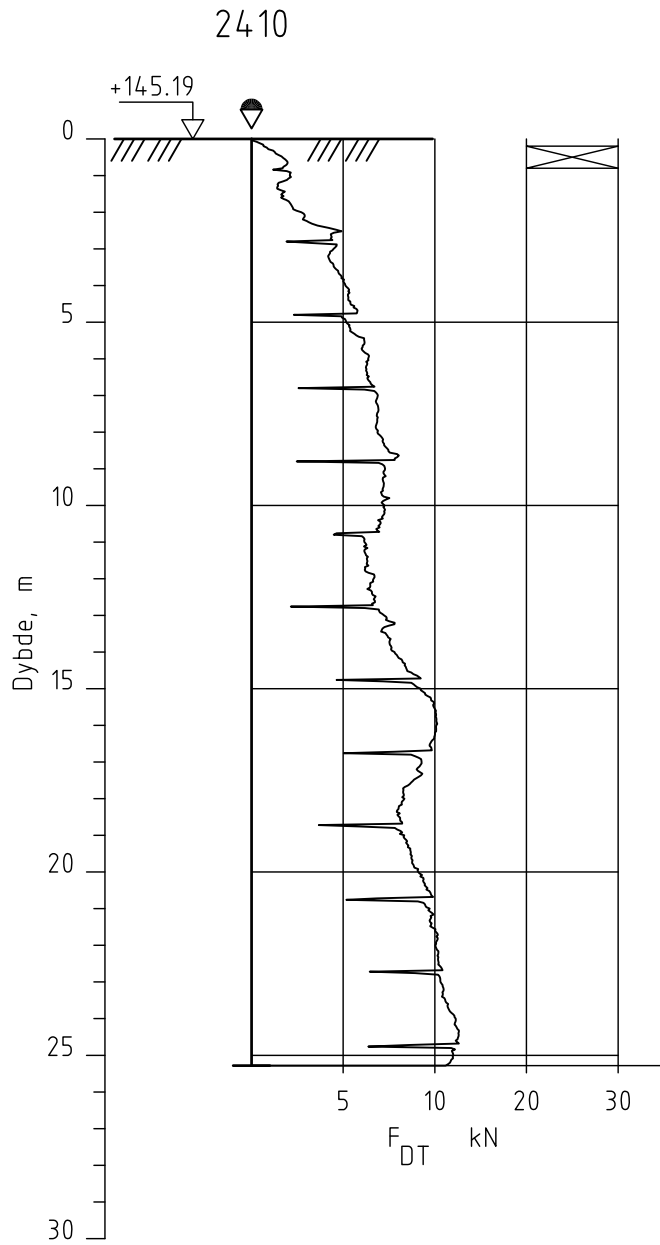


E16 Nybakk - Slomarka

Dreietrykkssondering
M = 1 : 200

Borhull 2409
Posisjon: X 1241740.70 Y 95649.72 Dato boret :04.04.2014

Rapport nr. 20120491-2-R	Figur nr. A366
Tegner JGr	Dato: 09.07.14
Kontrollert TFS	
Godkjent MaR	



E16 Nybakk - Slomarka

Dreietrykksondering
M = 1 : 200

Borhull 2410

Posisjon: X 1241693.86 Y 95657.79 Dato boret :04.04.2014

Rapport nr.
20120491-2-R

Figur nr.
A367

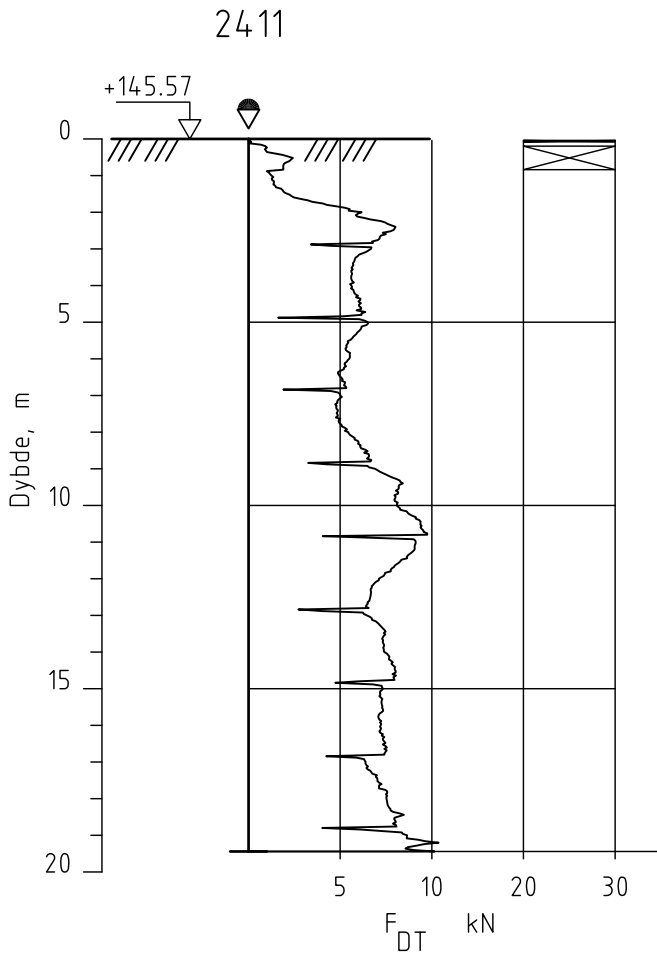
Tegner
JGr

Dato:
09.07.14

Kontrollert
TFS

Godkjent
MaR





E16 Nybakk - Slomarka

Dreietrykksondering
M = 1 : 200

Borhull 2411

Posisjon: X 1241645.57 Y 95664.58 Dato boret :04.04.2014

Rapport nr.
20120491-2-R

Figur nr.
A368

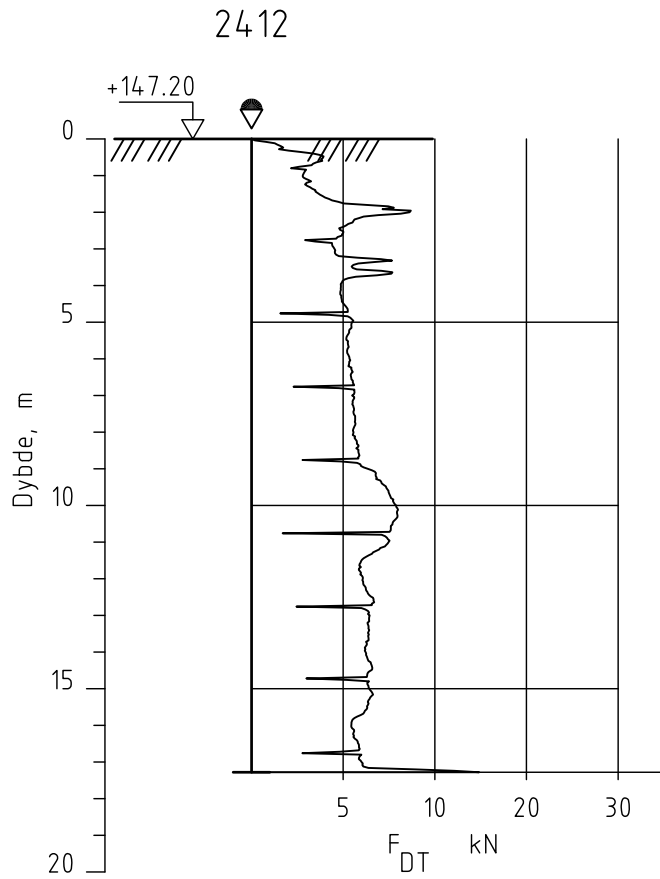
Tegner
JGr

Dato:
09.07.14

Kontrollert
TFS

Godkjent
MaR





E16 Nybakk - Slomarka

Dreietrykksondering
M = 1 : 200

Borhull 2412

Posisjon: X 1241594.93 Y 95672.83 Dato boret :04.04.2014

Rapport nr.
20120491-2-R

Figur nr.
A369

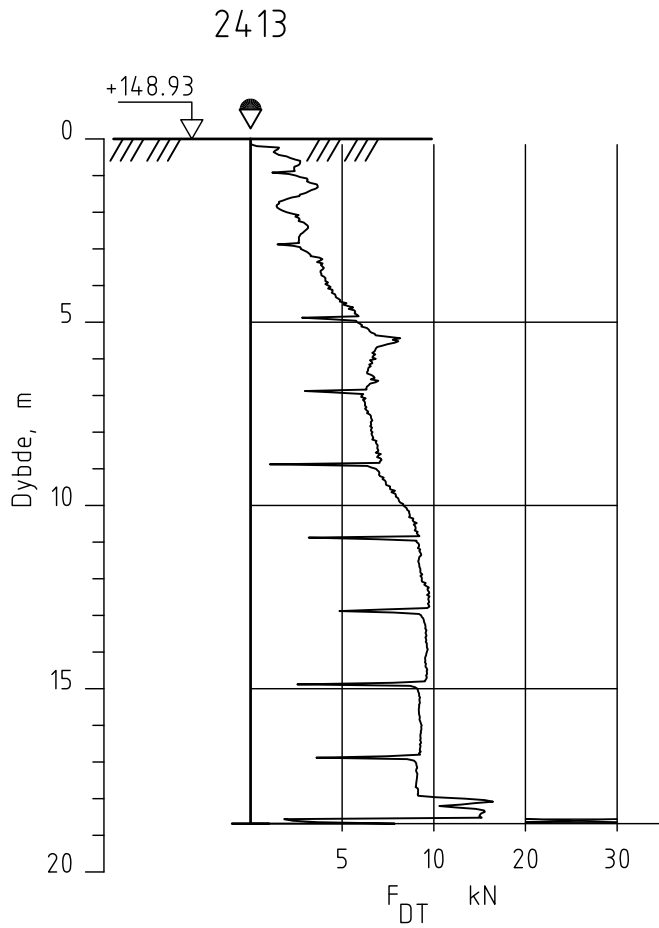
Tegner
JGr

Dato:
09.07.14

Kontrollert
TFS

Godkjent
MaR





E16 Nybakk - Slomarka

Dreietrykkssondering
M = 1 : 200

Borhull 2413

Posisjon: X 1241545.45 Y 95680.81 Dato boret :04.04.2014

Rapport nr.
20120491-2-R

Figur nr.
A370

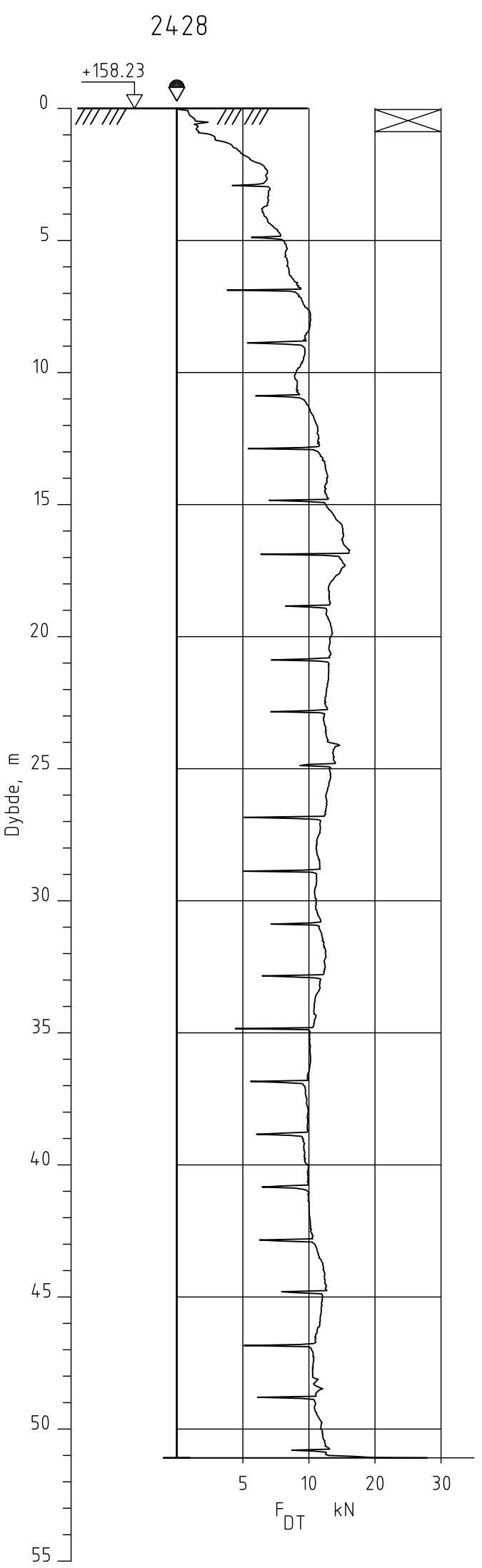
Tegner
JGr

Dato:
09.07.14

Kontrollert
TFS

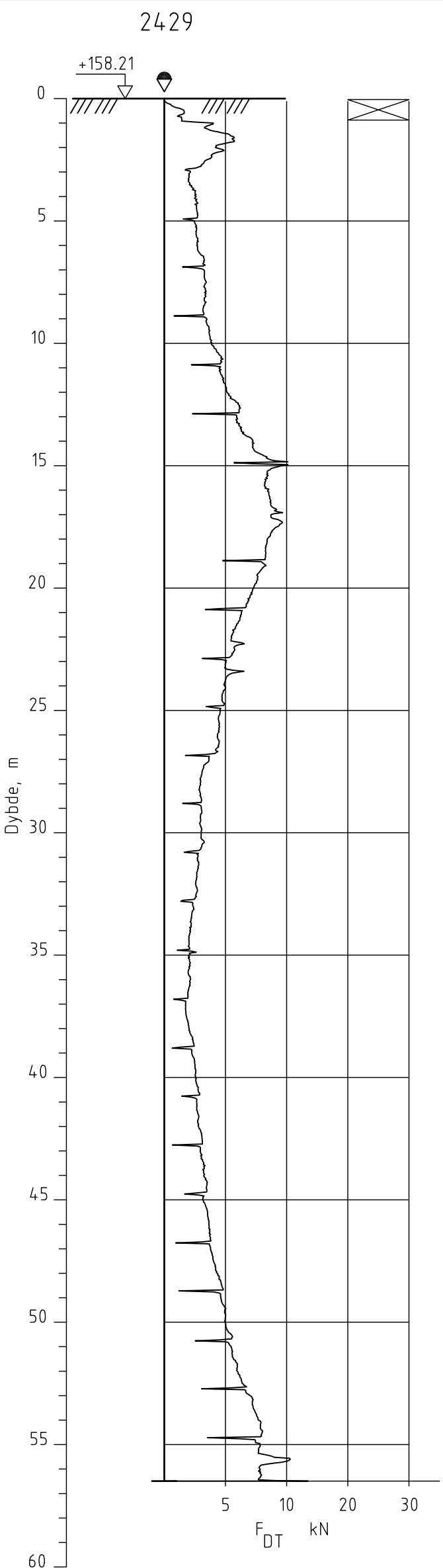
Godkjent
MaR





E16 Nybakk - Slomarka		Rapport nr. 20120491-2-R	Figur nr. A371
Dreietrykkssondering		Tegner JGR	Dato: 09.07.14
M = 1 : 200		Kontrolleret TFS	
Borhull 2428		Godkjent MAR	
Posisjon: X 1241759.46 Y 95845.69		Dato boret : 01.04.2014	





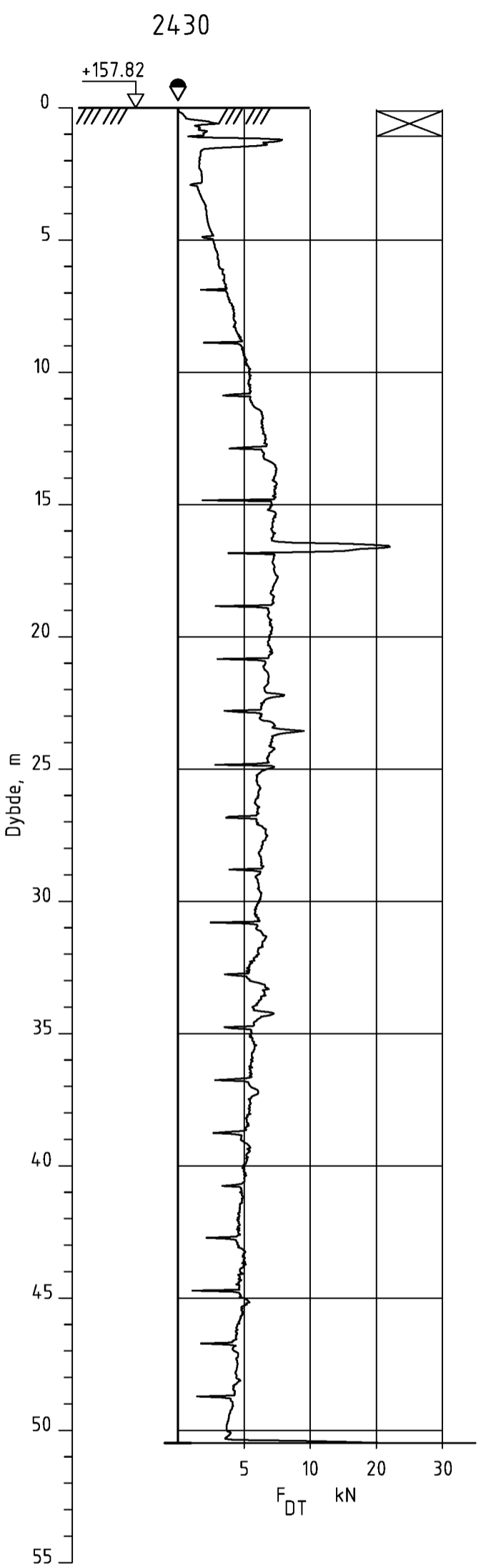
E16 Nybakk - Slomarka

Dreietrykkssondering
M = 1 : 200

Borhull 2429
Posisjon: X 1241709.74 Y 95851.06 Dato boret :01.04.2014

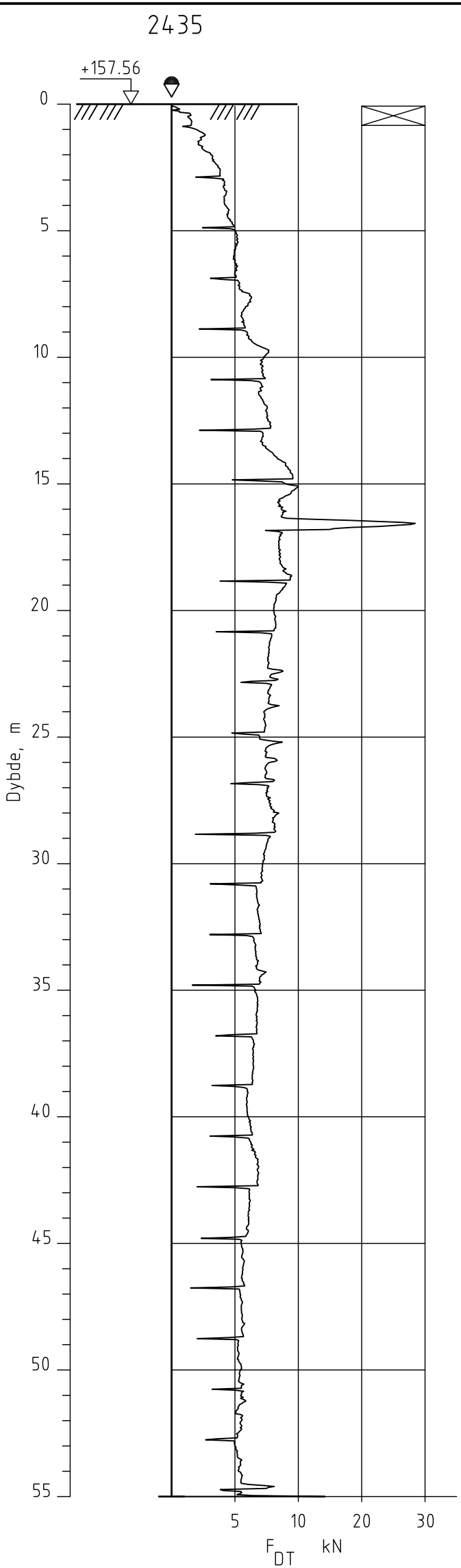
Rapport nr. 20120491-2-R	Figur nr. A372
Tegner JGR	Dato: 09.07.14
Kontrollerert TFS	
Godkjent MAR	





E16 Nybakk - Slomarka		Rapport nr. 20120491-2-R	Figur nr. A373
Dreietrykkssondering		Tegner JGF	Dato 09.07.14
M = 1 : 200		Kontrolleret TFS	
Borhull 2430		Godkjent MAR	
Posisjon: X 1241660.07 Y 95856.61		Dato boret :31.03.2014	



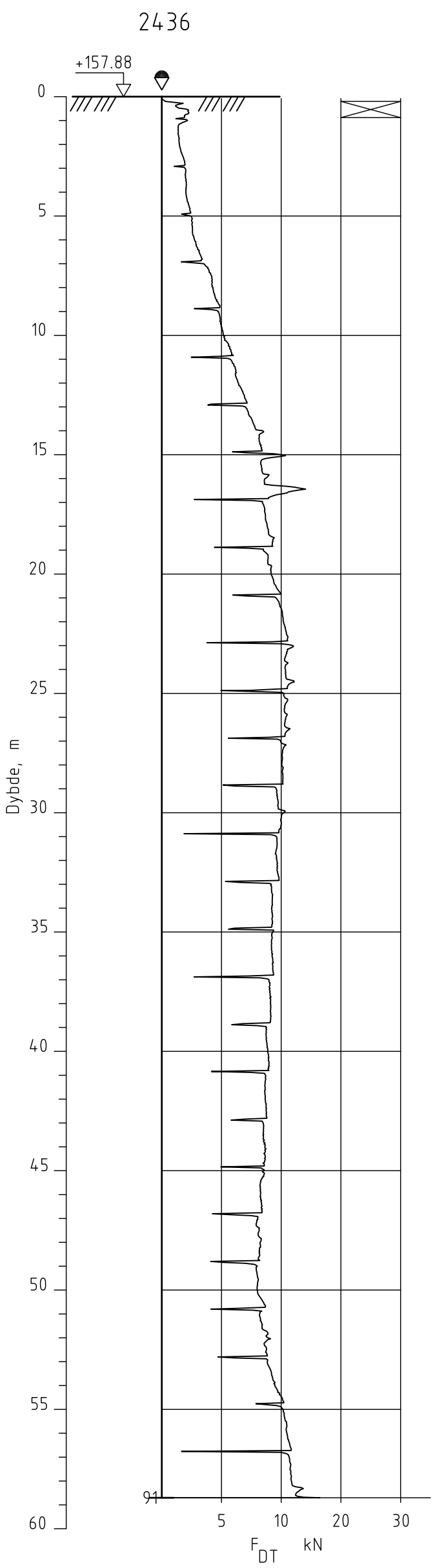


E16 Nybakk - Slomarka

Dreietrykkssondering
 M = 1 : 200
 Borhull 2435
 Posisjon: X 1241620.68 Y 95915.70 Dato boret :31.03.2014

Rapport nr. 20120491-2-R	Figur nr. A374
Tegner JGR	Dato: 09.07.14
Kontrollert TFS	
Godkjent MAR	





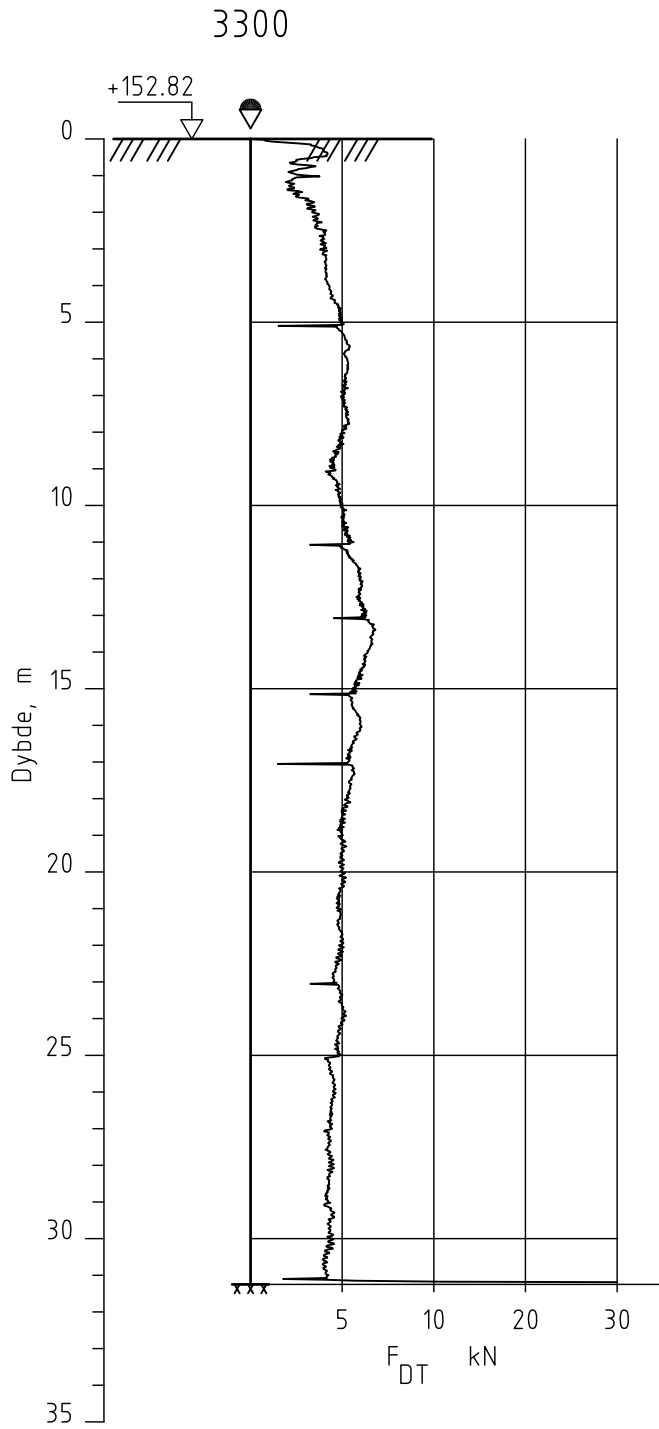
E16 Nybakk - Slomarka

Dreietrykkssondering
 M = 1 : 200
 Borhull 2436
 Posisjon: X 1241566.17 Y 95917.11

Dato boret : 31.03.2014

Rapport nr. 20120491-2-R	Figur nr. A375
Tegner JGR	Dato: 09.07.14
Kontrollert TFS	
Godkjent MAR	




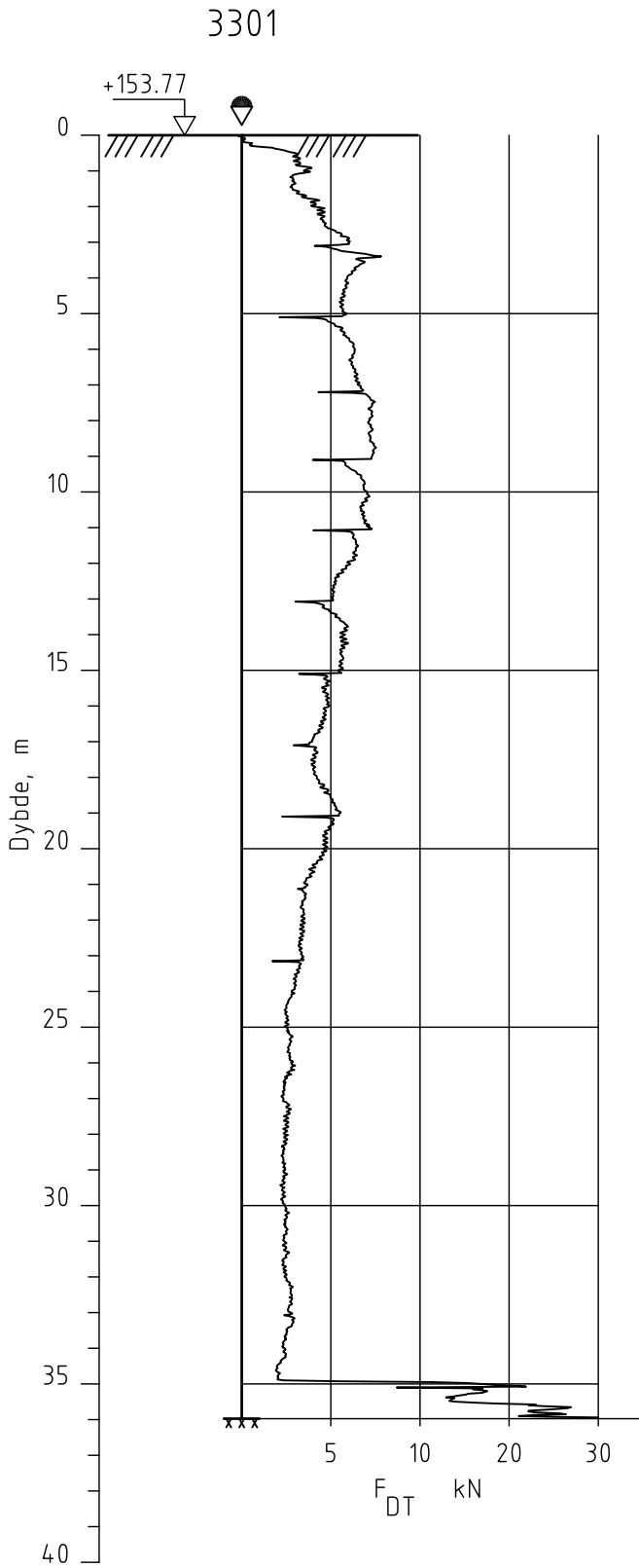


E16 Nybakk - Slomarka

Dreietrykksondering
M = 1 : 200

Borhull 3300
Posisjon: X 1242027.58 Y 96883.30 Dato boret :06.02.2014


Rapport nr. 20120491-2-R	Figur nr. A376
Tegner JGr	Dato: 09.07.14
Kontrollert TFS	
Godkjent MaR	

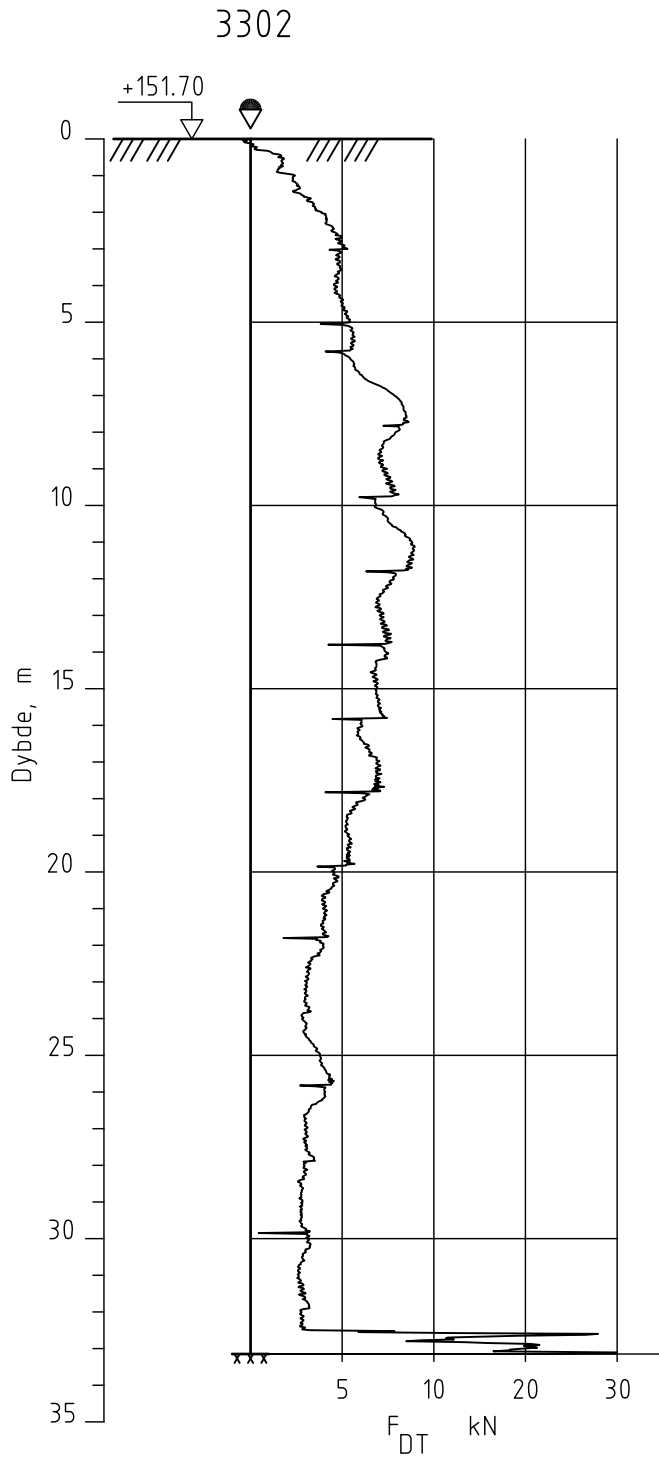


E16 Nybakk - Slomarka

Dreietrykksondering
M = 1 : 200

Borhull 3301
Posisjon: X 1241899.08 Y 96925.08 Dato boret :05.02.2014

Rapport nr. 20120491-2-R	Figur nr. A377
Tegner JGr	Dato: 09.07.14
Kontrollert TFS	
Godkjent MaR	



E16 Nybakk - Slomarka

Rapport nr.
20120491-2-R

Figur nr.
A378

Dreietrykkssondering
M = 1 : 200

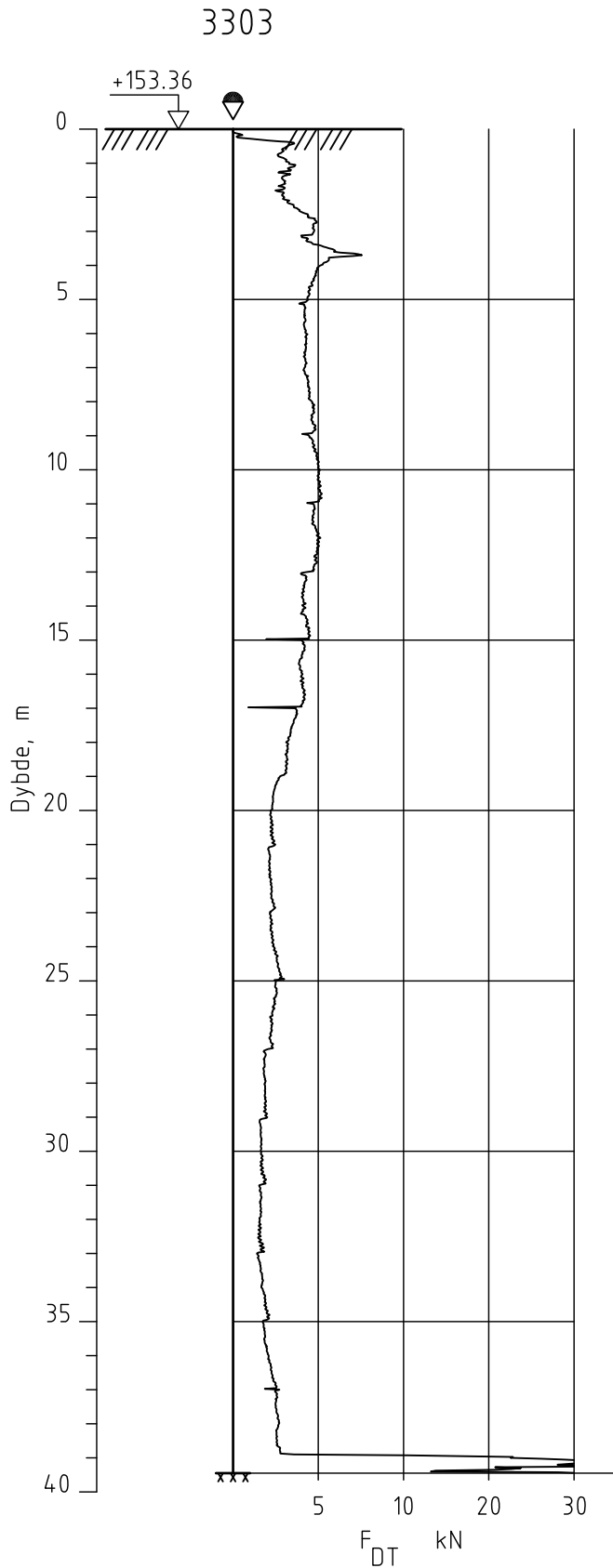
Tegner
JGr

Dato:
09.07.14

Borhull 3302
Posisjon: X 1242045.59 Y 96973.51 Dato boret :05.02.2014

Kontrollert
TFS
Godkjent
MaR




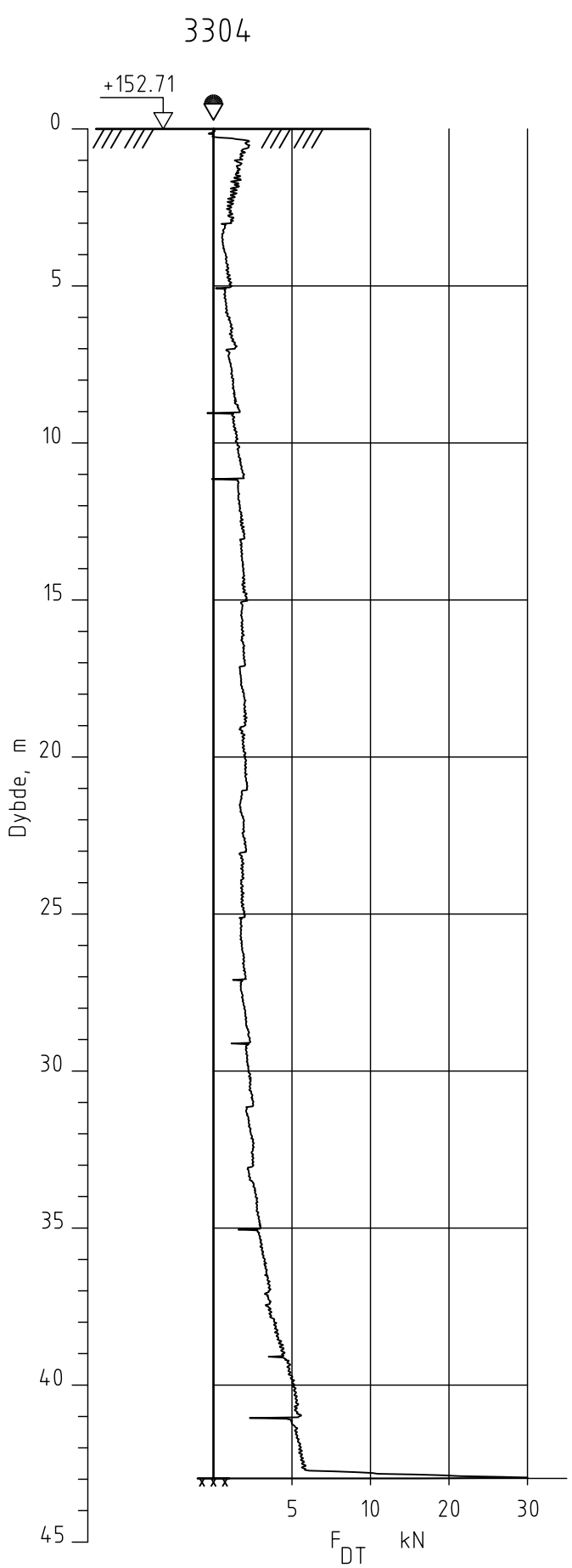


E16 Nybakk - Slomarka

Dreietrykksondering
M = 1 : 200

Borhull 3303
Posisjon: X 1241925.14 Y 97016.36 Dato boret :05.02.2014

Rapport nr. 20120491-2-R	Figur nr. A379
Tegner JGr	Dato: 09.07.14
Kontrollert TFS	 NGI
Godkjent MaR	

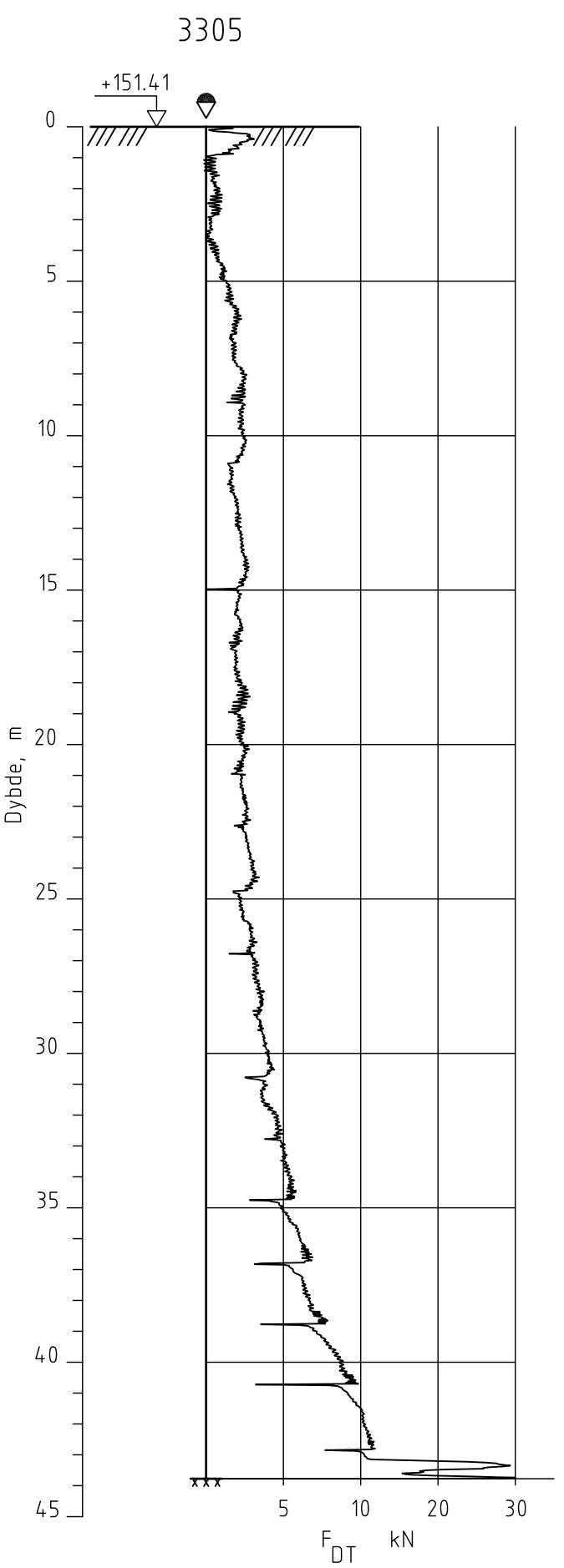


E16 Nybbakk - Slomarcka

Dreietrykkssondering
 M = 1 : 200
 Borhull 3304
 Posisjon: X 1241734.54 Y 97076.84 Dato boret :04.02.2014

Rapport nr. 20120491-2-R	Figur nr. A380
Tegner JGR	Dato: 09.07.14
Kontrollert TFS	
Godkjent MAR	





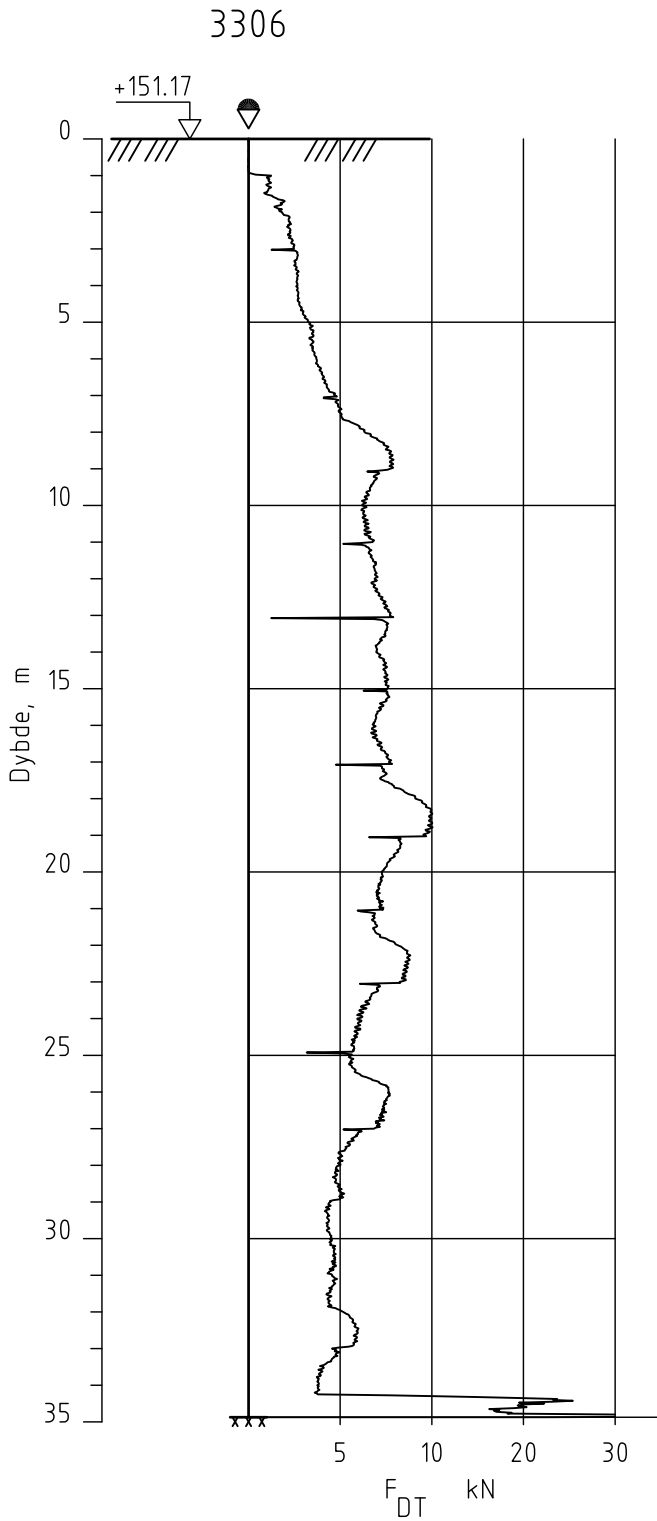
E16 Nybbakk - Slomarka

Dreietrykkssondering
 M = 1 : 200
 Borhull 3305
 Posisjon: X 124.1639.02 Y 97106.90

Dato boret :03.02.2014

Rapport nr. 20120491-2-R	Figur nr. A381
Tegner JGR	Dato: 09.07.14
Kontrolleret TFS	
Godkjent MAR	





E16 Nybakk - Slomarka

Rapport nr.
20120491-2-R

Figur nr.
A382

Dreietrykksondering
M = 1 : 200

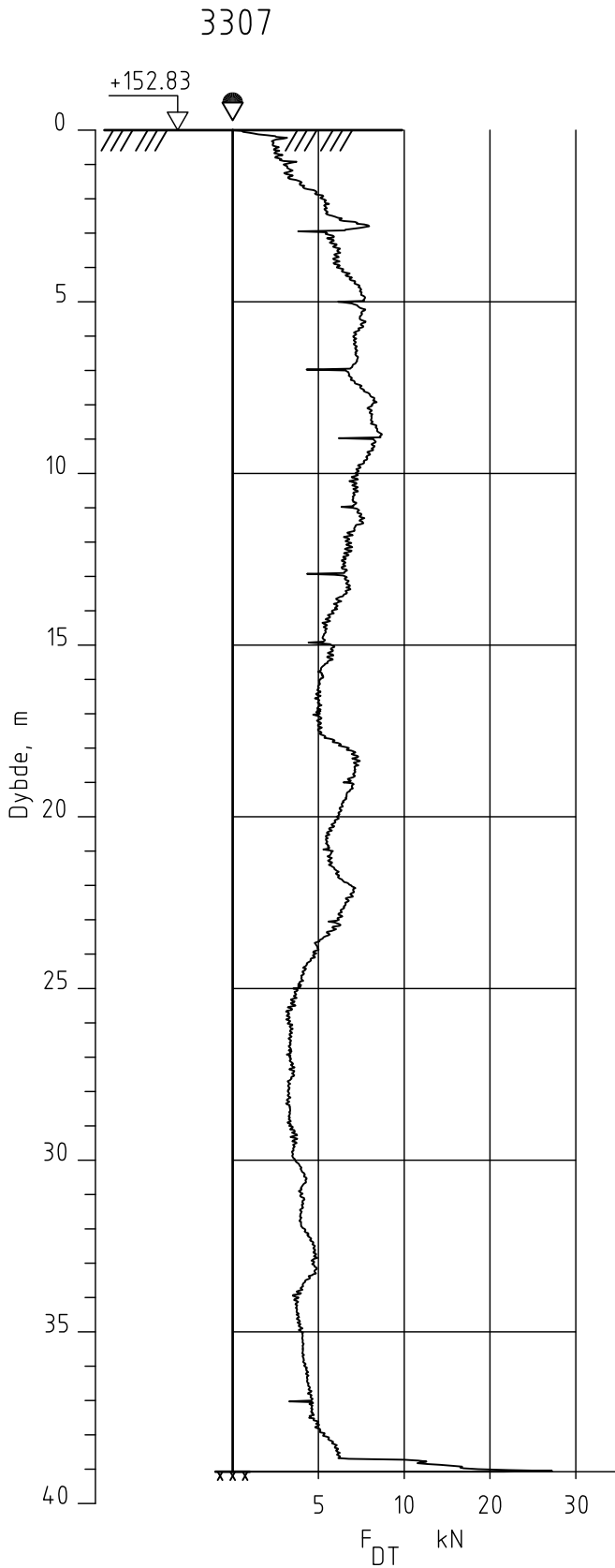
Tegner
JGr

Dato:
09.07.14

Borhull 3306
Posisjon: X 1242044.27 Y 97071.84 Dato boret :05.02.2014

Kontrollert
TFS
Godkjent
MaR




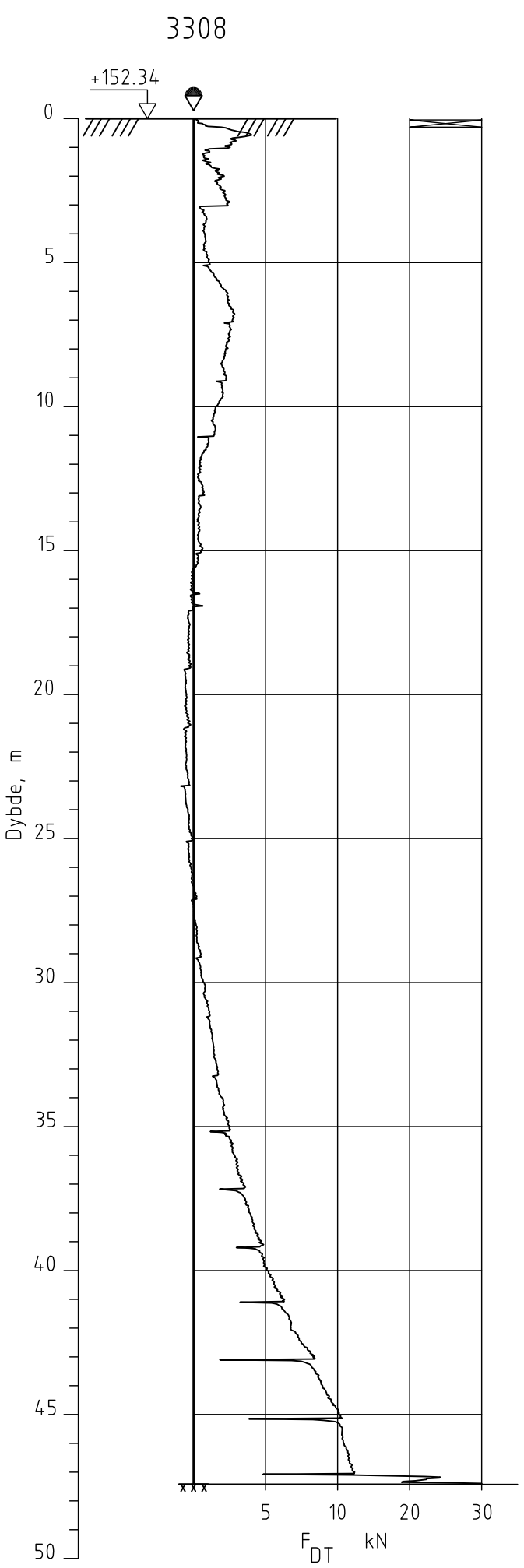


E16 Nybakk - Slomarka

Dreietrykksondering
M = 1 : 200

Borhull 3307
Posisjon: X 1241952.75 Y 97103.94 Dato boret :05.02.2014

Rapport nr. 20120491-2-R	Figur nr. A383
Tegner JGr	Dato: 09.07.14
Kontrollert TFS	
Godkjent MaR	



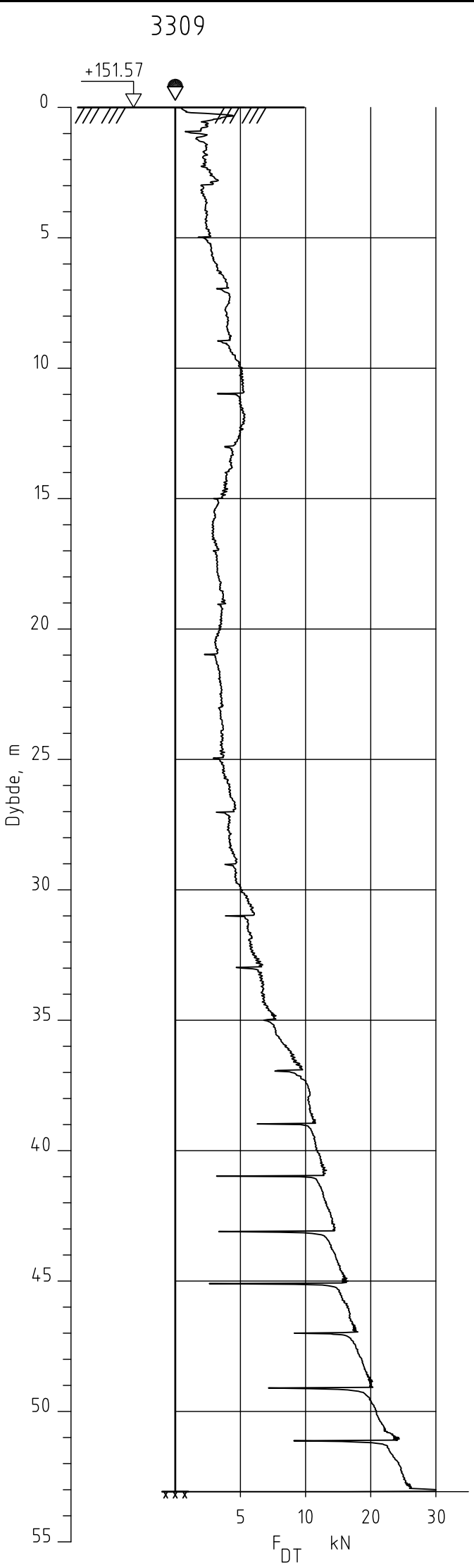
E16 Nybakk - Slomarka

Dreietrykkssondering
M = 1 : 200

Borhull 3308
Posisjon: X 1241757.73 Y 97178.57 Dato boret :04.02.2014

Rapport nr. 20120491-2-R	Figur nr. A384
Tegner JGR	Dato: 09.07.14
Kontrollert TFS	
Godkjent MAR	





E16 Nybakk - Slomarka

Dreietrykkssondering

M = 1 : 200

Borhull 3309

Posisjon: X 1241675.38 Y 97211.22 Dato boret :03.02.2014

Rapport nr.
20120491-2-R

Figur nr.
A385

Tegner

Dato:

JGR

09.07.14

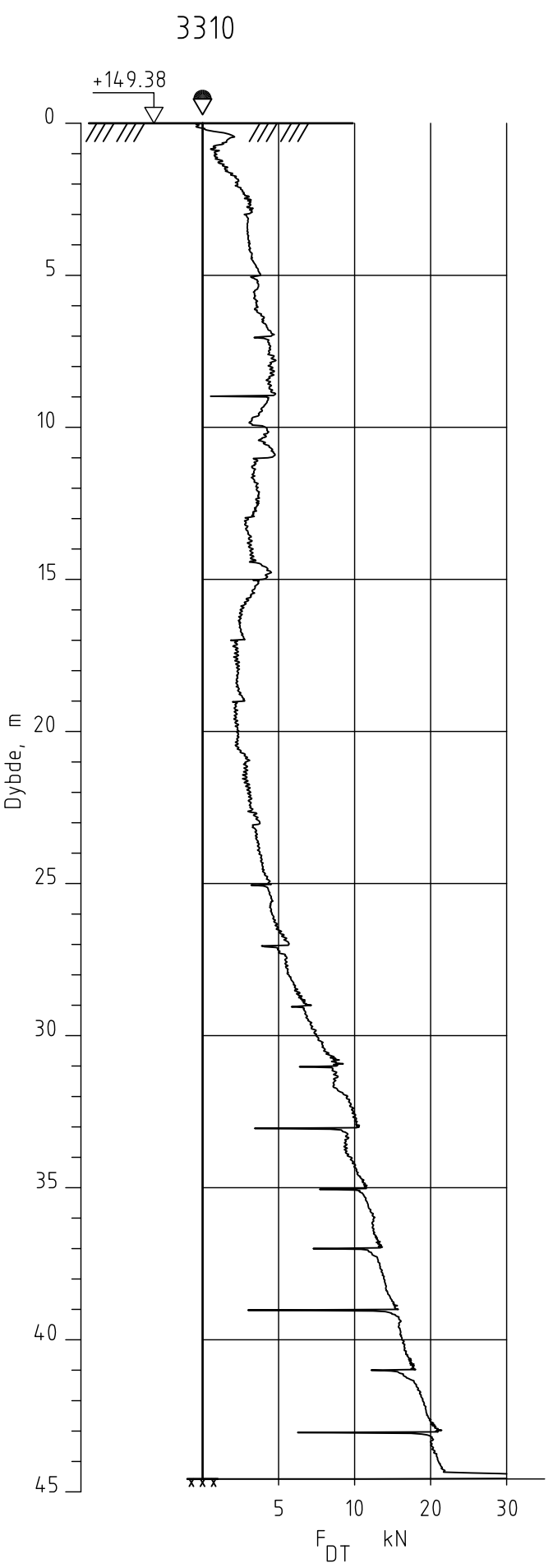
Kontrolleret

TFS

Godkjent

MAR





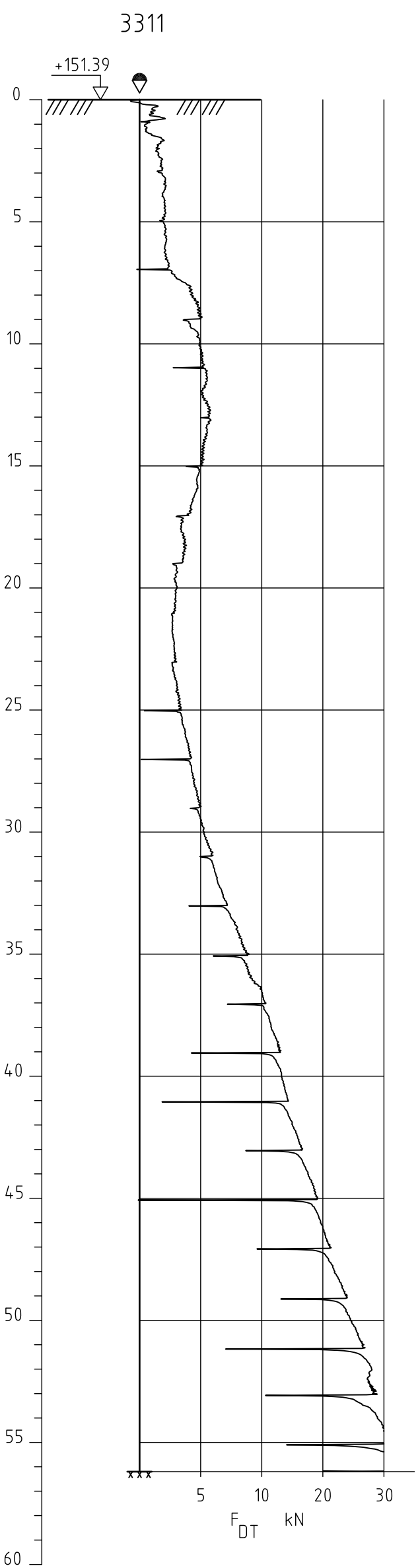
E16 Nybbakk - Slomarka

Dreietrykkssondering
 M = 1 : 200
 Borhull 3310
 Posisjon: X 1241797.79 Y 97273.24

Dato boret :04.02.2014

E16 Nybbakk - Slomarka		Rapport nr. 20120491-2-R	Figur nr. A386
Dreietrykkssondering M = 1 : 200		Tegner JGR	Dato 09.07.14
Borhull 3310 Posisjon: X 1241797.79 Y 97273.24		Kontrollert TFS	
Date boret :04.02.2014		Godkjent MAR	





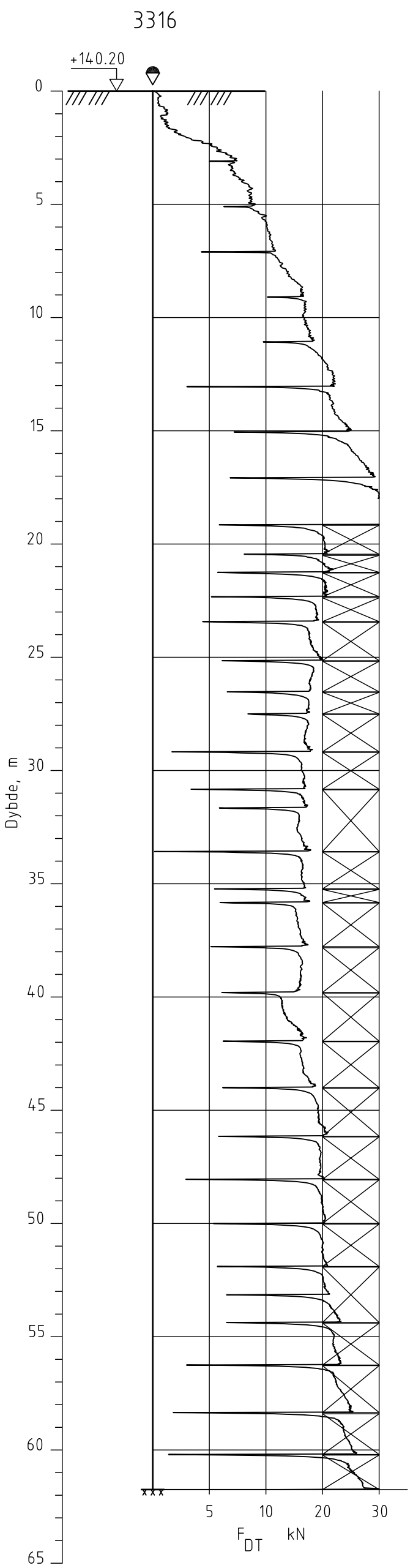
E16 Nybakk - Slomarka

Dreiecktrykkssondering
M = 1 : 200

Borhull 3311
Posisjon: X 1241709.05 Y 97307.26 Dato boret :04.02.2014

Rapport nr. 20120491-2-R	Figur nr. A387
Tegner JGR	Dato: 09.07.14
Kontrollert TFS	
Godkjent MAR	





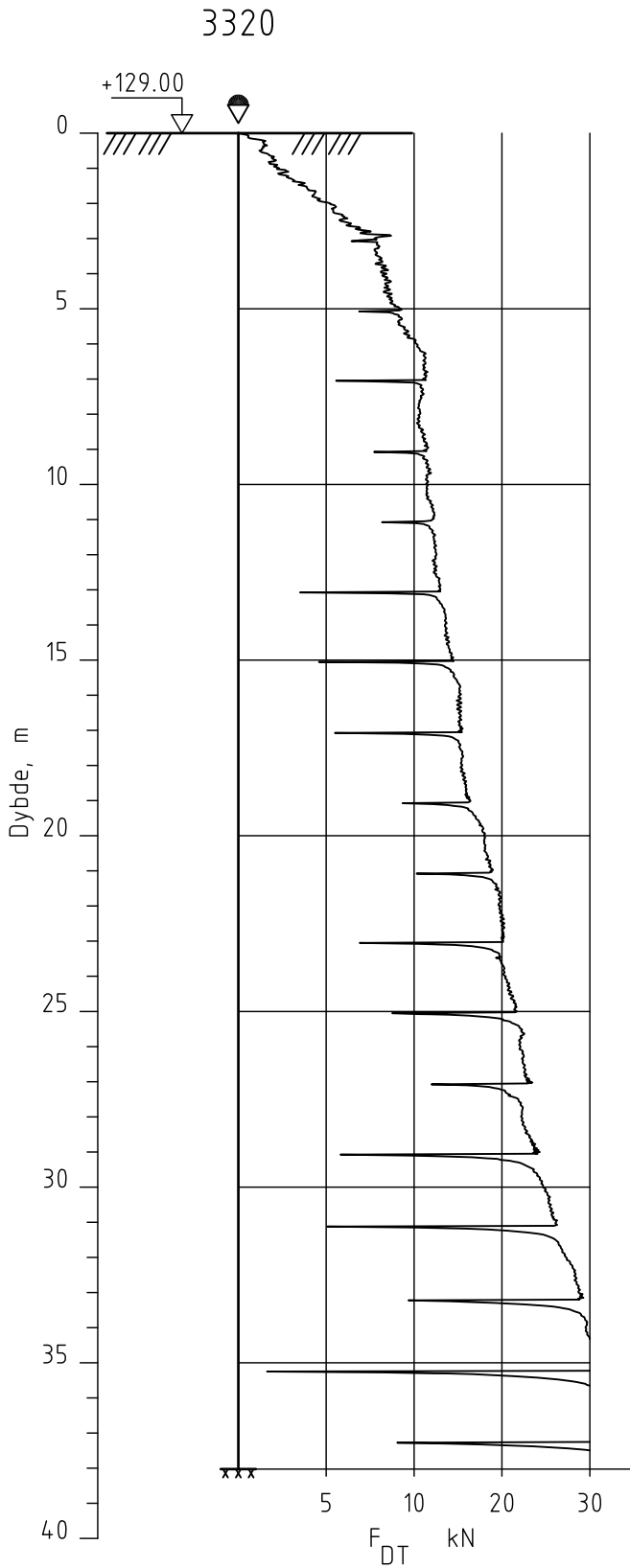
E16 Nybakk - Slomarka

Dreietrykkssondering
M = 1 : 200

Borhull 3316
Posisjon: X 1241926.71 Y 98826.78 Dato boret :05.03.2014

Rapport nr. 20120491-2-R	Figur nr. A388
Tegner JGR	Dato: 09.07.14
Kontrollerert TFS	
Godkjent MAR	






E16 Nybakk - Slomarka

Dreietrykkssondering
M = 1 : 200

Borhull 3320
Posisjon: X 1242440.70 Y 99018.61 Dato boret :05.03.2014

Rapport nr. 20120491-2-R	Figur nr. A389
Tegner JGr	Dato: 09.07.14
Kontrollert TFS	
Godkjent MaR	

Vedlegg B - Totalsonderinger

Innhold

B1 Metode	2
B2 Resultater	2
B3 Referanser	2
Figurer	
Figur B1 – B9	

B1 Metode

Metoden benyttes for å bestemme lagdeling i løsmasser og dybder til fast grunn eller fjell.

Metoden regnes for å gi sikker fjellpåvisning ved boring 3 m inn i fjell.

Resultatene gir grunnlag for å identifisere jordarter og vurdere relativ fasthet i grunnen.

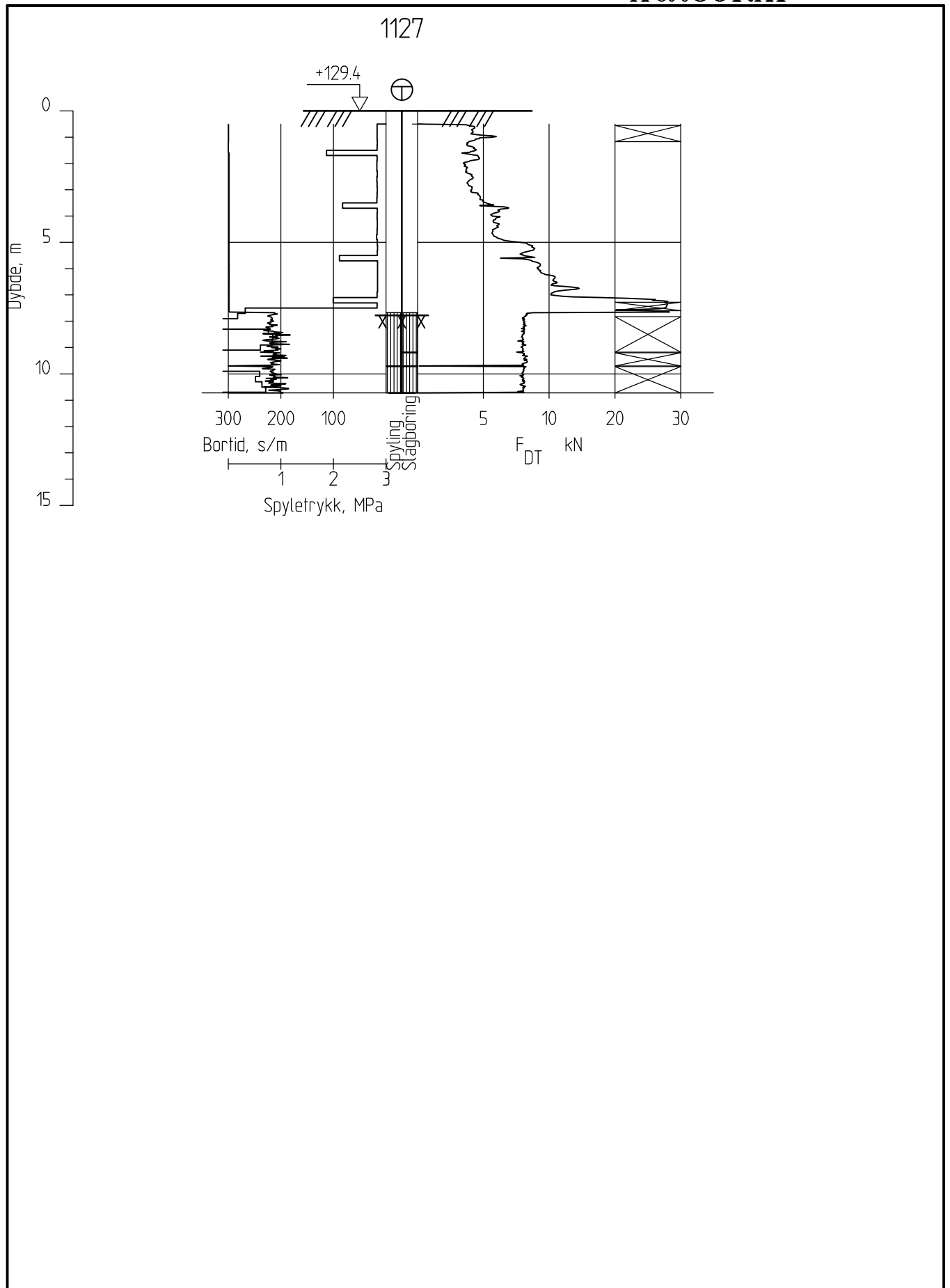
B2 Resultater

Resultatene er vist som enkeltboringer på figur B1 – B9.

B3 Referanser

/B1/ Veiledning for utførelse av totalsondering.
Melding nr. 9, Norsk geoteknisk forening

/B2/ Håndbok 015, Feltundersøkelser
Statens vegvesen, august 1997

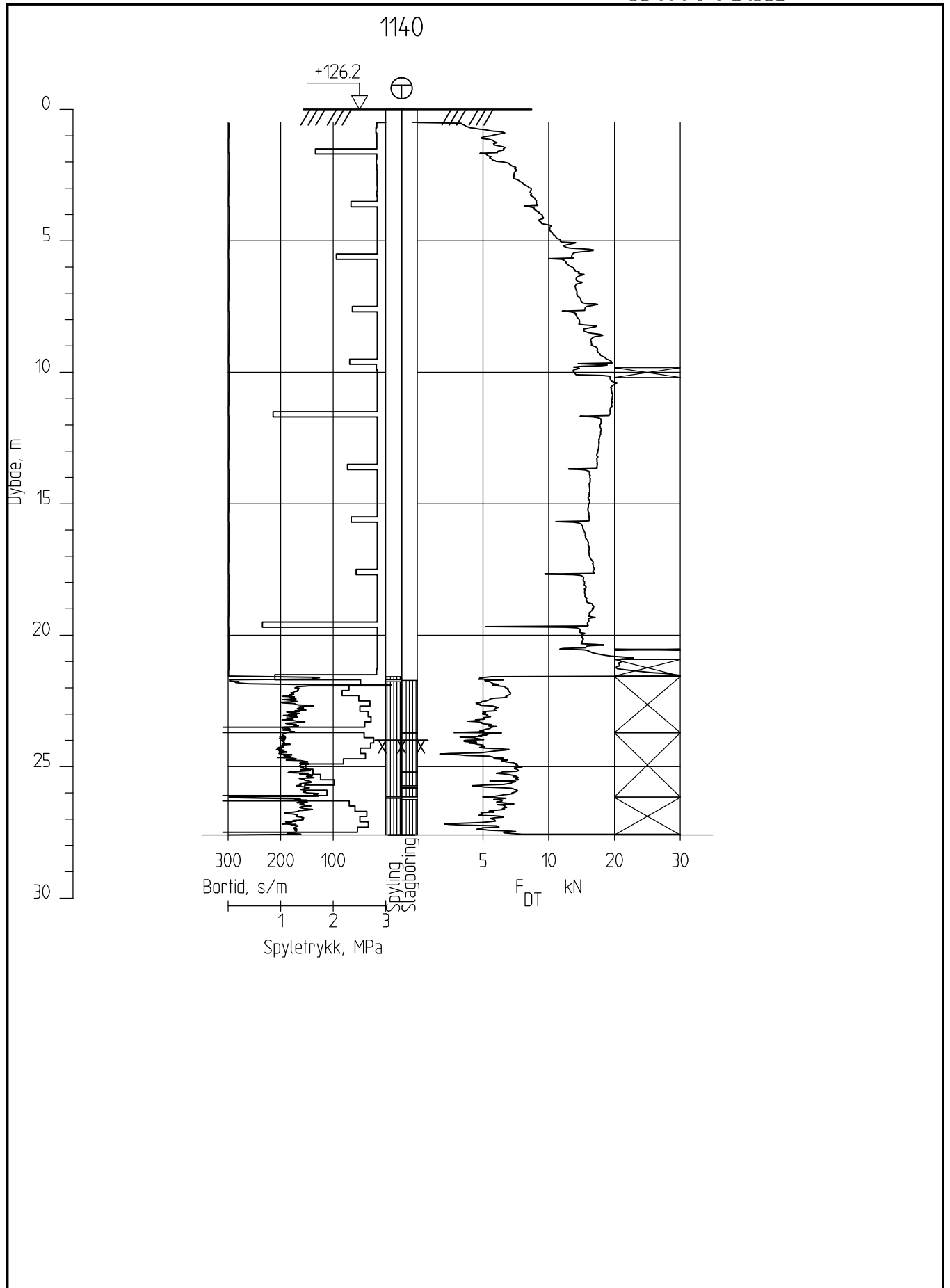



E16 Nybakk - Slomarka

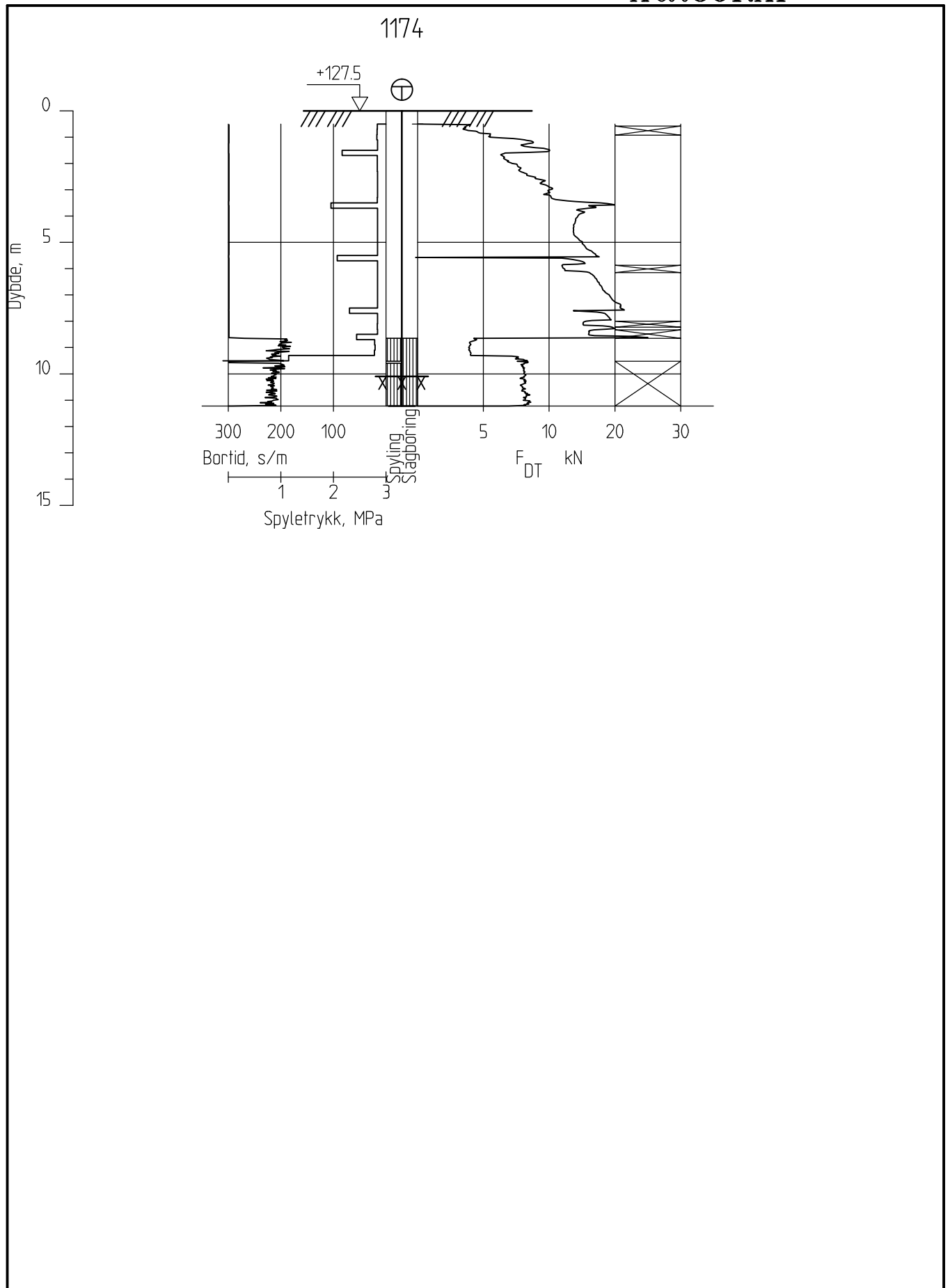
Rapport nr.
20120491-02-RFigur nr.
B1Totalsondering
1:200Tegner
KjADato:
05.11.2013Borhull 1127
Posisjon: X 1240689.95 Y 94084.78

Dato boret :16.05.2013

Kontrollert
TFSGodkjent
StH



<p>E16 Nybakk - Slomarka</p> <p>Totalsondering 1:200</p> <p>Borhull 1140 Posisjon: X 1240748.60 Y 94279.69</p>	<p>Rapport nr. 20120491-02-R</p>	<p>Figur nr. B3</p>
	<p>Tegner KjA</p>	<p>Dato: 05.11.2013</p>
	<p>Kontrollert TFS</p>	
	<p>Godkjent StH</p>	



E16 Nybakk - Slomarka

Rapport nr.
20120491-02-R

Figur nr.
B4

Totalsondering
1:200

Tegner
KjA

Dato:
05.11.2013

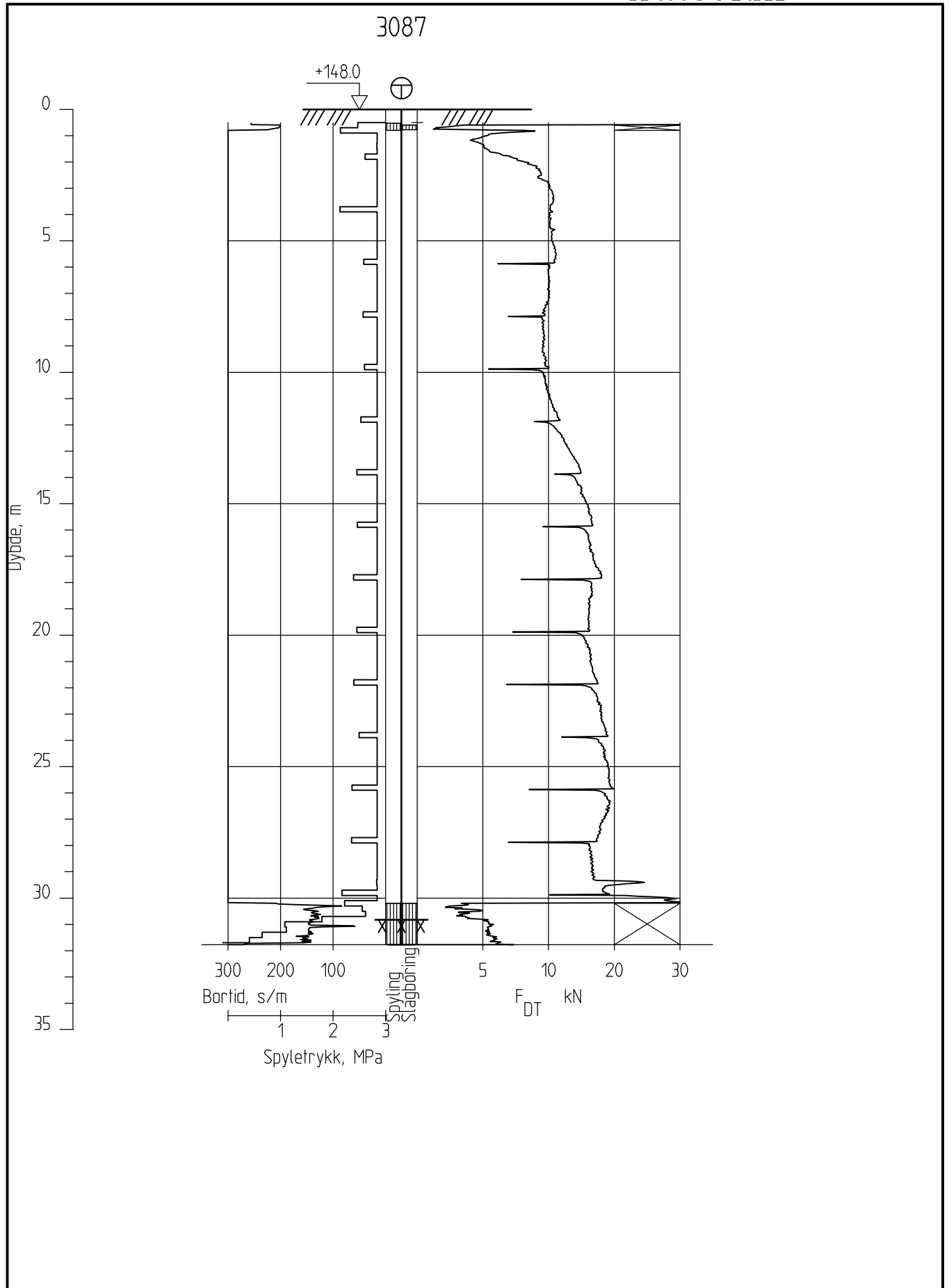
Borhull 1174
Posisjon: X 1240706.74 Y 94126.49

Kontrollert
TFS

Godkjent
StH

Dato boret :16.05.2013





E16 Nybakk - Slomarka

Rapport nr.
20120491-02-R

Figur nr.
B6

Totalsondering
1:200

Tegner
KjA

Dato:
05.11.2013

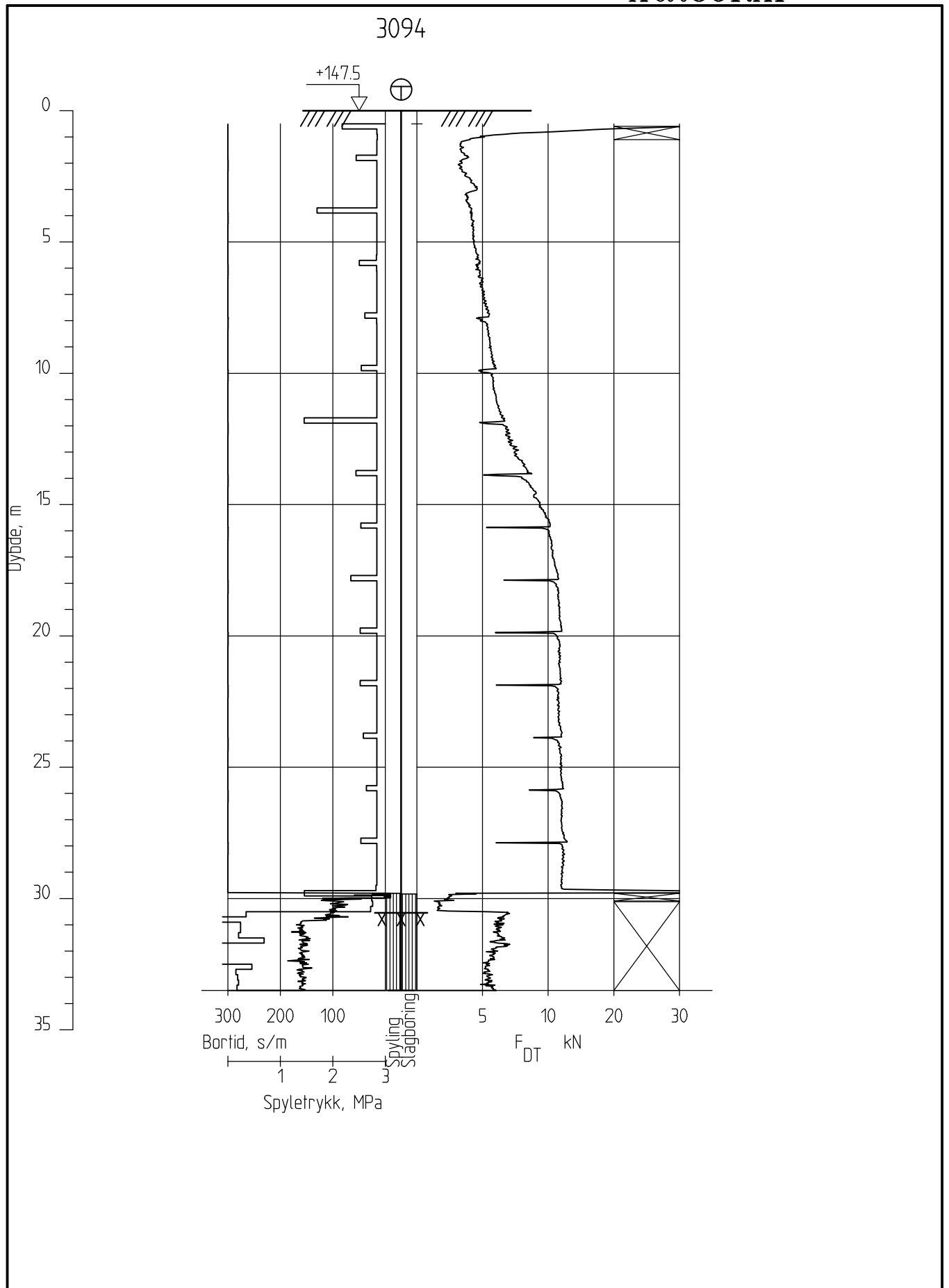
Borhull 3087
Posisjon: X 1242264.44 Y 98255.93

Dato boret :28.01.2013

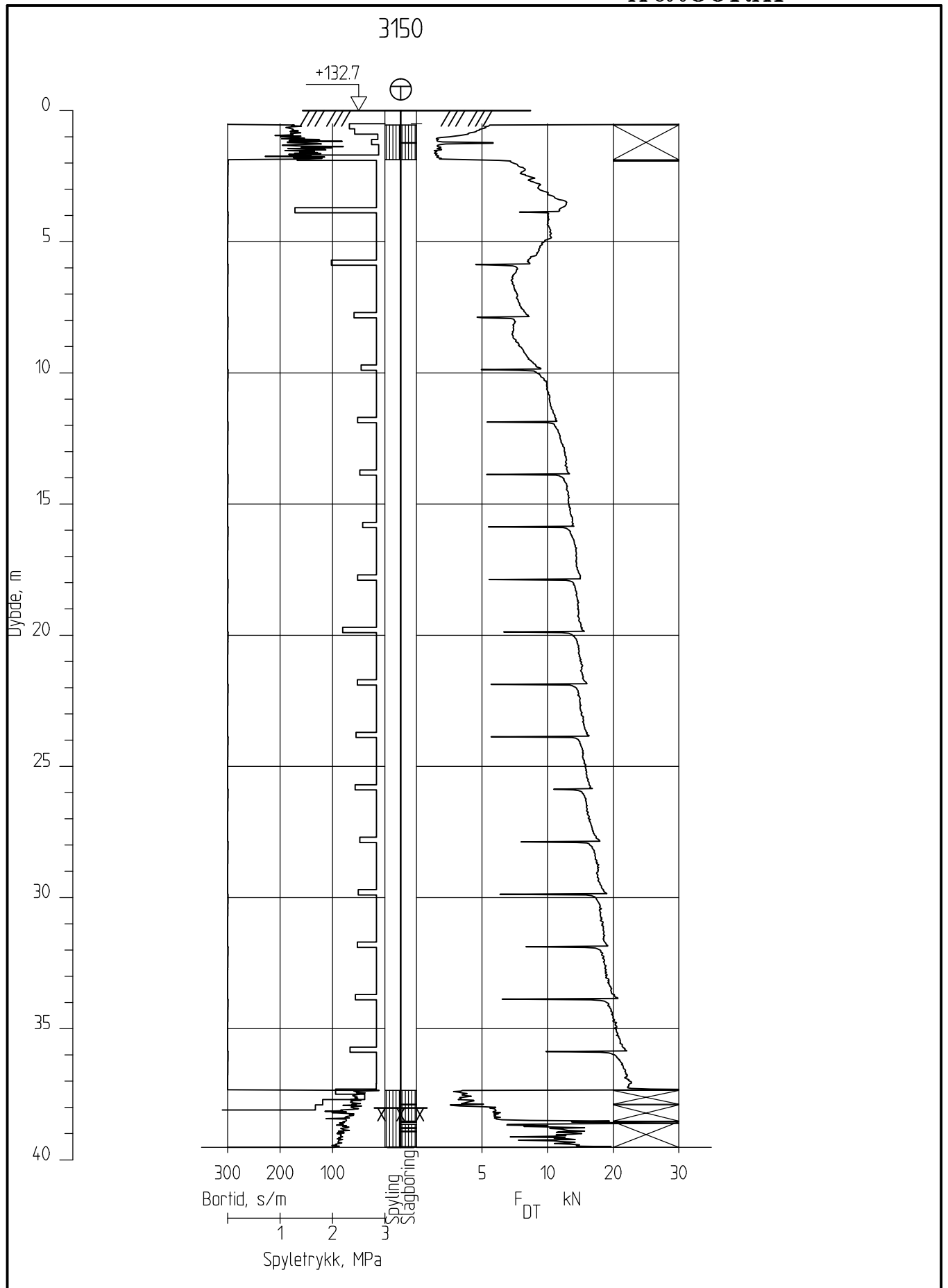
Kontrollert
TFS

Godkjent
StH





<p>E16 Nybakk - Slomarka</p> <p>Totalsondering 1:200</p> <p>Borhull 3094 Posisjon: X 1242267.89 Y 98301.19</p>	<p>Rapport nr. 20120491-02-R</p>	<p>Figur nr. B7</p>
	<p>Tegner KjA</p>	<p>Dato: 05.11.2013</p>
	<p>Kontrollert TFS</p>	
	<p>Godkjent StH</p>	



E16 Nybakk - Slomarka		Rapport nr. 20120491-02-R	Figur nr. B9
Totalsondering 1:200		Tegner KjA	Dato: 05.11.2013
Borhull 3150 Posisjon: X 1242361.92 Y 99048.03		Kontrollert TFS	
Dato boret :29.01.2013		Godkjent StH	

Vedlegg C - CPTU-sonderinger

Innhold

C1 Metode	2
C2 Utstyr	2
C3 Resultater	2
C4 Referanser	3

Bilag

Bilag C1 – C9 Kalibreringssertifikater

Tabeller

Tabell C1 Sondenumre og α -faktorer

Figurer

Figur C1 – C64 Enkeltplott CPTU-sonderinger

C1 Metode

Trykksondering med poretrykksmåling (CPTU) benyttes for å tolke lagdelinger, jordart, lagringsbetingelser, og jordartens mekaniske egenskaper (styrkeegenskaper, deformasjons- og konsolideringsegenskaper).

Under nedpressingen måles trykket (q_c) mot den koniske spissen og sidefriksjonen (f_s) mot friksjonshylsen på den sylindriske delen. I tillegg måles poretrykket (u) på en eller flere steder langs sondens overflate.

C2 Utstyr

CPTU sonderingene er utført med en ENVI MEMOCONE sonde (50kN) eller en Geotech sonde (50kN).

Tabell C1 viser hvilken sonde som har blitt brukt for hver enkelt CPTU-sondering og den korresponderende arealfaktoren (α) som er nødvendig i bearbeidingen av resultatene.

Bilag C1 til C9 viser kalibreringssertifikatene for de sondene som har blitt brukt i prosjektet.

C3 Resultater

Resultatene er vist som enkeltboringer på figur C1 – C64.

Her vises målte parametere, spissmotstand (q_c), sidefriksjon (f_s) og poretrykk (u), samt følgende beregnede parametere:

Korrigert spissmotstand: $q_T = q_c + (1 - \alpha) \cdot u$

Friksjonsforhold: $R_f = (f_s / q_c) \cdot 100$

Poretrykksfaktor: $B_q = (u - u_0) / (q_T - \gamma \cdot z)$

Hvor α er arealfaktor for poretrykkskorreksjon
 u_0 er antatt in situ poretrykk
 γ er antatt total in situ romvekt

C4 Referanser

- /C1/ Veiledning for utførelse av trykksondering
Melding nr. 5, Norsk Geoteknisk Forening, 1982
Rev. Nr.3, 2010

- /C2/ Håndbok 015. Feltundersøkelser
Statens vegvesen, august 1997

Kalibreringsintyg

Environmental Mechanics AB intygar härmed att CPT sonden av typ Memocone, med det serienummer som anges nedan, har blivit kalibrerad i vårt laboratorie samt passerat vår kvalitetskontroll.

Referensutrustning:

Kraftkalibreringar utförs med en lastcell av typ HBM C1. Den har en noggrannhet på 0.05%, och testas regelbundet hos Statens Provningsanstalt. Som kontrollutrustning används kontrollvägda vikter.

Tryckkalibreringar utförs med en "dead-weight" testapparat av typ WIKA N2. Den har en noggrannhet på 0.05%

Environmental Mechanics AB
Kungegårdsgatan 7
44157 Alingsås
Sverige

Area faktorer	a=0.69 b=0.005
Serienr	20757
Datum	1-Feb-2013
Klassifikation	ISO 22476-1 Klass 1, ASTM D 5778
Ingenjör	Johan Nilsson

Envi
Environmental Mechanics AB
Kungegårdsgatan 7
S-441 57 Alingsås
SWEDEN

Johan Nilsson

Kalibreringsintyg

Environmental Mechanics AB intygar härmed att CPT sonden av typ Memocone, med det serienummer som anges nedan, har blivit kalibrerad i vårt laboratorie samt passerat vår kvalitetskontroll.

Referensutrustning:

Kraftkalibreringar utförs med en lastcell av typ HBM C1. Den har en noggrannhet på 0.05%, och testas regelbundet hos Statens Provningsanstalt. Som kontrollutrustning används kontrollvägda vikter.

Tryckkalibreringar utförs med en "dead-weight" testapparat av typ WIKA N2. Den har en noggrannhet på 0.05%

Environmental Mechanics AB
Kungegårdsgatan 7
44157 Alingsås
Sverige

Area faktorer	a=0.70 b=0.007
Serienr	20759
Datum	21-Feb-2013
Klassifikation	ISO 22476-1 Klass 1, ASTM D 5778
Ingenjör	Johan Nilsson

Envi 
Environmental Mechanics AB
Kungegårdsgatan 7
S-441 57 Alingsås
SWEDEN


.....

Kalibreringsintyg

Environmental Mechanics AB intygar härmed att CPT sonden av typ Memocone, med det serienummer som anges nedan, har blivit kalibrerad i vårt laboratorium samt passerat vår kvalitetskontroll.

Referensutrustning:

Kraftkalibreringar utförs med en lastcell av typ HBM C1. Den har en noggrannhet på 0.05%, och testas regelbundet hos Statens Provningsanstalt. Som kontrollutrustning används kontrollvägda vikter.

Tryckkalibreringar utförs med en "dead-weight" testapparat av typ WIKA N2. Den har en noggrannhet på 0.05%

Environmental Mechanics AB
Kungegårdsgatan 7
44157 Alingsås
Sverige

Area faktorer	a=0.71 b=0.006
Serienr	20856
Datum	13-Feb-2013
Klassifikation	ISO 22476-1 Klass 1, ASTM D 5778
Ingenjör	Johan Nilsson

Envi
Environmental Mechanics AB
Kungegårdsgatan 7
S-441 57 Alingsås
SWEDEN

Johan Nilsson

Kalibreringsintyg

Environmental Mechanics AB intygar härmed att CPT sonden av typ Memocone, med det serienummer som anges nedan, har blivit kalibrerad i vårt laboratorie samt passerat vår kvalitetskontroll.

Referensutrustning:

Kraftkalibreringar utförs med en lastcell av typ HBM C1. Den har en noggrannhet på 0.05%, och testas regelbundet hos Statens Provningsanstalt. Som kontrollutrustning används kontrollvägda vikter.

Tryckkalibreringar utförs med en "dead-weight" testapparat av typ WIKA N2. Den har en noggrannhet på 0.05%

Environmental Mechanics AB
Kungegårdsgatan 7
44157 Alingsås
Sverige

Area faktorer	a=0.68 b=0.007
Serienr	30451
Datum	22-Feb-2013
Klassifikation	ISO 22476-1 Klass 1, ASTM D 5778
Ingenjör	Johan Nilsson

Envi
Environmental Mechanics AB
Kungegårdsgatan 7
S-441 57 Alingsås
SWEDEN

Johan Nilsson
.....

KALIBRERINGSINTYGSOND NR:.....*50660*.....DATUM.....*10.02.16*.....

NG1

Envi AB intygar med detta dokument att, CPTu-sond av typ MEMOCONE med ovanstående serienummer, har blivit kalibrerad i vårt laboratorie samt passerat vår kvalitetskontroll.

Kalibreringsprocedur:

1. Sensorerna är lastade till 120% av angiven full last och avlastade ett flertal gånger, tills ingen ändring av respektive nollvärde kan noteras.
2. En känd last påföres och avläsning sker vid både pålastning och avlastning.
3. Sonden placeras i en trycksatt kammare, där påverkan av yttre tryck kan kontrolleras. Nettoareafaktorerna är $a=0,68$ och $b=0,005$.
4. Sonden placeras i en kammare där temperaturen varieras 30 grader Celsius. Temperaturdriften kompenseras i sondens processor.

Referensutrustning:

Kraft: För kalibrering av Q_c och F_s används en tryckcell av typ HBM C1. Den har en noggrannhet av 0,05%. Tryckcellens kalibreras regelbundet enligt gällande normer hos Statens Provningsanstalt i Borås.

Som kontrollutrustning används kontrollvägda metallvikter. Dessa har en noggrannhet av $\pm 0,2$ N.

Tryck: För kalibrering av U används en testapparat av typ WIKA N2. Som tryckgivare används kontrollvägda metallvikter. Dessa har en noggrannhet av 0,05%.

OBSERVERA: Detta kalibreringsintyg innehåller totalt 6 sidor.

Environmental Mechanics AB; Kungegårdsgatan 7; S-441 57 ALINGSÅS; Sverige
Registreringsnummer: 556249-6637

Kalibrerad av:.....*Lars Lundberg*.....Sonden uppfyller SGF klass:.....*3*.....

Stämpel:

Envi 
Environmental Mechanics AB
Kungegårdsgatan 7
S-441 57 Alingsås
SWEDEN

Kalibreringsintyg

Environmental Mechanics AB intygar härmed att CPT sonden av typ Memocone, med det serienummer som anges nedan, har blivit kalibrerad i vårt laboratorie samt passerat vår kvalitetskontroll.

Referensutrustning:

Kraftkalibreringar utförs med en lastcell av typ HBM C1. Den har en noggrannhet på 0.05%, och testas regelbundet hos Statens Provningsanstalt. Som kontrollutrustning används kontrollvägda vikter.

Tryckkalibreringar utförs med en "dead-weight" testapparat av typ WIKA N2. Den har en noggrannhet på 0.05%

Environmental Mechanics AB
Kungegårdsgatan 7
44157 Alingsås
Sverige

Area faktorer	a=0.68 b=0.006
Serienr	50751
Datum	4-Feb-2013
Klassifikation	ISO 22476-1 Klass 1, ASTM D 5778
Ingenjör	Johan Nilsson

Envi
Environmental Mechanics AB
Kungegårdsgatan 7
S-441 57 Alingsås
SWEDEN

Johan Nilsson



CERTIFICATE FOR CPT PROBE

4489

Probe No 4489
Date of Calibration 20120308
Replacement of
Calibrated by Joakim Tingström
File name 4489 20120308 135920.doc

Point Resistance

Maximum Load 50 MPa
Range 50 MPa
Scaling Factor **1315**
Resolution 0.5802 kPa (18 bit resolution)
Area factor (a) 0.858

ERRORS

Max. Temperature effect when not loaded 29.5902 kPa
Temperature range 0 -40 deg. Celsius.

Local Friction

Maximum Load 0.5 MPa
Range 0.5 MPa
Scaling Factor **3638**
Resolution 0.0106 kPa (18 bit resolution)
Area factor (b) 0

ERRORS

Max. Temperature effect when not loaded 0.5088 kPa
Temperature range 0 -40 deg. Celsius.

Pore Pressure

Maximum Load 2 MPa
Range 2 MPa
Scaling Factor **3757**
Resolution 0.0203 kPa (18 bit resolution)

ERRORS

Max. Temperature effect when not loaded 0.9744 kPa
Temperature range 0 -40 deg. Celsius.

Tilt Angle.

Scaling Factor 1

Range 0 - 40 Deg.

Temperature sensor.

Scaling Factor 1

Range 0 - 40 Deg. Celsius

BACK-UP MEMORY



Specialists in
Geotechnical
Field Equipment





CERTIFICATE FOR CPT PROBE

4634

Probe No 4634
Date of Calibration 20120821
Replacement of
Calibrated by Joakim Tingström
File name 4634 20120821 101303.doc

Point Resistance

Maximum Load 50 MPa
Range 50 MPa
Scaling Factor **1320**
Resolution 0.5780 kPa
Area factor (a) 0.844

ERRORS

Max. Temperature effect when not loaded 44.5060 kPa
Temperature range 0 -40 deg. Celsius.

Local Friction

Maximum Load 0.5 MPa
Range 0.5 MPa
Scaling Factor **3683**
Resolution 0.0103 kPa
Area factor (b) 0

ERRORS

Max. Temperature effect when not loaded 0.8446 kPa
Temperature range 0 -40 deg. Celsius.

Pore Pressure

Maximum Load 2 MPa
Range 2 MPa
Scaling Factor **3316**
Resolution 0.0230 kPa

ERRORS

Max. Temperature effect when not loaded 1.0810 kPa
Temperature range 0 -40 deg. Celsius.

Tilt Angle. Scaling Factor 1

Range 0 - 40 Deg.

Temperature sensor. Scaling Factor 1

Range 0 - 40 Deg. Celsius

BACK-UP MEMORY



Specialists in
Geotechnical
Field Equipment



CERTIFICATE FOR CPT PROBE 4690

Probe No 4690
 Date of Calibration 20130816
 Replacement of ..
 Calibrated by Joakim Tingström
 File name 4690 20130816 113748.doc

Point Resistance **Tip Area 10cm²**

Maximum Load 50 MPa
 Range 50 MPa
 Scaling Factor **1305**
 Resolution 0.5846 kPa
 Area factor (a) at 1MPa 0.840

ERRORS

Max. Temperature effect when not loaded 22.7994 kPa
 Temperature range 0 -40 deg. Celsius.

Local Friction **Sleeve Area 150cm²**

Maximum Load 0.5 MPa
 Range 0.5 MPa
 Scaling Factor **3851**
 Resolution 0.0099 kPa
 Area factor (b) at 1MPa 0

ERRORS

Max. Temperature effect when not loaded 0.5346 kPa
 Temperature range 0 -40 deg. Celsius.

Pore Pressure

Maximum Load 2.5 MPa
 Range 2 MPa
 Scaling Factor **3501**
 Resolution 0.0218 kPa

ERRORS

Max. Temperature effect when not loaded 1.2862 kPa
 Temperature range 0 -40 deg. Celsius.

Tilt Angle. **Scaling Factor 1**

Range 0 - 40 Deg.

Temperature sensor. **Scaling Factor 1**

Range 0 - 40 Deg. Celsius

BACK-UP MEMORY



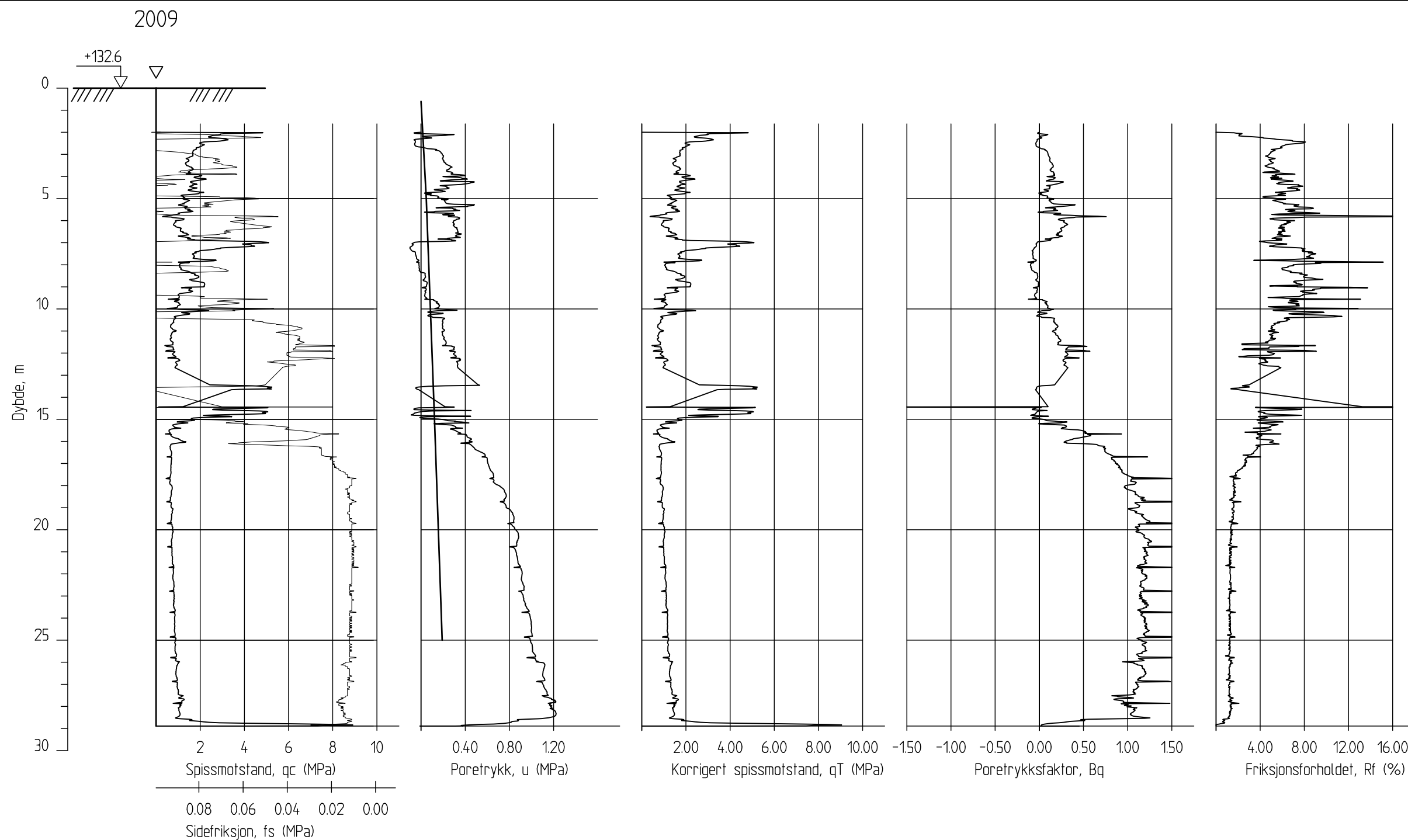
Specialists in
 Geotechnical
 Field Equipment



Borhullnummer	Sondennummer	alfa-faktor
2009C	50660	0,680
2009C-2	50660	0,680
2031C	50660	0,680
2201C	4489	0,858
2207C	4489	0,858
2208C	4489	0,858
2212C	4489	0,858
2214C	4489	0,858
2221C	4489	0,858
2221CR	20856	0,700
2222C	4489	0,858
2222CR	20856	0,700
2225C	4634	0,844
2226C	4634	0,844
2227C	4489	0,858
2231C	4489	0,858
2251C	50751	0,710
2252C	50751	0,710
2253C	50660	0,680
2257C	50660	0,680
2258C	50751	0,710
2259C	20757	0,710
2263C	50660	0,680
2264C	20757	0,710
2264CR	20856	0,700
2265C	20757	0,710
2269C	50751	0,710
2270C	50660	0,680
2271C	20757	0,710
2271C-2	50751	0,710
2272C	20757	0,710
2273C	50751	0,710
2275C	50751	0,710
2280CR	20856	0,700
2281C	20856	0,700
2283CR	20856	0,700
2284C	50660	0,680
2293C	20759	0,740
3006C	50751	0,710
3019C	50751	0,710
3029C	30451	0,680
3043CR	20856	0,700
3059CR	20856	0,700
3070CR	20856	0,700
3080C	20856	0,700
3091C	20759	0,740
3107C	30451	0,680
3137C	20856	0,700
3139C	50660	0,680

Tabell C1
SONDENUMRE OG A-FAKTORER

Borhullnummer	Sondennummer	alfa-faktor
3148C	30451	0,680
2312C	50751	0,710
2322C	50751	0,710
2325C	20759	0,740
2330C	20759	0,740
2332C	50751	0,710
2344C	20856	0,700
2366C	50660	0,680
2371C	20759	0,740
2379C	20759	0,740
2409C	20856	0,700
2411C	20856	0,700
2413C	20856	0,700
2428C	50660	0,680
2430C	50660	0,680
2436C	20759	0,740




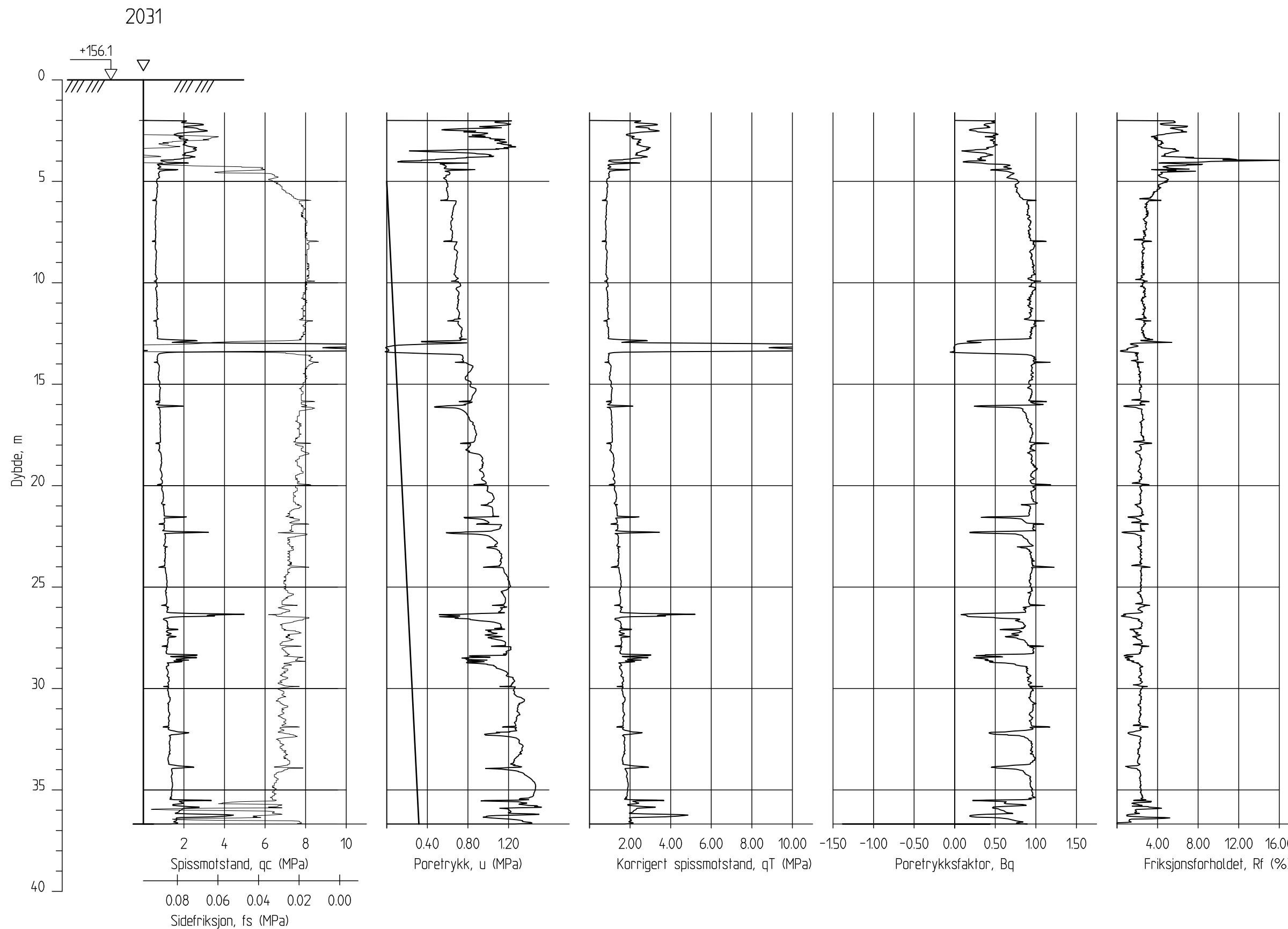
E16 Nybakk - Slomarka

CPT-sondering
M = 1 : 200

Borhull 2009
Posisjon: X 1241429.46 Y 94390.31

Sonde nr. : 50660
Dato boret :05.02.2013

Rapport nr. 20120491-2-R	Figur nr. C1
Tegner TS	Dato: 12.11.13
Kontrollert TFS	
Godkjent SH	




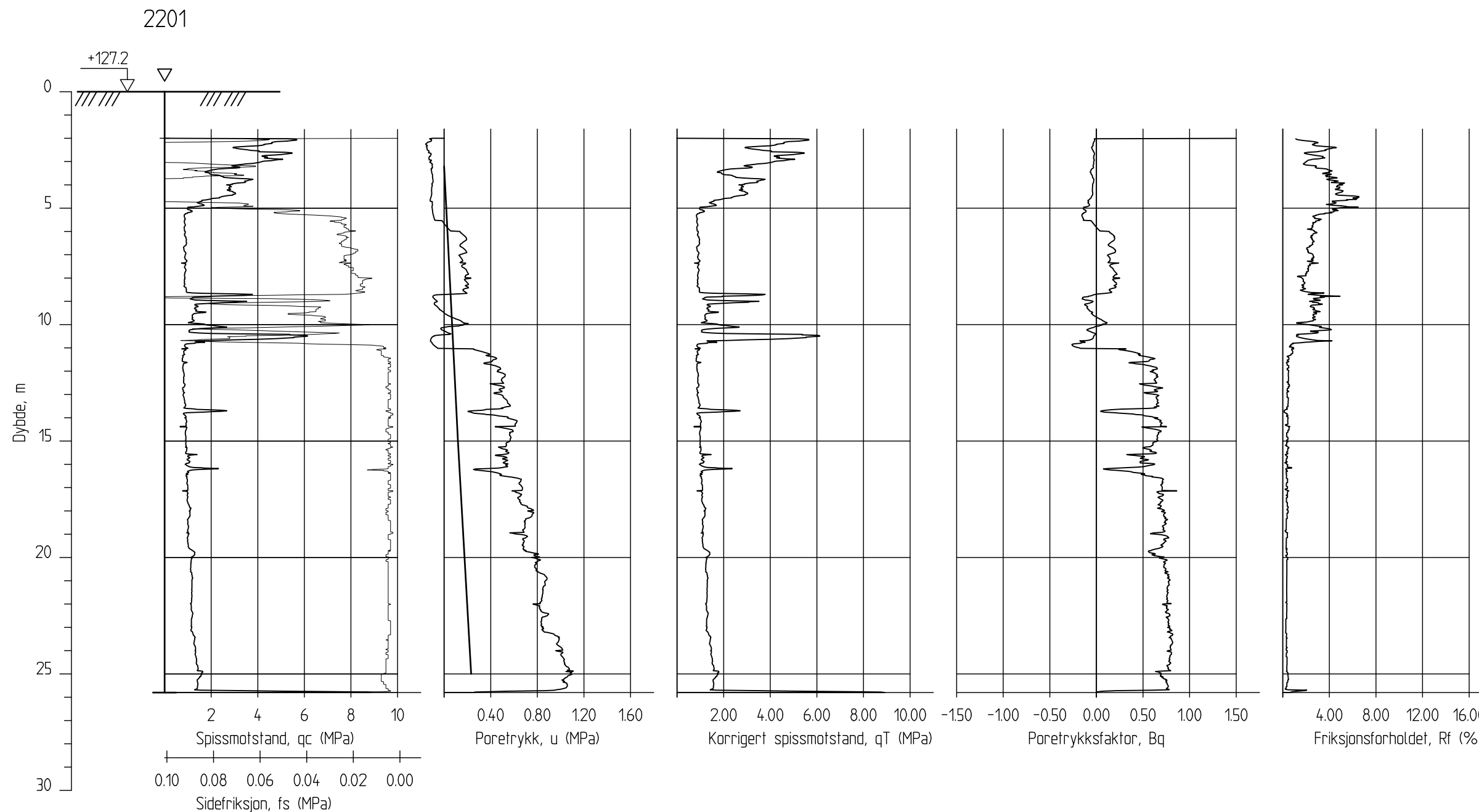
E16 Nybakk - Slomarka

CPT-sondering
M = 1 : 200

Borhull 2031
Posisjon: X 1241648.21 Y 94639.55

Sonde nr. : 50660
Dato boret :04.02.2013

Rapport nr. 20120491-2-R	Figur nr. C2
Tegner TS	Dato: 12.11.13
Kontrollert TFS	
Godkjent SH	




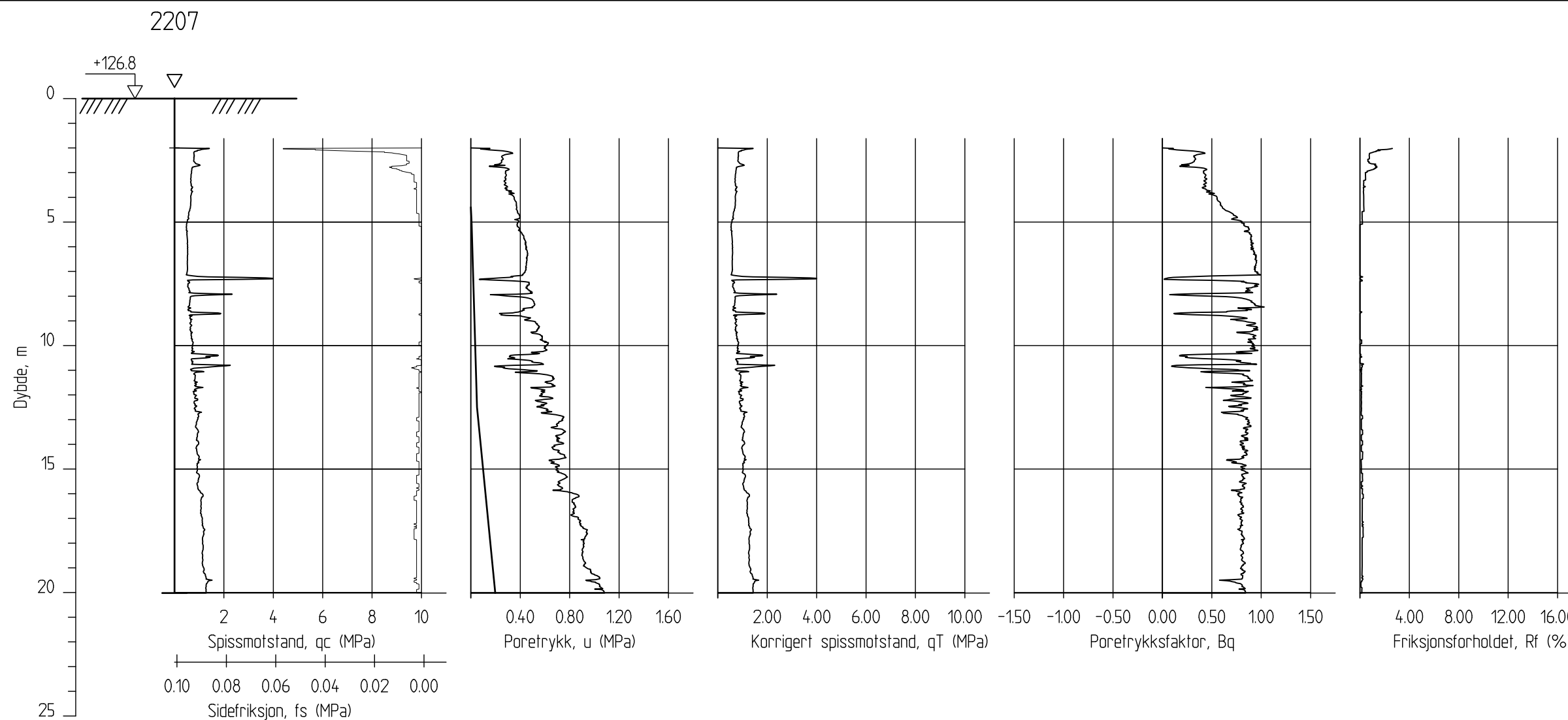
E16 Nybakk - Slomarka

CPT-sondering
M = 1 : 200

Borhull 2201
Posisjon: X 1241201.62 Y 94515.31

Sonde nr. : 4489
Dato boret : 13.02.2013

Rapport nr. 20120491-2-R	Figur nr. C3
Tegner TS	Dato: 12.11.13
Kontrollert TFS	
Godkjent SH	




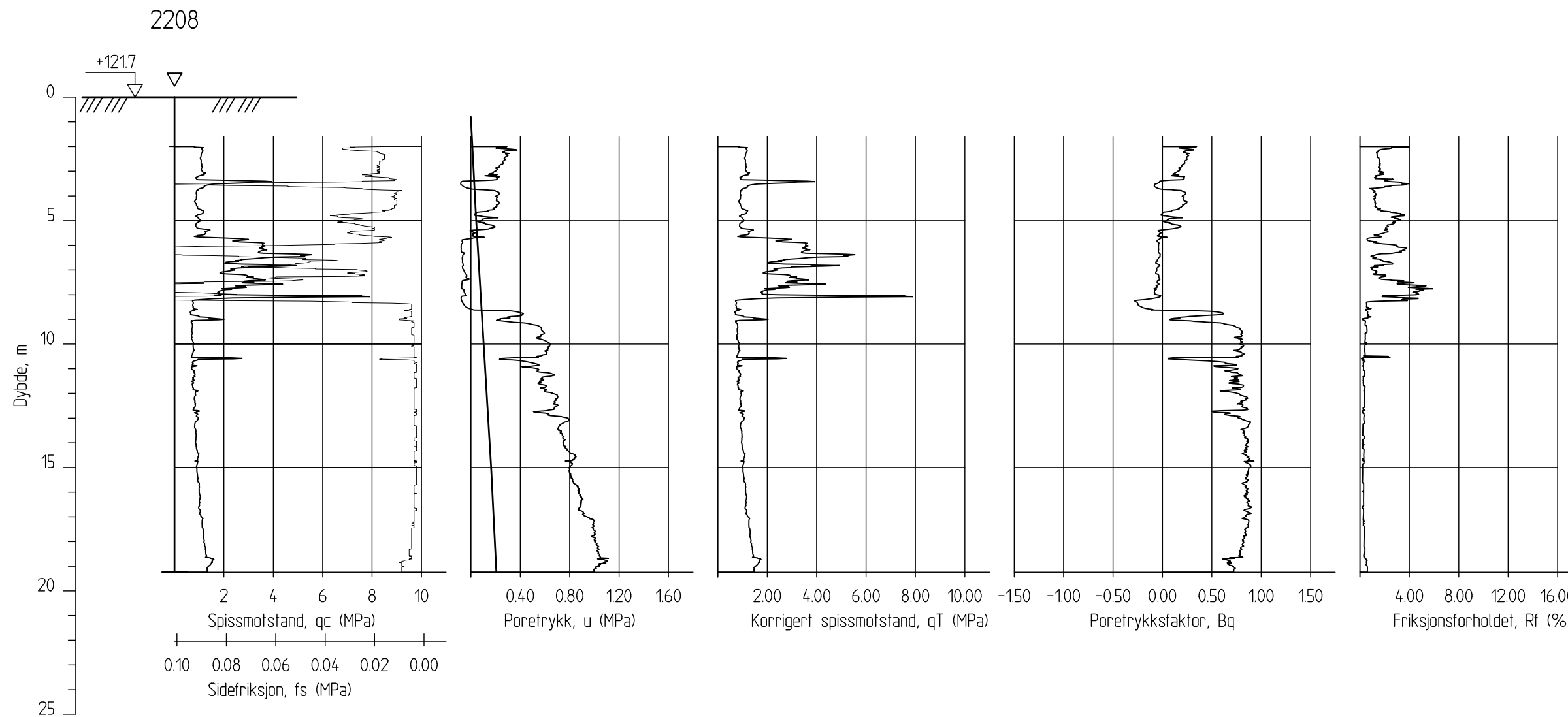
E16 Nybakk - Slomarka

CPT-sondering
M = 1 : 200

Borhull 2207
Posisjon: X 1241126.74 Y 94652.27

Sonde nr. : 4489
Dato boret : 07.02.2013

Rapport nr. 20120491-2-R	Figur nr. C4
Tegner TS	Dato: 12.11.13
Kontrollert TFS	
Godkjent SH	




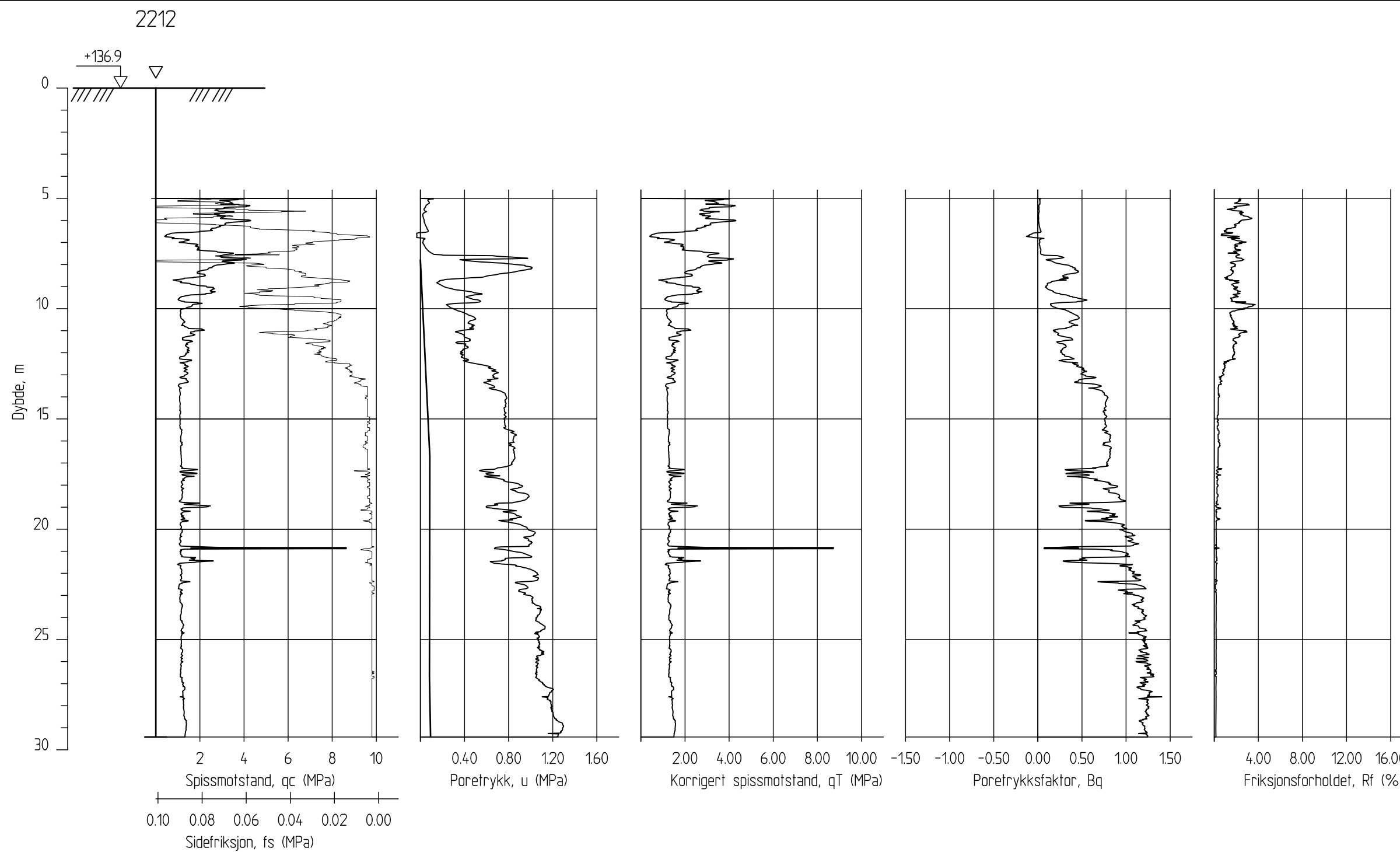
E16 Nybakk - Slomarka

CPT-sondering
M = 1 : 200

Borhull 2208
Posisjon: X 1241060.91 Y 94728.64

Sonde nr. : 4489
Dato boret : 07.08.2013

Rapport nr. 20120491-2-R	Figur nr. C5
Tegner TS	Dato: 12.11.13
Kontrollert TFS	
Godkjent SH	




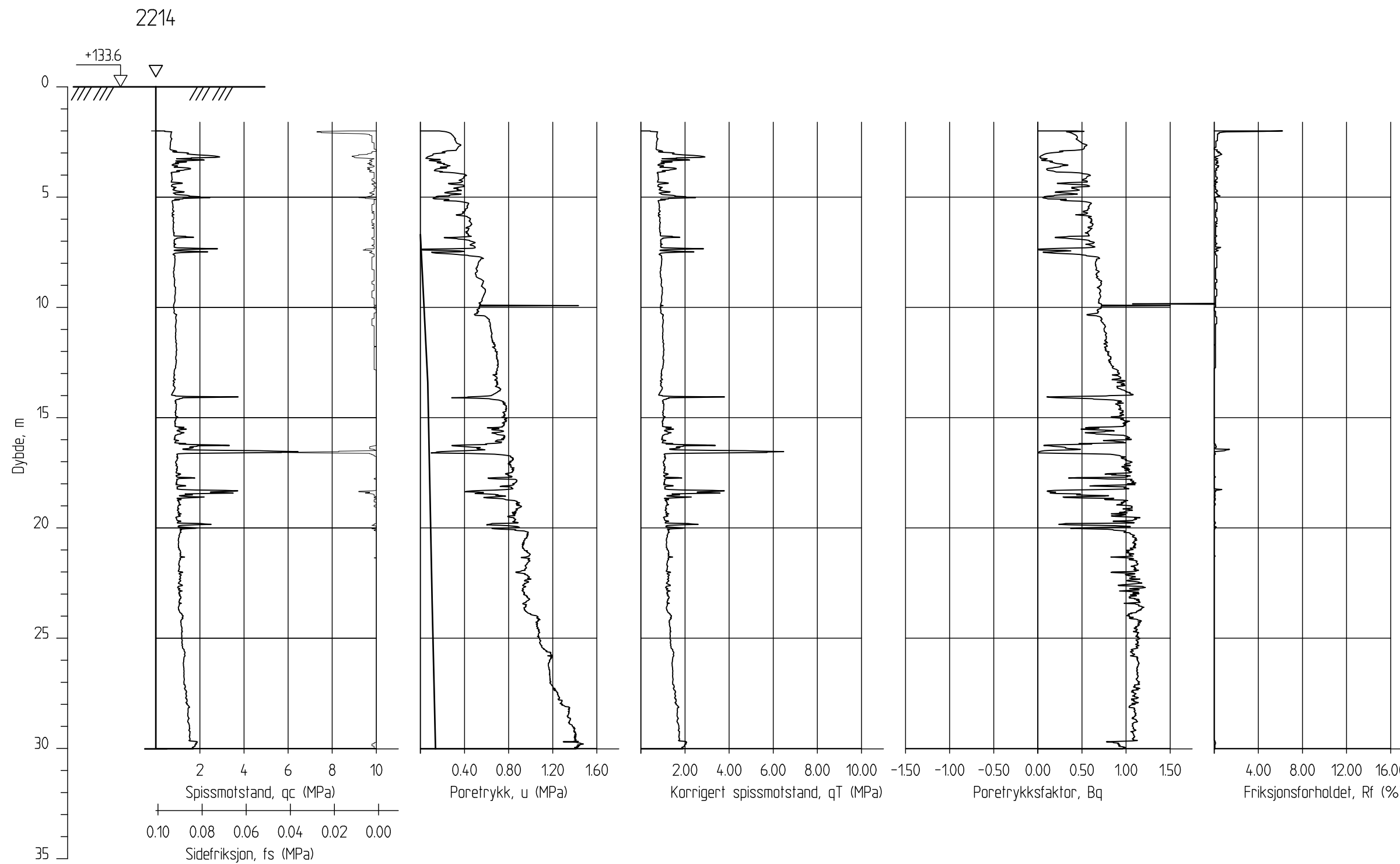
E16 Nybakk - Slomarka

CPT-sondering
M = 1 : 200

Borhull 2212
Posisjon: X 1241332.39 Y 94565.77

Sonde nr. : 4489
Dato boret : 13.02.2013

Rapport nr. 20120491-2-R	Figur nr. C6
Tegner TS	Dato: 12.11.13
Kontrollert TFS	
Godkjent SH	




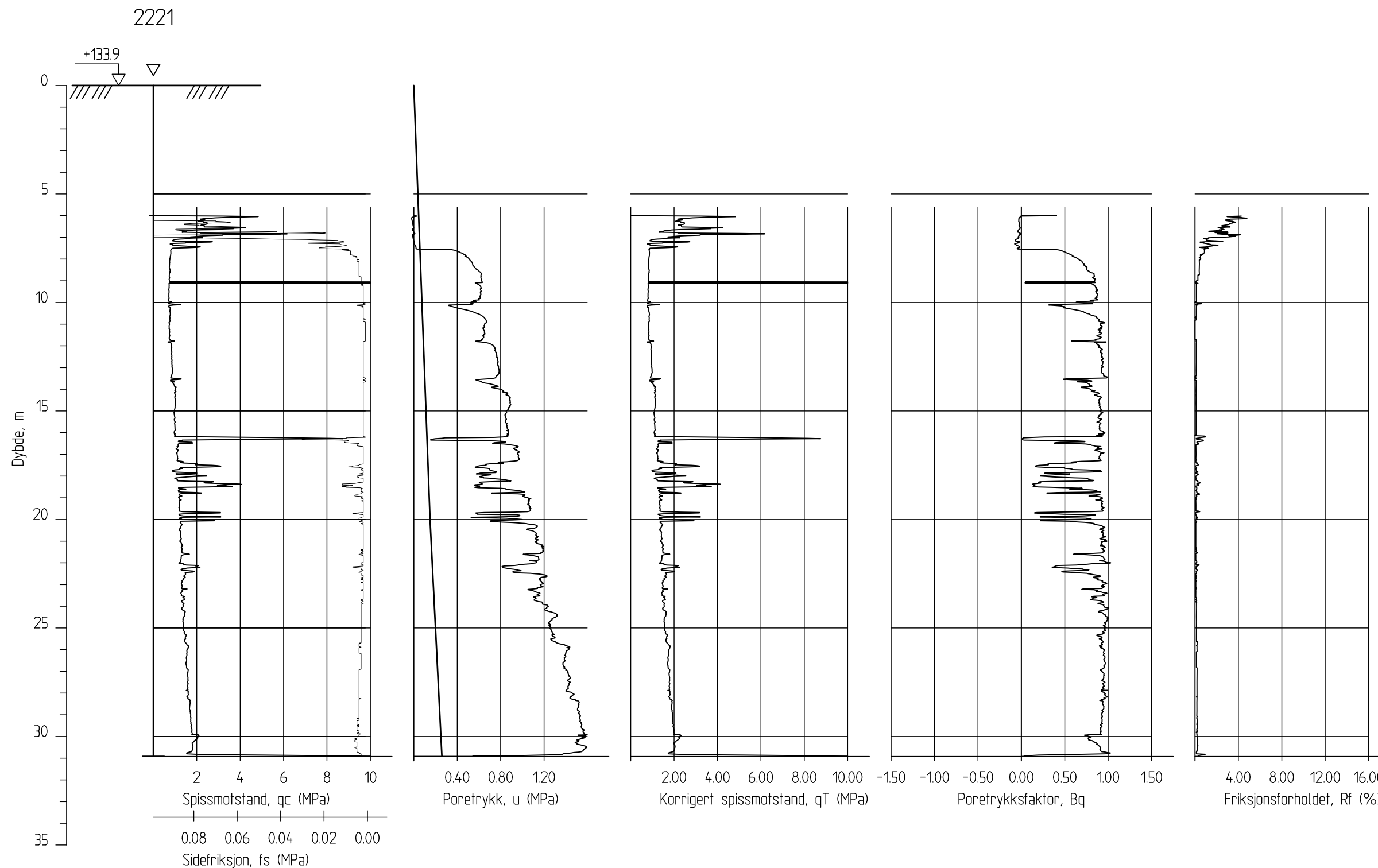
E16 Nybakk - Slomarka

CPT-sondering
M = 1 : 200

Borhull 2214
Posisjon: X 1241267.10 Y 94642.10

Sonde nr. : 4489
Dato boret : 08.02.2013

Rapport nr. 20120491-2-R	Figur nr. C7
Tegner TS	Dato: 12.11.13
Kontrollert TFS	
Godkjent SH	




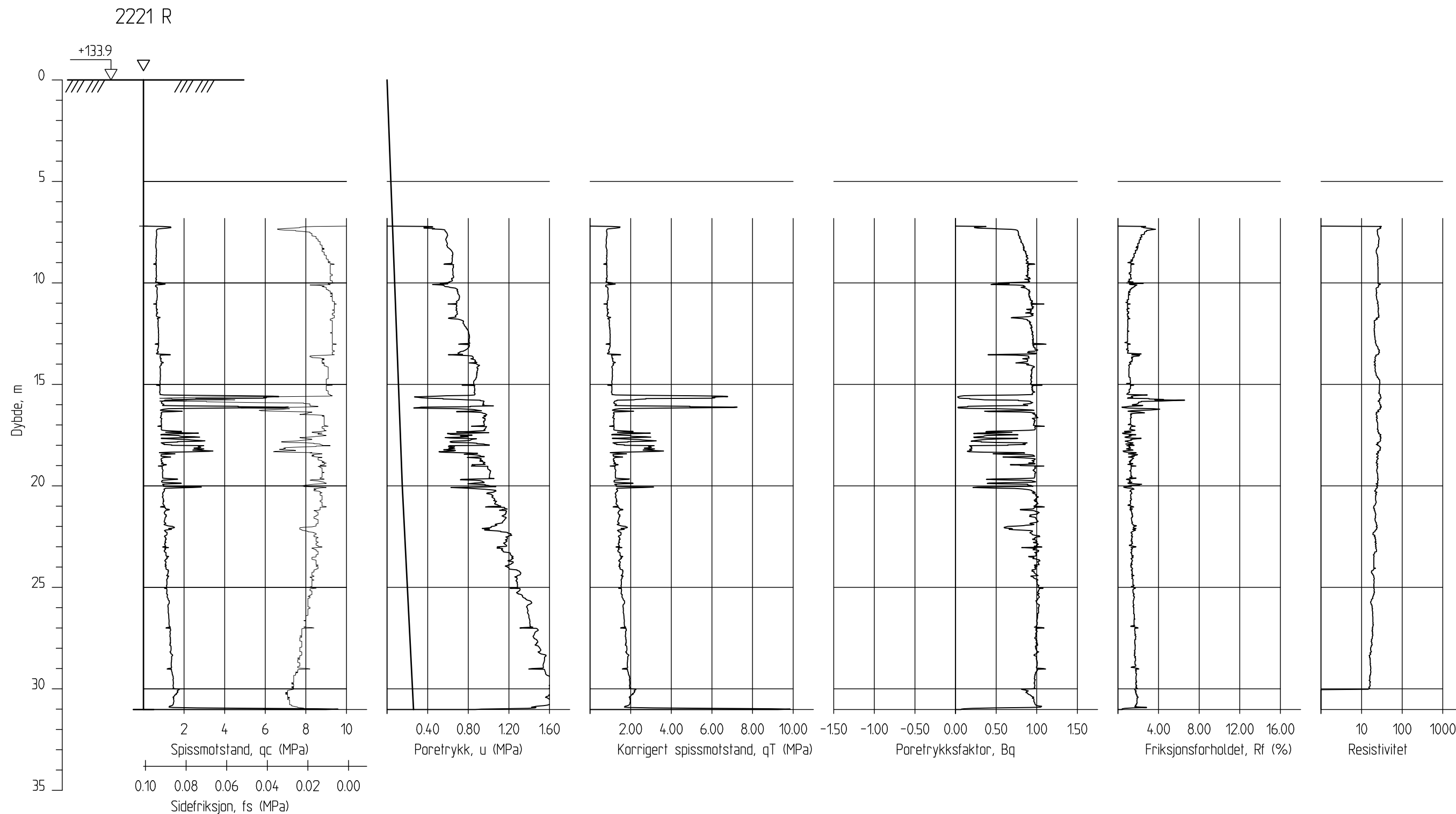
E16 Nybakk - Slomarka

CPT-sondering
M = 1 : 200

Borhull 2221
Posisjon: X 1241375.53 Y 94669.27

Sonde nr. : 4489
Dato boret : 08.02.2013

Rapport nr. 20120491-2-R	Figur nr. C8
Tegner TS	Dato: 12.11.13
Kontrollert TFS	
Godkjent SH	




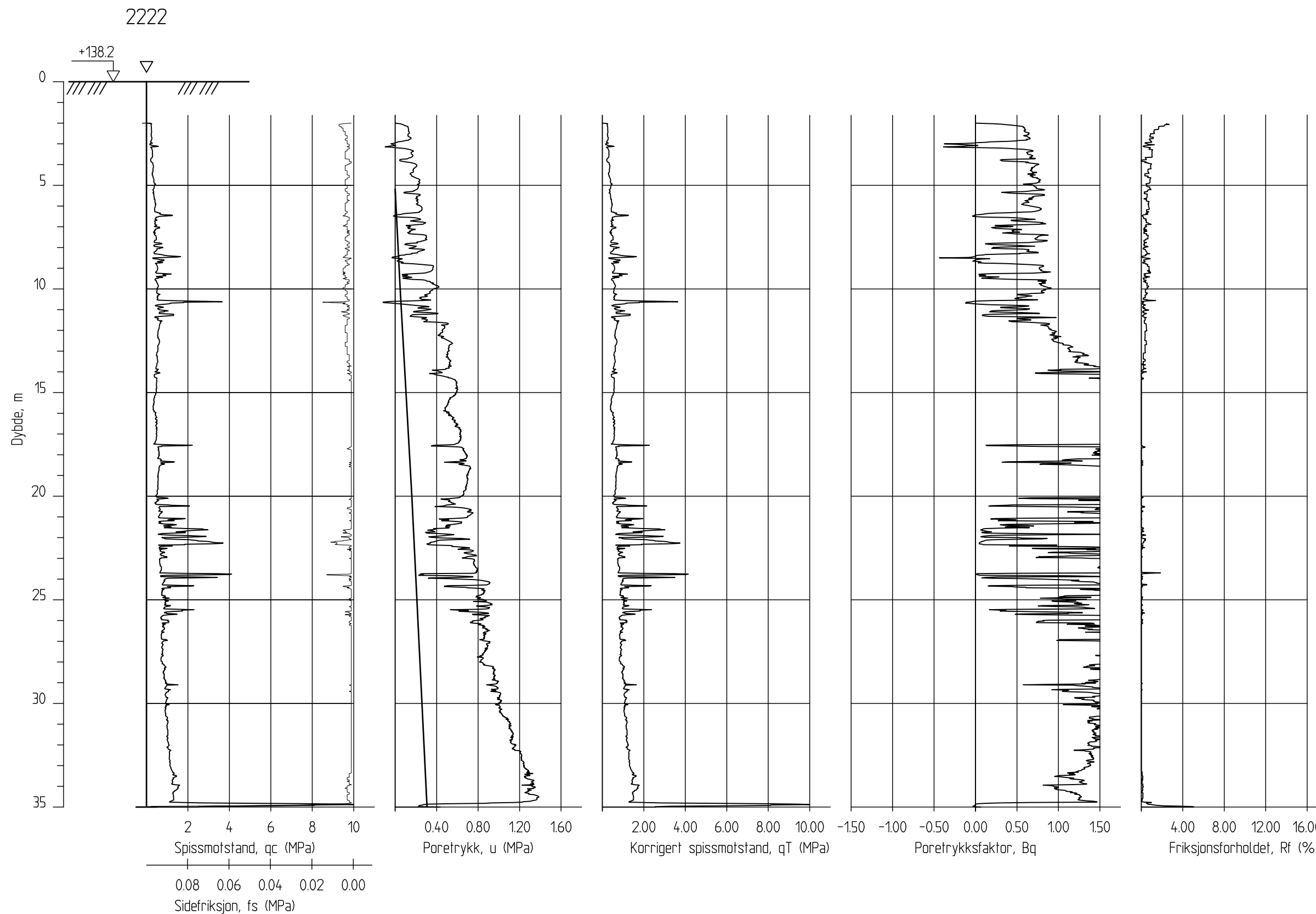
E16 Nybakk - Slomarka

CPT-sondering
M = 1 : 200

Borhull 2221 R
Posisjon: X 1241375.53 Y 94669.27

Sonde nr. : 20856
Dato boret :01.03.2013

Rapport nr. 20120491-2-R	Figur nr. C9
Tegner TS	Dato: 12.11.13
Kontrollert TFS	
Godkjent SH	




E16 Nybakk - Slomarka

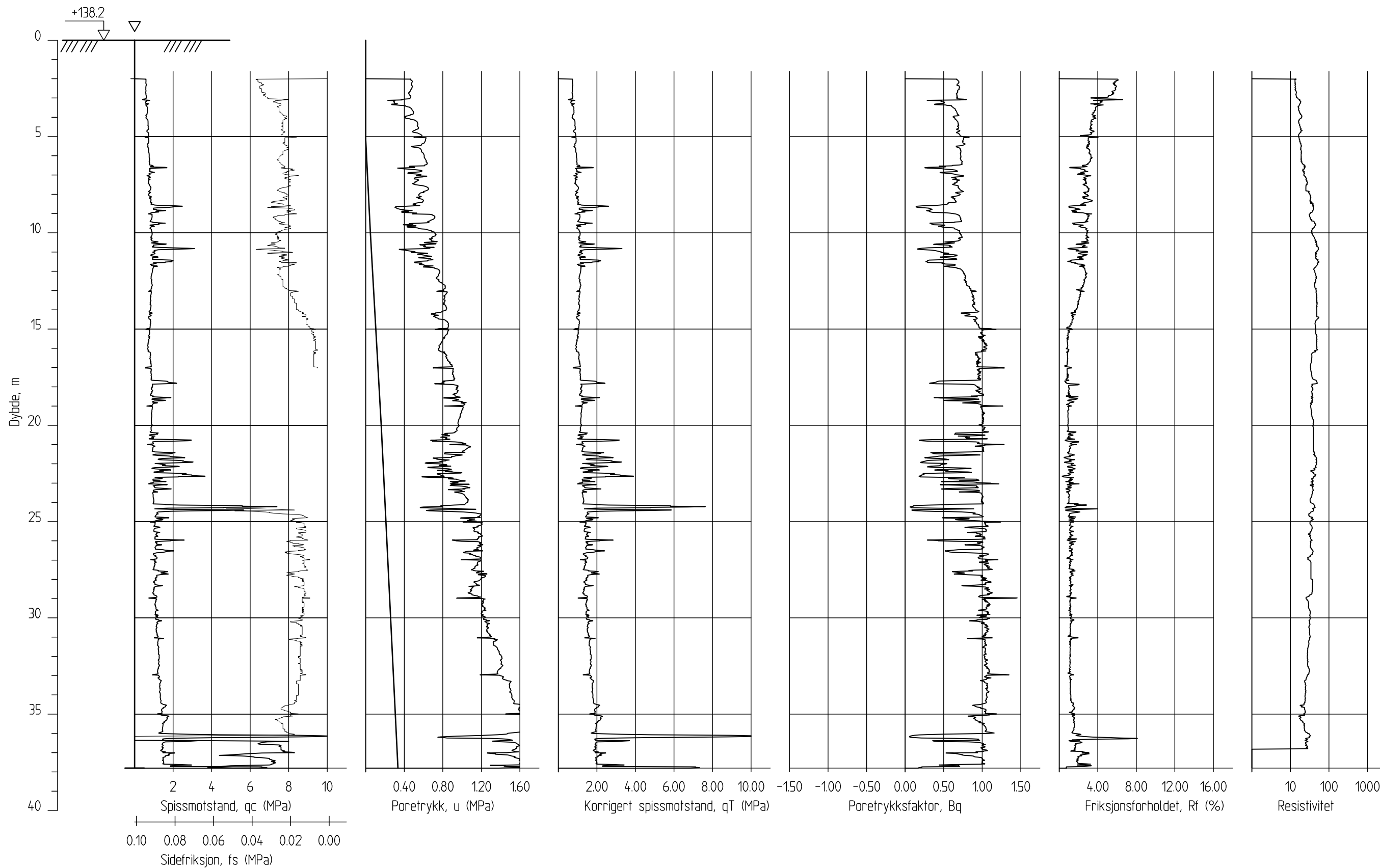
CPT-sondering
M = 1 : 200

Borhull 2222
Posisjon: X 1241342.89 Y 94706.85

Sonde nr. : 4489
Dato boret : 08.02.2013

Rapport nr. 20120491-2-R	Figur nr. C10
Tegner TS	Dato: 12.11.13
Kontrollert TFS	
Godkjent SH	

2222 R




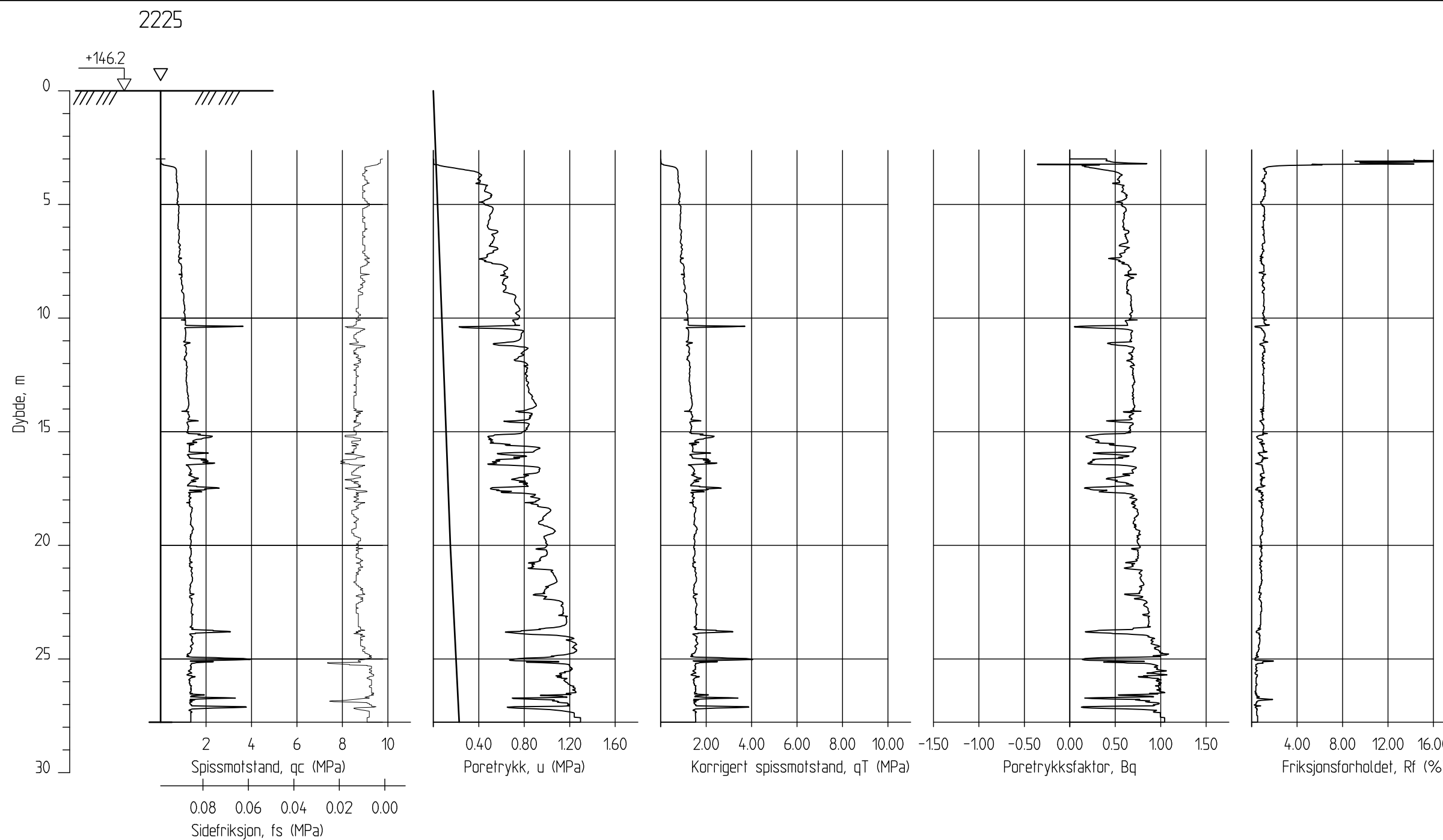
E16 Nybakk - Slomarka

CPT-sondering
M = 1 : 200

Borhull 2222 R
Posisjon: X 1241342.89 Y 94706.85

Sonde nr. : 20856
Dato boret : 01.03.2013

Rapport nr. 20120491-2-R	Figur nr. C11
Tegner TS	Dato: 12.11.13
Kontrollert TFS	
Godkjent SH	




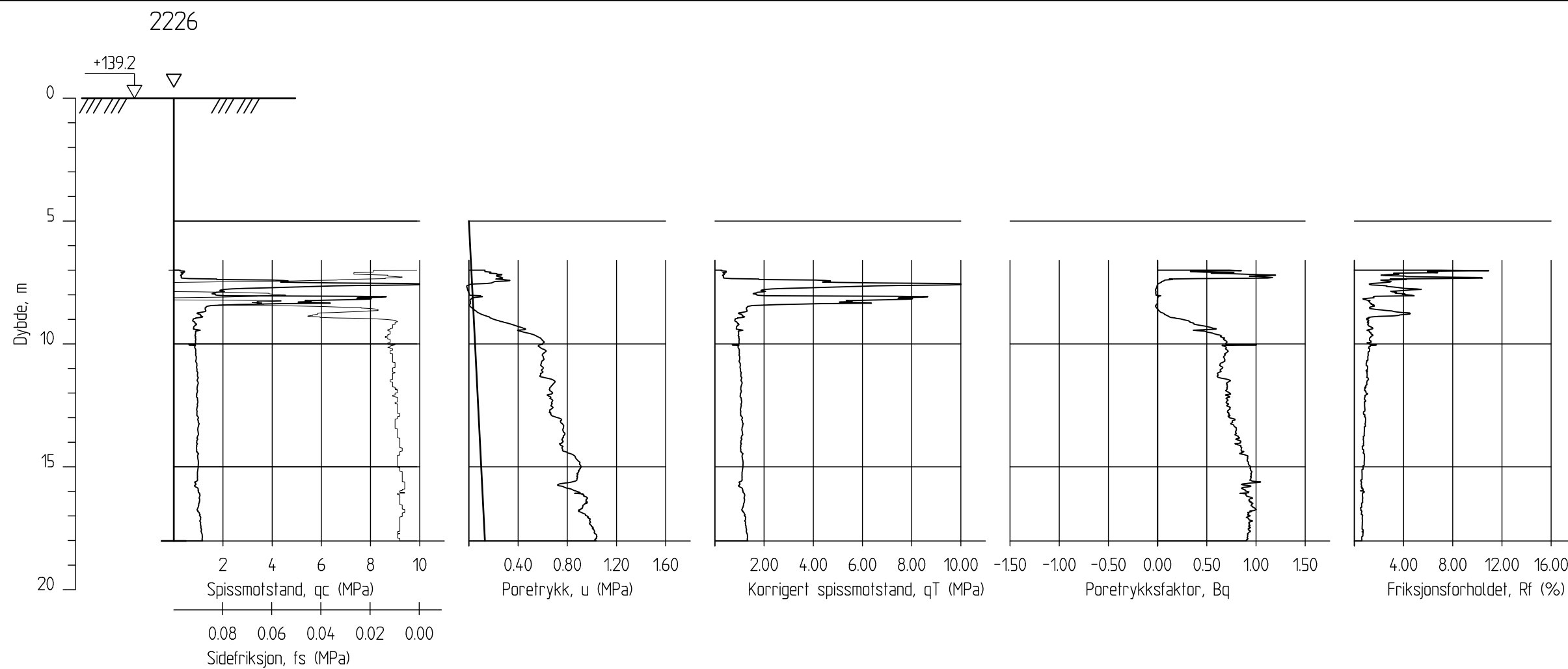
E16 Nybakk - Slomarka

CPT-sondering
M = 1 : 200

Borhull 2225
Posisjon: X 1241484.48 Y 94696.35

Sonde nr. : 4634
Dato boret : 30.03.2013

Rapport nr. 20120491-2-R	Figur nr. C12
Tegner TS	Dato: 12.11.13
Kontrollert TFS	
Godkjent SH	




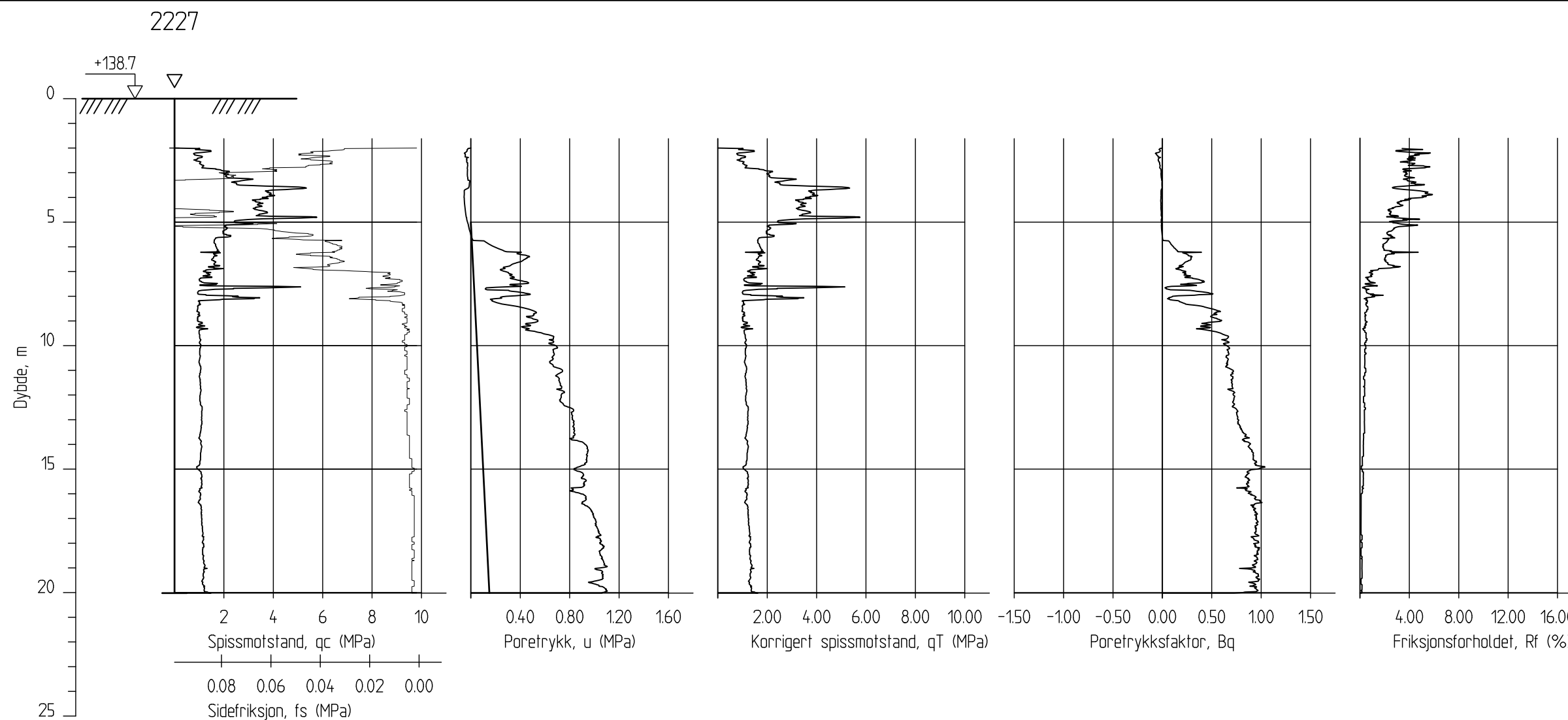
E16 Nybakk - Slomarka

CPT-sondering
M = 1 : 200

Borhull 2226
Posisjon: X 1241451.67 Y 94733.83

Sonde nr. : 4634
Dato boret : 30.03.2013

Rapport nr. 20120491-2-R	Figur nr. C13
Tegner TS	Dato: 12.11.13
Kontrollert TFS	
Godkjent SH	




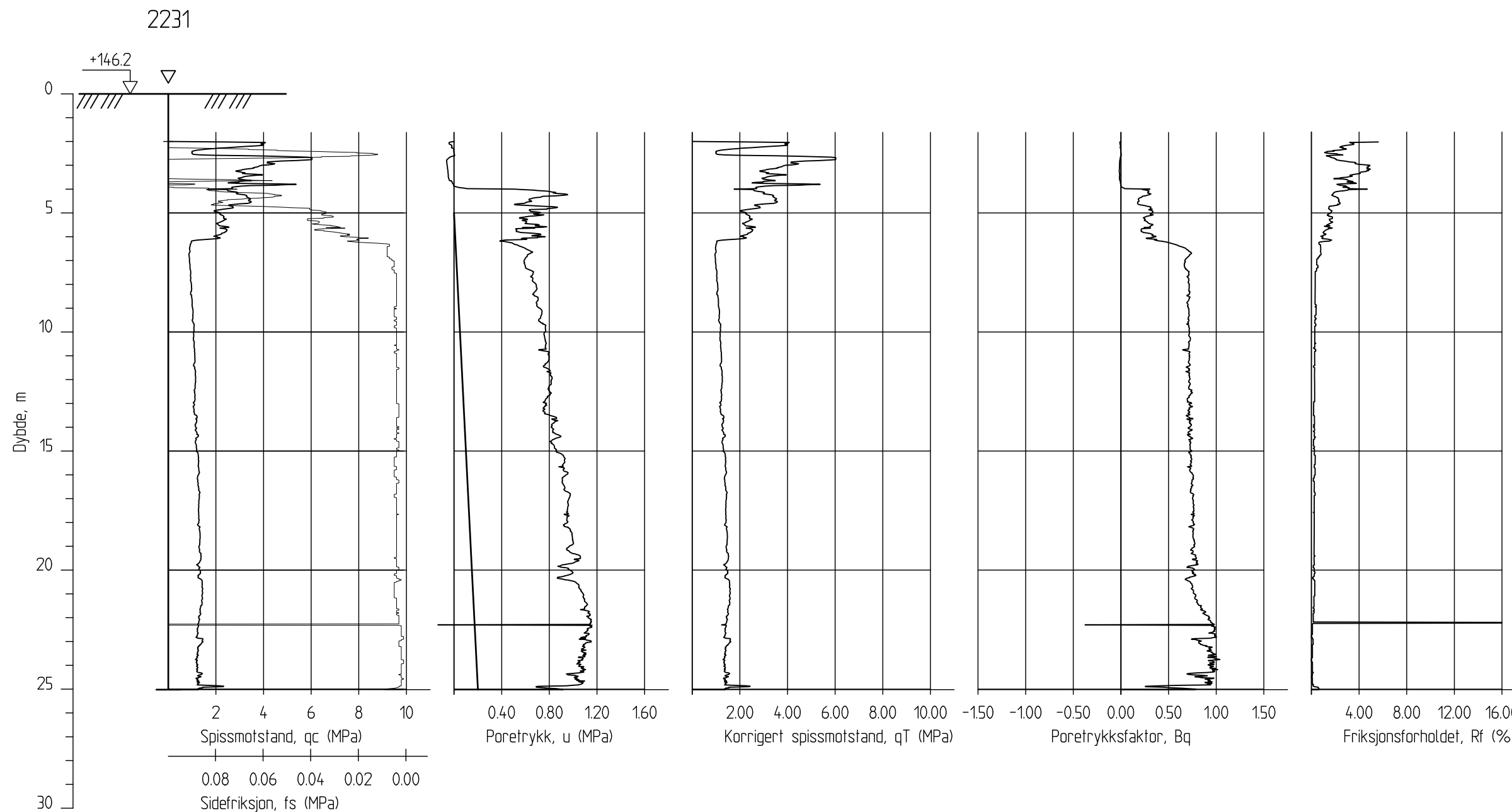
E16 Nybakk - Slomarka

CPT-sondering
M = 1 : 200

Borhull 2227
Posisjon: X 1241418.85 Y 94771.97

Sonde nr. : 4489
Dato boret : 07.02.2013

Rapport nr. 20120491-2-R	Figur nr. C14
Tegner TS	Dato: 12.11.13
Kontrollert TFS	
Godkjent SH	




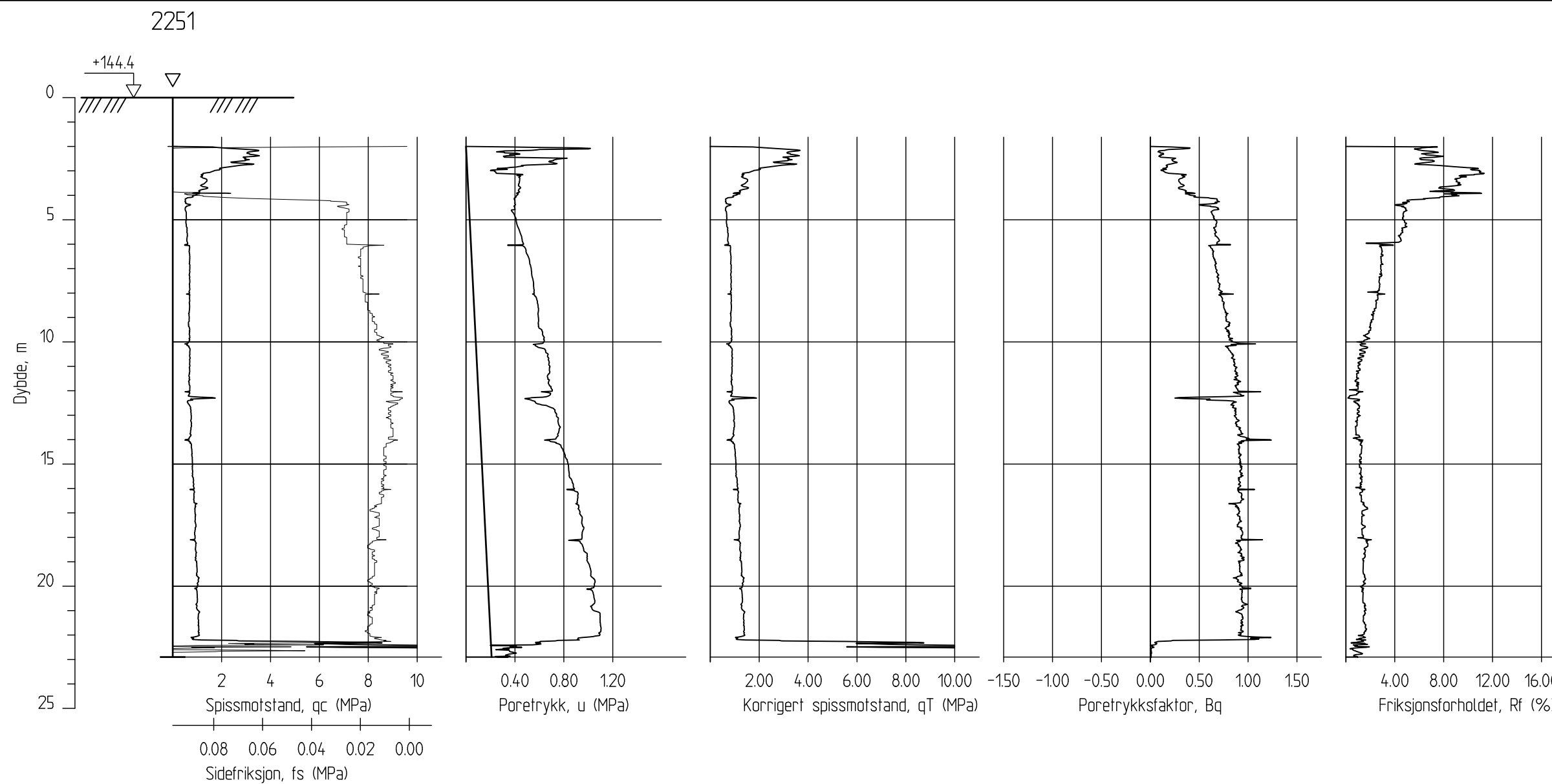
E16 Nybakk - Slomarka

CPT-sondering
M = 1 : 200

Borhull 2231
Posisjon: X 1241525.47 Y 94802.11

Sonde nr. : 4489
Dato boret : 07.02.2013

Rapport nr. 20120491-2-R	Figur nr. C15
Tegner TS	Dato: 12.11.13
Kontrollert TFS	
Godkjent SH	




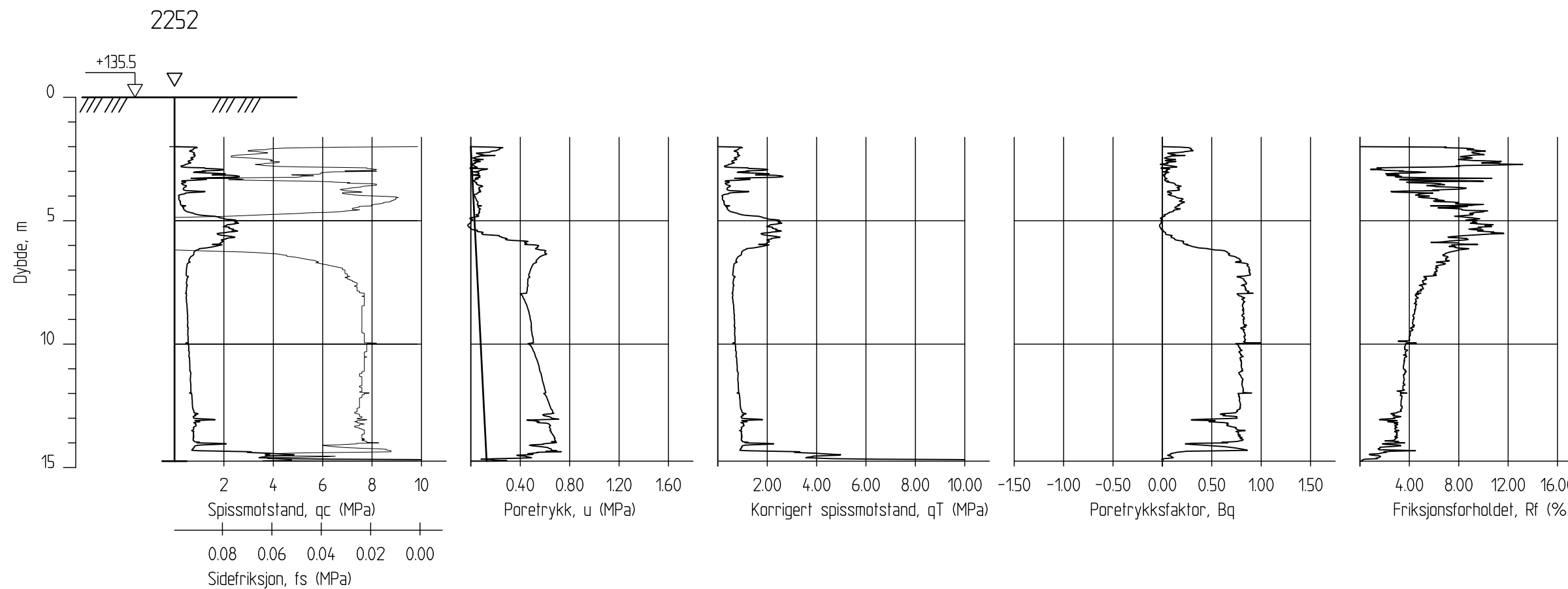
E16 Nybakk - Slomarka

CPT-sondering
M = 1 : 200

Borhull 2251
Posisjon: X 1241860.89 Y 95211.62

Sonde nr. : 50751
Dato boret :12.02.2013

Rapport nr. 20120491-2-R	Figur nr. C16
Tegner TS	Dato: 12.11.13
Kontrollert TFS	
Godkjent SH	




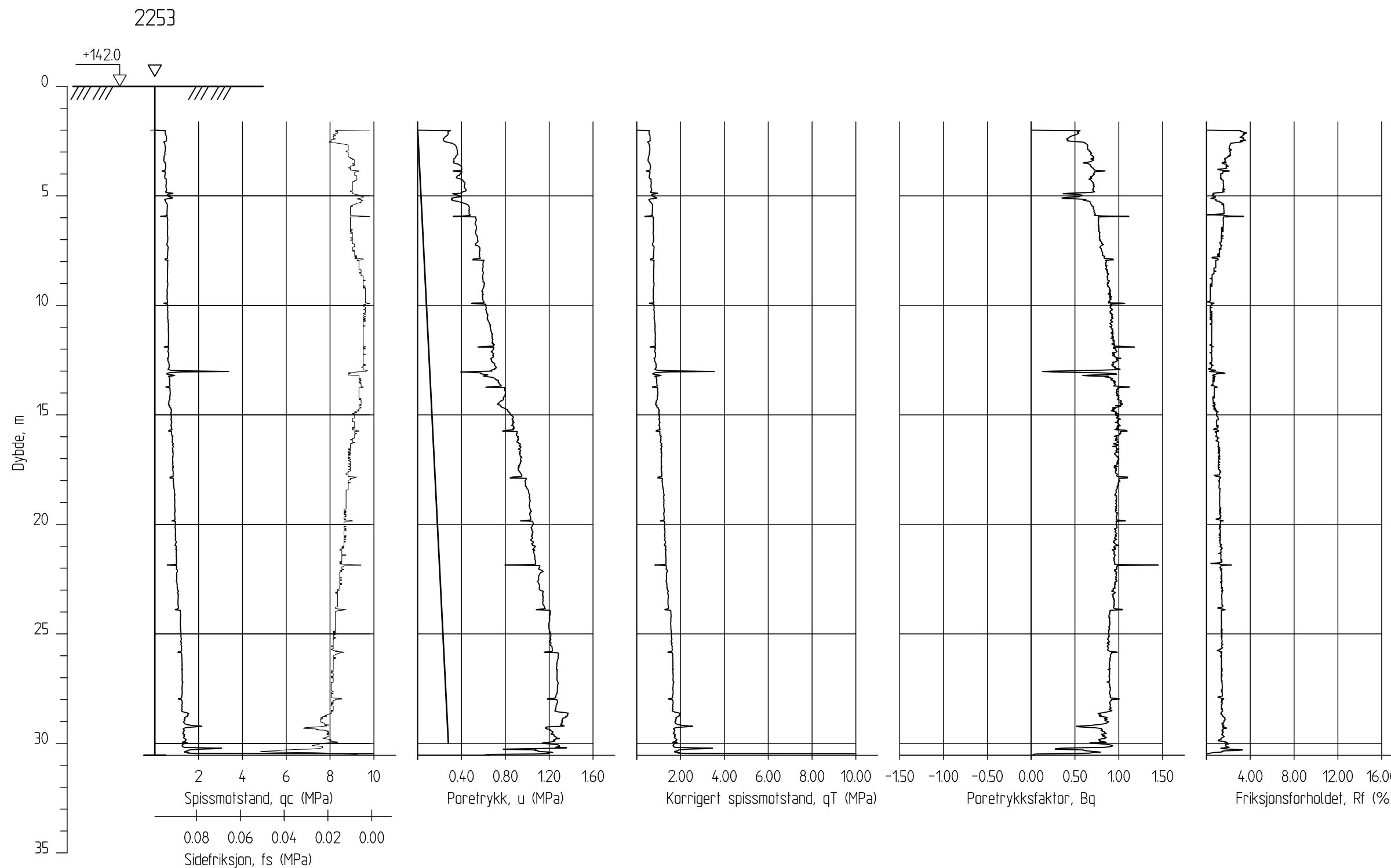
E16 Nybakk - Slomarka

CPT-sondering
M = 1 : 200

Borhull 2252
Posisjon: X 1241763.70 Y 95234.25

Sonde nr. : 50751
Dato boret : 11.02.2013

Rapport nr. 20120491-2-R	Figur nr. C17
Tegner TS	Dato: 12.11.13
Kontrollert TFS	
Godkjent SH	




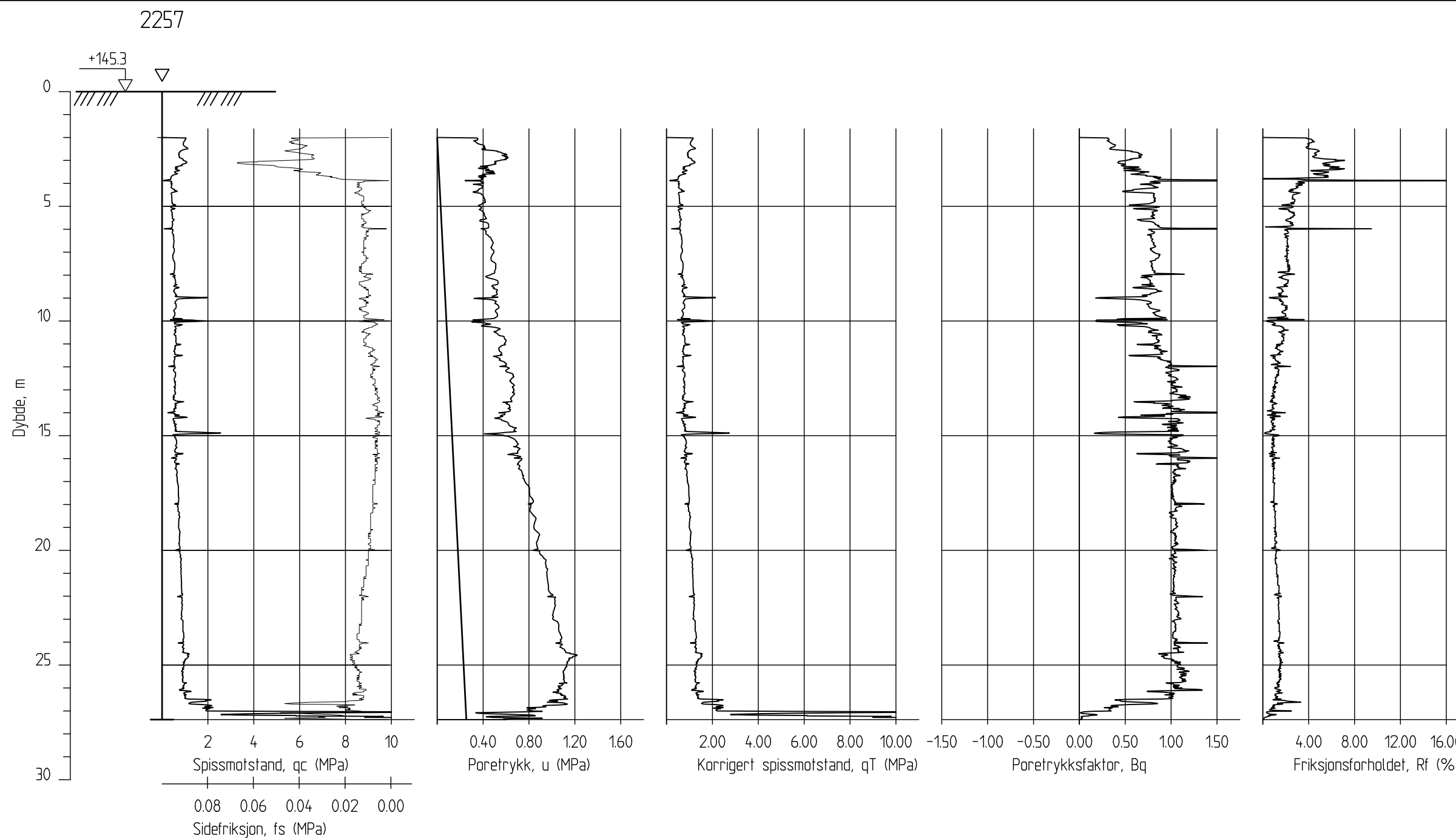
E16 Nybakk - Slomarka

CPT-sondering
M = 1 : 200

Borhull 2253
Posisjon: X 1241666.18 Y 95256.84

Sonde nr. : 50660
Dato boret :11.02.2013

Rapport nr. 20120491-2-R	Figur nr. C18
Tegner TS	Dato: 12.11.13
Kontrollert TFS	
Godkjent SH	




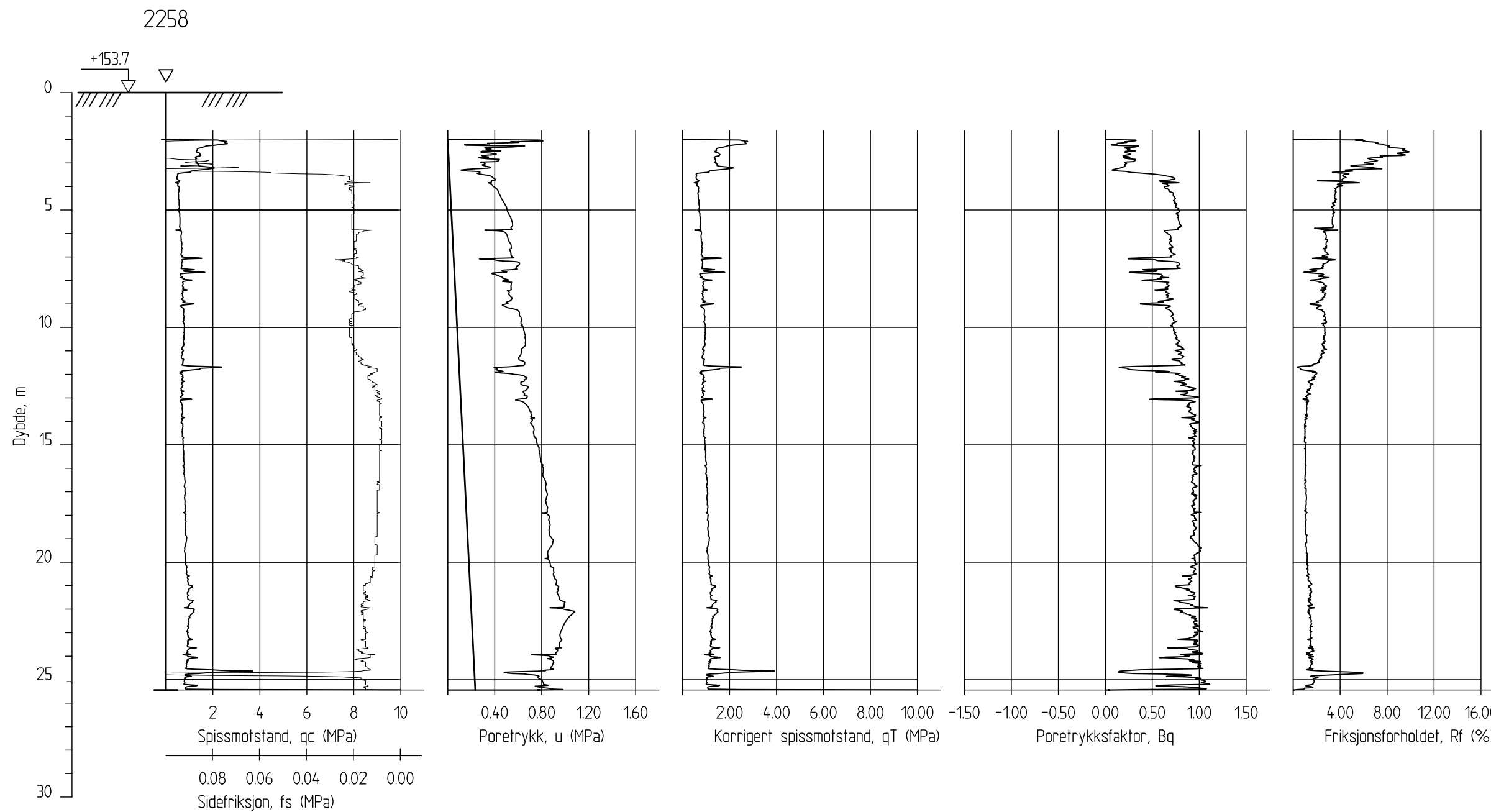
E16 Nybakk - Slomarka

CPT-sondering
M = 1 : 200

Borhull 2257
Posisjon: X 1241886.58 Y 95431.91

Sonde nr. : 50660
Dato boret : 12.02.2013

Rapport nr. 20120491-2-R	Figur nr. C19
Tegner TS	Dato: 12.11.13
Kontrollert TFS	
Godkjent SH	




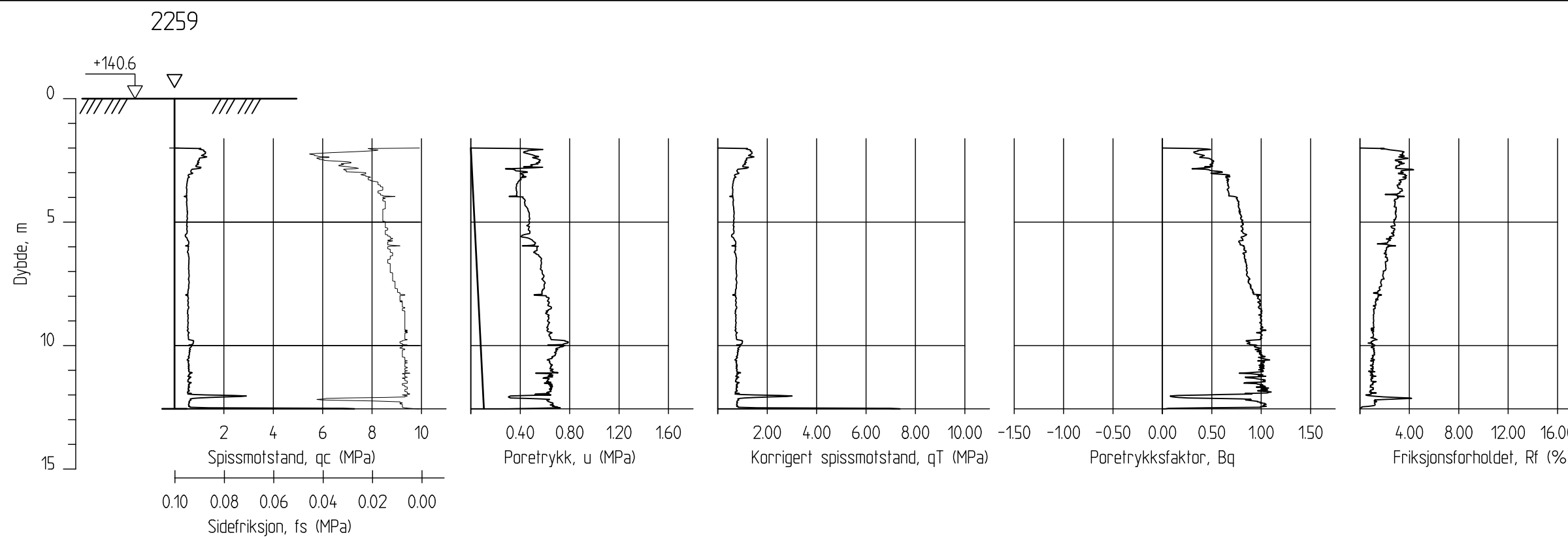
E16 Nybakk - Slomarka

CPT-sondering
M = 1 : 200

Borhull 2258
Posisjon: X 1241786.55 Y 95432.41

Sonde nr. : 50751
Dato boret :12.02.2013

Rapport nr. 20120491-2-R	Figur nr. C20
Tegner TS	Dato: 12.11.13
Kontrollert TFS	
Godkjent SH	




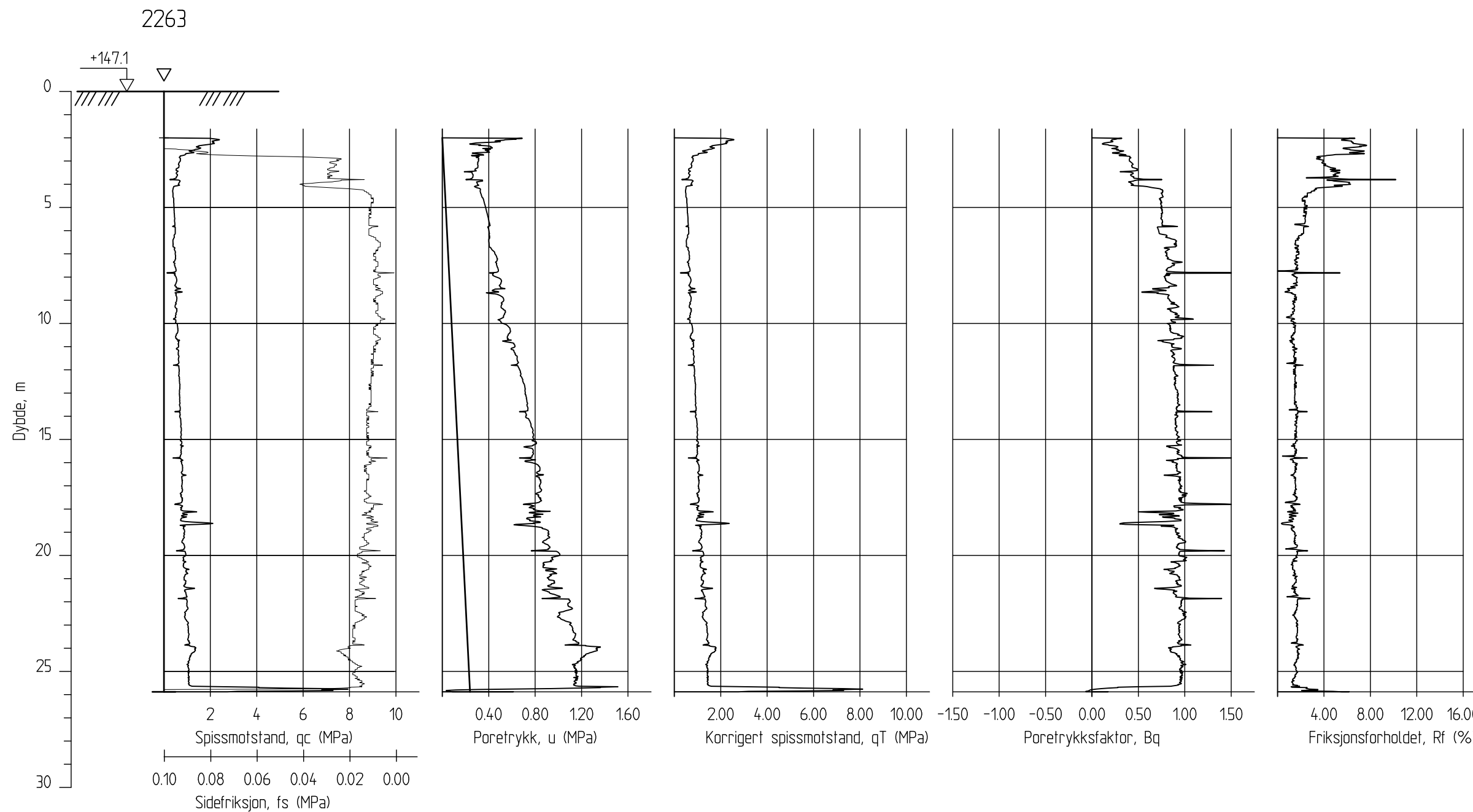
E16 Nybakk - Slomarka

CPT-sondering
M = 1 : 200

Borhull 2259
Posisjon: X 1241681.85 Y 95455.50

Sonde nr. : 20757
Dato boret : 12.02.2013

Rapport nr. 20120491-2-R	Figur nr. C21
Tegner TS	Dato: 12.11.13
Kontrollert TFS	
Godkjent SH	




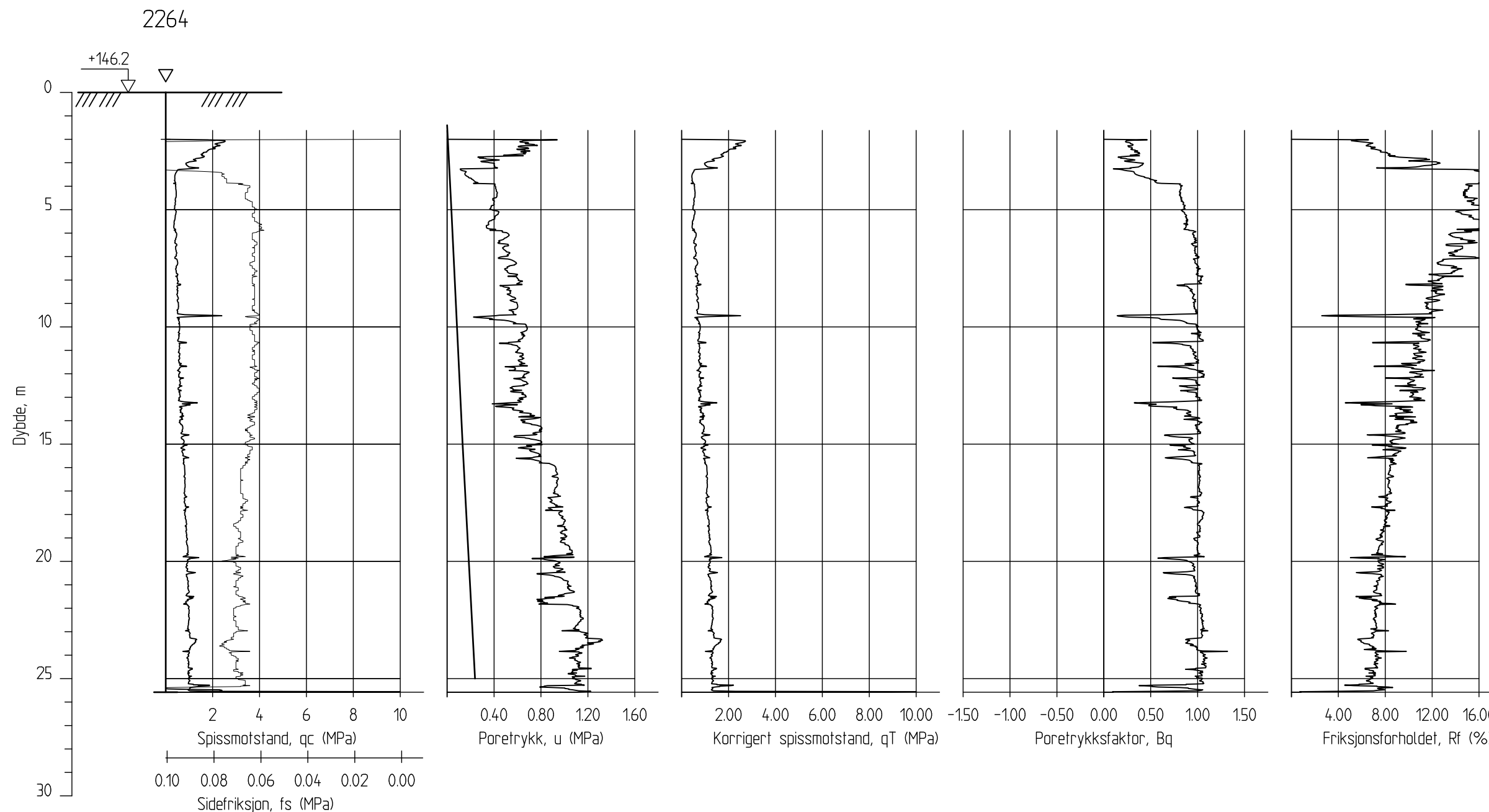
E16 Nybakk - Slomarka

CPT-sondering
M = 1 : 200

Borhull 2263
Posisjon: X 1241864.44 Y 95649.26

Sonde nr. : 50660
Dato boret : 12.02.2013

Rapport nr. 20120491-2-R	Figur nr. C22
Tegner TS	Dato: 12.11.13
Kontrollert TFS	
Godkjent SH	




E16 Nybakk - Slomarka

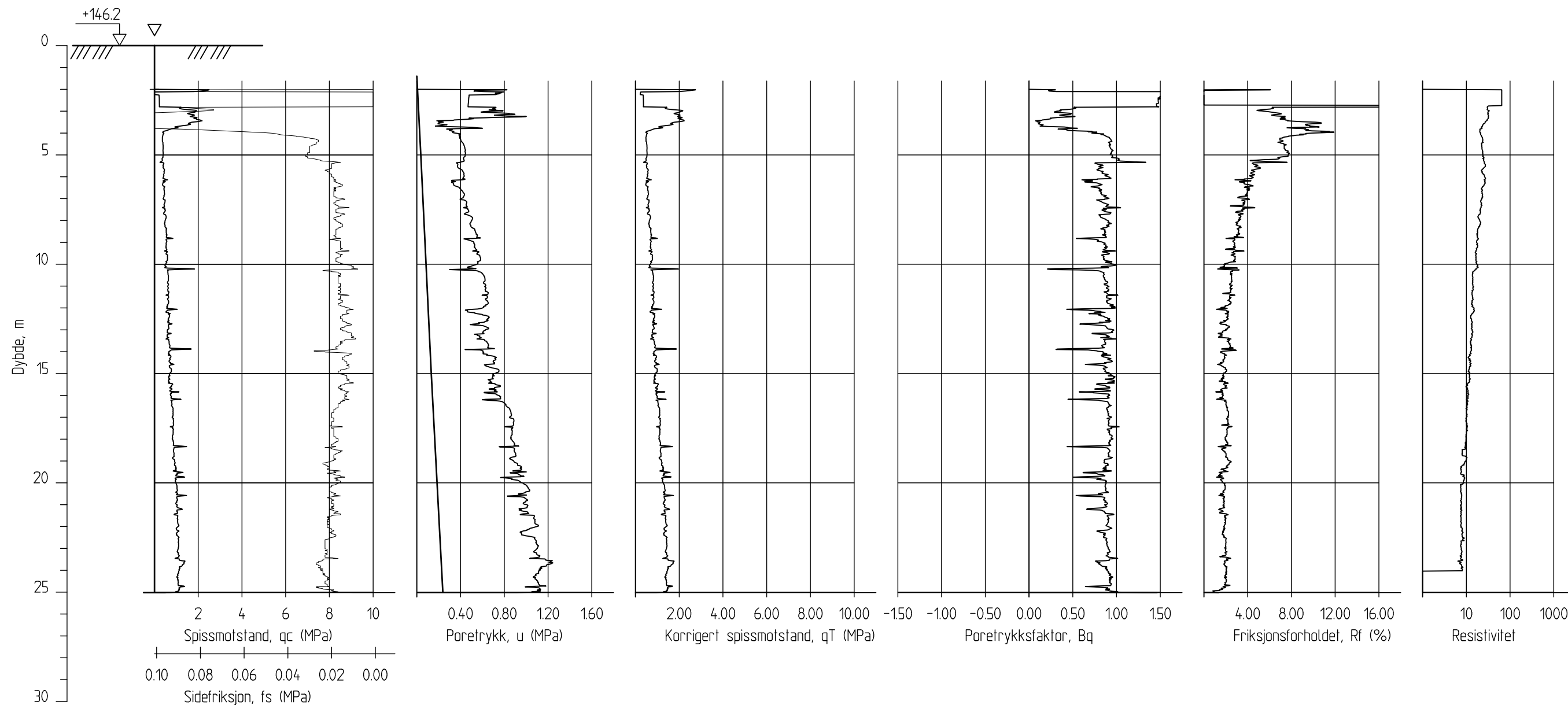
CPT-sondering
M = 1 : 200

Borhull 2264
Posisjon: X 1241768.34 Y 95643.49

Sonde nr. : 20757
Dato boret : 12.02.2013

Rapport nr. 20120491-2-R	Figur nr. C23
Tegner TS	Dato: 12.11.13
Kontrollert TFS	
Godkjent SIH	

2264 R




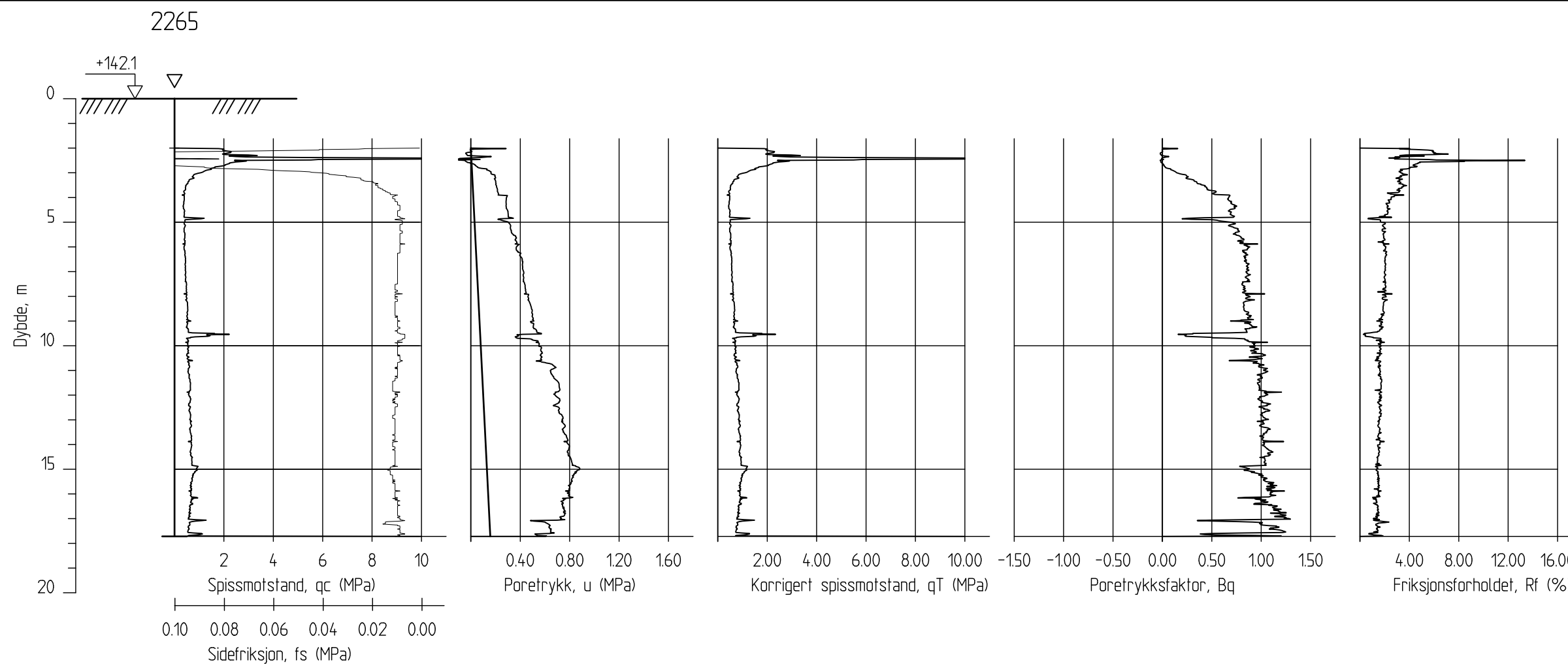
E16 Nybakk - Slomarka

CPT-sondering
M = 1 : 200

Borhull 2264 R
Posisjon: X 1241768.34 Y 95643.49

Sonde nr. : 20856
Dato boret :22.02.2013

Rapport nr. 20120491-2-R	Figur nr. C24
Tegner TS	Dato: 12.11.13
Kontrollert TFS	
Godkjent SH	




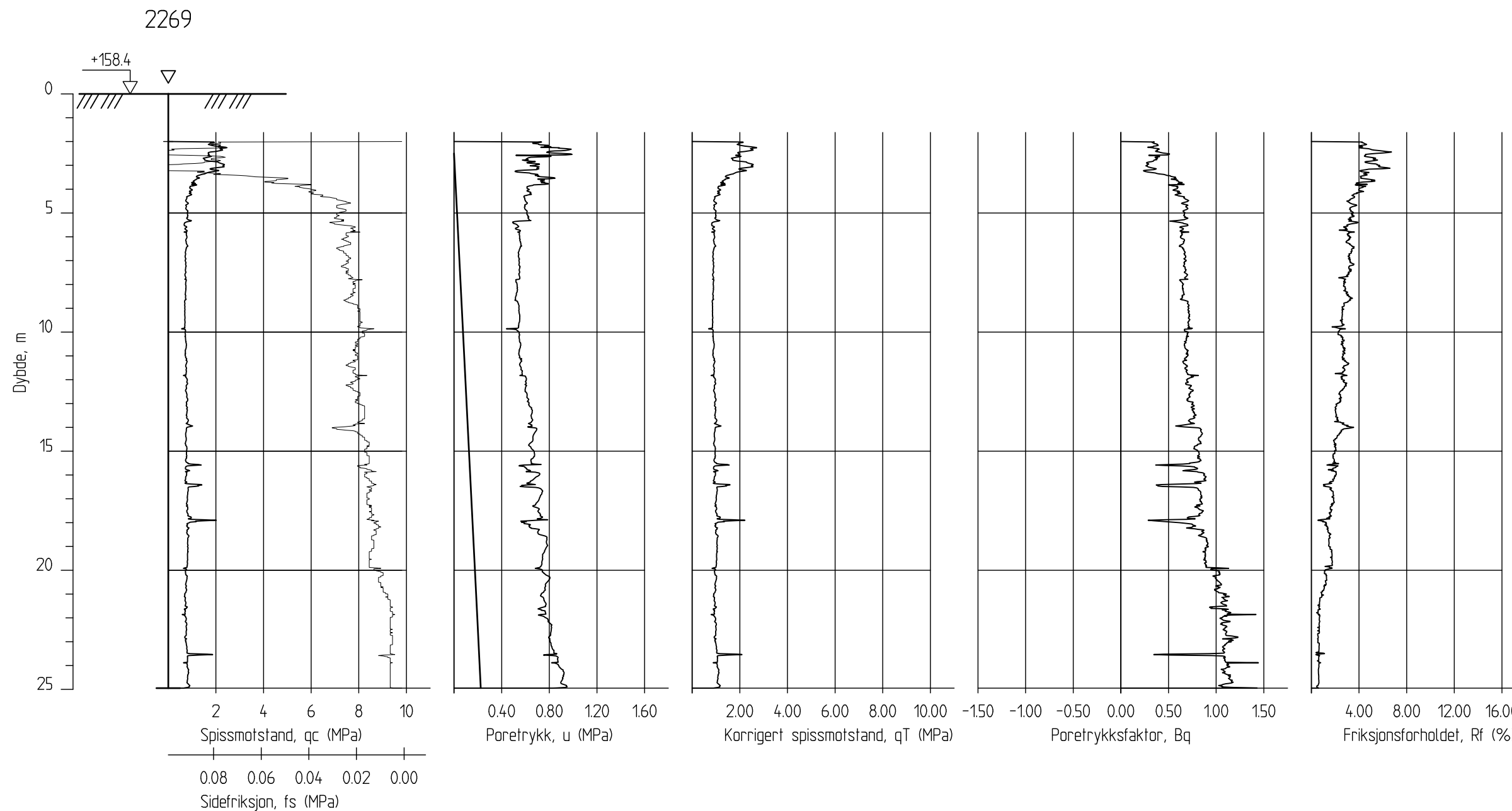
E16 Nybakk - Slomarka

CPT-sondering
M = 1 : 200

Borhull 2265
Posisjon: X 1241669.18 Y 95594.57

Sonde nr. : 30856
Dato boret : 12.02.2013

Rapport nr. 20120491-2-R	Figur nr. C25
Tegner TS	Dato: 12.11.13
Kontrollert TFS	
Godkjent SH	




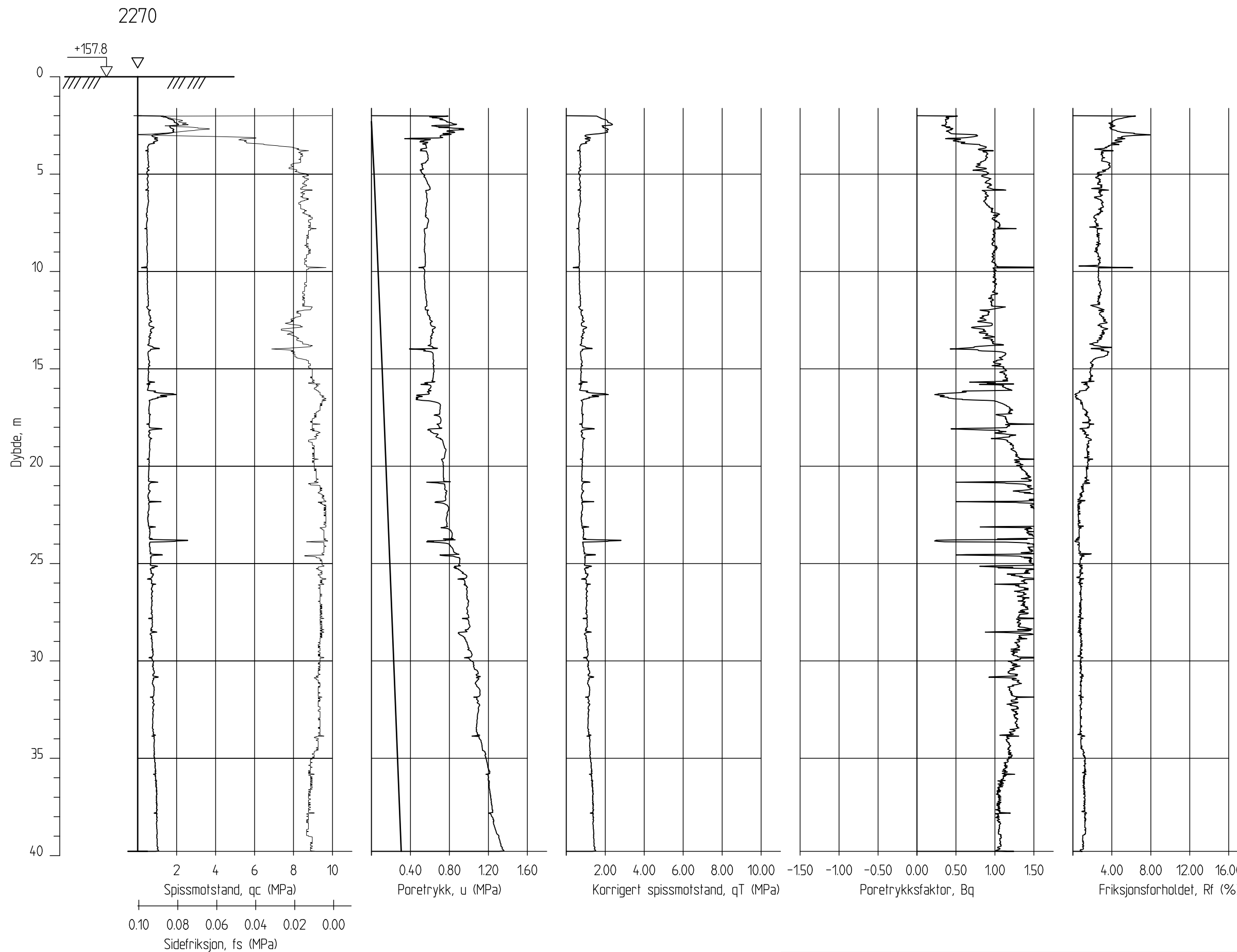
E16 Nybakk - Slomarka

CPT-sondering
M = 1 : 200

Borhull 2269
Posisjon: X 1241828.70 Y 95843.71

Sonde nr. : 50751
Dato boret :12.02.2013

Rapport nr. 20120491-2-R	Figur nr. C26
Tegner TS	Dato: 12.11.13
Kontrollert TFS	
Godkjent SH	




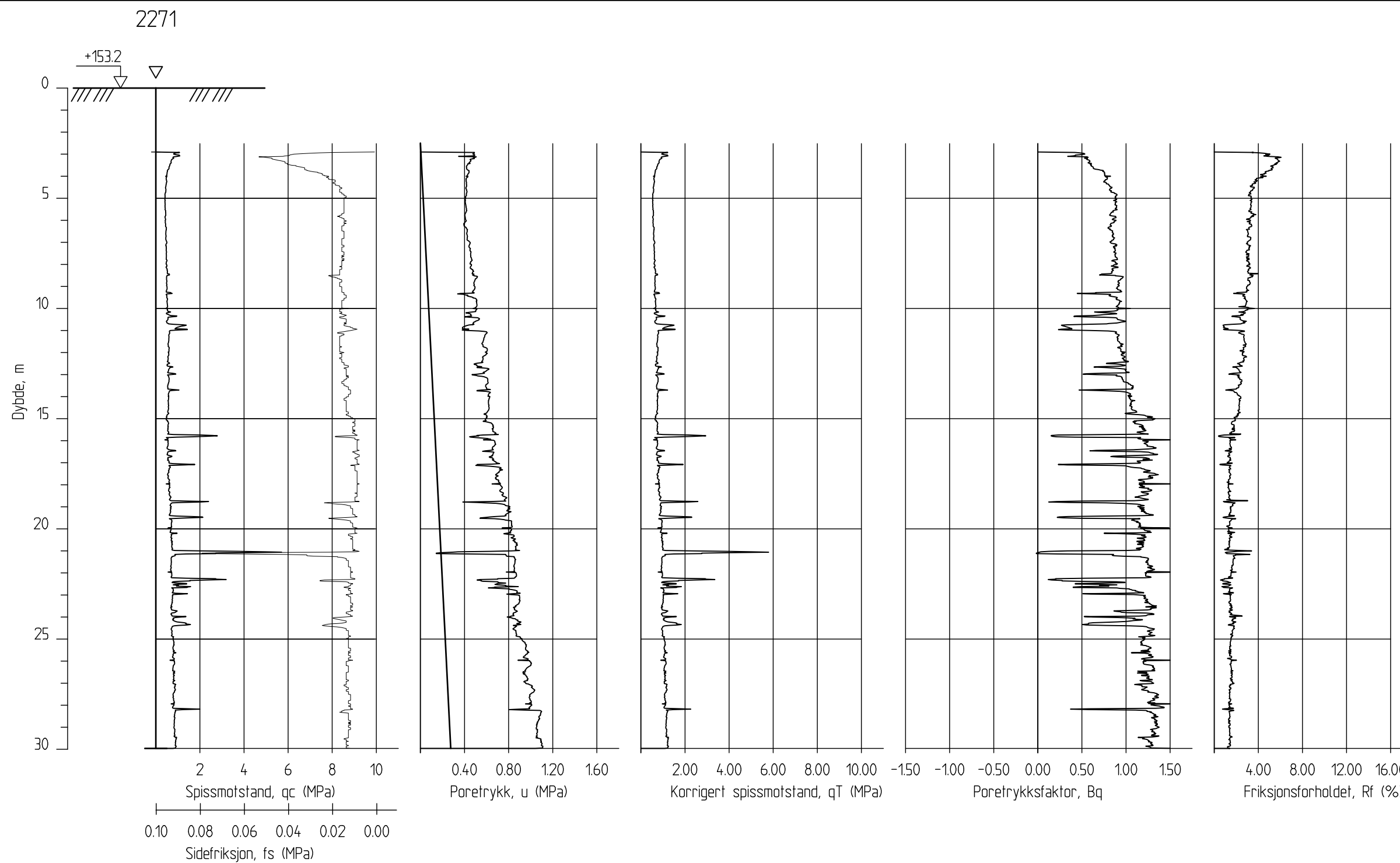
E16 Nybakk - Slomarka

CPT-sondering
M = 1 : 200

Borhull 2270
Posisjon: X 1241729.92 Y 95827.69

Sonde nr. : 50660
Dato boret : 12.02.2013

Rapport nr. 20120491-2-R	Figur nr. C27
Tegner TS	Dato: 12.11.13
Kontrollert TFS	
Godkjent SH	




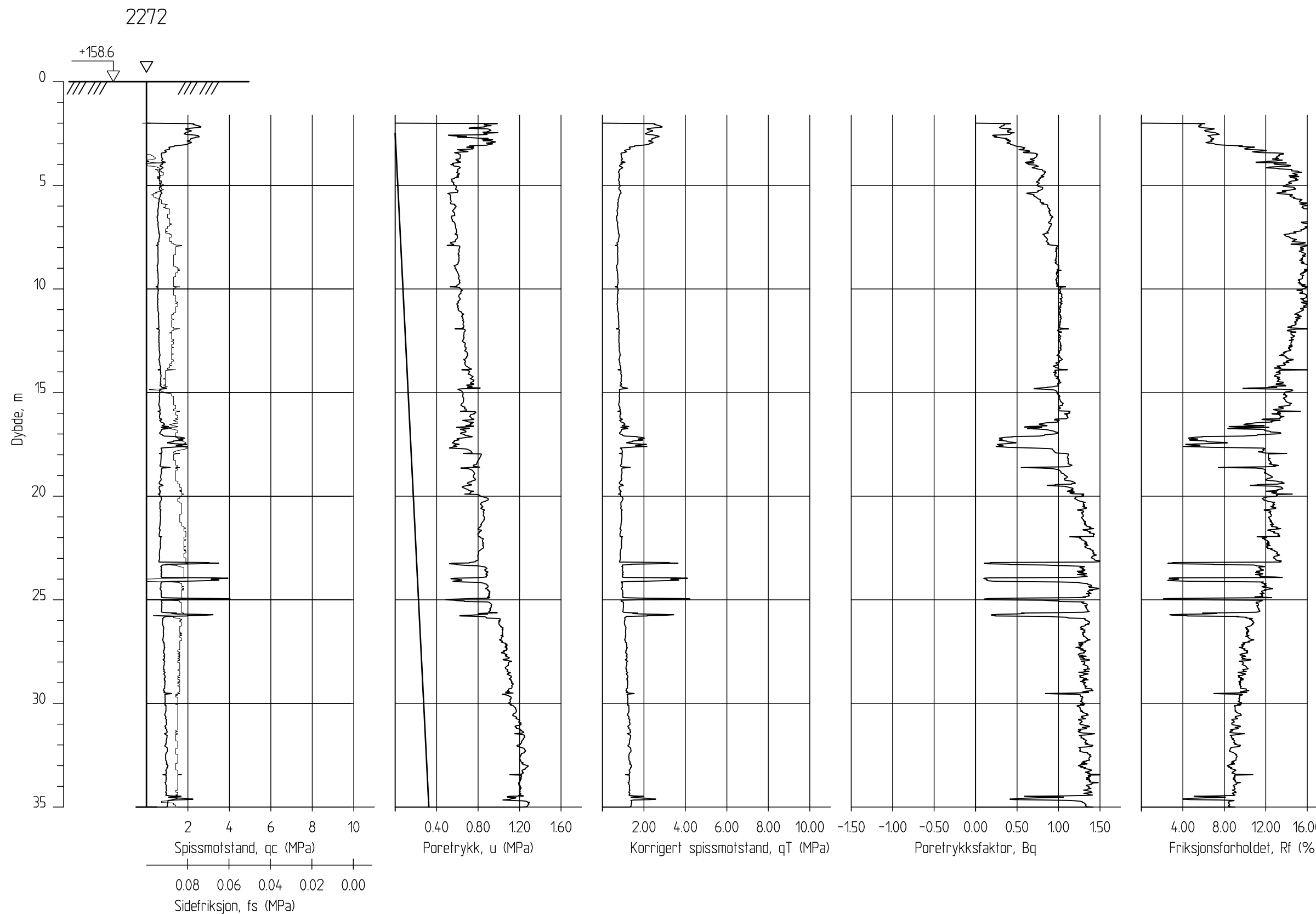
E16 Nybakk - Slomarka

CPT-sondering
M = 1 : 200

Borhull 2271
Posisjon: X 1241622.10 Y 95821.12

Sonde nr. : 50751
Dato boret : 13.02.2013

Rapport nr. 20120491-2-R	Figur nr. C28
Tegner TS	Dato: 12.11.13
Kontrollert TFS	
Godkjent SH	




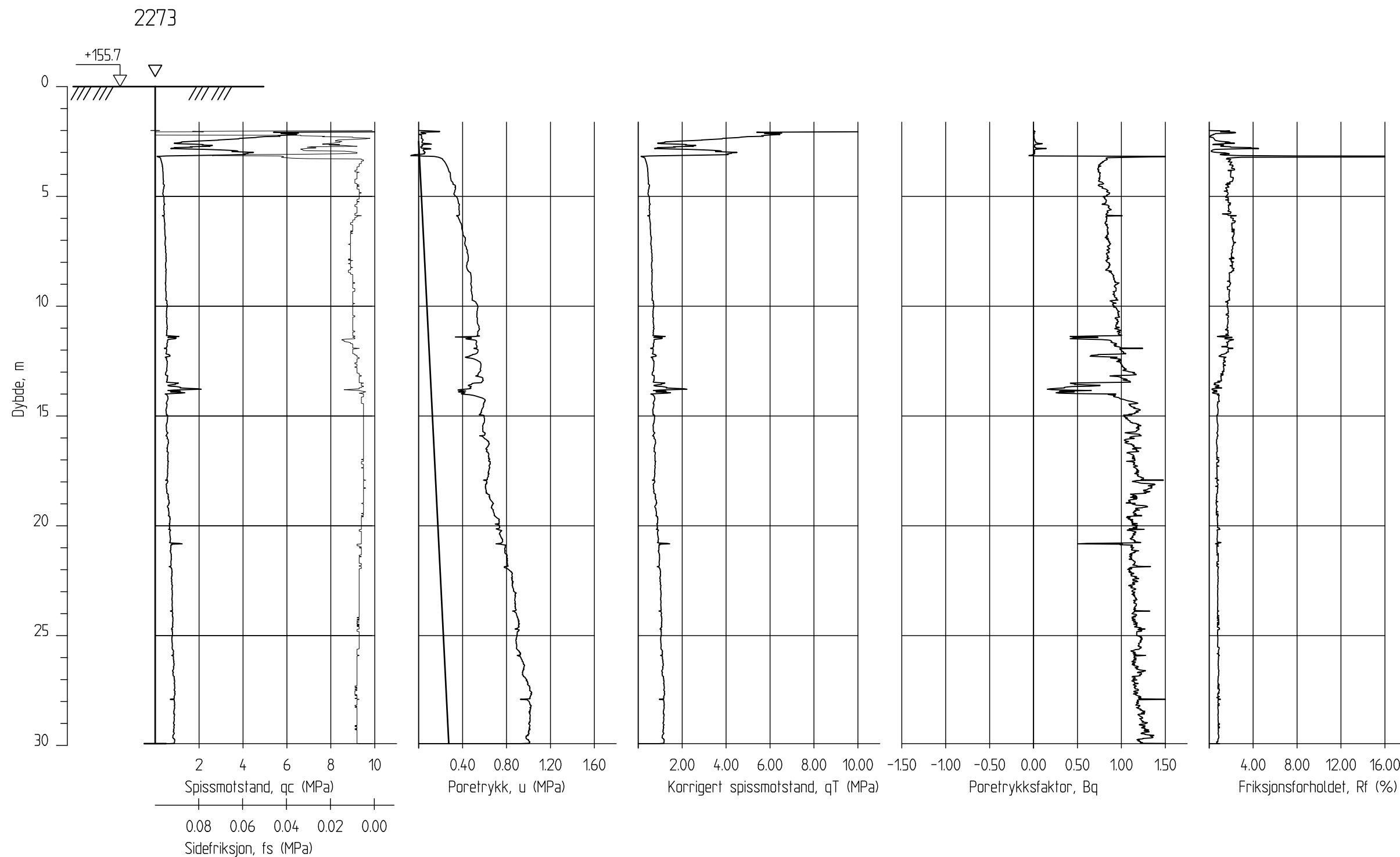
E16 Nybakk - Slomarka

CPT-sondering
M = 1 : 200

Borhull 2272
Posisjon: X 1241717.01 Y 95926.90

Sonde nr. : 20757
Dato boret : 13.02.2013

Rapport nr. 20120491-2-R	Figur nr. C29
Tegner TS	Dato: 12.11.13
Kontrollert TFS	
Godkjent SH	




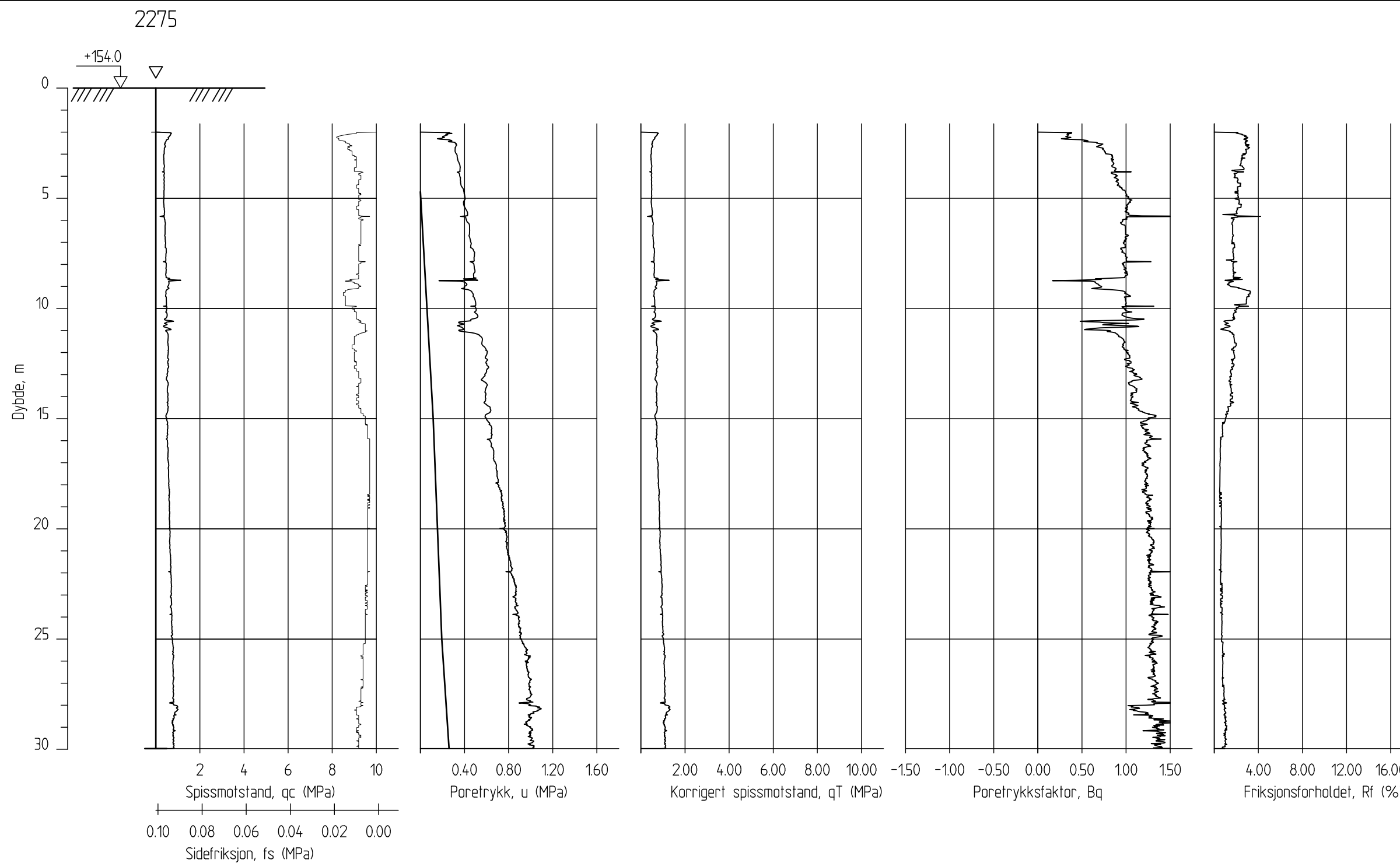
E16 Nybakk - Slomarka


CPT-sondering
M = 1 : 200

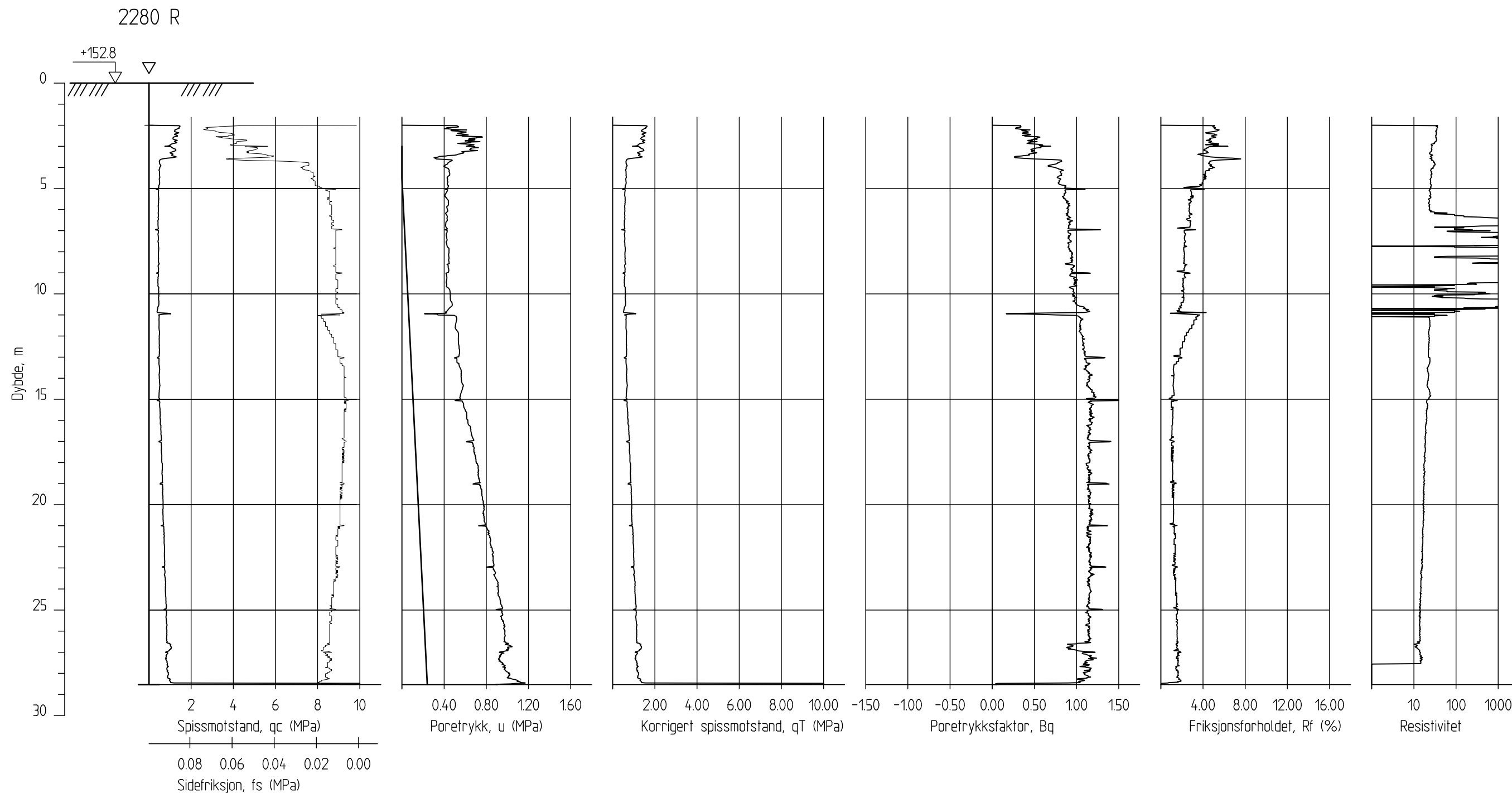
Borhull 2273
Posisjon: X 1241710.81 Y 96026.73

Sonde nr. : 50751
Dato boret :13.02.2013

Rapport nr. 20120491-2-R	Figur nr. C30
Tegner TS	Dato: 12.11.13
Kontrollert TFS	
Godkjent SH	



E16 Nybakk - Slomarka		Rapport nr. 20120491-2-R	Figur nr. C31
		Tegner TS	Dato: 12.11.13
CPT-sondering M = 1 : 200 Borhull 2275 Posisjon: X 1241718.11 Y 96226.30		Kontrollert TFS	
		Godkjent SH	




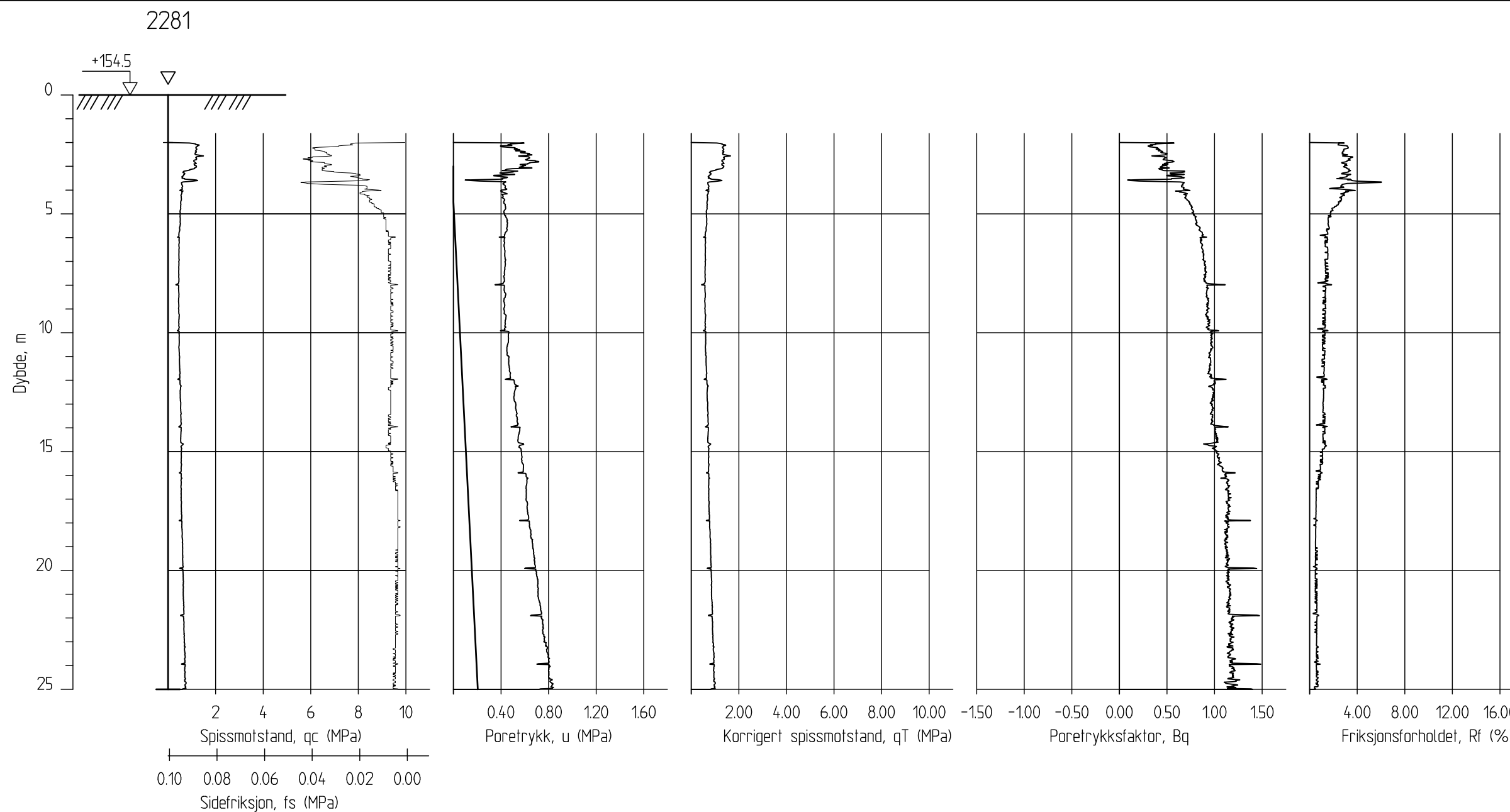
E16 Nybakk - Slomarka

CPT-sondering
M = 1 : 200

Borhull 2280 R
Posisjon: X 1241750.23 Y 96524.67

Sonde nr. : 20856
Dato boret :28.02.2013

Rapport nr. 20120491-2-R	Figur nr. C32
Tegner TS	Dato: 12.11.13
Kontrollert TFS	
Godkjent SH	




E16 Nybakk - Slomarka

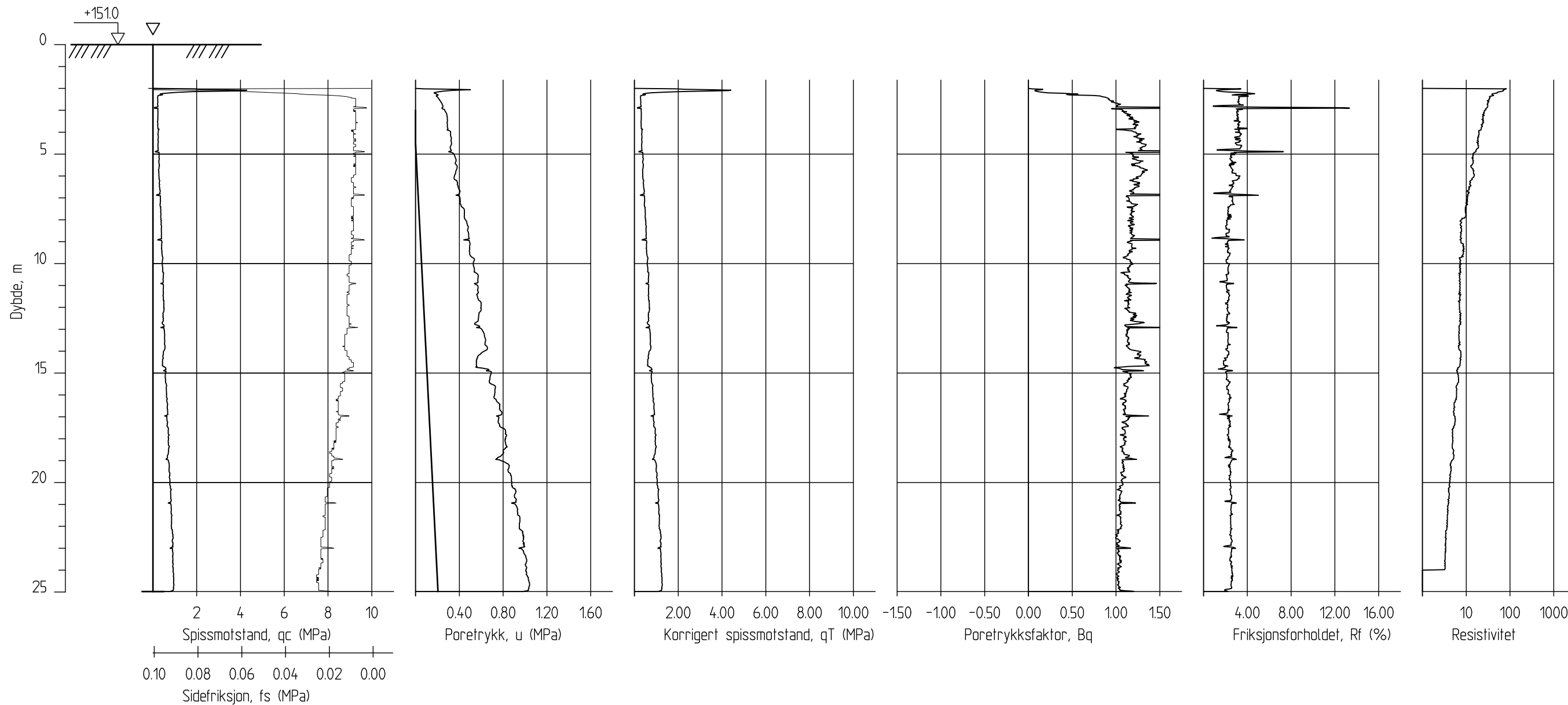
CPT-sondering
M = 1 : 200

Borhull 2281
Posisjon: X 1241910.22 Y 96607.78

Sonde nr. : 20856
Dato boret : 14.02.2013

Rapport nr. 20120491-2-R	Figur nr. C33
Tegner TS	Dato: 12.11.13
Kontrollert TFS	
Godkjent SH	

2283 R




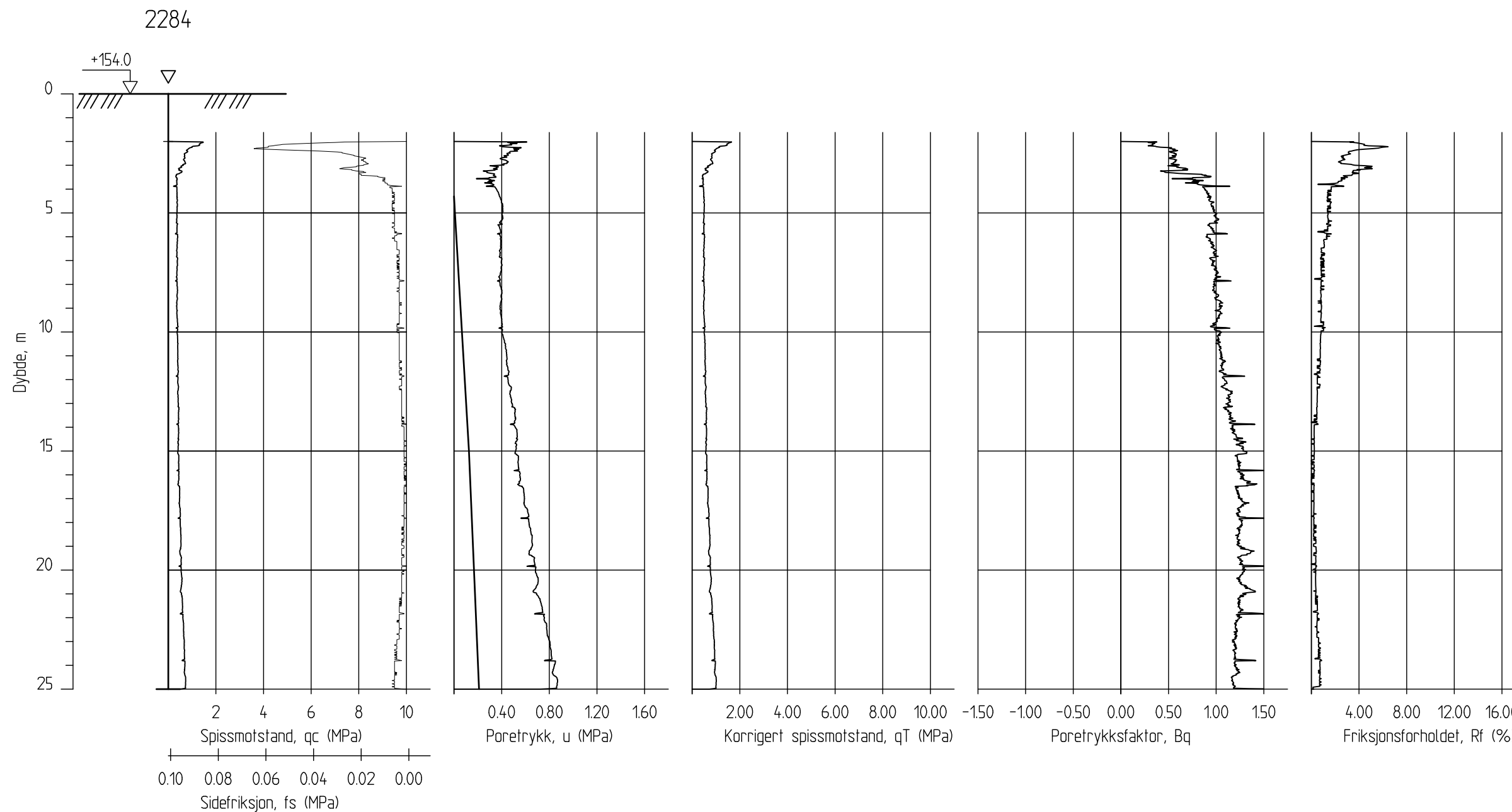
E16 Nybakk - Slomarka

CPT-sondering
M = 1 : 200

Borhull 2283 R
Posisjon: X 1241612.04 Y 96640.20

Sonde nr. : 20856
Dato boret :28.02.2013

Rapport nr. 20120491-2-R	Figur nr. C34
Tegner TS	Dato: 12.11.13
Kontrollert TFS	
Godkjent SH	




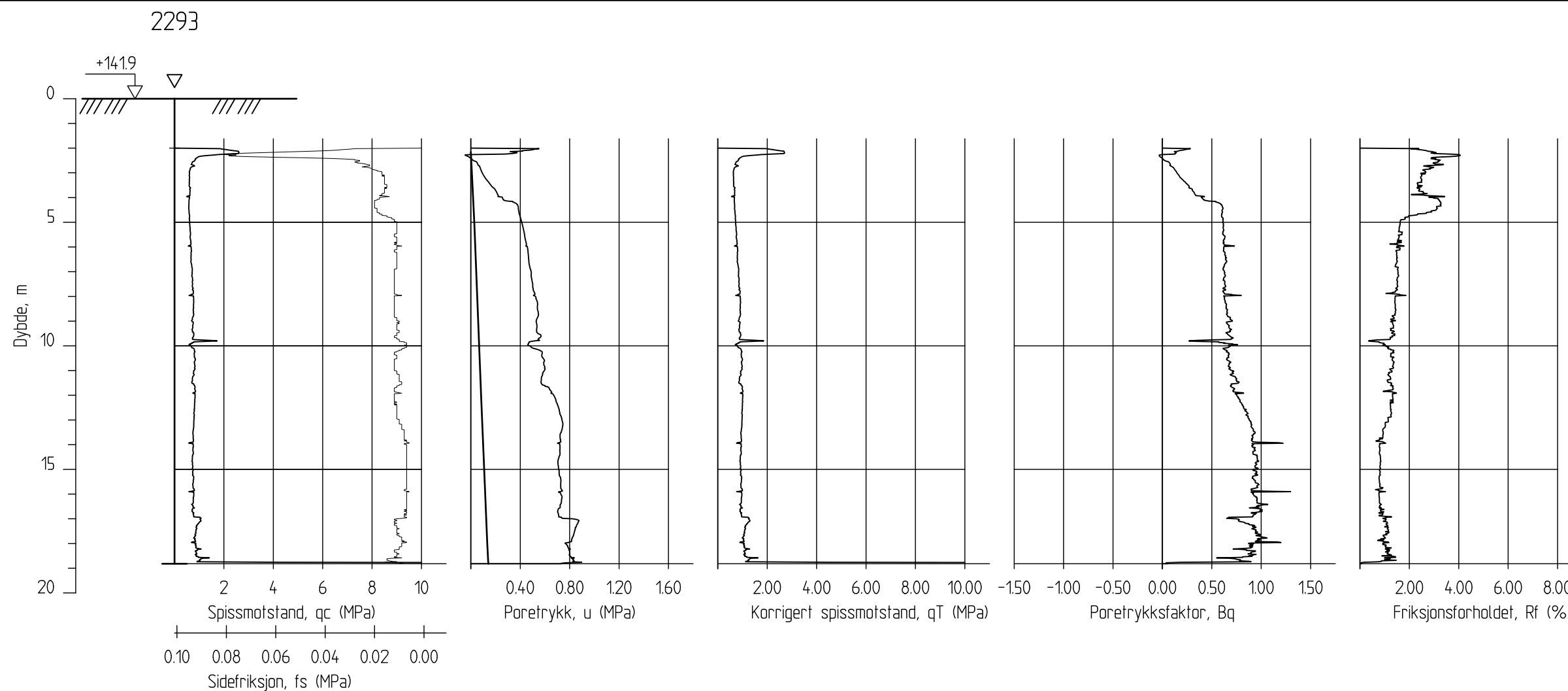
E16 Nybakk - Slomarka

CPT-sondering
M = 1 : 200

Borhull 2284
Posisjon: X 1241771.98 Y 96723.42

Sonde nr. : 50660
Dato boret : 14.02.2013

Rapport nr. 20120491-2-R	Figur nr. C35
Tegner TS	Dato: 12.11.13
Kontrollert TFS	
Godkjent SH	




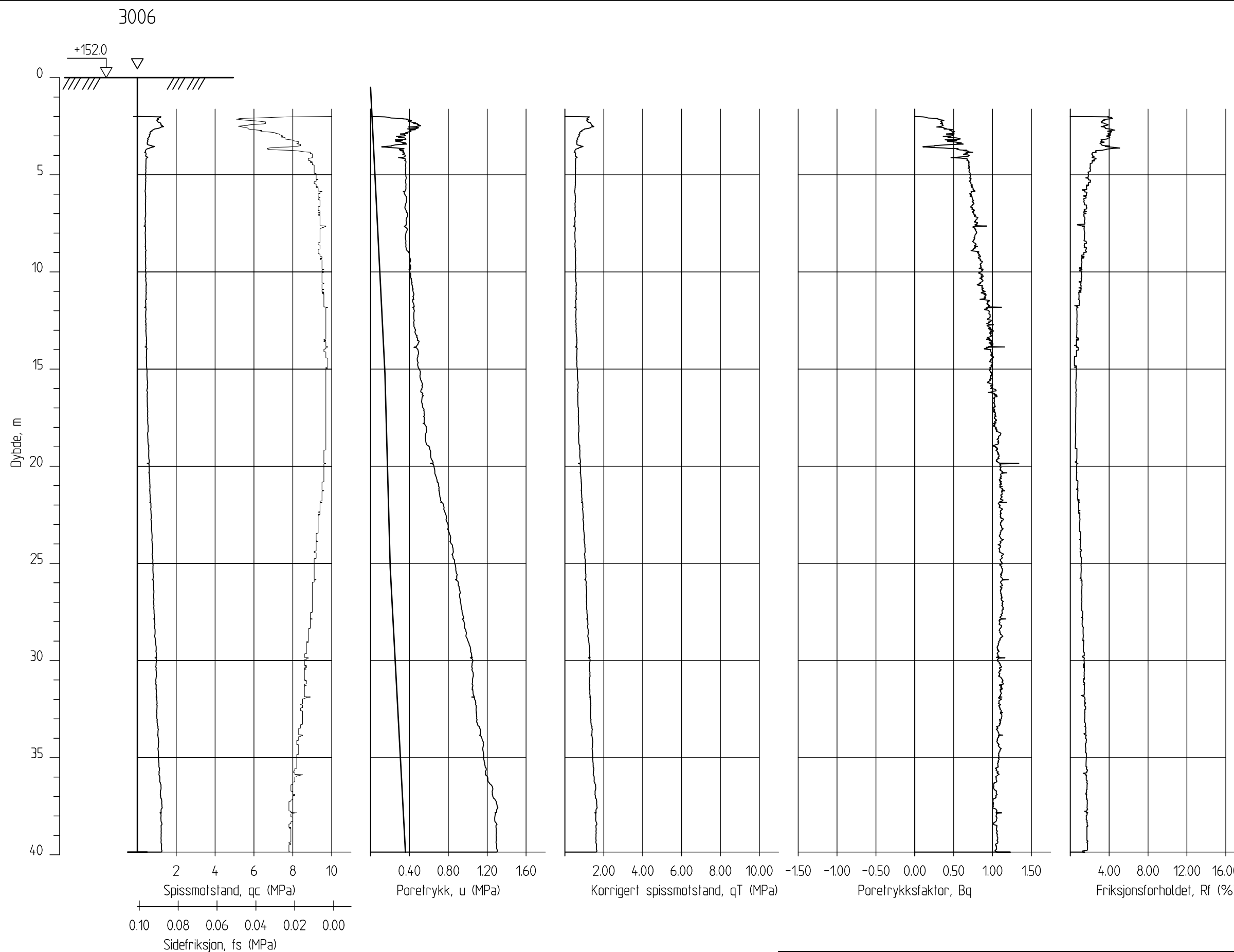
E16 Nybakk - Slomarka

CPT-sondering
M = 1 : 200

Borhull 2293
Posisjon: X 1241497.32 Y 95271.67

Sonde nr. : 20759
Dato boret : 06.02.2013

Rapport nr. 20120491-2-R	Figur nr. C36
Tegner TS	Dato: 12.11.13
Kontrollert TFS	
Godkjent SH	




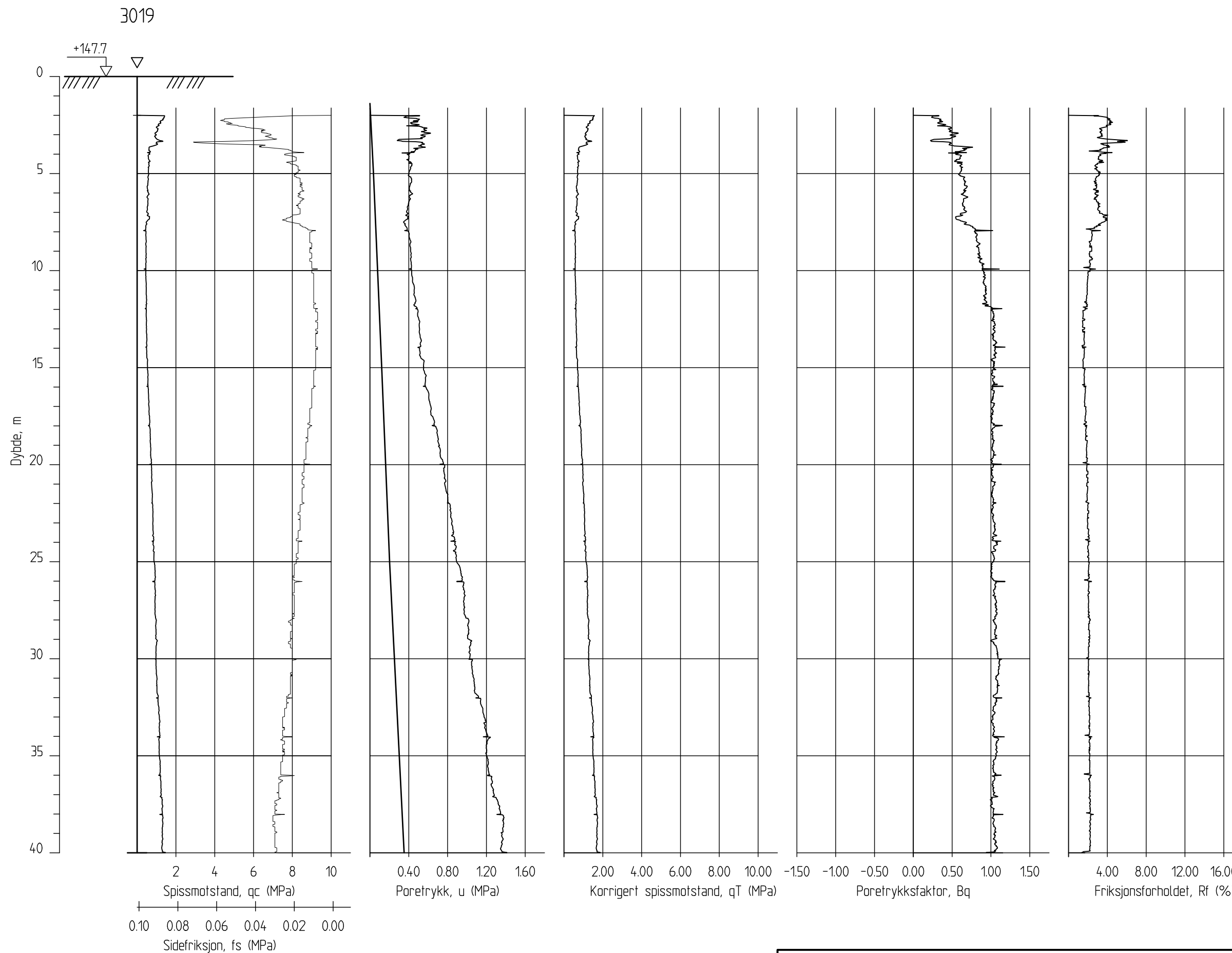
E16 Nybakk - Slomarka


CPT-sondering
M = 1 : 200

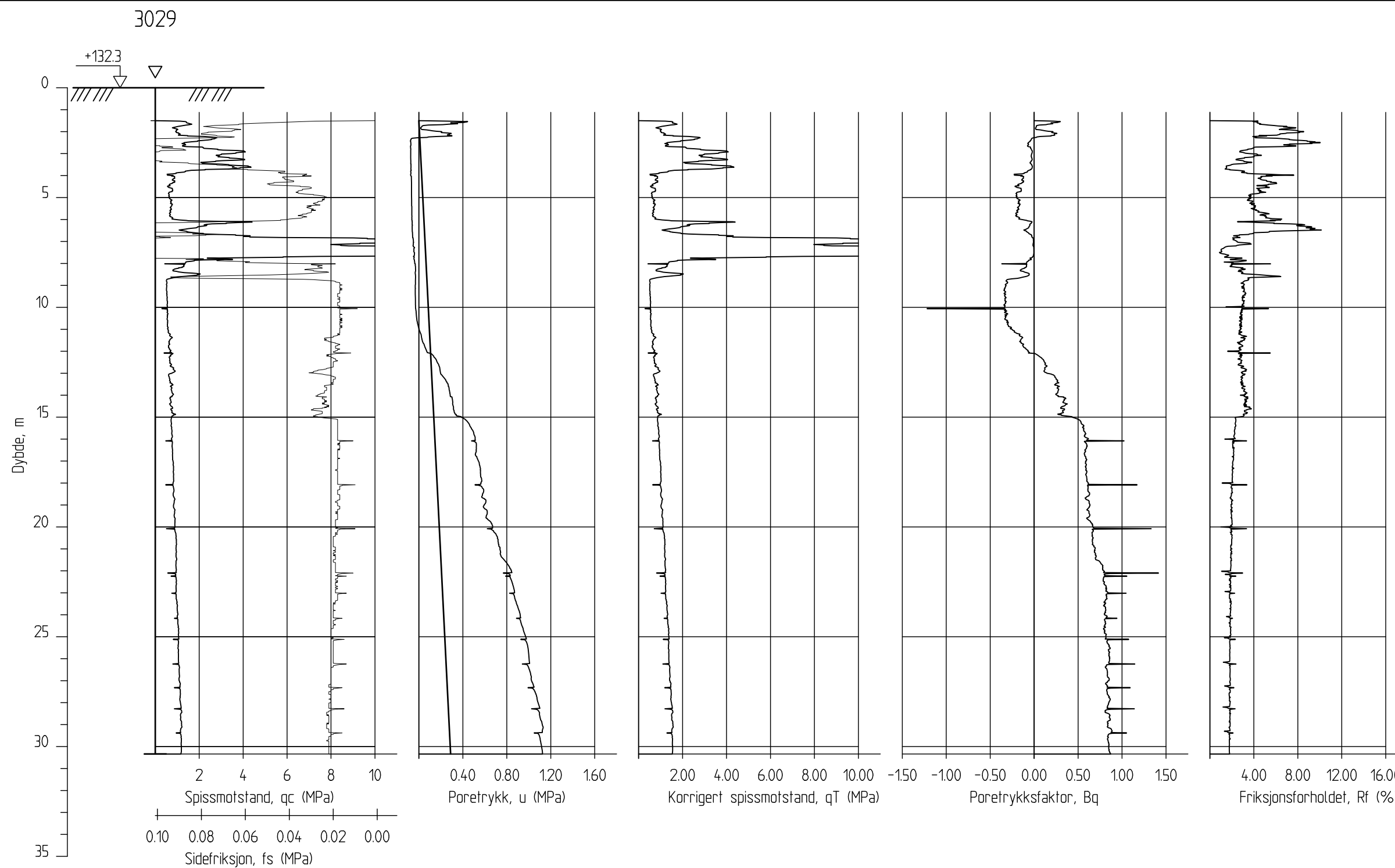
Borhull 3006
Posisjon: X 1241908.68 Y 97278.84

Sonde nr. : 50751
Dato boret :22.04.2013

Rapport nr. 20120491-2-R	Figur nr. C37
Tegner TS	Dato: 13.11.13
Kontrollert TFS	
Godkjent SH	



E16 Nybakk - Slomarka	Rapport nr. 20120491-2-R	Figur nr. C38
	Tegner TS	Dato: 13.11.13
Borhull 3019 Posisjon: X 1241978.79 Y 97414.19	Kontrollert TFS	
	Godkjent SH	
Sonde nr. : 50751 Dato boret : 22.04.2013		




E16 Nybakk - Slomarka

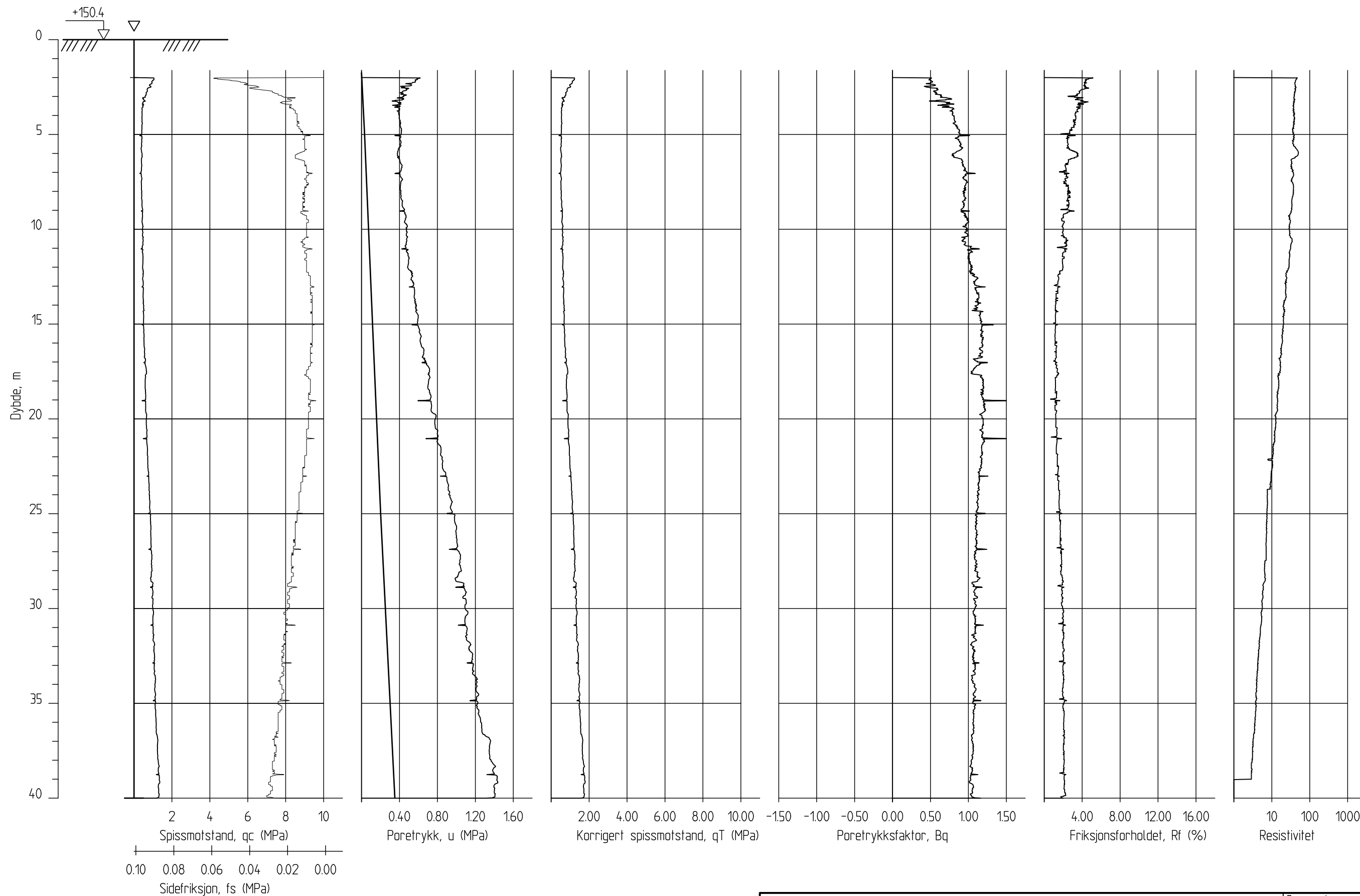
CPT-sondering
M = 1 : 200

Borhull 3029
Posisjon: X 1242051.49 Y 97546.87

Sonde nr. : 30451
Dato boret : 22.04.2013

Rapport nr. 20120491-2-R	Figur nr. C39
Tegner TS	Dato: 13.11.13
Kontrollert TFS	
Godkjent SH	

3043 R




E16 Nybakk - Slomarka

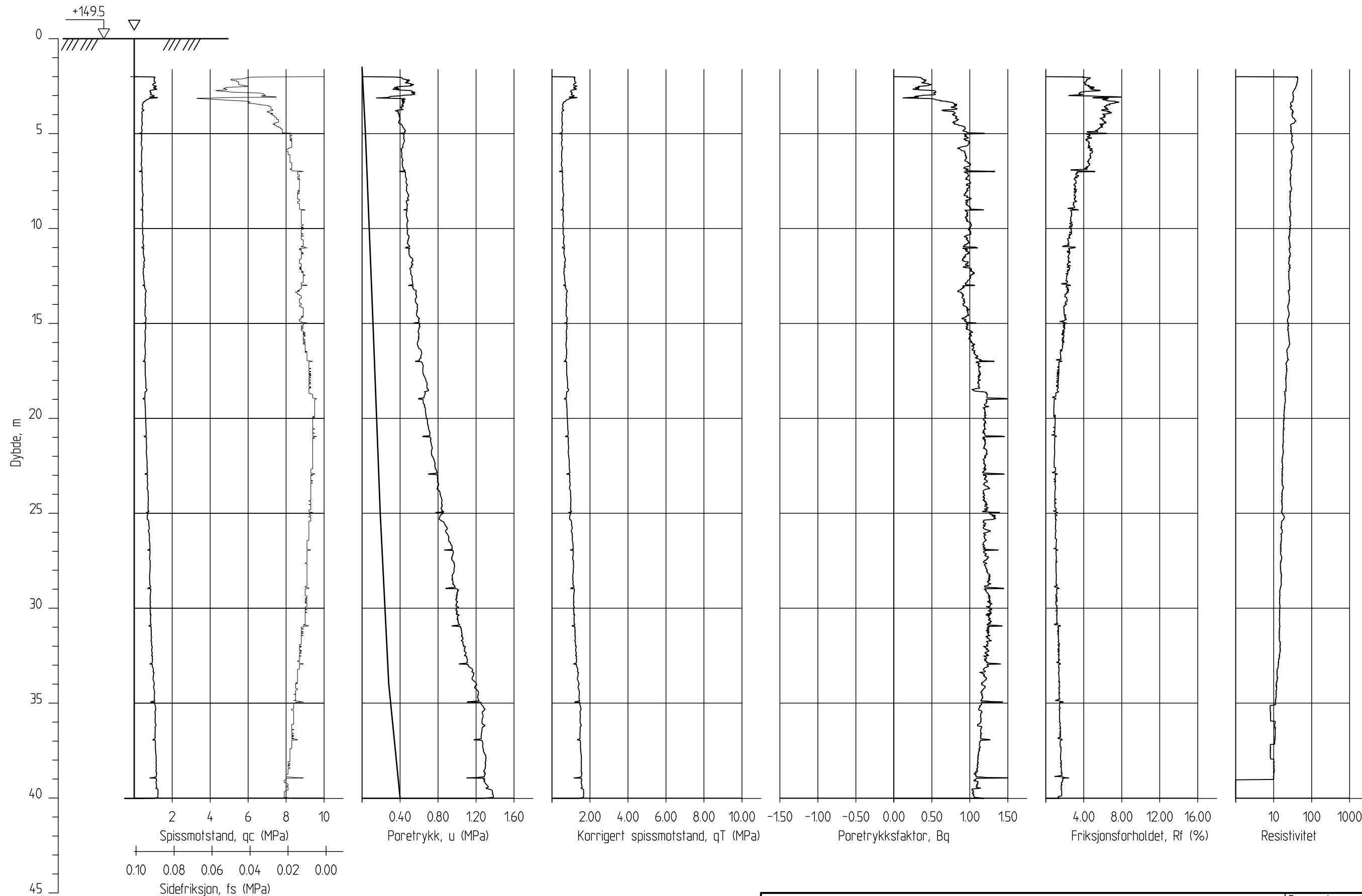
CPT-sondering
M = 1 : 200

Borhull 3043 R
Posisjon: X 1242134.82 Y 97725.32

Sonde nr. : 20856
Dato boret : 11.04.2013

Rapport nr. 20120491-2-R	Figur nr. C40
Tegner TS	Dato: 13.11.13
Kontrollert TFS	
Godkjent SH	

3059 R




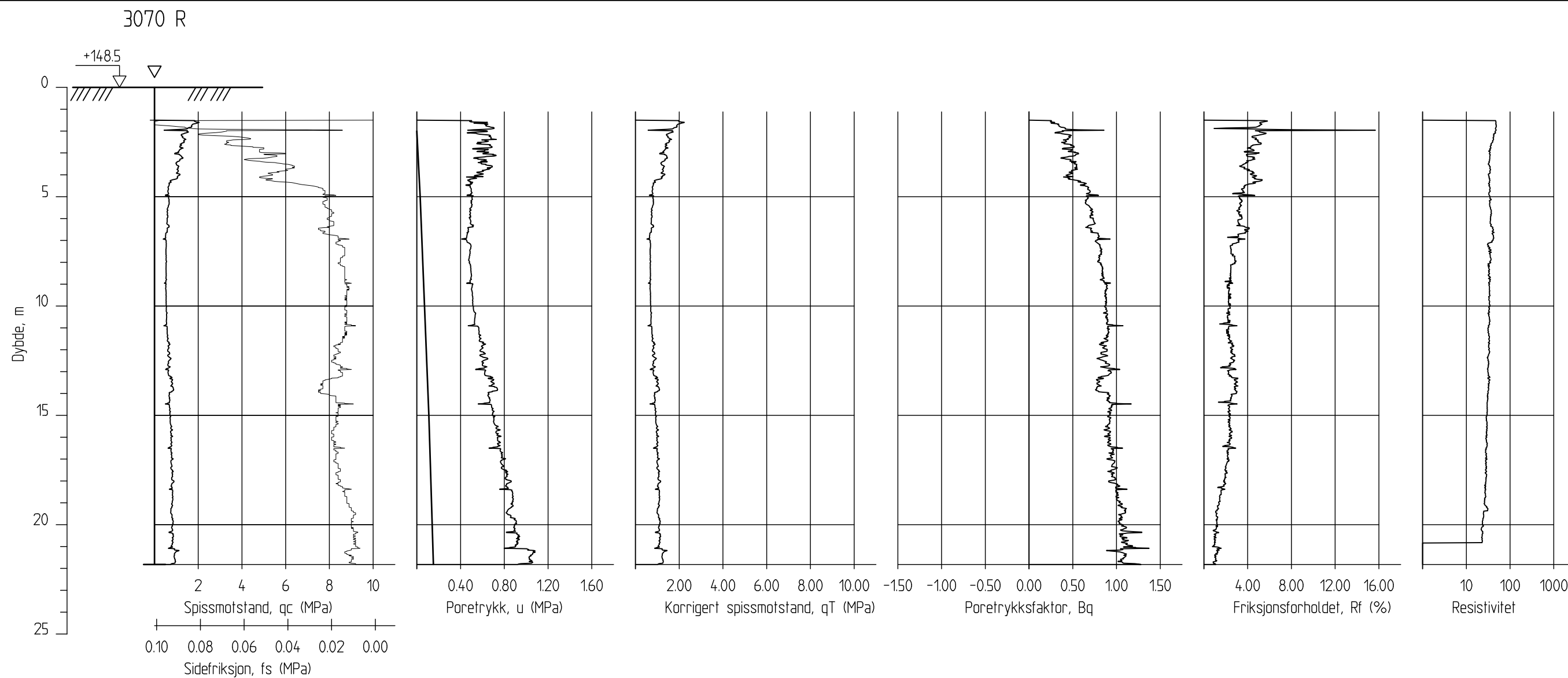
E16 Nybakk - Slomarka

CPT-sondering
M = 1 : 200

Borhull 3059 R
Posisjon: X 1242194.67 Y 97862.53

Sonde nr. : 20856
Dato boret :08.04.2013

Rapport nr. 20120491-2-R	Figur nr. C41
Tegner TS	Dato: 13.11.13
Kontrollert TFS	
Godkjent SH	




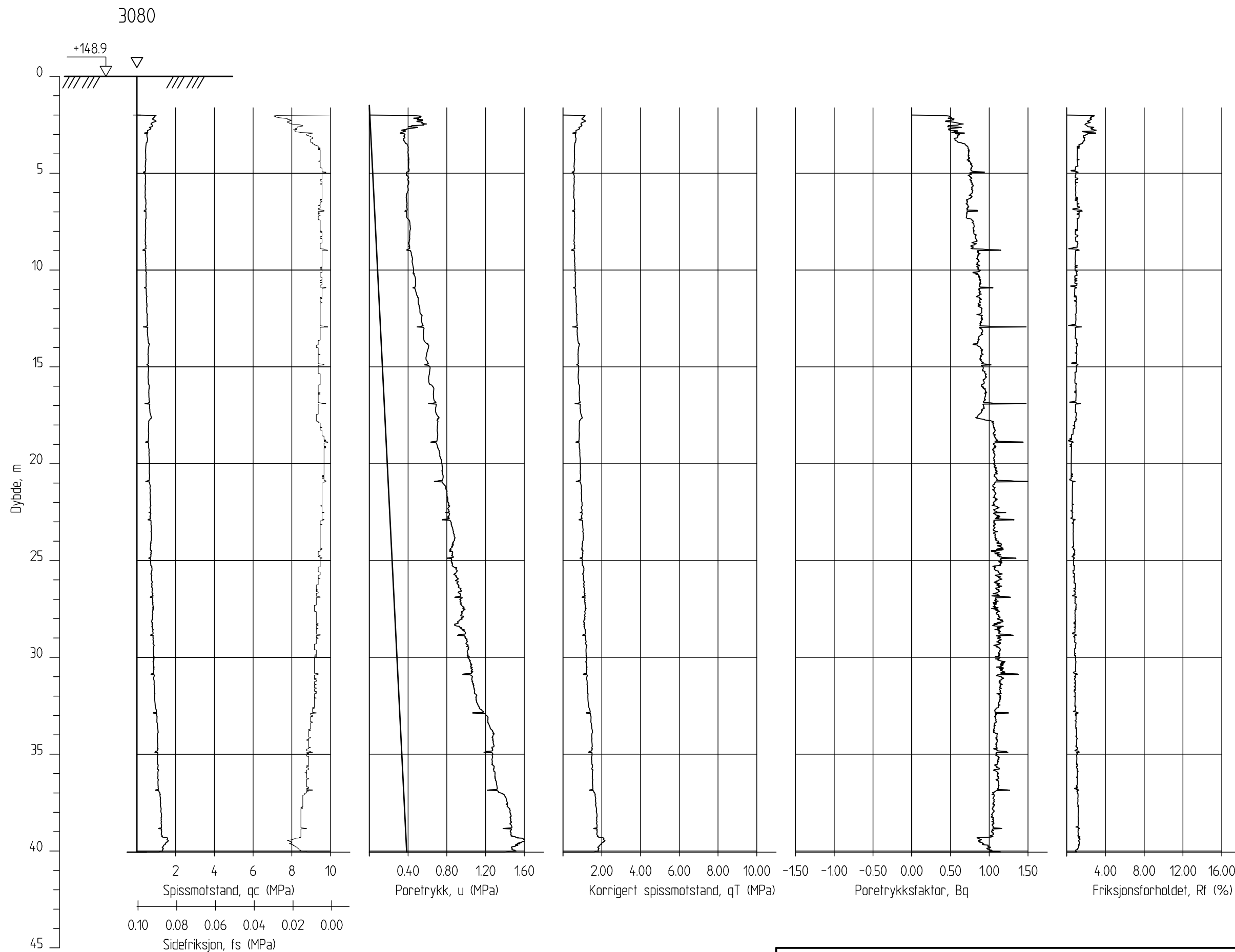
E16 Nybakk - Slomarka

CPT-sondering
M = 1 : 200

Borhull 3070 R
Posisjon: X 1242332.25 Y 97988.14

Sonde nr. : 20856
Dato boret :02.04.2013

Rapport nr. 20120491-2-R	Figur nr. C42
Tegner TS	Dato: 13.11.13
Kontrollert TFS	
Godkjent SH	




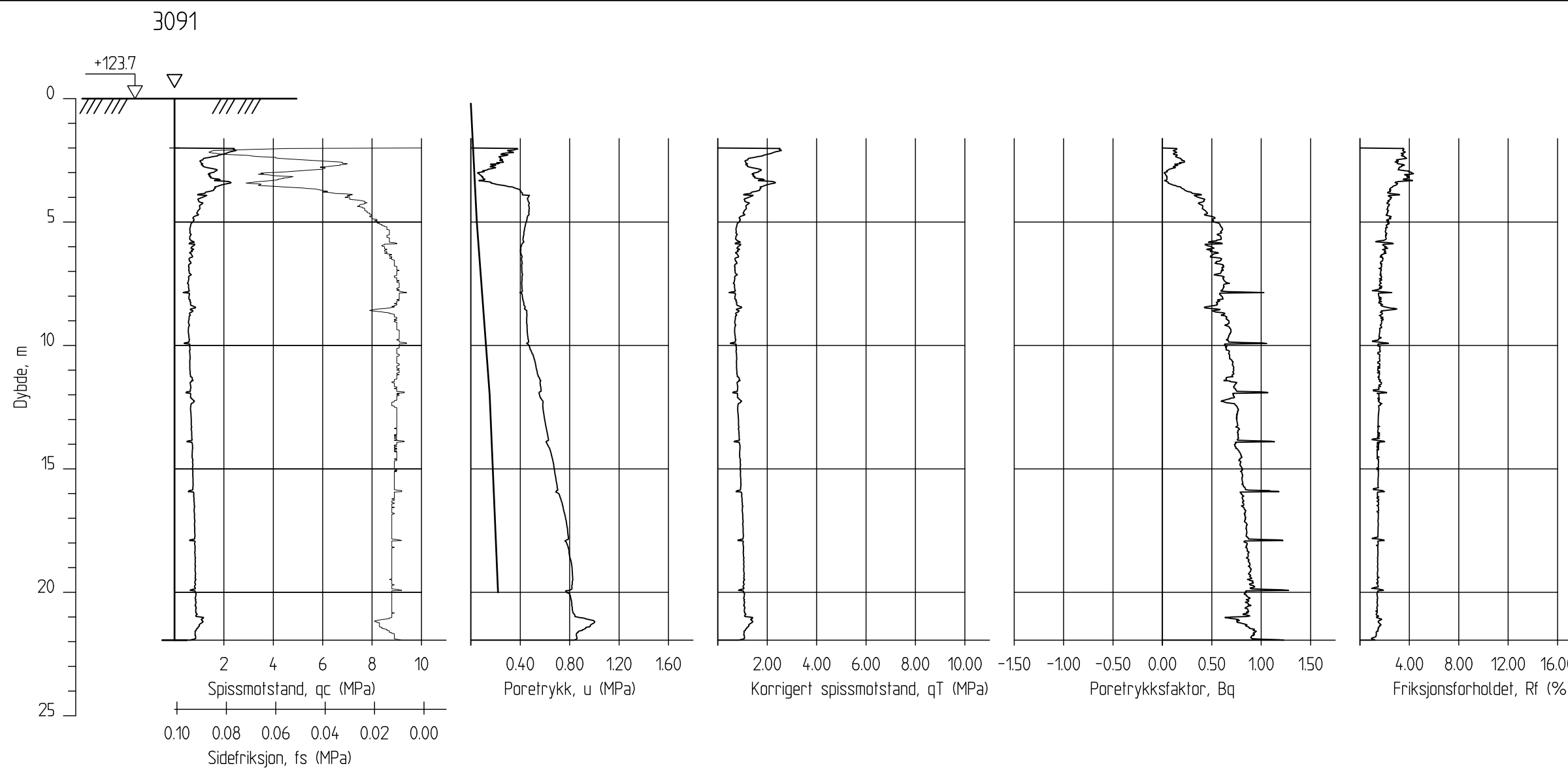
E16 Nybakk - Slomarka

CPT-sondering
M = 1 : 200

Borhull 3080
Posisjon: X 1242137.50 Y 98171.30

Sonde nr. : 20856
Dato boret :03.12.2012

Rapport nr. 20120491-2-R	Figur nr. C43
Tegner TS	Dato: 13.11.13
Kontrollert TFS	
Godkjent SH	




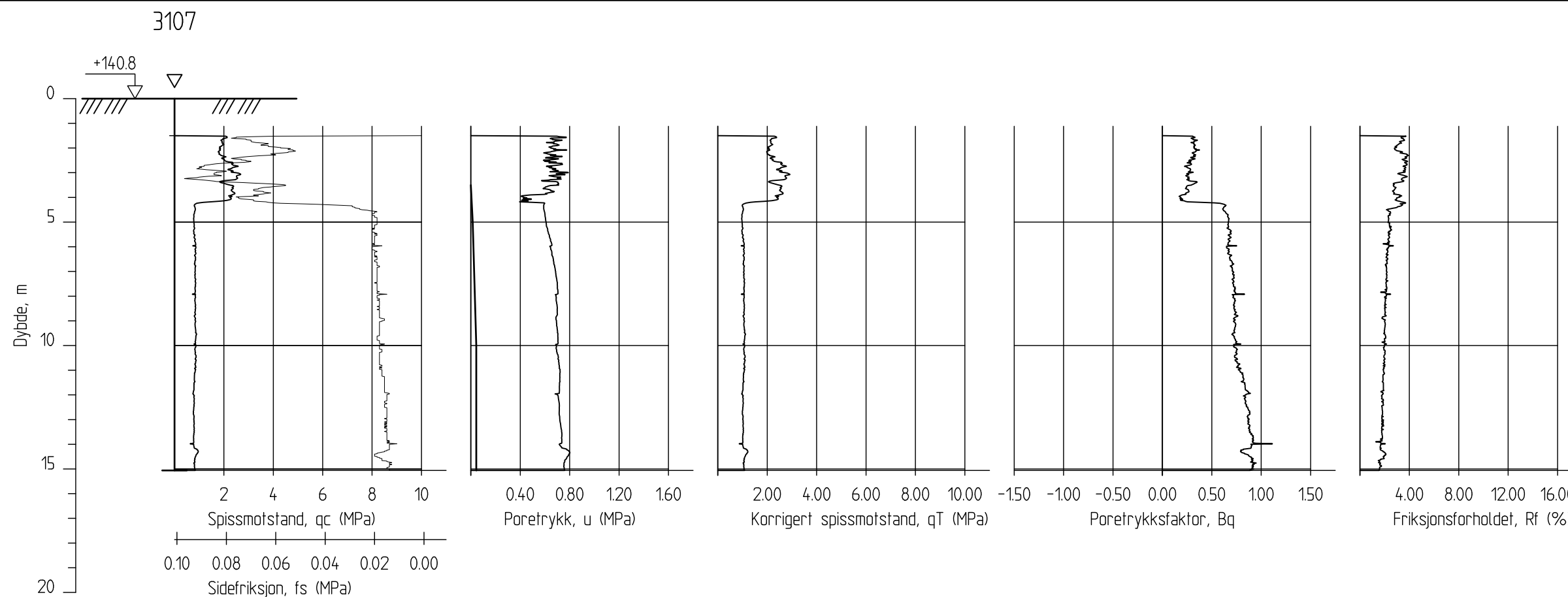
E16 Nybakk - Slomarka

CPT-sondering
M = 1 : 200

Borhull 3091
Posisjon: X 1241883.79 Y 98285.82

Sonde nr. : 20759
Dato boret :06.12.2012

Rapport nr. 20120491-2-R	Figur nr. C44
Tegner TS	Dato: 13.11.13
Kontrollert TFS	
Godkjent SH	




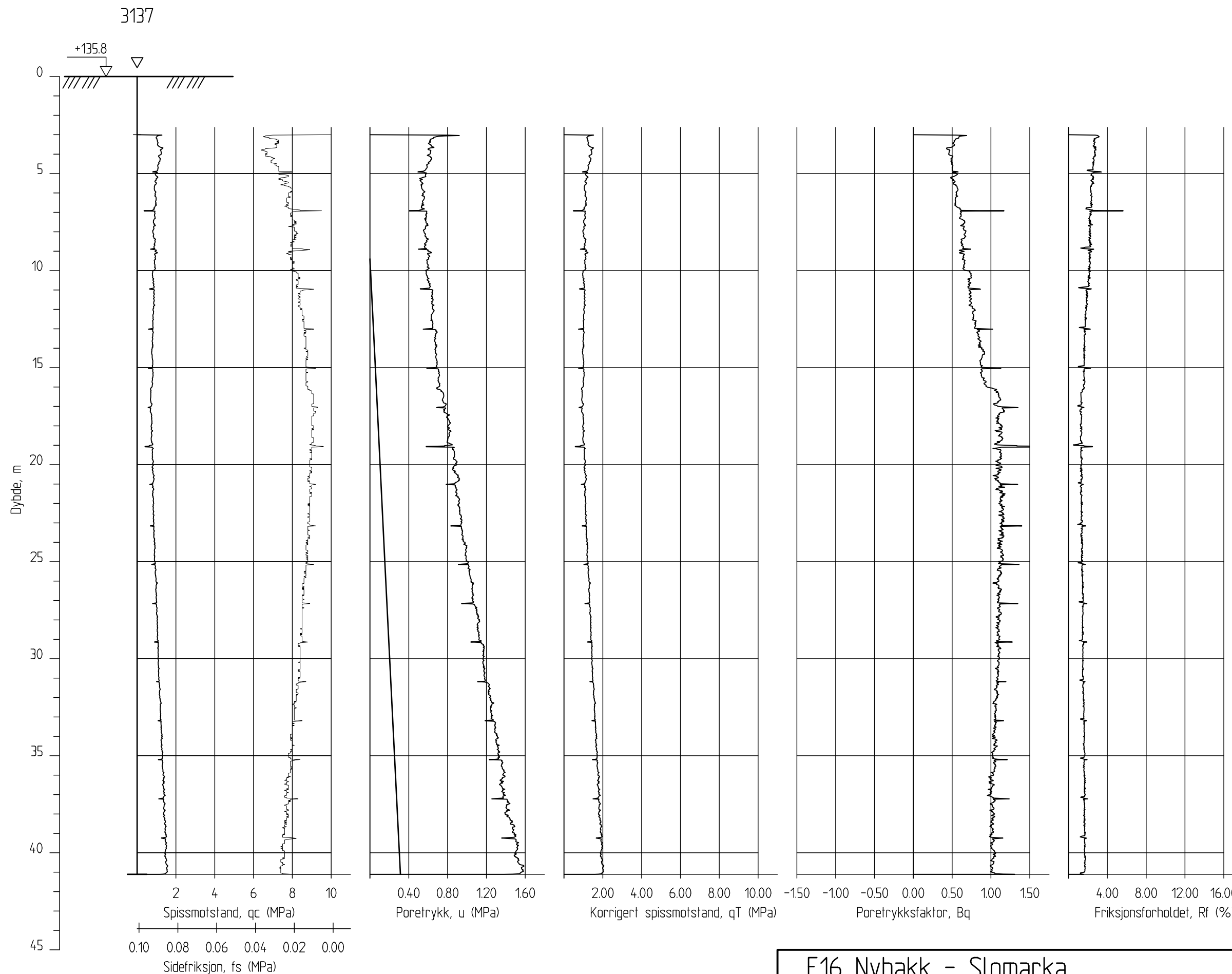
E16 Nybakk - Slomarka


CPT-sondering
M = 1 : 200

Borhull 3107
Posisjon: X 1242383.04 Y 98495.80

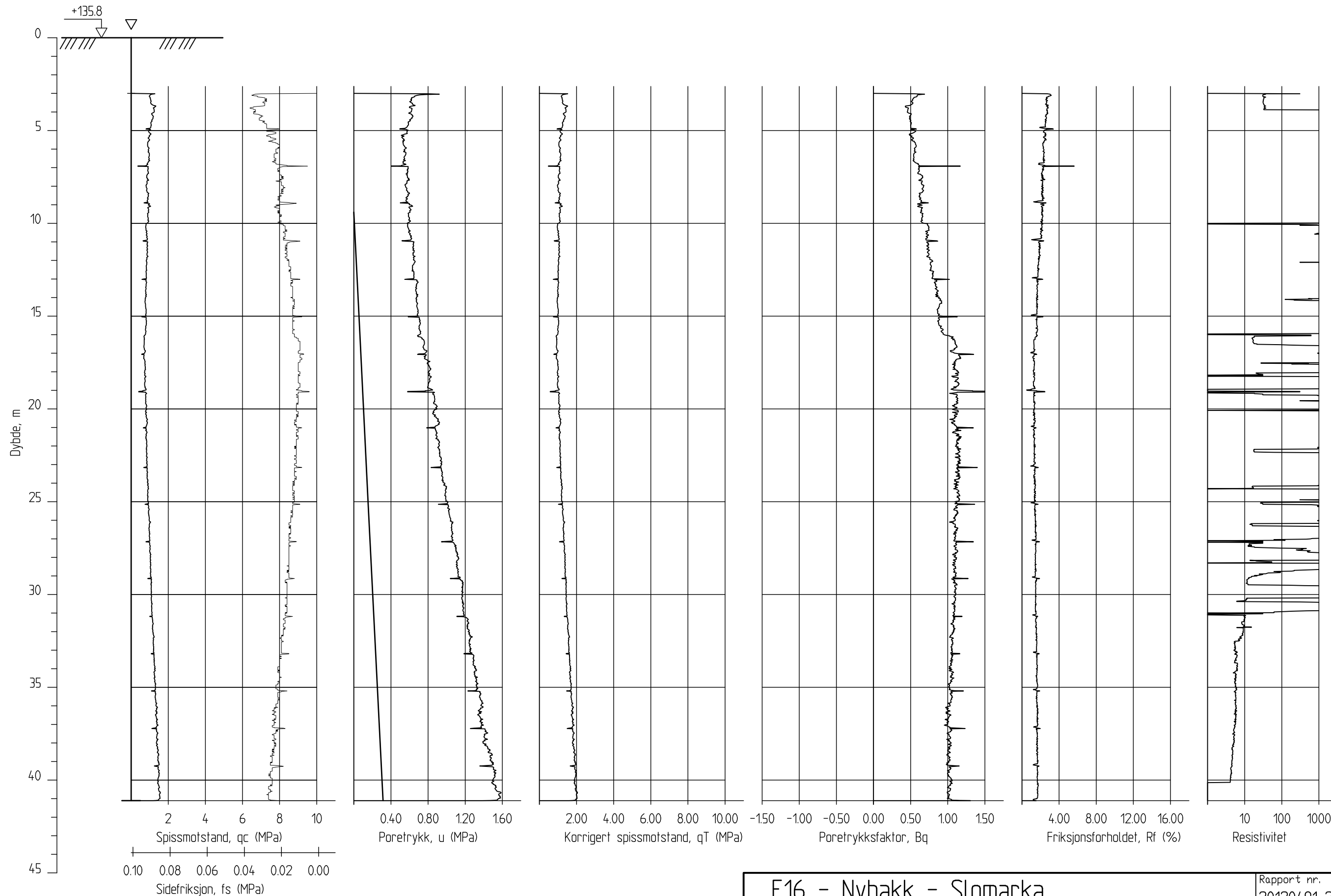
Sonde nr. : 30451
Dato boret : 23.04.2013

Rapport nr. 20120491-2-R	Figur nr. C45
Tegner TS	Dato: 13.11.13
Kontrollert TFS	
Godkjent SH	



<p>E16 Nybakk - Slomarka</p> <p>CPT-sondering M = 1 : 200</p> <p>Borhull 3137 Posisjon: X 1242417.54 Y 98881.28</p>	<p>Rapport nr. 20120491-3-R</p>	<p>Figur nr. C46</p>
	<p>Tegner TS</p>	<p>Dato: 13.11.13</p>
	<p>Kontrollert TFS</p>	
	<p>Godkjent SH</p>	

3137 R




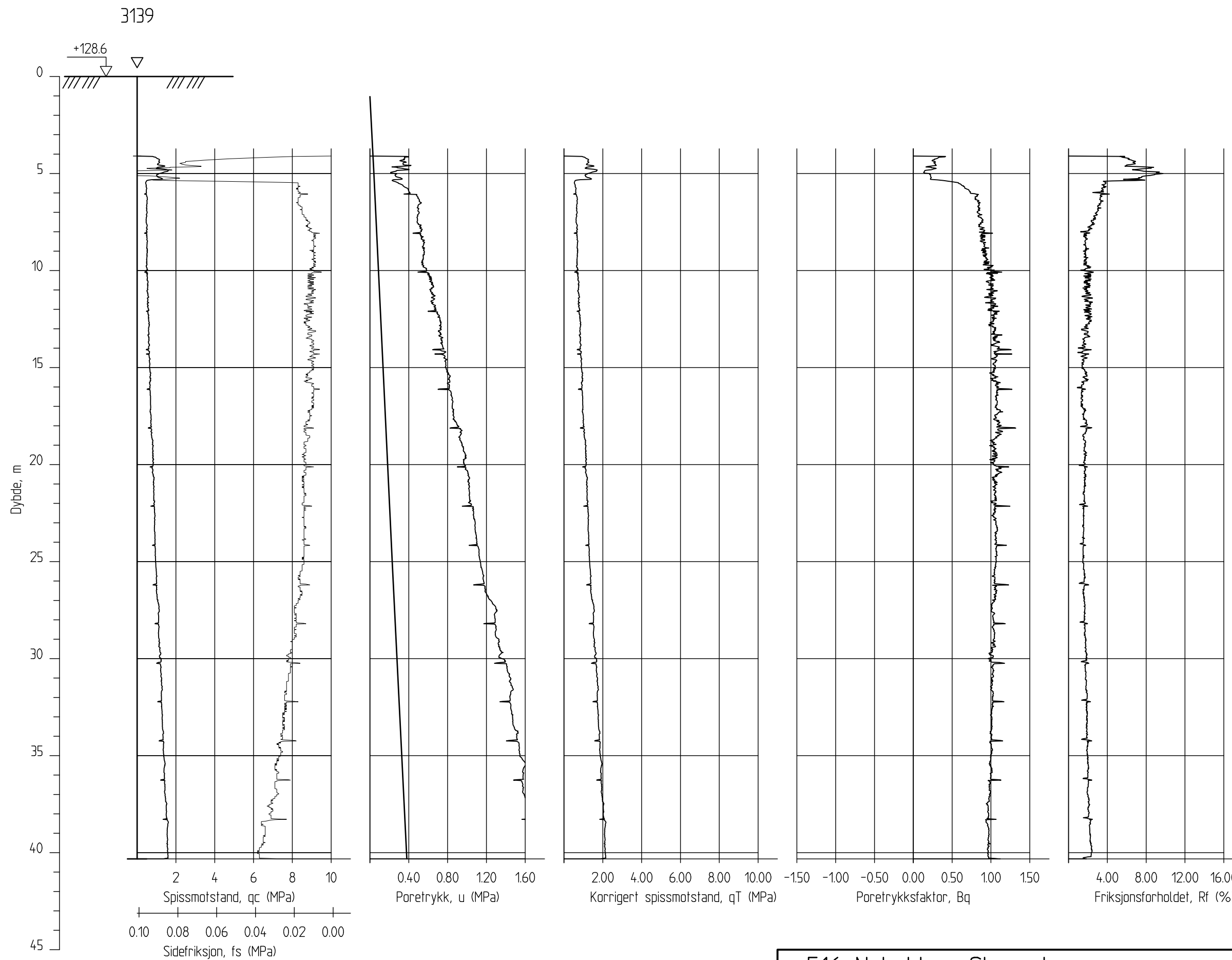
E16 - Nybakk - Slomarka


M = 1 : 200

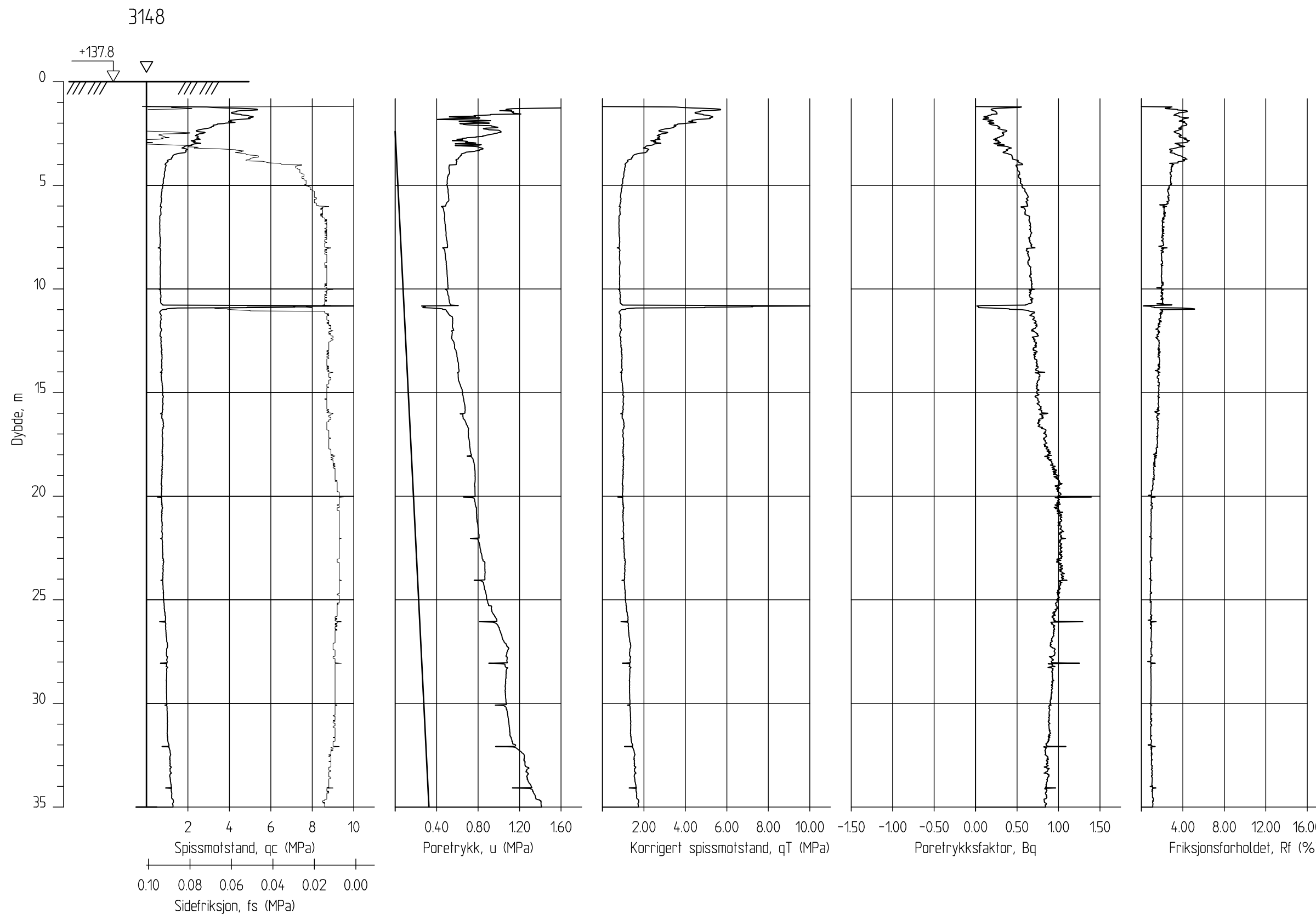
Borhull 3137 R
 Posisjon: X 1242417.54 Y 98881.28

Sonde nr. : 20856
 Dato boret : 07.12.2012

Rapport nr. 20120491-2-R	Figur nr. C47
Tegner TS	Dato: 13.11.13
Kontrollert	
Godkjent SH	



<p>E16 Nybakk - Slomarka</p> <p>CPT-sondering M = 1 : 200</p> <p>Borhull 3139 Posisjon: X 1242227.53 Y 98921.11</p>	<p>Rapport nr. 20120491-2-R</p>	<p>Figur nr. C48</p>
	<p>Tegner TS</p>	<p>Dato: 13.11.13</p>
	<p>Kontrollert TFS</p>	
	<p>Godkjent SH</p>	
<p>Sonde nr. : 50660 Dato boret :05.12.2012</p>		




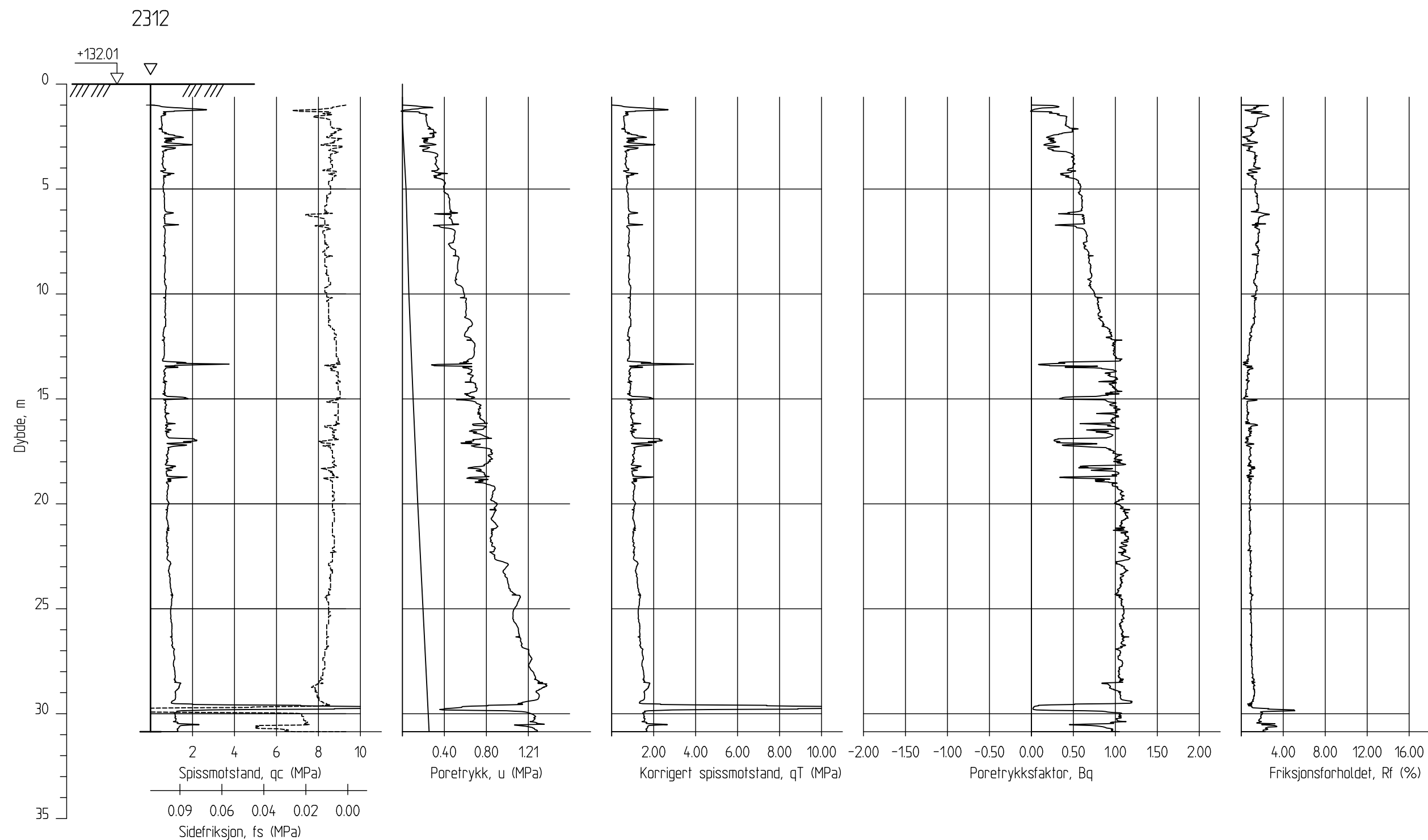
E16 Nybakk - Slomarka

CPT-sondering
M = 1 : 200

Borhull 3148
Posisjon: X 1242155.48 Y 99052.37

Sonde nr. : 30451
Dato boret : 25.04.2013

Rapport nr. 20120491-2-R	Figur nr. C49
Tegner TS	Dato: 13.11.13
Kontrollert TFS	
Godkjent SH	



E16 Nybakk - Slomarka

CPT-sondering
M = 1 : 200

Borhull 2312
Posisjon: X 1241167.38 Y 94617.80

Sonde nr. : 50751
Dato boret :18.02.2014

Rapport nr.
20120491-2-R

Figur nr.
C50

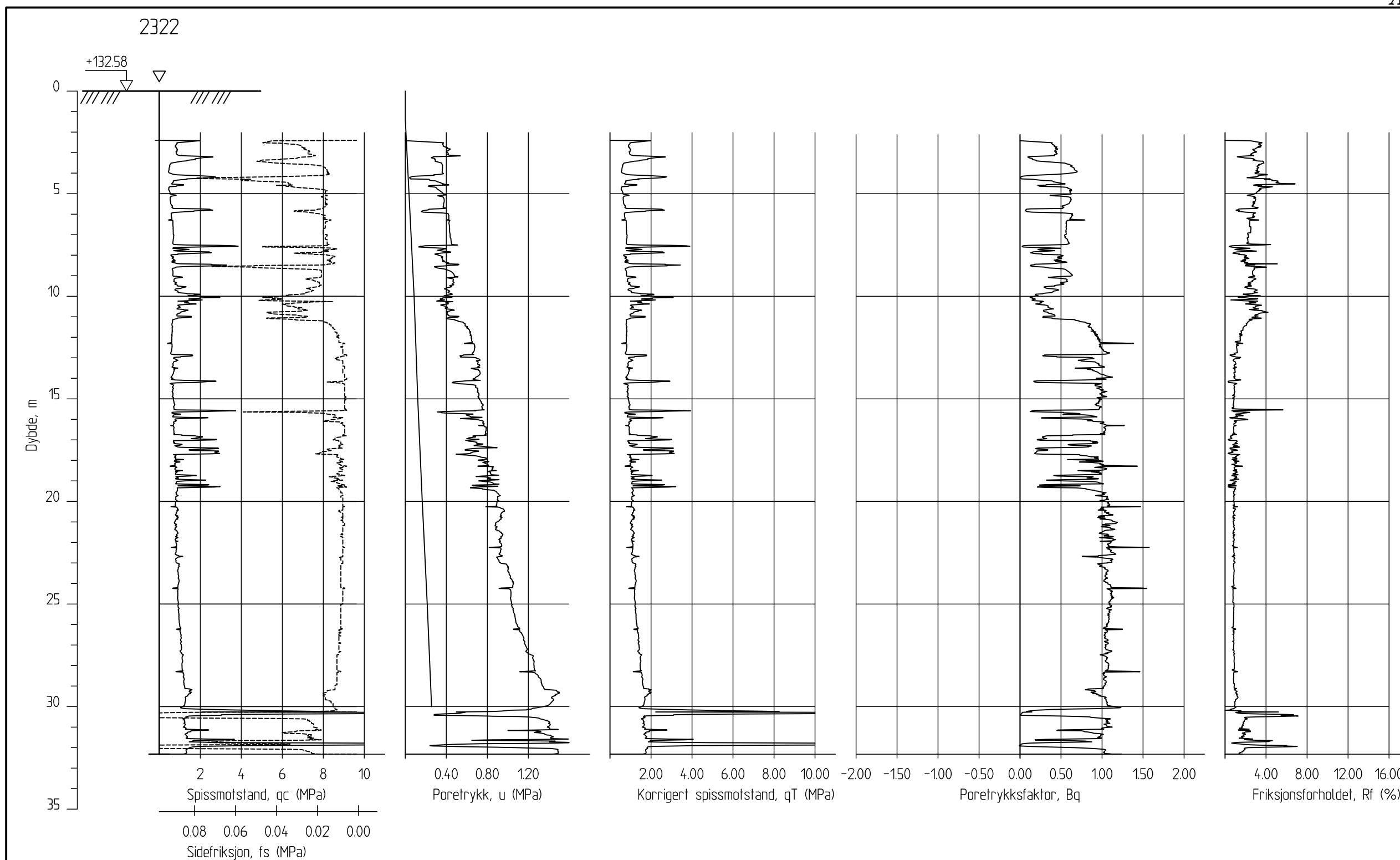
Tegner
TS

Dato:
18.08.13

Kontrollert
TFS

Godkjent
SH





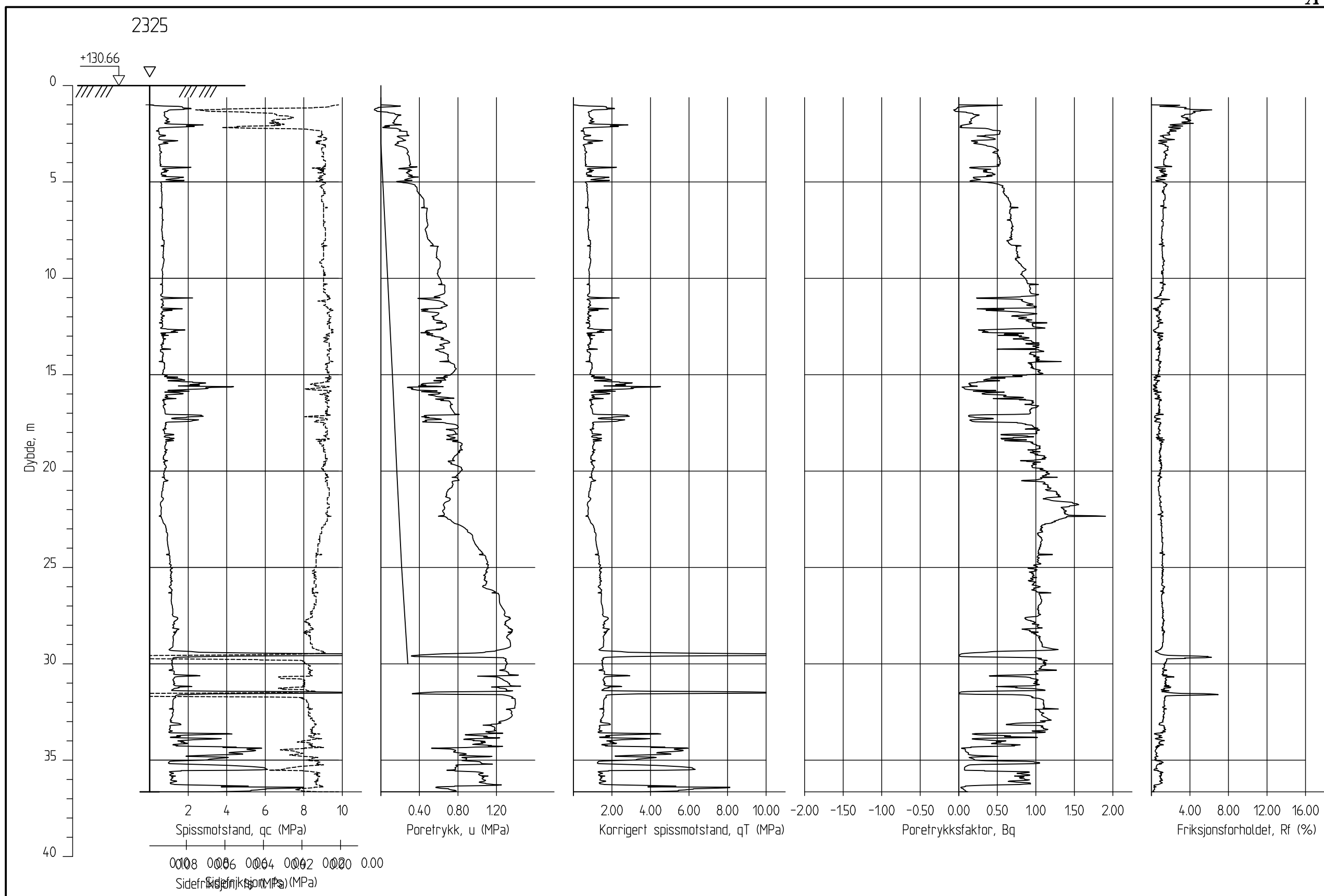
E16 Nybakk - Slomarka


CPT-sondering
M = 1 : 200

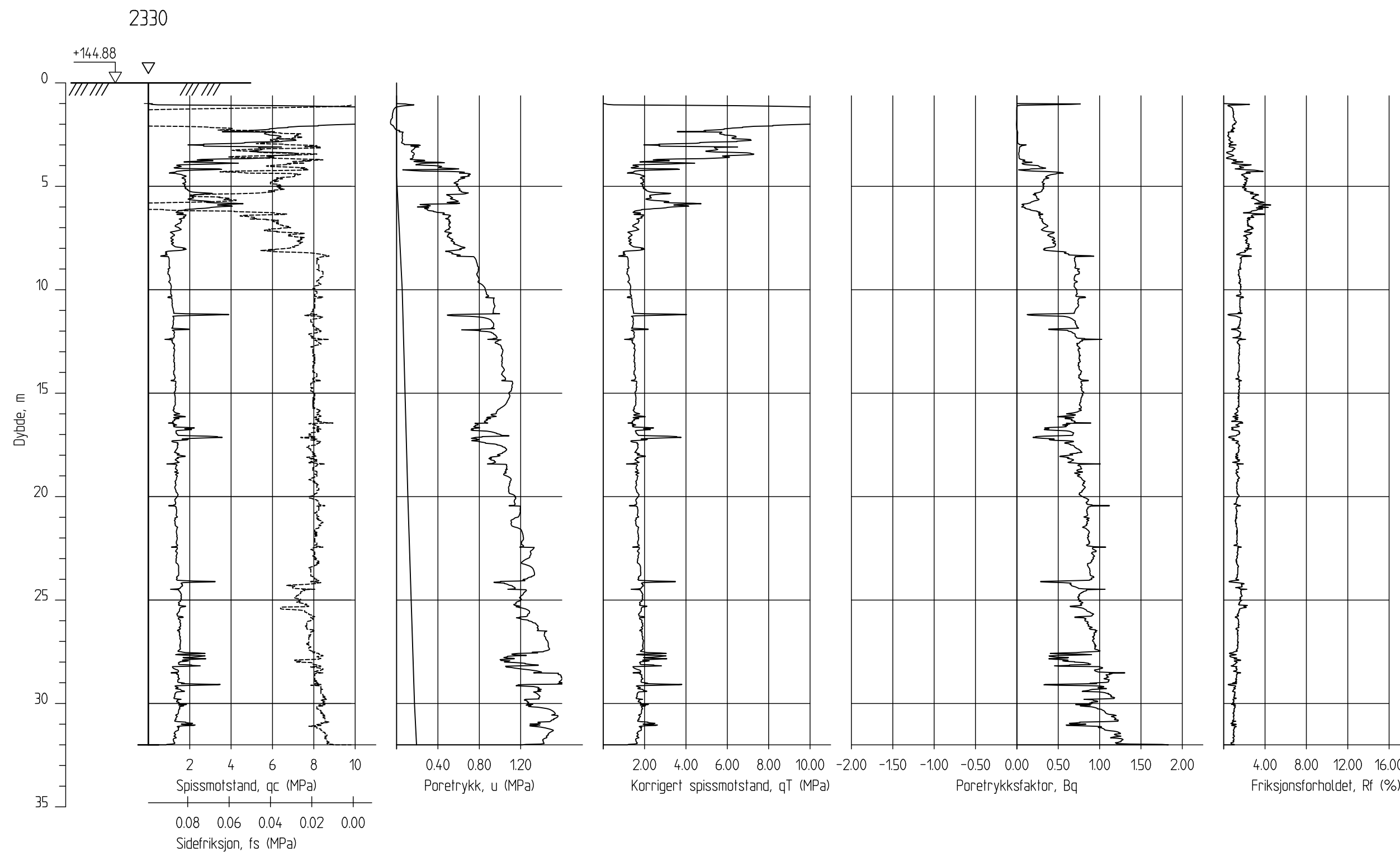
Borhull 2322
Posisjon: X 1241269.33 Y 94695.38


Sonde nr. : 50751
Dato boret :26.02.2014

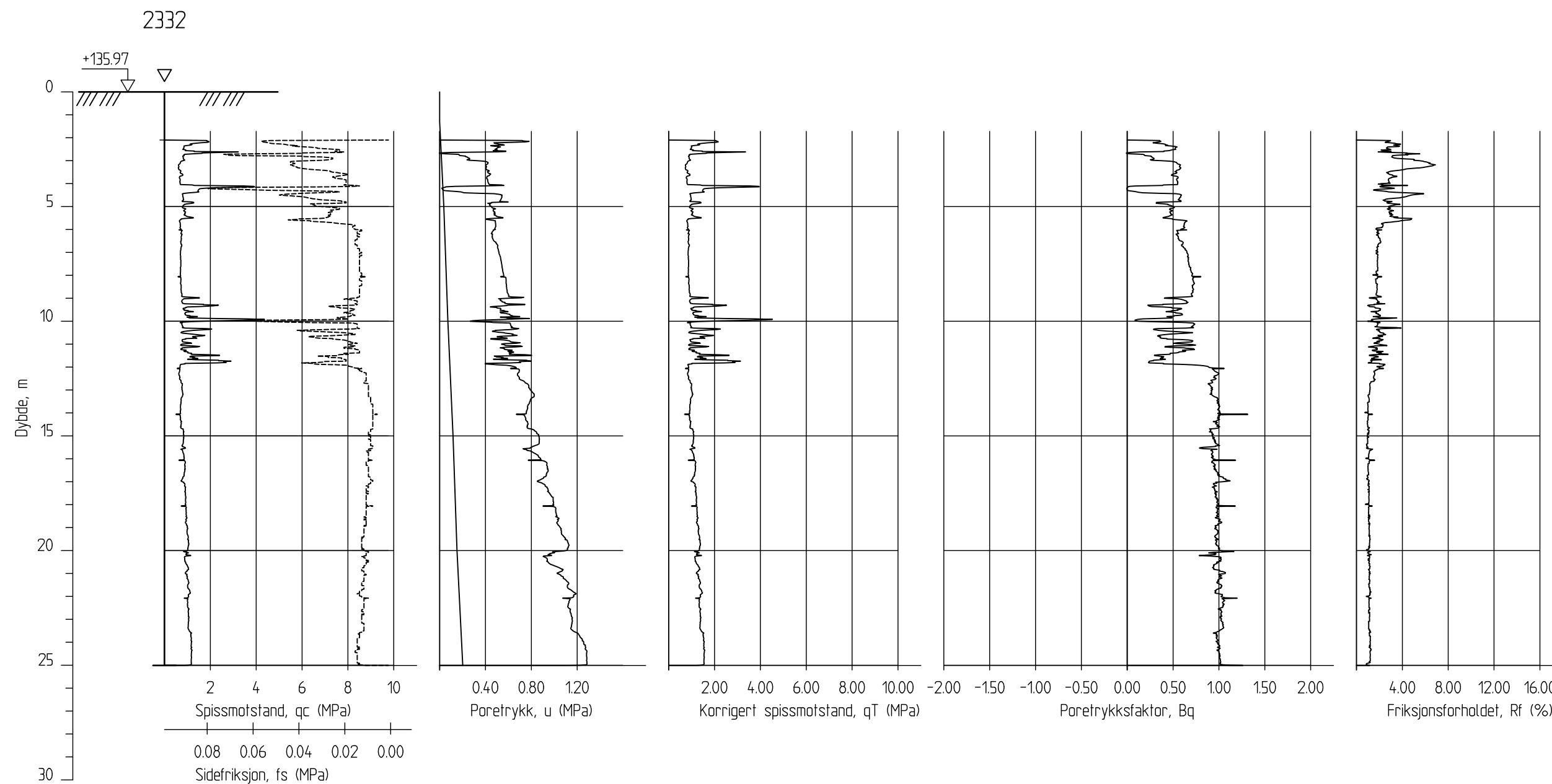
Rapport nr. 20120491-2-R	Figur nr. C51
Tegner TS	Dato: 18.08.13
Kontrollert TFS	
Godkjent SIH	




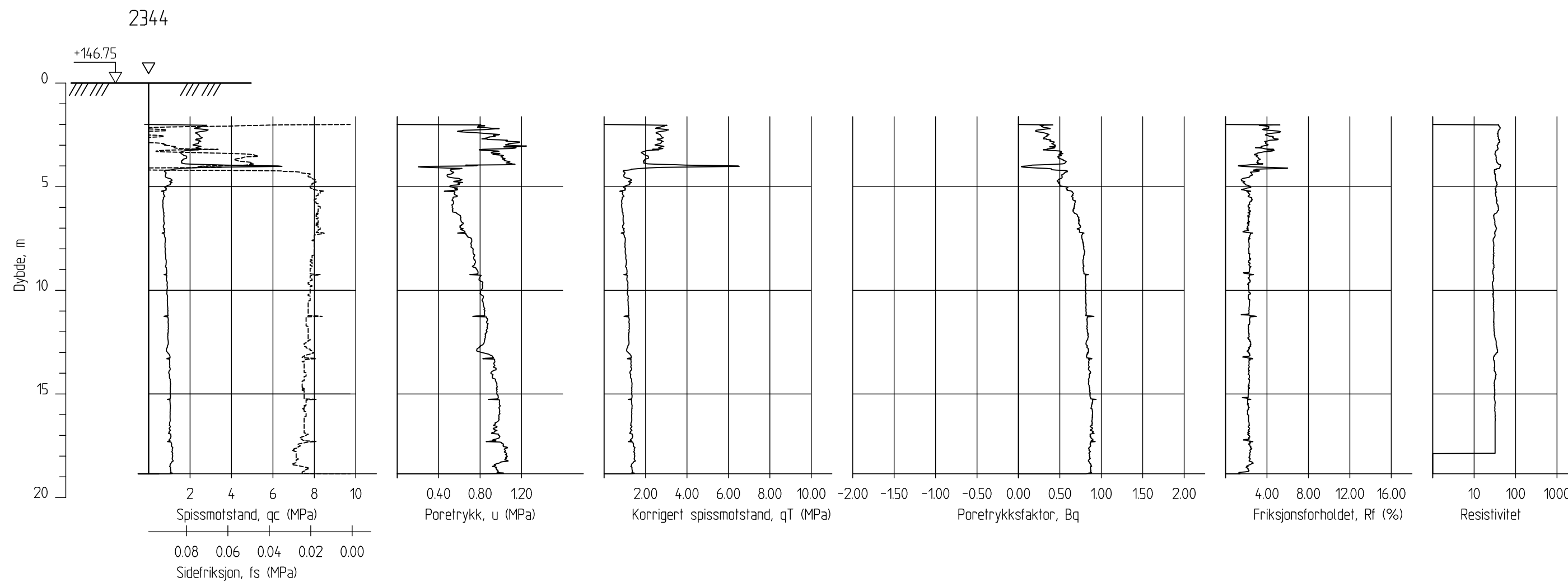
E16 Nybakk - Slomarka		Rapport nr. 20120491-2-R	Figur nr. C52
		Tegner TS	Dato: 18.08.13
CPT-sondering M = 1 : 200		Kontrollert TFS	
		Godkjent SH	
Borhull 2325 Posisjon: X 1241153.01 Y 94790.08		Sonde nr. : 50759 Dato boret :10.03.2014	



E16 Nybakk - Slomarka		Rapport nr. 20120491-2-R	Figur nr. C53
CPT-sondering M = 1 : 200		Tegner TS	Dato: 18.08.13
Borhull 2330 Posisjon: X 1241332.22 Y 94773.10		Kontrollert TFS	
Sonde nr. : 20759 Dato boret :03.03.2014		Godkjent SIH	



E16 Nybakk - Slomarka		Rapport nr. 20120491-2-R	Figur nr. C54
CPT-sondering M = 1 : 200		Tegner TS	Dato: 18.08.13
Borhull 2332 Posisjon: X 1241253.05 Y 94834.19		Kontrollert TFS	
Sonde nr. : 50751 Dato boret :19.03.2014		Godkjent SIH	



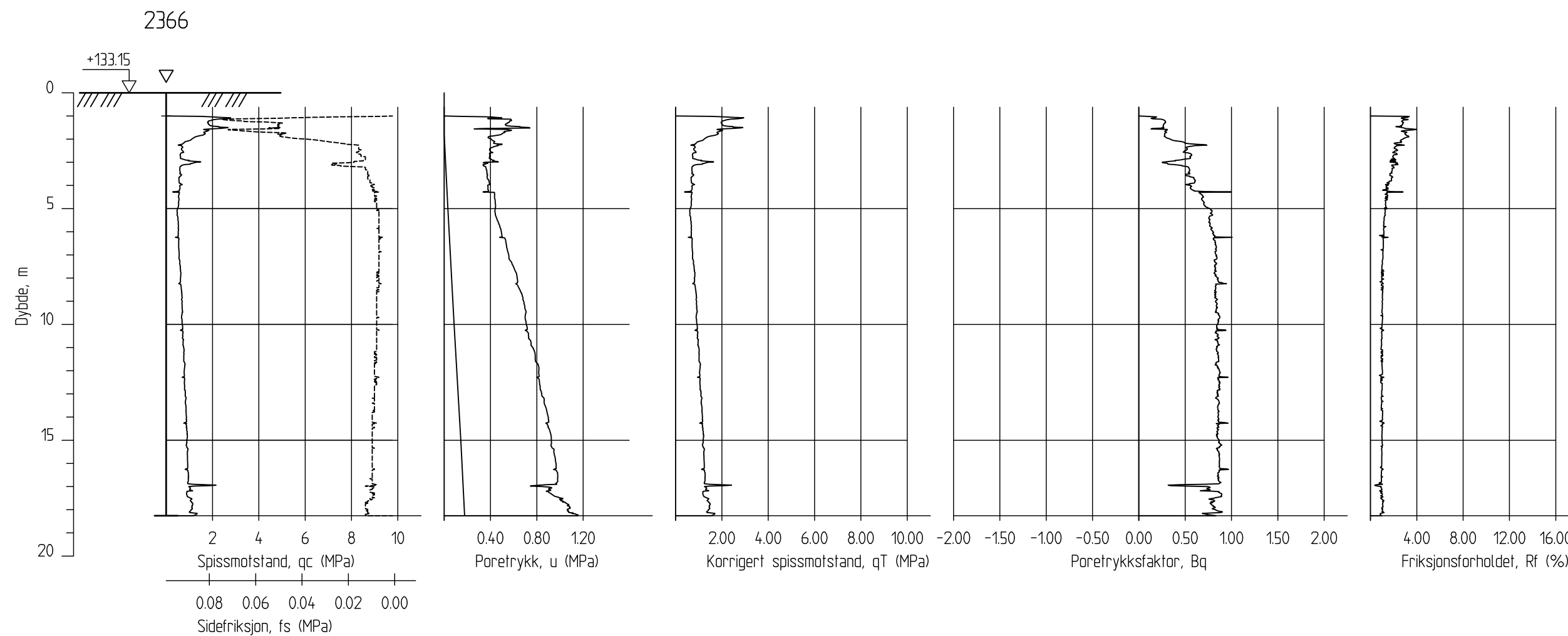
E16 Nybakk - Slomarka

CPT-sondering
M = 1 : 200

Borhull 2344
Posisjon: X 1241458.95 Y 94871.65

Sonde nr. : 20856
Dato boret :26.03.2014

Rapport nr. 20120491-2-R	Figur nr. C55
Tegner TS	Dato: 18.08.13
Kontrollert TFS	
Godkjent SH	



E16 Nybakk - Slomarka

CPT-sondering
M = 1 : 200

Borhull 2366
Posisjon: X 1241544.04 Y 95168.06

Sonde nr. : 50660
Dato boret :25.03.2014

Rapport nr.
20120491-2-R

Figur nr.
C56

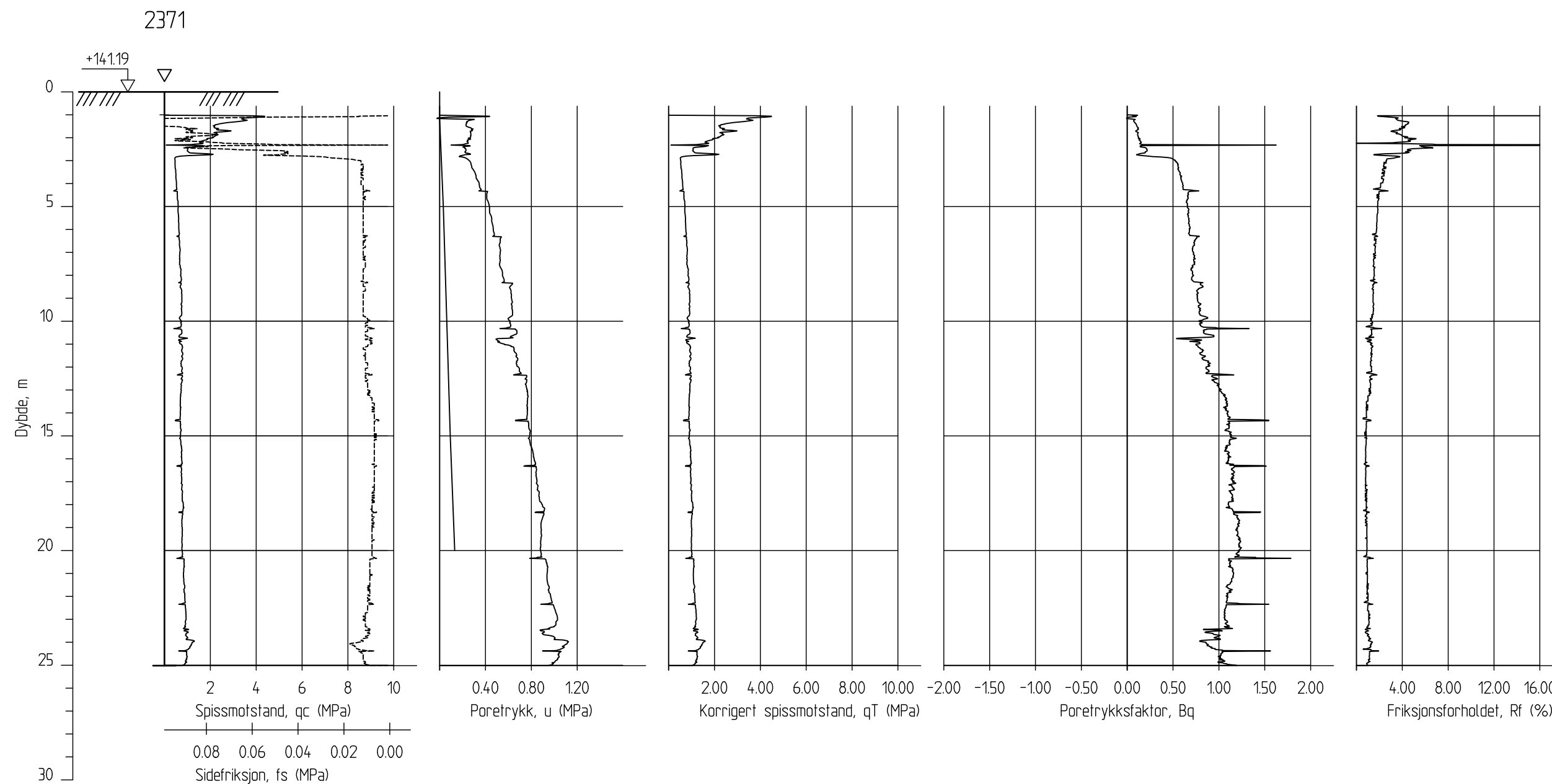
Tegner
TS


Dato:
18.08.13

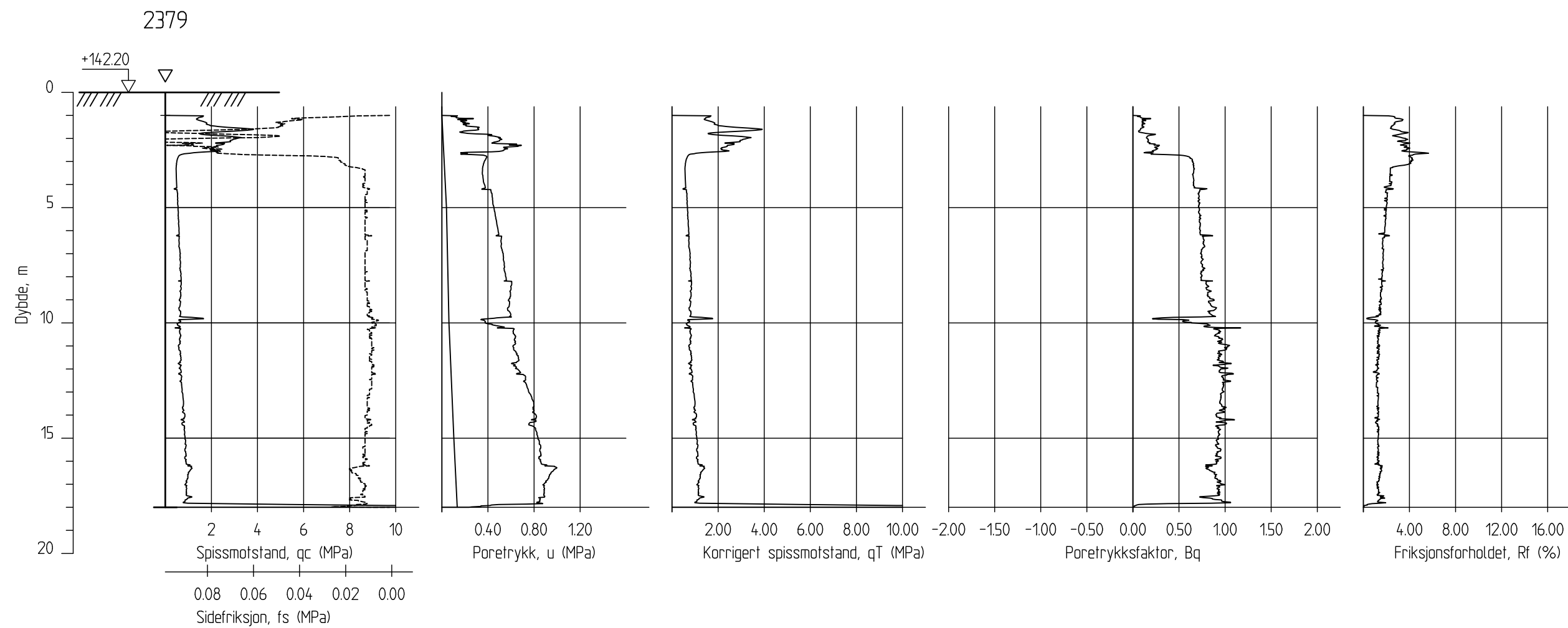
Kontrollert
TFS

Godkjent
SH





E16 Nybakk - Slomarka		Rapport nr. 20120491-2-R	Figur nr. C57
CPT-sondering M = 1 : 200		Tegner TS	Dato: 18.08.13
Borhull 2371 Posisjon: X 1241512.20 Y 95230.76		Kontrollert TFS	
Sonde nr. : 20759 Dato boret :17.03.2014		Godkjent SH	



E16 Nybakk - Slomarka

CPT-sondering
M = 1 : 200

Borhull 2379
Posisjon: X 1241538.33 Y 95323.79

Sonde nr. : 20759
Dato boret :20.03.2014

Rapport nr.
20120491-2-R

Figur nr.
C58

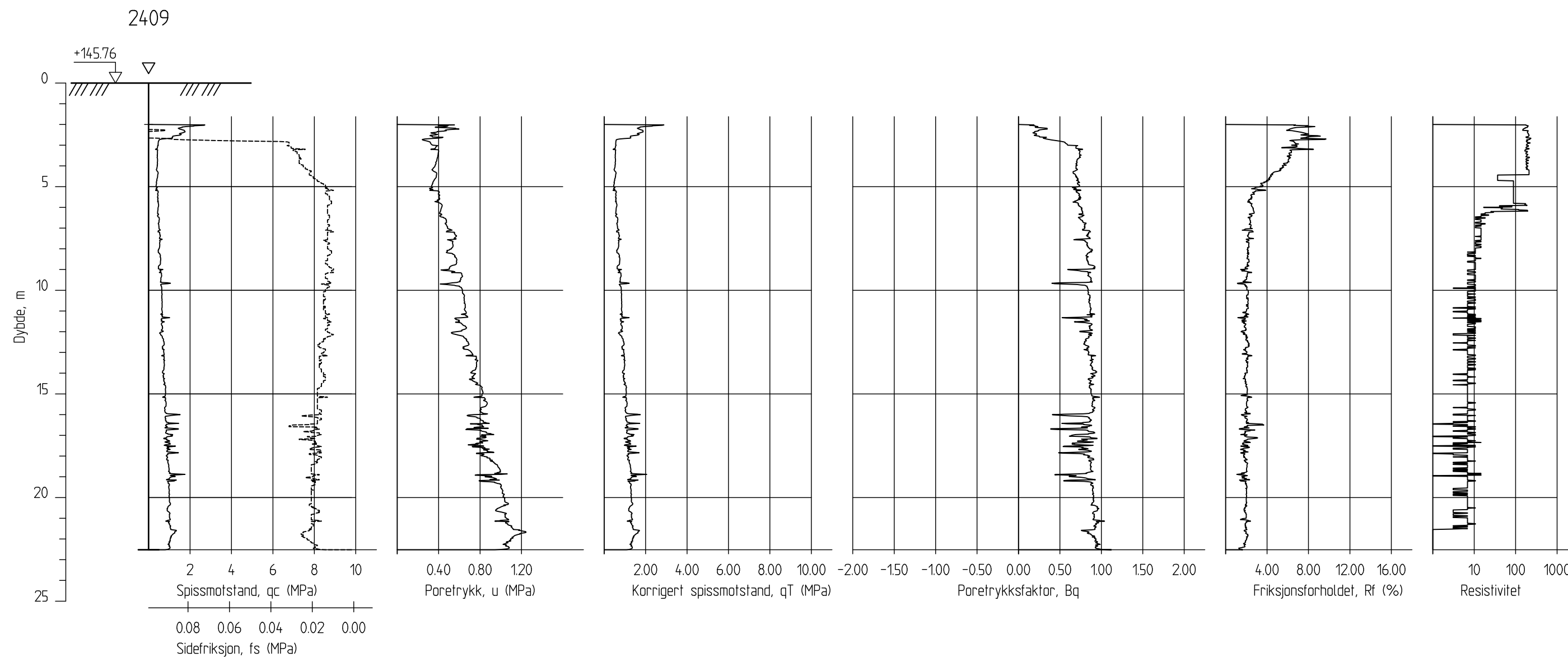
Tegner
TS


Dato:
18.08.13

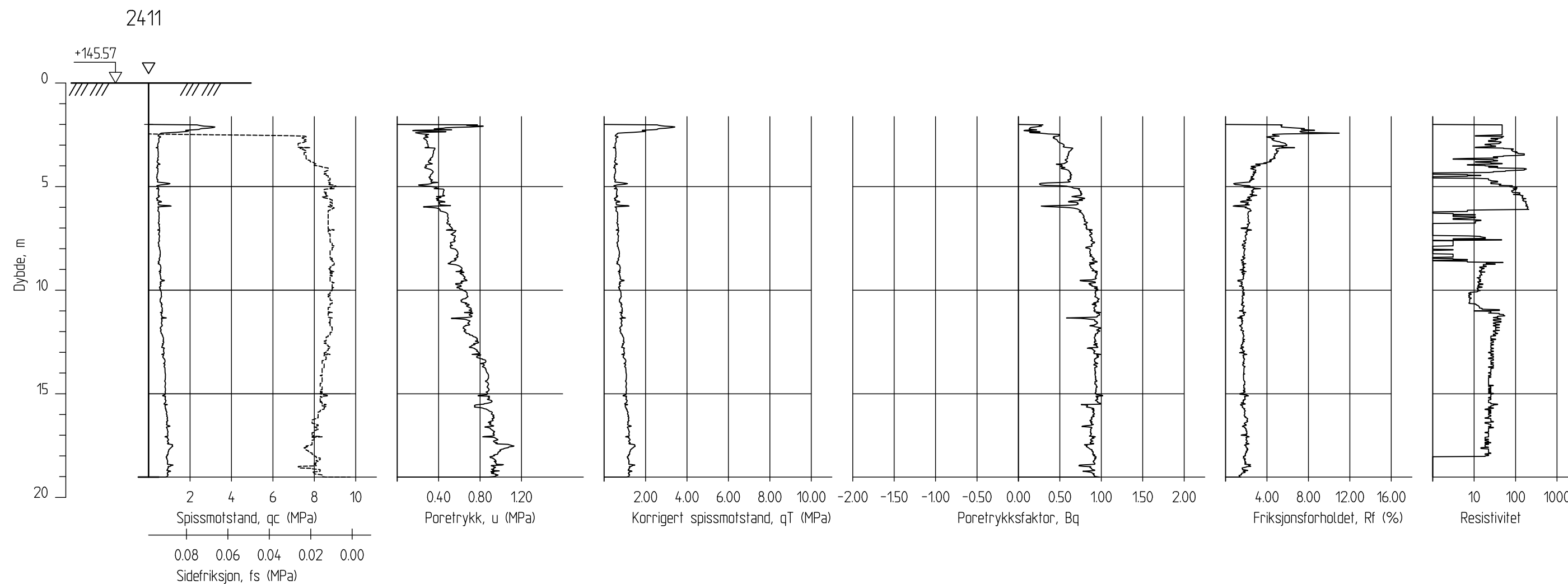
Kontrollert
TFS

Godkjent
SIH





E16 Nybakk - Slomarka		Rapport nr. 20120491-2-R	Figur nr. C59
CPT-sondering M = 1 : 200		Tegner TS	Dato: 18.08.13
Borhull 2409 Posisjon: X 1241740.70 Y 95649.72		Kontrollert TFS	
Sonde nr. : 20856 Dato boret :07.04.2014		Godkjent SIH	



E16 Nybakk - Slomarka

CPT-sondering
M = 1 : 200

Borhull 2411
Posisjon: X 1241645.57 Y 95664.58

Sonde nr. : 20856
Dato boret :07.04.2014

Rapport nr.
20120491-2-R

Figur nr.
C60

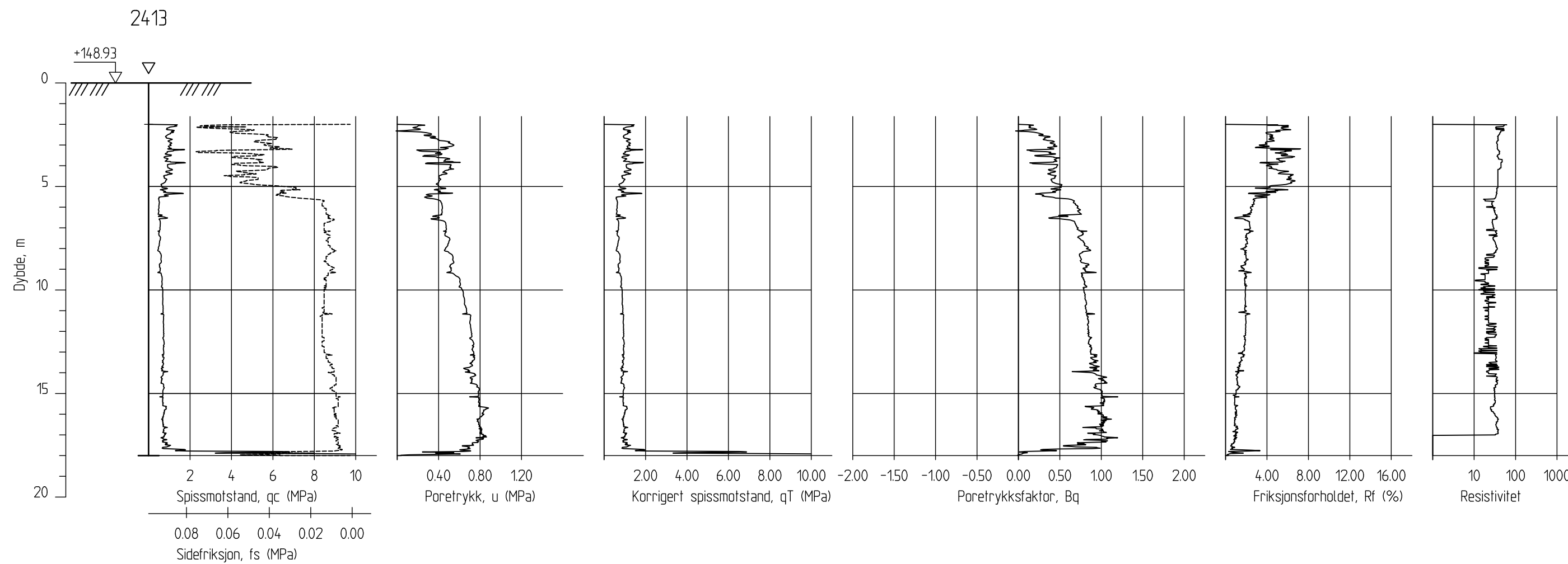
Tegner
TS


Dato:
18.08.13

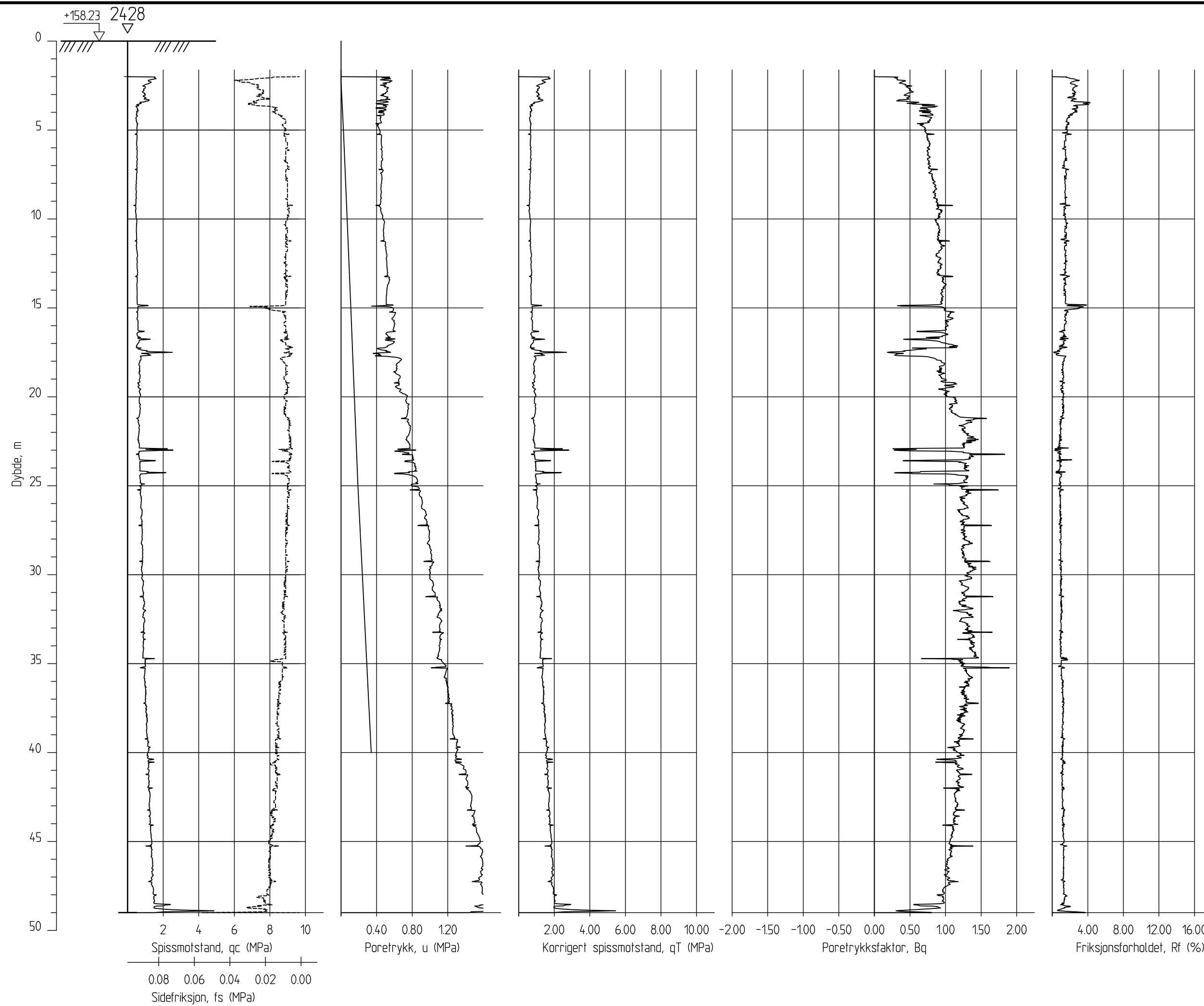
Kontrollert
TFS

Godkjent
SIH





E16 Nybakk - Slomarka		Rapport nr. 20120491-2-R	Figur nr. C61
CPT-sondering M = 1 : 200		Tegner TS	Dato: 18.08.13
Borhull 2413 Posisjon: X 1241545.45 Y 95680.81		Kontrollert TFS	
Sonde nr. : 20856 Dato boret :07.04.2014		Godkjent SIH	

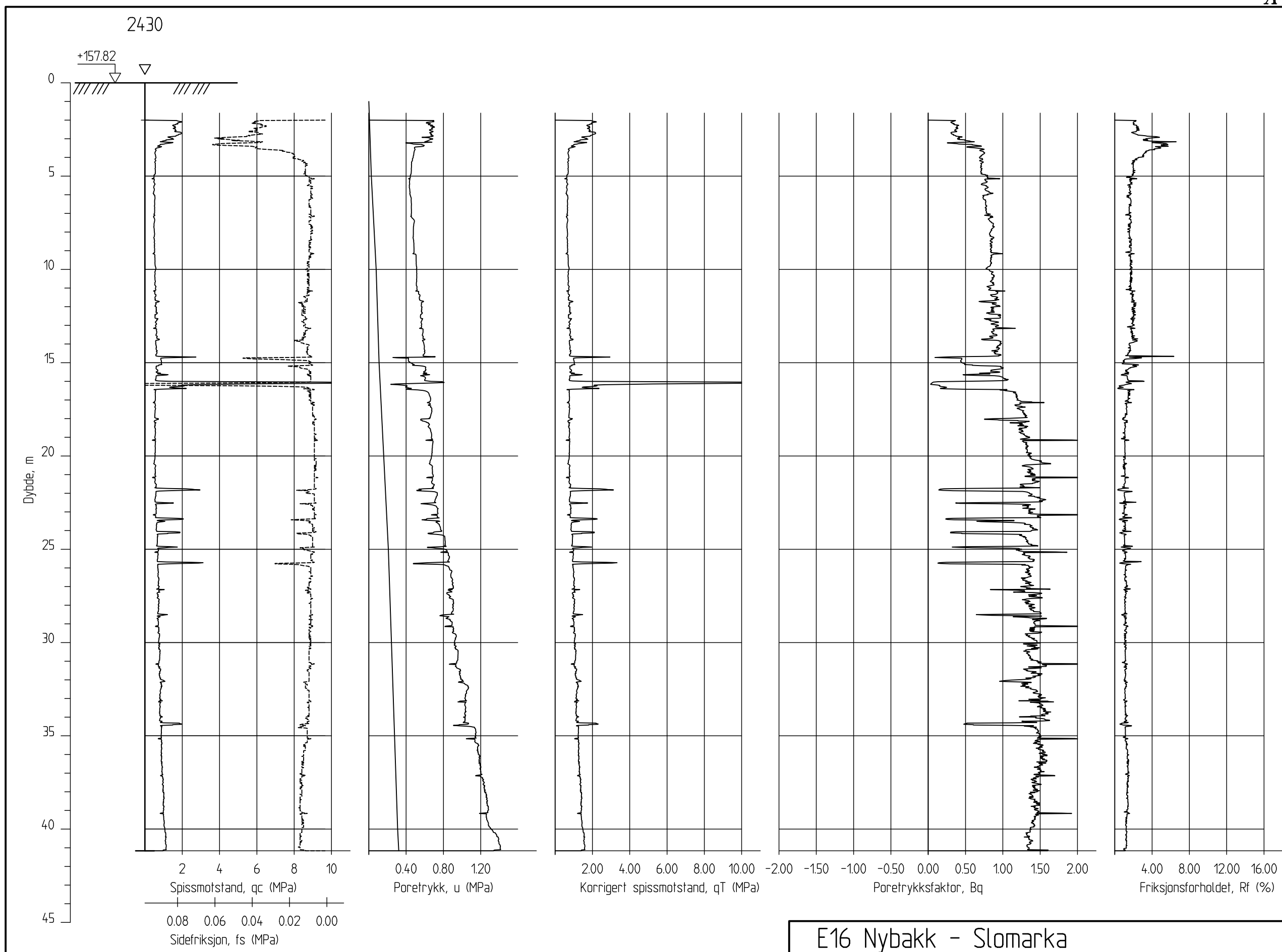



E16 Nybakk - Slomarka

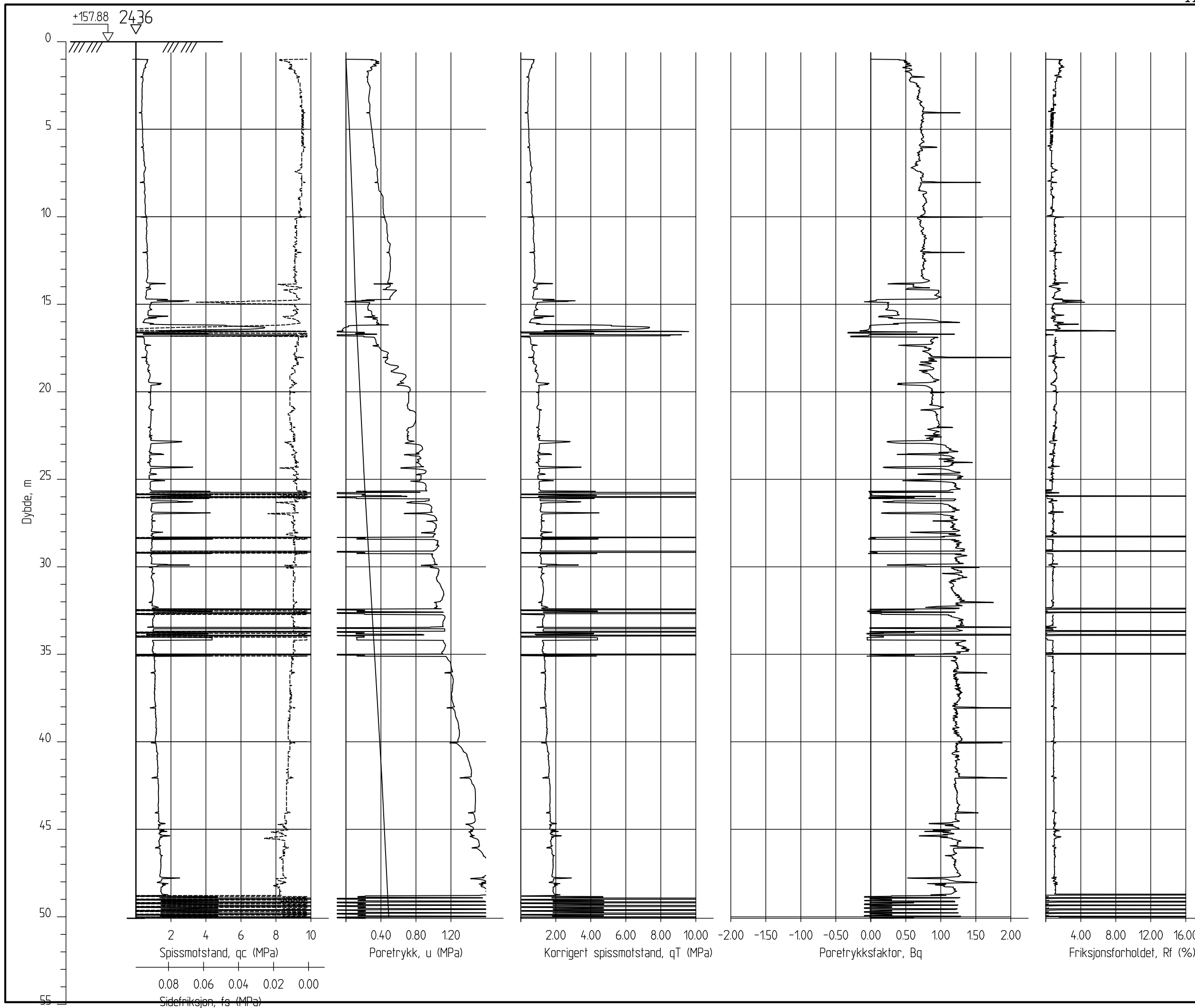
CPT-sondering
M = 1 : 200
Borhull 2428
Posisjon: X 1241759.46 Y 95845.69
Sonde nr. : 50660
Dato boret :01.04.2014

Figur nr.	C62
Dato:	18.08.13
Report nr.	20120491-2-R
Tegner	TS
Kontrollert	TFS
Godkjent	SH





E16 Nybakk - Slomarka		Rapport nr. 20120491-2-R	Figur nr. C63
		Tegner TS	Dato: 18.08.13
CPT-sondering M = 1 : 200		Kontrollert TFS	
		Godkjent SIH	
Borhull 2430 Posisjon: X 1241660.07 Y 95856.61		Sonde nr. : 50660 Dato boret :01.04.2014	



E16 Nybakk - Slomarka

CPT-sondering
M = 1 : 200

Borhull 2436
Posisjon: X 1241566.17 Y 95917.11

Sonde nr. : 20759
Dato boret : 31.03.2014

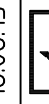
Rapport nr.
20120491-2-R

Figur nr.
C64

Tegner
TS

Dato:
18.08.13

Kontrollert
TFS



Godkjent
SH

Vedlegg D - Poretrykksmålinger

Innhold

D1 Metode	2
D2 Utstyr	2
D3 Resultater	2
D4 Referanser	2

Figurer

Figur D1 – D19

D1 Metode

Poretrykksmålere installeres for å måle poretrykket i grunnen over tid. Som hovedregel installeres tre målere i dybden.

D2 Utstyr

Det benyttes standard hydrauliske poretrykksmålere. En måleslange av plast festes til spissen av måleren og føres opp gjennom et foringsrør. Når den første lengden av foringsrøret er skrudd på, settes spissen ned i en bøtte med rent vann. Måleslangen tres inn på nippelen til en spesiell bøttesprøyte, og det pumpes vann gjennom filteret i spissen til det er fritt for luft.

På forhånd skal det være forboret ned gjennom tørrskorpa der poretrykkmåleren skal settes ned. Under nedpressingen spyles det med vann fra bøttesprøyten til spissen er kommet ned i den ikke forborede grunnen, og deretter plugges slangen for å hindre vanntransport inn i filteret.

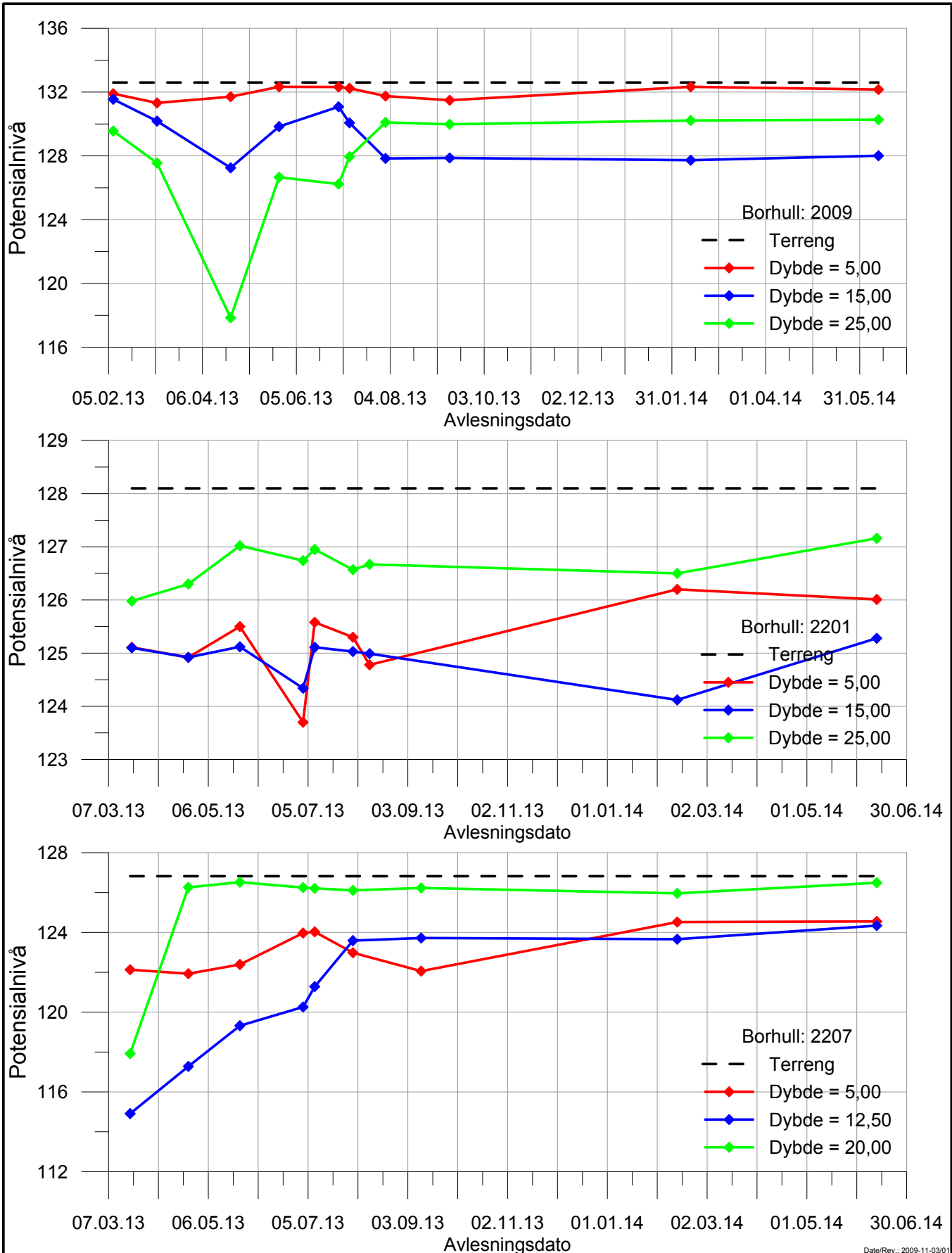
En vanlig metode for måling av vannstanden i måleslangen er å benytte en kabel med to parallelle ledere som ikke går sammen i kabelende. Et batteri leverer strøm til kabelen. Når kabelenden kommer ned i vann eller frostvæske, blir det strømforbindelse. Dette registreres på et amperemeter. Målingene utføres ved at kabelen føres ned gjennom måleslangen til amperemeteret gir utslag.

D3 Resultater

Poretrykksmålere er satt ned i 34 punkter. Alle målingene er vist i figur D1- D19. For hydrauliske målere er det vist potensialnivå i forhold til kote. Terrengnivå for hvert punkt er også vist som referanse. For elektriske målere er det vist målt poretrykk og potensialnivå i forhold til terreng.

D4 Referanser

/D1/ Veiledning for måling av grunnvannstand og poretrykk
Melding nr. 6, Norsk Geoteknisk Forening, 1982
Rev 1, 1989



Date/Rev.: 2009-11-03/01

E16 Nybakk - Slomarka


Dokument nr. 20120491-02-R Figur nr. D1

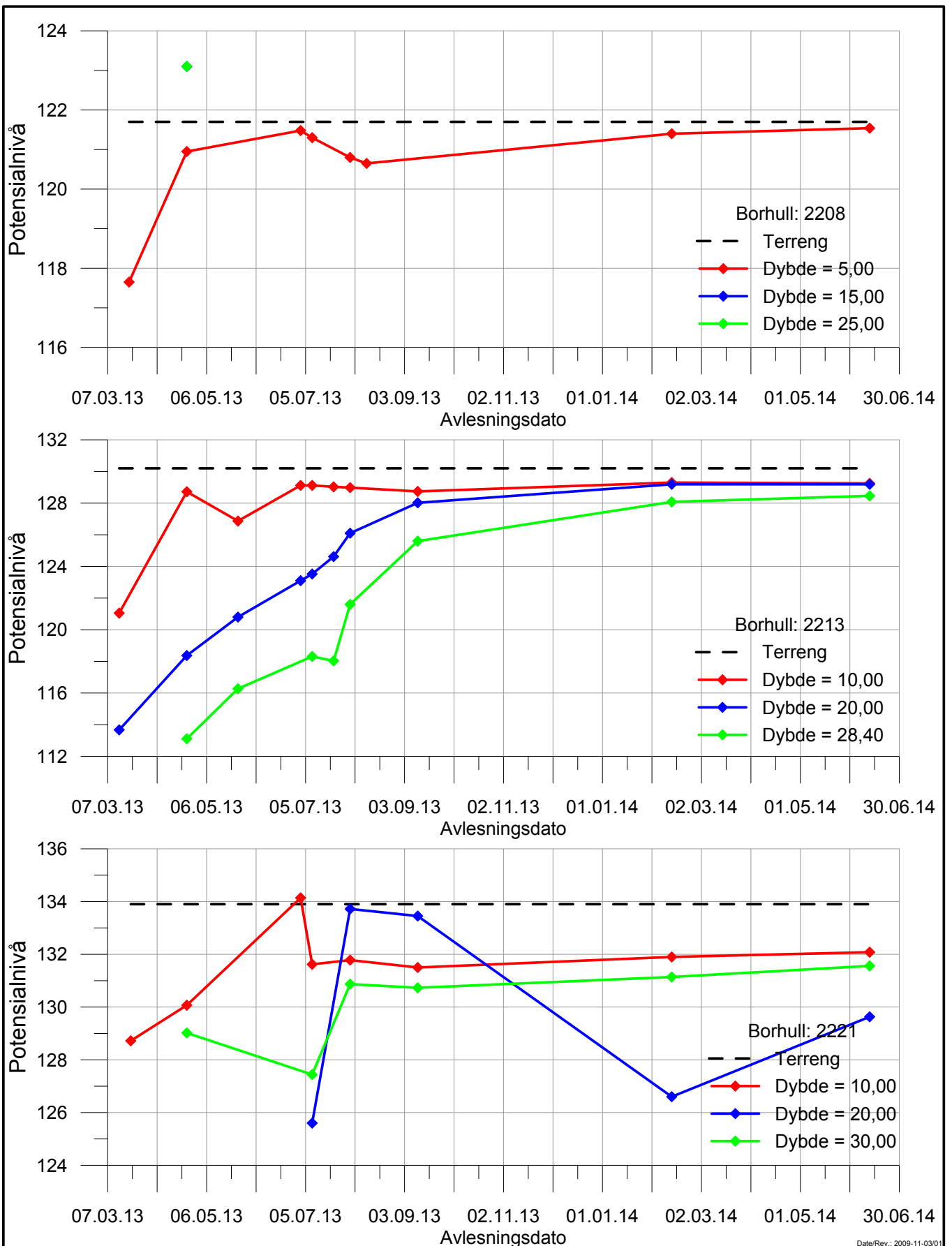
Resultater fra hydrauliske poretrykksmålinger

Tegner TFS Dato: 2014-07-11

Borhull: **2009, 2207 og 2208**

Kontrollert: StH
 Godkjent: StH





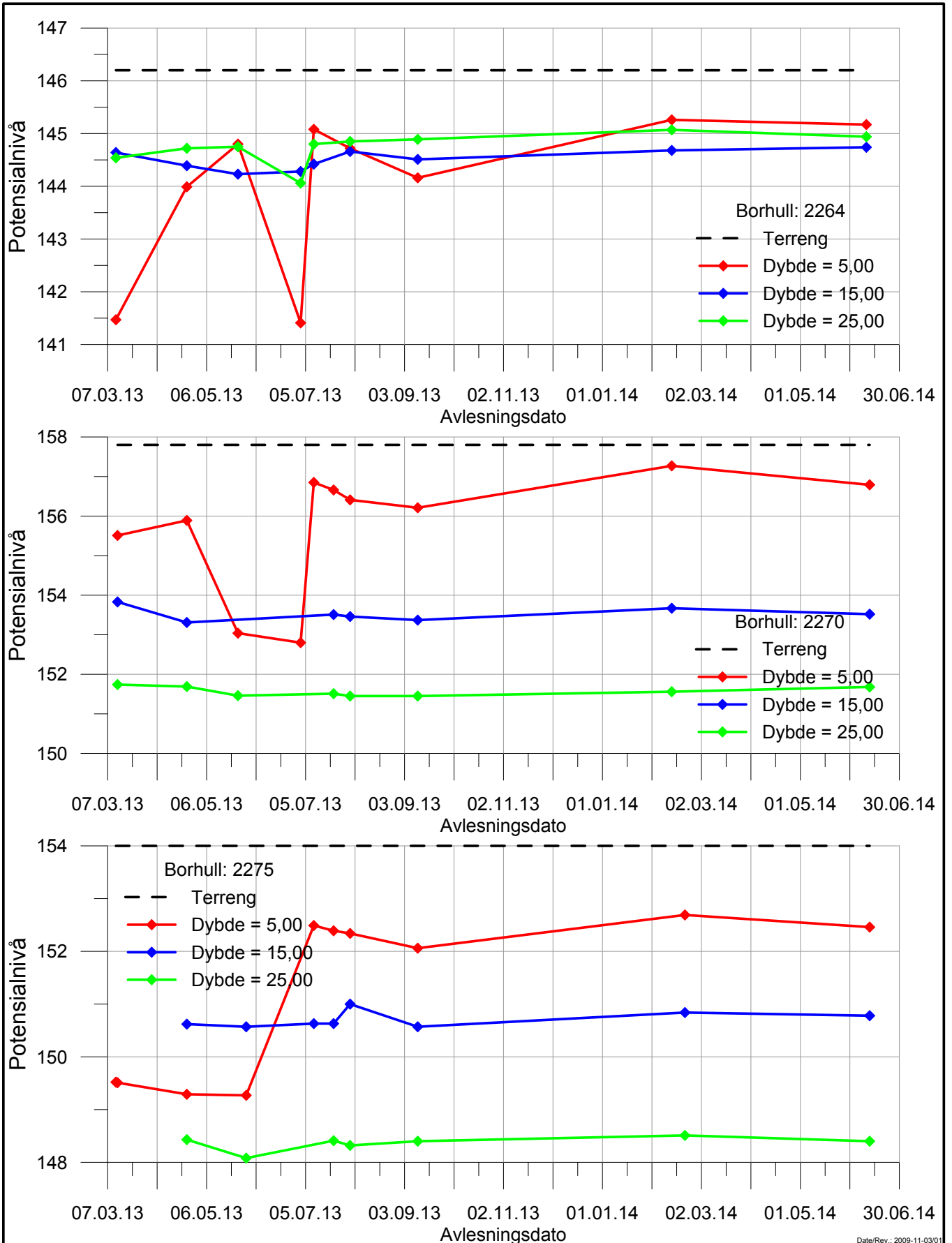
Date/Rev.: 2009-11-03/01

E16 Nybakk - Slomarka

Dokument nr. 20120491-02-R	Figur nr. D2
Tegner TFS	Dato: 2014-07-11
Kontrollert: StH	
Godkjent StH	

Resultater fra hydrauliske poretrykksmålinger

Borhull: **2208, 2213 og 2221**



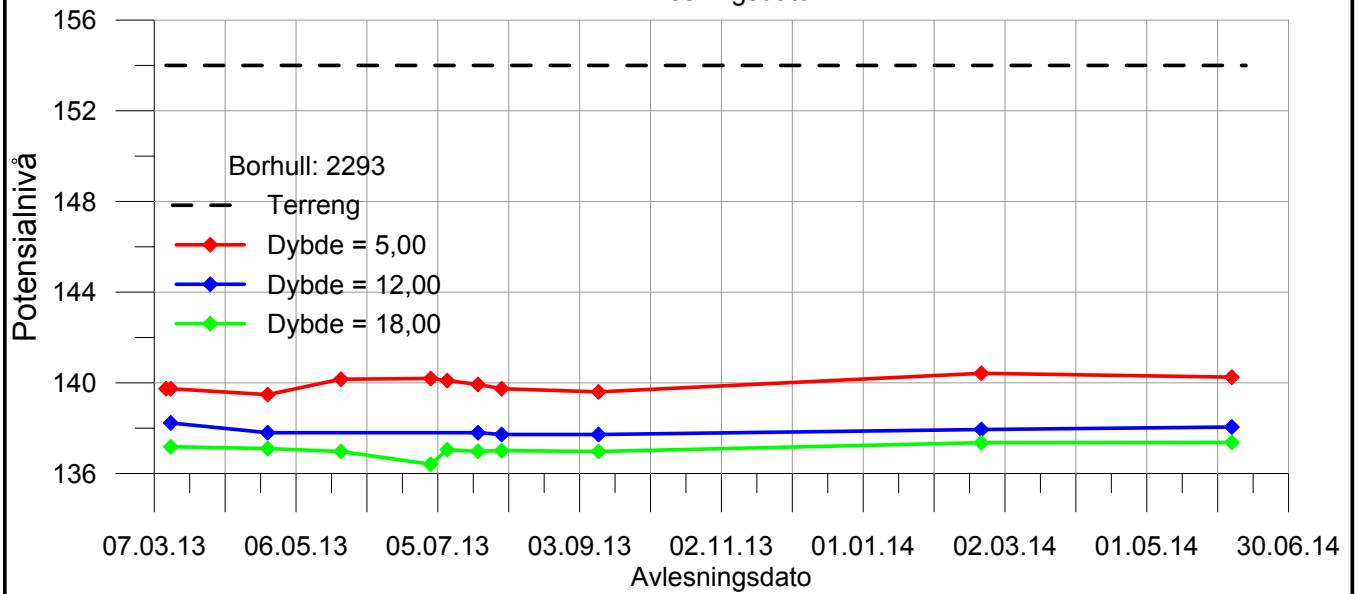
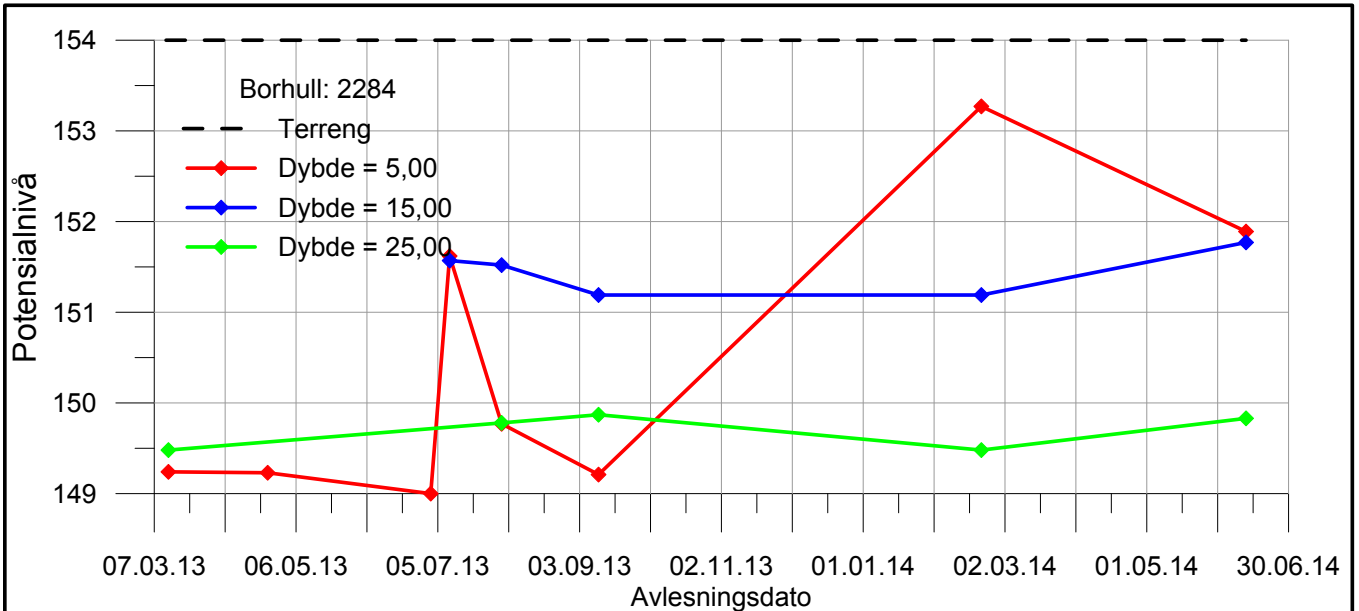
Date/Rev.: 2009-11-03/01

E16 Nybakk - Slomarka

Dokument nr. 20120491-02-R	Figur nr. D3
Tegner TFS	Dato: 2014-07-11
Kontrollert: StH	
Godkjent StH	

Resultater fra hydrauliske poretrykksmålinger

Borhull: **2264, 2270 og 2275**



Date/Rev.: 2009-11-03/01

E16 Nybakk - Slomarka

Dokument nr.
20120491-02-R

Figur nr.
D4

Resultater fra hydrauliske poretrykksmålinger

Tegner
TFS

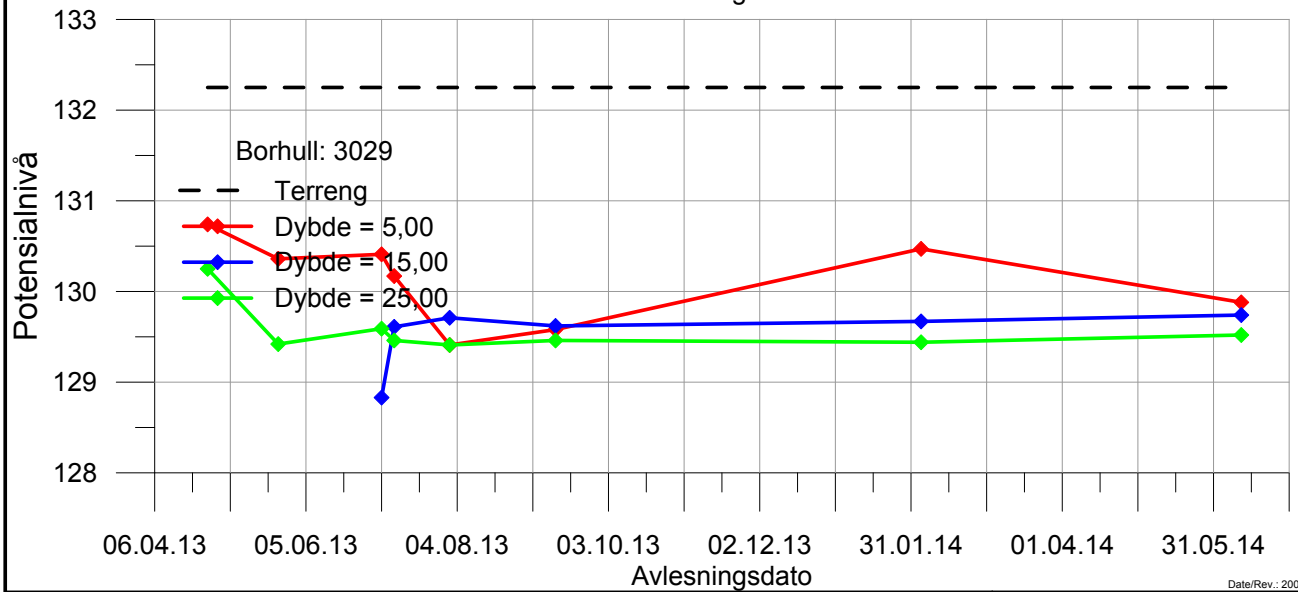
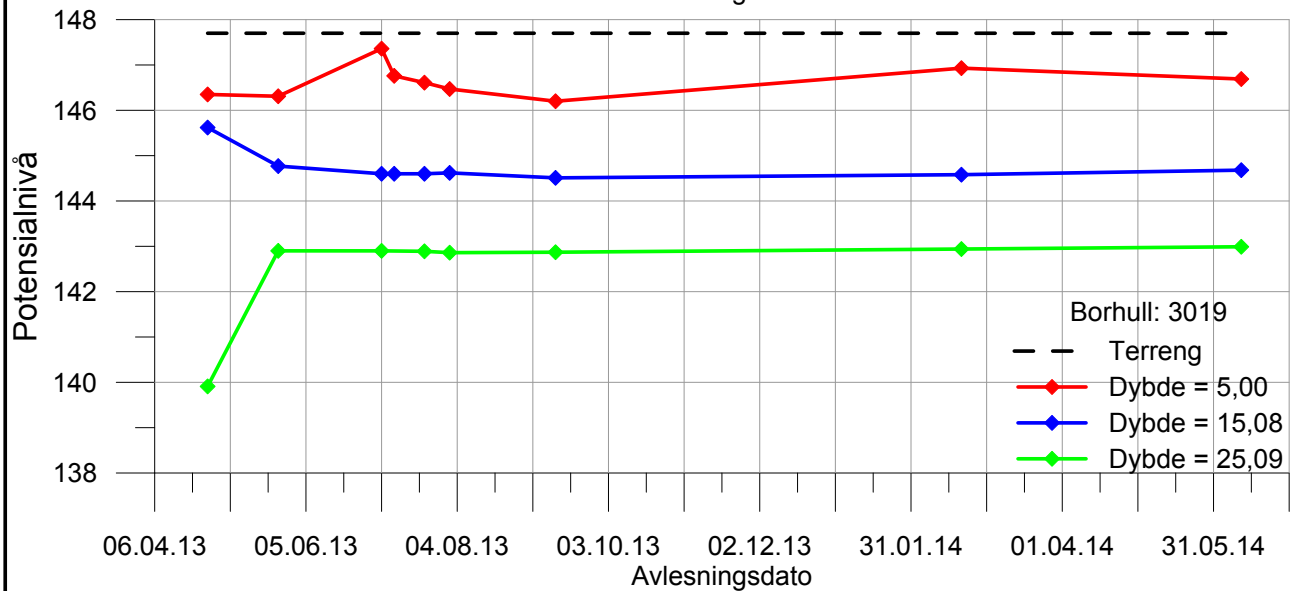
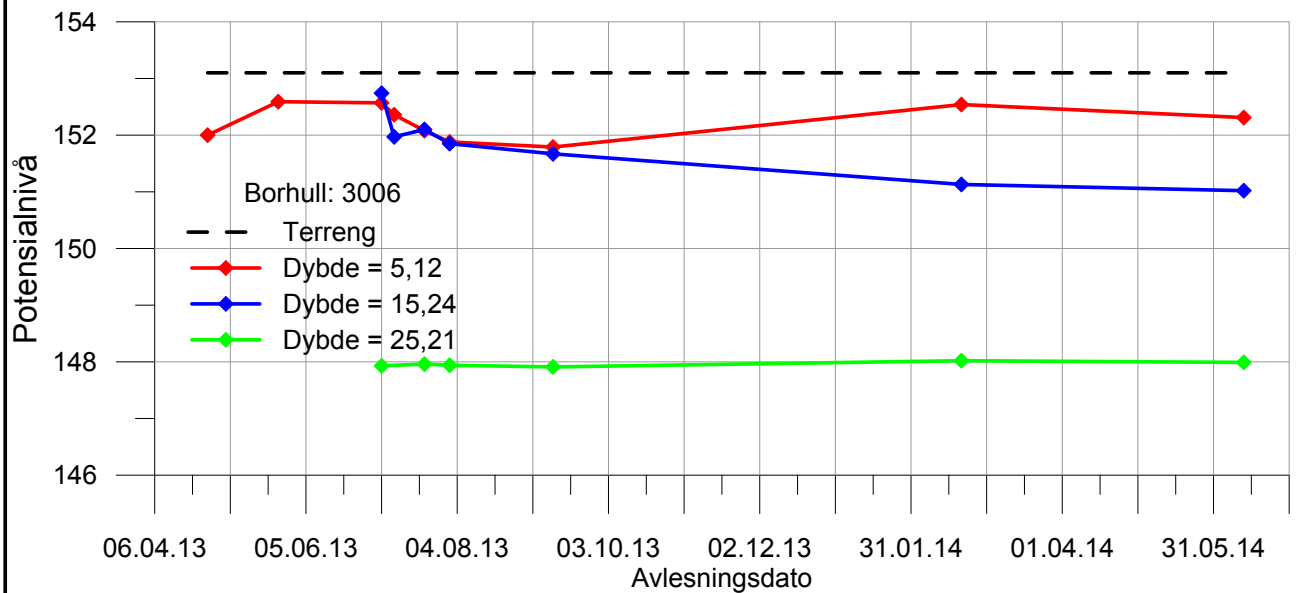
Dato:
2014-07-11

Borhull: **2284 og 2293**

Kontrollert:
StH

Godkjent
StH





Date/Rev.: 2009-11-03/01

E16 Nybakk - Slomarka

Dokument nr.
20120491-02-R

Figur nr.
D5

Resultater fra hydrauliske poretrykksmålinger

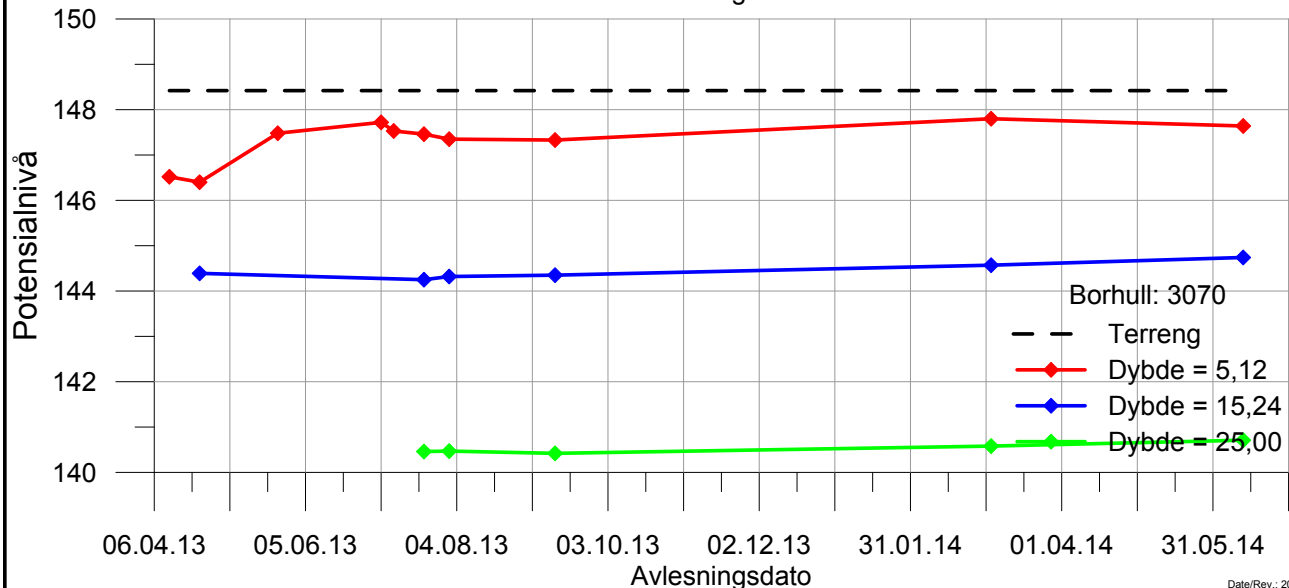
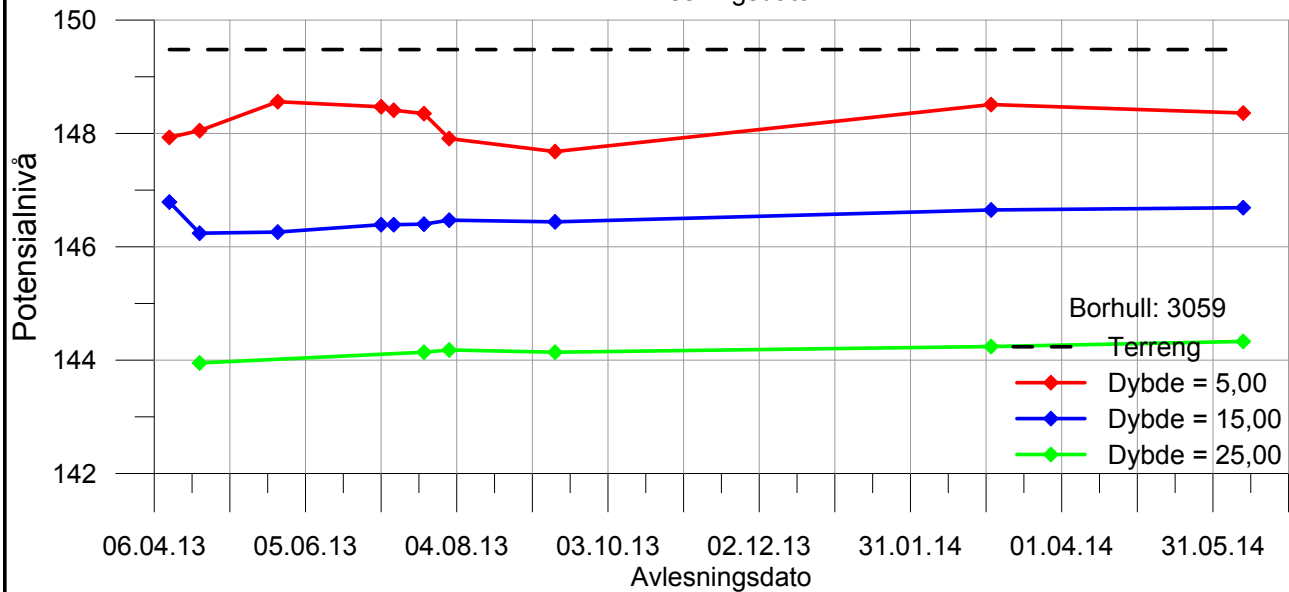
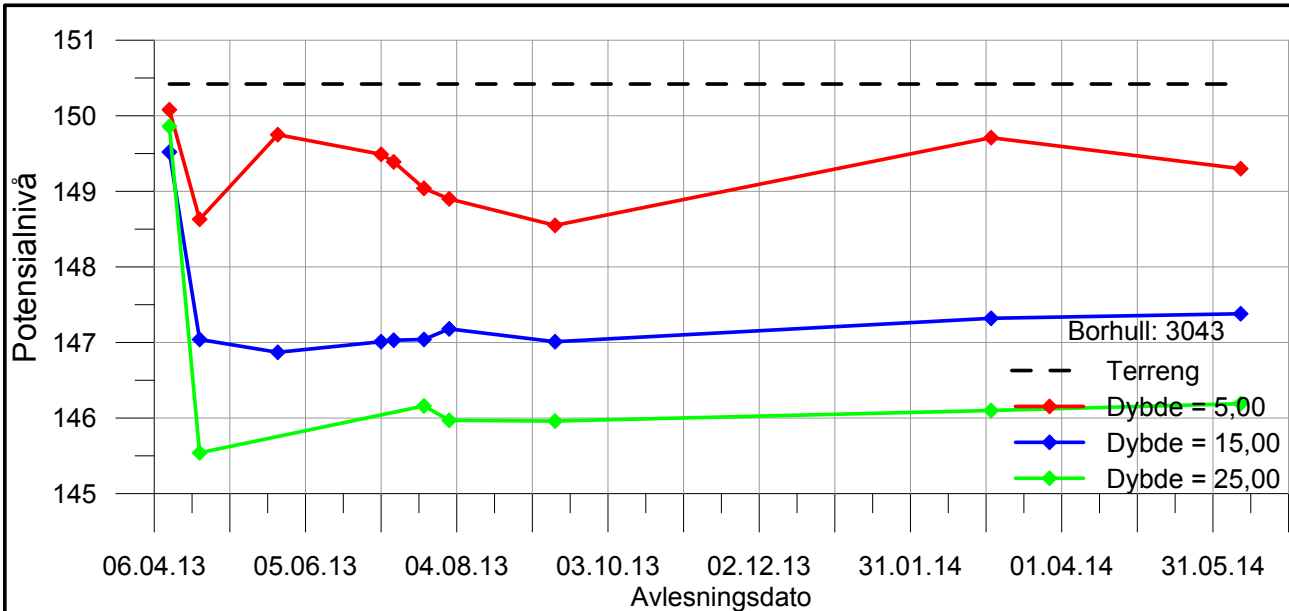
Tegner
TFS

Dato:
2014-07-11

Borhull: **3006, 3019 og 3029**

Kontrollert:
StH
Godkjent
StH





Date/Rev.: 2009-11-03/01

E16 Nybakk - Slomarka


Dokument nr. 20120491-02-R Figur nr. D6

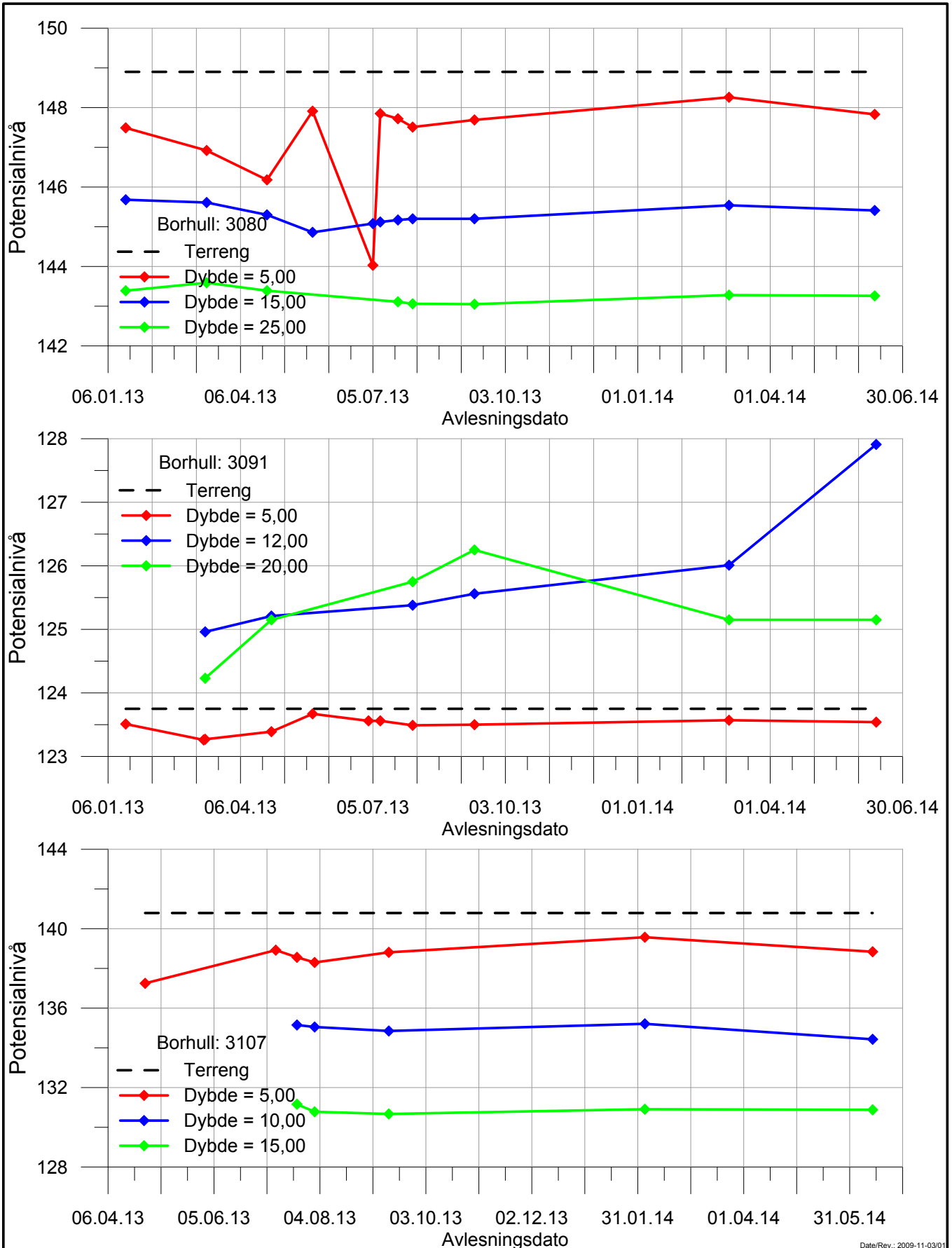
Resultater fra hydrauliske poretrykksmålinger

Tegner TFS Dato: 2014-07-11

Borhull: **3043, 3059 og 3070**

Kontrollert: StH
Godkjent: StH





Date/Rev : 2009-11-03/01

E16 Nybakk - Slomarka

Dokument nr.
20120491-02-R

Figur nr.
D7

Resultater fra hydrauliske poretrykksmålinger

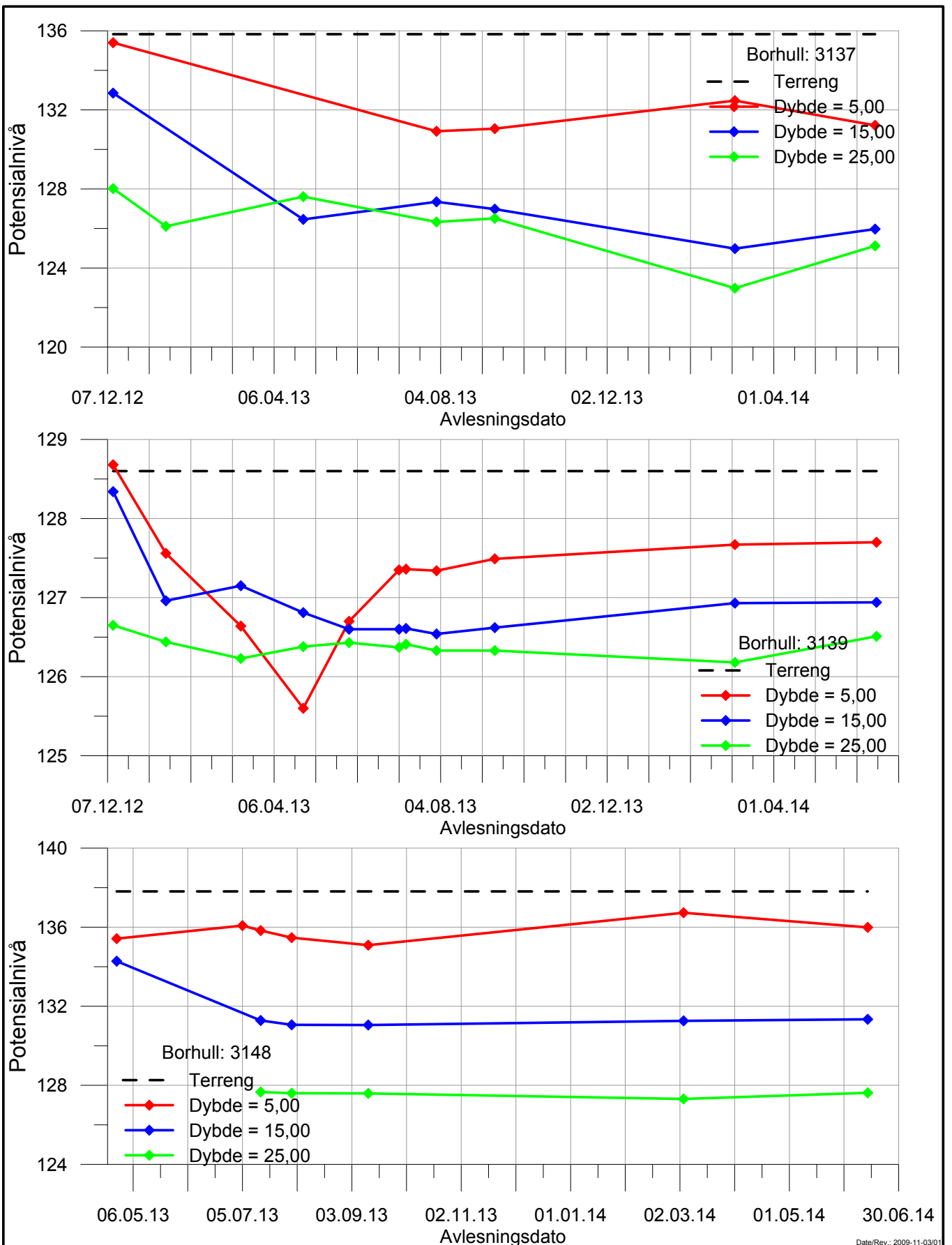
Tegner
TFS

Dato:
2014-07-11

Borhull: **3080, 3091 og 3107**

Kontrollert:
StH
Godkjent
StH





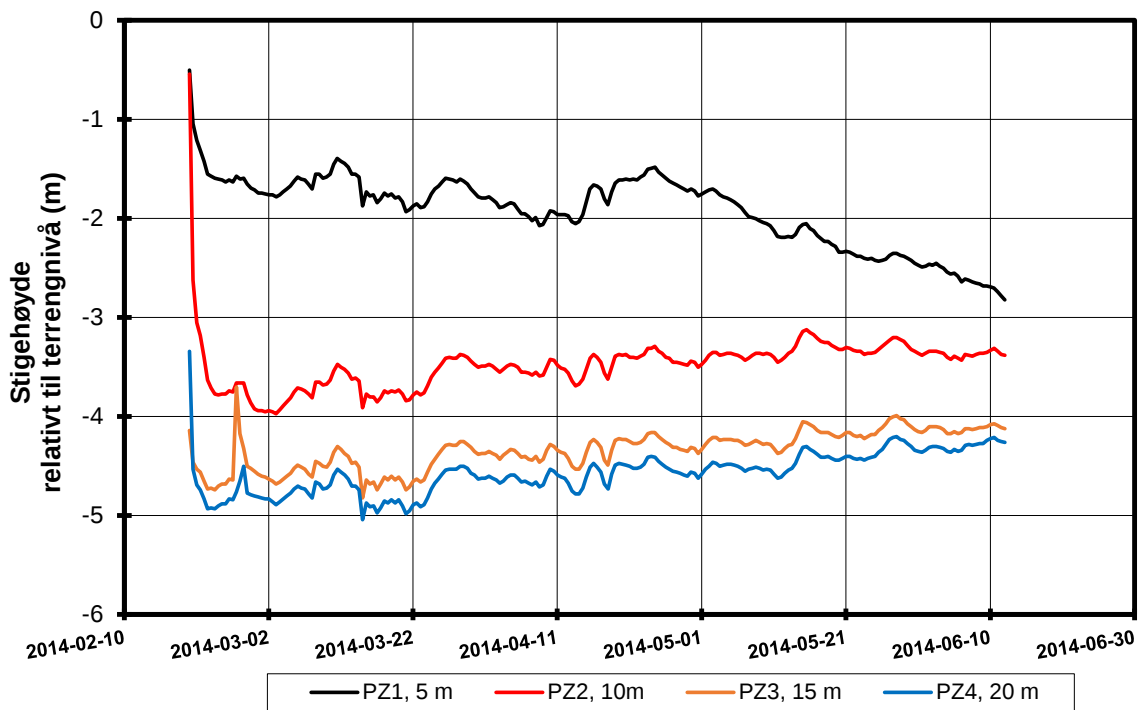
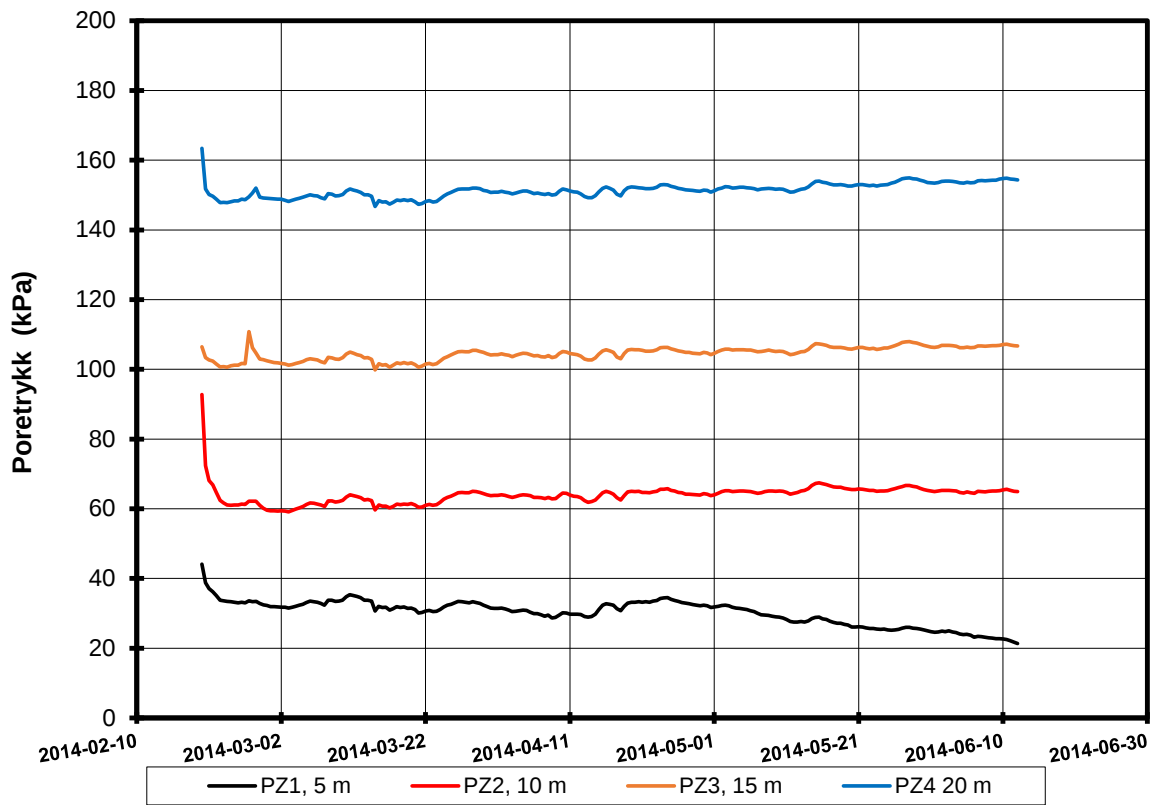
Date/Rev.: 2009-11-03/01

E16 Nybakk - Slomarka

Resultater fra hydrauliske poretrykksmålinger

Borhull: **3137, 3139 og 3148**

Dokument nr. 20120491-02-R	Figur nr. D8
Tegner TFS	Dato: 2014-07-14
Kontrollert: StH	
Godkjent StH	



P:\2012\04\20120491\Jordparametre\Poretrykksmålinger\2312\{Poretrykk 2312 alle.xlsx\Borpunkt 2312

E16 Nybakk - Slomarka

Resultater fra elektriske poretrykksmålere i borpunkt 2312
 Terrengkote målere: 132,0 m

Rapport nr.
20120491-2-R

Figur nr.
D9

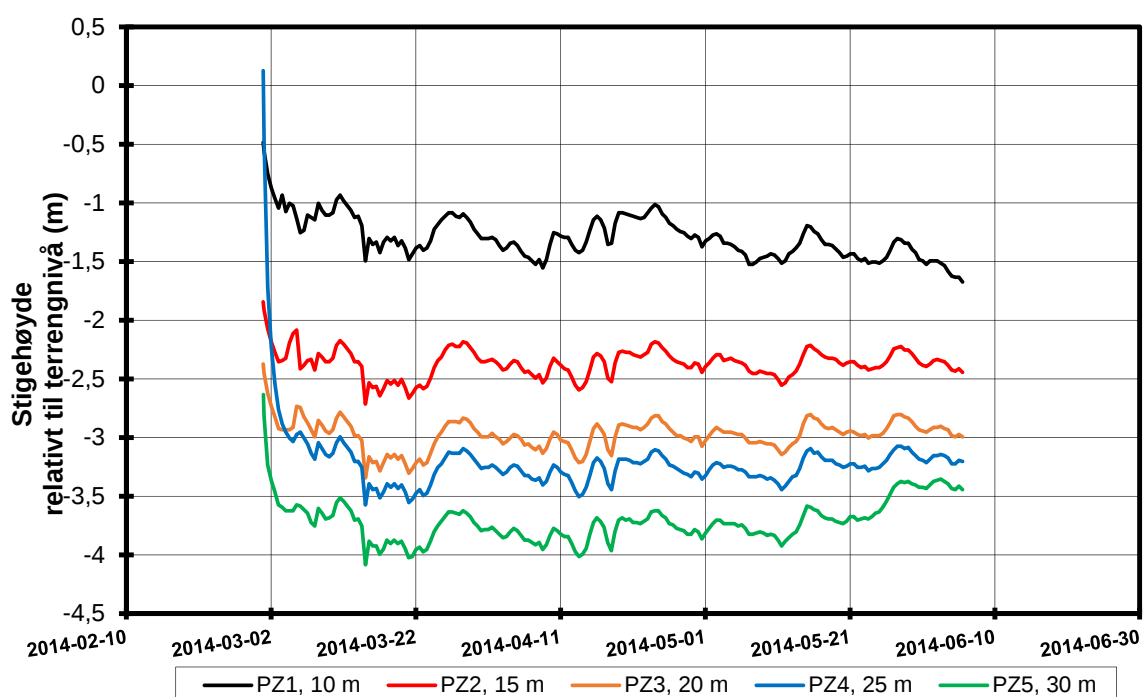
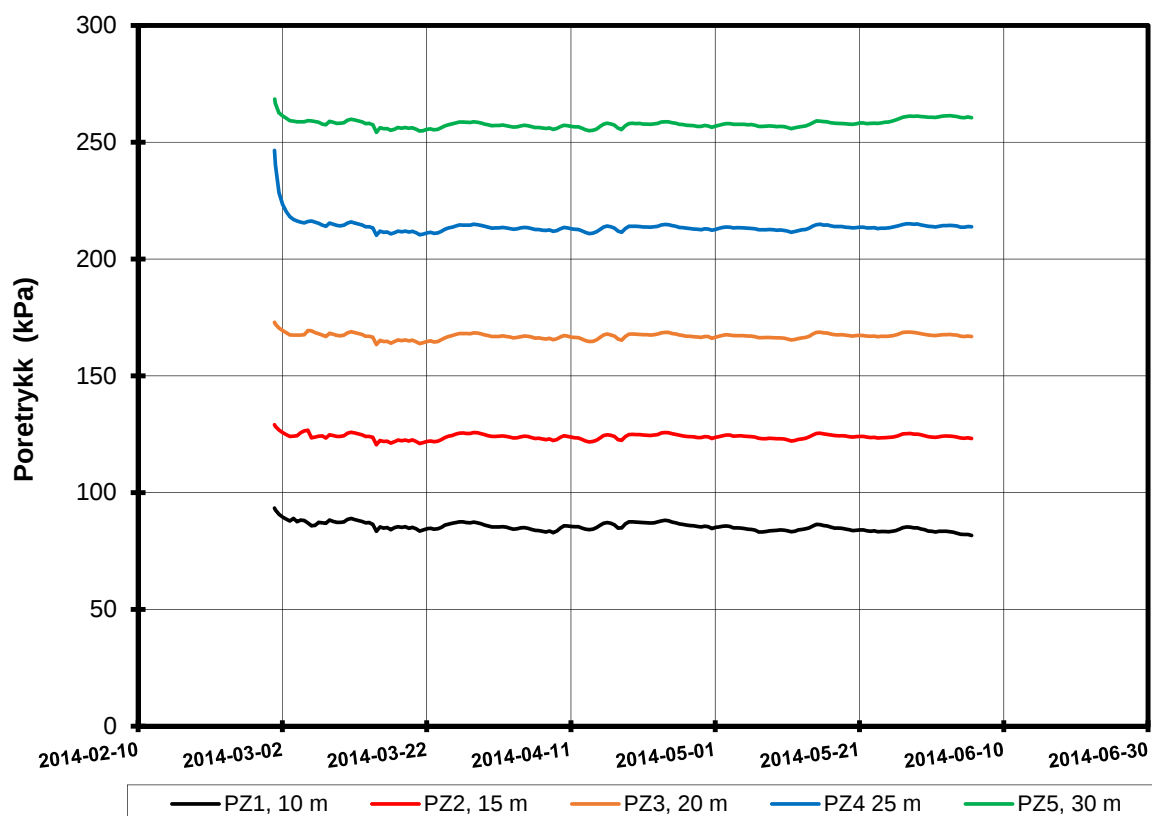
Tegner
JGr

Dato
2014-07-11

Kontrollert
TFS

Godkjent
MaR





P:\2012\04\20120491\Jordparametre\Poretrykksmålinger\2322\{Poretrykk 2322 alle.xlsx\Borpunkt 2322

E16 Nybakk - Slomarka

Resultater fra elektriske poretrykksmålere i borpunkt 2322
Terrengkote målere: 132,6 m

Rapport nr.
20120491-2-R

Figur nr.
D10

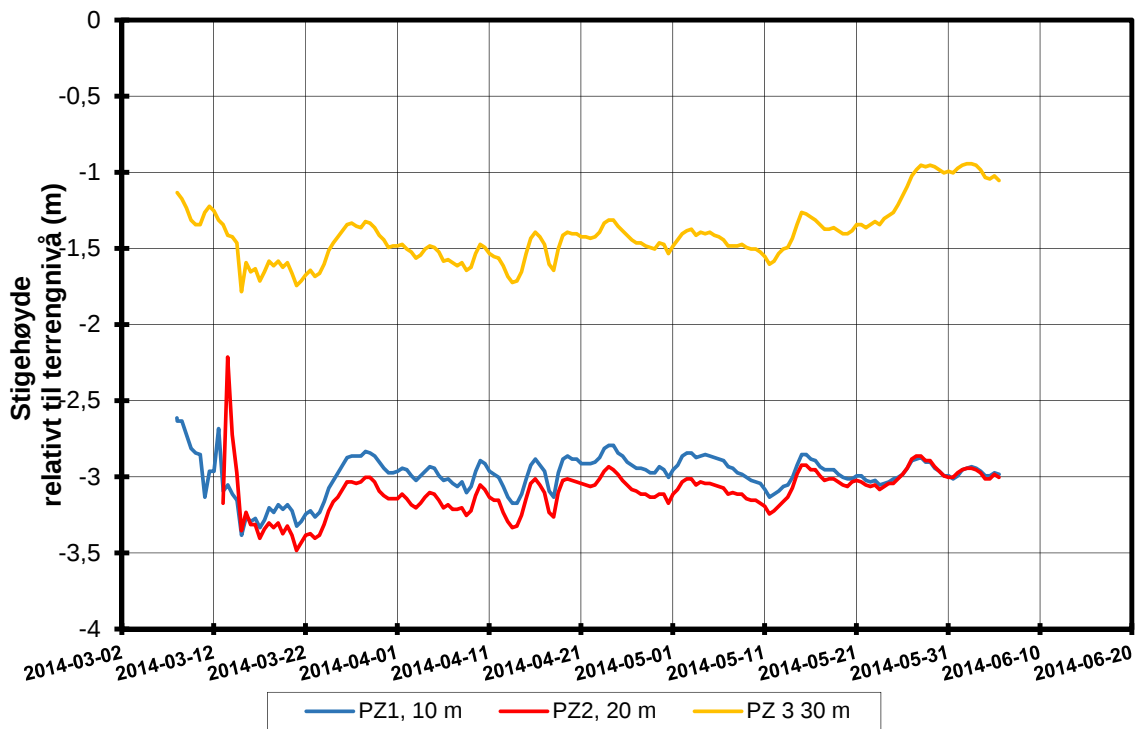
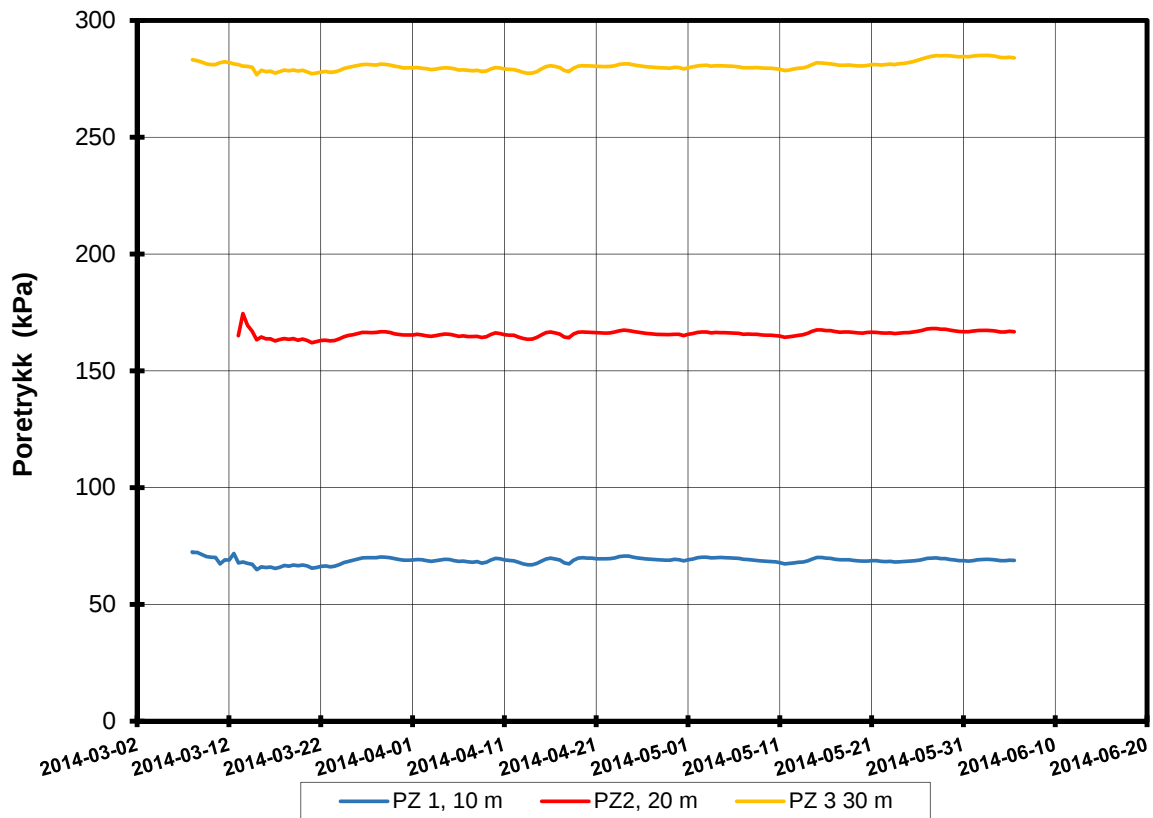
Tegner
JGr

Dato
2014-08-26

Kontrollert
TFS

Godkjent
MaR





P:\2012\04\20120491\Jordparametre\Poretrykksmålinger\2325\Poretrykk 2325.xlsx\Borpunkt 2325

E16 Nybakk - Slomarka

Resultater fra elektriske poretrykksmålere i borpunkt 2325
Terrengkote målere: 130,7 m

Rapport nr.
20120491-2-R

Figur nr.
D11

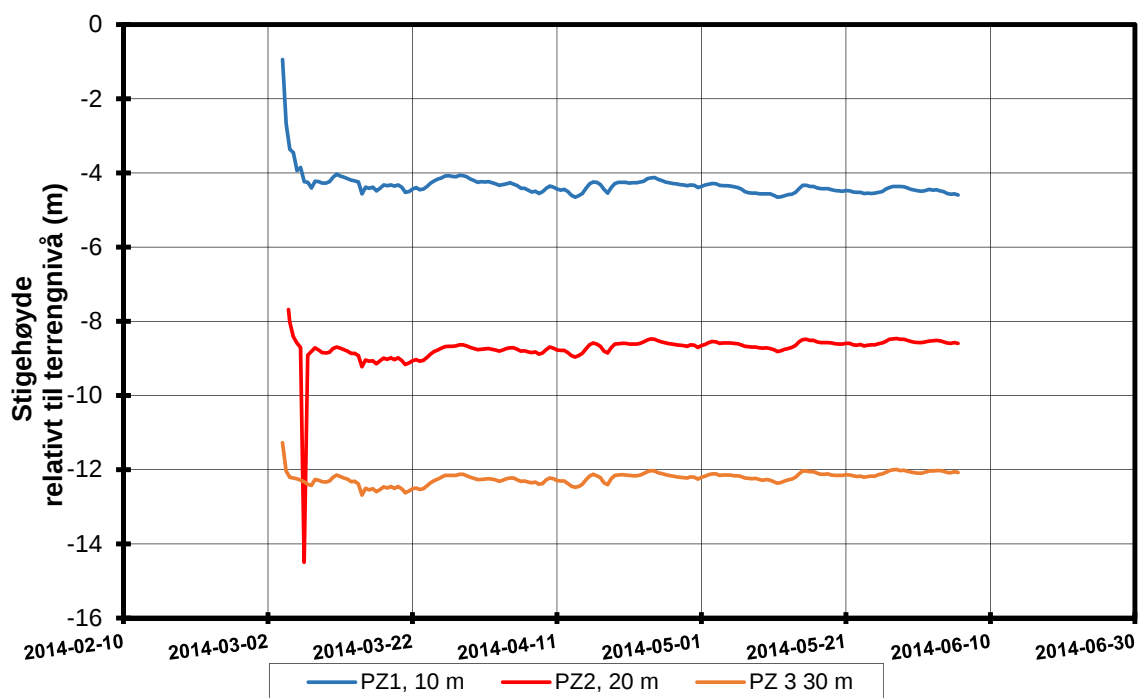
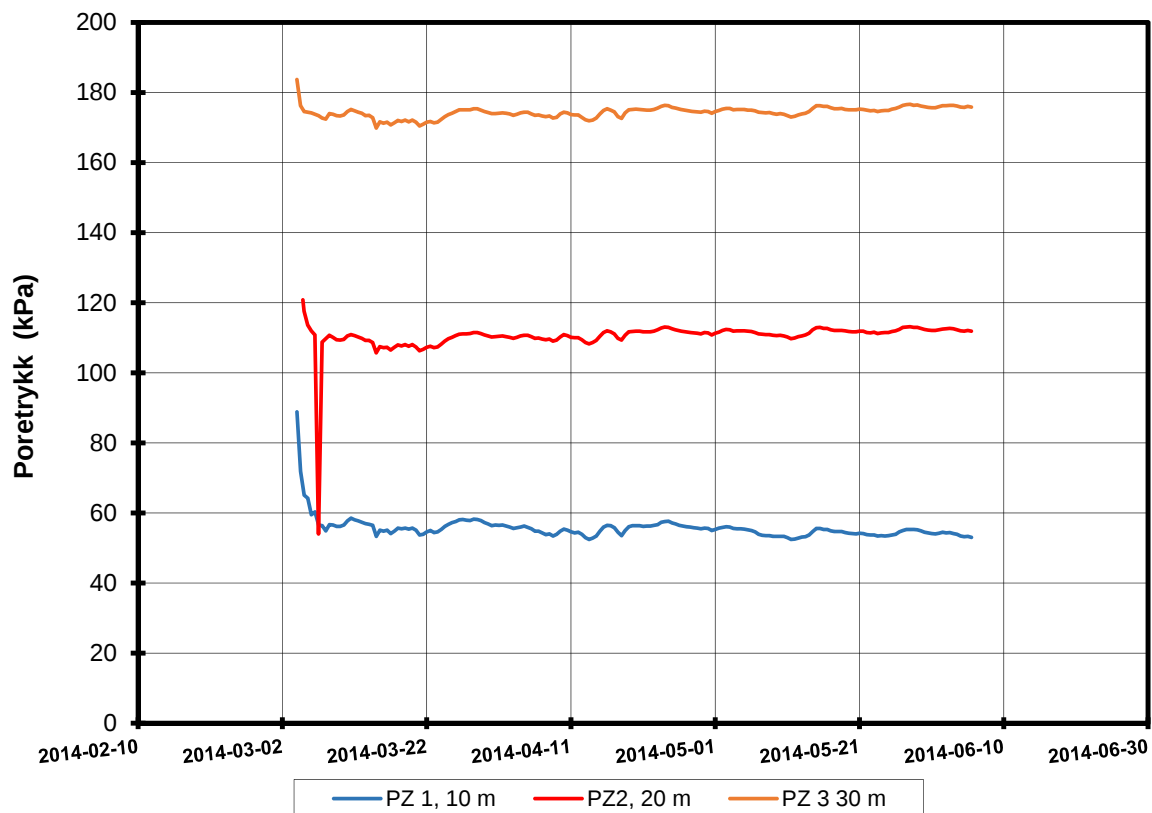
Tegner
JGr

Dato
2014-08-26

Kontrollert
TFS

Godkjent
MaR





P:\2012\04\20120491\Jordparametre\Poretrykksmålinger\2330[Poretrykk 2330.xlsx]Borpunkt 2330

E16 Nybakk - Slomarka

Resultater fra elektriske poretrykksmålere i borpunkt 2330
Terrengkote målere: 144,9 m

Rapport nr.
20120491-2-R

Figur nr.
D12

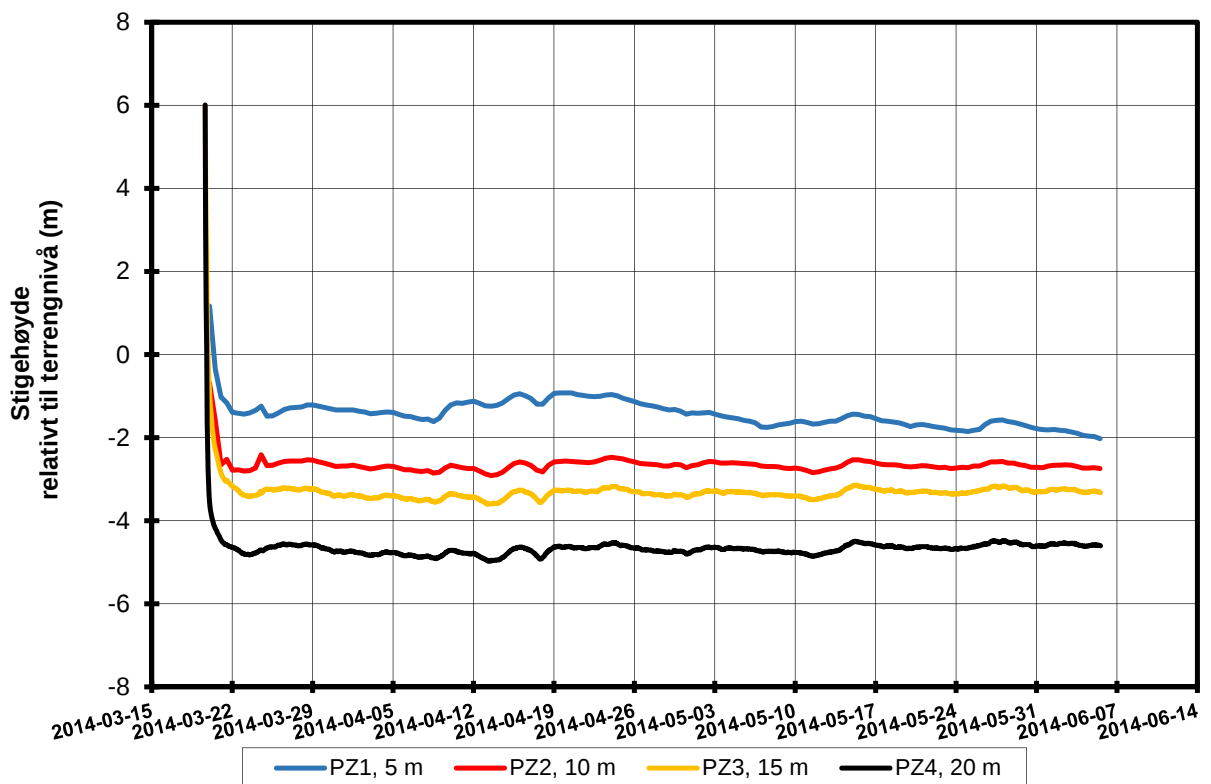
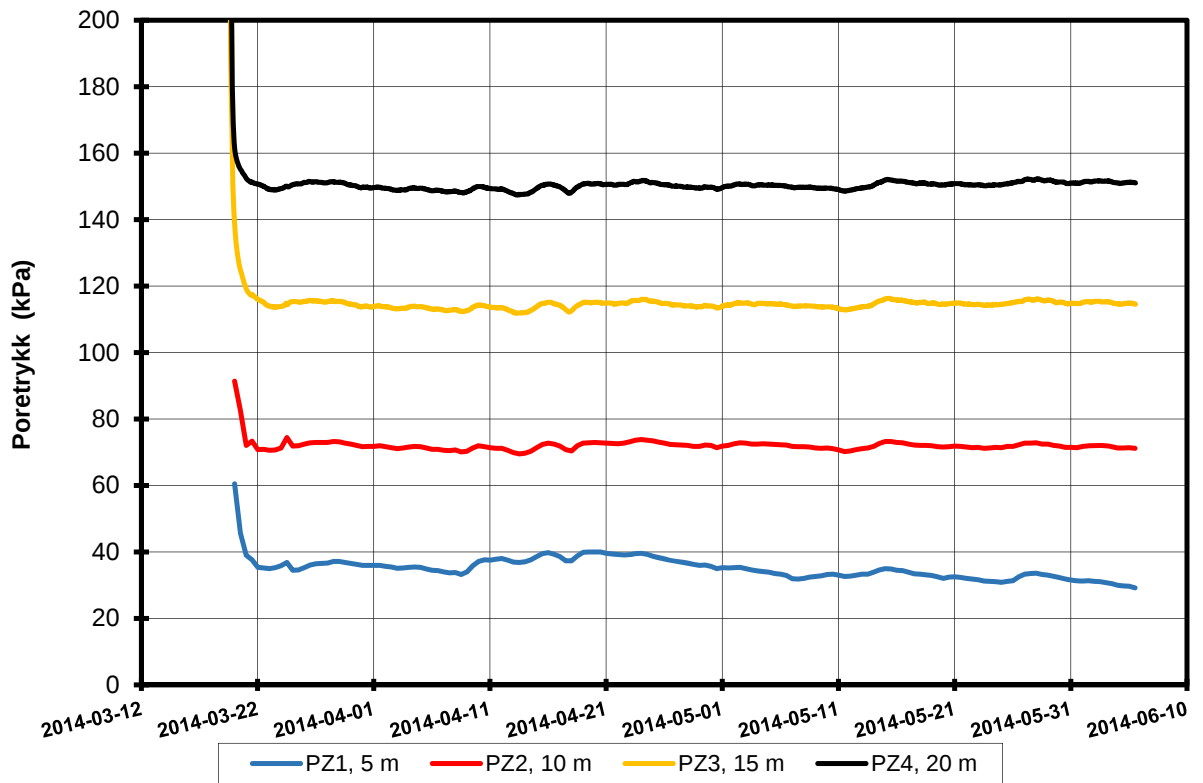
Tegner
JGr

Dato
2014-08-26

Kontrollert
TFS

Godkjent
MaR





P:\2012\04\20120491\Jordparametre\Poretrykksmålinger\2332\2332.xlsx\Figur

E16 Nybakk - Slomarka

Resultater fra elektriske poretrykksmålere (PVT)

Borhull: 2332
 Terrengekote målere: 135,97 moh
 Dato for installasjon: 2014-03-19

Rapport nr.
20120491

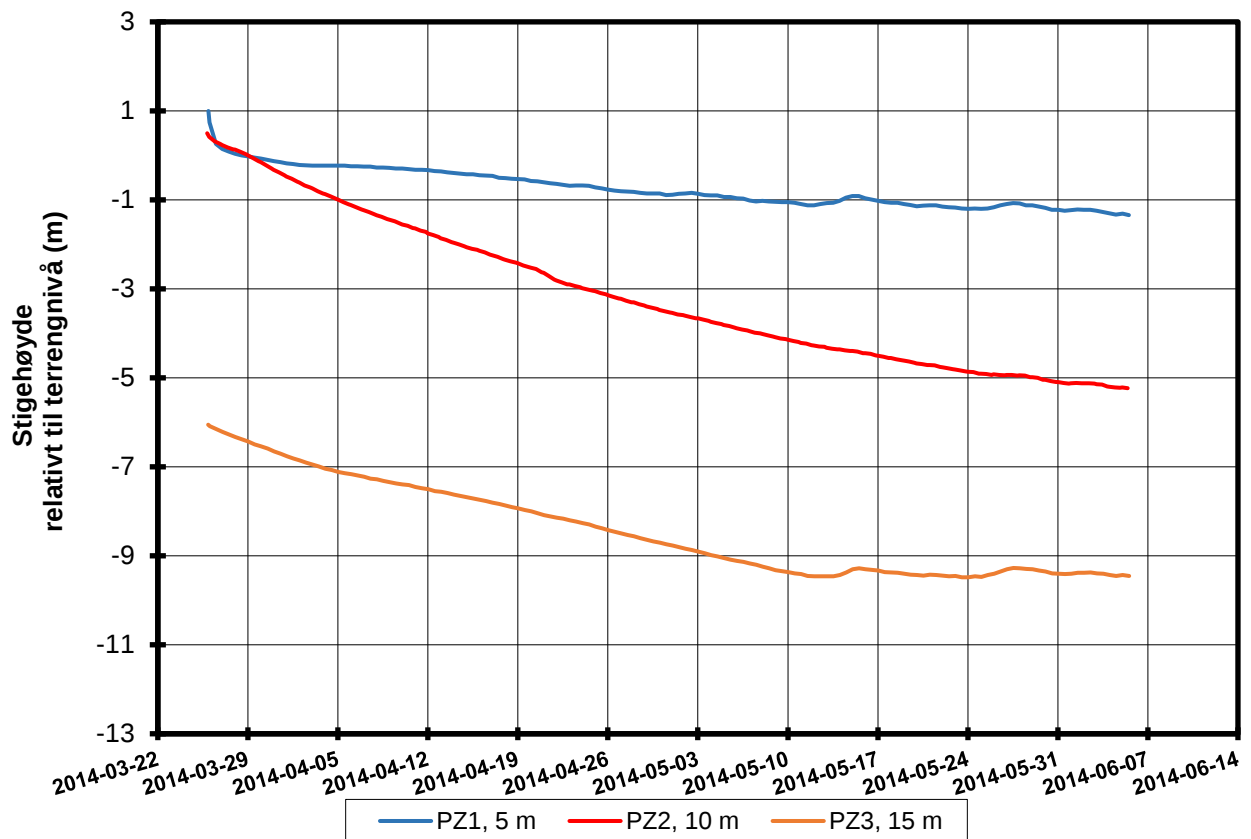
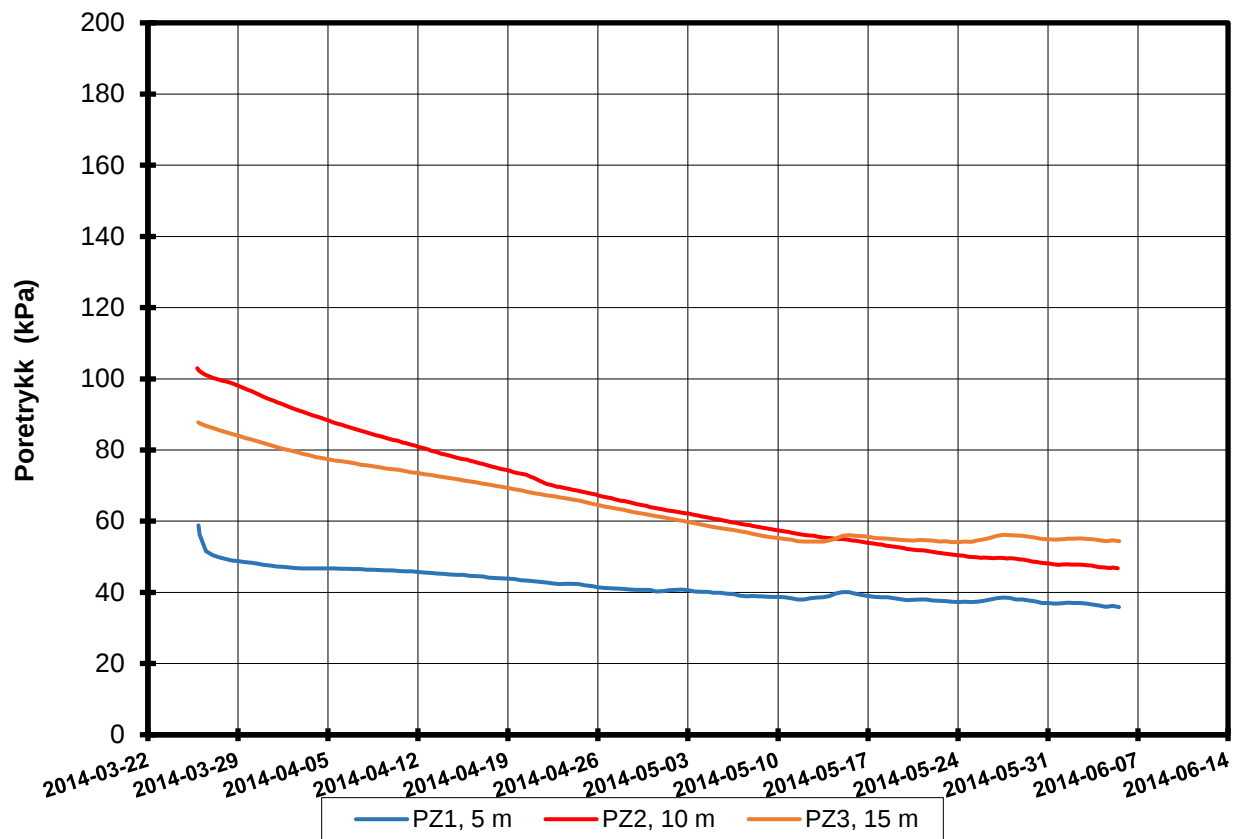
Figur nr.
D13

Tegner
TFS

Dato
2014-08-22

Kontrollert
KrK
Godkjent
StH





P:\2012\04\20120491\Jordparametre\Poretrykksmålinger\2344\2344.xlsx]Figur

E16 Nybakk - Slomarka

Resultater fra elektriske poretrykksmålere (PVT)
 Borhull: 2344
 Terrengekote målere: 146,75 moh
 Dato for installasjon: 2014-03-25

Rapport nr.
20120491-2-R

Figur nr.
D14

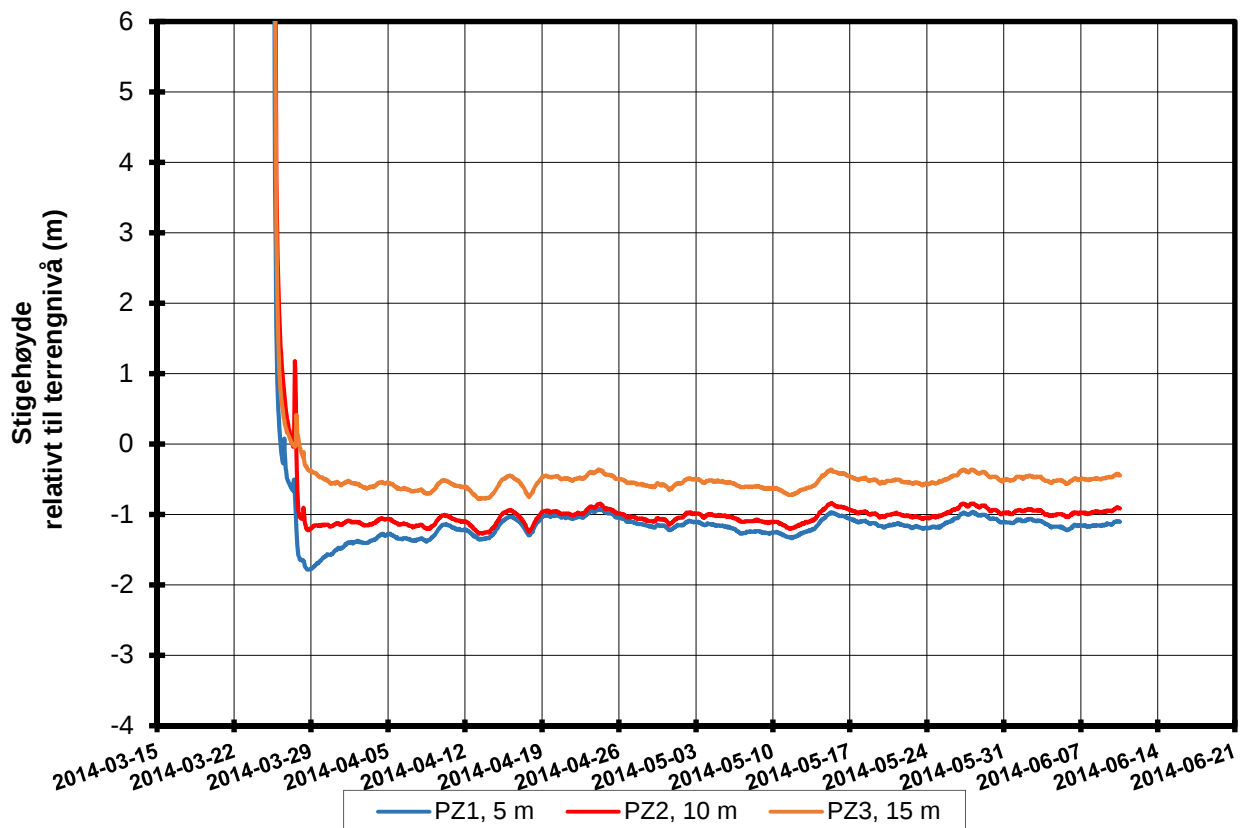
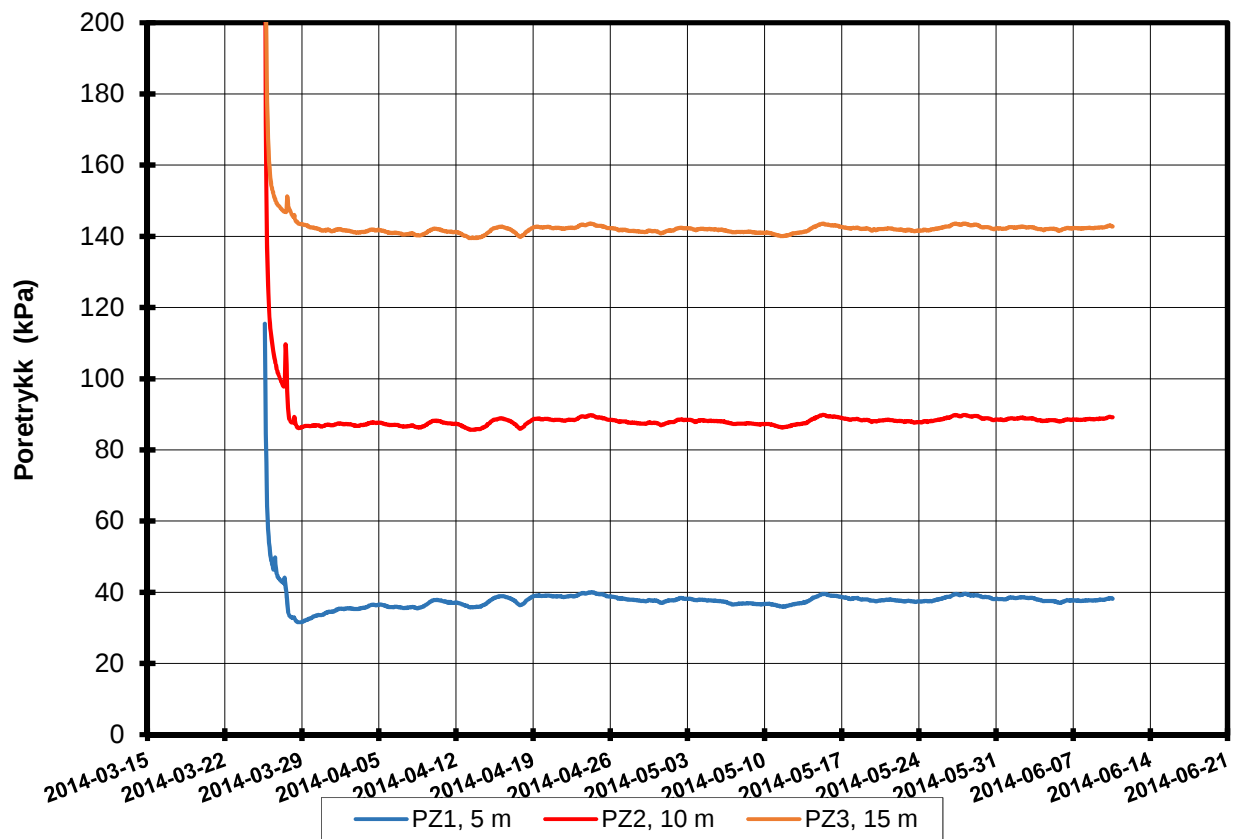
Tegner
JGr

Dato
2014-07-11

Kontrollert
TFS

Godkjent
MaR





P:\2012\04\20120491\Jordparametre\Poretrykksmålinger\2366\2366.xlsx\Figur

E6 Nybakk Slomarka

Resultater fra elektriske poretrykksmålere (PVT)

Borhull: 2366

Terrengekote målere: 132,49 moh

Dato for installasjon: 2014-03-25

Rapport nr.

20120491-2-R

Figur nr.

D15

Tegner

JGr

Dato

2014-08-29

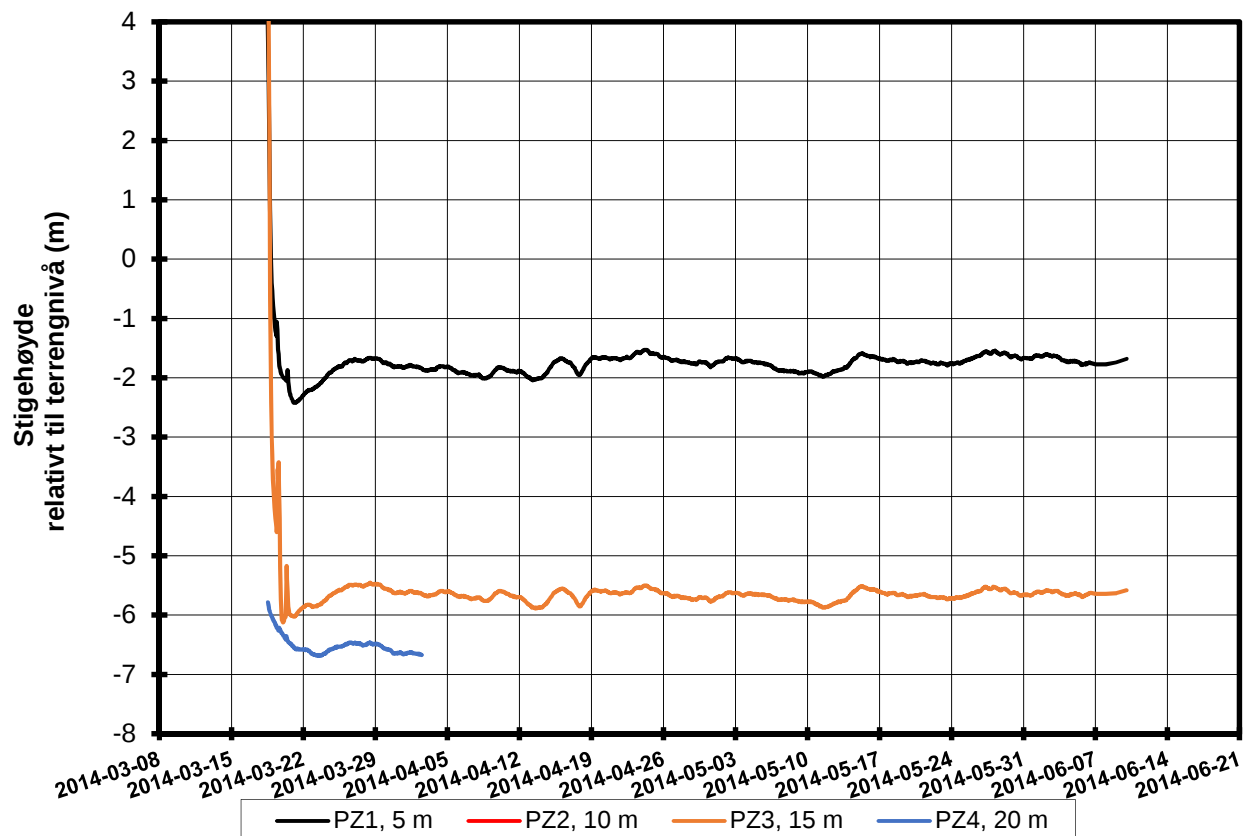
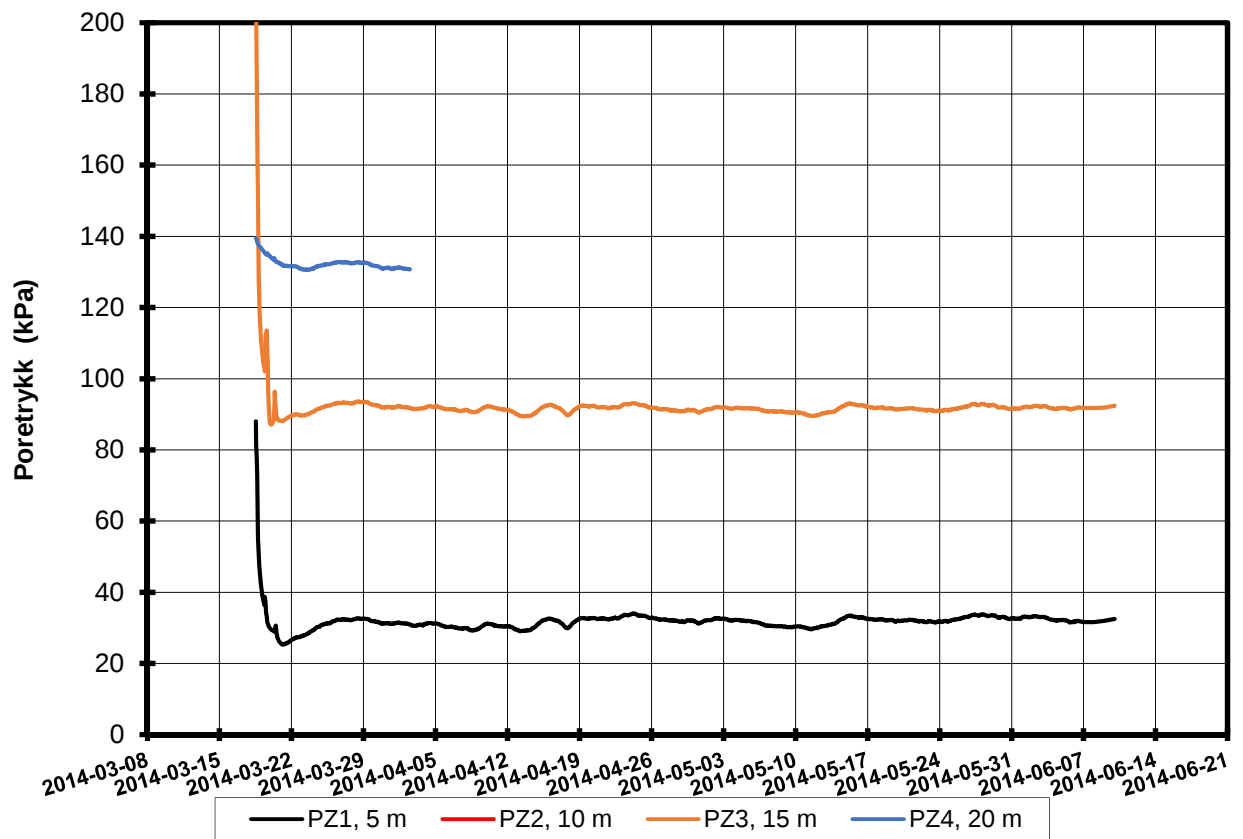
Kontrollert

TFS

Godkjent

MaR





P:\2012\04\20120491\Jordparametre\Poretrykksmålinger\2371\2371.xlsx]Figur

E6 Nybakk Slomarka

Resultater fra elektriske poretrykksmålere (PVT)

Borhull: 2371
 Terrengekote målere: 141,19 moh
 Dato for installasjon: 2014-03-18

Rapport nr.
20120491-2-R

Figur nr.
D16

Tegner

JGr

Kontrollert

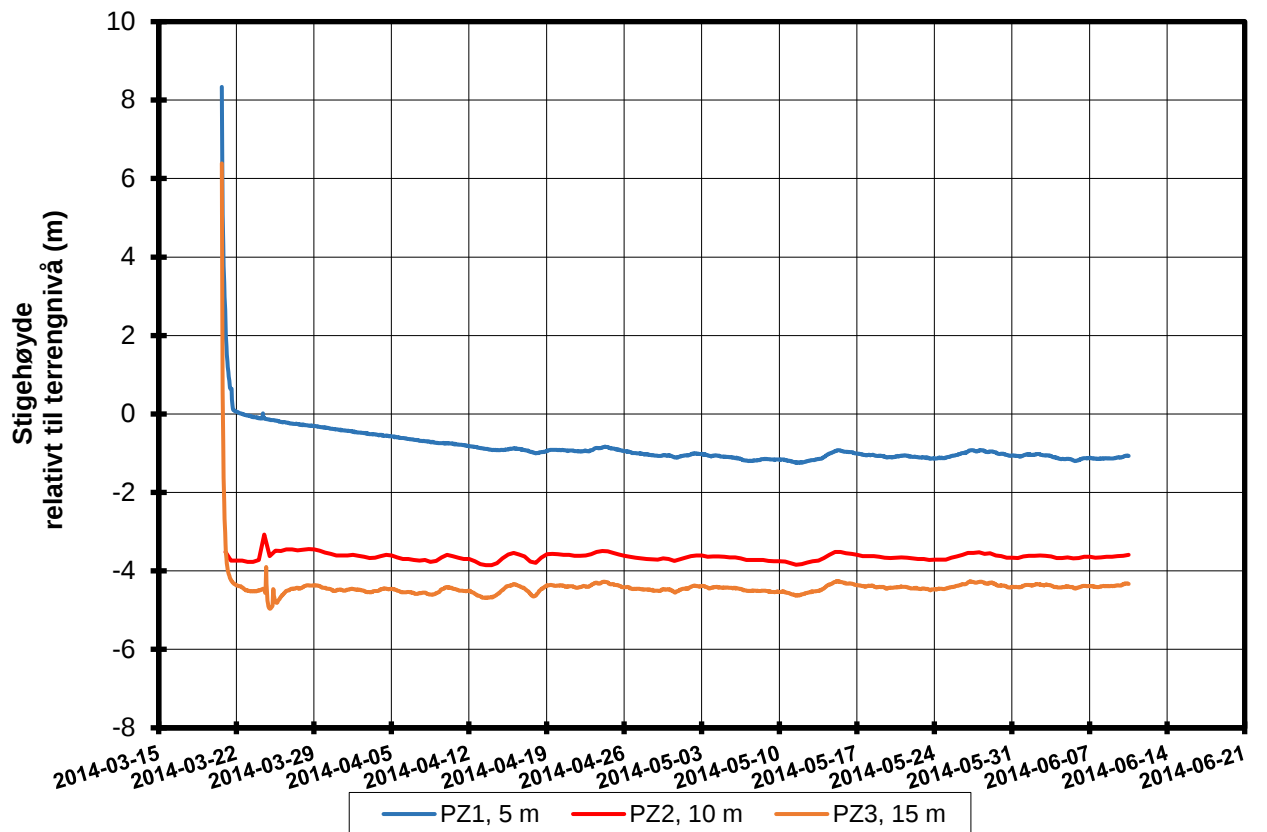
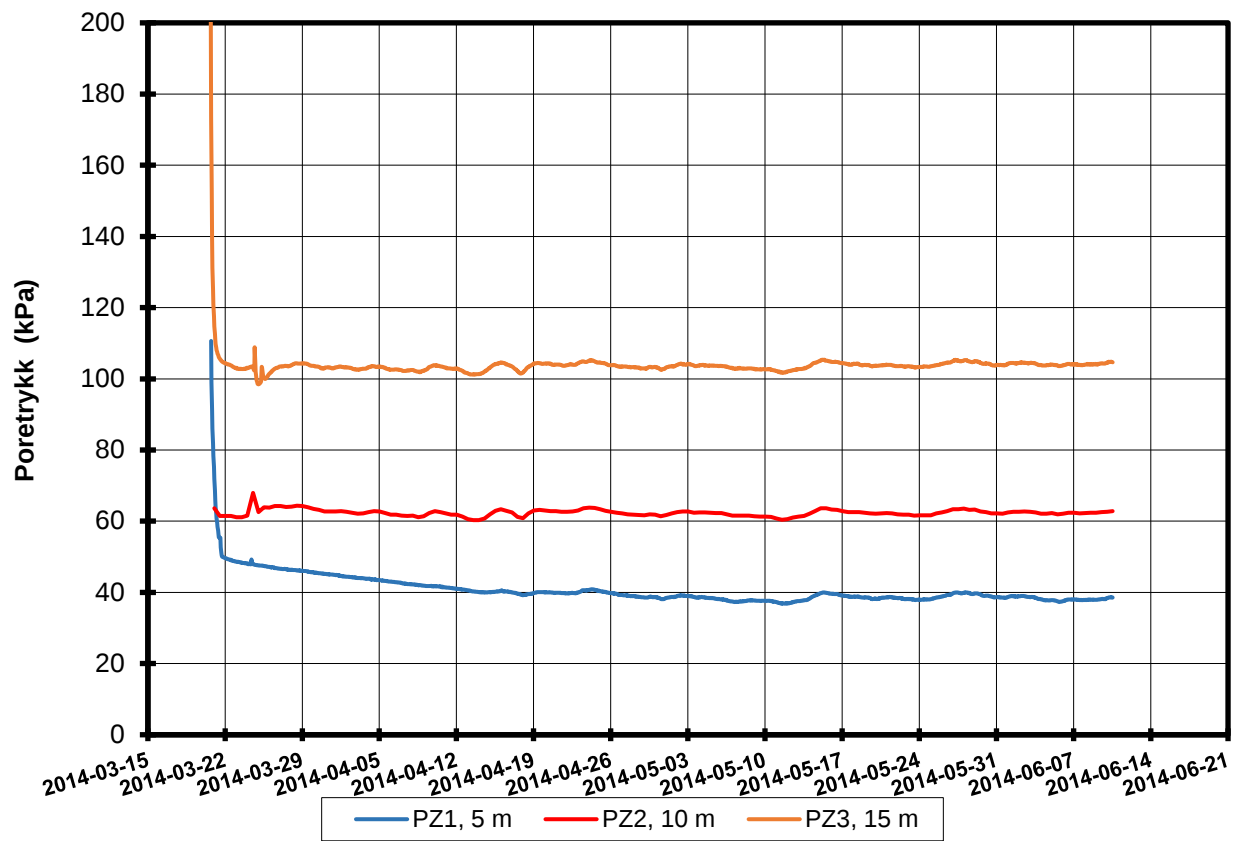
TFS

Godkjent

MaR

Dato
2014-08-29





P:\2012\04\20120491\Jordparametre\Poretrykksmålinger\2379\2379.xlsx\Figur

E16 Nybakk - Slomarka

Resultater fra elektriske poretrykksmålere (PVT)
 Borhull: 2379
 Terrengekote målere: 142,20 moh
 Dato for installasjon: 2014-03-14

Rapport nr.
20120491-2-R

Figur nr.
D17

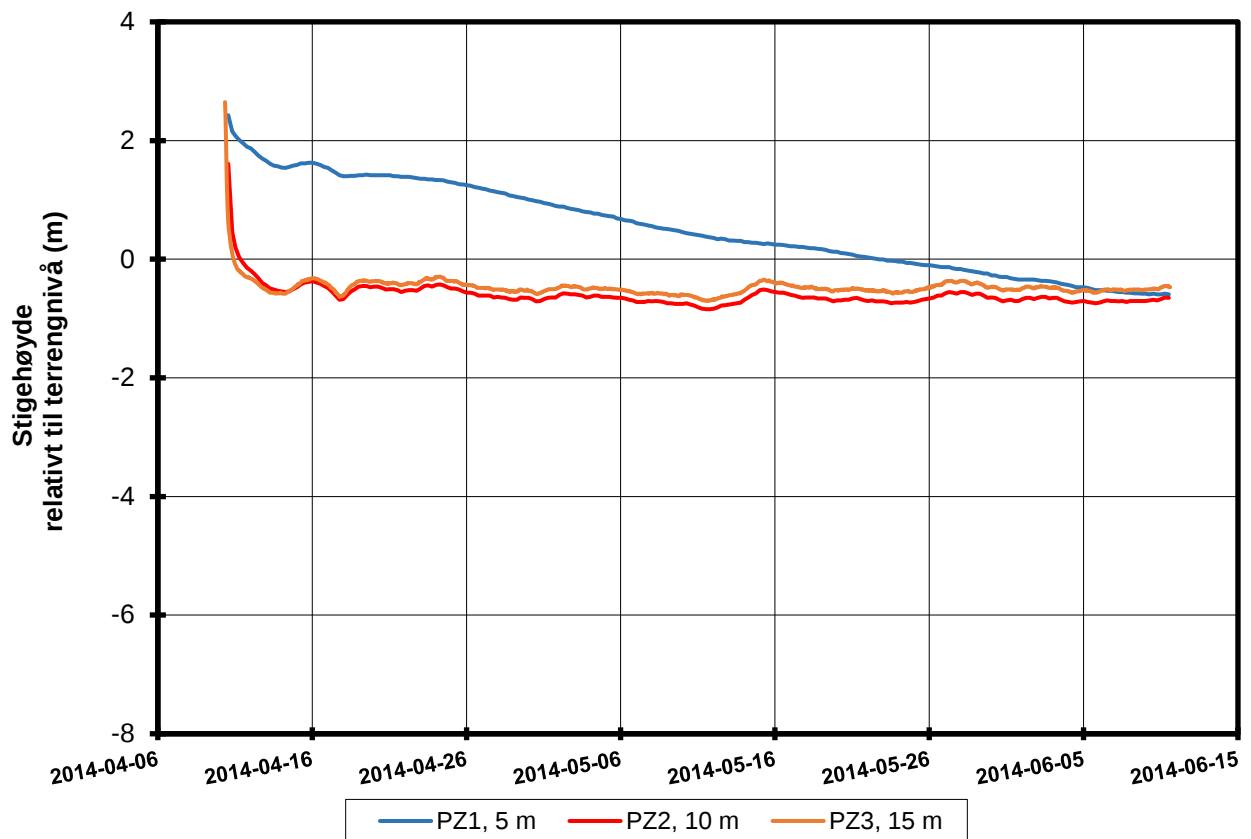
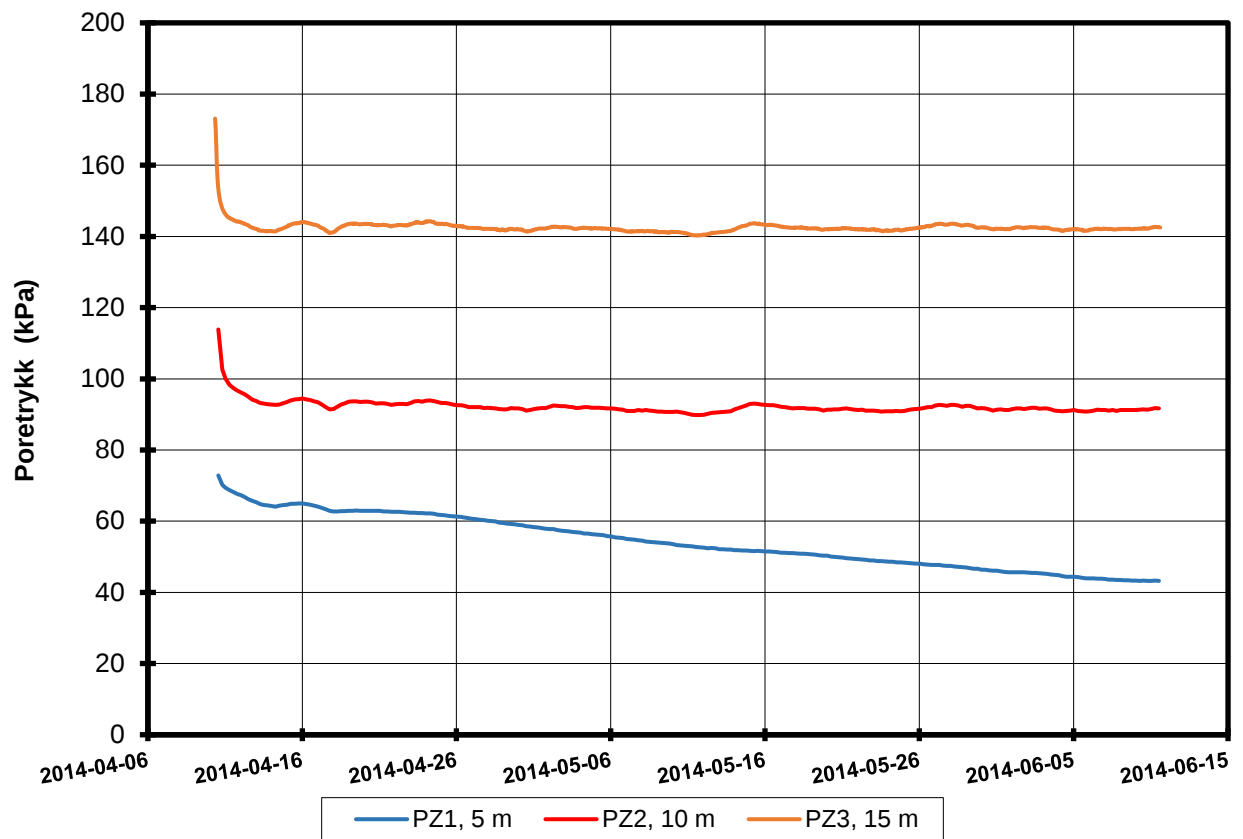
Tegner
JGr

Dato
2014-07-11

Kontrollert
TFS

Godkjent
MaR





P:\2012\04\20120491\Jordparametre\Poretrykksmålinger\2411\2411.xlsx\Figur

E16 Nybakk - Slomarka

Resultater fra elektriske poretrykksmålere (PVT)
 Borhull: 2411
 Terrengekote målere: 145,60 moh
 Dato for installasjon: 2014-04-10

Rapport nr.
20120491-2-R

Figur nr.
D18

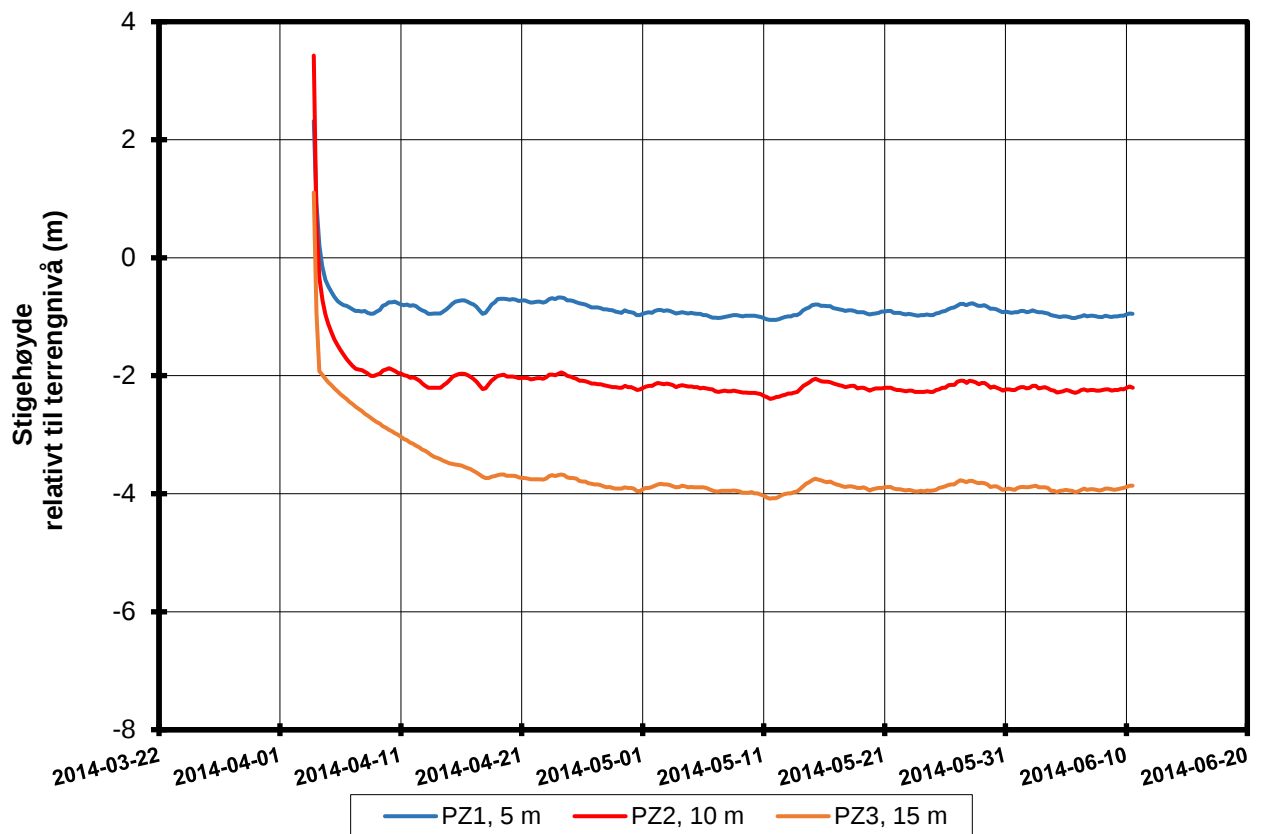
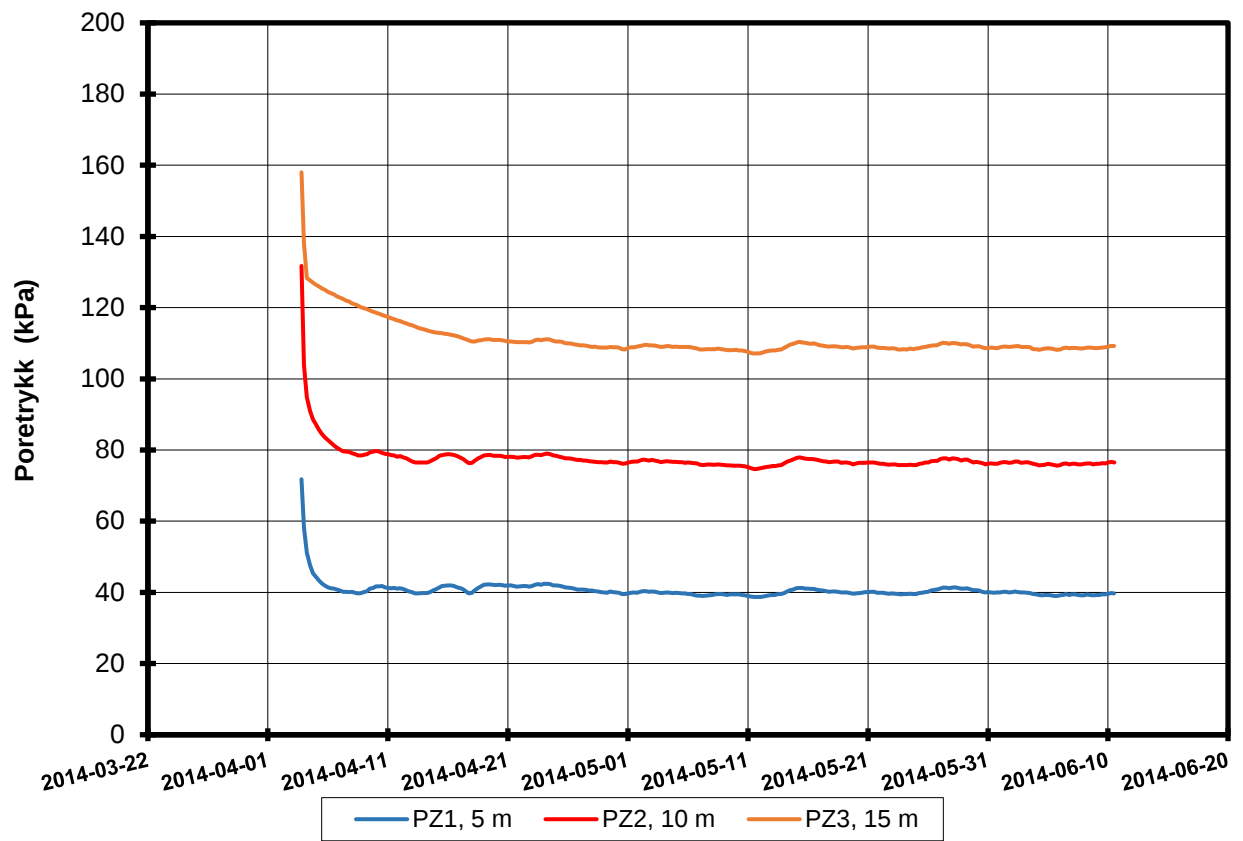
Tegner
JGr

Dato
2014-07-11

Kontrollert
TFS

Godkjent
MaR





P:\2012\04\20120491\Jordparametre\Poretrykksmålinger\2430\2430.xlsx\Figur

E16 Nybakk - Slomarka

Resultater fra elektriske poretrykksmålere (PVT)
 Borhull: 2430
 Terrenkote målere: 157,80 moh
 Dato for installasjon: 2014-04-03

Rapport nr.
20120491-2-R

Figur nr.
D19

Tegner

JGr

Kontrollert

TFS

Godkjent

MaR

Dato
2014-07-11



Vedlegg E - Prøveserier og kornfordelingskurver

Innhold

E1 Rutineundersøkelser	2
1.1 Prøveåpning og materialbeskrivelse	2
1.2 Vanninnhold	2
1.3 Romvekt	2
1.4 Udrenert og omrørt skjærfasthet (s_u) ved konusprøving	2
1.5 Udrenert skjærfasthet (s_u) ved enaksialt trykkforsøk	2
1.6 Flyte- (w_L) og utrullingsgrense (w_P)	2
E2 Kornfordelingskurver	3
E3 Referanser	3

Figurer

Figur E1 – E68

Prøveserier med tilhørende kornfordelingskurver

E1 Rutineundersøkelser

1.1 Prøveåpning og materialbeskrivelse

Alle prøver registreres, åpnes og det foretas en visuell klassifisering og beskrivelse av materialtype.

1.2 Vanninnhold

Fra hver prøvesylinder tas det ut to prøver for bestemmelse av naturlig vanninnhold (vekt %).

Naturlig vanninnhold bestemmes i henhold til NS 8013.

1.3 Romvekt

Romvekt bestemmes som gjennomsnitt for hel sylinder.

Romvekt bestemmes i henhold til NS8011.

1.4 Udrenert og omrørt skjærfasthet (s_u) ved konusprøving

Fra hver prøvesylinder er det tatt ut to prøver for bestemmelse av udrenert og omrørt skjærstyrke med konusprøving.

Konusprøving utføres i henhold til NS8015.

1.5 Udrenert skjærfasthet (s_u) ved enaksialt trykkforsøk

Fra hver prøvesylinder er det tatt ut en prøve for bestemmelse av udrenert skjærfasthet med enaksialt trykkforsøk. Det tas også ut en prøve for bestemmelse av vanninnhold av prøven det gjennomføres trykkforsøk på.

Enaksialt trykkforsøk utføres i henhold til NS8016.

1.6 Flyte- (w_L) og utrullingsgrense (w_P)

Fra utvalgte sylindere er det tatt ut prøve for bestemmelsene av flyte- og utrullingsgrense. Plastisitetsindeks bestemmes ved $I_P = w_L - w_P$.

Bestemmelsen er utført i henhold til NS8002 og NS8003.

E2 Kornfordelingskurver

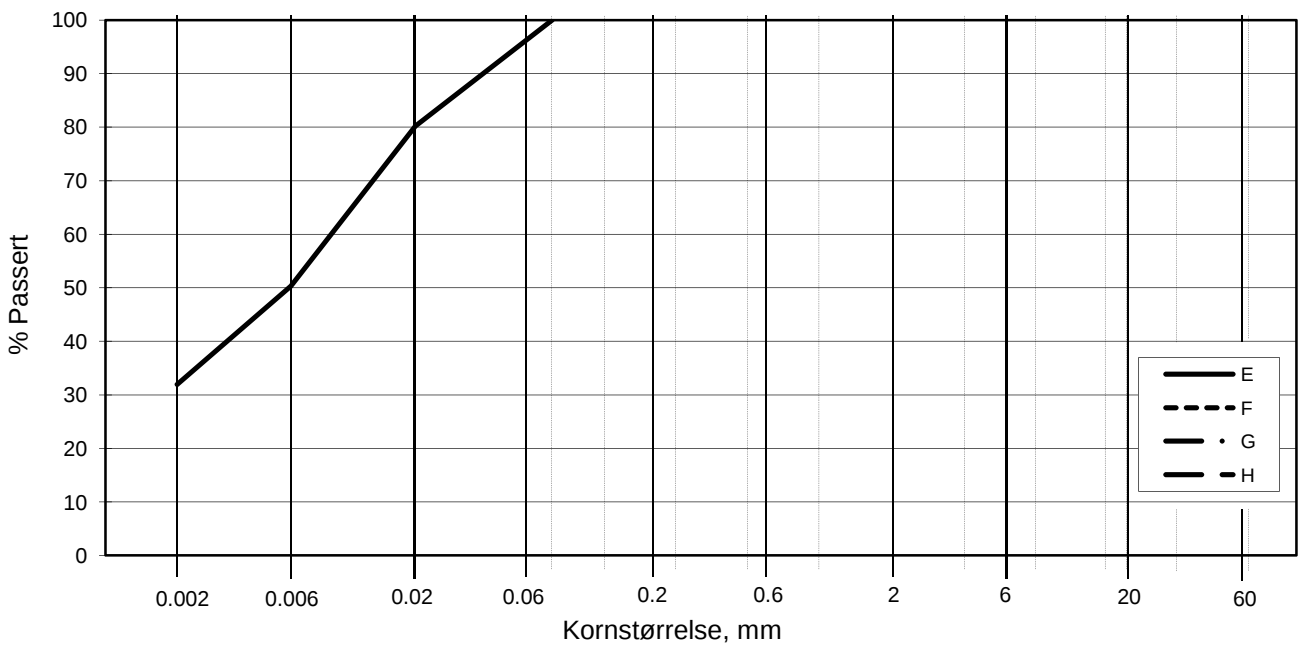
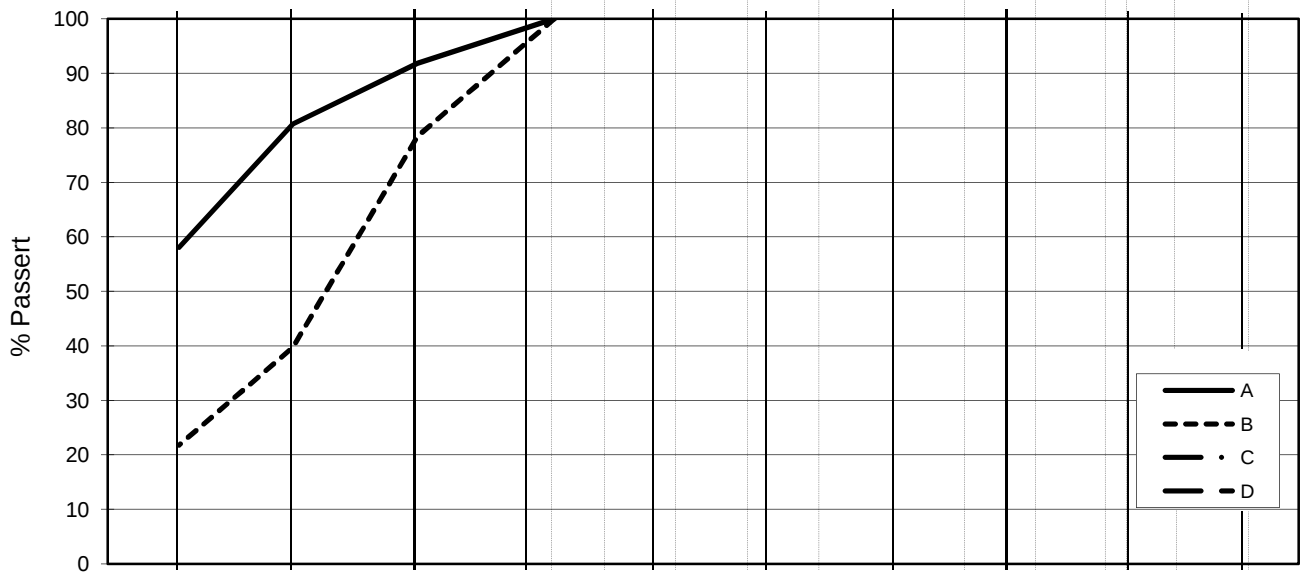
Det er utført flere kornfordelingsanalyser for per borhull. Metoden som er brukt kalles ”falling drop”, beskrevet av Moun, 1965 /E2/.

E3 Referanser

/E1/ Statens vegvesen.
Håndbok 014. Laboratorieundersøkelser.

/E2/ Moun J.
Falling drop used for grain size analysis of fine grained materials.
Sedimentology, Vol 5, No. 4, pp 343 – 347.
Also publ. in: Norwegian Geotechnical Institute
Publication, 70 1966

L E I R	SILT			SAND			GRUS							
	Fin	Middels	Grov	Fin	Middels	Grov	Fin	Middels	Grov					
US Standard Sikt				200	100	50	30	16	8	4	3/8"	3/4"	1.5"	3"
ISO Standard Sikt				.075	.125	.25	.5	1	2	4	8	16	31.5	63



Kurve	Hull nr.	Prøve nr.	Dybde m	C_u (d_{60} / d_{10})	Tele gr.	Leir innh. %	Jordartsbetegnelse	Metode tørr/våt sikt
A	2009	5-D-1	6.55		T3	58.0	LEIRE	Fall
B	2009	9-D-1	11.57		T4	21.8	LEIRE, siltig	Fall
C								
D								
E	2009	16	18.55		T4	31.9	LEIRE	Fall
F								
G								
H								

Rev. NT-12 / Dato 2010-11-22 / Sign:SK/EB

H:\LABDATA\2012\20120491\Rutne\BH2009\gram BH 2009.xlsx\Plot

E16 Nybakk - Slomarka

Kornfordelingskurver

Dokumentnr.

20120491-02-R

Dato

2013-03-23

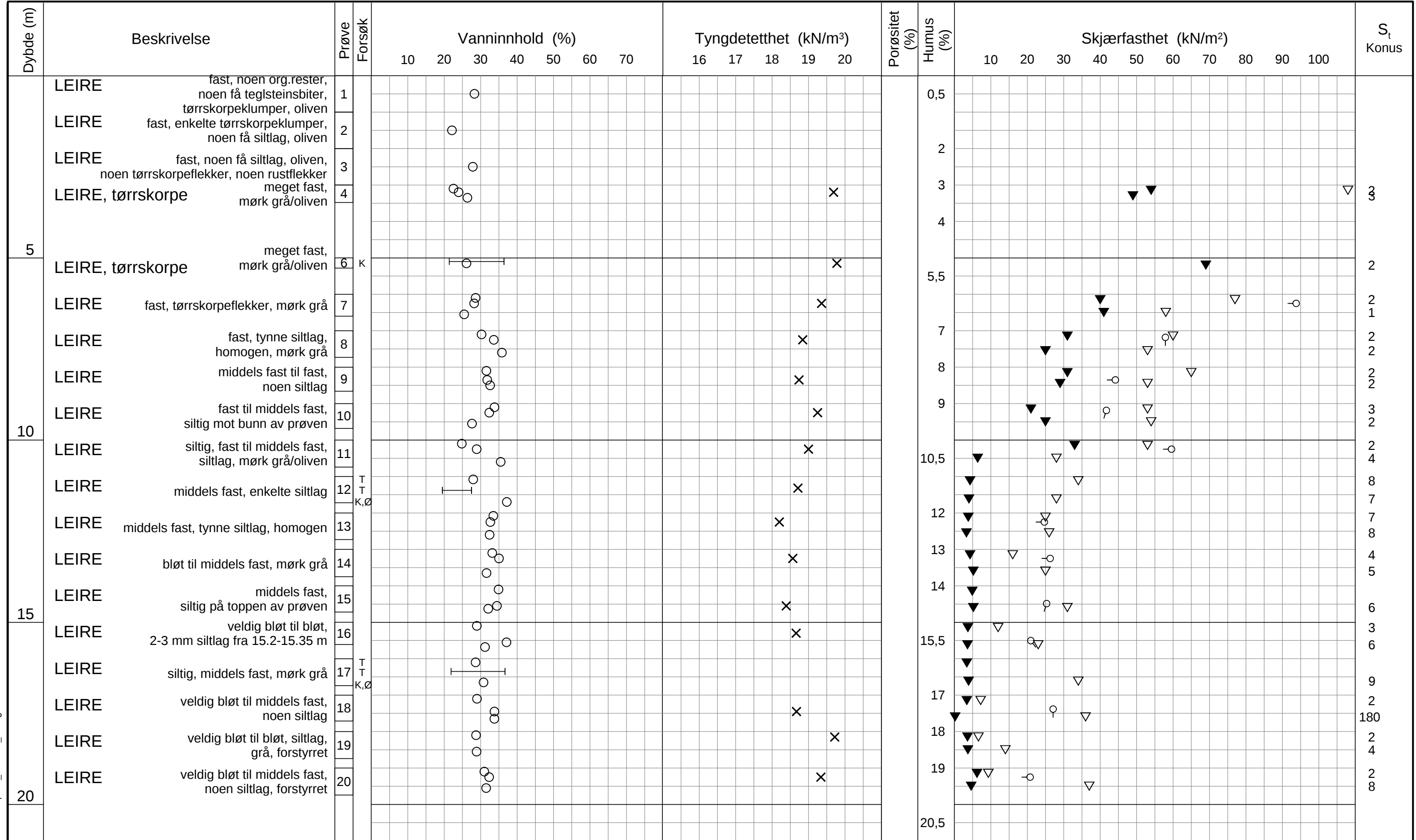
Figurnr.

E2

Tegnet av

FP/





TEGNFORKLARING:

- | | | | |
|-----|--|----------------|----------------------------|
| —○— | Plastisitetsgrense/Vanninnhold/Flytegrense | Ø = | Ødometer forsøk |
| ○ | | ● | Treaksial forsøk, aktiv |
| ○ | Enaks. trykkforsøk/def.ved brudd | ● | Treaksial forsøk, passiv |
| ○ | | ■ | Direkte skjærforsøk |
| ▽ | Konus forsøk, uforstyrret | ⊠ | Direkte skjærforsøk |
| ▼ | Konus forsøk, omrørt | ⊡ | Treaksial forsøk |
| + | Vingeboring | S _t | Sensitivitet |
| | | K/S | Kalk-/Sement stabilisering |
| | | P | Permeabilitetsforsøk |
| | | K | Korngraderingsanalyse |

Dato/Rev. 2012-09-25/03

E16 Nybakk - Slomarka

Dokumentnr.
20120491-02-R

Borprofil
Borpunkt nr.: 2201
Prøve nr. 1-3 er poseprøver

Prøvetype: poser / 72 mm
Terrengkote: 127,2 moh
Grunnvannst. dybde: m
Dato boret: 2013-03-13

Dato
2013-10-11

Figurnr.
E3-1

Tegner
FI




P:\2012\04\20120491\Lab fra labben\Routine\BH2201\Borprofil_BH2201_20-40m.grf

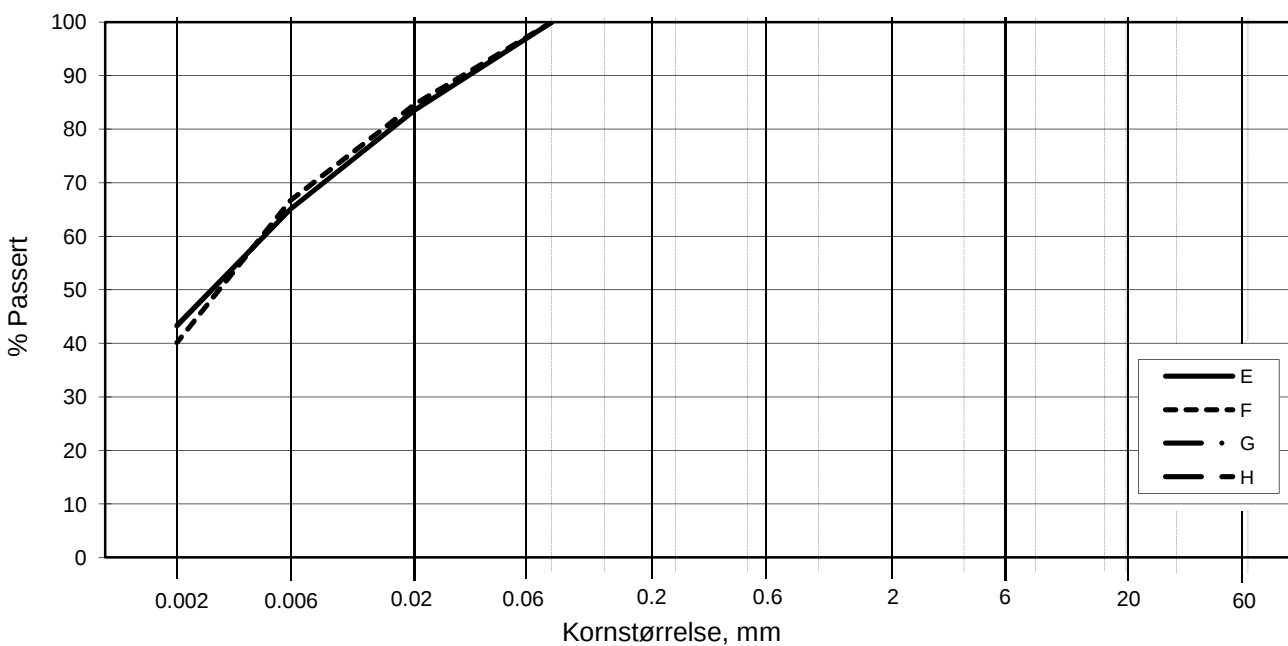
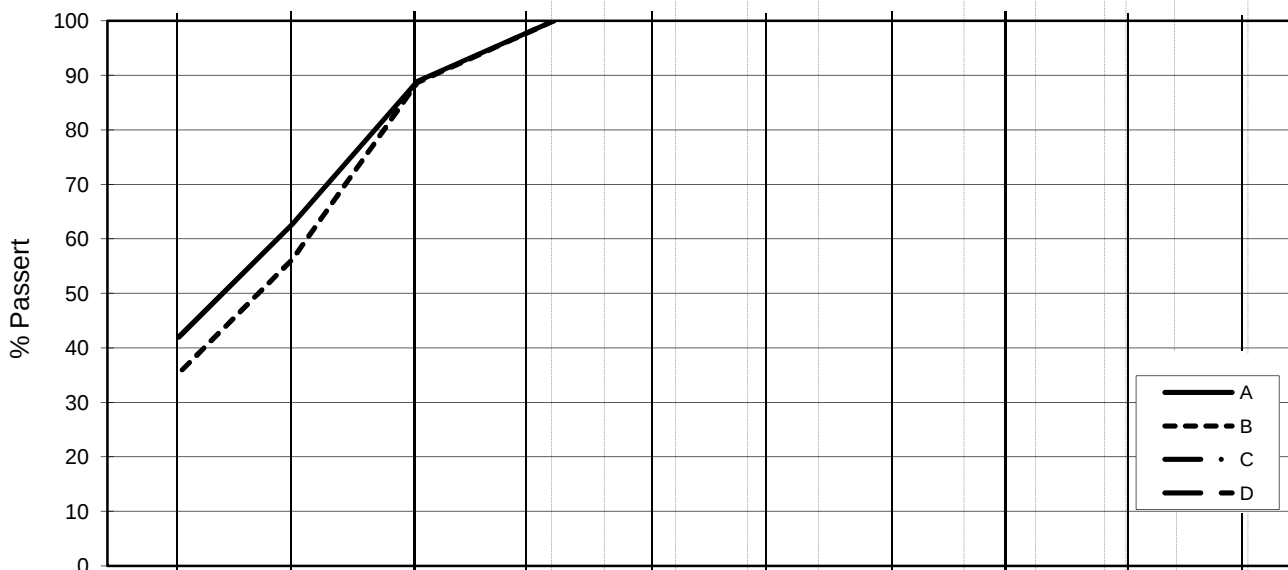
Dybde (m)	Beskrivelse	Prøve Forsøk	Vanninnhold (%)							Tyngdetetthet (kN/m³)					Porøsitet (%)	Humus (%)	Skjærfasthet (kN/m²)										S _t Konus/Ving										
			10	20	30	40	50	60	70	16	17	18	19	20			10	20	30	40	50	60	70	80	90	100											
25	LEIRE bløt til middels fast, noen siltlag, grå, forstyrret	21			○												▼	▽																		3	
	LEIRE bløt til veldig bløt, homogen	22			○													▼	▽	○																1	
	LEIRE siltig, bløt til middels fast, homogen, mørk grå	23			○													▼	▽			○														3	
	LEIRE siltig, homogen, mørk grå	24			○													▼	▽																	2	
	LEIRE bløt til middels fast, noe silt, homogen, mørk grå	25			○													▼	▽			○														4	
	LEIRE bløt til middels fast, noe silt, homogen, mørk grå	26			○													▼	▽			○														3	
30																																					
35																																					
40																																					

TEGNFORKLARING:

- | | | | | | |
|--------|--|----------------|-------------------------|-----|----------------------------|
| ○—○ | Plastisitetsgrense/Vanninnhold/Flytegrense | ○ | Treksial forsøk, aktiv | Ø | Ødometer forsøk |
| 15—○—5 | Enaks. trykkforsøk/def. ved brudd | ● | Treksial forsøk, passiv | P | Permeabilitetsforsøk |
| 10 | Konus forsøk, uforstyrret | ● | Treksial forsøk, passiv | K | Korngraderingsanalyse |
| ▽ | Konus forsøk, omrørt | ⊠ | Direkte skjærforsøk | T | Treksial forsøk |
| + | Vingeboring | S _t | Sensitivitet | K/S | Kalk-/Sement stabilisering |

E16 Nybakk - Slomarka		Dato/Rev. 2012-09-25/03	
		Dokumentnr. 20120491-02-R	
Borprofil	Prøvetype:	72 mm	
	Borhull: 2201	Terrengkote:	127,2 moh
	Grunnvannst. dybde:	m	
	Dato boret:	2013-03-04	
	Dato	2013-10-11	
	Figurnr. E3-2		
	Tegner FI		

L E I R	SILT			SAND			GRUS							
	Fin	Middels	Grov	Fin	Middels	Grov	Fin	Middels	Grov					
US Standard Sikt				200	100	50	30	16	8	4	3/8"	3/4"	1.5"	3"
ISO Standard Sikt				.075	.125	.25	.5	1	2	4	8	16	31.5	63



Kurve	Hull nr.	Prøve nr.	Dybde m	C_u (d_{60} / d_{10})	Tele gr.	Leir innh. %	Jordartsbetegnelse	Metode tørr/våt sikt
A	2201	6	5.11		T3	42.0	LEIRE	Fall
B	2201	12-C-1	11.41		T4	35.3	LEIRE	Fall
C								
D								
E	2201	17-B-1	16.36		T3	43.3	LEIRE	Fall
F	2201	22-A-1	21.25		T3	40.1	LEIRE	Fall
G								
H								

Rev. NT-12 / Dato 2010-11-22 / Sign. SK/EB

H:\LABDATA\2012\20120491\Rutine\BH2009\grain BH 2009.xlsx\Plott

E16 Nybakk - Slomarka

Kornfordelingskurver

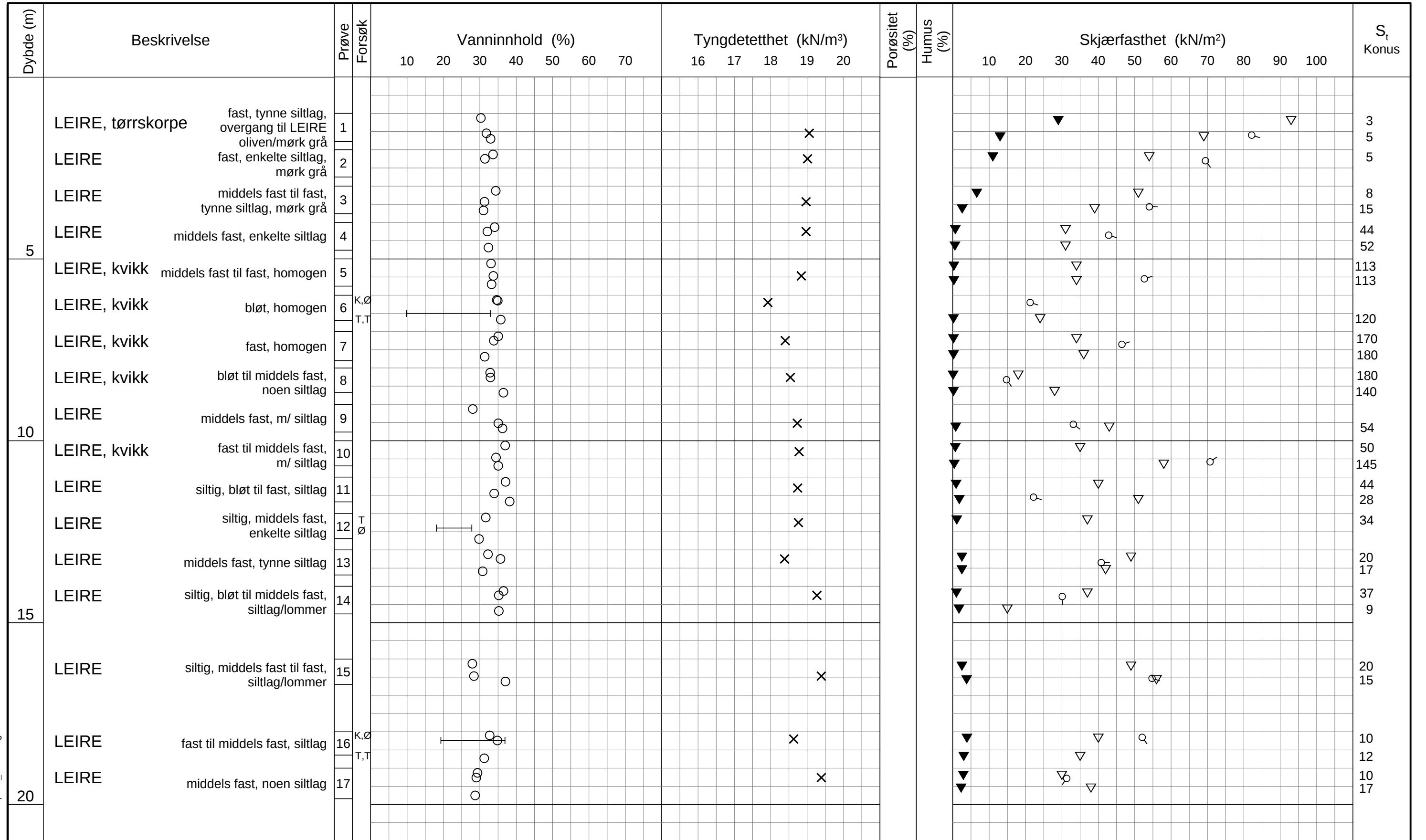
Dokumentnr.
20120491-02-R

Dato
2013-03-23

Figurnr.
E4

Tegnet av
FP/





TEGNFORKLARING:

- Plastisitetsgrense/Vanninnhold/Flytegrense
- Enaks. trykkforsøk/def. ved brudd
- Konus forsøk, uforstyrret
- Konus forsøk, omrørt
- Vingebooring
- Treaksial forsøk, aktiv
- Treaksial forsøk, passiv
- Direkte skjærforsøk
- S_i Sensitivitet
- Ø = Ødometer forsøk
- P = Permeabilitetsforsøk
- K = Korngraderingsanalyse
- T = Treaksial forsøk
- K/S = Kalk-/Sement stabilisering

E16 Nybakk - Slomarka

Borprofil
Borpunkt nr.: 2207

Prøvetype: 72 mm
Terrengkote: 126,8 moh
Grunnvannst. dybde: m
Dato boret: 2013-03-14

Dato/Rev. 2012-09-25/03

Dokumentnr.
20120491-02-R

Dato
2013-10-11

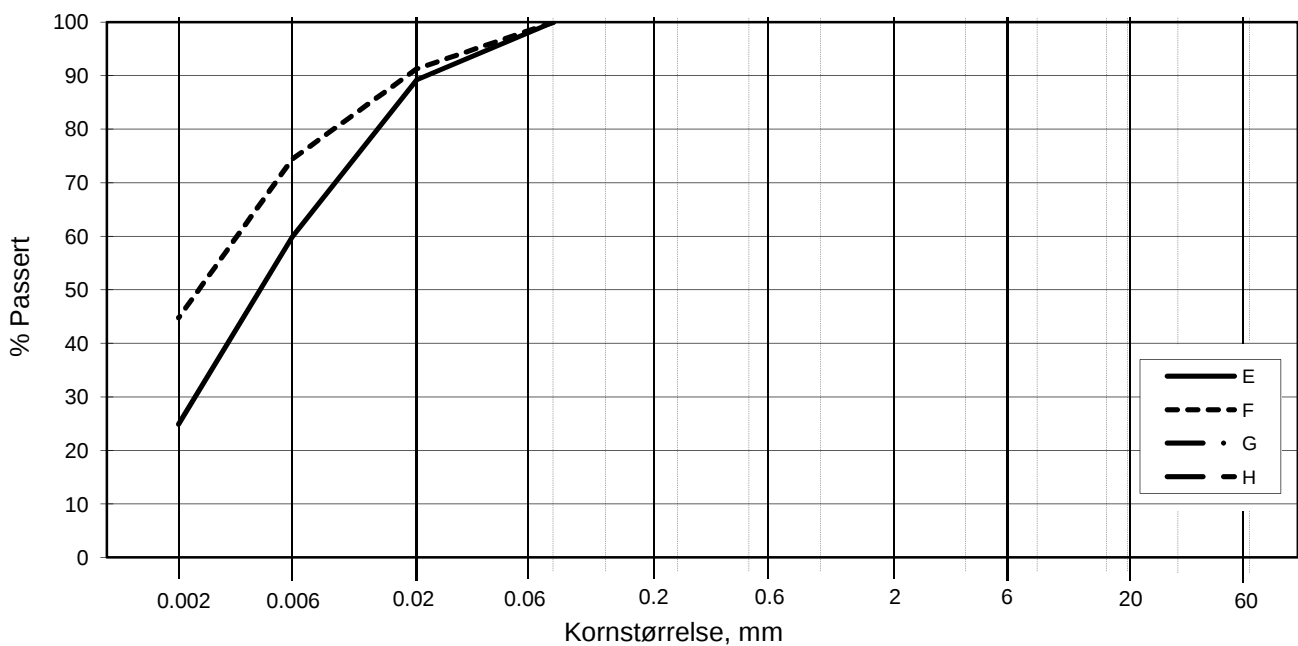
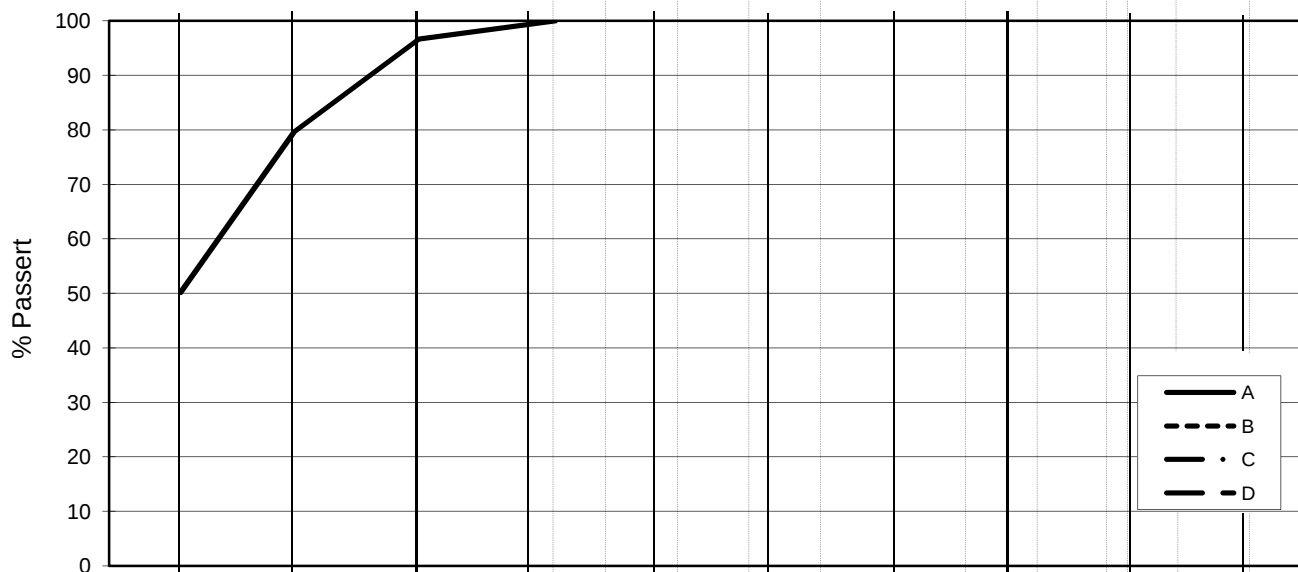
Figurnr.

E5

Tegner
FI



L E I R	SILT			SAND			GRUS							
	Fin	Middels	Grov	Fin	Middels	Grov	Fin	Middels	Grov					
US Standard Sikt				200	100	50	30	16	8	4	3/8"	3/4"	1.5"	3"
ISO Standard Sikt				.075	.125	.25	.5	1	2	4	8	16	31.5	63



Kurve	Hull nr.	Prøve nr.	Dybde m	C _u (d ₆₀ / d ₁₀)	Tele gr.	Leir innh. %	Jordartsbetegnelse	Metode tørr/våt sikt
A	2207	6-A-1	6.16		T3	50.1	LEIRE	Fall
B								
C								
D								
E	2207	12-B-1	12.38		T4	24.9	LEIRE, siltig	Fall
F	2207	16-A-1	18.22		T3	44.7	LEIRE	Fall
G								
H								

Rev. NT-12 / Dato 2010-11-22 / Sign. SK/EB

H:\LABDATA\2012\20120491\Rutine\BH2207\{grain BH2207.xlsx}Plot

E16 Nybakk - Slomarka

Kornfordelingskurver

Dokumentnr.

20120491-02-R

Dato

2013-04-19

Figurnr.

E6

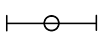
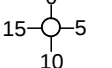







Tegnet av


Jla/



Dybde (m)	Beskrivelse	Prøve Forsøk	Vanninnhold (%)							Tyngdetetthet (kN/m ³)					Porøsitet (%)	Humus (%)	Skjærfasthet (kN/m ²)										S _t Konus
			10	20	30	40	50	60	70	16	17	18	19	20			10	20	30	40	50	60	70	80	90	100	
5	SILT (1-1.45m) m/ leirelag/lommer fast, enkelte siltlag, enkelte tørrskorpeflekker	1																									2
	LEIRE siltig, fast til meget fast, skrånstilt siltlag, markhull, tørrskorpeflekker	2																									2
	LEIRE fast, tynne siltlag	3																									2
	LEIRE middels fast, noen spredte siltlag	4																									2
10	LEIRE veldig siltig, fast til meget fast, overgang til tørrskorpeleire	5																									3
	LEIRE, tørrskorpe veldig siltig, fast, siltlommer	6																									2
	LEIRE fast til middels fast, siltlag, sandlommer, noe organisk	7																									2
	LEIRE fast, noen siltlag	8																									2
	LEIRE middels fast, m/ siltlag	9																									27
	LEIRE fast til middels fast, noe silt	10																									43
	LEIRE, kvikk fast til middels fast, m/ siltlag	11																									39
	LEIRE, kvikk middels fast til fast, siltlag	12																									35
	LEIRE middels fast til fast, enkelte siltlag	13																									77
	LEIRE, kvikk middels fast, enkelte siltlag	14																									48
	LEIRE, kvikk middels fast, tynne siltlag	15																									120
20	LEIRE fast til middels fast, homogen	16																									53
																											108
																											70

TEGNFORKLARING:

-  Plastisitetsgrense/Vanninnhold/Flytegrense
-  Enaks. trykkforsøk/def. ved brudd
-  Konus forsøk, uforstyrret
-  Konus forsøk, omrørt
-  Vingebooring
-  Treksial forsøk, aktiv
-  Treksial forsøk, passiv
-  Direkte skjærforsøk
-  S_t Sensitivitet
- \emptyset = Ødometer forsøk
- P = Permeabilitetsforsøk
- K = Korngraderingsanalyse
- T = Treksial forsøk
- K/S = Kalk-/Sement stabilisering

E16 Nybakk - Slomarka		Dato/Rev. 2012-09-25/03	
		Dokumentnr. 20120491-02-R	
Borprofil	Prøvetype: 72 mm	Dato 2013-10-11	
	Borpunkt nr.: 2208	Terrengkote: 127,7 moh	Figurnr. E7-1
	Grunnvannst. dybde: m	Tegner FI	
	Dato boret: 2013-03-19		

Dybde (m)	Beskrivelse	Prøve Forsøk	Vanninnhold (%)							Tyngdetetthet (kN/m ³)					Porøsitet (%)	Humus (%)	Skjærfasthet (kN/m ²)										S _t Konus/Ving									
			10	20	30	40	50	60	70	16	17	18	19	20			10	20	30	40	50	60	70	80	90	100										
25	LEIRE fast, noen siltlag	17			○	○													▼																	7 8
	LEIRE fast til middels fast, tynne siltlag	18			○	○													▼	▼		▽					○									6 8
	LEIRE fast, skråstilte siltlag og sandlag	19			○	○													▼			▽					○									14 6
30																																				
35																																				
40																																				

TEGNFORKLARING:

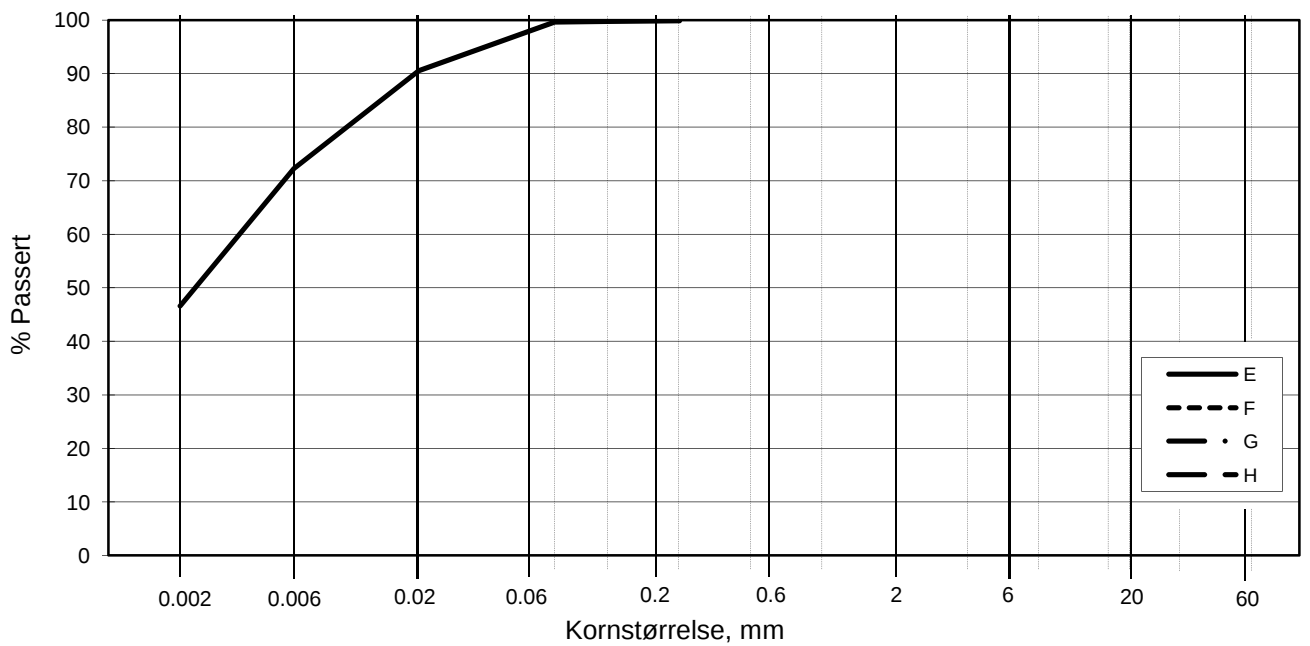
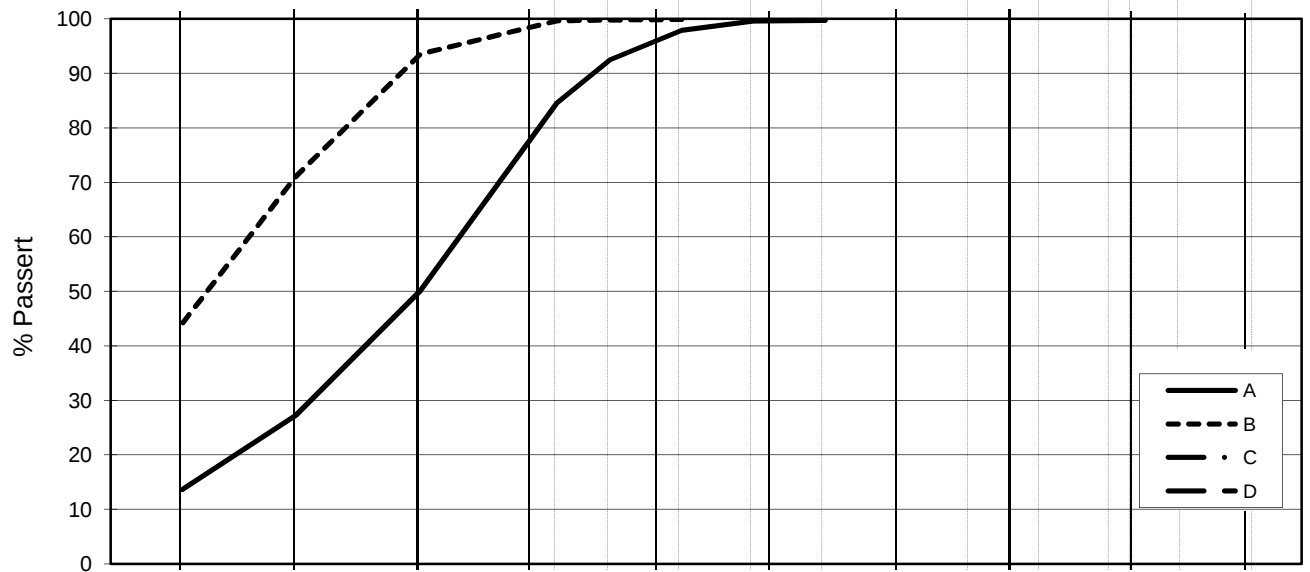
- | | | | |
|--|-----------------------------------|-----------------------------|----------------------------------|
| ○ — Plastisitetsgrense/Vanninnhold/Flytegrense | ○ = Ødometer forsøk | | |
| 15 — ○ — 5
10 | Enaks. trykkforsøk/def. ved brudd | ● Treaksial forsøk, aktiv | P = Permeabilitetsforsøk |
| ▽ | Konus forsøk, uforstyrret | ● Treaksial forsøk, passiv | K = Korngraderingsanalyse |
| ▼ | Konus forsøk, omrørt | ⊞ Direkte skjærforsøk | T = Treaksial forsøk |
| + | Vingeboring | S _t Sensitivitet | K/S = Kalk-/Sement stabilisering |

Dato/Rev. 2012-09-25/03

E16 Nybakk - Slomarka		Dokumentnr. 20120491-02-R
		Dato 2013-10-11
Borprofil	Prøvetype: 72 mm	Figurnr. E7-2
Borhull: 2208	Terrengkote: 122,7 moh	
	Grunnvannst. dybde: m	Tegner FI
	Dato boret: 2013-03-19	



L E I R	SILT			SAND			GRUS							
	Fin	Middels	Grov	Fin	Middels	Grov	Fin	Middels	Grov					
US Standard Sikt				200	100	50	30	16	8	4	3/8"	3/4"	1.5"	3"
ISO Standard Sikt				.075	.125	.25	.5	1	2	4	8	16	31.5	63



Kurve	Hull nr.	Prøve nr.	Dybde m	C_u (d_{60} / d_{10})	Tele gr.	Leir innh. %	Jordartsbetegnelse	Metode tørr/våt sikt
A	2208	5-A-1	5.19		T4	13.6	SILT, leirig, sandig	Fall
B	2208	10-A-1	10.2		T3	44.0	LEIRE	Fall
C								
D								
E	2208	16-D-1	18.57		T3	46.6	LEIRE	Fall
F								
G								
H								

Rev. NT-12 / Dato 2010-11-22 / Sign. SK/EB

H:\LABDATA\2012\20120491\Rutne\BH2208\grain BH 2208.xlsx\Ploet

E16 Nybakk - Slomarka

Kornfordelingskurver

Dokumentnr.

20120491-02-R

Dato

2013-04-29

Figurnr.

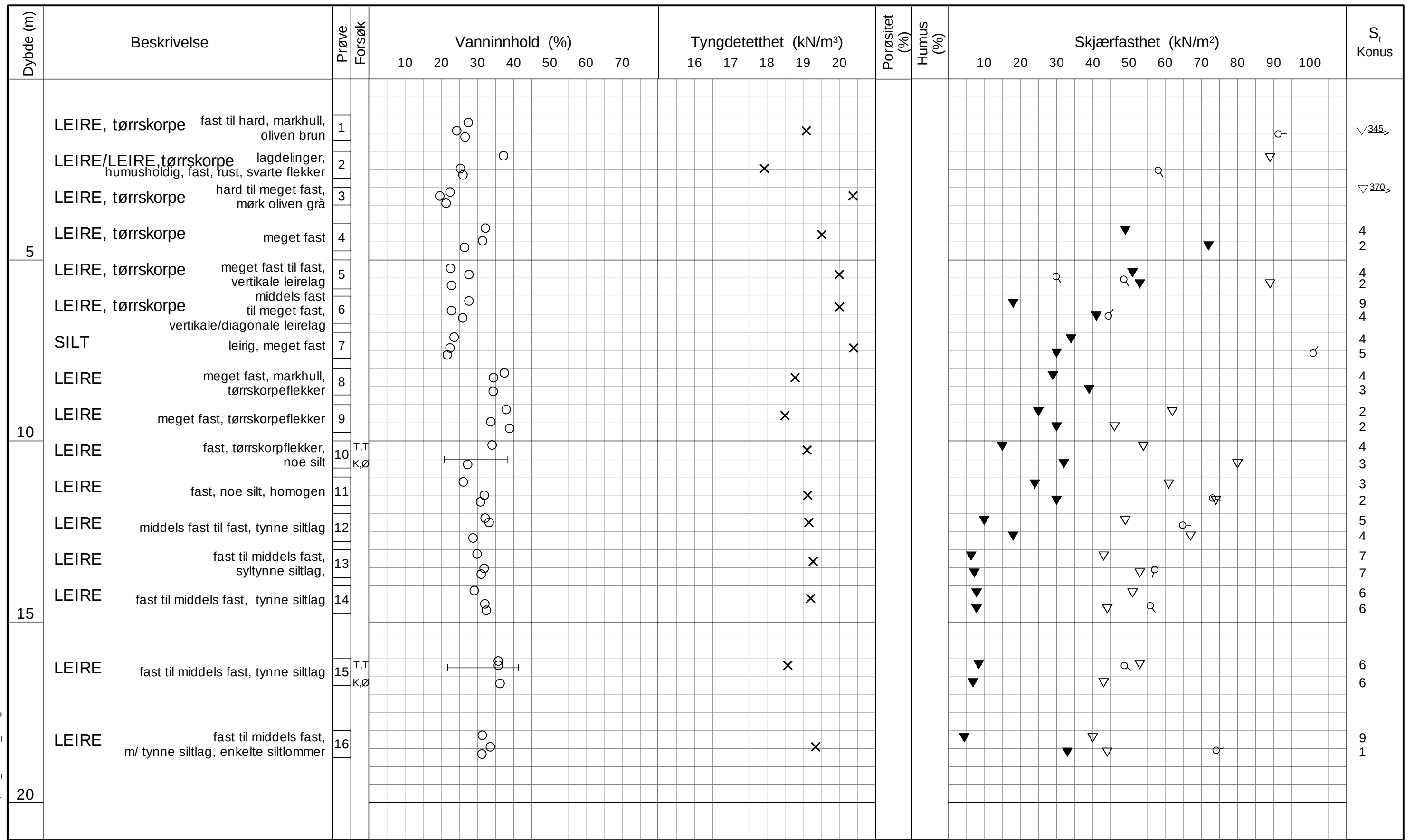
E8

Tegnet av

Jla/




P:\2012\04\2012049\1\Lab fra labben\Routine\BH2212\Borprofil_BH2212_20m.grf



TEGNFORKLARING:

- | | | | |
|--------|--|----------------|----------------------------|
| ○ | Plastisitetsgrense/Vanninnhold/Flytegrense | ○ | Ødometer forsøk |
| 15-○-5 | Enaks. trykkforsøk/def.ved brudd | ● | Treksial forsøk, aktiv |
| 10 | | ● | Treksial forsøk, passiv |
| ▽ | Konus forsøk, uforstyrret | ⊞ | Direkte skjærforsøk |
| ▼ | Konus forsøk, omrørt | T | Treksial forsøk |
| + | Vingebooring | S _t | Sensitivitet |
| | | K/S | Kalk-/Sement stabilisering |
| | | P | Permeabilitetsforsøk |
| | | K | Korngraderingsanalyse |

E16 Nybakk - Slomarka		Dokumentnr. 20120491-02-R	
Borprofil	Prøvetype: 72 mm	Dato 2013-10-14	
Borpunkt nr.: 2212	Terrengkote: 136,9 moh	Figurnr. E9-1	
	Grunnvannst. dybde: m	Tegner FI	
	Dato boret: 2013-03-13		


Dato/Rev. 2012-09-25/03

P:\2012\04\20120491\Lab fra labbeni\Frutine\BH2212\Borprofil_BH2212_20-40m.grf

Dybde (m)	Beskrivelse	Prøve Forsøk	Vanninnhold (%)							Tyngdetetthet (kN/m³)					Porøsitet (%)	Humus (%)	Skjærfasthet (kN/m²)										S _t Konus/Ving														
			10	20	30	40	50	60	70	16	17	18	19	20			10	20	30	40	50	60	70	80	90	100															
25	LEIRE middels fast, m/ tynne siltlag	17			○																																				125
	LEIRE, kvikk bløt, m/ enkelte siltlag	18			○	○																																			47
	LEIRE, kvikk middels fast, siltalg/lommer	19			○																																			130	
	LEIRE, kvikk siltlag	20			○	○																																		125	
	LEIRE, kvikk middels fast, homogen	21			○	○																																		150	
30																																								6	
35																																									
40																																									

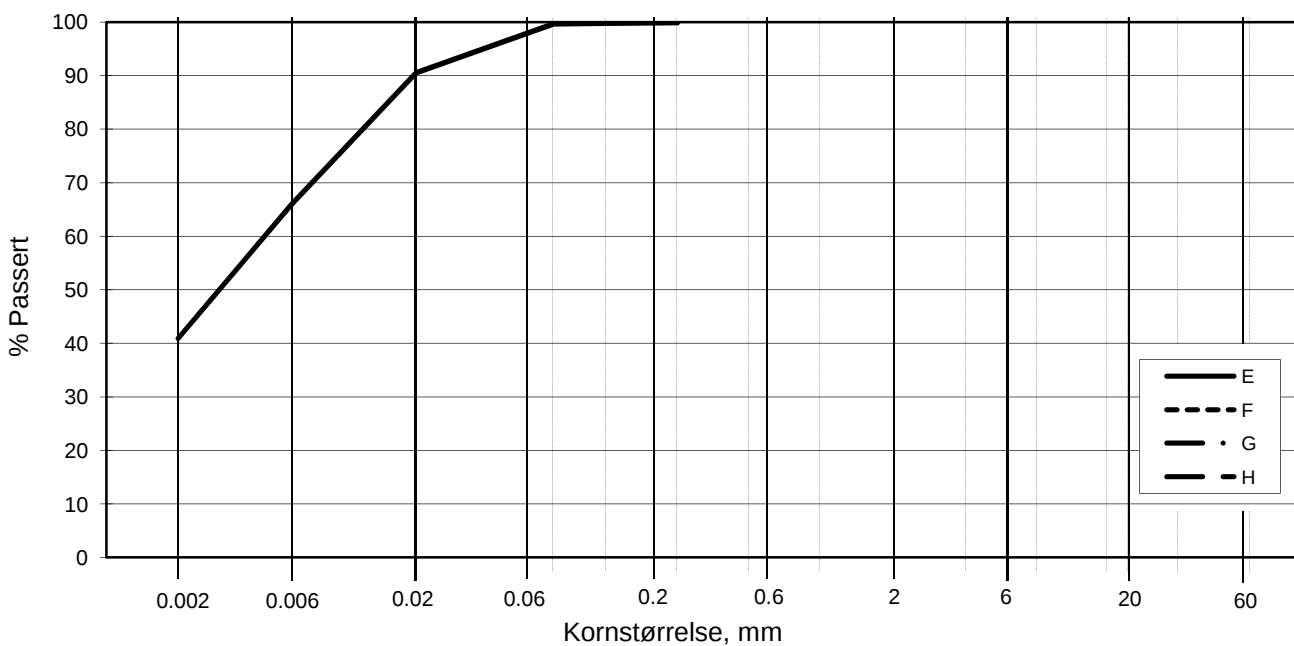
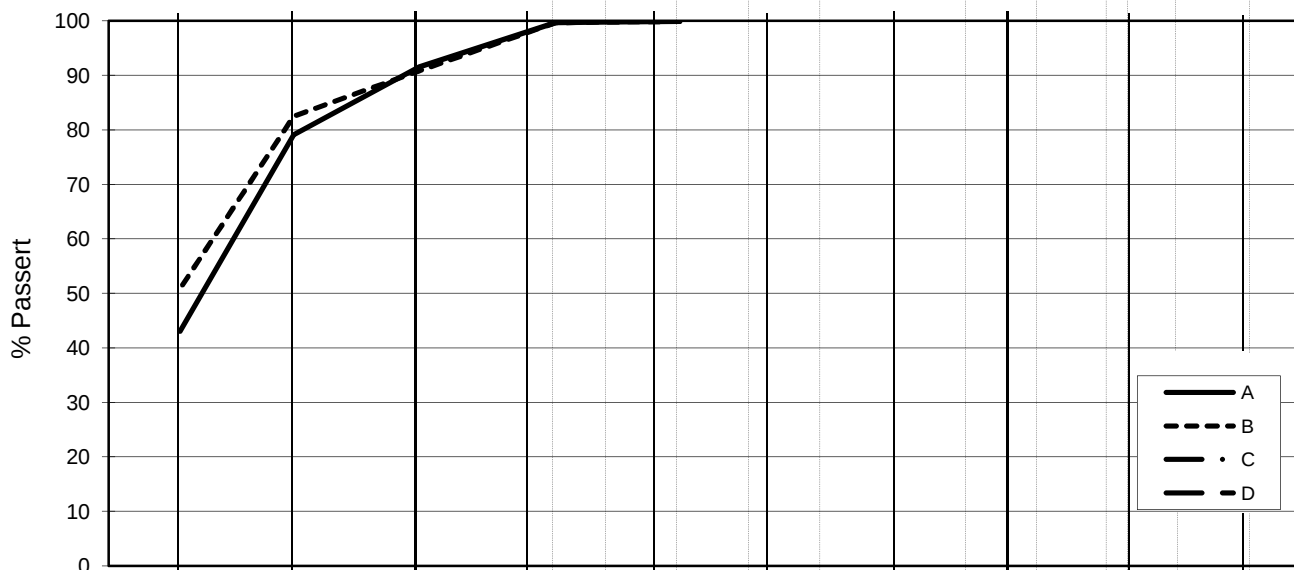
TEGNFORKLARING:

- | | | | |
|--------|--|----------------|----------------------------|
| —○— | Plastisitetsgrense/Vanninnhold/Flytegrense | ○ | Ødometer forsøk |
| ○ | Enaks. trykkforsøk/def.ved brudd | ● | Treksial forsøk, aktiv |
| 15-○-5 | | ● | Treksial forsøk, passiv |
| 10 | | ⊠ | Direkte skjærforsøk |
| ▽ | Konus forsøk, uforstyrret | T | Treksial forsøk |
| ▼ | Konus forsøk, omrørt | K/S | Kalk-/Sement stabilisering |
| + | Vingeboring | S _t | Sensitivitet |
| | | P | Permeabilitetsforsøk |
| | | K | Korngraderingsanalyse |

E16 Nybakk - Slomarka			Dokumentnr. 20120491-02-R
Borprofil	Prøvetype:	72 mm	Dato 2013-10-14
Borhull: 2212	Terrengkote:	136,9 moh	Figurnr. E9-2
	Grunnvannst. dybde:	m	Tegner FI
	Dato boret:	2013-03-13	

Dato/Rev. 2012-09-25/03

L E I R	SILT			SAND			GRUS							
	Fin	Middels	Grov	Fin	Middels	Grov	Fin	Middels	Grov					
US Standard Sikt				200	100	50	30	16	8	4	3/8"	3/4"	1.5"	3"
ISO Standard Sikt				.075	.125	.25	.5	1	2	4	8	16	31.5	63



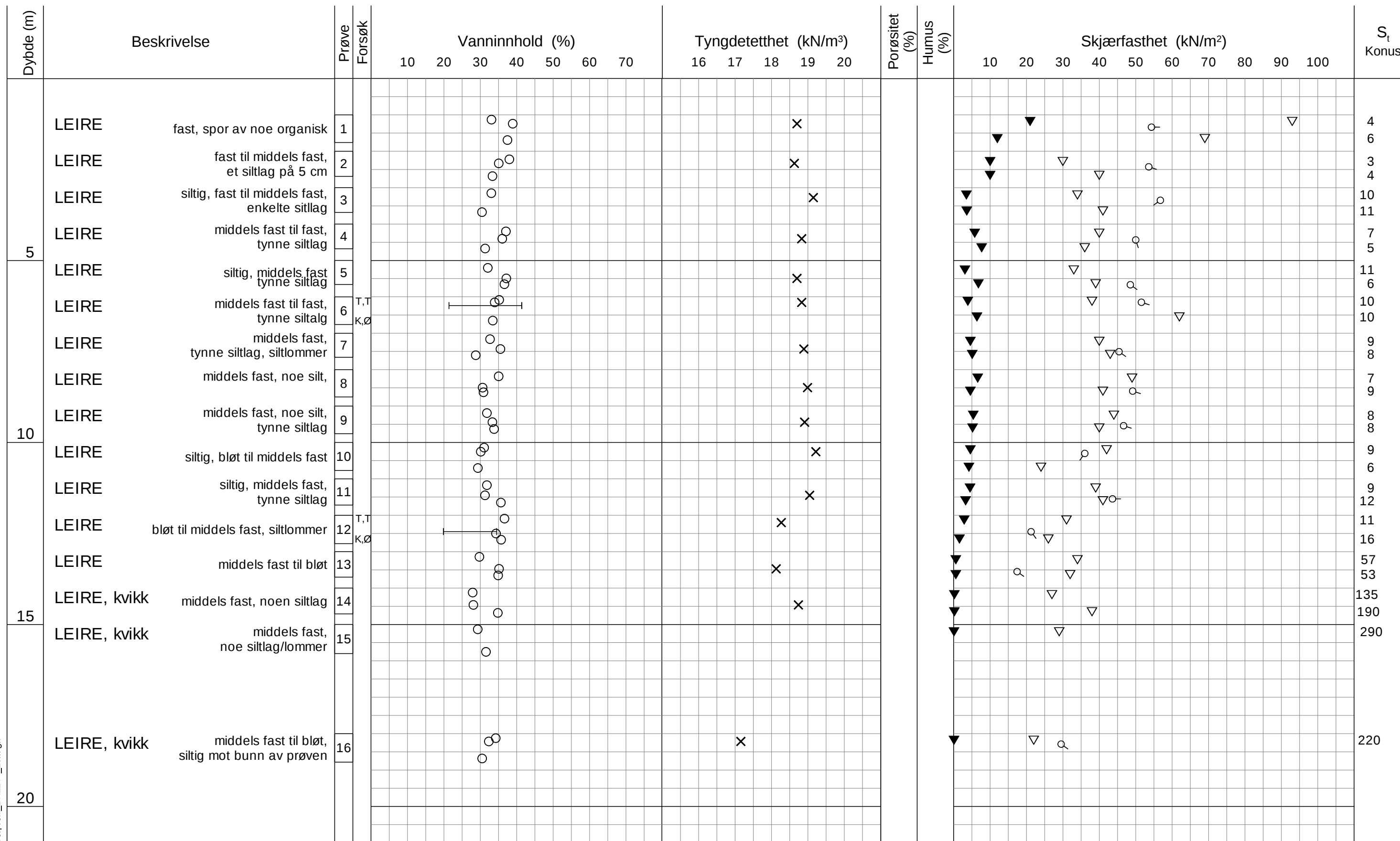
Kurve	Hull nr.	Prøve nr.	Dybde m	C_u (d_{60} / d_{10})	Tele gr.	Leir innh. %	Jordartsbetegnelse	Metode tørr/våt sikt
A	2212	10-D-1	10.55		T3	43.0	LEIRE	Fall
B	2212	15-A-1	16.21		T3	50.9	LEIRE	Fall
C								
D								
E	2212	17-B-1	20.4		T3	40.9	LEIRE	Fall
F								
G								
H								

Rev. NT-12 / Dato 2010-11-22 / Sign. SK/EB

H:\LABDATA\2012\20120491\Rutine\BH2212\gran bh 2212.xlsx\Ploet

E16 Nybakk - Slomarka	Dokumentnr.	20120491-02-R
	Dato	2013-04-29
Kornfordelingskurver	Figurnr.	E10
	Tegnet av	JLa/

H:\LABDATA\2012\20120491\Rutine\BH2214\Borprofil_BH2214_20m.grf

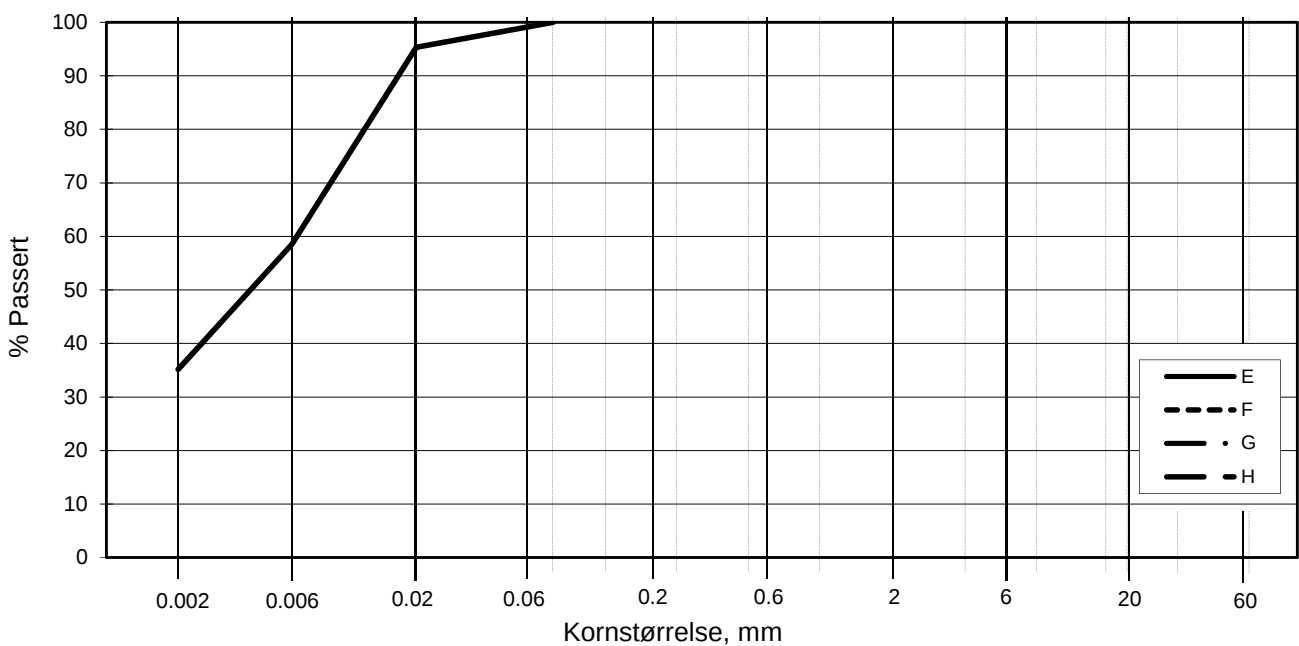
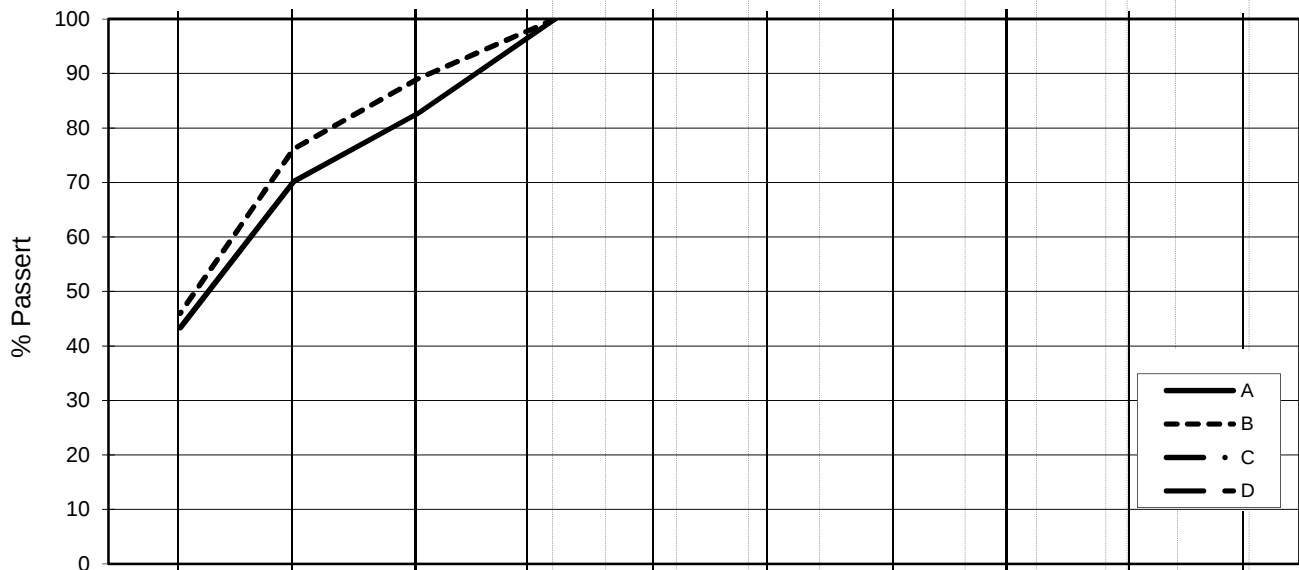


TEGNFORKLARING:

- | | | | |
|--------|--|----------------|----------------------------|
| —○— | Plastisitetsgrense/Vanninnhold/Flytegrense | ○ | Ødometer forsøk |
| 15—○—5 | Enaks. trykkforsøk/def. ved brudd | ● | Treksial forsøk, aktiv |
| 10 | | ● | Treksial forsøk, passiv |
| ▽ | Konus forsøk, uforstyrret | ⊠ | Direkte skjærforsøk |
| ▼ | Konus forsøk, omrørt | T | Treksial forsøk |
| + | Vingeboring | S _t | Sensitivitet |
| | | P | Permeabilitetsforsøk |
| | | K | Korngraderingsanalyse |
| | | K/S | Kalk-/Sement stabilisering |

E16 Nybakk - Slomarka		Dato/Rev. 2012-09-25/03
Borprofil	Prøvetype: 72 mm	Dokumentnr. 20120491-02-R
Borpunkt nr.: 2214	Terrengkote: 133,6 moh	Dato 2013-06-11
	Grunnvannst. dybde: m	Figurnr. E11-1
	Dato boret: 2013-03-06	Tegner FI

L E I R	SILT			SAND			GRUS							
	Fin	Middels	Grov	Fin	Middels	Grov	Fin	Middels	Grov					
US Standard Sikt				200	100	50	30	16	8	4	3/8"	3/4"	1.5"	3"
ISO Standard Sikt				.075	.125	.25	.5	1	2	4	8	16	31.5	63



Kurve	Hull nr.	Prøve nr.	Dybde m	C _u (d ₆₀ / d ₁₀)	Tele gr.	Leir innh. %	Jordartsbetegnelse	Metode tørr/våt sikt
A	2214	6	6.2		T3	43.3	LEIRE	Fall
B	2214	12	12.55		T3	46.0	LEIRE	Fall
C								
D								
E	2214	18	21.2		T4	35.1	LEIRE	Fall
F								
G								
H								

Rev. NT-12 / Dato 2010-11-22 / Sign. SK/EB

H:\LABDATA\2012\20120491\Rutine\BH2214\gram BH 2214.xlsx\Plot

E16 Nybakk - Slomarka

Kornfordelingskurver

Dokumentnr.

20120491-02-R

Dato

2013-06-19

Figurnr.

E12

Tegnet av

FP/



P:\2012\04\2012049\1\Lab fra labben\Frutine\BH2222\Borprofil_BH2222_20m.grf

Dybde (m)	Beskrivelse	Prøve Forsøk	Vanninnhold (%)							Tyngdetetthet (kN/m ³)					Porøsitet (%)	Humus (%)	Skjærfasthet (kN/m ²)										S _t Konus						
			10	20	30	40	50	60	70	16	17	18	19	20			10	20	30	40	50	60	70	80	90	100							
5	LEIRE middels fast, enkelte siltlag, tørrskorpe flekker	1			○													▽	▽														0
	LEIRE middels fast, m/ tynne siltlag	2			○													▽	▽	○													4
	LEIRE middels fast, m/ enkelte tynne siltlag SILT/LEIRE - lagdeling fra 4.5m	3			○													▽	▽	○													5
	LEIRE middels fast, enkelte tynne siltlag	4			○													▽	▽	○													5
10	LEIRE middels fast, m/ tynne siltlag	5			○													▽	▽	○													7
	LEIRE middels fast, m/ tynne siltlag, enkelte siltlommer	6			○													▽	▽	○													3
	LEIRE fast til middels fast, m/ siltlag	7			○													▽	▽	○													6
	LEIRE fast, med siltlag, enkelte siltlommer	8			○													▽	▽	○													14
	LEIRE middels fast til fast, m/ siltlag	9			○													▽	▽	○													7
	LEIRE middels fast, m/ siltlag,	10			○													▽	▽	○													9
	LEIRE middels fast, m/ siltlag,	11			○													▽	▽	○													14
	LEIRE fast til middels fast, tynne siltlag, homogen	12			○													▽	▽	○													
15	LEIRE middels fast, siltlag	13			○													▽	▽	○													14
	LEIRE KVIKK mot bunn av prøven, middels fast, tynne siltlag	14			○													▽	▽	○													9
	LEIRE, kvikk bløt til middels fast, homogen	15			○													▽	▽	○													35
	LEIRE, kvikk siltlag, forstyrret	16			○													▽	▽	○													120

TEGNFORKLARING:

- Plastisitetsgrense/Vanninnhold/Flytegrense
- Enaks. trykkforsøk/def.ved brudd
- ▽ Konus forsøk, uforstyrret
- ▼ Konus forsøk, omrørt
- + Vingebooring
- Treksial forsøk, aktiv
- Treksial forsøk, passiv
- ▣ Direkte skjærforsøk
- S_t Sensitivitet
- ∅ = Ødometer forsøk
- P = Permeabilitetsforsøk
- K = Korngraderingsanalyse
- T = Treksial forsøk
- K/S = Kalk-/Sement stabilisering

E16 Nybakk - Slomarka

Borprofil
Borpunkt nr.: 2222

Prøvetype: 72 mm
Terrengkote: 138,2 moh
Grunnvannst. dybde: m
Dato boret: 2013-03-06

Dato/Rev. 2012-09-25/03

Dokumentnr. 20120491-02-R

Dato 2013-08-07

Figurnr. E13-1

Tegner FI




P:\2012\04\20120491\Lab fra labben\Routine\BH2222\Borprofil_BH2222_20-40m.grf

Dybde (m)	Beskrivelse	Prøve Forsøk	Vanninnhold (%)							Tyngdetetthet (kN/m ³)					Porøsitet (%)	Humus (%)	Skjærfasthet (kN/m ²)										S _t Konus/Ving	
			10	20	30	40	50	60	70	16	17	18	19	20			10	20	30	40	50	60	70	80	90	100		
25	LEIRE, kvikk	siltig, bløt, siltlag	17	-----														▽										75
	LEIRE, kvikk	siltig, siltlommer	18	○							x							▽										
30																												
35																												
40																												

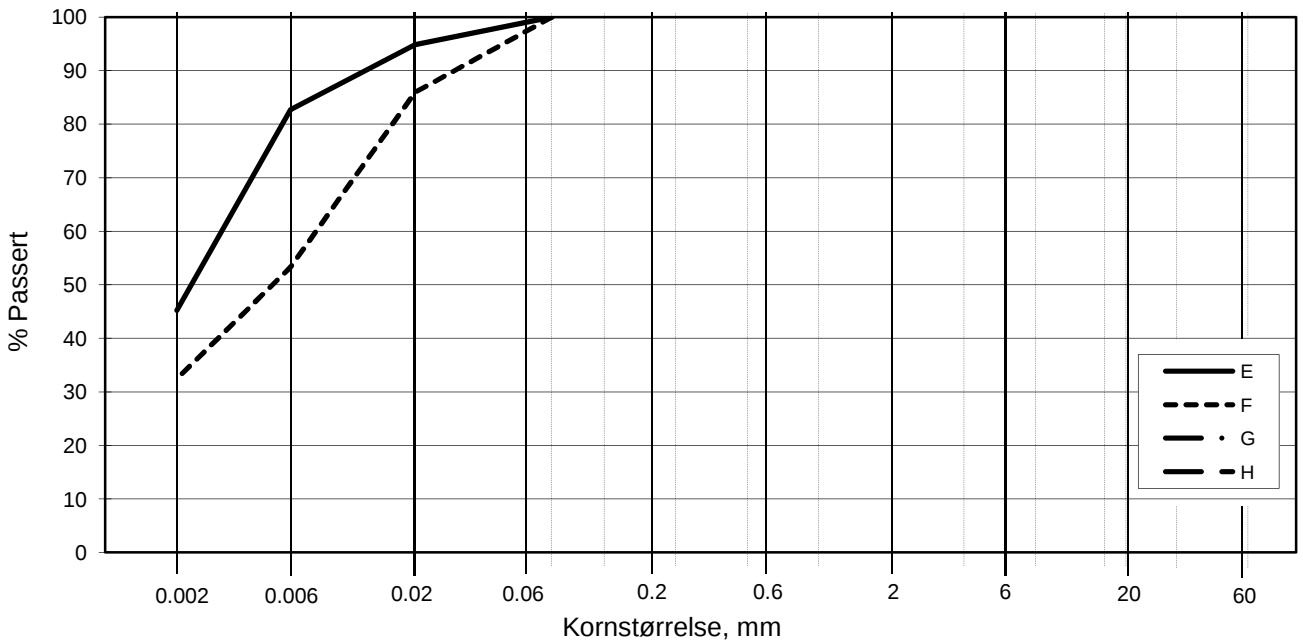
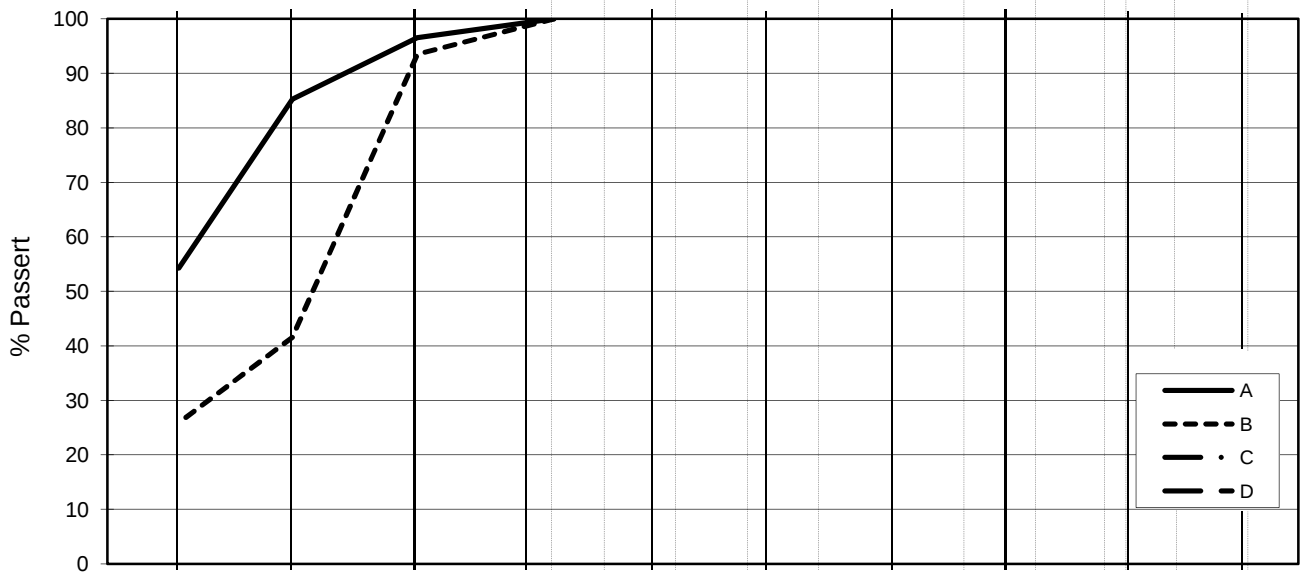
TEGNFORKLARING:

- | | | | |
|--------|--|----------------|----------------------------|
| —○— | Plastisitetsgrense/Vanninnhold/Flytegrense | ∅ | ∅dometer forsøk |
| 15-○-5 | Enaks. trykkforsøk/def.ved brudd | ● | Treksial forsøk, aktiv |
| 10 | | ● | Treksial forsøk, passiv |
| ▽ | Konus forsøk, uforstyrret | ⊞ | Direkte skjærforsøk |
| ▼ | Konus forsøk, omrørt | T | Treksial forsøk |
| + | Vingeboring | S _t | Sensitivitet |
| | | K/S | Kalk-/Sement stabilisering |
| | | P | Permeabilitetsforsøk |
| | | K | Korngraderingsanalyse |

Dato/Rev. 2012-09-25/03

E16 Nybakk - Slomarka			Dokumentnr. 20120491-02-R
Borprofil	Prøvetype:	72 mm	Dato 2013-08-07
Borhull: 2222	Terrengkote:	138,2 moh	Figurnr. E13-2
	Grunnvannst. dybde:	m	Tegner FI
	Dato boret:	2013-03-06	

L E I R	SILT			SAND			GRUS							
	Fin	Middels	Grov	Fin	Middels	Grov	Fin	Middels	Grov					
US Standard Sikt				200	100	50	30	16	8	4	3/8"	3/4"	1.5"	3"
ISO Standard Sikt				.075	.125	.25	.5	1	2	4	8	16	31.5	63



Kurve	Hull nr.	Prøve nr.	Dybde m	C _u (d ₆₀ / d ₁₀)	Tele gr.	Leir innh. %	Jordartsbetegnelse	Metode tørr/våt sikt
A	2222	5	5.23		T3	54.2	LEIRE	Fall
B	2222	10	10.2		T4	25.9	LEIRE, siltig	Fall
C								
D								
E	2222	15	17.22		T3	45.2	LEIRE	Fall
F	2222	17	21.35		T4	32.4	LEIRE	Fall
G								
H								

Rev. NT-12 / Dato 2010-11-22 / Sign. SK/EB

H:\LABDATA\2012\20120491\Rutine\BH2222\grain BH 2222.xls\Plot

E16 Nybakk - Slomarka

Kornfordelingskurver

Dokumentnr.
20120491-02-R

Dato
2013-03-24

Figurnr.
E14

Tegnet av
FP/



Dybde (m)	Beskrivelse	Prøve Forsøk	Vanninnhold (%)							Tyngdetetthet (kN/m ³)					Porøsitet (%)	Humus (%)	Skjærfasthet (kN/m ²)											S _t Konus	
			10	20	30	40	50	60	70	16	17	18	19	20			10	20	30	40	50	60	70	80	90	100			
5	LEIRE, tørrskorpe	1													X													▽370	
	LEIRE, tørrskorpe	2																										2	
	LEIRE	3																										2	
	LEIRE	4																										2	
	LEIRE	5	T	----- ----- ----- ----- ----- ----- -----												X													6
10	LEIRE	6													X													6	
	LEIRE	7																										13	
	LEIRE	8													X													13	
	LEIRE	9													X													13	
	LEIRE	10	T	----- ----- ----- ----- ----- ----- -----												X													14
	LEIRE	11	T	----- ----- ----- ----- ----- ----- -----																									17
	LEIRE	12	K,Ø																										12
	LEIRE	13	K,Ø													X													13
15	LEIRE	14													X													19	
	LEIRE	15	T	----- ----- ----- ----- ----- ----- -----												X													25
	LEIRE	16	T	----- ----- ----- ----- ----- ----- -----												X													16
	LEIRE	17	K,Ø																										23
	LEIRE	18	K,Ø													X													26
20	LEIRE	19													X													26	
	LEIRE	20													X													27	
	LEIRE	21													X													22	
	LEIRE	22													X													28	
20	LEIRE	23													X													19	
	LEIRE	24													X													50	
	LEIRE	25													X													24	

TEGNFORKLARING:

- | Plastisitetsgrense/Vanninnhold/Flytegrense
- | Enaks. trykkforsøk/def. ved brudd
- ▽ Konus forsøk, uforstyrret
- ▼ Konus forsøk, omrørt
- + Vingeboring
- Treksial forsøk, aktiv
- Treksial forsøk, passiv
- ⊞ Direkte skjærforsøk
- S_t Sensitivitet
- Ø = Ødometer forsøk
- P = Permeabilitetsforsøk
- K = Korngraderingsanalyse
- T = Treksial forsøk
- K/S = Kalk-/Sement stabilisering

E16 Nybakk - Slomarka		Dato/Rev. 2012-09-25/03	
Borprofil	Prøvetype: 72 mm	Dokumentnr. 20120491-02-R	
Borpunkt nr.: 2264	Terrengkote: 146,2 moh	Dato 2013-10-29	
	Grunnvannst. dybde: m	Figurnr. E15-1	
	Dato boret: 2013-02-20	Tegner FI	



P:\2012\04\20120491\Lab fra labbeni\Rutine\BH2264\Borprofil_BH2264_20-40m.gif

Dybde (m)	Beskrivelse	Prøve	Forsøk	Vanninnhold (%)						Tyngdetetthet (kN/m ³)					Porøsitet (%)	Humus (%)	Skjærfasthet (kN/m ²)										S _t Konus/Ving					
				10	20	30	40	50	60	70	16	17	18	19			20	10	20	30	40	50	60	70	80	90		100				
25	LEIRE		T,T			○																									39	
		siltig, fast til middels fast, tynne siltlag				○																									15	
	LEIRE		K,Ø			○																									16	
		fast til middels fast, tynne siltlag				○																										29
	LEIRE					○																										15
	LEIRE					○																									17	
		fast, tynne siltlag, homogen				○																									6	
	LEIRE					○																									7	
		siltig, middels fast, noen siltlag				○																									20	
30																																
35																																
40																																

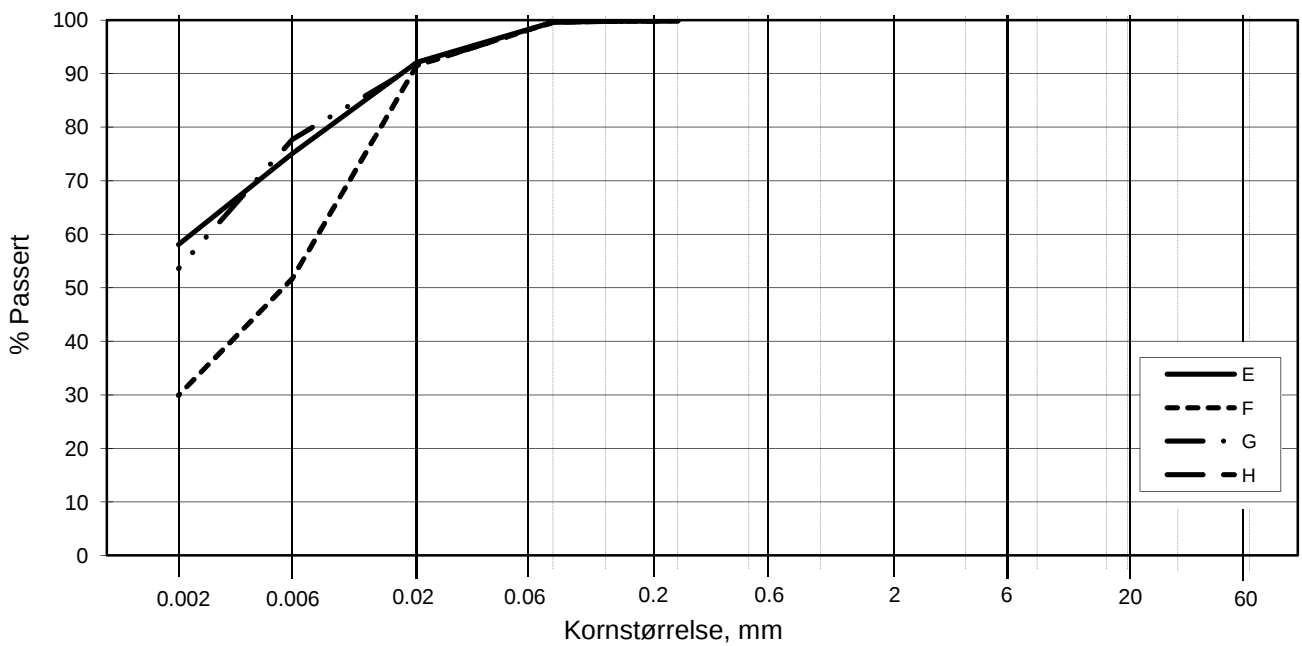
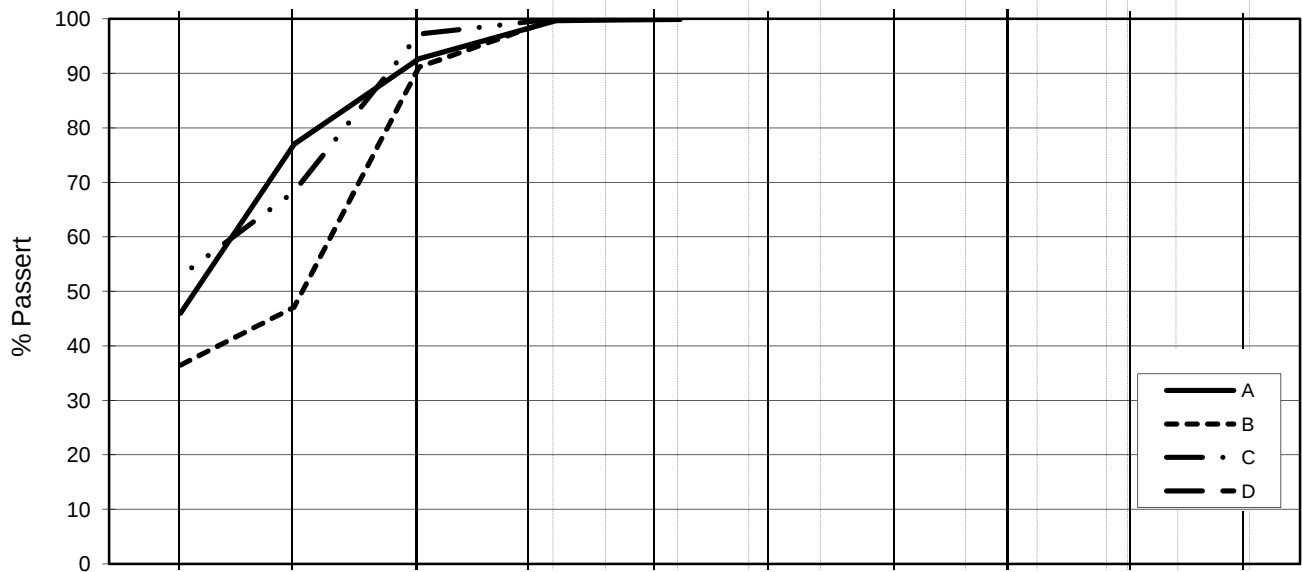
TEGNFORKLARING:

- | | | | |
|--------|--|----------------|----------------------------|
| —○— | Plastisitetsgrense/Vanninnhold/Flytegrense | ○ | Ødometer forsøk |
| 15—○—5 | Enaks. trykkforsøk/def. ved brudd | ● | Treksial forsøk, aktiv |
| 10 | | ● | Treksial forsøk, passiv |
| ▽ | Konus forsøk, uforstyrret | ⊞ | Direkte skjærforsøk |
| ▼ | Konus forsøk, omrørt | T | Treksial forsøk |
| + | Vingeboring | S _t | Sensitivitet |
| | | K/S | Kalk-/Sement stabilisering |
| | | P | Permeabilitetsforsøk |
| | | K | Korngraderingsanalyse |

E16 Nybakk - Slomarka		Dato/Rev. 2012-09-25/03	
		Dokumentnr. 20120491-02-R	
Borprofil		Prøvetype:	72 mm
Borhull:	2264	Terrengkote:	146,2 moh
		Grunnvannst. dybde:	m
		Dato boret:	2013-02-20
		Figurnr.	E 15-2
		Tegner	FI



L E I R	SILT			SAND			GRUS							
	Fin	Middels	Grov	Fin	Middels	Grov	Fin	Middels	Grov					
US Standard Sikt				200	100	50	30	16	8	4	3/8"	3/4"	1.5"	3"
ISO Standard Sikt				.075	.125	.25	.5	1	2	4	8	16	31.5	63



Kurve	Hull nr.	Prøve nr.	Dybde m	C_u (d_{60} / d_{10})	Tele gr.	Leir innh. %	Jordartsbetegnelse	Metode tørr/våt sikt
A	2264	5	5.23		T3	46.0	LEIRE	Fall
B	2264	8	8.28		T4	36.5	LEIRE	Fall
C	2264	8	8.43		T3	52.8	LEIRE	Fall
D								
E	2264	10	10.2		T3	58.1	LEIRE	Fall
F	2264	15	15.4		T4	29.9	LEIRE, siltig	Fall
G	2264	20	20.6		T3	53.6	LEIRE	Fall
H								

Rev. NT-12 / Dato 2010-11-22 / Sign. SK/EB

H:\LABDATA\2012\20120491\Rutine\BH2264\grain BH 2264.xlsx\Plot

E16 Nybakk - Slomarka

Kornfordelingskurver

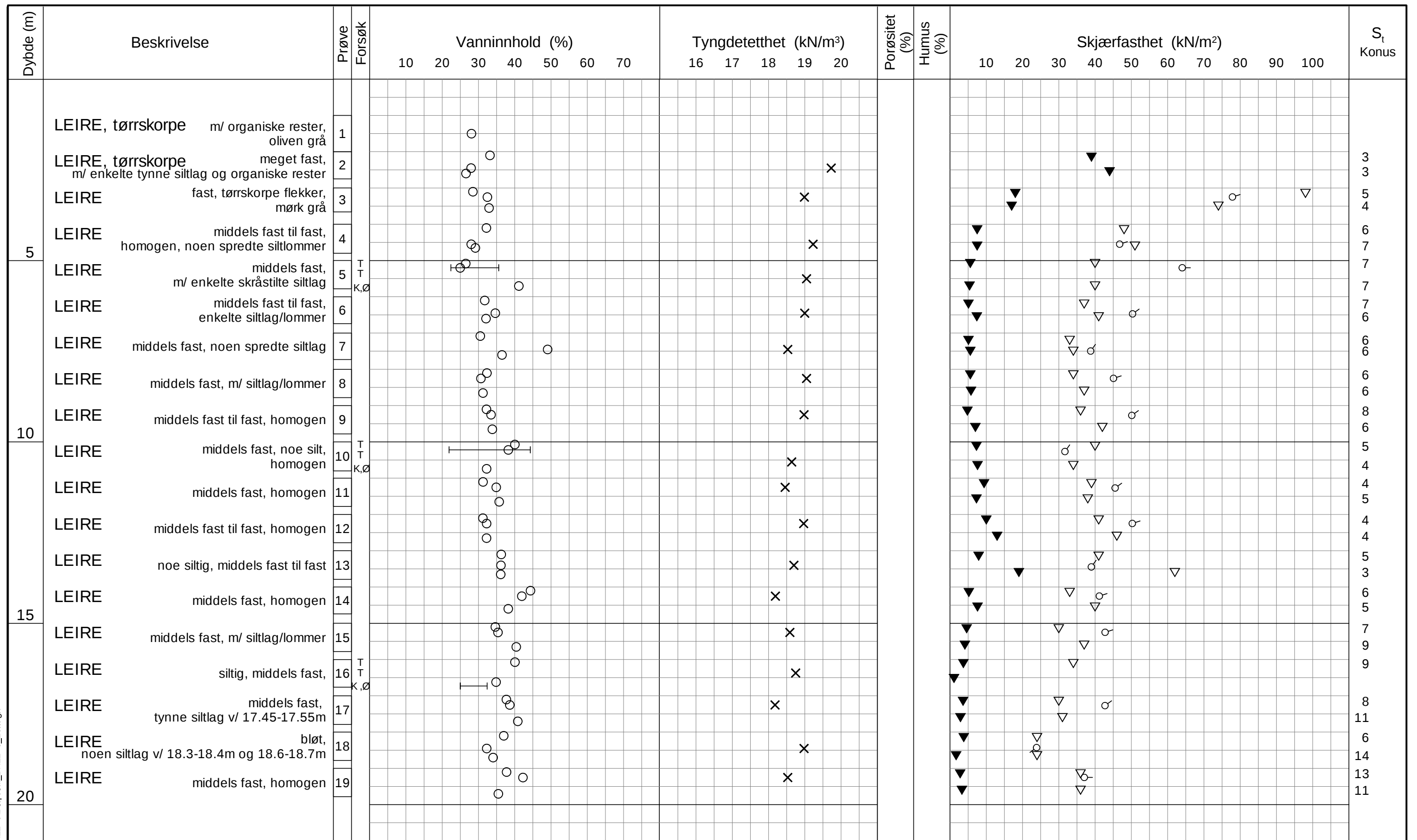
Dokumentnr.
20120491-02-R

Dato
2013-04-29

Figurnr.
E16

Tegnet av
FP/





TEGNFORKLARING:

- ⊖ Plastisitetsgrense/Vanninnhold/Flytegrense
- ⊖ Enaks. trykkforsøk/def. ved brudd
- ▽ Konus forsøk, uforstyrret
- ▼ Konus forsøk, omrørt
- + Vingeboring
- ⊙ Treksial forsøk, aktiv
- ⦿ Treksial forsøk, passiv
- ⊗ Direkte skjærforsøk
- S_t Sensitivitet
- ∅ = Ødometer forsøk
- P = Permeabilitetsforsøk
- K = Korngraderingsanalyse
- T = Treksial forsøk
- K/S = Kalk-/Sement stabilisering


E16 Nybakk - Slomarka		Dato/Rev. 2012-09-25/03	
		Dokumentnr. 20120491-02-R	
Borprofil Borpunkt nr.: 2270 Prøve nr.1 er poseprøve		Prøvetype: pose / 72 mm Terrengekote: 157,8 moh Grunnvannst. dybde: m Dato boret: 2013-02-28	
		Dato 2013-10-29 Figurnr. E17-1 Tegner FI	

P:\2012\04\20120491\Lab fra labben\Routine\BH2270\Borprofil_BH2270_20-40m.grf

Dybde (m)	Beskrivelse	Prøve Forsøk	Vanninnhold (%)					Tyngdetetthet (kN/m ³)					Porøsitet (%)	Humus (%)	Skjærfasthet (kN/m ²)										S _t Konus/Ving
			10	20	30	40	50	60	70	16	17	18			19	20	10	20	30	40	50	60	70	80	
25	LEIRE	middels fast, noen få siltlommer	20	T, T																					15
	LEIRE, kvikk	middels fast til bløt, siltig mot bunn av prøven	21	K, Ø																					19
	LEIRE, kvikk	middels fast, noen få siltlag	22																						36
	LEIRE, kvikk	bløt til veldig bløt, noen siltlag/lommer	23																						47
	LEIRE, kvikk	bløt, noen få siltlag	24																						150
																								170	
																								27	
																								42	
																								65	
																								240	
30																									
35																									
40																									

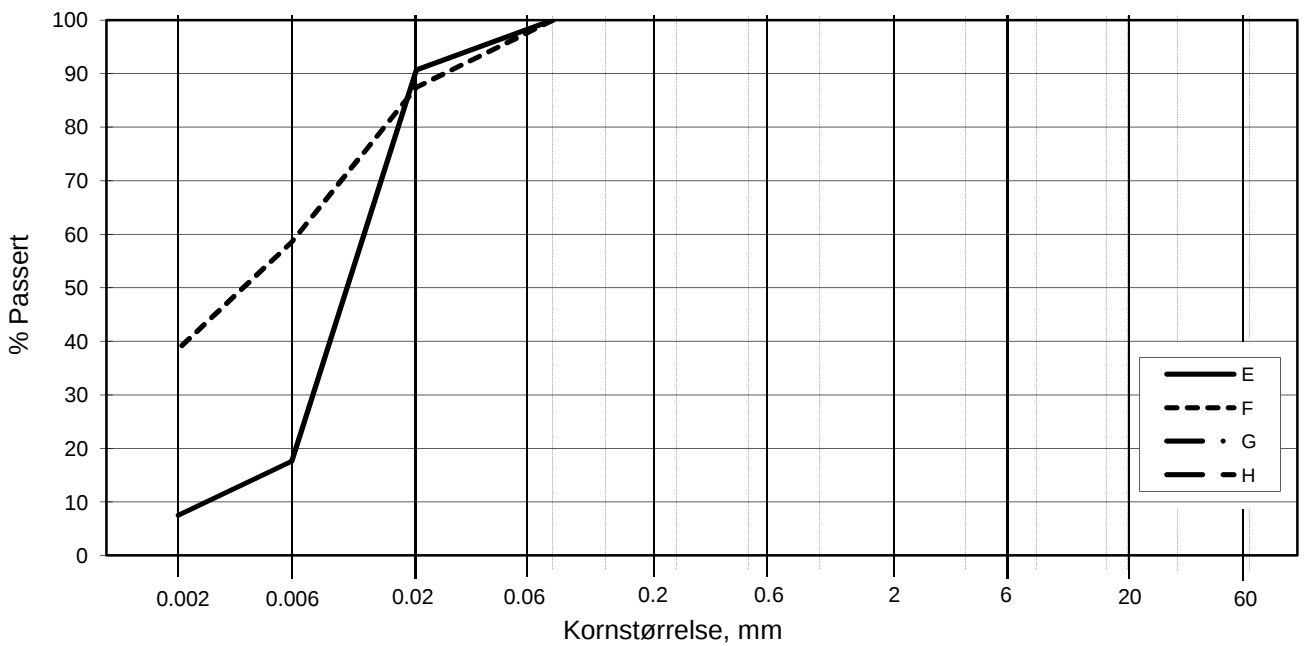
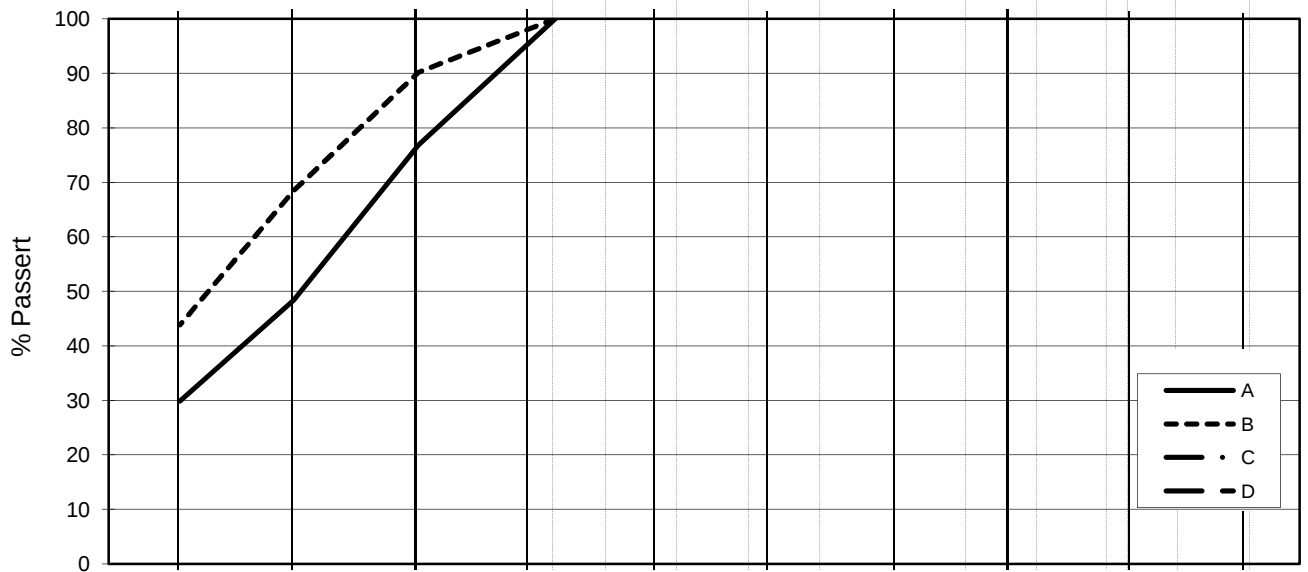
TEGNFORKLARING:

- | | | | |
|--------|--|----------------|----------------------------|
| —○— | Plastisitetsgrense/Vanninnhold/Flytegrense | Ø | Ødometer forsøk |
| 15-○-5 | Enaks. trykkforsøk/def. ved brudd | ● | Treksial forsøk, aktiv |
| 10 | | ● | Treksial forsøk, passiv |
| ▽ | Konus forsøk, uforstyrret | ⊞ | Direkte skjærforsøk |
| ▼ | Konus forsøk, omrørt | T | Treksial forsøk |
| + | Vingeboring | S _t | Sensitivitet |
| | | P | Permeabilitetsforsøk |
| | | K | Korngraderingsanalyse |
| | | K/S | Kalk-/Sement stabilisering |

E16 Nybakk - Slomarka		Dokumentnr. 20120491-02-R
Borprofil	Prøvetype: 72 mm	Dato 2013-10-29
Borhull: 2270	Terrengkote: 157,8 moh	Figurnr. E17-2
	Grunnvannst. dybde: m	Tegner FI
	Dato boret: 2013-03-28	

Dato/Rev. 2012-09-25/03


L E I R	SILT			SAND			GRUS							
	Fin	Middels	Grov	Fin	Middels	Grov	Fin	Middels	Grov					
US Standard Sikt				200	100	50	30	16	8	4	3/8"	3/4"	1.5"	3"
ISO Standard Sikt				.075	.125	.25	.5	1	2	4	8	16	31.5	63

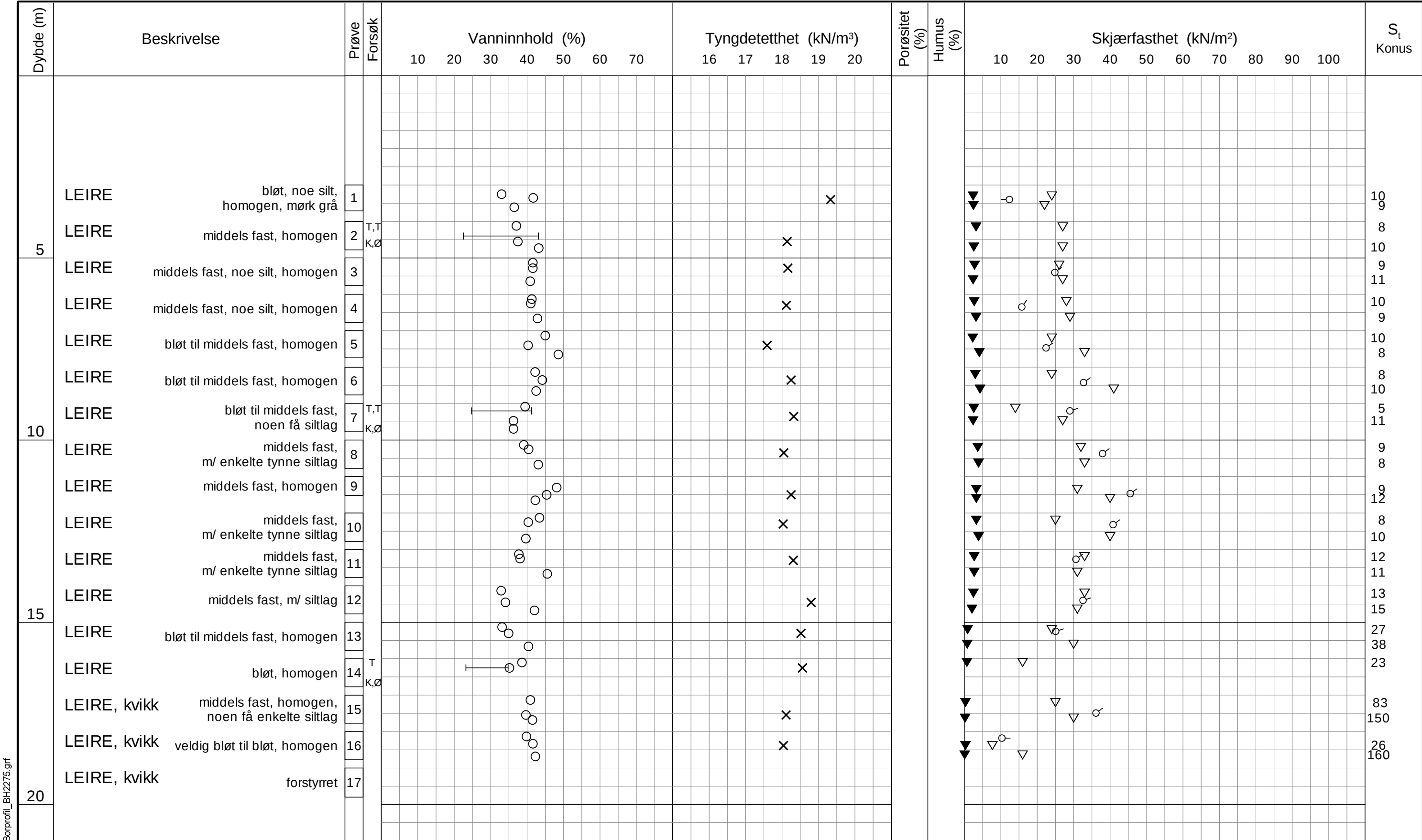


Kurve	Hull nr.	Prøve nr.	Dybde m	C_u (d_{60} / d_{10})	Tele gr.	Leir innh. %	Jordartsbetegnelse	Metode tørr/våt sikt
A	2270	5-A-1	5.2		T4	29.9	LEIRE, siltig	Fall
B	2270	10-A-1	10.22		T3	43.9	LEIRE	Fall
C								
D								
E	2270	16	16.66	4.6	T4	7.5	SILT, leirig	Fall
F	2270	20-A-1	20.21		T4	38.5	LEIRE	Fall
G								
H								

Rev. NT-12 / Dato 2010-11-22 / Sign. SK/EB


H:\LABDATA\2012\20120491\Rutinel\BH2270\grain BH 2270.xls\Plot

<h2>E16 Nybakk - Slomarka</h2> <h3>Kornfordelingskurver</h3>	Dokumentnr.	20120491-02-R
	Dato	2013-04-30
	Figurnr.	E18
	Tegnet av	JLa/
		



TEGNFORKLARING:

- | | | |
|--------|--|----------------------------------|
| —○— | Plastisitetsgrense/Vanninnhold/Flytegrense | Ø = Ødometer forsøk |
| ○ | Enaks. trykkforsøk/def. ved brudd | ● Treksial forsøk, aktiv |
| ○ | | ● Treksial forsøk, passiv |
| 15—○—5 | | P = Permeabilitetsforsøk |
| 10 | | K = Korngraderingsanalyse |
| ▽ | Konus forsøk, uforstyrret | T = Treksial forsøk |
| ▼ | Konus forsøk, omrørt | K/S = Kalk-/Sement stabilisering |
| + | Vingeboring | S _i Sensitivitet |

E16 Nybakk - Slomarka			Dato/Rev. 2012-09-25/03
Borprofil			Dokumentnr. 20120491-02-R
Borpunkt nr.: 2275			Dato 2013-05-06
Prøvetype: 72 mm			Figurnr. E19-1
Terrengkote: 154,0 moh			Tegner FI
Grunnvannst. dybde: m			
Dato boret: 2013-02-28			

H:\LABDATA\2012\20120491\Rutine\BH2275\Borprofil_BH2275_20-40m.grf

Dybde (m)	Beskrivelse	Prøve Forsøk	Vanninnhold (%)							Tyngdetetthet (kN/m ³)					Porøsitet (%)	Humus (%)	Skjærfasthet (kN/m ²)										S _t Konus/Ving
			10	20	30	40	50	60	70	16	17	18	19	20			10	20	30	40	50	60	70	80	90	100	
25	LEIRE, kvikk	middels fast, homogen, m/ tynne siltlag	18																								130
	LEIRE, kvikk	middels fast til bløt, homogen, mørk grå	19																								135
	LEIRE, kvikk	bløt, homogen	20																								90
	LEIRE, kvikk	bløt, homogen	21																								140
	LEIRE, kvikk	veldig bløt, homogen, noe forstyrret	22																								70
30																											
35																											
40																											

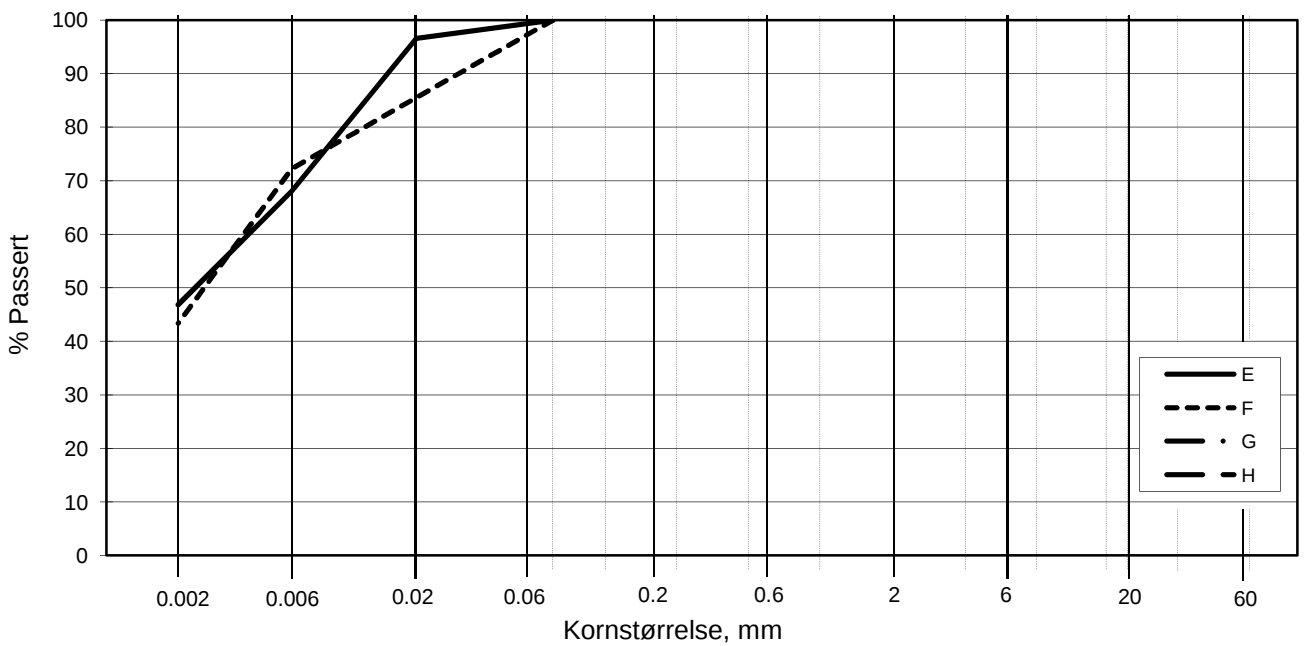
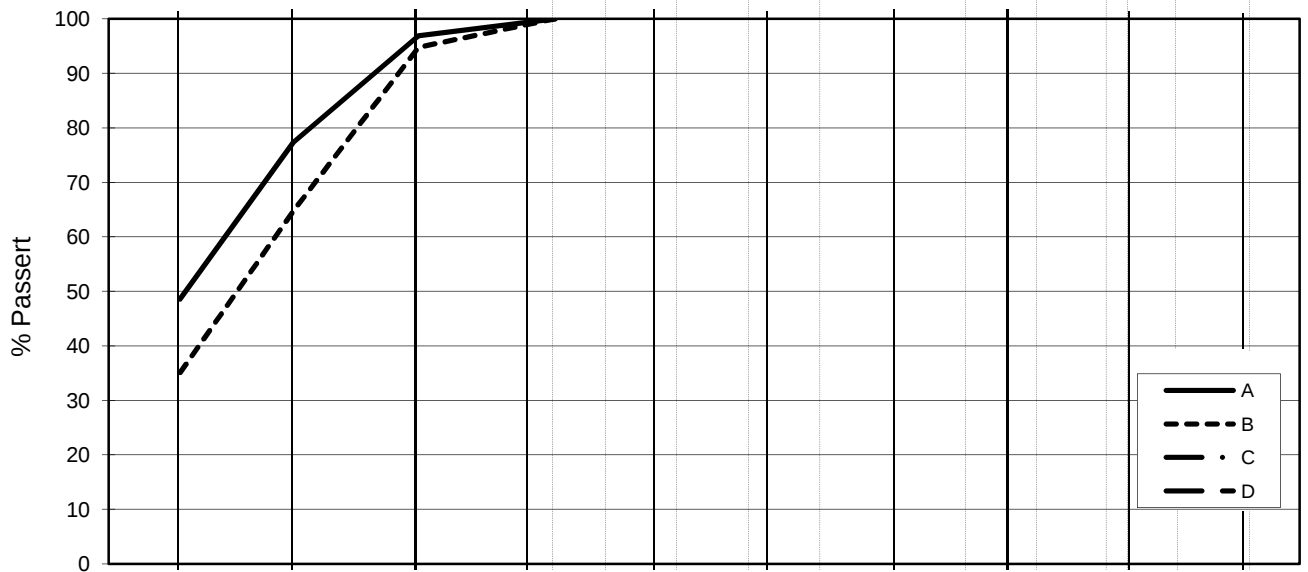
TEGNFORKLARING:

- | | |
|--|----------------------------------|
| Plastisitetsgrense/Vanninnhold/Flytegrense | Ø = Ødometer forsøk |
| Enaks. trykkforsøk/def. ved brudd | Tre aksial forsøk, aktiv |
| Konus forsøk, uforstyrret | Tre aksial forsøk, passiv |
| Konus forsøk, omrørt | Direkte skjærforsøk |
| Vingeboring | S _t Sensitivitet |
| | P = Permeabilitetsforsøk |
| | K = Korngraderingsanalyse |
| | T = Tre aksial forsøk |
| | K/S = Kalk-/Sement stabilisering |

E16 Nybakk - Slomarka		Dokumentnr. 20120491-02-R	
Borprofil	Prøvetype: 72 mm	Dato 2013-05-06	
Borhull: 2275	Terrengkote: 154,0 moh	Figurnr. E19-2	
	Grunnvannst. dybde: m	Tegner FI	
	Dato boret: 2013-03-28		

Dato/Rev. 2012-09-25/03

LEIRE	SILT			SAND			GRUS							
	Fin	Middels	Grov	Fin	Middels	Grov	Fin	Middels	Grov					
	US Standard Sikt			200	100	50	30	16	8	4	3/8"	3/4"	1.5"	3"
	ISO Standard Sikt			.075	.125	.25	.5	1	2	4	8	16	31.5	63



Kurve	Hull nr.	Prøve nr.	Dybde m	C_u (d_{60} / d_{10})	Tele gr.	Leir innh. %	Jordartsbetegnelse	Metode tørr/våt sikt
A	2275	2	4.58		T3	48.5	LEIRE	Fall
B	2275	7	9.2		T4	35.0	LEIRE	Fall
C								
D								
E	2275	14	16.63		T3	46.9	LEIRE	Fall
F	2275	21	21.22		T3	43.4	LEIRE	Fall
G								
H								

Rev. NT-12 / Dato 2010-11-22 / Sign. SK/EB

H:\LABDATA\2012\20120491\Rutne\BH2275\grain BH 2275.xls\Plot

<h2>E16 Nybakk - Slomarka</h2> <h3>Kornfordelingskurver</h3>	Dokumentnr.	20120491-02-R
	Dato	2013-03-24
	Figurnr.	E20
	Tegnet av	FP/



P:\2012\04\20\120491\Lab fra labben\Routine\BH2284\Borprofil_BH2284_20m.grf

Dybde (m)	Beskrivelse	Prøve Forsøk	Vanninnhold (%)					Tyngdetetthet (kN/m³)					Porøsitet (%)	Humus (%)	Skjærfasthet (kN/m²)										S _t Konus	
			10	20	30	40	50	60	70	16	17	18			19	20	10	20	30	40	50	60	70	80		90
5	LEIRE, tørrskorpe m/ enkelte siltlommer, mørk oliven grå	1			35	40							19													2
	LEIRE meget fast til fast, m/ siltlag/lommer, m/ tørrskorpeflekker/lommer	2		25	28								19													3
	LEIRE middels fast til bløt, enkelte tørrskorpelommer, markhull	3			38	42							18													4
	LEIRE bløt til middels fast, homogen	4			40	45							18													4
10	LEIRE middels fast, noe silt, homogen	5			35	40							18													4
	LEIRE bløt til middels fast, homogen	6	T		38	42							18													3
	LEIRE bløt, noe silt, homogen	7			35	40							18													6
	LEIRE bløt, homogen	8			35	40							18													8
	LEIRE bløt, homogen	9			35	40							18													5
	LEIRE bløt, homogen	10			35	40							18													9
	LEIRE bløt, homogen	11			35	40							18													7
	LEIRE bløt, homogen	12	T		35	40							18													10
	LEIRE bløt, homogen	13			35	40							18													12
	LEIRE, kvikk bløt, homogen	14			35	40							18													13
15	LEIRE, kvikk bløt til veldig bløt, homogen	15			35	40							18													24
	LEIRE, kvikk bløt, homogen	16	T		35	40							18													35
	LEIRE, kvikk bløt, homogen	17			35	40							18													47
20	LEIRE, kvikk																									75
																										55
																										63
																										95
																										65
																										57

TEGNFORKLARING:

- | | | | |
|--|--|--|----------------------------------|
| | Plastisitetsgrense/Vanninnhold/Flytegrense | | Ø = Ødometer forsøk |
| | Enaks. trykkforsøk/def.ved brudd | | Treksial forsøk, aktiv |
| | Konus forsøk, uforstyrret | | Treksial forsøk, passiv |
| | Konus forsøk, omrørt | | K = Korngraderingsanalyse |
| | Vingeboring | | T = Treksial forsøk |
| | S _t Sensitivitet | | K/S = Kalk-/Sement stabilisering |
| | | | P = Permeabilitetsforsøk |


E16 Nybakk - Slomarka		Dato/Rev. 2012-09-25/03
		Dokumentnr. 20120491-02-R
Borprofil	Prøvetype:	72 mm
	Terrengkote:	154,0 moh
Borpunkt nr.: 2284	Grunnvannst. dybde:	m
	Dato boret:	2013-03-07
	Dato 2013-10-29	
	Figurnr. E21-1	
	Tegner FI	

Dybde (m)	Beskrivelse	Prøve Forsøk	Vanninnhold (%)							Tyngdetetthet (kN/m³)					Porøsitet (%)	Humus (%)	Skjærfasthet (kN/m²)										S _t Konus/Ving
			10	20	30	40	50	60	70	16	17	18	19	20			10	20	30	40	50	60	70	80	90	100	
25	LEIRE, kvikk	18				○	○																				50
						○	○																				38
35	LEIRE, kvikk	19				○	○																				40
						○	○																				33

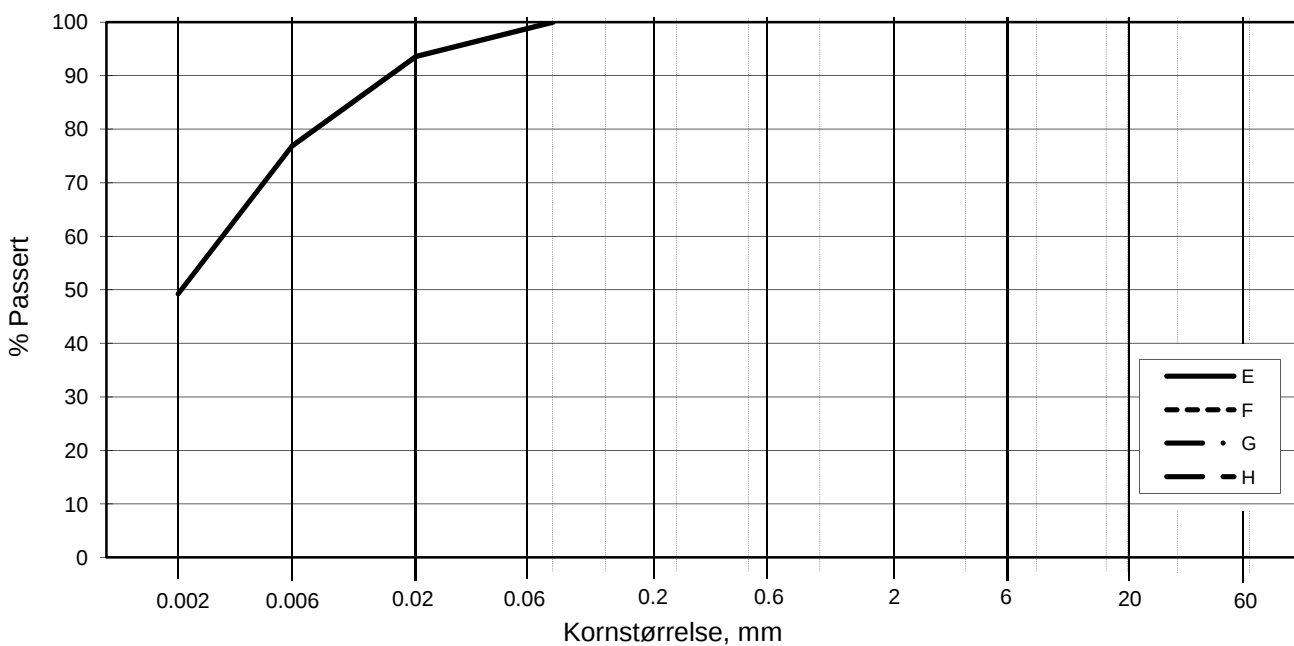
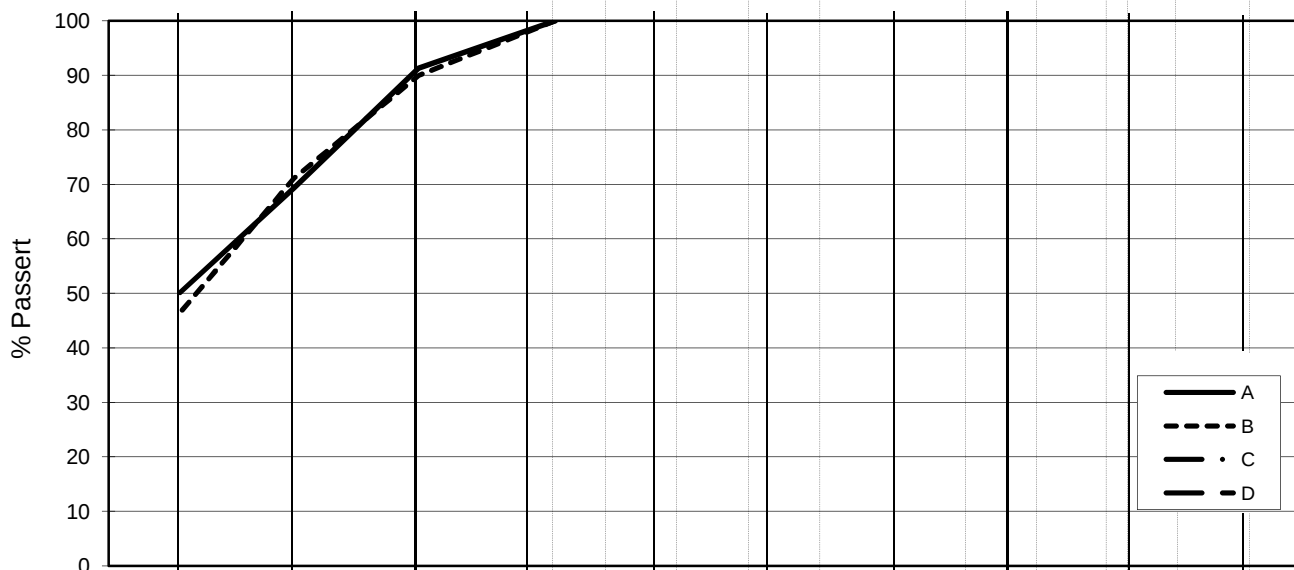
TEGNFORKLARING:

- | | | | |
|--------|--|----------------|----------------------------|
| ○ | Plastisitetsgrense/Vanninnhold/Flytegrense | ○ | Ødometer forsøk |
| 15-○-5 | Enaks. trykkforsøk/def. ved brudd | ● | Treksial forsøk, aktiv |
| 10 | | ● | Treksial forsøk, passiv |
| ▽ | Konus forsøk, uforstyrret | ⊠ | Direkte skjærforsøk |
| ▼ | Konus forsøk, omrørt | S _t | Sensitivitet |
| + | Vingeboring | | |
| | | P | Permeabilitetsforsøk |
| | | K | Korngraderingsanalyse |
| | | T | Treksial forsøk |
| | | K/S | Kalk-/Sement stabilisering |

Dato/Rev. 2012-09-25/03

E16 Nybakk - Slomarka			Dokumentnr. 20120491-02-R
Borprofil	Prøvetype: 72 mm	Dato 2013-10-29	
Borhull: 2284	Terrengkote: 154,0 moh	Figurnr. E21-2	
	Grunnvannst. dybde: m	Tegner FI	
	Dato boret: 2013-03-07		

LEIRE	SILT			SAND			GRUS							
	Fin	Middels	Grov	Fin	Middels	Grov	Fin	Middels	Grov					
	US Standard Sikt			200	100	50	30	16	8	4	3/8"	3/4"	1.5"	3"
	ISO Standard Sikt			.075	.125	.25	.5	1	2	4	8	16	31.5	63



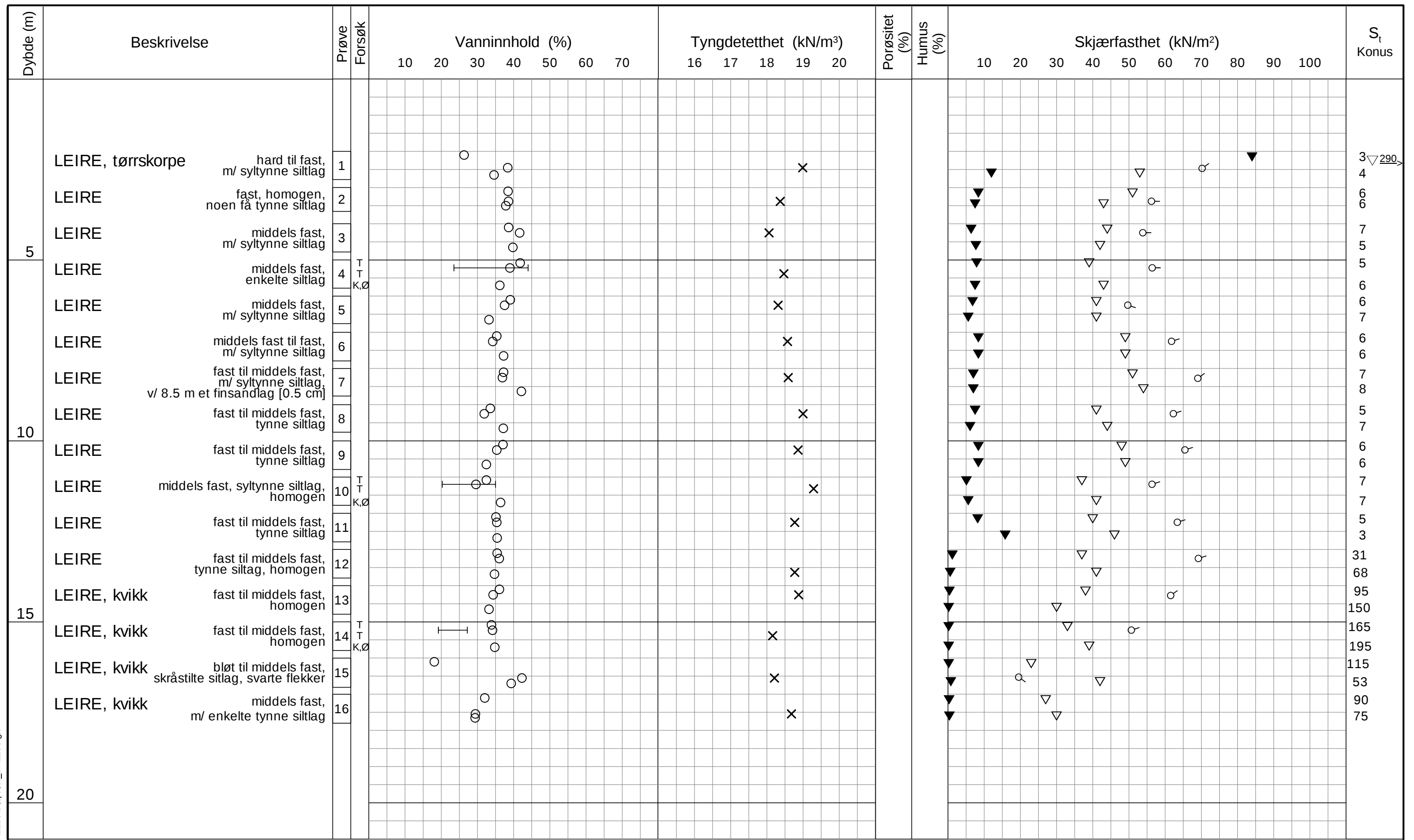
Kurve	Hull nr.	Prøve nr.	Dybde m	C _u (d ₆₀ / d ₁₀)	Tele gr.	Leir innh. %	Jordartsbetegnelse	Metode tørr/våt sikt
A	2284	6-D-1	6.55		T3	50.1	LEIRE	Fall
B	2284	12-A-1	12.22		T3	46.5	LEIRE	Fall
C								
D								
E	2284	16-A-1	17.22		T3	49.2	LEIRE	Fall
F								
G								
H								

Rev. NT-12 / Dato 2010-11-22 / Sign. SK/EB

H:\LABDATA\2012\20120491\Rutne\BH2284\grain BH 2284.xlsx\Plot

E16 Nybakk - Slomarka	Dokumentnr.	20120491-02-R
	Dato	2013-04-30
	Figurnr.	E22
	Tegnet av	JLa/
Kornfordelingskurver		

P:\2012\04\20120491\Lab fra labben\Frutine\BH2293\Borprofil_BH2293.grf

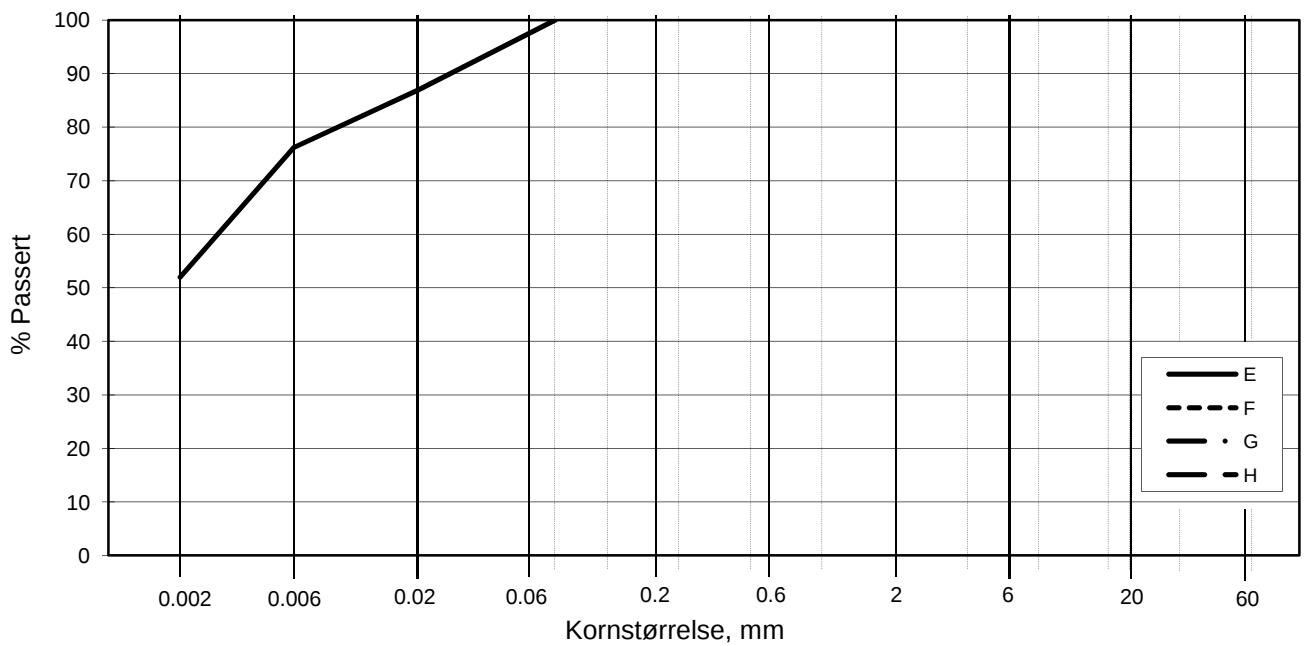
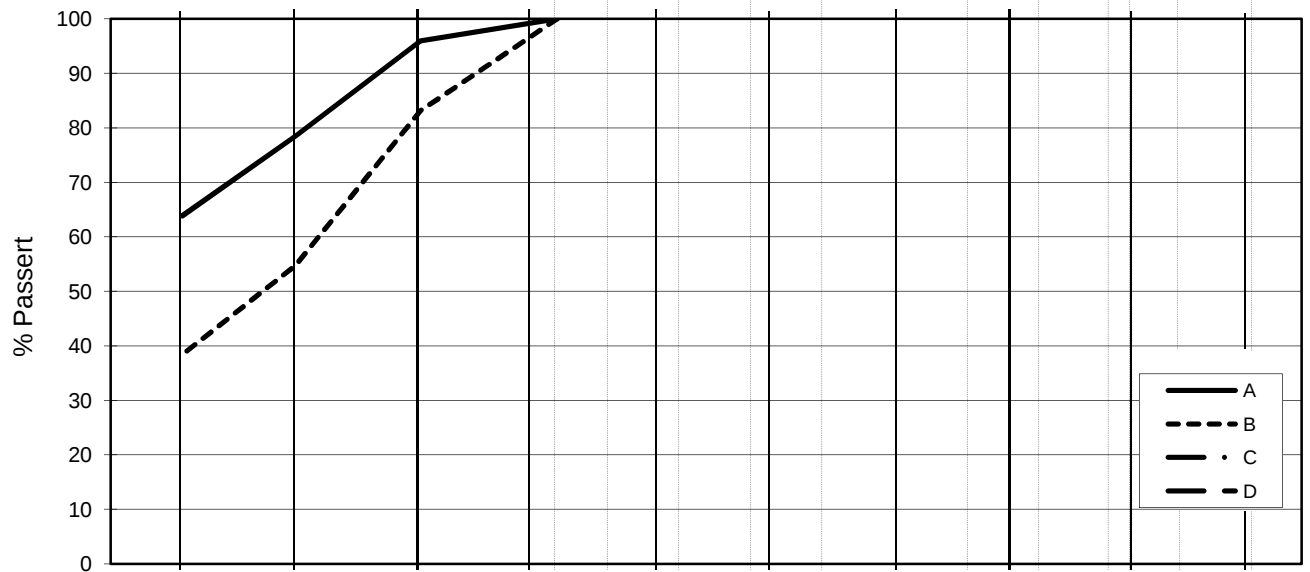


TEGNFORKLARING:

- | | | | | | |
|--------|--|----------------|-------------------------|-----|----------------------------|
| —○— | Plastisitetsgrense/Vanninnhold/Flytegrense | ○ | Treksial forsøk, aktiv | Ø | Ødometer forsøk |
| 15-○-5 | Enaks. trykkforsøk/def. ved brudd | ● | Treksial forsøk, passiv | P | Permeabilitetsforsøk |
| 10 | | ⊕ | Direkte skjærforsøk | K | Korngraderingsanalyse |
| ▽ | Konus forsøk, uforstyrret | ⊞ | Treksial forsøk | T | Treksial forsøk |
| ▼ | Konus forsøk, omrørt | + | Vingeboring | K/S | Kalk-/Sement stabilisering |
| + | | S _t | Sensitivitet | | |

<p>E16 Nybakk - Slomarka</p> <p>Borprofil</p> <p>Borpunkt nr.: 2293</p>		<p>Prøvetype: 72 mm</p> <p>Terrengkote: 141,9 moh</p> <p>Grunnvannst. dybde: m</p> <p>Dato boret: 2013-02-13</p>	<p>Dato/Rev. 2012-09-25/03</p>	
			<p>Dokumentnr. 20120491-02-R</p>	
<p>Dato 2013-08-07</p>		<p>Figurnr. E23</p>		
<p>Tegner FI</p>				

L E I R	SILT			SAND			GRUS							
	Fin	Middels	Grov	Fin	Middels	Grov	Fin	Middels	Grov					
	US Standard Sikt			200	100	50	30	16	8	4	3/8"	3/4"	1.5"	3"
	ISO Standard Sikt			.075	.125	.25	.5	1	2	4	8	16	31.5	63



Kurve	Hull nr.	Prøve nr.	Dybde m	C_u (d_{60} / d_{10})	Tele gr.	Leir innh. %	Jordartsbetegnelse	Metode tørr/våt sikt
A	2293	4	5.23		T3	63.8	LEIRE	Fall
B	2293	10	10.19		T4	38.3	LEIRE	Fall
C								
D								
E	2293	14	15.21		T3	52.0	LEIRE	Fall
F								
G								
H								

Rev. NT-12 / Dato 2010-11-22 / Sign. SK/EB

H:\LABDATA\2012\20120491\Rutine\BH2293\grain BH 2293.xlsx\Skrv.mn

E16 Nybakk - Slomarka

Kornfordelingskurver

Dokumentnr.
20120491-02-R

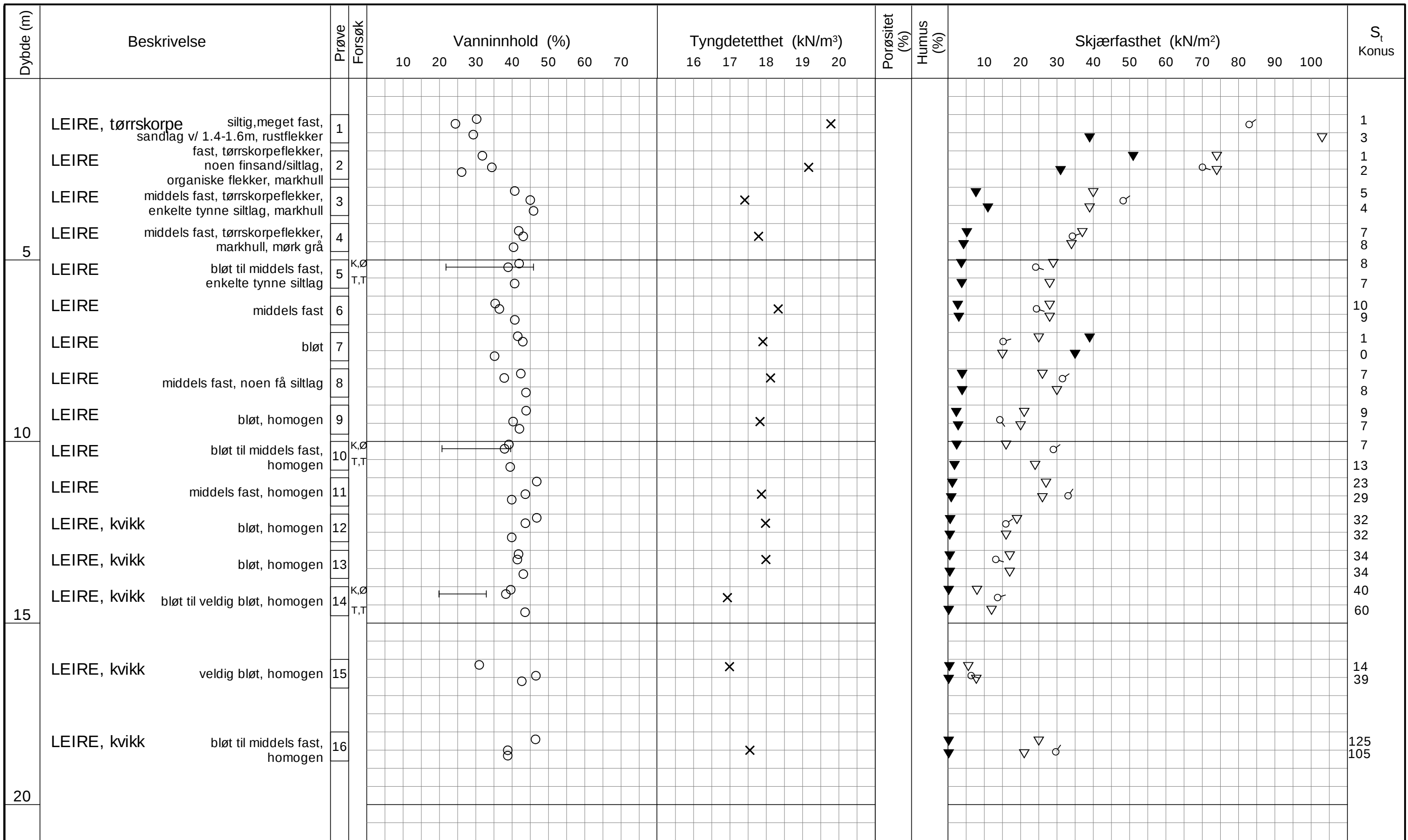
Dato
2013-03-23

Figurnr.
E24

Tegnet av
FP/



P:\2012\04\20120491\Lab fra labben\Frutine\BH3006\Borprofil_BH3006_20m.grf



TEGNFORKLARING:

- | | | | |
|--------|--|----------------|----------------------------|
| ○ | Plastisitetsgrense/Vanninnhold/Flytegrense | ○ | Ø = Ødometer forsøk |
| 15-0-5 | Enaks. trykkforsøk/def. ved brudd | ● | Treksial forsøk, aktiv |
| 10 | | ● | Treksial forsøk, passiv |
| ▽ | Konus forsøk, uforstyrret | ⊞ | Direkte skjærforsøk |
| ▼ | Konus forsøk, omrørt | T | Treksial forsøk |
| + | Vingeboring | S _t | Sensitivitet |
| | | K/S | Kalk-/Sement stabilisering |
| | | P | Permeabilitetsforsøk |
| | | K | Korngraderingsanalyse |

E16 Nybakk - Slomarka

Borprofil
Borpunkt nr.: 3006

Prøvetype: 72 mm
Terrengkote: 152,0 moh
Grunnvannst. dybde: m
Dato boret: 2013-04-25

Dato/Rev. 2012-09-25/03

Dokumentnr.
20120491-02-R

Dato
2013-10-29

Figurnr.
E25-1

Tegner
FI



P:\2012\04\20120491\Lab fra labben\Routine\BH3006\Borprofil_BH3006_20-40m.grf

Dybde (m)	Beskrivelse	Prøve Forsøk	Vanninnhold (%)							Tyngdetetthet (kN/m ³)					Porøsitet (%)	Humus (%)	Skjærfasthet (kN/m ²)										S _t Konus/Ving					
			10	20	30	40	50	60	70	16	17	18	19	20			10	20	30	40	50	60	70	80	90	100						
25	LEIRE, kvikk bløt, homogen	17				○	○										▼	▼	▽													53
																																53
	LEIRE, kvikk bløt til middels fast, homogen	18				○	○										▼	▼	▽	▽	○										60	
																															65	
	LEIRE middels fast, homogen	19				○	○										▼	▼	▽	▽											40	
																															41	
30																																
35																																
40																																

TEGNFORKLARING:

- | | | | |
|---|--|----------------|----------------------------|
| ○ | Plastisitetsgrense/Vanninnhold/Flytegrense | ○ | Ø = Ødometer forsøk |
| ○ | Enaks. trykkforsøk/def. ved brudd | ● | Treksial forsøk, aktiv |
| ○ | 15-10-5 | ● | Treksial forsøk, passiv |
| ▽ | Konus forsøk, uforstyrret | ⊞ | Direkte skjærforsøk |
| ▼ | Konus forsøk, omrørt | T | Treksial forsøk |
| + | Vingeboring | S _t | Sensitivitet |
| | | K/S | Kalk-/Sement stabilisering |
| | | P | Permeabilitetsforsøk |
| | | K | Korngraderingsanalyse |

E16 Nybakk - Slomarka

Borprofil
 Borhull: 3006
 Prøvetype: 72 mm
 Terrengekote: 152,0 moh
 Grunnvannst. dybde: m
 Dato boret: 2013-04-25

Dato/Rev. 2012-09-25/03

Dokumentnr. 20120491-02-R

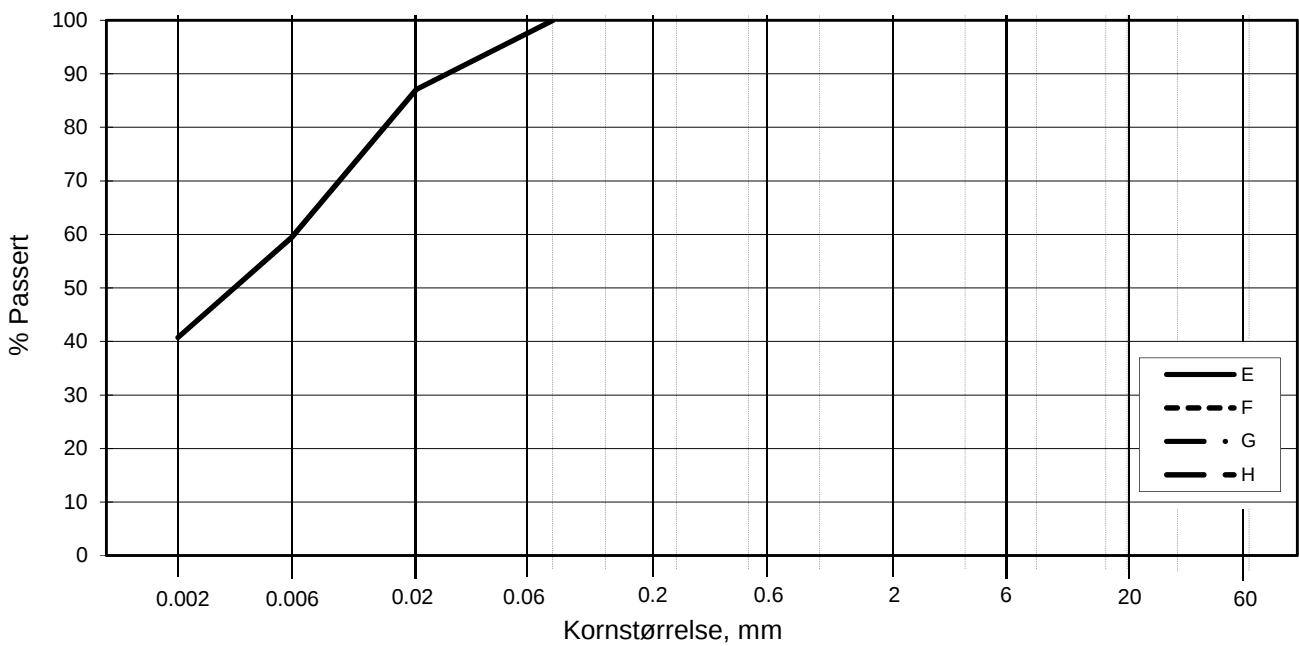
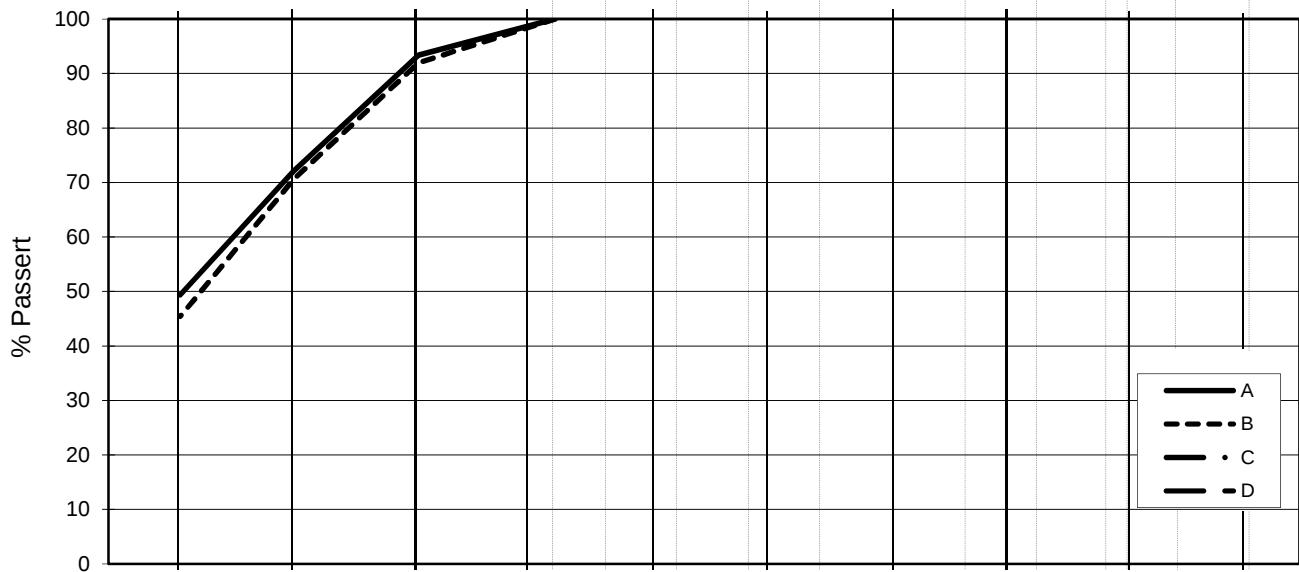
Dato 2013-10-29

Figurnr. E25-2

Tegner FI



L E I R	SILT			SAND			GRUS							
	Fin	Middels	Grov	Fin	Middels	Grov	Fin	Middels	Grov					
US Standard Sikt				200	100	50	30	16	8	4	3/8"	3/4"	1.5"	3"
ISO Standard Sikt				.075	.125	.25	.5	1	2	4	8	16	31.5	63



Kurve	Hull nr.	Prøve nr.	Dybde m	C_u (d_{60} / d_{10})	Tele gr.	Leir innh. %	Jordartsbetegnelse	Metode tørr/våt sikt
A	3006	5	5.17		T3	49.4	LEIRE	Fall
B	3006	10	10.21		T3	45.4	LEIRE	Fall
C								
D								
E	3006	14	14.23		T3	40.8	LEIRE	Fall
F								
G								
H								

Rev. NT-12 / Dato 2010-11-22 / Sign. SK/EB

H:\LABDATA\2012\20120491\Rutine\BH3006\gram BH 3006.xls\Plot

E16 Nybakk - Slomarka

Kornfordelingskurver

Dokumentnr.

20120491-02-R

Dato

2013-06-19

Figurnr.

E26

Tegnet av

FP/



P:\2012\04\20\120491\Lab fra labben\Routine\BH3019\Borprofil_BH3019_20m.grf

Dybde (m)	Beskrivelse	Prøve Forsøk	Vanninnhold (%)					Tyngdetetthet (kN/m ³)					Porøsitet (%)	Humus (%)	Skjærfasthet (kN/m ²)										S _t Konus		
			10	20	30	40	50	60	70	16	17	18			19	20	10	20	30	40	50	60	70	80		90	100
5	LEIRE, tørrskorpe	1	○	○	○	○																					▽ ²⁴⁵
	LEIRE fast til meget fast, tørrskorpelommer, markhull, mørk oliven grå	2			○	○																					▽
	LEIRE fast, tørrskorpeflekker	3			○	○																					
	LEIRE fast til middels fast, tørrskorpeflekker, mørk grå	4			○	○																					
	LEIRE middels fast, homogen	5	K,Ø T,T	○	○	○	○																				
10	LEIRE fast til middels fast, tynne siltlag	6			○	○																					
	LEIRE middels fast til bløt, homogen	7			○	○																					
	LEIRE middels fast, homogen	8			○	○																					
	LEIRE middels fast til bløt, homogen	9	K,Ø T,T			○	○																				
	LEIRE middels fast til bløt, tynne siltlag	10				○	○																				
15	LEIRE middels fast, tynne siltlag	11			○	○																					
	LEIRE bløt til middels fast, homogen	12			○	○																					
	LEIRE bløt, homogen	13			○	○																					
	LEIRE bløt til middels fast, homogen	14	T,T K,Ø			○	○																				
	LEIRE middels fast, homogen	15				○	○																				
20	LEIRE bløt til middels fast, homogen	16			○	○																					

TEGNFORKLARING:

- | | | | |
|---|--|-----|----------------------------------|
| ○ | Plastisitetsgrense/Vanninnhold/Flytegrense | ○ | Ø = Ødometer forsøk |
| ○ | Enaks. trykkforsøk/def. ved brudd | ● | Treksial forsøk, aktiv |
| ▽ | Konus forsøk, uforstyrret | ● | Treksial forsøk, passiv |
| ▼ | Konus forsøk, omrørt | ⊠ | Direkte skjærforsøk |
| + | Vingeboring | T | T = Treksial forsøk |
| | S _t Sensitivitet | K/S | K/S = Kalk-/Sement stabilisering |
| | | P | P = Permeabilitetsforsøk |
| | | K | K = Korngraderingsanalyse |

E16 Nybakk - Slomarka		Dokumentnr. 20120491-02-R	
Borprofil		Dato 2013-10-29	
Borpunkt nr.: 3019		Prøvetype: 72 mm	Figurnr. E27-1
		Terrengkote: 147,7 moh	Tegner FI
		Grunnvannst. dybde: m	
		Dato boret: 2013-04-17	


Dato/Rev. 2012-09-25/03

Dybde (m)	Beskrivelse	Prøve Forsøk	Vanninnhold (%)					Tyngdetetthet (kN/m ³)					Porøsitet (%)	Humus (%)	Skjærfasthet (kN/m ²)										S _t Konus/Ving
			10	20	30	40	50	60	70	16	17	18			19	20	10	20	30	40	50	60	70	80	
25	LEIRE	middels fast, homogen	17				○	○																	10
							○																		12
	LEIRE	middels fast, homogen	18				○																		7
							○																		7
	LEIRE	middels fast til fast, tynne siltlag	19				○																		8
							○																		10
30																									
35																									
40																									

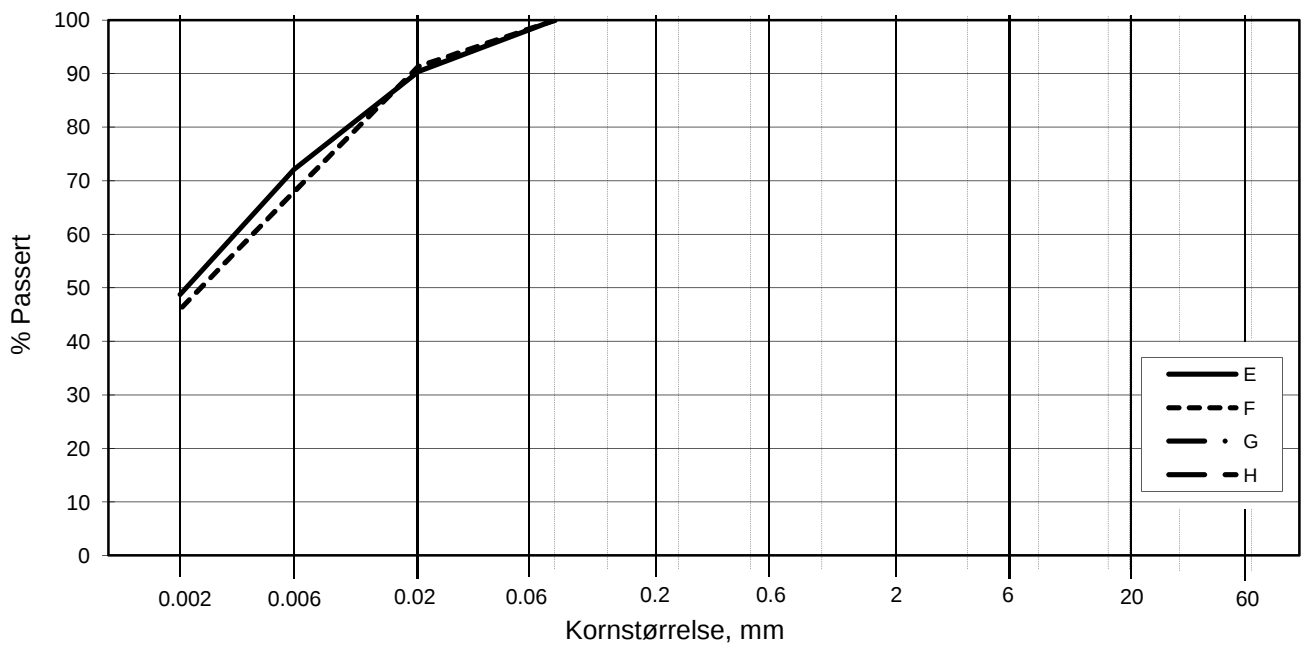
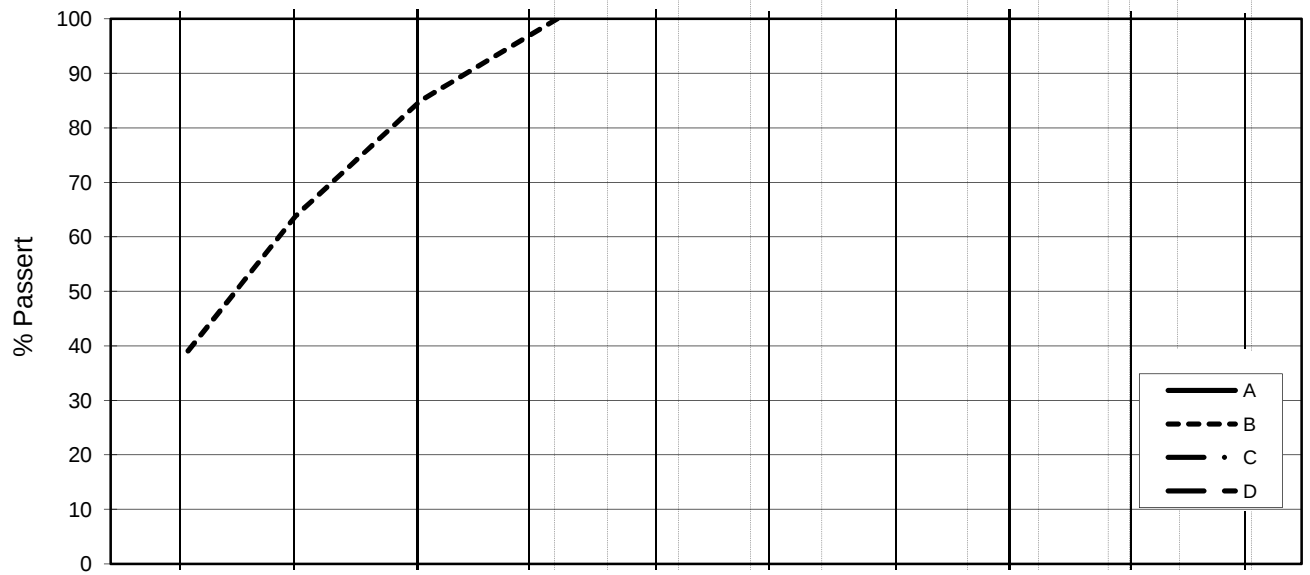
TEGNFORKLARING:

- | | | | |
|--------|--|----------------|----------------------------|
| ○ | Plastisitetsgrense/Vanninnhold/Flytegrense | ○ | Ø = Ødometer forsøk |
| 15-○-5 | Enaks. trykkforsøk/def.ved brudd | ● | Treksial forsøk, aktiv |
| 10 | | ● | Treksial forsøk, passiv |
| ▽ | Konus forsøk, uforstyrret | ⊠ | Direkte skjærforsøk |
| ▼ | Konus forsøk, omrørt | S _t | Sensitivitet |
| + | Vingeboring | K/S | Kalk-/Sement stabilisering |
| | | P | Permeabilitetsforsøk |
| | | K | Korngraderingsanalyse |
| | | T | Treksial forsøk |

Dato/Rev. 2012-09-25/03

E16 Nybakk - Slomarka		Dokumentnr. 20120491-02-R
Borprofil	Prøvetype: 72 mm	Dato 2013-10-29
Borhull: 3019	Terrengkote: 147.7 moh	Figurnr. E27-2
	Grunnvannst. dybde: m	Tegner FI
	Dato boret: 2013-03-17	

L E I R	SILT			SAND			GRUS							
	Fin	Middels	Grov	Fin	Middels	Grov	Fin	Middels	Grov					
	US Standard Sikt			200	100	50	30	16	8	4	3/8"	3/4"	1.5"	3"
	ISO Standard Sikt			.075	.125	.25	.5	1	2	4	8	16	31.5	63



Kurve	Hull nr.	Prøve nr.	Dybde m	C_u (d_{60} / d_{10})	Tele gr.	Leir innh. %	Jordartsbetegnelse	Metode tørr/våt sikt
A								
B	3019	5-A-1	5.22		T4	37.7	LEIRE	Fall
C								
D								
E	3019	9-A-1	9.22		T3	48.8	LEIRE	Fall
F	3019	14-C-1	14.4		T3	46.0	LEIRE	Fall
G								
H								

Rev. NT-12 / Dato 2010-11-22 / Sign. SK/EB

H:\LABDATA\2012\20120491\Rutne\BH3019\grain BH 3019.xls\Plot

E16 Nybakk - Slomarka Kornfordelingskurver	Dokumentnr.	20120491-02-R
	Dato	2013-05-03
	Figurnr.	E28
	Tegnet av	Jla/




Dybde (m)	Beskrivelse	Prøve Forsøk	Vanninnhold (%)					Tyngdetetthet (kN/m ³)					Porøsitet (%)	Humus (%)	Skjærfasthet (kN/m ²)										S _t Konus	
			10	20	30	40	50	60	70	18	19	20			21	22	10	20	30	40	50	60	70	80		90
5	LEIRE, tørrskorpe	1																								
	LEIRE, tørrskorpe	2																								2
	SAND	3																								
	LEIRE	4																								5
	LEIRE	5	T,T K,Ø																							5 4
	LEIRE	6																								3 3 1
	LEIRE	7																								
	SAND	8																								
10	LEIRE	9	T,T K,Ø																							6 6 7 7
	LEIRE	10																								6 7
	LEIRE	11																								6 7
	LEIRE	12																								3 4
	LEIRE	13	T,T K,Ø																							5 2
	LEIRE	14																								8 5
	LEIRE	15																								5 6

TEGNFORKLARING:

- Plastisitetsgrense/Vanninnhold/Flytegrense
- Treaksial forsøk, aktiv
- Treaksial forsøk, passiv
- ▽ Konus forsøk, uforstyrret
- ▽ Konus forsøk, omrørt
- + Vingeboring
- Ø = Ødometer forsøk
- P = Permeabilitetsforsøk
- K = Korngraderingsanalyse
- T = Treaksial forsøk
- K/S = Kalk-/Sement stabilisering

E16 Nybakk - Slomarka		Dato/Rev. 2012-09-25/03
Borprofil	Prøvetype: 72 mm	Dokumentnr. 20120491-02-R
Borpunkt nr.: 3029	Terrengkote: 132.3 moh	Dato 2013-10-29
	Grunnvannst. dybde: m	Figur E29-1
	Dato boret: 2013-04-16	Tegner FI



P:\2012\04\20120491\Lab fra labben\Rutine\BH3029\Borprofil_BH3029_20-40m.grf

Dybde (m)	Beskrivelse	Prøve Forsøk	Vanninnhold (%)					Tyngdetetthet (kN/m ³)					Porøsitet (%)	Humus (%)	Skjærfasthet (kN/m ²)										S _t Konus/ Ving			
			10	20	30	40	50	60	70	18	19	20			21	22	10	20	30	40	50	60	70	80		90	100	
25	LEIRE middels fast til fast, homogen	16				○	○									▼		▽		○								5 6
	LEIRE fast til middels fast, tynne siltlag	17			○	⊗										▼		▽		▽	○							6 7
	LEIRE fast til middels fast, tynne siltlag	18			○	○	○									▼		▽		▽	○							6 6
30																												
35																												
40																												

TEGNFORKLARING:

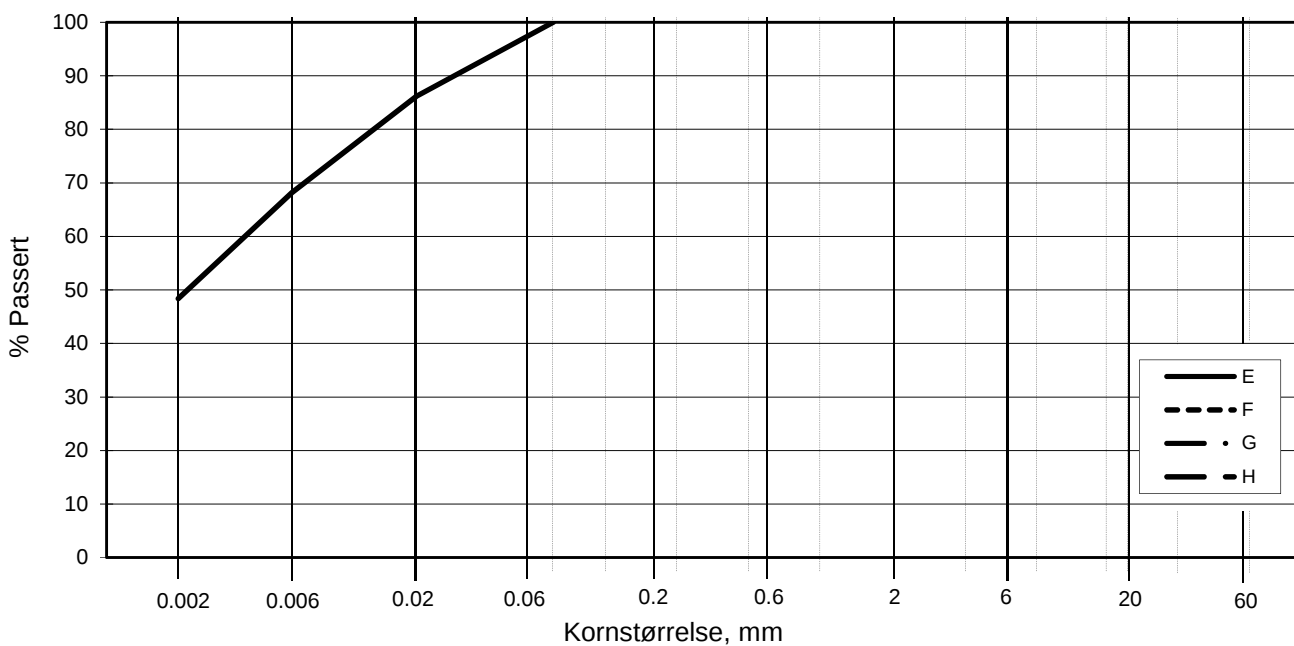
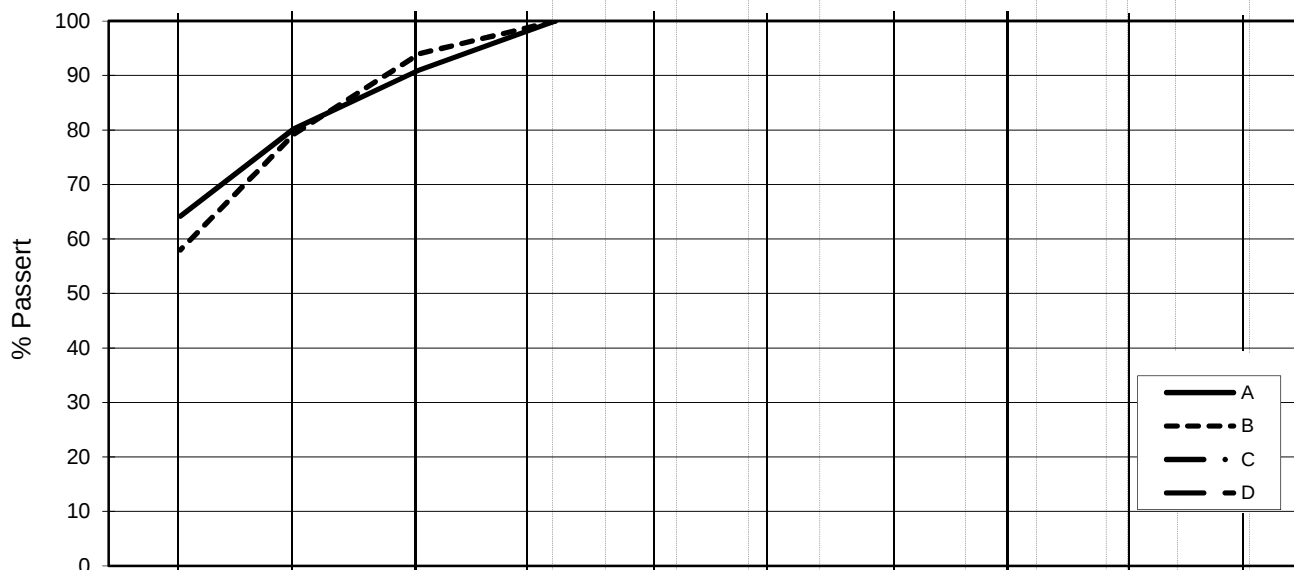
- | | | | |
|----|--|----------------|----------------------------|
| ○— | Plastisitetsgrense/Vanninnhold/Flytegrense | ∅ | ∅dometer forsøk |
| ○ | Enaks. trykkforsøk/def. ved brudd | ● | Treksial forsøk, aktiv |
| ○ | | ● | Treksial forsøk, passiv |
| ▽ | Konus forsøk, uforstyrret | ⊞ | Direkte skjærforsøk |
| ▼ | Konus forsøk, omrørt | T | Treksial forsøk |
| + | Vingeboring | S _t | Sensitivitet |
| | | K/S | Kalk-/Sement stabilisering |
| | | P | Permeabilitetsforsøk |
| | | K | Korngraderingsanalyse |

Dato/Rev. 2012-09-25/03

E16 Nybakk - Slomarka			Dokumentnr. 20120491-02-R
Borprofil		Prøvetype: 72 mm	Dato 2013-10-29
Borhull: 3029		Terrengkote: 132,3 moh	Figurnr. E29-2
		Grunnvannst. dybde: m	Tegner FI
		Dato boret: 2013-04-16	



L E I R	SILT			SAND			GRUS							
	Fin	Middels	Grov	Fin	Middels	Grov	Fin	Middels	Grov					
US Standard Sikt				200	100	50	30	16	8	4	3/8"	3/4"	1.5"	3"
ISO Standard Sikt				.075	.125	.25	.5	1	2	4	8	16	31.5	63

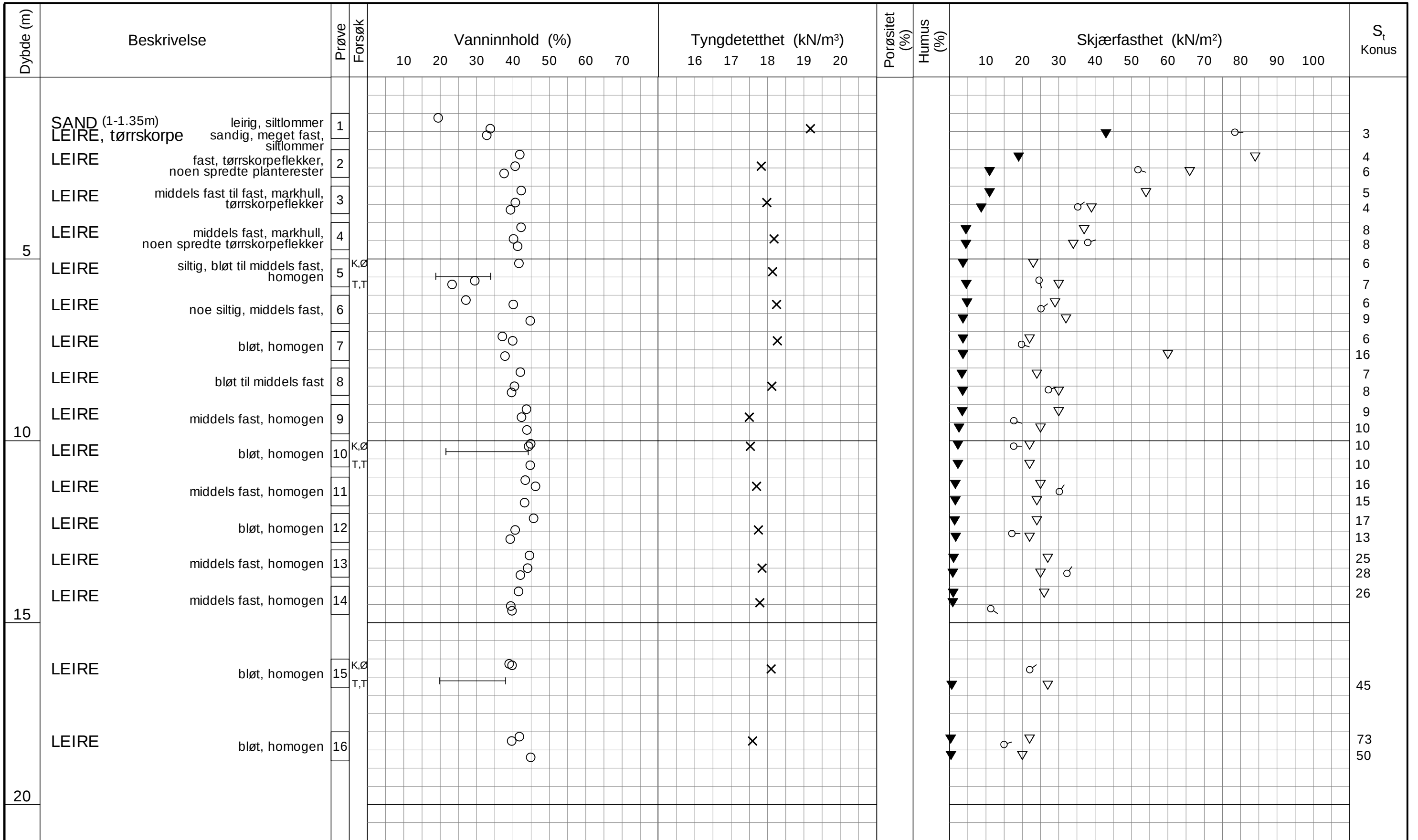


Kurve	Hull nr.	Prøve nr.	Dybde m	C_u (d_{60} / d_{10})	Tele gr.	Leir innh. %	Jordartsbetegnelse	Metode tørr/våt sikt
A	3029	5-A-1	5.2		T3	64.2	LEIRE	Fall
B	3029	9	10.4		T3	58.0	LEIRE	Fall
C								
D								
E	3029	13	14.25		T3	48.4	LEIRE	Fall
F								
G								
H								

Rev. NT-12 / Dato 2010-11-22 / Sign:SK/EB

H:\LABDATA\2012\20120491\Rutne\BH3029\grain-BH 3029.xlsx\Plot

E16 Nybakk - Slomarka	Dokumentnr.	20120491-02-R
	Dato	2013-08-29
Kornfordelingskurver	Figurnr.	E30
	Tegnet av	Jla/FP



TEGNFORKLARING:

- Plastisitetsgrense/Vanninnhold/Flytegrense
- Enaks. trykkforsøk/def. ved brudd
- ▽ Konus forsøk, uforstyrret
- ▼ Konus forsøk, omrørt
- + Vingebooring
- Treksial forsøk, aktiv
- Treksial forsøk, passiv
- ☐ Direkte skjærforsøk
- S_t Sensitivitet
- Ø = Ødometer forsøk
- P = Permeabilitetsforsøk
- K = Korngraderingsanalyse
- T = Treksial forsøk
- K/S = Kalk-/Sement stabilisering

Dato/Rev. 2012-09-25/03

E16 Nybakk - Slomarka		Dokumentnr. 20120491-02-R
Borprofil	Prøvetype: 72 mm	Dato 2013-10-29
Borpunkt nr.: 3043	Terrengkote: 150,4 moh	Figurnr. E31-1
	Grunnvannst. dybde: m	Tegner FI
	Dato boret: 2013-04-16	

Dybde (m)	Beskrivelse		Prøve Forsøk	Vanninnhold (%)						Tyngdetetthet (kN/m³)					Porøsitet (%)	Humus (%)	Skjærfasthet (kN/m²)										S _t Konus/Ving			
				10	20	30	40	50	60	70	16	17	18	19			20	10	20	30	40	50	60	70	80	90		100		
25	LEIRE, kvikk	middels fast, homogen	17				○	○												▽										50
							○													▽										48
								○	○											▽	○									29
	LEIRE	middels fast, homogen	18				○													▽	○									35
								○													▽									
	LEIRE	middels fast, homogen	19				○	○													▽									20
								○													▽	○								23

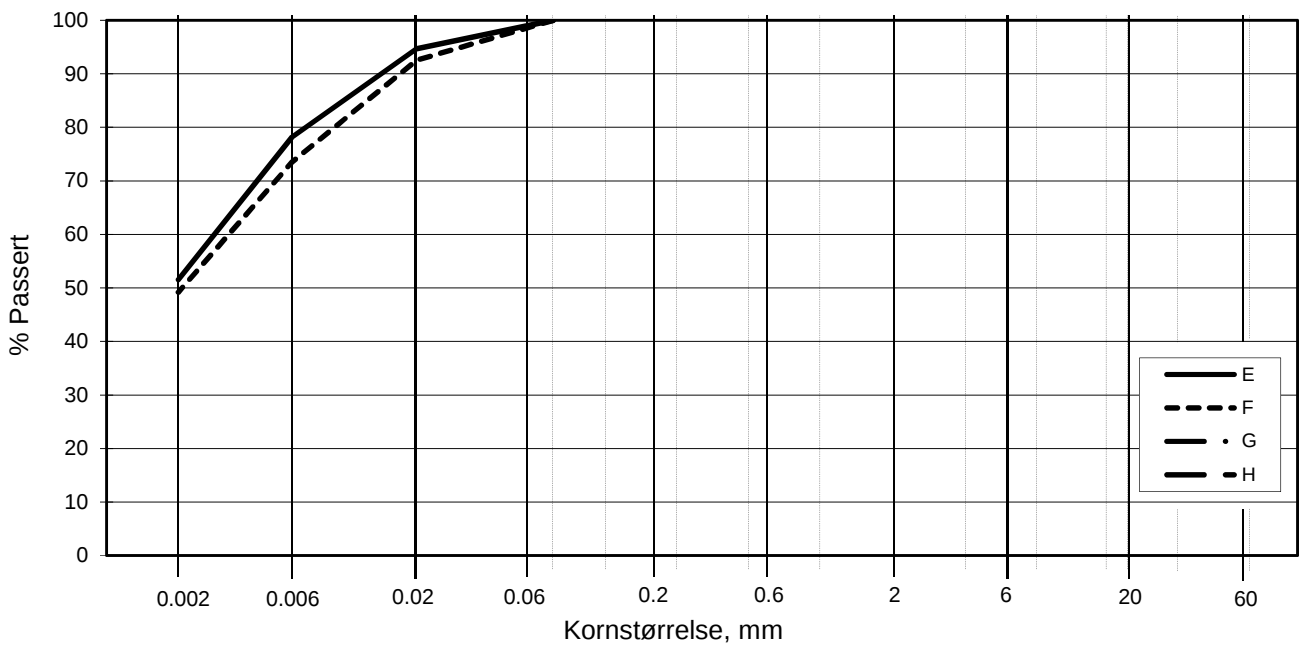
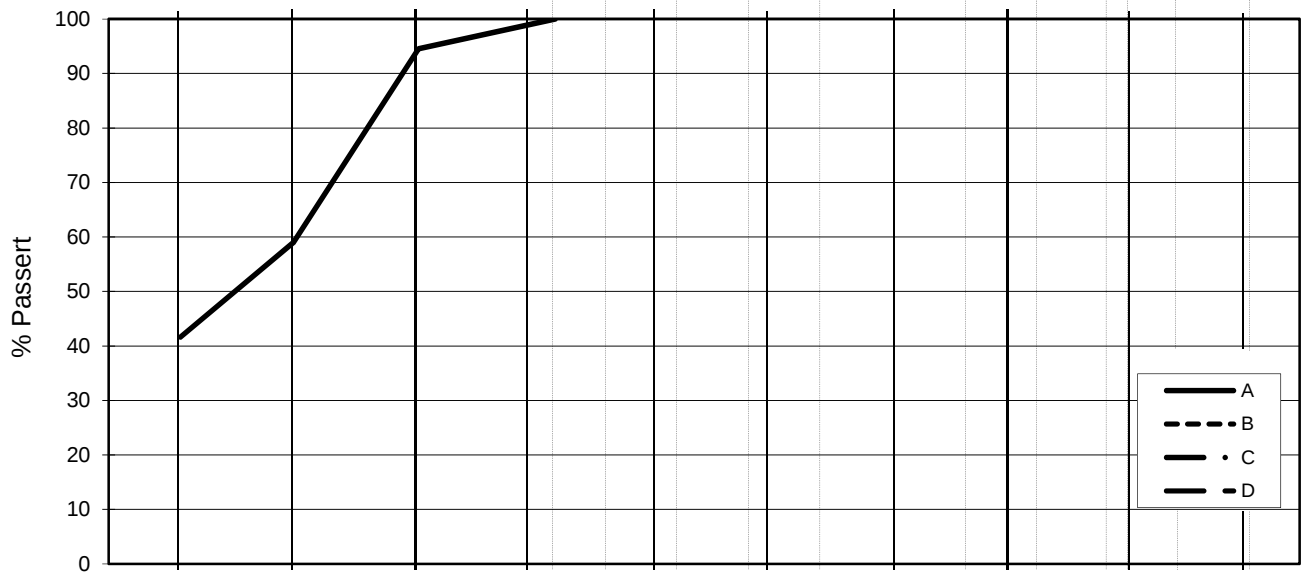
TEGNFORKLARING:

- | | | | |
|--------|--|----------------|----------------------------|
| —○— | Plastisitetsgrense/Vanninnhold/Flytegrense | ○ | Ødometer forsøk |
| ○ | | ● | Treksial forsøk, aktiv |
| 15-○-5 | Enaks. trykkforsøk/def.ved brudd | ● | Treksial forsøk, passiv |
| 10 | | ☐ | Direkte skjærforsøk |
| ▽ | Konus forsøk, uforstyrret | + | Vingeboring |
| ▼ | Konus forsøk, omrørt | S _t | Sensitivitet |
| | | P | Permeabilitetsforsøk |
| | | K | Korngraderingsanalyse |
| | | T | Treksial forsøk |
| | | K/S | Kalk-/Sement stabilisering |

E16 Nybakk - Slomarka			Dato/Rev. 2012-09-25/03	
			Dokumentnr. 20120491-02-R	
Borprofil	Prøvetype:	72 mm	Dato	
	Terrengkote:	150,4 moh	2013-10-29	
	Borhull: 3043	Grunnvannst. dybde:	m	Figurnr. E31-2
	Dato boret:	2013-04-16	Tegner FI	




L E I R	SILT			SAND			GRUS							
	Fin	Middels	Grov	Fin	Middels	Grov	Fin	Middels	Grov					
US Standard Sikt				200	100	50	30	16	8	4	3/8"	3/4"	1.5"	3"
ISO Standard Sikt				.075	.125	.25	.5	1	2	4	8	16	31.5	63



Kurve	Hull nr.	Prøve nr.	Dybde m	C_u (d_{60} / d_{10})	Tele gr.	Leir innh. %	Jordartsbetegnelse	Metode tørr/våt sikt
A	3043	5	5.5		T3	41.6	LEIRE	Fall
B								
C								
D								
E	3043	10	10.19		T3	51.5	LEIRE	Fall
F	3043	15	16.63		T3	49.2	LEIRE	Fall
G								
H								

Rev. NT-12 / Dato 2010-11-22 / Sign:SK/EB

H:\LABDATA\2012\20120491\Rutnet\BH3043\gram BH 3043.xls\Plot

E16 Nybakk - Slomarka Kornfordelingskurver	Dokumentnr. 20120491-02-R	
	Dato 2013-06-21	
	Figurnr. E32	
	Tegnet av Jla/	

Dybde (m)	Beskrivelse	Prøve Forsøk	Vanninnhold (%)					Tyngdetetthet (kN/m ³)					Porøsitet (%)	Humus (%)	Skjærfasthet (kN/m ²)										S _t Konus
			10	20	30	40	50	16	17	18	19	20			10	20	30	40	50	60	70	80	90	100	
5	LEIRE, tørrskorpe fast til hard, siltlommer, markhull, rustflekker	1				○	○						×												3 275>
	LEIRE, tørrskorpe middels fast til fast, tynne siltlag, siltlommer, markhull	2				○	○						×										▽		3
	LEIRE middels fast til fast, tynne siltlag, tørrskorpelommer, markhull	3				○	○						×												3
	LEIRE middels fast, noen siltlag, ett gjennomgående vertikalt siltlag	4				○	○						×												5
	LEIRE middels fast, noe silt, mørk grå	5	T, T K, Ø				○	○						×											6
10	LEIRE middels fast, homogen, mørk grå	6				○	○						×												5
	LEIRE middels fast, homogen	7				○	○						×												11
	LEIRE middels fast, noe silt	8				○	○						×												7
	LEIRE middels fast, m/ siltlag	9				○	○						×												7
	LEIRE middels fast, noen spredte siltlag	10	T, T K, Ø				○	○						×											7
15	LEIRE middels fast, siltlag	11				○	○						×												8
	LEIRE middels fast, homogen	12				○	○						×												11
	LEIRE middels fast, homogen	13				○	○						×												8
	LEIRE middels fast	14	T, T K, Ø				○	○						×											8
	LEIRE middels fast til bløt, homogen	15				○	○							×											10
20	LEIRE, kvikk bløt, homogen	16				○	○							×											11
						○	○																		15
						○	○																		38
						○	○																		42

TEGNFORKLARING:

- | | |
|--|----------------------------------|
| ○ — Plastisitetsgrense/Vanninnhold/Flytegrense | ○ = Ødometer forsøk |
| ○ — 0 — 5 Enaks. trykkforsøk/def. ved brudd | ● Treksial forsøk, aktiv |
| ▽ Konus forsøk, uforstyrret | ● Treksial forsøk, passiv |
| ▽ Konus forsøk, omrørt | ⊠ Direkte skjærforsøk |
| + Vingeboering | S _t Sensitivitet |
| | P = Permeabilitetsforsøk |
| | K = Korngraderingsanalyse |
| | T = Treksial forsøk |
| | K/S = Kalk-/Sement stabilisering |

E16 Nybakk - Slomarka		Dato/Rev. 2012-09-25/03	
Borprofil	Prøvetype: 72 mm	Dokumentnr. 20120491-02-R	
Borpunkt nr.: 3059	Terrengekote: 149,5 moh	Dato 2013-10-29	
	Grunnvannst. dybde: m	Figurnr. E33-1	
	Dato boret: 2013-04-12	Tegner FI	

Dybde (m)	Beskrivelse	Prøve Forsøk	Vanninnhold (%)							Tyngdetetthet (kN/m ³)					Porøsitet (%)	Humus (%)	Skjærfasthet (kN/m ²)										S _t Konus/Ving
			10	20	30	40	50	60	70	16	17	18	19	20			10	20	30	40	50	60	70	80	90	100	
25	LEIRE, kvikk middels fas, homogen	17				○																				135	
						○																				125	
	LEIRE, kvikk bløt til middels fast, homogen	18				○																				97	
30						○																				60	
	LEIRE, kvikk middels fast til bløt, homogen	19				○																				120	
						○																				160	
35																											
40																											

TEGNFORKLARING:

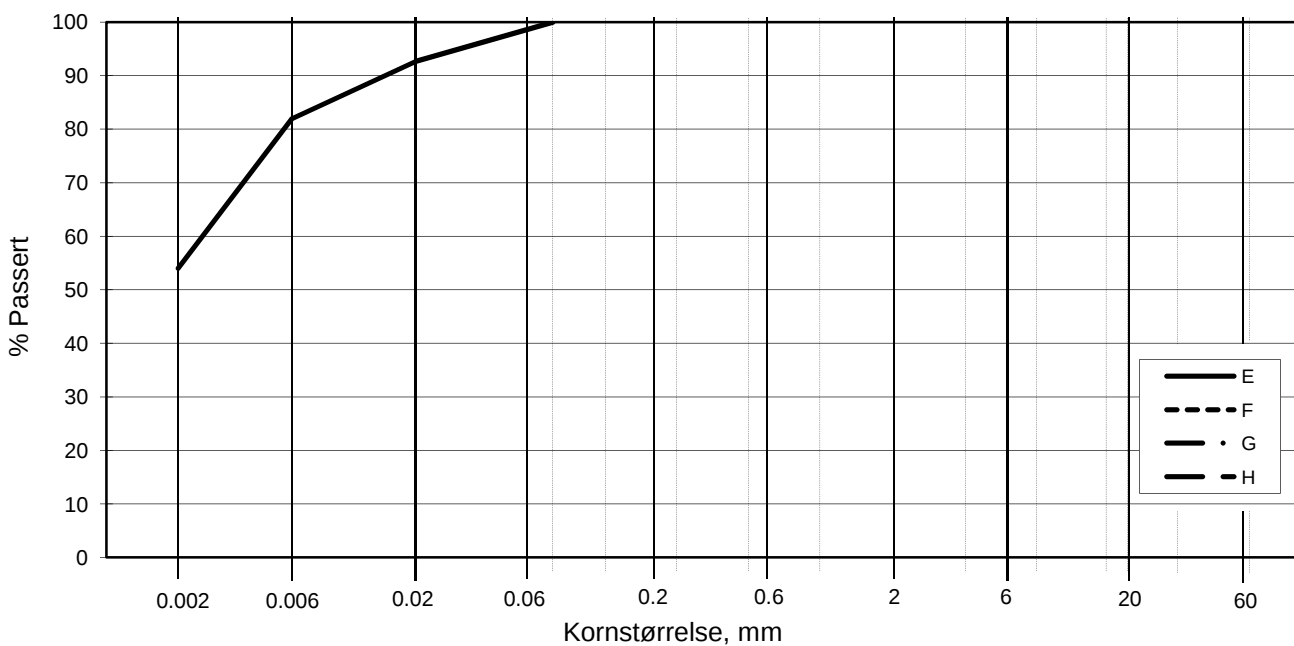
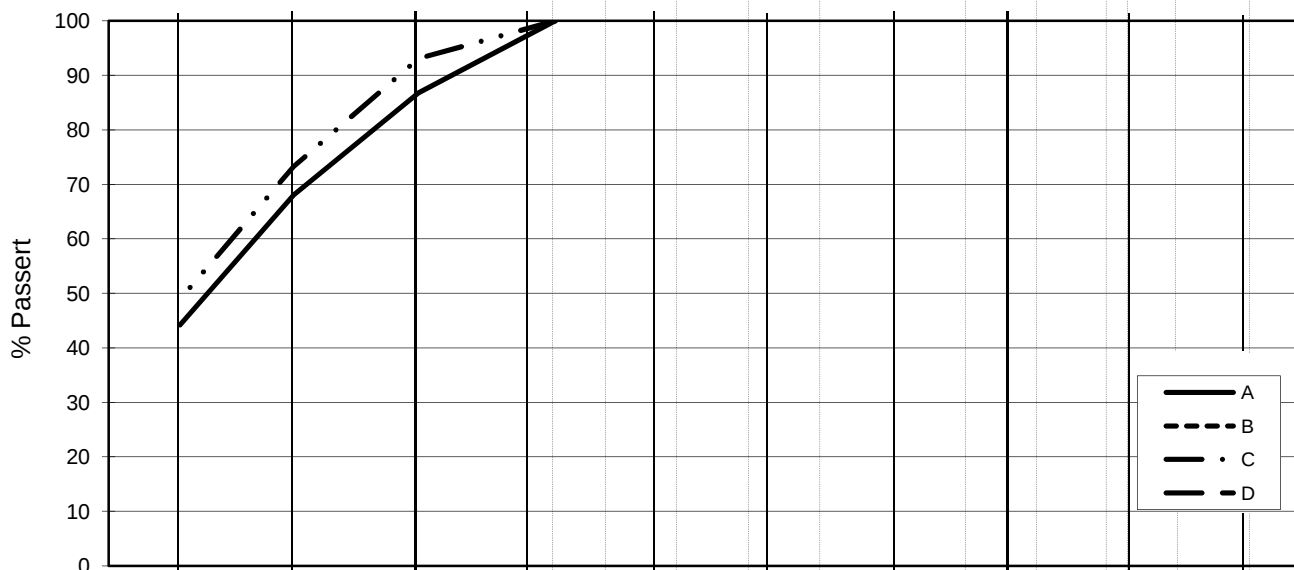
- | | | | |
|--------|--|----------------|----------------------------|
| —○— | Plastisitetsgrense/Vanninnhold/Flytegrense | ∅ | ∅dometer forsøk |
| 15-○-5 | Enaks. trykkforsøk/def.ved brudd | ● | Treksial forsøk, aktiv |
| 10 | | ● | Treksial forsøk, passiv |
| ▽ | Konus forsøk, uforstyrret | ⊞ | Direkte skjærforsøk |
| ▼ | Konus forsøk, omrørt | T | Treksial forsøk |
| + | Vingeboring | S _t | Sensitivitet |
| | | P | Permeabilitetsforsøk |
| | | K | Korngraderingsanalyse |
| | | K/S | Kalk-/Sement stabilisering |

Dato/Rev. 2012-09-25/03

E16 Nybakk - Slomarka		Dokumentnr. 20120491-02-R
		Dato 2013-10-29
Borprofil	Prøvetype: 72 mm	Figurnr. E33-2
Borhull: 3059	Terrengkote: 149,5 moh	
	Grunnvannst. dybde: m	Tegner FI
	Dato boret: 2013-04-12	



L E I R	SILT			SAND			GRUS							
	Fin	Middels	Grov	Fin	Middels	Grov	Fin	Middels	Grov					
US Standard Sikt				200	100	50	30	16	8	4	3/8"	3/4"	1.5"	3"
ISO Standard Sikt				.075	.125	.25	.5	1	2	4	8	16	31.5	63



Kurve	Hull nr.	Prøve nr.	Dybde m	C_u (d_{60} / d_{10})	Tele gr.	Leir innh. %	Jordartsbetegnelse	Metode tørr/våt sikt
A	3059	5-A-1	5.22		T3	44.2	LEIRE	Fall
B								
C	3059	10-D-1	10.55		T3	48.9	LEIRE	Fall
D								
E	3059	14-A-1	14.2		T3	54.0	LEIRE	Fall
F								
G								
H								

Rev. NT-12 / Dato 2010-11-22 / Sign. SK/EB

H:\LABDATA\2012\20120491\Rutne\BH3059\grain BH 3059.xls\Plot

E16 Nybakk - Slomarka	Dokumentnr.	20120491-02-R
	Dato	2012-05-03
Kornfordelingskurver	Figurnr.	E34
	Tegnet av	jlA/

Dybde (m)	Beskrivelse	Prøve Forsøk	Vanninnhold (%)							Tyngdetetthet (kN/m ³)					Porøsitet (%)	Humus (%)	Skjærfasthet (kN/m ²)										S _t Konus																							
			10	20	30	40	50	60	70	16	17	18	19	20			10	20	30	40	50	60	70	80	90	100																								
5	LEIRE, tørrskorpe	1				35	36								19																												235	245						
	LEIRE, tørrskorpe	2				38	39									18																																		
	LEIRE, tørrskorpe	3				40	41									18																																		
	LEIRE	4				40	41									18																																		
	LEIRE	5				40	41									18																																		
	LEIRE	6	T,T K,Ø				40	41								18																																		
	LEIRE	7					40	41								18																																		
	LEIRE	8					40	41								18																																		
	LEIRE	9					40	41								18																																		
	LEIRE	10					40	41								18																																		
	LEIRE	11					40	41								18																																		
	LEIRE	12	T,T K,Ø				40	41								18																																		
	LEIRE	13					40	41								18																																		
	LEIRE	14					40	41								18																																		
	LEIRE	15	T,T K,Ø				40	41								18																																		
	LEIRE	16					40	41								18																																		

TEGNFORKLARING:

—○—	Plastisitetsgrense/Vanninnhold/Flytegrense	∅	∅ = Ødometer forsøk
15-○-5	Enaks. trykkforsøk/def.ved brudd	●	Treksial forsøk, aktiv
10		●	Treksial forsøk, passiv
▽	Konus forsøk, uforstyrret	K	K = Korngraderingsanalyse
▼	Konus forsøk, omrørt	T	T = Treksial forsøk
+	Vingebooring	S _t	S _t = Sensitivitet
		K/S	K/S = Kalk-/Sement stabilisering

E16 Nybakk - Slomarka

Borprofil
Borpunkt nr.: 3070

Prøvetype: 72 mm
Terrengkote: 148.5 moh
Grunnvannst. dybde: m
Dato boret: 2013-04-03

Dato/Rev. 2012-09-25/03

Dokumentnr.
20120491-02-R

Dato
2013-10-29

Figurnr.
E35-1

Tegner
FI



P:\2012\04\20120491\Lab fra labben\Routine\BH3070\Borprofil_BH3070_20-40m.grf

Dybde (m)	Beskrivelse	Prøve Forsøk	Vanninnhold (%)							Tyngdetetthet (kN/m ³)					Porøsitet (%)	Humus (%)	Skjærfasthet (kN/m ²)										S _t Konus/ Ving												
			10	20	30	40	50	60	70	16	17	18	19	20			10	20	30	40	50	60	70	80	90	100													
25	LEIRE, kvikk	middels fast, homogen			○	○							X																									73	
					○	○																																100	
30																																							
35																																							
40																																							

TEGNFORKLARING:

- | | | | |
|-----|--|----------------|----------------------------|
| —○— | Plastisitetsgrense/Vanninnhold/Flytegrense | ∅ | ∅dometer forsøk |
| ○ | Enaks. trykkforsøk/def.ved brudd | ● | Treksial forsøk, aktiv |
| ○ | | ● | Treksial forsøk, passiv |
| ○ | | ⊞ | Direkte skjærforsøk |
| ▽ | Konus forsøk, uforstyrret | + | Vingeboring |
| ▼ | Konus forsøk, omrørt | S _t | Sensitivitet |
| + | | P | Permeabilitetsforsøk |
| | | K | Korngraderingsanalyse |
| | | T | Treksial forsøk |
| | | K/S | Kalk-/Sement stabilisering |

Dato/Rev. 2012-09-25/03

E16 Nybakk - Slomarka

Borprofil		Prøvetype:	72 mm
Borhull:	3070	Terrengkote:	148.5 moh
		Grunnvannst. dybde:	m
		Dato boret:	2013-04-03

Dokumentnr.
20120491-02-R

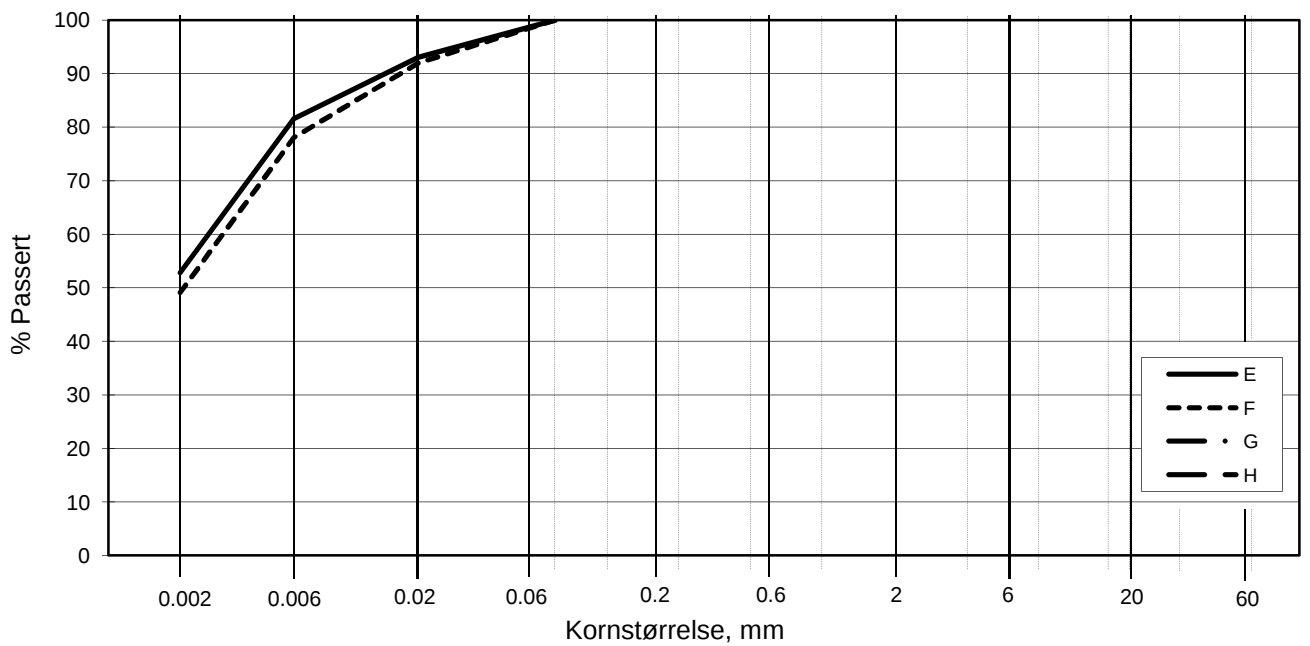
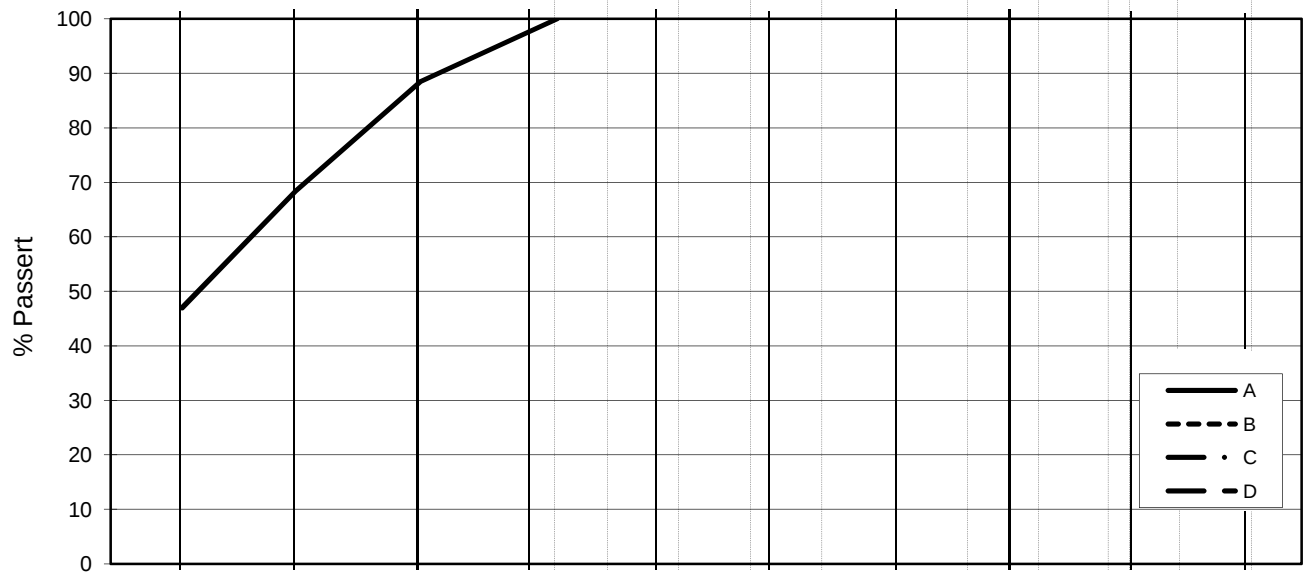
Dato
2013-10-29

Figurnr.
E35-2

Tegner
FI




LEIRE	SILT			SAND			GRUS							
	Fin	Middels	Grov	Fin	Middels	Grov	Fin	Middels	Grov					
	US Standard Sikt			200	100	50	30	16	8	4	3/8"	3/4"	1.5"	3"
	ISO Standard Sikt			.075	.125	.25	.5	1	2	4	8	16	31.5	63



Kurve	Hull nr.	Prøve nr.	Dybde m	C _u (d ₆₀ / d ₁₀)	Tele gr.	Leir innh. %	Jordartsbetegnelse	Metode tørr/våt sikt
A	3070	6-A-1	6.17		T3	47.0	LEIRE	Fall
B								
C								
D								
E	3070	12-A-1	12.12		T3	52.8	LEIRE	Fall
F	3070	15-A-1	16.2		T3	49.1	LEIRE	Fall
G								
H								

Rev. NT-12 / Dato 2010-11-22 / Sign. SK/EB

H:\LABDATA\2012\20120491\Rutine\BH3070\grain BH 3070.xls\Skivv.mn

E16 Nybakk - Slomarka	Dokumentnr.	20120491-02-R
	Dato	2013-05-08
Kornfordelingskurver	Figurnr.	E36
	Tegnet av	Jla/
		

P:\2012\04\20120491\Lab fra labben\Rutine\BH3091\Borprofil_BH3091.grf


Dybde (m)	Beskrivelse	Prøve Forsøk	Vanninnhold (%)							Tyngdetetthet (kN/m ³)					Porøsitet (%)	Humus (%)	Skjærfasthet (kN/m ²)										S _t Konus
			10	20	30	40	50	60	70	16	17	18	19	20			10	20	30	40	50	60	70	80	90	100	
5	LEIRE fast, homogen, veldig mørk grå, noen syltynne siltlag	1			35	38																			4		
																									5		
10	LEIRE middels fast, homogen, mørk grå	2			35	38																			5		
																									6		
10	LEIRE siltig, middels fast, homogen	3 T T K, Ø			30	32																			6		
																									6		
15	LEIRE middels fast, homogen, noen få spredte sandkorn	4			35	38																			9		
																									9		
15	LEIRE siltig, middels fast, homogen	5 T T Ø			30	32																			9		
																									8		
15	LEIRE middels fast, homogen, noen få spredte sandkorn	6			35	38																			10		
																									10		
15	LEIRE middels fast, homogen	7			35	38																			9		
																									9		
20	LEIRE siltig, middels fast, homogen	8 T T K Ø			30	32																			8		
																									12		
20	LEIRE middels fast, homogen	9			35	38																			9		
																									9		
20	LEIRE middels fast, homogen	10			35	38																			10		
																									10		
20	LEIRE middels fast, syltynne siltlag, noen få organiske lag, mørk grå	11			35	38																			9		
																									8		

TEGNFORKLARING:

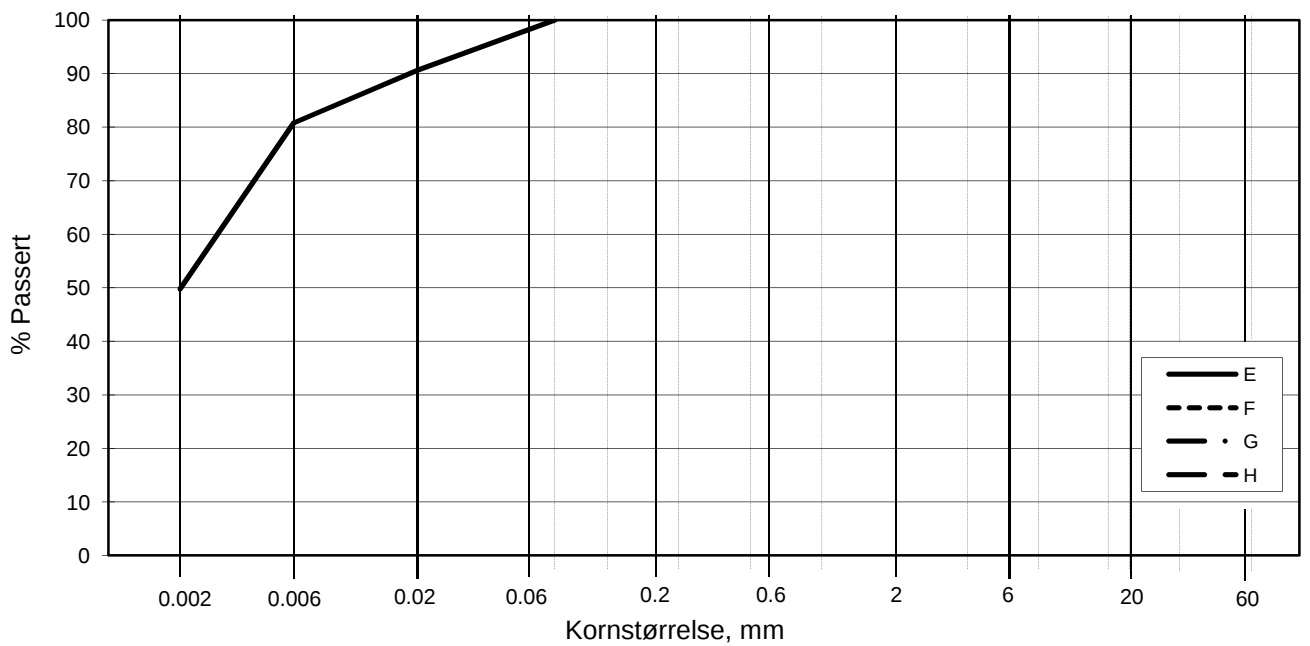
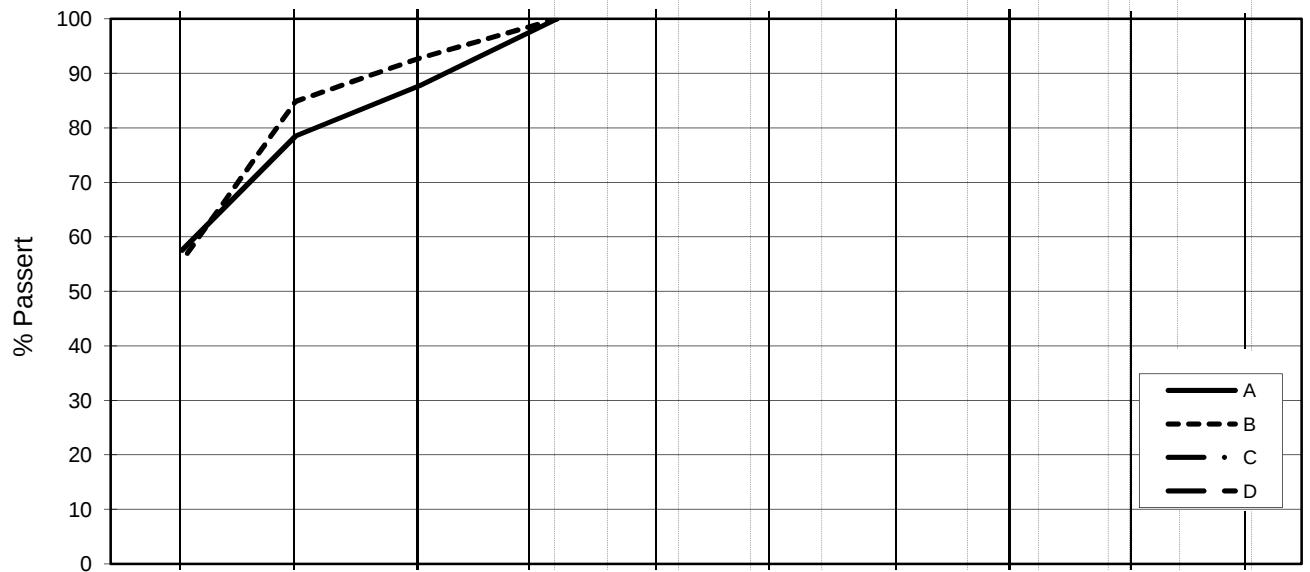
- — — Plastisitetsgrense/Vanninnhold/Flytegrense
- — — Enaks. trykkforsøk/def. ved brudd
- ▽ Konus forsøk, uforstyrret
- ▼ Konus forsøk, omrørt
- + Vingeboring

- Treksial forsøk, aktiv
- Treksial forsøk, passiv
- ⊞ Direkte skjærforsøk
- S_t Sensitivitet
- Ø = Ødometer forsøk
- P = Permeabilitetsforsøk
- K = Korngraderingsanalyse
- T = Treksial forsøk
- K/S = Kalk-/Sement stabilisering

E16 Nybakk - Slomarka		Dato/Rev. 2012-09-25/03
Borprofil		Dokumentnr. 20120491-02-R
Borpunkt nr.: 3091	Prøvetype: 72 mm	Dato 2013-08-07
	Terrengkote: 123,8 moh	Figurnr. E37
	Grunnvannst. dybde: m	Tegner FI
	Dato boret: 2012-12-18	



L E I R	SILT			SAND			GRUS							
	Fin	Middels	Grov	Fin	Middels	Grov	Fin	Middels	Grov					
	US Standard Sikt			200	100	50	30	16	8	4	3/8"	3/4"	1.5"	3"
	ISO Standard Sikt			.075	.125	.25	.5	1	2	4	8	16	31.5	63



Kurve	Hull nr.	Prøve nr.	Dybde m	C_u (d_{60} / d_{10})	Tele gr.	Leir innh. %	Jordartsbetegnelse	Metode tørr/våt sikt
A	3091	3	8.31		T3	57.5	LEIRE	Fall
B	3091	5	11.56		T3	55.6	LEIRE	Fall
C								
D								
E	3091	8	15.18		T3	49.8	LEIRE	Fall
F								
G								
H								

Rev. NT-12 / Dato 2010-11-22 / Sign. SK/EB

H:\LABDATA\2012\20120491\Rutne\BH3091\grain BH 3091.xlsx\Plot

E16 Nybakk -Slomarka

Kornfordelingskurver

Dokumentnr.

20120491-02-R

Dato

2013-01-25

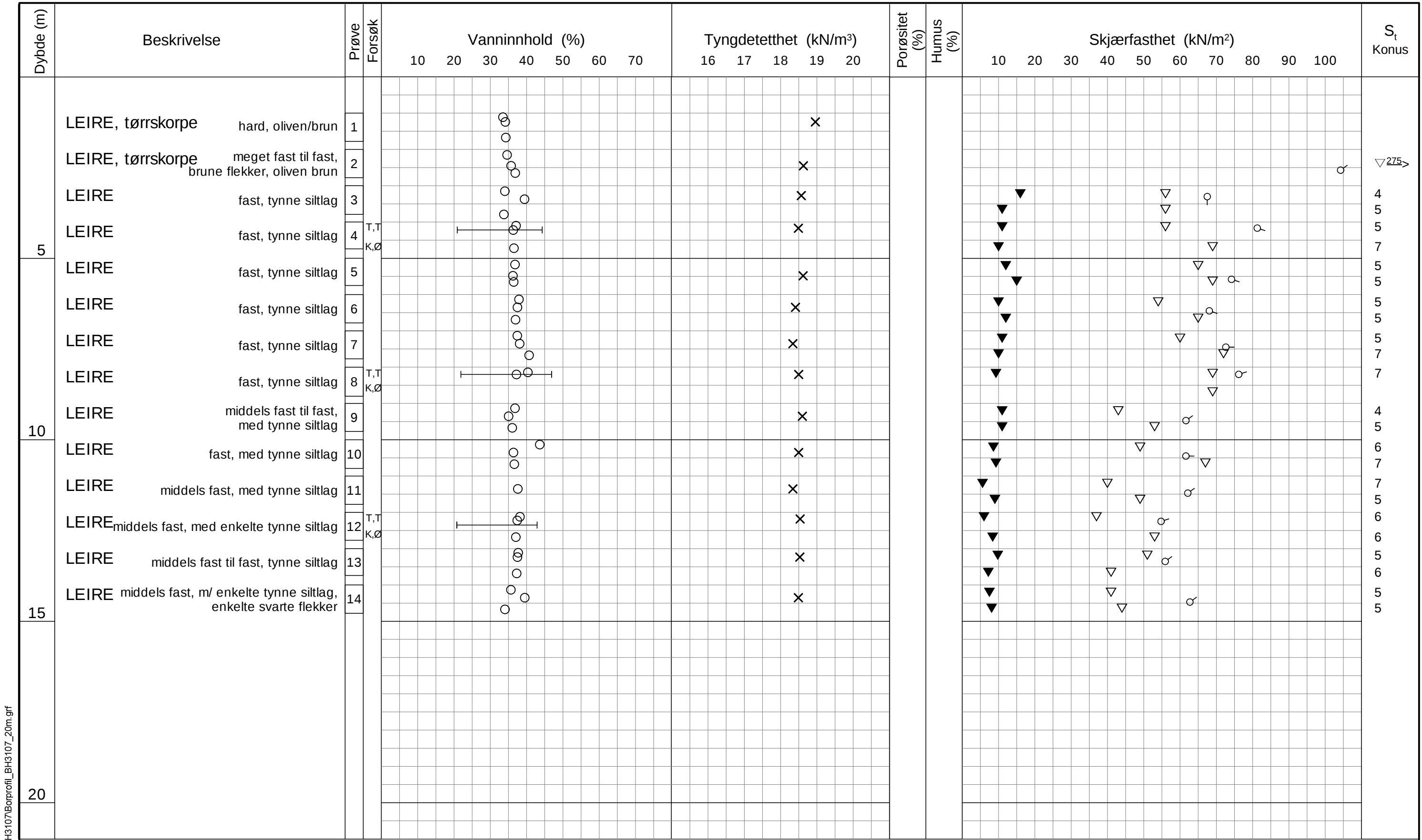
Figurnr.

E38

Tegnet av

FP/






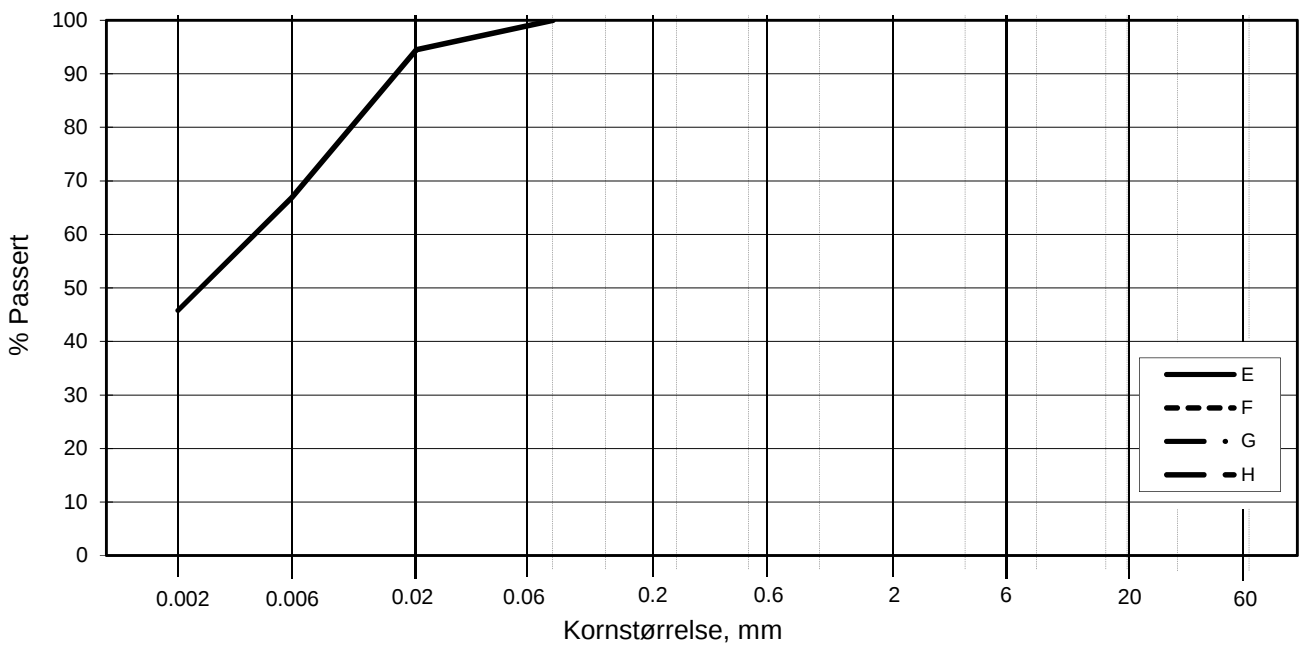
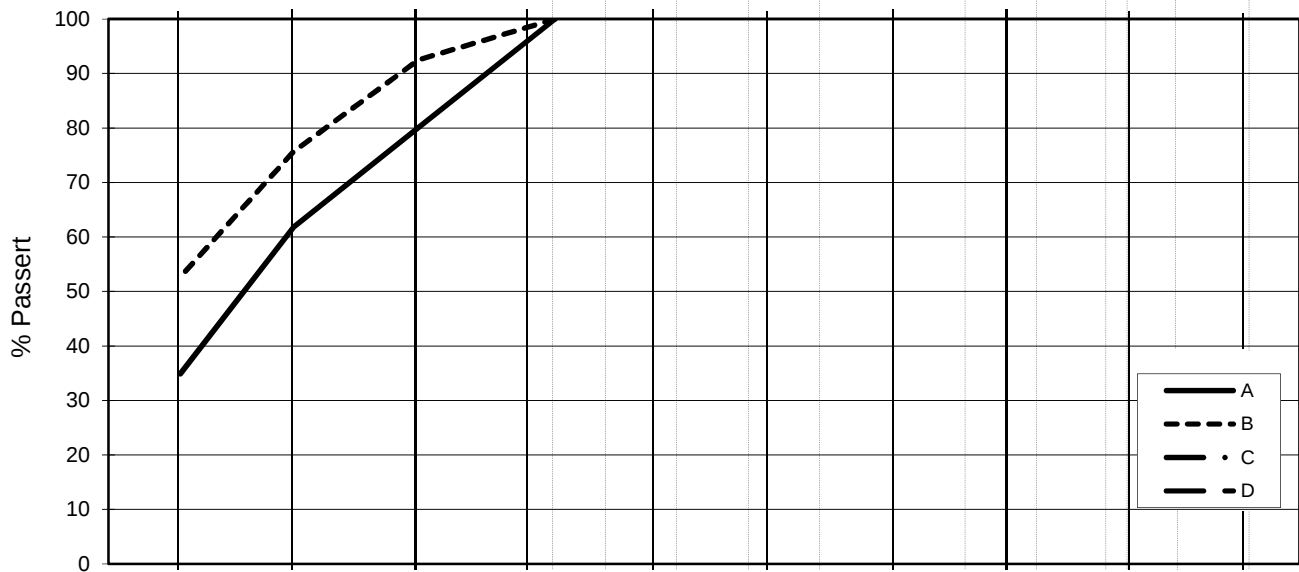
TEGNFORKLARING:

- | | | |
|--------|--|----------------------------------|
| —○— | Plastisitetsgrense/Vanninnhold/Flytegrense | ∅ = Ødometer forsøk |
| 0 | | |
| 15-○-5 | Enaks. trykkforsøk/def. ved brudd | ● Treksial forsøk, aktiv |
| 10 | | P = Permeabilitetsforsøk |
| ▽ | Konus forsøk, uforstyrret | ● Treksial forsøk, passiv |
| ▼ | Konus forsøk, omrørt | ☐ Direkte skjærforsøk |
| + | Vingebooring | T = Treksial forsøk |
| | S _t Sensitivitet | K/S = Kalk-/Sement stabilisering |

Dato/Rev. 2012-09-25/03

E16 Nybakk - Slomarka		Dokumentnr. 20120491-02-R
Borprofil	Prøvetype: 72 mm	Dato 2013-10-29
Borpunkt nr.: 3107	Terrengkote: 140.8 moh	Figurnr. E39
	Grunnvannst. dybde: m	Tegner FI
	Dato boret: 2013-04-24	

L E I R	SILT			SAND			GRUS							
	Fin	Middels	Grov	Fin	Middels	Grov	Fin	Middels	Grov					
US Standard Sikt				200	100	50	30	16	8	4	3/8"	3/4"	1.5"	3"
ISO Standard Sikt				.075	.125	.25	.5	1	2	4	8	16	31.5	63



Kurve	Hull nr.	Prøve nr.	Dybde m	C_u (d_{60} / d_{10})	Tele gr.	Leir innh. %	Jordartsbetegnelse	Metode tørr/våt sikt
A	3107	4	4.21		T4	34.9	LEIRE	Fall
B	3107	8	8.23		T3	52.6	LEIRE	Fall
C								
D								
E	3107	12	12.18		T3	45.8	LEIRE	Fall
F								
G								
H								

Rev. NT-12 / Dato 2010-11-22 / Sign. SK/EB

H:\LABDATA\2012\20120491\Rutine\BH3107\gram BH 3107.xlsx\Plot

E16 Nybakk - Slomarka

Kornfordelingskurver

Dokumentnr.

20120491-02-R

Dato

2013-06-19

Figurnr.

E40

Tegnet av

FP/




P:\2012\04\20120491\Lab fra labben\Routine\BH3137\Borprofil 3137 0-20m.grf

Dybde (m)	Beskrivelse	Prøve Forsøk	Vanninnhold (%)							Tyngdetetthet (kN/m³)					Porøsitet (%)	Humus (%)	Skjærfasthet (kN/m²)										S _t Konus							
			10	20	30	40	50	60	70	16	17	18	19	20			10	20	30	40	50	60	70	80	90	100								
5																																		
10																																		
15	LEIRE siltig, fast til middels fast middels sensitiv, homogen mørk grå	1 T																																
20	LEIRE siltig, fast til middels fast meget sensitiv, homogen, mørk grå	2																																
20	LEIRE siltig, fast til middels fast meget sensitiv, homogen, mørk grå	3																																

TEGNFORKLARING:

- | | | | |
|--------|--|----------------|----------------------------|
| —○— | Plastisitetsgrense/Vanninnhold/Flytegrense | ○ | Ødometer forsøk |
| 15-○-5 | Enaks. trykkforsøk/def. ved brudd | ● | Treaksial forsøk, aktiv |
| 10 | | ● | Treaksial forsøk, passiv |
| ▽ | Konus forsøk, uforstyrret | ⊞ | Direkte skjærforsøk |
| ▼ | Konus forsøk, omrørt | S _t | Sensitivitet |
| + | Vingeboring | K/S | Kalk-/Sement stabilisering |
| | | P | Permeabilitetsforsøk |
| | | K | Korngraderingsanalyse |
| | | T | Treaksial forsøk |

E16 Nybakk - Slomarka		Dato/Rev. 2012-09-25/03
Borprofil		Dokumentnr. 20120491-02-R
Borpunkt nr.: 3137	Prøvetype: 72 mm	Dato 2013-08-07
	Terrengkote: 135,8 moh	Figurnr. E41-1
	Grunnvannst. dybde: m	Tegner MAS
	Dato boret: 2012-12-12	

Dybde (m)	Beskrivelse	Prøve	Forsøk	Vanninnhold (%)							Tyngdetetthet (kN/m³)					Porøsitet (%)	Humus (%)	Skjærfasthet (kN/m²)										S _t Konus/ Ving		
				10	20	30	40	50	60	70	16	17	18	19	20			10	20	30	40	50	60	70	80	90	100			
25	LEIRE siltig, fast til middels fast meget sensitiv, homogen, mørk grå	4	T	---○---														▼		▽										19 24
	LEIRE siltig, fast til middels fast middels sensitiv, homogen, mørk grå	5		○														▼		▽										17 25
	LEIRE siltig, fast til middels fast lite sensitiv, mørk grå	6	K	○														○	▼	▽										2 2
30																														
35																														
40																														

TEGNFORKLARING:

- | | | | |
|---------|--|----------------|----------------------------|
| ---○--- | Plastisitetsgrense/Vanninnhold/Flytegrense | Ø | Ødometer forsøk |
| 15-○-5 | Enaks. trykkforsøk/def. ved brudd | ● | Treaksial forsøk, aktiv |
| 10 | | ● | Treaksial forsøk, passiv |
| ▽ | Konus forsøk, uforstyrret | ⊠ | Direkte skjærforsøk |
| ▼ | Konus forsøk, omrørt | T | Treaksial forsøk |
| + | Vingeboring | S _t | Sensitivitet |
| | | K/S | Kalk-/Sement stabilisering |
| | | P | Permeabilitetsforsøk |
| | | K | Korngraderingsanalyse |

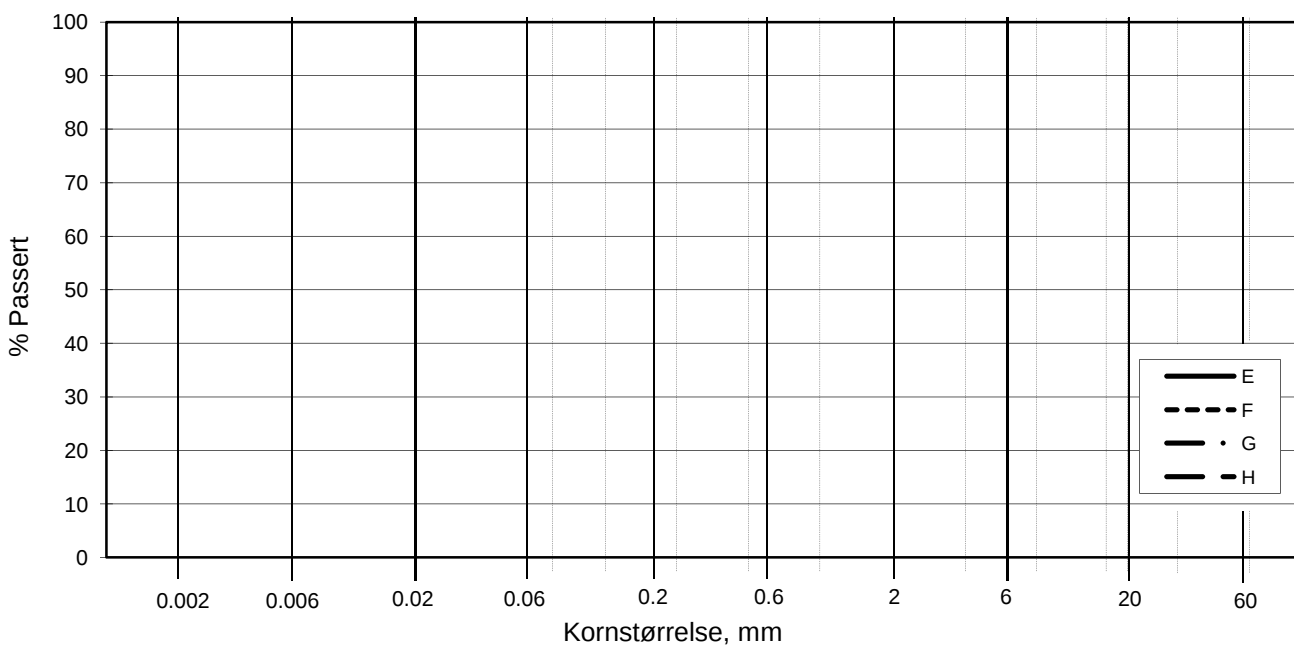
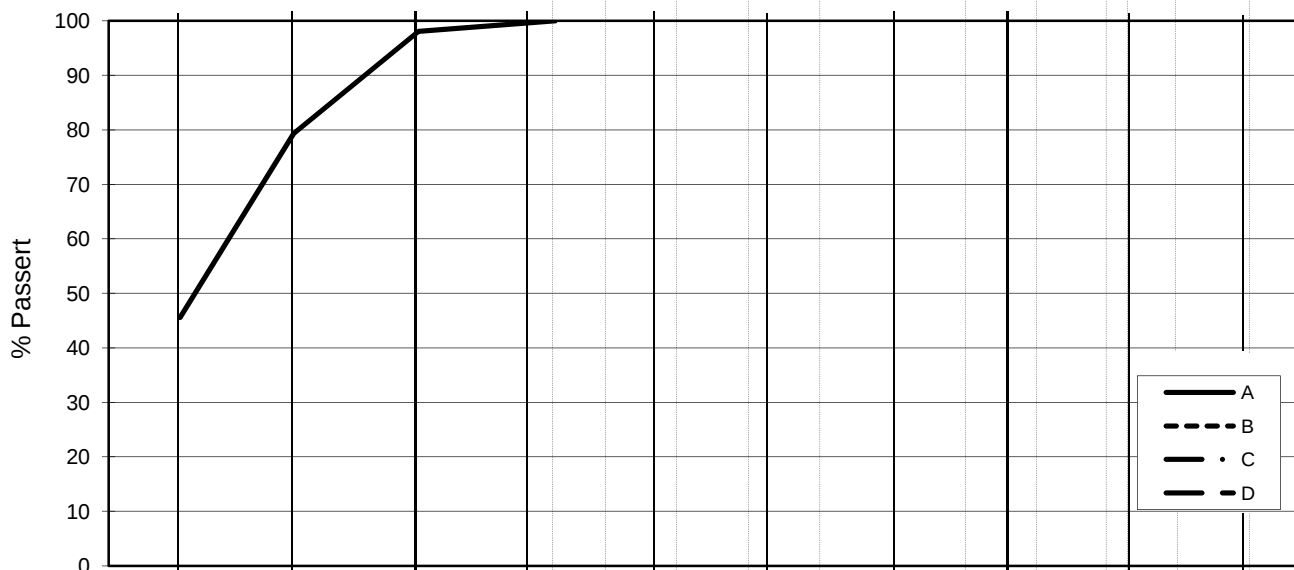
Dato/Rev. 2012-09-25/03

E16 Nybakk - Slomarka			Dokumentnr. 20120491-02-R
Borprofil	Prøvetype:	72 mm	Dato 2013-08-07
Borhull: 3137	Terrengkote:	135,8 moh	Figurnr. E41-2
	Grunnvannst. dybde:	m	
	Dato boret:	2012-12-12	Tegner MAS



P:\2012\04\20120491\Lab fra labben\Routine\BH3137\Borprofil 3137 20-40m.grf


L E I R	SILT			SAND			GRUS							
	Fin	Middels	Grov	Fin	Middels	Grov	Fin	Middels	Grov					
US Standard Sikt				200	100	50	30	16	8	4	3/8"	3/4"	1.5"	3"
ISO Standard Sikt				.075	.125	.25	.5	1	2	4	8	16	31.5	63

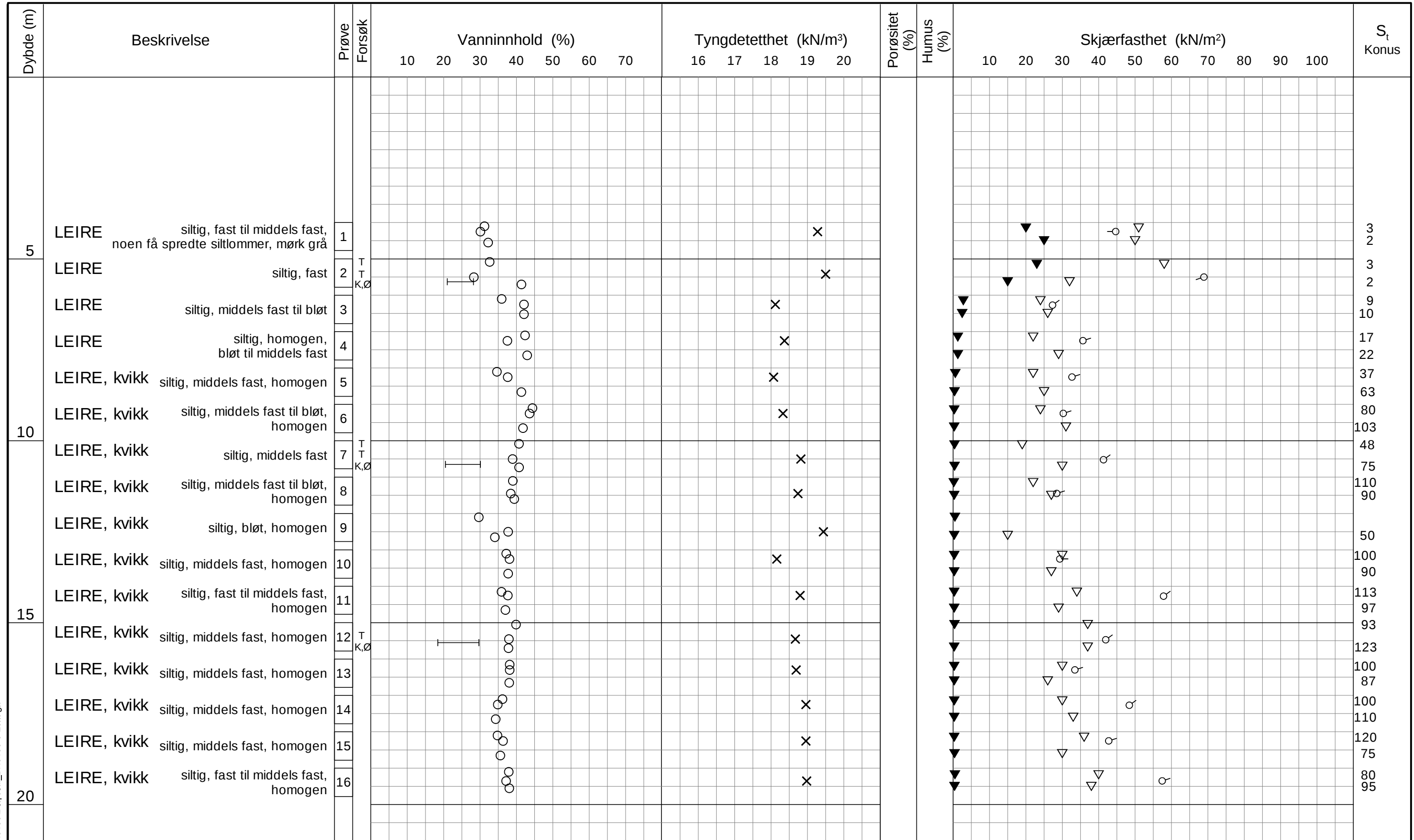


Kurve	Hull nr.	Prøve nr.	Dybde m	C_u (d_{60} / d_{10})	Tele gr.	Leir innh. %	Jordartsbetegnelse	Metode tørr/våt sikt
A	3137	6	25.39		T3	45.5	LEIRE	Fall
B								
C								
D								
E								
F								
G								
H								

Rev. NT-12 / Dato 2010-11-22 / Sign. SK/EB

H:\LABDATA\2012\20120491\Rutne\BH3137\grain BH 3137.xls\Plot

E16 Nybakk - Slomarka	Dokumentnr.	20120491-02-R
	Dato	2013-01-25
Kornfordelingskurver	Figurnr.	E42
	Tegnet av	FP/
		



TEGNFORKLARING:

- | | | | |
|--|--|--|----------------------------------|
| | Plastisitetsgrense/Vanninnhold/Flytegrense | | Ø = Ødometer forsøk |
| | Enax. trykkforsøk/def. ved brudd | | ● Treksial forsøk, aktiv |
| | Konus forsøk, uforstyrret | | ● Treksial forsøk, passiv |
| | Konus forsøk, omrørt | | ⊞ Direkte skjærforsøk |
| | Vingeboring | | T = Treksial forsøk |
| | | | S _t Sensitivitet |
| | | | K/S = Kalk-/Sement stabilisering |
| | | | P = Permeabilitetsforsøk |
| | | | K = Korngraderingsanalyse |

E16 Nybakk - Slomarka

Borprofil

Borpunkt nr.: 3139

Prøvetype: 72 mm
 Terrengekote: 128,6 moh
 Grunnvannst. dybde: m
 Dato boret: 2012-12-13

Dato/Rev. 2012-09-25/03

Dokumentnr. 20120491-02-R

Dato 2013-08-07

Figurnr. E43-1

Tegner FI



P:\2012\04\20\20491\Lab fra labbeni\Frutine\BH3139\Borprofil_BH3139-20-40m.grf

Dybde (m)	Beskrivelse	Prøve Forsøk	Vanninnhold (%)					Tyngdetetthet (kN/m³)					Porøsitet (%)	Humus (%)	Skjærfasthet (kN/m²)										S _t Konus/Ving
			10	20	30	40	50	60	70	16	17	18			19	20	10	20	30	40	50	60	70	80	
25	LEIRE, kvikk siltig, fast til middels fast, homogen	17				○																			76
	LEIRE, kvikk siltig, middels fast, homogen	18				○																			60
	LEIRE siltig, fast til middels fast, homogen	19				○																			80
	LEIRE siltig, fast til middels fast, homogen	20				○																			59
	LEIRE siltig, fast til middels fast, homogen	21				○																			58
30																								57	
35																								38	
40																								44	
																								37	
																								34	

TEGNFORKLARING:

- | | | | |
|-----|--|----------------|----------------------------|
| ○—○ | Plastisitetsgrense/Vanninnhold/Flytegrense | ○ | Ødometer forsøk |
| ○ | Enaks. trykkforsøk/def.ved brudd | ● | Treaksial forsøk, aktiv |
| ○ | 15—○—5 | ● | Treaksial forsøk, passiv |
| ○ | 10 | ⊠ | Direkte skjærforsøk |
| ▽ | Konus forsøk, uforstyrret | T | Treaksial forsøk |
| ▼ | Konus forsøk, omrørt | K/S | Kalk-/Sement stabilisering |
| + | Vingeboring | S _t | Sensitivitet |
| | | P | Permeabilitetsforsøk |
| | | K | Korngraderingsanalyse |

E16 Nybakk - Slomarka

Borprofil		Prøvetype:	72 mm
Borhull:	3139	Terrengkote:	128,6 moh
		Grunnvannst. dybde:	m
		Dato boret:	2013-12-13

Dato/Rev. 2012-09-25/03

Dokumentnr. 20120491-02-R

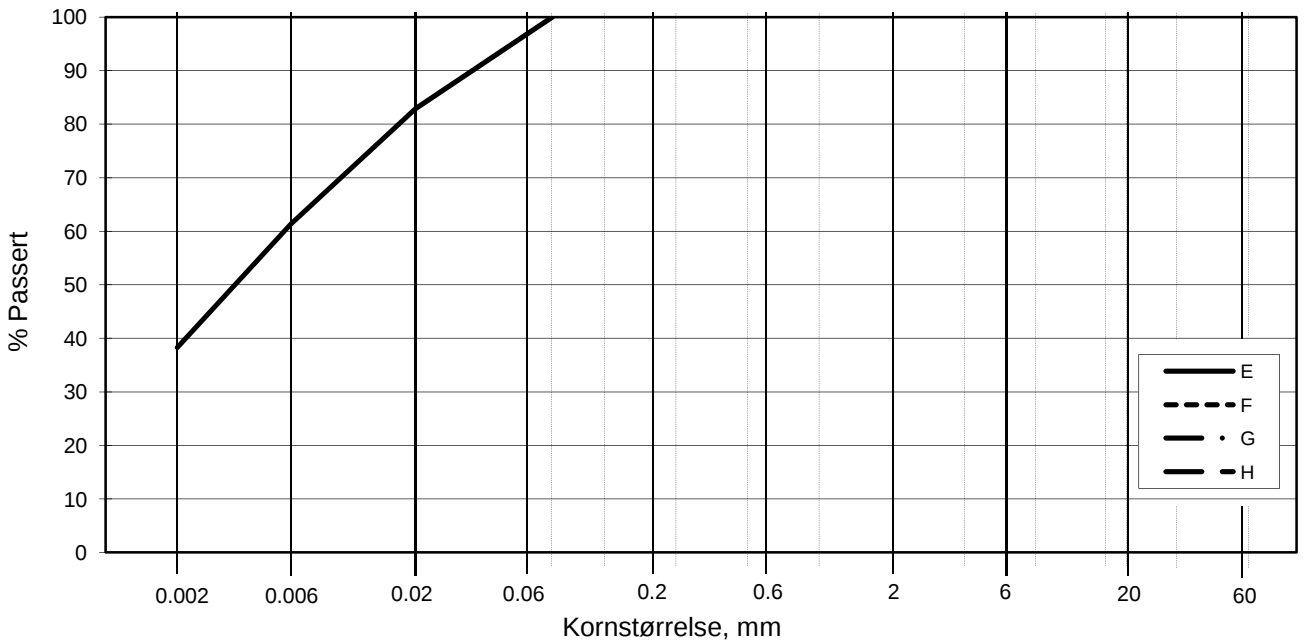
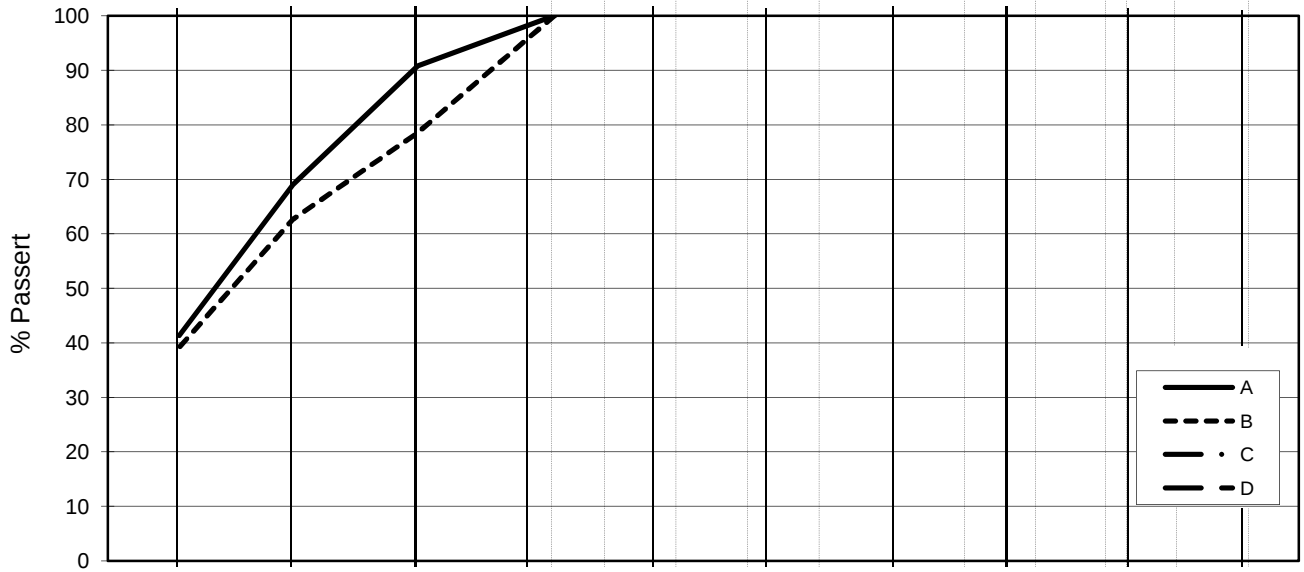
Dato 2013-08-07

Figurnr. E43-2

Tegner FI



L E I R	SILT			SAND			GRUS								
	Fin	Middels	Grov	Fin	Middels	Grov	Fin	Middels	Grov						
US Standard Sikt				200	100	50	30	16	8	4	3/8"	3/4"	1.5"	3"	
ISO Standard Sikt				.075	.125	.25	.5	1	2	4	8	16	19	31.5	63



Kurve	Hull nr.	Prøve nr.	Dybde m	C _u (d ₆₀ / d ₁₀)	Tele gr.	Leir innh. %	Jordartsbetegnelse	Metode tørr/våt sikt
A	3139	2	5.55		T3	41.3	LEIRE	Fall
B	3139	7	10.65		T4	39.1	LEIRE	Fall
C								
D								
E	3139	12	15.55		T4	38.3	LEIRE	Fall
F								
G								
H								

Rev. NT-12 / Dato 2010-11-22 / Sign. SK/EB

H:\LABDATA\2012\20120491\Rutine\BH3139\gran BH 3139.xls\Plot

E16 Nybakk -Slomarka

Kornfordelingskurver

Dokumentnr.

20120491-02-R

Dato

2013-01-14

Figurnr.

E44

Tegnet av

FP/



P:\2012\04\20120491\Lab fra labben\Routine\BH3148\Borprofil_BH3148_20m.grf

Dybde (m)	Beskrivelse	Prøve Forsøk	Vanninnhold (%)					Tyngdetetthet (kN/m ³)					Porøsitet (%)	Humus (%)	Skjærfasthet (kN/m ²)										S _t Konus										
			10	20	30	40	50	60	70	16	17	18			19	20	10	20	30	40	50	60	70	80		90	100								
5	LEIRE, tørrskorpe	1			35							19																					325	245	
	LEIRE, tørrskorpe	2			35							19																							
5	LEIRE	3			35							19																							3
	LEIRE	4			35							19																						2	
	LEIRE	5	K,Ø		35							19																						3	
	LEIRE	6	T,T			35						19																							4
	LEIRE	7			35							19																							3
10	LEIRE	8			35							19																						5	
	LEIRE	9			35							19																							5
	LEIRE	10	K,Ø		35							19																							7
	LEIRE	11	T,T			35						19																							6
15	LEIRE	12			35							19																							8
	LEIRE	13			35							19																							8
	LEIRE	14	K,Ø		35							19																							7
20	LEIRE	15			35							19																							13
	LEIRE, kvikk	16			35							19																							54
																																		95	

TEGNFORKLARING:

- | | | | |
|-----|--|----------------|----------------------------|
| ○—○ | Plastisitetsgrense/Vanninnhold/Flytegrense | ∅ | ∅dometer forsøk |
| ○ | Enaks. trykkforsøk/def. ved brudd | ● | Treksial forsøk, aktiv |
| ○ | | ● | Treksial forsøk, passiv |
| ▽ | Konus forsøk, uforstyrret | ⊠ | Direkte skjærforsøk |
| ▼ | Konus forsøk, omrørt | + | Vingeboring |
| + | | S _t | Sensitivitet |
| | | P | Permeabilitetsforsøk |
| | | K | Korngraderingsanalyse |
| | | T | Treksial forsøk |
| | | K/S | Kalk-/Sement stabilisering |

E16 Nybakk - Slomarka		Dokumentnr. 20120491-02-R
Borprofil	Prøvetype: 72 mm	Dato 2013-10-29
Borpunkt nr.: 3148	Terrengkote: 137,8 moh	Figurnr. E45-1
	Grunnvannst. dybde: m	Tegner FI
	Dato boret: 2013-04-29	


Dato/Rev. 2012-09-25/03

P:\2012\04\20120491\Lab fra labbeni\Futine\BH3148\Borprofil_BH3148_20-40m.grf

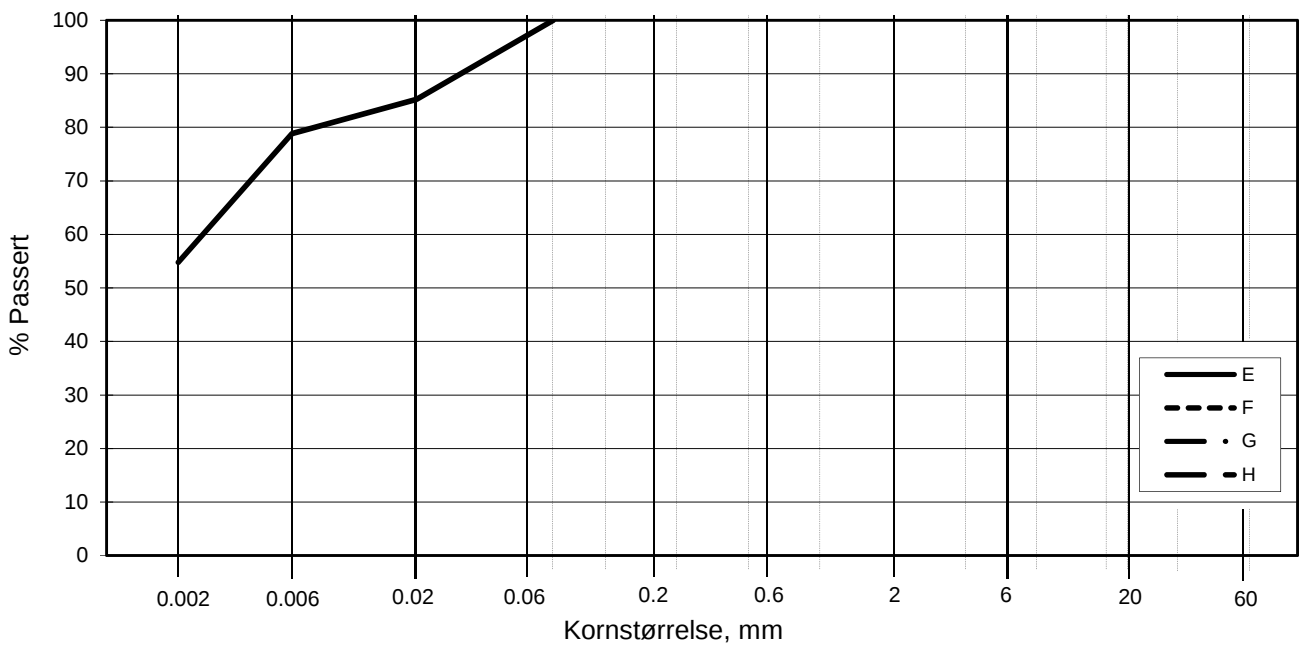
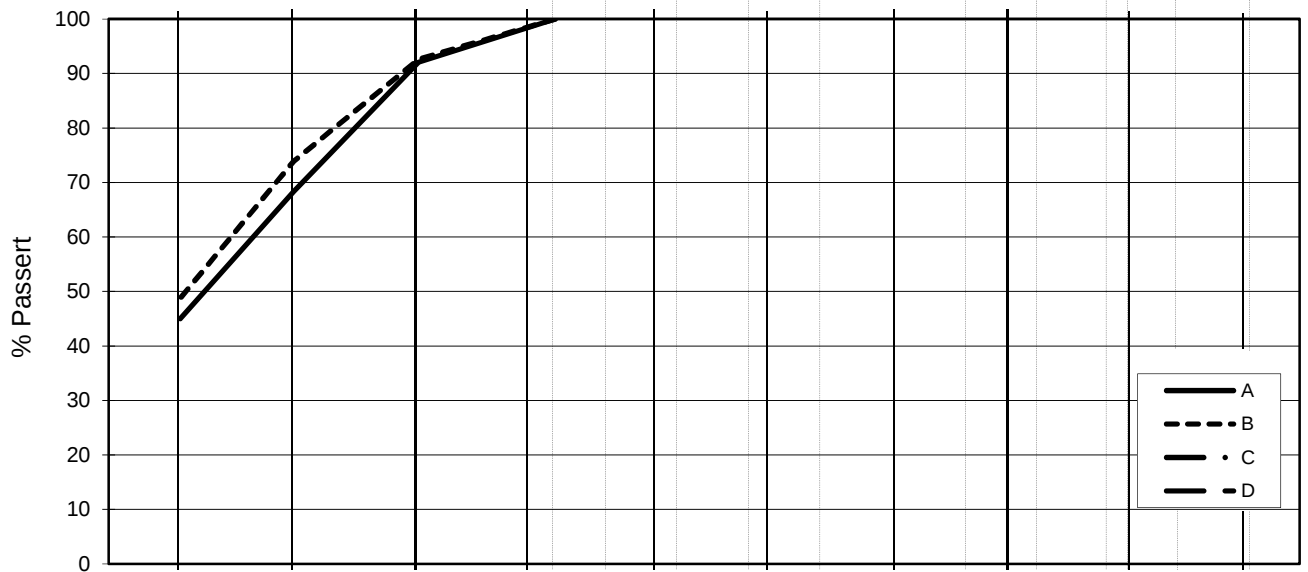
Dybde (m)	Beskrivelse	Prøve Forsøk	Vanninnhold (%)							Tyngdetetthet (kN/m ³)					Porøsitet (%)	Humus (%)	Skjærfasthet (kN/m ²)											S _t Konus/Ving													
			10	20	30	40	50	60	70	16	17	18	19	20			10	20	30	40	50	60	70	80	90	100															
25	LEIRE, kvikk middels fast, homogen	17				○																																	140	140	
	LEIRE, kvikk middels fast, homogen	18				○	○																																	145	135
	LEIRE, kvikk middels fast, homogen	19				○	○																																	120	200
30																																									
35																																									
40																																									

TEGNFORKLARING:

- | | | | | | |
|---|--|----------------|-------------------------|-----|----------------------------|
| ○ | Plastisitet/grense/Vanninnhold/Flytegrense | ○ | Treksial forsøk, aktiv | ○ | Ø = Ødometer forsøk |
| ○ | Enaks. trykkforsøk/def.ved brudd | ● | Treksial forsøk, passiv | P | Permeabilitetsforsøk |
| ▽ | Konus forsøk, uforstyrret | ⊞ | Direkte skjærforsøk | K | Korngraderingsanalyse |
| ▼ | Konus forsøk, omrørt | T | Treksial forsøk | T | Treksial forsøk |
| + | Vingeboring | S _t | Sensitivitet | K/S | Kalk-/Sement stabilisering |

E16 Nybakk - Slomarka		Dato/Rev. 2012-09-25/03	
Borprofil		Dokumentnr. 20120491-02-R	
Borhull: 3148	Prøvetype: 72 mm Terrengkote: 137,8 moh Grunnvannst. dybde: m Dato boret: 2013-03-04	Dato: 2013-10-29	
		Figurnr. E45-2 Tegner FI	

L E I R	SILT			SAND			GRUS							
	Fin	Middels	Grov	Fin	Middels	Grov	Fin	Middels	Grov					
	US Standard Sikt			200	100	50	30	16	8	4	3/8"	3/4"	1.5"	3"
	ISO Standard Sikt			.075	.125	.25	.5	1	2	4	8	16	31.5	63



Kurve	Hull nr.	Prøve nr.	Dybde m	C_u (d_{60} / d_{10})	Tele gr.	Leir innh. %	Jordartsbetegnelse	Metode tørr/våt sikt
A	3148	5	5.2		T3	45.0	LEIRE	Fall
B	3148	10	10.6		T3	48.8	LEIRE	Fall
C								
D								
E	3148	17	14.22		T3	54.8	LEIRE	Fall
F								
G								
H								

Rev. NT-12 / Dato 2010-11-22 / Sign SK/EB

H:\LABDATA\2012\20120491\Rutnet\BH3148\gram BH 3148.xlsx\Plot

E16 Nybakk - Slomarka

Kornfordelingskurver

Dokumentnr.

20120491-02-R

Dato

2013-06-21

Figurnr.

E46

Tegnet av

FP/



H:\LABDATA\2012\20120491\Indeks\Borprofil\Borprofil_BH2312.grf

Dybde (m)	Beskrivelse	Prøve Forsøk	Vanninnhold (%)					Tyngdetetthet (kN/m ³)					Porøsitet (%)	Humus (%)	Skjærfasthet (kN/m ²)										S _t Konus	
			10	20	30	40	50	60	70	16	17	18			19	20	10	20	30	40	50	60	70	80		90
5	LEIRE fast til middels fast, tørrskorpeflekker, tynne siltlag	1			○																					5
	LEIRE bløt til middels fast, tett i tett m/ tynne siltlag, nedre 35 cm siltig	2			○																					4
	LEIRE øvre 25 cm siltig, middels fast til fast tett i tett m/ tynne siltlag, siltlommer	3			○																					5
	LEIRE middels fast, spredte tynne siltlag, mørk grå	4			○																					3
	LEIRE middels fast til fast, tett i tett m/ tynne siltlag, mørk grå	5	T,K			○																				12
10	LEIRE middels fast til fast, tett i tett m/ tynne siltlag, noen få siltlommer	6			○																					6
	LEIRE middels fast til fast, tett i tett m/ tynne siltlag	7	T			○																				7
	LEIRE middels fast til fast, tett i tett m/ tynne siltlag	8				○																				9
	LEIRE middels fast til fast, noen spredte siltlag, mørk grå	9				○																				7
	LEIRE fast til middels fast, noen siltlag, mørk grå	10	T,T			○																				5
	LEIRE middels fast, noen spredte siltlag	11	K,Ø			○																				7
	LEIRE bløt, forstyrret	12				○																				9
	LEIRE, kvikk bløt til middels fast, m/ SILT lagdeling	13				○																				12
15	LEIRE, kvikk siltig, mørk grå	14				○																				11
	LEIRE, kvikk bløt, forstyrret, mørk grå	15				○																				15
	LEIRE, kvikk veldig bløt til bløt, mørk grå	16	Ø			○																				19
20		17	T,T			○																				26
		18				○																				80

TEGNFORKLARING:

- | | | | |
|---|--|----------------|----------------------------------|
| ○ | Plastisitetsgrense/Vanninnhold/Flytegrense | ○ | Ø = Ødometer forsøk |
| ○ | Enaks. trykkforsøk/def.ved brudd | ● | Treksial forsøk, aktiv |
| ○ | | ● | Treksial forsøk, passiv |
| ▽ | Konus forsøk, uforstyrret | ⊞ | Direkte skjærforsøk |
| ▽ | Konus forsøk, omrørt | T | T = Treksial forsøk |
| + | Vingeboring | S _i | S _i Sensitivitet |
| | | K/S | K/S = Kalk-/Sement stabilisering |
| | | P | P = Permeabilitetsforsøk |
| | | K | K = Korngraderingsanalyse |

E16 Nybakk - Slomarka

Borprofil
Borpunkt nr.: 2312

Prøvetype: 72 mm
Terrengkote: 132,0moh
Grunnvannst. dybde: m
Dato boret: 2014-02-19

Dato/Rev. 2012-09-25/03

Dokumentnr. 20120491-02-R

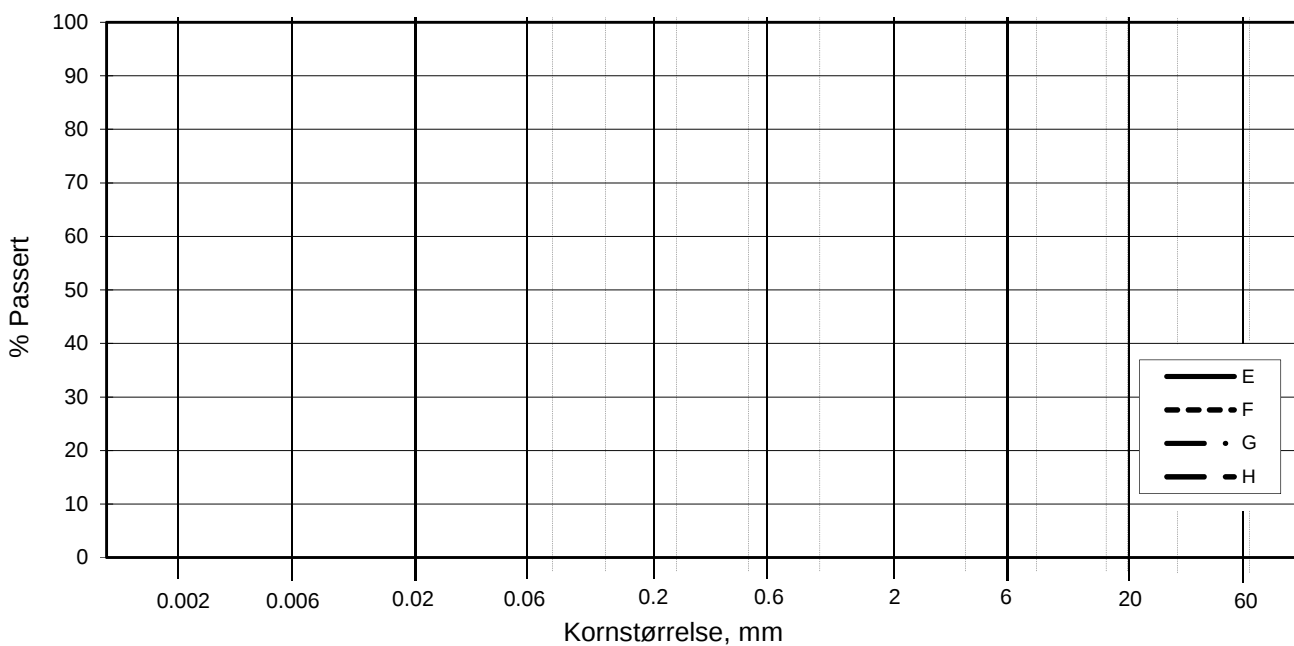
Dato 2014-08-20

Figurnr. E47-1

Tegner FI



L E I R	SILT			SAND			GRUS							
	Fin	Middels	Grov	Fin	Middels	Grov	Fin	Middels	Grov					
US Standard Sikt				200	100	50	30	16	8	4	3/8"	3/4"	1.5"	3"
ISO Standard Sikt				.075	.125	.25	.5	1	2	4	8	16	31.5	63



Kurve	Hull nr.	Prøve nr.	Dybde m	C_u (d_{60} / d_{10})	Tele gr.	Leir innh. %	Jordartsbetegnelse	Metode tørr/våt sikt
A	2312	5	5,22		T4	17,6	LEIRE, siltig	Fall
B								
C								
D								
E								
F								
G								
H								

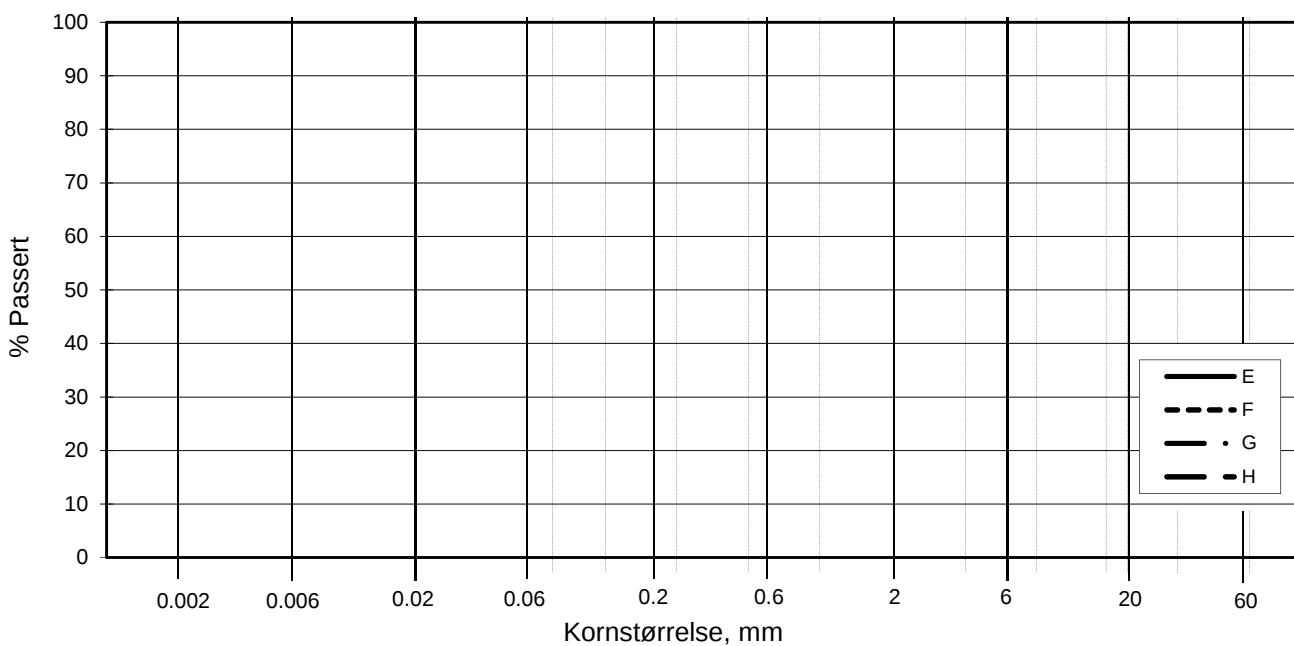
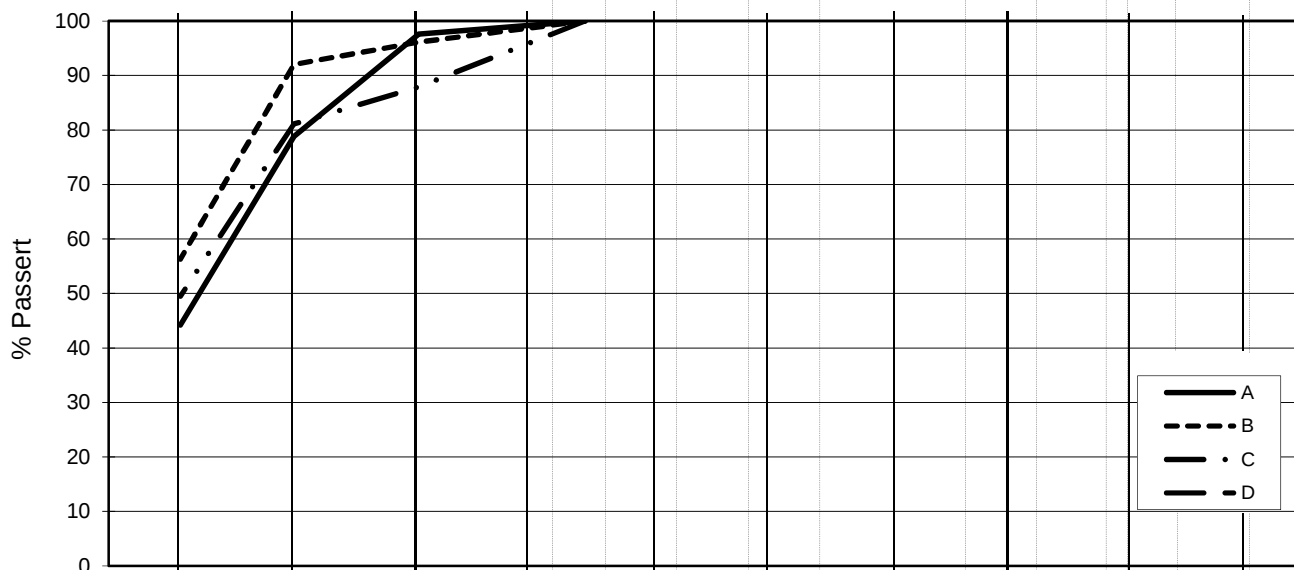
Rev. NT-12 / Dato 2010-11-22 / Sign:SK/EB

P:\2012\04\20120491\Levansedokumenter\Rapport\20120491-02-R Datarapport Vorma - Uått\Rev 1\Vedlegg E - Prøvesener\Kornfordeling\grain BH 2312.xlsx\Plot

E16 Nybakk - Slomarka	Dokumentnr.	20120491-02-R
	Dato	2014-04-07
Kornfordelingskurver	Figurnr.	E48-1
	Tegnet av	FP/



L E I R	SILT			SAND			GRUS							
	Fin	Middels	Grov	Fin	Middels	Grov	Fin	Middels	Grov					
US Standard Sikt				200	100	50	30	16	8	4	3/8"	3/4"	1.5"	3"
ISO Standard Sikt				.075	.125	.25	.5	1	2	4	8	16	31.5	63



Kurve	Hull nr.	Prøve nr.	Dybde m	C_u (d_{60} / d_{10})	Tele gr.	Leir innh. %	Jordartsbetegnelse	Metode tørr/våt sikt
A	2312	10	10,58		T3	44,2	LEIRE	våt/hydrom
B	2312	15	17,37		T3	56,3	LEIRE	våt/hydrom
C	2312	18	22,54		T3	49,5	LEIRE	våt/hydrom
D								
E								
F								
G								
H								

Rev. NT-13 / Dato 2014-01-16 / Sign: SK/EB

P:\2012\04\20120491\Leveansedokumenter\Rapport\20120491-02-R Datarapport Vorma - Uåa\Rev 1\Veilegg E - Kornfordeling\gran BH 2312 fra_UNICONE_fert_inn_i_norsk_skjema.xlsx\Plo

E16 Nybakk - Slomarka

Kornfordelingskurver

Dokumentnr.

20120491-02-R

Dato

2014-08-11

Figurnr.

E48-2

Tegnet av

ThV




H:\LABDATA\2012\20120491\Indeks\Borprofil\Borprofil_BH2322-2.grf

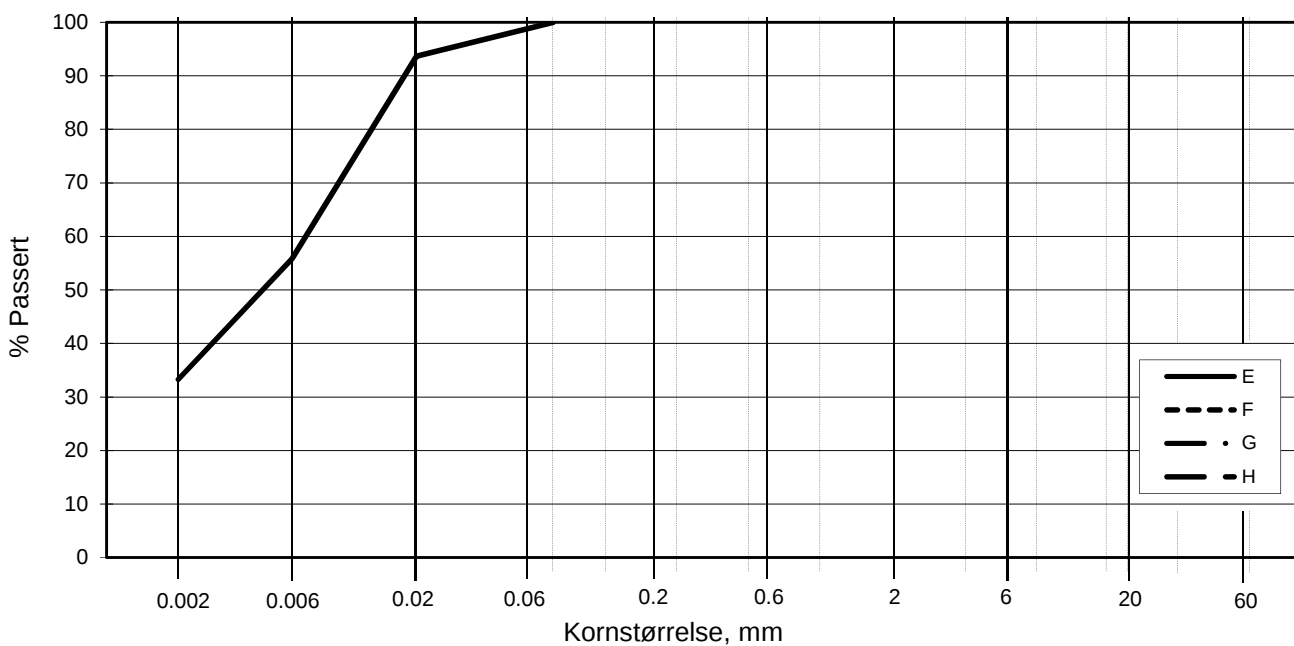
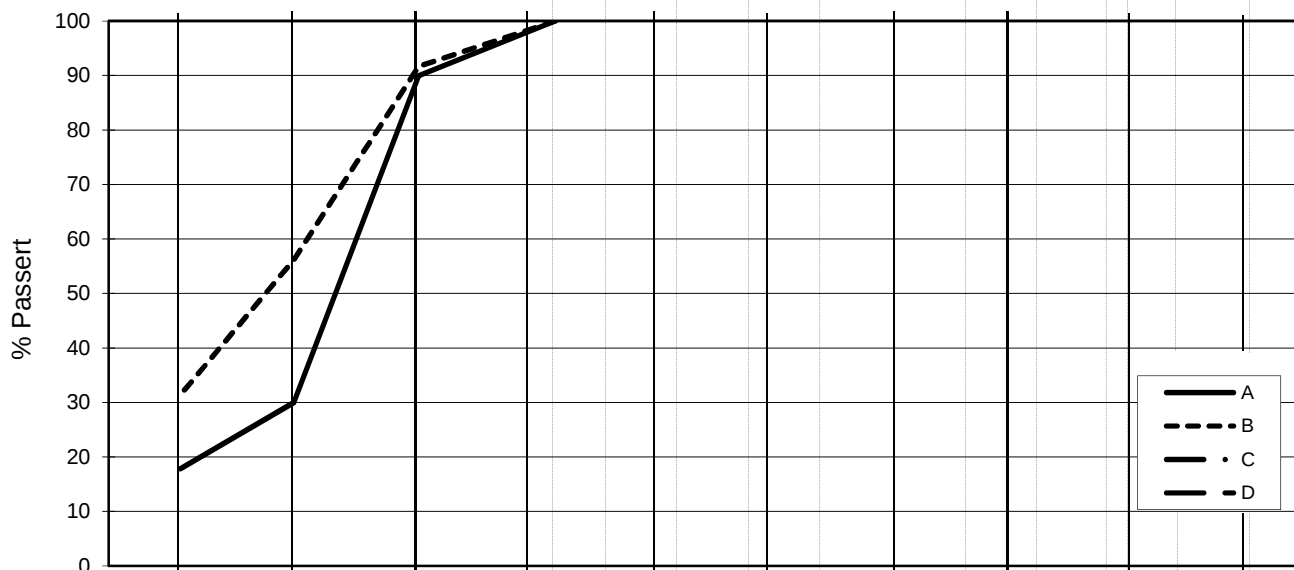
Dybde (m)	Beskrivelse	Prøve	Forsøk	Vanninnhold (%)							Tyngdetetthet (kN/m ³)					Porøsitet (%)	Humus (%)	Skjærfasthet (kN/m ²)										S _t Konus/ Ving
				10	20	30	40	50	60	70	16	17	18	19	20			10	20	30	40	50	60	70	80	90	100	
25	LEIRE, kvikk middels fast, mørk grå	17	K	-----○-----○-----○														○▽▽										170 310
	LEIRE, kvikk bløt, mørk grå	18		○																								
	LEIRE, kvikk bløt, mørk grå	19	K	-----○-----○														▽										105 50
30																												
35																												
40																												

TEGNFORKLARING:

- | | | | |
|---------|--|----------------|----------------------------|
| ○-----○ | Plastisitetsgrense/Vanninnhold/Flytegrense | ○ | Ødometer forsøk |
| ○ | Enaks. trykkforsøk/def. ved brudd | ● | Treksial forsøk, aktiv |
| ○-----○ | | ● | Treksial forsøk, passiv |
| ▽ | Konus forsøk, uforstyrret | ⊞ | Direkte skjærforsøk |
| ▼ | Konus forsøk, omrørt | T | Treksial forsøk |
| + | Vingeboring | S _t | Sensitivitet |
| | | K/S | Kalk-/Sement stabilisering |
| | | P | Permeabilitetsforsøk |
| | | K | Korngraderingsanalyse |

E16 Nybakk - Slomarka			Dato/Rev. 2012-09-25/03
Borprofil			Dokumentnr. 20120491-02-R
Borhull: 2322	Prøvetype: 72 mm	Dato 2014-08-26	
	Terrengkote: 132,6 moh	Figurnr. E49-2	
	Grunnvannst. dybde: m	Tegner JRo	
	Dato boret: 2014-02-28		

L E I R	SILT			SAND			GRUS							
	Fin	Middels	Grov	Fin	Middels	Grov	Fin	Middels	Grov					
US Standard Sikt				200	100	50	30	16	8	4	3/8"	3/4"	1.5"	3"
ISO Standard Sikt				.075	.125	.25	.5	1	2	4	8	16	31.5	63



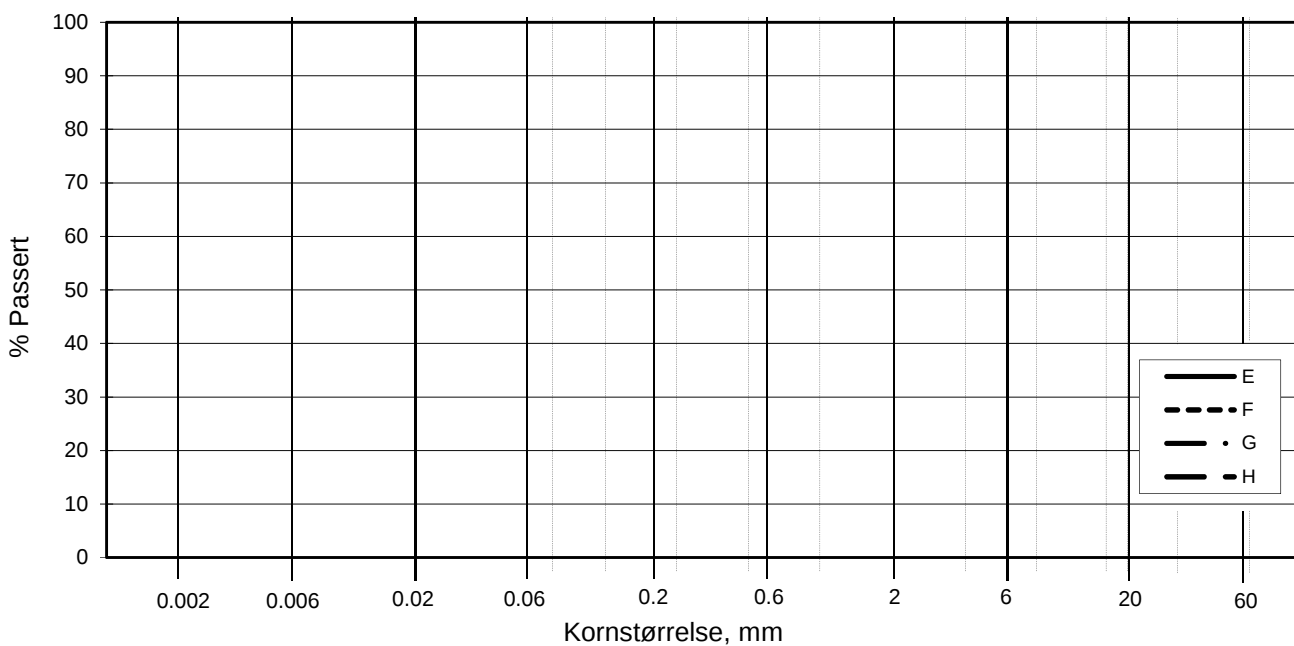
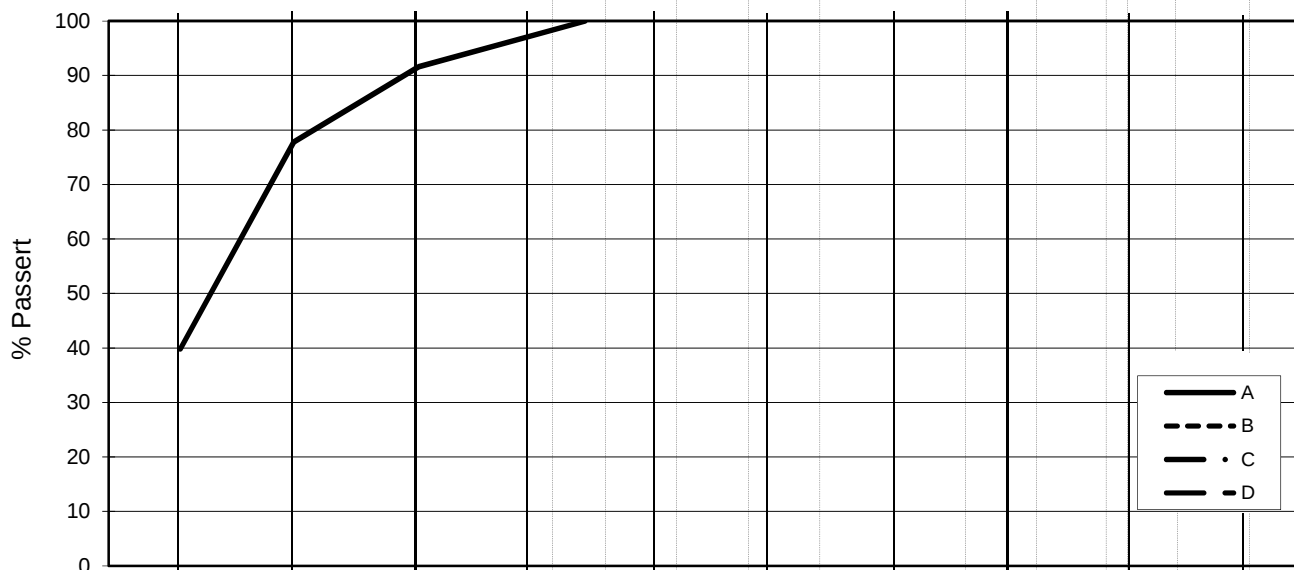
Kurve	Hull nr.	Prøve nr.	Dybde m	C _u (d ₆₀ / d ₁₀)	Tele gr.	Leir innh. %	Jordartsbetegnelse	Metode tørr/våt sikt
A	2322	10	10,21		T4	17,8	LEIRE, siltig	Fall
B	2322	15	16,38		T4	31,4	LEIRE	Fall
C								
D								
E	2322	17	20,33		T4	33,3	LEIRE	Fall
F								
G								
H								

Rev. NT-12 / Dato 2010-11-22 / Sign:SK/EB

P:\2012\04\20120491\Levansedokumenter\Rapport\20120491-02-R Data\rapport Vorma - Uått\Rev 1\Vedlegg E - Prøvesener\Kornfordeling\grain BH 2322.xlsx\Plot

E16 Nybakk - Slomarka	Dokumentnr.	20120491-02-R
	Dato	2014-04-07
Kornfordelingskurver	Figurnr.	E50-1
	Tegnet av	FP/

L E I R	SILT			SAND			GRUS							
	Fin	Middels	Grov	Fin	Middels	Grov	Fin	Middels	Grov					
US Standard Sikt				200	100	50	30	16	8	4	3/8"	3/4"	1.5"	3"
ISO Standard Sikt				.075	.125	.25	.5	1	2	4	8	16	31.5	63



Kurve	Hull nr.	Prøve nr.	Dybde m	C _u (d ₆₀ / d ₁₀)	Tele gr.	Leir innh. %	Jordartsbetegnelse	Metode tørr/våt sikt
A	2322	19	24,3		T4	39,8	LEIRE	våt/hydrom
B								
C								
D								
E								
F								
G								
H								

Rev. NT-13 / Dato 2014-01-16 / Sign:SK/EB

P:\2012\04\20120491\Levansedokumenter\Rapport\20120491-02-R Datarapport Vorma - Uåa\Rev 1\vedlegg E - Kornfordeling\gran BH 2322 fra_UNICONE_fert_inn_i_norsk_skjema.xlsx\Plo

E16 Nybakk - Slomarka	Dokumentnr.	20120491-02-R
	Dato	2014-08-11
Kornfordelingskurver	Figurnr.	E50-2
	Tegnet av	ThV



Dybde (m)	Beskrivelse	Prøve Forsøk	Vanninnhold (%)					Tyngdetetthet (kN/m ³)					Porøsitet (%)	Humus (%)	Skjærfasthet (kN/m ²)										S _t Konus
			10	20	30	40	50	60	70	16	17	18			19	20	10	20	30	40	50	60	70	80	
5	LEIRE	middels fast til fast, 5 cm siltlag v/ 2.2m, noen tynne siltlag																						2	
	LEIRE	middels fast, øvre del siltig, tett i tett m/ tynne siltlag																						4	
	LEIRE	siltig, middels fast til veldig bløt, enkelte siltlag, mørk grå																						9	
	LEIRE	middels fast til fast, tett i tett m/ tynne siltlag																						5	
	LEIRE	middels fast til fast, tett i tett m/ tynne siltlag																						5	
	LEIRE	middels fast, enkelte siltlag																							2
	LEIRE	middels fast til fast, tett i tett m/ tynne siltlag																							8
	LEIRE	middels fast, enkelte siltlag																							7
	LEIRE	middels fast til fast, tett i tett m/ tynne siltlag																							4
	LEIRE	middels fast til fast, noen siltlag																							4
10	LEIRE	middels fast til fast, noen siltlag																						5	
	LEIRE	middels fast til bløt, noen siltlag																						5	
	LEIRE	middels fast til fast, noen siltlag																						10	
	LEIRE	middels fast til bløt, noen siltlag																						7	
15	LEIRE	middels fast til bløt, noen siltlag																						6	
	LEIRE, kvikk	siltig, SILT leirig lagdeling, bløt til fast																						6	
	LEIRE, kvikk	veldig bløt, forstyrret																						14	
	LEIRE, kvikk	siltig, forstyrret, middels fast til fast																						11	
	LEIRE, kvikk	bløt til middels fast, enkelte siltlag, mørk grå																						48	
	LEIRE, kvikk	siltig, veldig bløt, forstyrret																						33	
20	LEIRE, kvikk	veldig bløt, forstyrret, noen siltlag																						23	
	LEIRE, kvikk	siltig, veldig bløt, forstyrret																						26	
																								530	
																								155	
																								75	
																								53	
																								12	
																								48	

TEGNFORKLARING:

- | | | | |
|--------|--|----------------|----------------------------|
| —○— | Plastisitetsgrense/Vanninnhold/Flytegrense | ∅ | ∅dometer forsøk |
| 15-○-5 | Enaks. trykkforsøk/def.ved brudd | ● | Treksial forsøk, aktiv |
| 10 | Konus forsøk, uforstyrret | ● | Treksial forsøk, passiv |
| ▽ | Konus forsøk, omrørt | ⊠ | Direkte skjærforsøk |
| + | Vingeboring | S _t | Sensitivitet |
| | | P | Permeabilitetsforsøk |
| | | K | Korngraderingsanalyse |
| | | T | Treksial forsøk |
| | | K/S | Kalk-/Sement stabilisering |

Dato/Rev. 2012-09-25/03

E16 Nybakk - Slomarka

Borprofil
Borpunkt nr.: 2325

Prøvetype: 72 mm
Terrengkote: 130,7 moh
Grunnvannst. dybde: m
Dato boret: 2014-03-11

Dokumentnr.
20120491-02-R

Dato
2014-08-20

Figurnr.
E51-1

Tegner
FI



H:\LABDATA\2012\20120491\Indeks\Borprofil\Borprofil_BH2325-2.grf

Dybde (m)	Beskrivelse	Prøve	Forsøk	Vanninnhold (%)							Tyngdetetthet (kN/m ³)					Porøsitet (%)	Humus (%)	Skjærfasthet (kN/m ²)										S _t Konus/ Ving
				10	20	30	40	50	60	70	16	17	18	19	20			10	20	30	40	50	60	70	80	90	100	
25	LEIRE, kvikk	middels fast	17	K, Ø																						170		
				T, T												X										310		
35	LEIRE, kvikk	bløt, noe silt	18													X										38		
40	LEIRE	middels fast til fast, noen spredte siltlag	19													X										24		
																										31		

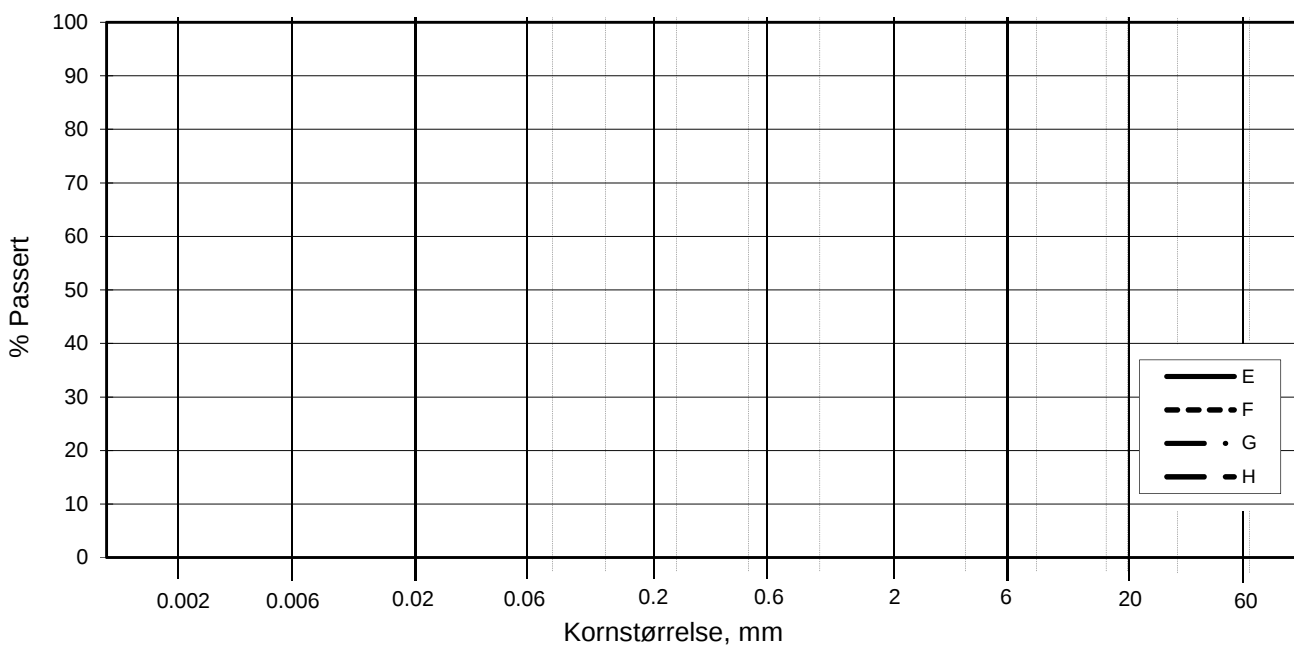
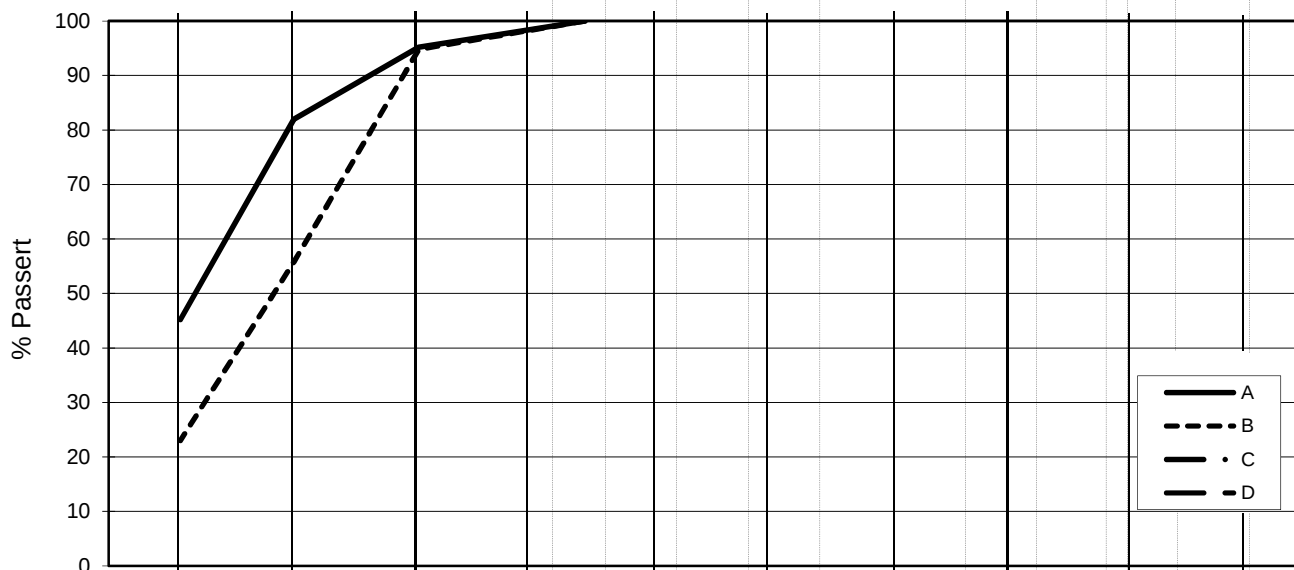
TEGNFORKLARING:

- ⊖ Plastisitetsgrense/Vanninnhold/Flytegrense
- ⊙ Enaks. trykkforsøk/def. ved brudd
- ▽ Konus forsøk, uforstyrret
- ▼ Konus forsøk, omrørt
- ⊕ Vingeboring
- = Ødometer forsøk
- Treksial forsøk, aktiv
- Treksial forsøk, passiv
- ⊞ Direkte skjærforsøk
- S_t Sensitivitet
- P = Permeabilitetsforsøk
- K = Korngraderingsanalyse
- T = Treksial forsøk
- K/S = Kalk-/Sement stabilisering

E16 Nybakk - Slomarka		Dokumentnr. 20120491-02-R	
Borprofil		Dato 2014-08-20	
Borhull: 2325		Prøvetype: 72 mm	NGI
		Terrengkote: 130,7 moh	
		Grunnvannst. dybde: m	
		Dato boret: 2014-03-11	
		Figurnr. E51-2	
		Tegner FI	

Dato/Rev. 2012-09-25/03

L E I R	SILT			SAND			GRUS							
	Fin	Middels	Grov	Fin	Middels	Grov	Fin	Middels	Grov					
US Standard Sikt				200	100	50	30	16	8	4	3/8"	3/4"	1.5"	3"
ISO Standard Sikt				.075	.125	.25	.5	1	2	4	8	16	31.5	63

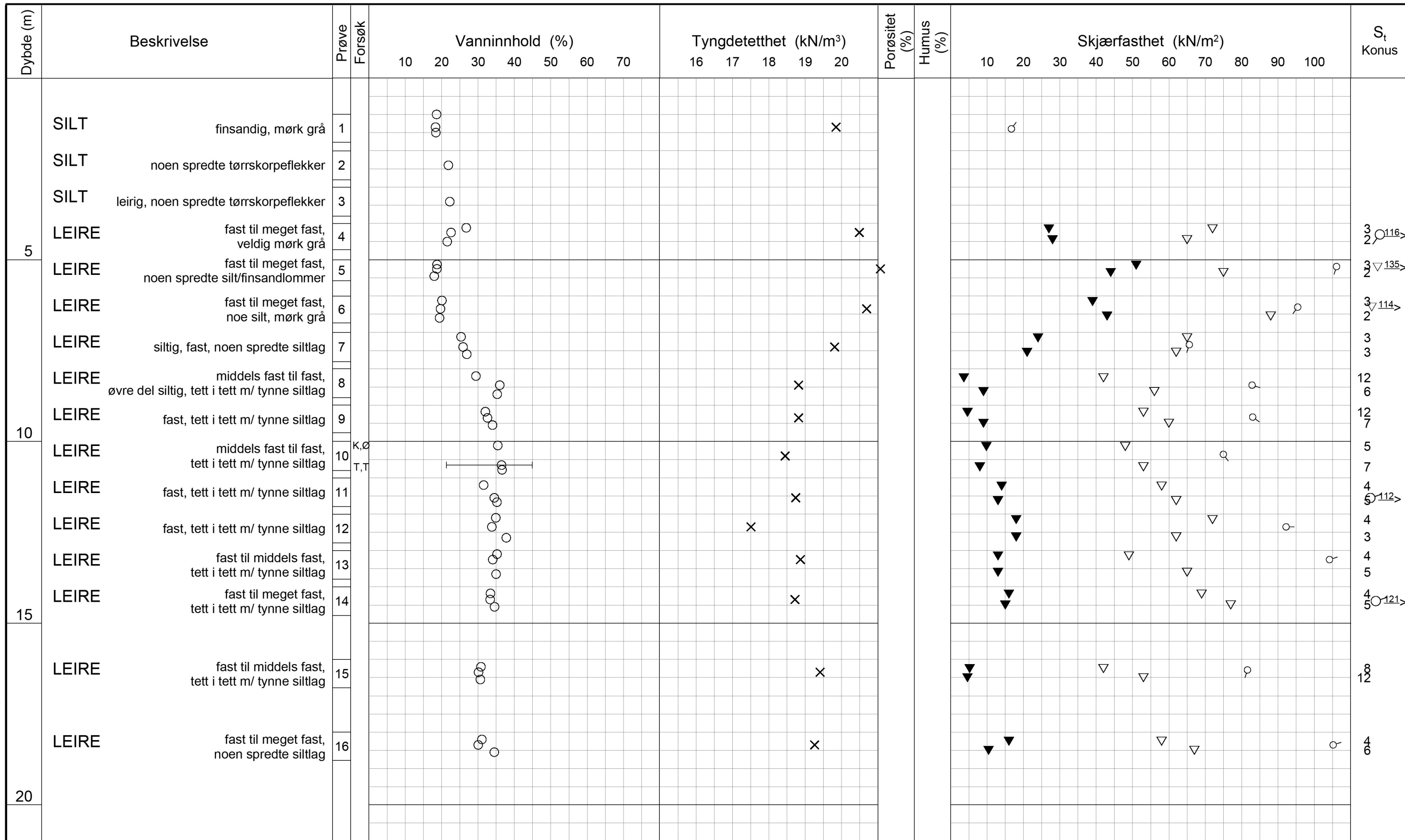


Kurve	Hull nr.	Prøve nr.	Dybde m	C_u (d_{60} / d_{10})	Tele gr.	Leir innh. %	Jordartsbetegnelse	Metode tørr/våt sikt
A	2325	10	10,6		T3	45,2	LEIRE	våt/hydrom
B	2325	17	20,61		T4	23,0	LEIRE, siltig	våt/hydrom
C								
D								
E								
F								
G								
H								

Rev. NT-13 / Dato 2014-01-16 / Sign:SK/EB

P:\2012\04\20120491\Levansedokumenter\Rapport\20120491-02-R Datarapport Vorma - Uåa\Rev 1\Veilegg E - Kornfordeling\gran BH 2325 fra_UNICONE_fert_inn_i_norsk_skjema.xlsx\Plot

E16 Nybakk - Slomarka	Dokumentnr.	20120491-02-R
	Dato	2014-08-11
Kornfordelingskurver	Figurnr.	E52
	Tegnet av	ThV



TEGNFORKLARING:

- | | | | |
|-----|--|----------------|----------------------------|
| —○— | Plastisitetsgrense/Vanninnhold/Flytegrense | ○ | Ødometer forsøk |
| ○ | Enaks. trykkforsøk/def. ved brudd | ● | Treksial forsøk, aktiv |
| ○ | Konus forsøk, uforstyrret | ○ | Treksial forsøk, passiv |
| ▽ | Konus forsøk, omrørt | ⊞ | Direkte skjærforsøk |
| + | Vingeboring | S _t | Sensitivitet |
| | | P | Permeabilitetsforsøk |
| | | K | Korngraderingsanalyse |
| | | T | Treksial forsøk |
| | | K/S | Kalk-/Sement stabilisering |

E16 Nybakk - Slomarka

Borprofil
Borpunkt nr.: 2330

Prøvetype: 72 mm
Terrengkote: 144,9 moh
Grunnvannst. dybde: m
Dato boret: 2014-03-04

Dato/Rev. 2012-09-25/03

Dokumentnr. 20120491-02-R

Dato 2014-07-22

Figurnr. E53-1

Tegner FI



Dybde (m)	Beskrivelse	Prøve Forsøk	Vanninnhold (%)							Tyngdetetthet (kN/m ³)					Porøsitet (%)	Humus (%)	Skjærfasthet (kN/m ²)										S _t Konus/Ving	
			10	20	30	40	50	60	70	16	17	18	19	20			10	20	30	40	50	60	70	80	90	100		
25	LEIRE middels fast til fast	17 T,T			30	35																						5
					30																							4
	LEIRE fast, tett i tett m/ tynne siltlag	18			30	35																						5
35	LEIRE fast, mørk grå, noen spredte silt/finsandlag og - lommer	19			30	35																						3
					30																							3
					30																							
40																												

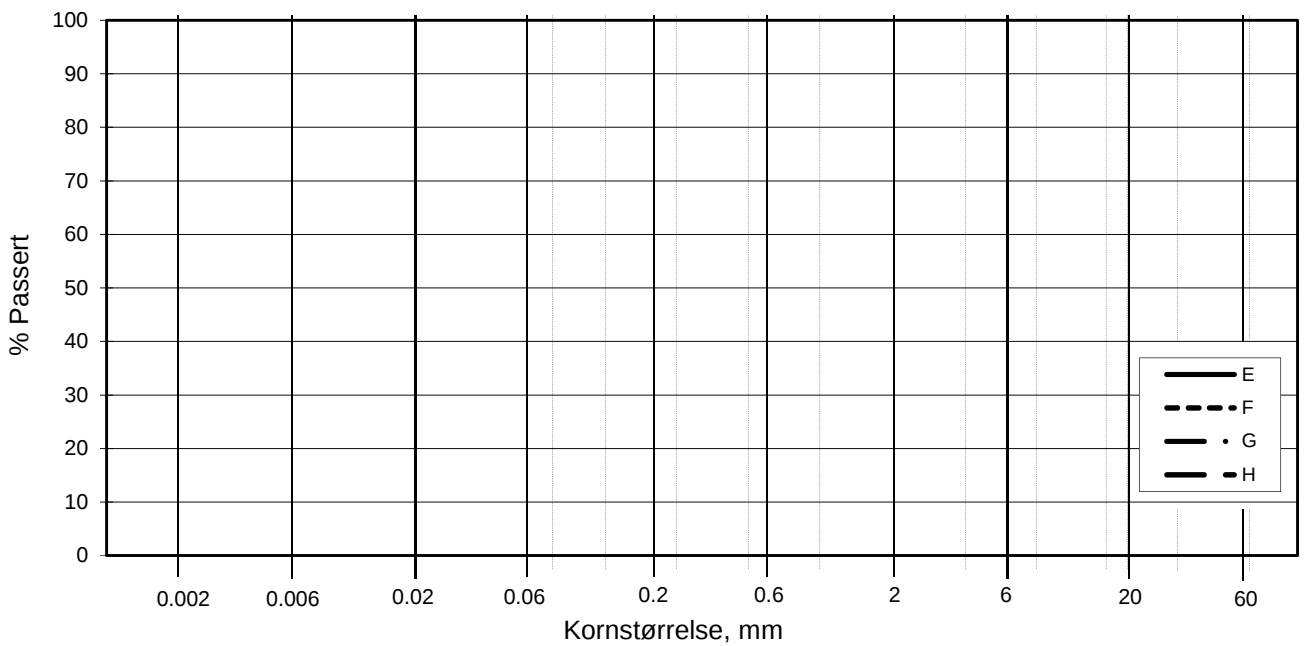
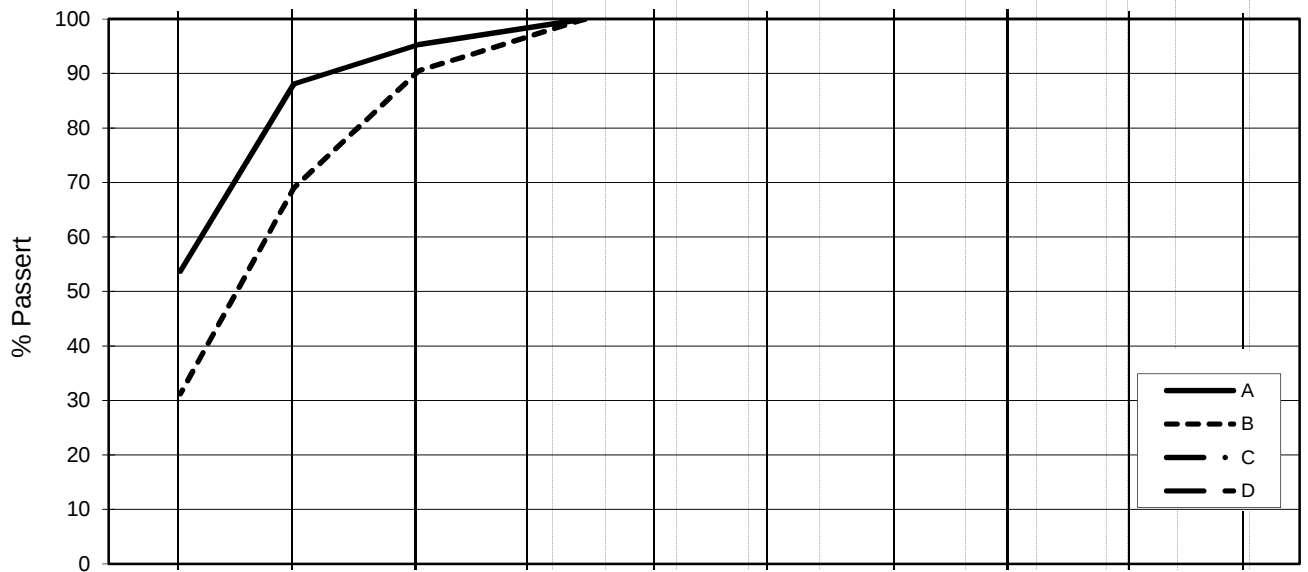
TEGNFORKLARING:

- | | | | |
|--------|--|----------------|----------------------------|
| —○— | Plastisitetsgrense/Vanninnhold/Flytegrense | ∅ | ∅dometer forsøk |
| 15-○-5 | Enaks. trykkforsøk/def. ved brudd | ● | Treksial forsøk, aktiv |
| 10 | | ○ | Treksial forsøk, passiv |
| ▽ | Konus forsøk, uforstyrret | ⊠ | Direkte skjærforsøk |
| ▼ | Konus forsøk, omrørt | S _t | Sensitivitet |
| + | Vingeboring | K/S | Kalk-/Sement stabilisering |
| | | P | Permeabilitetsforsøk |
| | | K | Korngraderingsanalyse |
| | | T | Treksial forsøk |

E16 Nybakk - Slomarka		Dato/Rev. 2012-09-25/03	
		Dokumentnr.	20120491-02-R
Borprofil	Prøvetype:	72 mm	
	Borhull: 2330	Terrengkote:	144,9 moh
	Grunnvannst. dybde:	m	
	Dato boret:	2014-03-04	
	Dato	2014-07-22	
	Figurnr.	E53-2	
	Tegner	FI	



L E I R	SILT			SAND			GRUS							
	Fin	Middels	Grov	Fin	Middels	Grov	Fin	Middels	Grov					
	US Standard Sikt			200	100	50	30	16	8	4	3/8"	3/4"	1.5"	3"
	ISO Standard Sikt			.075	.125	.25	.5	1	2	4	8	16	31.5	63



Kurve	Hull nr.	Prøve nr.	Dybde m	C_u (d_{60} / d_{10})	Tele gr.	Leir innh. %	Jordartsbetegnelse	Metode tørr/våt sikt
A	2330	10	10,61		T3	53,7	LEIRE	våt/hydrom
B	2330	17	20,27		T4	31,2	LEIRE	våt/hydrom
C								
D								
E								
F								
G								
H								

Rev. NT-13 / Dato 2014-01-16 / Sign. SK/EB

P:\2012\04\20120491\Levansedokumenter\Rapport\20120491-02-R Datarapport Vorma - Uåa\Rev 1\vedlegg E - Kornfordeling\gran BH 2330 fra_UNICONE_fert_inn_i_norsk_skjema.xlsx\Plo

E16 Nybakk - Slomarka

Kornfordelingskurver

Dokumentnr.

20120491-02-R

Dato

2014-08-11

Figurnr.

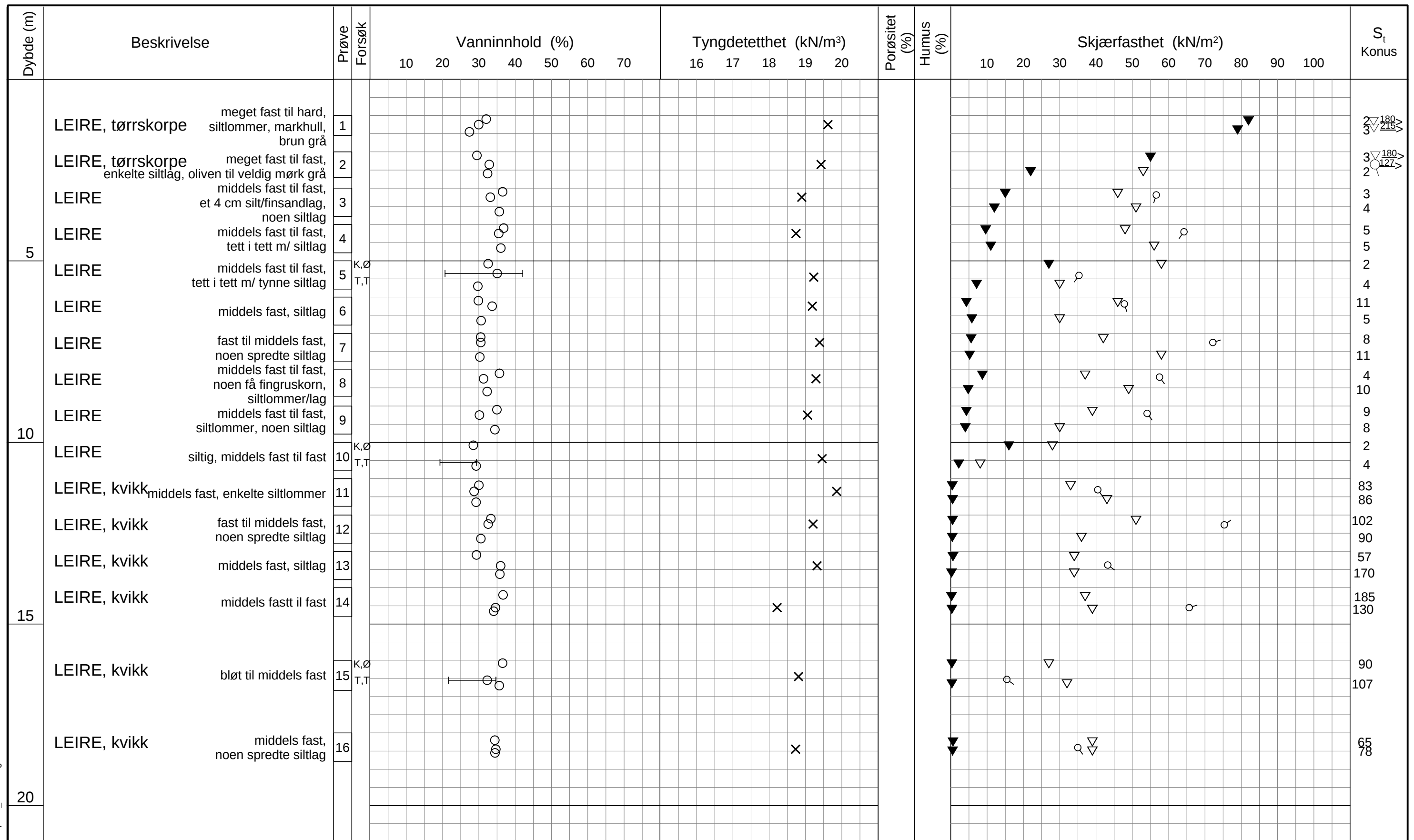
E54

Tegnet av

ThV



H:\LABDATA\2012\20120491\Indeks\Borprofil\Borprofil_BH2332.grf



TEGNFORKLARING:

—○— Plastisitetsgrense/Vanninnhold/Flytegrense

○

15-○-5 Enaks. trykkforsøk/def.ved brudd

10

▽ Konus forsøk, uforstyrret

▼ Konus forsøk, omrørt

+ Vingeboring

● Treksial forsøk, aktiv

● Treksial forsøk, passiv

☐ Direkte skjærforsøk

S_t Sensitivitet

Ø = Ødometer forsøk

P = Permeabilitetsforsøk

K = Korngraderingsanalyse

T = Treksial forsøk

K/S = Kalk-/Sement stabilisering

E16 Nybakk - Slomarka

Borprofil

Borpunkt nr.: 2332

Prøvetype: 72 mm

Terrengkote: 136,0 moh

Grunnvannst. dybde: m

Dato boret: 2014-03-19

Dato/Rev. 2012-09-25/03

Dokumentnr.
20120491-02-R

Dato
2014-08-20

Figurnr.
E55-1

Tegner
FI




H:\LABDATA\2012\20120491\Indeks\Borprofil\Borprofil_BH2332-2.grf

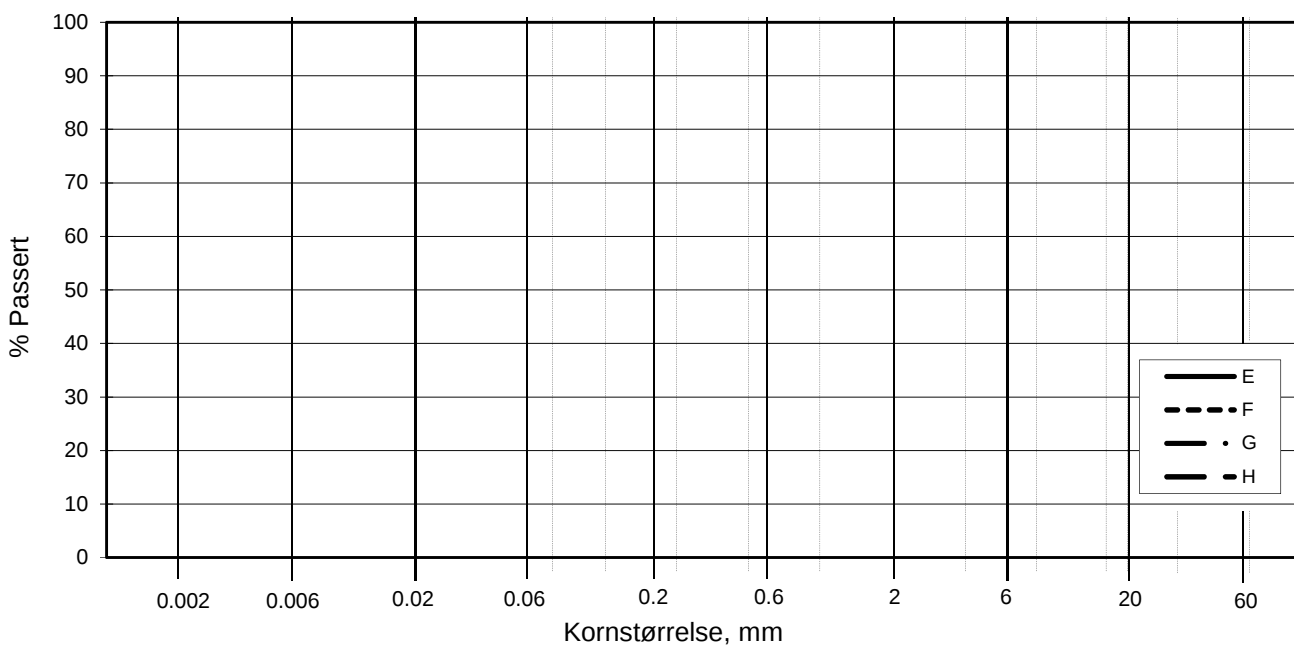
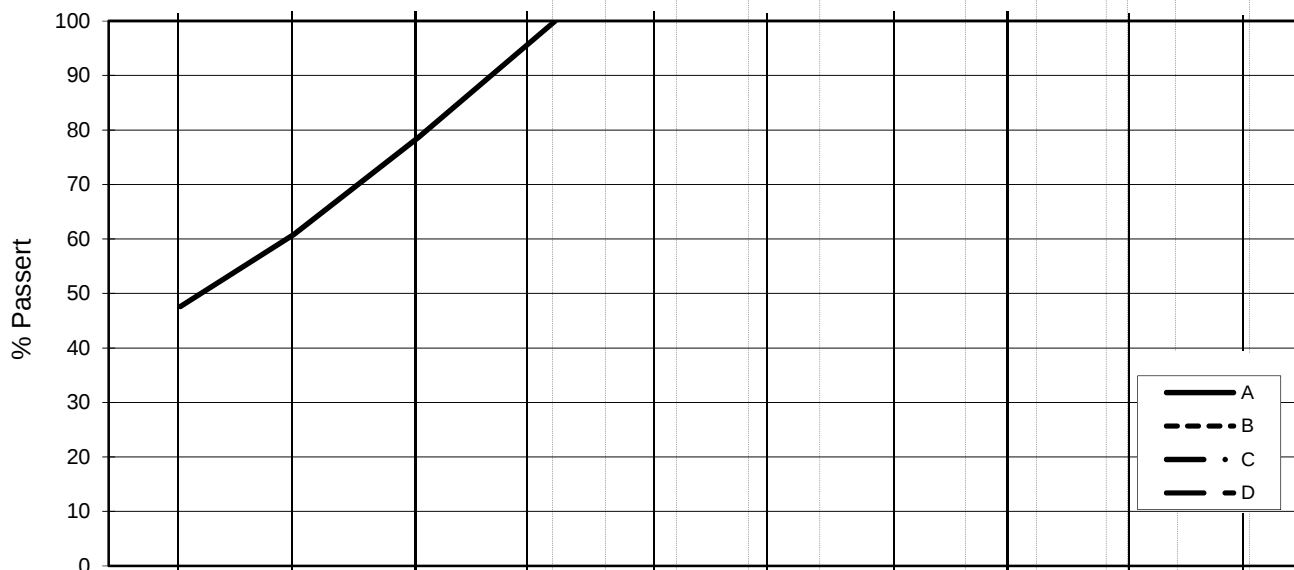
Dybde (m)	Beskrivelse	Prøve	Forsøk	Vanninnhold (%)				Tyngdetetthet (kN/m ³)				Porøsitet (%)	Humus (%)	Skjærfasthet (kN/m ²)						S _t Konus/ Ving				
				10	20	30	40	50	60	70	16			17	18	19	20	10	20		30	40	50	60
25	LEIRE, kvikk	middels fast	17	K, Ø																				100
				T, T																				160
	LEIRE, kvikk	fast til middels fast, noen spredte siltlag	18								X													73
																								78
	LEIRE, kvikk	middels fast, noen spredte siltlag	19								X													38
																								39
30																								
35																								
40																								

TEGNFORKLARING:

- | | | | |
|--------|--|----------------|----------------------------|
| —○— | Plastisitetsgrense/Vanninnhold/Flytegrense | Ø | Ødometer forsøk |
| 15-○-5 | Enaks. trykkforsøk/def. ved brudd | ● | Treksial forsøk, aktiv |
| 10 | | ● | Treksial forsøk, passiv |
| ▽ | Konus forsøk, uforstyrret | ⊞ | Direkte skjærforsøk |
| ▼ | Konus forsøk, omrørt | T | Treksial forsøk |
| + | Vingeboring | S _t | Sensitivitet |
| | | P | Permeabilitetsforsøk |
| | | K | Korngraderingsanalyse |
| | | K/S | Kalk-/Sement stabilisering |

E16 Nybakk - Slomarka		Dato/Rev. 2012-09-25/03	
Borprofil		Dokumentnr. 20120491-02-R	
Borhull: 2332	Prøvetype: 72 mm	Dato 2014-08-20	
	Terrengkote: 136,0 moh	Figurnr. E55-2	
	Grunnvannst. dybde: m	Tegner FI	
	Dato boret: 2014-03-19		

L E I R	SILT			SAND			GRUS							
	Fin	Middels	Grov	Fin	Middels	Grov	Fin	Middels	Grov					
US Standard Sikt				200	100	50	30	16	8	4	3/8"	3/4"	1.5"	3"
ISO Standard Sikt				.075	.125	.25	.5	1	2	4	8	16	31.5	63



Kurve	Hull nr.	Prøve nr.	Dybde m	C _u (d ₆₀ / d ₁₀)	Tele gr.	Leir innh. %	Jordartsbetegnelse	Metode tørr/våt sikt
A	2332	5	5,37		T3	47,6	LEIRE	Fall
B								
C								
D								
E								
F								
G								
H								

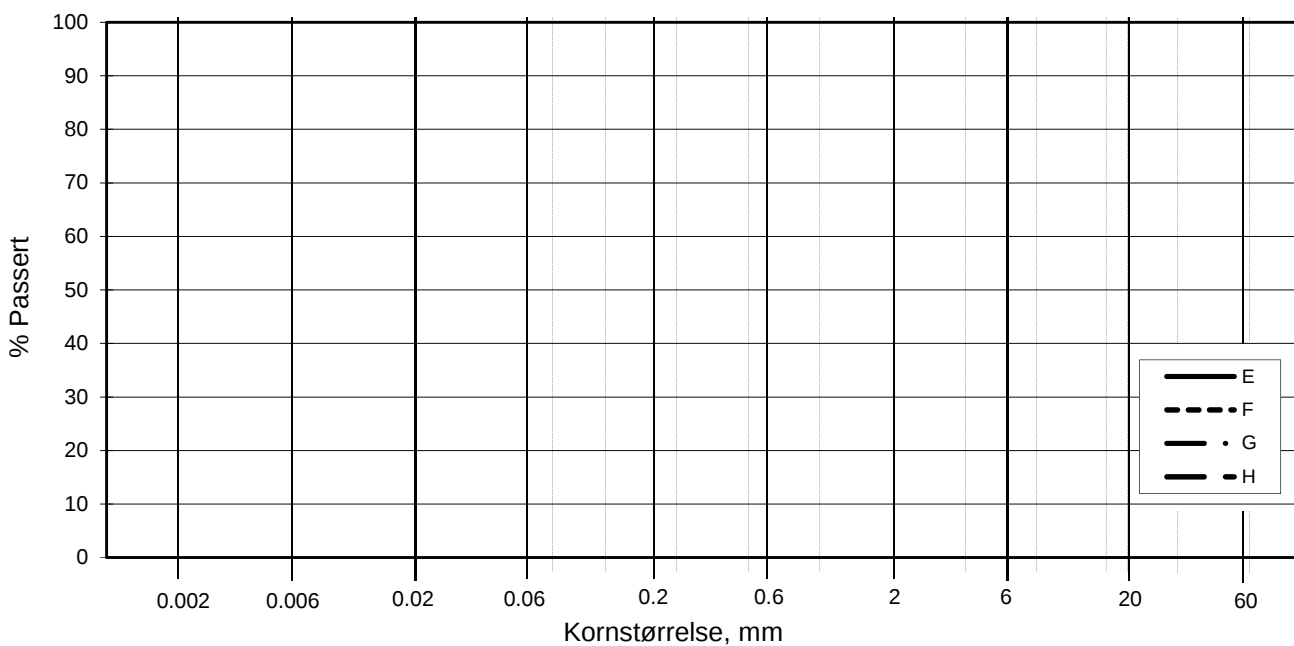
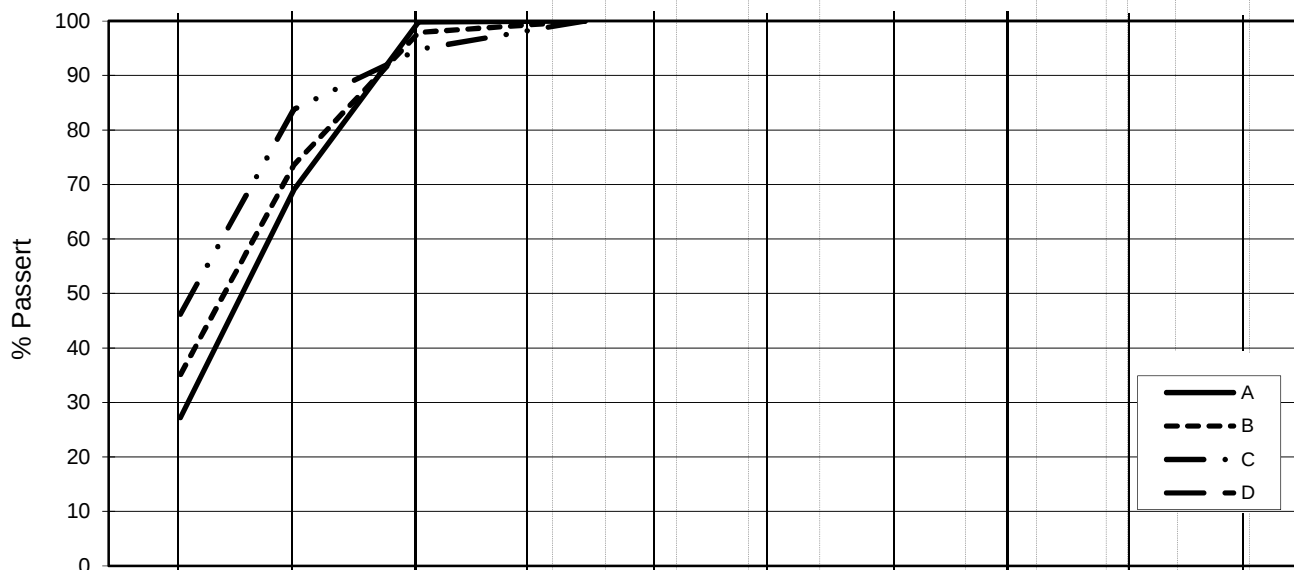
Rev. NT-12 / Dato 2010-11-22 / Sign:SK/EB

P:\2012\04\20120491\Levansedokumenter\Rapport\20120491-02-R Data\rapport Vorma - Uått\Rev 1\Vedlegg E - Prøvesener\Kornfordeling\grain BH 2332.xlsx\Plot

E16 Nybakk - Slomarka	Dokumentnr.	20120491-02-R
	Dato	2014-04-07
Kornfordelingskurver	Figurnr.	E56-1
	Tegnet av	FP/



L E I R	SILT			SAND			GRUS							
	Fin	Middels	Grov	Fin	Middels	Grov	Fin	Middels	Grov					
US Standard Sikt				200	100	50	30	16	8	4	3/8"	3/4"	1.5"	3"
ISO Standard Sikt				.075	.125	.25	.5	1	2	4	8	16	31.5	63



Kurve	Hull nr.	Prøve nr.	Dybde m	C_u (d_{60} / d_{10})	Tele gr.	Leir innh. %	Jordartsbetegnelse	Metode tørr/våt sikt
A	2332	10	10,58		T4	27,2	LEIRE, siltig	våt/hydrom
B	2332	15	16,58		T4	35,1	LEIRE	våt/hydrom
C	2332	17	20,55		T3	46,2	LEIRE	våt/hydrom
D								
E								
F								
G								
H								

Rev. NT-13 / Dato 2014-01-16 / Sign. SK/EB

P:\2012\04\20120491\Levansedokumenter\Rapport\20120491-02-R Datarapport Vorma - Uåa\Rev 1\vedlegg E - Kornfordeling\gran BH 2332 fra_UNICONE_fert_inn_i_norsk_skjema.xlsx\Plo

E16 Nybakk - Slomarka

Kornfordelingskurver

Dokumentnr.

20120491-02-R

Dato

2014-08-11

Figurnr.

E56-2

Tegnet av

ThV



Dybde (m)	Beskrivelse	Prøve Forsøk	Vanninnhold (%)					Tyngdetetthet (kN/m ³)					Porøsitet (%)	Humus (%)	Skjærfasthet (kN/m ²)										S _t Konus					
			10	20	30	40	50	60	70	16	17	18			19	20	10	20	30	40	50	60	70	80		90	100			
5	LEIRE, tørrskorpe fast, noe org.materiale, brun grå	1			○																									1
	LEIRE, tørrskorpe fast til meget fast, noe silt	2			○																									1
	LEIRE, tørrskorpe hard til fast, siltlag, brun	3			○																									2
	LEIRE fast, noen spredte siltlag, mørk grå	4			○																									2
	LEIRE	5	K,Ø T,T			○																								2
10	LEIRE	6			○																									3
	LEIRE	7			○																									4
	LEIRE	8			○																									6
	LEIRE	9			○																									6
	LEIRE	10	K,Ø T,T			○																								6
15	LEIRE	11			○																									6
	LEIRE	12			○																									6
	LEIRE	13			○																									9
	LEIRE	14	K,Ø T,T			○																								6
	LEIRE	15			○																									6
20	LEIRE	16			○																									4
	LEIRE	17			○																									4

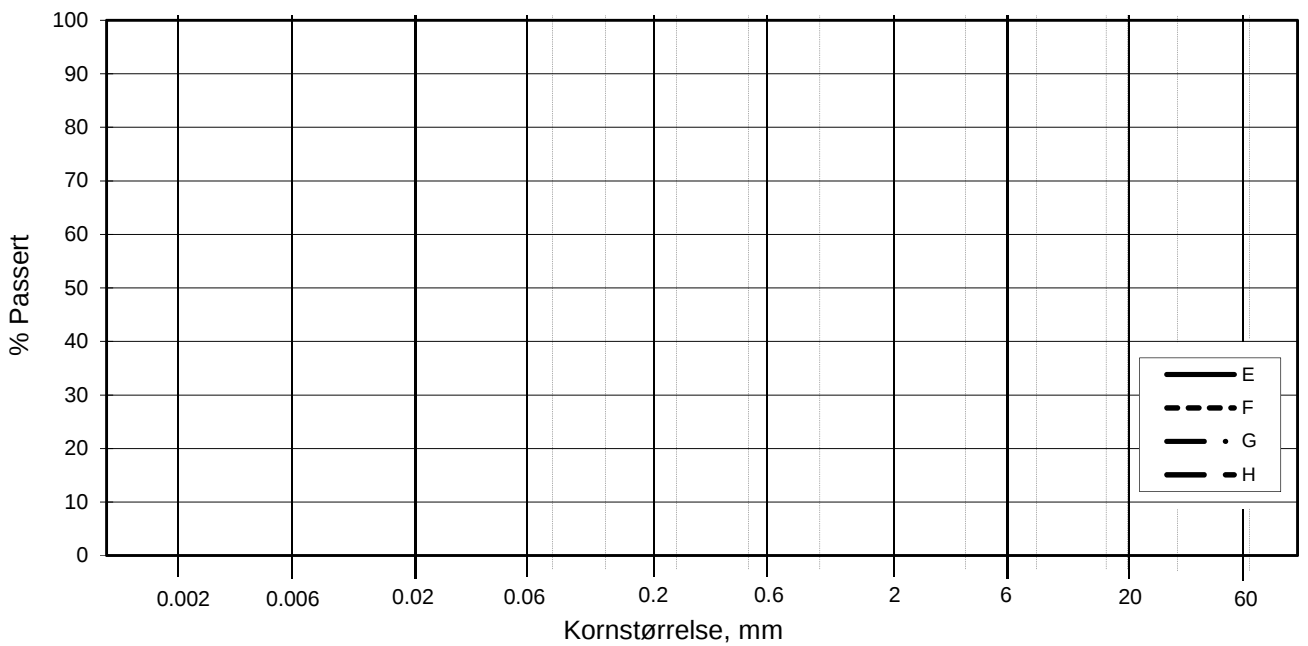
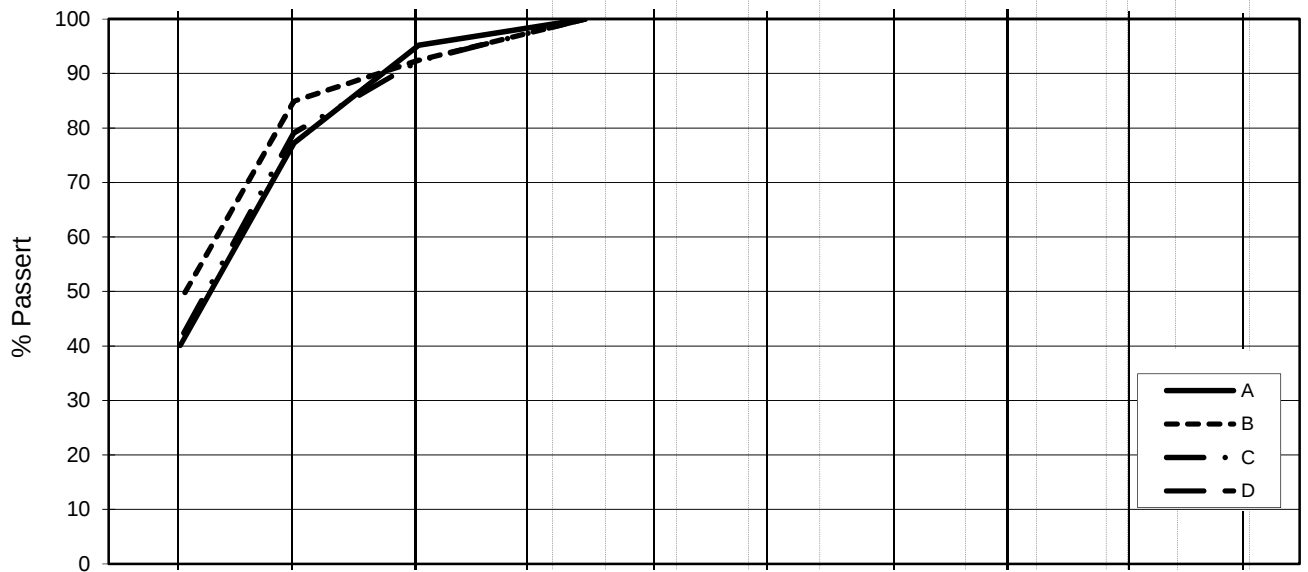
TEGNFORKLARING:

- | | | | |
|--|--|--|----------------------------------|
| | Plastisitetsgrense/Vanninnhold/Flytegrense | | Ø = Ødometer forsøk |
| | Enaks. trykkforsøk/def. ved brudd | | ● Treksial forsøk, aktiv |
| | Konus forsøk, uforstyrret | | ○ Treksial forsøk, passiv |
| | Konus forsøk, omrørt | | ⊠ Direkte skjærforsøk |
| | Vingeboring | | S _t Sensitivitet |
| | | | P = Permeabilitetsforsøk |
| | | | K = Korngraderingsanalyse |
| | | | T = Treksial forsøk |
| | | | K/S = Kalk-/Sement stabilisering |

Dato/Rev. 2012-09-25/03

E16 Nybakk - Slomarka		Dokumentnr. 20120491-02-R
Borprofil	Prøvetype: 72 mm	Dato 2014-07-22
Borpunkt nr.: 2344	Terrengkote: 146,8 moh	Figurnr. E57
	Grunnvannst. dybde: m	Tegner FI
	Dato boret: 2014-03-25	

L E I R	SILT			SAND			GRUS							
	Fin	Middels	Grov	Fin	Middels	Grov	Fin	Middels	Grov					
	US Standard Sikt			200	100	50	30	16	8	4	3/8"	3/4"	1.5"	3"
	ISO Standard Sikt			.075	.125	.25	.5	1	2	4	8	16	31.5	63



Kurve	Hull nr.	Prøve nr.	Dybde m	C_u (d_{60} / d_{10})	Tele gr.	Leir innh. %	Jordartsbetegnelse	Metode tørr/våt sikt
A	2344	5	5,61		T3	40,1	LEIRE	våt/hydrom
B	2344	10	10,56		T3	48,3	LEIRE	våt/hydrom
C	2344	14	16,21		T3	41,2	LEIRE	våt/hydrom
D								
E								
F								
G								
H								

Rev. NT-13 / Dato 2014-01-16 / Sign:SK/EB

P:\2012\04\20120491\Levansedokumenter\Rapport\20120491-02-R Datarapport Vorma - Uåa\Rev 1\vedlegg E - Kornfordeling\gran BH 2344 fra_UNICONE_fert_inn_i_norsk_skjema.xlsx\Plo

E16 Nybakk - Slomarka

Kornfordelingskurver

Dokumentnr.

20120491-02-R

Dato

2014-08-11

Figurnr.

E58

Tegnet av

ThV



Dybde (m)	Beskrivelse	Prøve Forsøk	Vanninnhold (%)							Tyngdetetthet (kN/m ³)					Porøsitet (%)	Humus (%)	Skjærfasthet (kN/m ²)										S _t Konus		
			10	20	30	40	50	60	70	16	17	18	19	20			10	20	30	40	50	60	70	80	90	100			
5	LEIRE	meget fast til middels fast, tett i tett m/ siltlag	1			○	○																					3	113
	LEIRE	bløt til fast, tett i tett m/ siltlag, på øverste 30 cm tørrskorpeflekker	2			○	○																					4	
	LEIRE	fast til middels fast, noen spredte tynne siltlag	3			○	○																					7	
	LEIRE	middels fast til fast, siltlag	4			○	○																					16	
10	LEIRE	middels fast til bløt, noen få siltlag	5	K,Ø		○	○																					16	
	LEIRE	middels fast, noe silt	6	T,T			○	○																				16	
	LEIRE	middels fast, homogen	7			○	○																					19	
	LEIRE	middels fast til fast, tett i tett m/ siltlag	8			○	○																					27	
	LEIRE	middels fast til bløt, noe silt	9			○	○																					18	
15	LEIRE	middels fast til bløt, noen siltlag	10	K,Ø		○	○																					21	
	LEIRE	middels fast til fast, noen spredte tynne siltlag	11	T,T			○	○																				26	
	LEIRE	middels fast til fast, noen få siltlag	12			○	○																					29	
	LEIRE	middels fast til fast, noen spredte siltlag	13			○	○																					31	
	LEIRE	middels fast til fast, noen få siltlag	14			○	○																					16	
	LEIRE	middels fast til fast, noen spredte siltlag	14			○	○																					24	
20	LEIRE	fast, tynne siltlag	13			○	○																					25	
	LEIRE	fast, tynne siltlag	14			○	○																					30	
	LEIRE	fast, tynne siltlag	14			○	○																					23	
20	LEIRE	bløt, noe silt, mørk grå	15	K,Ø		○	○																					22	
	LEIRE	bløt, noe silt, mørk grå	15	T,T			○	○																				14	
20	LEIRE, kvikk	siltig, bløt til middels fast, tynne siltlag	16			○	○																					13	
	LEIRE, kvikk	siltig, bløt til middels fast, tynne siltlag	16			○	○																					38	
20	LEIRE, kvikk	siltig, bløt til middels fast, tynne siltlag	16			○	○																					48	

TEGNFORKLARING:

- | | | | |
|--|--|--|----------------------------------|
| | Plastisitetsgrense/Vanninnhold/Flytegrense | | Ø = Ødometer forsøk |
| | Enax. trykkforsøk/def. ved brudd | | ● = Treksial forsøk, aktiv |
| | Enax. trykkforsøk/def. ved brudd | | ● = Treksial forsøk, passiv |
| | Konus forsøk, uforstyrret | | P = Permeabilitetsforsøk |
| | Konus forsøk, omrørt | | K = Korngraderingsanalyse |
| | Vingeboring | | T = Treksial forsøk |
| | S _t Sensitivitet | | K/S = Kalk-/Sement stabilisering |

E16 Nybakk - Slomarka

Borprofil
Borpunkt nr.: 2366

Prøvetype: 72 mm
Terrengkote: 132,5 moh
Grunnvannst. dybde: m
Dato boret: 2014-03-28

Dato/Rev. 2012-09-25/03

Dokumentnr. 20120491-01-R

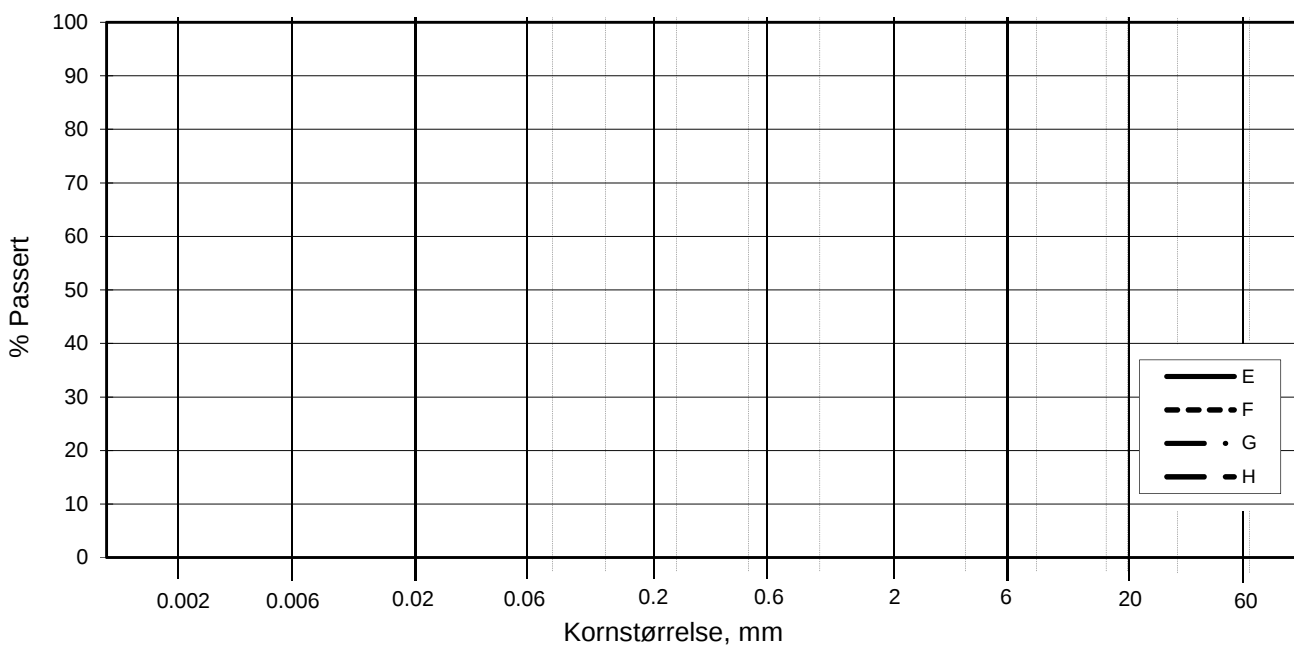
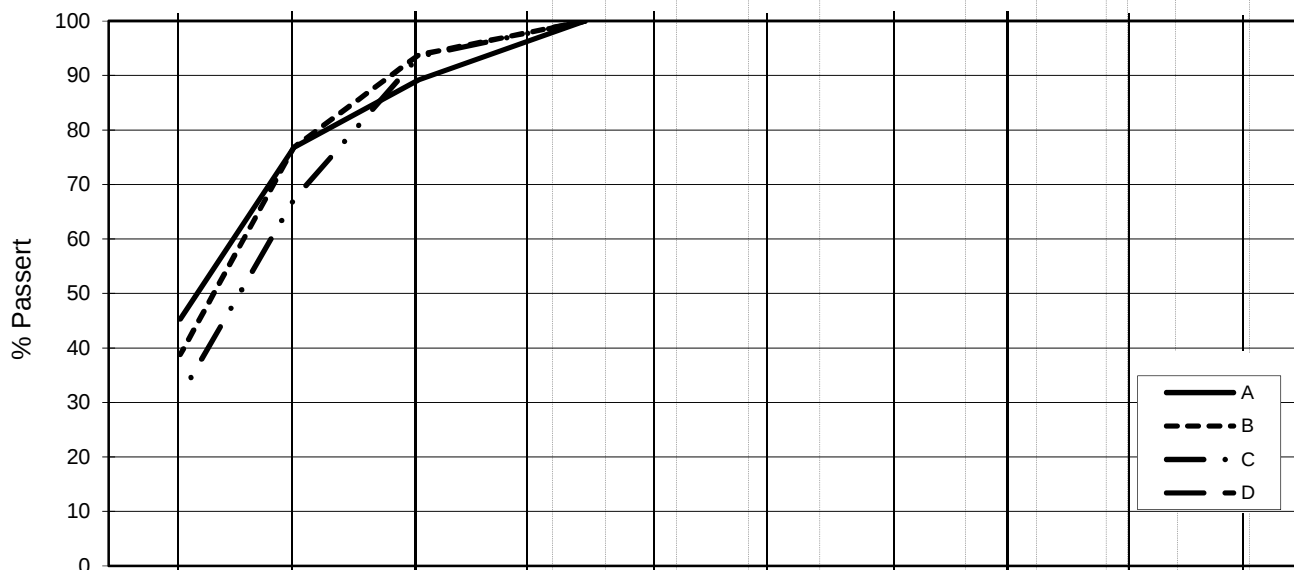
Dato 2014-08-25

Figurnr. E59

Tegner FI



L E I R	SILT			SAND			GRUS							
	Fin	Middels	Grov	Fin	Middels	Grov	Fin	Middels	Grov					
US Standard Sikt				200	100	50	30	16	8	4	3/8"	3/4"	1.5"	3"
ISO Standard Sikt				.075	.125	.25	.5	1	2	4	8	16	31.5	63



Kurve	Hull nr.	Prøve nr.	Dybde m	C_u (d_{60} / d_{10})	Tele gr.	Leir innh. %	Jordartsbetegnelse	Metode tørr/våt sikt
A	2366	5	5,56		T3	45,3	LEIRE	våt/hydrom
B	2366	10	10,56		T4	38,8	LEIRE	våt/hydrom
C	2366	15	16,56		T4	31,2	LEIRE	våt/hydrom
D								
E								
F								
G								
H								

Rev. NT-13 / Dato 2014-01-16 / Sign. SK/EB

P:\2012\04\20120491\Levansedokumenter\Rapport\20120491-02-R Datarapport Vorma - Uåa\Rev 1\Vedlegg E - Kornfordeling\gran BH 2366 fra_UNICONE_fert_inn_i_norsk_skjema.xlsx\Plo

E16 Nybakk - Slomarka

Kornfordelingskurver

Dokumentnr.

20120491-02-R

Dato

2014-08-11

Figurnr.

E60

Tegnet av

ThV



Dybde (m)	Beskrivelse	Prøve Forsøk	Vanninnhold (%)							Tyngdetetthet (kN/m³)					Porøsitet (%)	Humus (%)	Skjærfasthet (kN/m²)										S _t Konus
			10	20	30	40	50	60	70	16	17	18	19	20			10	20	30	40	50	60	70	80	90	100	
5	LEIRE, tørrskorpe hard, mørk brun	1																						260			
	LEIRE, tørrskorpe meget fast til hard, mørk brun	2																						245			
	LEIRE	3																						5			
	LEIRE	4																						6			
	LEIRE	5																						5			
10	LEIRE	6																						7			
	LEIRE	7																						6			
	LEIRE	8																						7			
	LEIRE	9																						6			
	LEIRE	10																						7			
	LEIRE	11																						6			
	LEIRE	12																						6			
15	LEIRE, kvikk	13																						72			
	LEIRE, kvikk	14																						103			
	LEIRE, kvikk	15																						110			
20	LEIRE, kvikk	16																						113			
																								103			
																								150			
																								90			
																								92			

TEGNFORKLARING:

- Plastisitetsgrense/Vanninnhold/Flytegrense
- = Ødometer forsøk
- Enaks. trykkforsøk/def. ved brudd
- Treaksial forsøk, aktiv
- Treaksial forsøk, passiv
- ▽ Konus forsøk, uforstyrret
- ▼ Konus forsøk, omrørt
- ⊕ Vingeboring
- P = Permeabilitetsforsøk
- K = Korngraderingsanalyse
- T = Treaksial forsøk
- K/S = Kalk-/Sement stabilisering
- ⊕ S_t Sensitivitet

E16 Nybakk - Slomarka		Dato/Rev. 2012-09-25/03
Borprofil	Prøvetype: 72 mm	Dokumentnr. 20120491-02-R
Borpunkt nr.: 2371	Terrengkote: 141,2 moh	Dato 2014-07-25
	Grunnvannst. dybde: m	Figurnr. E61-1
	Dato boret: 2014-03-18	Tegner FI

Dybde (m)	Beskrivelse	Prøve	Forsøk	Vanninnhold (%)							Tyngdetetthet (kN/m ³)					Porøsitet (%)	Humus (%)	Skjærfasthet (kN/m ²)										S _t Konus/ Ving	
				10	20	30	40	50	60	70	16	17	18	19	20			10	20	30	40	50	60	70	80	90	100		
25	LEIRE, kvikk	bløt	17	K, Ø																								50	
			T, T											X															50
	LEIRE, kvikk		18																									59	
	middels fast til fast, noen spredte siltlag													X														76	
	LEIRE, kvikk		19																									24	
	middels fast, svarte flekker, noen få spredte siltlag													X														22	
30																													
35																													
40																													

TEGNFORKLARING:

- | | | | |
|--------|--|----------------|----------------------------|
| ⊖— | Plastisitetsgrense/Vanninnhold/Flytegrense | ⊙ | Ødometer forsøk |
| 15—○—5 | Enaks. trykkforsøk/def. ved brudd | ● | Treaksial forsøk, aktiv |
| 10 | Konus forsøk, uforstyrret | ⊙ | Treaksial forsøk, passiv |
| ▼ | Konus forsøk, omrørt | ⊕ | Direkte skjærforsøk |
| + | Vingeboring | S _t | Sensitivitet |
| | | P | Permeabilitetsforsøk |
| | | K | Korngraderingsanalyse |
| | | T | Treaksial forsøk |
| | | K/S | Kalk-/Sement stabilisering |

E16 Nybakk - Slomarka

Borprofil
Borhull: 2371

Prøvetype: 72 mm
Terrengkote: 141,2 moh
Grunnvannst. dybde: m
Dato boret: 2014-03-18

Dato/Rev. 2012-09-25/03

Dokumentnr.
20120491-02-R

Dato
2014-07-25

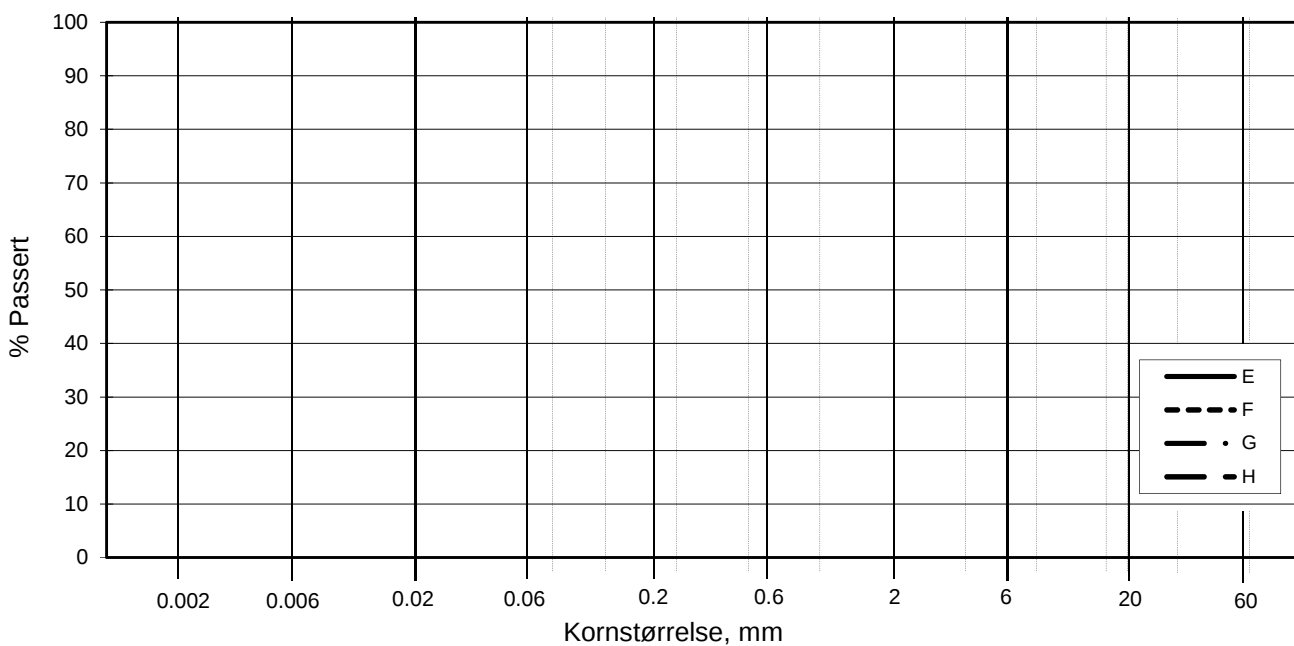
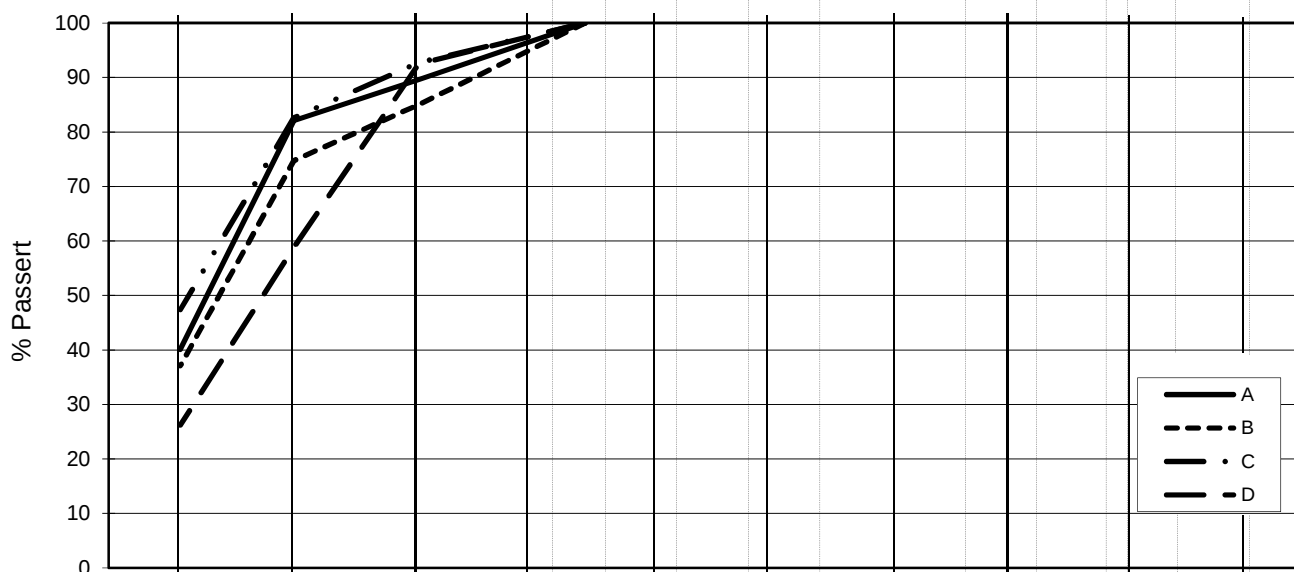
Figurnr.
E61-2

Tegner
FI



H:\LABDATA\2012\20120491\Indeks\Borprofil\Borprofil_BH2371-2.grf

L E I R	SILT			SAND			GRUS							
	Fin	Middels	Grov	Fin	Middels	Grov	Fin	Middels	Grov					
US Standard Sikt				200	100	50	30	16	8	4	3/8"	3/4"	1.5"	3"
ISO Standard Sikt				.075	.125	.25	.5	1	2	4	8	16	31.5	63



Kurve	Hull nr.	Prøve nr.	Dybde m	C_u (d_{60} / d_{10})	Tele gr.	Leir innh. %	Jordartsbetegnelse	Metode tørr/våt sikt
A	2371	5	5,58		T3	40,1	LEIRE	våt/hydrom
B	2371	10	10,58		T4	37,1	LEIRE	våt/hydrom
C	2371	15	15,58		T3	47,4	LEIRE	våt/hydrom
D	2371	17	20,53		T4	26,2	LEIRE, siltig	våt/hydrom
E								
F								
G								
H								

Rev. NT-13 / Dato 2014-01-16 / Sign. SK/EB

P:\2012\04\20120491\Levansedokumenter\Rapport\20120491-02-R Datarapport Vorma - Uåa\Rev 1\Vedlegg E - Kornfordeling\gran BH 2371 fra_UNICONE_fert_inn_i_norsk_skjema.xlsx\Plot

E16 Nybakk - Slomarka

Kornfordelingskurver

Dokumentnr.

20120491-02-R

Dato

2014-08-11

Figurnr.

E62

Tegnet av

ThV



Dybde (m)	Beskrivelse	Prøve Forsøk	Vanninnhold (%)							Tyngdetetthet (kN/m ³)					Porøsitet (%)	Humus (%)	Skjærfasthet (kN/m ²)										S _t Konus										
			10	20	30	40	50	60	70	16	17	18	19	20			10	20	30	40	50	60	70	80	90	100											
5	LEIRE, tørrskorpe fast, noe organisk, røtter, noe silt, brun grå	1			30	35	38																													1	
	LEIRE middels fast til fast, tørrskorpe flekker, siltlag, mørk brun	2			28	30	32																													1	
	LEIRE middels fast til meget fast, tynne siltlag, noe tørrskorpe	3			32	35	38																													3	
	LEIRE middels fast, mørk grå noen spredte siltlag	4			35	38	40																													7	
	LEIRE middels fast til fast, tett i tett m/ tynne siltlag	5	T,T																																	7	
	LEIRE middels fast, mørk grå tett i tett m/ tynne siltlag	6	K,Ø																																	7	
	LEIRE middels fast til fast, noen spredte siltlag	7																																		8	
	LEIRE middels fast til fast, tett i tett m/ tynne siltlag	8																																		7	
	LEIRE middels fast til fast, tett i tett m/ tynne siltlag	9																																			13
	LEIRE middels fast til fast, tett i tett m/ tynne siltlag	10	K,Ø																																		14
	LEIRE fast til middels fast, noen spredte siltlag	11	T,T																																		19
	LEIRE fast til middels fast, noen spredte siltlag	12																																			44
	LEIRE middels fast, noen spredte siltlag	13																																			46
LEIRE middels fast til fast, siltlag, mørk grå	14	K,Ø																																		51	
LEIRE	15	T,T																																		59	
LEIRE middels fast til fast, tett i tett m/ tynne siltlag	15																																			76	
LEIRE	15																																			53	
LEIRE	15																																			49	
LEIRE	15																																			33	
LEIRE	15																																			22	
LEIRE	15																																				
LEIRE	15																																				

TEGNFORKLARING:

- ⊖ — Plastisitetsgrense/Vanninnhold/Flytegrense
- ⊖ — Enaks. trykkforsøk/def. ved brudd
- ∇ — Konus forsøk, uforstyrret
- ▼ — Konus forsøk, omrørt
- +
- — Treaksial forsøk, aktiv
- — Treaksial forsøk, passiv
- ⊘ — Direkte skjærforsøk
- S_t — Sensitivitet
- Ø = Ødometer forsøk
- P = Permeabilitetsforsøk
- K = Korngraderingsanalyse
- T = Treaksial forsøk
- K/S = Kalk-/Sement stabilisering

E16 Nybakk - Slomarka

Borprofil
 Borpunkt nr.: 2379

Prøvetype: 72 mm
 Terrengekote: 142,2 moh
 Grunnvannst. dybde: m
 Dato boret: 2014-03-25

Dato/Rev. 2012-09-25/03

Dokumentnr.
20120491-02-R

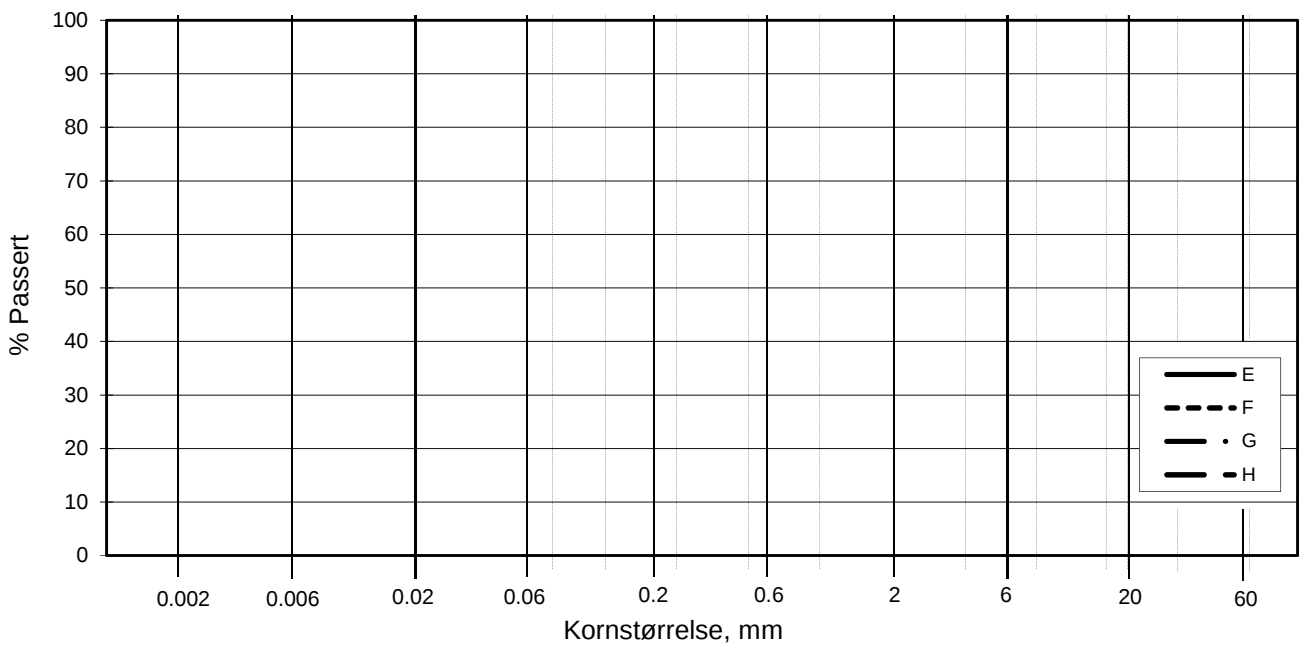
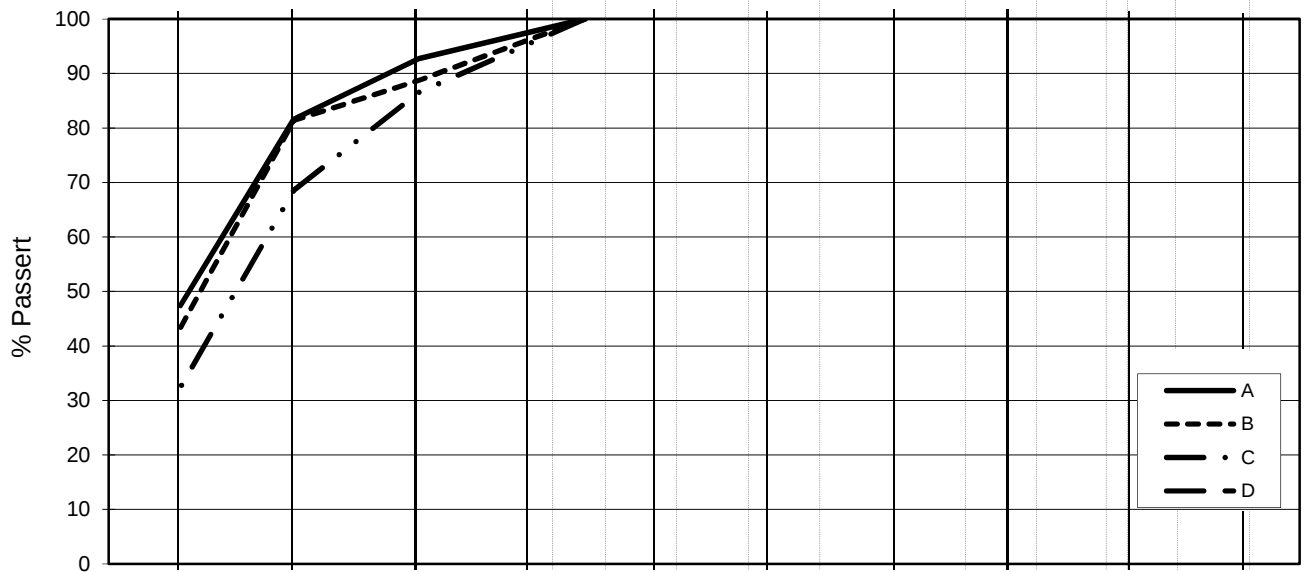
Dato
2014-08-20

Figurnr.
E63

Tegner
FI



L E I R	SILT			SAND			GRUS							
	Fin	Middels	Grov	Fin	Middels	Grov	Fin	Middels	Grov					
US Standard Sikt				200	100	50	30	16	8	4	3/8"	3/4"	1.5"	3"
ISO Standard Sikt				.075	.125	.25	.5	1	2	4	8	16	31.5	63



Kurve	Hull nr.	Prøve nr.	Dybde m	C_u (d_{60} / d_{10})	Tele gr.	Leir innh. %	Jordartsbetegnelse	Metode tørr/våt sikt
A	2379	5	5,58		T3	47,4	LEIRE	våt/hydrom
B	2379	10	10,58		T3	43,3	LEIRE	våt/hydrom
C	2379	14	14,56		T4	32,4	LEIRE	våt/hydrom
D								
E								
F								
G								
H								

Rev. NT-13 / Dato 2014-01-16 / Sign. SK/EB

P:\2012\04\20120491\Levansedokumenter\Rapport\20120491-02-R Datarapport Vorma - Uåa\Rev 1\Vedlegg E - Kornfordeling\gran BH 2379 fra_UNICONE_fert_inn_i_norsk_skjema.xlsx\Plo

E16 Nybakk - Slomarka

Kornfordelingskurver

Dokumentnr.

20120491-02-R

Dato

2014-08-11

Figurnr.

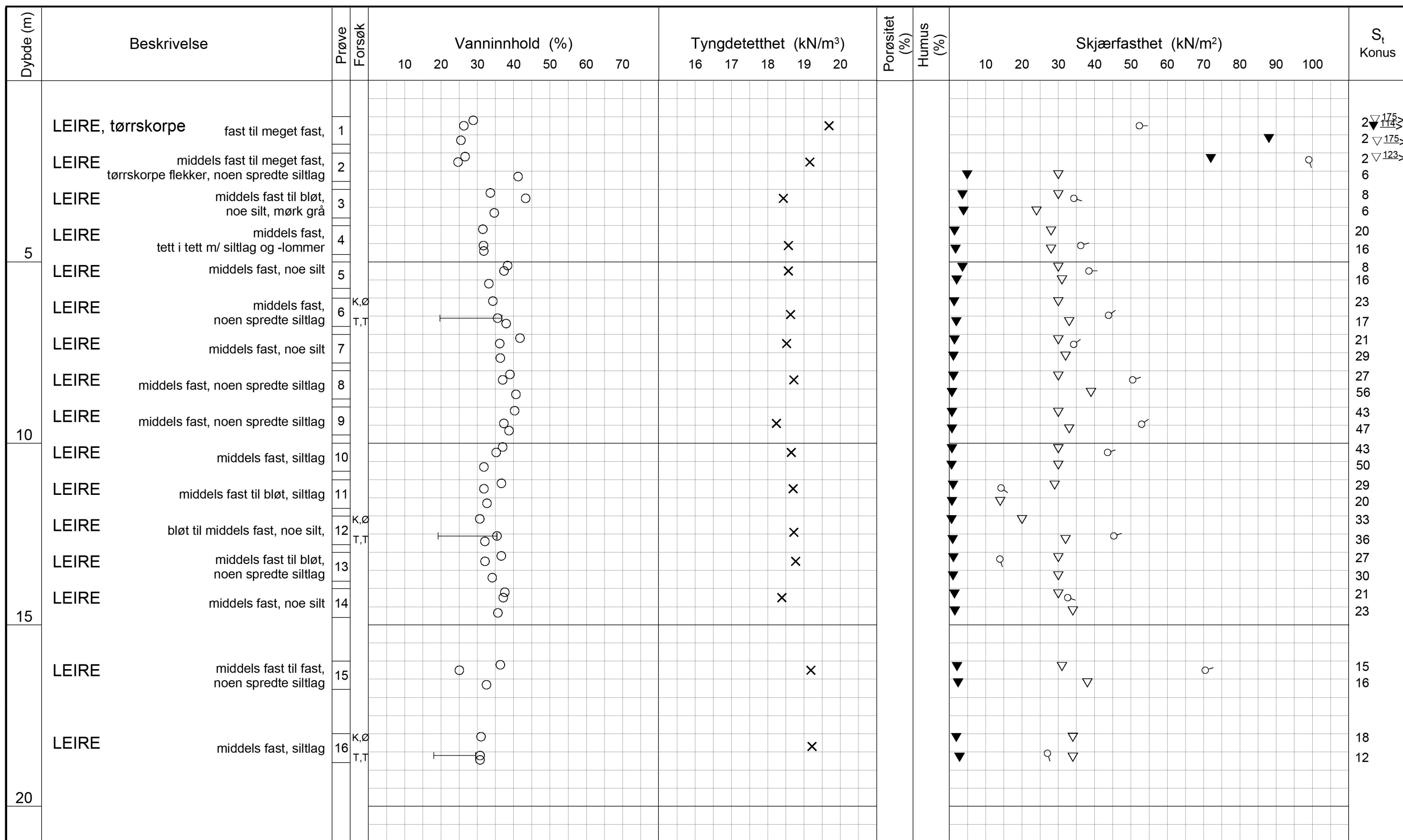
E64

Tegnet av

ThV




P:\2012\04\20120491\Lab fra labben\FASE 2\Indeks\Borprofil\Borprofil_BH2411.grf



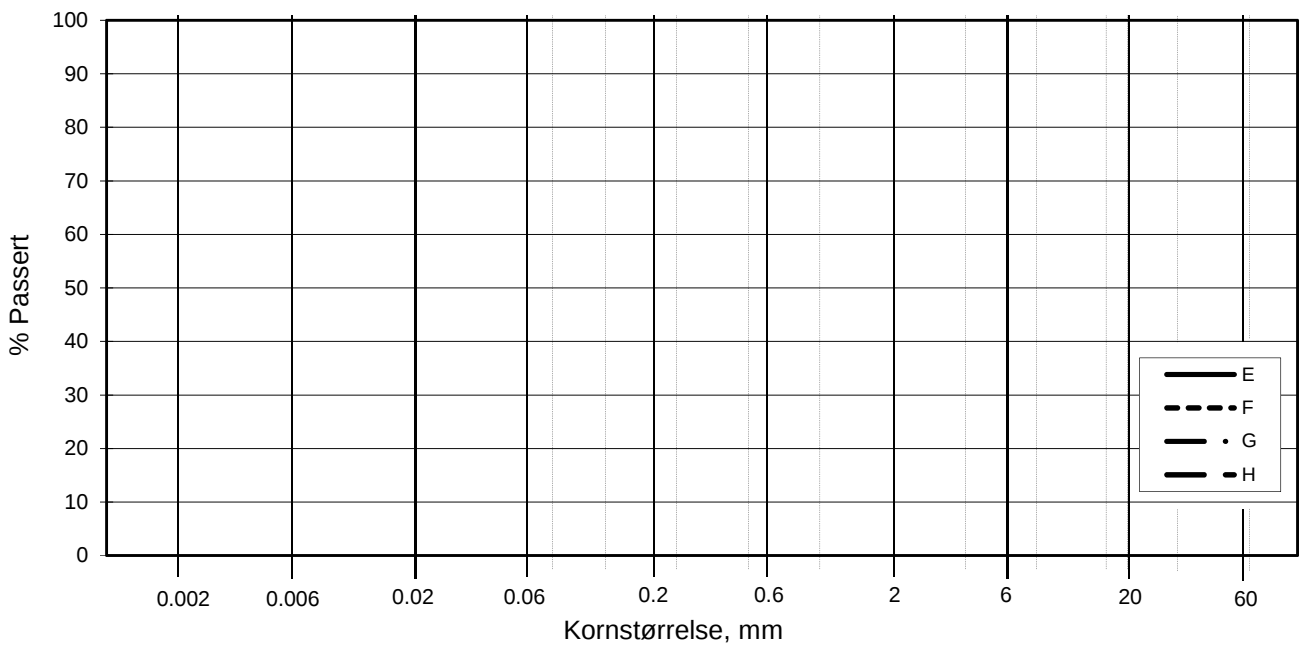
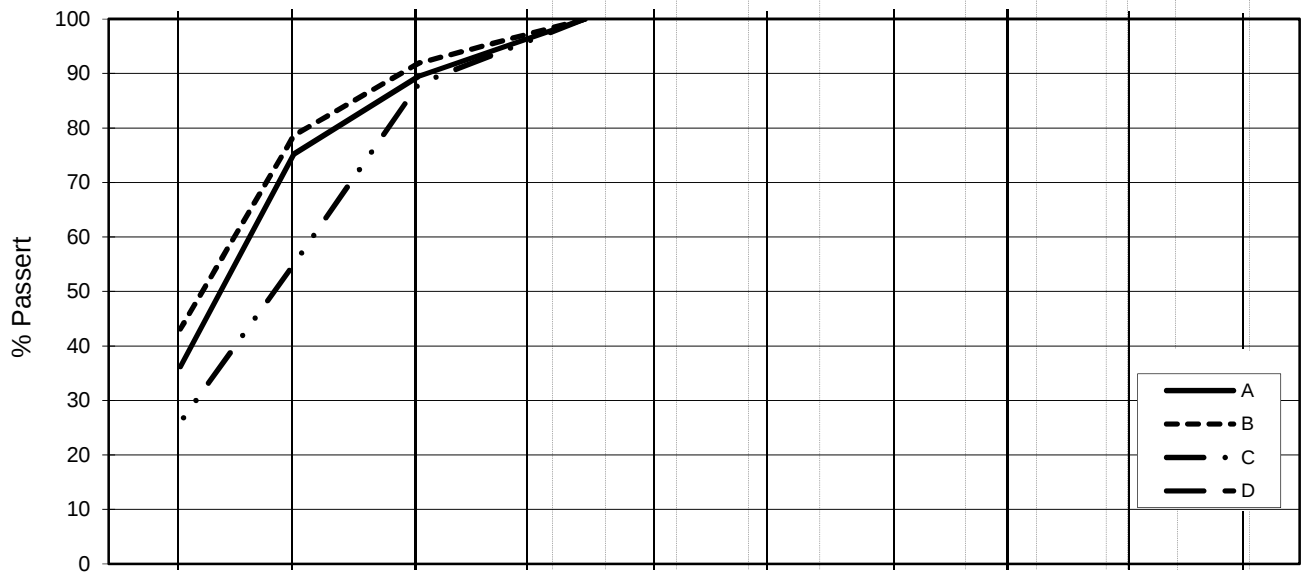
TEGNFORKLARING:

- | | | | |
|--------|--|----------------|----------------------------|
| —○— | Plastisitetsgrense/Vanninnhold/Flytegrense | ∅ | ∅ = Ødometer forsøk |
| 15-○-5 | Enaks. trykkforsøk/def. ved brudd | ● | Treksial forsøk, aktiv |
| 10 | | ○ | Treksial forsøk, passiv |
| ▽ | Konus forsøk, uforstyrret | K | Korngraderingsanalyse |
| ▼ | Konus forsøk, omrørt | T | T = Treksial forsøk |
| + | Vingeboring | ⊠ | Direkte skjærforsøk |
| | | S _t | Sensitivitet |
| | | K/S | Kalk-/Sement stabilisering |

Dato/Rev. 2012-09-25/03

E16 Nybakk - Slomarka		Dokumentnr. 20120491-02-R	
Borprofil		Dato 2014-07-22	
Borpunkt nr.: 2411		Figurnr. E65	
Prøvetype: 72 mm		Tegner FI	
Terrengkote: 145,63 moh			
Grunnvannst. dybde: m			
Dato boret: 2014-04-09			

L E I R	SILT			SAND			GRUS							
	Fin	Middels	Grov	Fin	Middels	Grov	Fin	Middels	Grov					
US Standard Sikt				200	100	50	30	16	8	4	3/8"	3/4"	1.5"	3"
ISO Standard Sikt				.075	.125	.25	.5	1	2	4	8	16	31.5	63



Kurve	Hull nr.	Prøve nr.	Dybde m	C_u (d_{60} / d_{10})	Tele gr.	Leir innh. %	Jordartsbetegnelse	Metode tørr/våt sikt
A	2411	6	6,56		T4	36,2	LEIRE	våt/hydrom
B	2411	12	12,56		T3	43,1	LEIRE	våt/hydrom
C	2411	16	18,58		T4	26,0	LEIRE, siltig	våt/hydrom
D								
E								
F								
G								
H								

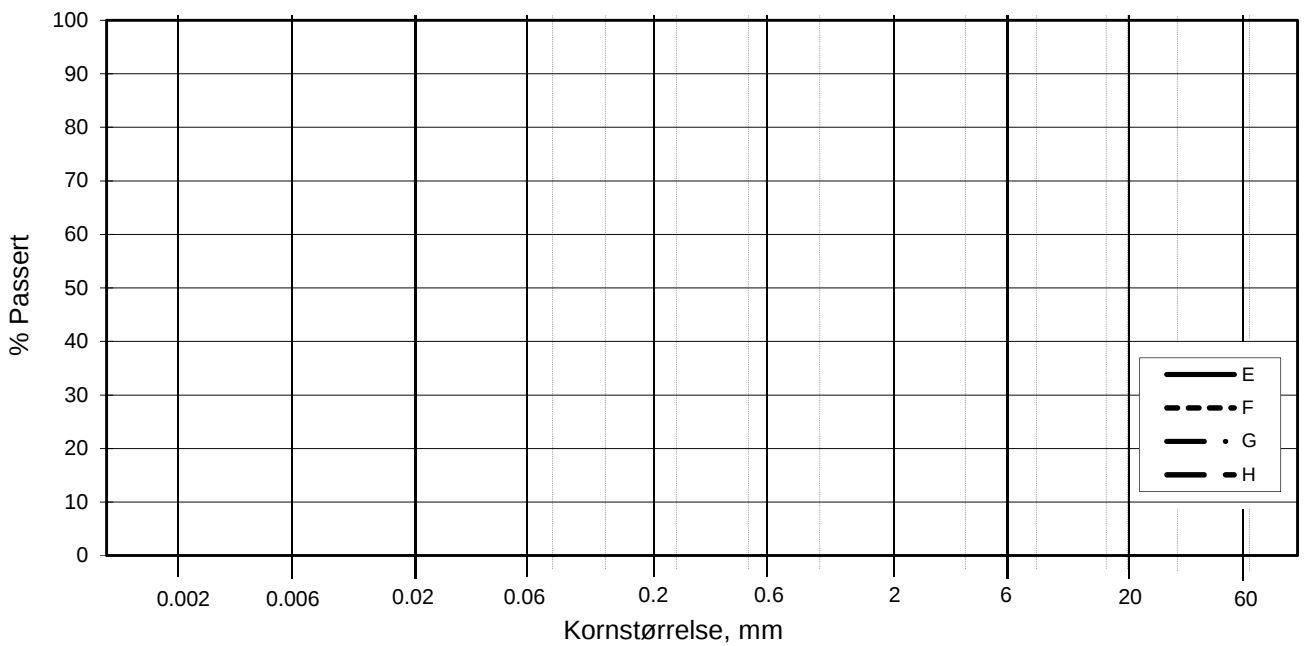
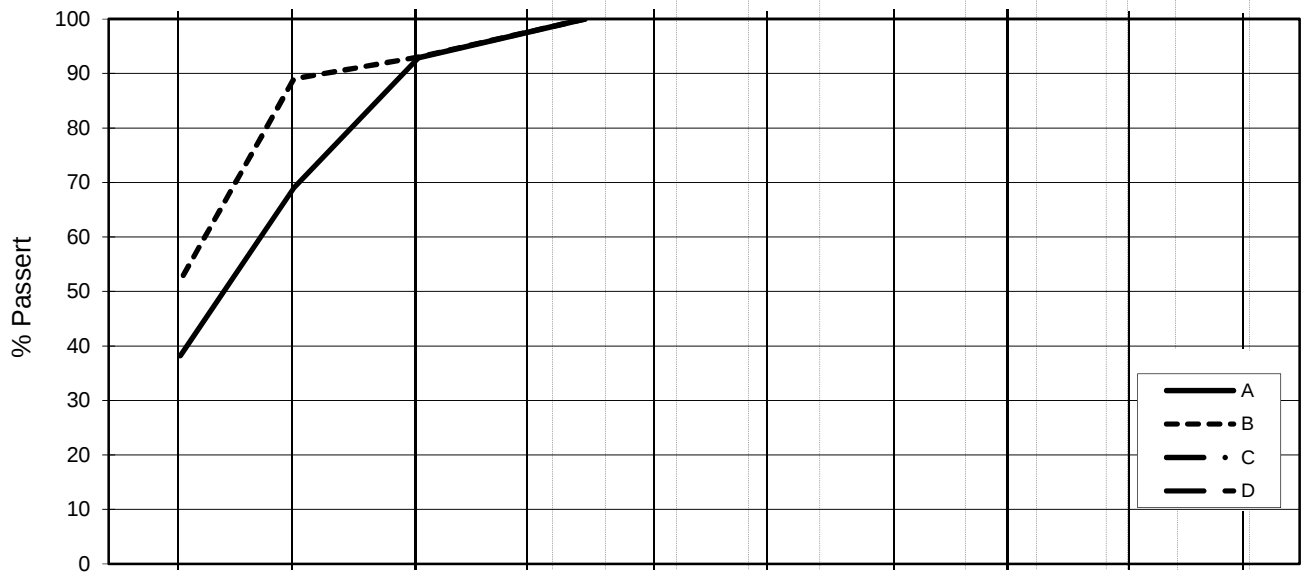
Rev. NT-13 / Dato 2014-01-16 / Sign:SK/EB

P:\2012\04\20120491\Levansedokumenter\Rapport\20120491-02-R Datarapport Vorma - Uåa\Rev 1\vedlegg E - Kornfordeling\gran BH 2411 fra_UNICONE_fert_inn_i_norsk_skjema.xlsx\Plo

E16 Nybakk - Slomarka	Dokumentnr.	20120491-02-R
	Dato	2014-08-11
Kornfordelingskurver	Figurnr.	E66
	Tegnet av	ThV



L E I R	SILT			SAND			GRUS							
	Fin	Middels	Grov	Fin	Middels	Grov	Fin	Middels	Grov					
US Standard Sikt				200	100	50	30	16	8	4	3/8"	3/4"	1.5"	3"
ISO Standard Sikt				.075	.125	.25	.5	1	2	4	8	16	31.5	63



Kurve	Hull nr.	Prøve nr.	Dybde m	C_u (d_{60} / d_{10})	Tele gr.	Leir innh. %	Jordartsbetegnelse	Metode tørr/våt sikt
A	2430	6	6,57		T4	38,2	LEIRE	våt/hydrom
B	2430	12	12,59		T3	52,0	LEIRE	våt/hydrom
C								
D								
E								
F								
G								
H								

Rev. NT-13 / Dato 2014-01-16 / Sign:SK/EB P:\2012\04\20120491\Leveransedokumenter\Rapport\20120491-02-R Datarapport Vormla - Uåll\Rev 1\Vedlegg E - Prøvesener\Kornfordeling\gran BH 2430 fra_UNICONE_ført_inn_i_norsk_skjema.xlsx\Plo

E16 Nybakk - Slomarka Kornfordelingskurver	Dokumentnr.	20120491-02-R
	Dato	2014-08-11
	Figurnr.	E68
	Tegnet av	FI/



Vedlegg F - Ødometerforsøk

Innhold

F1 Generelt	2
F2 Forsøksprosedyre for kontinuerlig belastningsforsøk (CRS)	2
F3 Resultater	2
F4 Referanser	3

Tabeller

Tabell F1

Figurer

Figur F1 – F288

F1 Generelt

Det er utført 96 ødometerforsøk fra 33 prøvehull. Forsøkene er utført på sylindriske prøver med 35 cm² tverrsnittareal og høyde 20 mm bygget inn fra 75mm stempelprøver.

Forsøkene er utført som kontinuerlig belastningsforsøk (CRS) i samsvar med NS 8018. Prosedyrene ved NGI er utførlig beskrevet i Sandbækken et al. (1986).

F2 Forsøksprosedyre for kontinuerlig belastningsforsøk (CRS)

Prøven som trimmes til et tverrsnittareal på 35 cm² og høyde 20 mm bygges inn i en stålsylinder som hindrer horisontal deformasjon i prøven. Prøven påføres vertikal aksiallast og vertikaldeformasjonen måles.

Prøver som antas å ha negative poretrykk på grunn av avlastning av in situ spenninger blir bygget inn med tørre filtersteiner for å hindre at prøven sveller. Etter pålasting over antatt/målt svelletrykk blir filtersteinene mettet med porevann med korrekt salinitet.

Forsøkene utføres for bestemmelse av leirens deformasjonsegenskaper, i form endimensjonal deformasjonsmodul M og permeabilitetsegenskaper i form av konsolideringskoeffisienten, c_v .

Konsolideringskoeffisienten er gitt ved:

$$c_v = \frac{M \cdot k}{\gamma_w}$$

hvor k er permeabilitetskoeffisienten og γ_w er romvekt av vann.

Kontinuerlig belastningsforsøk (CRS) er den foretrukne forsøksmetode anvendt ved NGI. Det vises til NS 8018. I dette forsøket påføres vertikallasten med konstant deformasjonshastighet. Prøven drenerer fritt på toppen og er udrenert i bunnen hvor poretrykket måles. Først påføres en last på ca 25% av antatt in situ overlagingsspenning, p_o' , i et trinn og deretter startes kontinuerlig belastning. Belastningshastigheten velges slik at poretrykket ved bunnfilteret fortrinnsvis holdes lavere enn 5% av totalspenning påført prøven. Belastningshastigheten forandres dog ikke uten at det målte poretrykket overstiger 15% av påført totalspenning.

F3 Resultater

Tabell F1 viser oversikt over jorddata for de utførte ødometerforsøkene.

I tillegg er resultatene for hvert enkelt forsøk presentert på vedlegg F1-F288.

For hvert forsøk vises tre diagrammer, hhv. ett i logaritmisk skala og to i lineær skala med to forskjellige skalaer for lettere tolking av parametere rundt forkonsolideringstrykket, p_c' . I diagrammene vises antatt in situ overlagingsspenning, p_o' . For beregnet p_o' vises det til tabell F1.

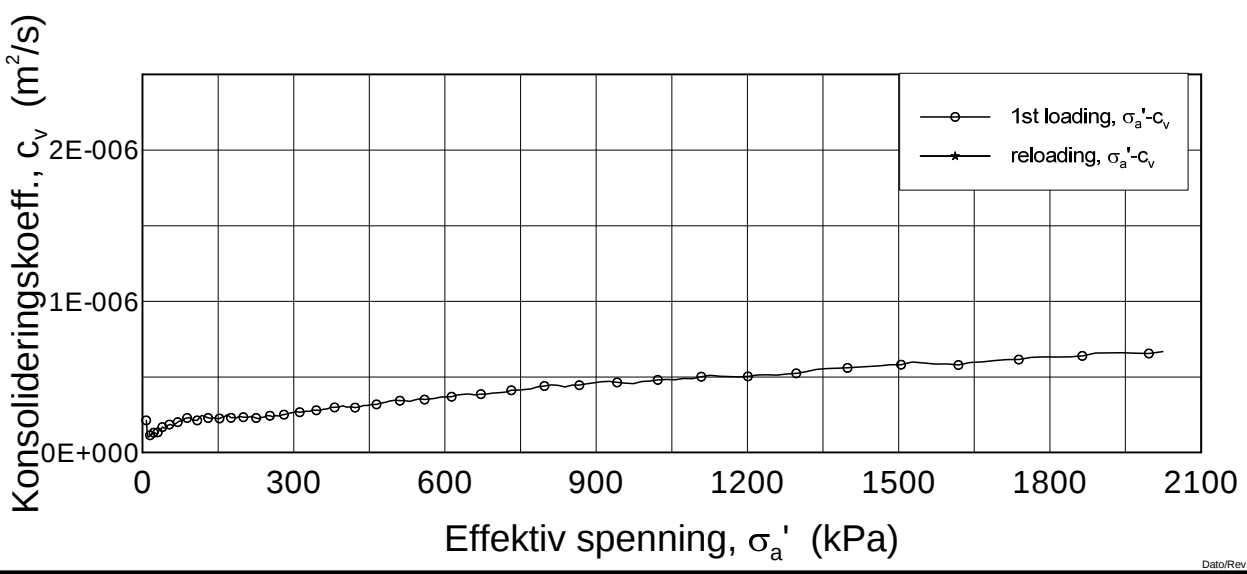
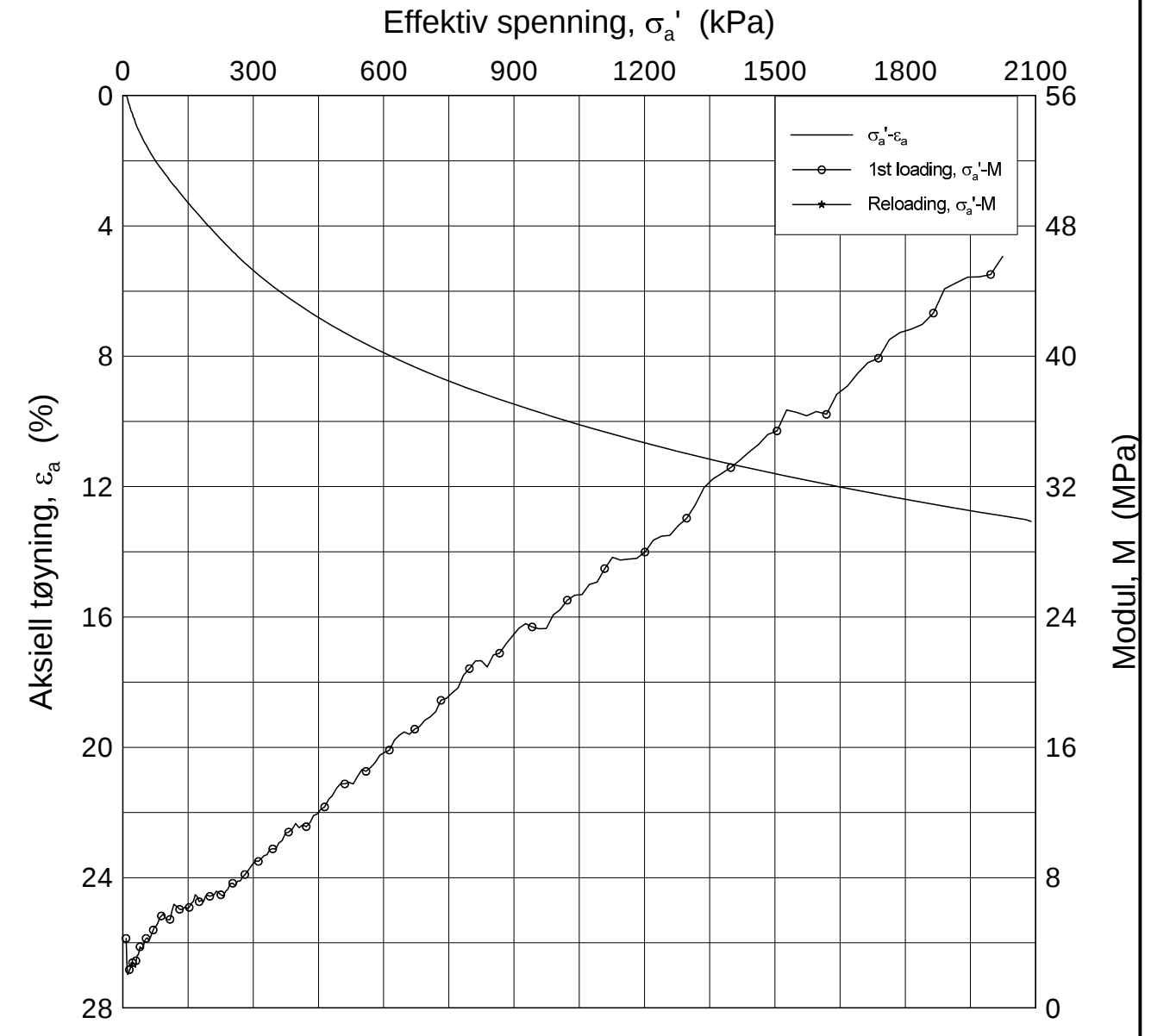
F4 Referanser

- /F1/ Norges Byggstandardiseringsråd (NBR). (1993) NS 8018
Geotechnical testing - Laboratory methods - Determination of one –
dimensional consolidation properties by oedometer testing. – Method
using continuous loading.
- /F2/ Sandbækken, G., Berre, T., and Lacasse, S. (1986)
Oedometer testing at the Norwegian Geotechnical Institute
Consolidation of soils: Testing and evaluation
ASTM STP 892, R.N. Young and F.C. Townsend, Eds., 1986

Prøveidentifisering			Klassifisering						Konsolidering			Figur ref.	
Hull nr.	Forsøk	Dybde m	Jordart	W _i %	W _p %	W _L %	I _p %	γ _T kN/m ³	Leir innh. %	p _{ov} ' kPa	ΔV/V ved p' ₀ %		Δe/e ₀
2009	5-C-1	6,49	Leire	30,3	20,2	39,7	19,5	19,6	58,0	71,7	1,92	0,042	F1, F2, F3
	9-C-1	11,47	Leire, siltig	22,4	17,2	27,5	10,3	21,2	21,8	136,5	3,02	0,079	F4, F5, F6
	17-D-1	19,15	Leire, kvikk	36,8	21,1	32,7	11,6	18,6	31,8	230,2	5,28	0,105	F7, F8, F9
2201	12-B-1	11,33	Leire, siltlommer	28,6	19,7	27,5	7,8	19,9	35,3	141,1	3,97	0,090	F10, F11, F12
	17-C-1	16,42	Leire	34,7	21,9	36,7	14,8	19,3	43,3	185,2	6,19	0,127	F13, F14, F15
	22-C-1	21,52	Leire	30,4	19,4	34,4	15,0	19,6	40,1	223,9	5,28	0,116	F16, F17, F18
2207	6-D-1	6,60	Leire, kvikk	34,7	9,9	33,0	23,1	19,0	50,1	111,0	2,90	0,059	F19, F20, F21
	12-B-1	12,38	Leire, siltig	30,7	18,1	27,8	9,7	19,3	24,9	185,2	4,26	0,093	F22, F23, F24
	16-D-1	18,62	Leire	31,0	19,3	36,9	17,6	19,5	44,7	172,5	3,81	0,083	F25, F26, F27
2208	5-D-1	5,62	Silt, leirig, m org mat	20,4	-	20,8	-	21,4	13,6	62,5	1,65	0,046	F28, F29, F30
	10-D-1	10,62	Leire, kvikk	32,0	18,2	32,6	14,4	19,3	44,0	101,3	1,44	0,031	F31, F32, F33
	16-C-1	18,49	Leire	32,4	18,9	37,5	18,6	19,4	46,6	163,6	2,62	0,056	F34, F35, F36
2212	10-C-1	10,45	Leire	31,5	20,9	38,4	17,5	19,4	43,0	180,0	1,93	0,042	F37, F38, F39
	15-D-1	16,63	Leire	35,6	21,8	41,4	19,6	18,8	50,9	235,6	2,97	0,060	F40, F41, F42
2214	6-B-1	6,40	Leire	34,2	21,4	41,4	20,0	18,9	43,3	120,4	1,97	0,041	F43, F44, F45
	12-C-1	12,45	Leire	36,0	19,9	34,5	14,6	18,7	46,0	177,5	4,27	0,086	F46, F47, F48
	18-B-1	21,30	Leire, kvikk	31,4	17,7	25,6	7,9	19,1	35,1	258,6	7,26	0,157	F49, F50, F51
2222	5-D-1	5,63	Leire	35,9	23,4	43,8	20,4	18,6	54,2	99,7	1,09	0,022	F52, F53, F54
	10-D-1	10,60	Leire, siltig	33,1	19,5	30,5	11,0	19,3	25,9	141,9	3,06	0,064	F55, F56, F57
	15-D-1	17,83	Leire, kvikk	35,9	21,2	35,8	14,6	18,9	45,2	197,2	5,08	0,102	F58, F59, F60
2264	5-D-1	5,62	Leire, siltig	31,0	18,0	33,2	15,2	19,4	46,0	65,7	1,37	0,030	F61, F62, F63
	10-D-1	10,62	Leire	37,3	21,6	39,4	17,8	18,7	58,1	110,3	2,33	0,046	F64, F65, F66
	15-A-1	15,32	Leire, siltig	31,1	18,3	27,3	9,0	19,7	29,9	153,6	4,31	0,094	F67, F68, F69
	20-B-1	20,32	Leire, siltsømmer	36,0	19,7	37,0	17,3	18,8	53,6	195,7	2,66	0,053	F70, F71, F72
2270	5-D-1	5,60	Leire	42,6	22,4	35,6	13,2	17,9	29,9	77,8	1,40	0,026	F73, F74, F75
	10-D-1	10,62	Leire	35,0	21,9	44,3	22,4	18,7	43,9	131,4	1,94	0,040	F76, F77, F78
	16-C-1	16,49	Leire, siltig	32,8	25,0	32,4	7,4	19,5	7,5	193,3	4,09	0,086	F79, F80, F81
	20-D-1	20,63	Leire	34,6	22,0	35,6	13,6	19,0	38,5	237,6	3,71	0,076	F82, F83, F84
2275	2-C-1	4,57	Leire	43,4	22,5	43,1	20,6	18,1	48,5	83,5	1,79	0,033	F85, F86, F87
	7-B-1	9,37	Leire	36,9	24,7	41,2	16,5	18,7	35,0	117,8	1,91	0,038	F88, F89, F90
	14-A-1	16,13	Leire	37,3	23,2	34,8	11,6	18,6	46,9	168,4	4,74	0,094	F91, F92, F93
	19-D-1	21,64	Leire, kvikk	38,7	21,6	32,9	11,3	18,6	43,4	225,6	5,31	0,103	F94, F95, F96
2284	6-C-1	6,45	Leire	40,6	22,8	38,5	15,7	18,3	50,1	96,7	3,17	0,060	F97, F98, F99
	12-D-1	12,64	Leire	42,6	21,5	39,5	18,0	18,4	46,5	134,6	6,66	0,123	F100, F101, F102
	16-D-1	17,64	Leire, kvikk	45,1	21,7	36,1	14,4	17,7	49,2	173,7	6,59	0,119	F103, F104, F105
2293	4-D-1	5,62	Leire	34,2	23,5	44,0	20,5	19,0	63,8	73,8	1,14	0,024	F106, F107, F108
	10-D-1	11,40	Leire	35,7	20,3	35,0	14,7	18,6	38,3	136,5	1,95	0,039	F109, F110, F111
	14-D-1	15,63	Leire, kvikk	34,6	19,2	27,2	8,0	18,9	52,0	181,2	3,38	0,069	F112, F113, F114
3006	5-C-1	5,60	Leire	44,5	21,8	45,9	24,1	17,9	49,4	52,8	2,59	0,047	F115, F116, F117
	10-B-1	10,31	Leire	37,7	20,7	39,6	18,9	18,2	45,4	86,7	2,36	0,046	F118, F119, F120
	14-B-1	14,40	Leire, kvikk	41,4	19,9	32,9	13,0	18,1	40,8	122,4	5,38	0,101	F121, F122, F123
3019	5-D-1	5,63	Leire	29,6	21,1	41,3	20,2	19,9	37,7	64,5	1,79	0,040	F124, F125, F126
	9-D-1	9,64	Leire	41,5	22,3	46,7	24,4	18,0	48,8	104,1	4,00	0,075	F127, F128, F129
	14-B-1	14,30	Leire	38,2	20,5	34,7	14,2	18,4	46,0	148,1	2,87	0,056	F130, F131, F132
3029	5-D-1	5,62	Leire	33,9	21,4	47,9	26,5	18,9	64,2	70,6	2,03	0,042	F133, F134, F135
	9-B-1	10,30	Leire	39,1	20,8	45,0	24,2	18,5	58,0	118,7	1,93	0,037	F136, F137, F138
	13-A-1	14,34	Leire	32,3	21,9	45,6	23,7	19,4	48,4	157,4	2,97	0,063	F139, F140, F141
3043	5-A-1	5,45	Leire	36,6	18,8	33,9	15,1	18,7	41,6	64,4	1,05	0,021	F142, F143, F144
	10-B-1	10,28	Leire	41,4	21,6	44,2	22,6	18,0	51,5	111,5	3,48	0,065	F145, F146, F147
3059	5-C-1	5,48	Leire	40,0	20,6	38,0	17,4	18,2	44,2	62,5	1,40	0,027	F148, F149, F150
	10-C-1	10,50	Leire	44,5	22,8	46,0	23,2	17,7	48,9	112,5	2,35	0,043	F151, F152, F153
	14-B-1	14,30	Leire	42,9	20,6	44,8	24,2	18,0	54,0	149,6	2,60	0,048	F154, F155, F156
3070	6-D-1	6,60	Leire	38,3	18,5	35,5	17,0	18,3	47,0	80,7	1,27	0,025	F157, F158, F159
	12-B-1	12,31	Leire	38,6	22,4	45,9	23,5	18,6	52,8	138,3	2,51	0,049	F160, F161, F162
	15-B-1	16,30	Leire	40,9	21,8	43,3	21,5	18,2	49,1	181,6	3,71	0,070	F163, F164, F165

Prøveidentifisering				Klassifisering						Konsolidering			Figur ref.
Hull nr.	Forsøk	Dybde m	Jordart	w _i %	w _p %	w _L %	I _p %	γ _T kN/m ³	Leir innh. %	p _{ov} ' kPa	ΔV/V ved p' _o %	Δe/e ₀	
3091	3-D-1	8,48	Leire	29,9	19,6	38,3	18,7	19,3	57,5	64,8	3,07	0,068	F166, F167, F168
	5-C-1	11,51	Leire	37,8	21,0	40,0	19,0	18,7	55,6	76,1	1,67	0,033	F169, F170, F171
	8-D-1	15,60	Leire	35,9	20,2	36,4	16,2	18,8	49,8	102,7	2,92	0,059	F172, F173, F174
3107	4-B-1	4,31	Leire, m/siltlag	34,8	20,9	44,3	23,4	18,7	34,9	73,2	1,16	0,024	F175, F176, F177
	8-B-1	8,32	Leire, m/siltlag	36,0	21,9	46,9	25,0	18,7	52,6	121,1	1,78	0,036	F178, F179, F180
	12-C-1	12,57	Leire, m/siltlag	36,9	20,8	42,9	22,1	18,6	45,8	189,9	3,12	0,062	F181, F182, F183
3139	2-D-1	5,56	Leire	36,5	21,0	28,3	7,3	18,7	41,3	65,2	1,71	0,034	F184, F185, F186
	7-D-1	10,61	Leire, kvikk	37,7	20,5	30,1	9,6	18,8	39,1	110,2	2,12	0,042	F187, F188, F189
	12-B-1	15,35	Leire, kvikk	38,9	18,4	29,7	11,3	18,7	38,3	153,2	2,67	0,052	F190, F191, F192
3148	5-D-1	5,62	Leire	31,7	21,1	39,7	18,6	19,2	45,0	78,4	1,41	0,030	F193, F194, F195
	10-A-1	10,16	Leire	35,8	20,7	38,5	17,8	18,6	48,8	136,6	2,43	0,049	F196, F197, F198
	14-B-1	14,31	Leire	40,1	22,9	44,7	21,8	18,1	54,8	188,8	3,25	0,062	F199, F200, F201
2312	10-A-1	10,47	Leire	29,9	19,7	34,3	14,6	19,5	17,8	131,9	1,73	0,038	F202, F203, F204
	16-A-1	19,20	Leire, kvikk	36,7	20,3	41,6	21,3	18,6	31,4	224,1	4,53	0,090	F205, F206, F207
	19-A-1	24,32	Leire, kvikk	30,0	20,7	39,7	19,0	19,5	39,8	273,9	5,38	0,119	F208, F209, F210
2322	10-A-2	10,31	Leire	28,7	19,2	28,7	9,5	20,0	17,8	105,6	3,06	0,069	F211, F212, F213
	17-A-2	20,50	Leire, kvikk	28,8	19,0	27,6	8,6	19,6	23,0	218,4	2,77	0,063	F214, F215, F216
2330	10-A-3	10,50	Leire	36,3	21,3	44,9	23,6	18,6	53,7	139,0	1,81	0,036	F220, F221, F222
	17-A-2	20,50	Leire, kvikk	28,8	19,0	27,6	8,6	19,6	23,0	218,4	2,77	0,063	F217, F218, F219
2332	5-A-2	5,48	Leire	31,1	20,7	42,1	21,4	19,1	-	63,2	1,63	0,035	F223, F224, F225
	10-A-3	10,53	Leire	35,7	19,3	29,4	10,1	18,9	27,2	122,2	3,15	0,064	F226, F227, F228
	15-A-3	16,18	Leire, kvikk	33,3	21,7	34,7	13,0	19,3	35,1	181,6	4,13	0,086	F229, F230, F231
	17-A-2	20,13	Leire, kvikk	34,5	20,0	32,8	12,8	18,9	46,2	228,4	3,55	0,073	F232, F233, F234
2344	5-A-3	5,46	Leire	32,7	18,9	36,2	17,3	19,1	40,1	69,6	1,35	0,029	F235, F236, F337
	10-A-3	10,46	Leire	36,6	21,2	44,0	22,8	18,4	48,3	152,4	2,33	0,046	F238, F239, F240
	14-A-3	16,61	Leire	34,2	20,7	40,8	20,1	19,1	41,2	243,2	5,89	0,122	F241, F242, F243
2366	5-A-3	5,46	Leire	35,0	18,1	35,1	17,0	19,0	45,3	68,2	1,64	0,033	F244, F245, F246
	10-A-3	10,46	Leire	33,3	19,0	32,2	13,2	19,0	38,8	106,8	2,40	0,050	F247, F248, F249
	15-A-3	16,61	Leire	30,4	18,4	29,6	11,2	19,7	31,2	155,2	4,13	0,091	F250, F251, F252
2371	5-A-1	5,18	Leire	39,9	24,9	42,2	17,3	18,2	40,1	66,0	1,12	0,021	F253, F254, F255
	10-A-2	10,33	Leire	33,8	23,2	38,8	15,6	18,7	37,1	130,5	2,50	0,052	F256, F257, F258
	15-A-2	15,33	Leire, kvikk	37,3	20,7	29,1	8,4	18,5	47,4	195,5	3,89	0,077	F259, F260, F261
	17-A-3	20,43	Leire, kvikk	27,6	18,4	25,9	7,5	19,8	26,2	253,6	6,23	0,144	F262, F263, F264
2379	5-A-1	5,18	Leire	39,4	20,7	42,1	21,4	18,4	47,4	53,9	1,23	0,024	F265, F266, F267
	10-A-1	10,18	Leire	32,8	21,3	35,6	14,3	19,0	43,3	123,4	1,64	0,035	F268, F269, F270
	14-A-3	14,46	Leire	31,9	19,5	31,2	11,7	19,1	32,4	171,1	3,24	0,069	F271, F272, F273
2411	6-A-3	6,46	Leire	36,6	19,7	36,8	17,1	18,5	36,2	51,1	0,89	0,018	F274, F275, F276
	12-A-3	12,46	Leire	37,1	19,2	35,4	16,2	18,7	43,1	118,4	2,01	0,040	F277, F278, F279
	16-A-3	18,48	Leire	26,5	18,0	29,5	11,5	20,3	26,0	172,4	3,84	0,091	F280, F281, F282
2430	6-A-1	6,18	Leire	34,1	18,5	34,9	16,4	18,8	38,2	71,6	1,29	0,027	F283, F284, F285
	12-A-3	12,49	Leire	41,5	21,4	41,0	19,6	17,9	52,0	146,4	4,09	0,077	F286, F287, F288
w _i	Insitu vanninnhold												
w _p	Plastisitetsgrense												
w _L	Flytegrense												
I _p	w _L - w _p , Plastisitetsindeks												
γ _T	Total romvekt												
p _{ov} '	Effektivt vertikalt overlagingstrykk												
ΔV/V	Tøyning ved p _{ov} '												
Δe/e ₀	Δe = e _{av} (1+e _i) og e _i = 2.75 * w _i												

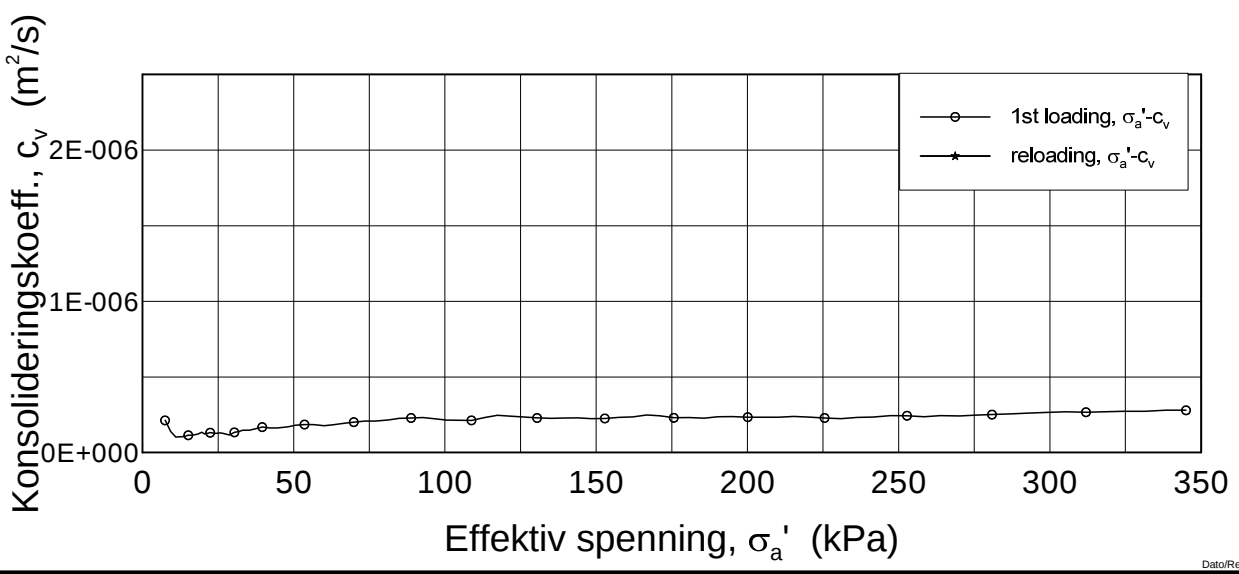
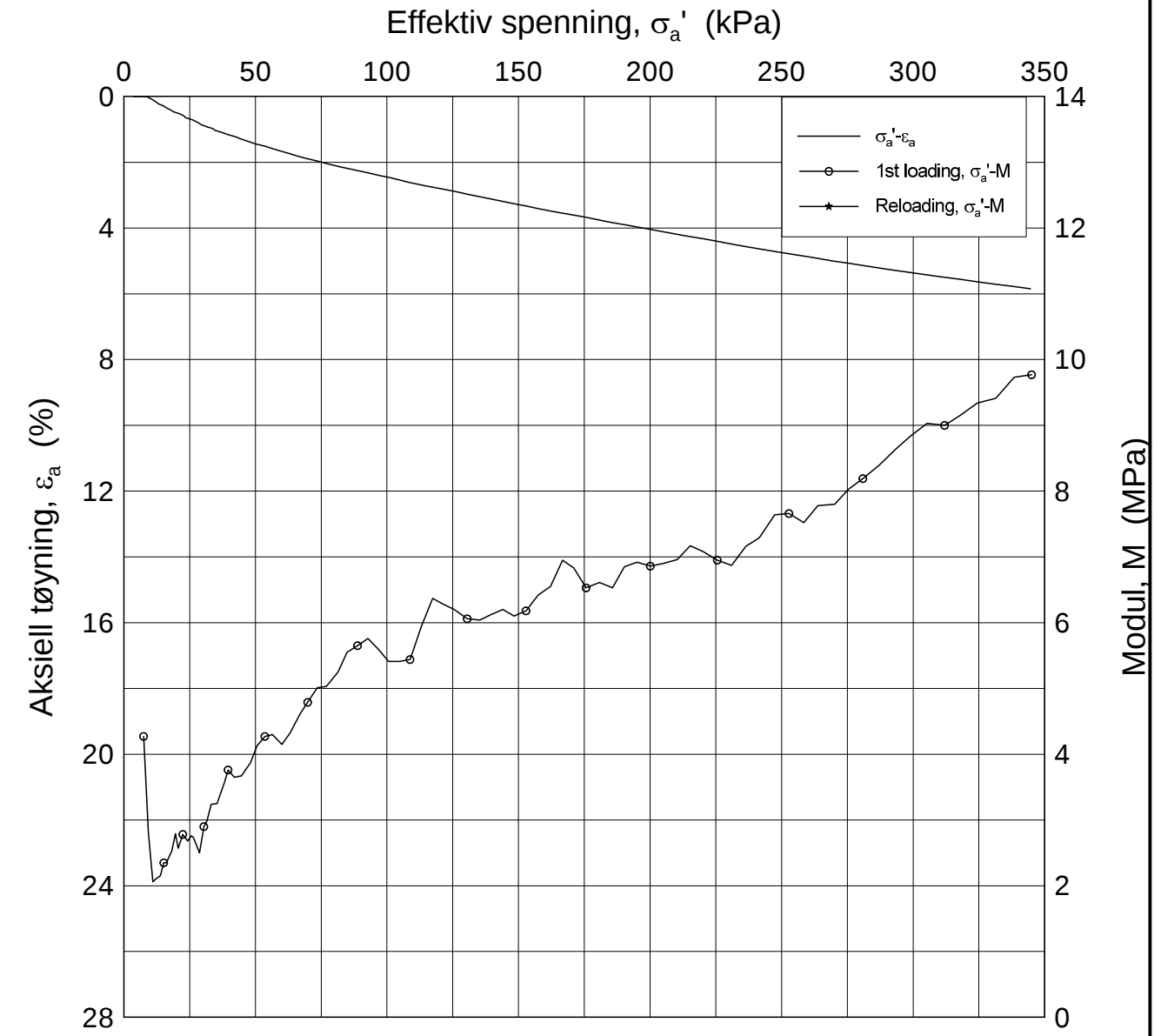
H:\LABDATA\2012\20120491\Oedom\BH2009\2009-5-C-1.lin (crs2220).grf




Dato/Rev.: 2009-09-15/4

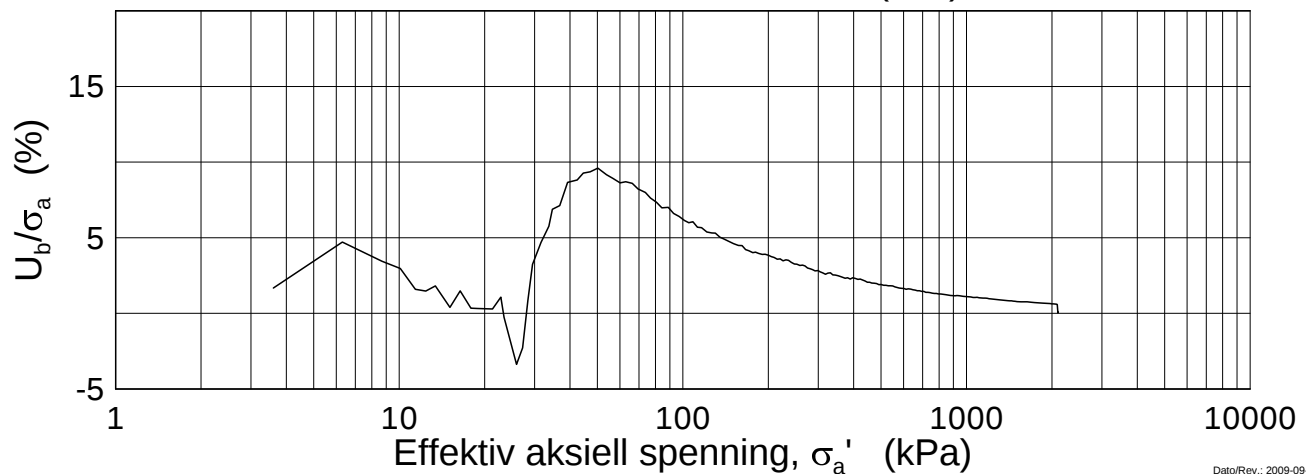
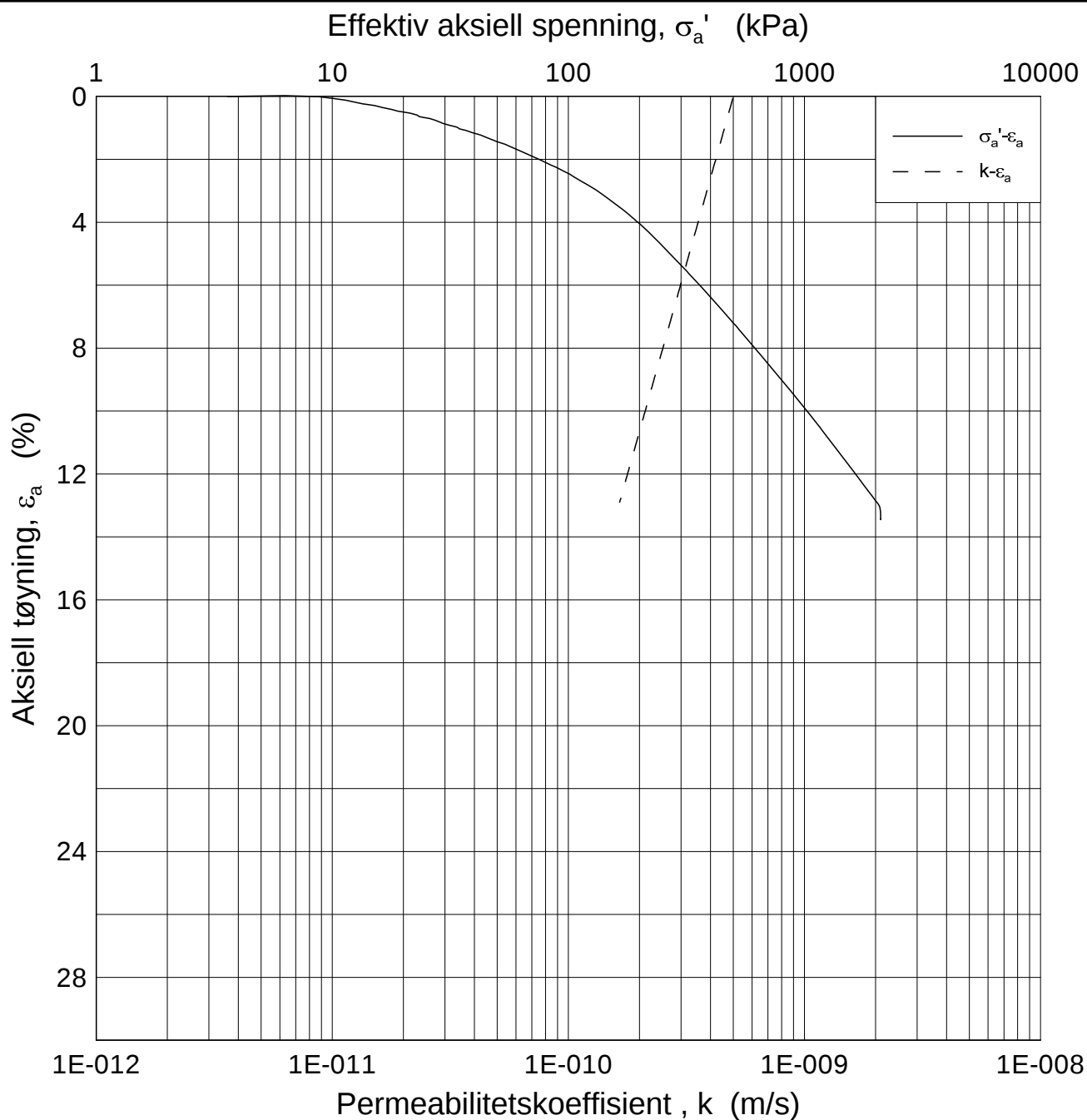
E16 Nybakk - Slomarka			Dokumentnr. 20120491-02-R
Ødometer test (CRSC)			Dato 2013-04-04
Borhull: 2009	Sylinder: 5	Dybde = 6.49 m	Figurnr. F1
Del: C	Test: 1	$p'_0 = 62.1$ kPa	
			Tegner FP/

H:\LABDATA\2012\20120491\Oedom\BH2009\2009-5-C-1.lin-2 (crs2220).grf



Dato/Rev.: 2009-09-15/4

E16 Nybakk - Slomarka			Dokumentnr. 20120491-02-R
Ødometer test (CRSC)			Dato 2013-04-04
Borhull: 2009	Sylinder: 5	Dybde = 6.49 m	Figurnr. F2
Del: C	Test: 1	$p'_0 = 62.1$ kPa	Tegner FP/
		$w_i = 30.32$ %	



Dato/Rev.: 2009-09-15/3

E16 Nybakk - Slomarka

Dokumentnr.
20120491-02-R

Ødometer test (CRSC)

Dybde = 6.49 m

Dato
2013-04-04

Borhull: 2009

Sylinder: 5

p'_o = 62.1 kPa

Figurnr.
F3

Del: C

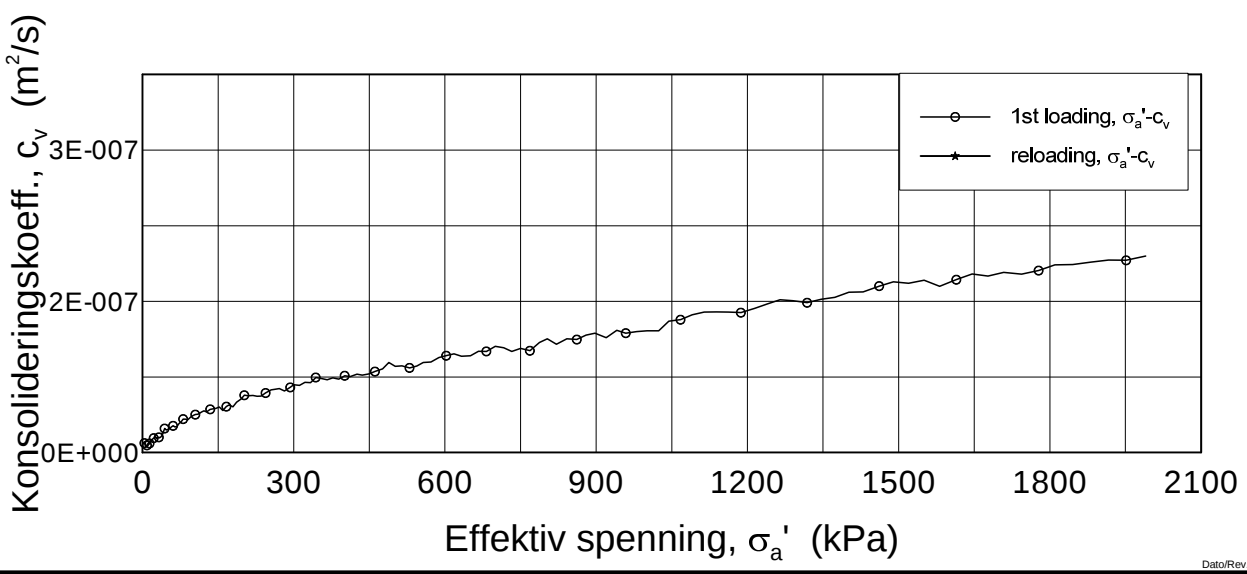
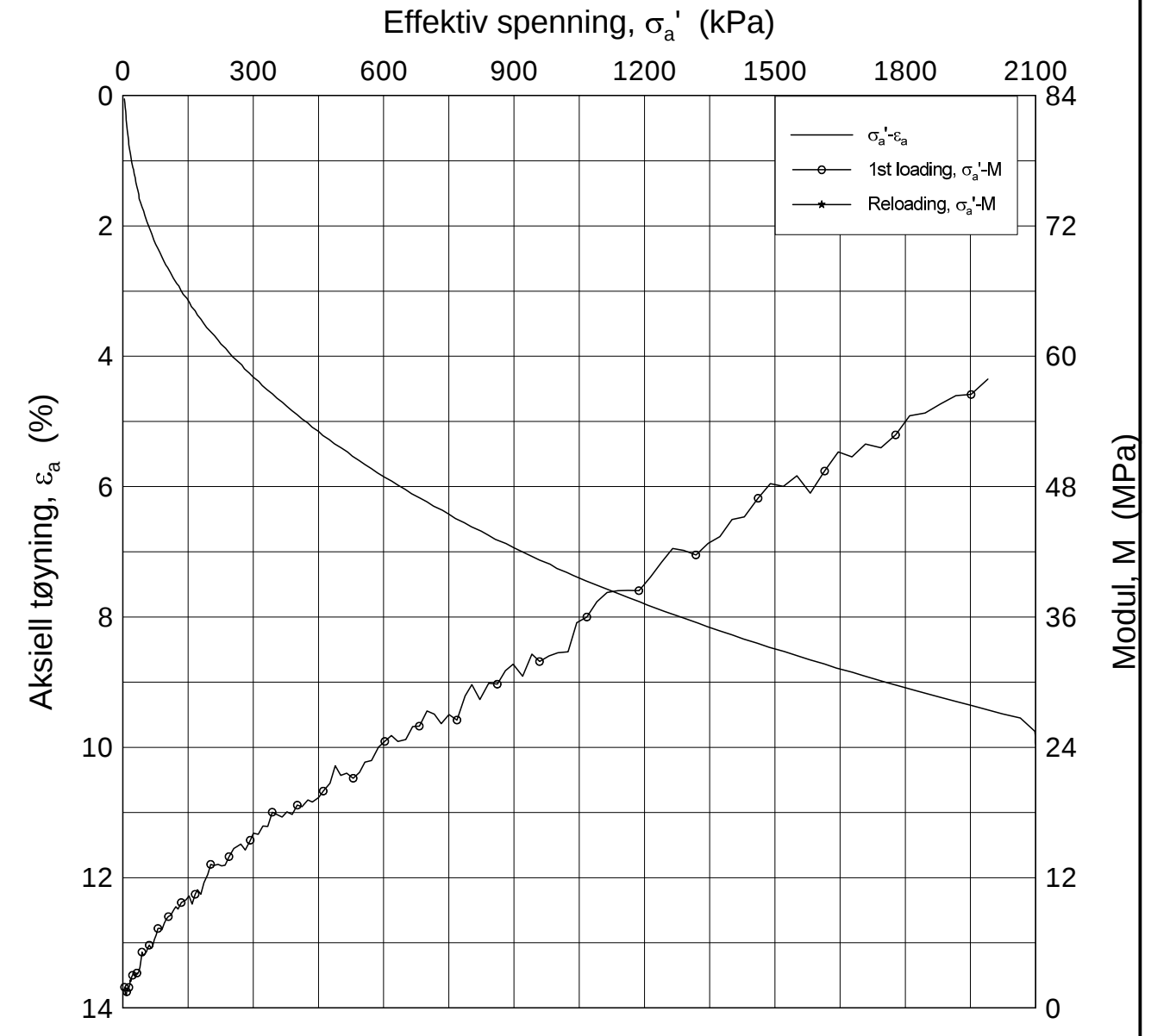
Test: 1

w_i = 30.32 %


Tegner
FP/



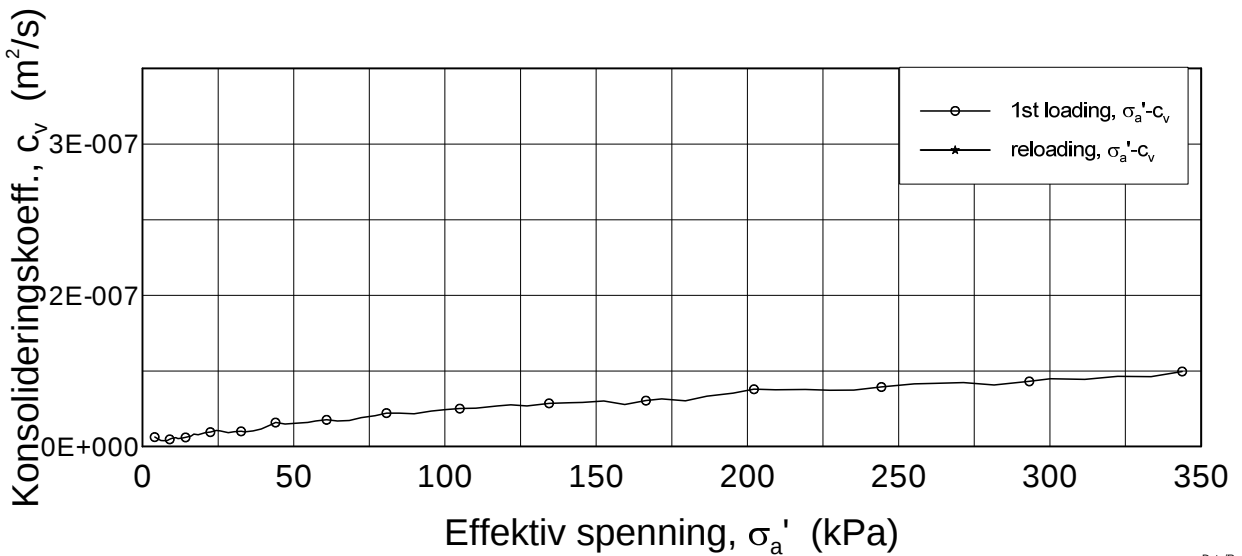
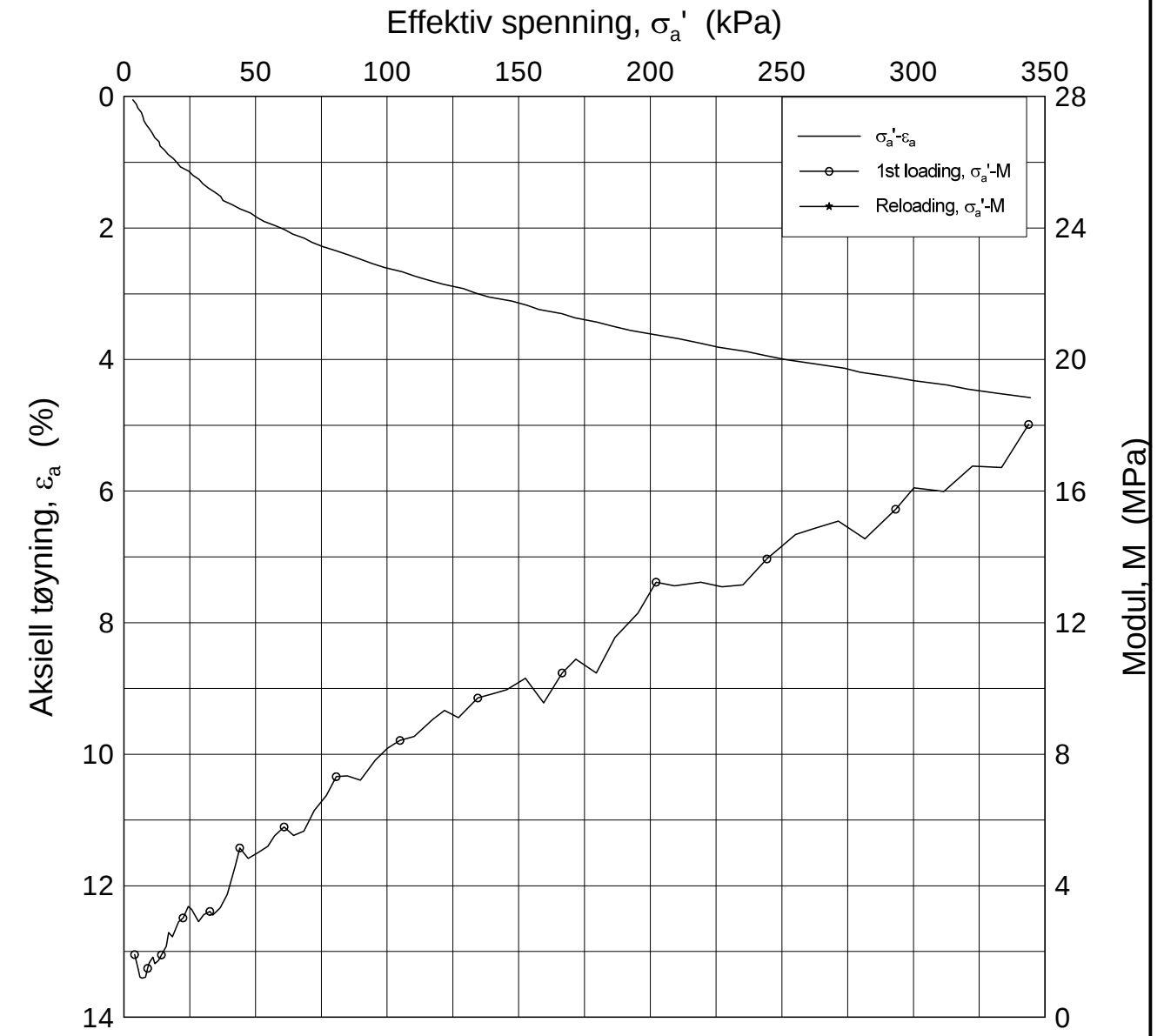
H:\LABDATA\2012\20120491\Oedom\BH2009\2009-9-C-1.lin (crs2222).grf




Dato/Rev.: 2009-09-15/4

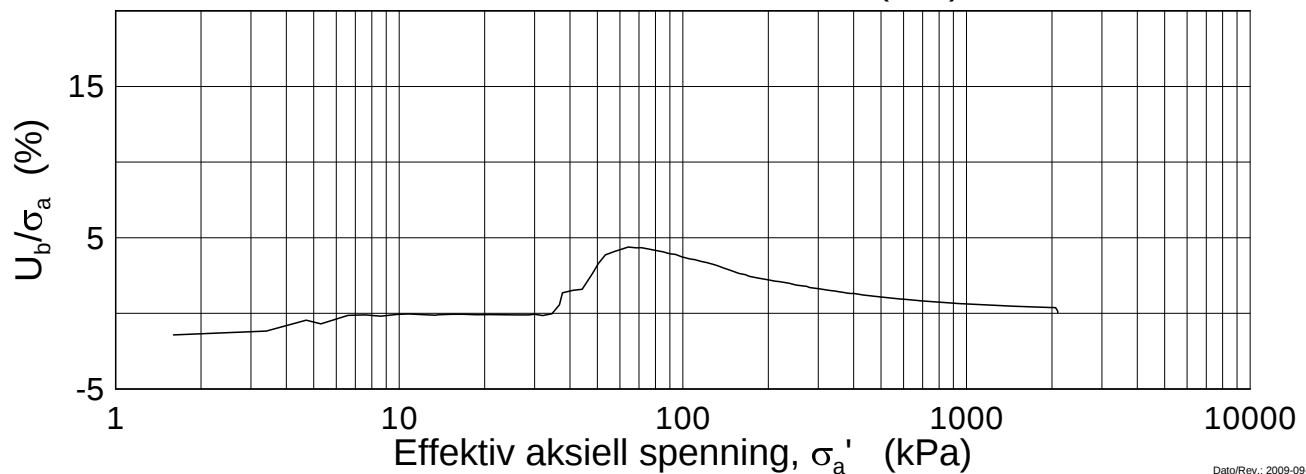
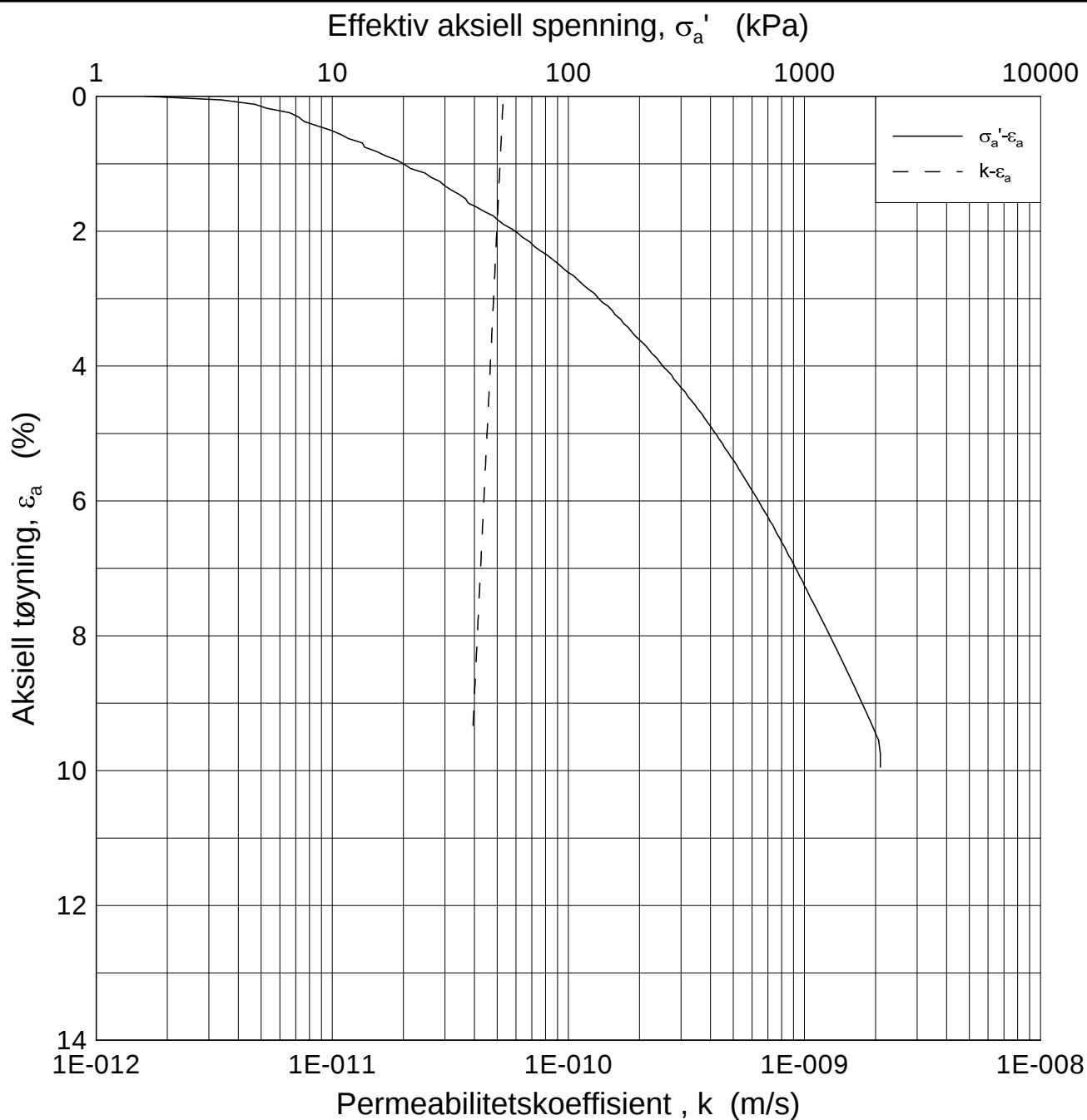
E16 Nybakk - Slomarka		Dokumentnr. 20120491-02-R
Ødometer test (CRSC)		Dato 2013-04-29
Borhull: 2009	Sylinder: 9	Figurnr. F4
Del: C	Test: 1	Tegner FI/
	Dybde = 11.47 m	
	$p'_0 = 122.6$ kPa	
	$w_i = 22.37$ %	

H:\LABDATA\2012\20120491\Oedom\BH2009\2009-9-C-1.lin-2 (crs2222).grf




Dato/Rev.: 2009-09-15/4

E16 Nybakk - Slomarka			Dokumentnr. 20120491-02-R
Ødometer test (CRSC)			Dato 2013-04-29
Borhull: 2009	Sylinder: 9	Dybde = 11.47 m	Figurnr. F5
Del: C	Test: 1	$p'_0 = 122.6$ kPa	Tegner FI/
		$w_i = 22.37$ %	

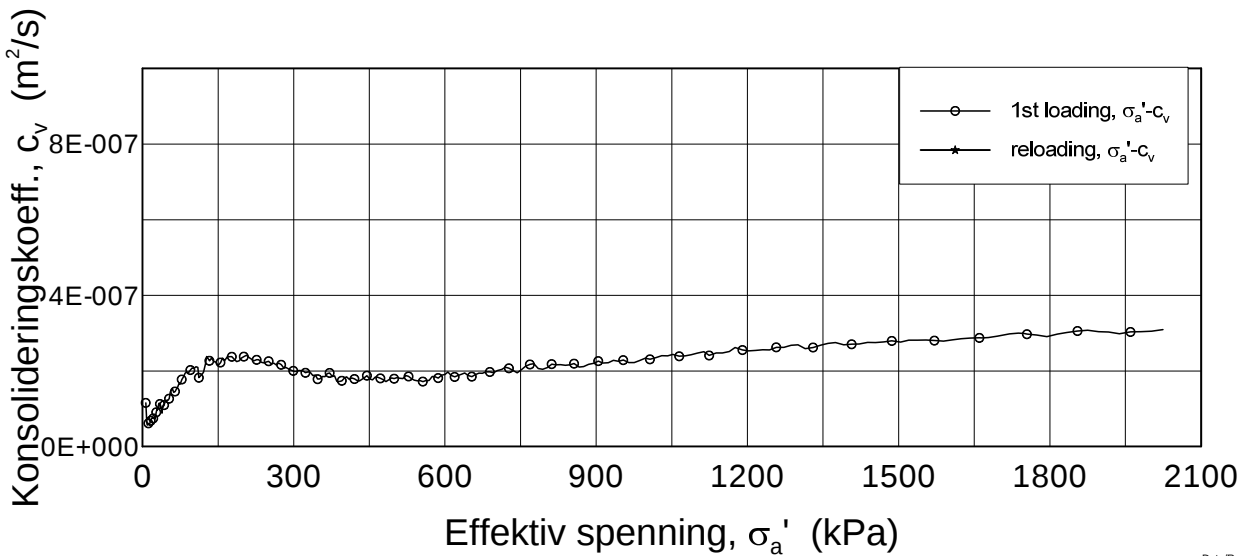
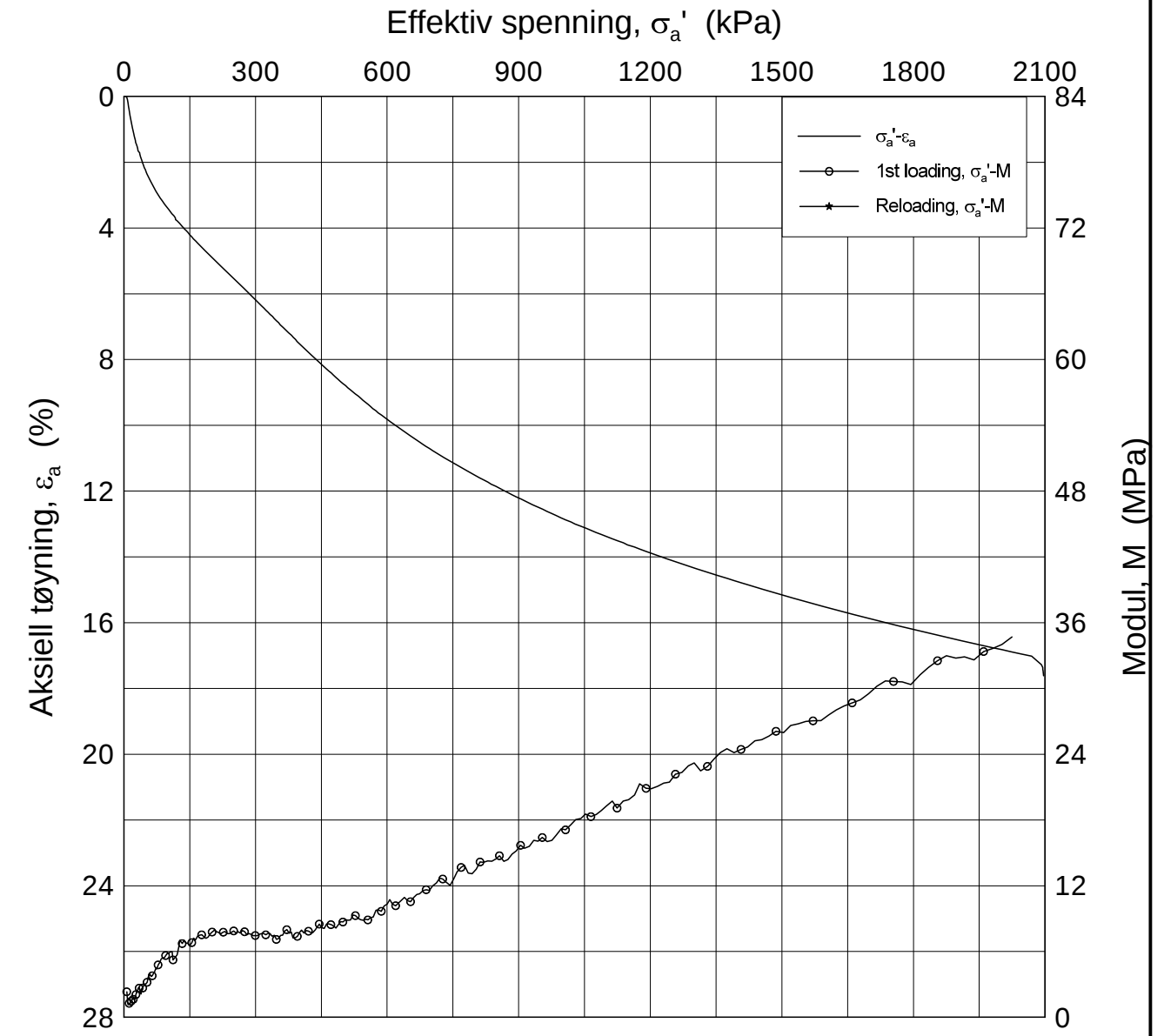


Dato/Rev.: 2009-09-15/3

H:\LABDATA\2012\20120491\Oedom\BH2009\2009-9-C-1 log (crs2222).grf

E16 Nybakk - Slomarka			Dokumentnr. 20120491-02-R
Ødometer test (CRSC)			Dato 2013-04-29
Borhull: 2009	Sylinder: 9	Dybde = 11.47 m	Figurnr. F6
Del: C	Test: 1	$p'_o = 122.6$ kPa	Tegner FI/
		$w_i = 22.37$ %	

H:\LABDATA\2012\20120491\Oedom\BH2009\2009-17-D-1.lin (crs2223).gif



Dato/Rev.: 2009-09-15/4

E16 Nybakk - Slomarka

Dokumentnr.
20120491-02-R

Ødometer test (CRSC)

Dybde = 19.15 m

Dato
2013-04-29

Borhull: 2009

Sylinder: 17

p'_0 = 192.35 kPa

Figurnr.
F7

Del: D

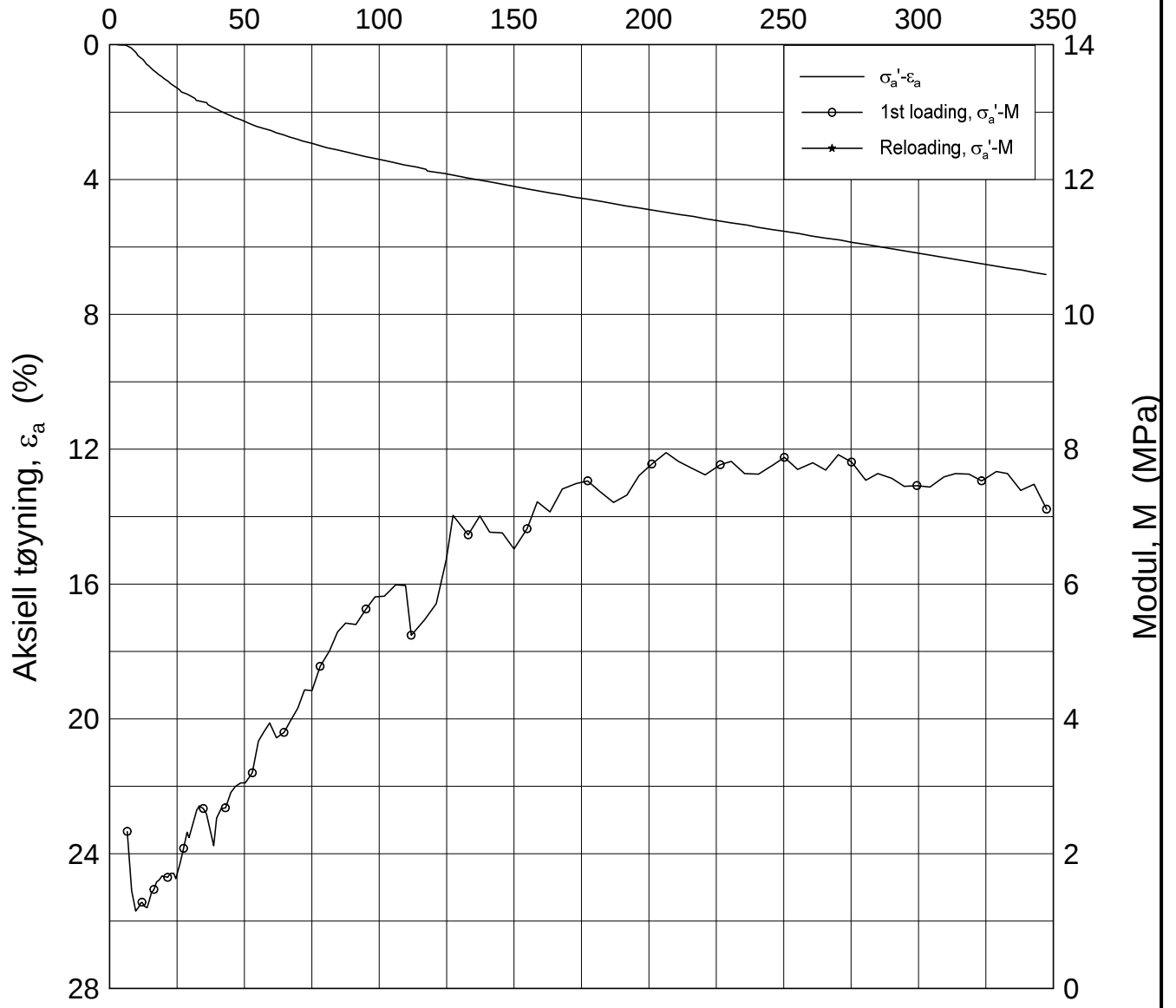
Test: 1

w_i = 36.78 %

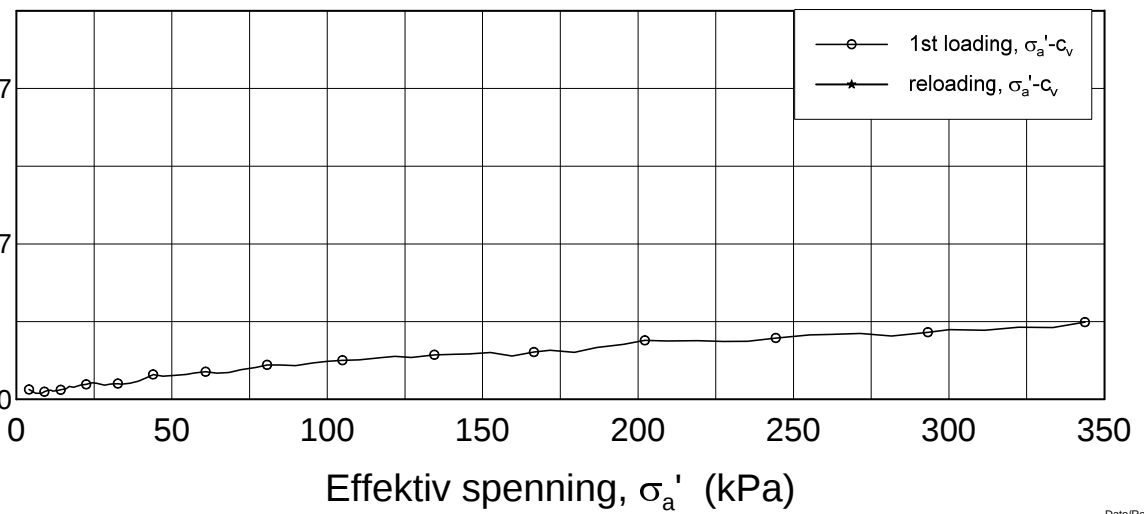
Tegner
FI/



Effektiv spenning, σ_a' (kPa)



Konsolideringskoeff., c_v (m²/s)



Dato/Rev.: 2009-09-15/4

E16 Nybakk - Slomarka

Dokumentnr.
20120491-02-R

Ødometer test (CRSC)

Dybde = 19.15 m

Dato
2013-11-04

Borhull: 2009

Sylinder: 17

p_0' = 192.35 kPa

Figurnr.

F8

Del: D

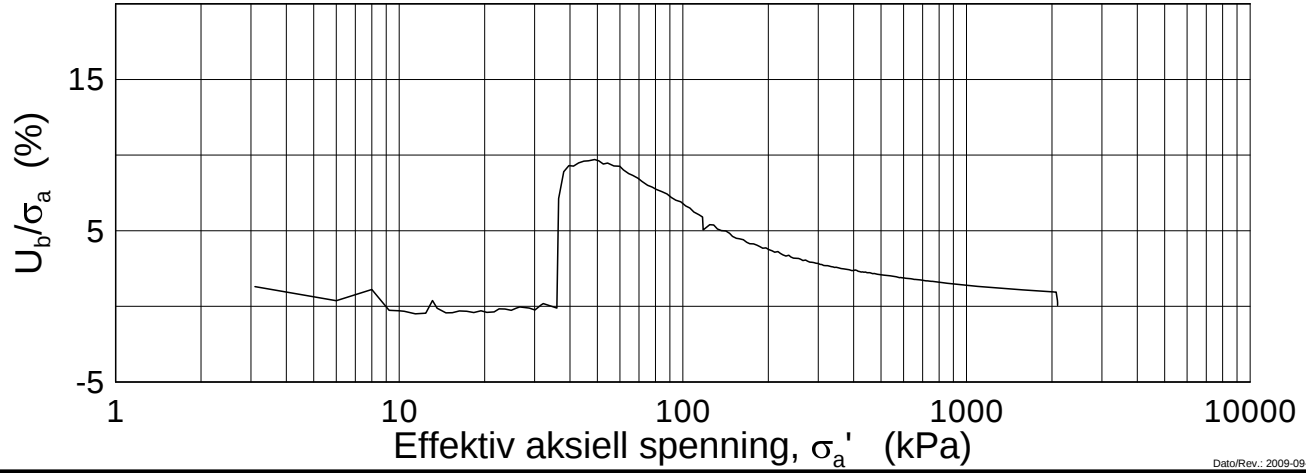
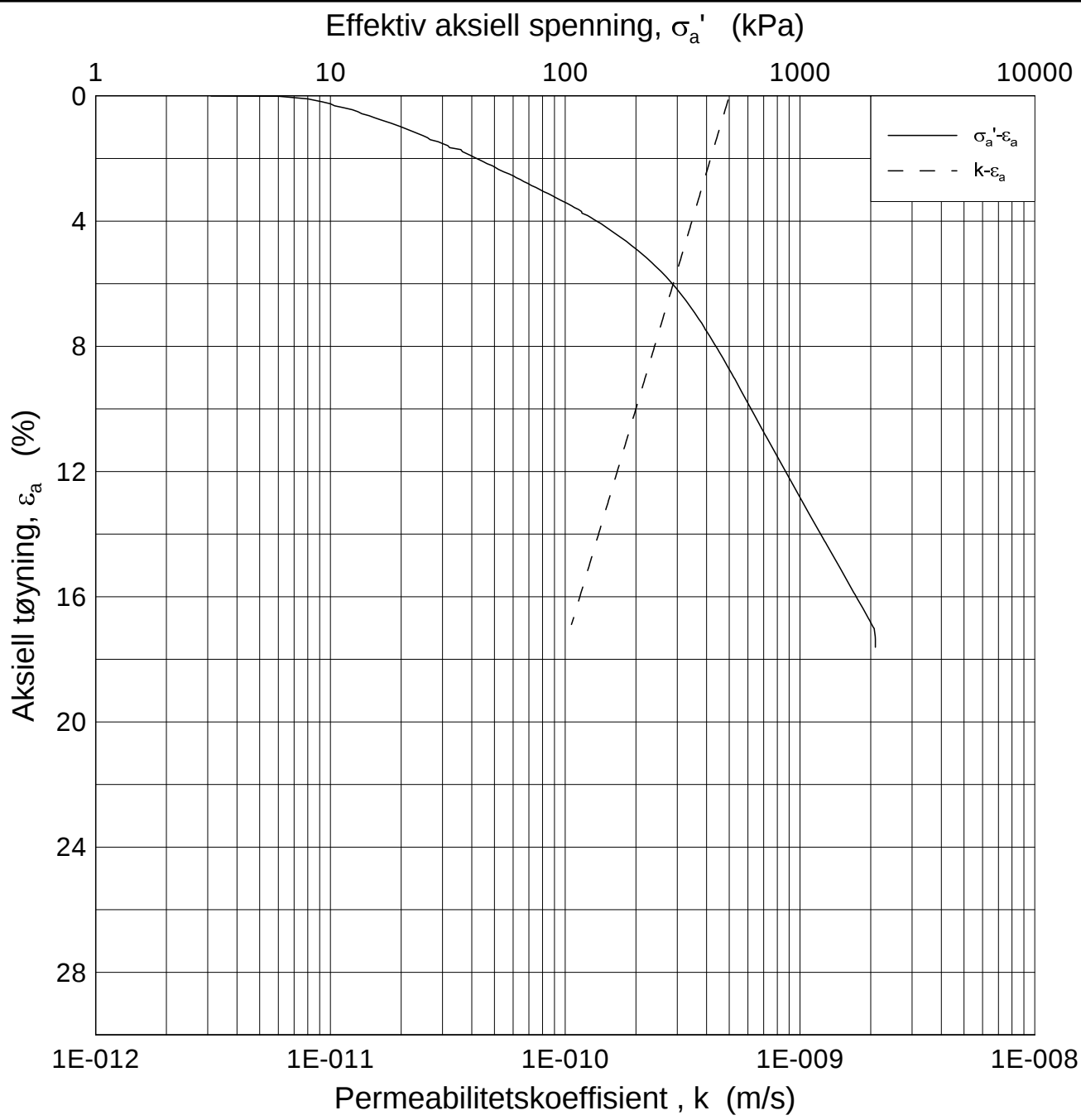
Test: 1

w_i = 36.78 %

Tegner

FI/





Dato/Rev.: 2009-09-15/3

E16 Nybakk - Slomarka

Dokumentnr.
20120491-02-R

Ødometer test (CRSC)

Dybde = 19.15 m

Dato
2013-04-29

Borhull: 2009

Sylinder: 17

p'_o = 192.35 kPa

Figurnr.
F9

Del: D

Test: 1

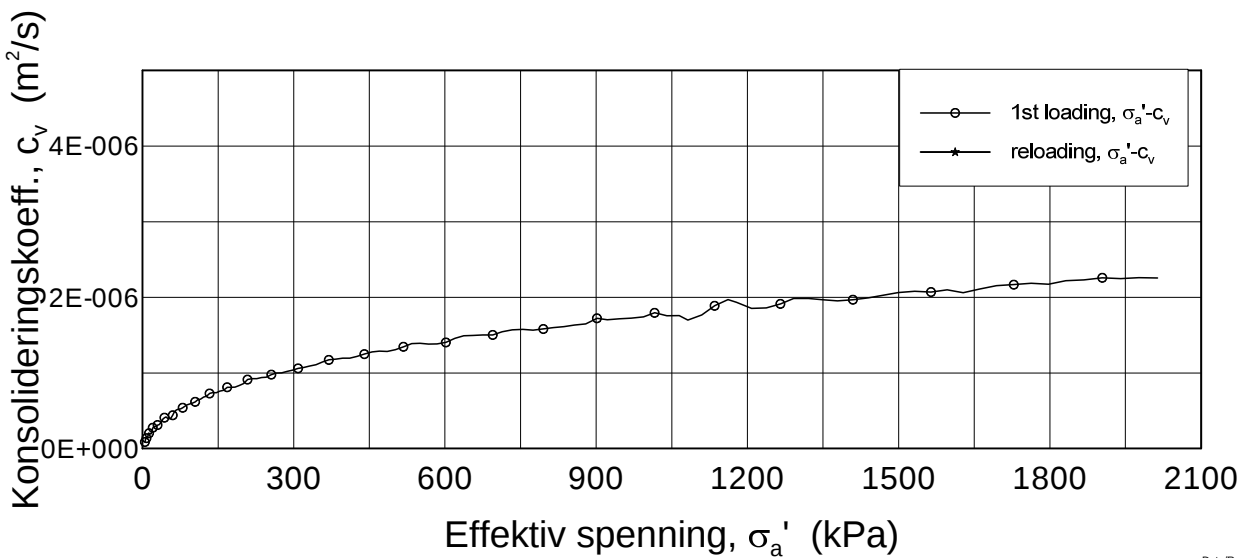
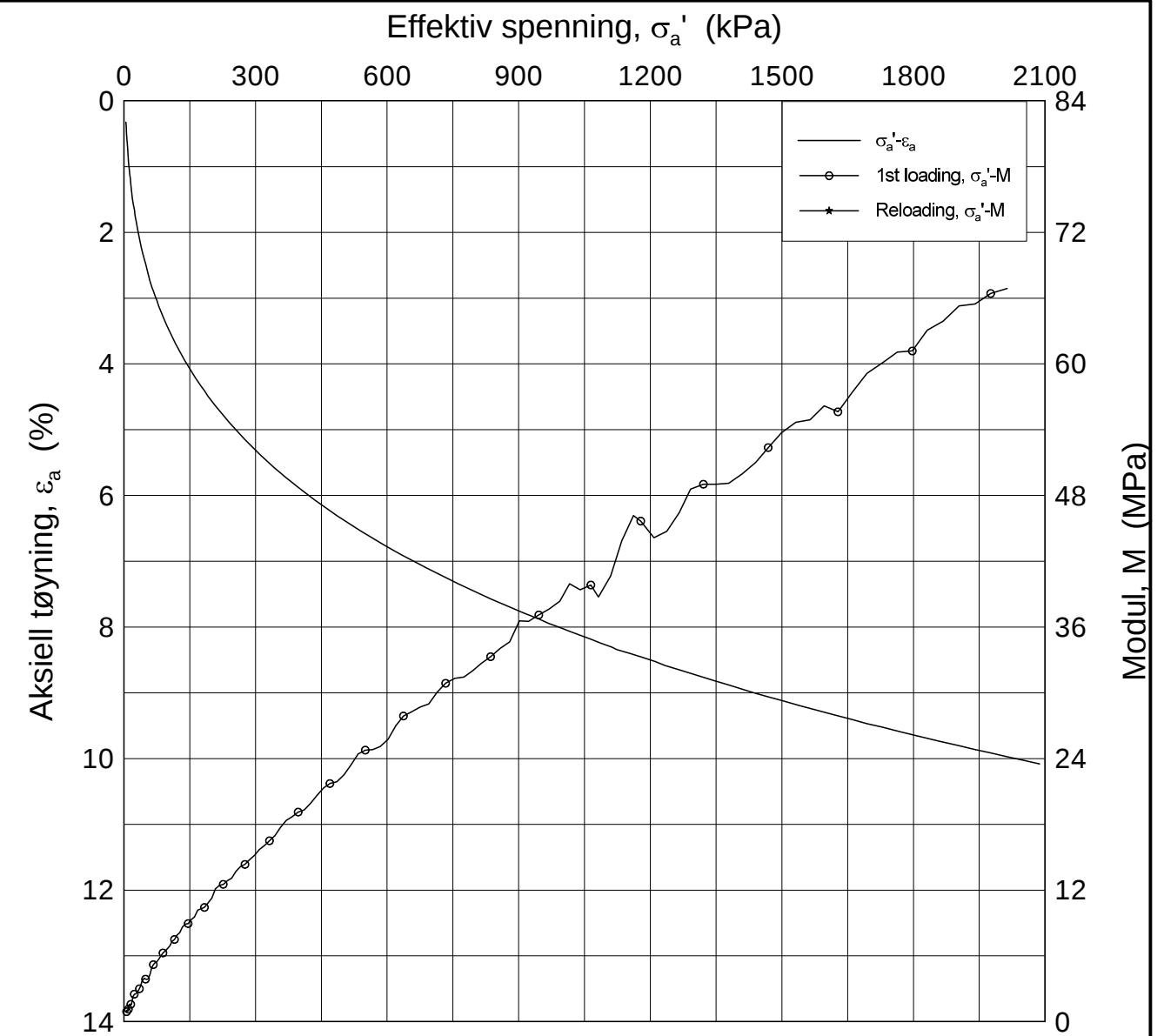
w_i = 36.78 %

Tegner
FI/




H:\LABDATA\2012\20120491\Oedom\BH2009\2009-17-D-1 log (crs2223).grf

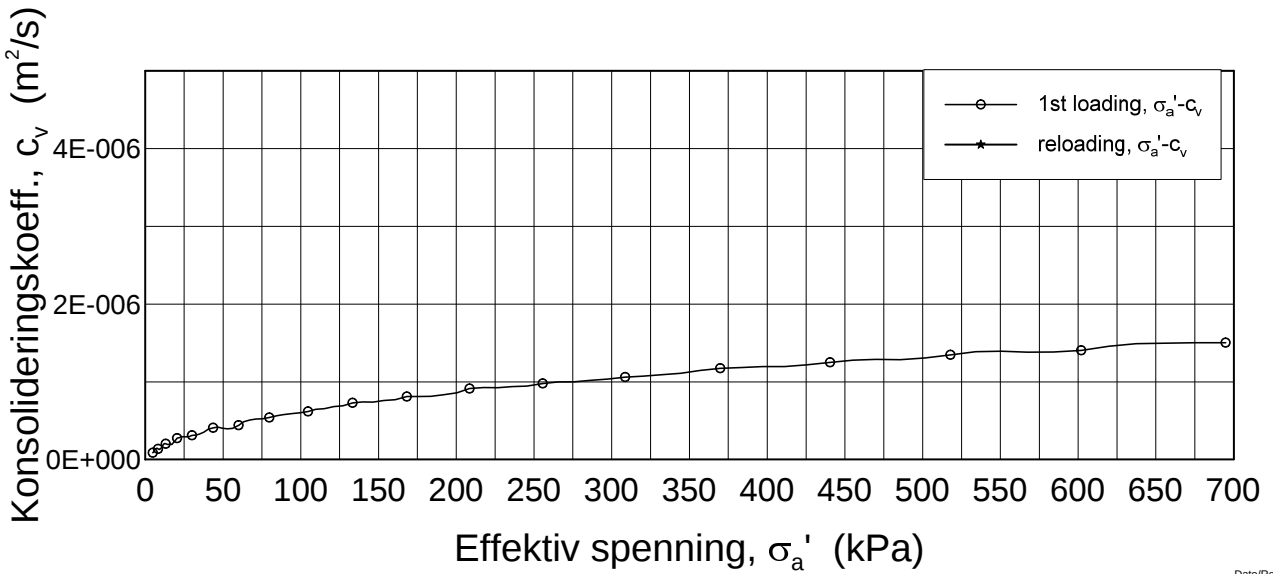
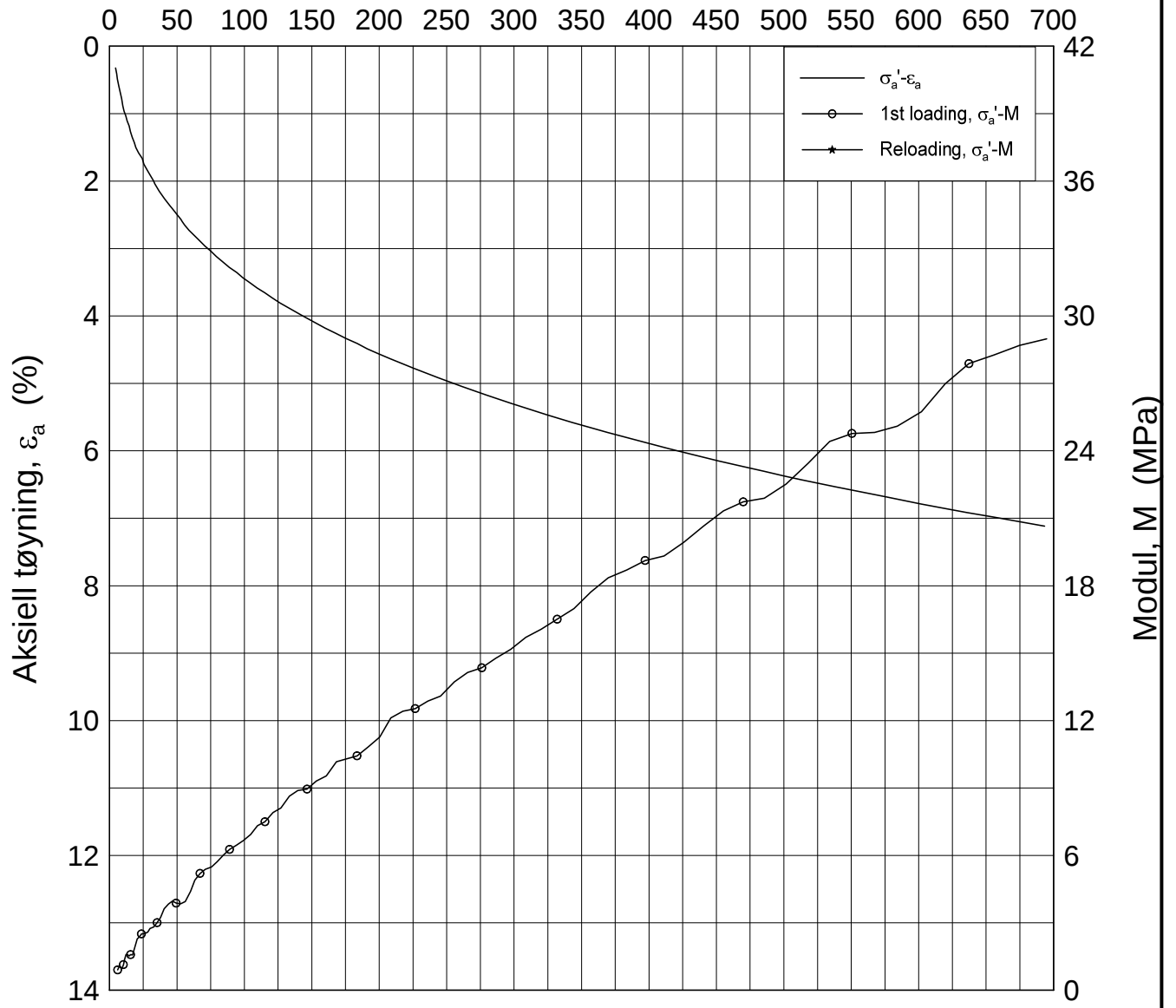
H:\LABDATA\2012\20120491\Oedom\BH2201\2201-12-B-1.lin (crs2241).grf



Dato/Rev.: 2009-09-15/4

E16 Nybakk - Slomarka			Dokumentnr. 20120491-02-R
Ødometer test (CRSC)			Dato 2013-05-14
Borhull: 2201	Sylinder: 12	Dybde = 11.33 m	Figurnr. F10
Del: B	Test: 1	$p'_0 = 142.6$ kPa	Tegner FP/
		$w_i = 28.56$ %	

Effektiv spenning, σ_a' (kPa)



Dato/Rev.: 2009-09-15/4

E16 Nybakk - Slomarka

Dokumentnr.
20120491-02-R

Ødometer test (CRSC)

Dybde = 11.33 m

Dato
2013-08-02

Borhull: 2201

Sylinder: 12

p_0' = 142.6 kPa

Figurnr.
F11

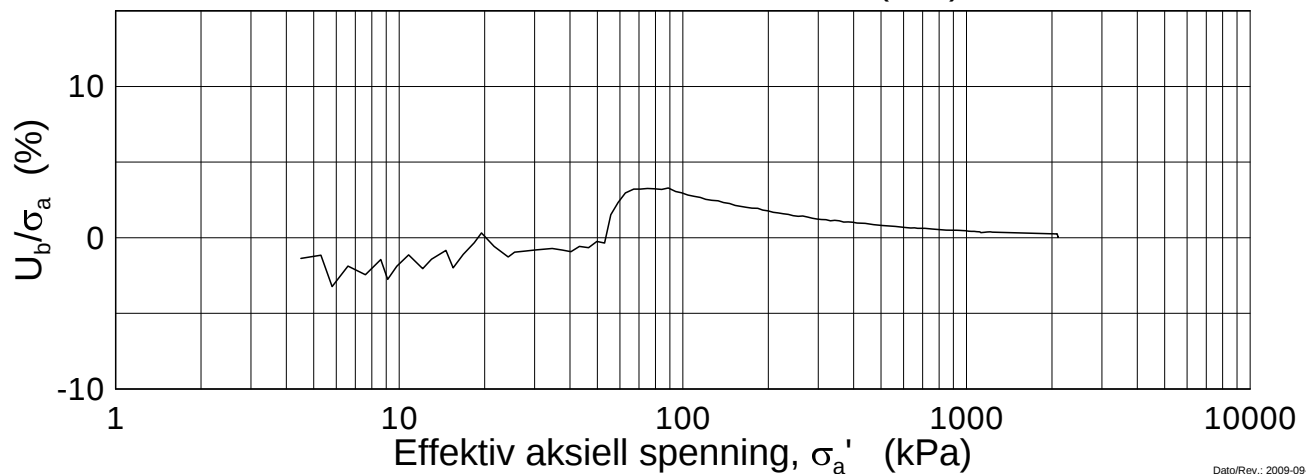
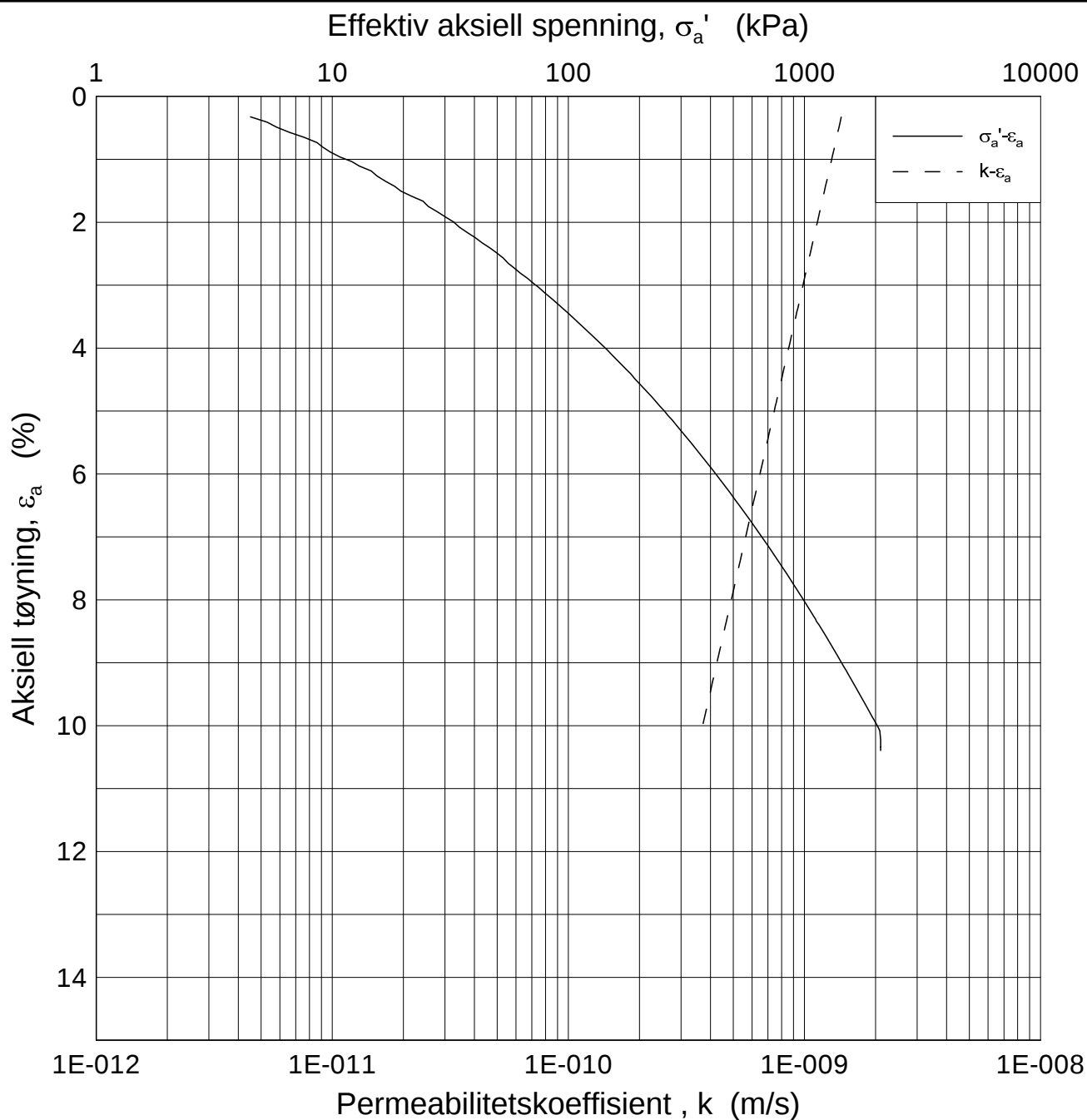
Del: B

Test: 1

w_i = 28.56 %

Tegner
FP/





Dato/Rev.: 2009-09-15/3

E16 Nybakk - Slomarka

Dokumentnr.
20120491-02-R

Ødometer test (CRSC)

Dybde = 11.33 m

Dato
2013-05-14

Borhull: 2201

Sylinder: 12

p_o' = 142.6 kPa

Figurnr.
F12

Del: B

Test: 1

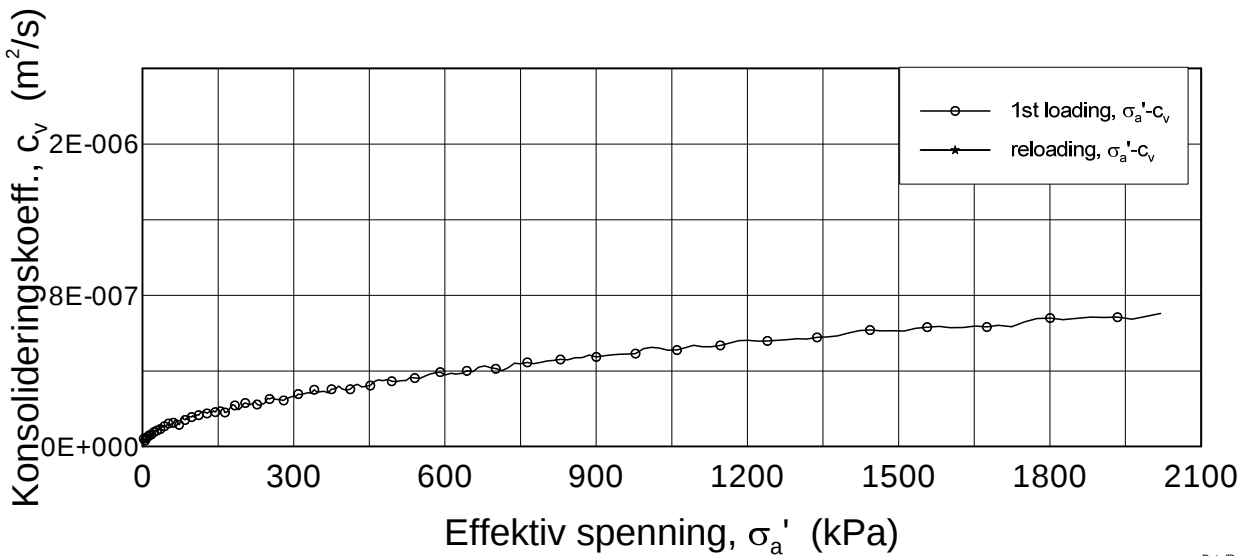
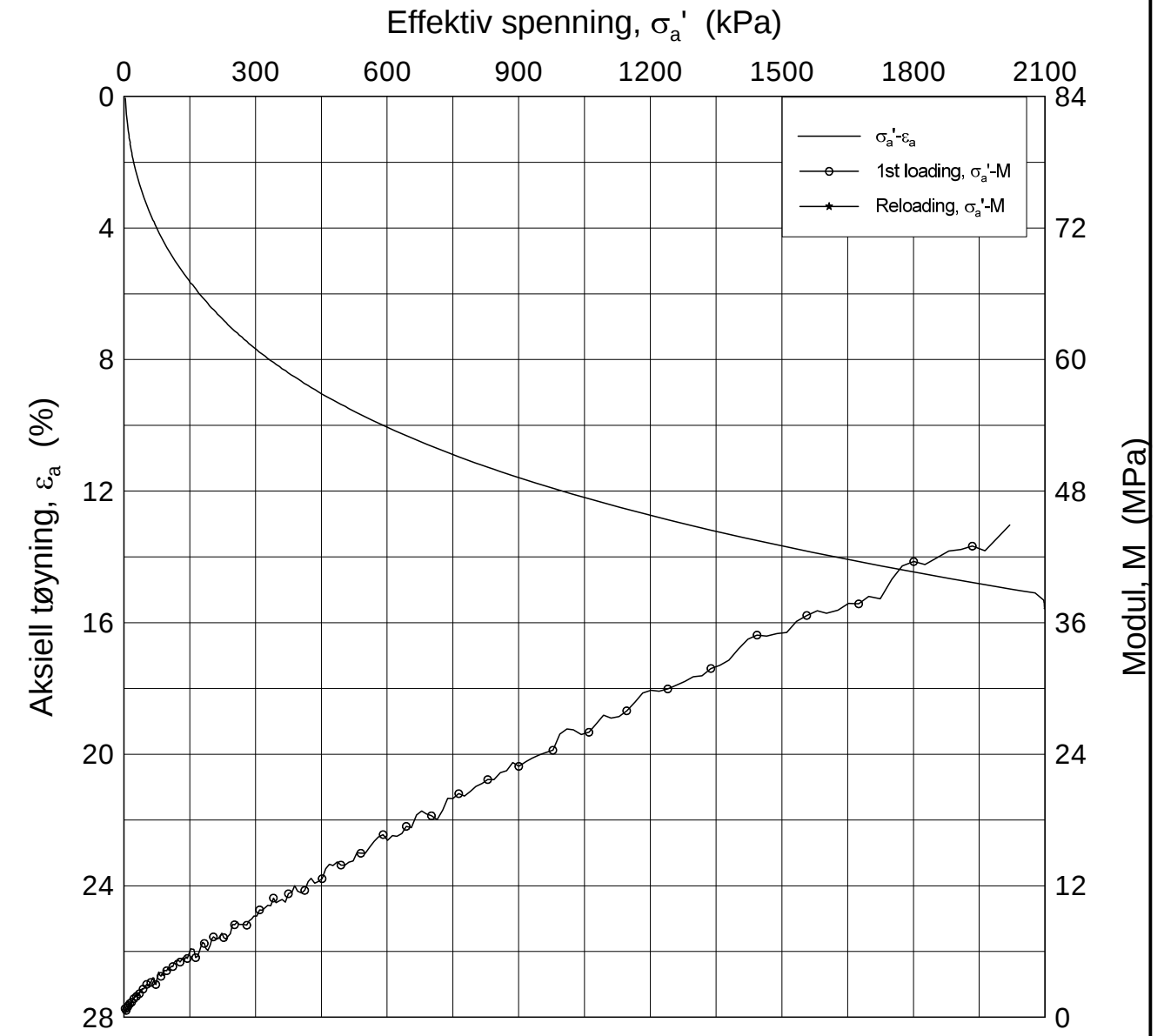
w_i = 28.56 %

Tegner
FP/



H:\LABDATA\2012\20120491\Oedom\BH2201\2201-12-B-1 log (crs2241).grf

H:\LABDATA\A\2012\20120491\Oedom\BH2201\2201-17-C-1.lin (crs2239).gif



Dato/Rev.: 2009-09-15/4

E16 Nybakk - Slomarka

Dokumentnr.
20120491-02-R

Ødometer test (CRSC)

Dybde = 16.42 m

Dato
2013-04-29

Borhull: 2201

Sylinder: 17

p'_0 = 187.6 kPa

Figurnr.
F13

Del: C

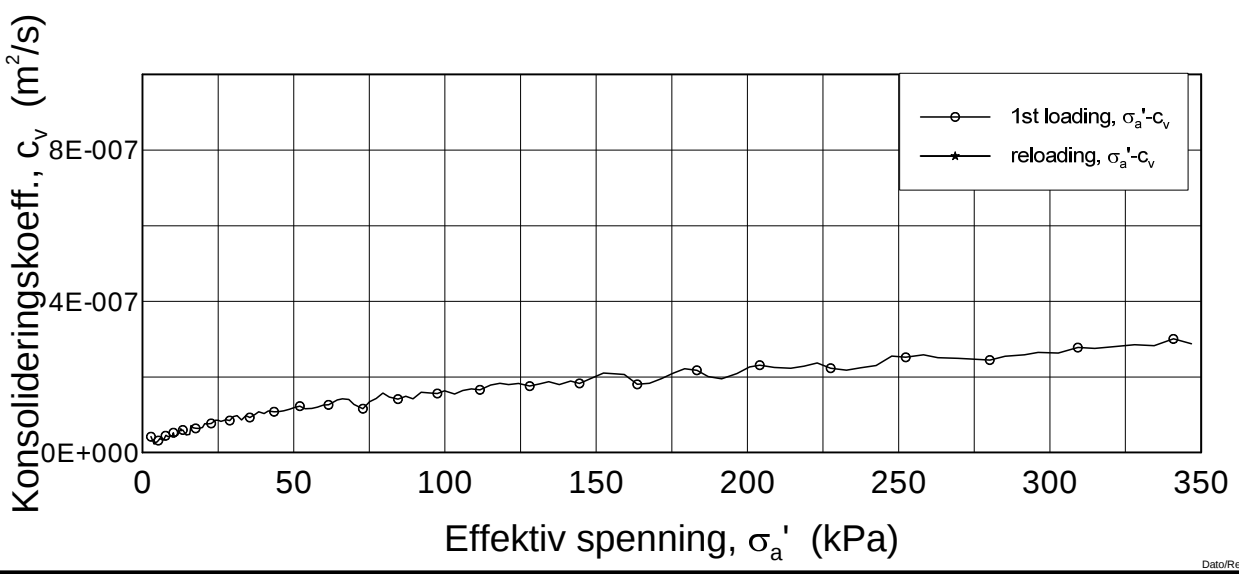
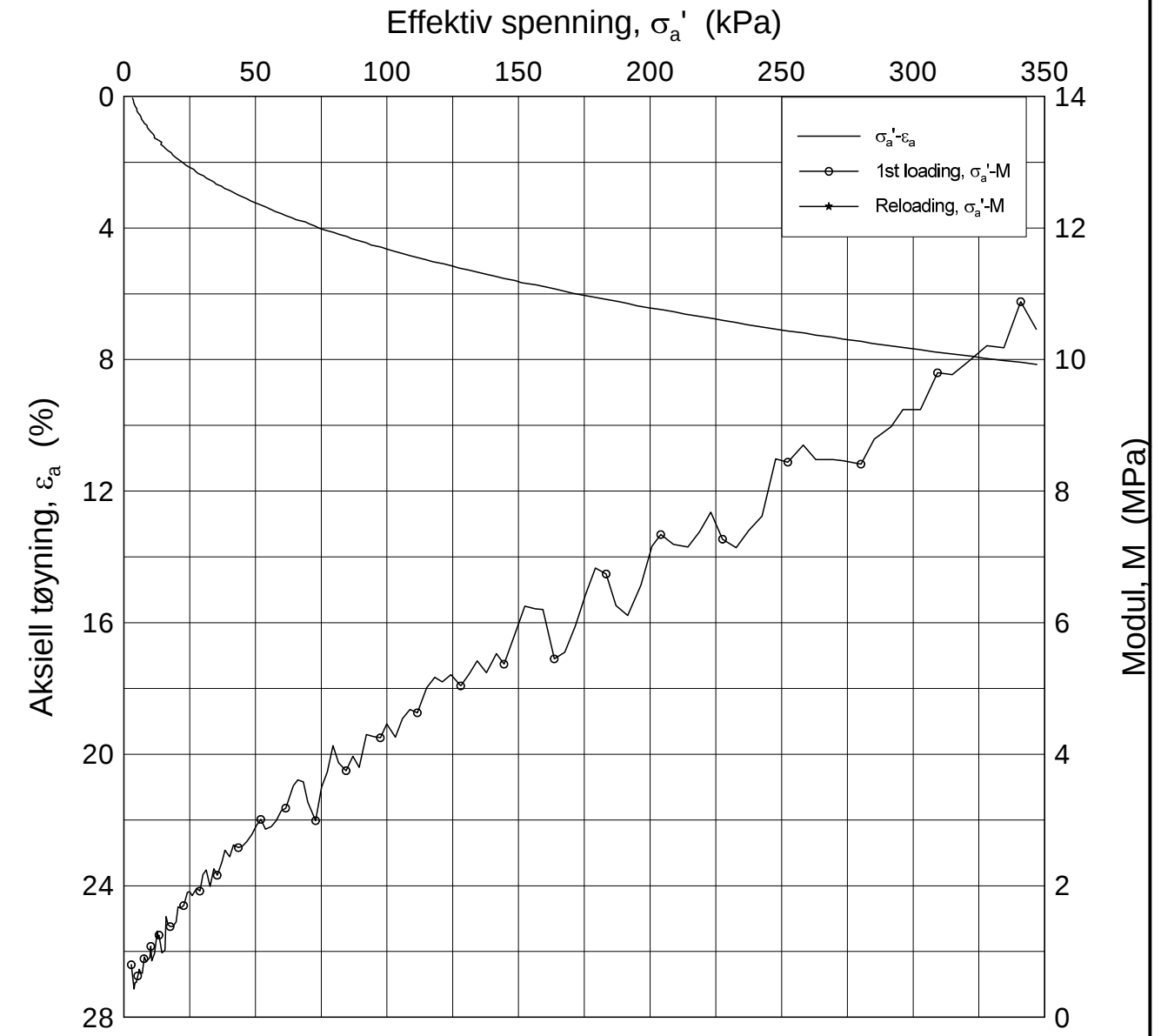
Test: 1

w_i = 34.71 %

Tegner
FI/

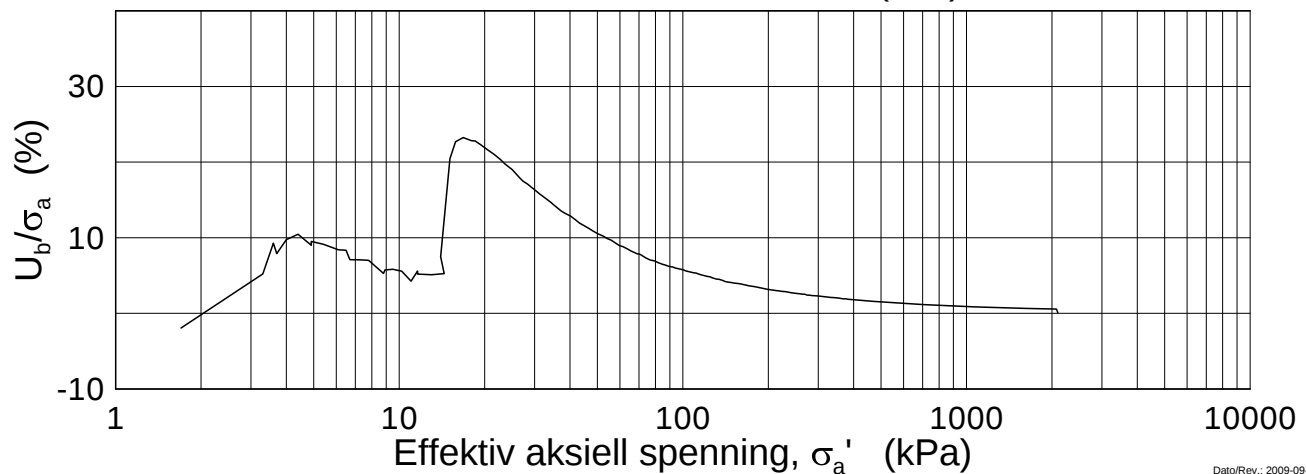
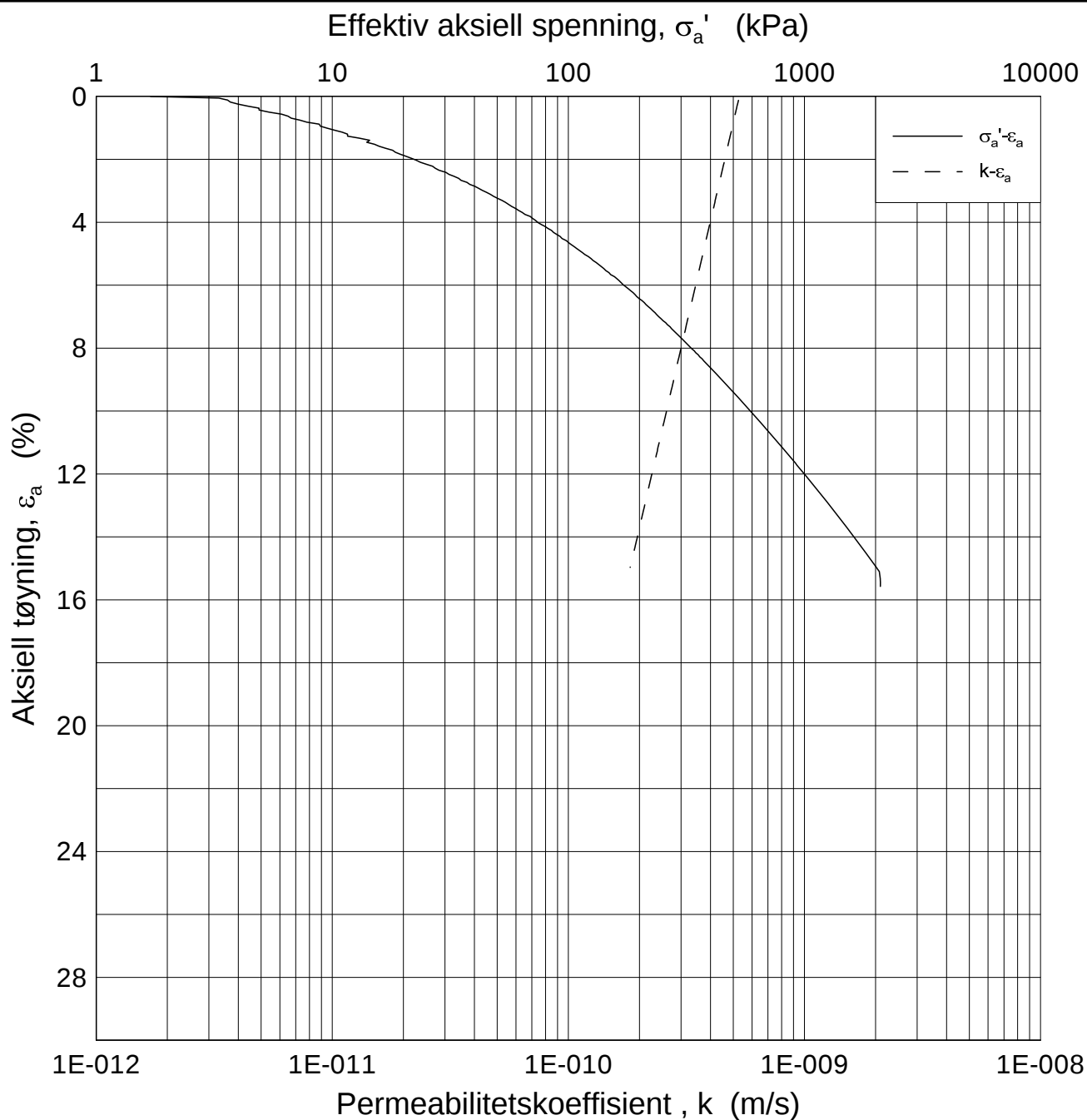


H:\LABDATA\2012\20120491\Oedom\BH2201\2201-17-C-1 lin=2 (crs2239).grf



Dato/Rev.: 2009-09-15/4

E16 Nybakk - Slomarka			Dokumentnr. 20120491-02-R
Ødometer test (CRSC)			Dato 2013-04-29
Borhull: 2201	Sylinder: 17	Dybde = 16.42 m	Figurnr. F14
Del: C	Test: 1	$p'_0 = 187.6$ kPa	Tegner FI/
		$w_i = 34.71$ %	



Dato/Rev.: 2009-09-15/3

E16 Nybakk - Slomarka

Dokumentnr.
20120491-02-R

Ødometer test (CRSC)

Dybde = 16.42 m

Dato
2013-04-29

Borhull: 2201

Sylinder: 17

p'_o = 187.6 kPa

Figurnr.
F15

Del: C

Test: 1

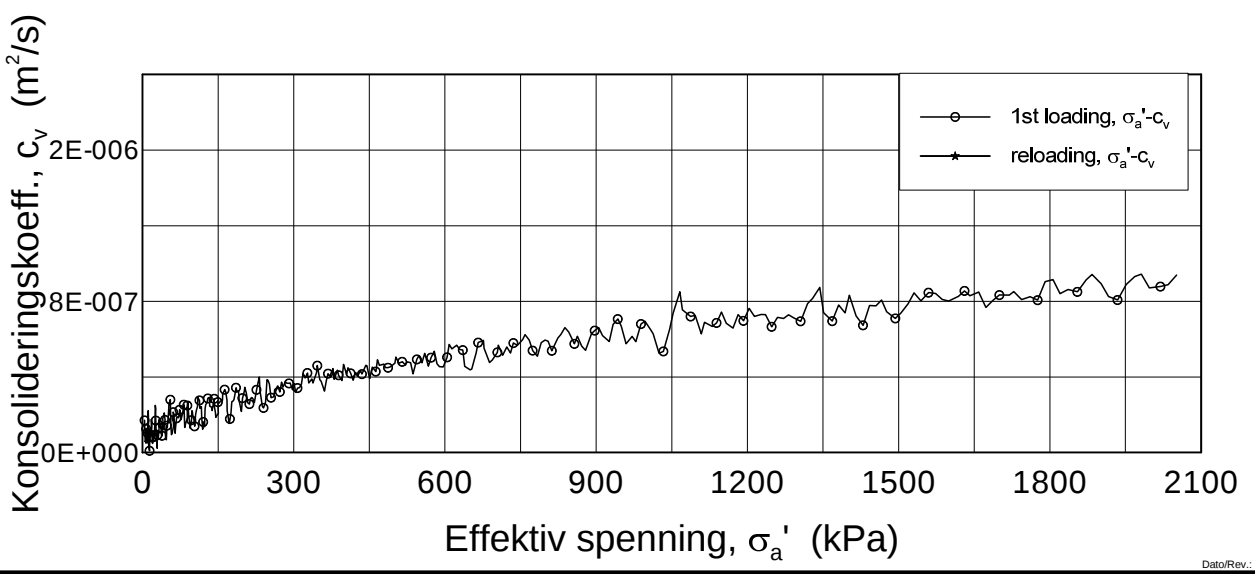
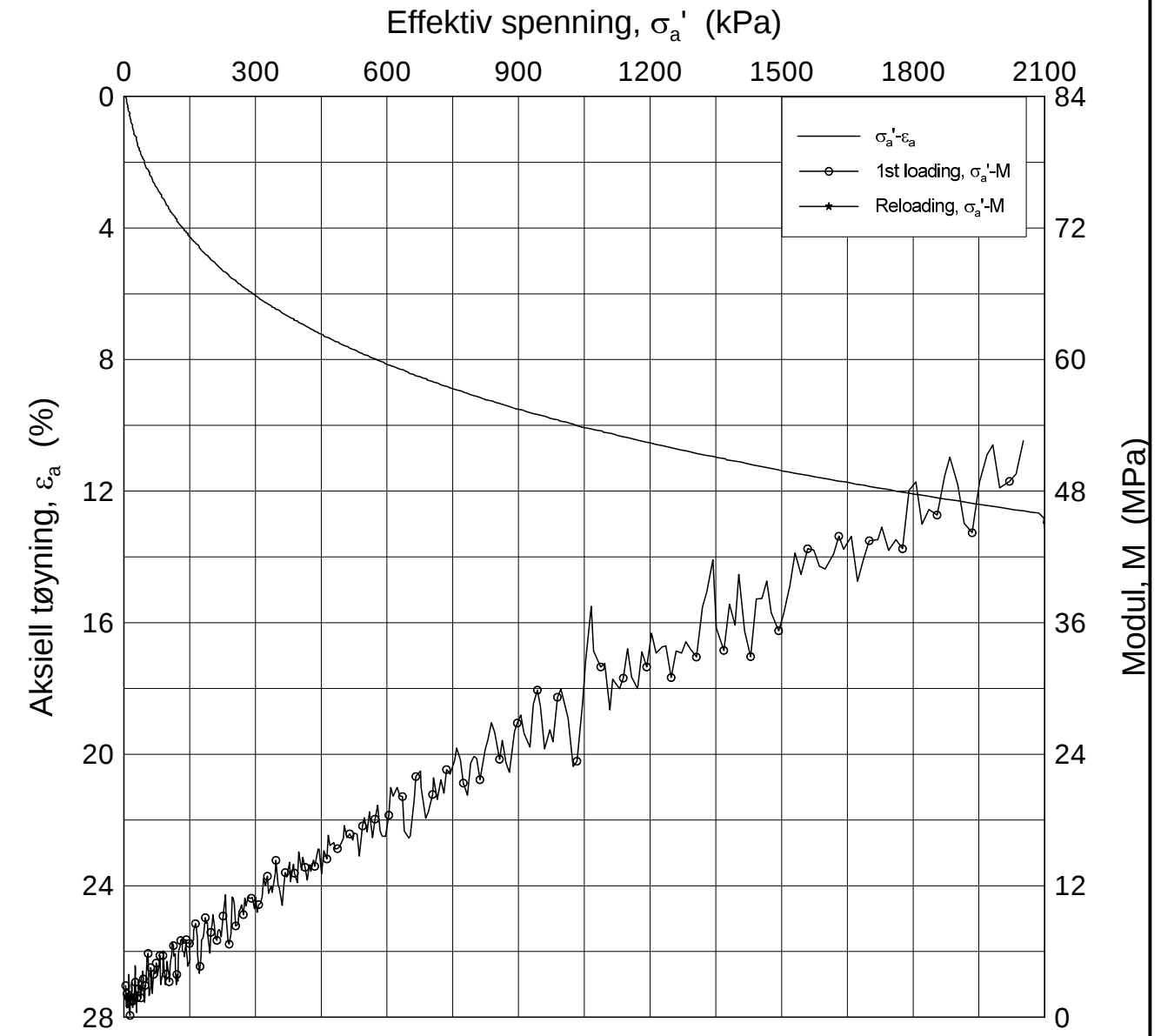
w_i = 34.71 %

Tegner
FI/



H:\LABDATA\2012\20120491\Oedom\BH2201\2201-17-C-1 log (crs2239).grf

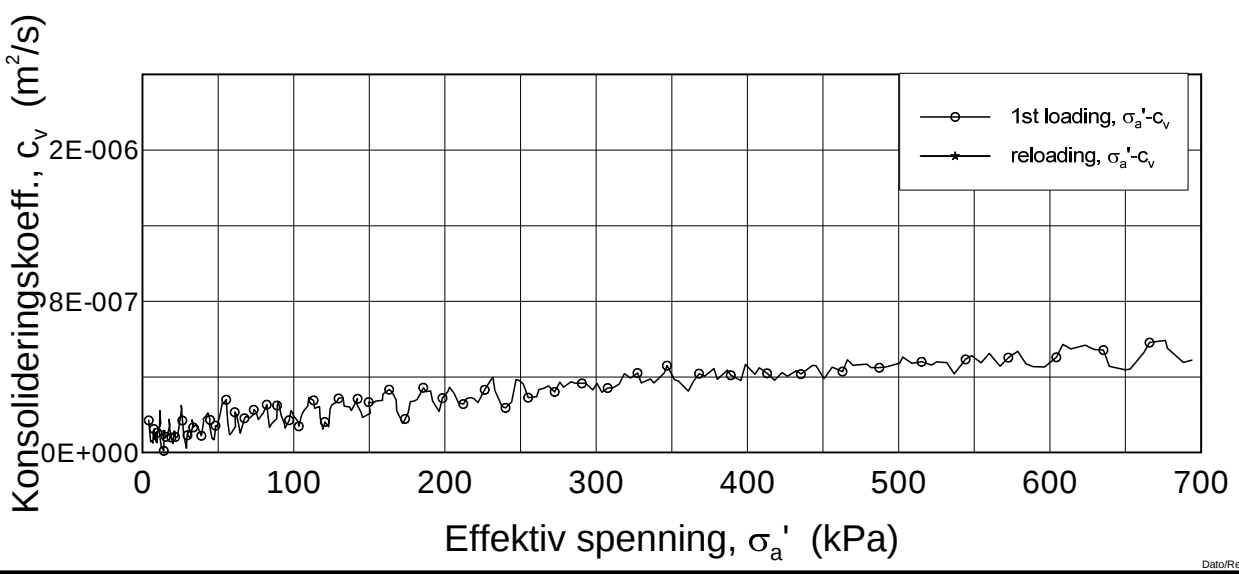
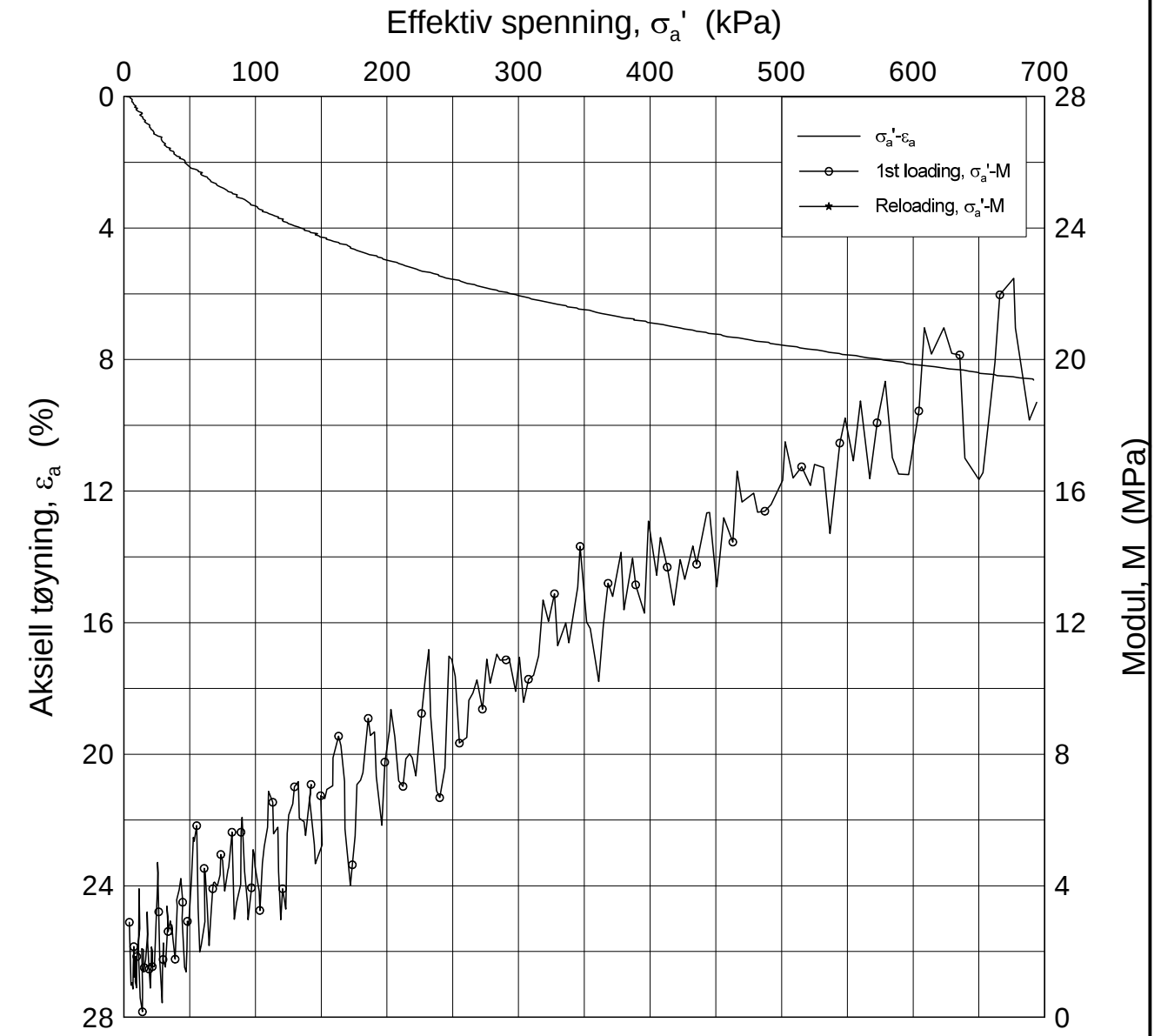
H:\LABDATA\2012\20120491\Oedom\BH2201\2201-22-C-1.lin (crs2242).gif




Dato/Rev.: 2009-09-15/4

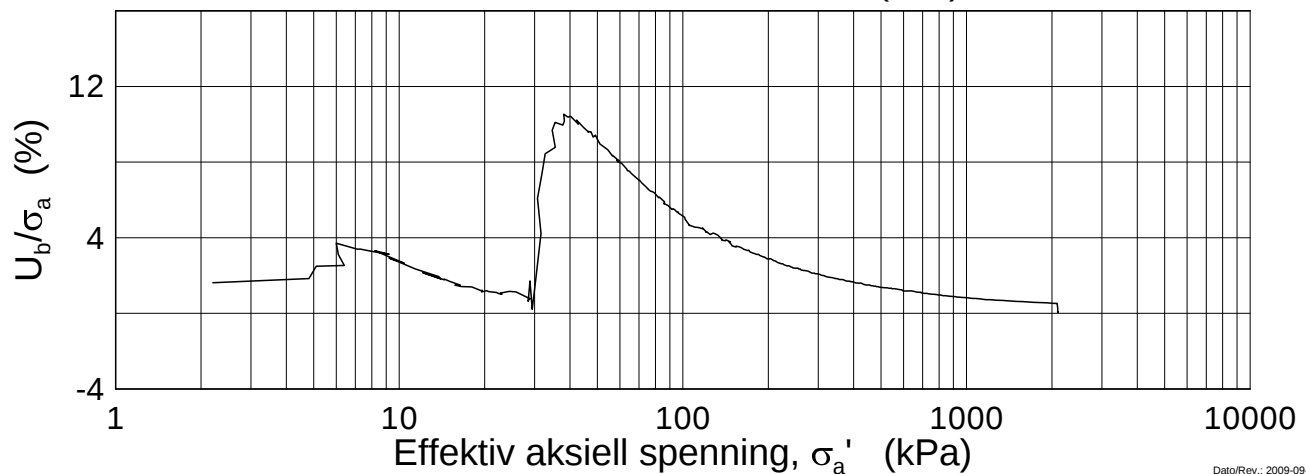
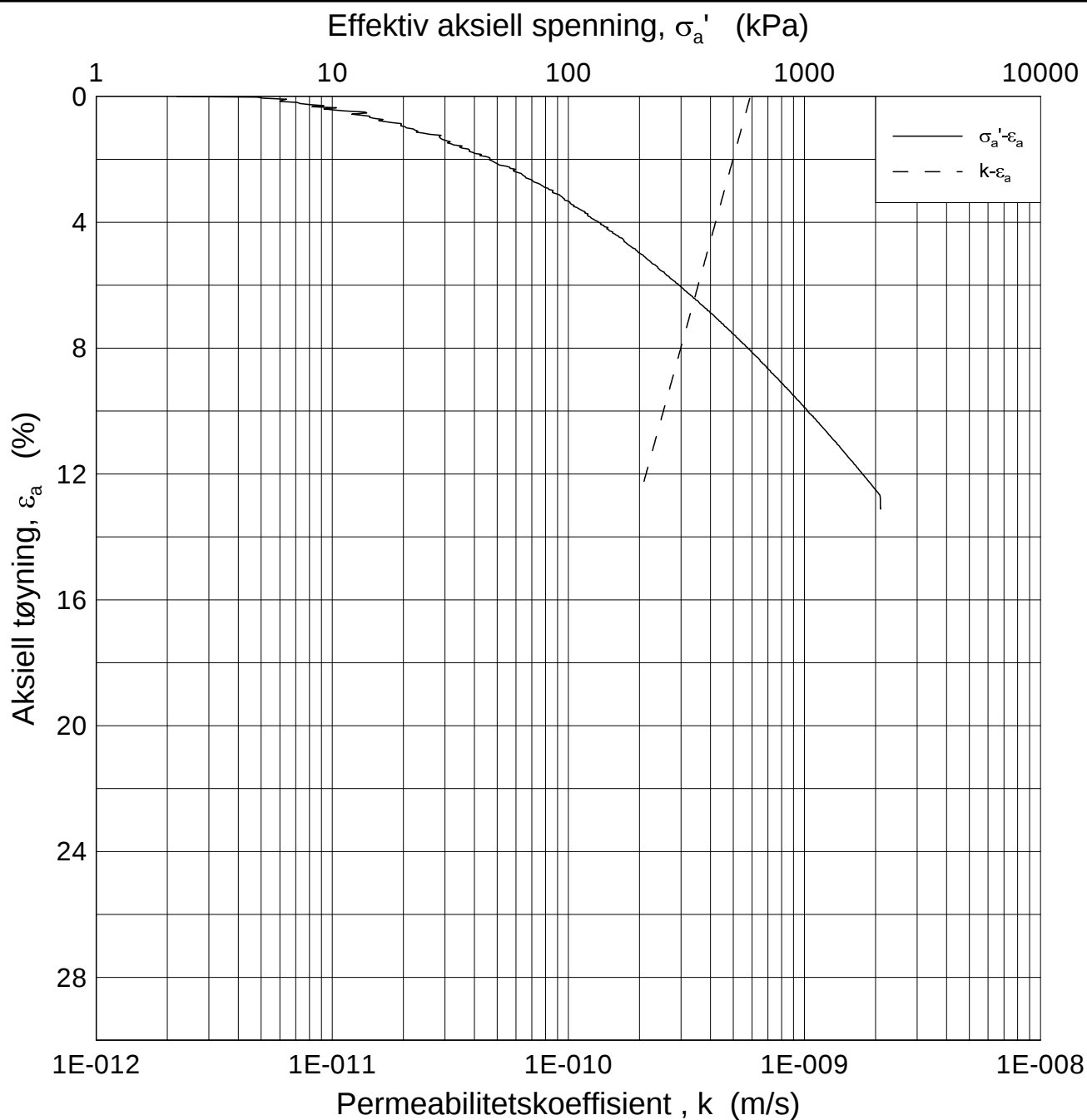
E16 Nybakk - Slomarka			Dokumentnr. 20120491-02-R
Ødometer test (CRSC)			Dato 2013-06-07
Borhull: 2201	Sylinder: 22	Dybde = 21.52 m	Figurnr. F16
Del: C	Test: 1	$p'_o = 232.6$ kPa	Tegner FP/
		$w_i = 30.42$ %	

H:\LABDATA\2012\20120491\Oedom\BH2201\2201-22-C-1.lin-2 (crs2242).grf



Dato/Rev.: 2009-09-15/4

E16 Nybakk - Slomarka			Dokumentnr. 20120491-02-R
Ødometer test (CRSC)			Dato 2013-06-07
Borhull: 2201	Sylinder: 22	Dybde = 21.52 m	Figurnr. F17
Del: C	Test: 1	$p'_0 = 232.6$ kPa	Tegner FP/
		$w_i = 30.42$ %	



Dato/Rev.: 2009-09-15/3

E16 Nybakk - Slomarka

Dokumentnr.
20120491-02-R

Ødometer test (CRSC)

Dybde = 21.52 m

Dato
2013-06-07

Borhull: 2201

Sylinder: 22

p'_o = 232.6 kPa

Figurnr.
F18

Del: C

Test: 1

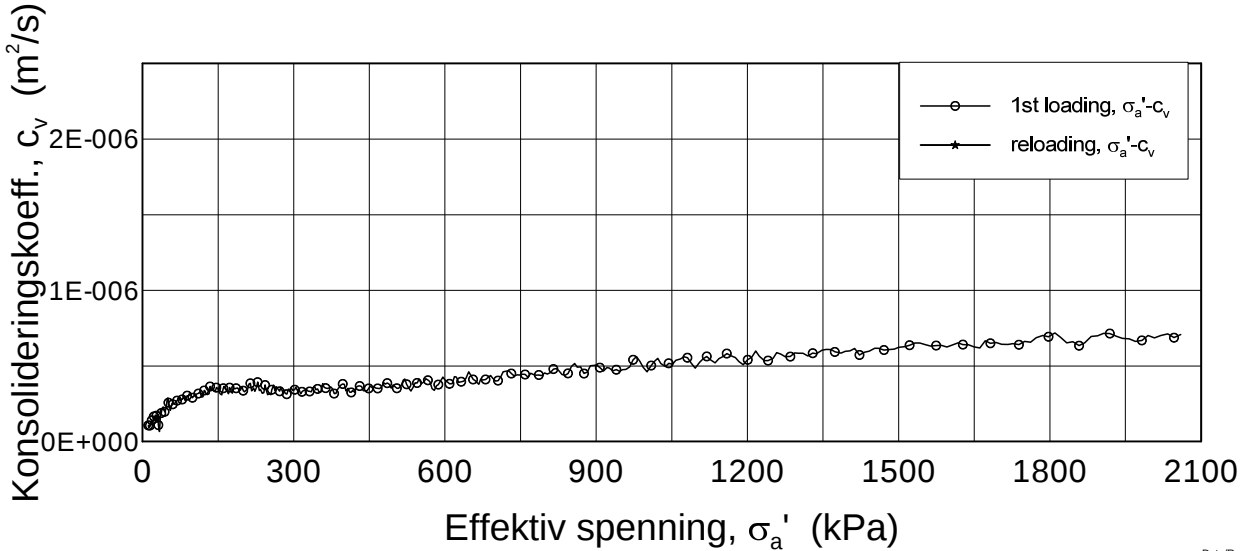
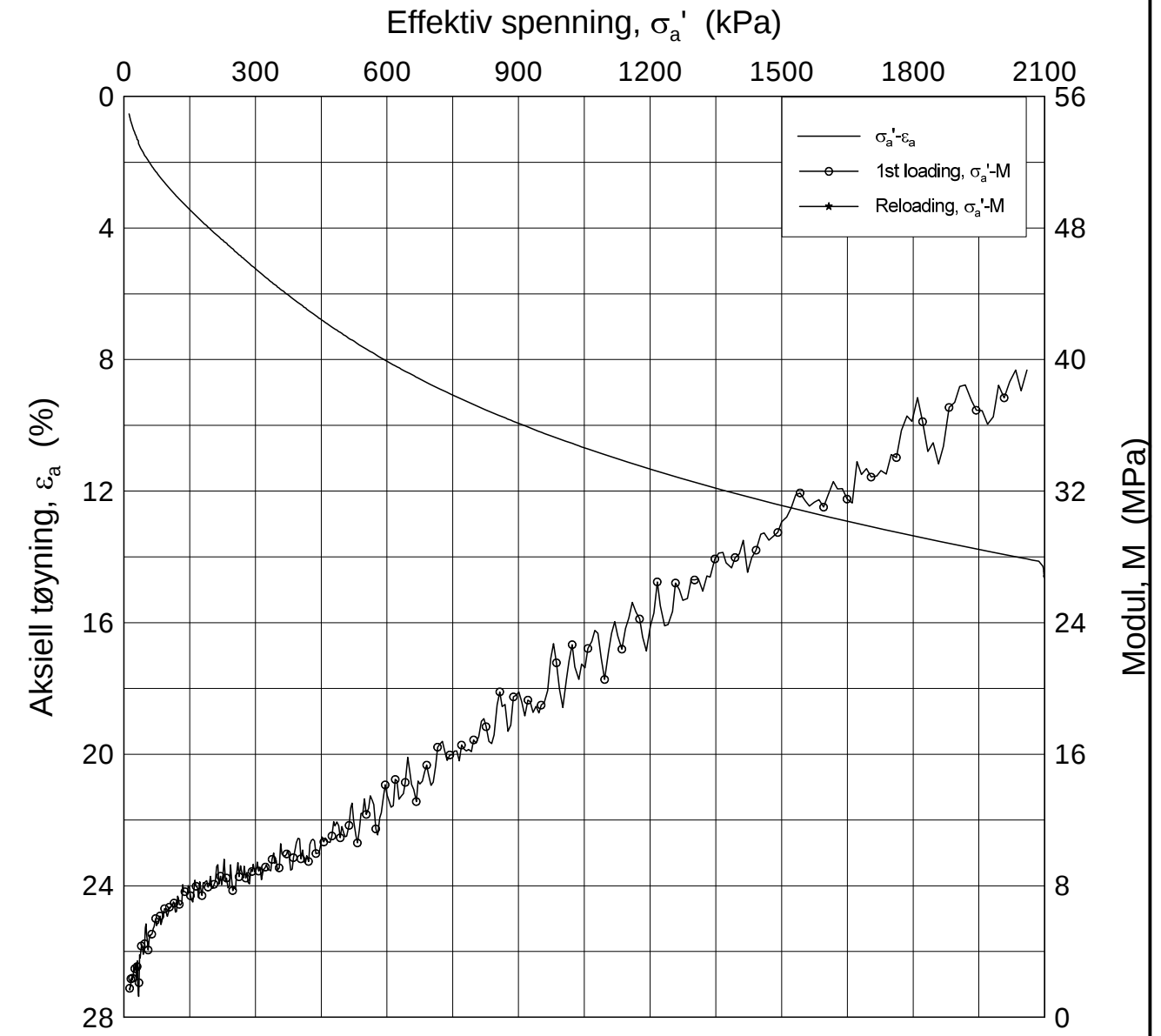
w_i = 30.42 %

Tegner
FP/



H:\LABDATA\2012\20120491\Oedom\BH2201\2201-22-C-1 log (crs2242).grf

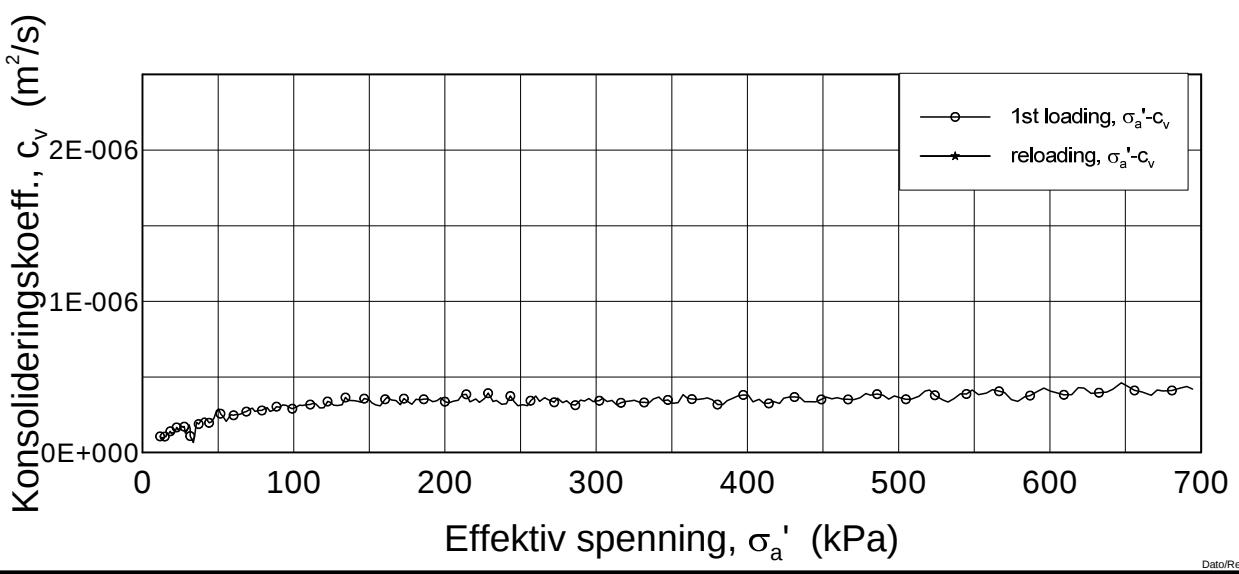
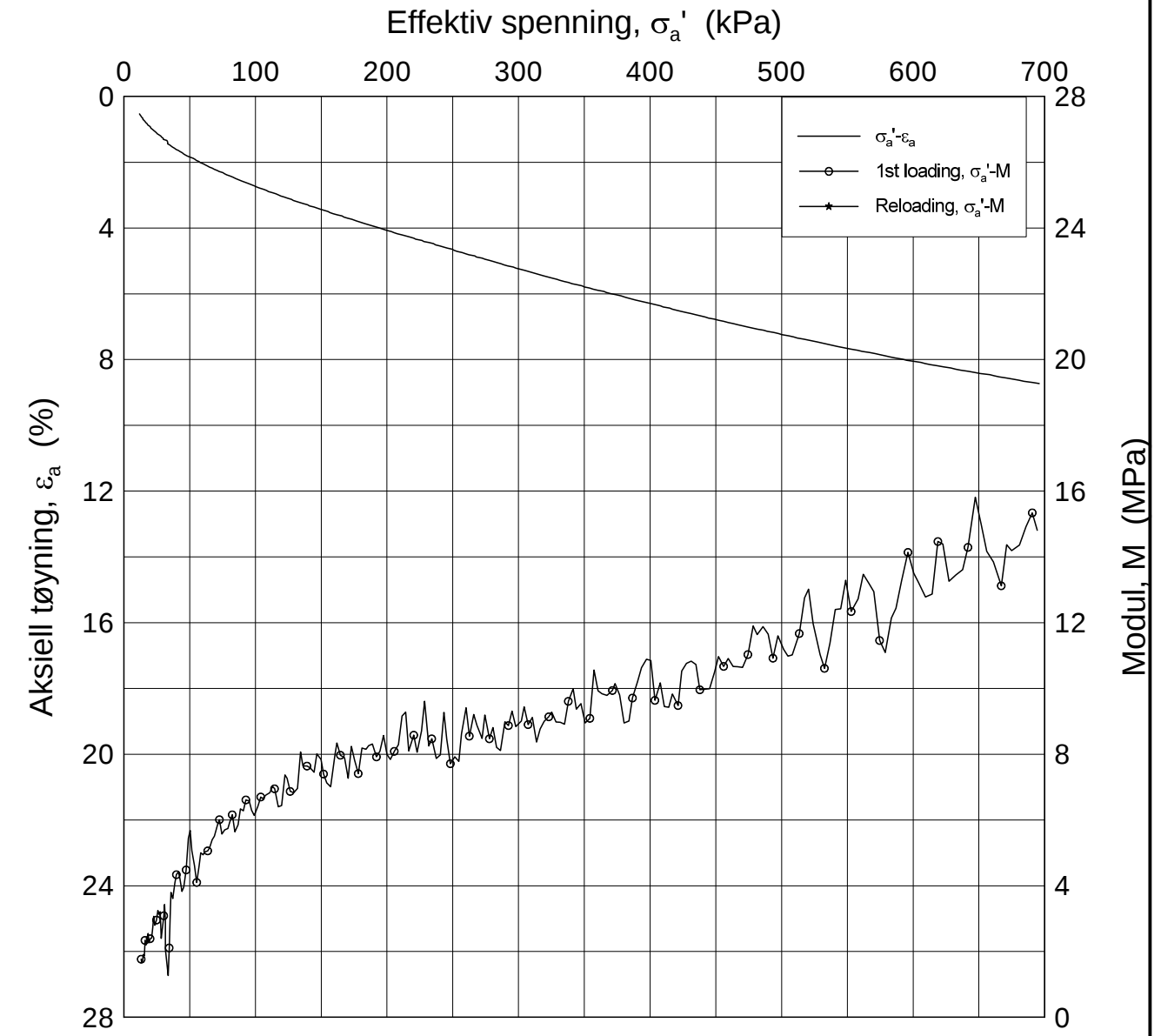
H:\LABDATA\2012\20120491\Oedom\BH2207\2207-6-D-1.lin (crs2268).grf



Dato/Rev.: 2009-09-15/4

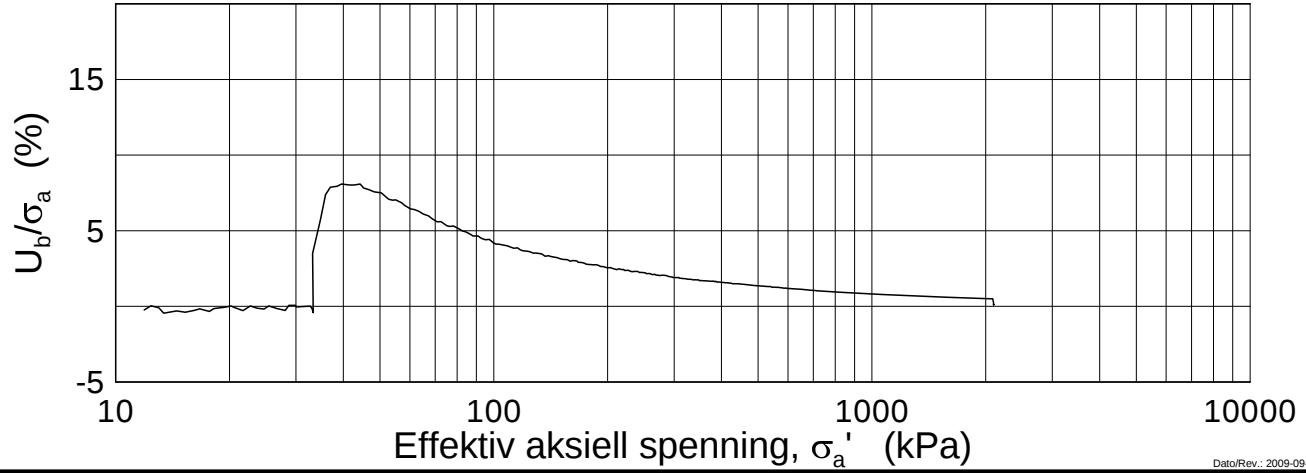
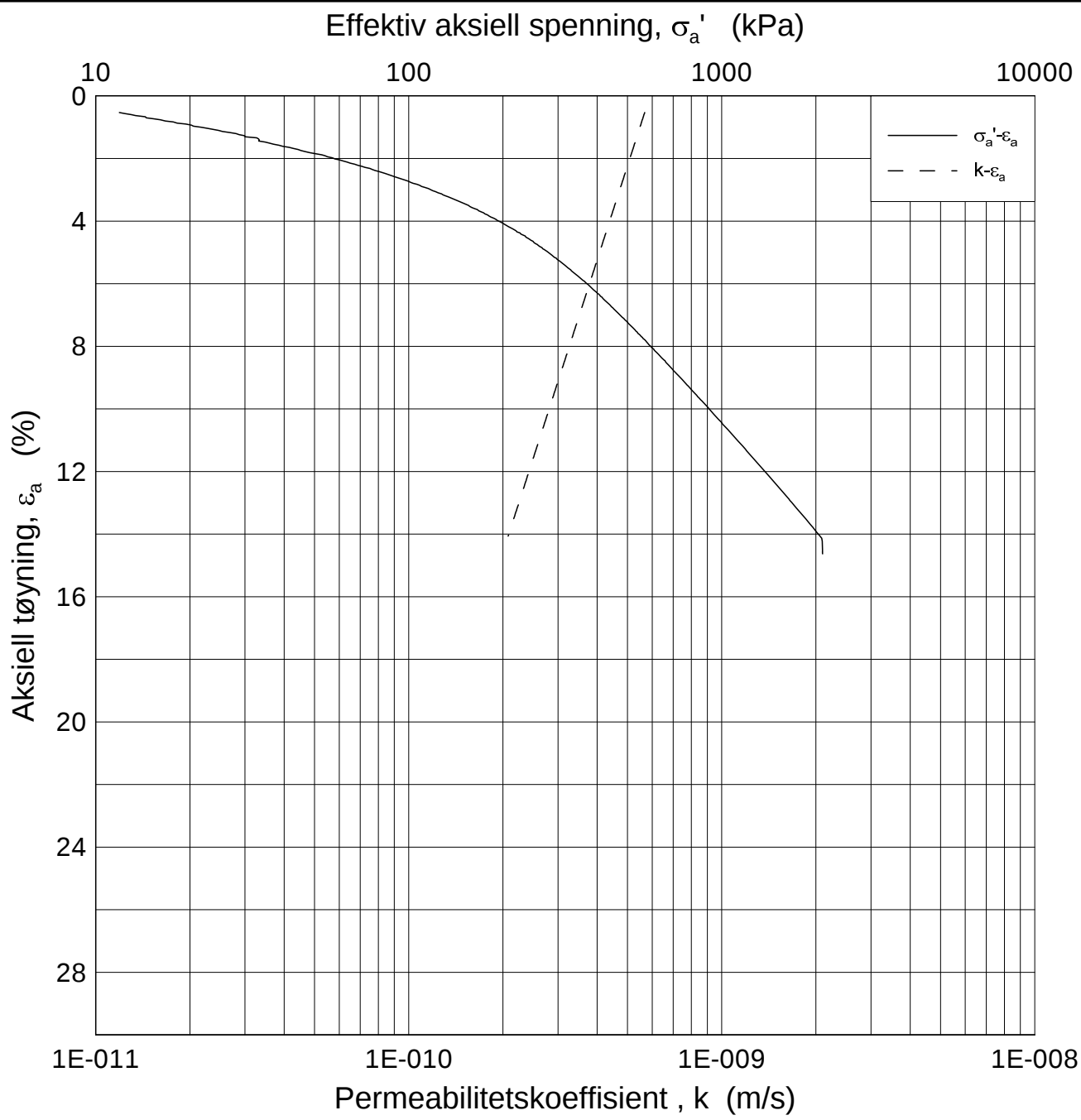
E16 Nybakk - Slomarka			Dokumentnr. 20120491-02-R
Ødometer test (CRSC)			Dato 2013-06-07
Borhull: 2207	Sylinder: 6	Dybde = 6.60 m	Figurnr. F19
Del: D	Test: 1	$p'_0 = 84.4$ kPa	Tegner FP/
		$w_i = 34.69$ %	

H:\LABDATA\2012\20120491\Oedom\BH2207\2207-6-D-1.lin-2 (crs2268).grf



Dato/Rev.: 2009-09-15/4

E16 Nybakk - Slomarka			Dokumentnr. 20120491-02-R
Ødometer test (CRSC)			Dato 2013-06-07
Borhull: 2207	Sylinder: 6	Dybde = 6.60 m	Figurnr. F20
Del: D	Test: 1	$p'_o = 84.4$ kPa	Tegner FP/
		$w_i = 34.69$ %	



Dato/Rev.: 2009-09-15/3

E16 Nybakk - Slomarka

Dokumentnr.
20120491-02-R

Ødometer test (CRSC)

Dybde = 6.60 m

Dato
2013-06-07

Borhull: 2207

Sylinder: 6

p_o' = 84.4 kPa

Figurnr.
F21

Del: D

Test: 1

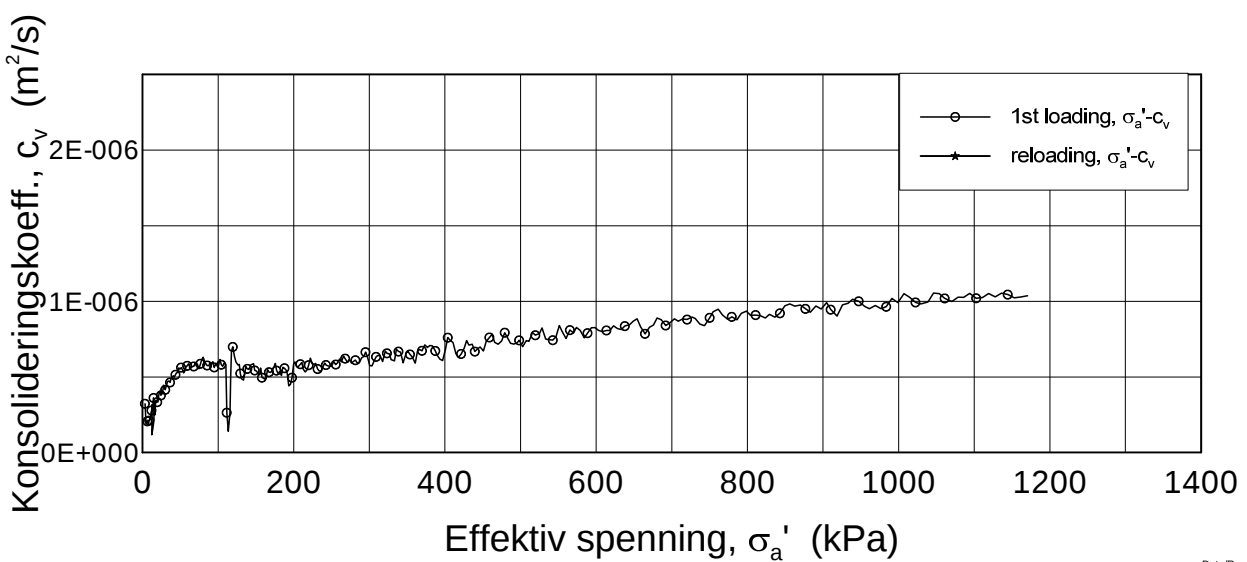
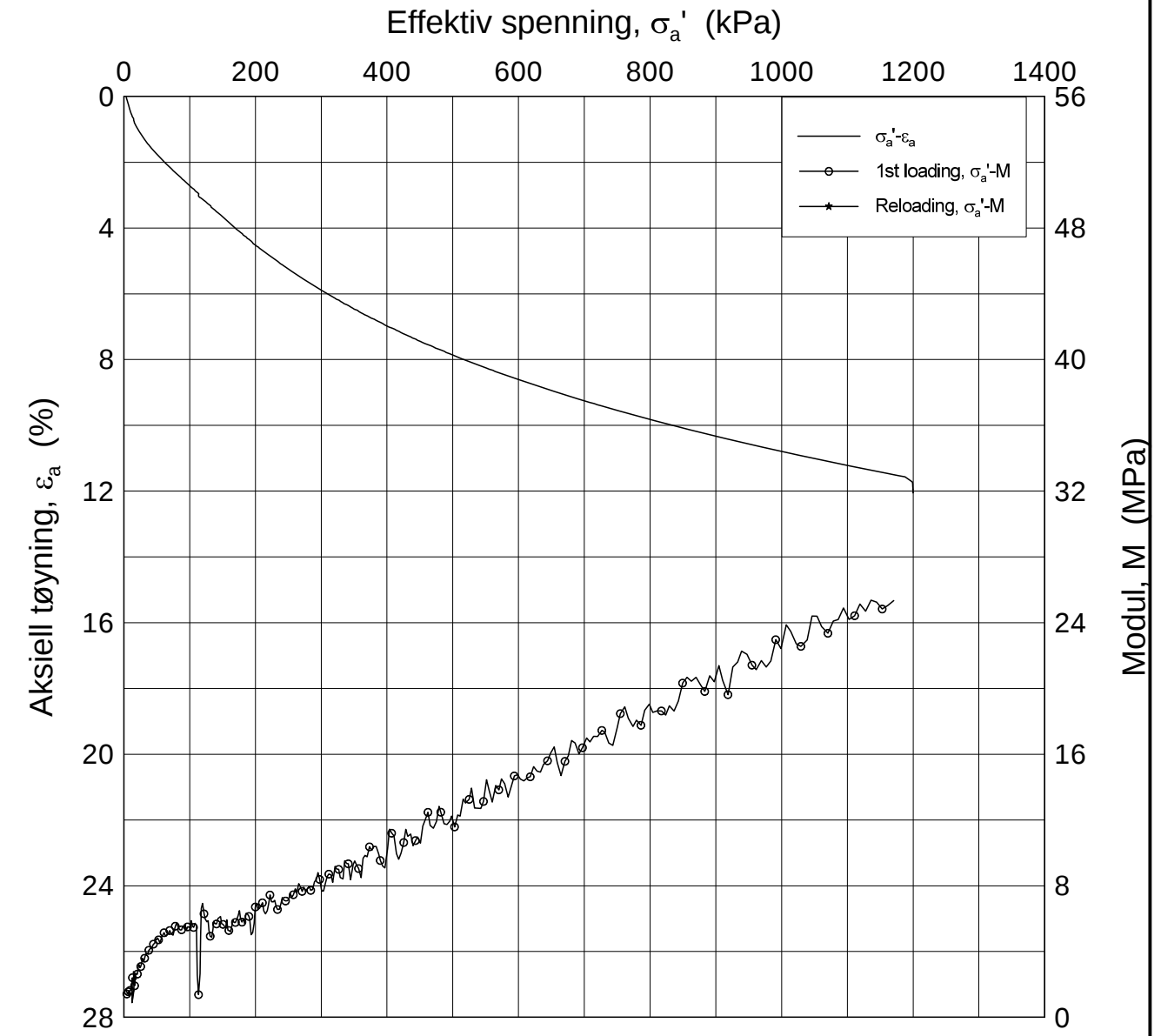
w_i = 34.69 %

Tegner
FP/




H:\LABDATA\2012\20120491\Oedom\BH2207\2207-6-D-1.log (crs2268).grf

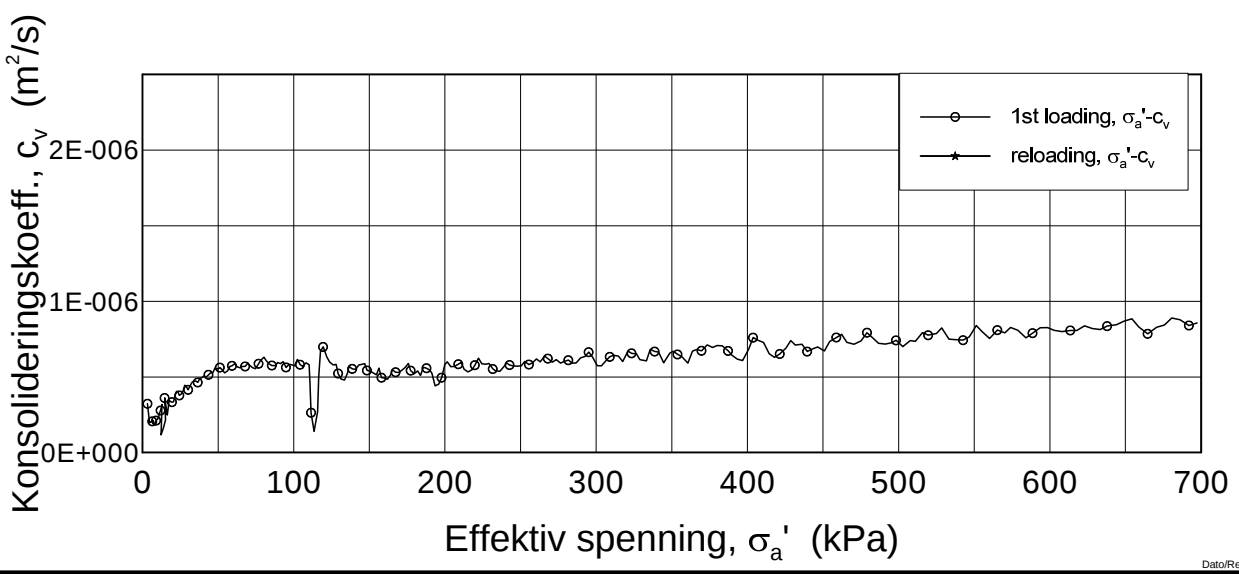
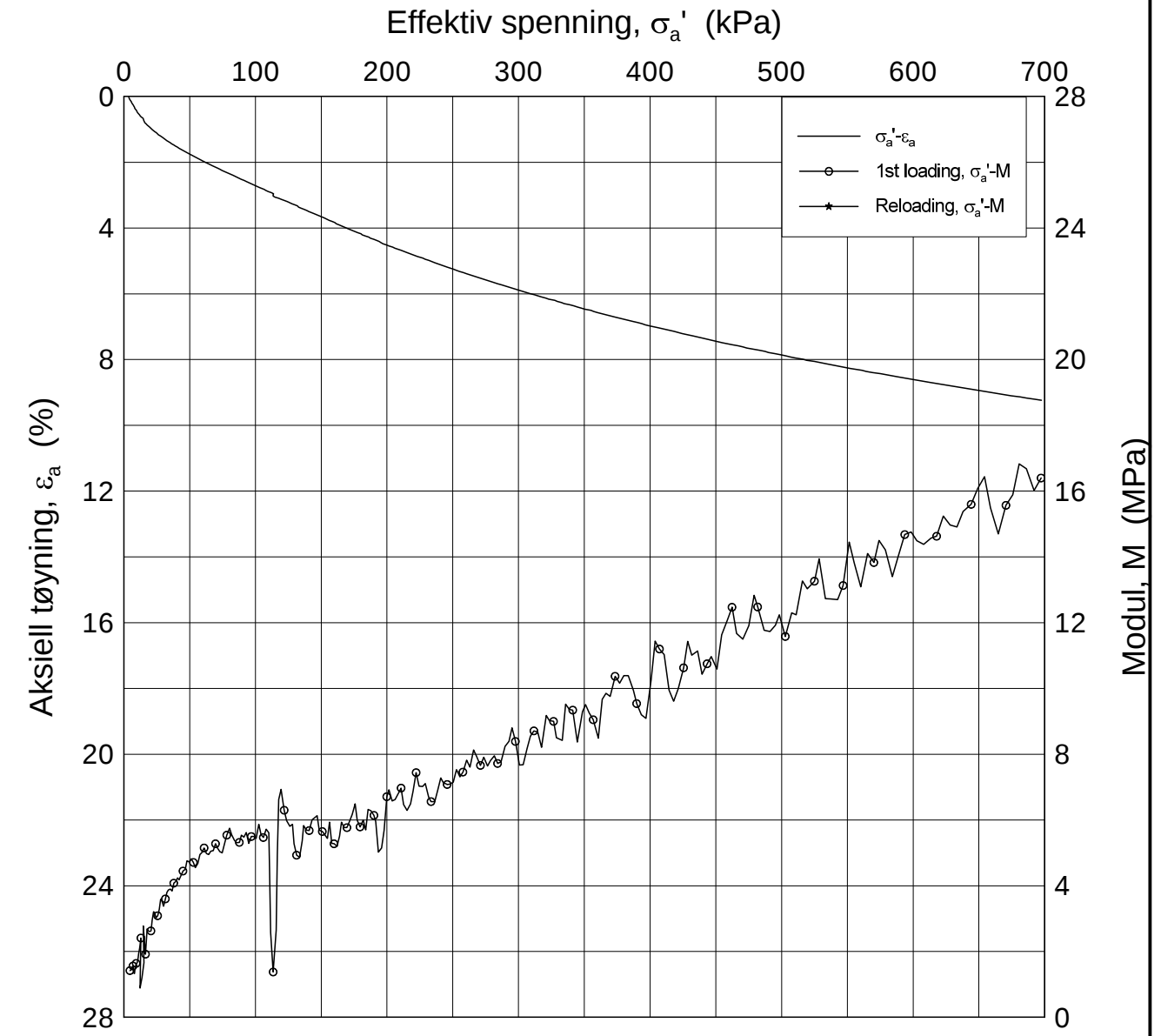
H:\LABDATA\2012\20120491\Oedom\BH2207\2207-12-B-1.lin (crs2273).gif




Dato/Rev.: 2009-09-15/4

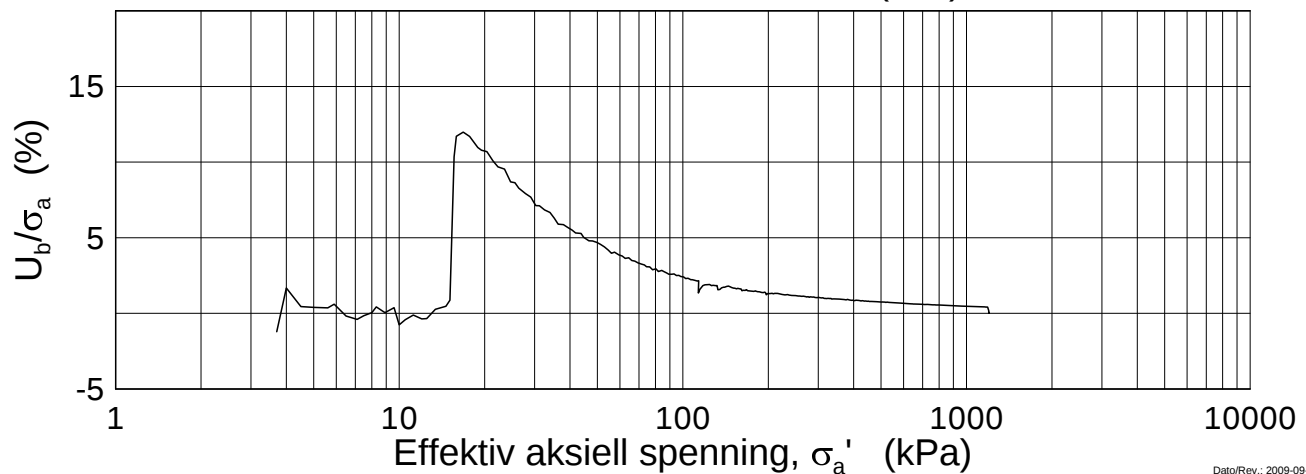
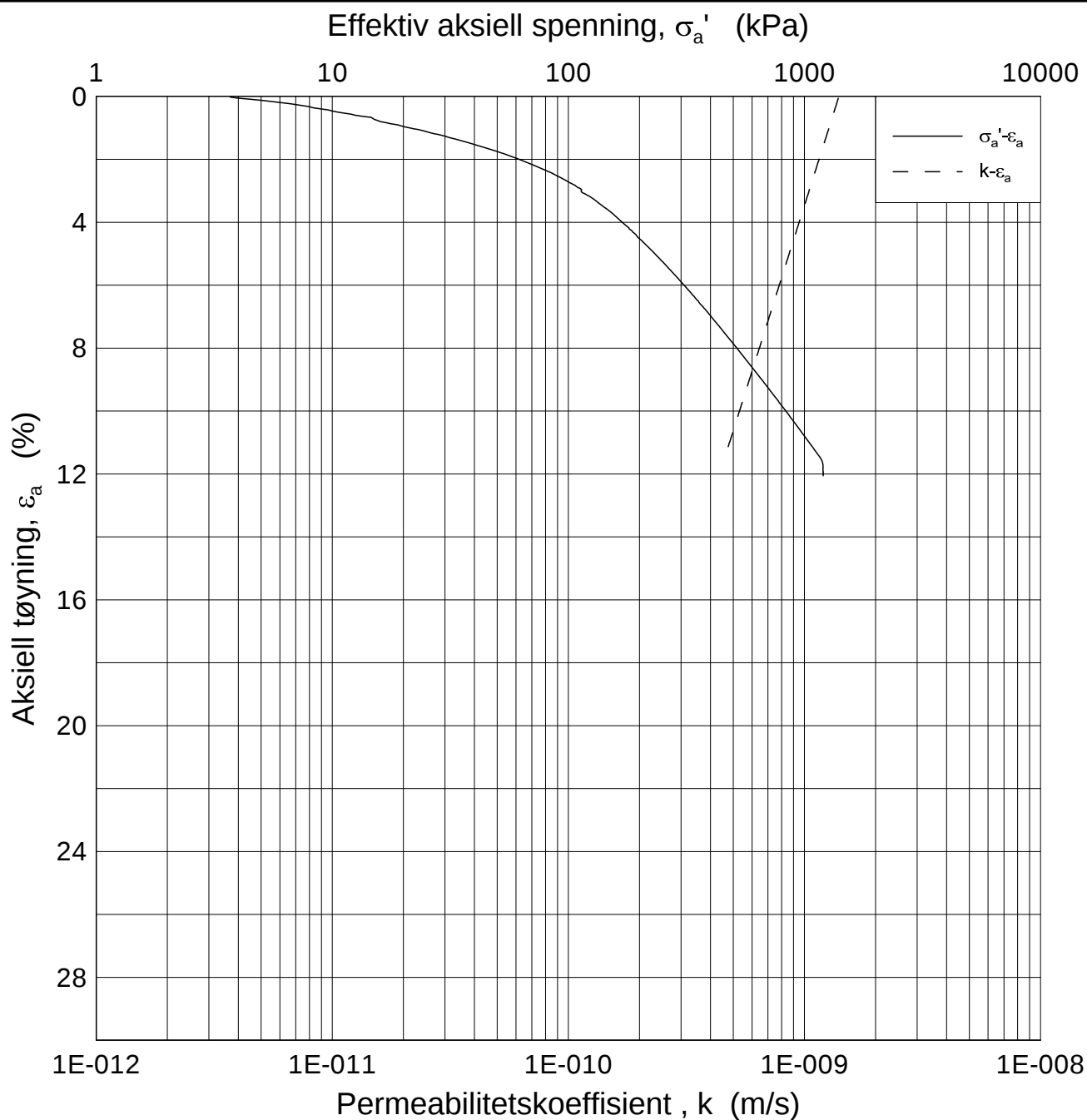
E16 Nybakk - Slomarka			Dokumentnr. 20120491-02-R
Ødometer test (CRSC)			Dato 2013-06-12
Borhull: 2207	Sylinder: 12	Dybde = 12.38 m	Figurnr. F22
Del: B	Test: 1	$p'_0 = 136.6$ kPa	Tegner FP/
		$w_i = 30.72$ %	

H:\LABDATA\2012\20120491\Oedom\BH2207\2207-12-B-1.lin-2 (crs2273).grf



Dato/Rev.: 2009-09-15/4

E16 Nybakk - Slomarka			Dokumentnr. 20120491-02-R
Ødometer test (CRSC)			Dato 2013-06-12
Borhull: 2207	Sylinder: 12	Dybde = 12.38 m	Figurnr. F23
Del: B	Test: 1	$p'_0 = 136.6$ kPa	Tegner FP/
		$w_i = 30.72$ %	



Dato/Rev.: 2009-09-15/3

E16 Nybakk - Slomarka

Dokumentnr.
20120491-02-R

Ødometer test (CRSC)

Dybde = 12.38 m

Dato
2013-06-12

Borhull: 2207

Sylinder: 12

p_o' = 136.6 kPa

Figurnr.
F24

Del: B

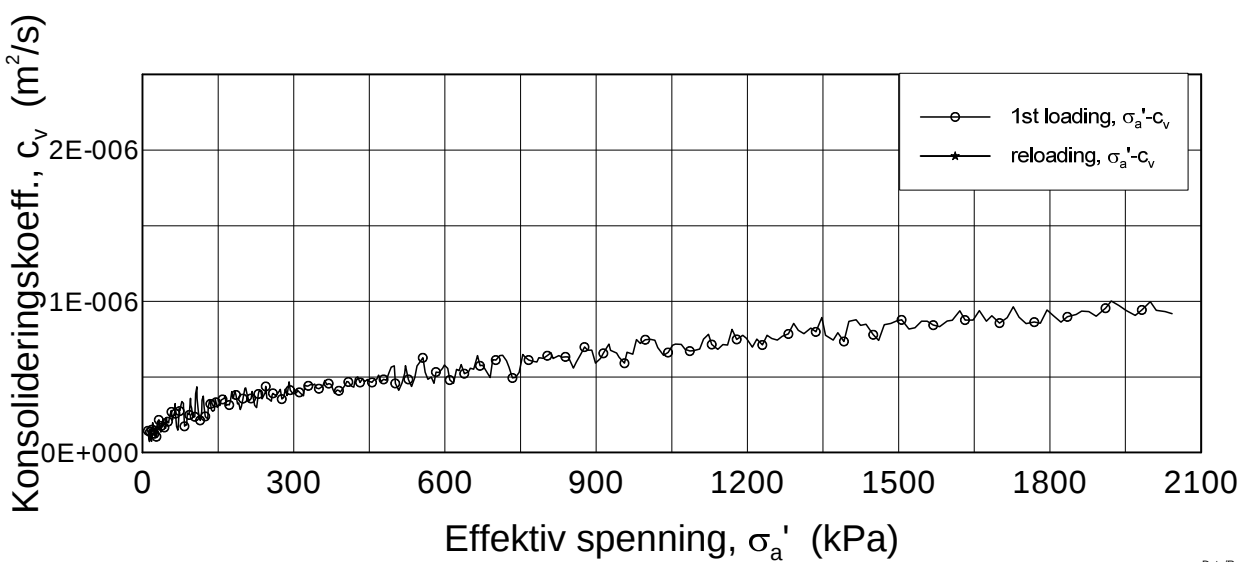
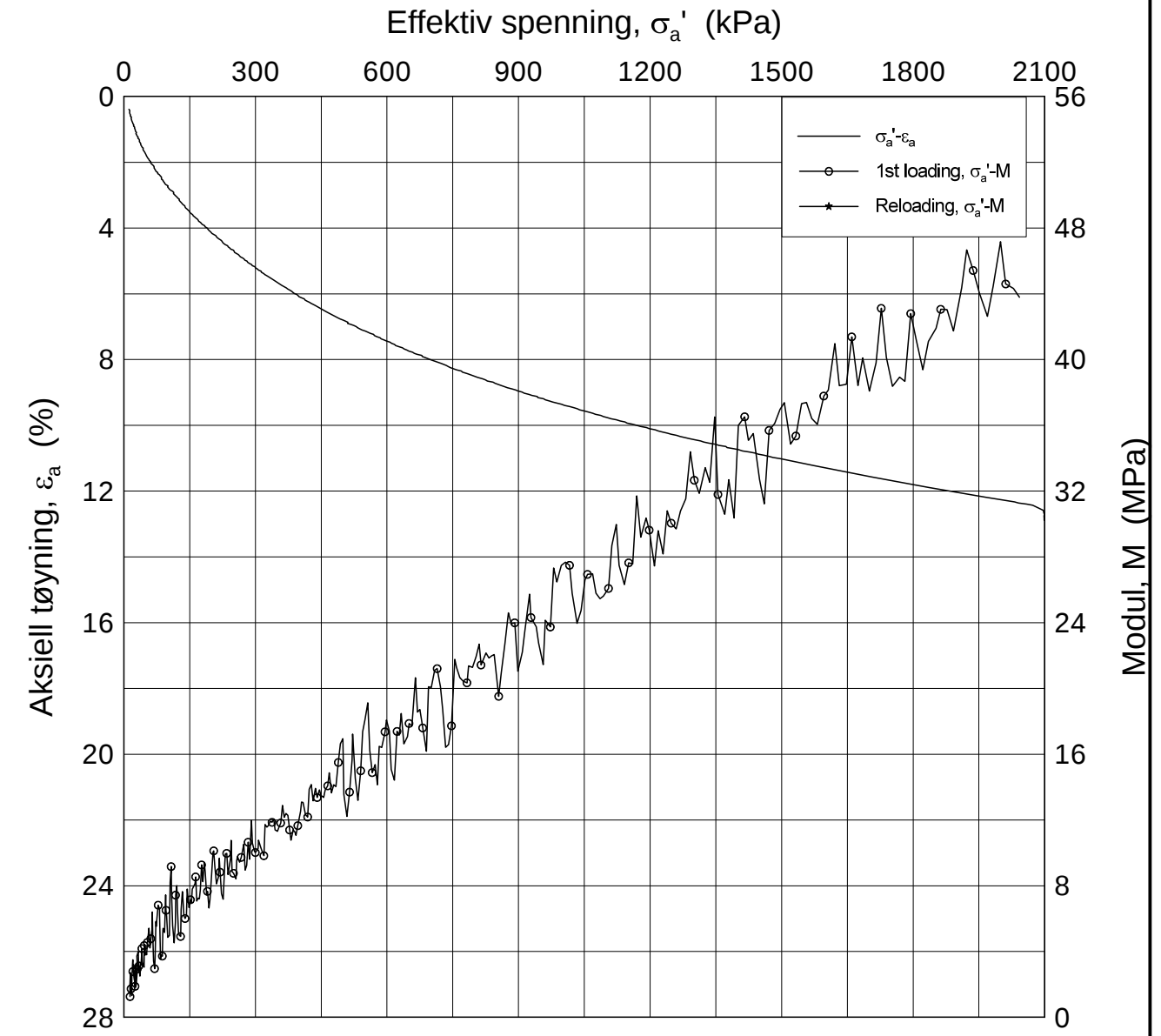
Test: 1

w_i = 30.72 %

Tegner
FP/



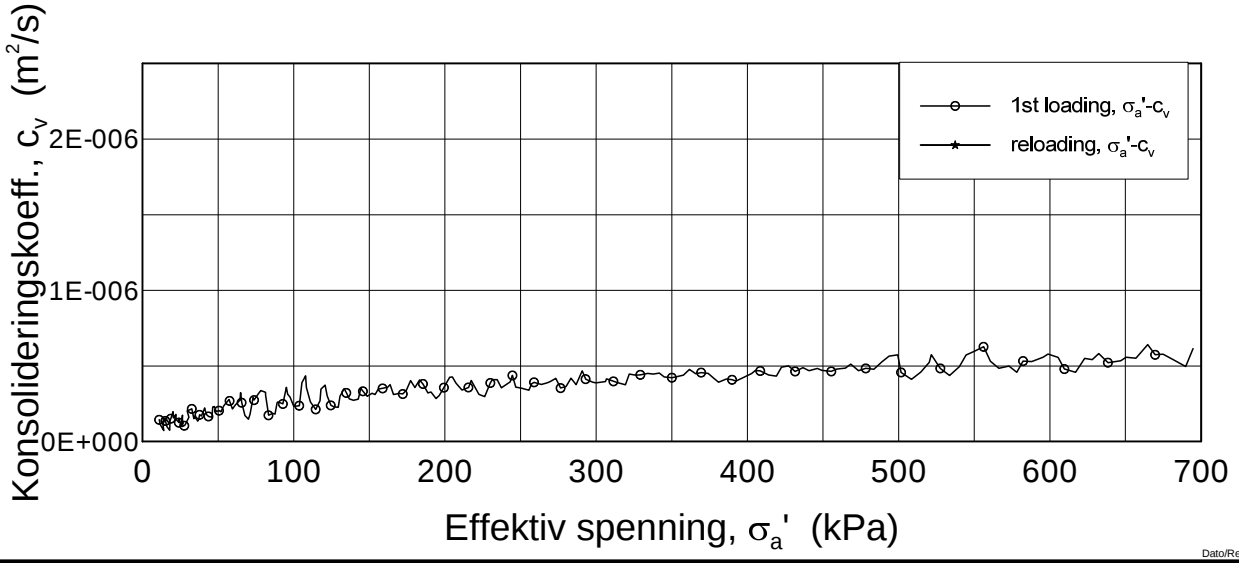
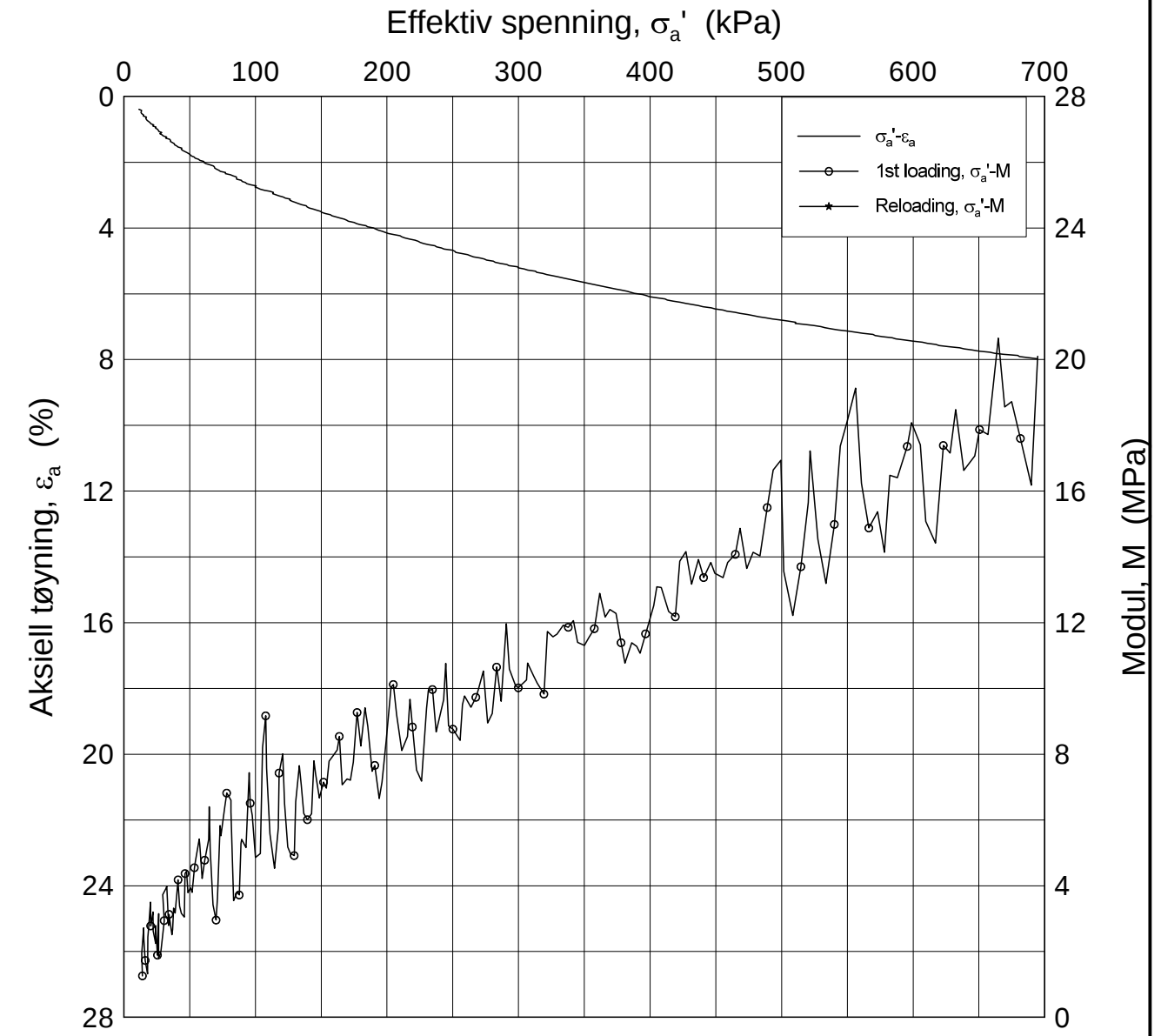
H:\LABDATA\2012\20120491\Oedom\BH2207\2207-16-D-1.lin (crs2260).gif




Dato/Rev.: 2009-09-15/4

E16 Nybakk - Slomarka			Dokumentnr. 20120491-02-R
Ødometer test (CRSC)			Dato 2013-06-07
Borhull: 2207	Sylinder: 16	Dybde = 18.62 m	Figurnr. F25
Del: D	Test: 1	$p'_0 = 190.6$ kPa	Tegner FP/
		$w_i = 30.99$ %	

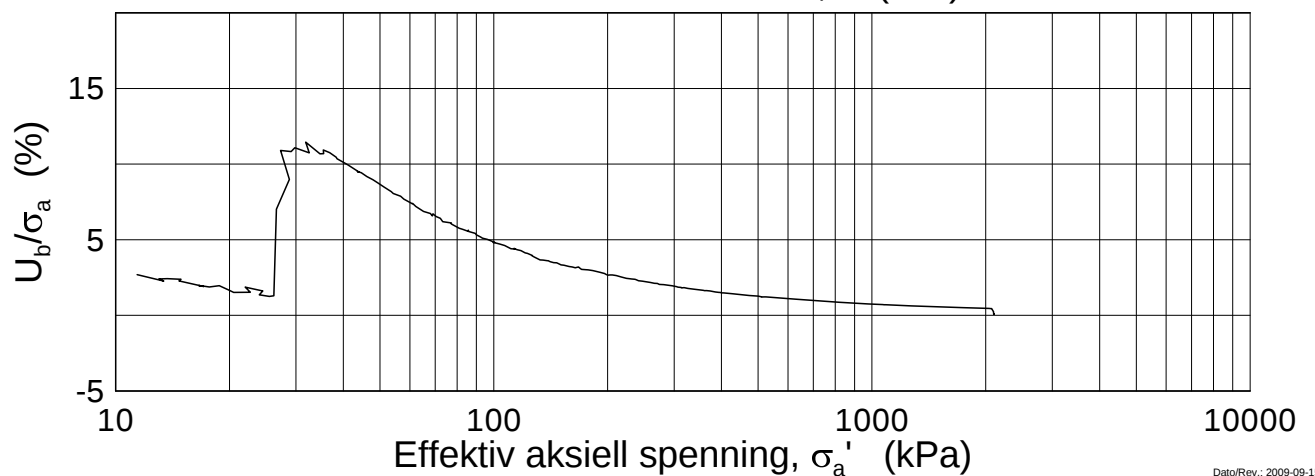
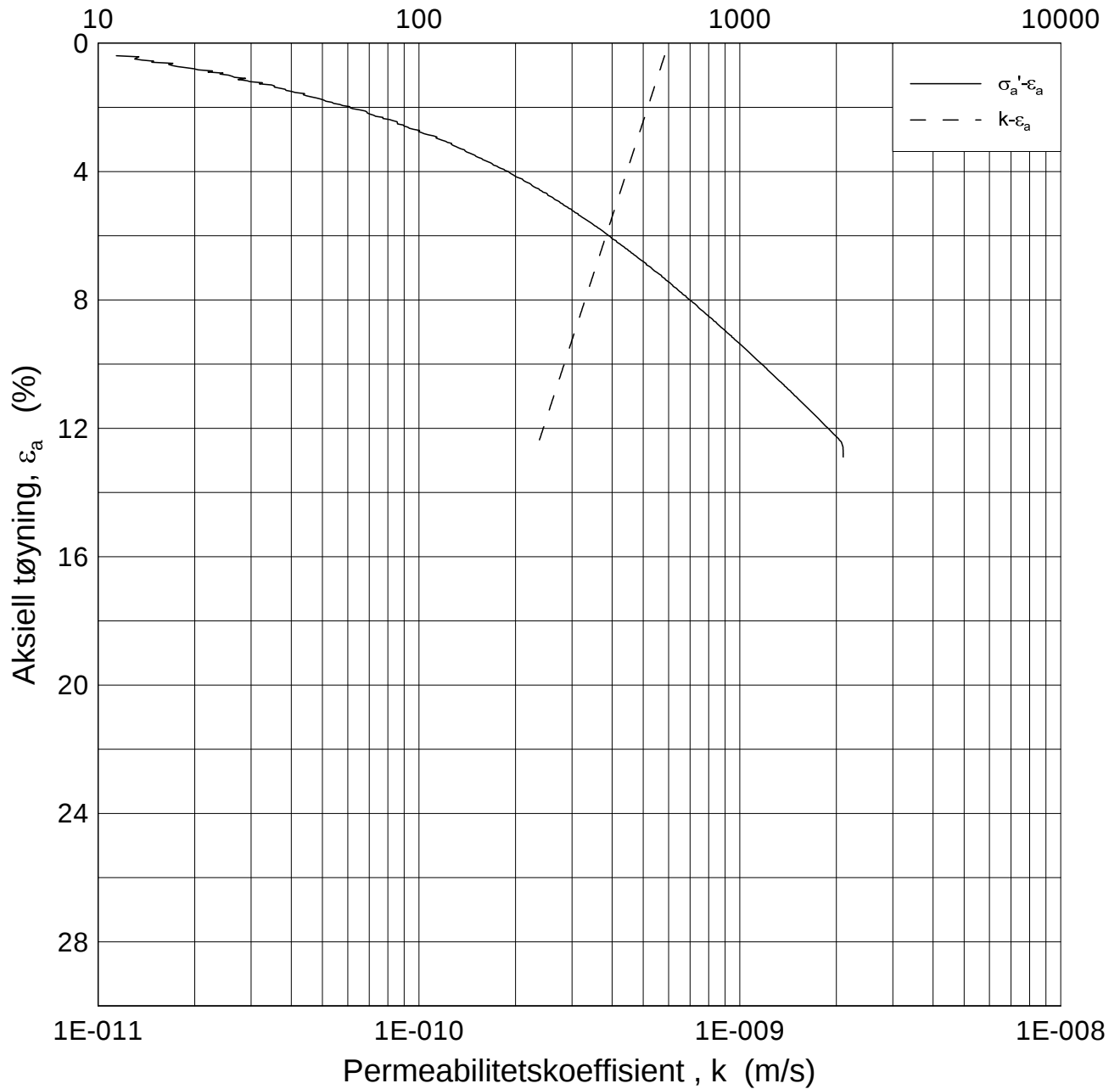
H:\LABDATA\2012\20120491\Oedom\BH2207\2207-16-D-1.lin-2 (crs2260).grf



Dato/Rev.: 2009-09-15/4

E16 Nybakk - Slomarka			Dokumentnr. 20120491-02-R
Ødometer test (CRSC)			Dato 2013-06-07
Borhull: 2207	Sylinder: 16	Dybde = 18.62 m	Figurnr. F26
Del: D	Test: 1	$p'_0 = 190.6$ kPa	Tegner FP/
		$w_i = 30.99$ %	

Effektiv aksjell spenning, σ_a' (kPa)



Dato/Rev.: 2009-09-15/3

E16 Nybakk - Slomarka

Dokumentnr.
20120491-02-R

Ødometer test (CRSC)

Dybde = 18.62 m

Dato
2013-06-07

Borhull: 2207

Sylinder: 16

p_o' = 190.6 kPa

Figurnr.
F27

Del: D

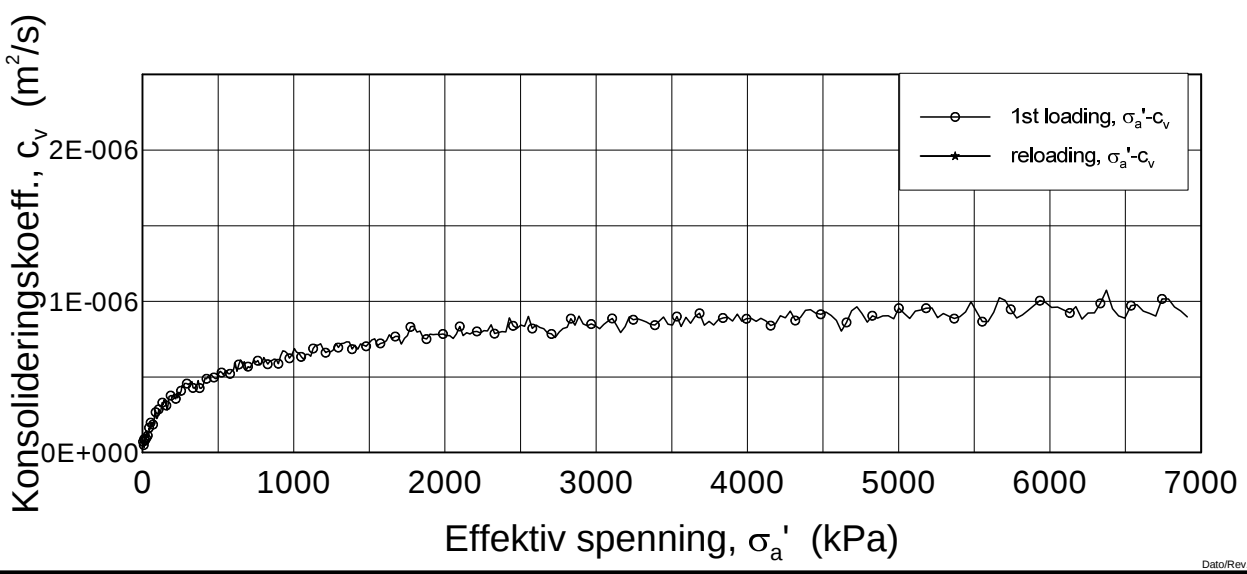
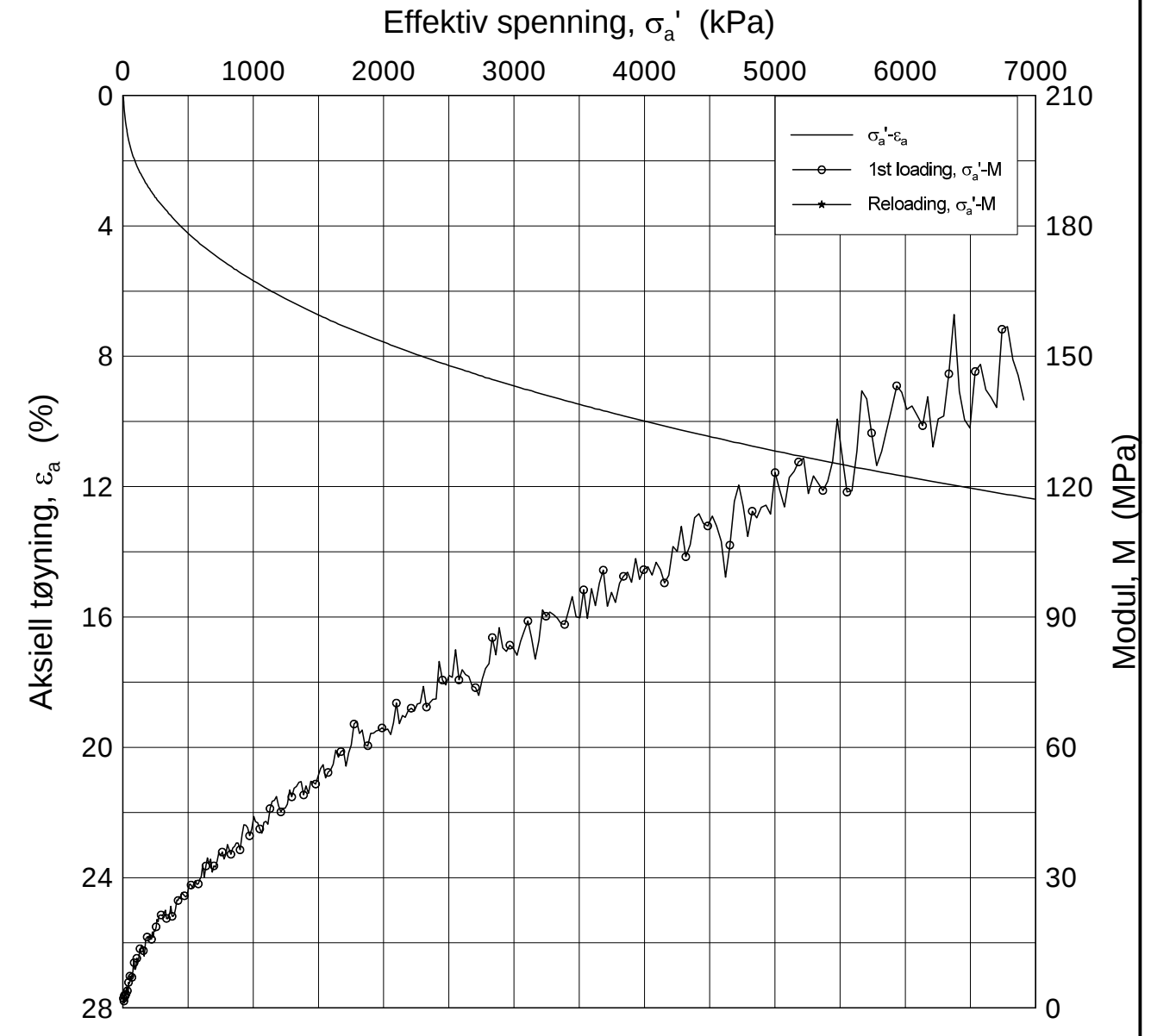
Test: 1

w_i = 30.99 %


Tegner
FP/



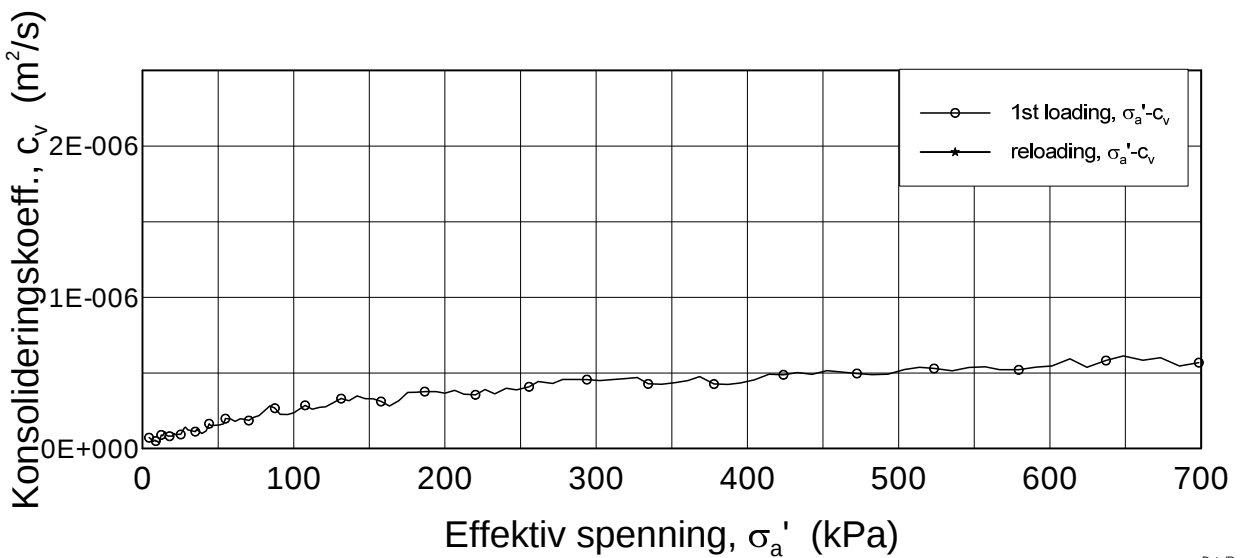
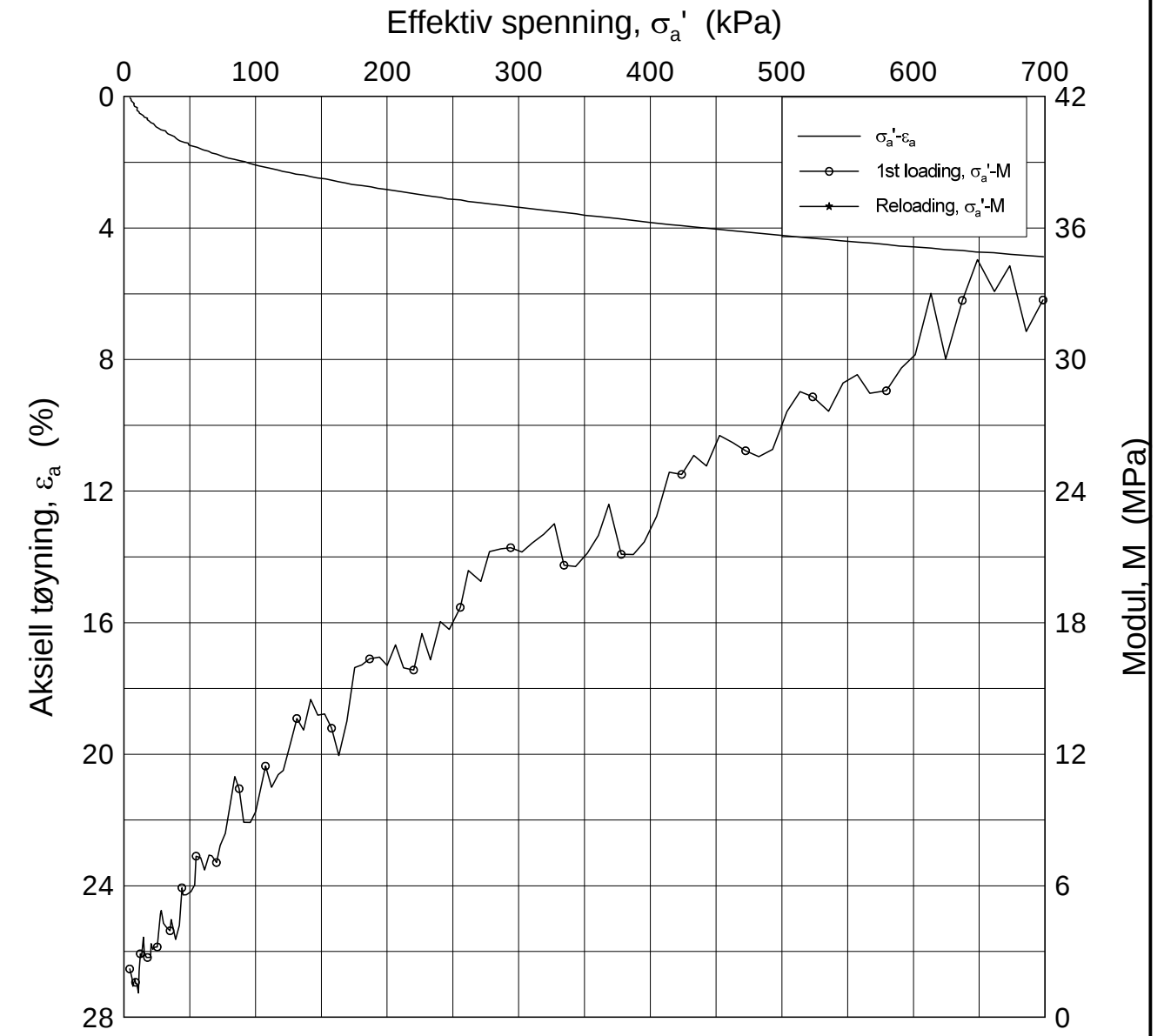
H:\LABDATA\2012\20120491\Oedom\BH2208\2208-5-D-1.lin (crs2243).grf




Dato/Rev.: 2009-09-15/4

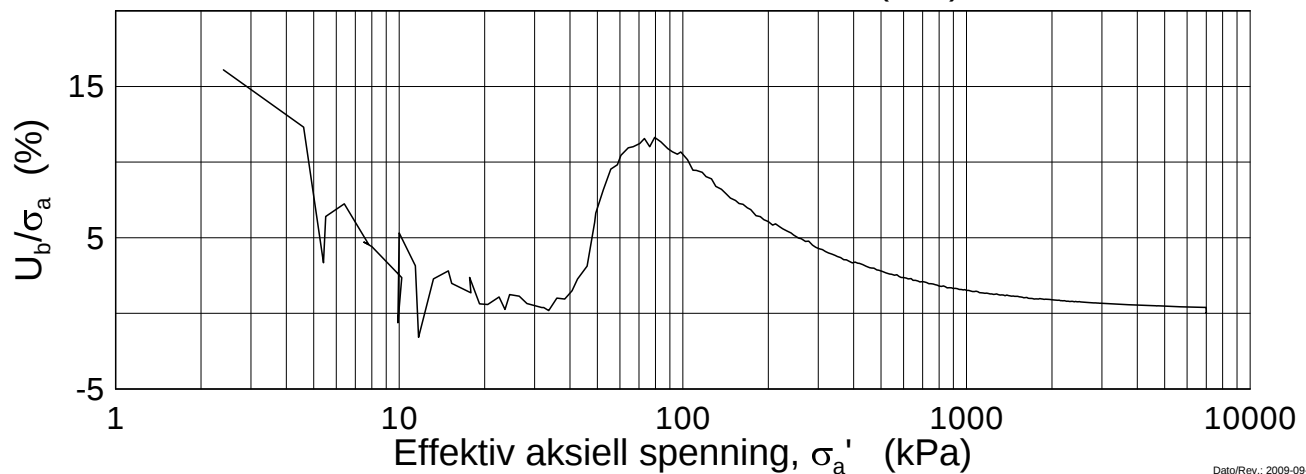
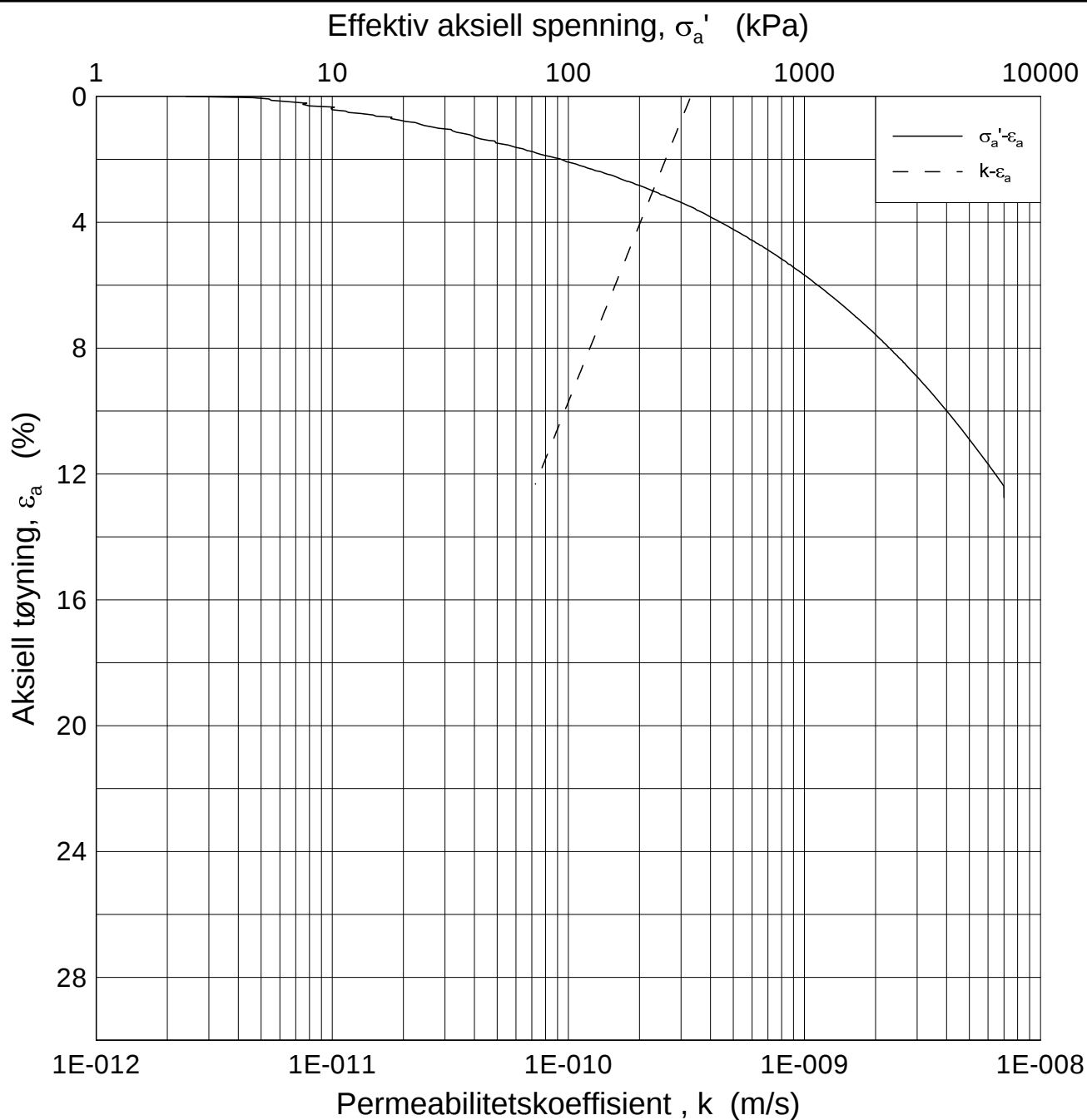
E16 Nybakk - Slomarka			Dokumentnr. 20120491-02-R
Ødometer test (CRSC)			Dato 2013-06-05
Borhull: 2208	Sylinder: 5	Dybde = 5.62 m	Figurnr. F28
Del: D	Test: 1	$p'_0 = 73.6$ kPa	Tegner FP/
		$w_i = 20.42$ %	

H:\LABDATA\2012\20120491\Oedom\BH2208\2208-5-D-1.lin-2 (cvs2243).grf



Dato/Rev.: 2009-09-15/4

E16 Nybakk - Slomarka			Dokumentnr. 20120491-02-R
Ødometer test (CRSC)			Dato 2013-06-05
Borhull: 2208	Sylinder: 5	Dybde = 5.62 m	Figurnr. F29
Del: D	Test: 1	$p'_0 = 73.6$ kPa	Tegner FP/
		$w_i = 20.42$ %	



Dato/Rev.: 2009-09-15/3

E16 Nybakk - Slomarka

Dokumentnr.
20120491-02-R

Ødometer test (CRSC)

Dybde = 5.62 m

Dato
2013-06-05

Borhull: 2208

Sylinder: 5

p'_0 = 73.6 kPa

Figurnr.
F30

Del: D

Test: 1

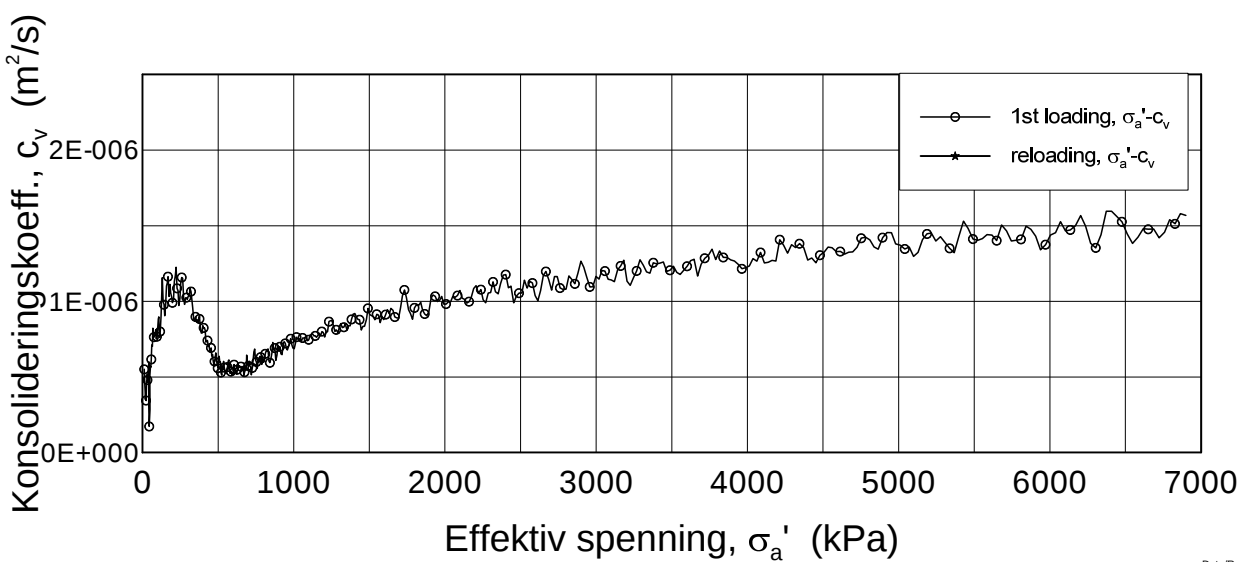
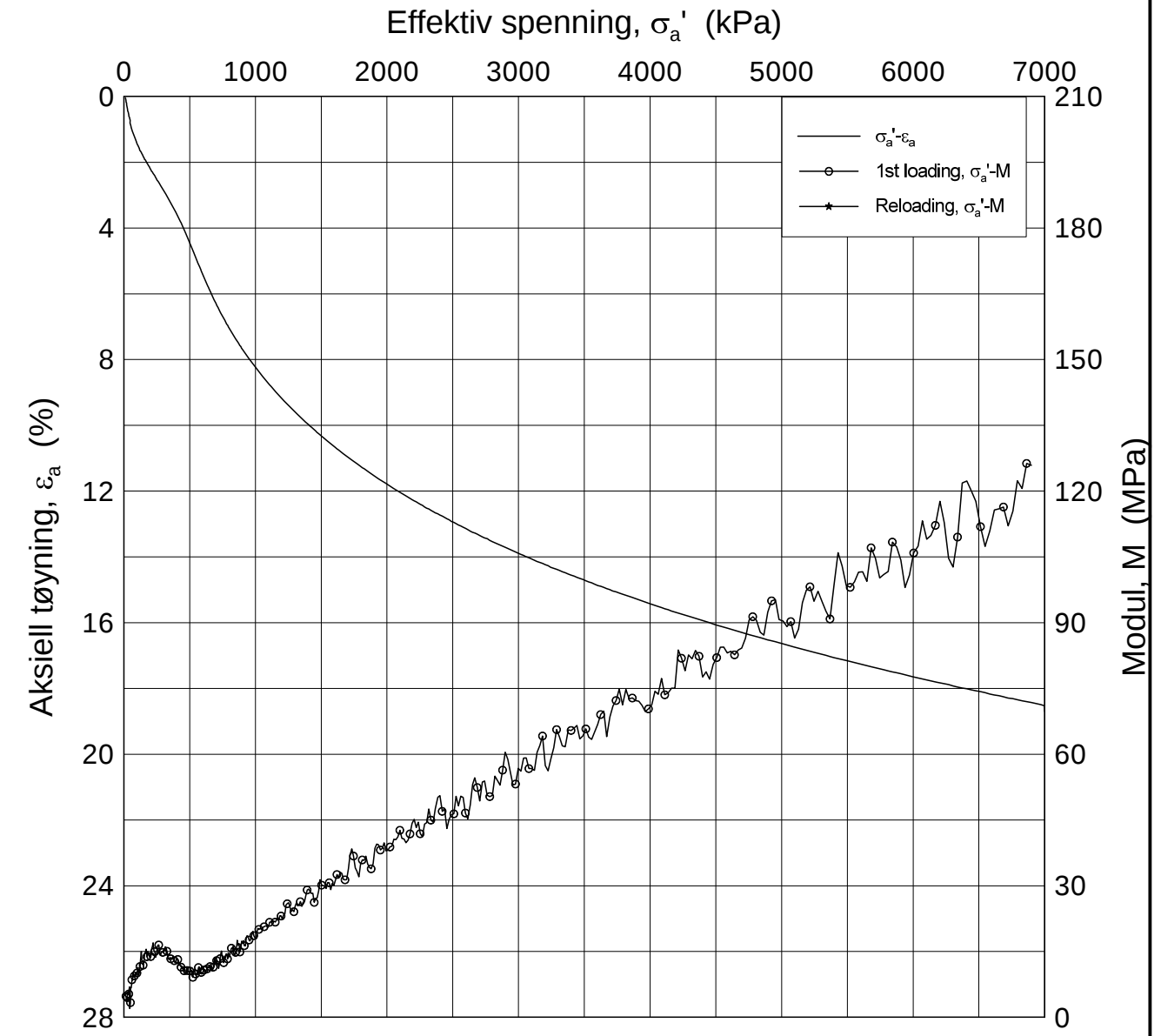
w_i = 20.42 %

Tegner
FP/




H:\LABDATA\2012\20120491\Oedom\BH2208\2208-5-D-1.log (crs2243).grf

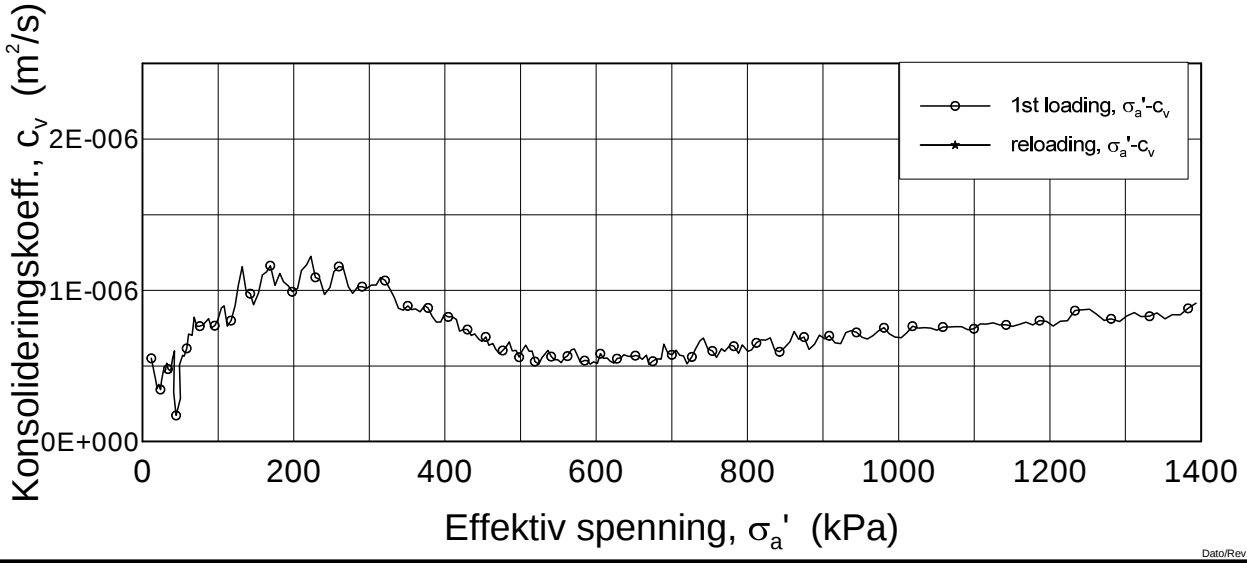
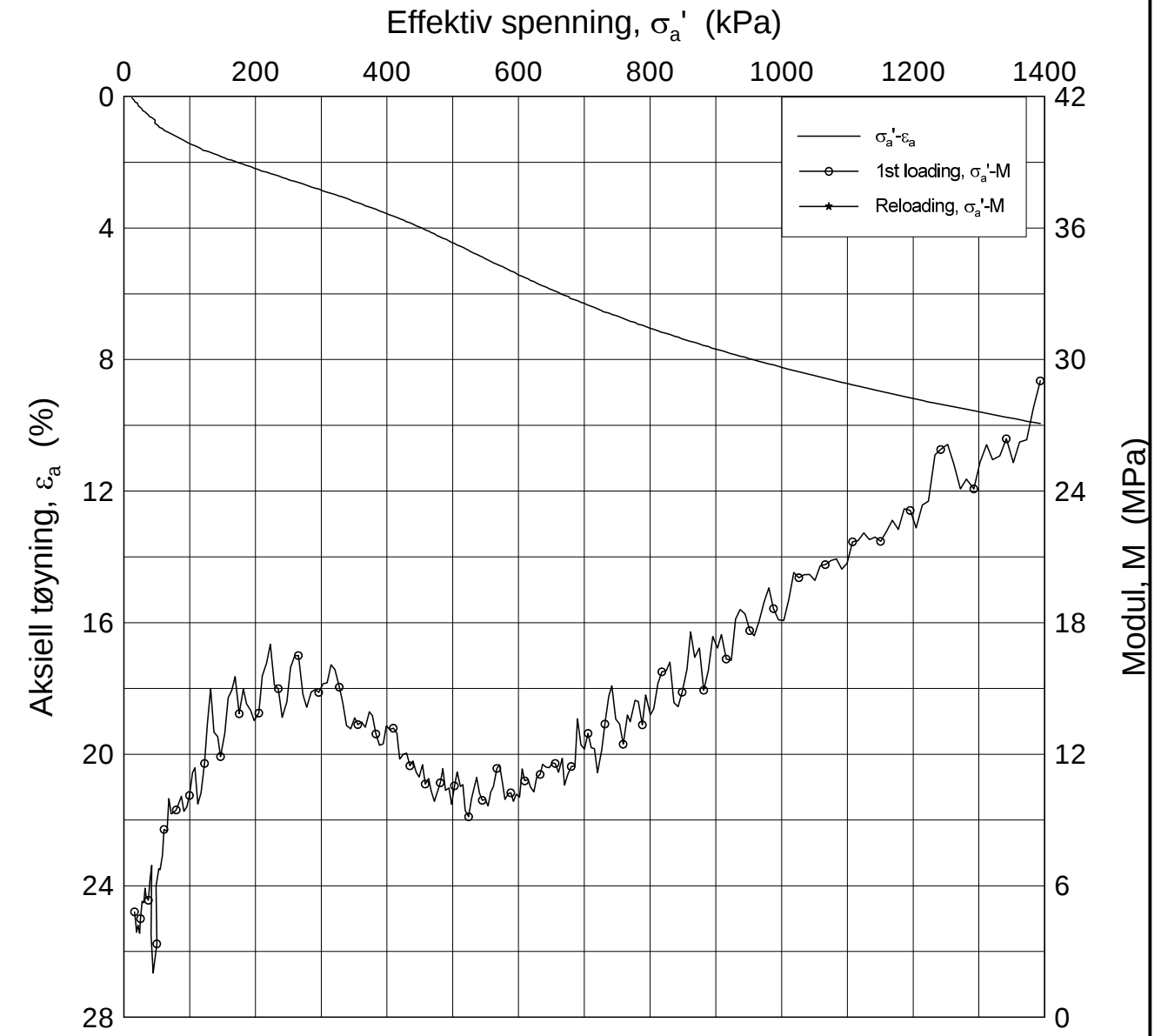
H:\LABDATA\2012\20120491\Oedom\BH2208\2208-10-D-1.lin (crs2259).gif




Dato/Rev.: 2009-09-15/4

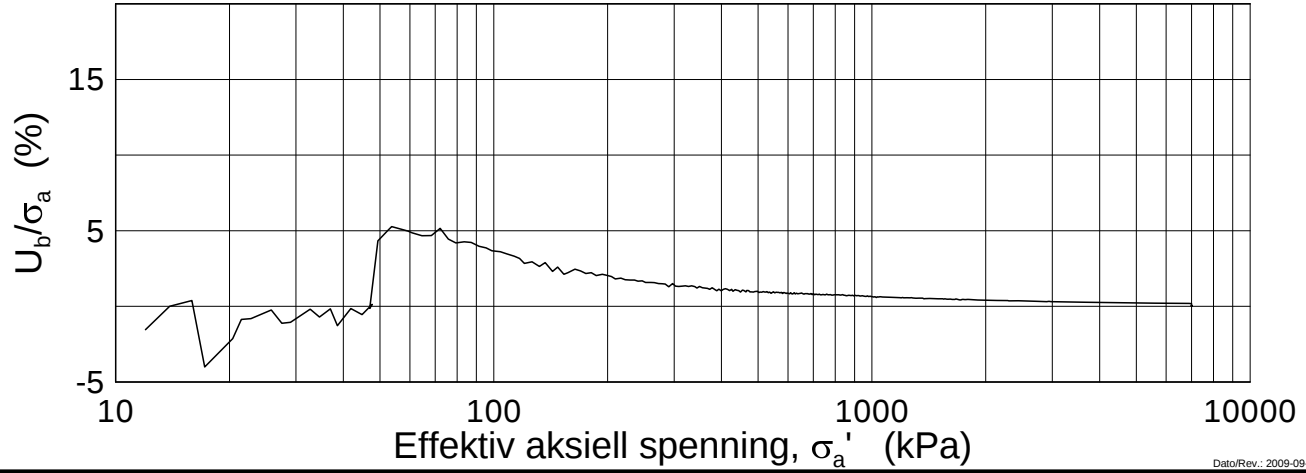
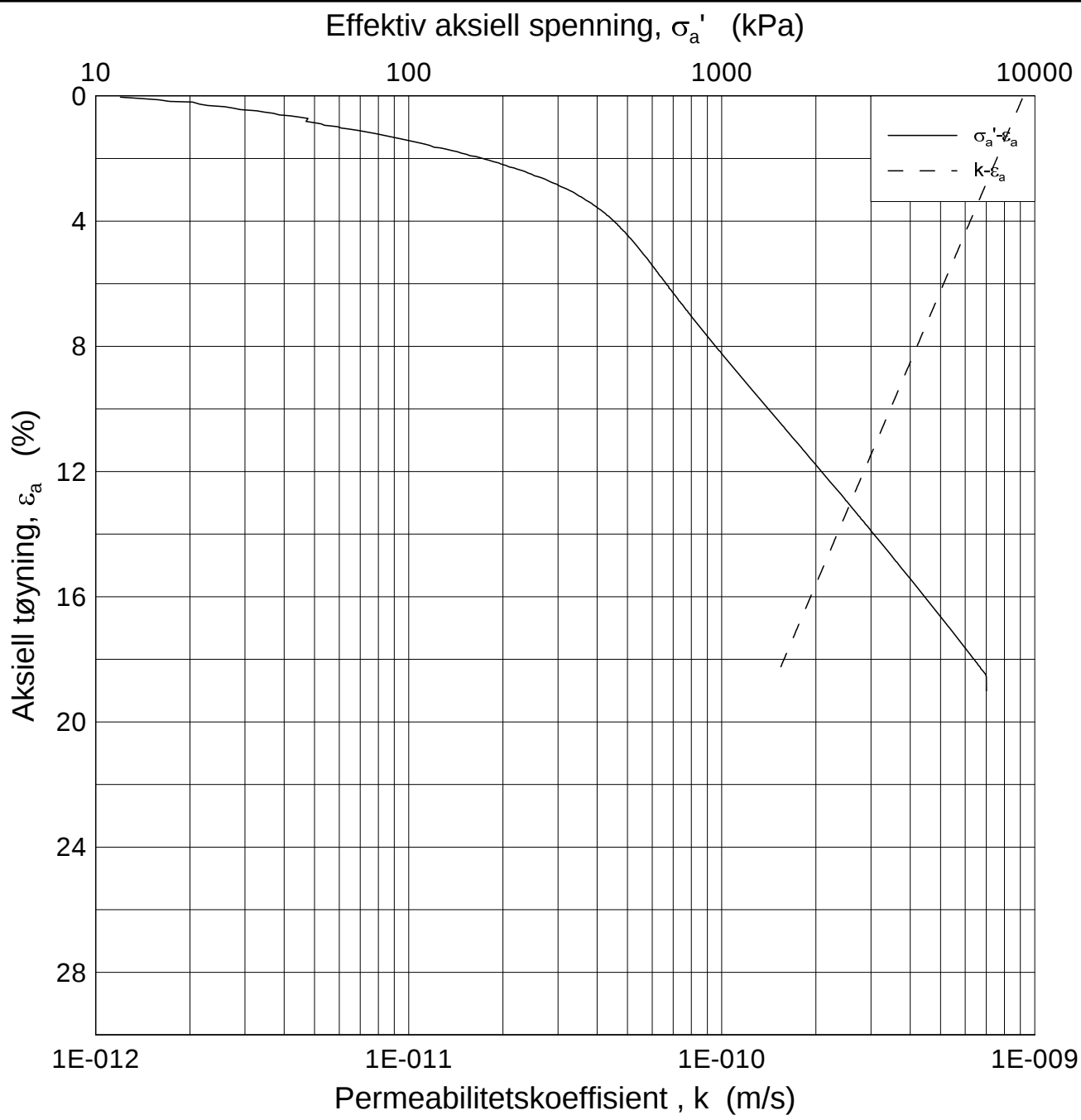
E16 Nybakk - Slomarka			Dokumentnr. 20120491-02-R
Ødometer test (CRSC)			Dato 2013-06-05
Borhull: 2208	Sylinder: 10	Dybde = 10.62 m	Figurnr. F31
Del: D	Test: 1	$p'_0 = 118.6$ kPa	Tegner FP/
		$w_i = 31.98$ %	

H:\LABDATA\2012\20120491\Oedom\BH2208\2208-10-D-1.lin-2 (crs2259).grf



Dato/Rev.: 2009-09-15/4

E16 Nybakk - Slomarka			Dokumentnr. 20120491-02-R
Ødometer test (CRSC)			Dato 2013-06-05
Borhull: 2208	Sylinder: 10	Dybde = 10.62 m	Figurnr. F32
Del: D	Test: 1	$p'_o = 118.6$ kPa	Tegner FP/
		$w_i = 31.98$ %	



Dato/Rev.: 2009-09-15/3

E16 Nybakk - Slomarka

Dokumentnr.
20120491-02-R

Ødometer test (CRSC)

Dybde = 10.62 m

Dato
2013-06-05

Borhull: 2208

Sylinder: 10

p_o' = 118.6 kPa

Figurnr.
F33

Del: D

Test: 1

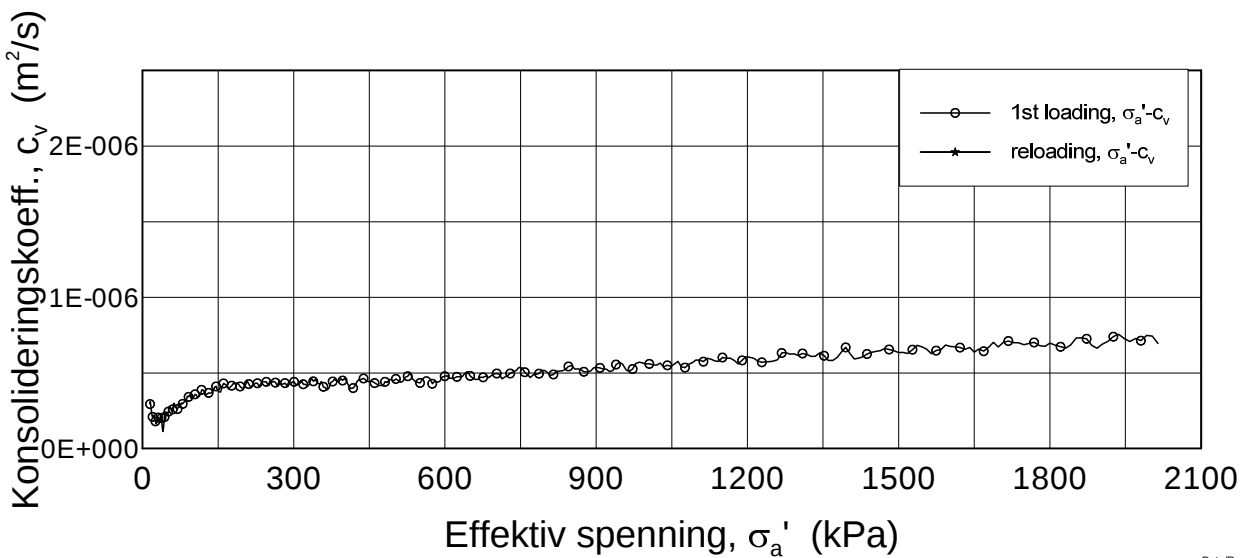
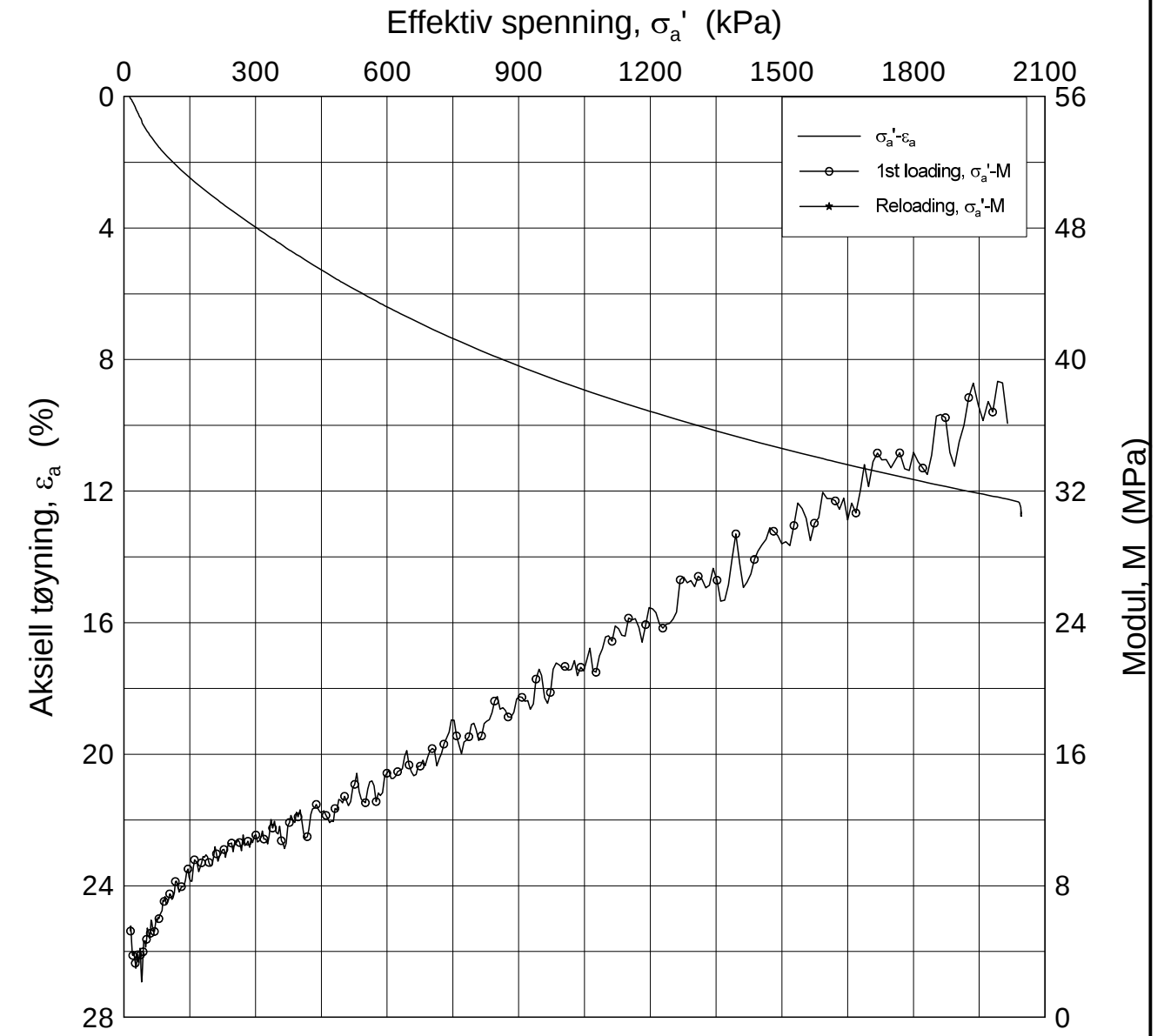
w_i = 31.98 %

Tegner
FP/




H:\LABDATA\2012\20120491\Oedom\BH2208\2208-10-D-1 log (crs2259).grf

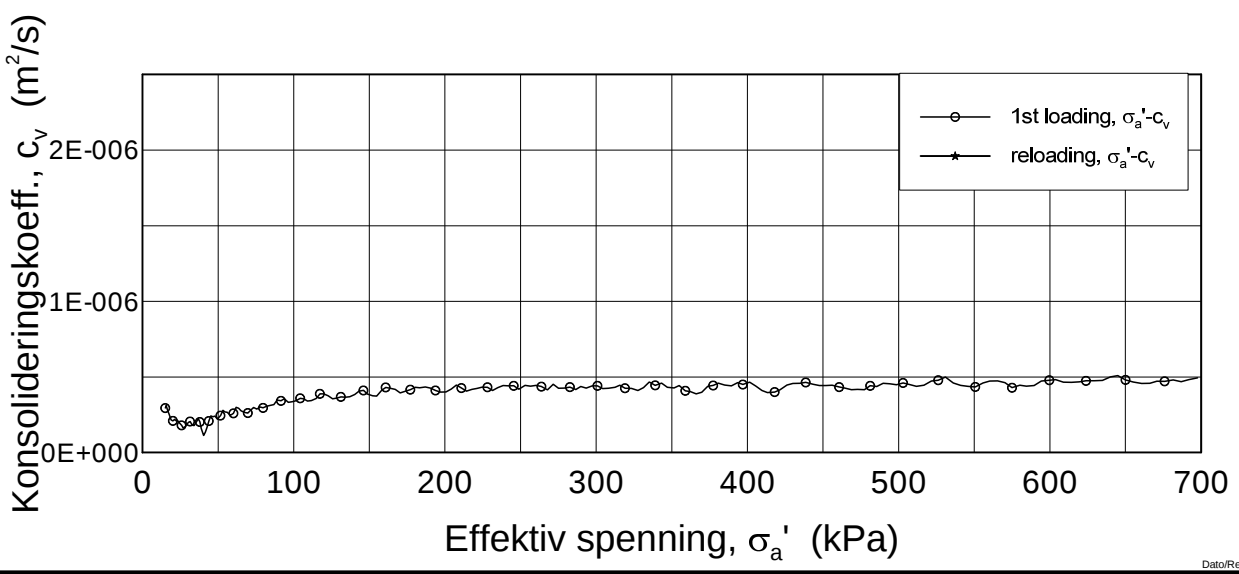
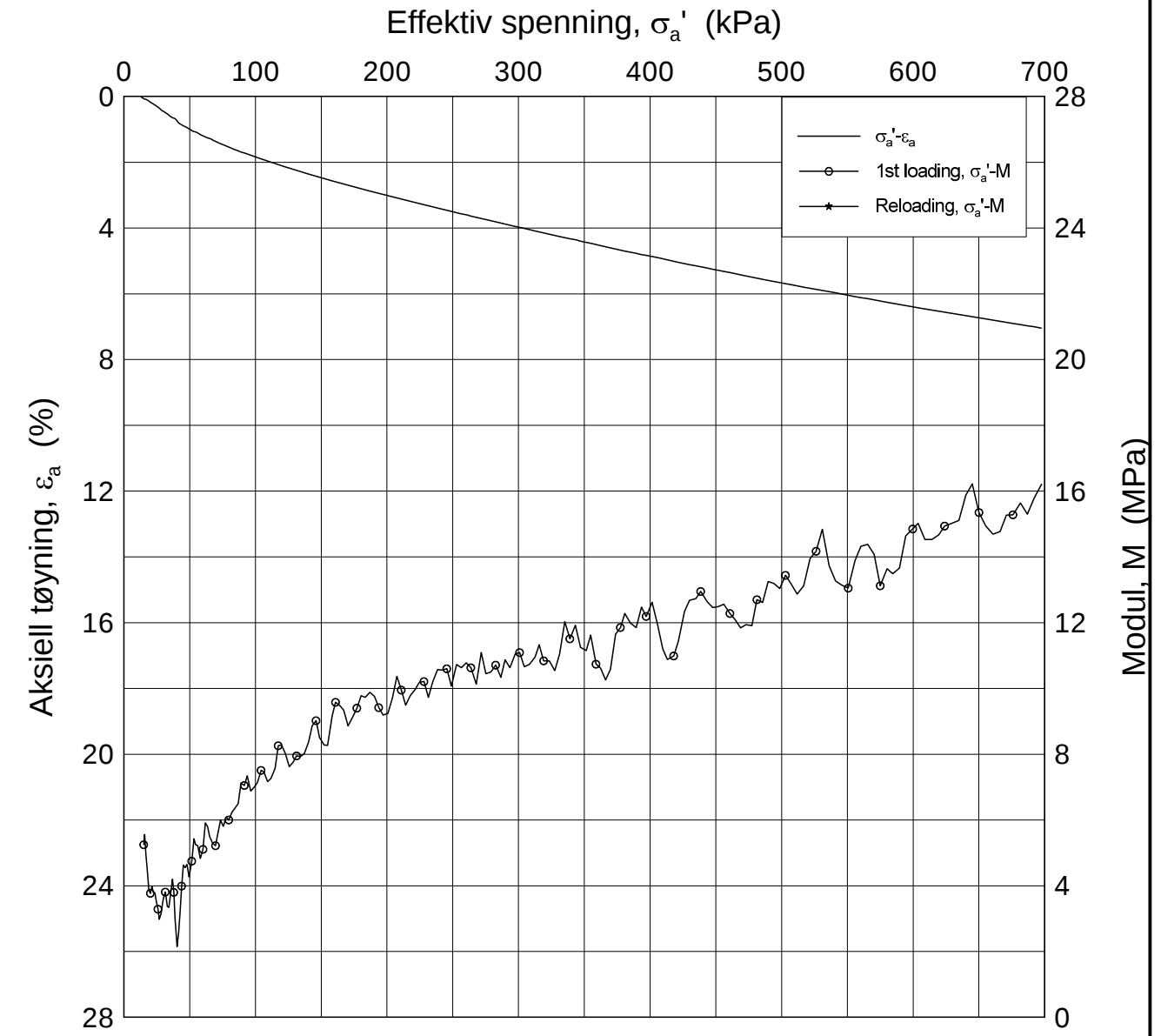
H:\LABDATA\2012\20120491\Oedom\BH2208\2208-16-C-1.lin (crs2270).gif




Dato/Rev.: 2009-09-15/4

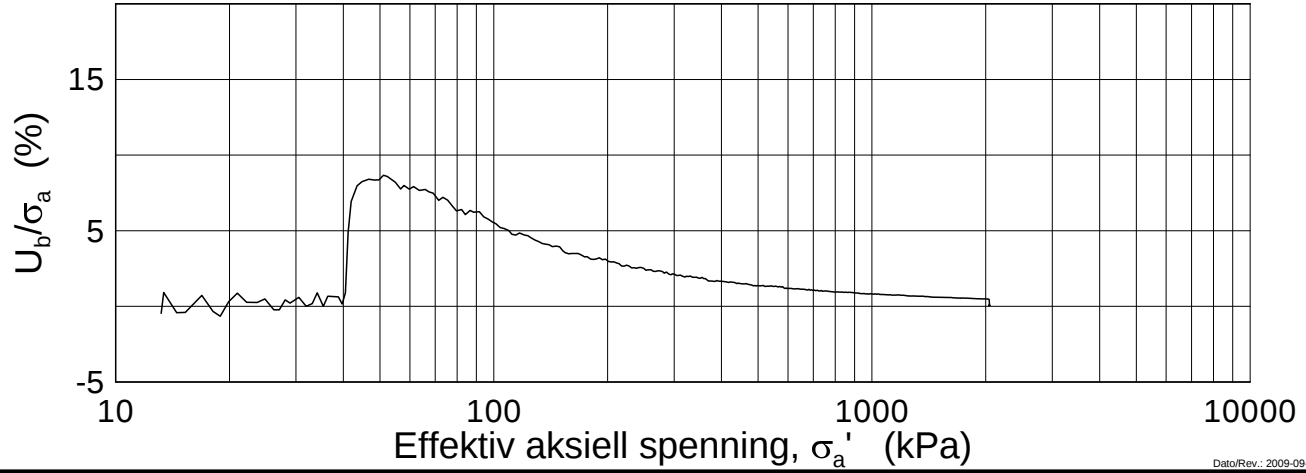
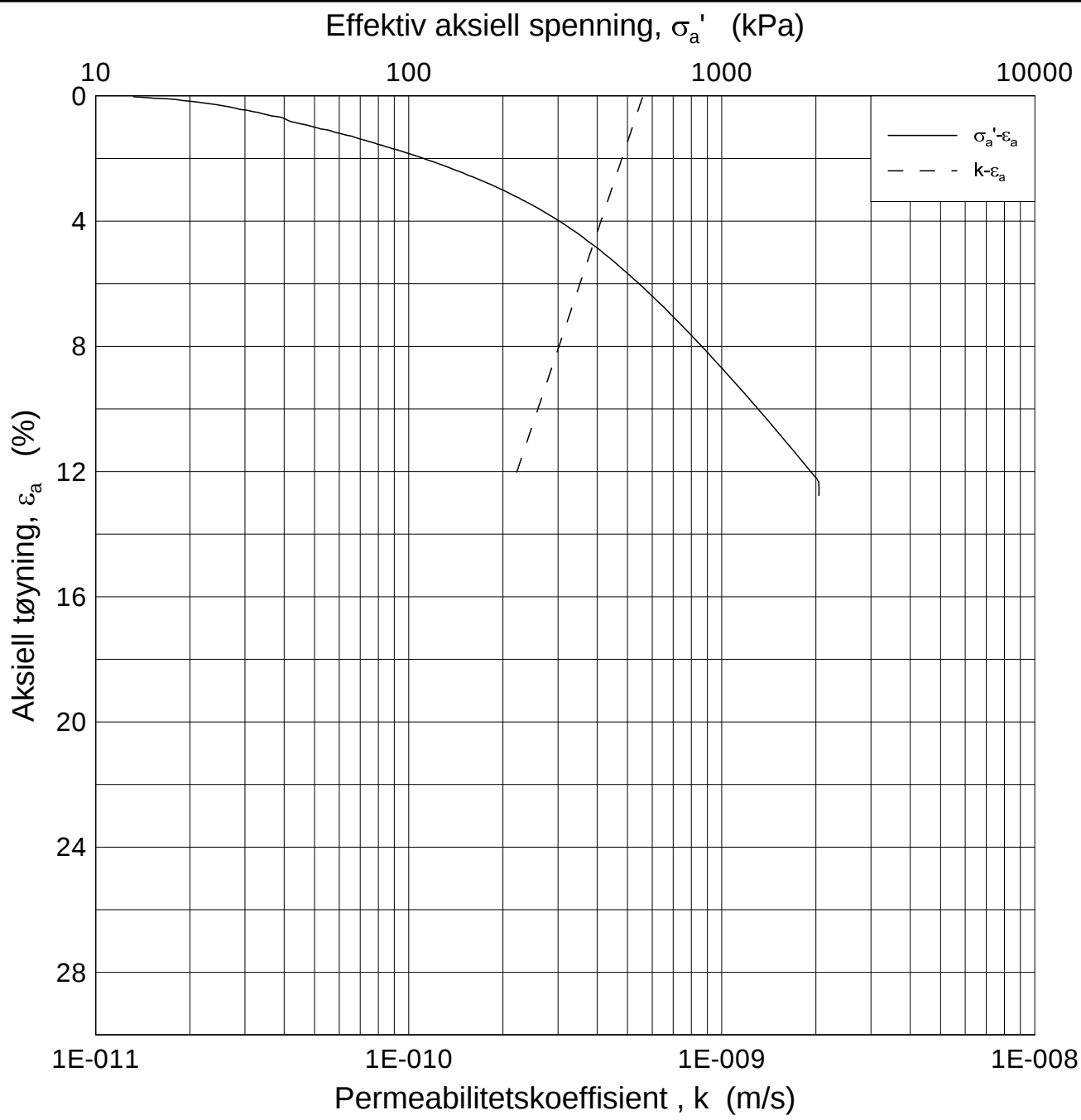
E16 Nybakk - Slomarka			Dokumentnr. 20120491-02-R
Ødometer test (CRSC)			Dato 2013-06-07
Borhull: 2208	Sylinder: 16	Dybde = 18.49 m	Figurnr. F34
Del: C	Test: 1	$p'_0 = 190.6$ kPa	Tegner FP/
		$w_i = 32.39$ %	

H:\LABDATA\2012\20120491\Oedom\BH2208\2208-16-C-1 lin=2 (crs2270).grf



Dato/Rev.: 2009-09-15/4

E16 Nybakk - Slomarka			Dokumentnr. 20120491-02-R
Ødometer test (CRSC)			Dato 2013-06-07
Borhull: 2208	Sylinder: 16	Dybde = 18.49 m	Figurnr. F35
Del: C	Test: 1	$p'_0 = 190.6$ kPa	Tegner FP/
		$w_i = 32.39$ %	



Dato/Rev.: 2009-09-15/3

E16 Nybakk - Slomarka

Dokumentnr.
20120491-02-R

Ødometer test (CRSC)

Dybde = 18.49 m

Dato
2013-06-07

Borhull: 2208

Sylinder: 16

p_o' = 190.6 kPa

Figurnr.
F36

Del: C

Test: 1

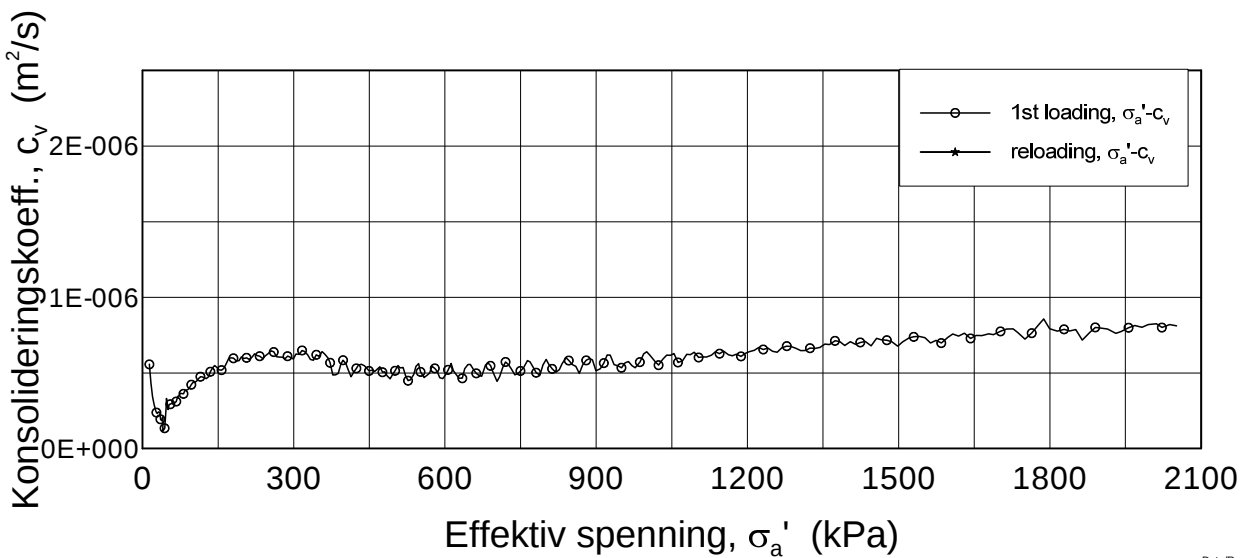
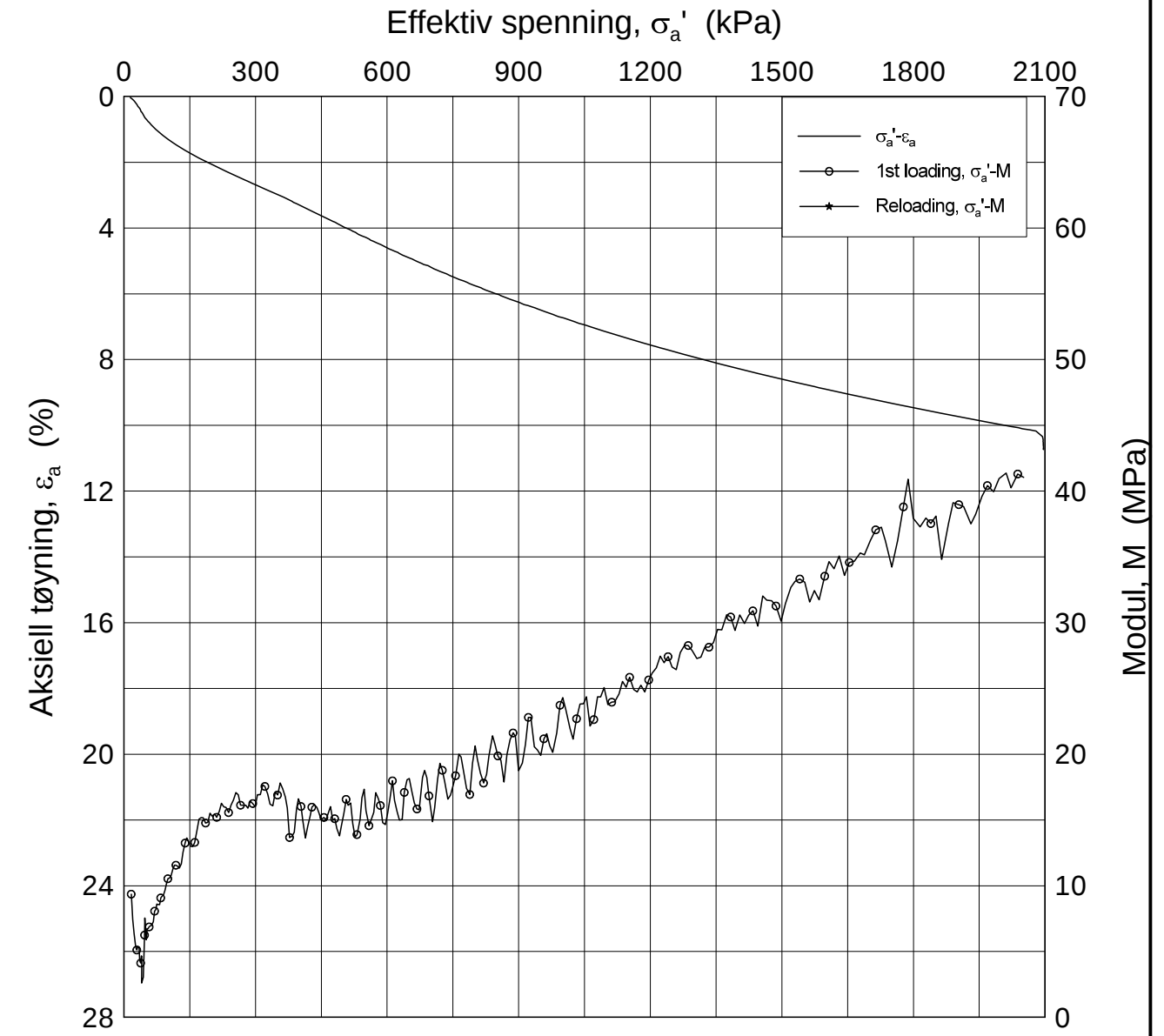
w_i = 32.39 %

Tegner
FP/




H:\LABDATA\2012\20120491\Oedom\BH2208\2208-16-C-1 log (crs2270).grf

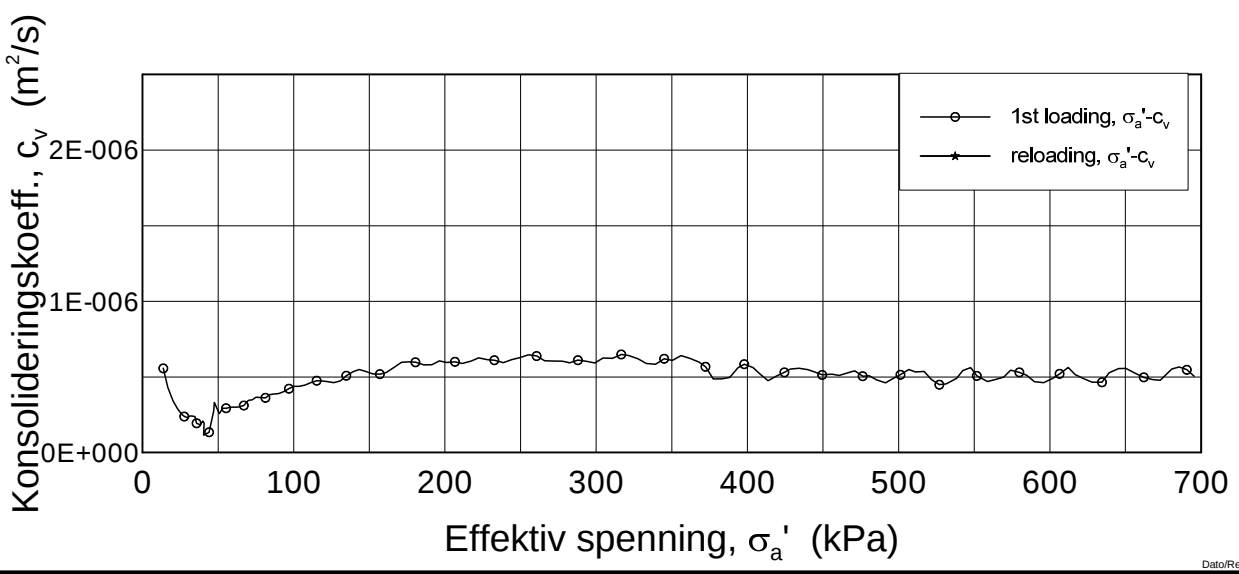
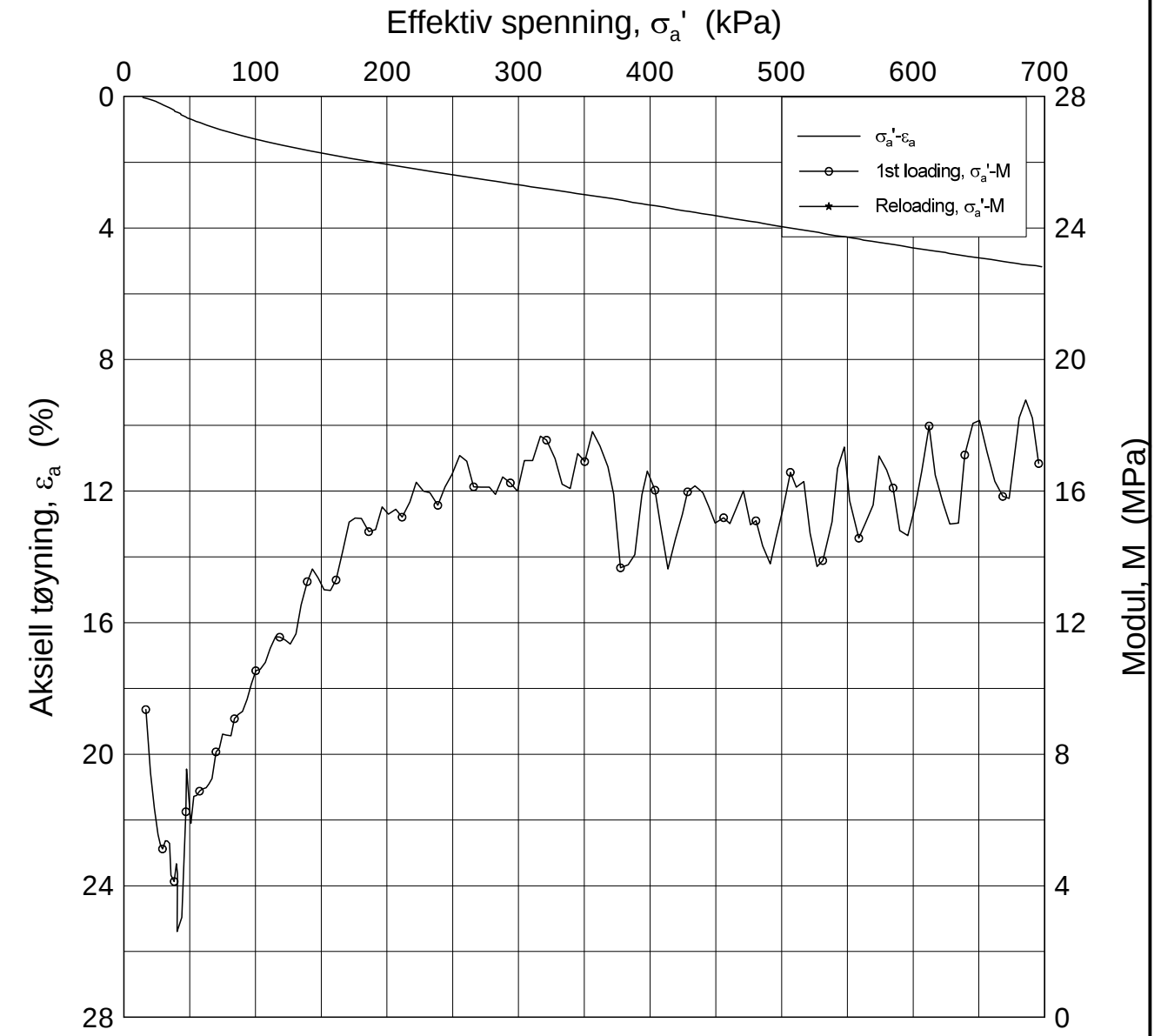
H:\LABDATA\2012\20120491\Oedom\BH2212\2212-10-C-1 lin (crs2244).gif



Dato/Rev.: 2009-09-15/4

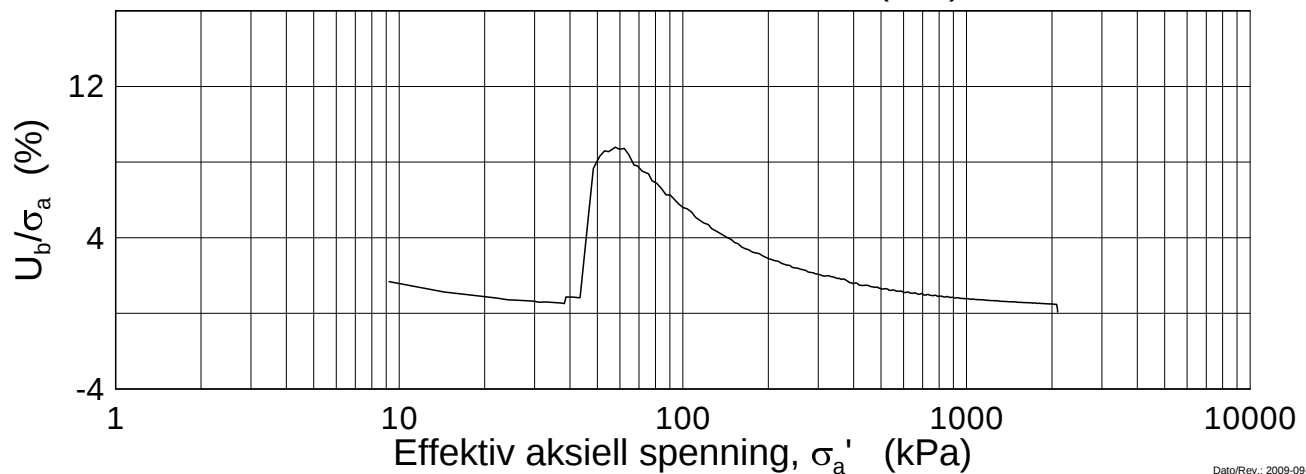
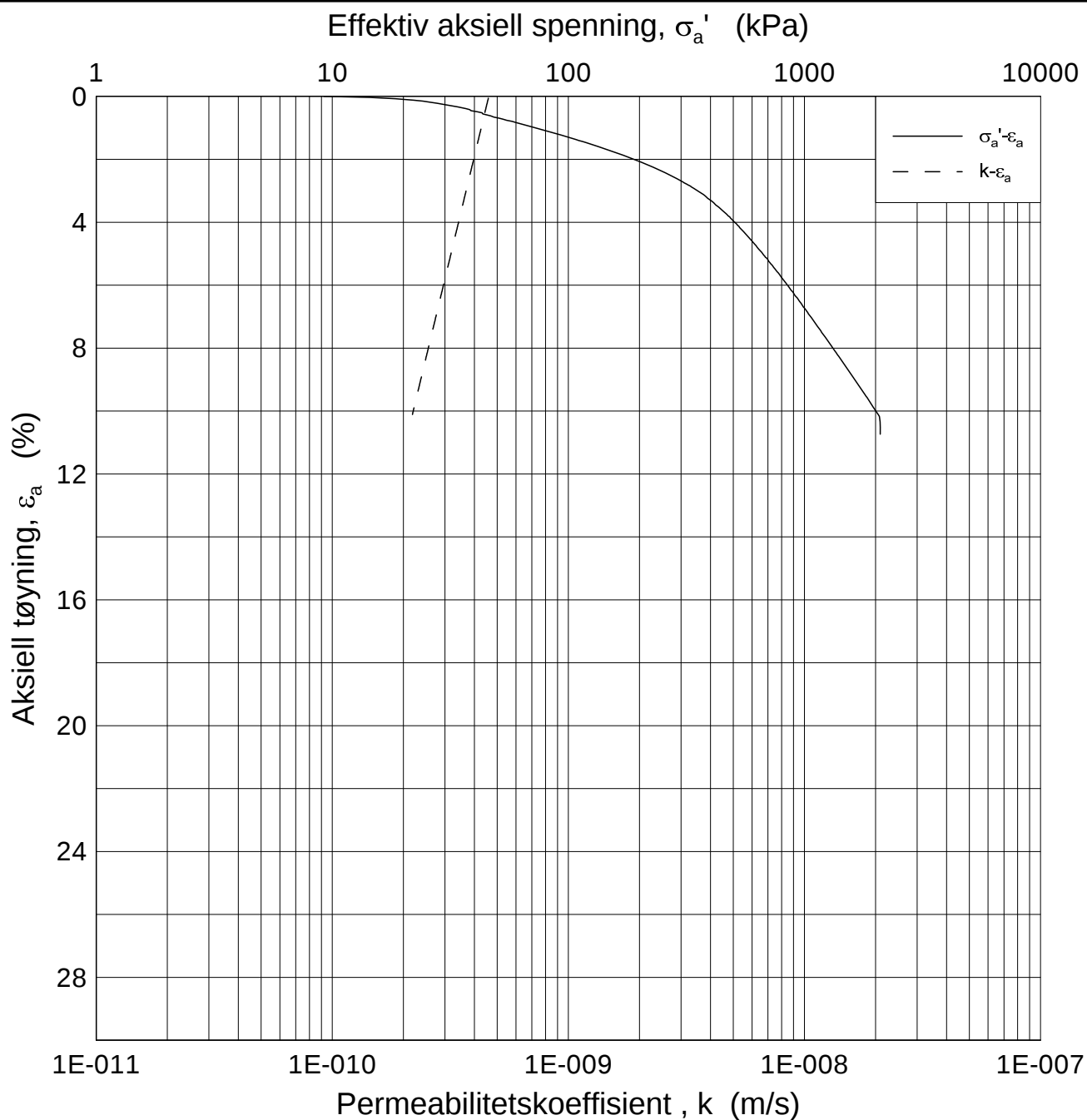
E16 Nybakk - Slomarka			Dokumentnr. 20120491-02-R
Ødometer test (CRSC)			Dato 2013-06-07
Borhull: 2212	Sylinder: 10	Dybde = 10.45 m	Figurnr. F37
Del: C	Test: 1	$p'_o = 118.6$ kPa	Tegner FP/
		$w_i = 31.49$ %	

H:\LABDATA\2012\20120491\Oedom\BH2212\2212-10-C-1 lin=2 (crs2244).grf



Dato/Rev.: 2009-09-15/4

E16 Nybakk - Slomarka			Dokumentnr. 20120491-02-R
Ødometer test (CRSC)			Dato 2013-06-07
Borhull: 2212	Sylinder: 10	Dybde = 10.45 m	Figurnr. F38
Del: C	Test: 1	$p'_0 = 118.6$ kPa	Tegner FP/
		$w_i = 31.49$ %	



Dato/Rev.: 2009-09-15/3

E16 Nybakk - Slomarka

Dokumentnr.
20120491-02-R

Ødometer test (CRSC)

Dybde = 10.45 m

Dato
2013-06-07

Borhull: 2212

Sylinder: 10

p'_o = 118.6 kPa

Figurnr.
F39

Del: C

Test: 1

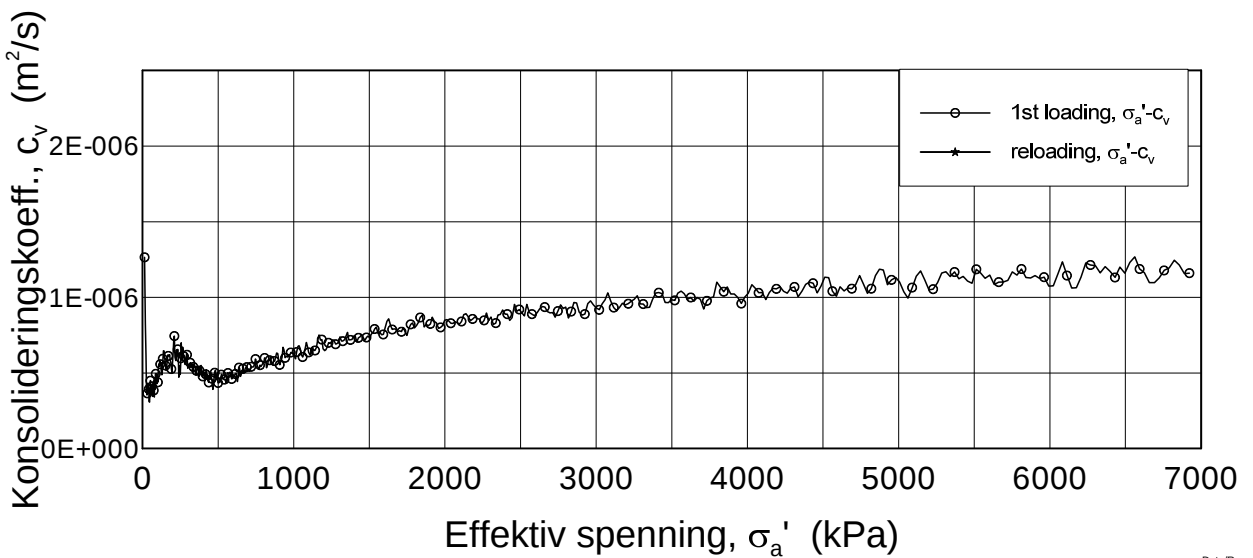
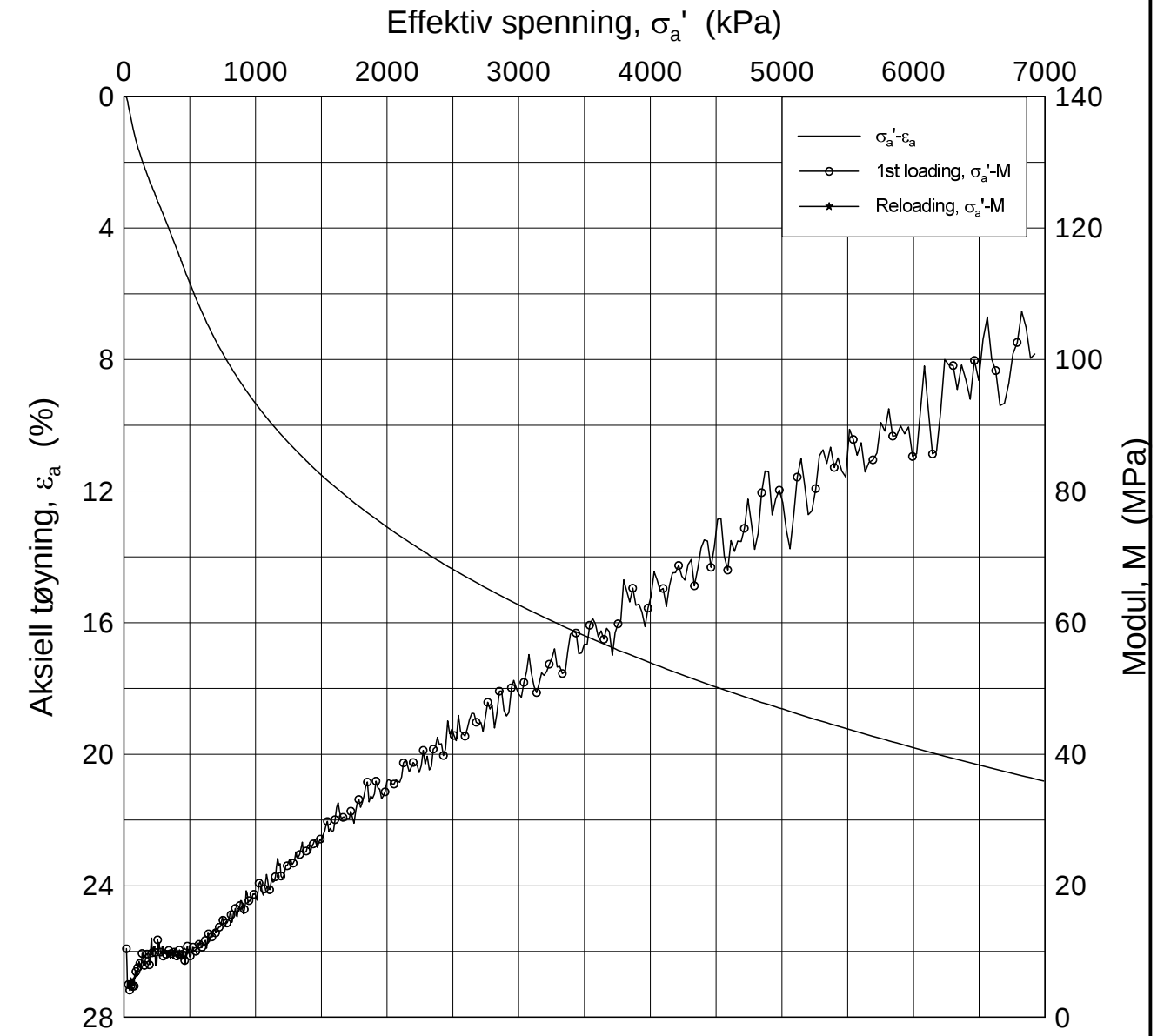
w_i = 31.49 %

Tegner
FP/




H:\LABDATA\2012\20120491\Oedom\BH2212\2212-10-C-1 log (crs2244).grf

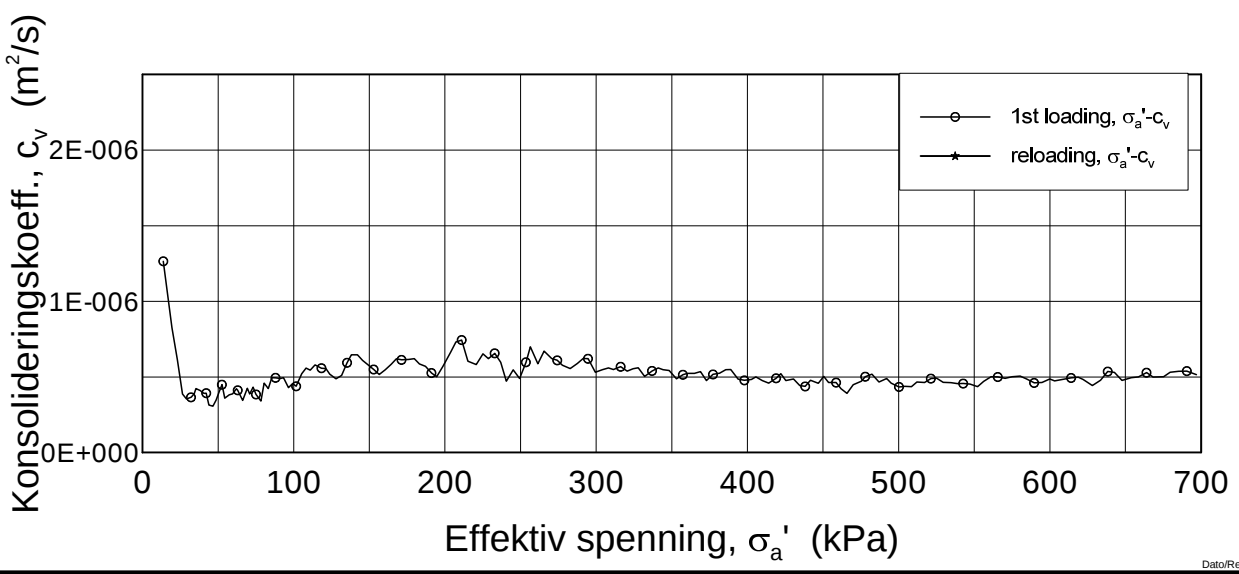
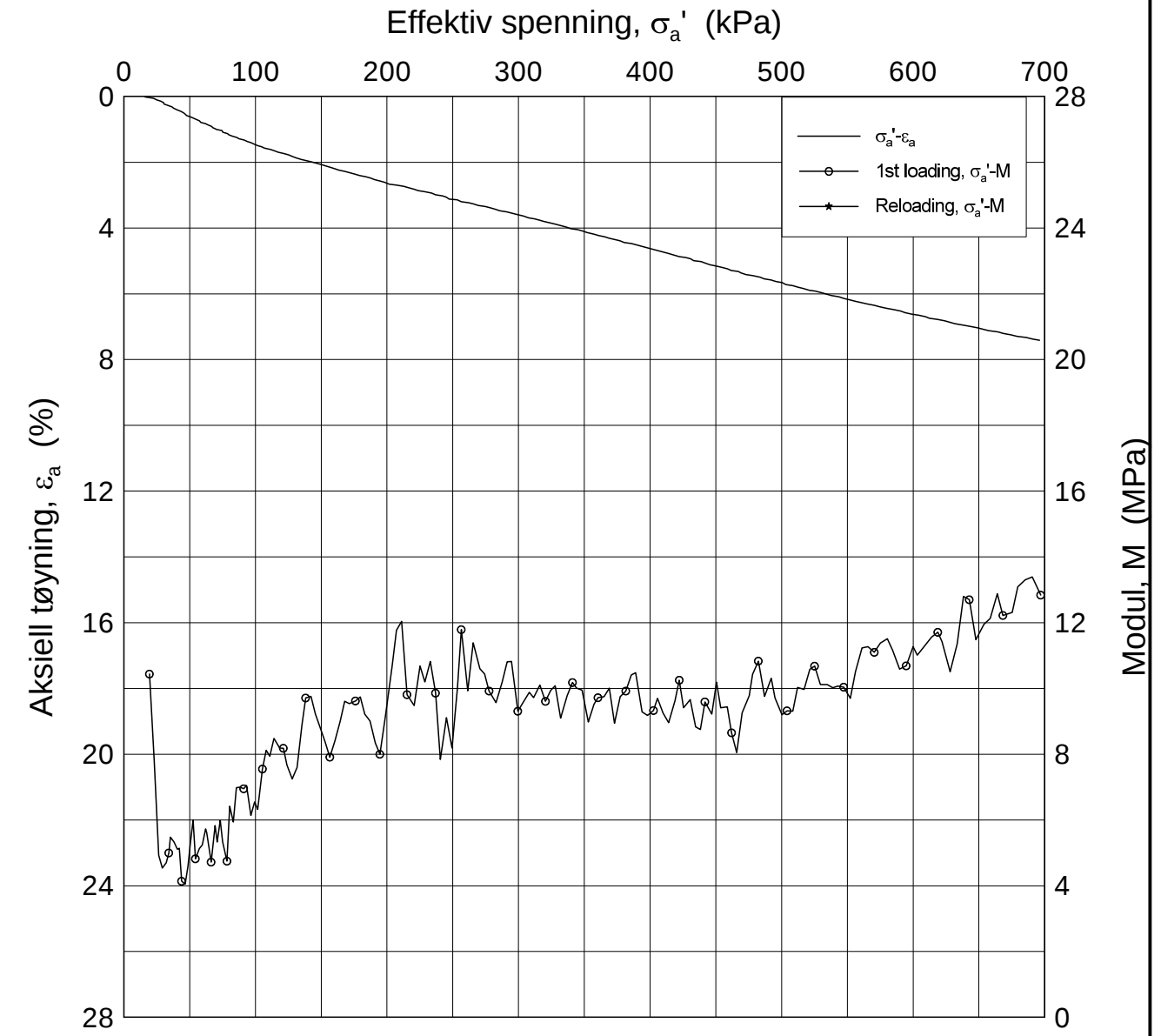
H:\LABDATA\2012\20120491\Oedom\BH2212\2212-15-D-1.lin (crs2246).gif




Dato/Rev.: 2009-09-15/4

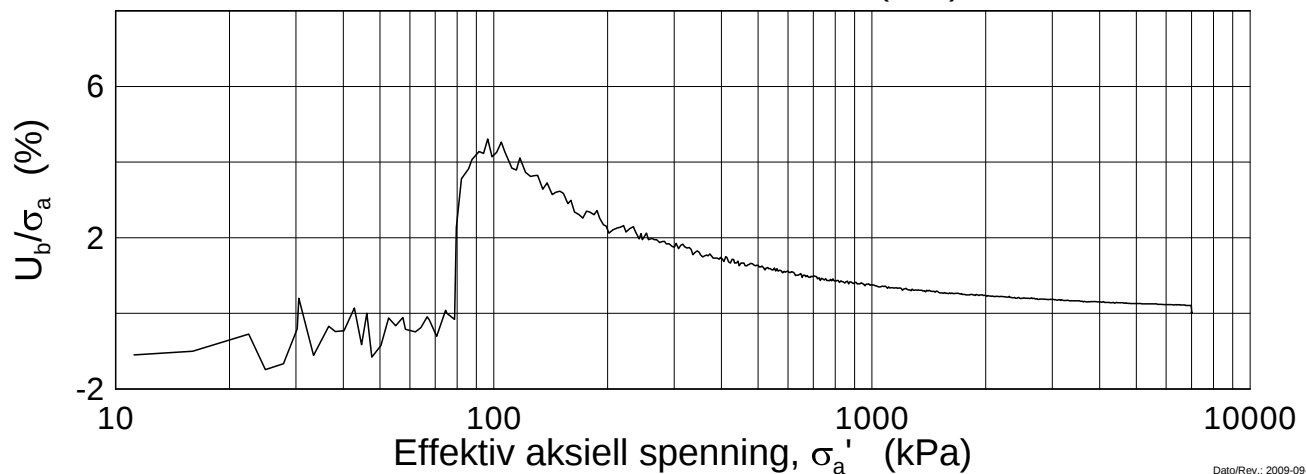
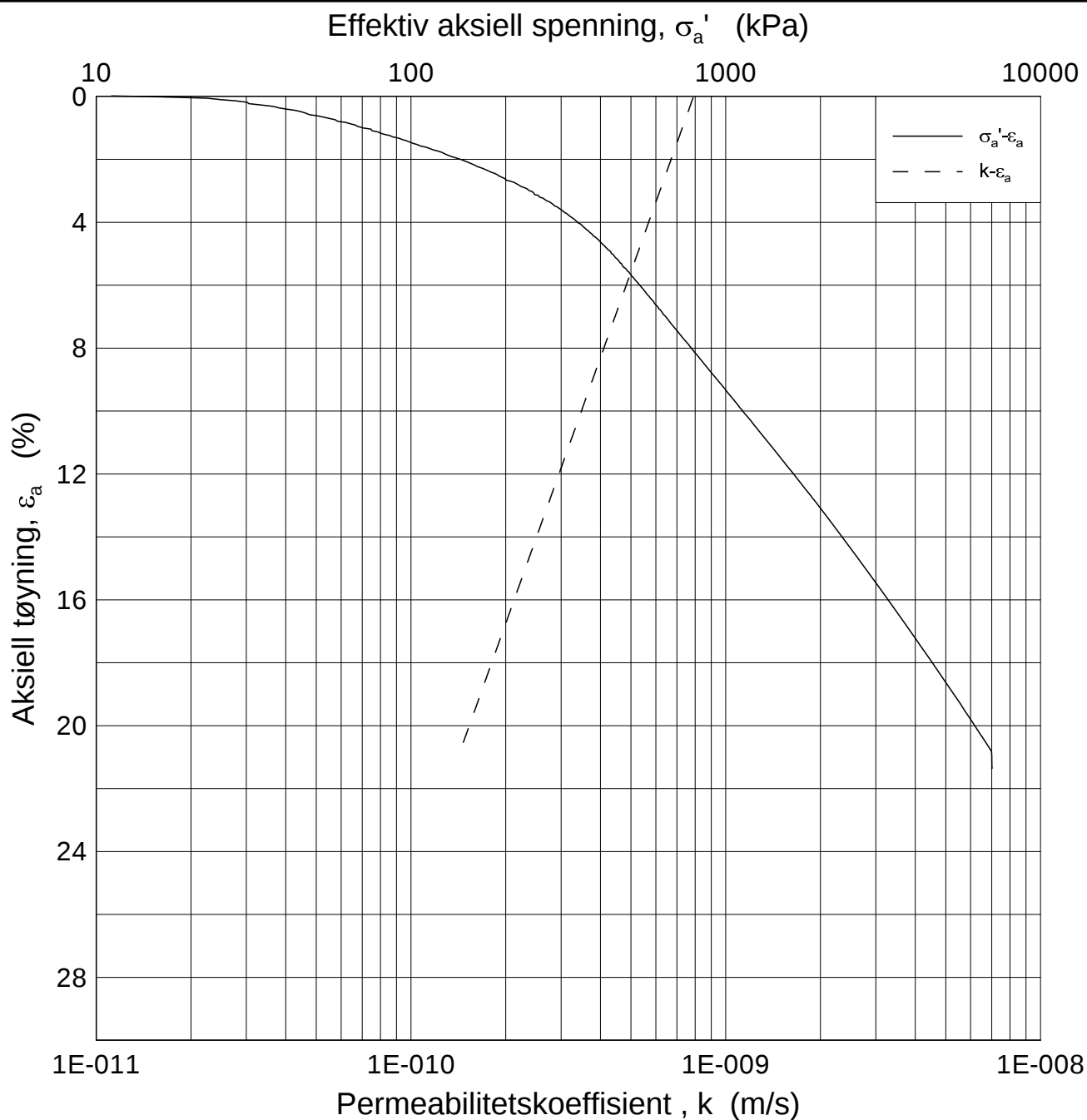
E16 Nybakk - Slomarka				Dokumentnr. 20120491-02-R
Ødometer test (CRSC)		Dybde = 16.63 m		Dato 2013-06-07
Borhull: 2212	Sylinder: 15	$p'_0 = 172.6$ kPa		Figurnr. F40
Del: D	Test: 1	$w_i = 35.64$ %		Tegner FP/
				

H:\LABDATA\2012\20120491\Oedom\BH2212\2212-15-D-1 lin=2 (crs2246).grf



Dato/Rev.: 2009-09-15/4

E16 Nybakk - Slomarka			Dokumentnr. 20120491-02-R
Ødometer test (CRSC)			Dato 2013-06-07
Borhull: 2212	Sylinder: 15	Dybde = 16.63 m	Figurnr. F41
Del: D	Test: 1	$p'_0 = 172.6$ kPa	Tegner FP/
		$w_i = 35.64$ %	



Dato/Rev.: 2009-09-15/3

E16 Nybakk - Slomarka

Dokumentnr.
20120491-02-R

Ødometer test (CRSC)

Dybde = 16.63 m

Dato
2013-06-07

Borhull: 2212

Sylinder: 15

p_o' = 172.6 kPa

Figurnr.
F42

Del: D

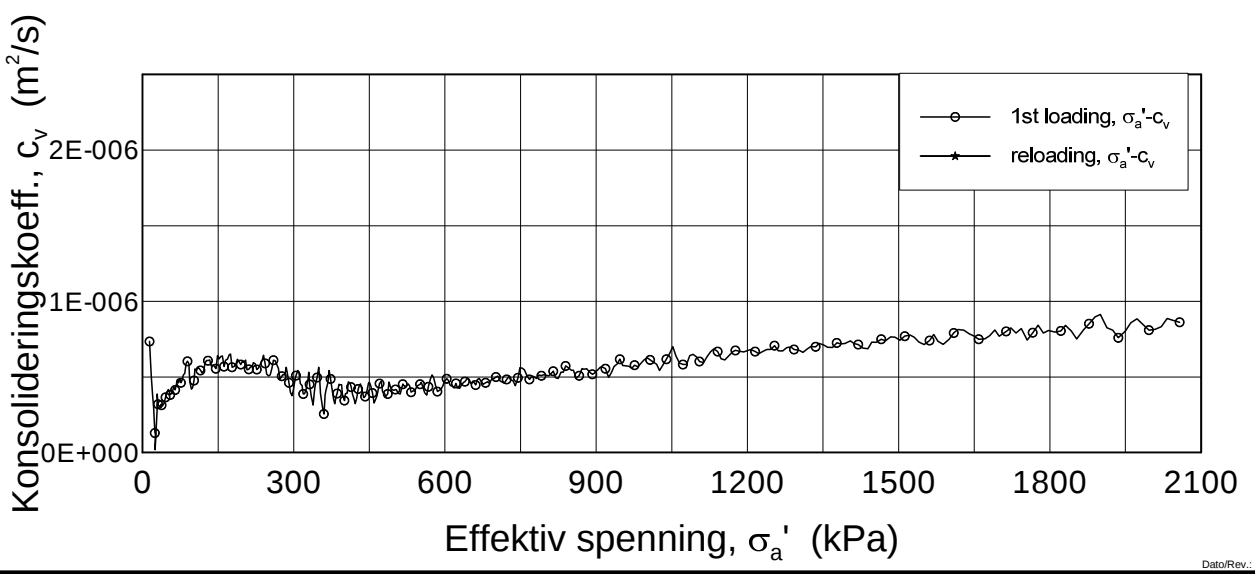
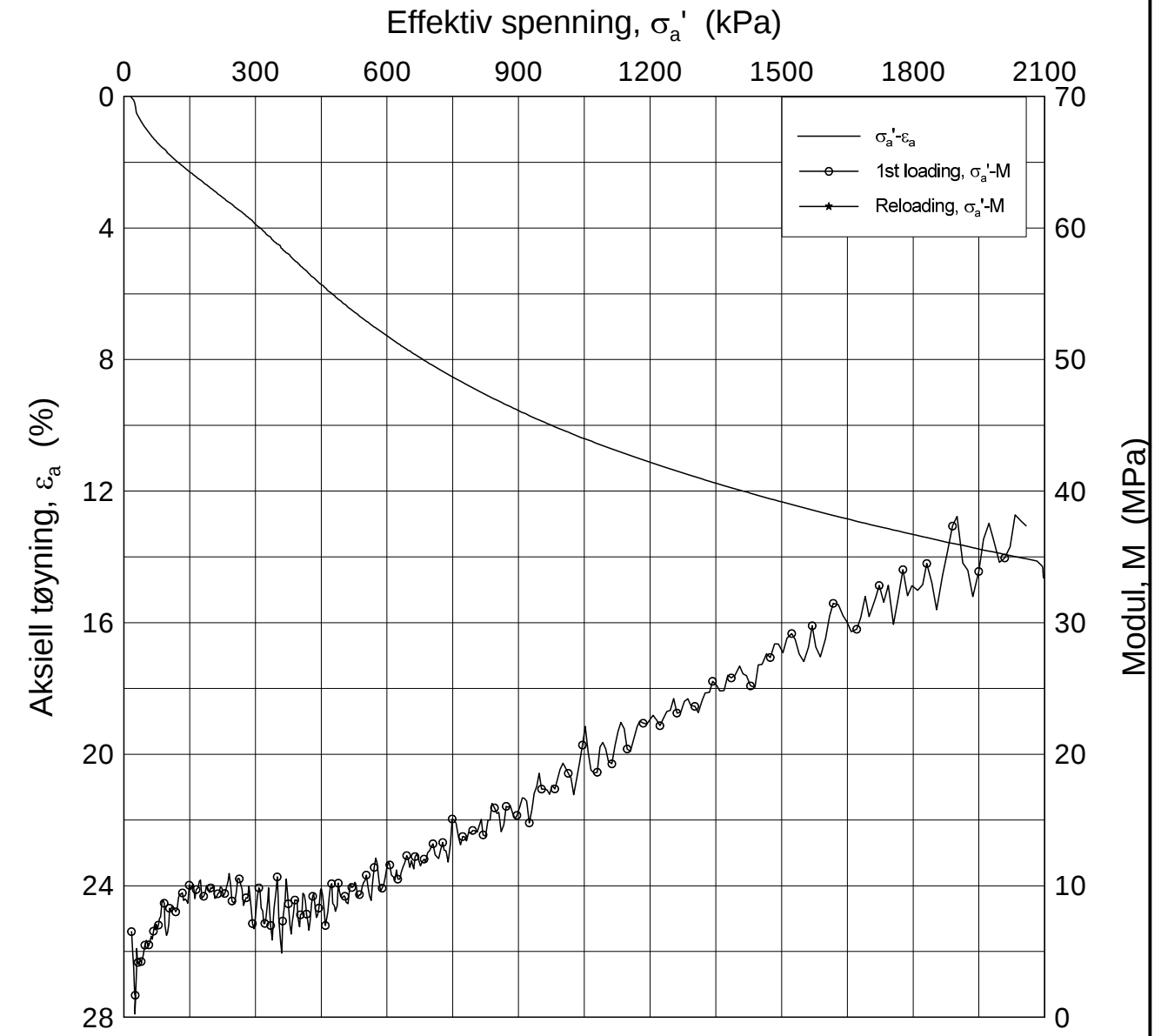
Test: 1

w_i = 35.64 %


Tegner
FP/



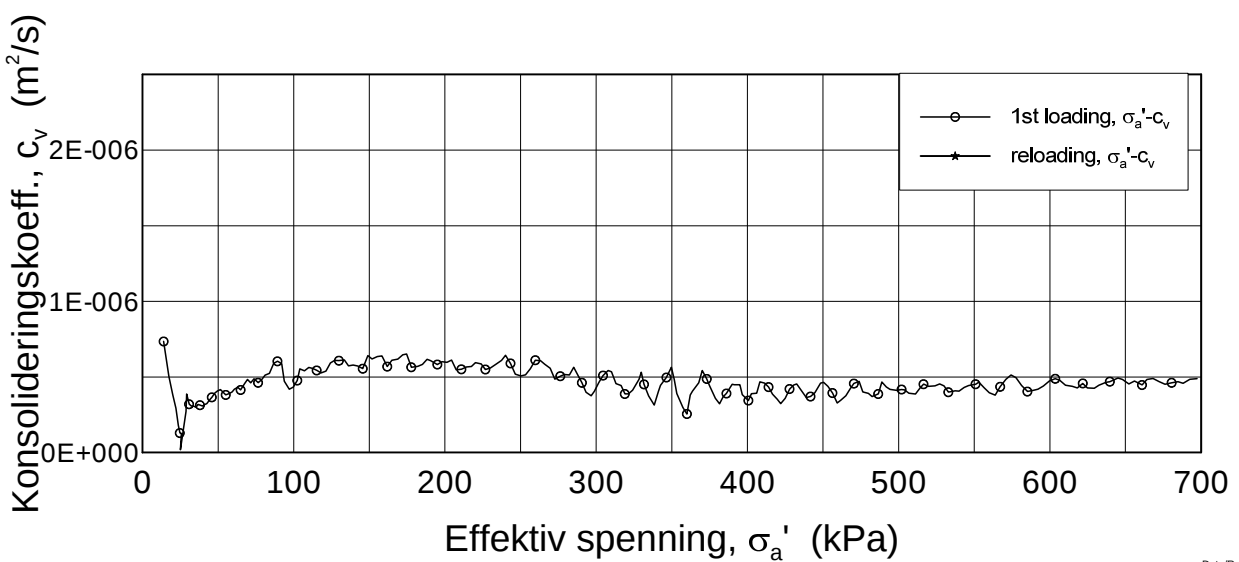
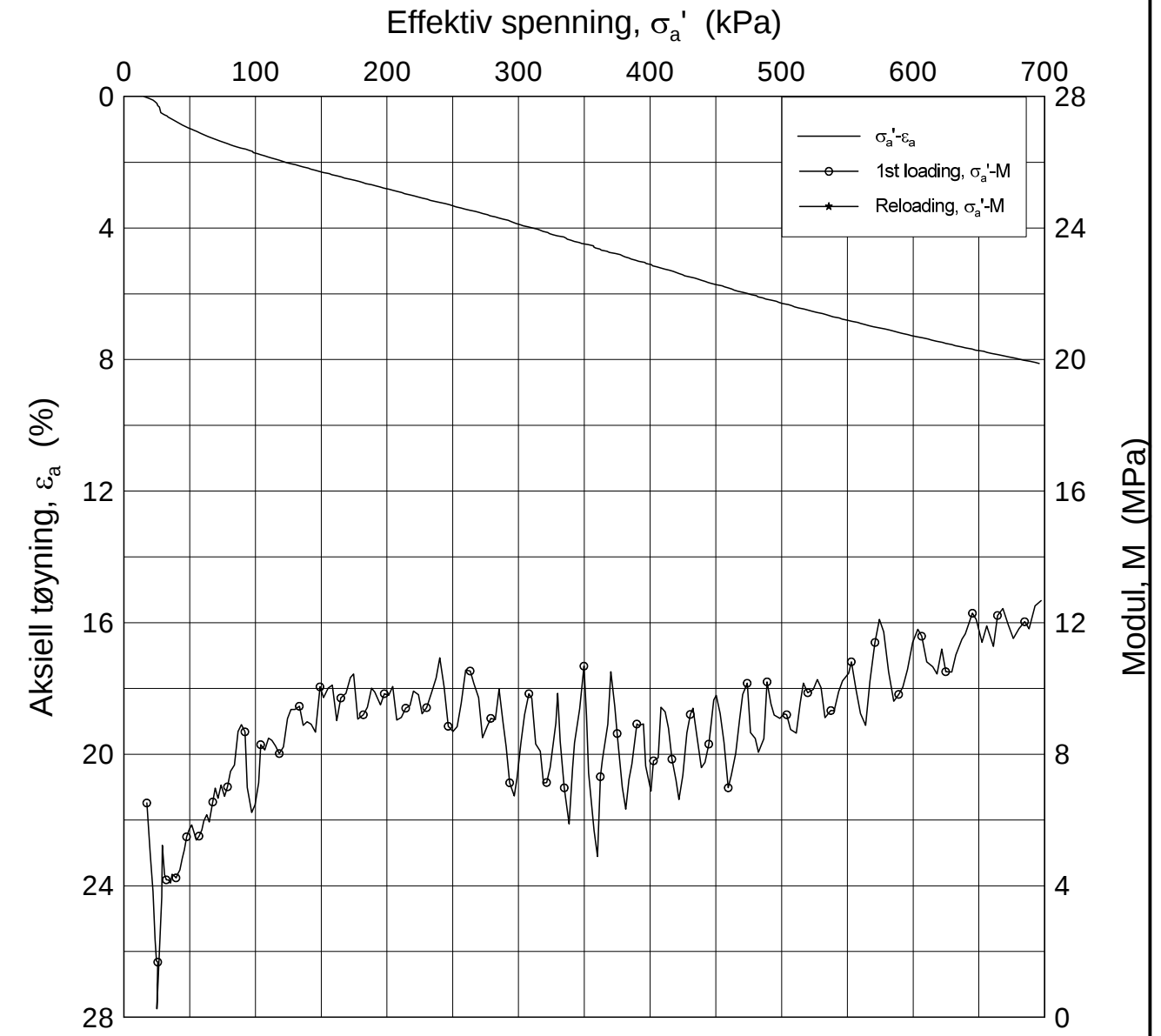
H:\LABDATA\2012\20120491\Oedom\BH2214\2214-6-B-1.lin (crs2275).grf




Dato/Rev.: 2009-09-15/4

E16 Nybakk - Slomarka			Dokumentnr. 20120491-02-R
Ødometer test (CRSC)			Dato 2013-06-12
Borhull: 2214	Sylinder: 6	Dybde = 6.4 m	Figurnr. F43
Del: B	Test: 1	$p'_0 = 72.6$ kPa	Tegner FP/
		$w_i = 34.22$ %	

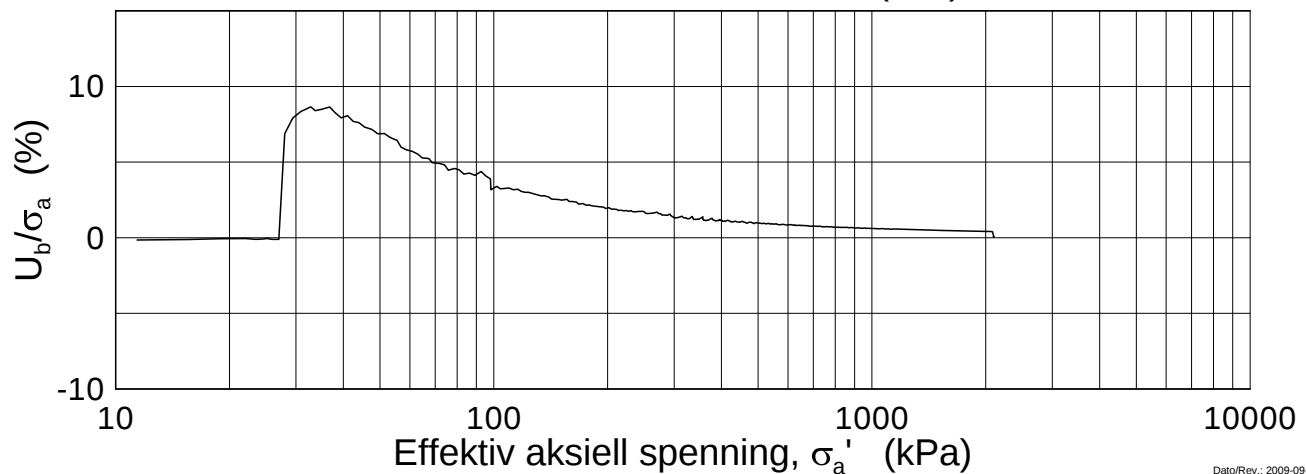
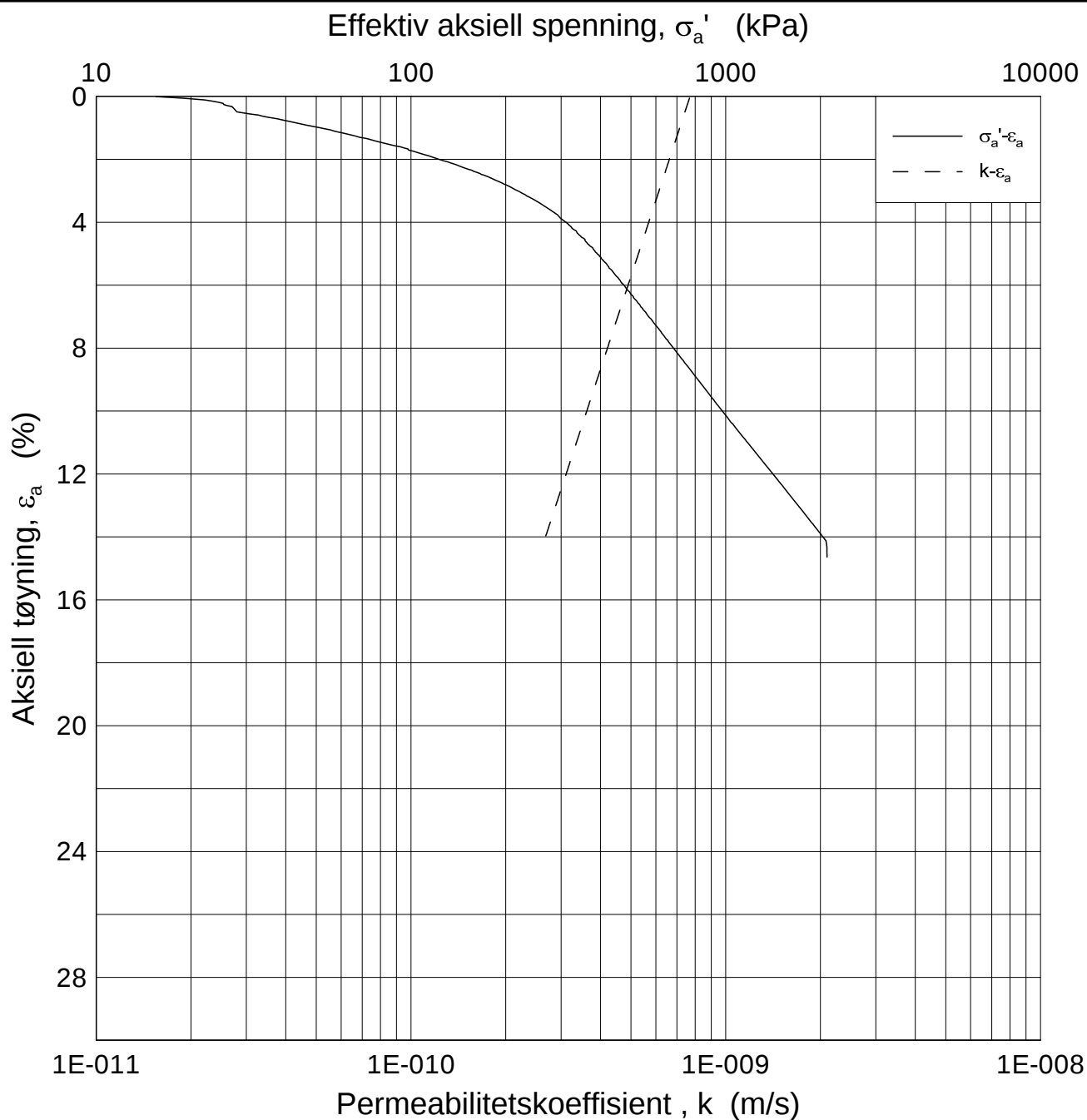
H:\LABDATA\2012\20120491\Oedom\BH2214\2214-6-B-1.lin-2 (cirs2275).grf




Dato/Rev.: 2009-09-15/4

E16 Nybakk - Slomarka			Dokumentnr. 20120491-02-R
Ødometer test (CRSC)			Dato 2013-06-12
Borhull: 2214	Sylinder: 6	Dybde = 6.4 m	Figurnr. F44
Del: B	Test: 1	p'_0 = 72.6 kPa	Tegner FP/
			

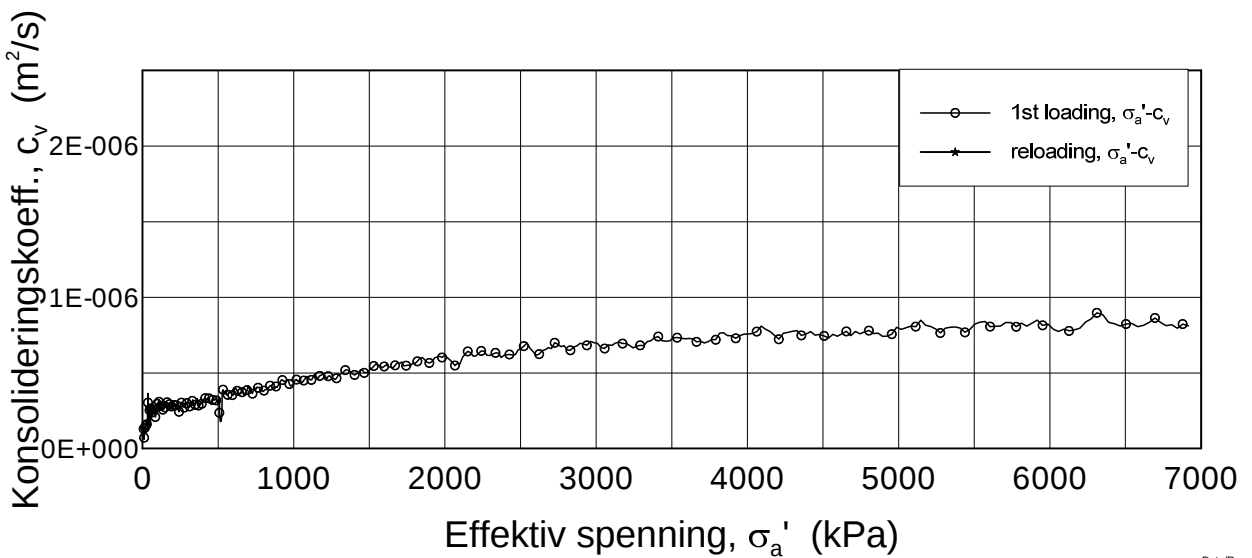
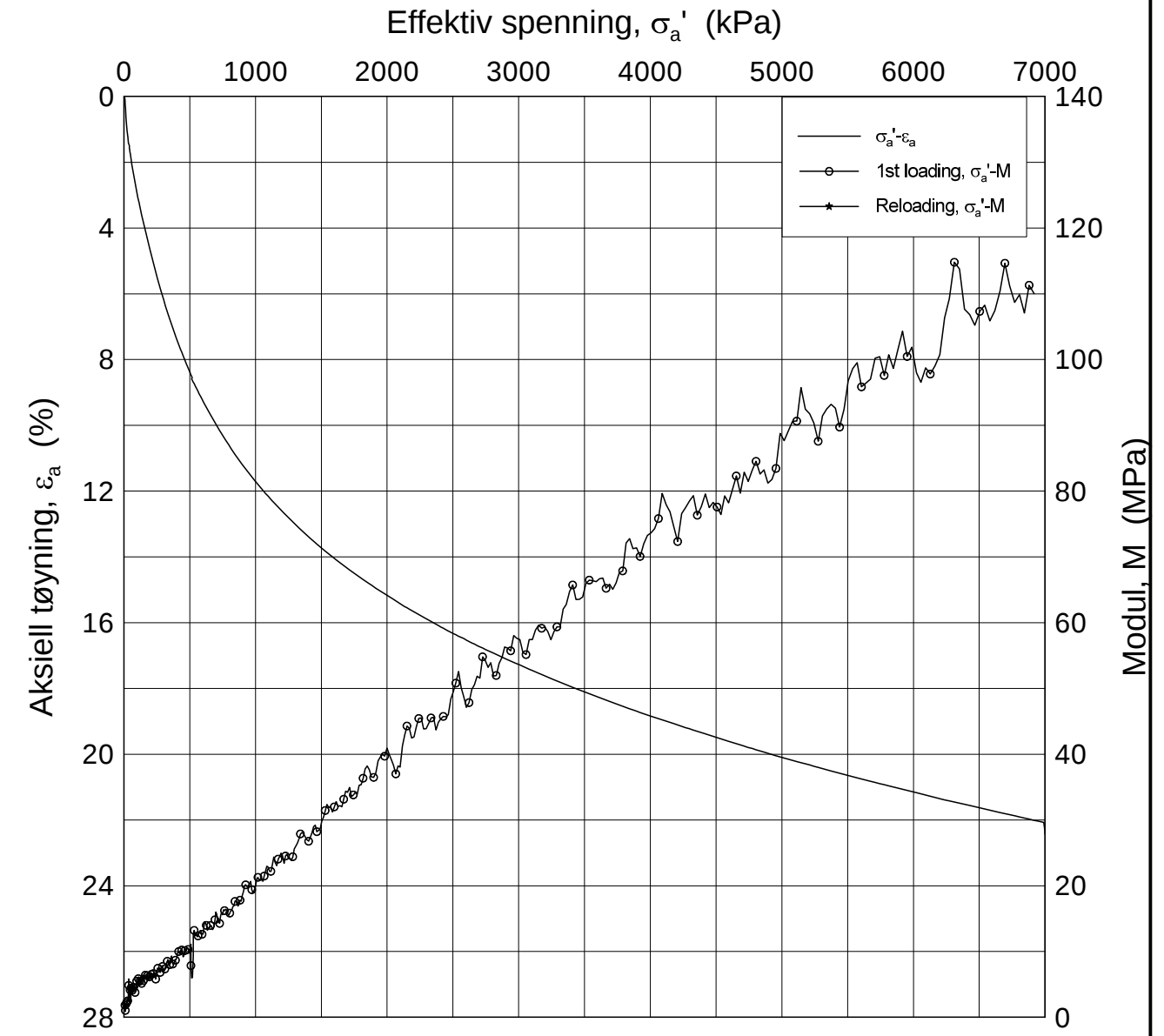
H:\LABDATA\2012\20120491\Oedom\BH2214\2214-6-B-1_log (crs2275).grf




Dato/Rev.: 2009-09-15/3

E16 Nybakk - Slomarka			Dokumentnr. 20120491-01-R
Ødometer test (CRSC)			Dato 2013-06-12
Borhull: 2214	Sylinder: 6	Dybde = 6.4 m	Figurnr. F45
Del: B	Test: 1	$p'_0 = 72.6$ kPa	Tegner FP/
		$w_i = 34.22$ %	

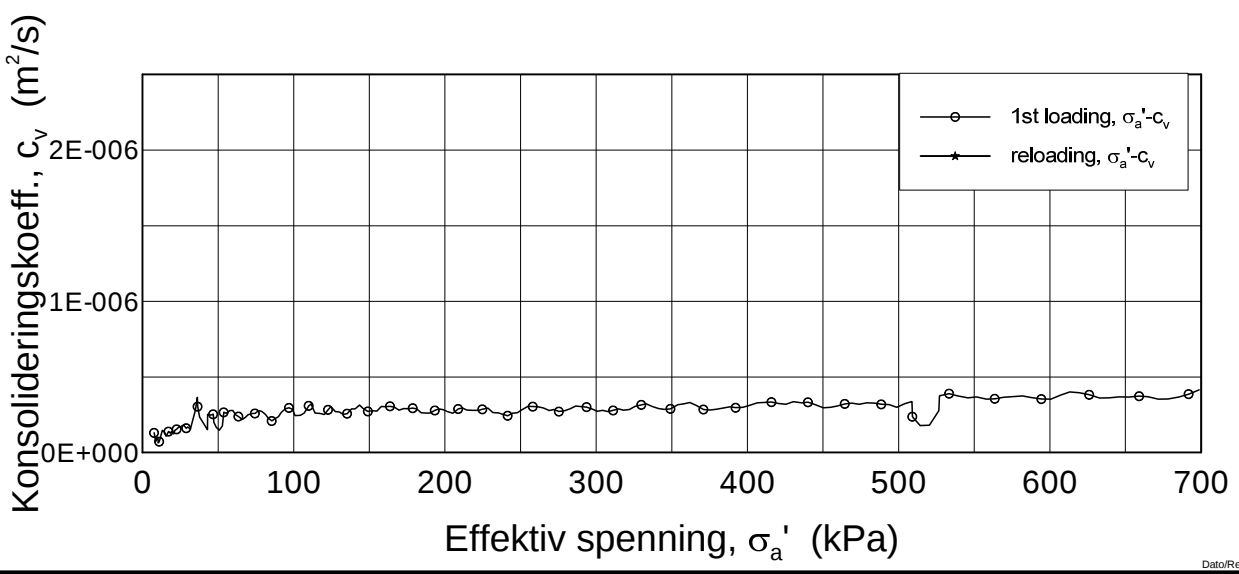
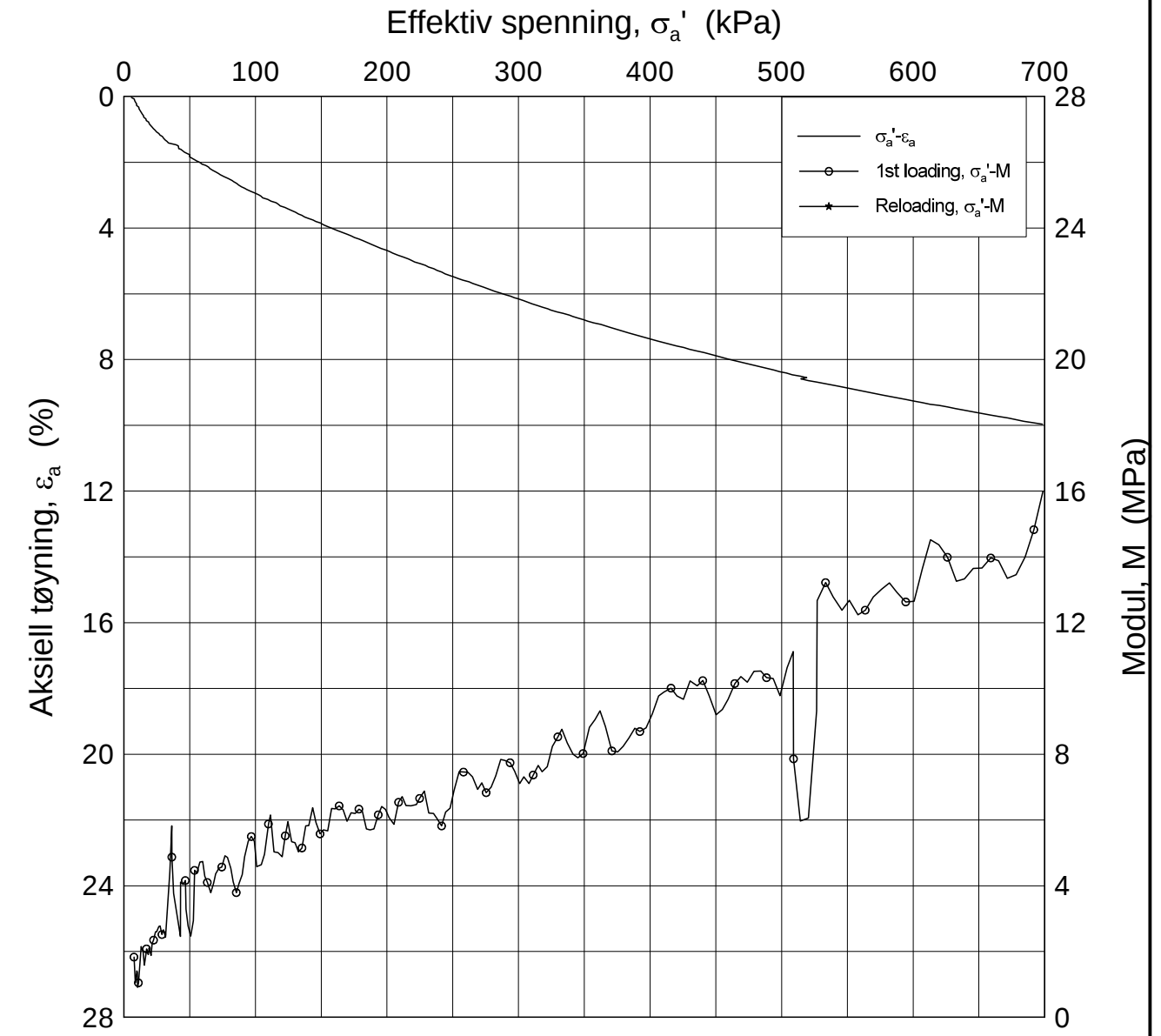
H:\LABDATA\2012\20120491\Oedom\BH2214\2214-12-C-1.lin (crs2274).gif




Dato/Rev.: 2009-09-15/4

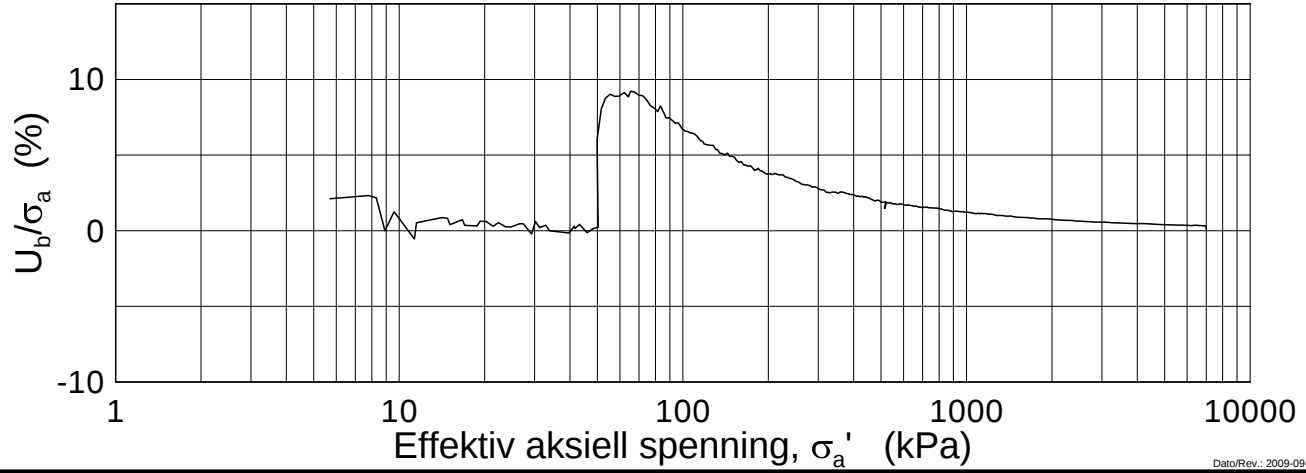
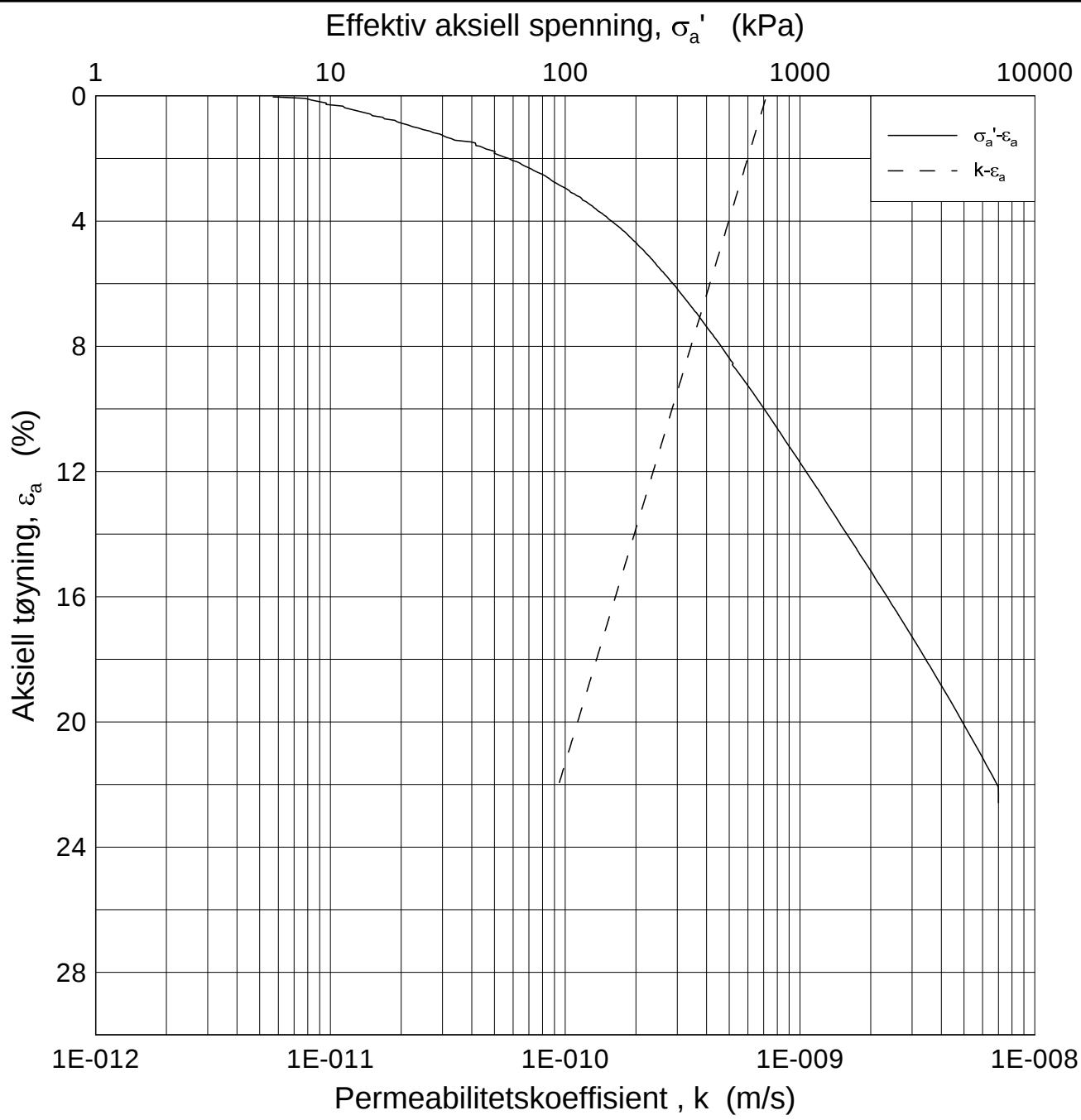
E16 Nybakk - Slomarka			Dokumentnr. 20120491-02-R
Ødometer test (CRSC)			Dato 2013-06-17
Borhull: 2214	Sylinder: 12	Dybde = 12.45 m	Figurnr. F46
Del: C	Test: 1	$p'_o = 126.6$ kPa	Tegner FP/
		$w_i = 35.96$ %	

H:\LABDATA\2012\20120491\Oedom\BH2214\2214-12-C-1 lin=2 (crs2271).grf



Dato/Rev.: 2009-09-15/4

E16 Nybakk - Slomarka			Dokumentnr. 20120491-02-R
Ødometer test (CRSC)			Dato 2013-06-17
Borhull: 2214	Sylinder: 12	Dybde = 12.45 m	Figurnr. F47
Del: C	Test: 1	$p'_0 = 126.6$ kPa	Tegner FP/
		$w_i = 35.96$ %	



Dato/Rev.: 2009-09-15/3

E16 Nybakk - Slomarka

Dokumentnr.
20120491-02-R

Ødometer test (CRSC)

Dybde = 12.45 m

Dato
2013-06-17

Borhull: 2214

Sylinder: 12

p'_o = 126.6 kPa

Figurnr.
F48

Del: C

Test: 1

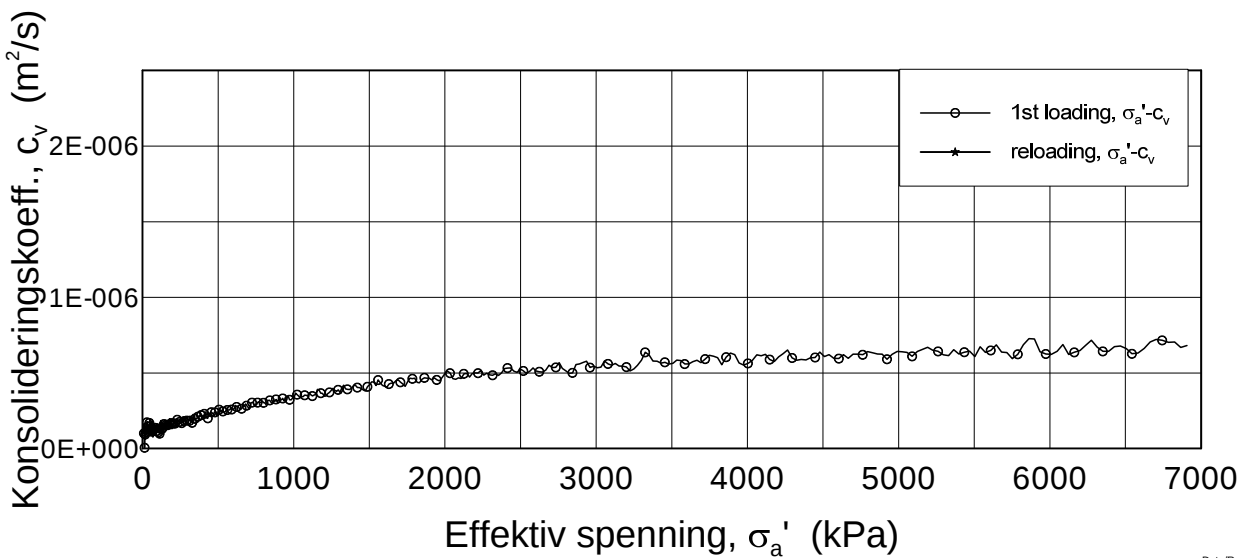
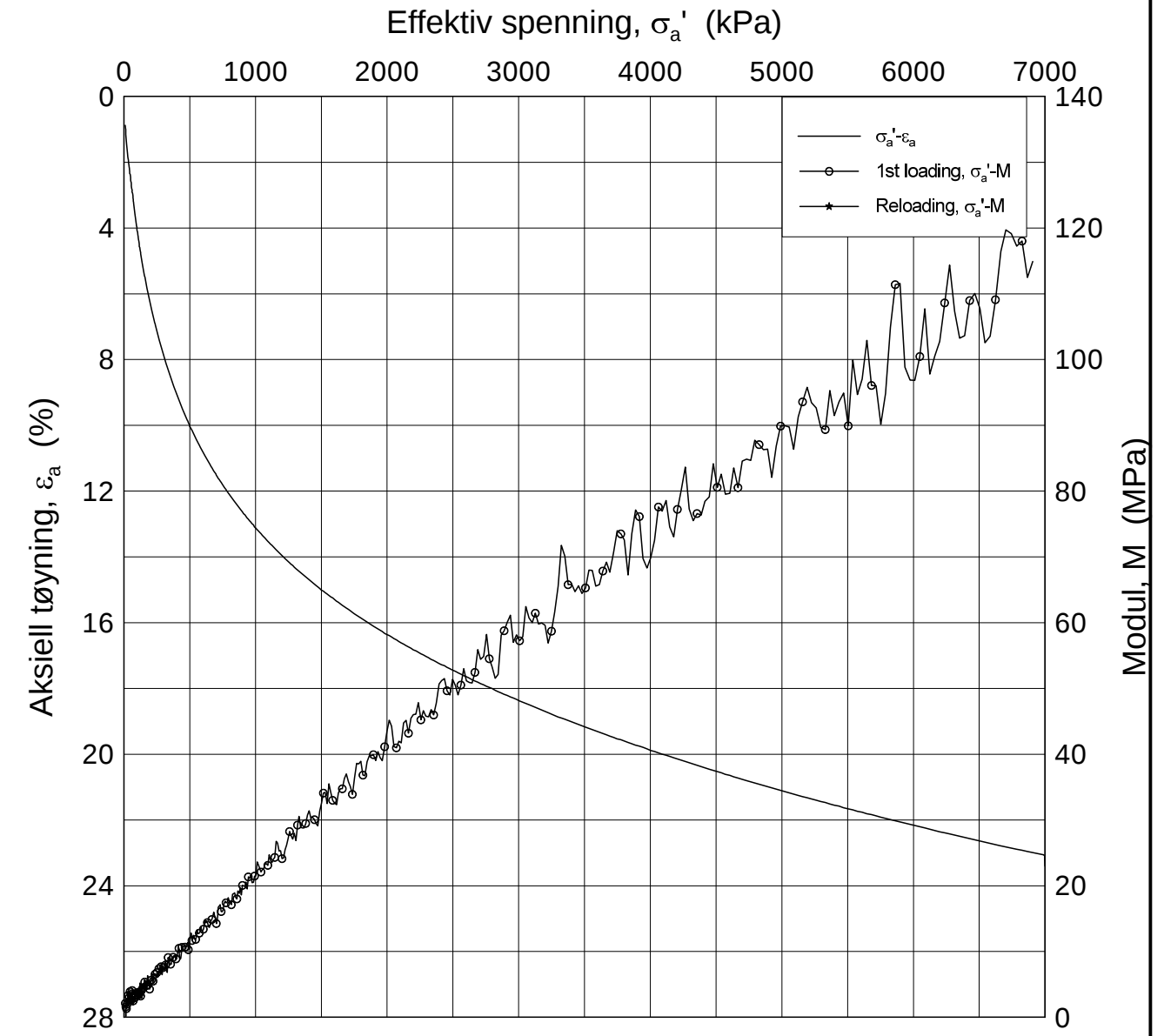
w_i = 35.96 %

Tegner
FP/




H:\LABDATA\2012\20120491\Oedom\BH2214\2214-12-C-1 log (crs2271).grf

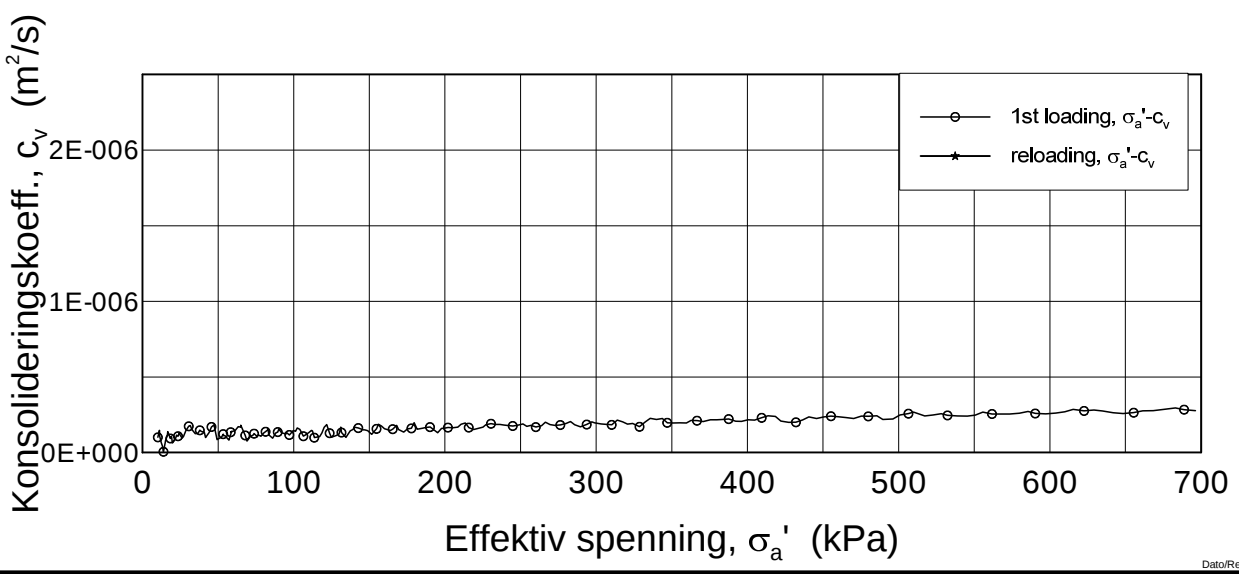
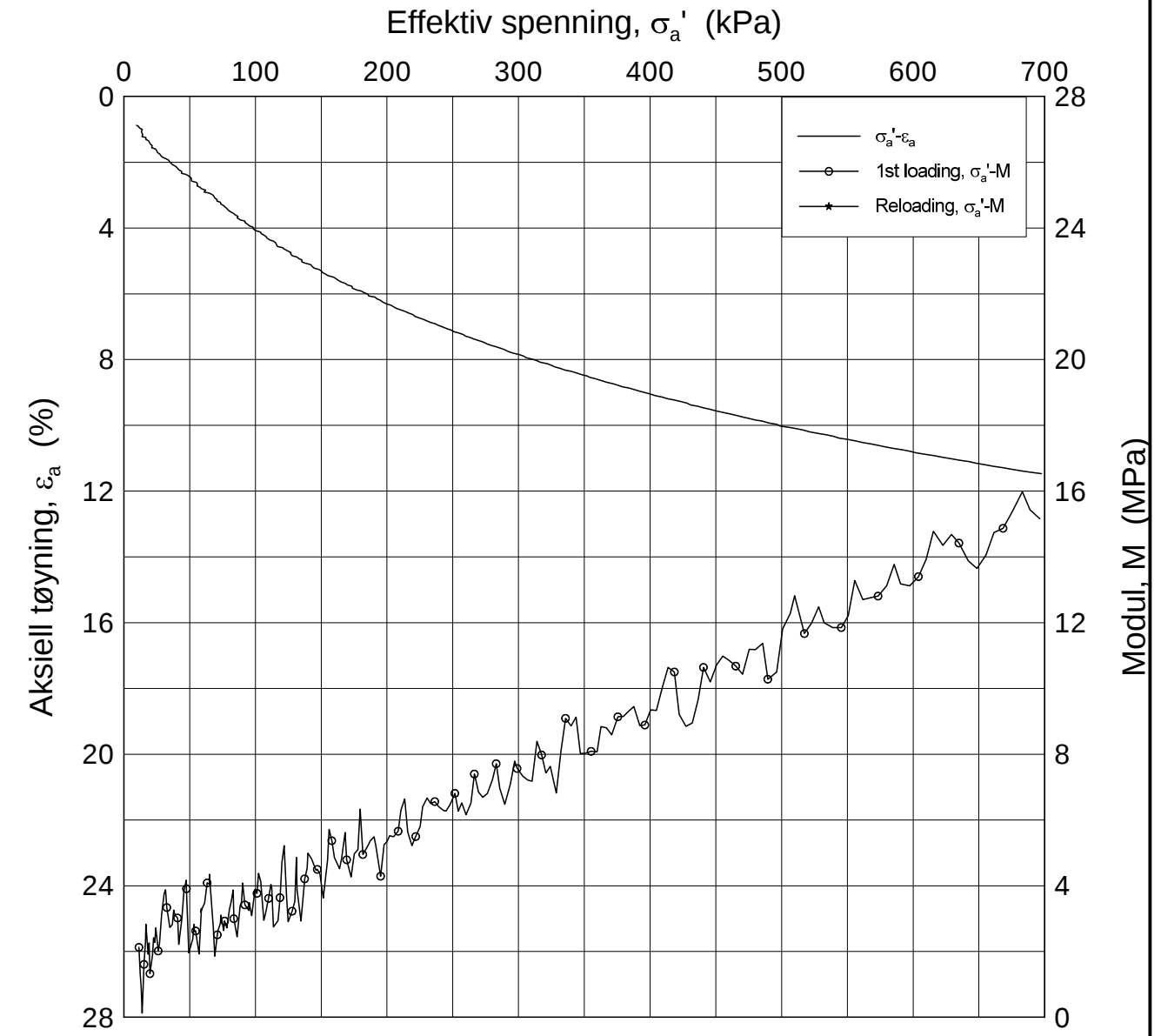
H:\LABDATA\2012\20120491\Oedom\BH2214\2214-18-B-1.lin (crs2274).gif




Dato/Rev.: 2009-09-15/4

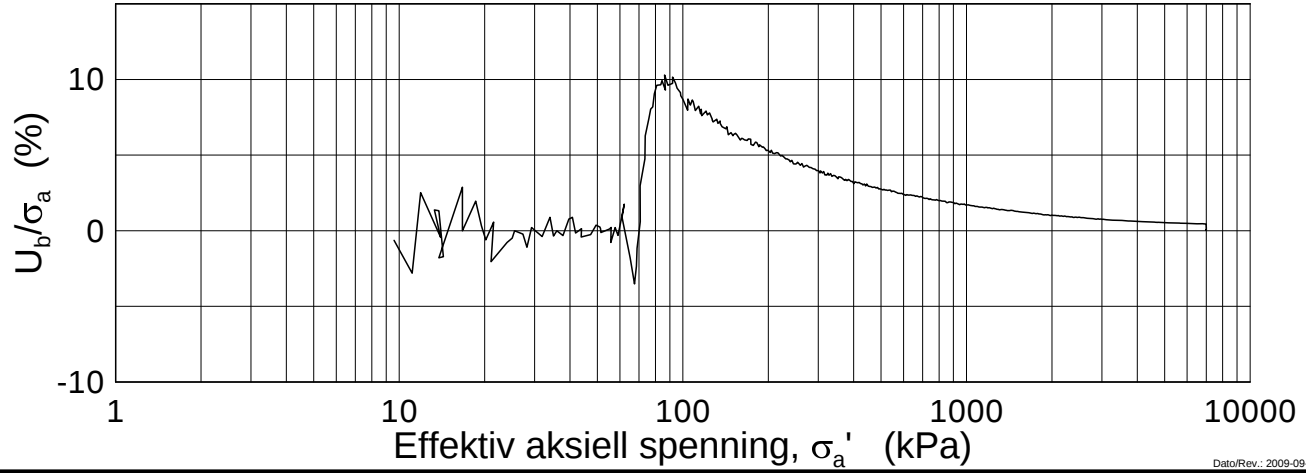
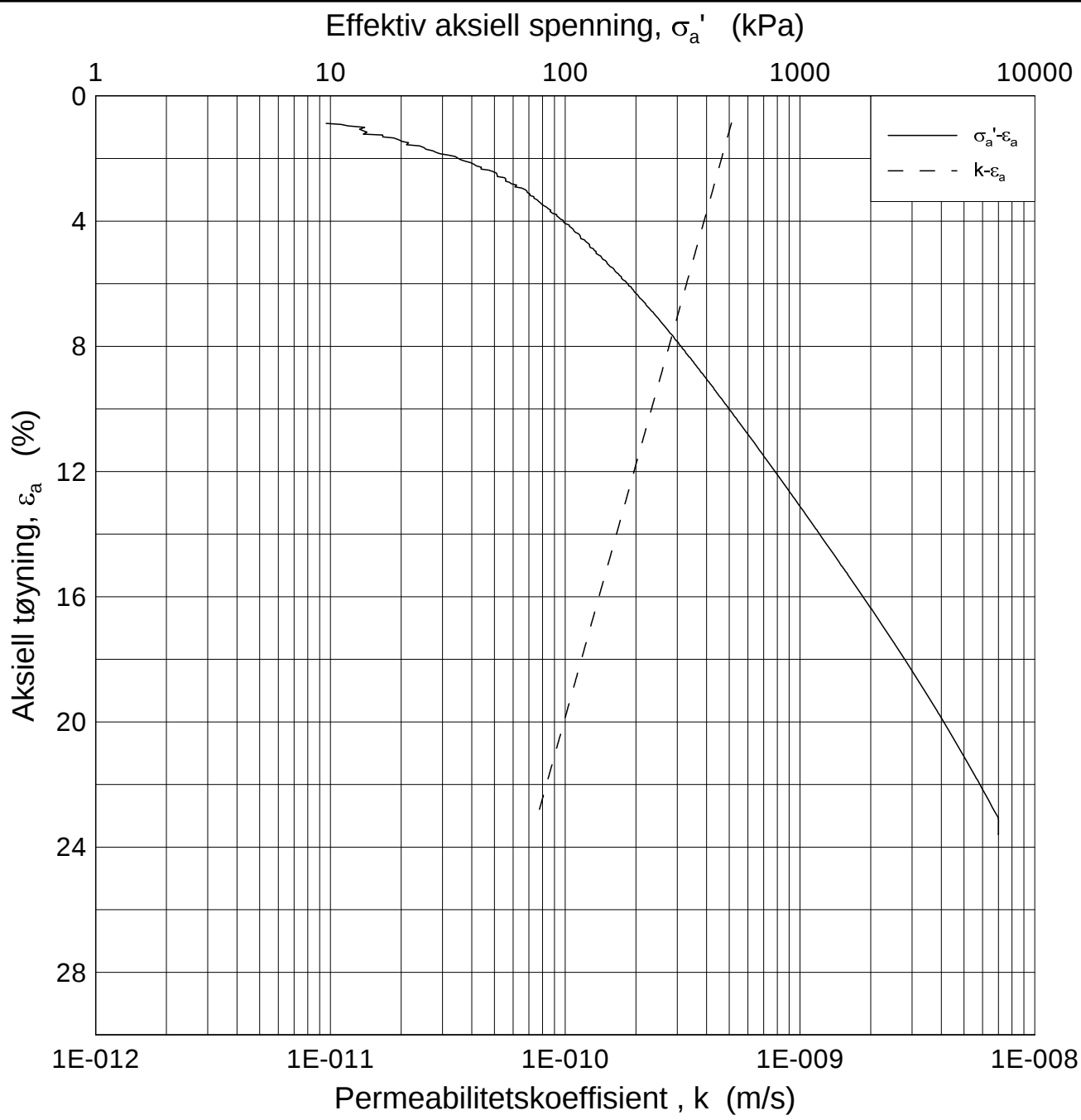
E16 Nybakk - Slomarka		Dokumentnr. 20120491-02-R
Ødometer test (CRSC)		Dato 2013-06-12
Borhull: 2214	Sylinder: 18	Figurnr. F49
Del: B	Test: 1	Tegner FP/
	Dybde = 21.30 m	
	$p'_0 = 207.6$ kPa	
	$w_i = 31.35$ %	

H:\LABDATA\2012\20120491\Oedom\BH2214\2214-18-B-1.lin-2 (crs2274).grf



Dato/Rev.: 2009-09-15/4

E16 Nybakk - Slomarka			Dokumentnr. 20120491-02-R
Ødometer test (CRSC)			Dato 2013-06-12
Borhull: 2214	Sylinder: 18	Dybde = 21.30 m	Figurnr. F50
Del: B	Test: 1	$p'_0 = 207.6$ kPa	Tegner FP/
		$w_i = 31.35$ %	



Dato/Rev.: 2009-09-15/3

E16 Nybakk - Slomarka

Dokumentnr.
20120491-02-R

Ødometer test (CRSC)

Dybde = 21.30 m

Dato
2013-06-12

Borhull: 2214

Sylinder: 18

p_o' = 207.6 kPa

Figurnr.
F51

Del: B

Test: 1

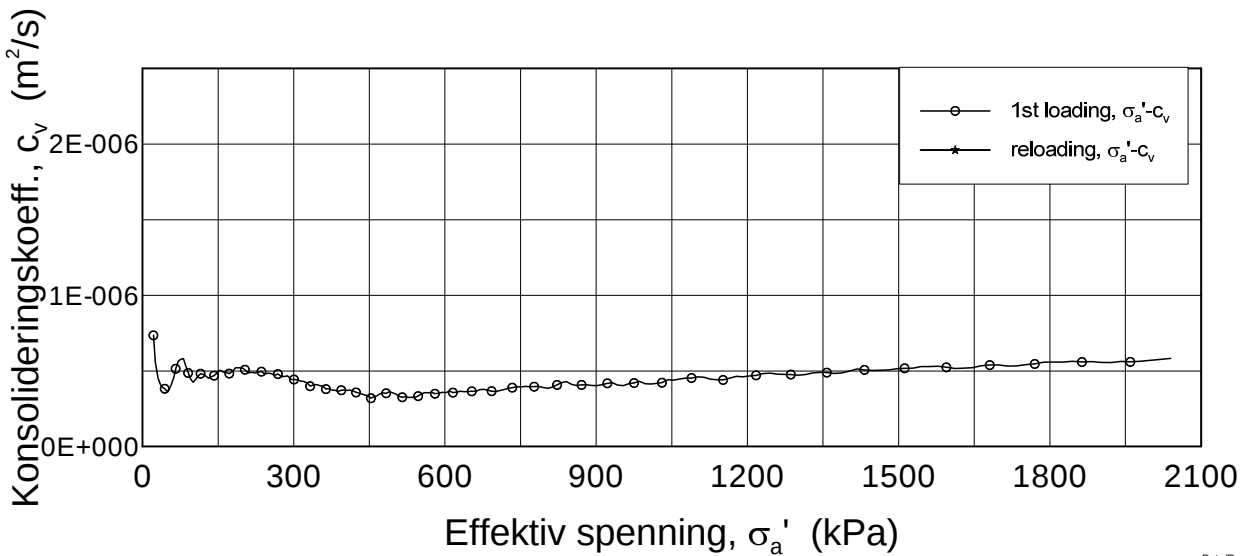
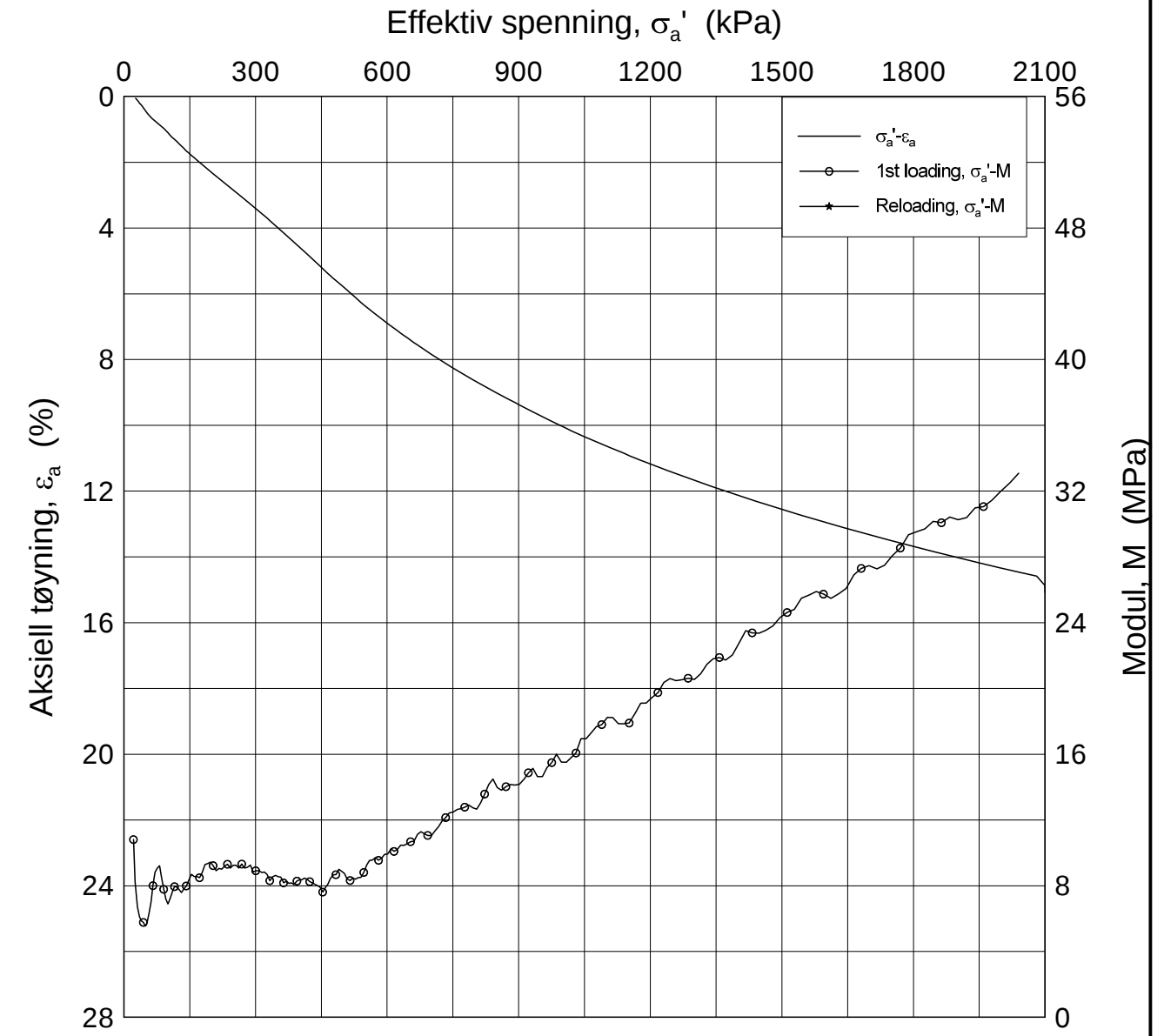
w_i = 31.35 %

Tegner
FP/




H:\LABDATA\2012\20120491\Oedom\BH2214\2214-18-B-1 log (crs2274).grf

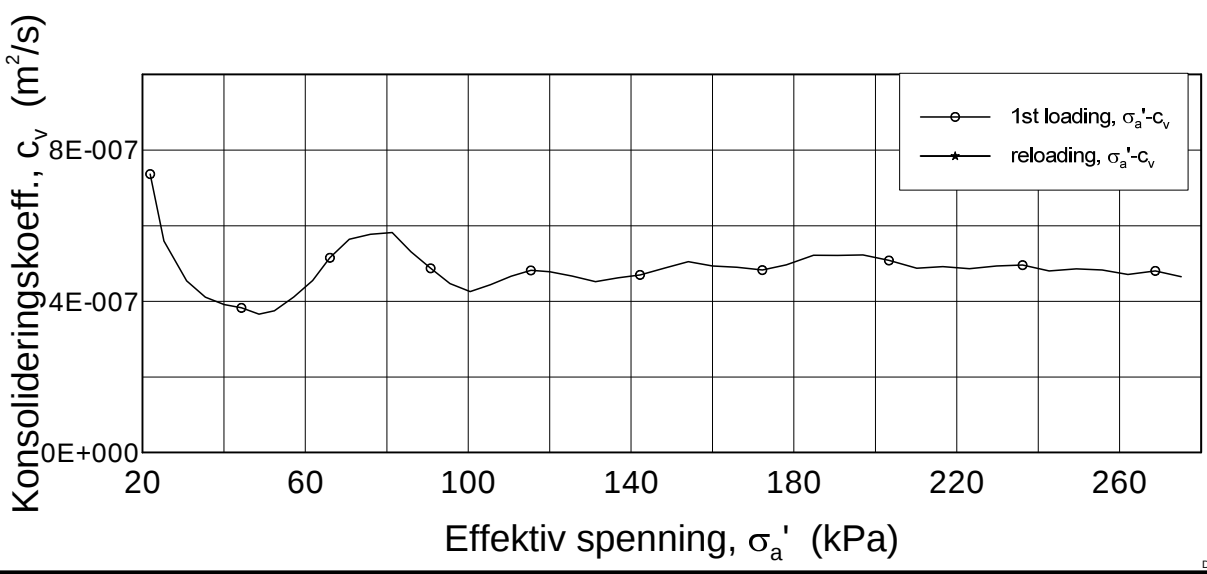
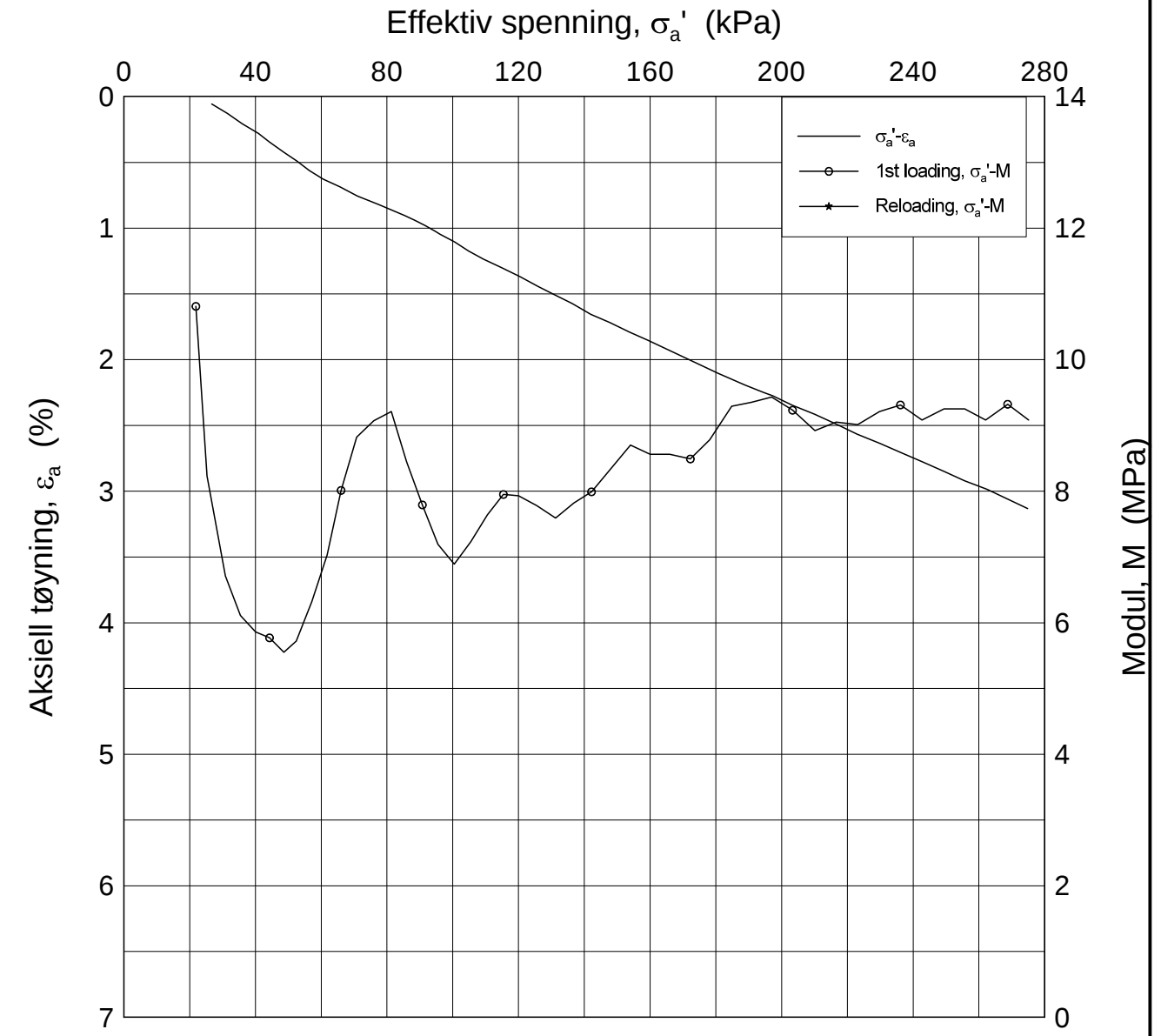
H:\LABDATA\2012\20120491\Oedom\BH2222\2222-5-D-1.lin (crs2227).grf




Dato/Rev: 2009-09-15/4

E16 Nybakk - Slomarka			Dokumentnr. 20120491-02-R
Ødometer test (CRSC)			Dato 2013-04-29
Borhull: 2222	Sylinder: 5	Dybde = 5.63 m	Figurnr. F52
Del: D	Test: 1	$p'_0 = 86.6$ kPa	Tegner FI/
		$w_i = 38.33$ %	

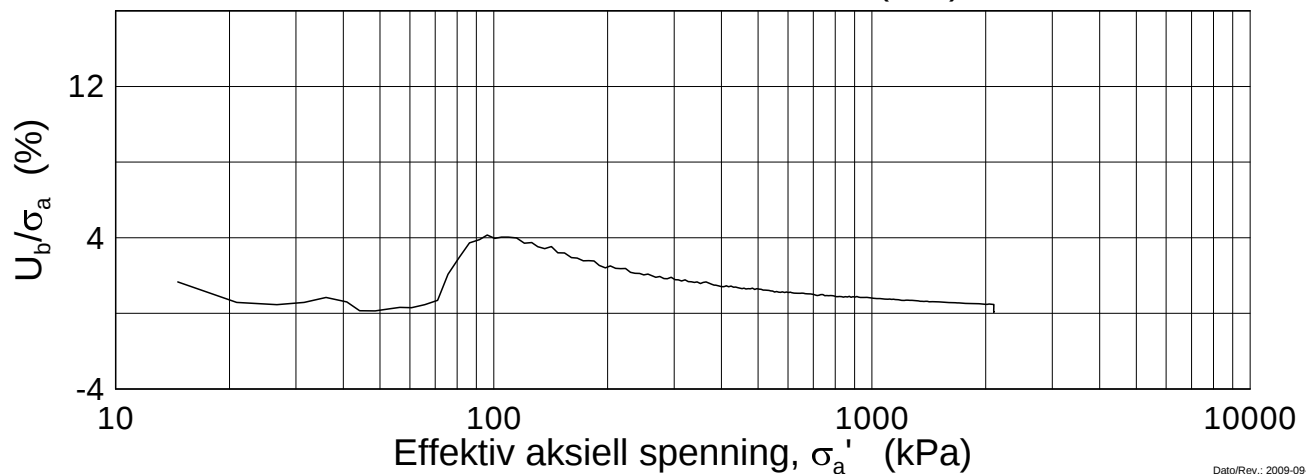
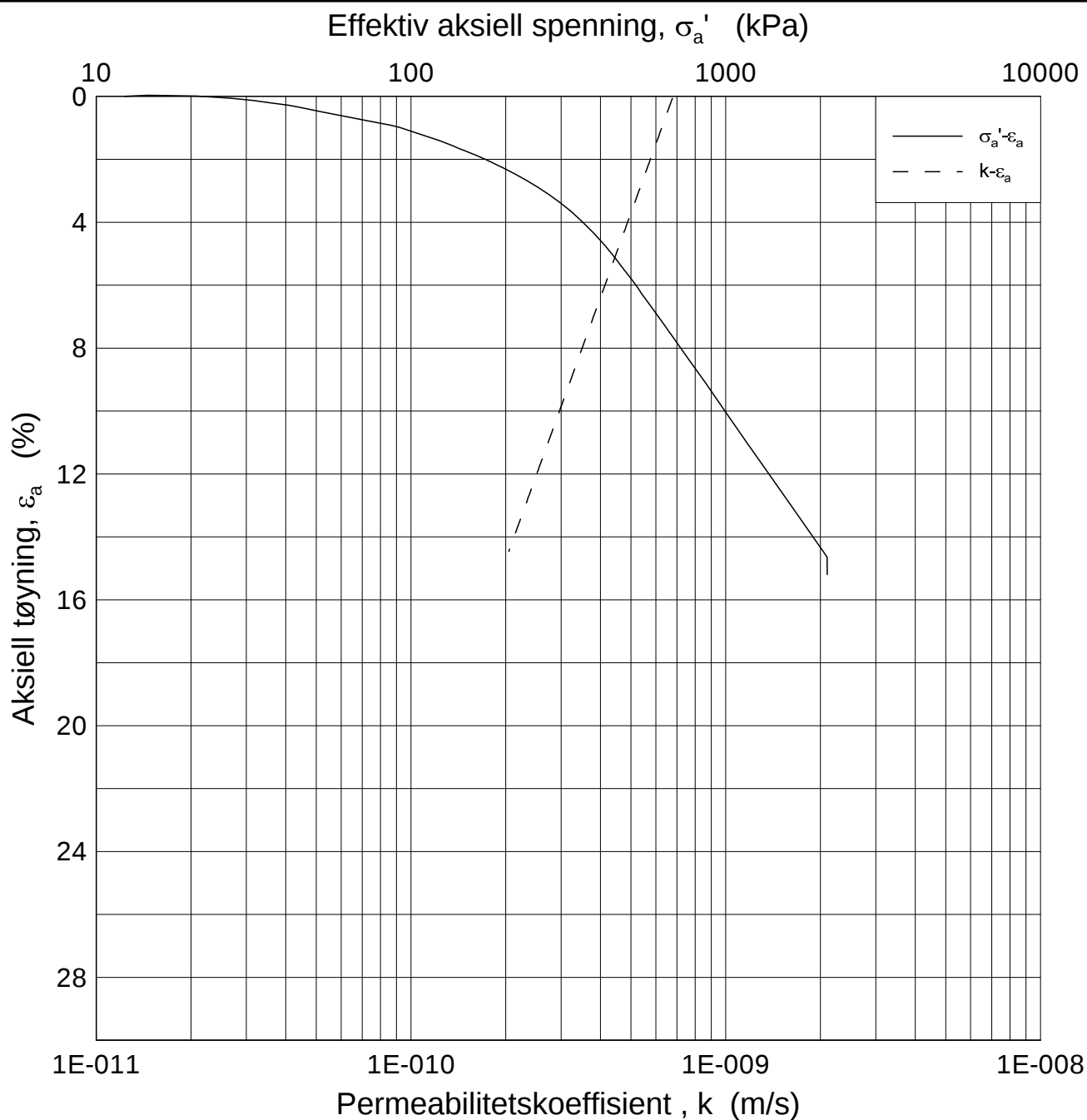
H:\LABDATA\2012\20120491\Oedom\BH2222\2222-5-D-1.lin-2 (crs2227).grf




Dato/Rev.: 2009-09-15/4

E16 Nybakk - Slomarka			Dokumentnr. 20120491-02-R
Ødometer test (CRSC)			Dato 2013-04-29
Borhull: 2222	Sylinder: 5	Dybde = 5.63 m	Figurnr. F53
Del: D	Test: 1	$p'_0 = 86.6$ kPa	Tegner FI
		$w_i = 38.33$ %	

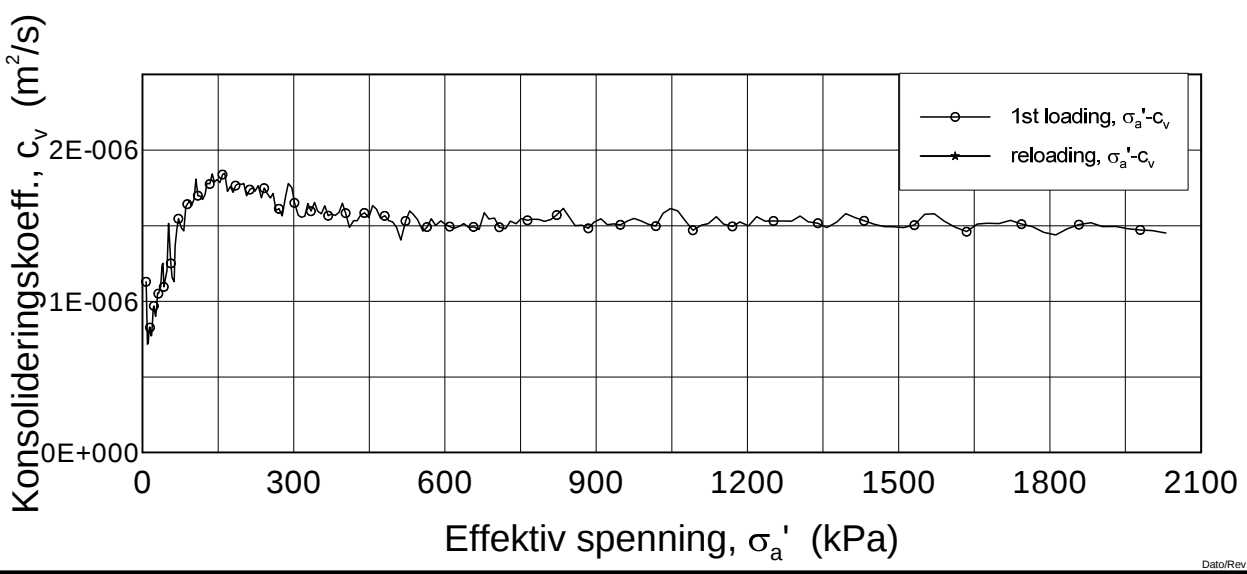
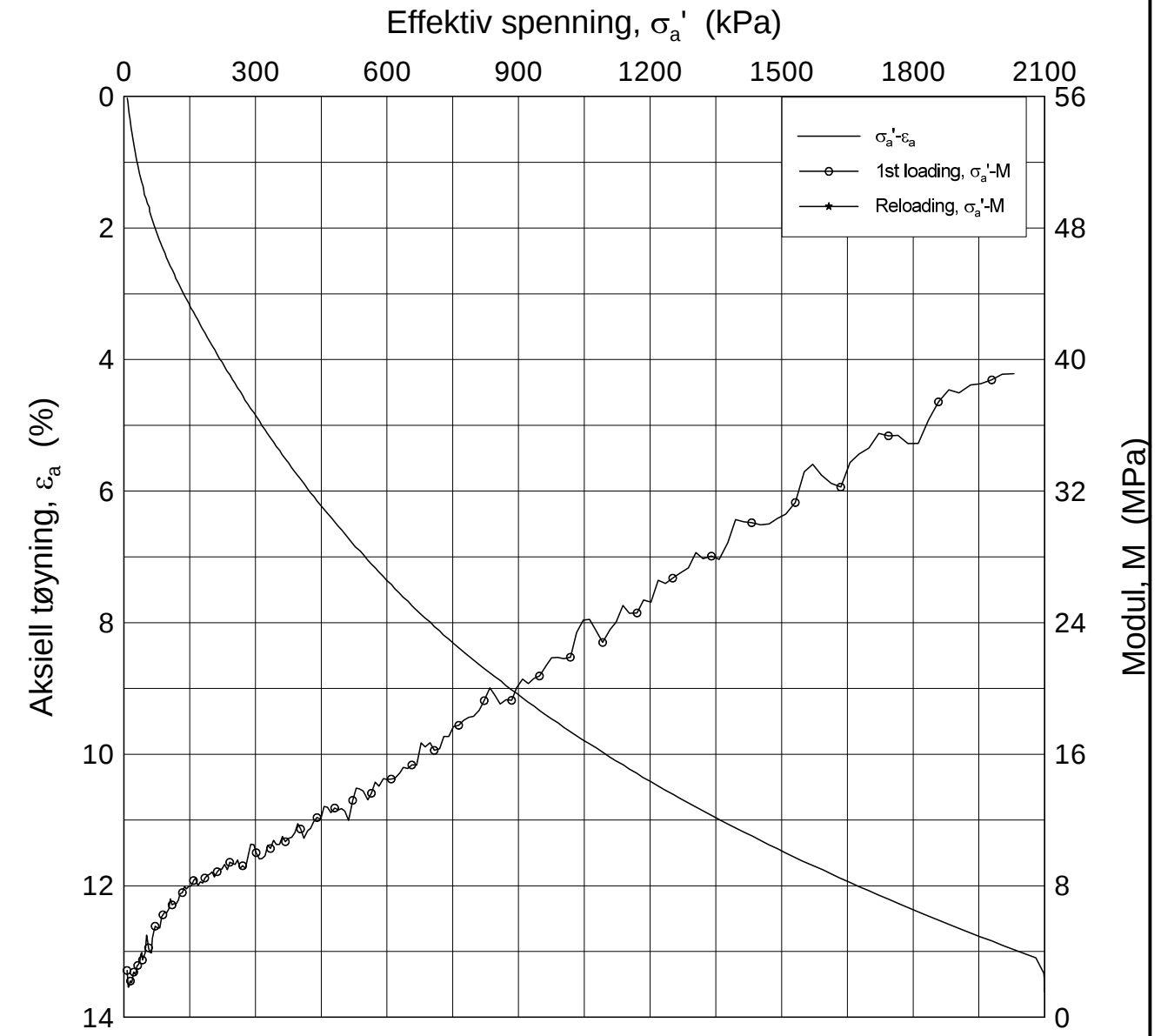
H:\LABDATA\2012\20120491\Oedom\BH2222\2222-5-D-1.log (crs2227).grf




Dato/Rev.: 2009-09-15/3

E16 Nybakk - Slomarka			Dokumentnr. 20120491-02-R
Ødometer test (CRSC)			Dato 2013-04-29
Borhull: 2222	Sylinder: 5	Dybde = 5.63 m	Figurnr. F54
Del: D	Test: 1	$p_o' = 86.6$ kPa	Tegner FI
		$w_i = 35.86$ %	

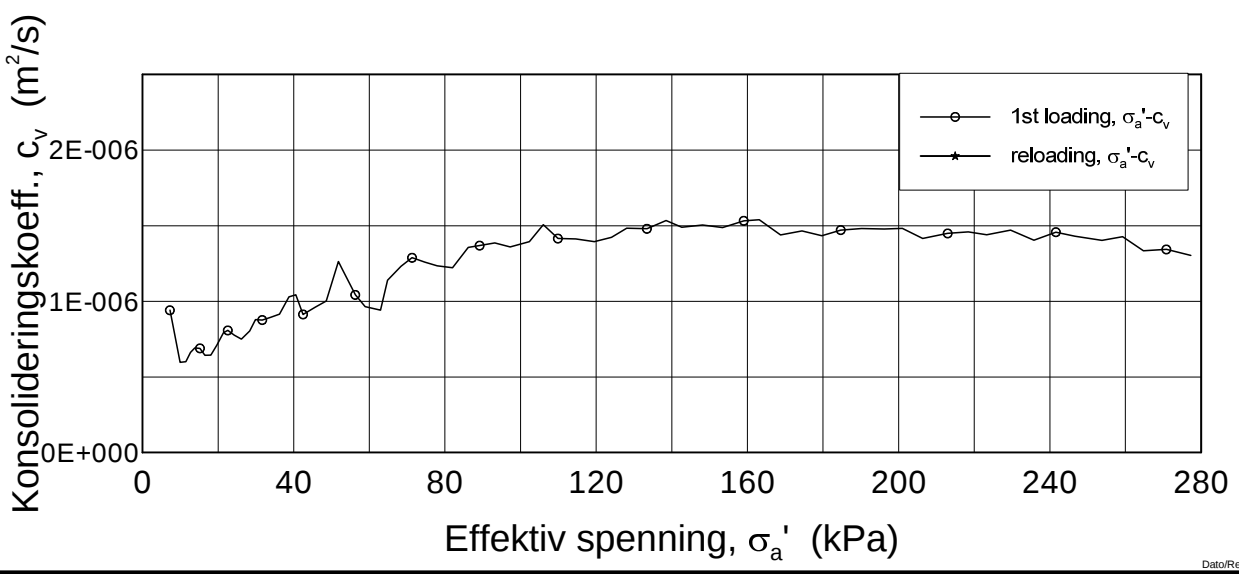
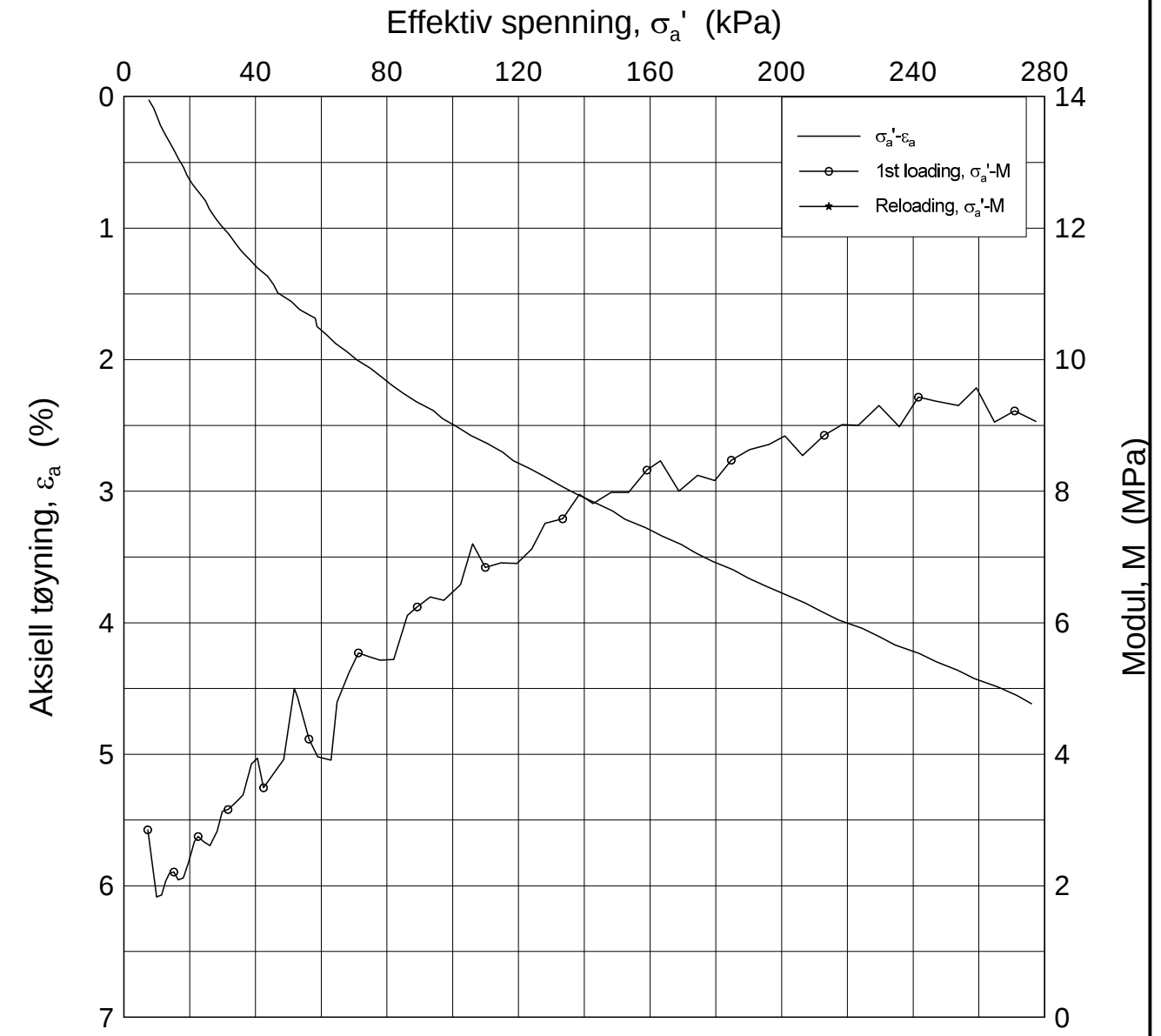
H:\LABDATA\2012\20120491\Oedom\BH2222\2222-10-D-1.lin (crs2231).gif



Dato/Rev.: 2009-09-15/4

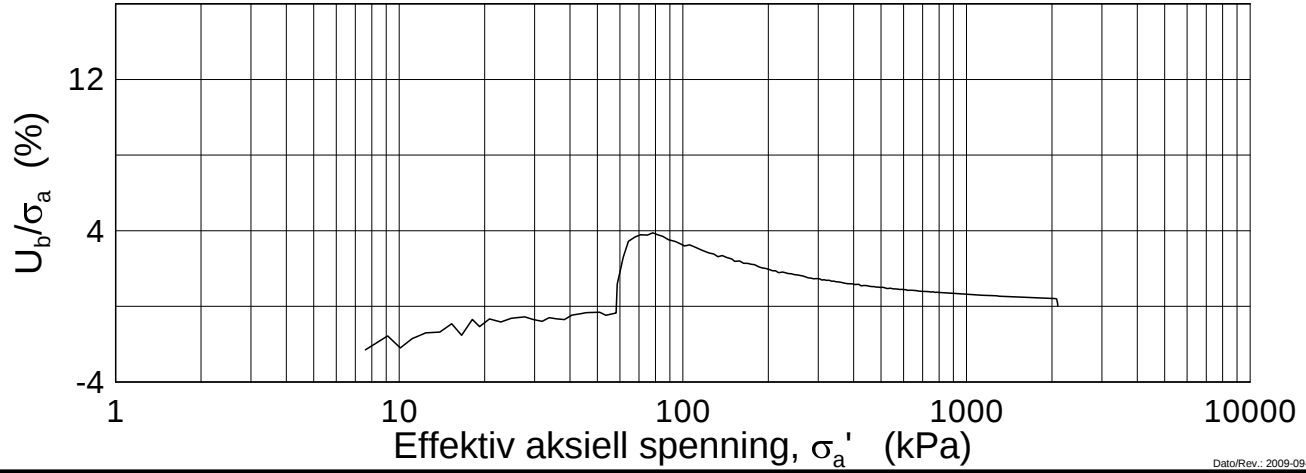
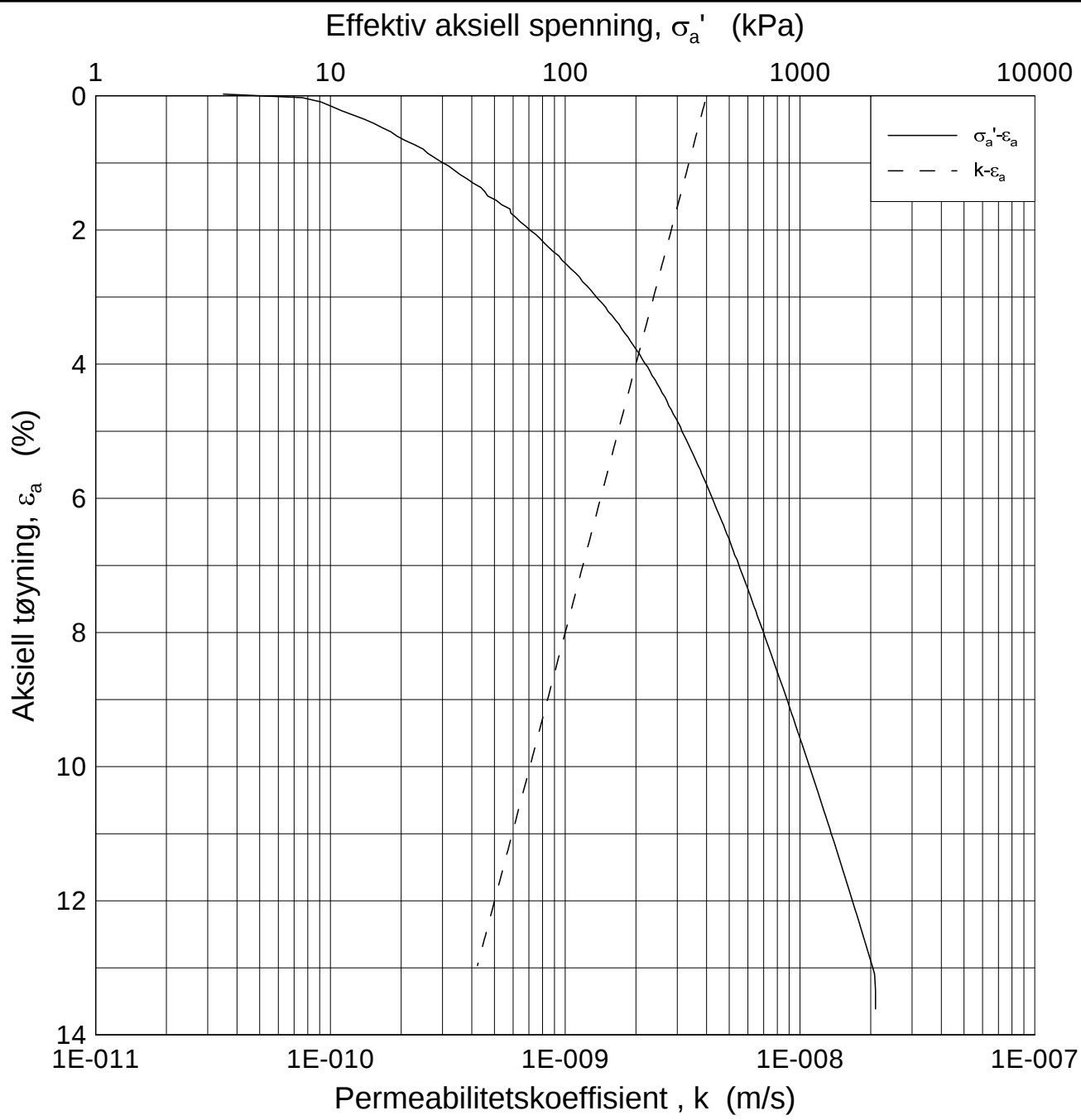
E16 Nybakk - Slomarka			Dokumentnr. 20120491-02-R
Ødometer test (CRSC)			Dato 2013-04-29
Borhull: 2222	Sylinder: 10	Dybde = 10.60 m	Figurnr. F55
Del: D	Test: 1	$p'_0 = 118.6$ kPa	Tegner FI/
		$w_i = 33.06$ %	

H:\LABDATA\2012\20120491\Oedom\BH2222\2222-10-D-1 lin-2 (crs2231).grf



Dato/Rev.: 2009-09-15/4

E16 Nybakk - Slomarka			Dokumentnr. 20120491-02-R
Ødometer test (CRSC)			Dato 2013-04-29
Borhull: 2222	Sylinder: 10	Dybde = 10.60 m	Figurnr. F56
Del: D	Test: 1	$p'_0 = 118.6$ kPa	Tegner FI
		$w_i = 33.06$ %	



Dato/Rev.: 2009-09-15/3

E16 Nybakk - Slomarka

Dokumentnr.
20120491-02-R

Ødometer test (CRSC)

Dybde = 10.60 m

Dato
2013-04-29

Borhull: 2222

Sylinder: 10

p_o' = 118.6 kPa

Figurnr.
F57

Del: D

Test: 1

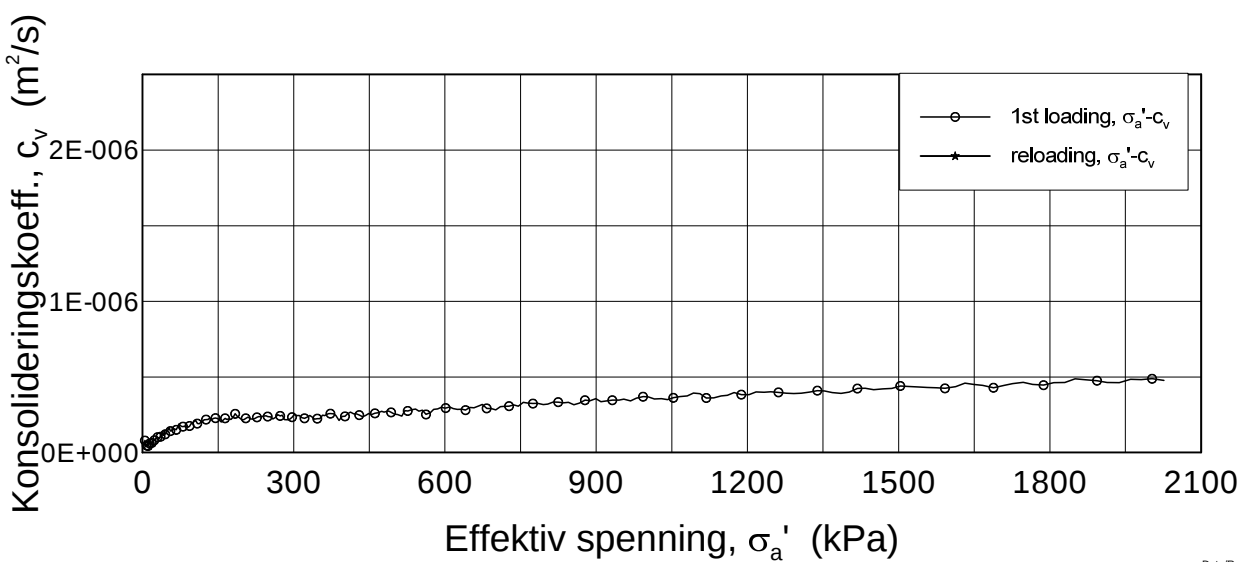
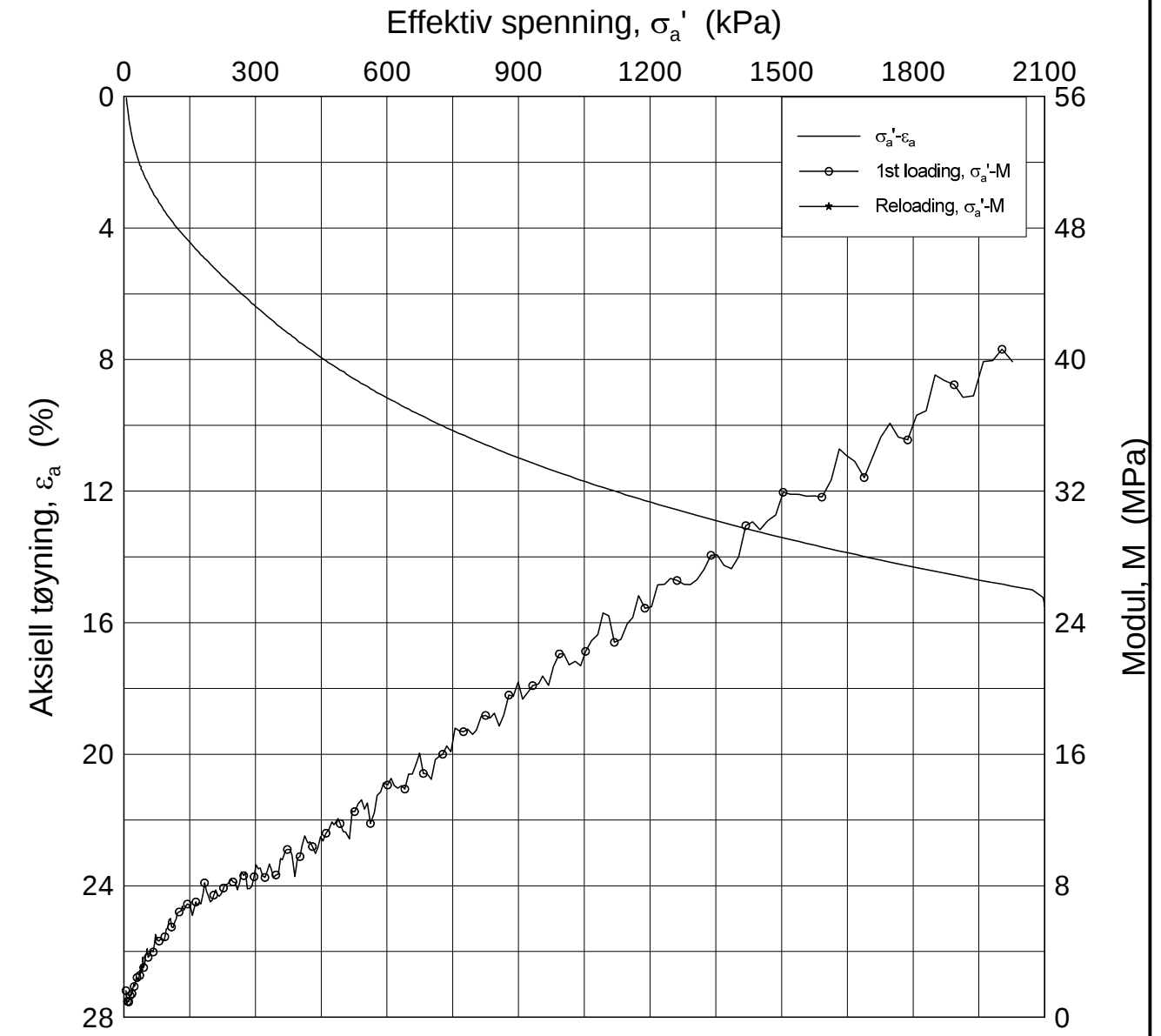
w_i = 33.06 %

Tegner
FI




H:\LABDATA\A\2012\20120491\Oedom\BH2222\2222-10-D-1 log (crs2231).grf

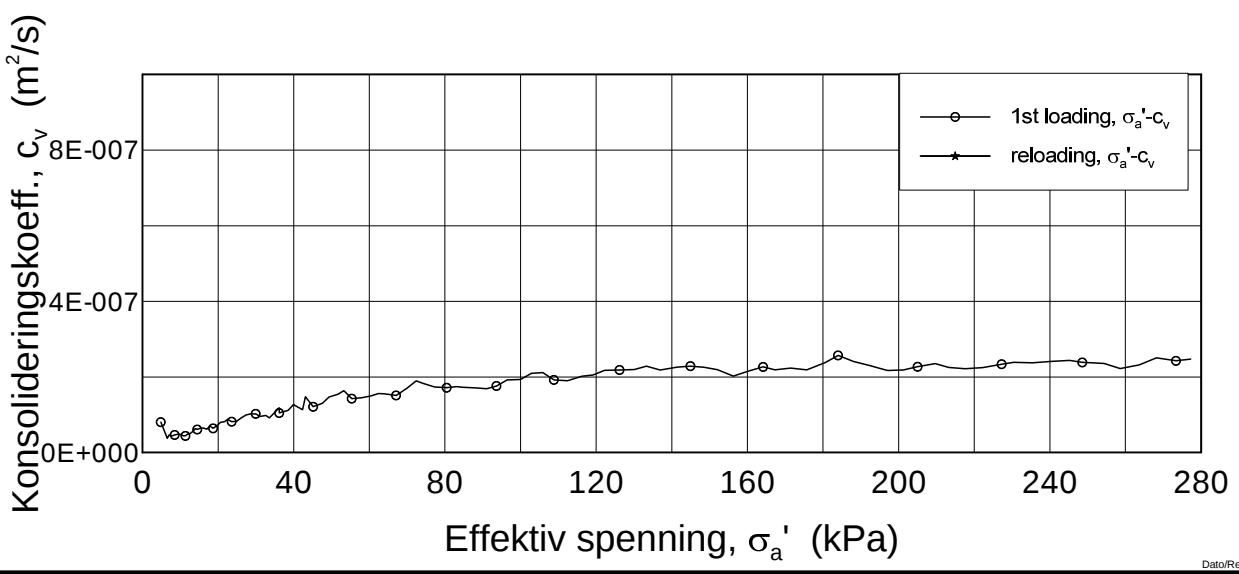
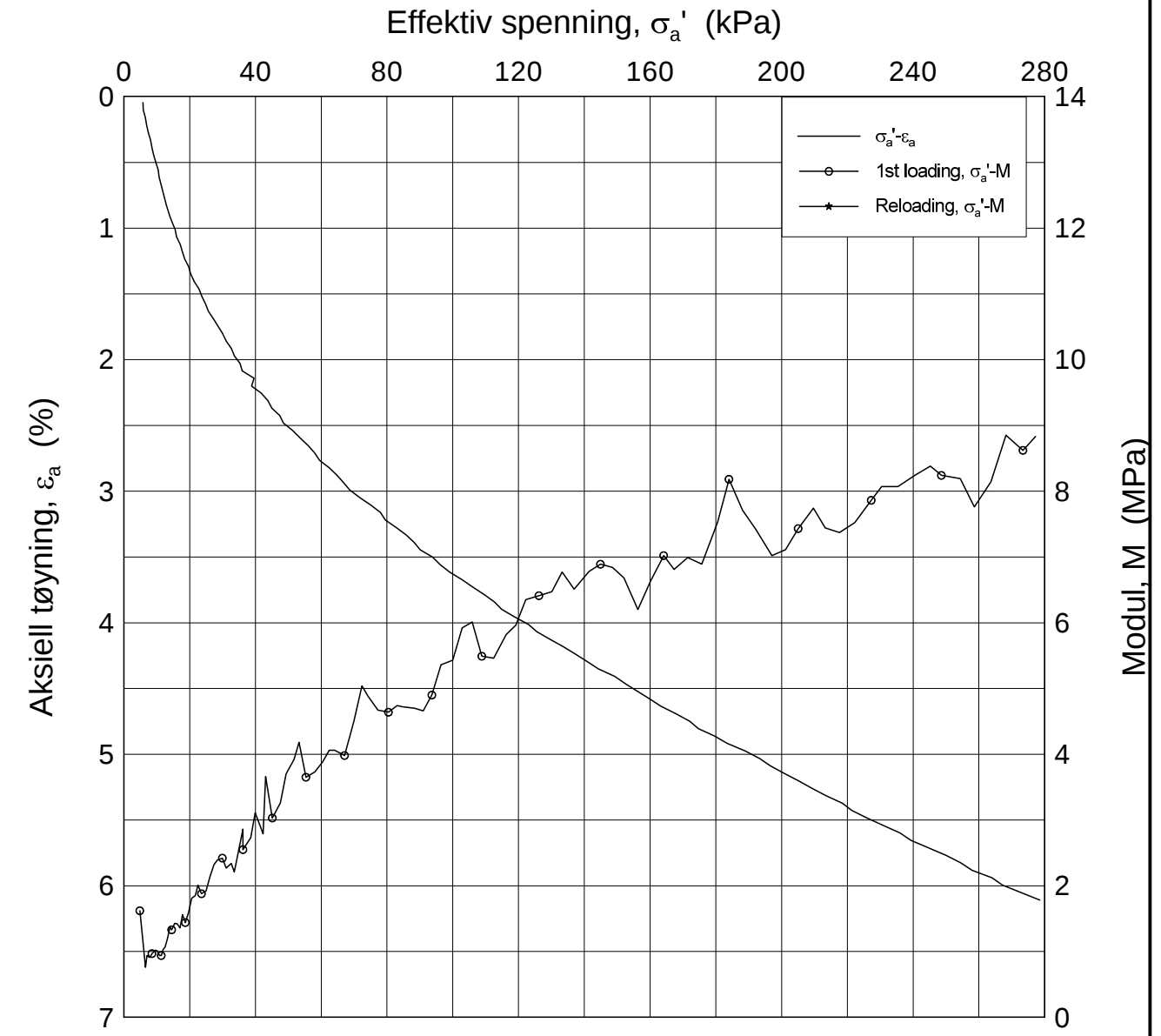
H:\LABDATA\2012\20120491\Oedom\BH2222\2222-15-D-1.lin (crs2237).gif




Dato/Rev.: 2009-09-15/4

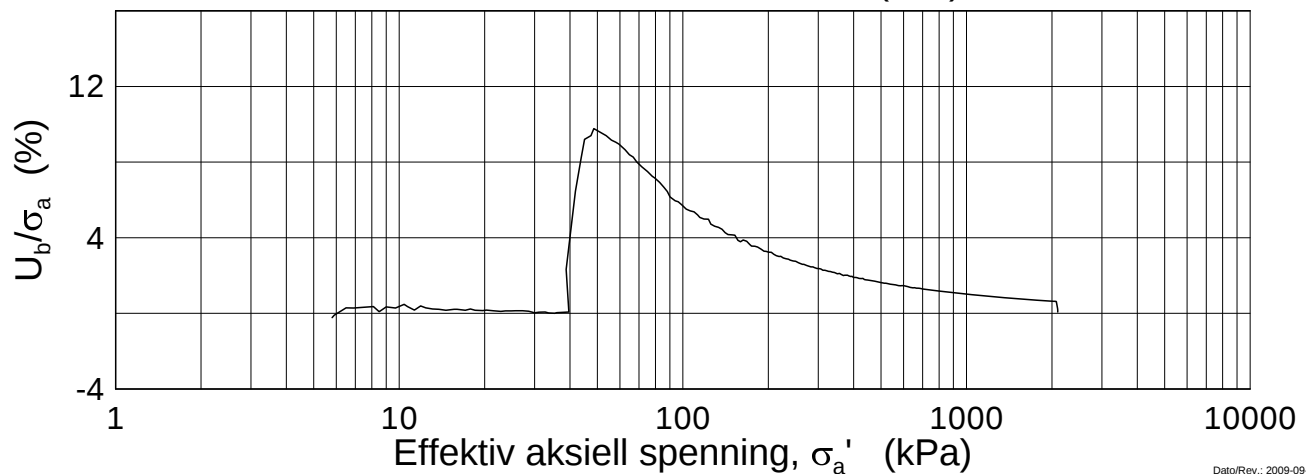
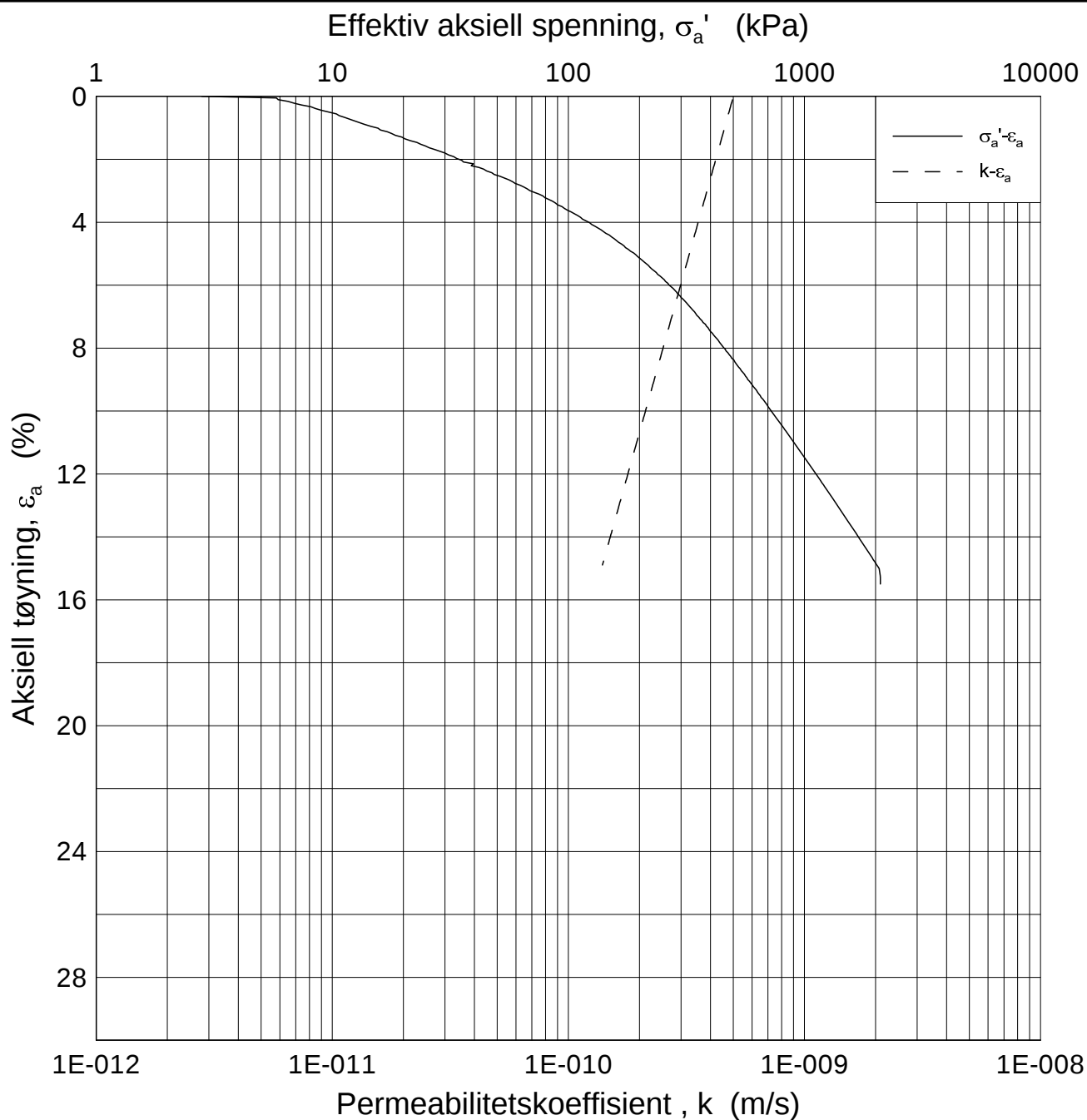
E16 Nybakk - Slomarka			Dokumentnr. 20120491-02-R
Ødometer test (CRSC)			Dato 2013-04-29
Borhull: 2222	Sylinder: 15	Dybde = 17.63 m	Figurnr. F58
Del: D	Test: 1	$p'_0 = 181.6$ kPa	Tegner GS/
		$w_i = 35.86$ %	

H:\LABDATA\2012\20120491\Oedom\BH2222\2222-15-D-1 lin-2 (crs2237).grf



Dato/Rev.: 2009-09-15/4

E16 Nybakk - Slomarka		Dokumentnr. 20120491-02-R
Ødometer test (CRSC)		Dato 2013-04-29
Borhull: 2222	Sylinder: 15	Figurnr. F59
Del: D	Test: 1	Tegner GS/
	Dybde = 17.63 m	
	p'_0 = 181.6 kPa	
	w_i = 35.86 %	



Dato/Rev.: 2009-09-15/3

E16 Nybakk - Slomarka

Dokumentnr.
20120491-02-R

Ødometer test (CRSC)

Dybde = 17.83 m

Dato
2013-04-29

Borhull: 2222

Sylinder: 15

p'_o = 181.6 kPa

Figurnr.
F60

Del: D

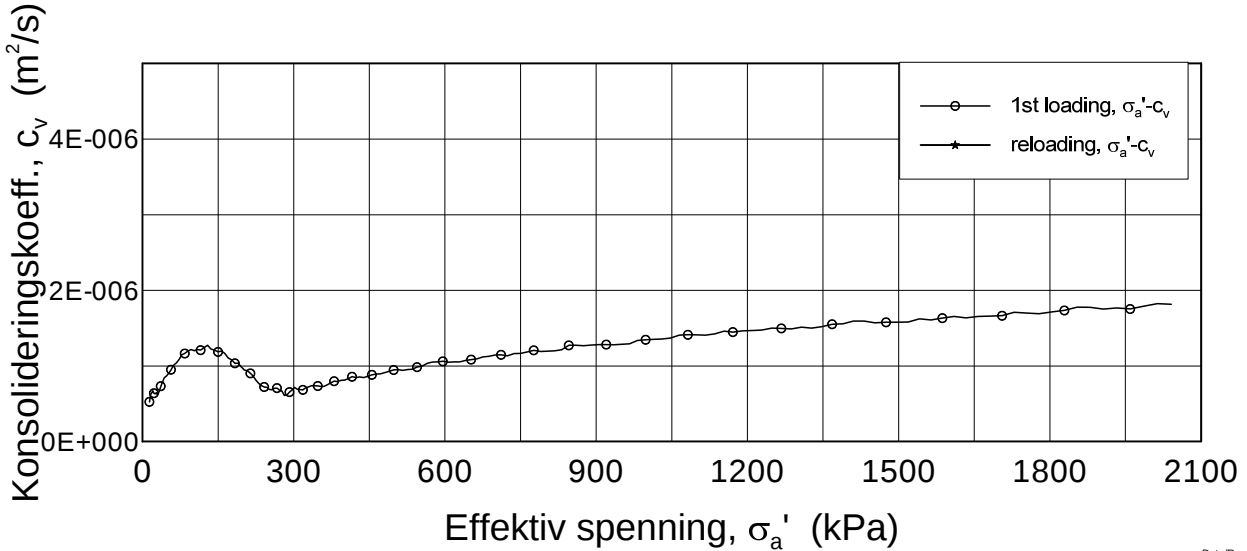
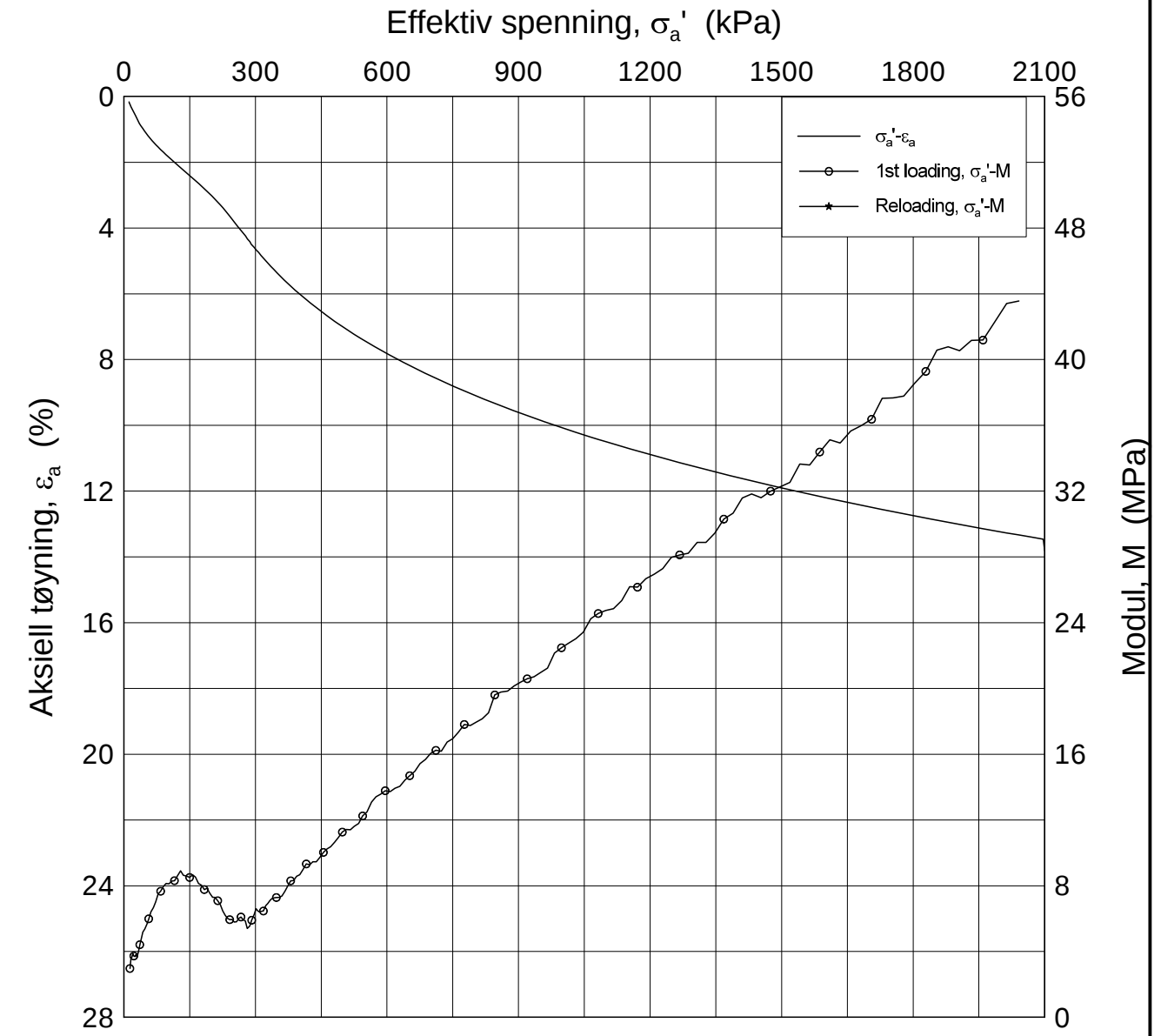
Test: 1

w_i = 35.86 %

Tegner
GS/



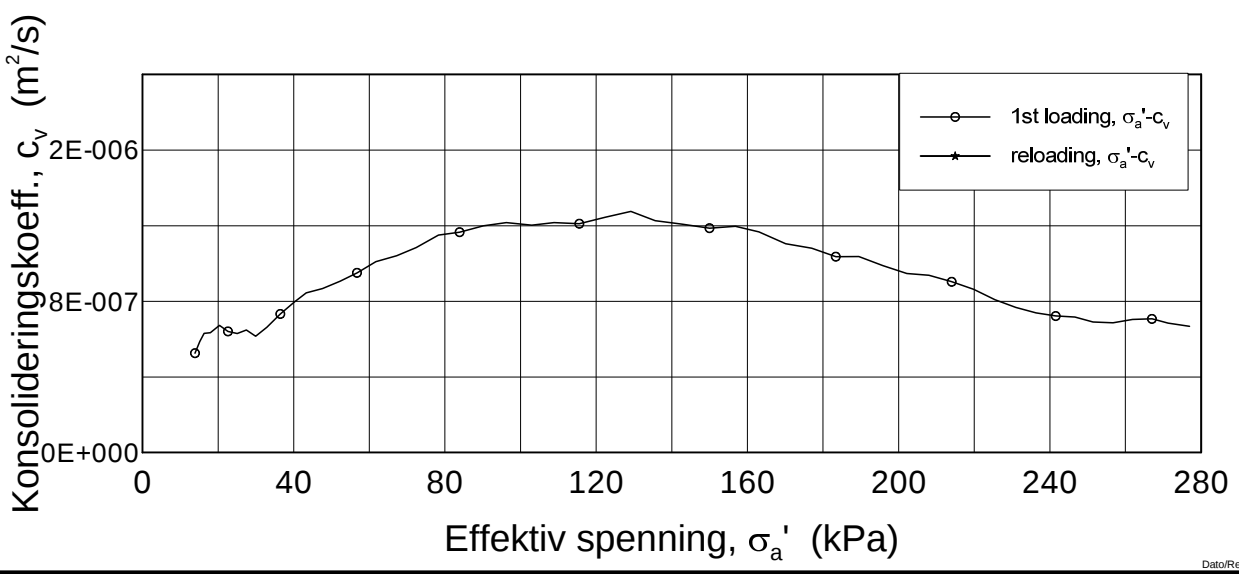
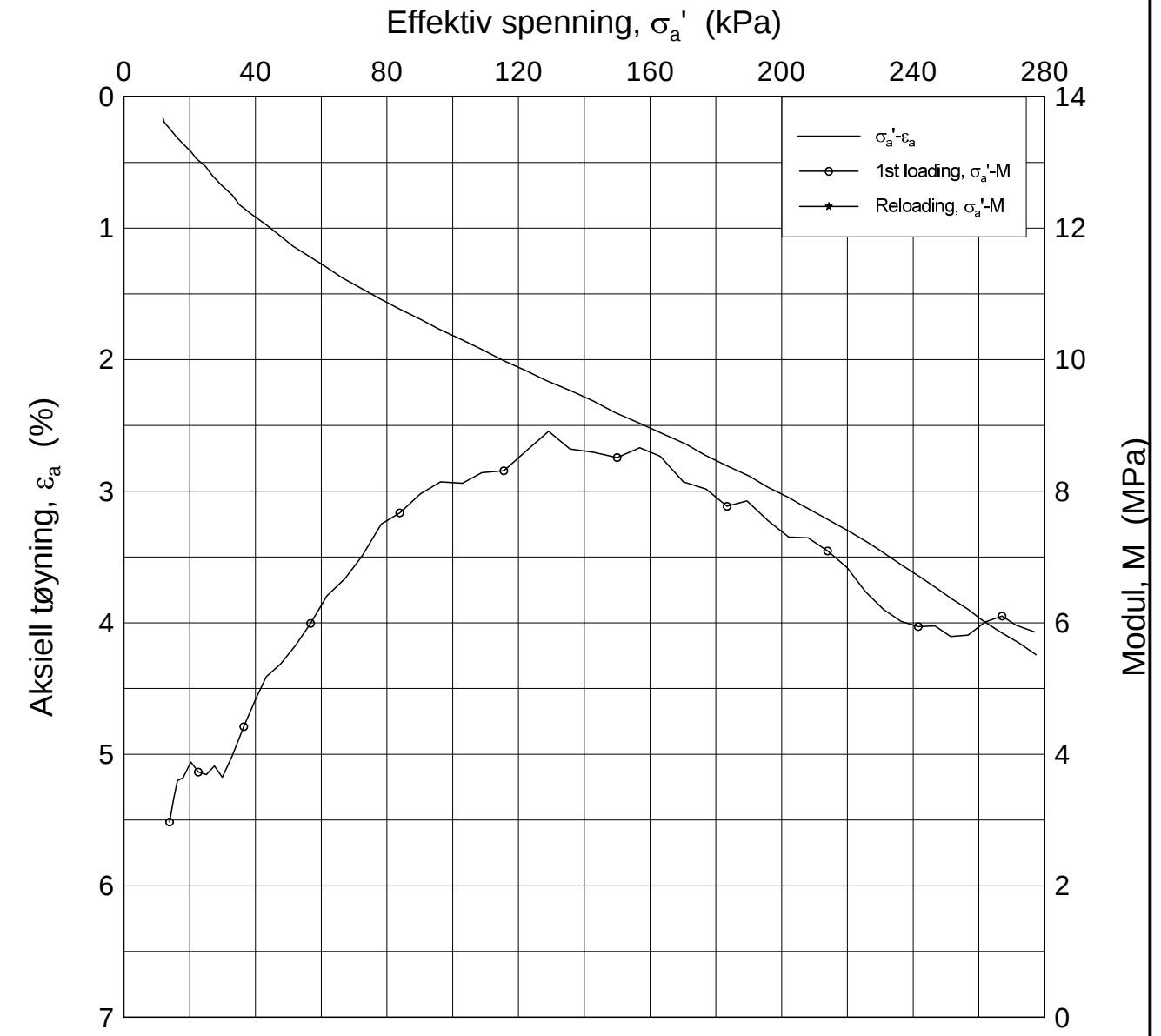
H:\LABDATA\2012\20120491\Oedom\BH2264\2264-5-D-1.lin (crs2226).grf



Dato/Rev.: 2009-09-15/4

E16 Nybakk - Slomarka			Dokumentnr. 20120491-02-R
Ødometer test (CRSC)			Dato 2013-04-29
Borhull: 2264	Sylinder: 5	Dybde = 5.62 m	Figurnr. F61
Del: D	Test: 1	$p'_0 = 78.6$ kPa	Tegner FI/
		$w_i = 31.00$ %	

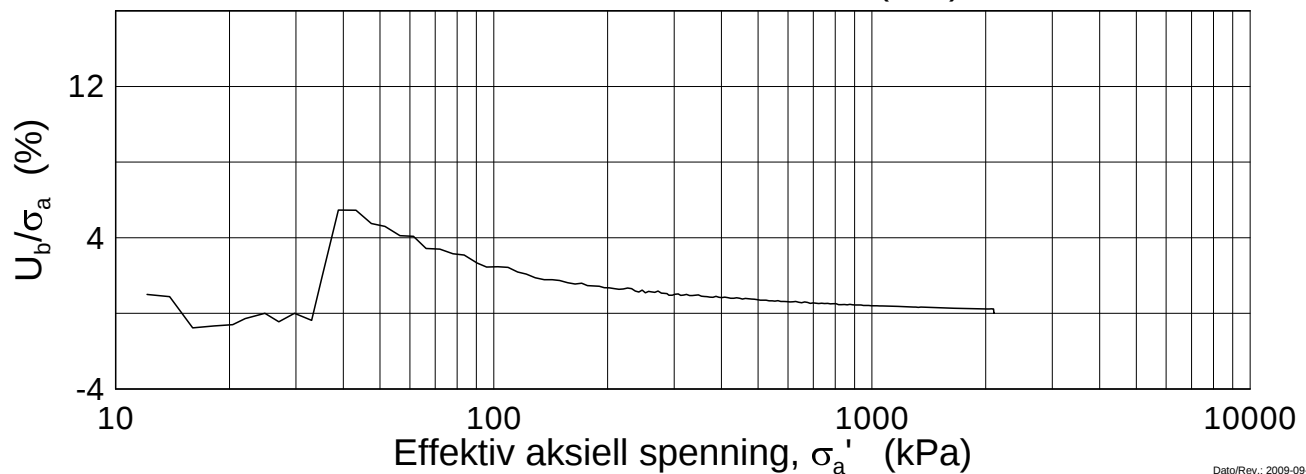
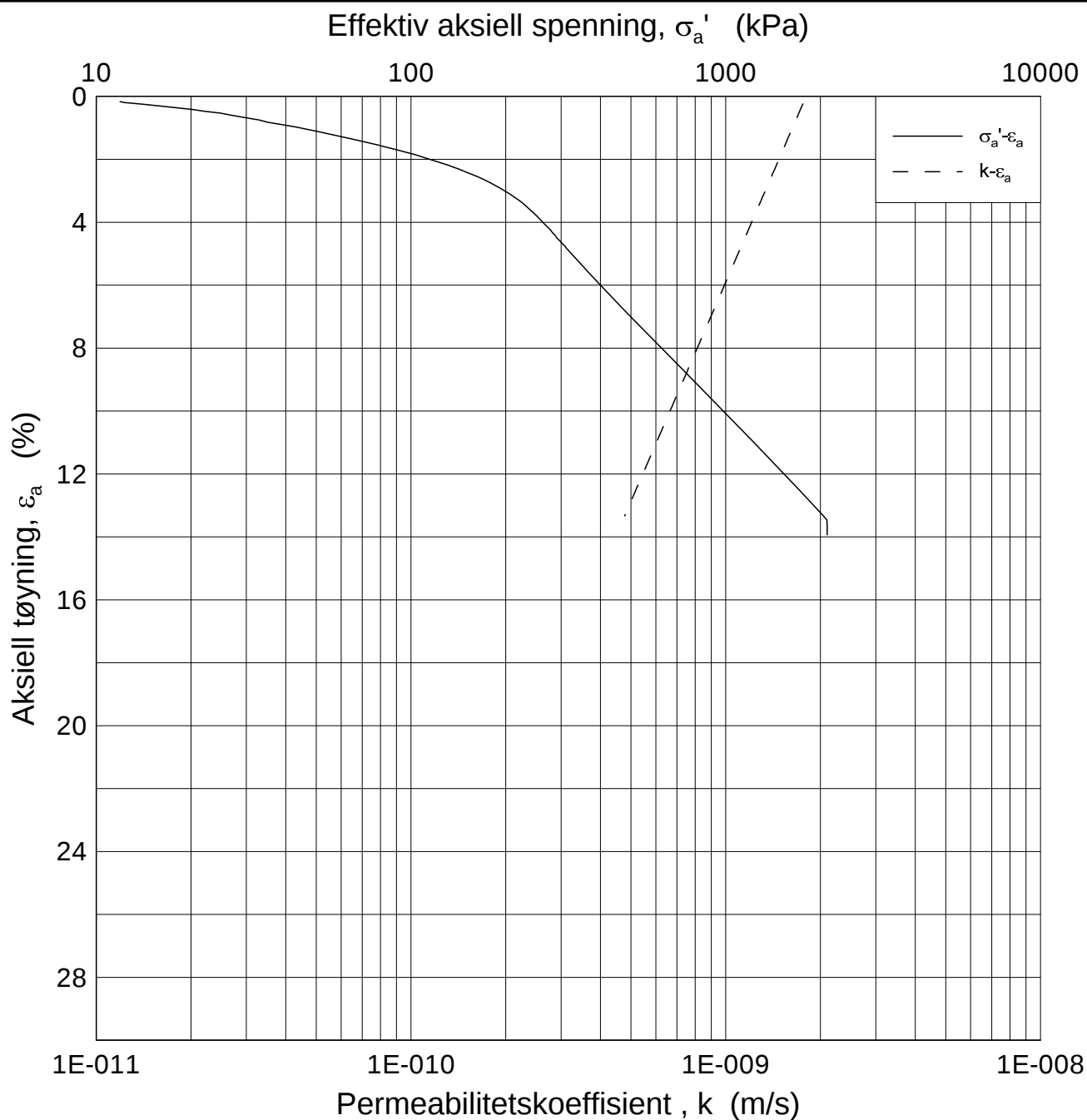
H:\LABDATA\2012\20120491\Oedom\BH2264\2264-5-D-1.lin-2 (crs2226).grf




Dato/Rev.: 2009-09-15/4

E16 Nybakk - Slomarka			Dokumentnr. 20120491-02-R
Ødometer test (CRSC)			Dato 2013-04-29
Borhull: 2264	Sylinder: 5	Dybde = 5.62 m	Figurnr. F62
Del: D	Test: 1	$p'_0 = 78.6$ kPa	Tegner FI
		$w_i = 31.00$ %	

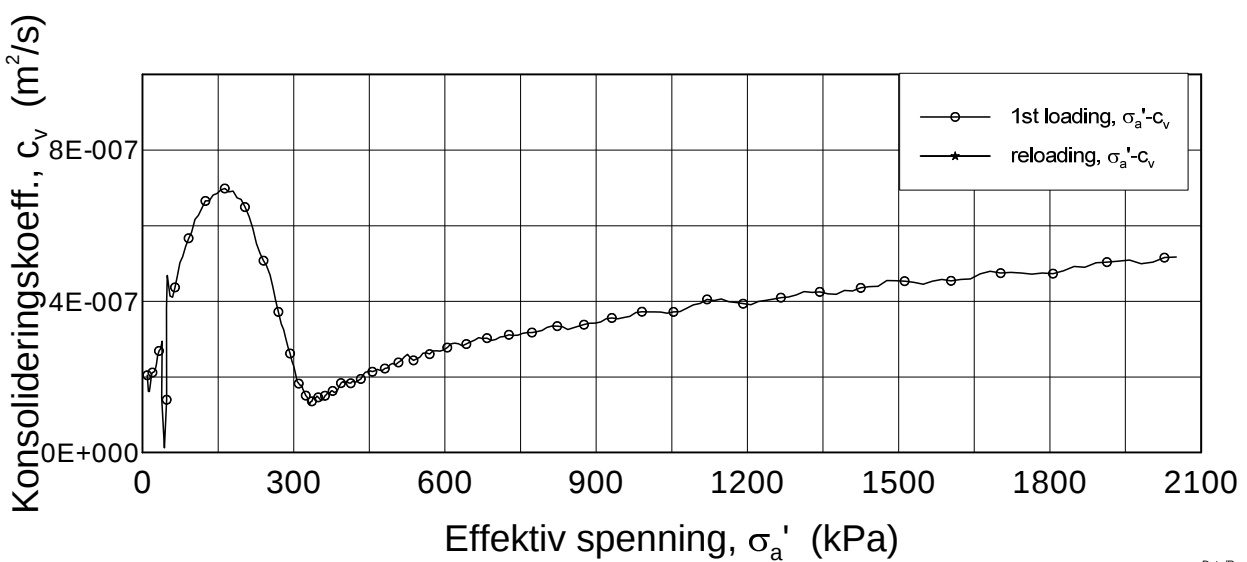
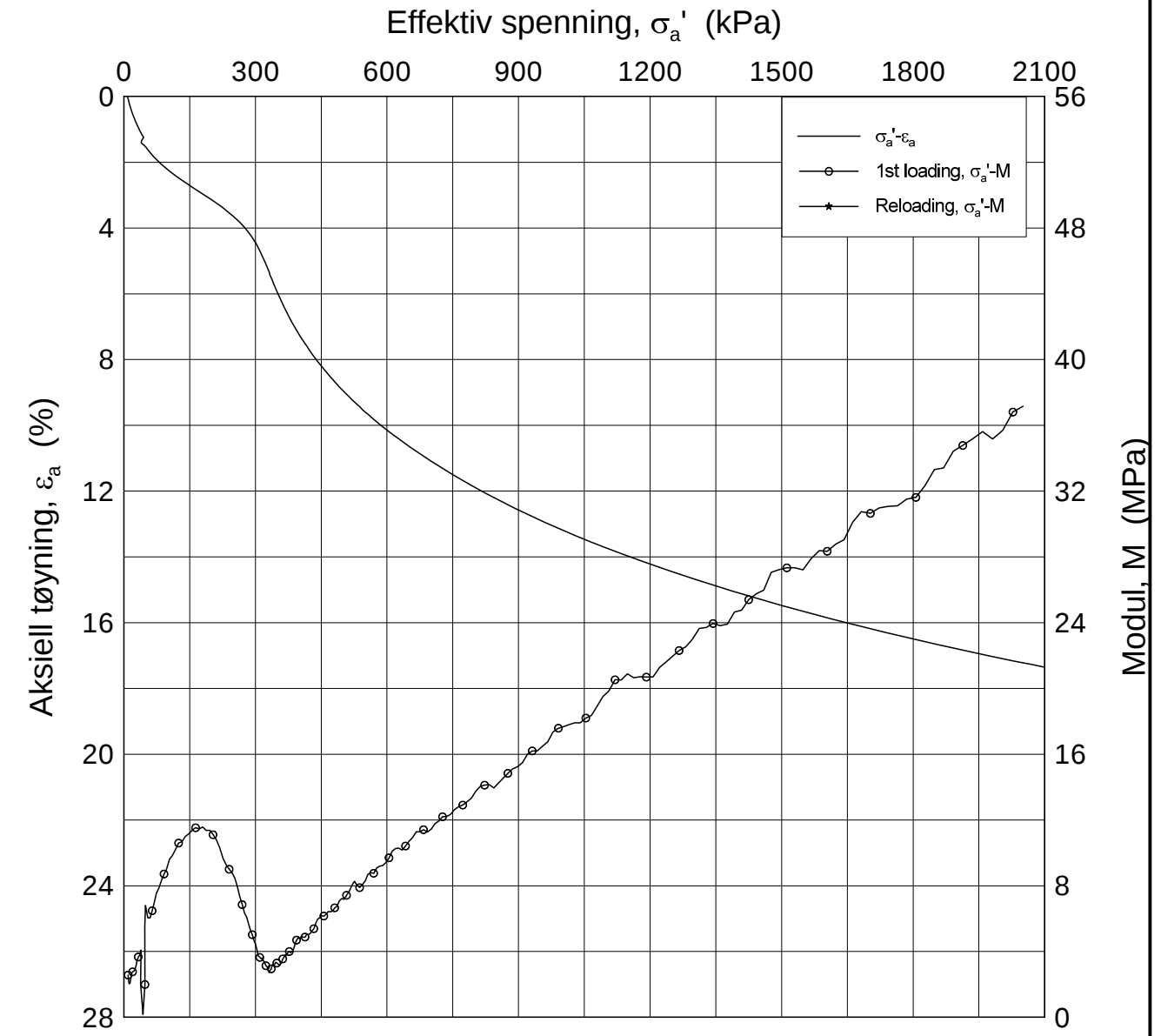
H:\LABDATA\2012\20120491\Oedom\BH2264\2264-5-D-1.log (crs2226).grf



Dato/Rev.: 2009-09-15/3

E16 Nybakk - Slomarka			Dokumentnr. 20120491-02-R
Ødometer test (CRSC)			Dato 2013-04-29
Borhull: 2264	Sylinder: 5	Dybde = 5.62 m	Figurnr. F63
Del: D	Test: 1	$p_o' = 78.6$ kPa	Tegner FI
		$w_i = 31.00$ %	

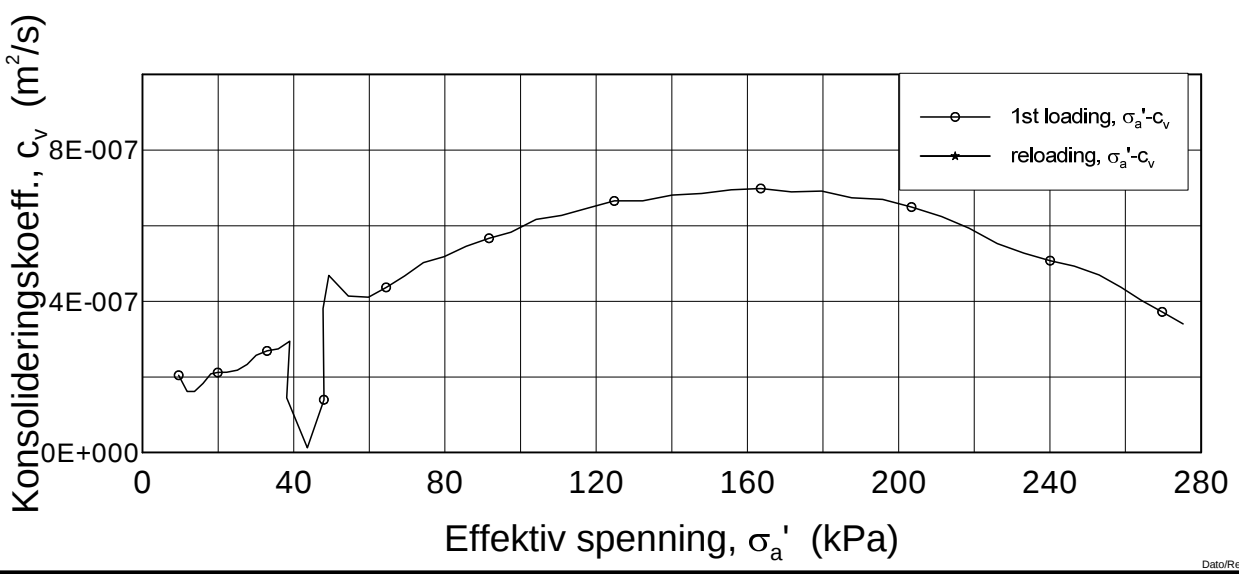
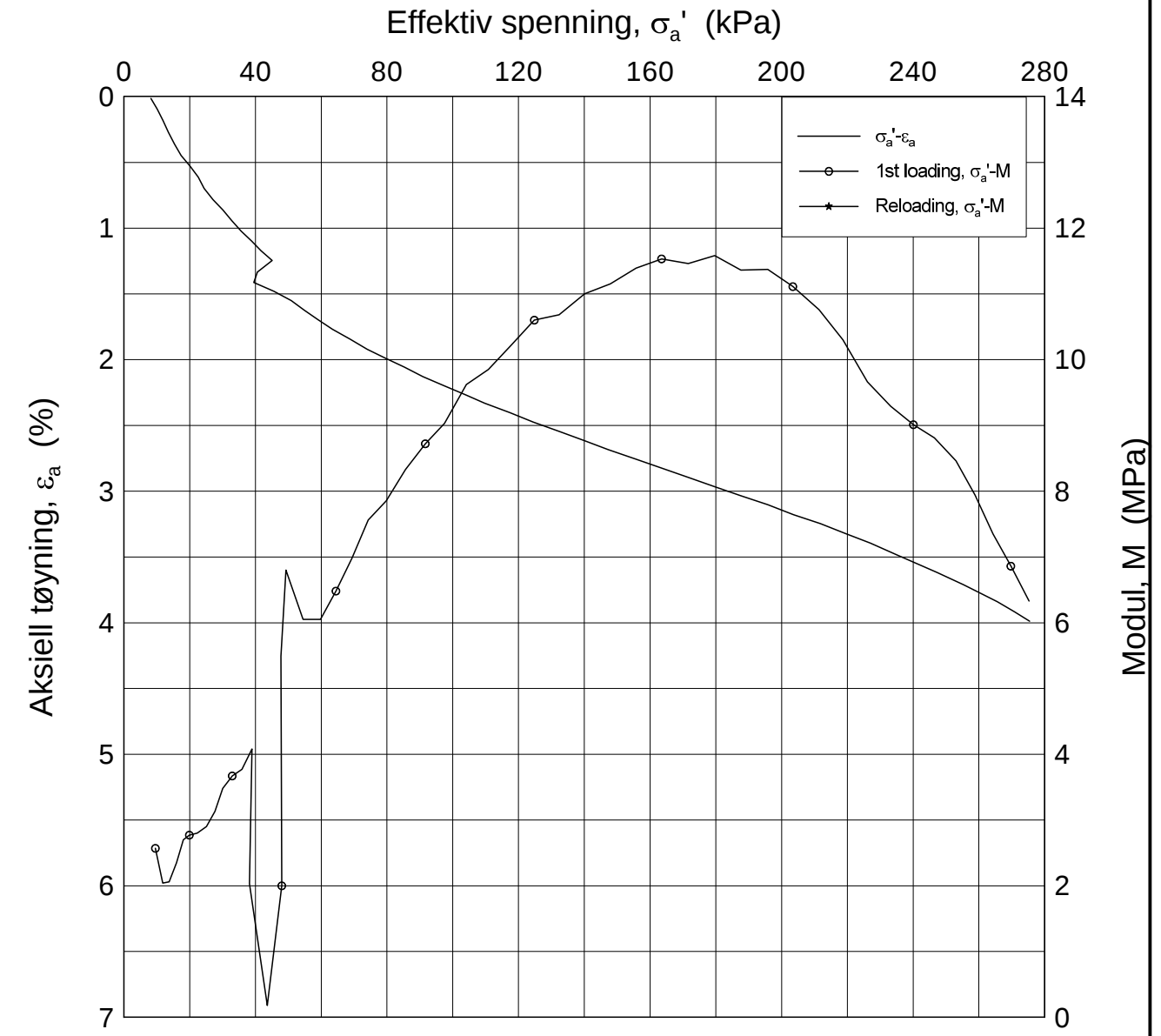
H:\LABDATA\2012\20120491\Oedom\BH2264\2264-10-D-1.lin (crs2235).gif



Dato/Rev.: 2009-09-15/4

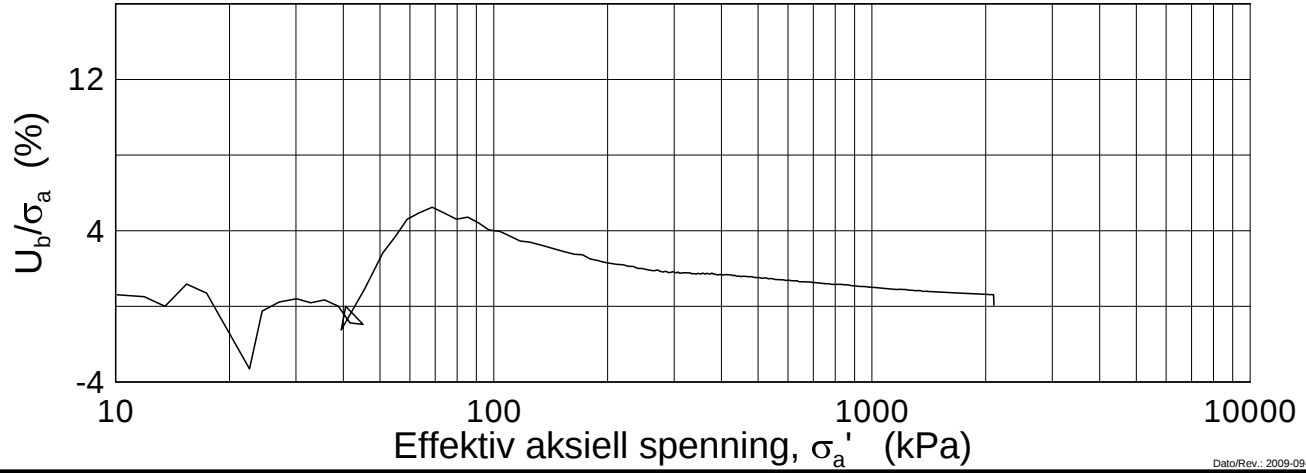
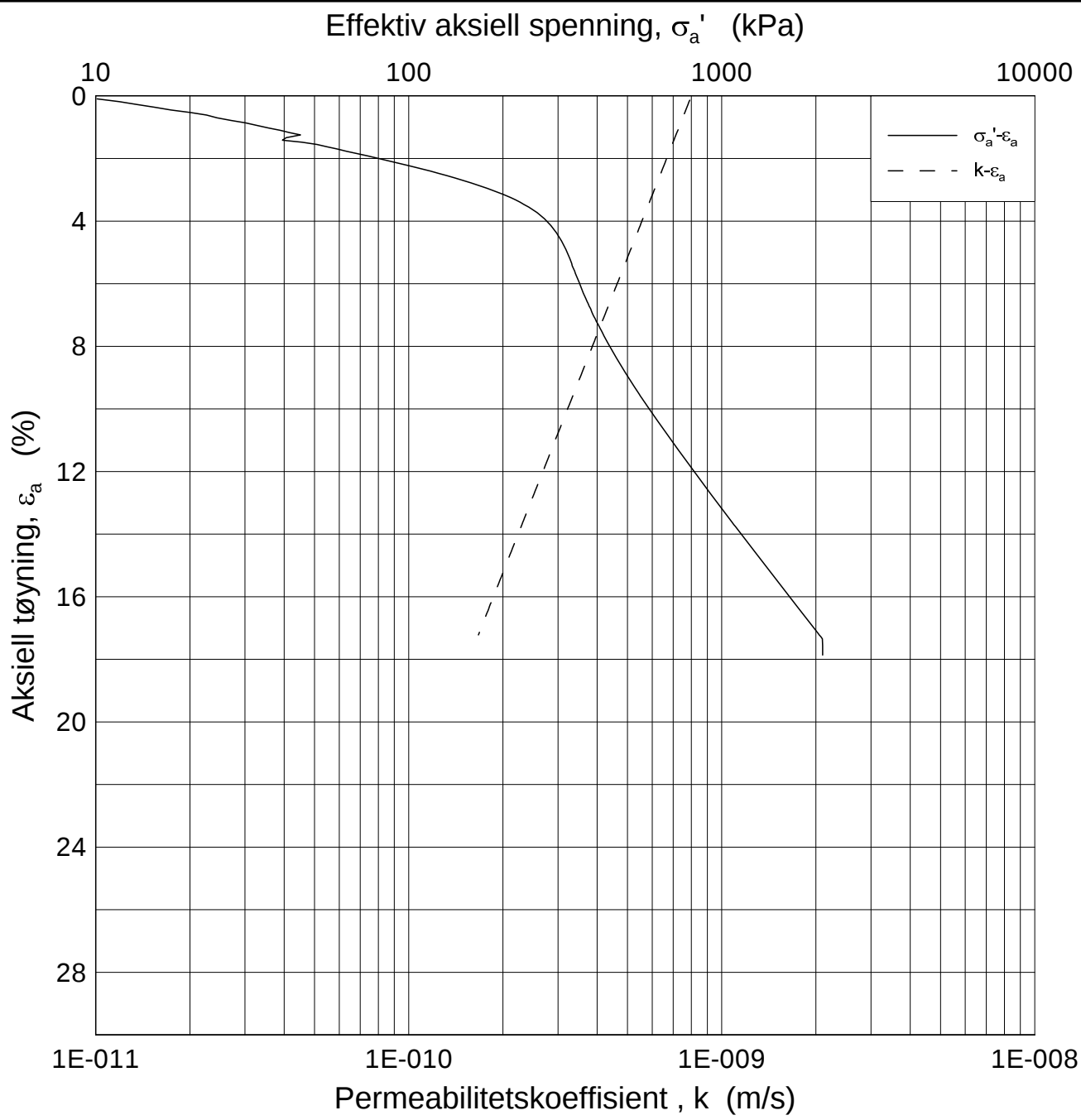
E16 Nybakk - Slomarka			Dokumentnr. 20120491-02-R
Ødometer test (CRSC)			Dato 2013-04-29
Borhull: 2264	Sylinder: 10	Dybde = 10.62 m	Figurnr. F64
Del: D	Test: 1	$p'_0 = 123.6$ kPa	Tegner FI/
		$w_i = 37.31$ %	

H:\LABDATA\2012\20120491\Oedom\BH2264\2264-10-D-1 lin-2 (crs2235).grf



Dato/Rev.: 2009-09-15/4

E16 Nybakk - Slomarka			Dokumentnr. 20120491-02-R
Ødometer test (CRSC)			Dato 2013-04-29
Borhull: 2264	Sylinder: 10	Dybde = 10.62 m	Figurnr. F65
Del: D	Test: 1	$p'_0 = 123.6$ kPa	Tegner FI
		$w_i = 37.31$ %	



Dato/Rev.: 2009-09-15/3

E16 Nybakk - Slomarka

Dokumentnr.
20120491-02-R

Ødometer test (CRSC)

Dybde = 10.62 m

Dato
2013-04-29

Borhull: 2264

Sylinder: 10

p_o' = 123.6 kPa

Figurnr.
F66

Del: D

Test: 1

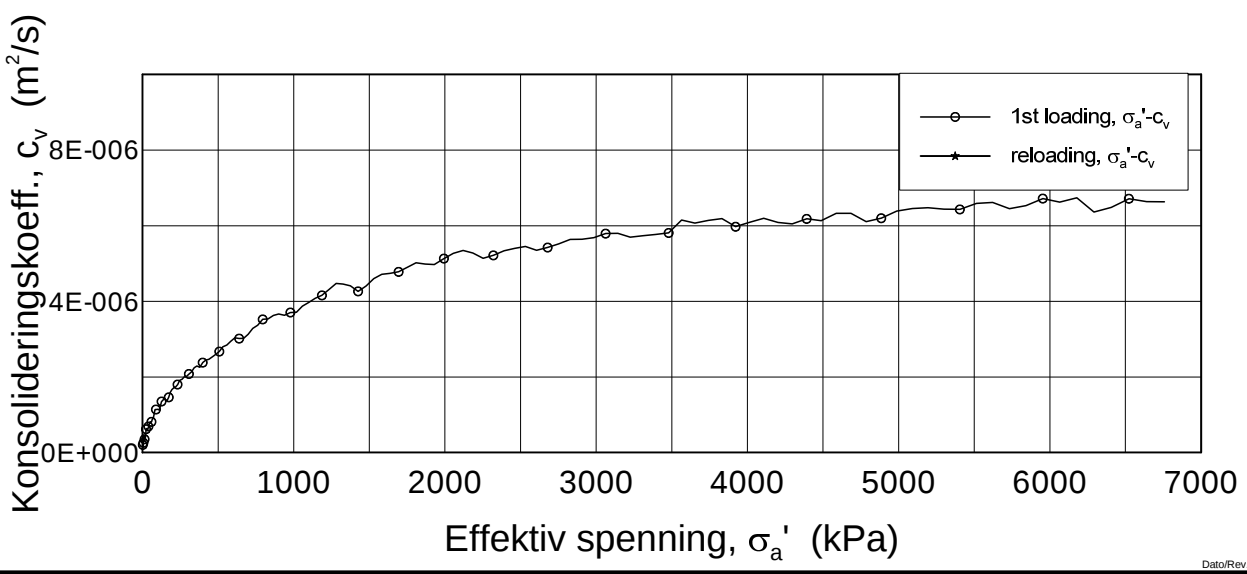
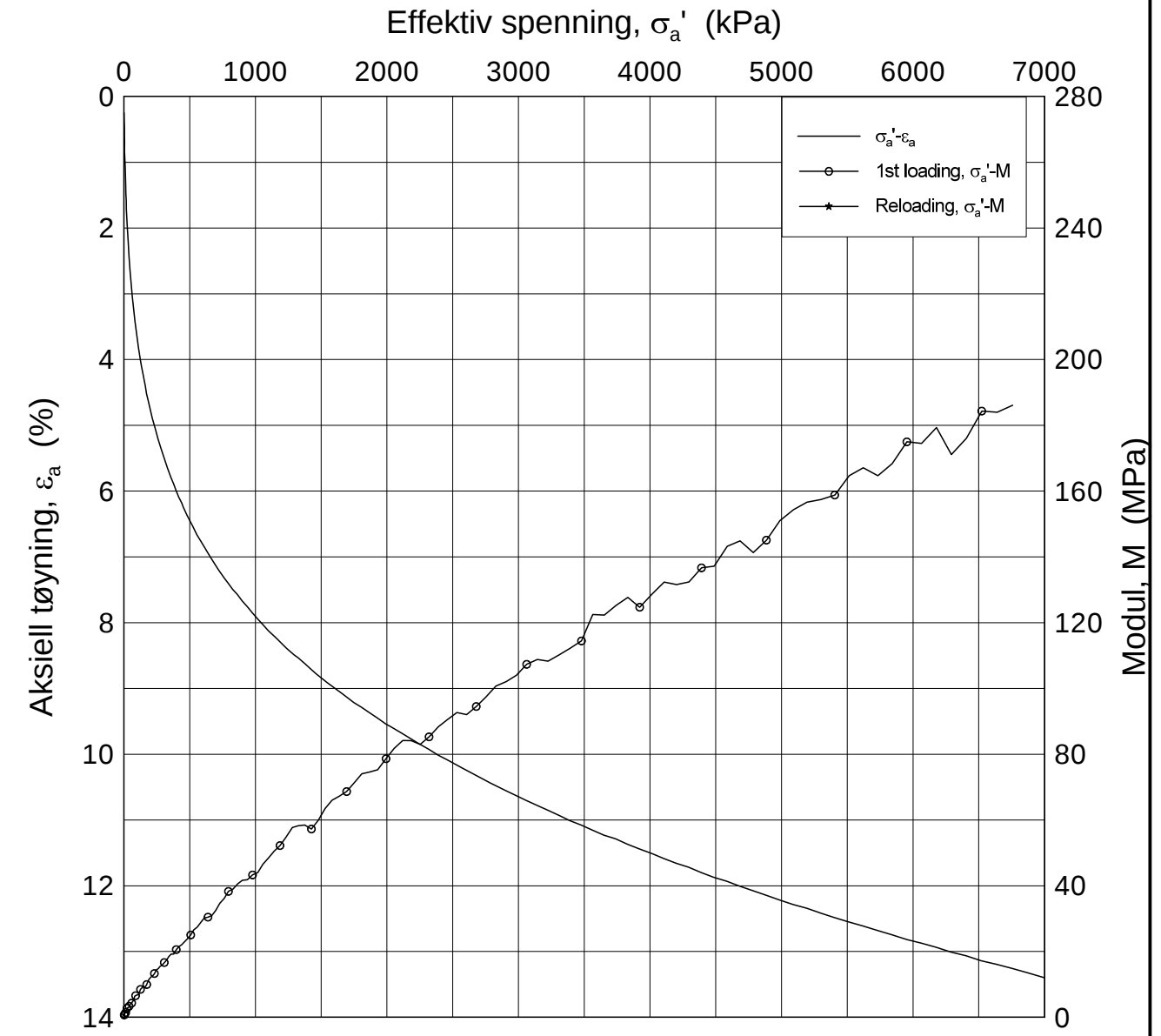
w_i = 37.31 %

Tegner
FI




H:\LABDATA\2012\20120491\Oedom\BH2264\2264-10-D-1 log (crs2235).grf

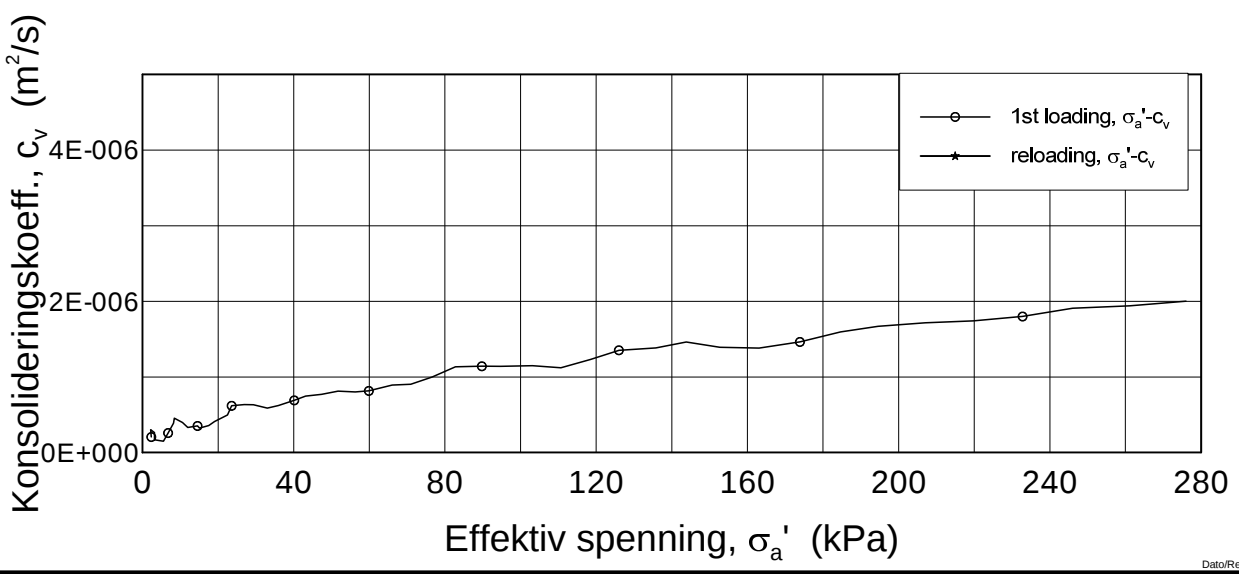
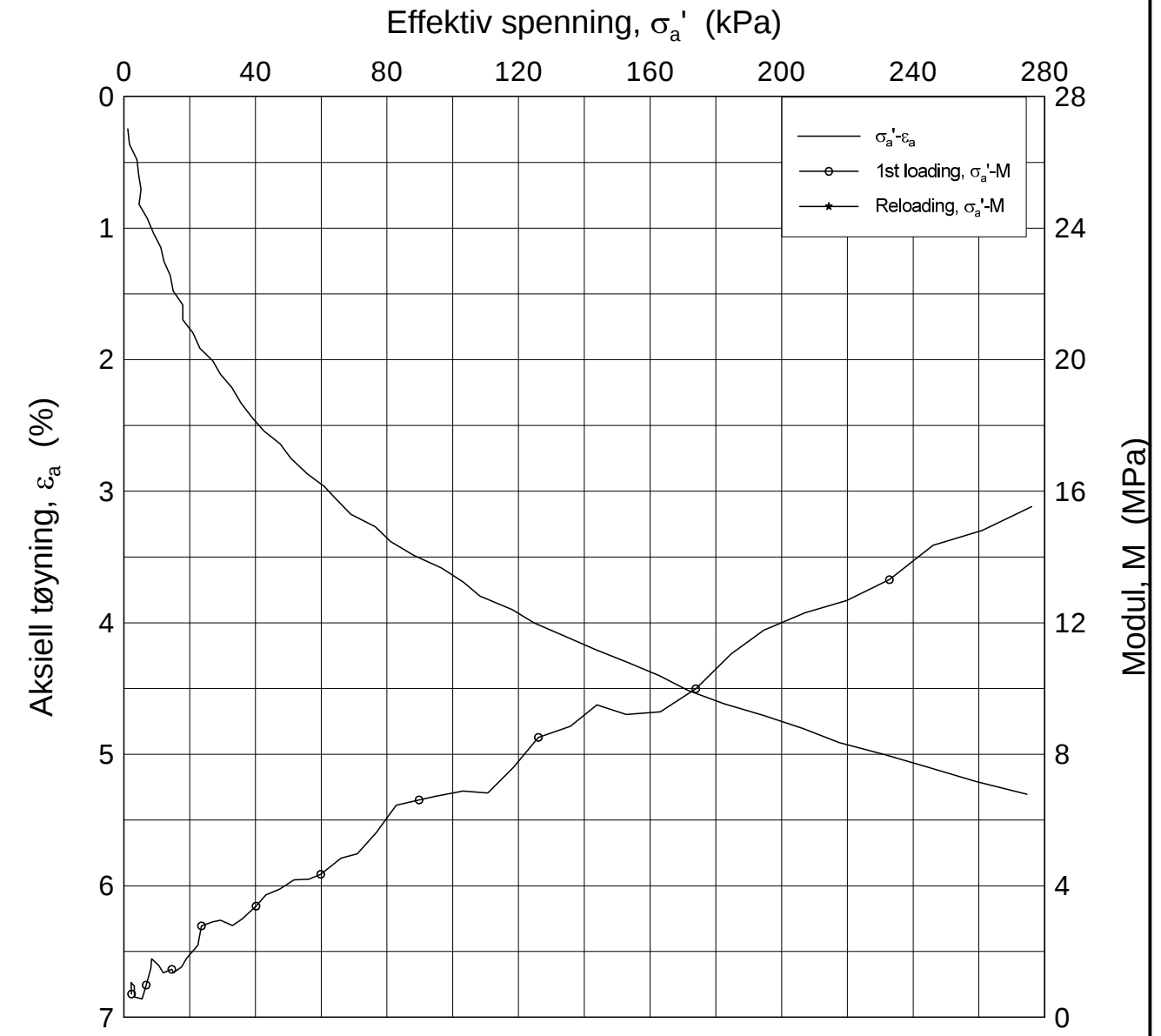
H:\LABDATA\2012\20120491\Oedom\BH2264\2264-15-A-1.lin (crs2236).grf




Dato/Rev.: 2009-09-15/4

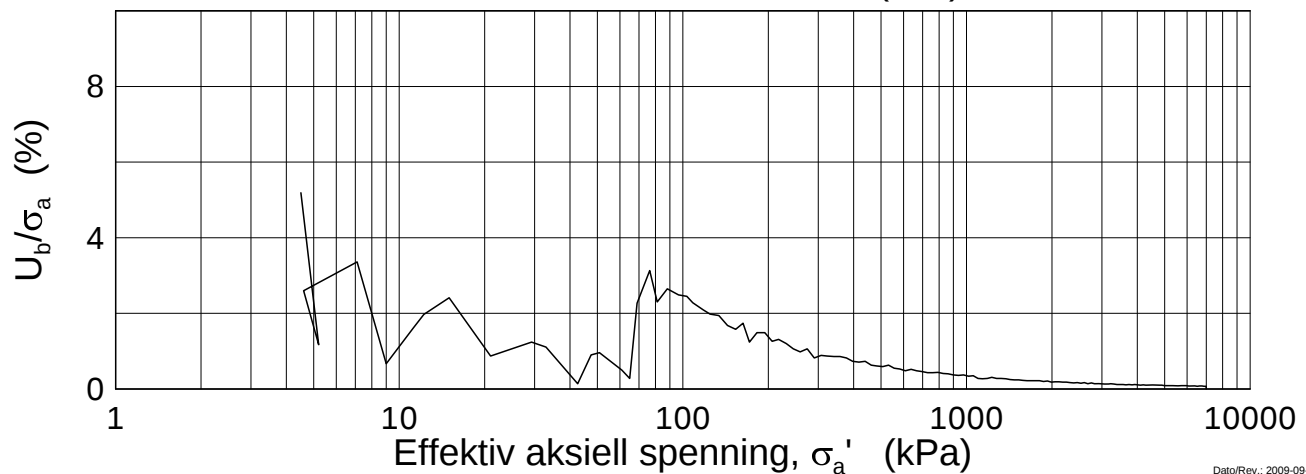
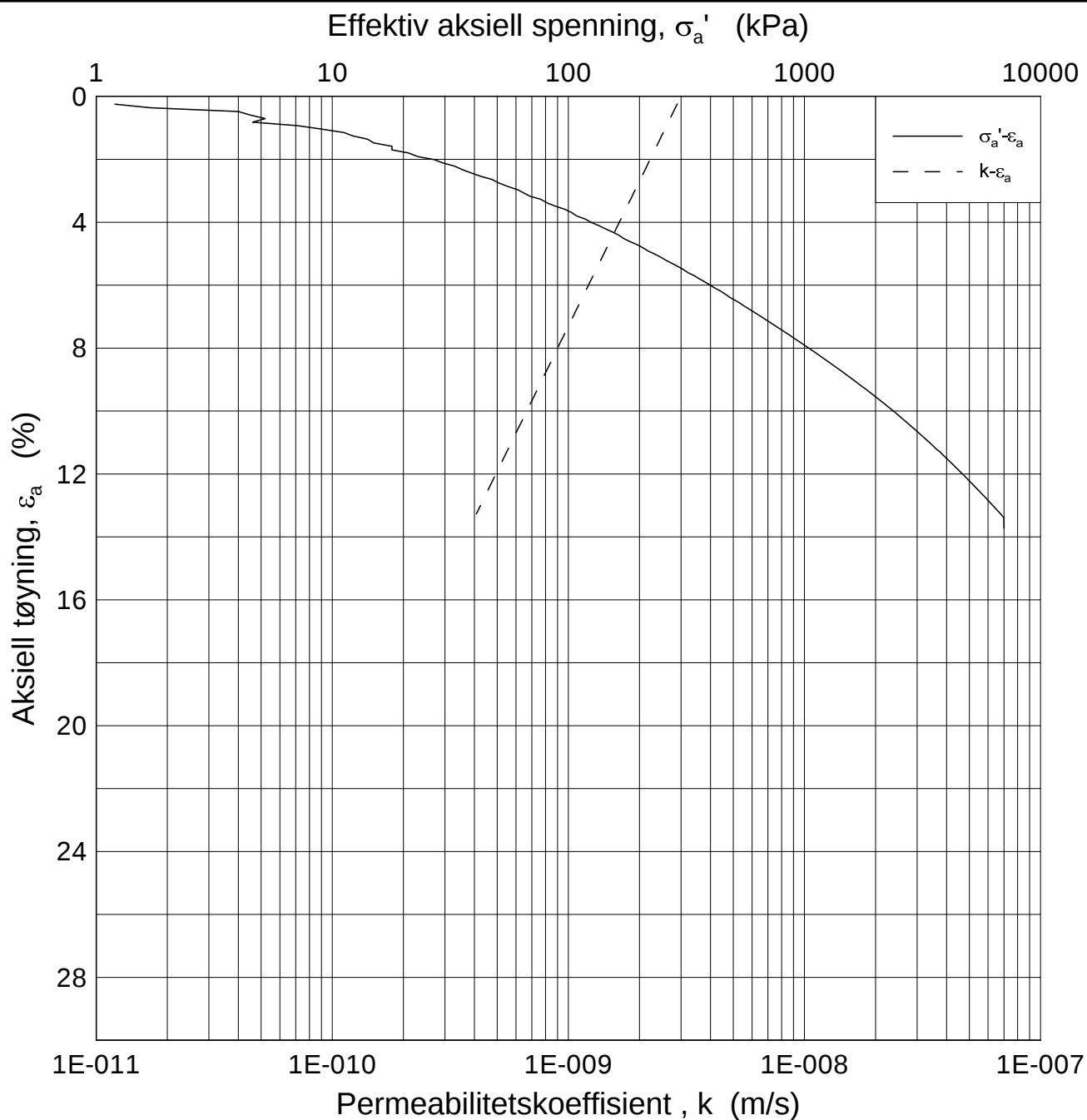
E16 Nybakk - Slomarka			Dokumentnr. 20120491-02-R
Ødometer test (CRSC)			Dato 2013-04-29
Borhull: 2264	Sylinder: 15	Dybde = 15.32 m	Figurnr. F67
Del: A	Test: 1	$p'_0 = 168.6$ kPa	Tegner FI/
		$w_i = 31.06$ %	

H:\LABDATA\2012\20120491\Oedom\BH2264\2264-15-A-1.lin-2 (crs2236).grf



Dato/Rev.: 2009-09-15/4

E16 Nybakk - Slomarka			Dokumentnr. 20120491-02-R
Ødometer test (CRSC)			Dato 2013-04-29
Borhull: 2264	Sylinder: 15	Dybde = 15.32 m	Figurnr. F68
Del: A	Test: 1	$p'_0 = 168.6$ kPa	Tegner FI
		$w_i = 31.06$ %	



Dato/Rev.: 2009-09-15/3

E16 Nybakk - Slomarka

Dokumentnr.
20120491-02-R

Ødometer test (CRSC)

Dybde = 15.32 m

Dato
2013-04-29

Borhull: 2264

Sylinder: 15

p_o' = 168.6 kPa

Figurnr.
F69

Del: A

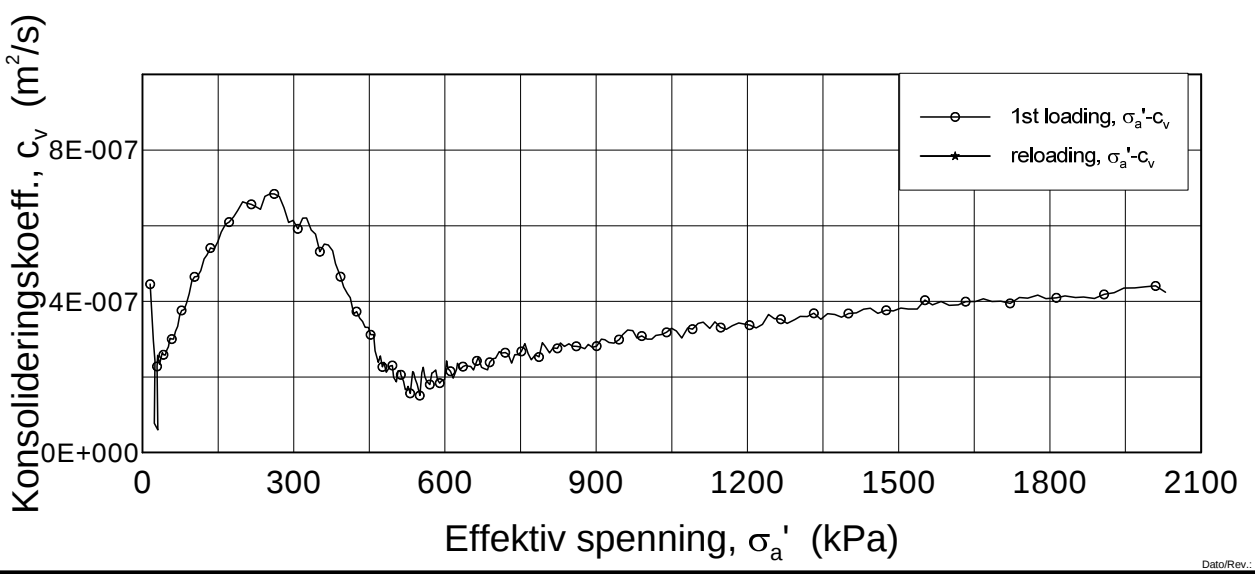
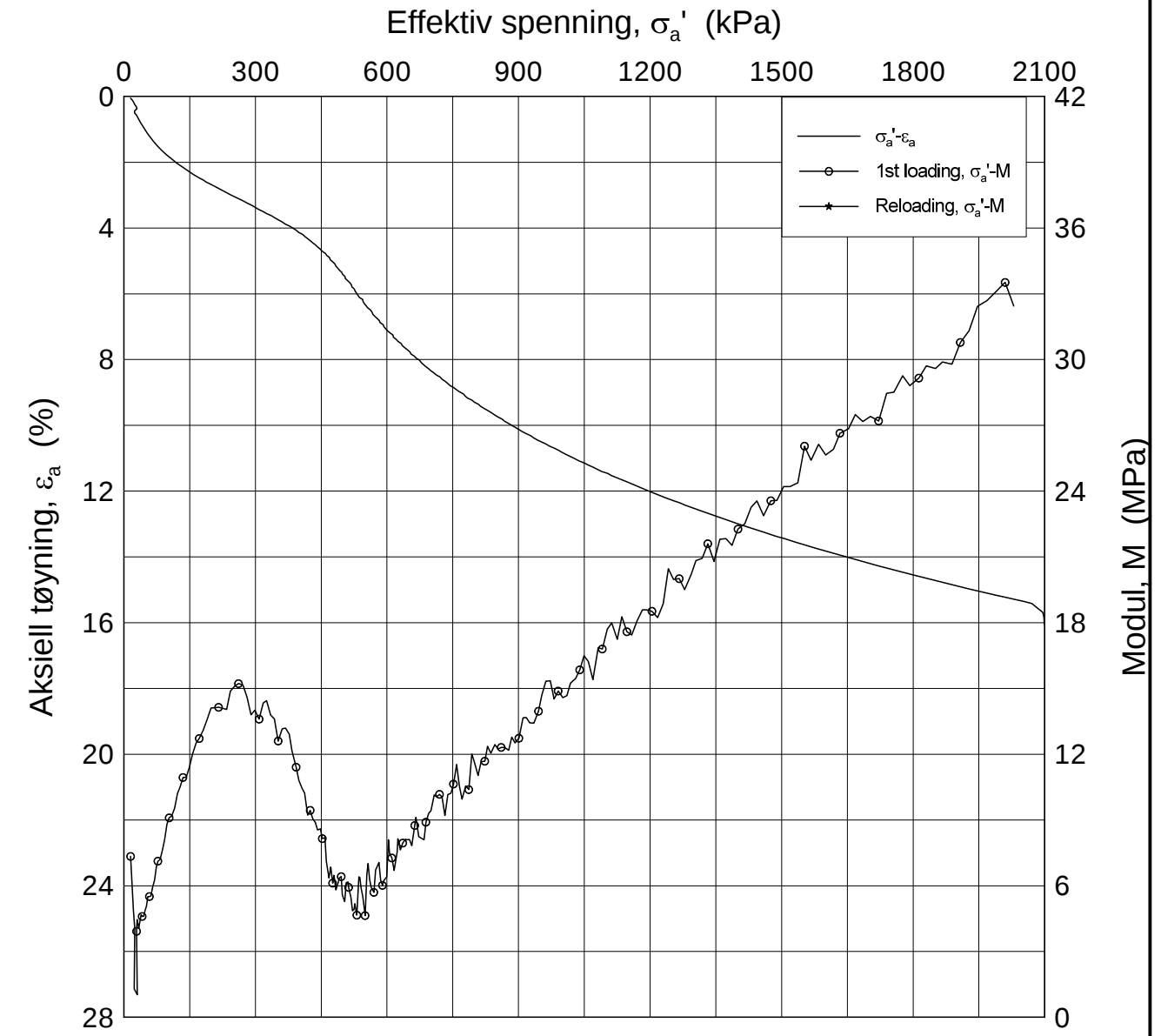
Test: 1

w_i = 31.06 %


Tegner
FI



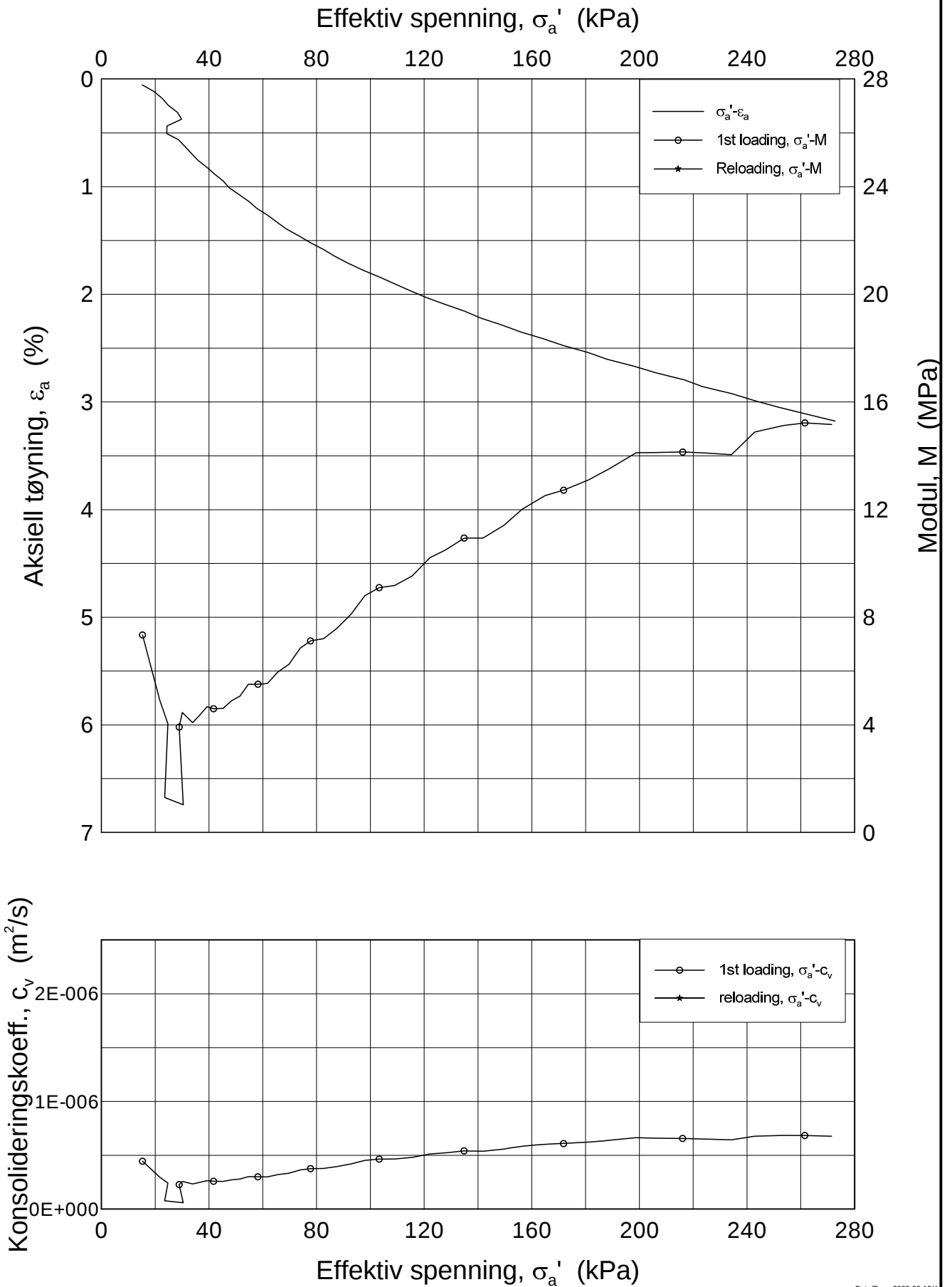
H:\LABDATA\2012\20120491\Oedom\BH2264\2264-20-B-1.lin (crs2228).grf




Dato/Rev.: 2009-09-15/4

E16 Nybakk - Slomarka		Dokumentnr. 20120491-02-R
Ødometer test (CRSC)		Dato 2013-04-29
Borhull: 2264	Sylinder: 20	Figurnr. F70
Del: B	Test: 1	Tegner FI/
	Dybde = 20.32 m	
	$p'_o = 213.6$ kPa	
	$w_i = 36.02$ %	

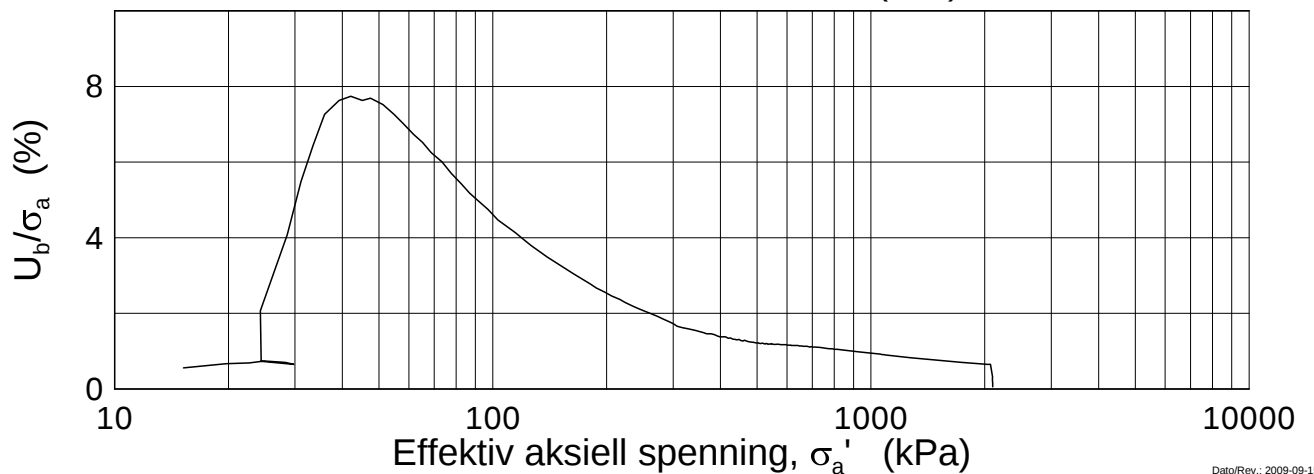
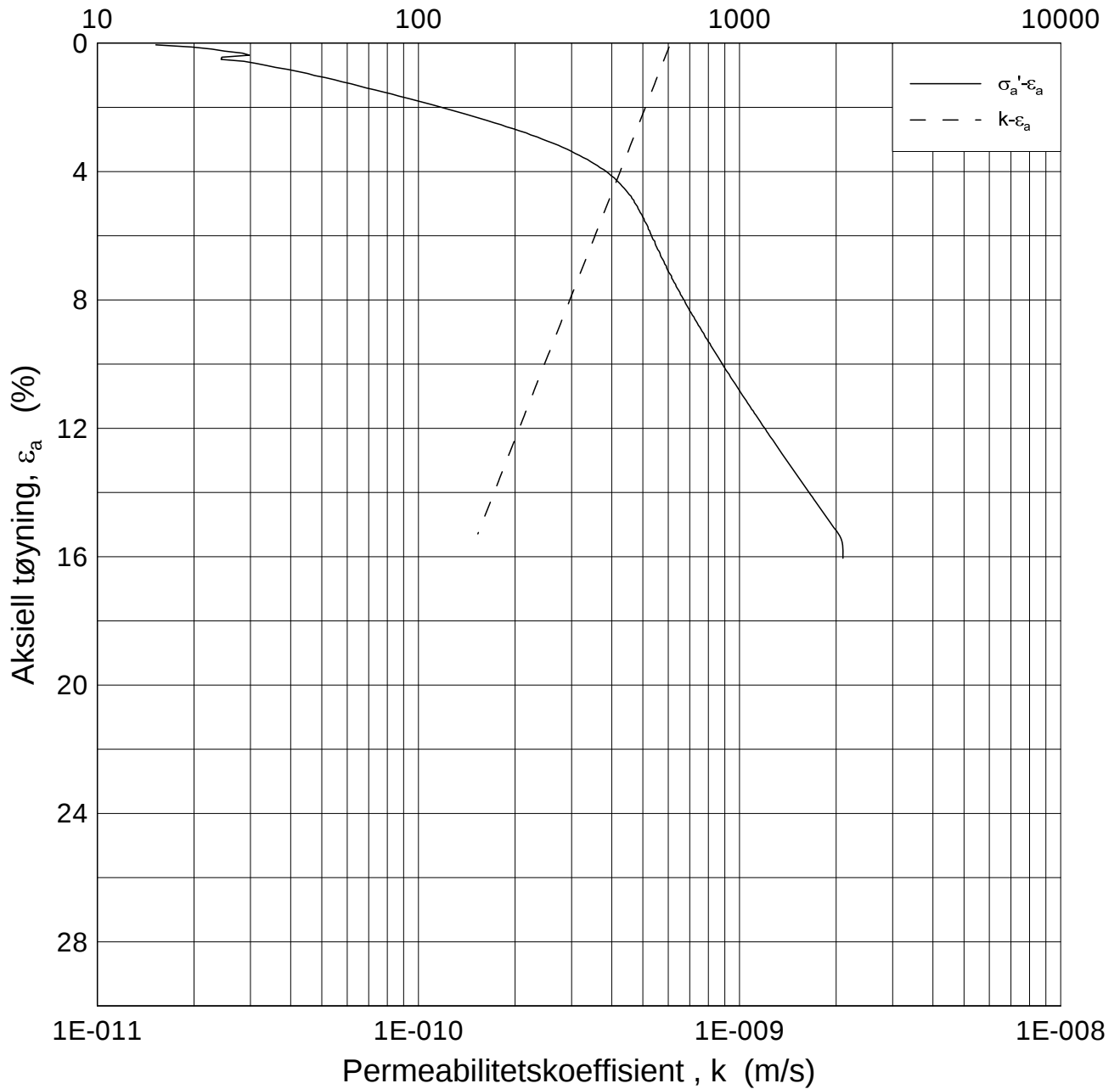
H:\LABDATA\2012\20120491\Oedom\BH2264\2264-20-B-1.lin-2 (crs2228).grf



Dato/Rev.: 2009-09-15/4

E16 Nybakk - Slomarka			Dokumentnr. 20120491-02-R
Ødometer test (CRSC)			Dato 2013-04-29
Borhull: 2264	Sylinder: 20	Dybde = 20.32 m	Figurnr. F71
Del: B	Test: 1	$p'_0 = 213.6$ kPa	Tegner FI
		$w_i = 36.02$ %	

Effektiv aksjell spenning, σ_a' (kPa)



Dato/Rev.: 2009-09-15/3

E16 Nybakk - Slomarka

Dokumentnr.
20120491-02-R

Ødometer test (CRSC)

Dybde = 20.32 m

Dato
2013-04-29

Borhull: 2264

Sylinder: 20

p_o' = 213.6 kPa

Figurnr.
F72

Del: B

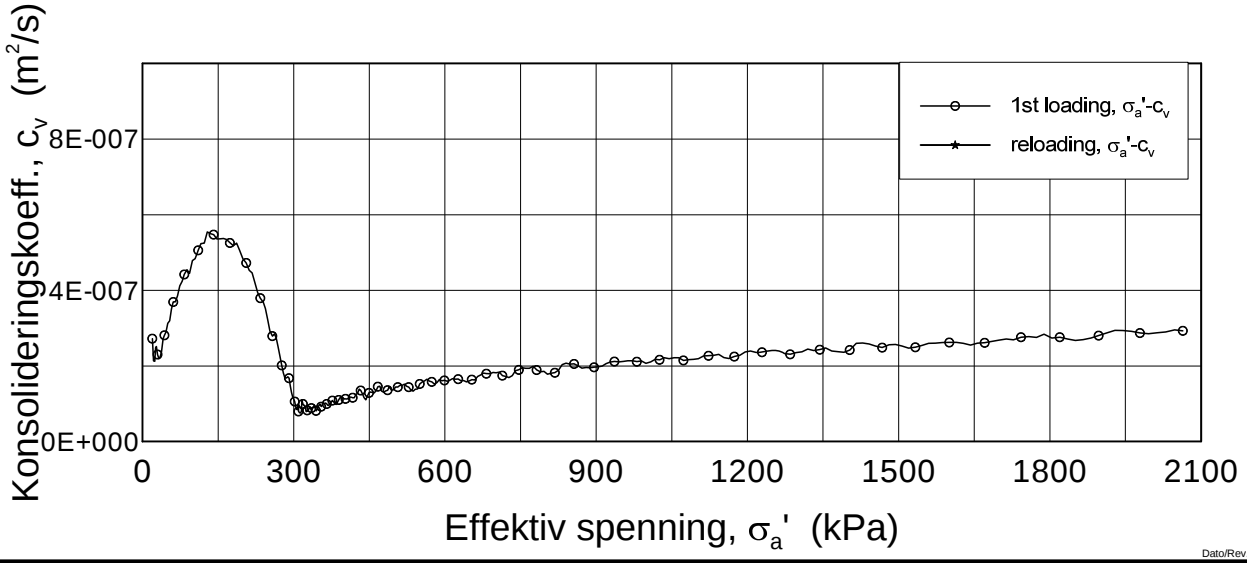
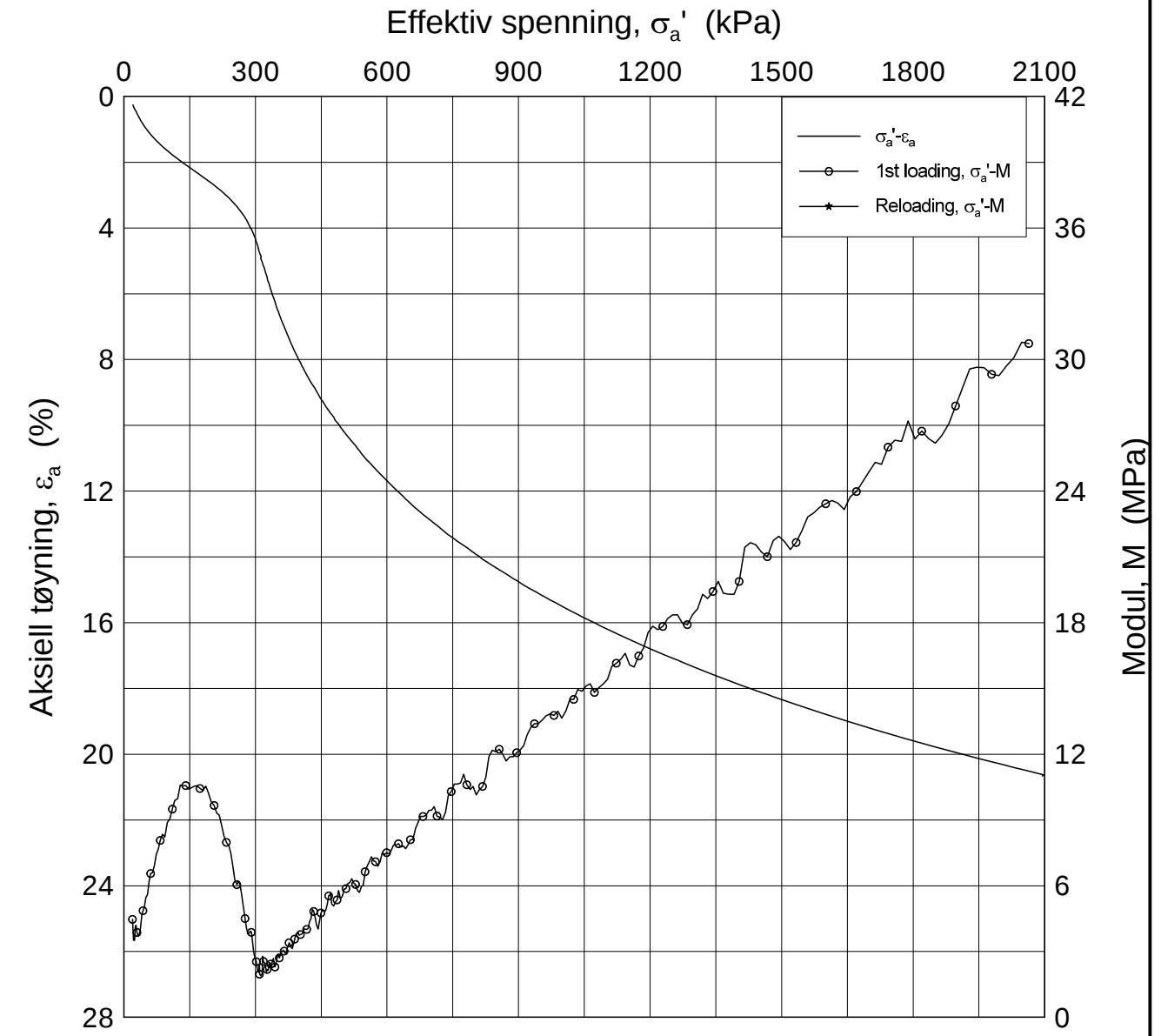
Test: 1

w_i = 36.02 %

Tegner
FI



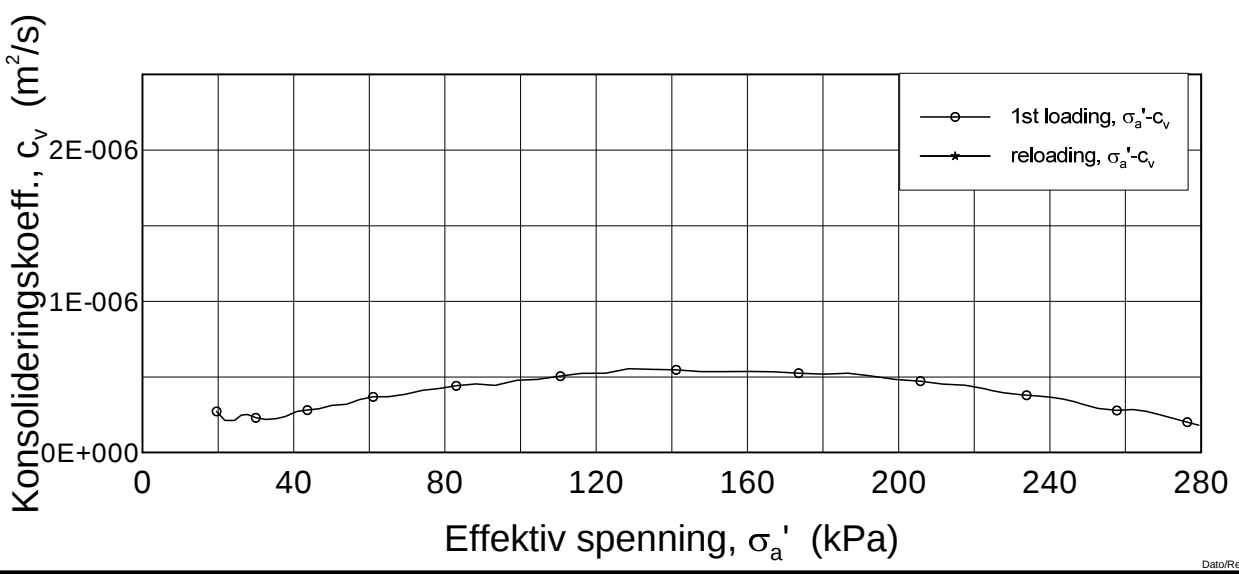
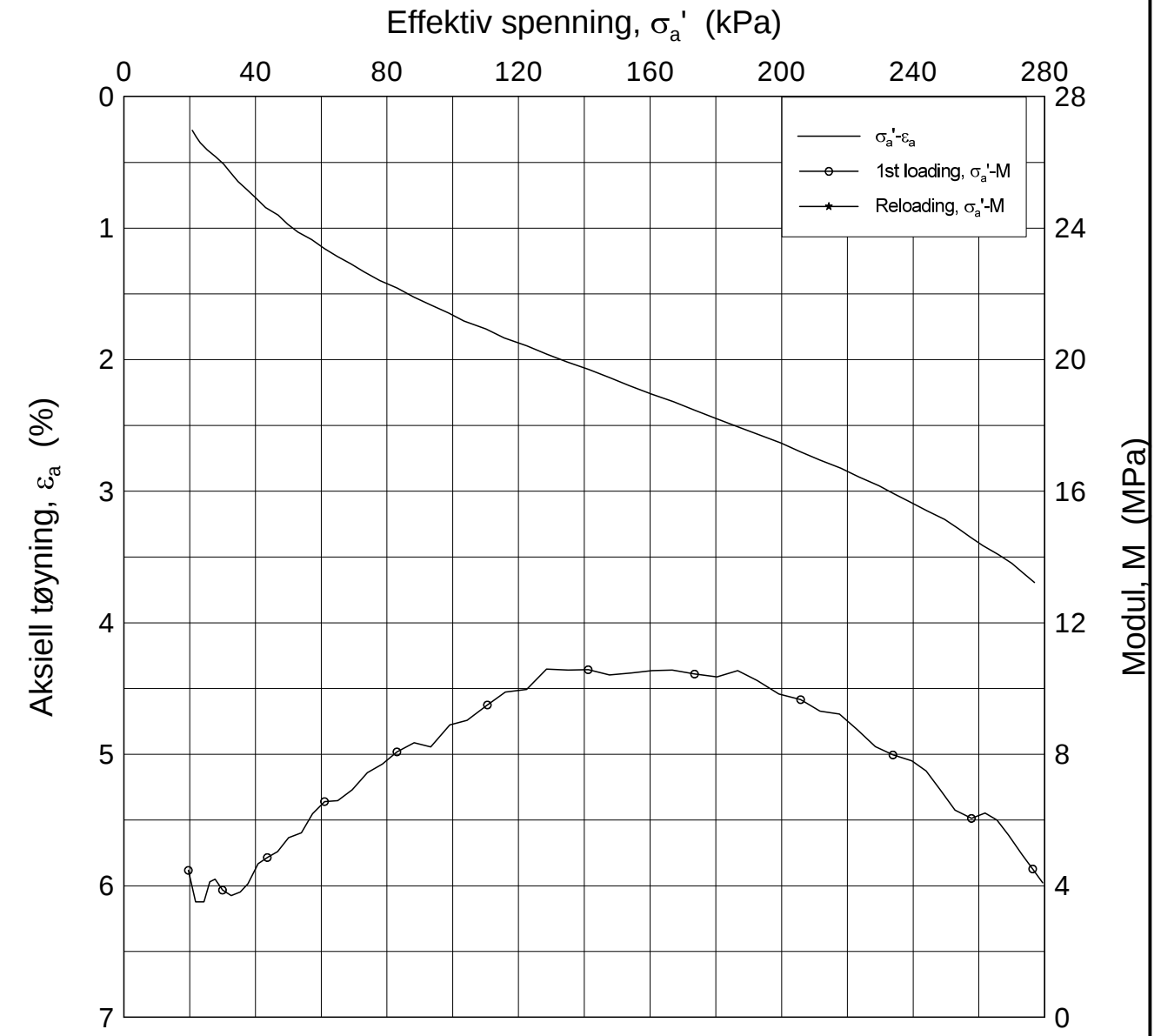
H:\LABDATA\2012\20120491\Oedom\BH2270\2270-5-D-1.lin (crs2233).grf



Dato/Rev.: 2009-09-15/4

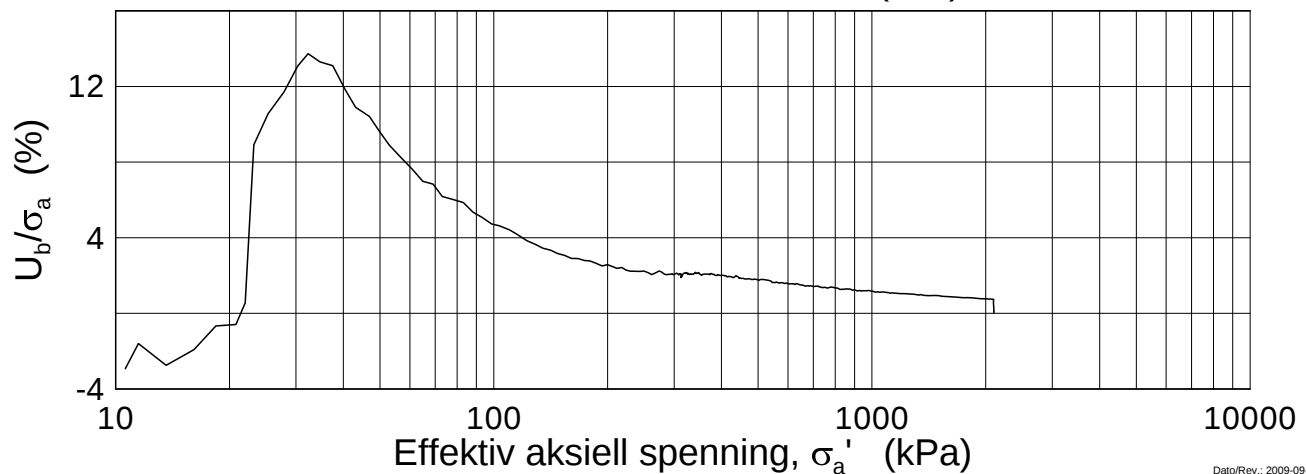
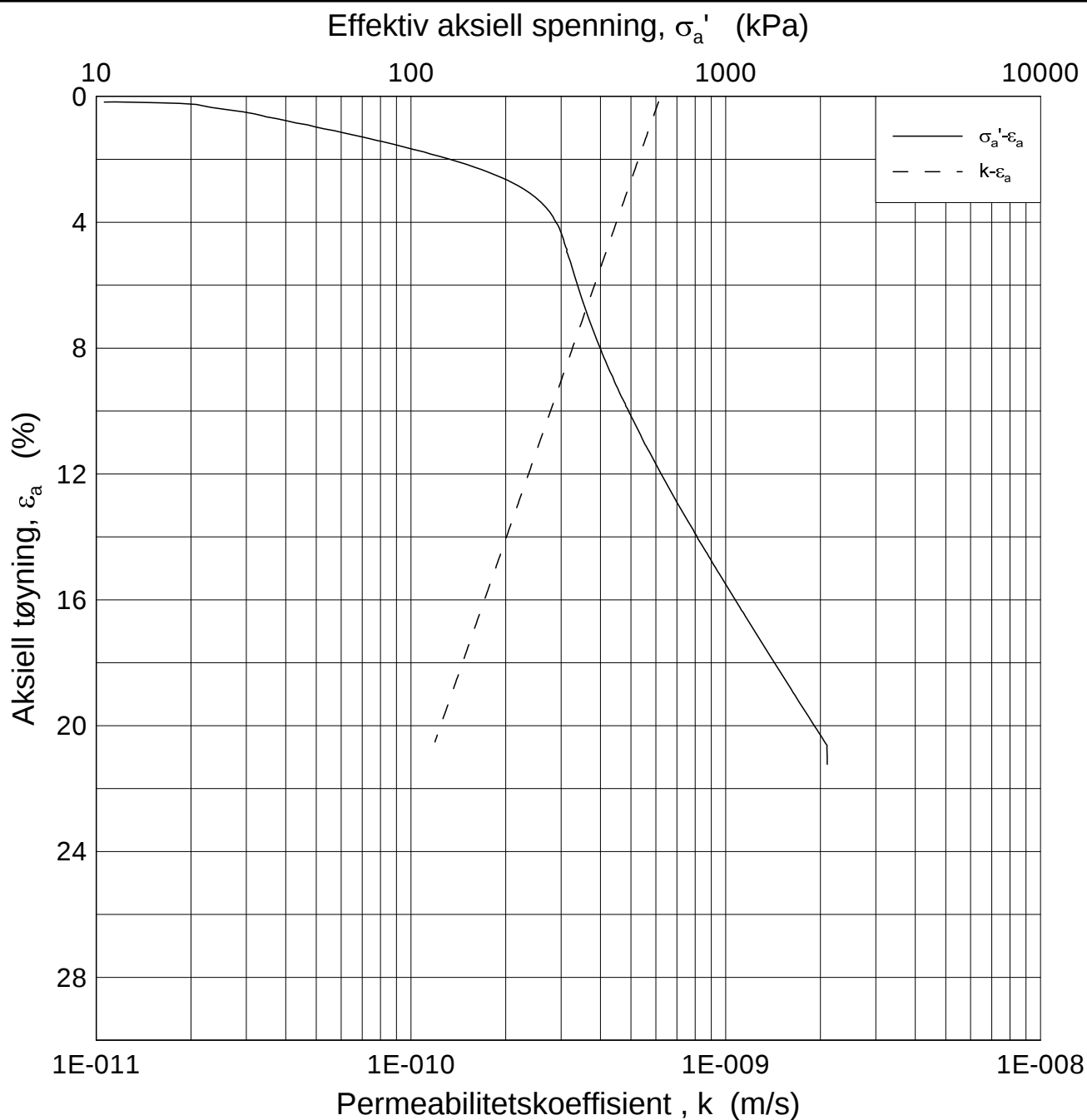
E16 Nybakk - Slomarka			Dokumentnr. 20120491-02-R
Ødometer test (CRSC)			Dato 2013-04-29
Borhull: 2270	Sylinder: 5	Dybde = 5.60 m	Figurnr. F73
Del: D	Test: 1	$p'_0 = 58.6$ kPa	Tegner FI/
		$w_i = 42.56$ %	

H:\LABDATA\2012\20120491\Oedom\BH2270\2270-5-D-1.lin-2 (crs2233).grf



Dato/Rev.: 2009-09-15/4

E16 Nybakk - Slomarka			Dokumentnr. 20120491-02-R
Ødometer test (CRSC)			Dato 2013-04-29
Borhull: 2270	Sylinder: 5	Dybde = 5.60 m	Figurnr. F74
Del: D	Test: 1	$p'_o = 58.6$ kPa	Tegner FI
		$w_i = 42.56$ %	



Dato/Rev.: 2009-09-15/3

E16 Nybakk - Slomarka

Dokumentnr.
20120491-02-R

Ødometer test (CRSC)

Dybde = 5.60 m

Dato
2013-04-29

Borhull: 2270

Sylinder: 5

p_o' = 58.6 kPa

Figurnr.
F75

Del: D

Test: 1

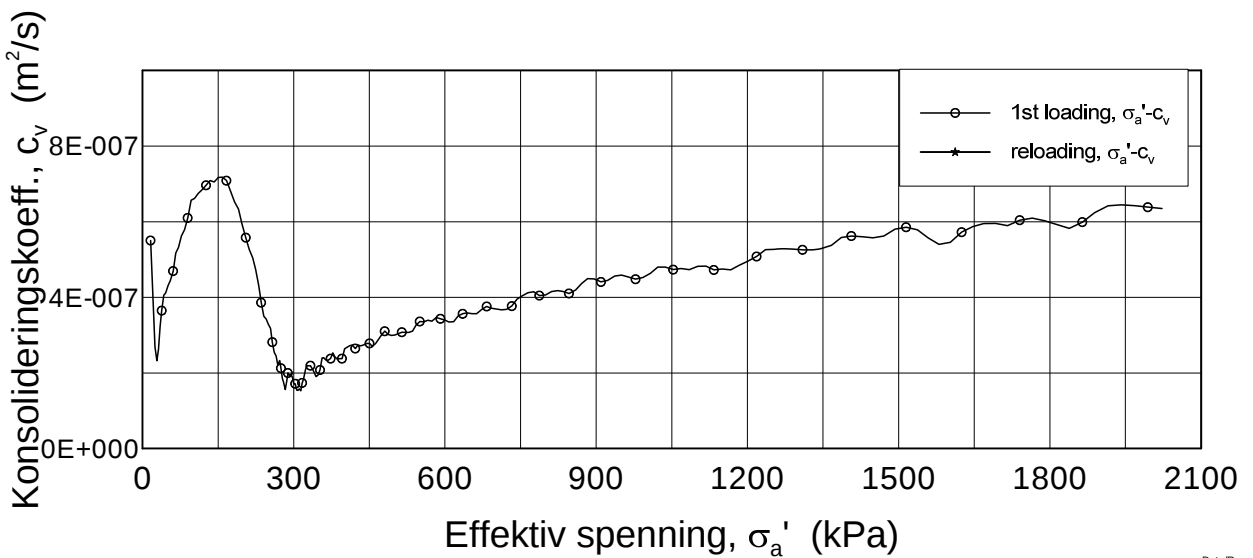
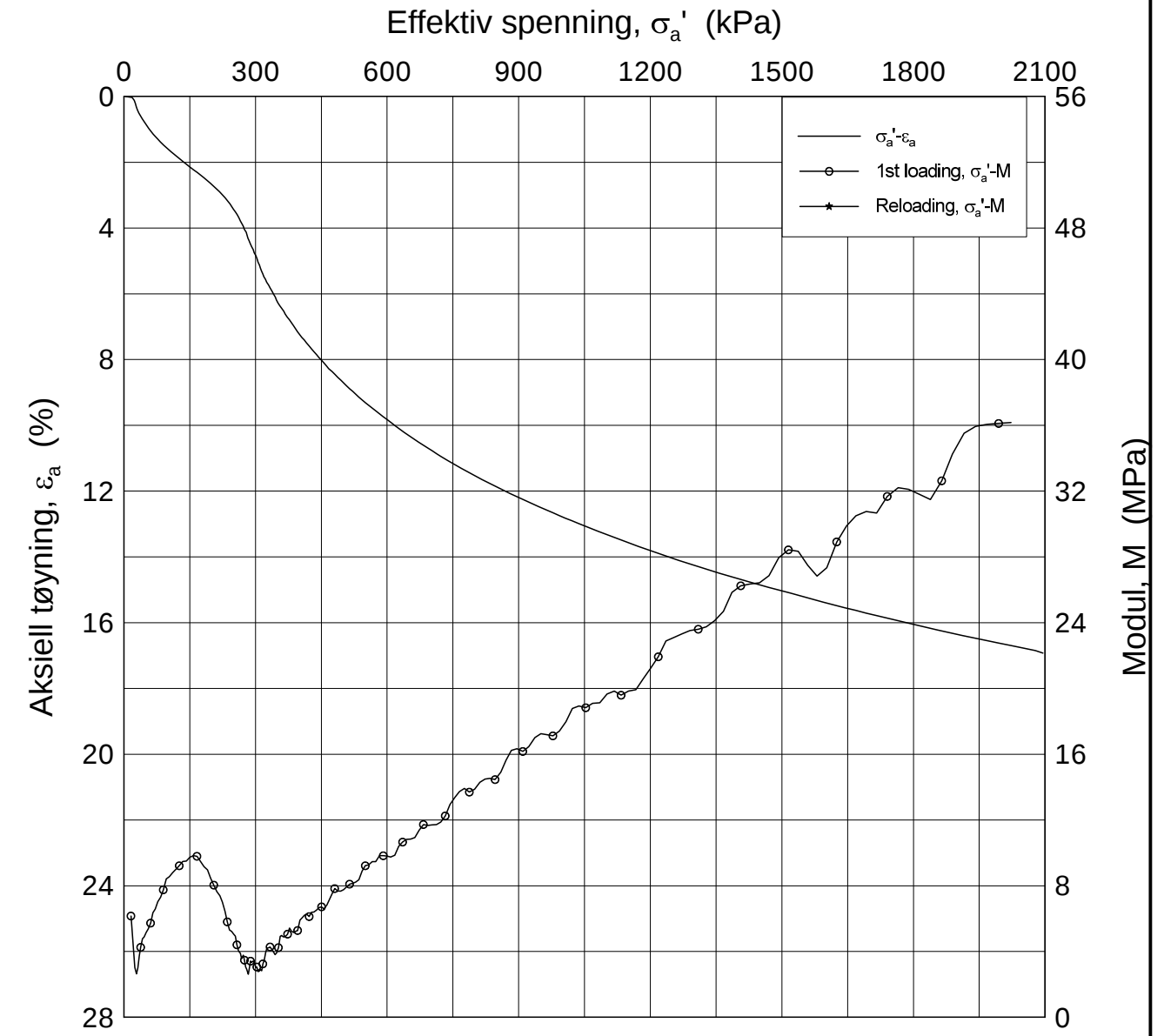
w_i = 42.56 %

Tegner
FI




H:\LABDATA\2012\20120491\Oedom\BH2270\2270-5-D-1.log (crs2233).grf

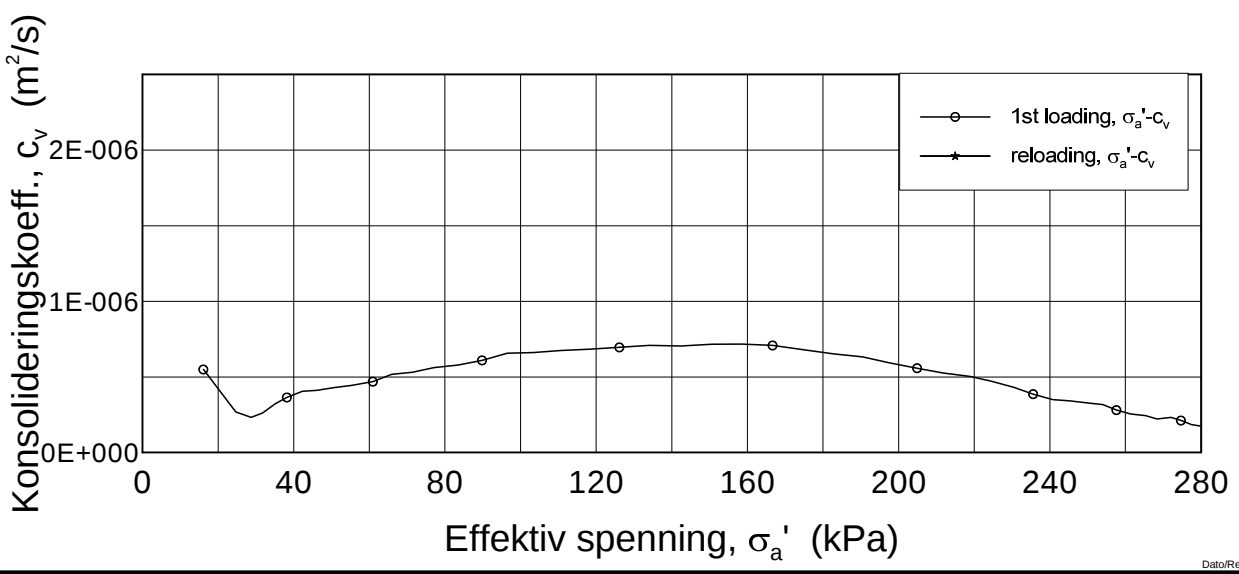
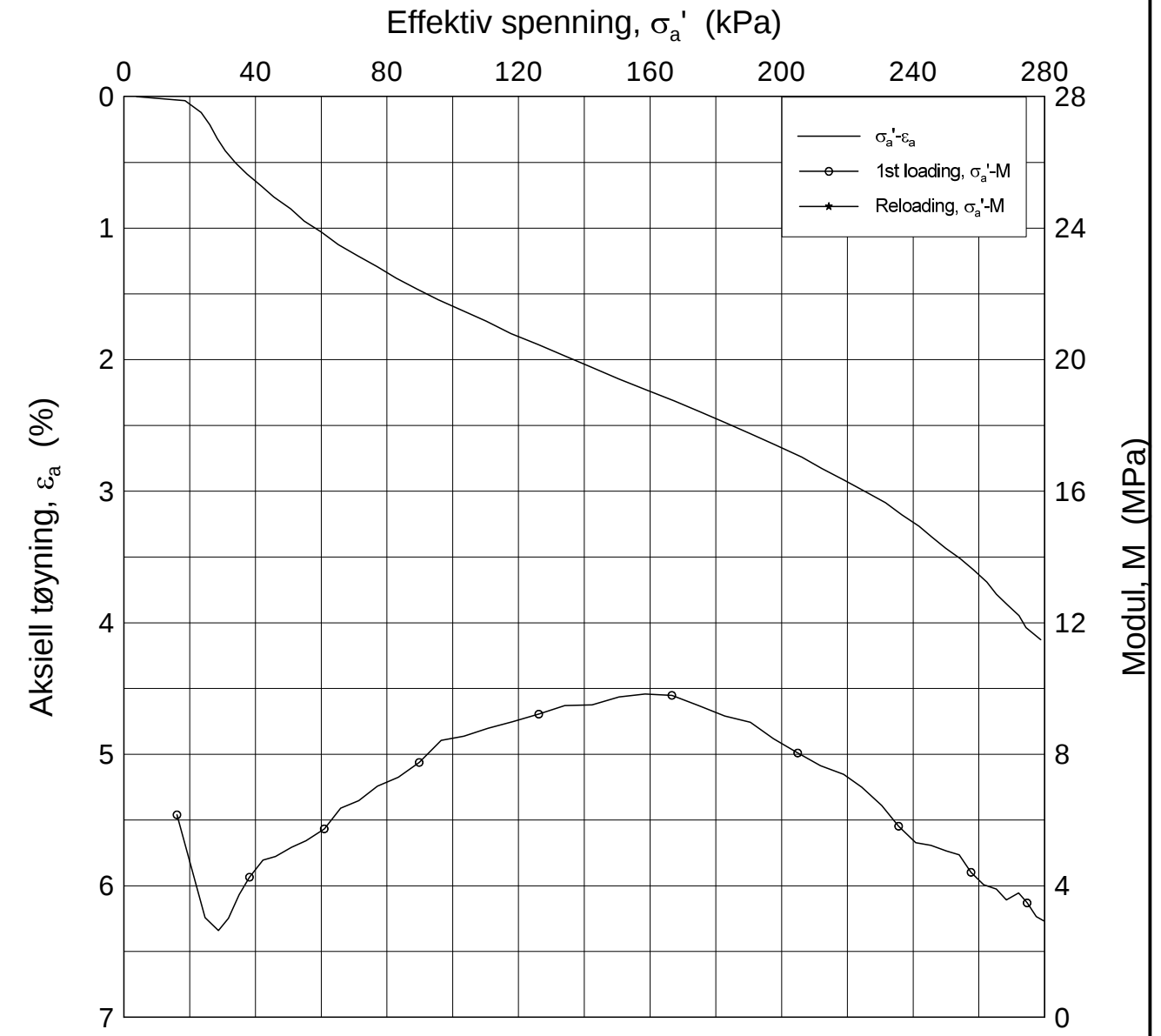
H:\LABDATA\2012\20120491\Oedom\BH2270\2270-10-D-1.lin (cvs2234).gif




Dato/Rev.: 2009-09-15/4

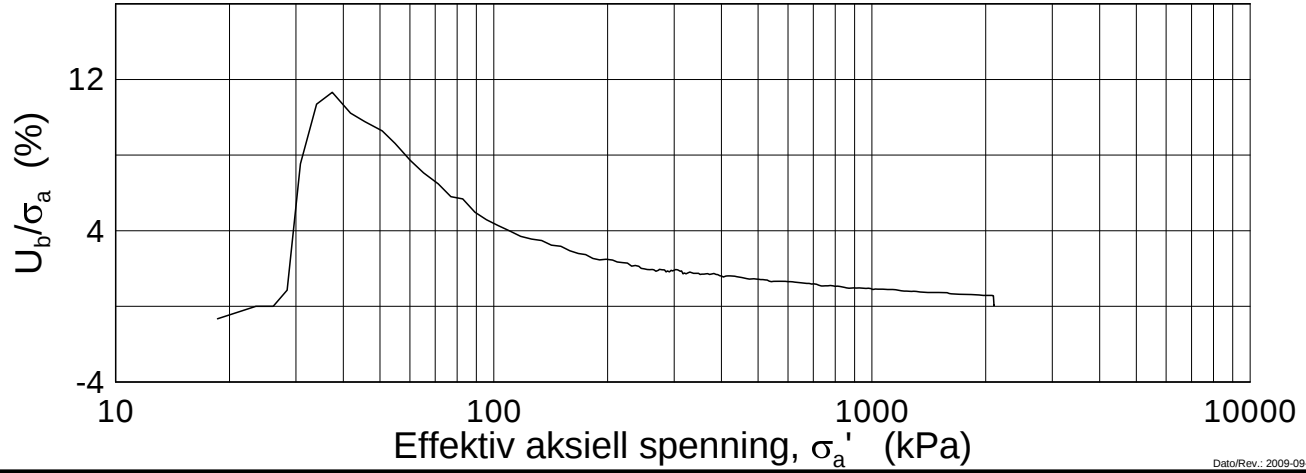
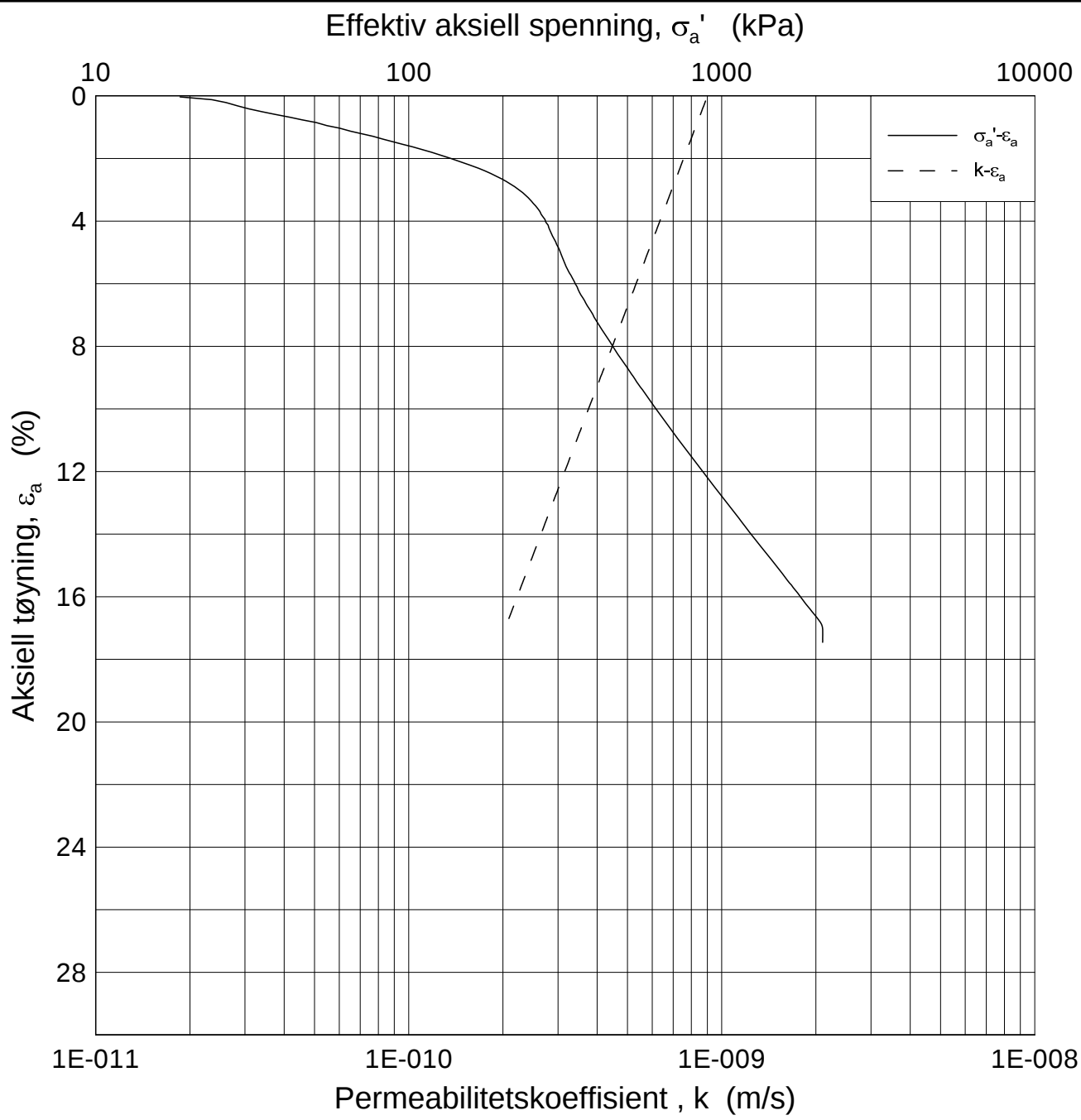
E16 Nybakk - Slomarka			Dokumentnr. 20120491-02-R
Ødometer test (CRSC)			Dato 2013-04-29
Borhull: 2270	Sylinder: 10	Dybde = 10.62 m	Figurnr. F76
Del: D	Test: 1	$p'_0 = 103.6$ kPa	Tegner FI/
		$w_i = 34.97$ %	

H:\LABDATA\2012\20120491\Oedom\BH2270\2270-10-D-1 lin-2 (crs2234).grf



Dato/Rev.: 2009-09-15/4

E16 Nybakk - Slomarka			Dokumentnr. 20120491-02-R
Ødometer test (CRSC)			Dato 2013-04-29
Borhull: 2270	Sylinder: 10	Dybde = 10.62 m	Figurnr. F77
Del: D	Test: 1	$p'_0 = 103.6$ kPa	Tegner FI
		$w_i = 34.97$ %	



Dato/Rev.: 2009-09-15/3

E16 Nybakk - Slomarka

Dokumentnr.
20120491-02-R

Ødometer test (CRSC)

Dybde = 10.62 m

Dato
2013-04-29

Borhull: 2270

Sylinder: 10

p_o' = 103.6 kPa

Figurnr.
F78

Del: D

Test: 1

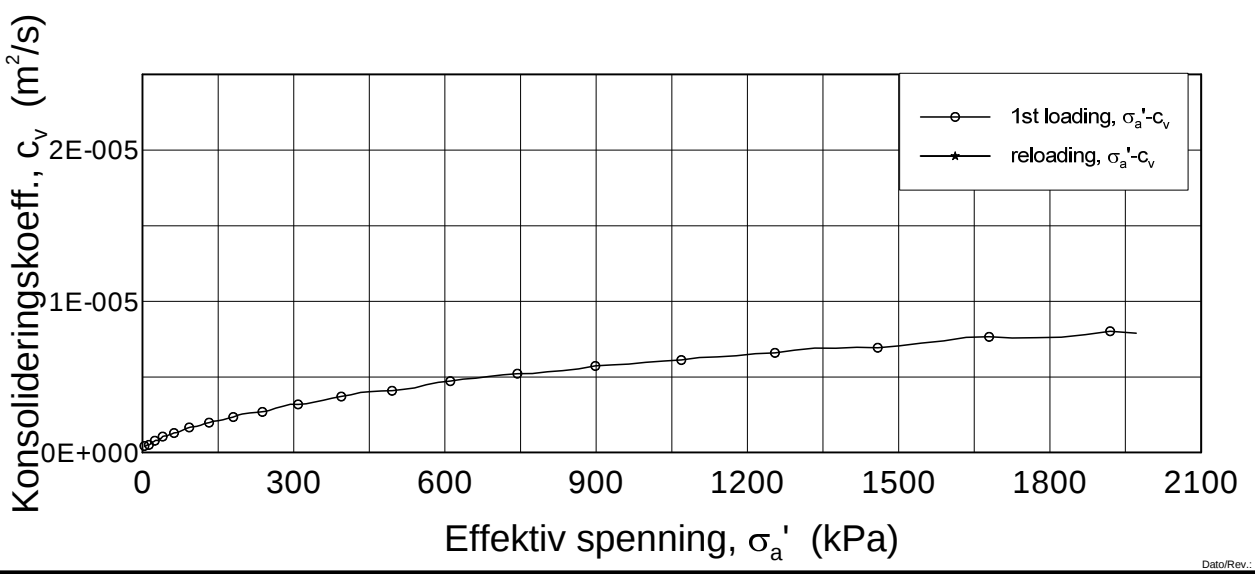
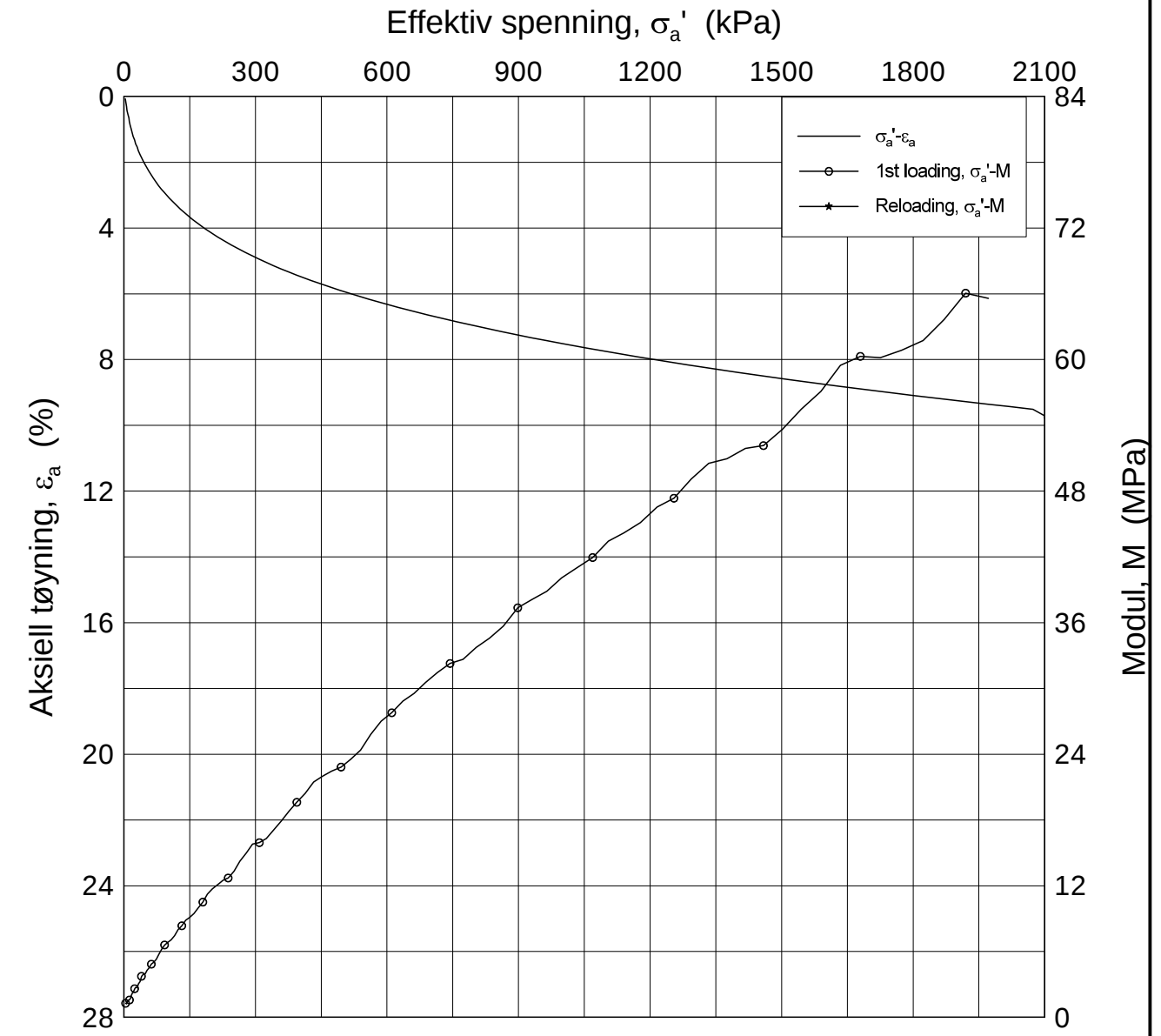
w_i = 34.97 %

Tegner
FI




H:\LABDATA\2012\20120491\Oedom\BH2270\2270-10-D-1 log (crs2234).grf

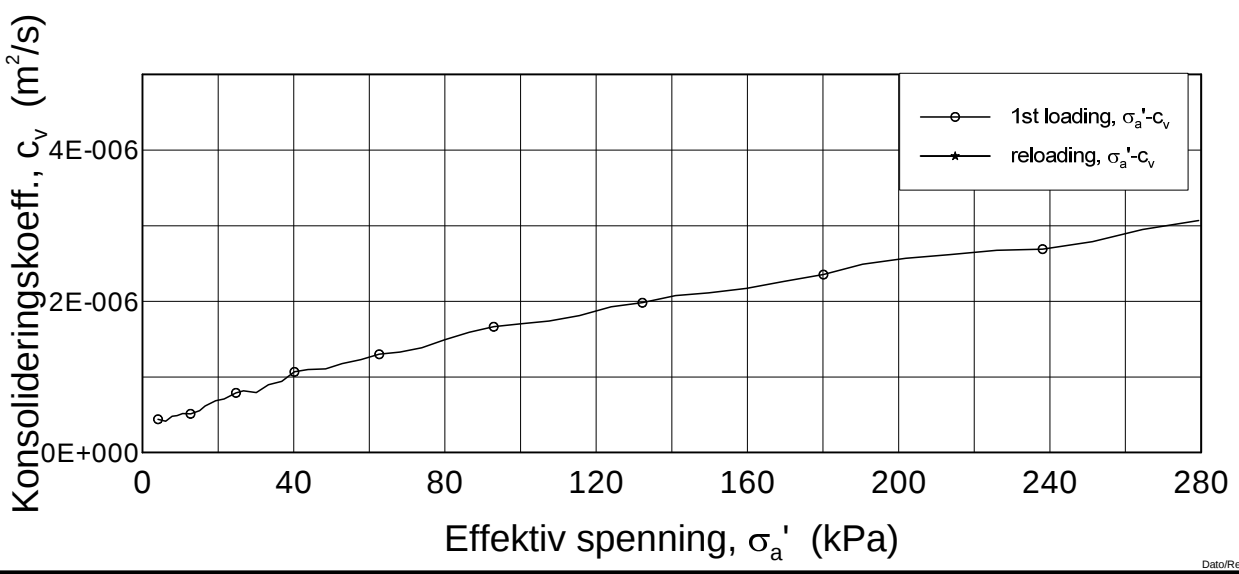
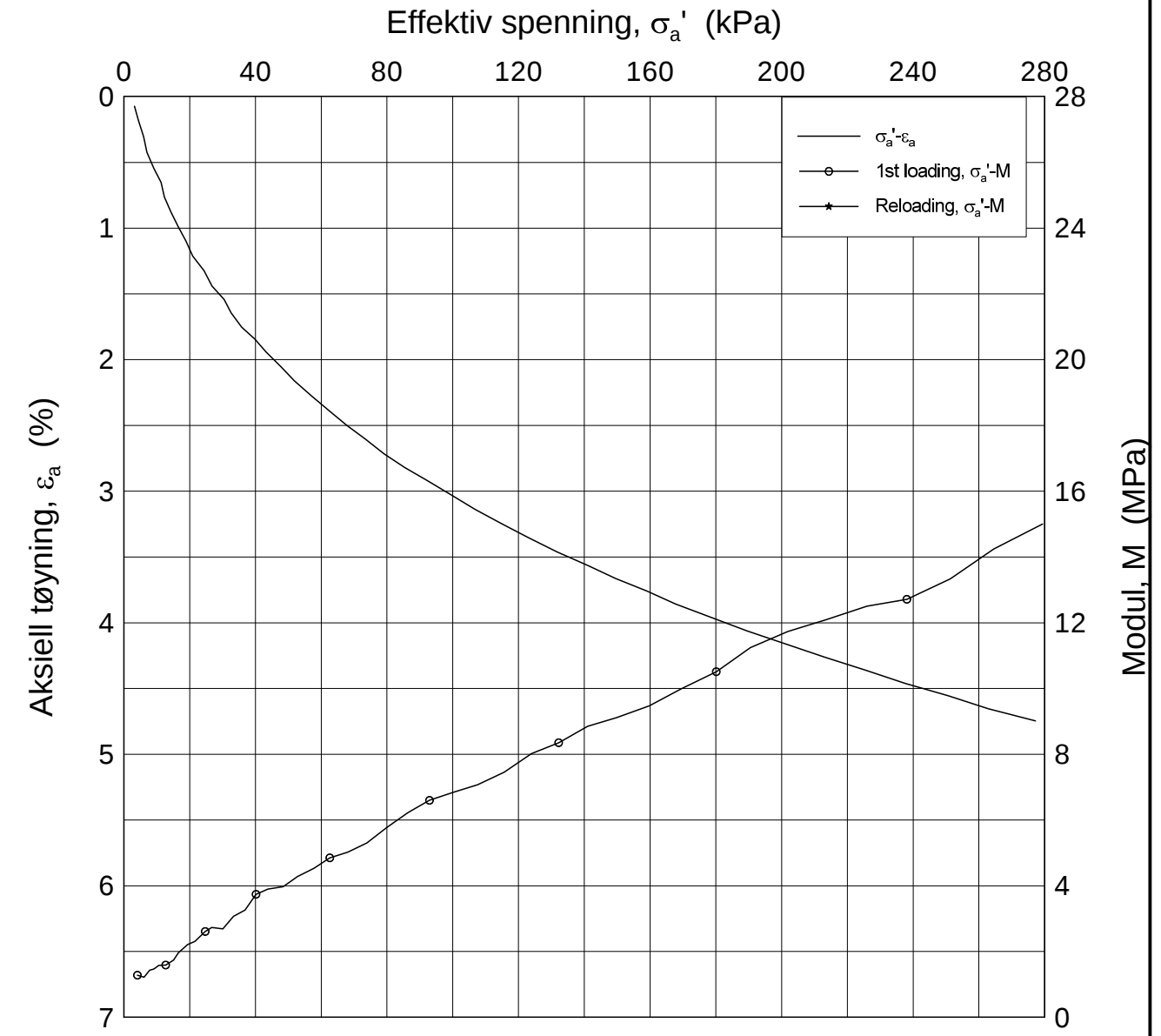
H:\LABDATA\2012\20120491\Oedom\BH2270\2270-16-C-1.lin (crs2232).gif



Dato/Rev.: 2009-09-15/4

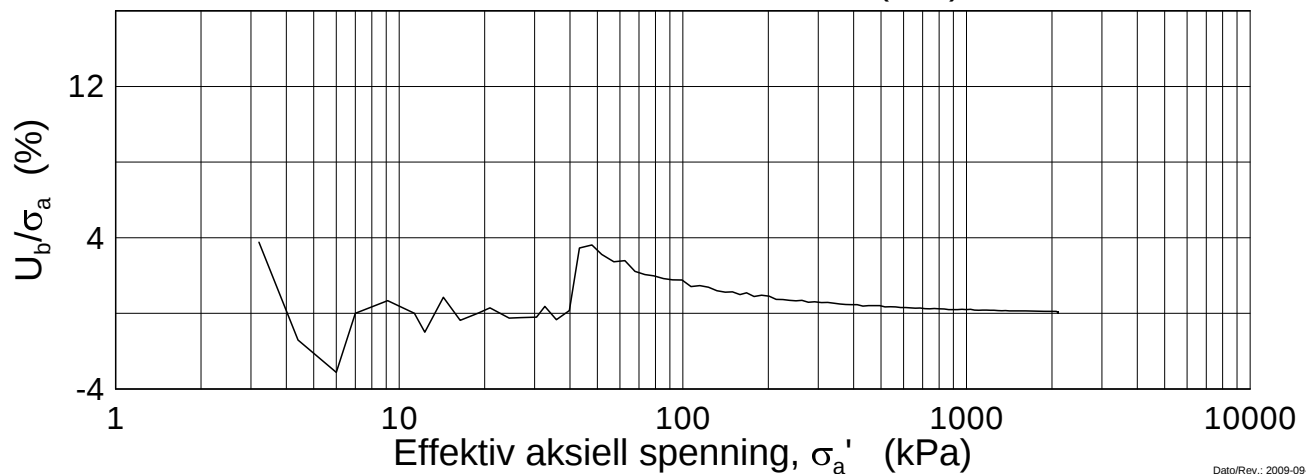
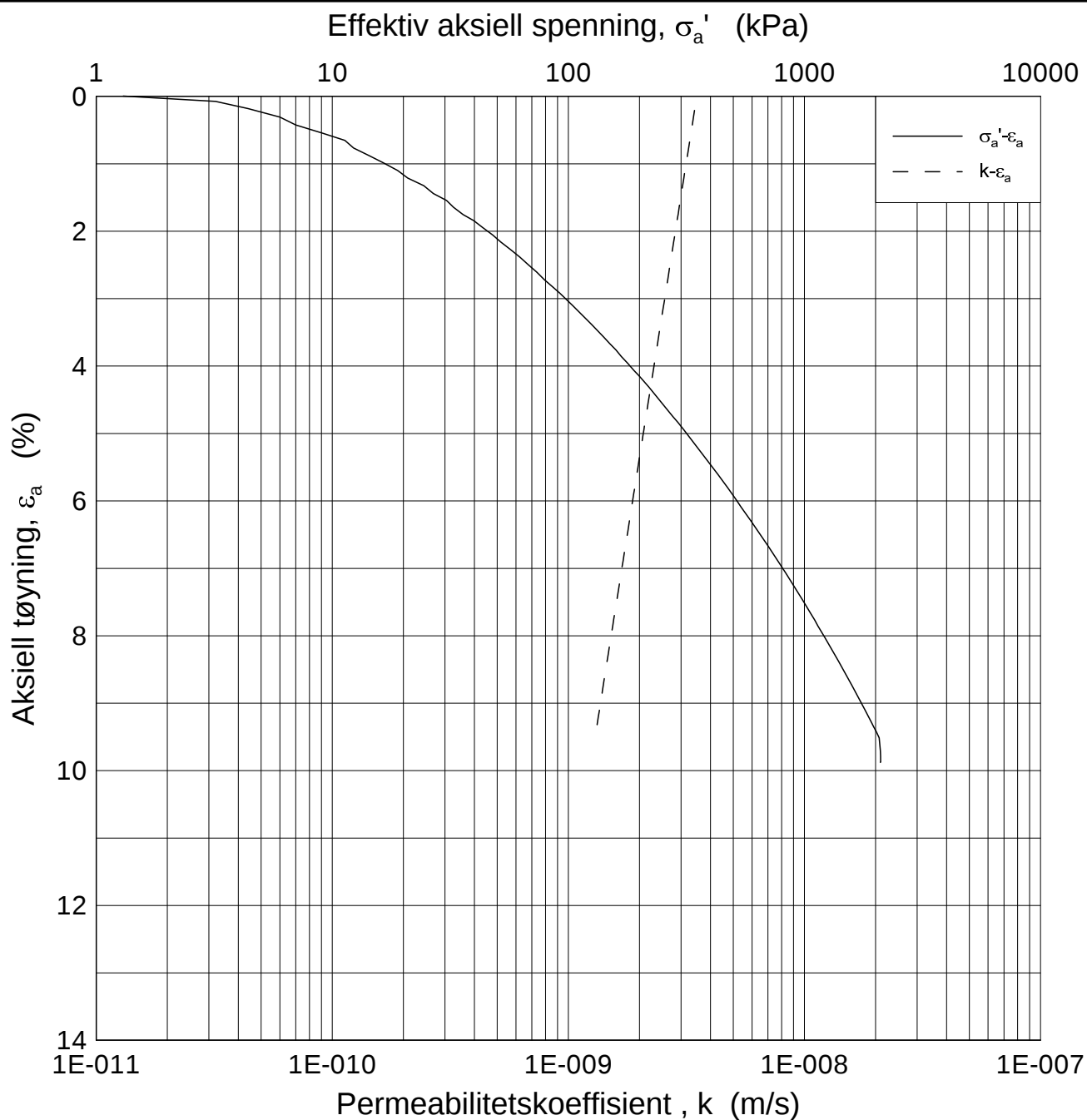
E16 Nybakk - Slomarka			Dokumentnr. 20120491-02-R
Ødometer test (CRSC)			Dato 2013-04-29
Borhull: 2270	Sylinder: 16	Dybde = 16.49 m	Figurnr. F79
Del: C	Test: 1	$p'_o = 157.6$ kPa	Tegner FI/
		$w_i = 32.76$ %	

H:\LABDATA\2012\20120491\Oedom\BH2270\2270-16-C-1 lin-2 (crs2232).grf




Dato/Rev.: 2009-09-15/4

E16 Nybakk - Slomarka			Dokumentnr. 20120491-02-R
Ødometer test (CRSC)			Dato 2013-04-29
Borhull: 2270	Sylinder: 16	Dybde = 16.49 m	Figurnr. F80
Del: C	Test: 1	$p'_o = 157.6$ kPa	Tegner FI
		$w_i = 32.76$ %	

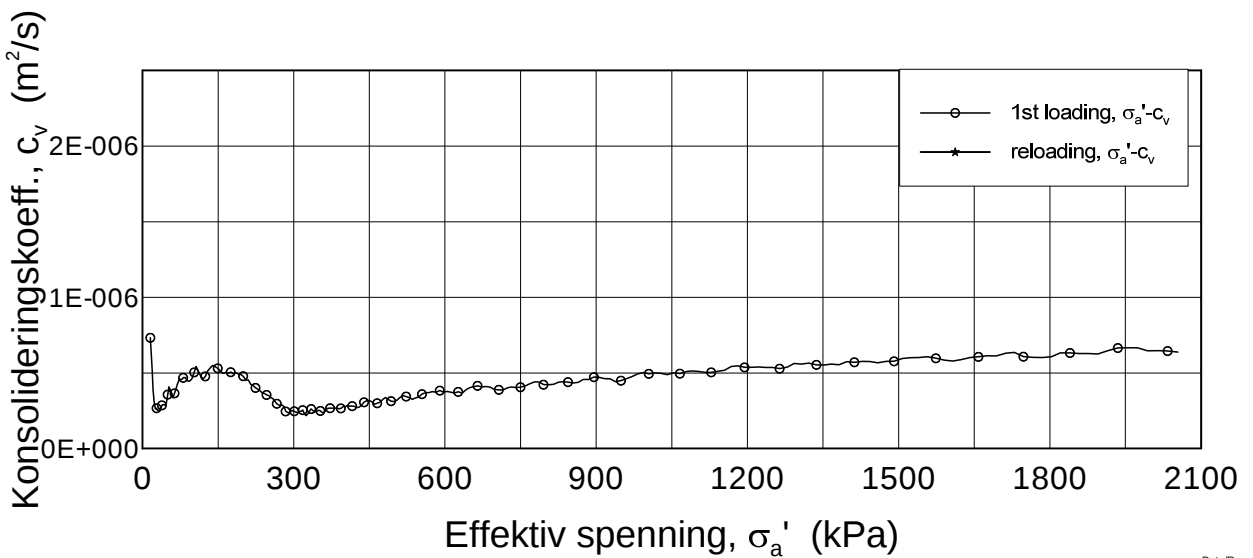
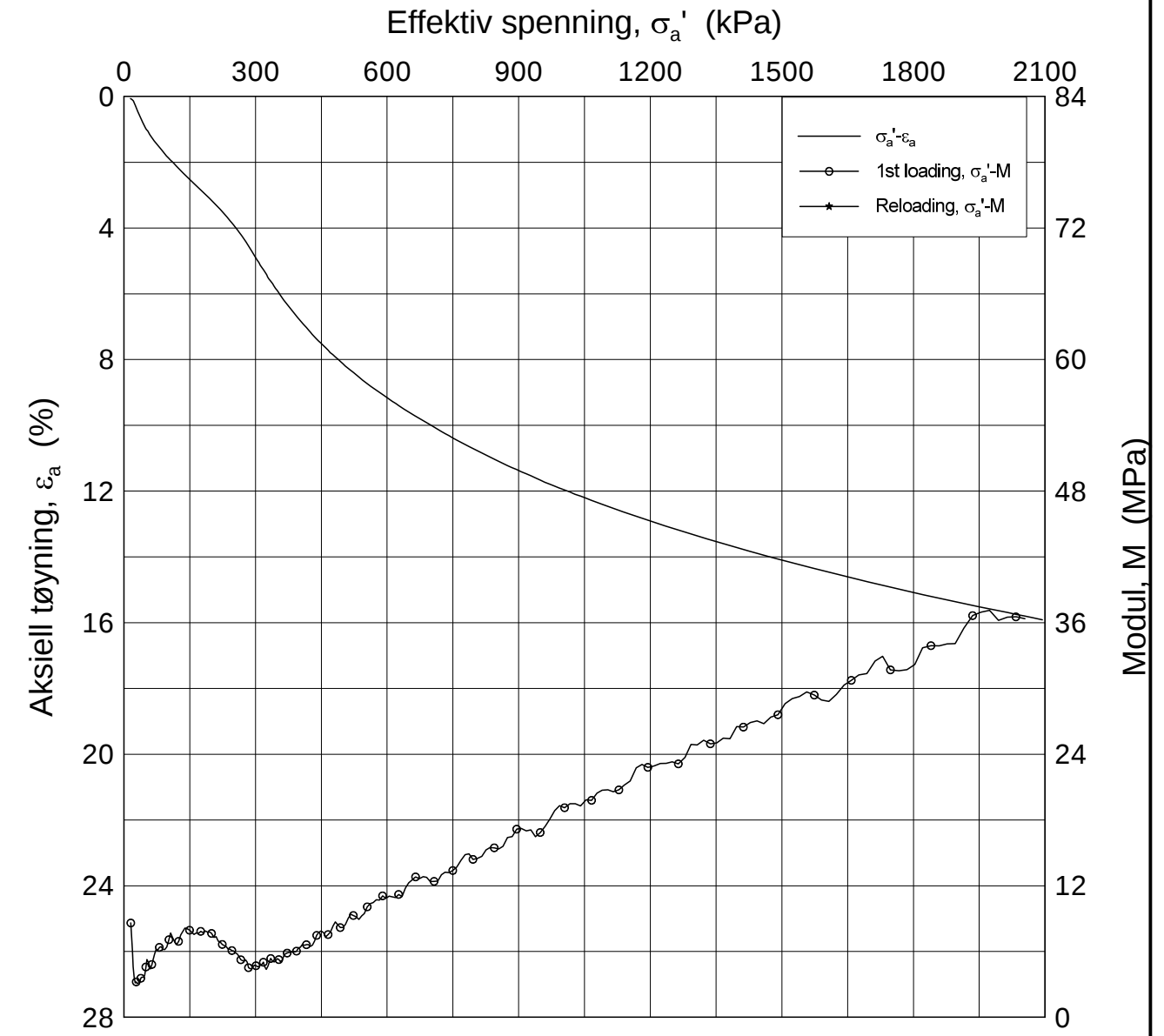


Dato/Rev.: 2009-09-15/3


H:\LABDATA\2012\20120491\Oedom\BH2270\2270-16-C-1 log (crs2232).grf

E16 Nybakk - Slomarka			Dokumentnr. 20120491-02-R
Ødometer test (CRSC)			Dato 2013-04-29
Borhull: 2270	Sylinder: 16	Dybde = 16.49 m	Figurnr. F81
Del: C	Test: 1	p_o' = 157.6 kPa	Tegner FI
		w_i = 32.76 %	

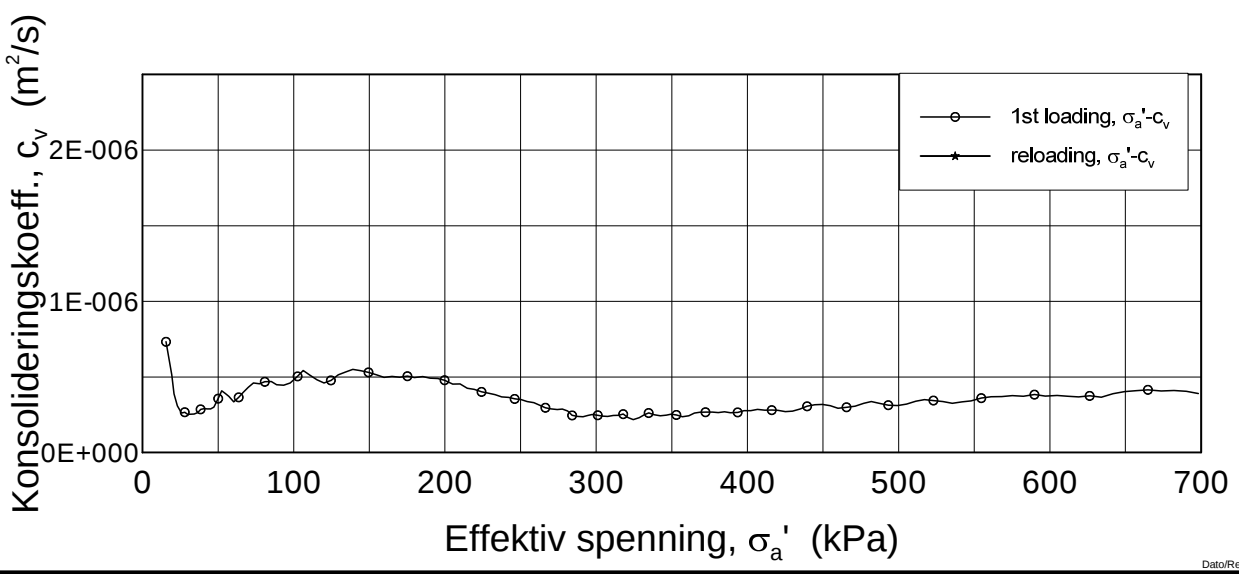
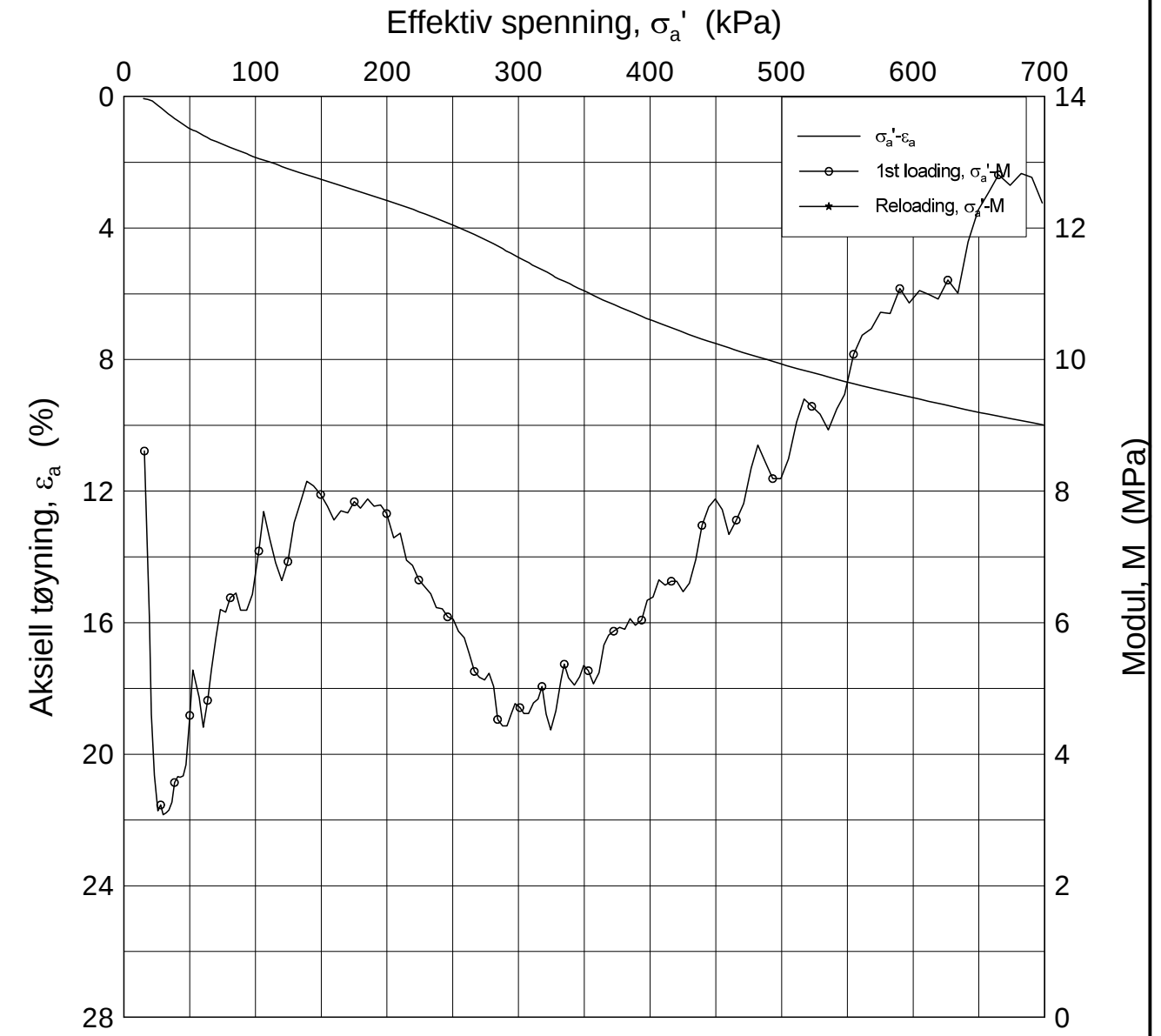
H:\LABDATA\2012\20120491\Oedom\BH2270\2270-20-D-1.lin (crs2240).gif



Dato/Rev.: 2009-09-15/4

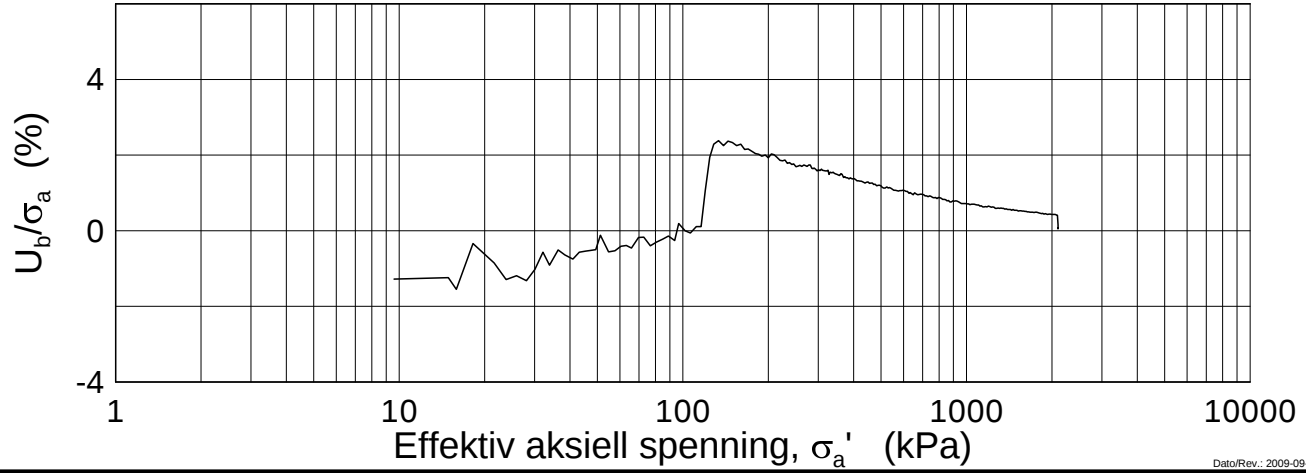
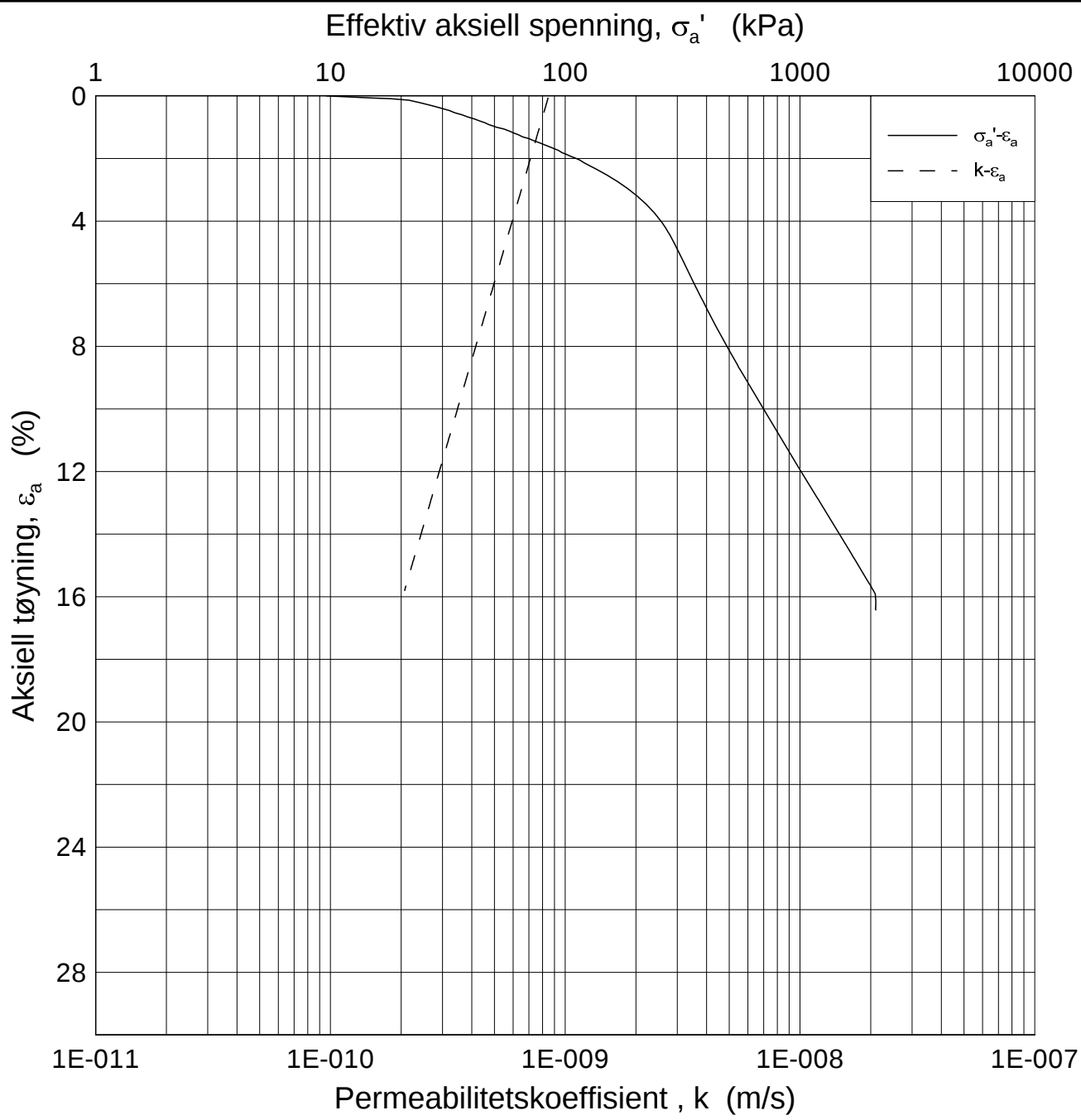
E16 Nybakk - Slomarka			Dokumentnr. 20120491-02-R
Ødometer test (CRSC)			Dato 2013-06-05
Borhull: 2270	Sylinder: 20	Dybde = 20.63 m	Figurnr. F82
Del: D	Test: 1	$p'_0 = 193.6$ kPa	Tegner FP/
		$w_i = 34.56$ %	

H:\LABDATA\2012\20120491\Oedom\BH2270\2270-20-D-1.lin-2 (crs2240).grf



Dato/Rev.: 2009-09-15/4

E16 Nybakk - Slomarka		Dokumentnr. 20120491-02-R
Ødometer test (CRSC)		Dato 2013-06-05
Borhull: 2270	Sylinder: 20	Dybde = 20.63 m
Del: D	Test: 1	$p'_0 = 193.6$ kPa
		$w_i = 34.56$ %
		Figurnr. F83
		Tegner FP/



Dato/Rev.: 2009-09-15/3

E16 Nybakk - Slomarka

Dokumentnr.
20120491-02-R

Ødometer test (CRSC)

Dybde = 20.63 m

Dato
2013-06-05

Borhull: 2270

Sylinder: 20

p_o' = 193.6 kPa

Figurnr.
F84

Del: D

Test: 1

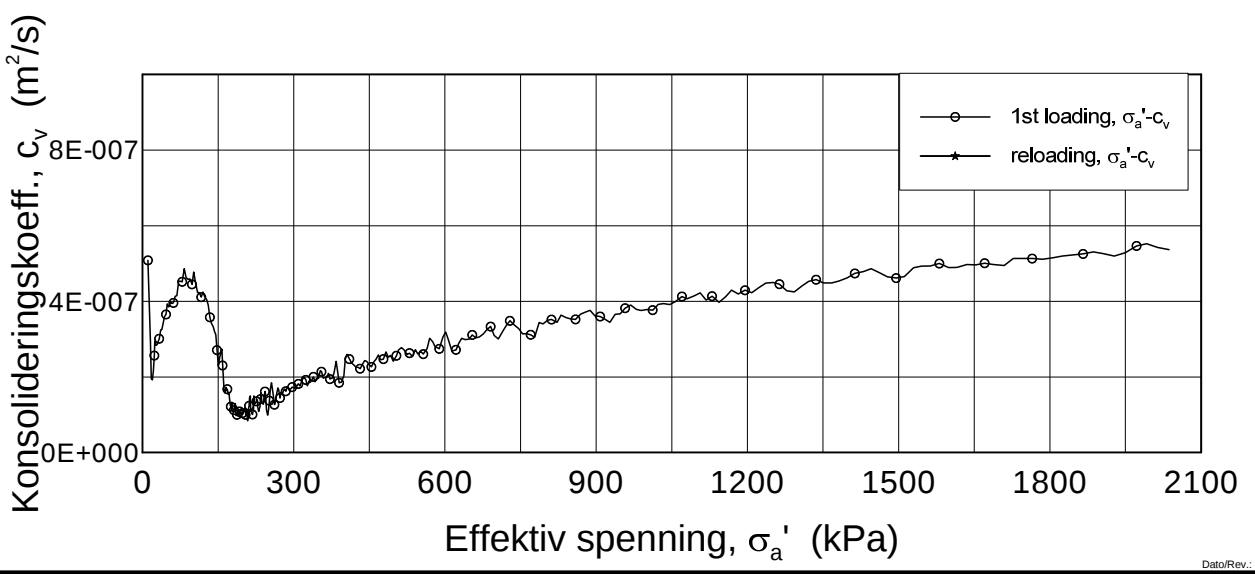
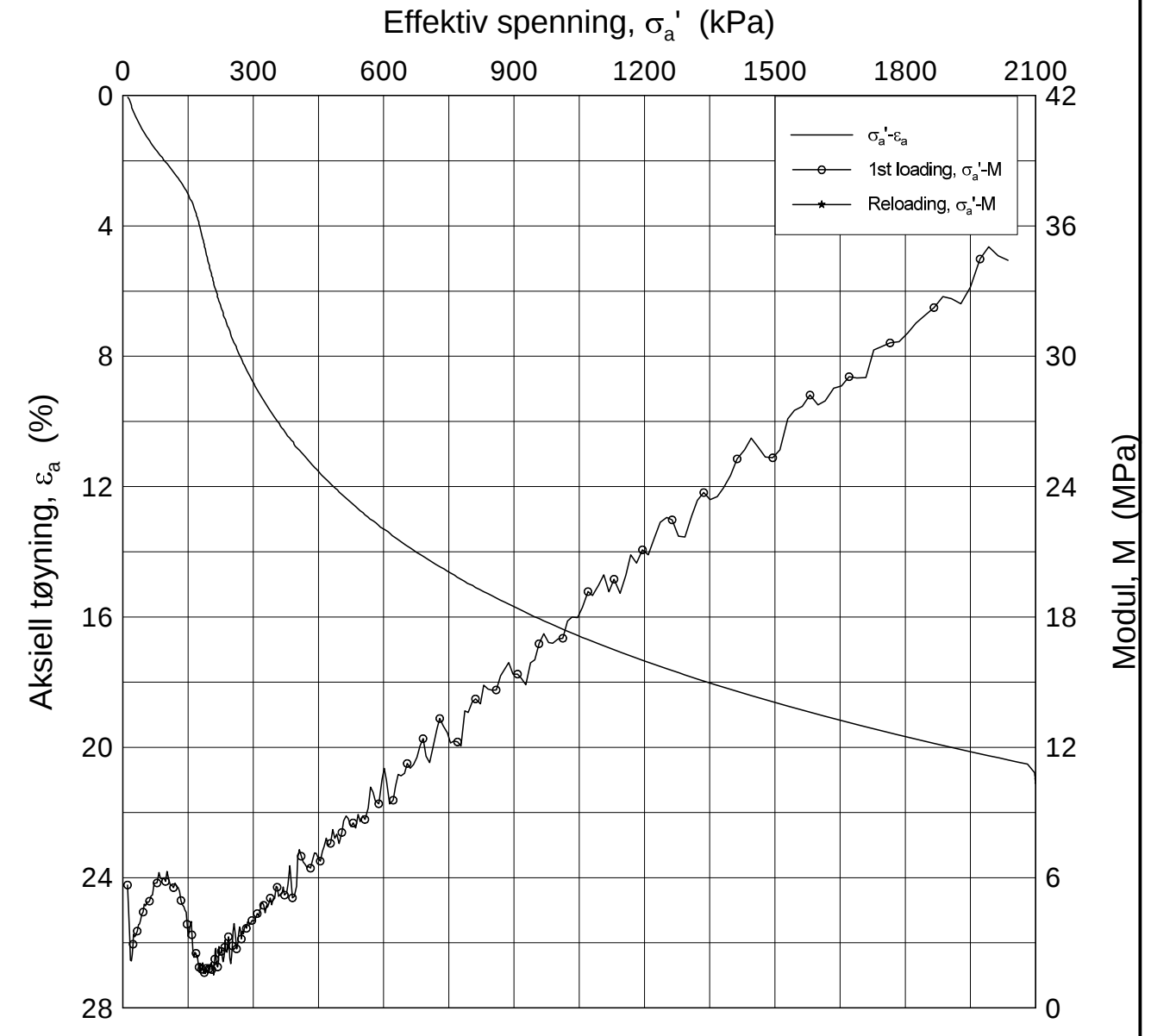
w_i = 34.56 %

Tegner
FP




H:\LABDATA\2012\20120491\Oedom\BH2270\2270-20-D-1 log (crs2240).grf

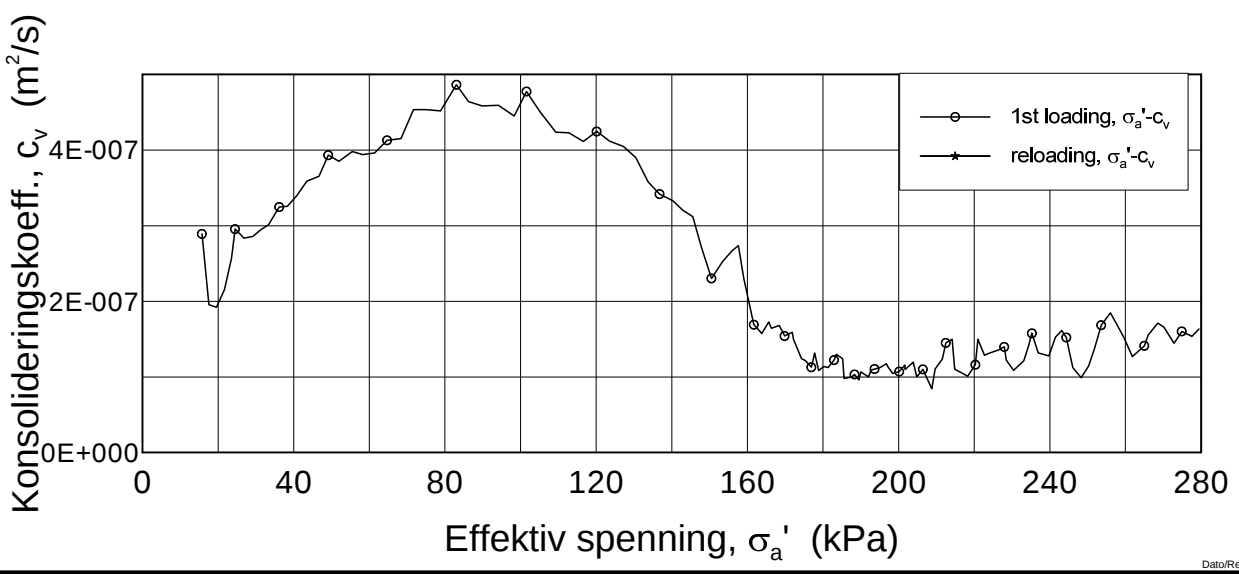
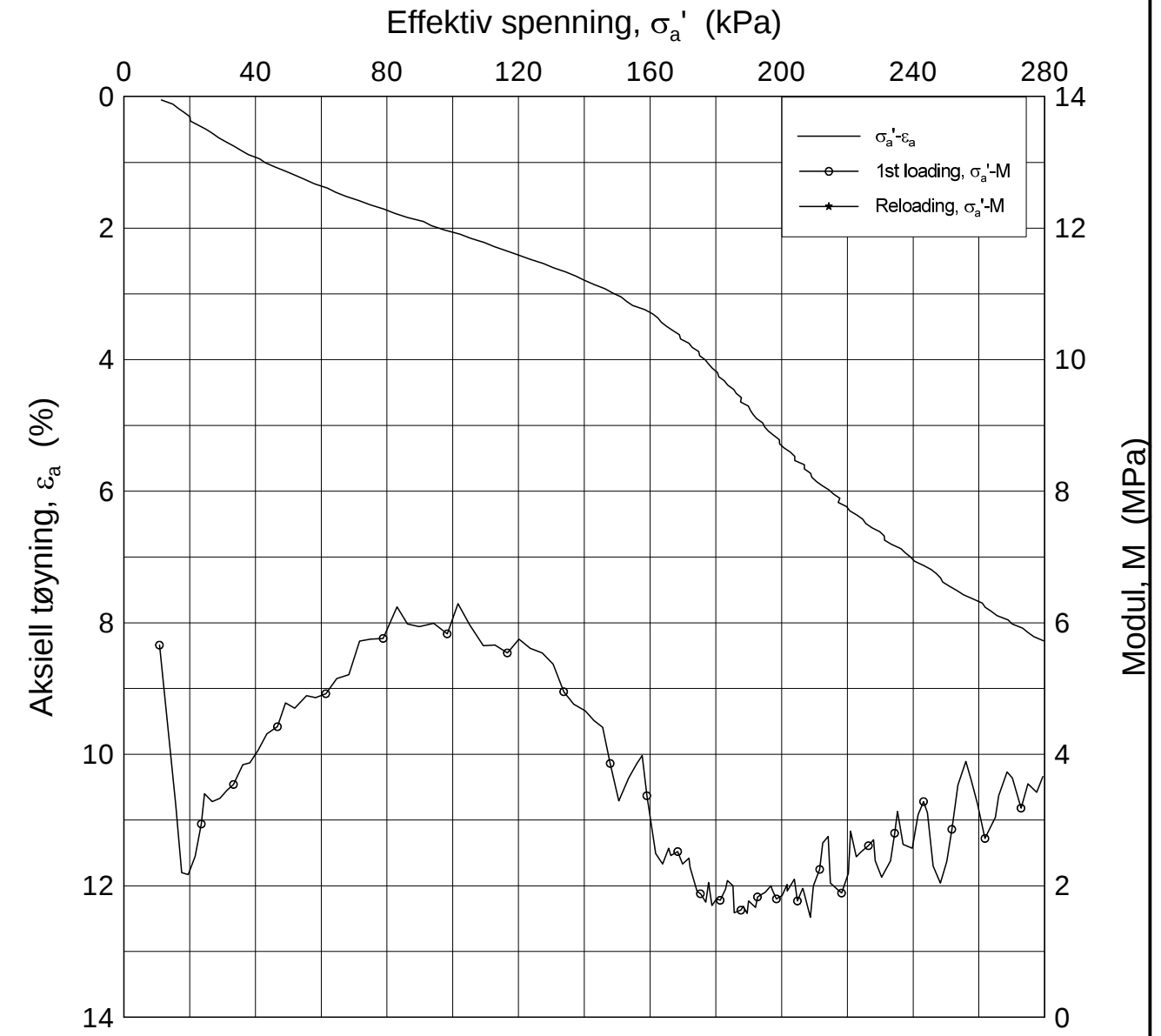
H:\LABDATA\2012\20120491\Oedom\BH2275\2275-2-C-1.lin (crs2224).grf




Dato/Rev.: 2009-09-15/4

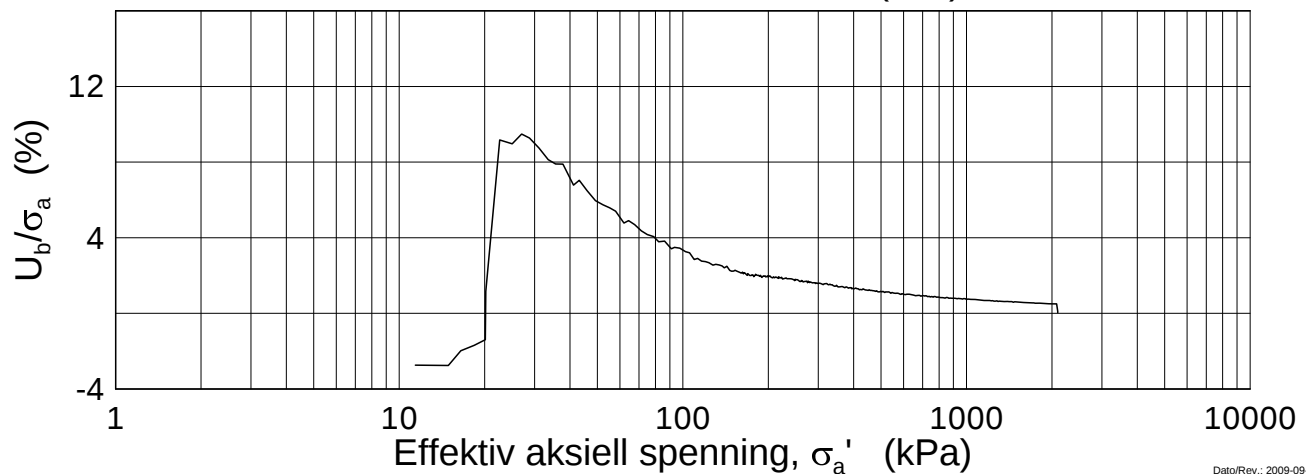
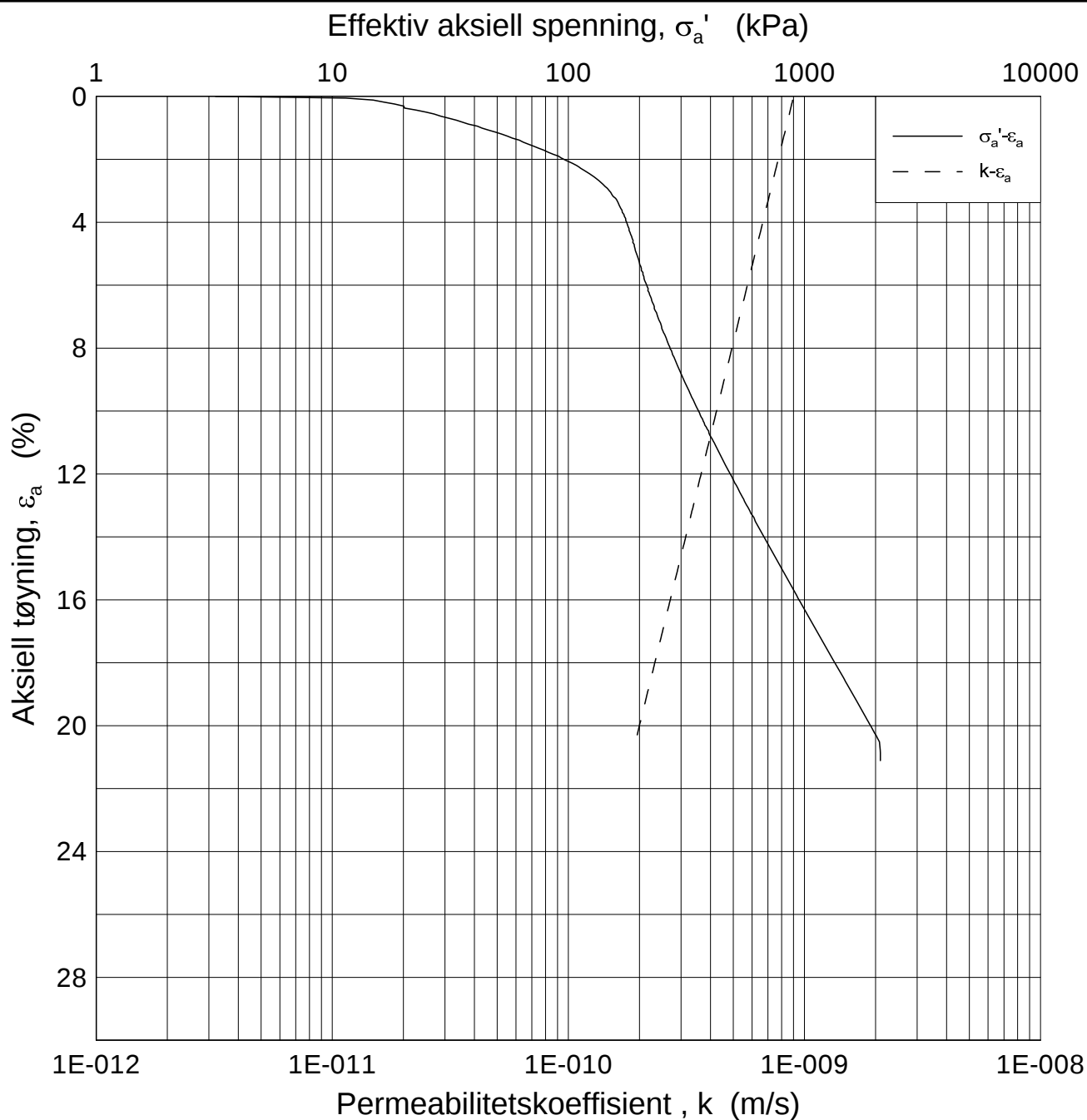
E16 Nybakk - Slomarka			Dokumentnr. 20120491-02-R
Ødometer test (CRSC)			Dato 2013-05-02
Borhull: 2275	Sylinder: 2	Dybde = 4.57 m	Figurnr. F85
Del: C	Test: 1	$p'_0 = 49.6$ kPa	Tegner FI/
		$w_i = 43.44$ %	

H:\LABDATA\2012\20120491\Oedom\BH2275\2275-2-C-1.lin-2 (crs2224).grf



Dato/Rev.: 2009-09-15/4

E16 Nybakk - Slomarka			Dokumentnr. 20120491-02-R
Ødometer test (CRSC)			Dato 2013-05-02
Borhull: 2275	Sylinder: 2	Dybde = 4.57 m	Figurnr. F86
Del: C	Test: 1	$p'_o = 49.6$ kPa	Tegner FI
		$w_i = 43.44$ %	



Dato/Rev.: 2009-09-15/3

E16 Nybakk - Slomarka

Dokumentnr.
20120491-02-R

Ødometer test (CRSC)

Dybde = 4.57 m

Dato
2013-05-02

Borhull: 2275

Sylinder: 2

p_o' = 49.6 kPa

Figurnr.
F87

Del: C

Test: 1

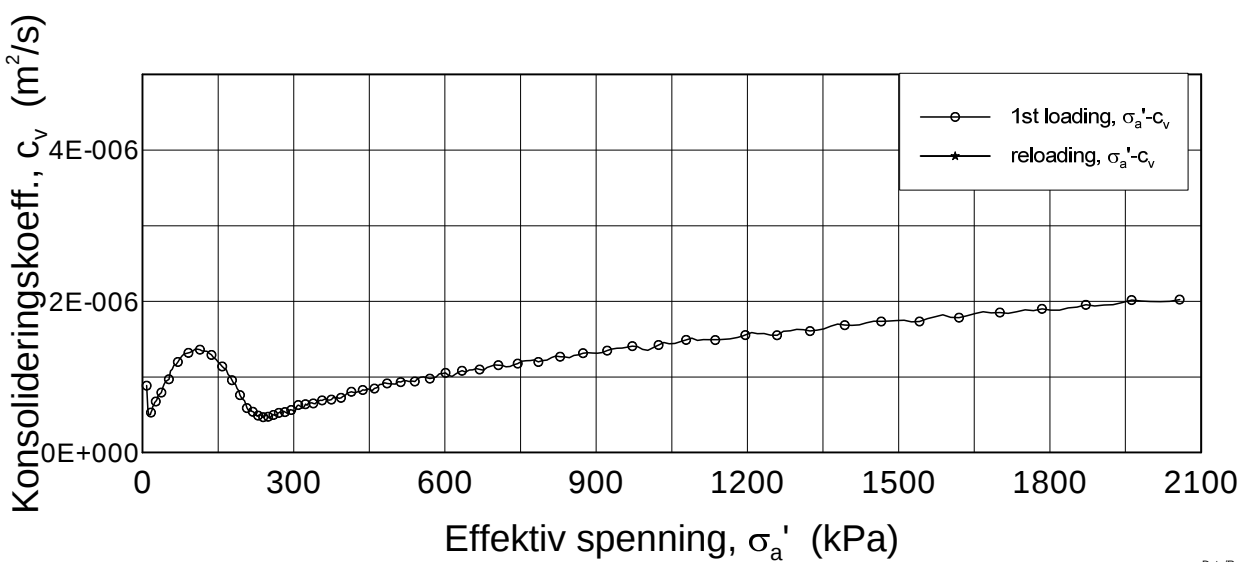
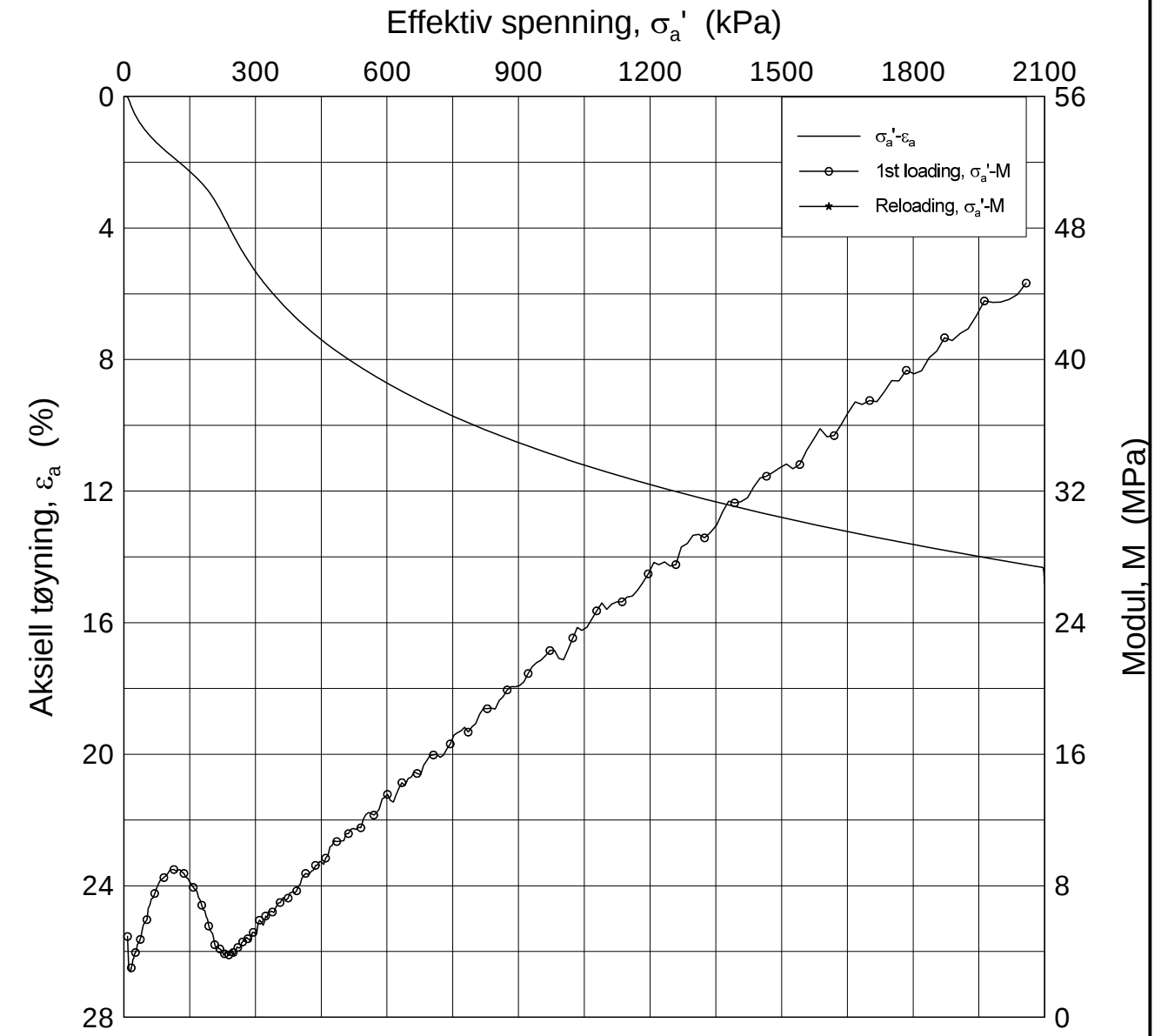
w_i = 43.44 %

Tegner
FI




H:\LABDATA\2012\20120491\Oedom\BH2275\2275-2-C-1.log (crs2224).grf

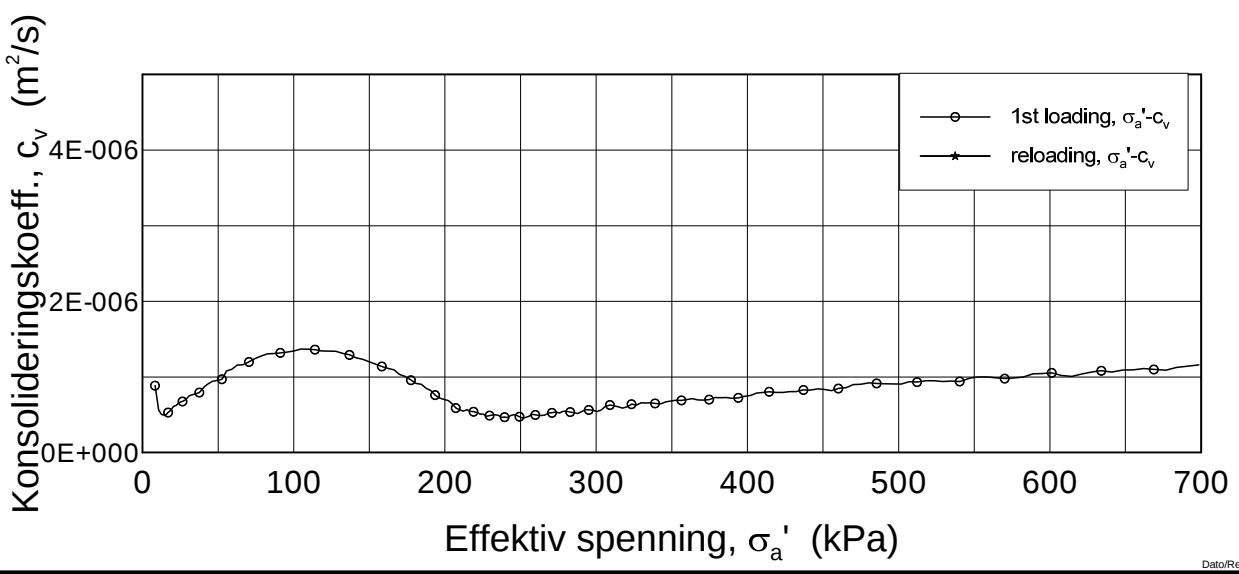
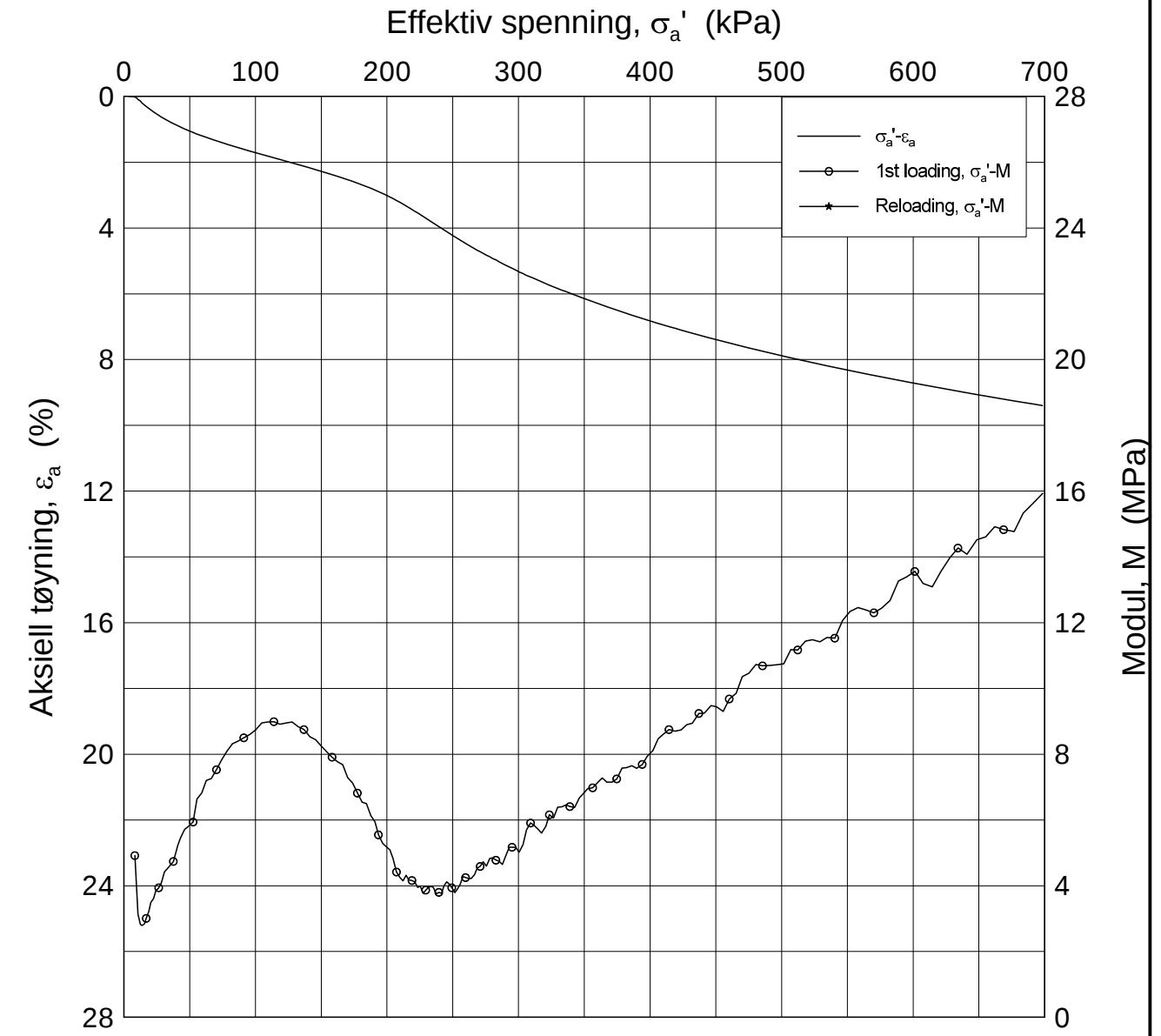
H:\LABDATA\2012\20120491\Oedom\BH2275\2275-7-B-1.lin (crs2254).grf



Dato/Rev.: 2009-09-15/4

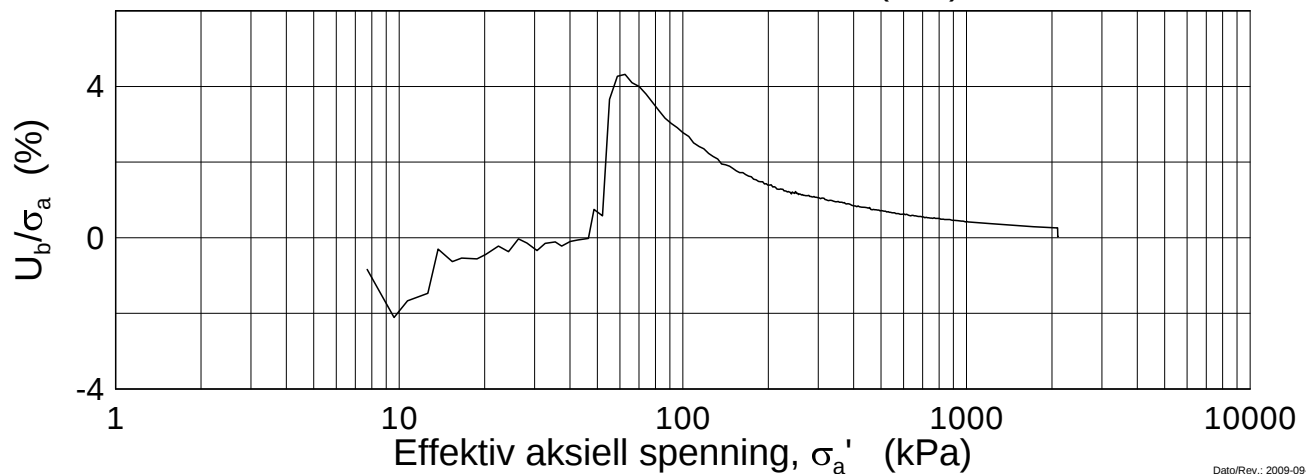
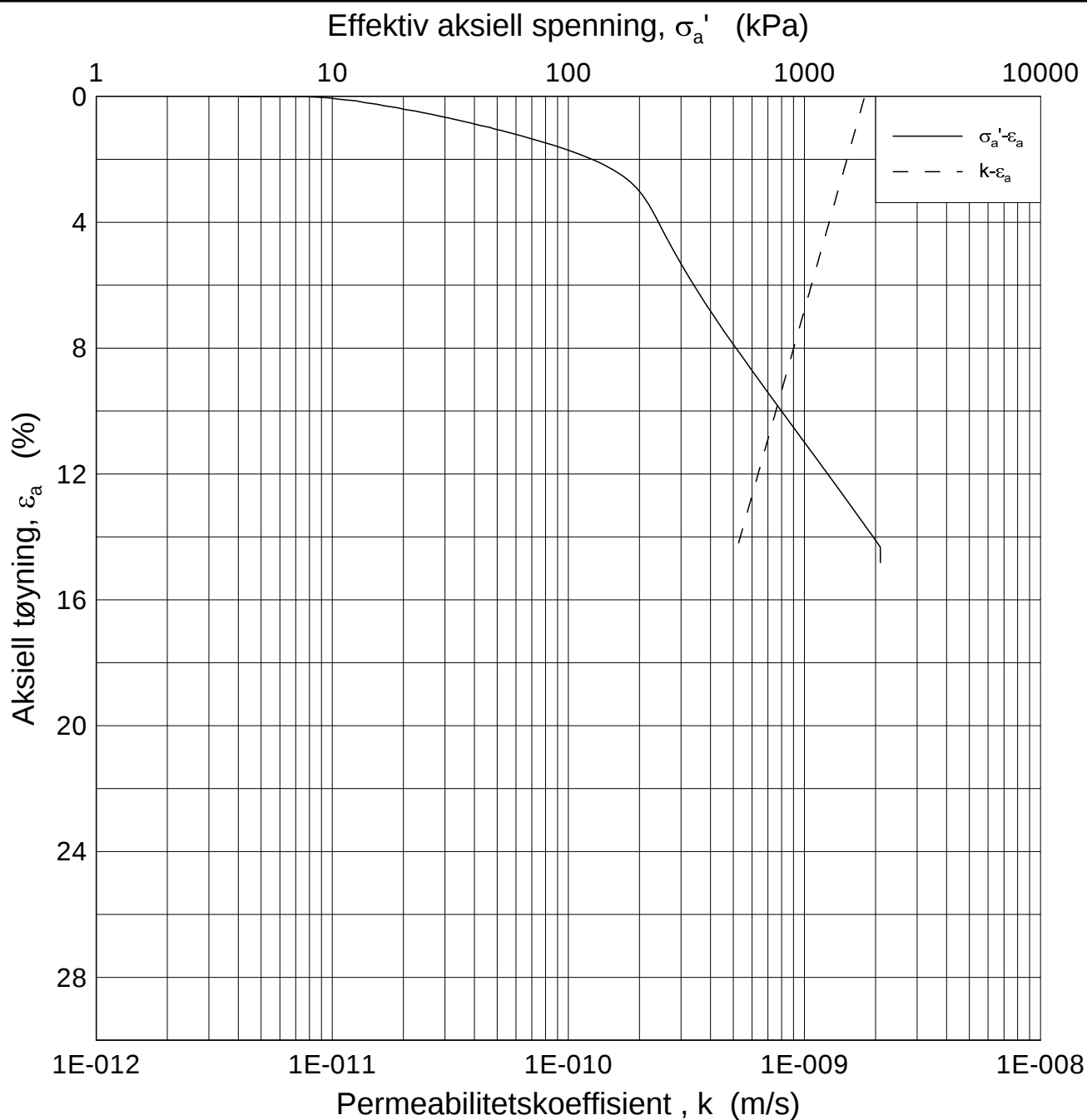
E16 Nybakk - Slomarka			Dokumentnr. 20120491-02-R
Ødometer test (CRSC)			Dato 2013-06-05
Borhull: 2275	Sylinder: 7	Dybde = 9.37 m	Figurnr. F88
Del: B	Test: 1	$p'_0 = 94.6$ kPa	Tegner FP/
		$w_i = 36.87$ %	

H:\LABDATA\2012\20120491\Oedom\BH2275\2275-7-B-1.lin-2 (cvs2254).grf



Dato/Rev.: 2009-09-15/4

E16 Nybakk - Slomarka			Dokumentnr. 20120491-02-R
Ødometer test (CRSC)			Dato 2013-06-05
Borhull: 2275	Sylinder: 7	Dybde = 9.37 m	Figurnr. F89
Del: B	Test: 1	$p'_0 = 94.6$ kPa	Tegner FP/
		$w_i = 36.87$ %	



Dato/Rev.: 2009-09-15/3

E16 Nybakk - Slomarka

Dokumentnr.
20120491-02-R

Ødometer test (CRSC)

Dybde = 9.37 m

Dato
2013-06-05

Borhull: 2275

Sylinder: 7

p_o' = 94.6 kPa

Figurnr.
F90

Del: B

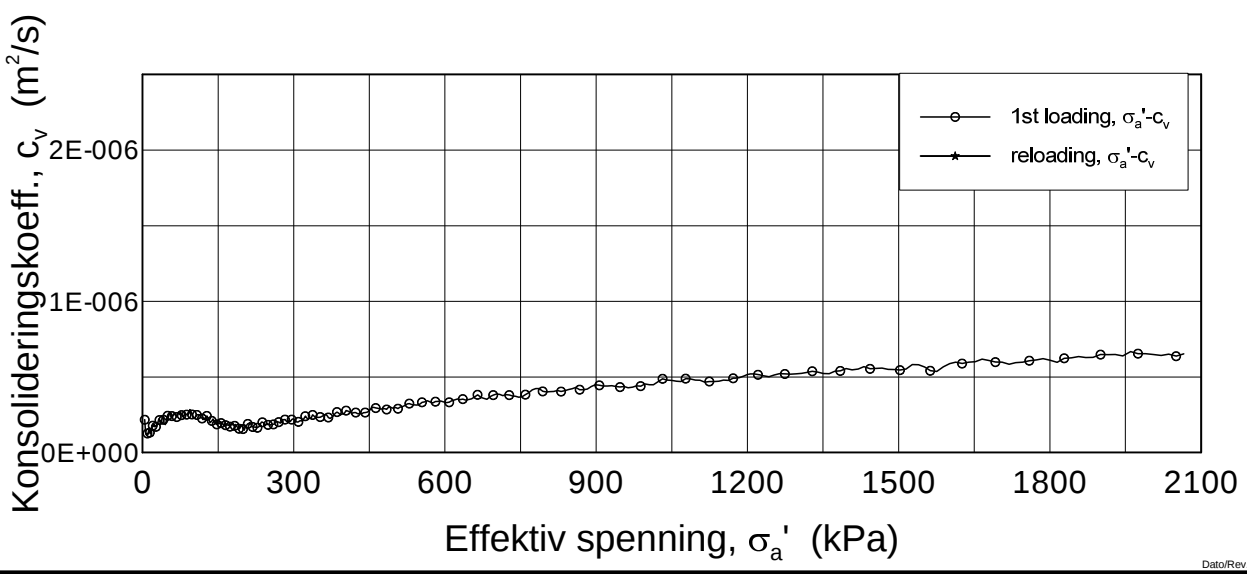
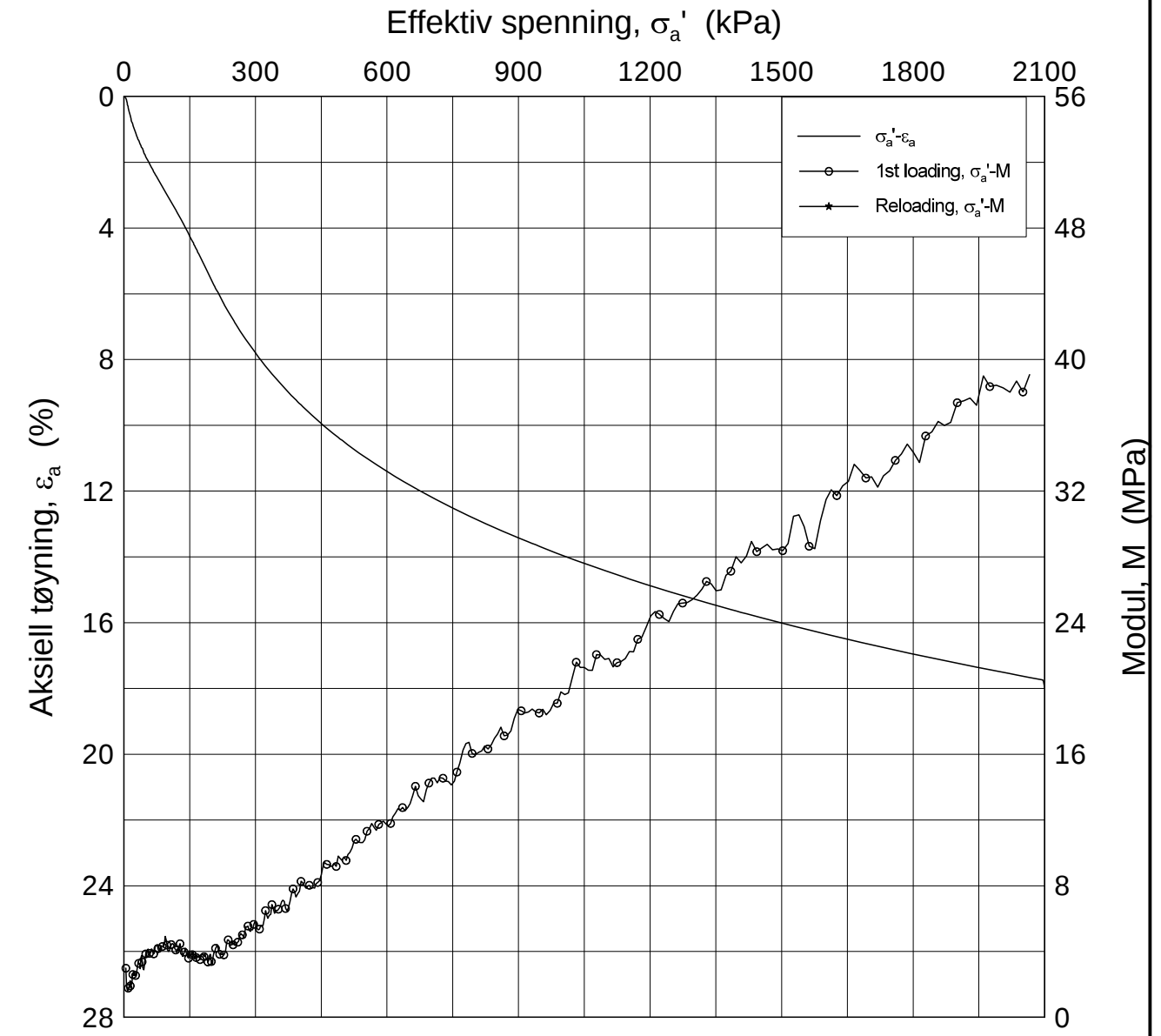
Test: 1

w_i = 36.87 %


Tegner
FP\



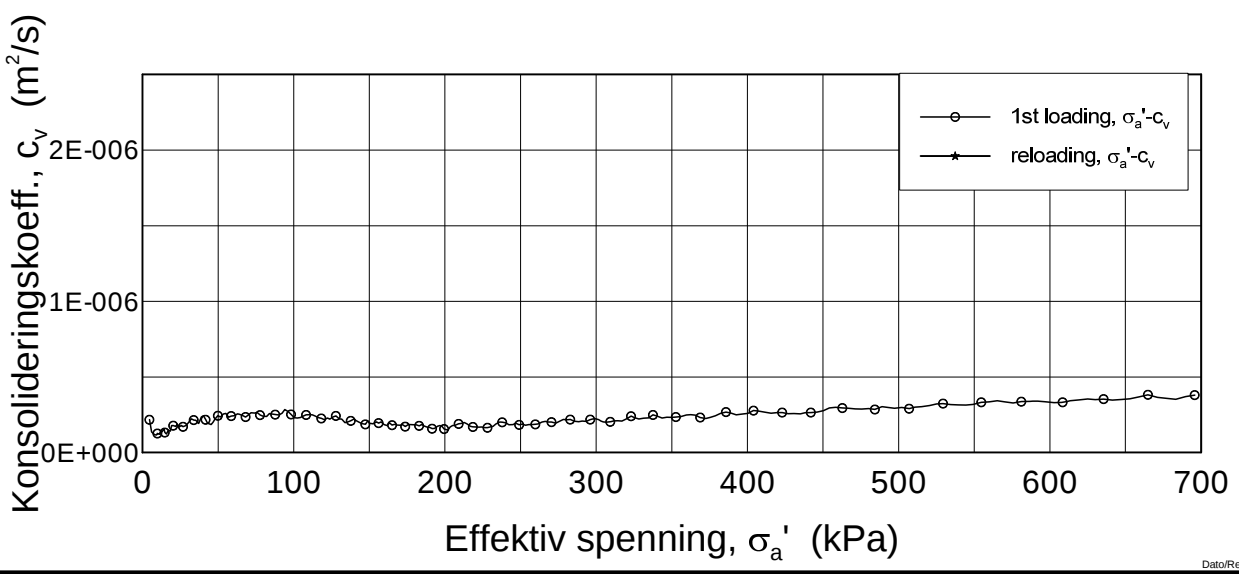
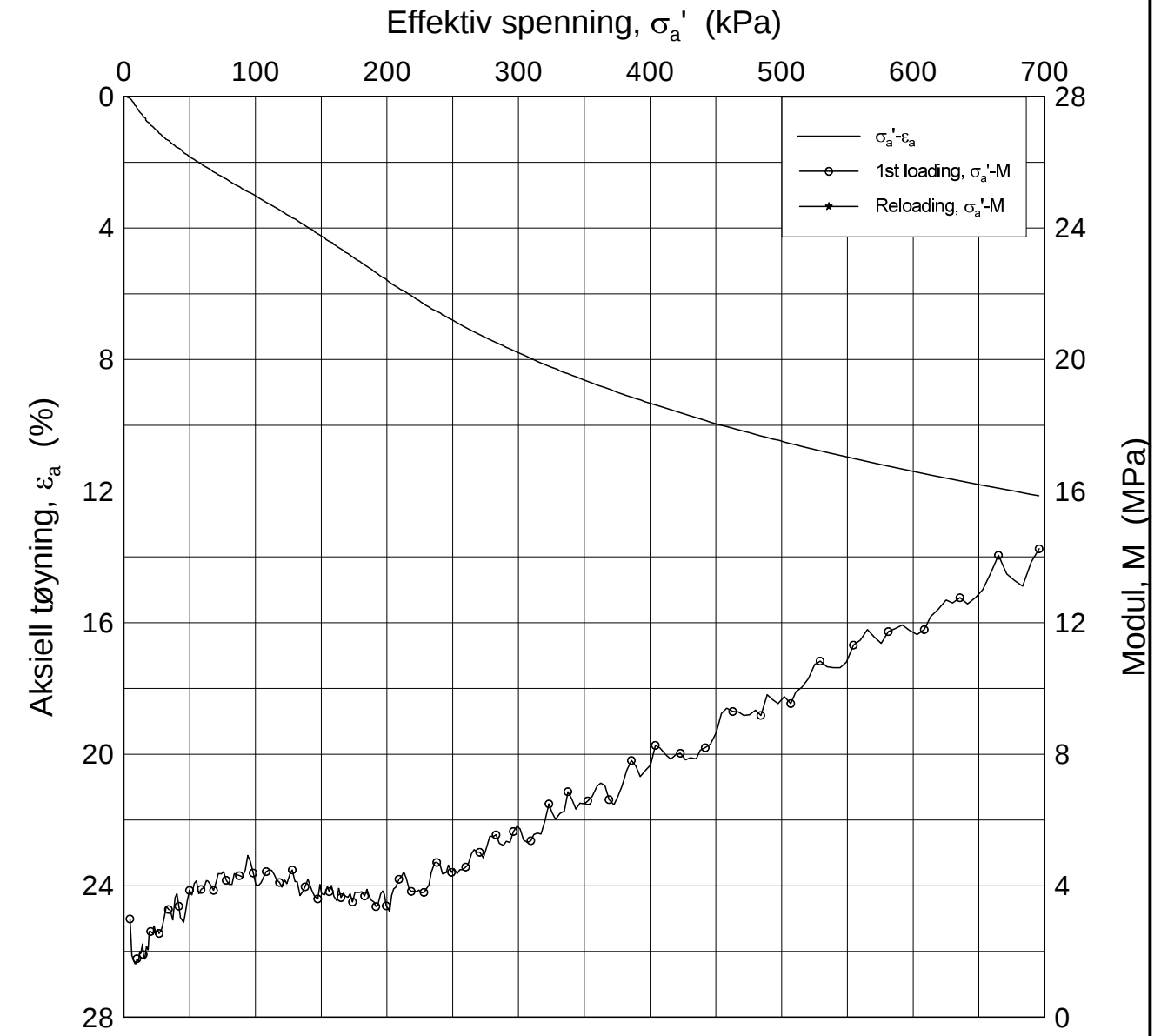
H:\LABDATA\2012\20120491\Oedom\BH2275\2275-14-A-1.lin (crs2258).grf




Dato/Rev.: 2009-09-15/4

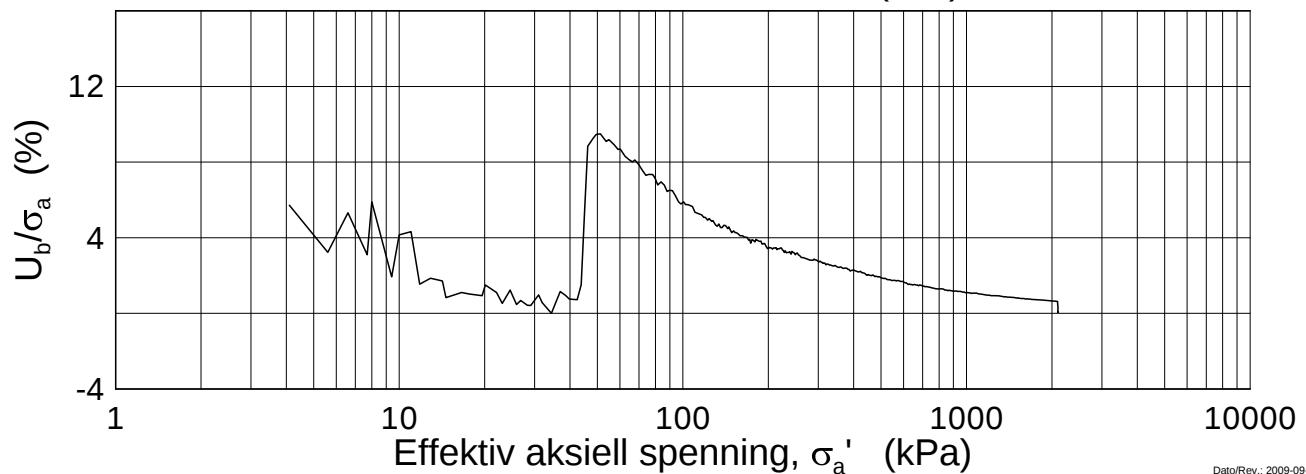
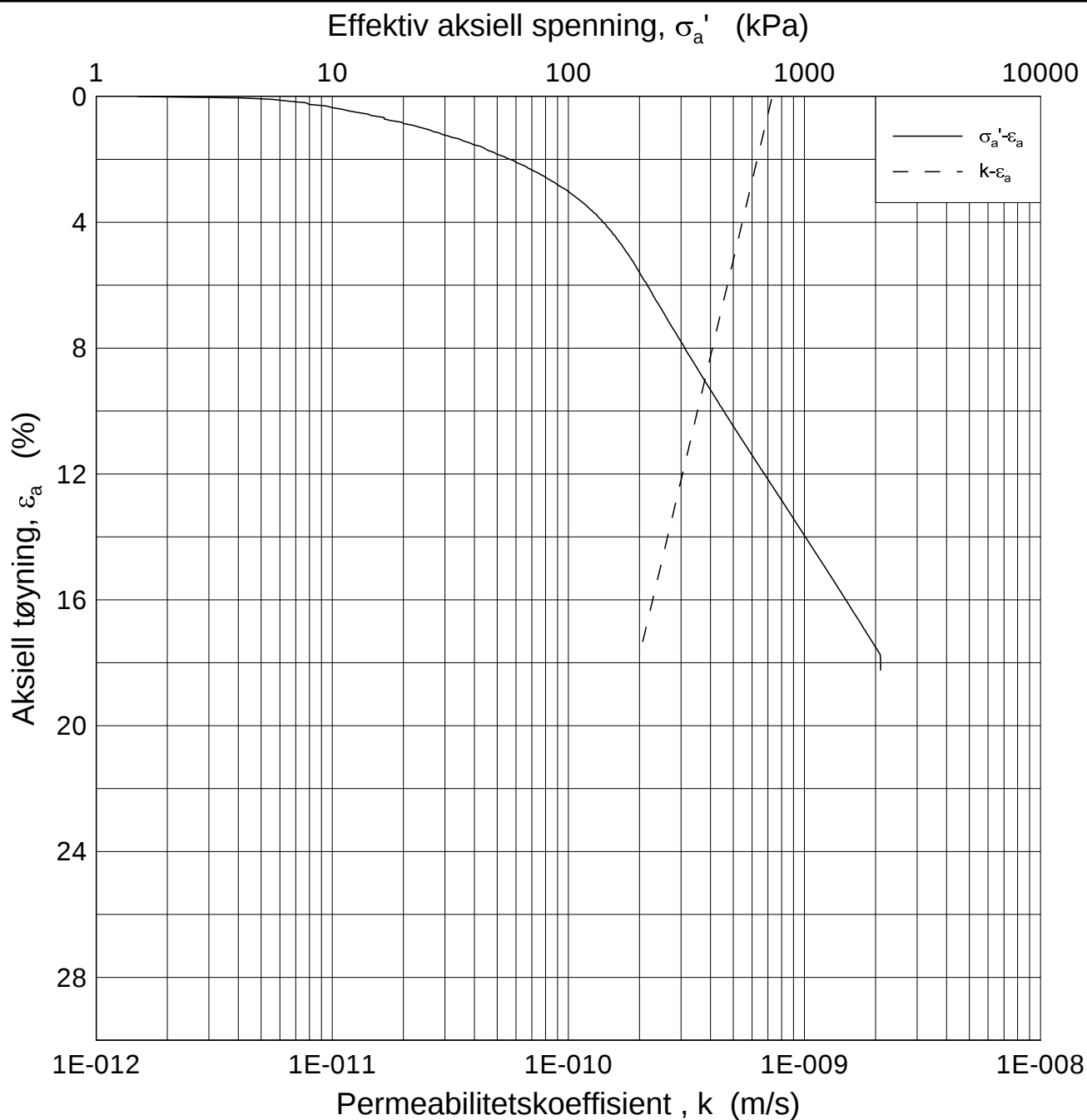
E16 Nybakk - Slomarka			Dokumentnr. 20120491-02-R
Ødometer test (CRSC)			Dato 2013-06-05
Borhull: 2275	Sylinder: 14	Dybde = 16.13 m	Figurnr. F91
Del: A	Test: 1	$p'_o = 157.6$ kPa	Tegner FP/
		$w_i = 37.31$ %	

H:\LABDATA\2012\20120491\Oedom\BH2275\2275-14-A-1.lin-2 (crs2258).grf



Dato/Rev.: 2009-09-15/4

E16 Nybakk - Slomarka		Dokumentnr. 20120491-02-R
Ødometer test (CRSC)		Dato 2013-06-05
Borhull: 2275	Sylinder: 14	Figurnr. F92
Del: A	Test: 1	Tegner FP/
	Dybde = 16.13 m	
	$p'_0 = 157.6$ kPa	
	$w_i = 37.31$ %	



Dato/Rev.: 2009-09-15/3

E16 Nybakk - Slomarka

Dokumentnr.
20120491-02-R

Ødometer test (CRSC)

Dybde = 16.13 m

Dato
2013-06-05

Borhull: 2275

Sylinder: 14

p'_o = 157.6 kPa

Figurnr.
F93

Del: A

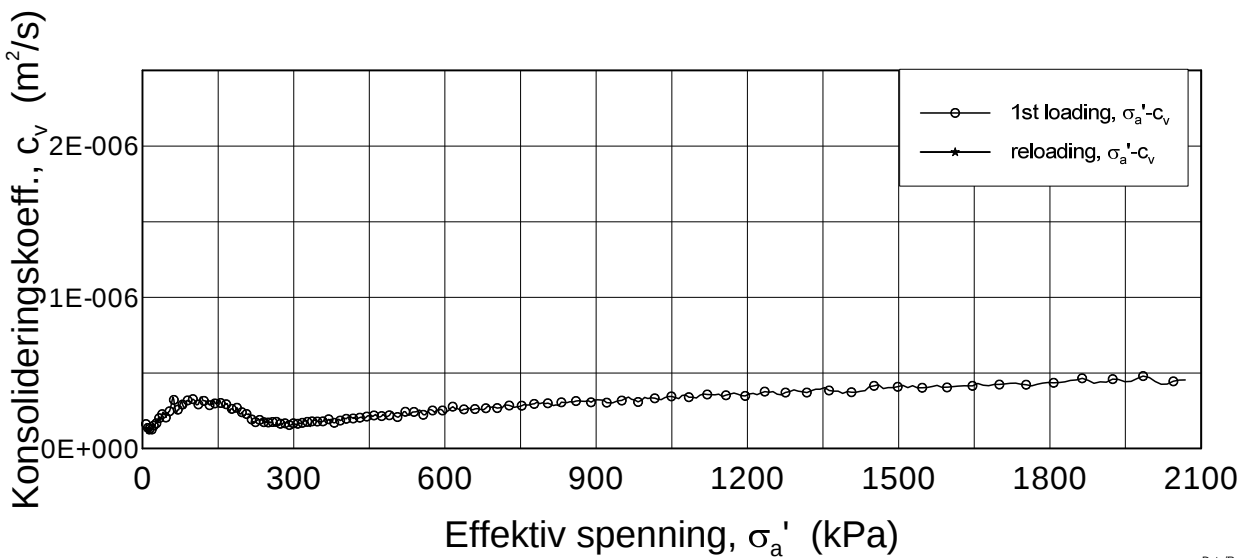
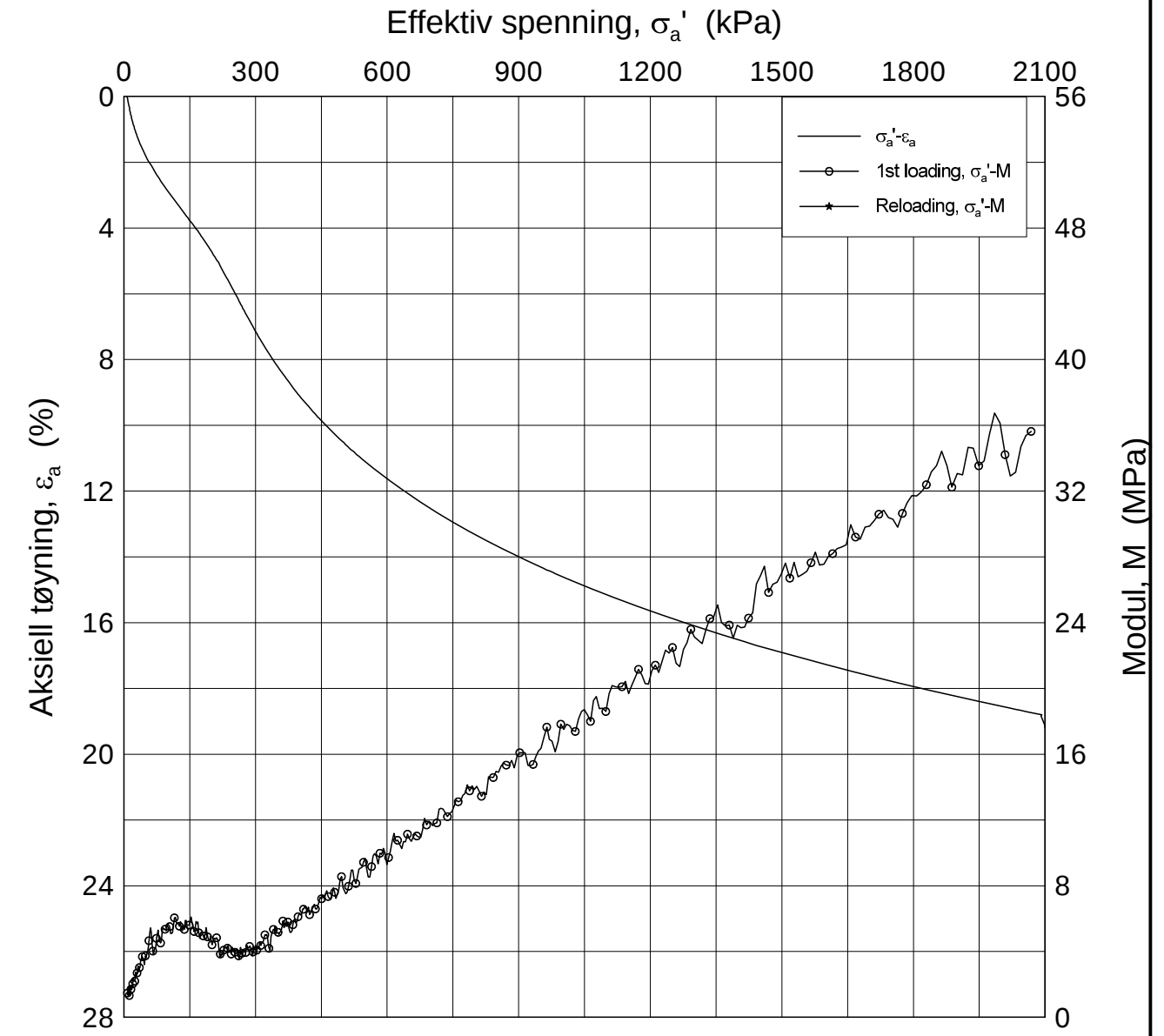
Test: 1

w_i = 37.31 %

Tegner
FP



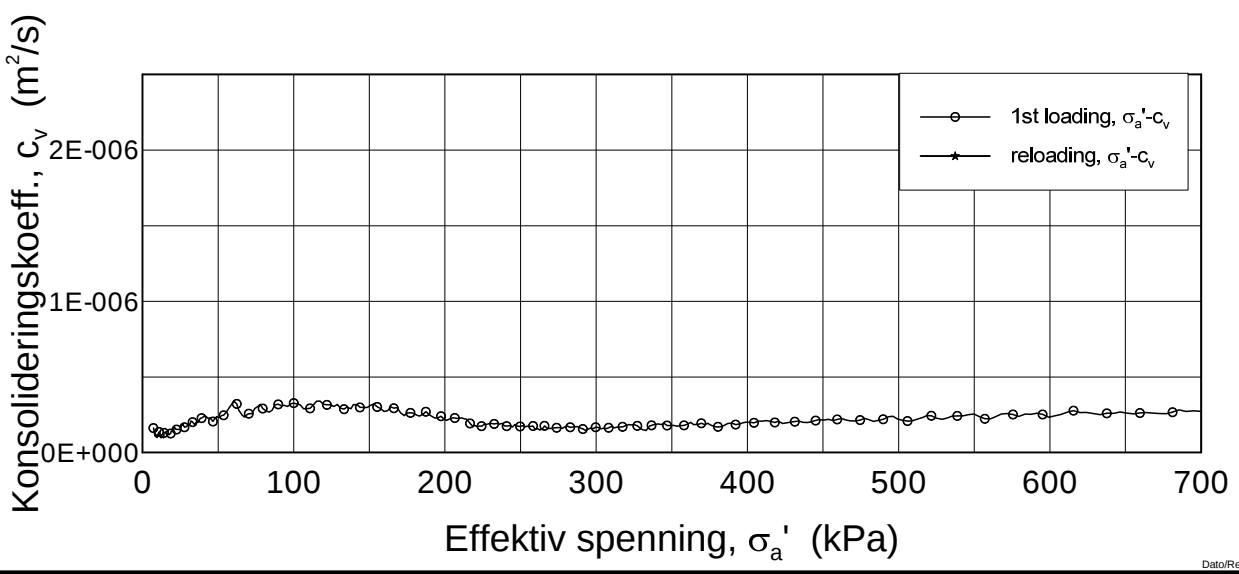
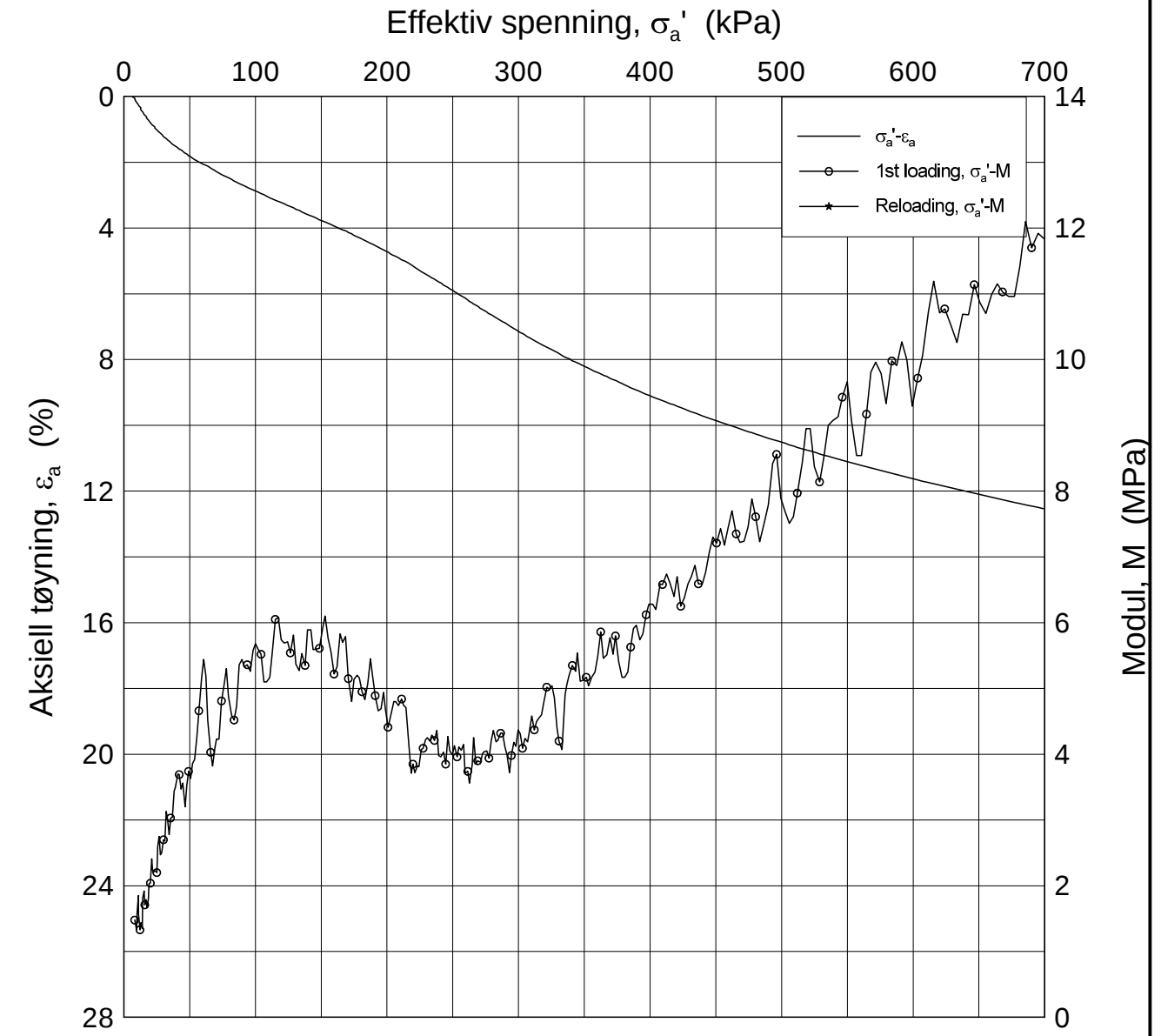
H:\LABDATA\2012\20120491\Oedom\BH2275\2275-19-D-1.lin (crs2261).gif




Dato/Rev.: 2009-09-15/4

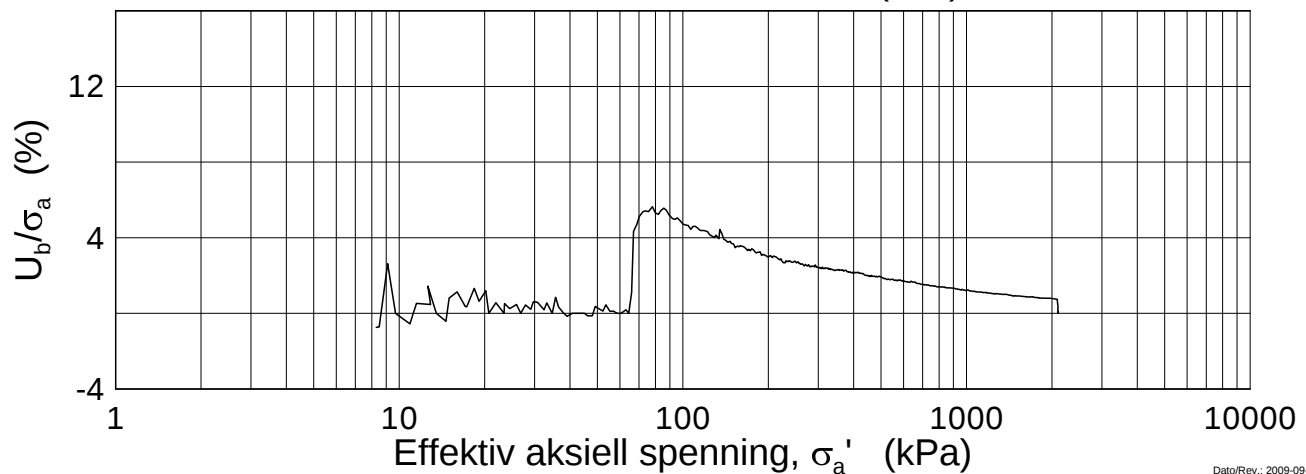
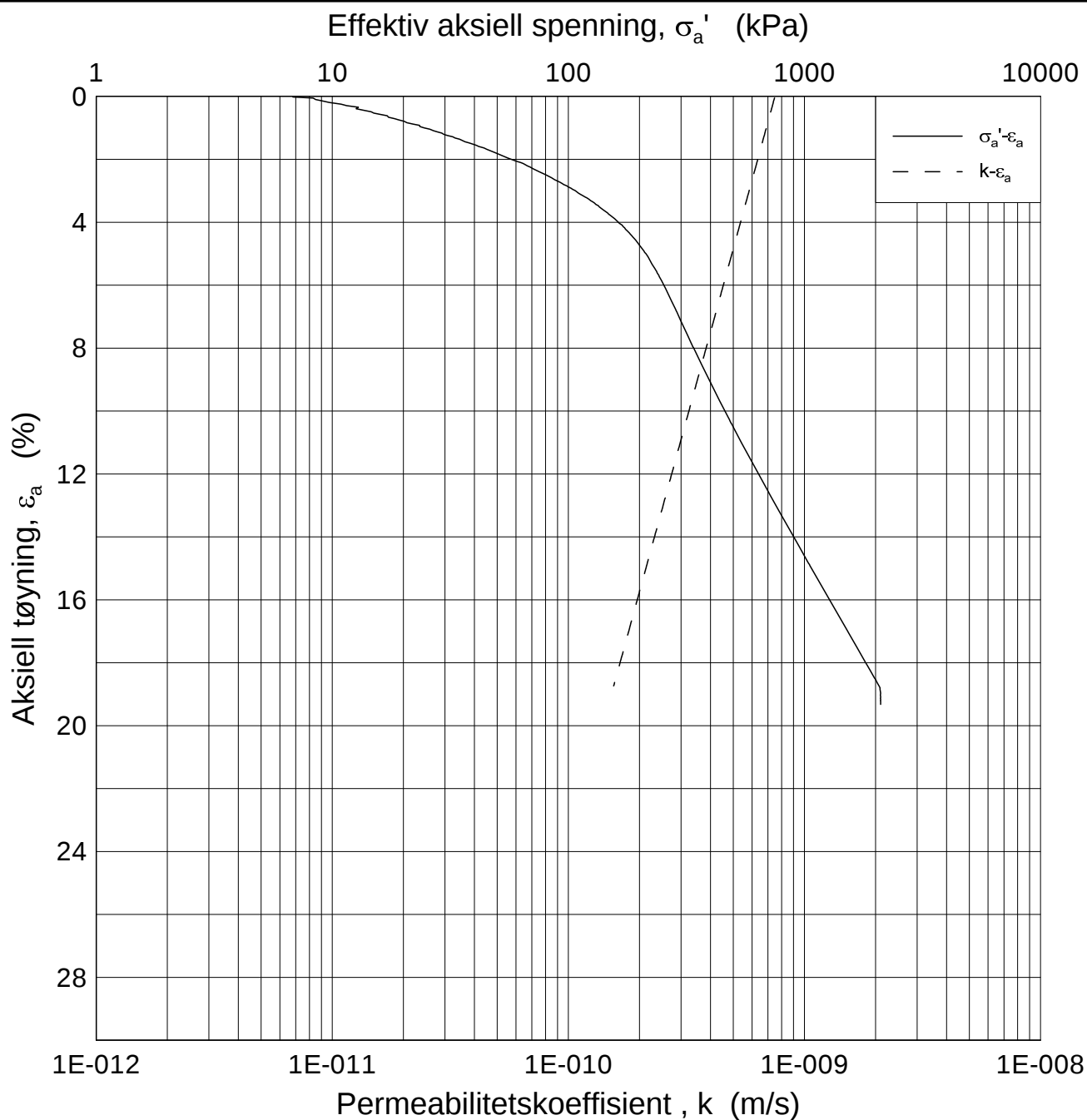
E16 Nybakk - Slomarka				Dokumentnr. 20120491-02-R
Ødometer test (CRSC)		Dybde = 21.64 m		Dato 2013-06-05
Borhull: 2275	Sylinder: 19	$p'_0 = 202.6$ kPa		Figurnr. F94
Del: D	Test: 1	$w_i = 38.69$ %		Tegner FP/

H:\LABDATA\2012\20120491\Oedom\BH2275\2275-19-D-1 lin=2 (crs2261).grf



Dato/Rev.: 2009-09-15/4

E16 Nybakk - Slomarka		Dokumentnr. 20120491-01-R
Ødometer test (CRSC)		Dato 2013-06-05
Borhull: 2275	Sylinder: 19	Figurnr. F95
Del: D	Test: 1	Tegner FP/
	Dybde = 21.64 m	
	$p'_0 = 202.6$ kPa	
	$w_i = 38.69$ %	



Dato/Rev.: 2009-09-15/3

E16 Nybakk - Slomarka

Dokumentnr.
20120491-02-R

Ødometer test (CRSC)

Dybde = 21.64 m

Dato
2013-06-05

Borhull: 2275

Sylinder: 19

p'_o = 202.6 kPa

Figurnr.
F96

Del: D

Test: 1

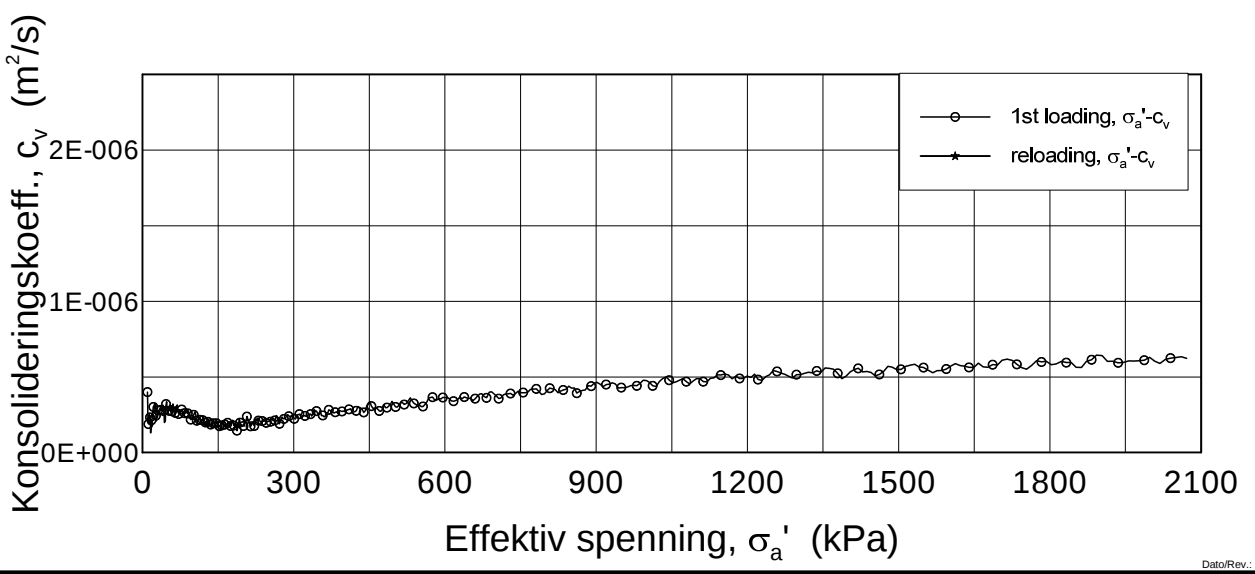
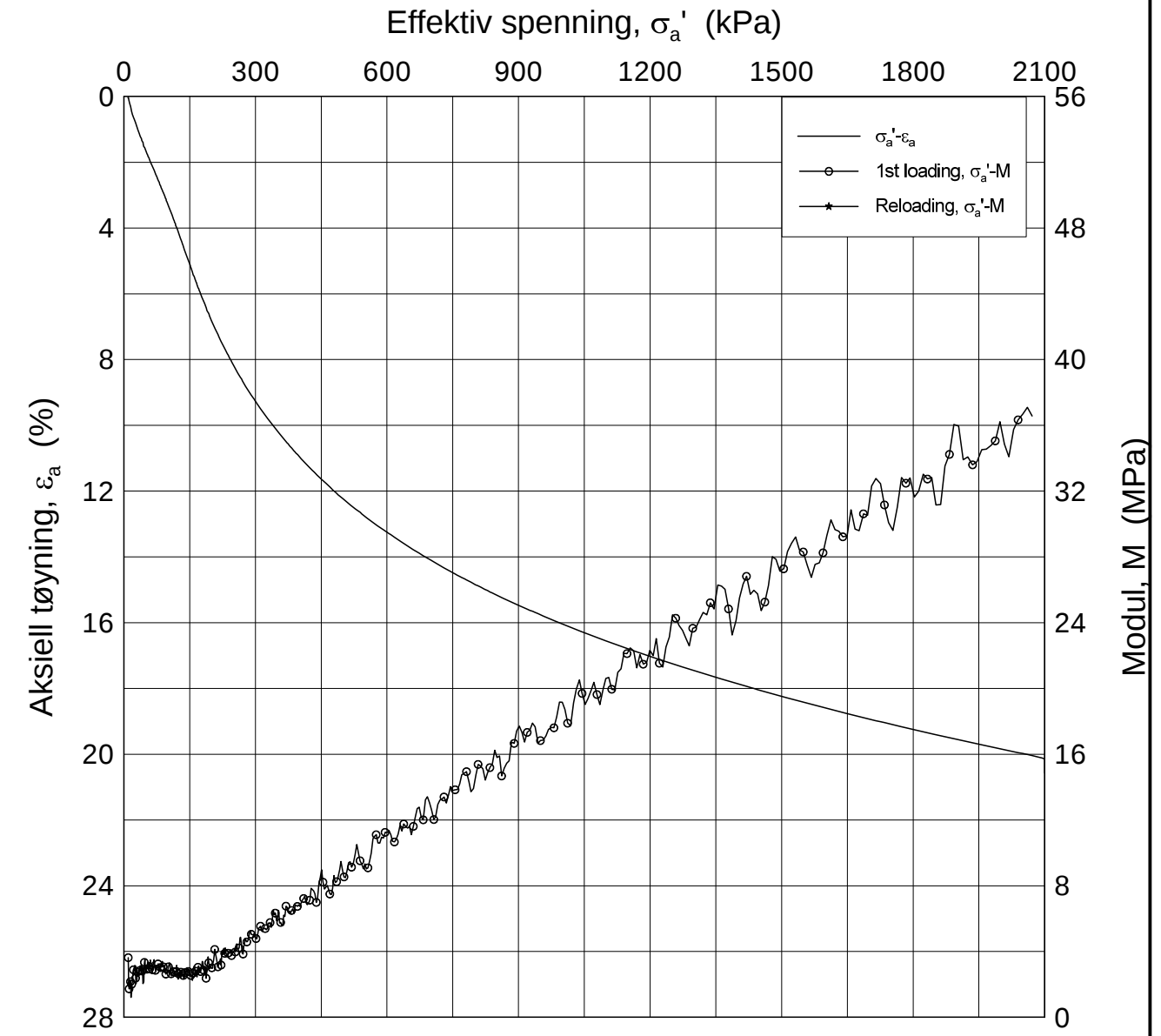
w_i = 38.69 %

Tegner
FP



H:\LABDATA\2012\20120491\Oedom\BH2275\2275-19-D-1 log (crs2261).grf

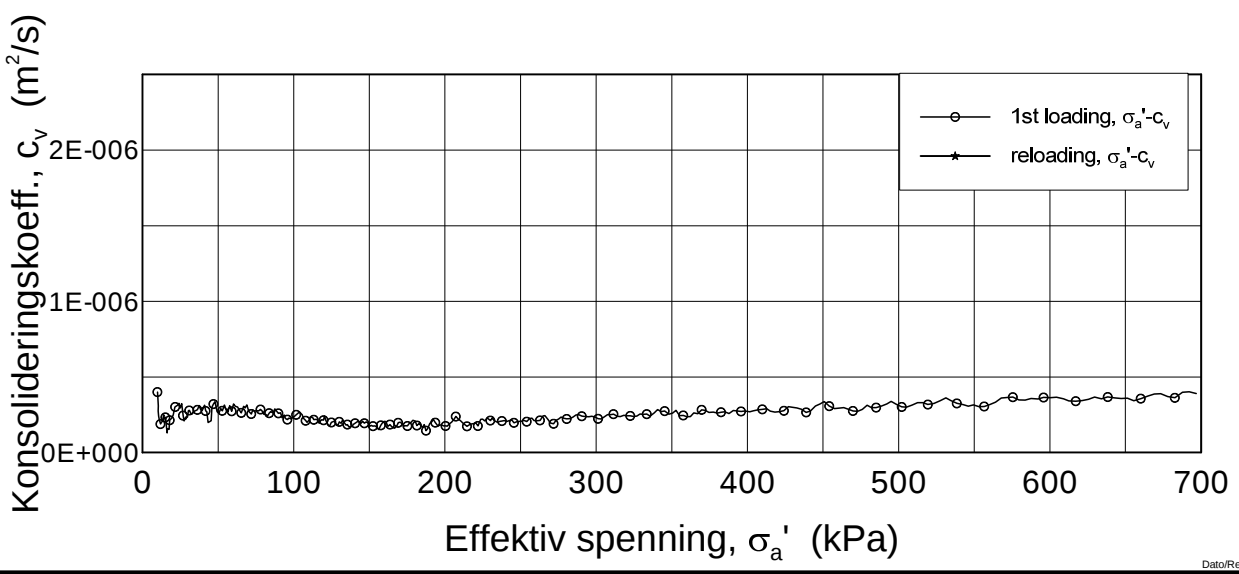
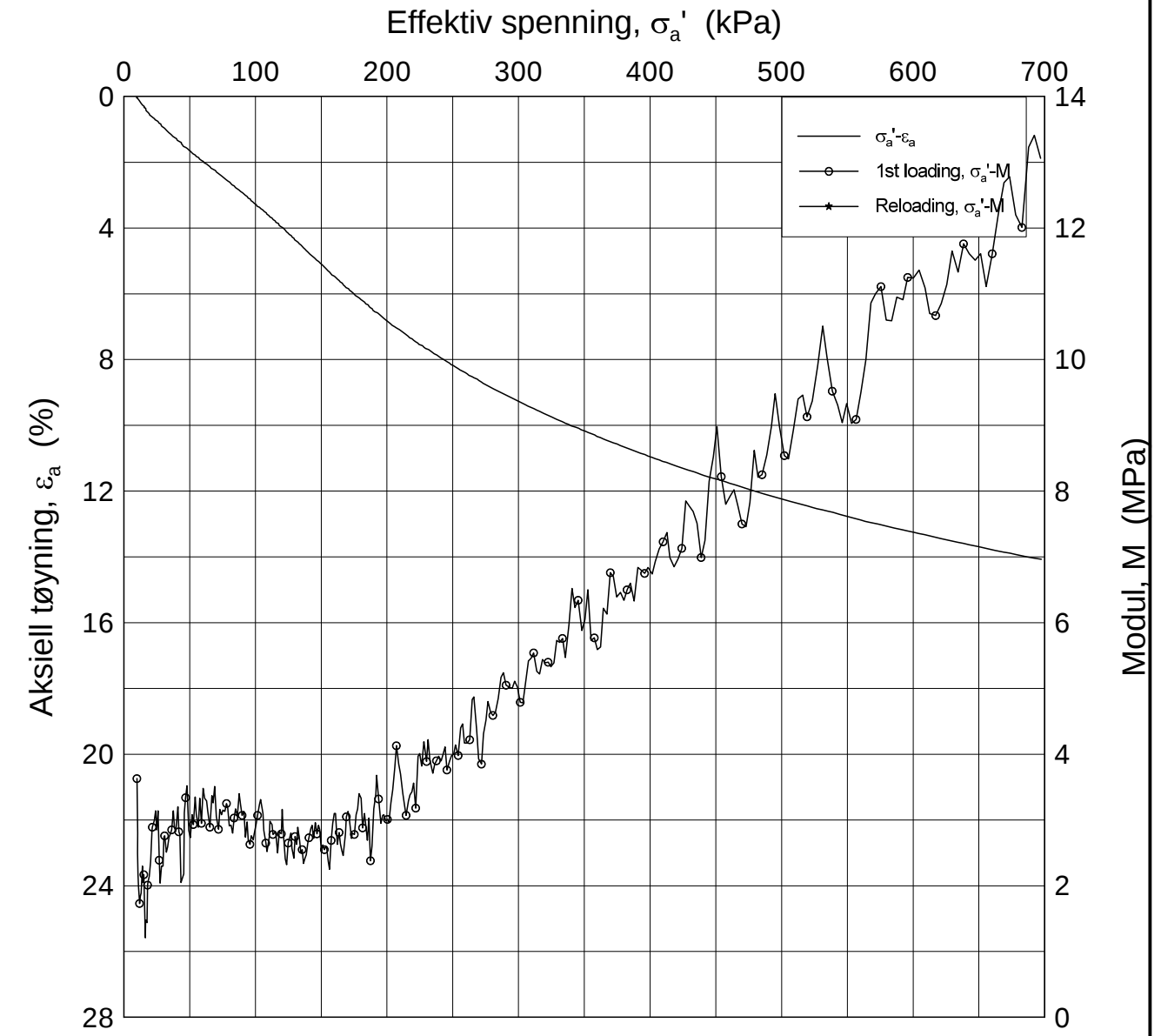
H:\LABDATA\2012\20120491\Oedom\BH2284\2284-6-C-1.lin (crs2257).grf




Dato/Rev.: 2009-09-15/4

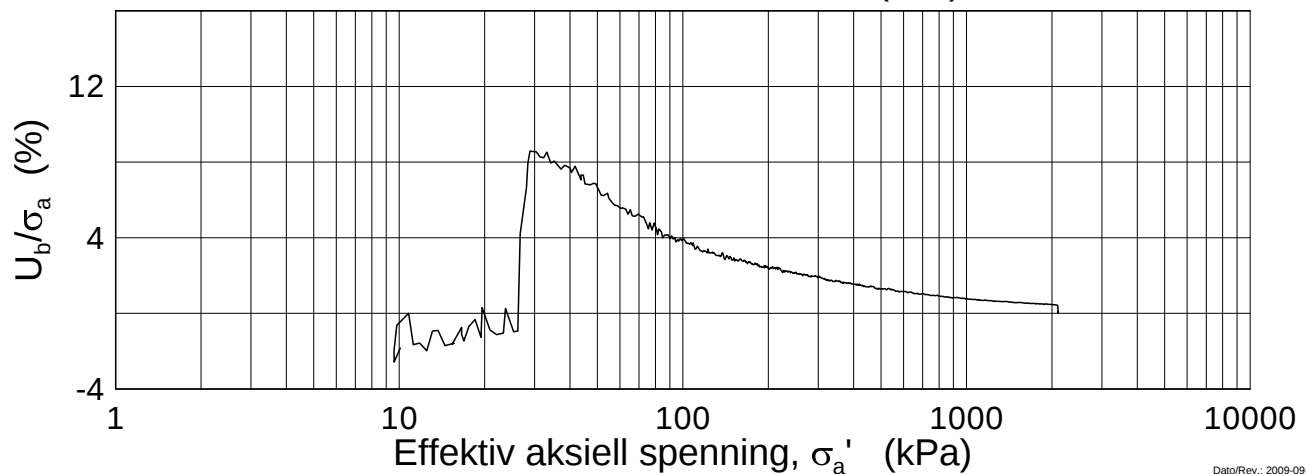
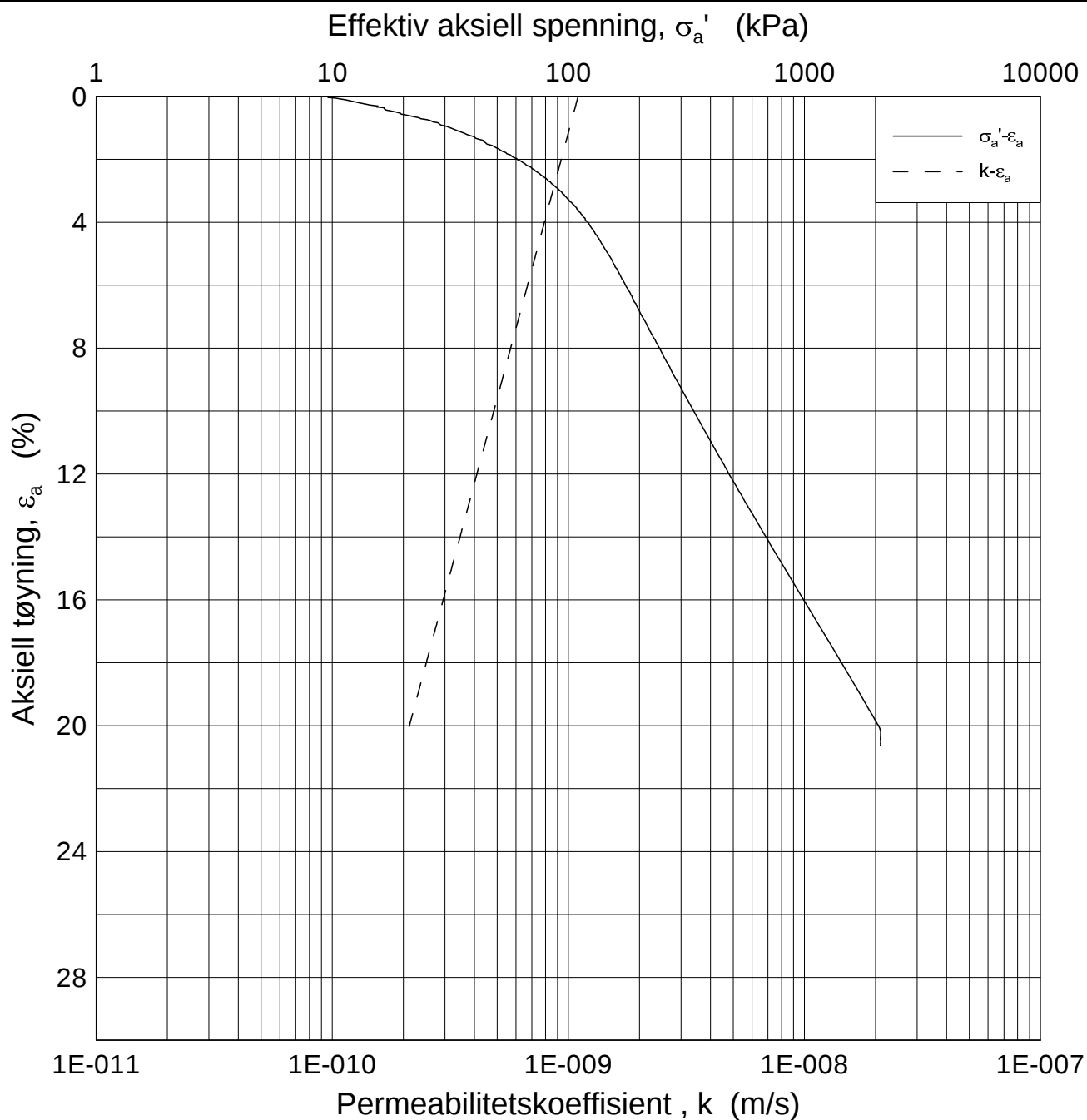
E16 Nybakk - Slomarka				Dokumentnr. 20120491-02-R
Ødometer test (CRSC)		Dybde = 6.45	m	Dato 2013-06-05
Borhull: 2284	Sylinder: 6	p'_0 = 67.6	kPa	Figurnr. F97
Del: C	Test: 1	w_i = 40.63	%	Tegner FP/

H:\LABDATA\2012\20120491\Oedom\BH2284\2284-6-C-1.lin-2 (crs2257).grf



Dato/Rev.: 2009-09-15/4

E16 Nybakk - Slomarka			Dokumentnr. 20120491-02-R
Ødometer test (CRSC)			Dato 2013-06-05
Borhull: 2284	Sylinder: 6	Dybde = 6.45 m	Figurnr. F98
Del: C	Test: 1	$p'_0 = 67.6$ kPa	Tegner FP/
		$w_i = 40.63$ %	



Dato/Rev.: 2009-09-15/3

E16 Nybakk - Slomarka

Dokumentnr.
20120491-02-R

Ødometer test (CRSC)

Dybde = 6.45 m

Dato
2013-06-05

Borhull: 2284

Sylinder: 6

p_o' = 67.6 kPa

Figurnr.
F99

Del: C

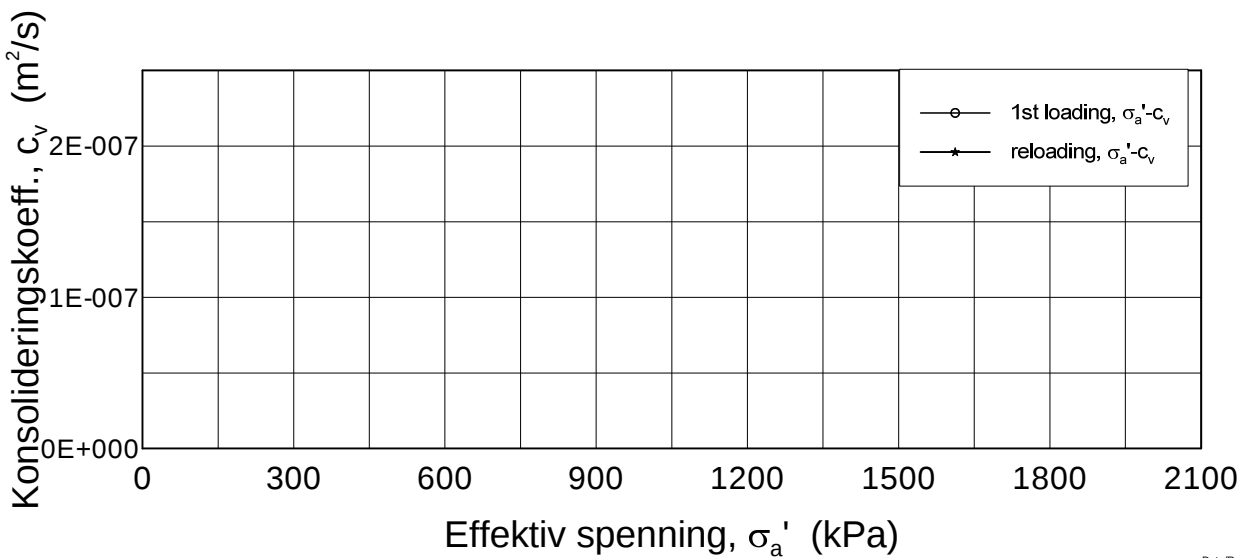
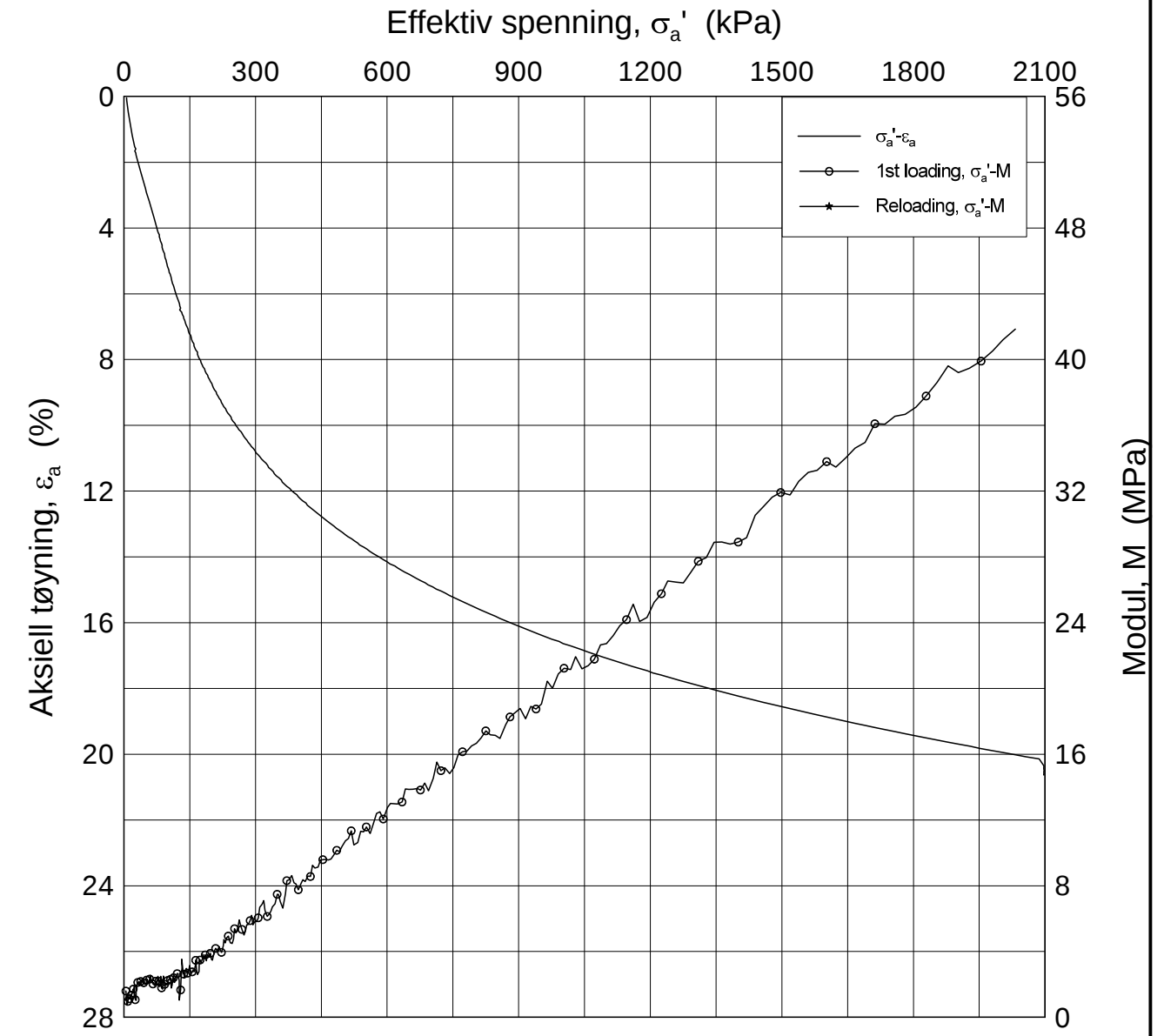
Test: 1

w_i = 40.63 %


Tegner
FP\



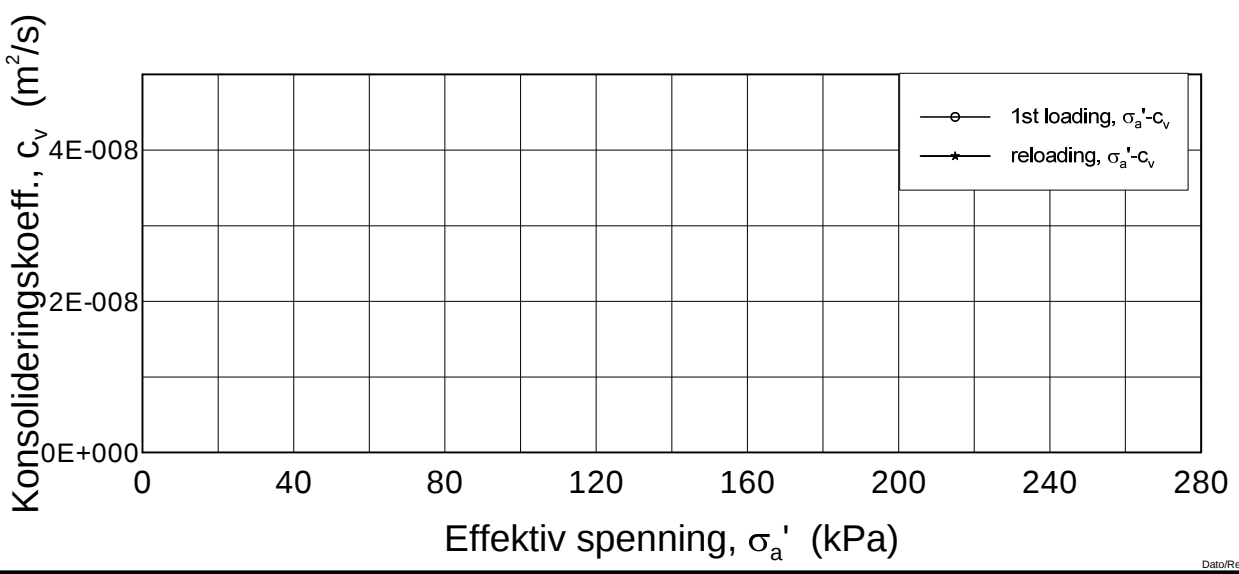
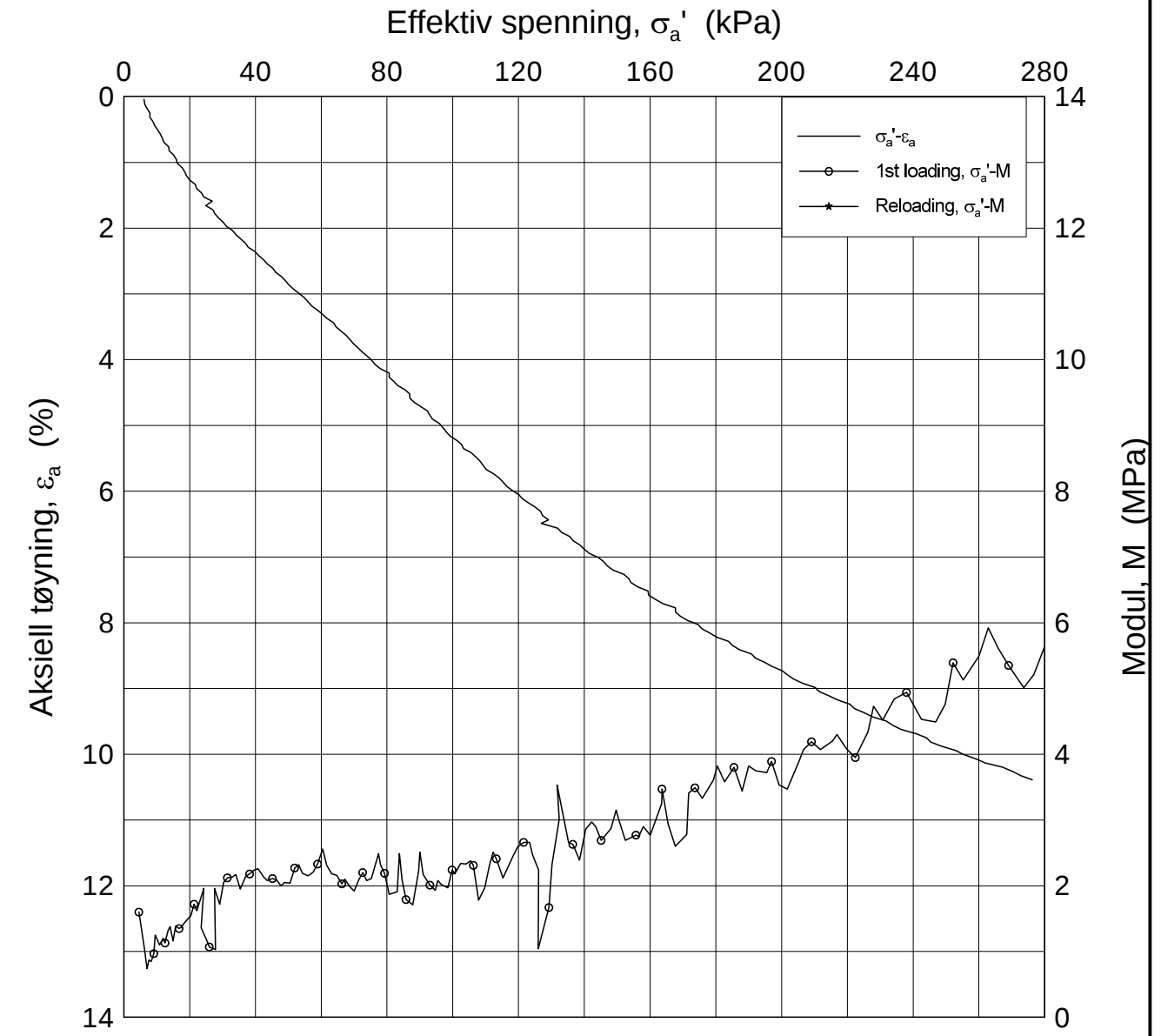
H:\LABDATA\2012\20120491\Oedom\BH2284\2284-12-D-1.lin (crs2238).gif




Dato/Rev.: 2009-09-15/4

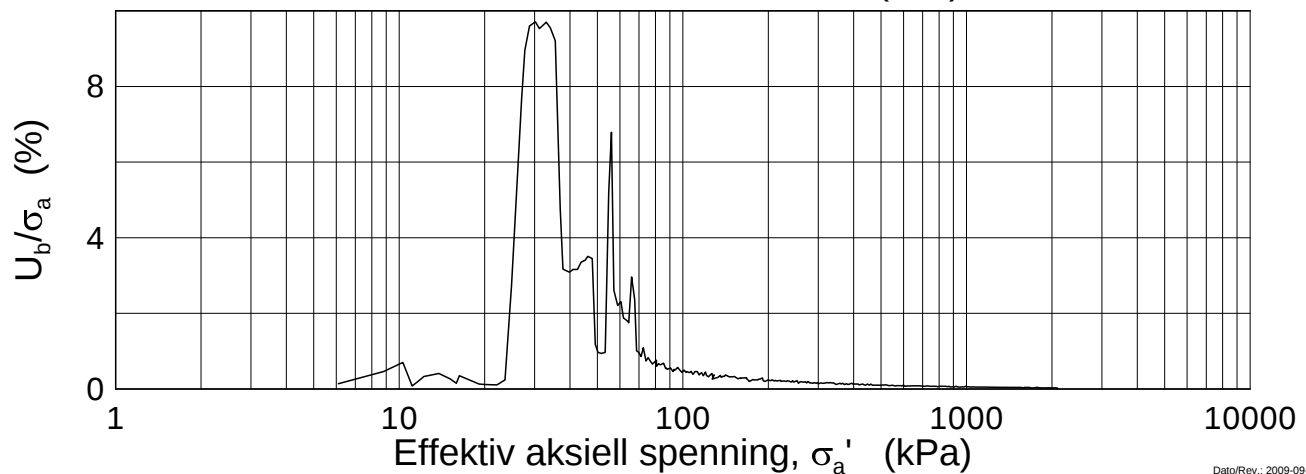
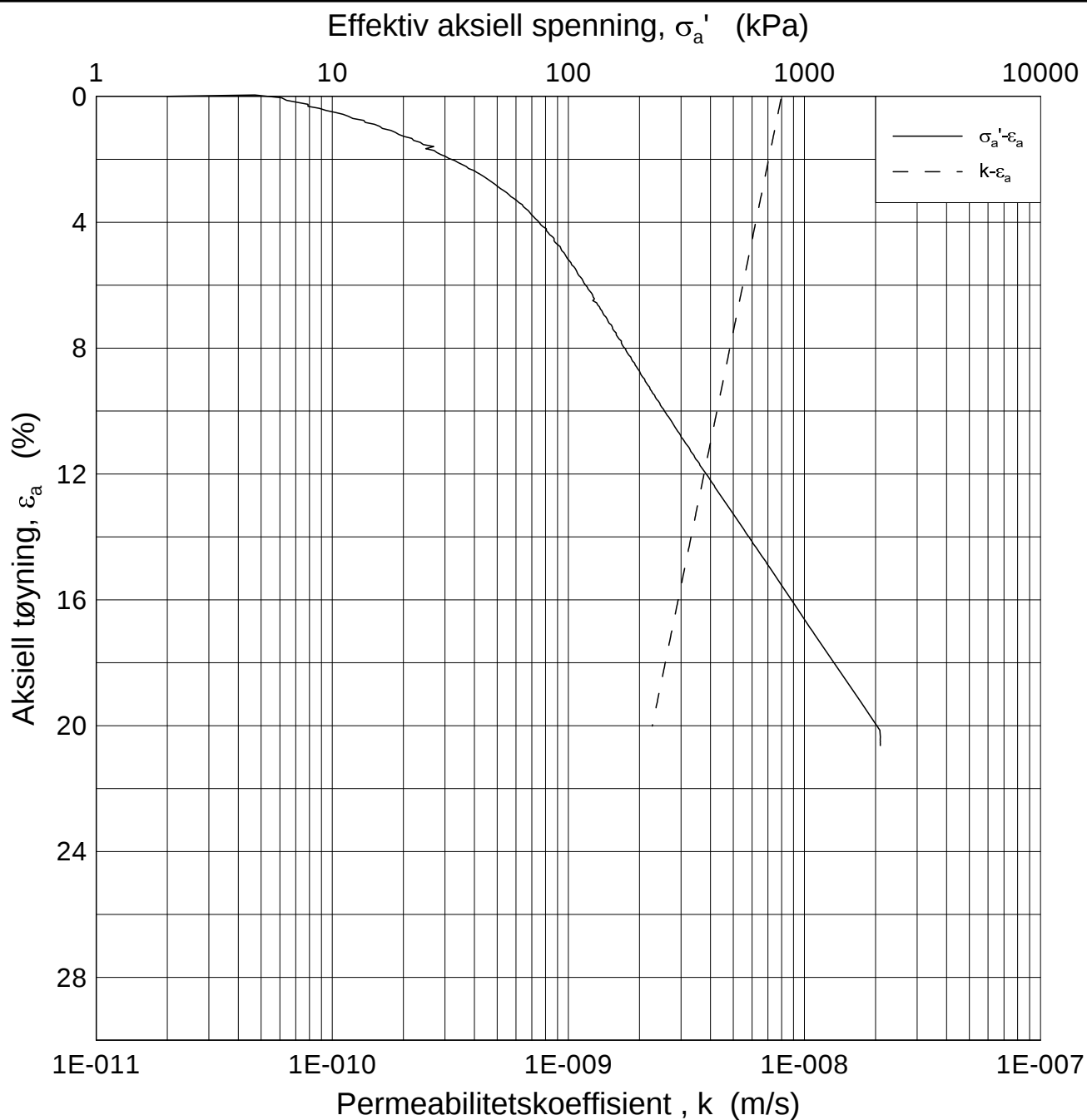
E16 Nybakk - Slomarka			Dokumentnr. 20120491-02-R
Ødometer test (CRSC)			Dato 2013-04-29
Borhull: 2284	Sylinder: 12	Dybde = 12.64 m	Figurnr. F100
Del: D	Test: 1	$p'_0 = 121.6$ kPa	Tegner FI/
		$w_i = 42.59$ %	

H:\LABDATA\2012\20120491\Oedom\BH2284\2284-12-D-1 lin-2 (crs2238).grf



Dato/Rev.: 2009-09-15/4

E16 Nybakk - Slomarka			Dokumentnr. 20120491-02-R
Ødometer test (CRSC)			Dato 2013-04-29
Borhull: 2284	Sylinder: 12	Dybde = 12.64 m	Figurnr. F101
Del: D	Test: 1	$p'_0 = 121.6$ kPa	Tegner FI
		$w_i = 42.59$ %	



Dato/Rev.: 2009-09-15/3

E16 Nybakk - Slomarka

Dokumentnr.
20120491-02-R

Ødometer test (CRSC)

Dybde = 12.64 m

Dato
2013-04-29

Borhull: 2284

Sylinder: 12

p_o' = 121.6 kPa

Figurnr.
F102

Del: D

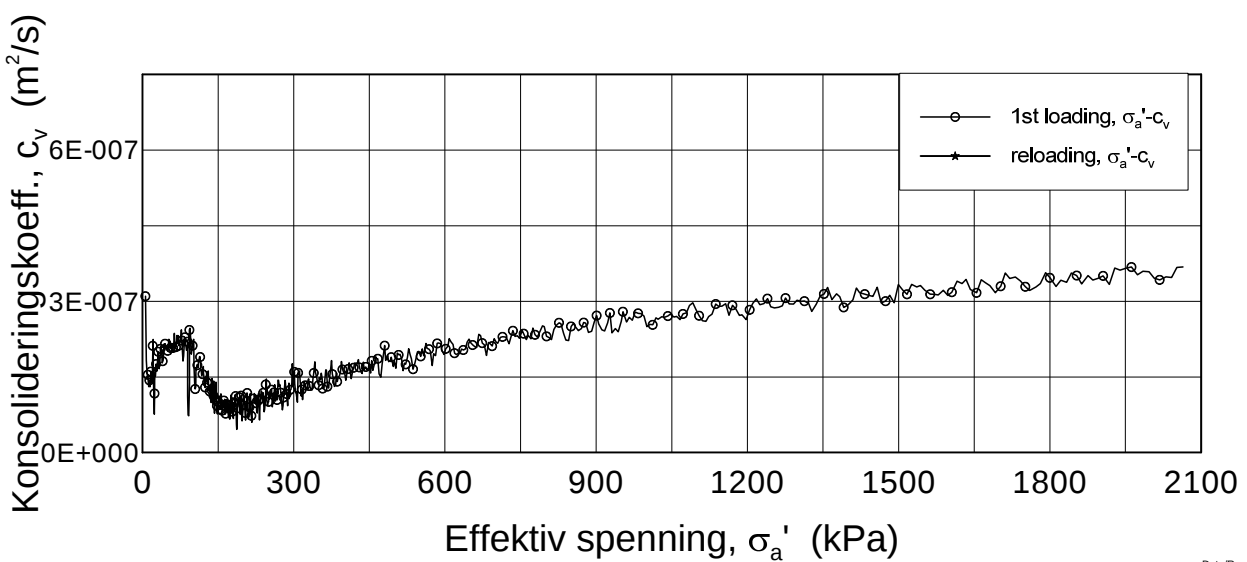
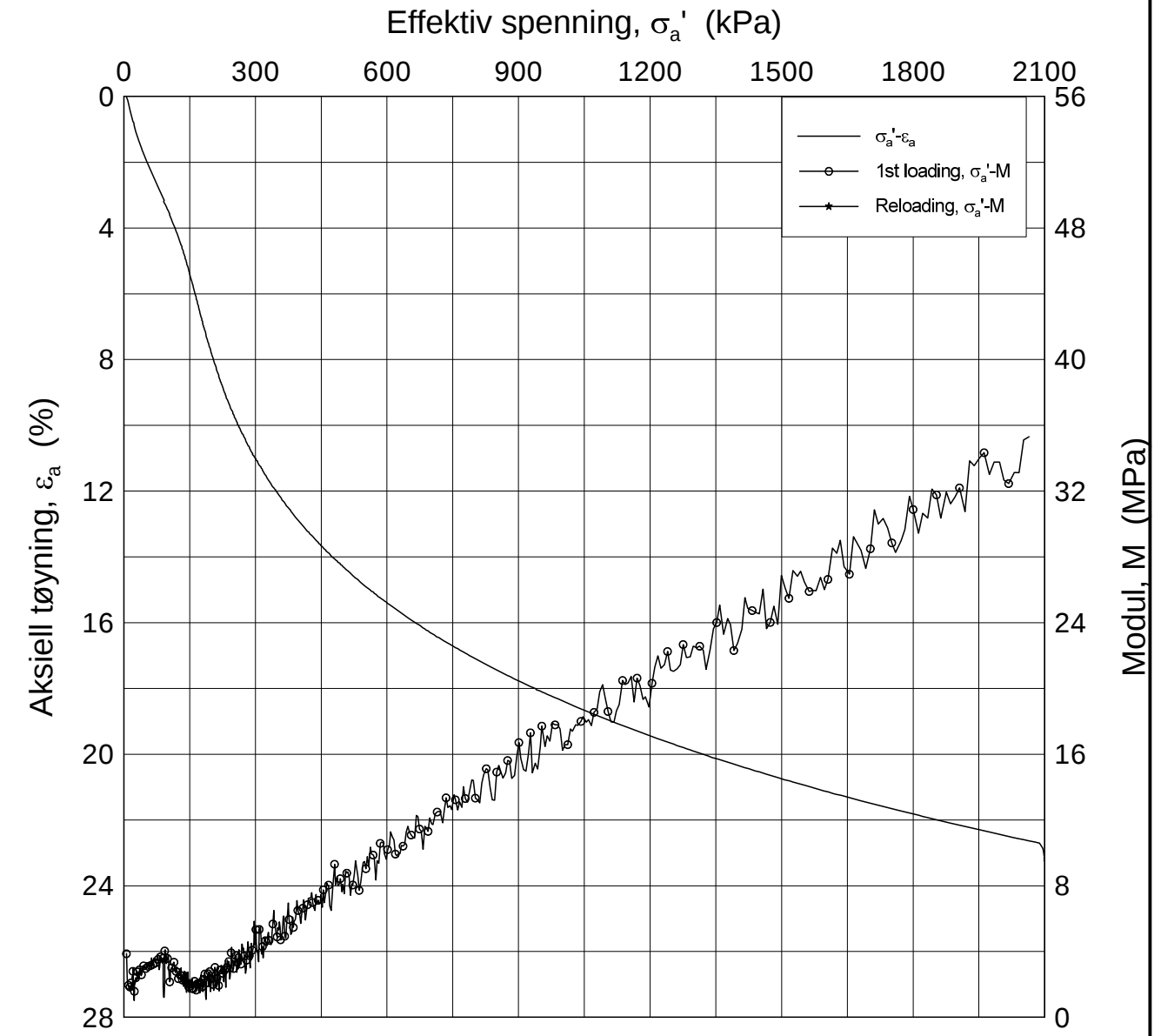
Test: 1

w_i = 42.59 %


Tegner
FI



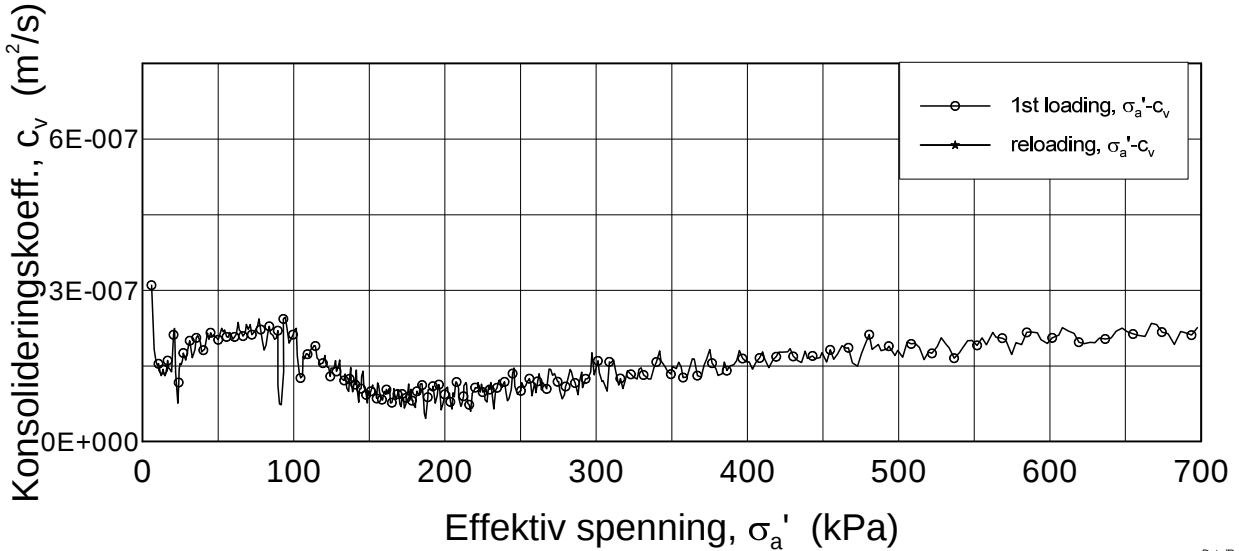
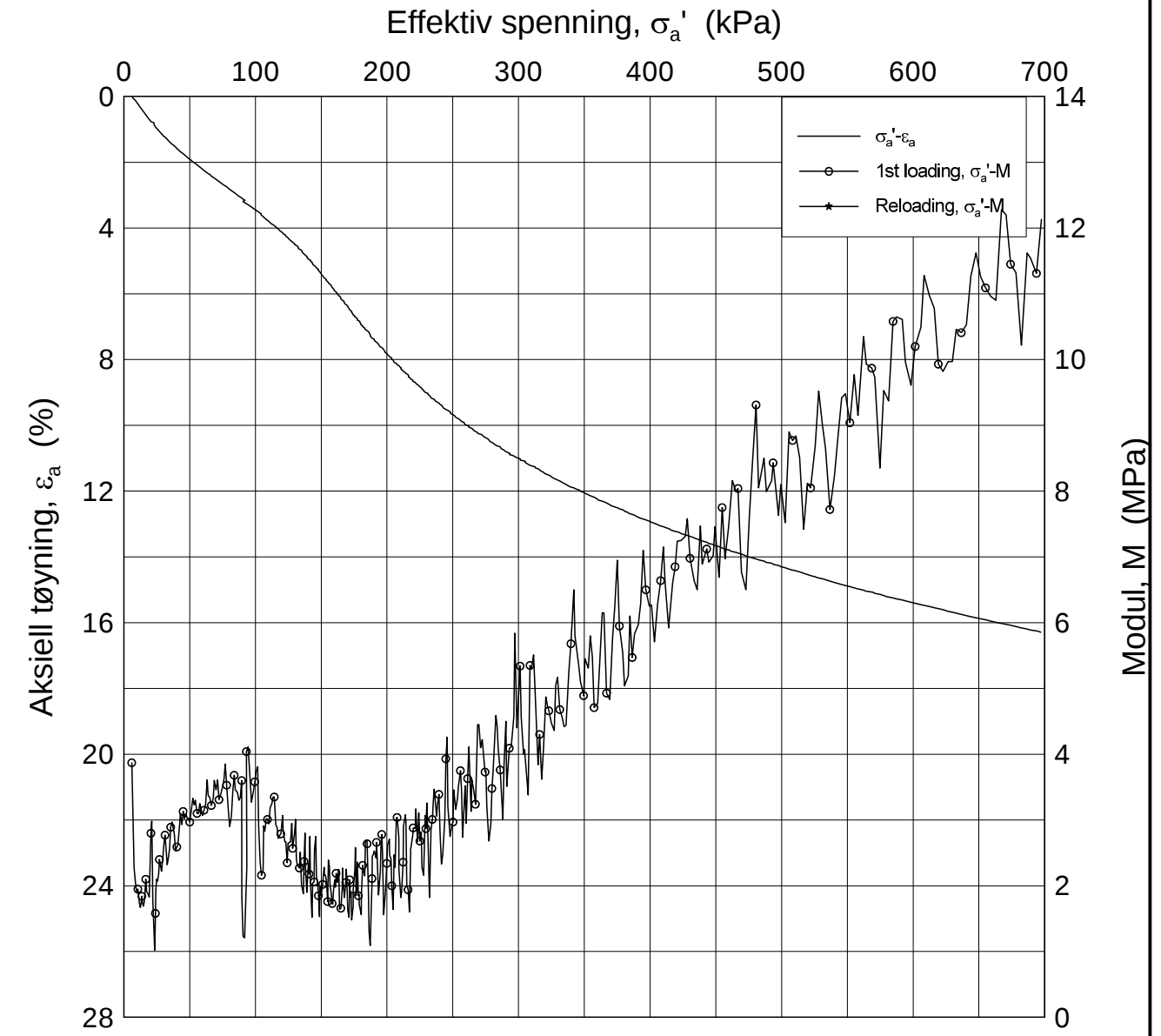
H:\LABDATA\2012\20120491\Oedom\BH2284\2284-16-D-1.lin (crs2256).gif



Dato/Rev.: 2009-09-15/4

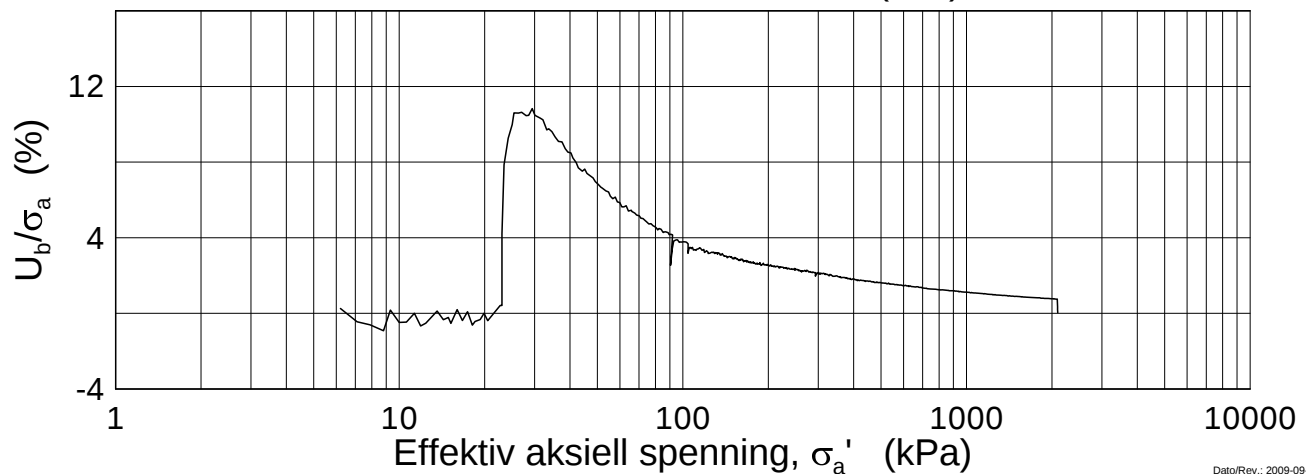
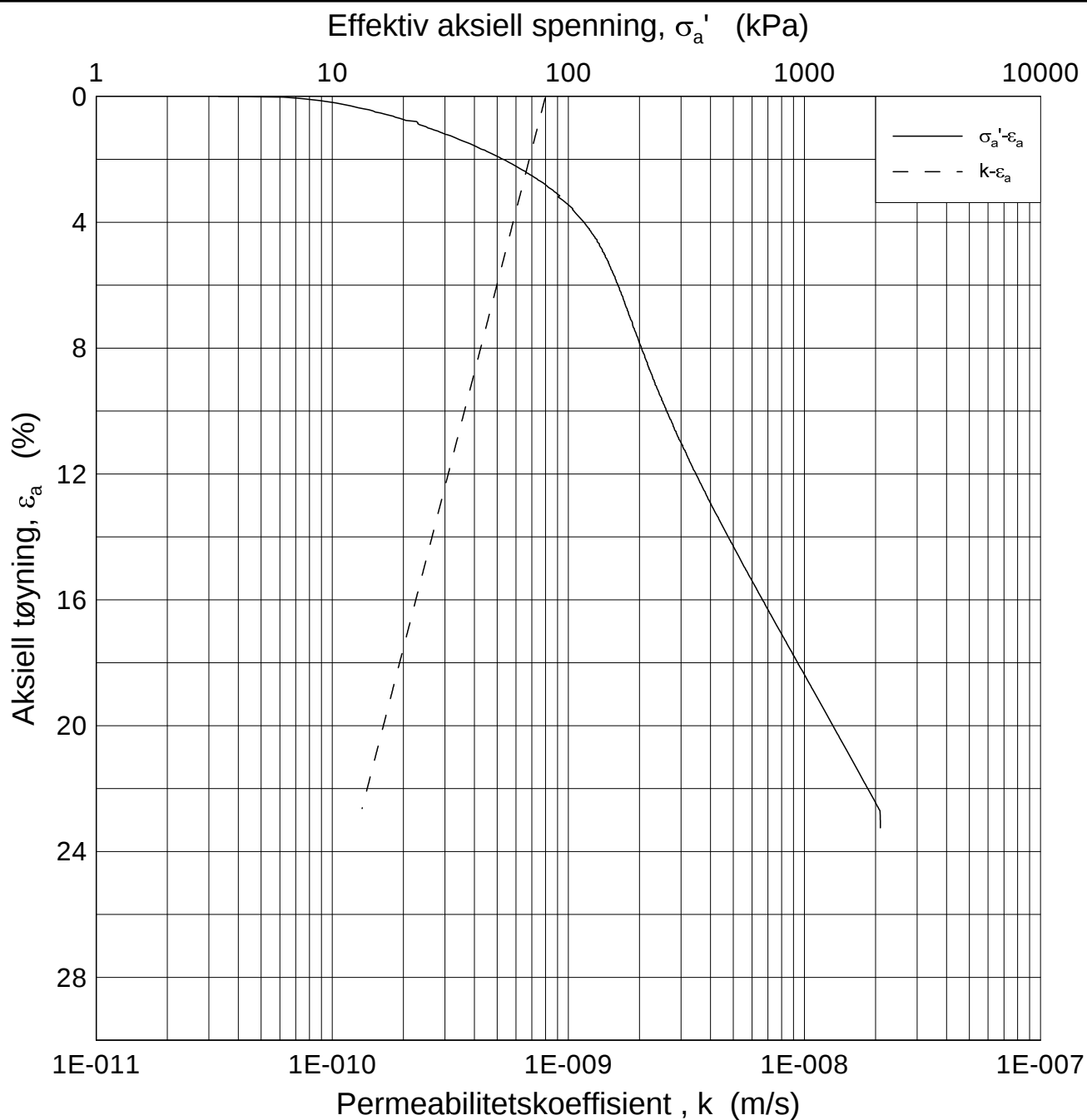
E16 Nybakk - Slomarka			Dokumentnr. 20120491-02-R
Ødometer test (CRSC)			Dato 2013-06-05
Borhull: 2284	Sylinder: 16	Dybde = 17.64 m	Figurnr. F103
Del: D	Test: 1	$p'_0 = 166.6$ kPa	Tegner FP/
		$w_i = 45.12$ %	

H:\LABDATA\2012\20120491\Oedom\BH2284\2284-16-D-1.lin-2 (crs2256).grf



Dato/Rev.: 2009-09-15/4

E16 Nybakk - Slomarka		Dokumentnr. 20120491-02-R
Ødometer test (CRSC)		Dato 2013-06-05
Borhull: 2284	Sylinder: 16	Dybde = 17.64 m
Del: D	Test: 1	$p'_0 = 166.6$ kPa
		$w_i = 45.12$ %
		Figurnr. F104
		Tegner FP/



Dato/Rev.: 2009-09-15/3

E16 Nybakk - Slomarka

Dokumentnr.
20120491-02-R

Ødometer test (CRSC)

Dybde = 17.64 m

Dato
2013-06-05

Borhull: 2284

Sylinder: 16

p'_o = 166.6 kPa

Figurnr.
F105

Del: D

Test: 1

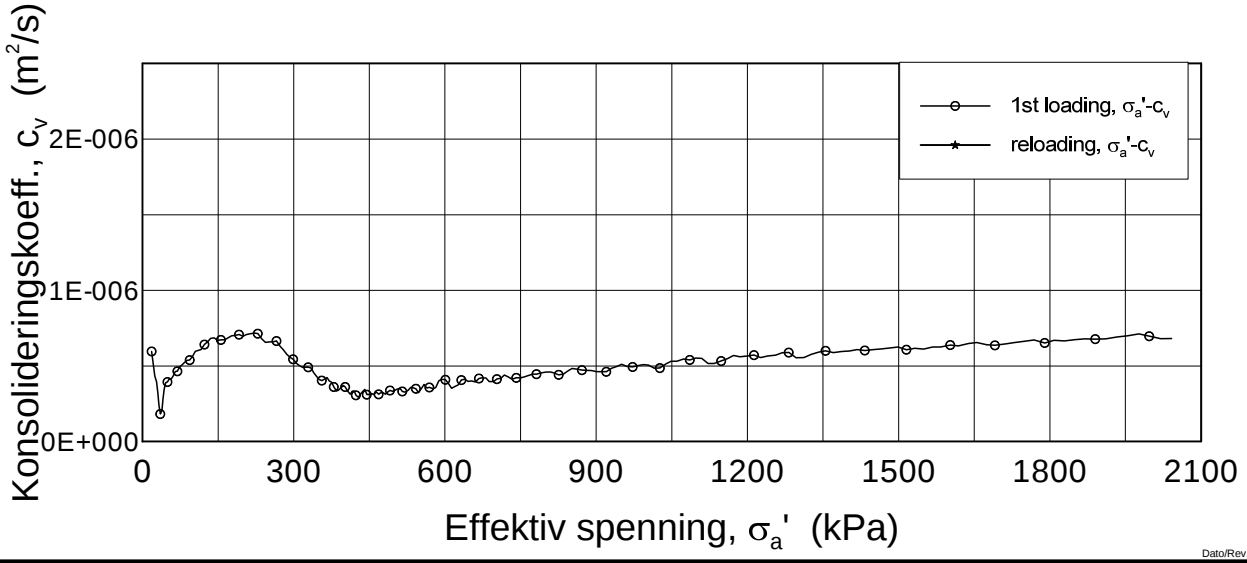
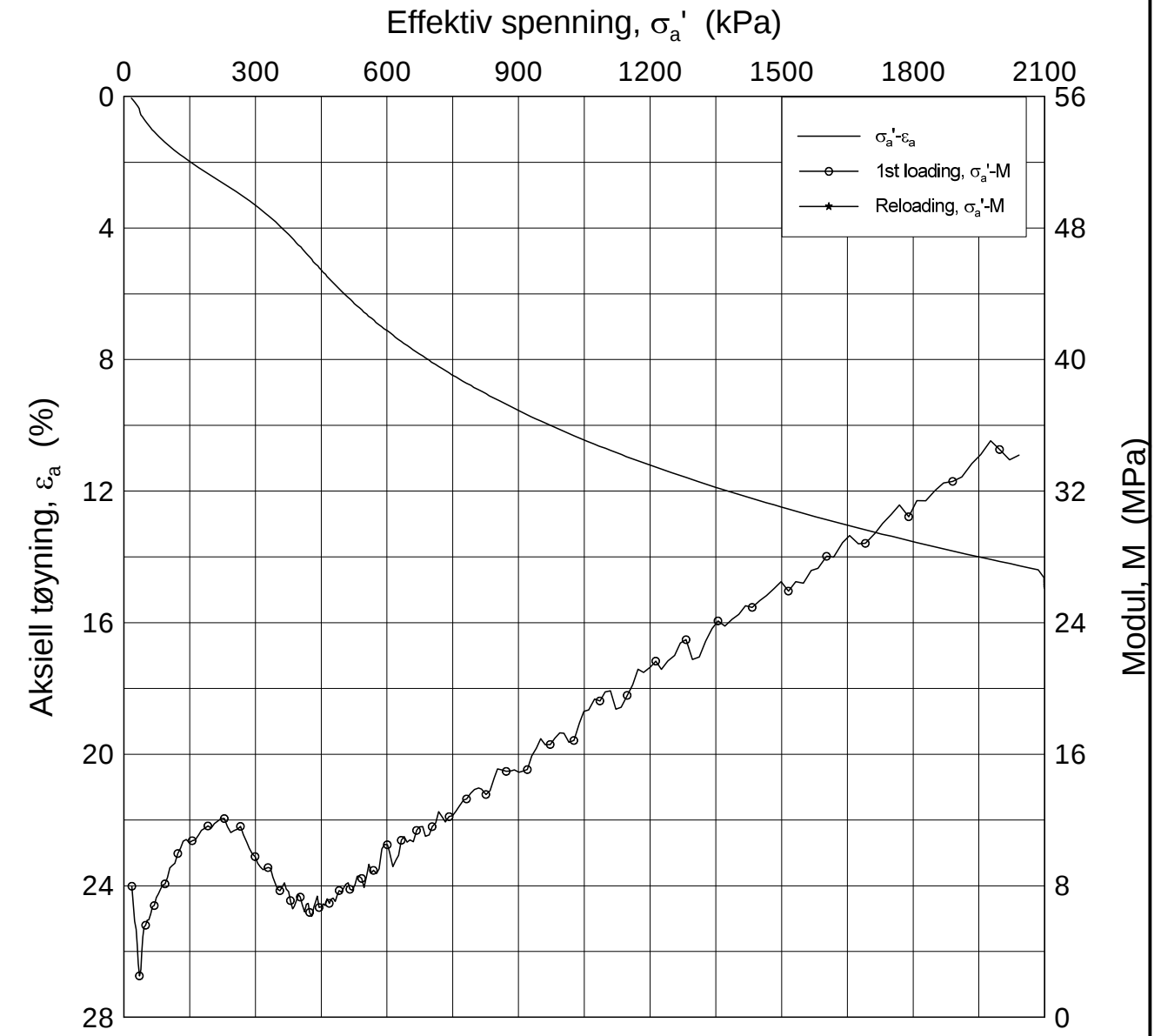
w_i = 45.12 %

Tegner
FP\




H:\LABDATA\2012\20120491\Oedom\BH2284\2284-16-D-1 log (crs2256).grf

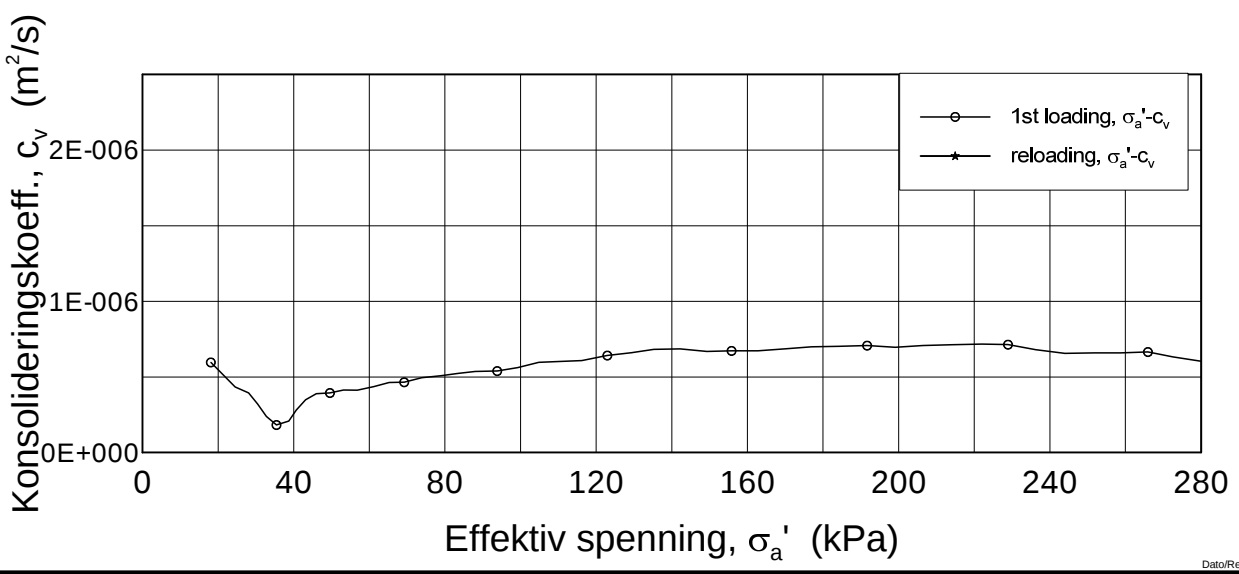
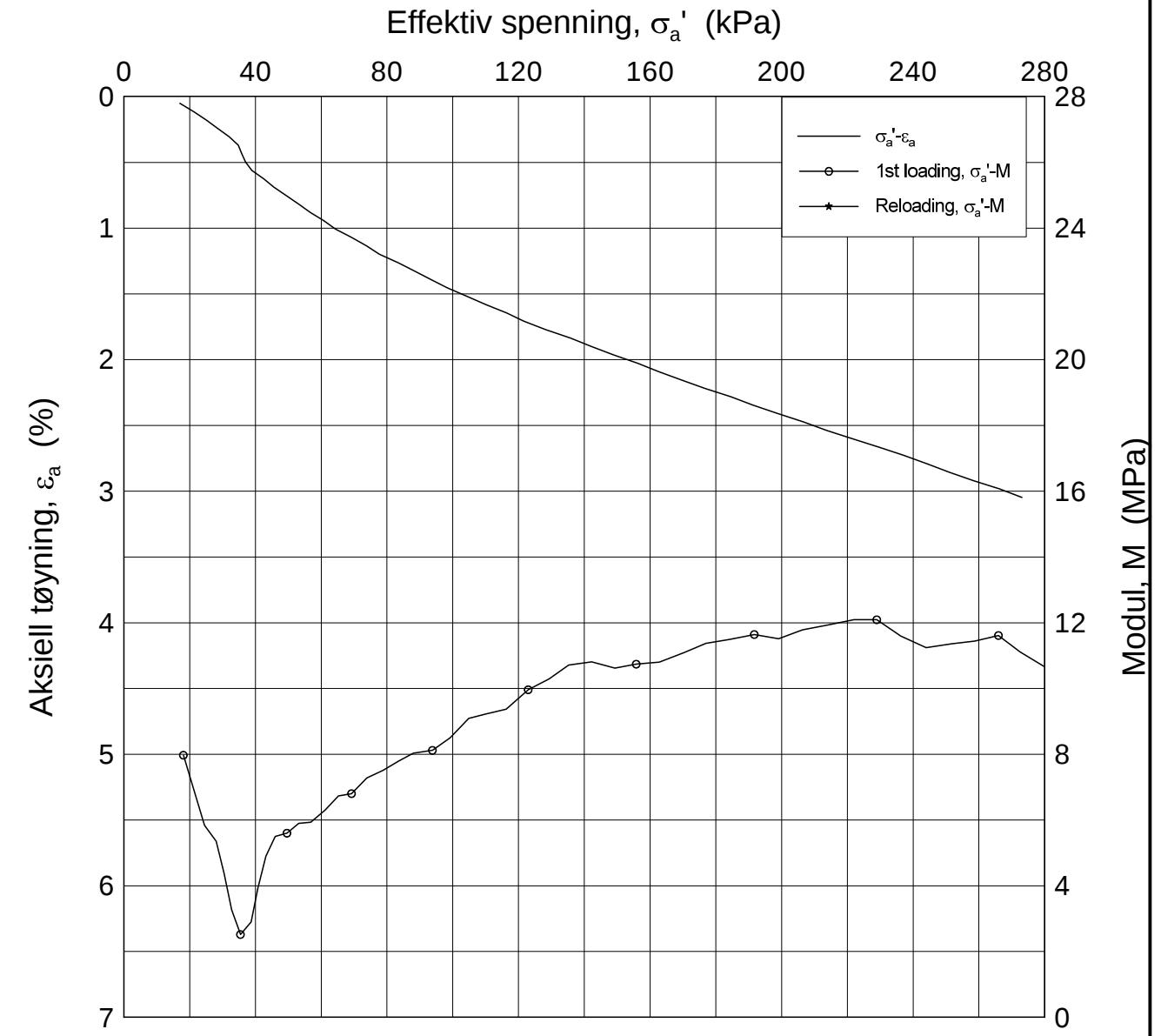
H:\LABDATA\2012\20120491\Oedom\BH2293\2293-4-D-1.lin (crs2216).grf




Dato/Rev.: 2009-09-15/4

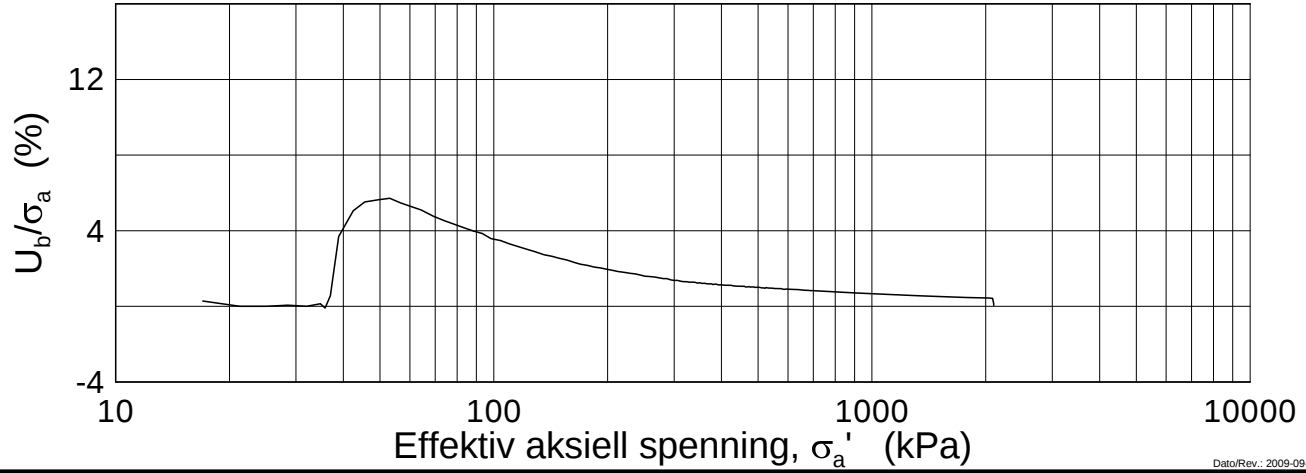
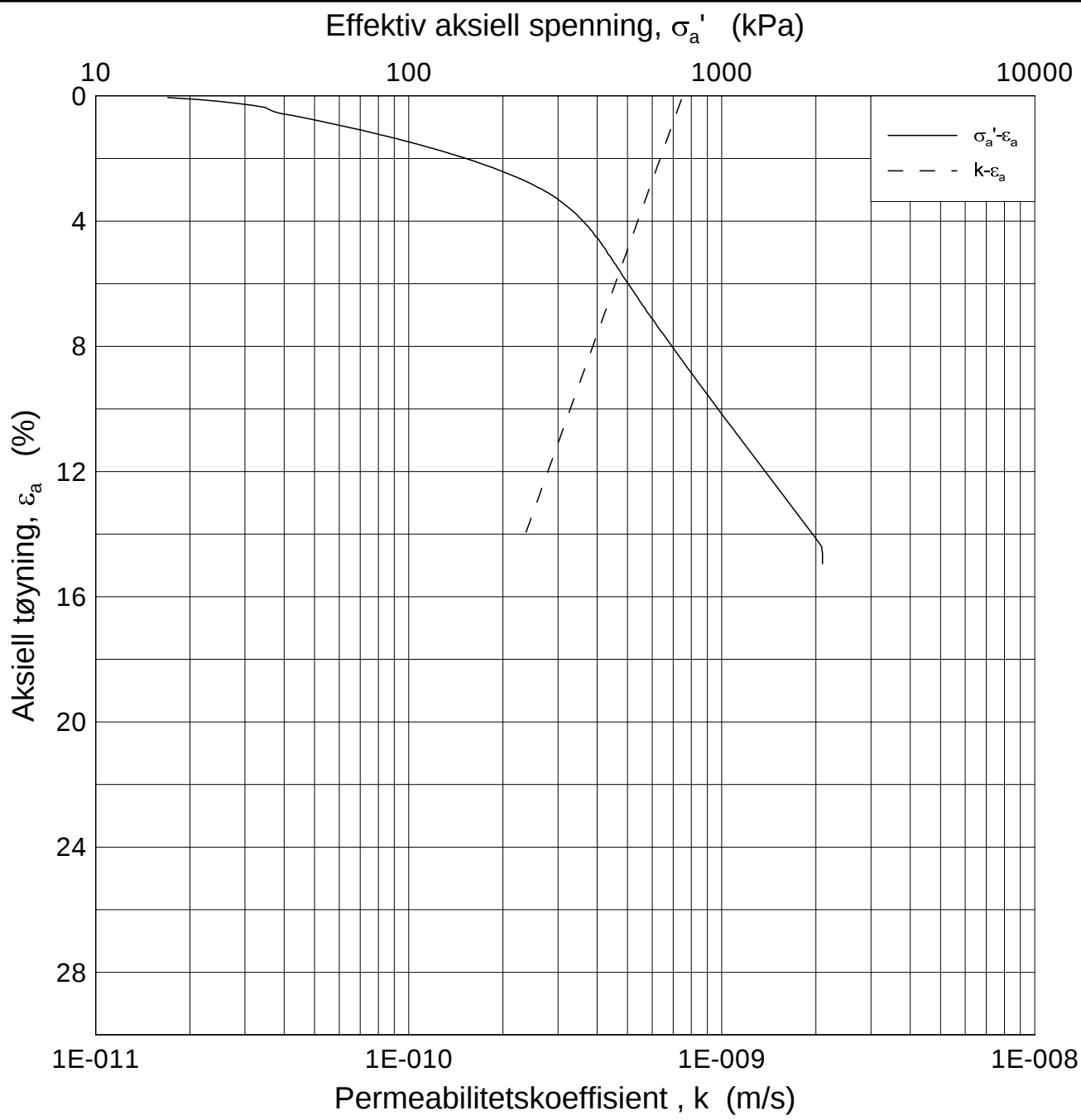
E16 Nybakk - Slomarka			Dokumentnr. 20120491-02-R
Ødometer test (CRSC)			Dato 2013-04-29
Borhull: 2293	Sylinder: 4	Dybde = 5.62 m	Figurnr. F106
Del: D	Test: 1	$p'_0 = 68.6$ kPa	Tegner FI/
		$w_i = 34.24$ %	

H:\LABDATA\2012\20120491\Oedom\BH2293\2293-4-D-1.lin-2 (crs2216).grf



Dato/Rev.: 2009-09-15/4

E16 Nybakk - Slomarka			Dokumentnr. 20120491-02-R
Ødometer test (CRSC)			Dato 2013-04-29
Borhull: 2293	Sylinder: 4	Dybde = 5.62 m	Figurnr. F107
Del: D	Test: 1	$p'_o = 68.6$ kPa	Tegner FI
		$w_i = 34.24$ %	



Dato/Rev.: 2009-09-15/3

E16 Nybakk - Slomarka

Dokumentnr.
20120491-02-R

Ødometer test (CRSC)

Dybde = 5.62 m

Dato
2013-04-29

Borhull: 2293

Sylinder: 4

p_o' = 68.6 kPa

Figurnr.
F108

Del: D

Test: 1

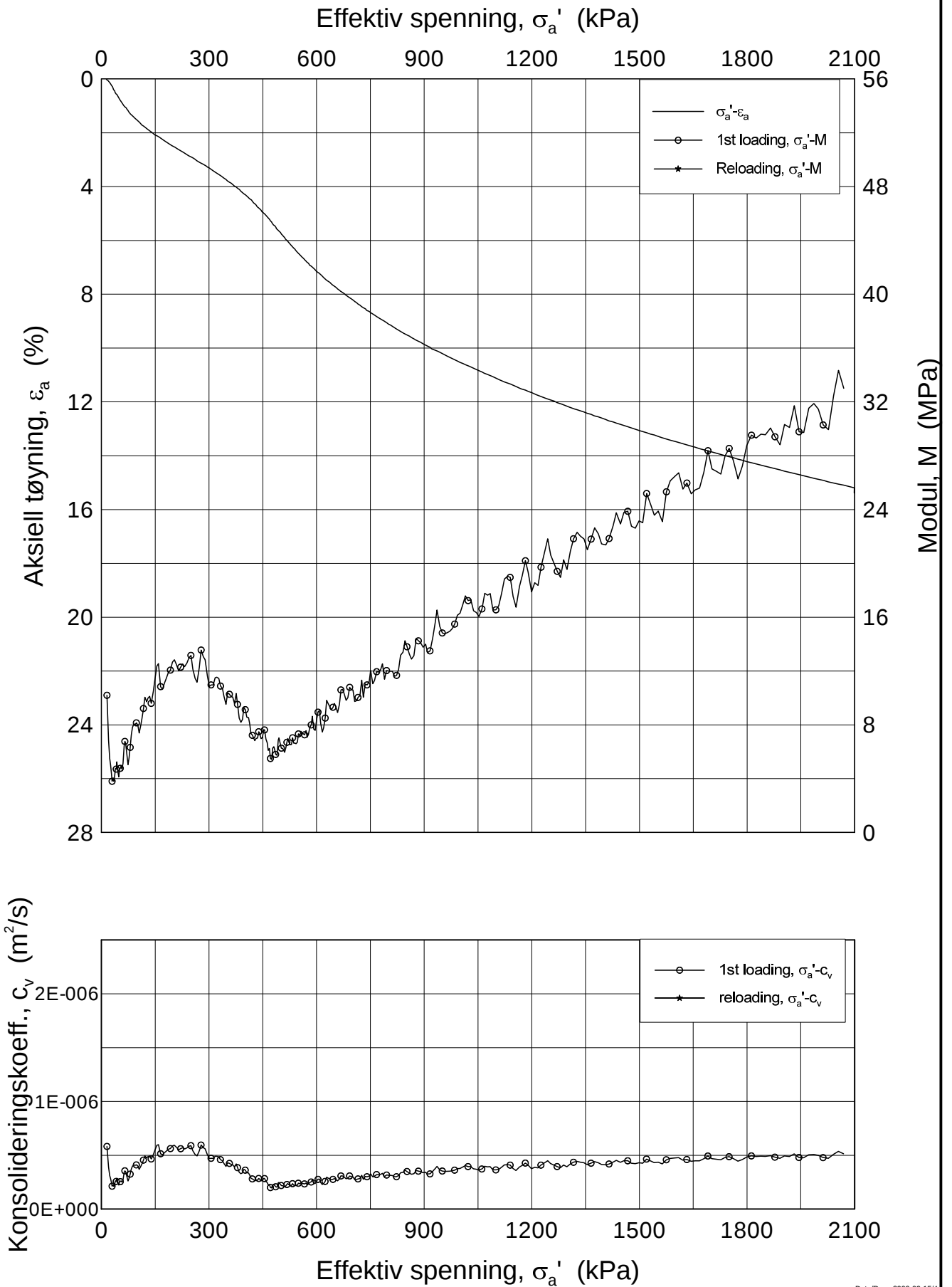
w_i = 34.24 %

Tegner
FI




H:\LABDATA\2012\20120491\Oedom\BH2293\2293-4-D-1.log (crs2216).grf

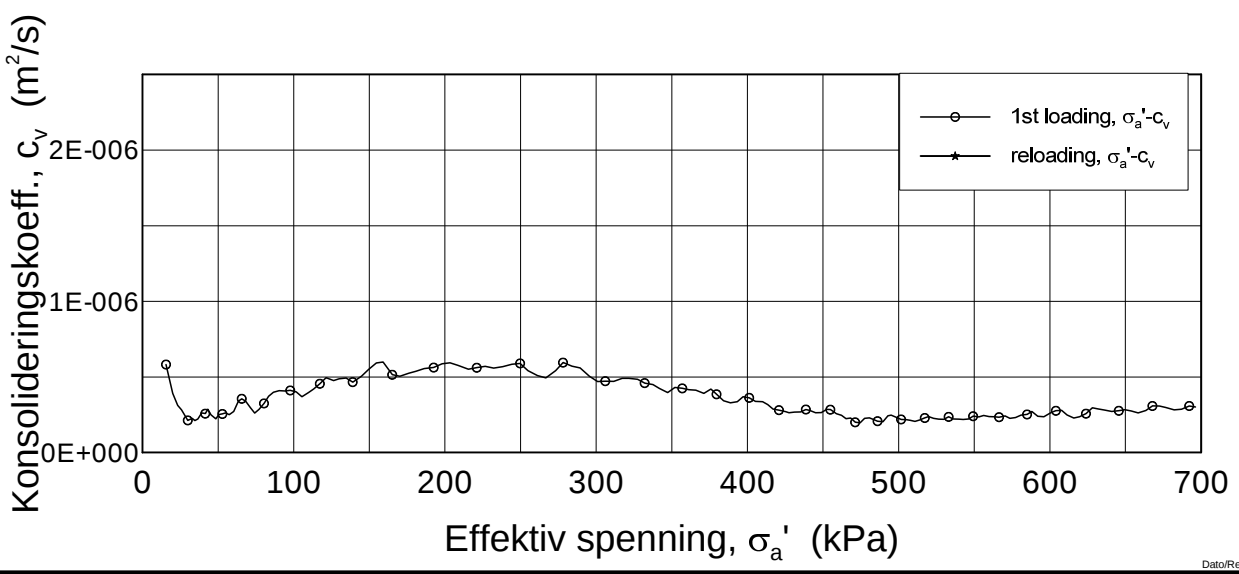
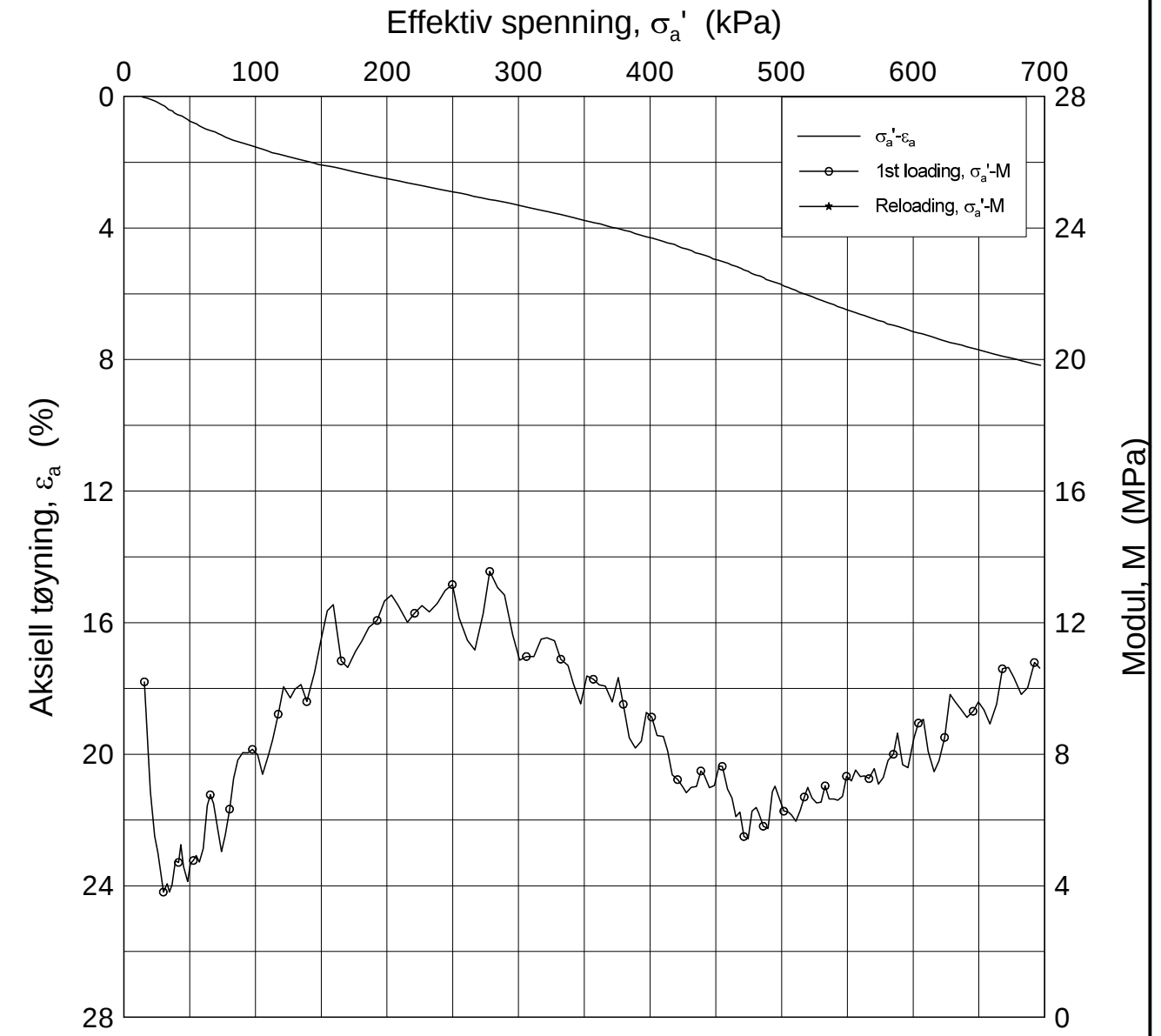
H:\LABDATA\2012\20120491\Oedom\BH2293\2293-10-D-1.lin (crs222.1).gif



Dato/Rev.: 2009-09-15/4

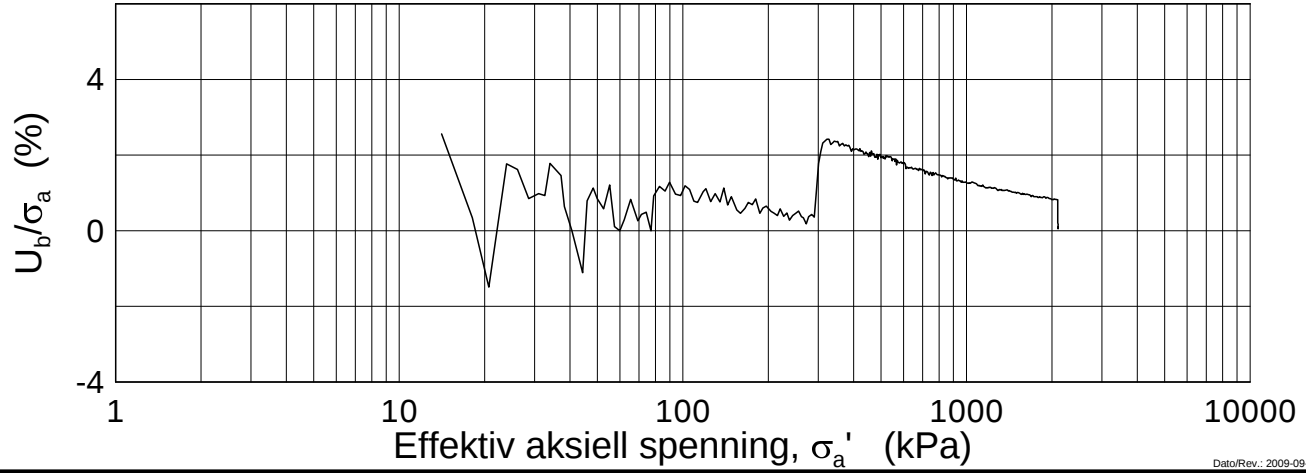
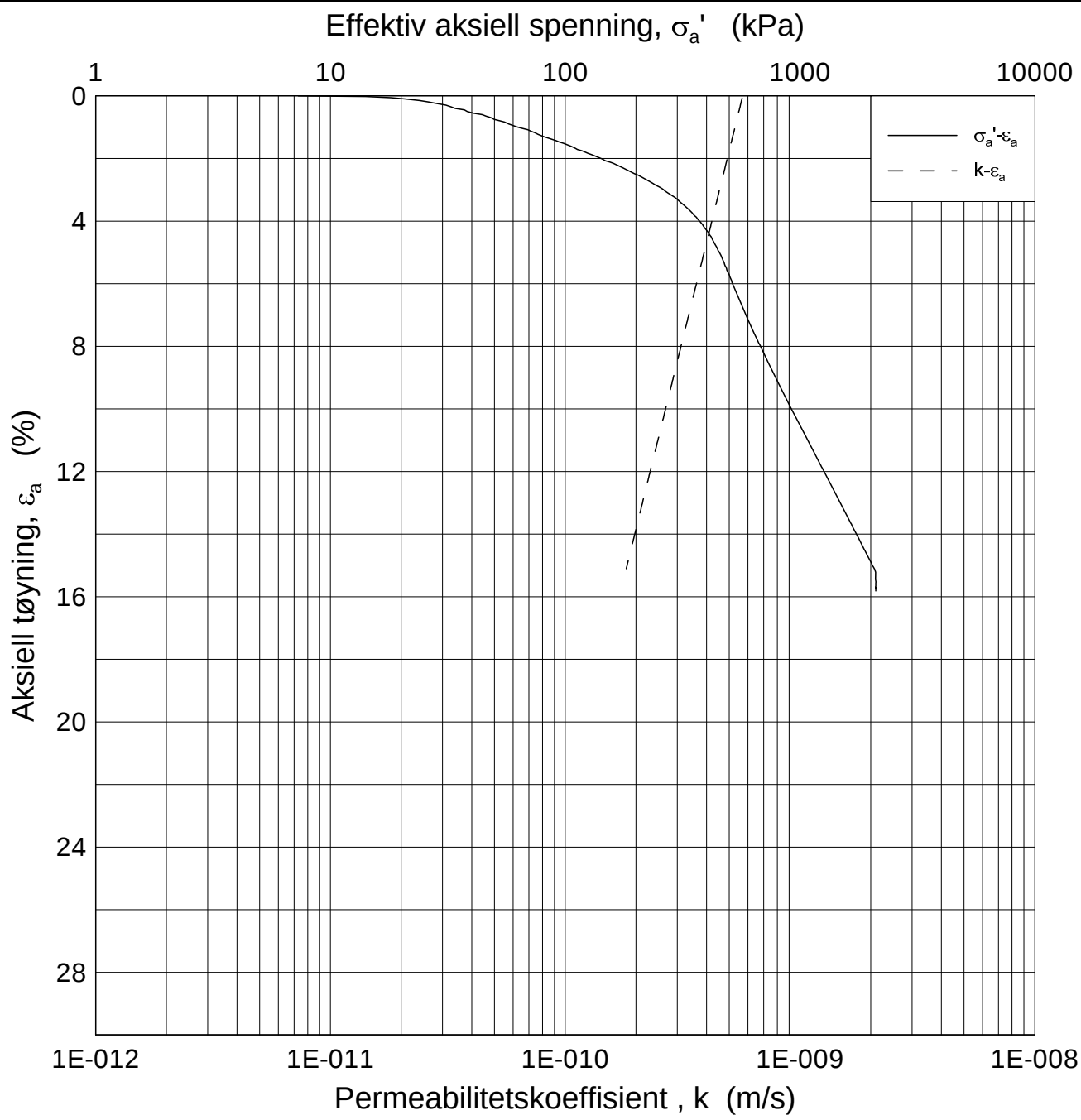
E16 Nybakk - Slomarka			Dokumentnr. 20120491-02-R
Ødometer test (CRSC)			Dato 2013-04-04
Borhull: 2293	Sylinder: 10	Dybde = 10.40 m	Figurnr. F109
Del: D	Test: 1	$p'_0 = 122.6$ kPa	Tegner FP/
		$w_i = 35.73$ %	

H:\LABDATA\2012\20120491\Oedom\BH2293\2293-10-D-1 lin=2 (crs2221).grf



Dato/Rev.: 2009-09-15/4

E16 Nybakk - Slomarka			Dokumentnr. 20120491-02-R
Ødometer test (CRSC)			Dato 2013-04-04
Borhull: 2293	Sylinder: 10	Dybde = 11.40 m	Figurnr. F110
Del: D	Test: 1	$p'_0 = 122.6$ kPa	Tegner FP/
		$w_i = 35.73$ %	



Dato/Rev.: 2009-09-15/3

E16 Nybakk - Slomarka

Dokumentnr.
20120491-02-R

Ødometer test (CRSC)

Dybde = 11.40 m

Dato
2013-04-04

Borhull: 2293

Sylinder: 10

p'_0 = 122.6 kPa

Figurnr.
F111

Del: D

Test: 1

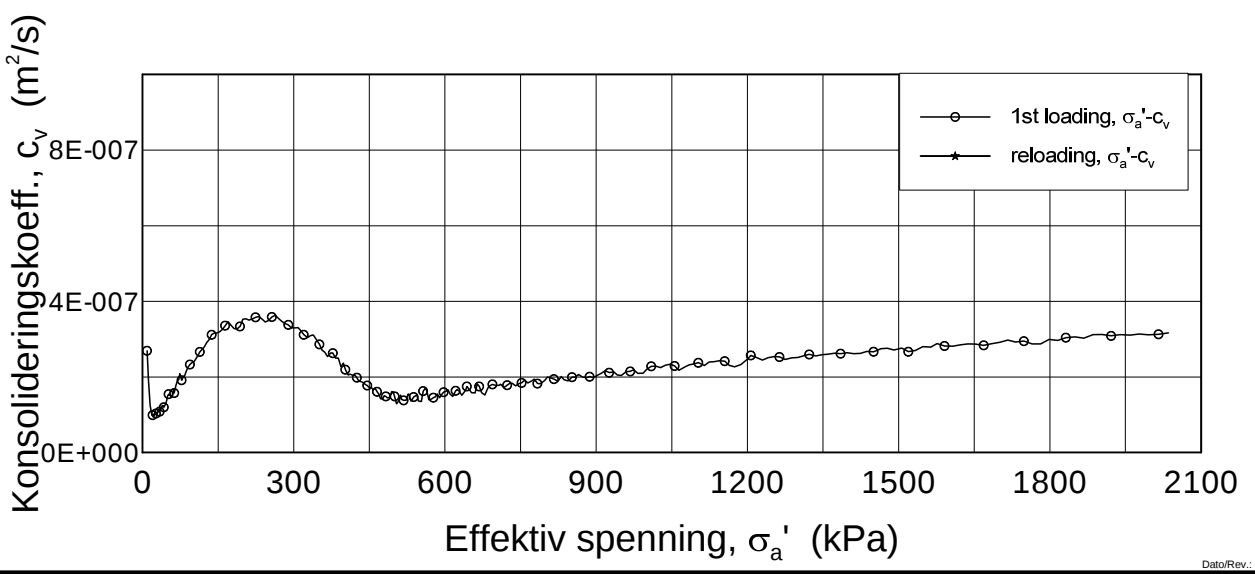
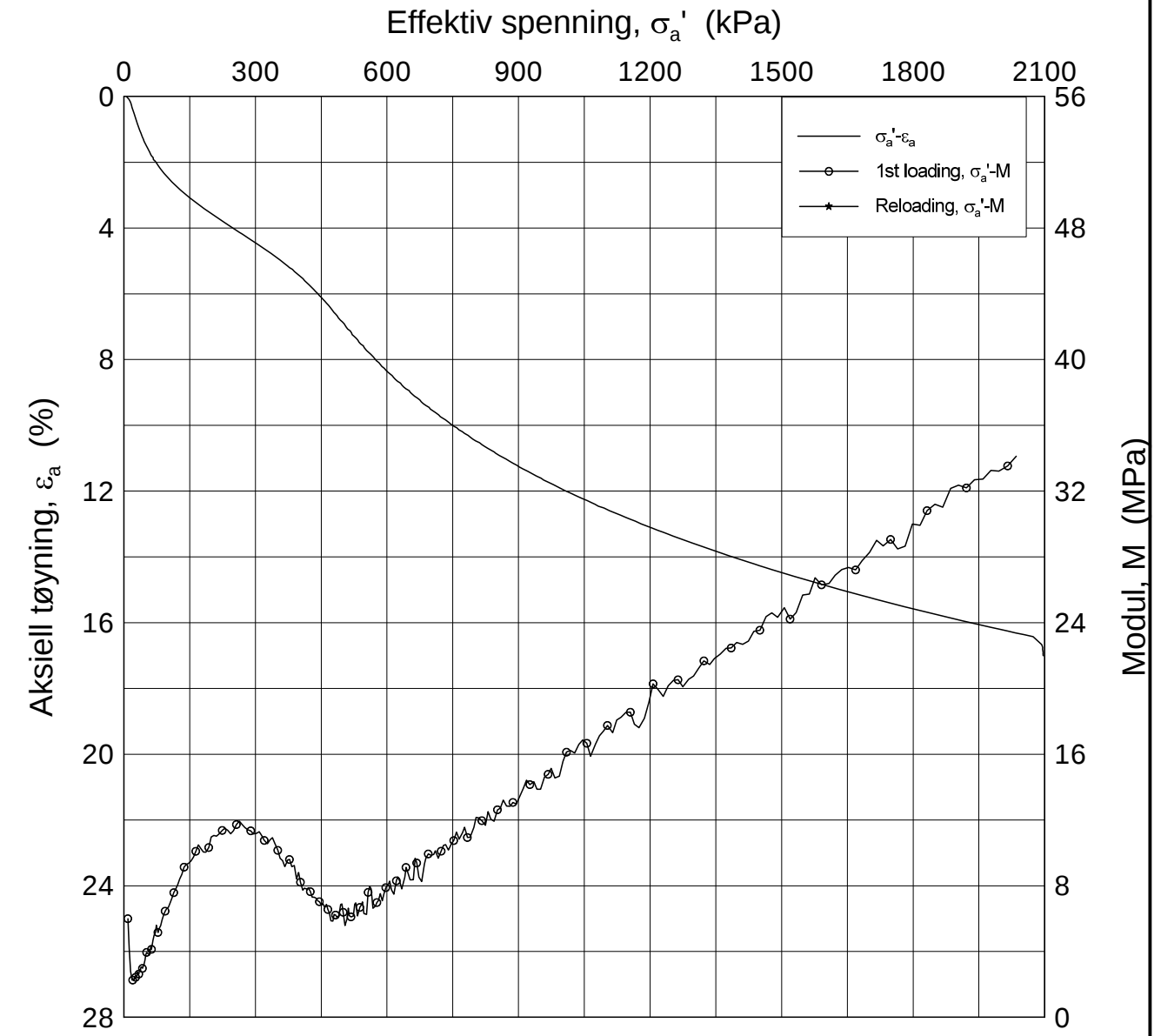
w_i = 35.73 %

Tegner
FP/




H:\LABDATA\2012\20120491\Oedom\BH2293\2293-10-D-1 log (crs2221).grf

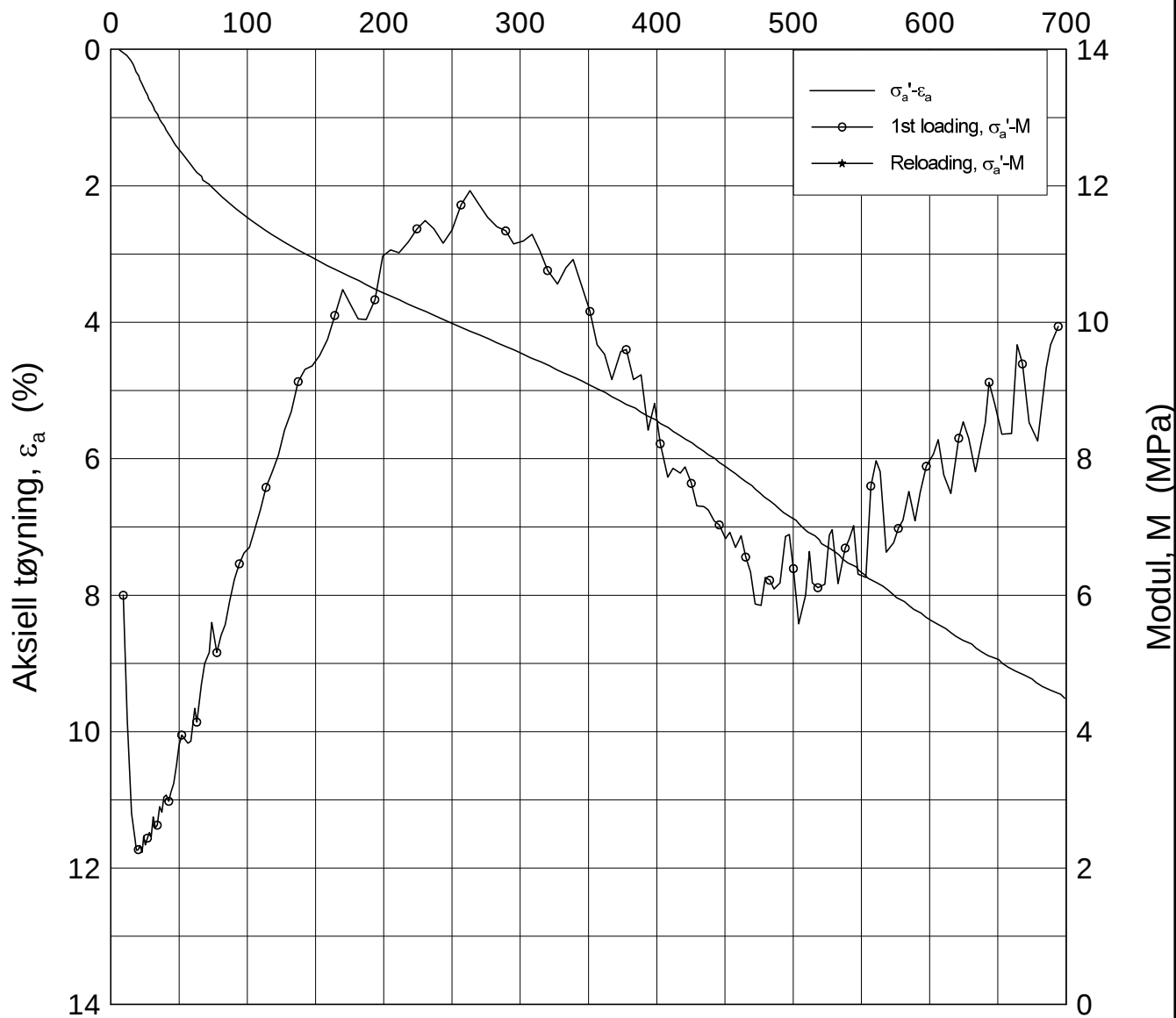
H:\LABDATA\2012\20120491\Oedom\BH2293\2293-14-D-1.lin (crs2217).gif



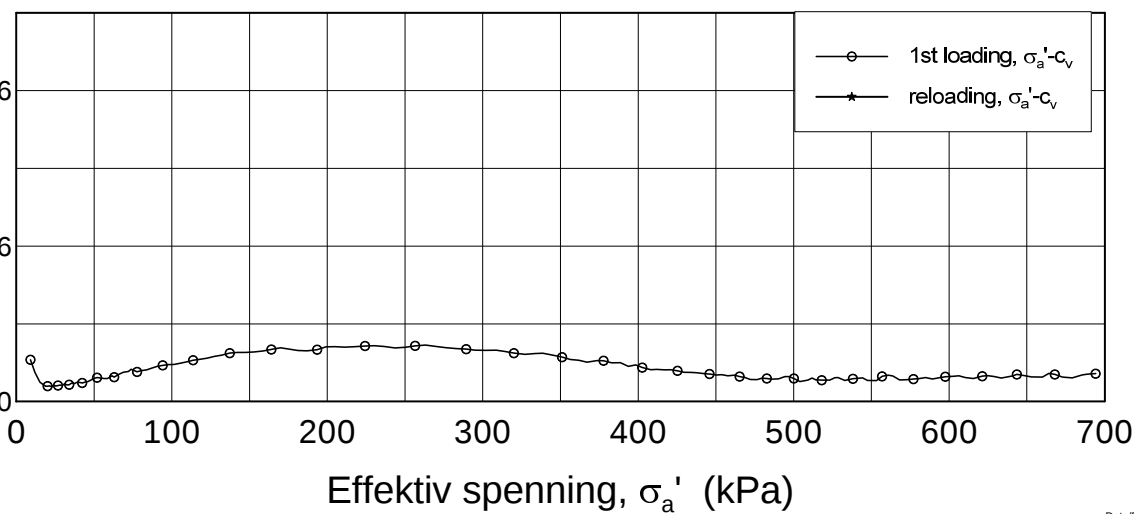
Dato/Rev.: 2009-09-15/4

E16 Nybakk - Slomarka			Dokumentnr. 20120491-02-R
Ødometer test (CRSC)			Dato 2013-05-08
Borhull: 2293	Sylinder: 14	Dybde = 15.63 m	Figurnr. F112
Del: D	Test: 1	$p'_o = 158.6$ kPa	Tegner FP/
		$w_i = 34.56$ %	

Effektiv spenning, σ_a' (kPa)



Konsolideringskoeff., c_v (m²/s)



Dato/Rev.: 2009-09-15/4

E16 Nybakk - Slomarka

Dokumentnr.
20120491-02-R

Ødometer test (CRSC)

Dybde = 15.63 m

Dato
2013-05-08

Borhull: 2293

Sylinder: 14

p_o' = 158.6 kPa

Figurnr.
F113

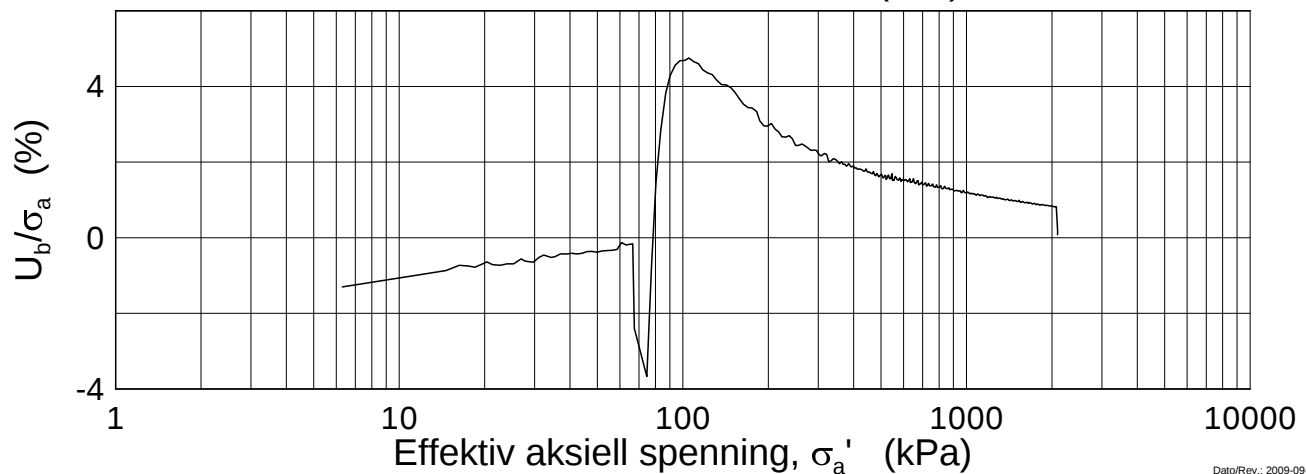
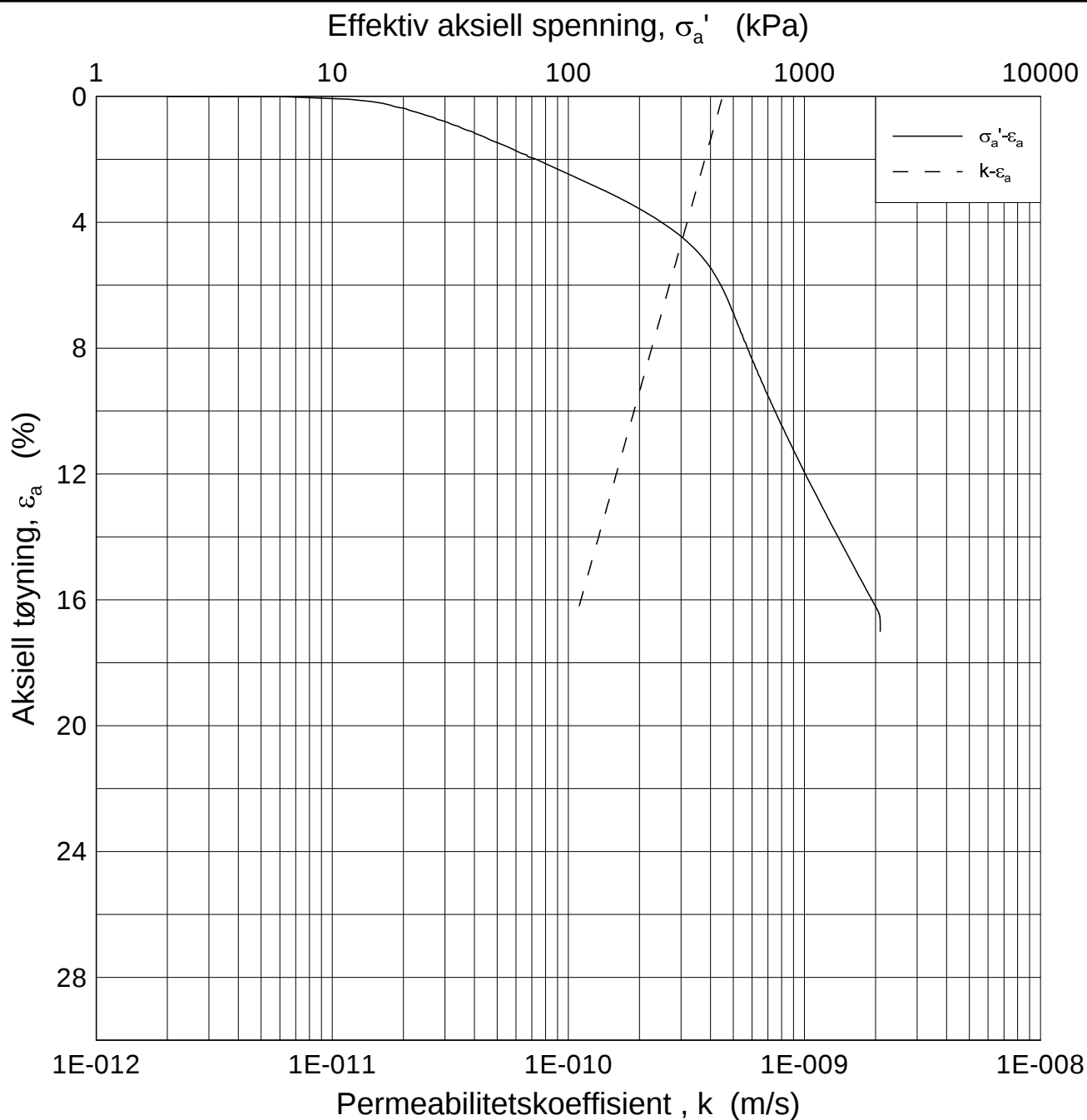
Del: D

Test: 1

w_i = 34.56 %

Tegner
FP/





Dato/Rev.: 2009-09-15/3

E16 Nybakk - Slomarka

Dokumentnr.
20120491-02-R

Ødometer test (CRSC)

Dybde = 15.63 m

Dato
2013-05-08

Borhull: 2293

Sylinder: 14

p'_0 = 158.6 kPa

Figurnr.
F114

Del: D

Test: 1

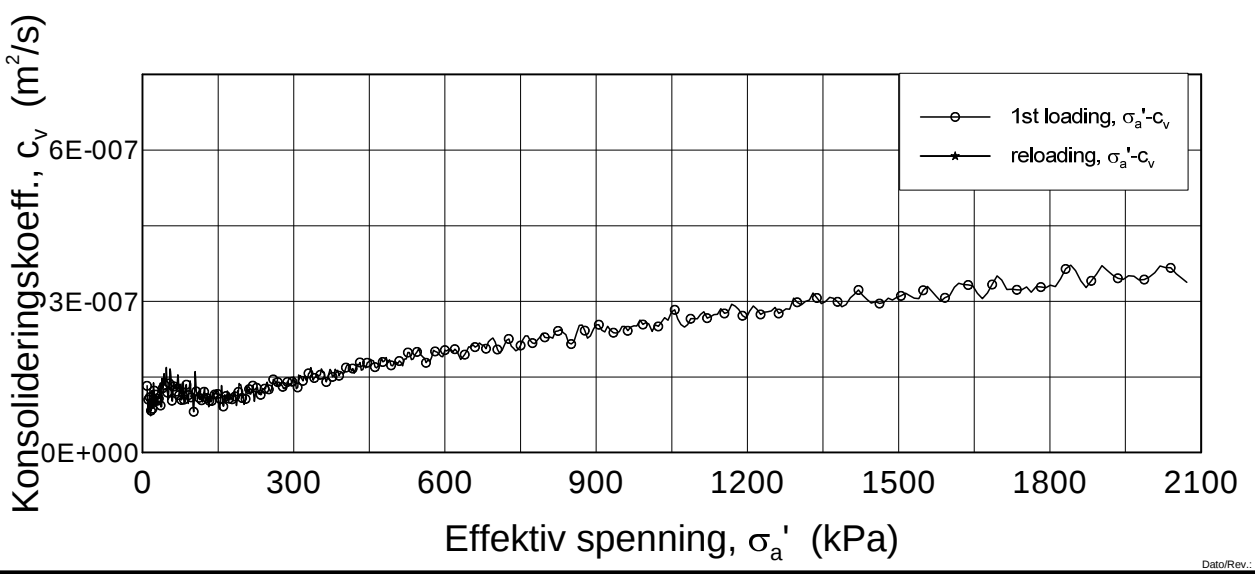
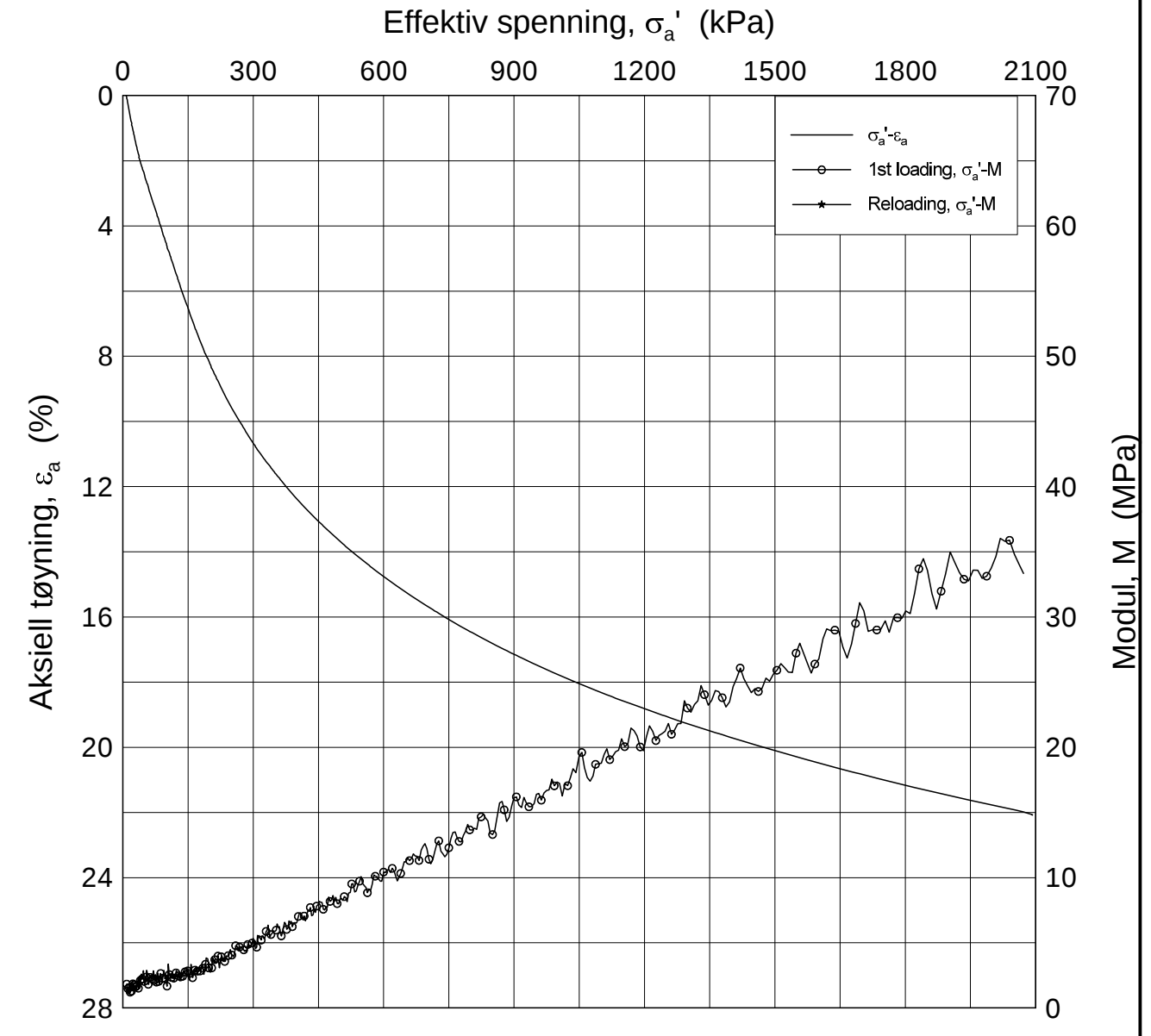
w_i = 34.56 %

Tegner
FP/




H:\LABDATA\2012\20120491\Oedom\BH2293\2293-14-D-1 log (crs2217).grf

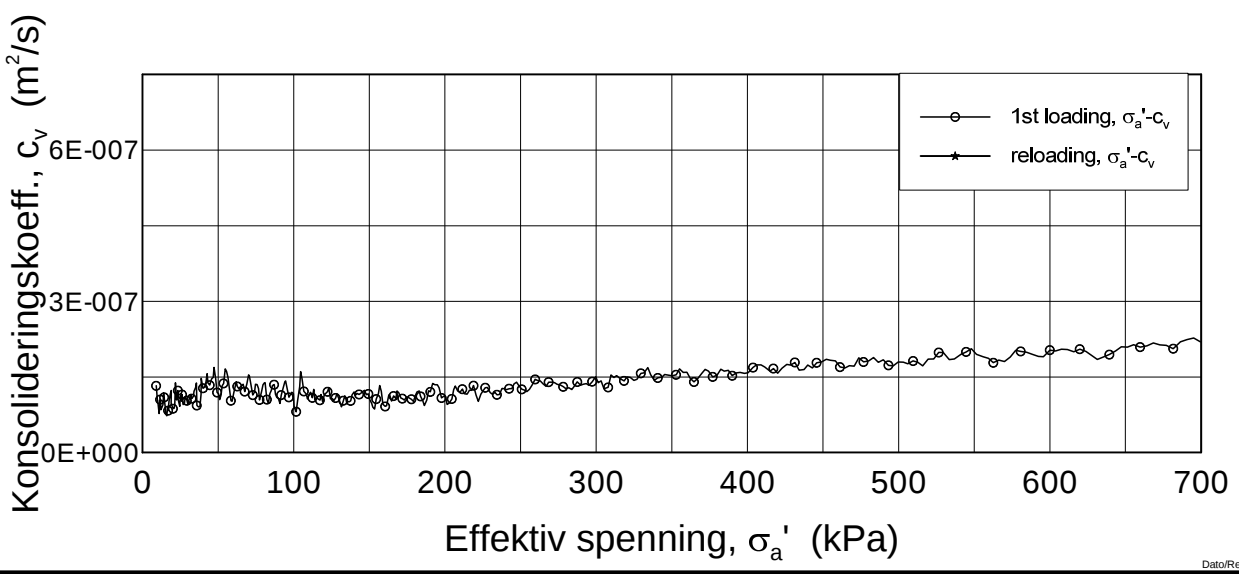
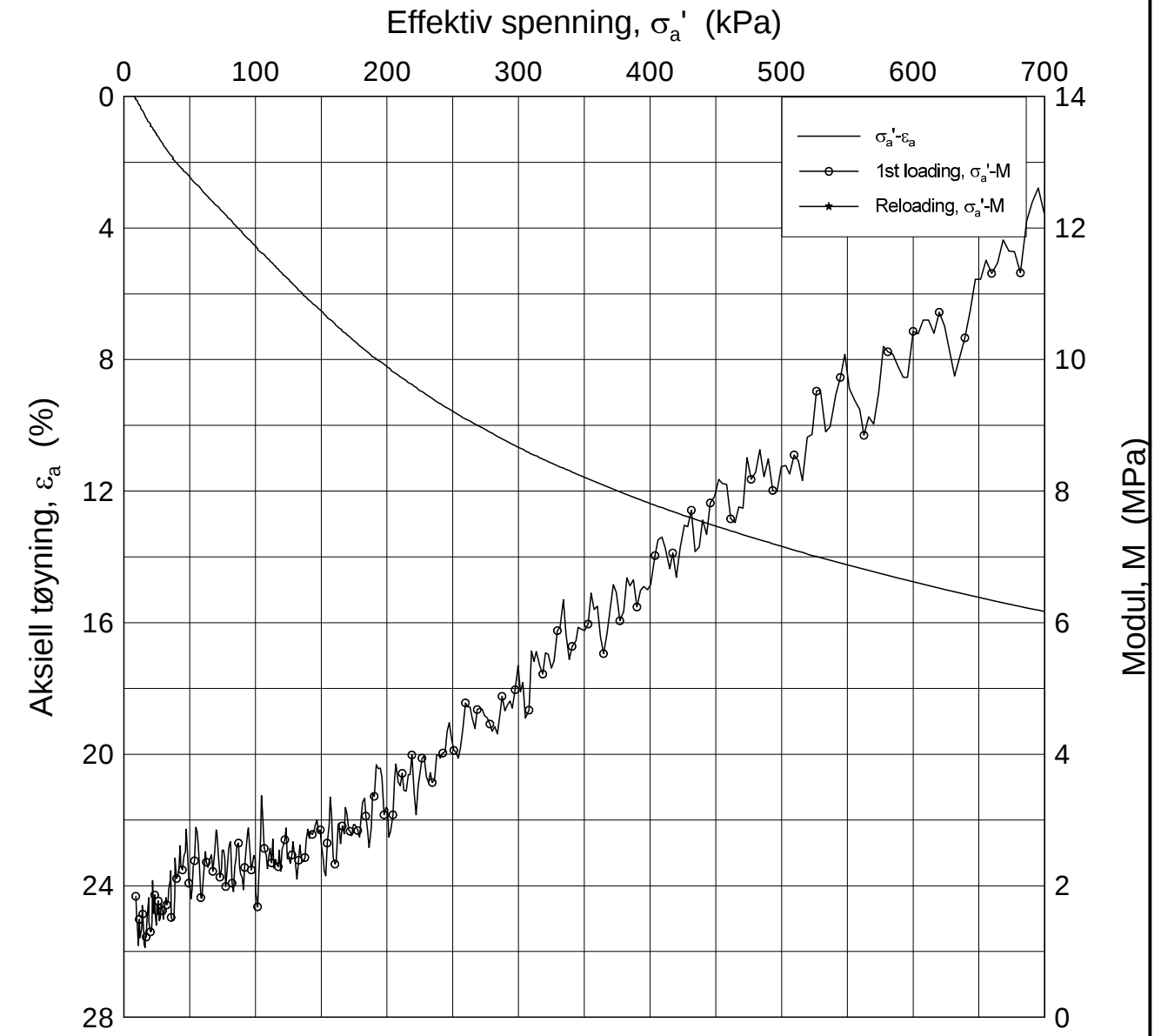
H:\LABDATA\2012\20120491\Oedom\BH3006\3006-5-C-1.lin (crs2277).grf




Dato/Rev.: 2009-09-15/4

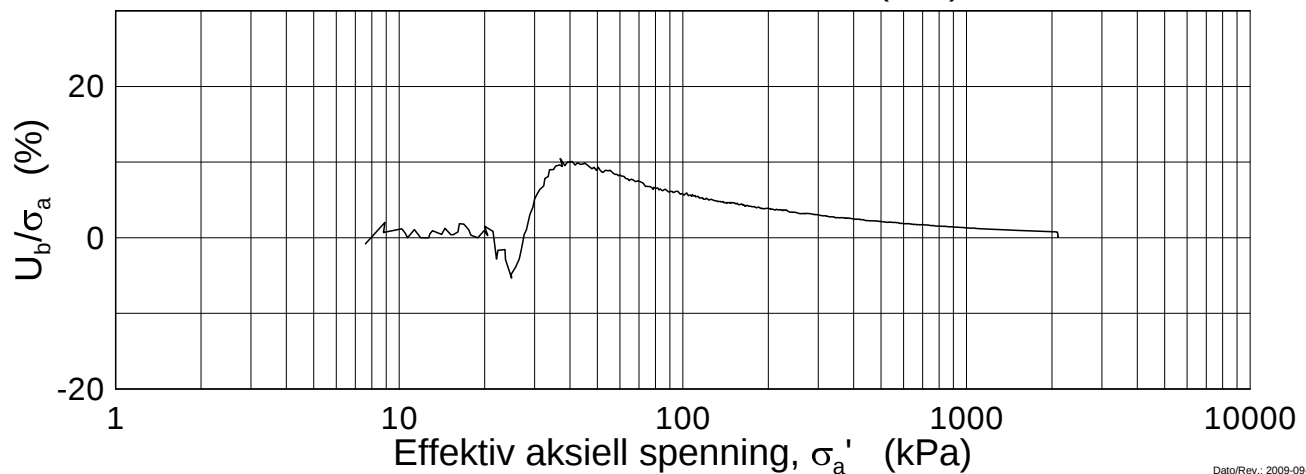
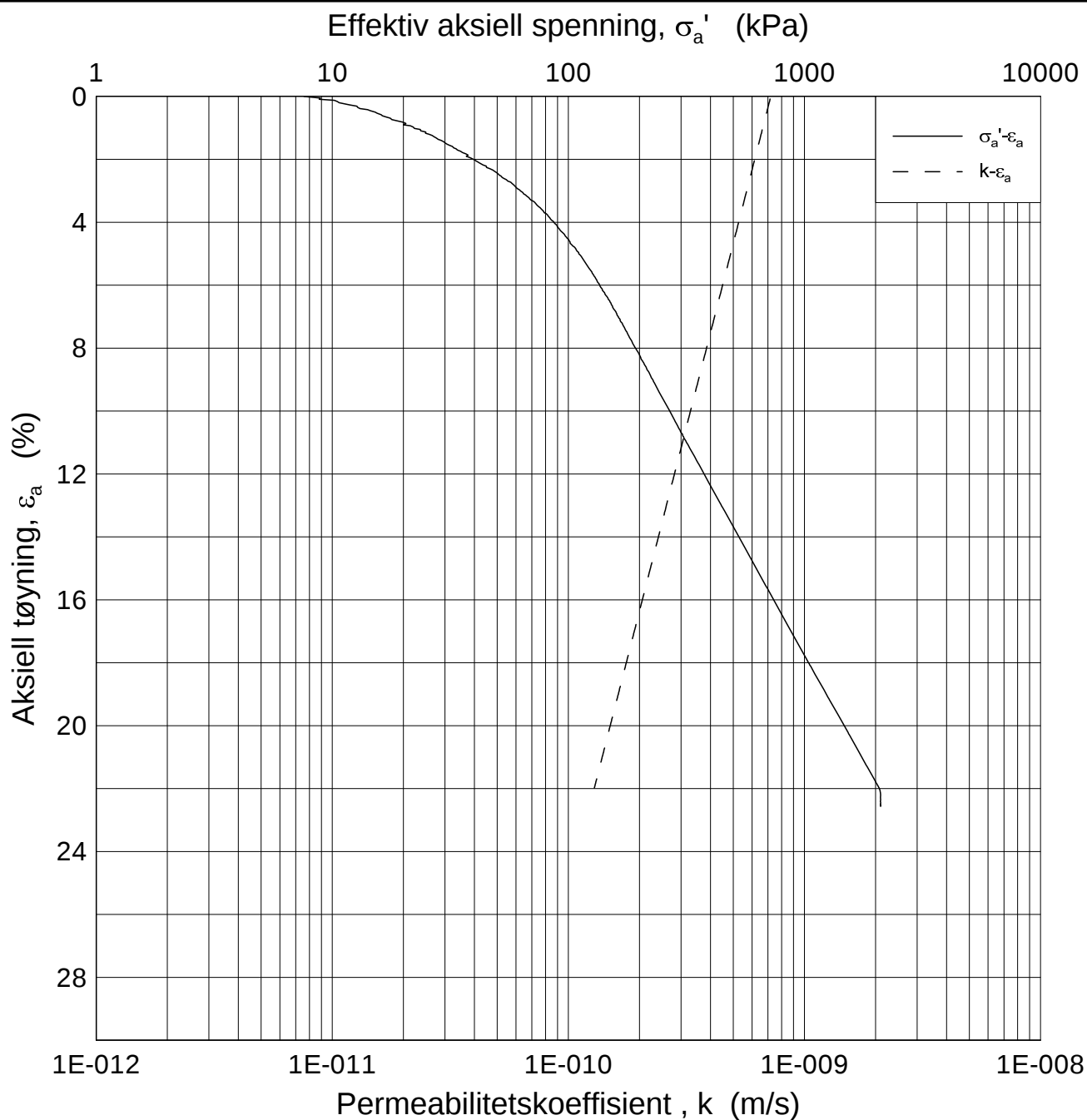
E16 Nybakk - Slomarka			Dokumentnr. 20120491-02-R
Ødometer test (CRSC)			Dato 2013-06-11
Borhull: 3006	Sylinder: 5	Dybde = 5.60 m	Figurnr. F115
Del: C	Test: 1	$p'_o = 58.6$ kPa	Tegner FP/
		$w_i = 44.54$ %	

H:\LABDATA\2012\20120491\Oedom\BH3006\3006-5-C-1.lin-2 (crs2277).grf



Dato/Rev.: 2009-09-15/4

E16 Nybakk - Slomarka			Dokumentnr. 20120491-02-R
Ødometer test (CRSC)			Dato 2013-06-11
Borhull: 3006	Sylinder: 5	Dybde = 5.60 m	Figurnr. F116
Del: C	Test: 1	$p'_0 = 58.6$ kPa	Tegner FP/
		$w_i = 44.54$ %	



Dato/Rev.: 2009-09-15/3

E16 Nybakk - Slomarka

Dokumentnr.
20120491-02-R

Ødometer test (CRSC)

Dybde = 5.60 m

Dato
2013-06-11

Borhull: 3006

Sylinder: 5

p'_o = 58.6 kPa

Figurnr.
F117

Del: C

Test: 1

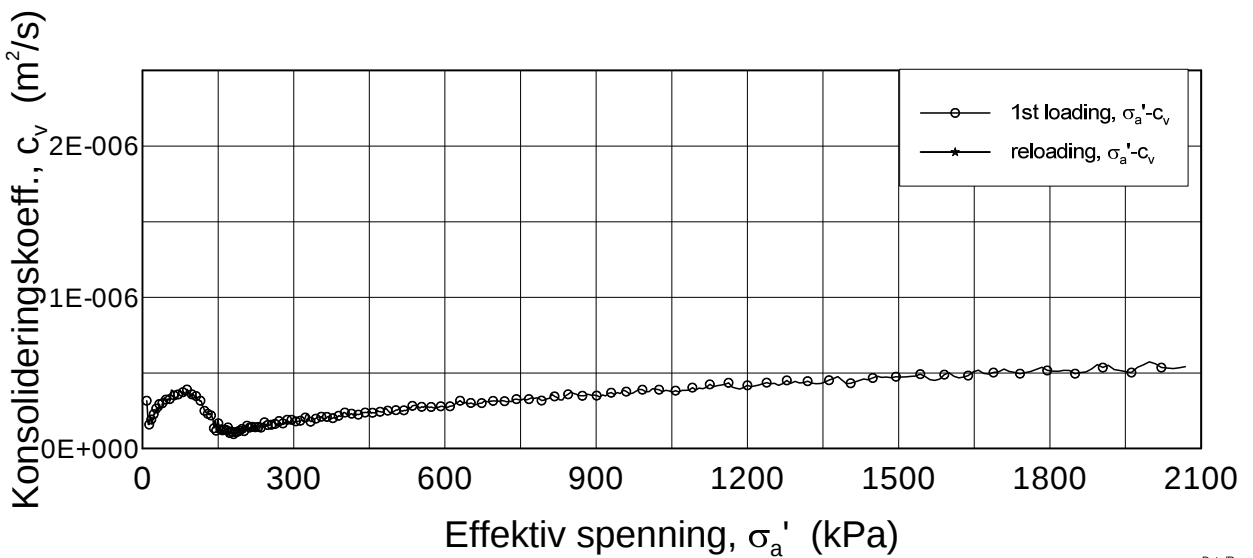
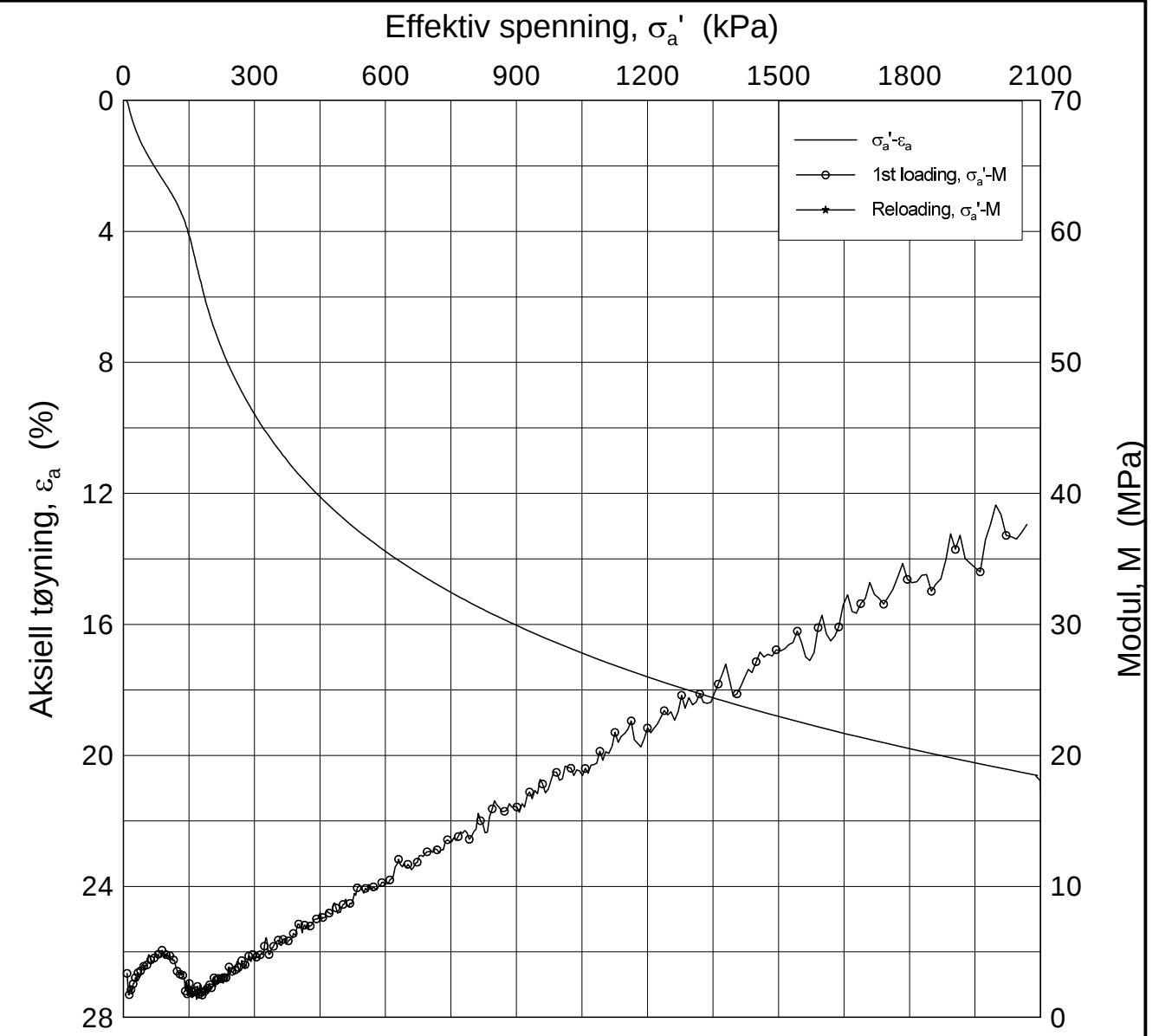
w_i = 44.54 %

Tegner
FP/




H:\LABDATA\2012\20120491\Oedom\BH3006\3006-5-C-1.log (crs2277).grf

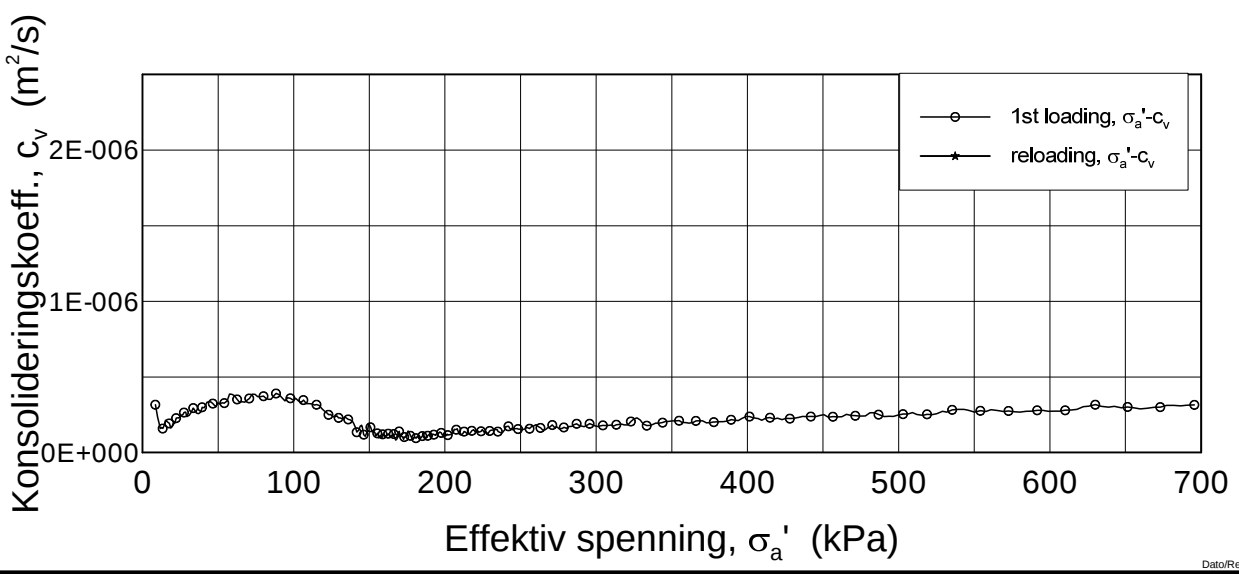
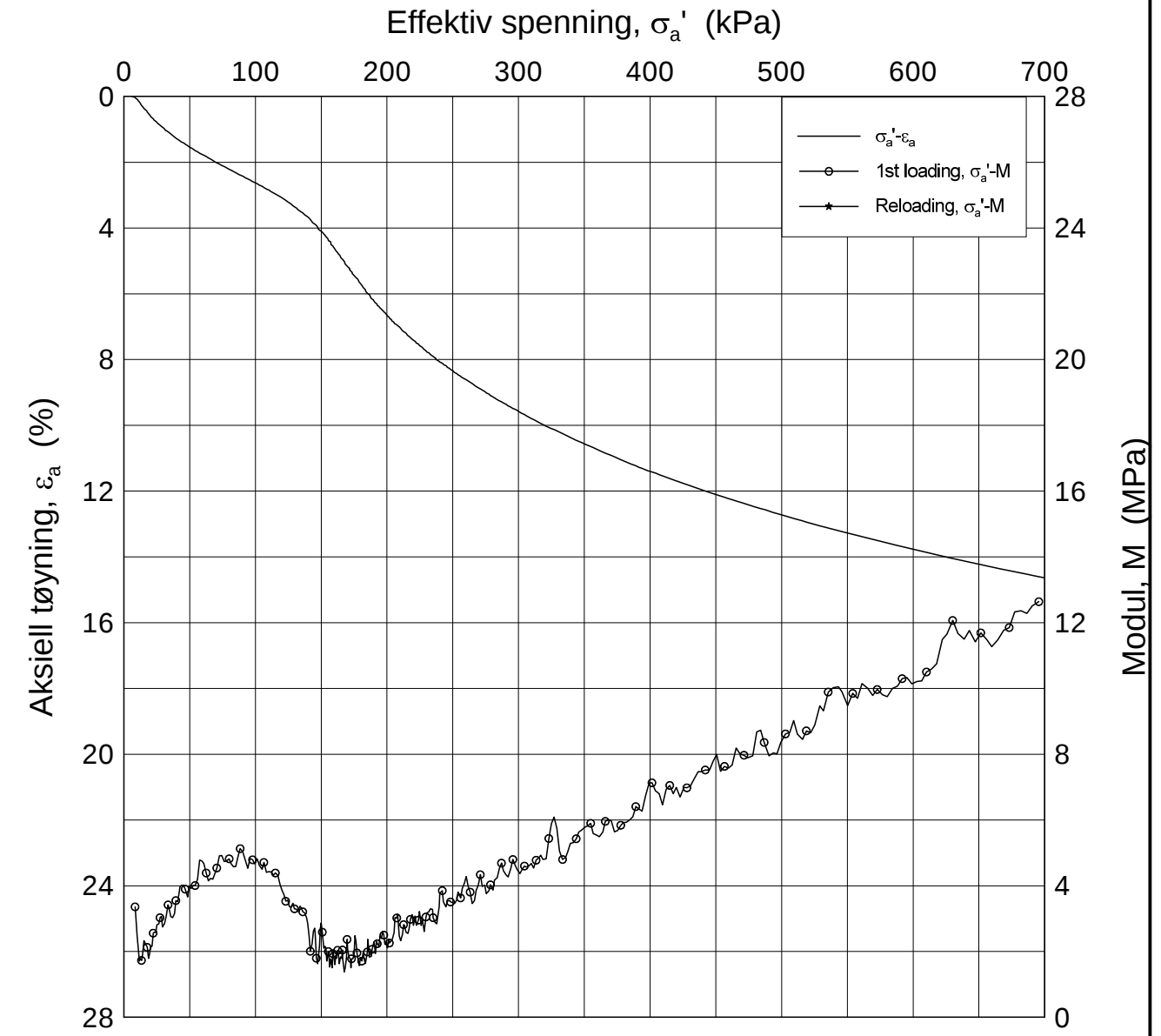
H:\LABDATA\2012\20120491\Oedom\BH3006\3006-10-B-1.lin (crs2278).grf



Dato/Rev.: 2009-09-15/4

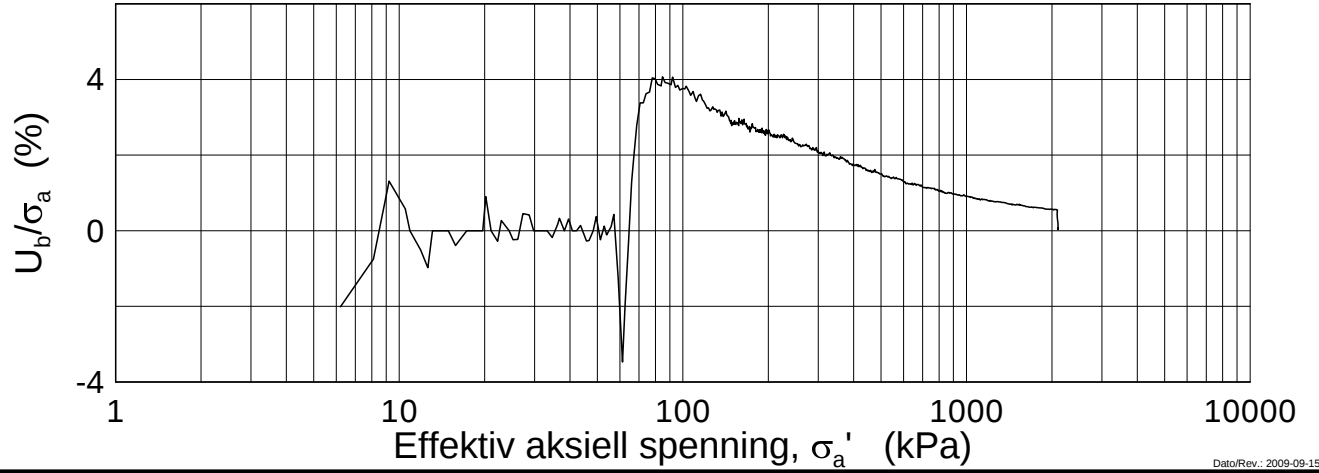
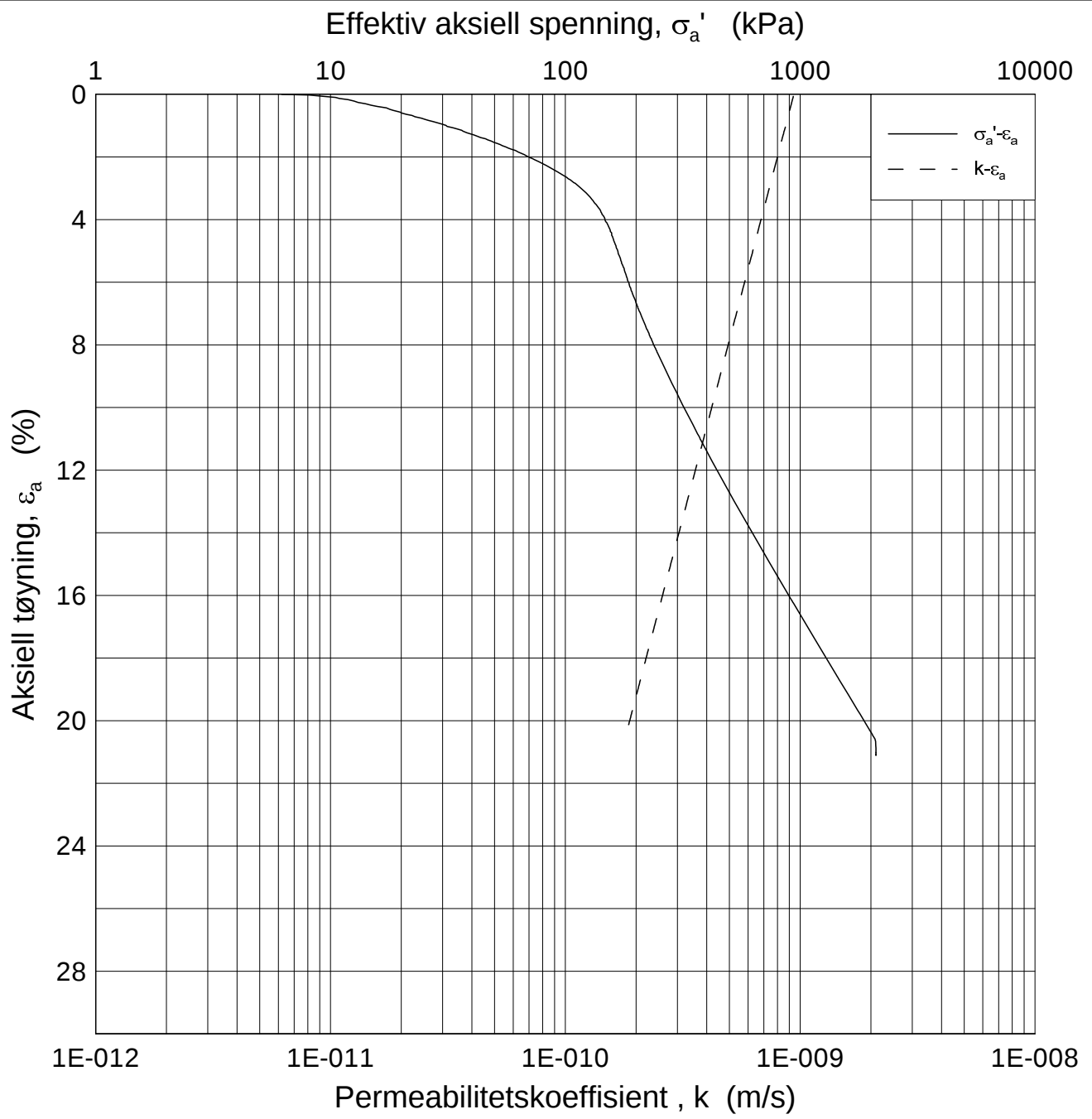
E16 Nybakk - Slomarka		Dokumentnr. 20120491-02-R	
Ødometer test (CRSC)		Dato 2013-06-11	
Borhull: 3006	Sylinder: 10	Dybde = 10.31 m	Figurnr. F118
Del: B	Test: 1	$p'_0 = 103.6$ kPa	Tegner FP/
		$w_i = 37.65$ %	

H:\LABDATA\2012\20120491\Oedom\BH3006\3006-10-B-1.lin-2 (crs2278).grf




Dato/Rev: 2009-09-15/4

E16 Nybakk - Slomarka			Dokumentnr. 20120491-02-R
Ødometer test (CRSC)			Dato 2013-06-11
Borhull: 3006	Sylinder: 10	Dybde = 10.31 m	Figurnr. F119
Del: B	Test: 1	$p'_0 = 103.6$ kPa	Tegner FP/
		$w_i = 37.65$ %	

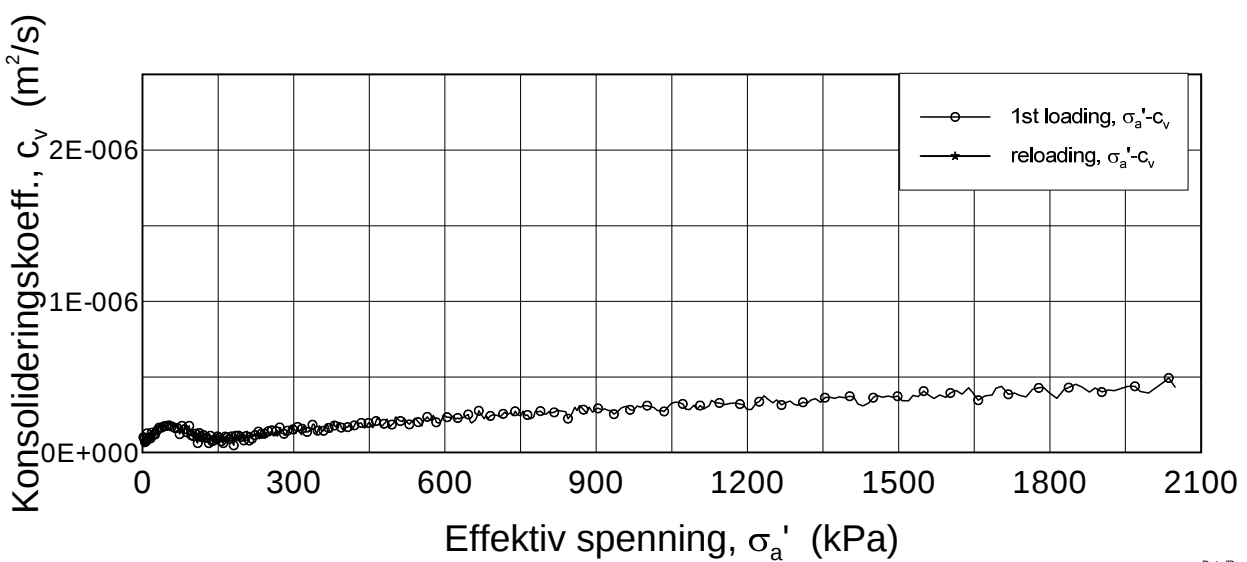
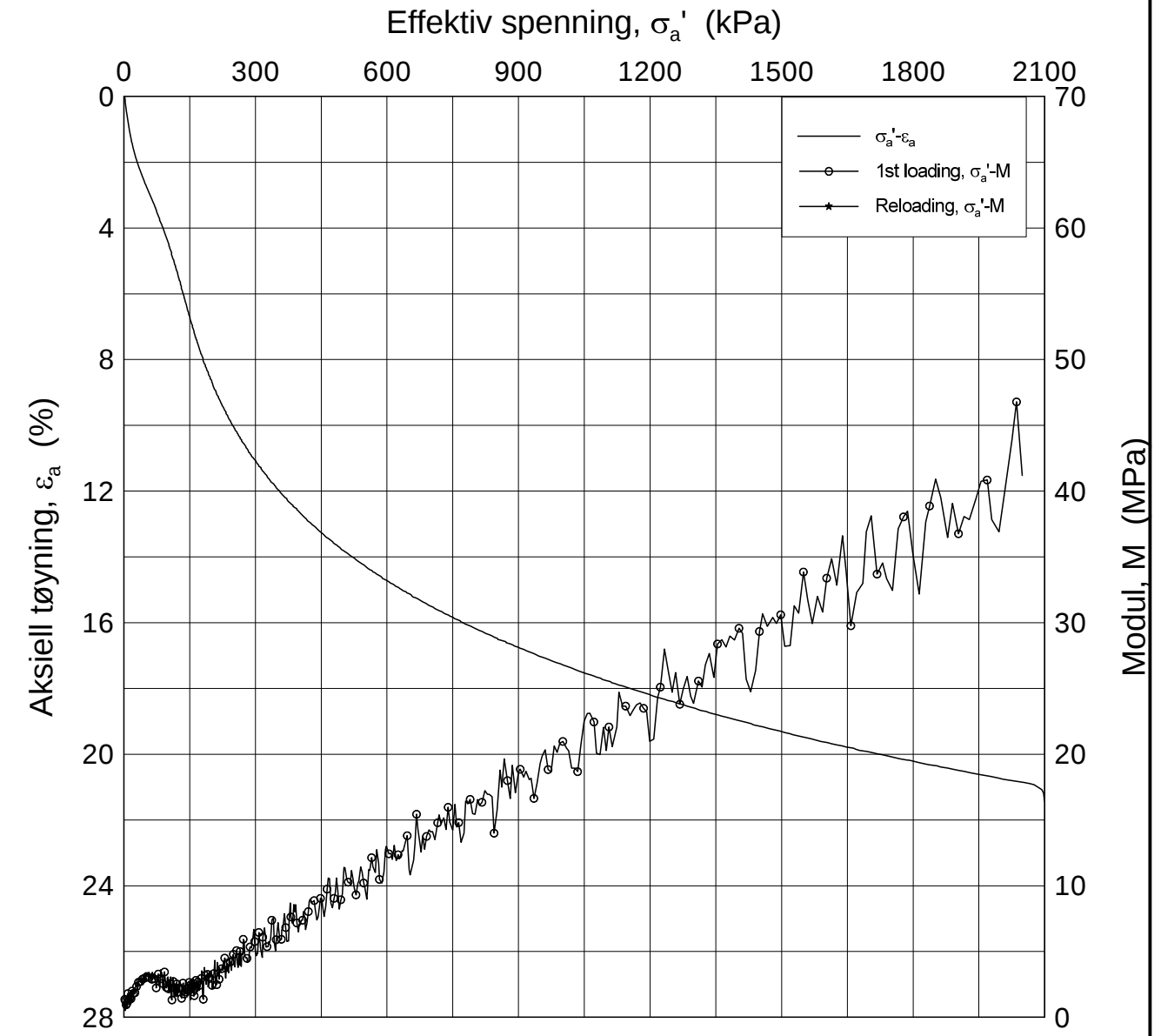


H:\LABDATA\2012\20120491\Oedom\BH3006\3006-10-B-1 log (crs2278).grf


Dato/Rev.: 2009-09-15/3

E16 Nybakk - Slomarka			Dokumentnr. 20120491-02-R
Ødometer test (CRSC)			Dato 2013-06-11
Borhull: 3006	Sylinder: 10	Dybde = 10.31 m	Figurnr. F120
Del: B	Test: 1	$p_o' = 103.6$ kPa	Tegner FP/
		$w_i = 37.65$ %	

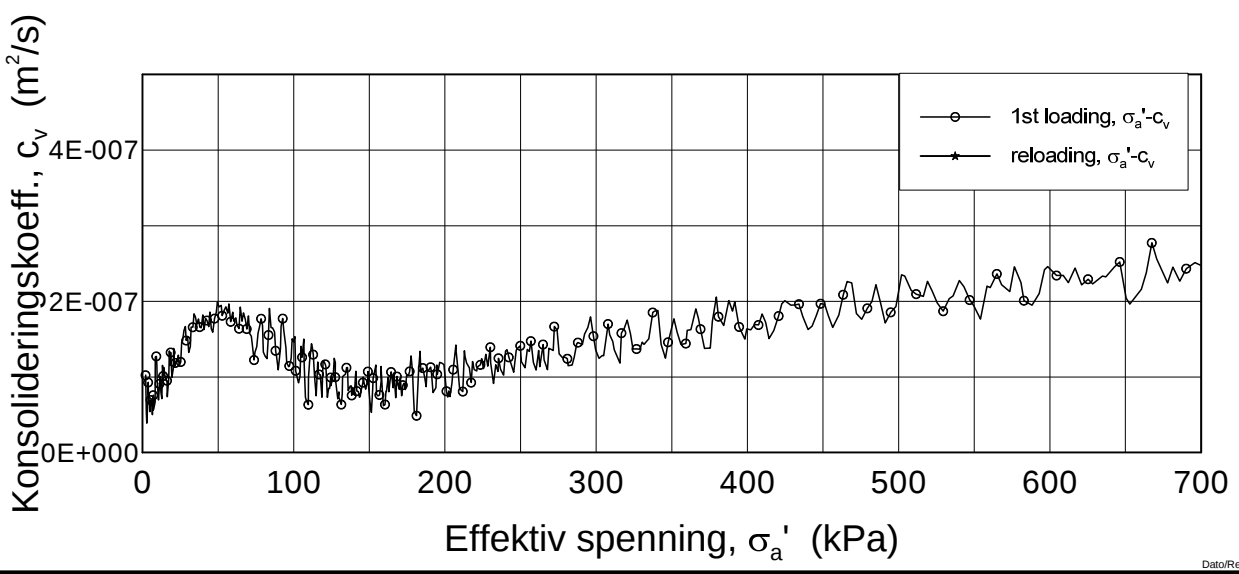
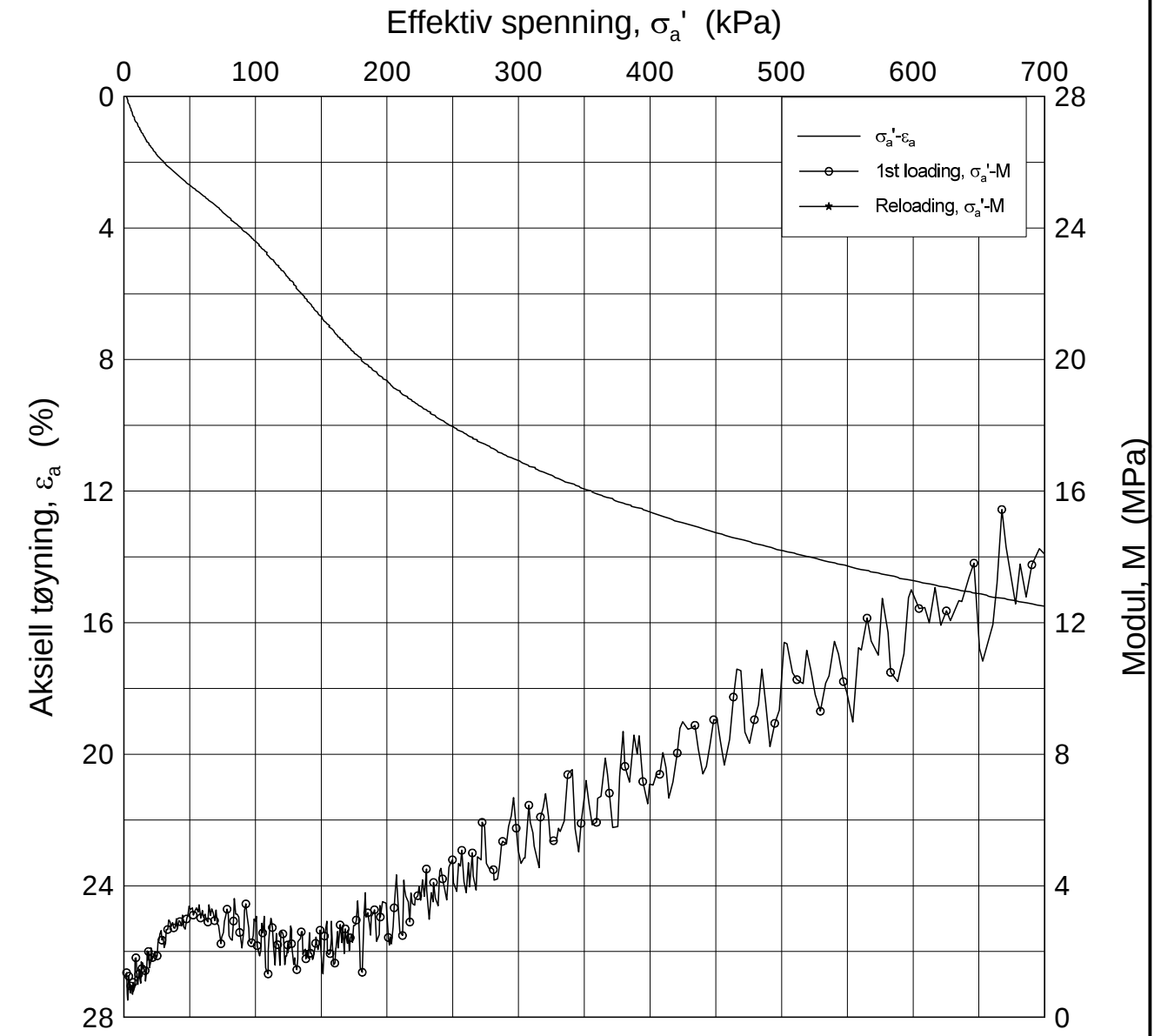
H:\LABDATA\2012\20120491\Oedom\BH3006\3006-14-B-1.lin (crs2279).grf




Dato/Rev.: 2009-09-15/4

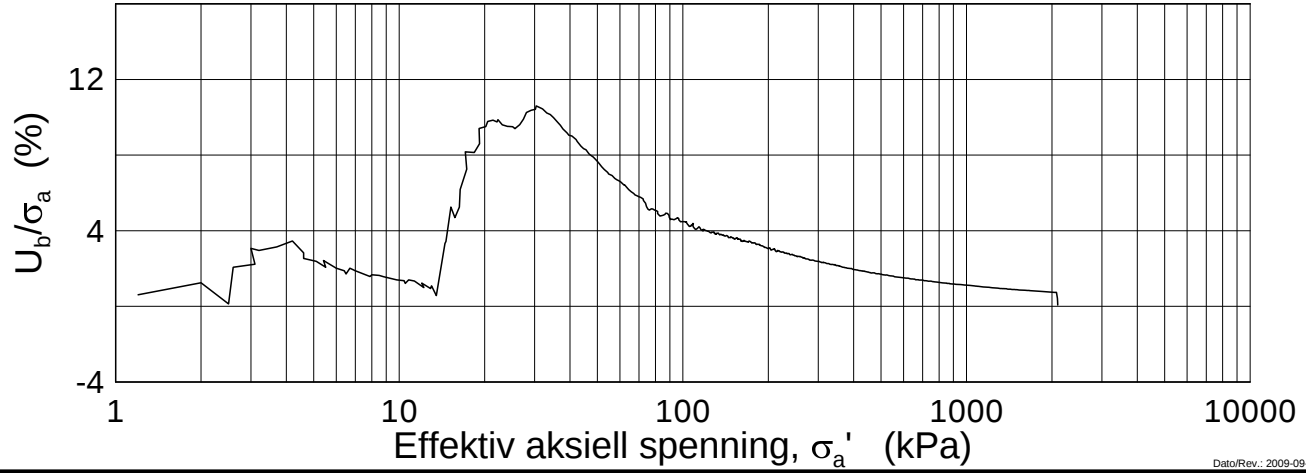
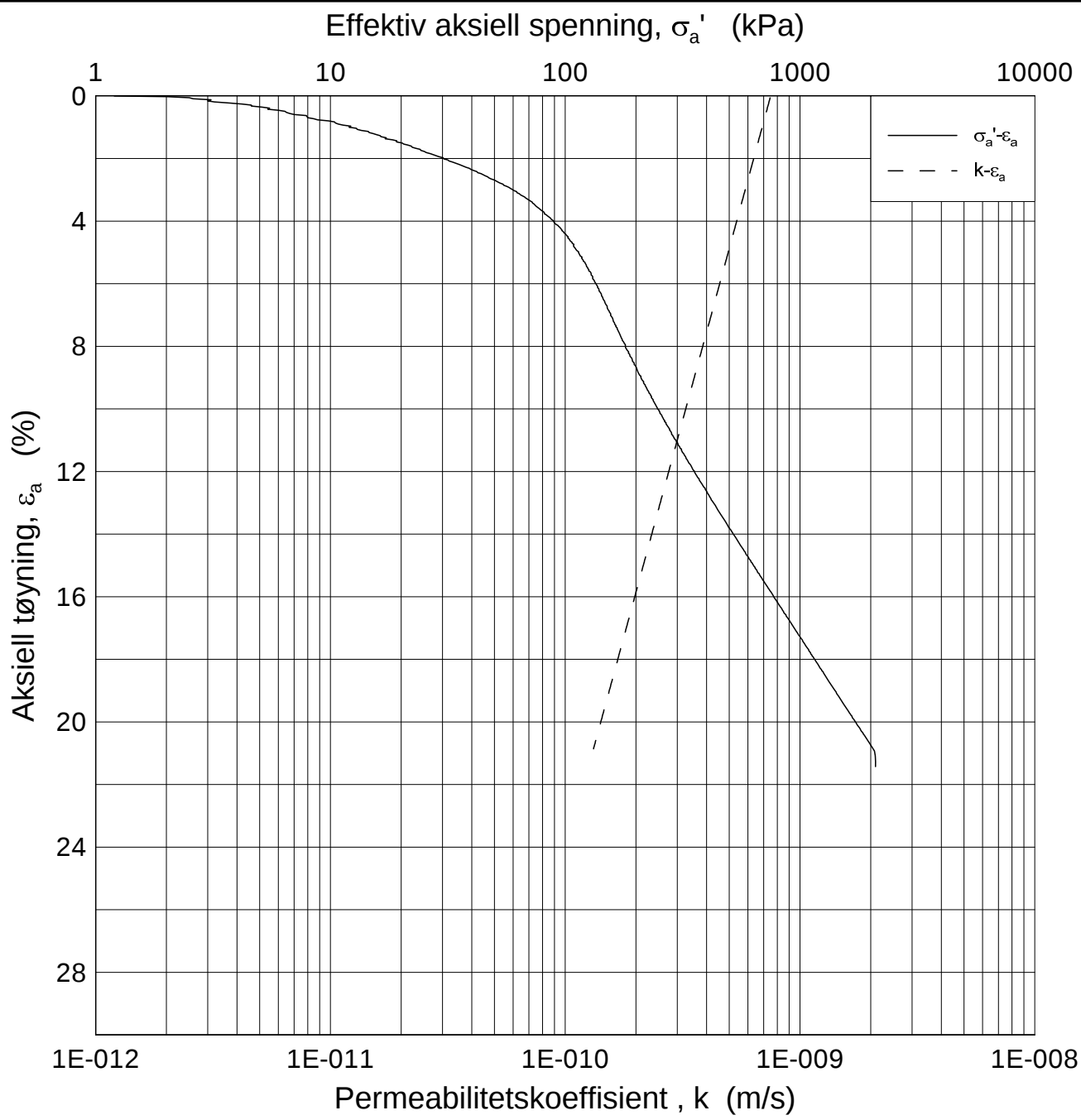
E16 Nybakk - Slomarka		Dokumentnr. 20120491-02-R
Ødometer test (CRSC)		Dato 2013-06-12
Borhull: 3006	Sylinder: 14	Figurnr. F121
Del: B	Test: 1	Tegner FP/
Dybde = 14.40 m		
p _o ' = 139.6 kPa		
w _i = 41.42 %		

H:\LABDATA\2012\20120491\Oedom\BH3006\3006-14-B-1.lin-2 (crs2279).grf



Dato/Rev.: 2009-09-15/4

E16 Nybakk - Slomarka		Dokumentnr. 20120491-02-R
Ødometer test (CRSC)		Dato 2013-06-12
Borhull: 3006	Sylinder: 14	Figurnr. F122
Del: B	Test: 1	Tegner FP/
	Dybde = 14.40 m	
	$p'_0 = 139.6$ kPa	
	$w_i = 41.42$ %	



Dato/Rev.: 2009-09-15/3

E16 Nybakk - Slomarka

Dokumentnr.
20120491-02-R

Ødometer test (CRSC)

Dybde = 14.40 m

Dato
2013-06-12

Borhull: 3006

Sylinder: 14

p'_o = 139.6 kPa

Figurnr.
F123

Del: B

Test: 1

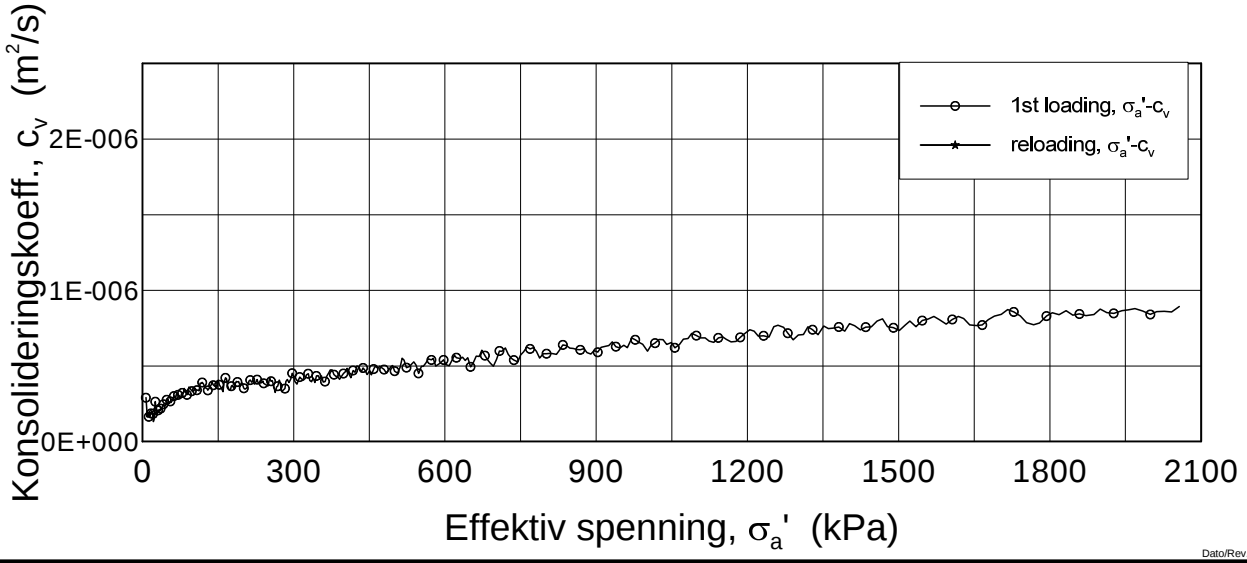
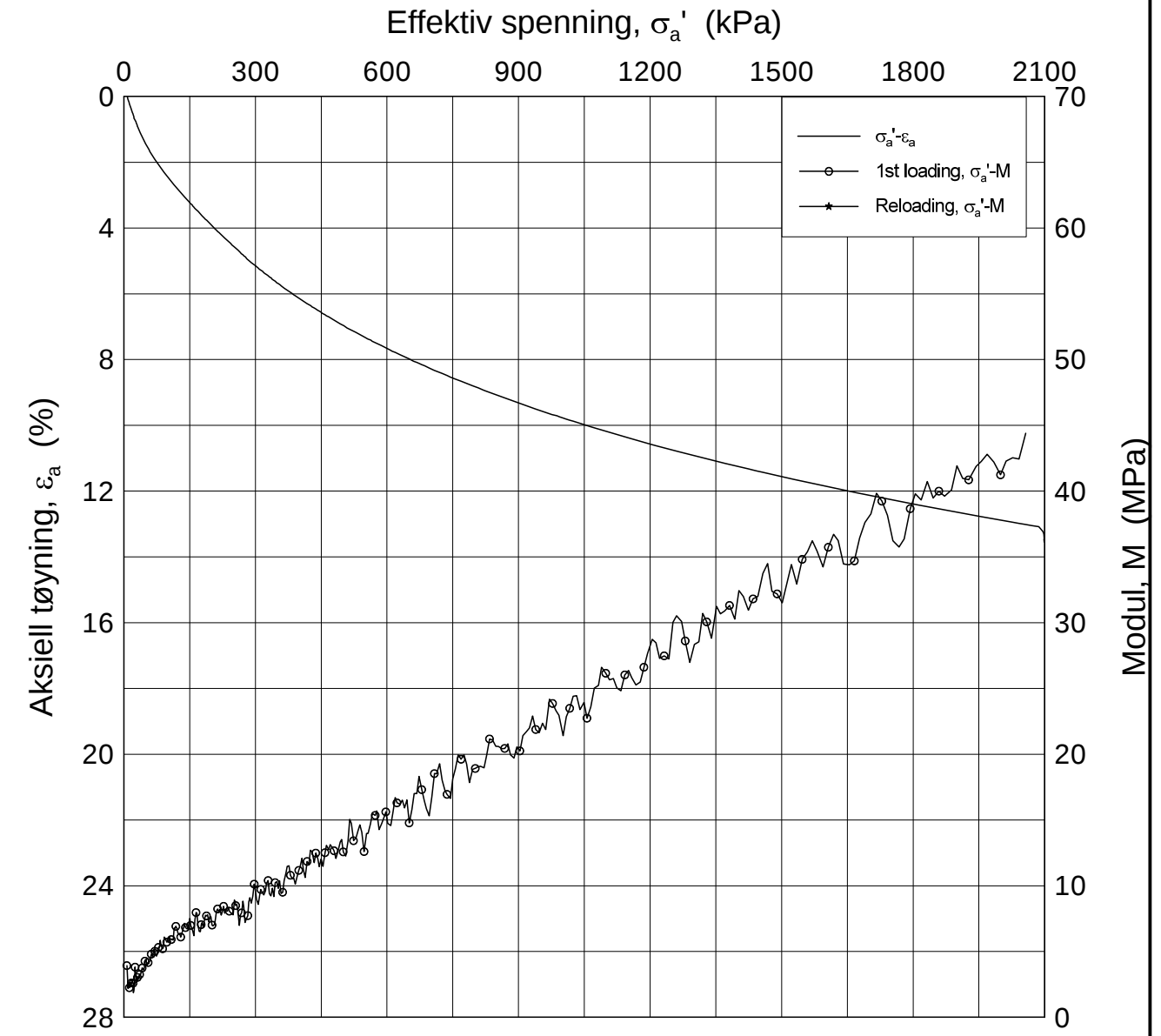
w_i = 41.42 %

Tegner
FP/




H:\LABDATA\2012\20120491\Oedom\BH3006\3006-14-B-1 log (crs2279).grf

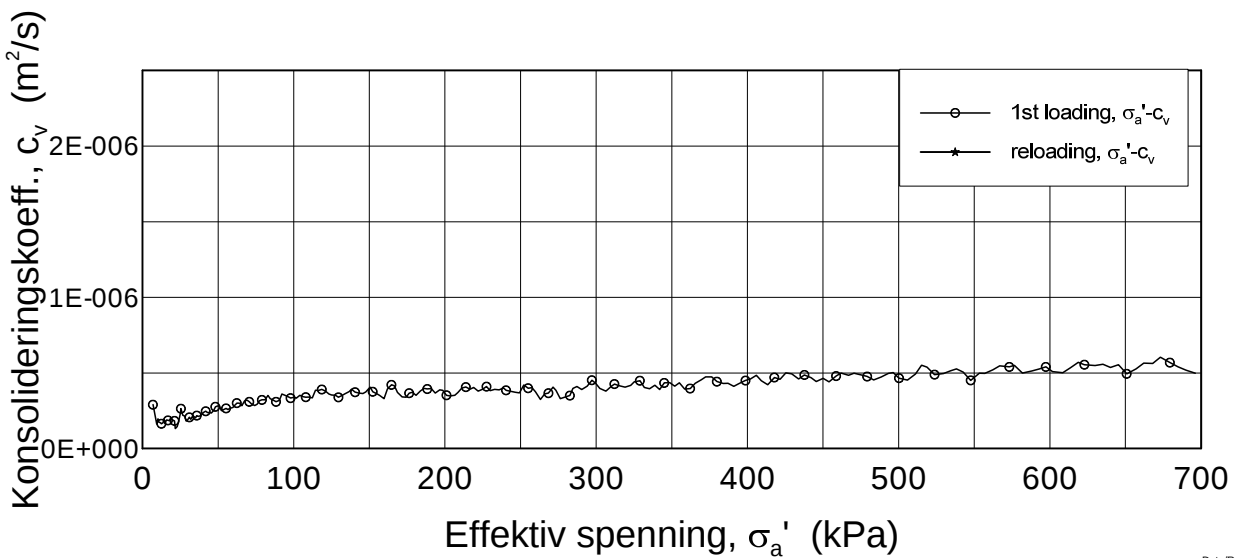
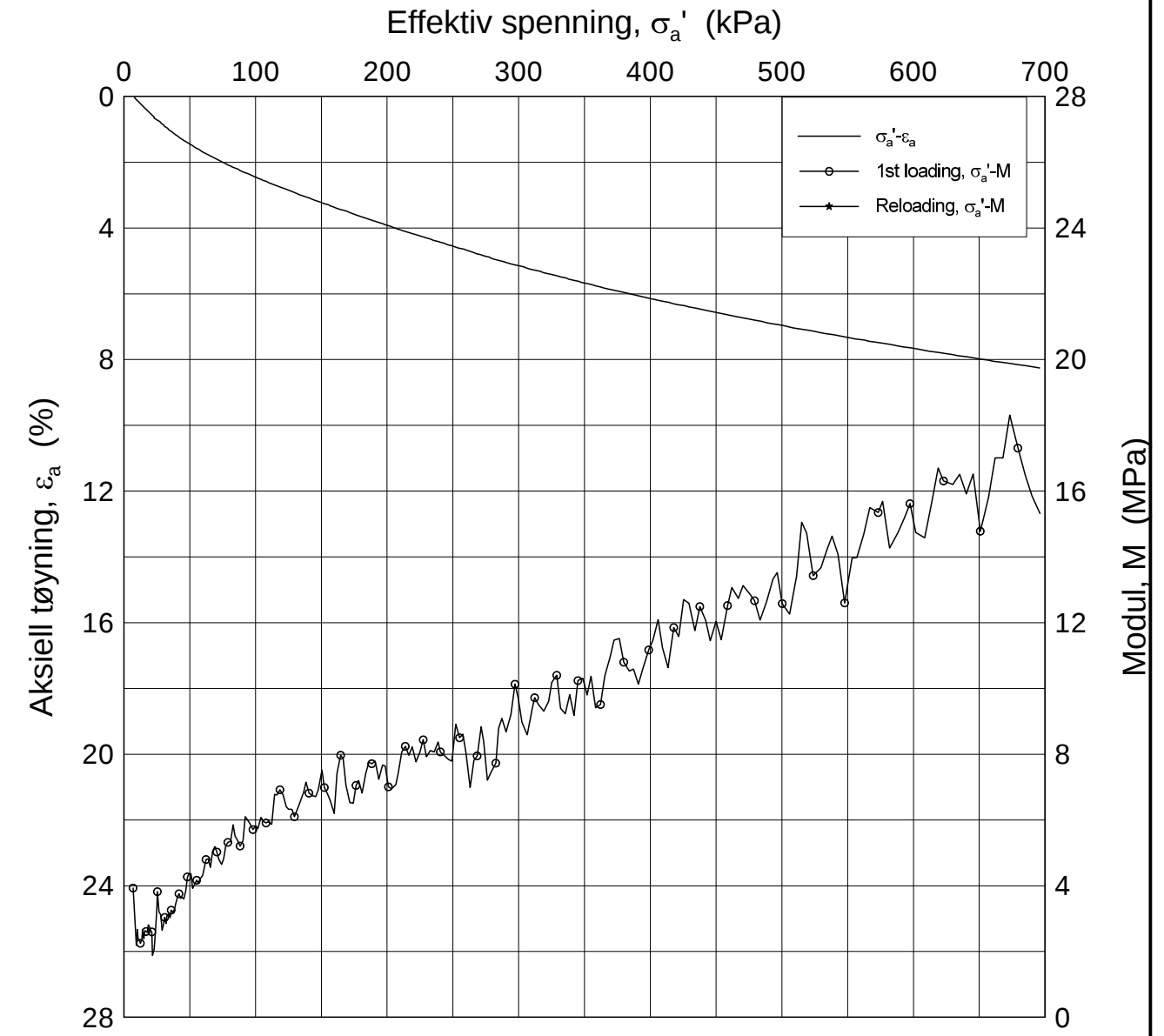
H:\LABDATA\2012\20120491\Oedom\BH3019\3019-5-D-1.lin (crs2281).grf




Dato/Rev.: 2009-09-15/4

E16 Nybakk - Slomarka			Dokumentnr. 20120491-02-R
Ødometer test (CRSC)			Dato 2013-06-12
Borhull: 3019	Sylinder: 5	Dybde = 5.63 m	Figurnr. F124
Del: D	Test: 1	$p'_o = 63.6$ kPa	Tegner FP/
		$w_i = 29.61$ %	

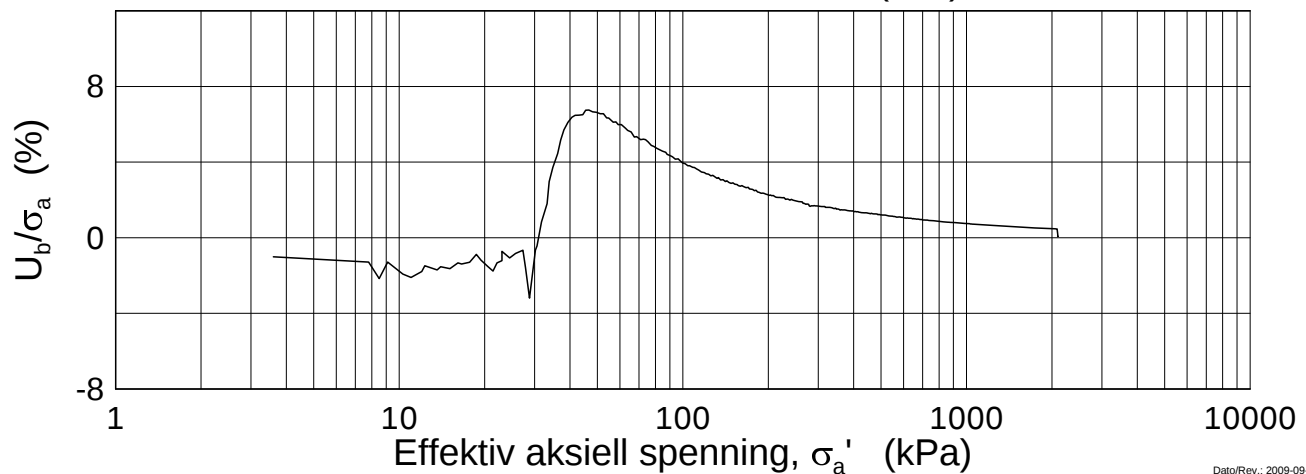
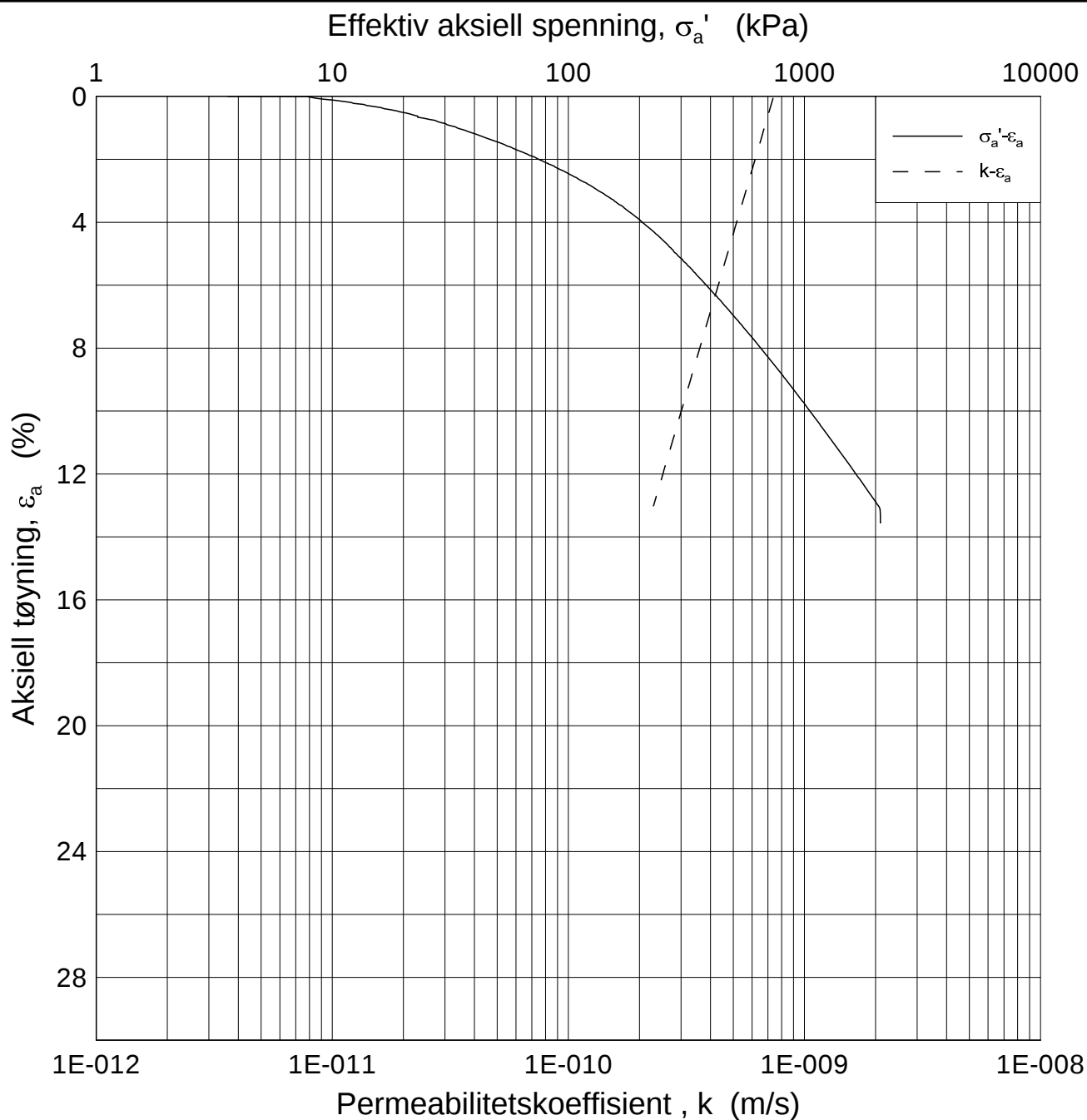
H:\LABDATA\2012\20120491\Oedom\BH3019\3019-5-D-1.lin-2 (crs2281).grf




Dato/Rev.: 2009-09-15/4

E16 Nybakk - Slomarka			Dokumentnr. 20120491-02-R
Ødometer test (CRSC)			Dato 2013-06-12
Borhull: 3019	Sylinder: 5	Dybde = 5.63 m	Figurnr. F125
Del: D	Test: 1	$p'_0 = 63.6$ kPa	Tegner FP/
		$w_i = 29.61$ %	

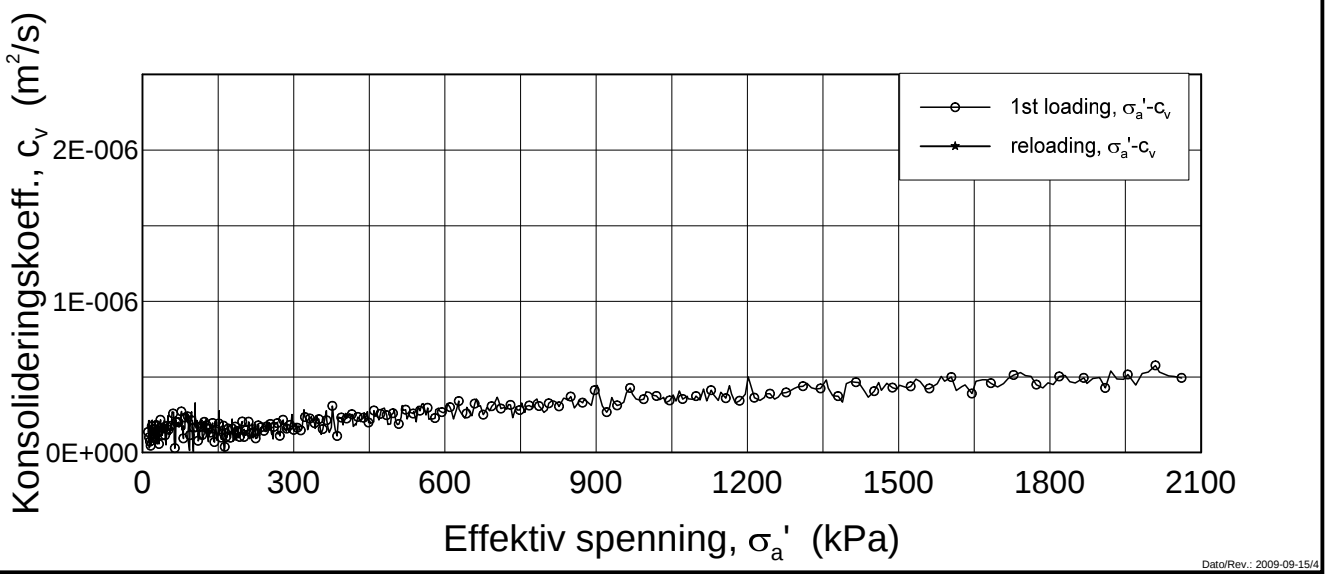
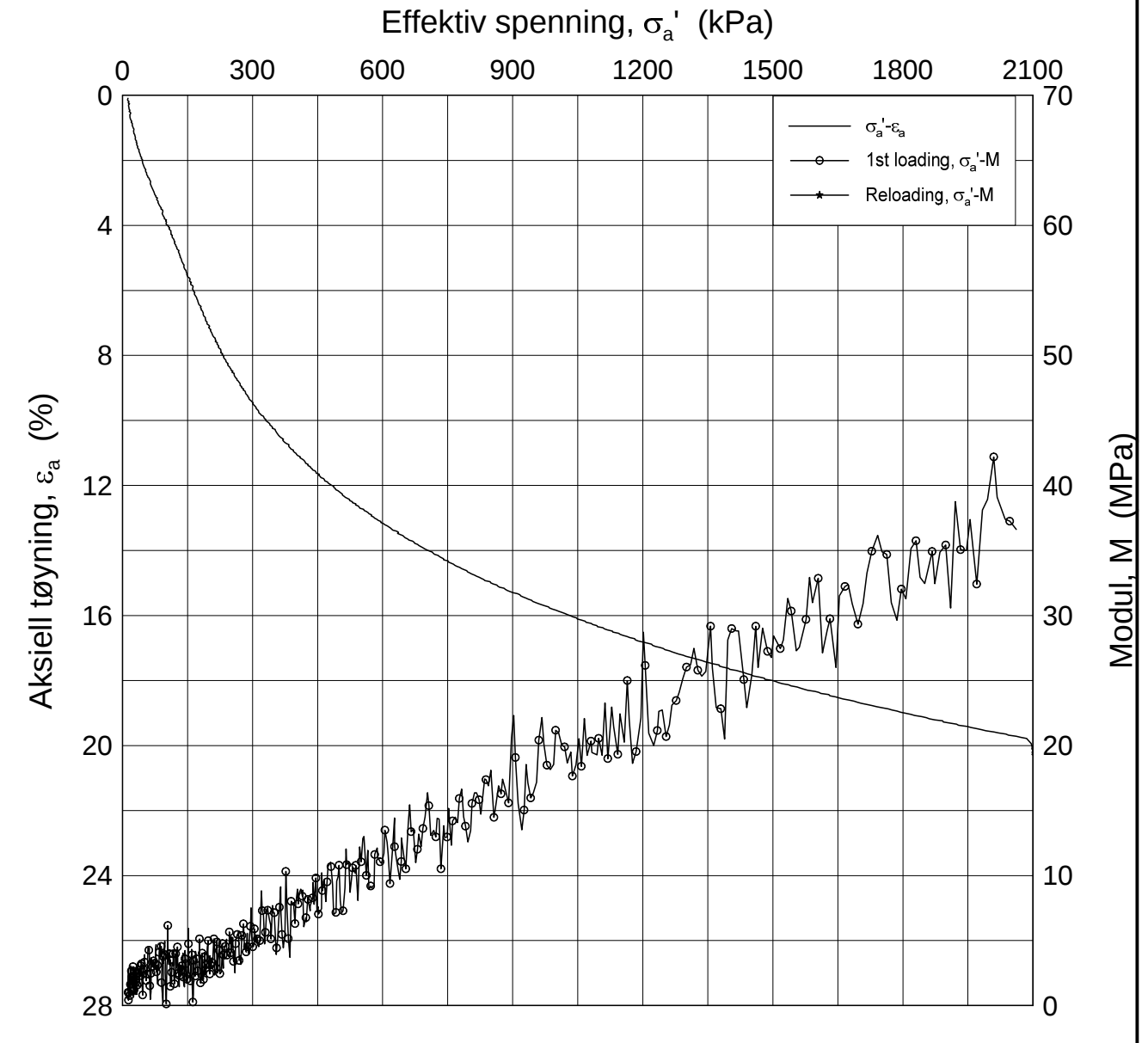
H:\LABDATA\2012\20120491\Oedom\BH3019\3019-5-D-1.log (crs2281).grf




Dato/Rev.: 2009-09-15/3

E16 Nybakk - Slomarka			Dokumentnr. 20120491-02-R
Ødometer test (CRSC)			Dato 2013-06-12
Borhull: 3019	Sylinder: 5	Dybde = 5.63 m	Figurnr. F126
Del: D	Test: 1	$p'_o = 63.6$ kPa	Tegner FP/
		$w_i = 29.61$ %	

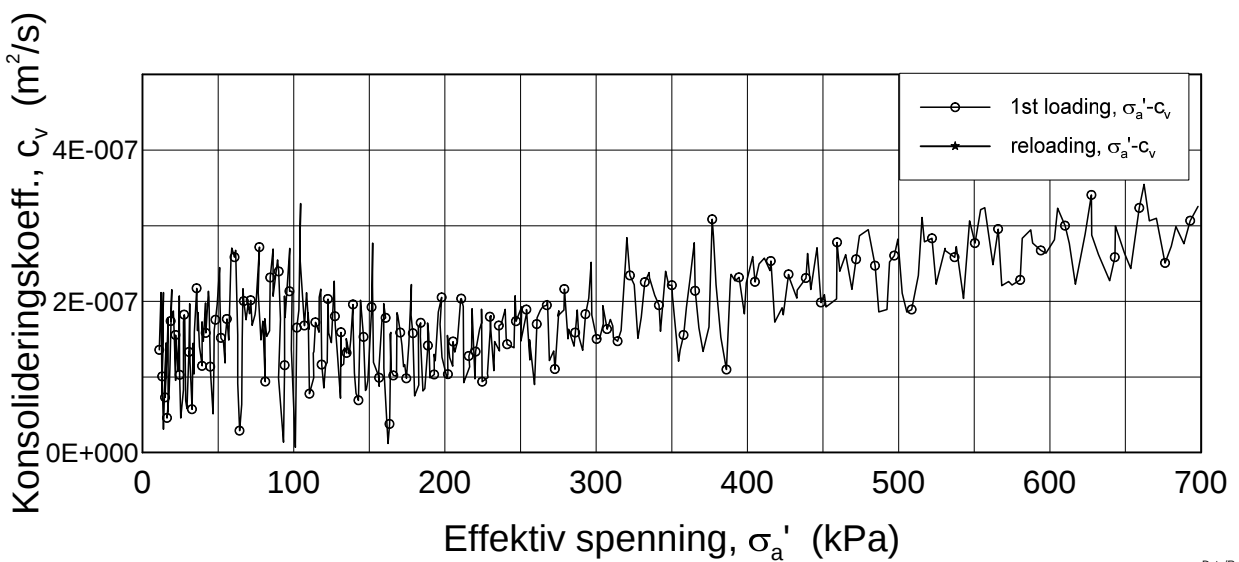
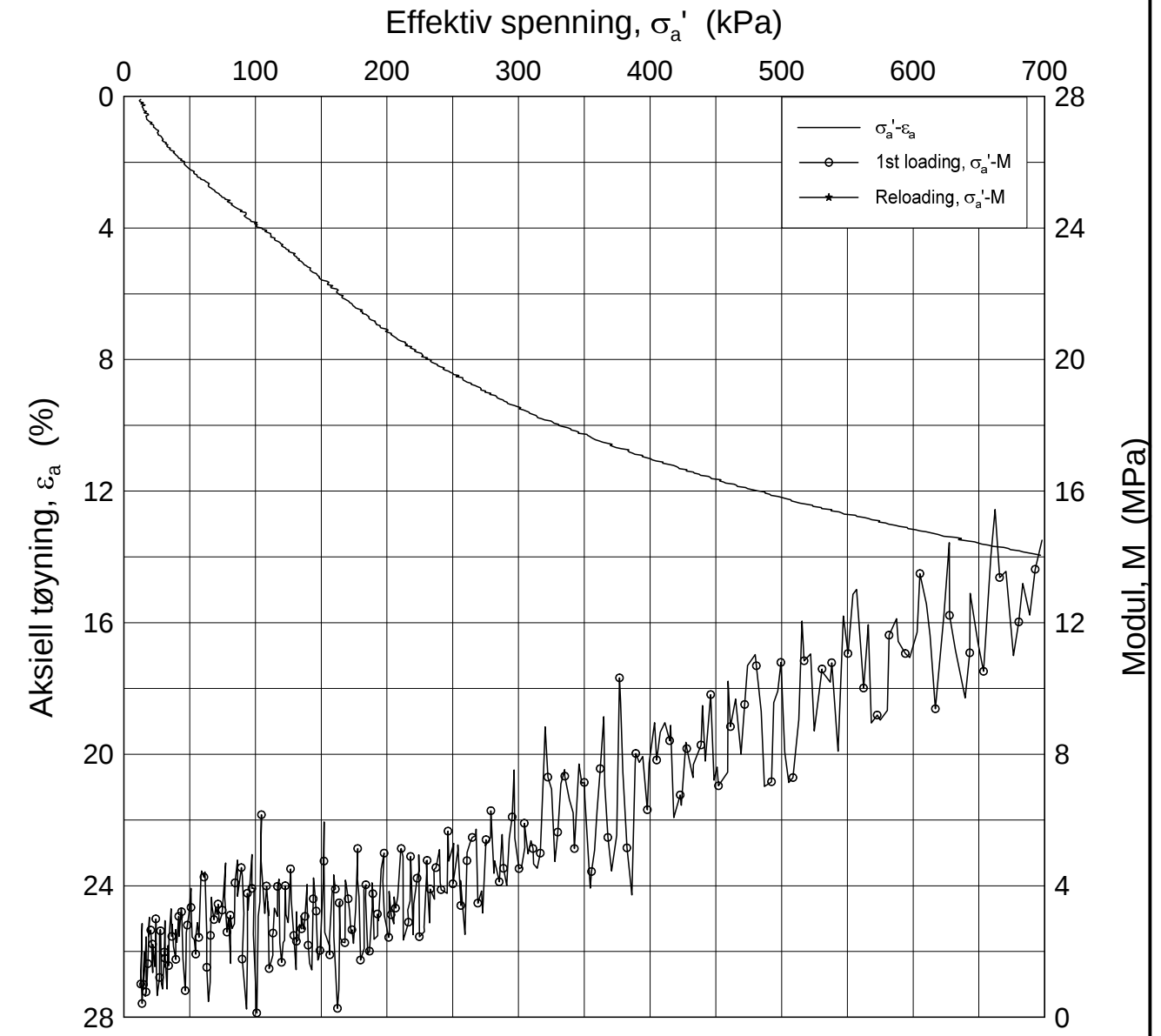
H:\LABDATA\2012\20120491\Cedom\BH3019\3019-9-D-1.lin (crs2308).grf




Dato/Rev.: 2009-09-15/4

E16 Nybakk - Slomarka			Dokumentnr. 20120491-02-R
Ødometer test (CRSC)			Dato 2013-09-09
Borhull: 3019	Sylinder: 9	Dybde = 9.64 m	Figurnr. F127
Del: D	Test: 1	$p'_0 = 99.6$ kPa	Tegner FP/
		$w_i = 41.49$ %	

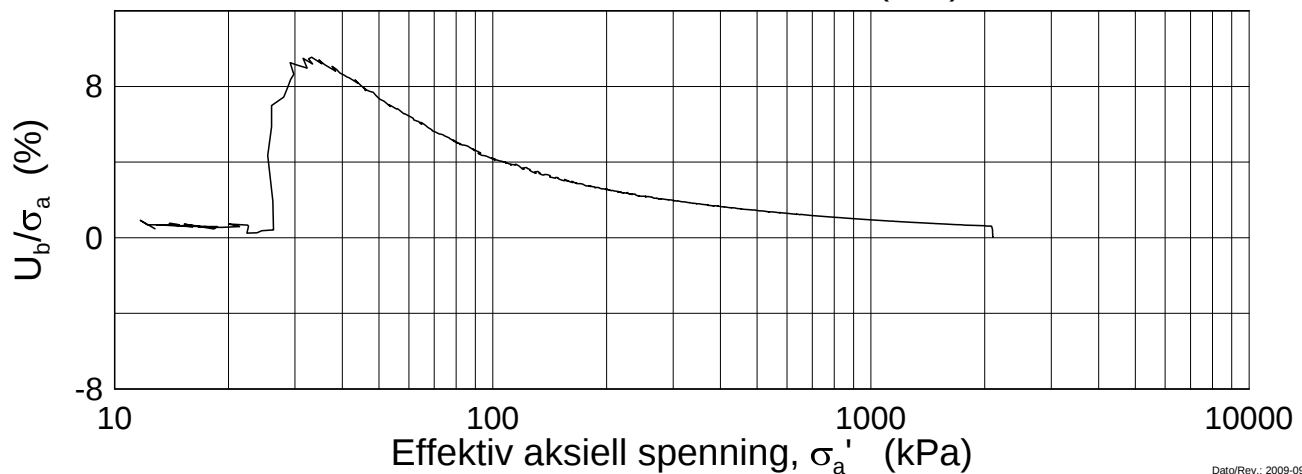
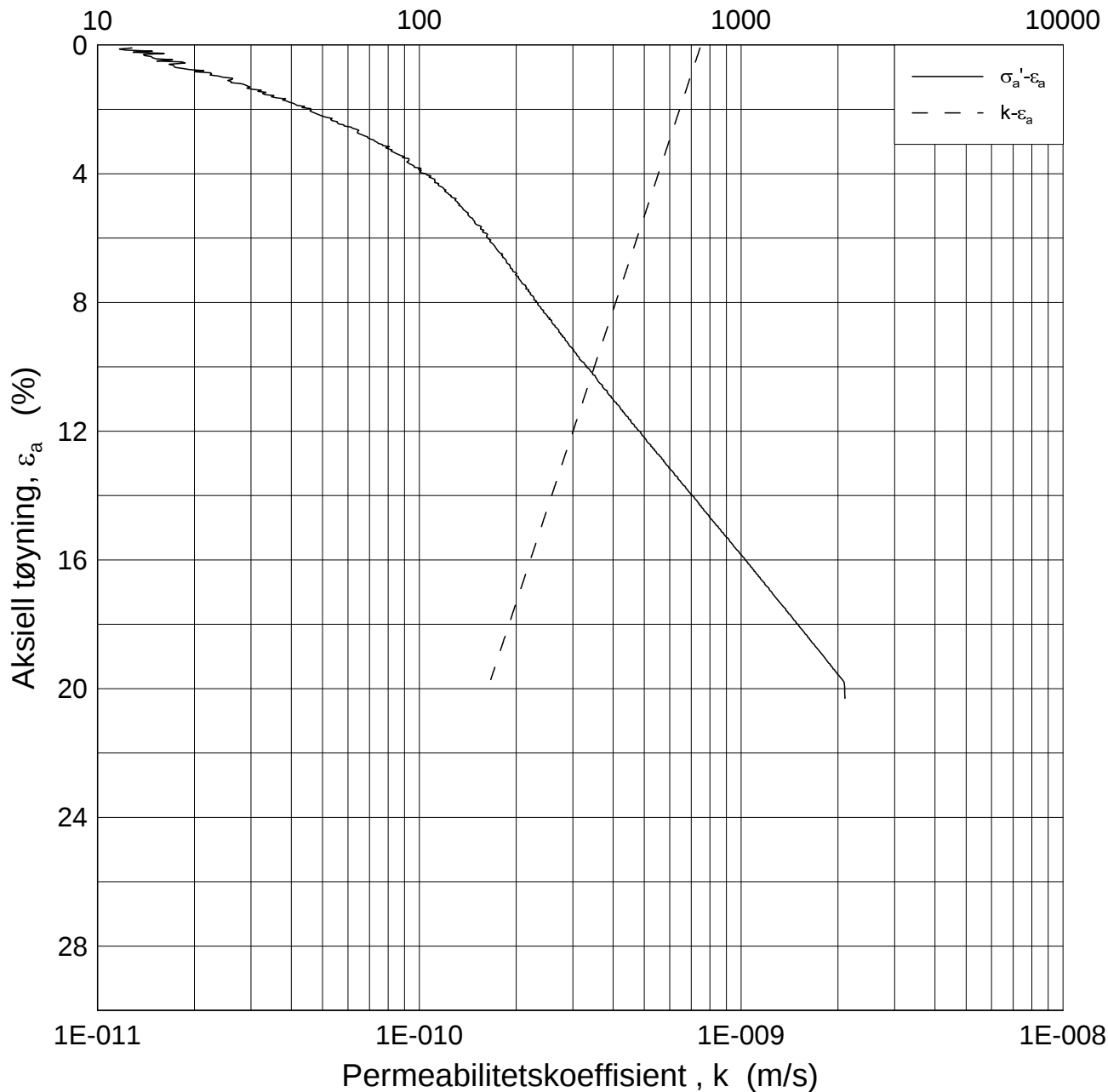
H:\LABDATA\2012\20120491\Oedom\BH3019\3019-9-D-1.lin-2 (crs2308).grf



Dato/Rev.: 2009-09-15/4

E16 Nybakk - Slomarka			Dokumentnr. 20120491-02-R
Ødometer test (CRSC)			Dato 2013-09-09
Borhull: 3019	Sylinder: 9	Dybde = 9.64 m	Figurnr. F128
Del: D	Test: 1	p ₀ ' = 99.6 kPa	Tegner FP/
		w _i = 41.49 %	

Effektiv aksjell spenning, σ_a' (kPa)



Dato/Rev: 2009-09-15/3

E16 Nybakk - Slomarka

Dokumentnr.
20120491-02-R

Ødometer test (CRSC)

Dybde = 9.64 m

Dato
2013-09-09

Borhull: 3019

Sylinder: 9

p_o' = 99.6 kPa

Figurnr.
F129

Del: D

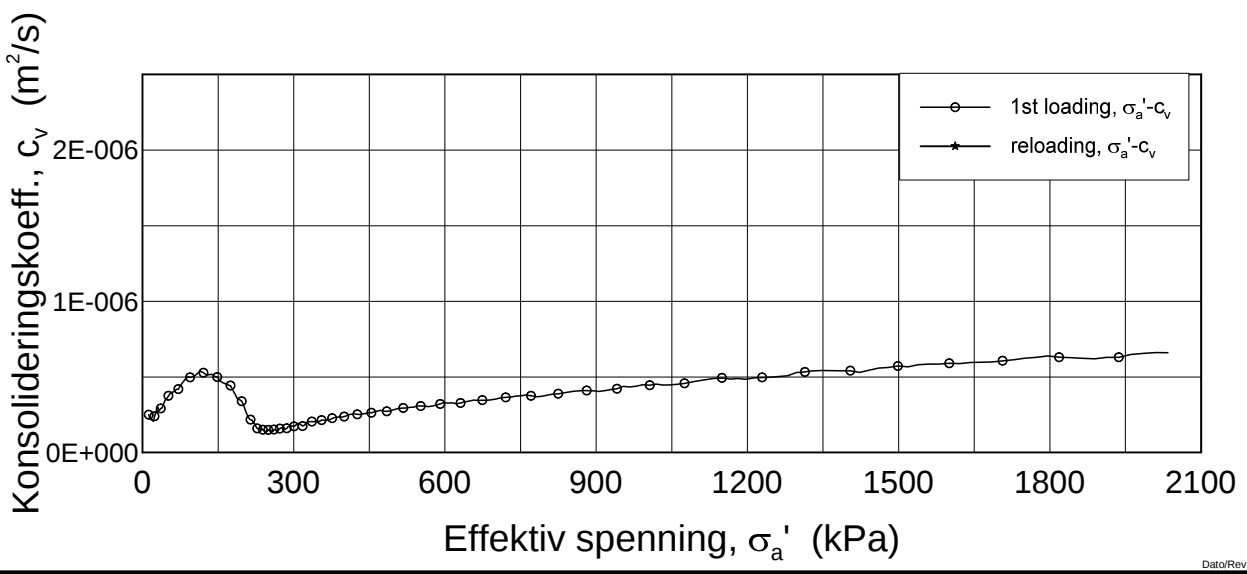
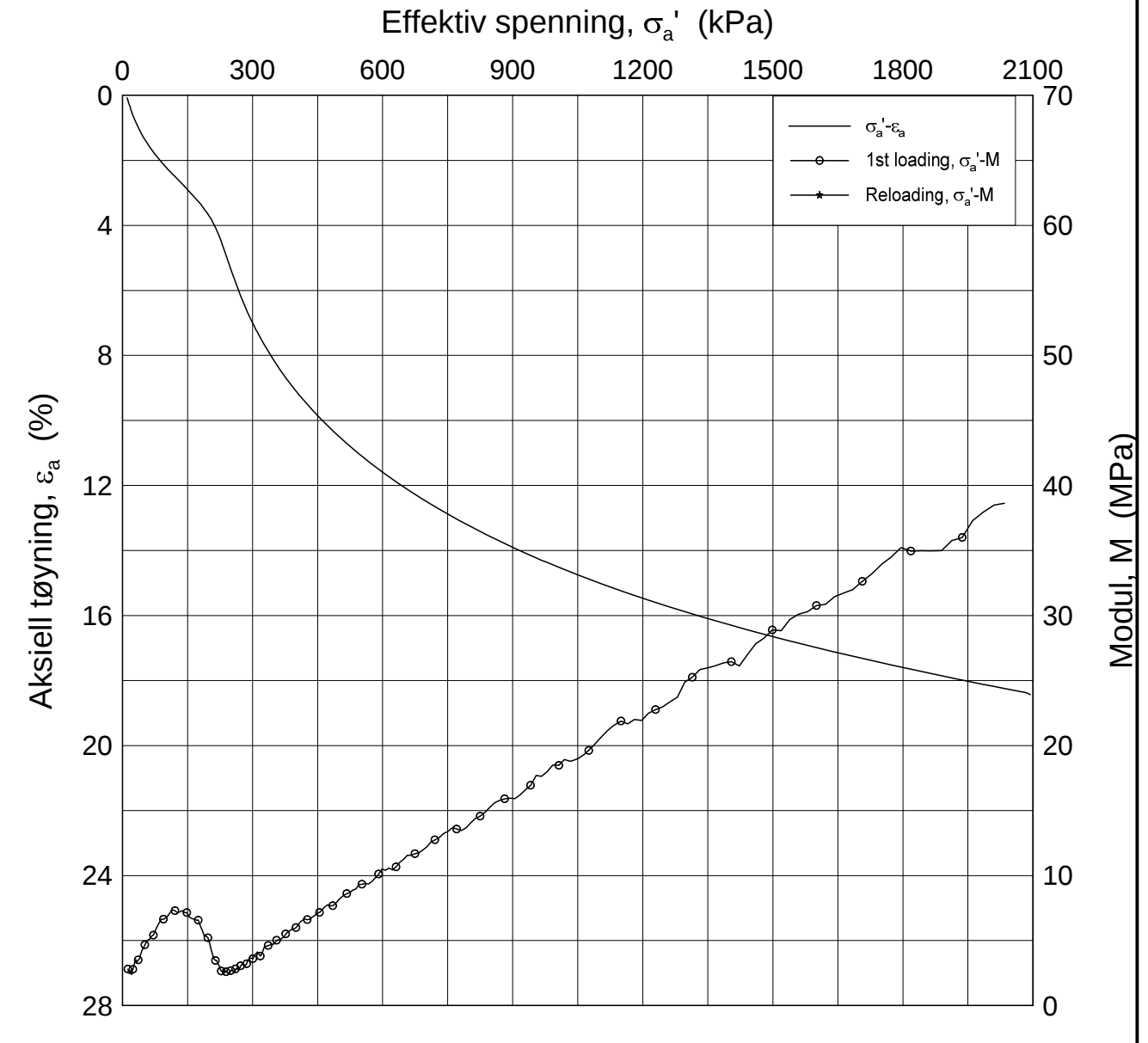
Test: 1

w_i = 41.49 %


Tegner
FP/



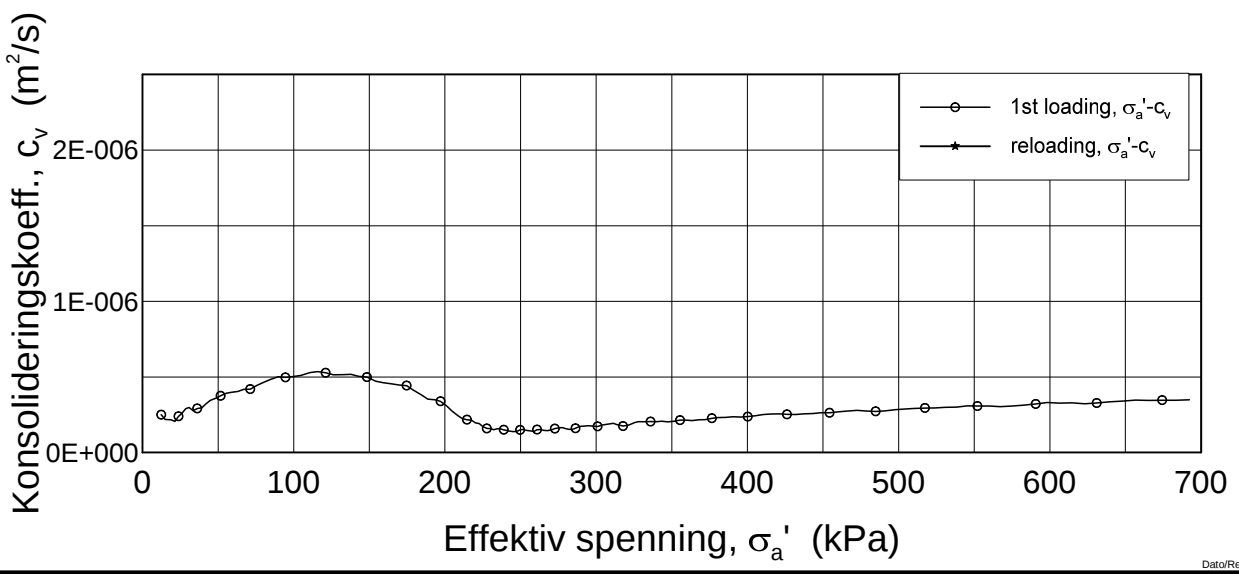
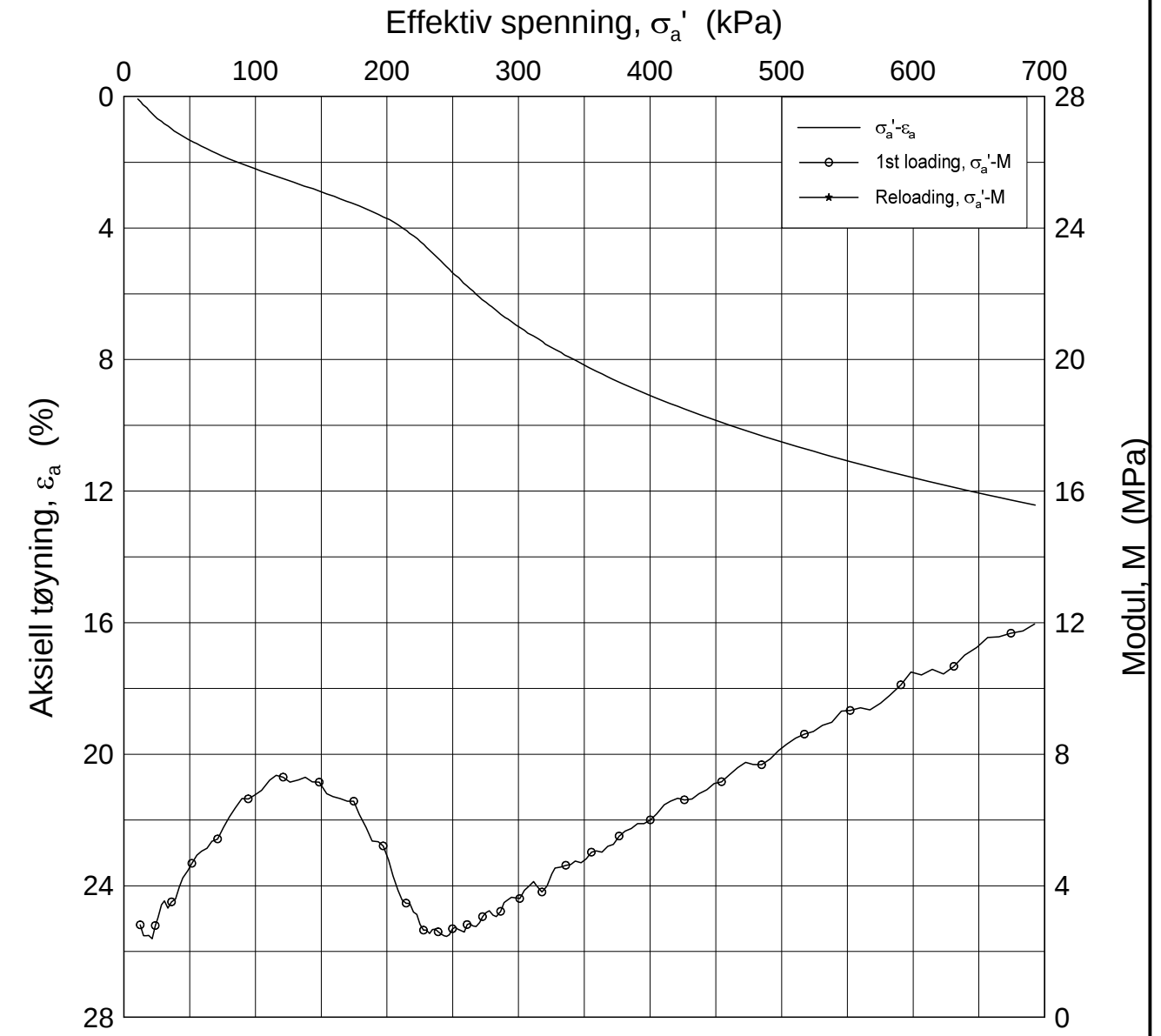
H:\LABDATA\2012\20120491\Cedom\BH3019\3019-14-B-1.lin (crs2315).gif




Dato/Rev.: 2009-09-15/4

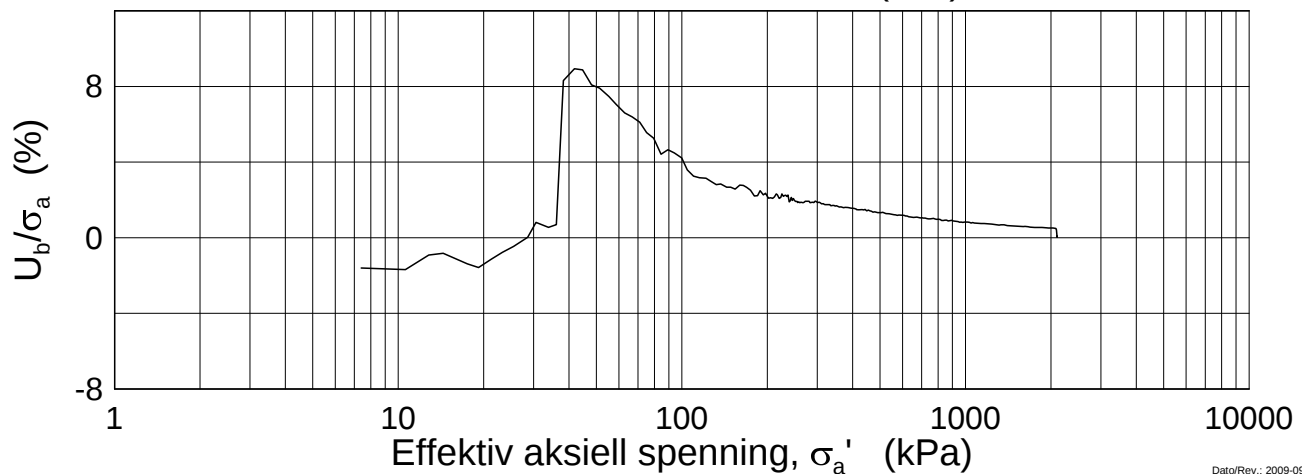
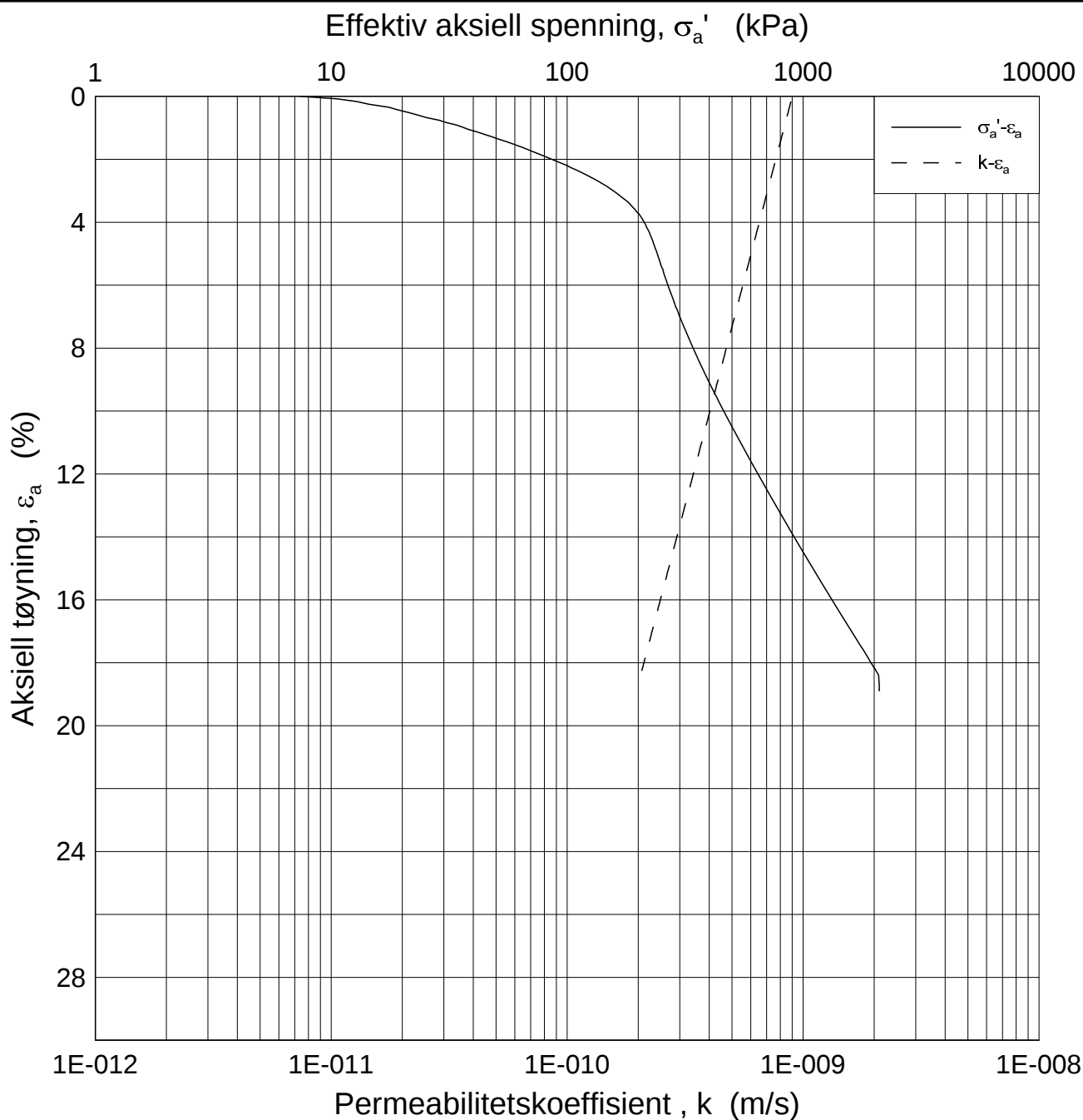
E16 Nybakk - Slomarka		Dokumentnr. 20120491-02-R
Ødometer test (CRSC)		Dato 2013-09-04
Borhull: 3019	Sylinder: 14	Figurnr. F130
Del: B	Test: 1	Tegner FP/
	Dybde = 14.30 m	
	$p'_o = 144.6$ kPa	
	$w_i = 38.19$ %	

H:\LABDATA\2012\20120491\Oedom\BH3019\3019-14-B-1.lin-2 (crs2315).grf



Dato/Rev: 2009-09-15/4

E16 Nybakk - Slomarka			Dokumentnr. 20120491-02-R
Ødometer test (CRSC)			Dato 2013-09-04
Borhull: 3019	Sylinder: 14	Dybde = 14.30 m	Figurnr. F131
Del: B	Test: 1	$p'_0 = 144.6$ kPa	Tegner FP/
			
			$w_i = 38.19$ %



Dato/Rev.: 2009-09-15/3

E16 Nybakk - Slomarka

Dokumentnr.
20120491-02-R

Ødometer test (CRSC)

Dybde = 14.30 m

Dato
2013-09-04

Borhull: 3019

Sylinder: 14

p_o' = 144.6 kPa

Figurnr.
F132

Del: B

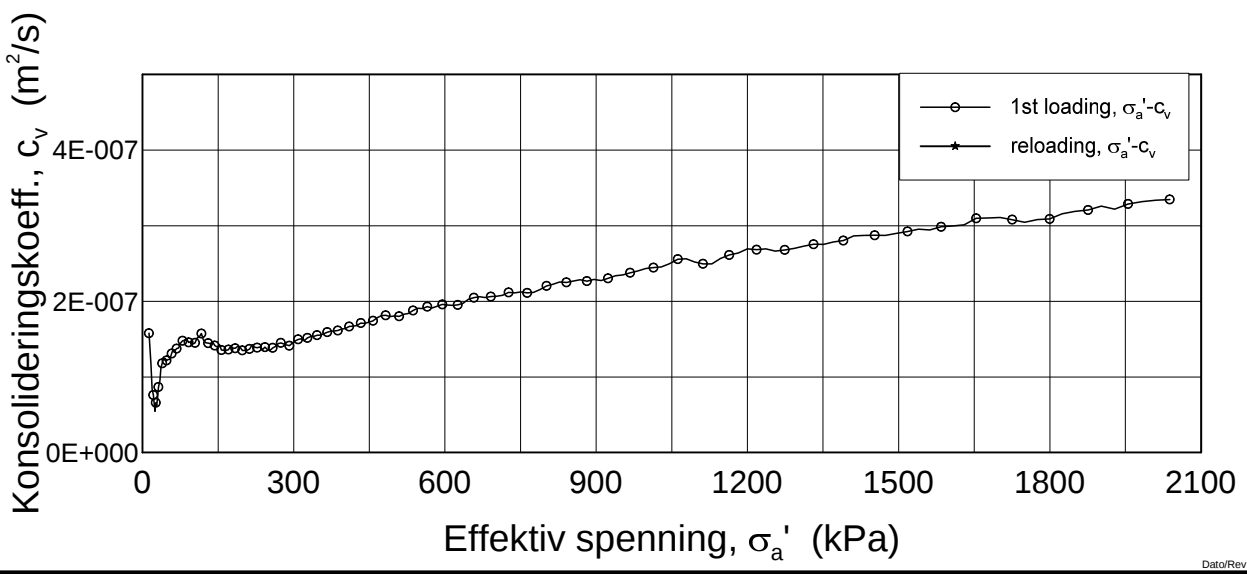
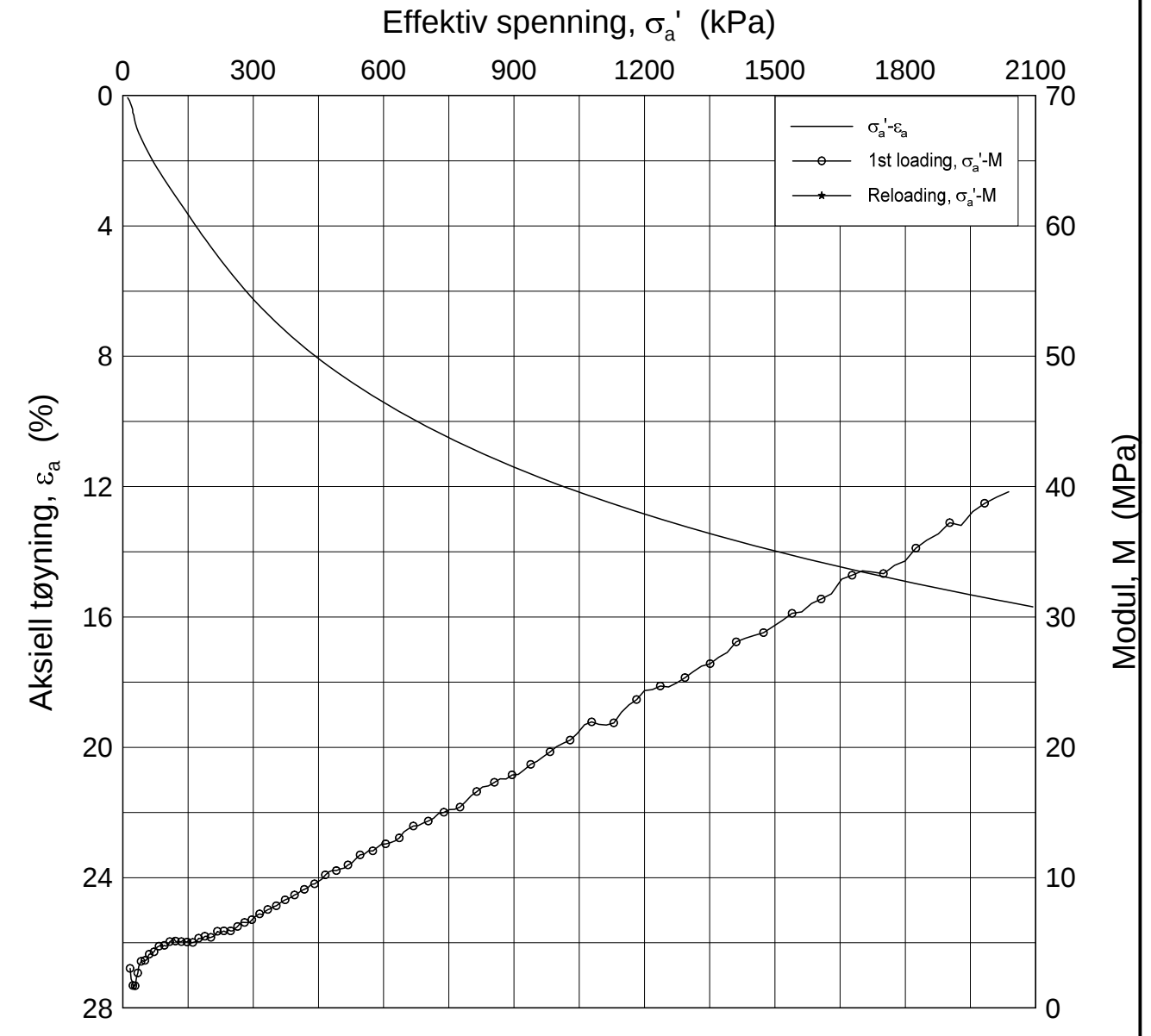
Test: 1

w_i = 38.19 %


Tegner
FP/



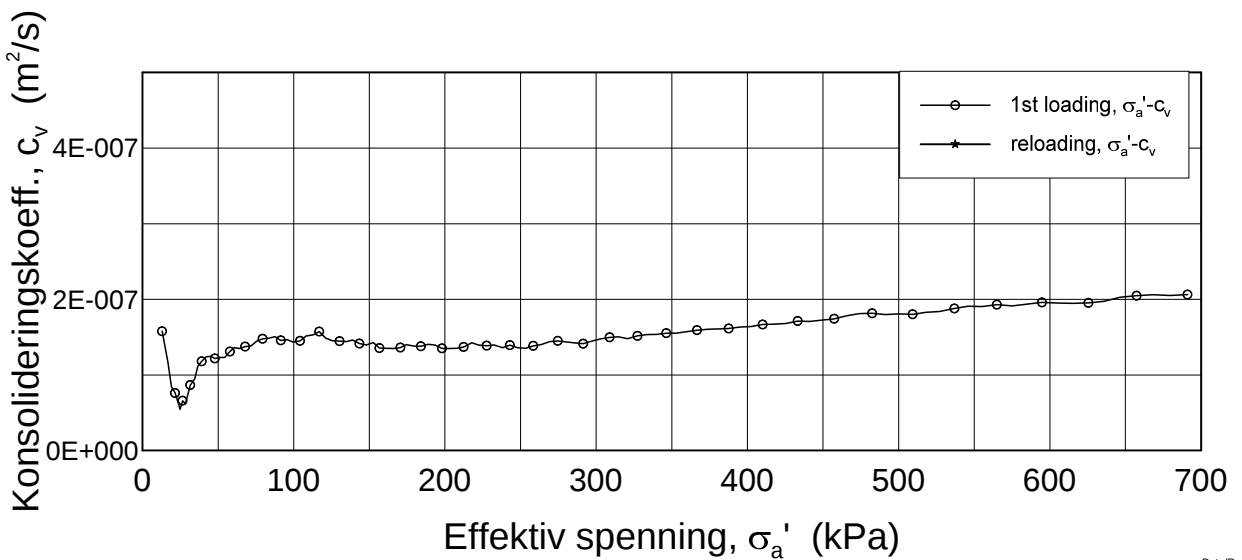
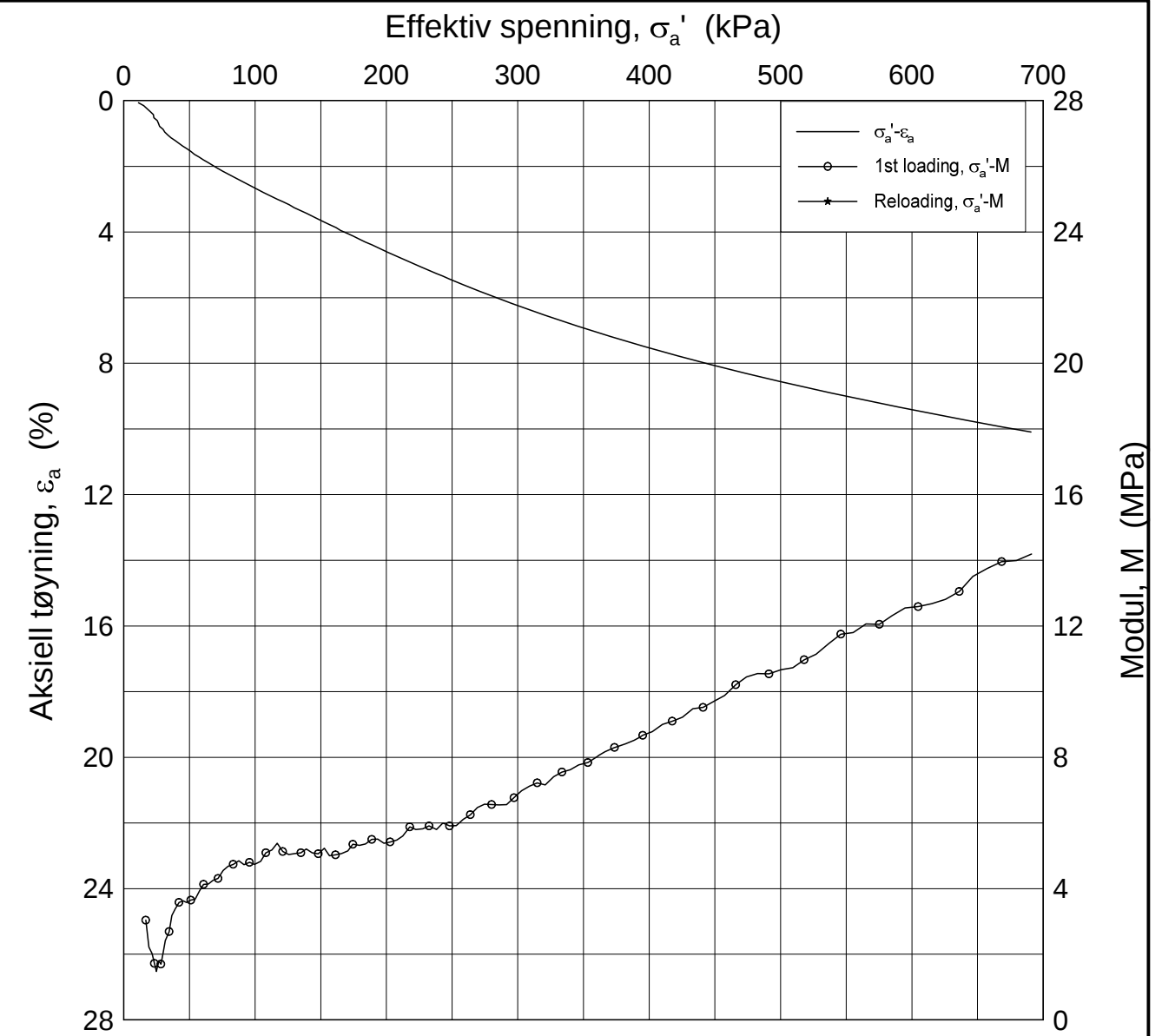
H:\LABDATA\2012\20120491\Oedom\BH3029\3029-5-D-1.lin (crs2319).grf



Dato/Rev.: 2009-09-15/4

E16 Nybakk - Slomarka			Dokumentnr. 20120491-02-R
Ødometer test (CRSC)			Dato 2013-09-06
Borhull: 3029	Sylinder: 5	Dybde = 5.62 m	Figurnr. F133
Del: D	Test: 1	$p'_0 = 68.6$ kPa	Tegner FP/
		$w_i = 33.86$ %	

H:\LABDATA\2012\20120491\Oedom\BH3029\3029-5-D-1.lin-2 (crs2319).grf



Dato/Rev.: 2009-09-15/4

E16 Nybakk - Slomarka

Dokumentnr.
20120491-02-R

Ødometer test (CRSC)

Dybde = 5.62 m

Dato
2013-09-06

Borhull: 3029

Sylinder: 5

p'_o = 68.6 kPa

Figurnr.
F134

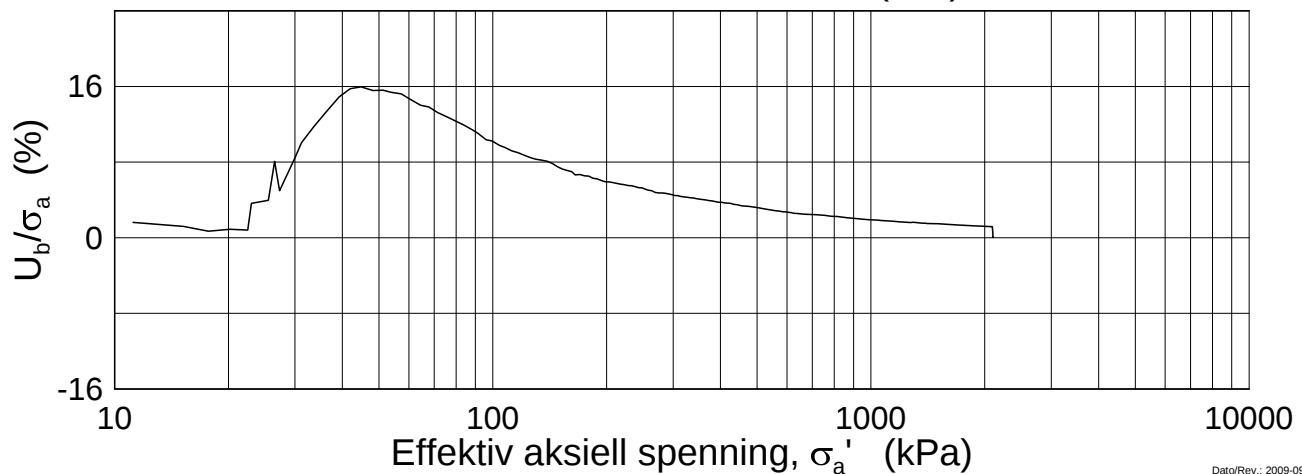
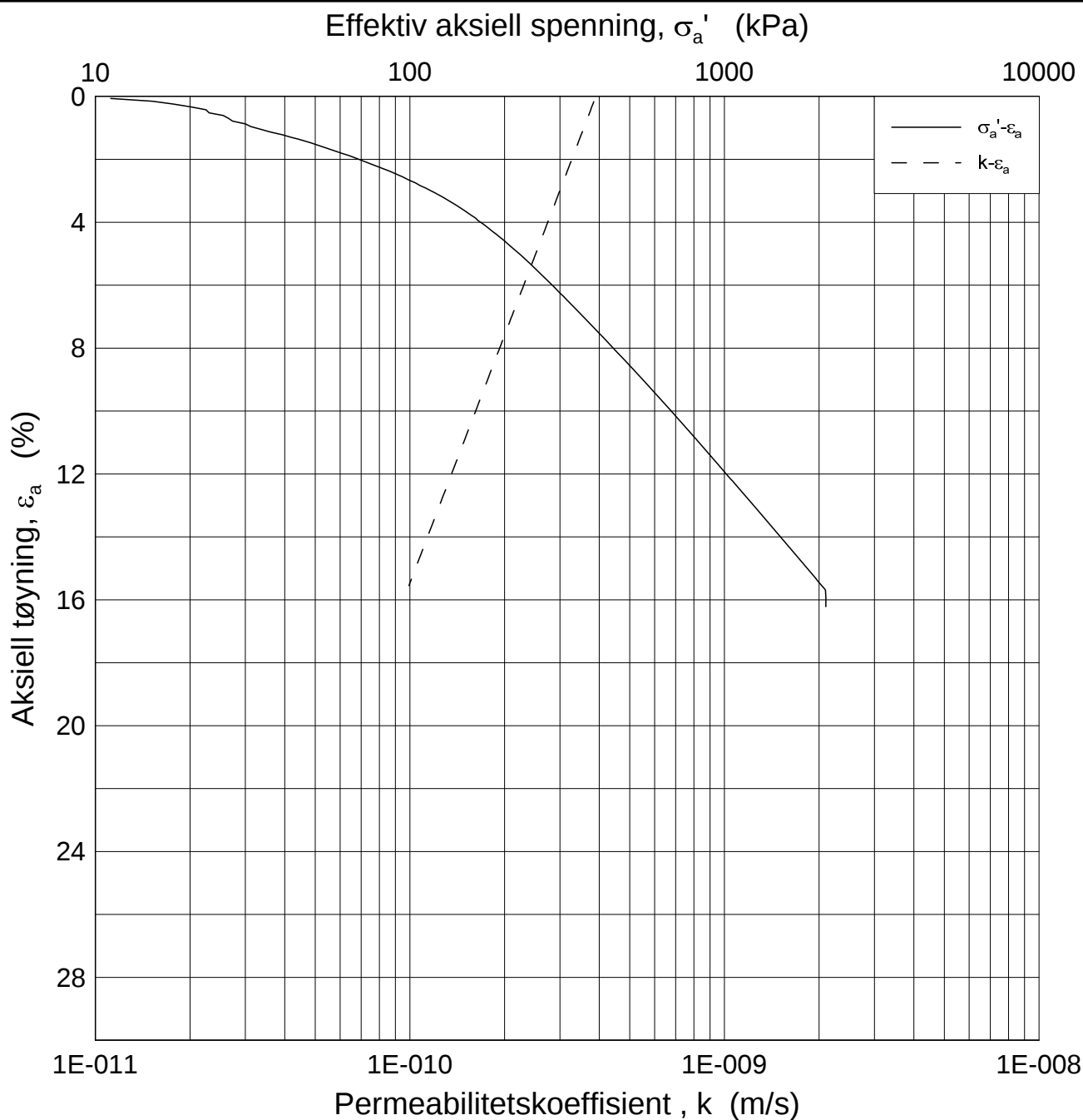
Del: D

Test: 1

w_i = 33.86 %

Tegner
FP/





Dato/Rev.: 2009-09-15/3

E16 Nybakk - Slomarka

Dokumentnr.
20120491-02-R

Ødometer test (CRSC)

Dybde = 5.62 m

Dato
2013-09-06

Borhull: 3029

Sylinder: 5

p_o' = 68.6 kPa

Figurnr.
F135

Del: D

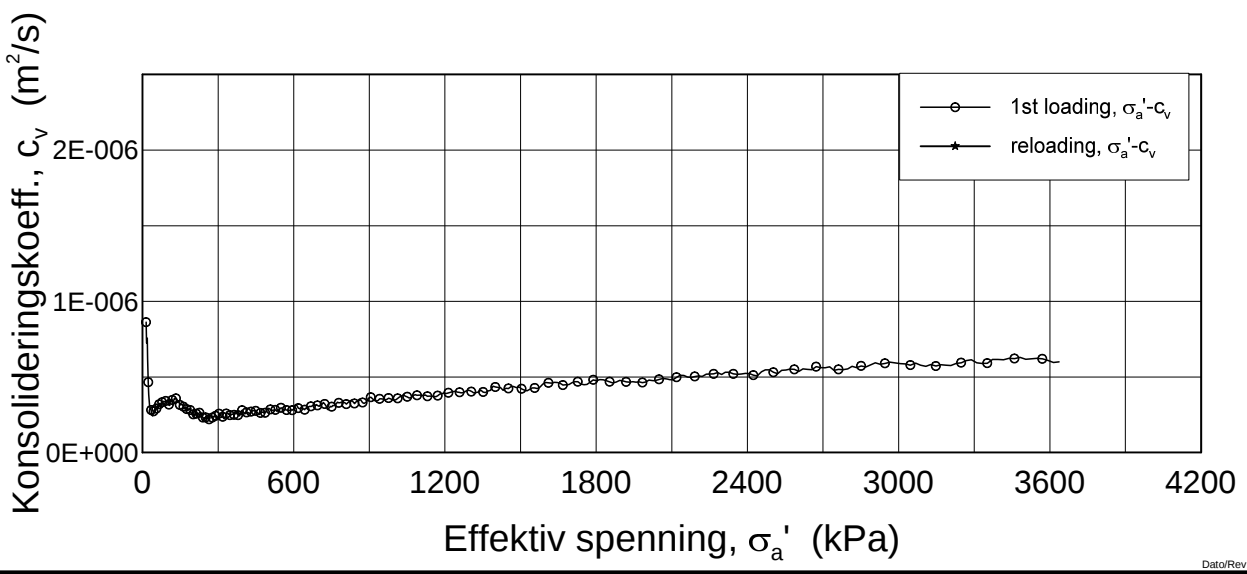
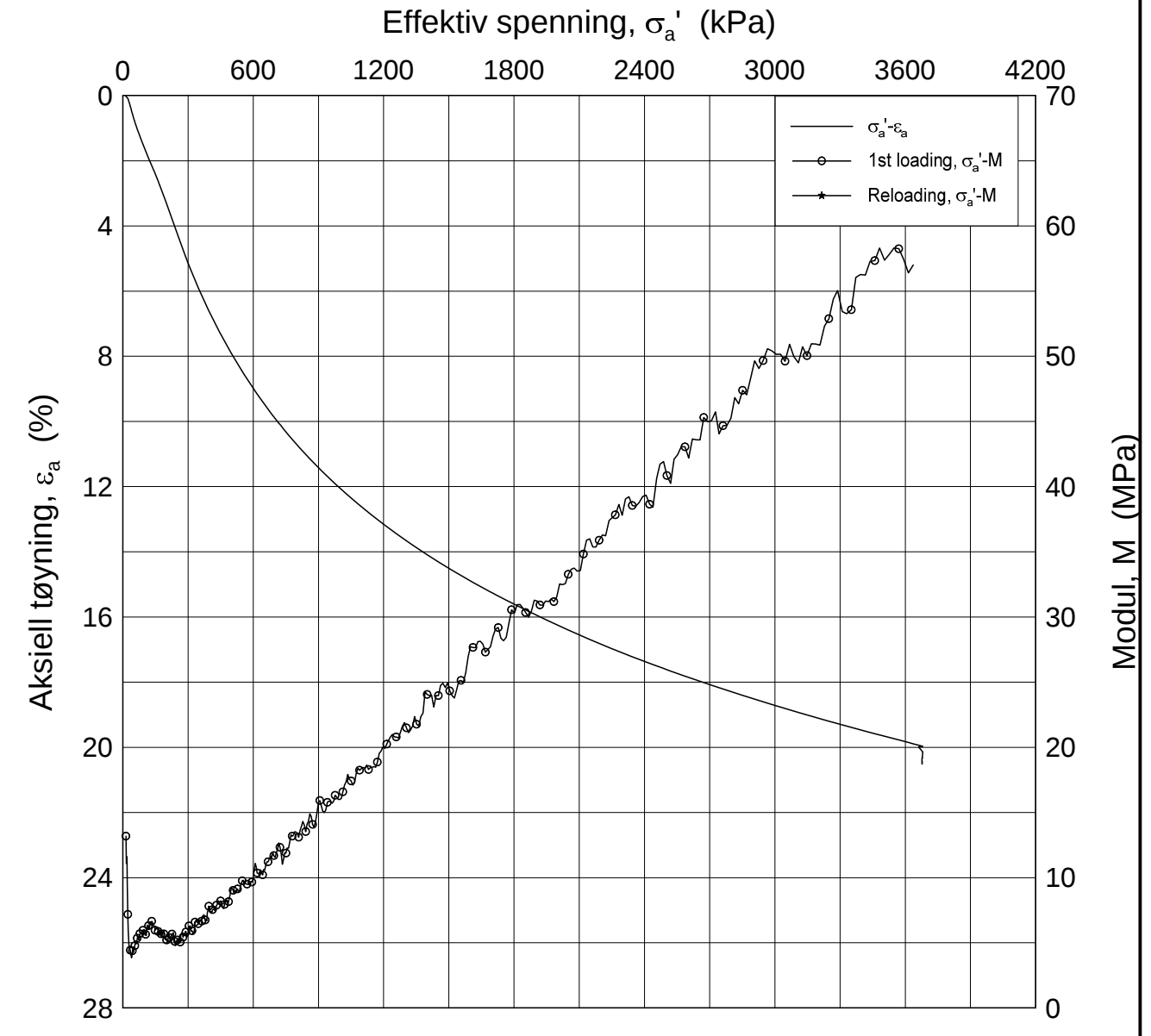
Test: 1

w_i = 33.86 %


Tegner
FP/



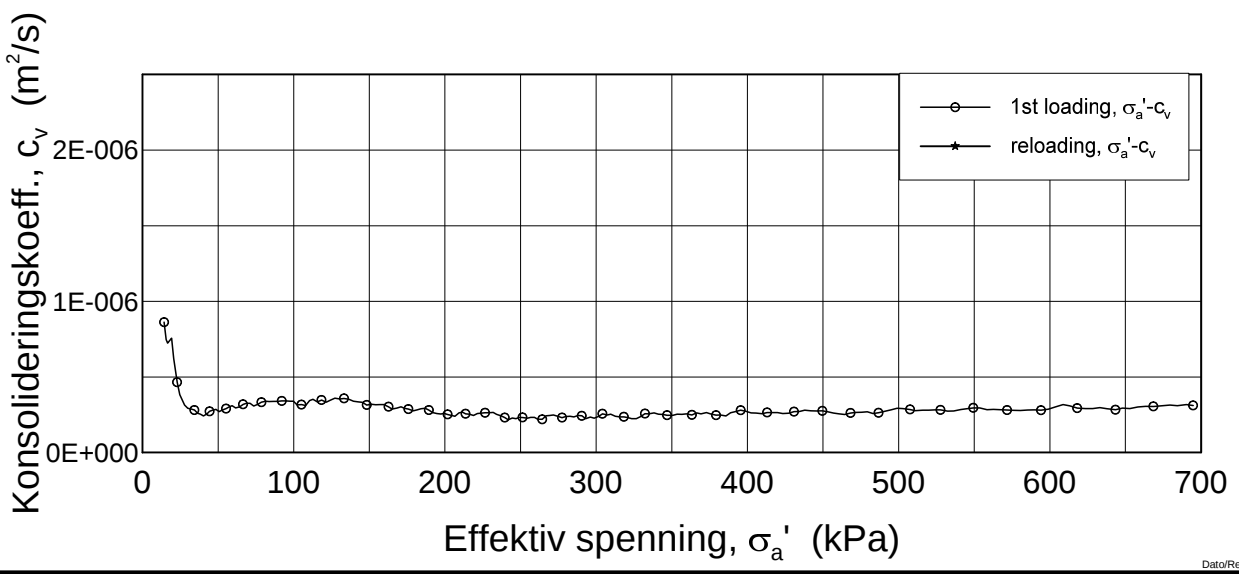
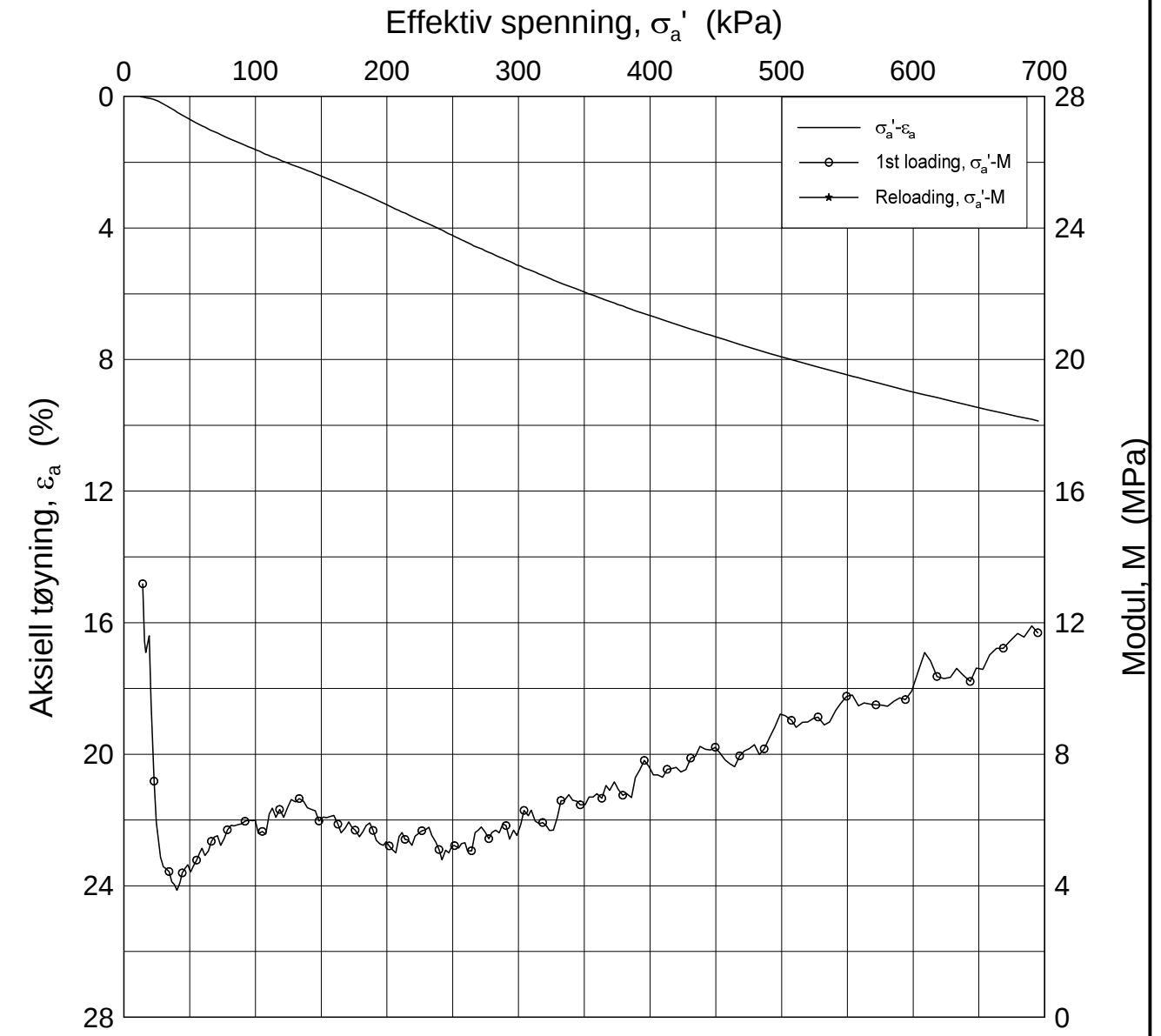
H:\LABDATA\2012\20120491\Oedom\BH3029\3029-9-B-1.lin (crs2347).grf




Dato/Rev.: 2009-09-15/4

E16 Nybakk - Slomarka			Dokumentnr. 20120491-02-R
Ødometer test (CRSC)			Dato 2013-09-06
Borhull: 3029	Sylinder: 9	Dybde = 10.30 m	Figurnr. F136
Del: B	Test: 1	p ₀ ' = 113.6 kPa	Tegner FP/
		w _i = 39.08 %	

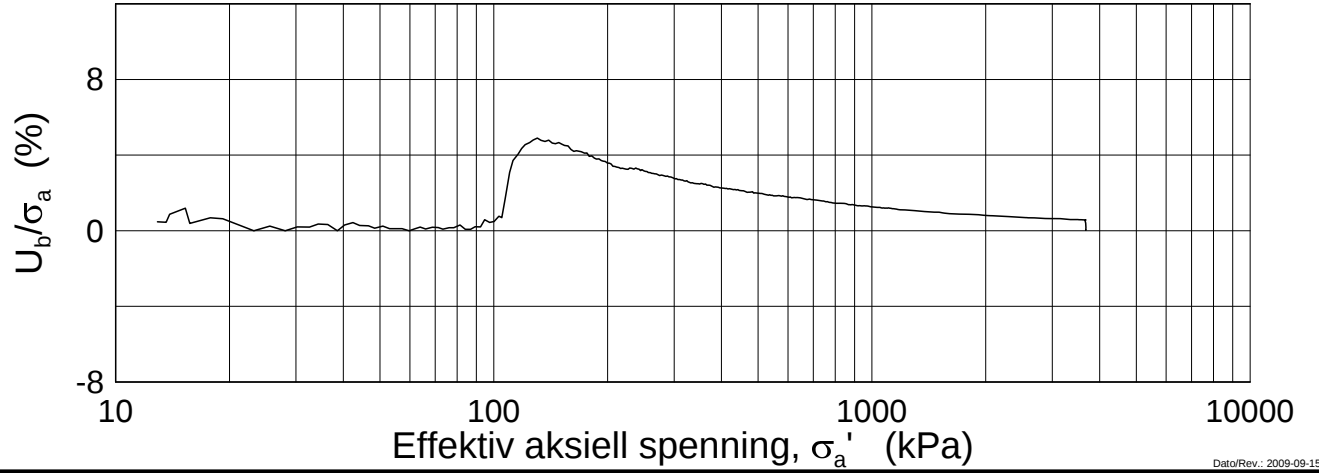
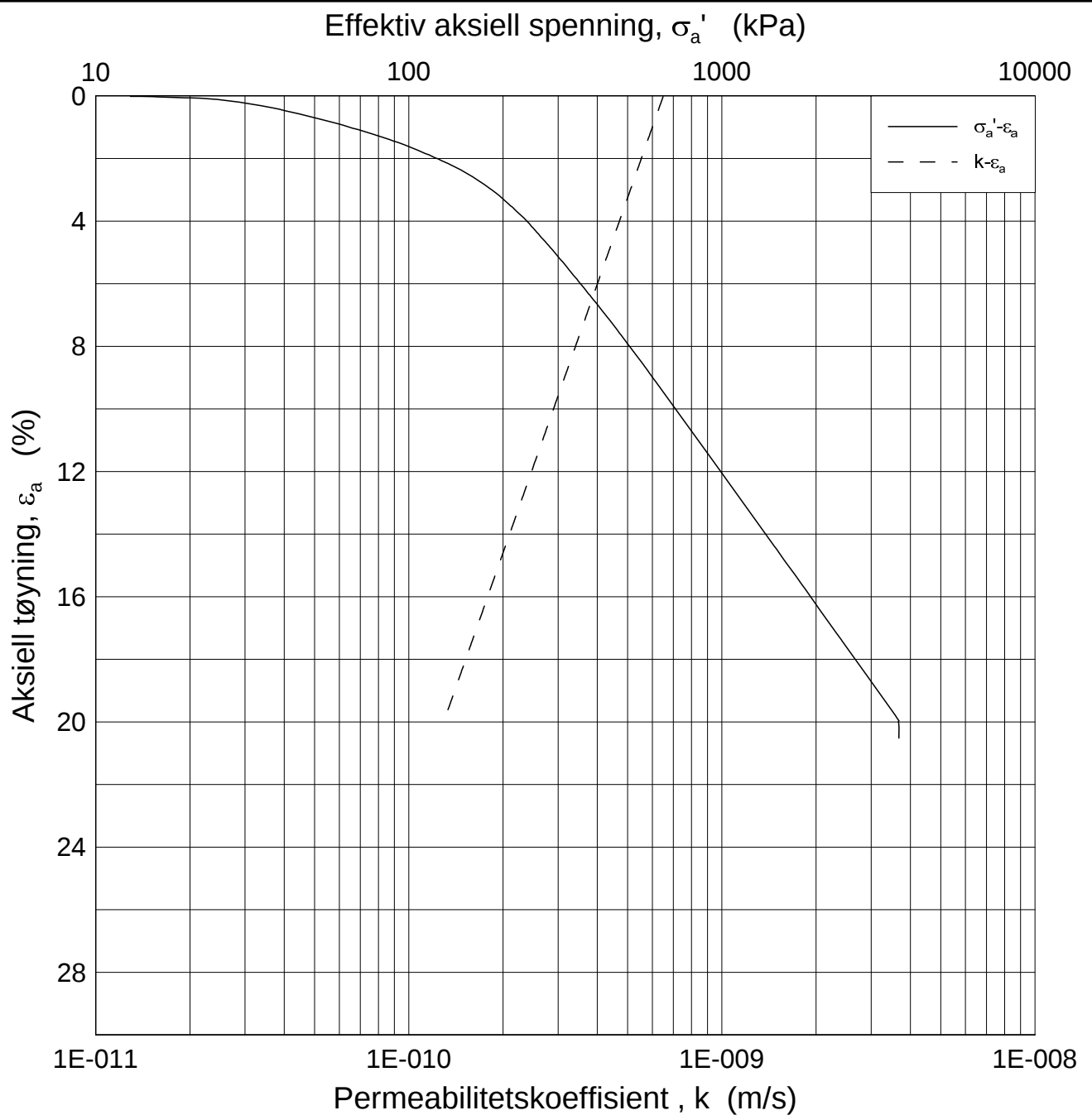
H:\LABDATA\2012\20120491\Cedom\BH3029\3029-9-B-1.lin-2 (cfs2347).grf




Dato/Rev.: 2009-09-15/4

E16 Nybakk - Slomarka		Dokumentnr. 20120491-02-R
Ødometer test (CRSC)		Dato 2013-09-06
Borhull: 3029	Sylinder: 9	Figurnr. F137
Del: B	Test: 1	Tegner FP/
	Dybde = 10.30 m	
	$p'_o = 113.6$ kPa	
	$w_i = 39.08$ %	

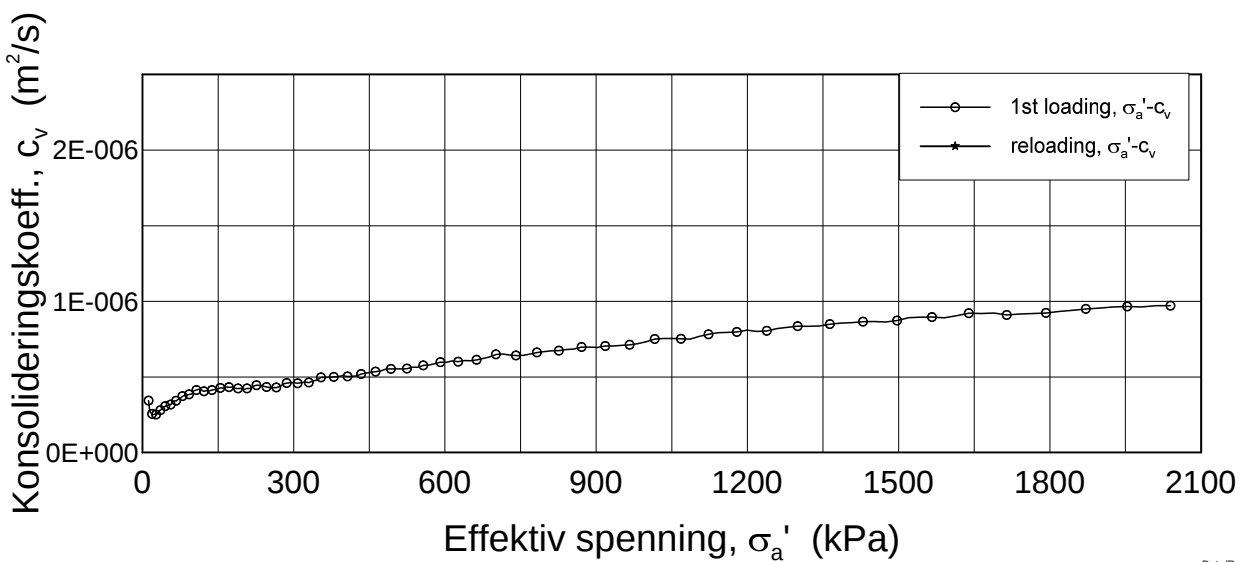
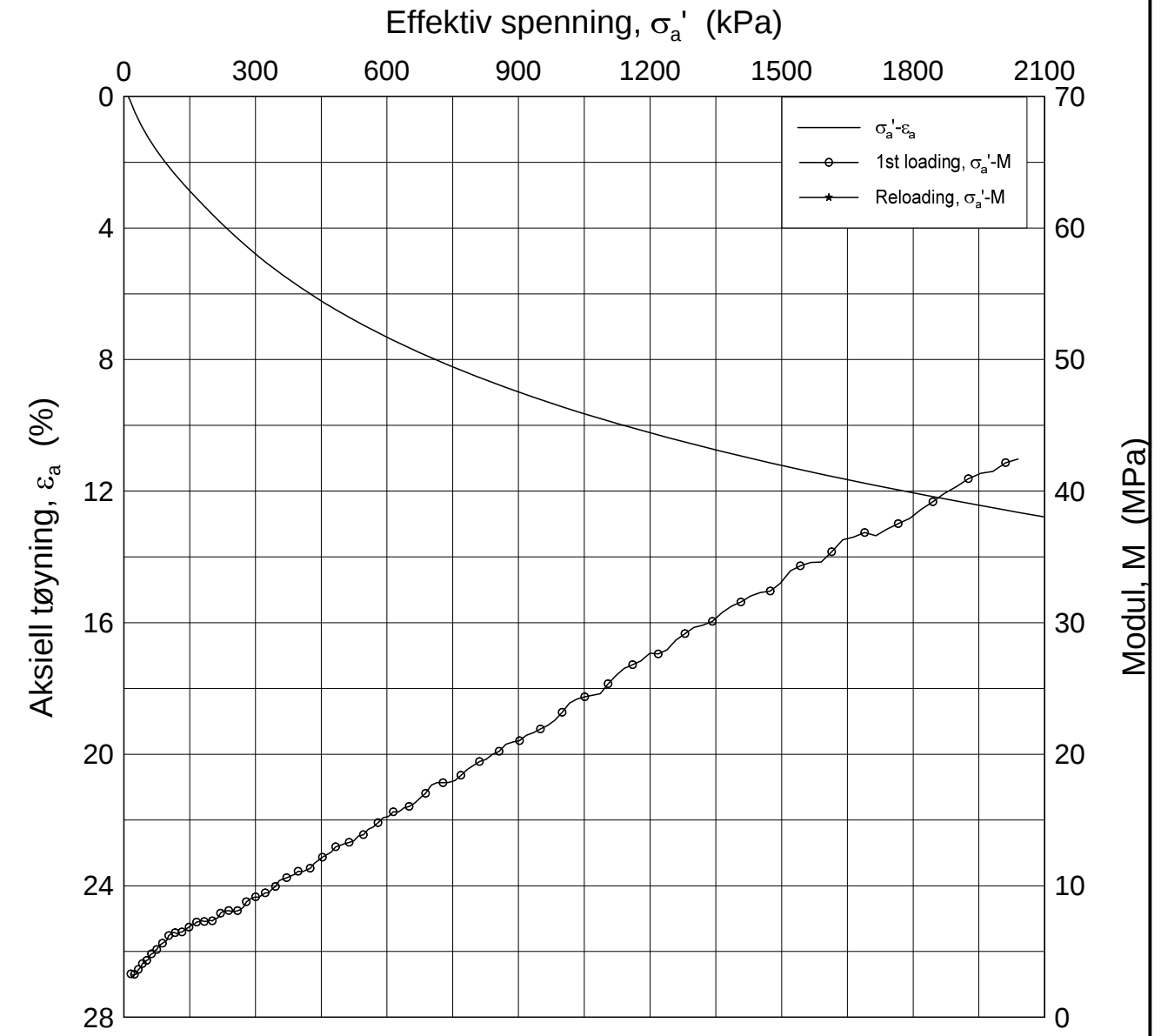
H:\LABDATA\2012\20120491\Oedom\BH3029\3029-9-B-1.log (crs2347).grf




Dato/Rev.: 2009-09-15/3

E16 Nybakk - Slomarka			Dokumentnr. 20120491-02-R
Ødometer test (CRSC)			Dato 2013-09-06
Borhull: 3029	Sylinder: 9	Dybde = 10.30 m	Figurnr. F138
Del: B	Test: 1	p_o' = 113.6 kPa	Tegner FP/
		w_i = 39.08 %	

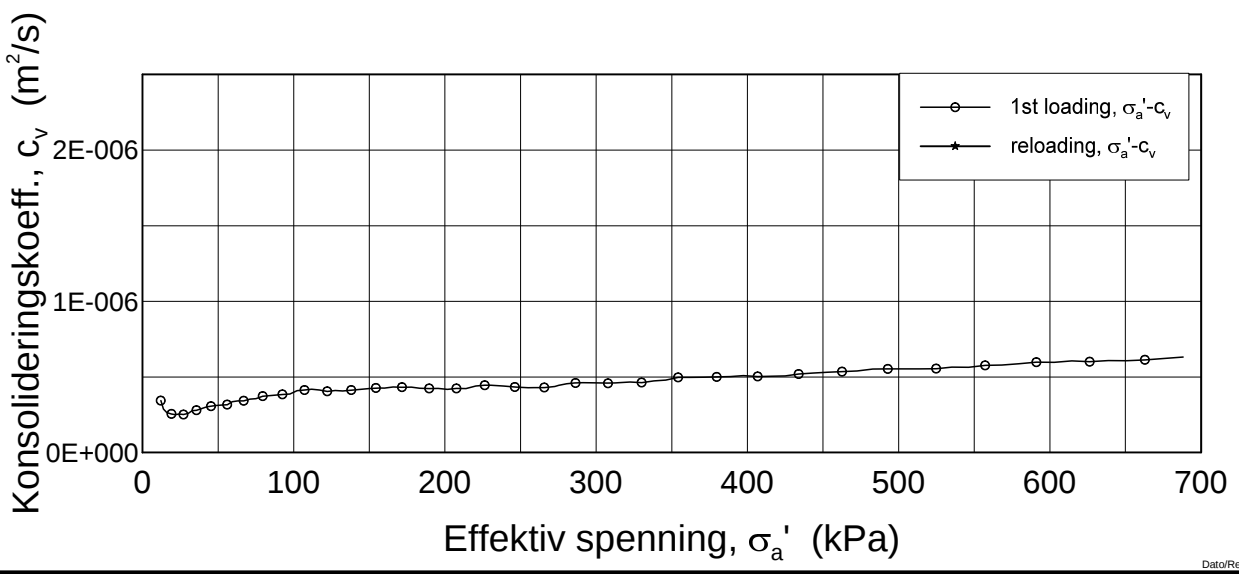
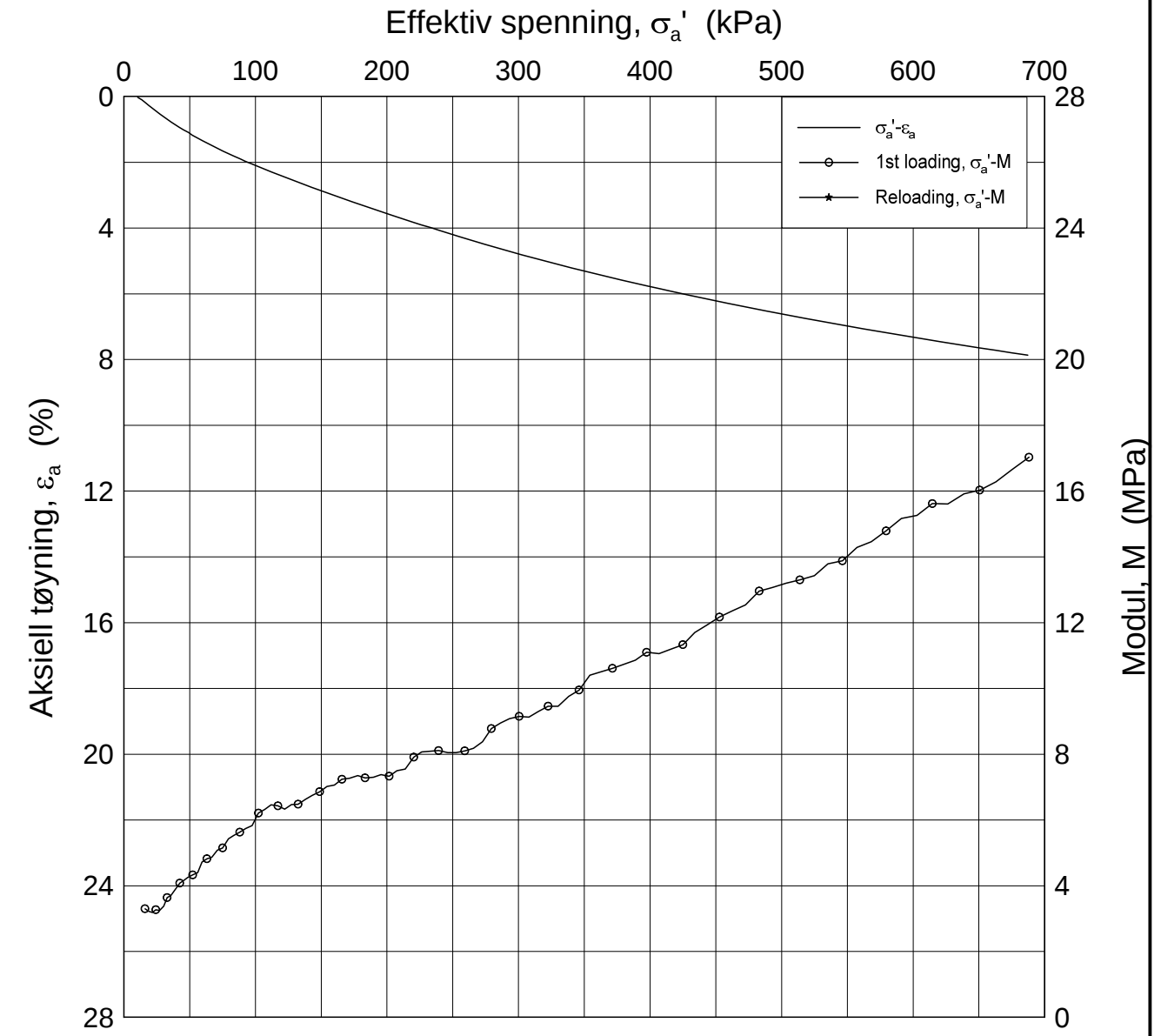
H:\LABDATA\2012\20120491\Oedom\BH3029\3029-13-A-1.lin (crs2333).gif




Dato/Rev.: 2009-09-15/4

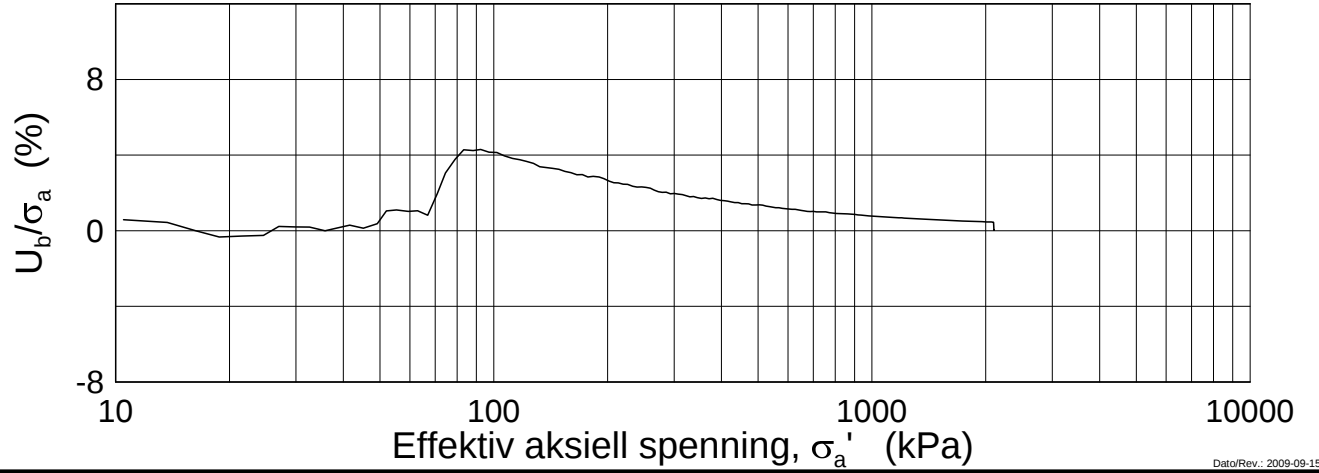
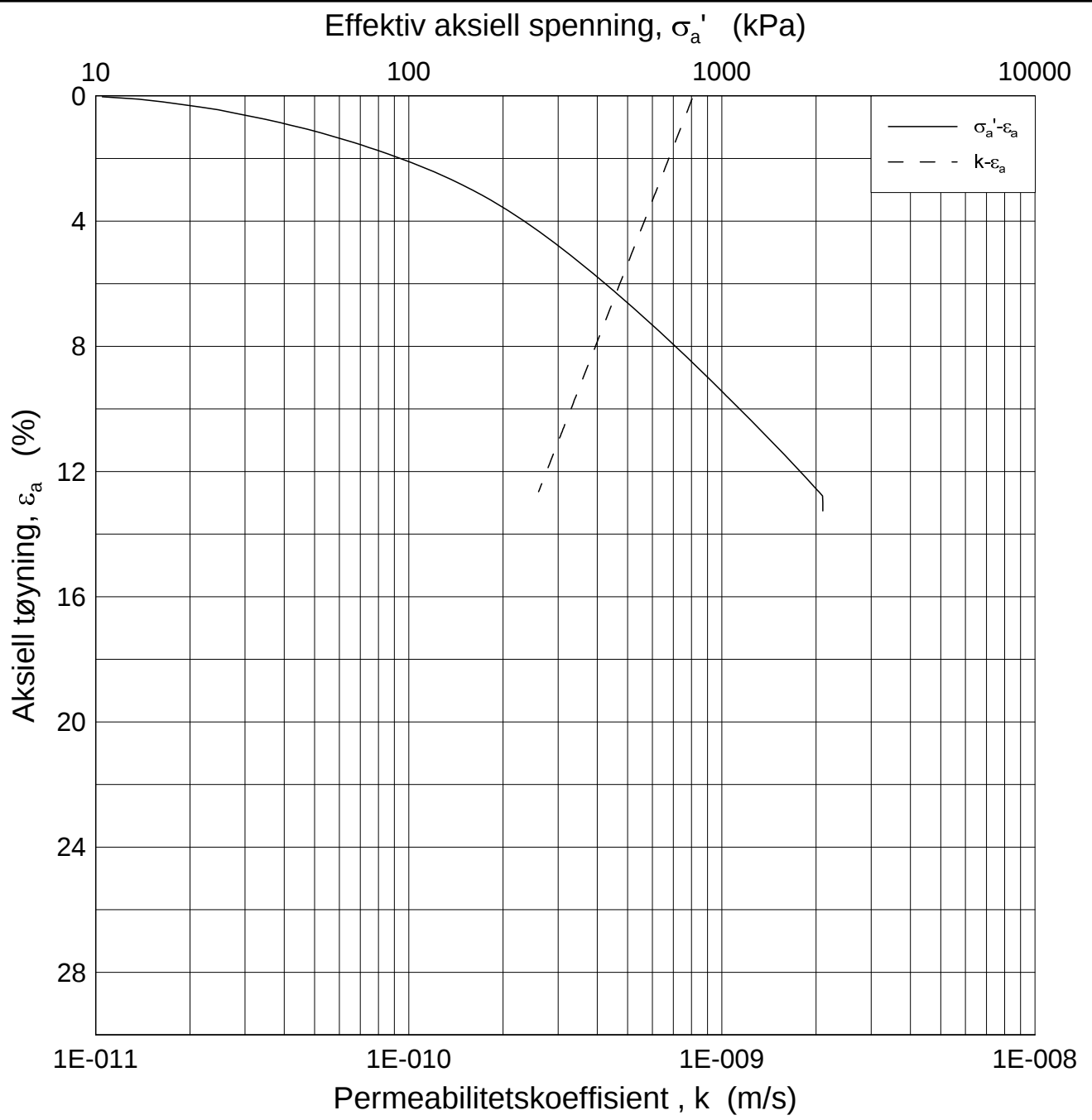
E16 Nybakk - Slomarka			Dokumentnr. 20120491-02-R
Ødometer test (CRSC)			Dato 2013-09-06
Borhull: 3029	Sylinder: 13	Dybde = 14.34 m	Figurnr. F139
Del: A	Test: 1	$p'_0 = 149.6$ kPa	Tegner FP/
		$w_i = 32.31$ %	

H:\LABDATA\2012\20120491\Oedom\BH3029\3029-13-A-1 lin-2 (crs2333).grf



Dato/Rev: 2009-09-15/4

E16 Nybakk - Slomarka				Dokumentnr. 20120491-02-R
Ødometer test (CRSC)				Dato 2013-09-06
Borhull: 3029	Sylinder: 13	Dybde = 14.34 m	$p'_o = 149.6$ kPa	Figurnr. F140
Del: A	Test: 1	$w_i = 32.31$ %		Tegner FP/
				



Dato/Rev.: 2009-09-15/3

E16 Nybakk - Slomarka

Dokumentnr.
20120491-02-R

Ødometer test (CRSC)

Dybde = 14.34 m

Dato
2013-09-06

Borhull: 3029

Sylinder: 13

p_o' = 149.6 kPa

Figurnr.
F141

Del: A

Test: 1

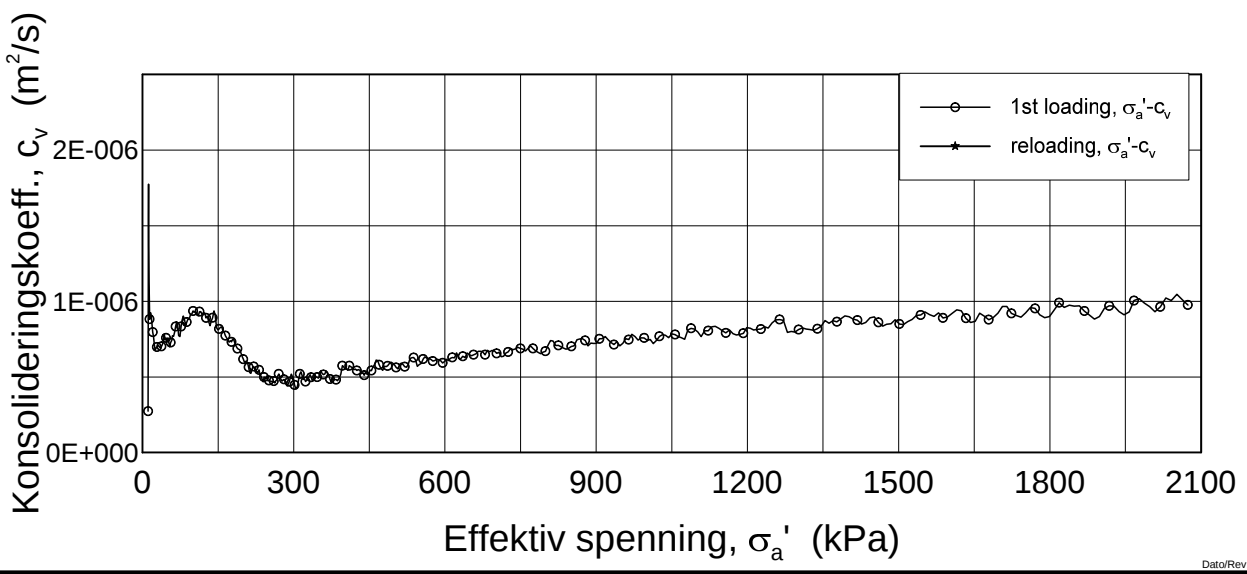
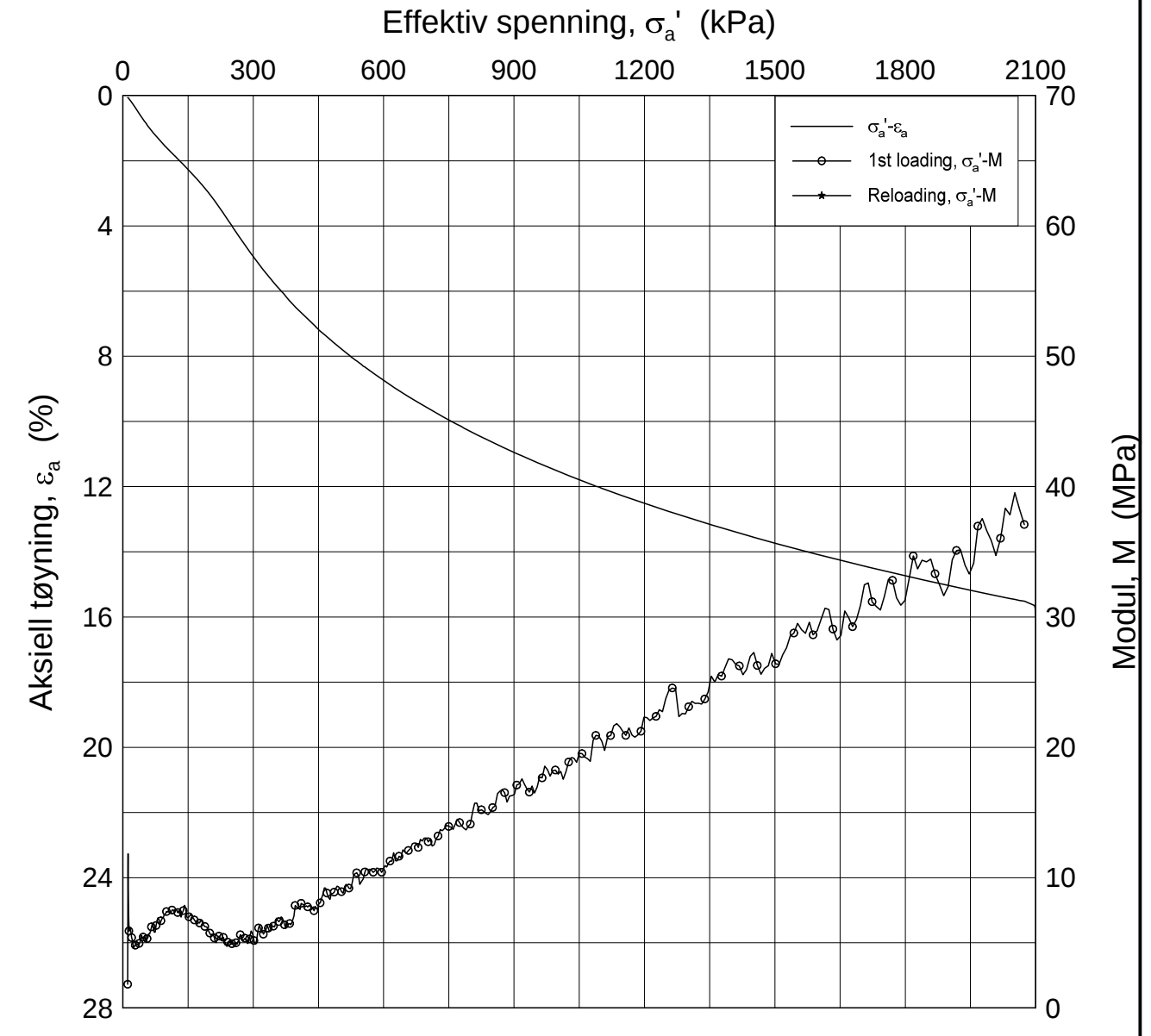
w_i = 32.31 %

Tegner
FP/




H:\LABDATA\2012\20120491\Oedom\BH3029\3029-13-A-1 log (crs2333).grf

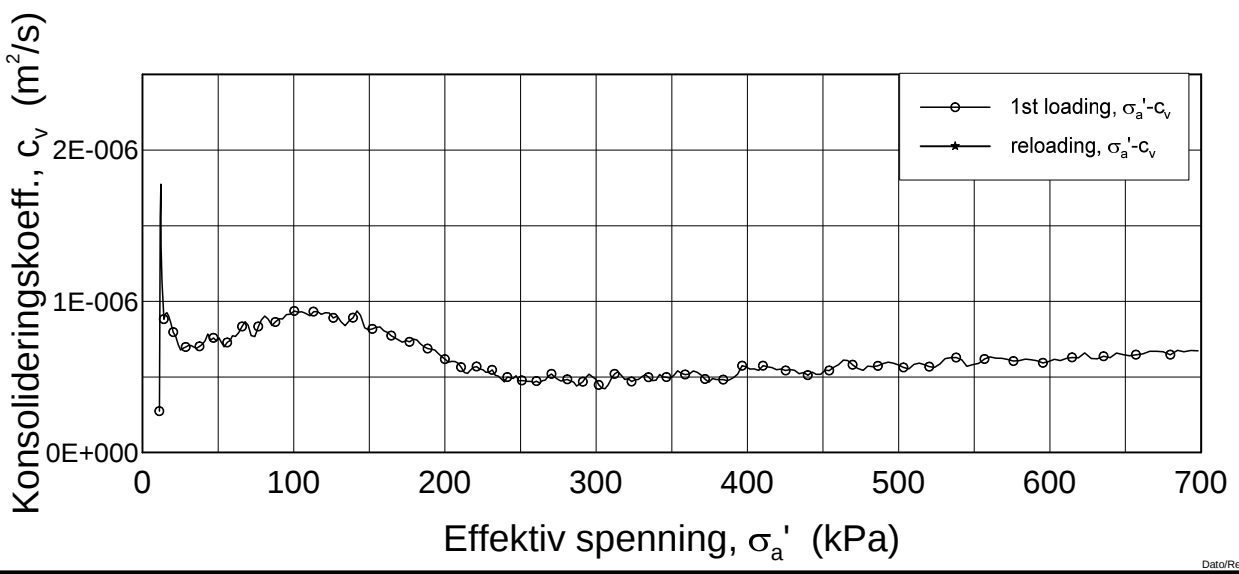
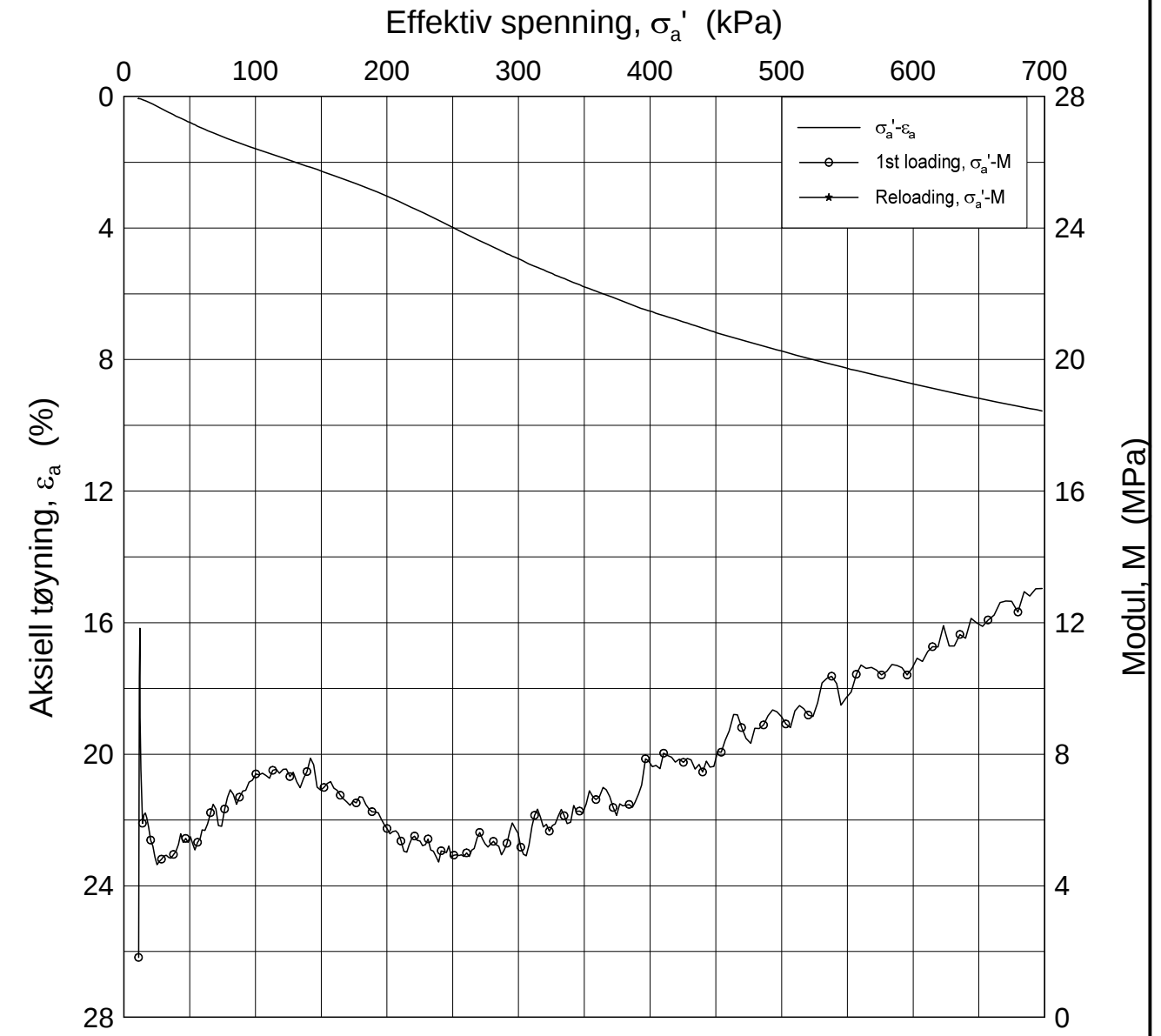
H:\LABDATA\2012\20120491\Cedom\BH3043\3043-5-A-1.lin (crs2341).grf




Dato/Rev.: 2009-09-15/4

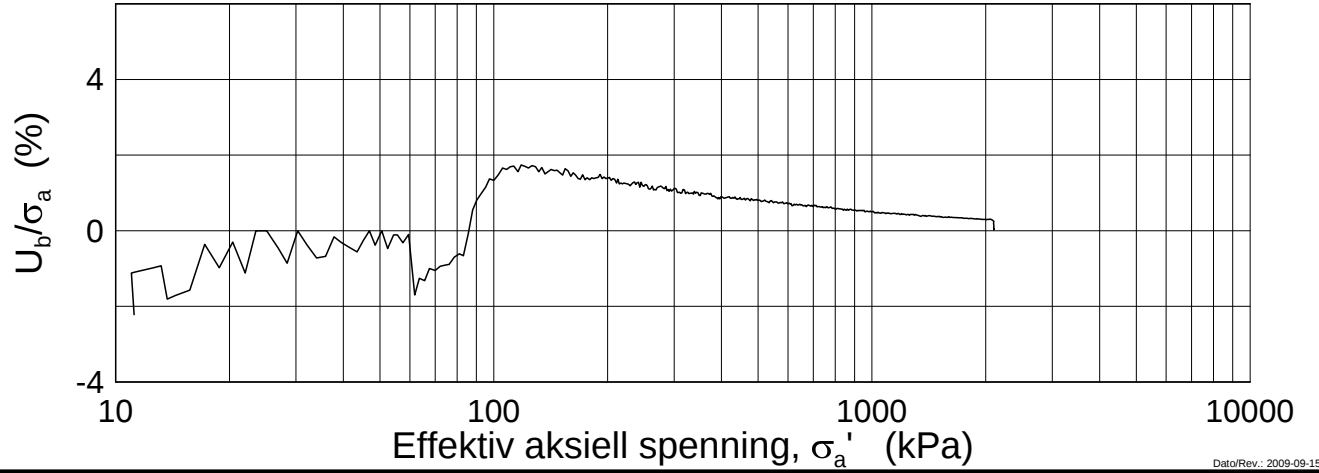
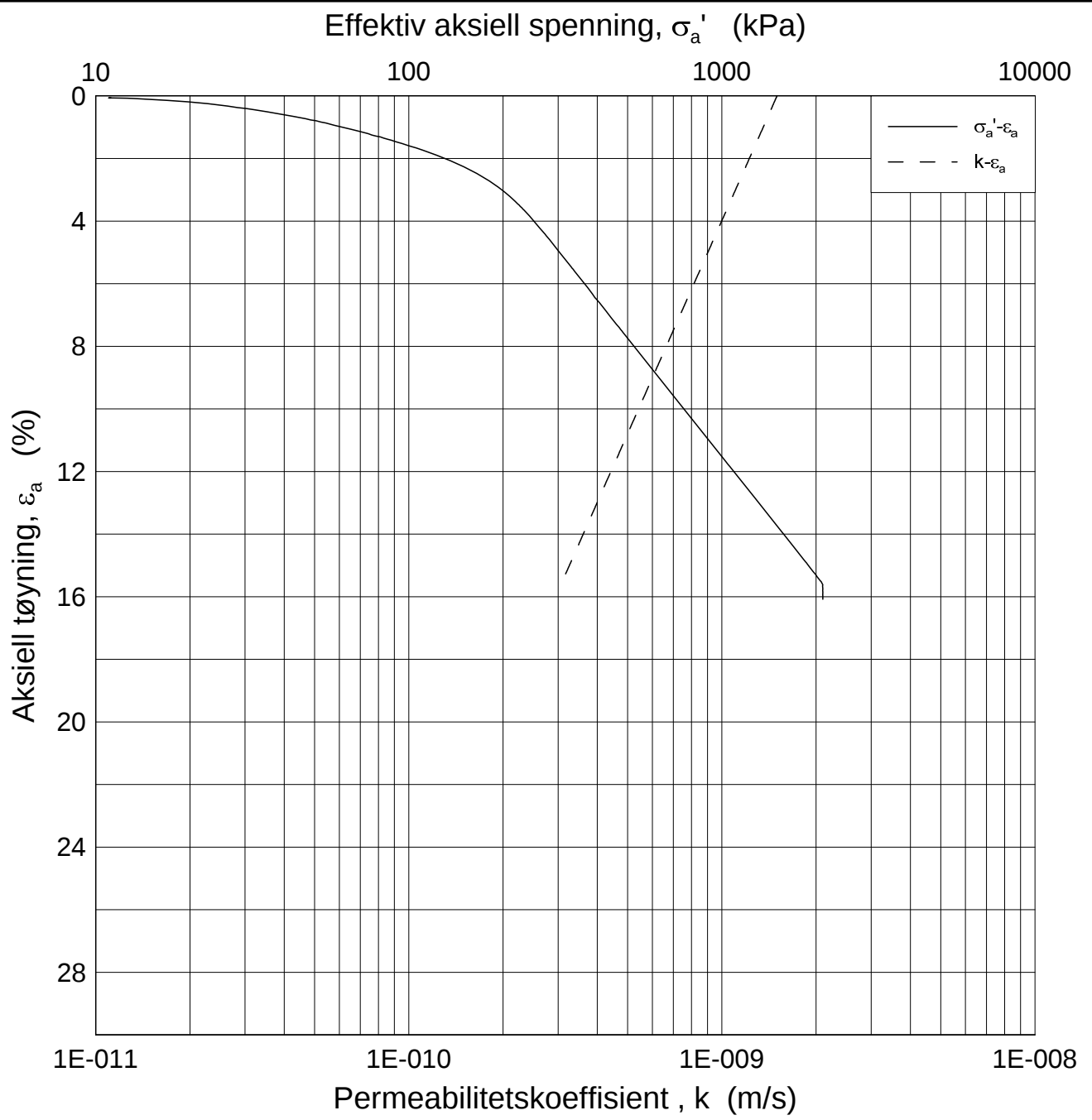
E16 Nybakk - Slomarka			Dokumentnr. 20120491-02-R
Ødometer test (CRSC)			Dato 2013-09-06
Borhull: 3043	Sylinder: 5	Dybde = 5.45 m	Figurnr. F142
Del: A	Test: 1	$p'_0 = 34.8$ kPa	Tegner FP/
		$w_i = 36.57$ %	

H:\LABDATA\2012\20120491\Cedom\BH3043\3043-5-A-1.lin-2 (cvs2341).grf



Dato/Rev.: 2009-09-15/4

E16 Nybakk - Slomarka			Dokumentnr. 20120491-02-R
Ødometer test (CRSC)			Dato 2013-09-06
Borhull: 3043	Sylinder: 5	Dybde = 5.45 m	Figurnr. F143
Del: A	Test: 1	$p'_0 = 34.8$ kPa	Tegner FP/
		$w_i = 36.57$ %	



Dato/Rev.: 2009-09-15/3

E16 Nybakk - Slomarka

Dokumentnr.
20120491-02-R

Ødometer test (CRSC)

Dybde = 5.45 m

Dato
2013-09-06

Borhull: 3043

Sylinder: 5

p_o' = 34.8 kPa

Figurnr.
F144

Del: A

Test: 1

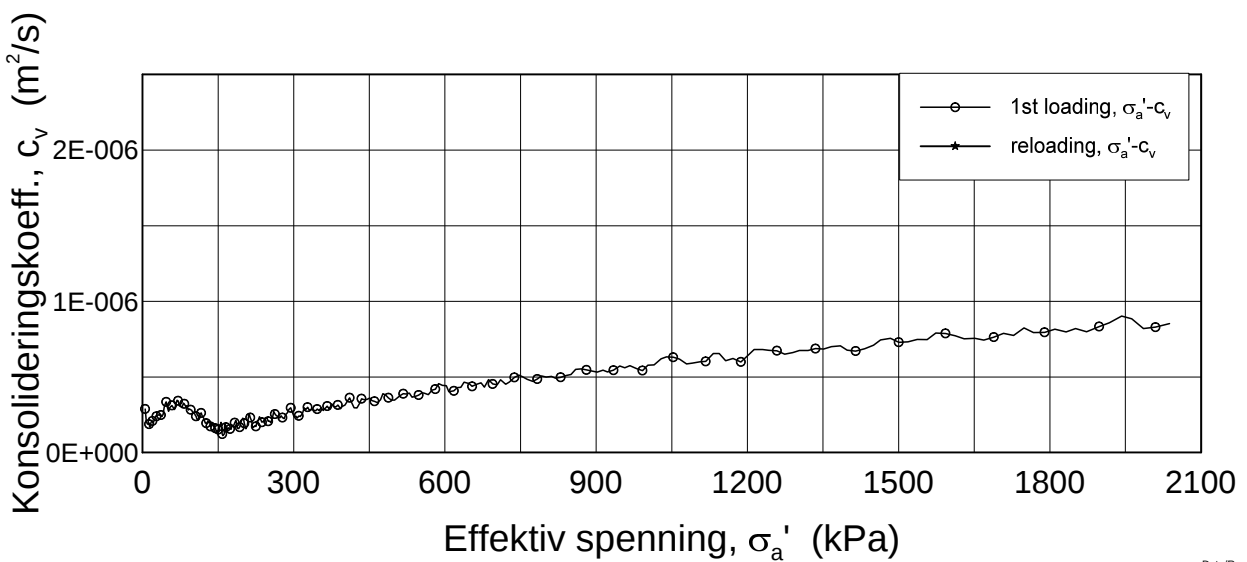
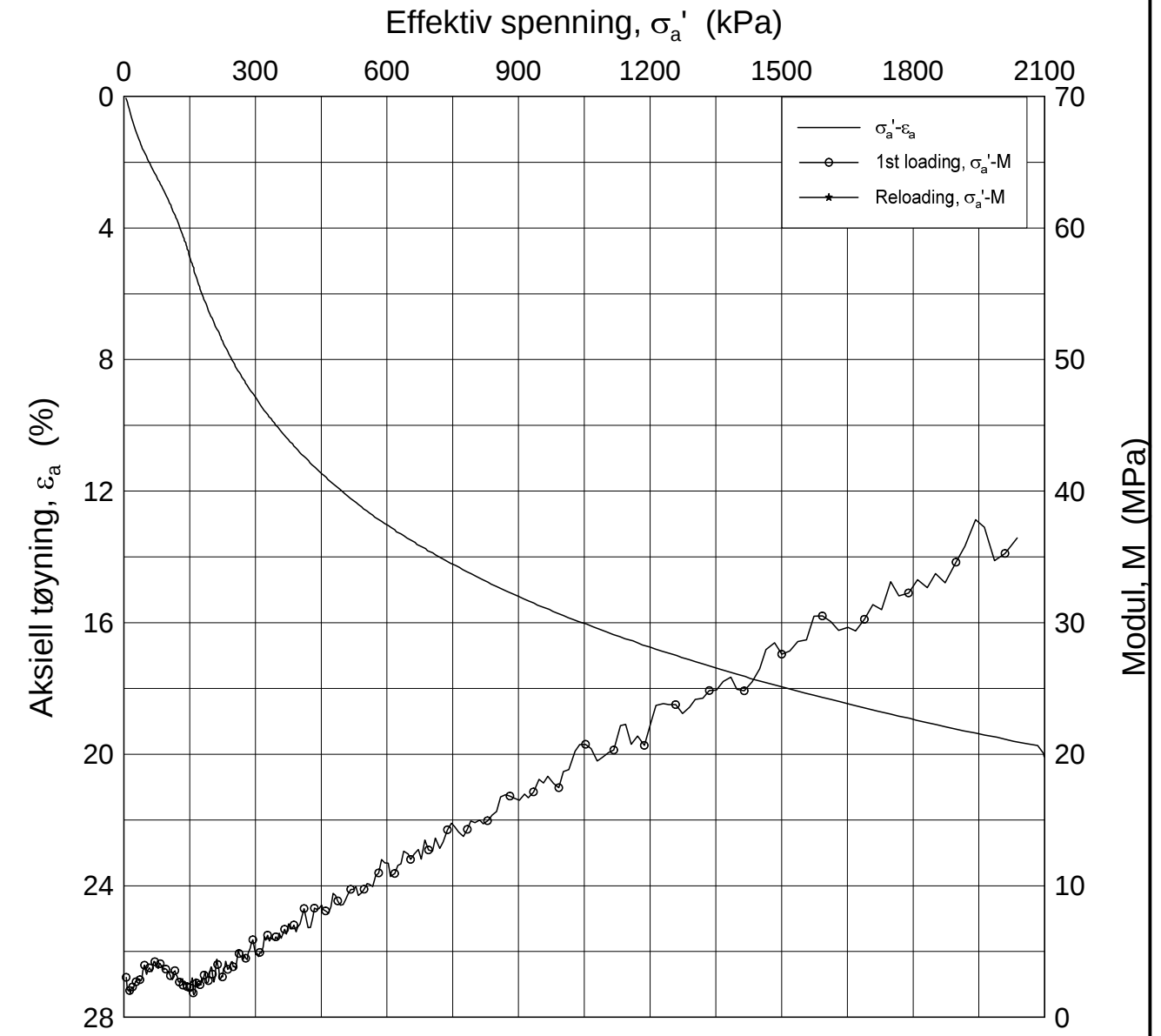
w_i = 36.57 %

Tegner
FP/




H:\LABDATA\2012\20120491\Cedom\BH3043\3043-5-A-1.log (crs2341).grf

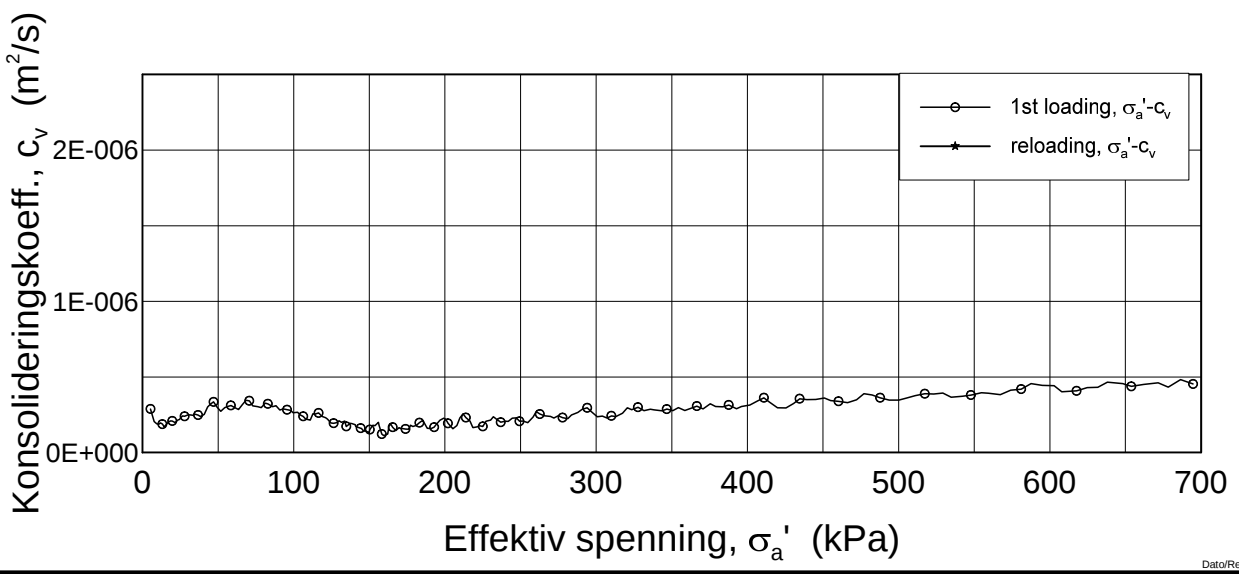
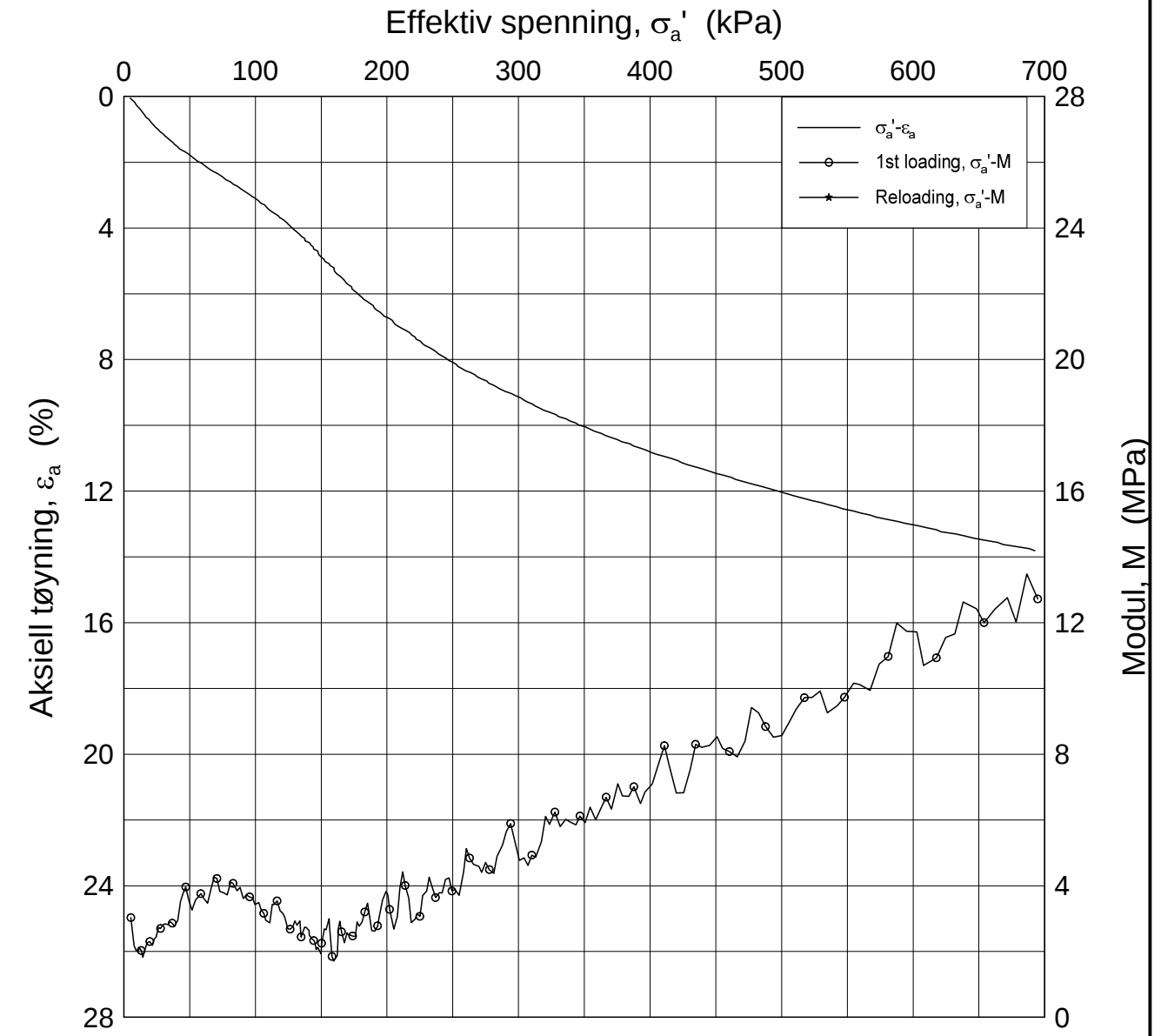
H:\LABDATA\2012\20120491\Cedom\BH3043\3043-10-B-1.lin (crs2351).gjf




Dato/Rev: 2009-09-15/4

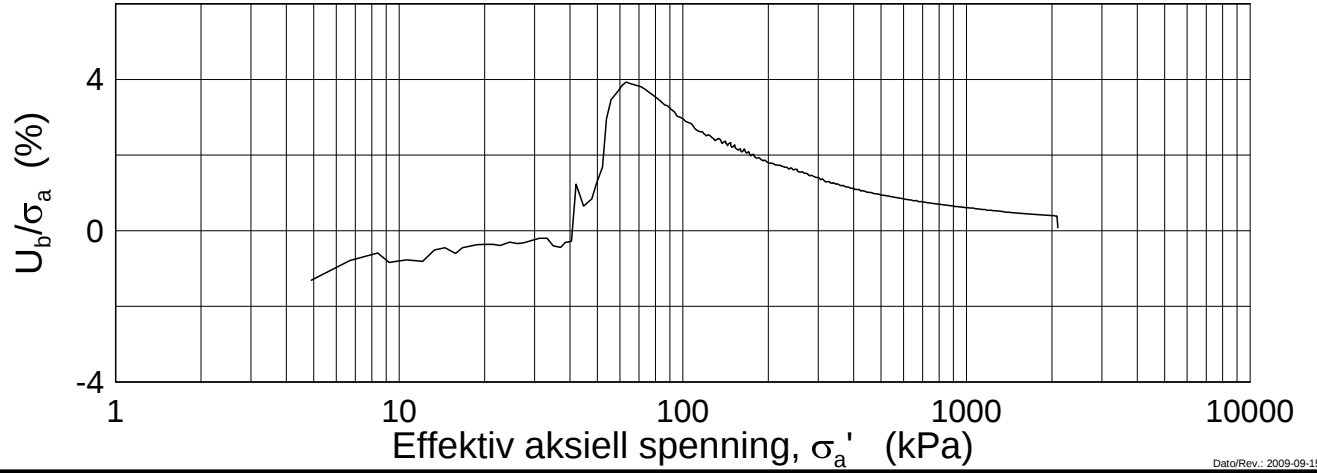
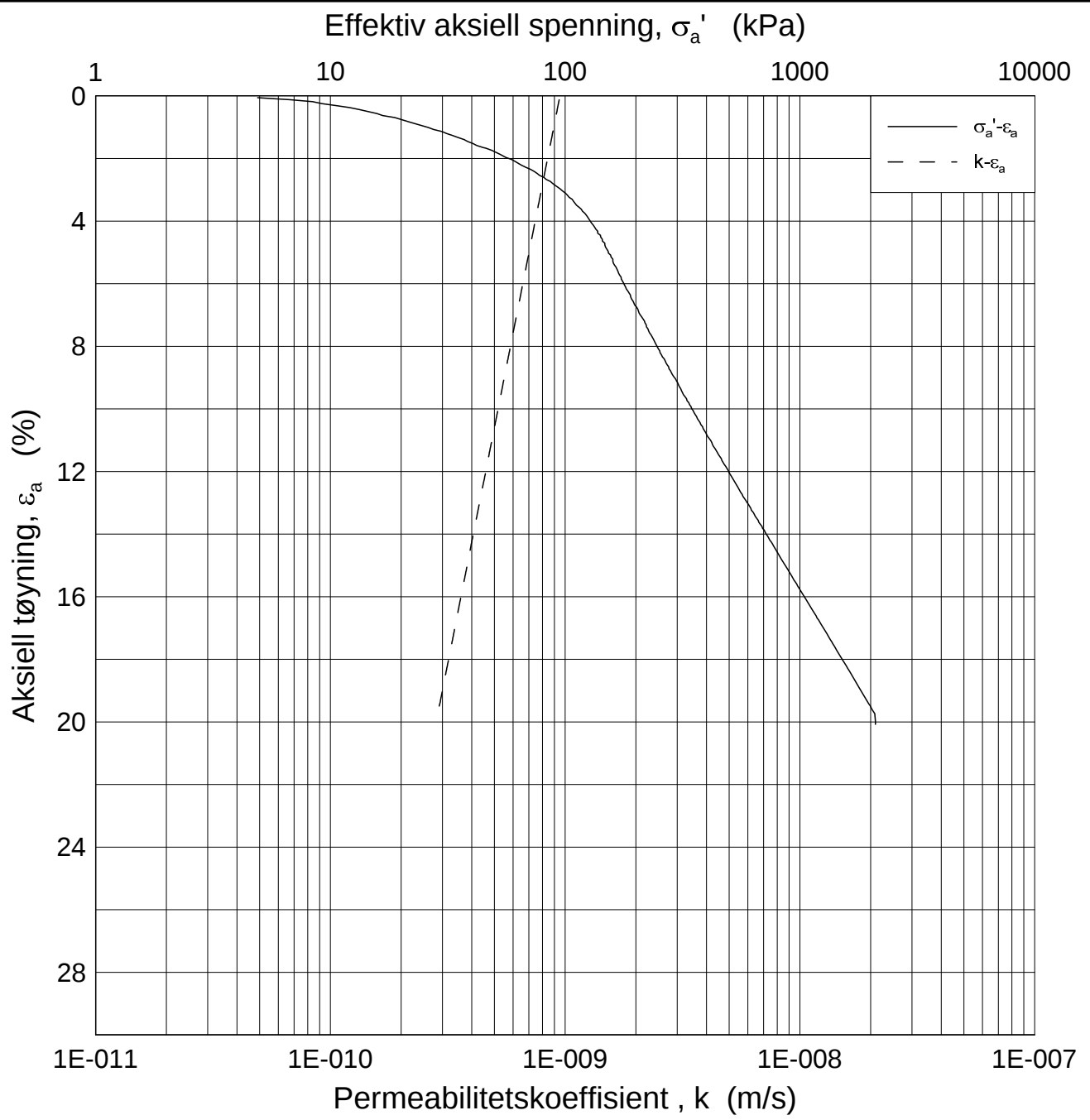
E16 Nybakk - Slomarka			Dokumentnr. 20120491-02-R
Ødometer test (CRSC)			Dato 2013-09-09
Borhull: 3043	Sylinder: 10	Dybde = 10.28 m	Figurnr. F145
Del: B	Test: 1	$p'_0 = 98.6$ kPa	Tegner FP/
		$w_i = 41.36$ %	

H:\LABDATA\2012\20120491\Cedom\BH3043\3043-10-B-1 lin-2 (crs2351).grf



Dato/Rev.: 2009-09-15/4

E16 Nybakk - Slomarka				Dokumentnr. 20120491-02-R
Ødometer test (CRSC)		Dybde = 10.28	m	Dato 2013-09-09
Borhull: 3043	Sylinder: 10	p'_0 = 98.6	kPa	Figurnr. F146
Del: B	Test: 1	w_i = 41.36	%	Tegner FP/
				



Dato/Rev.: 2009-09-15/3

E16 Nybakk - Slomarka

Dokumentnr.
20120491-02-R

Ødometer test (CRSC)

Dybde = 10.28 m

Dato
2013-09-09

Borhull: 3043

Sylinder: 10

p_o' = 98.6 kPa

Figurnr.
F147

Del: B

Test: 1

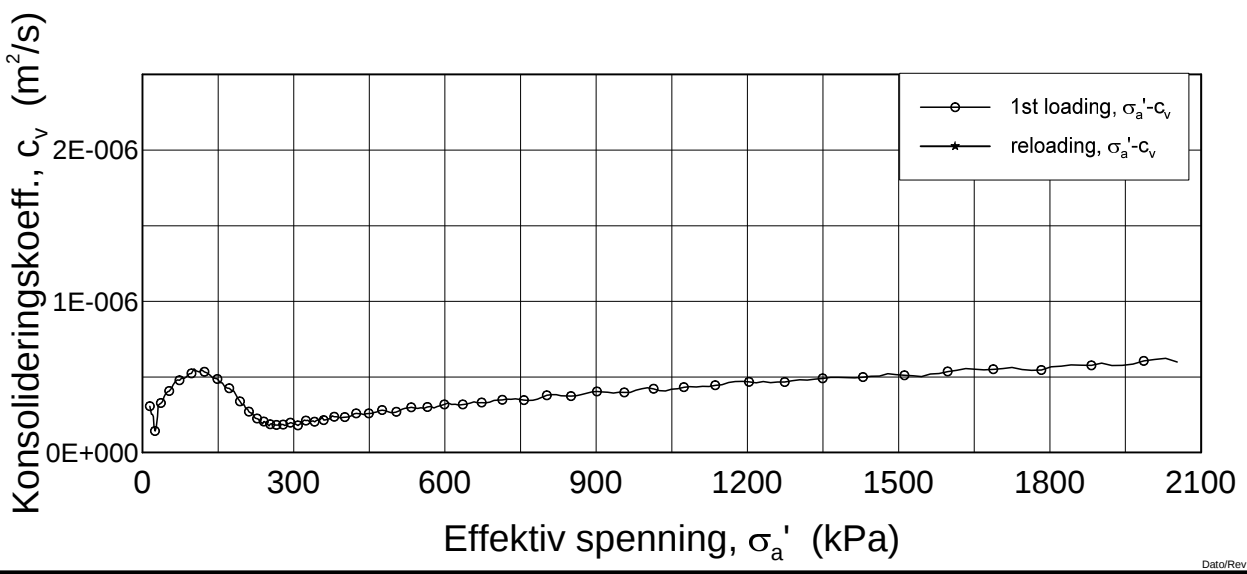
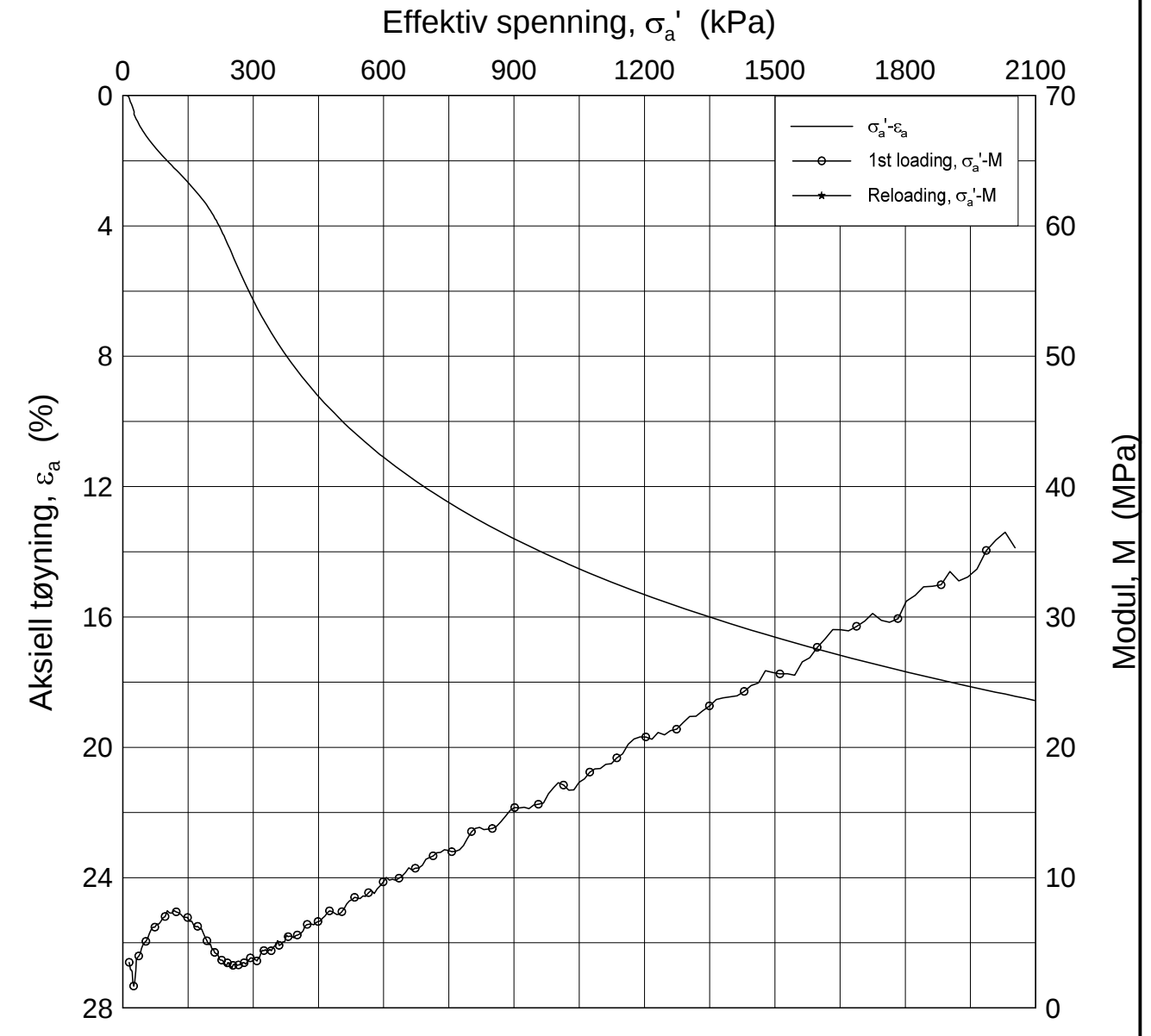
w_i = 41.36 %

Tegner
FP/




H:\LABDATA\2012\20120491\Cedom\BH3043\3043-10-B-1 log (crs2351).grf

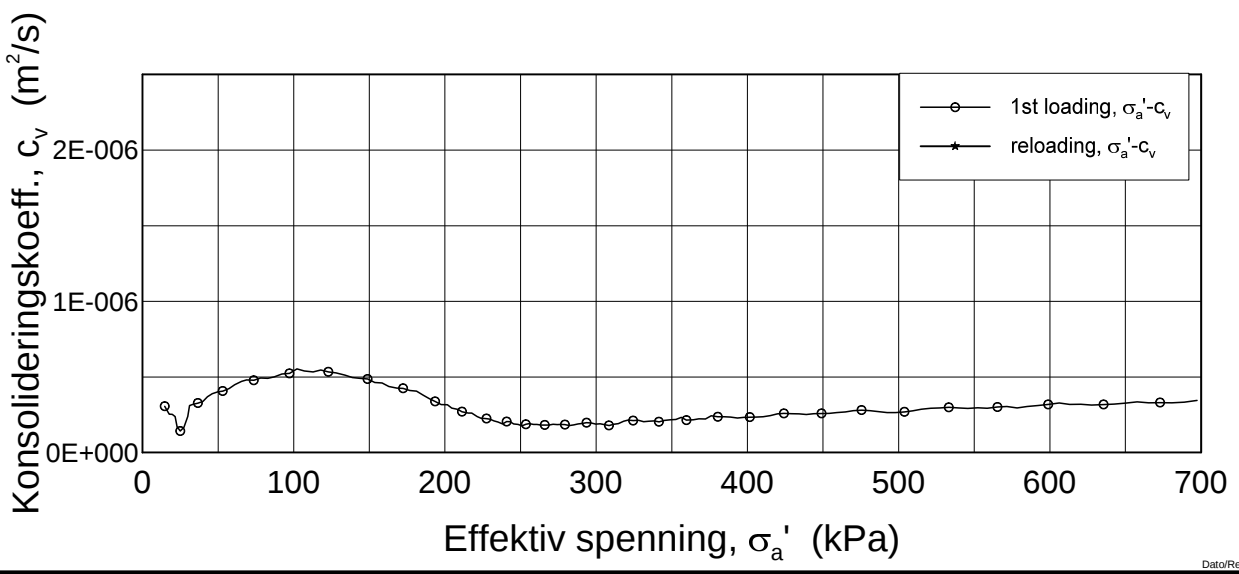
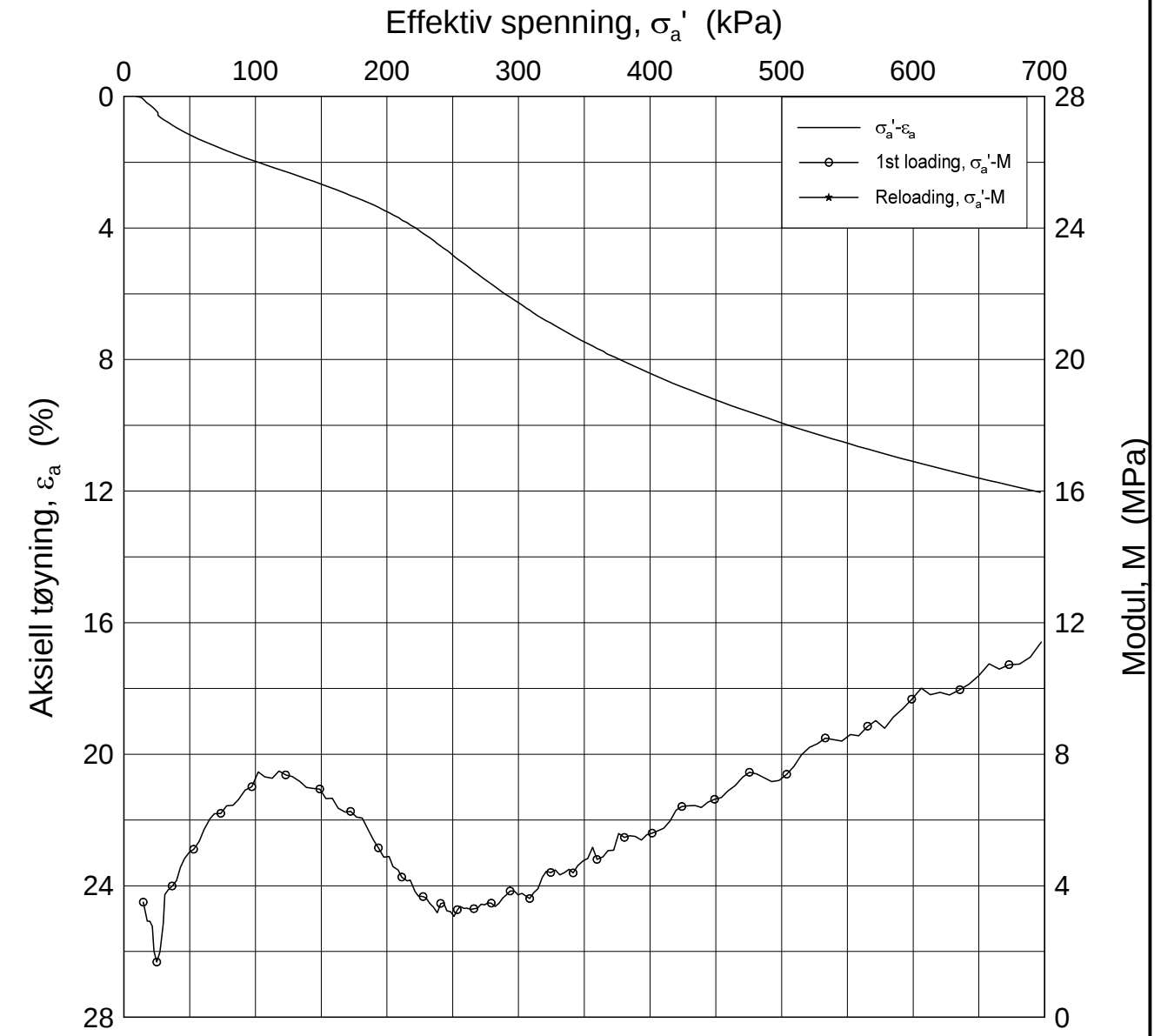
H:\LABDATA\2012\20120491\Oedom\BH3059\3059-5-C-1.lin (crs2302).grf




Dato/Rev.: 2009-09-15/4

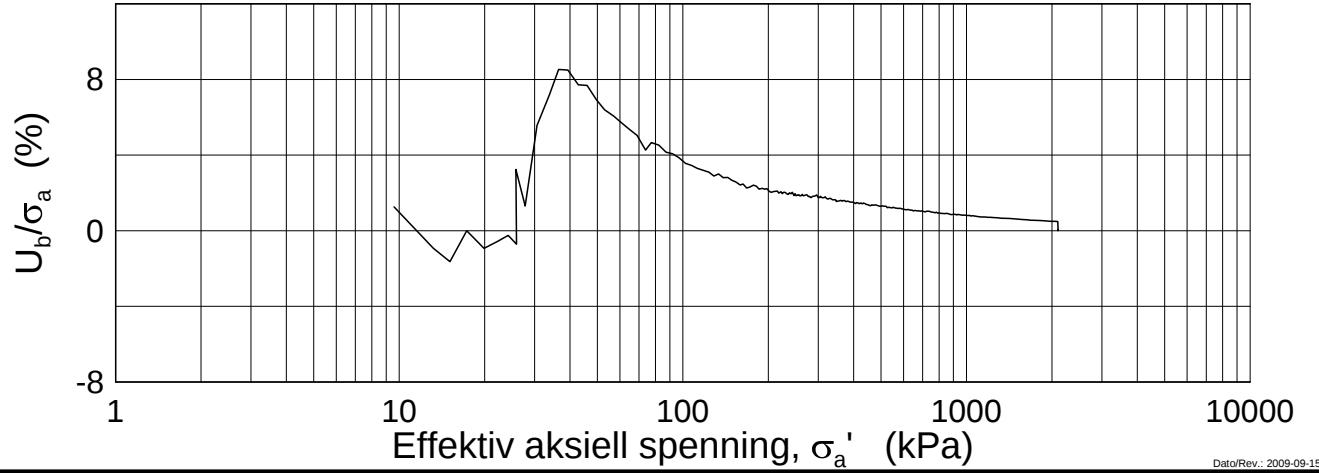
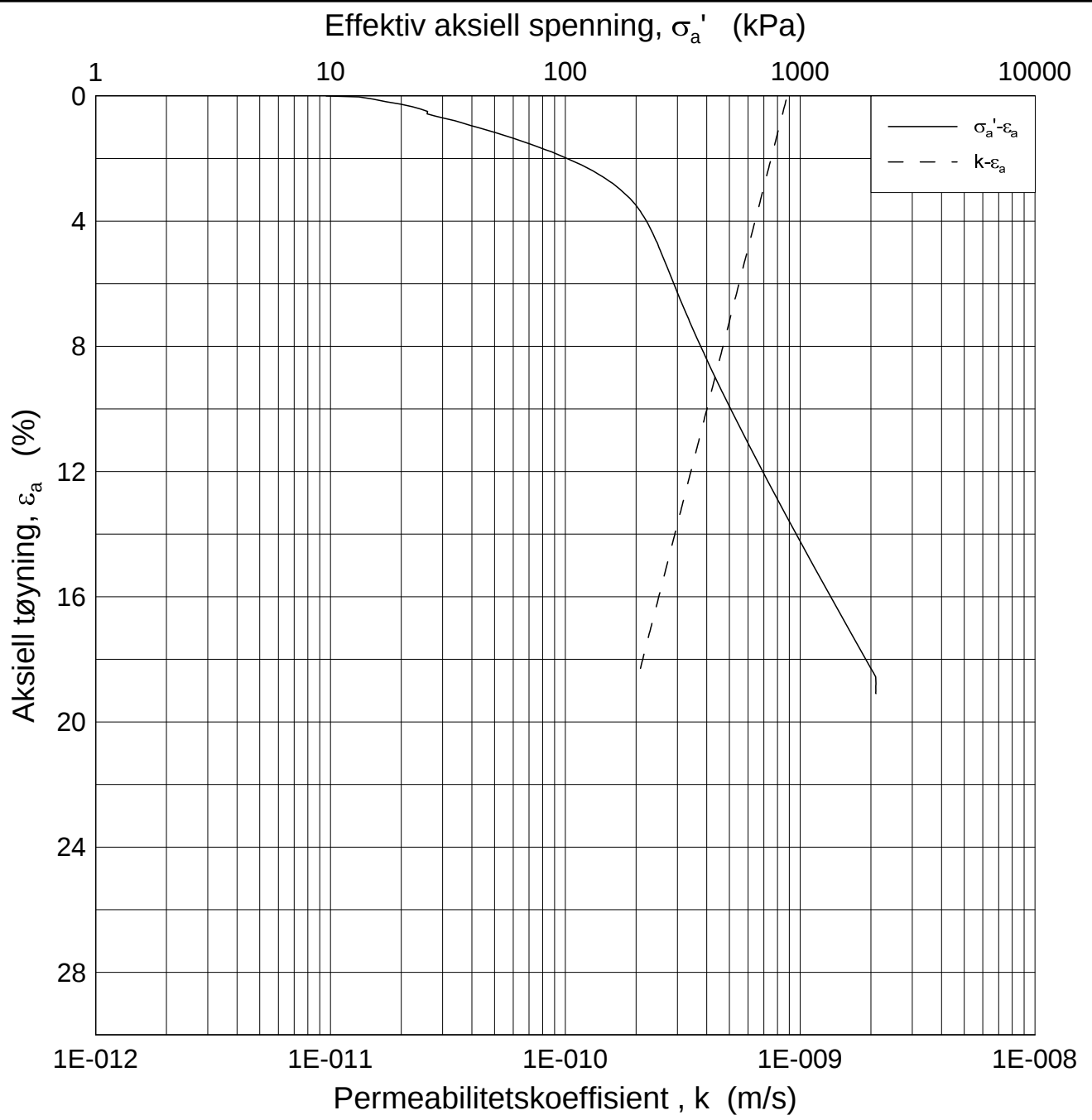
E16 Nybakk - Slomarka			Dokumentnr. 20120491-02-R
Ødometer test (CRSC)			Dato 2013-07-03
Borhull: 3059	Sylinder: 5	Dybde = 5.48 m	Figurnr. F148
Del: C	Test: 1	$p'_0 = 69.24$ kPa	Tegner Fi/
		$w_i = 40.02$ %	

H:\LABDATA\2012\20120491\Oedom\BH3059\3059-5-C-1 lin-2 (crs2302).grf



Dato/Rev.: 2009-09-15/4

E16 Nybakk - Slomarka			Dokumentnr. 20120491-02-R
Ødometer test (CRSC)			Dato 2013-07-03
Borhull: 3059	Sylinder: 5	Dybde = 5.48 m	Figurnr. F149
Del: C	Test: 1	$p'_o = 69.24$ kPa	Tegner Fi/
		$w_i = 40.02$ %	



Dato/Rev.: 2009-09-15/3

E16 Nybakk - Slomarka

Dokumentnr.
20120491-02-R

Ødometer test (CRSC)

Dybde = 5.48 m

Dato
2013-07-03

Borhull: 3059

Sylinder: 5

p_o' = 69.24 kPa

Figurnr.
F150

Del: C

Test: 1

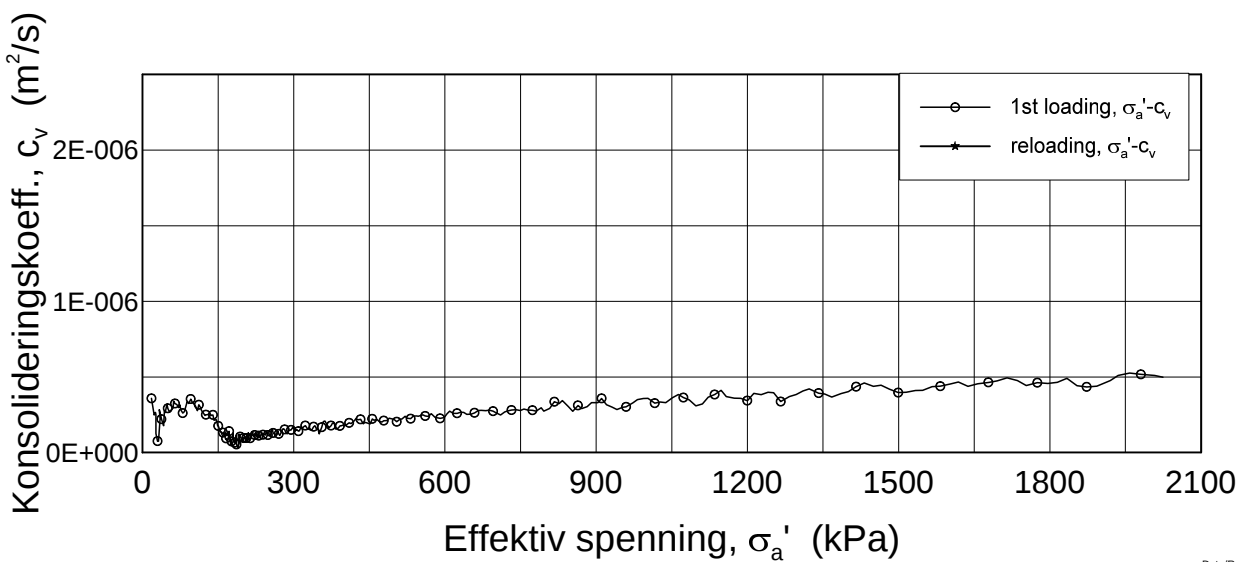
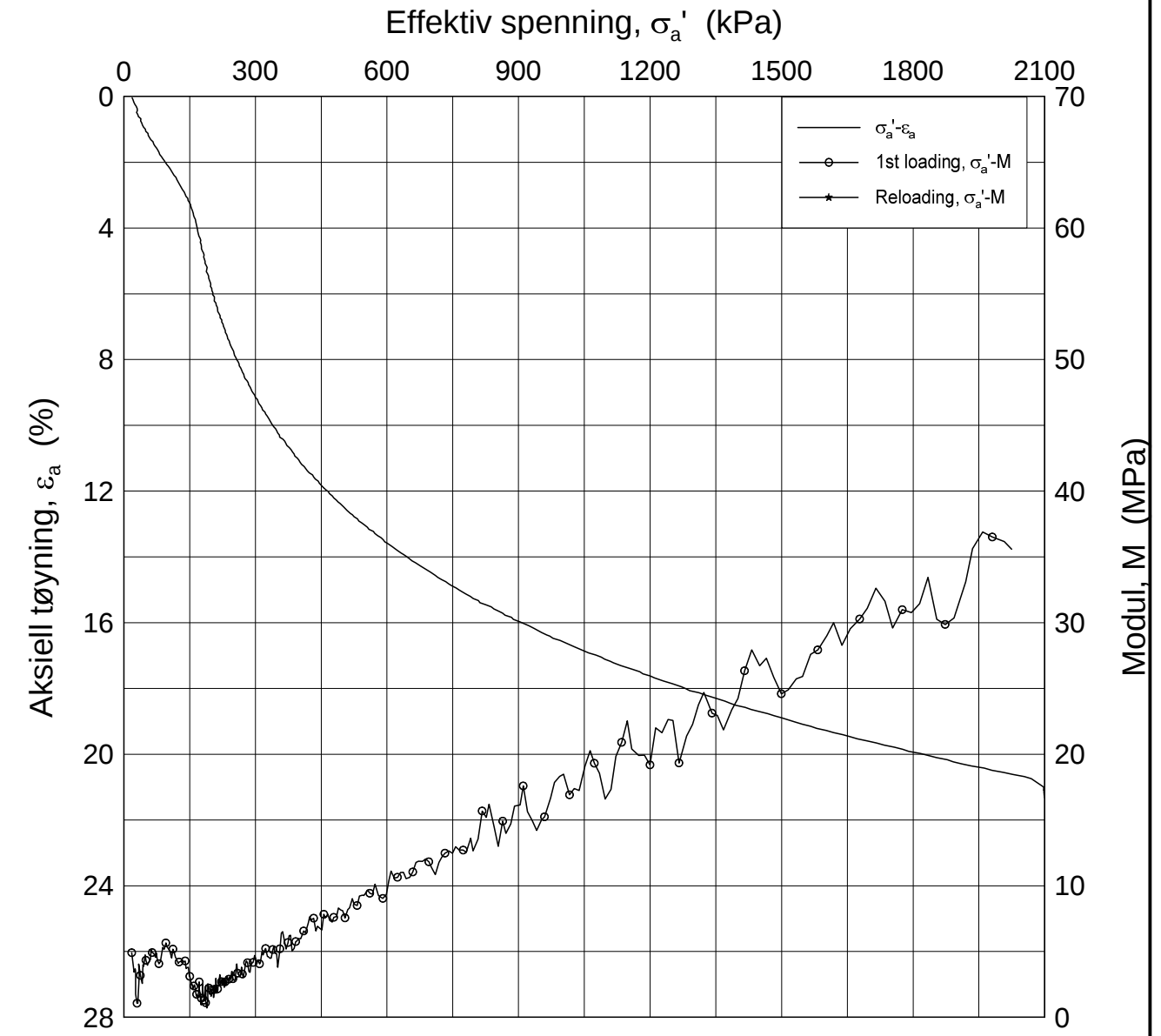
w_i = 40.02 %

Tegner
Fi/




H:\LABDATA\2012\20120491\Oedom\BH3059\3059-5-c-1.log (crs2302).grf

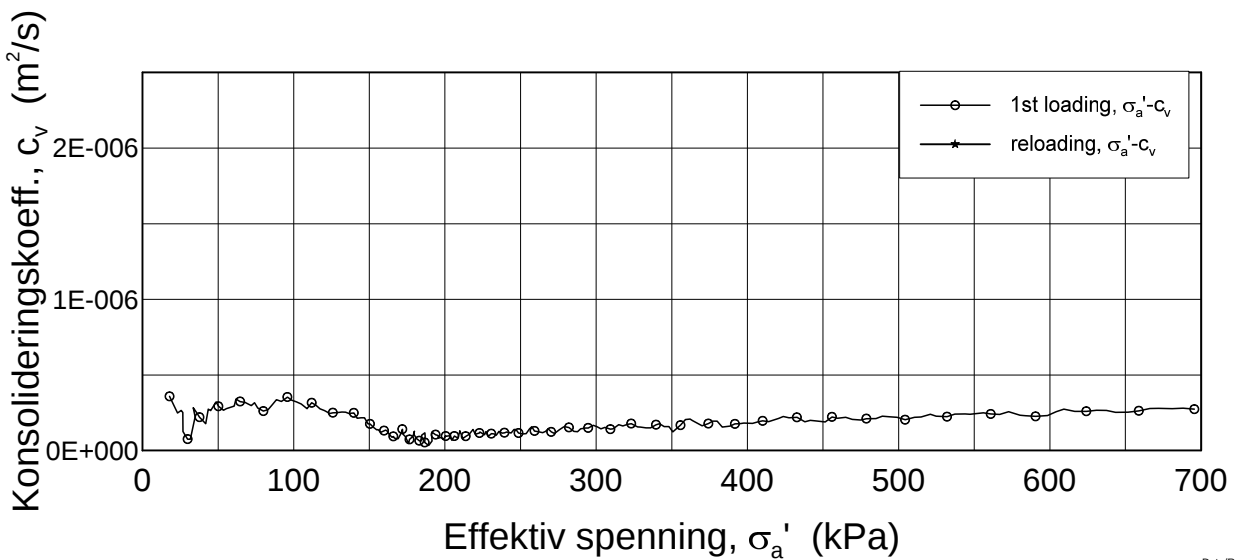
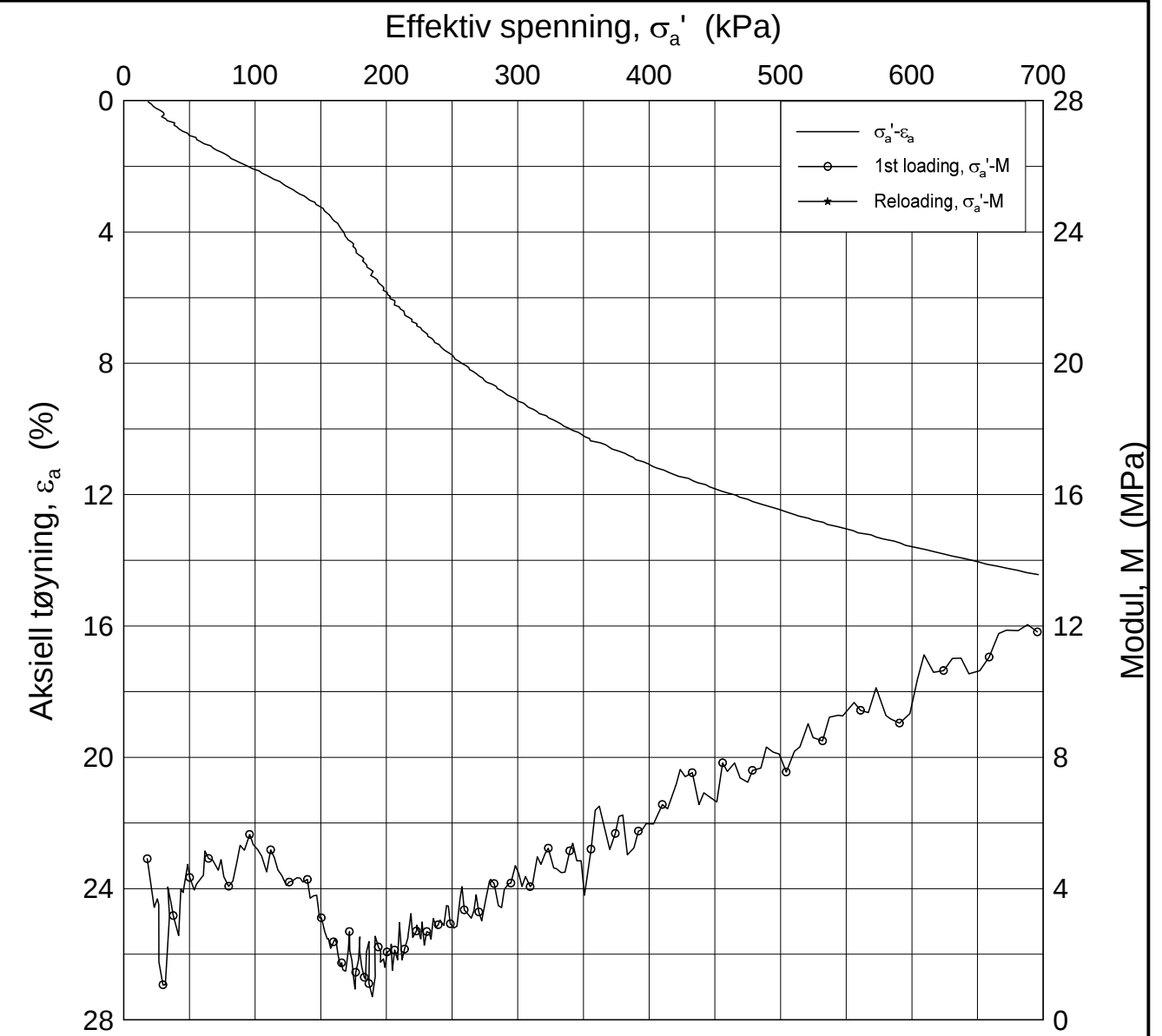
H:\LABDATA\2012\20120491\Cedom\BH3059\3059-10-C-1.lin (crs2306).grf



Dato/Rev.: 2009-09-15/4

E16 Nybakk - Slomarka			Dokumentnr. 20120491-02-R
Ødometer test (CRSC)			Dato 2013-07-03
Borhull: 3059	Sylinder: 10	Dybde = 10.50 m	Figurnr. F151
Del: C	Test: 1	p _o ' = 114.4 kPa	Tegner Fi/
		w _i = 44.48 %	

H:\LABDATA\2012\20120491\Oedom\BH3059\3059-10-C-1.lin-2 (crs2306).grf



Dato/Rev.: 2009-09-15/4

E16 Nybakk - Slomarka

Dokumentnr.
20120491-02-R

Ødometer test (CRSC)

Dybde = 10.50 m

Dato
2013-07-03

Borhull: 3059

Sylinder: 10

p'_0 = 114.4 kPa

Figurnr.
F152

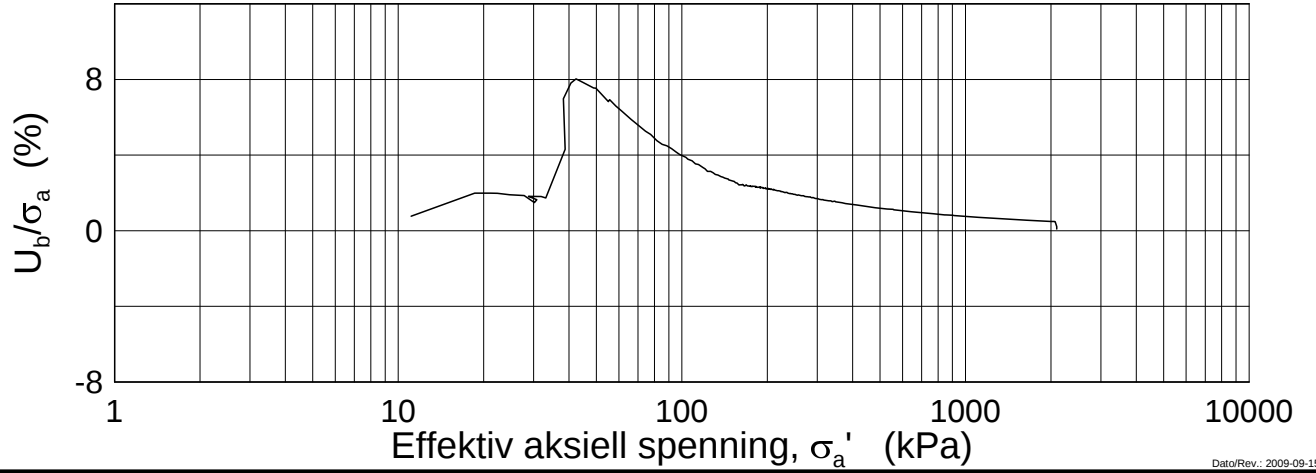
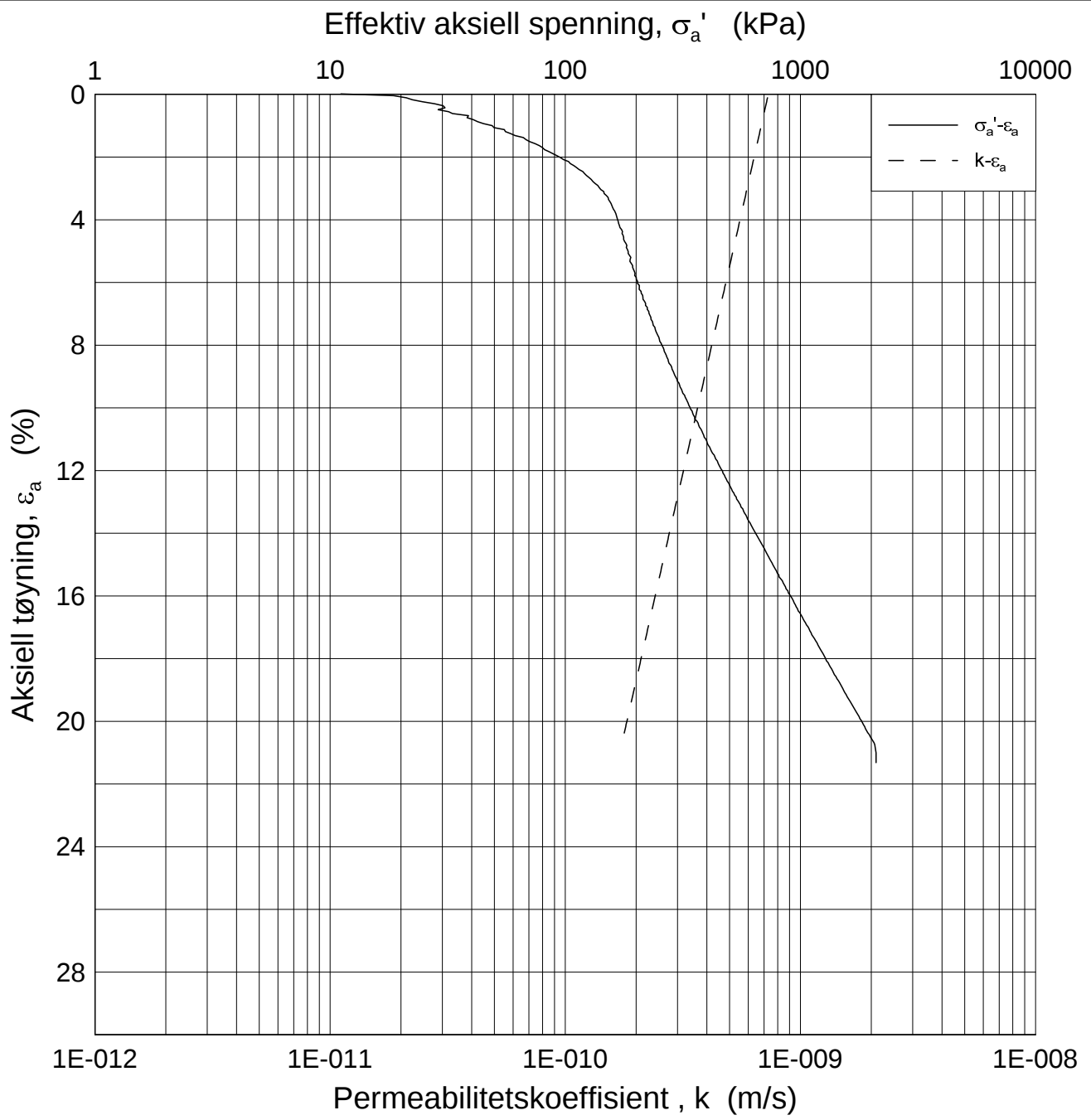
Del: C

Test: 1

w_i = 44.48 %

Tegner
Fi/





Dato/Rev.: 2009-09-15/3

E16 Nybakk - Slomarka

Dokumentnr.
20120491-02-R

Ødometer test (CRSC)

Dybde = 10.50 m

Dato
2013-07-03

Borhull: 3059

Sylinder: 10

p_o' = 114.4 kPa

Figurnr.
F153

Del: C

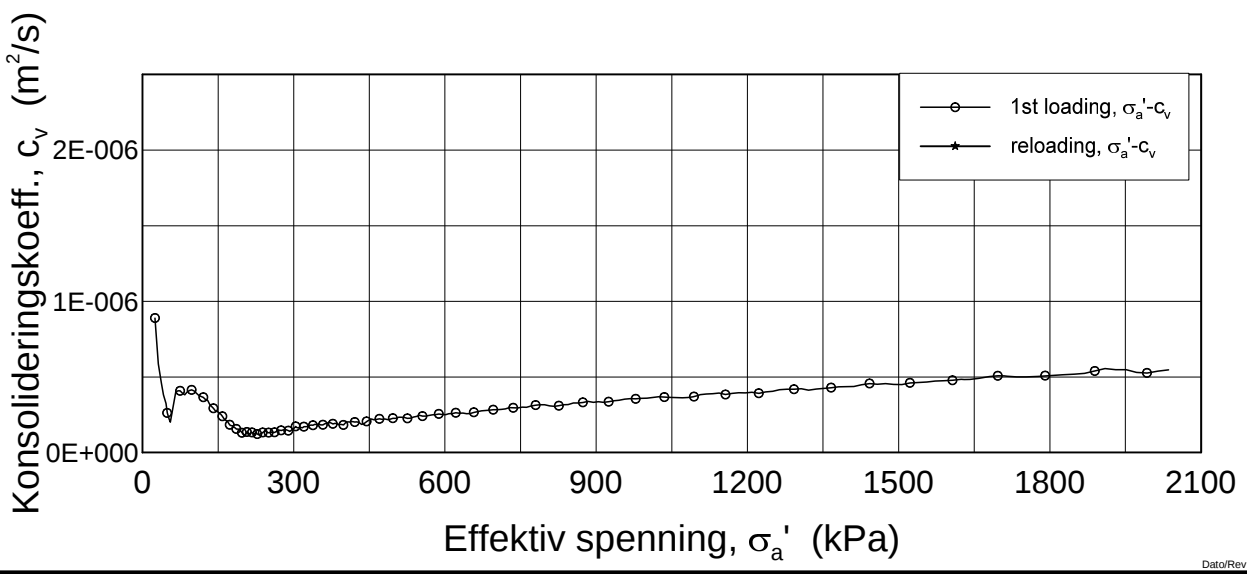
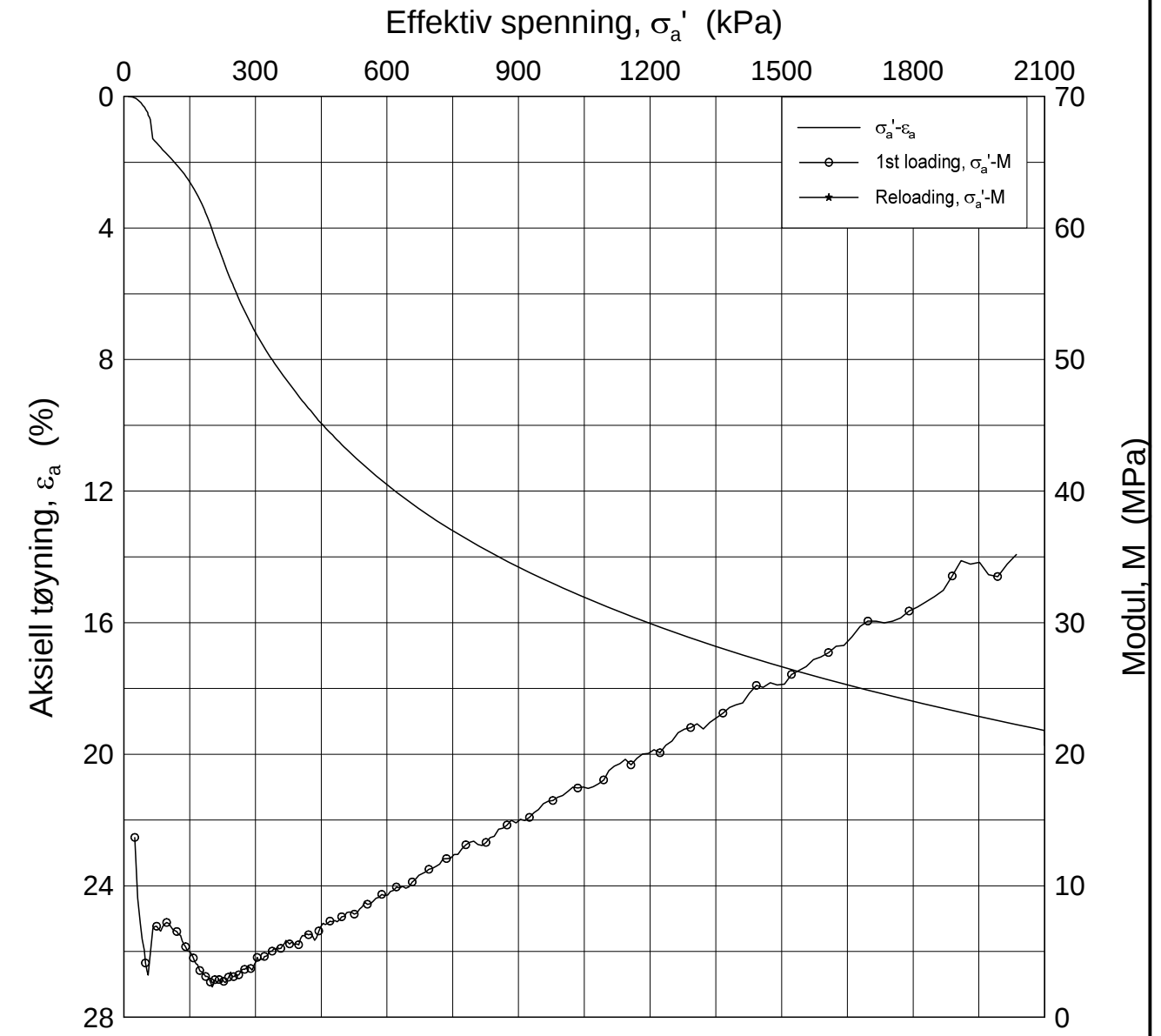
Test: 1

w_i = 44.48 %


Tegner
Fi/



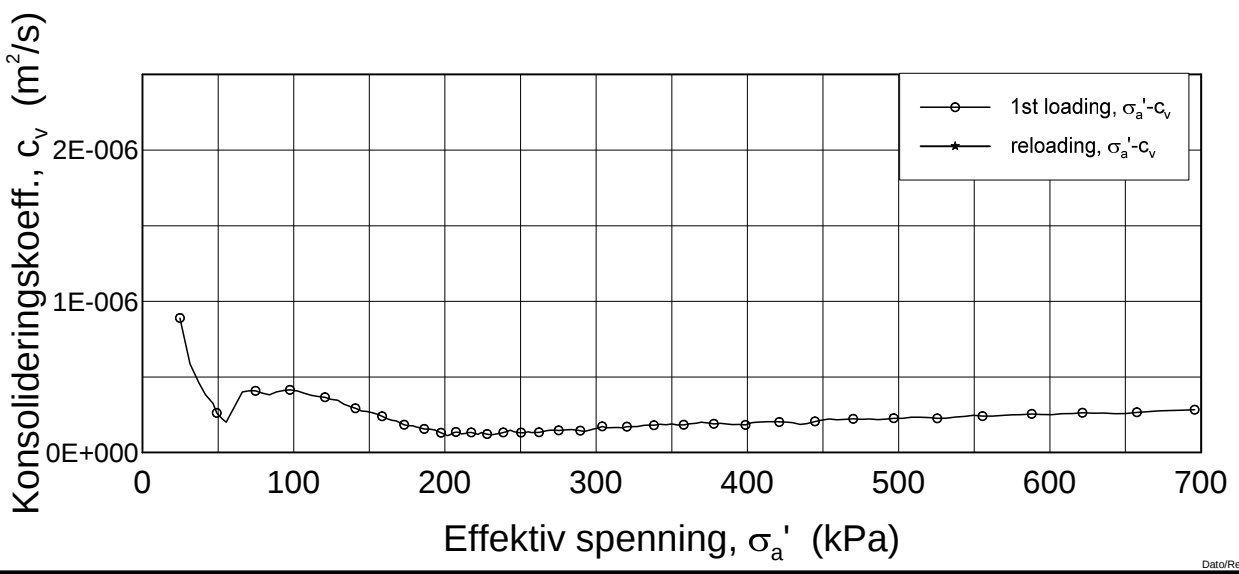
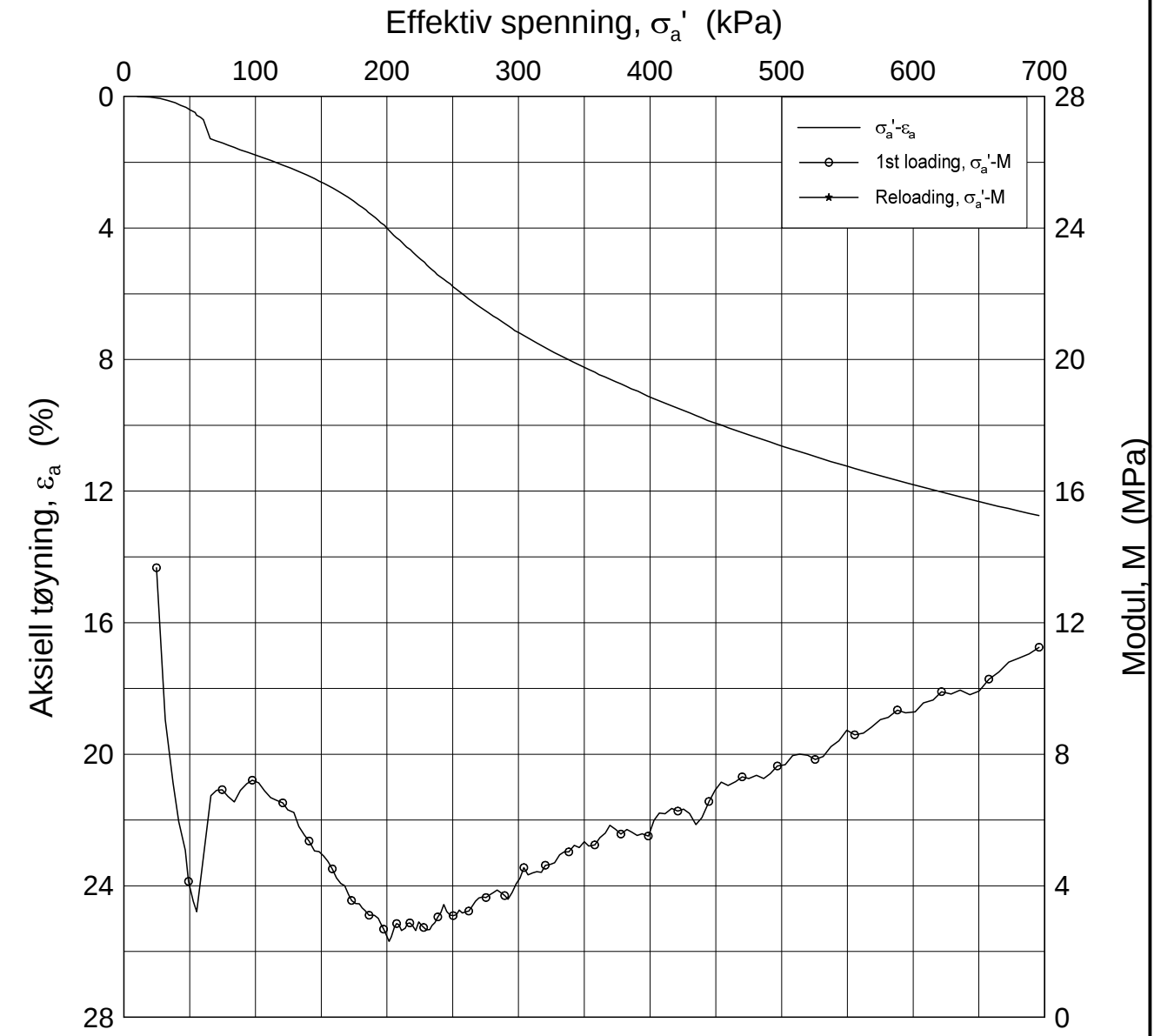
H:\LABDATA\2012\20120491\Cedom\BH3059\3059-14-B-1.lin (crs2309).gif




Dato/Rev.: 2009-09-15/4

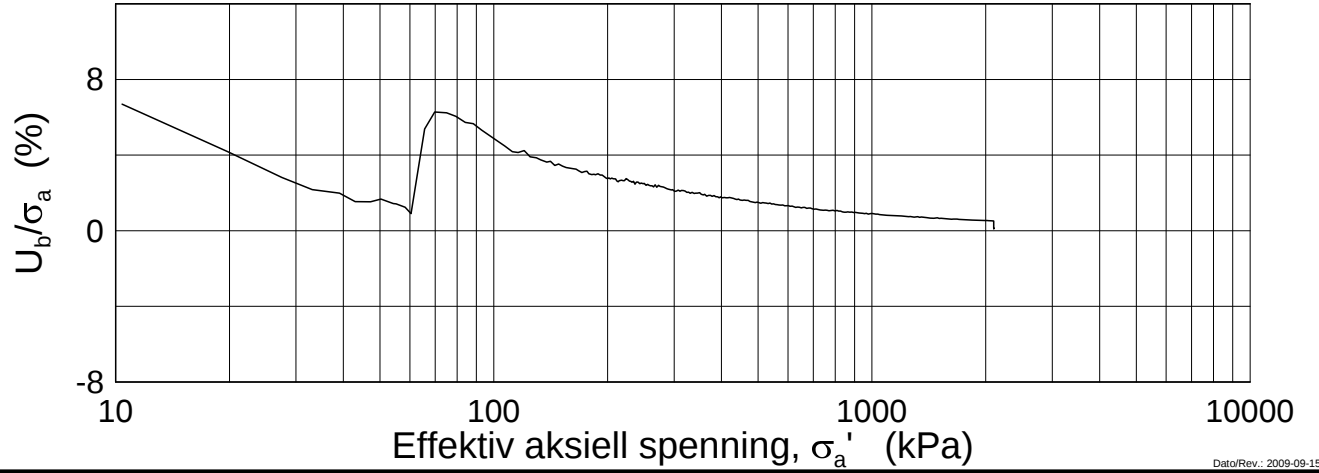
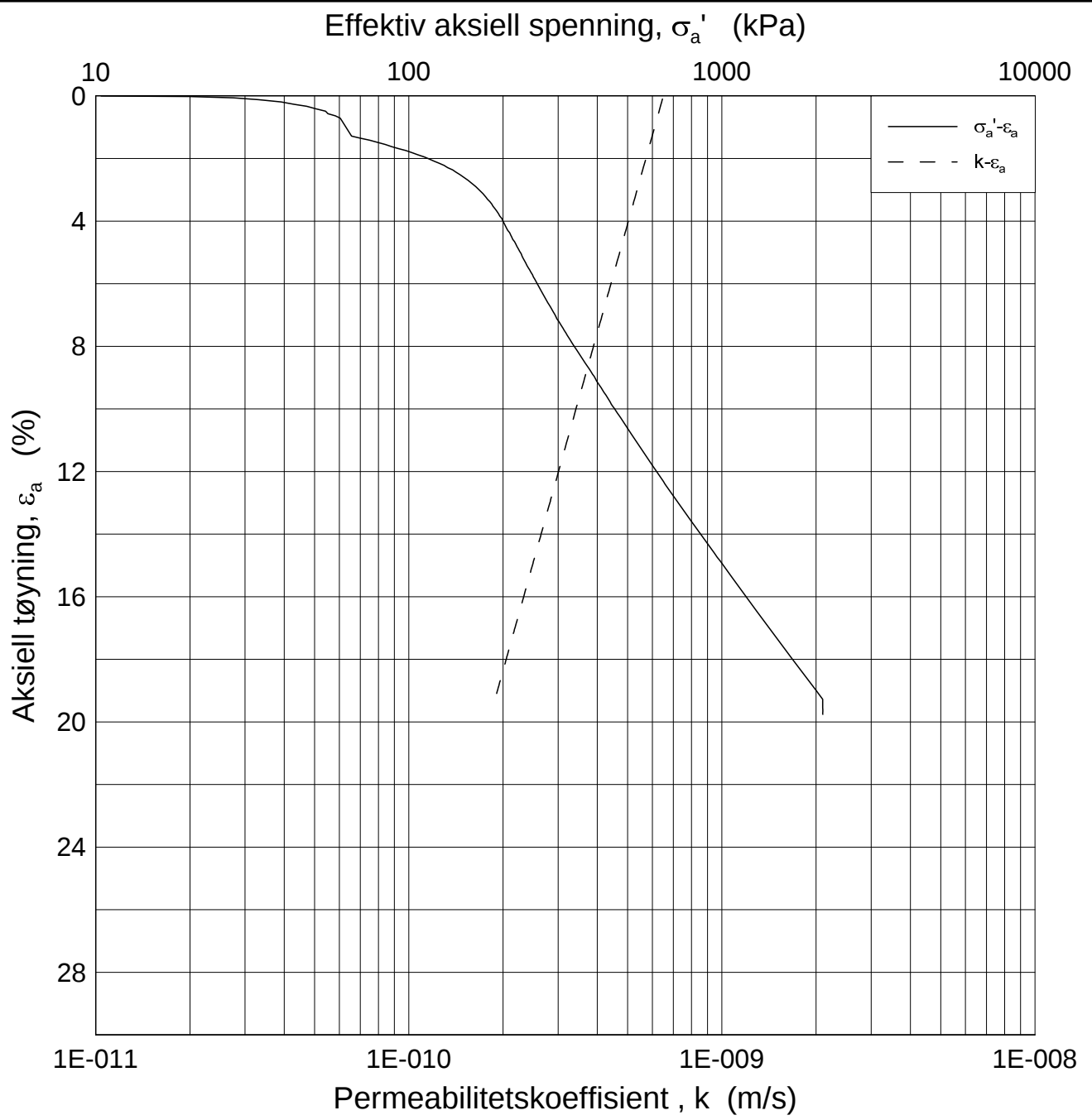
E16 Nybakk - Slomarka			Dokumentnr. 20120491-02-R
Ødometer test (CRSC)			Dato 2013-08-30
Borhull: 3059	Sylinder: 14	Dybde = 14.30 m	Figurnr. F154
Del: B	Test: 1	$p'_o = 149.6$ kPa	Tegner FP/
		$w_i = 42.86$ %	

H:\LABDATA\2012\20120491\Oedom\BH3059\3059-14-B-1.lin-2 (crs2309).grf



Dato/Rev: 2009-09-15/4

E16 Nybakk - Slomarka			Dokumentnr. 20120491-02-R
Ødometer test (CRSC)			Dato 2013-08-30
Borhull: 3059	Sylinder: 14	Dybde = 14.30 m	Figurnr. F155
Del: B	Test: 1	$p'_0 = 149.6$ kPa	Tegner FP/
		$w_i = 42.86$ %	



Dato/Rev.: 2009-09-15/3

E16 Nybakk - Slomarka

Dokumentnr.
20120491-02-R

Ødometer test (CRSC)

Dybde = 14.30 m

Dato
2013-08-30

Borhull: 3059

Sylinder: 14

p_o' = 149.6 kPa

Figurnr.
F156

Del: B

Test: 1

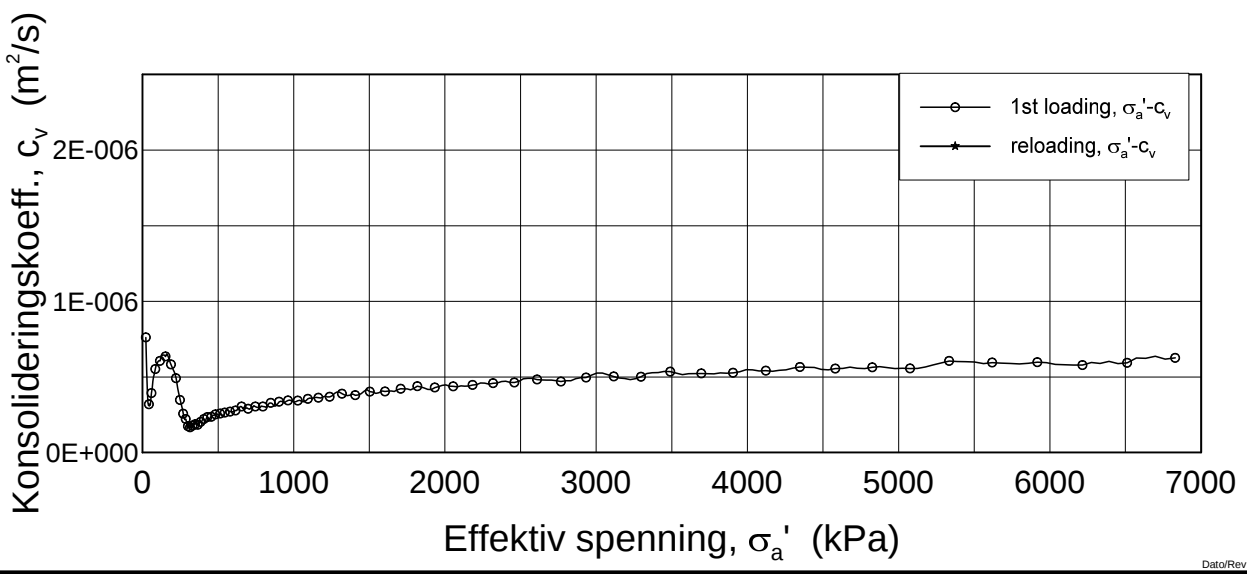
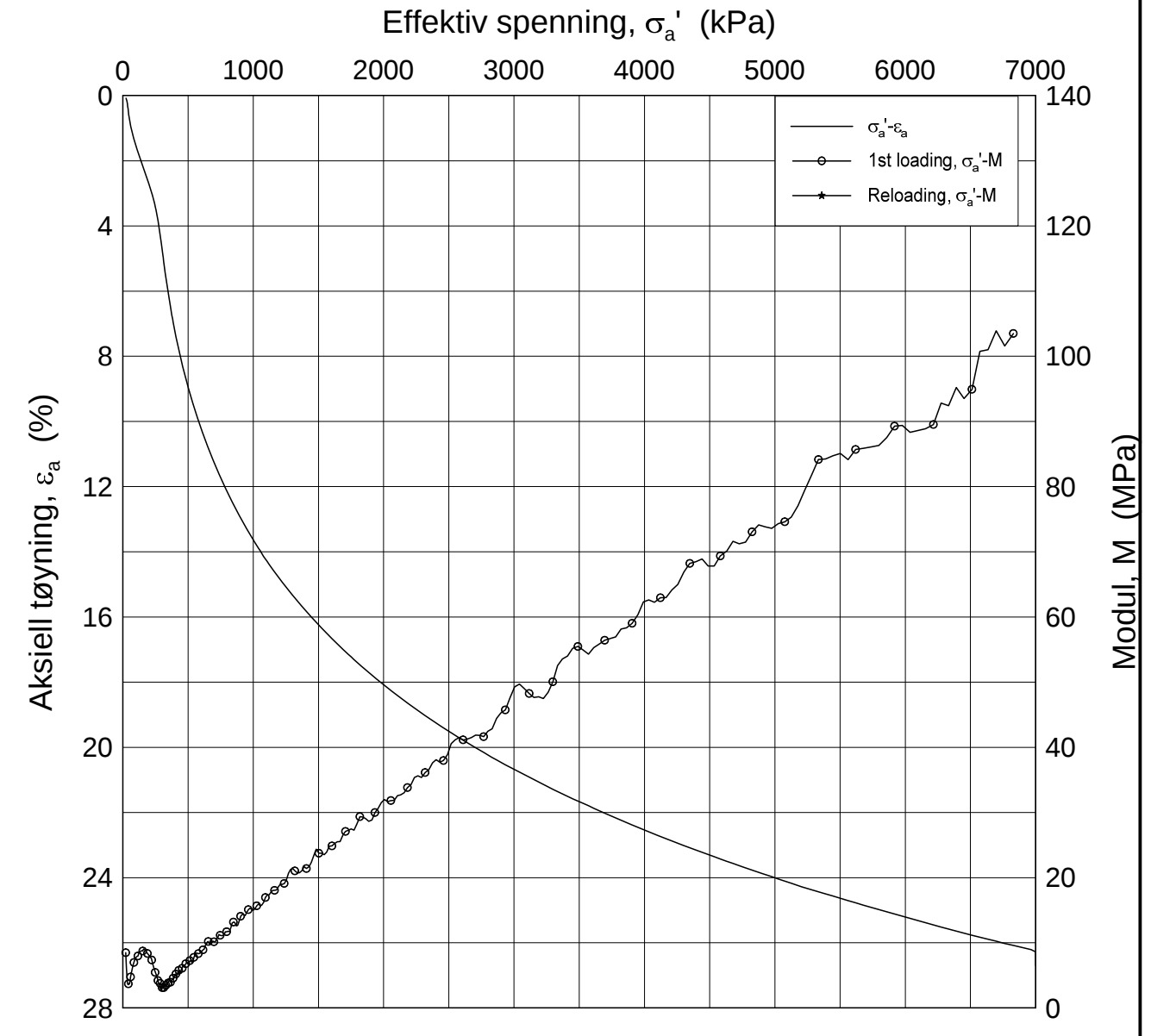
w_i = 42.86 %

Tegner
FP/




H:\LABDATA\2012\20120491\Cedom\BH3059\3059-14-B-1 log (crs2309).grf

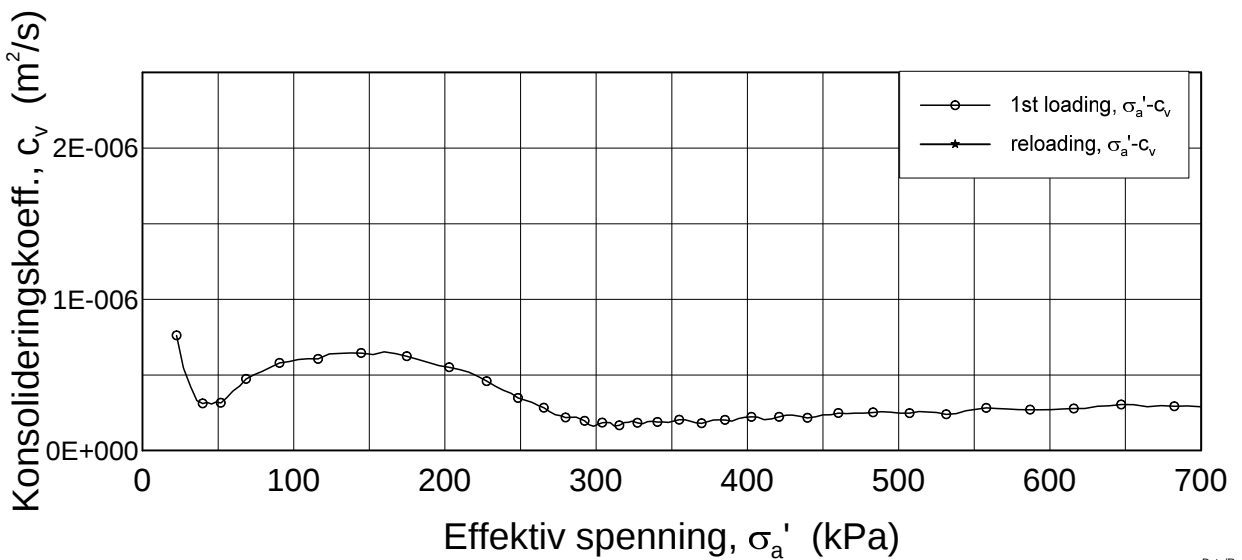
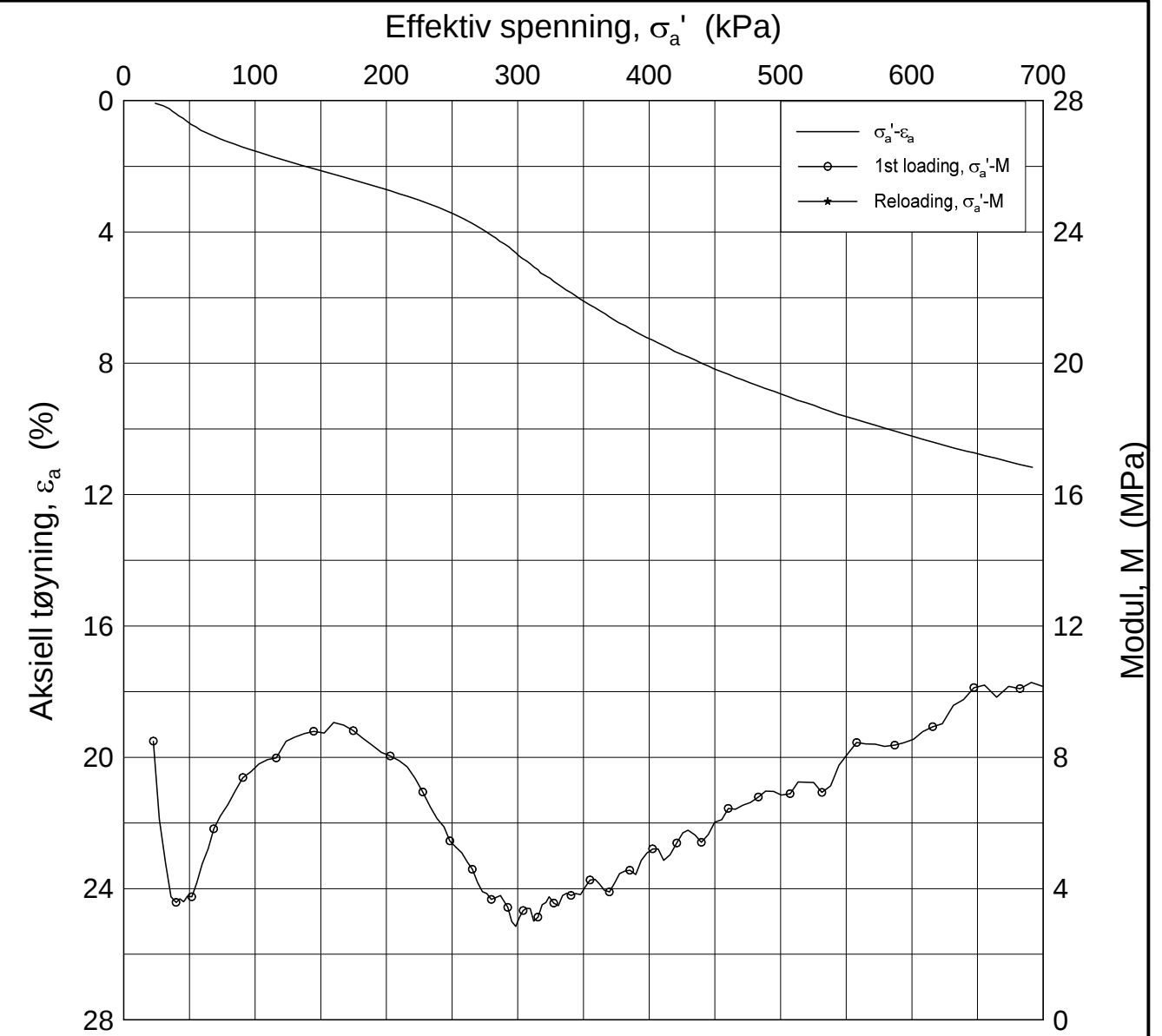
H:\LABDATA\2012\20120491\Oedom\BH3070\3070-6-D-1.lin (crs2343).grf




Dato/Rev.: 2009-09-15/4

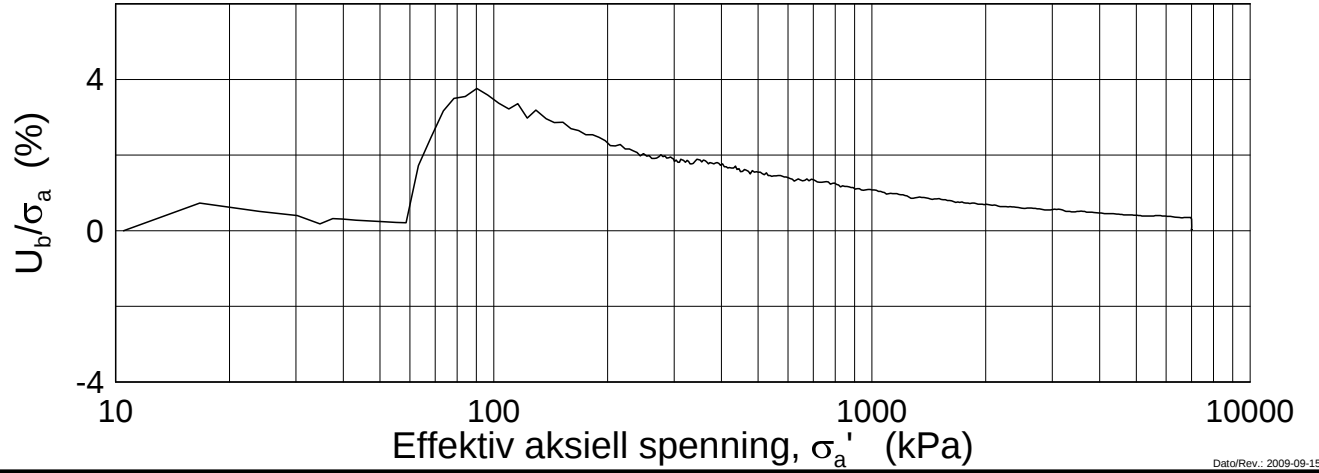
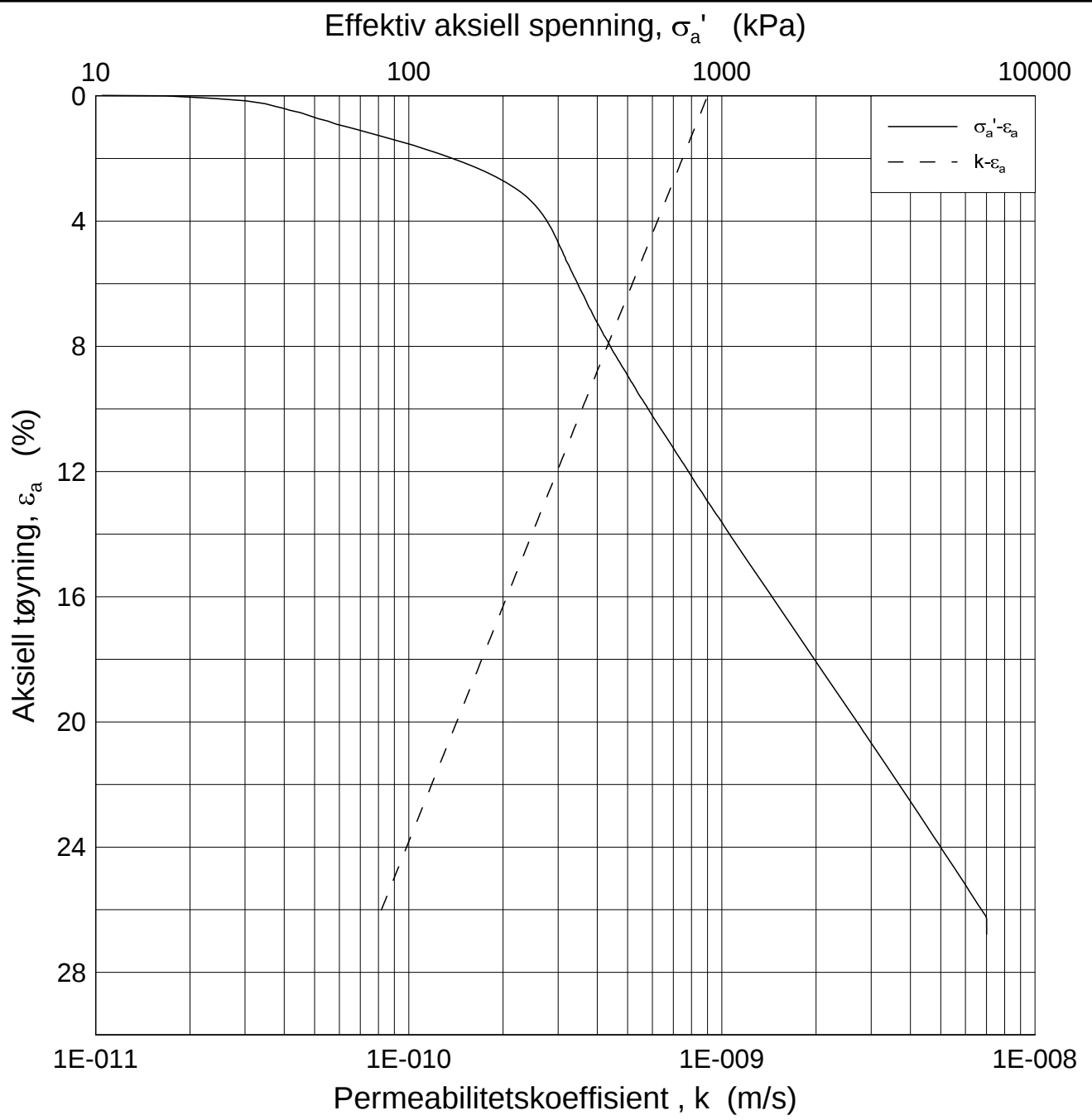
E16 Nybakk - Slomarka				Dokumentnr. 20120491-02-R
Ødometer test (CRSC)				Dato 2013-09-06
Borhull: 3070	Sylinder: 6	Dybde = 6.60	m	Figurnr. F157
Del: D	Test: 1	p _o ' = 97.6	kPa	Tegner FP/
		w _i = 38.33	%	

H:\LABDATA\2012\20120491\Cedom\BH3070\3070-6-D-1.lin-2 (cvs2343).grf



Dato/Rev.: 2009-09-15/4

E16 Nybakk - Slomarka			Dokumentnr. 20120491-02-R
Ødometer test (CRSC)			Dato 2013-09-06
Borhull: 3070	Sylinder: 6	Dybde = 6.60 m	Figurnr. F158
Del: D	Test: 1	$p'_0 = 97.6$ kPa	Tegner FP/
		$w_i = 38.33$ %	



Dato/Rev.: 2009-09-15/3

E16 Nybakk - Slomarka

Dokumentnr.
20120491-02-R

Ødometer test (CRSC)

Dybde = 6.60 m

Dato
2013-09-06

Borhull: 3070

Sylinder: 6

p_o' = 97.6 kPa

Figurnr.
F159

Del: D

Test: 1

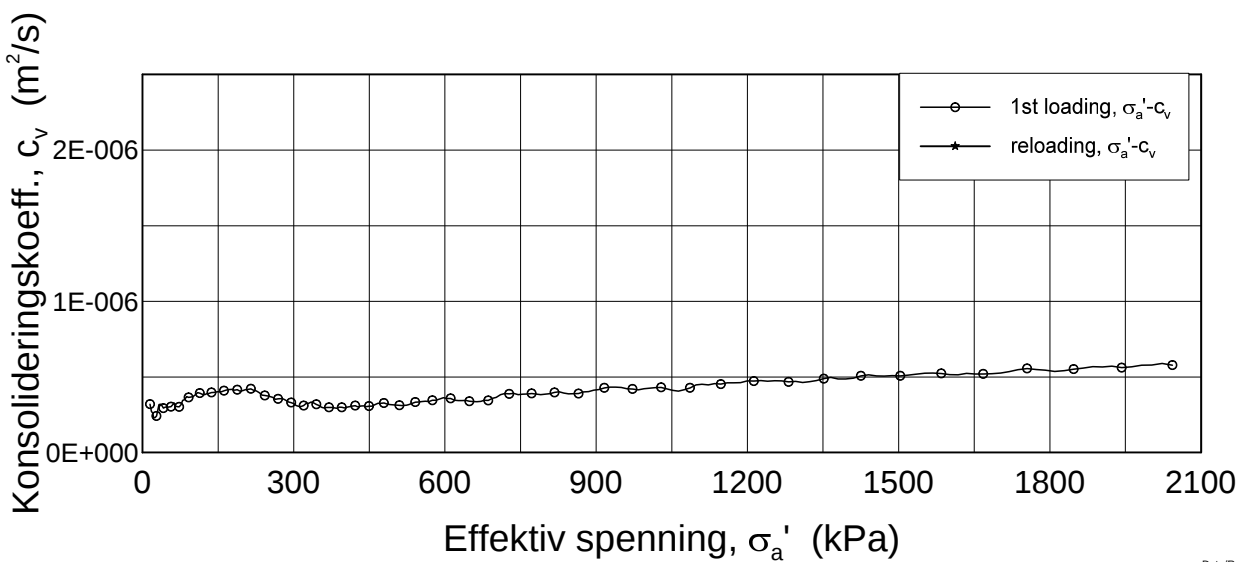
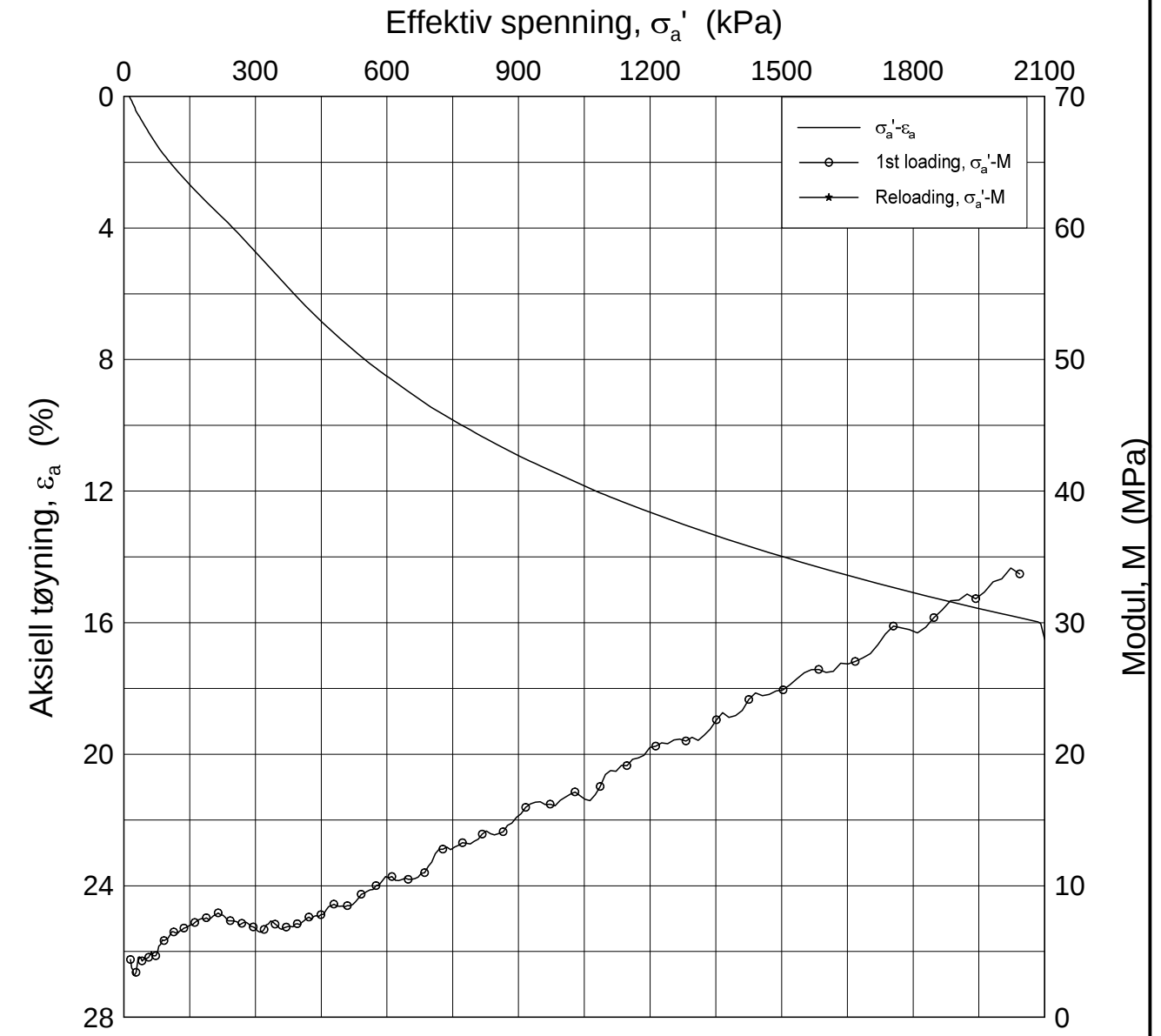
w_i = 38.33 %

Tegner
FP/



H:\LABDATA\2012\20120491\Cedom\BH3070\3070-6-D-1.log (crs2343).grf

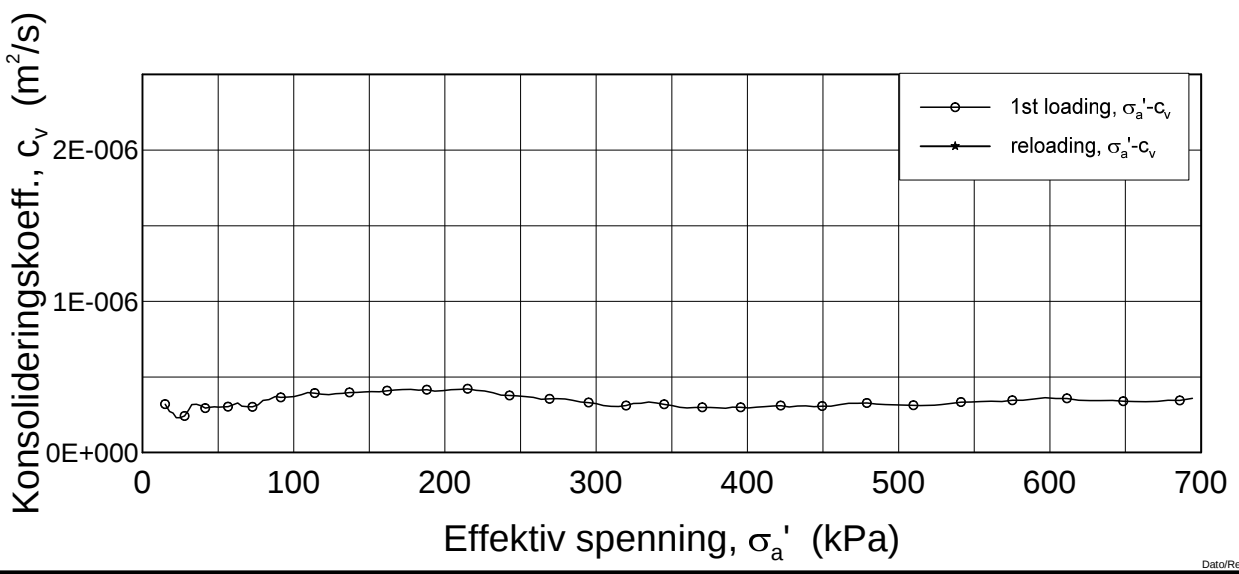
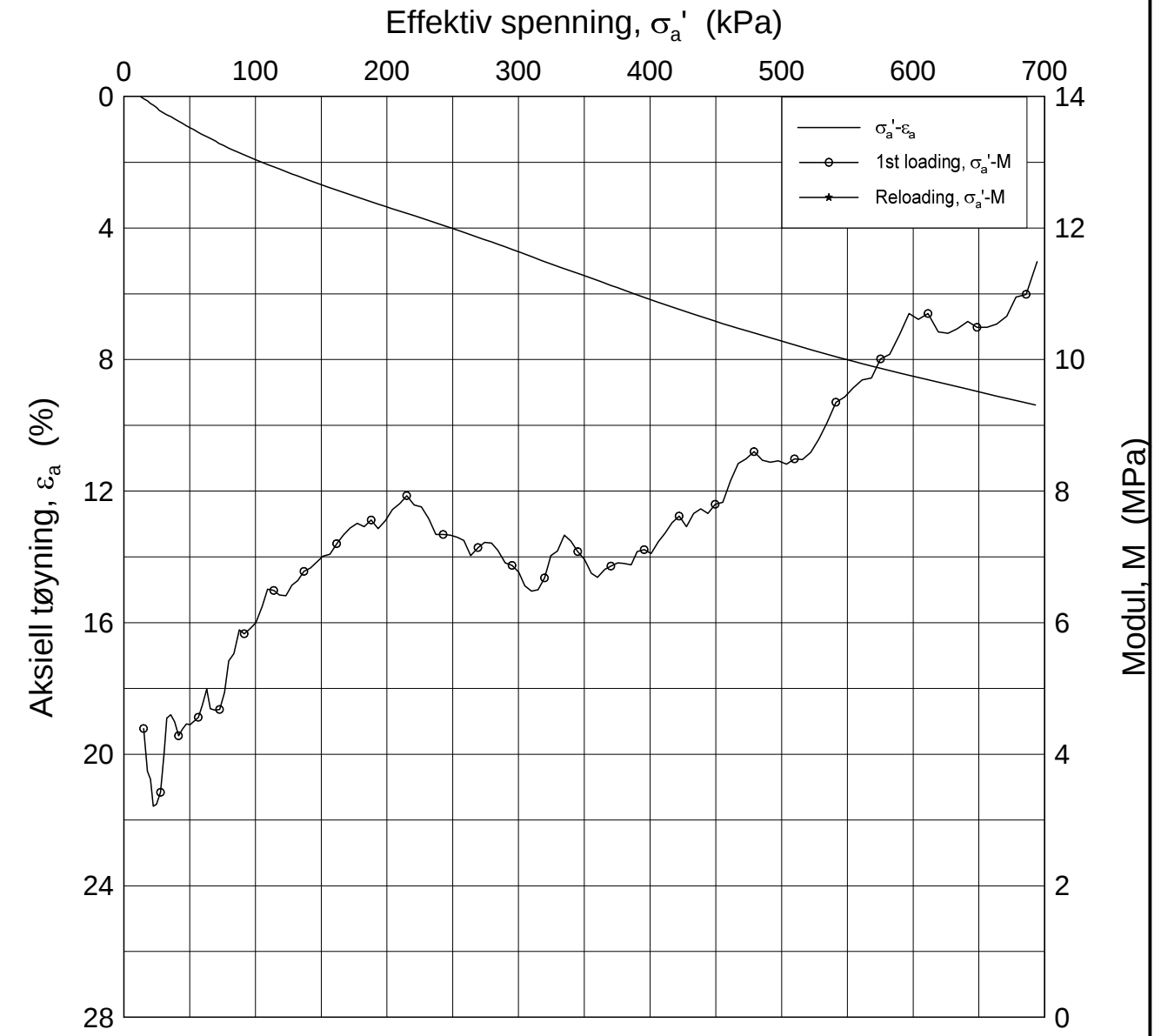
H:\LABDATA\2012\20120491\Cedom\BH3070\3070-12-B-1.lin (crs2342).gif



Dato/Rev.: 2009-09-15/4

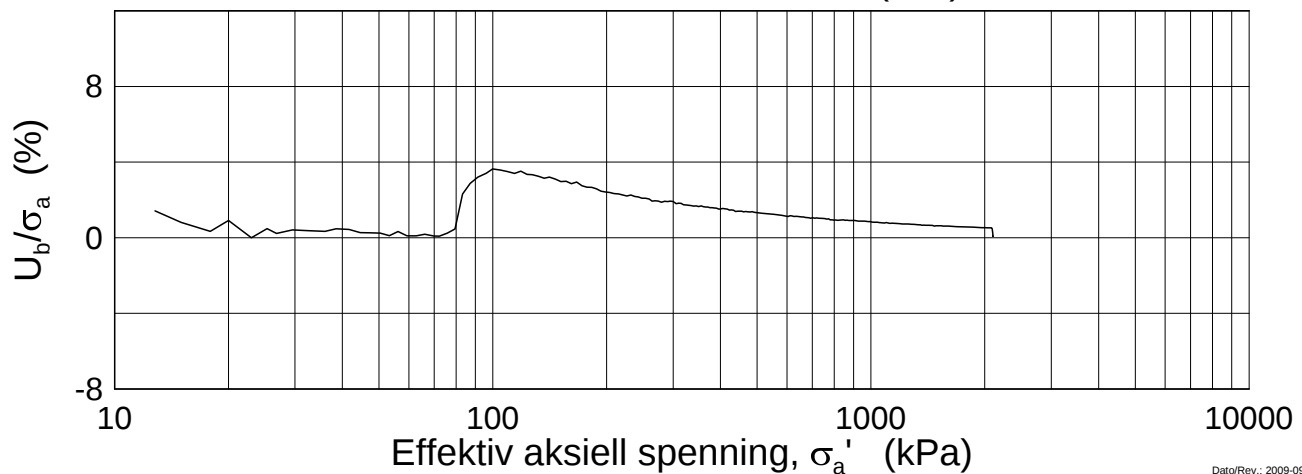
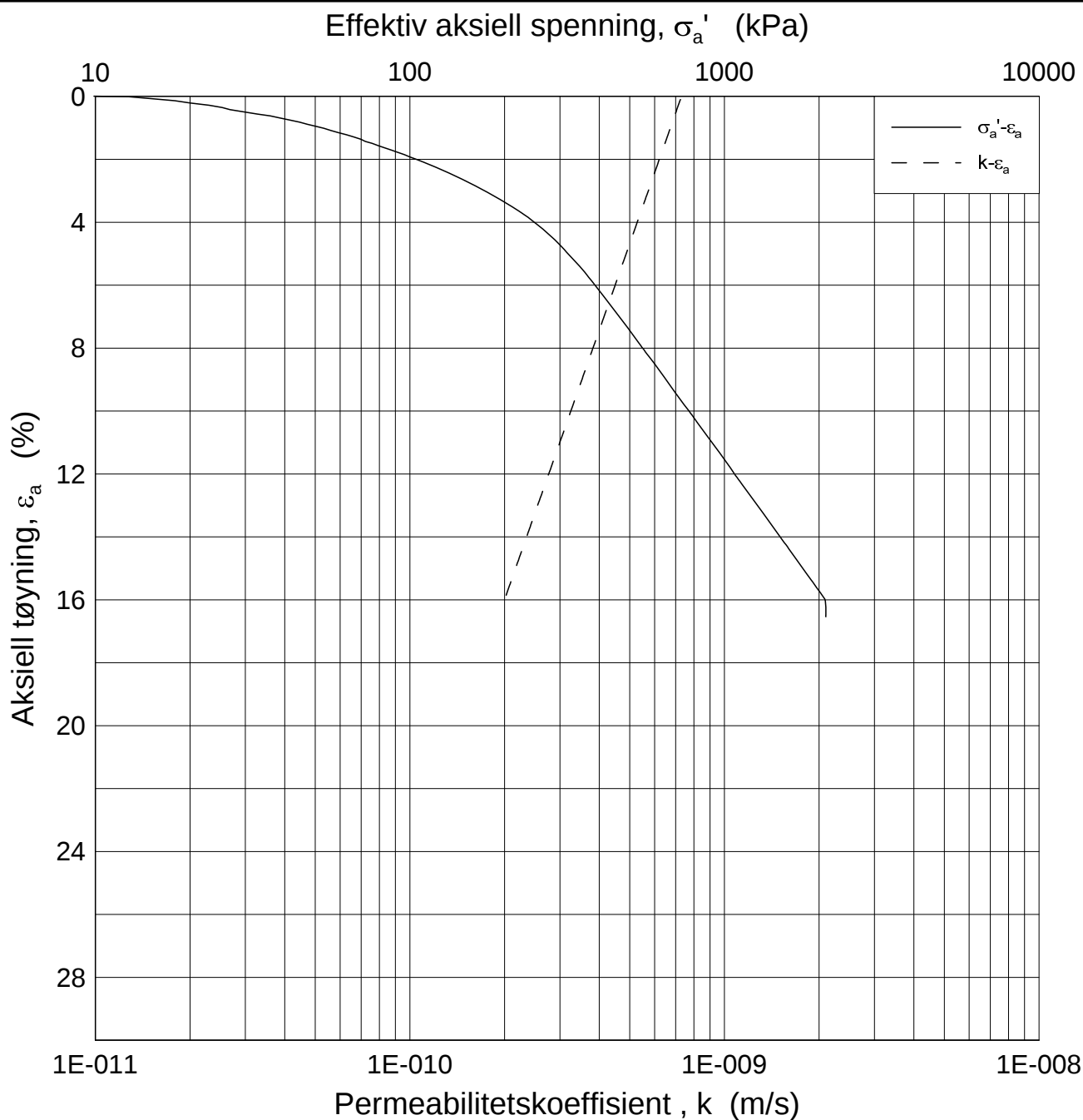
E16 Nybakk - Slomarka		Dokumentnr. 20120491-02-R	
Ødometer test (CRSC)		Dato 2013-09-06	
Borhull: 3070	Sylinder: 12	Dybde = 12.31 m	Figurnr. F160
Del: B	Test: 1	$p'_0 = 151.6$ kPa	
		$w_i = 38.64$ %	Tegner FP/

H:\LABDATA\2012\20120491\Cedom\BH3070\3070-12-B-1.lin-2 (crs2342).grf



Dato/Rev.: 2009-09-15/4

E16 Nybakk - Slomarka				Dokumentnr. 20120491-02-R
Ødometer test (CRSC)				Dato 2013-09-06
Borhull: 3070	Sylinder: 12	Dybde = 12.31 m	$p'_0 = 151.6$ kPa	Figurnr. F161
Del: B	Test: 1	$w_i = 38.64$ %		Tegner FP/



Dato/Rev.: 2009-09-15/3

E16 Nybakk - Slomarka

Dokumentnr.
20120491-02-R

Ødometer test (CRSC)

Dybde = 12.31 m

Dato
2013-09-06

Borhull: 3070

Sylinder: 12

p_o' = 151.6 kPa

Figurnr.
F162

Del: B

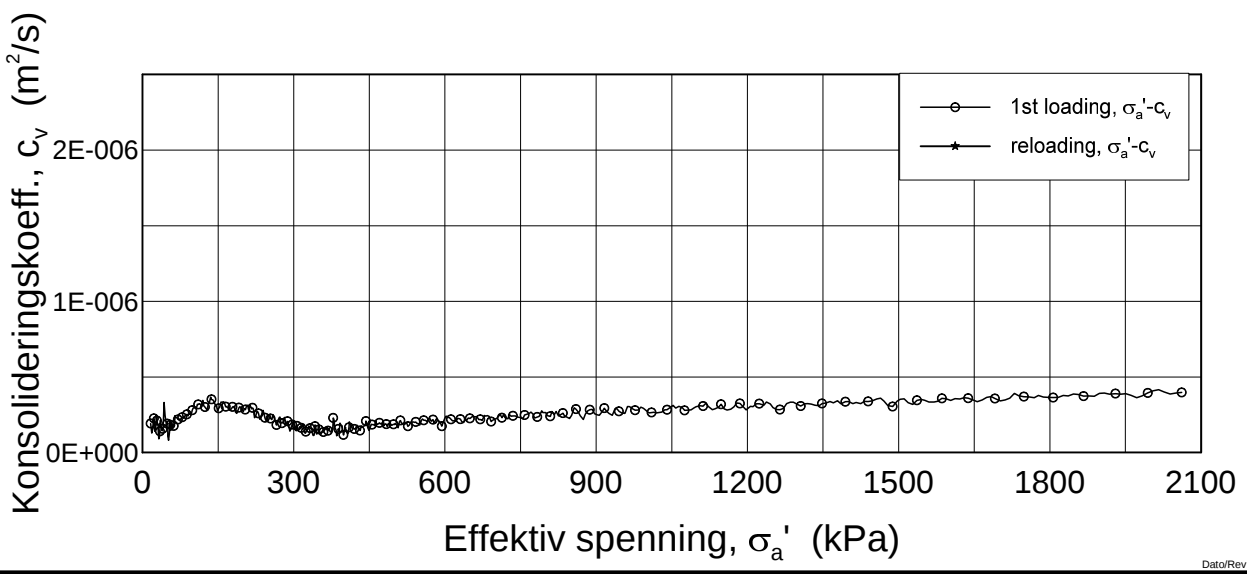
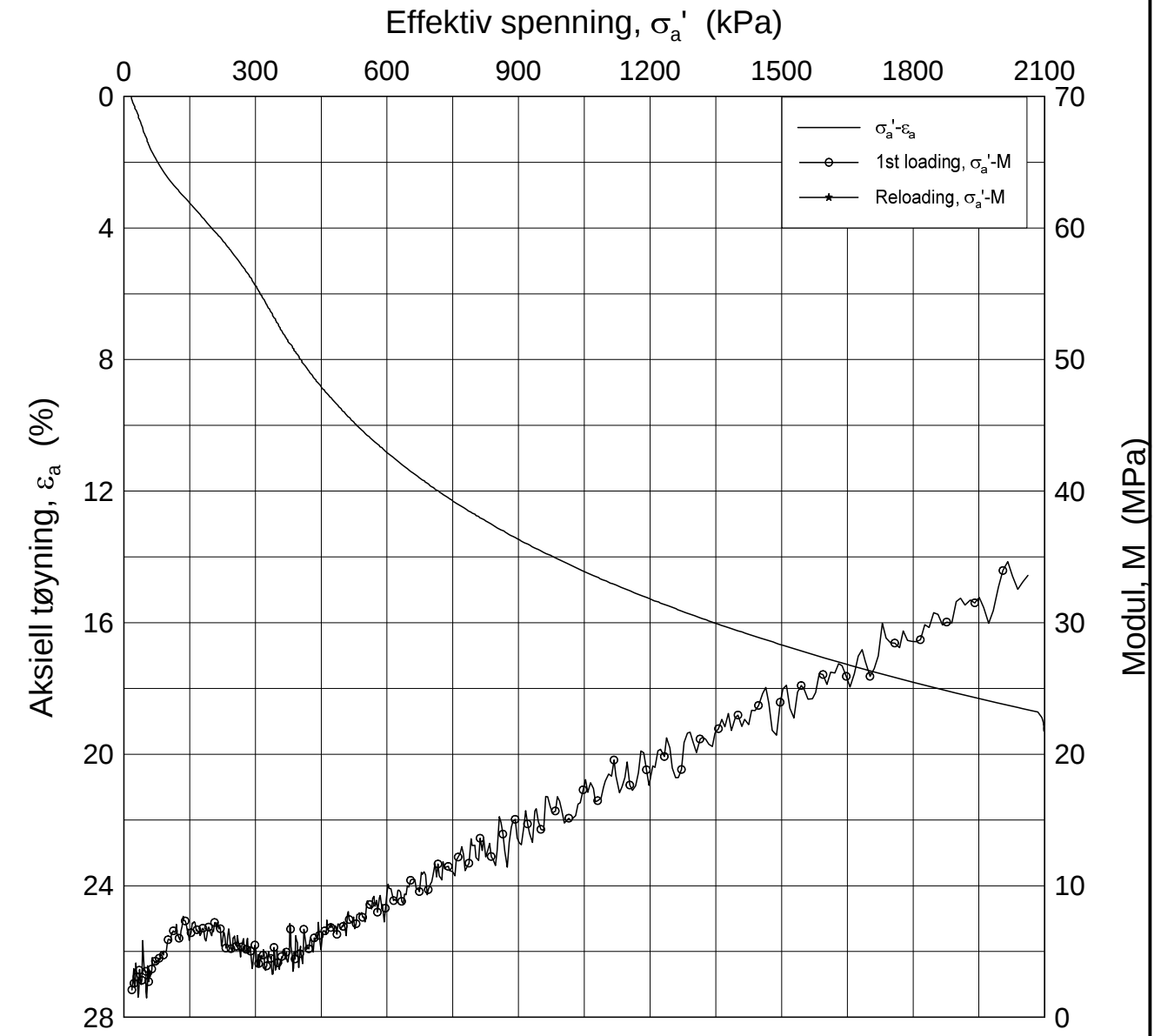
Test: 1

w_i = 38.64 %


Tegner
FP/



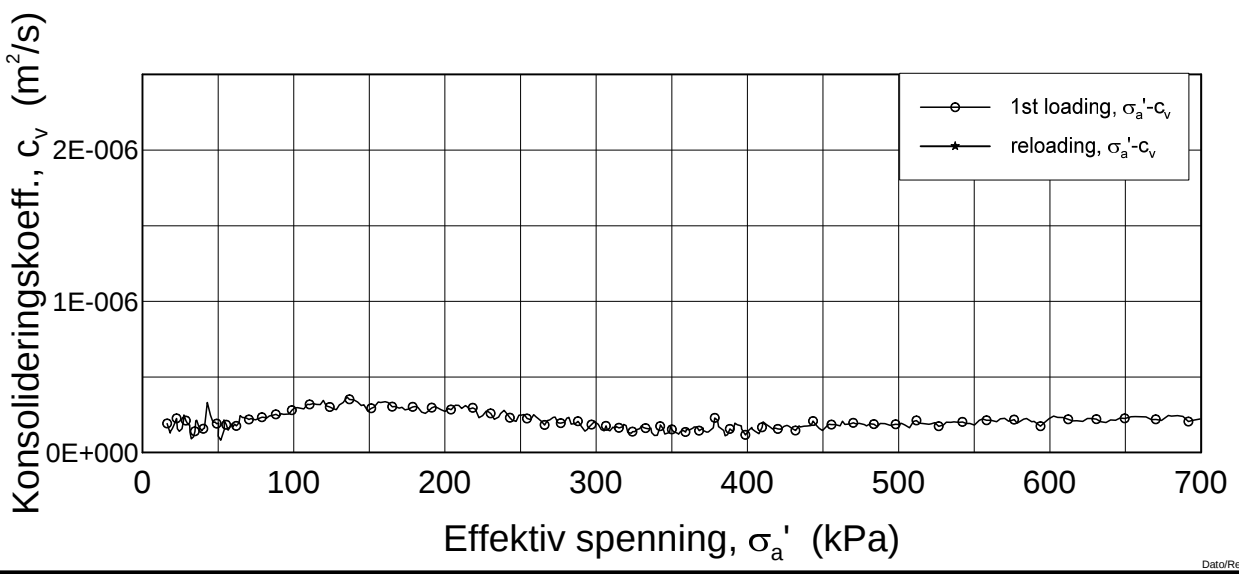
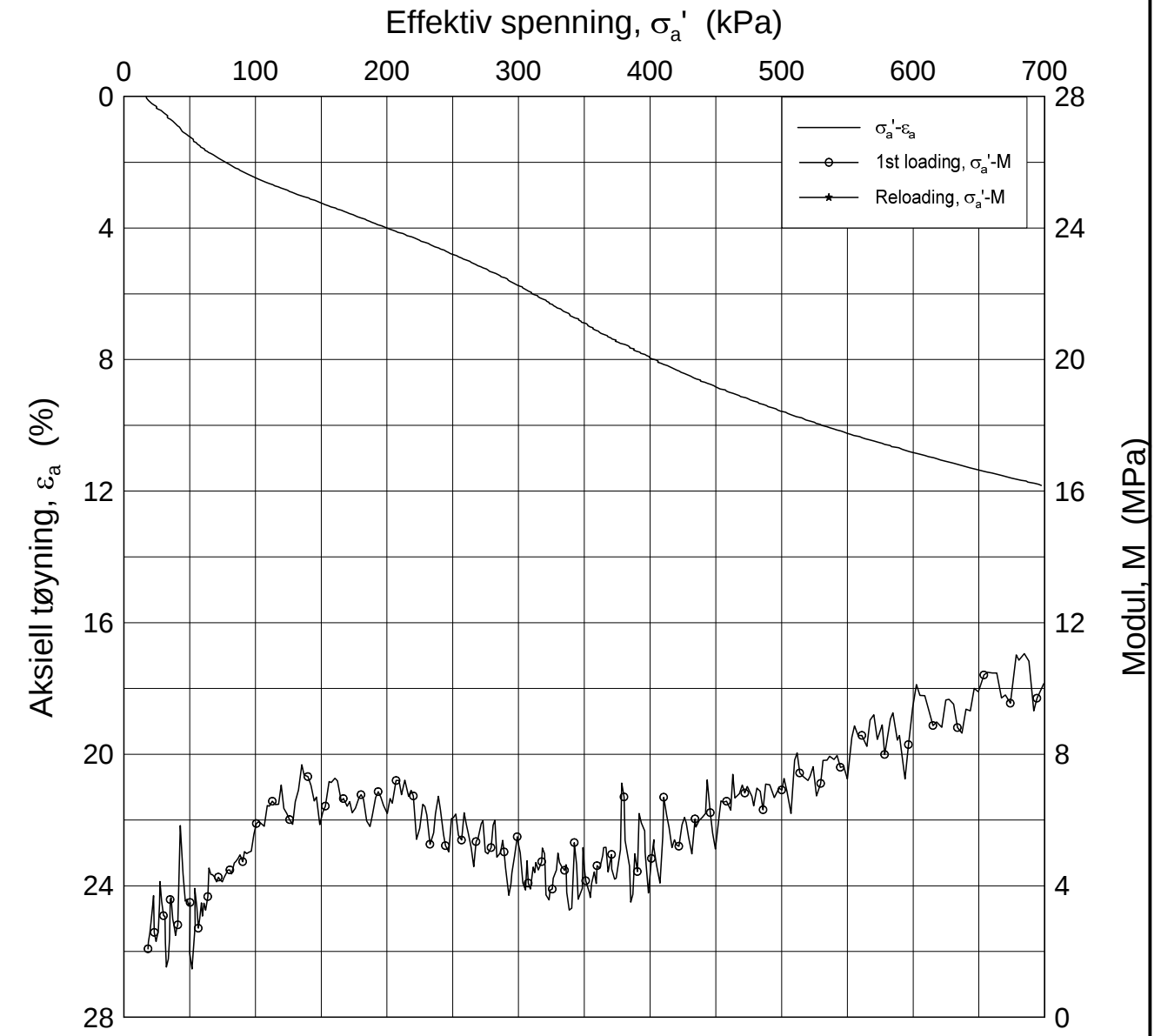
H:\LABDATA\2012\20120491\Oedom\BH3070\3070-15-B-1.lin (crs2344).gif




Dato/Rev.: 2009-09-15/4

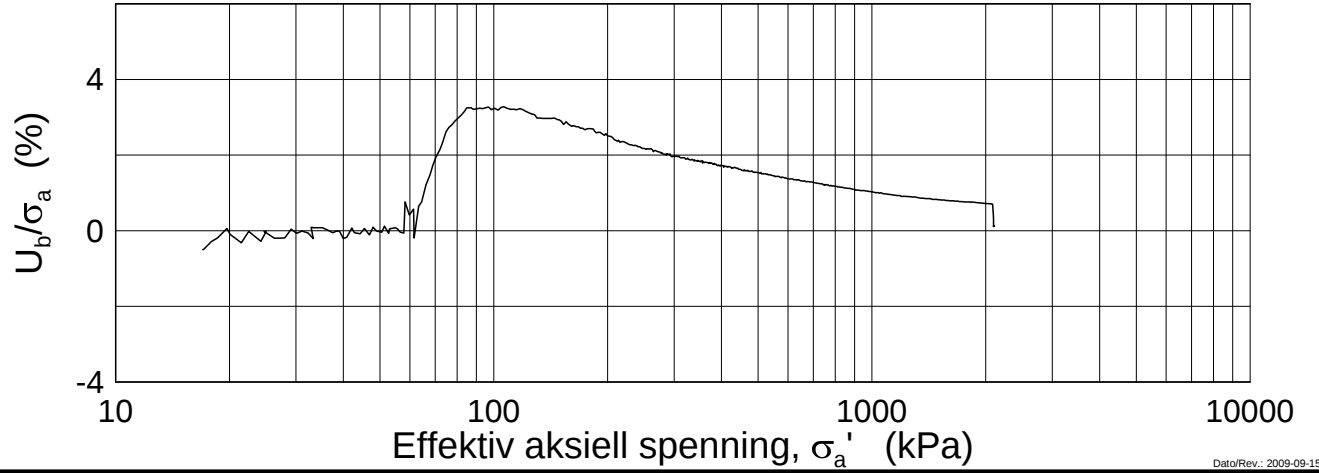
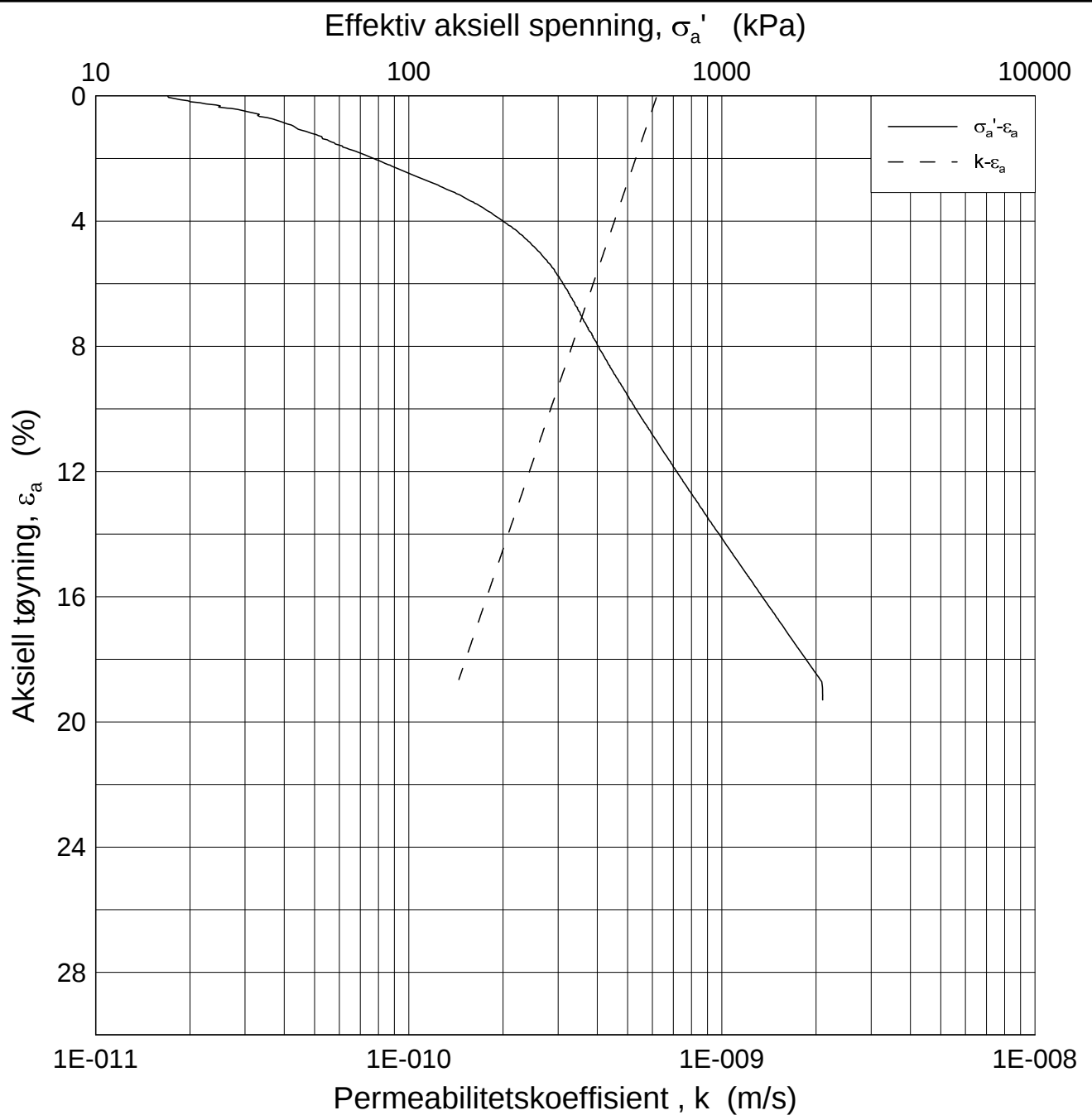
E16 Nybakk - Slomarka			Dokumentnr. 20120491-02-R
Ødometer test (CRSC)			Dato 2013-09-09
Borhull: 3070	Sylinder: 15	Dybde = 16.30 m	Figurnr. F163
Del: B	Test: 1	$p'_0 = 187.6$ kPa	Tegner FP/
		$w_i = 40.88$ %	

H:\LABDATA\2012\20120491\Oedom\BH3070\3070-15-B-1.lin-2 (crs2344).grf



Dato/Rev.: 2009-09-15/4

E16 Nybakk - Slomarka		Dokumentnr. 20120491-02-R
Ødometer test (CRSC)		Dato 2013-09-09
Borhull: 3070	Sylinder: 15	Figurnr. F164
Del: B	Test: 1	Tegner FP/
	Dybde = 16.30 m	
	$p'_0 = 187.6$ kPa	
	$w_i = 40.88$ %	



Dato/Rev.: 2009-09-15/3

E16 Nybakk - Slomarka

Dokumentnr.
20120491-02-R

Ødometer test (CRSC)

Dybde = 16.30 m

Dato
2013-09-09

Borhull: 3070

Sylinder: 15

p_o' = 187.6 kPa

Figurnr.
F165

Del: B

Test: 1

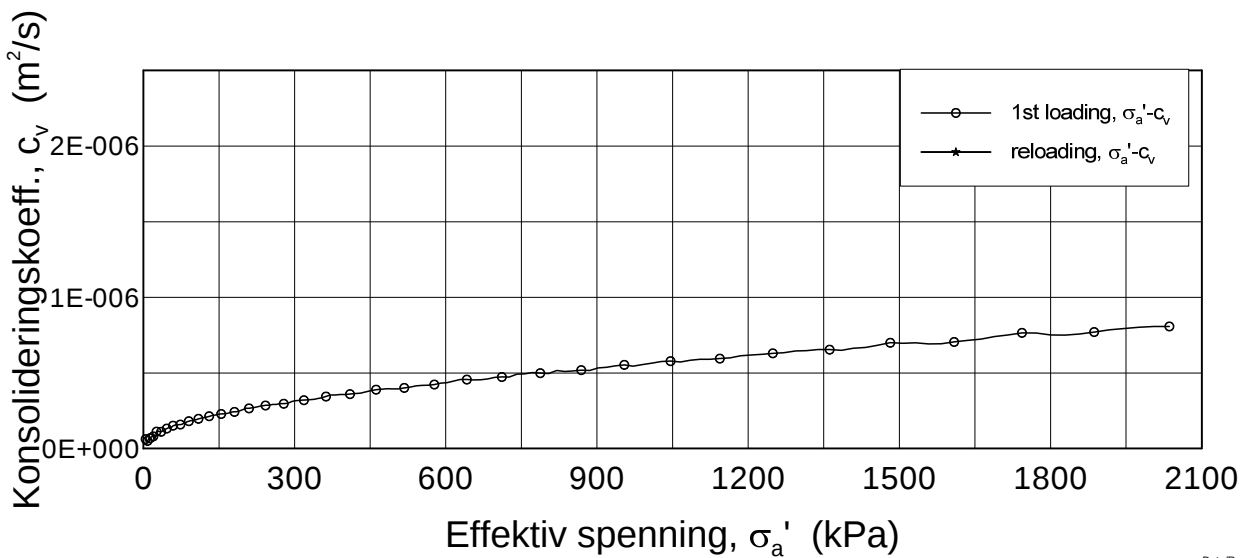
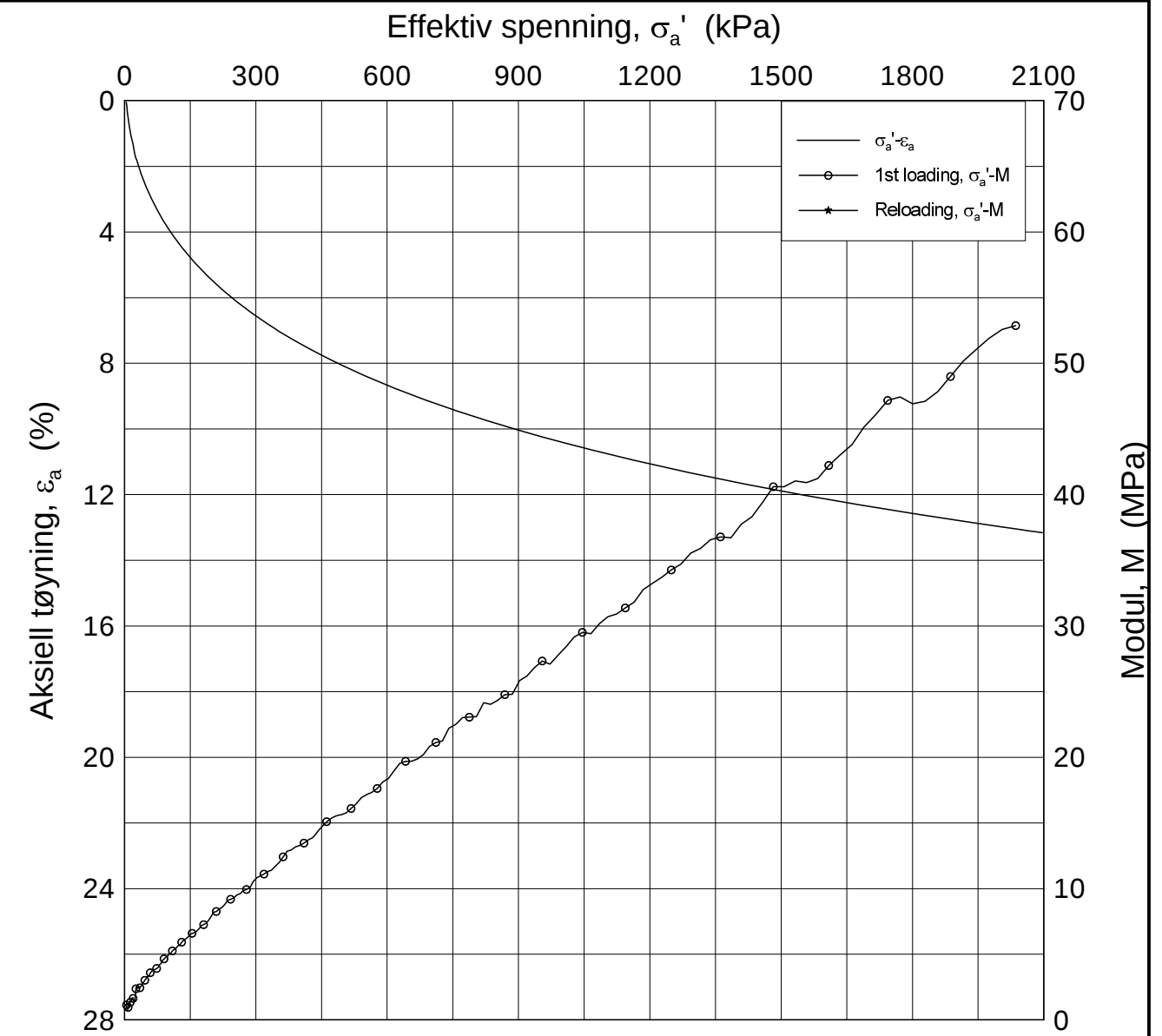
w_i = 40.88 %

Tegner
FP/




H:\LABDATA\2012\20120491\Cedom\BH3070\3070-15-B-1 log (cfs2344).grf

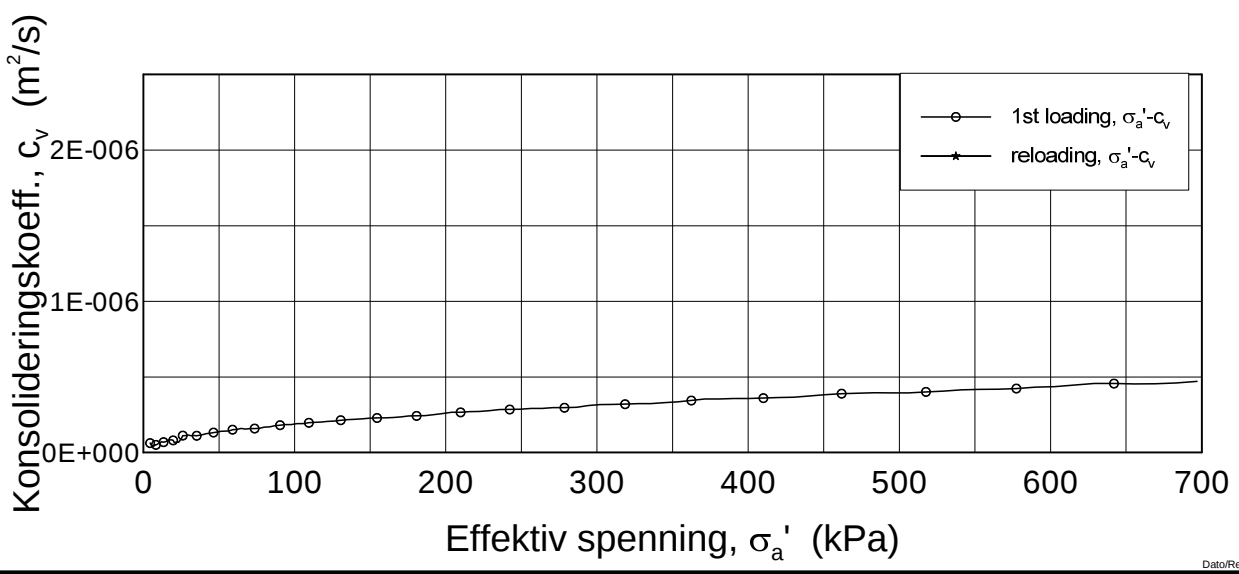
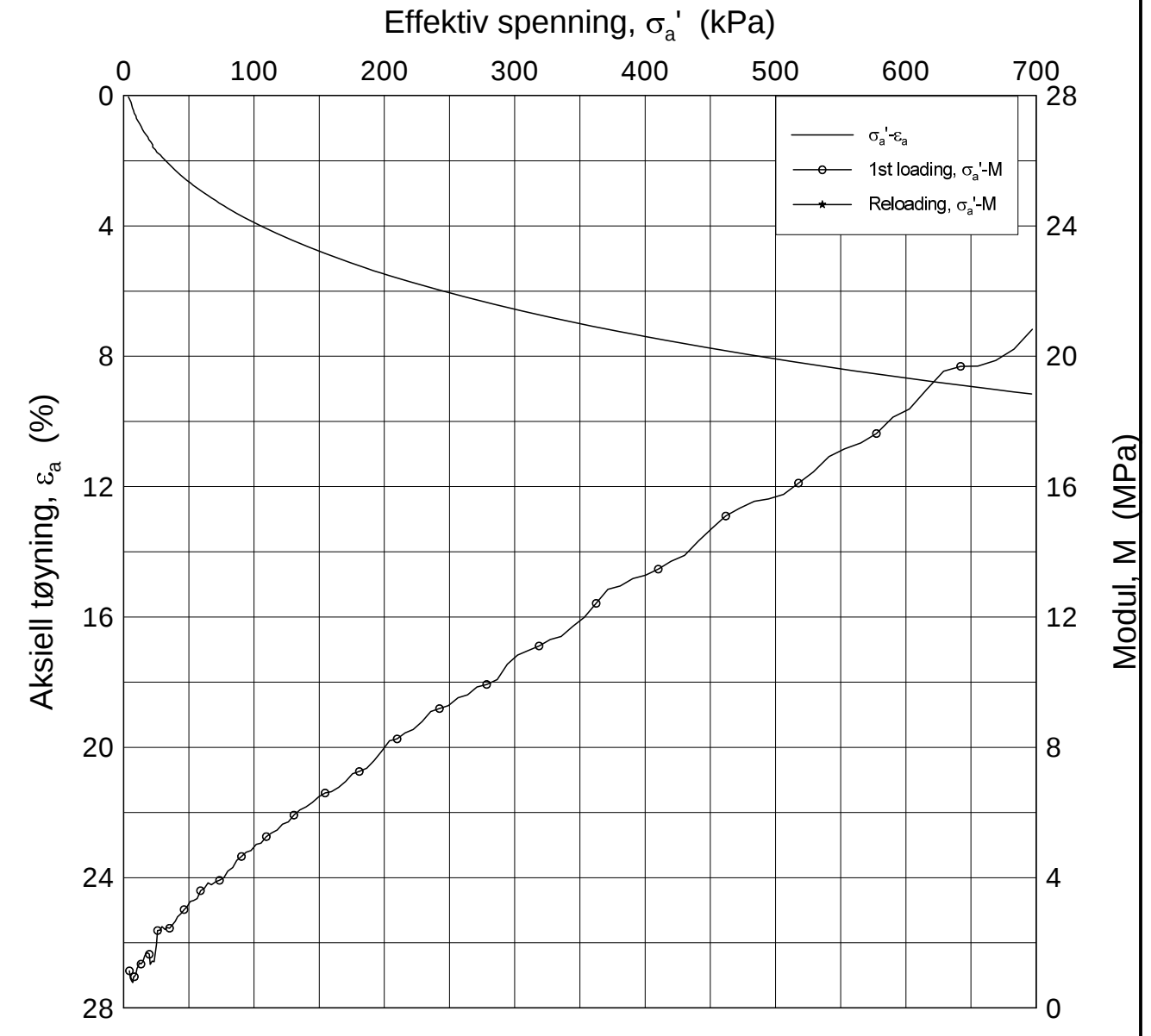
H:\LABDATA\2012\20120491\Oedom\3091-3-D-1.lin (crs2170).grf




Dato/Rev.: 2009-09-15/4

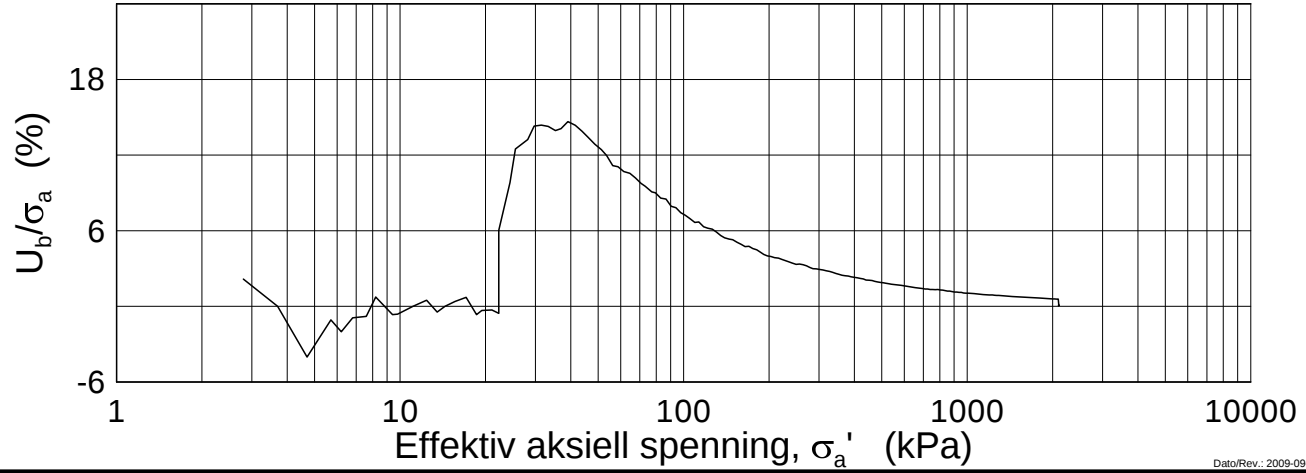
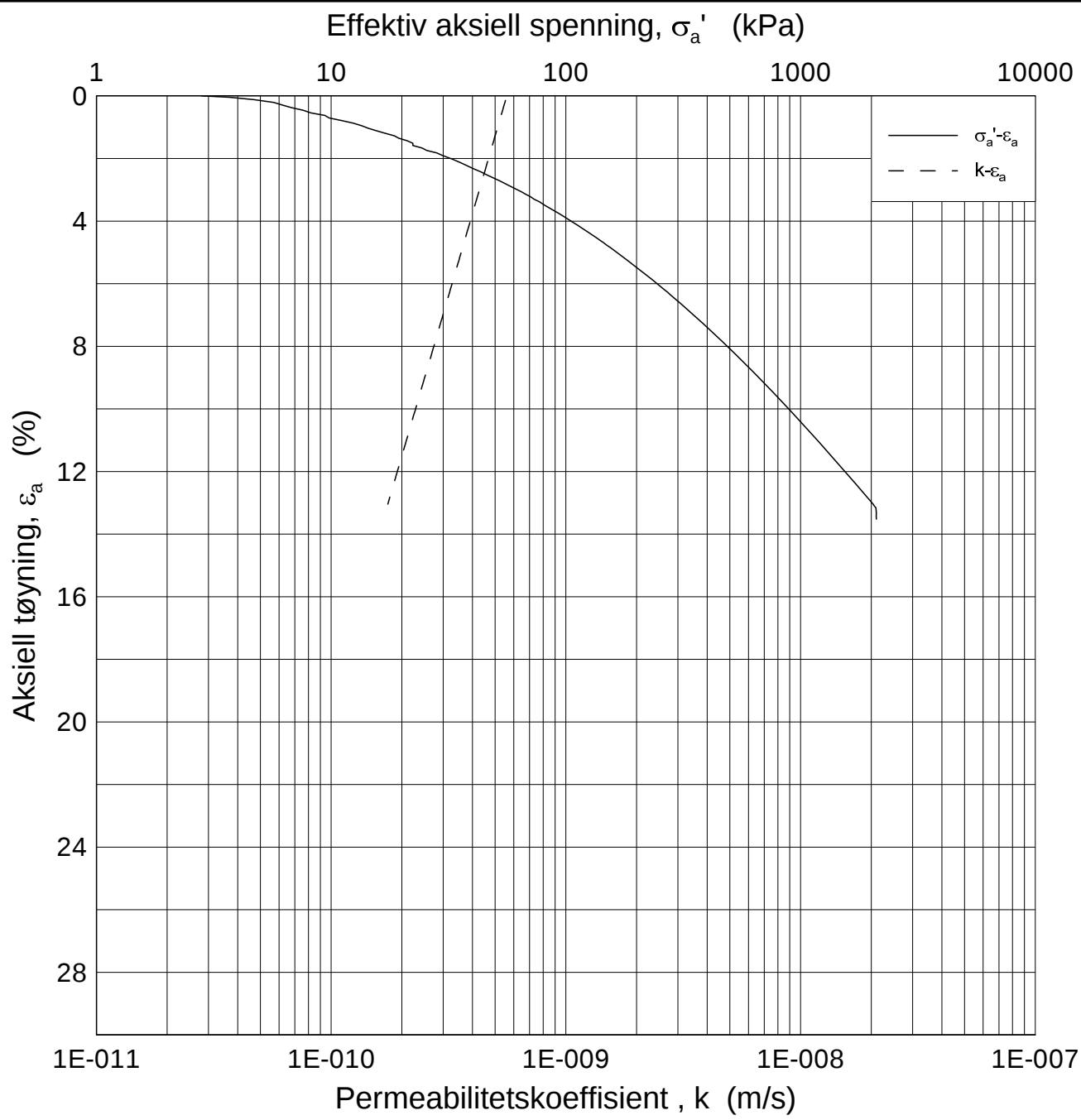
E16 Nybakk -Slomarka			Dokumentnr. 20120491-02-R
Ødometer test (CRSC)			Dato 2013-01-10
Borhull: 3091	Sylinder: 3	Dybde = 8.48 m	Figurnr. F166
Del: D	Test: 1	$p'_0 = 87.9$ kPa	Tegner FP/
		$w_i = 29.87$ %	

H:\LABDATA\2012\20120491\Oedom\3091-3-D-1.lin-2 (crs2170).grf



Dato/Rev.: 2009-09-15/4

E16 Nybakk -Slomarka				Dokumentnr. 20120491-02-R
Ødometer test (CRSC)				Dato 2013-01-10
Borhull: 3091	Sylinder: 3	Dybde = 8.48	m	Figurnr. F167
Del: D	Test: 1	$p'_0 = 87.9$	kPa	Tegner FP/
		$w_i = 29.87$	%	



Dato/Rev.: 2009-09-15/3

E16 Nybakk - Slomarka

Dokumentnr.
20120491-02-R

Ødometer test (CRSC)

Dybde = 8.48 m

Dato
2013-01-10

Borhull: 3091

Sylinder: 3

p_o' = 87.9 kPa

Figurnr.
F168

Del: D

Test: 1

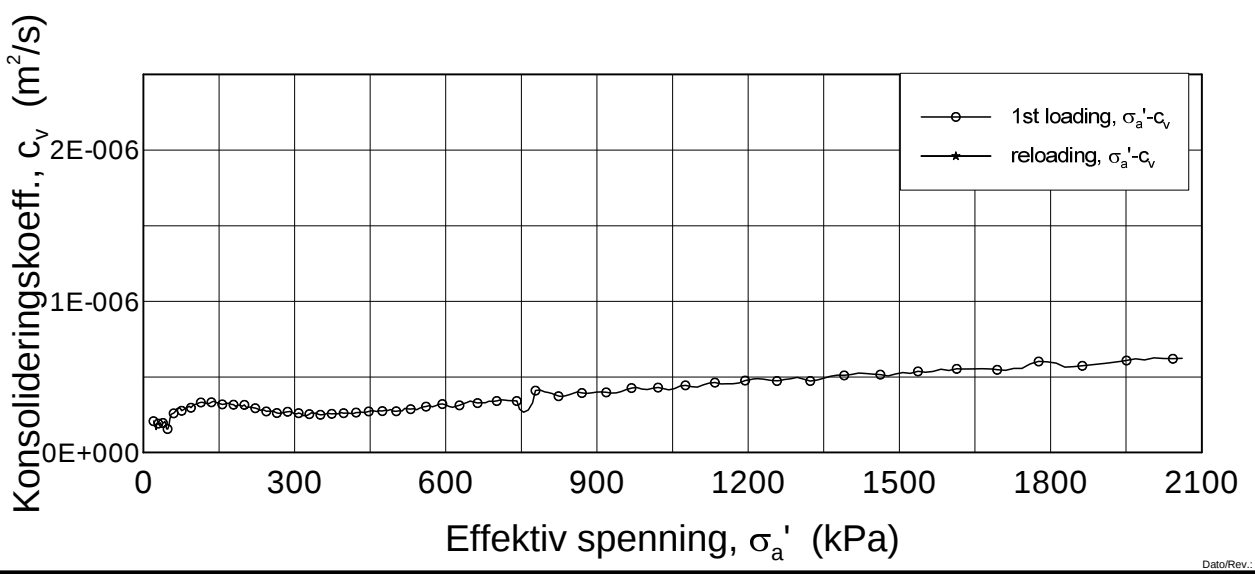
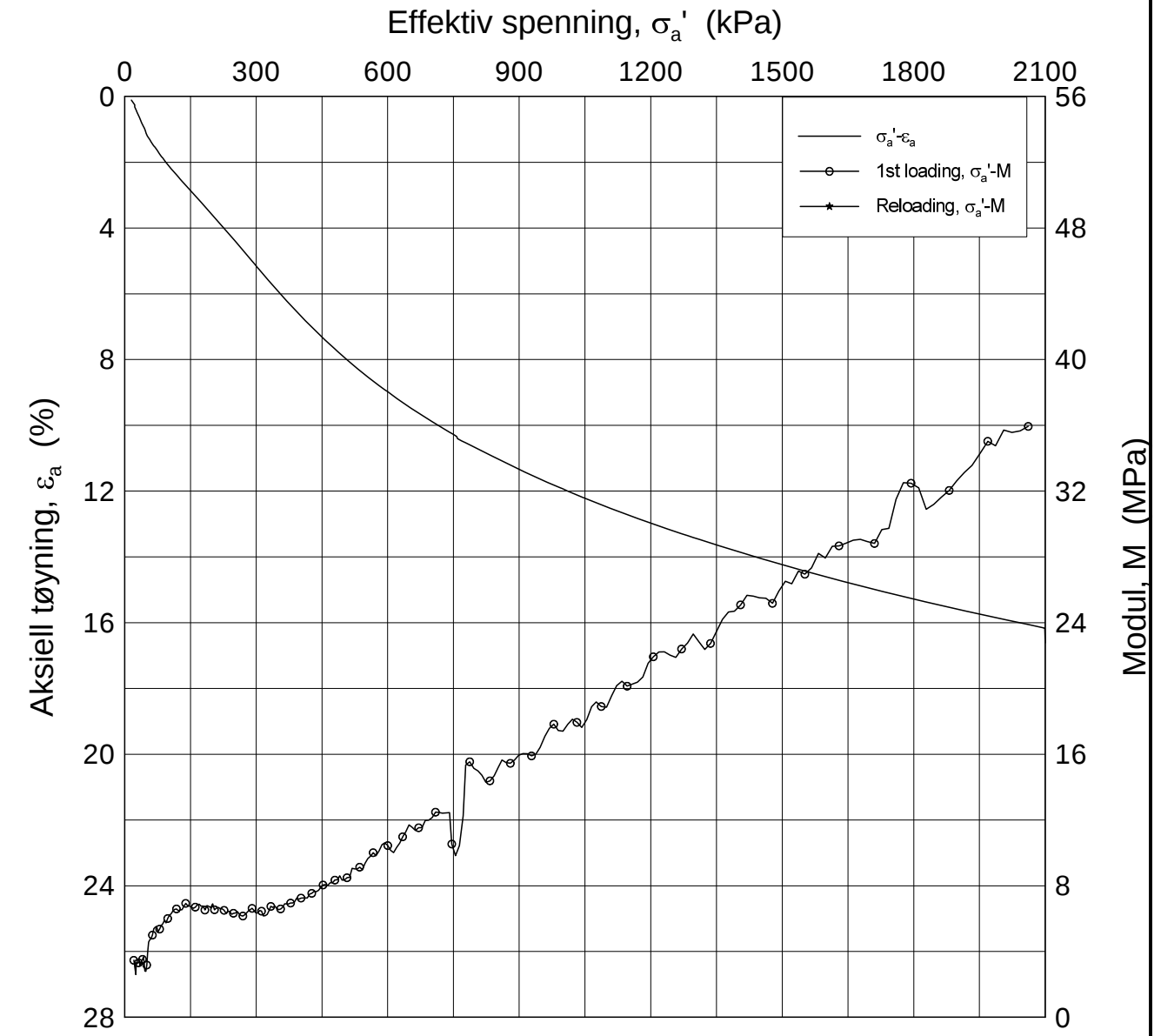
w_i = 29.87 %

Tegner
FP/




H:\LABDATA\2012\20120491\Oedom\3091-3-D-1 log (crs2170).grf

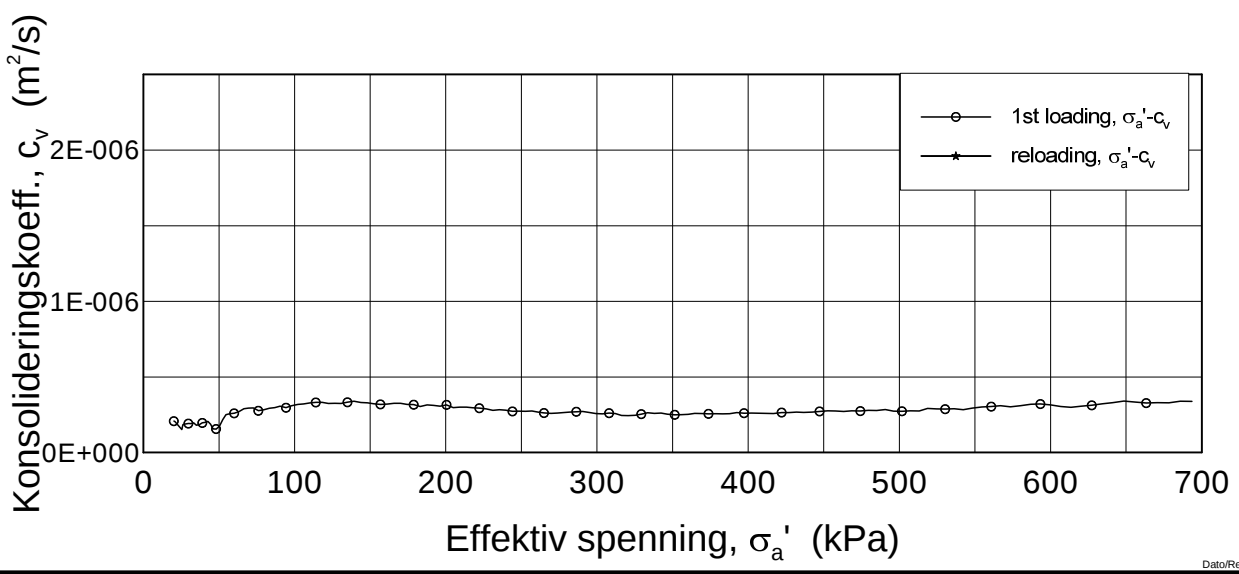
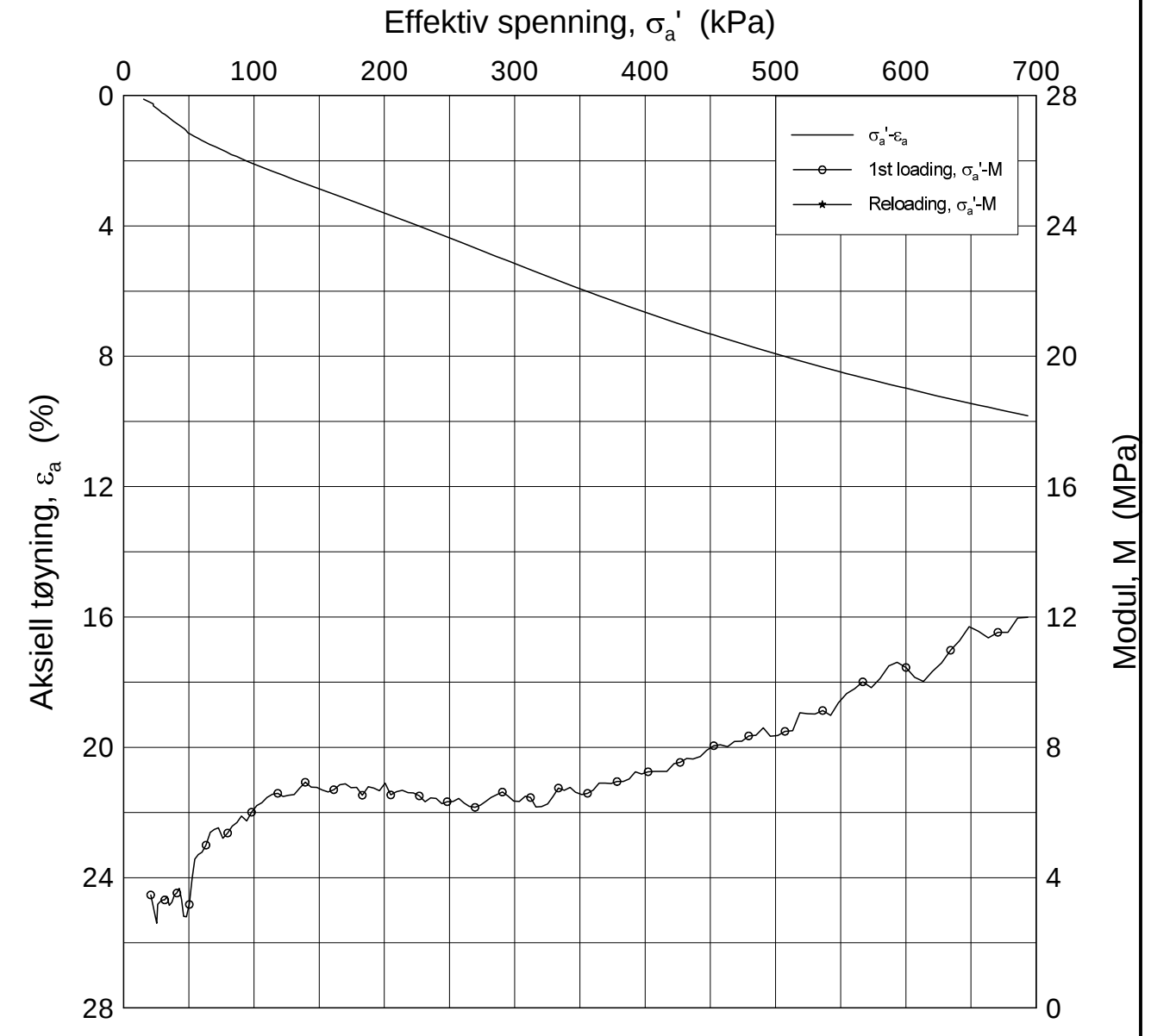
H:\LABDATA\2012\20120491\Oedom\3091-5-C-1.lin (crs2169).grf




Dato/Rev.: 2009-09-15/4

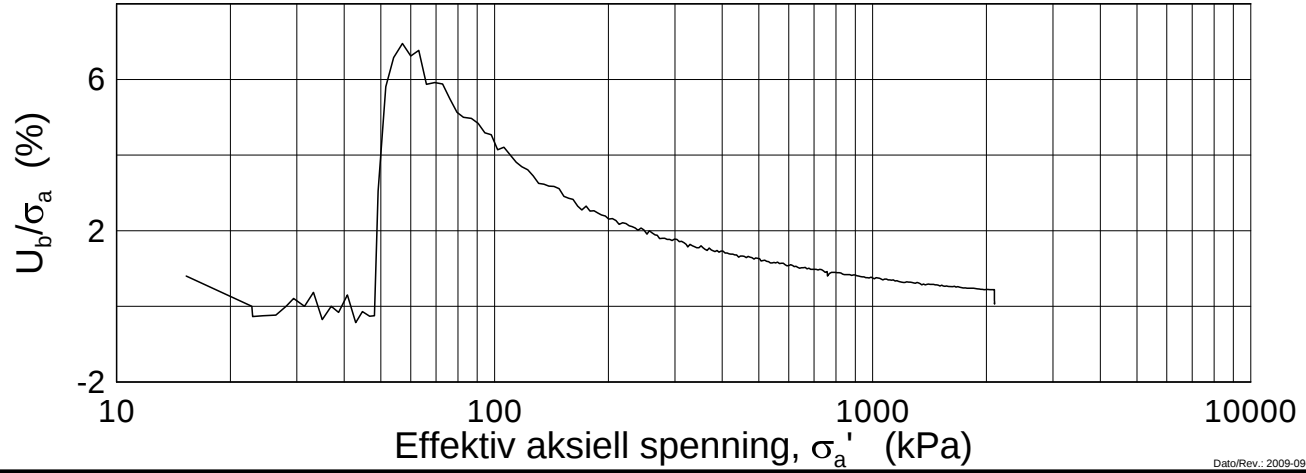
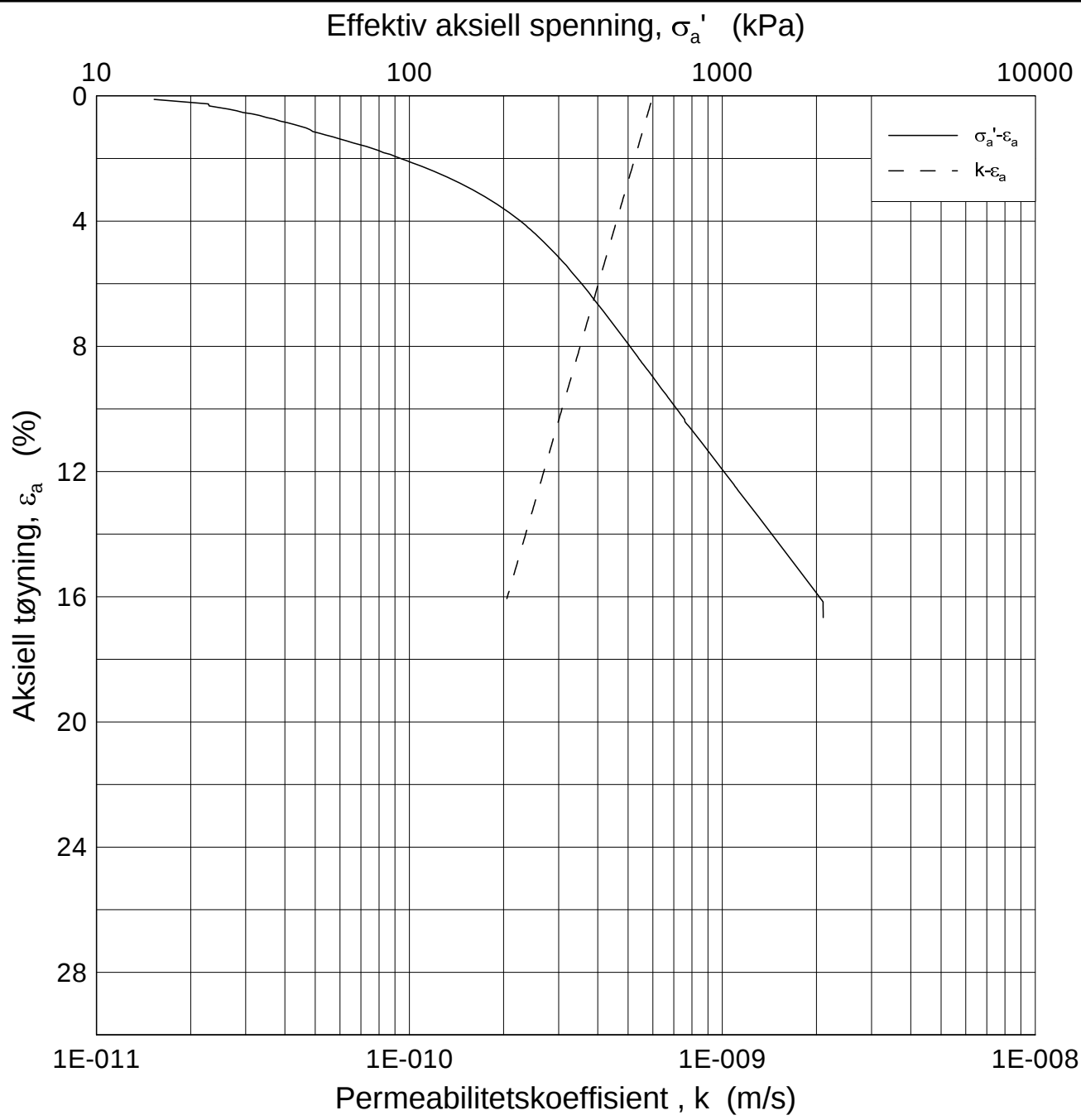
E16 Nybakk -Slomarka			Dokumentnr. 20120491-02-R
Ødometer test (CRSC)			Dato 2013-01-10
Borhull: 3091	Sylinder: 5	Dybde = 11.51 m	Figurnr. F169
Del: C	Test: 1	$p'_0 = 109.3$ kPa	Tegner FP/
		$w_i = 37.82$ %	

H:\LABDATA\2012\20120491\Oedom\3091-5-C-1.lin-2 (crs2169).grf



Dato/Rev.: 2009-09-15/4

E16 Nybakk -Slomarka			Dokumentnr. 20120491-02-R
Ødometer test (CRSC)			Dato 2013-01-10
Borhull: 3091	Sylinder: 5	Dybde = 11.51 m	Figurnr. F170
Del: C	Test: 1	$p'_0 = 109.3$ kPa	Tegner FP/
		$w_i = 37.82$ %	



Dato/Rev.: 2009-09-15/3

E16 Nybakk - Slomarka

Dokumentnr.
20120491-02-R

Ødometer test (CRSC)

Dybde = 11.51 m

Dato
2013-01-10

Borhull: 3091

Sylinder: 5

p_o' = 109.3 kPa

Figurnr.
F171

Del: C

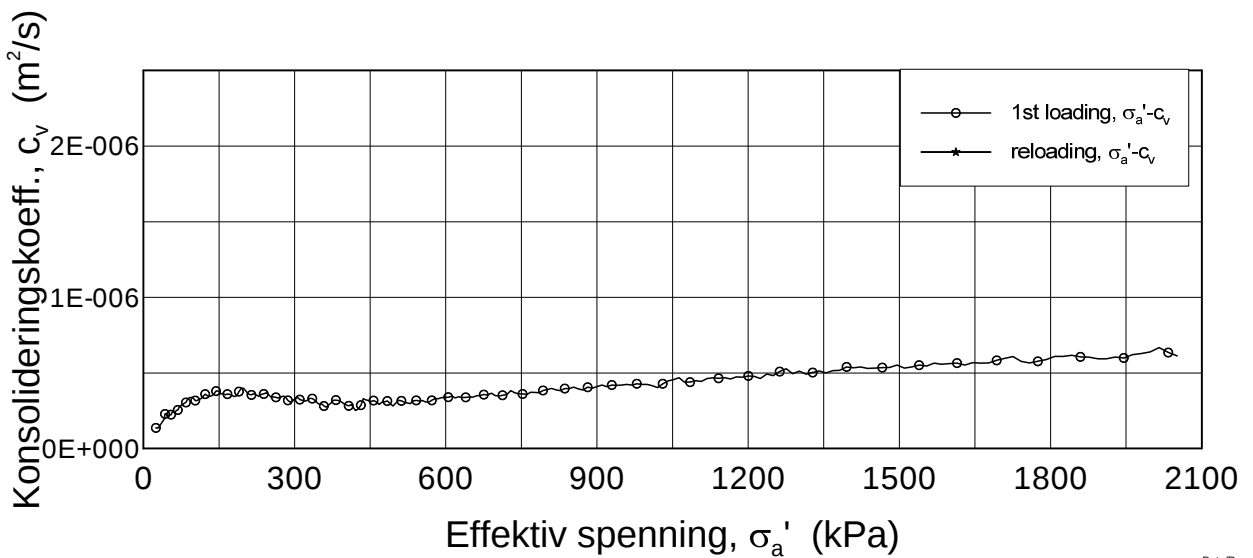
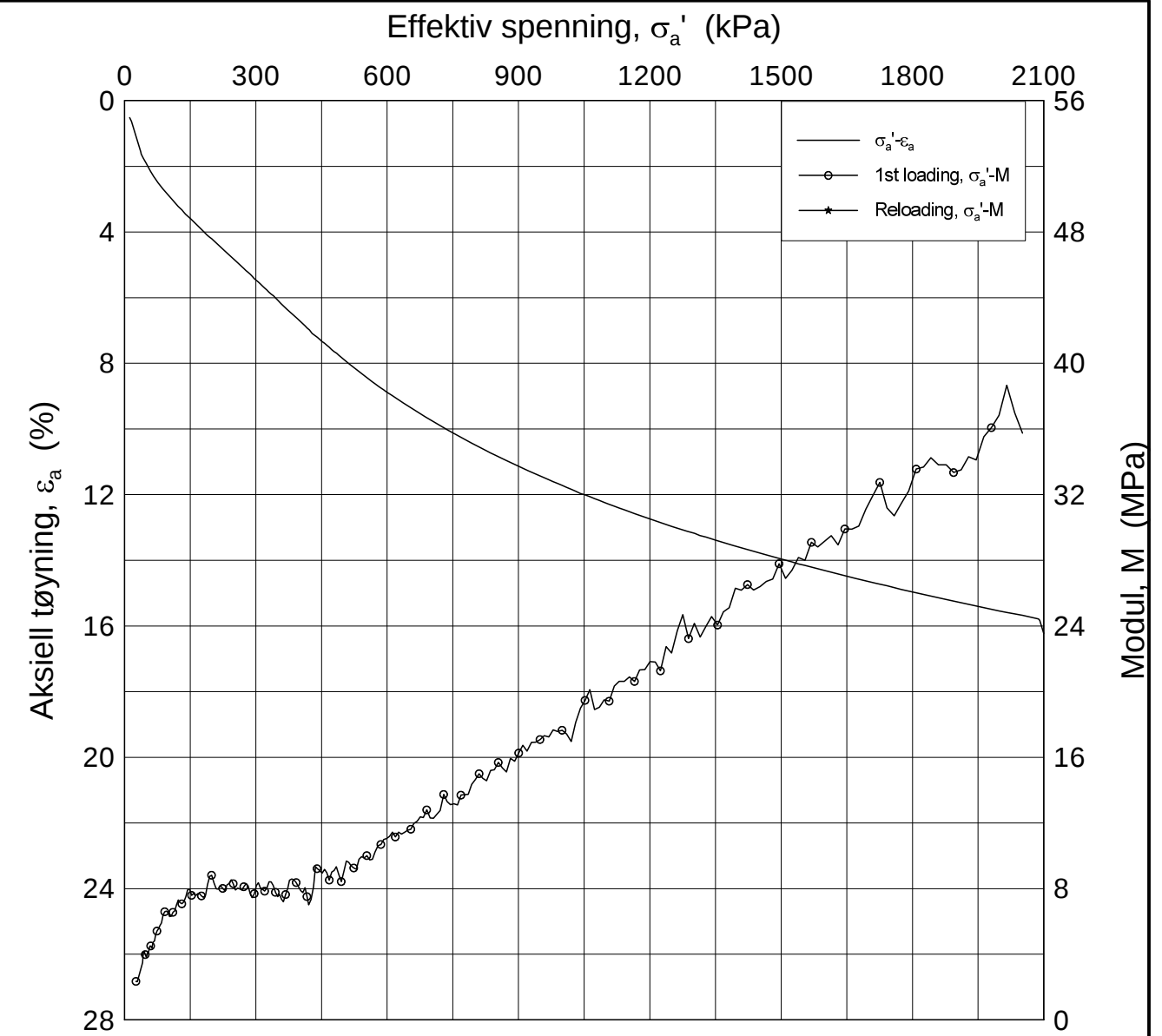
Test: 1

w_i = 37.82 %


Tegner
FP/



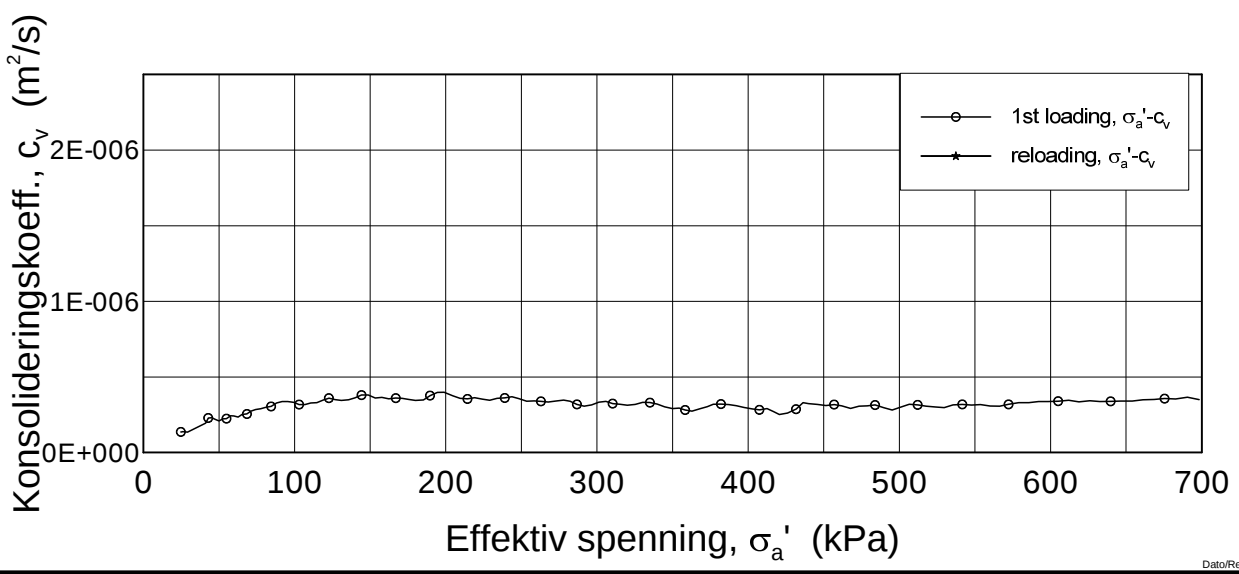
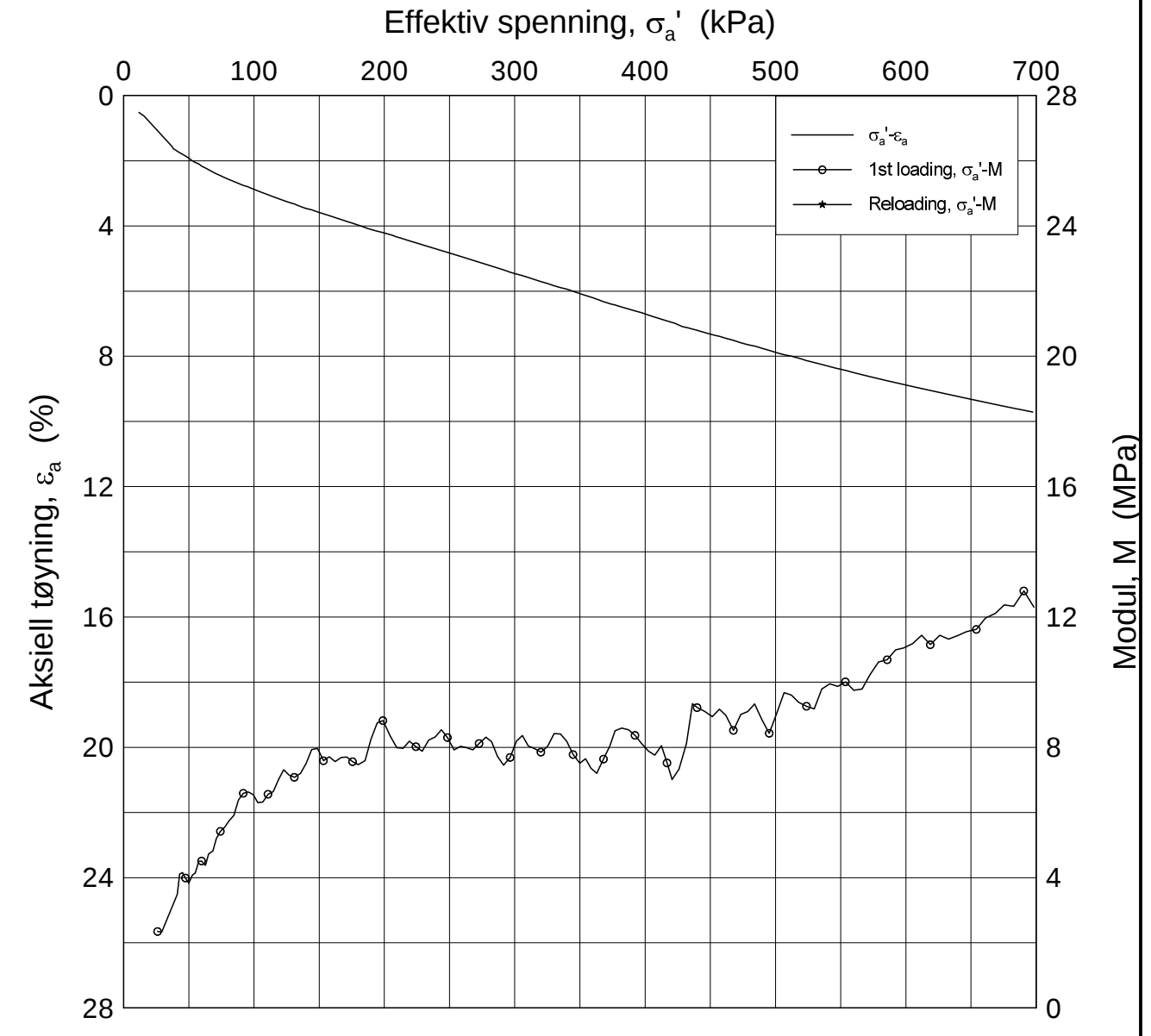
H:\LABDATA\2012\20120491\Oedom\3091-8-D-1.lin (crs2168).grf




Dato/Rev.: 2009-09-15/4

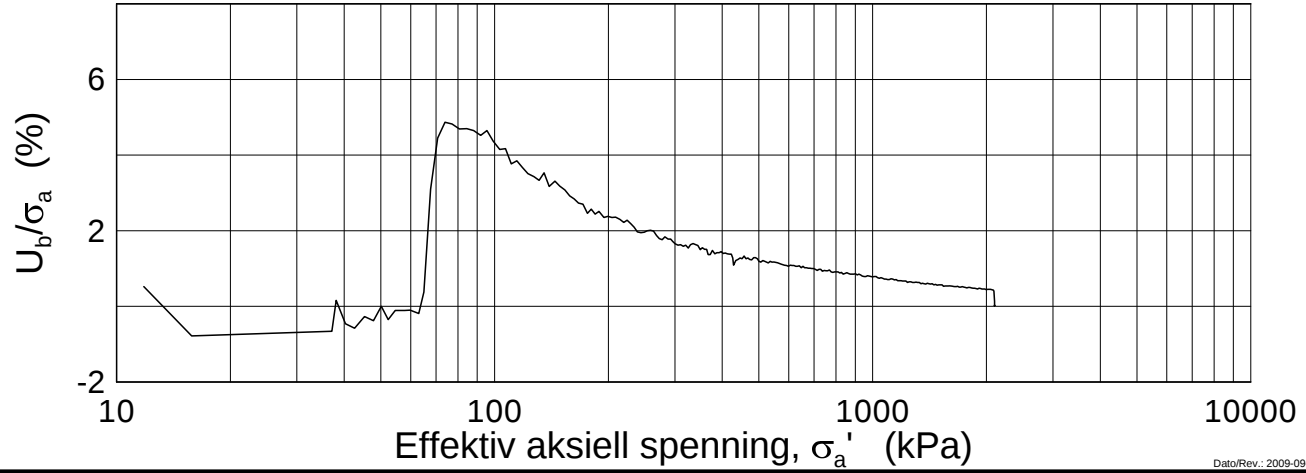
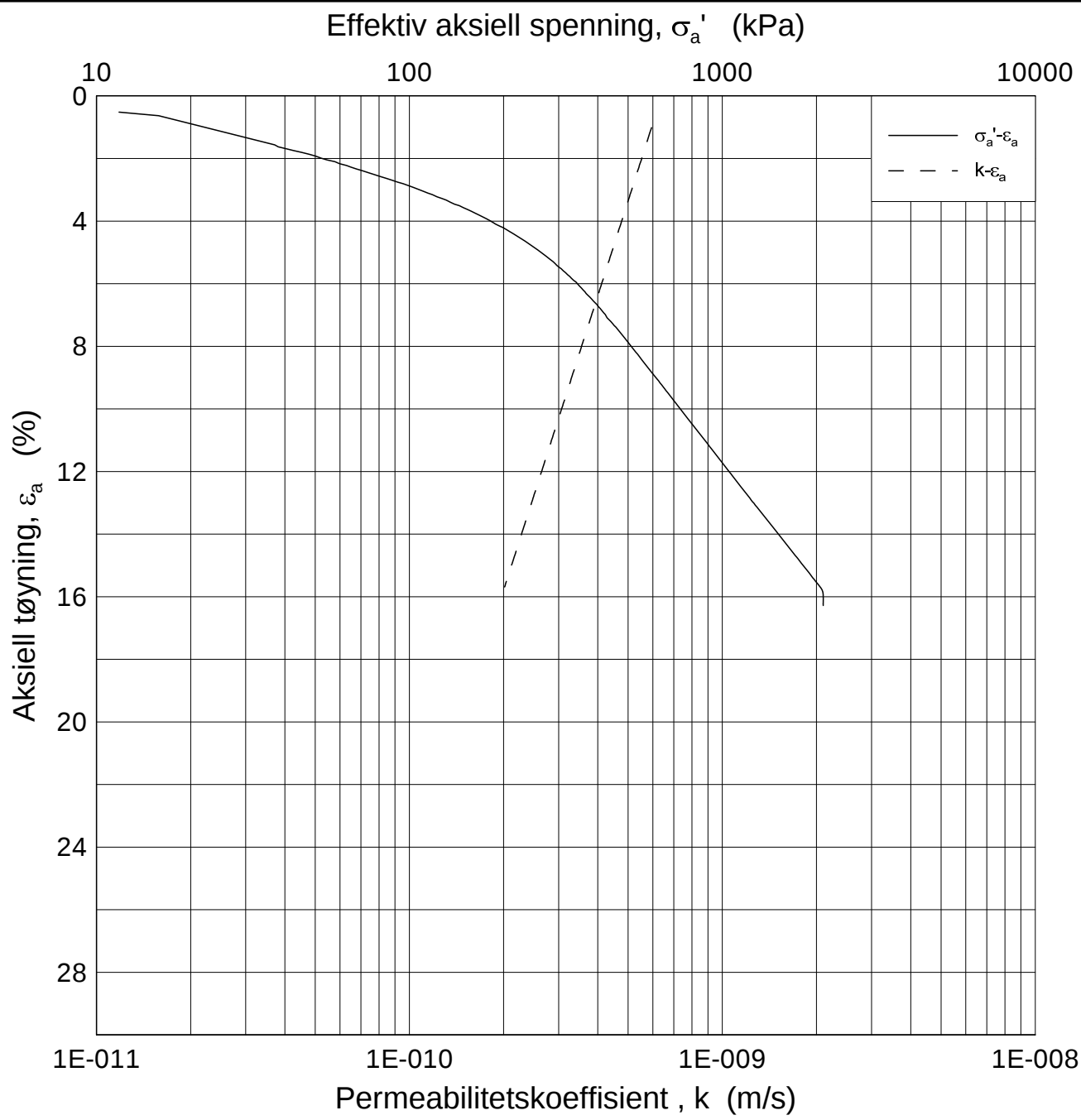
E16 Nybakk -Slomarka			Dokumentnr. 20120491-02-R
Ødometer test (CRSC)			Dato 2013-01-10
Borhull: 3091	Sylinder: 8	Dybde = 15.60 m	Figurnr. F172
Del: D	Test: 1	$p'_0 = 144.6$ kPa	Tegner FP/
		$w_i = 35.94$ %	

H:\LABDATA\2012\20120491\Oedom\3091-8-D-1.lin-2 (crs2168).grf



Dato/Rev.: 2009-09-15/4

E16 Nybakk -Slomarka			Dokumentnr. 20120491-02-R
Ødometer test (CRSC)			Dato 2013-01-10
Borhull: 3091	Sylinder: 8	Dybde = 15.60 m	Figurnr. F173
Del: D	Test: 1	$p'_0 = 144.6$ kPa	Tegner FP/
		$w_i = 35.94$ %	



Dato/Rev.: 2009-09-15/3

E16 Nybakk - Slomarka

Dokumentnr.
20120491-02-R

Ødometer test (CRSC)

Dybde = 15.60 m

Dato
2013-01-10

Borhull: 3091

Sylinder: 8

p'_0 = 144.6 kPa

Figurnr.
F174

Del: D

Test: 1

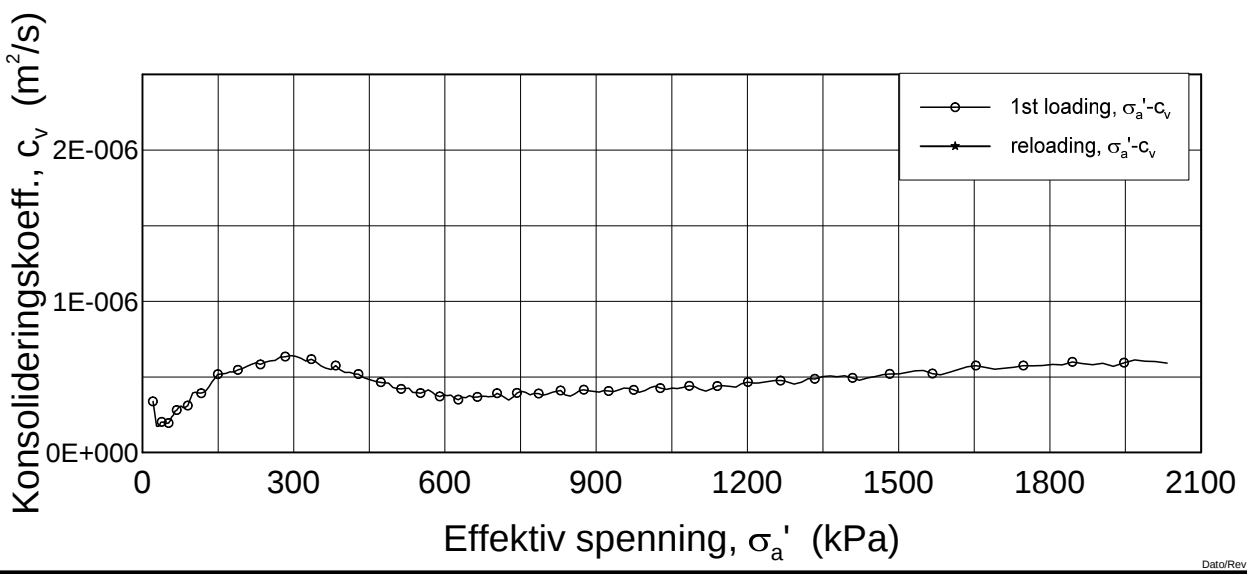
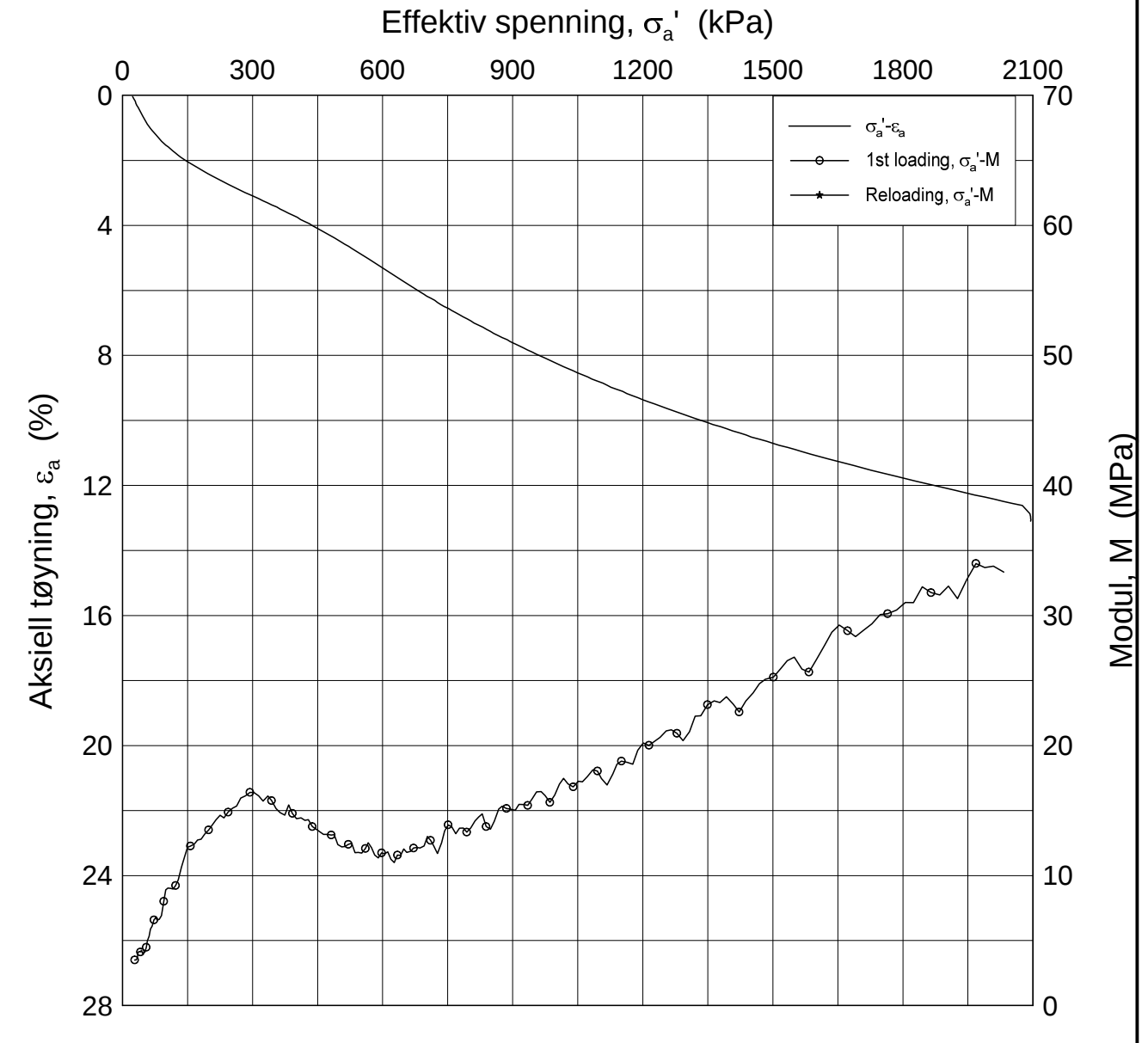
w_i = 35.94 %

Tegner
FP/




H:\LABDATA\2012\20120491\Oedom\3091-8-D-1.log (cirs2168).grf

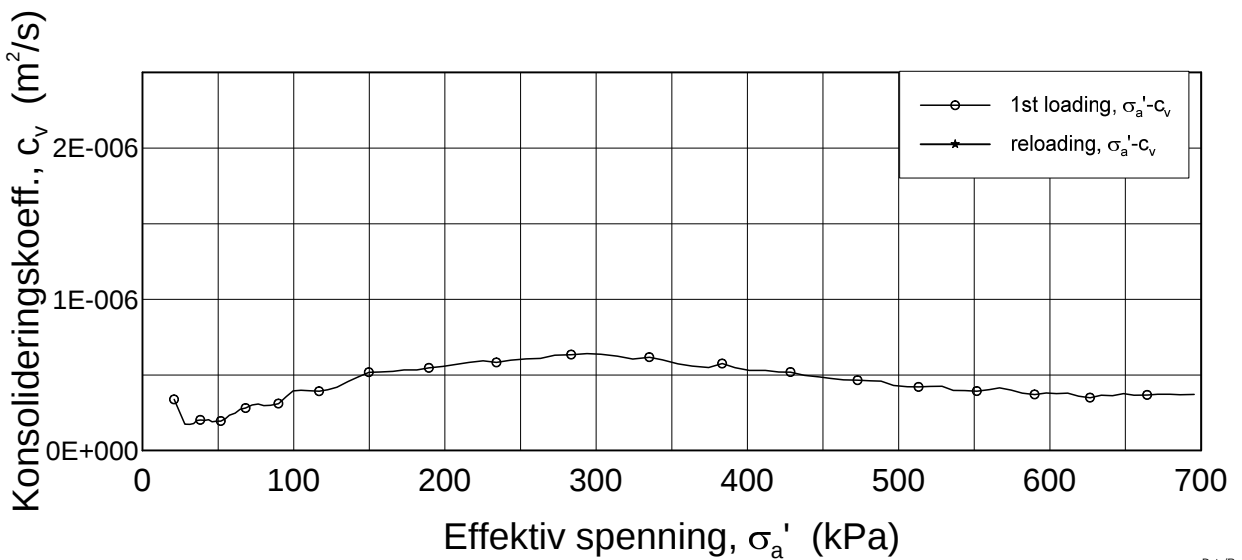
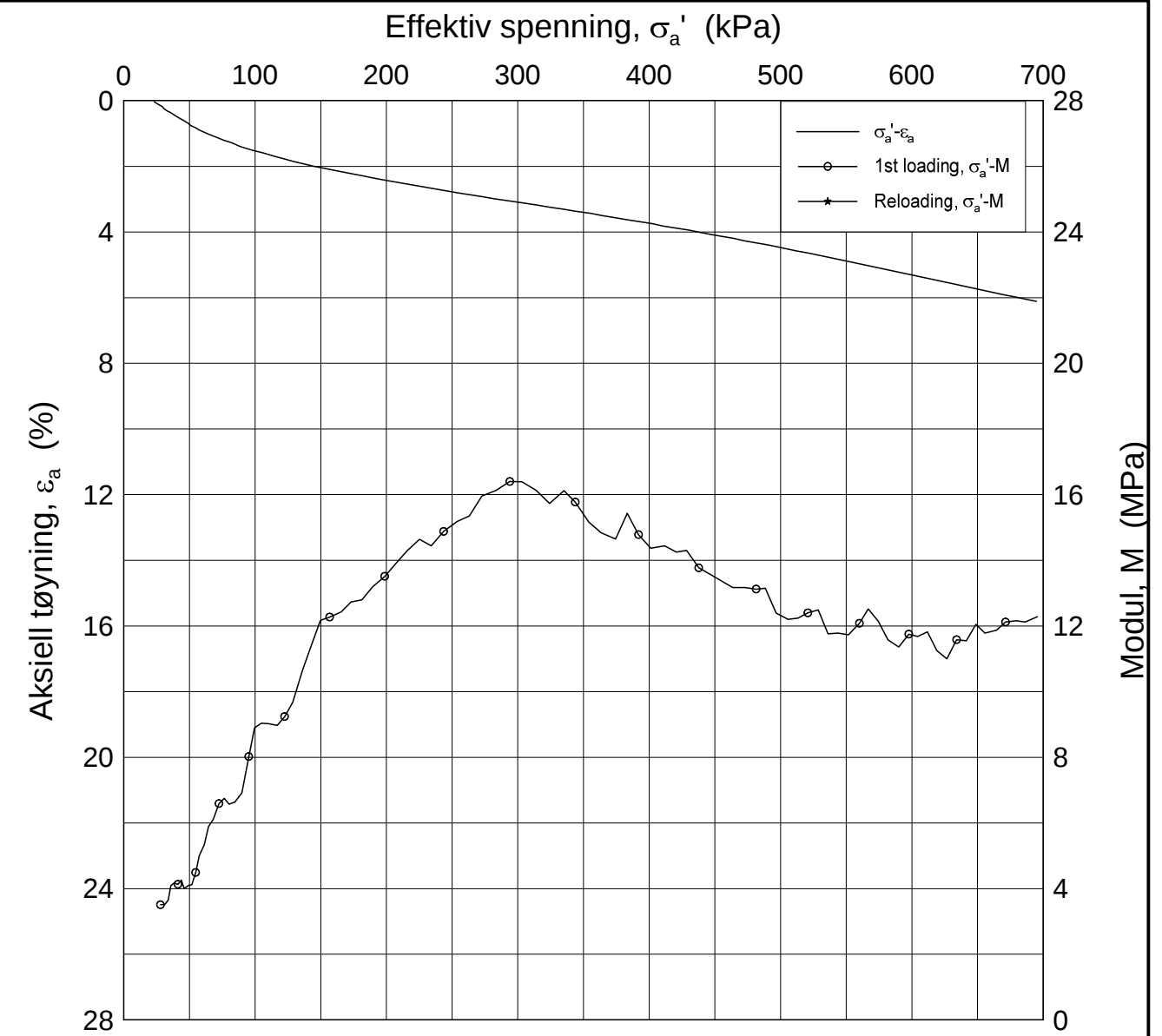
H:\LABDATA\2012\20120491\Oedom\BH3107\3107-4-B-1.lin (crs2352).grf



Dato/Rev.: 2009-09-15/4

E16 Nybakk - Slomarka			Dokumentnr. 20120491-02-R
Ødometer test (CRSC)			Dato 2013-09-09
Borhull: 3107	Sylinder: 4	Dybde = 4.31 m	Figurnr. F175
Del: B	Test: 1	$p'_0 = 72.4$ kPa	Tegner FP/
		$w_i = 34.76$ %	

H:\LABDATA\2012\20120491\Oedom\BH3107\3107-4-B-1.lin-2 (crs2352).grf



Dato/Rev.: 2009-09-15/4

E16 Nybakk - Slomarka

Dokumentnr.
20120491-02-R

Ødometer test (CRSC)

Dybde = 4.31 m

Dato
2013-09-09

Borhull: 3107

Sylinder: 4

p'_0 = 72.4 kPa

Figurnr.
F176

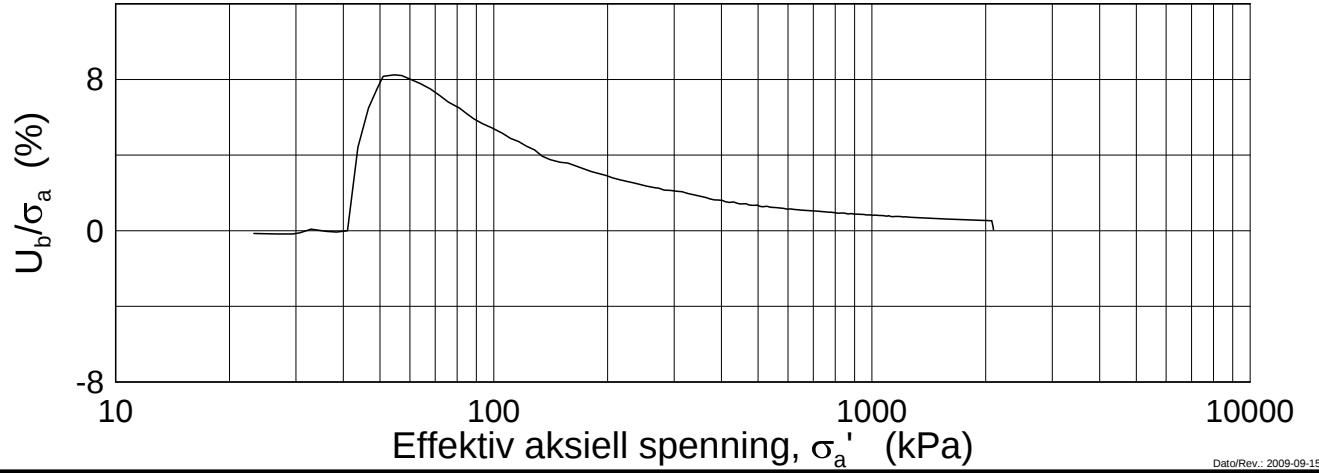
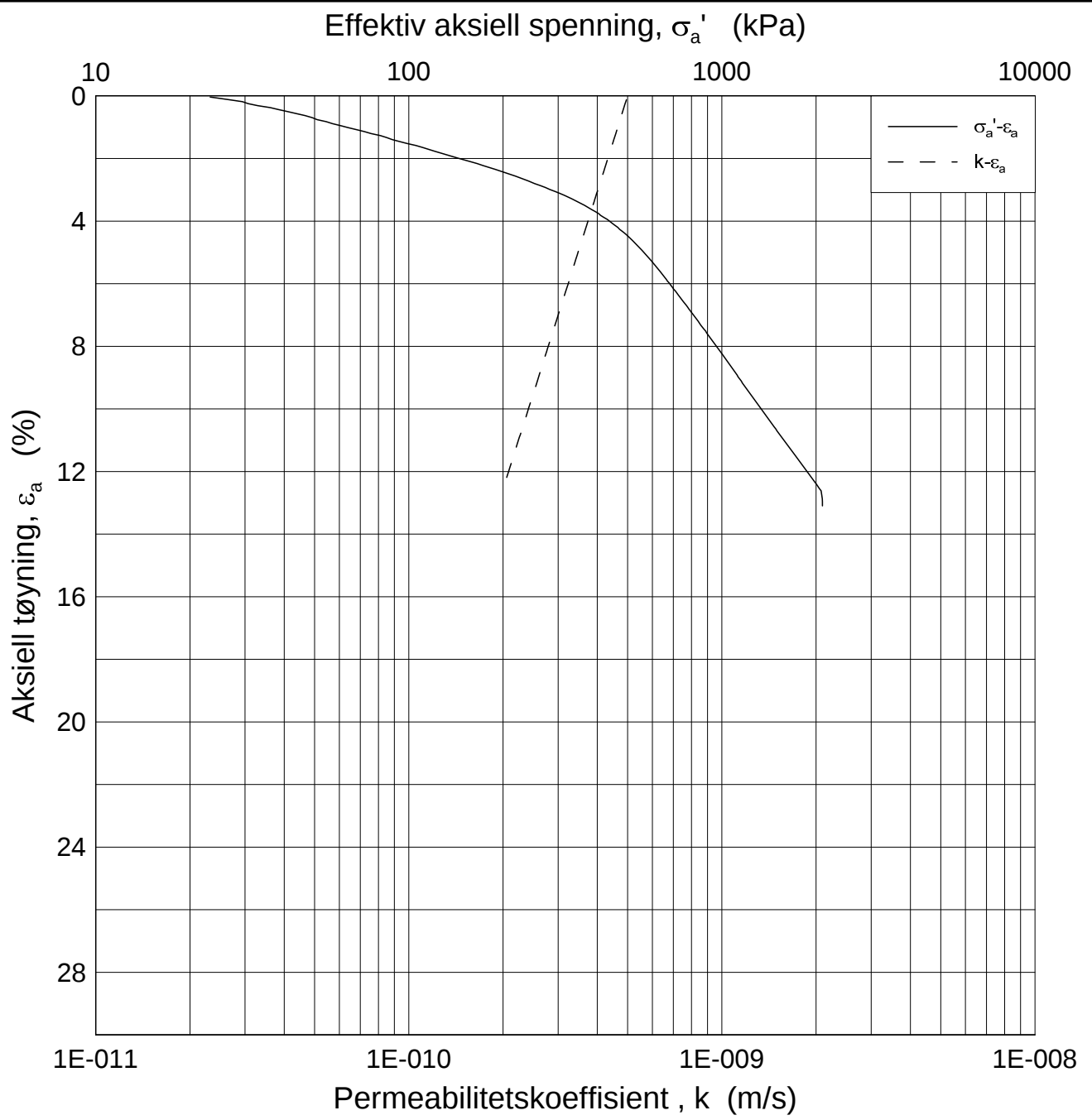
Del: B

Test: 1

w_i = 34.76 %

Tegner
FP/





Dato/Rev.: 2009-09-15/3

E16 Nybakk - Slomarka

Dokumentnr.
20120491-02-R

Ødometer test (CRSC)

Dybde = 4.31 m

Dato
2013-09-09

Borhull: 3107

Sylinder: 4

p_o' = 72.4 kPa

Figurnr.
F177

Del: B

Test: 1

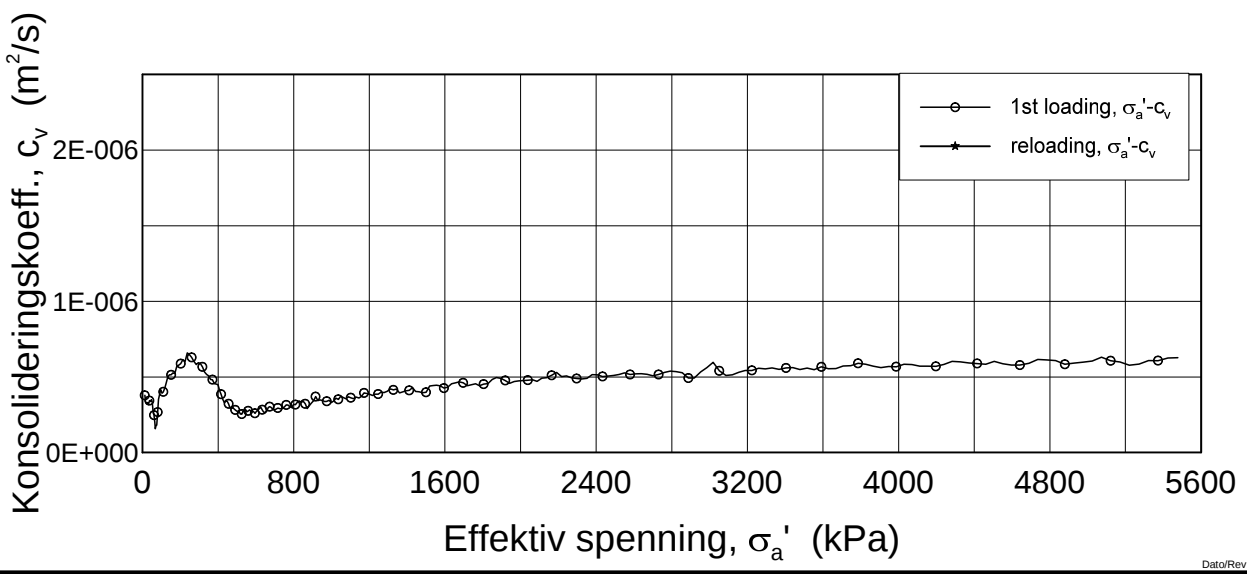
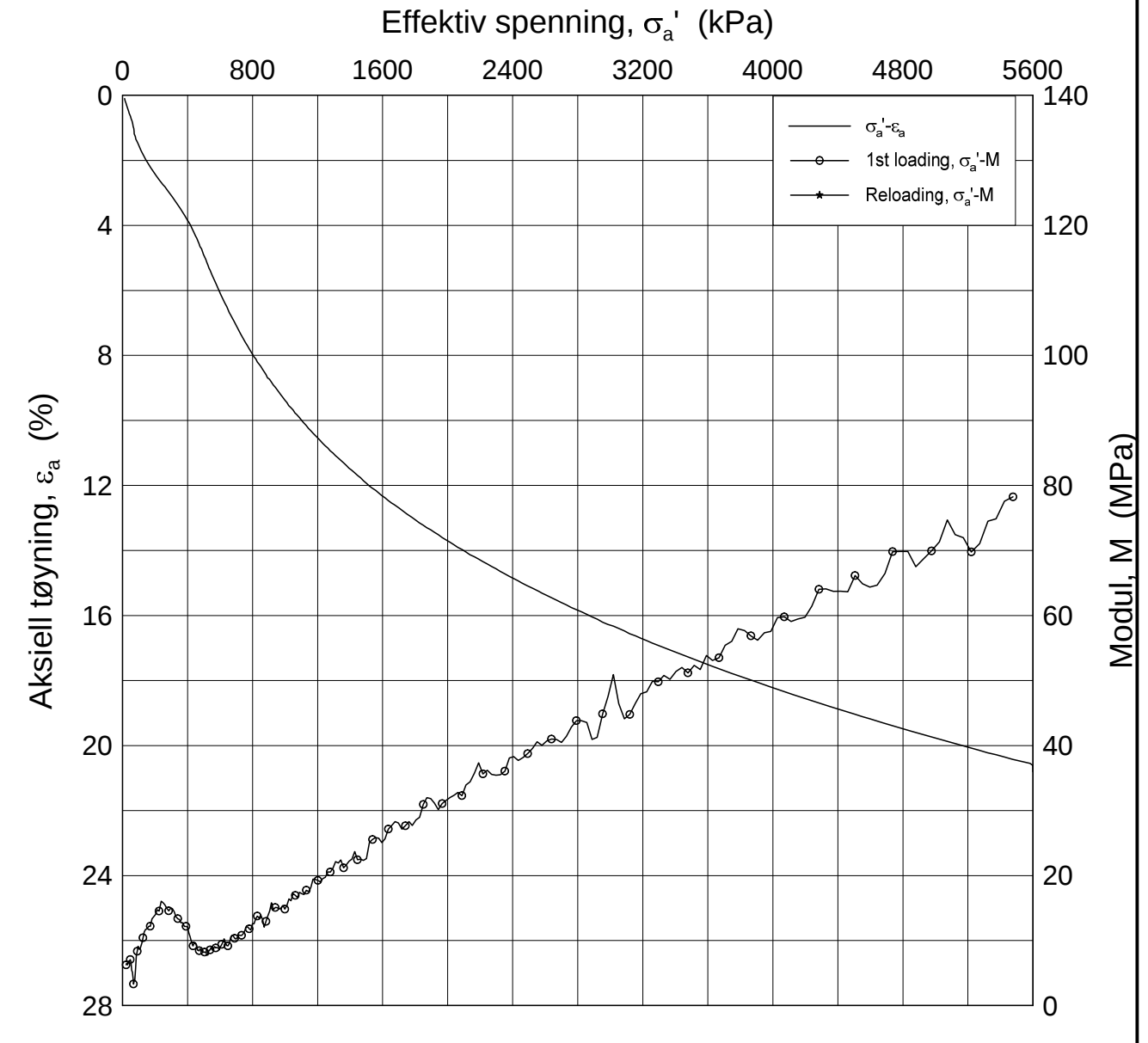
w_i = 34.76 %

Tegner
FP/




H:\LABDATA\2012\20120491\Oedom\BH3107\3107-4-B-1.log (crs2352).grf

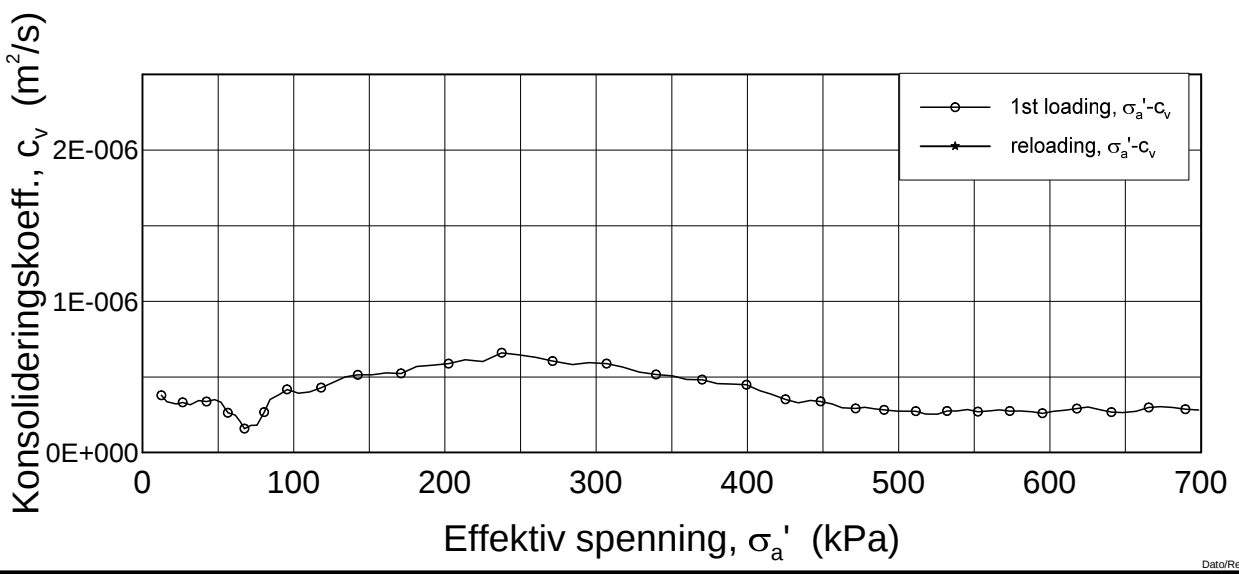
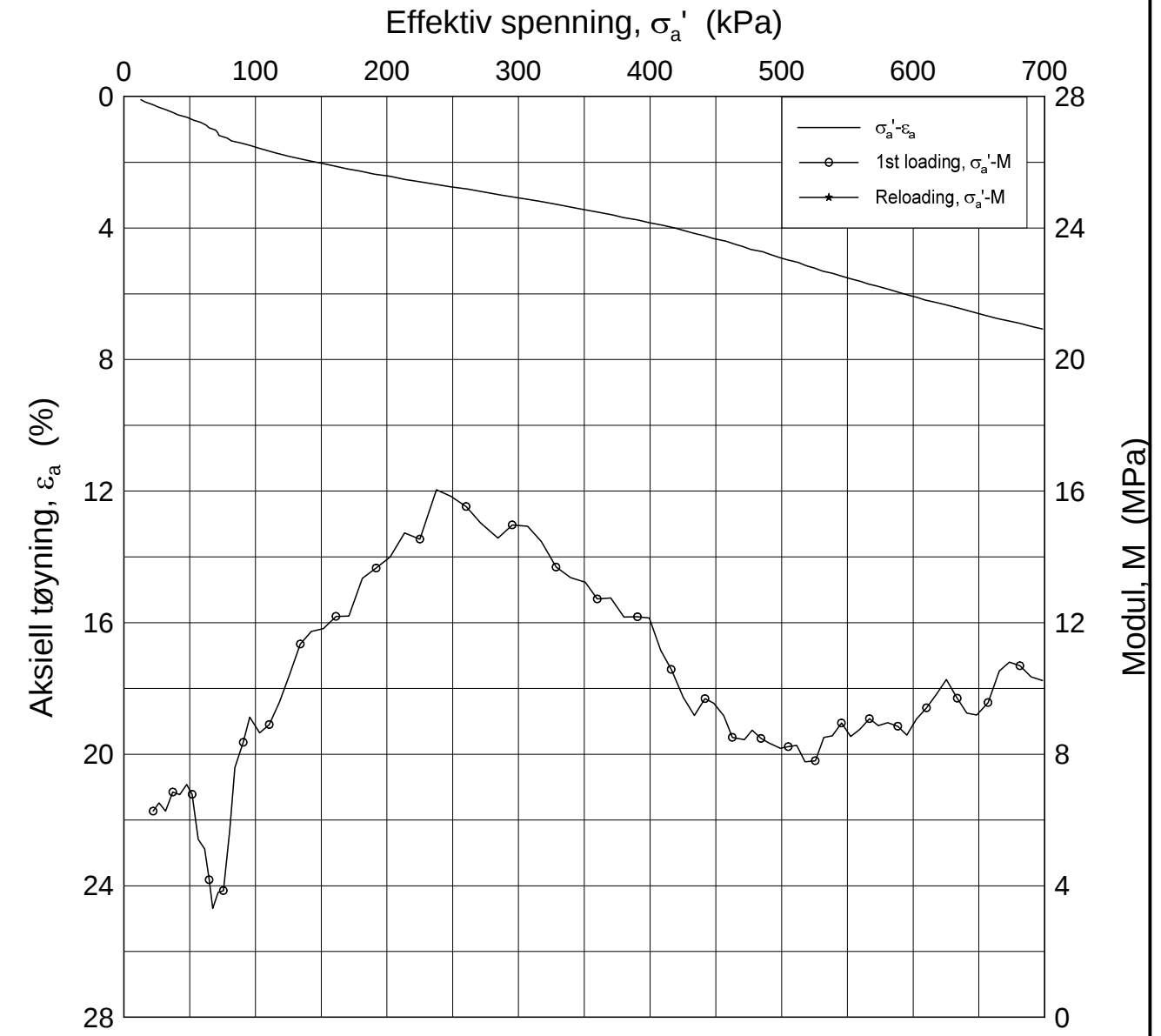
H:\LABDATA\2012\20120491\Oedom\BH3107\3107-8-B-1.lin (crs2353).grf




Dato/Rev.: 2009-09-15/4

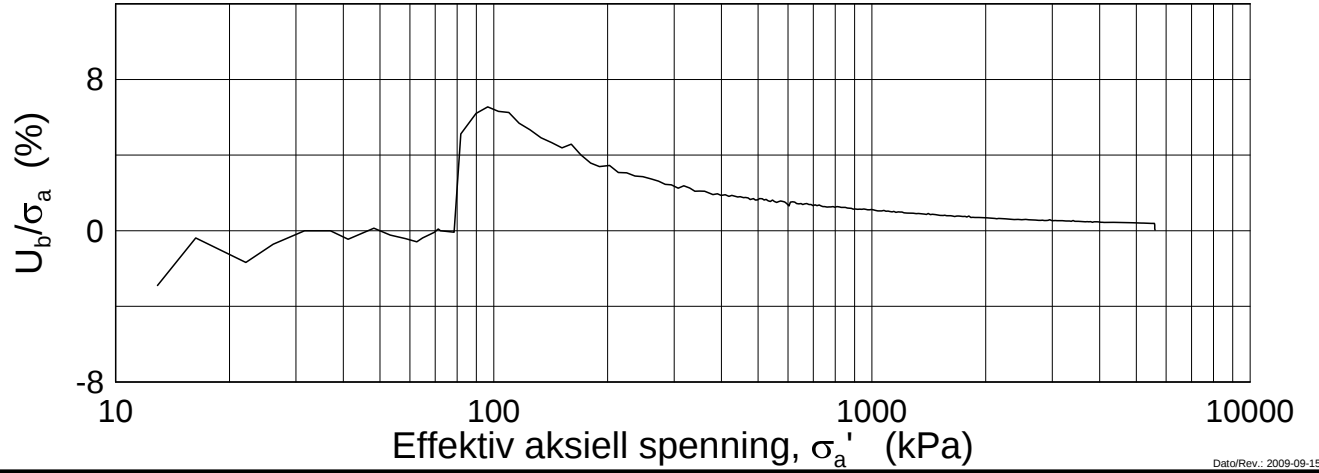
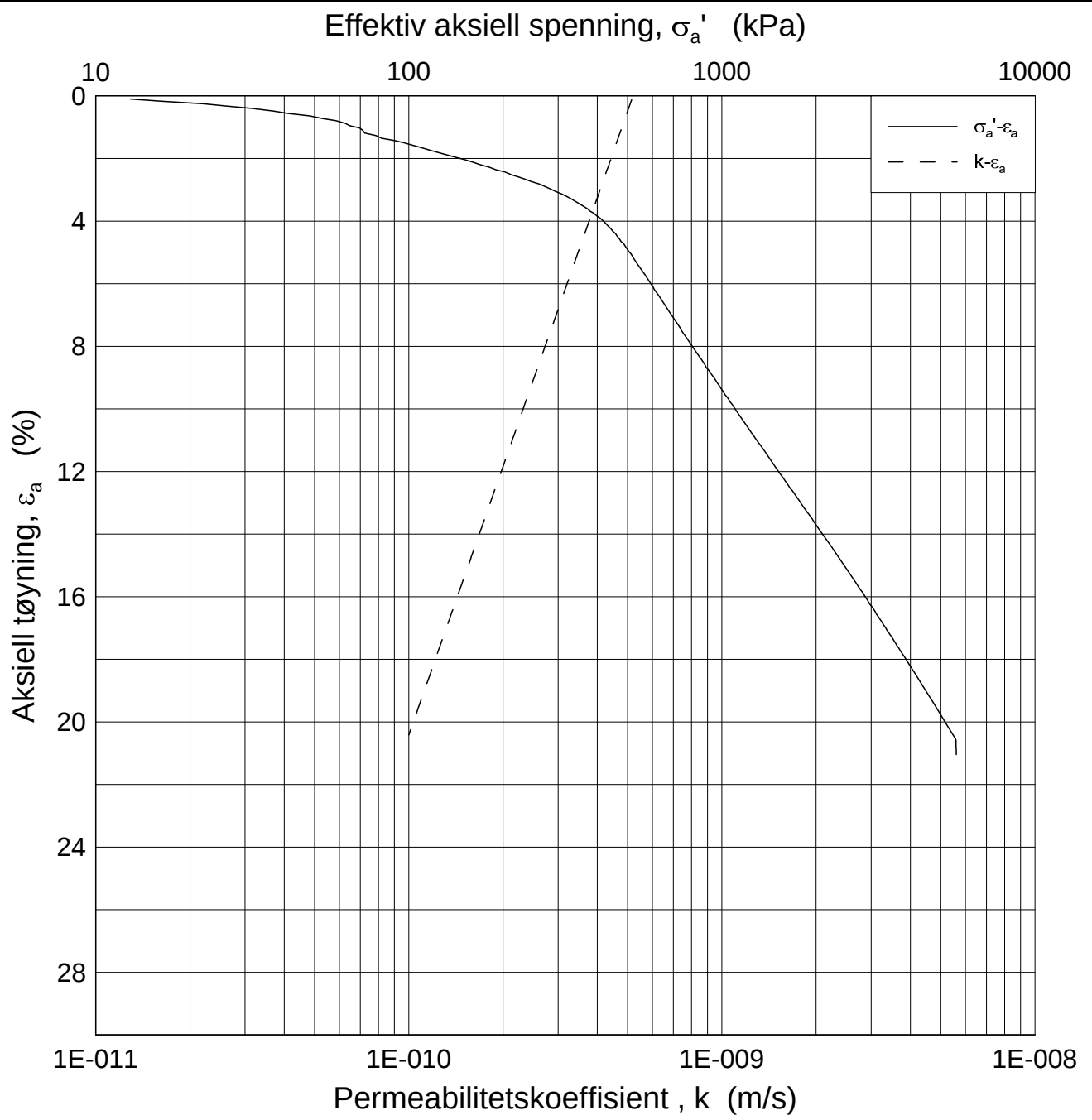
E16 Nybakk - Slomarka			Dokumentnr. 20120491-02-R
Ødometer test (CRSC)			Dato 2013-09-06
Borhull: 3107	Sylinder: 8	Dybde = 8.32 m	Figurnr. F178
Del: B	Test: 1	$p'_0 = 106.4$ kPa	Tegner FP/
		$w_i = 35.99$ %	

H:\LABDATA\2012\20120491\Oedom\BH3107\3107-8-B-1.lin-2 (crs2353).grf



Dato/Rev.: 2009-09-15/4

E16 Nybakk - Slomarka			Dokumentnr. 20120491-02-R
Ødometer test (CRSC)			Dato 2013-09-06
Borhull: 3107	Sylinder: 8	Dybde = 8.32 m	Figurnr. F179
Del: B	Test: 1	$p'_0 = 106.4$ kPa	Tegner FP/
		$w_i = 35.99$ %	



Dato/Rev.: 2009-09-15/3

E16 Nybakk - Slomarka

Dokumentnr.
20120491-02-R

Ødometer test (CRSC)

Dybde = 8.32 m

Dato
2013-09-06

Borhull: 3107

Sylinder: 8

p_o' = 106.4 kPa

Figurnr.
F180

Del: B

Test: 1

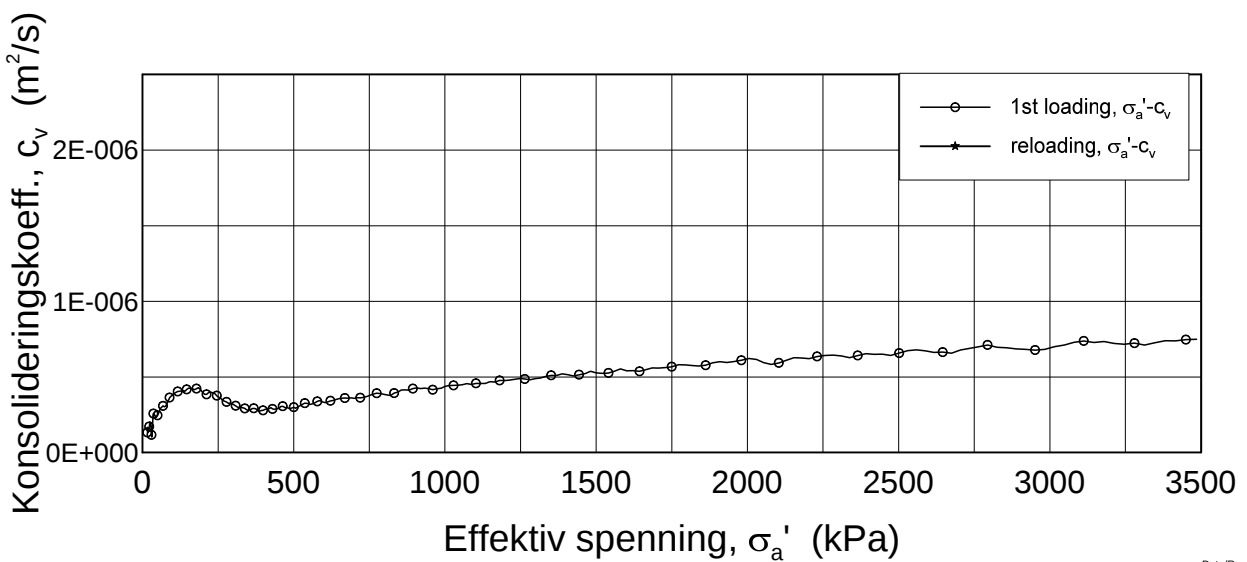
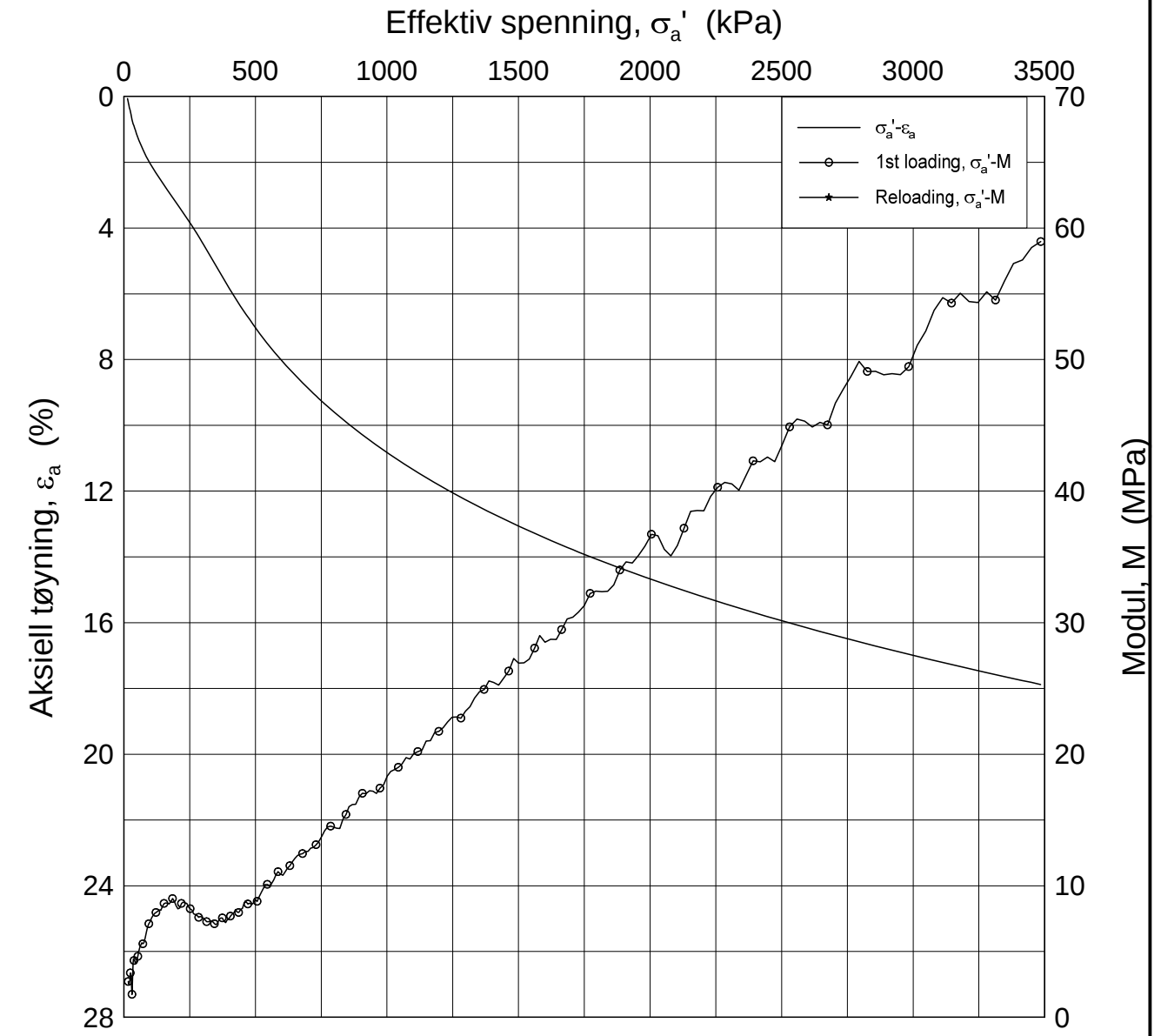
w_i = 35.99 %

Tegner
FP/




H:\LABDATA\2012\20120491\Oedom\BH3107\3107-8-B-1.log (crs2353).grf

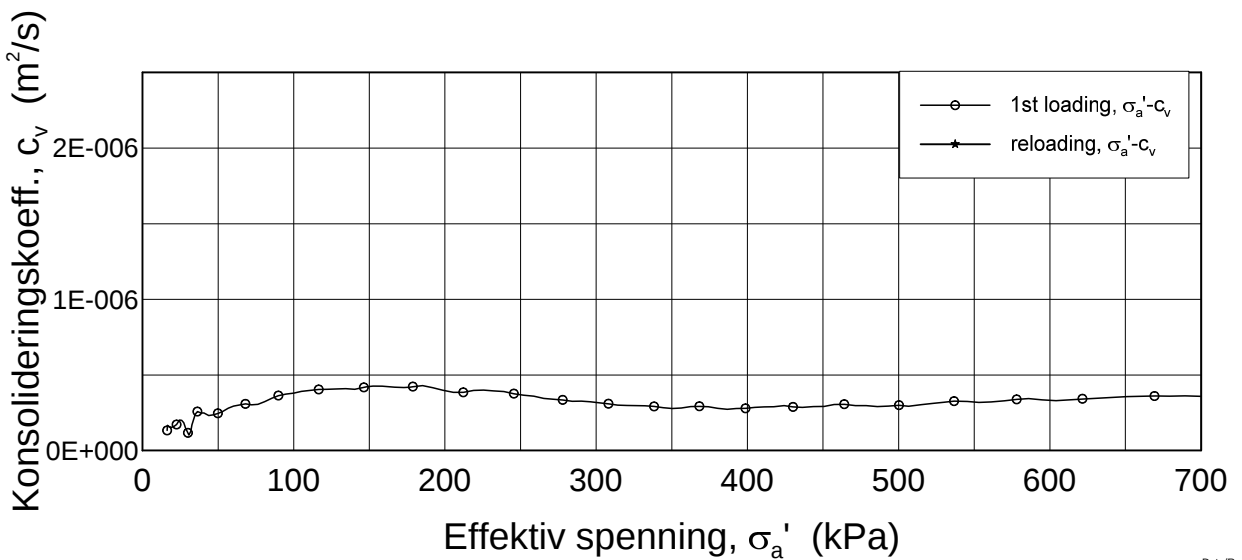
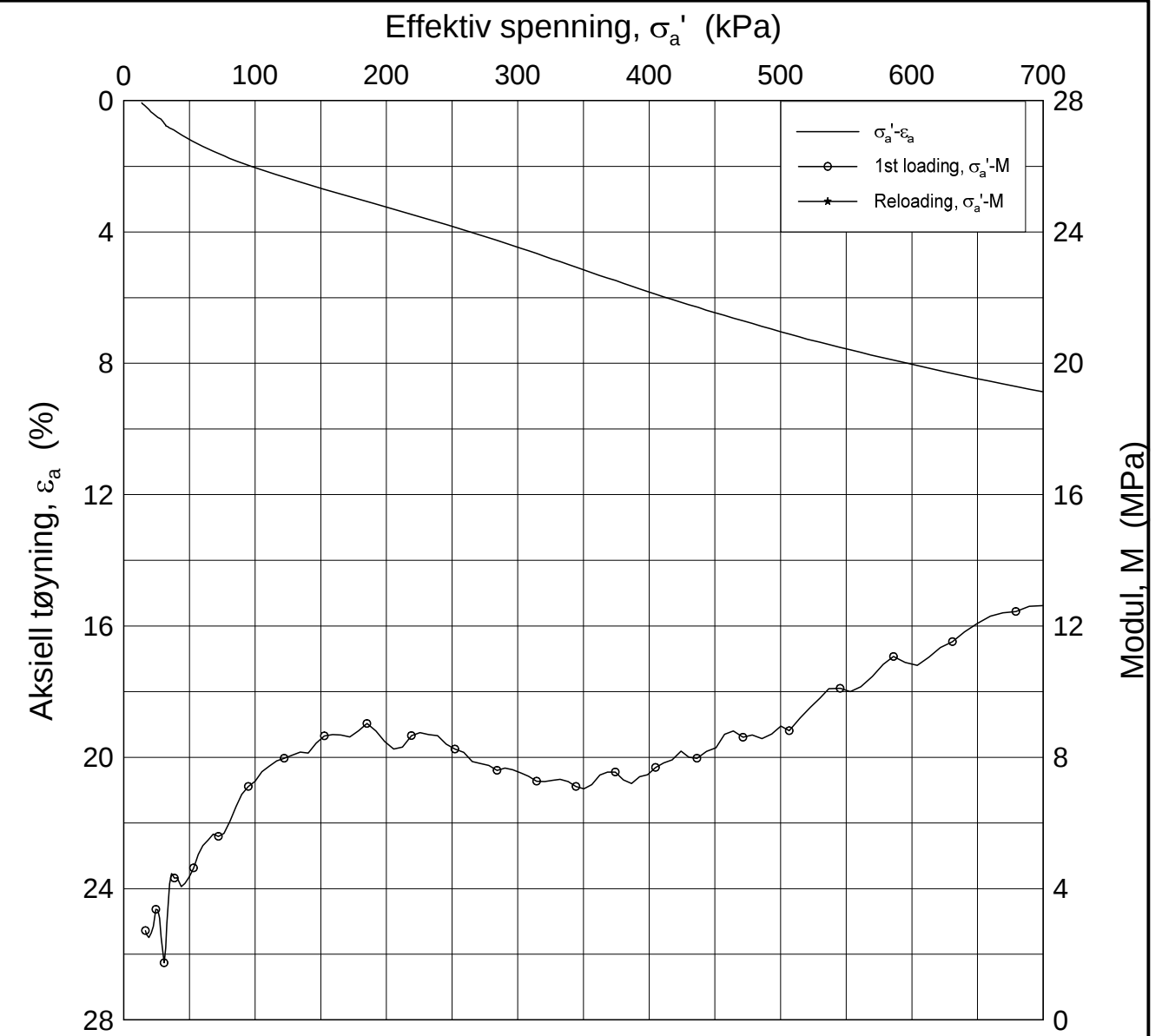
H:\LABDATA\2012\20120491\Oedom\BH3107\3107-12-C-1.lin (crs2348).grf




Dato/Rev.: 2009-09-15/4

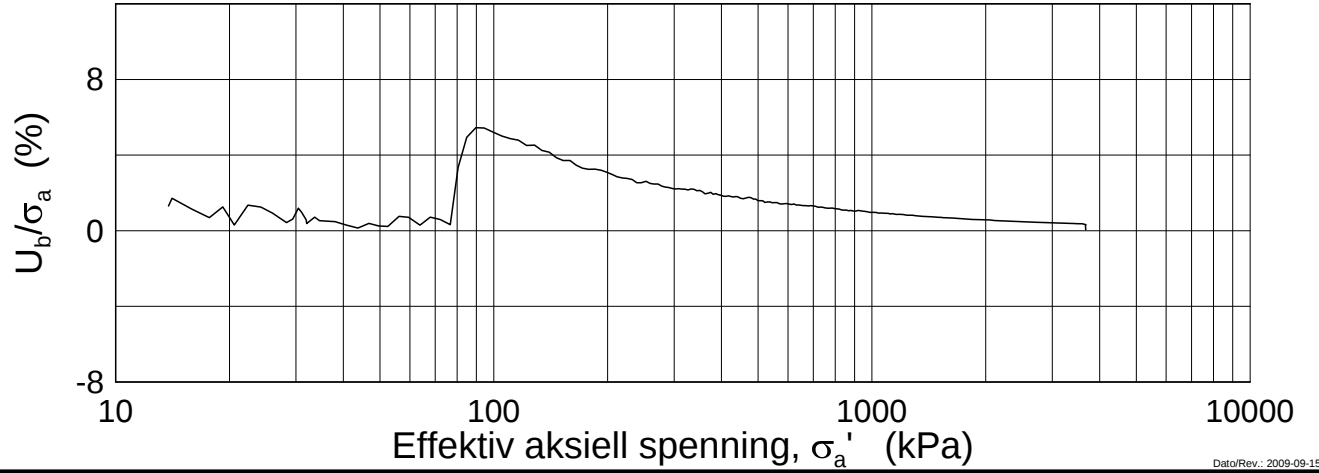
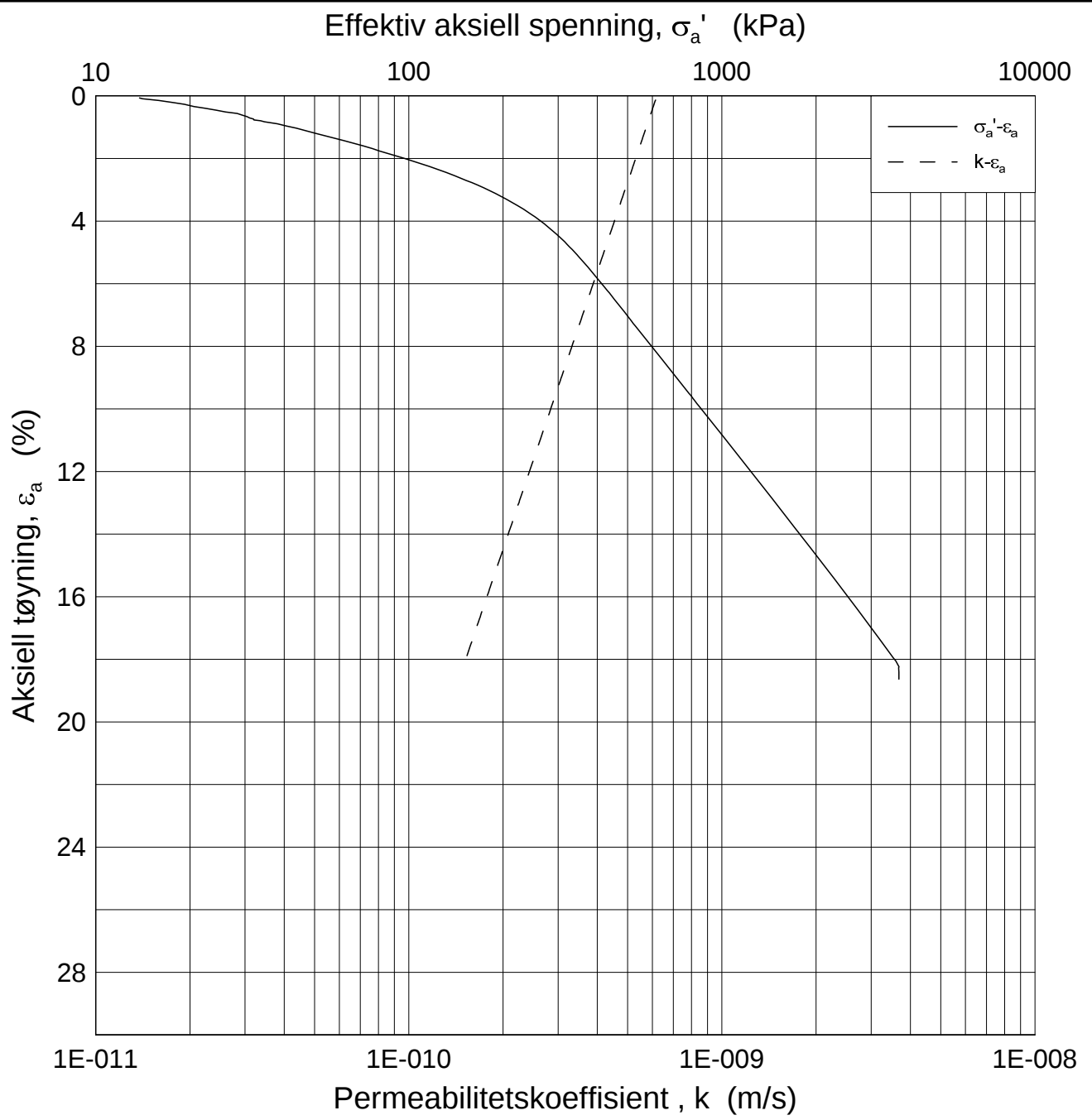
E16 Nybakk - Slomarka			Dokumentnr. 20120491-02-R
Ødometer test (CRSC)			Dato 2013-09-06
Borhull: 3107	Sylinder: 12	Dybde = 12.57 m	Figurnr. F181
Del: C	Test: 1	$p'_0 = 140.4$ kPa	Tegner FP/
		$w_i = 36.90$ %	

H:\LABDATA\2012\20120491\Oedom\BH3107\3107-12-C-1.lin-2 (crs2348).grf



Dato/Rev.: 2009-09-15/4

E16 Nybakk - Slomarka			Dokumentnr. 20120491-02-R
Ødometer test (CRSC)			Dato 2013-09-06
Borhull: 3107	Sylinder: 12	Dybde = 12.57 m	Figurnr. F182
Del: C	Test: 1	$p'_o = 140.4$ kPa	Tegner FP/
		$w_i = 36.90$ %	



Dato/Rev.: 2009-09-15/3

E16 Nybakk - Slomarka

Dokumentnr.
20120491-02-R

Ødometer test (CRSC)

Dybde = 12.57 m

Dato
2013-09-06

Borhull: 3107

Sylinder: 12

p_o' = 140.4 kPa

Figurnr.
F183

Del: C

Test: 1

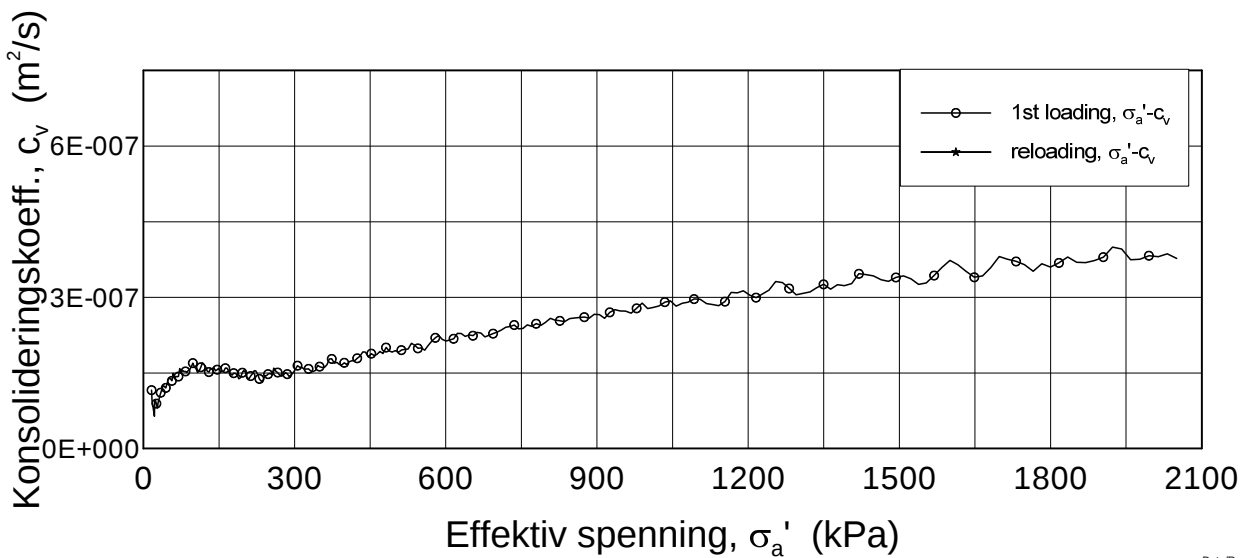
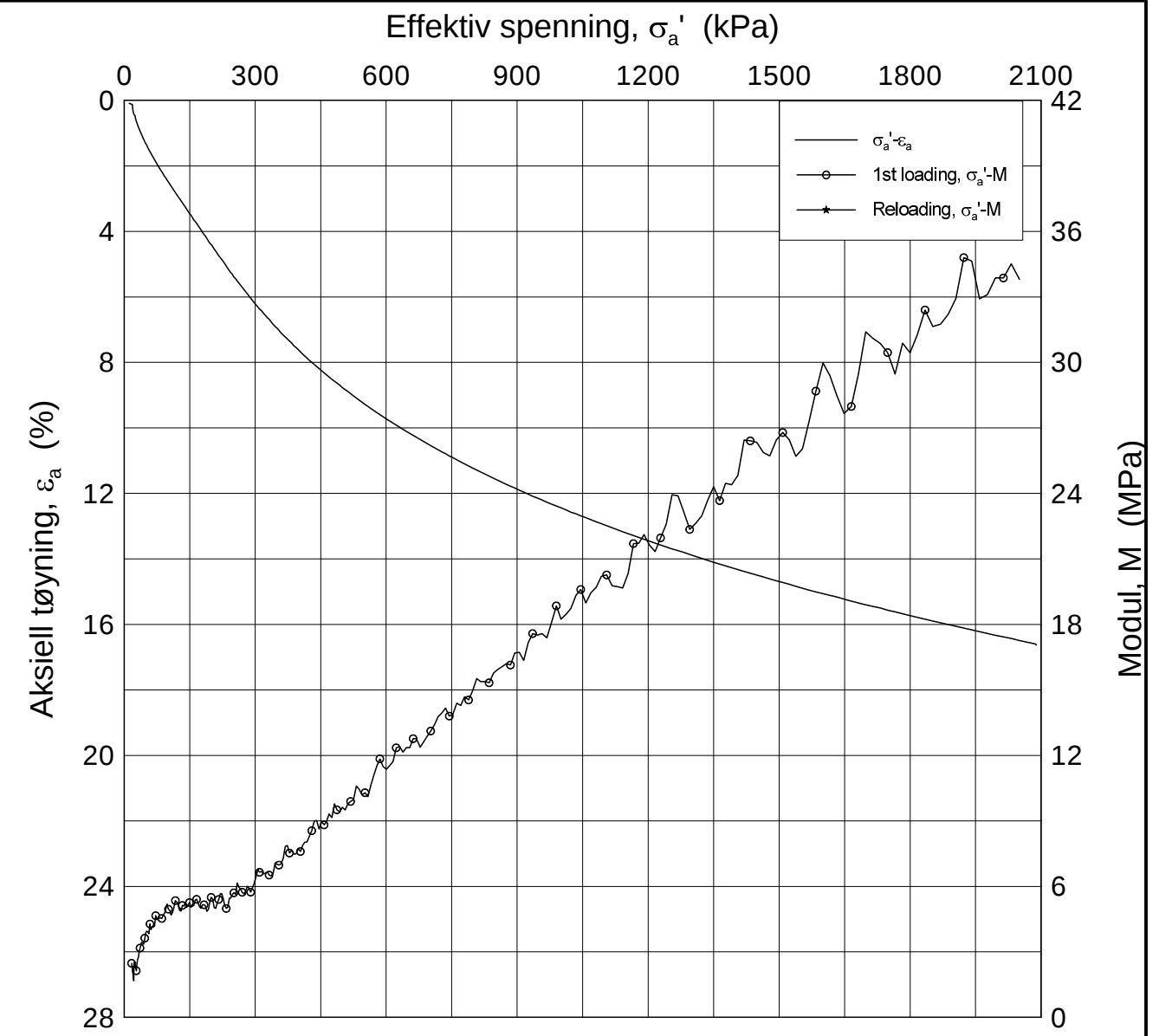
w_i = 36.90 %

Tegner
FP/




H:\LABDATA\2012\20120491\Oedom\BH3107\3107-12-C-1.log (crs2348).grf

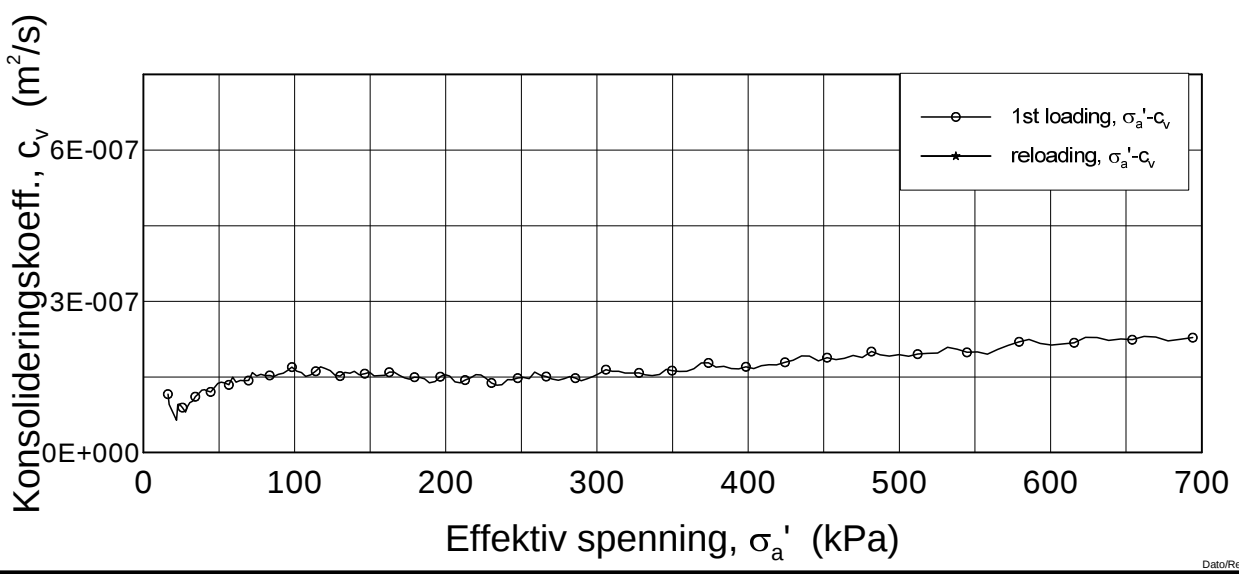
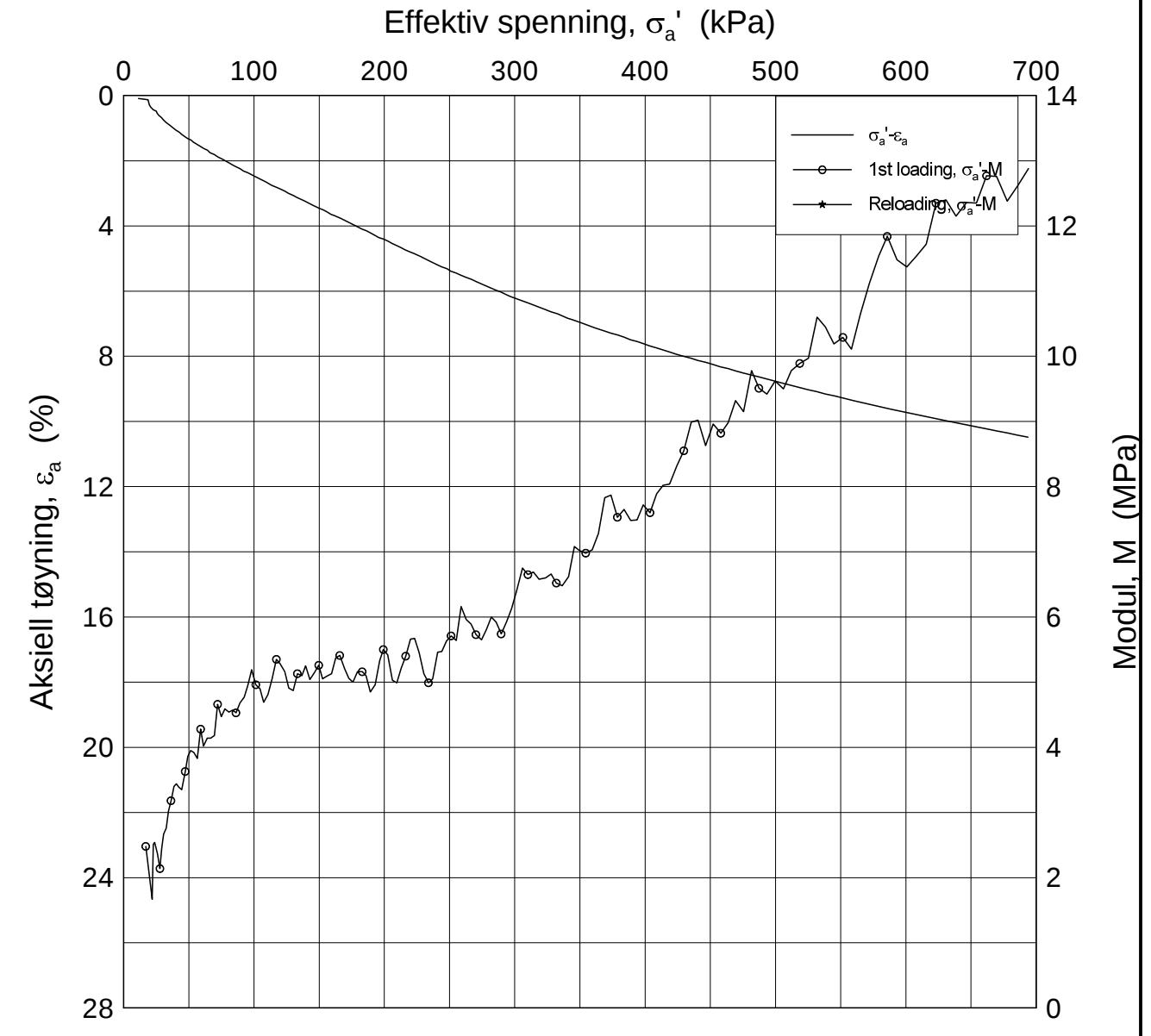
H:\LABDATA\2012\20120491\Oedom\3139-2-D-1.lin (crs2164).grf




Dato/Rev.: 2009-09-15/4

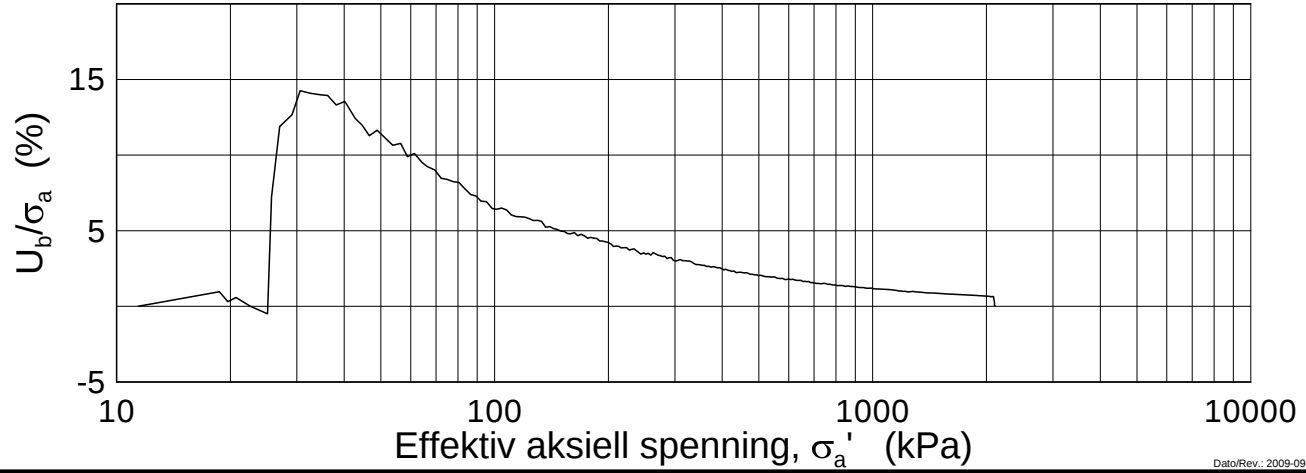
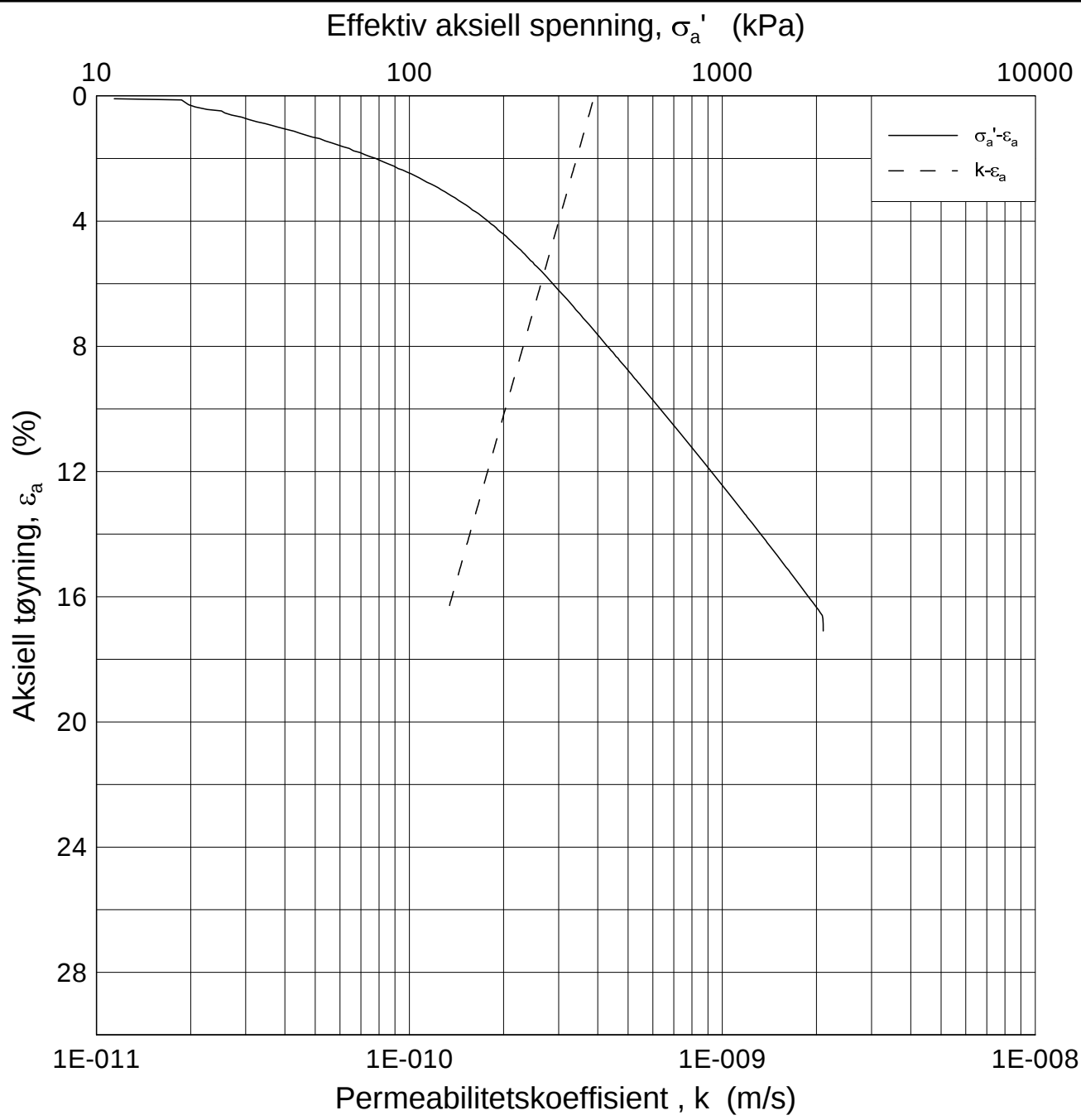
E16 Nybakk - Slomarka			Dokumentnr. 20120491-02-R
Ødometer test (CRSC)			Dato 2013-01-09
Borhull: 3139	Sylinder: 2	Dybde = 5.56 m	Figurnr. F184
Del: D	Test: 1	$p'_0 = 60.0$ kPa	Tegner FP/
		$w_i = 36.47$ %	

H:\LABDATA\2012\20120491\Oedom\3139-2-D-1.lin-2 (crs2164).grf



Dato/Rev.: 2009-09-15/4

E16 Nybakk - Slomarka			Dokumentnr. 20120491-02-R
Ødometer test (CRSC)			Dato 2013-01-09
Borhull: 3139	Sylinder: 2	Dybde = 5.56 m	Figurnr. F185
Del: D	Test: 1	$p'_0 = 60.0$ kPa	Tegner FP/
		$w_i = 36.47$ %	



Dato/Rev.: 2009-09-15/3

E16 Nybakk - Slomarka

Dokumentnr.
20120491-02-R

Ødometer test (CRSC)

Dybde = 5.56 m

Dato
2013-01-09

Borhull: 3139

Sylinder: 2

p_0' = 60.0 kPa

Figurnr.
F186

Del: D

Test: 1

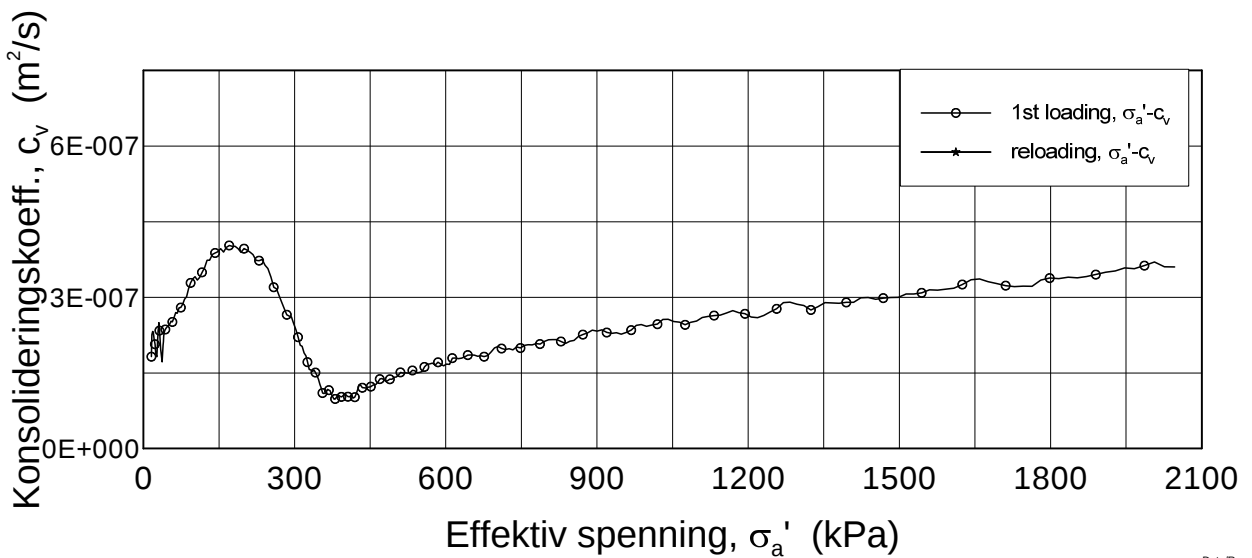
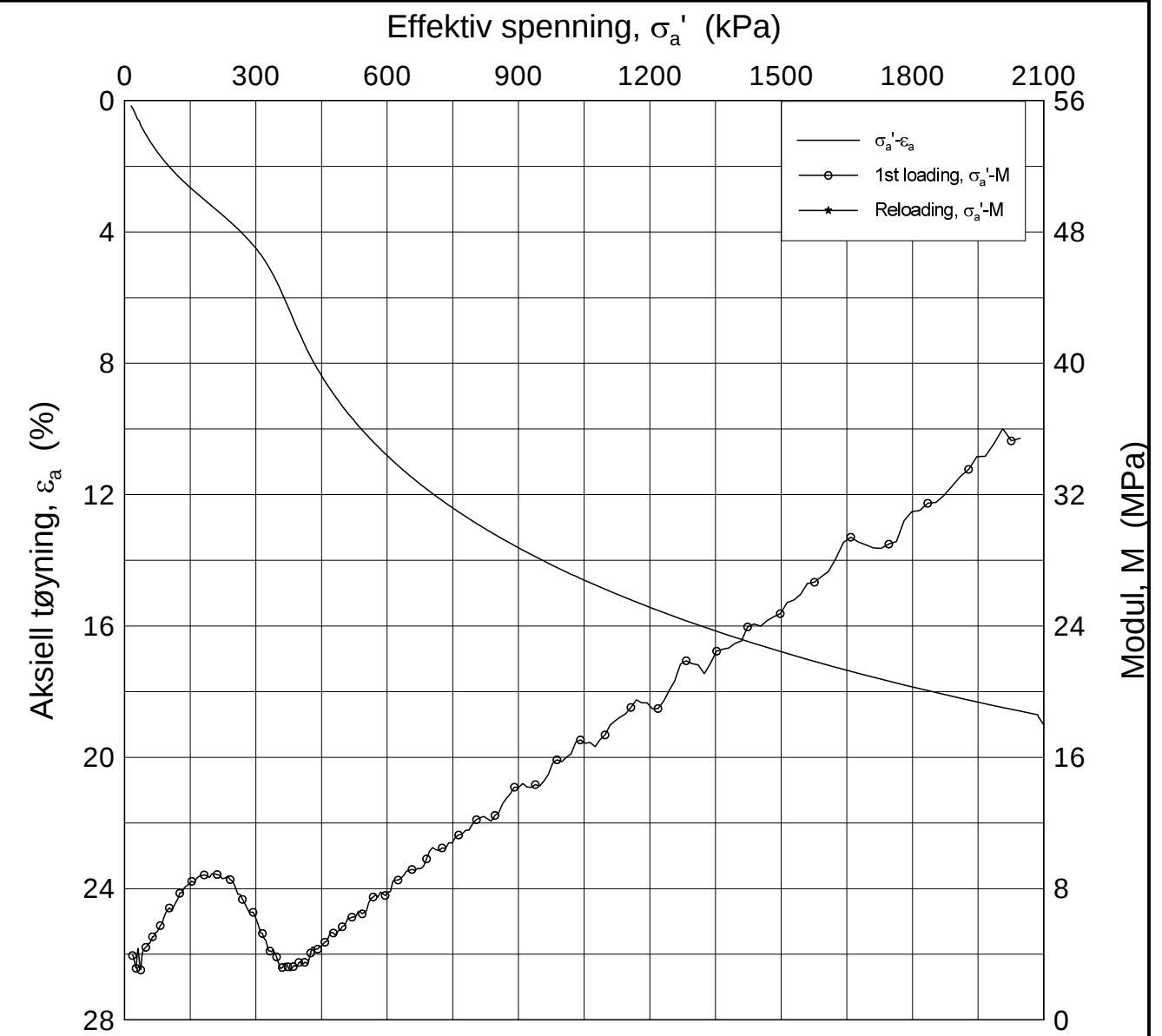
w_i = 36.47 %

Tegner
FP/




H:\LABDATA\2012\20120491\Oedom\3139-2-D-1 log (crs2164).grf

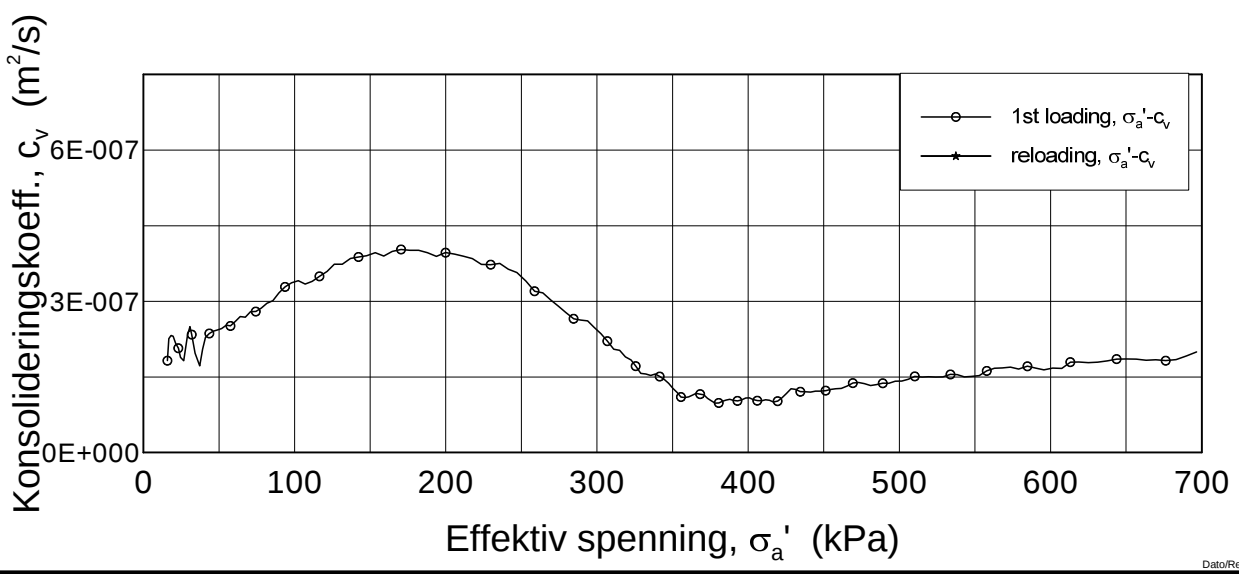
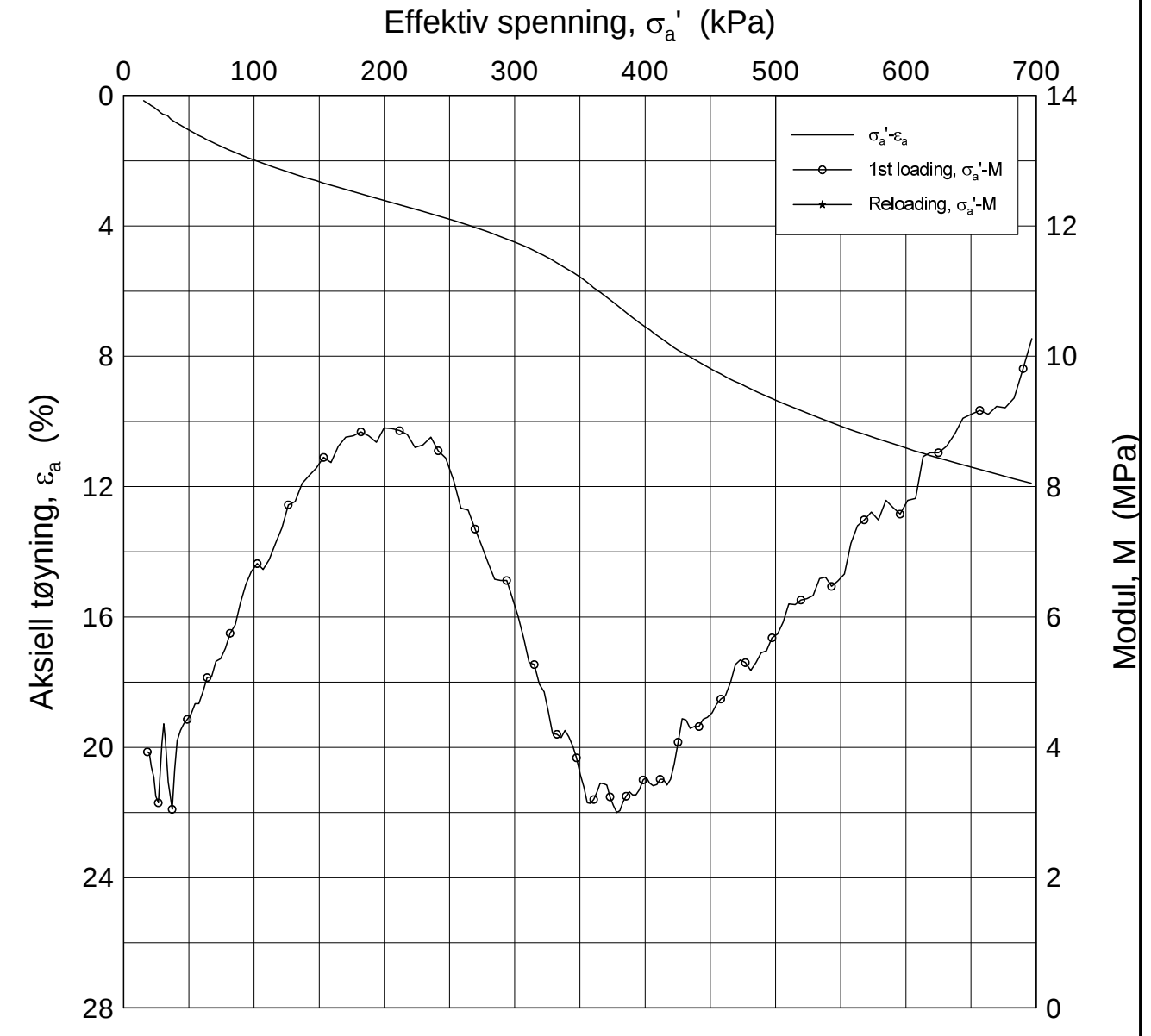
H:\LABDATA\2012\20120491\Oedom\3139-7-D-1.lin (crs2165).grf




Dato/Rev.: 2009-09-15/4

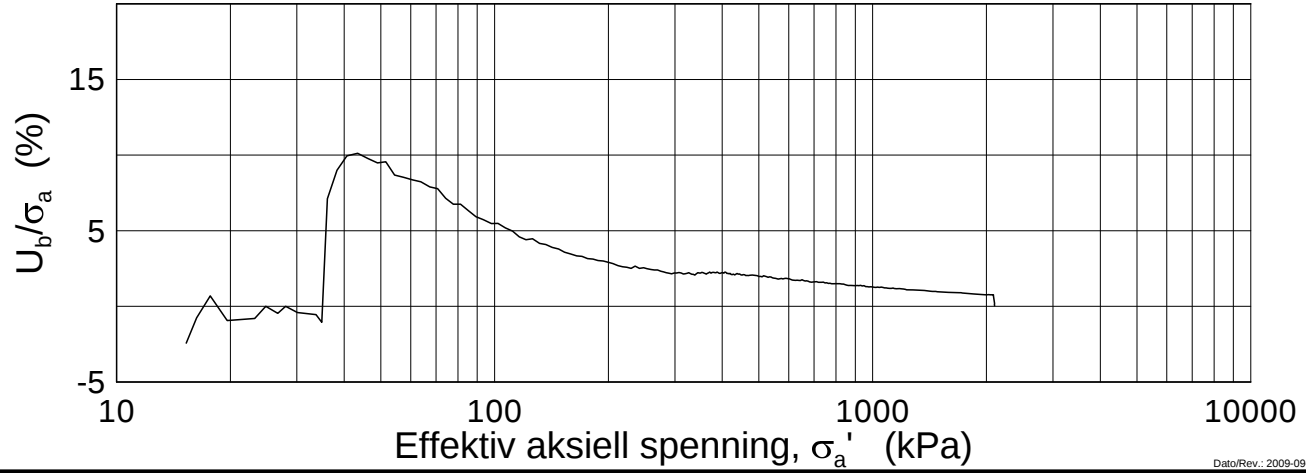
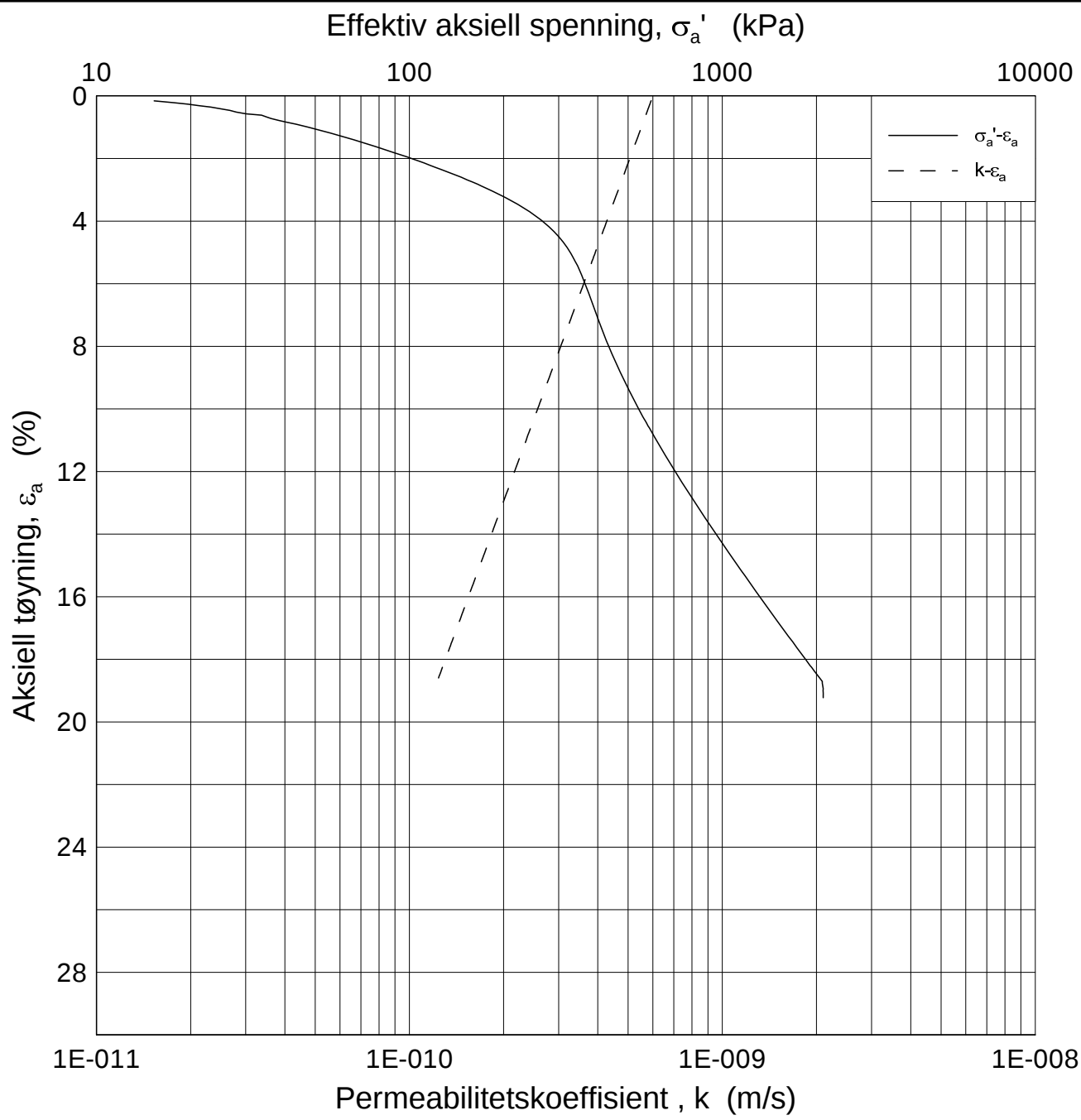
E16 Nybakk -Slomarka		Dokumentnr. 20120491-02-R
Ødometer test (CRSC)		Dato 2013-01-10
Borhull: 3139	Sylinder: 7	Figurnr. F187
Del: D	Test: 1	Tegner FP/
	Dybde = 10.61 m	
	$p'_0 = 105.0$ kPa	
	$w_i = 37.66$ %	

H:\LABDATA\2012\20120491\Oedom\3139-7-D-1.lin-2 (crs2165).grf



Dato/Rev.: 2009-09-15/4

E16 Nybakk -Slomarka			Dokumentnr. 20120491-02-R
Ødometer test (CRSC)			Dato 2013-01-10
Borhull: 3139	Sylinder: 7	Dybde = 10.61 m	Figurnr. F188
Del: D	Test: 1	$p'_0 = 105.0$ kPa	Tegner FP/
		$w_i = 37.66$ %	



Dato/Rev.: 2009-09-15/3

E16 Nybakk - Slomarka

Dokumentnr.
20120491-02-R

Ødometer test (CRSC)

Dybde = 10.61 m

Dato
2013-01-10

Borhull: 3139

Sylinder: 7

p_0' = 105.0 kPa

Figurnr.
F189

Del: D

Test: 1

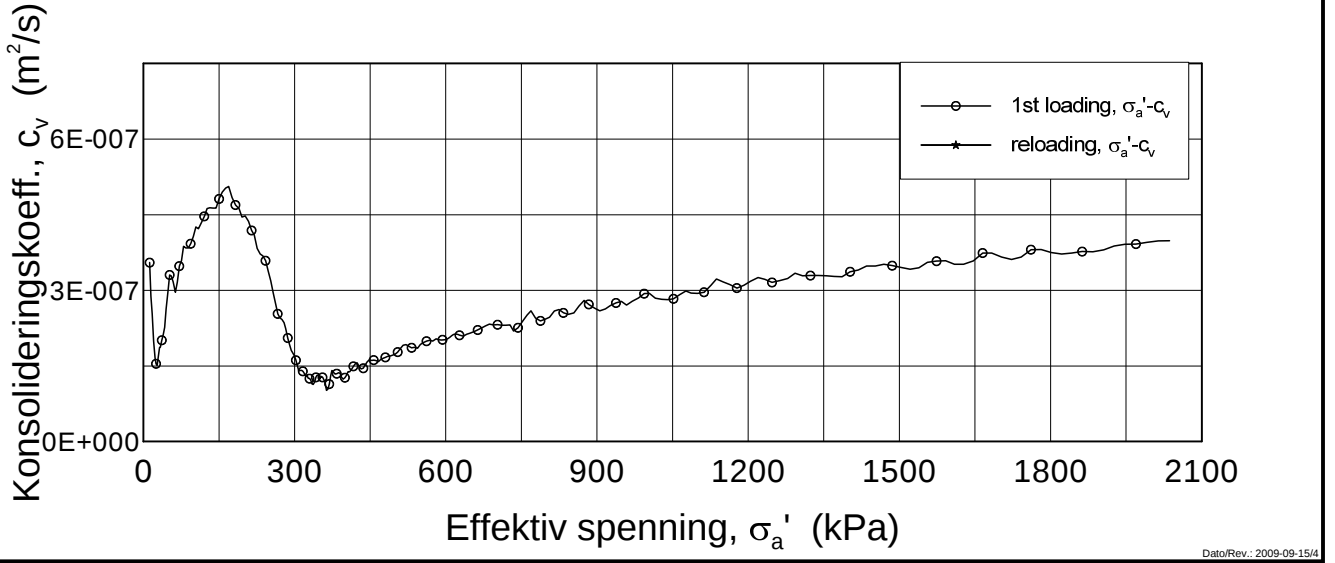
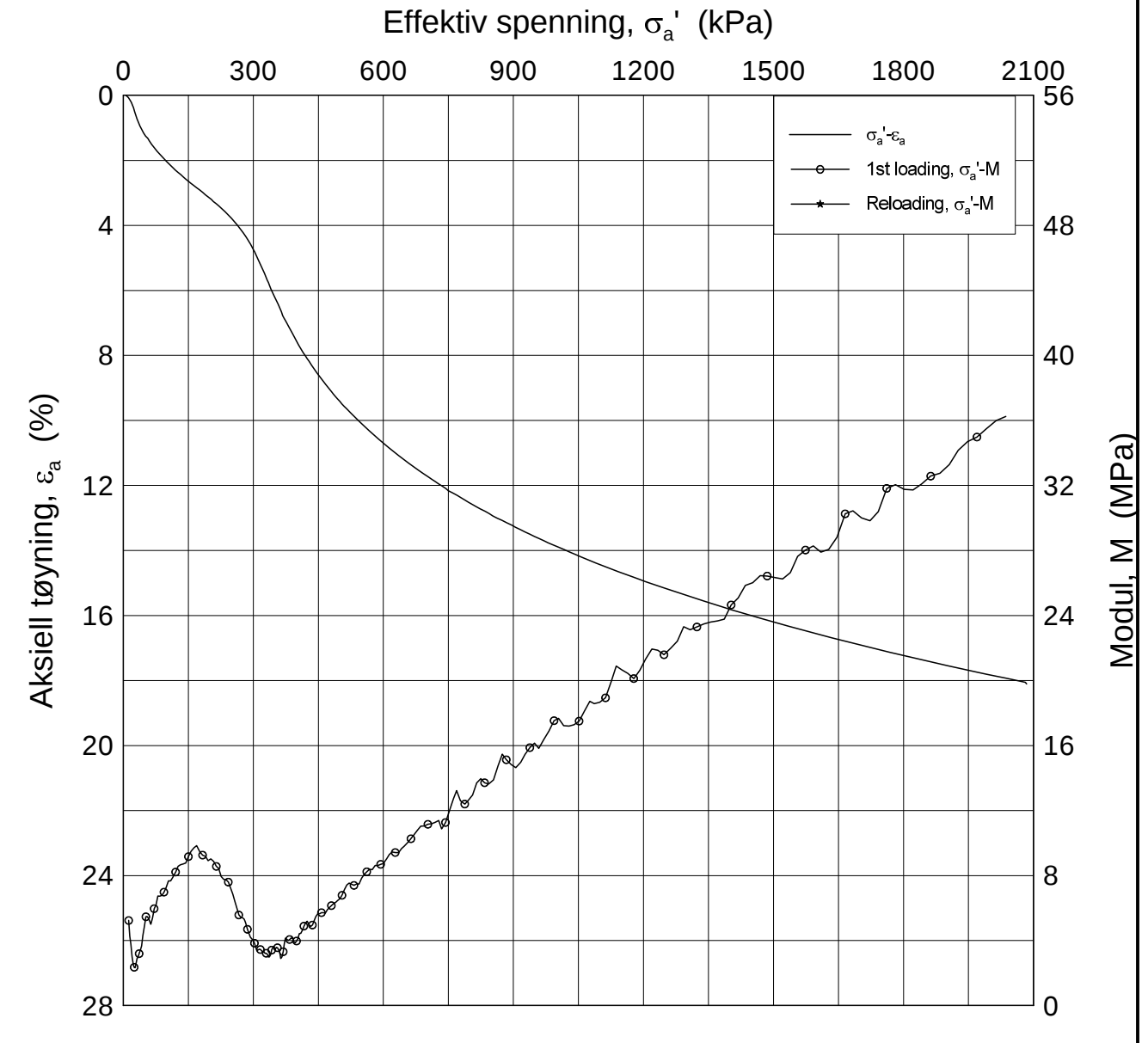
w_i = 37.66 %

Tegner
FP/




H:\LABDATA\2012\20120491\Oedom\3139-7-D-1.log (crs2165).grf

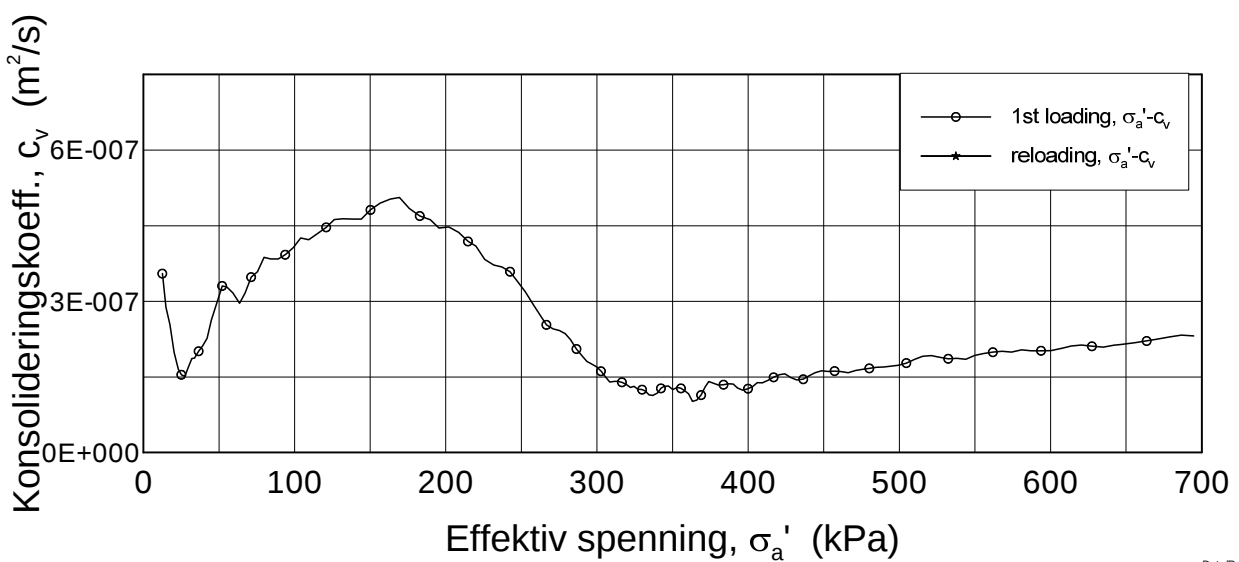
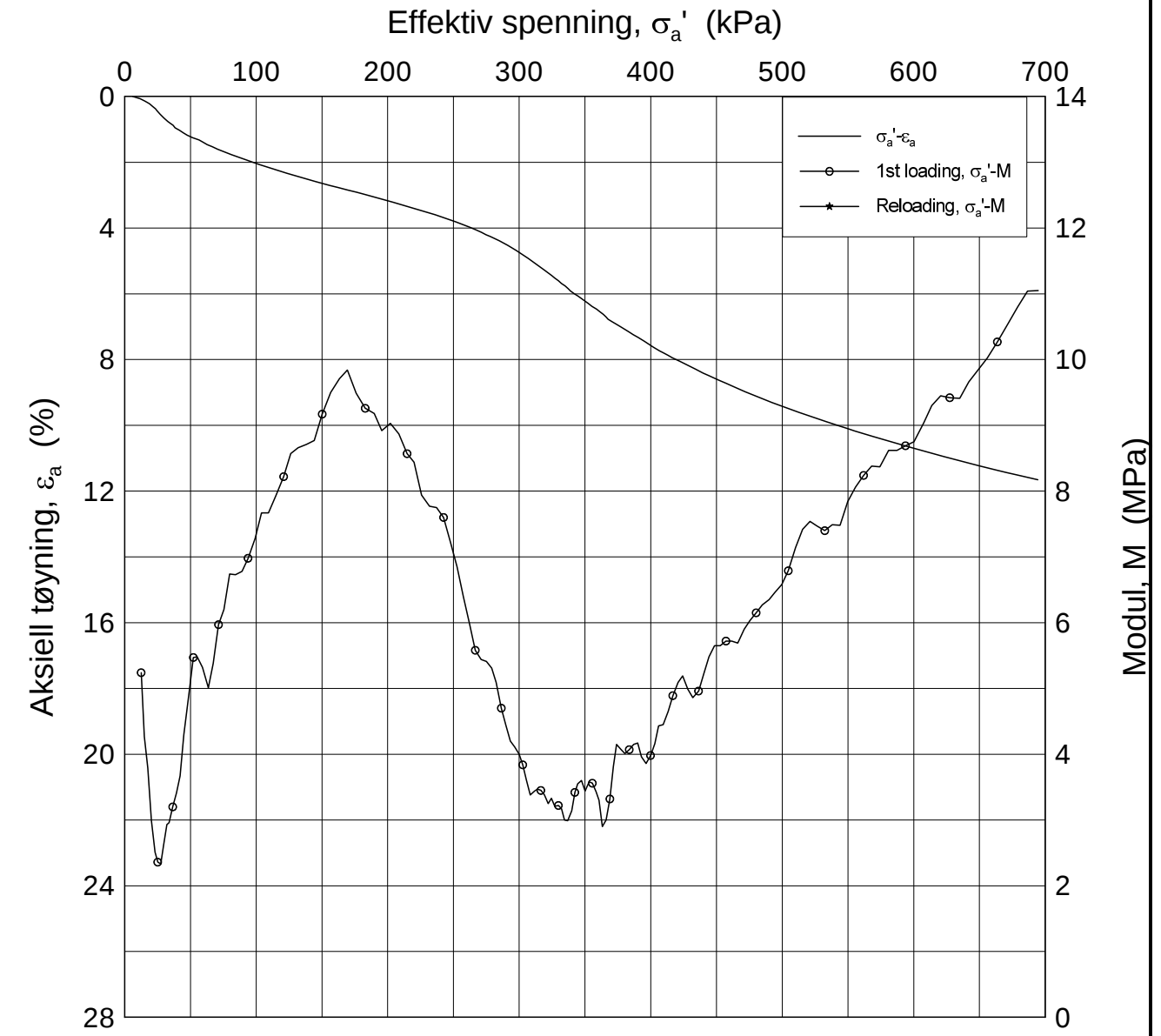
H:\LABDATA\2012\20120491\Oedom\3139-12-B-1.lin (crs2166).grf




Dato/Rev.: 2009-09-15/4

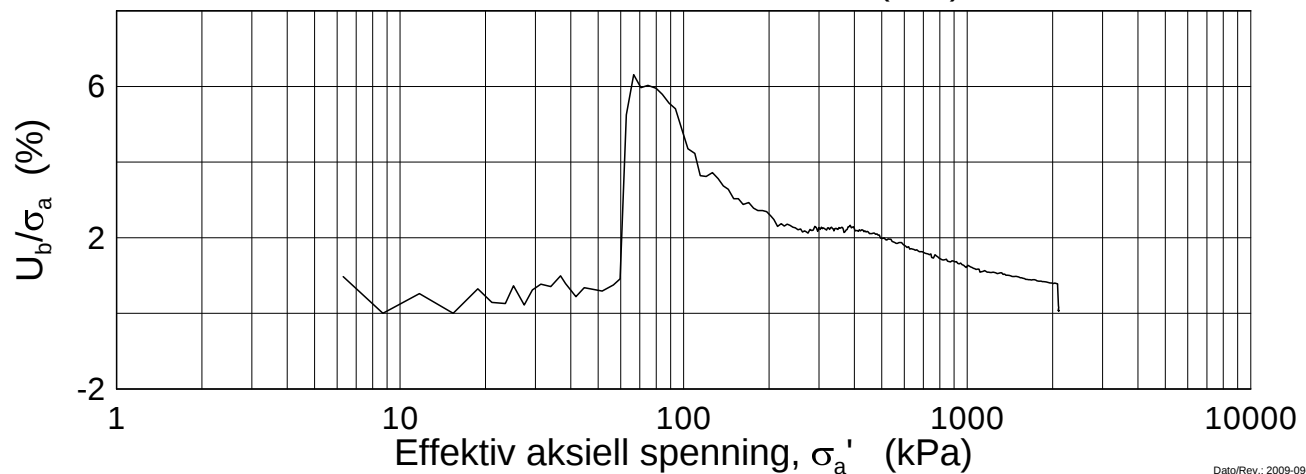
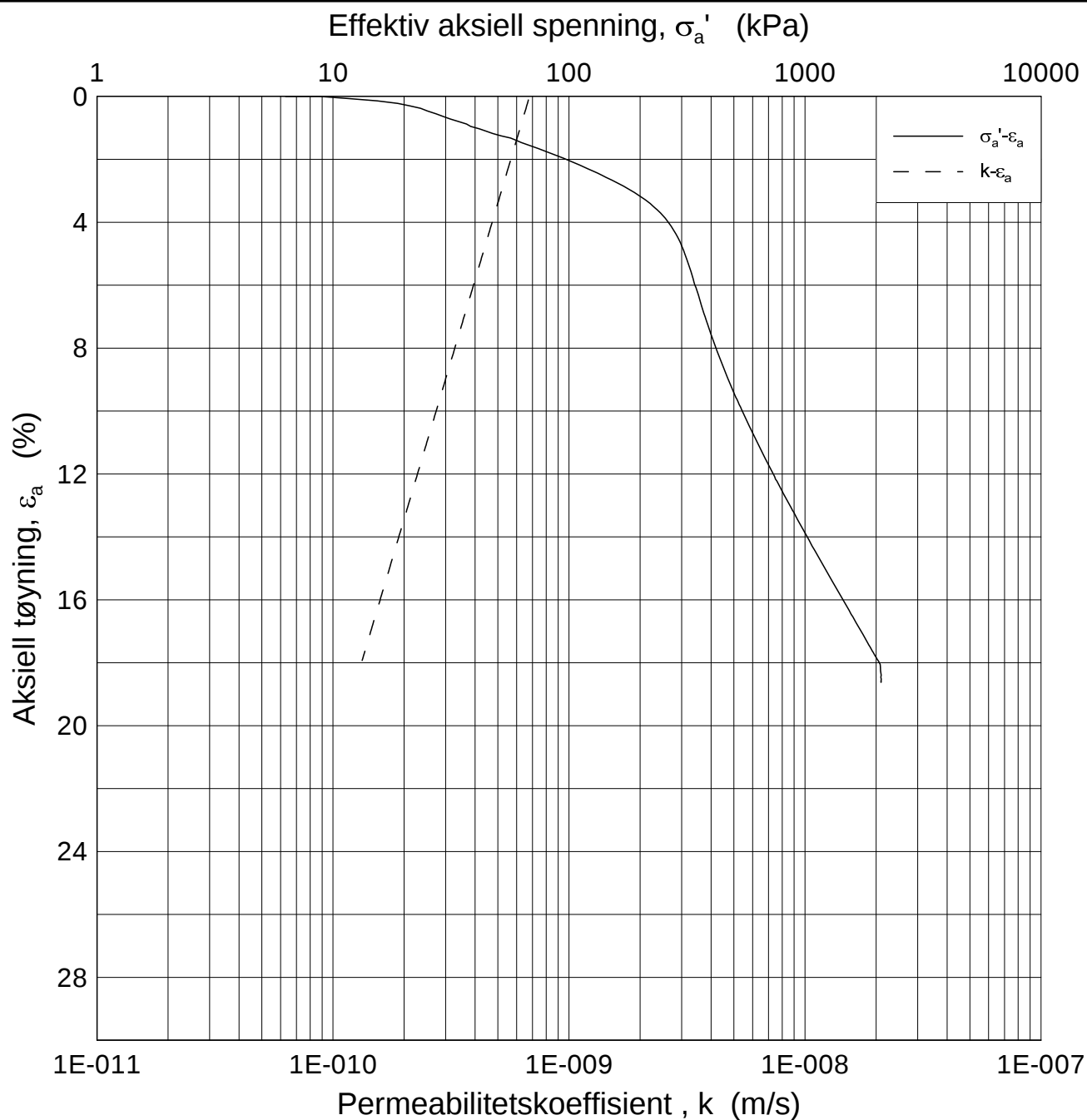
E16 Nybakk - Slomarka		Dokumentnr. 20120491-02-R
Ødometer test (CRSC)		Dato 2013-01-09
Borhull: 3139	Sylinder: 12	Figurnr. F190
Del: B	Test: 1	Tegner FP/
	Dybde = 15.35 m	
	$p'_0 = 150.0$ kPa	
	$w_i = 38.85$ %	

H:\LABDATA\2012\20120491\Oedom\3139-12-B-1.lin-2 (crs2166).gif



Dato/Rev.: 2009-09-15/4

E16 Nybakk - Slomarka		Dokumentnr. 20120491-02-R
Ødometer test (CRSC)		Dato 2013-01-09
Borhull: 3139	Sylinder: 12	Figurnr. F191
Del: B	Test: 1	Tegner FP/
	Dybde = 15.35 m	
	$p'_0 = 150.0$ kPa	
	$w_i = 38.85$ %	



Dato/Rev.: 2009-09-15/3

E16 Nybakk - Slomarka

Dokumentnr.
20120491-02-R

Ødometer test (CRSC)

Dybde = 15.35 m

Dato
2013-01-09

Borhull: 3139

Sylinder: 12

p'_0 = 150.0 kPa

Figurnr.
F192

Del: B

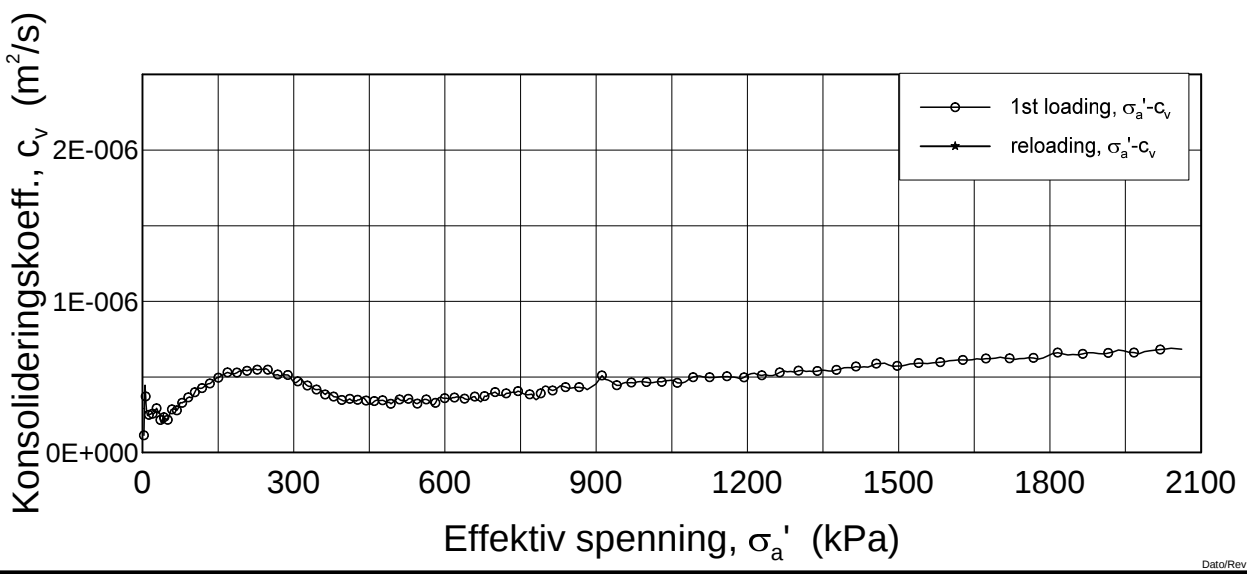
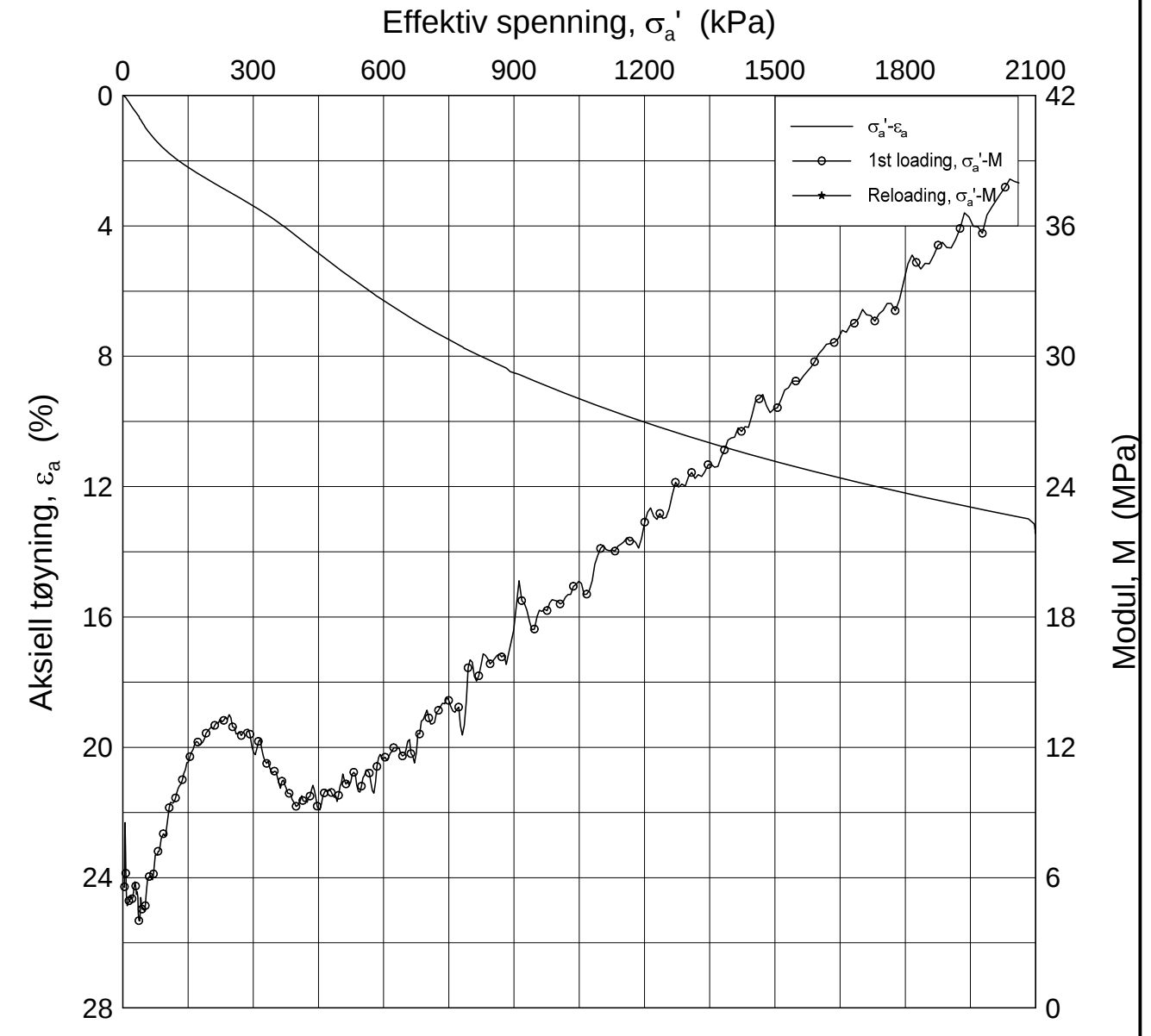
Test: 1

w_i = 38.85 %


Tegner
FP/



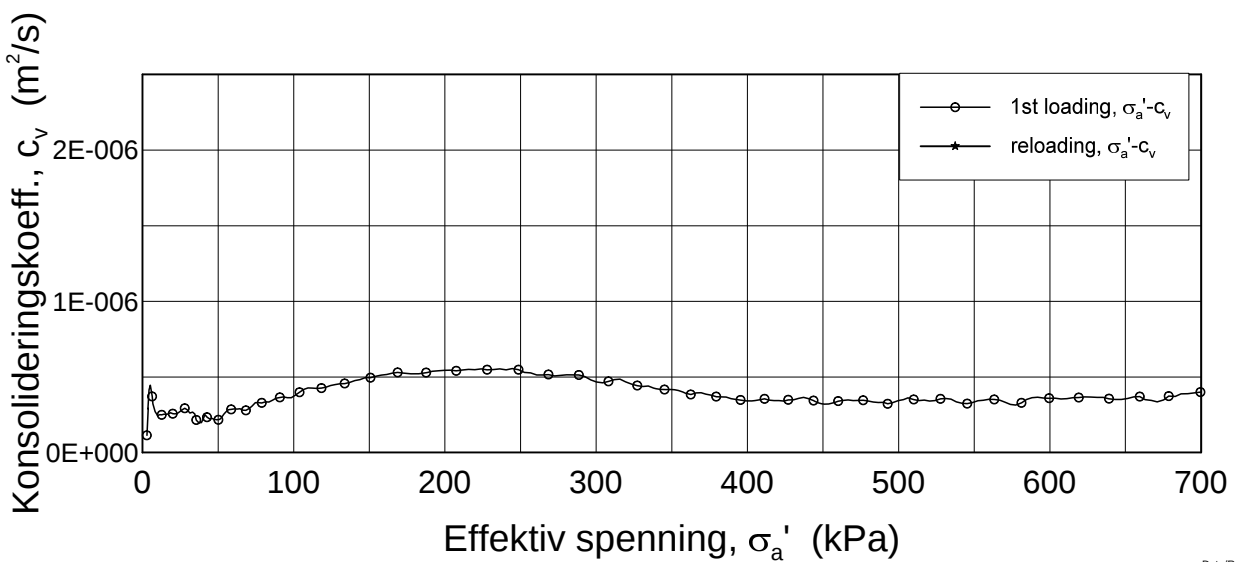
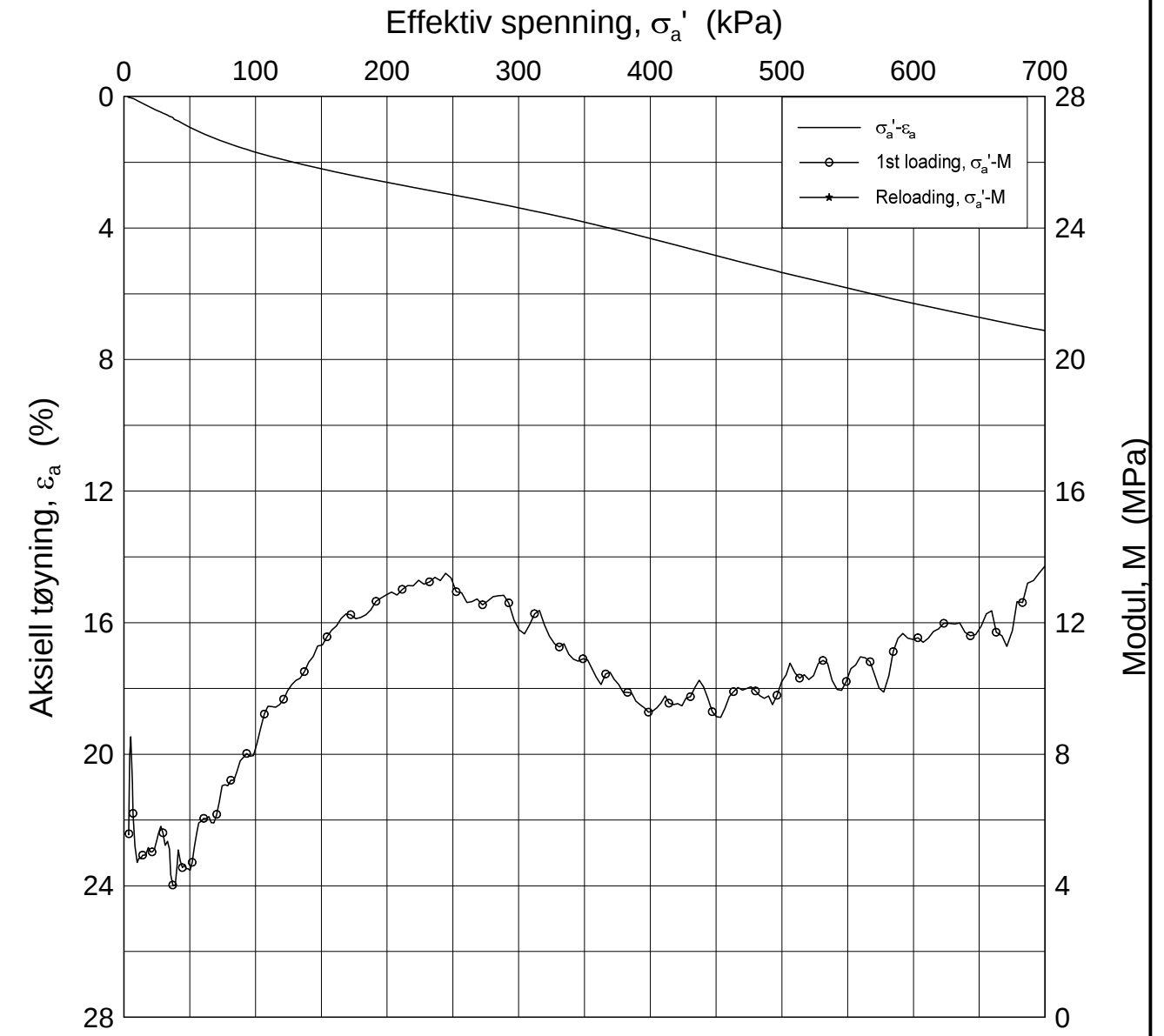
H:\LABDATA\2012\20120491\Oedom\BH3148\3148-5-D-1.lin (crs2349).grf



Dato/Rev.: 2009-09-15/4

E16 Nybakk - Slomarka			Dokumentnr. 20120491-02-R
Ødometer test (CRSC)			Dato 2013-08-28
Borhull: 3148	Sylinder: 5	Dybde = 5.62 m	Figurnr. F193
Del: D	Test: 1	$p'_0 = 80.9$ kPa	Tegner FP/
		$w_i = 31.65$ %	

H:\LABDATA\2012\20120491\Oedom\BH3148\3148-5-D-1.lin-2 (cvs2349).grf



Dato/Rev.: 2009-09-15/4

E16 Nybakk - Slomarka

Dokumentnr.
20120491-02-R

Ødometer test (CRSC)

Dybde = 5.62 m

Dato
2013-08-28

Borhull: 3148

Sylinder: 5

p'_o = 80.9 kPa

Figurnr.
F194

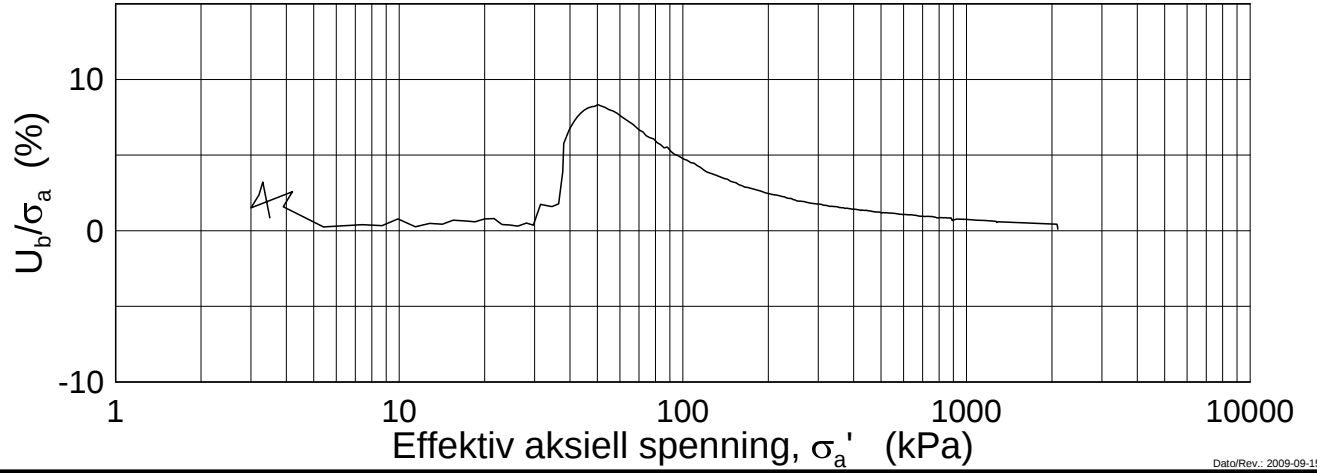
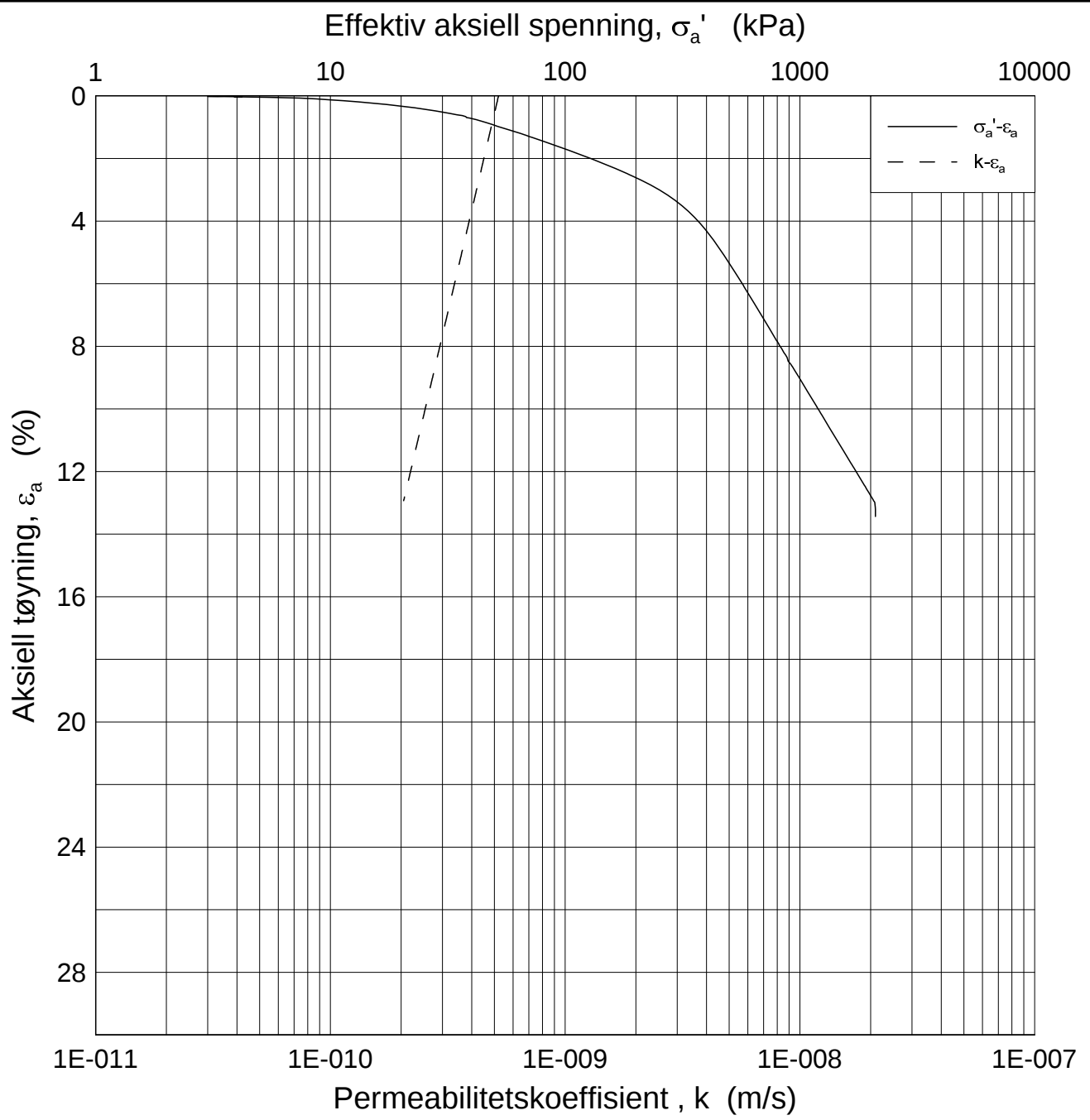
Del: D

Test: 1

w_i = 31.65 %

Tegner
FP/





Dato/Rev.: 2009-09-15/3

E16 Nybakk - Slomarka

Dokumentnr.
20120491-02-R

Ødometer test (CRSC)

Dybde = 5.62 m

Dato
2013-08-28

Borhull: 3148

Sylinder: 5

p'_o = 80.9 kPa

Figurnr.
F195

Del: D

Test: 1

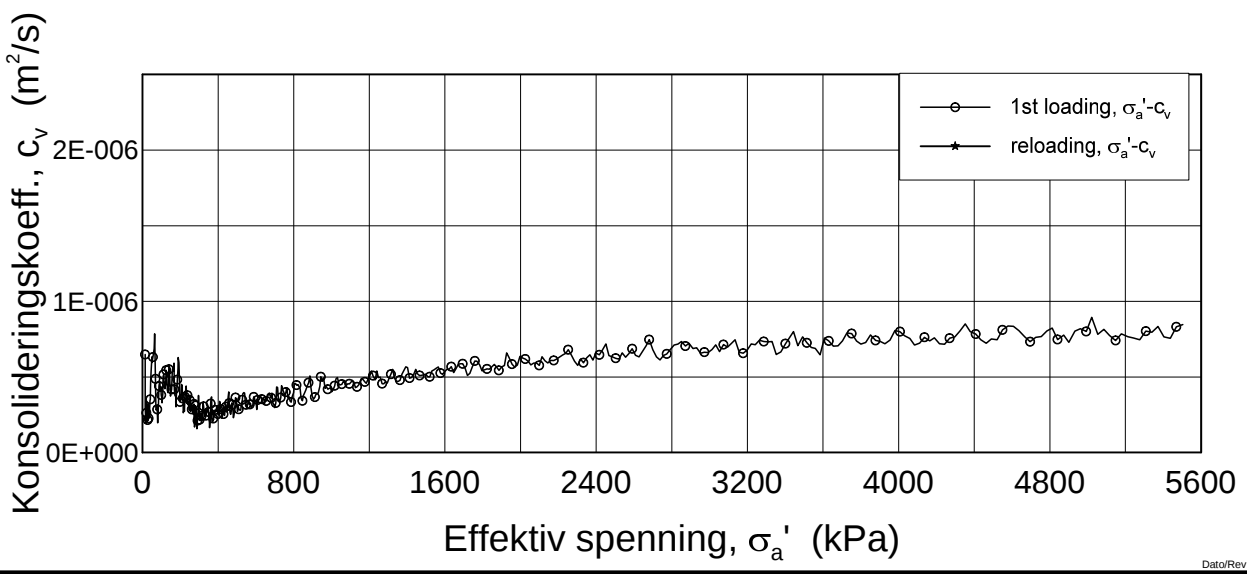
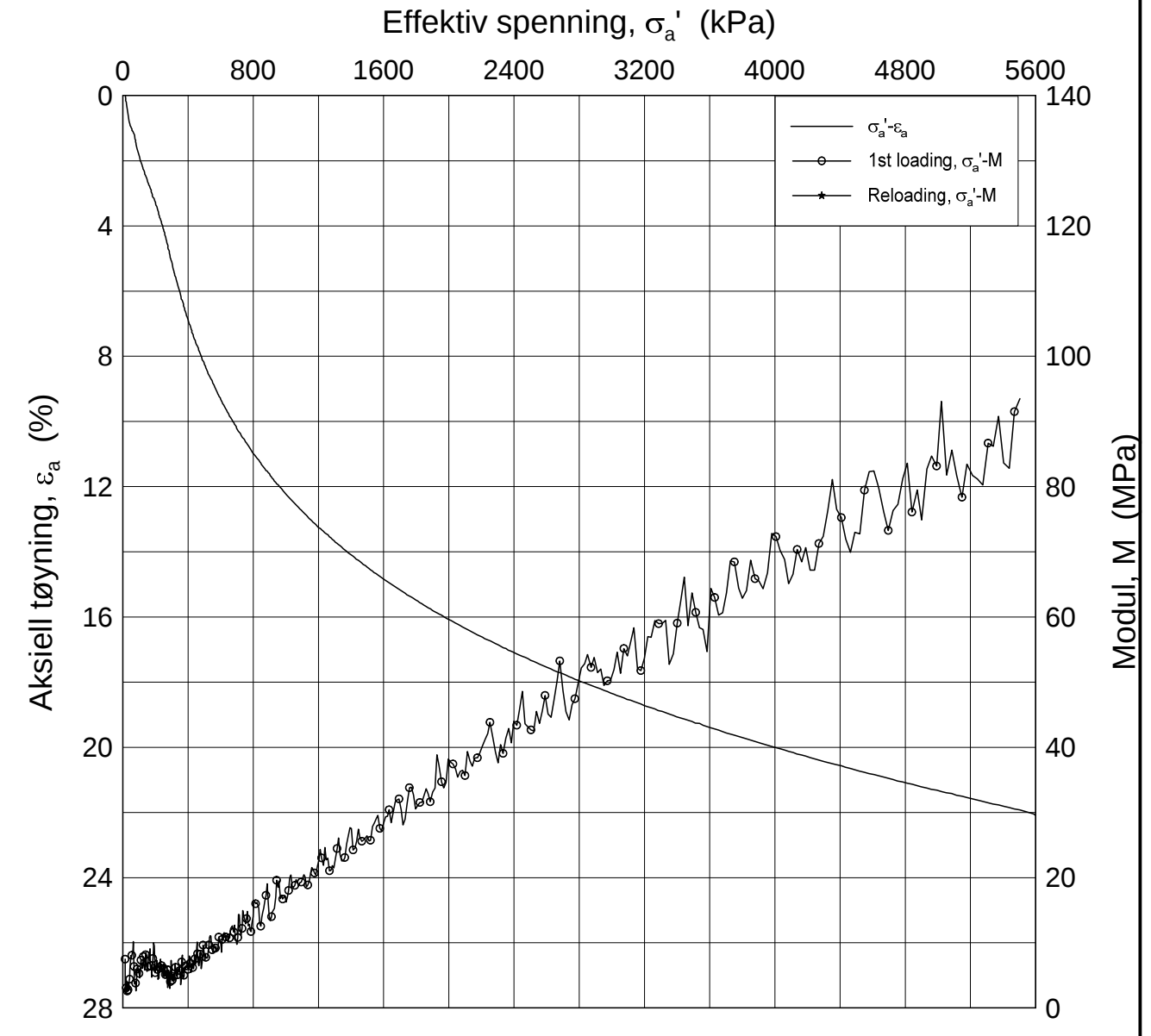
w_i = 31.65 %

Tegner
FP/




H:\LABDATA\2012\20120491\Oedom\BH3148\3148-5-D-1.log (crs2349).grf

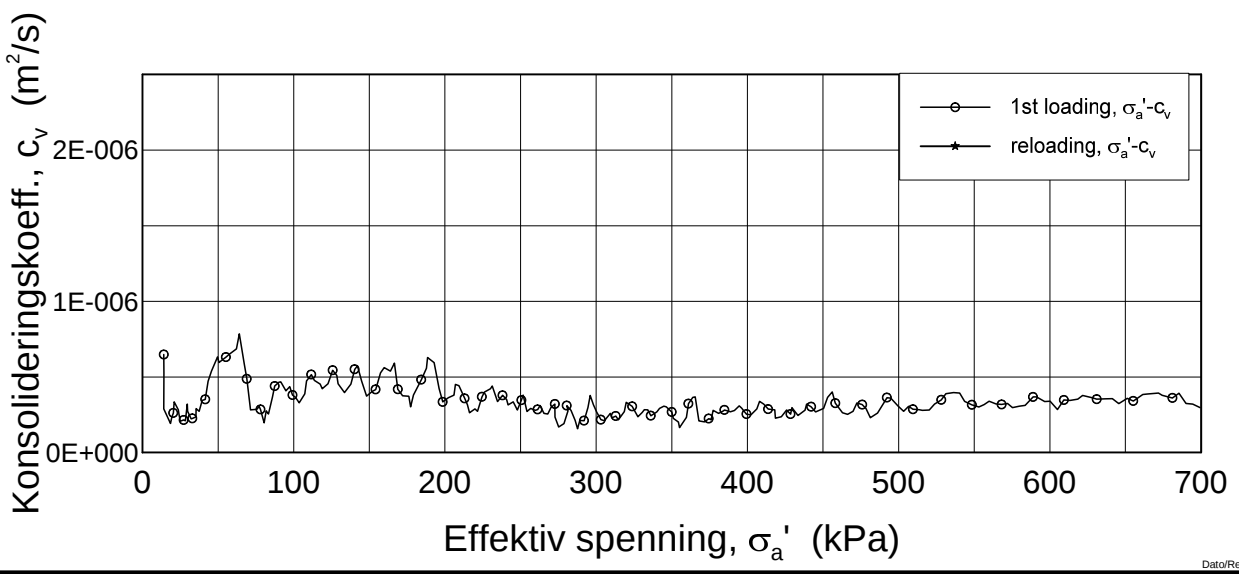
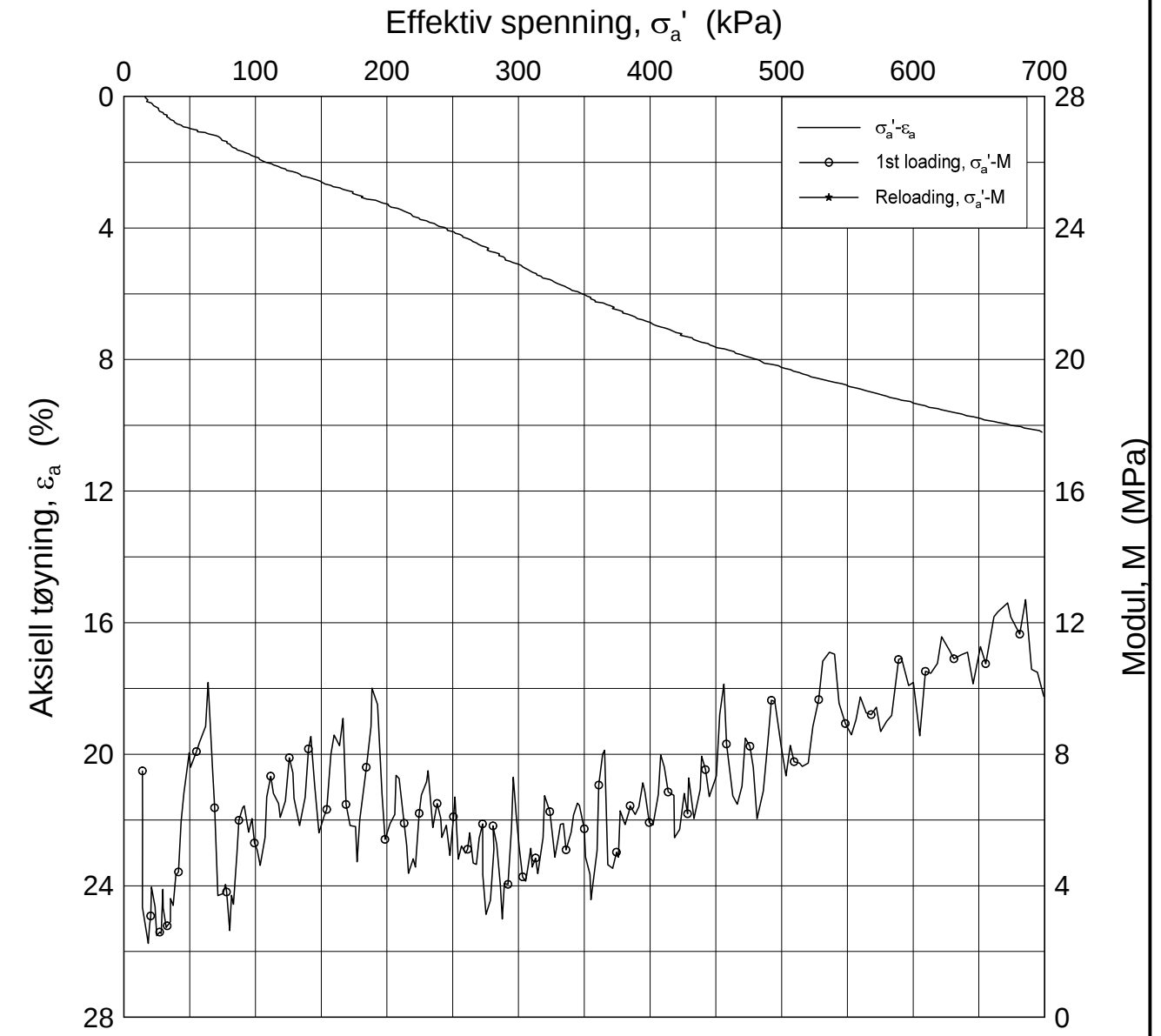
H:\LABDATA\2012\20120491\Oedom\BH3148\3148-10-A-1.lin (crs2345).gif




Dato/Rev.: 2009-09-15/4

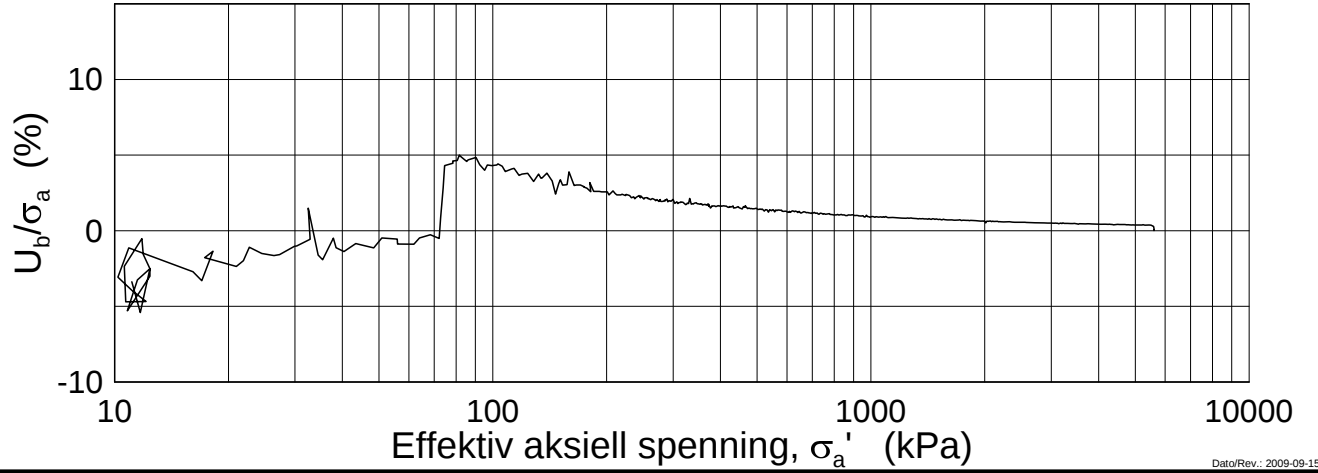
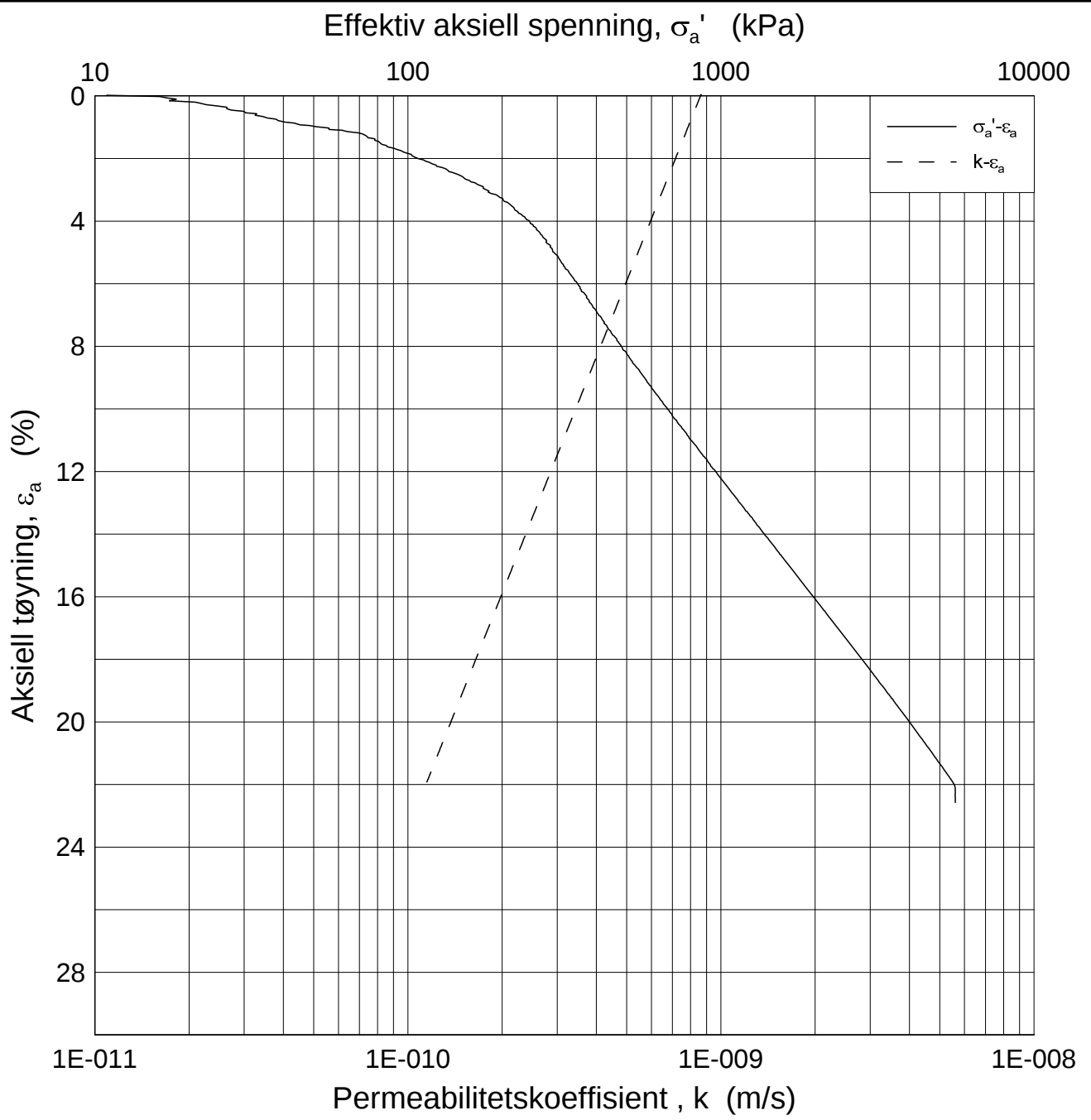
E16 Nybakk - Slomarka			Dokumentnr. 20120491-02-R
Ødometer test (CRSC)			Dato 2013-09-06
Borhull: 3148	Sylinder: 10	Dybde = 10.16 m	Figurnr. F196
Del: A	Test: 1	$p'_0 = 123.4$ kPa	Tegner FP/
		$w_i = 35.84$ %	

H:\LABDATA\2012\20120491\Oedom\BH3148\3148-10-A-1 lin-2 (crs2345).grf



Dato/Rev: 2009-09-15/4

E16 Nybakk - Slomarka			Dokumentnr. 20120491-02-R
Ødometer test (CRSC)			Dato 2013-09-06
Borhull: 3148	Sylinder: 10	Dybde = 10.16 m	Figurnr. F197
Del: A	Test: 1	$p'_o = 123.4$ kPa	Tegner FP/
		$w_i = 35.84$ %	



Dato/Rev.: 2009-09-15/3

E16 Nybakk - Slomarka

Dokumentnr.
20120491-02-R

Ødometer test (CRSC)

Dybde = 10.16 m

Dato
2013-09-06

Borhull: 3148

Sylinder: 10

p_o' = 123.4 kPa

Figurnr.
F198

Del: A

Test: 1

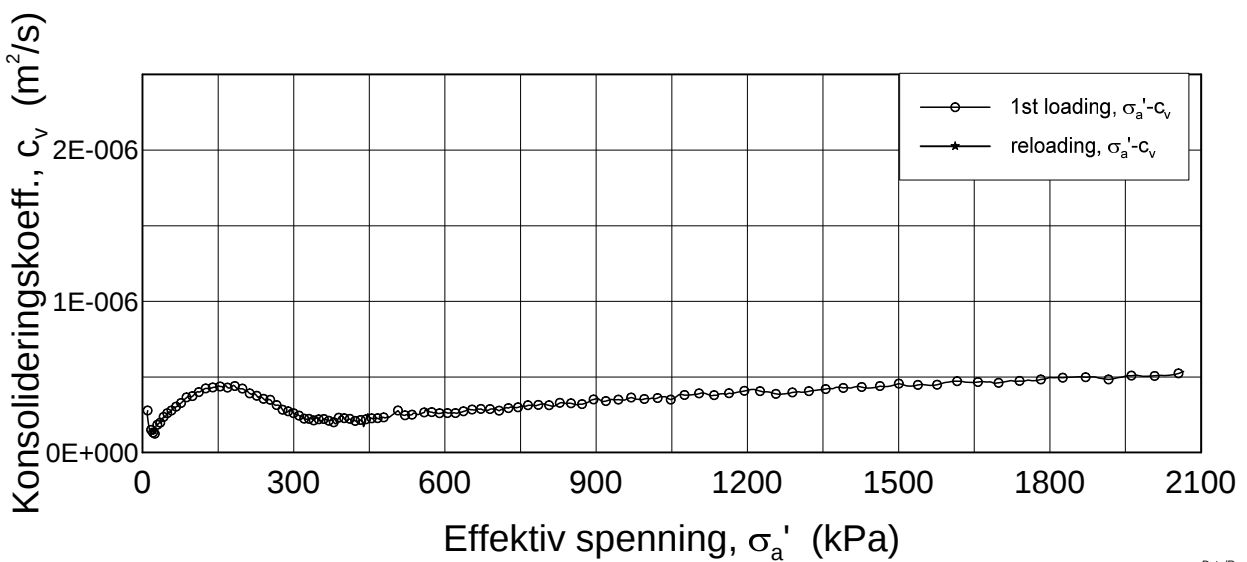
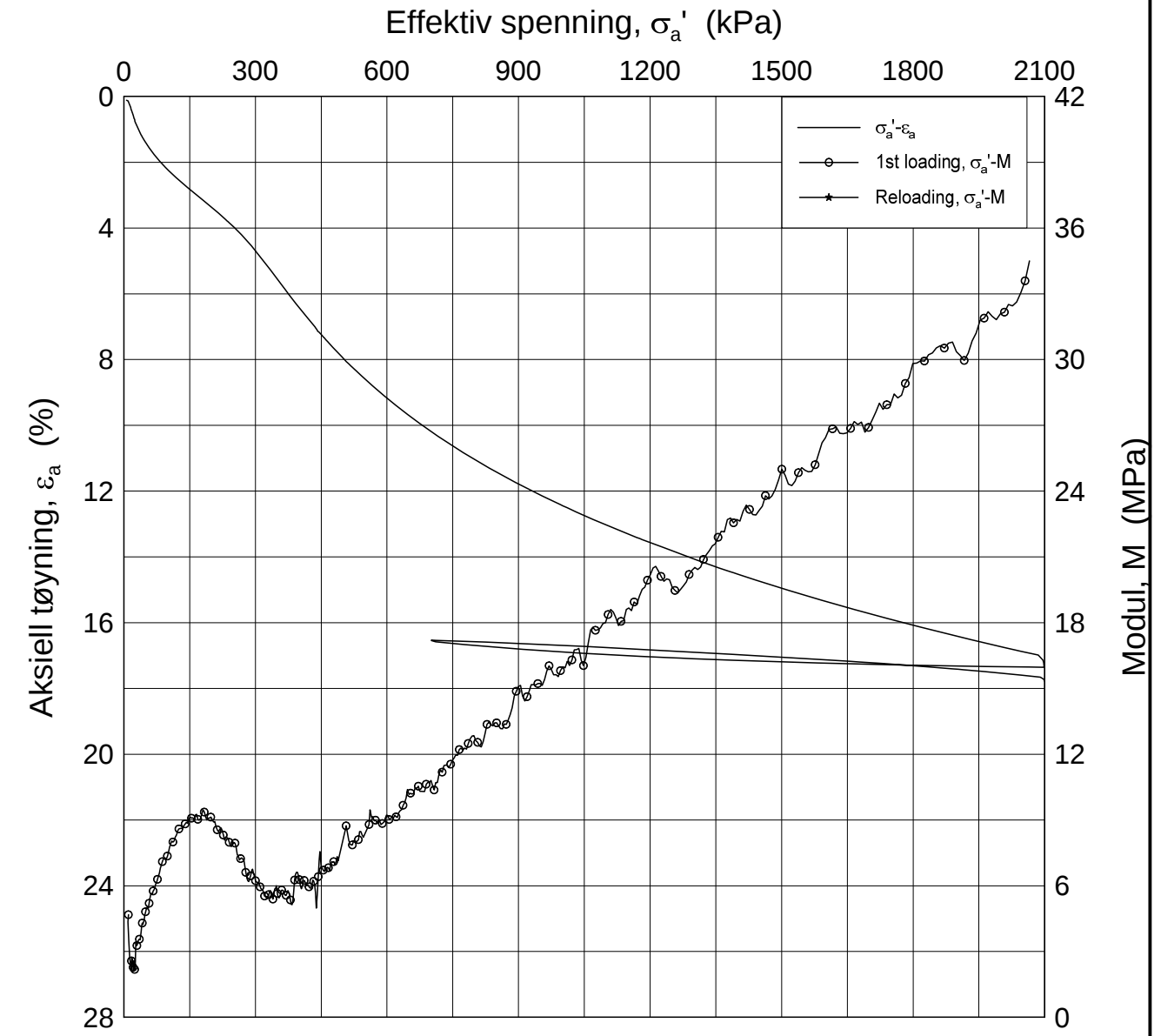
w_i = 35.84 %

Tegner
FP/




H:\LABDATA\2012\20120491\Oedom\BH3148\3148-10-A-1 log (crs2345).grf

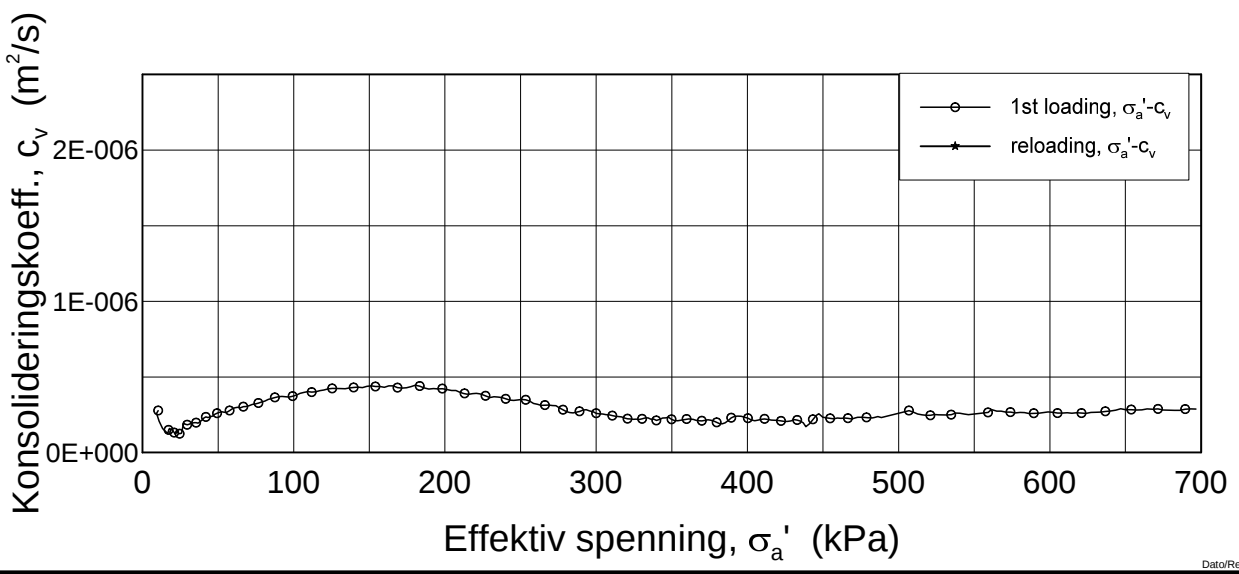
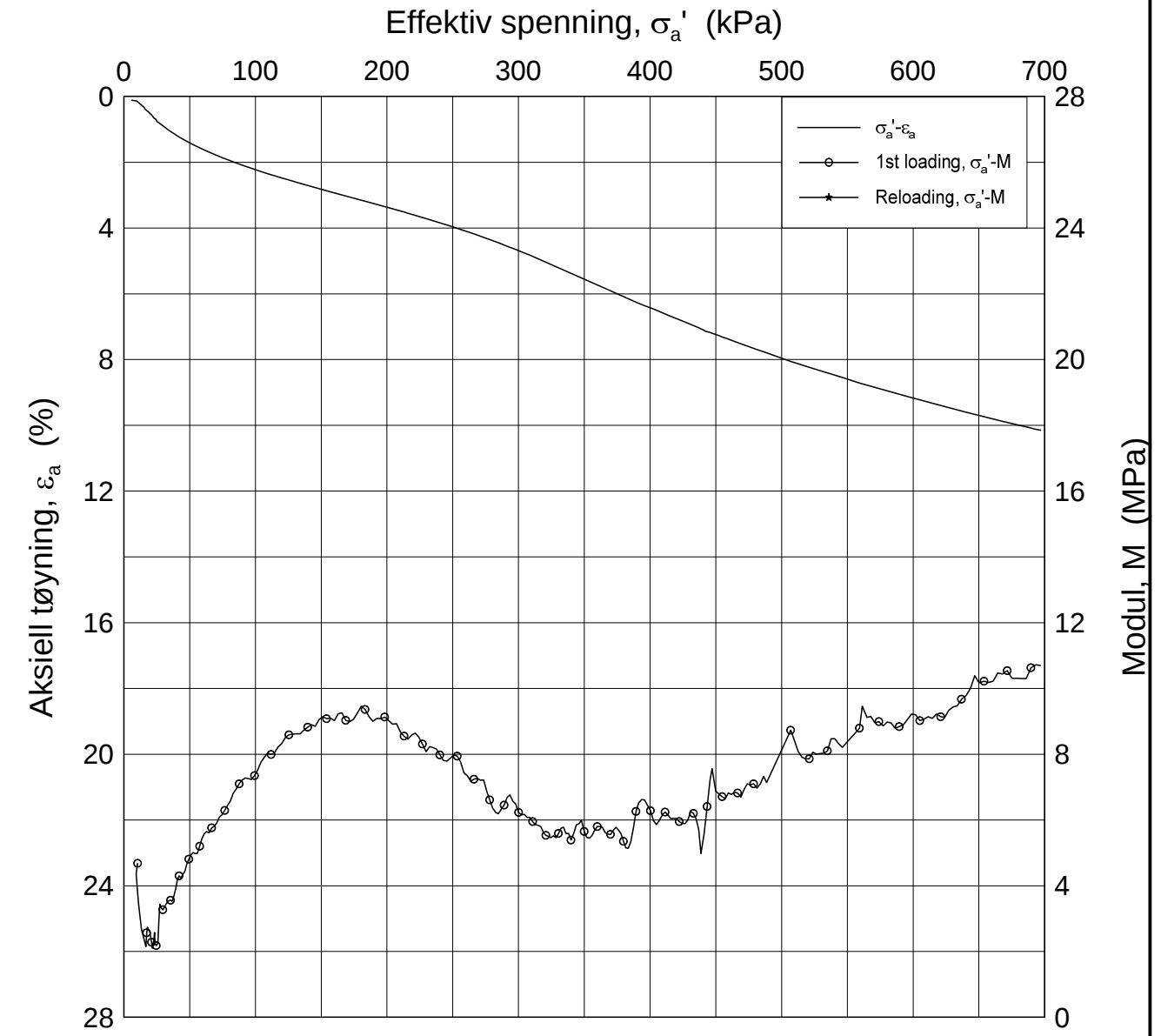
H:\LABDATA\2012\20120491\Oedom\BH3148\3148-14-B-1.lin (crs2355).gif




Dato/Rev.: 2009-09-15/4

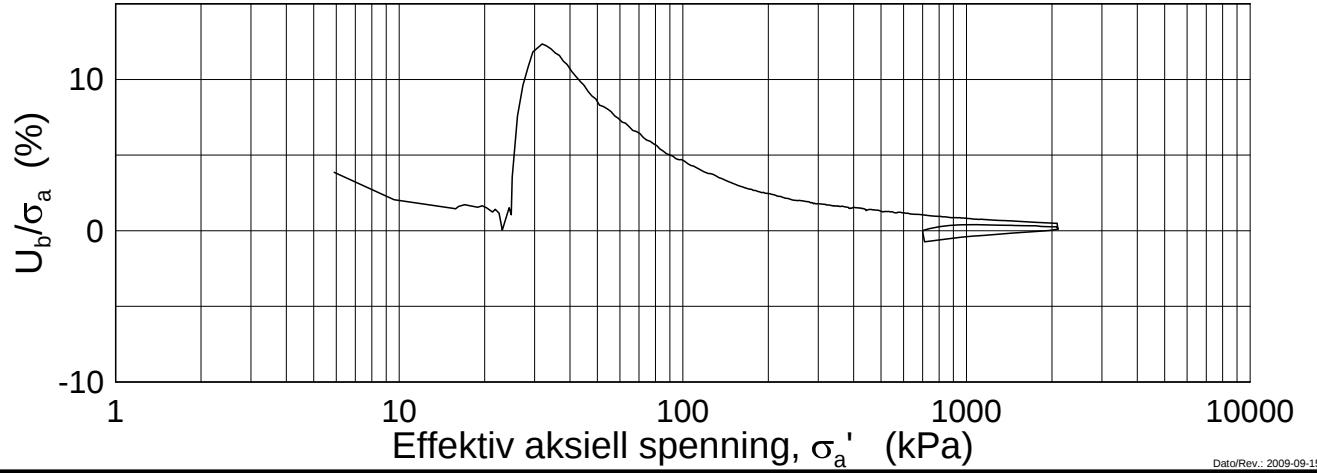
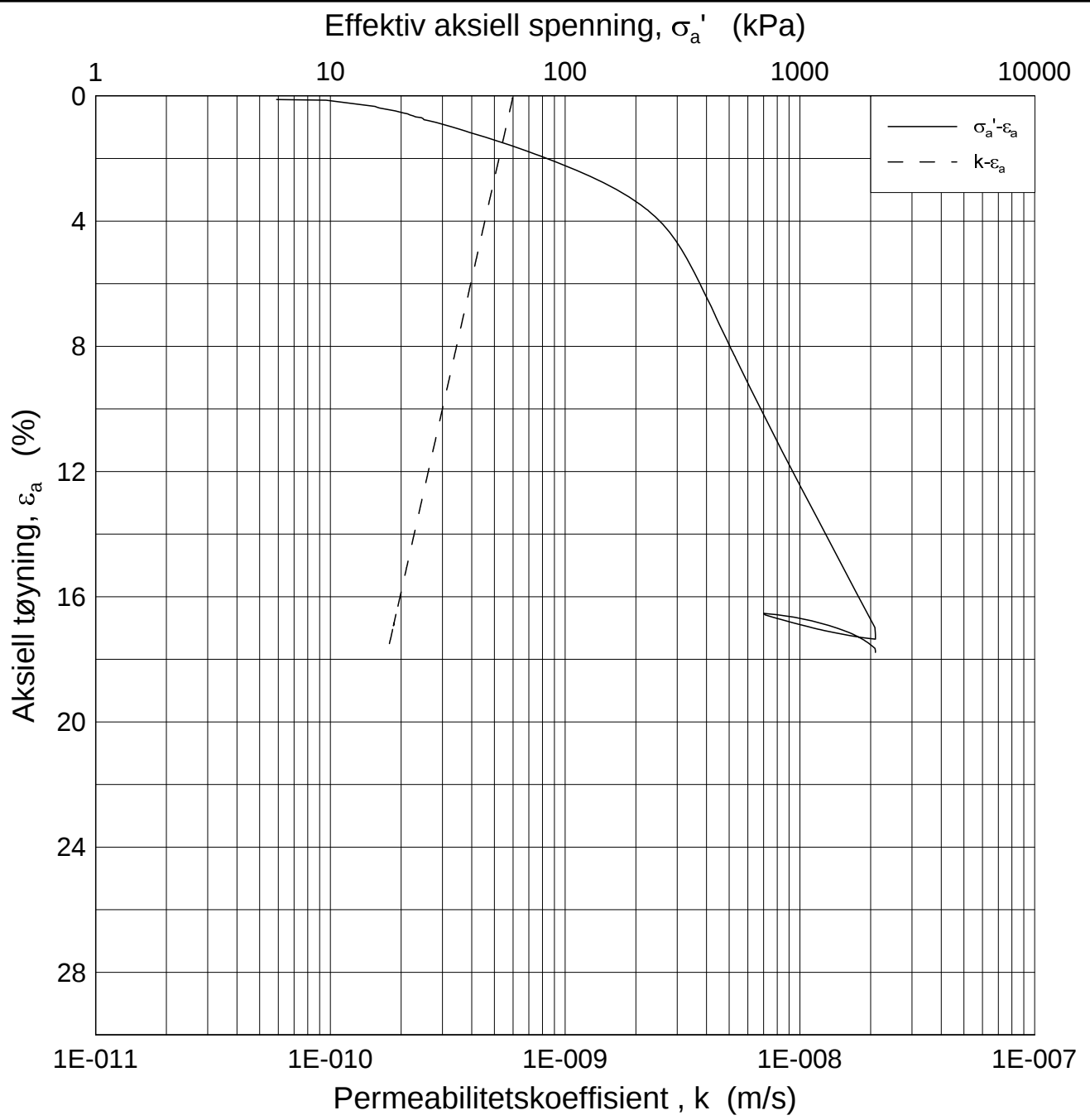
E16 Nybakk - Slomarka		Dokumentnr. 20120491-02-R
Ødometer test (CRSC)		Dato 2013-08-28
Borhull: 3148	Sylinder: 14	Figurnr. F199
Del: B	Test: 1	Tegner FP/
	Dybde = 14.31 m	
	p'_0 = 157.4 kPa	
	w_i = 40.07 %	

H:\LABDATA\2012\20120491\Oedom\BH3148\3148-14-B-1.lin-2 (crs2355).grf



Dato/Rev: 2009-09-15/4

E16 Nybakk - Slomarka			Dokumentnr. 20120491-02-R
Ødometer test (CRSC)			Dato 2013-08-28
Borhull: 3148	Sylinder: 14	Dybde = 14.31 m	Figurnr. F200
Del: B	Test: 1	$p'_o = 157.4$ kPa	Tegner FP/
		$w_i = 40.07$ %	



Dato/Rev.: 2009-09-15/3

E16 Nybakk - Slomarka

Dokumentnr.
20120491-02-R

Ødometer test (CRSC)

Dybde = 14.31 m

Dato
2013-08-28

Borhull: 3148

Sylinder: 14

p'_o = 157.4 kPa

Figurnr.
F201

Del: B

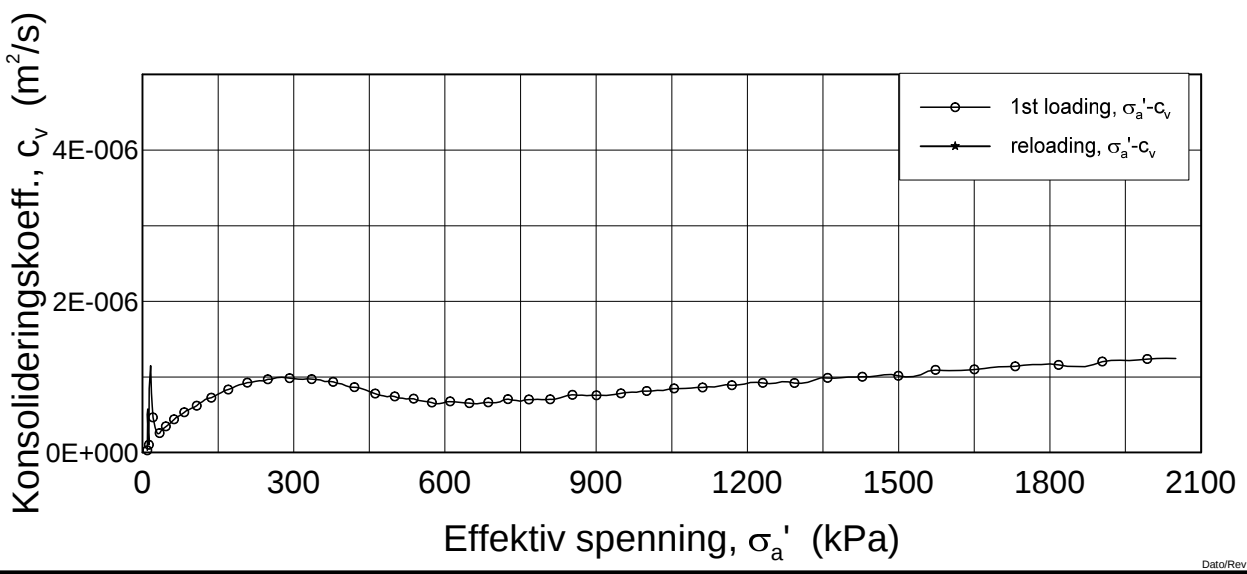
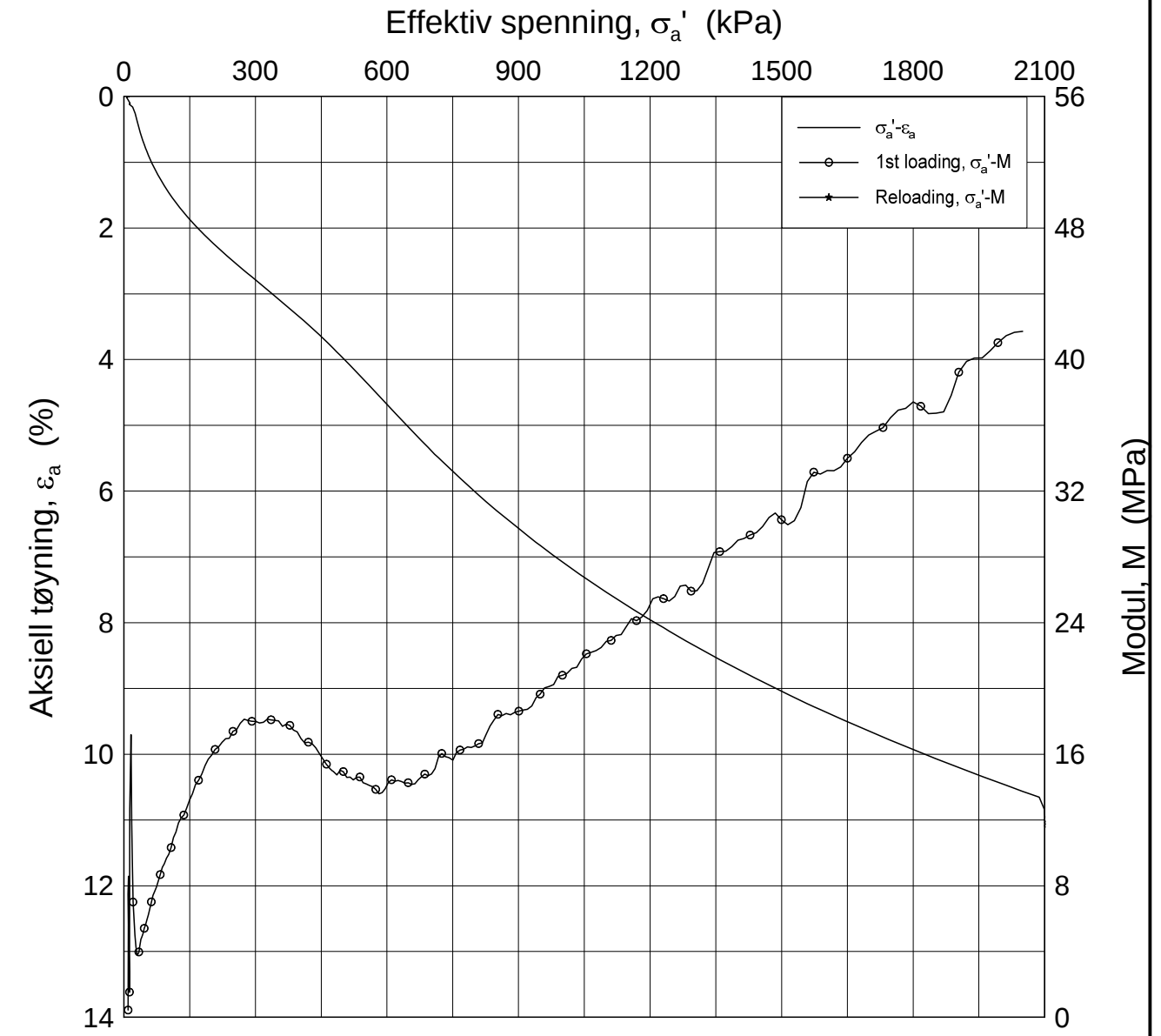
Test: 1

w_i = 40.07 %


Tegner
FP/



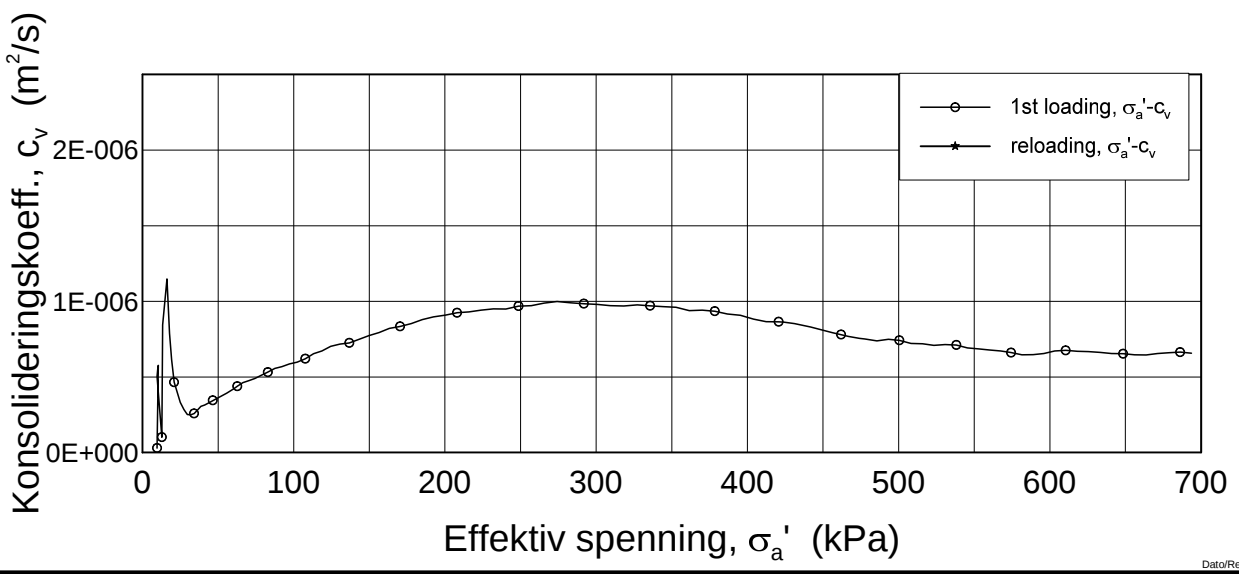
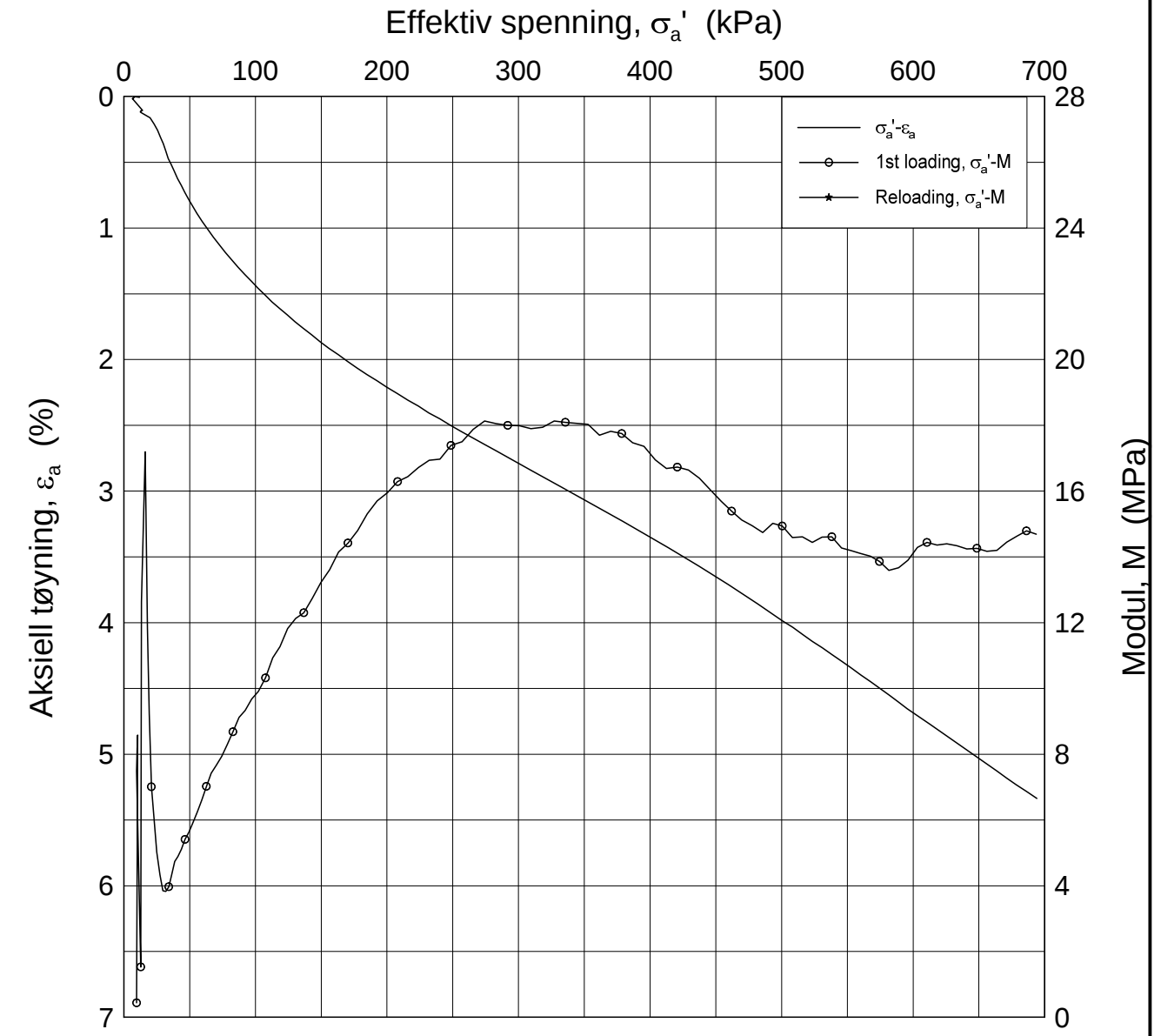
H:\LABDATA\2012\20120491\Oedom\2312-10-A-3 Lin (CRS2563).grf




Dato/Rev.: 2009-09-15/4

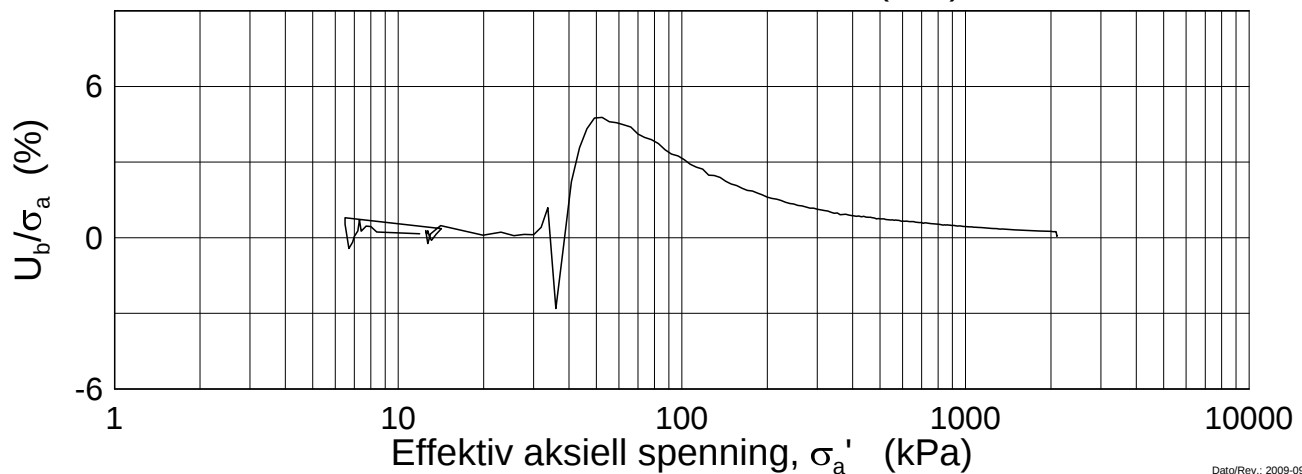
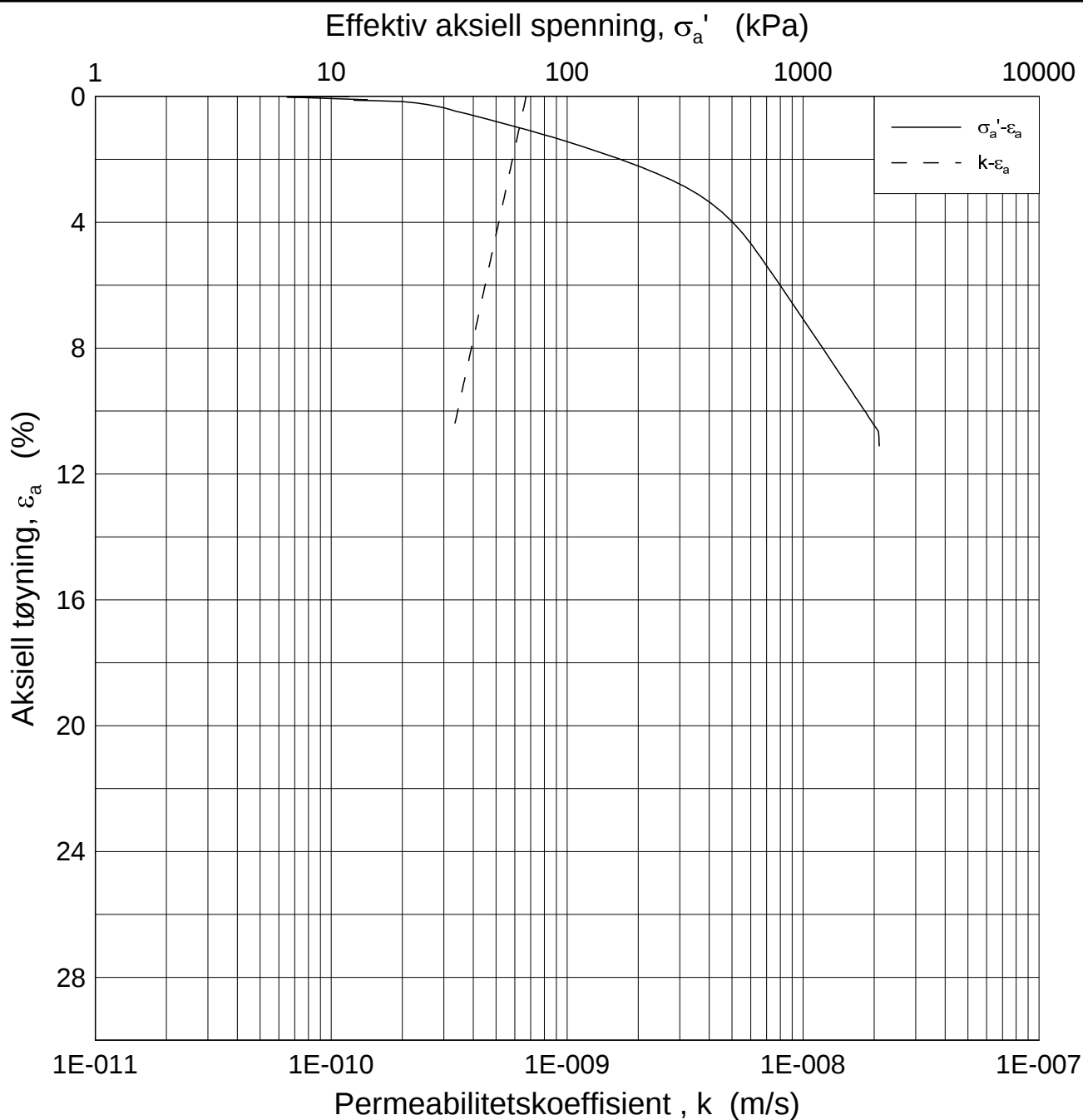
E16 Nybakk - Slomarka		Dokumentnr. 20120491-02-R
Ødometer test (CRSC)		Dato 2014-05-22
Borhull: 2312	Sylinder: 10	Figurnr. F202
Del: A	Test: 3	Tegner FI
	Dybde = 10.47 m	
	$p'_0 = 133.6$ kPa	
	$w_i = 29.88$ %	

H:\LABDATA\2012\20120491\Oedom\2312-10-A-3 Lin2 (CRS2563).grf



Dato/Rev.: 2009-09-15/4

E16 Nybakk - Slomarka			Dokumentnr. 20120491-02-R
Ødometer test (CRSC)			Dato 2014-05-22
Borhull: 2312	Sylinder: 10	Dybde = 10.47 m	Figurnr. F203
Del: A	Test: 3	$p'_o = 133.6$ kPa	Tegner FI
		$w_i = 29.88$ %	



Dato/Rev.: 2009-09-15/3

E16 Nybakk - Slomarka

Dokumentnr.
20120491-02-R

Ødometer test (CRSC)

Dybde = 10.47 m

Dato
2014-05-22

Borhull: 2312

Sylinder: 10

p'_o = 133.6 kPa

Figurnr.
F204

Del: A

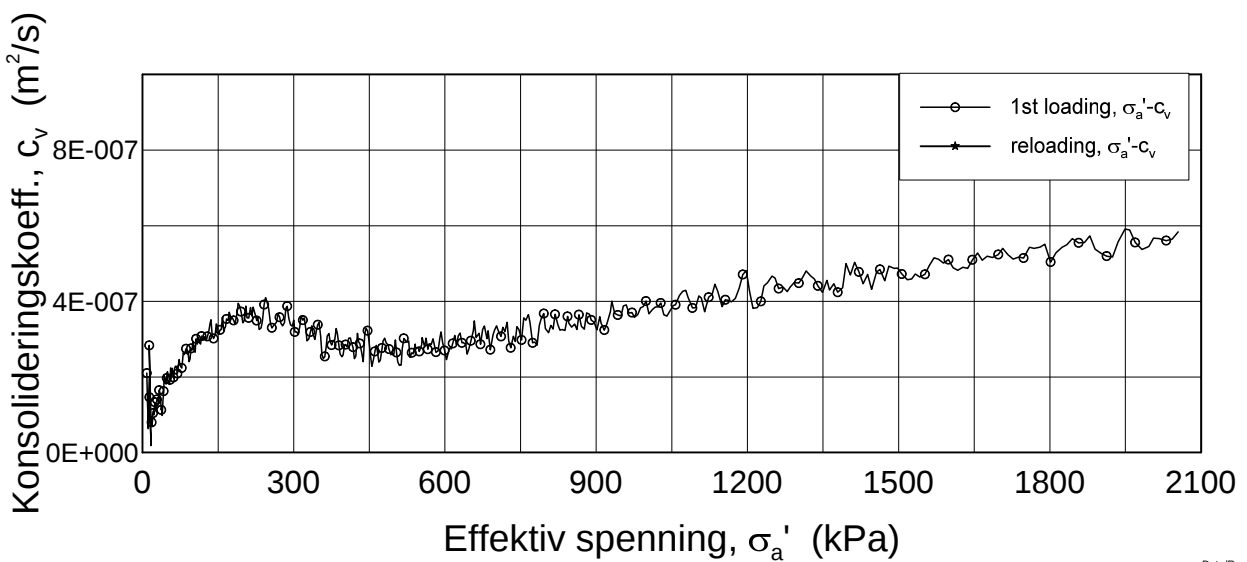
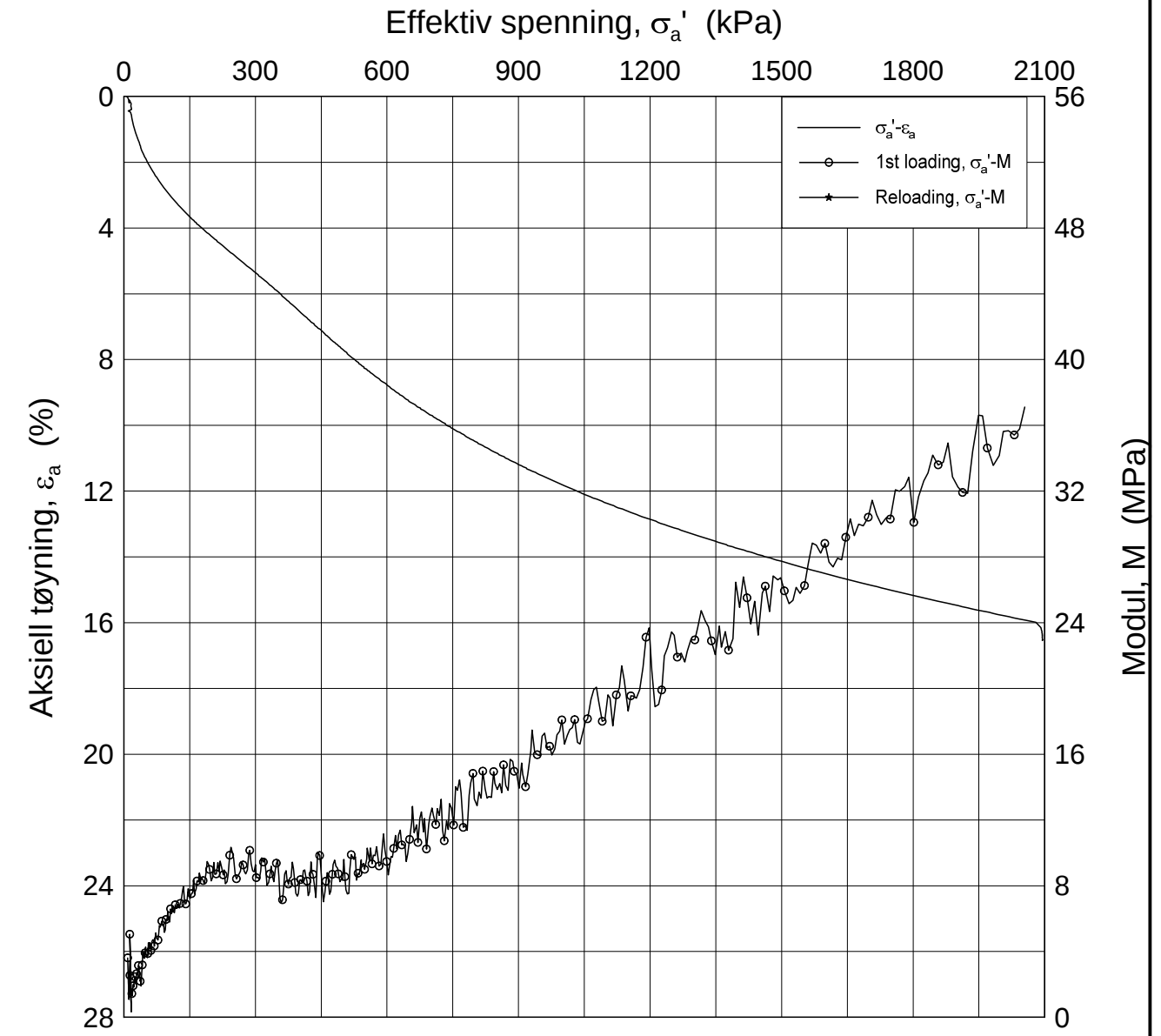
Test: 1

w_i = 29.88 %

Tegner
FI



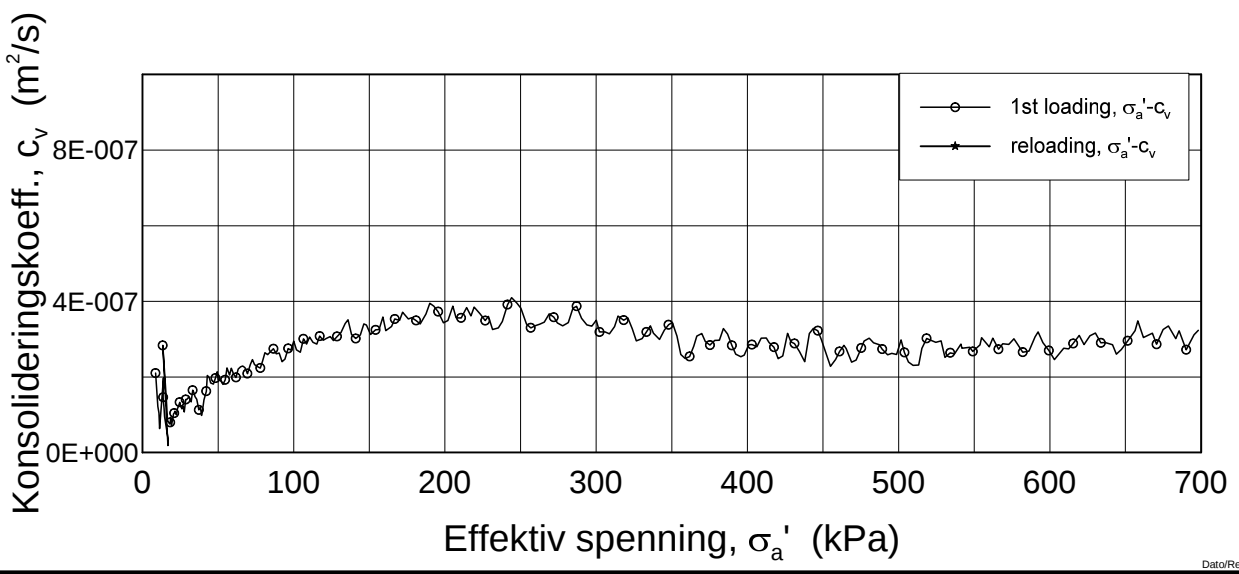
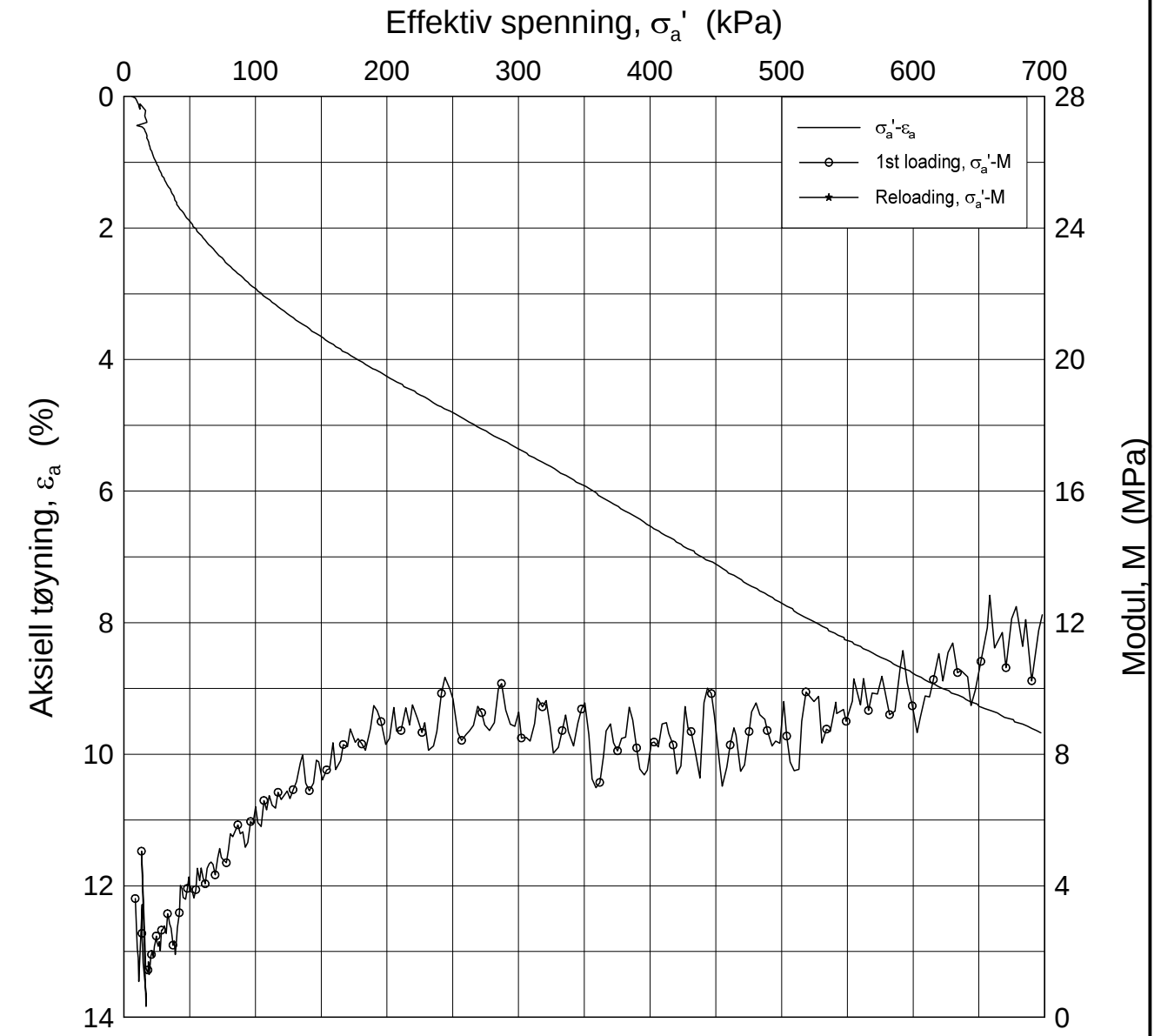
H:\LABDATA\2012\20120491\Oedom\2312-16-A-1 Lin (CRS2583).grf



Dato/Rev.: 2009-09-15/4

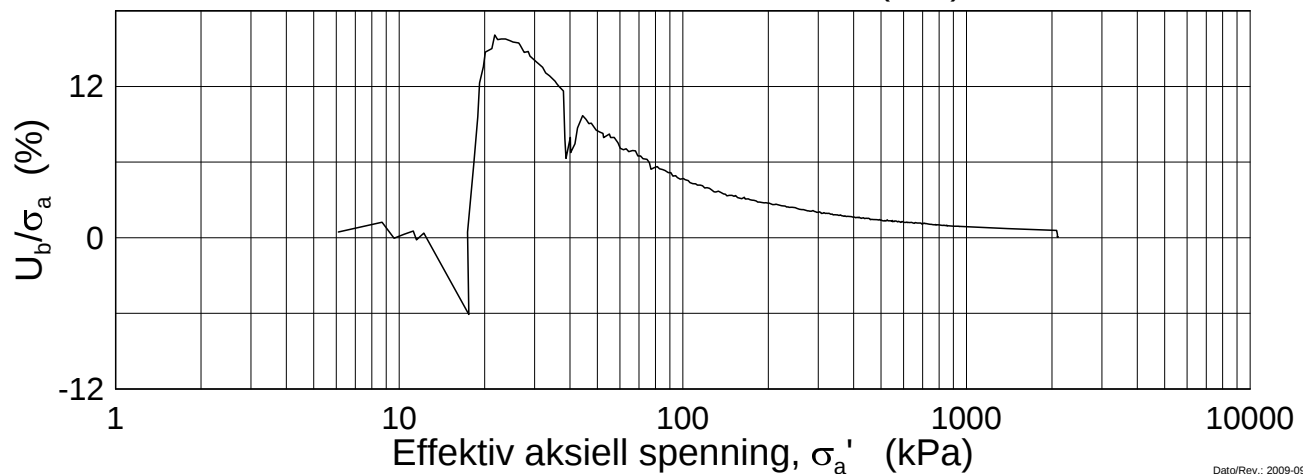
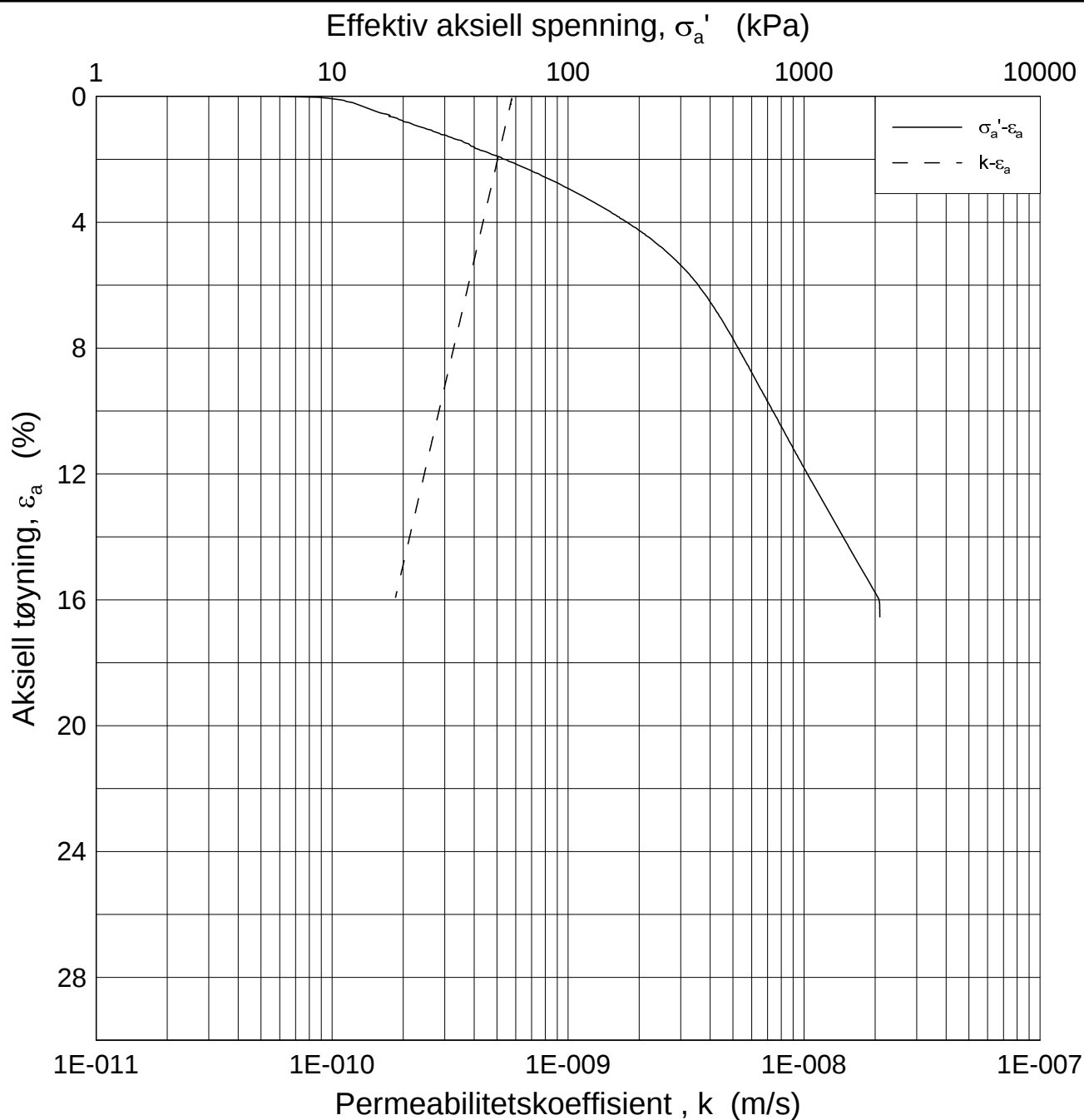
E16 Nybakk - Slomarka			Dokumentnr. 20120491-02-R
Ødometer test (CRSC)			Dato 2014-05-27
Borhull: 2312	Sylinder: 16	Dybde = 19.20 m	Figurnr. F205
Del: A	Test: 1	$p'_0 = 225.0$ kPa	
			Tegner FI

H:\LABDATA\2012\20120491\Oedom\2312-16-A-1 Lin2 (CRS2583).grf



Dato/Rev.: 2009-09-15/4

E16 Nybakk - Slomarka				Dokumentnr. 20120491-02-R
Ødometer test (CRSC)		Dybde = 19.20	m	Dato 2014-05-27
Borhull: 2312	Sylinder: 16	p'_0 = 225.0	kPa	Figurnr. F206
Del: A	Test: 1	w_i = 36.67	%	Tegner FI



Dato/Rev.: 2009-09-15/3

E16 Nybakk - Slomarka

Dokumentnr.
20120491-02-R

Ødometer test (CRSC)

Dybde = 19.20 m

Dato
2014-05-27

Borhull: 2312

Sylinder: 16

p_o' = 225.0 kPa

Figurnr.
F207

Del: A

Test: 1

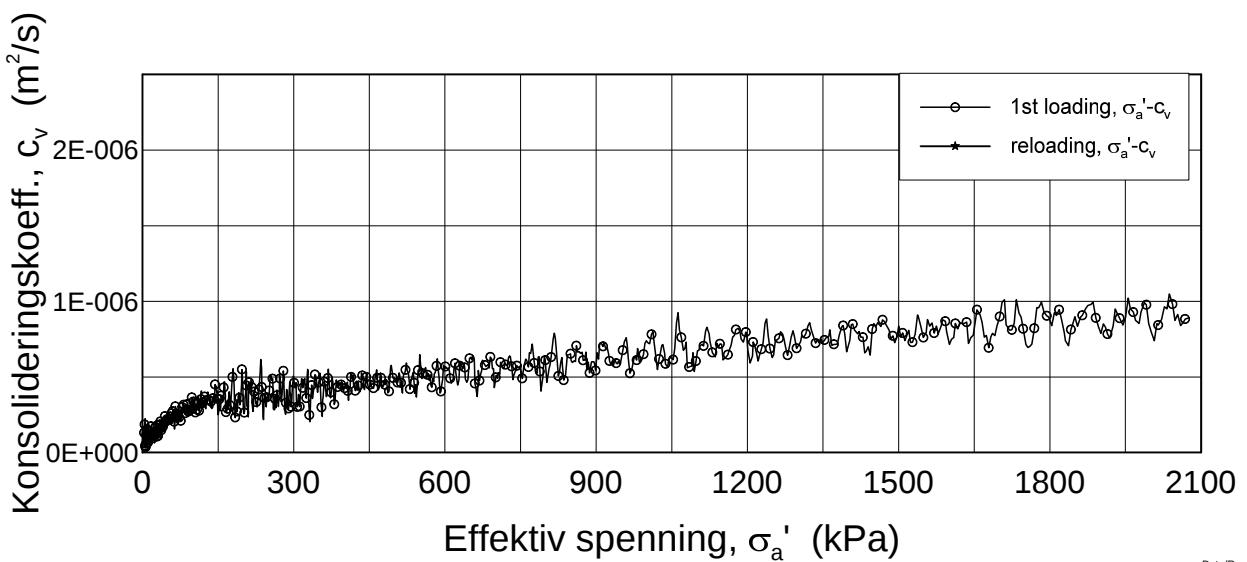
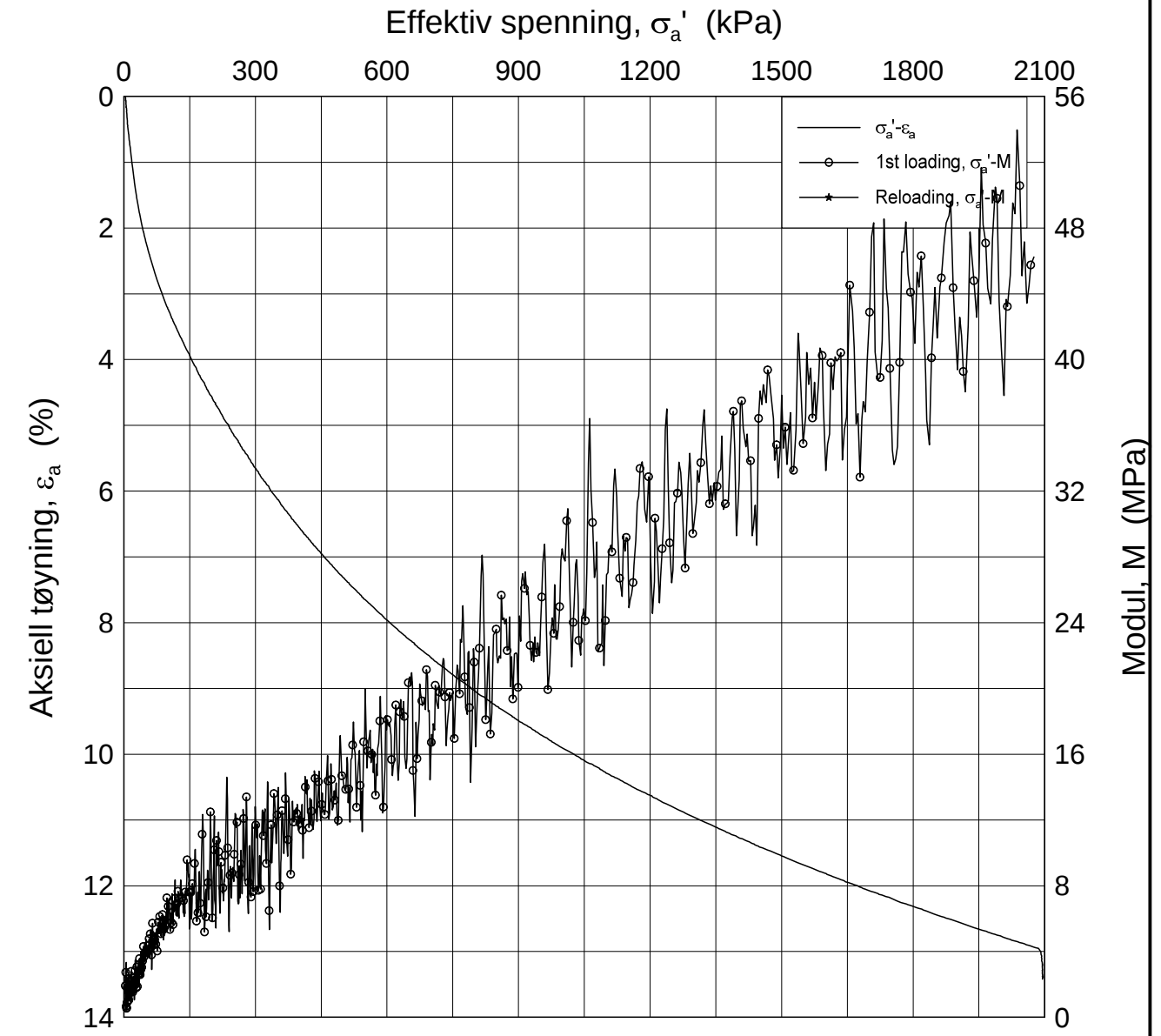
w_i = 36.67 %

Tegner
FI




H:\LABDATA\2012\20120491\Oedom\2312-16-A-1 Log (CRS2583).grf

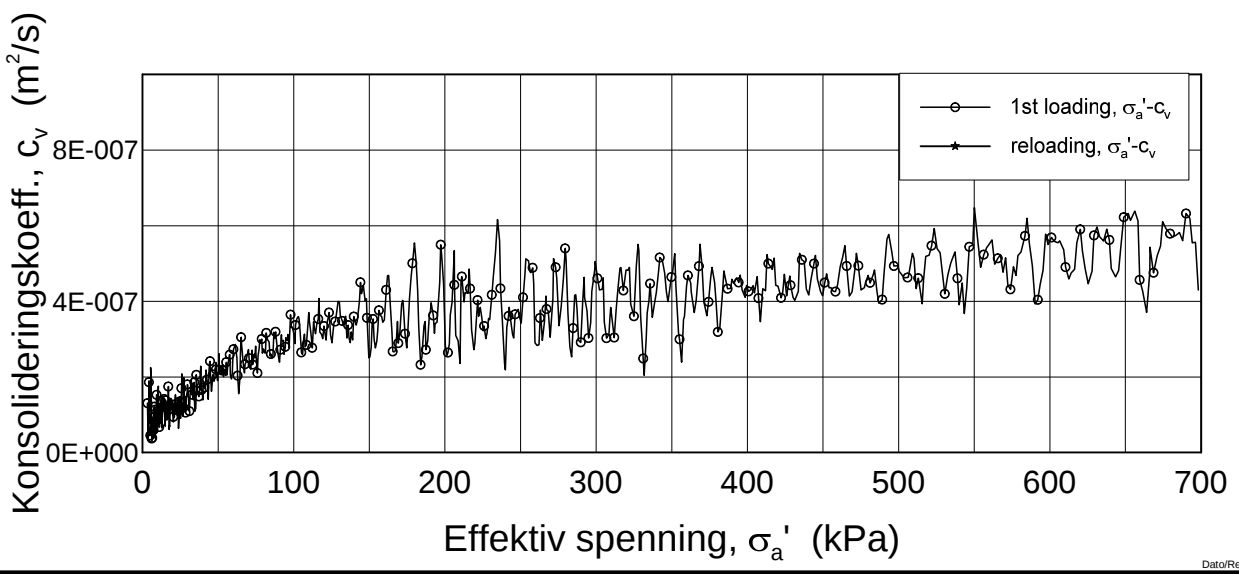
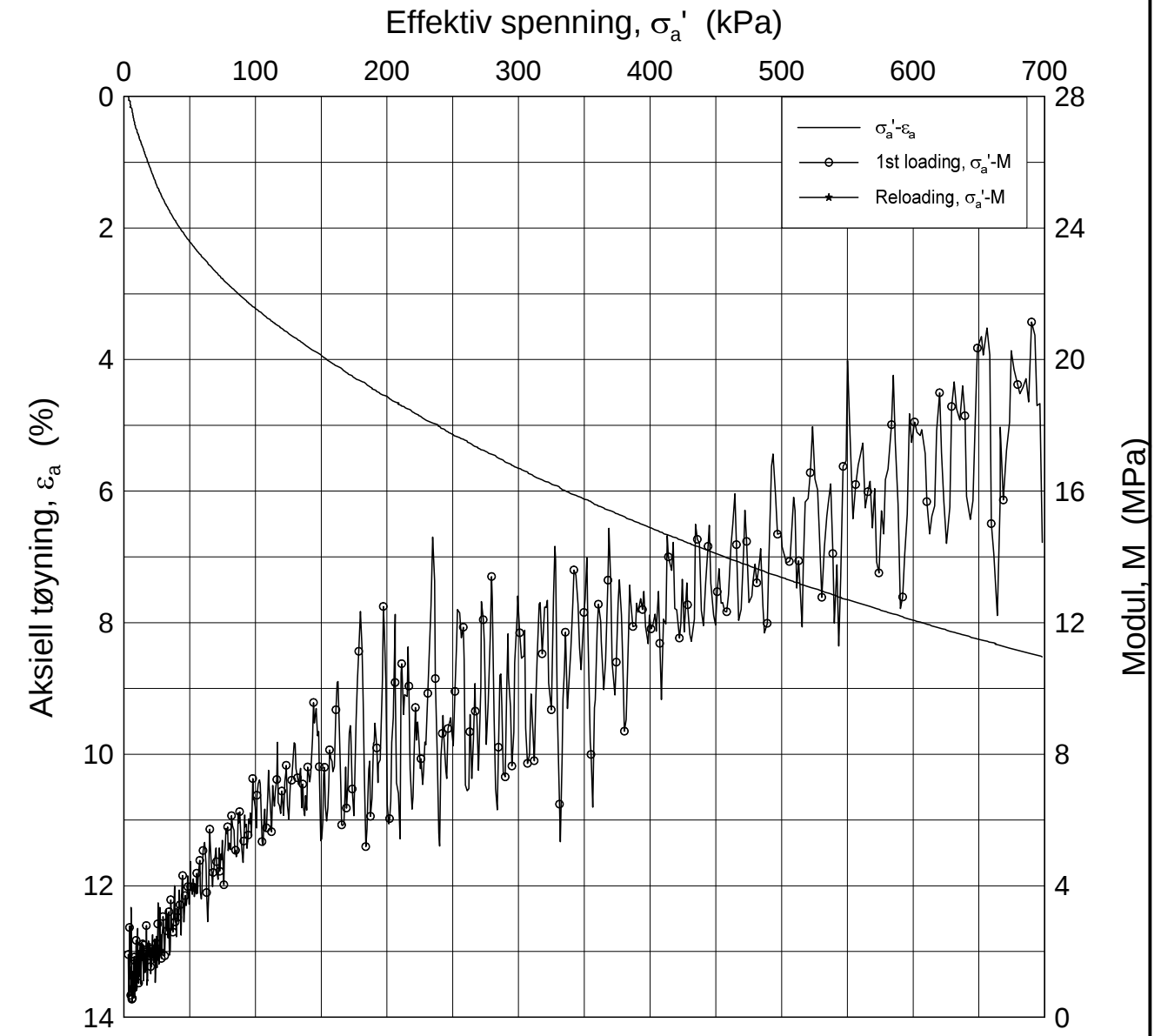
H:\LABDATA\2012\20120491\Oedom\2312-19-A-1 Lin (CRS2582).grf




Dato/Rev.: 2009-09-15/4

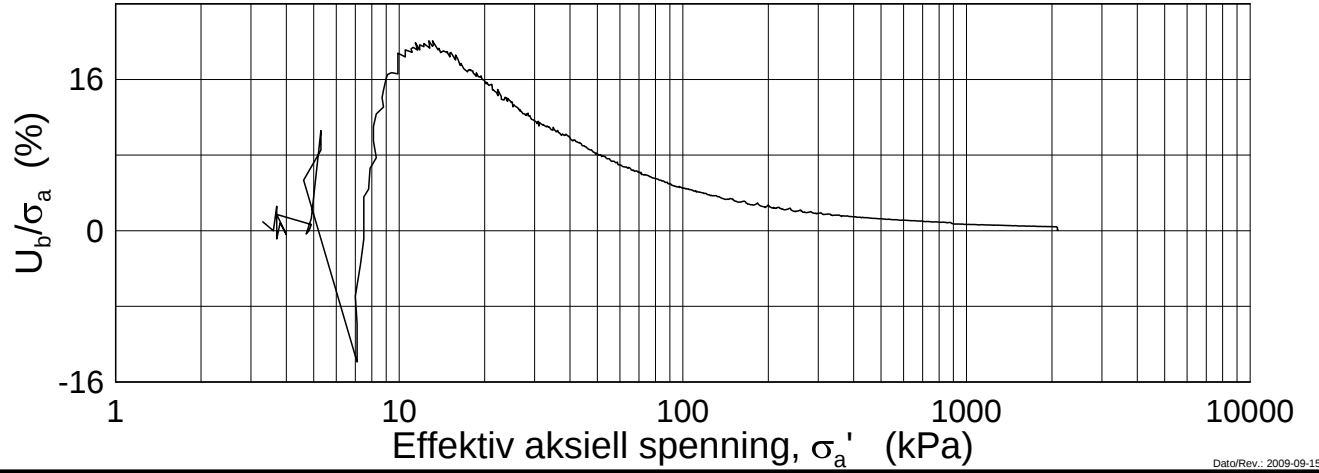
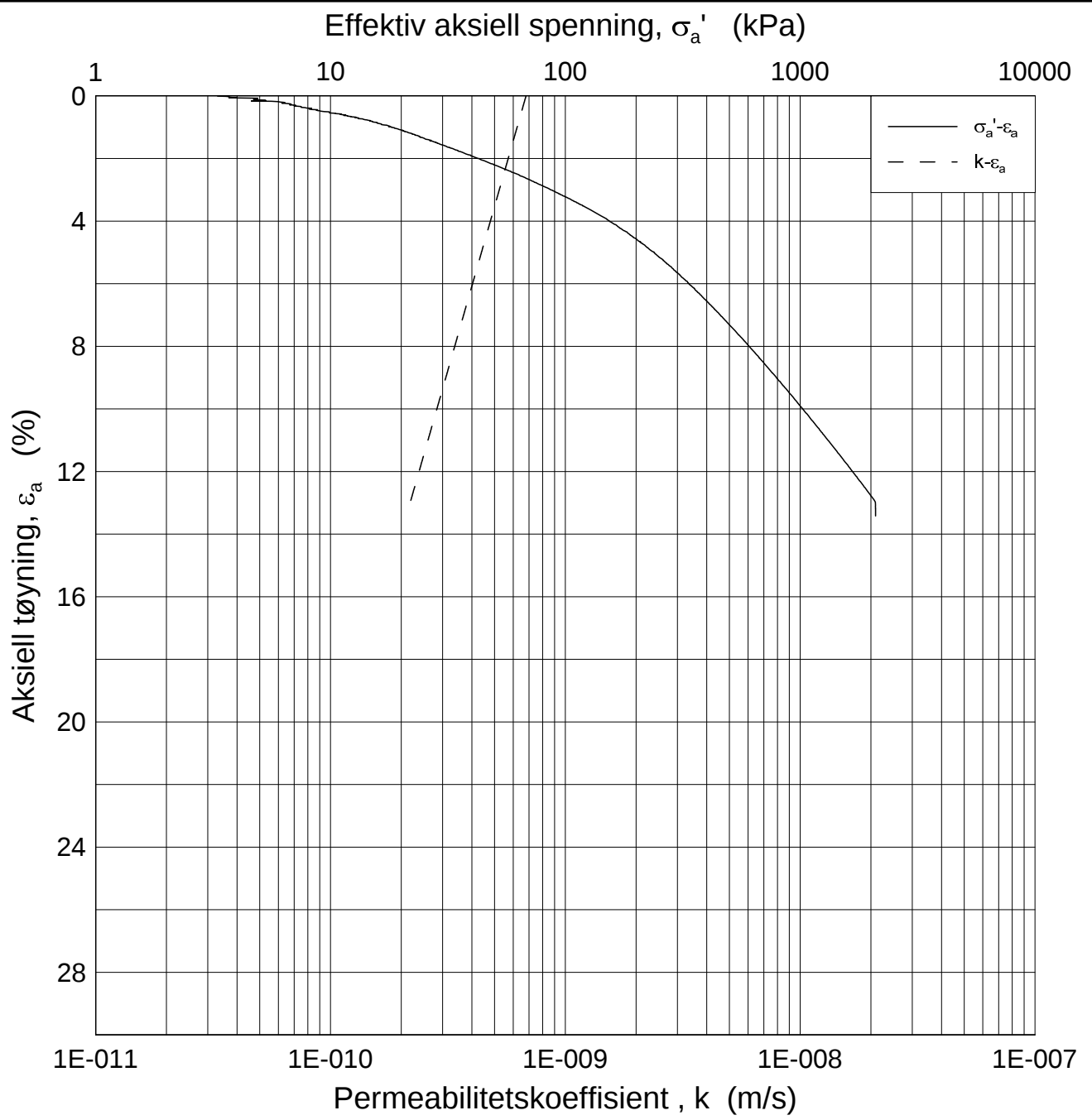
E16 Nybakk - Slomarka			Dokumentnr. 20120491-02-R
Ødometer test (CRSC)			Dato 2014-05-27
Borhull: 2312	Sylinder: 19	Dybde = 24.32 m	Figurnr. F208
Del: A	Test: 1	$p'_0 = 274.0$ kPa	Tegner FI
		$w_i = 29.97$ %	

H:\LABDATA\2012\20120491\Oedom\2312-19-A-1 Lin2 (CRS2582).grf



Dato/Rev.: 2009-09-15/4

E16 Nybakk - Slomarka		Dokumentnr. 20120491-02-R
Ødometer test (CRSC)		Dato 2014-05-27
Borhull: 2312	Sylinder: 19	Dybde = 24.32 m
Del: A	Test: 1	$p'_0 = 274.0$ kPa
		$w_i = 29.97$ %
		Figurnr. F209
		Tegner FI
		



Dato/Rev.: 2009-09-15/3

E16 Nybakk - Slomarka

Dokumentnr.
20120491-02-R

Ødometer test (CRSC)

Dybde = 24.32 m

Dato
2014-05-27

Borhull: 2312

Sylinder: 19

p_o' = 274.0 kPa

Figurnr.
F210

Del: A

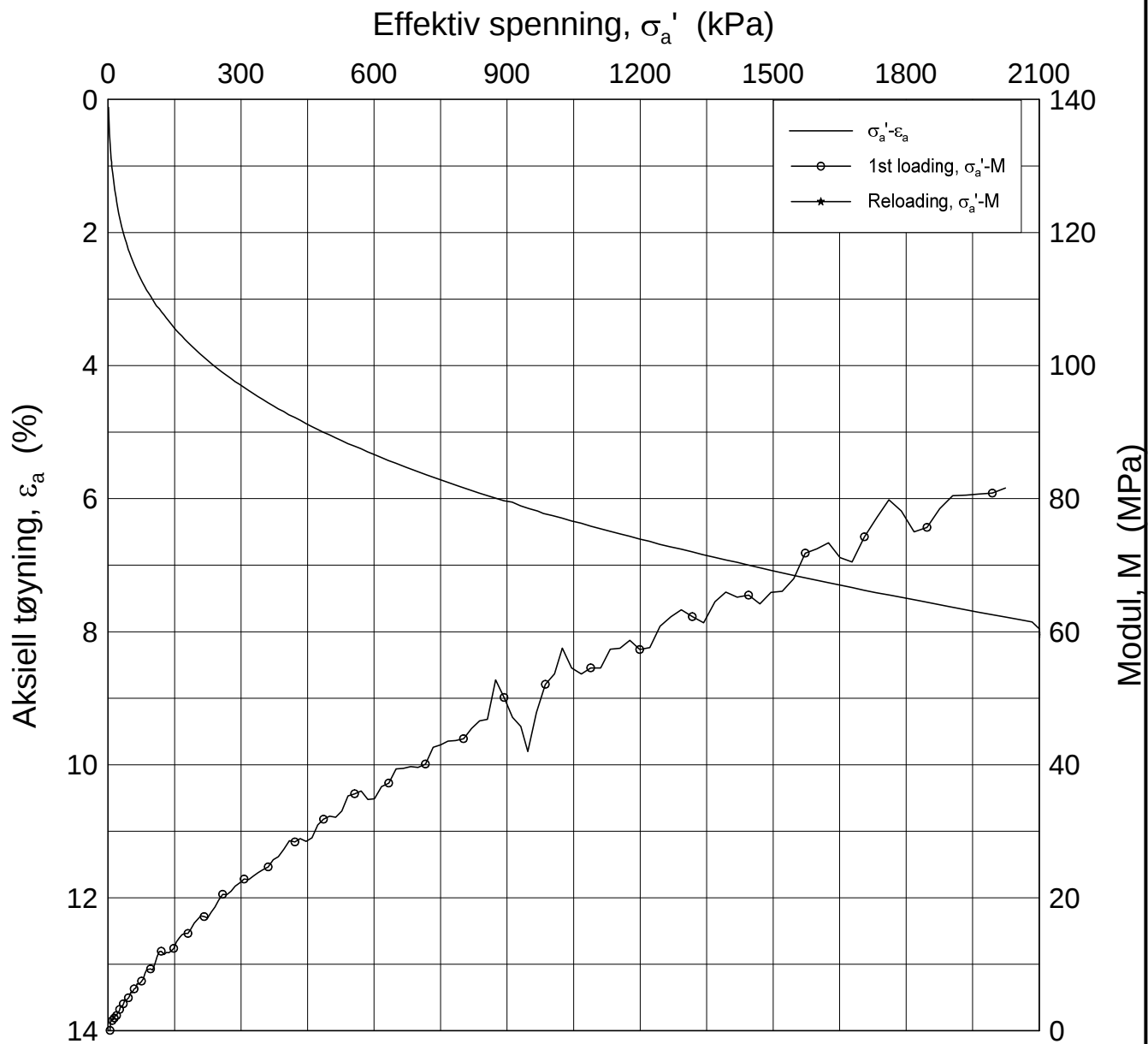
Test: 1

w_i = 29.97 %

Tegner
FI



H:\LABDATA\2012\20120491\Oedom\2312-19-A-1 Log (CRS2582).grf



Dato/Rev.: 2009-09-15/4

E16 Nybakk - Slomarka

Dokumentnr.
20120491-02-R

Ødometer test (CRSC)

Dybde = 10.31 m

Dato
2014-04-16

Borhull: 2322

Sylinder: 10

p'_0 = 105.2 kPa

Figurnr.
F211

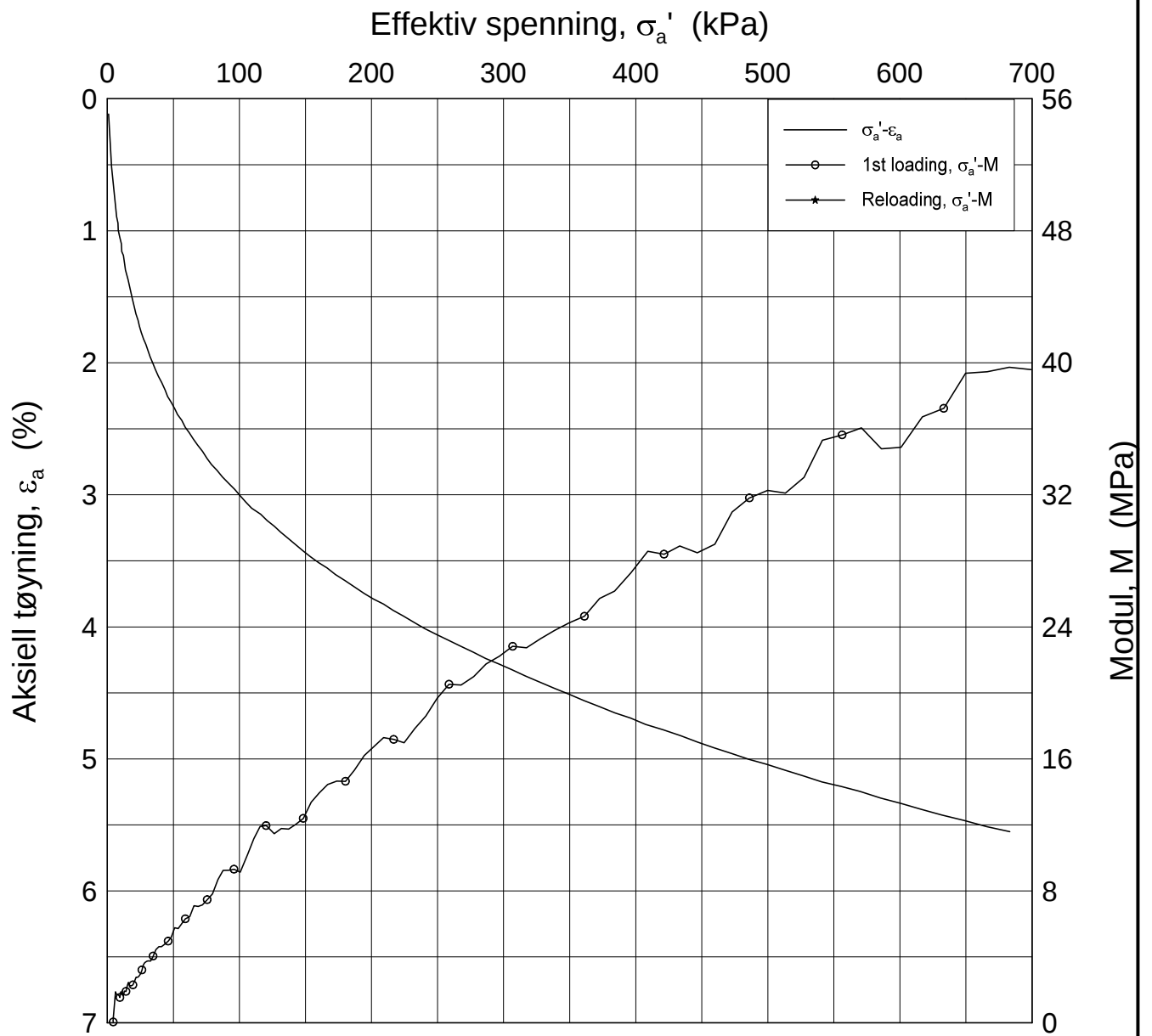
Del: A

Test: 2

w_i = 28.65 %

Tegner
FI





Dato/Rev.: 2009-09-15/4

E16 Nybakk - Slomarka

Dokumentnr.
20120491-02-R

Ødometer test (CRSC)

Dybde = 10.31 m

Dato
2014-04-16

Borhull: 2322

Sylinder: 10

p'_0 = 105.2 kPa

Figurnr.
F212

Del: A

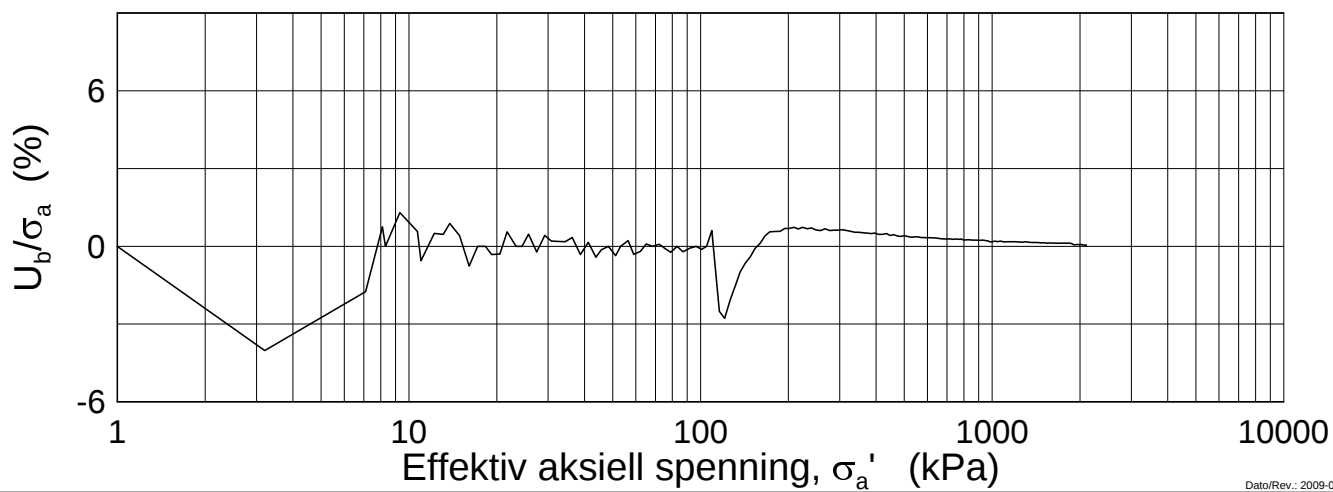
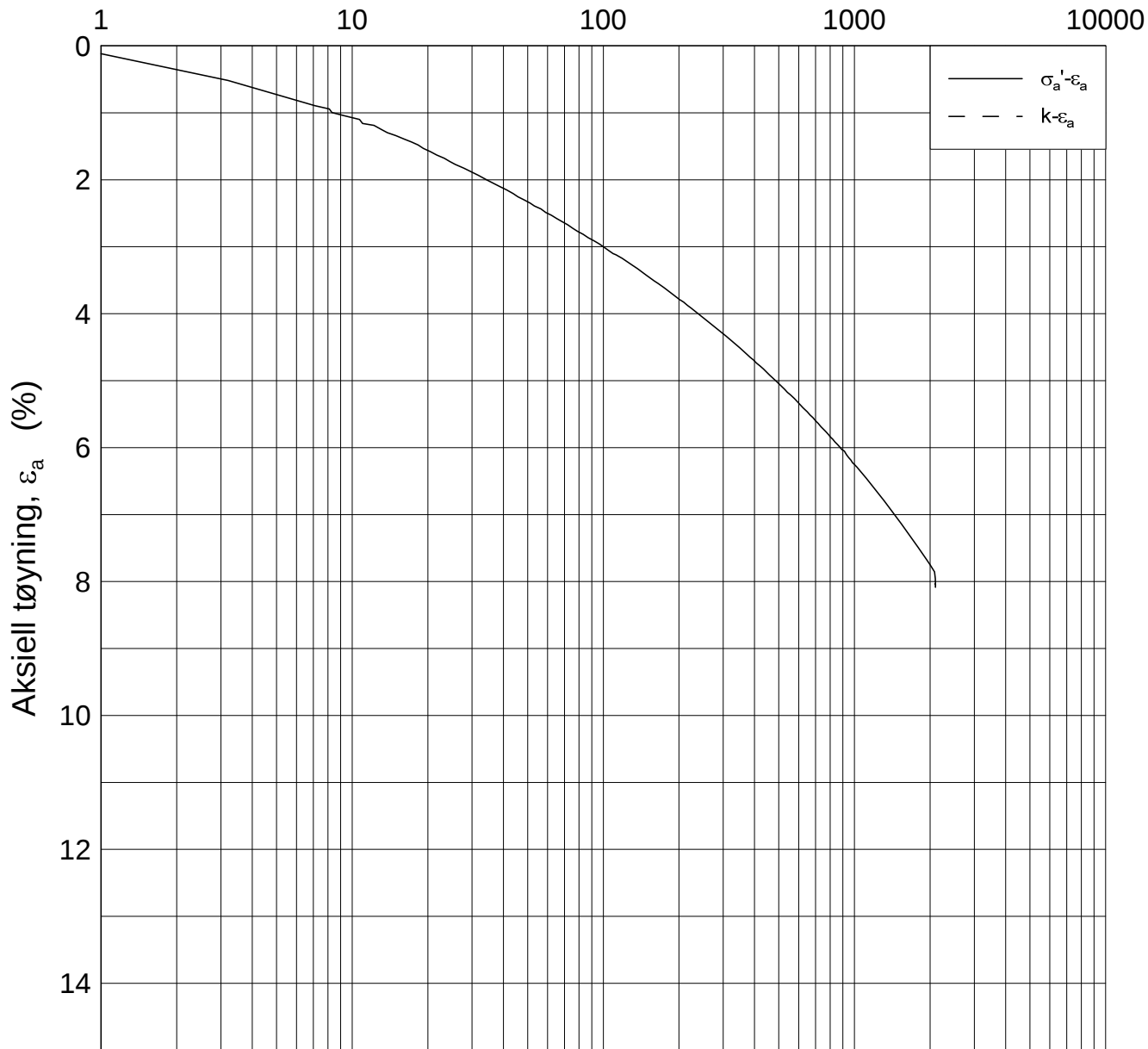
Test: 2

w_i = 28.65 %

Tegner
FI



Effektiv aksjell spenning, σ_a' (kPa)



Dato/Rev.: 2009-09-15/3

E16 Nybakk - Slomarka

Dokumentnr.
20120491-02-R

Ødometer test (CRSC)

Dybde = 10.31 m

Dato
2014-04-16

Borhull: 2322

Sylinder: 10

p_o' = 105.2 kPa

Figurnr.
F213

Del: A

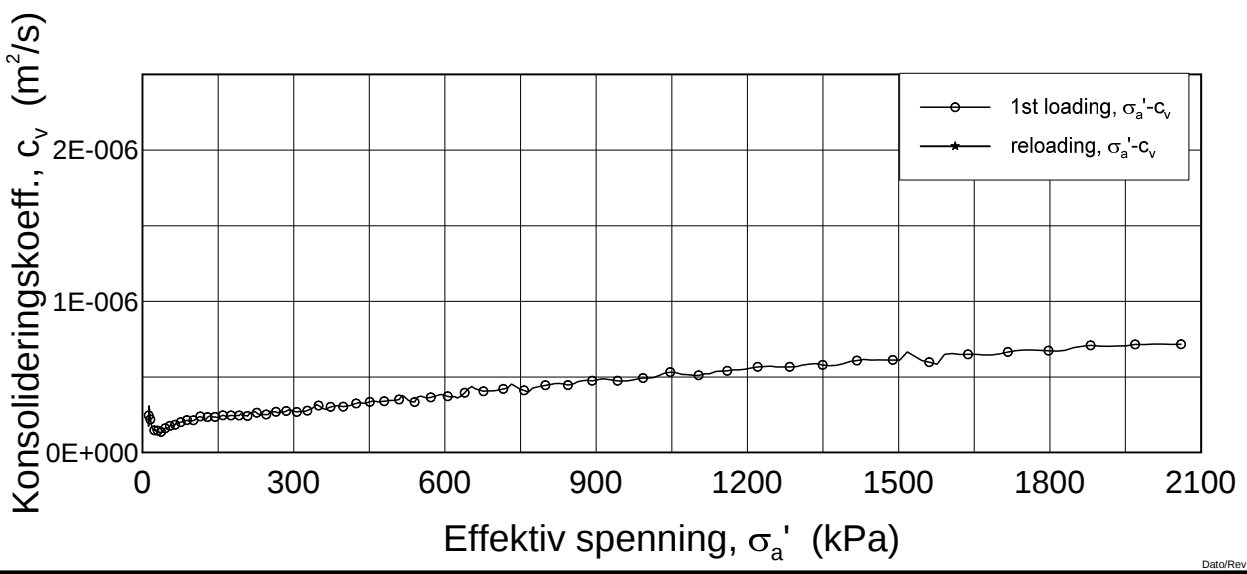
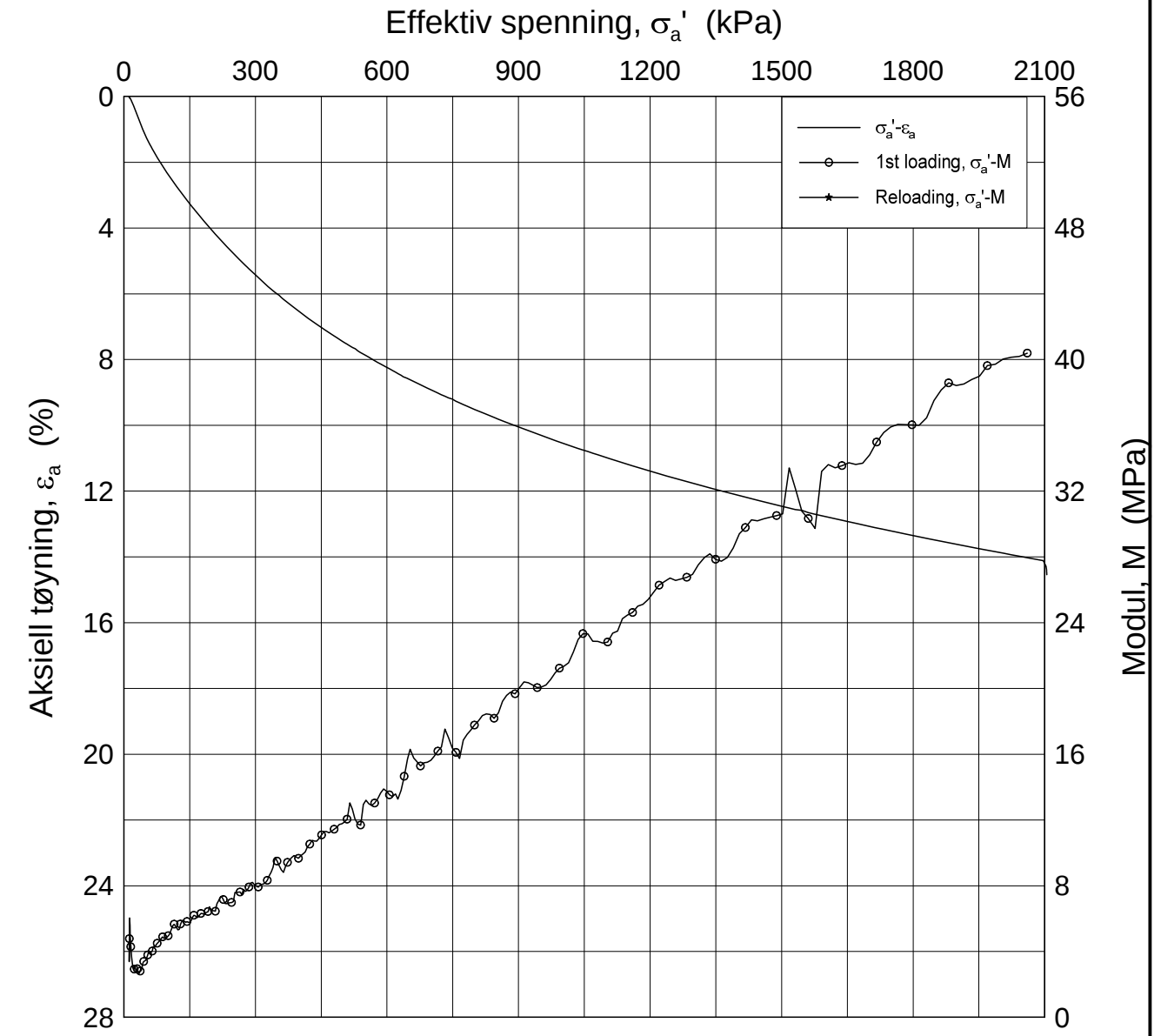
Test: 2

w_i = 28.65 %


Tegner
FI



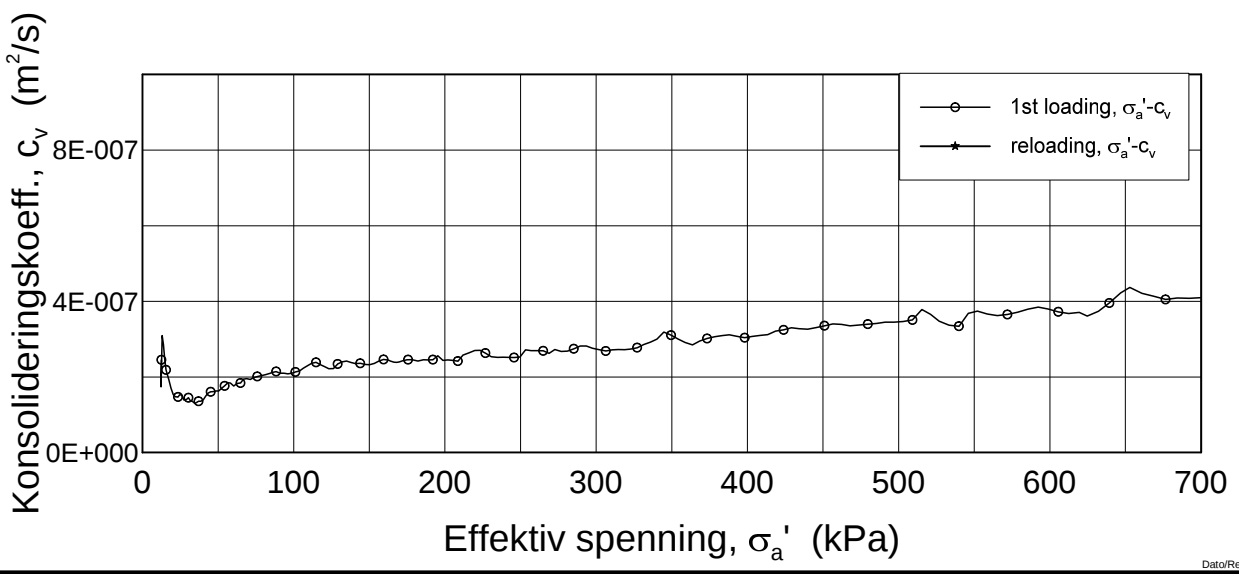
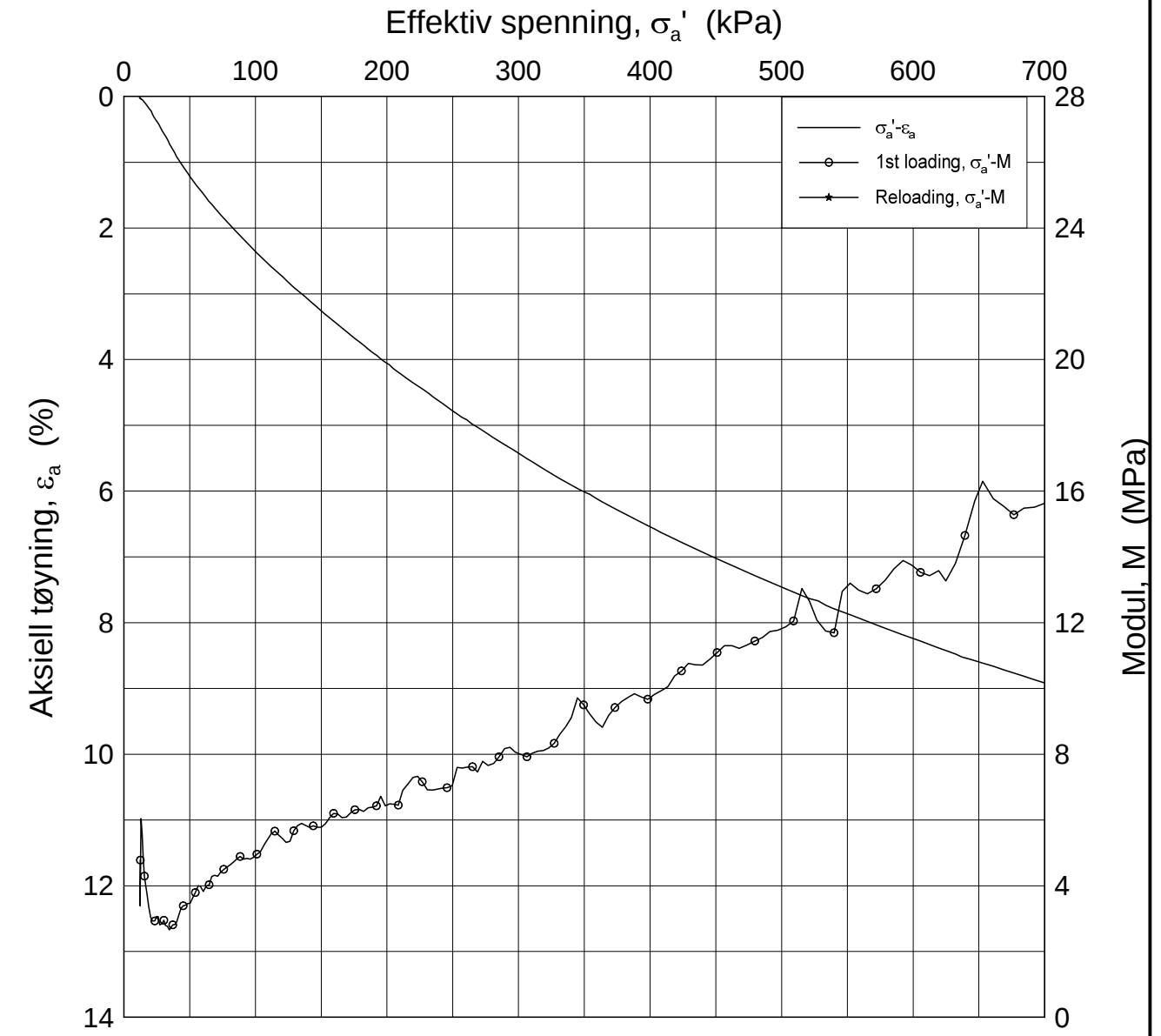
H:\LABDATA\2012\20120491\Oedom\2325-10-A-3 Lin(CRS2564).gif




Dato/Rev.: 2009-09-15/4

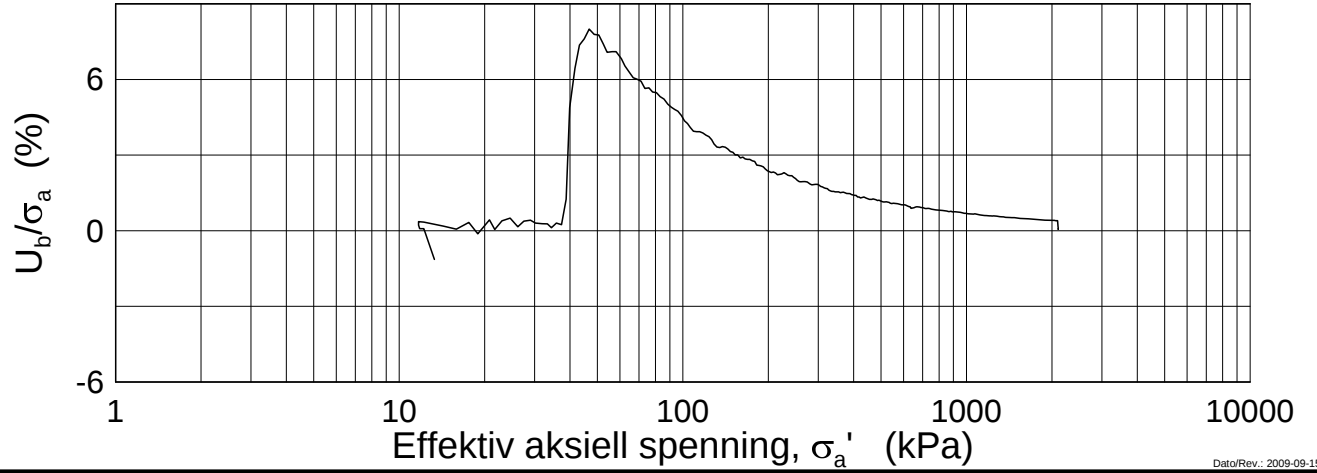
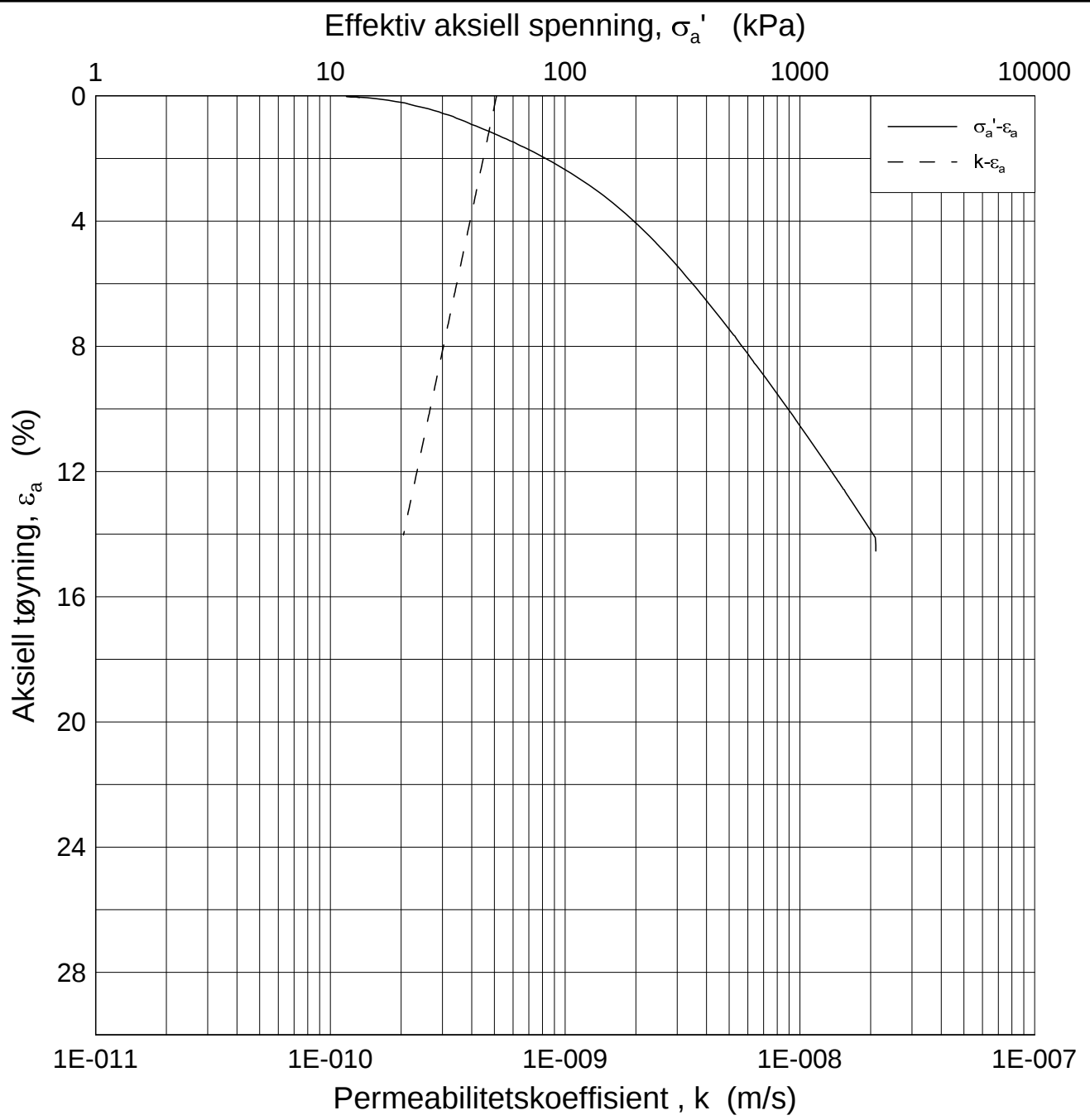
E16 Nybakk - Slomarka		Dokumentnr. 20120491-02-R
Ødometer test (CRSC)		Dato 2014-05-22
Borhull: 2325	Sylinder: 10	Figurnr. F214
Del: A	Test: 3	Tegner FI
	Dybde = 10.49 m	
	$p'_0 = 105.2$ kPa	
	$w_i = 36.09$ %	

H:\LABDATA\2012\20120491\Oedom\2325-10-A-3 Lin2(CRS2564).grf



Dato/Rev.: 2009-09-15/4

E16 Nybakk - Slomarka			Dokumentnr. 20120491-02-R
Ødometer test (CRSC)			Dato 2014-05-22
Borhull: 2325	Sylinder: 10	Dybde = 10.49 m	Figurnr. F215
Del: A	Test: 3	$p'_0 = 105.2$ kPa	Tegner FI
		$w_i = 36.09$ %	



Dato/Rev.: 2009-09-15/3

E16 Nybakk - Slomarka

Dokumentnr.
20120491-02-R

Ødometer test (CRSC)

Dybde = 10.49 m

Dato
2014-05-22

Borhull: 2325

Sylinder: 10

p'_0 = 105.2 kPa

Figurnr.
F216

Del: A

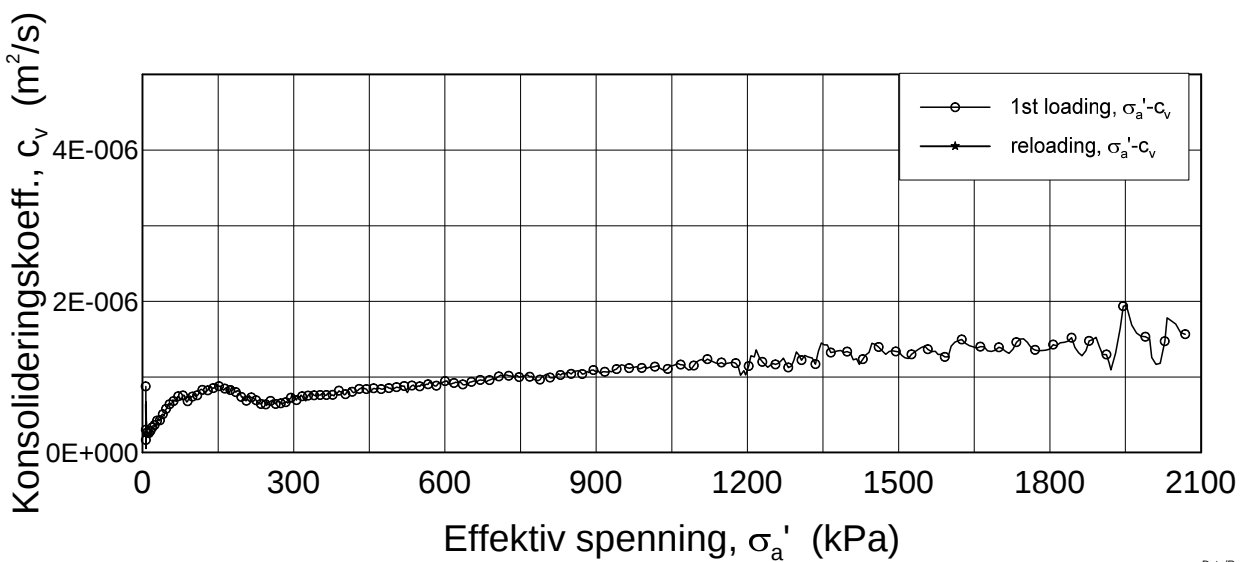
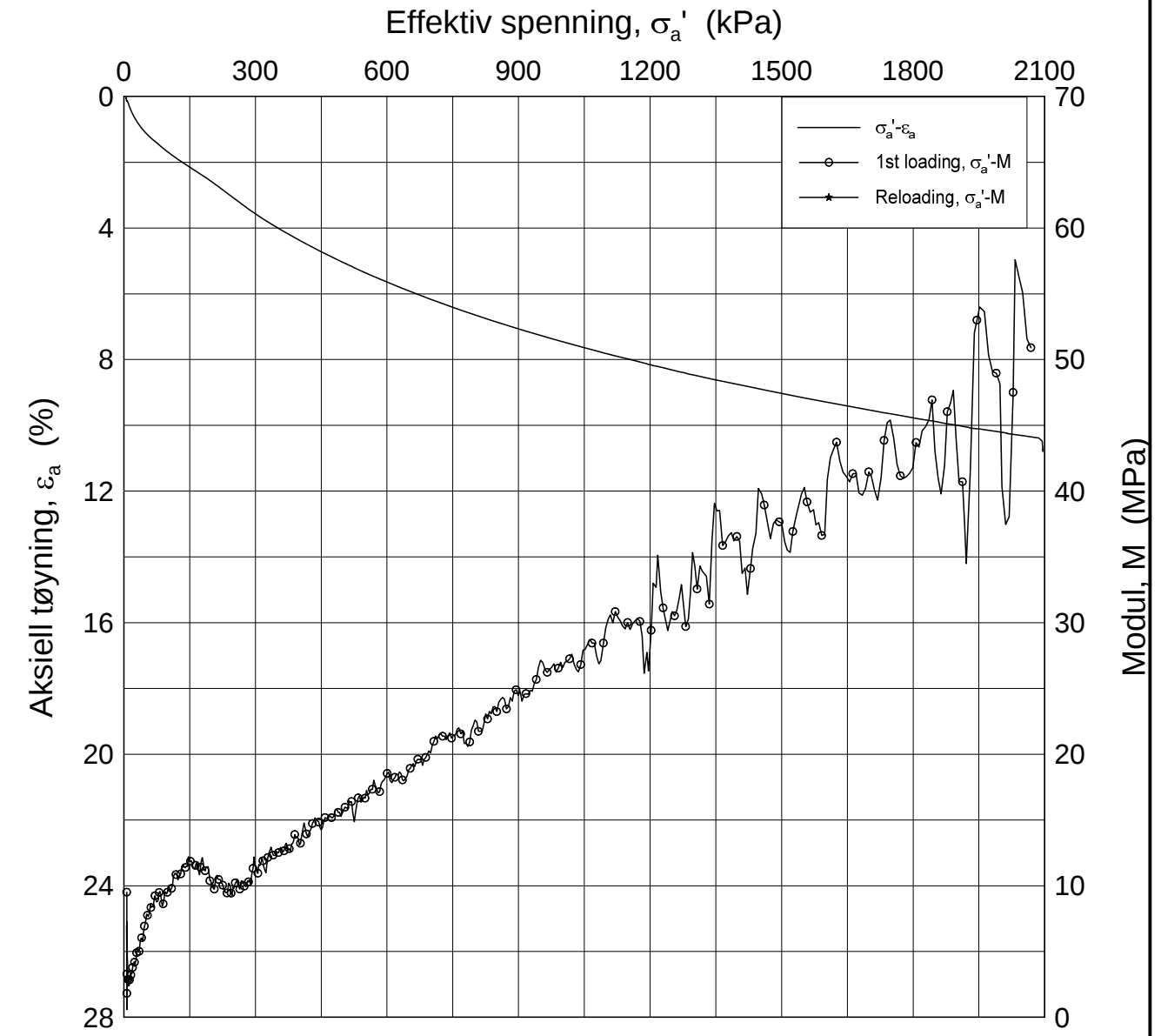
Test: 3

w_i = 36.09 %


Tegner
FI



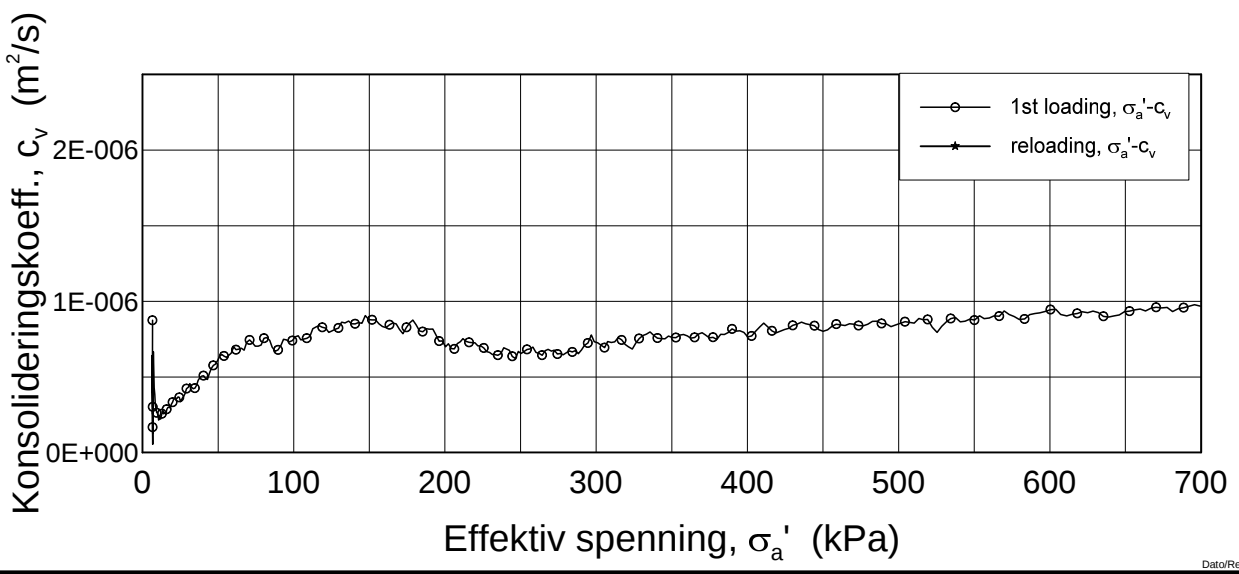
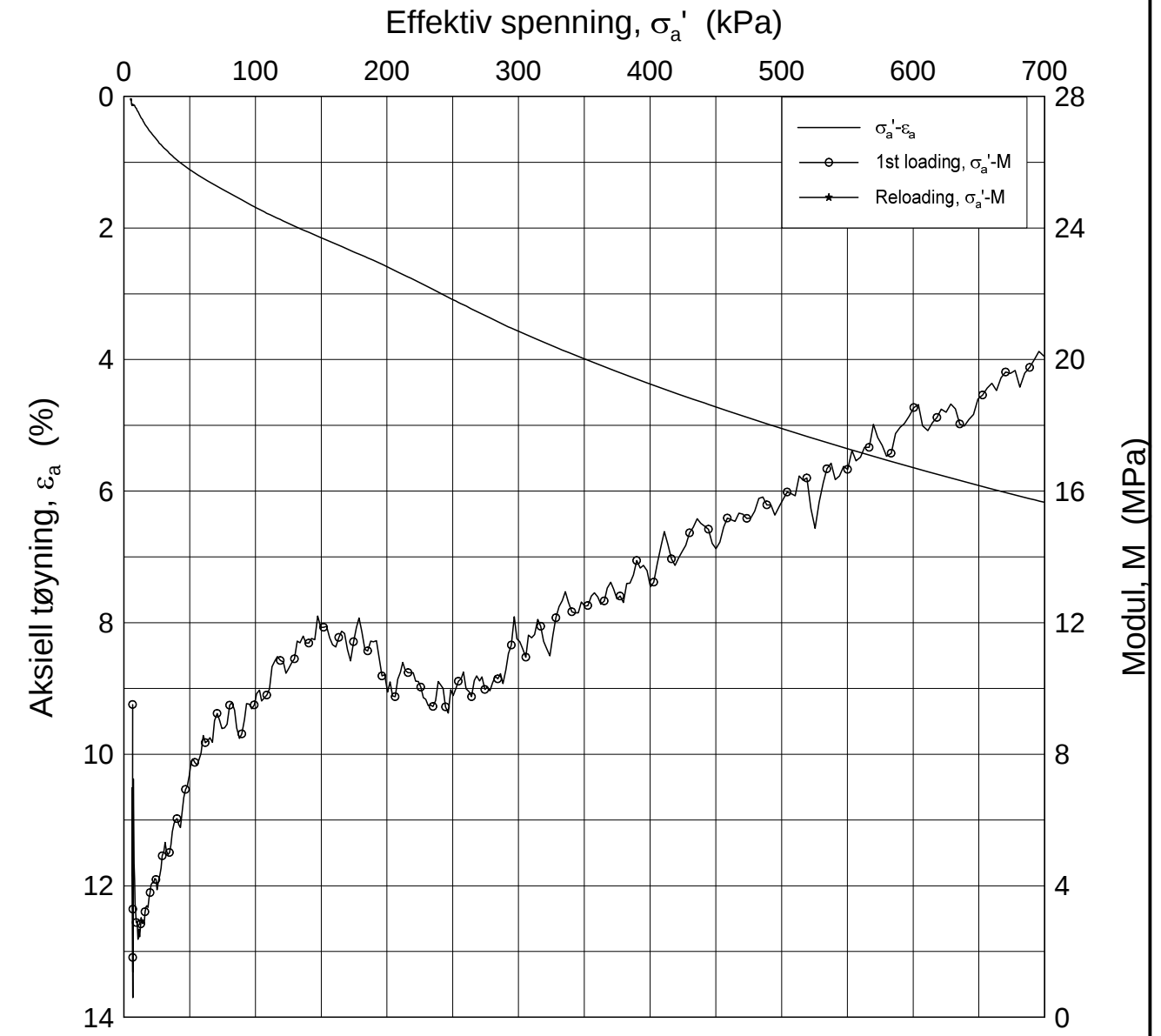
H:\LABDATA\2012\20120491\Oedom\2325-17-A-2 Lin (CRS2565).grf




Dato/Rev.: 2009-09-15/4

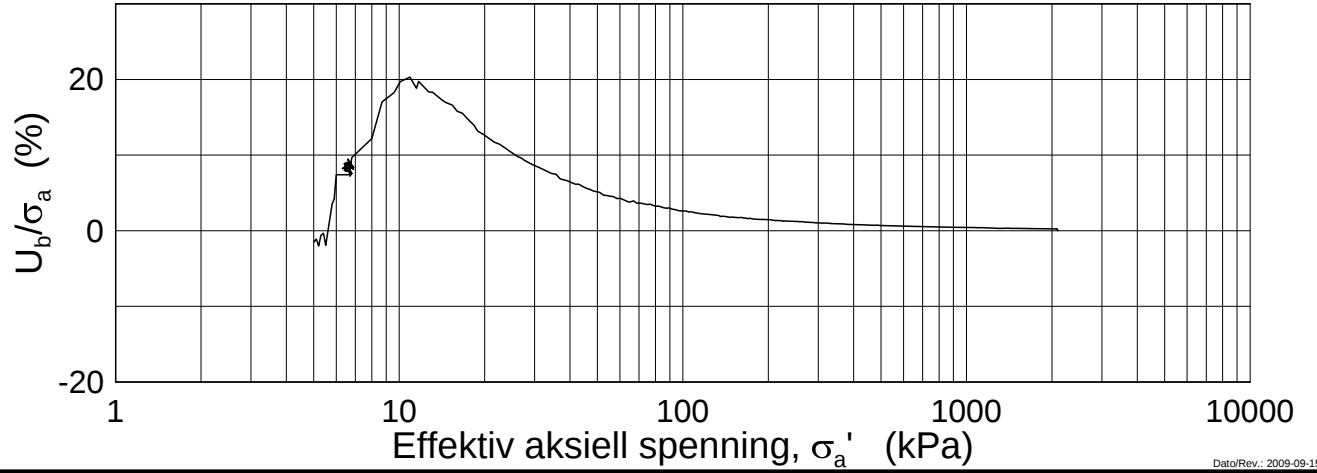
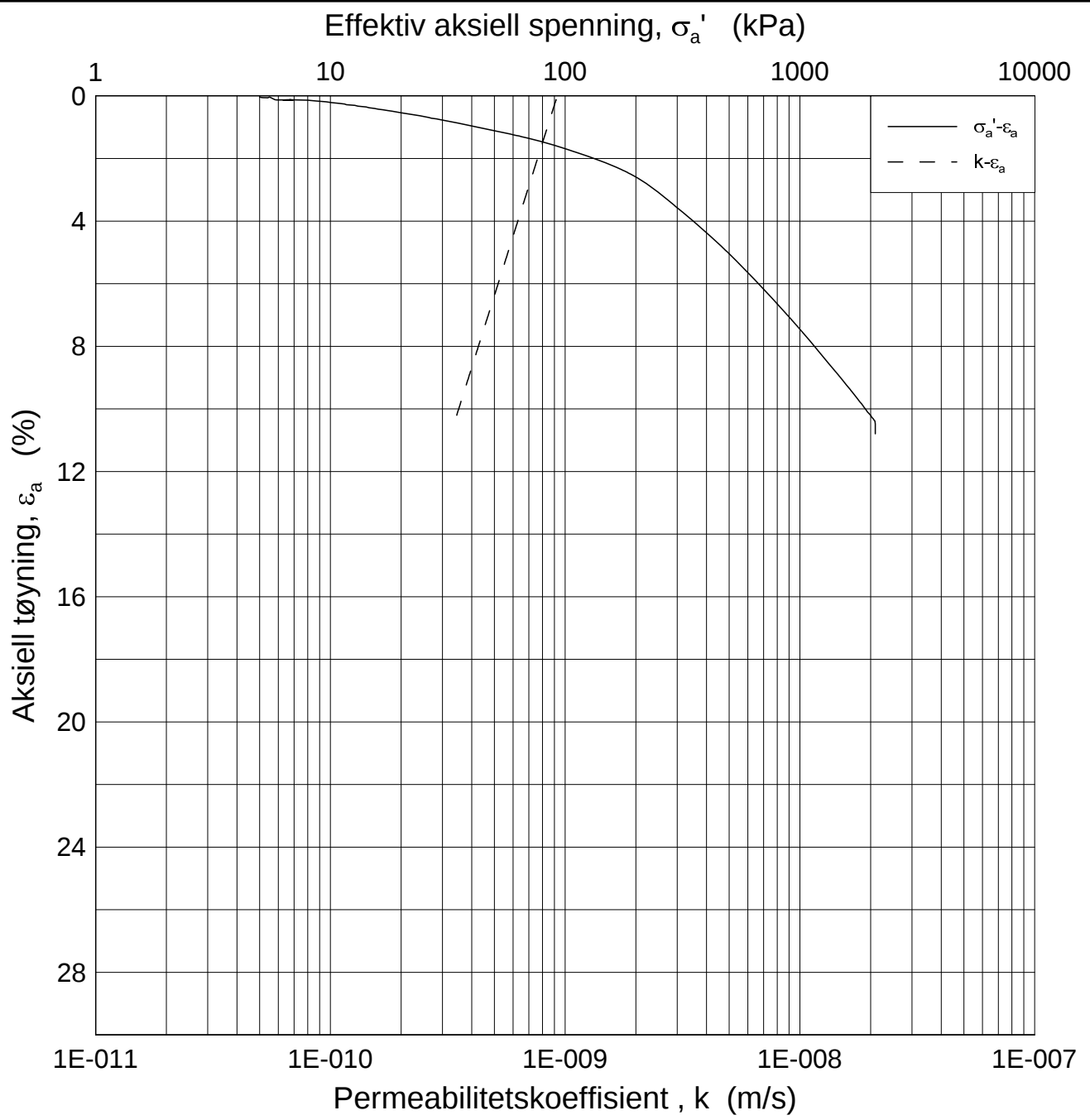
E16 Nybakk - Slomarka			Dokumentnr. 20120491-02-R
Oedometer test (CRSC)		Dybde = 20.50 m	Dato 2014-08-25
Borhull: 2325	Sylinder: 17	$p'_0 = 215.8$ kPa	Figurnr. F217
Del: A	Test: 2	$w_i = 28.77$ %	Tegner FI
			

H:\LABDATA\2012\20120491\Oedom\2325-17-A-2 Lin2 (CRS2565).grf



Dato/Rev.: 2009-09-15/4

E16 Nybakk - Slomarka		Dokumentnr. 20120491-02-R
Oedometer test (CRSC)		Dato 2014-08-25
Borhull: 2325	Sylinder: 17	Figurnr. F218
Del: A	Test: 2	Tegner FI
	Dybde = 20.50 m	
	p'_0 = 215.8 kPa	
	w_i = 28.77 %	



Dato/Rev.: 2009-09-15/3

E16 Nybakk - Slomarka

Dokumentnr.
20120491-02-R

Ødometer test (CRSC)

Dybde = 20.50 m

Dato
2014-08-25

Borhull: 2325

Sylinder: 17

p_o' = 215.8 kPa

Figurnr.
F219

Del: A

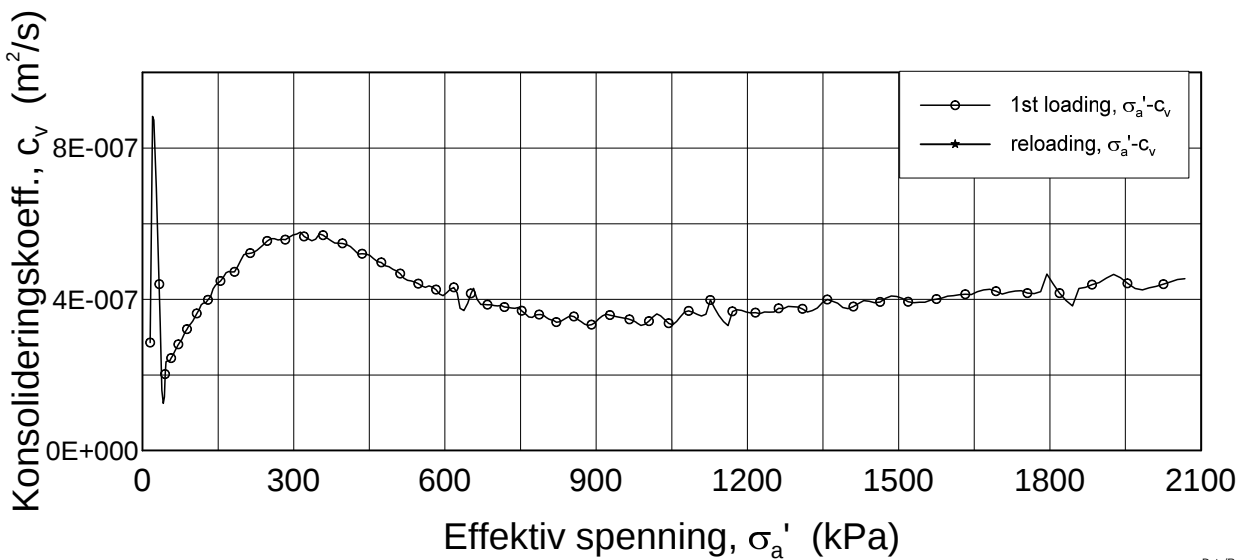
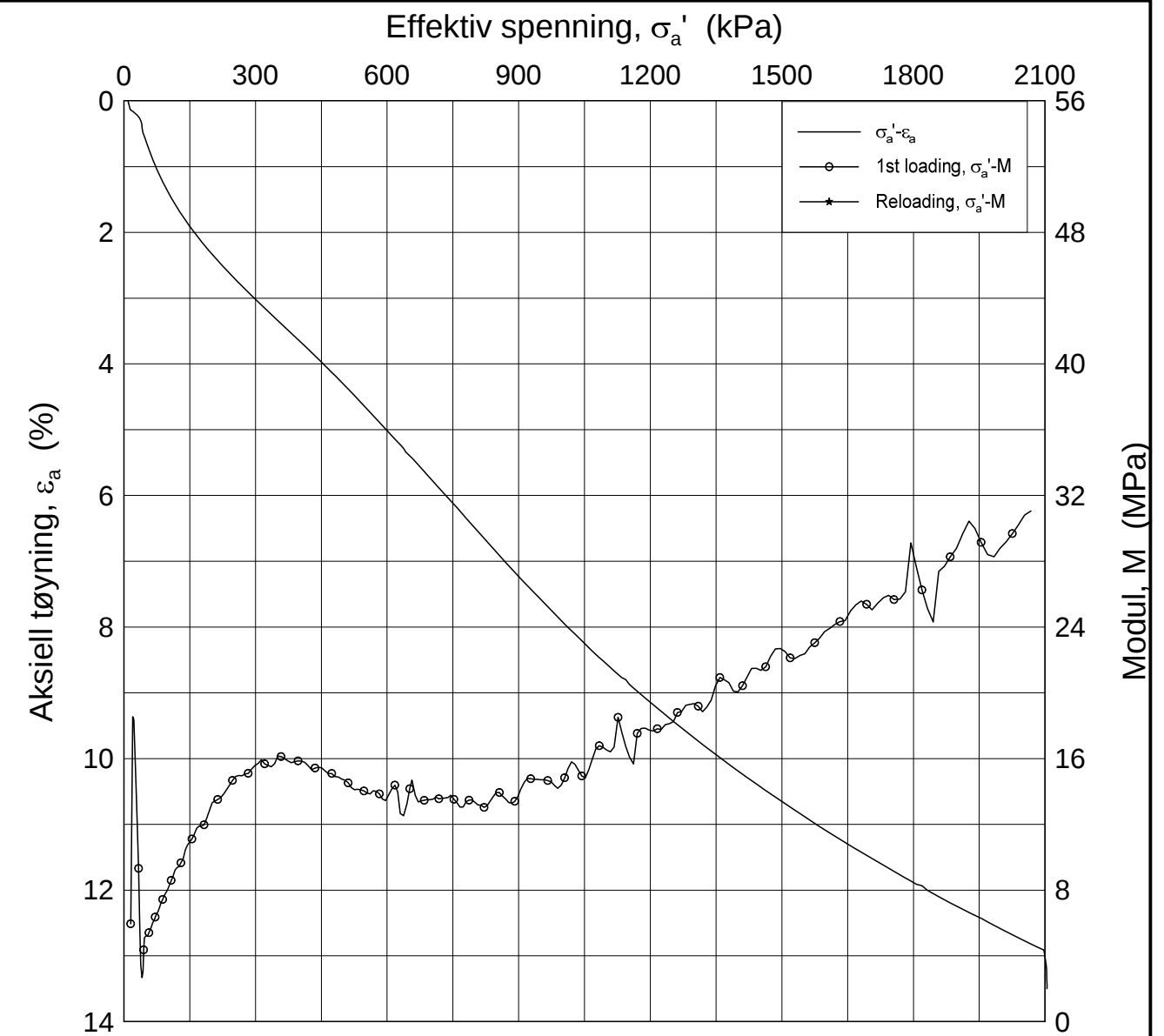
Test: 2

w_i = 28.77 %


Tegner
FI



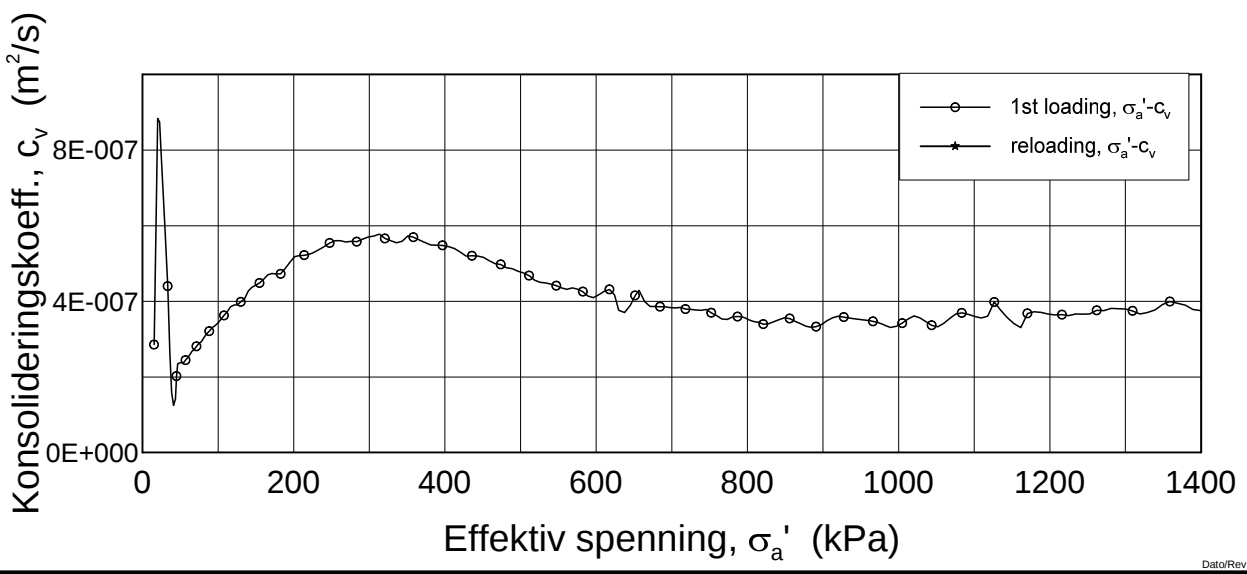
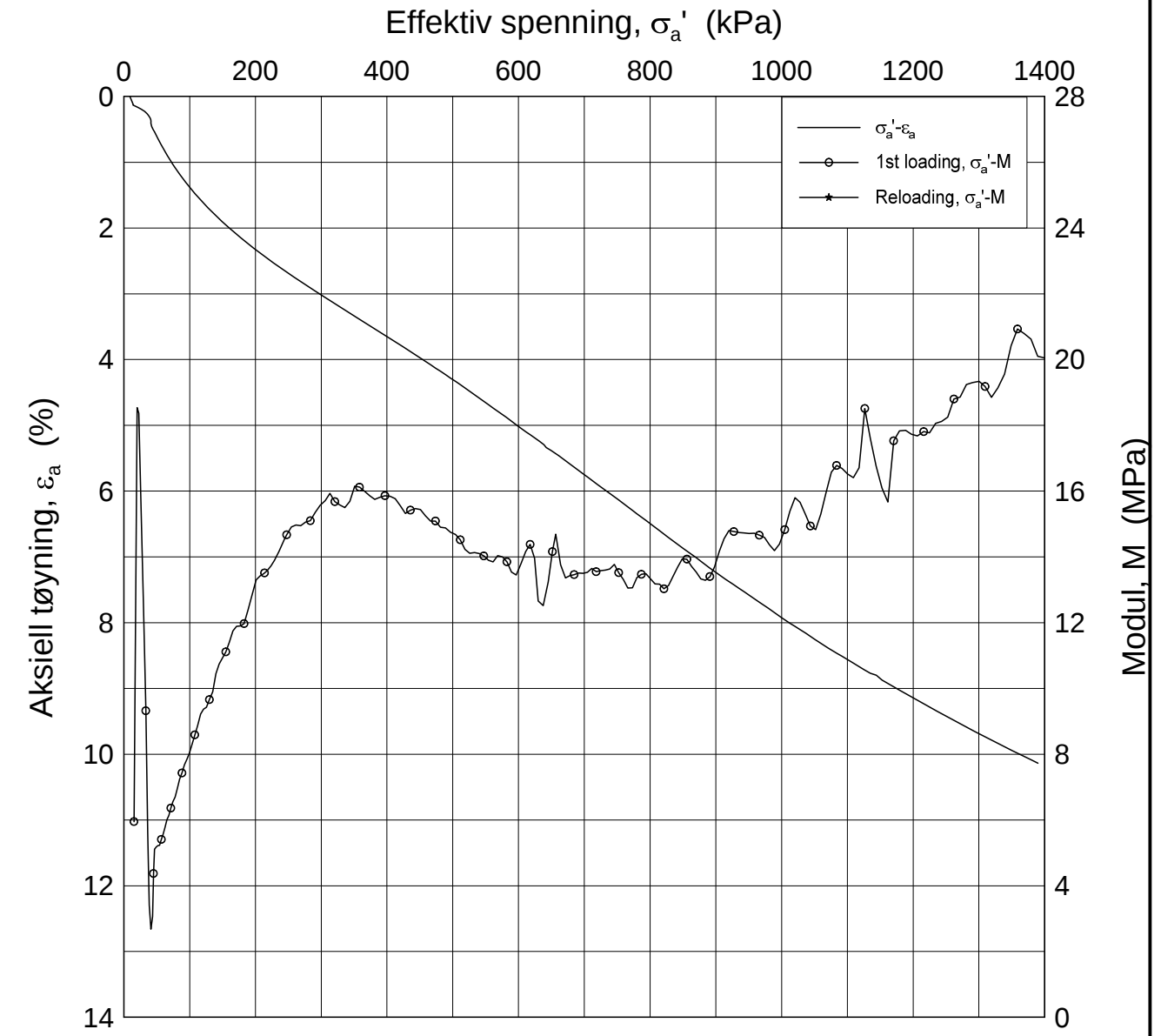
H:\LABDATA\2012\20120491\Oedom\2330-10-A-3 Lin (CRS2554).grf




Dato/Rev.: 2009-09-15/4

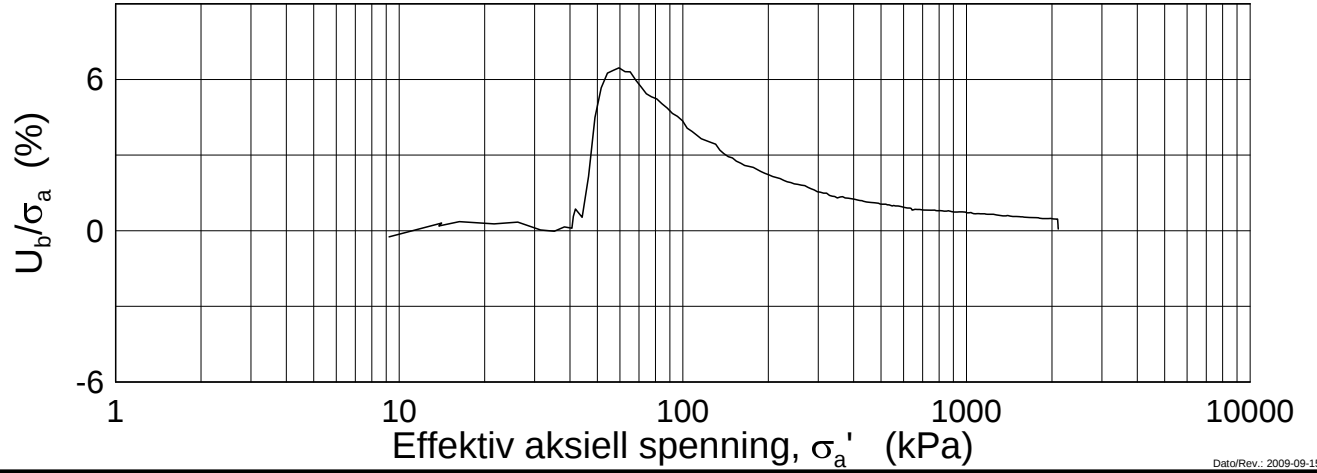
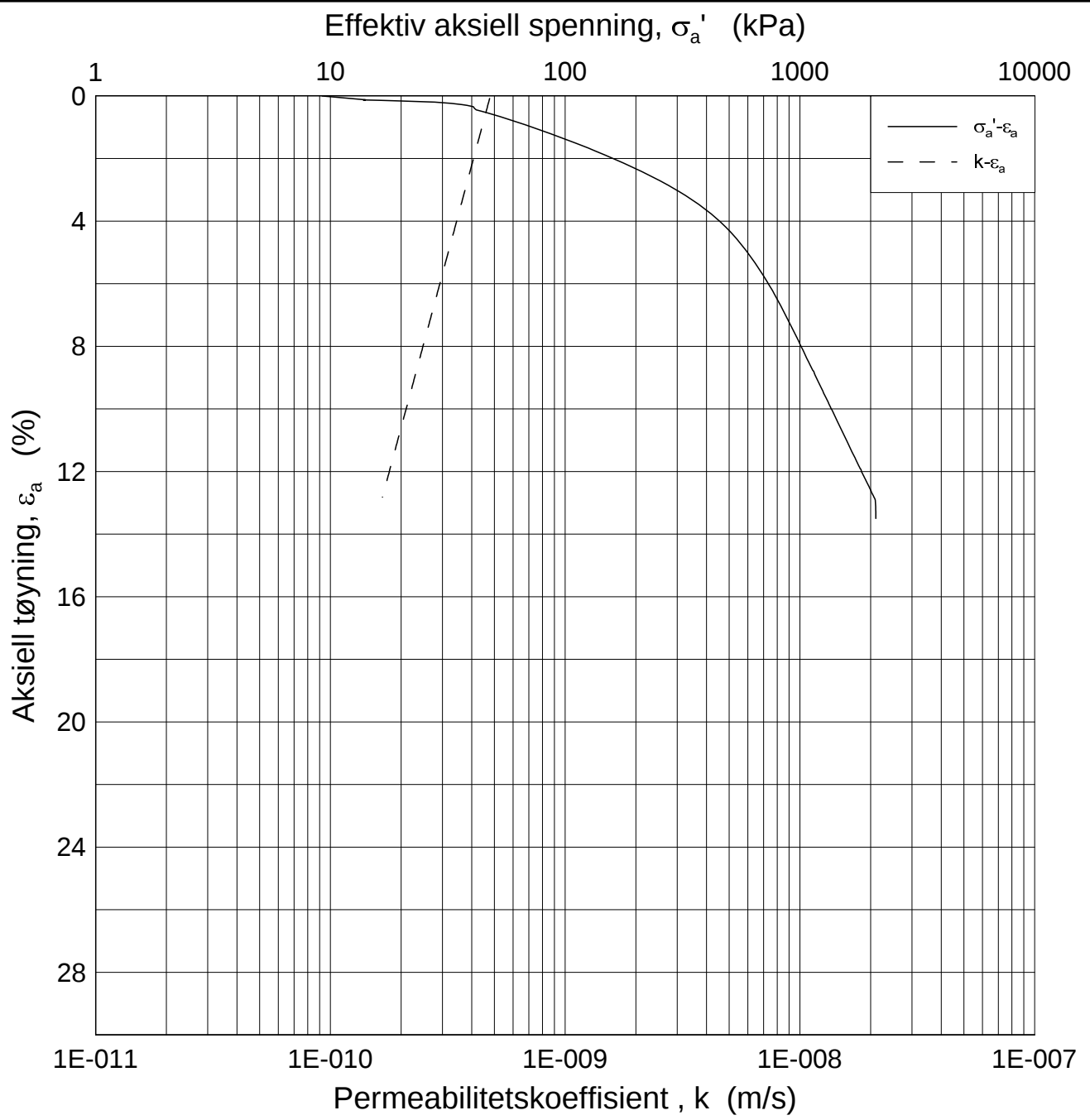
E16 Nybakk - Slomarka		Dokumentnr. 20120491-02-R
Ødometer test (CRSC)		Dato 2014-05-01
Borhull: 2330	Sylinder: 10	Figurnr. F220
Del: A	Test: 3	Tegner FI
	Dybde = 10.50 m	
	$p'_0 = 139.0$ kPa	
	$w_i = 36.28$ %	

H:\LABDATA\2012\20120491\Oedom\2330-10-A-3 Lin2 (CRS2554).grf



Dato/Rev.: 2009-09-15/4

E16 Nybakk - Slomarka		Dokumentnr. 20120491-02-R
Ødometer test (CRSC)		Dato 2014-05-01
Borhull: 2330	Sylinder: 10	Figurnr. F221
Del: A	Test: 3	Tegner FI
	Dybde = 10.50 m	
	$p'_0 = 139.0$ kPa	
	$w_i = 36.28$ %	



Dato/Rev.: 2009-09-15/3

E16 Nybakk - Slomarka

Dokumentnr.
20120491-02-R

Ødometer test (CRSC)

Dybde = 10.50 m

Dato
2014-05-01

Borhull: 2330

Sylinder: 10

p_o' = 139.0 kPa

Figurnr.
F222

Del: A

Test: 3

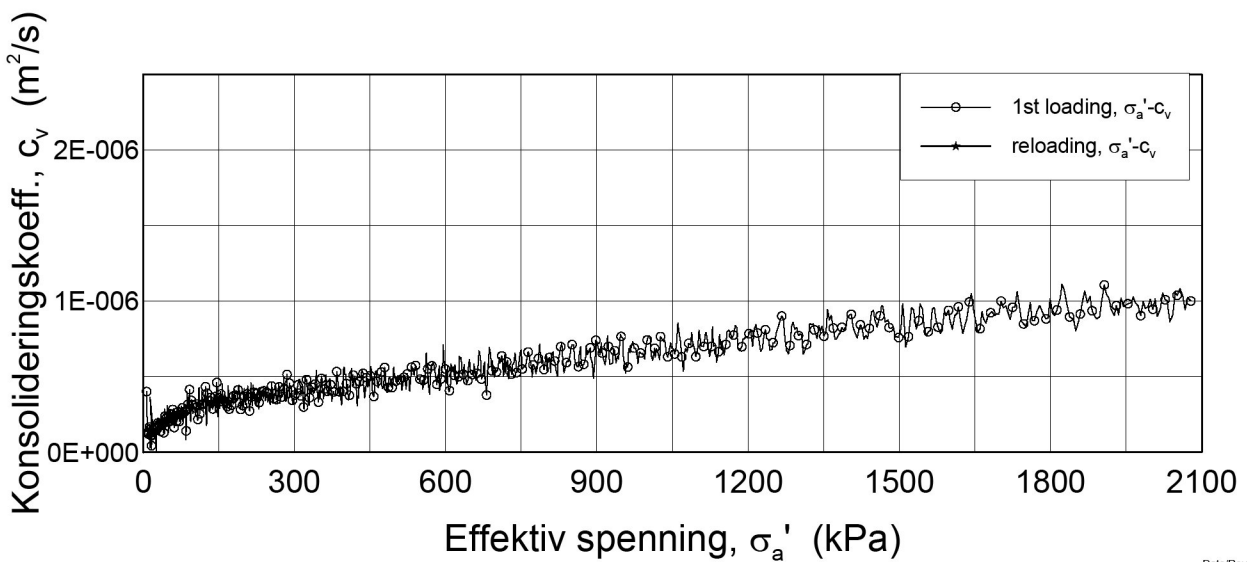
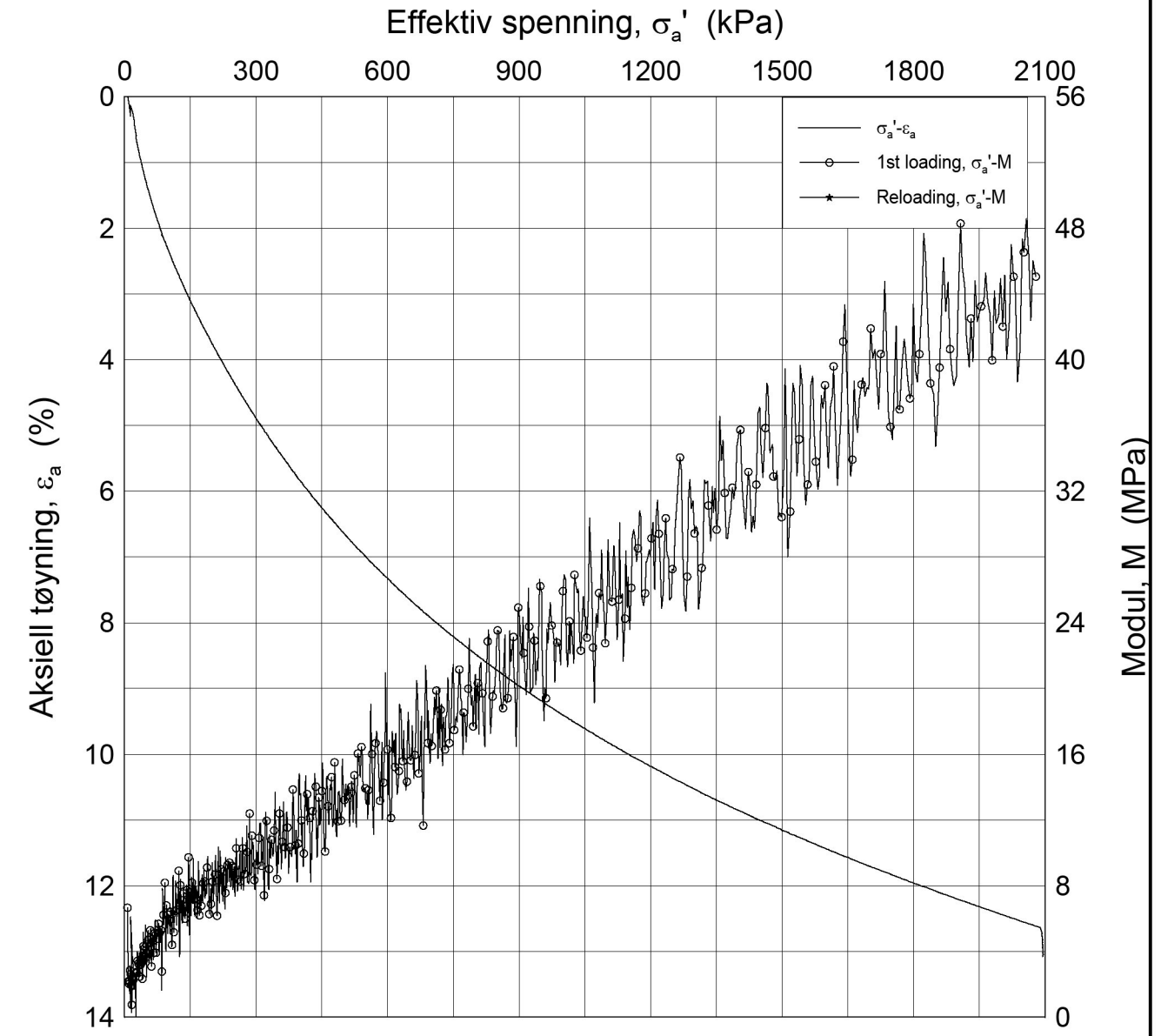
w_i = 36.28 %

Tegner
FI




H:\LABDATA\2012\20120491\Oedom\2330-10-A-3 Log (CRS2554).grf

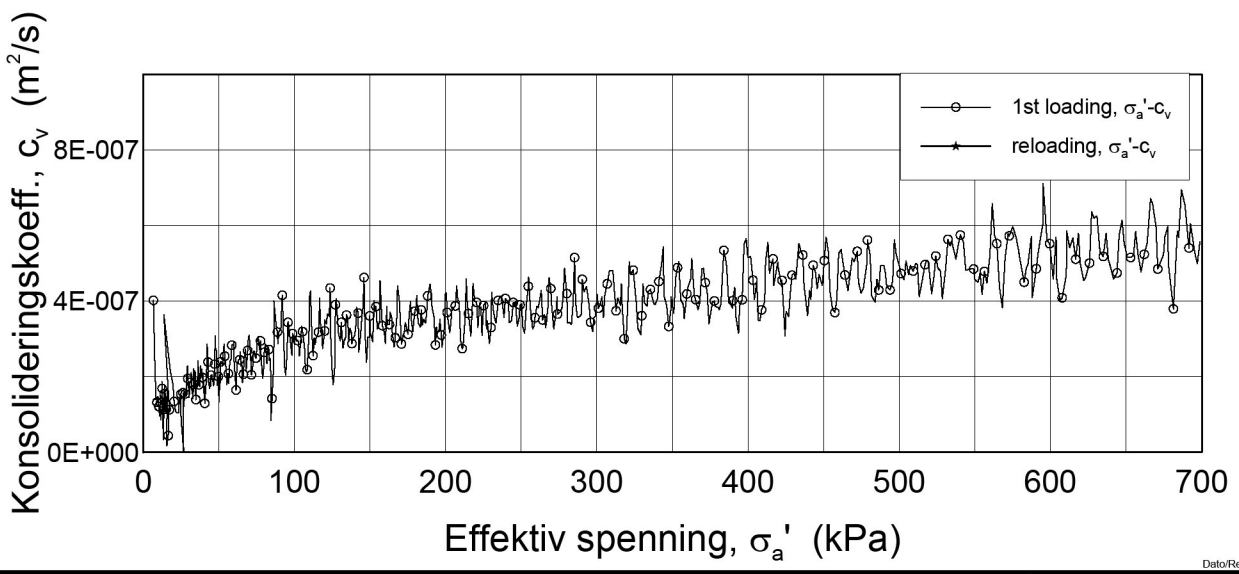
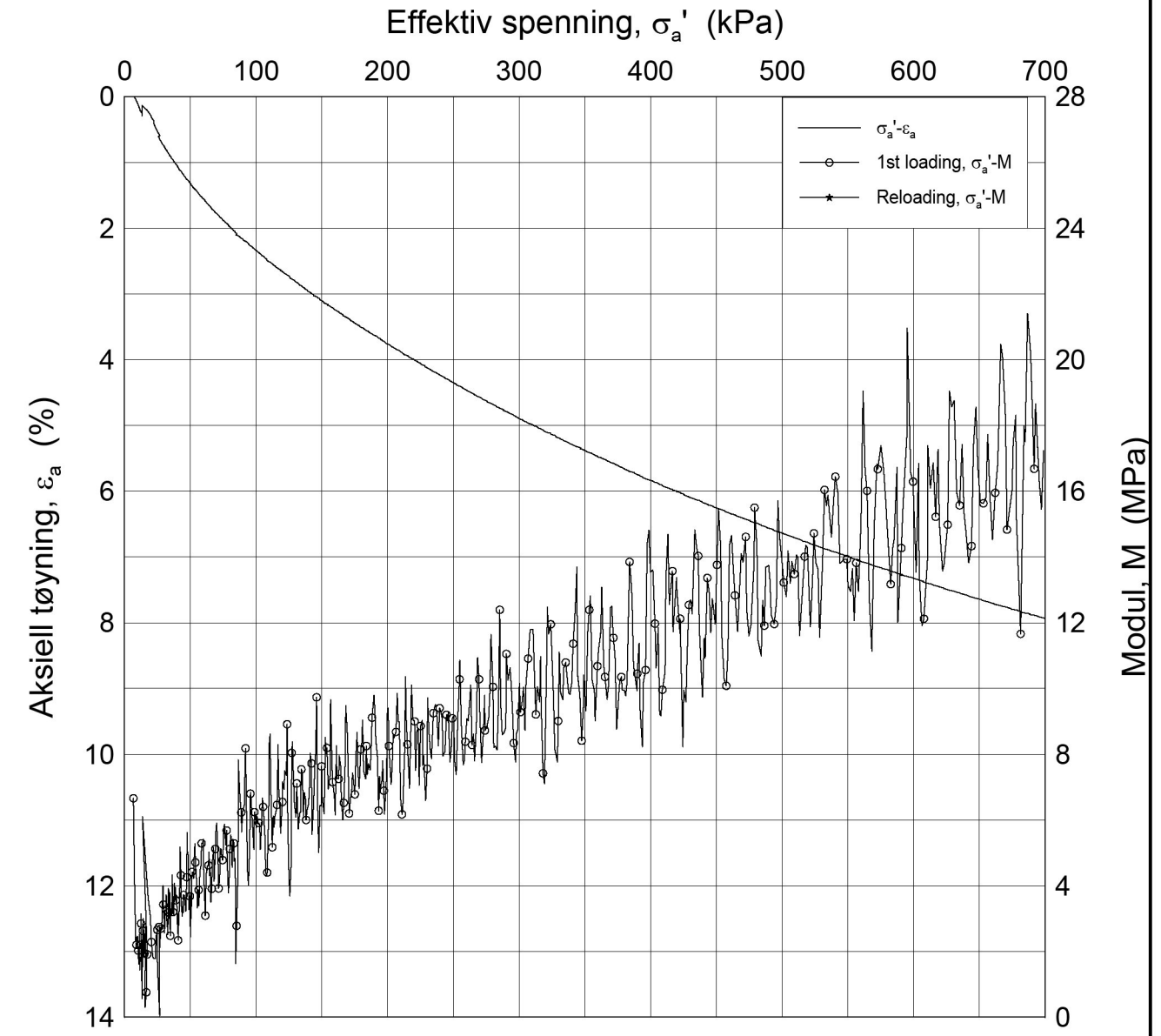
P:\2012\04\20120491\Lab fra labben\FASE 2\Oedom\2332-5-A-2 Lin (CRS2571).grf



Dato/Rev: 2009-09-15/4

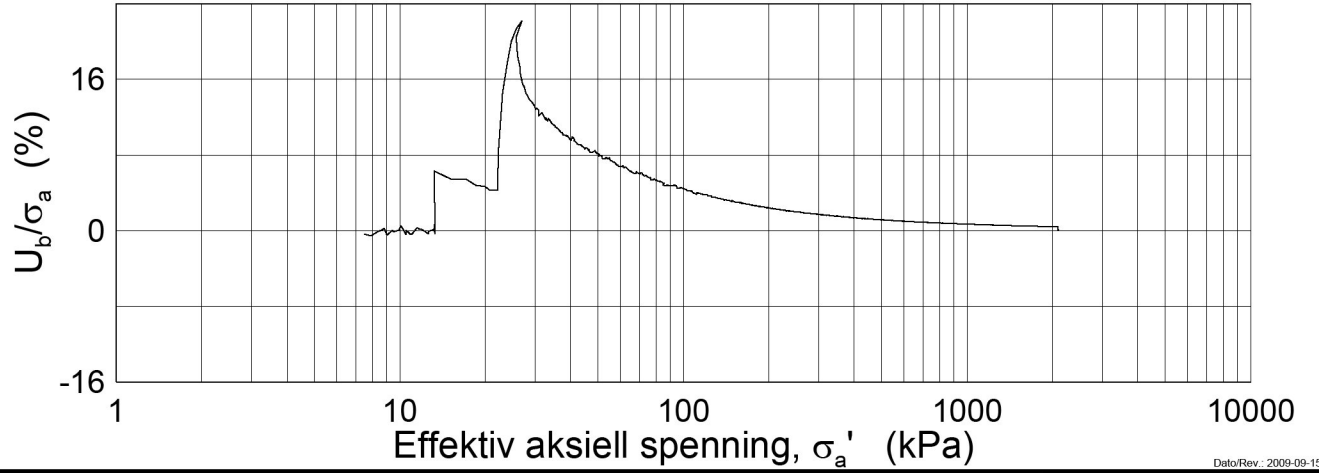
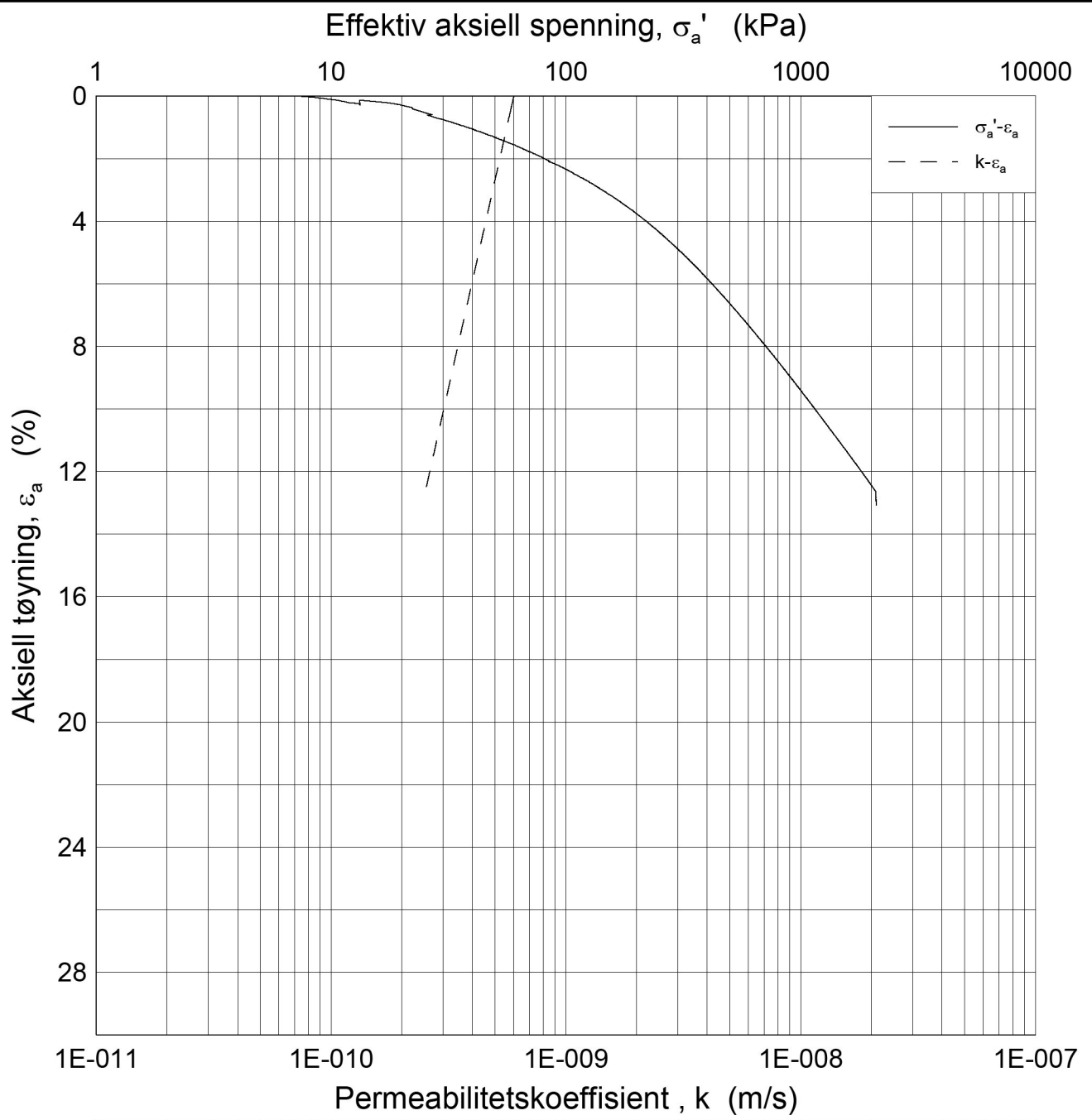
E16 Nybakk - Slomarka			Dokumentnr. 20120491-02-R
Ødometer test (CRSC)			Dato 2014-07-15
Borhull: 2332	Sylinder: 5	Dybde = 5.48 m	Figurnr. F223
Del: A	Test: 2	$p'_o = 64.3$ kPa	Tegner FI
		$w_i = 31.13$ %	

P:\2012\04\20120491\Lab fra labben\FASE 2\Oedom\2332-5-A-2 Lin2 (CRS2571).grf



Dato/Rev.: 2009-09-15/4

E16 Nybakk - Slomarka		Dokumentnr. 20120491-02-R	
Ødometer test (CRSC)		Dato 2014-07-15	
Borhull: 2332	Sylinder: 5	Dybde = 5.48 m	Figurnr. F224 Tegner FI
Del: A	Test: 2	$p'_o = 64.3$ kPa	
		$w_i = 31.13$ %	



Dato/Rev.: 2009-09-15/3

E16 Nybakk - Slomarka

Dokumentnr.
20120491-02-R

Ødometer test (CRSC)

Dybde = 5.48 m

Dato
2014-07-15

Borhull: 2332

Sylinder: 5

p_o' = 64.3 kPa

Figurnr.
F225

Del: A

Test: 2

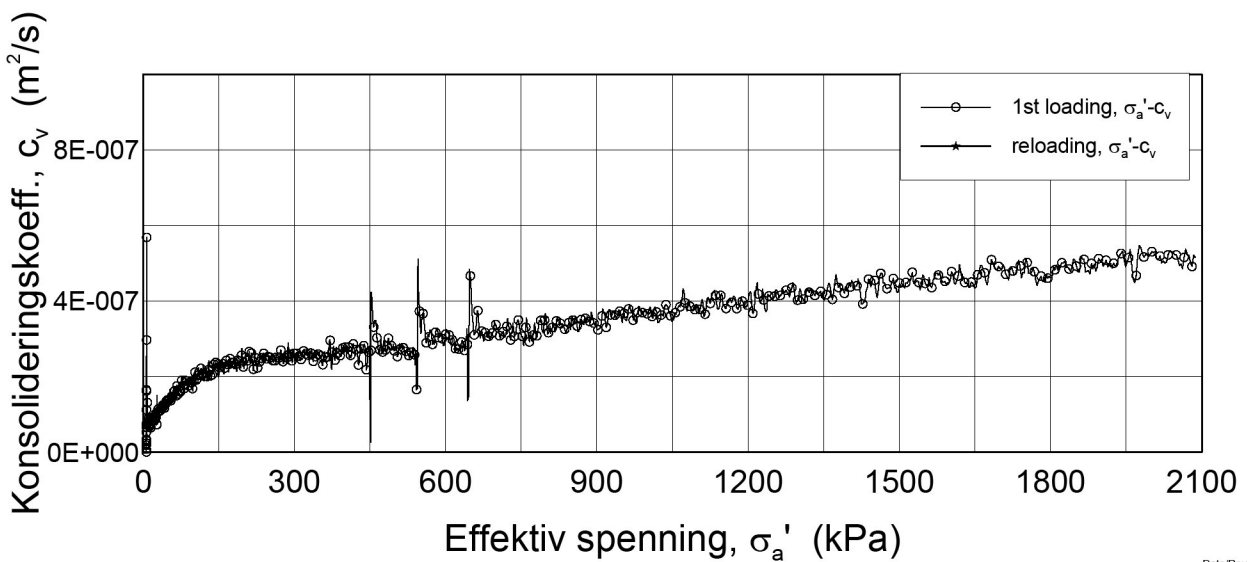
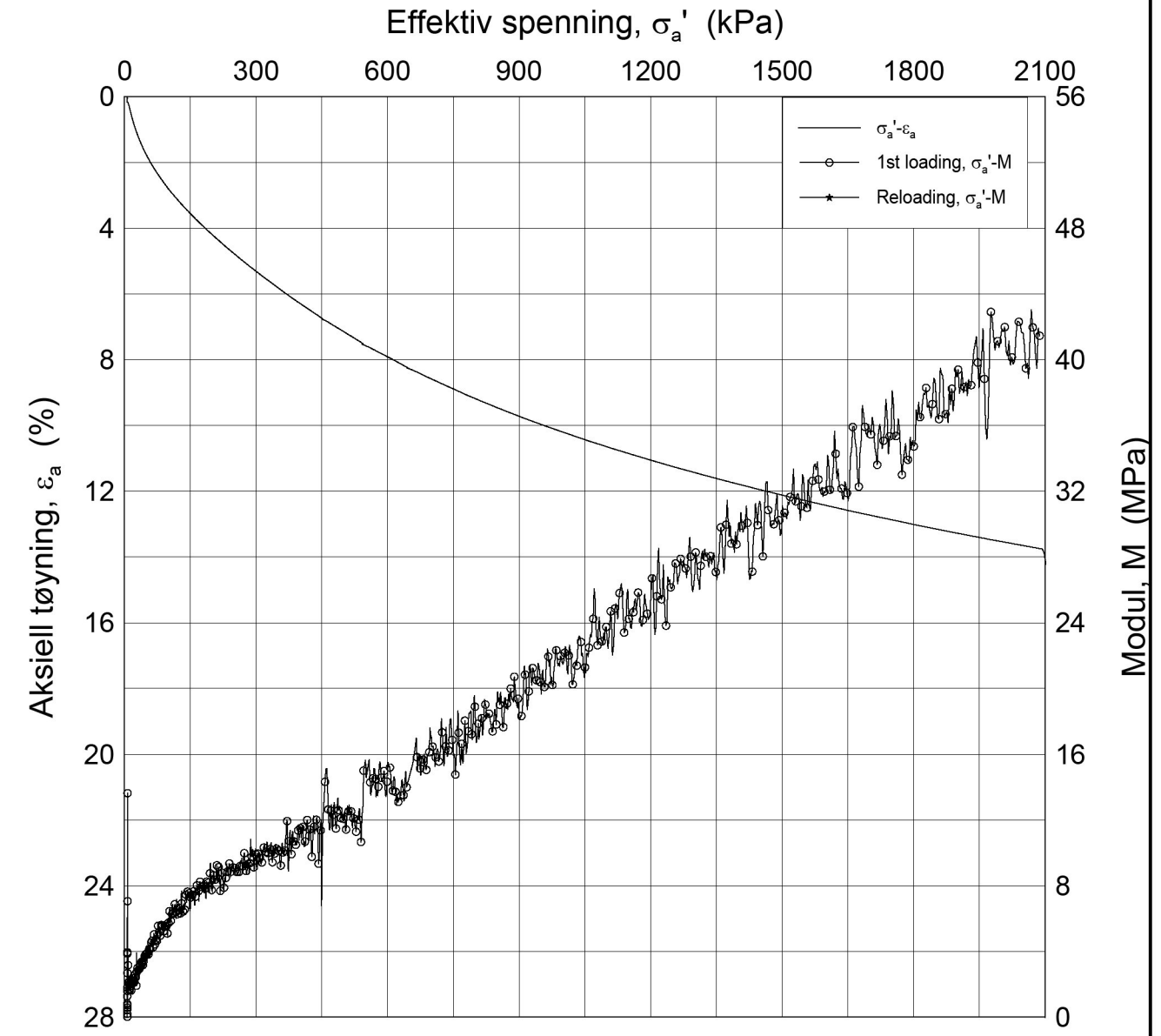
w_i = 31.13 %

Tegner
FI



P:\2012\04\20120491\Lab fra labben\FASE 2\Oedom\2332-5-A-2 Log(CRS2571).gif

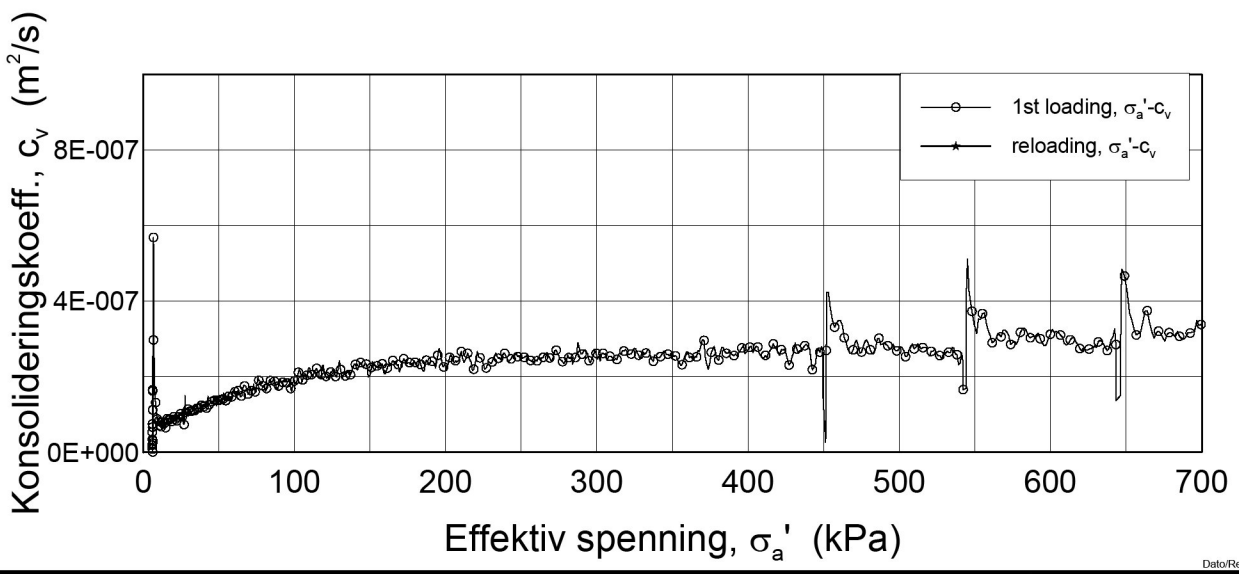
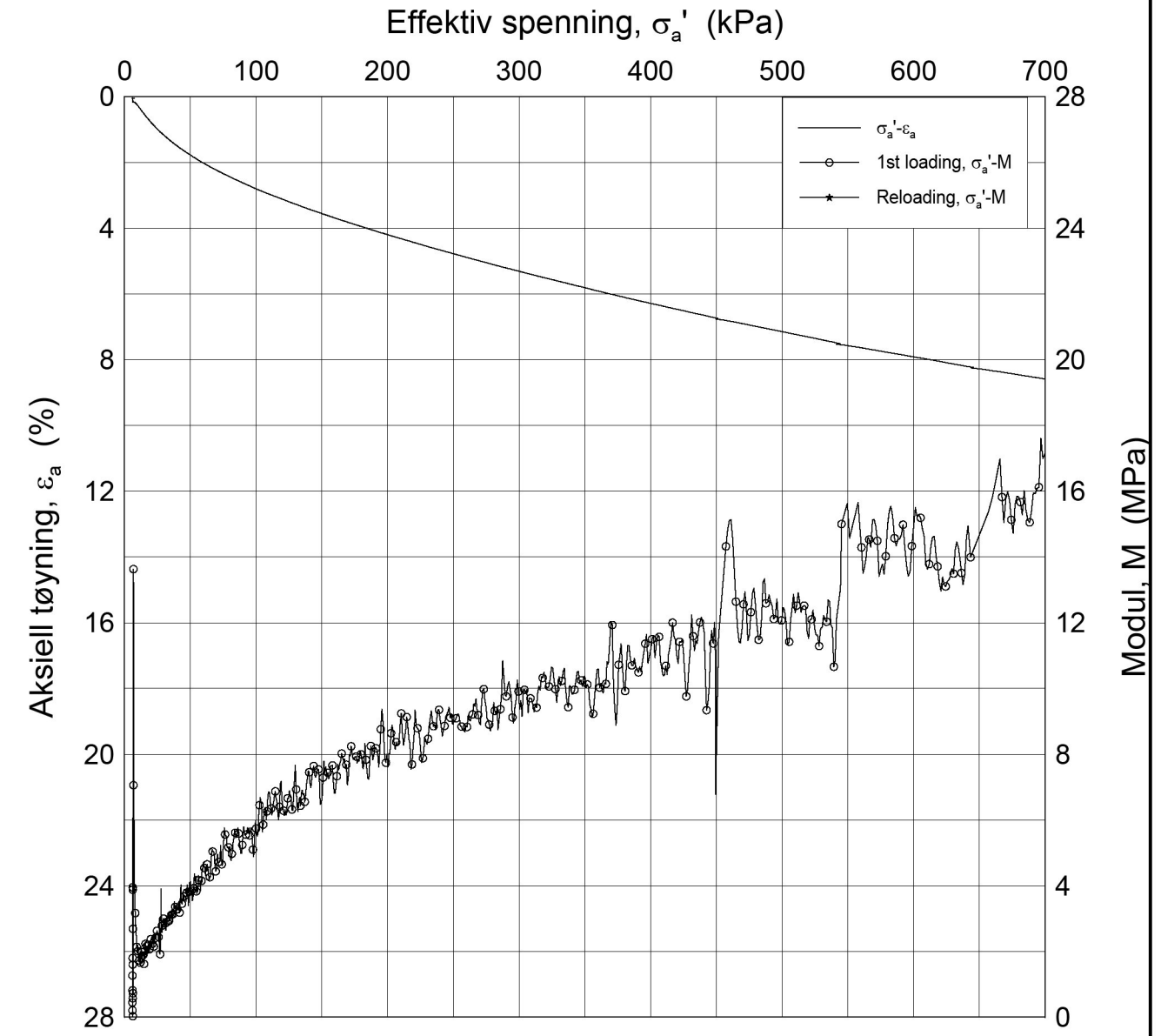
P:\2012\04\20120491\Lab fra labben\FASE 2\Oedom\2332-10-A-3 Lin (CRS2572).grf




Dato/Rev.: 2009-09-15/4

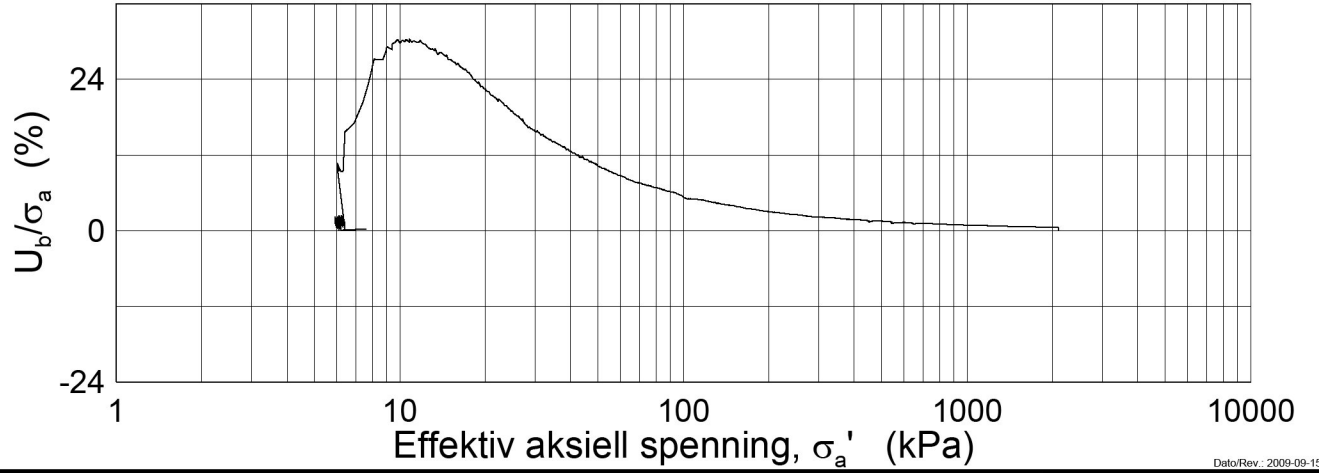
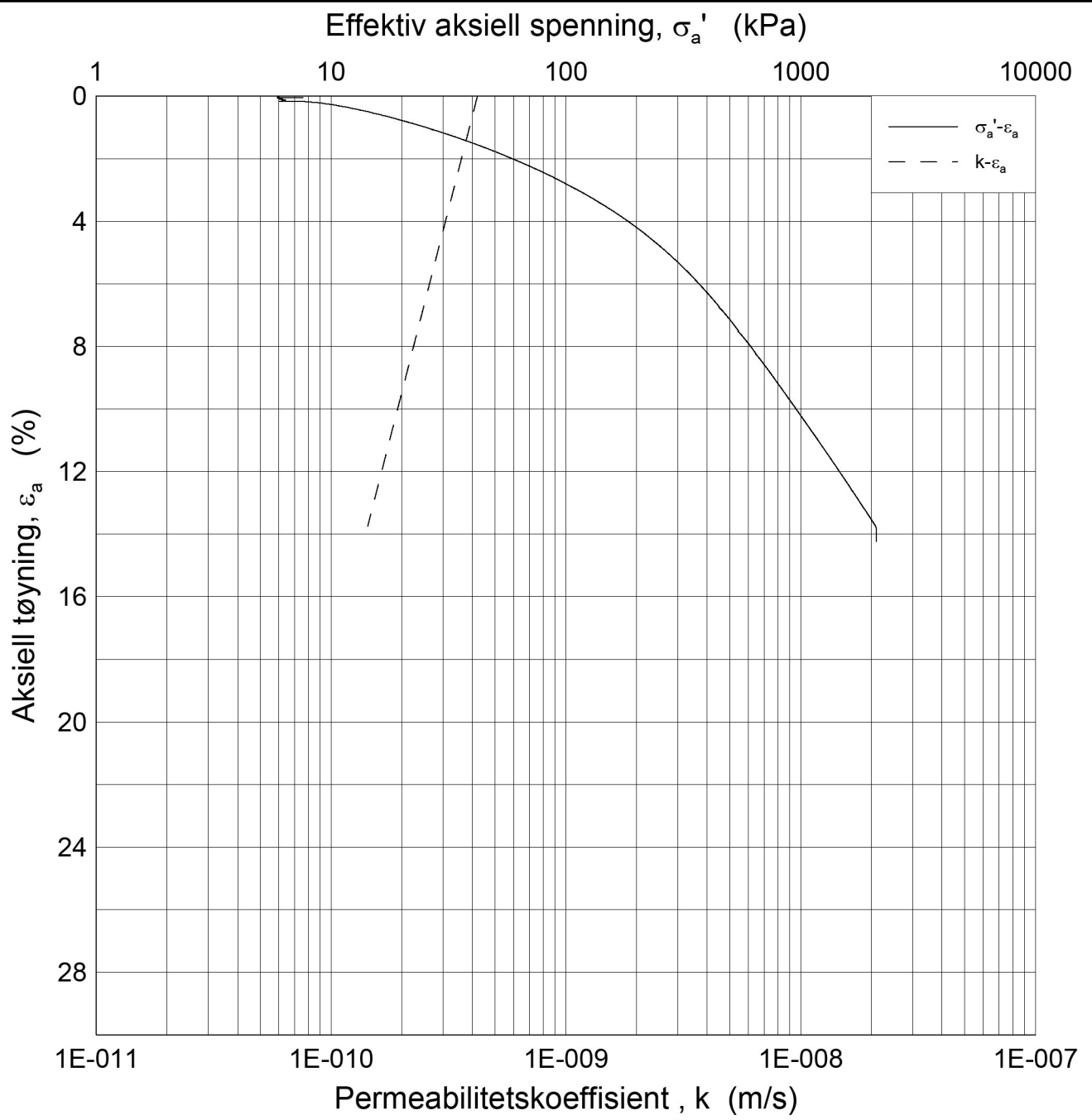
E16 Nybakk - Slomarka		Dokumentnr. 20120491-02-R	
Ødometer test (CRSC)		Dato 2014-07-15	
Borhull: 2332	Sylinder: 10	Dybde = 10.53 m	Figurnr. F226 Tegner FI
Del: A	Test: 3	$p'_o = 121.2$ kPa	
		$w_i = 35.71$ %	

P:\2012\04\20120491\Lab fra labben\FASE 2\Oedom\2332-10-A-3 Lin2 (CRS2572).grf



Dato/Rev.: 2009-09-15/4

E16 Nybakk - Slomarka		Dokumentnr. 20120491-02-R	
Ødometer test (CRSC)		Dato 2014-07-15	
Borhull: 2332	Sylinder: 10	Dybde = 10.53 m	Figurnr. F227 Tegner FI 
Del: A	Test: 3	$p'_o = 121.2$ kPa	
		$w_i = 35.71$ %	



Dato/Rev.: 2009-09-15/3

E16 Nybakk - Slomarka

Dokumentnr.
20120491-02-R

Ødometer test (CRSC)

Dybde = 10.53 m

Dato
2014-07-15

Borhull: 2332

Sylinder: 10

p'_o = 121.2 kPa

Figurnr.
F228

Del: A

Test: 3

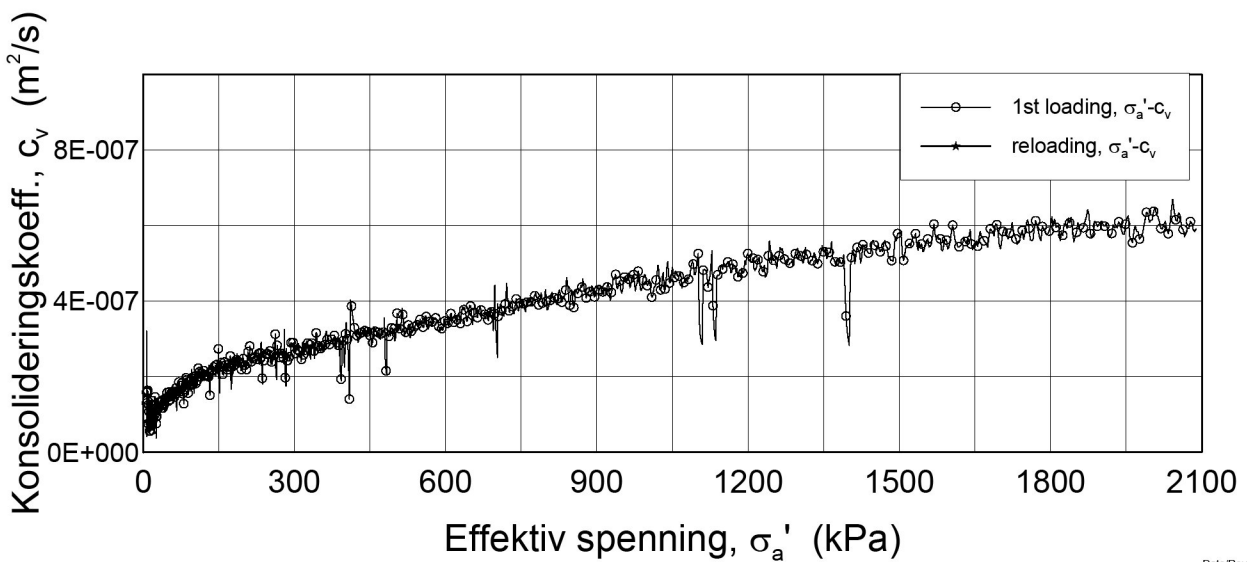
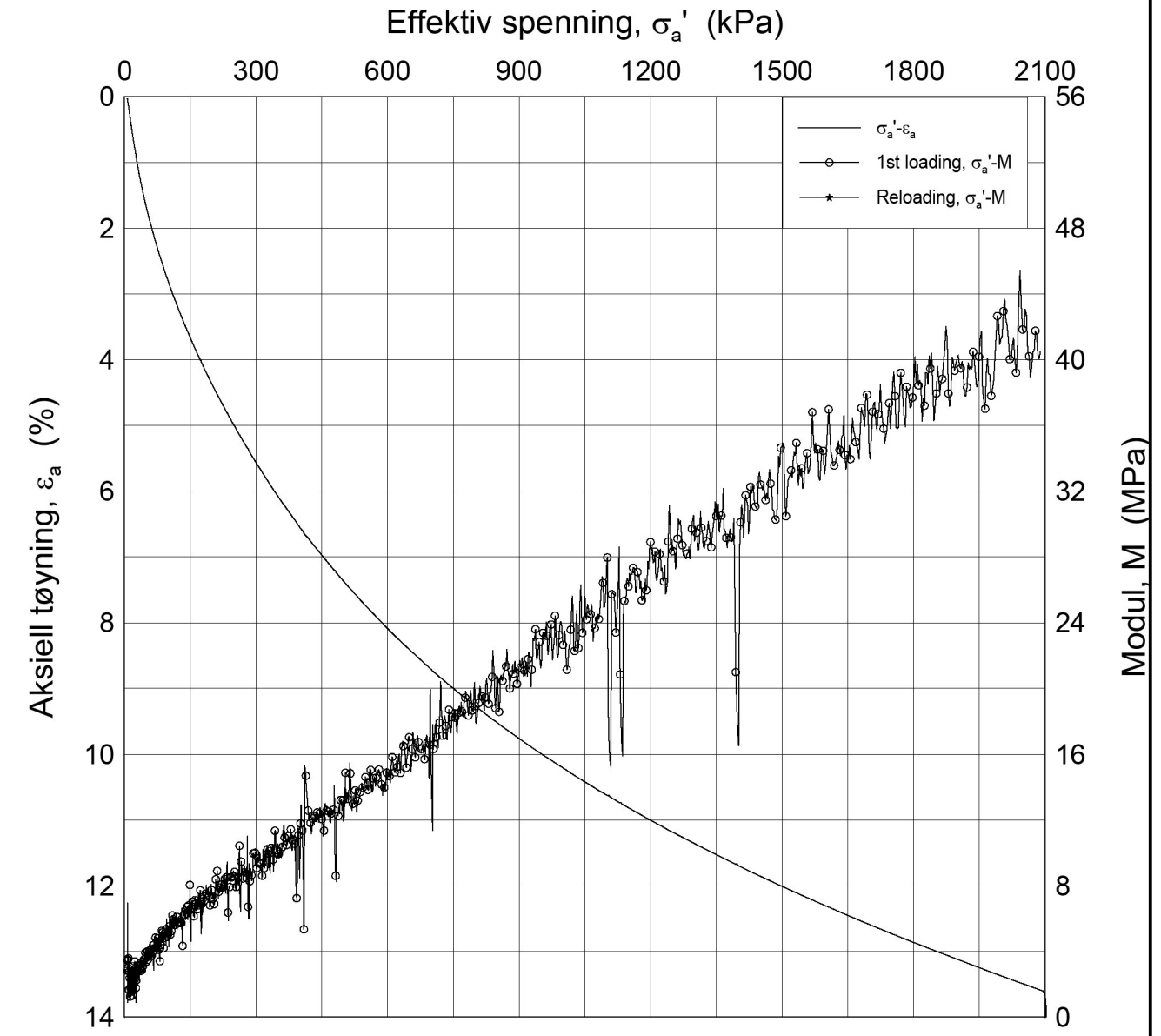
w_i = 35.71 %

Tegner
FI




P:\2012\04\20120491\Lab fra labben\FASE 2\Oedom\2332-10-A-3 Log (CRS2572).gif

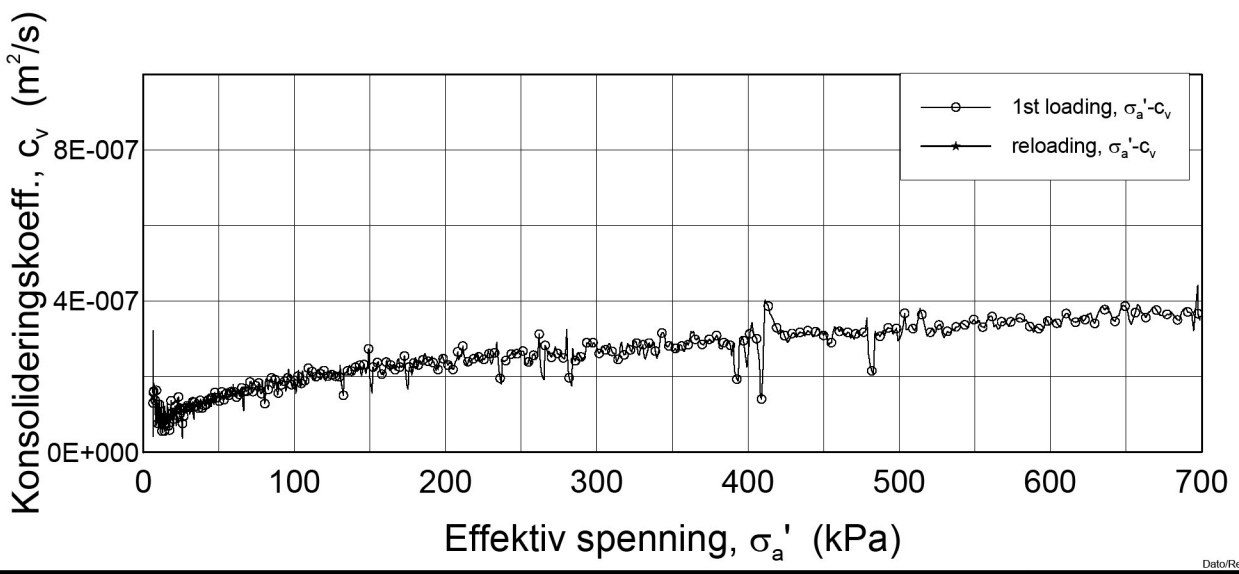
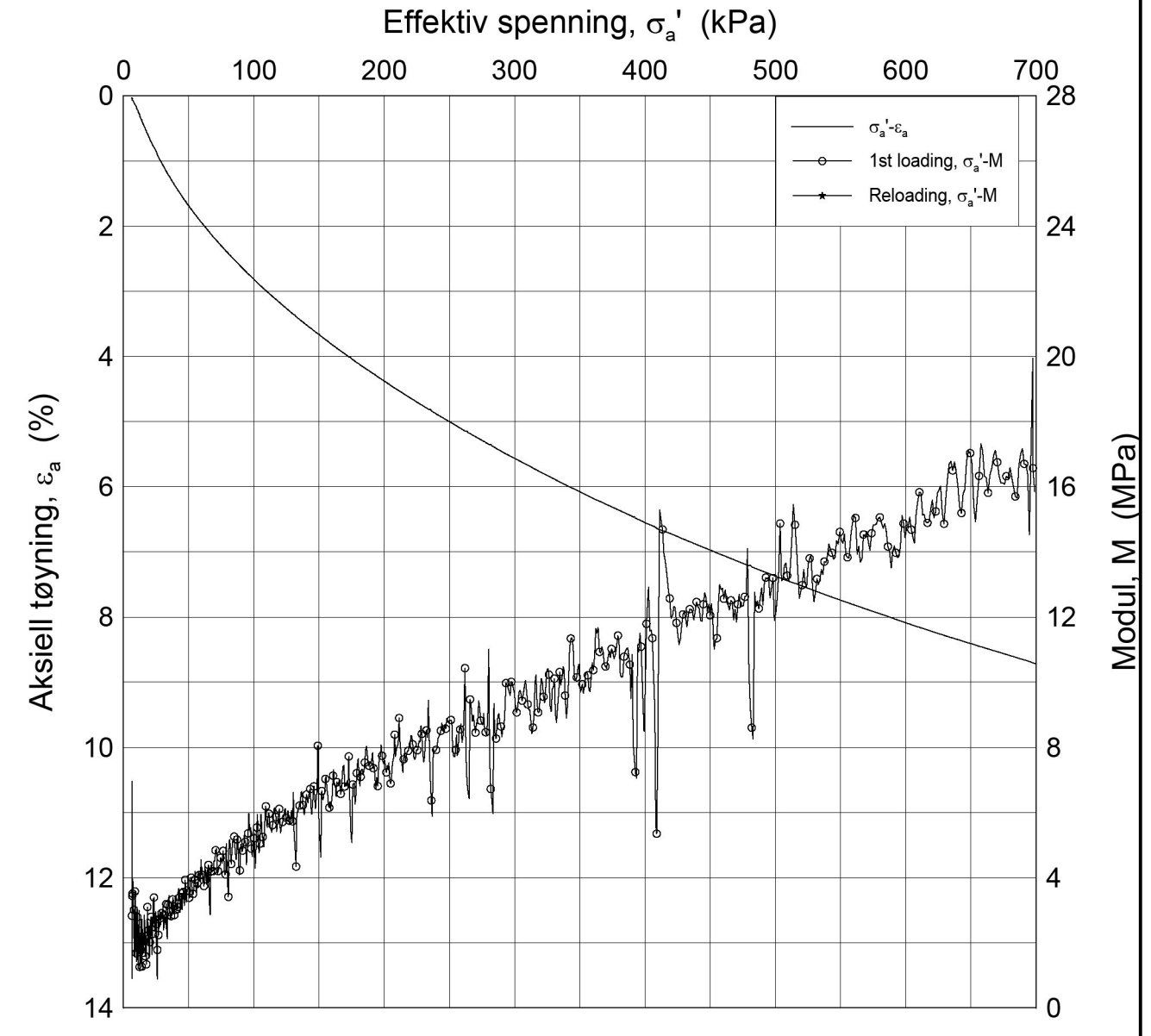
P:\2012\04\20120491\Lab fra labben\FASE 2\Oedom\2332-15-A-3_Lin (CRS2580).grf




Dato/Rev.: 2009-09-15/4

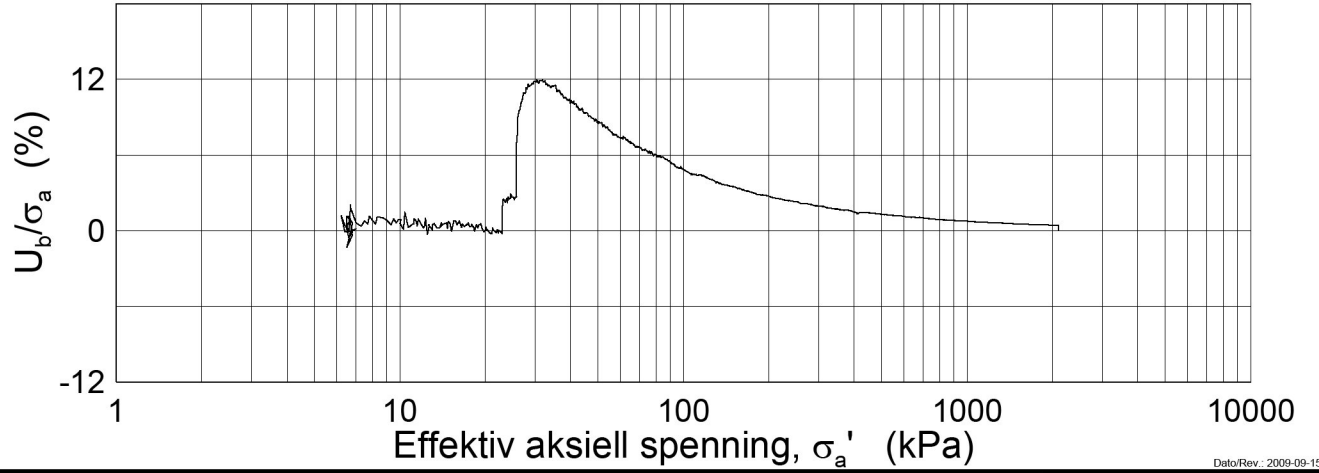
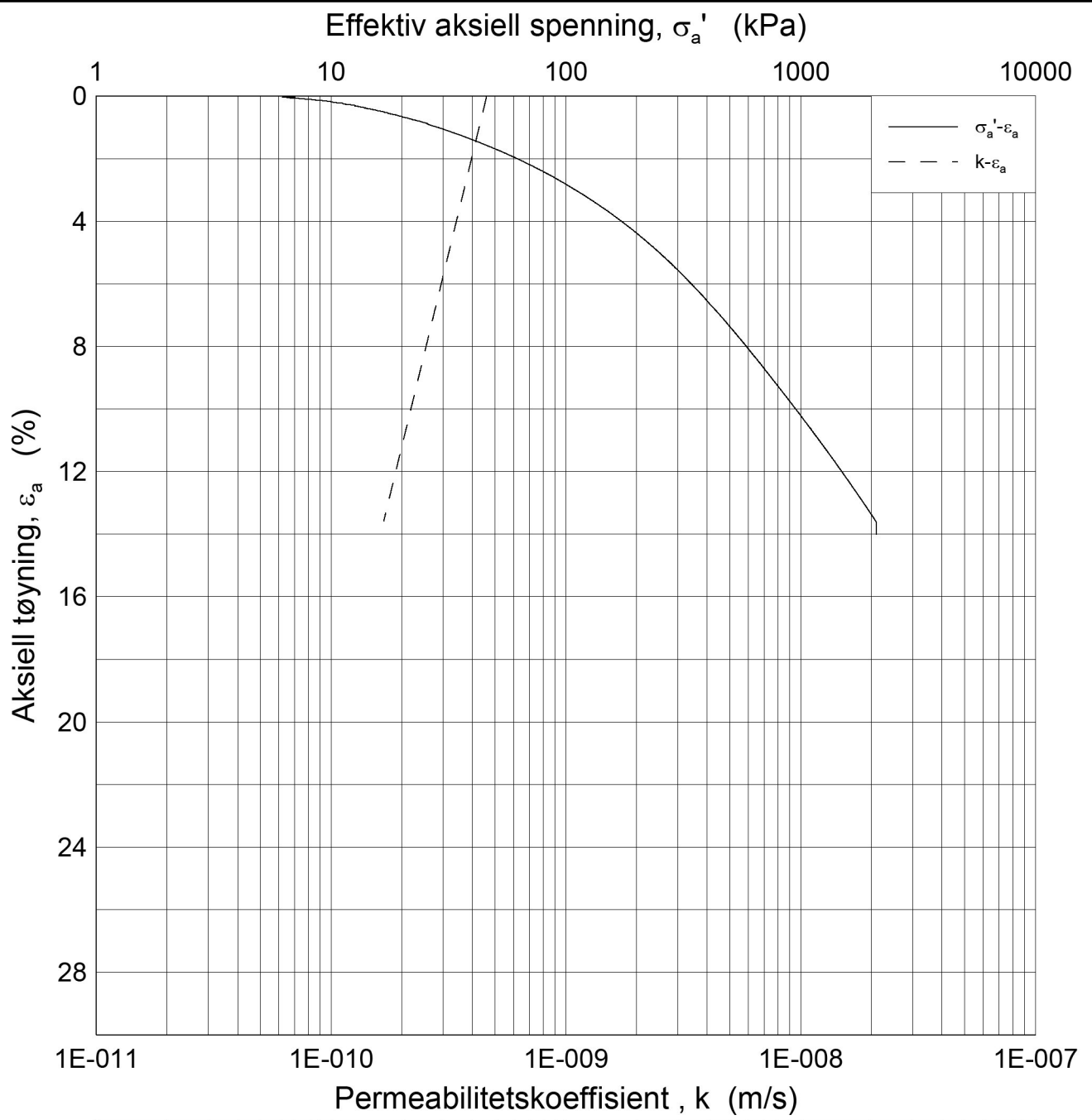
E16 Nybakk - Slomarka		Dokumentnr. 20120491-02-R
Ødometer test (CRSC)		Dato 2014-07-15
Borhull: 2332	Sylinder: 15	Figurnr. F229
Del: A	Test: 3	Tegner FI
	Dybde = 16.18 m	
	$p'_o = 184.0$ kPa	
	$w_i = 33.26$ %	

P:\2012\04\20120491\Lab fra labben\FASE 2\Oedom\2332-15-A-3 Lin2 (CRS2580).grf




Dato/Rev.: 2009-09-15/4

E16 Nybakk - Slomarka			Dokumentnr. 20120491-02-R
Ødometer test (CRSC)			Dato 2014-07-15
Borhull: 2332	Sylinder: 15	Dybde = 16.18 m	Figurnr. F230
Del: A	Test: 3	$p'_o = 184.0$ kPa	Tegner FI
		$w_i = 33.26$ %	

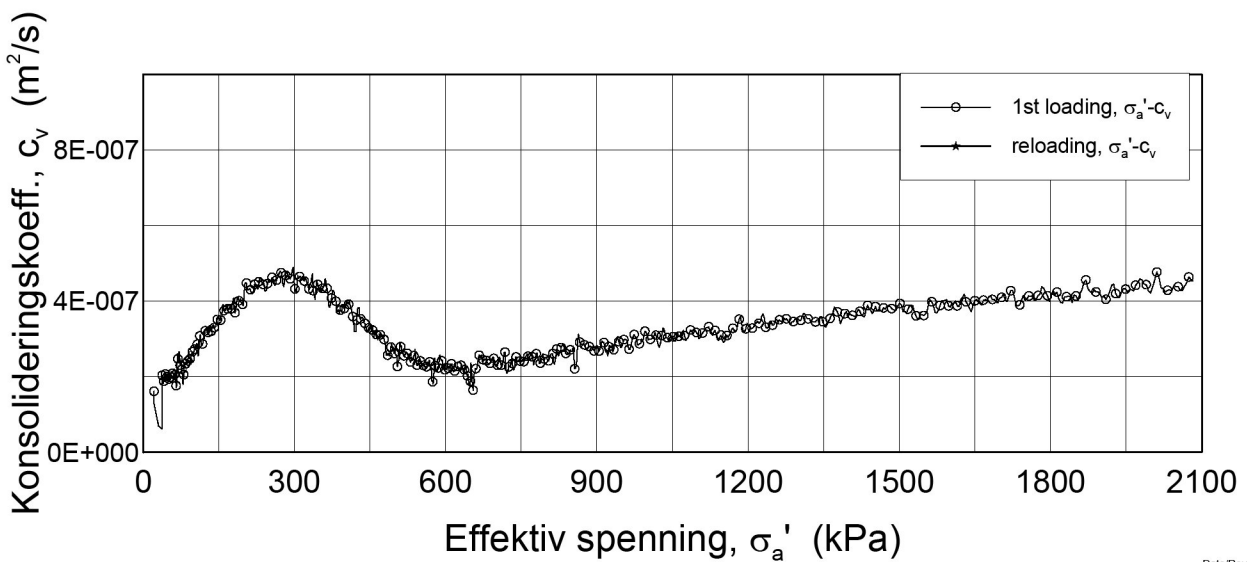
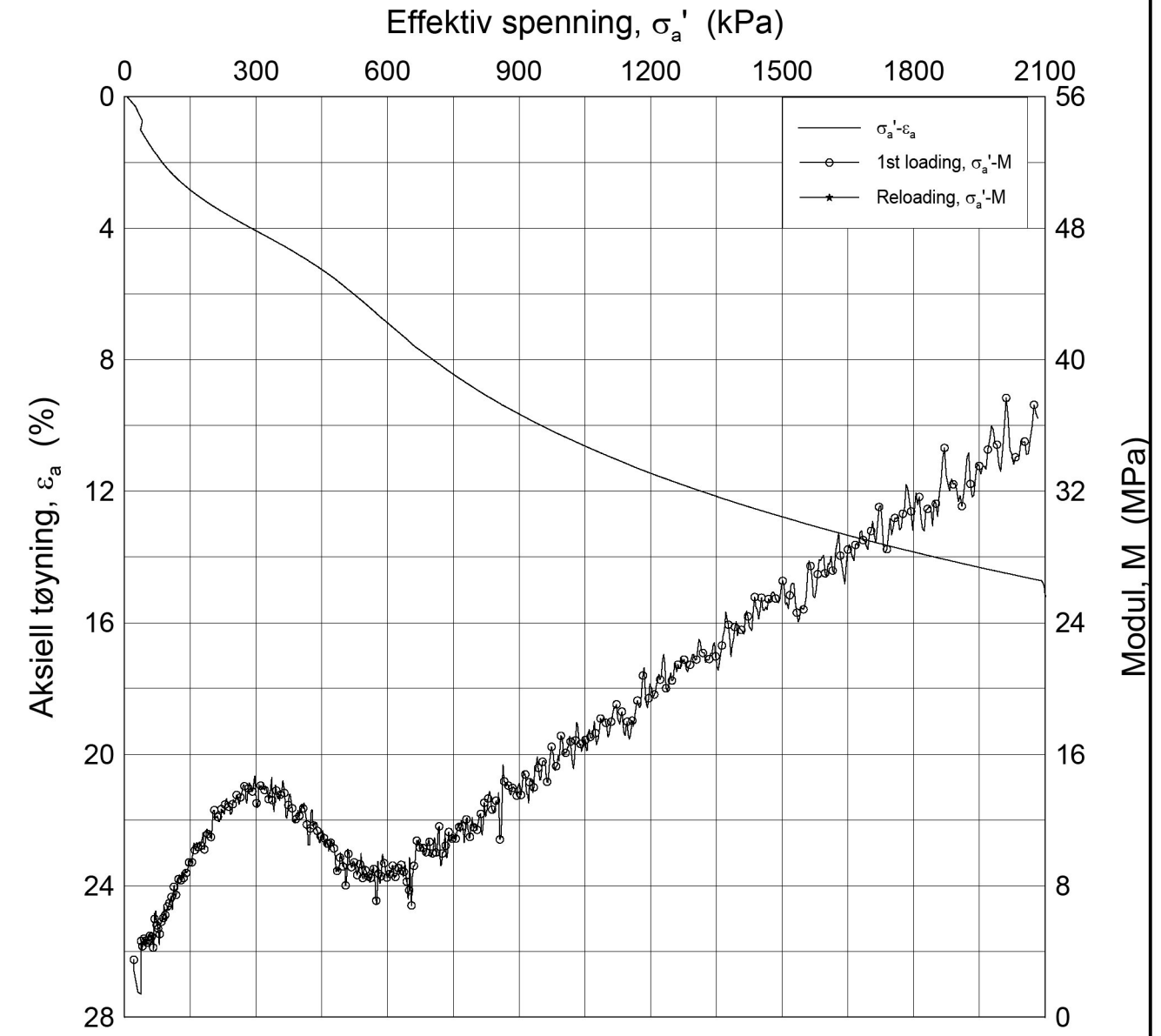


Dato/Rev: 2009-09-15/3


P:\2012\04\20120491\Lab fra labben\FASE 2\Oedom\2332-15-A-3 Log (CRS2580).gif

E16 Nybakk - Slomarka				Dokumentnr. 20120491-02-R
Ødometer test (CRSC)				Dato 2014-07-15
Borhull: 2332	Sylinder: 15	Dybde = 16.18	m	Figurnr. F231
Del: A	Test: 3	p_o' = 184.0	kPa	Tegner FI
		w_i = 33.26	%	

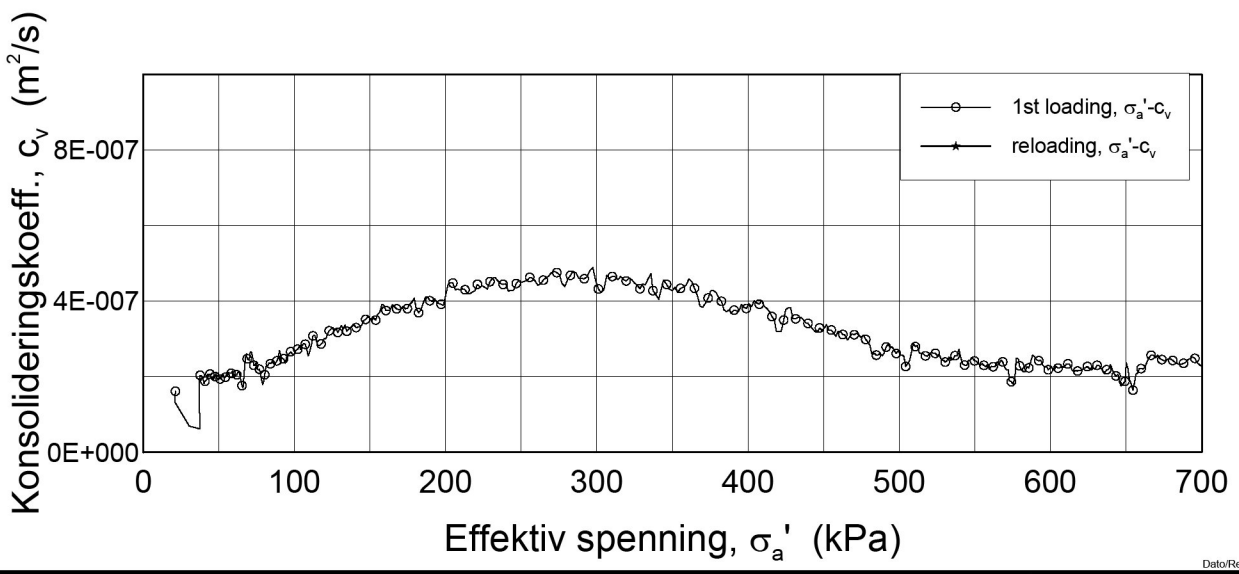
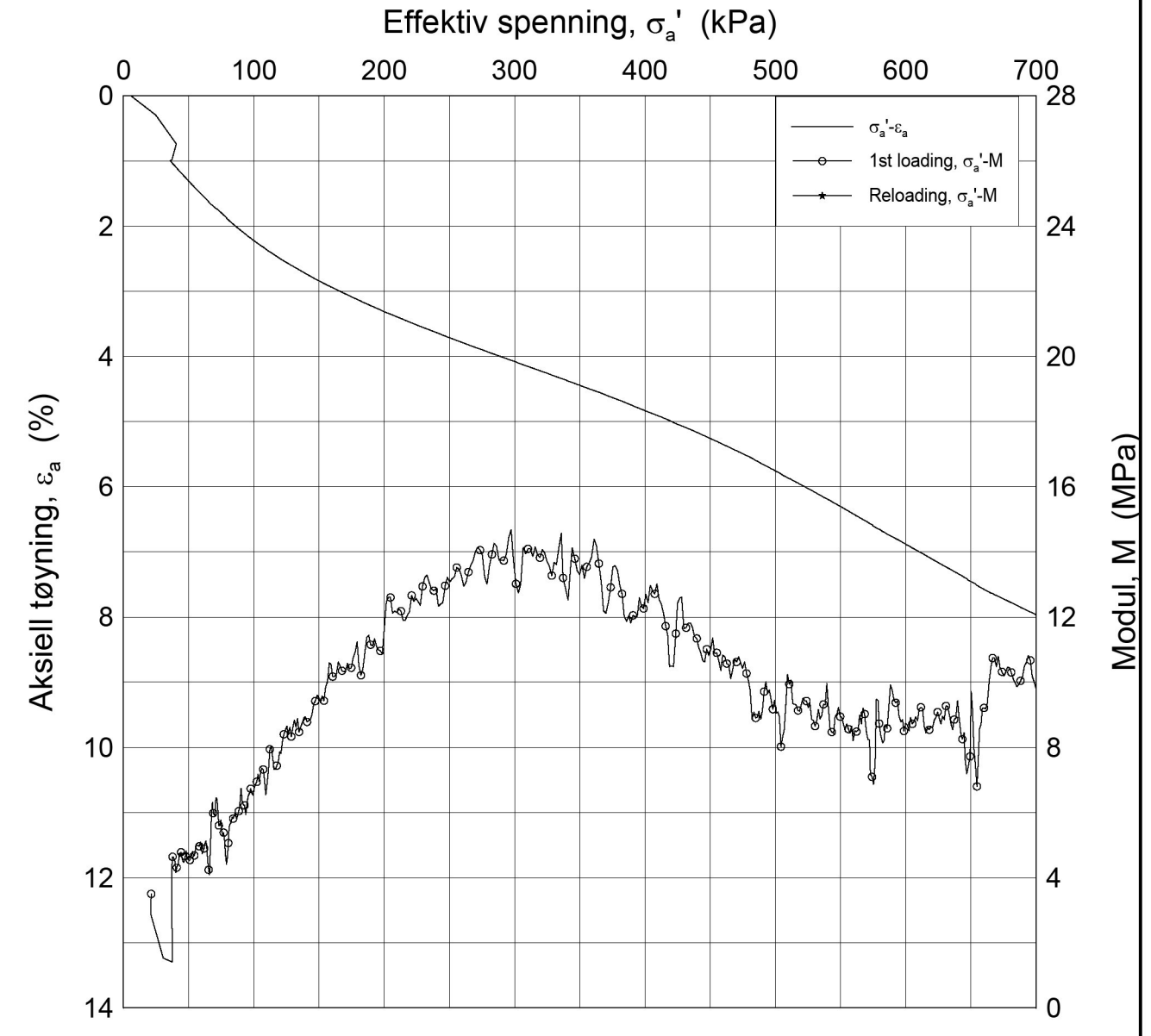
P:\2012\04\20120491\Lab fra labben\FASE 2\Oedom\2332-17-A-2 Lin (CRS2579).grf




Dato/Rev: 2009-09-15/4

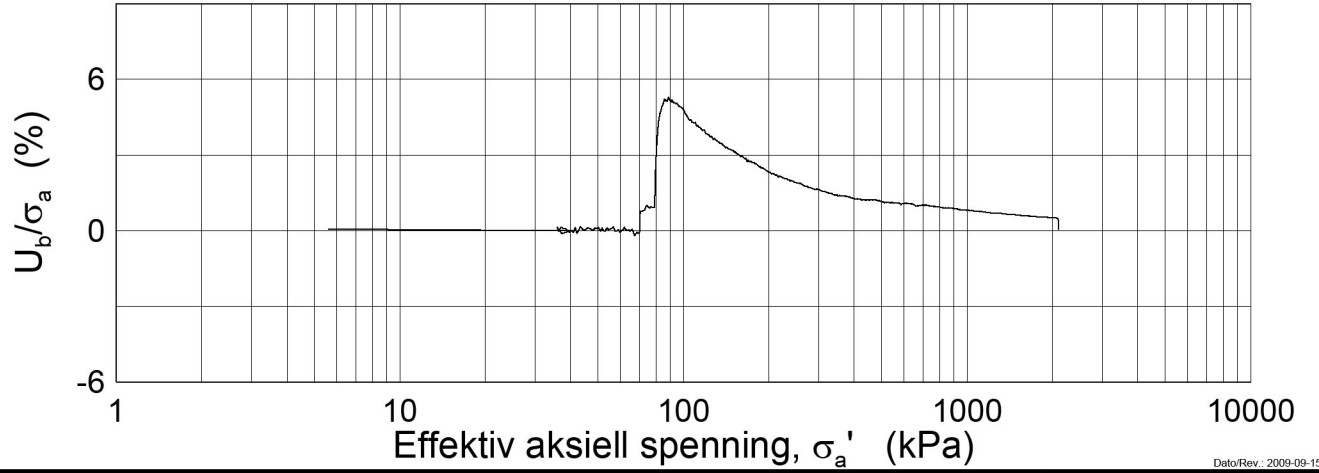
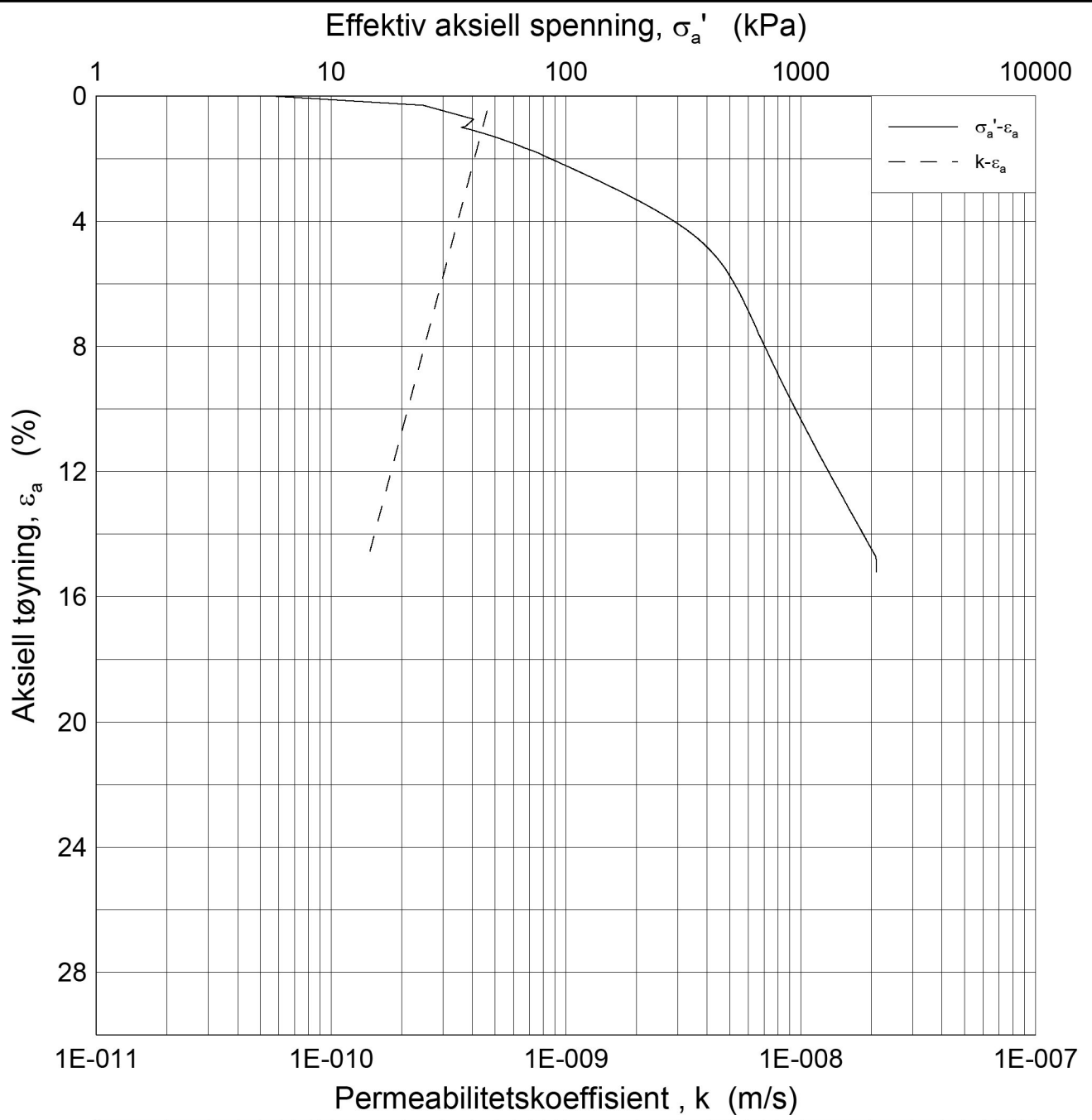
E16 Nybakk - Slomarka			Dokumentnr. 20120491-02-R
Ødometer test (CRSC)			Dato 2014-07-15
Borhull: 2332	Sylinder: 17	Dybde = 20.13 m	Figurnr. F232
Del: A	Test: 2	$p'_o = 230.8$ kPa	Tegner FI
		$w_i = 34.47$ %	

P:\2012\04\20120491\Lab fra labben\FASE 2\Oedom\2332-17-A-2 Lin2 (CRS2579).grf



Dato/Rev: 2009-09-15/4

E16 Nybakk - Slomarka		Dokumentnr. 20120491-02-R
Ødometer test (CRSC)		Dato 2014-07-15
Borhull: 2332	Sylinder: 17	Figurnr. F233
Del: A	Test: 2	Tegner FI
	Dybde = 20.13 m	
	$p'_o = 230.8$ kPa	
	$w_i = 34.47$ %	



Dato/Rev.: 2009-09-15/3

E16 Nybakk - Slomarka

Dokumentnr.
20120491-02-R

Ødometer test (CRSC)

Dybde = 20.13 m

Dato
2014-07-15

Borhull: 2332

Sylinder: 17

p'_o = 230.8 kPa

Figurnr.
F234

Del: A

Test: 2

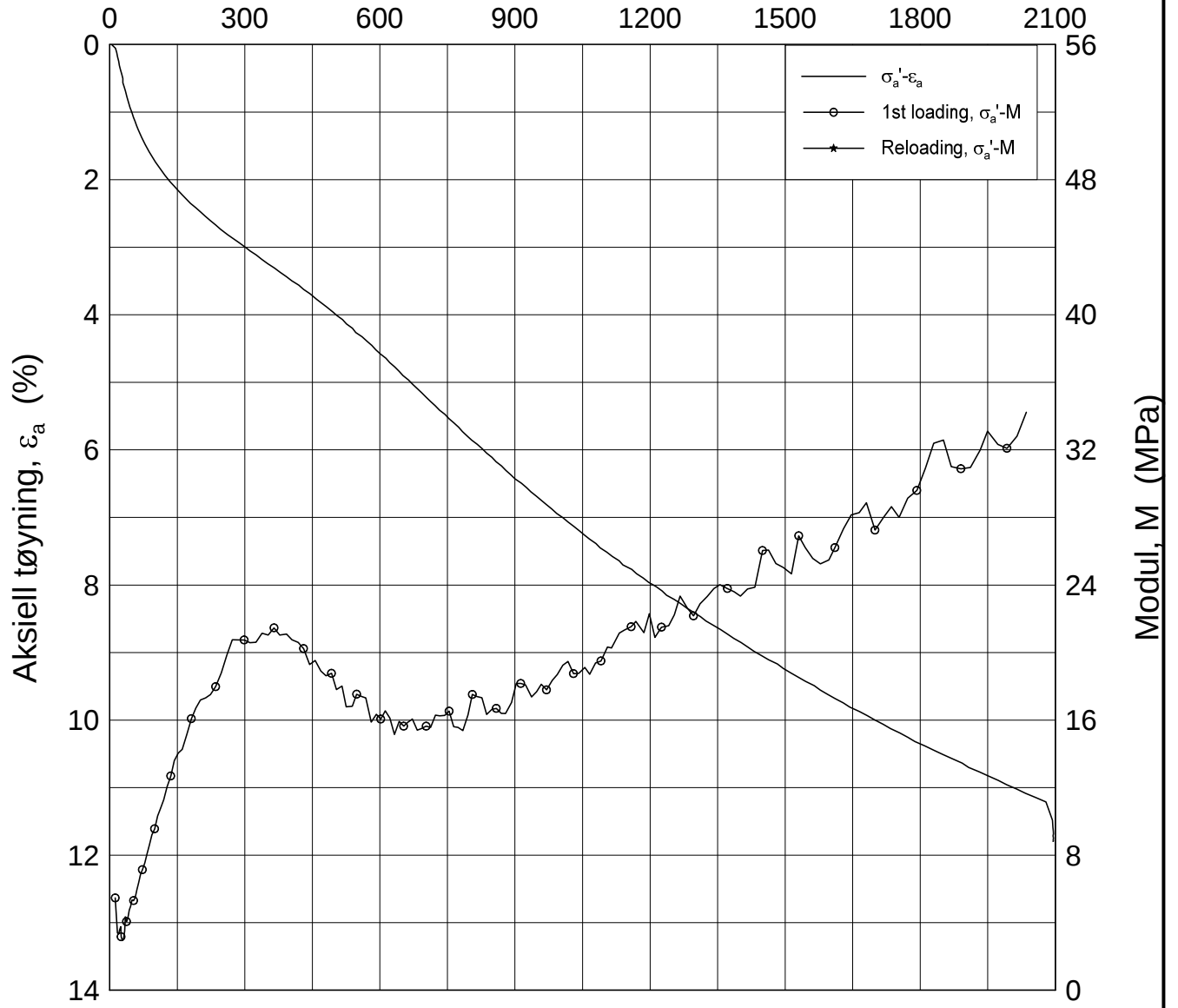
w_i = 34.47 %

Tegner
FI

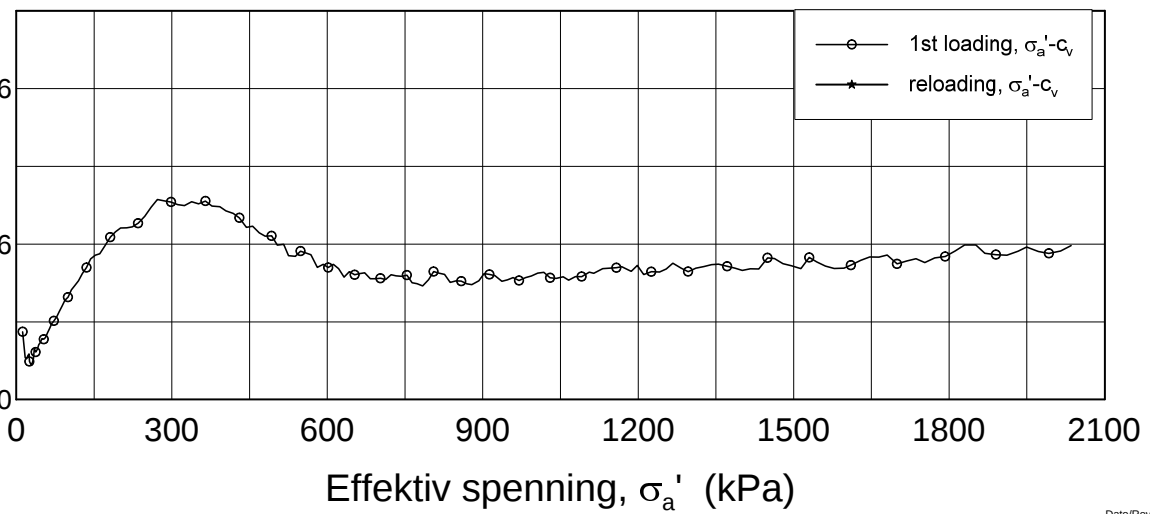


P:\2012\04\20120491\Lab fra labben\FASE 2\Oedom\2332-17-A-2 Log (CRS2579).gif

Effektiv spenning, σ_a' (kPa)



Konsolideringskoeff., c_v (m²/s)



Dato/Rev.: 2009-09-15/4

E16 Nybakk - Slomarka

Dokumentnr.
20120491-02-R

Ødometer test (CRSC)

Dybde = 5.46 m

Dato
2014-08-22

Borhull: 2344

Sylinder: 5

p_0' = 68.5 kPa

Figurnr.
F235

Del: A

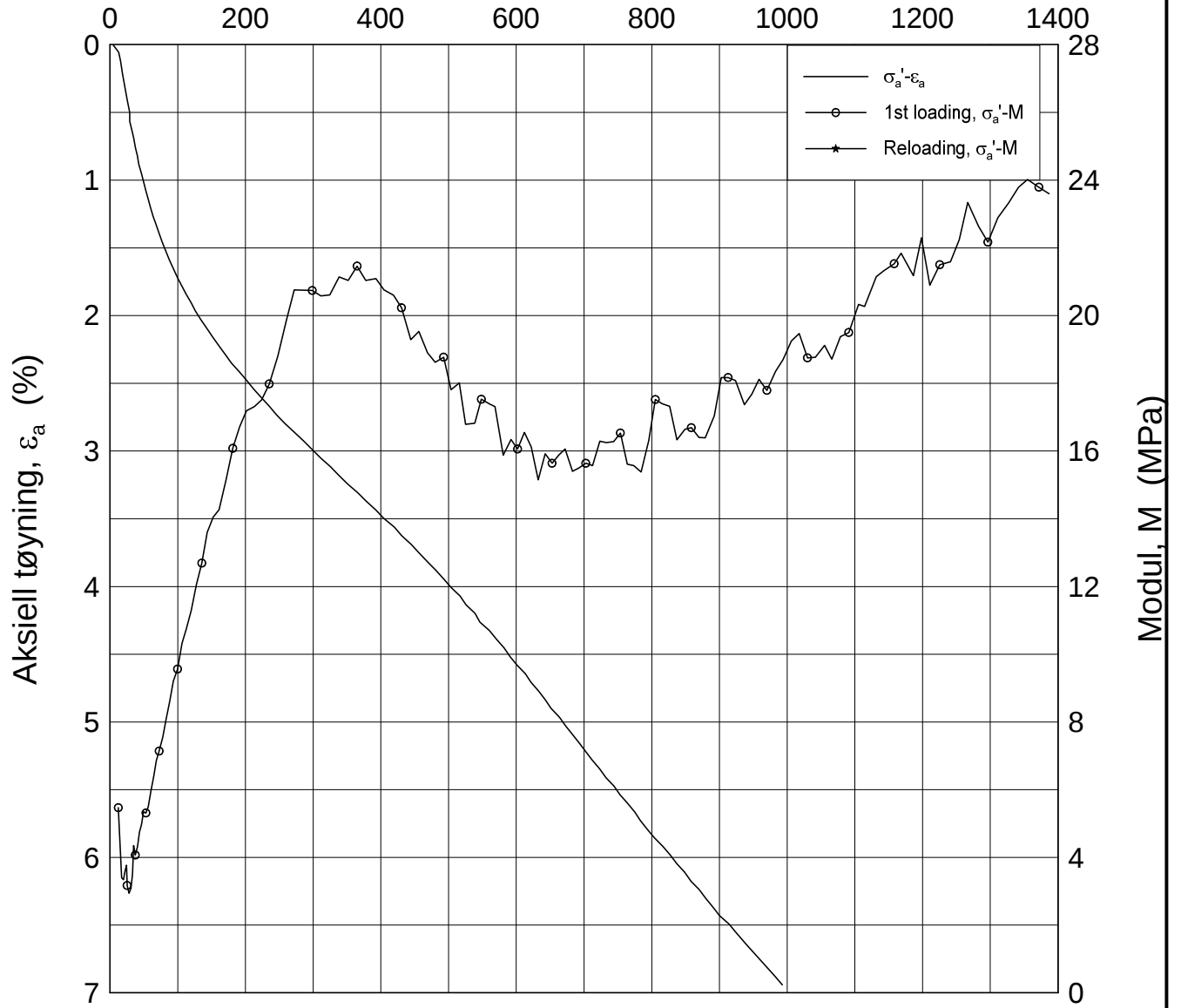
Test: 3

w_i = 32.70 %

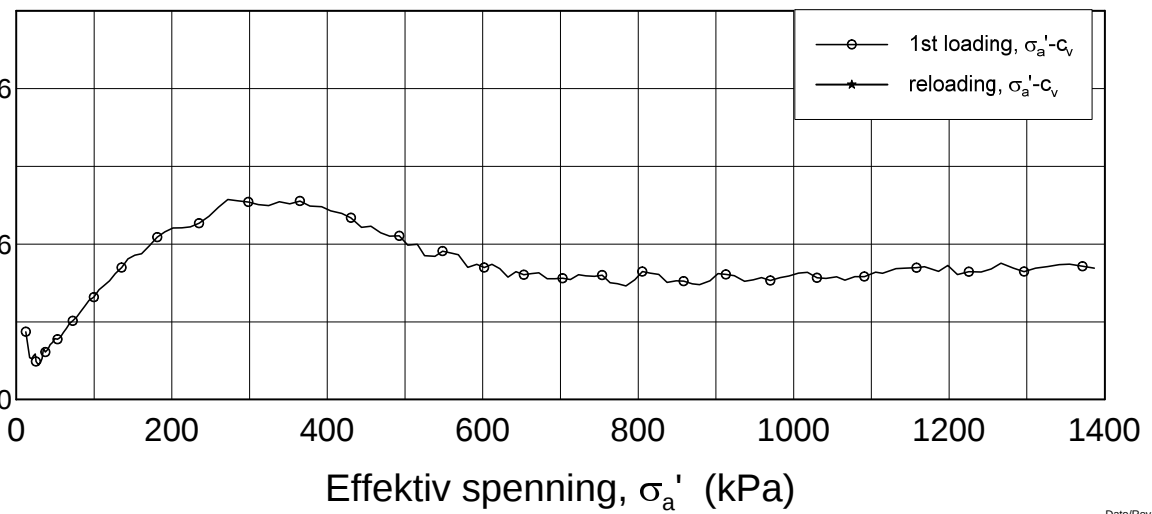
Tegner
FI



Effektiv spenning, σ_a' (kPa)



Konsolideringskoeff., c_v (m²/s)



Dato/Rev.: 2009-09-15/4

E16 Nybakk - Slomarka

Dokumentnr.
20120491-02-R

Ødometer test (CRSC)

Dybde = 5.46 m

Dato
2014-08-22

Borhull: 2344

Sylinder: 5

p_o' = 68.5 kPa

Figurnr.
F236

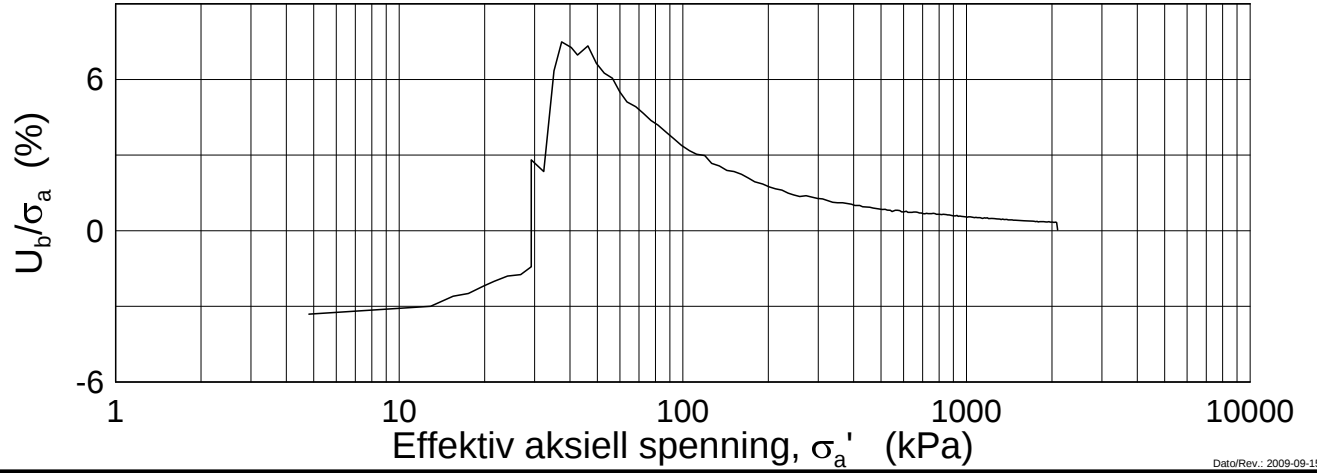
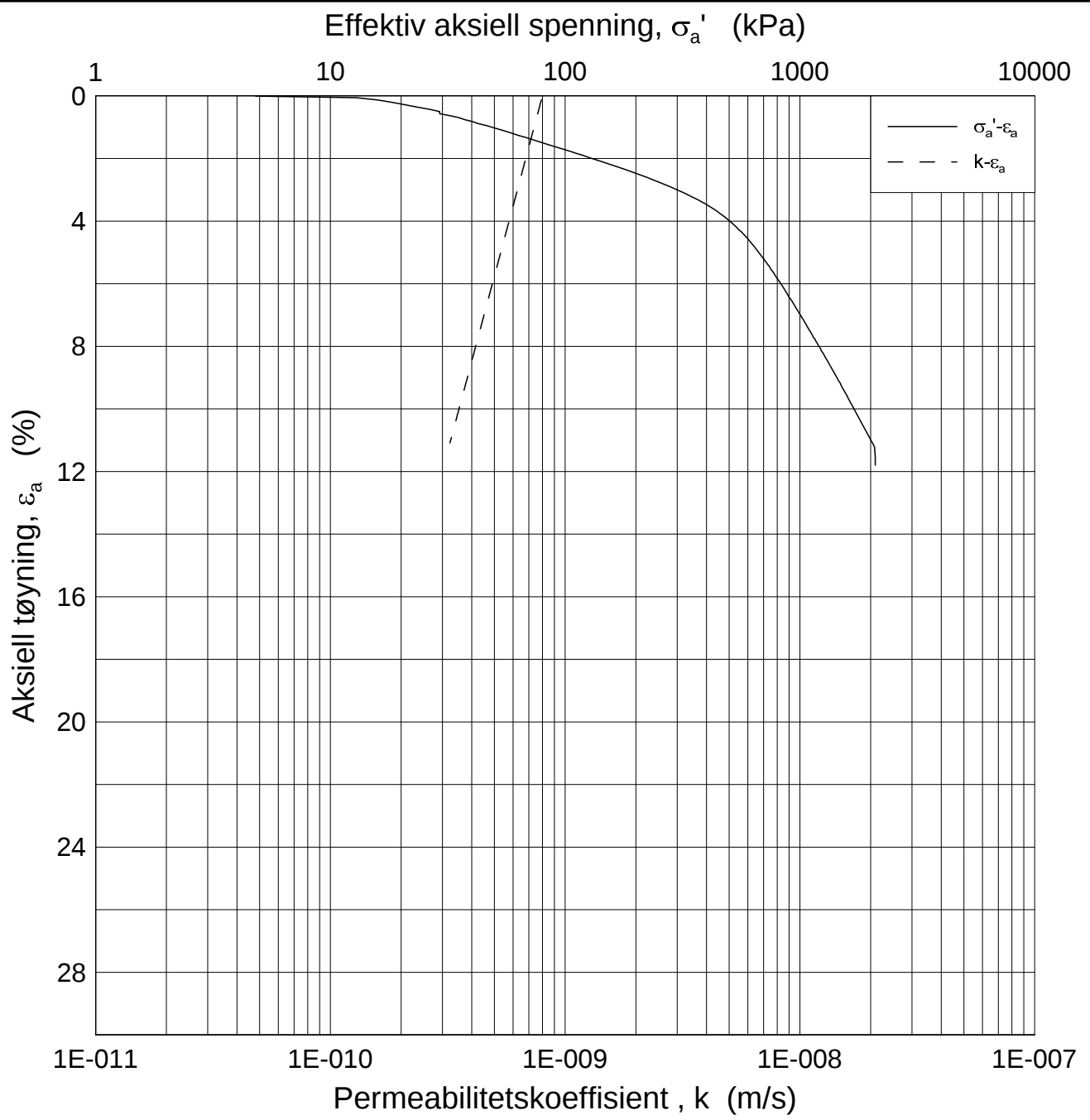
Del: A

Test: 3

w_i = 32.70 %

Tegner
FI





Dato/Rev.: 2009-09-15/3

E16 Nybakk - Slomarka

Dokumentnr.
20120491-02-R

Ødometer test (CRSC)

Dybde = 5.46 m

Dato
2014-08-22

Borhull: 2344

Sylinder: 5

p_o' = 68.5 kPa

Figurnr.
F237

Del: A

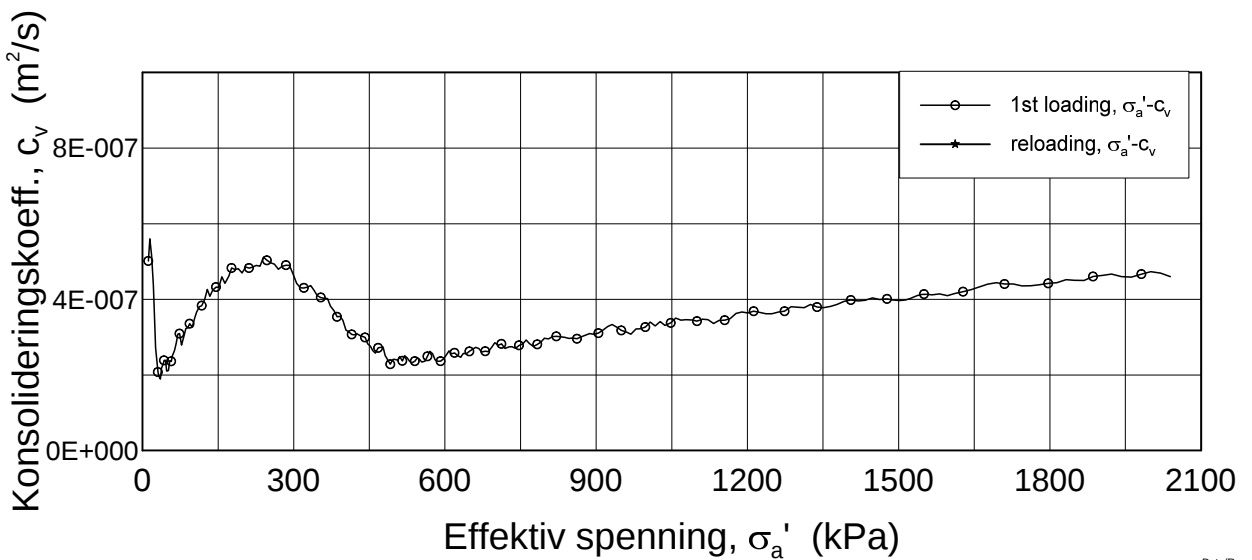
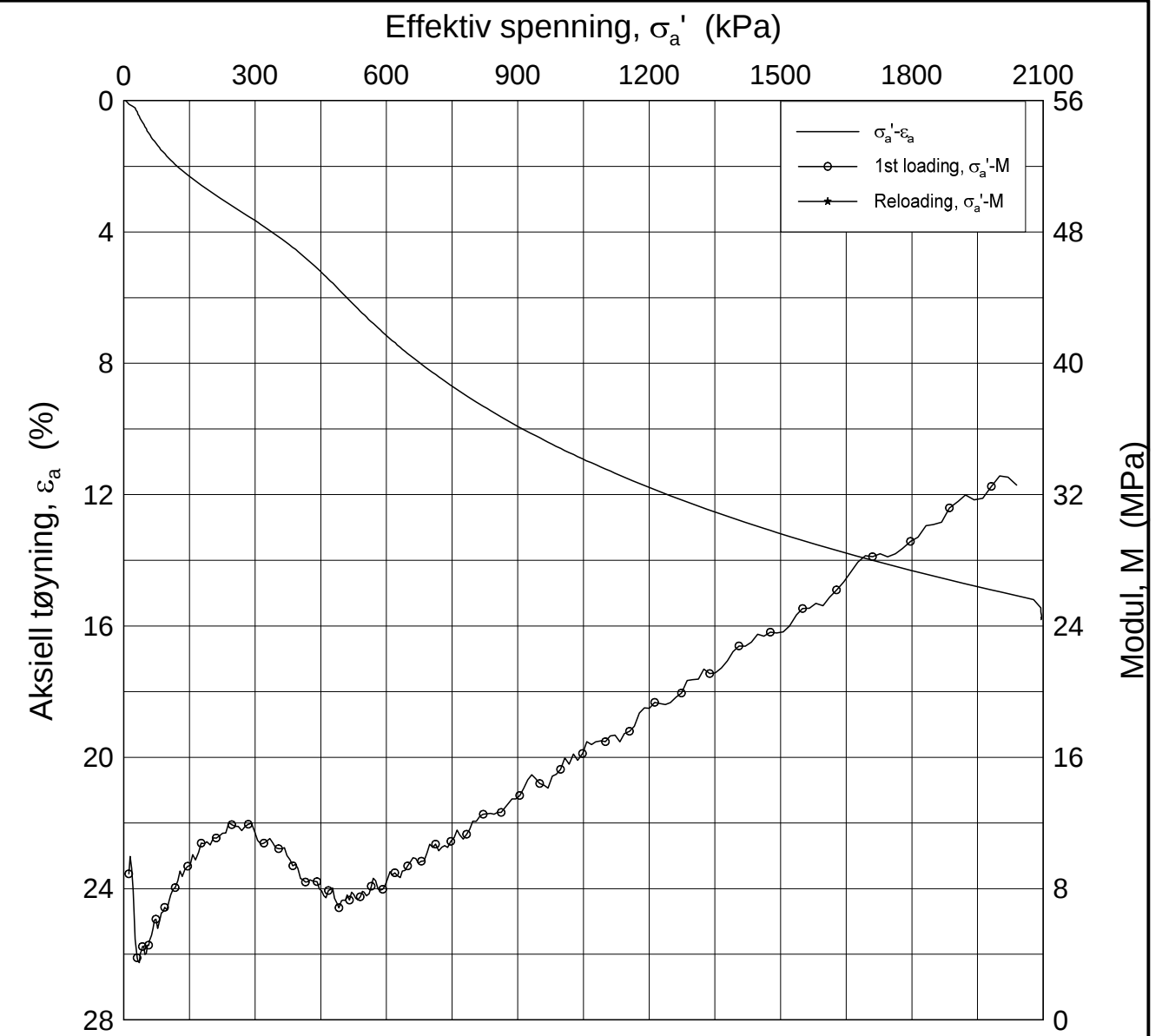
Test: 3

w_i = 32.70 %


Tegner
FI



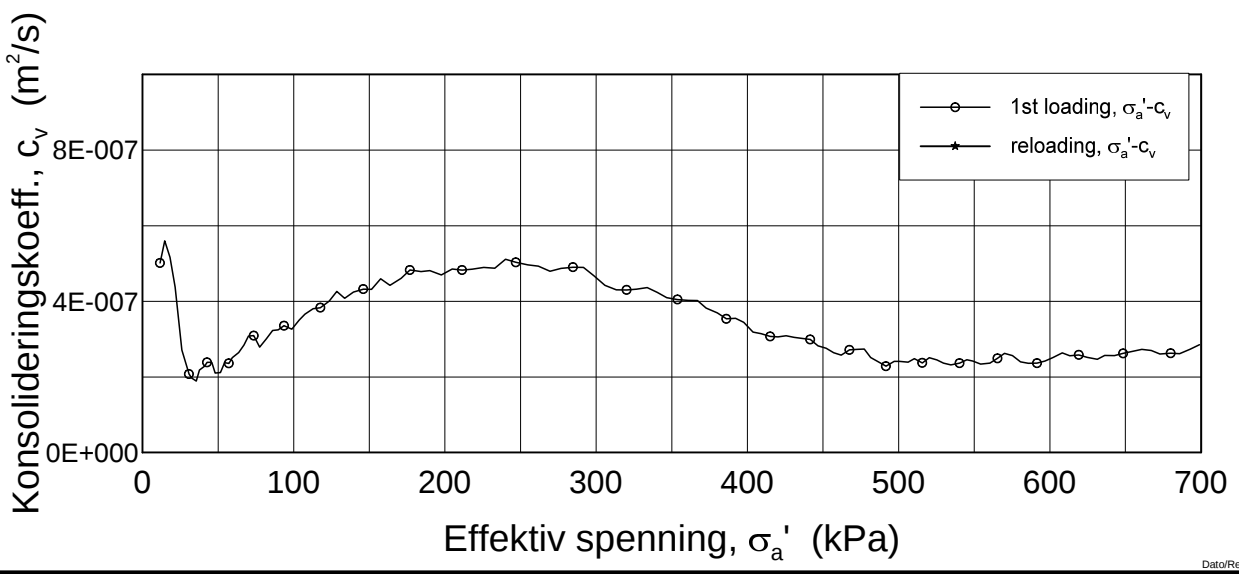
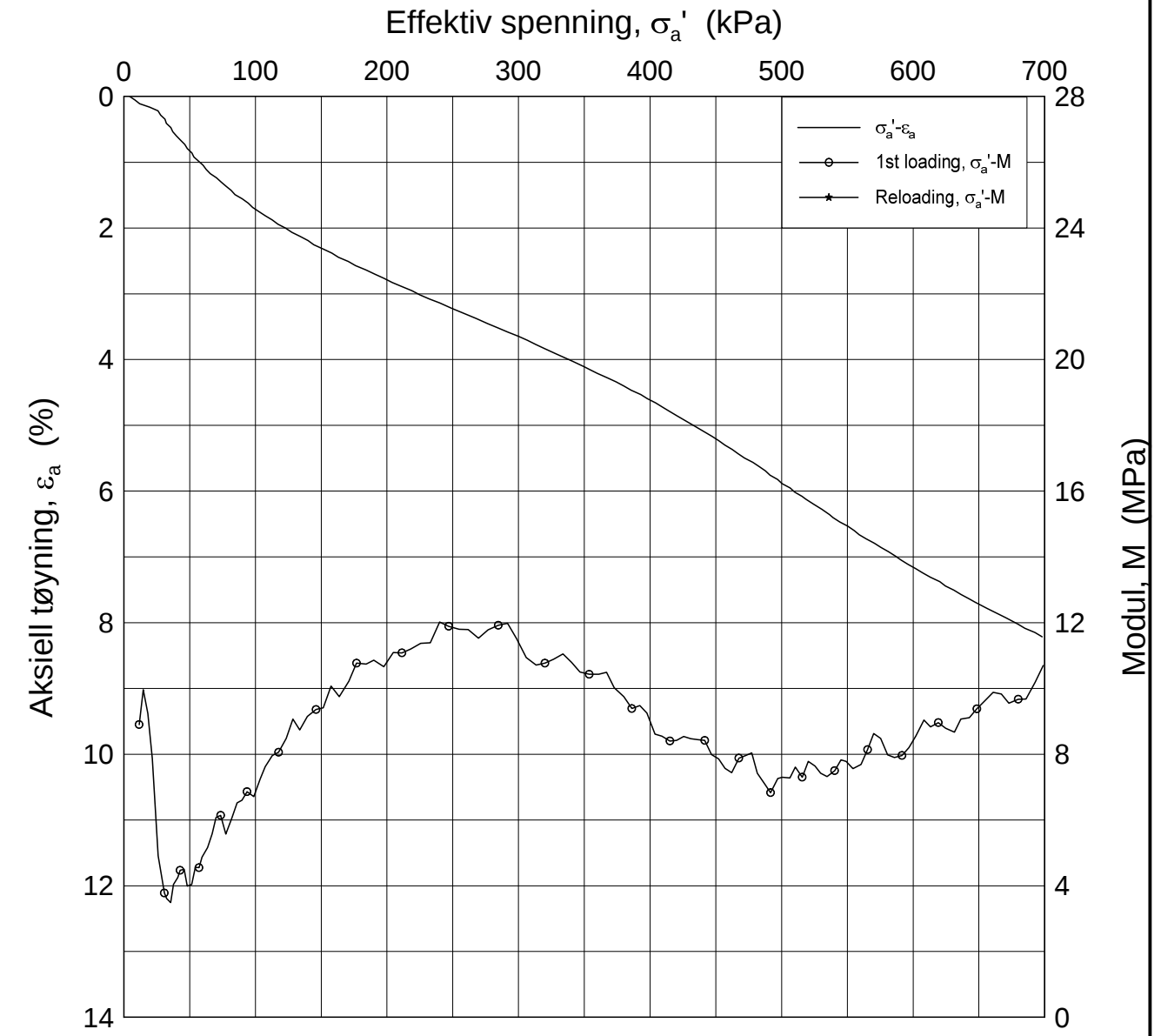
H:\LABDATA\2012\20120491\Oedom\2344-10-A-3 Lin (CRS2649).grf




Dato/Rev.: 2009-09-15/4

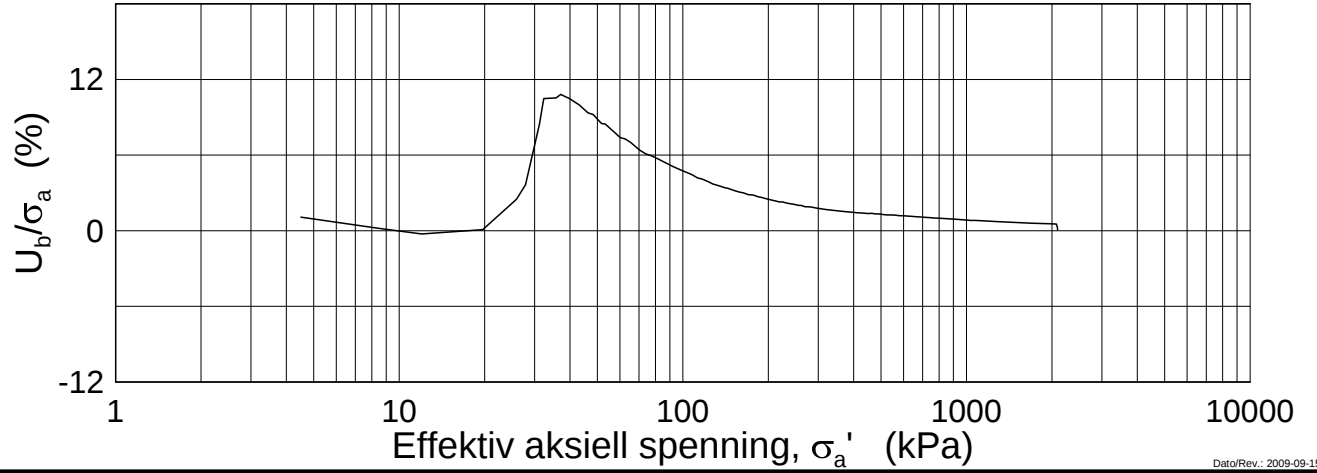
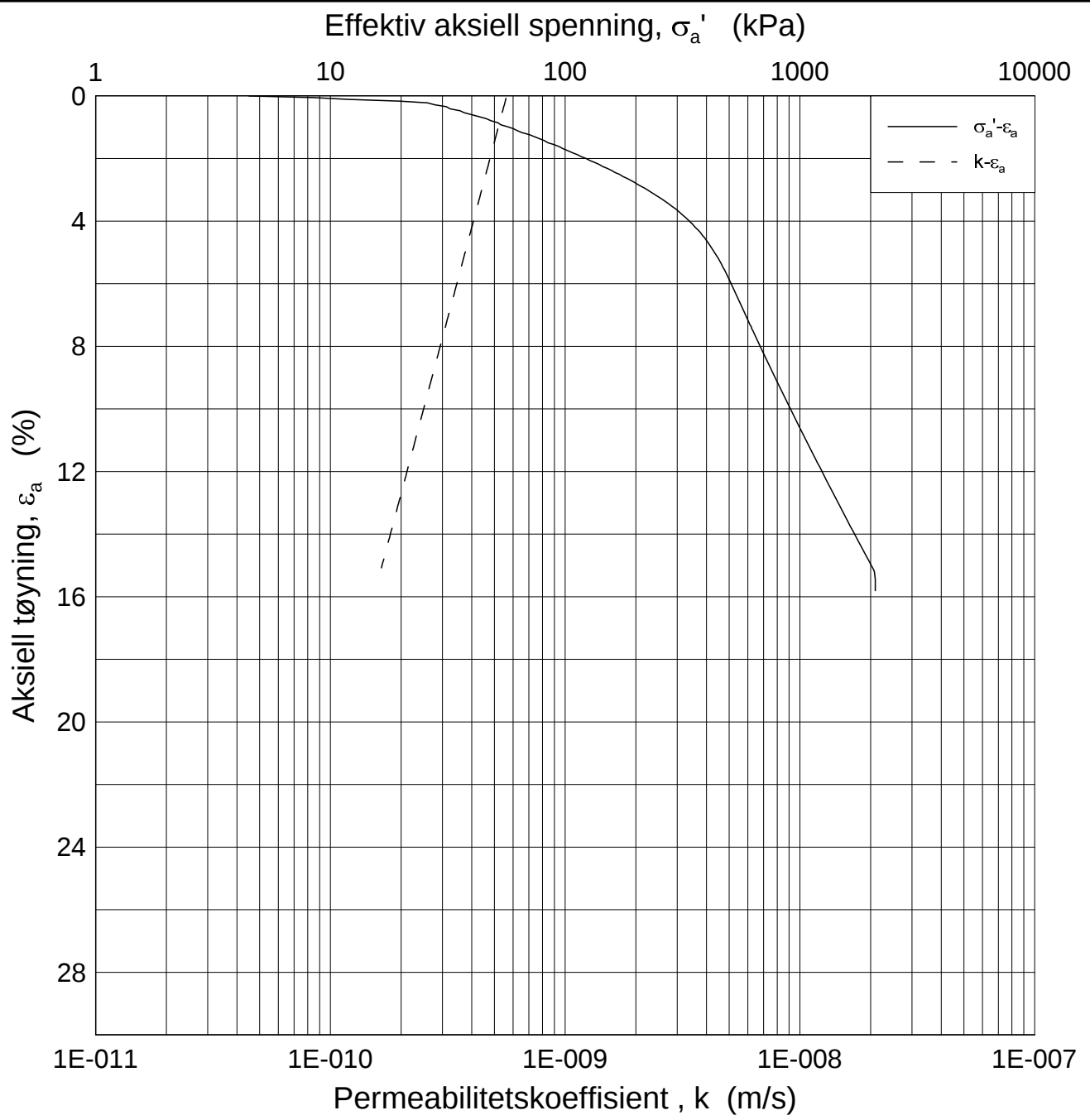
E16 Nybakk - Slomarka		Dokumentnr. 20120491-02-R
Ødometer test (CRSC)		Dato 2014-08-22
Borhull: 2344	Sylinder: 10	Figurnr. F238
Del: A	Test: 3	Tegner FI
Dybde = 10.46 m		
p'_0 = 151.4 kPa		
w_i = 36.62 %		

H:\LABDATA\2012\20120491\Oedom\2344-10-A-3 Lin2 (CRS2649).grf



Dato/Rev.: 2009-09-15/4

E16 Nybakk - Slomarka			Dokumentnr. 20120491-02-R
Ødometer test (CRSC)			Dato 2014-08-22
Borhull: 2344	Sylinder: 10	Dybde = 10.46 m	Figurnr. F239
Del: A	Test: 3	$p'_0 = 151.4$ kPa	Tegner FI
		$w_i = 36.62$ %	



Dato/Rev.: 2009-09-15/3

E16 Nybakk - Slomarka

Dokumentnr.
20120491-02-R

Ødometer test (CRSC)

Dybde = 10.46 m

Dato
2014-08-22

Borhull: 2344

Sylinder: 10

p'_0 = 151.4 kPa

Figurnr.
F240

Del: A

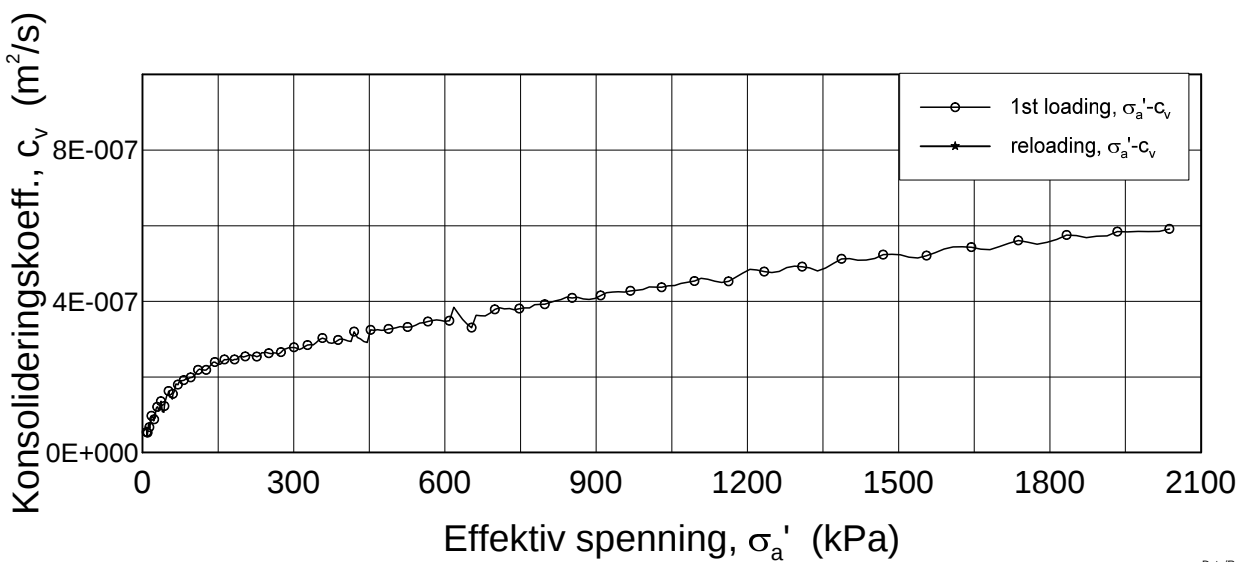
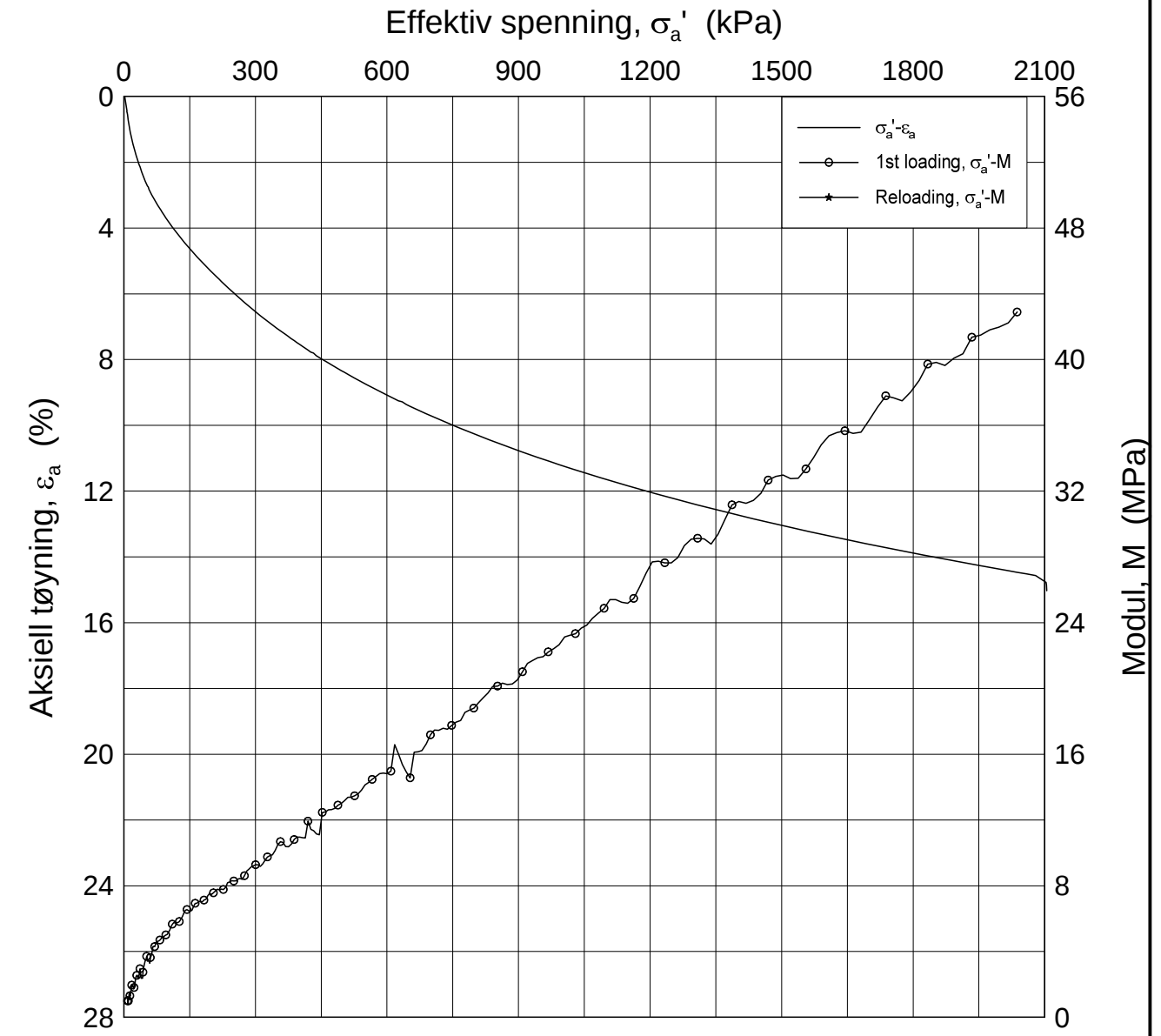
Test: 3

w_i = 36.62 %


Tegner
FI



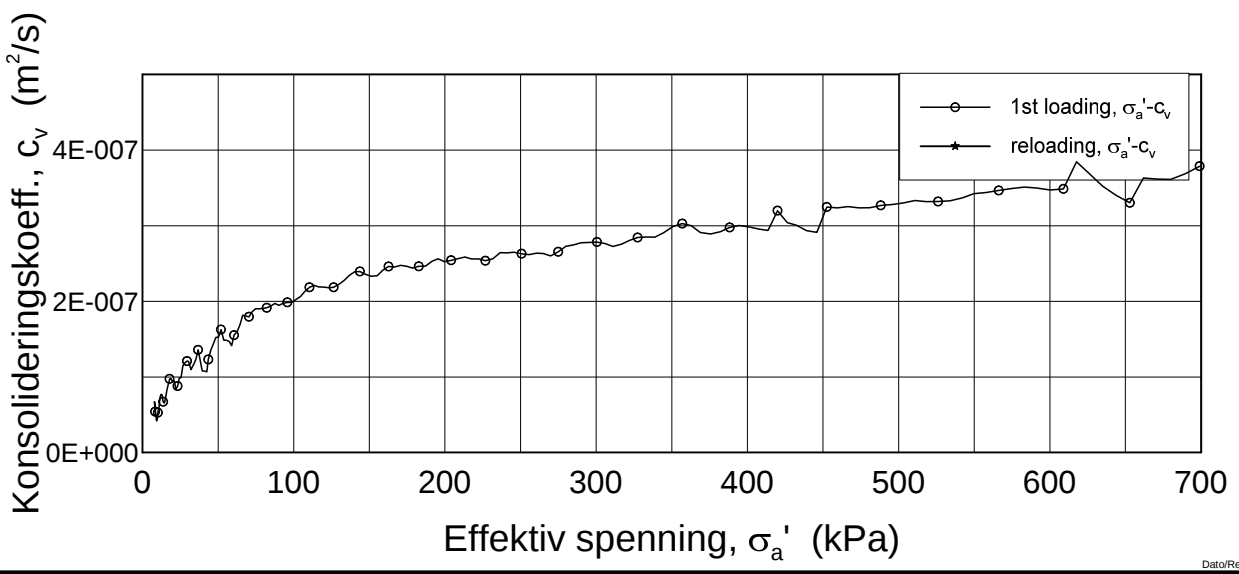
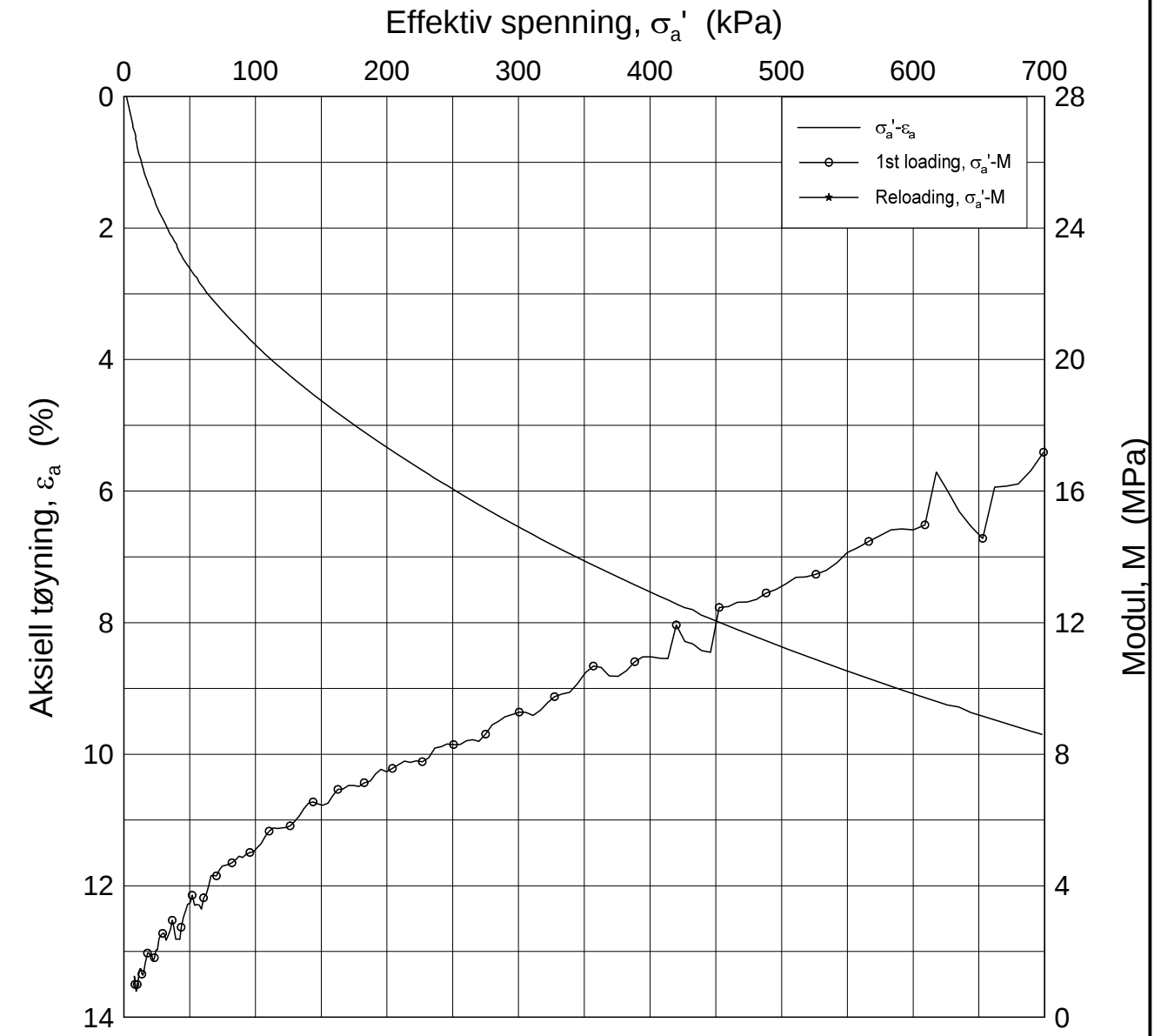
H:\LABDATA\2012\20120491\Oedom\2344-14-a-3 Lin (CRS2653).gdf



Dato/Rev.: 2009-09-15/4

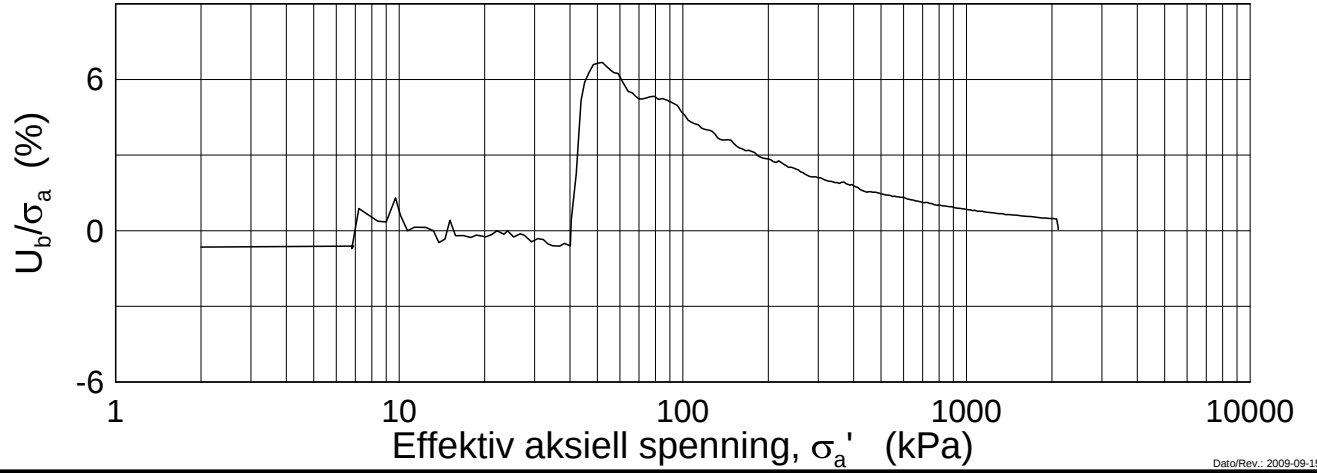
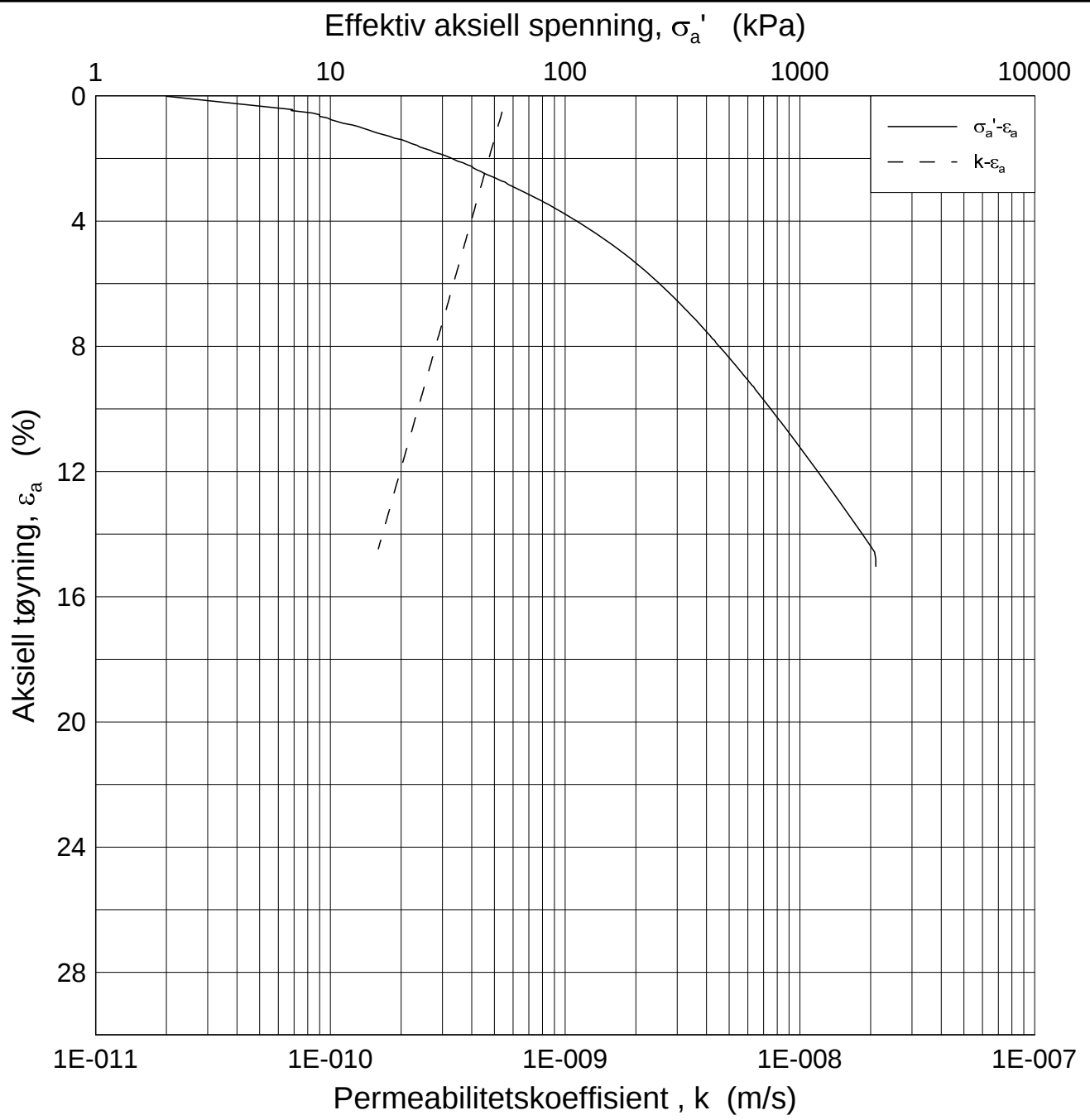
E16 Nybakk - Slomarka			Dokumentnr. 20120491-02-R
Ødometer test (CRSC)			Dato 2014-08-22
Borhull: 2344	Sylinder: 14	Dybde = 16.61 m	Figurnr. F241
Del: A	Test: 3	$p'_0 = 241.3$ kPa	Tegner FI
		$w_i = 34.16$ %	

H:\LABDATA\2012\20120491\Oedom\2344-14-a-3 Lin2 (CRS2653).gif



Dato/Rev.: 2009-09-15/4

E16 Nybakk - Slomarka			Dokumentnr. 20120491-02-R
Ødometer test (CRSC)			Dato 2014-08-22
Borhull: 2344	Sylinder: 14	Dybde = 16.61 m	Figurnr. F242
Del: A	Test: 3	$p'_0 = 241.3$ kPa	Tegner FI
		$w_i = 34.16$ %	



Dato/Rev.: 2009-09-15/3

E16 Nybakk - Slomarka

Dokumentnr.
20120491-02-R

Ødometer test (CRSC)

Dybde = 16.61 m

Dato
2014-08-22

Borhull: 2344

Sylinder: 14

p_o' = 241.3 kPa

Figurnr.
F243

Del: A

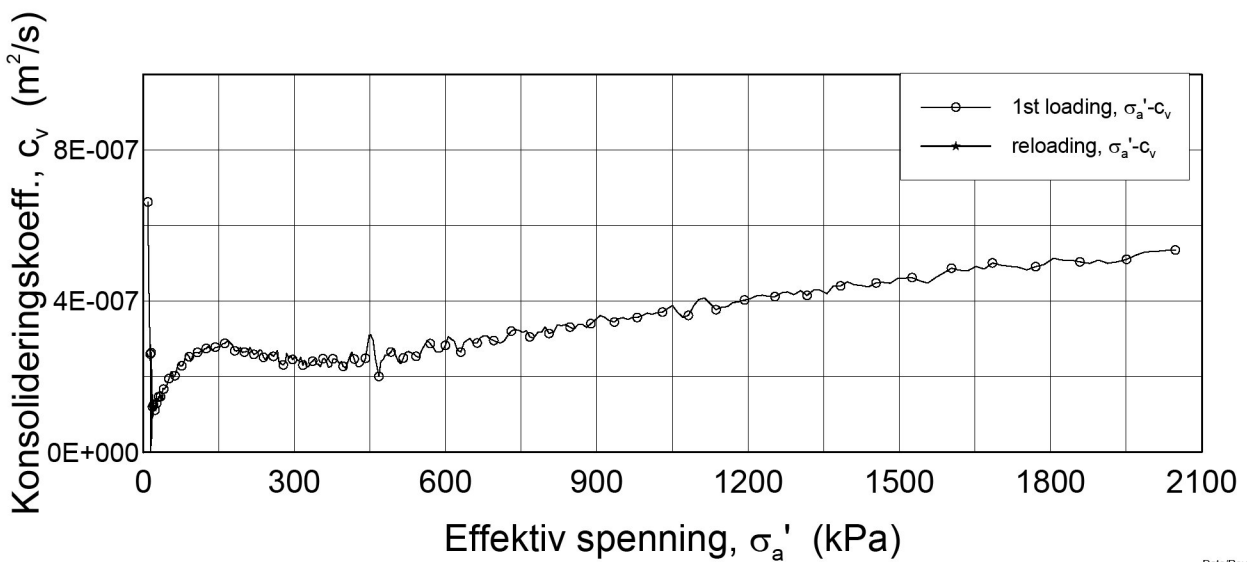
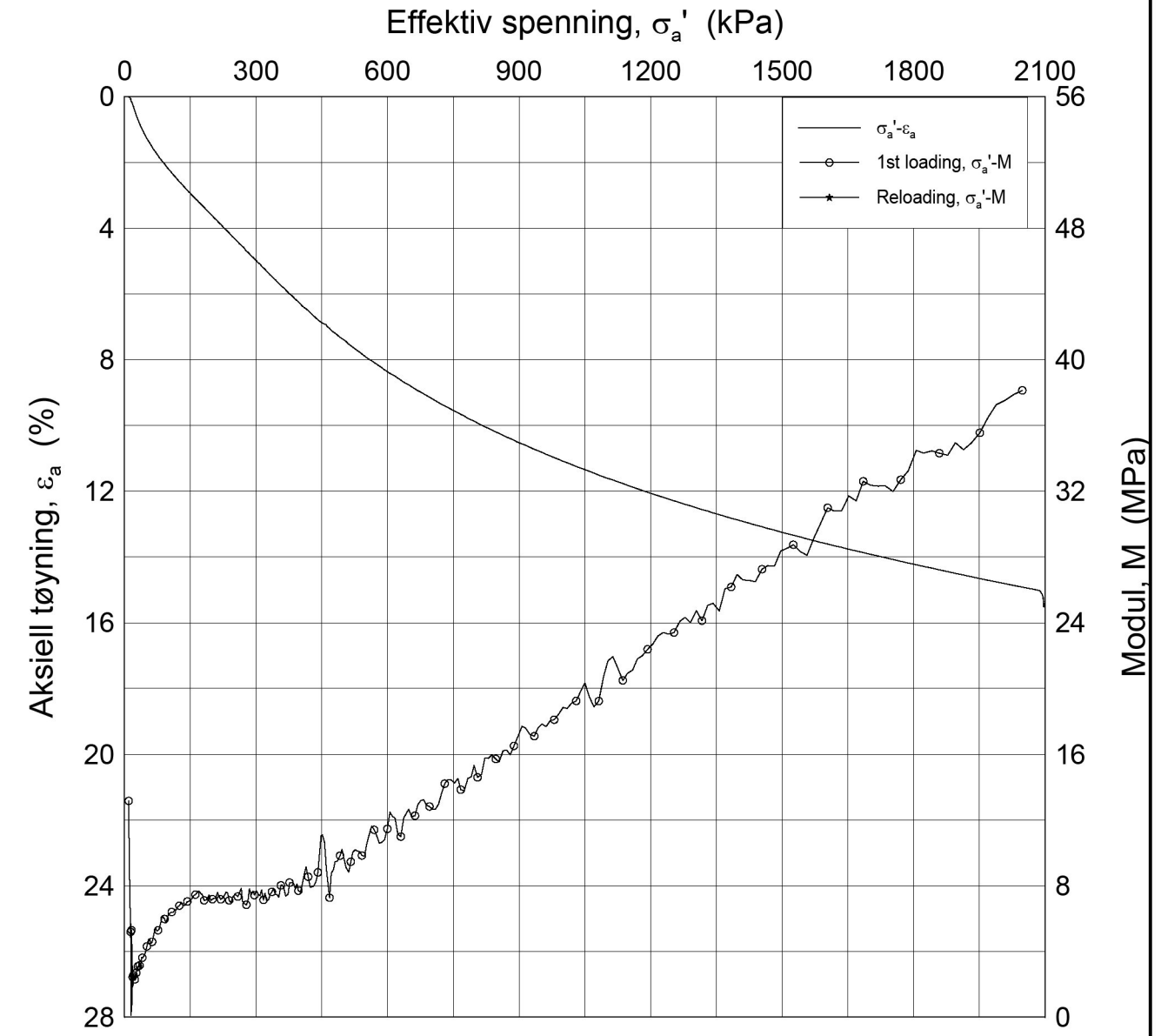
Test: 3

w_i = 34.16 %


Tegner
FI



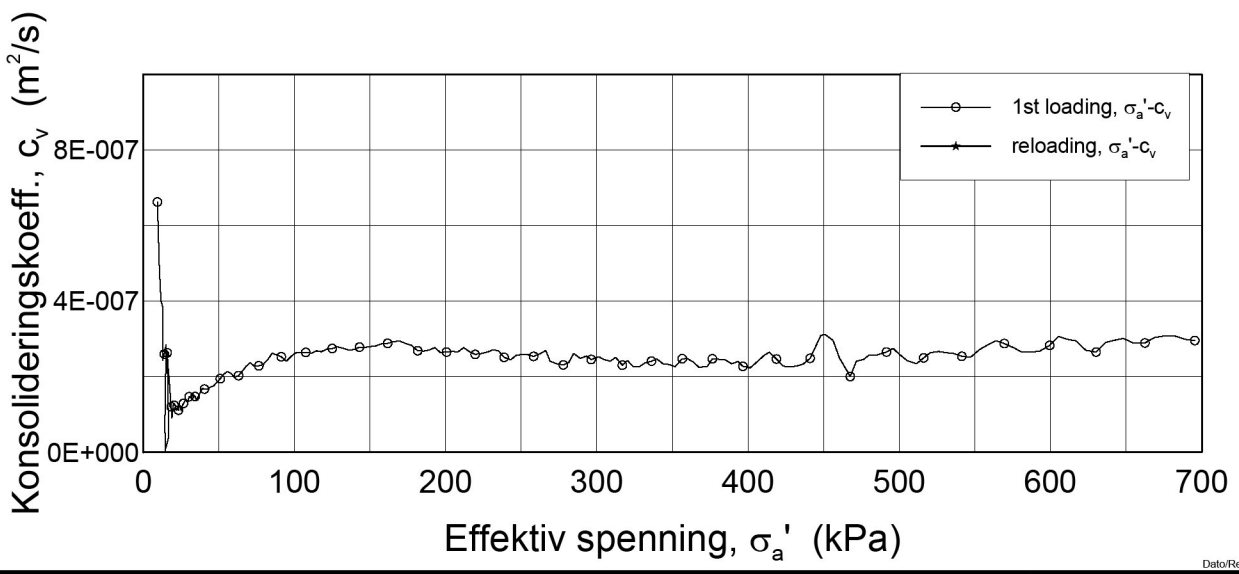
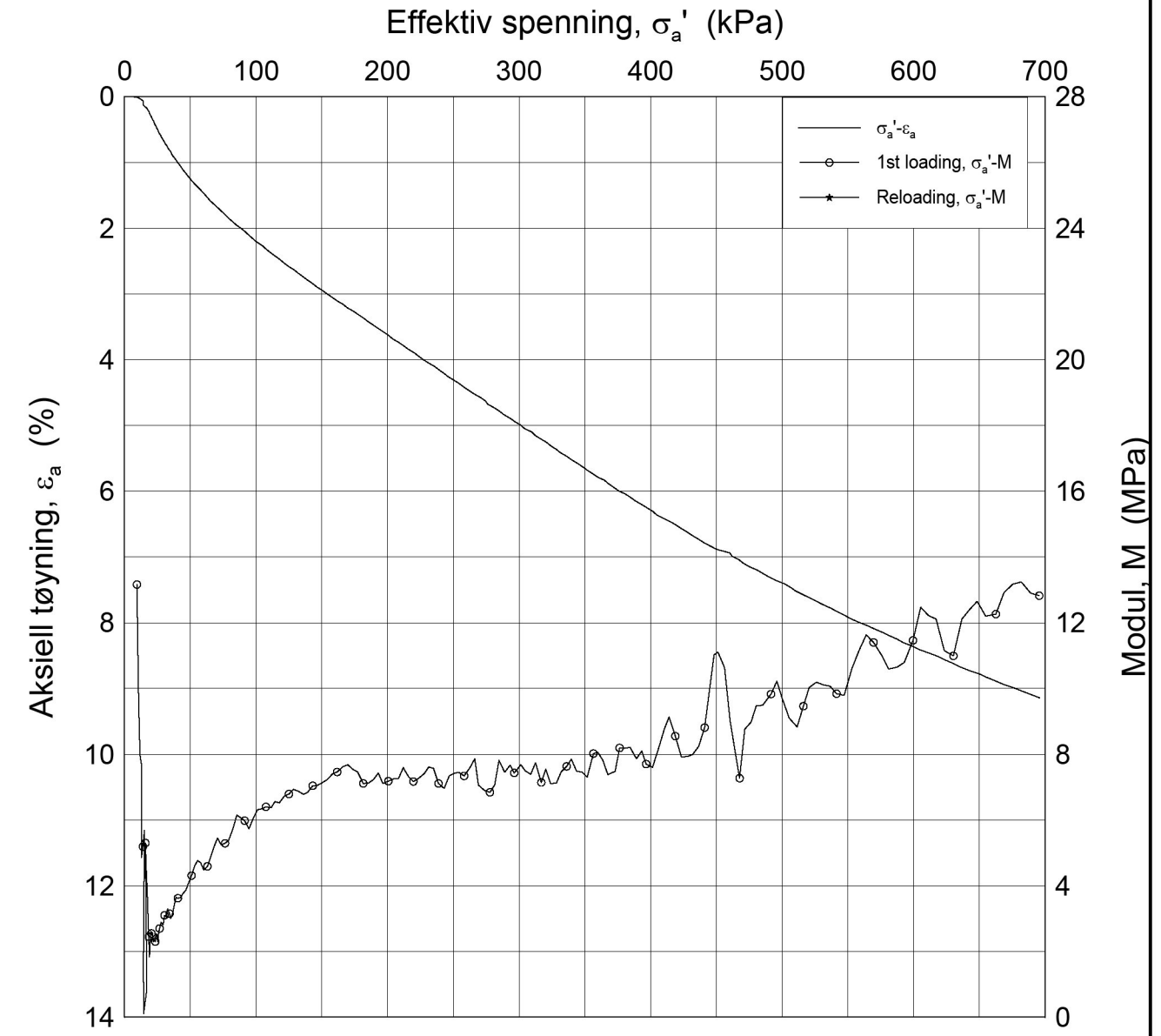
P:\2012\04\20120491\Lab fra labben\FASE 2\Oedom\2366-5-A-3 Lin (CRS2590).grf




Dato/Rev.: 2009-09-15/4

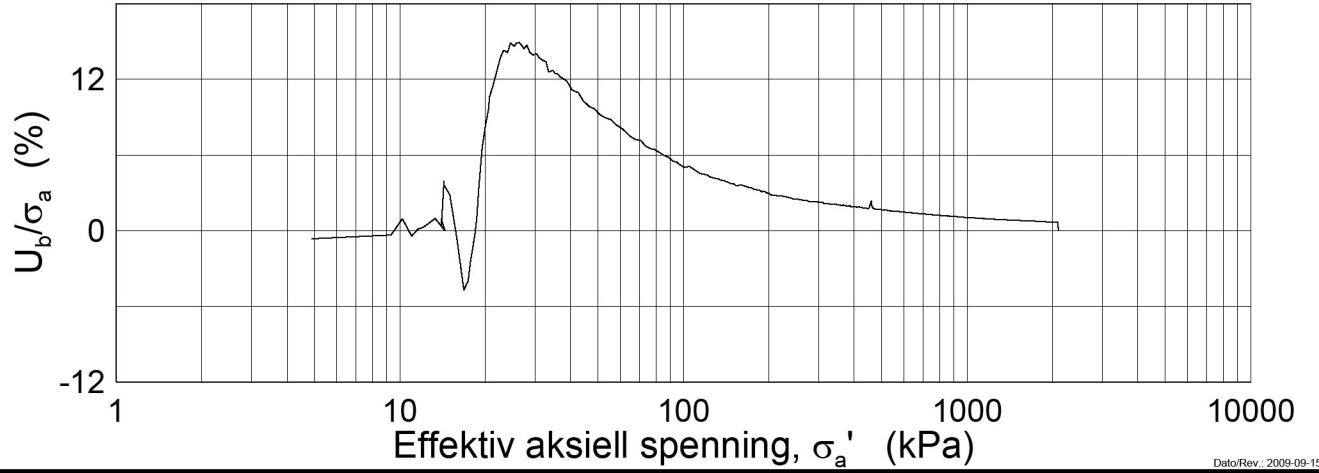
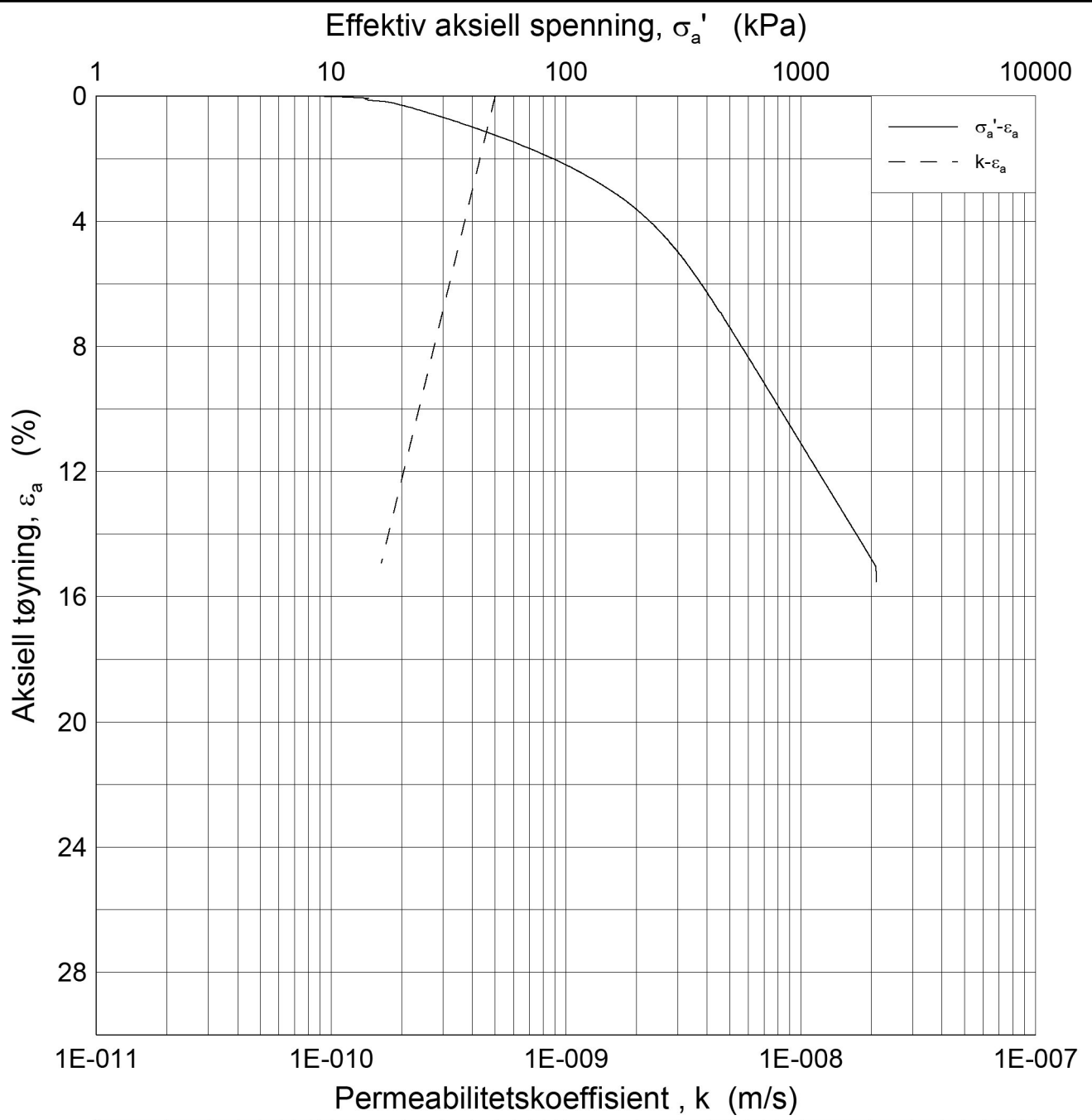
E16 Nybakk - Slomarka			Dokumentnr. 20120491-02-R
Ødometer test (CRSC)			Dato 2014-07-15
Borhull: 2366	Sylinder: 5	Dybde = 5.46 m	Figurnr. F244
Del: A	Test: 3	$p'_o = 65.4$ kPa	Tegner FI
		$w_i = 34.96$ %	

P:\2012\04\20120491\Lab fra labben\FASE 2\Oedom\2366-5-A-3 Lin2 (CRS2590).grf



Dato/Rev.: 2009-09-15/4

E16 Nybakk - Slomarka			Dokumentnr. 20120491-02-R
Ødometer test (CRSC)			Dato 2014-07-15
Borhull: 2366	Sylinder: 5	Dybde = 5.46 m	Figurnr. F245
Del: A	Test: 3	$p'_o = 65.4$ kPa	Tegner FI
		$w_i = 34.96$ %	



Dato/Rev.: 2009-09-15/3

E16 Nybakk - Slomarka

Dokumentnr.
20120491-02-R

Ødometer test (CRSC)

Dybde = 5.46 m

Dato
2014-07-15

Borhull: 2366

Sylinder: 5

p_o' = 65.4 kPa

Figurnr.
F246

Del: A

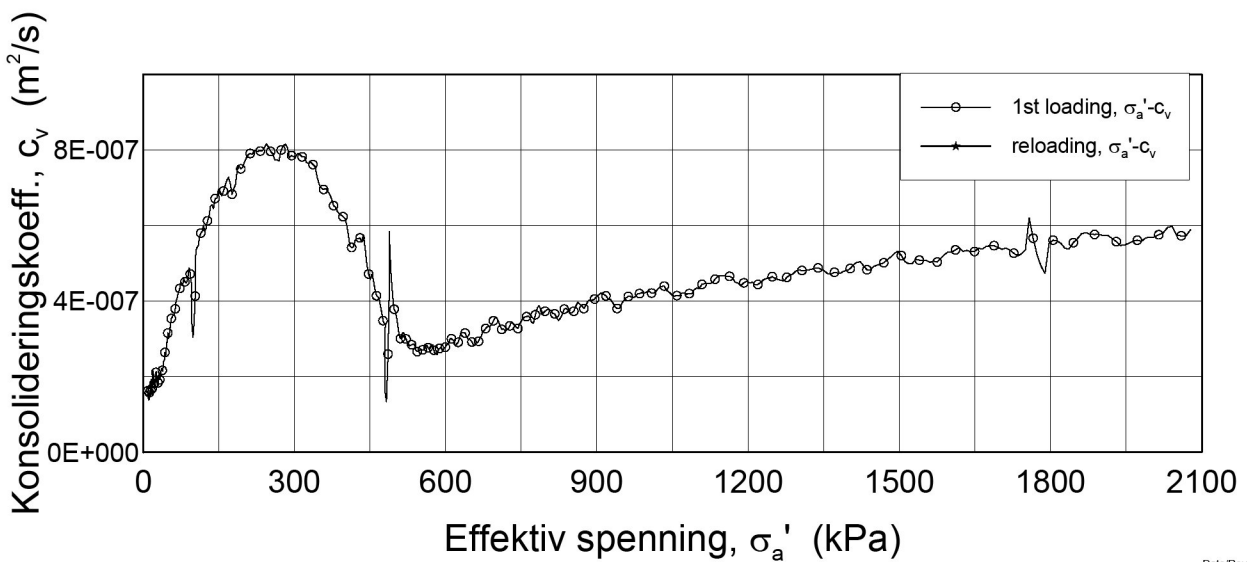
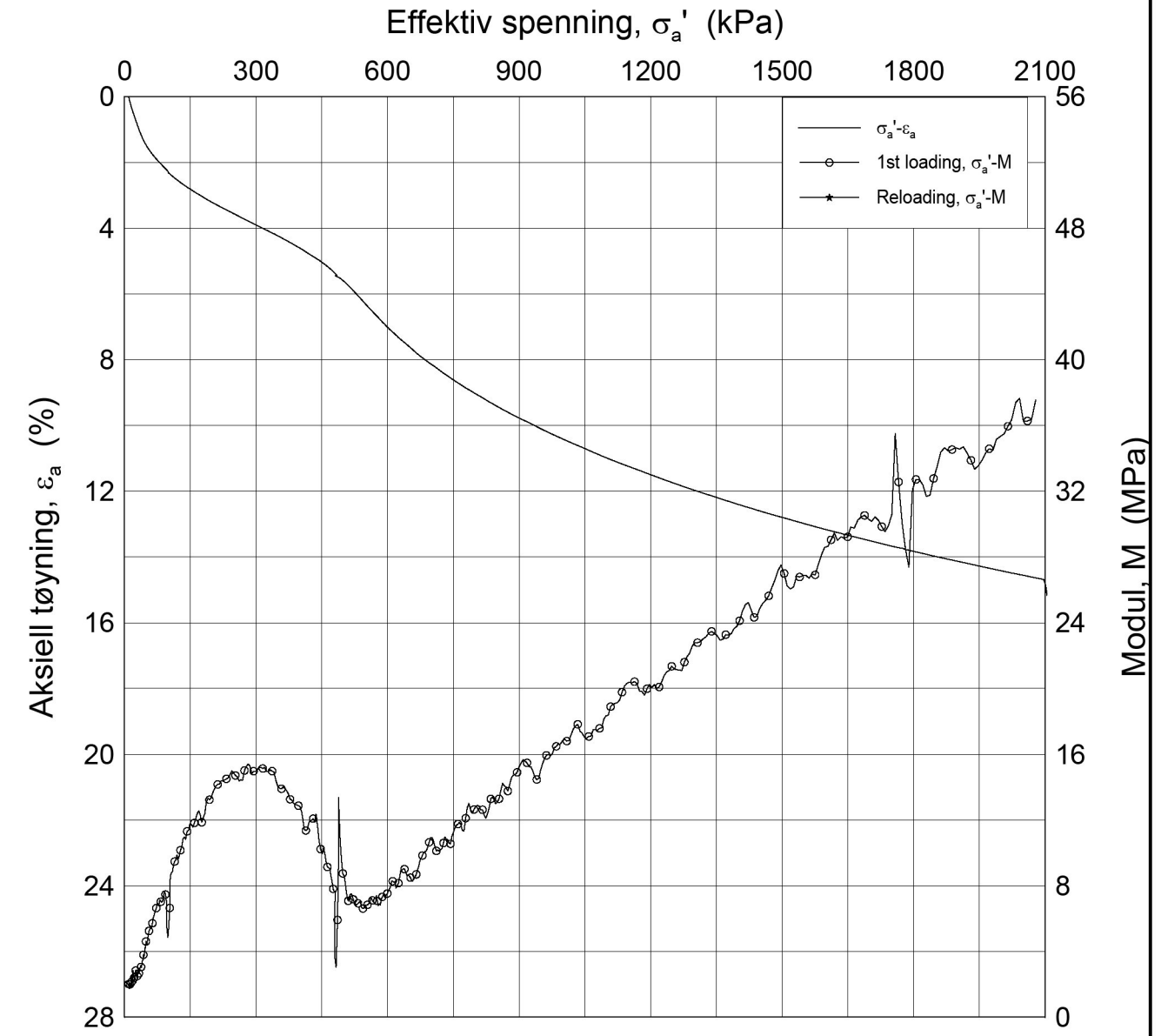
Test: 3

w_i = 34.96 %

Tegner
FI



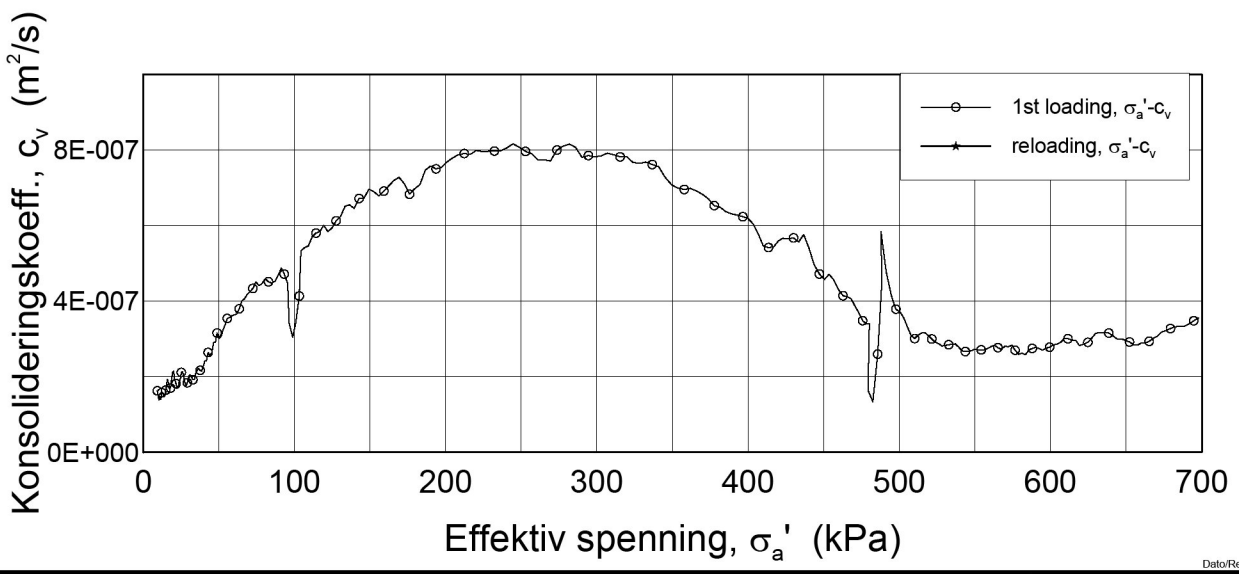
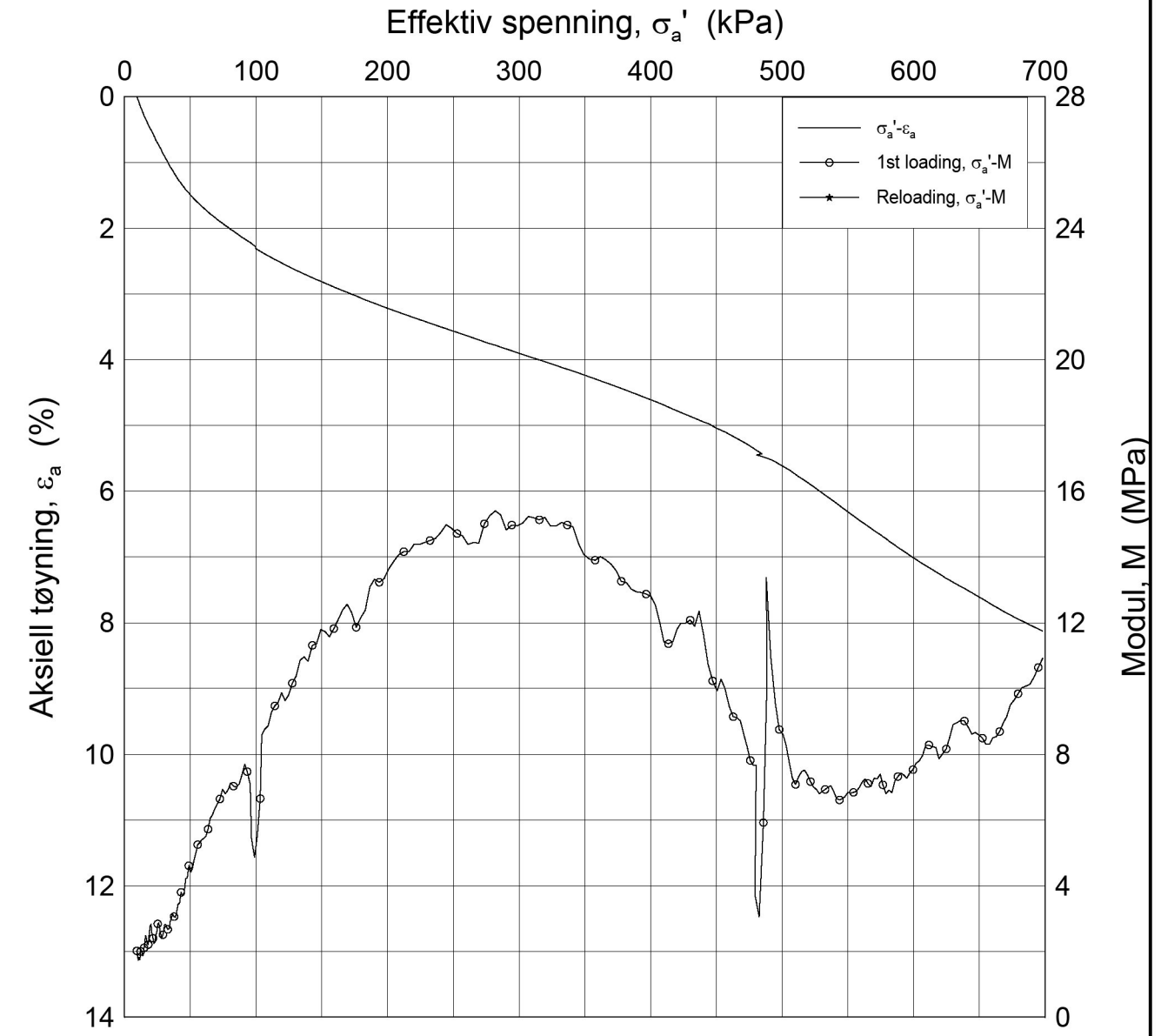
P:\2012\04\20120491\Lab fra labben\FASE 2\Oedom\2366-10-A-3 Lin (CRS2588).grf




Dato/Rev.: 2009-09-15/4

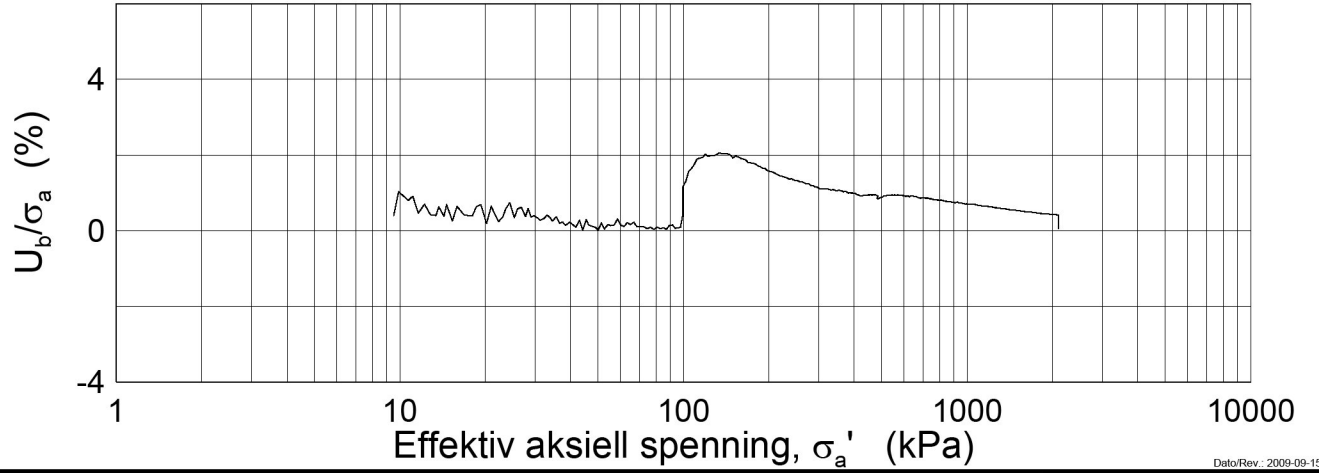
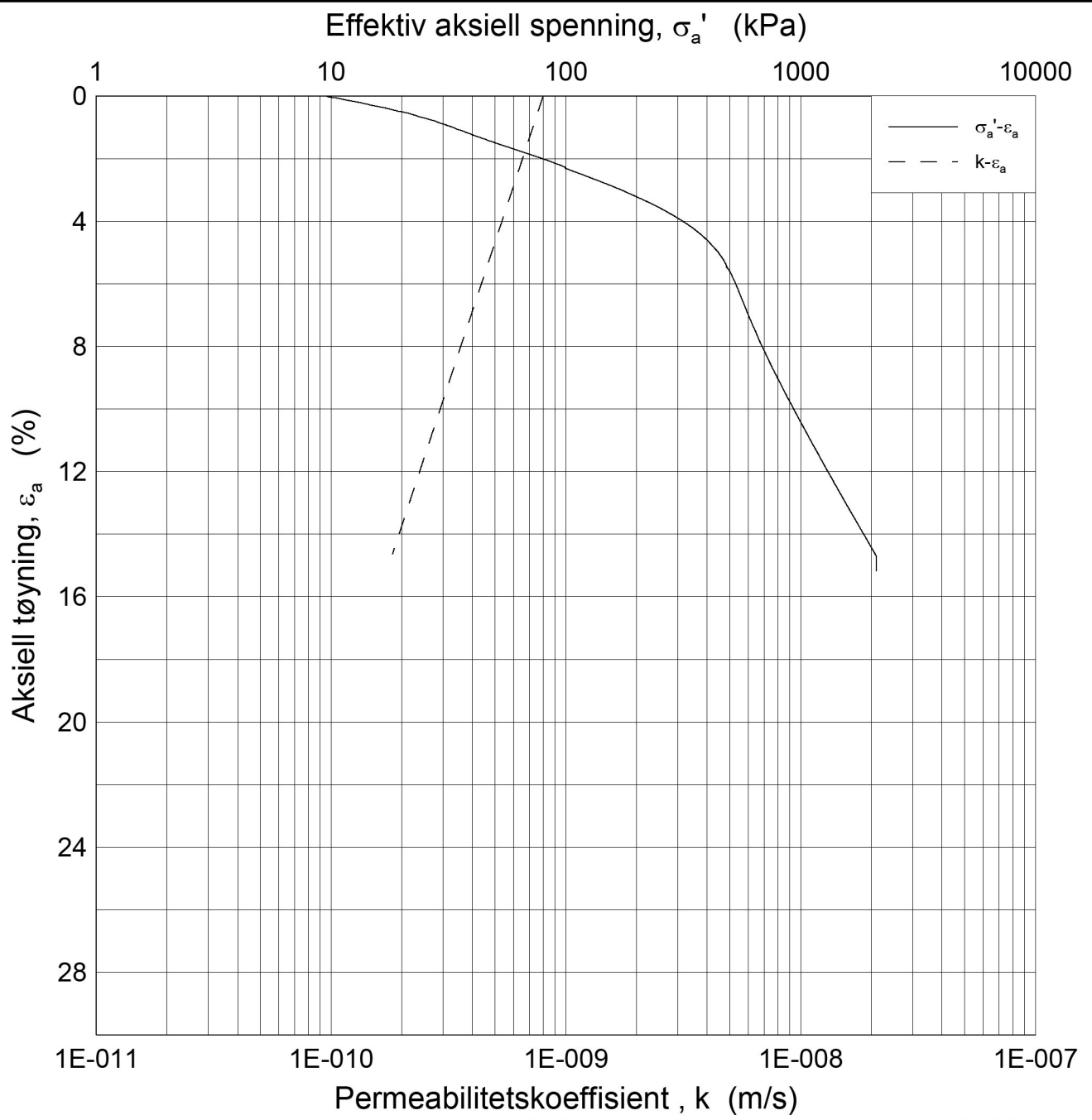
E16 Nybakk - Slomarka		Dokumentnr. 20120491-02-R
Ødometer test (CRSC)		Dato 2014-07-15
Borhull: 2366	Sylinder: 10	Dybde = 10.46 m
Del: A	Test: 3	$p'_o = 103.3$ kPa
		$w_i = 33.27$ %
		Figurnr. F247
		Tegner FI

P:\2012\04\20120491\Lab fra labben\FASE 2\Oedom\2366-10-A-3 Lin2 (CRS2588).grf



Dato/Rev.: 2009-09-15/4

E16 Nybakk - Slomarka			Dokumentnr. 20120491-02-R
Ødometer test (CRSC)			Dato 2014-07-15
Borhull: 2366	Sylinder: 10	Dybde = 10.46 m	Figurnr. F248
Del: A	Test: 3	$p'_o = 103.3$ kPa	Tegner FI
		$w_i = 33.27$ %	



Dato/Rev: 2009-09-15/3

E16 Nybakk - Slomarka

Dokumentnr.
20120491-02-R

Ødometer test (CRSC)

Dybde = 10.46 m

Dato
2014-07-15

Borhull: 2366

Sylinder: 10

p_o' = 103.3 kPa

Figurnr.
F249

Del: A

Test: 3

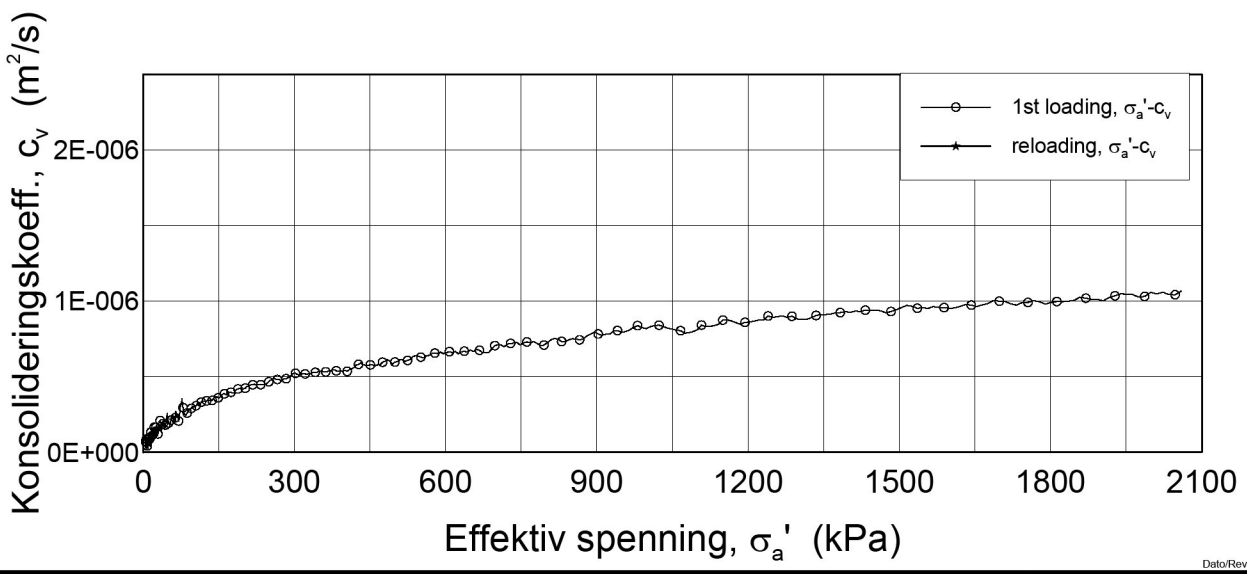
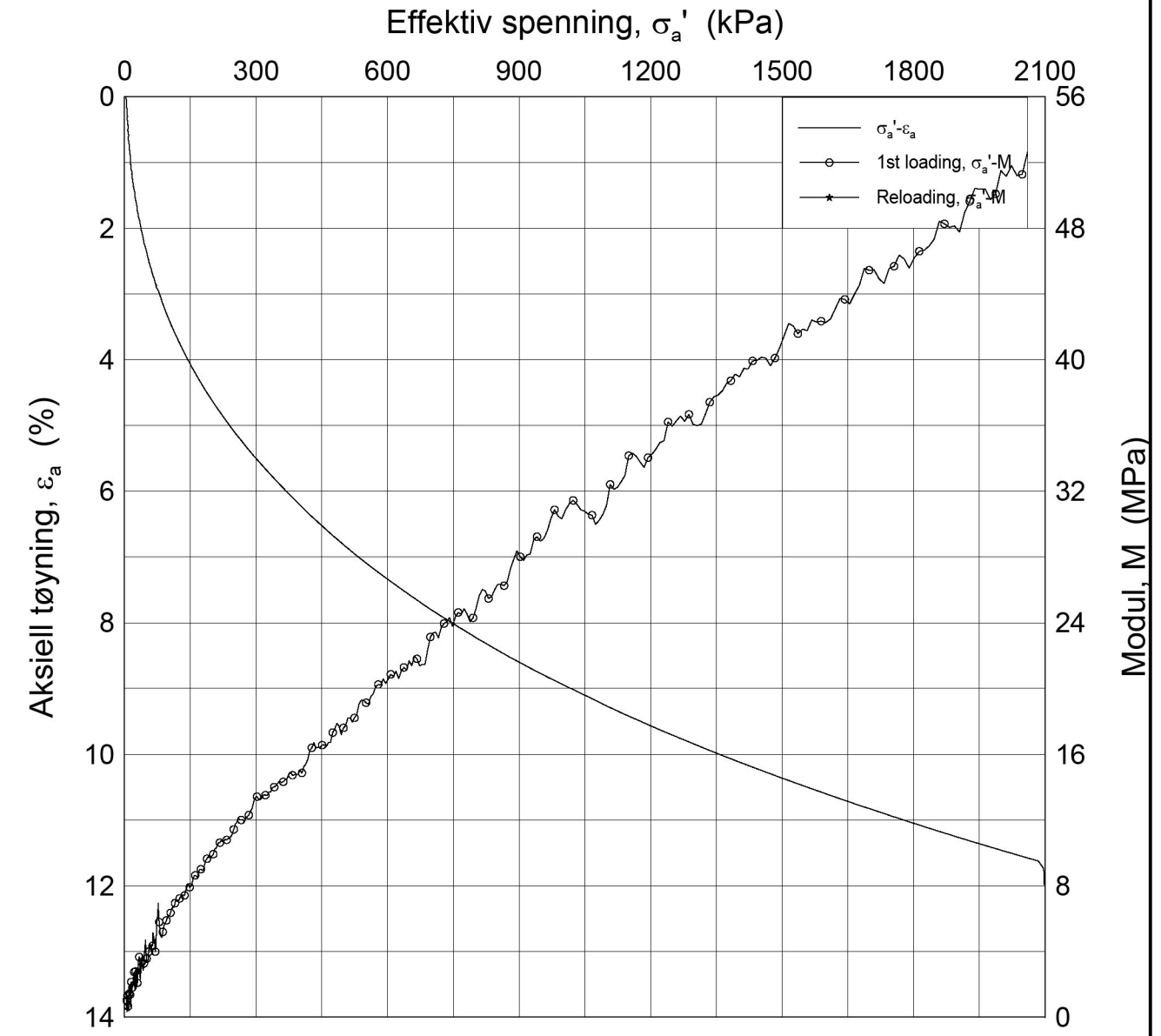
w_i = 33.27 %

Tegner
FI



P:\2012\04\20120491\Lab fra labben\FASE 2\Oedom\2366-10-A-3 Log(CRS2588).grf

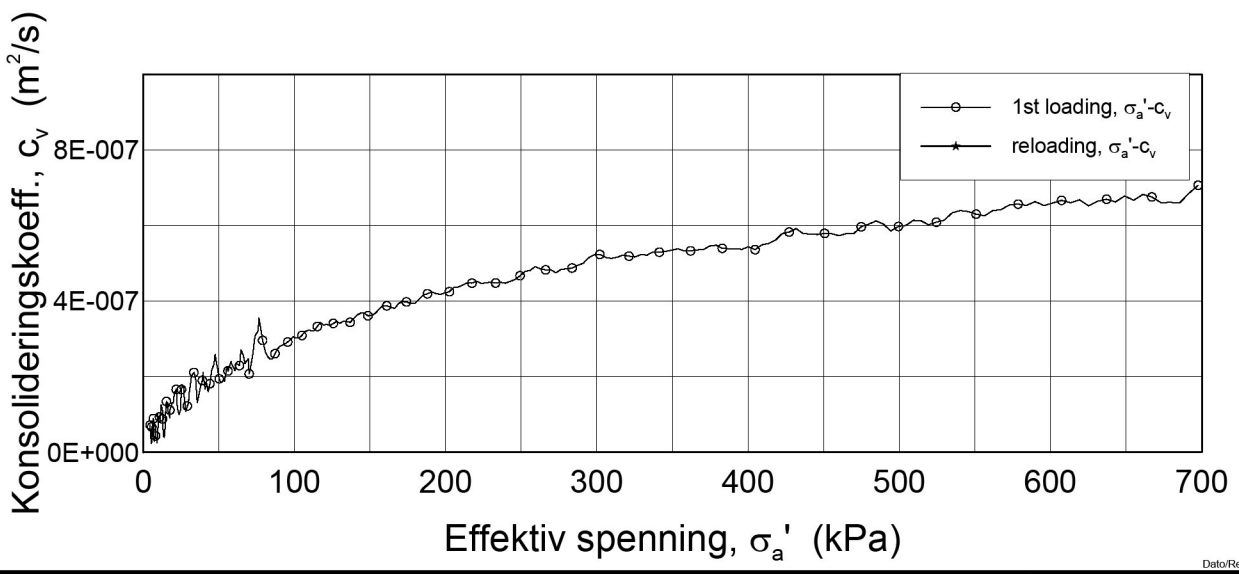
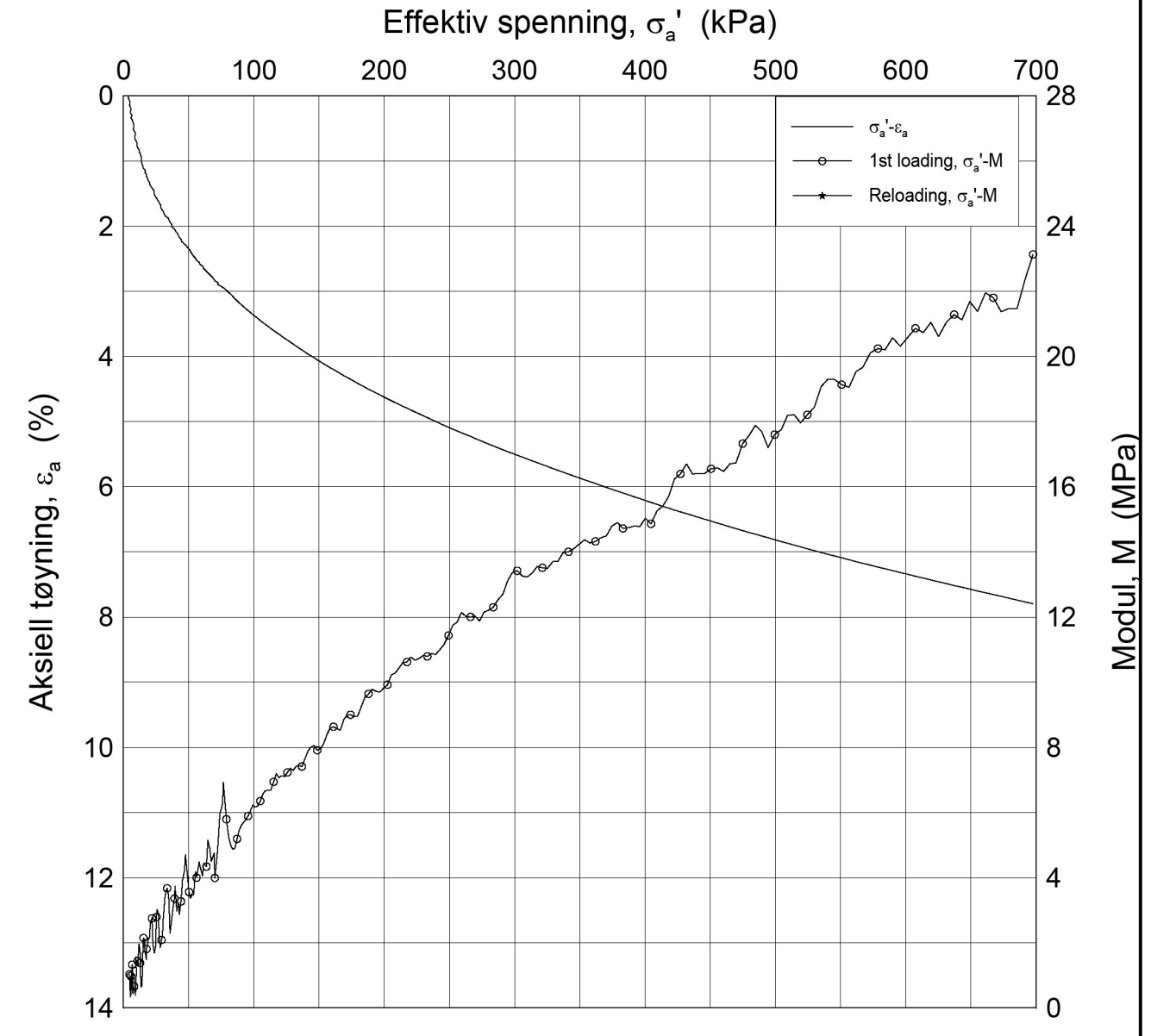
P:\2012\04\20120491\Lab fra labben\FASE 2\Oedom\2366-15-A-3 Lin (CRS2587).grf




Dato/Rev.: 2009-09-15/4

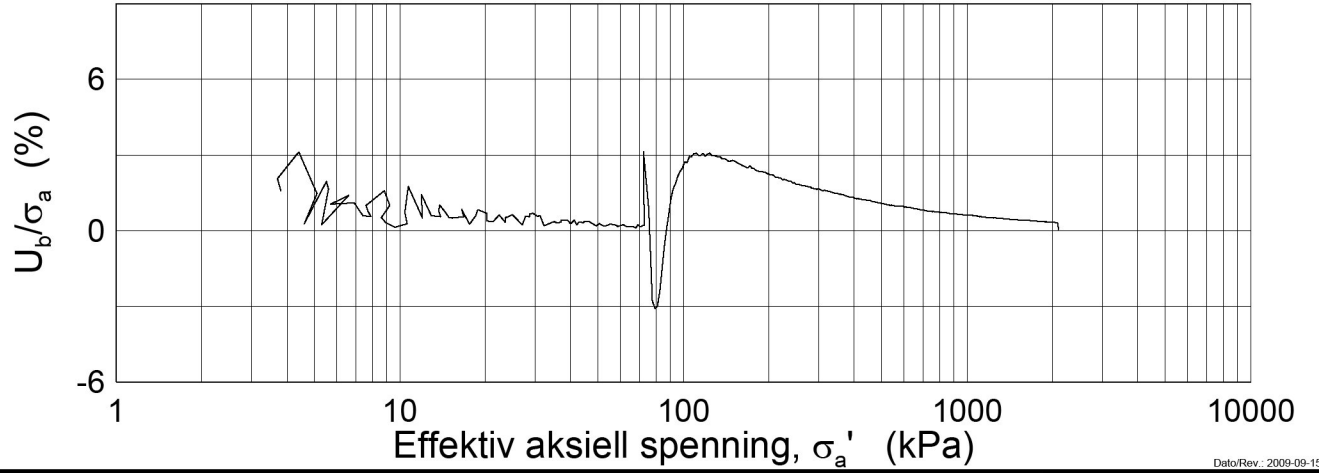
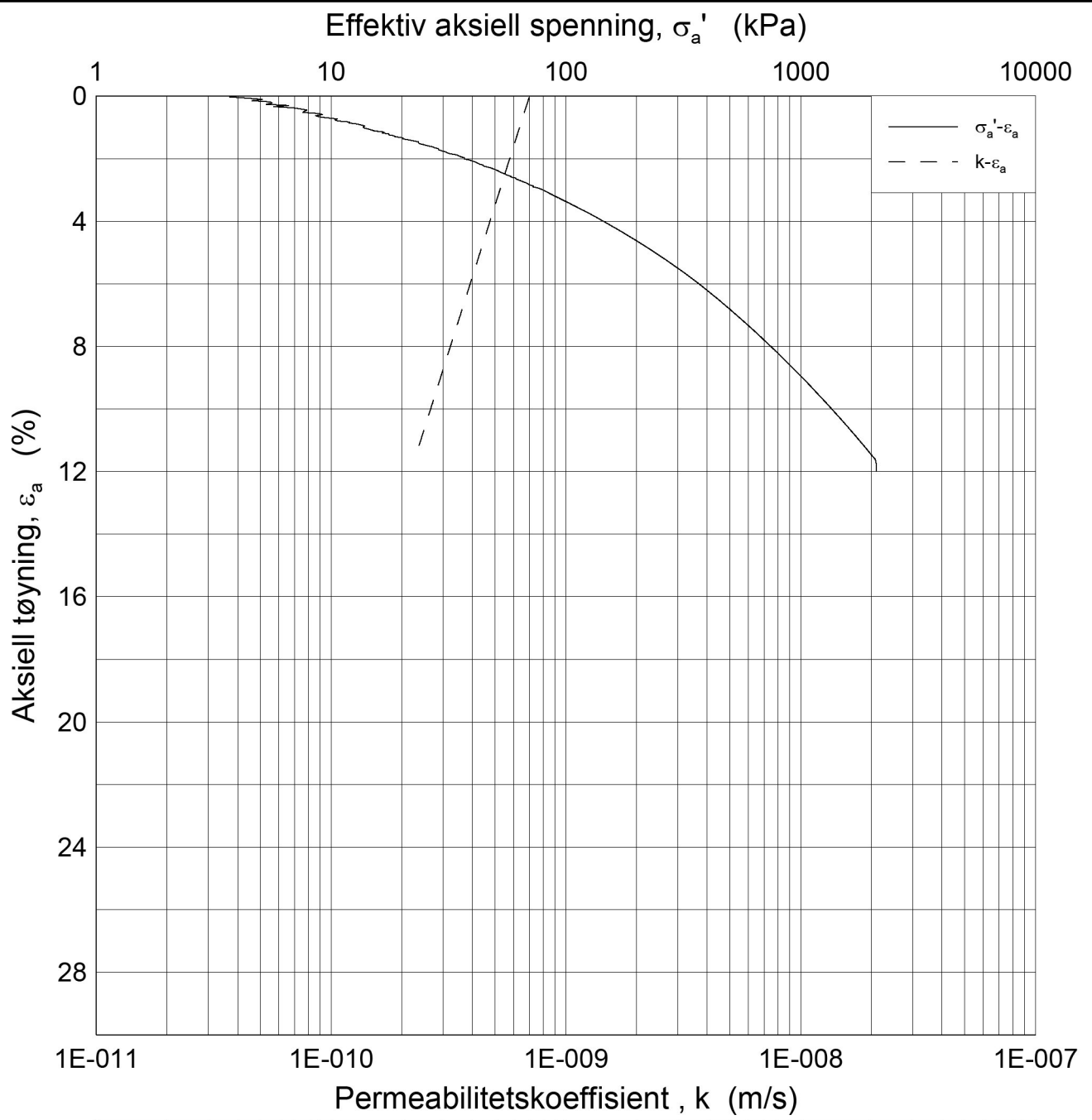
E16 Nybakk - Slomarka		Dokumentnr. 20120491-02-R
Ødometer test (CRSC)		Dato 2014-07-15
Borhull: 2366	Sylinder: 15	Dybde = 16.46 m
Del: A	Test: 3	$p'_o = 145.6$ kPa
		$w_i = 30.44$ %
		Figurnr. F250
		Tegner FI

P:\2012\04\20120491\Lab fra labben\FASE 2\Oedom\2366-15-A-3 Lin2 (CRS2587).grf



Dato/Rev.: 2009-09-15/4

E16 Nybakk - Slomarka			Dokumentnr. 20120491-02-R
Ødometer test (CRSC)			Dato 2014-07-15
Borhull: 2366	Sylinder: 15	Dybde = 16.46 m	Figurnr. F251
Del: A	Test: 3	$p'_o = 145.6$ kPa	Tegner FI
		$w_i = 30.44$ %	



Dato/Rev: 2009-09-15/3

E16 Nybakk - Slomarka

Dokumentnr.
20120491-02-R

Ødometer test (CRSC)

Dybde = 16.46 m

Dato
2014-07-15

Borhull: 2366

Sylinder: 15

p_o' = 145.6 kPa

Figurnr.
F252

Del: A

Test: 3

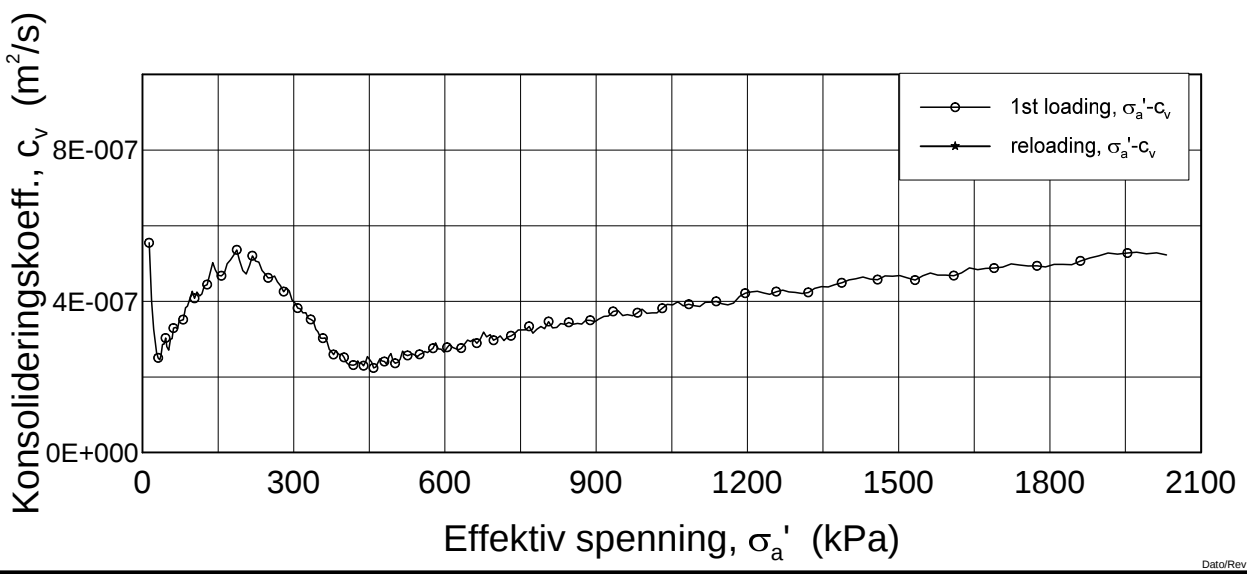
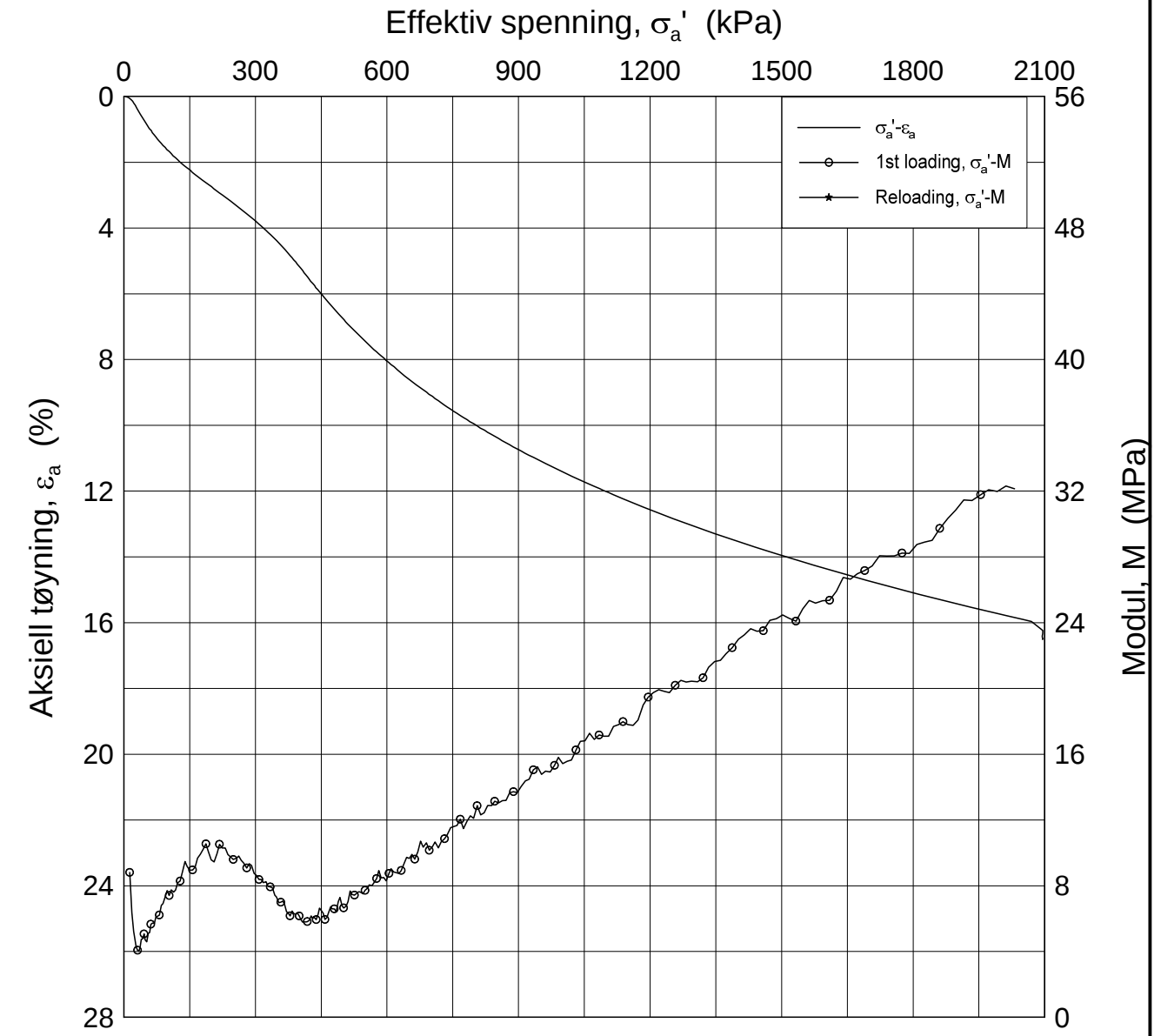
w_i = 30.44 %

Tegner
FI




P:\2012\04\20120491\Lab fra labben\FASE 2\Oedom\2366-15-A-3 Log (CRS2587).gif

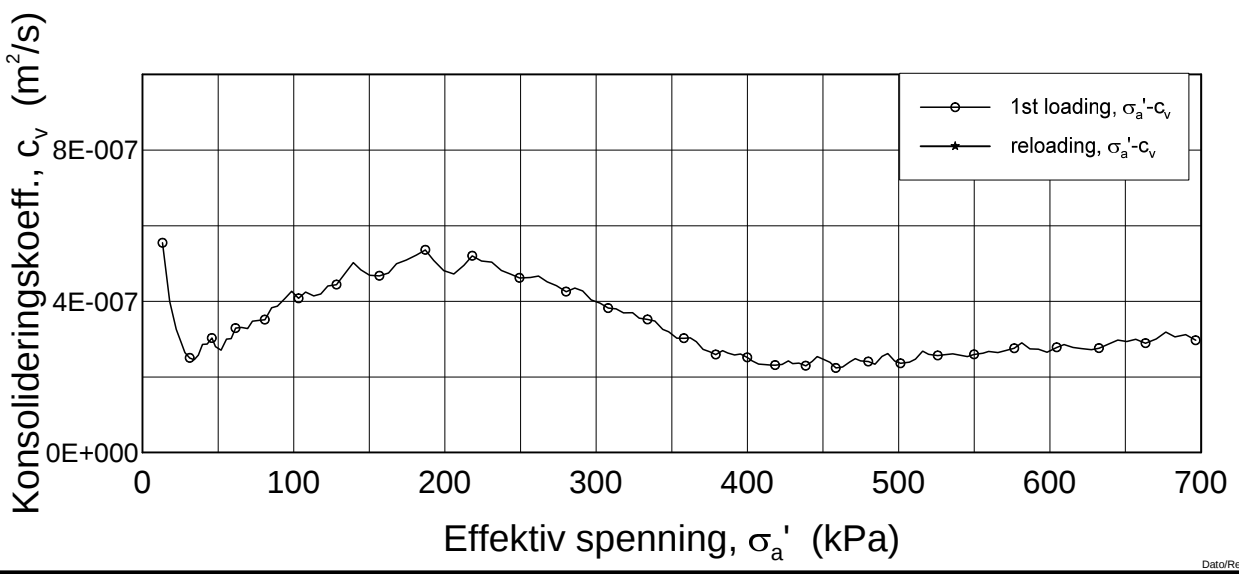
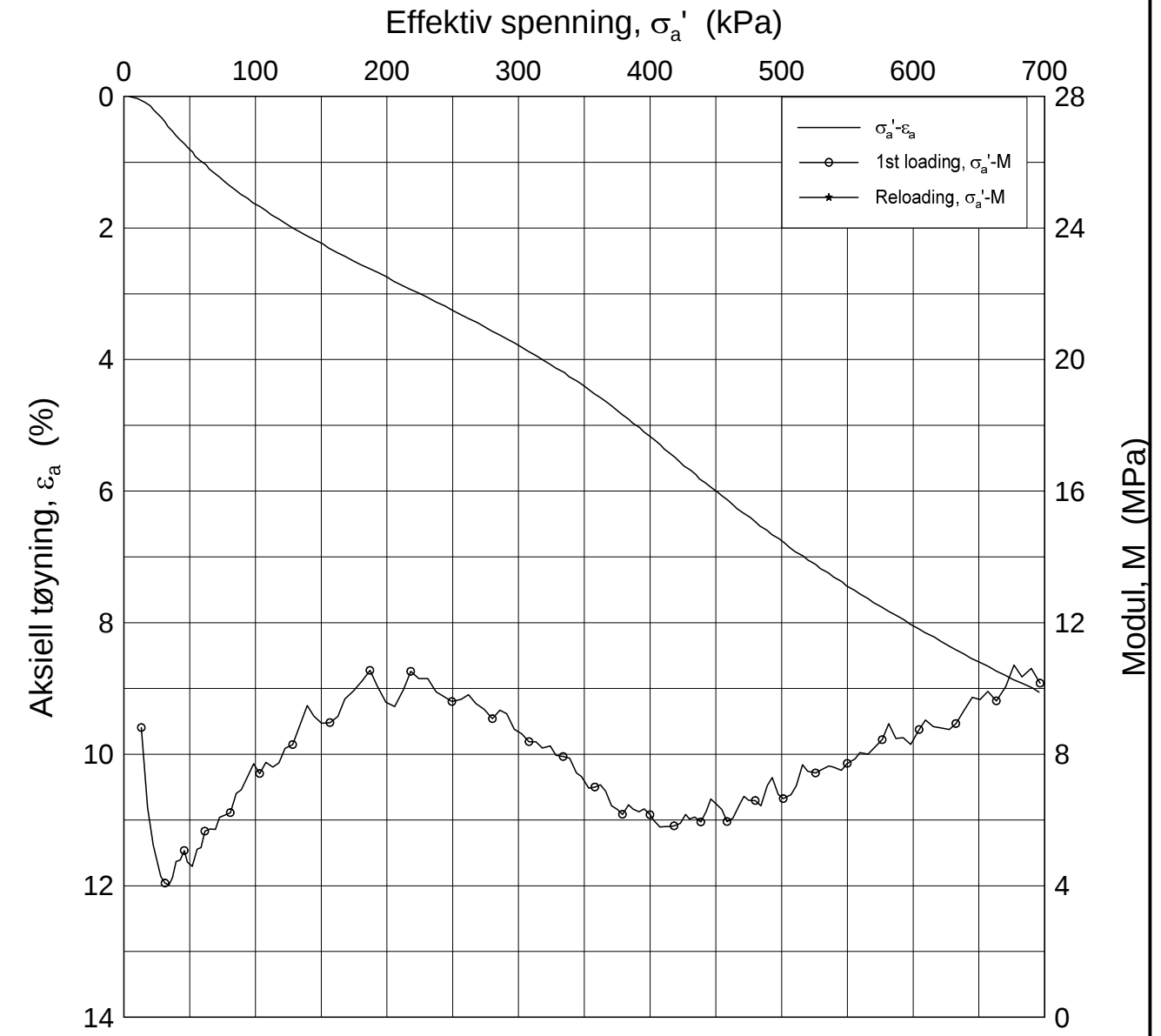
H:\LABDATA\2012\20120491\Oedom\2371-5-A-1 Lin (CRS2642).grf




Dato/Rev.: 2009-09-15/4

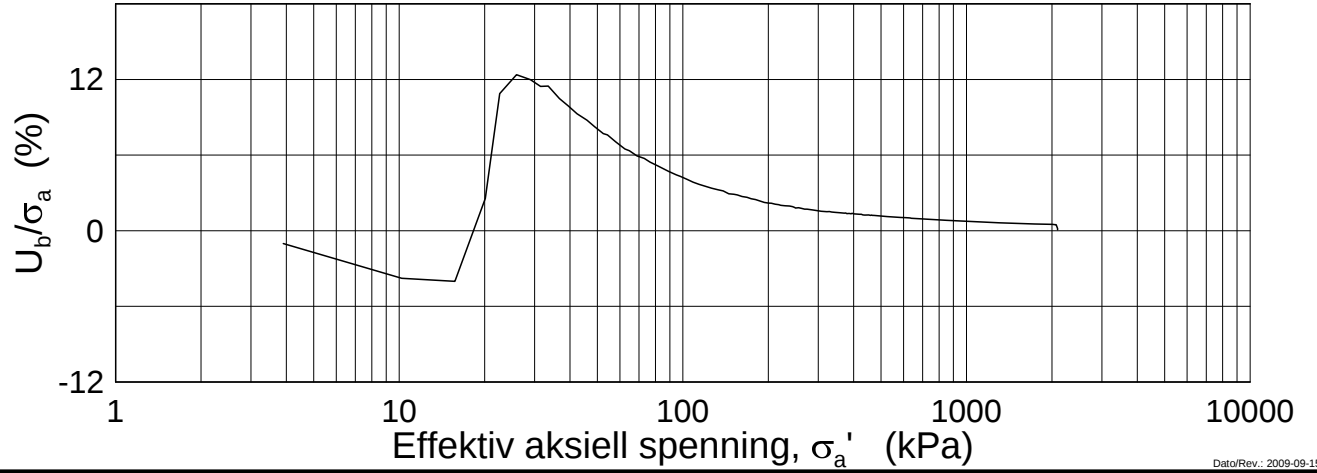
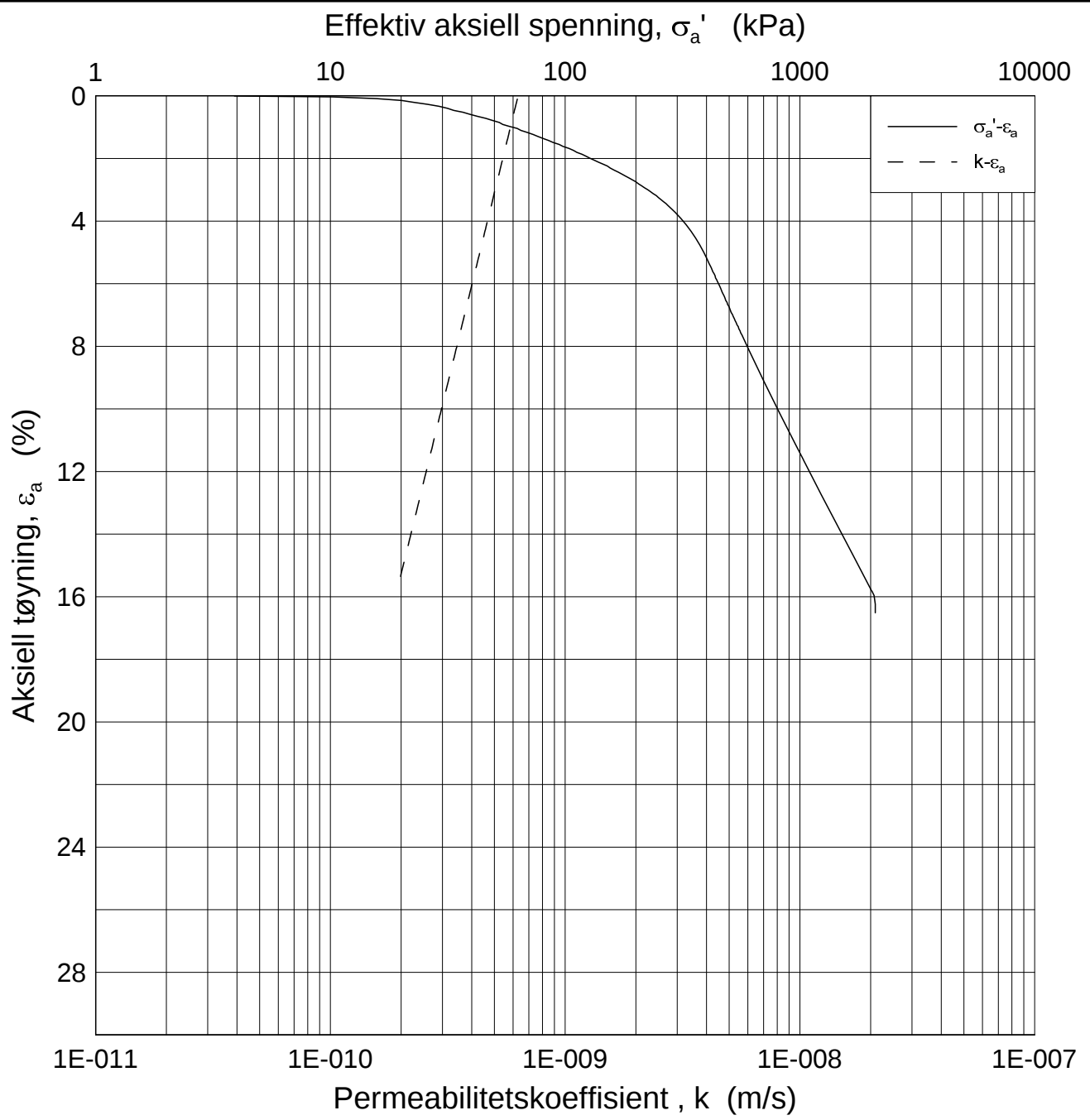
E16 Nybakk - Slomarka			Dokumentnr. 20120491-02-R
Ødometer test (CRSC)			Dato 2014-08-22
Borhull: 2371	Sylinder: 5	Dybde = 5.18 m	Figurnr. F253
Del: A	Test: 1	$p'_0 = 68.7$ kPa	Tegner FI
		$w_i = 39.89$ %	

H:\LABDATA\2012\20120491\Oedom\2371-5-A-1_Lin2 (CRS2642).grf



Dato/Rev.: 2009-09-15/4

E16 Nybakk - Slomarka		Dokumentnr. 20120491-02-R
Ødometer test (CRSC)		Dato 2014-08-22
Borhull: 2371	Sylinder: 5	Figurnr. F254
Del: A	Test: 1	Tegner FI
Dybde = 5.18	m	
$p'_0 = 68.7$	kPa	
$w_i = 39.89$	%	



Dato/Rev.: 2009-09-15/3

E16 Nybakk - Slomarka

Dokumentnr.
20120491-02-R

Ødometer test (CRSC)

Dybde = 5.18 m

Dato
2014-08-22

Borhull: 2371

Sylinder: 5

p_o' = 68.7 kPa

Figurnr.
F255

Del: A

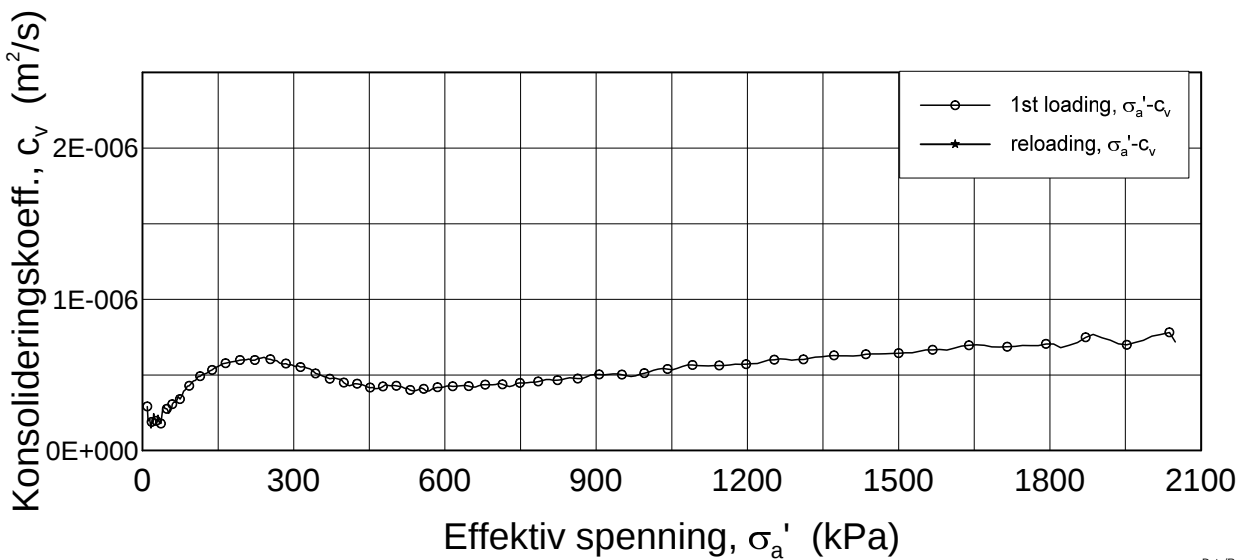
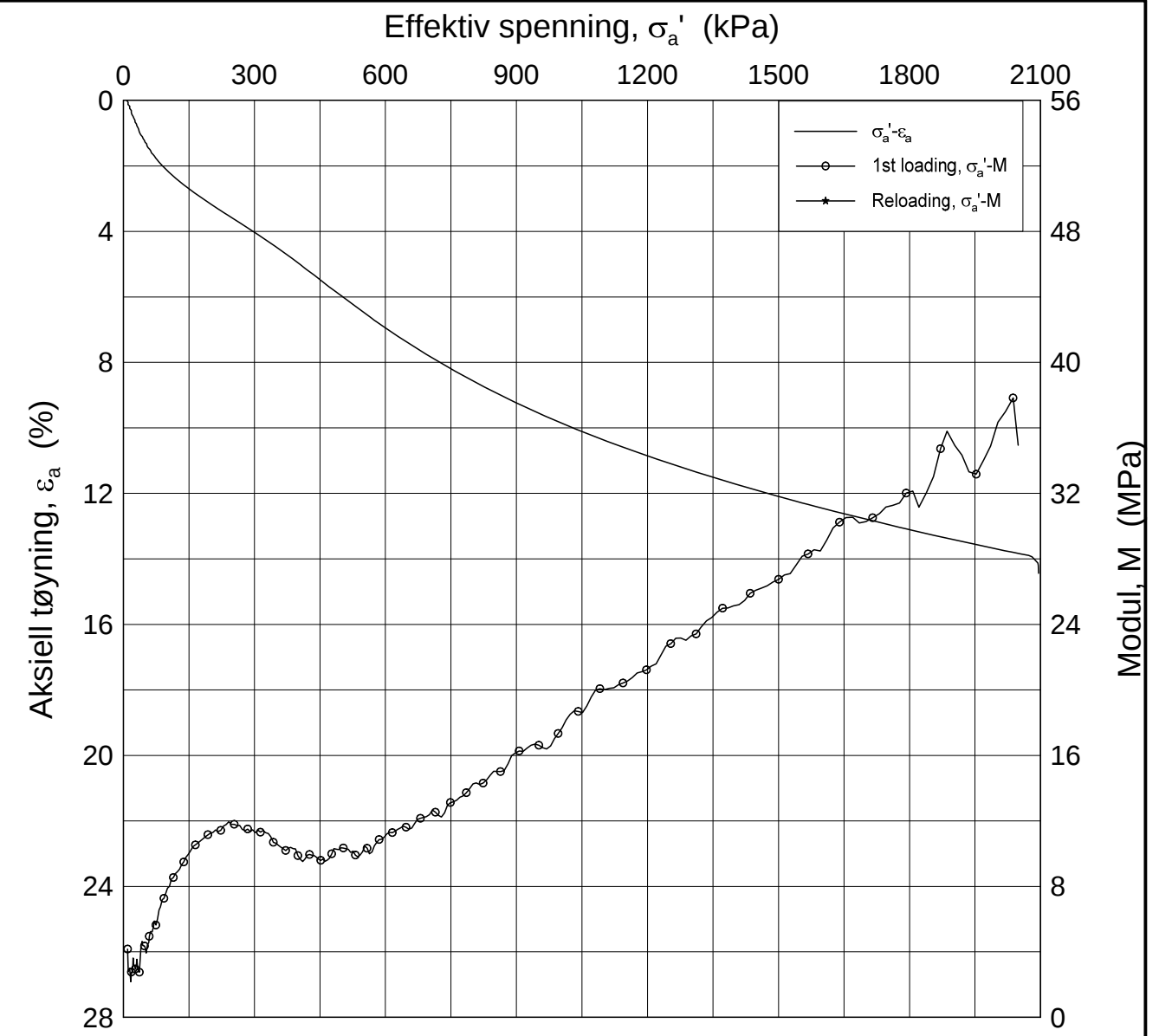
Test: 1

w_i = 39.89 %


Tegner
FI



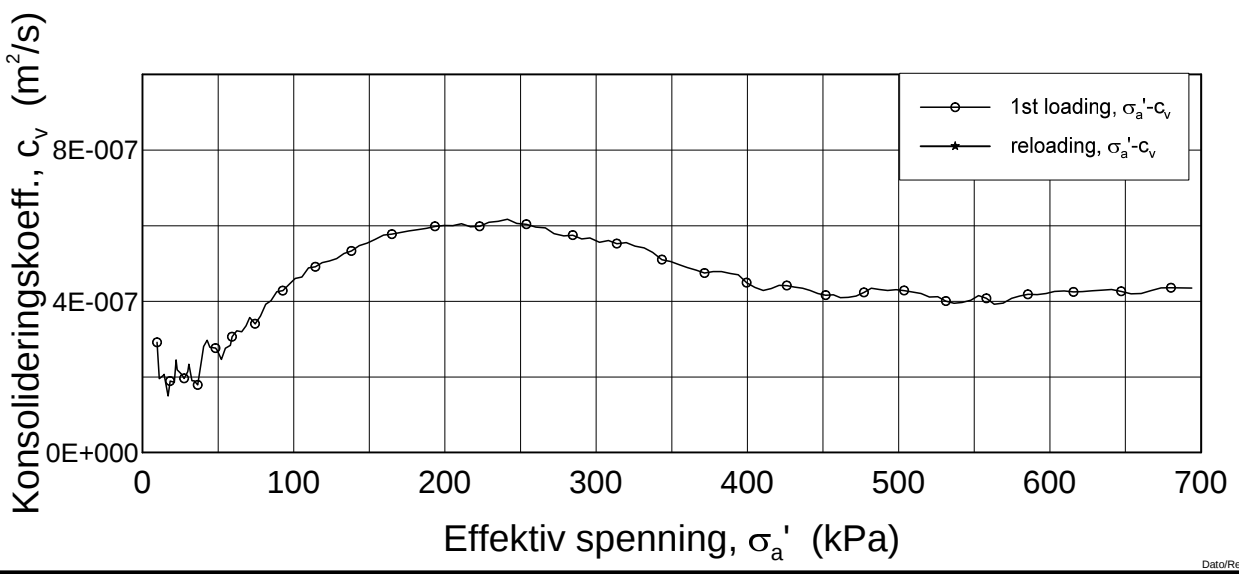
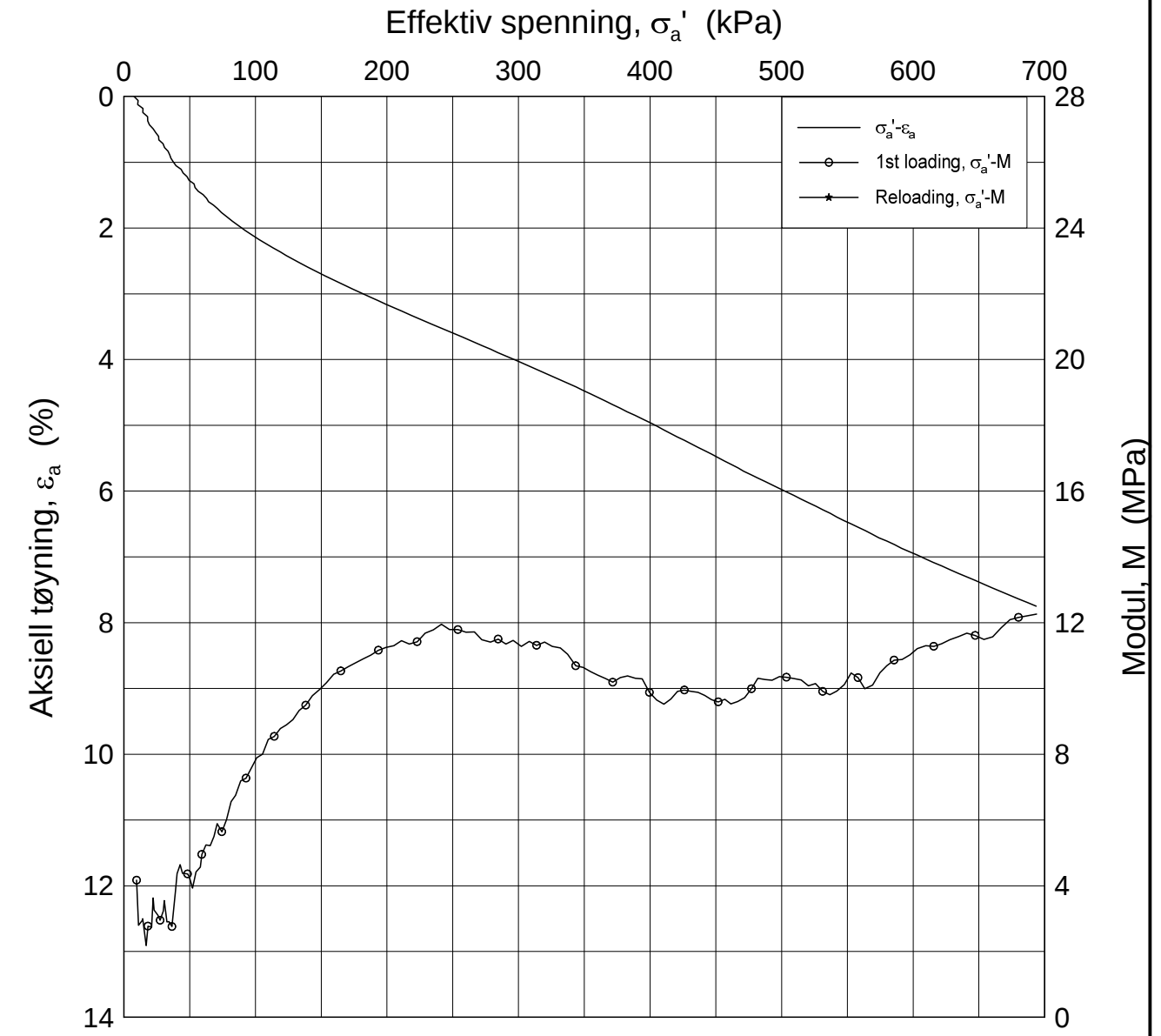
H:\LABDATA\2012\20120491\Oedom\2371-10-A-2 Lin (CRS2646).grf




Dato/Rev: 2009-09-15/4

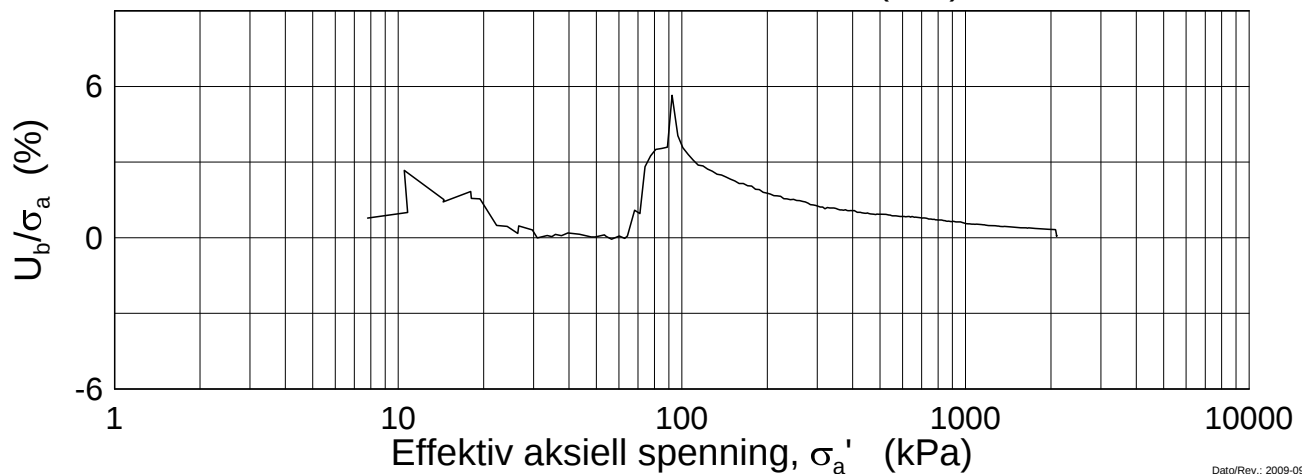
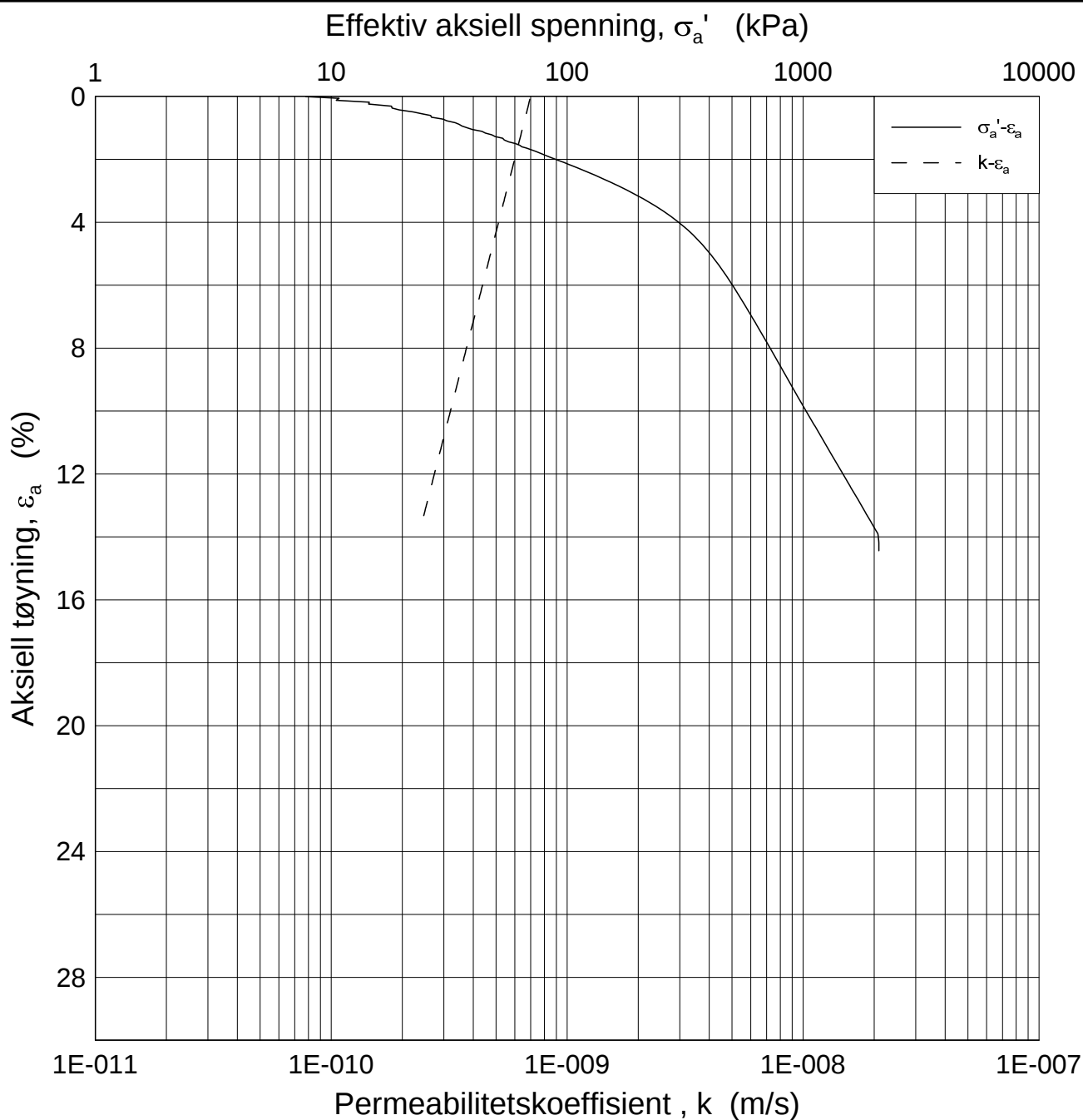
E16 Nybakk - Slomarka			Dokumentnr. 20120491-02-R
Ødometer test (CRSC)			Dato 2014-08-22
Borhull: 2371	Sylinder: 10	Dybde = 10.33 m	Figurnr. F256
Del: A	Test: 2	$p'_0 = 131.5$ kPa	Tegner FI
		$w_i = 33.75$ %	

H:\LABDATA\2012\20120491\Oedom\2371-10-A-2 Lin2 (CRS2646).grf



Dato/Rev.: 2009-09-15/4

E16 Nybakk - Slomarka			Dokumentnr. 20120491-02-R
Ødometer test (CRSC)			Dato 2014-08-22
Borhull: 2371	Sylinder: 10	Dybde = 10.33 m	Figurnr. F257
Del: A	Test: 2	$p'_0 = 131.5$ kPa	Tegner FI
		$w_i = 33.75$ %	



Dato/Rev.: 2009-09-15/3

E16 Nybakk - Slomarka

Dokumentnr.
20120491-02-R

Ødometer test (CRSC)

Dybde = 10.33 m

Dato
2014-08-22

Borhull: 2371

Sylinder: 10

p'_0 = 131.5 kPa

Figurnr.
F258

Del: A

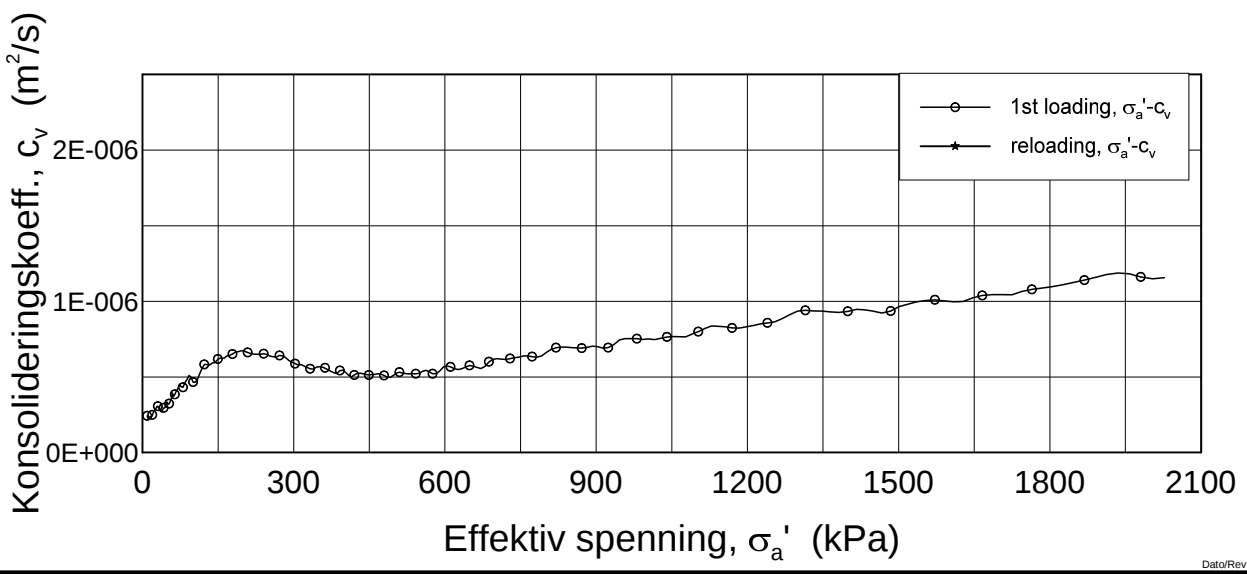
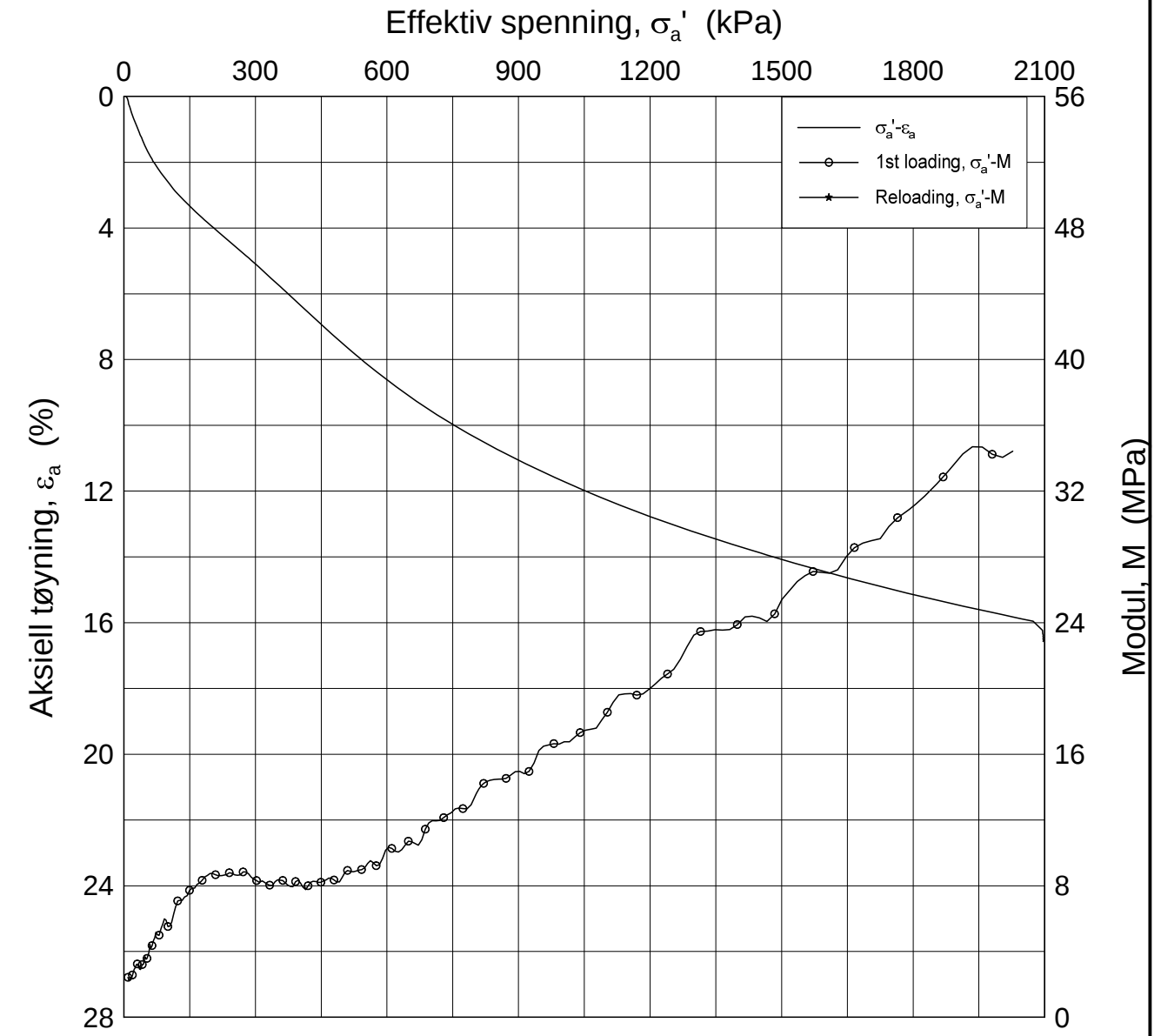
Test: 2

w_i = 33.75 %


Tegner
FI



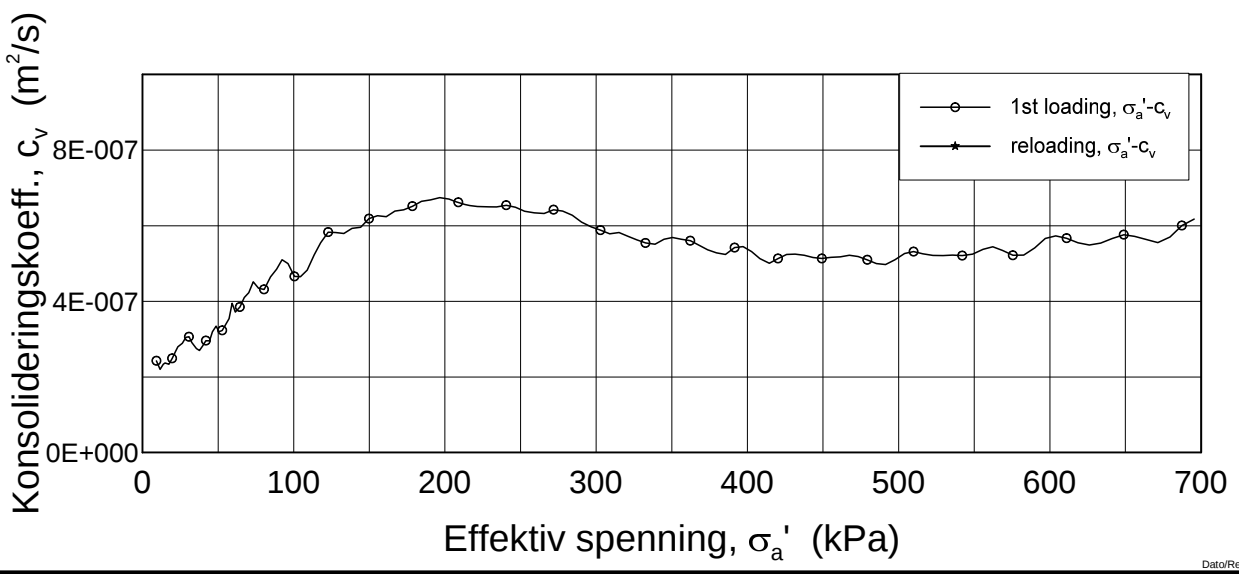
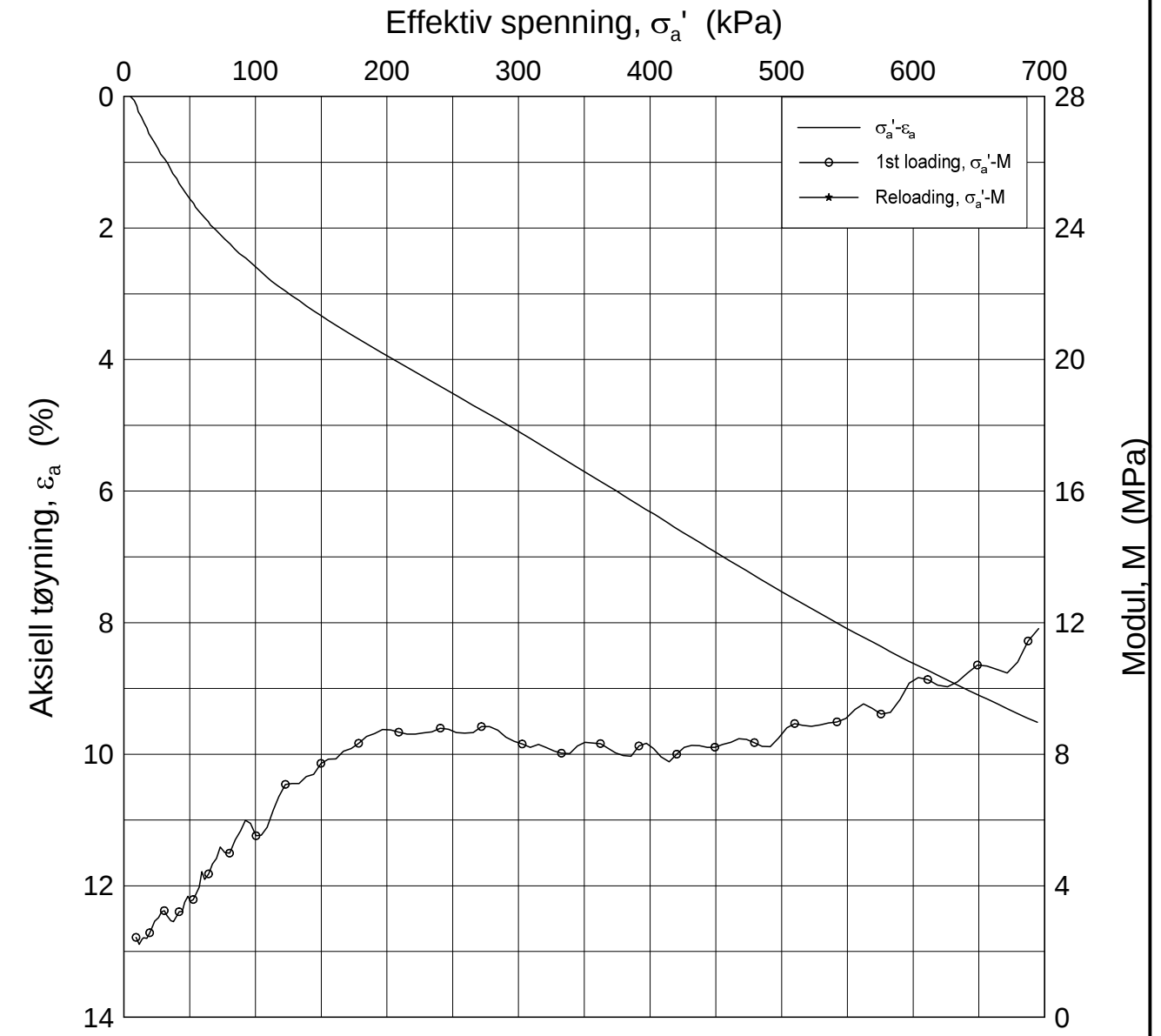
H:\LABDATA\2012\20120491\Oedom\2371-15-A-2 Lin (CRS2652).grf



Dato/Rev.: 2009-09-15/4

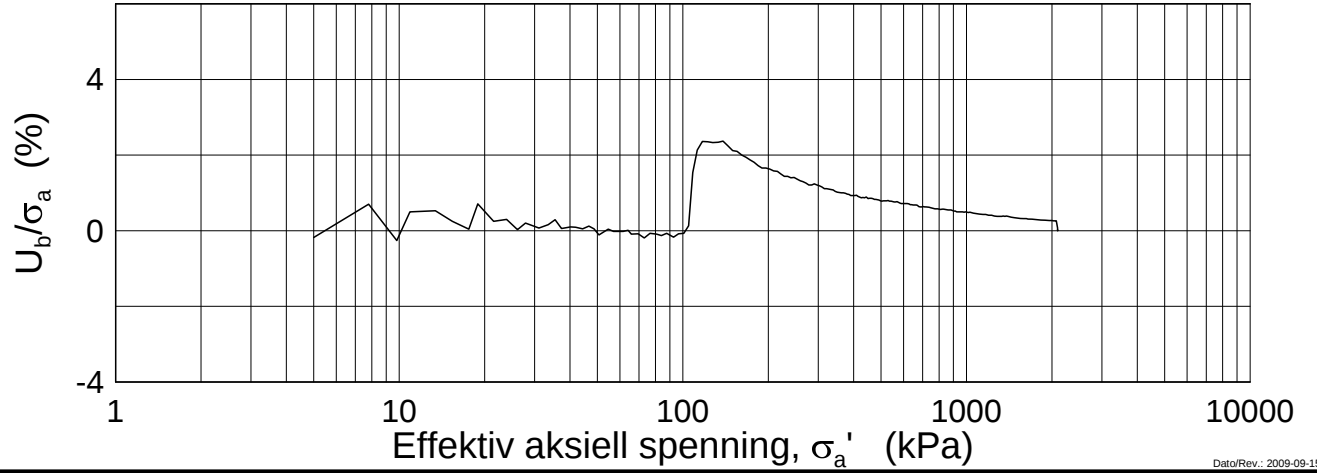
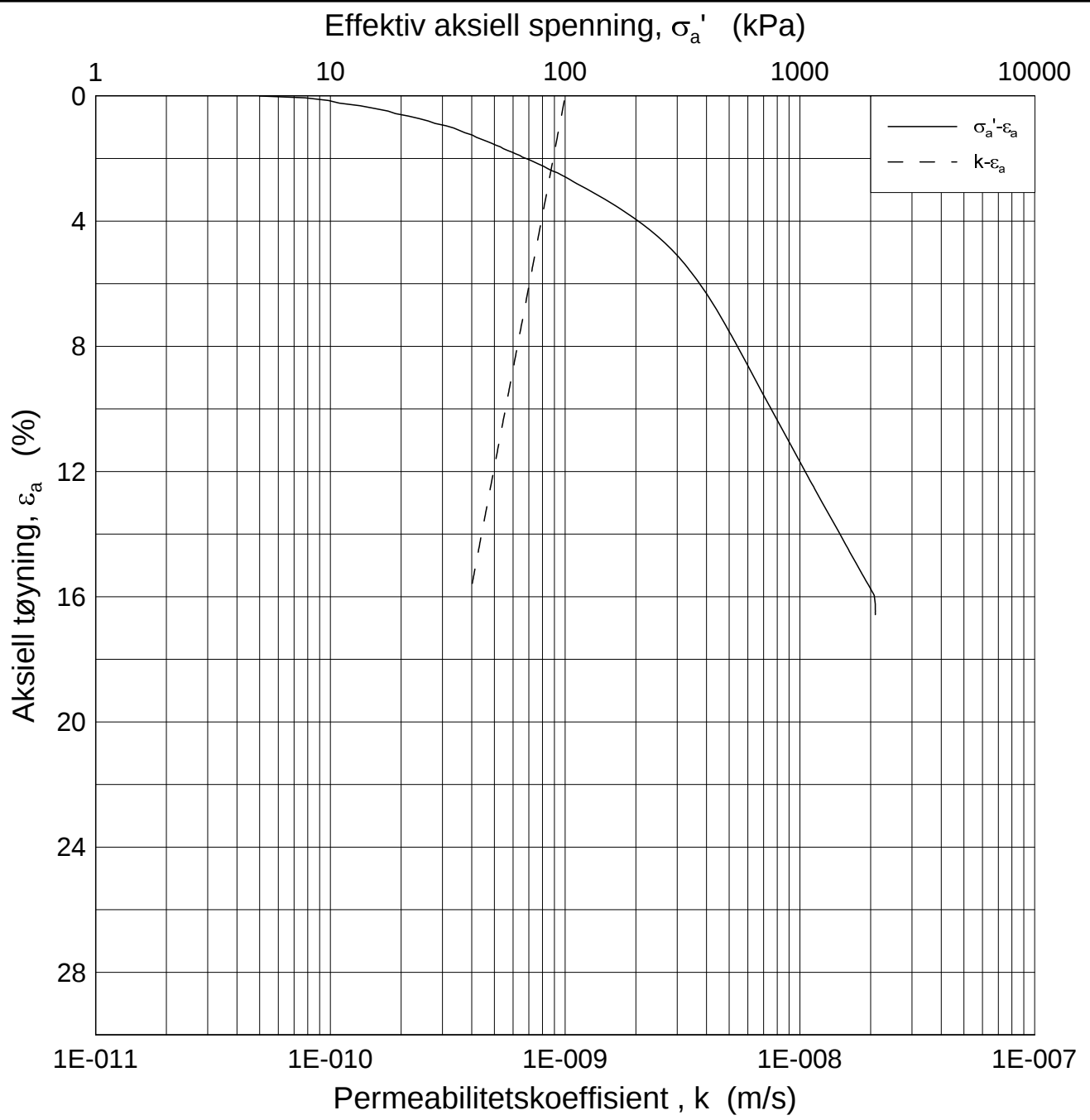
E16 Nybakk - Slomarka				Dokumentnr. 20120491-02-R
Ødometer test (CRSC)				Dato 2014-08-22
Borhull: 2371	Sylinder: 15	Dybde = 15.33 m	$p'_0 = 196.3$ kPa	Figurnr. F259
Del: A	Test: 2	$w_i = 37.32$ %		Tegner FI
				

H:\LABDATA\2012\20120491\Oedom\2371-15-A-2 Lin2 (CRS2652).grf



Dato/Rev.: 2009-09-15/4

E16 Nybakk - Slomarka				Dokumentnr. 20120491-02-R
Ødometer test (CRSC)		Dybde = 15.33	m	Dato 2014-08-22
Borhull: 2371	Sylinder: 15	p'_0 = 196.3	kPa	Figurnr. F260
Del: A	Test: 2	w_i = 37.32	%	Tegner FI



Dato/Rev.: 2009-09-15/3

E16 Nybakk - Slomarka

Dokumentnr.
20120491-02-R

Ødometer test (CRSC)

Dybde = 15.33 m

Dato
2014-08-22

Borhull: 2371

Sylinder: 15

p'_0 = 196.3 kPa

Figurnr.
F261

Del: A

Test: 2

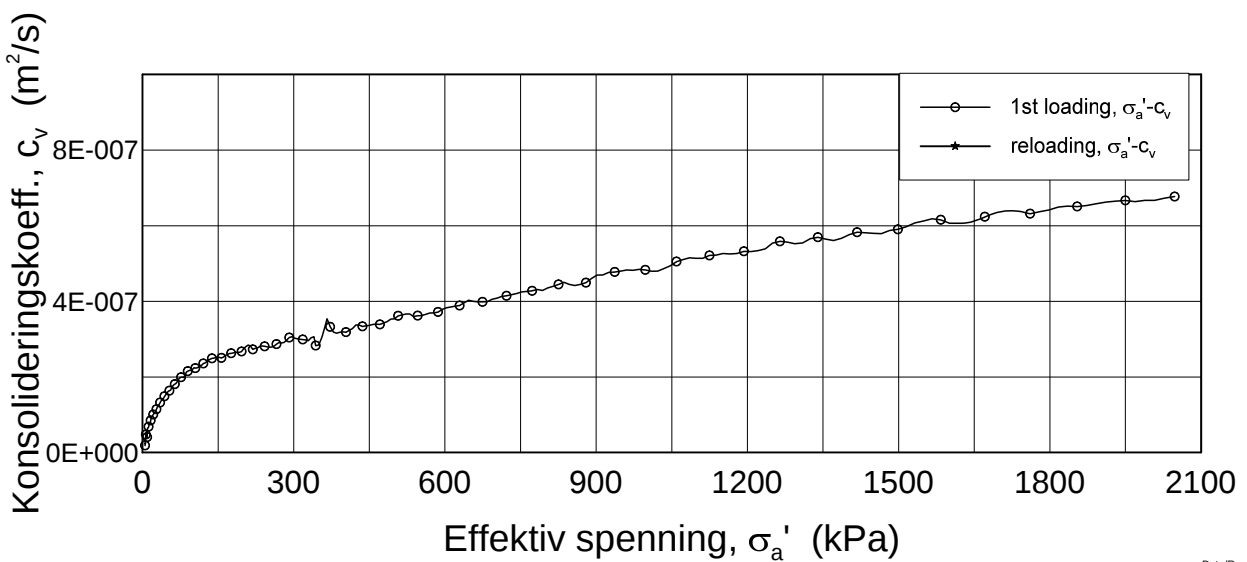
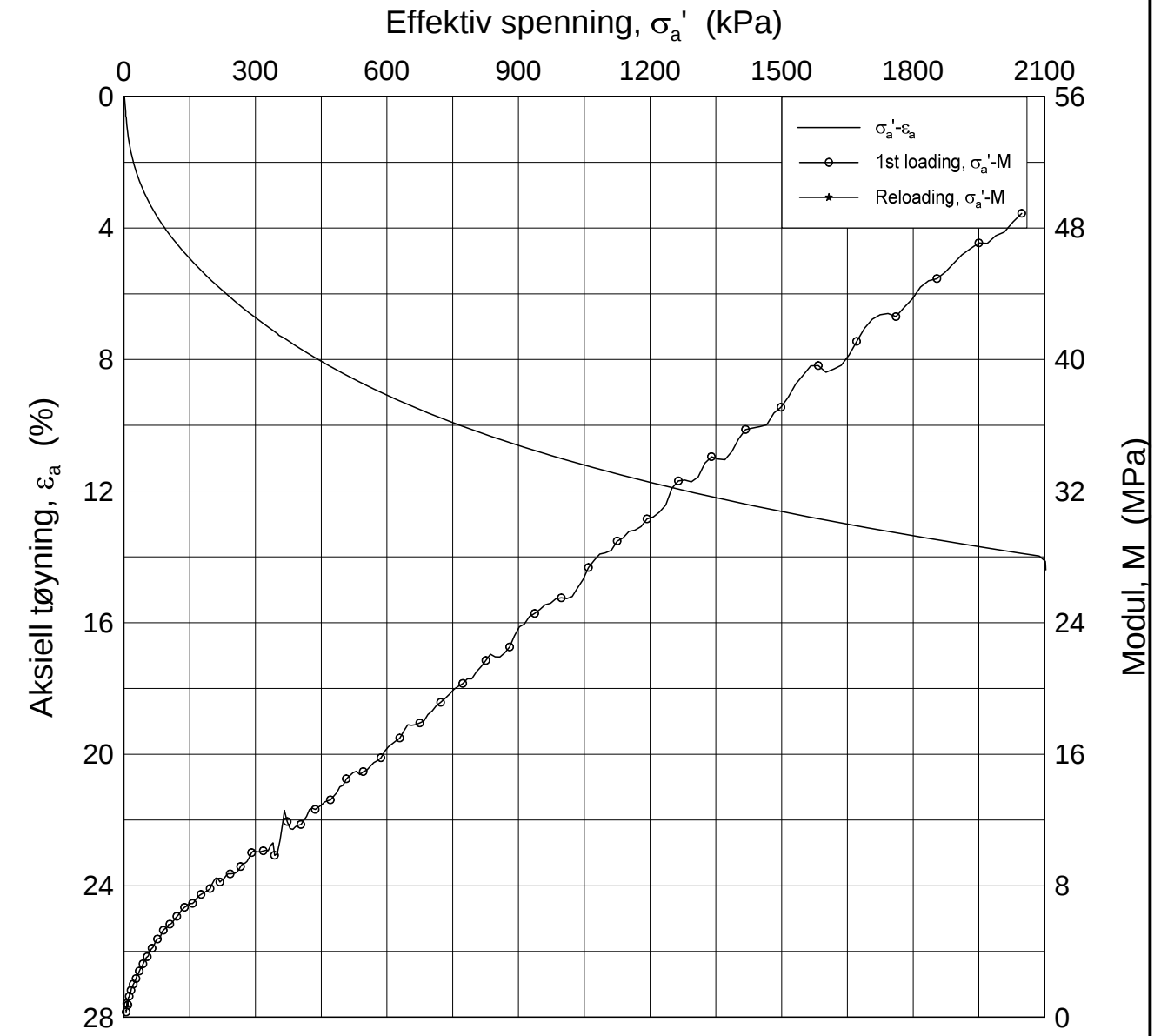
w_i = 37.32 %

Tegner
FI




H:\LABDATA\2012\20120491\Oedom\2371-15-A-2 Log (CRS2652).grf

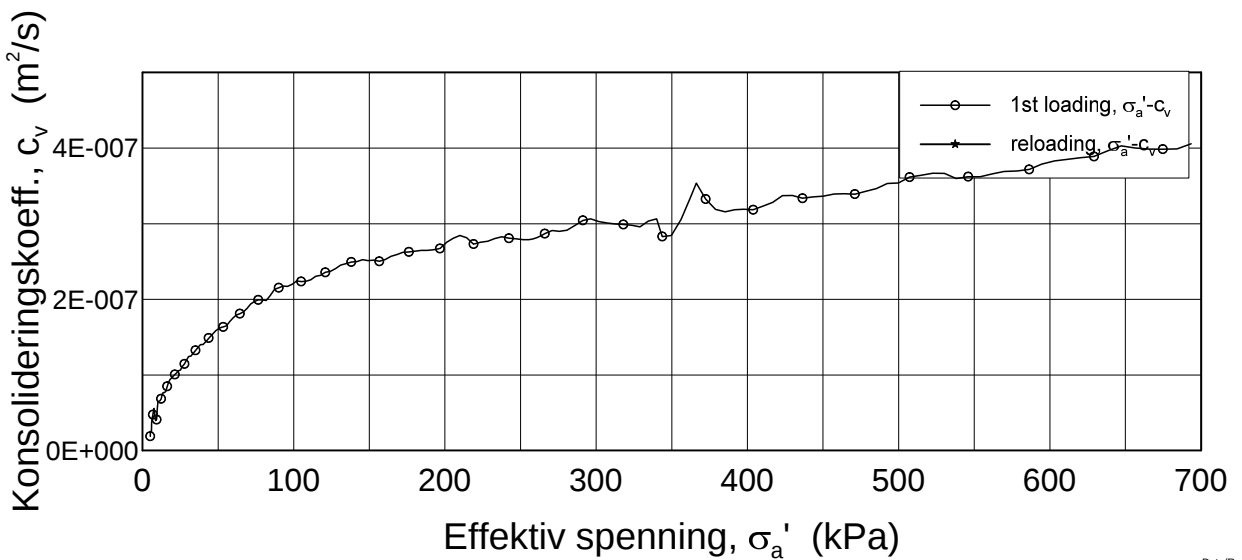
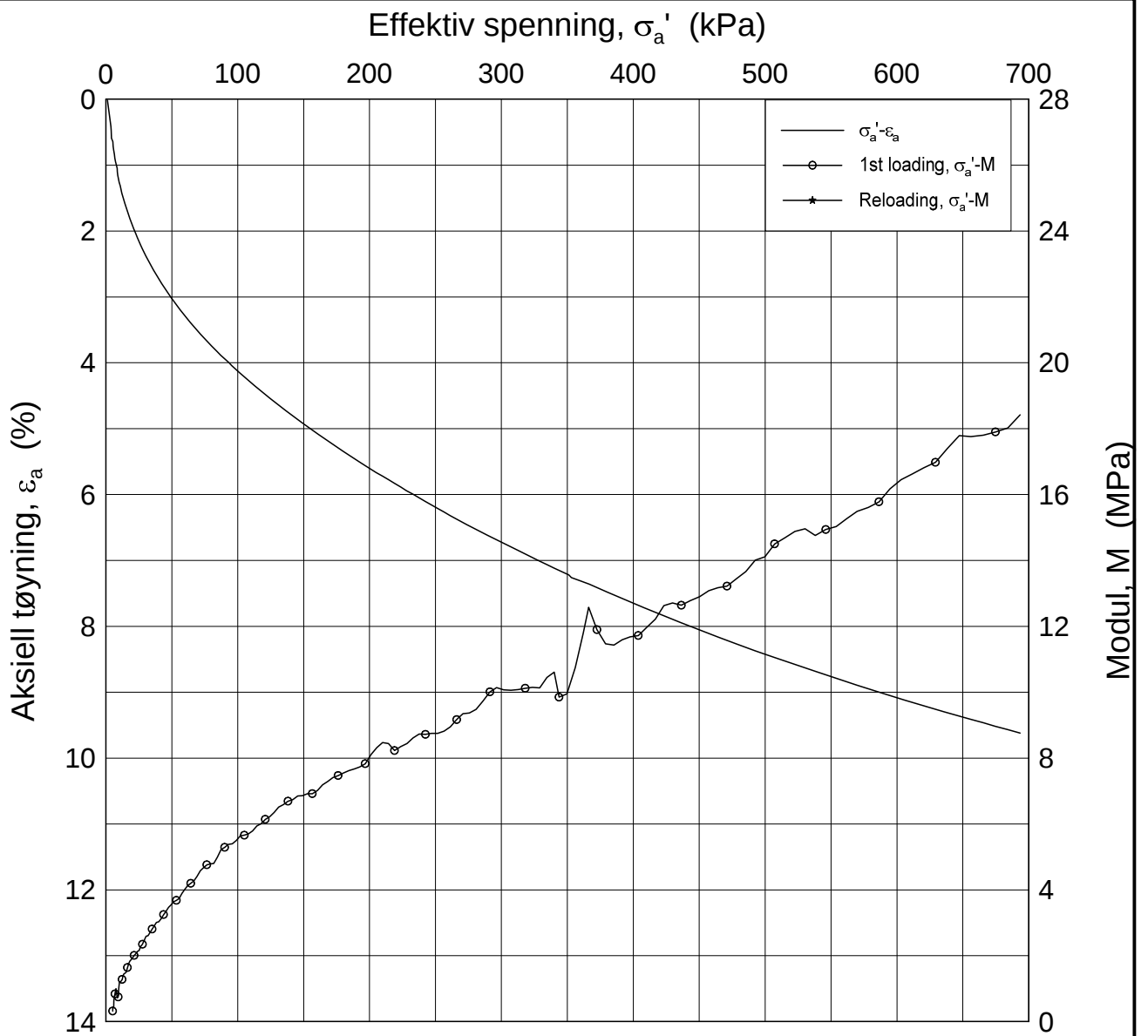
H:\LABDATA\2012\20120491\Oedom\2371-17-A-3 Lin (CRS2644).grf



Dato/Rev.: 2009-09-15/4

E16 Nybakk - Slomarka			Dokumentnr. 20120491-02-R
Ødometer test (CRSC)			Dato 2014-08-22
Borhull: 2371	Sylinder: 17	Dybde = 20.43 m	Figurnr. F262
Del: A	Test: 3	$p'_0 = 253.6$ kPa	Tegner FI
		$w_i = 27.60$ %	

H:\LABDATA\2012\20120491\Oedom\2371-17-A-3 Lin2 (CRS2644).grf



Dato/Rev.: 2009-09-15/4

E16 Nybakk - Slomarka

Dokumentnr.
20120491-02-R

Ødometer test (CRSC)

Dybde = 20.43 m

Dato
2014-08-22

Borhull: 2371

Sylinder: 17

p'_0 = 253.6 kPa

Figurnr.
F263

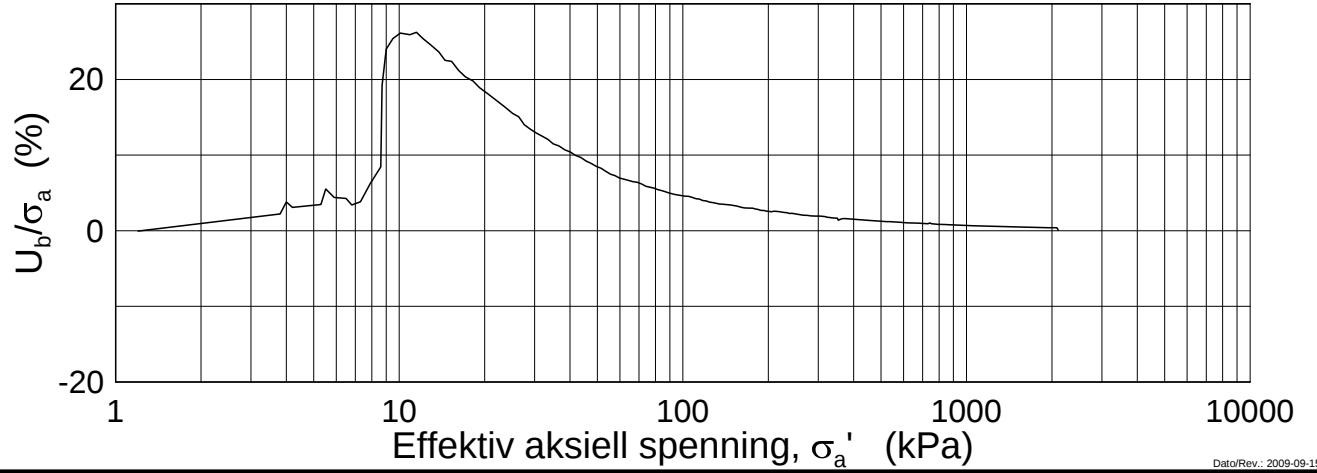
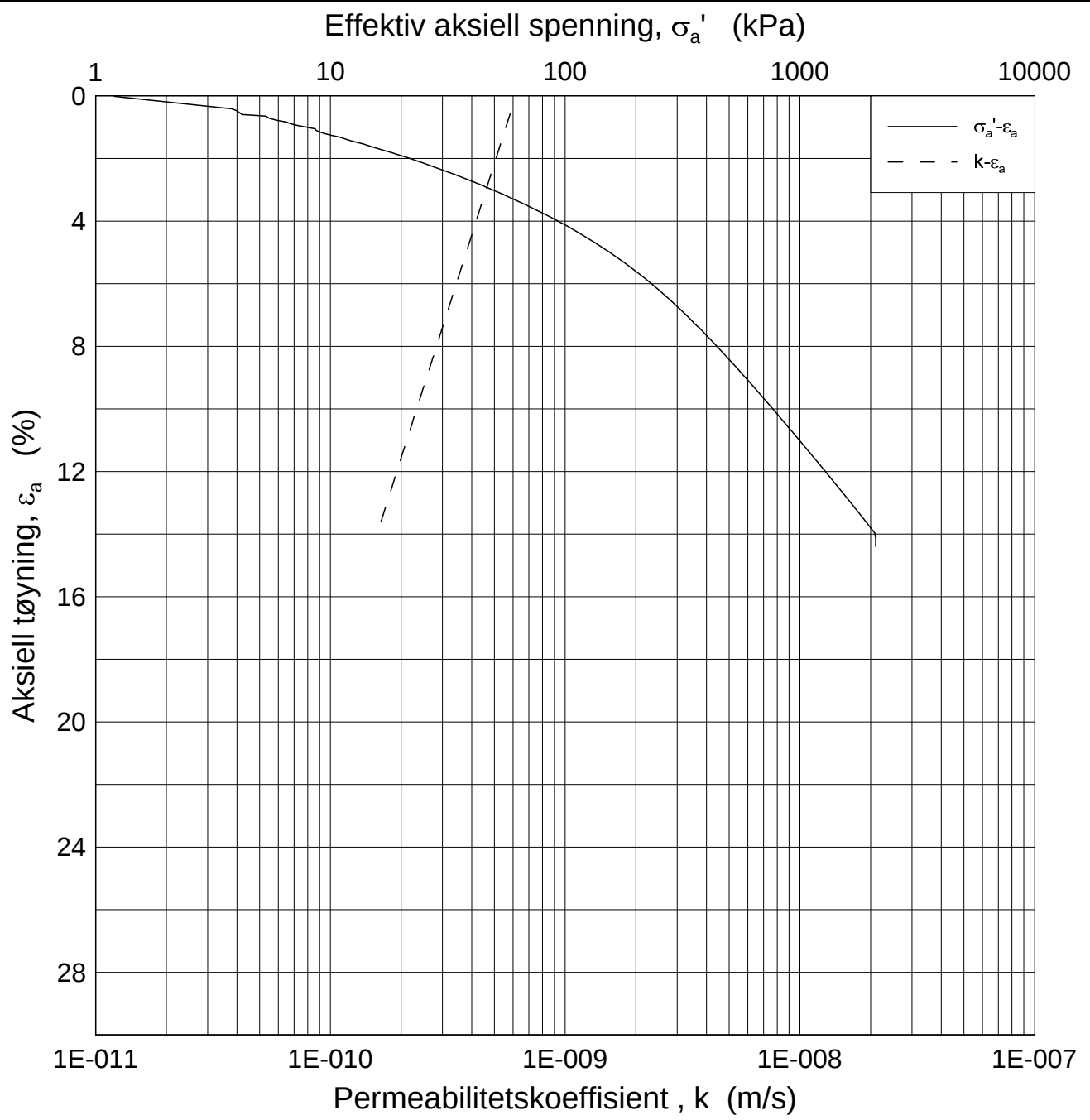
Del: A

Test: 3

w_i = 27.60 %

Tegner
FI





Dato/Rev.: 2009-09-15/3

E16 Nybakk - Slomarka

Dokumentnr.
20120491-02-R

Ødometer test (CRSC)

Dybde = 20.43 m

Dato
2014-08-22

Borhull: 2371

Sylinder: 17

p_o' = 253.3 kPa

Figurnr.
F264

Del: A

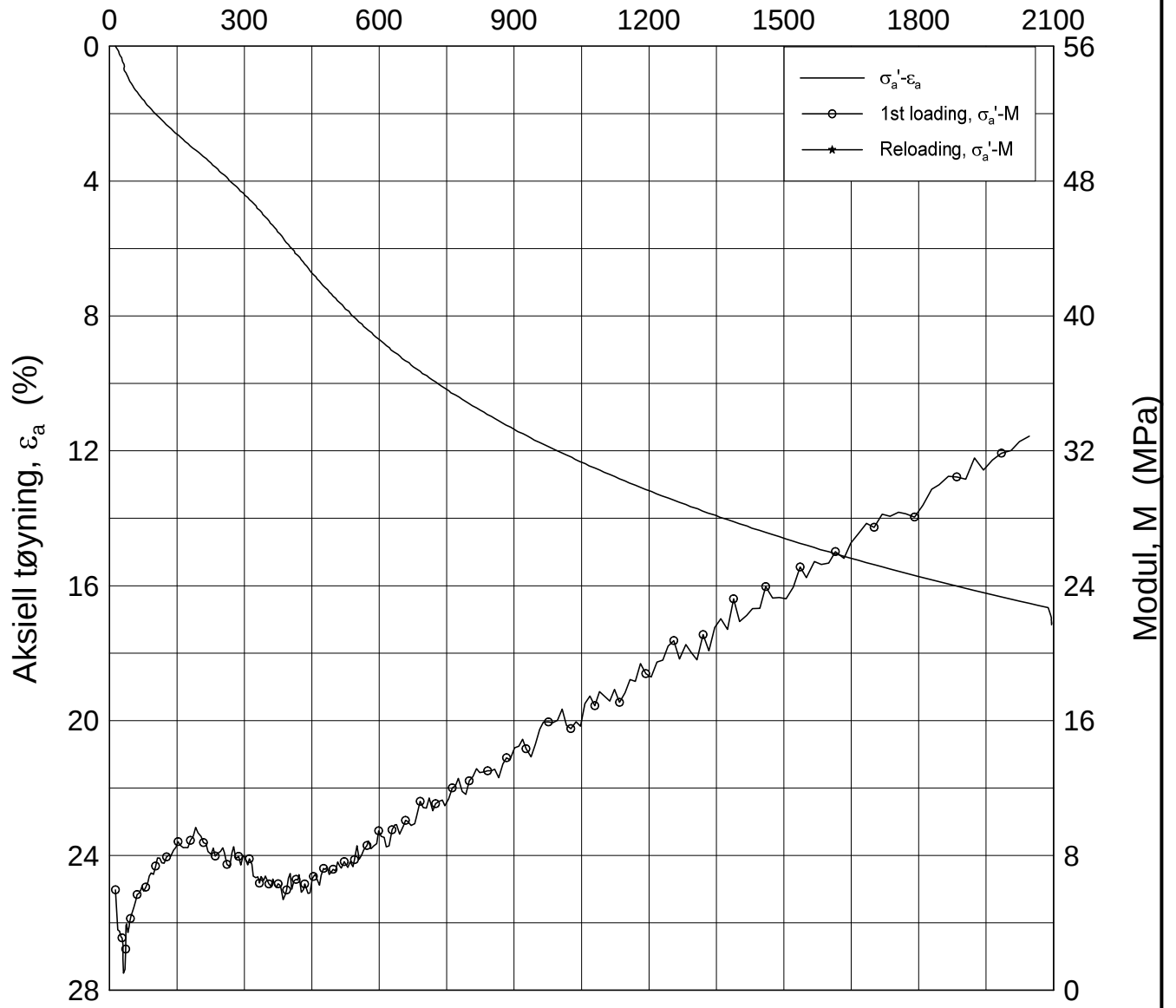
Test: 3

w_i = 27.60 %

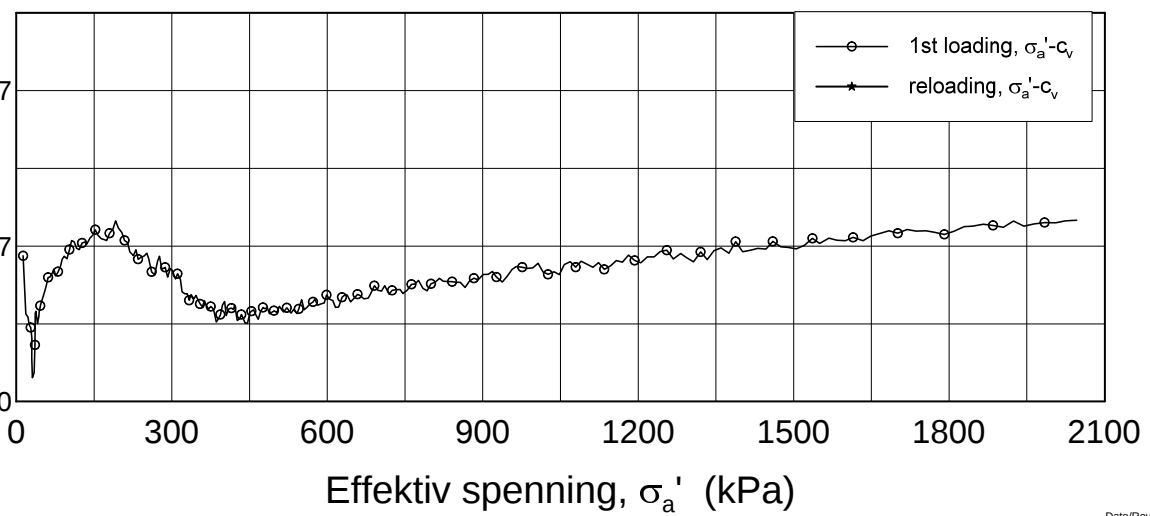
Tegner
FI



Effektiv spenning, σ_a' (kPa)



Konsolideringskoeff., c_v (m²/s)



Dato/Rev.: 2009-09-15/4

E16 Nybakk - Slomarka

Dokumentnr.
20120491-02-R

Ødometer test (CRSC)

Dybde = 5.18 m

Dato
2014-08-05

Borhull: 2379

Sylinder: 5

p_o' = 53.6 kPa

Figurnr.
F265

Del: A

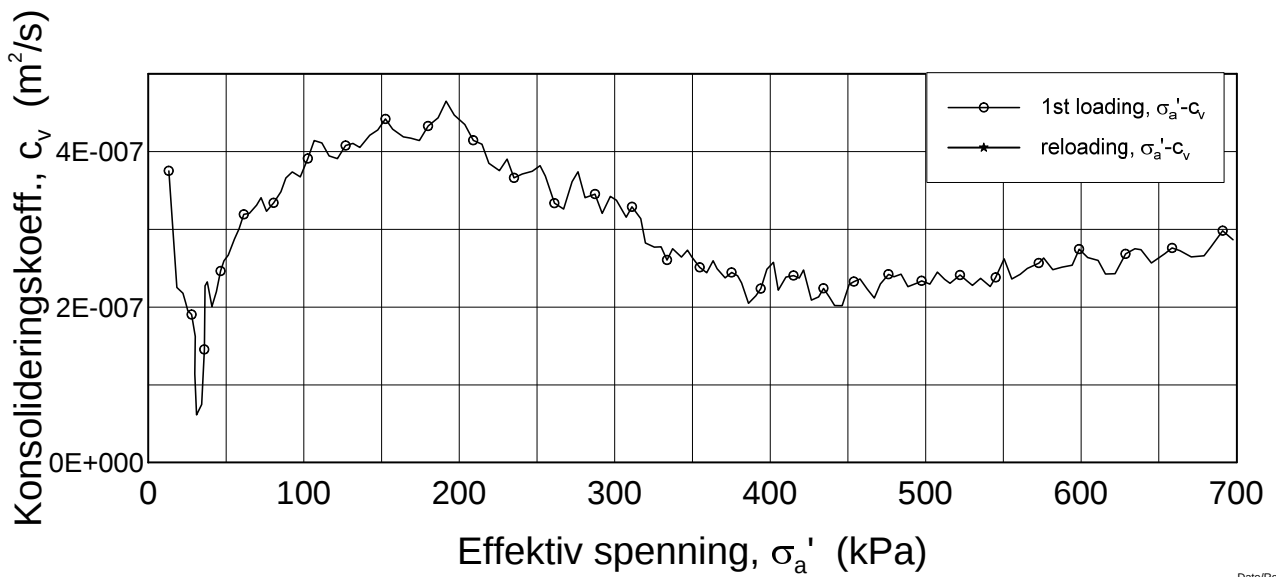
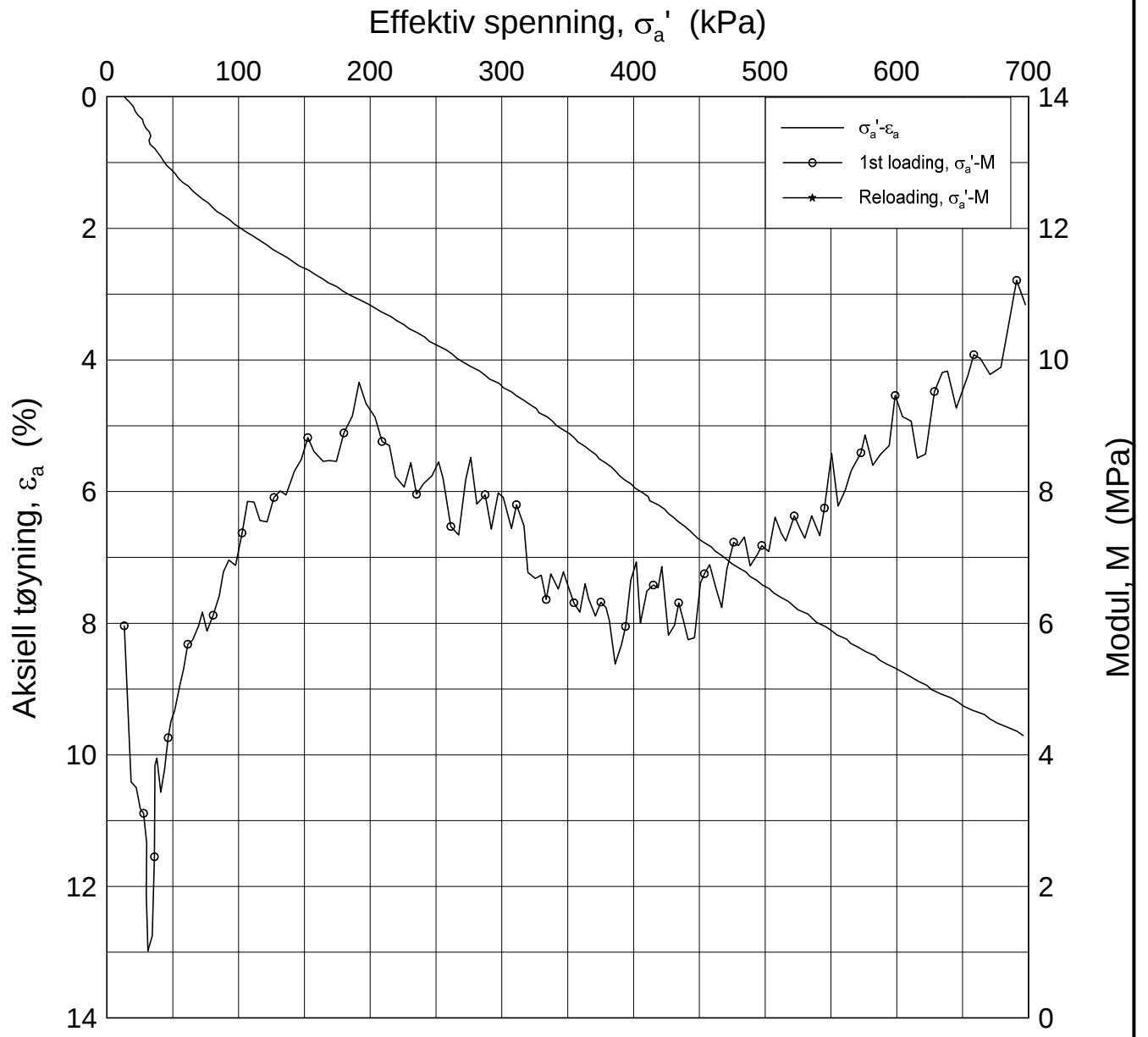
Test: 1

w_i = 39.35 %

Tegner
FI



H:\LABDATA\2012\20120491\Oedom\2379-5-A-1 Lin2 (CRS2596).grf



Dato/Rev.: 2009-09-15/4

E16 Nybakk - Slomarka

Dokumentnr.
20120491-02-R

Ødometer test (CRSC)

Dybde = 5.18 m

Dato
2014-08-05

Borhull: 2379

Sylinder: 5

p'_o = 53.6 kPa

Figurnr.
F266

Del: A

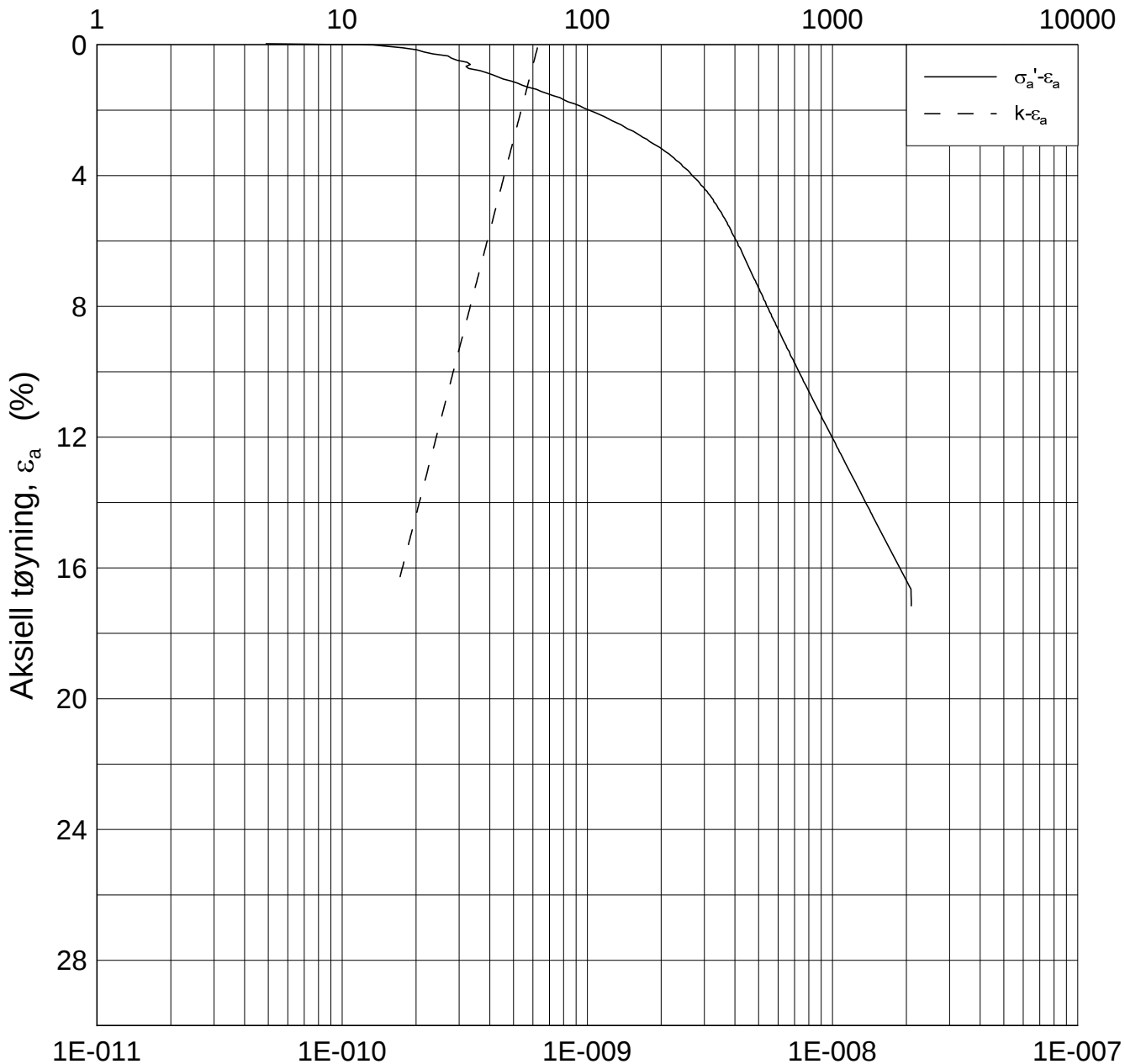
Test: 1

w_i = 39.35 %

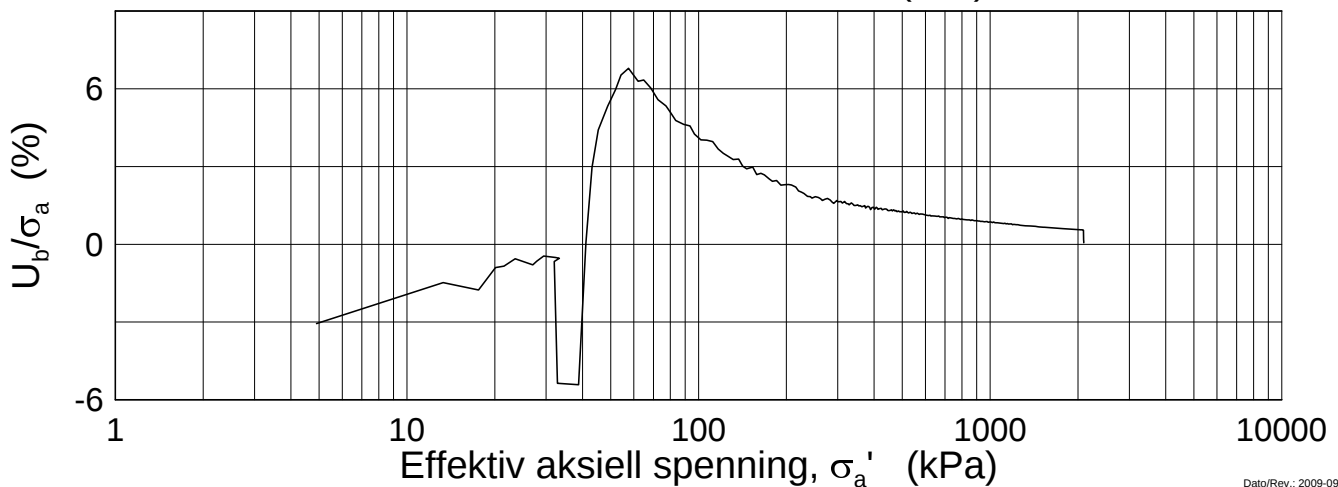
Tegner
FI



Effektiv aksjell spenning, σ_a' (kPa)



Permeabilitetskoeffisient, k (m/s)



Dato/Rev.: 2009-09-15/3

E16 Nybakk - Slomarka

Dokumentnr.
20120491-02-R

Ødometer test (CRSC)

Dybde = 5.18 m

Dato
2014-08-05

Borhull: 2379

Sylinder: 5

p_o' = 53.6 kPa

Figurnr.
F267

Del: A

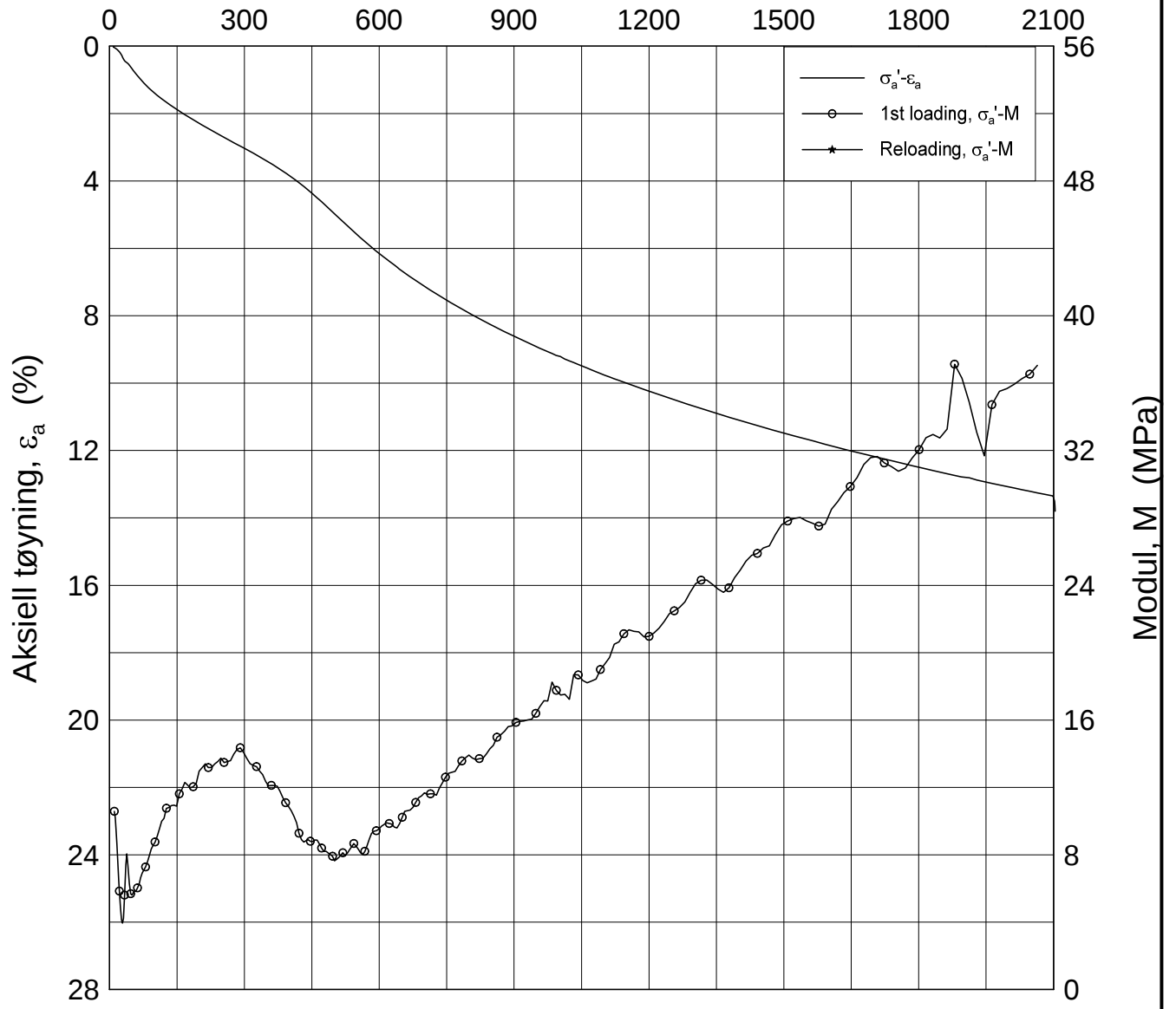
Test: 1

w_i = 39.35 %

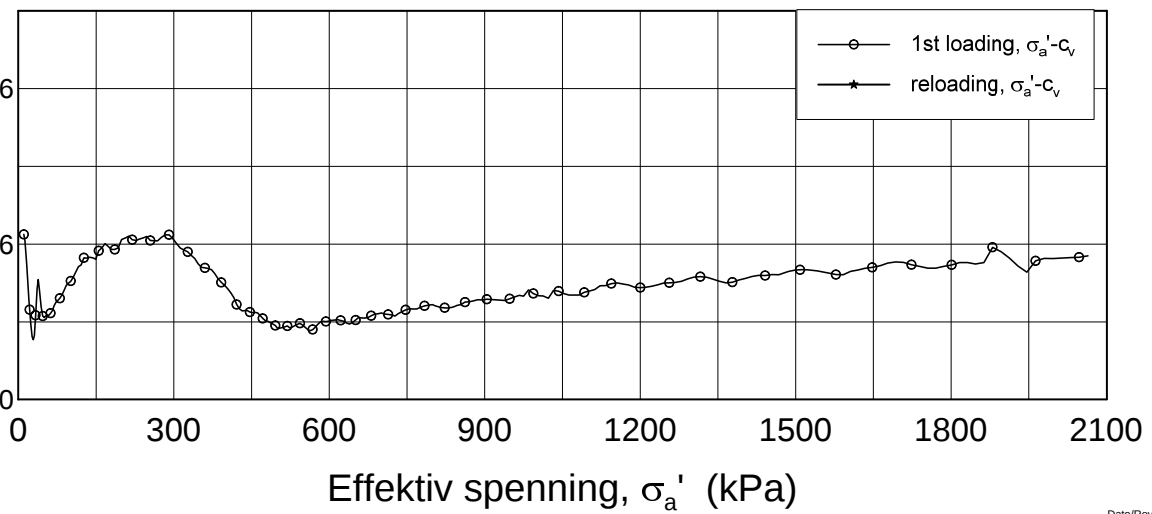
Tegner
FI



Effektiv spenning, σ_a' (kPa)



Konsolideringskoeff., c_v (m²/s)



Dato/Rev.: 2009-09-15/4

E16 Nybakk - Slomarka

Dokumentnr.
20120491-02-R

Ødometer test (CRSC)

Dybde = 10.18 m

Dato
2014-08-05

Borhull: 2379

Sylinder: 10

p_o' = 131.9 kPa

Figurnr.
F268

Del: A

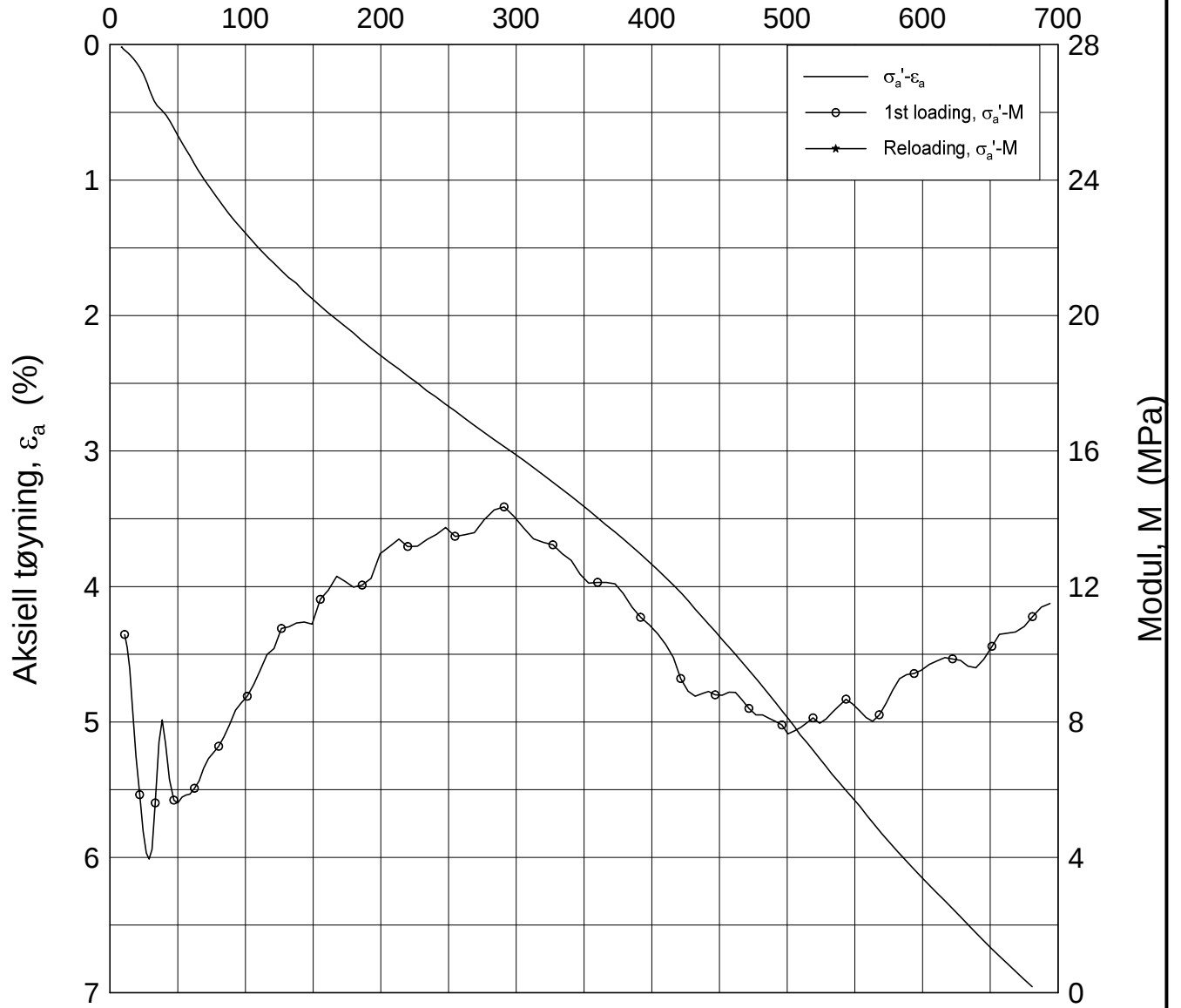
Test: 1

w_i = 32.76 %

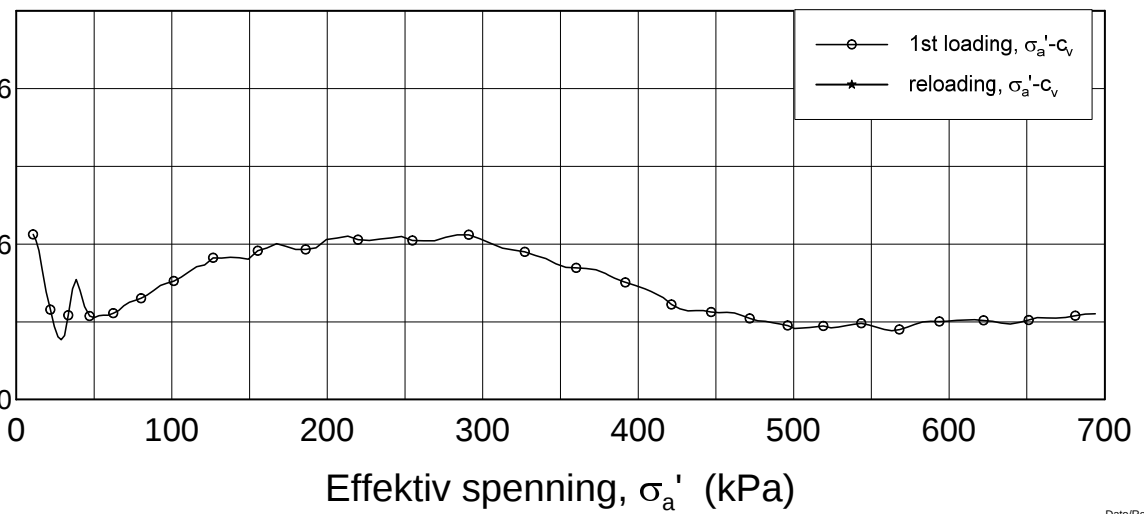
Tegner
FI



Effektiv spenning, σ_a' (kPa)



Konsolideringskoeff., c_v (m²/s)



Dato/Rev.: 2009-09-15/4

E16 Nybakk - Slomarka

Dokumentnr.
20120491-02-R

Ødometer test (CRSC)

Dybde = 10.18 m

Dato
2014-08-05

Borhull: 2379

Sylinder: 10

p_0' = 131.9 kPa

Figurnr.
F269

Del: A

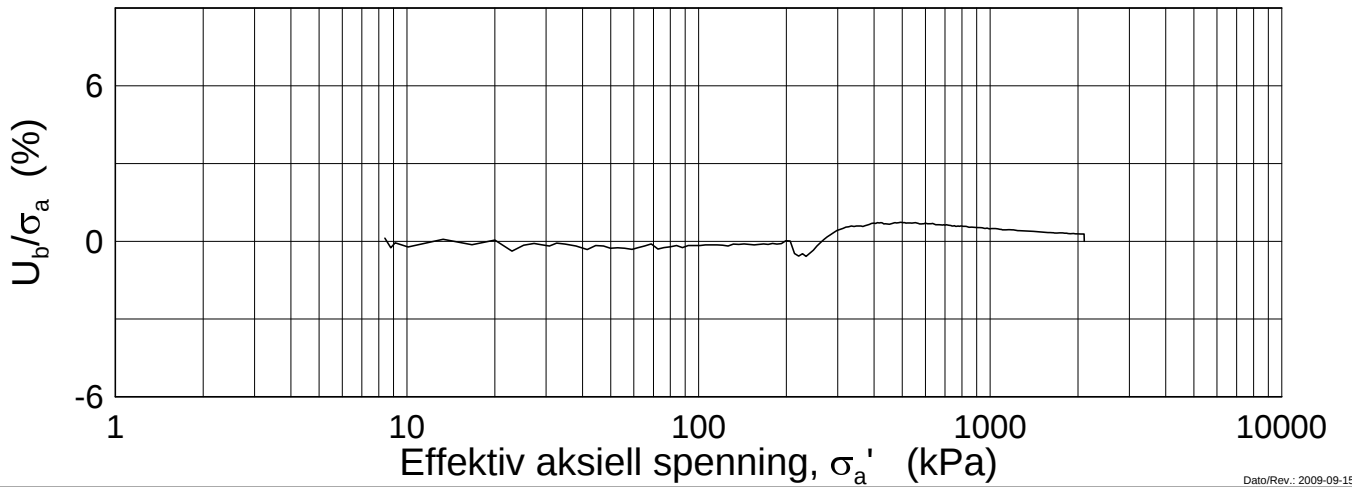
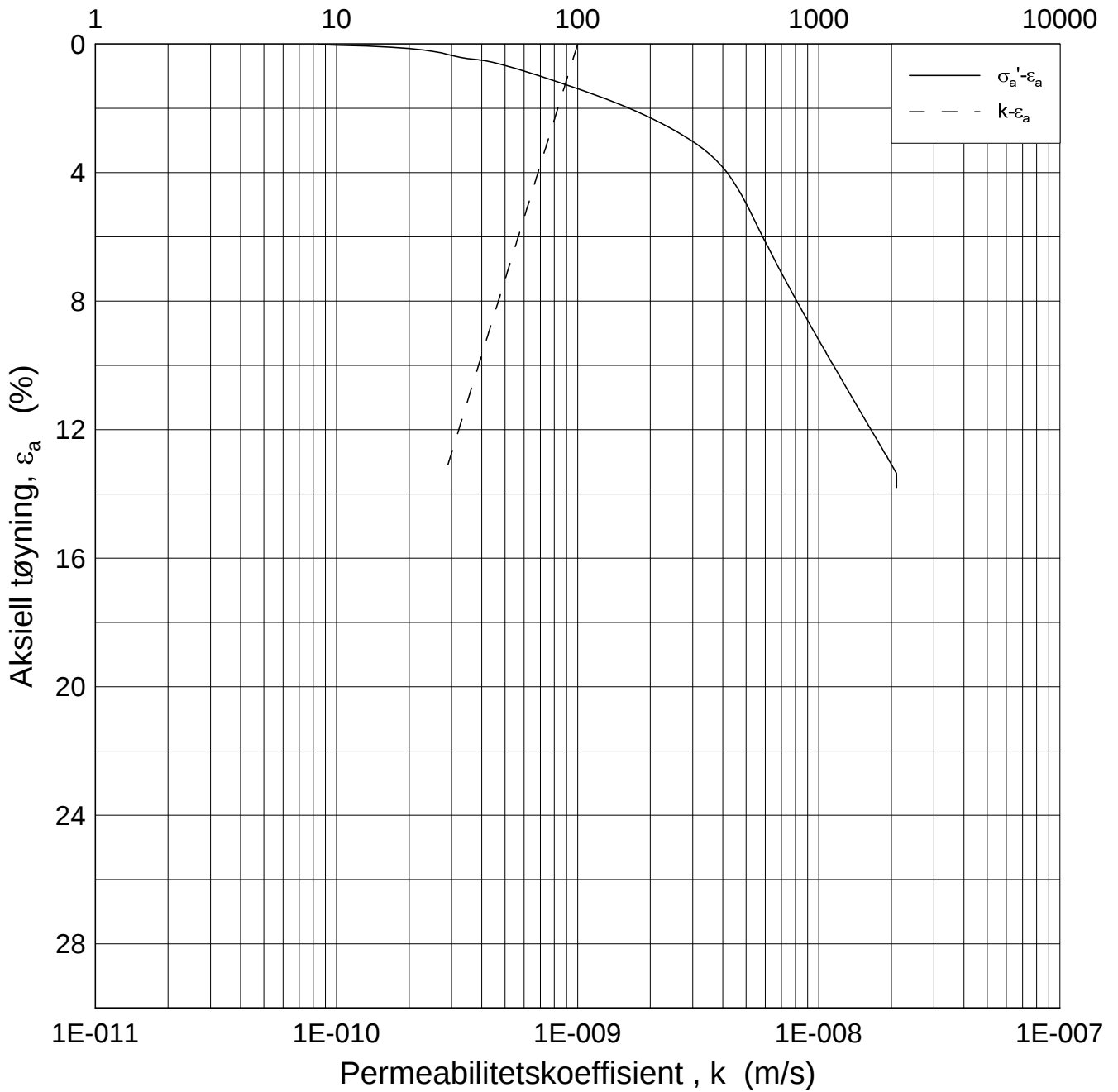
Test: 1

w_i = 32.76 %

Tegner
FI



Effektiv aksjell spenning, σ_a' (kPa)



Dato/Rev.: 2009-09-15/3

E16 Nybakk - Slomarka

Dokumentnr.
20120491-02-R

Ødometer test (CRSC)

Dybde = 10.18 m

Dato
2014-08-05

Borhull: 2379

Sylinder: 10

p_o' = 131.9 kPa

Figurnr.
F270

Del: A

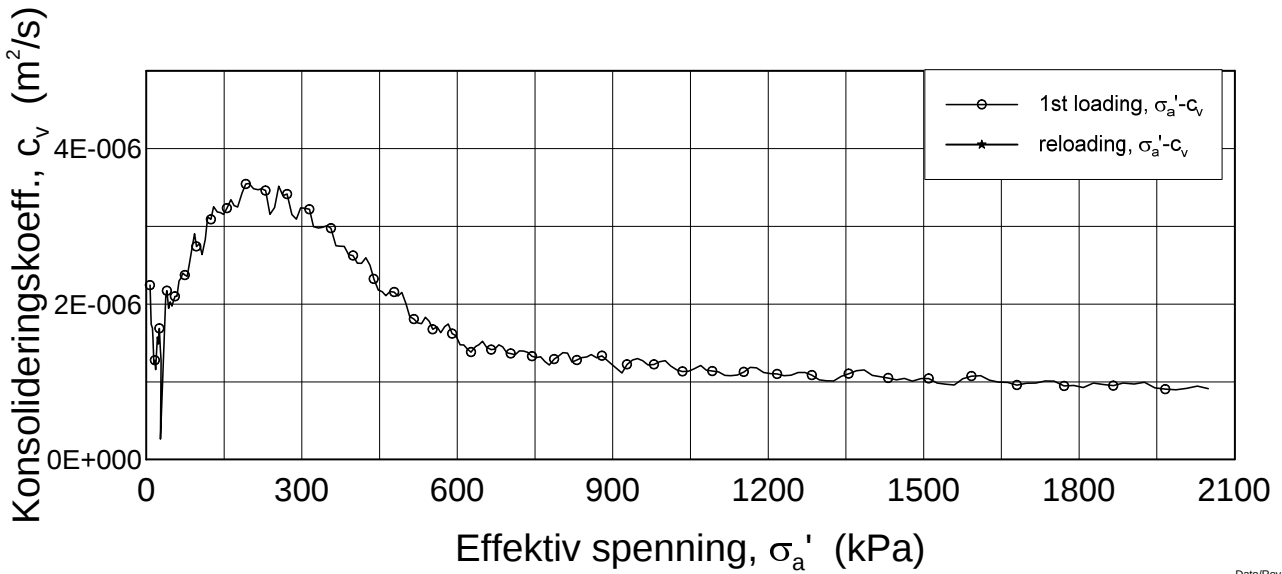
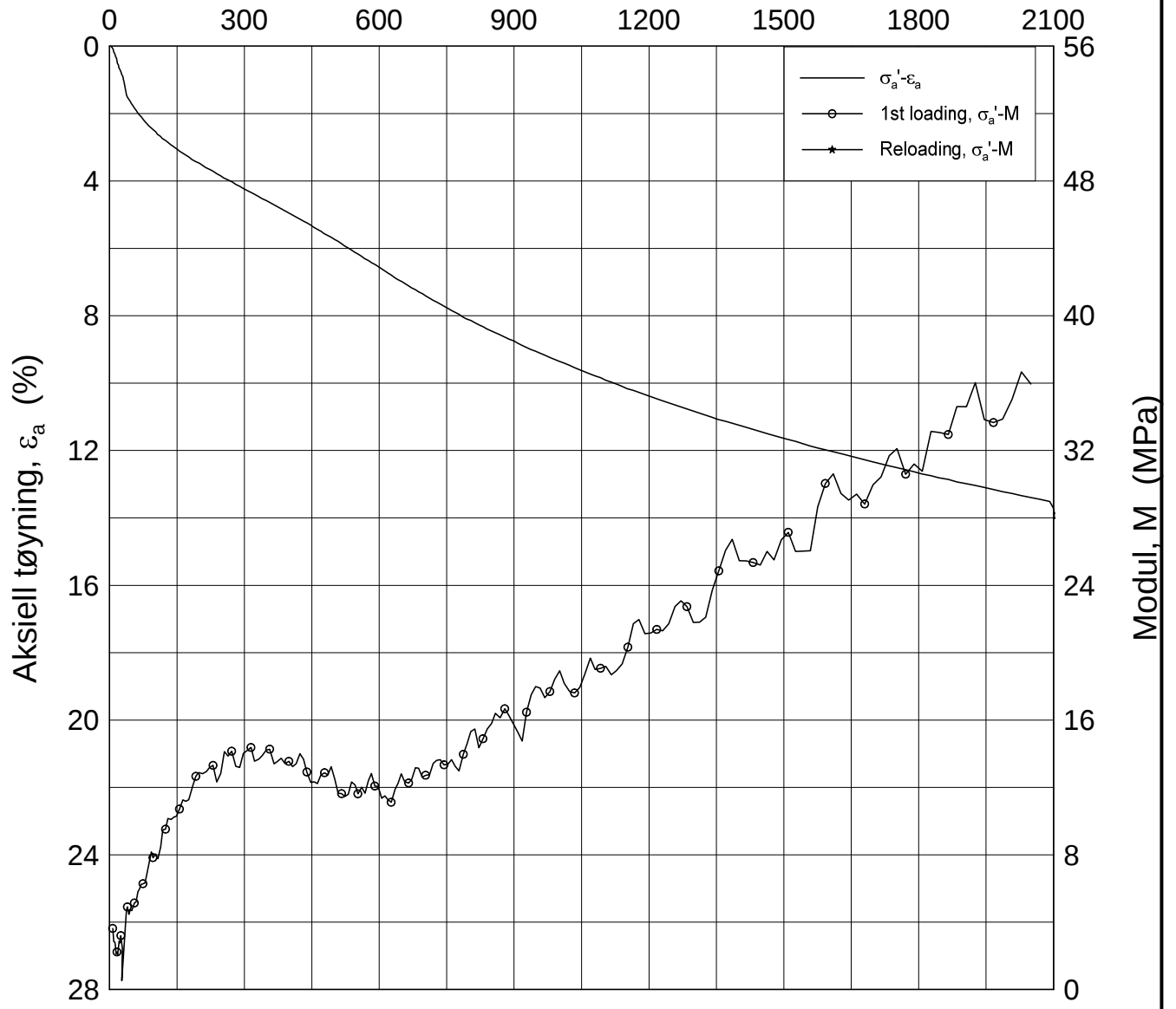
Test: 1

w_i = 32.76 %

Tegner
FI



Effektiv spenning, σ_a' (kPa)



Dato/Rev.: 2009-09-15/4

E16 Nybakk - Slomarka

Dokumentnr.
20120491-02-R

Ødometer test (CRSC)

Dybde = 14.46 m

Dato
2014-08-05

Borhull: 2379

Sylinder: 14

p_0' = 174.3 kPa

Figurnr.
F271

Del: A

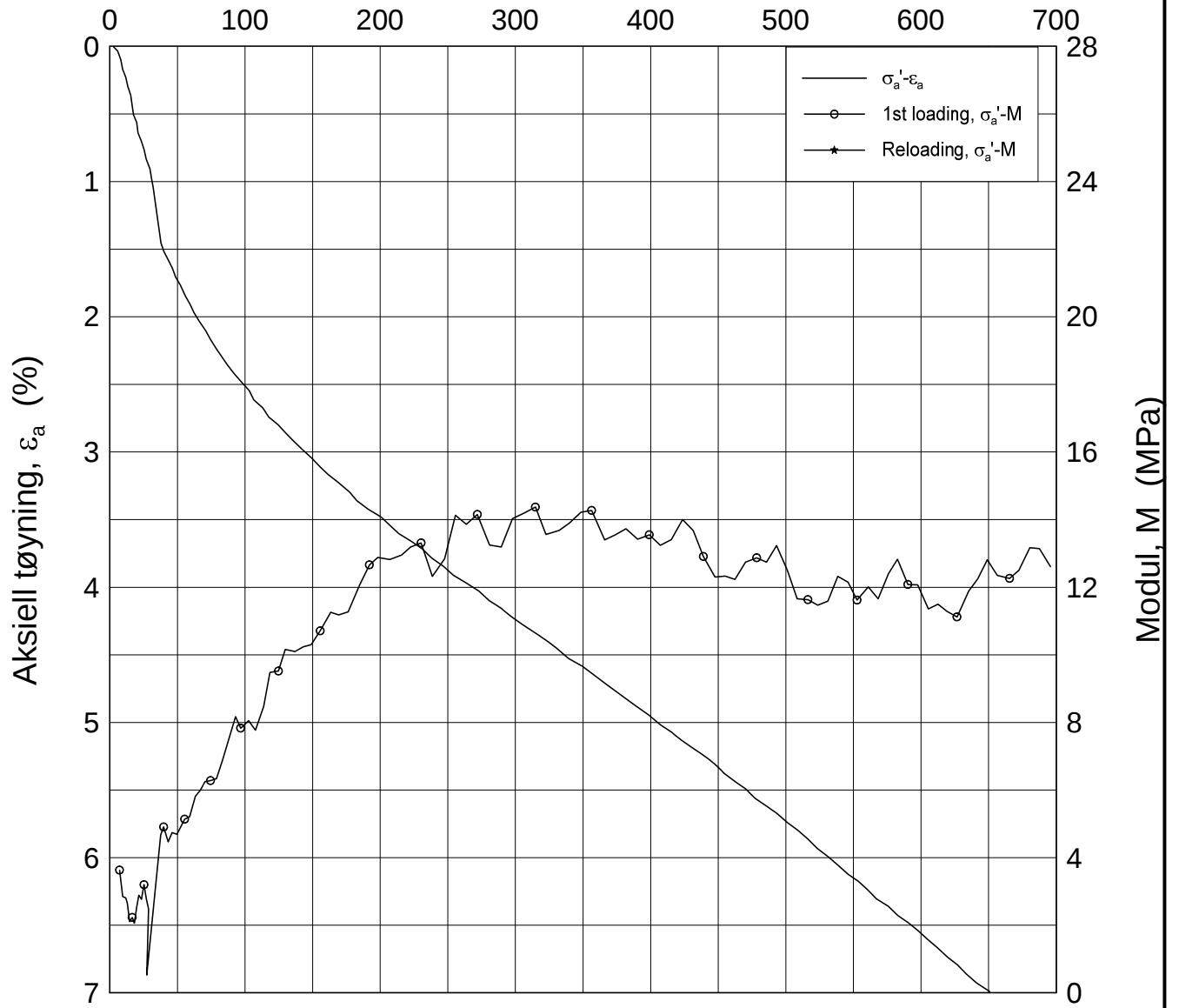
Test: 3

w_i = 31.86 %

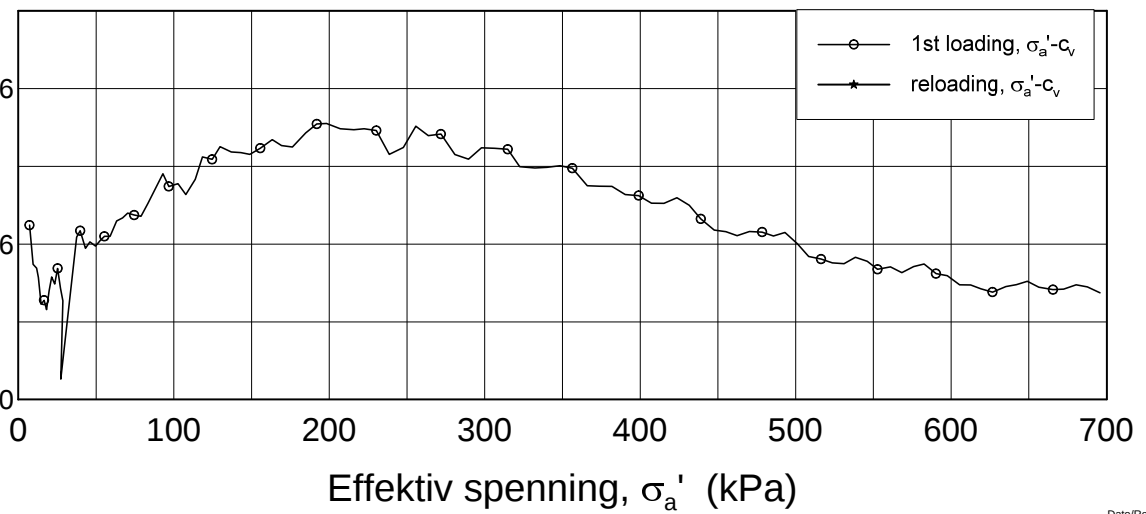
Tegner
FI



Effektiv spenning, σ_a' (kPa)



Konsolideringskoeff., c_v (m²/s)



Dato/Rev.: 2009-09-15/4

E16 Nybakk - Slomarka

Dokumentnr.
20120491-02-R

Ødometer test (CRSC)

Dybde = 14.46 m

Dato
2014-08-05

Borhull: 2379

Sylinder: 14

p_o' = 174.3 kPa

Figurnr.
F272

Del: A

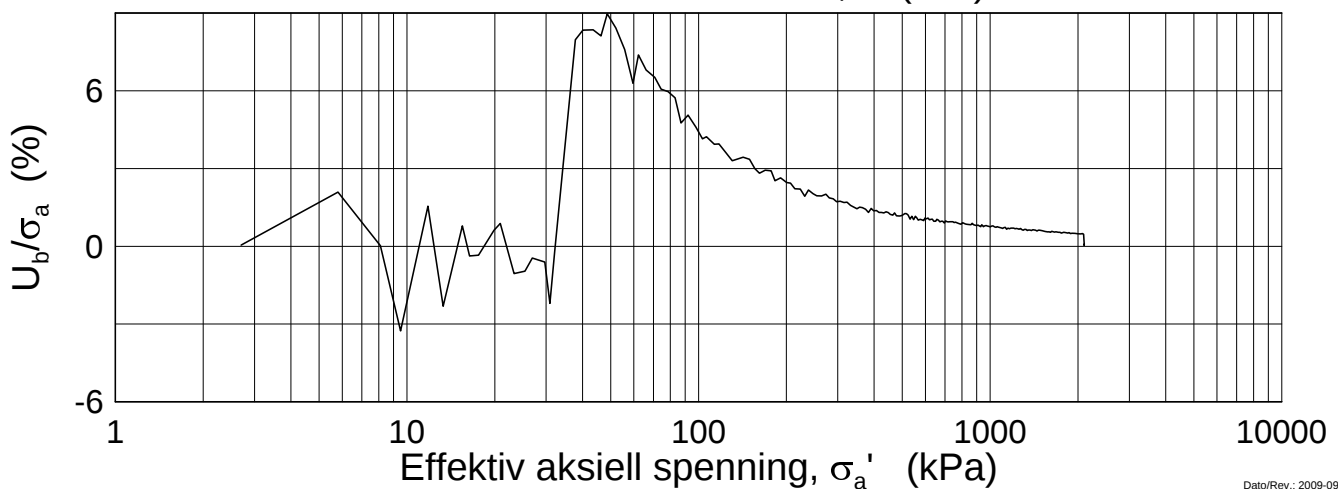
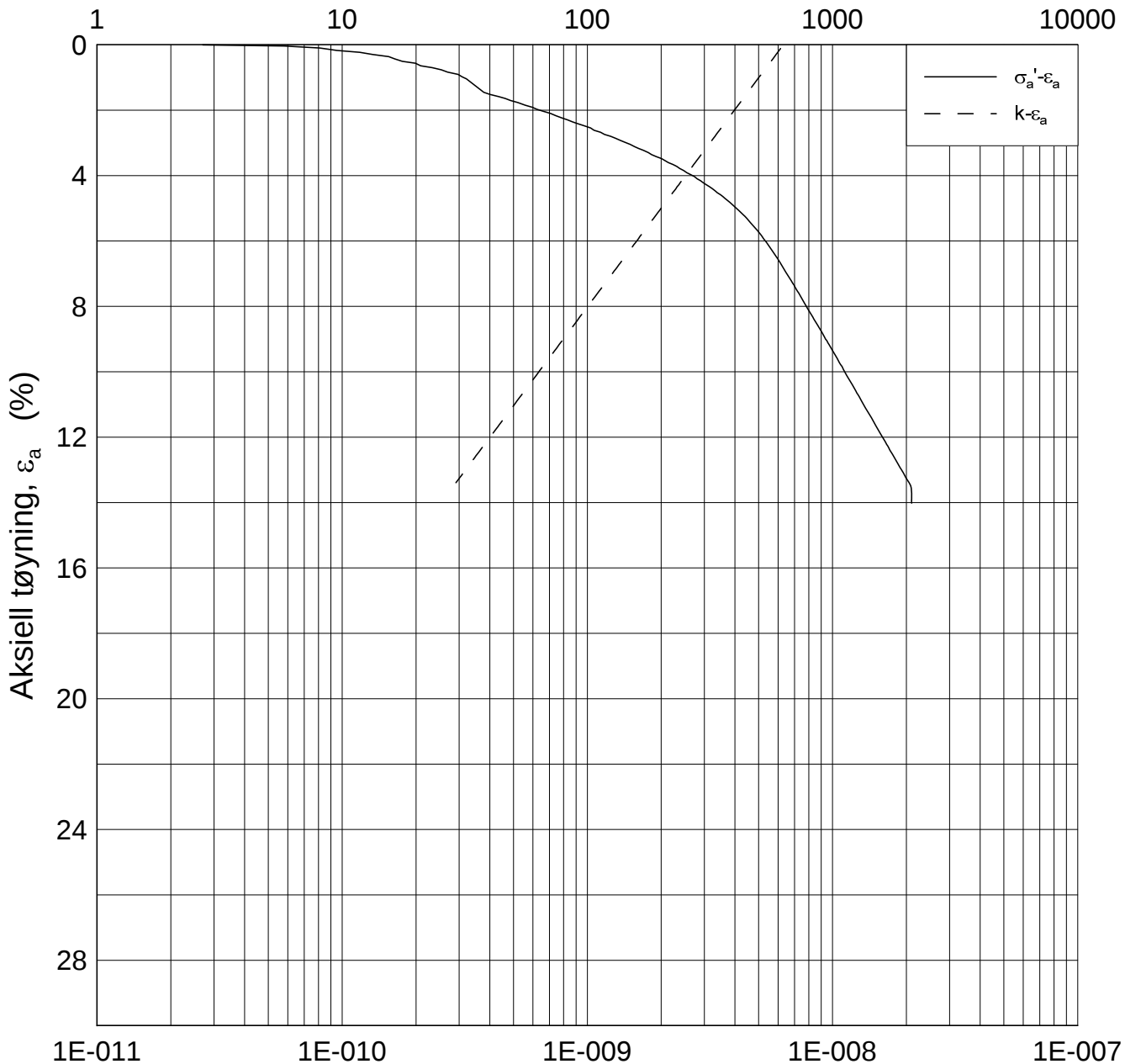
Test: 3

w_i = 31.86 %

Tegner
FI



Effektiv aksiell spenning, σ_a' (kPa)



Dato/Rev.: 2009-09-15/3

E16 Nybakk - Slomarka

Dokumentnr.
20120491-02-R

Ødometer test (CRSC)

Dybde = 14.46 m

Dato
2014-08-05

Borhull: 2379

Sylinder: 14

p_o' = 174.3 kPa

Figurnr.
F273

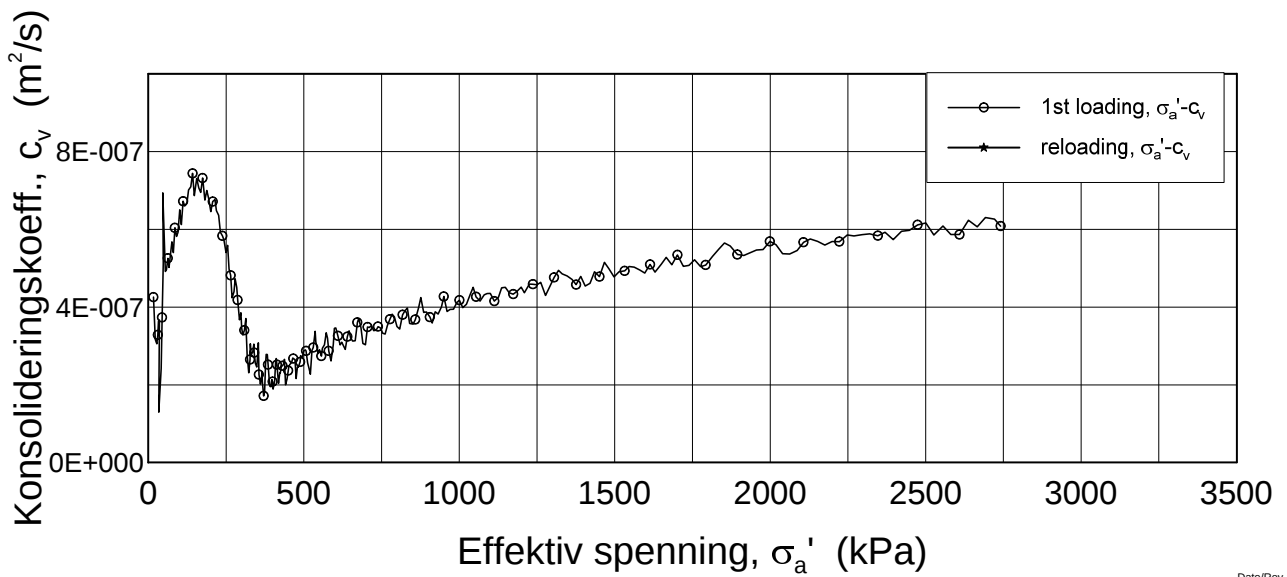
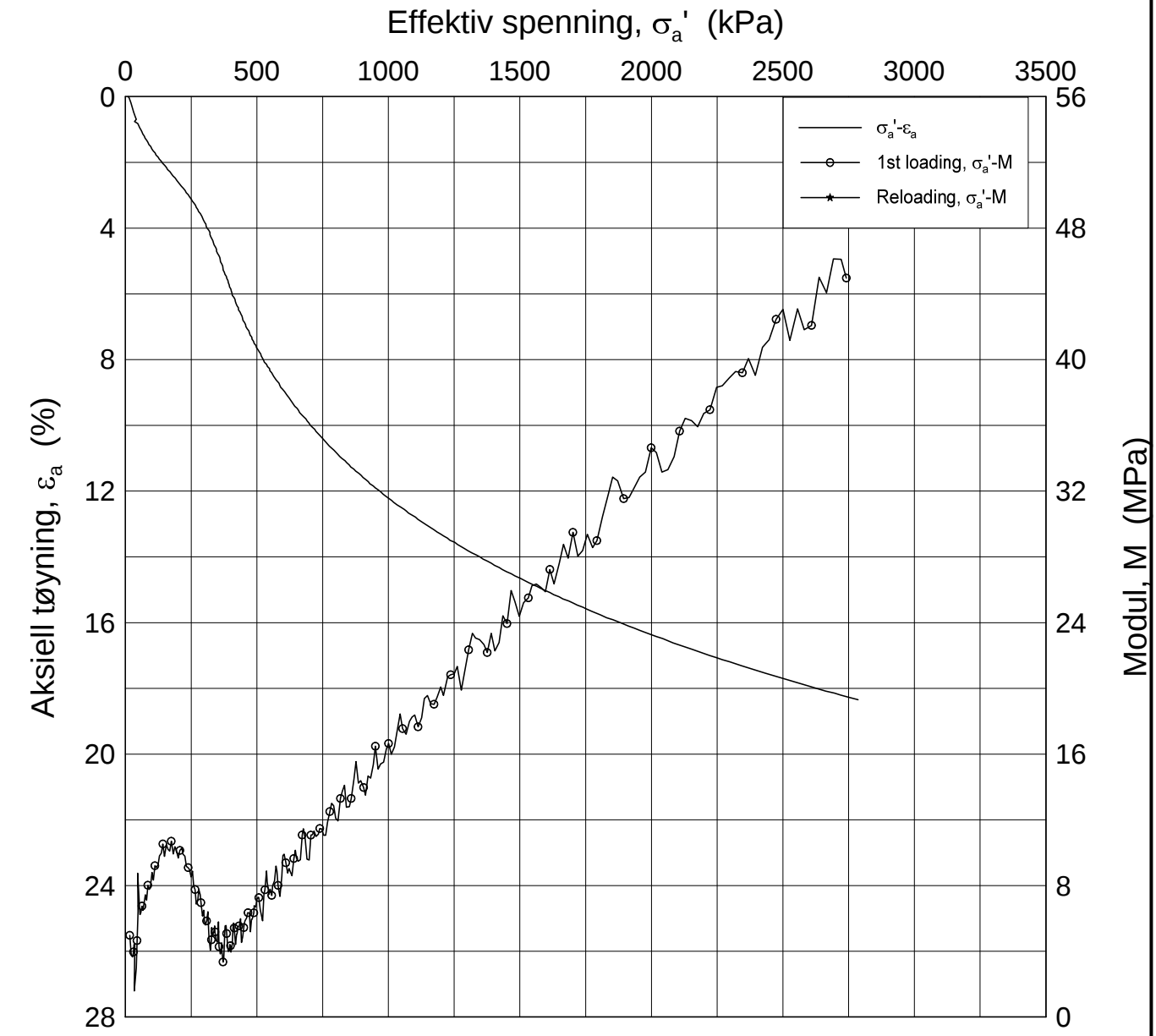
Del: A

Test: 3

w_i = 31.86 %

Tegner
FI





Dato/Rev.: 2009-09-15/4

E16 Nybakk - Slomarka

Dokumentnr.
20120491-02-R

Ødometer test (CRSC)

Dybde = 6.46 m

Dato
2014-08-05

Borhull: 2411

Sylinder: 6

p'_o = 50.3 kPa

Figurnr.
F274

Del: A

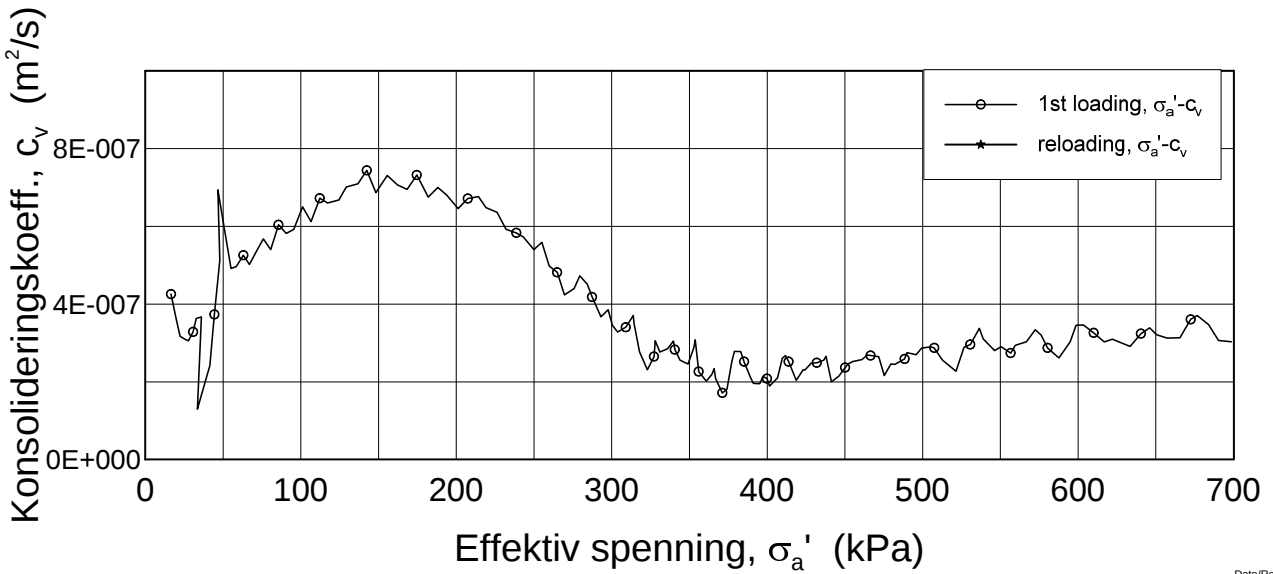
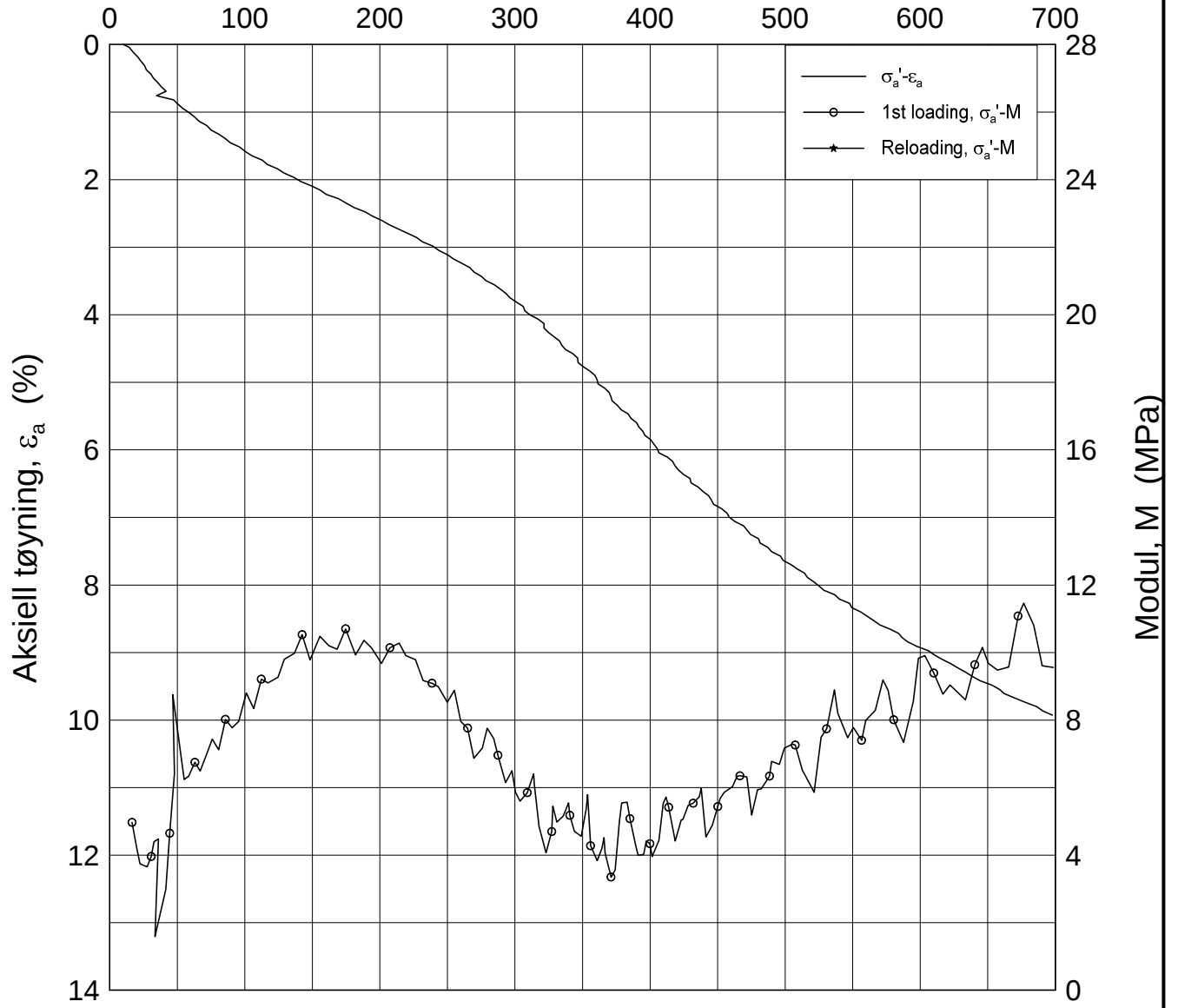
Test: 3

w_i = 36.61 %

Tegner
FI



Effektiv spenning, σ_a' (kPa)



Dato/Rev.: 2009-09-15/4

E16 Nybakk - Slomarka

Dokumentnr.
20120491-02-R

Ødometer test (CRSC)

Dybde = 6.46 m

Dato
2014-08-05

Borhull: 2411

Sylinder: 6

p_o' = 50.3 kPa

Figurnr.
F275

Del: A

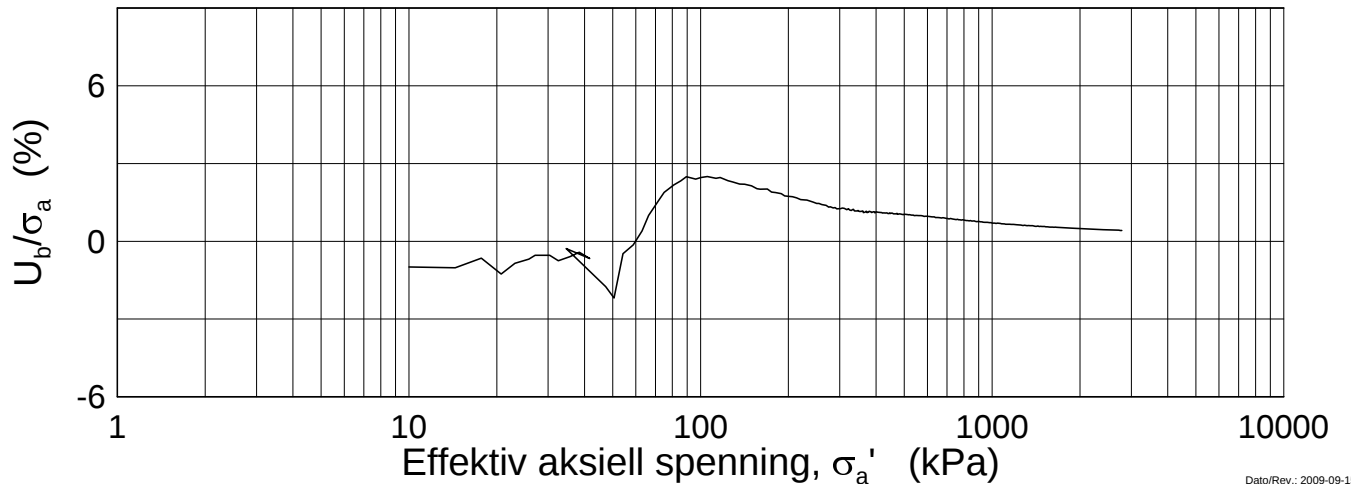
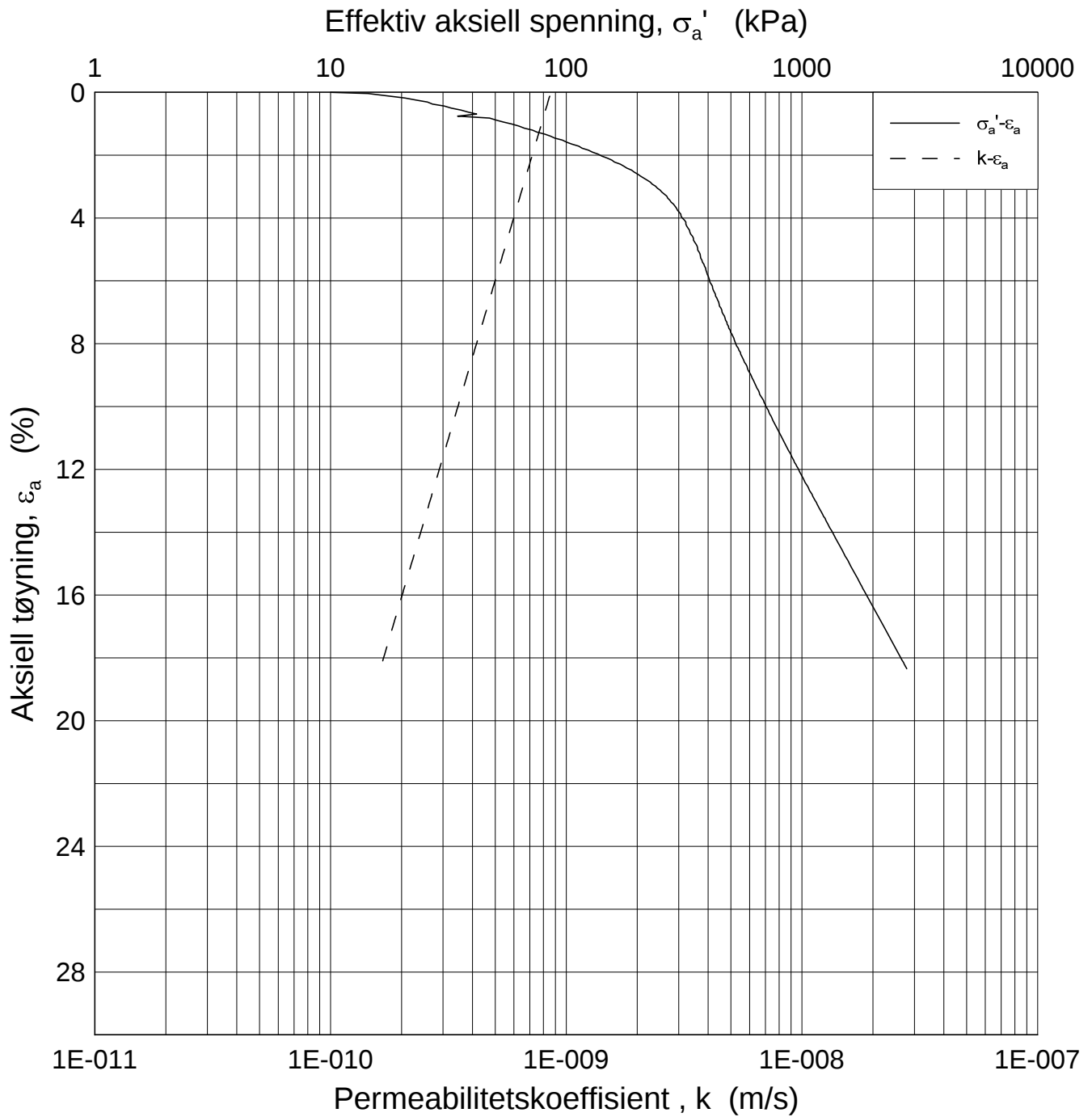
Test: 3

w_i = 36.61 %


Tegner
FI



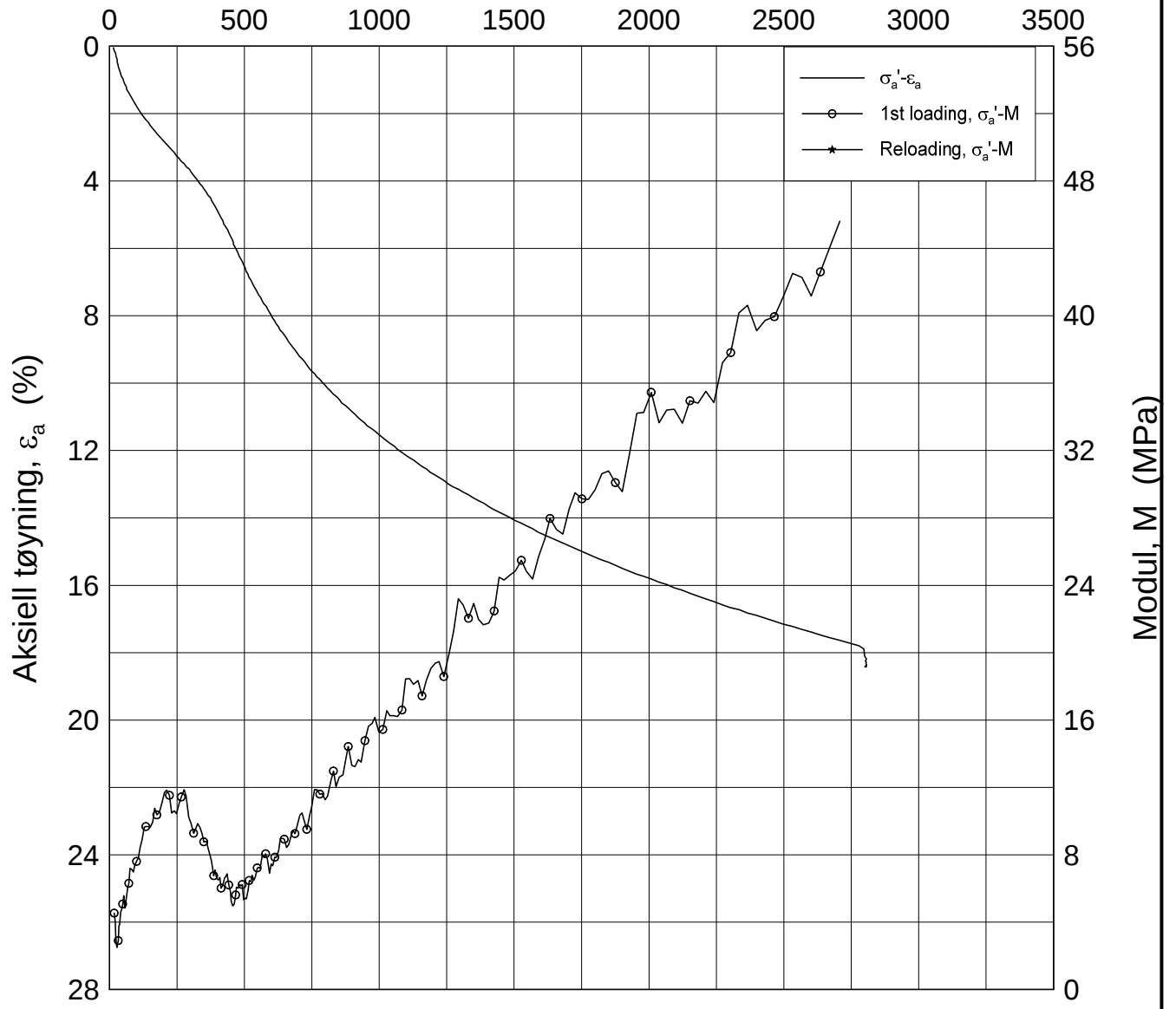
H:\LABDATA\2012\20120491\Oedom\2411-6-A-3 Log(CRS2627).grf



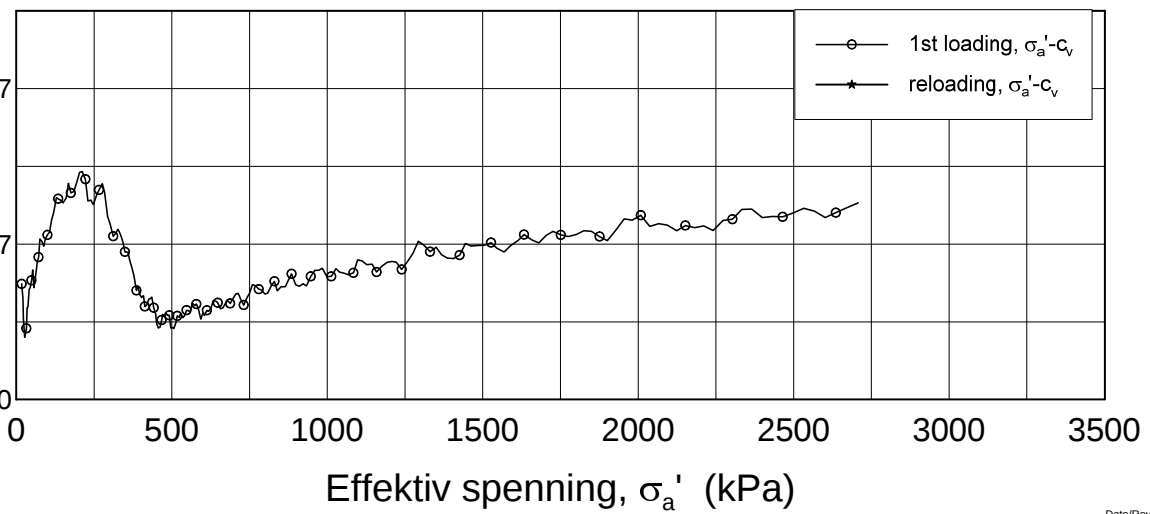
Dato/Rev.: 2009-09-15/3

E16 Nybakk - Slomarka				Dokumentnr. 20120491-02-R
Ødometer test (CRSC)				Dato 2014-08-05
Borhull: 2411	Sylinder: 6	Dybde = 6.46	m	Figurnr. F276
Del: A	Test: 3	$p'_o = 50.3$	kPa	Tegner FI
		$w_i = 36.61$	%	

Effektiv spenning, σ_a' (kPa)



Konsolideringskoeff., c_v (m^2/s)



Dato/Rev.: 2009-09-15/4

E16 Nybakk - Slomarka

Dokumentnr.
20120491-02-R

Ødometer test (CRSC)

Dybde = 12.46 m

Dato
2014-08-05

Borhull: 2411

Sylinder: 12

p_o' = 117.9 kPa

Figurnr.
F277

Del: A

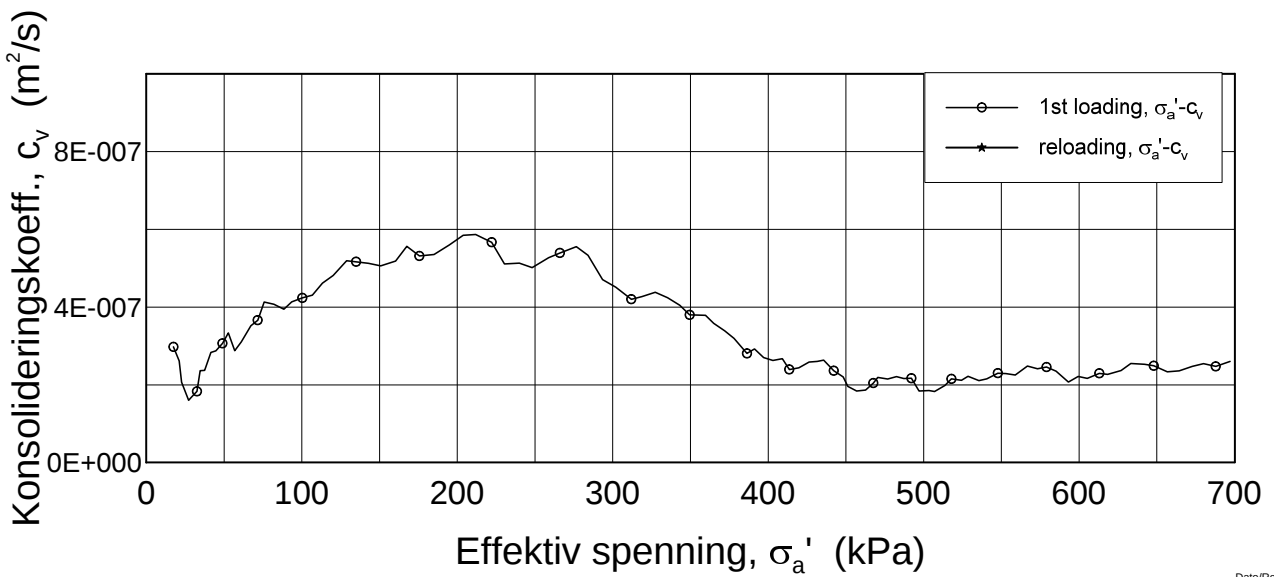
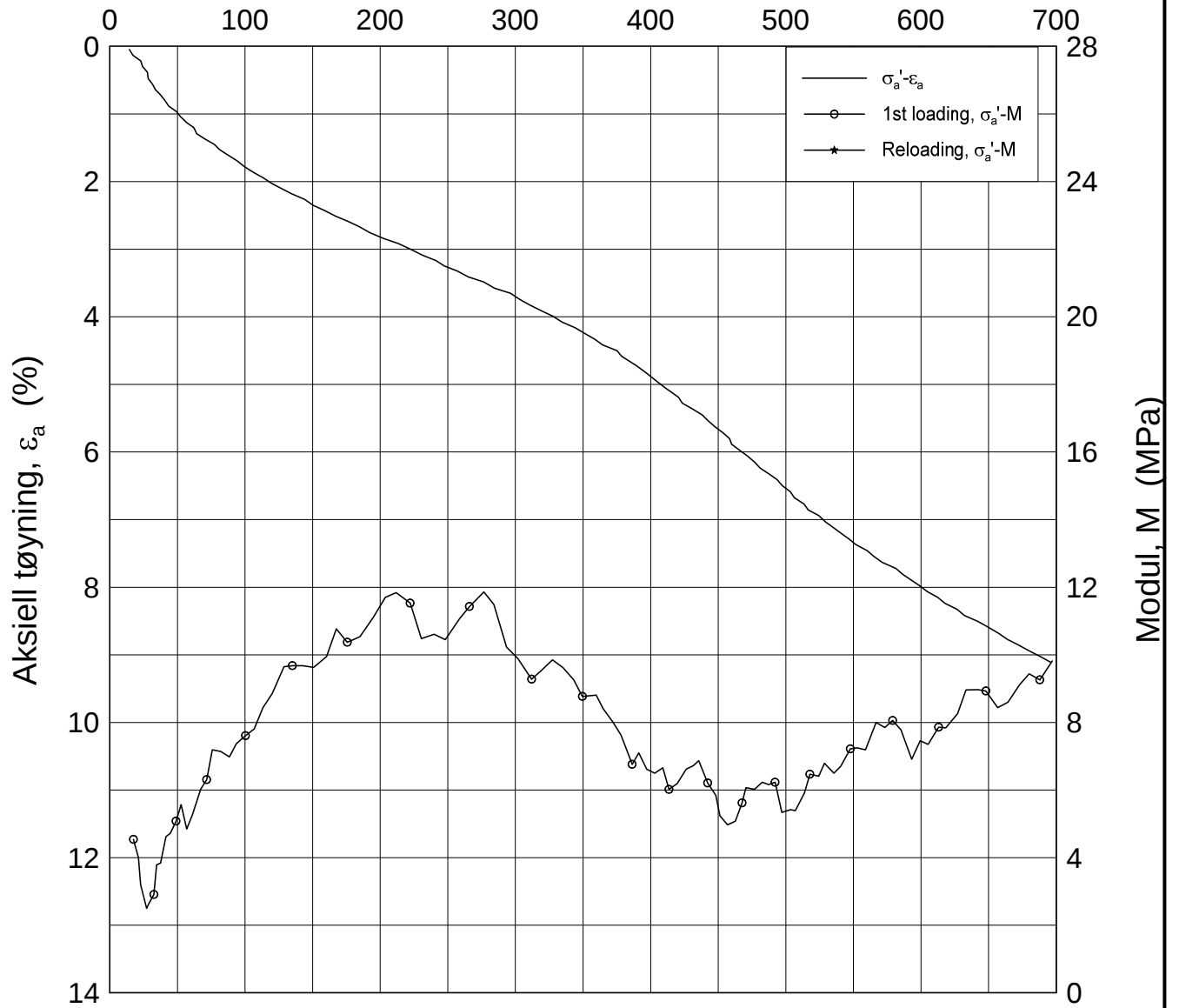
Test: 3

w_i = 37.09 %

Tegner
FI



Effektiv spenning, σ_a' (kPa)



Dato/Rev.: 2009-09-15/4

E16 Nybakk - Slomarka

Dokumentnr.
20120491-02-R

Ødometer test (CRSC)

Dybde = 12.46 m

Dato
2014-08-05

Borhull: 2411

Sylinder: 12

p_0' = 117.9 kPa

Figurnr.
F278

Del: A

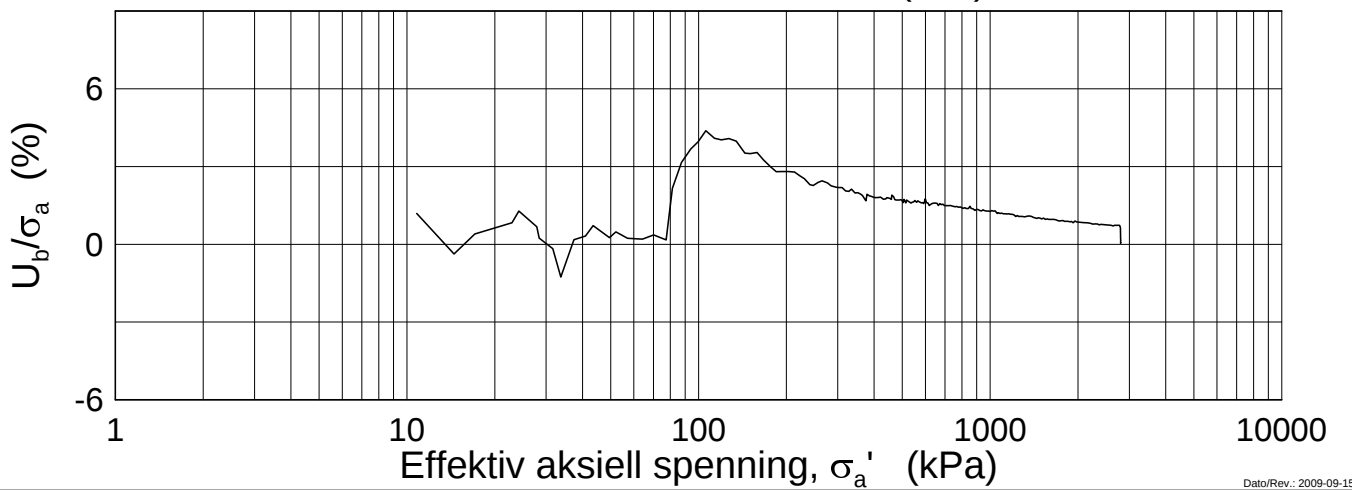
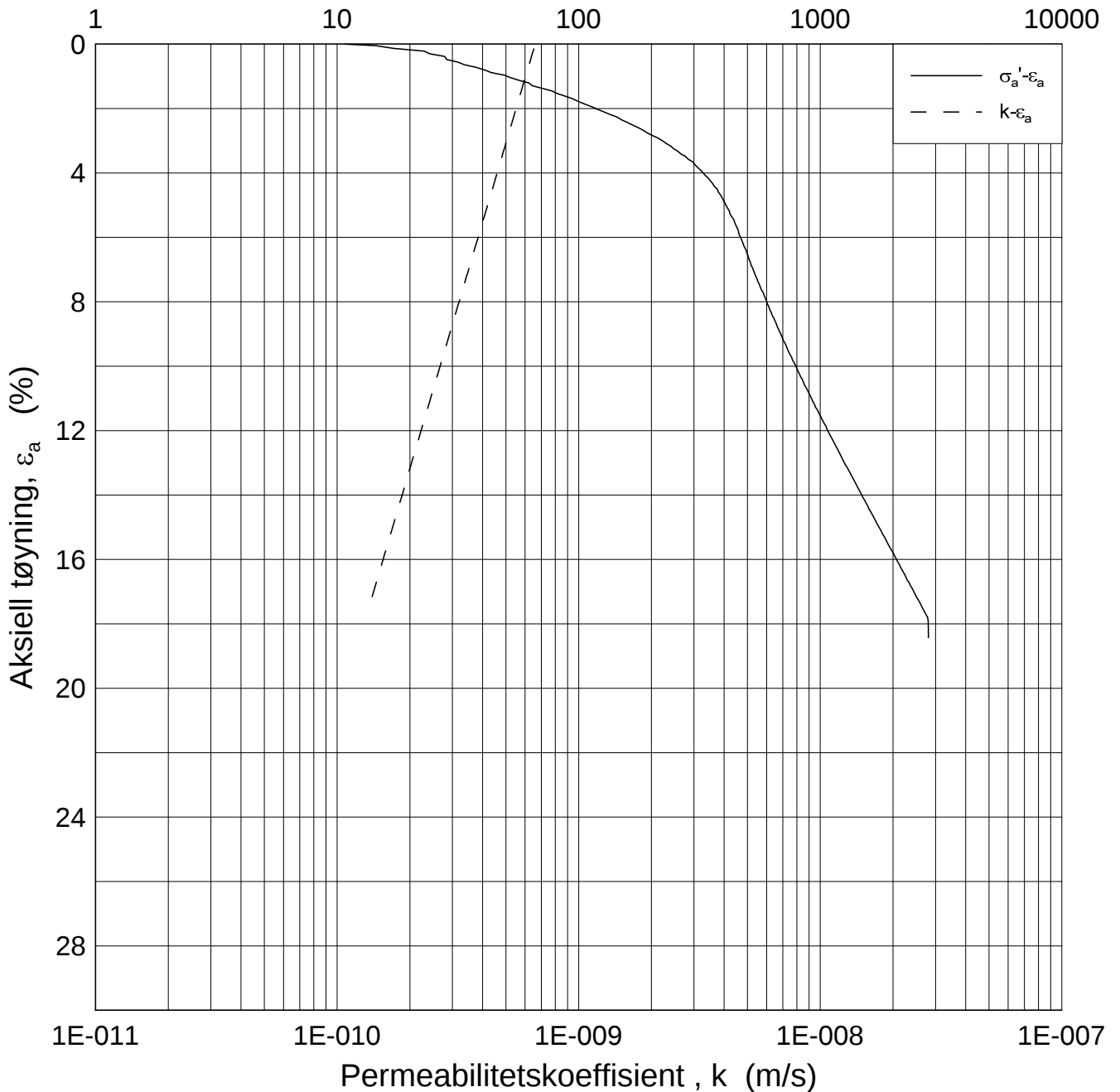
Test: 3

w_i = 37.09 %

Tegner
FI



Effektiv aksjell spenning, σ_a' (kPa)



Dato/Rev.: 2009-09-15/3

E16 Nybakk - Slomarka

Dokumentnr.
20120491-02-R

Ødometer test (CRSC)

Dybde = 12.46 m

Dato
2014-08-05

Borhull: 2411

Sylinder: 12

p_o' = 117.9 kPa

Figurnr.
F279

Del: A

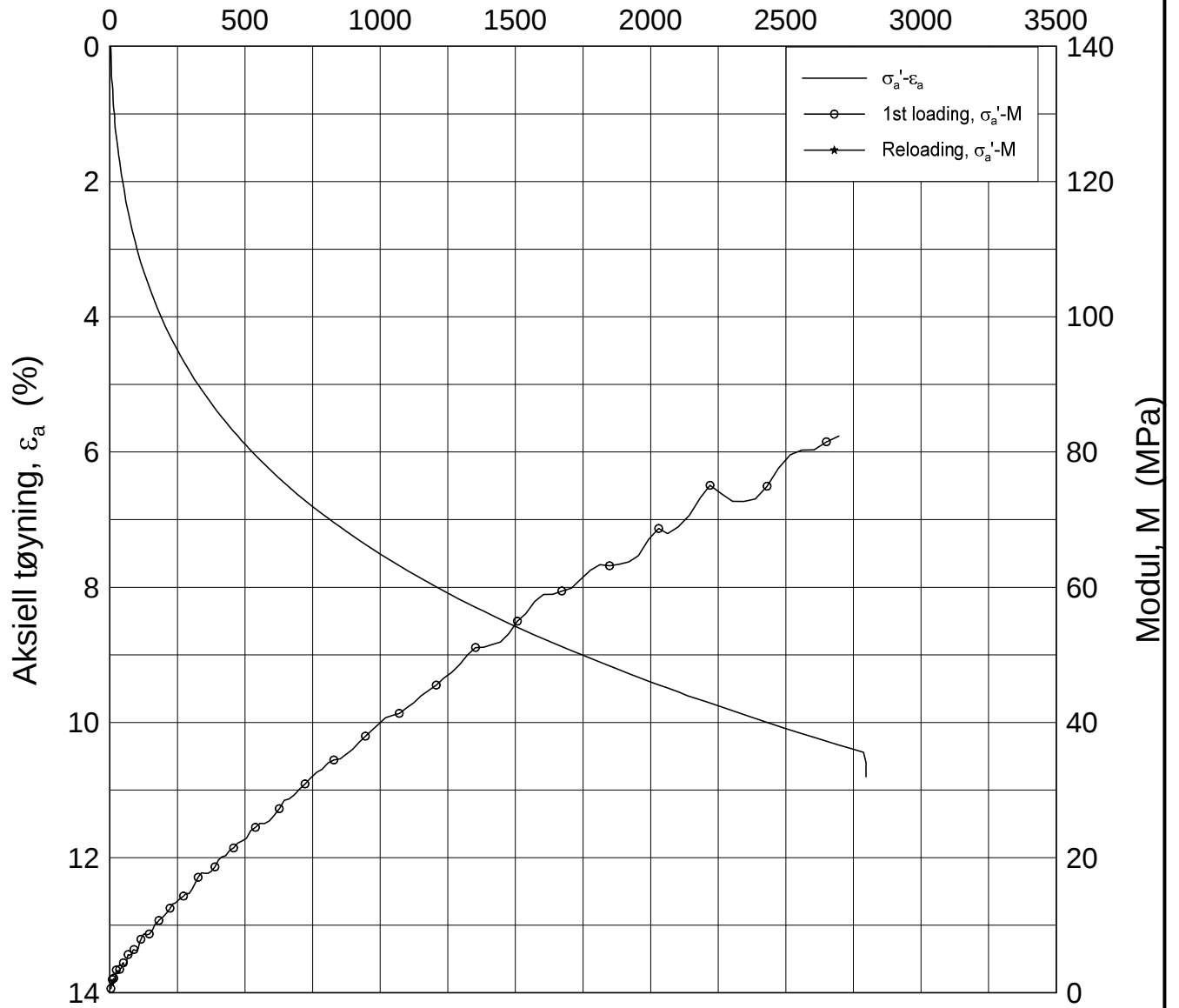
Test: 3

w_i = 37.09 %

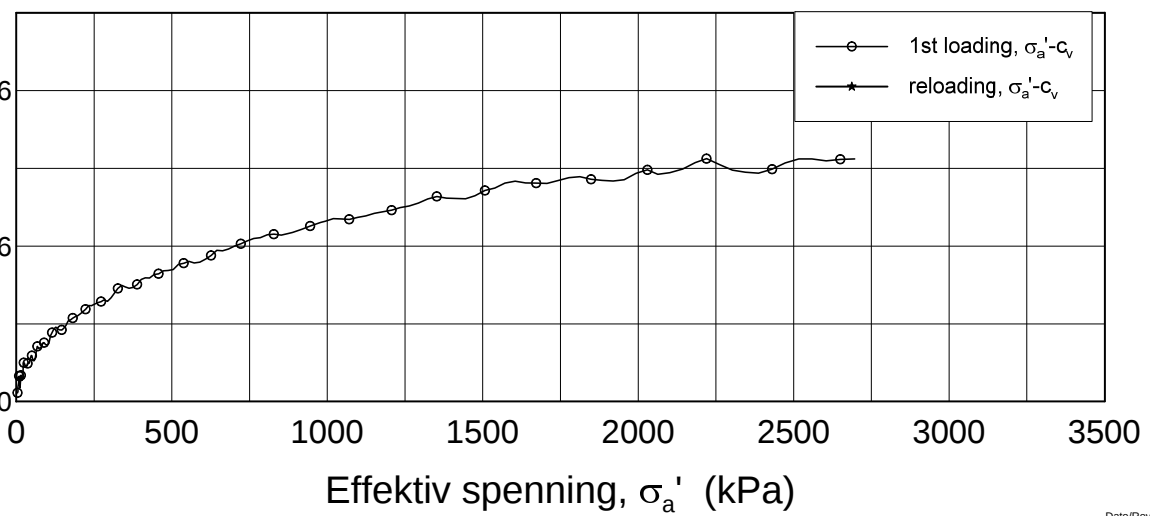
Tegner
FI



Effektiv spenning, σ_a' (kPa)



Konsolideringskoeff., c_v (m²/s)



Dato/Rev.: 2009-09-15/4

E16 Nybakk - Slomarka

Dokumentnr.
20120491-02-R

Ødometer test (CRSC)

Dybde = 18.48 m

Dato
2014-08-05

Borhull: 2411

Sylinder: 16

p_0' = 172.9 kPa

Figurnr.
F280

Del: A

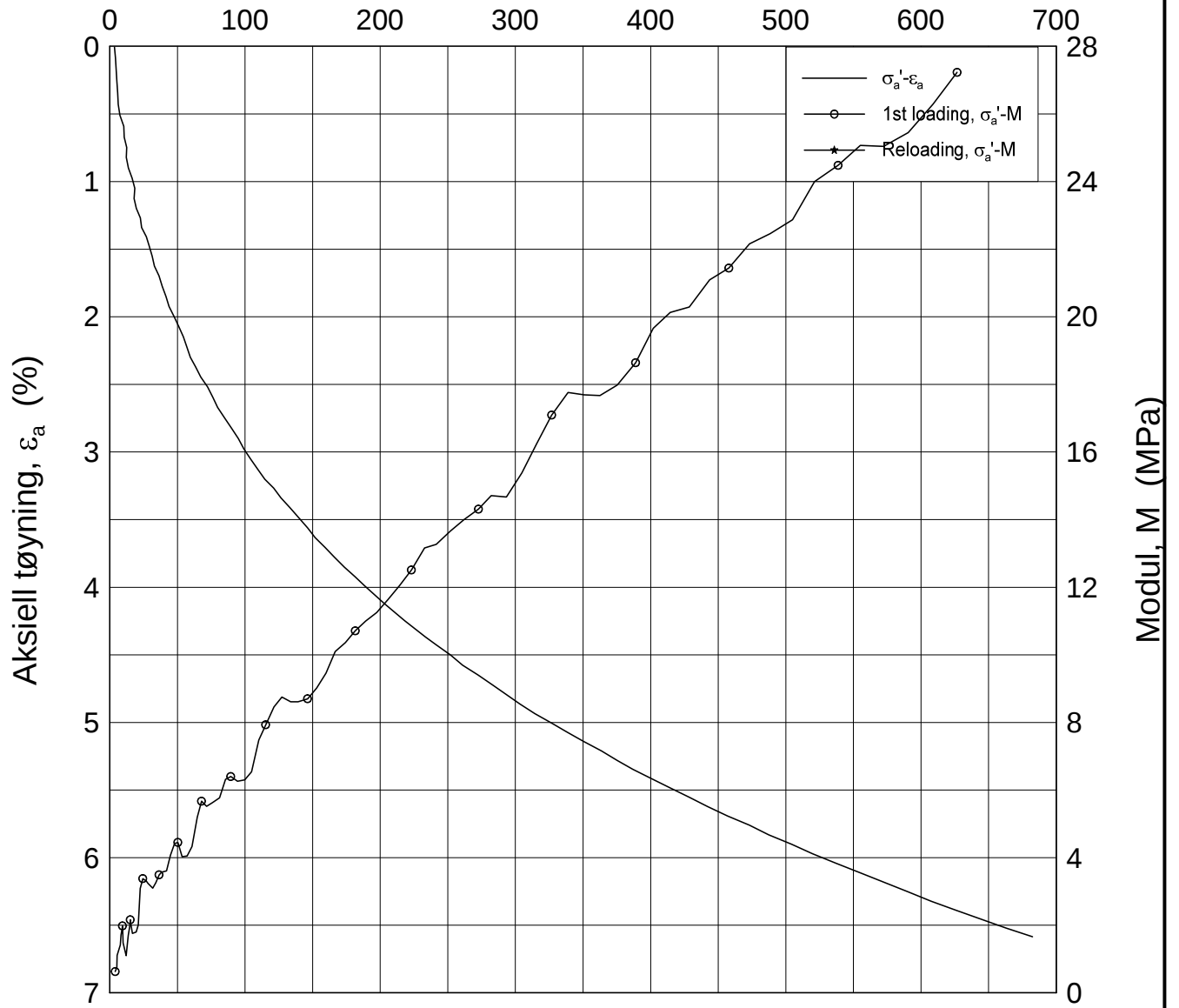
Test: 3

w_i = 26.47 %

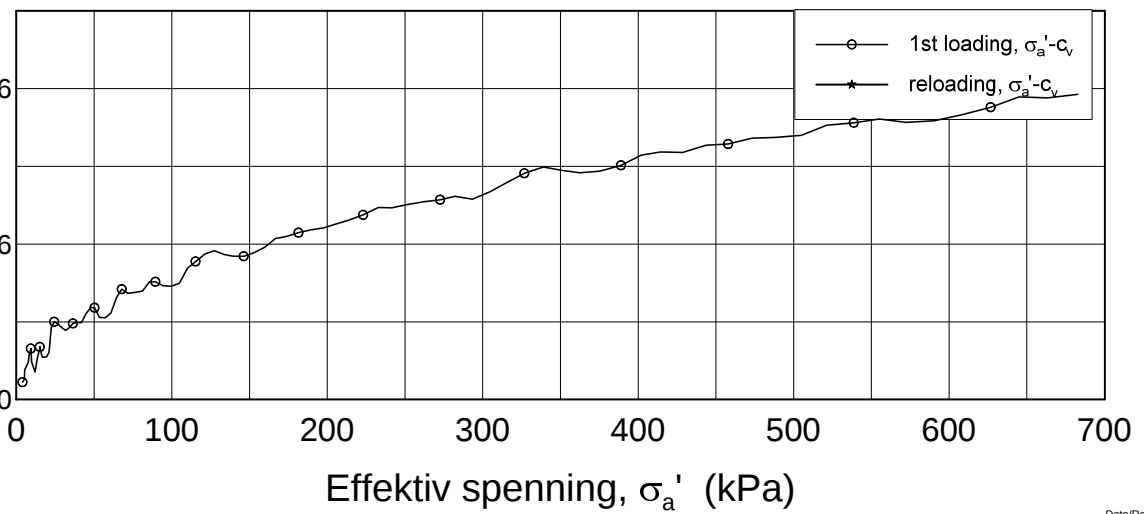
Tegner
FI



Effektiv spenning, σ_a' (kPa)



Konsolideringskoeff., c_v (m²/s)



Dato/Rev.: 2009-09-15/4

E16 Nybakk - Slomarka

Dokumentnr.
20120491-02-R

Ødometer test (CRSC)

Dybde = 18.48 m

Dato
2014-08-05

Borhull: 2411

Sylinder: 16

p_0' = 172.9 kPa

Figurnr.
F281

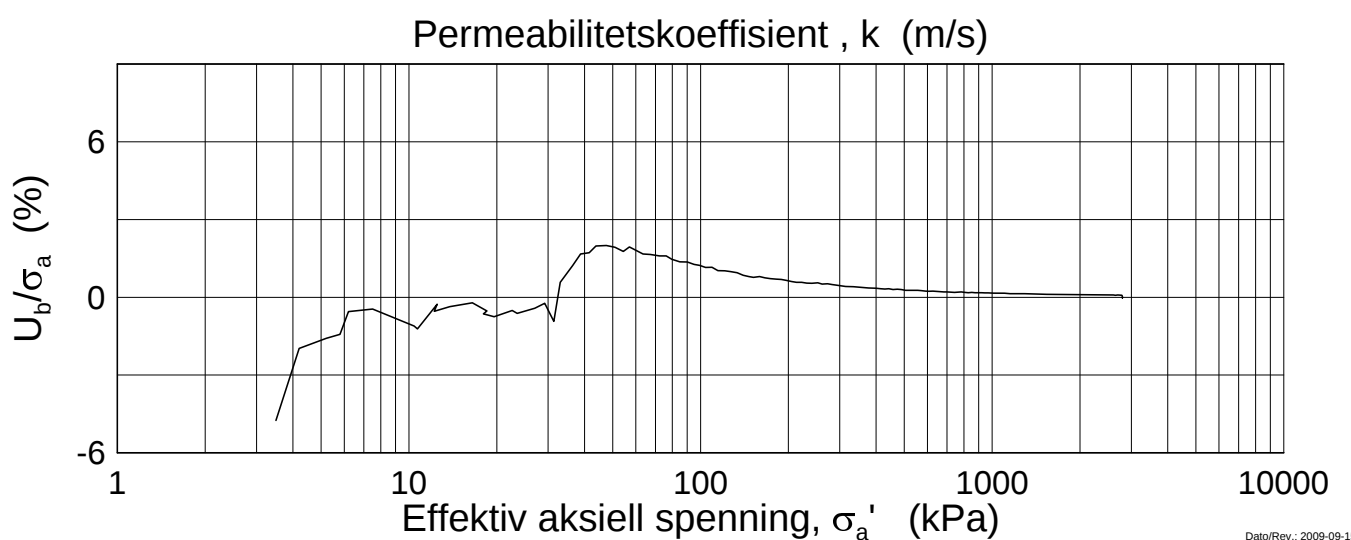
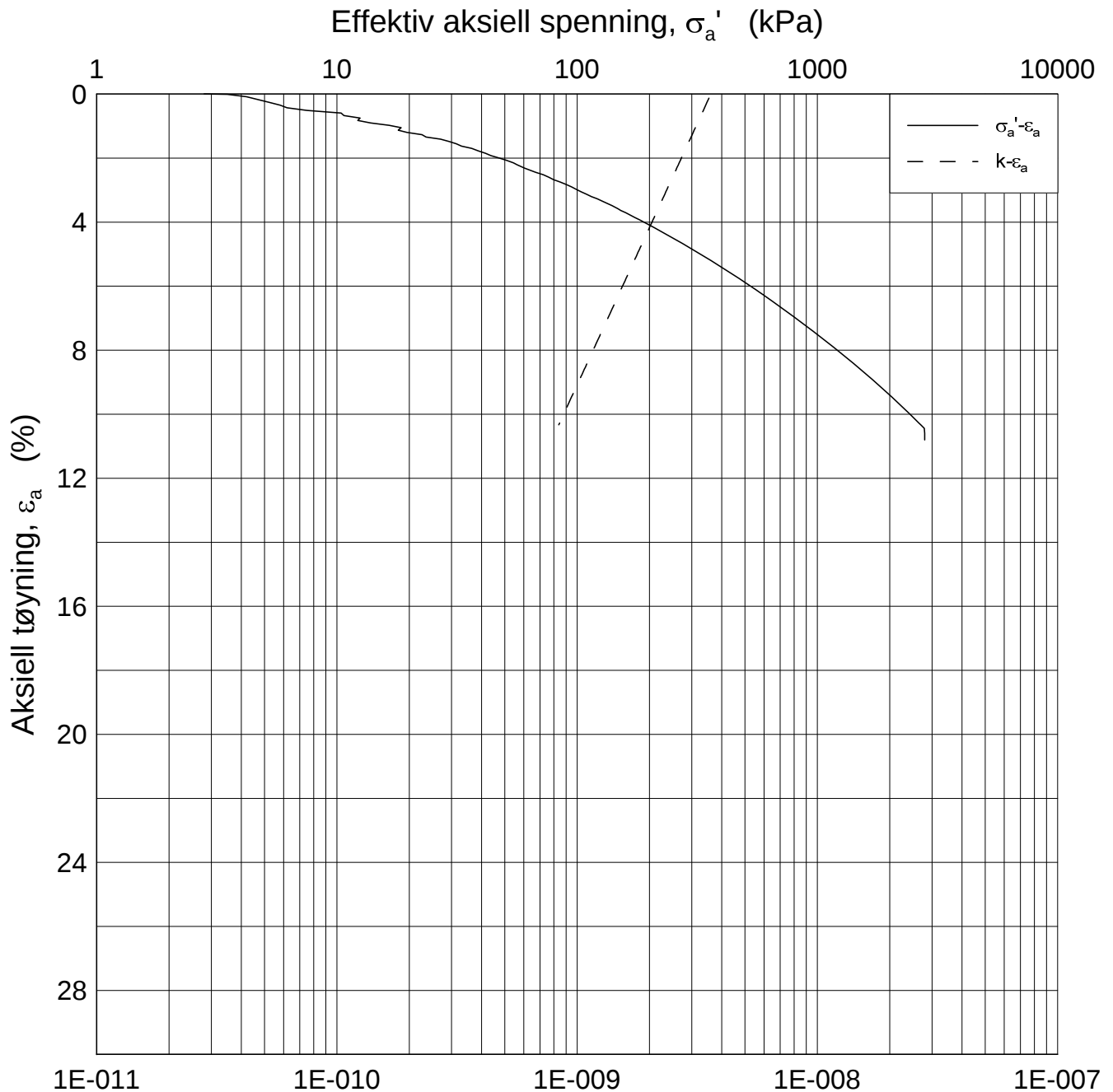
Del: A

Test: 3

w_i = 26.47 %

Tegner
FI





Dato/Rev.: 2009-09-15/3

E16 Nybakk - Slomarka

Dokumentnr.
20120491-02-R

Ødometer test (CRSC)

Dybde = 18.48 m

Dato
2014-08-05

Borhull: 2411

Sylinder: 16

p_o' = 172.9 kPa

Figurnr.
F282

Del: A

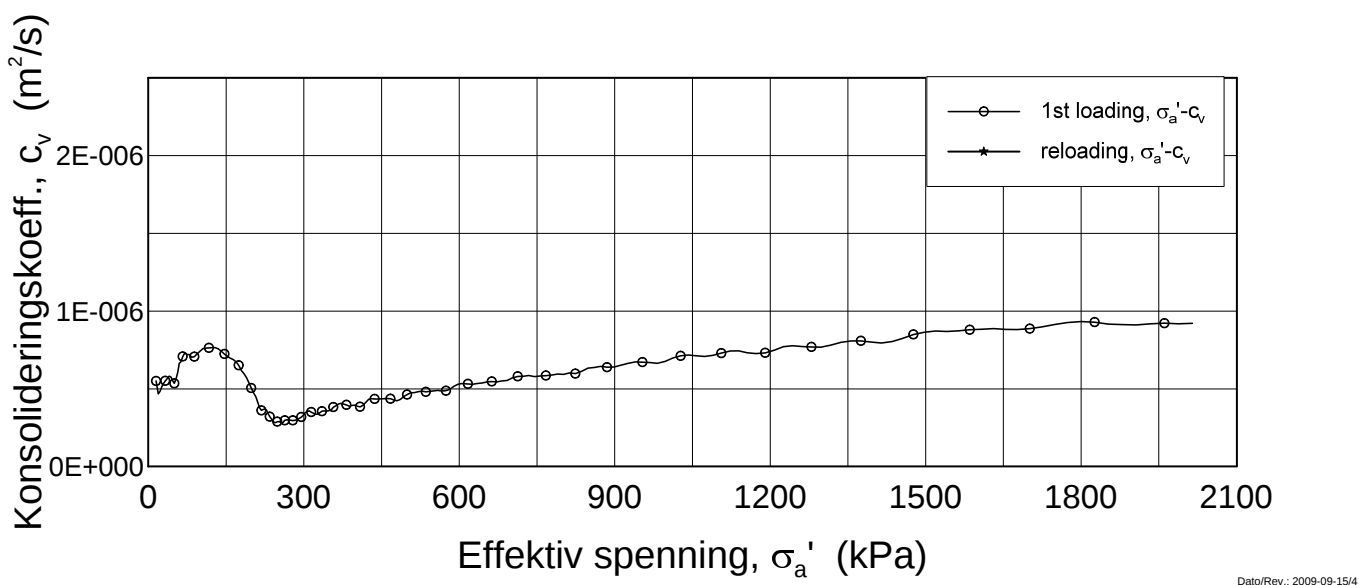
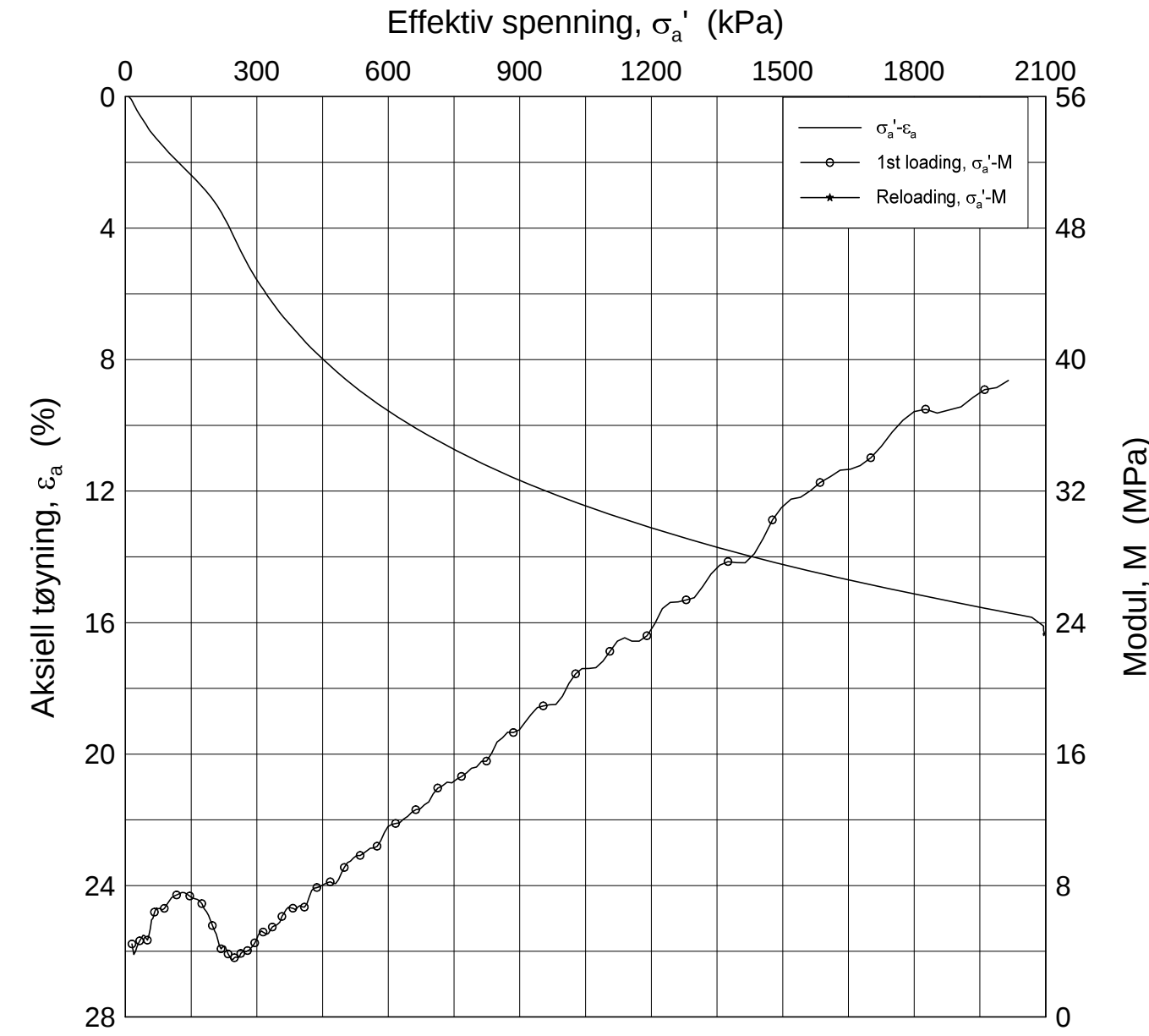
Test: 3

w_i = 26.47 %

Tegner
FI

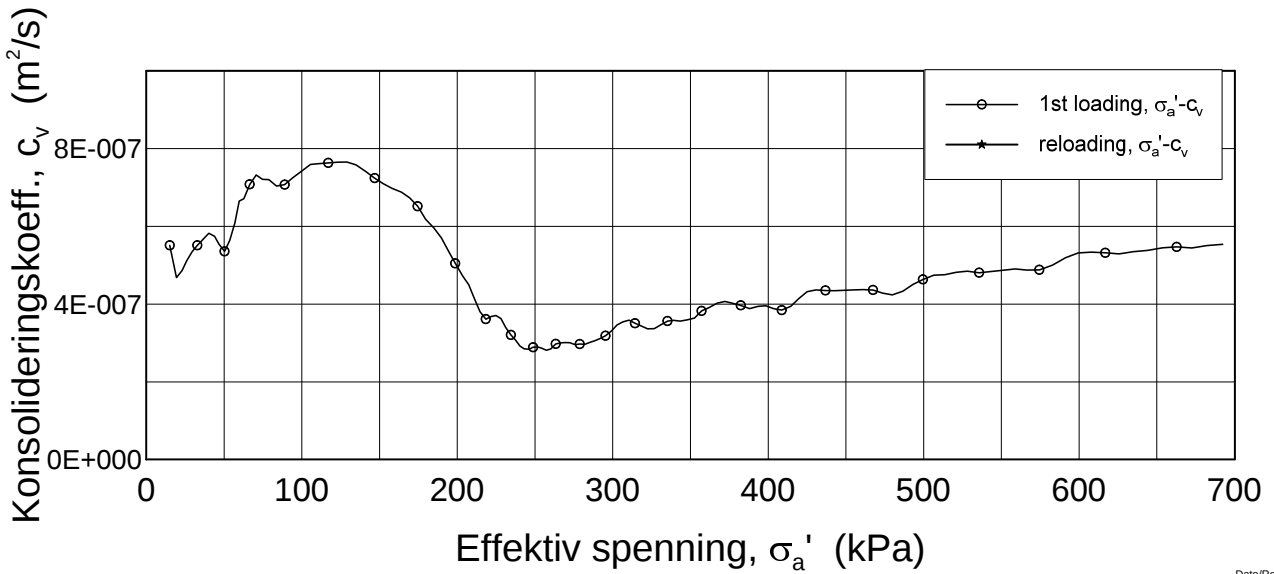
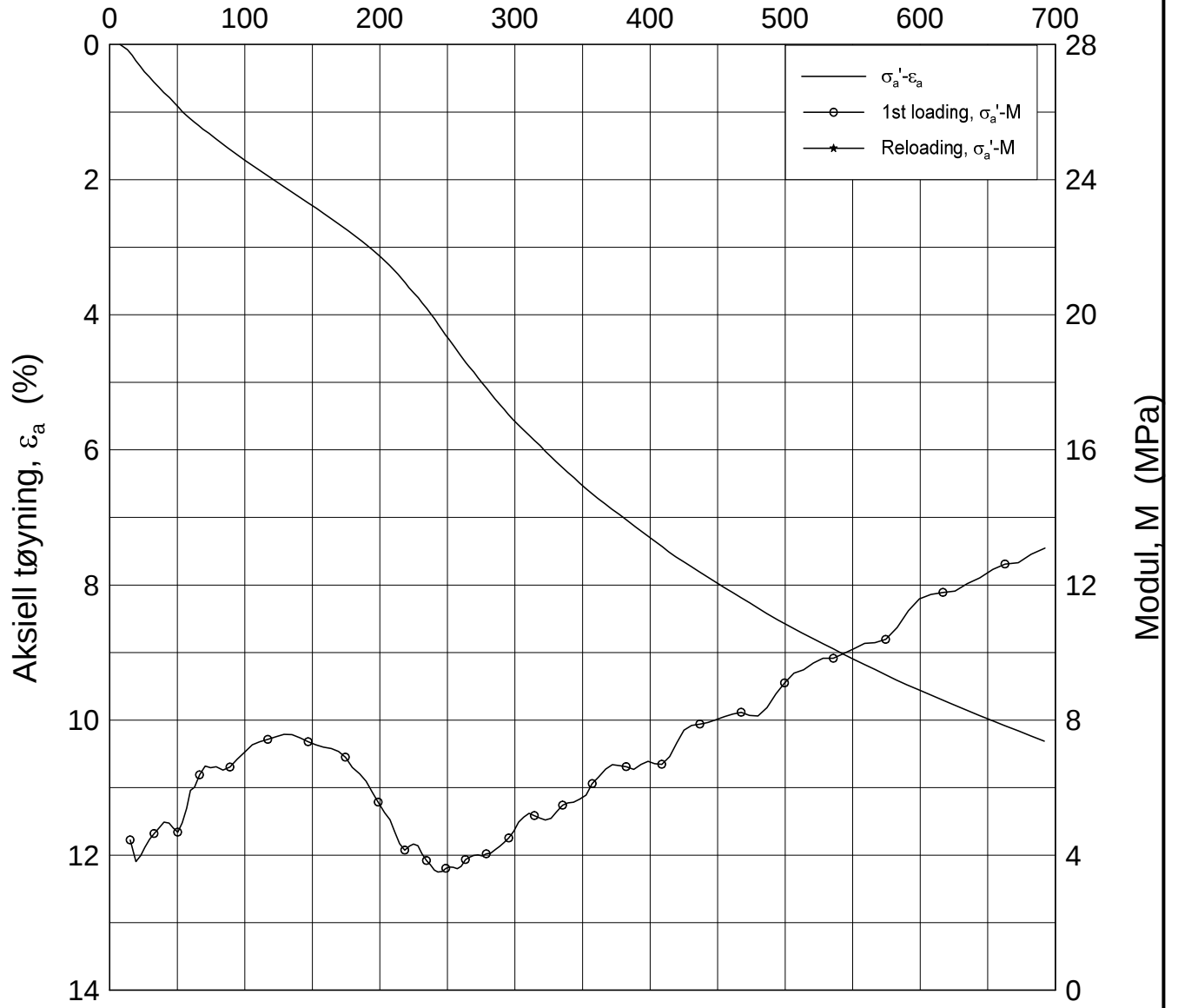


H:\LABDATA\2012\20120491\Oedom\2411-16-A-3 Log(CRS2628).grf



E16 Nybakk - Slomarka			Dokumentnr. 20120491-02-R
Ødometer test (CRSC)			Dato 2014-08-05
Borhull: 2430	Sylinder: 6	Dybde = 6.18 m	Figurnr. F283
Del: A	Test: 1	p'_o = 74.1 kPa	Tegner FI
		w_i = 34.12 %	

Effektiv spenning, σ_a' (kPa)



Dato/Rev.: 2009-09-15/4

E16 Nybakk - Slomarka

Dokumentnr.
20120491-02-R

Ødometer test (CRSC)

Dybde = 6.18 m

Dato
2014-08-05

Borhull: 2430

Sylinder: 6

p_o' = 74.1 kPa

Figurnr.
F284

Del: A

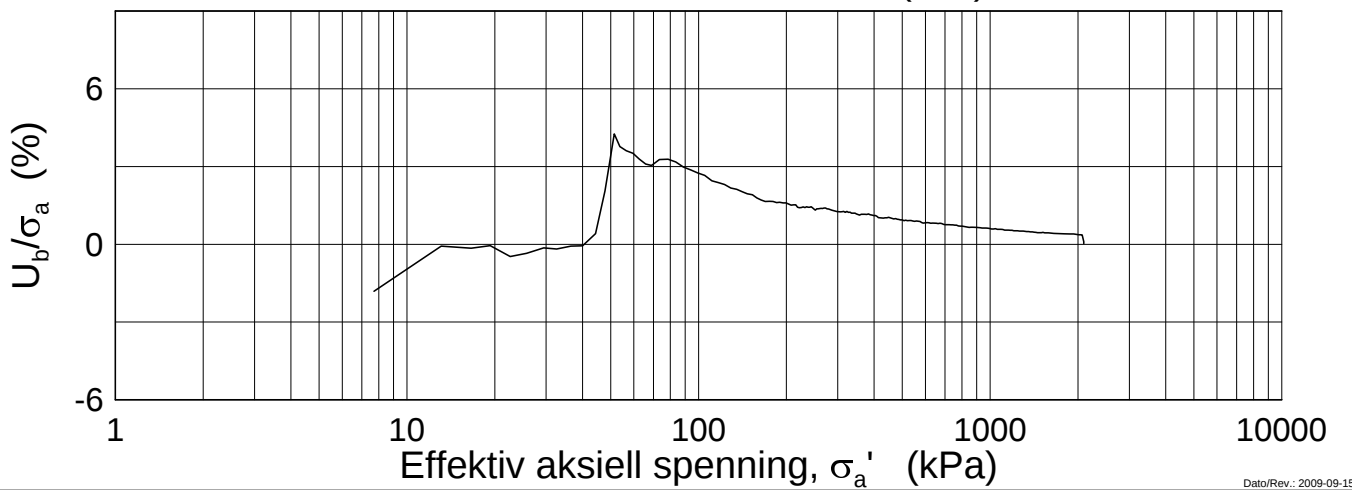
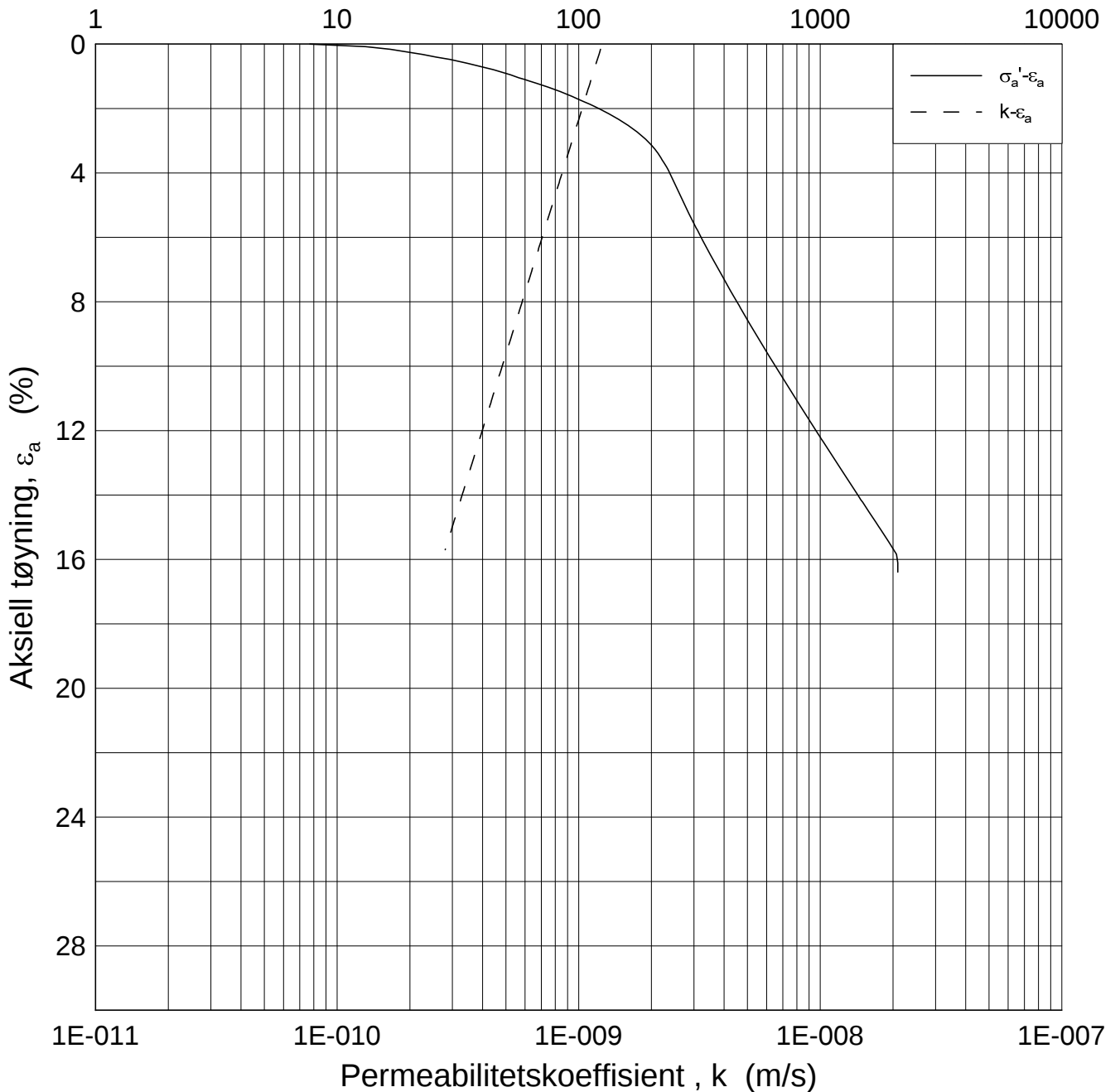
Test: 1

w_i = 34.12 %

Tegner
FI



Effektiv aksjell spenning, σ_a' (kPa)



Dato/Rev.: 2009-09-15/3

E16 Nybakk - Slomarka

Dokumentnr.
20120491-02-R

Ødometer test (CRSC)

Dybde = 6.18 m

Dato
2014-08-05

Borhull: 2430

Sylinder: 6

p_o' = 74.1 kPa

Figurnr.
F285

Del: A

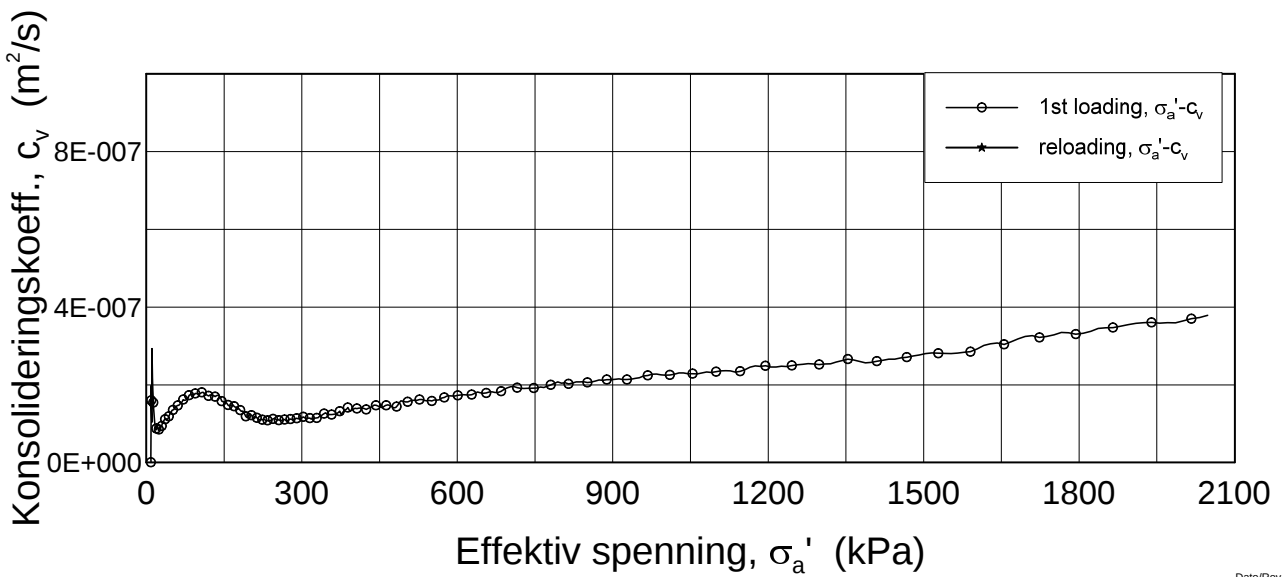
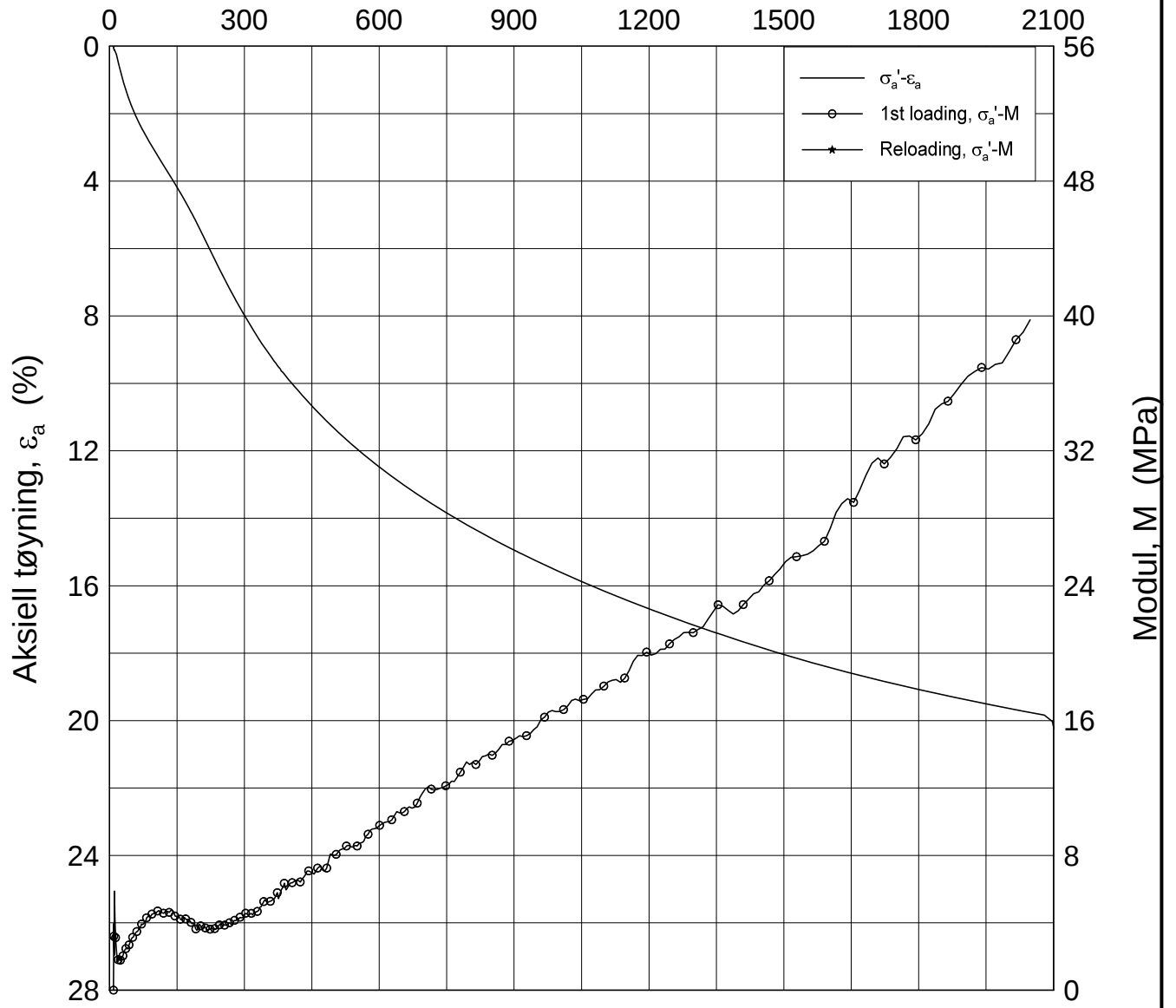
Test: 1

w_i = 34.12 %

Tegner
FI



Effektiv spenning, σ_a' (kPa)



Dato/Rev.: 2009-09-15/4

E16 Nybakk - Slomarka

Dokumentnr.
20120491-02-R

Ødometer test (CRSC)

Dybde = 12.49 m

Dato
2014-08-05

Borhull: 2430

Sylinder: 12

p_o' = 145.3 kPa

Figurnr.
F286

Del: A

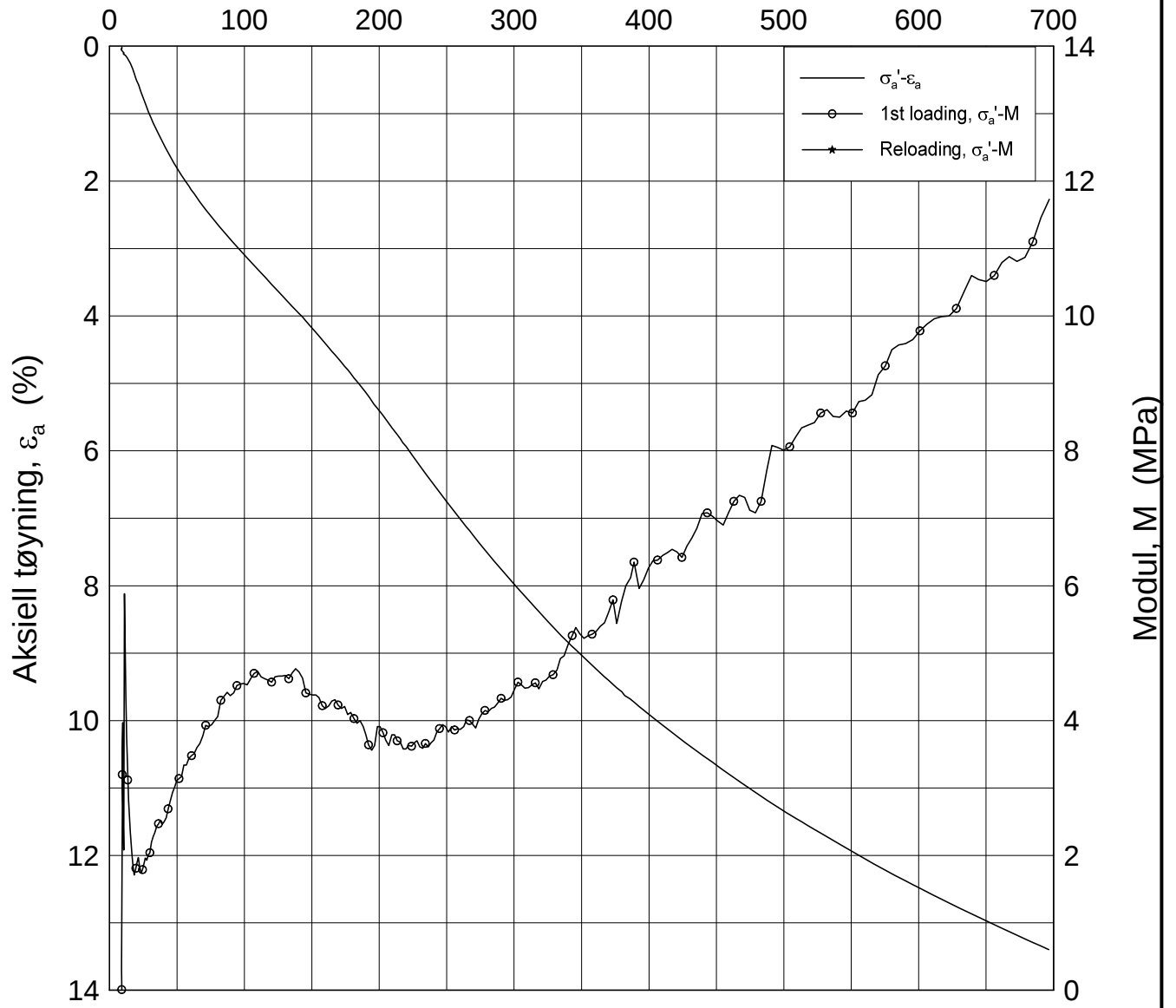
Test: 3

w_i = 41.54 %

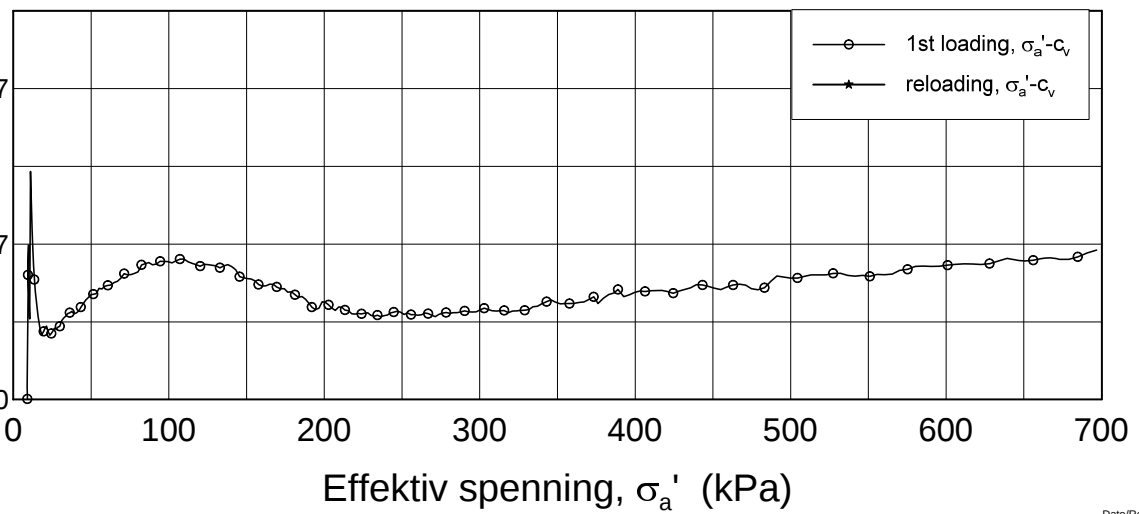
Tegner
FI



Effektiv spenning, σ_a' (kPa)



Konsolideringskoeff., c_v (m²/s)



Dato/Rev.: 2009-09-15/4

E16 Nybakk - Slomarka

Dokumentnr.
20120491-02-R

Ødometer test (CRSC)

Dybde = 12.49 m

Dato
2014-08-05

Borhull: 2430

Sylinder: 12

p_o' = 145.3 kPa

Figurnr.
F287

Del: A

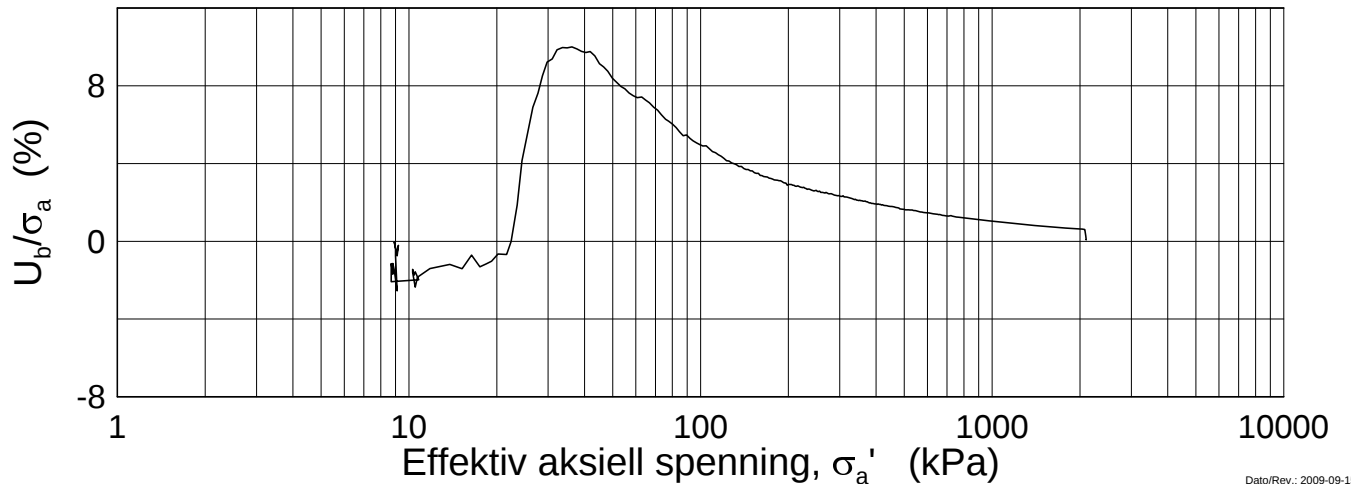
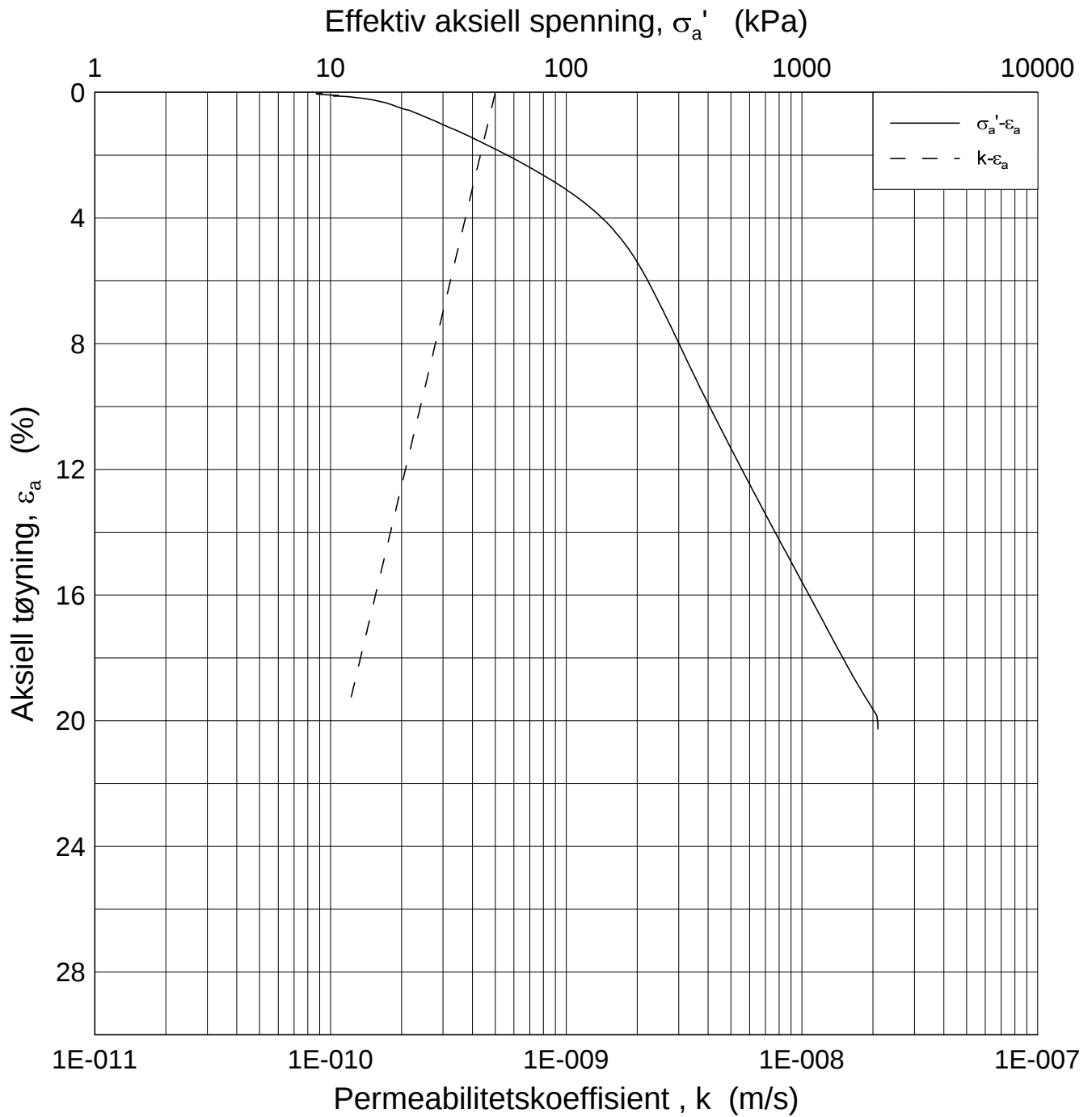
Test: 3

w_i = 41.54 %

Tegner
FI



H:\LABDATA\2012\20120491\Oedom\2430-12-A-3 Log(CRS2640).grf



Dato/Rev.: 2009-09-15/3

E16 Nybakk - Slomarka				Dokumentnr. 20120491-02-R
Ødometer test (CRSC)				Dato 2014-08-05
Borhull: 2430	Sylinder: 12	Dybde = 12.49 m	$p_o' = 145.3$ kPa	Figurnr. F288
Del: A	Test: 3	$w_i = 41.54$ %		Tegner FI



Vedlegg G - Treaksialforsøk

Innhold

G1 Generelt	2
G2 Forsøksprosedyre for statiske udrenerte treaksialforsøk (CAU) på uforstyrret leire	2
2.1 Innbygging av uforstyrret leire	2
2.2 Metning	2
2.3 Konsolidering	2
2.4 Belastning til brudd (CAU forsøk)	2
2.5 Utbygging av prøven	3
G3 Resultater	3
G4 Referanser	3

Tabeller

Tabell G1

Figurer

Figur G1 – G386

G1 Generelt

Det er utført 69 anisotropt konsoliderte, udrenerte, treaksialforsøk skjært i trykk (CAUC) og 63 anisotropt udrenerte, treaksialforsøk skjært i strekk (CAUP). Forsøkene er gjort etter standard prosedyre for treaksialforsøk ved NGI, beskrevet av, Berre, 1982.

Prøvene er konsolidert anisotropt til antatte in situ spenninger.

G2 Forsøksprosedyre for statiske udrenerte treaksialforsøk (CAU) på uforstyrret leire

2.1 Innbygging av uforstyrret leire

For å unngå svelling på grunn av et eventuelt negativt poretrykk i prøven og tilgang på fritt vann bygges prøven inn med tørre filterstener.

Med unntak av svært bløt leire anvendes filterstrips på sidene av prøven for å øke konsolideringshastigheten og poretrykksutjevning under udrenert belastning. Filterstripsene er fuktet, men fritt vann på overflaten fjernes før de påføres prøven. Stripsene plasseres i spiral rundt prøven for å unngå å måtte korrigere spenningene påført prøven.

2.2 Metning

Leirprøven påføres først isotrope spenninger lik antatt verdi av initielle negative poretrykk i prøven. Vann med samme salinitet som i marka skylles så gjennom topp og bunnfilteret og en 0-indikator kobles umiddelbart til drenslingene. All tendens til volum endring i prøven hindres så ved å regulere celletrykket til stabilt volum oppnås.

Mottrykk påføres for å øke metningsgraden i prøven og poretrykksmålesystemet,

For å sikre at tilstrekkelig metning er oppnådd måles B-verdien. For leire som er antatt mettet i marka ansees B-verdi på 0,95 å være tilstrekkelig.

2.3 Konsolidering

Prøven blir så konsolidert til de spesifiserte konsolideringsspenninger. Først påføres den spesifiserte horisontalspenningen som en isotrop last. Deretter økes vertikallasten trinnvis til spesifisert vertikalspenning er nådd. Belastningshastigheten tilpasses konsolideringshastigheten.

2.4 Belastning til brudd (CAU forsøk)

Prøven kjøres til brudd med konstant deformasjonshastighet, normalt 1,4%/time. Total sidespenning holdes konstant mens total aksialspenning økes (aktivt

forsøk) eller minskes (passivt forsøk). I et anisotrop konsolidert udrenert forsøk (CAU) tillates ingen drenering slik at udrenerte poretrykk utvikles.

2.5 Utbygging av prøven

Etter at celletrykket er fjernet blir prøven forsiktig bygget ut av treakscellen og veiet. Deretter kan materialet benyttes for klassifikasjonstesting.

G3 Resultater

Forsøksresultatene er summert i tabell G1. Tabellen gir oversikt over jorddata for de utførte forsøkene. Her er det også gitt en indikator på prøve kvaliteten til forsøkene gjennom forholdstallet $\Delta e/e_0$ ved p_0' .

Resultatene fra hvert forsøk er presentert i vedleggene G1 – G386. For hvert forsøk vises to diagrammer hhv. ett med aksialspenning og poretrykk versus aksialdeformasjon og ett med spenningssti i form av skjærspenning versus midlere hovedspenning. I diagrammene vises antatt in situ overlagingsspenning, p_0' . For beregnet p_0' henvises det til tabell G1.

G4 Referanser

- /G1/ Berre, T. (1982)
Triaxial testing at the Norwegian Geotechnical Institute.
Geotechnical Testing Journal, Vol. 5, No. 1/2 pp. 3-17.
Also publ. in: Norwegian Geotechnical Institute.
Publication, 134, 1981, pp. 7-23

Prøveidentifisering				Klassifisering								Type forsøk	Konsolidering								Figur ref.
Hull nr.	Forsøk	Dybde m	Terreng- nivå m	Jordart	w _i %	w _p %	w _L %	lp %	γ _T kN/m ³	S _t	Leir innh. %		p ₀ ' kPa	σ _{ac} ' kPa	σ _{rc} ' kPa	K ₀	e _{vol} %	e _{ac} %	B C	Δe/e ₀	
2009	5-B-1	6,36	132,6	Leire	29,3	20,2	39,7	19,5	19,5	1,4	58,0	CAUA	70,0	76,5	62,1	0,81	0,91	3,42	99,2	0,077	G1, G2
	9-A-1	11,24		Leire, siltig	25,3	17,2	27,5	10,3	20,1	1,4	21,8	CAUA	133,6	121,2	84,9	0,70	1,85	0,57	96,7	0,014	G5, G6
	16-A-1	18,25		Leire, kvikk	35,5	21,1	32,7	11,6	18,8	60,0	31,9	CAUA	219,2	184,1	119,8	0,65	3,44	2,30	98,8	0,047	G9, G10
	5-A-1	6,21		Leire	22,6	20,2	39,7	19,5	20,3	1,5	58,0	CAUP	68,0	77,6	62,1	0,80	1,15	0,40	99,0	0,010	G3, G4
	9-B-1	11,37		Leire, siltig	25,3	17,2	27,5	10,3	20,2	2,2	21,8	CAUP	135,3	122,5	85,8	0,70	1,81	0,49	97,1	0,012	G7, G8
	16-B-1	18,40		Leire, kvikk	33,4	21,1	32,7	11,6	18,8	86,7	31,9	CAUP	221,1	185,4	120,6	0,65	3,40	2,09	97,3	0,044	G11, G12
2201	12-D-1	11,53	127,2	Leire, siltlommer	34,5	19,7	27,5	7,8	18,9	7,0	35,3	CAUA	143,0	143,5	100,4	0,70	4,38	2,08	98,6	0,043	G13, G14
	17-D-1	16,54		Leire	32,2	21,9	36,7	14,8	19,1	8,7	43,3	CAUA	186,1	188,8	122,8	0,65	4,61	1,78	97,8	0,038	G17, G18
	22-B-1	21,42		Leire	30,7	19,4	34,4	15,0	19,6	5,1	40,1	CAUA	223,2	232,3	139,7	0,60	4,85	2,19	98,5	0,048	G21, G22
	12-A-1	11,24		Leire, siltlommer	28,3	19,7	27,5	7,8	19,6	7,9	35,3	CAUP	140,2	141,2	98,8	0,70	4,96	2,64	96,1	0,060	G15, G16
	17-A-1	16,25		Leire	31,6	21,9	36,7	14,8	18,9	8,7	43,3	CAUP	183,9	186,1	121,0	0,65	4,90	2,55	98,0	0,055	G19, G20
2207	6-C-1	6,50	126,8	Leire, kvikk	34,8	9,9	33,0	23,1	18,7	120,0	50,1	CAUA	109,7	83,4	66,7	0,80	0,91	0,59	98,6	0,012	G23, G24
	12-A-1	12,27		Leire, siltig	33,4	18,1	27,8	9,7	18,9	33,6	24,9	CAUA	184,2	135,6	94,9	0,70	1,64	0,86	98,6	0,018	G27, G28
	16-B-1	18,36		Leire	31,7	19,3	36,9	17,6	18,7	10,3	44,7	CAUA	170,8	190,1	123,6	0,65	2,39	1,49	97,1	0,032	G29, G30
	6-B-1	6,33		Leire, kvikk	35,9	9,9	33,0	23,1	18,5	120,0	50,1	CAUP	107,5	82,0	65,6	0,80	1,24	0,71	99,0	0,014	G25, G26
	16-C-1	18,54		Leire	30,7	19,3	36,9	17,6	19,1	11,7	44,7	CAUP	172,0	191,1	124,7	0,65	3,67	1,70	98,2	0,037	G31, G32
2208	5-B-1	5,34	121,7	Silt, leirig, sandig	17,9	-	20,8	-	21,4	-	13,6	CAUA	60,0	73,6	58,9	0,80	0,69	0,28	98,8	0,009	G33, G34
	10-C-1	10,52		Leire, kvikk	31,4	18,2	32,6	14,4	18,2	65,7	44,0	CAUA	100,6	118,7	83,1	0,70	0,85	0,68	98,7	0,015	G37, G38
	16-A-1	18,21		Leire	33,3	18,9	37,5	18,6	18,9	19,1	46,6	CAUA	161,1	189,1	122,8	0,65	2,31	1,55	98,4	0,032	G41, G42
	5-C-1	5,50		Silt, leirig, sandig	20,5	-	20,8	-	20,8	-	13,6	CAUP	61,4	73,5	58,8	0,80	0,84	0,20	98,9	0,006	G35, G36
	10-B-1	10,35		Leire	31,1	18,2	32,6	14,4	19,1	35,5	44,0	CAUP	98,9	118,0	82,7	0,70	1,01	0,65	98,5	0,014	G39, G40
	16-B-1	18,37		Leire	32,7	18,9	37,5	18,6	18,9	20,7	46,6	CAUP	162,6	190,3	123,7	0,65	2,94	1,88	96,7	0,040	G43, G44
2212	10-B-1	10,37	136,9	Leire	31,2	20,9	38,4	17,5	19,0	3,6	43,0	CAUA	179,2	118,3	82,8	0,70	0,14	0,25	98,1	0,005	G45, G46
	15-B-1	16,35		Leire	35,9	21,8	41,4	19,6	18,6	6,2	50,9	CAUA	233,2	172,6	112,2	0,65	1,21	0,88	98,2	0,018	G49, G50

Prøveidentifisering					Klassifisering							Type forsøk	Konsolidering								Figur ref.
Hull nr.	Forsøk	Dybde m	Terreng- nivå m	Jordart	w _i %	w _p %	w _L %	Ip %	γ _T kN/m ³	S _t	Leir innh. %		p ₀ ' kPa	σ _{ac} ' kPa	σ _{rc} ' kPa	K ₀	e _{vol} %	e _{ac} %	B C	Δe/e ₀	
2212	10-A-1	10,40		Leire	31,8	20,9	38,4	17,5	18,9	2,5	43,0	CAUP	179,5	118,6	83,0	0,70	0,60	0,39	97,1	0,008	G47, G48
	15-C-1	16,52		Leire	35,7	21,8	41,4	19,6	18,6	6,2	50,9	CAUP	234,7	173,6	112,8	0,65	0,99	0,71	98,8	0,014	G51, G52
2214	6-C-1	6,40	133,6	Leire	34,5	21,4	41,4	20,0	18,7	9,7	43,3	CAUA	120,4	72,5	58,0	0,80	0,61	0,50	98,8	0,010	G53, G54
	12-B-1	12,35		Leire	38,6	19,9	34,5	14,6	18,5	16,3	46,0	CAUA	176,7	126,6	88,6	0,70	2,43	1,15	98,8	0,022	G57, G58
	18-C-1	21,41		Leire, kvikk	35,2	17,7	25,6	7,9	18,9	135,0	35,1	CAUA	260,2	207,6	124,6	0,60	5,86	3,88	98,6	0,079	G61, G62
	6-D-1	6,55		Leire	33,6	21,4	41,4	20,0	18,9	9,7	43,3	CAUP	123,2	73,7	58,9	0,80	0,74	0,47	98,8	0,010	G55, G56
	12-A-1	12,20		Leire	36,2	19,9	34,5	14,6	18,6	10,7	46,0	CAUP	175,4	125,0	87,5	0,70	1,43	0,90	98,9	0,018	G59, G60
	18-D-1	21,55		Leire, kvikk	32,8	17,7	25,6	7,9	19,3	190,0	35,1	CAUP	262,3	208,7	125,3	0,60	6,05	3,65	98,2	0,077	G63, G64
2222	5-B-1	5,37	138,2	Leire	39,4	23,4	43,8	20,4	18,2	7,3	54,2	CAUA	97,5	73,3	55,0	0,75	0,56	0,51	98,2	0,010	G65, G66
	10-B-1	10,36		Leire, siltig	33,9	19,5	30,5	11,0	18,7	14,8	25,9	CAUA	140,1	118,2	82,7	0,70	1,03	0,67	96,9	0,014	G69, G70
	15-B-1	17,36		Leire, kvikk	36,3	21,2	35,8	14,6	18,6	140,0	45,2	CAUA	193,8	181,1	117,8	0,65	3,52	2,10	98,4	0,042	G73, G74
	5-C-1	5,53		Leire	41,6	23,4	43,8	20,4	18,2	3,3	54,2	CAUP	98,8	74,8	56,1	0,75	0,51	0,52	98,3	0,010	G67, G68
	10-C-1	10,53		Leire	34,7	19,5	30,5	11,0	18,7	9,5	25,9	CAUP	141,4	119,8	83,8	0,70	1,05	0,75	99,0	0,015	G71, G72
	15-C-1	17,54		Leire, kvikk	50,7	21,2	35,8	14,6	16,9	130,0	45,2	CAUP	195,1	183,0	118,9	0,65	2,49	1,90	98,7	0,033	G75, G76
2264	5-B-1	5,35	146,2	Leire, lagdelt	33,3	18,0	33,2	15,2	18,9	13,3	46,0	CAUA	63,3	78,2	62,5	0,80	0,28	0,25	98,2	0,005	G77, G78
	10-B-1	10,35		Leire	38,4	21,6	39,4	17,8	18,3	22,7	58,1	CAUA	107,9	123,3	86,3	0,70	0,86	0,74	98,6	0,014	G81, G82
	15-B-1	15,56		Leire m/finsand- sømmer	34,2	18,3	27,3	9,0	18,8	9,6	29,9	CAUA	155,6	170,0	112,3	0,66	5,05	2,29	99,0	0,047	G85, G86
	20-C-1	20,46		Leire m/ siltsømmer	32,4	19,7	37,0	17,3	19,0	15,4	53,6	CAUA	196,9	214,1	137,0	0,64	1,22	0,94	96,5	0,020	G87, G88
	5-C-1	5,53		Leire	39,6	18,0	33,2	15,2	18,1	12,8	46,0	CAUP	64,9	79,7	63,8	0,80	0,64	0,48	98,4	0,009	G79, G80
	10-C-1	10,52		Leire	37,8	21,6	39,4	17,8	18,4	26,2	58,1	CAUP	109,4	124,8	87,3	0,70	1,59	1,21	98,8	0,024	G83, G84
	20-A-1	20,21		Leire m/ siltsømmer	33,3	19,7	37,0	17,3	18,8	39,1	53,6	CAUP	194,7	211,9	135,6	0,64	1,59	1,28	93,5	0,027	G89, G90
2270	5-B-1	5,35	157,8	Leire	34,1	22,4	35,6	13,2	18,8	7,1	29,9	CAUA	75,1	58,2	43,6	0,75	0,40	0,31	98,6	0,006	G91, G92
	10-B-1	10,32		Leire	36,2	21,9	44,3	22,4	18,5	5,5	43,9	CAUA	128,2	102,9	66,9	0,65	0,61	0,56	98,4	0,011	G95, G96
	16-A-1	16,22		Leire, siltig	37,8	25,0	32,4	7,4	18,5	9,2	7,5	CAUA	190,4	155,9	93,6	0,60	1,70	1,18	98,2	0,023	G99, G100
	20-B-1	20,35		Leire	34,0	22,0	35,6	13,6	18,9	15,0	38,5	CAUA	234,5	192,9	106,2	0,55	1,81	1,38	99,8	0,029	G103, G104

Prøveidentifisering					Klassifisering							Type forsøk	Konsolidering								Figur ref.
Hull nr.	Forsøk	Dybde m	Terreng- nivå m	Jordart	w _i %	w _p %	w _L %	l _p %	γ _T kN/m ³	S _t	Leir innh. %		p ₀ ' kPa	σ _{ac} ' kPa	σ _{rc} ' kPa	K ₀	e _{vol} %	e _{ac} %	B C	Δe/e ₀	
2270	5-C-1	5,50		Leire, noe silt	29,7	22,4	35,6	13,2	19,4	6,7	29,9	CAUP	76,7	59,5	44,6	0,75	0,30	0,28	98,3	0,006	G93, G94
	10-C-1	10,52		Leire	34,2	21,9	44,3	22,4	18,7	4,5	43,9	CAUP	130,3	104,6	68,0	0,65	0,64	0,48	96,5	0,010	G97, G98
	16-B-1	16,37		Leire, siltig	34,0	25,0	32,4	7,4	19,0	7,9+	7,5	CAUP	192,0	157,3	94,4	0,60	1,83	1,12	98,2	0,023	G101, G102
	20-C-1	20,52		Leire	32,6	22,0	35,6	13,6	19,0	19,4	38,5	CAUP	236,4	194,6	107,1	0,55	1,69	1,17	97,4	0,025	G105, G106
2275	2-A-1	4,23	154,0	Leire	37,7	22,5	43,1	20,6	18,3	8,4	48,5	CAUA	77,3	48,1	38,5	0,80	0,45	0,25	99,5	0,005	G107, G108
	7-E-1	9,62		Leire	38,4	22,8	41,2	18,4	18,3	7,6	35,0	CAUA	119,4	96,6	67,6	0,70	0,82	0,43	98,2	0,008	G111, G112
	14-B-1	16,23		Leire	38,9	23,2	34,8	11,6	18,3	22,9	46,9	CAUA	169,4	155,6	93,7	0,60	5,03	3,32	98,8	0,064	G115, G116
	19-C-1	21,55		Leire, kvikk	37,9	21,6	32,9	11,3	18,3	140,0	43,4	CAUA	224,9	203,2	112,0	0,55	4,17	4,09	100,0	0,080	G117, G118
	2-B-1	4,37		Leire	46,7	22,5	43,1	20,6	17,5	10,4	48,5	CAUP	79,8	49,4	39,5	0,80	0,04	0,11	99,0	0,002	G109, G110
	7-C-1	9,47		Leire	38,2	22,8	41,2	18,4	18,3	12,1	35,0	CAUP	118,4	95,2	66,6	0,70	0,58	0,42	98,5	0,008	G113, G114
	19-B-1	21,38		Leire, kvikk	38,6	21,6	32,9	11,3	18,4	90,0	43,4	CAUP	222,9	201,7	111,0	0,55	4,87	4,51	99,2	0,088	G119, G120
2284	6-A-1	6,20	154,0	Leire	41,1	22,8	38,5	15,7	18,1	3,3	50,1	CAUA	93,2	65,7	42,8	0,65	0,91	0,81	98,0	0,015	G121, G122
	12-B-1	12,37		Leire	44,0	21,5	39,5	18,0	17,8	10,0	46,5	CAUA	108,5	121,1	72,8	0,60	5,38	3,43	98,0	0,063	G125, G126
	16-B-1	17,40		Leire, kvikk	41,4	21,7	36,1	14,4	18,0	63,3	49,2	CAUA	149,1	166,6	96,6	0,58	5,81	5,44	99,8	0,102	G129, G130
	6-B-1	6,35		Leire	40,3	22,8	38,5	15,7	18,1	5,0	50,1	CAUP	93,3	67,6	44,0	0,65	0,92	0,71	99,0	0,013	G123, G124
	12-C-1	12,54		Leire	41,0	21,5	39,5	18,0	18,1	12,7	46,5	CAUP	109,6	122,7	73,6	0,60	5,22	3,02	99,1	0,057	G127, G128
	16-C-1	17,54		Leire, kvikk	45,7	21,7	36,1	14,4	17,8	95,0	49,2	CAUP	150,3	167,8	97,3	0,58	7,33	6,64	99,0	0,119	G131, G132
2293	4-B-1	5,38	141,9	Leire	39,0	23,5	44,0	20,5	18,2	4,9	63,8	CAUA	69,8	68,6	44,6	0,65	0,31	0,40	99,4	0,008	G133, G134
	10-B-1	11,35		Leire	28,3	20,3	35,0	14,7	19,5	7,3	38,3	CAUA	134,0	122,5	73,6	0,60	0,62	0,48	98,6	0,011	G137, G138
	14-B-1	15,38		Leire, kvikk	34,3	19,2	27,2	8,0	18,8	165,0	52,0	CAUA	175,9	158,5	95,2	0,60	1,41	1,20	98,8	0,025	G141, G142
	4-C-1	5,53		Leire	37,6	23,5	44,0	20,5	18,4	5,7	63,8	CAUP	71,4	69,6	45,2	0,65	0,17	0,30	98,0	0,006	G135, G136
	10-C-1	11,50		Leire	29,7	20,3	35,0	14,7	19,4	7,3	38,3	CAUP	135,6	122,6	73,6	0,60	0,61	0,59	98,4	0,013	G139, G140
	14-C-1	15,54		Leire, kvikk	32,9	19,2	27,2	8,0	19,0	195,0	52,0	CAUP	177,6	158,5	95,2	0,60	1,65	1,41	96,5	0,030	G143, G144
3006	5-B-1	5,33	152	Leire	39,7	21,8	45,9	24,1	18,1	7,4	49,4	CAUA	51,1	58,0	40,6	0,70	0,71	0,59	99,4	0,011	G145, G146
	10-C-1	10,42		Leire	38,7	20,7	39,6	18,9	18,2	6,7	45,4	CAUA	87,5	103,0	59,6	0,58	1,60	0,79	99,8	0,015	G149, G150
	5-C-1	5,33		Leire	35,4	21,8	45,9	24,1	18,5	7,8	49,4	CAUP	51,1	59,2	41,4	0,70	0,85	0,55	98,4	0,011	G147, G148

Prøveidentifisering					Klassifisering							Type forsøk	Konsolidering								Figur ref.
Hull nr.	Forsøk	Dybde m	Terreng- nivå m	Jordart	w _i %	w _p %	w _L %	lp %	γ _T kN/m ³	S _t	Leir innh. %		p ₀ ' kPa	σ _{ac} ' kPa	σ _{rc} ' kPa	K ₀	e _{vol} %	e _{ac} %	B C	Δe/e ₀	
3006	10-D-1	10,57		Leire	39,9	20,7	39,6	18,9	18,2	13,3	45,4		CAUP	88,7	104,9	60,9	0,58	1,37	1,01	99,0	
	14-C-1	14,43		Leire, kvikk	37,3	19,9	32,9	13,0	18,3	40,0	40,8	CAUP	122,7	139,2	75,4	0,54	6,14	4,29	99,0	0,085	G153, G154
3019	5-B-1	5,37	147,7	Leire	38,5	21,1	41,3	20,2	18,3	5,1	37,7	CAUA	61,8	63,3	44,3	0,70	0,37	0,43	97,1	0,008	G155, G156
	9-B-1	9,36		Leire	41,9	22,3	46,7	24,4	17,9	8,3	48,8	CAUA	101,4	99,6	59,7	0,60	4,21	1,62	99,0	0,030	G159, G160
	14-D-1	14,55		Leire	45,5	20,5	34,7	14,2	17,9	31,7	46,0	CAUA	150,4	145,7	80,2	0,55	3,88	2,94	99,2	0,053	G163, G164
	5-C-1	5,54		Leire	34,2	21,1	41,3	20,2	18,8	3,5	37,7	CAUP	63,6	64,5	45,3	0,70	0,15	0,53	99,2	0,011	G157, G158
	9-C-1	9,54		Leire	40,5	22,3	46,7	24,4	18,0	8,3	48,8	CAUP	103,1	100,7	60,4	0,60	4,00	2,49	98,6	0,047	G161, G162
	14-A-1	14,2		Leire	36,7	20,5	34,7	14,2	18,4	22,5	46,0	CAUP	147,1	143,0	78,7	0,55	1,52	1,36	97,7	0,027	G165, G166
	3029	5-B-1	5,35	132,3	Leire	36,8	21,4	47,9	26,5	18,5	3,9	64,2	CAUA	67,9	68,2	61,4	0,90	0,74	0,29	98,2	0,006
9-C-1		10,4		Leire	40,4	20,8	45,0	24,2	18,0	6,3	58,0	CAUA	119,6	113,5	85,2	0,75	0,41	0,38	96,5	0,007	G171, G172
13-D-1		14,6		Leire	31,5	21,9	45,6	23,7	19,1	2,0	48,4	CAUA	159,9	151,3	102,8	0,68	4,32	1,33	99,2	0,029	G175, G176
5-C-1		5,52		Leire	34,2	21,4	47,9	26,5	18,7	3,4	64,2	CAUP	69,6	69,6	62,6	0,90	0,71	0,35	98,4	0,007	G169, G170
9-D-1		10,55		Leire	37,5	20,8	45,0	24,2	18,4	5,5	58,0	CAUP	121,0	114,8	86,1	0,75	0,52	0,47	98,1	0,009	G173, G174
13-C-1		14,45		Leire	36,9	21,9	45,6	23,7	17,9	4,5	48,4	CAUP	158,4	149,5	101,6	0,68	2,86	1,32	99,0	0,026	G177, G178
3043	5-A-1	5,2	150,4	Leire	40,3	18,8	33,9	15,1	17,9	6,2	41,6	CAUA	62,0	52,1	33,9	0,65	0,52	0,60	98,4	0,011	G179, G180
	10-C-1	10,36		Leire	40,2	21,6	44,2	22,6	18,1	9,6	51,5	CAUA	112,3	98,6	59,2	0,60	2,14	1,30	98,8	0,025	G183, G184
	15-B-1	16,35		Leire, kvikk	37,6	19,9	38,0	18,1	18,1	45,0	49,2	CAUA	168,9	152,3	88,5	0,58	3,15	2,31	99,2	0,045	G187, G188
	5-B-1	5,35		Leire	40,5	18,8	33,9	15,1	17,9	6,5	41,6	CAUP	63,5	53,2	34,6	0,65	0,77	0,57	99,2	0,011	G181, G182
	10-D-1	10,52		Leire	40,6	21,6	44,2	22,6	18,2	9,6	51,5	CAUP	113,8	99,2	59,7	0,60	3,21	2,02	98,8	0,038	G185, G186
	15-C-1	16,5		Leire, kvikk	42,6	19,9	38,0	18,1	17,9	45,0	49,2	CAUP	170,3	153,4	89,0	0,58	3,93	3,13	97,5	0,058	G189, G190
3059	5-B-1	5,37	149,5	Leire	37,4	20,6	38,0	17,4	18,2	7,4	44,2	CAUA	61,5	68,6	44,6	0,65	0,27	0,27	99,1	0,005	G191, G192
	10-A-1	10,25		Leire	45,0	22,8	46,0	23,2	17,6	6,7	48,9	CAUA	110,0	112,3	67,4	0,60	1,27	1,12	98,8	0,020	G195, G196
	14-C-1	14,4		Leire	39,5	20,6	44,8	24,2	18,0	10,0	54,0	CAUA	150,5	149,4	82,3	0,55	1,28	1,43	98,4	0,028	G199, G200
	5-D-1	5,55		Leire	39,4	20,6	38,0	17,4	18,2	7,1	44,2	CAUP	63,3	69,8	45,4	0,65	0,26	0,32	98,4	0,006	G193, G194
	10-B-1	10,4		Leire	45,1	22,8	46,0	23,2	17,7	8,3	48,9	CAUP	111,5	113,5	68,1	0,60	1,24	1,10	98,6	0,020	G197, G198
	14-D-1	14,55		Leire	39,8	20,6	44,8	24,2	18,1	11,1	54,0	CAUP	152,0	150,7	82,9	0,55	1,89	1,79	98,6	0,034	G201, G202
3070	6-B-1	6,33	148,5	Leire	30,2	18,5	35,5	17,0	19,2	3,4	47,0	CAUA	77,7	97,0	63,0	0,65	0,33	0,40	98,8	0,009	G203, G204

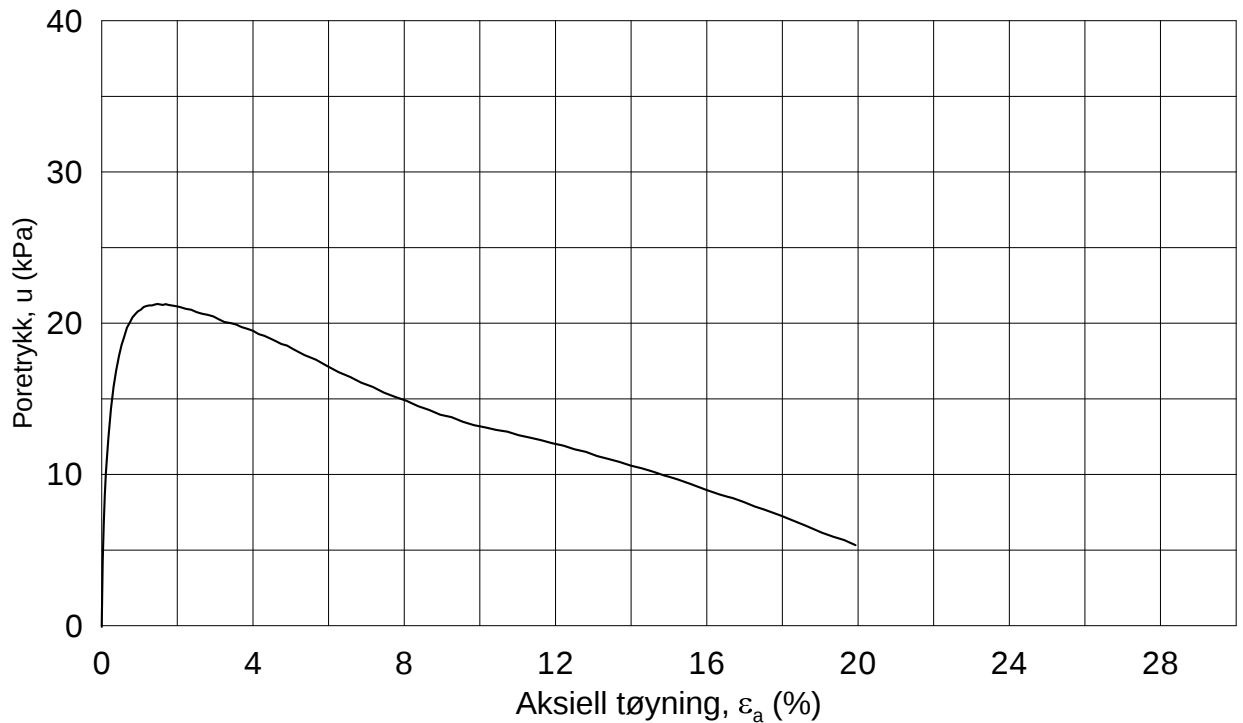
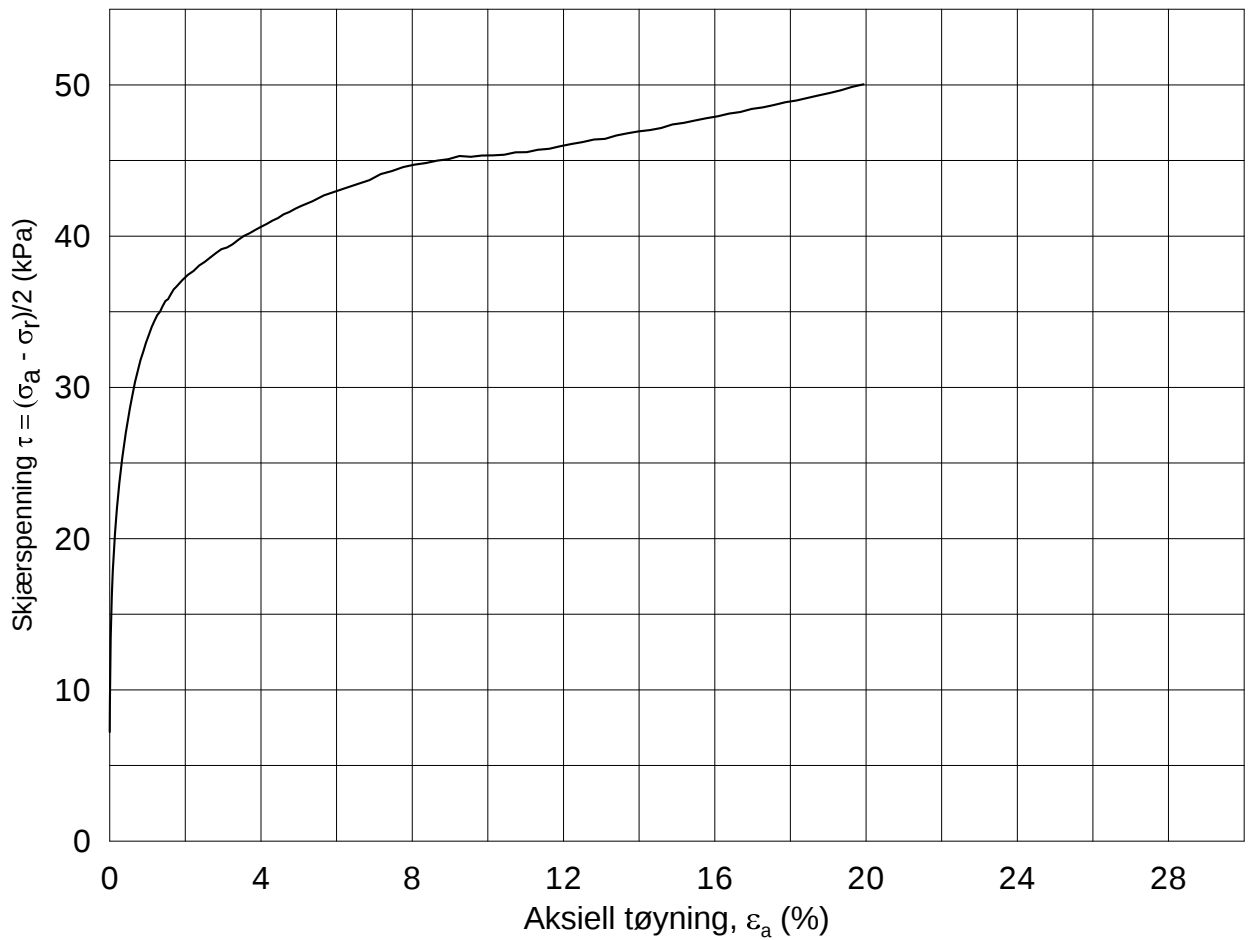
Prøveidentifisering					Klassifisering							Type forsøk	Konsolidering								Figur ref.
Hull nr.	Forsøk	Dybde m	Terreng- nivå m	Jordart	w _i %	w _p %	w _L %	l _p %	γ _T kN/m ³	S _t	Leir innh. %		p ₀ ' kPa	σ _{ac} ' kPa	σ _{rc} ' kPa	K ₀	e _{vol} %	e _{ac} %	B C	Δe/e ₀	
3070	12-C-1	12,43		Leire	40,6	22,4	45,9	23,5	18,0	7,4	52,8		CAUA	139,5	151,5	84,9	0,56	2,33	1,60	98,8	
	15-D-1	16,58		Leire	40,1	21,8	43,3	21,5	18,1	7,7	49,1	CAUA	185,0	188,9	102,1	0,54	1,38	1,55	97,8	0,030	G211, G212
	6-C-1	6,48		Leire	36,4	18,5	35,5	17,0	18,7	5,6	47,0	CAUP	79,4	98,1	63,8	0,65	0,81	0,69	98,8	0,014	G205, G206
	12-D-1	12,6		Leire	36,7	22,4	45,9	23,5	18,0	5,3	52,8	CAUP	141,2	152,9	85,8	0,56	3,73	2,57	99,0	0,051	G209, G210
	15-C-1	16,4		Leire	40,1	21,8	43,3	21,5	18,2	7,3	49,1	CAUP	182,8	187,6	101,3	0,54	0,98	1,55	98,4	0,030	G213, G214
3091	3-A-1	8,30	123,8	Leire	35,5	19,6	38,3	18,7	18,6	6,0	57,5	CAUA	69,7	95,0	73,9	0,78	1,34	0,70	99,2	0,014	G215, G216
	5-B-1	11,37		Leire	36,0	21,0	40,0	19,0	18,5	9,0	55,6	CAUA	89,1	122,0	87,8	0,72	1,61	0,91	97,8	0,018	G219, G220
	8-C-1	15,49		Leire	35,0	20,2	36,4	16,2	18,7	8,0	49,9	CAUA	117,2	158,7	106,3	0,67	1,45	0,97	98,8	0,020	G223, G224
	3-C-1	8,37		Leire	32,7	19,6	38,3	18,7	18,8	6,0	57,5	CAUP	70,1	95,0	73,9	0,78	1,56	1,03	98,8	0,022	G217, G218
	5-A-1	11,21		Leire	35,8	21,0	40,0	19,0	18,6	9,0	55,6	CAUP	88,1	121,9	87,8	0,72	1,57	1,26	98,6	0,025	G221, G222
	8-B-1	15,32		Leire	34,1	20,2	36,4	16,2	18,8	8,0	49,9	CAUP	116,1	158,6	106,3	0,67	1,42	0,94	98,0	0,019	G225, G226
3107	4-C-1	4,42	140,79	Leire, m/siltlag	33,8	20,9	44,3	23,4	19,2	5,1	34,9	CAUA	74,2	72,3	47,1	0,65	-0,04	0,24	98,8	0,005	G227, G228
	8-C-1	8,40		Leire, m/siltlag	36,6	21,9	46,9	25,0	18,3	7,4	52,6	CAUA	122,1	106,3	66,0	0,62	-0,31	0,18	98,8	0,004	G231, G232
	12-B-1	12,33		Leire, m/siltlag	36,2	20,8	42,9	22,1	18,4	6,2	45,8	CAUA	185,5	144,5	83,9	0,58	0,13	0,41	99,2	0,008	G235, G236
	4-D-1	4,57		Leire, m/siltlag	36,2	20,9	44,3	23,4	18,6	6,9	34,9	CAUP	75,5	73,7	48,0	0,65	0,47	0,26	95,6	0,005	G229, G230
	8-D-1	8,58		Leire, m/siltlag	36,0	21,9	46,9	25,0	18,4	11,1	52,6	CAUP	124,4	107,8	66,9	0,62	0,46	0,62	98,4	0,012	G233, G234
	12-C-1	12,40		Leire, m/siltlag	35,9	20,8	42,9	22,1	18,6	15,6	45,8	CAUP	186,8	140,9	84,5	0,60	1,59	0,63	99,2	0,013	G237, G238
3137	1-A-1	15,25	135,8	Leire	32,2	19,6	33,3	13,7	19,2	12,0	-	CAUA	191,7	147,0	96,0	0,65	2,32	1,54	99,2	0,033	G239, G240
	4-B-1	21,41		Leire	37,2	19,0	32,9	13,9	18,5	24,3	-	CAUA	272,0	212,6	125,4	0,59	2,52	1,96	96,9	0,039	G241, G242
3139	2-A-1	5,24	128,6	Leire	28,3	21,0	28,2	7,2	19,6	2,5	41,3	CAUA	60,0	57,1	45,7	0,80	1,46	0,45	98,6	0,010	G243, G244
	7-A-1	10,40		Leire, kvikk	37,8	20,5	30,1	9,6	18,4	75,0	39,1	CAUA	107,2	104,0	72,5	0,70	1,98	1,26	98,4	0,025	G247, G248
	12-A-1	15,22		Leire, kvikk	37,3	18,4	29,7	11,3	18,5	92,5	38,3	CAUA	152,2	147,2	81,0	0,55	1,98	2,03	97,3	0,040	G251, G252
	2-B-1	5,37		Leire	27,1	21,0	28,2	7,2	19,9	2,5	41,3	CAUP	60,9	58,4	46,7	0,80	1,11	0,39	97,6	0,009	G245, G246
	7-B-2	10,36		Leire, kvikk	35,9	20,5	30,1	9,6	18,5	75,0	39,1	CAUP	106,8	104,0	72,5	0,70	1,24	1,02	97,9	0,021	G249, G250
3148	5-B-1	5,4	137,81	Leire	31,9	21,1	39,7	18,6	19,0	4,6	45,0	CAUA	75,5	80,9	56,6	0,70	0,07	0,16	98,8	0,003	G253, G254
	10-B-1	10,26		Leire	36,0	20,7	38,5	17,8	18,6	3,7	48,8	CAUA	137,9	122,2	75,8	0,62	0,32	0,57	98,8	0,011	G257, G258
	14-C-1	14,40		Leire	36,0	22,9	44,7	21,8	18,6	6,7	54,8	CAUA	189,9	157,3	94,1	0,60	6,35	1,35	100,0	0,027	G261, G262

Prøveidentifisering				Klassifisering								Type forsøk	Konsolidering								Figur ref.
Hull nr.	Forsøk	Dybde m	Terreng- nivå m	Jordart	w _i %	w _p %	w _L %	l _p %	γ _T kN/m ³	S _t	Leir innh. %		p ₀ ' kPa	σ _{ac} ' kPa	σ _{rc} ' kPa	K ₀	e _{vol} %	e _{ac} %	B C	Δe/e ₀	
3148	5-C-1	5,55		Leire	31,6	21,1	39,7	18,6	19,1	5,0	45,0	CAUP	77,5	80,9	56,6	0,70	0,21	0,27	98,1	0,006	G255, G256
	10-C-1	10,40		Leire	36,1	20,7	38,5	17,8	18,5	4,9	48,8	CAUP	139,7	123,3	76,4	0,62	0,56	0,53	94,0	0,011	G259, G260
	14-D-1	14,58		Leire	37,5	22,9	44,7	21,8	18,3	5,9	54,8	CAUP	192,1	158,7	95,2	0,60	1,96	1,45	98,8	0,029	G263, G264
2312	5-A-4	5,60	132,0	Leire, silting	36,2	18,6	31,6	13,0	18,5	6,0	17,6	CAUA	66,9	69,9	62,8	0,90	0,45	0,31	95,0	0,006	G265, G266
	10-A-1	10,22		Leire, silting	31,8	19,7	34,3	14,6	19,1	12,0	17,8	CAUA	128,3	132,3	91,2	0,69	1,35	0,83	98,4	0,018	G269, G270
	16-A-1	19,30		Leire, kvikk	33,6	20,3	41,6	21,3	19,0	75,0	31,4	CAUA	224,3	224,5	135,2	0,60	3,50	3,00	96,7	0,062	G273, G274
	19-A-1	24,43		Leire, kvikk	29,4	20,7	39,7	19,0	19,5	70,0	39,8	CAUA	274,3	273,0	163,9	0,60	5,27	2,47	98,2	0,055	G277, G278
	5-A-1	5,43		Leire, silting	36,2	18,6	31,6	13,0	18,5	6,0	17,6	CAUP	64,6	67,7	60,9	0,90	0,70	0,39	99,0	0,008	G267, G268
	10-A-2	10,36		Leire, silting	30,1	19,7	34,3	14,6	19,2	12,0	17,8	CAUP	129,8	133,5	92,2	0,69	0,93	0,60	97,8	0,013	G271, G272
	16-A-2	19,45		Leire, kvikk	30,0	20,3	41,6	21,3	19,5	75,0	31,4	CAUP	225,9	225,4	135,6	0,60	3,33	2,28	96,7	0,051	G275, G276
	19-A-2	24,58		Leire, kvikk	29,4	20,7	39,7	19,0	19,2	70,0	39,8	CAUP	275,7	274,1	164,7	0,60	5,49	2,83	96,9	0,063	G279, G280
2322	10-A-4	10,56	132,6	Leire, silting	26,1	19,2	28,7	9,5	19,9	5,0	17,8	CAUA	108,6	106,5	76,4	0,72	1,04	0,60	95,4	0,014	G281, G282
	10-A-3	10,41		Leire, silting	25,8	19,2	28,7	9,5	20,0	5,0	17,8	CAUP	106,8	105,2	75,7	0,72	1,62	0,58	98,6	0,014	G283, G284
2325	10-A-1	10,23	130,7	Leire, silting	35,4	19,8	38,4	18,6	18,5	14,0	45,2	CAUA	120,5	103,8	74,7	0,72	0,94	0,59	99,4	0,012	G285, G286
	17-A-1	20,35		Leire, kvikk	28,7	19,0	27,6	8,6	19,5	170,0	23,0	CAUA	216,1	215,8	140,3	0,65	2,13	1,08	97,8	0,024	G289, G290
	10-A-2	10,38		Leire, silting	34,7	19,8	38,4	18,6	18,6	14,0	45,2	CAUP	121,8	105,2	75,7	0,72	1,70	0,96	98,8	0,020	G287, G288
	17-B-1	20,20		Leire, kvikk	34,0	19,0	27,6	8,6	18,9	170,0	23,0	CAUP	215,5	214,0	139,1	0,65	2,70	1,93	96,5	0,040	G291, G292
2330	10-A-1	10,26	144,9	Leire, silting	35,4	21,3	44,9	23,6	18,5	5,0	53,7	CAUA	137,0	138,2	117,2	0,85	1,47	0,61	98,0	0,012	G293, G294
	17-A-1	20,45		Leire	29,7	19,3	29,4	10,1	19,4	5,0	31,2	CAUA	275,7	275,1	181,5	0,66	1,26	1,00	97,8	0,022	G297, G298
	10-B-2	10,41		Leire, silting	36,6	21,3	44,9	23,6	18,5	5,0	53,7	CAUP	139,1	139,0	118,2	0,85	0,89	0,46	98,2	0,009	G295, G296
	17-A-4	20,60		Leire	29,3	19,3	29,4	10,1	19,4	5,0	31,2	CAUP	277,7	276,5	182,6	0,66	2,50	1,20	97,3	0,027	G299, G300
2332	5-A-1	5,21	136,0	Leire, silting	30,2	20,7	42,1	21,4	19,4	2,0	-	CAUA	71,6	63,2	47,4	0,75	1,12	0,76	98,1	0,017	G301, G302
	15-A-1	16,28		Leire, kvikk	33,5	21,7	34,7	13,0	18,8	90,0	35,1	CAUA	167,2	182,8	118,9	0,65	3,61	1,72	97,8	0,036	G307, G308
	17-A-1	20,40		Leire, kvikk	32,7	20,0	32,8	12,8	19,2	100,0	46,2	CAUA	230,8	229,2	138,6	0,60	3,82	3,15	98,2	0,066	G311, G312
	5-A-4	5,57		Leire, silting	32,3	20,7	42,1	21,4	19,0	2,0	-	CAUP	74,0	66,7	50,1	0,75	1,83	0,80	99,0	0,017	G303, G304

Prøveidentifisering					Klassifisering							Type forsøk	Konsolidering								Figur ref.
Hull nr.	Forsøk	Dybde m	Terreng- nivå m	Jordart	w _i %	w _p %	w _L %	Ip %	γ _T kN/m ³	S _t	Leir innh. %		p ₀ ' kPa	σ _{ac} ' kPa	σ _{rc} ' kPa	K ₀	e _{vol} %	e _{ac} %	B C	Δe/e ₀	
2332	10-A-1	10,42		Leire, siltig	29,1	19,3	29,4	10,1	19,3	4,0	27,2		CAUP	117,3	121,2	84,4	0,70	1,60	0,73	98,4	
	15-B-1	16,43		Leire, kvikk	28,3	21,7	34,7	13,0	19,6	90,0	35,1	CAUP	184,0	184,1	119,7	0,65	5,79	2,11	95,3	0,048	G309, G310
	17-A-3	20,25		Leire, kvikk	34,0	20,0	32,8	12,8	18,7	100,0	46,2	CAUP	227,3	229,3	137,7	0,60	1,39	1,08	96,0	0,022	G313, G314
2344	5-A-1	5,21	146,8	Leire, siltig	34,0	18,9	36,2	17,3	18,6	6,0	40,1	CAUA	68,5	67,0	60,3	0,90	0,08	0,22	98,0	0,004	G315, G316
	10-A-1	10,22		Leire, siltig	40,1	21,2	44,0	22,8	18,0	5,0	48,3	CAUA	151,3	151,2	128,5	0,85	1,35	0,64	98,6	0,012	G319, G320
	14-A-2	16,36		Leire, siltig	31,6	20,7	40,8	20,1	19,0	4,0	41,2	CAUA	229,4	240,9	144,7	0,60	2,73	1,46	97,1	0,031	G323, G324
	5-A-2	5,40		Leire, siltig	30,1	18,9	36,2	17,3	18,9	6,0	40,1	CAUP	68,5	68,5	61,6	0,90	0,12	0,22	98,1	0,005	G317, G318
	10-A-2	10,40		Leire, siltig	37,0	21,2	44,0	22,8	18,2	5,0	48,3	CAUP	151,3	151,3	128,6	0,85	2,62	0,65	98,4	0,013	G321, G322
	14-A-3	16,51		Leire, siltig	29,6	20,7	40,8	20,1	18,5	4,0	41,2	CAUP	241,3	241,4	144,7	0,60	2,66	1,43	98,6	0,032	G325, G326
2366	5-A-1	5,21	133,2	Leire, siltig	35,2	18,1	35,1	17,0	18,7	16,0	45,3	CAUA	66,0	63,9	54,3	0,85	1,51	0,97	98,9	0,020	G327, G328
	10-A-1	10,20		Leire, siltig	34,7	19,0	32,2	13,2	18,9	21,0	38,8	CAUA	104,4	101,2	76,0	0,75	1,69	1,35	99,2	0,028	G331, G332
	15-A-1	16,20		Leire, siltig	27,9	18,4	29,6	11,2	19,5	14,0	31,2	CAUA	152,4	143,8	100,7	0,70	1,39	0,90	97,6	0,021	G335, G336
	5-A-2	5,36		Leire, siltig	35,3	18,1	35,1	17,0	18,7	16,0	45,3	CAUP	67,1	65,4	55,6	0,85	0,80	0,45	99,1	0,009	G329, G330
	10-A-2	10,35		Leire, siltig	33,1	19,0	32,2	13,2	18,9	21,0	38,8	CAUP	105,6	103,2	77,4	0,75	1,06	0,82	99,0	0,017	G333, G334
	15-A-2	16,35		Leire, siltig	28,6	18,4	29,6	11,2	19,4	14,0	31,2	CAUP	153,8	145,0	101,6	0,70	1,50	0,85	98,4	0,019	G337, G338
2371	5-A-3	5,43	141,2	Leire, siltig	38,0	24,9	42,2	17,3	18,1	7,0	40,1	CAUA	69,1	68,6	61,8	0,90	0,19	0,23	98,2	0,004	G339, G340
	10-A-3	10,43		Leire, siltig	31,0	23,2	38,8	15,6	19,1	6,0	37,1	CAUA	131,9	131,4	91,9	0,70	1,15	0,87	98,0	0,019	G343, G344
	15-A-1	15,23		Leire, kvikk	33,6	20,7	29,1	8,4	18,8	150,0	47,4	CAUA	194,4	195,0	107,1	0,55	1,84	1,08	98,4	0,022	G347, G348
	17-A-1	20,18		Leire, kvikk	27,8	18,4	25,9	7,5	19,6	50,0	26,2	CAUA	250,8	252,7	126,7	0,50	1,31	1,71	98,0	0,039	G351, G352
	5-A-2	5,28		Leire, siltig	38,5	24,9	42,2	17,3	18,0	7,0	40,1	CAUP	67,2	67,8	60,9	0,90	0,26	0,29	97,6	0,006	G341, G342
	10-A-1	10,40		Leire, siltig	33,5	23,2	38,8	15,6	18,8	6,0	37,1	CAUP	131,5	130,3	91,1	0,70	1,15	0,41	96,3	0,009	G345, G346
	15-A-3	15,43		Leire, kvikk	34,0	20,7	29,1	8,4	18,8	150,0	47,4	CAUP	196,6	196,0	107,9	0,55	1,29	1,36	98,2	0,028	G349, G350
ETTERSENDES																					G353, G354
2379	5-A-2	5,28	142,2	Leire, siltig	44,1	20,7	42,1	21,4	18,3	7,0	47,4	CAUA	55,3	53,1	49,8	0,94	0,31	0,32	98,8	0,006	G355, G356
	10-A-2	10,28		Leire, siltig	32,2	21,3	35,6	14,3	19,0	19,0	43,3	CAUA	124,4	131,0	94,3	0,72	0,87	0,73	98,4	0,016	G359, G360
	14-A-2	14,36		Leire, siltig	34,1	19,5	31,2	11,7	18,8	22,0	32,4	CAUA	166,6	173,4	118,5	0,68	0,71	0,77	97,3	0,016	G363, G634
	5-A-3	5,43		Leire, siltig	37,5	20,7	42,1	21,4	18,3	7,0	47,4	CAUP	57,4	53,6	50,9	0,95	0,30	0,15	98,4	0,003	G357, G358

Prøveidentifisering					Klassifisering							Type forsøk	Konsolidering								Figur ref.
Hull nr.	Forsøk	Dybde m	Terreng-nivå m	Jordart	w _i %	w _p %	w _L %	I _p %	γ _T kN/m ³	S _t	Leir innh. %		p ₀ ' kPa	σ _{ac} ' kPa	σ _{rc} ' kPa	K ₀	e _{vol} %	e _{ac} %	B C	Δe/e ₀	
2379	10-A-3	10,43		Leire, siltig	32,6	21,3	35,6	14,3	18,9	19,0	43,3	CAUP	126,0	131,9	94,7	0,72	1,17	0,59	97,6	0,012	G361, G332
	14-A-1	14,40		Leire, siltig	29,6	19,5	31,2	11,7	19,3	22,0	32,4	CAUP	167,0	171,8	116,8	0,68	1,57	0,81	98,4	0,018	G365, G366
2411	6-A-1	6,21	145,6	Leire, siltig	34,6	19,7	36,8	17,1	18,5	23,0	36,2	CAUA	47,8	48,7	56,1	1,15	0,14	0,00	99,2	0,000	G367, G368
	12-A-1	12,21		Leire, siltig	30,4	19,2	35,4	16,2	19,1	33,0	43,1	CAUA	115,9	116,0	87,0	0,75	1,52	0,74	98,8	0,016	G371, G372
	16-A-1	18,23		Leire, siltig	32,2	18,0	29,5	11,5	19,0	18,0	26,0	CAUA	170,5	171,2	128,5	0,75	3,60	1,85	99,2	0,039	G375, G376
	6-A-2	6,36		Leire, siltig	38,4	19,7	36,8	17,1	18,2	23,0	36,2	CAUP	49,8	50,0	57,5	1,15	0,08	0,01	99,0	0,000	G369, G370
	12-A-2	12,36		Leire, siltig	35,7	19,2	35,4	16,2	18,3	33,0	43,1	CAUP	117,3	117,5	88,1	0,75	1,64	0,91	99,0	0,018	G373, G374
	16-A-2	18,38		Leire, siltig	31,9	18,0	29,5	11,5	19,1	18,0	26,0	CAUP	171,9	172,6	130,6	0,76	3,06	1,26	98,4	0,027	G377, G378
2430	6-A-2	6,40	157,8	Leire	35,4	18,5	34,9	16,4	18,6	3,0	38,2	CAUA	74,1	74,3	55,6	0,75	0,46	0,29	98,6	0,006	G379, G380
	12-A-1	12,24		Leire	44,8	21,4	41,0	19,6	17,6	6,0	52,0	CAUA	143,3	145,2	79,9	0,55	1,73	1,45	97,4	0,026	G383, G384
	6-B-1	6,40		Leire	34,7	18,5	34,9	16,4	18,7	3,0	38,2	CAUP	74,1	74,2	55,6	0,75	1,63	0,62	98,4	0,013	G381, G382
	12-A-2	12,40		Leire	42,1	21,4	41,0	19,6	17,8	6,0	52,0	CAUP	145,3	145,5	79,9	0,55	1,51	0,96	96,3	0,018	G385, G386

w _i	In-situ vanninnhold	ε _{vol}	Volumetrisk tøyning ved konsolidering
w _L	Flytegrense	ε _{ac}	Vertikal tøyning ved konsolidering
w _p	Utrullingsgrense	B	Skemptions poretrykksfaktor, Δu/σ _m
I _p	Plastisitetsindeks, I _p = w _L - w _p	τ _f	Skjærspenning ved brudd
p' _{0v}	In-situ vertikal effektivspenning	u _f	Poretrykk i prøven ved brudd
σ' _{ac}	Vertikal konsolideringsspenning	ε _f	Vertikal tøyning ved brudd
σ' _{rc}	Horisontal konsolideringsspenning		



Date/Rev.: 2009-11-03/01

E16 Nybakk - Slomarka

Dokument nr.
20120491-02-R

Treaksial forsøk: **CAUA**

Dato
2013-04-02

Boring: **2009**

Dybde = **6.36** m

Konsolidering-spenninger

Sylinder: **5**

$p_{o'}$ = **77.6** kPa

(kPa) maks. min. endelig

Figur nr.
G1

Del: **B**

w_i = **29.3** %

σ_{ac}' = - - **76.5**

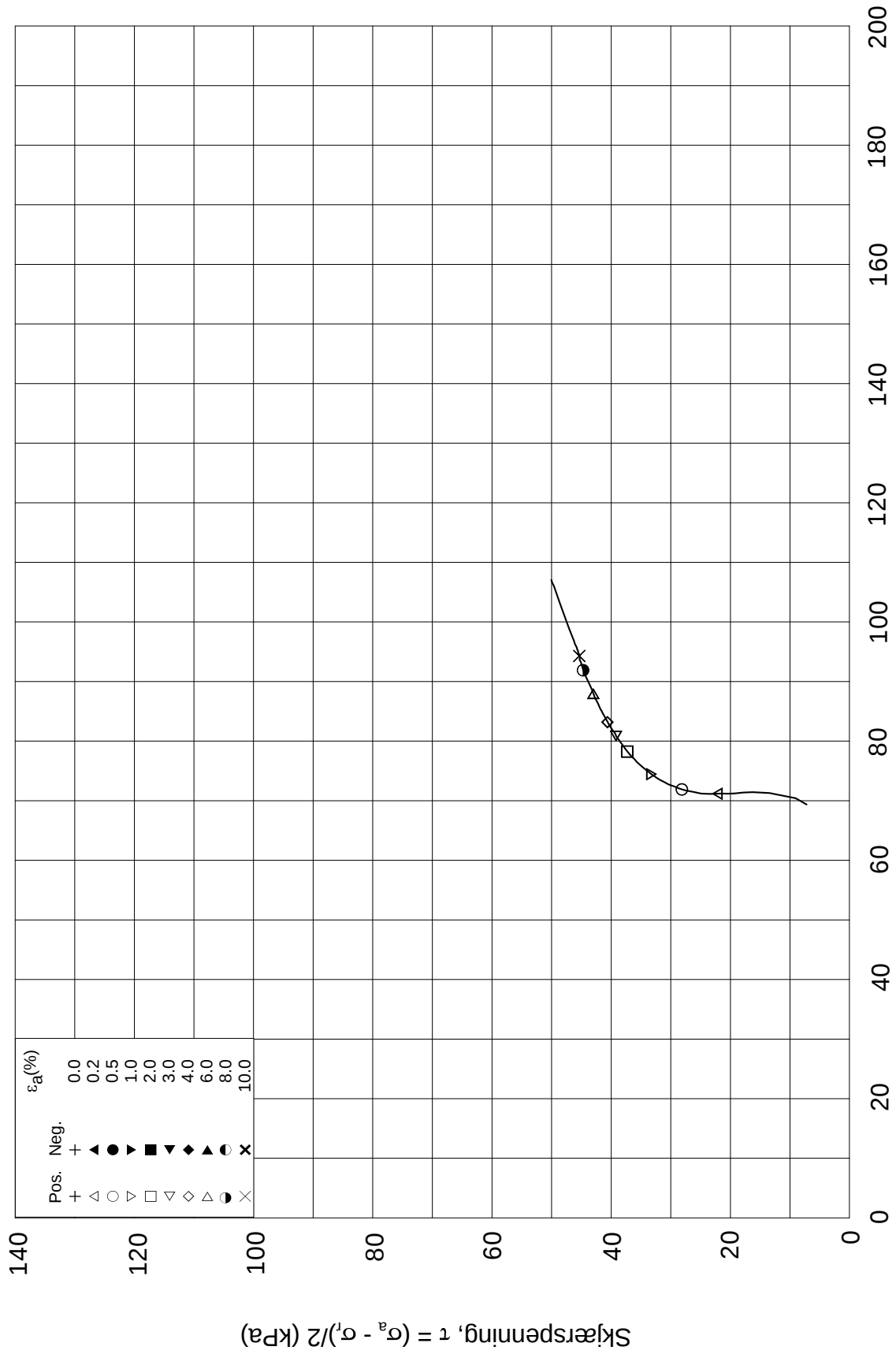
Tegnet av
MAS

Test: **1**

w_c = **28.7** %

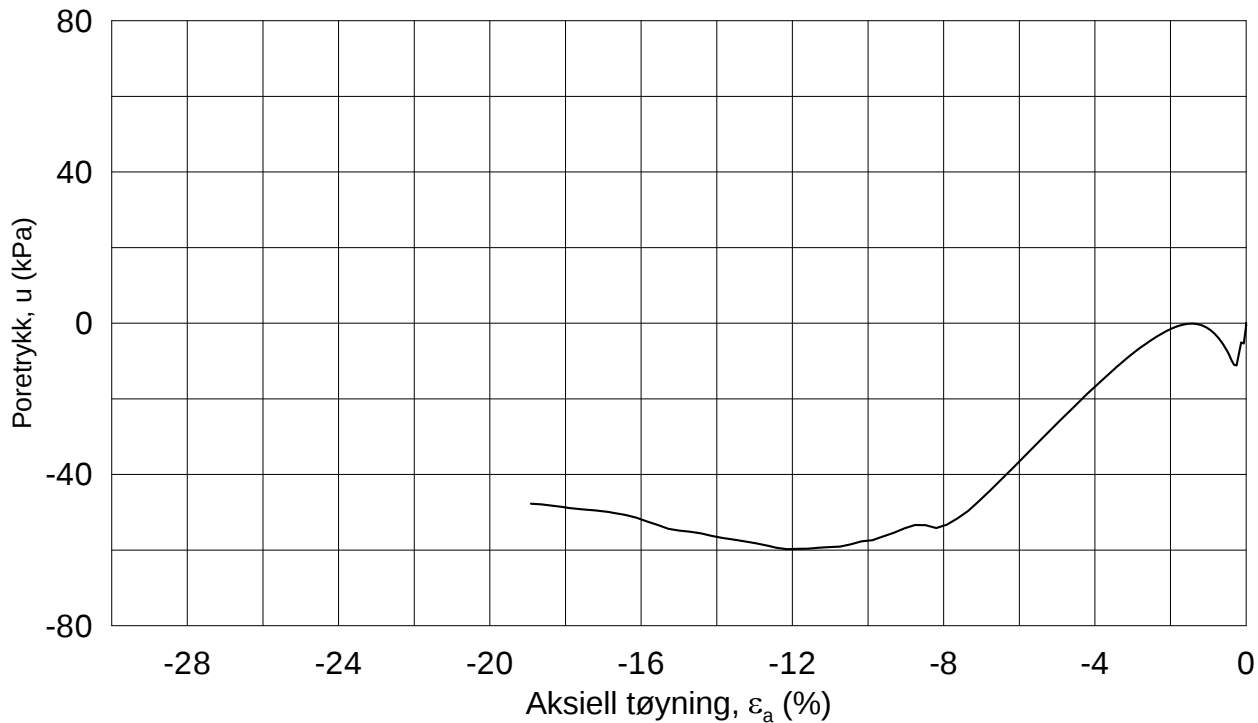
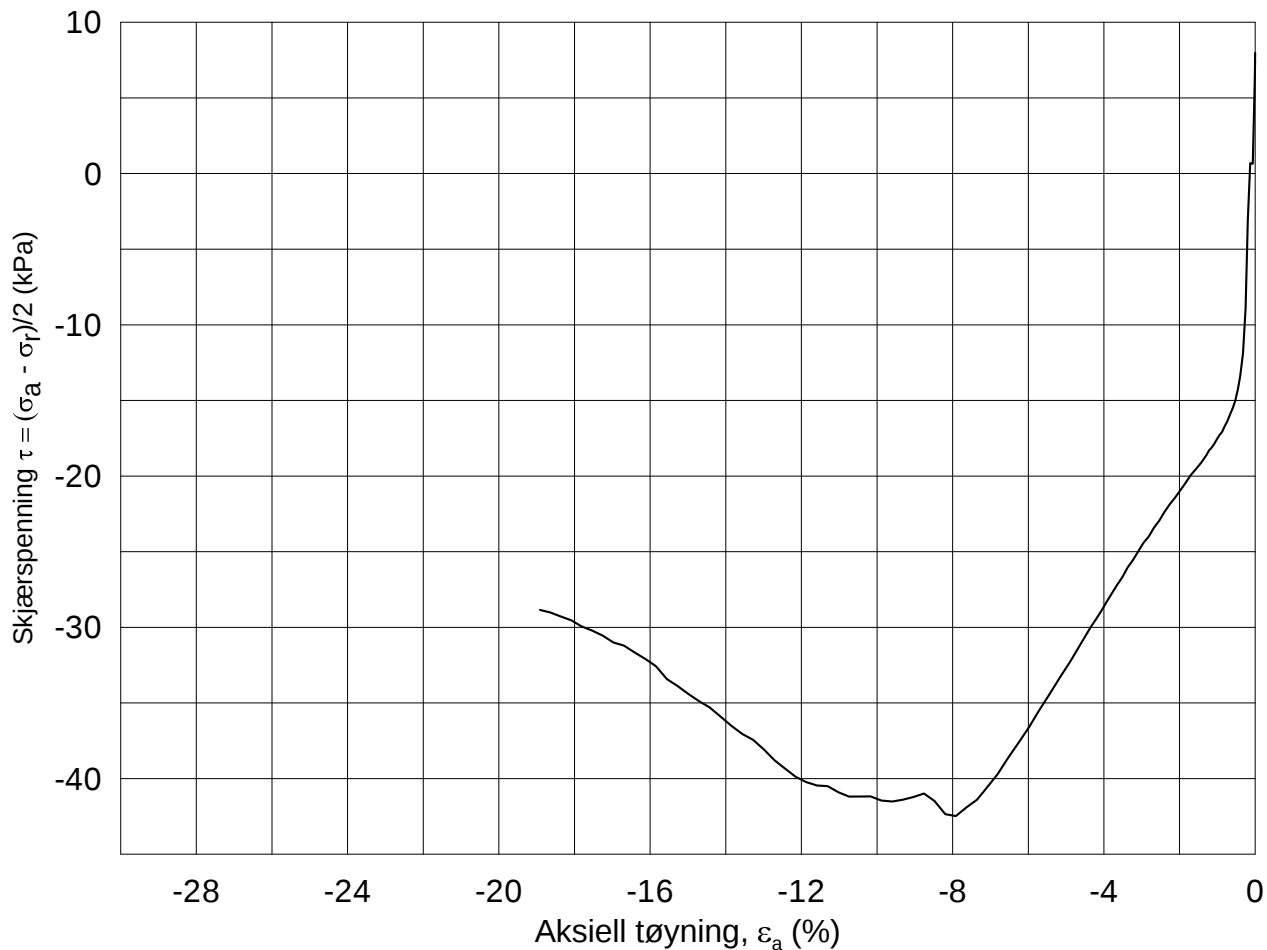
σ_{rc}' = - - **62.1**





Date/Rev.: 2009-11-03/01

E16 Nybakk - Slomarka			Dokument nr. 20120491-02-R	
Treaksial forsøk: CAUA			Dato 2013-04-02	
Boring: 2009	Dybde = 6.36 m	Konsolidering-spenninger		
Sylinder: 5	$p_{o'}$ = 77.6 kPa	(kPa)	maks.	min.
Del: B	w_i = 29.3 %	σ_{ac}' =	-	-
Test: 1	w_c = 28.7 %	σ_{rc}' =	-	-
		endelig	76.5	
			62.1	
		Figur nr.	G2	
		Tegnet av	MAS	



Date/Rev.: 2009-11-03/01

E16 Nybakk - Slomarka

Dokument nr.
20120491-02-R

Treaksial forsøk: **CAUP**

Dato
2013-04-02

Boring: **2009**

Dybde = **6.21** m

Konsolidering-spenninger

Sylinder: **5**

$p_{o'}$ = **77.6** kPa

(kPa) maks. min. endelig

Figur nr.
G3

Del: **A**

w_i = **22.6** %

σ_{ac}' = - - **77.6**

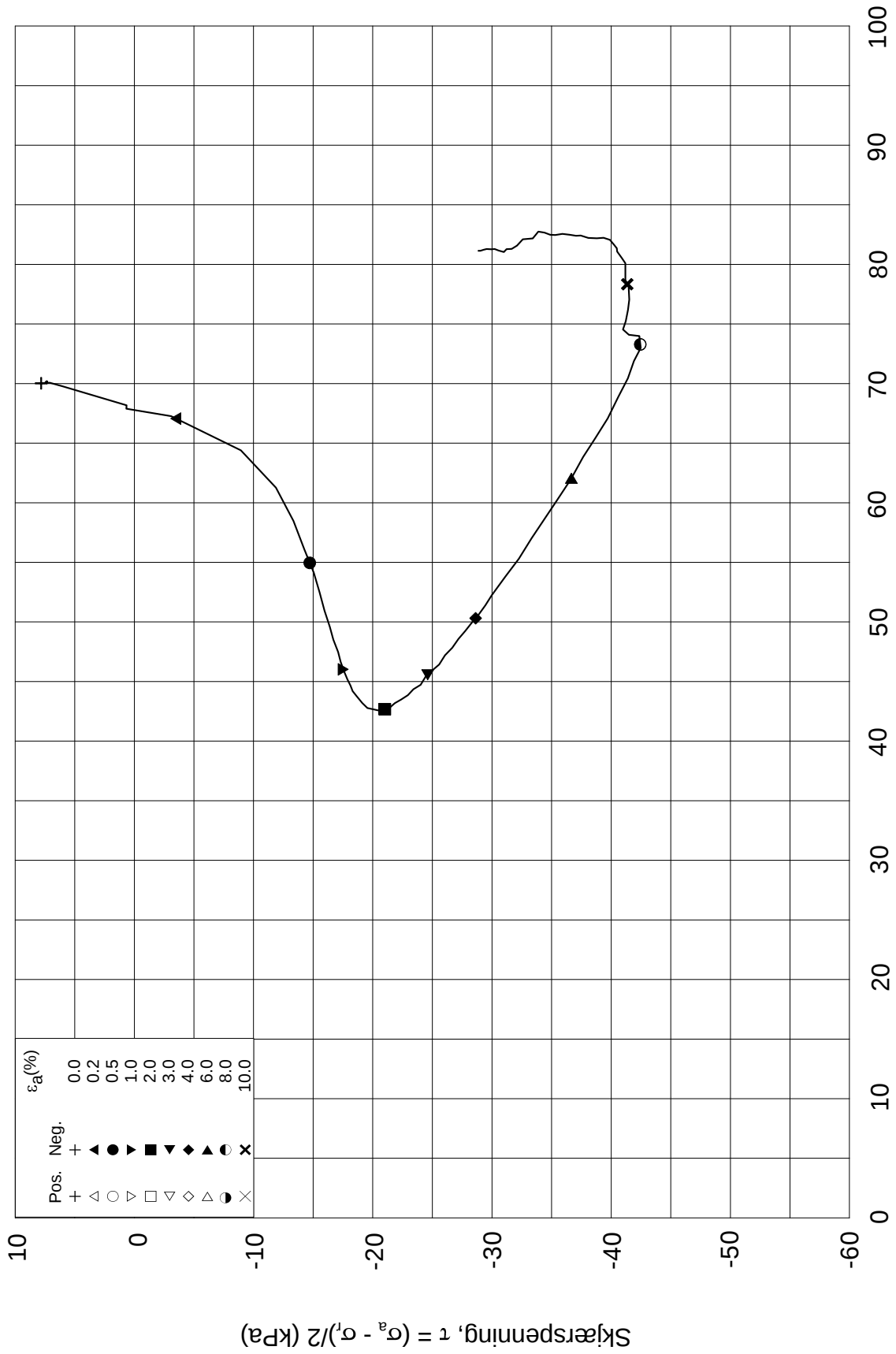
Tegnet av
MAS

Test: **1**

w_c = **21.9** %

σ_{rc}' = - - **62.1**





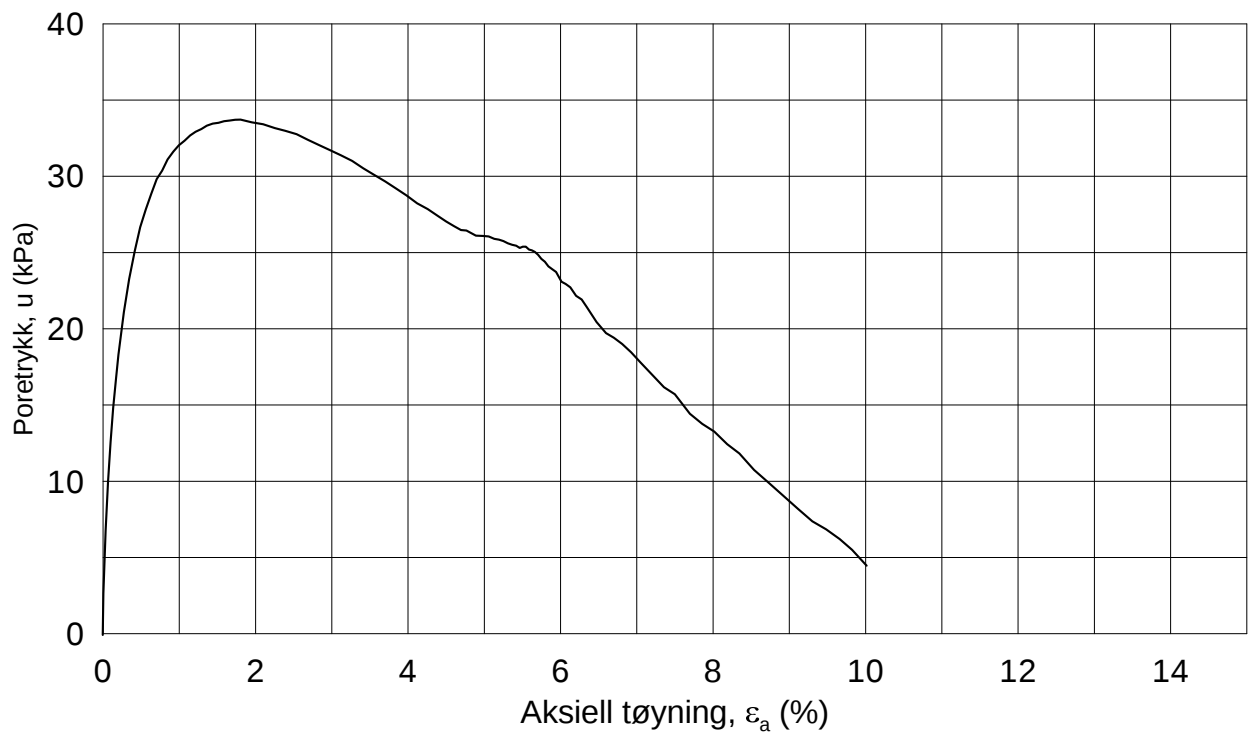
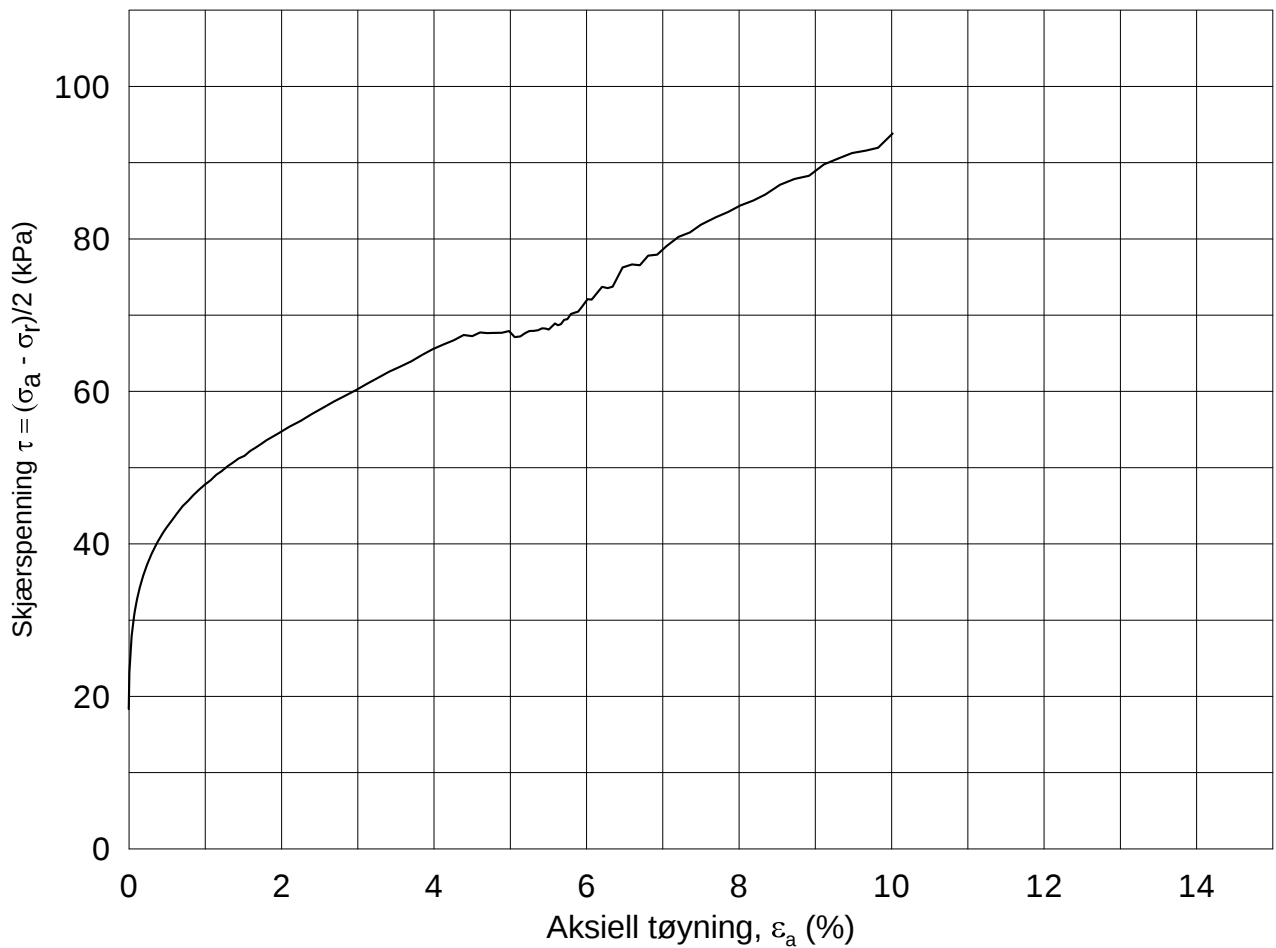
Effektiv gjennomsnittsspenning, $p' = (\sigma_a' + \sigma_r')/2$ (kPa)

Date/Rev.: 2009-11-03/01

E16 Nybakk - Slomarka			Dokument nr. 20120491-02-R	
Treaksial forsøk: CAUP			Dato 2013-04-02	
Boring: 2009	Dybde = 6.21 m	Konsolidering-spenninger		
Sylinder: 5	$p_{o'}$ = 77.6 kPa	(kPa)	maks.	min.
Del: A	w_i = 22.6 %	$\sigma_{ac}' =$	-	-
Test: 1	w_c = 21.9 %	$\sigma_{rc}' =$	-	-
				77.6
				62.1
				Figur nr. G4
				Tegnet av MAS



2009-5-A-1_Plot2.grf



Date/Rev.: 2009-11-03/01

E16 Nybakk - Slomarka

Dokument nr.
20120491-02-R

Treaksial forsøk: **CAUA**

Dato
2013-03-20

Boring: **2009**

Dybde = **11.24** m

Konsolidering-spenninger

Sylinder: **9**

p_o' = **121.2** kPa

(kPa) maks. min. endelig

Figur nr.

G5

Del: **A**

w_i = **25.3** %

σ_{ac}' = - - **121.2**

Tegnet av

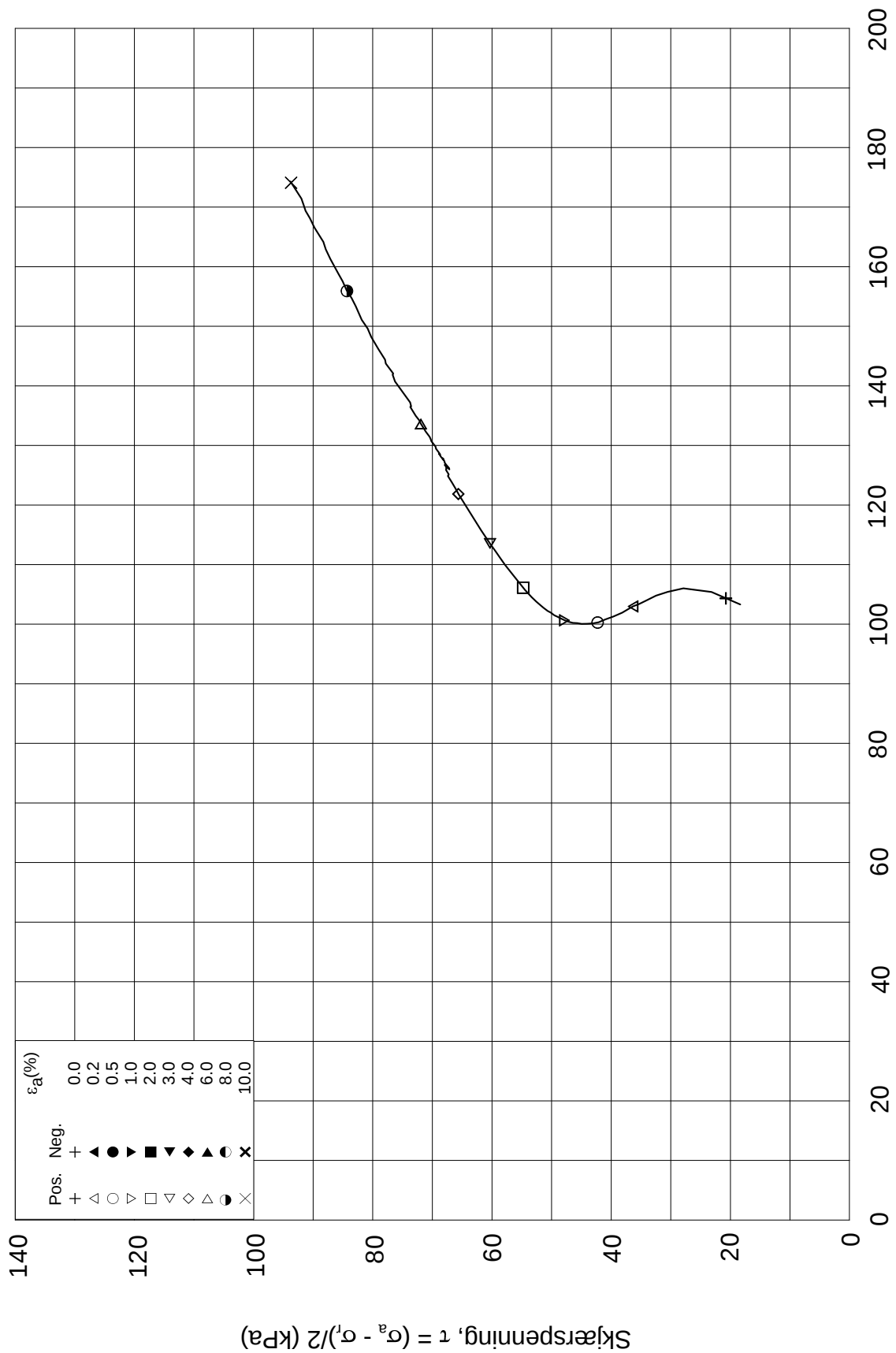
MAS

Test: **1**

w_c = **24.1** %

σ_{rc}' = - - **84.9**





Date/Rev.: 2009-11-03/01

E16 Nybakk - Slomarka

Dokument nr.
20120491-02-R

Treaksial forsøk: **CAUA**

Dato
2013-03-20

Boring: **2009**

Dybde = **11.24** m

Konsolidering-spenninger

Sylinder: **9**

$p_{o'}$ = **121.2** kPa

(kPa)	maks.	min.	endelig
σ_{ac}' =	-	-	121.2
σ_{rc}' =	-	-	84.9

Del: **A**

w_i = **25.3** %

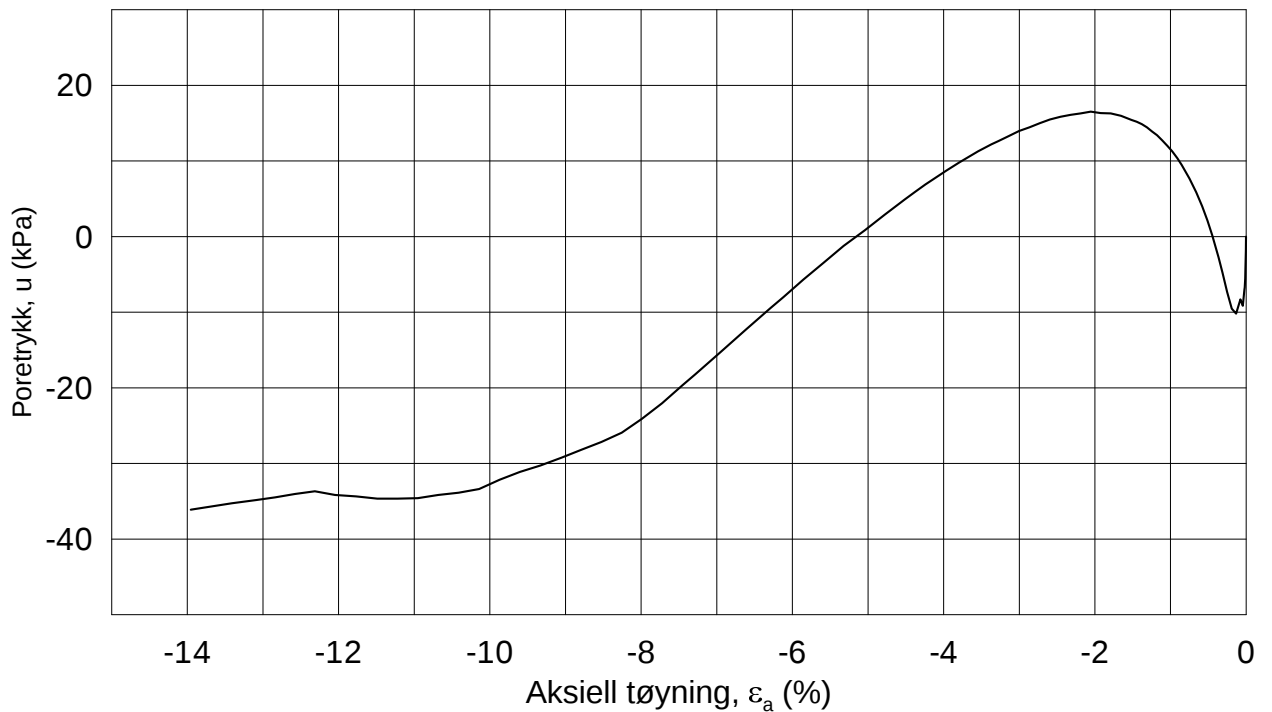
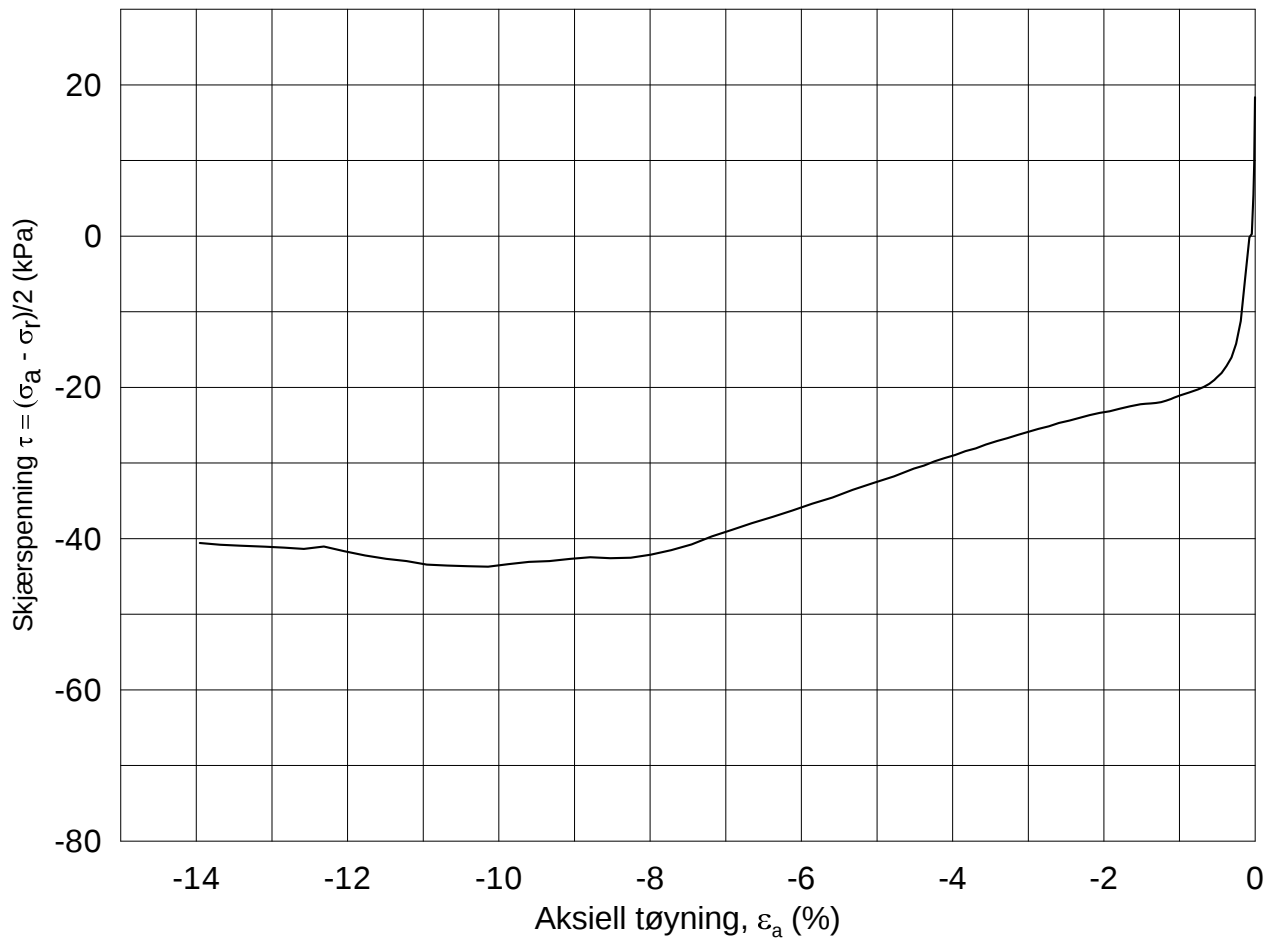
Figur nr. G6

Test: **1**

w_c = **24.1** %

Tegnet av MAS





Date/Rev.: 2009-11-03/01

E16 Nybakk - Slomarka

Dokument nr.
20120491-02-R

Treaksial forsøk: **CAUP**

Dato
2013-04-02

Boring: **2009**

Dybde = **11.37** m

Konsolidering-spenninger

Sylinder: **9**

p_o' = **122.6** kPa

(kPa)	maks.	min.	endelig
σ_{ac}' =	-	-	122.5
σ_{rc}' =	-	-	85.8

Del: **B**

w_i = **25.3** %

Tegnet av
MAS

Test: **1**

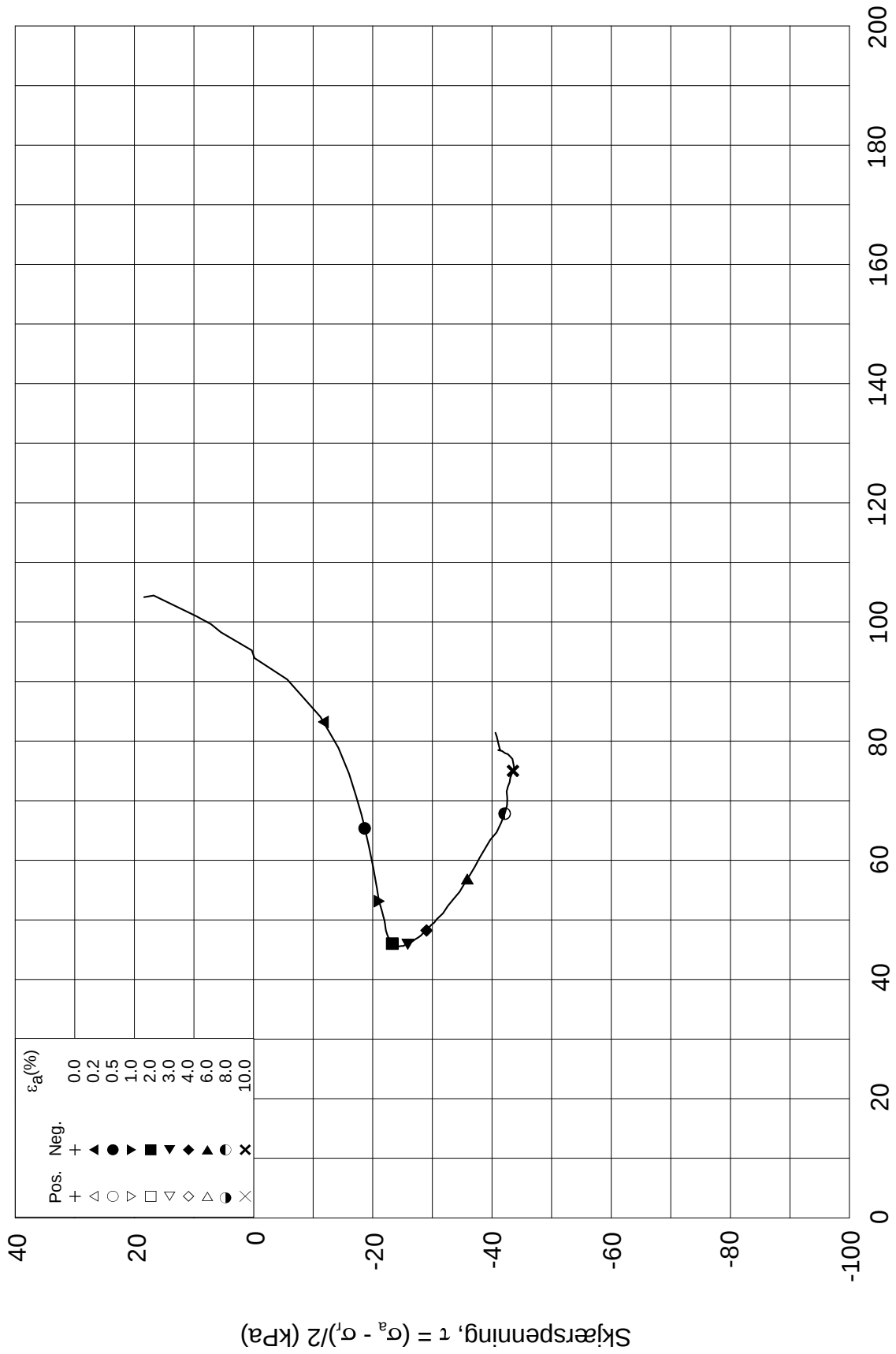
w_c = **24.2** %

Figur nr.

G7



Effektiv gjennomsnittsspenning, $p' = (\sigma'_a + \sigma'_i)/2$ (kPa)

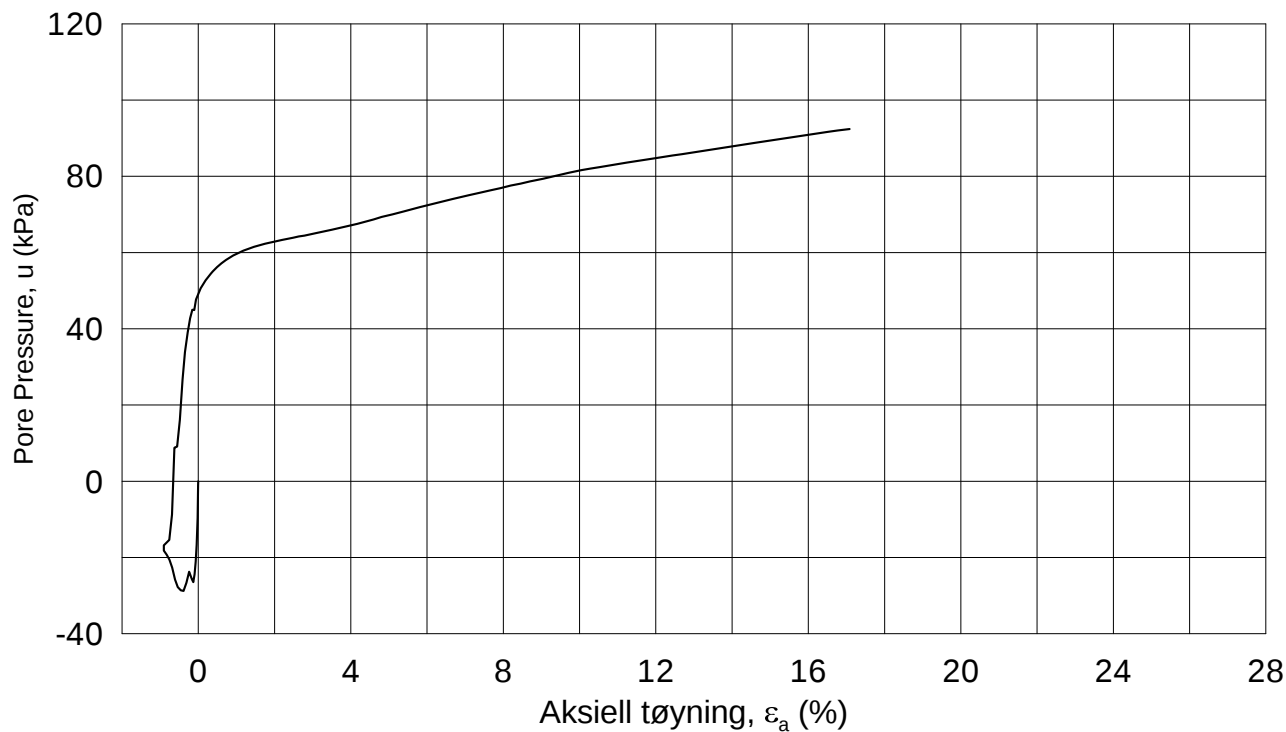
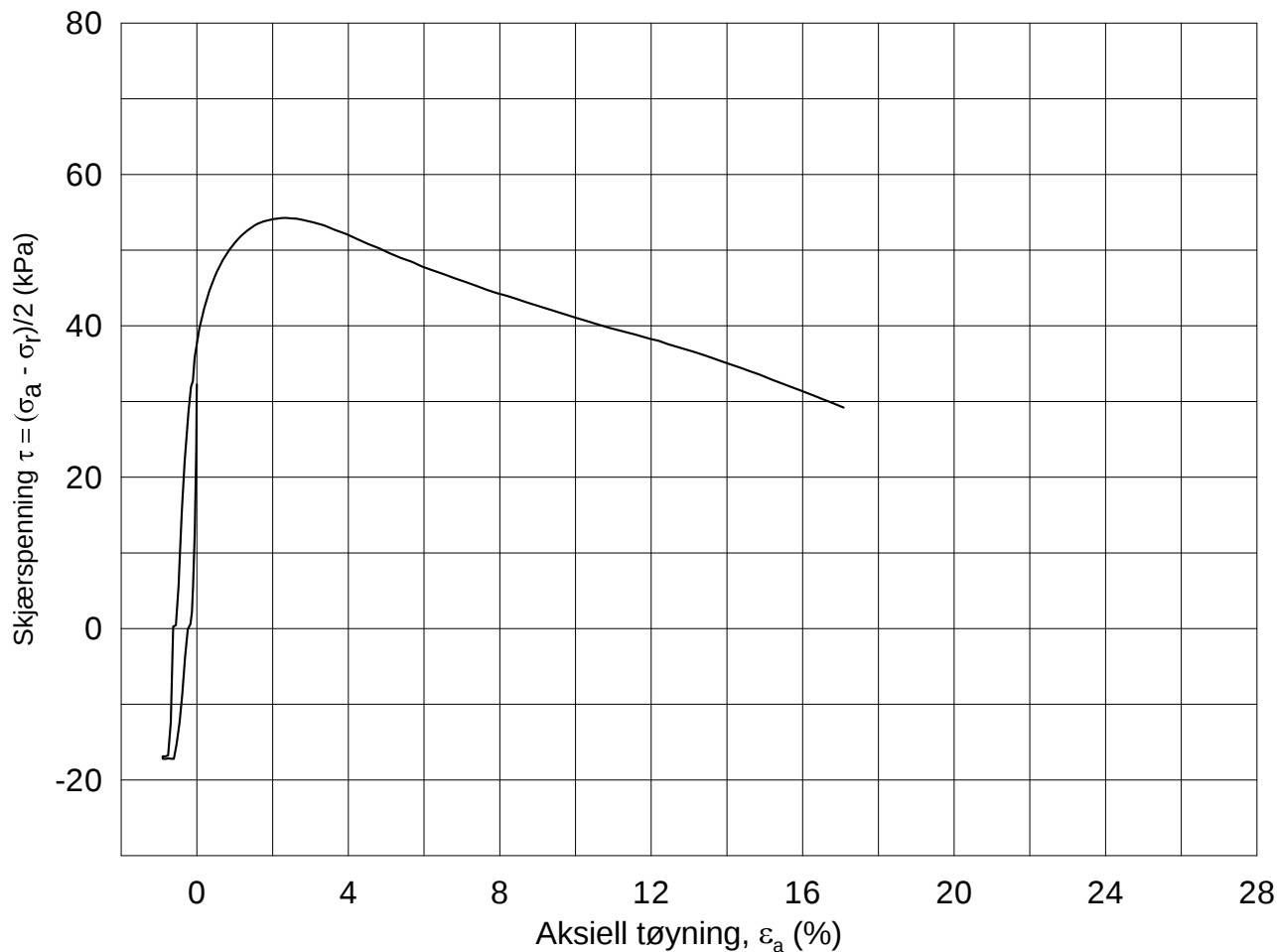


Date/Rev.: 2009-11-03/01

E16 Nybakk - Slomarka			Dokument nr. 20120491-02-R
Treaksial forsøk: CAUP			Dato 2013-04-02
Boring: 2009	Dybde = 11.37 m	Konsolidering-spenninger	
Sylinder: 9	$p_{o'}$ = 122.6 kPa	(kPa)	maks. min. endelig
Del: B	w_i = 25.3 %	$\sigma_{ac}' =$ - - 122.5	Figur nr. G8
Test: 1	w_c = 24.2 %	$\sigma_{rc}' =$ - - 85.8	Tegnet av MAS

2009-9-B-1_Plot2.grf





Date/Rev.: 2009-11-03/01

E16 Nybakk - Slomarka

Dokument nr.
20120491-02-R

Treksial forsøk: **CAUA**

Dato
2013-03-20

Boring: **2009**

Dybde = **18.25** m

Konsolidering-spenninger

Sylinder: **16**

p_o' = **184.3** kPa

(kPa) maks. min. endelig

Figur nr.

G9

Del: **A**

w_i = **35.5** %

σ_{ac}' = - - **184.1**

Tegnet av

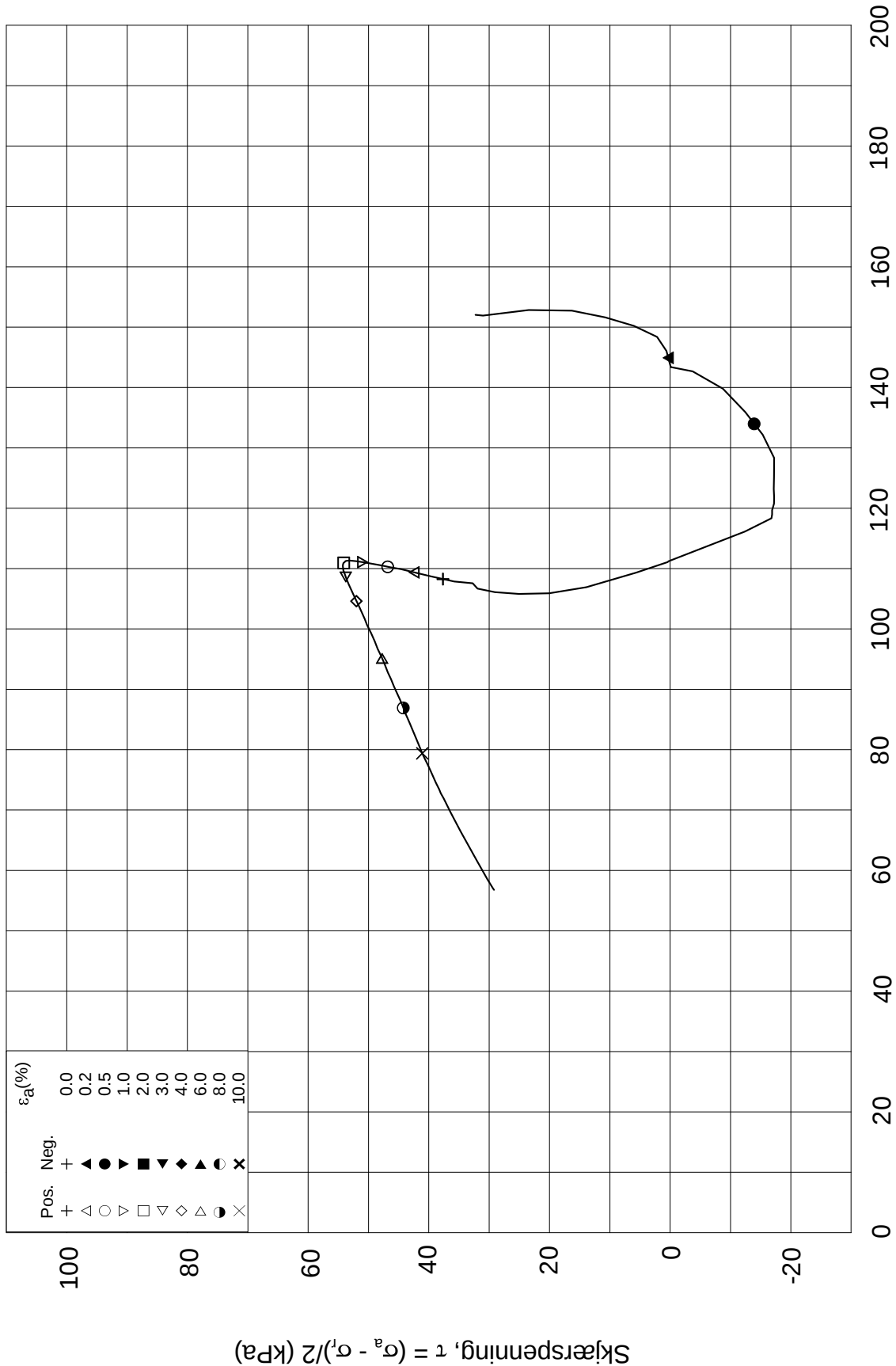
MAS

Test: **1**

w_c = **33.0** %

σ_{rc}' = - - **119.8**



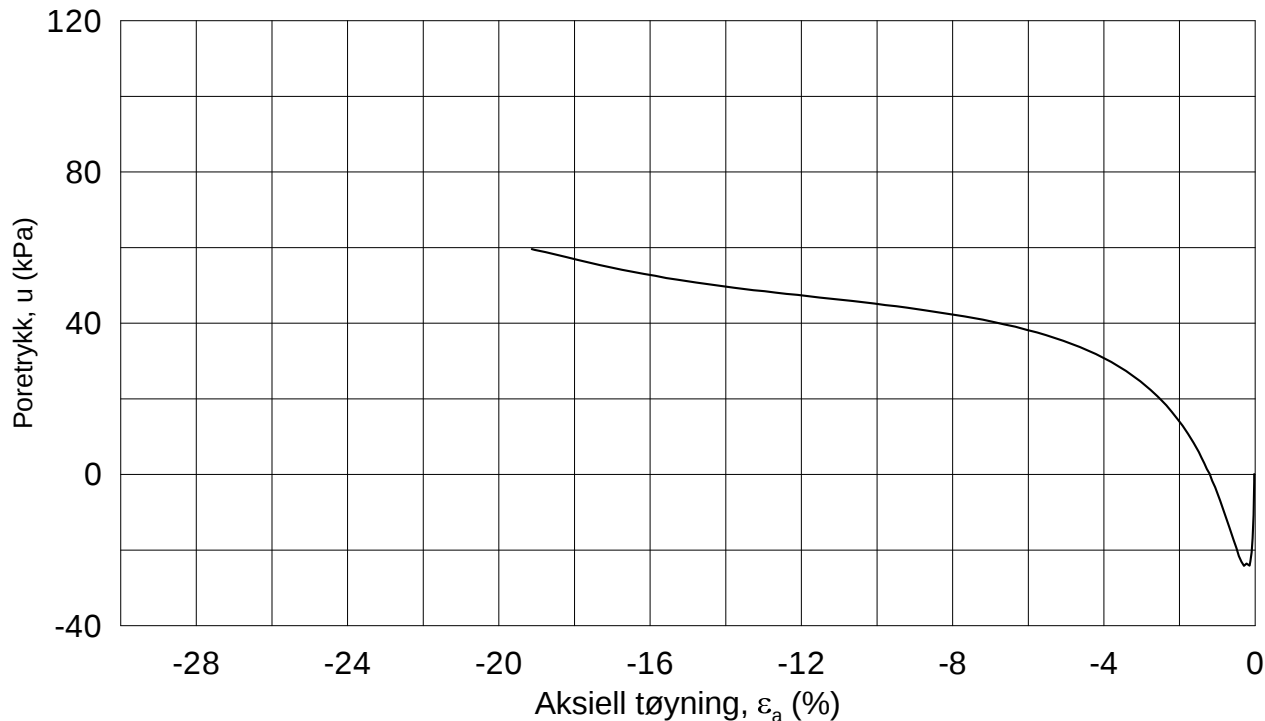
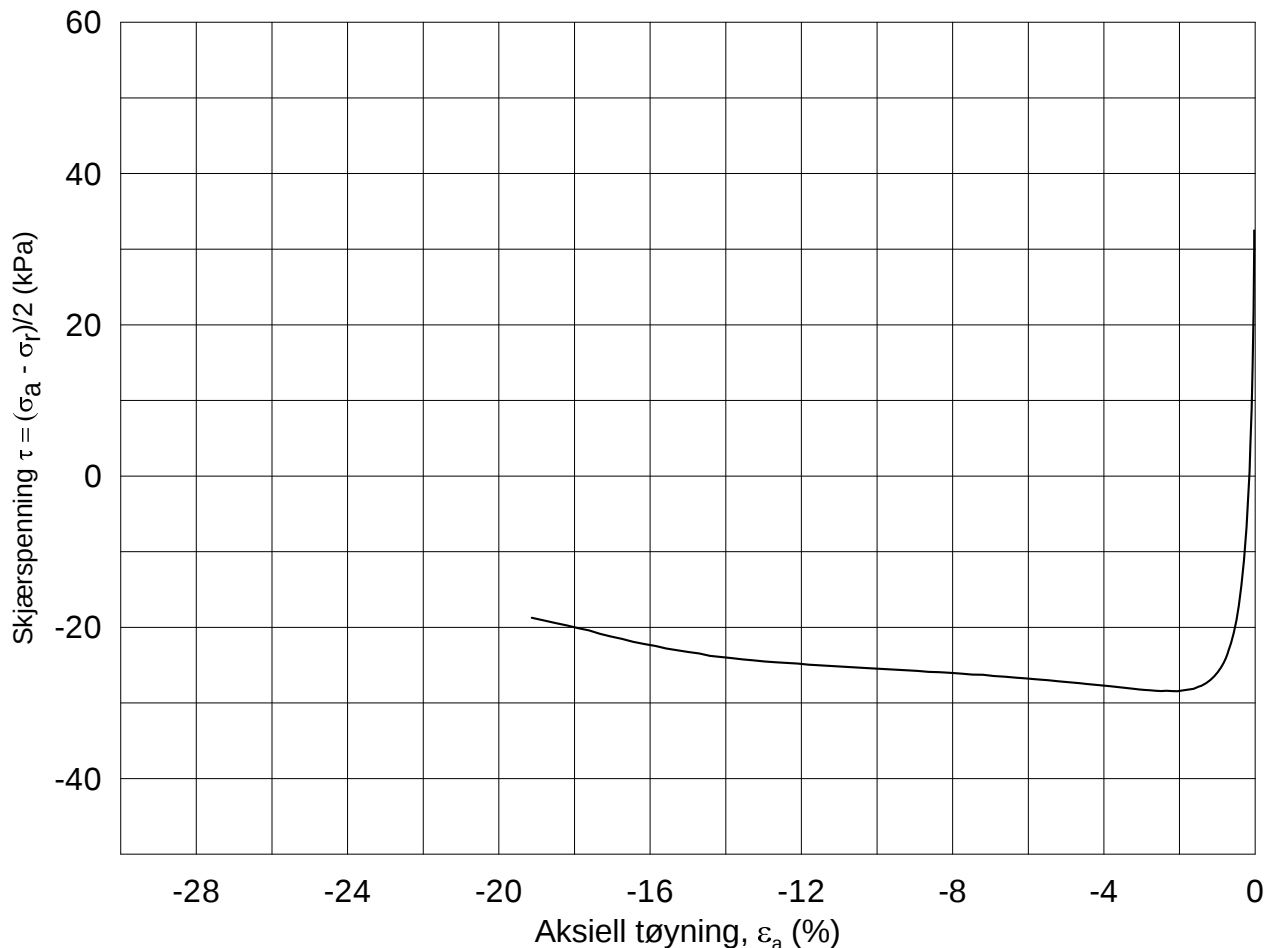


Effektiv gjennomsnittsspenning, $p' = (\sigma_a' + \sigma_r')/2$ (kPa)

Date/Rev.: 2009-11-03/01

E16 Nybakk - Slomarka			Dokument nr. 20120491-02-R	
Treaksial forsøk: CAUA			Dato 2013-03-20	
Boring: 2009	Dybde = 18.25 m	Konsolidering-spenninger		
Sylinder: 16	p_o' = 184.3 kPa	(kPa)	maks.	min.
Del: A	w_i = 35.5 %	$\sigma_{ac}' =$	-	-
Test: 1	w_c = 33.0 %	$\sigma_{rc}' =$	-	-
		endelig	184.1	
				119.8
		Figur nr.	G10	
		Tegnet av	MAS	

2009-16-A-1-Plot2.grf



Date/Rev.: 2009-11-03/01

E16 Nybakk - Slomarka

Dokument nr.
20120491-02-R

Treaksial forsøk: **CAUP**

Dato
2013-03-20

Boring: **2009**

Dybde = **18.40** m Konsolidering-spenninger

Sylinder: **16**

p_o' = **185.6** kPa (kPa) maks. min. endelig

Del: **B**

w_i = **33.4** % σ_{ac}' = - - **185.4**

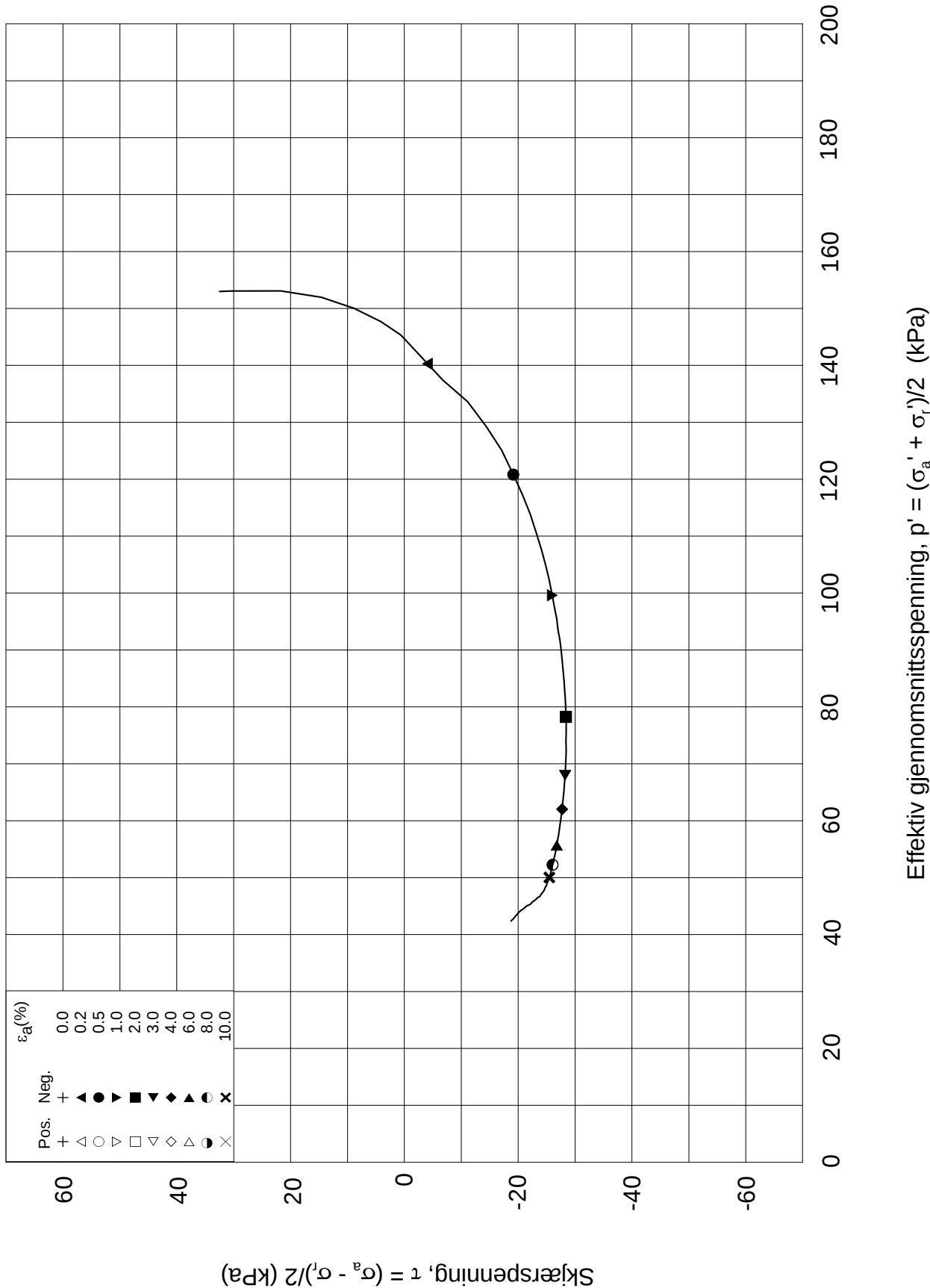
Test: **1**

w_c = **31.0** % σ_{rc}' = - - **120.6**

Figur nr.
G11

Tegnet av
MAS





Date/Rev.: 2009-11-03/01

E16 Nybakk - Slomarka

Dokument nr.
20120491-02-R

Treaksial forsøk: **CAUP**

Dato
2013-03-20

Boring: **2009**

Dybde = **18.40** m

Konsolidering-spenninger

Sylinder: **16**

p_o' = **185.6** kPa

(kPa) maks. min. endelig

Figur nr.

G12

Del: **B**

w_i = **33.4** %

σ_{ac}' = - - **185.4**

Tegnet av

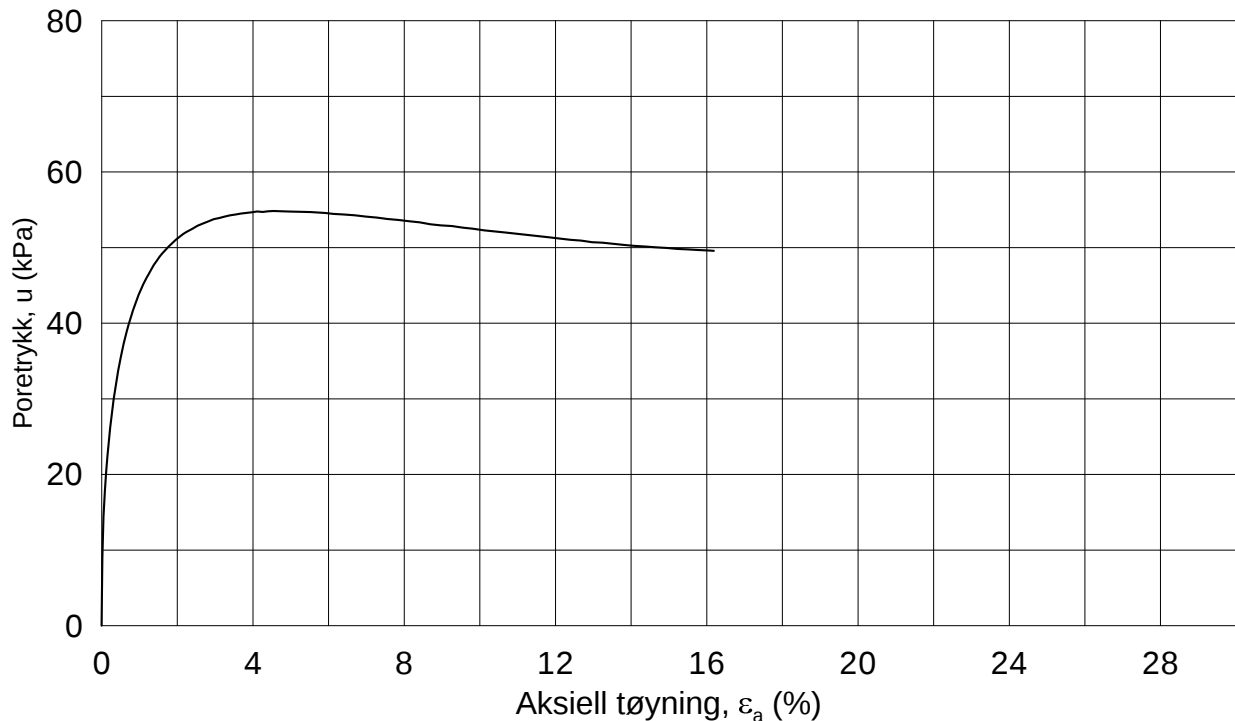
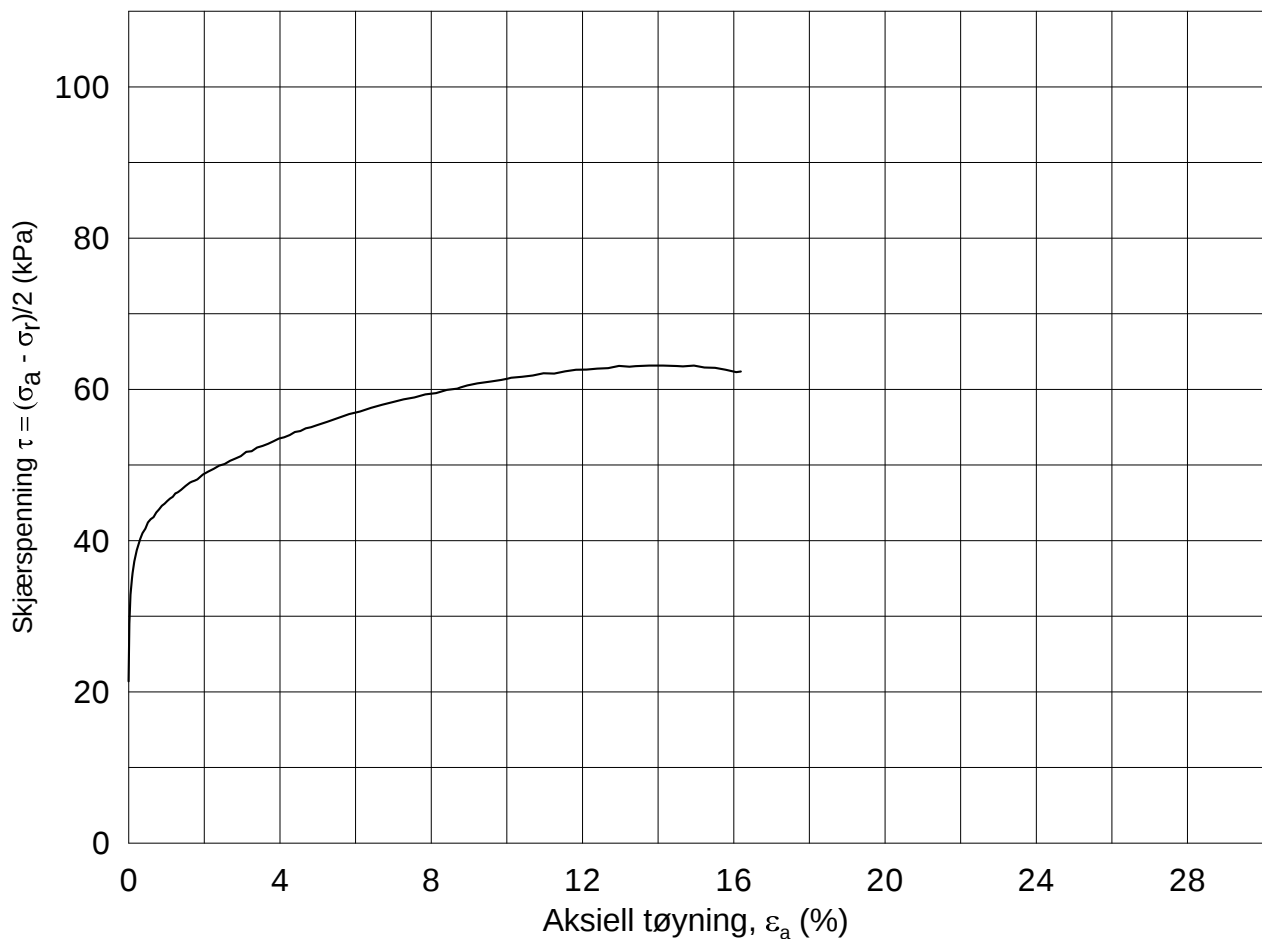
MAS

Test: **1**

w_c = **31.0** %

σ_{rc}' = - - **120.6**





Date/Rev.: 2009-11-03/01

E16 Nybakk - Slomarka

Dokument nr.
20120491-02-R

Treaksial forsøk: **CAUA**

Dato
2013-07-11

Boring: **2201**

Dybde = **11.53** m

Konsolidering-spenninger

Sylinder: **12**

p_o' = **143.6** kPa

(kPa) maks. min. endelig

Figur nr.
G13

Del: **D**

w_i = **34.5** %

σ_{ac}' = - - **143.5**

Tegnet av
MAS

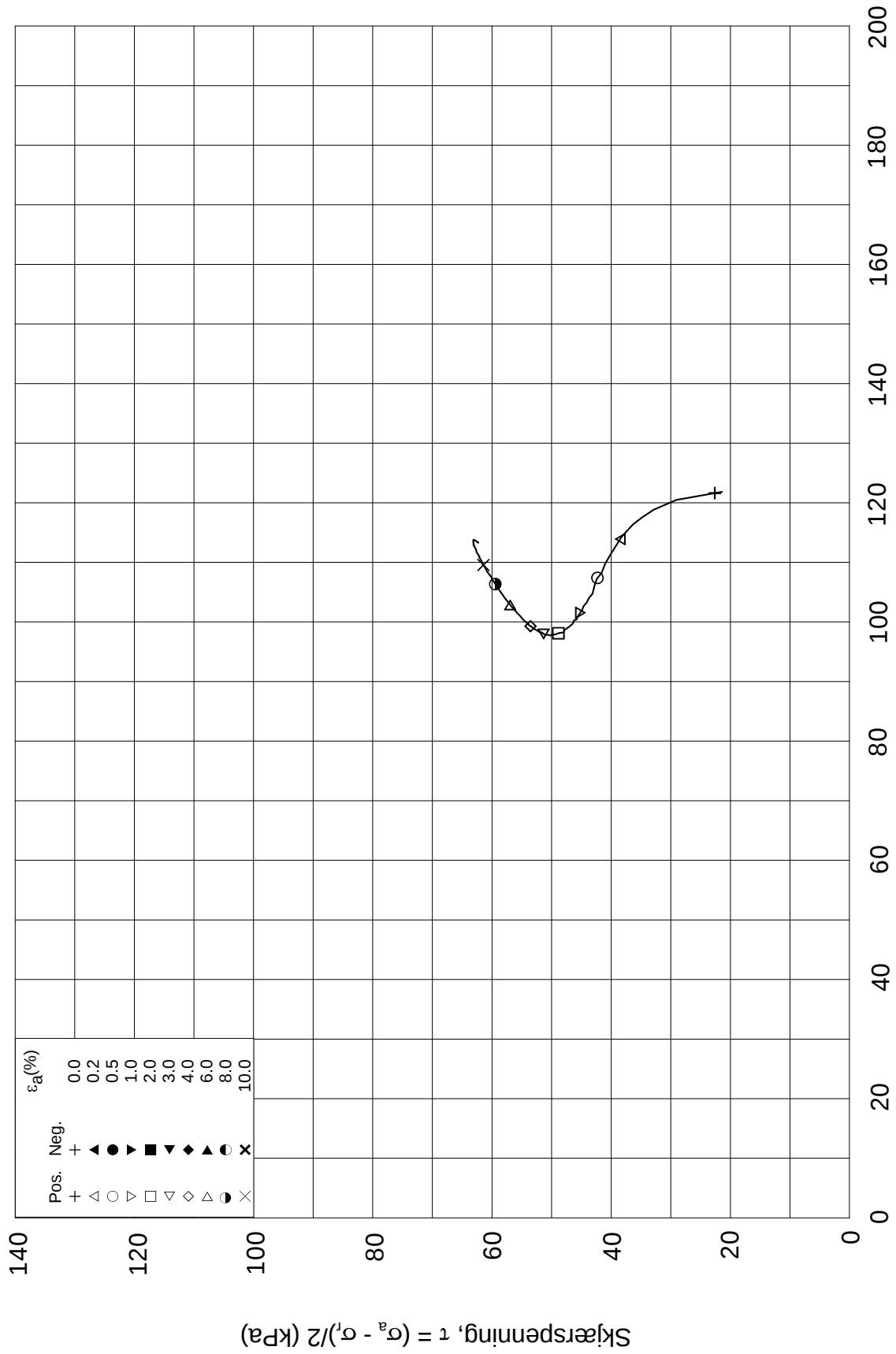
Test: **1**

w_c = **31.4** %


σ_{rc}' = - - **100.4**



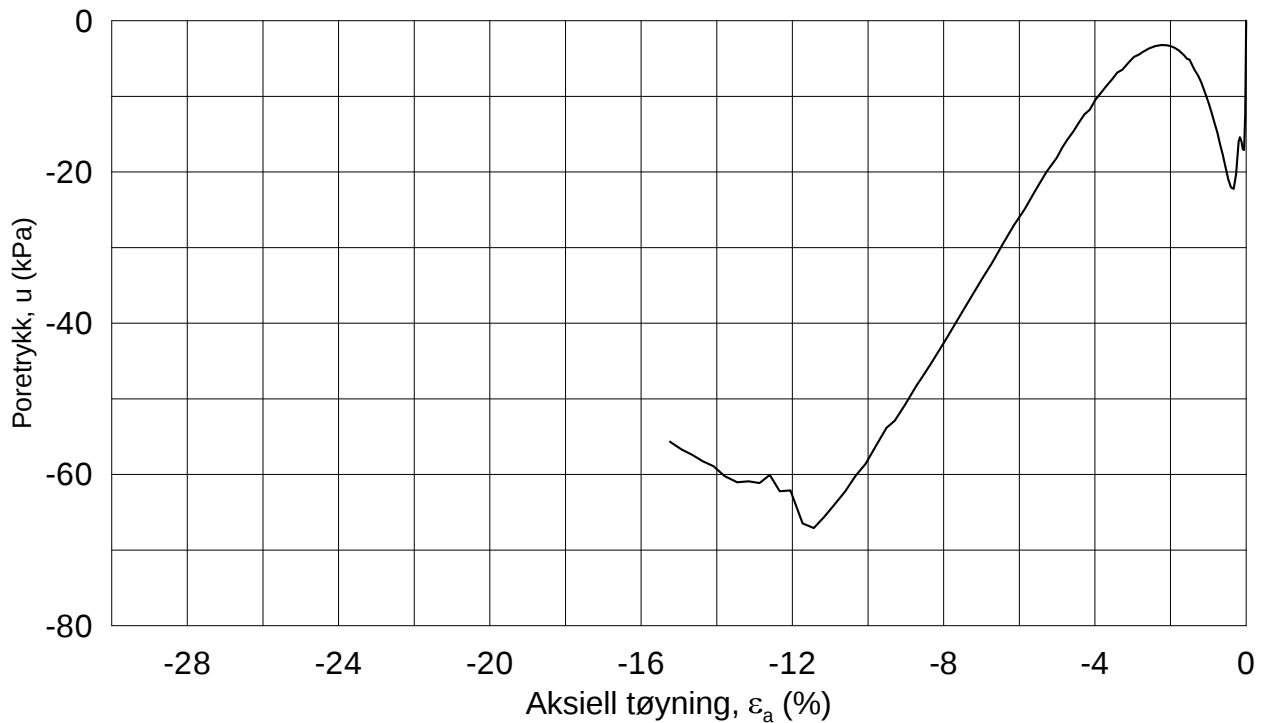
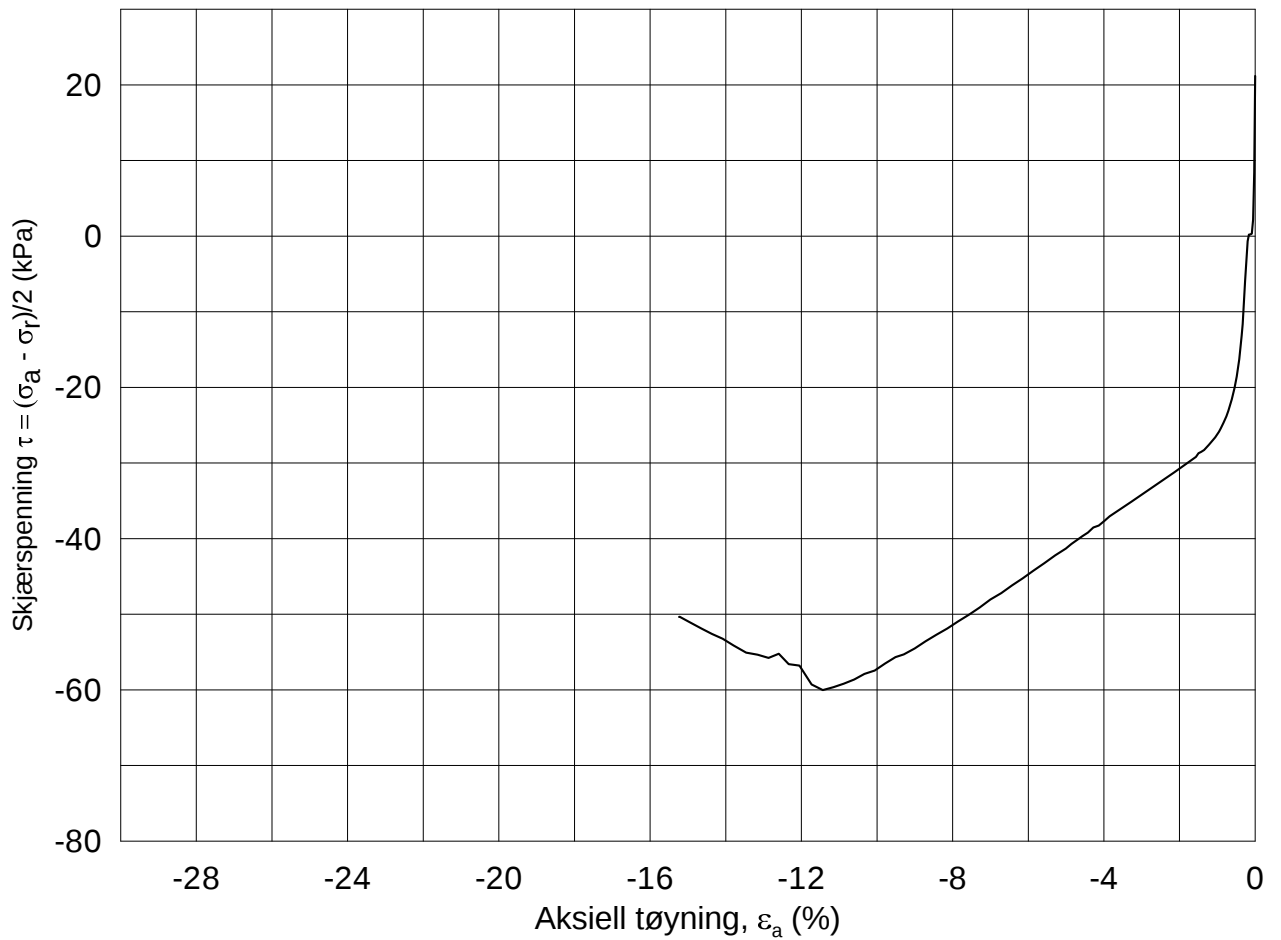
Effektiv gjennomsnittsspenning, $p' = (\sigma'_a + \sigma'_l)/2$ (kPa)



Date/Rev.: 2009-11-03/01

E16 Nybakk - Slomarka			Dokument nr. 20120491-02-R	
Treaksial forsøk: CAUA			Dato 2013-07-11	
Boring: 2201	Dybde = 11.53 m	Konsolidering-spenninger		
Sylinder: 12	$p_{o'}$ = 143.6 kPa	(kPa)	maks.	min.
Del: D	w_i = 34.5 %	σ_{ac}' =	-	-
Test: 1	w_c = 31.4 %	σ_{rc}' =	-	-
			143.5	100.4
			Figur nr. G14	
			Tegnet av MAS	

2201-12-D-1-1.Plot2.grf



Date/Rev.: 2009-11-03/01

E16 Nybakk - Slomarka

Dokument nr.
20120491-02-R

Treaksial forsøk: **CAUP**

Dato
2013-07-11

Boring: **2201**

Dybde = **11.24** m

Konsolidering-spenninger

Sylinder: **12**

$p_{o'}$ = **141.3** kPa

(kPa) maks. min. endelig

Figur nr.
G15

Del: **A**

w_i = **31.6** %

σ_{ac}' = - - **141.2**

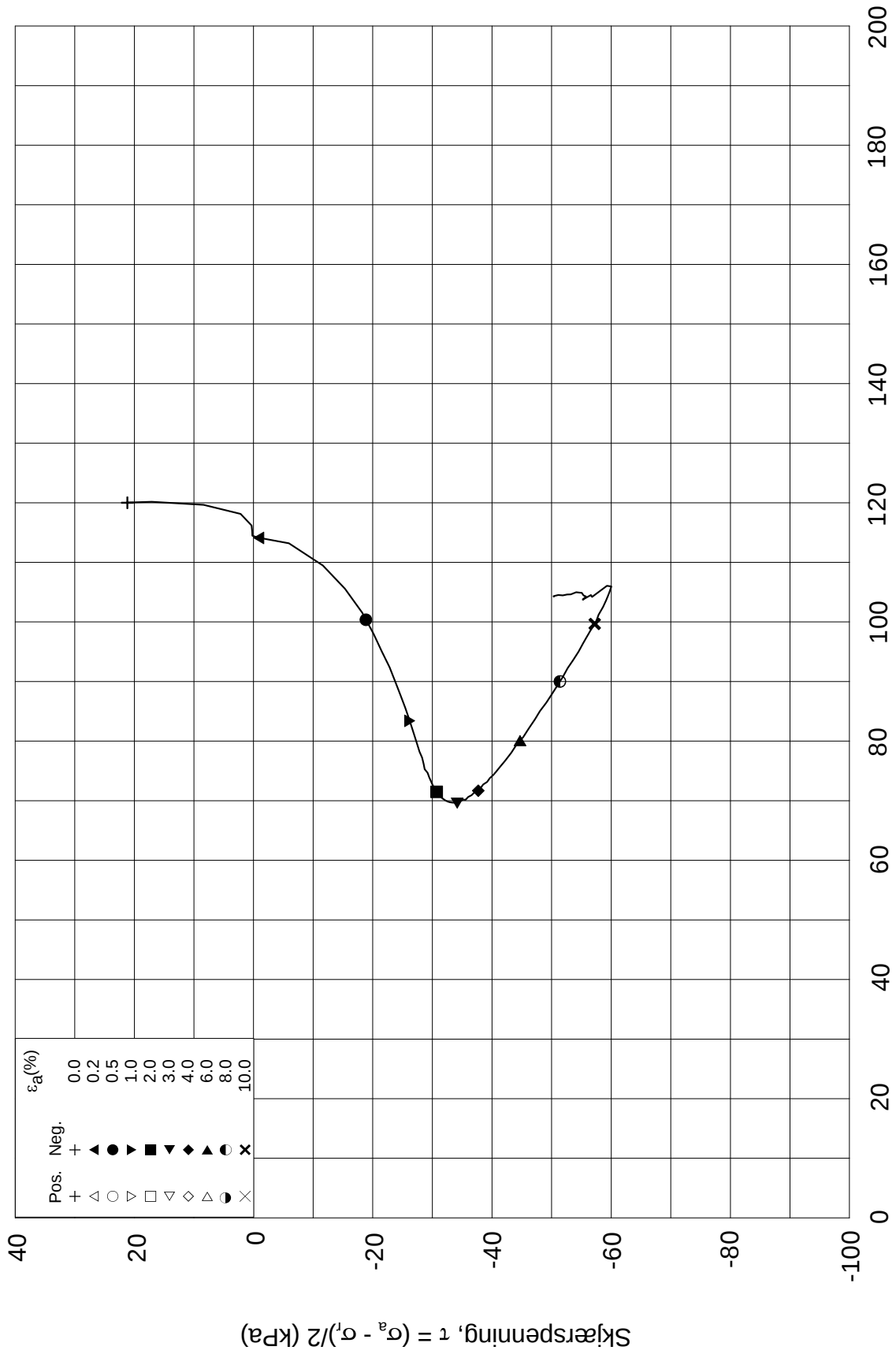
Tegnet av
MAS

Test: **1**


w_c = **28.3** %

σ_{rc}' = - - **98.8**

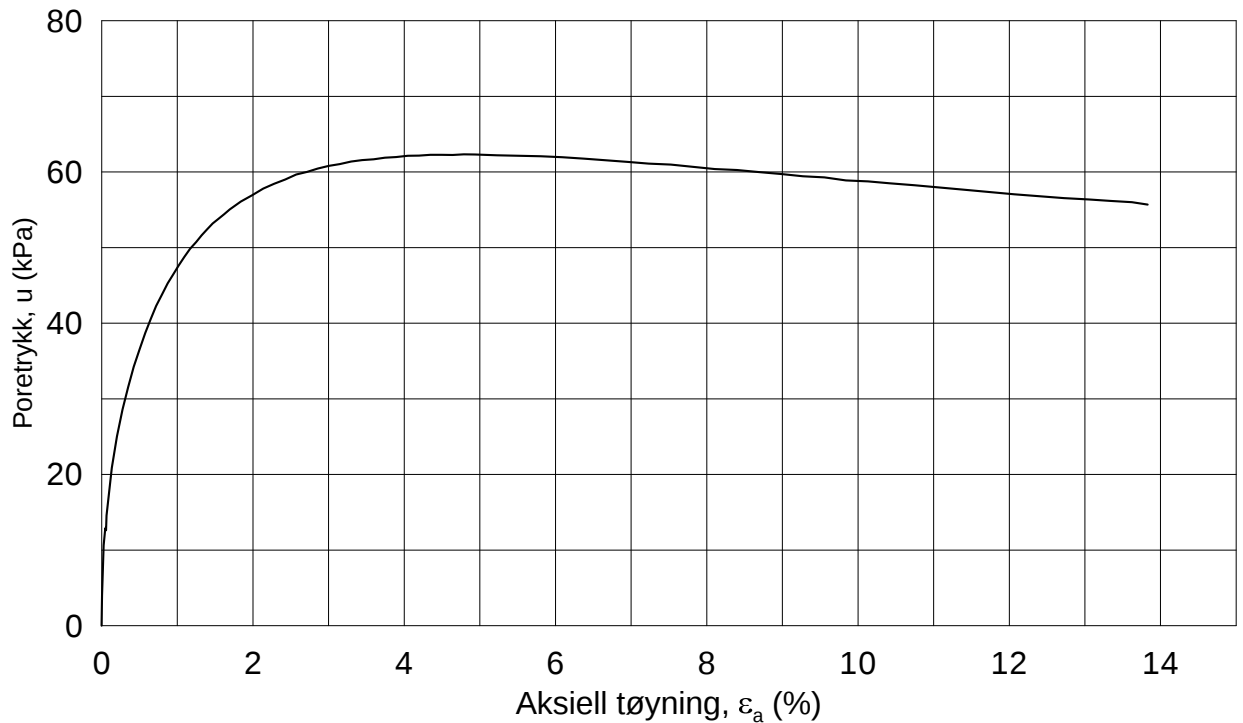
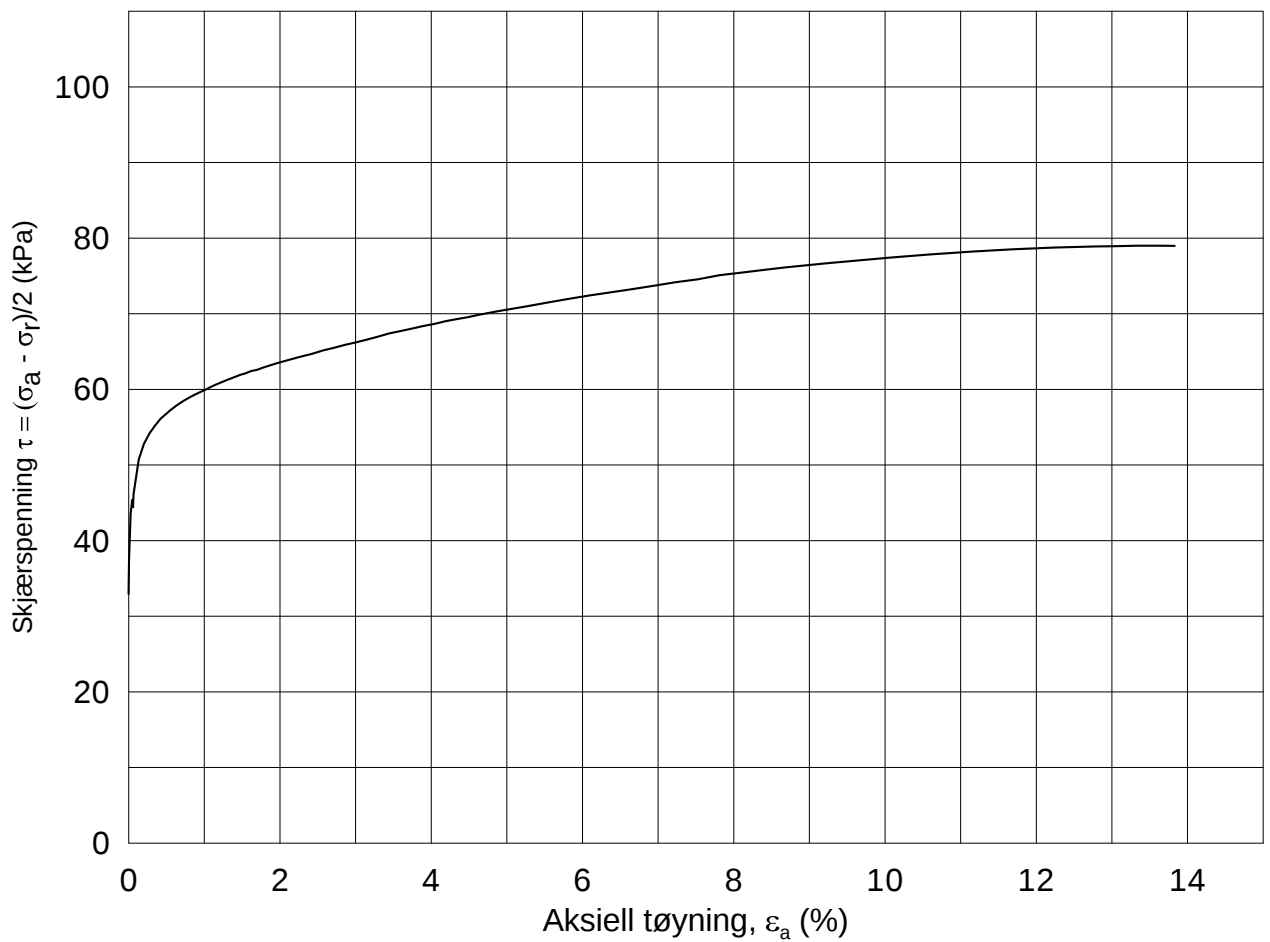




Date/Rev.: 2009-11-03/01

E16 Nybakk - Slomarka			Dokument nr. 20120491-02-R	
Treaksial forsøk: CAUP			Dato 2013-07-11	
Boring: 2201	Dybde = 11.24 m	Konsolidering-spenninger		
Sylinder: 12	$p_{o'}$ = 141.3 kPa	(kPa)	maks.	min.
Del: A	w_i = 31.6 %	σ_{ac}' =	-	-
Test: 1	w_c = 28.3 %	σ_{rc}' =	-	-
		endelig	141.2	
			98.8	
		Figur nr.	G16	
		Tegnet av	MAS	
				

2201-12-A-1-1.Plot2.grf



Date/Rev.: 2009-11-03/01

E16 Nybakk - Slomarka

Dokument nr.
20120491-02-R

Treaksial forsøk: **CAUA**

Dato
2013-05-15

Boring: **2201**

Dybde = **16.54** m

Konsolidering-spenninger

Sylinder: **17**

$p_{o'}$ = **188.9** kPa

(kPa) maks. min. endelig

Figur nr.
G17

Del: **D**

w_i = **32.2** %

σ_{ac}' = - - **188.8**

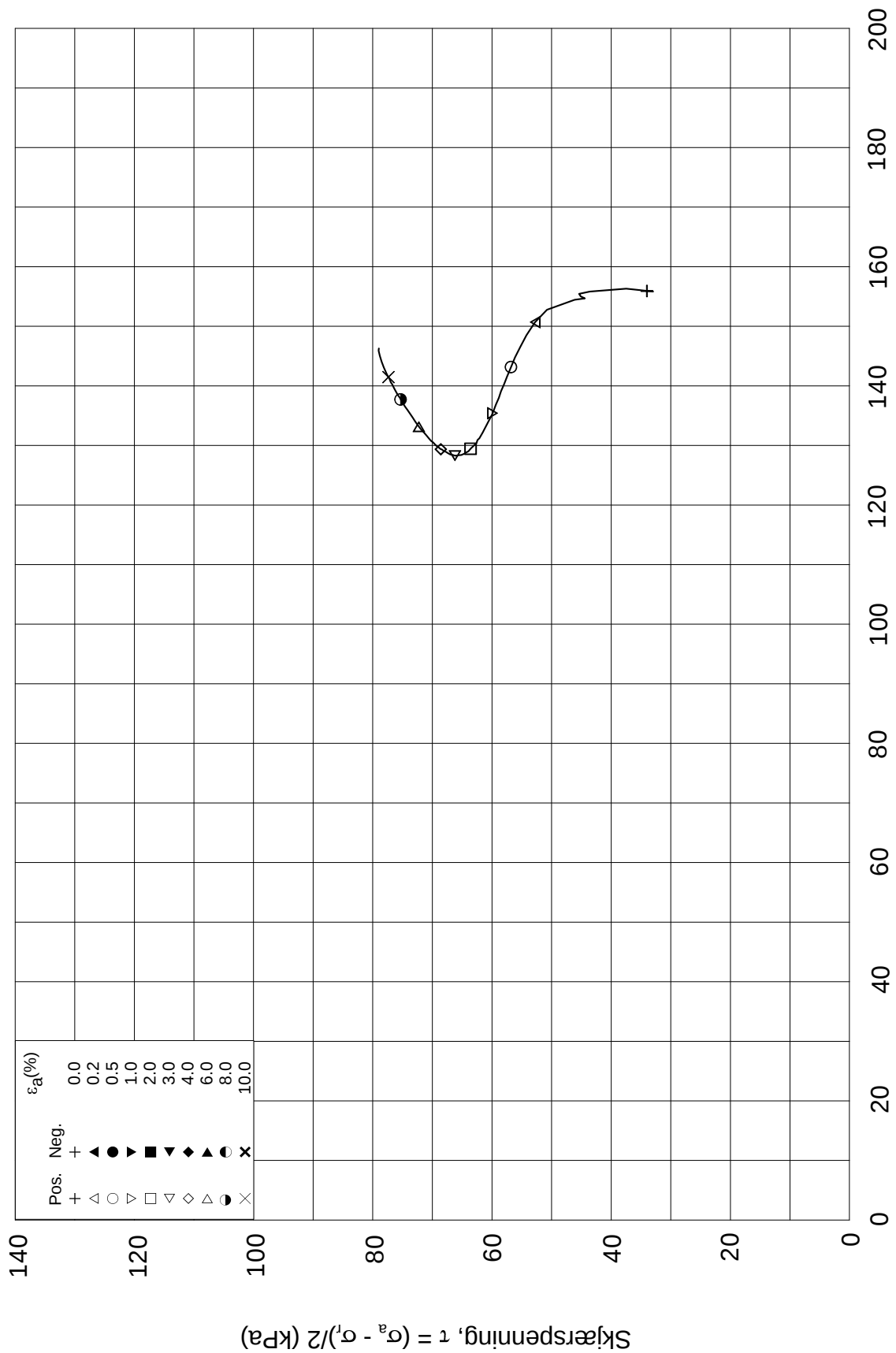
Tegnet av
MAS

Test: **1**

w_c = **29.0** %

σ_{rc}' = - - **122.8**





Date/Rev.: 2009-11-03/01

E16 Nybakk - Slomarka

Dokument nr.
20120491-02-R

Treaksial forsøk: **CAUA**

Dato
2013-05-15

Boring: **2201**

Sylinder: **17**

Del: **D**

Test: **1**

Dybde = **16.54** m

p_o' = **188.9** kPa

w_i = **32.2** %

w_c = **29.0** %

Konsolidering-spenninger

(kPa) maks. min. endelig

σ_{ac}' = - - **188.8**

σ_{rc}' = - - **122.8**

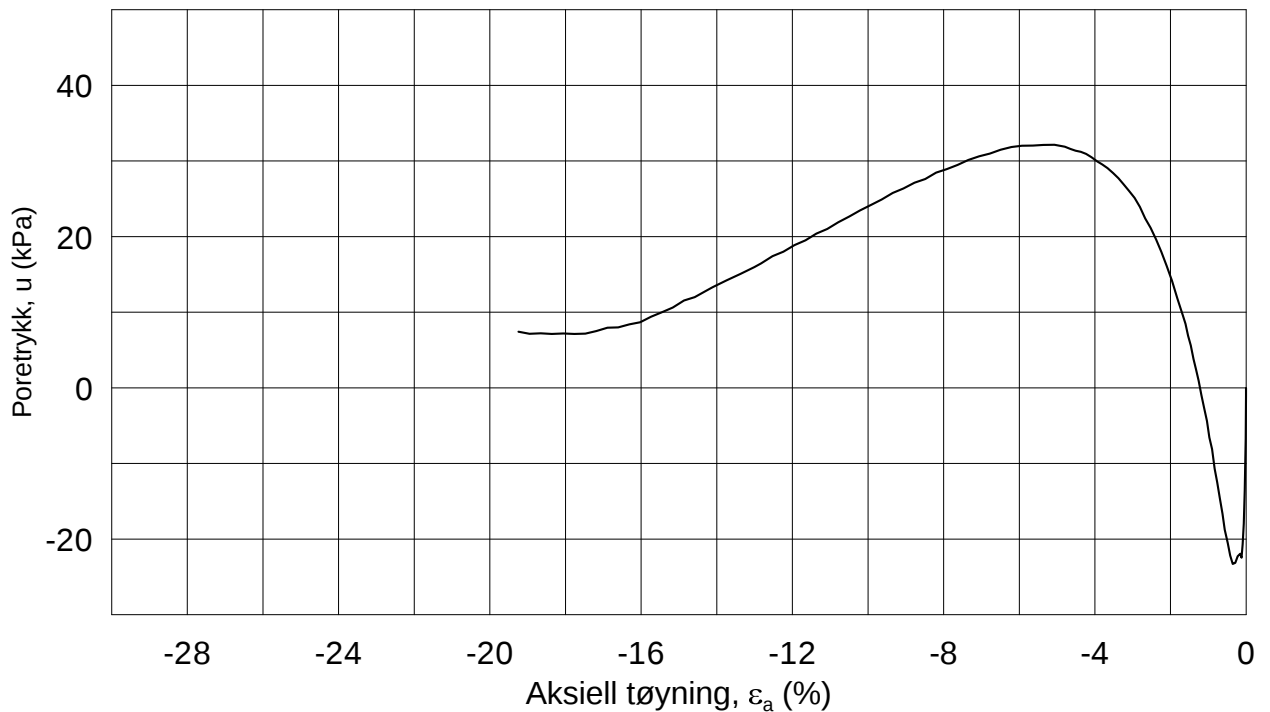
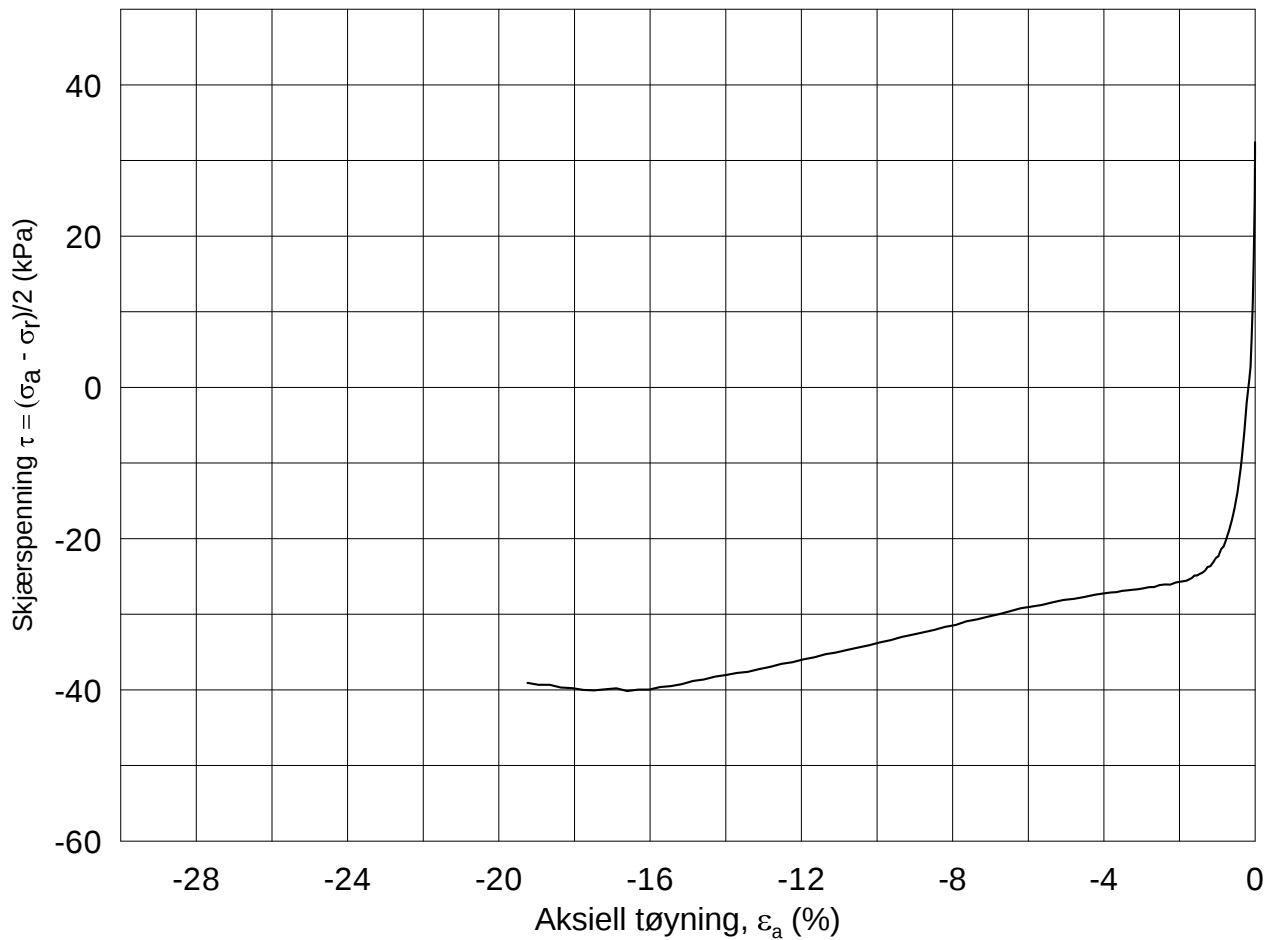
Figur nr.

G18

Tegnet av

MAS





Date/Rev.: 2009-11-03/01

E16 Nybakk - Slomarka

Dokument nr.
20120491-02-R

Treaksial forsøk: **CAUP**

Dato
2013-05-22

Boring: **2201**

Dybde = **16.25** m

Konsolidering-spenninger

Sylinder: **17**

$p_{o'}$ = **186.3** kPa

(kPa) maks. min. endelig

Figur nr.
G19

Del: **A**

w_i = **35.0** %

σ_{ac}' = - - **186.1**

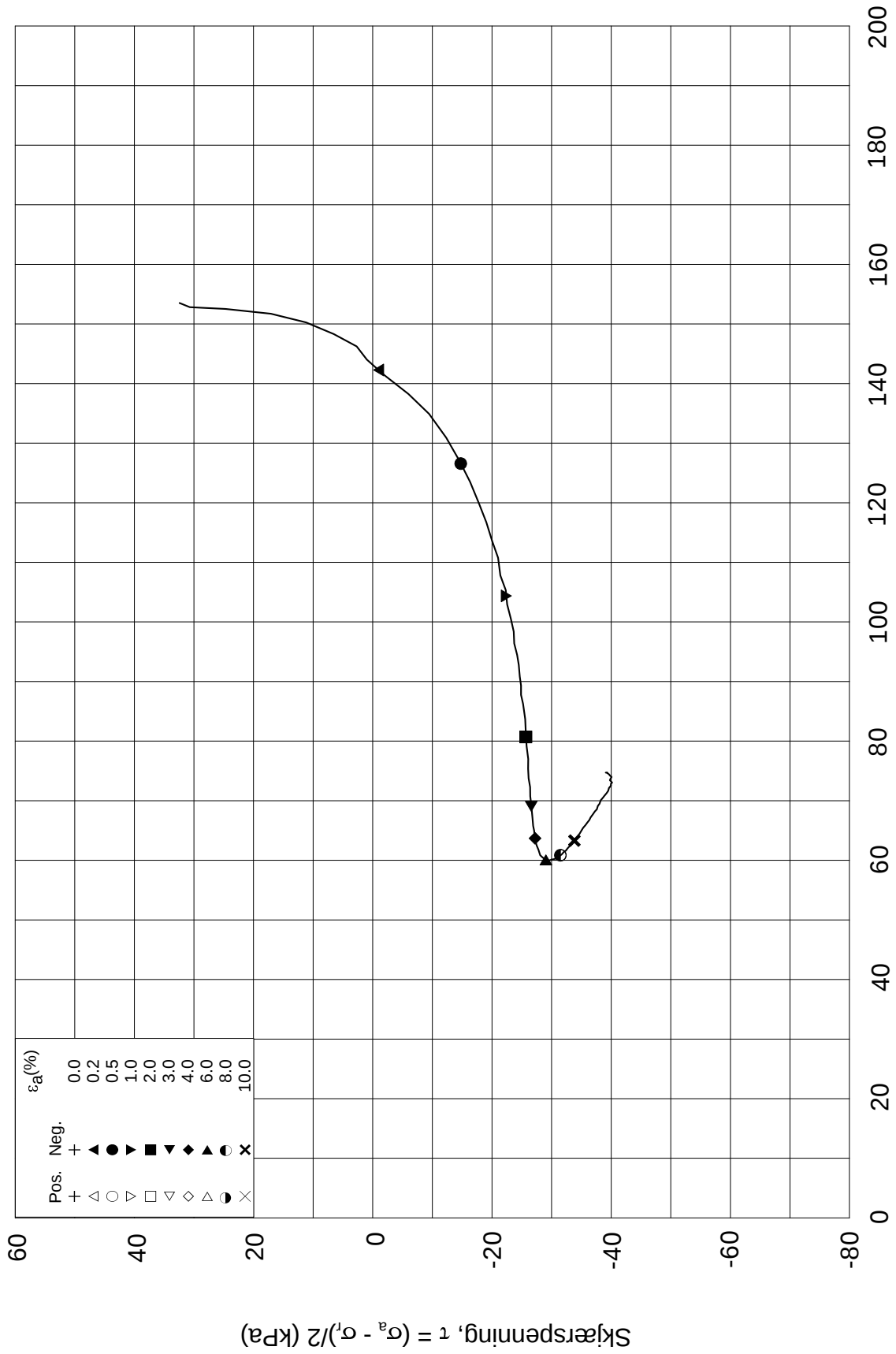
Tegnet av
MAS

Test: **1**

w_c = **31.6** %

σ_{rc}' = - - **121.0**



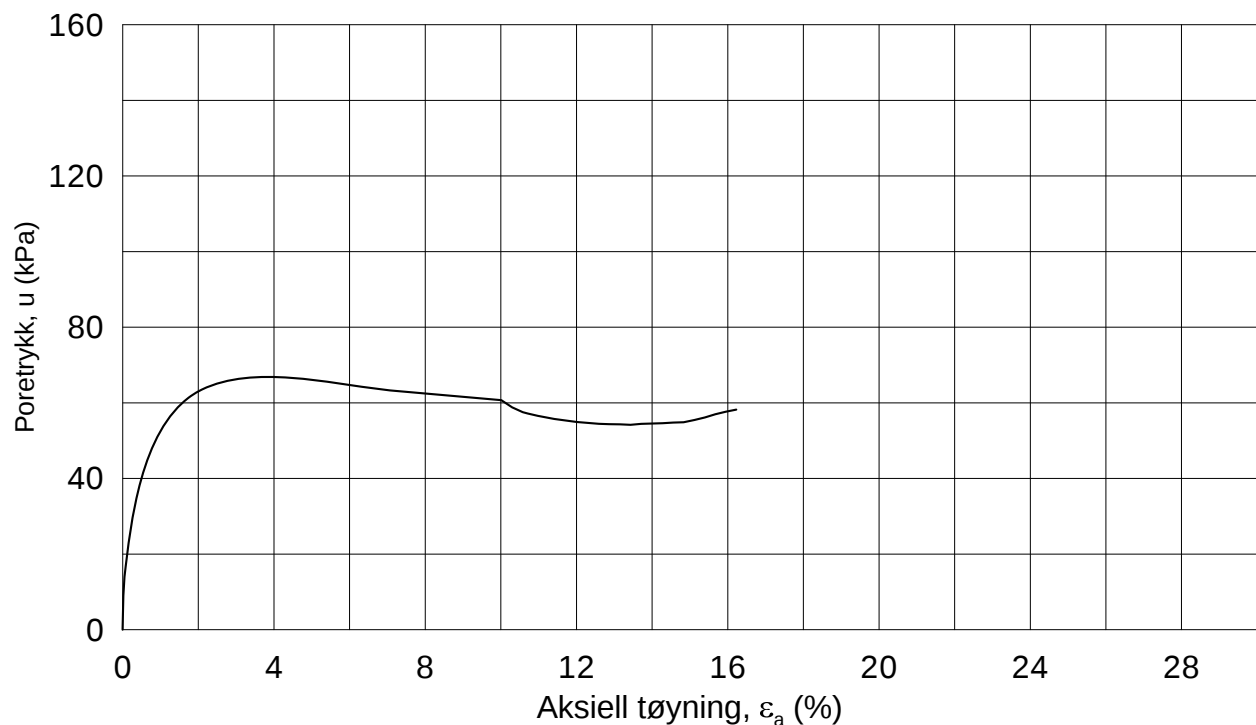
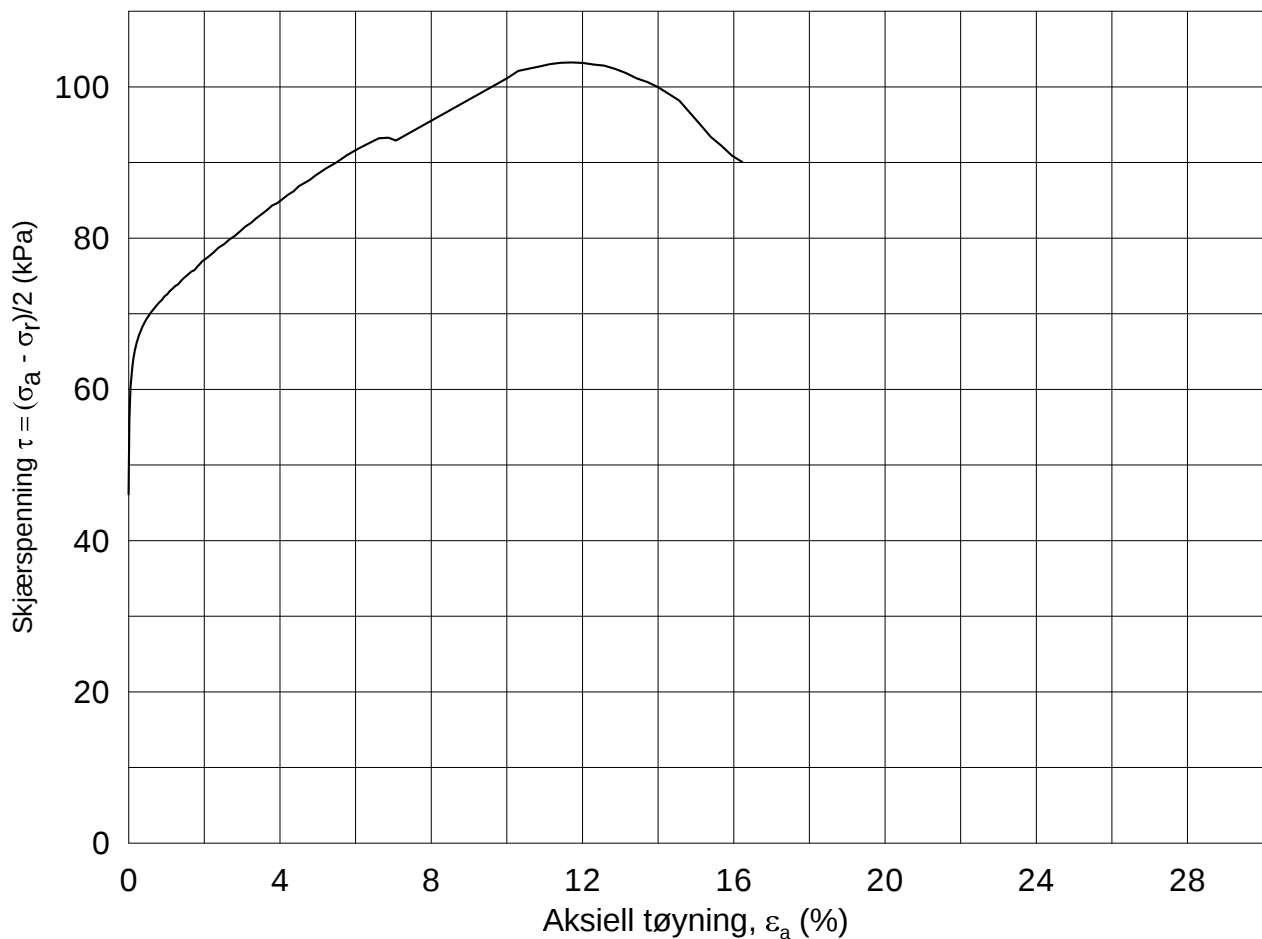


Date/Rev.: 2009-11-03/01

E16 Nybakk - Slomarka			Dokument nr. 20120491-02-R
Treaksial forsøk: CAUP			Dato 2013-05-22
Boring: 2201	Dybde = 16.25 m	Konsolidering-spenninger	
Sylinder: 17	$p_{o'}$ = 186.3 kPa	(kPa)	maks. min. endelig
Del: A	w_i = 35.0 %	$\sigma_{ac}' =$ - - 186.1	Figur nr. G20
Test: 1	w_c = 31.6 %	$\sigma_{rc}' =$ - - 121.0	Tegnet av MAS

2201-17-A-1-1.Plot2.grf





Date/Rev.: 2009-11-03/01

E16 Nybakk - Slomarka

Dokument nr.
20120491-02-R

Treaksial forsøk: **CAUA**

Dato
2013-05-15

Boring: **2201**

Dybde = **21.42** m

Konsolidering-spenninger

Sylinder: **22**

$p_{o'}$ = **232.8** kPa

(kPa) maks. min. endelig

Figur nr.
G21

Del: **B**

w_i = **30.7** %

σ_{ac}' = - - **232.3**

Tegnet av
MAS

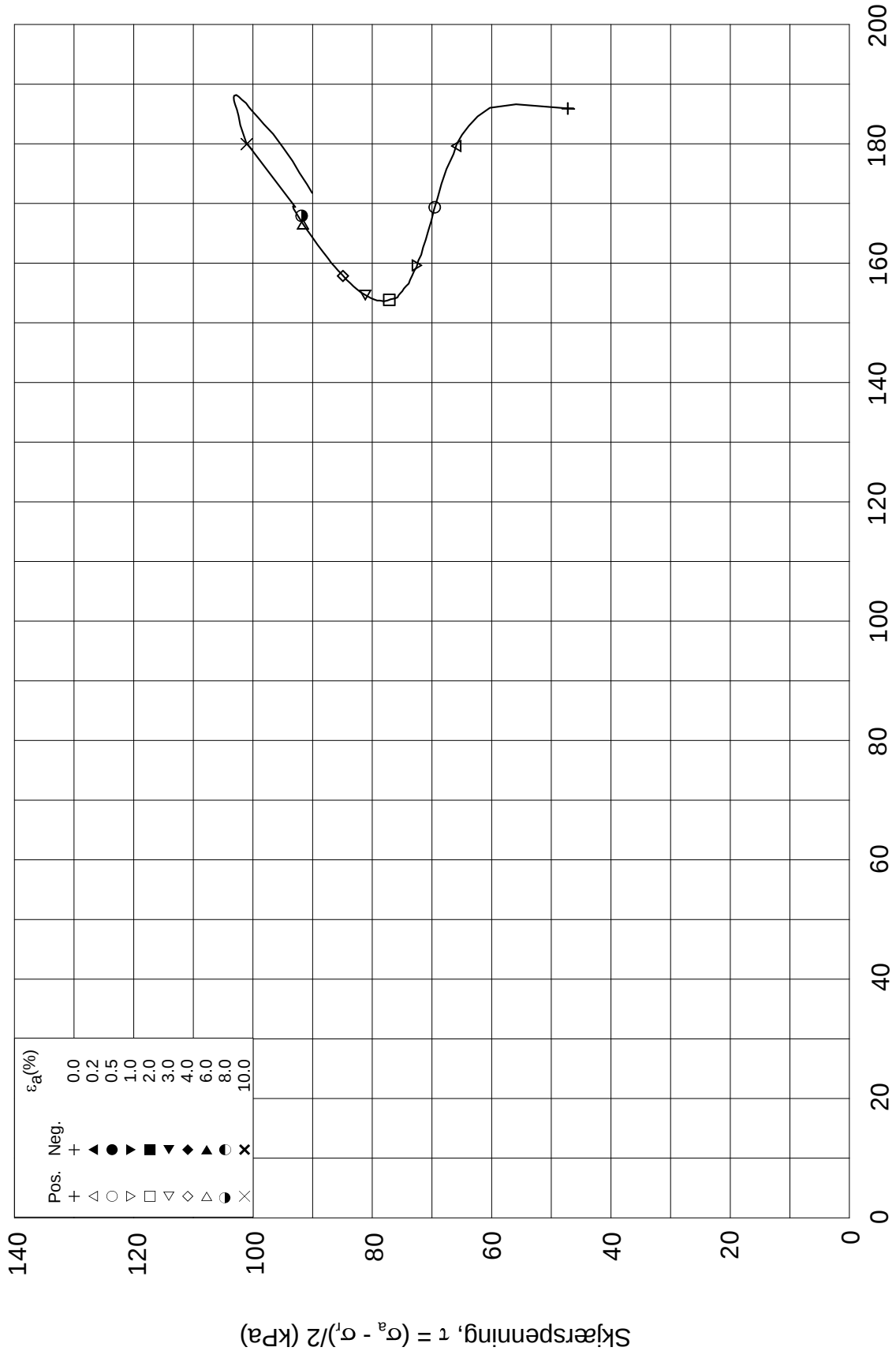
Test: **1**

w_c = **27.6** %

σ_{rc}' = - - **139.7**



Effektiv gjennomsnittsspenning, $p' = (\sigma'_a + \sigma'_l)/2$ (kPa)

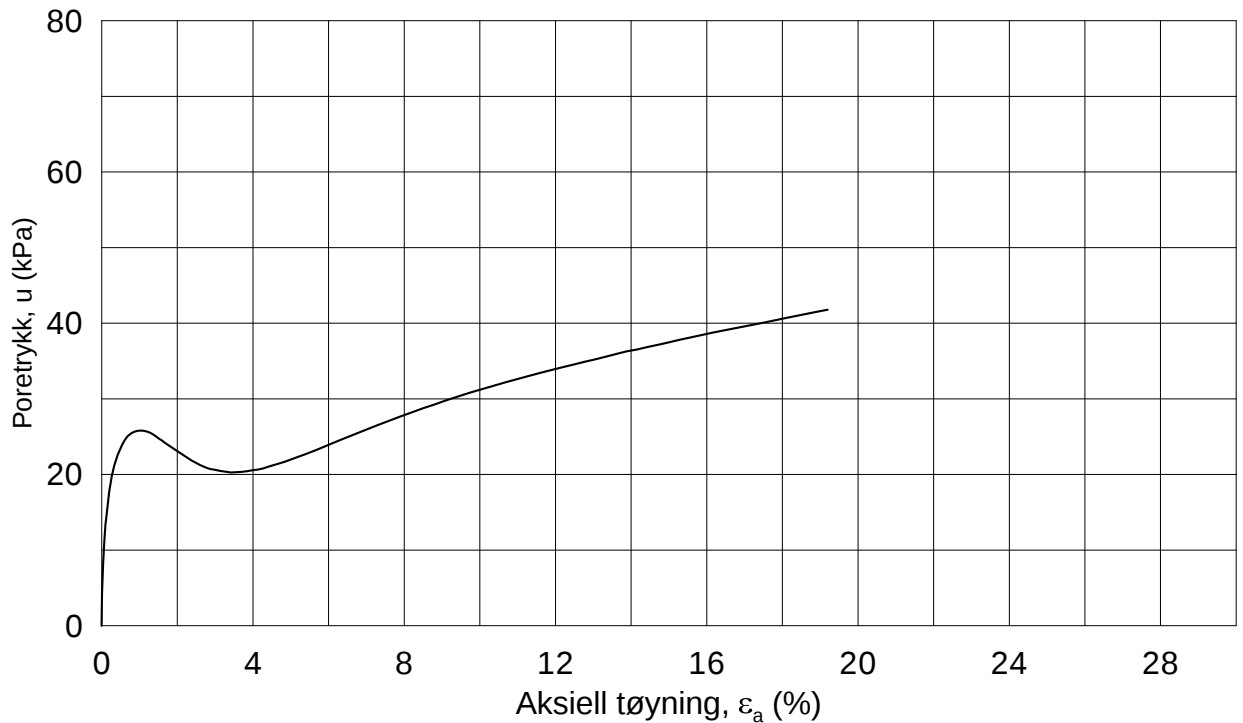
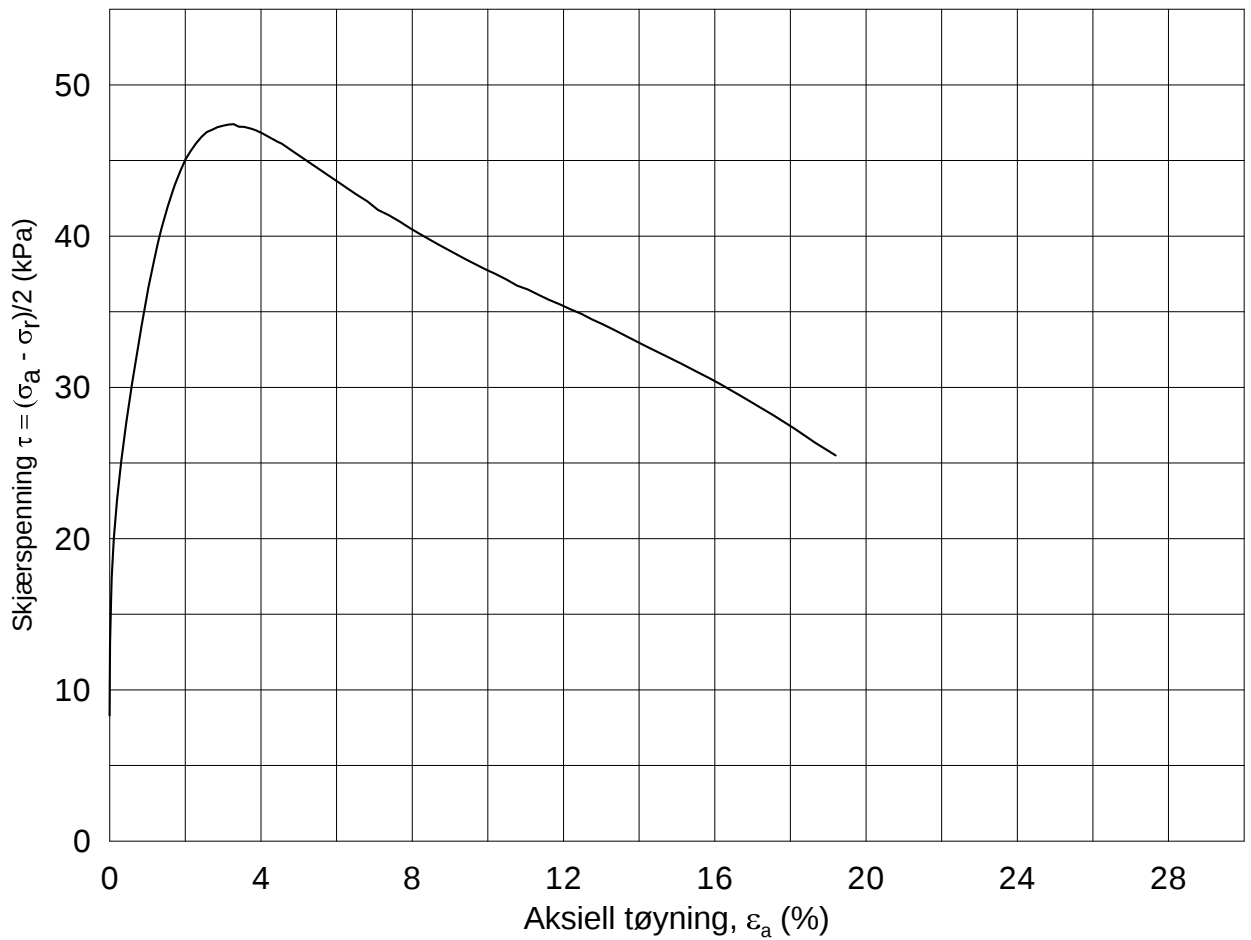


Date/Rev.: 2009-11-03/01

E16 Nybakk - Slomarka			Dokument nr. 20120491-02-R
Treaksial forsøk: CAUA			Dato 2013-05-15
Boring: 2201	Dybde = 21.42 m	Konsolidering-spenninger	
Sylinder: 22	$p_{o'}$ = 232.8 kPa	(kPa)	maks. min. endelig
Del: B	w_i = 30.7 %	$\sigma_{ac}' =$ - - 232.3	Figur nr. G22
Test: 1	w_c = 27.6 %	$\sigma_{rc}' =$ - - 139.7	Tegnet av MAS



2201-F18-B-1.Plot2.grf



Date/Rev.: 2009-11-03/01

E16 Nybakk - Slomarka

Dokument nr.
20120491-02-R

Treaksial forsøk: **CAUA**

Dato
2013-08-09

Boring: **2207**

Dybde = **6.50** m

Konsolidering-spenninger

Sylinder: **6**

$p_{o'}$ = **83.4** kPa

(kPa) maks. min. endelig

Figur nr.
G23

Del: **C**

w_i = **34.8** %

σ_{ac}' = - - **83.4**

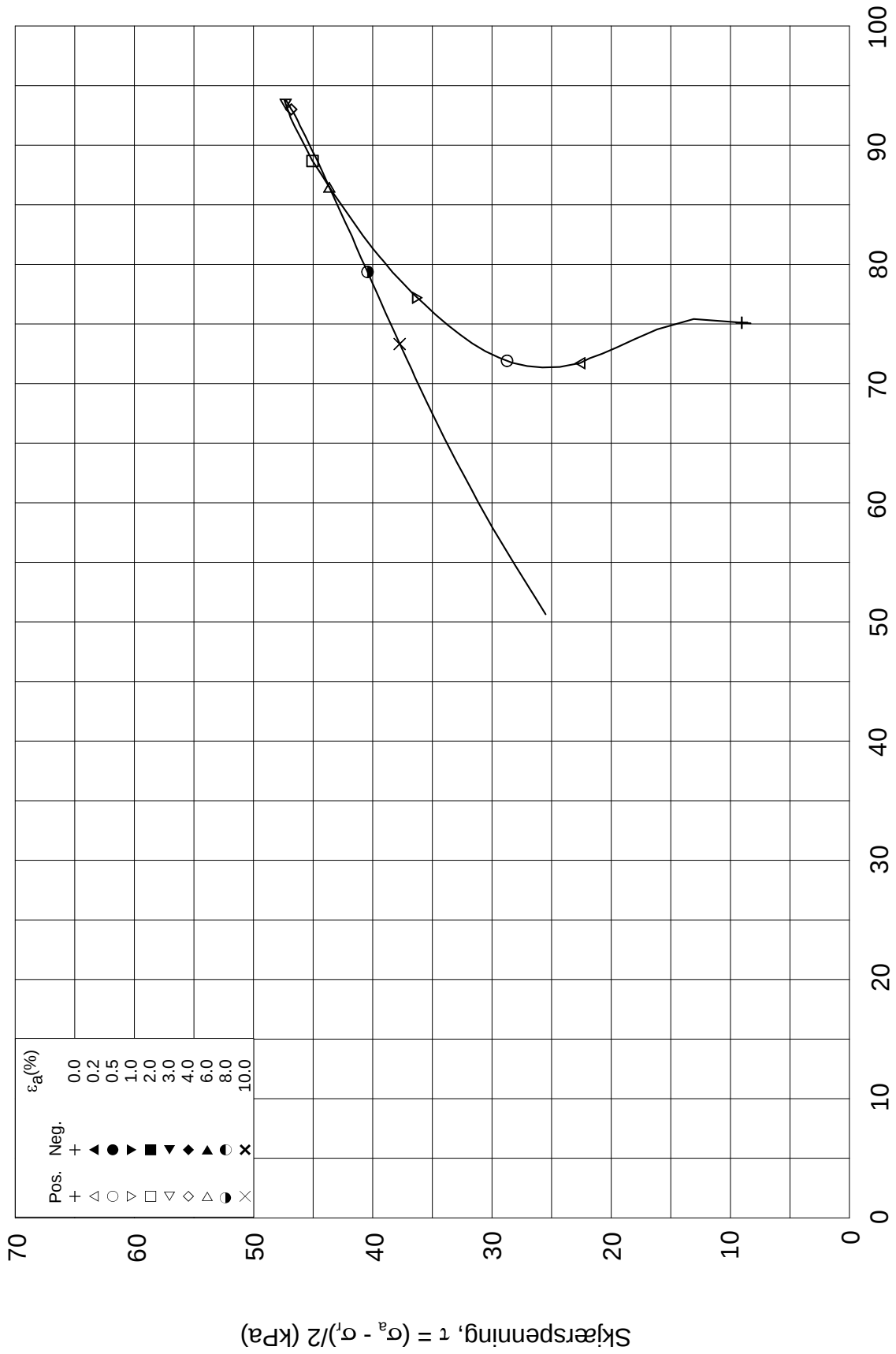
Tegnet av
MAS

Test: **1**

w_c = **34.1** %


σ_{rc}' = - - **66.7**



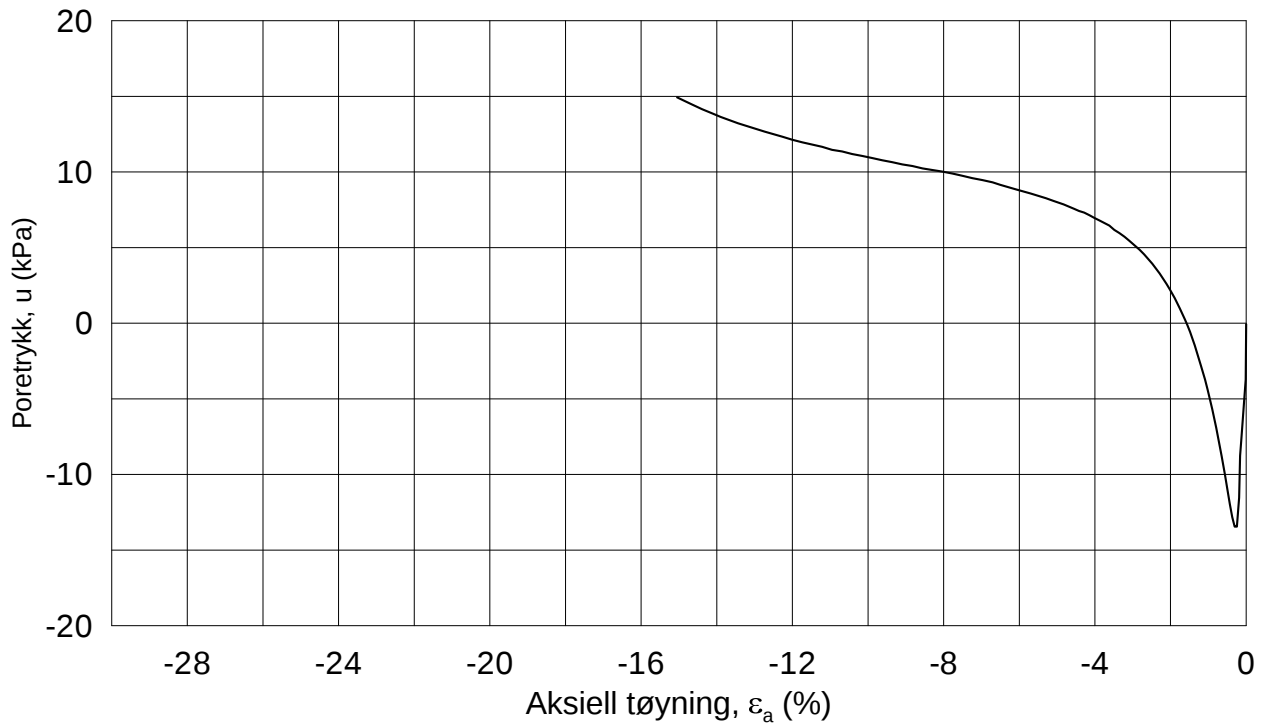
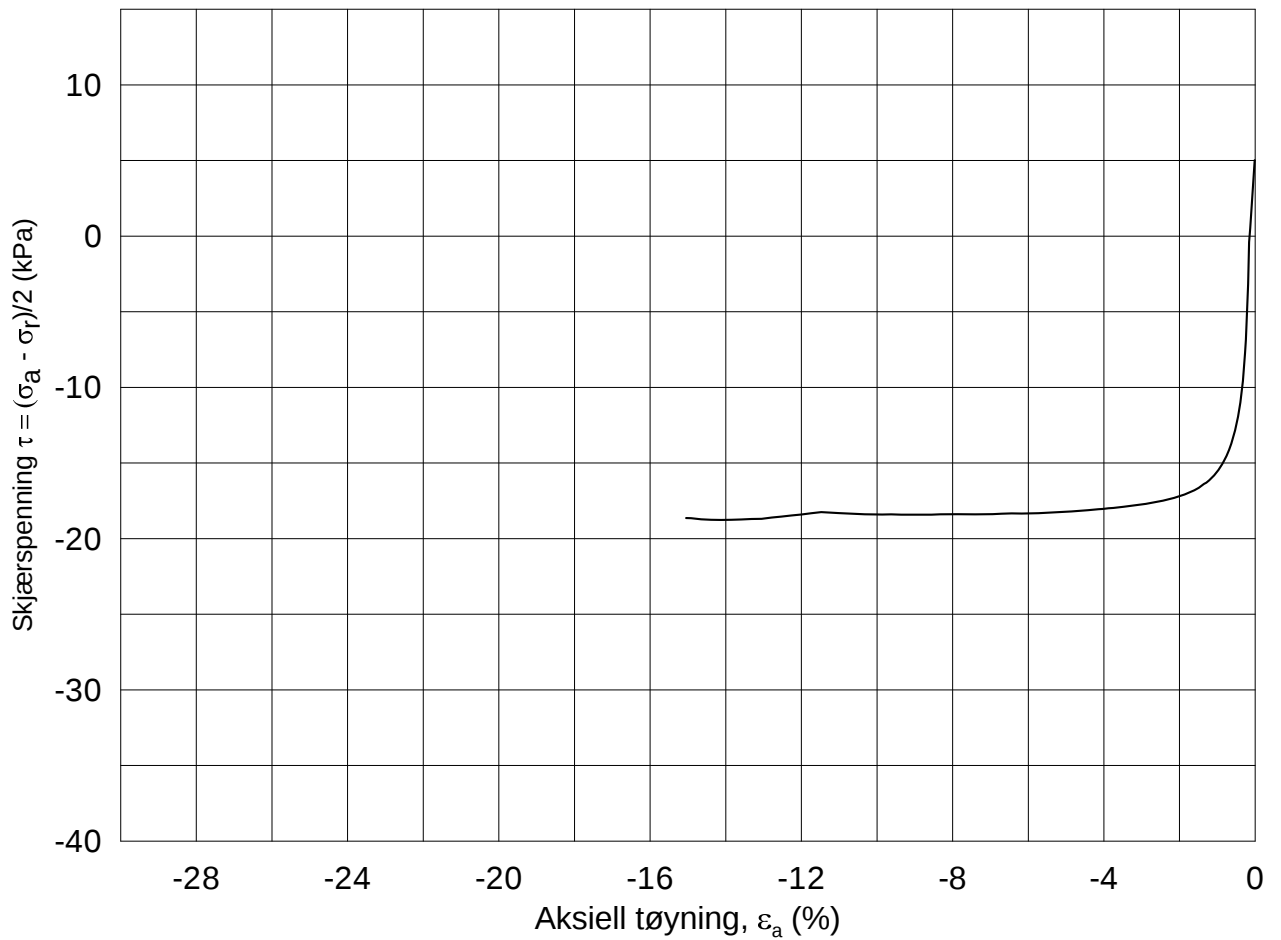


ε _a (%)	0.0
	0.2
	0.5
	1.0
	2.0
	3.0
	4.0
	6.0
	8.0
	10.0
Pos.	+ △ ○ ▽ □ ◇ △ ● ▽ ◆ ▲ ○ ×
Neg.	+ ▲ ● ▽ ◆ ▲ ○ ×

Date/Rev.: 2009-11-03/01

E16 Nybakk - Slomarka			Dokument nr. 20120491-02-R
Treaksial forsøk: CAUA			Dato 2013-08-09
Boring: 2207	Dybde = 6.50 m	Konsolidering-spenninger	
Sylinder: 6	p _o ' = 83.4 kPa	(kPa)	maks. min. endelig
Del: C	w _i = 34.8 %	σ _{ac} ' = - - 83.4	Figur nr. G24
Test: 1	w _c = 34.1 %	σ _{rc} ' = - - 66.7	Tegnet av MAS
			

2207-6-C-1.Plot2.grf



Date/Rev.: 2009-11-03/01

E16 Nybakk - Slomarka

Dokument nr.
20120491-02-R

Treaksial forsøk: **CAUP**

Dato
2013-05-15

Boring: **2207**

Dybde = **6.33** m

Konsolidering-spenninger

Sylinder: **6**

$p_{o'}$ = **82.0** kPa

(kPa) maks. min. endelig

Figur nr.
G25

Del: **B**

w_i = **35.9** %

σ_{ac}' = - - **82.0**

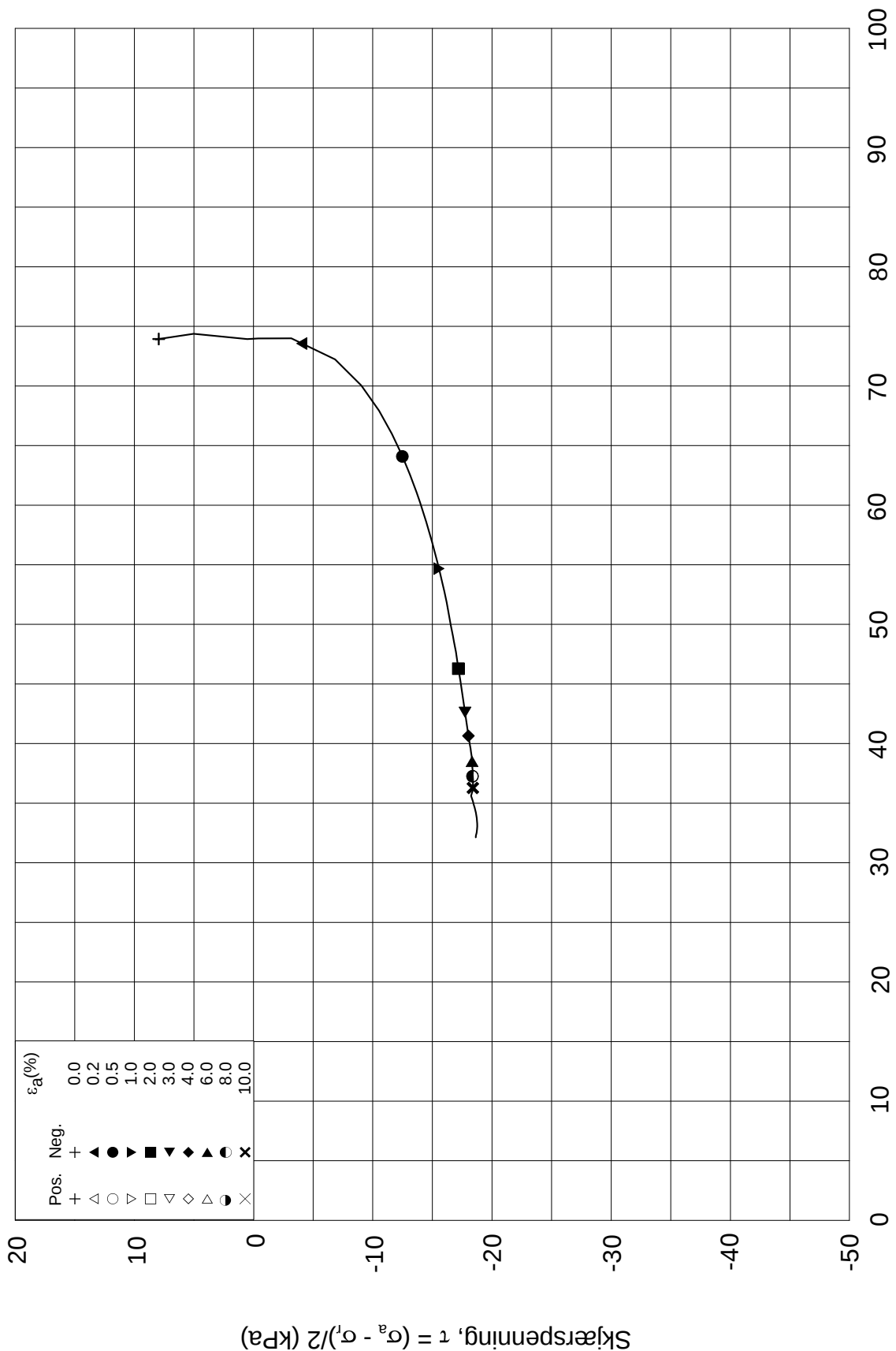
Tegnet av
MAS

Test: **1**

w_c = **35.0** %

σ_{rc}' = - - **65.6**





Date/Rev.: 2009-11-03/01

E16 Nybakk - Slomarka

Dokument nr.
20120491-02-R

Treaksial forsøk: **CAUP**

Dato
2013-05-15

Boring: **2207**

Dybde = **6.33** m

Konsolidering-spenninger

Sylinder: **6**

$p_{o'}$ = **82.0** kPa

(kPa) maks. min. endelig

Figur nr.
G26

Del: **B**

w_i = **35.9** %

σ_{ac}' = - - **82.0**

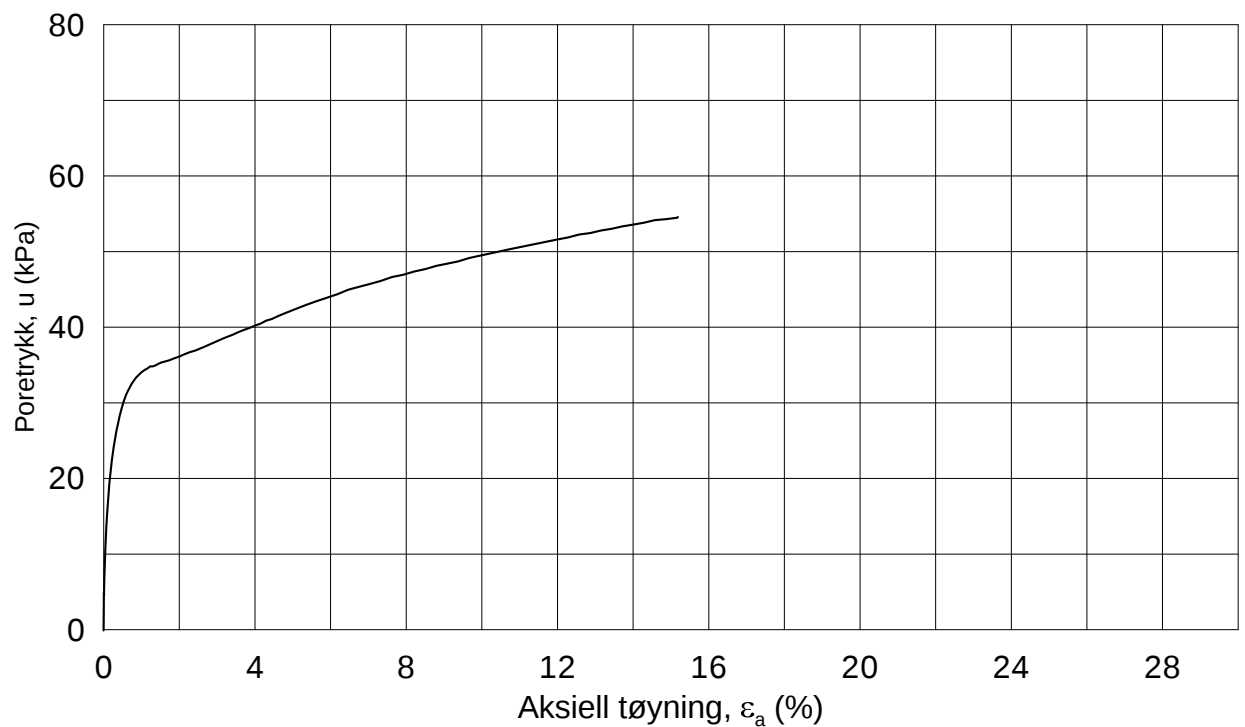
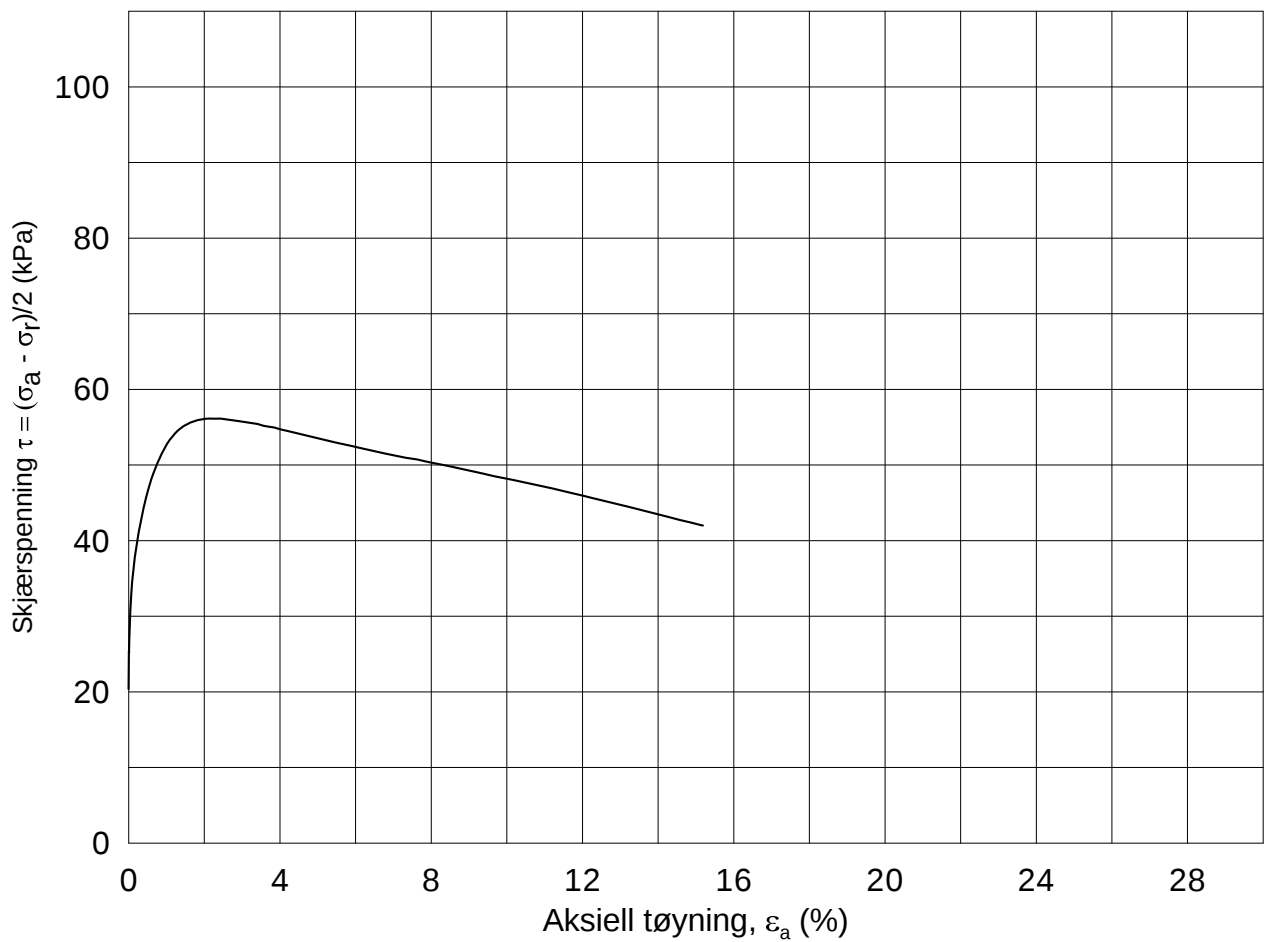
Tegnet av
MAS

Test: **1**

w_c = **35.0** %

σ_{rc}' = - - **65.6**





Date/Rev.: 2009-11-03/01

E16 Nybakk - Slomarka

Dokument nr.
20120491-02-R

Treaksial forsøk: **CAUA**

Dato
2013-05-15

Boring: **2207**

Dybde = **12.27** m

Konsolidering-spenninger

Sylinder: **12**

$p_{o'}$ = **135.4** kPa

(kPa) maks. min. endelig

Figur nr.
G27

Del: **A**

w_i = **33.4** %

σ_{ac}' = - - **135.6**

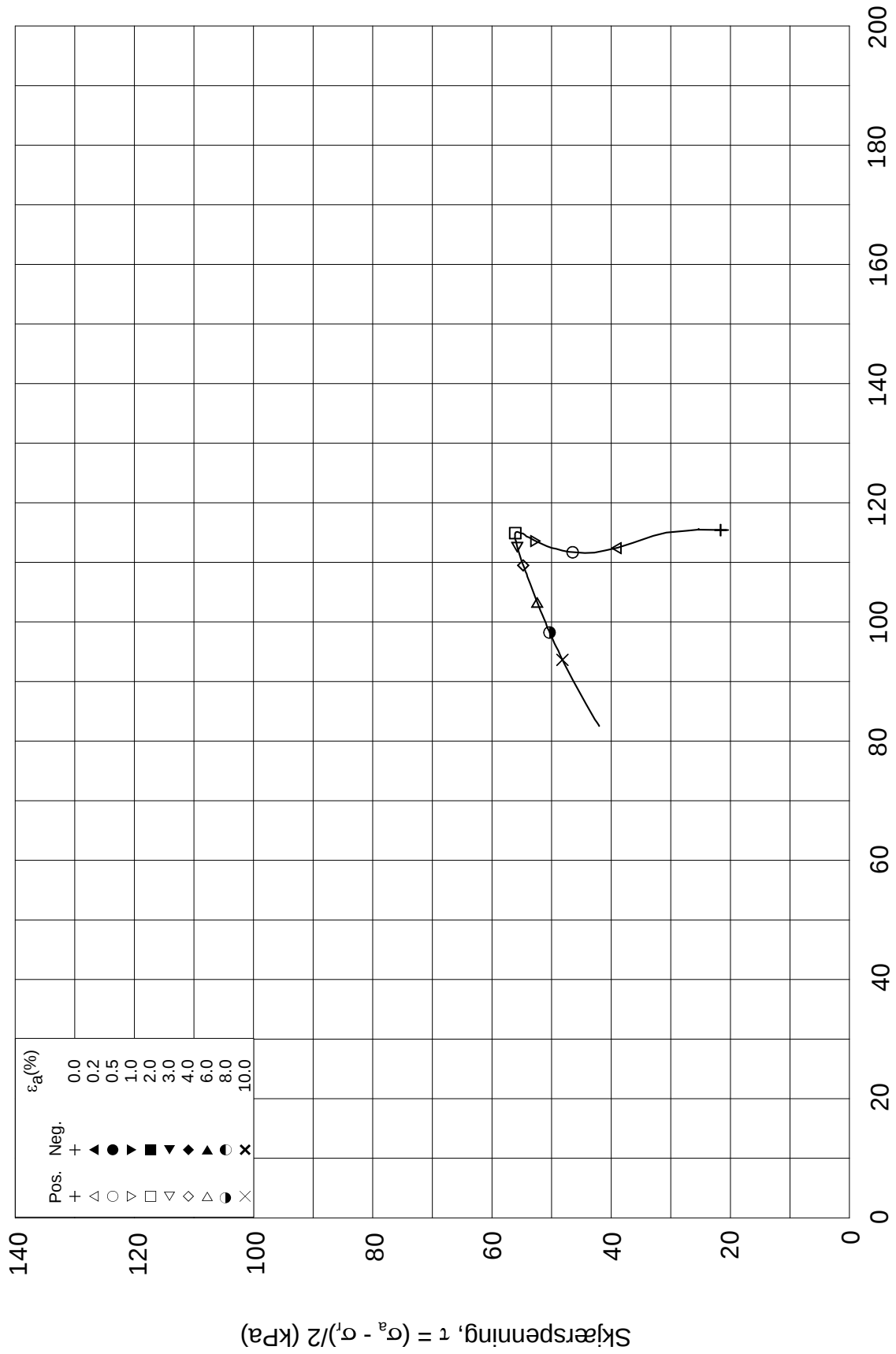
Tegnet av
MAS

Test: **1**

w_c = **32.3** %

σ_{rc}' = - - **94.9**



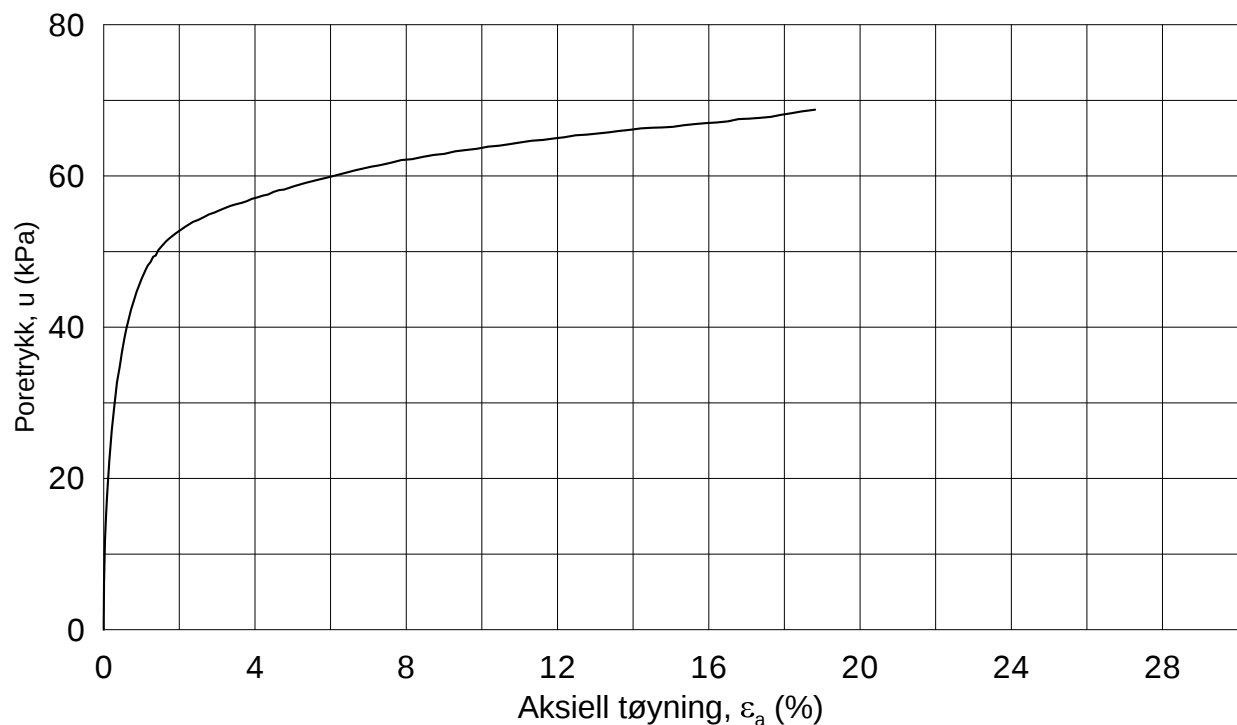
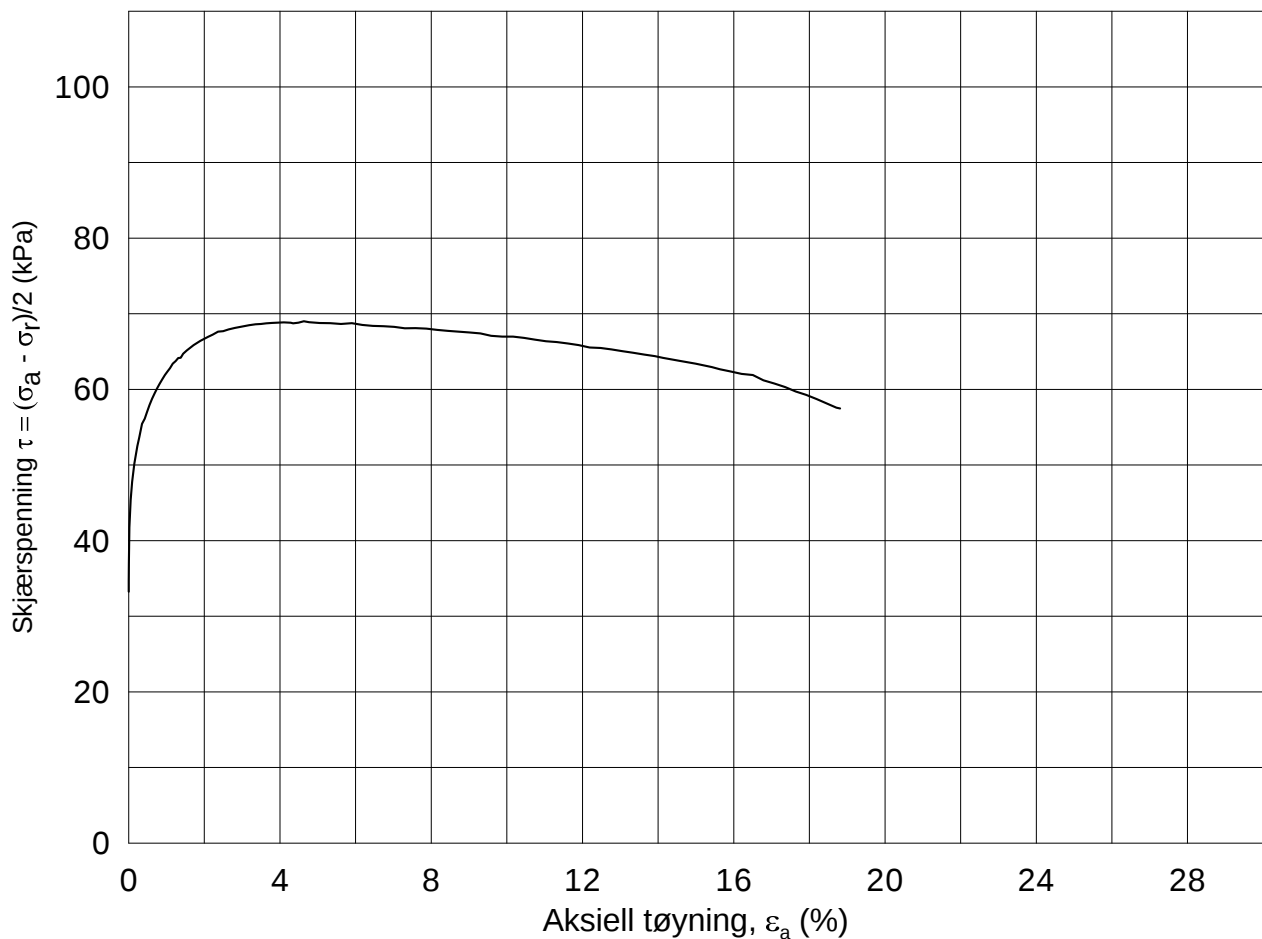


Effektiv gjennomsnittsspenning, $p' = (\sigma_a' + \sigma_r')/2$ (kPa)

Date/Rev.: 2009-11-03/01

E16 Nybakk - Slomarka			Dokument nr. 20120491-02-R	
Treaksial forsøk: CAUA			Dato 2013-05-15	
Boring: 2207	Dybde = 12.27 m	Konsolidering-spenninger		
Sylinder: 12	$p_{o'}$ = 135.4 kPa	(kPa)	maks.	min.
Del: A	w_i = 33.4 %	σ_{ac}' =	-	-
Test: 1	w_c = 32.3 %	σ_{rc}' =	-	-
		endelig	135.6	
			94.9	
		Figur nr.	G28	
		Tegnet av	MAS	

2207-12-A-1-Plot2.grf



Date/Rev.: 2009-11-03/01

E16 Nybakk - Slomarka

Dokument nr.
20120491-02-R

Treaksial forsøk: **CAUA**

Dato
2013-05-15

Boring: **2207**

Dybde = **18.36** m

Konsolidering-spenninger

Sylinder: **16**

$p_{o'}$ = **190.2** kPa

(kPa) maks. min. endelig

Figur nr.
G29

Del: **B**

w_i = **31.7** %

σ_{ac}' = - - **190.1**

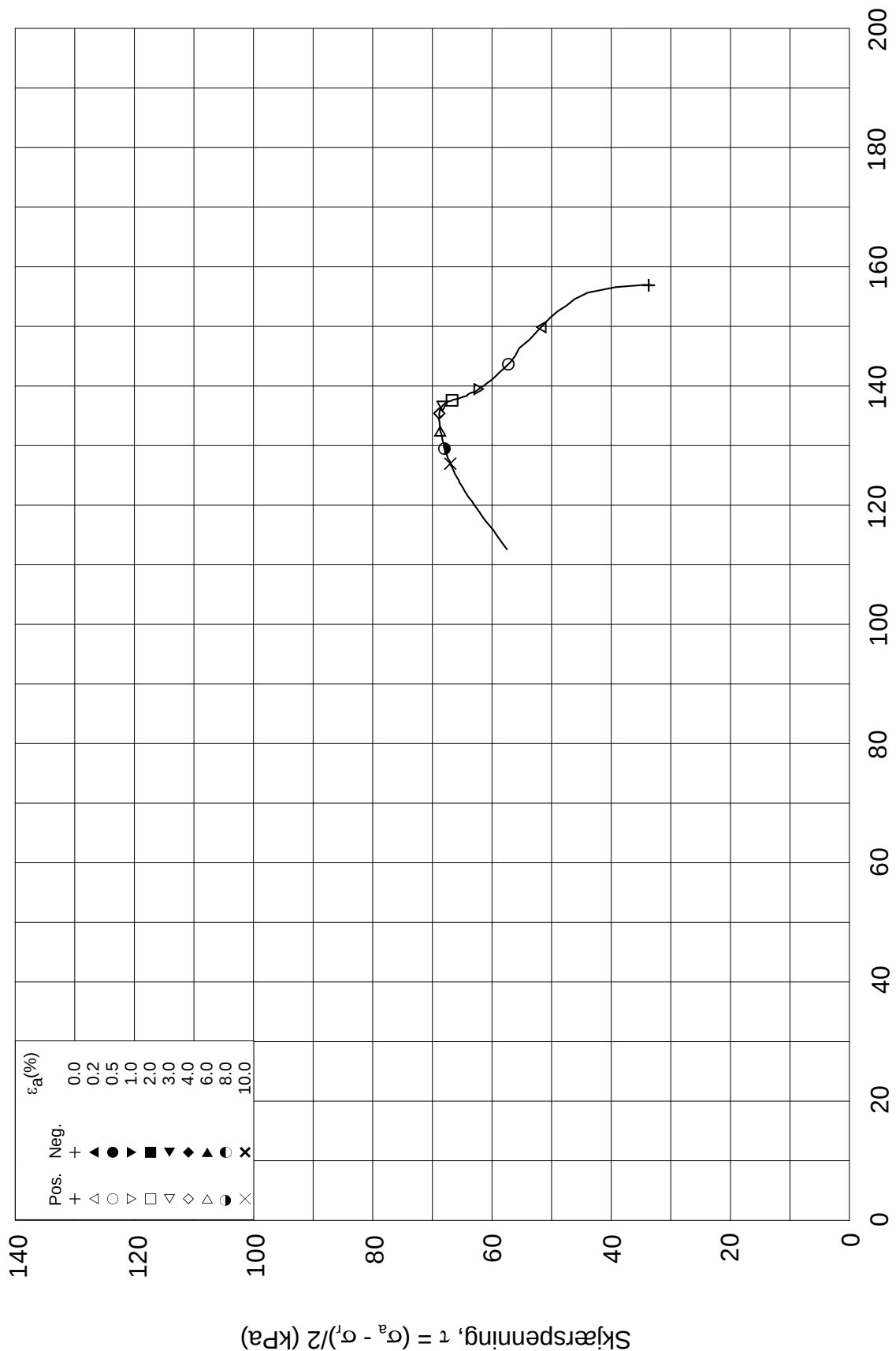
Tegnet av
MAS

Test: **1**

w_c = **30.0** %

σ_{rc}' = - - **123.6**

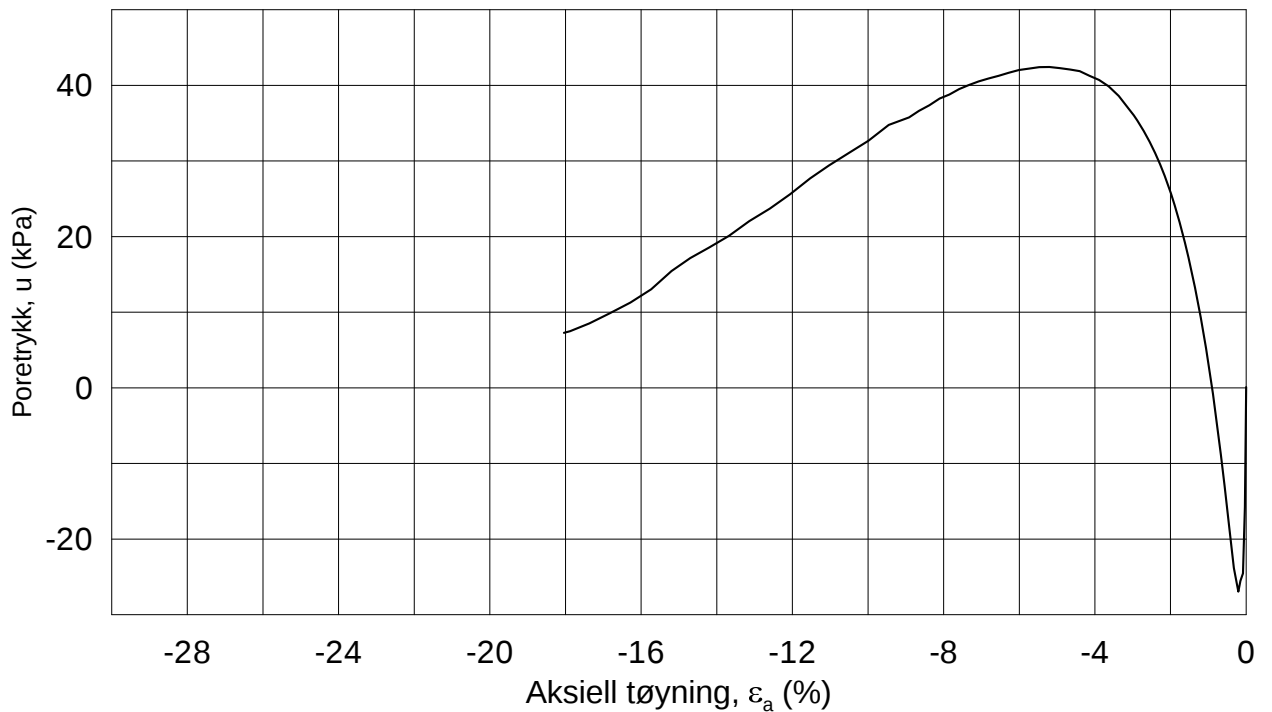
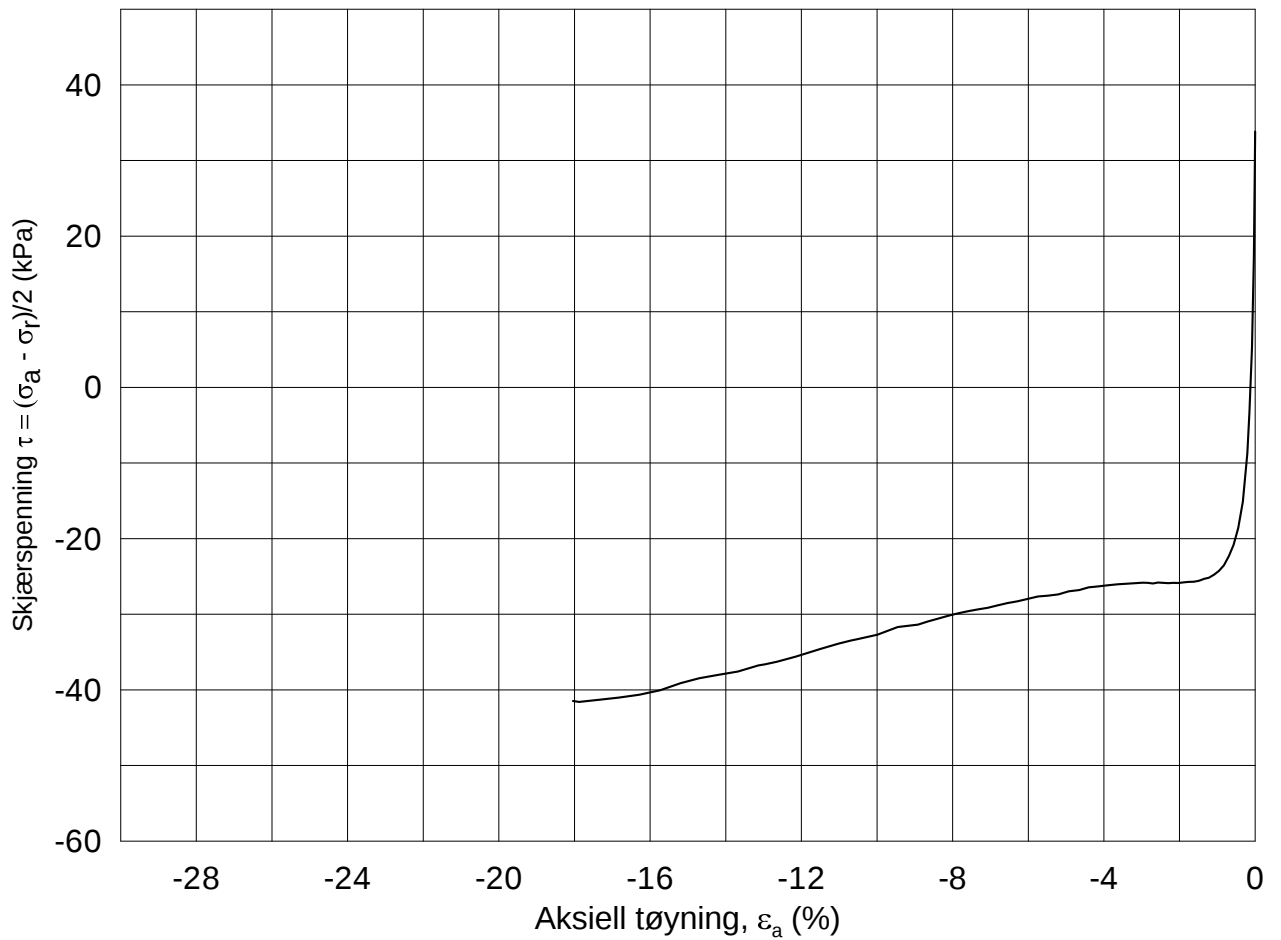




Date/Rev.: 2009-11-03/01

E16 Nybakk - Slomarka			Dokument nr. 20120491-02-R	
Treaksial forsøk: CAUA			Dato 2013-05-15	
Boring: 2207	Dybde = 18.36 m	Konsolidering-spenninger		
Sylinder: 16	p_o' = 190.2 kPa	(kPa)	maks.	min.
Del: B	w_i = 31.7 %	σ_{ac}' =	-	-
Test: 1	w_c = 30.0 %	σ_{rc}' =	-	-
		endelig	190.1	
			123.6	
		Figur nr.	G30	
		Tegnet av	MAS	

2207-15-B-1-1.Plot2.grf



Date/Rev.: 2009-11-03/01

E16 Nybakk - Slomarka

Dokument nr.
20120491-02-R

Treaksial forsøk: **CAUP**

Dato
2013-08-22

Boring: **2207**

Dybde = **18.54** m Konsolidering-spenninger

Sylinder: **16**

p_o' = **191.9** kPa (kPa) maks. min. endelig

Del: **C**

w_i = **30.7** % σ_{ac}' = - - **191.9**

Test: **1**

w_c = **28.2** % σ_{rc}' = - - **124.7**

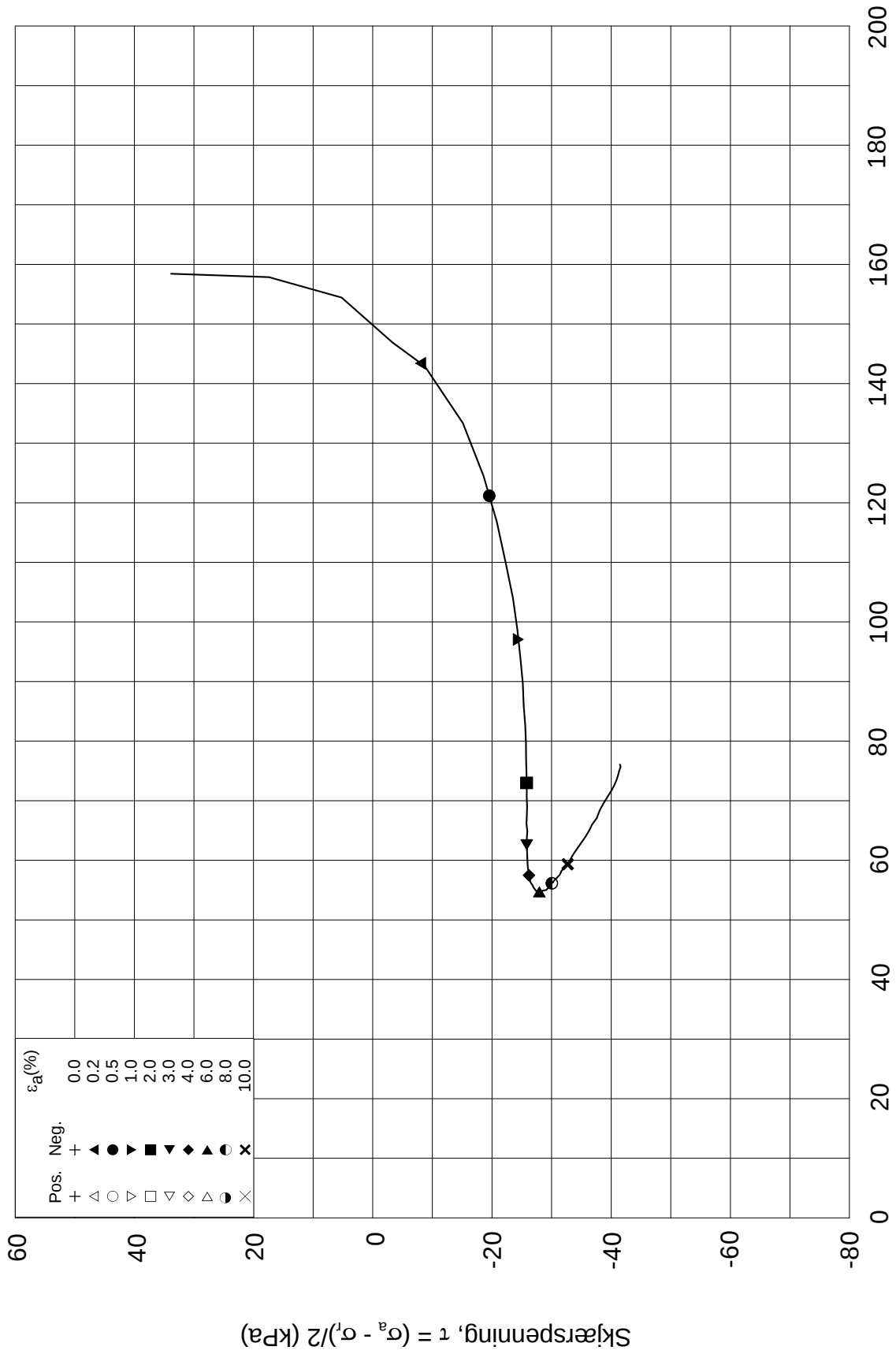
Figur nr.

G31

Tegnet av

MAS





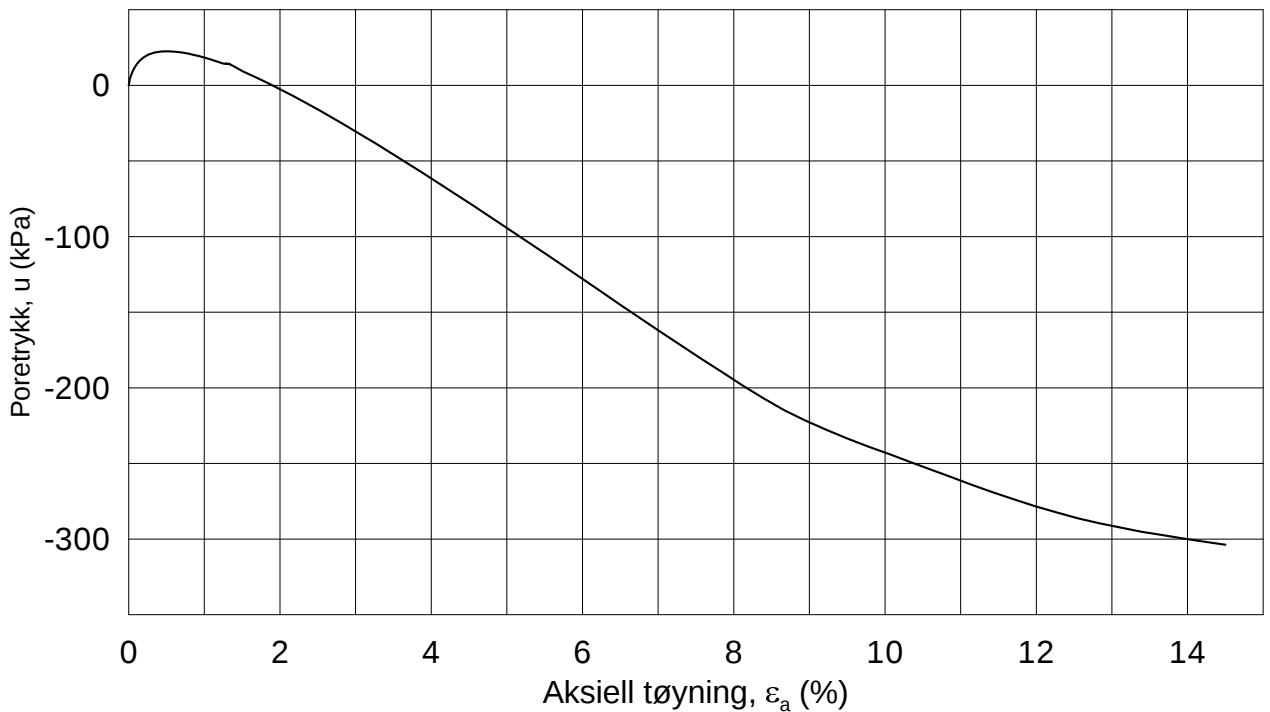
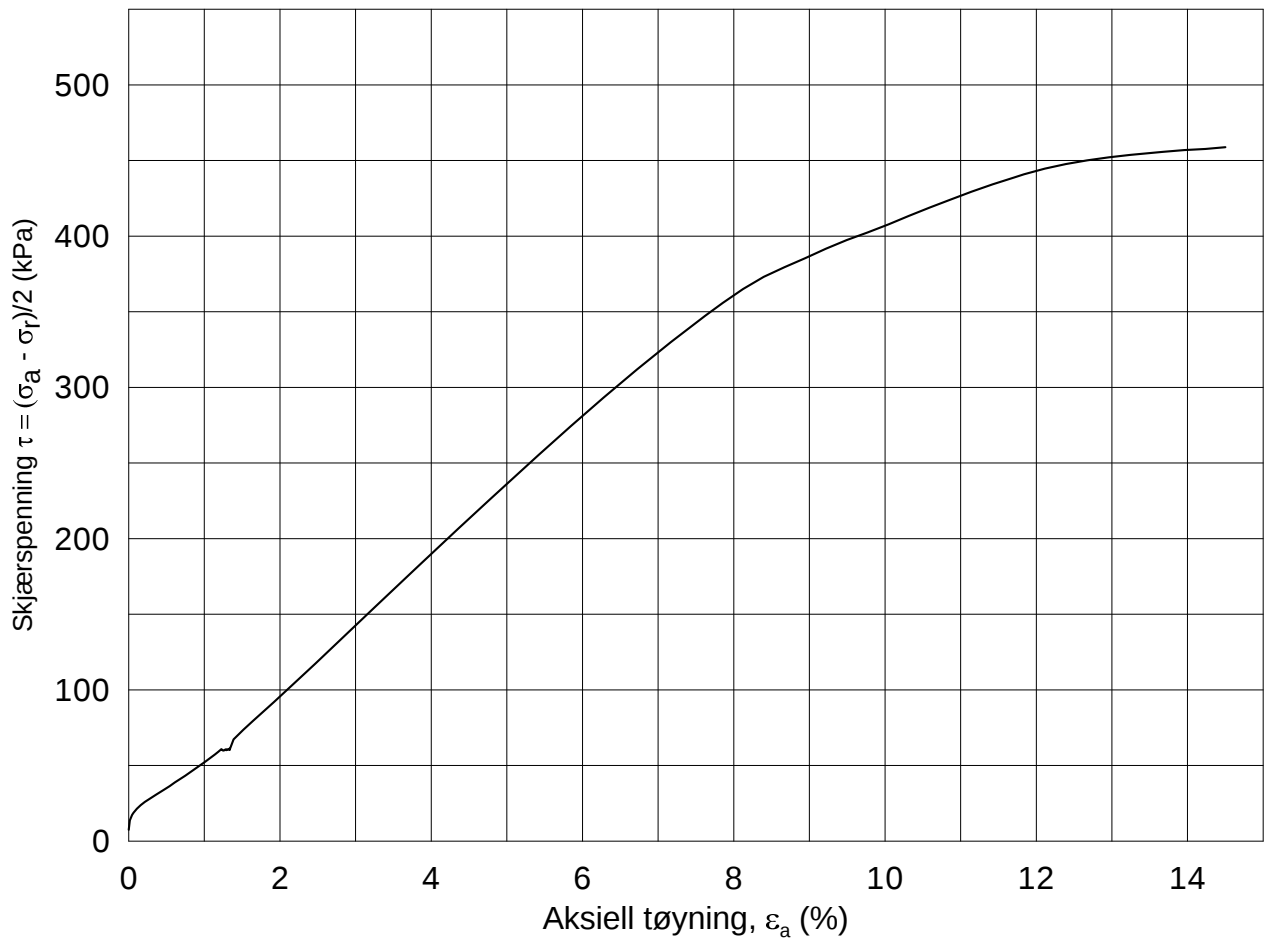
Effektiv gjennomsnittsspenning, $p' = (\sigma_a' + \sigma_r')/2$ (kPa)

Date/Rev.: 2009-11-03/01

E16 Nybakk - Slomarka			Dokument nr. 20120491-02-R
Treaksial forsøk: CAUP			Dato 2013-08-22
Boring: 2207	Dybde = 18.54 m	Konsolidering-spenninger	
Sylinder: 16	$p_{o'}$ = 191.9 kPa	(kPa)	maks. min. endelig
Del: C	w_i = 30.7 %	$\sigma_{ac}' =$ - - 191.9	Figur nr. G32
Test: 1	w_c = 28.2 %	$\sigma_{rc}' =$ - - 124.7	Tegnet av MAS

2207-16-C-1-Plot2.grf





Date/Rev.: 2009-11-03/01

E16 Nybakk - Slomarka

Dokument nr.
20120491-02-R

Treaksial forsøk: **CAUA**

Dato
2013-05-15

Boring: **2208**

Dybde = **5.34** m

Konsolidering-spenninger

Sylinder: **5**

$p_{o'}$ = **73.6** kPa

(kPa) maks. min. endelig

Figur nr.
G33

Del: **B**

w_i = **17.9** %

σ_{ac}' = - - **73.6**

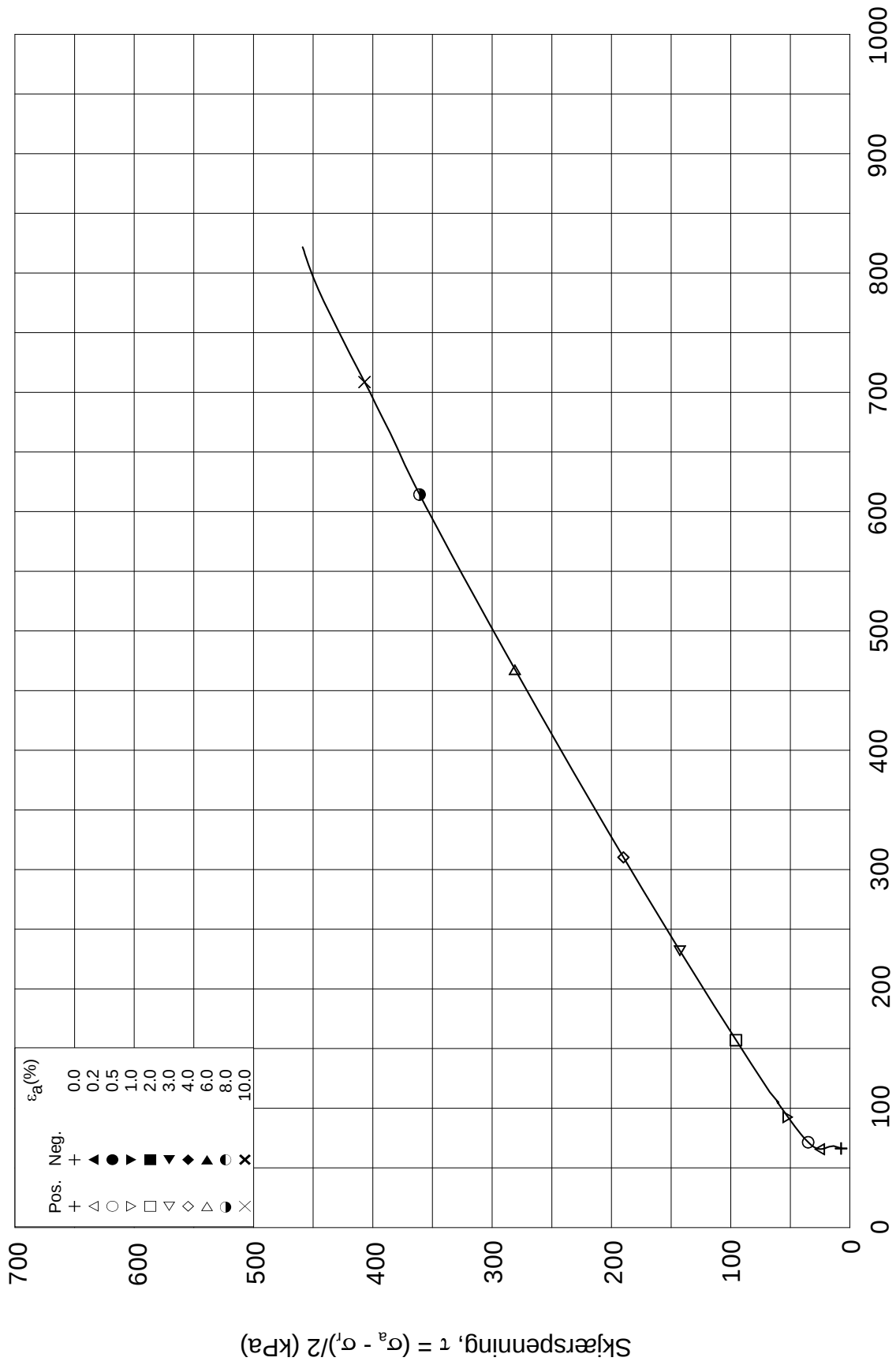
Tegnet av
MAS

Test: **1**

w_c = **17.6** %

σ_{rc}' = - - **58.9**

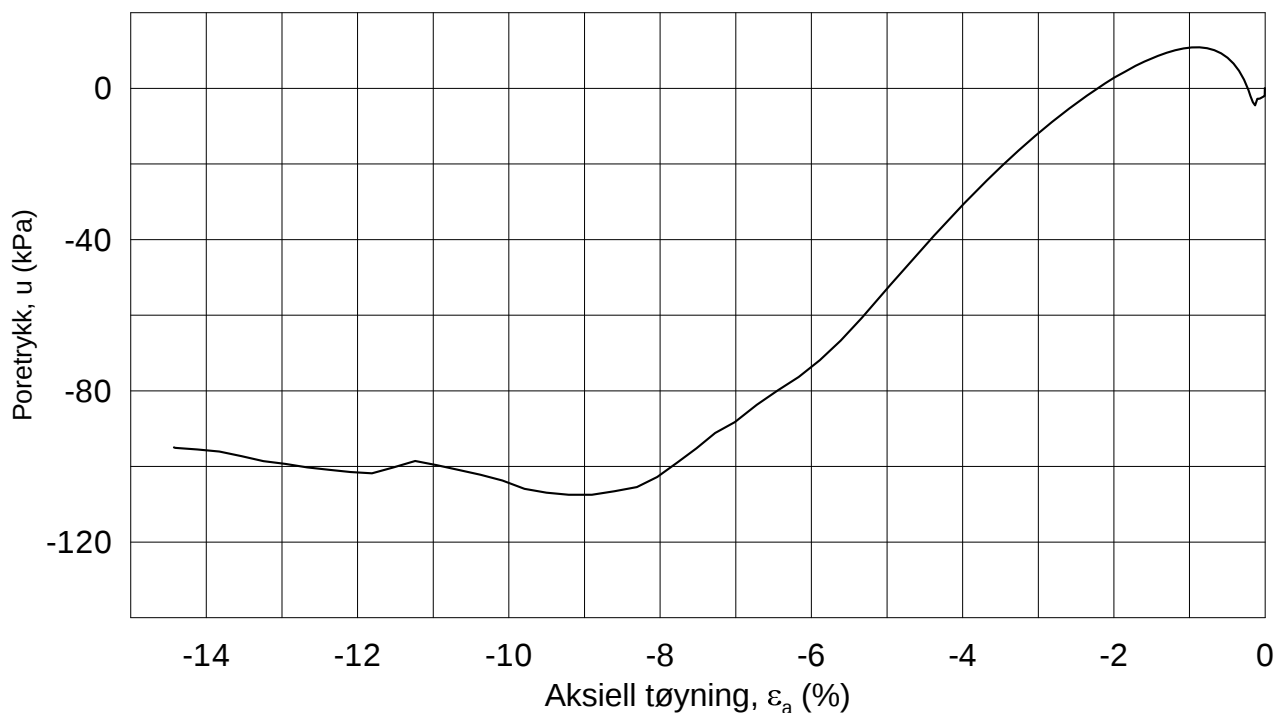
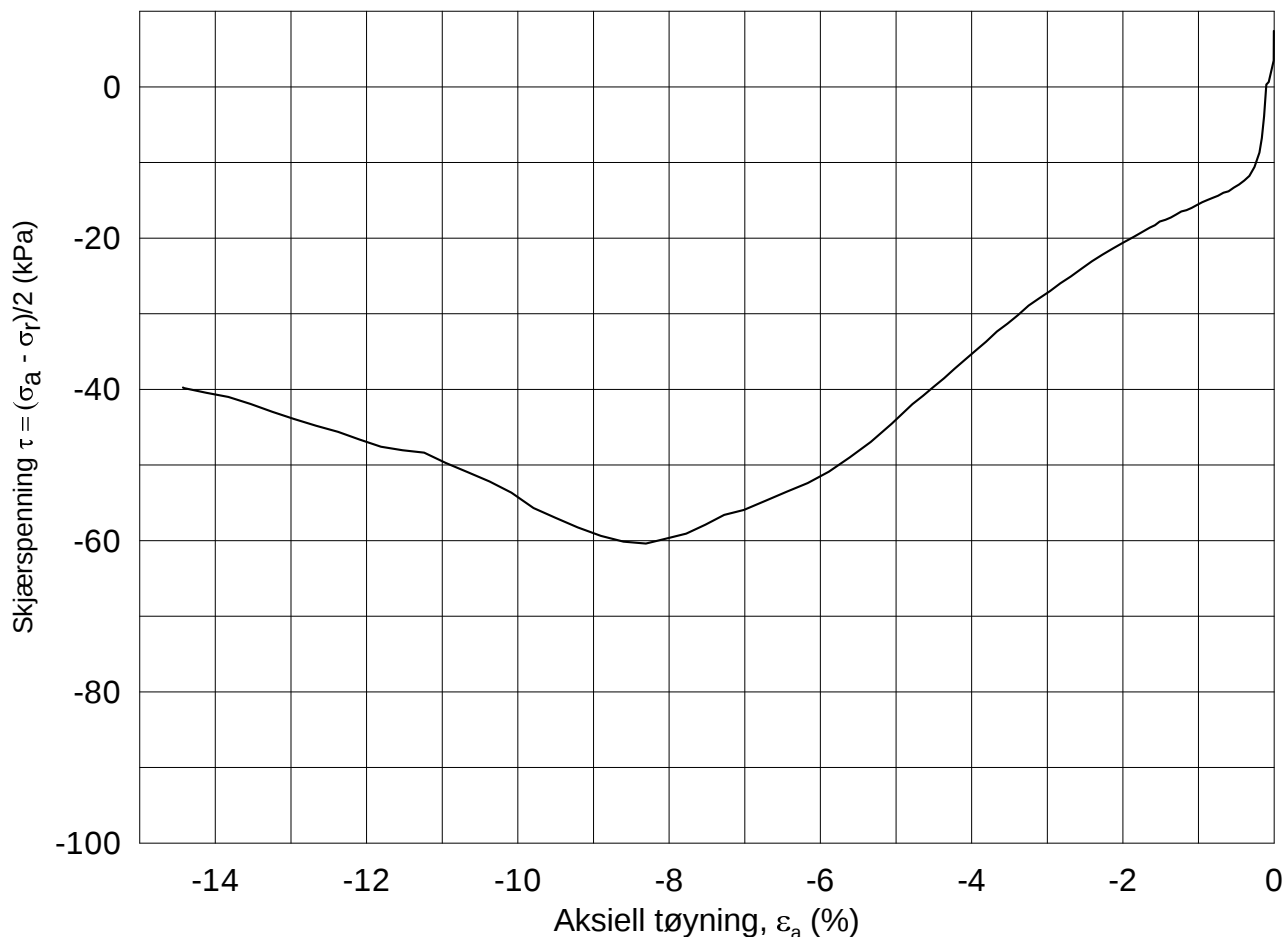




ε _a (%)	0.0	○
	0.2	●
Neg.	0.5	▲
	1.0	▼
Pos.	2.0	△
	3.0	▽
Neg.	4.0	◆
	6.0	◐
Pos.	8.0	◑
	10.0	×

Date/Rev.: 2009-11-03/01

E16 Nybakk - Slomarka			Dokument nr. 20120491-02-R	
Treaksial forsøk: CAUA			Dato 2013-05-15	
Boring: 2208	Dybde = 5.34 m	Konsolidering-spenninger		
Sylinder: 5	p _o ' = 73.6 kPa	(kPa)	maks.	min.
Del: B	w _i = 17.9 %	σ _{ac} ' =	-	-
Test: 1	w _c = 17.6 %	σ _{rc} ' =	-	73.6
			Figur nr. G34	
			Tegnet av MAS	



Date/Rev.: 2009-11-03/01

E16 Nybakk - Slomarka

Dokument nr.
20120491-02-R

Treaksial forsøk: **CAUP**

Dato
2013-05-15

Boring: **2208**

Dybde = **5.50** m

Konsolidering-spenninger

Sylinder: **5**

$p_{o'}$ = **73.6** kPa

(kPa) maks. min. endelig

Figur nr.
G35

Del: **C**

w_i = **20.5** %

σ_{ac}' = - - **73.5**

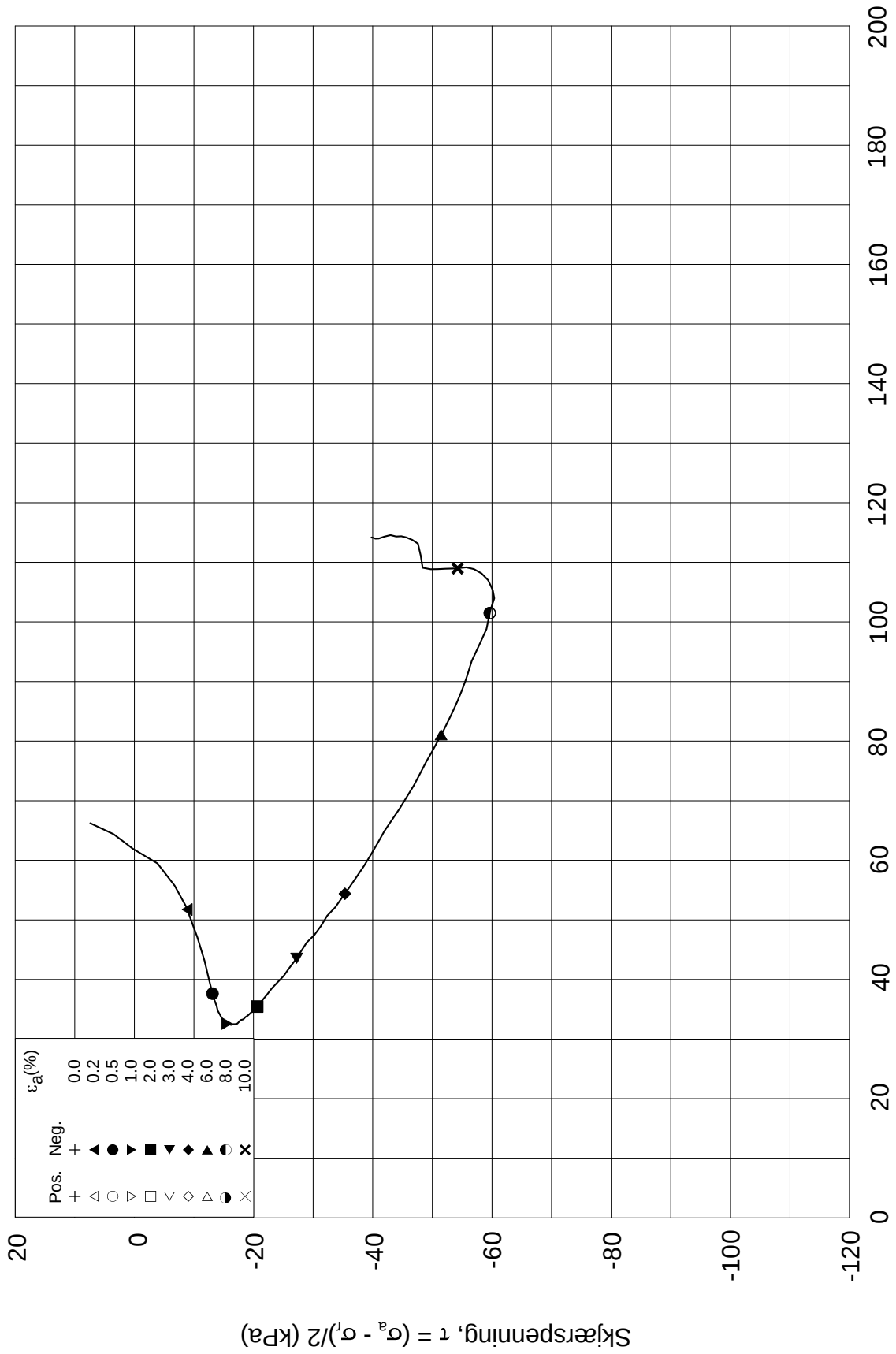
Tegnet av
MAS

Test: **1**

w_c = **20.0** %


σ_{rc}' = - - **58.8**



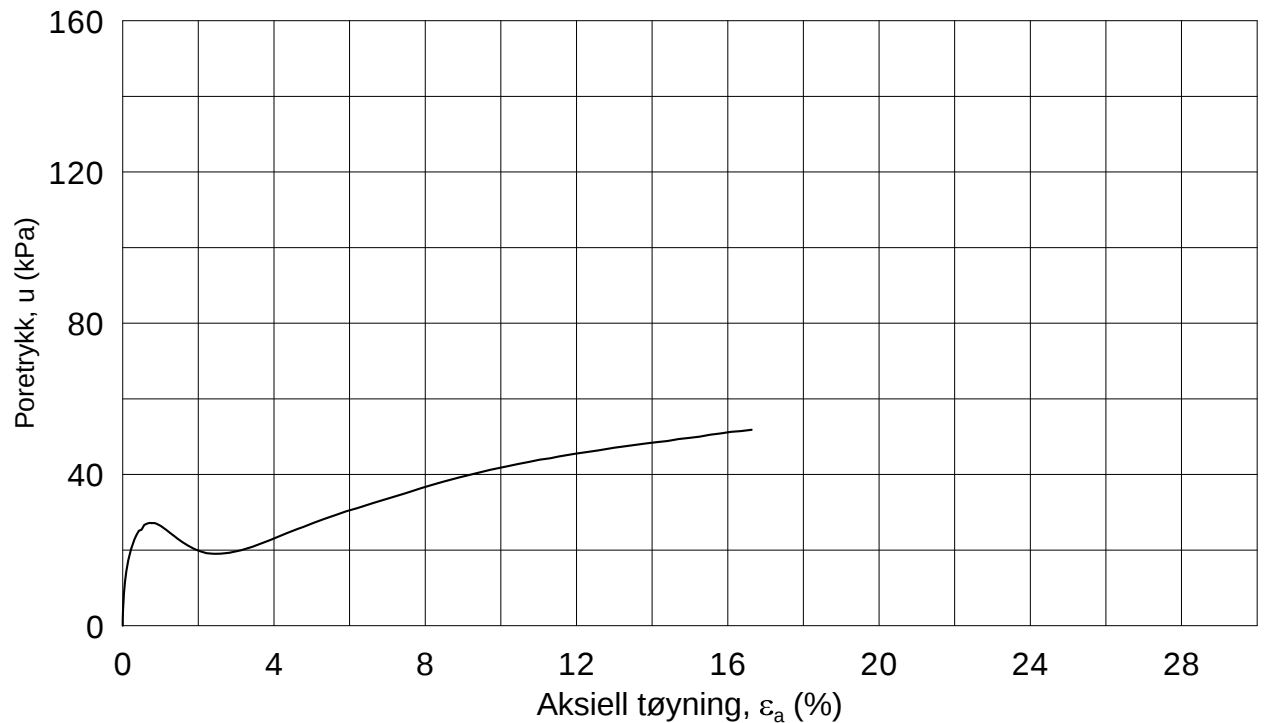
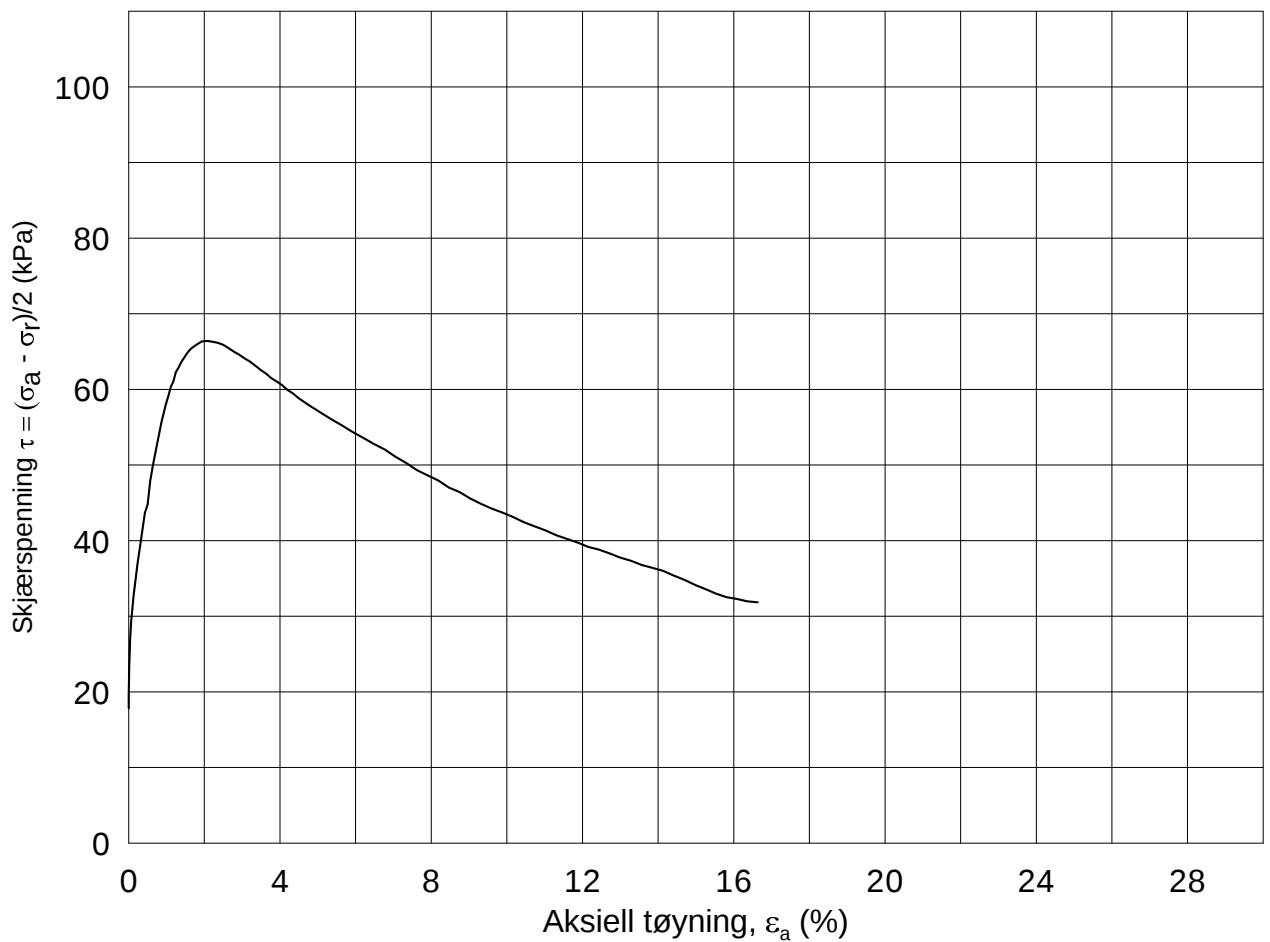


Effektiv gjennomsnittsspenning, $p' = (\sigma_a' + \sigma_r')/2$ (kPa)

Date/Rev.: 2009-11-03/01

E16 Nybakk - Slomarka			Dokument nr. 20120491-02-R	
Treaksial forsøk: CAUP			Dato 2013-05-15	
Boring: 2208	Dybde = 5.50 m	Konsolidering-spenninger		
Sylinder: 5	p_o' = 73.6 kPa	(kPa)	maks.	min.
Del: C	w_i = 20.5 %	$\sigma_{ac}' =$	-	-
Test: 1	w_c = 20.0 %	$\sigma_{rc}' =$	-	-
			73.5	58.8
			Figur nr. G36	
			Tegnet av MAS	

2208-5-C-1.Plot2.grf



Date/Rev.: 2009-11-03/01

E16 Nybakk - Slomarka

Dokument nr.
20120491-02-R

Treaksial forsøk: CAUA

Dato
2013-04-22

Boring: 2208

Dybde = 10.52 m

Konsolidering-spenninger

Sylinder: 10

$p_{o'}$ = 118.6 kPa

(kPa) maks. min. endelig

Figur nr.
G37

Del: C

w_i = 31.4 %

σ_{ac}' = - - 118.7

Tegnet av
MAS

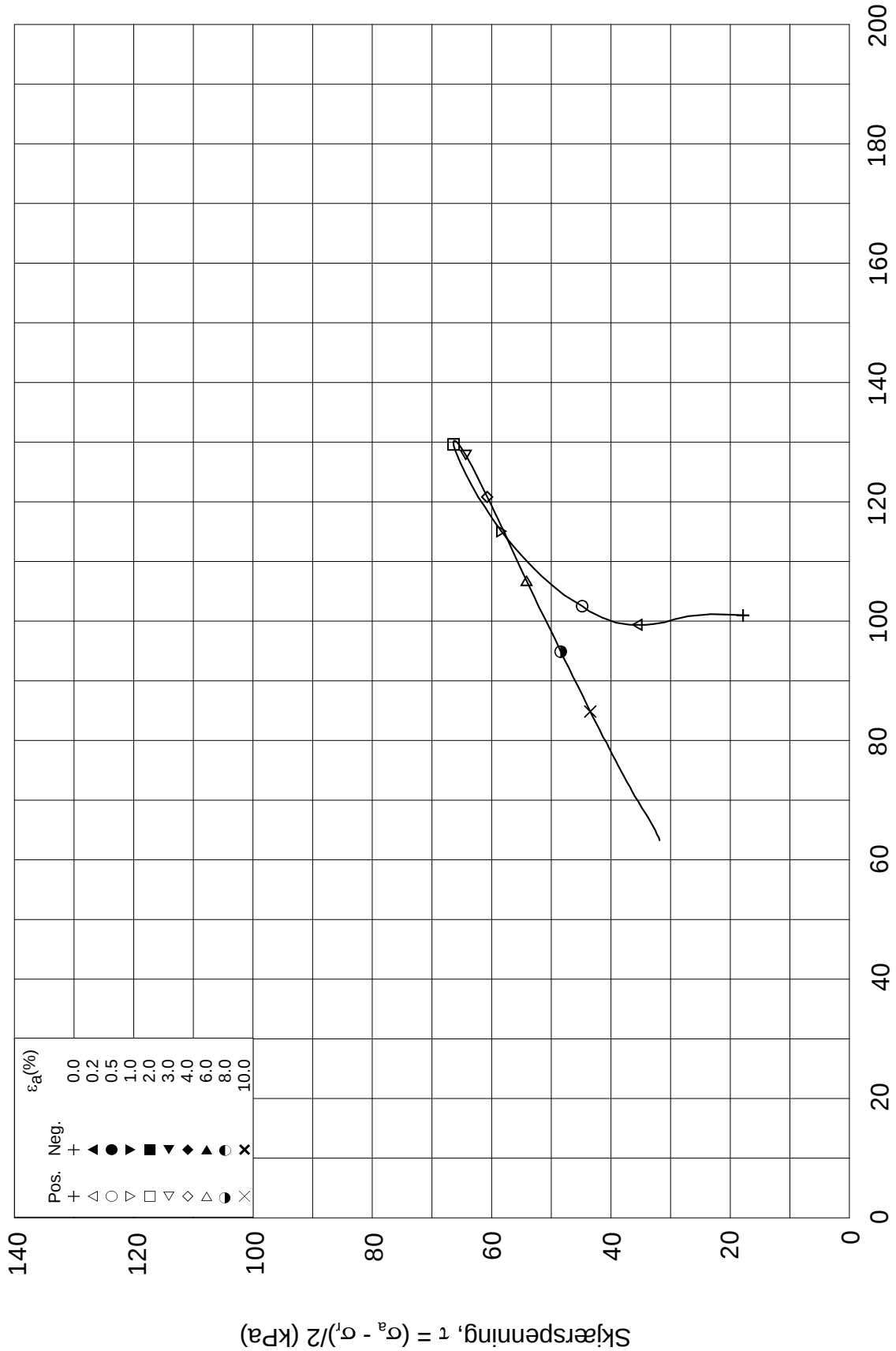
Test: 1

w_c = 30.8 %

σ_{rc}' = - - 83.1



Effektiv gjennomsnittsspenning, $p' = (\sigma_a' + \sigma_r')/2$ (kPa)



Date/Rev.: 2009-11-03/01

E16 Nybakk - Slomarka

Dokument nr.
20120491-02-R

Treaksial forsøk: **CAUA**

Dato
2013-04-22

Boring: **2208**

Dybde = **10.52** m

Konsolidering-spenninger

Sylinder: **10**

$p_{o'}$ = **118.6** kPa

(kPa) maks. min. endelig

Figur nr.
G38

Del: **C**

w_i = **31.4** %

σ_{ac}' = - - **118.7**

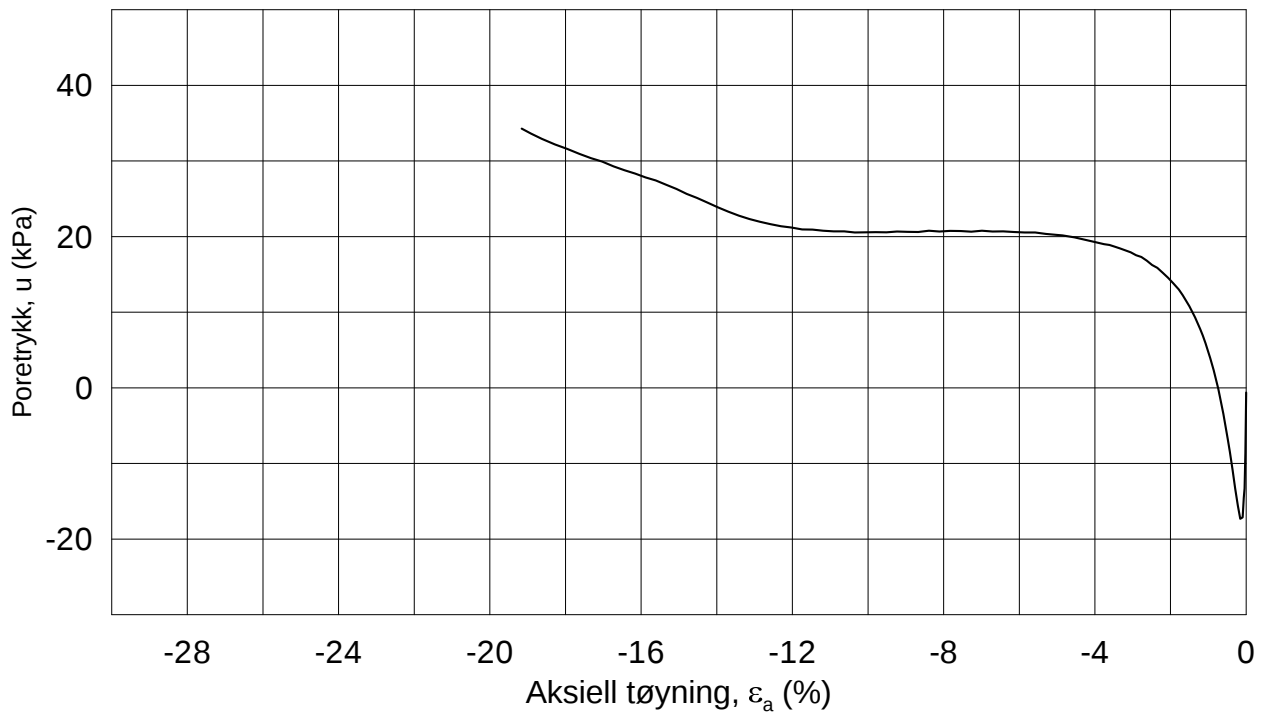
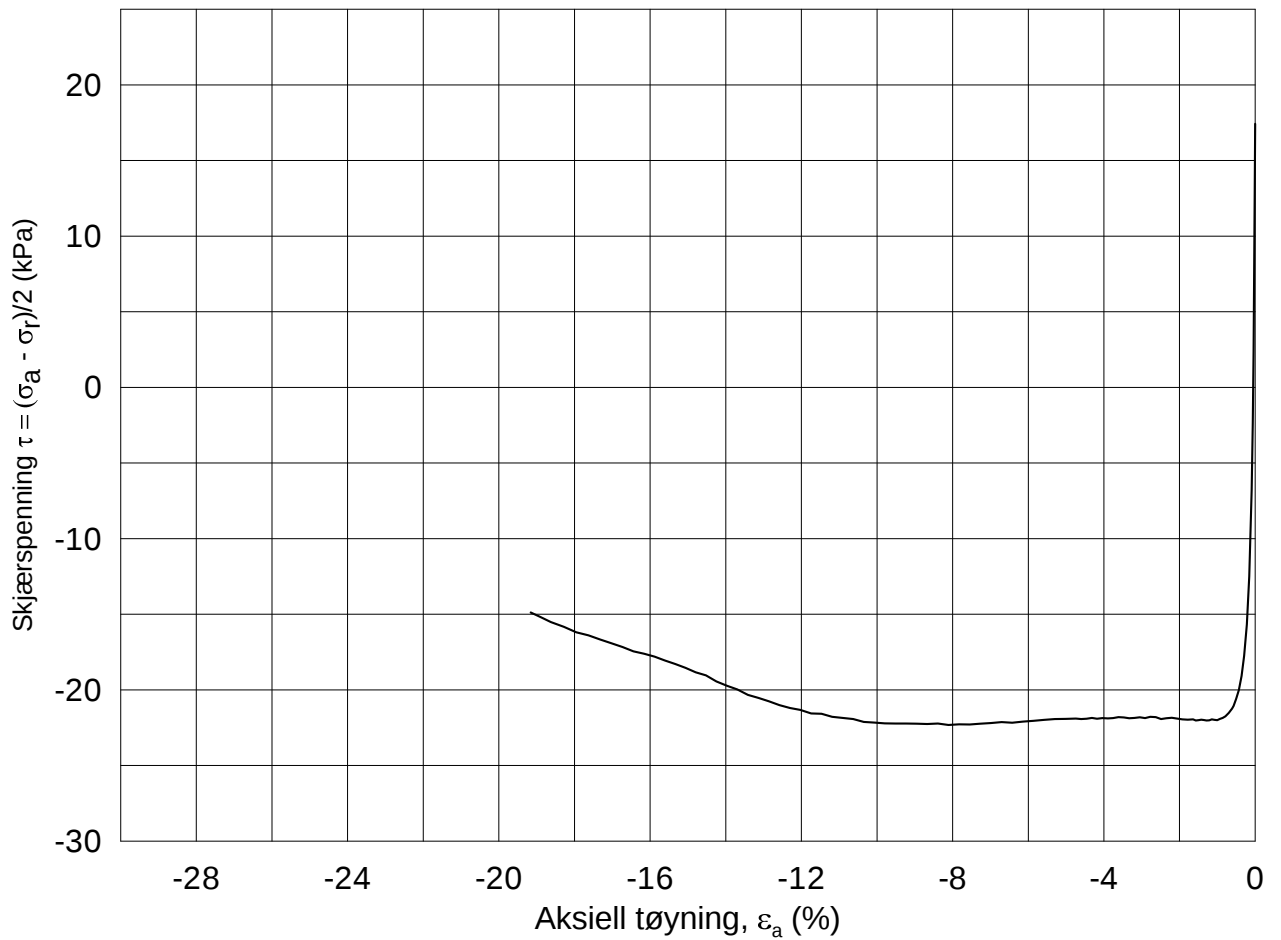
Tegnet av
MAS

Test: **1**

w_c = **30.8** %

σ_{rc}' = - - **83.1**





Date/Rev.: 2009-11-03/01

E16 Nybakk - Slomarka

Dokument nr.
20120491-02-R

Treaksial forsøk: **CAUP**

Dato
2013-06-05

Boring: **2208**

Dybde = **10.35** m

Konsolidering-spenninger

Sylinder: **10**

$p_{o'}$ = **118.2** kPa

(kPa) maks. min. endelig

Figur nr.
G39

Del: **B**

w_i = **31.1** %

σ_{ac}' = - - **118.0**

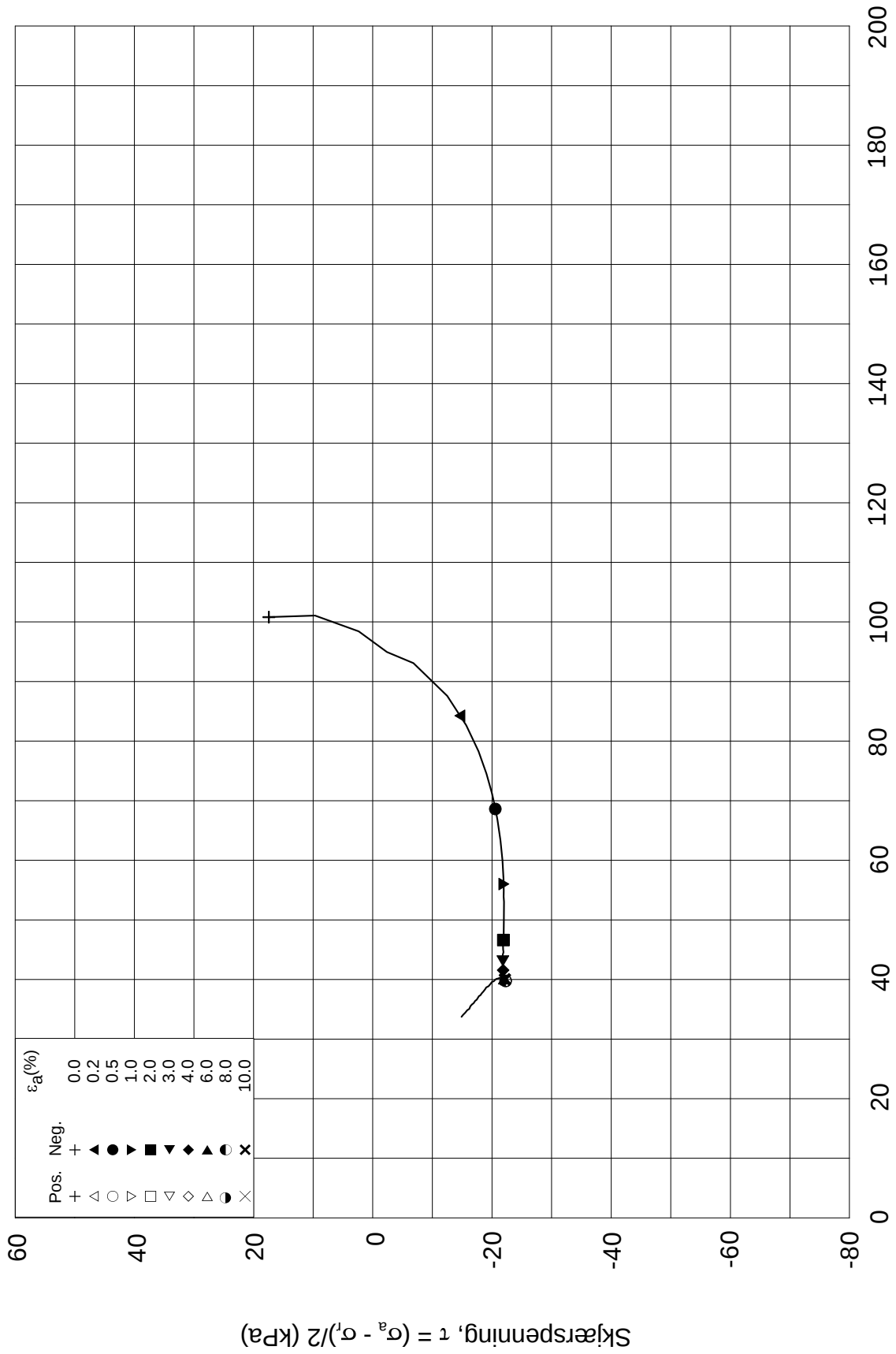
Tegnet av
MAS

Test: **1**

w_c = **30.4** %

σ_{rc}' = - - **82.7**

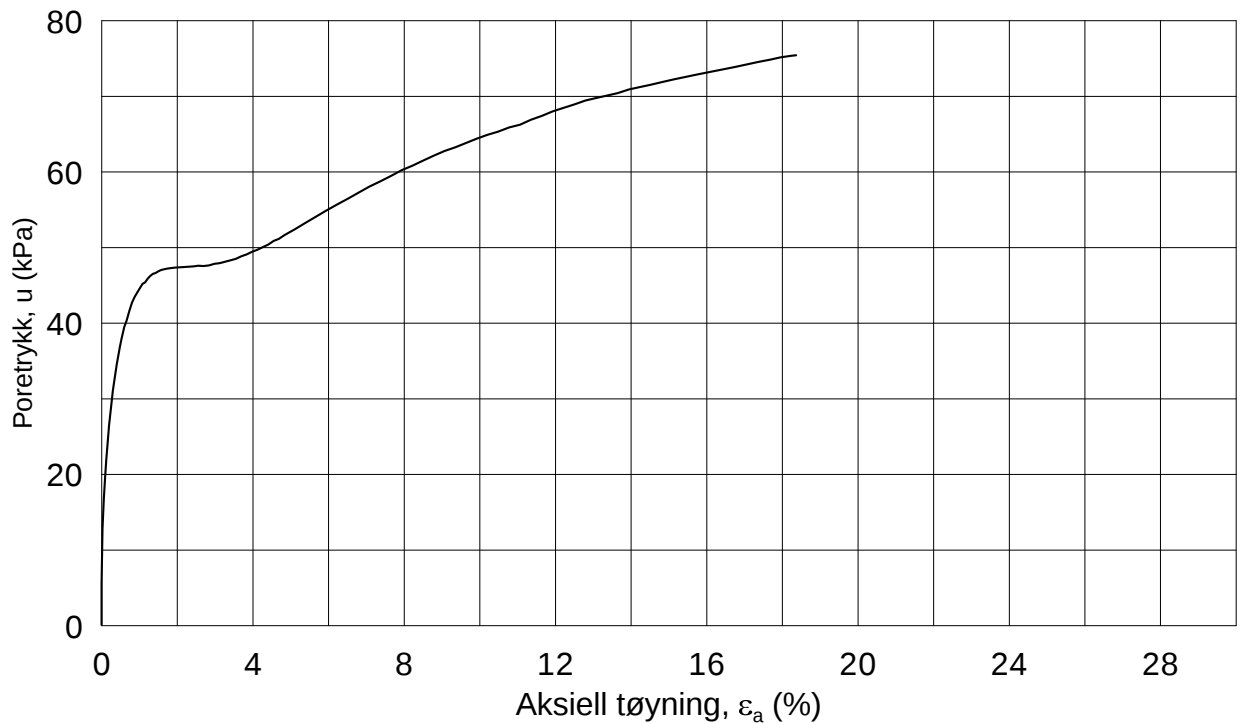
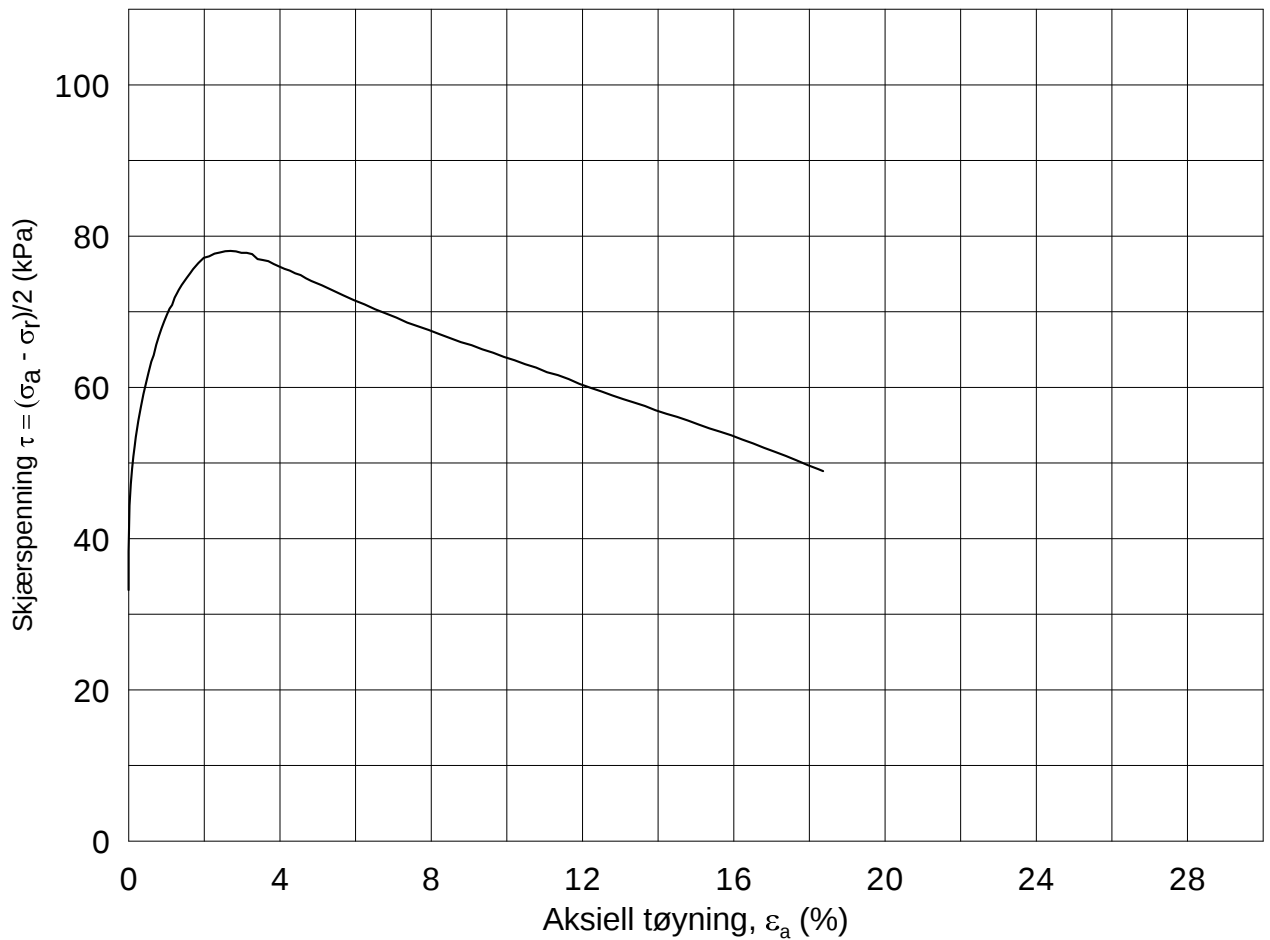




Date/Rev.: 2009-11-03/01

E16 Nybakk - Slomarka			Dokument nr. 20120491-02-R
Treaksial forsøk: CAUP			Dato 2013-06-05
Boring: 2208	Dybde = 10.35 m	Konsolidering-spenninger	
Sylinder: 10	$p_{o'}$ = 118.2 kPa	(kPa)	maks. min. endelig
Del: B	w_i = 31.1 %	$\sigma_{ac}' =$ - - 118.0	Figur nr. G40
Test: 1	w_c = 30.4 %	$\sigma_{rc}' =$ - - 82.7	Tegnet av MAS

2208-10-B-1-1.Plot2.grf



Date/Rev.: 2009-11-03/01

E16 Nybakk - Slomarka

Dokument nr.
20120491-02-R

Treaksial forsøk: **CAUA**

Dato
2013-05-06

Boring: **2208**

Dybde = **18.21** m

Konsolidering-spenninger

Sylinder: **16**

$p_{o'}$ = **188.9** kPa

(kPa) maks. min. endelig

Figur nr.
G41

Del: **A**

w_i = **33.3** %

σ_{ac}' = - - **189.1**

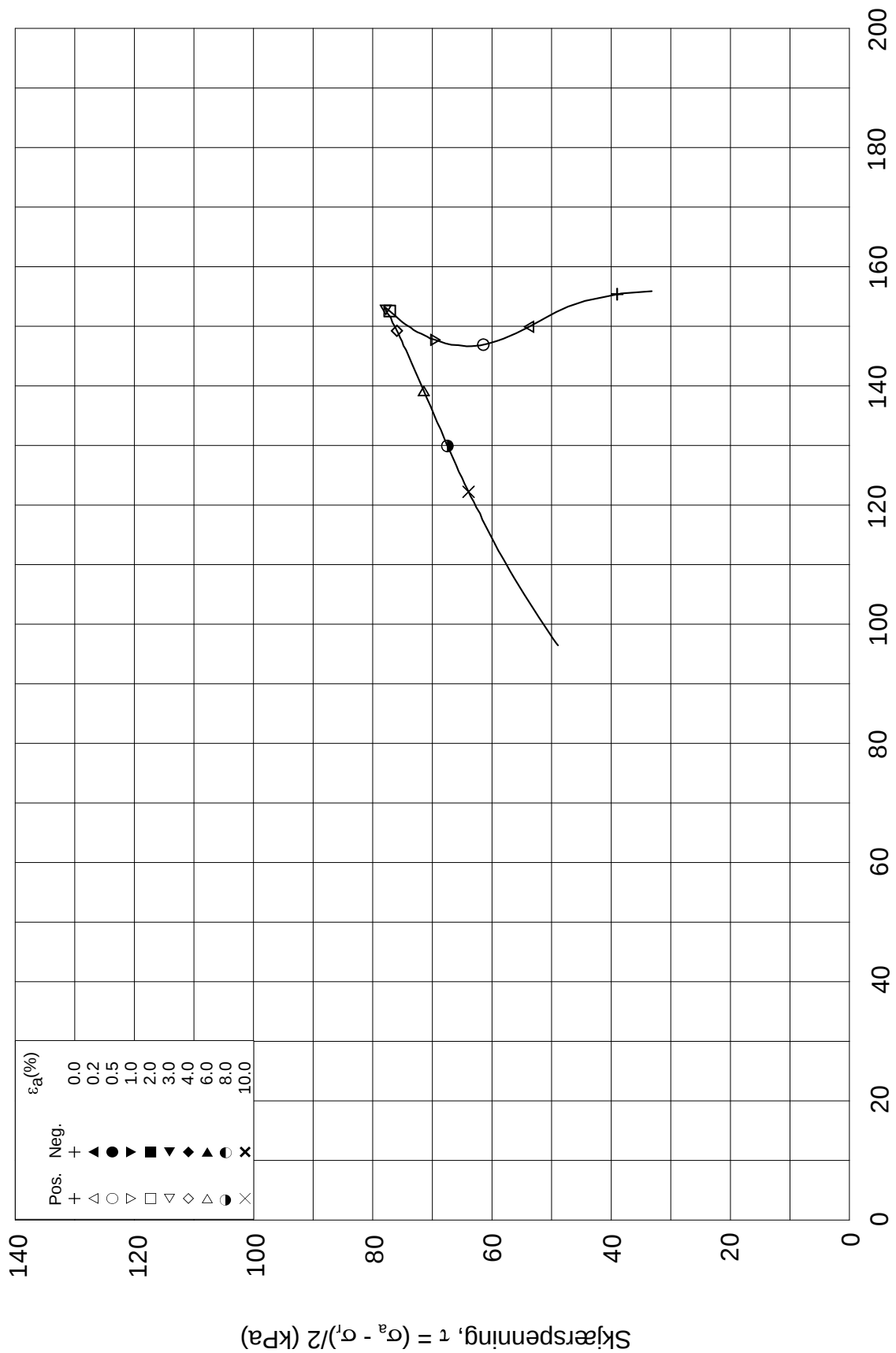
Tegnet av
MAS

Test: **1**

w_c = **31.7** %

σ_{rc}' = - - **122.8**





Effektiv gjennomsnittsspenning, $p' = (\sigma_a' + \sigma_r')/2$ (kPa)

Date/Rev.: 2009-11-03/01

E16 Nybakk - Slomarka

Dokument nr.
20120491-02-R

Treaksial forsøk: **CAUA**

Dato
2013-05-06

Boring: **2208**

Sylinder: **16**

Del: **A**

Test: **1**

Dybde = **18.21** m

$p_{o'}$ = **188.9** kPa

w_i = **33.3** %

w_c = **31.7** %

Konsolidering-spenninger

(kPa) maks. min. endelig

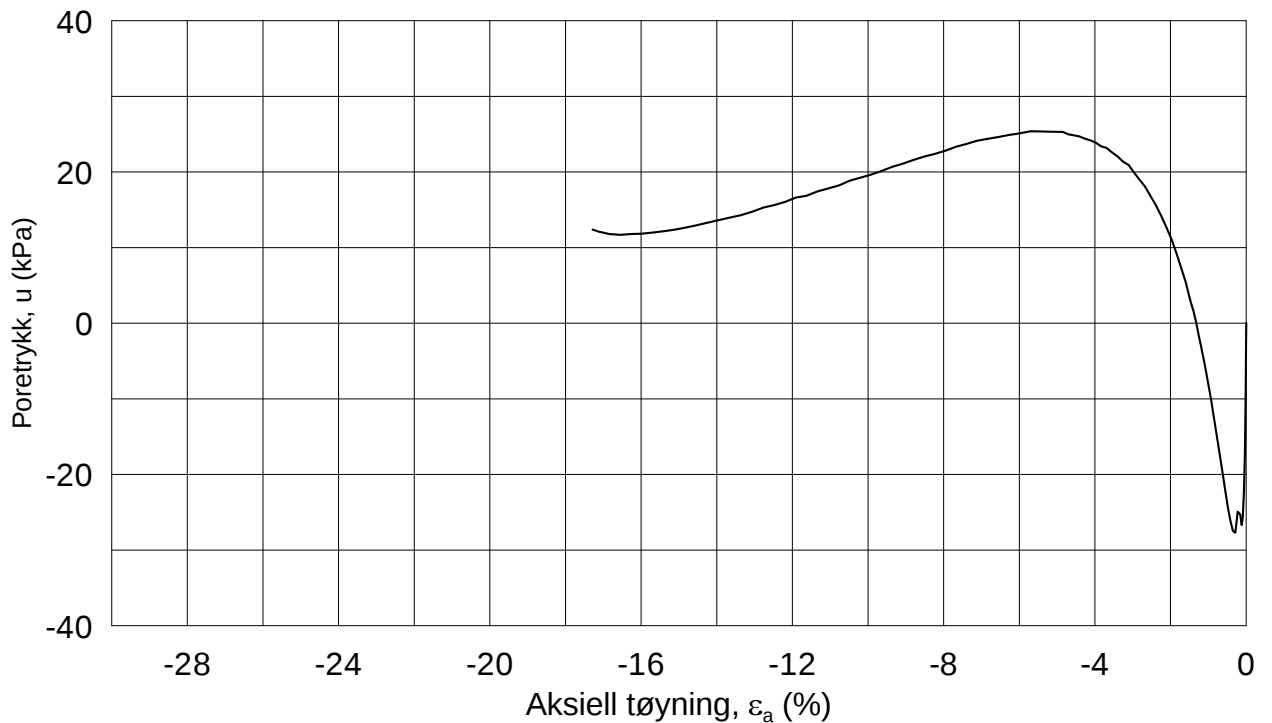
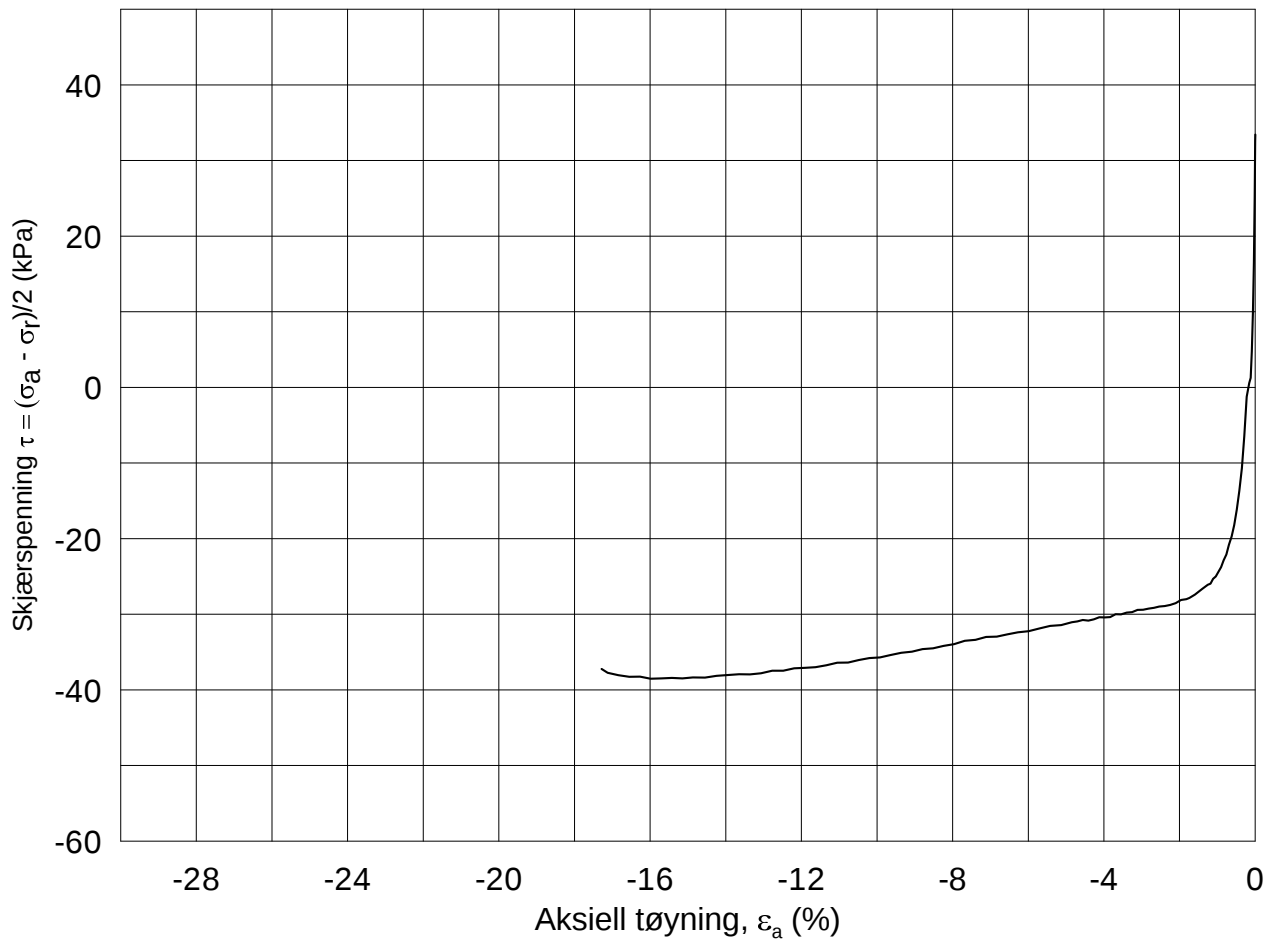
σ_{ac}' = - - **189.1**

σ_{rc}' = - - **122.8**

Figur nr.
G42

Tegnet av
MAS





Date/Rev.: 2009-11-03/01

E16 Nybakk - Slomarka

Dokument nr.
20120491-02-R

Treaksial forsøk: **CAUP**

Dato
2013-05-06

Boring: **2208**

Dybde = **18.37** m

Konsolidering-spenninger

Sylinder: **16**

$p_{o'}$ = **190.3** kPa

(kPa)	maks.	min.	endelig
σ_{ac}' =	-	-	190.3
σ_{rc}' =	-	-	123.7

Del: **B**

w_i = **32.7** %

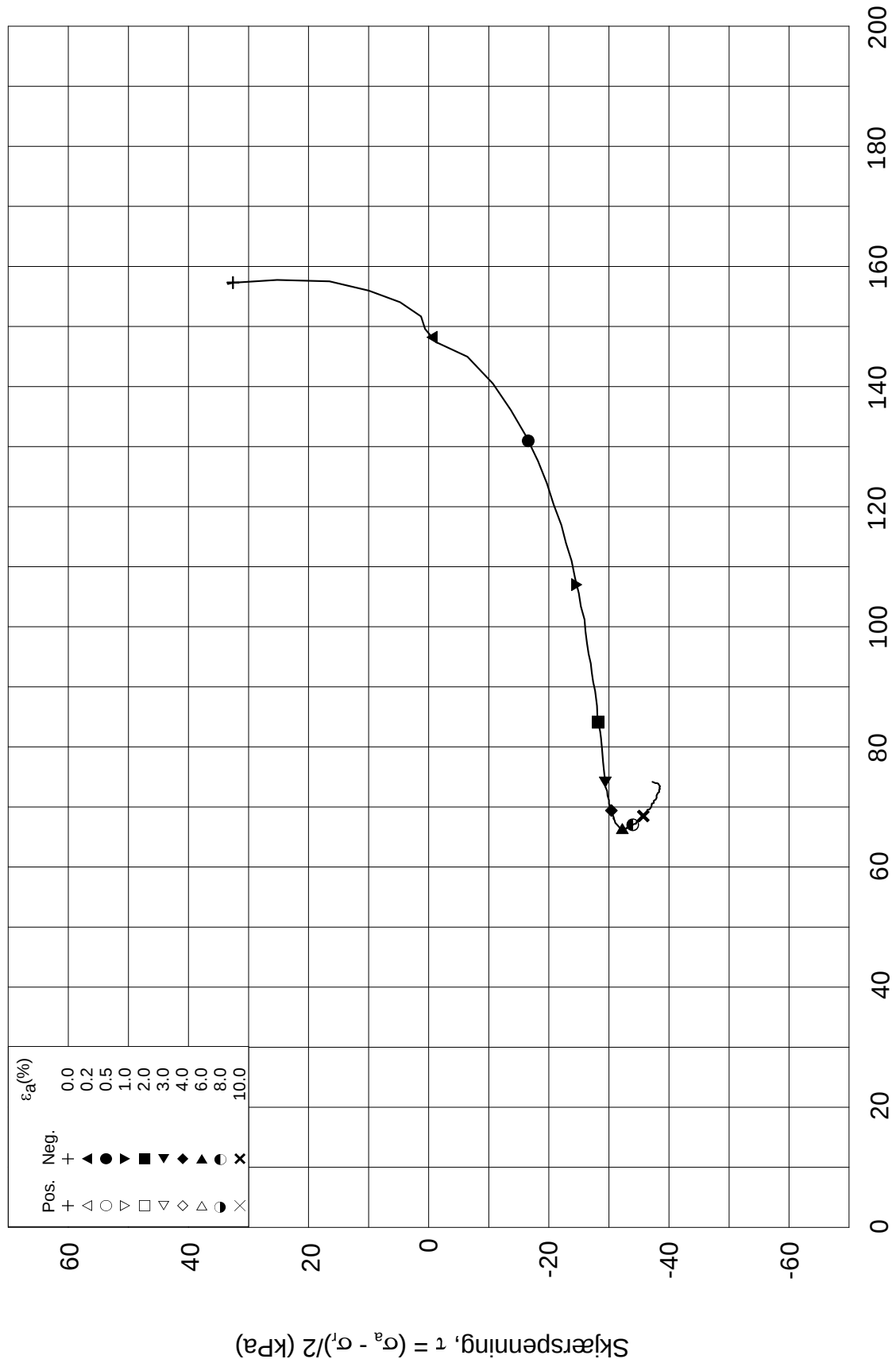
Figur nr. **G43**

Test: **1**

w_c = **30.7** %

Tegnet av **MAS**





Date/Rev.: 2009-11-03/01

E16 Nybakk - Slomarka

Dokument nr.
20120491-02-R

Treaksial forsøk: **CAUP**

Dato
2013-05-06

Boring: **2208**

Dybde = **18.37** m

Konsolidering-spenninger

Sylinder: **16**

$p_{o'}$ = **190.3** kPa

(kPa) maks. min. endelig

Figur nr.
G44

Del: **B**

w_i = **32.7** %

σ_{ac}' = - - **190.3**

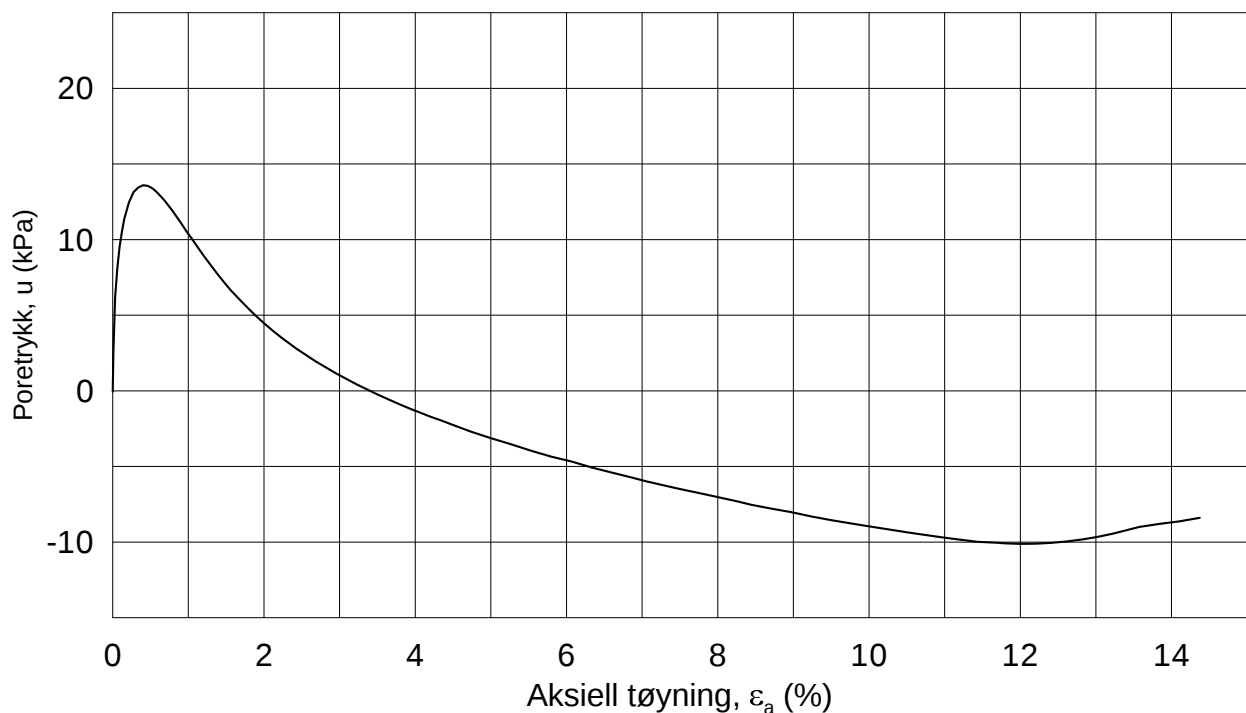
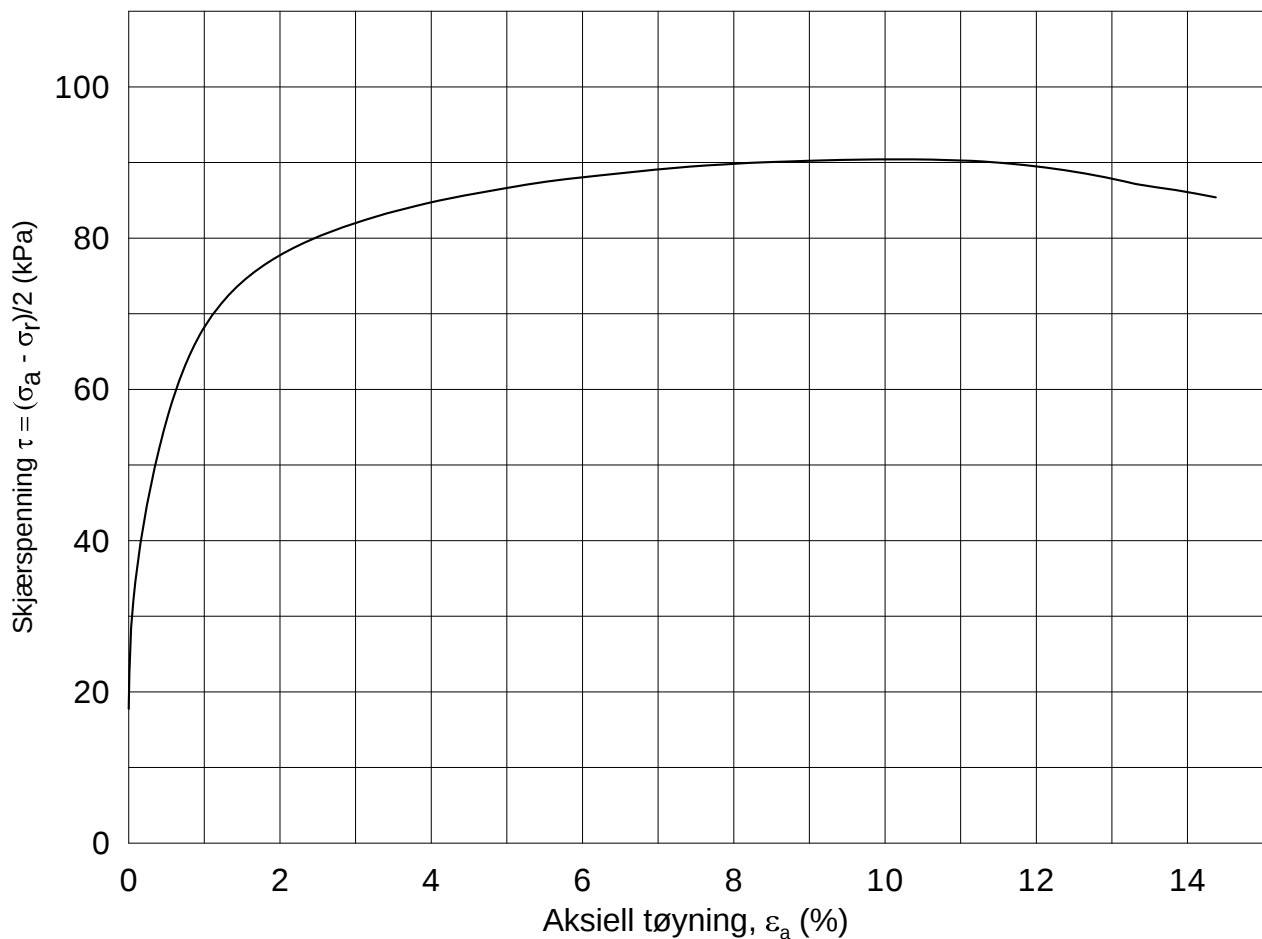
Tegnet av
MAS

Test: **1**

w_c = **30.7** %

σ_{rc}' = - - **123.7**





Date/Rev.: 2009-11-03/01

E16 Nybakk - Slomarka

Dokument nr.
20120491-02-R

Treaksial forsøk: **CAUA**

Dato
2013-05-15

Boring: **2212**

Dybde = **10.37** m

Konsolidering-spenninger

Sylinder: **10**

$p_{o'}$ = **118.3** kPa

(kPa) maks. min. endelig

Figur nr.
G45

Del: **B**

w_i = **31.2** %

σ_{ac}' = - - **118.3**

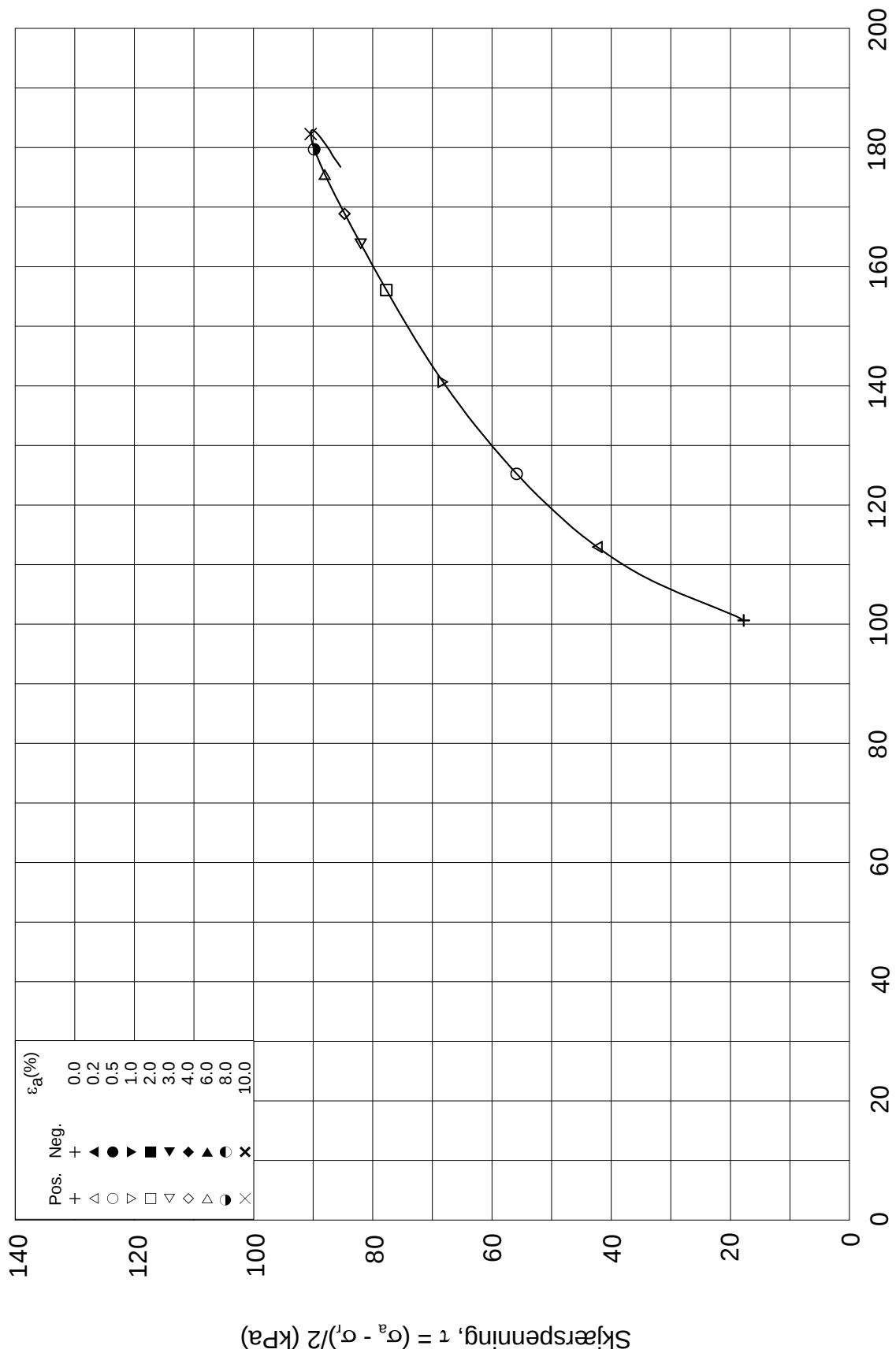
Tegnet av
MAS

Test: **1**

w_c = **31.1** %

σ_{rc}' = - - **82.8**





Date/Rev.: 2009-11-03/01

E16 Nybakk - Slomarka

Dokument nr.
20120491-02-R

Treaksial forsøk: CAUA

Dato
2013-05-15

Boring: 2212

Dybde = 10.37 m

Konsolidering-spenninger

Sylinder: 10

$p_{o'}$ = 118.3 kPa

(kPa)	maks.	min.	endelig
σ_{ac}' =	-	-	118.3
σ_{rc}' =	-	-	82.8

Del: B

w_i = 31.2 %

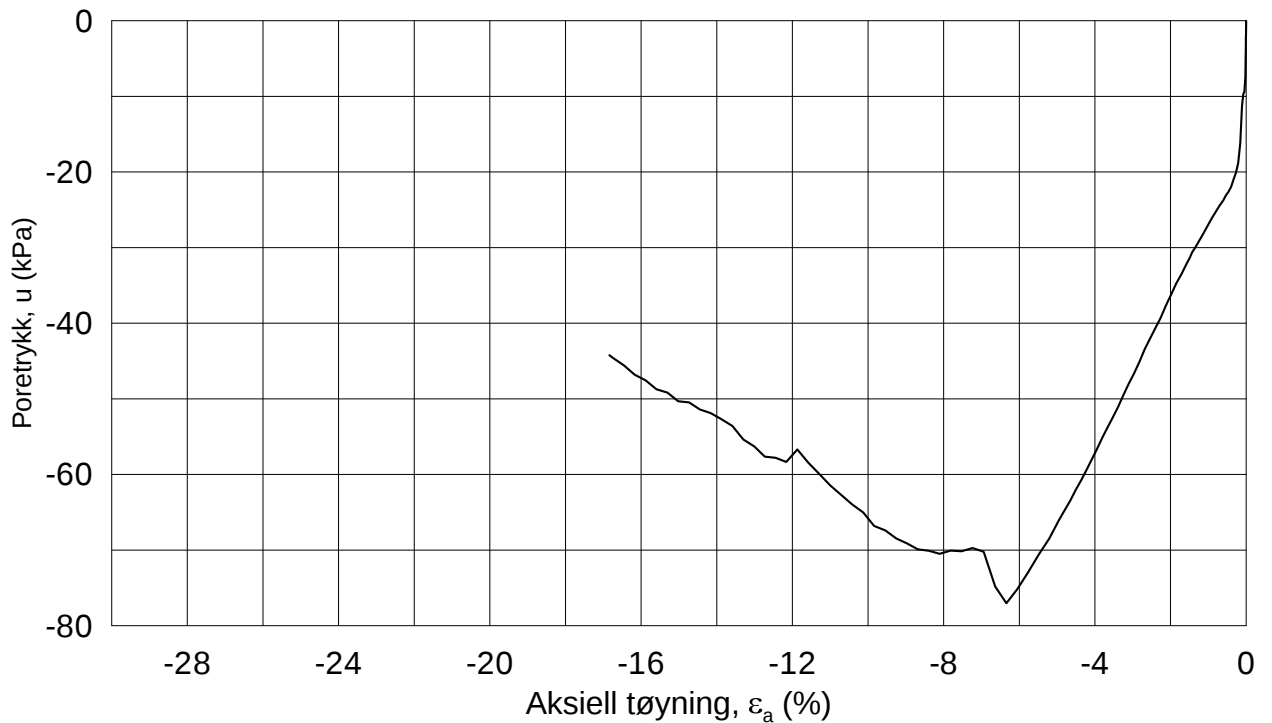
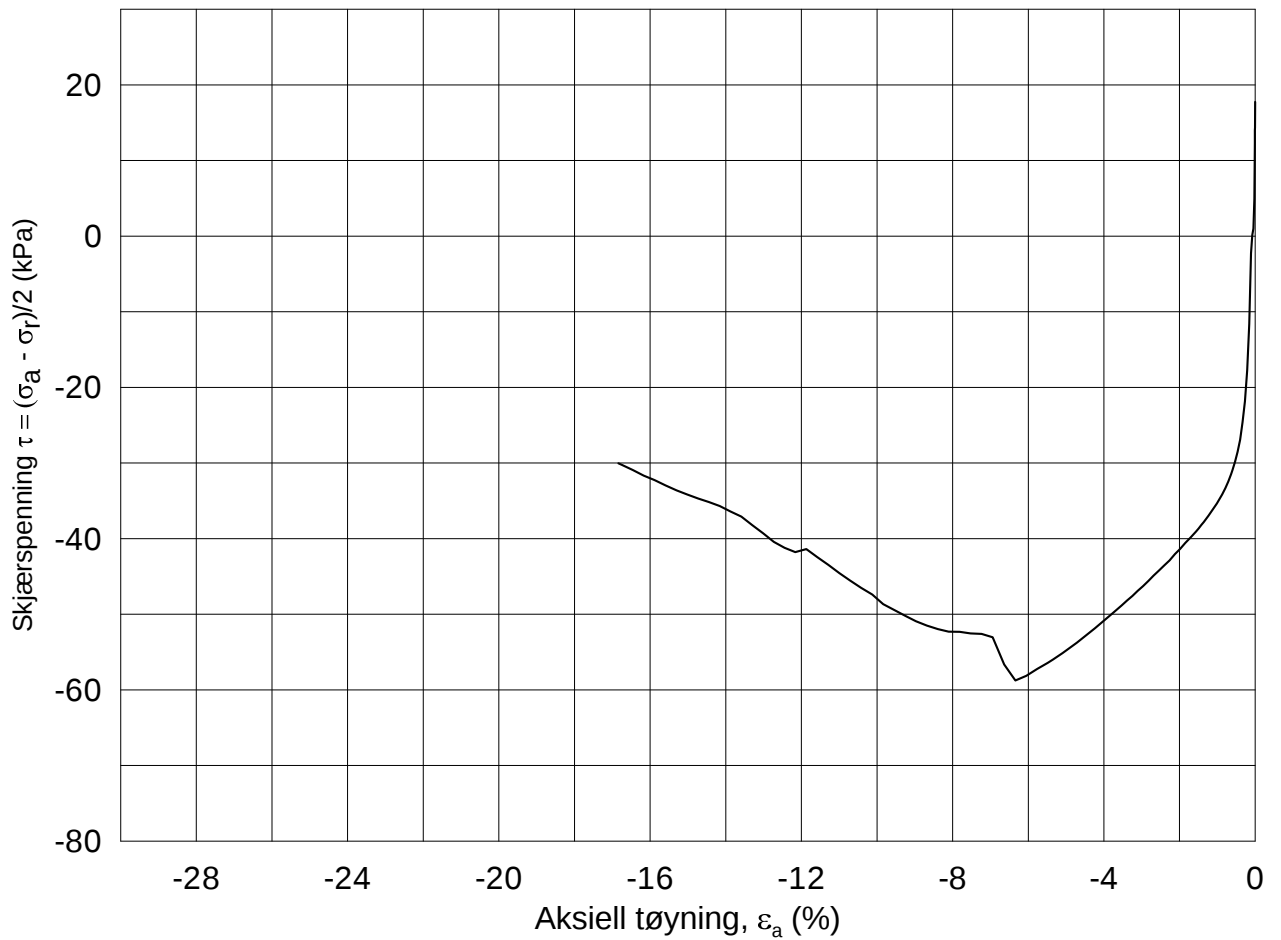
Figur nr. G46

Test: 1

w_c = 31.1 %

Tegnet av MAS





Date/Rev.: 2009-11-03/01

E16 Nybakk - Slomarka

Dokument nr.
20120491-02-R

Treaksial forsøk: **CAUP**

Dato
2013-05-15

Boring: **2212**

Dybde = **10.40** m

Konsolidering-spenninger

Sylinder: **10**

$p_{o'}$ = **118.6** kPa

(kPa) maks. min. endelig

Figur nr.
G47

Del: **A**

w_i = **31.8** %

σ_{ac}' = - - **118.6**

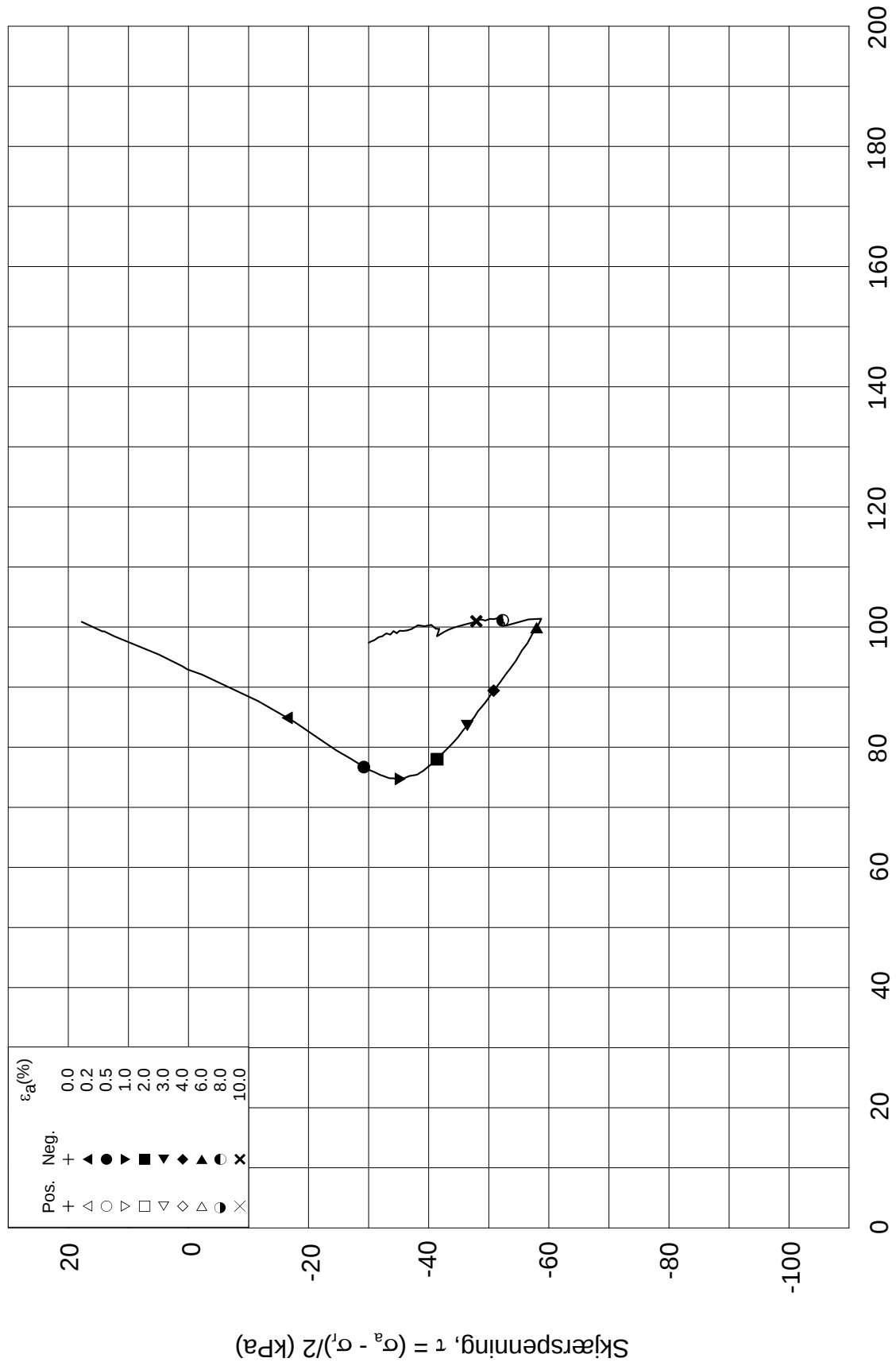
Tegnet av
MAS

Test: **1**

w_c = **31.4** %

σ_{rc}' = - - **83.0**





Date/Rev.: 2009-11-03/01

E16 Nybakk - Slomarka

Dokument nr.
20120491-02-R

Treaksial forsøk: **CAUP**

Dato
2013-05-15

Boring: **2212**

Dybde = **10.40** m

Konsolidering-spenninger

Sylinder: **10**

$p_{o'}$ = **118.6** kPa

(kPa) maks. min. endelig

Figur nr.
G48

Del: **A**

w_i = **31.8** %

σ_{ac}' = - - **118.6**

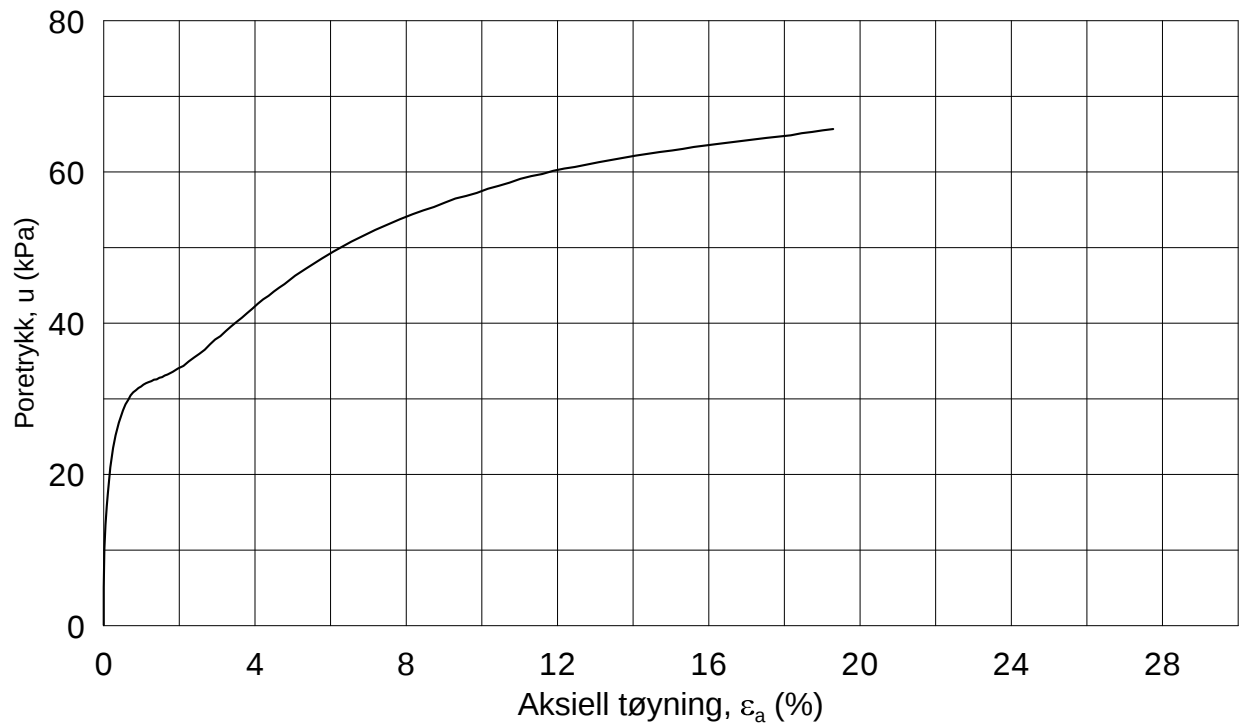
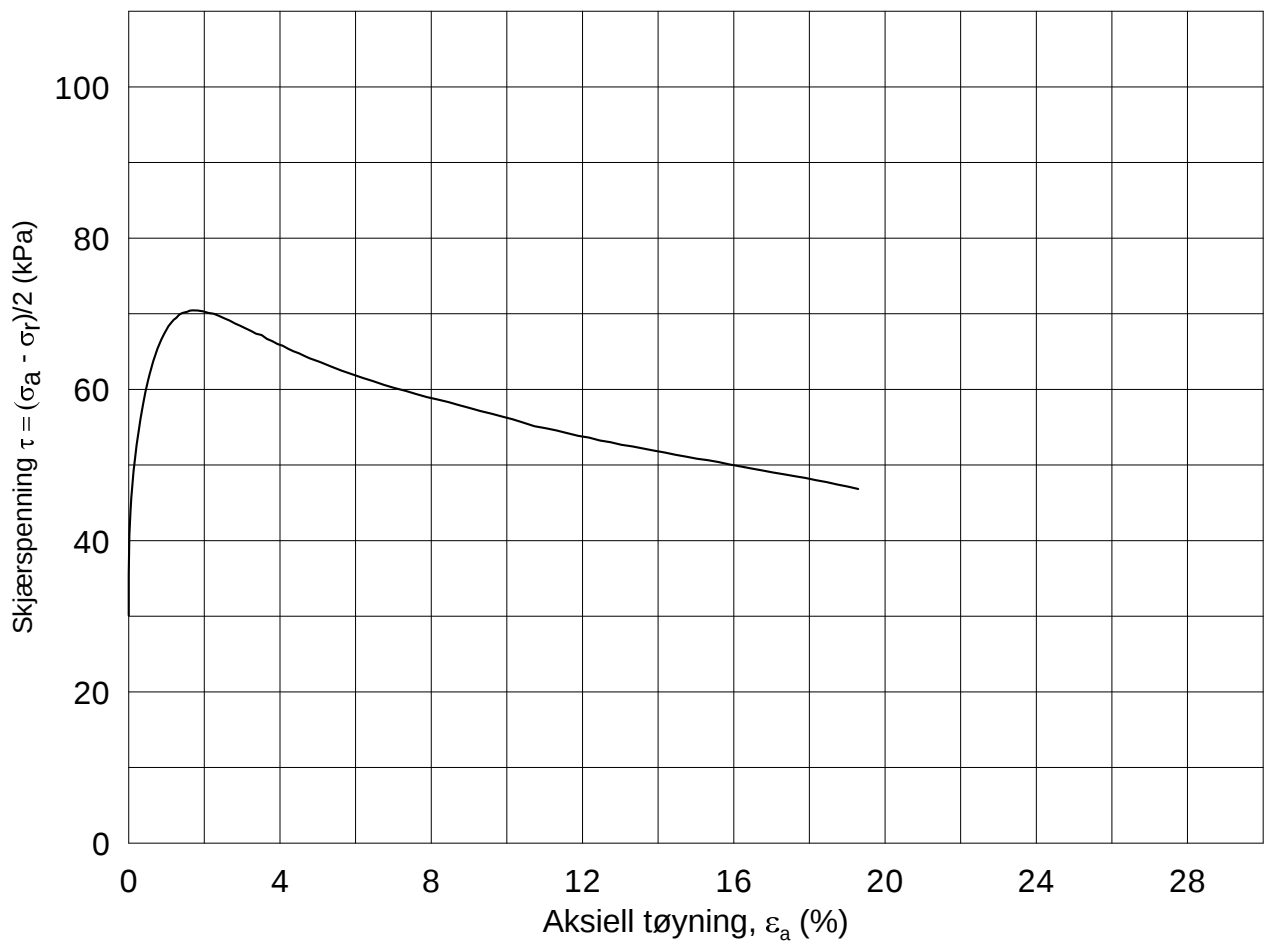
Tegnet av
MAS

Test: **1**

w_c = **31.4** %

σ_{rc}' = - - **83.0**





Date/Rev.: 2009-11-03/01

E16 Nybakk - Slomarka

Dokument nr.
20120491-02-R

Treaksial forsøk: **CAUA**

Dato
2013-04-22

Boring: **2212**

Dybde = **16.35** m

Konsolidering-spenninger

Sylinder: **15**

$p_{o'}$ = **172.6** kPa

(kPa) maks. min. endelig

Figur nr.
G49

Del: **B**

w_i = **35.9** %

σ_{ac}' = - - **172.6**

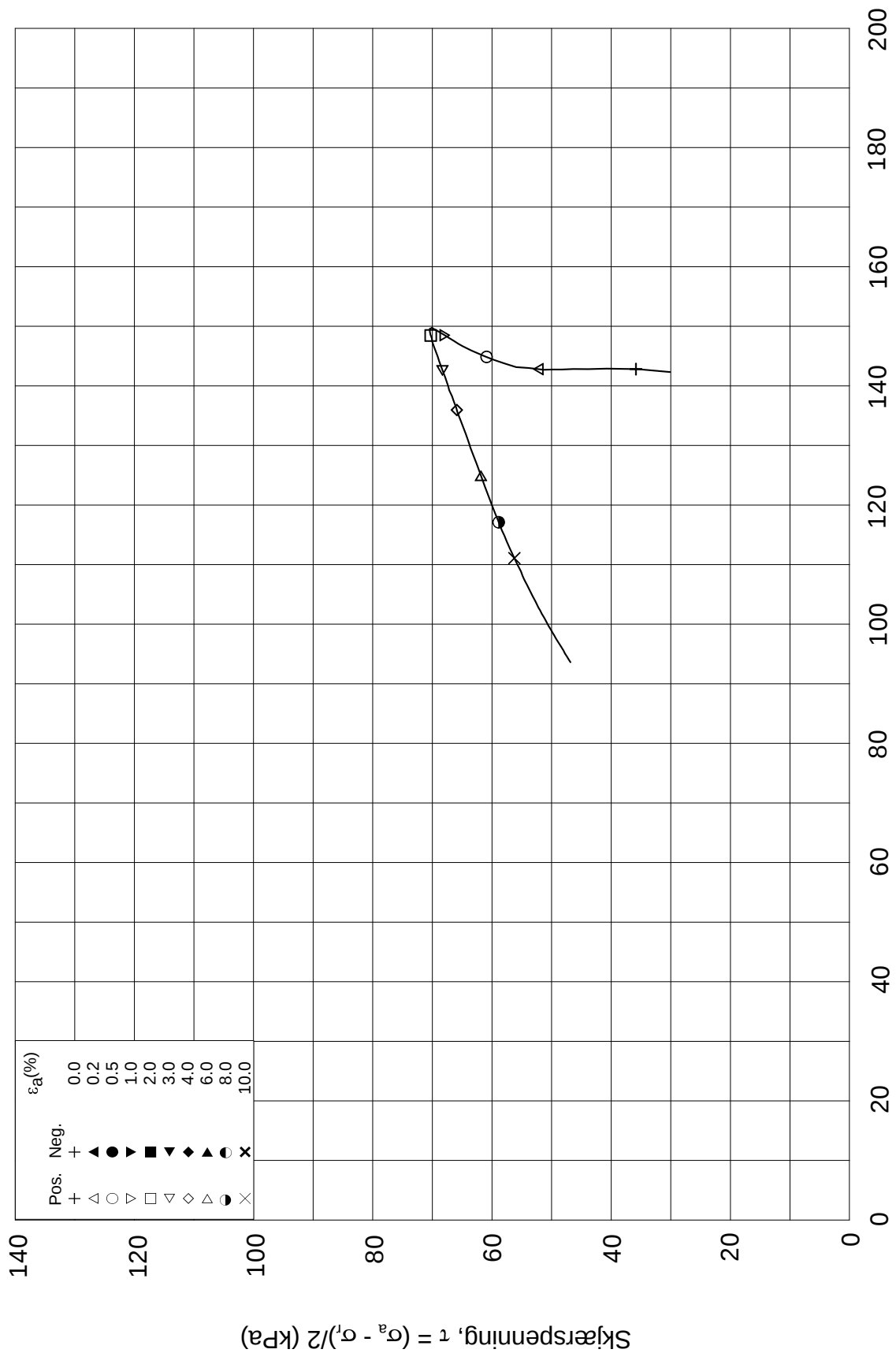
Tegnet av
MAS

Test: **1**

w_c = **35.0** %

σ_{rc}' = - - **112.2**





Effektiv gjennomsnittsspenning, $p' = (\sigma_a' + \sigma_v')/2$ (kPa)

Date/Rev.: 2009-11-03/01

E16 Nybakk - Slomarka

Dokument nr.
20120491-02-R

Treaksial forsøk: **CAUA**

Dato
2013-04-22

Boring: **2212**

Sylinder: **15**

Del: **B**

Test: **1**

Dybde = **16.35** m

$p_{o'}$ = **172.6** kPa

w_i = **35.9** %

w_c = **35.0** %

Konsolidering-spenninger

(kPa) maks. min. endelig

σ_{ac}' = - - **172.6**

σ_{rc}' = - - **112.2**

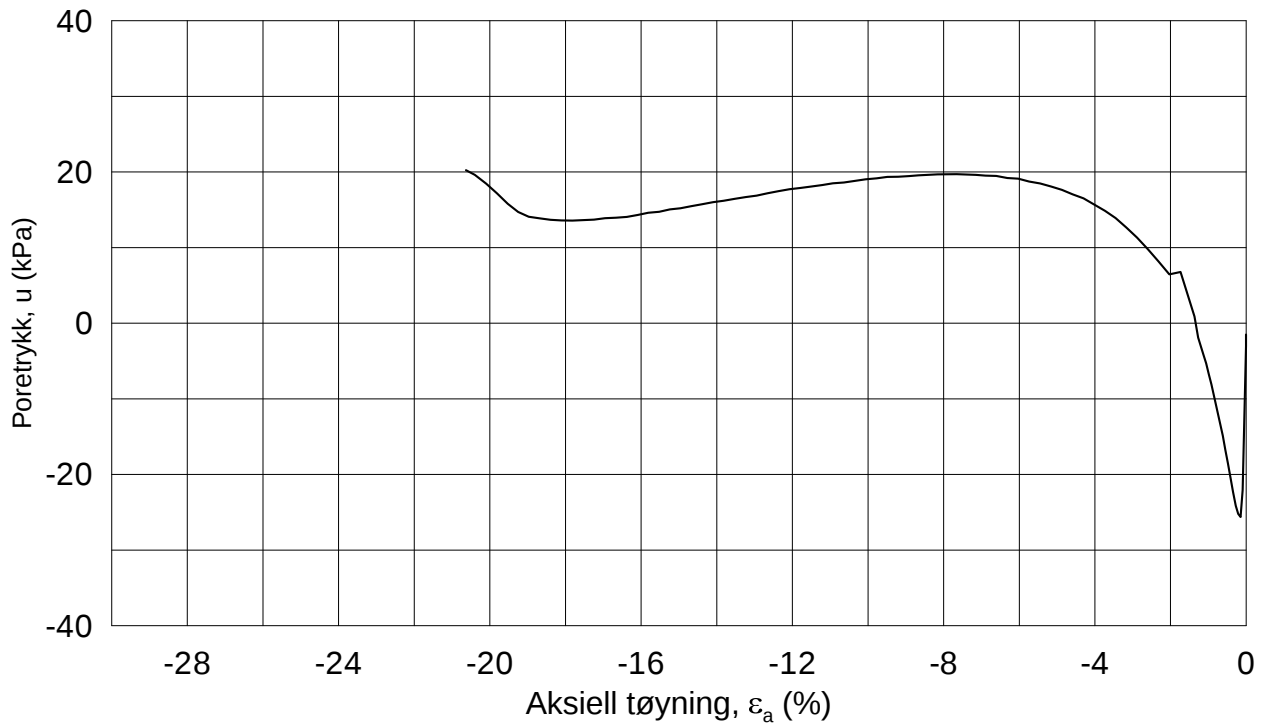
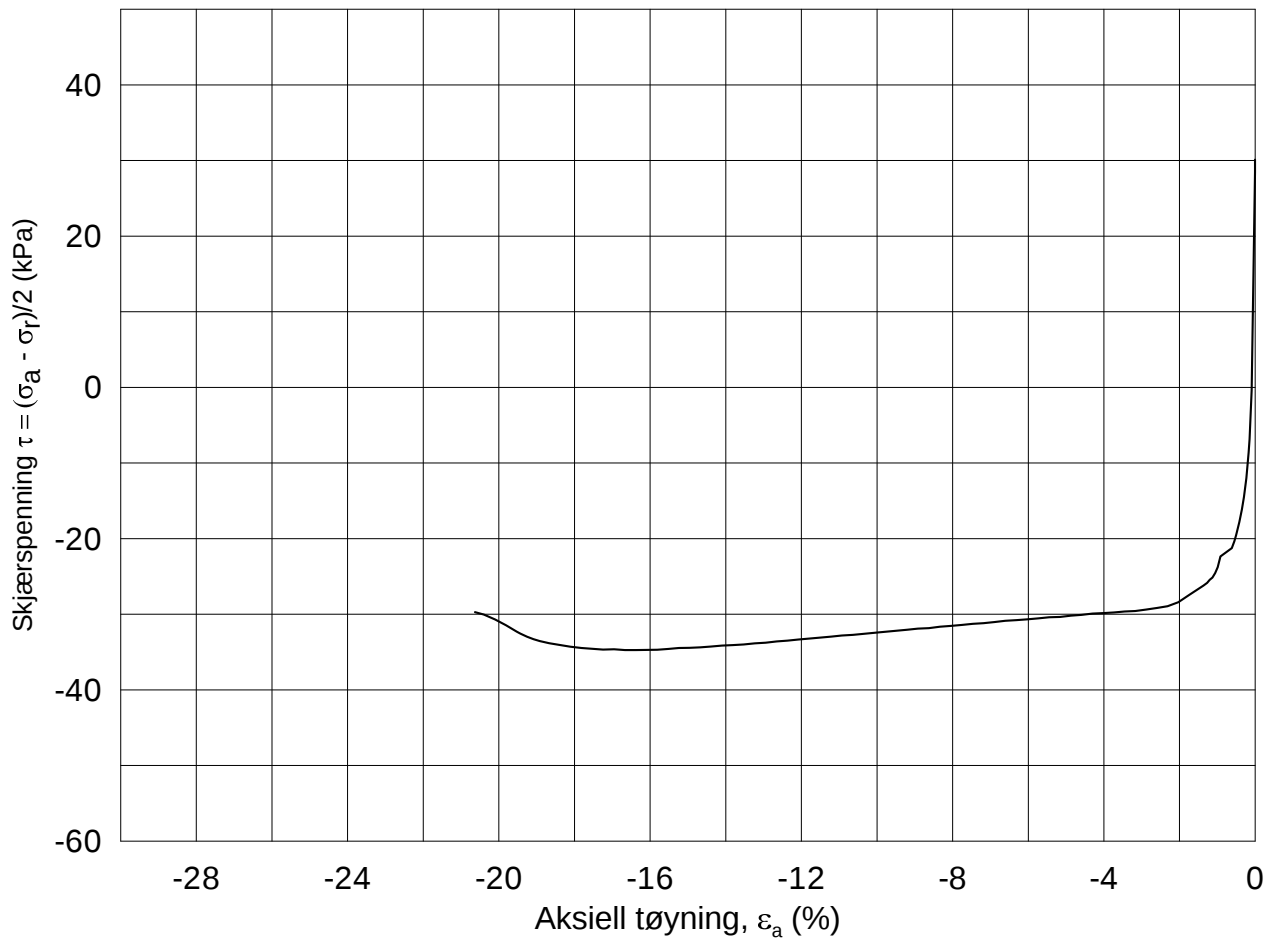
Figur nr.

G50

Tegnet av

MAS





Date/Rev.: 2009-11-03/01

E16 Nybakk - Slomarka

Dokument nr.
20120491-02-R

Treaksial forsøk: **CAUP**

Dato
2013-06-05

Boring: **2212**

Dybde = **16.52** m

Konsolidering-spenninger

Sylinder: **15**

$p_{o'}$ = **173.6** kPa

(kPa) maks. min. endelig

Figur nr.
G51

Del: **C**

w_i = **35.7** %

σ_{ac}' = - - **173.6**

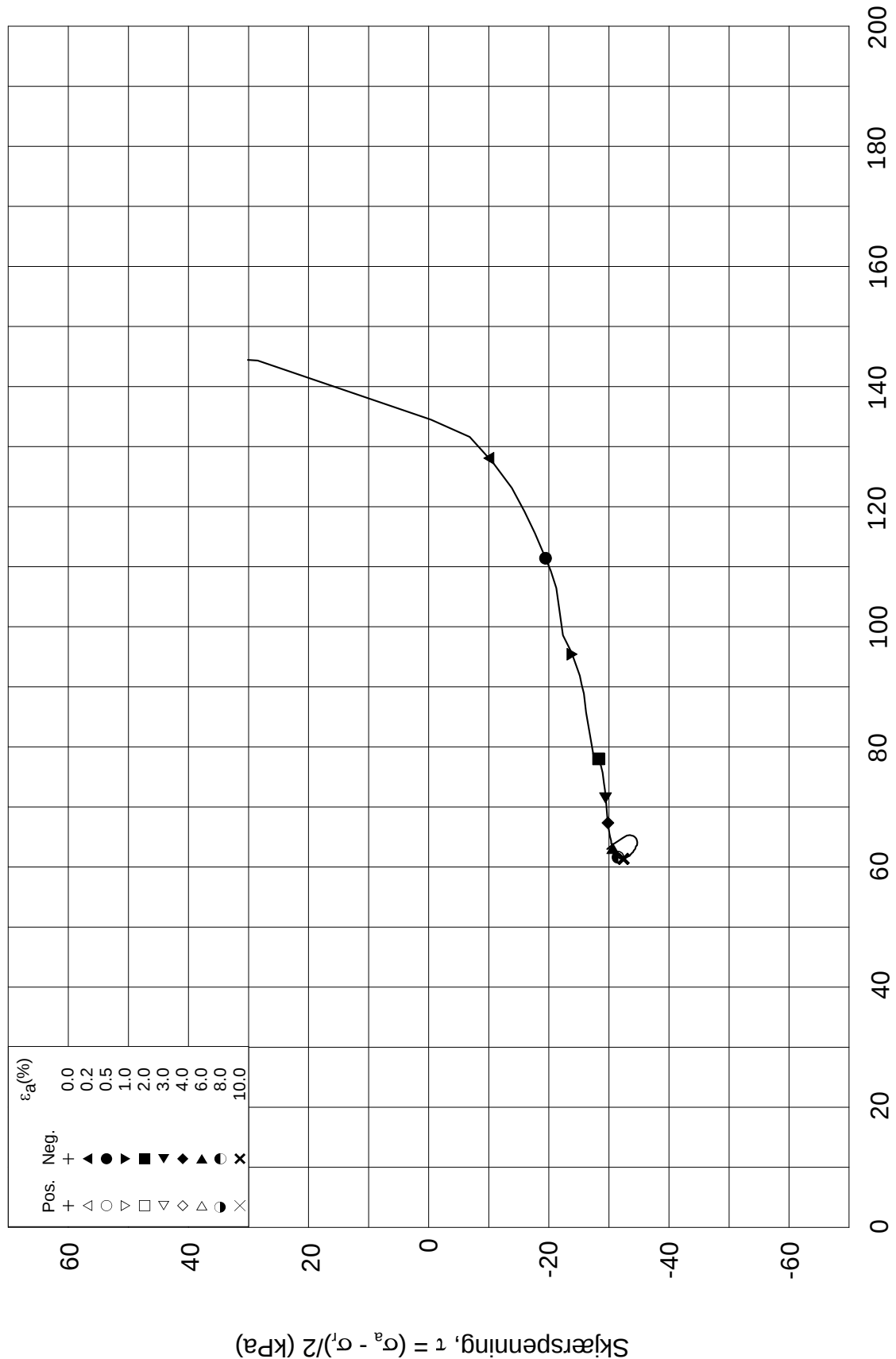
Tegnet av
MAS

Test: **1**

w_c = **34.9** %

σ_{rc}' = - - **112.8**





Date/Rev.: 2009-11-03/01

E16 Nybakk - Slomarka

Dokument nr.
20120491-02-R

Treaksial forsøk: **CAUP**

Dato
2013-06-05

Boring: **2212**

Dybde = **16.52** m

Konsolidering-spenninger

Sylinder: **15**

$p_{o'}$ = **173.6** kPa

(kPa) maks. min. endelig

Figur nr.
G52

Del: **C**

w_i = **35.7** %

σ_{ac}' = - - **173.6**

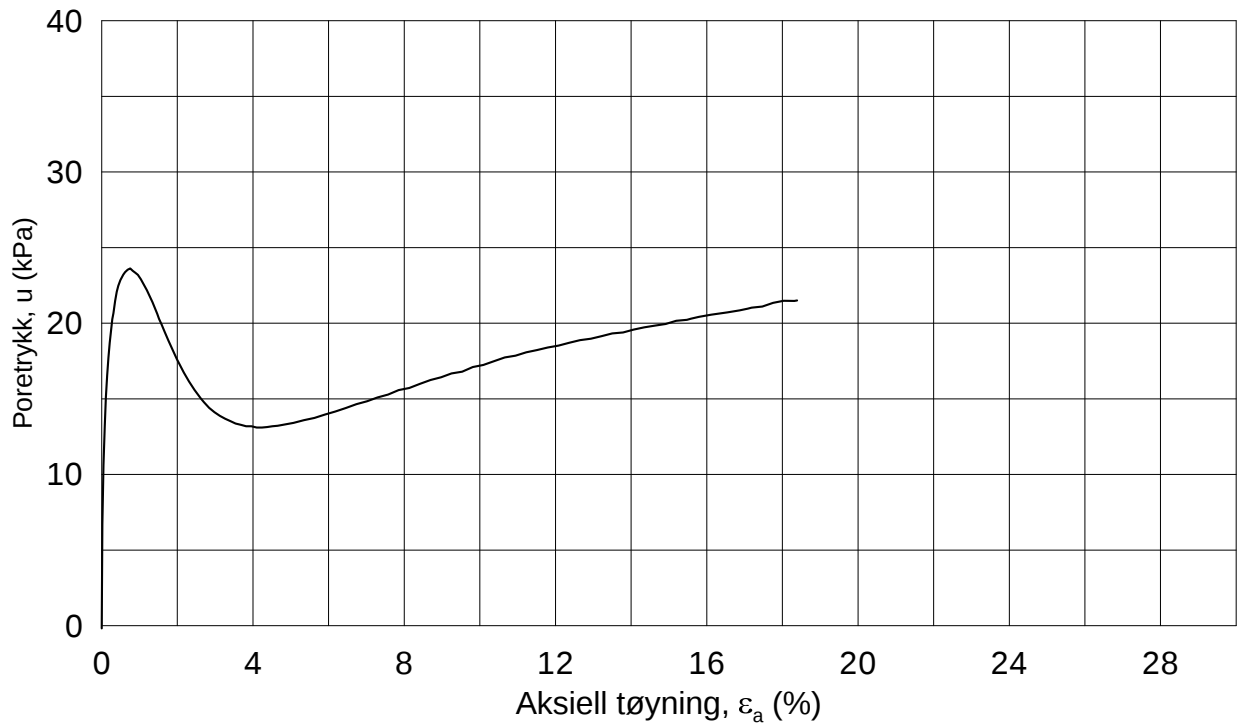
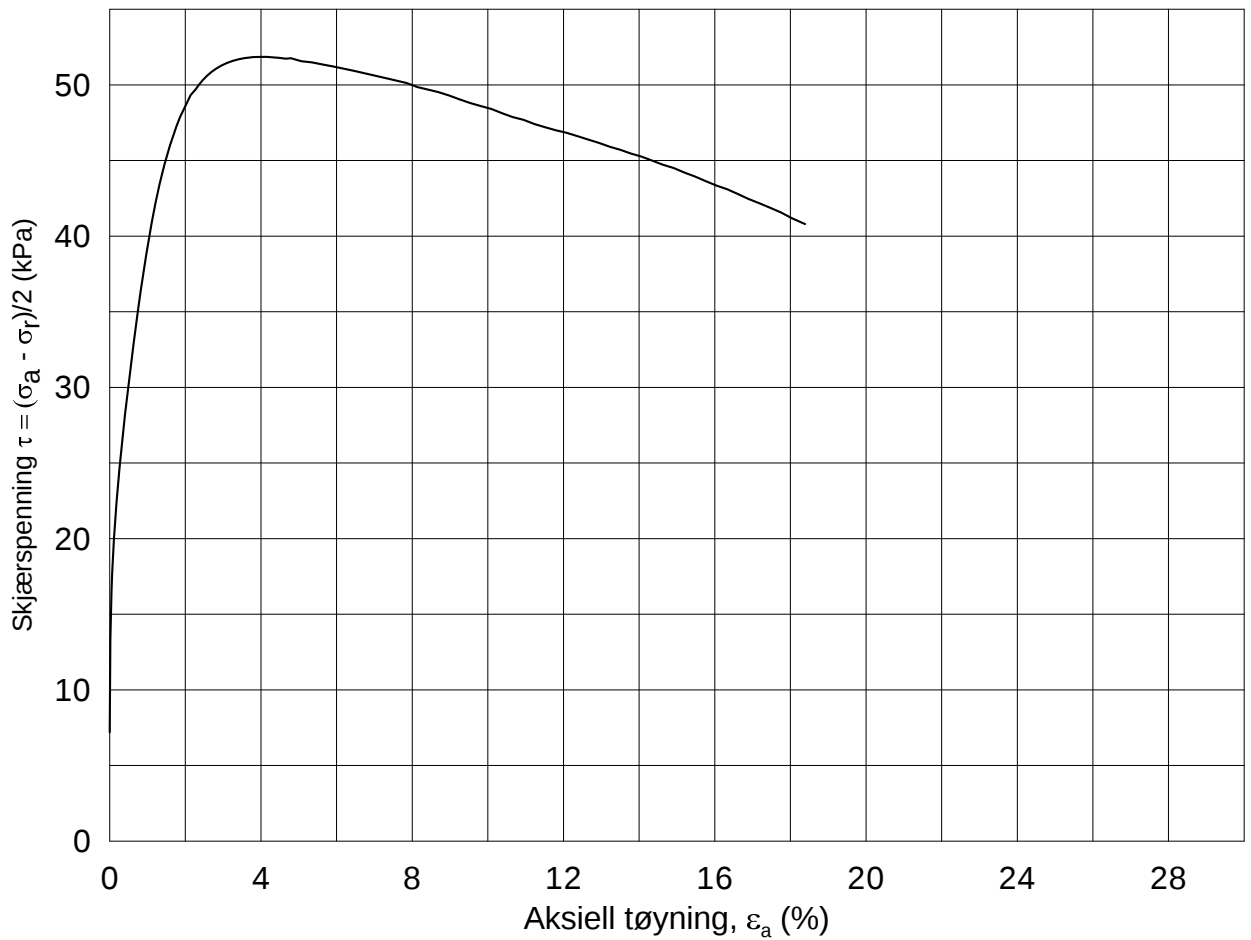
Tegnet av
MAS

Test: **1**

w_c = **34.9** %

σ_{rc}' = - - **112.8**





Date/Rev.: 2009-11-03/01

E16 Nybakk - Slomarka

Dokument nr.
20120491-02-R

Treaksial forsøk: **CAUA**

Dato
2013-06-07

Boring: **2214**

Dybde = **6.40** m

Konsolidering-spenninger

Sylinder: **6**

$p_{o'}$ = **72.6** kPa

(kPa) maks. min. endelig

Figur nr.
G53

Del: **C**

w_i = **34.5** %

σ_{ac}' = - - **72.5**

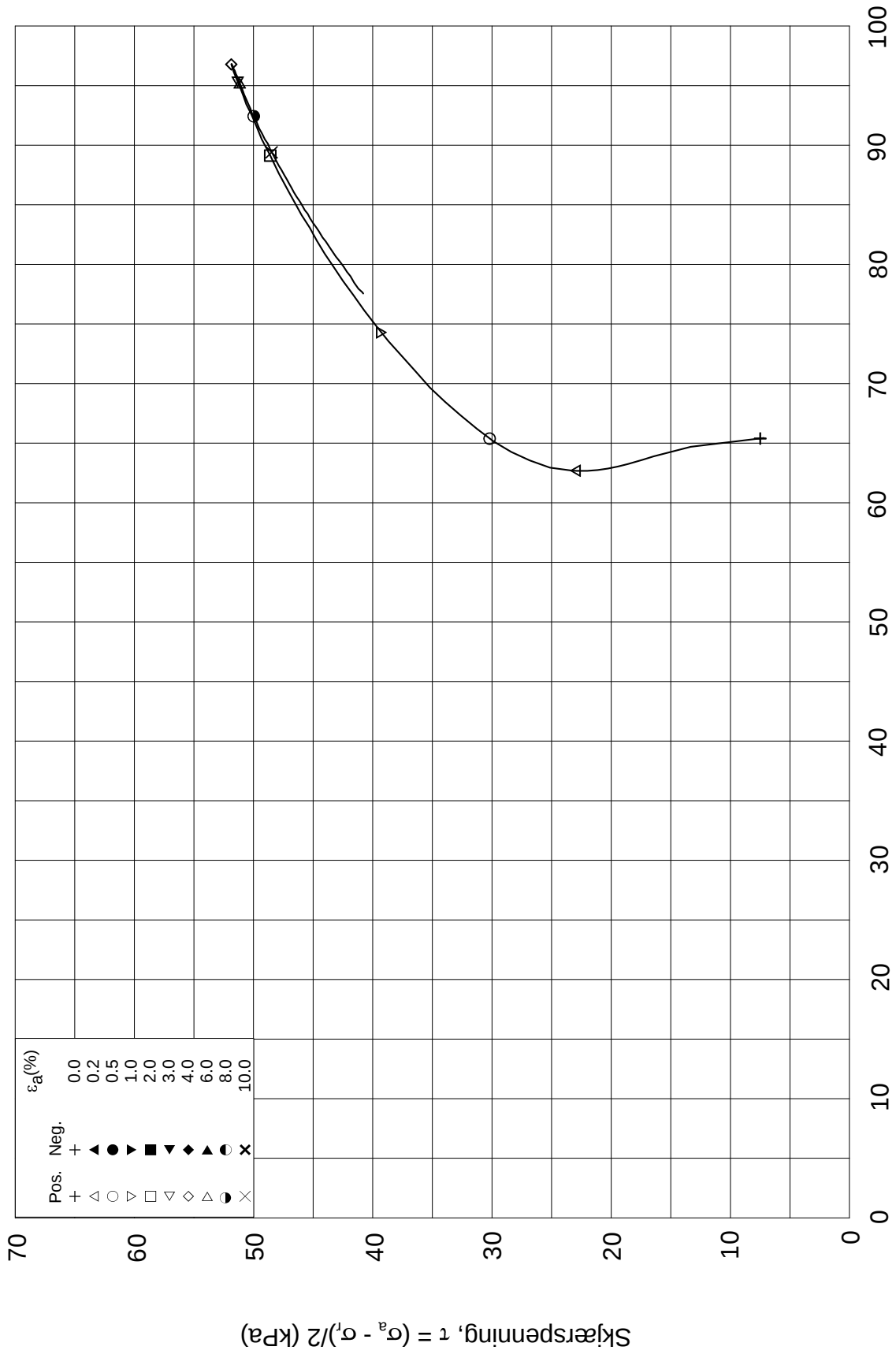
Tegnet av
MAS

Test: **1**

w_c = **34.1** %

σ_{rc}' = - - **58.0**





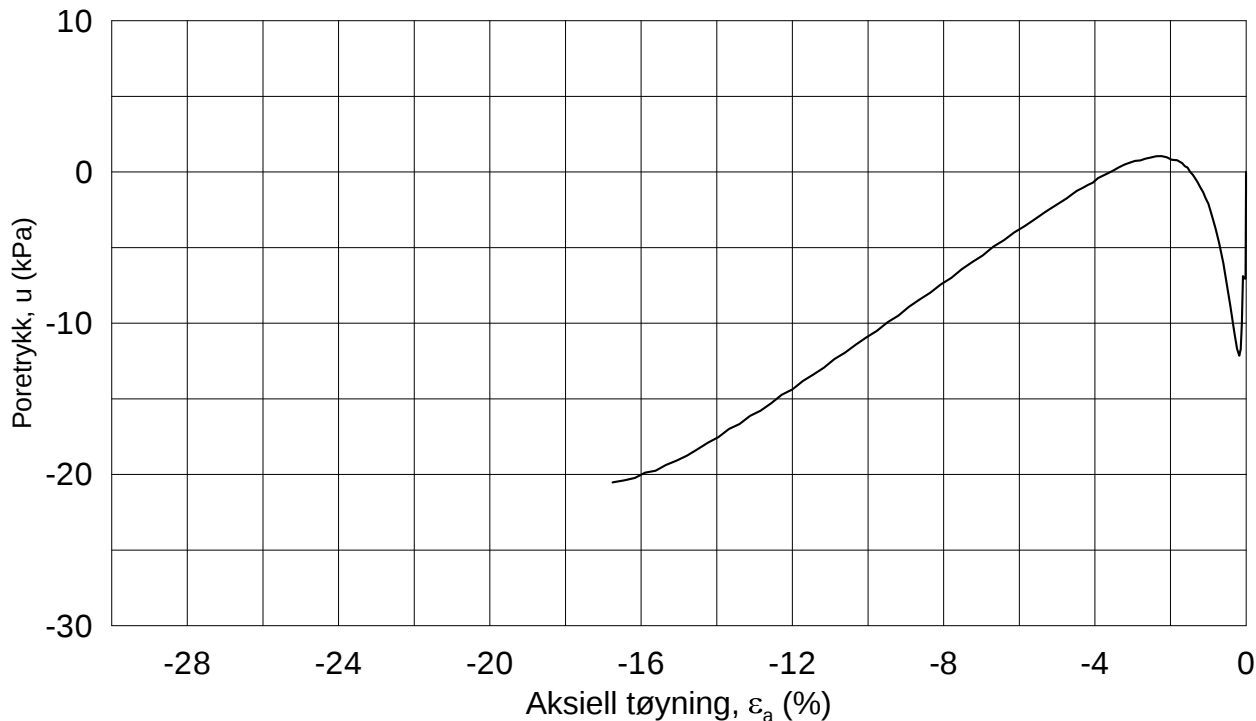
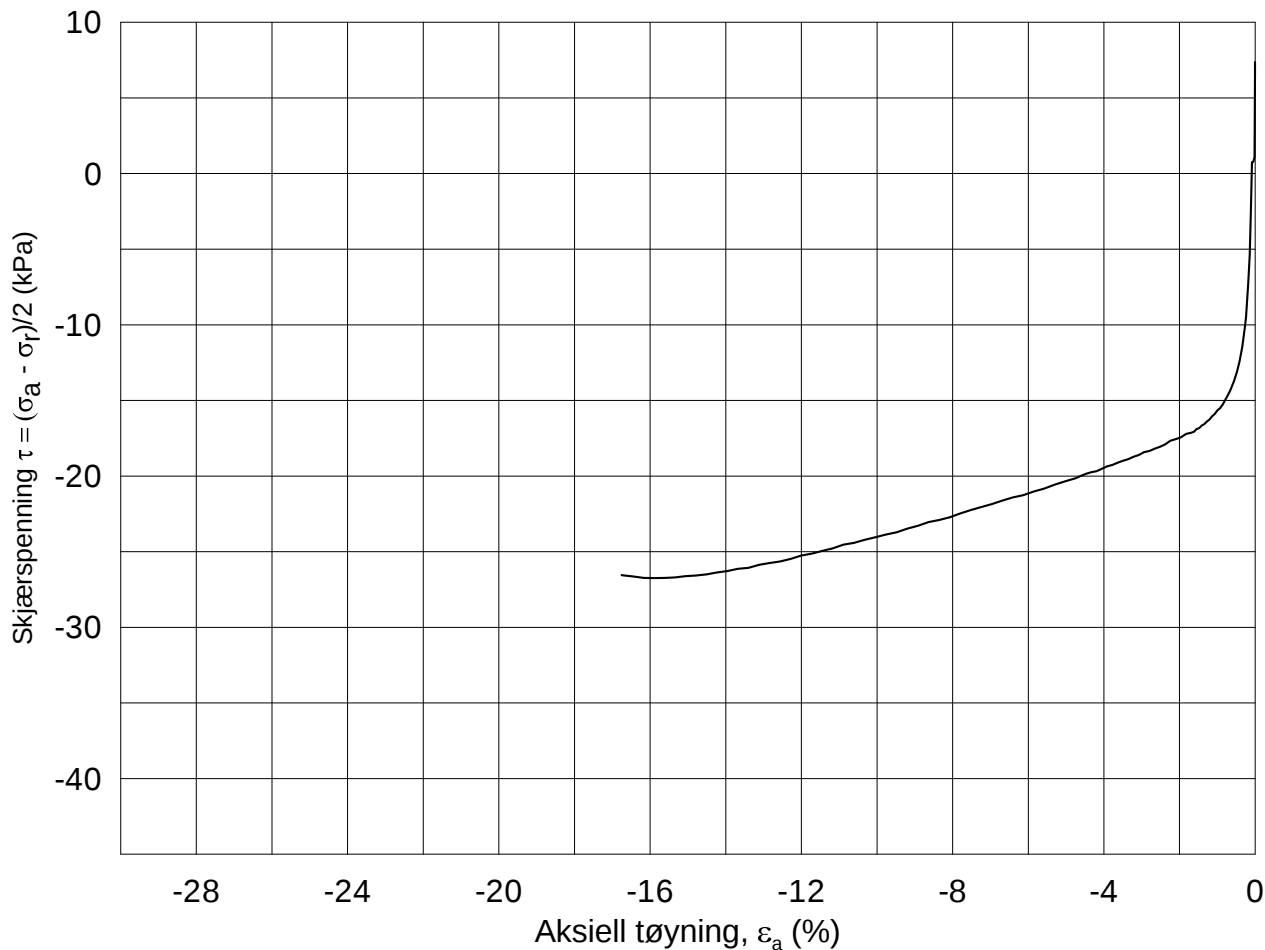
Effektiv gjennomsnittsspenning, $p' = (\sigma_a' + \sigma_r')/2$ (kPa)

ε_a (%)	0.0
	0.2
	0.5
	1.0
	2.0
	3.0
	4.0
	6.0
	8.0
	10.0
Pos.	+ \triangle \square \diamond \triangleleft \triangleright \circ \times
Neg.	+ \blacktriangle \bullet \blacktriangleright \blacktriangleleft \blacktriangleright \blacklozenge \blacktriangleleft \blacklozenge \times

Date/Rev.: 2009-11-03/01

E16 Nybakk - Slomarka			Dokument nr. 20120491-02-R
Treaksial forsøk: CAUA			Dato 2013-06-07
Boring: 2214	Dybde = 6.40 m	Konsolidering-spenninger	
Sylinder: 6	p_o' = 72.6 kPa	(kPa)	maks. min. endelig
Del: C	w_i = 34.5 %	$\sigma_{ac}' =$ - - 72.5	Figur nr. G54
Test: 1	w_c = 34.1 %	$\sigma_{rc}' =$ - - 58.0	Tegnet av MAS

2214-6-C-1.Plot2.grf



Date/Rev.: 2009-11-03/01

E16 Nybakk - Slomarka

Dokument nr.
20120491-02-R

Treaksial forsøk: **CAUP**

Dato
2013-06-07

Boring: **2214**

Dybde = **6.55** m Konsolidering-spenninger

Sylinder: **6**

p_o' = **73.8** kPa (kPa) maks. min. endelig

Del: **D**

w_i = **33.6** % σ_{ac}' = - - **73.7**

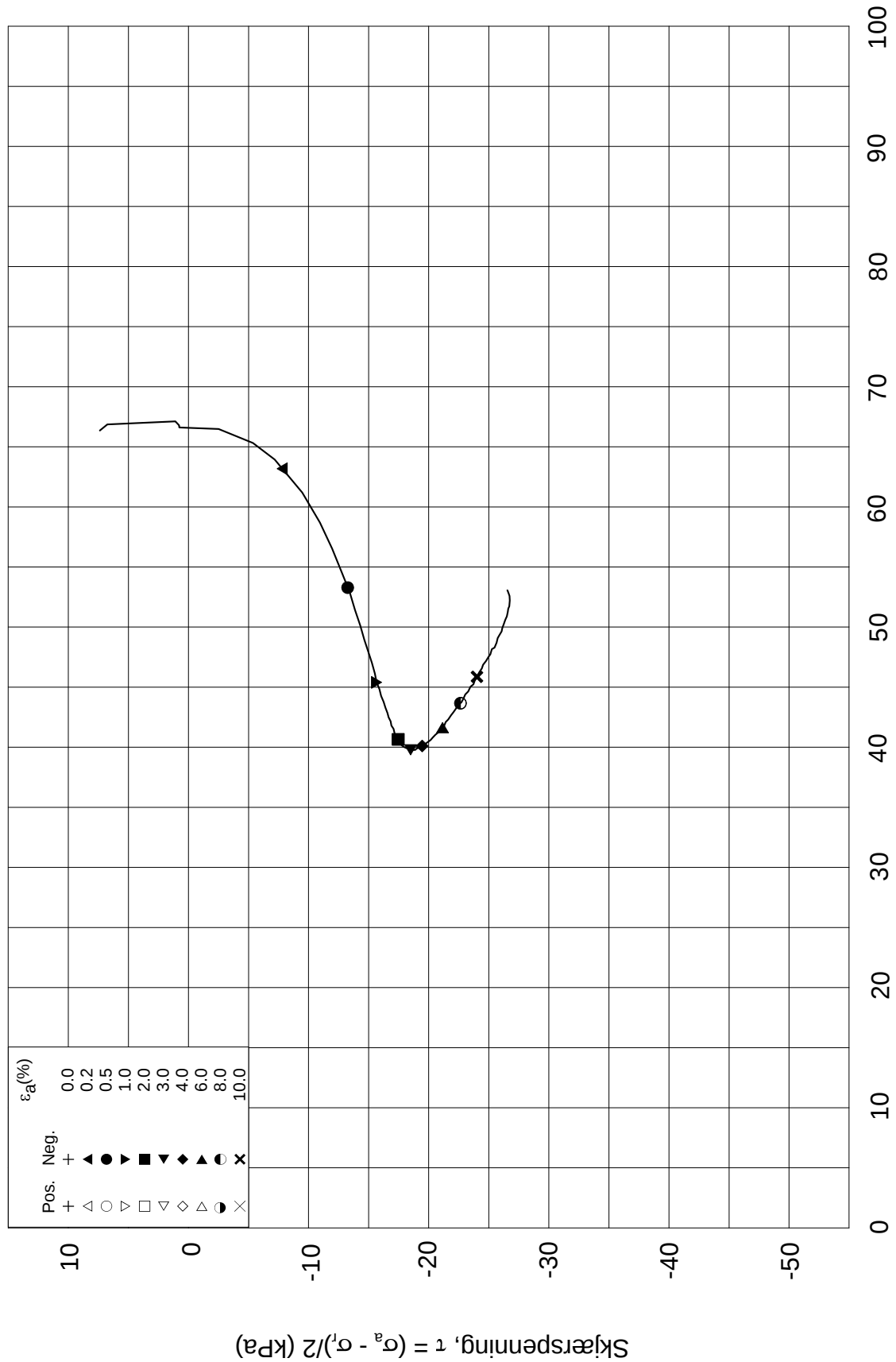
Test: **1**

w_c = **33.1** % σ_{rc}' = - - **58.9**

Figur nr.
G55

Tegnet av
MAS





Date/Rev.: 2009-11-03/01

E16 Nybakk - Slomarka

Dokument nr.
20120491-02-R

Treaksial forsøk: **CAUP**

Dato
2013-06-07

Boring: **2214**

Dybde = **6.55** m

Konsolidering-spenninger

Sylinder: **6**

$p_{o'}$ = **73.8** kPa

(kPa)	maks.	min.	endelig
σ_{ac}' =	-	-	73.7
σ_{rc}' =	-	-	58.9

Del: **D**

w_i = **33.6** %

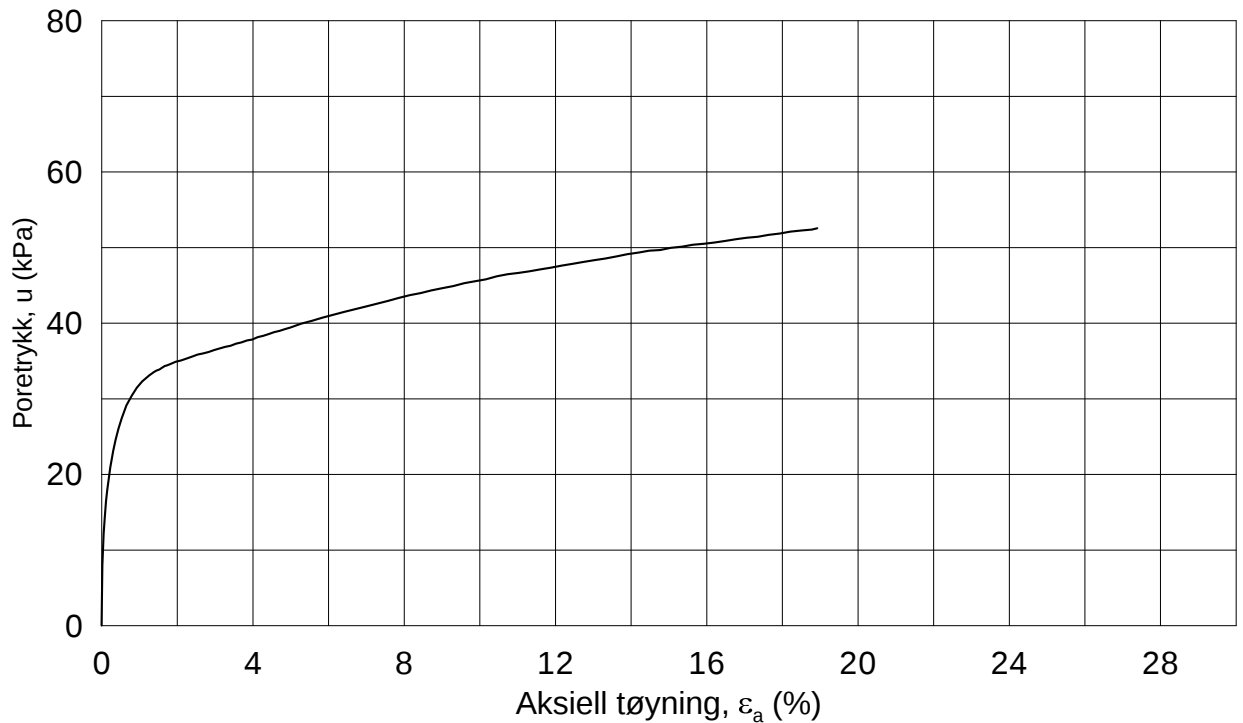
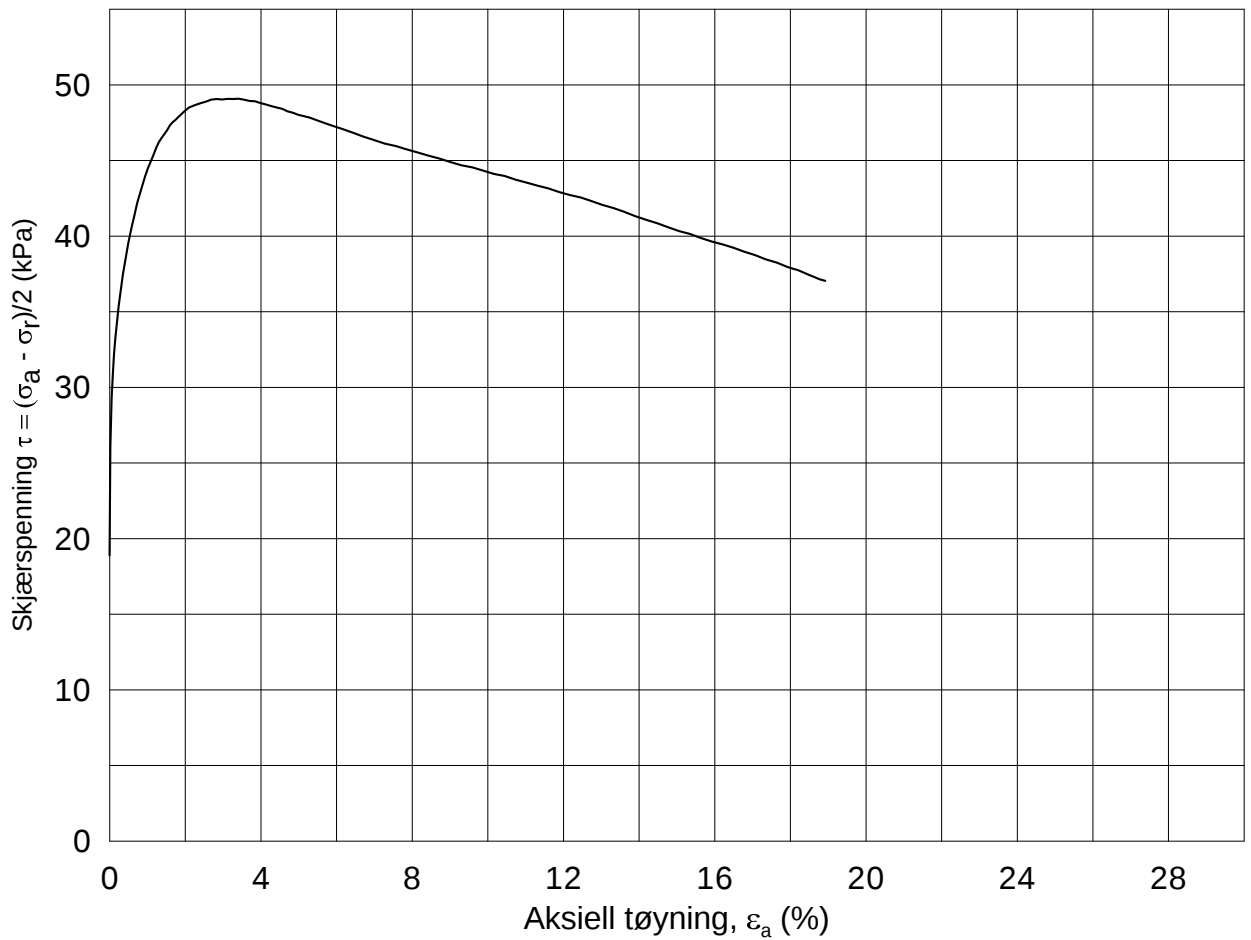
Figur nr.
G56

Test: **1**

w_c = **33.1** %

Tegnet av
MAS





Date/Rev.: 2009-11-03/01

E16 Nybakk - Slomarka

Dokument nr.
20120491-02-R

Treaksial forsøk: **CAUA**

Dato
2013-06-07

Boring: **2214**

Dybde = **12.35** m

Konsolidering-spenninger

Sylinder: **12**

$p_{o'}$ = **126.6** kPa

(kPa) maks. min. endelig

Figur nr.
G57

Del: **B**

w_i = **38.6** %

σ_{ac}' = - - **126.6**

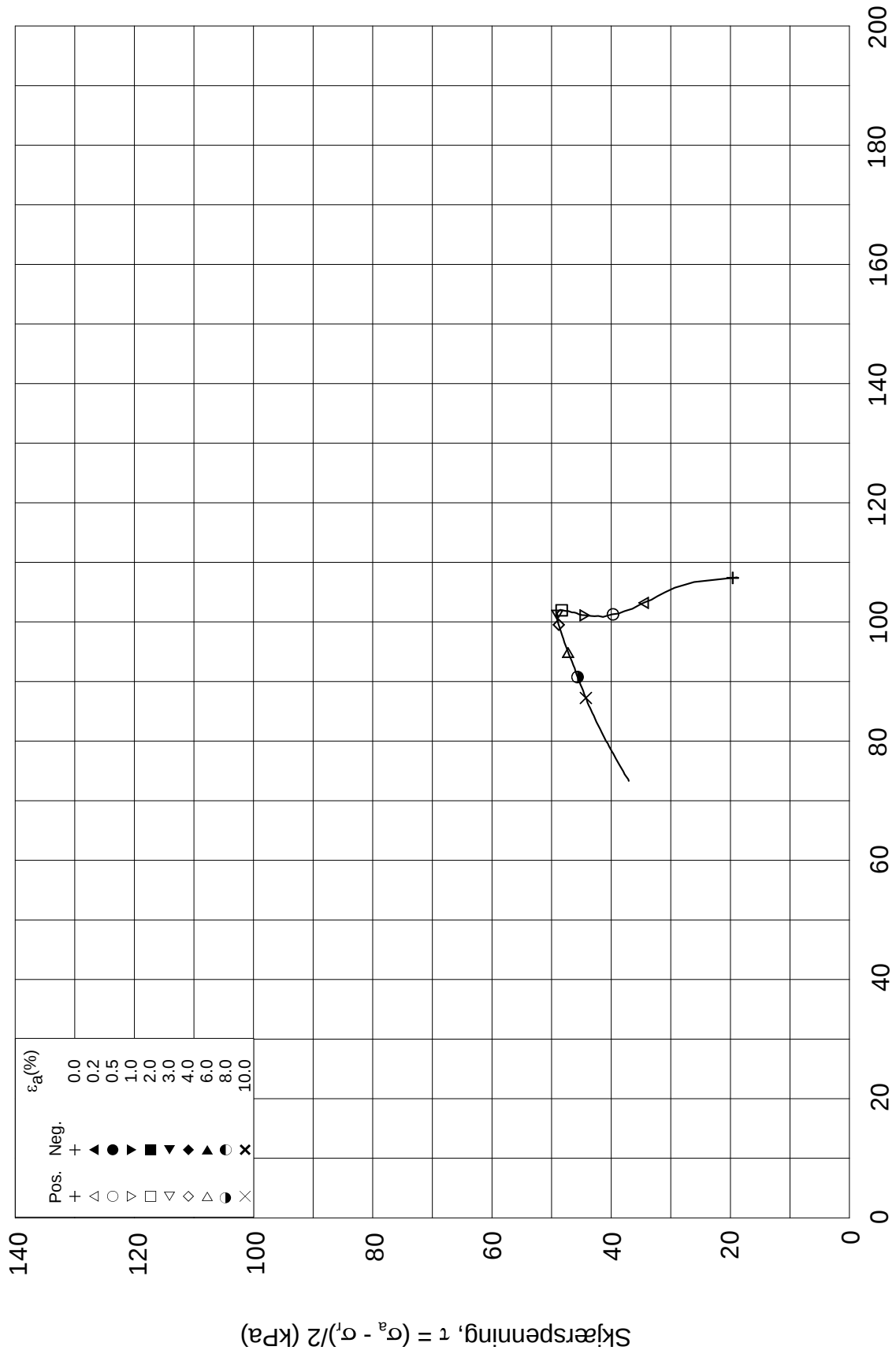
Tegnet av
MAS

Test: **1**

w_c = **36.8** %

σ_{rc}' = - - **88.6**



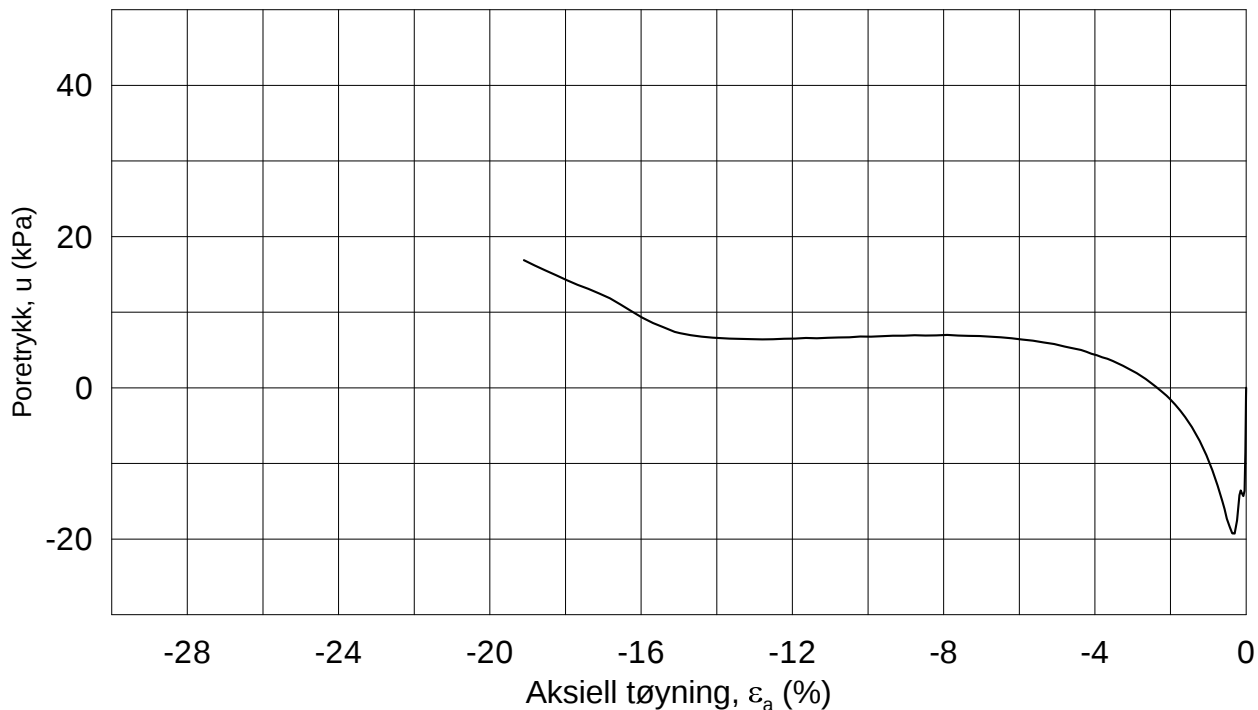
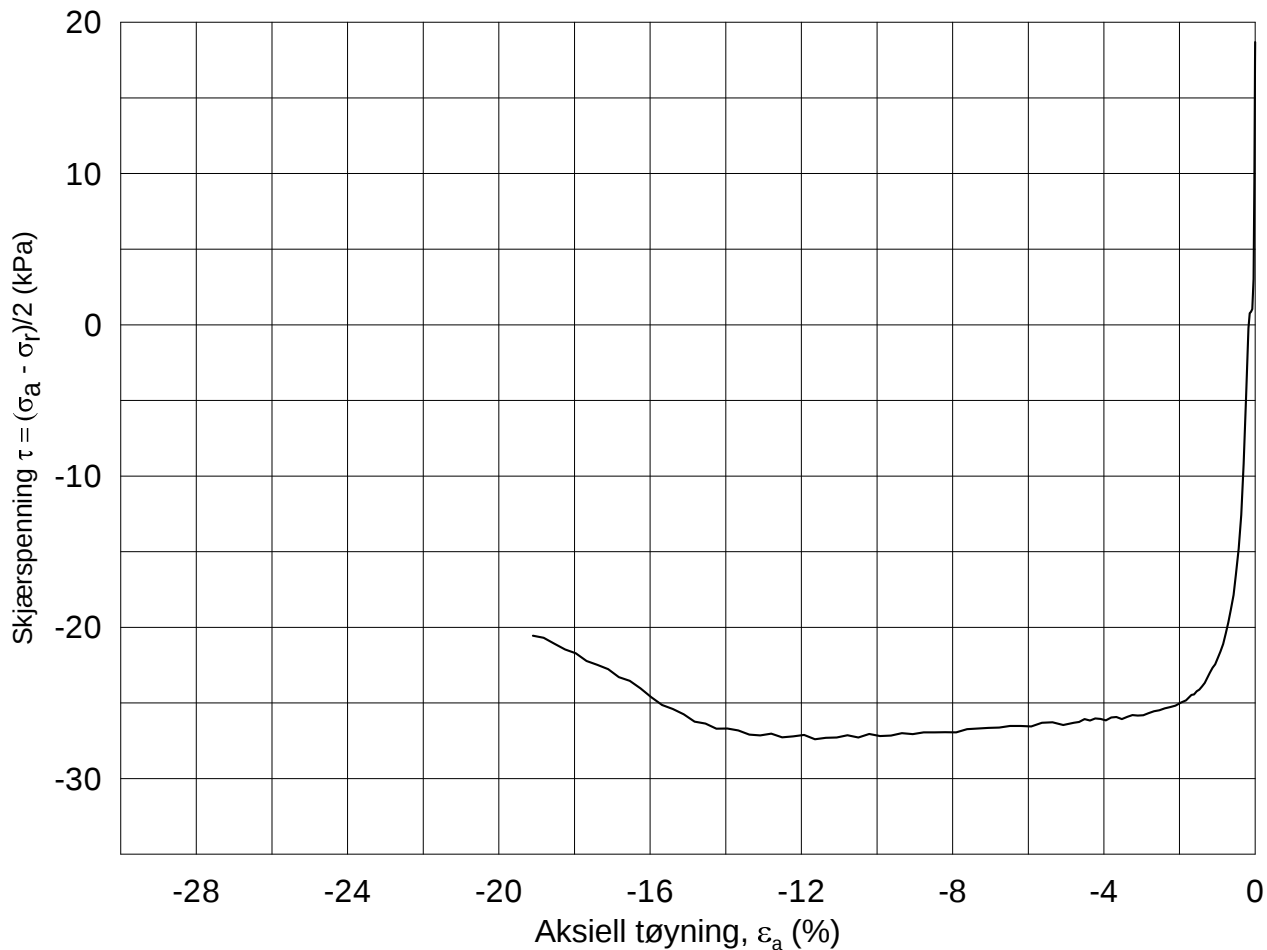


Date/Rev.: 2009-11-03/01

E16 Nybakk - Slomarka			Dokument nr. 20120491-02-R
Treaksial forsøk: CAUA			Dato 2013-06-07
Boring: 2214	Dybde = 12.35 m	Konsolidering-spenninger	
Sylinder: 12	$p_{o'}$ = 126.6 kPa	(kPa)	maks. min. endelig
Del: B	w_i = 38.6 %	$\sigma_{ac}' =$ - - 126.6	Figur nr. G58
Test: 1	w_c = 36.8 %	$\sigma_{rc}' =$ - - 88.6	Tegnet av MAS

2214-12-B-1-1.Plot2.grf





Date/Rev.: 2009-11-03/01

E16 Nybakk - Slomarka

Dokument nr.
20120491-02-R

Treaksial forsøk: **CAUP**

Dato
2013-06-07

Boring: **2214**

Dybde = **12.20** m

Konsolidering-spenninger

Sylinder: **12**

p_o' = **125.0** kPa (kPa) maks. min. endelig

Figur nr.
G59

Del: **A**

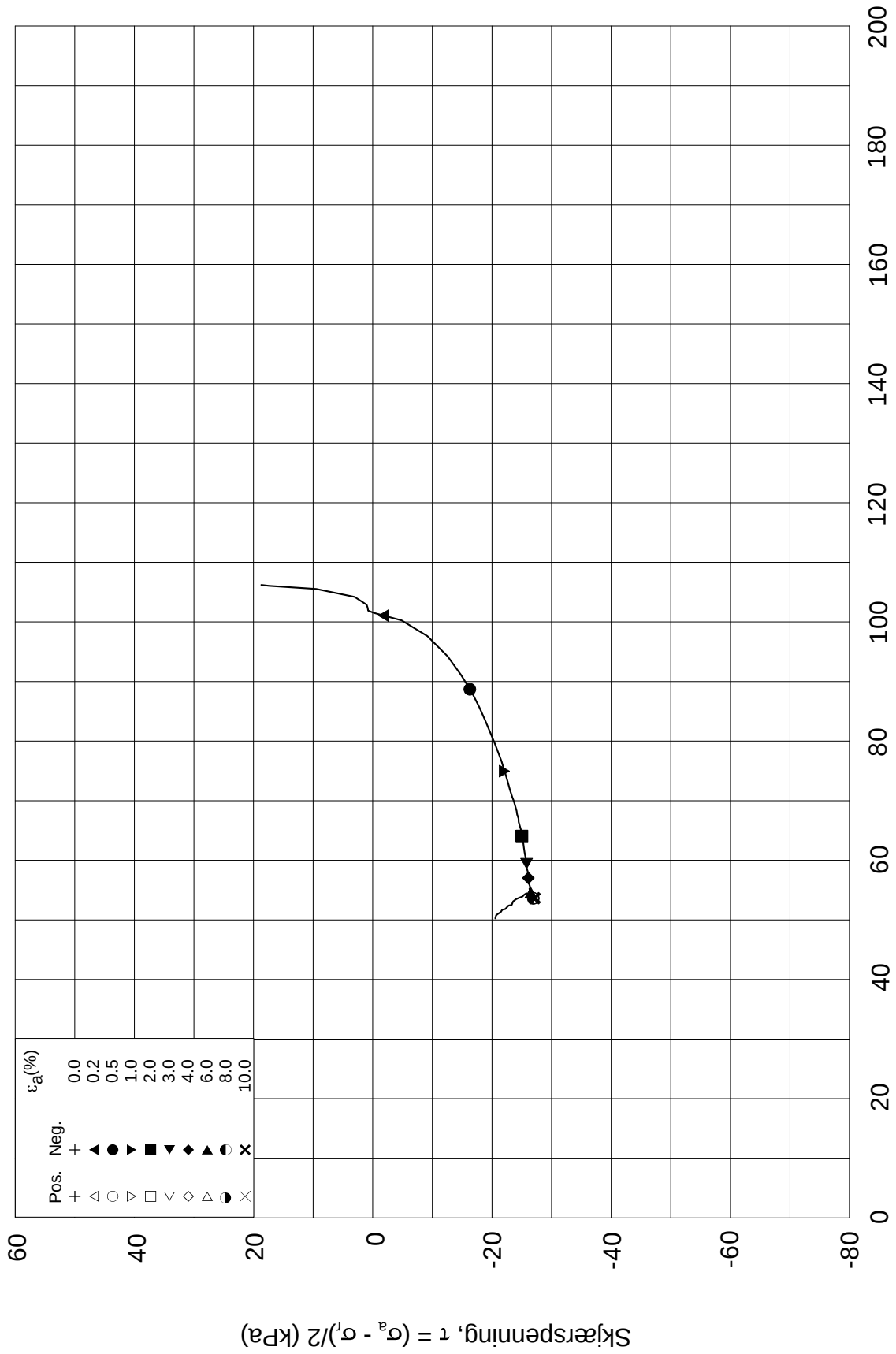
w_i = **36.2** % σ_{ac}' = - - **125.0**

Tegnet av
MAS


Test: **1**

w_c = **35.1** % σ_{rc}' = - - **87.5**

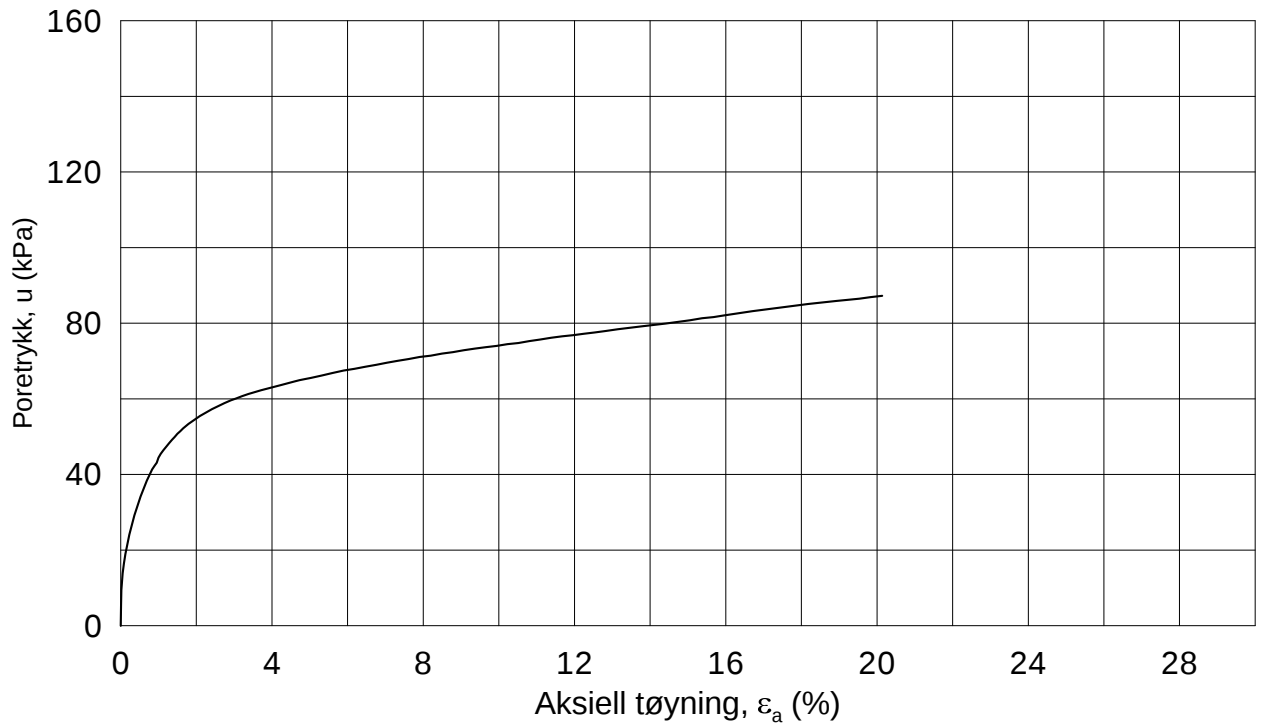
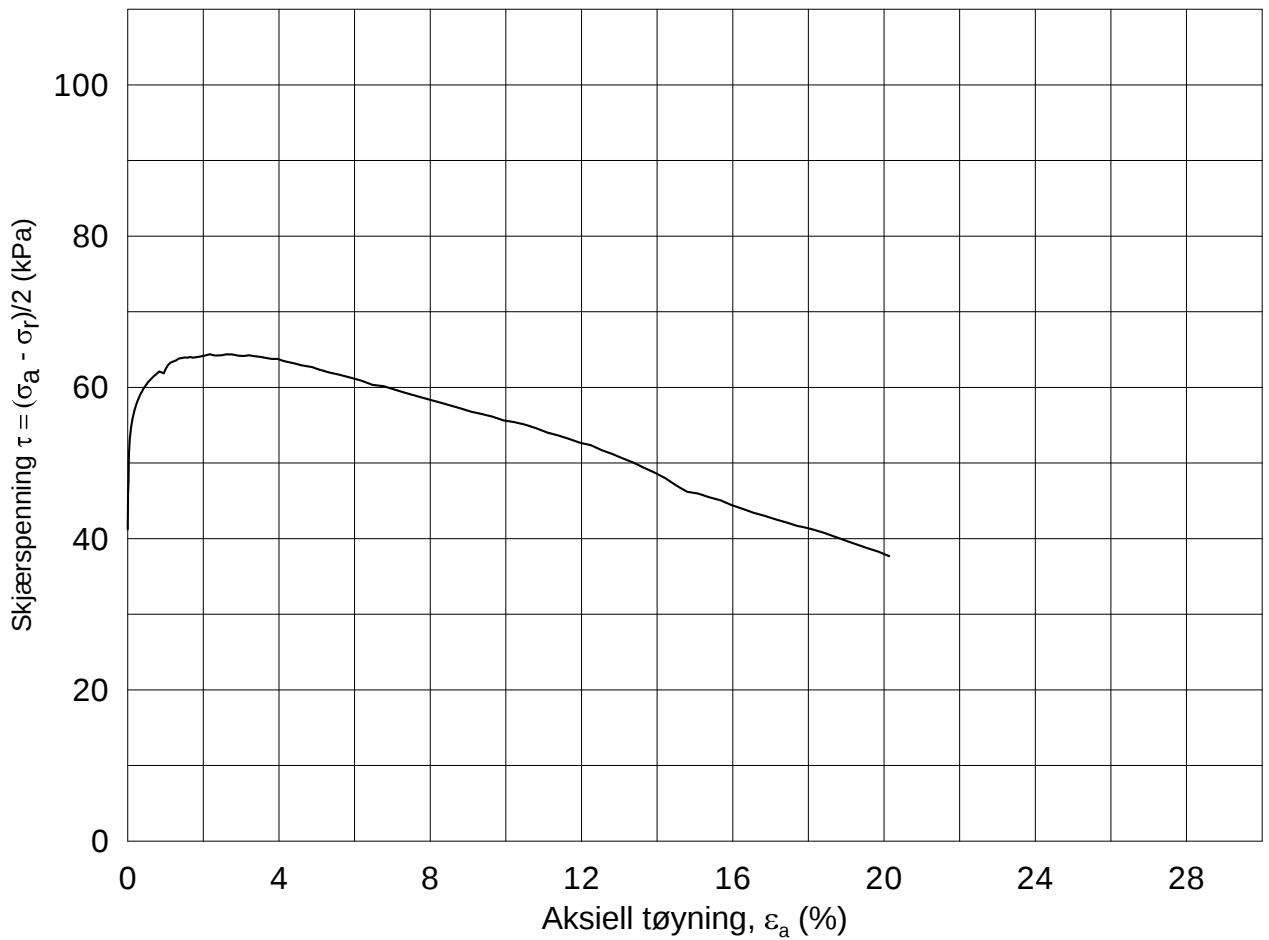




Date/Rev.: 2009-11-03/01

E16 Nybakk - Slomarka			Dokument nr. 20120491-02-R	
Treaksial forsøk: CAUP			Dato 2013-06-07	
Boring: 2214	Dybde = 12.20 m	Konsolidering-spenninger		
Sylinder: 12	$p_{o'}$ = 125.0 kPa	(kPa)	maks.	min.
Del: A	w_i = 36.2 %	σ_{ac}' =	-	-
Test: 1	w_c = 35.1 %	σ_{rc}' =	-	-
		endelig	125.0	
			87.5	
		Figur nr.	G60	
		Tegnet av	MAS	
				

2214-12-A-1.Plot2.grf



Date/Rev.: 2009-11-03/01

E16 Nybakk - Slomarka

Dokument nr.
20120491-02-R

Treaksial forsøk: **CAUA**

Dato
2013-06-07

Boring: **2214**

Dybde = **21.41** m

Konsolidering-spenninger

Sylinder: **18**

$p_{o'}$ = **207.6** kPa

(kPa) maks. min. endelig

Figur nr.
G61

Del: **C**

w_i = **35.2** %

σ_{ac}' = - - **207.6**

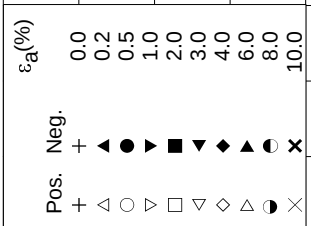
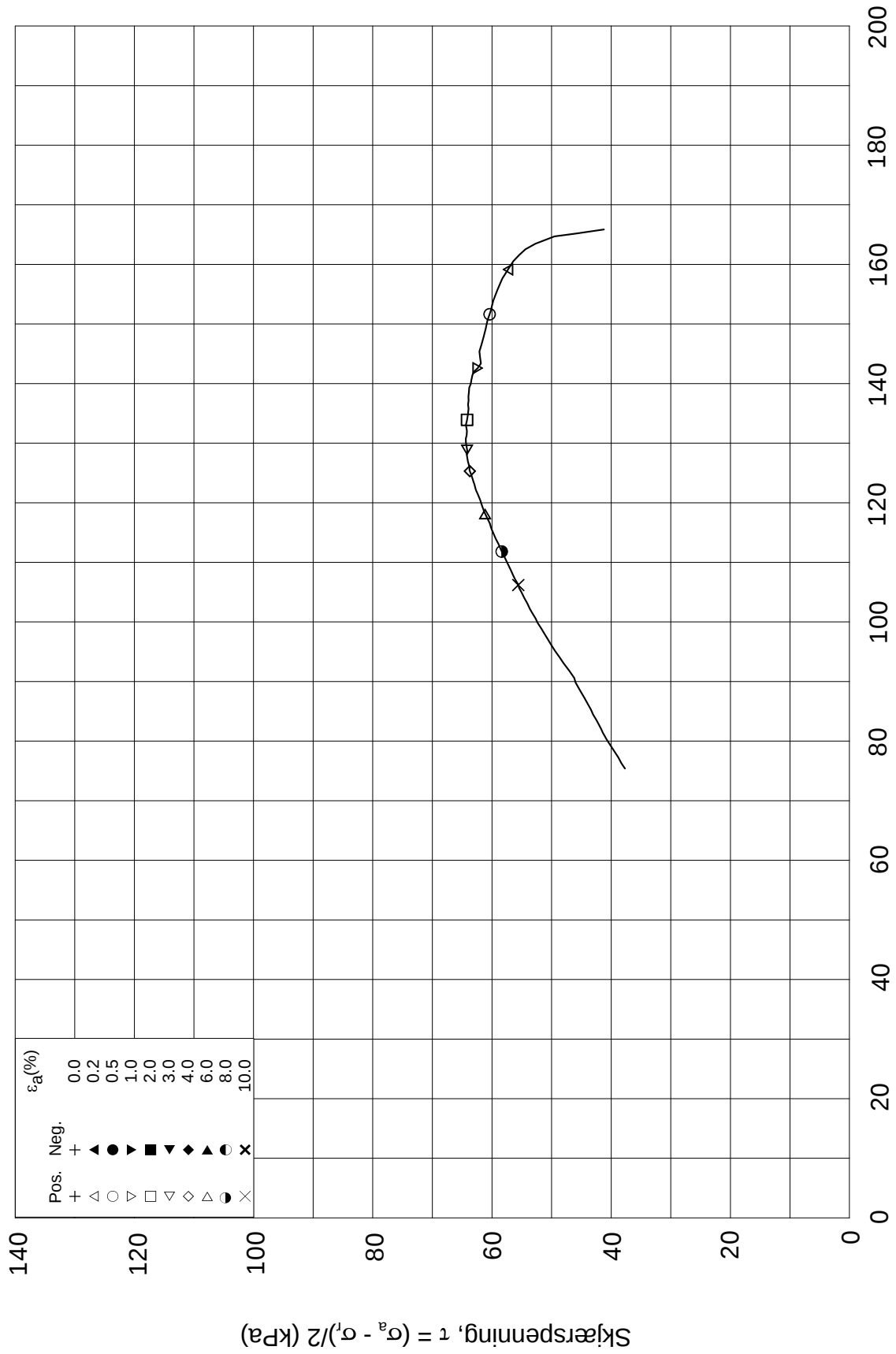
Tegnet av
MAS

Test: **1**

w_c = **31.1** %


σ_{rc}' = - - **124.6**



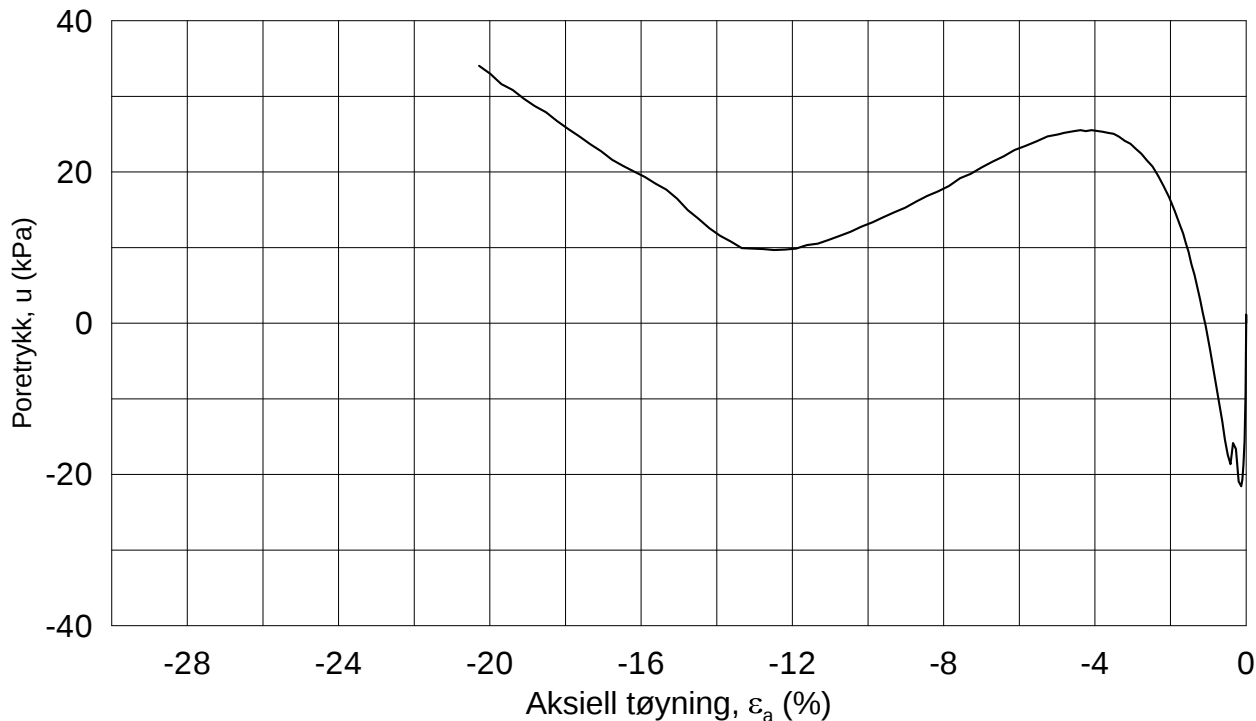
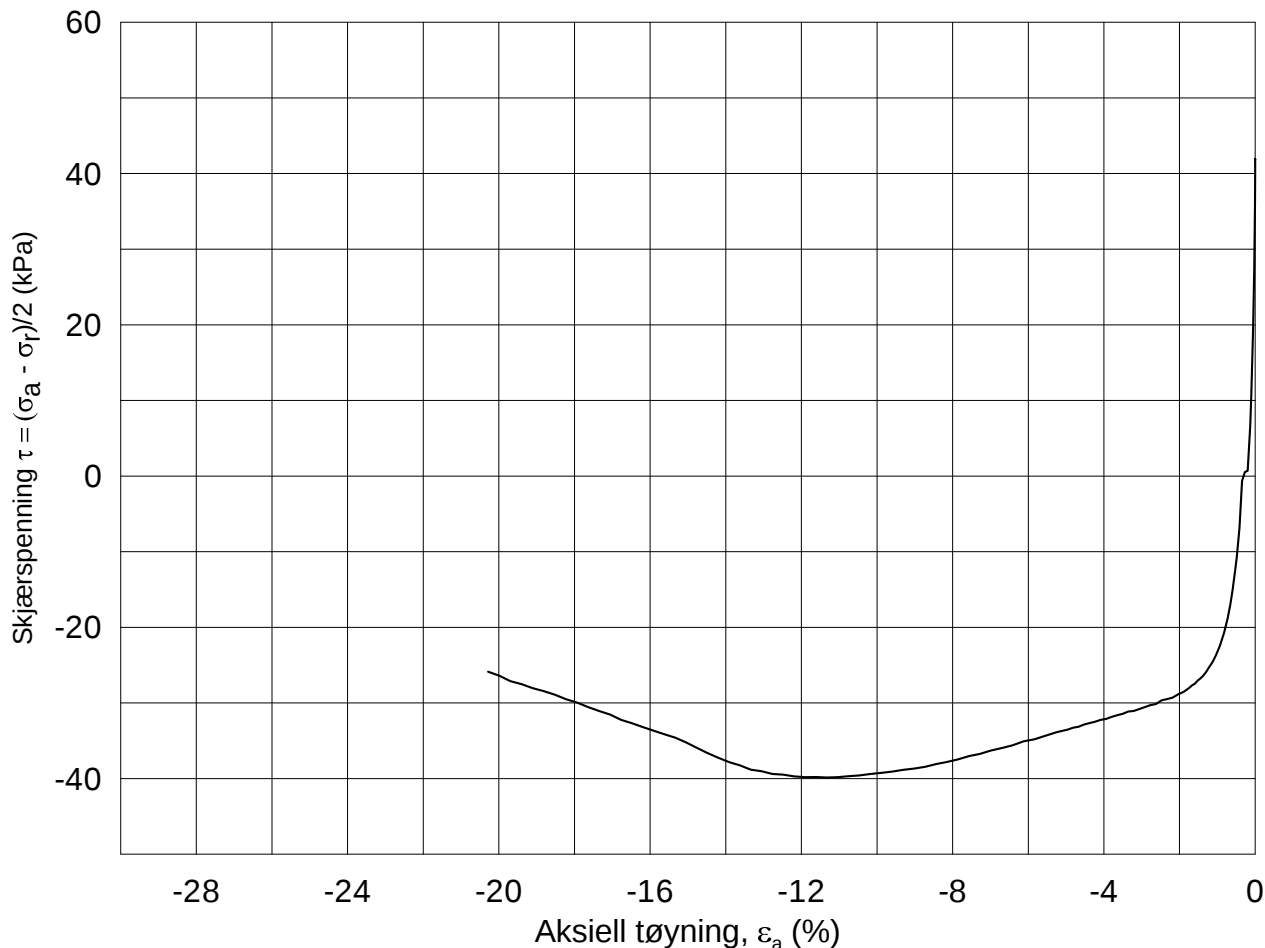


Effektiv gjennomsnittsspenning, p' = (σ_a' + σ_r')/2 (kPa)

Date/Rev.: 2009-11-03/01

E16 Nybakk - Slomarka			Dokument nr. 20120491-02-R	
Treaksial forsøk: CAUA			Dato 2013-06-07	
Boring: 2214	Dybde = 21.41 m	Konsolidering-spenninger		
Sylinder: 18	p _o ' = 207.6 kPa	(kPa)	maks.	min.
Del: C	w _i = 35.2 %	σ _{ac} ' =	-	-
Test: 1	w _c = 31.1 %	σ _{rc} ' =	-	-
		endelig	207.6	
			124.6	
		Figur nr.	G62	
		Tegnet av	MAS	
				

2214-18-C-1-Plot2.grf



Date/Rev.: 2009-11-03/01

E16 Nybakk - Slomarka

Dokument nr.
20120491-02-R

Treaksial forsøk: **CAUP**

Dato
2013-06-07

Boring: **2214**

Dybde = **21.55** m

Konsolidering-spenninger

Sylinder: **18**

$p_{o'}$ = **208.8** kPa

(kPa) maks. min. endelig

Figur nr.
G63

Del: **D**

w_i = **32.8** %

σ_{ac}' = - - **208.7**

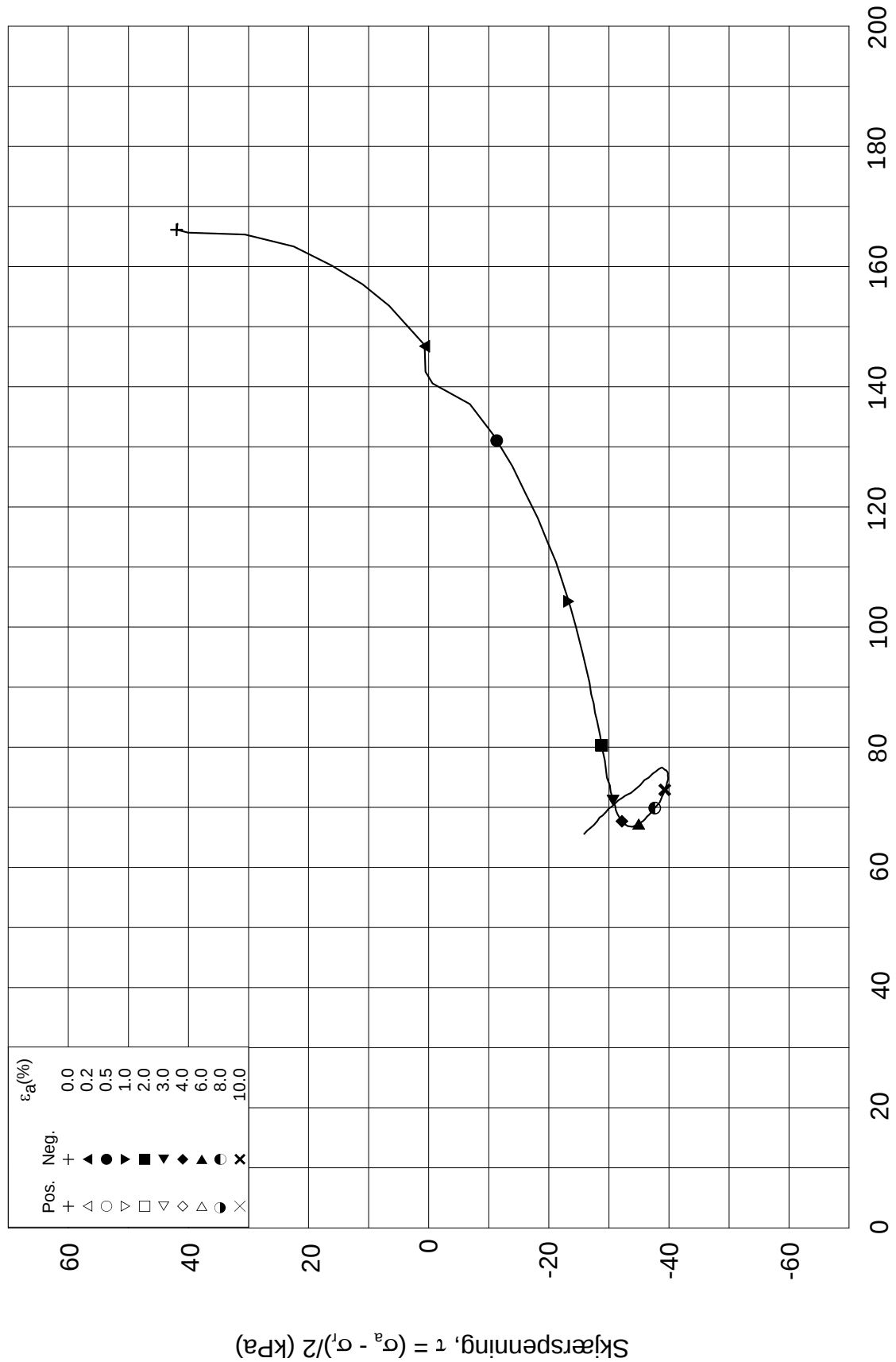
Tegnet av
MAS

Test: **1**

w_c = **28.7** %

σ_{rc}' = - - **125.3**





Date/Rev.: 2009-11-03/01

E16 Nybakk - Slomarka

Dokument nr.
20120491-02-R

Treaksial forsøk: **CAUP**

Dato
2013-06-07

Boring: **2214**

Dybde = **21.55** m

Konsolidering-spenninger

Sylinder: **18**

$p_{o'}$ = **208.8** kPa

(kPa) maks. min. endelig

Figur nr.
G64

Del: **D**

w_i = **32.8** %

σ_{ac}' = - - **208.7**

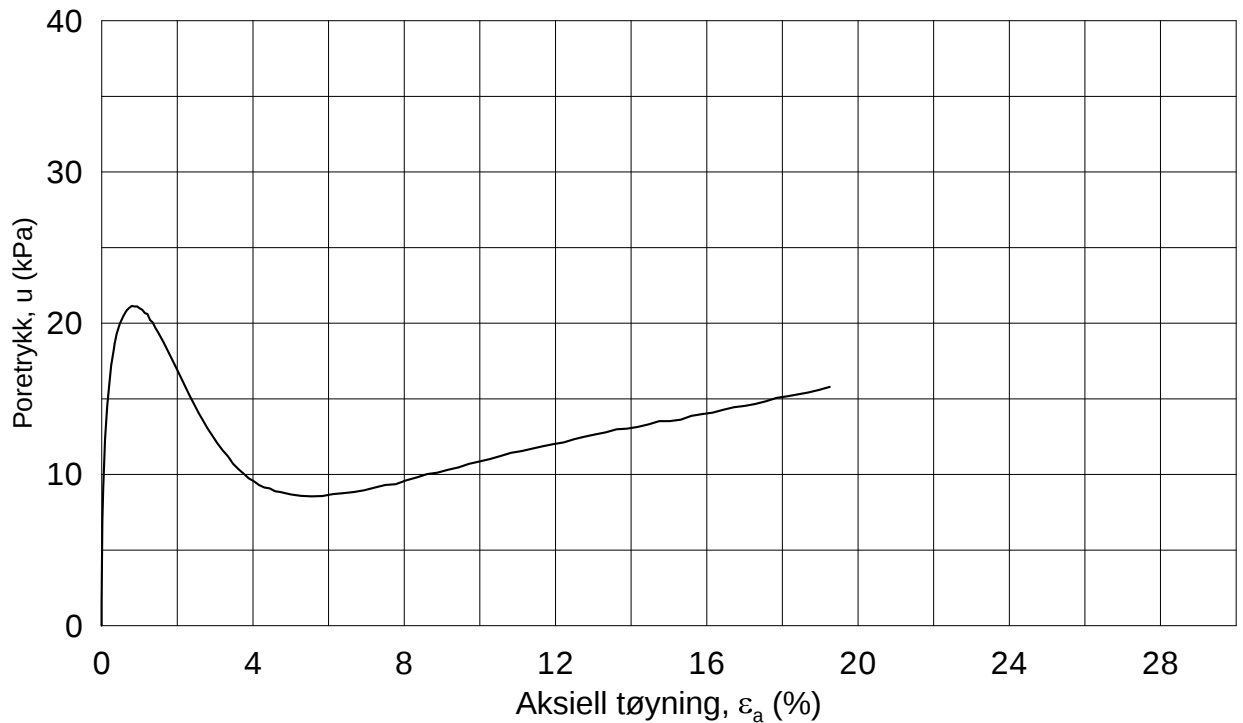
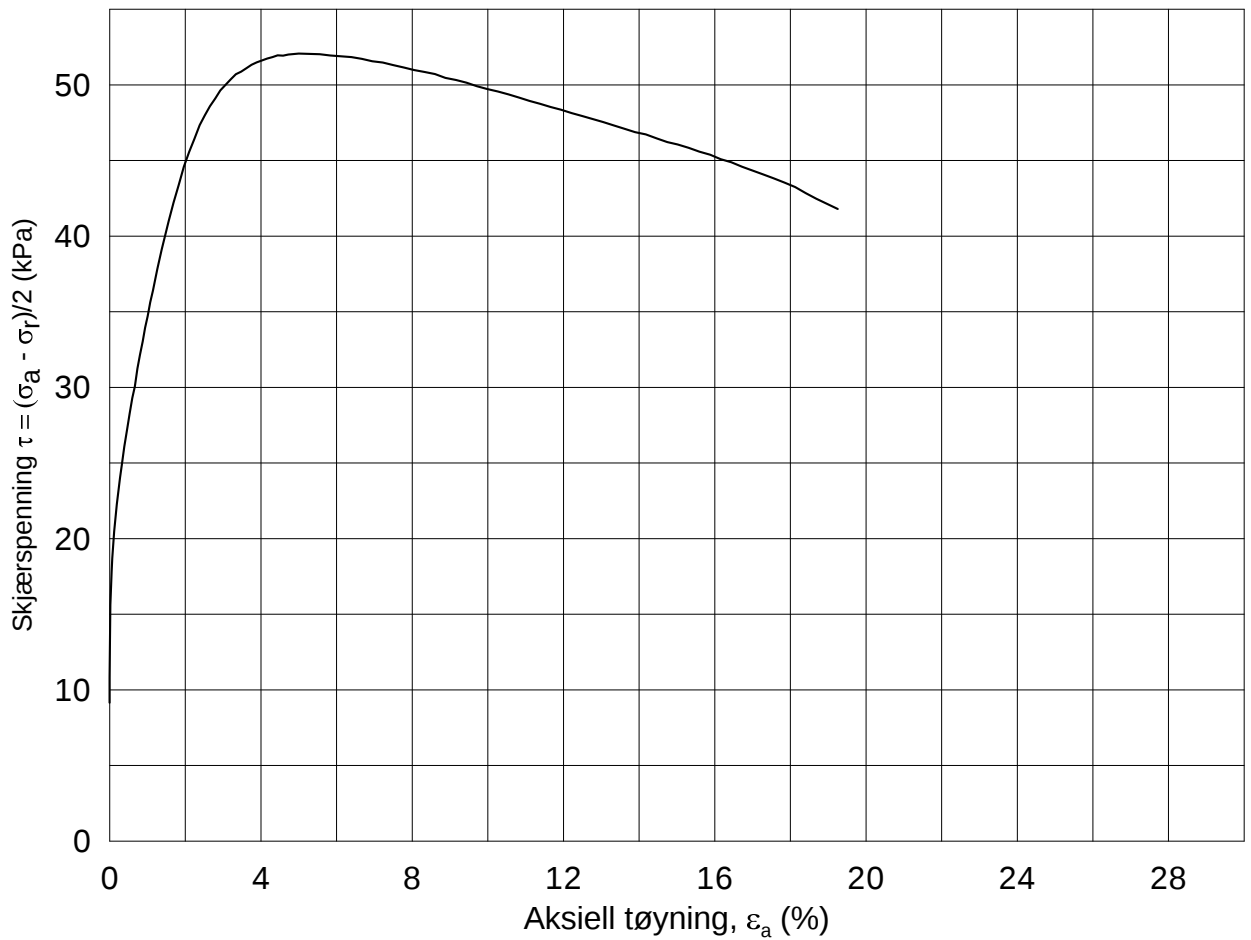
Tegnet av
MAS

Test: **1**

w_c = **28.7** %

σ_{rc}' = - - **125.3**





Date/Rev.: 2009-11-03/01

E16 Nybakk - Slomarka

Dokument nr.
20120491-02-R

Treaksial forsøk: **CAUA**

Dato
2013-04-02

Boring: **2222**

Dybde = **5.37** m

Konsolidering-spenninger

Sylinder: **5**

p_o' = **73.3** kPa

(kPa) maks. min. endelig

Figur nr.
G65

Del: **B**

w_i = **39.4** %

σ_{ac}' = - - **73.3**

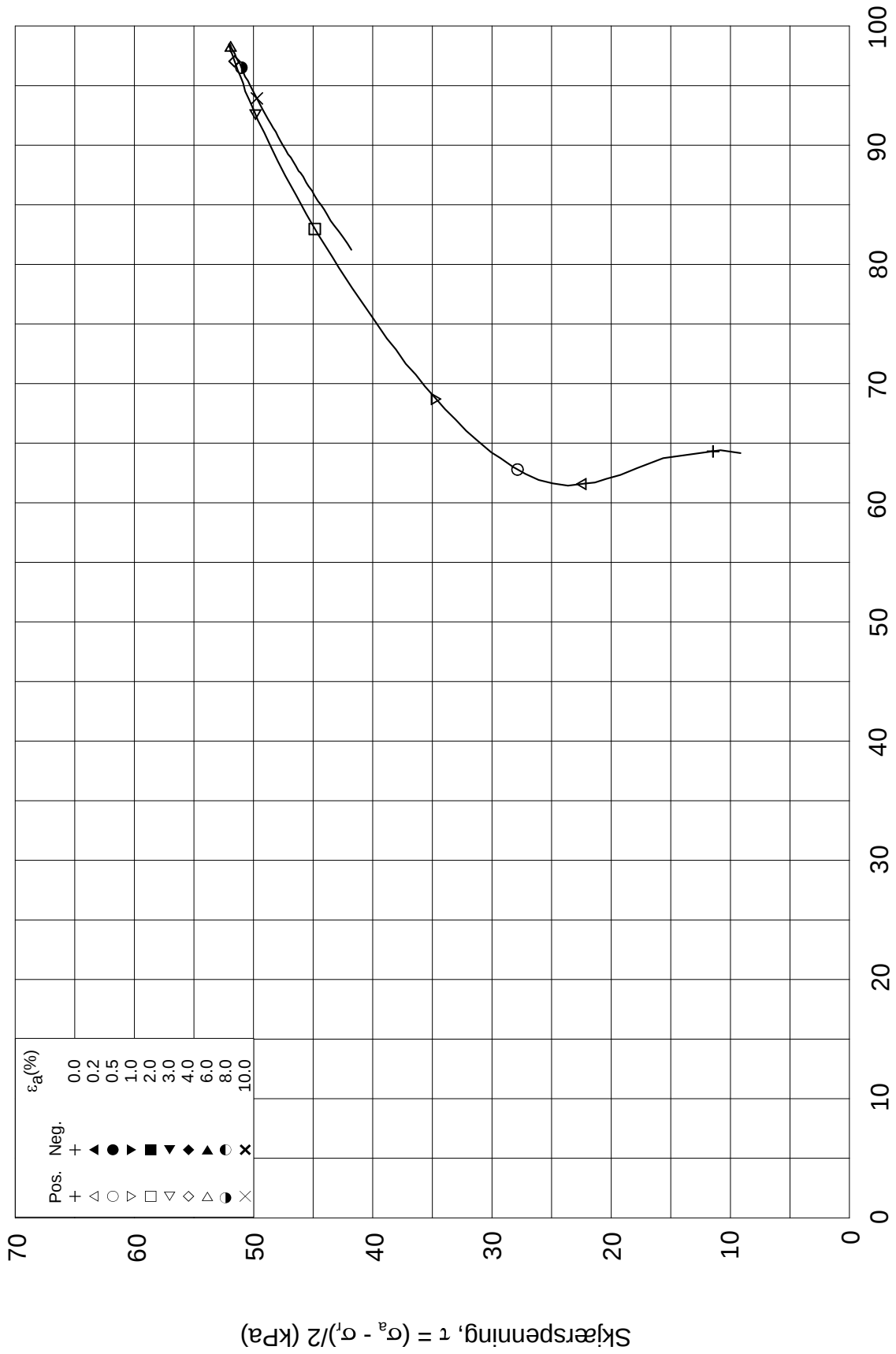
Tegnet av
MAS

Test: **1**

w_c = **39.0** %

σ_{rc}' = - - **55.0**



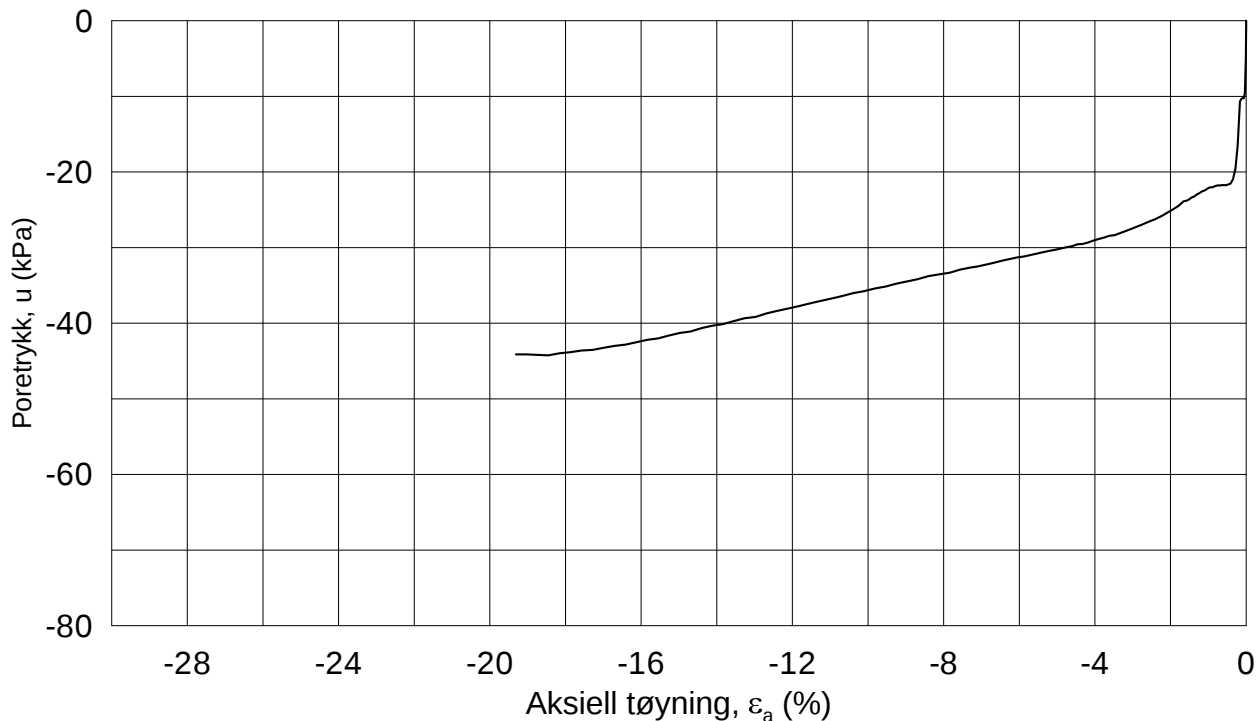
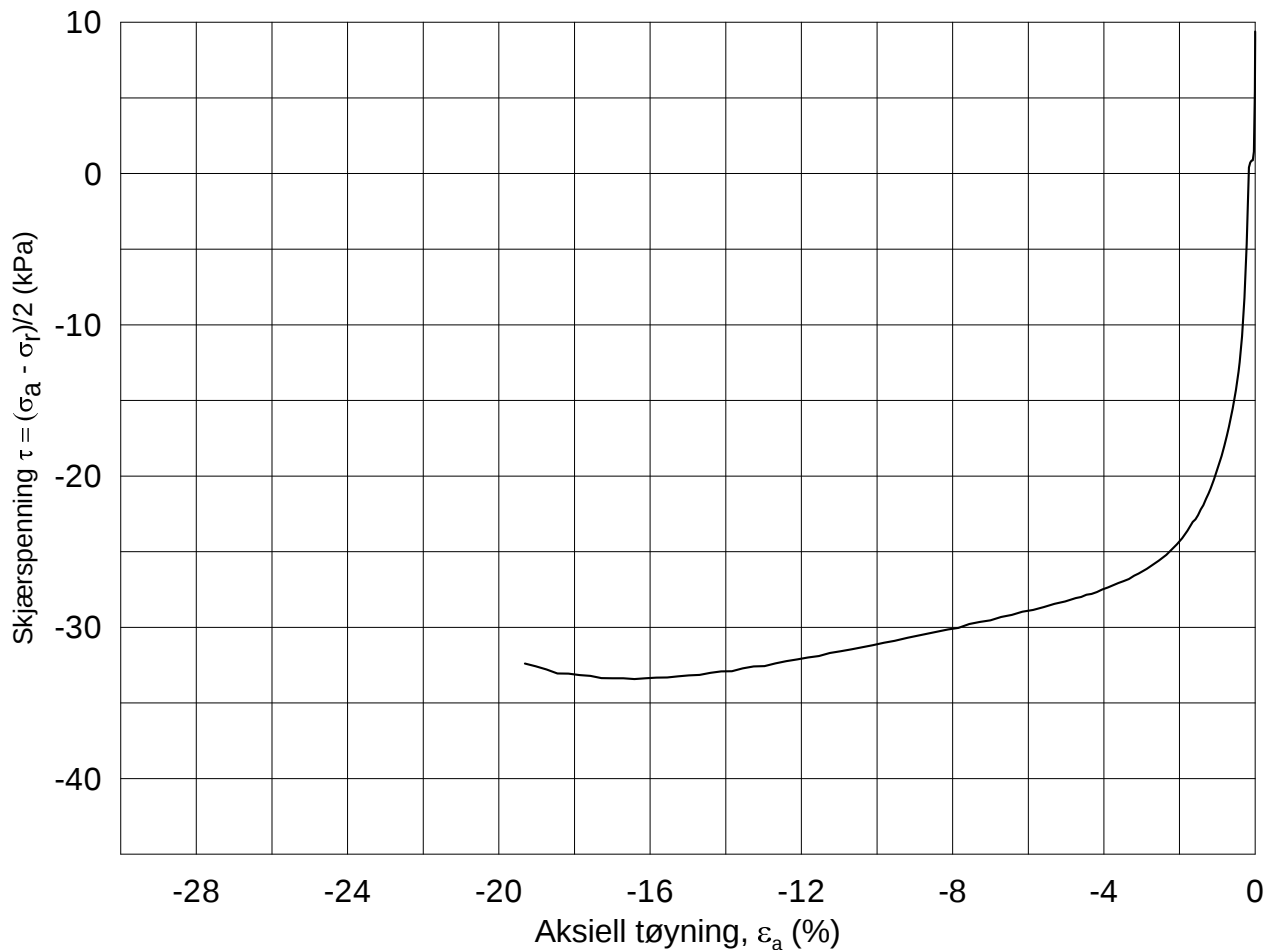


Date/Rev.: 2009-11-03/01

E16 Nybakk - Slomarka			Dokument nr. 20120491-02-R
Treaksial forsøk: CAUA			Dato 2013-04-02
Boring: 2222	Dybde = 5.37 m	Konsolidering-spenninger	
Sylinder: 5	p_o' = 73.3 kPa	(kPa)	maks. min. endelig
Del: B	w_i = 39.4 %	$\sigma_{ac}' =$ - - 73.3	Figur nr. G66
Test: 1	w_c = 39.0 %	$\sigma_{rc}' =$ - - 55.0	Tegnet av MAS



2222-5-B-1.Plot2.grf



Date/Rev.: 2009-11-03/01

E16 Nybakk - Slomarka

Dokument nr.
20120491-02-R

Treaksial forsøk: **CAUP**

Dato
2013-04-09

Boring: **2222**

Dybde = **5.53** m Konsolidering-spenninger

Sylinder: **5**

$p_{o'}$ = **74.8** kPa (kPa) maks. min. endelig

Del: **C**

w_i = **41.6** % σ_{ac}' = - - **74.8**

Test: **1**

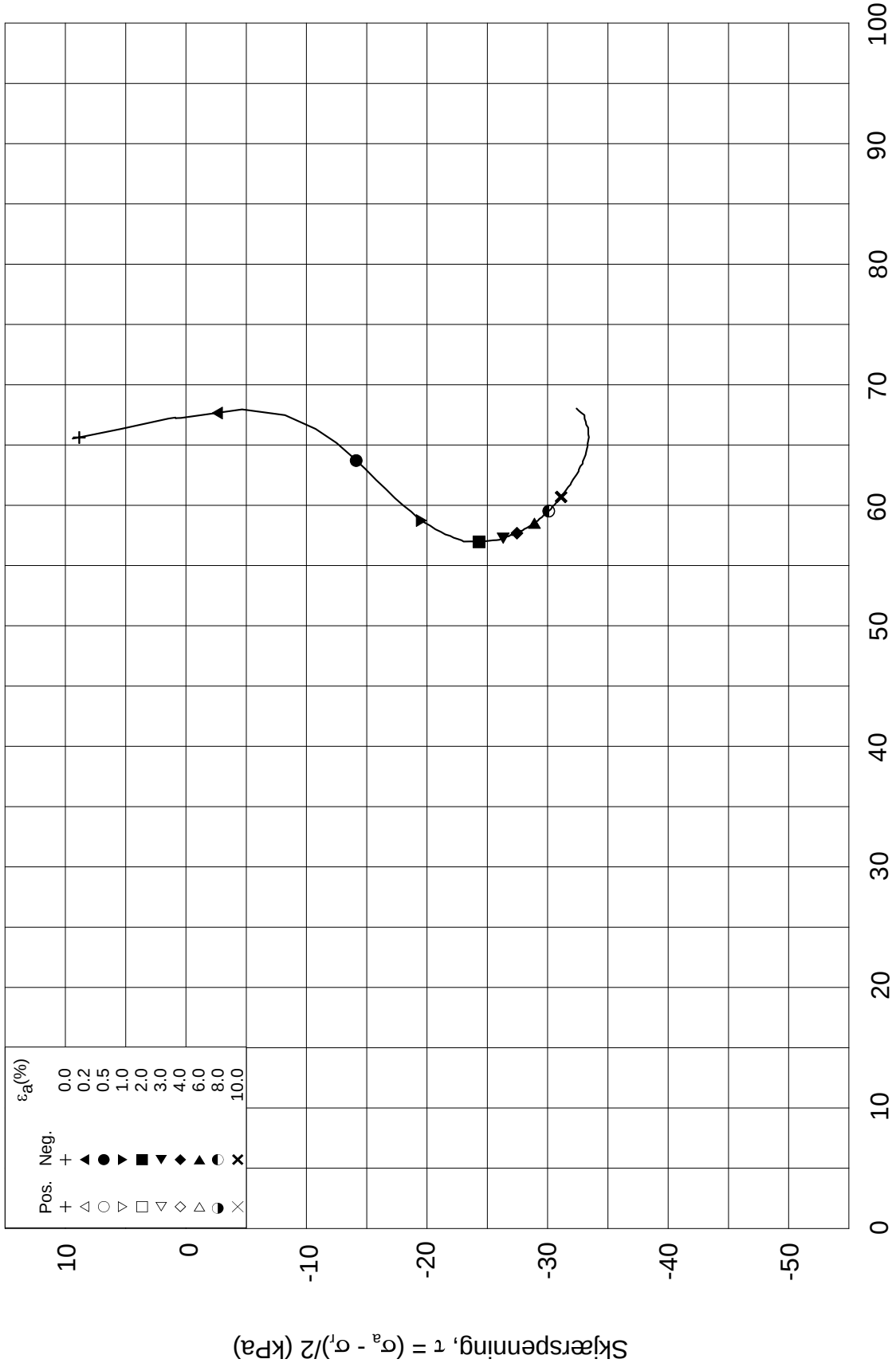
w_c = **41.2** % σ_{rc}' = - - **56.1**

Figur nr.
G67

Tegnet av
MAS



Effektiv gjennomsnittsspenning, $p' = (\sigma'_a + \sigma'_i)/2$ (kPa)



Date/Rev.: 2009-11-03/01

E16 Nybakk - Slomarka

Dokument nr.
20120491-02-R

Treaksial forsøk: **CAUP**

Dato
2013-04-09

Boring: **2222**

Dybde = **5.53** m

Konsolidering-spenninger

Sylinder: **5**

$p_{o'}$ = **74.8** kPa

(kPa) maks. min. endelig

Figur nr.
G68

Del: **C**

w_i = **41.6** %

σ_{ac}' = - - **74.8**

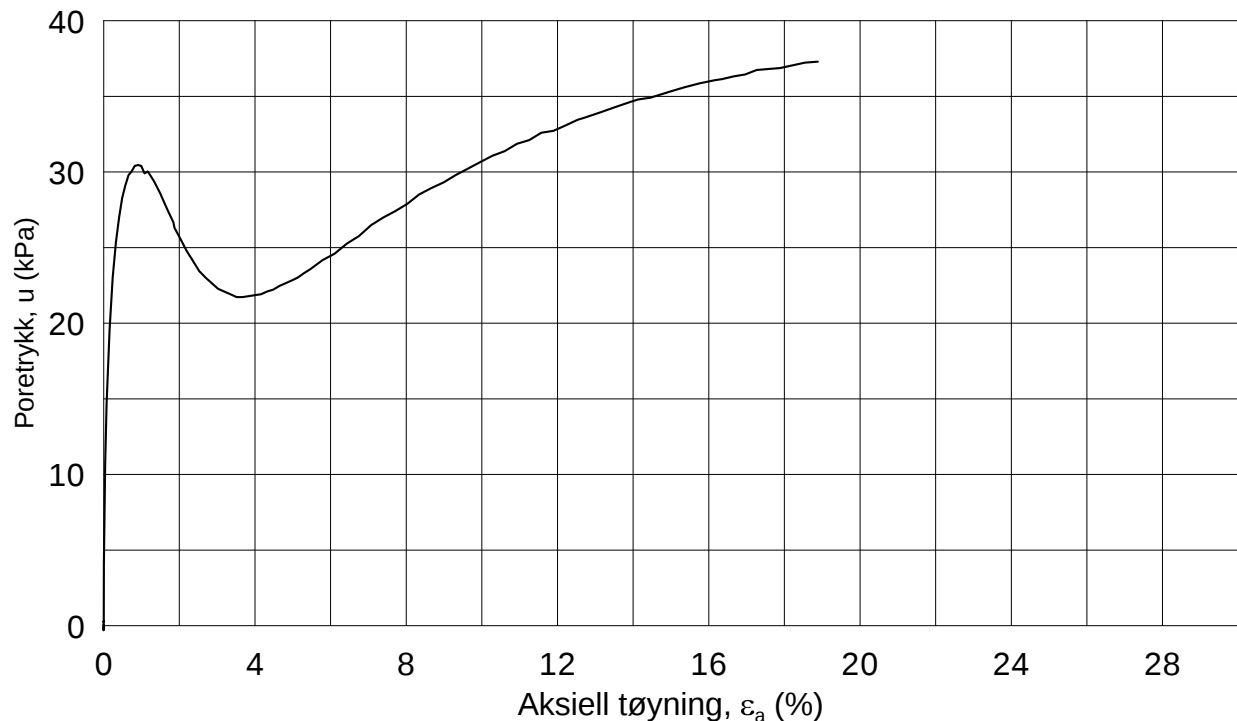
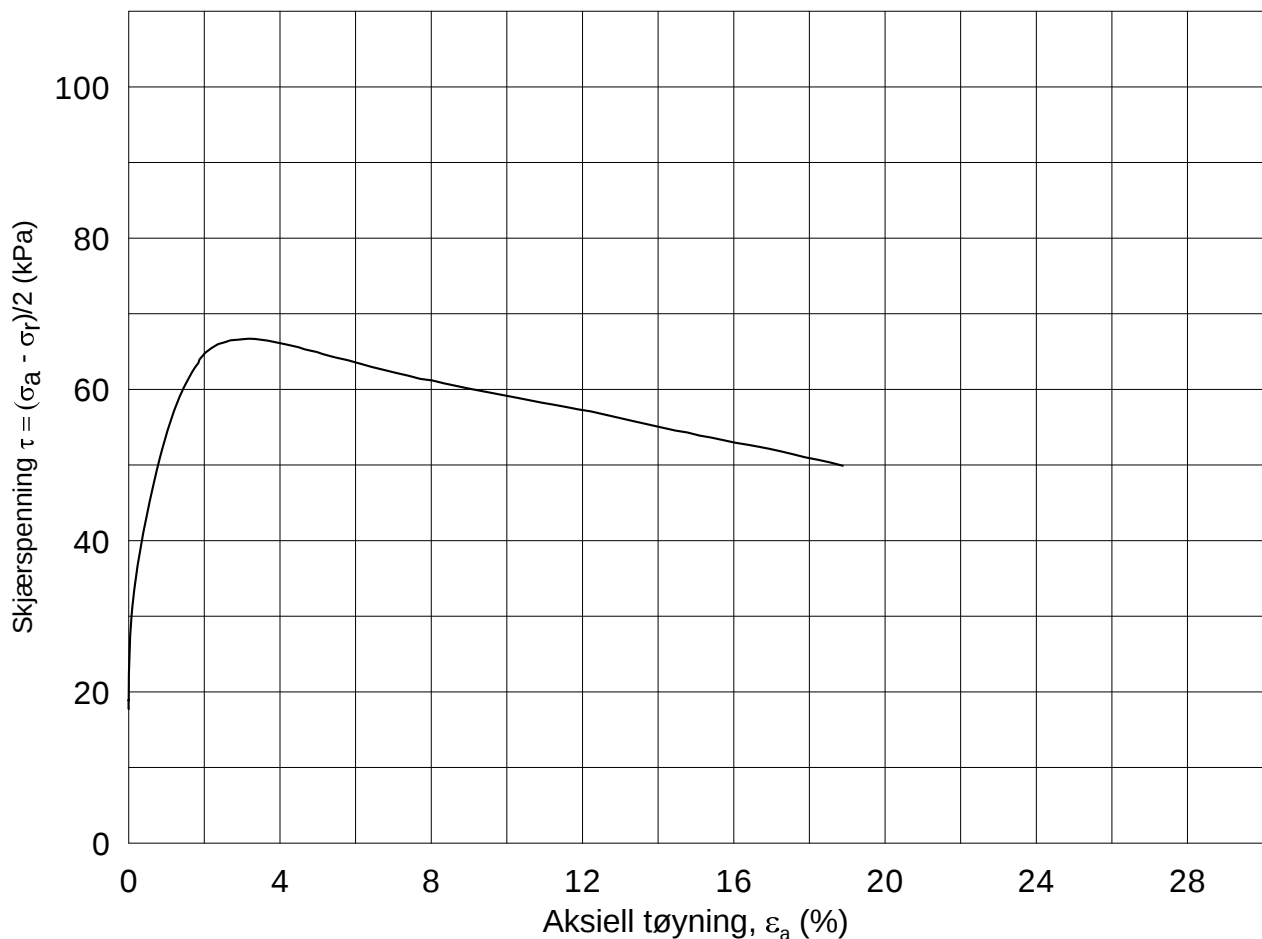
Tegnet av
MAS

Test: **1**

w_c = **41.2** %

σ_{rc}' = - - **56.1**





Date/Rev.: 2009-11-03/01

E16 Nybakk - Slomarka

Dokument nr.
20120491-02-R

Treaksial forsøk: **CAUA**

Dato
2013-04-10

Boring: **2222**

Dybde = **10.36** m

Konsolidering-spenninger

Sylinder: **10**

$p_{o'}$ = **118.2** kPa

(kPa) maks. min. endelig

Figur nr.
G69

Del: **B**

w_i = **33.9** %

σ_{ac}' = - - **118.2**

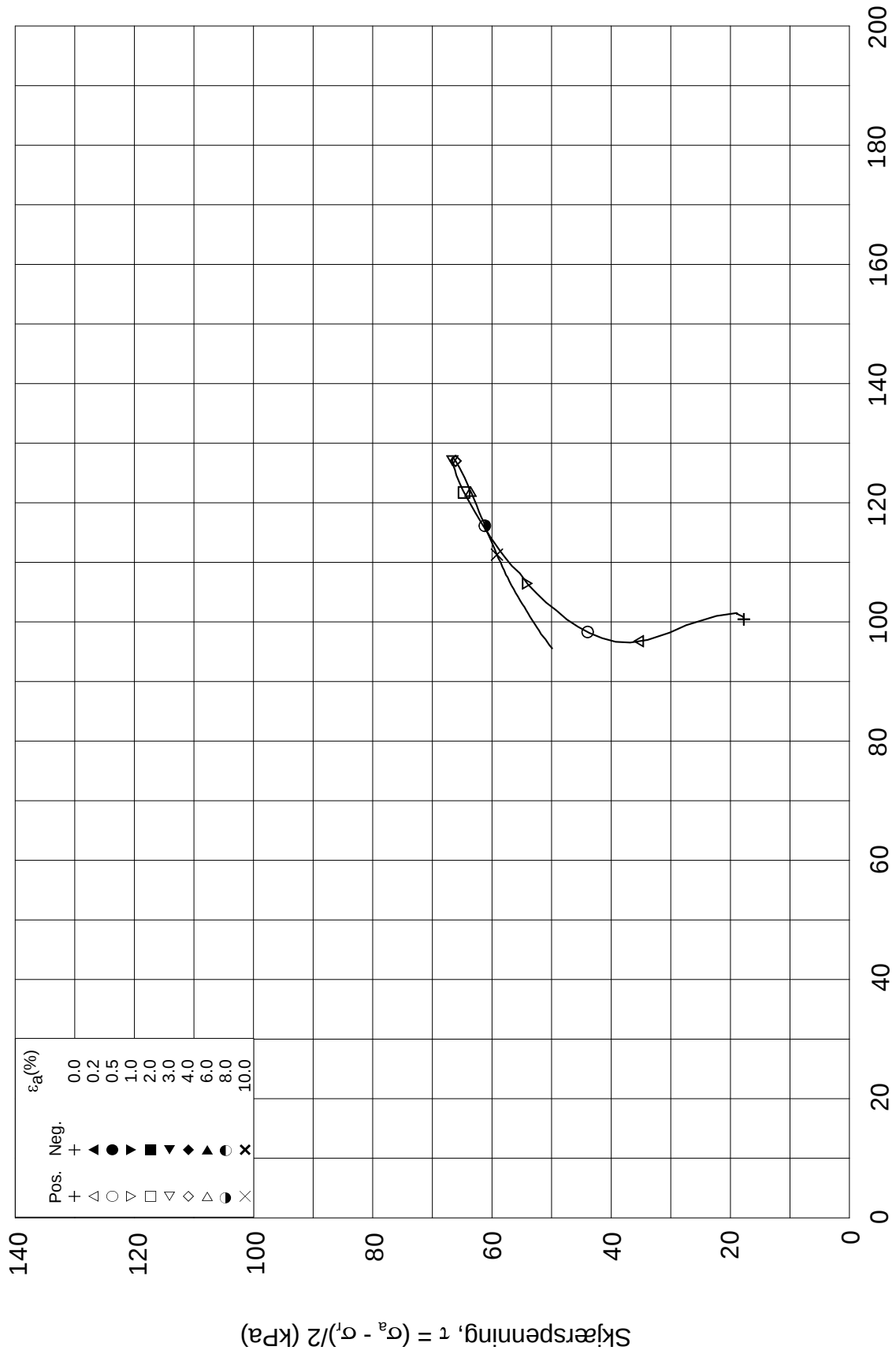
Tegnet av
MAS

Test: **1**

w_c = **33.2** %

σ_{rc}' = - - **82.7**





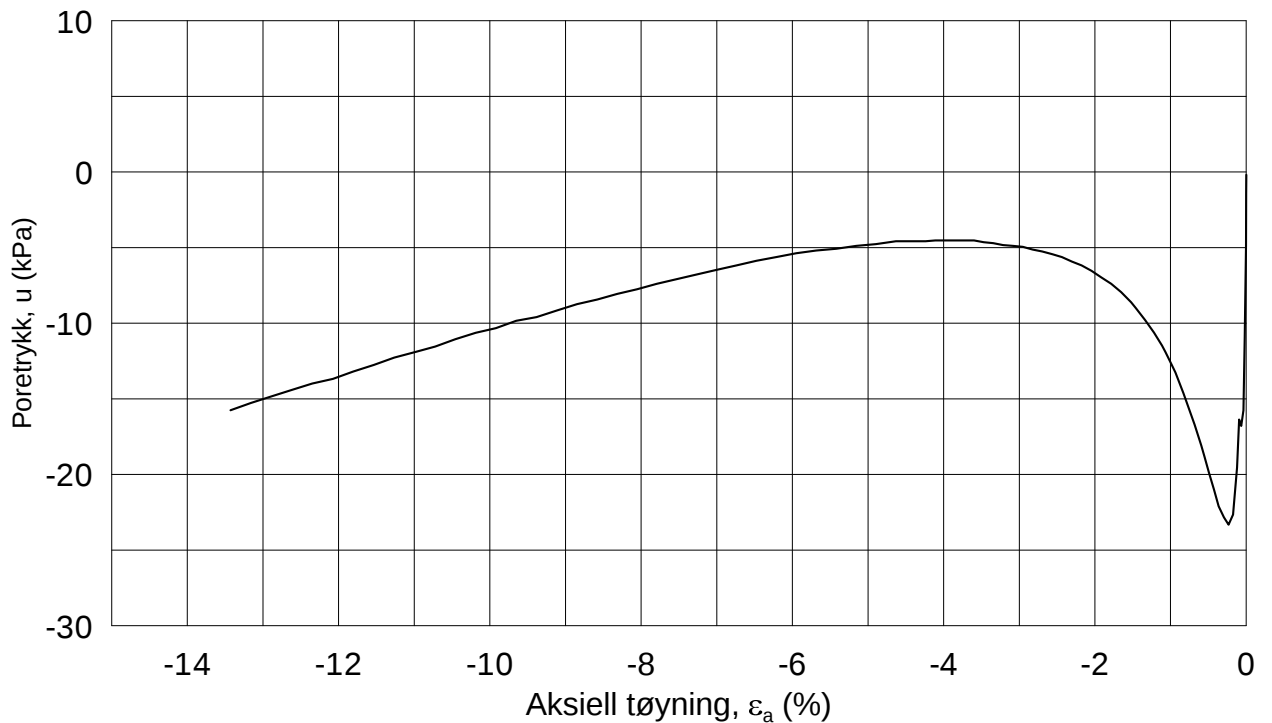
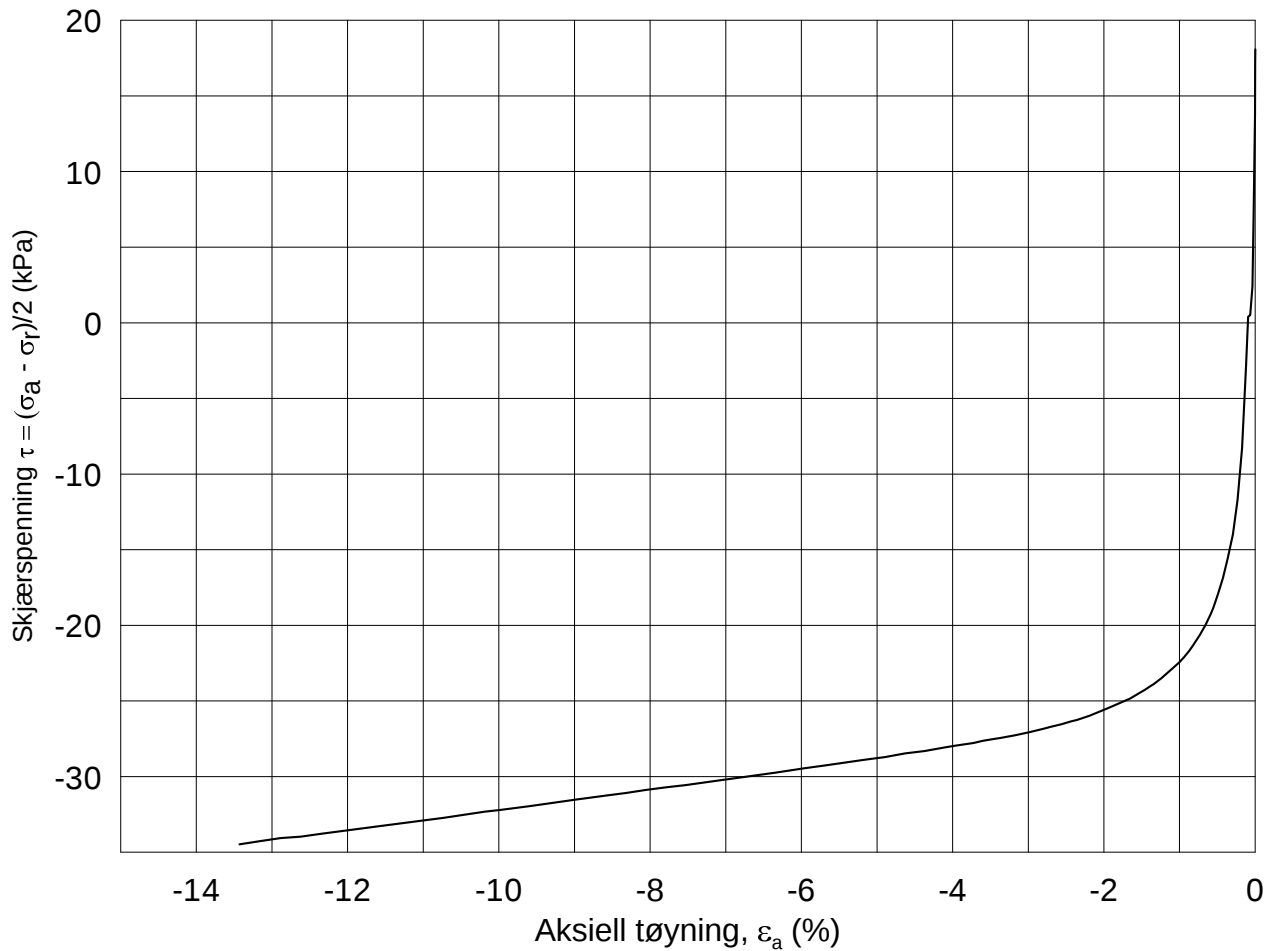
Effektiv gjennomsnittsspenning, $p' = (\sigma_a' + \sigma_r')/2$ (kPa)

Date/Rev.: 2009-11-03/01

E16 Nybakk - Slomarka			Dokument nr. 20120491-02-R
Treaksial forsøk: CAUA			Dato 2013-04-10
Boring: 2222	Dybde = 10.36 m	Konsolidering-spenninger	
Sylinder: 10	$p_{o'}$ = 118.2 kPa	(kPa)	maks. min. endelig
Del: B	w_i = 33.9 %	σ_{ac}' = - - 118.2	Figur nr. G70
Test: 1	w_c = 33.2 %	σ_{rc}' = - - 82.7	Tegnet av MAS

2222-10-B-1-1.Plot2.grf





Date/Rev.: 2009-11-03/01

E16 Nybakk - Slomarka

Dokument nr.
20120491-02-R

Treaksial forsøk: **CAUP**

Dato
2013-04-09

Boring: **2222**

Dybde = **10.53** m

Konsolidering-spenninger

Sylinder: **10**

$p_{o'}$ = **119.8** kPa

(kPa) maks. min. endelig

Figur nr.
G71

Del: **C**

w_i = **34.7** %

σ_{ac}' = - - **119.8**

Tegnet av
MAS

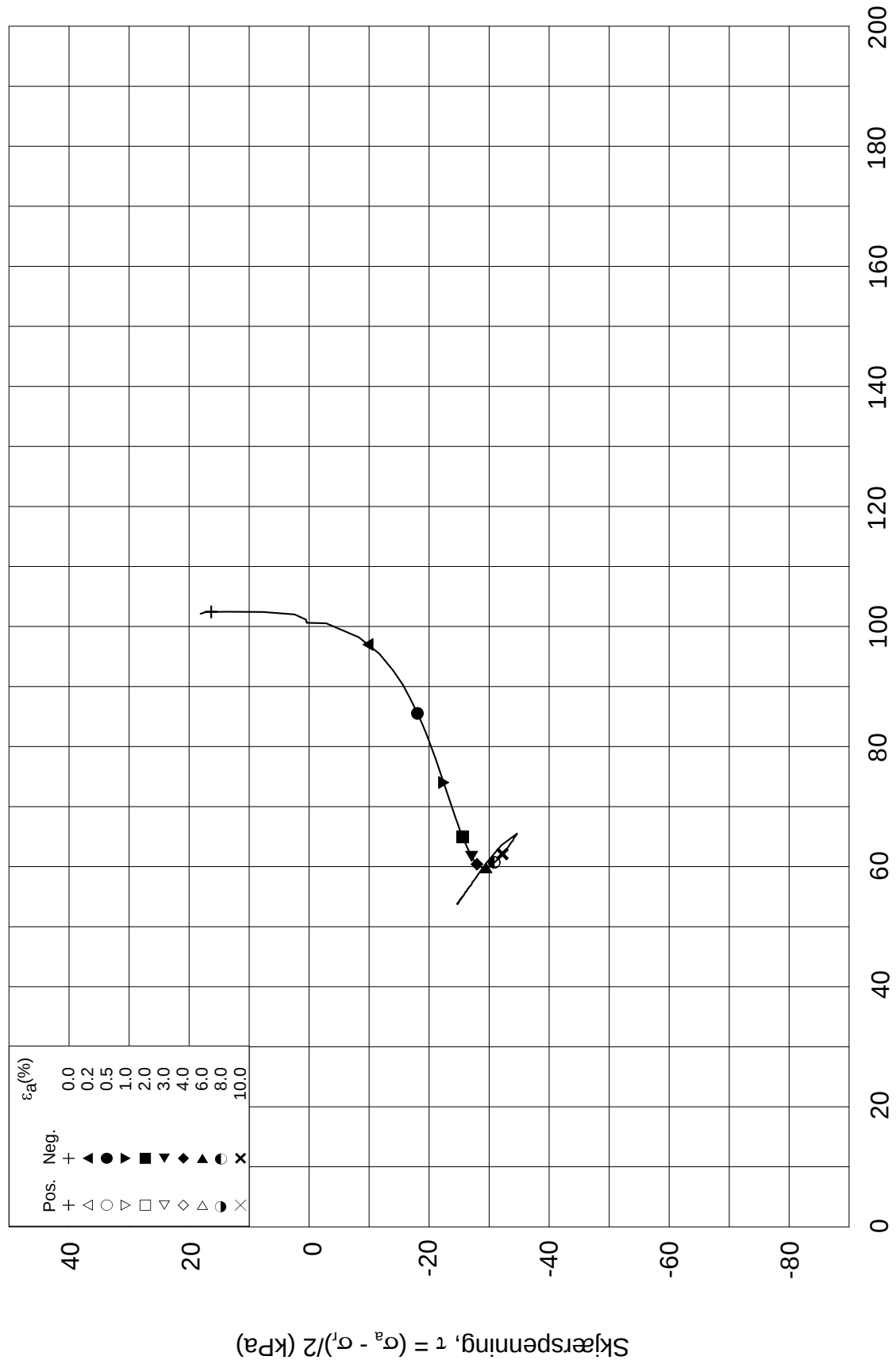
Test: **1**

w_c = **34.0** %


σ_{rc}' = - - **83.8**



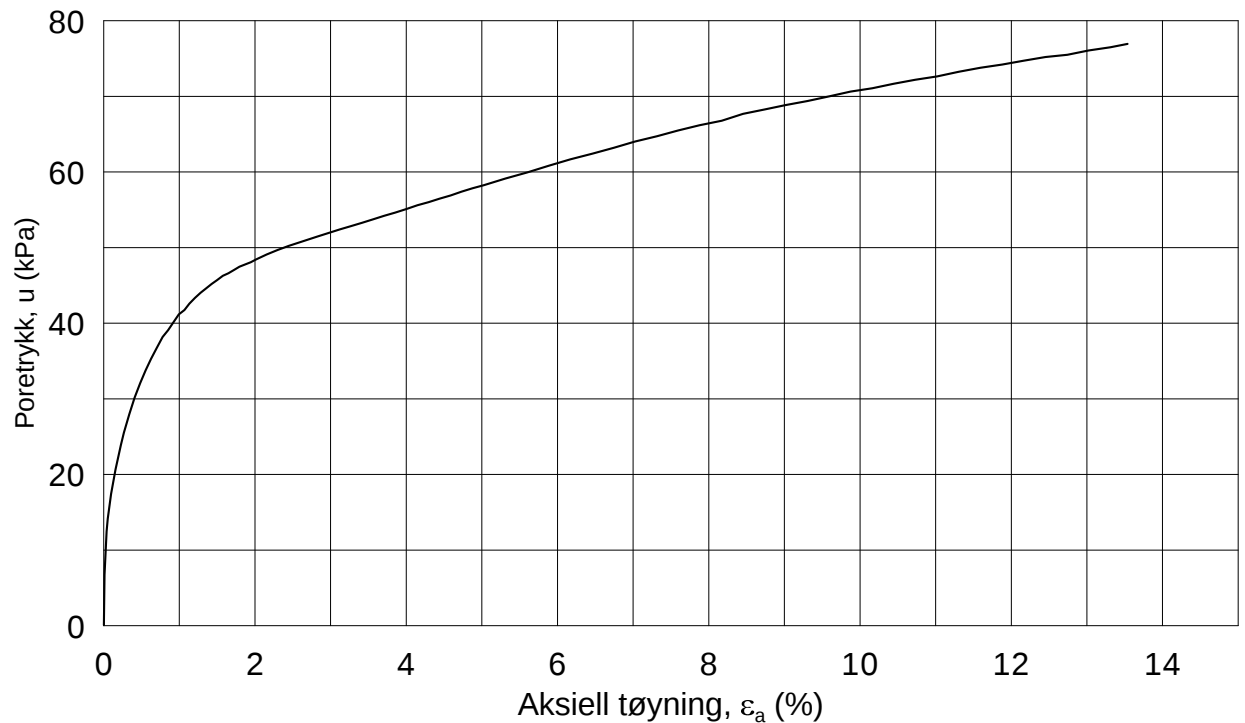
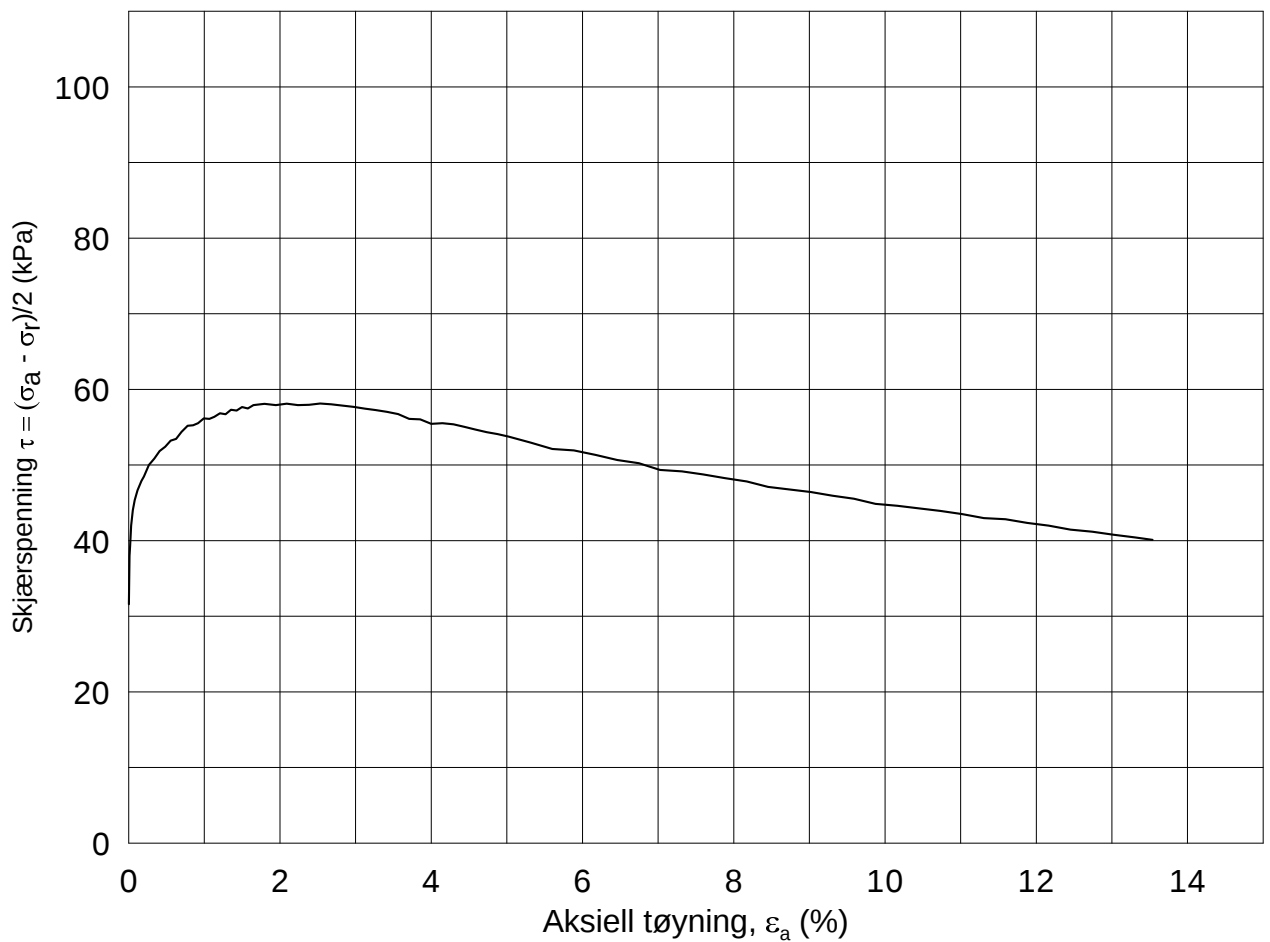
Effektiv gjennomsnittsspenning, $p' = (\sigma'_a + \sigma'_l)/2$ (kPa)



Date/Rev.: 2009-11-03/01

E16 Nybakk - Slomarka			Dokument nr. 20120491-02-R	
Treaksial forsøk: CAUP			Dato 2013-04-09	
Boring: 2222	Dybde = 10.53 m	Konsolidering-spenninger		
Sylinder: 10	$p_{o'}$ = 119.8 kPa	(kPa)	maks.	min.
Del: C	w_i = 34.7 %	σ_{ac}' =	-	-
Test: 1	w_c = 34.0 %	σ_{rc}' =	-	-
		endelig	119.8	
			83.8	
		Figur nr.	G72	
		Tegnet av	MAS	
				

2222-10-C-1-1.Plot2.grf



Date/Rev.: 2009-11-03/01

E16 Nybakk - Slomarka

Dokument nr.
20120491-02-R

Treaksial forsøk: **CAUA**

Dato
2013-04-10

Boring: **2222**

Dybde = **17.36** m

Konsolidering-spenninger

Sylinder: **15**

$p_{o'}$ = **181.2** kPa

(kPa) maks. min. endelig

Figur nr.
G73

Del: **B**

w_i = **36.3** %

σ_{ac}' = - - **181.1**

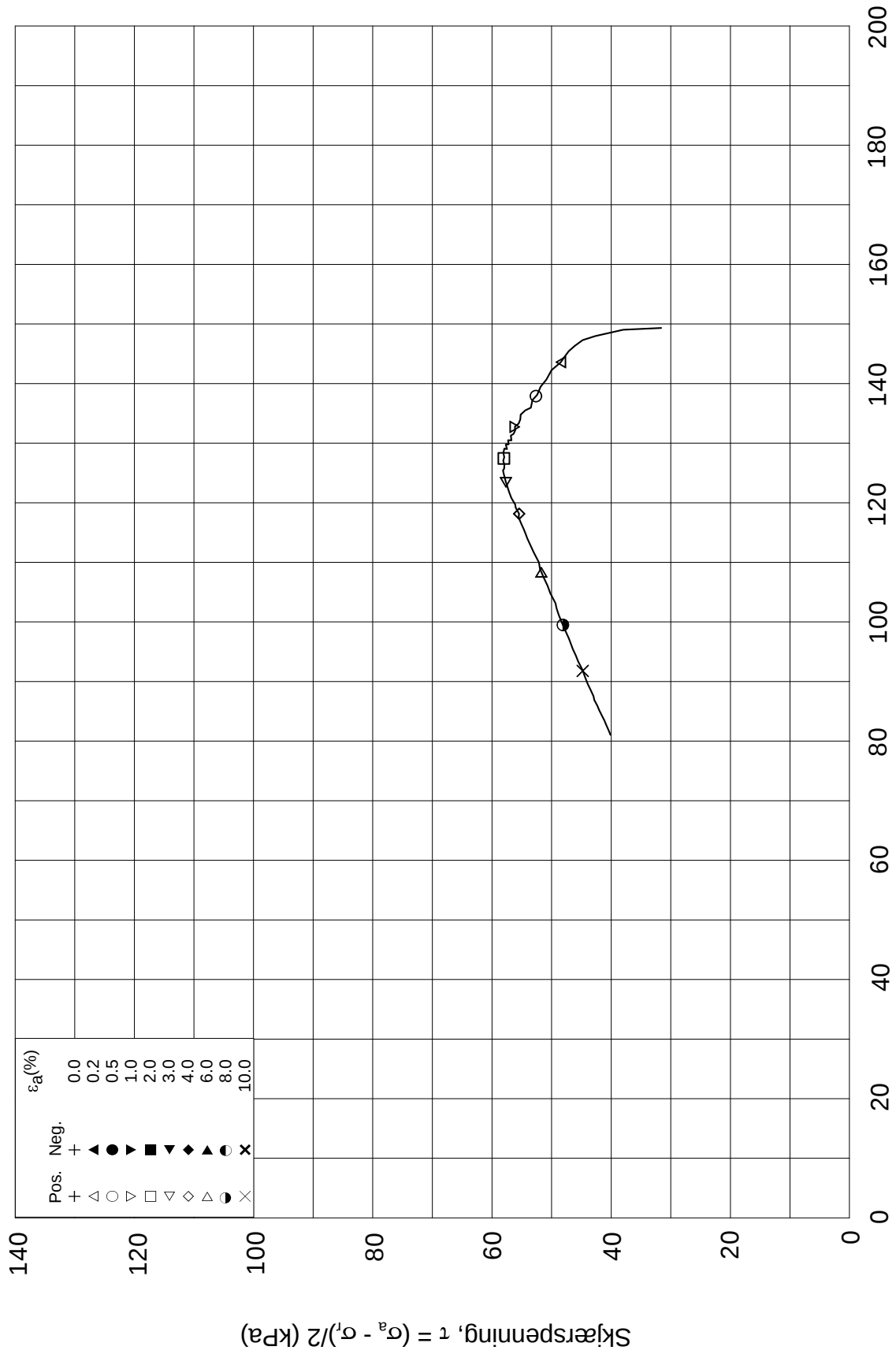
Tegnet av
MAS

Test: **1**

w_c = **33.8** %

σ_{rc}' = - - **117.8**



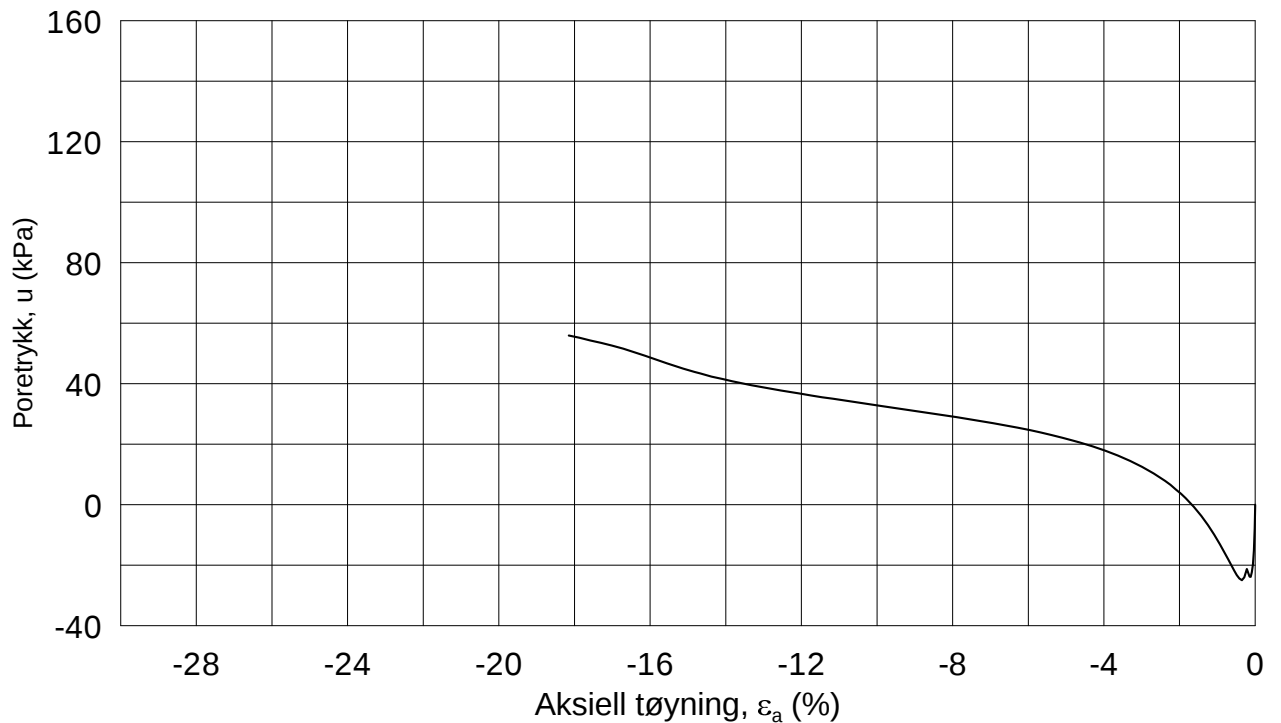
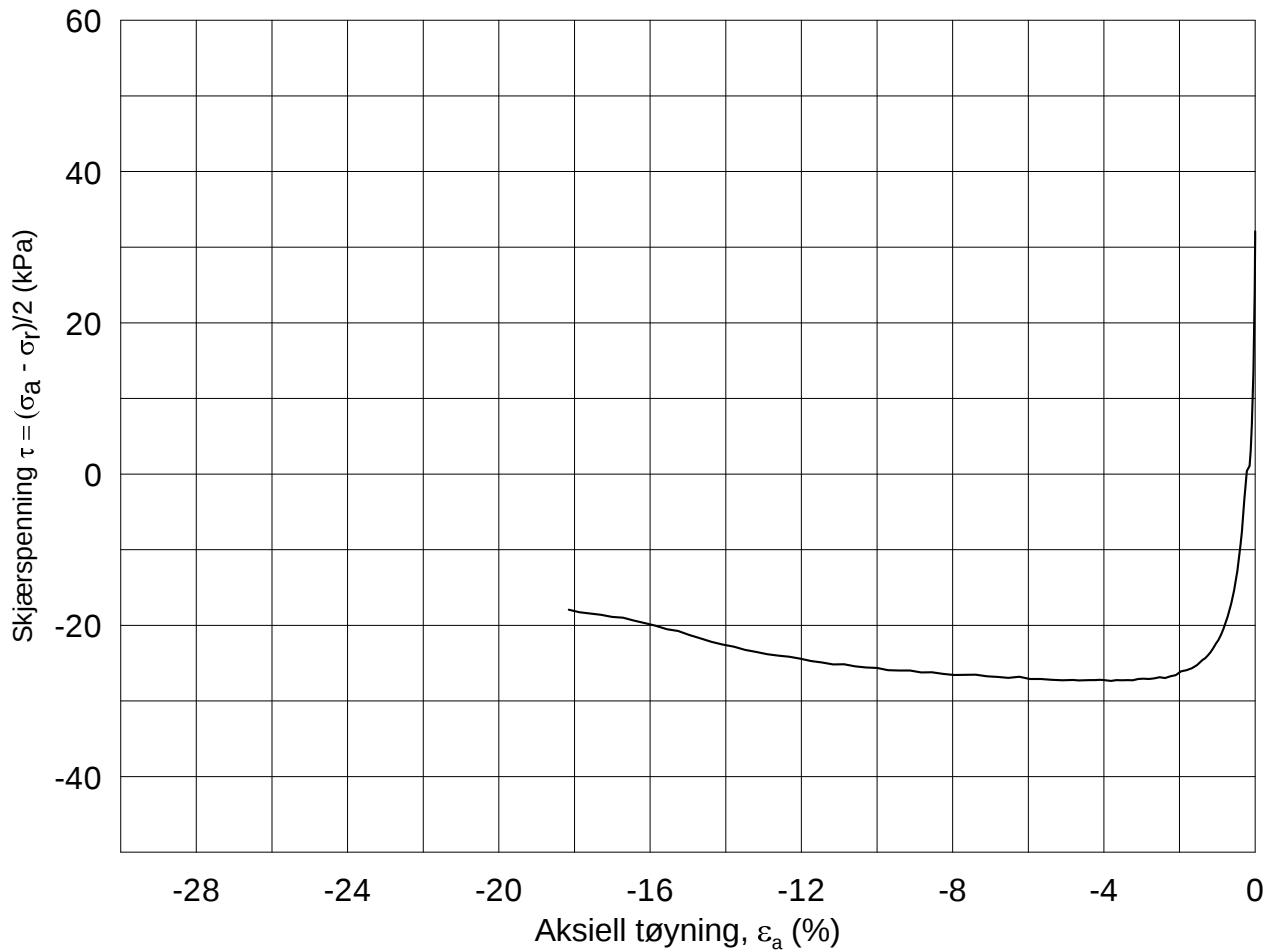


Effektiv gjennomsnittsspenning, $p' = (\sigma_a' + \sigma_r')/2$ (kPa)

Date/Rev.: 2009-11-03/01

E16 Nybakk - Slomarka			Dokument nr. 20120491-02-R	
Treaksial forsøk: CAUA			Dato 2013-04-10	
Boring: 2222	Dybde = 17.36 m	Konsolidering-spenninger		
Sylinder: 15	$p_{o'}$ = 181.2 kPa	(kPa)	maks.	min.
Del: B	w_i = 36.3 %	σ_{ac}' =	-	-
Test: 1	w_c = 33.8 %	σ_{rc}' =	-	-
			181.1	117.8
			Figur nr. G74	
			Tegnet av MAS	

2222-15-B-1-1.Plot2.grf



Date/Rev.: 2009-11-03/01

E16 Nybakk - Slomarka

Dokument nr.
20120491-02-R

Treaksial forsøk: **CAUP**

Dato
2013-04-19

Boring: **2222**

Dybde = **17.54** m

Konsolidering-spenninger

Sylinder: **15**

$p_{o'}$ = **182.9** kPa

(kPa) maks. min. endelig

Figur nr.
G75

Del: **C**

w_i = **50.7** %

σ_{ac}' = - - **183.0**

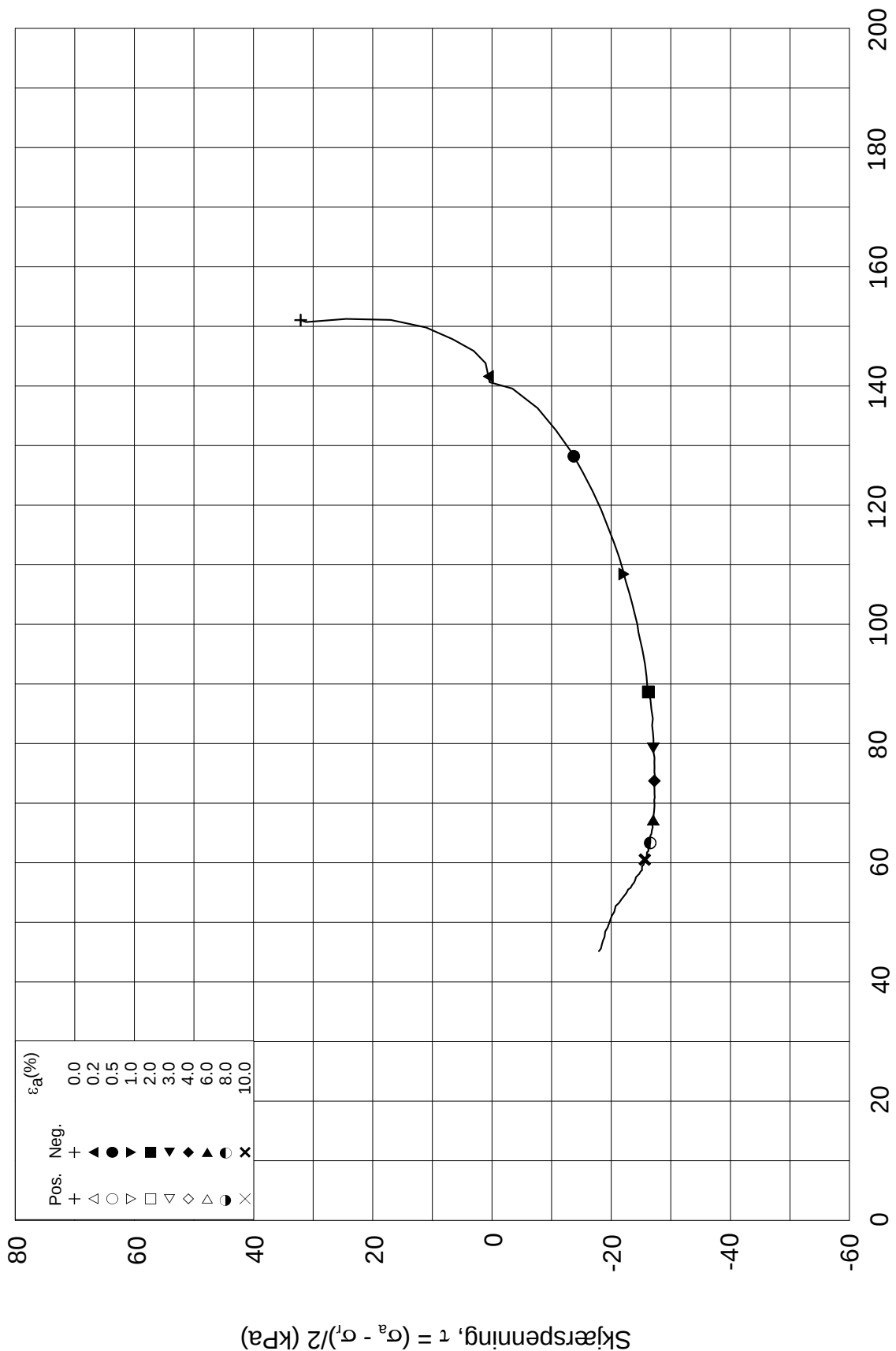
Tegnet av
MAS

Test: **1**

w_c = **48.5** %

σ_{rc}' = - - **118.9**





Date/Rev.: 2009-11-03/01

E16 Nybakk - Slomarka

Dokument nr.
20120491-02-R

Treaksial forsøk: **CAUP**

Dato
2013-04-19

Boring: **2222**

Dybde = **17.54** m

Konsolidering-spenninger

Sylinder: **15**

$p_{o'}$ = **182.9** kPa

(kPa)	maks.	min.	endelig
σ_{ac}'	-	-	183.0
σ_{rc}'	-	-	118.9

Del: **C**

w_i = **50.7** %

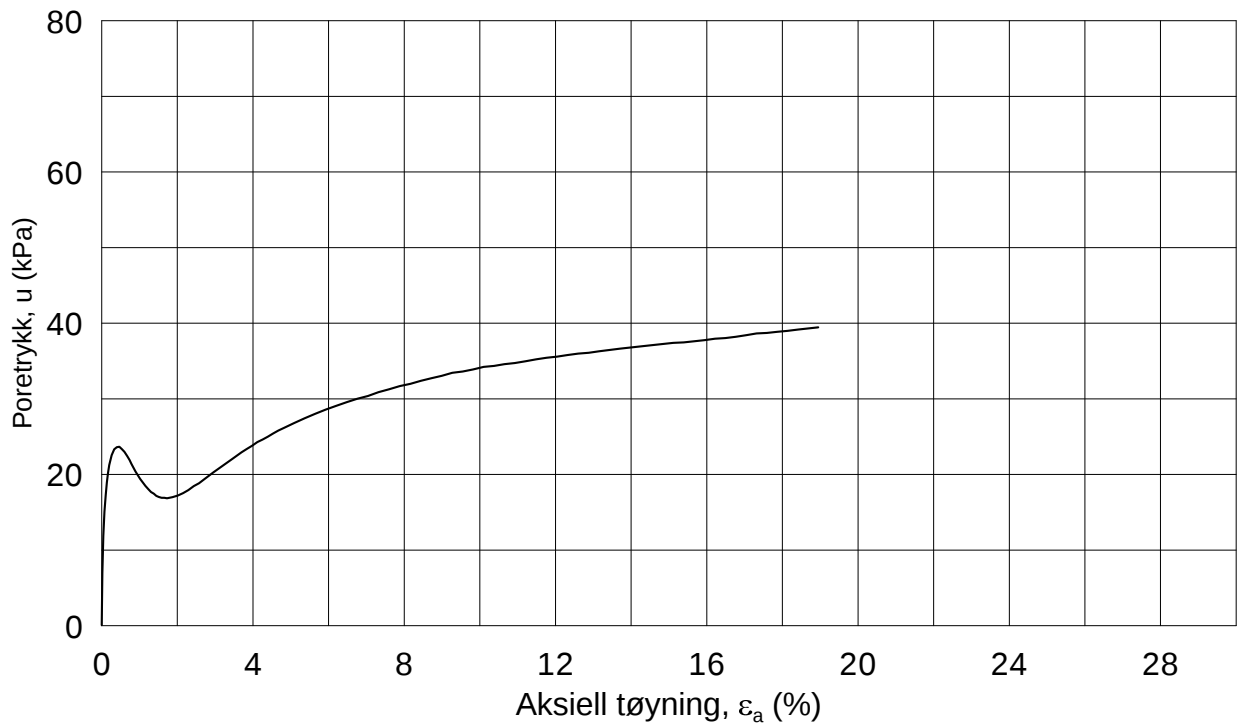
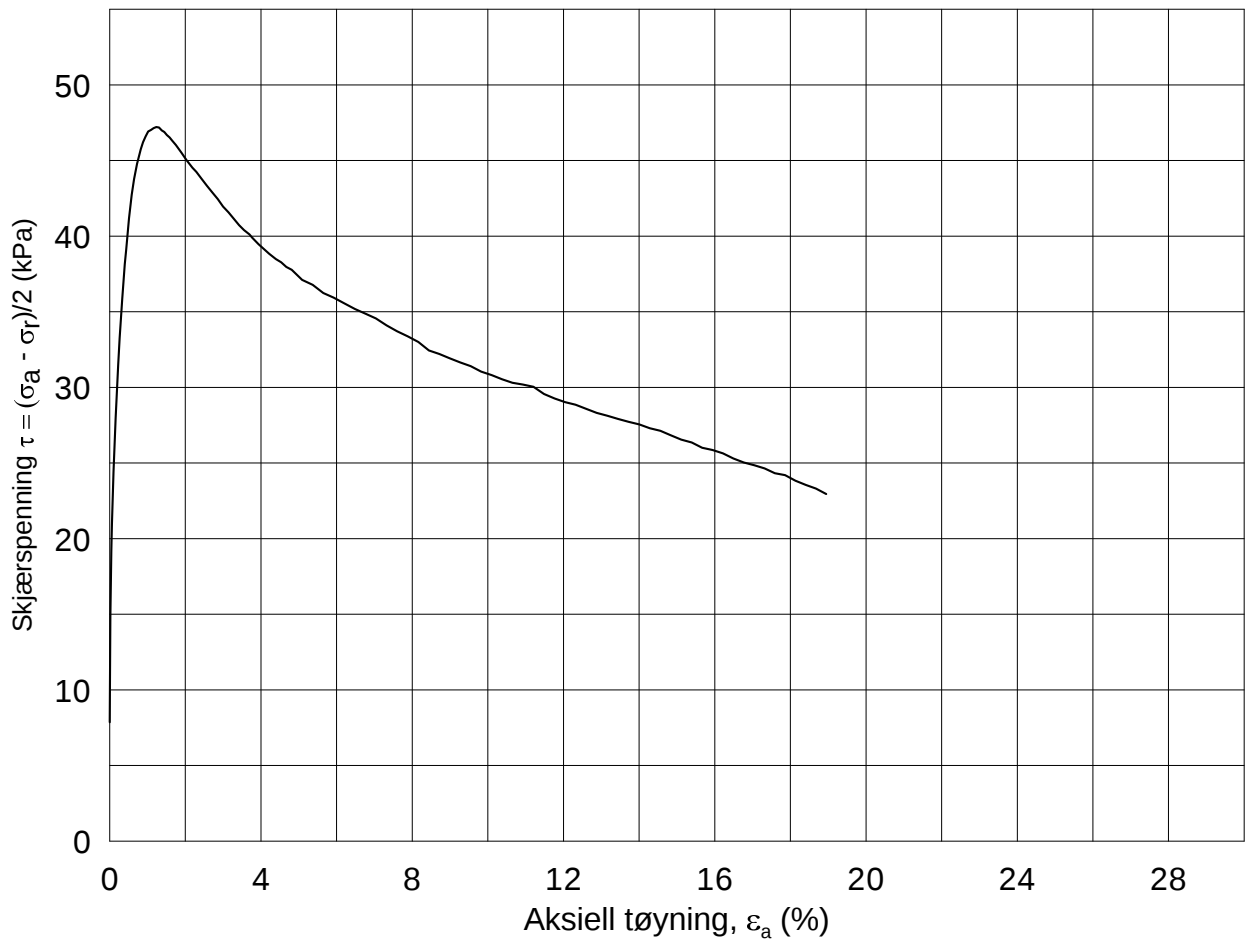
Tegnet av
MAS

Test: **1**

w_c = **48.5** %

Figur nr.
G76





Date/Rev.: 2009-11-03/01

E16 Nybakk - Slomarka

Dokument nr.
20120491-02-R

Treaksial forsøk: **CAUA**

Dato
2013-04-10

Boring: **2264**

Dybde = **5.35** m

Konsolidering-spenninger

Sylinder: **5**

$p_{o'}$ = **78.2** kPa

(kPa) maks. min. endelig

Figur nr.
G77

Del: **B**

w_i = **33.3** %

σ_{ac}' = - - **78.2**

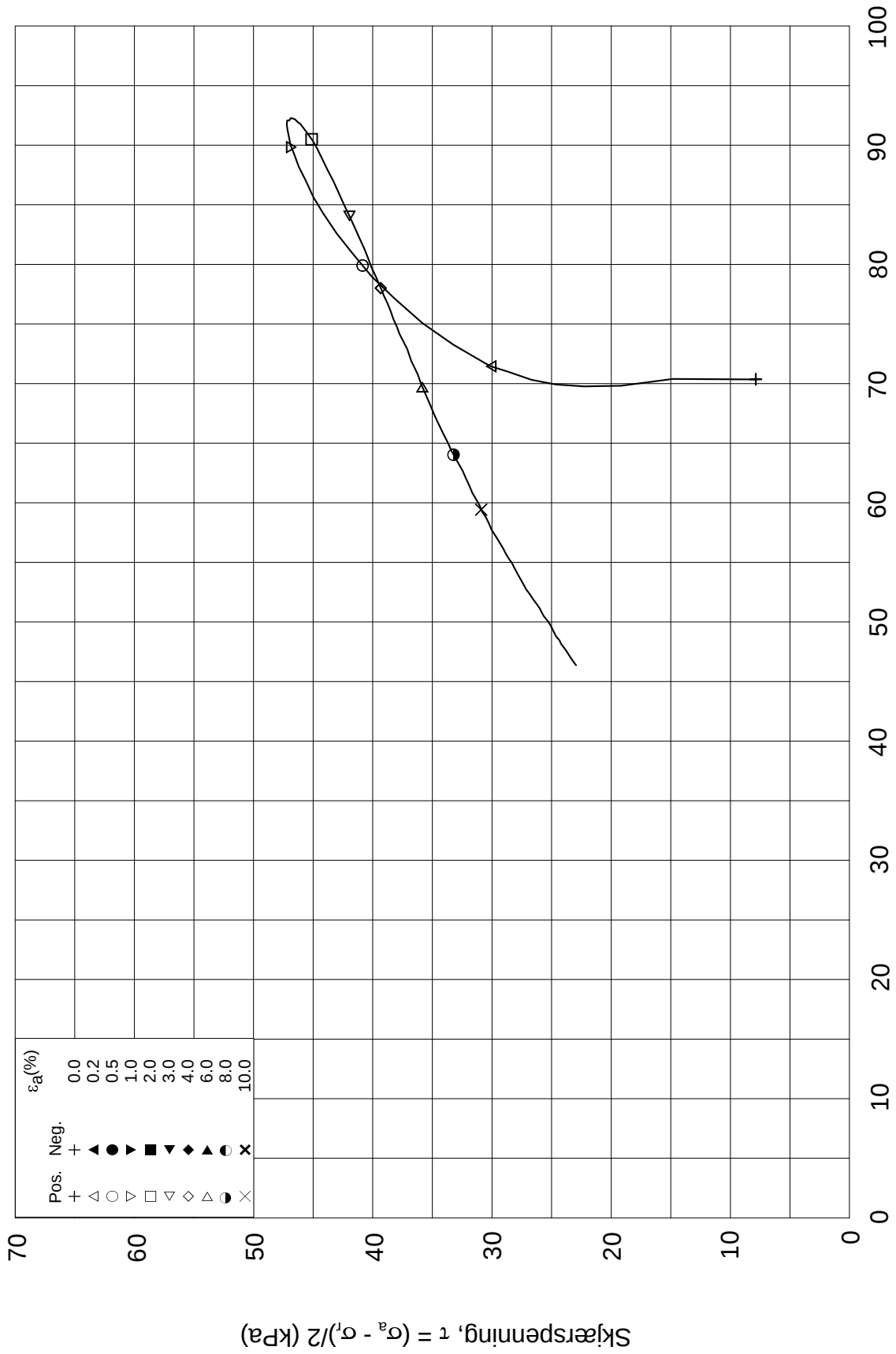
Tegnet av
MAS

Test: **1**


w_c = **33.1** %

σ_{rc}' = - - **62.5**

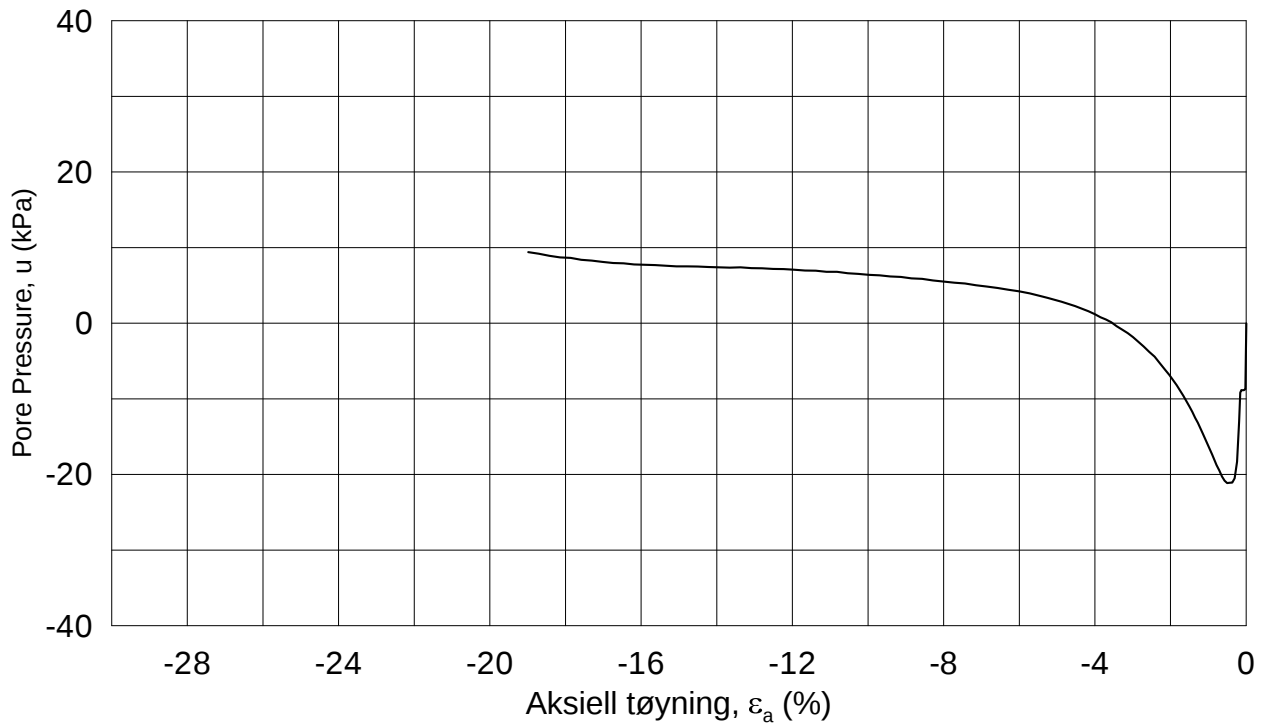
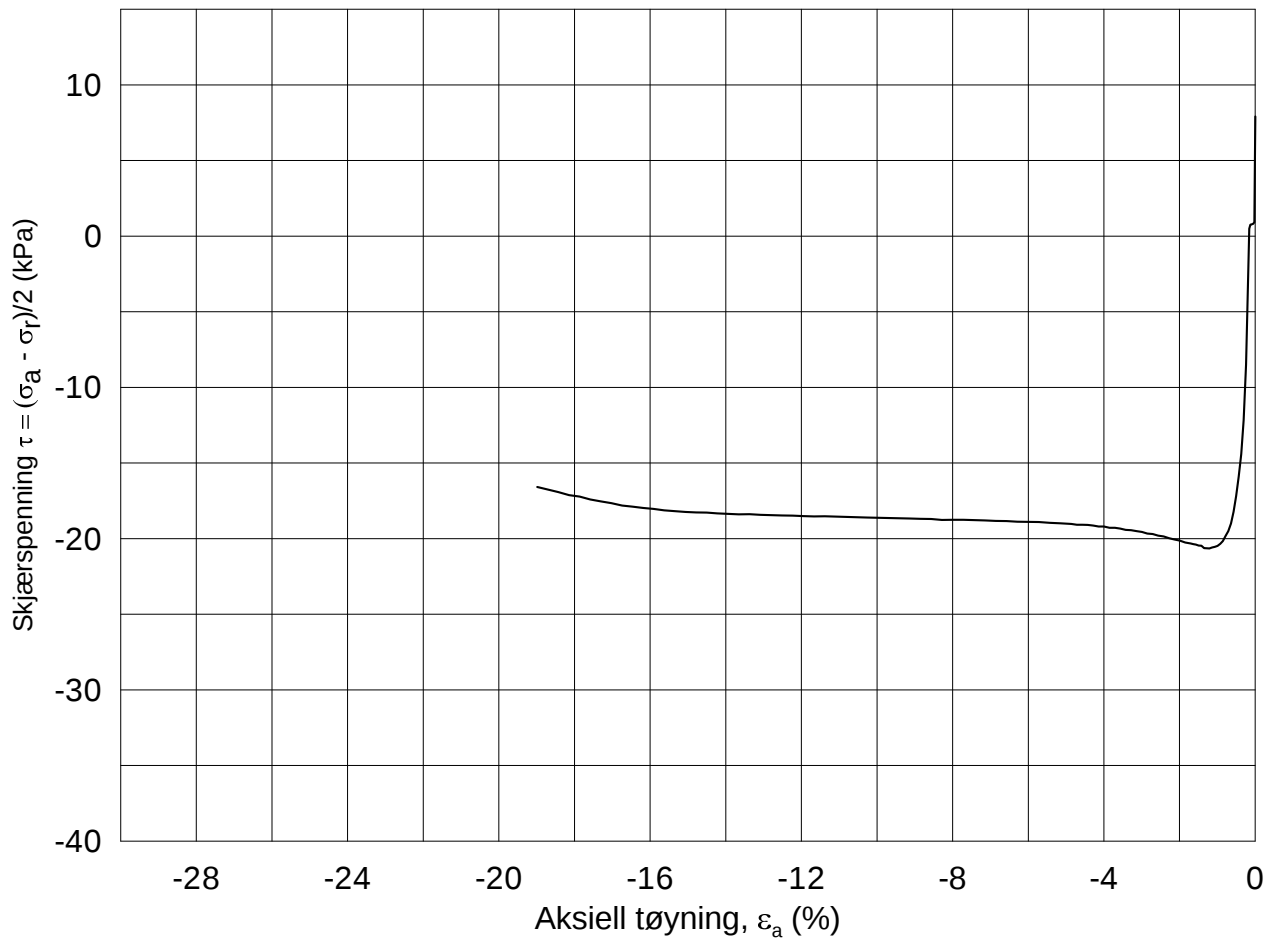




Date/Rev.: 2009-11-03/01

E16 Nybakk - Slomarka			Dokument nr. 20120491-02-R
Treaksial forsøk: CAUA			Dato 2013-04-10
Boring: 2264	Dybde = 5.35 m	Konsolidering-spenninger	
Sylinder: 5	$p_{o'}$ = 78.2 kPa	(kPa)	maks. min. endelig
Del: B	w_i = 33.3 %	$\sigma_{ac}' =$ - - 78.2	Figur nr. G78
Test: 1	w_c = 33.1 %	$\sigma_{rc}' =$ - - 62.5	Tegnet av MAS
			

2264-5-B-1.Plot2.grf



Date/Rev.: 2009-11-03/01

E16 Nybakk - Slomarka

Dokument nr.
20120491-02-R

Treaksial forsøk: **CAUP**

Dato
2013-04-09

Boring: **2264**

Dybde = **5.53** m

Konsolidering-spenninger

Sylinder: **5**

p_o' = **79.8** kPa (kPa) maks. min. endelig

Figur nr.
G79

Del: **C**

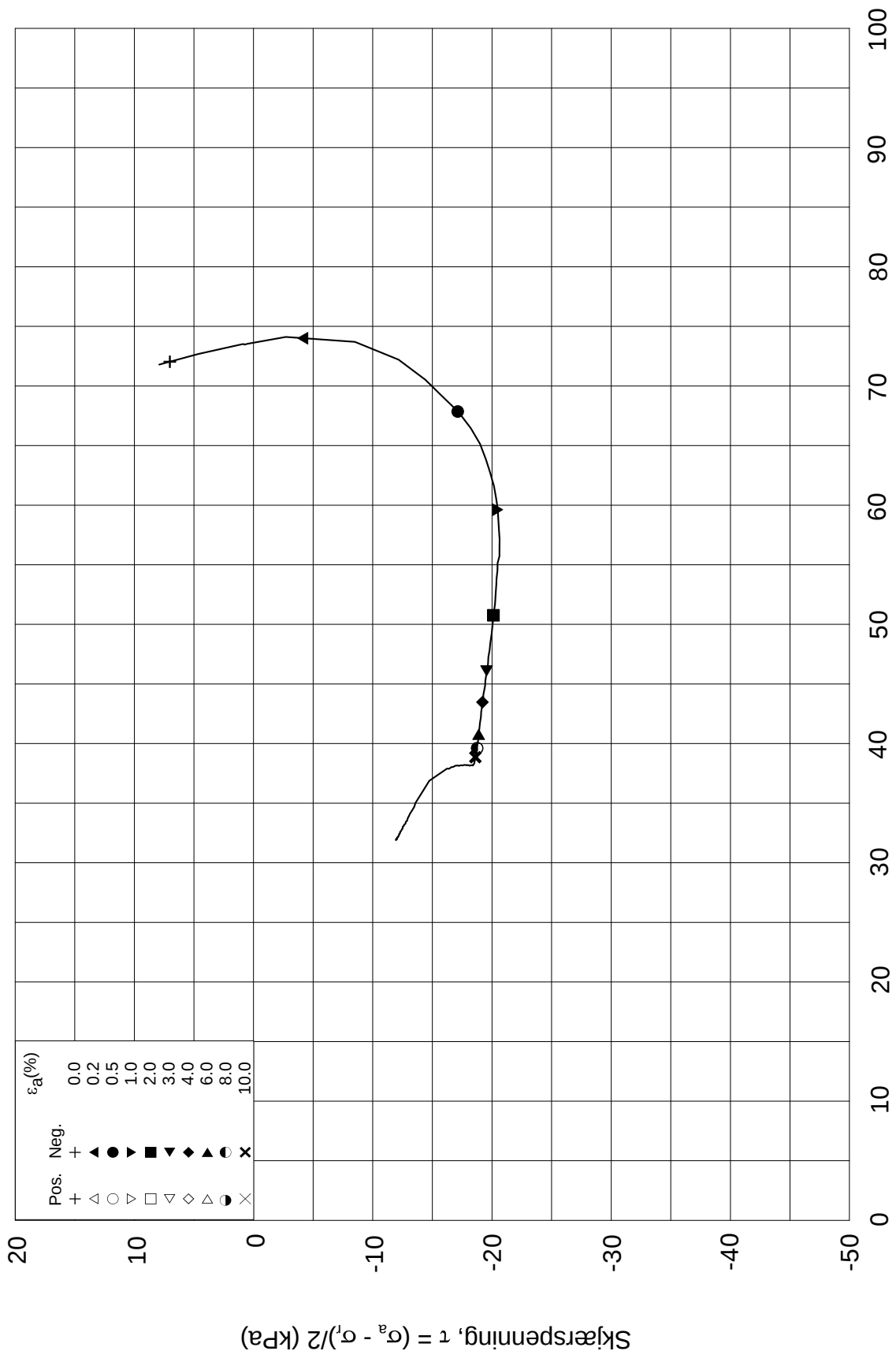
w_i = **39.6** % $\sigma_{ac}' = - - 79.7$

Tegnet av
MAS


Test: **1**

w_c = **39.1** % $\sigma_{rc}' = - - 63.8$

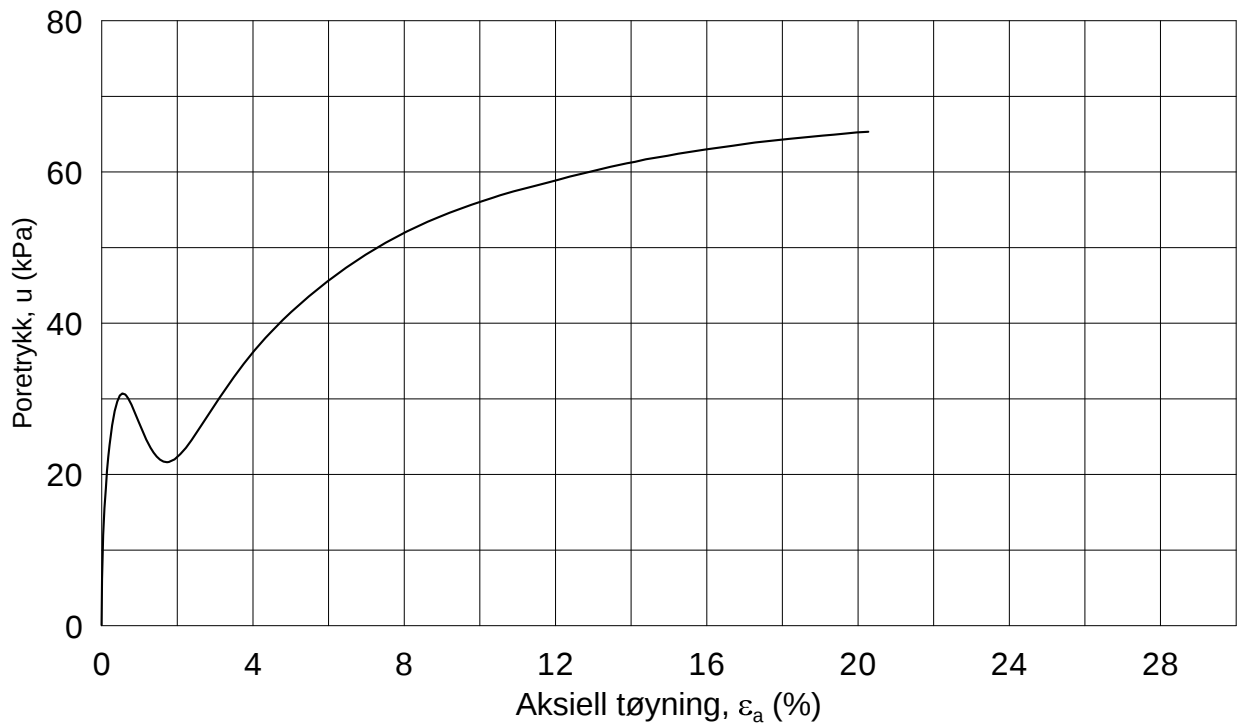
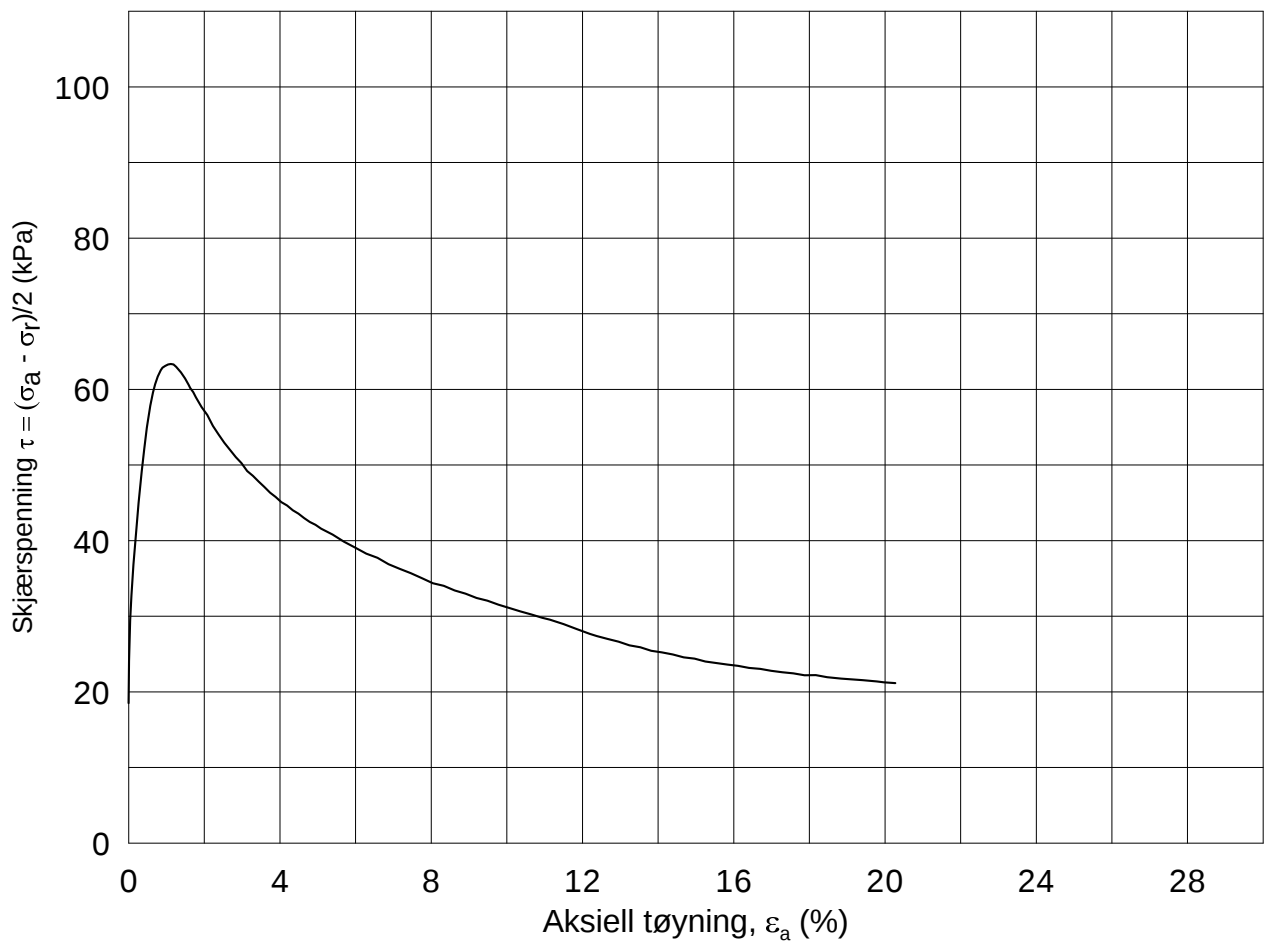




Date/Rev.: 2009-11-03/01

E16 Nybakk - Slomarka			Dokument nr. 20120491-02-R
Treaksial forsøk: CAUP			Dato 2013-04-09
Boring: 2264	Dybde = 5.53 m	Konsolidering-spenninger	
Sylinder: 5	$p_{o'}$ = 79.8 kPa	(kPa)	maks. min. endelig
Del: C	w_i = 39.6 %	$\sigma_{ac}' =$ - - 79.7	Figur nr. G80
Test: 1	w_c = 39.1 %	$\sigma_{rc}' =$ - - 63.8	Tegnet av MAS
			

2264-5-C-1.Plot2.grf



Date/Rev.: 2009-11-03/01

E16 Nybakk - Slomarka

Dokument nr.
20120491-02-R

Treaksial forsøk: **CAUA**

Dato
2013-04-05

Boring: **2264**

Dybde = **10.35** m

Konsolidering-spenninger

Sylinder: **10**

$p_{o'}$ = **123.2** kPa

(kPa) maks. min. endelig

Figur nr.
G81

Del: **B**

w_i = **38.4** %

σ_{ac}' = - - **123.3**

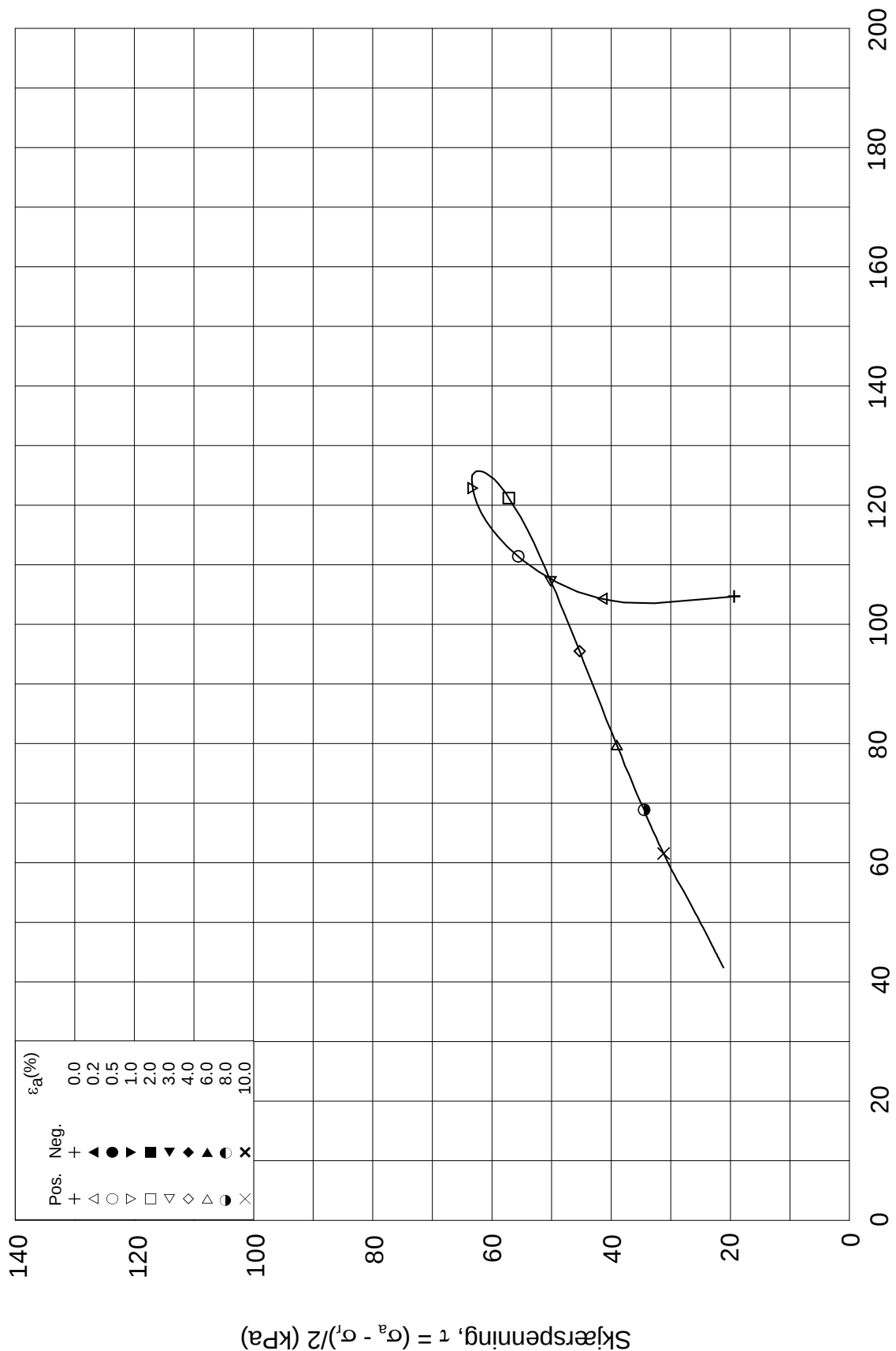
Tegnet av
MAS

Test: **1**

w_c = **37.7** %

σ_{rc}' = - - **86.3**

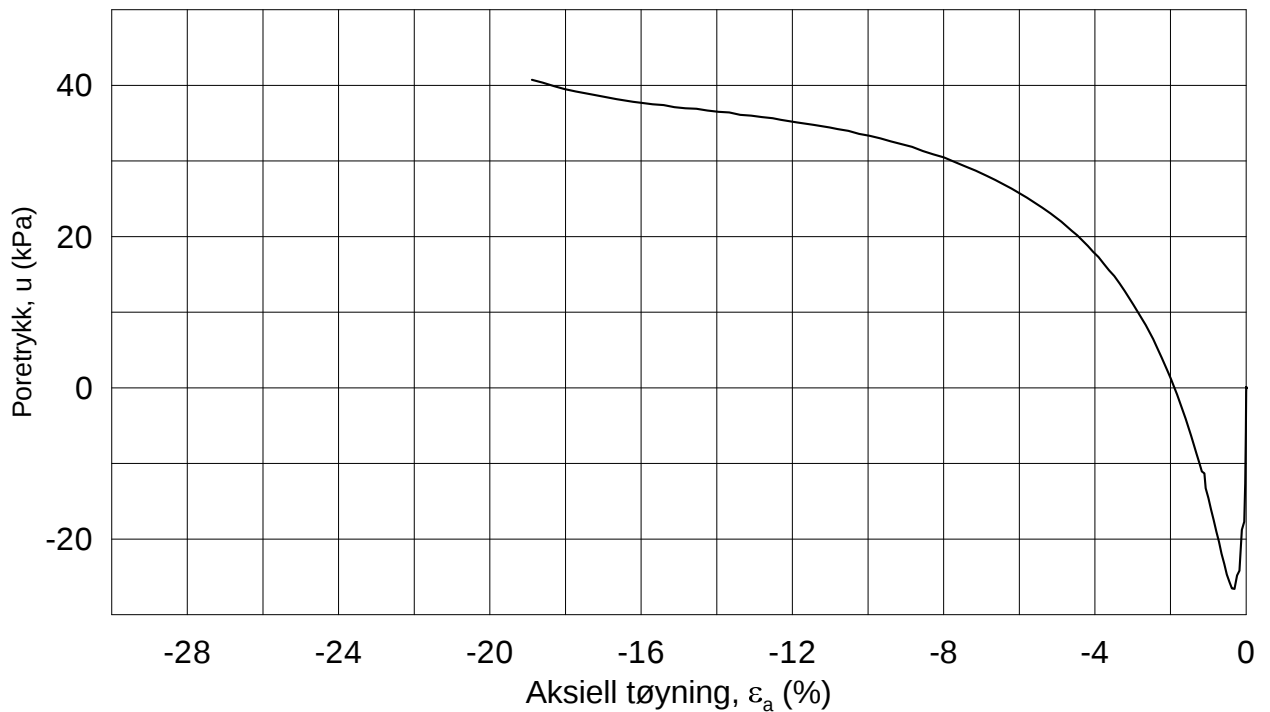
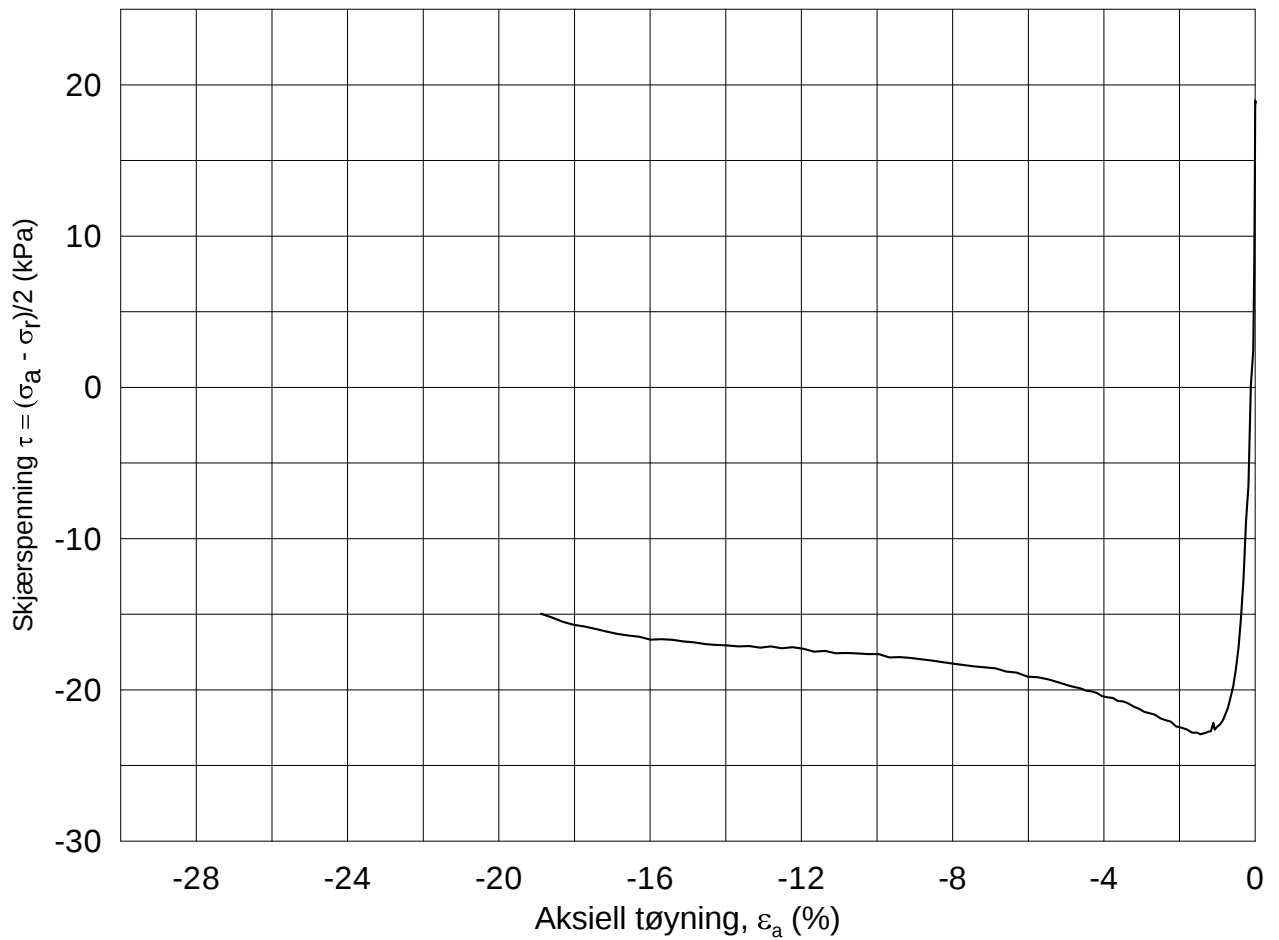




Date/Rev.: 2009-11-03/01

E16 Nybakk - Slomarka			Dokument nr. 20120491-02-R	
Treaksial forsøk: CAUA			Dato 2013-04-05	
Boring: 2264	Dybde = 10.35 m	Konsolidering-spenninger		
Sylinder: 10	$p_{o'}$ = 123.2 kPa	(kPa)	maks.	min.
Del: B	w_i = 38.4 %	σ_{ac}' =	-	-
Test: 1	w_c = 37.7 %	σ_{rc}' =	-	-
		endelig	123.3	
			86.3	
		Figur nr.	G82	
		Tegnet av	MAS	

2264-10-B-1-1.Plot2.grf



Date/Rev.: 2009-11-03/01

E16 Nybakk - Slomarka

Dokument nr.
20120491-02-R

Treaksial forsøk: **CAUP**

Dato
2013-04-09

Boring: **2264**

Dybde = **10.52** m

Konsolidering-spenninger

Sylinder: **10**

p_o' = **124.7** kPa

(kPa) maks. min. endelig

Figur nr.
G83

Del: **C**

w_i = **37.8** %

σ_{ac}' = - - **124.8**

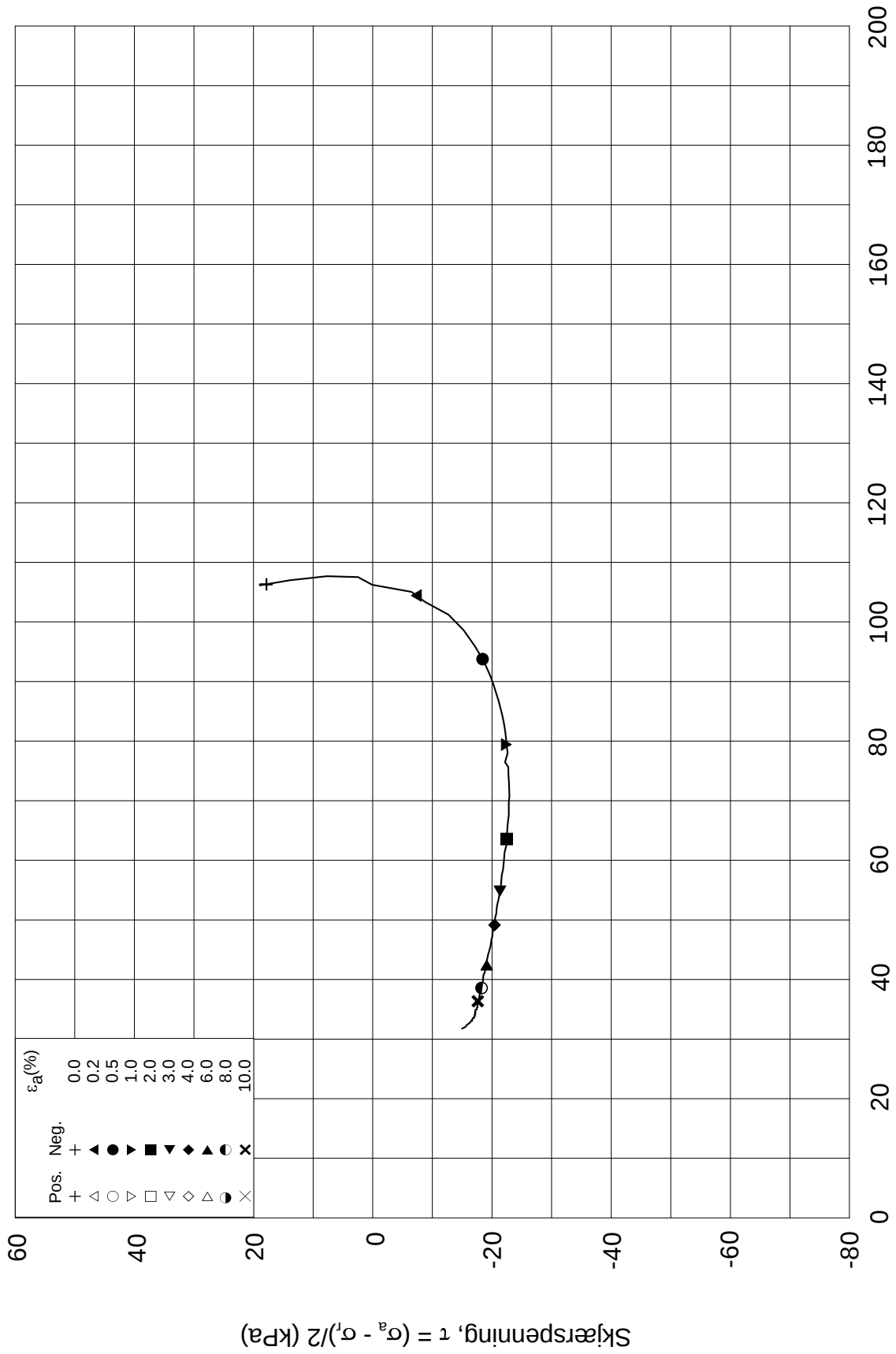
Tegnet av
MAS

Test: **1**

w_c = **36.6** %


σ_{rc}' = - - **87.3**



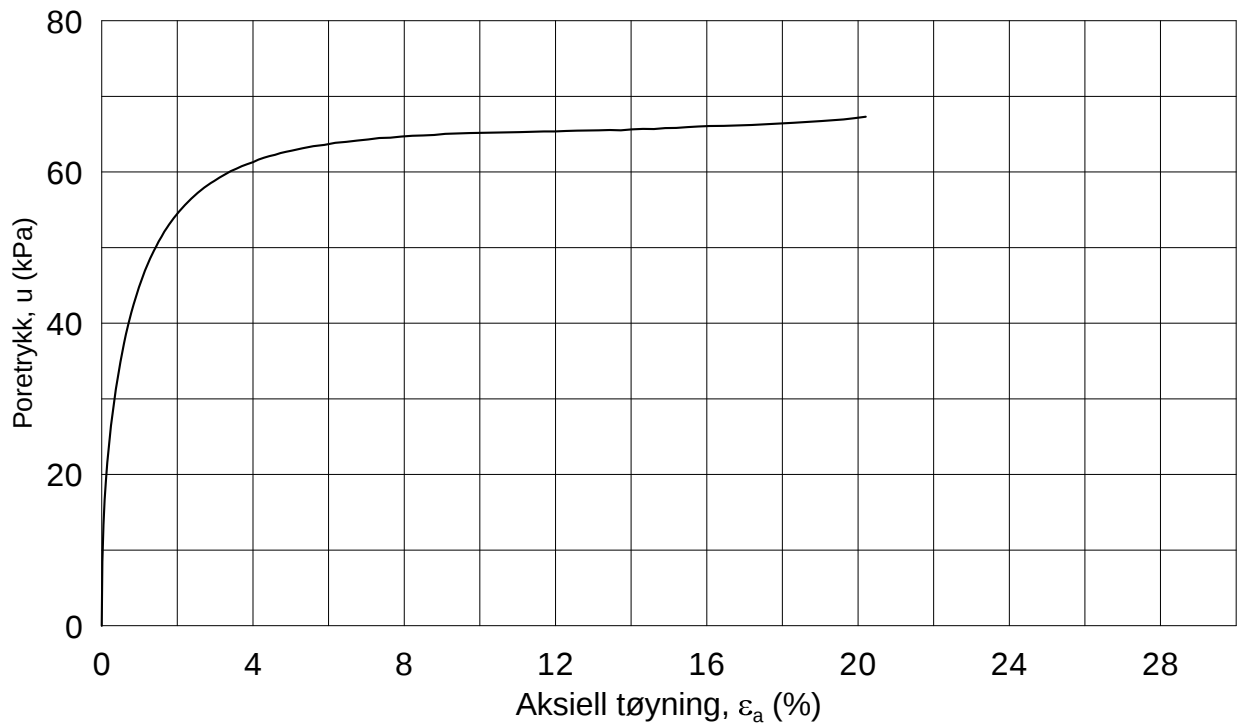
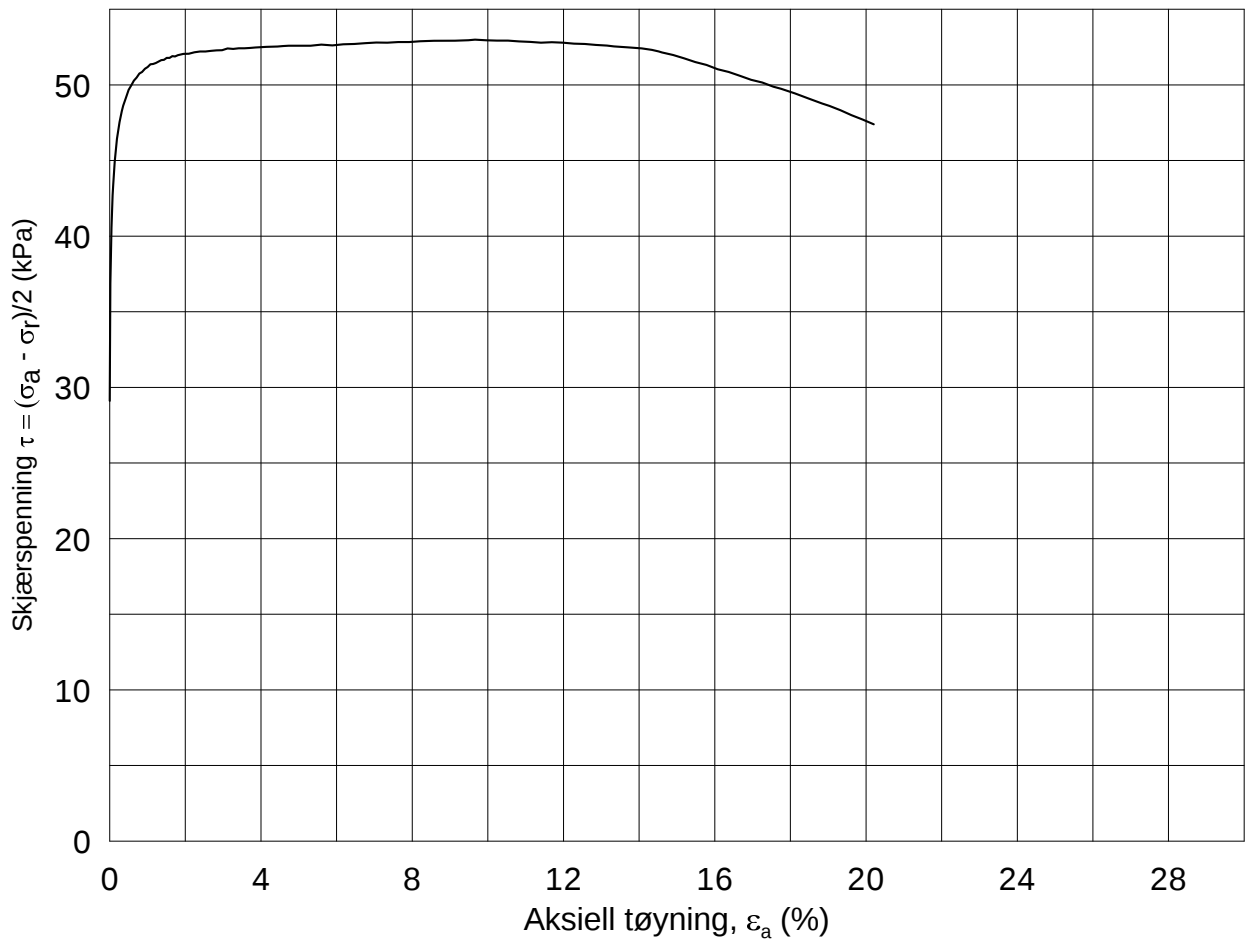


Effektiv gjennomsnittsspenning, $p' = (\sigma_a' + \sigma_r')/2$ (kPa)

Date/Rev.: 2009-11-03/01

E16 Nybakk - Slomarka		Dokument nr. 20120491-02-R	
Treaksial forsøk: CAUP		Dato 2013-04-09	
Boring: 2264	Dybde = 10.52 m	Konsolidering-spenninger	
Sylinder: 10	$p_{o'}$ = 124.7 kPa	(kPa)	maks. min. endelig
Del: C	w_i = 37.8 %	$\sigma_{ac}' =$	- - 124.8
Test: 1	w_c = 36.6 %	$\sigma_{rc}' =$	- - 87.3
		Figur nr. G84	
		Tegnet av MAS	

2264-10-C-1-1.Plot2.grf



Date/Rev.: 2009-11-03/01

E16 Nybakk - Slomarka

Dokument nr.
20120491-02-R

Treaksial forsøk: **CAUA**

Dato
2013-04-09

Boring: **2264**

Dybde = **15.56** m

Konsolidering-spenninger

Sylinder: **15**

$p_{o'}$ = **170.0** kPa

(kPa)	maks.	min.	endelig
σ_{ac}' =	-	-	170.0
σ_{rc}' =	-	-	112.3

Figur nr.

G85

Del: **B**

w_i = **34.2** %

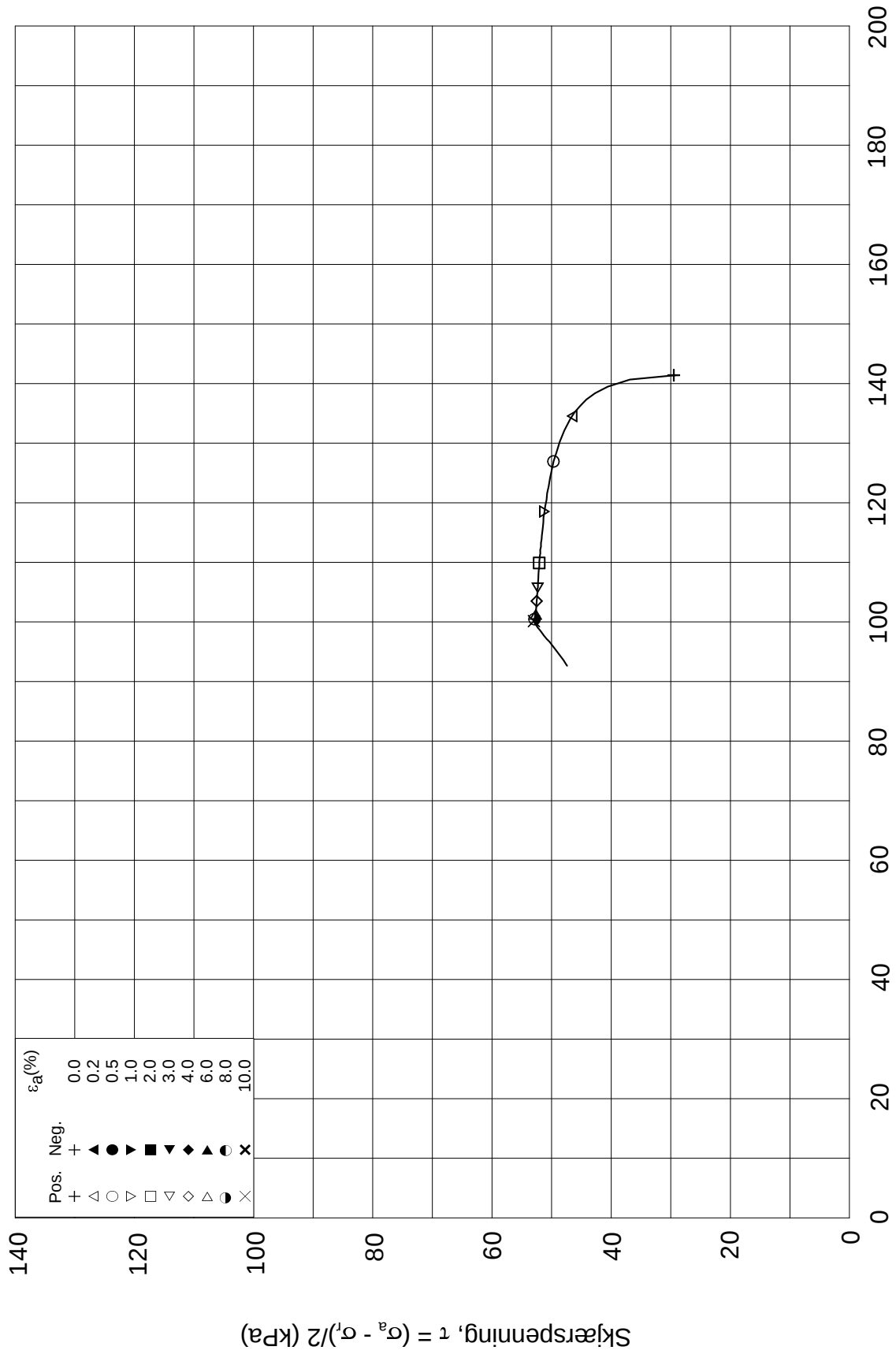
Tegnet av

MAS

Test: **1**

w_c = **30.7** %



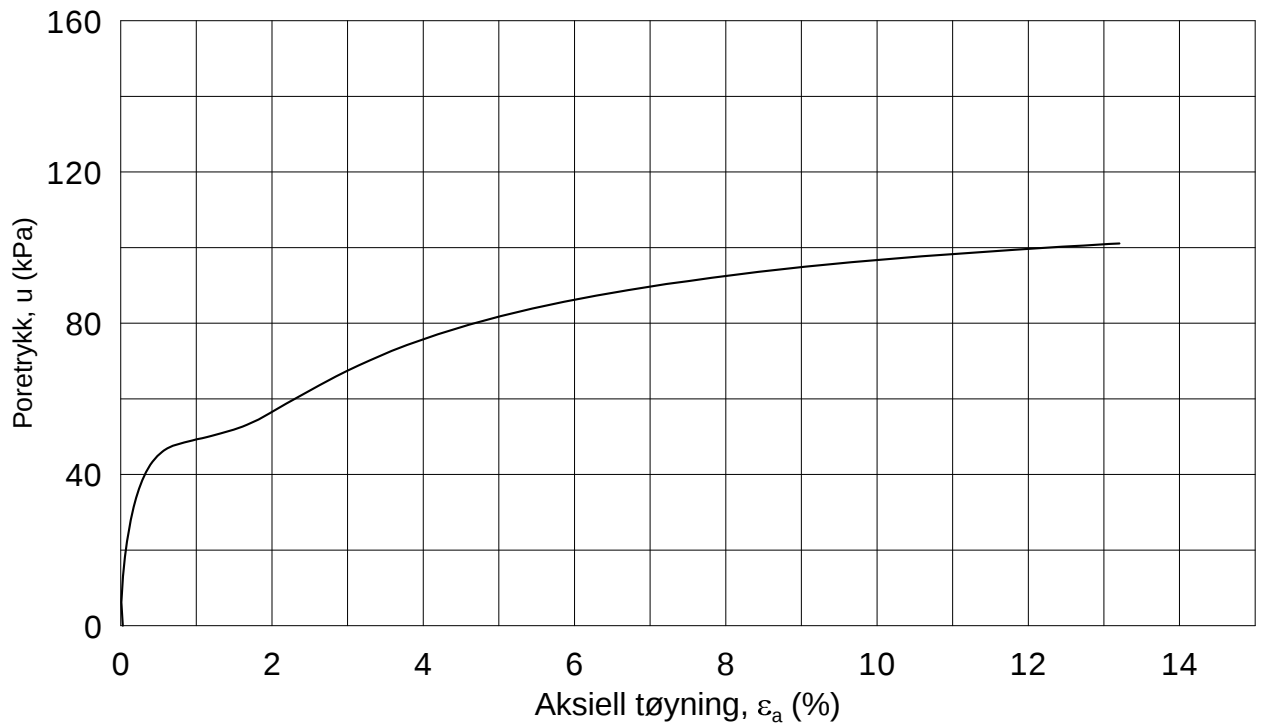
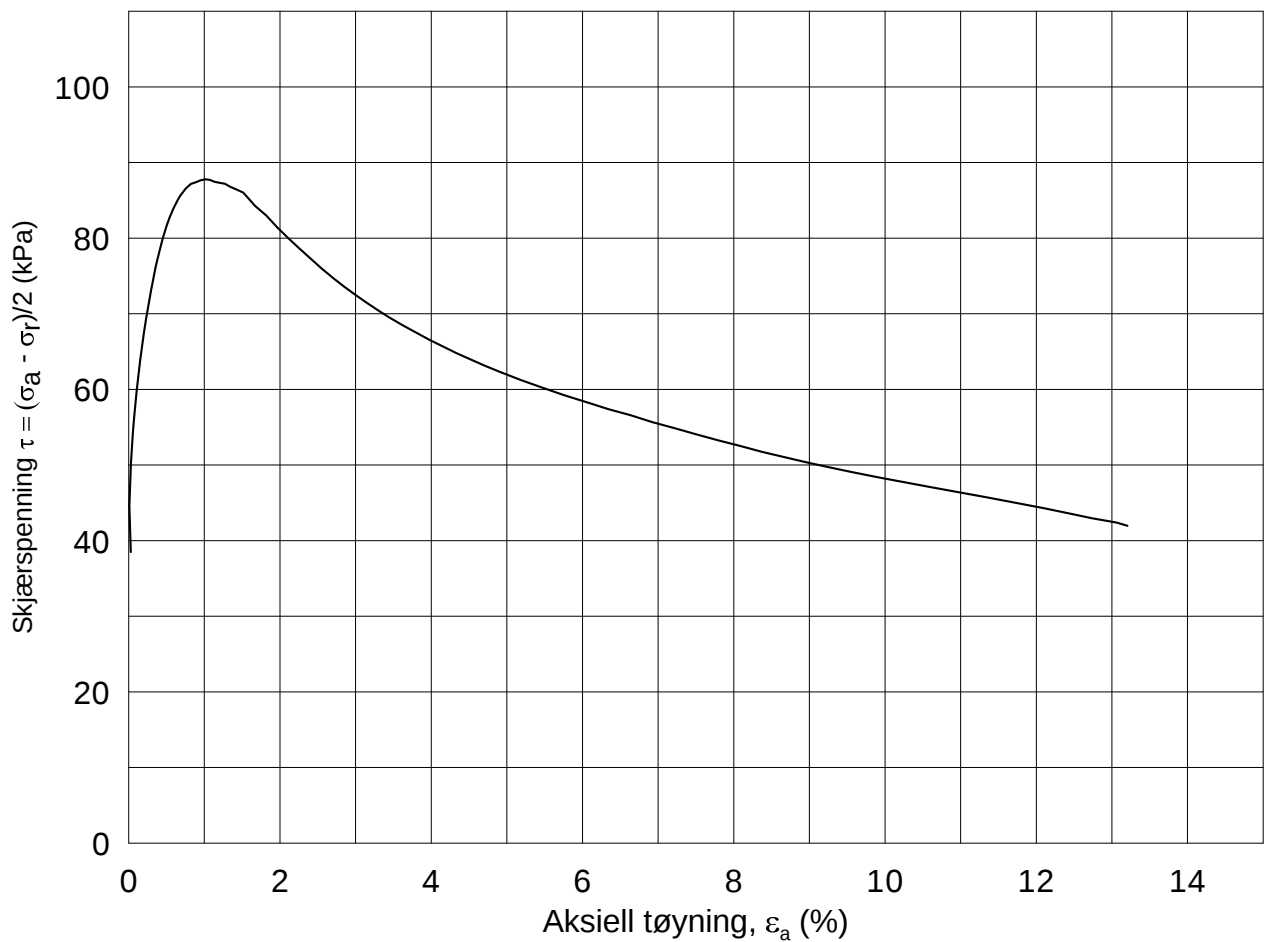


Effektiv gjennomsnittsspenning, $p' = (\sigma_a' + \sigma_r')/2$ (kPa)

Date/Rev.: 2009-11-03/01

E16 Nybakk - Slomarka			Dokument nr. 20120491-02-R	
Treaksial forsøk: CAUA			Dato 2013-04-09	
Boring: 2264	Dybde = 15.56 m	Konsolidering-spenninger		
Sylinder: 15	$p_{o'}$ = 170.0 kPa	(kPa)	maks.	min.
Del: B	w_i = 34.2 %	σ_{ac}' =	-	-
Test: 1	w_c = 30.7 %	σ_{rc}' =	-	-
		endelig	170.0	
			112.3	
		Figur nr.	G86	
		Tegnet av	MAS	

2264-15-B-1-1.Plot2.grf



Date/Rev.: 2009-11-03/01

E16 Nybakk - Slomarka

Dokument nr.
20120491-02-R

Treaksial forsøk: **CAUA**

Dato
2013-04-10

Boring: **2264**

Dybde = **20.46** m

Konsolidering-spenninger

Sylinder: **20**

$p_{o'}$ = **214.1** kPa

(kPa) maks. min. endelig

Figur nr.
G87

Del: **C**

w_i = **32.4** %

σ_{ac}' = - - **214.1**

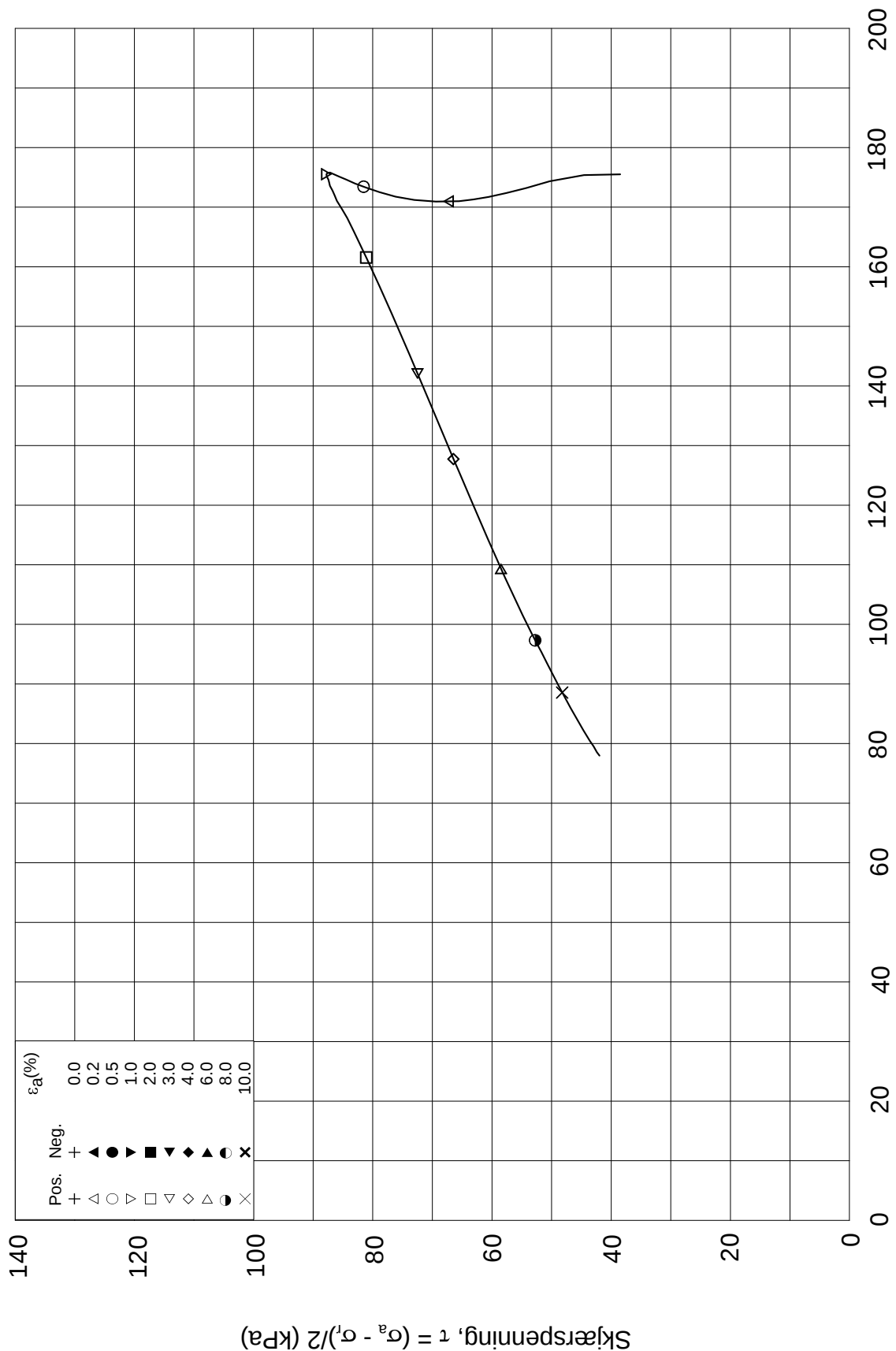
Tegnet av
MAS

Test: **1**

w_c = **31.5** %

σ_{rc}' = - - **137.0**





Effektiv gjennomsnittsspenning, $p' = (\sigma_a' + \sigma_r')/2$ (kPa)

Date/Rev.: 2009-11-03/01

E16 Nybakk - Slomarka

Dokument nr.
20120491-02-R

Treaksial forsøk: **CAUA**

Dato
2013-04-10

Boring: **2264**

Dybde = **20.46** m

Konsolidering-spenninger

Sylinder: **20**

$p_{o'}$ = **214.1** kPa

(kPa) maks. min. endelig

Figur nr.
G88

Del: **C**

w_i = **32.4** %

σ_{ac}' = - - **214.1**

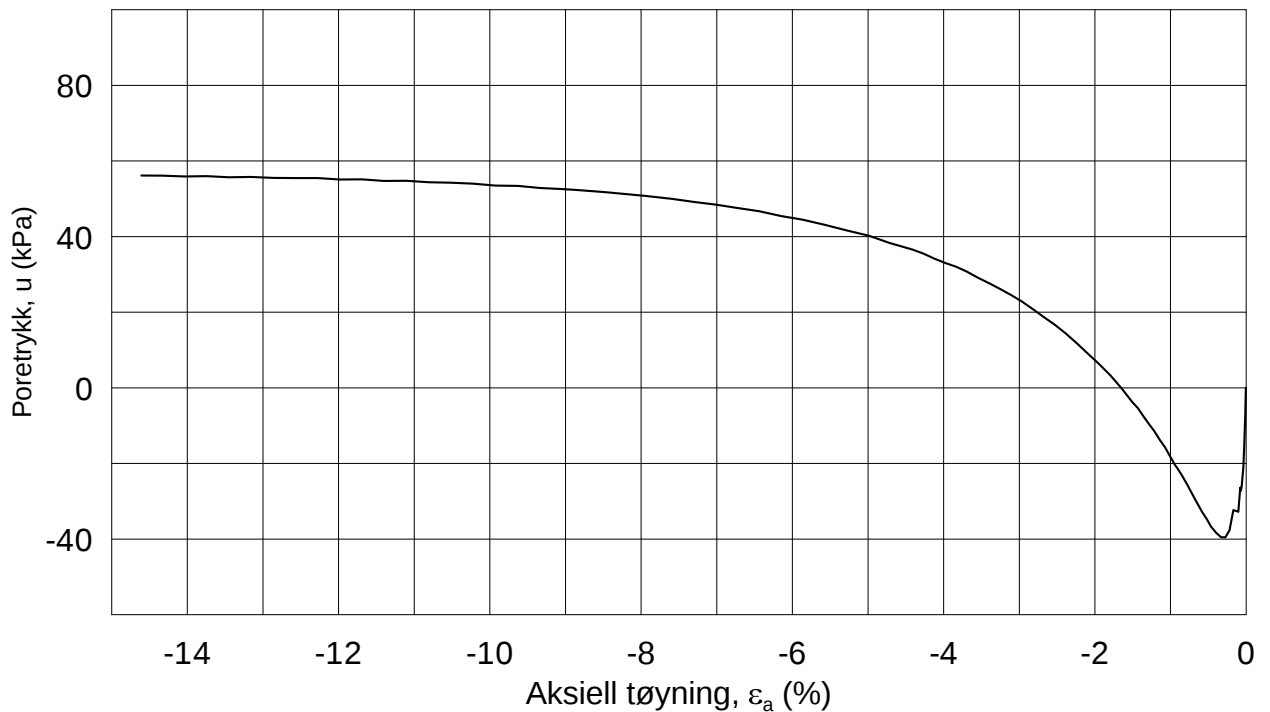
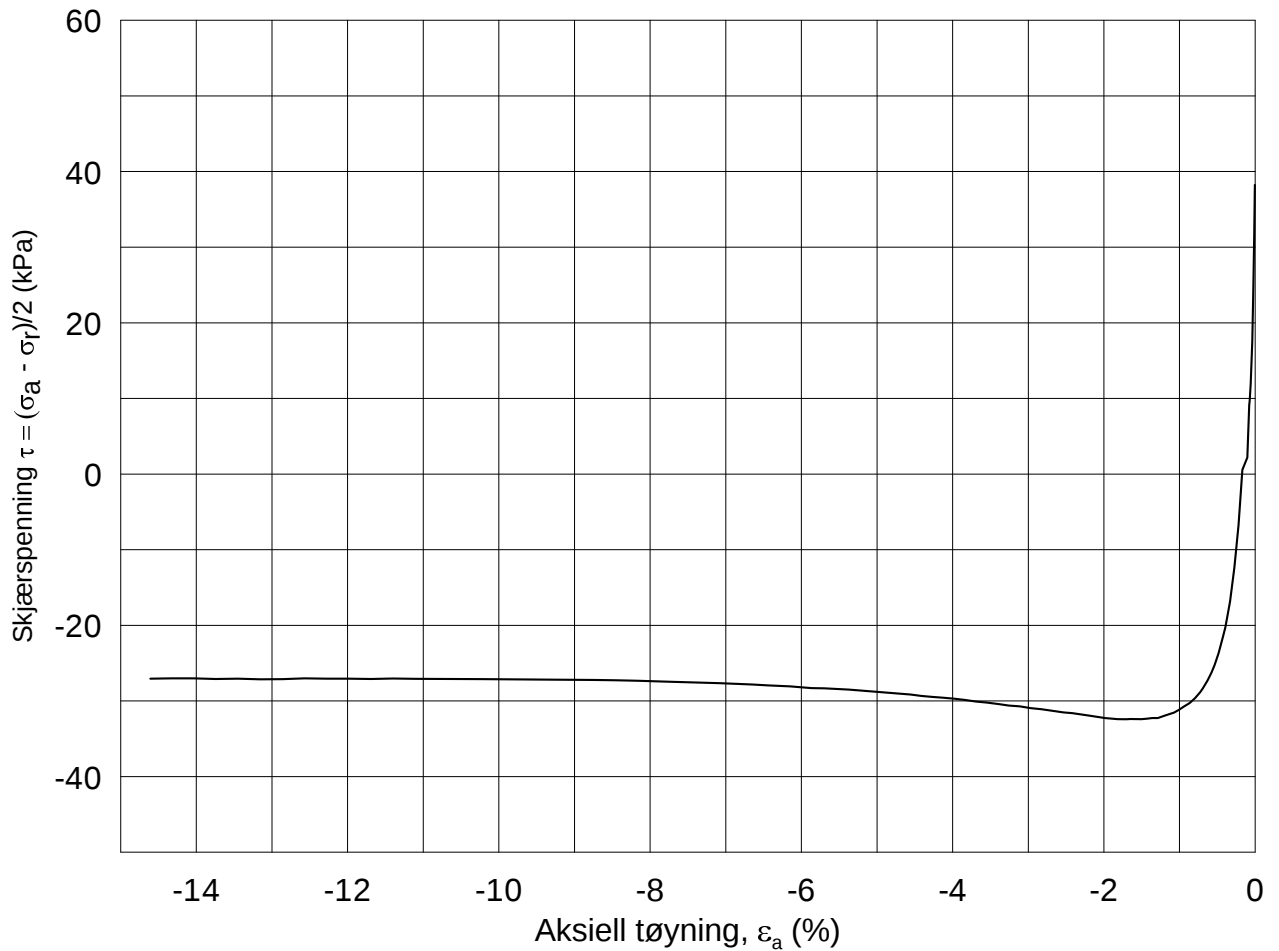
Tegnet av
MAS

Test: **1**

w_c = **31.5** %

σ_{rc}' = - - **137.0**





Date/Rev.: 2009-11-03/01

E16 Nybakk - Slomarka

Dokument nr.
20120491-02-R

Treaksial forsøk: **CAUP**

Dato
2013-04-10

Boring: **2264**

Dybde = **20.21** m

Konsolidering-spenninger

Sylinder: **20**

$p_{o'}$ = **211.9** kPa

(kPa)	maks.	min.	endelig
σ_{ac}' =	-	-	211.9
σ_{rc}' =	-	-	135.6

Del: **A**

w_i = **33.3** %

Test: **1**

w_c = **32.2** %

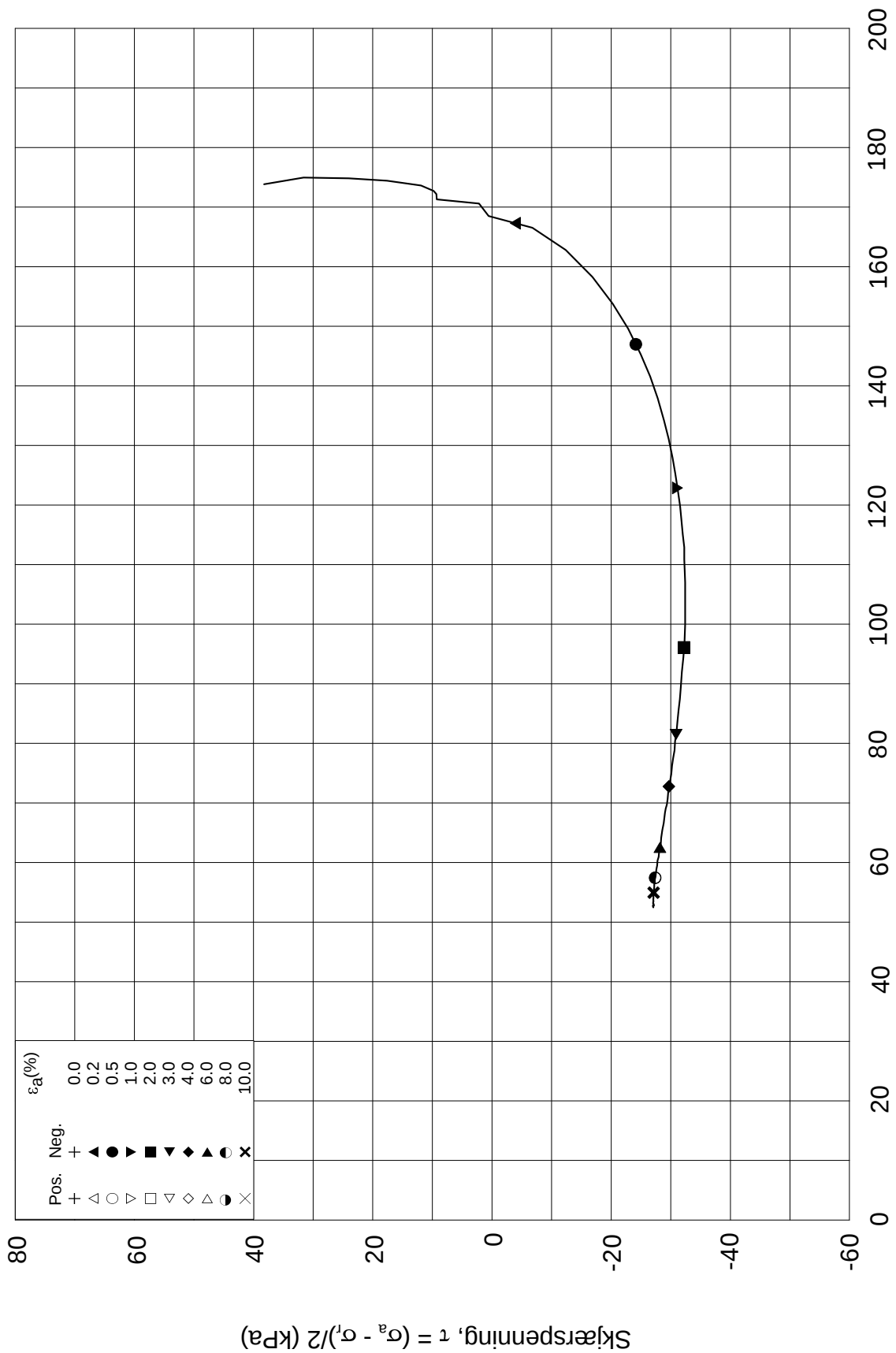
Figur nr.

G89

Tegnet av

MAS





Effektiv gjennomsnittsspenning, $p' = (\sigma_a' + \sigma_r')/2$ (kPa)

Date/Rev.: 2009-11-03/01

E16 Nybakk - Slomarka

Dokument nr.
20120491-02-R

Treaksial forsøk: **CAUP**

Dato
2013-04-10

Boring: **2264**

Dybde = **20.21** m

Konsolidering-spenninger

Sylinder: **20**

$p_{o'}$ = **211.9** kPa

(kPa) maks. min. endelig

Figur nr.
G90

Del: **A**

w_i = **33.3** %

σ_{ac}' = - - **211.9**

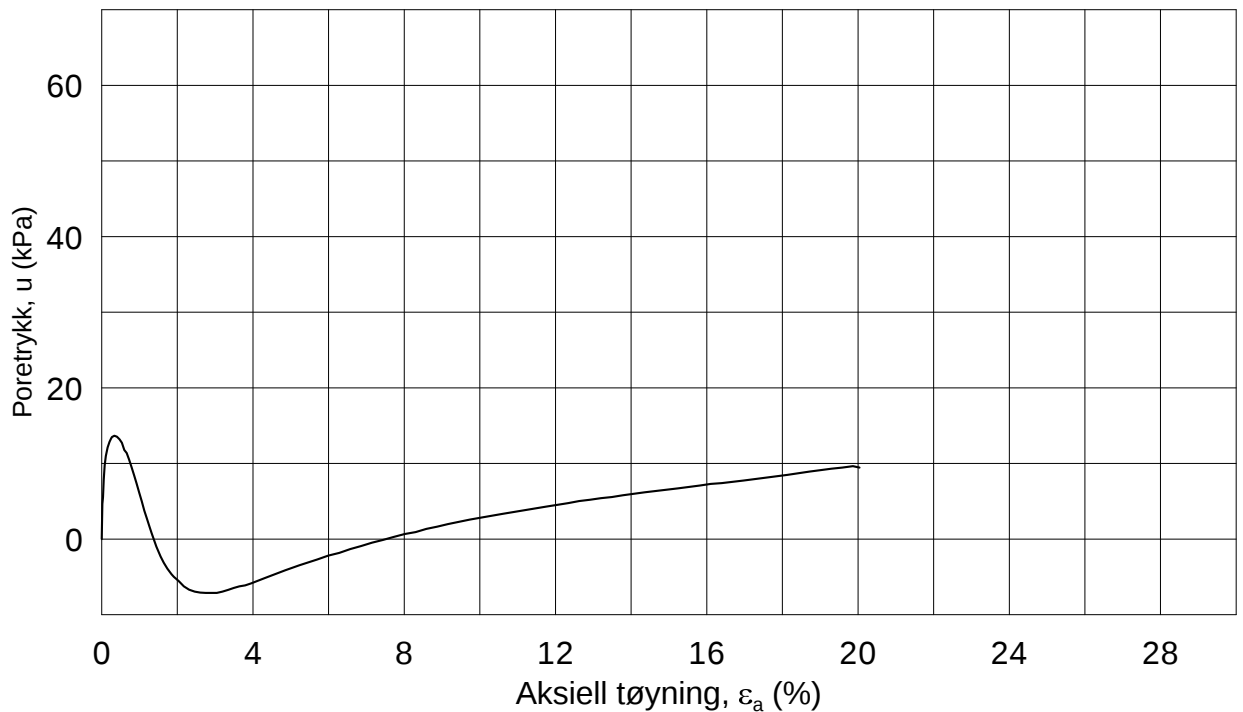
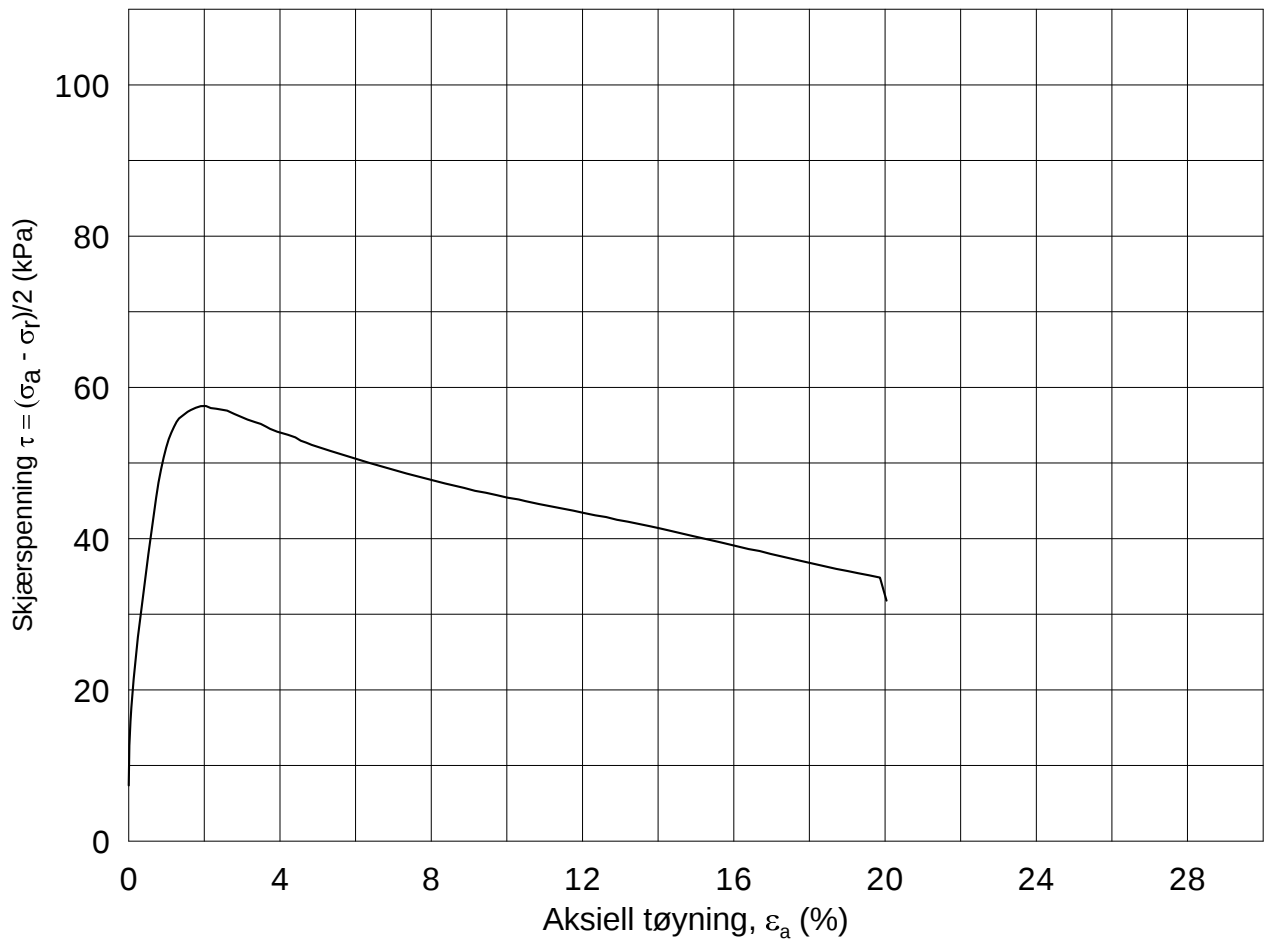
Tegnet av
MAS

Test: **1**

w_c = **32.2** %

σ_{rc}' = - - **135.6**





Date/Rev.: 2009-11-03/01

E16 Nybakk - Slomarka

Dokument nr.
20120491-02-R

Treaksial forsøk: **CAUA**

Dato
2013-04-10

Boring: **2270**

Dybde = **5.35** m

Konsolidering-spenninger

Sylinder: **5**

$p_{o'}$ = **58.2** kPa

(kPa) maks. min. endelig

Figur nr.
G91

Del: **B**

w_i = **34.1** %

σ_{ac}' = - - **58.2**

Tegnet av
MAS

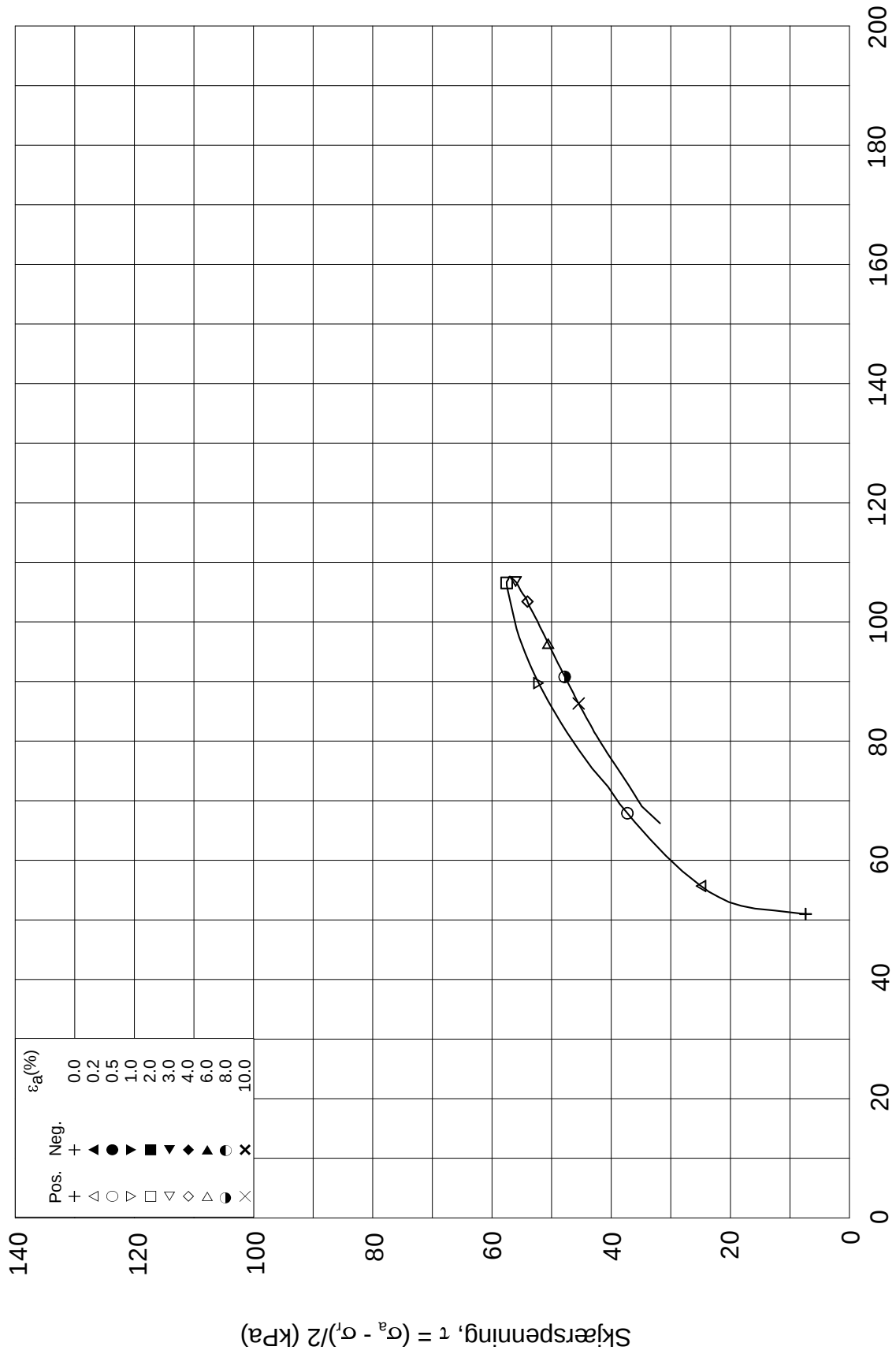
Test: **1**

w_c = **33.8** %

σ_{rc}' = - - **43.6**



Effektiv gjennomsnittsspenning, $p' = (\sigma'_a + \sigma'_l)/2$ (kPa)

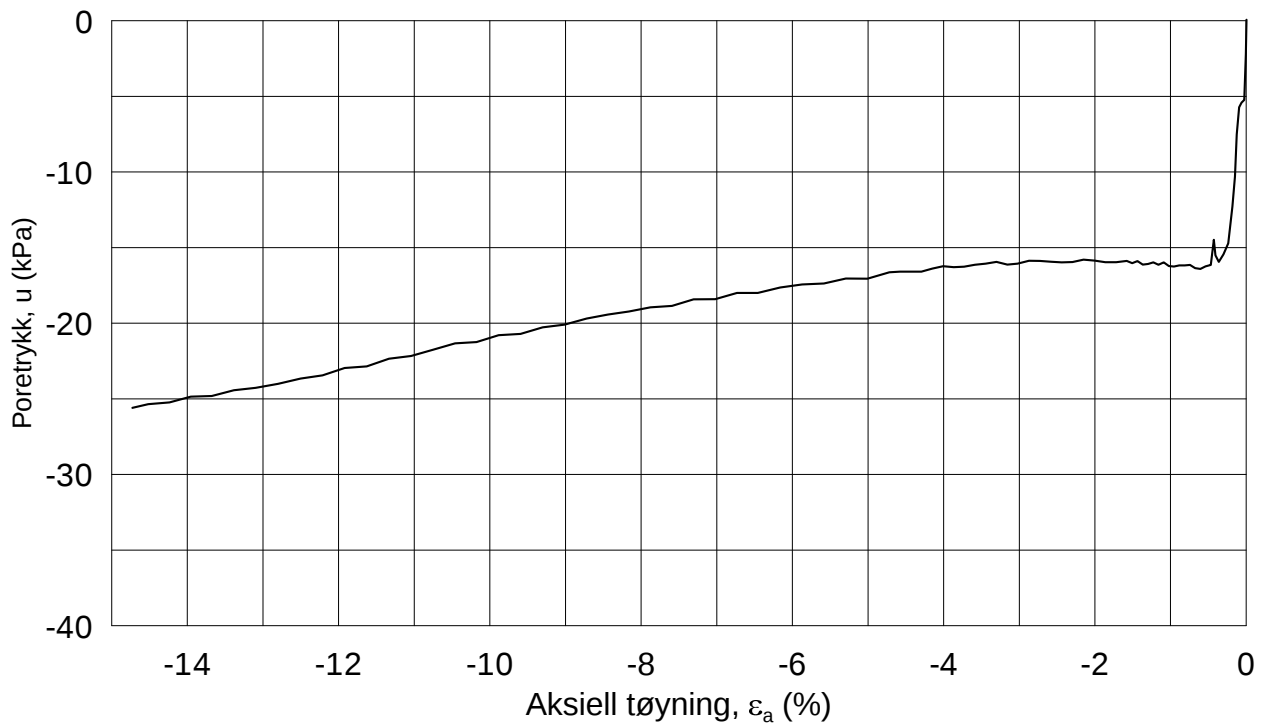
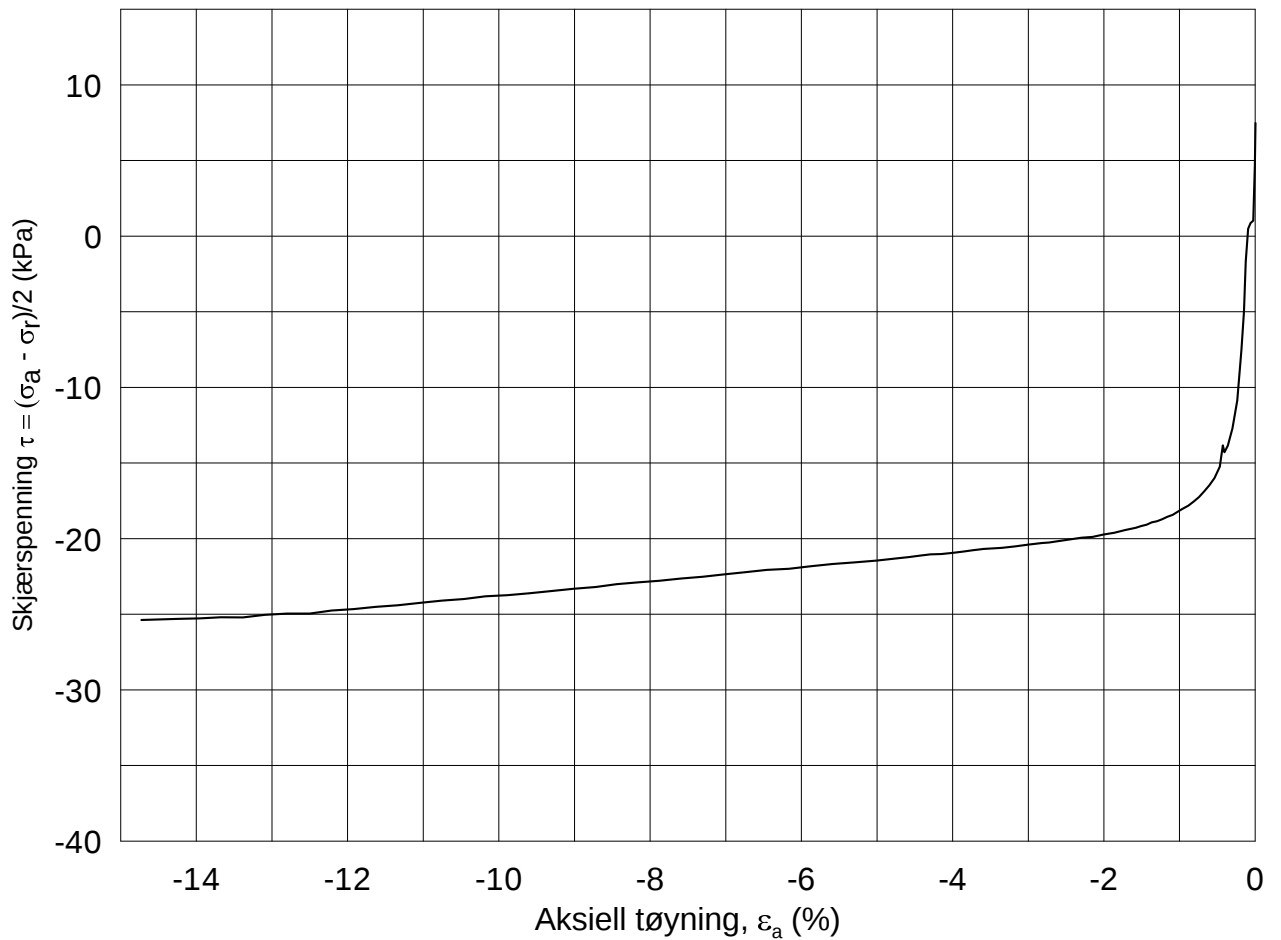


Pos.	+	△	○	▽	□	◇	△	●	×	
	+	▲	●	▼	■	◆	▲	●	×	
Neg.	+	▲	●	▼	■	◆	▲	●	×	
ε_a (%)	0.0	0.2	0.5	1.0	2.0	3.0	4.0	6.0	8.0	10.0

Date/Rev.: 2009-11-03/01

E16 Nybakk - Slomarka			Dokument nr. 20120491-02-R	
Treaksial forsøk: CAUA			Dato 2013-04-10	
Boring: 2270	Dybde = 5.35 m	Konsolidering-spenninger		
Sylinder: 5	$p_{o'}$ = 58.2 kPa	(kPa)	maks.	min.
Del: B	w_i = 34.1 %	σ_{ac}' =	-	-
Test: 1	w_c = 33.8 %	σ_{rc}' =	-	-
		endelig	58.2	
			43.6	
		Figur nr.	G92	
		Tegnet av	MAS	

2270-5-B-1.Plot2.grf



Date/Rev.: 2009-11-03/01

E16 Nybakk - Slomarka

Dokument nr.
20120491-02-R

Treaksial forsøk: **CAUP**

Dato
2013-04-10

Boring: **2270**

Dybde = **5.50** m

Konsolidering-spenninger

Sylinder: **5**

$p_{o'}$ = **59.5** kPa

(kPa)	maks.	min.	endelig
σ_{ac}' =	-	-	59.5
σ_{rc}' =	-	-	44.6

Del: **C**

w_i = **29.7** %

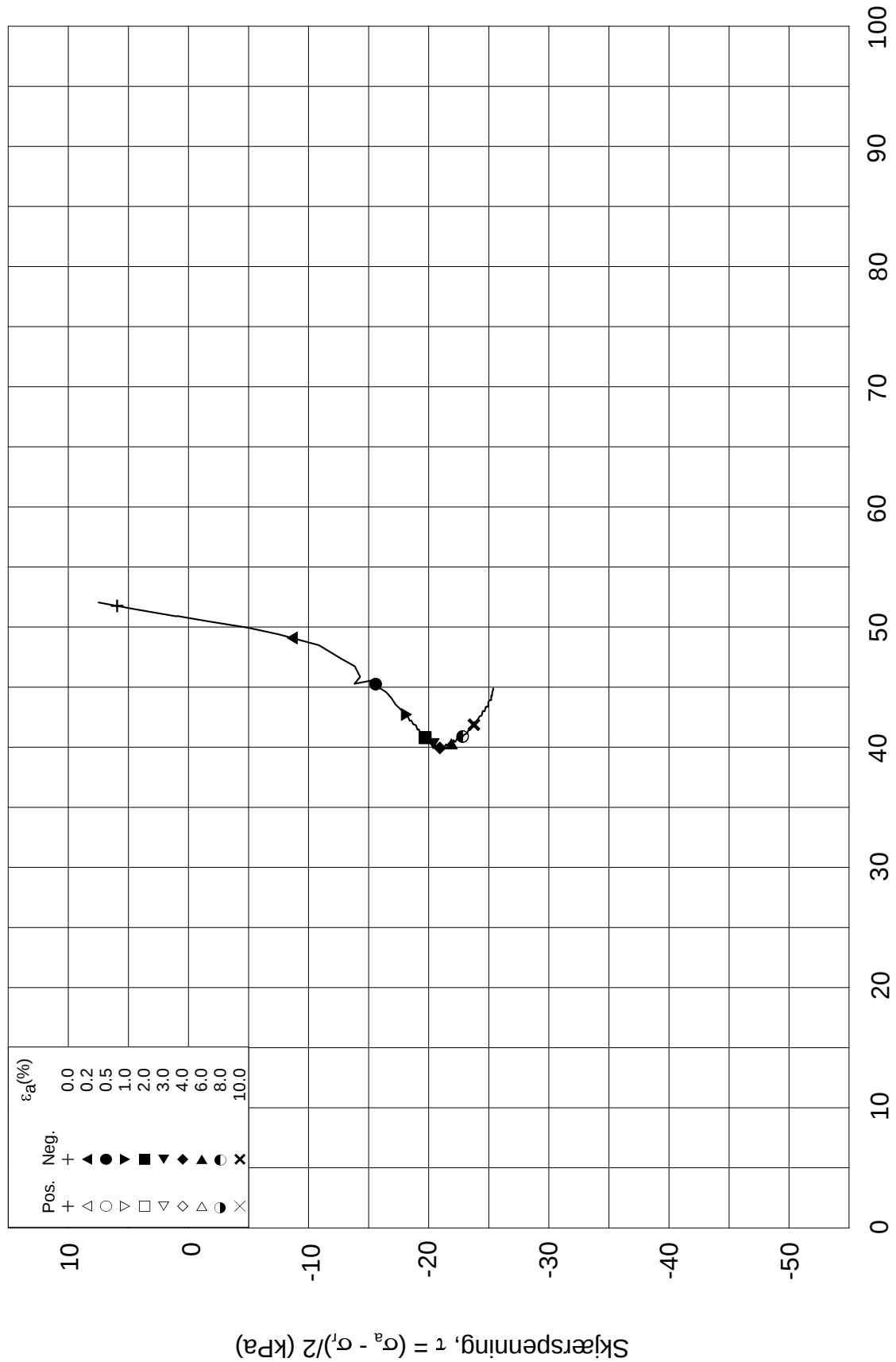
Figur nr.
G93

Test: **1**


w_c = **29.5** %

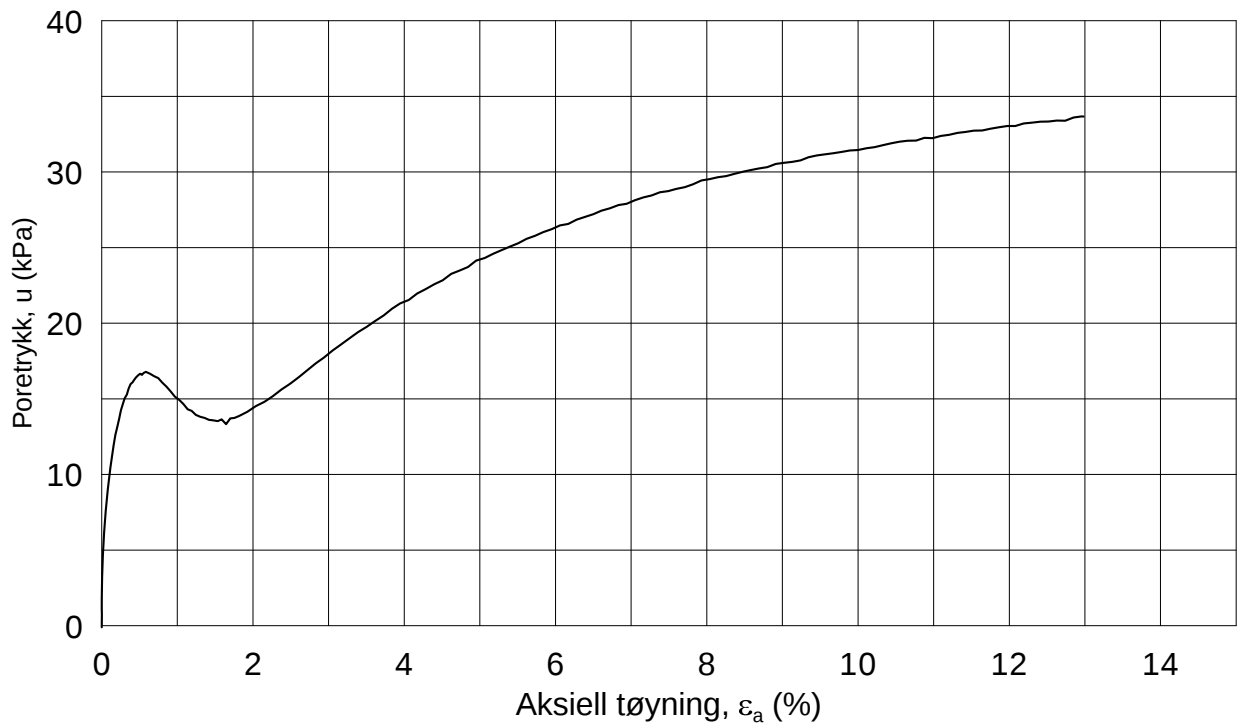
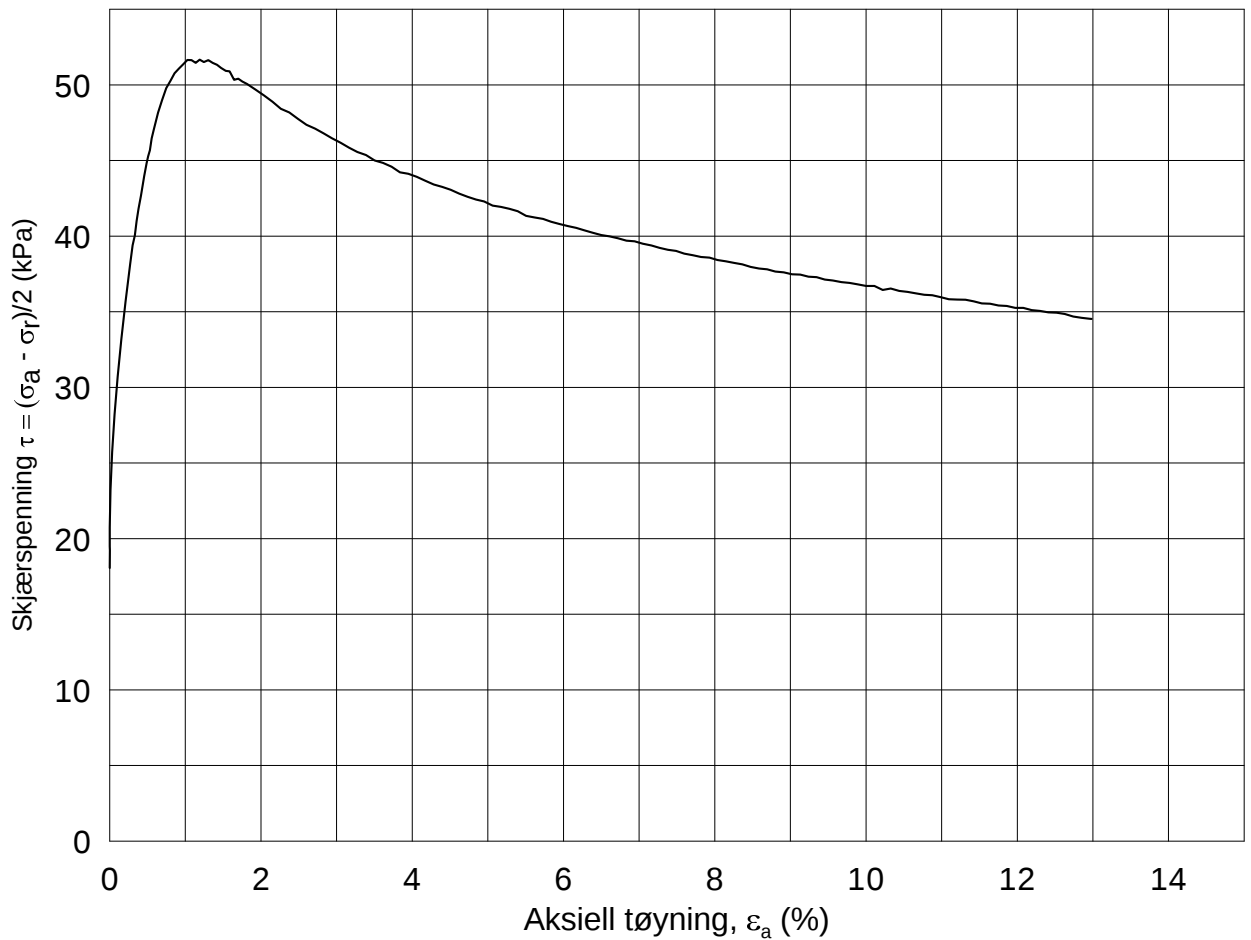
Tegnet av
MAS





Date/Rev.: 2009-11-03/01

E16 Nybakk - Slomarka			Dokument nr. 20120491-02-R	
Treaksial forsøk: CAUP			Dato 2013-04-10	
Boring: 2270	Dybde = 5.50 m	Konsolidering-spenninger		
Sylinder: 5	$p_{o'}$ = 59.5 kPa	(kPa)	maks.	min.
Del: C	w_i = 29.7 %	σ_{ac}' =	-	-
Test: 1	w_c = 29.5 %	σ_{rc}' =	-	-
		endelig	59.5	
				44.6
		Figur nr.	G94	
		Tegnet av	MAS	
				



Date/Rev.: 2009-11-03/01

E16 Nybakk - Slomarka

Dokument nr.
20120491-02-R

Treaksial forsøk: **CAUA**

Dato
2013-04-10

Boring: **2270**

Dybde = **10.32** m

Konsolidering-spenninger

Sylinder: **10**

$p_{o'}$ = **102.9** kPa

(kPa)	maks.	min.	endelig
σ_{ac}' =	-	-	102.9
σ_{rc}' =	-	-	66.9

Figur nr.

G95

Del: **B**

w_i = **36.2** %

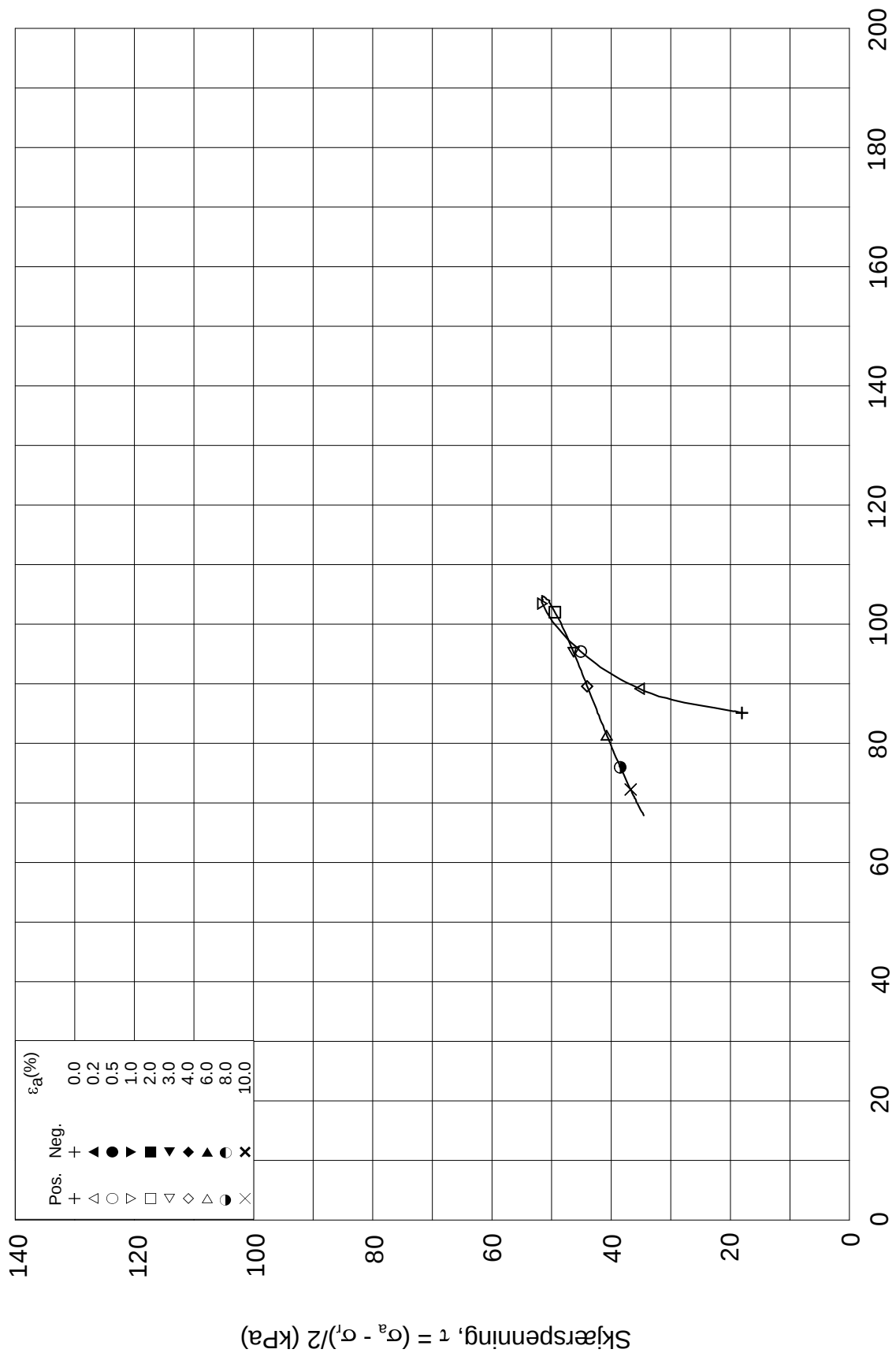
Tegnet av

Test: **1**

w_c = **35.8** %

-





Date/Rev.: 2009-11-03/01

E16 Nybakk - Slomarka

Dokument nr.
20120491-02-R

Treaksial forsøk: **CAUA**

Dato
2013-04-10

Boring: **2270**

Dybde = **10.32** m

Konsolidering-spenninger

Sylinder: **10**

$p_{o'}$ = **102.9** kPa

(kPa) maks. min. endelig

Figur nr.
G96

Del: **B**

w_i = **36.2** %

σ_{ac}' = - - **102.9**

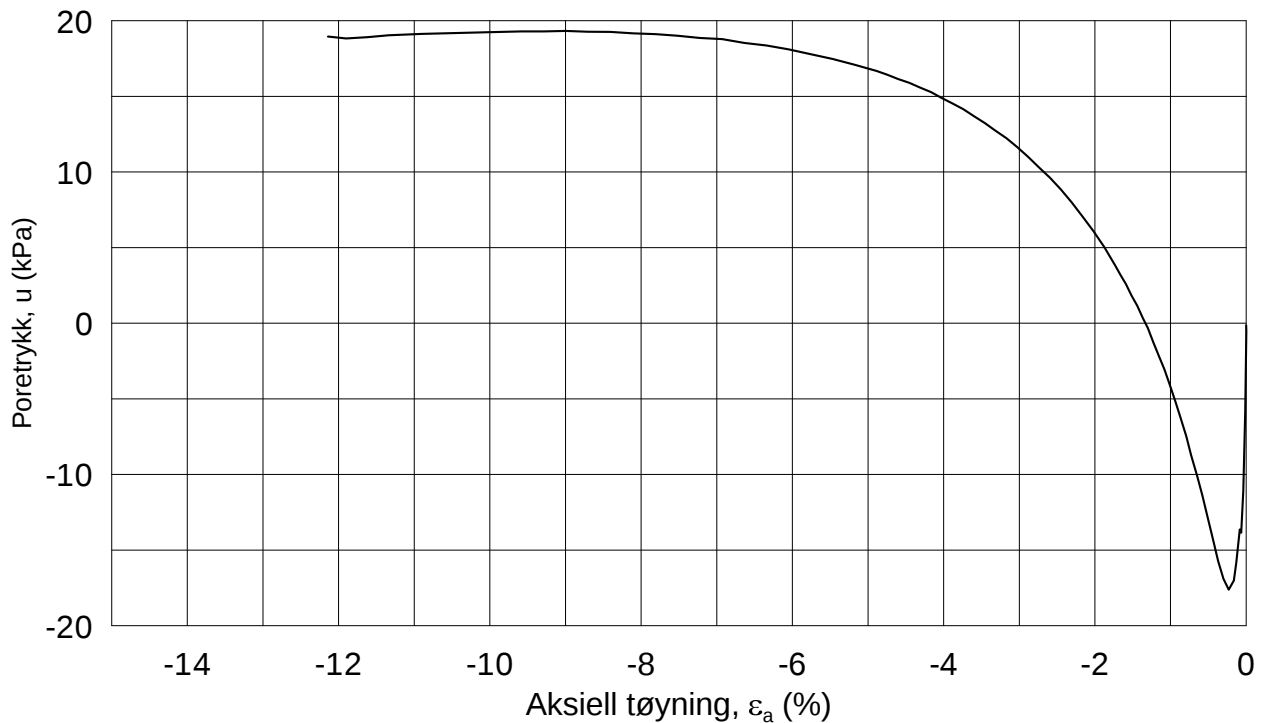
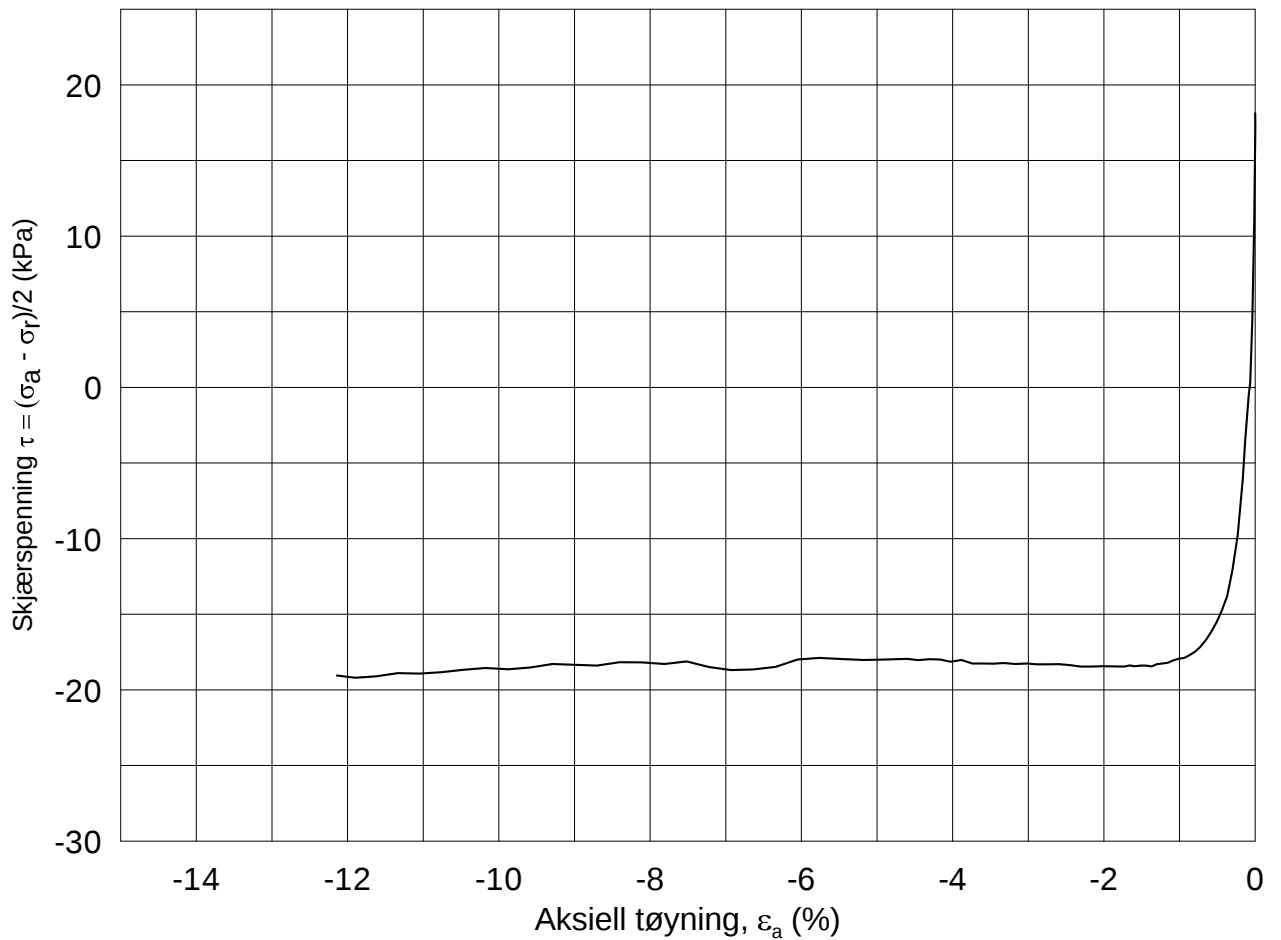
Tegnet av
MAS

Test: **1**

w_c = **35.8** %

σ_{rc}' = - - **66.9**





Date/Rev.: 2009-11-03/01

E16 Nybakk - Slomarka

Dokument nr.
20120491-02-R

Treaksial forsøk: **CAUP**

Dato
2013-04-10

Boring: **2270**

Dybde = **10.52** m

Konsolidering-spenninger

Sylinder: **10**

$p_{o'}$ = **104.7** kPa

(kPa) maks. min. endelig

Figur nr.
G97

Del: **C**

w_i = **34.2** %

σ_{ac}' = - - **104.6**

Tegnet av
MAS

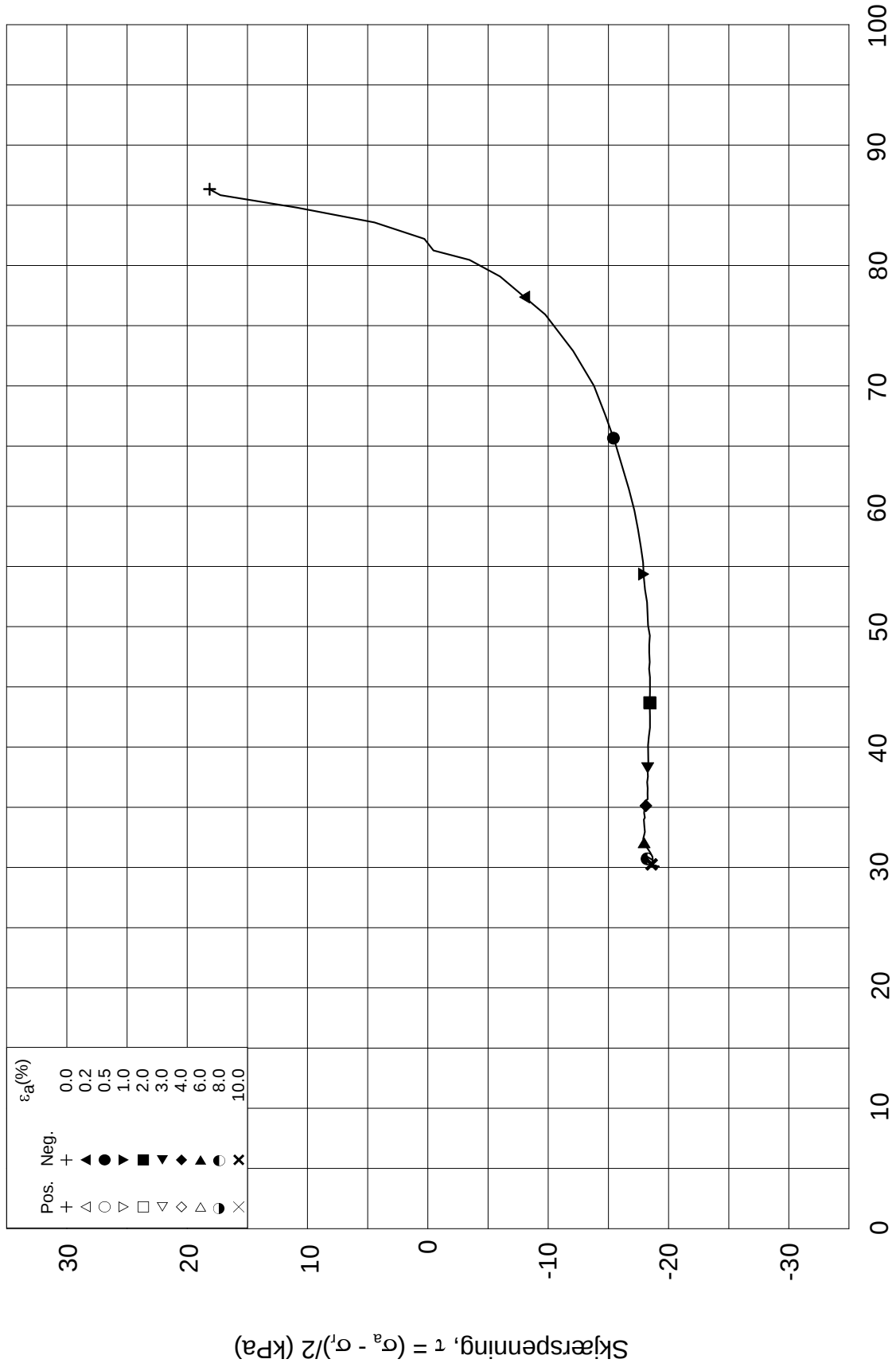
Test: **1**

w_c = **33.8** %

σ_{rc}' = - - **68.0**



Effektiv gjennomsnittsspenning, $p' = (\sigma'_a + \sigma'_l)/2$ (kPa)



Date/Rev.: 2009-11-03/01

E16 Nybakk - Slomarka

Dokument nr.
20120491-02-R

Treaksial forsøk: **CAUP**

Dato
2013-04-10

Boring: **2270**

Dybde = **10.52** m

Konsolidering-spenninger

Sylinder: **10**

$p_{o'}$ = **104.7** kPa

(kPa) maks. min. endelig

Figur nr.
G98

Del: **C**

w_i = **34.2** %

σ_{ac}' = - - **104.6**

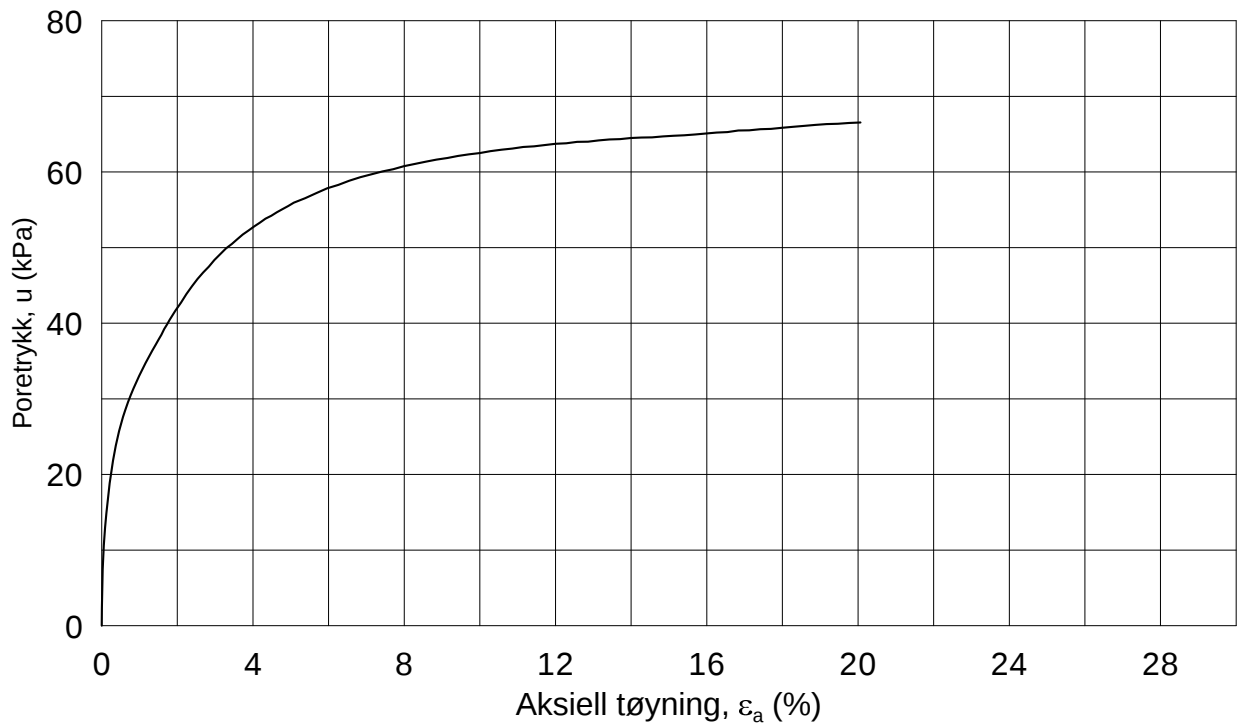
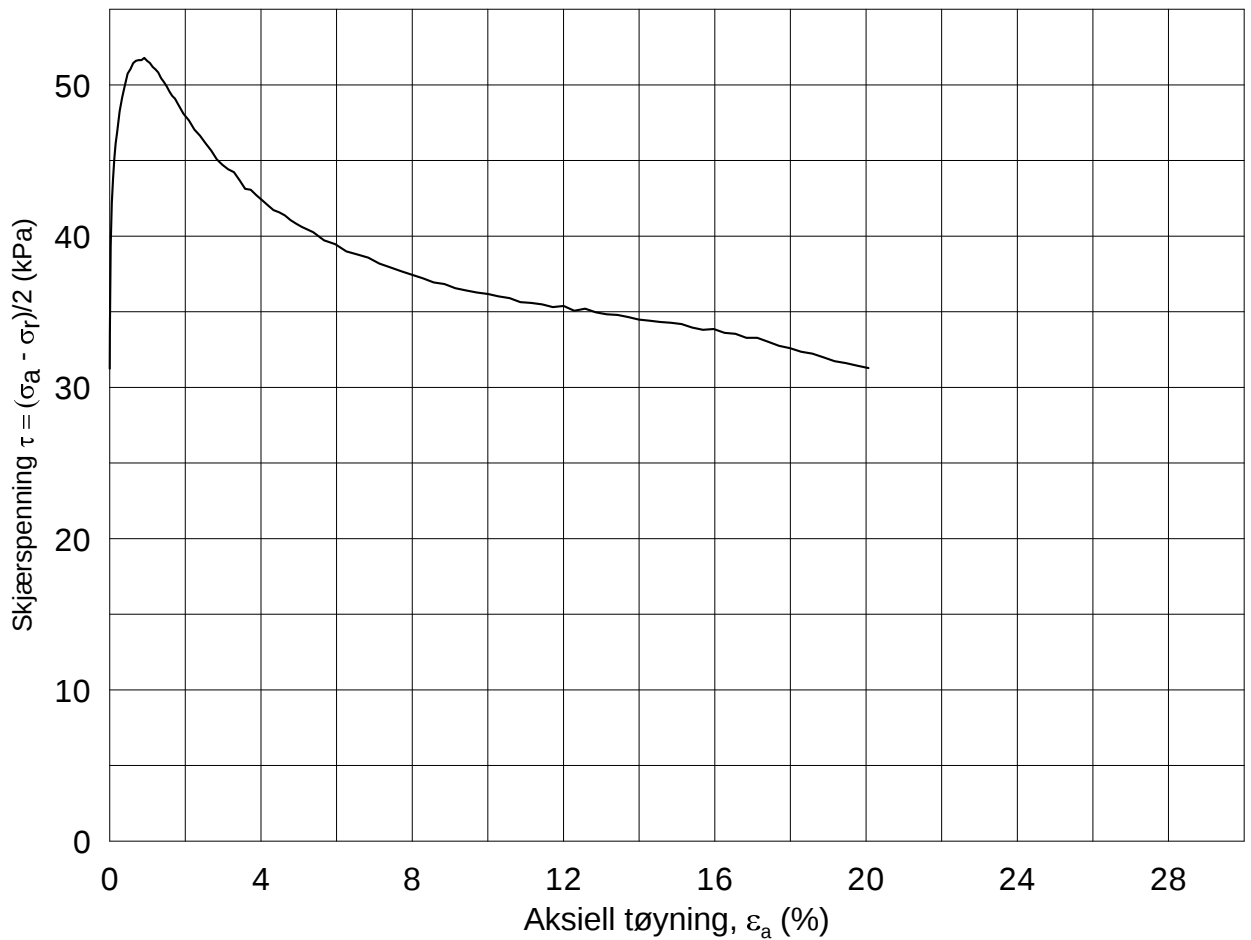
Tegnet av
MAS

Test: **1**

w_c = **33.8** %

σ_{rc}' = - - **68.0**





Date/Rev.: 2009-11-03/01

E16 Nybakk - Slomarka

Dokument nr.
20120491-02-R

Treaksial forsøk: CAUA

Dato
2013-04-10

Boring: 2270

Dybde = 16.22 m

Konsolidering-spenninger

Sylinder: 16

$p_{o'}$ = 156.0 kPa

(kPa) maks. min. endelig

Figur nr.
G99

Del: A

w_i = 37.8 %

σ_{ac}' = - - 155.9

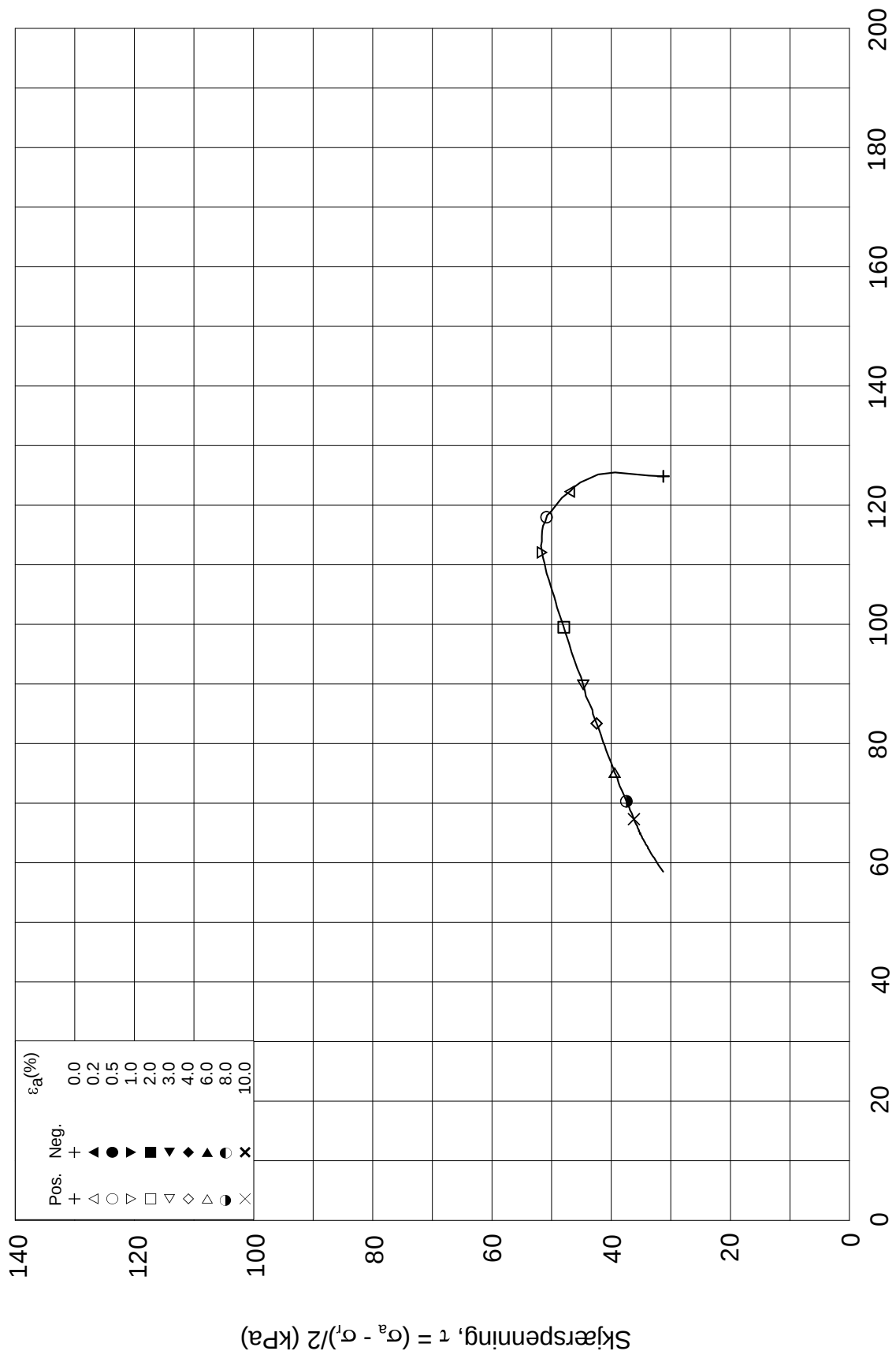
Tegnet av
MAS

Test: 1

w_c = 36.6 %

σ_{rc}' = - - 93.6





Effektiv gjennomsnittsspenning, $p' = (\sigma_a + \sigma_r)/2$ (kPa)

Date/Rev.: 2009-11-03/01

E16 Nybakk - Slomarka

Dokument nr.
20120491-02-R

Treaksial forsøk: **CAUA**

Dato
2013-04-10

Boring: **2270**

Dybde = **16.22** m

Konsolidering-spenninger

Sylinder: **16**

$p_{o'}$ = **156.0** kPa

(kPa) maks. min. endelig

Figur nr.
G100

Del: **A**

w_i = **37.8** %

σ_{ac}' = - - **155.9**

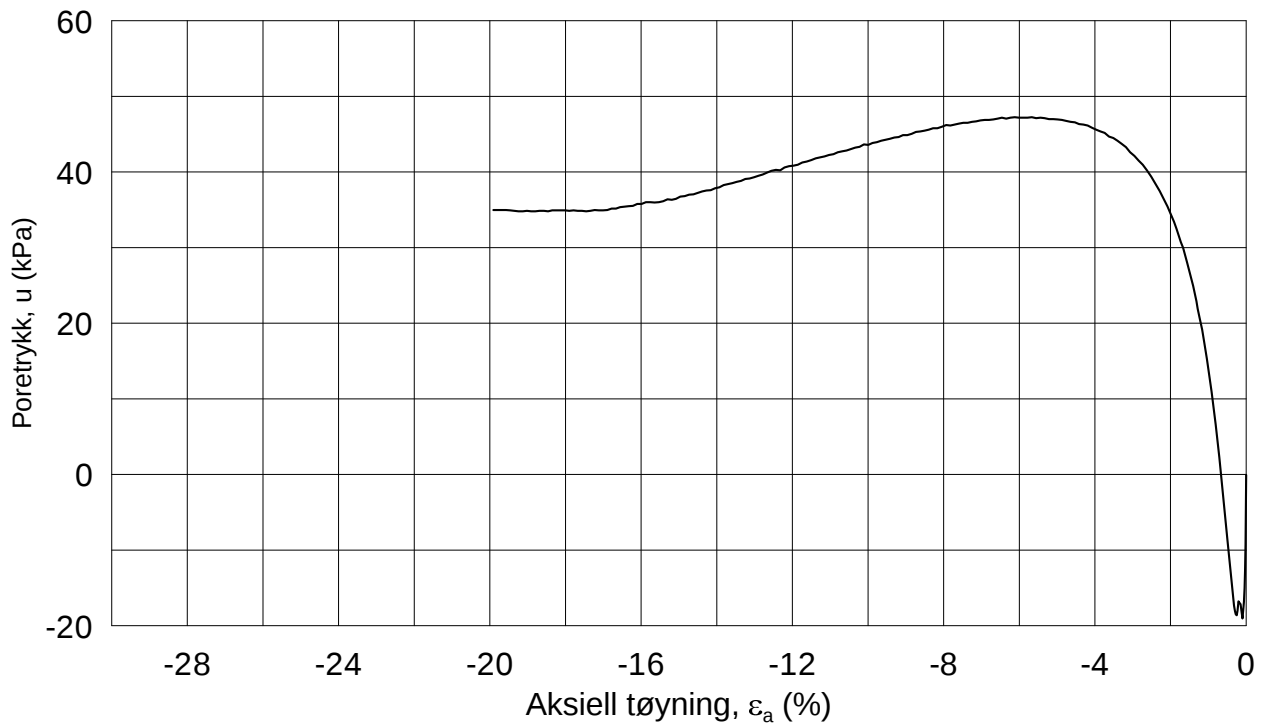
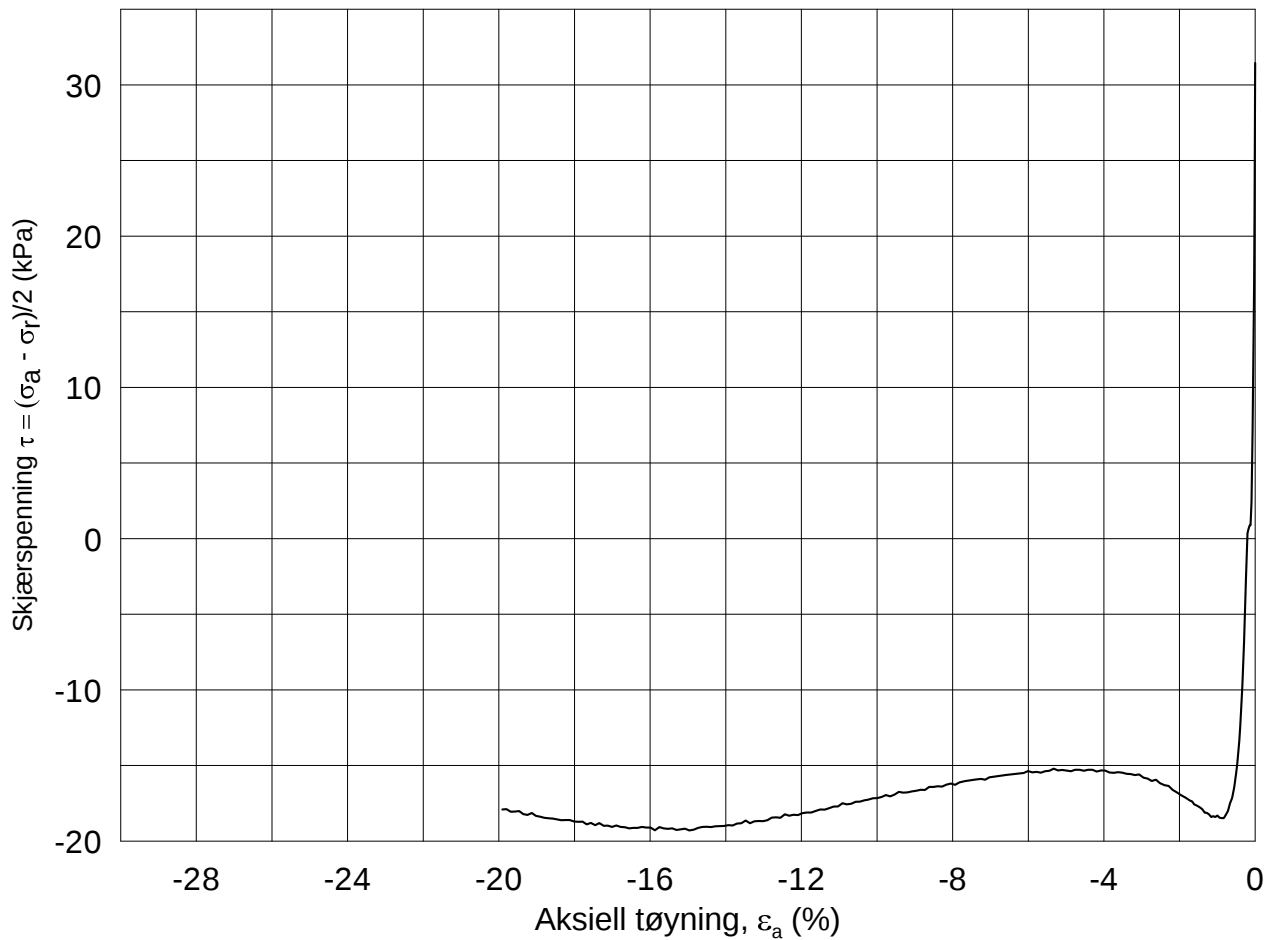
Tegnet av
MAS

Test: **1**

w_c = **36.6** %

σ_{rc}' = - - **93.6**





Date/Rev.: 2009-11-03/01

E16 Nybakk - Slomarka

Dokument nr.
20120491-02-R

Treaksial forsøk: **CAUP**

Dato
2013-04-10

Boring: **2270**

Dybde = **16.37** m

Konsolidering-spenninger

Sylinder: **16**

$p_{o'}$ = **157.3** kPa

(kPa) maks. min. endelig

Figur nr.
G101

Del: **B**

w_i = **34.0** %

σ_{ac}' = - - **157.3**

Tegnet av
MAS

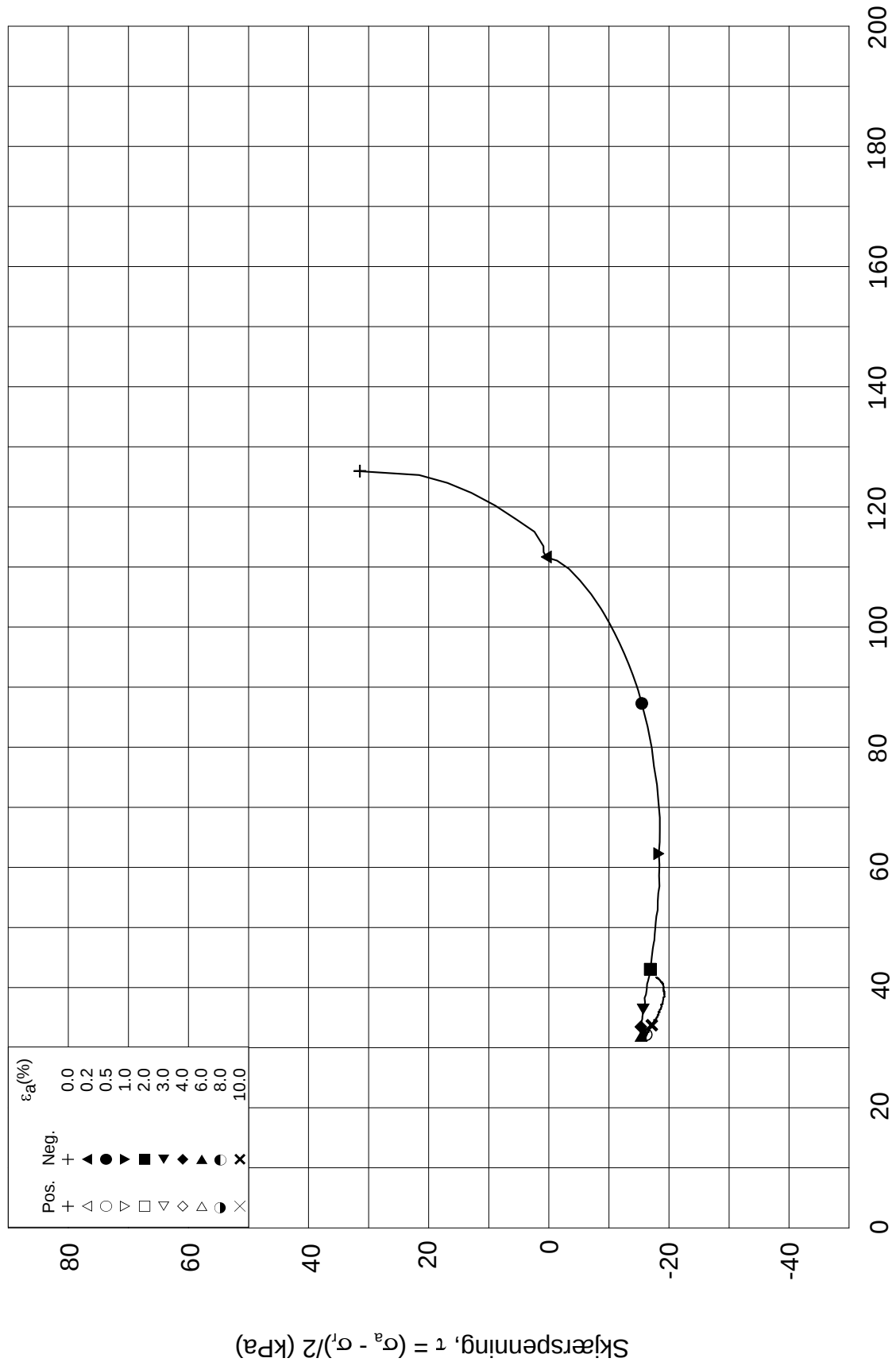
Test: **1**

w_c = **32.7** %

σ_{rc}' = - - **94.4**



2270-16-B-1-Plot1.grf



Date/Rev.: 2009-11-03/01

E16 Nybakk - Slomarka

Dokument nr.
20120491-02-R

Treaksial forsøk: **CAUP**

Dato
2013-04-10

Boring: **2270**

Dybde = **16.37** m

Konsolidering-spenninger

Sylinder: **16**

$p_{o'}$ = **157.3** kPa

(kPa)	maks.	min.	endelig
σ_{ac}' =	-	-	157.3
σ_{rc}' =	-	-	94.4

Del: **B**

w_i = **34.0** %

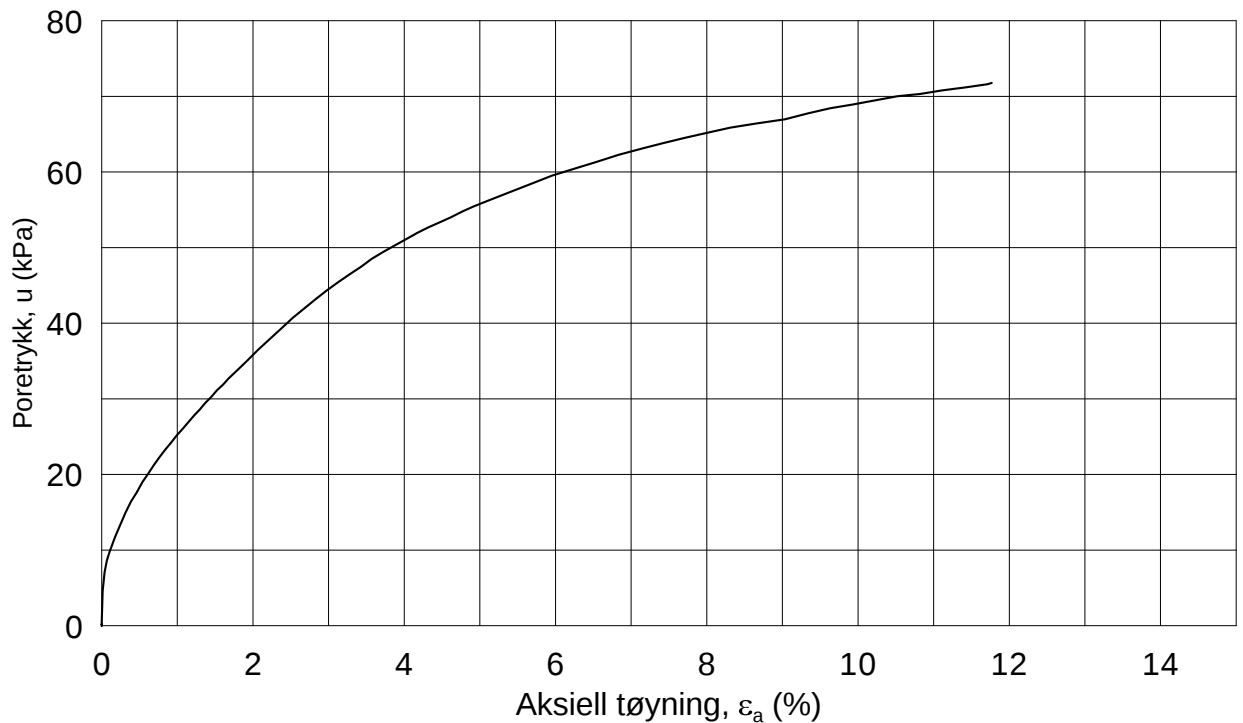
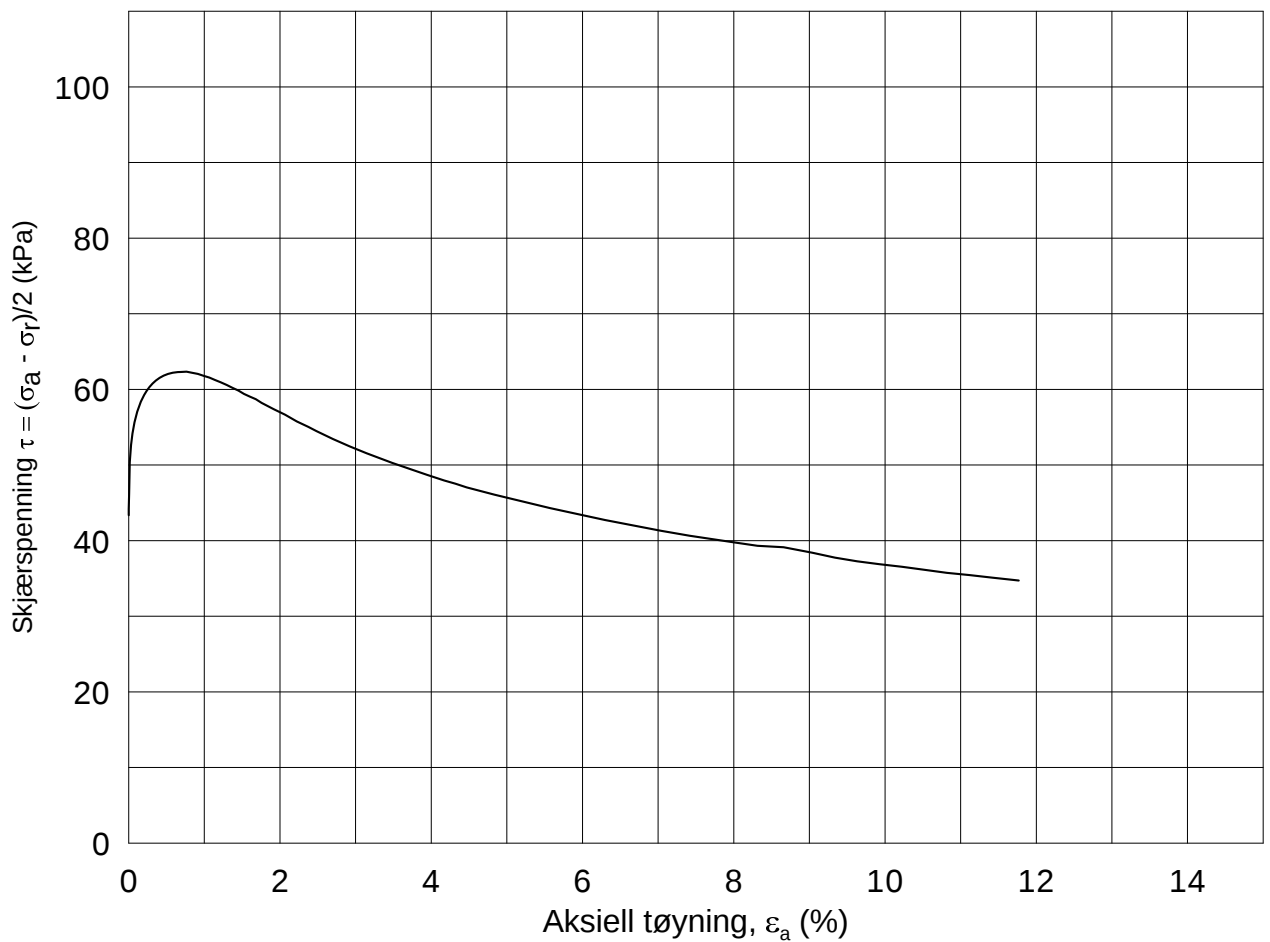
Tegnet av
MAS

Test: **1**

w_c = **32.7** %

Figur nr.
G102





Date/Rev.: 2009-11-03/01

E16 Nybakk - Slomarka

Dokument nr.
20120491-02-R

Treaksial forsøk: **CAUA**

Dato
2013-04-10

Boring: **2270**

Dybde = **20.35** m

Konsolidering-spenninger

Sylinder: **20**

$p_{o'}$ = **193.2** kPa

(kPa) maks. min. endelig

Figur nr.
G103

Del: **B**

w_i = **34.0** %

σ_{ac}' = - - **192.9**

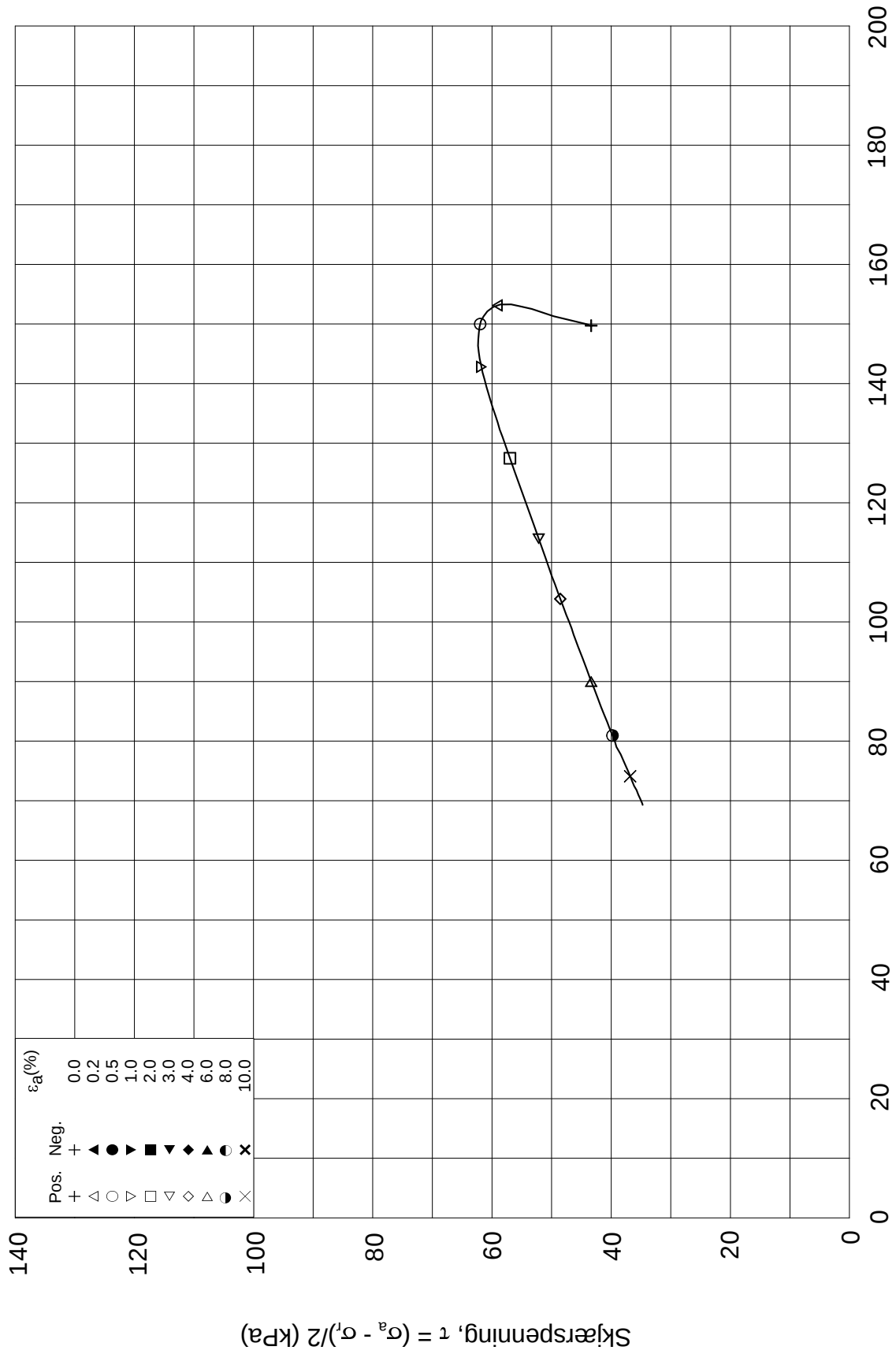
Tegnet av
MAS

Test: **1**

w_c = **32.7** %

σ_{rc}' = - - **106.2**



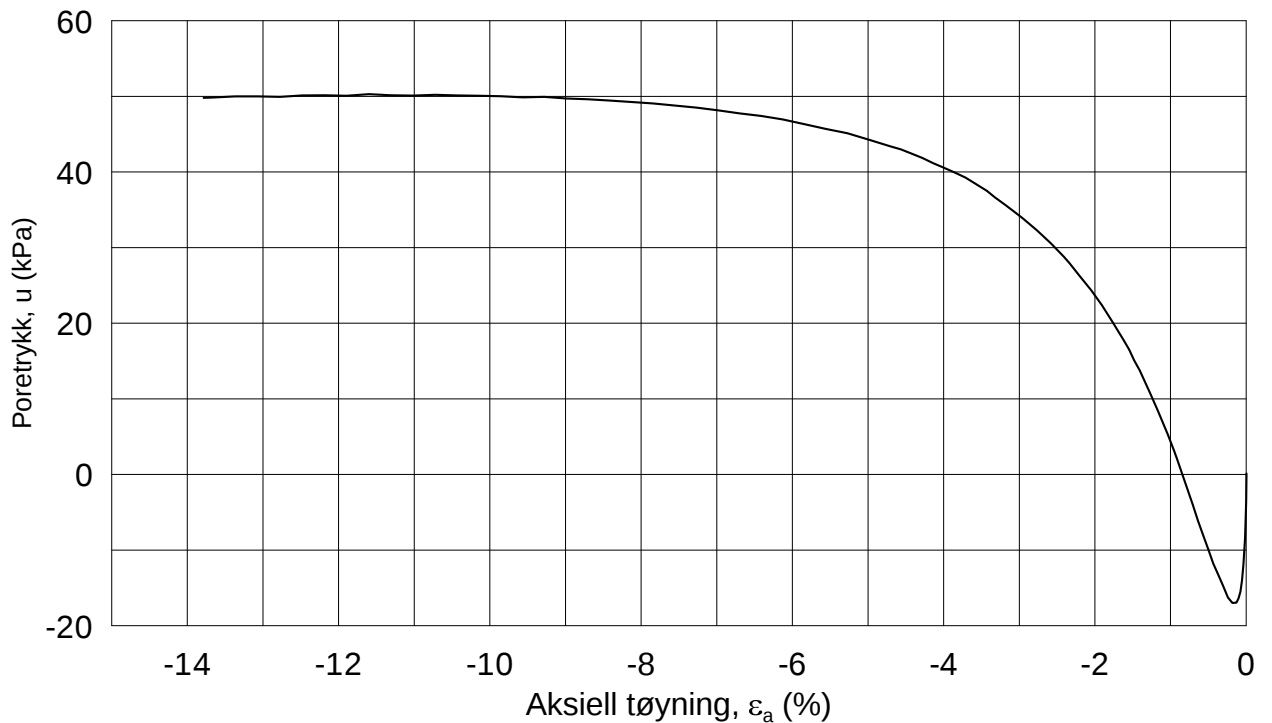
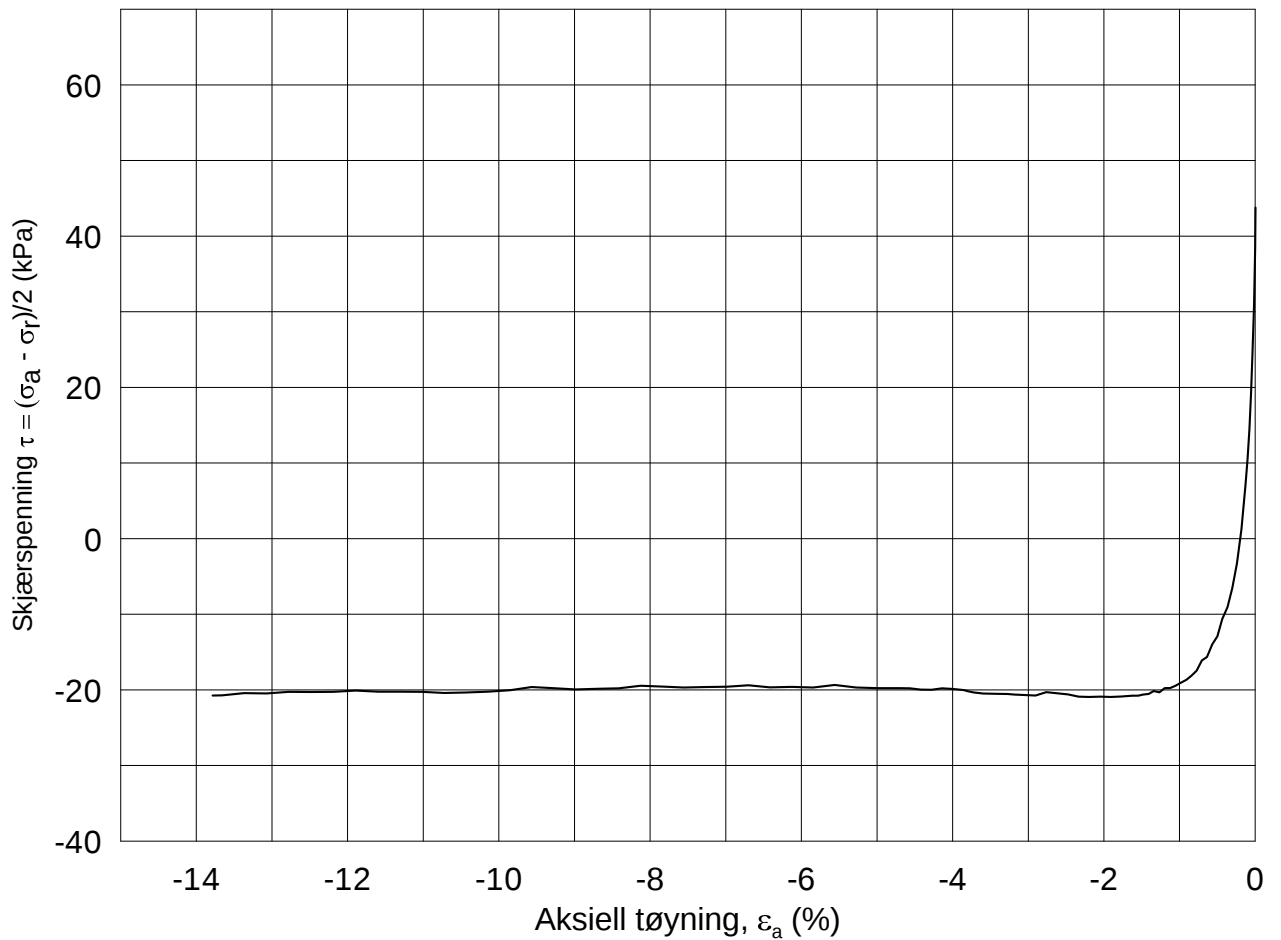


Effektiv gjennomsnittsspenning, $p' = (\sigma_a' + \sigma_r')/2$ (kPa)

Date/Rev.: 2009-11-03/01

E16 Nybakk - Slomarka			Dokument nr. 20120491-02-R	
Treaksial forsøk: CAUA			Dato 2013-04-10	
Boring: 2270	Dybde = 20.35 m	Konsolidering-spenninger		
Sylinder: 20	$p_{o'}$ = 193.2 kPa	(kPa)	maks.	min.
Del: B	w_i = 34.0 %	σ_{ac}' =	-	-
Test: 1	w_c = 32.7 %	σ_{rc}' =	-	-
		endelig	192.9	
			106.2	
		Figur nr.	G104	
		Tegnet av	MAS	

2270-20-B-1-1.Plot2.grf



Date/Rev.: 2009-11-03/01

E16 Nybakk - Slomarka

Dokument nr.
20120491-02-R

Treaksial forsøk: **CAUP**

Dato
2013-04-10

Boring: **2270**

Dybde = **20.52** m

Konsolidering-spenninger

Sylinder: **20**

$p_{o'}$ = **194.7** kPa

(kPa) maks. min. endelig

Figur nr.
G105

Del: **C**

w_i = **32.6** %

σ_{ac}' = - - **194.6**

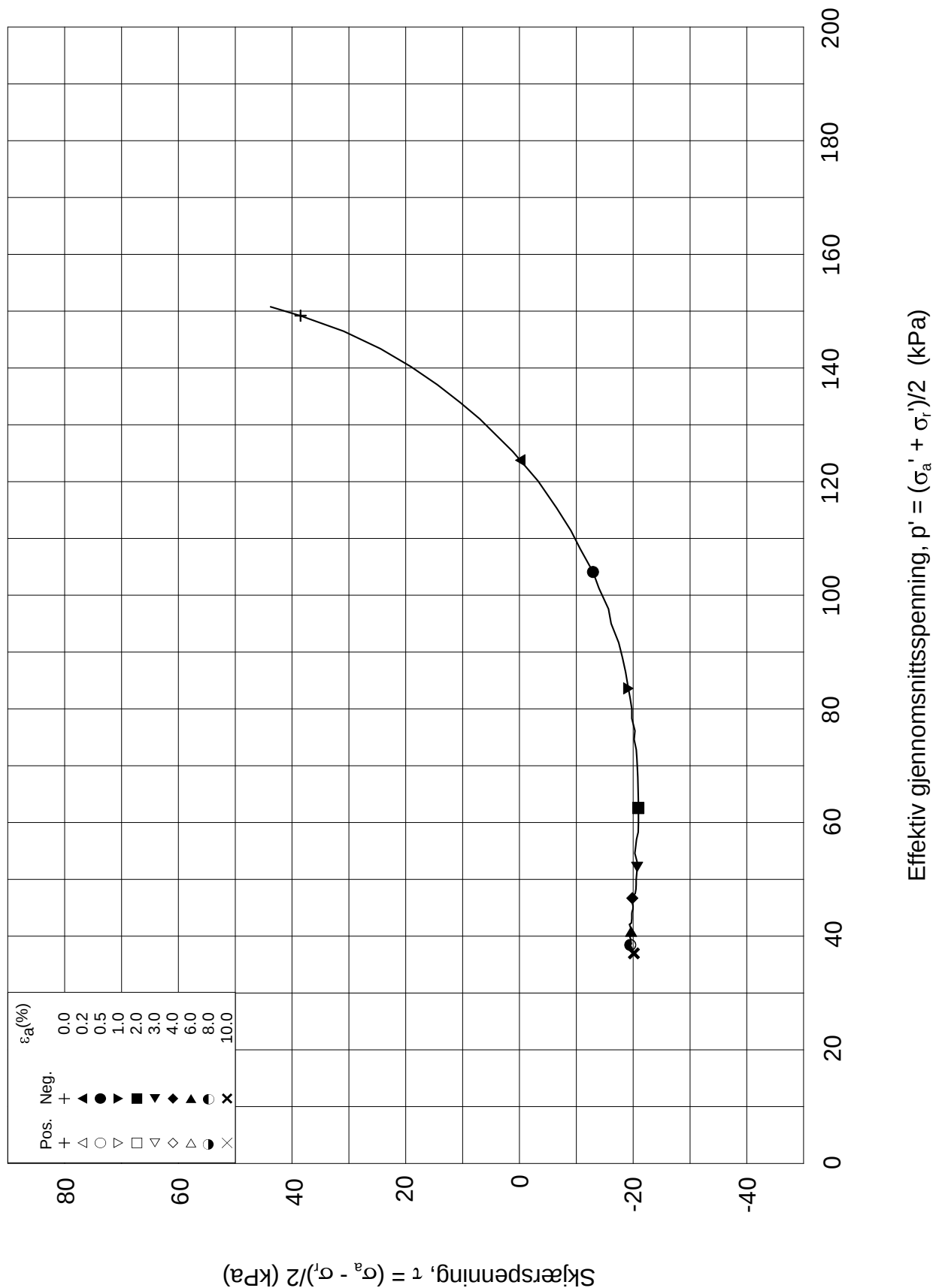
Tegnet av
MAS

Test: **1**

w_c = **31.4** %

σ_{rc}' = - - **107.1**





Date/Rev.: 2009-11-03/01

E16 Nybakk - Slomarka

Dokument nr.
20120491-02-R

Treaksial forsøk: **CAUP**

Dato
2013-04-10

Boring: **2270**

Dybde = **20.52** m

Konsolidering-spenninger

Sylinder: **20**

$p_{o'}$ = **194.7** kPa

(kPa)	maks.	min.	endelig
σ_{ac}' =	-	-	194.6
σ_{rc}' =	-	-	107.1

Del: **C**

w_i = **32.6** %

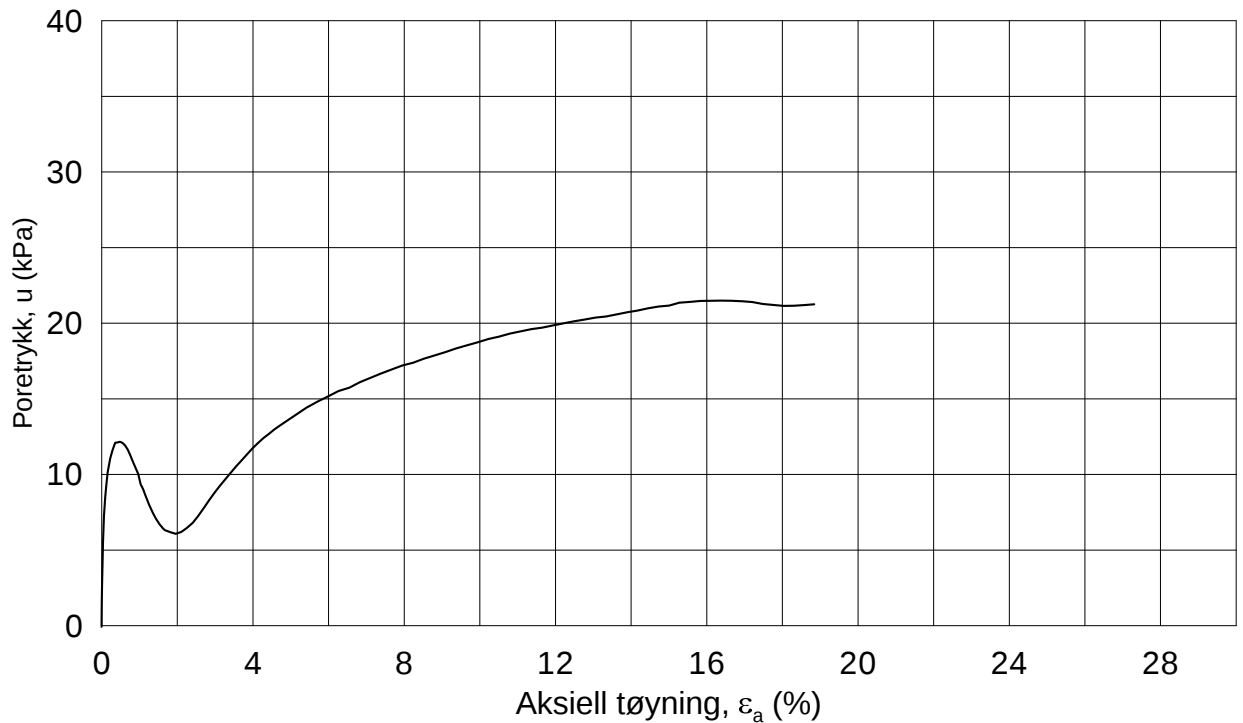
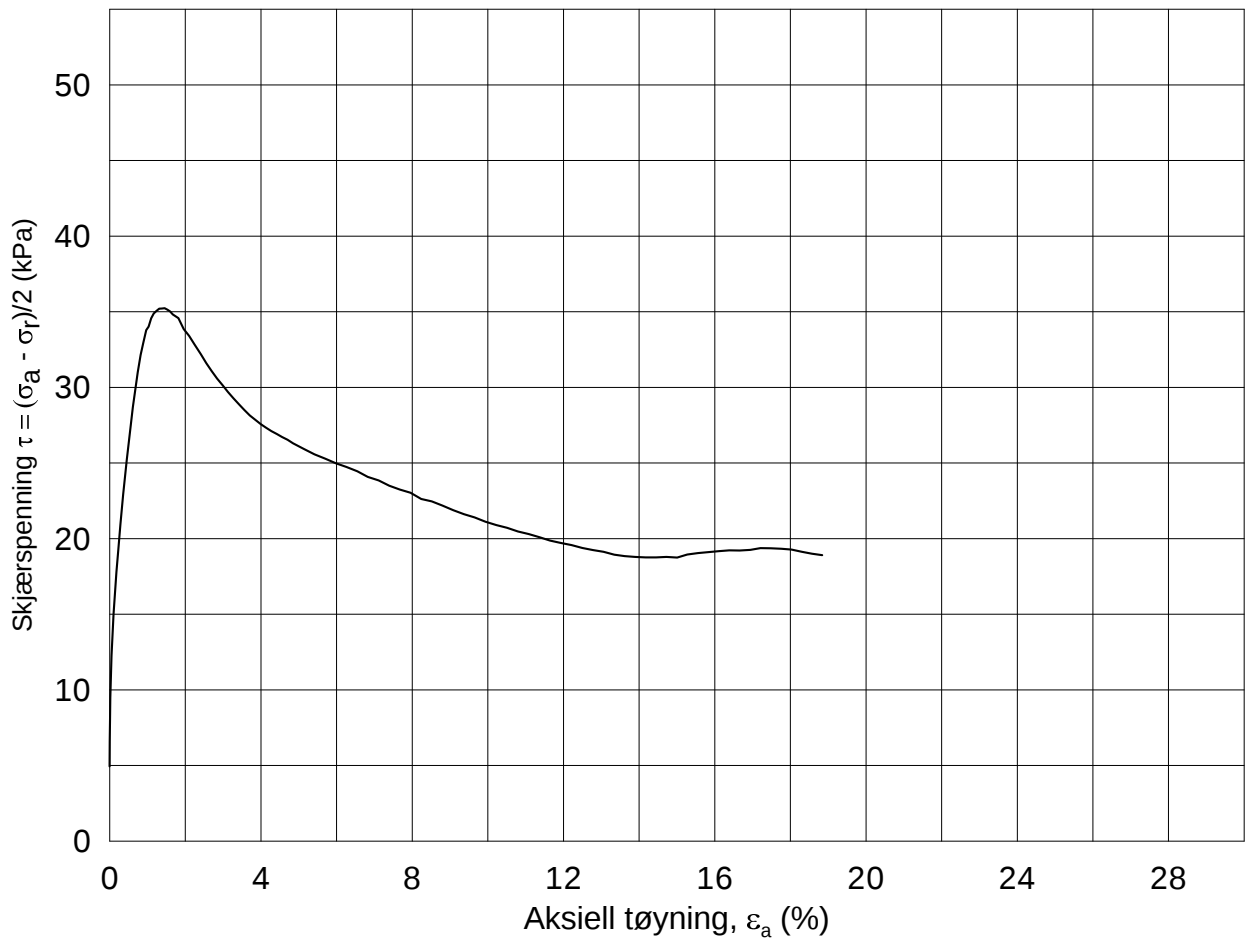
Figur nr.
G106

Test: **1**

w_c = **31.4** %

Tegnet av
MAS





Date/Rev.: 2009-11-03/01

E16 Nybakk - Slomarka

Dokument nr.
20120491-02-R

Treaksial forsøk: **CAUA**

Dato
2013-04-02

Boring: **2275**

Dybde = **4.23** m

Konsolidering-spenninger

Sylinder: **2**

p_o' = **48.1** kPa

(kPa) maks. min. endelig

Figur nr.
G107

Del: **A**

w_i = **37.7** %

σ_{ac}' = - - **48.1**

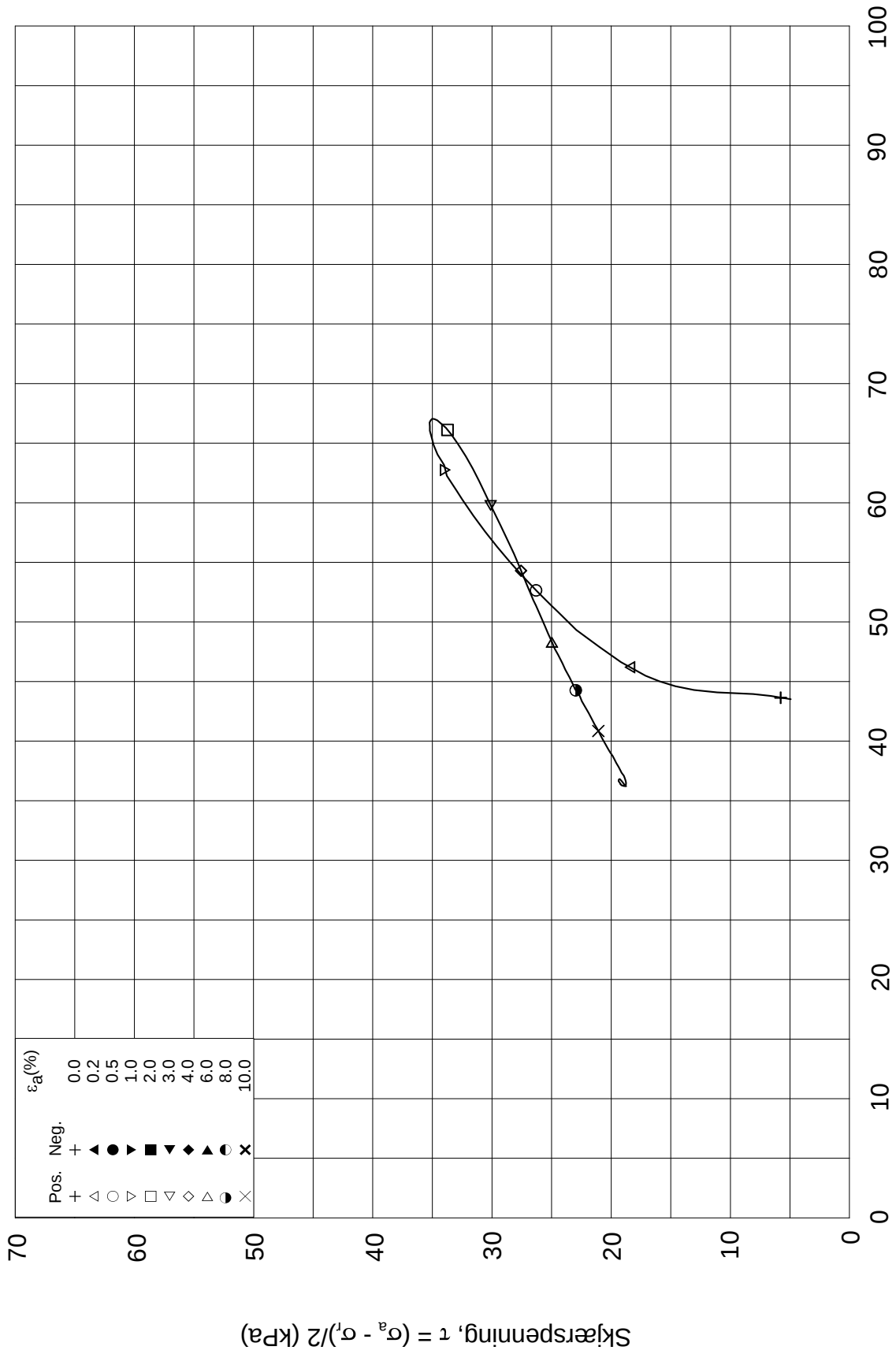
Tegnet av
MAS

Test: **1**

w_c = **37.4** %

σ_{rc}' = - - **38.5**

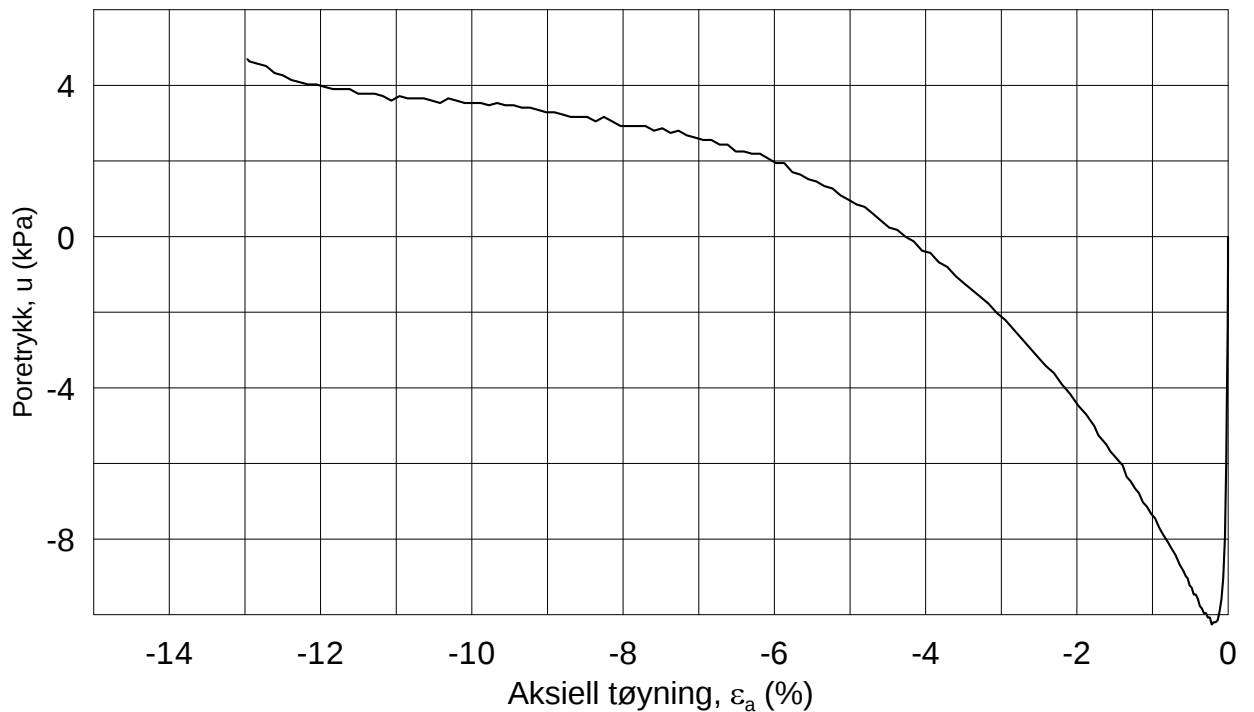
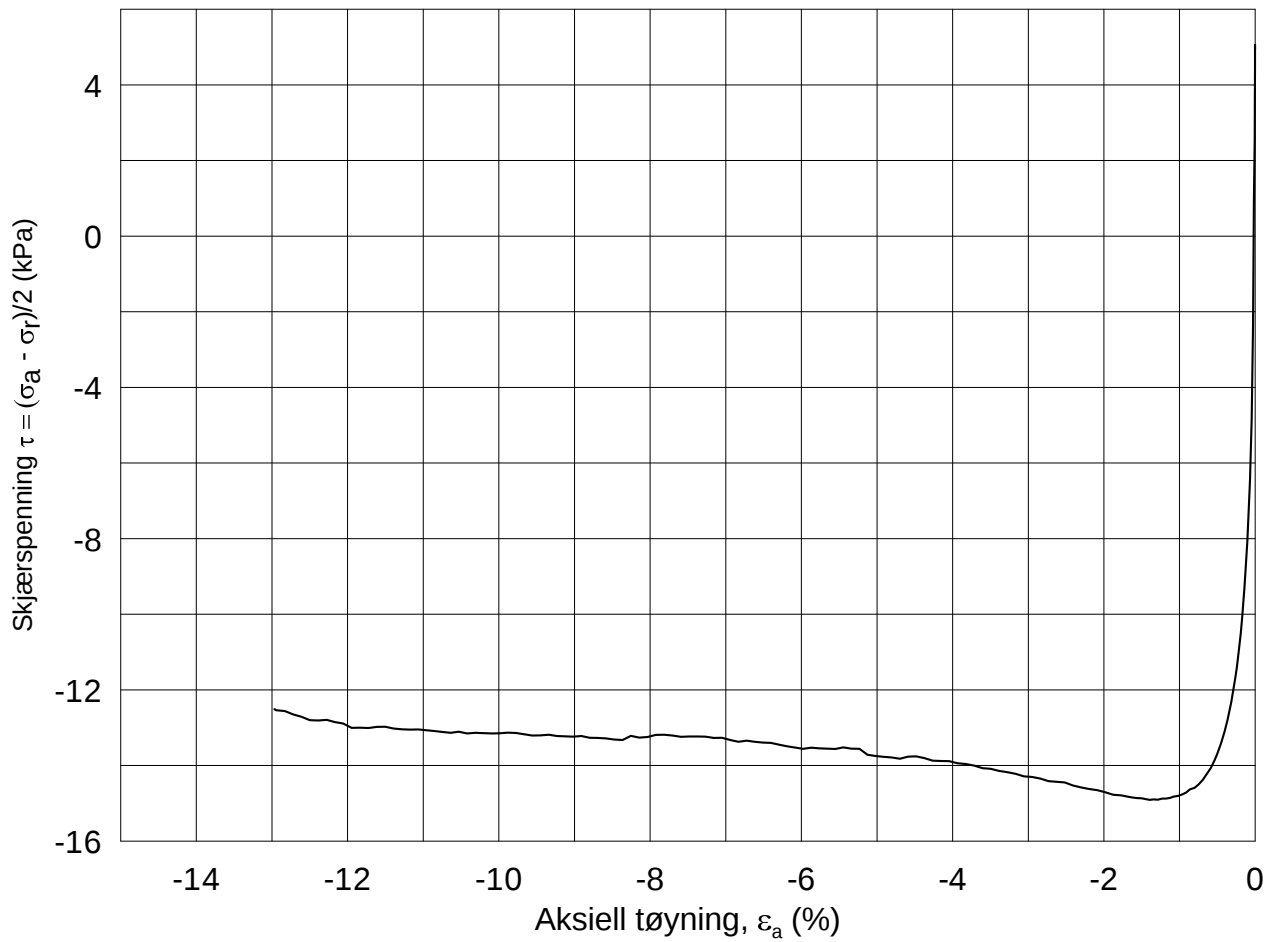




Date/Rev.: 2009-11-03/01

E16 Nybakk - Slomarka			Dokument nr. 20120491-02-R	
Treaksial forsøk: CAUA			Dato 2013-04-02	
Boring: 2275	Dybde = 4.23 m	Konsolidering-spenninger		
Sylinder: 2	p_o' = 48.1 kPa	(kPa)	maks.	min.
Del: A	w_i = 37.7 %	$\sigma_{ac}' =$	-	-
Test: 1	w_c = 37.4 %	$\sigma_{rc}' =$	-	-
		endelig	48.1	
			38.5	
		Figur nr.	G108	
		Tegnet av	MAS	

2275-2-A-1.Plot2.grf



Date/Rev.: 2009-11-03/01

E16 Nybakk - Slomarka

Dokument nr.
20120491-02-R

Treaksial forsøk: **CAUP**

Dato
2013-04-05

Boring: **2275**

Dybde = **4.37** m

Konsolidering-spenninger

Sylinder: **2**

$p_{o'}$ = **49.3** kPa

(kPa) maks. min. endelig

Figur nr.
G109

Del: **B**

w_i = **46.7** %

σ_{ac}' = - - **49.4**

Tegnet av
MAS

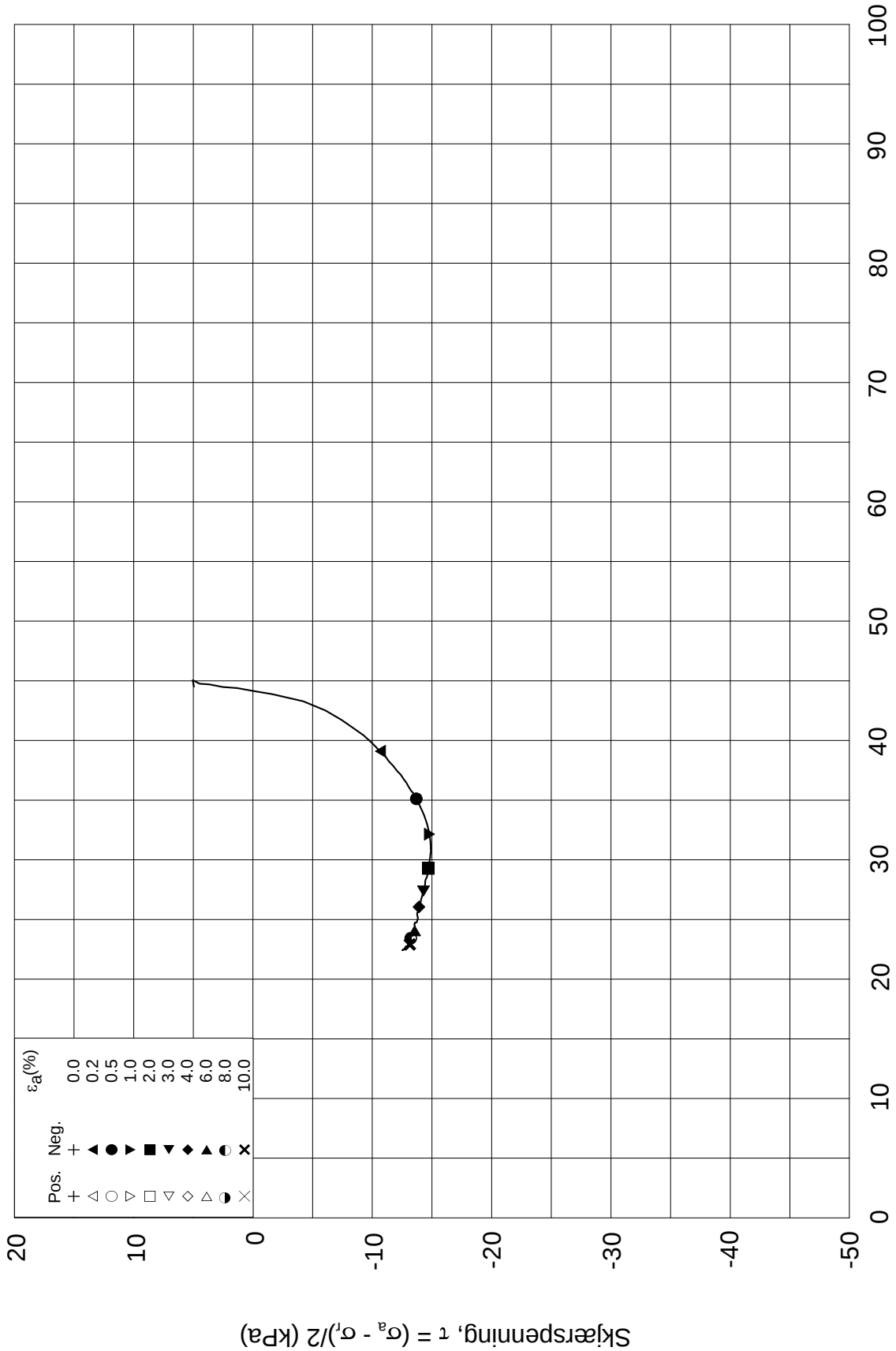
Test: **1**

w_c = **46.7** %

σ_{rc}' = - - **39.5**



Effektiv gjennomsnittsspenning, $p' = (\sigma'_a + \sigma'_r)/2$ (kPa)



Date/Rev.: 2009-11-03/01

E16 Nybakk - Slomarka

Dokument nr.
20120491-02-R

Treaksial forsøk: **CAUP**

Dato
2013-04-05

Boring: **2275**

Dybde = **4.37** m

Konsolidering-spenninger

Sylinder: **2**

$p_{o'}$ = **49.3** kPa

(kPa) maks. min. endelig

Figur nr.
G110

Del: **B**

w_i = **46.7** %

σ_{ac}' = - - **49.4**

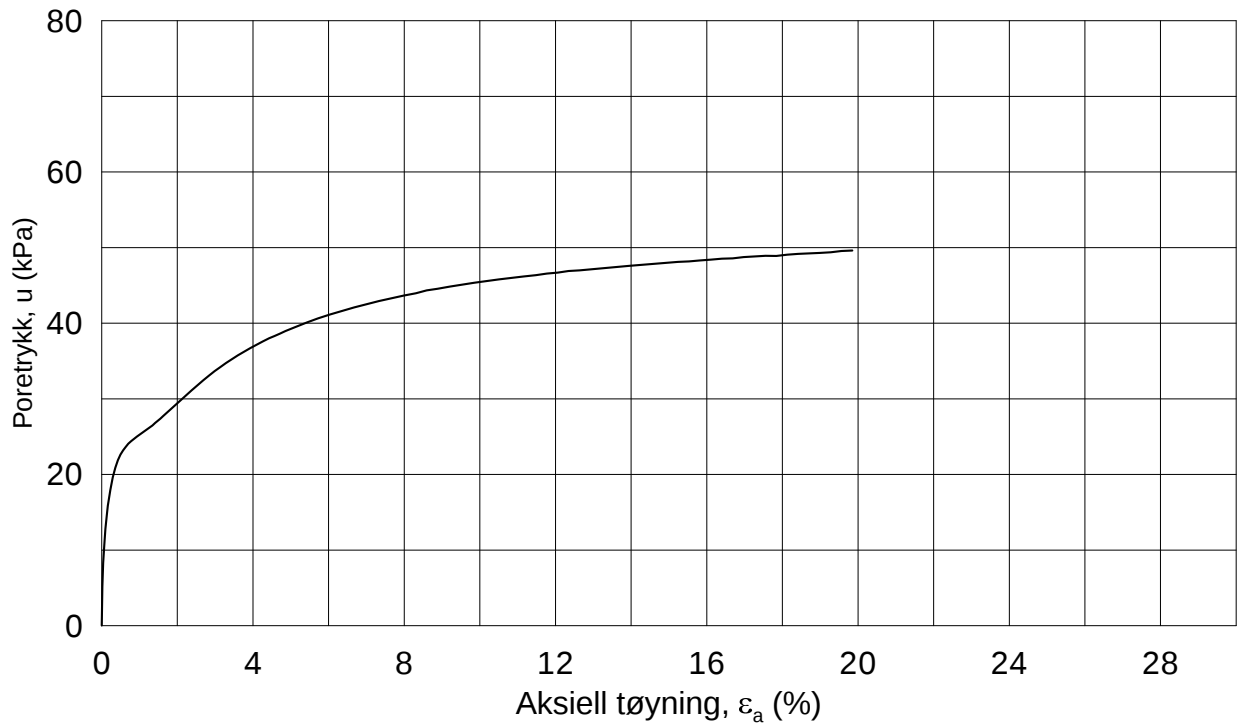
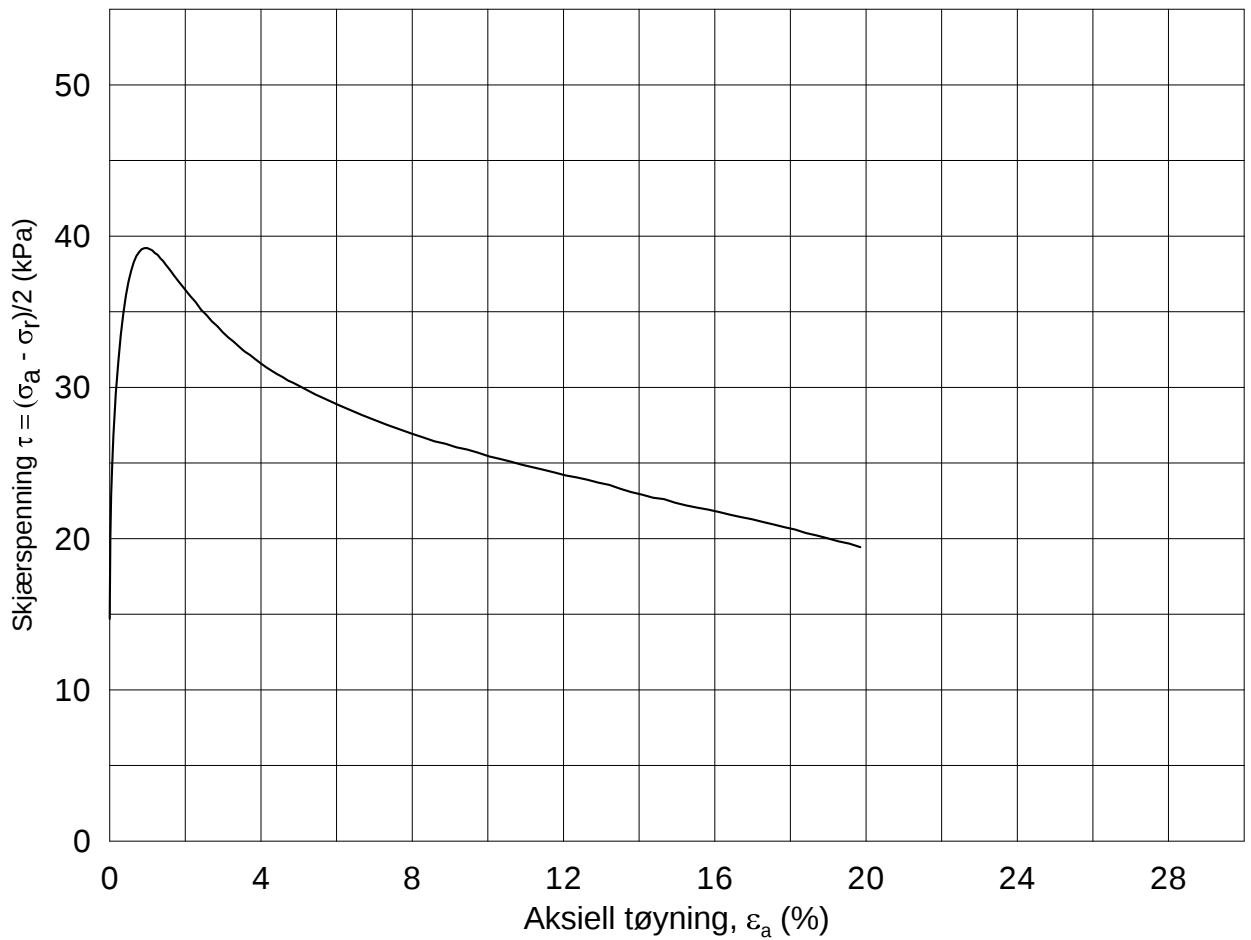
Tegnet av
MAS

Test: **1**

w_c = **46.7** %

σ_{rc}' = - - **39.5**





Date/Rev.: 2009-11-03/01

E16 Nybakk - Slomarka

Dokument nr.
20120491-02-R

Treaksial forsøk: CAUA

Dato
2013-04-02

Boring: 2275

Dybde = 9.62 m

Konsolidering-spenninger

Sylinder: 7

$p_{o'}$ = 96.6 kPa

(kPa) maks. min. endelig

Figur nr.
G111

Del: E

w_i = 38.4 %

σ_{ac}' = - - 96.6

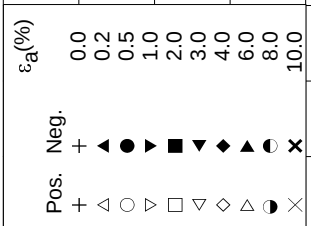
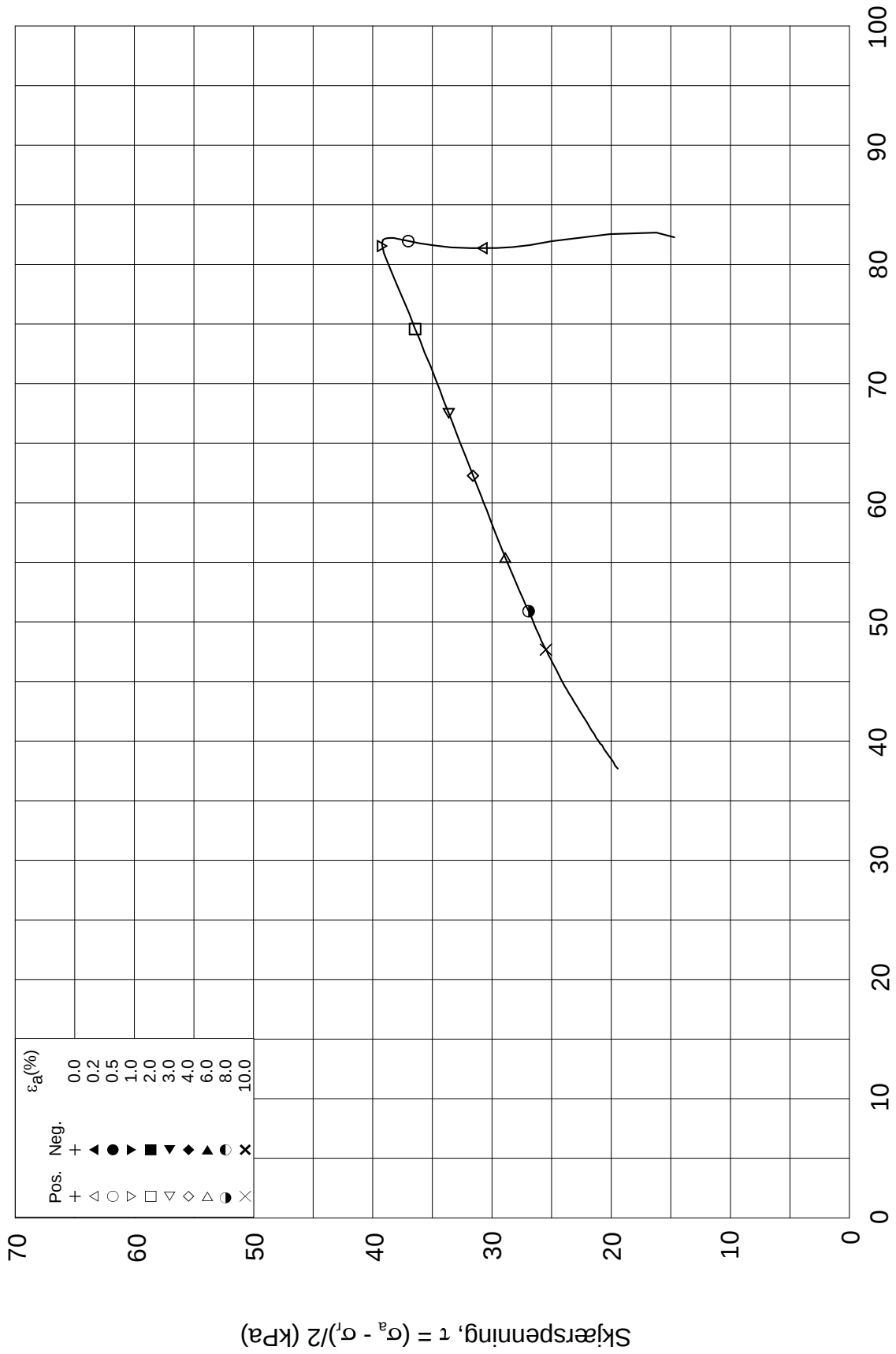
Tegnet av
MAS

Test: 1

w_c = 37.8 %

σ_{rc}' = - - 67.6

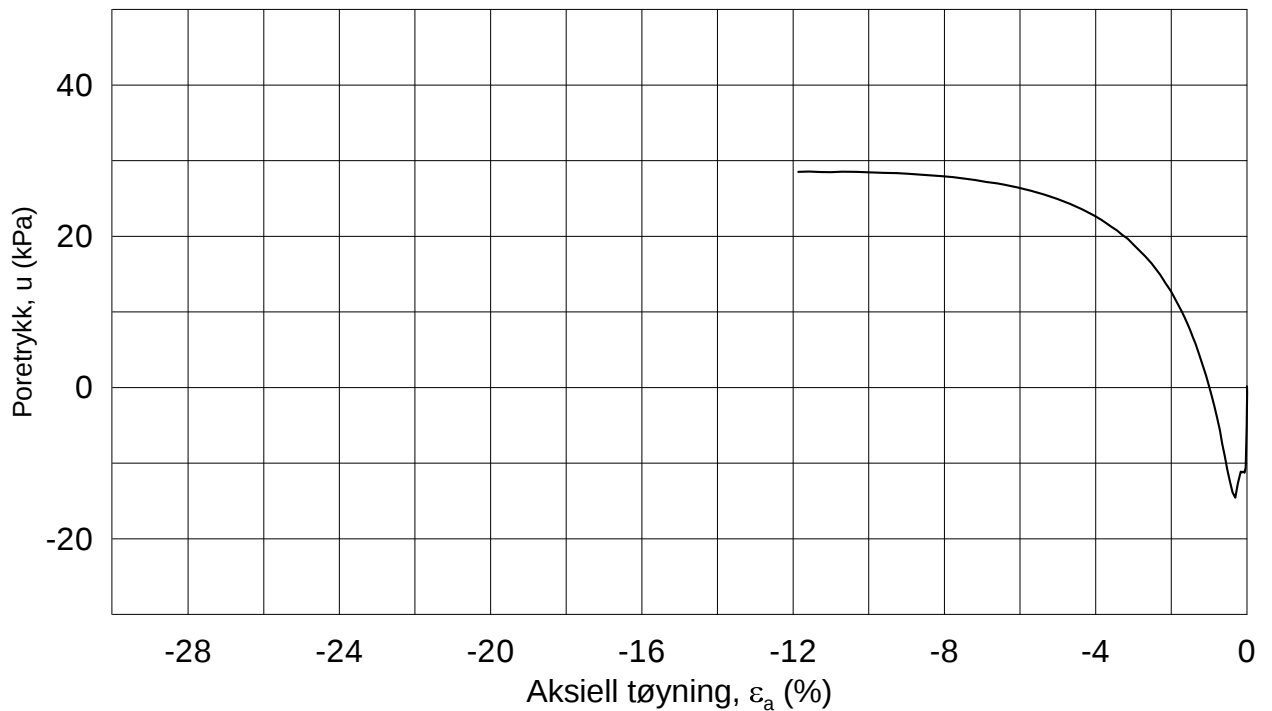
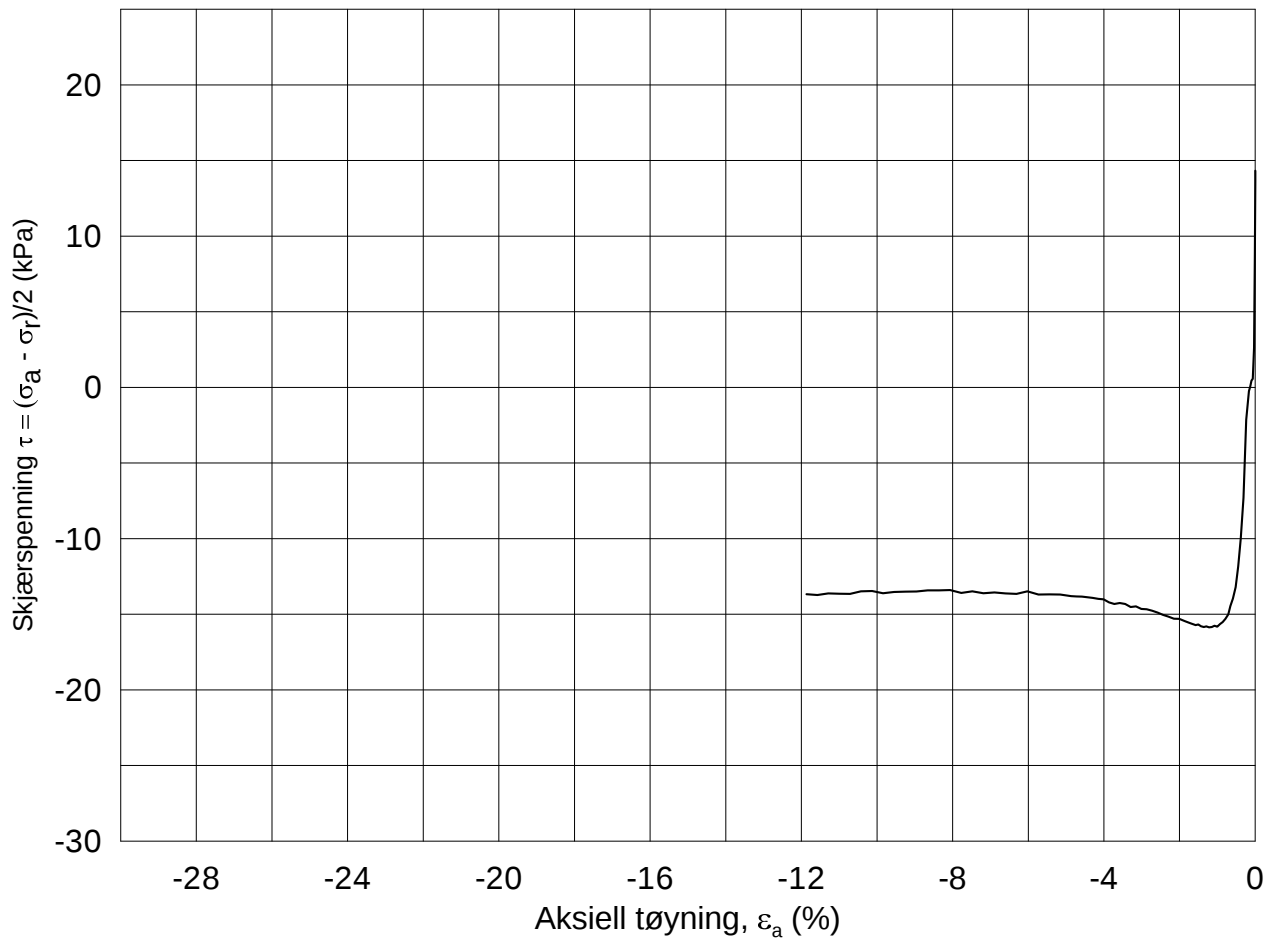




Date/Rev.: 2009-11-03/01

E16 Nybakk - Slomarka			Dokument nr. 20120491-02-R	
Treaksial forsøk: CAUA			Dato 2013-04-02	
Boring: 2275	Dybde = 9.62 m	Konsolidering-spenninger		
Sylinder: 7	p _{o'} = 96.6 kPa	(kPa)	maks.	min.
Del: E	w _i = 38.4 %	σ _{ac} ' =	-	-
Test: 1	w _c = 37.8 %	σ _{rc} ' =	-	-
		endelig	96.6	
			67.6	
		Figur nr.	G112	
		Tegnet av	MAS	

2275-7-E-1.Plot2.grf



Date/Rev.: 2009-11-03/01

E16 Nybakk - Slomarka

Dokument nr.
20120491-02-R

Treaksial forsøk: **CAUP**

Dato
2013-04-02

Boring: **2275**

Dybde = **9.47** m

Konsolidering-spenninger

Sylinder: **7**

$p_{o'}$ = **95.2** kPa

(kPa) maks. min. endelig

Figur nr.
G113

Del: **C**

w_i = **38.2** %

σ_{ac}' = - - **95.2**

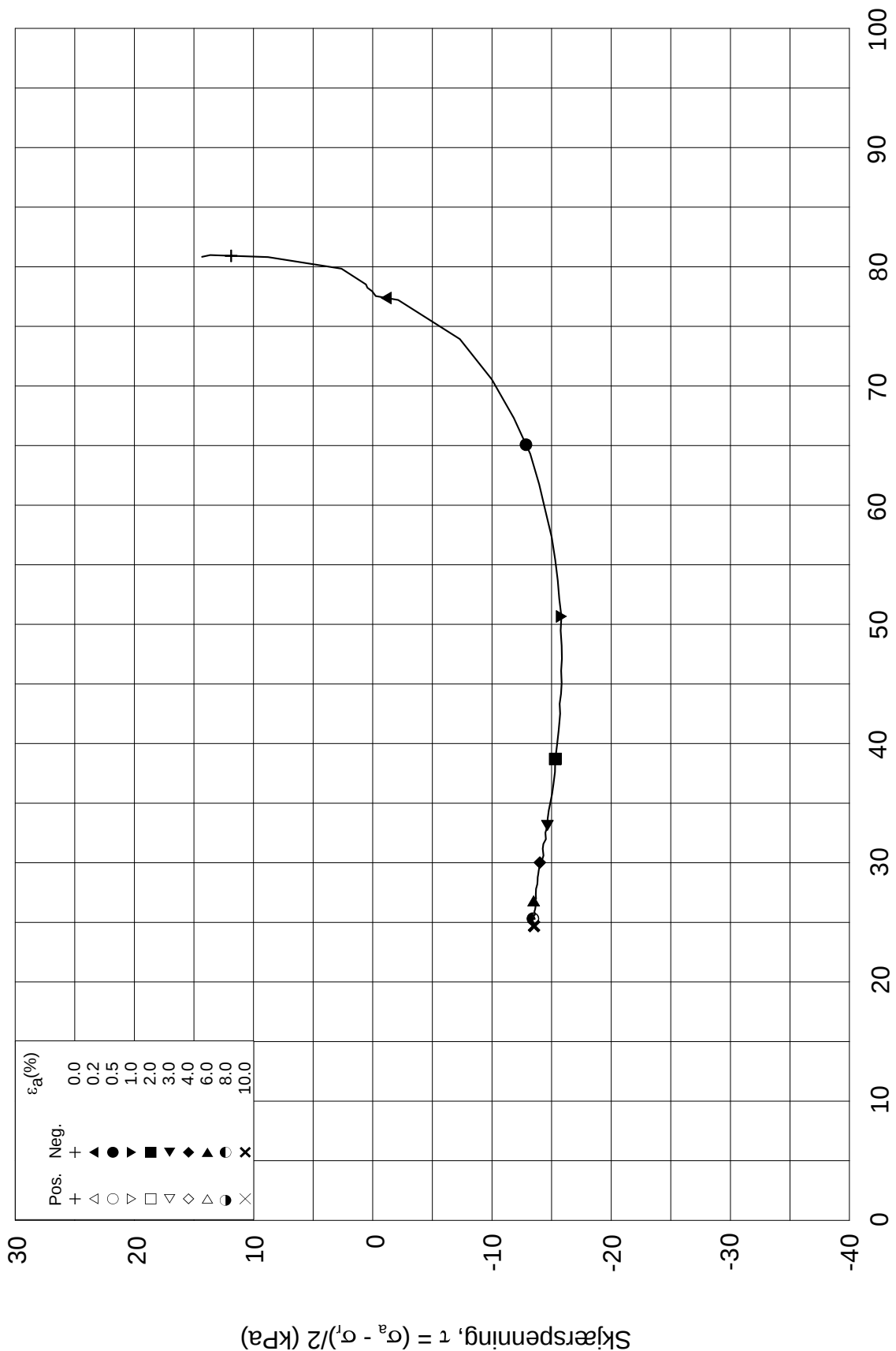
Tegnet av
MAS

Test: **1**

w_c = **37.8** %

σ_{rc}' = - - **66.6**

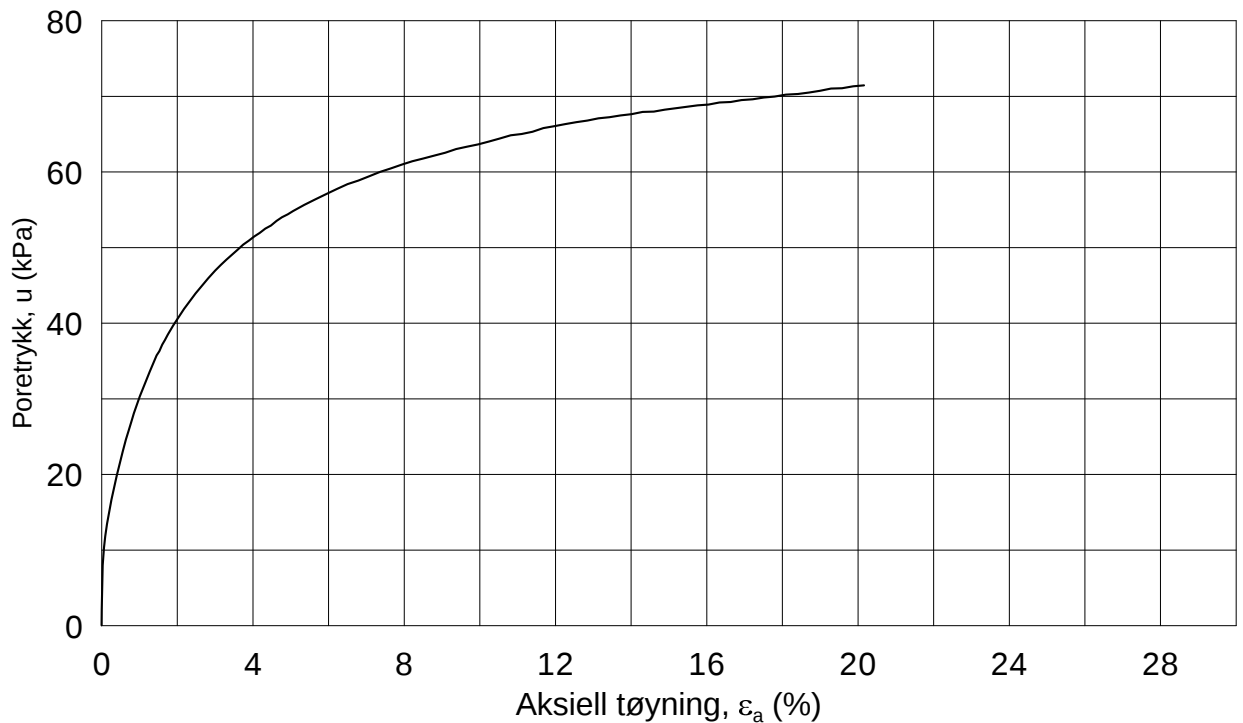
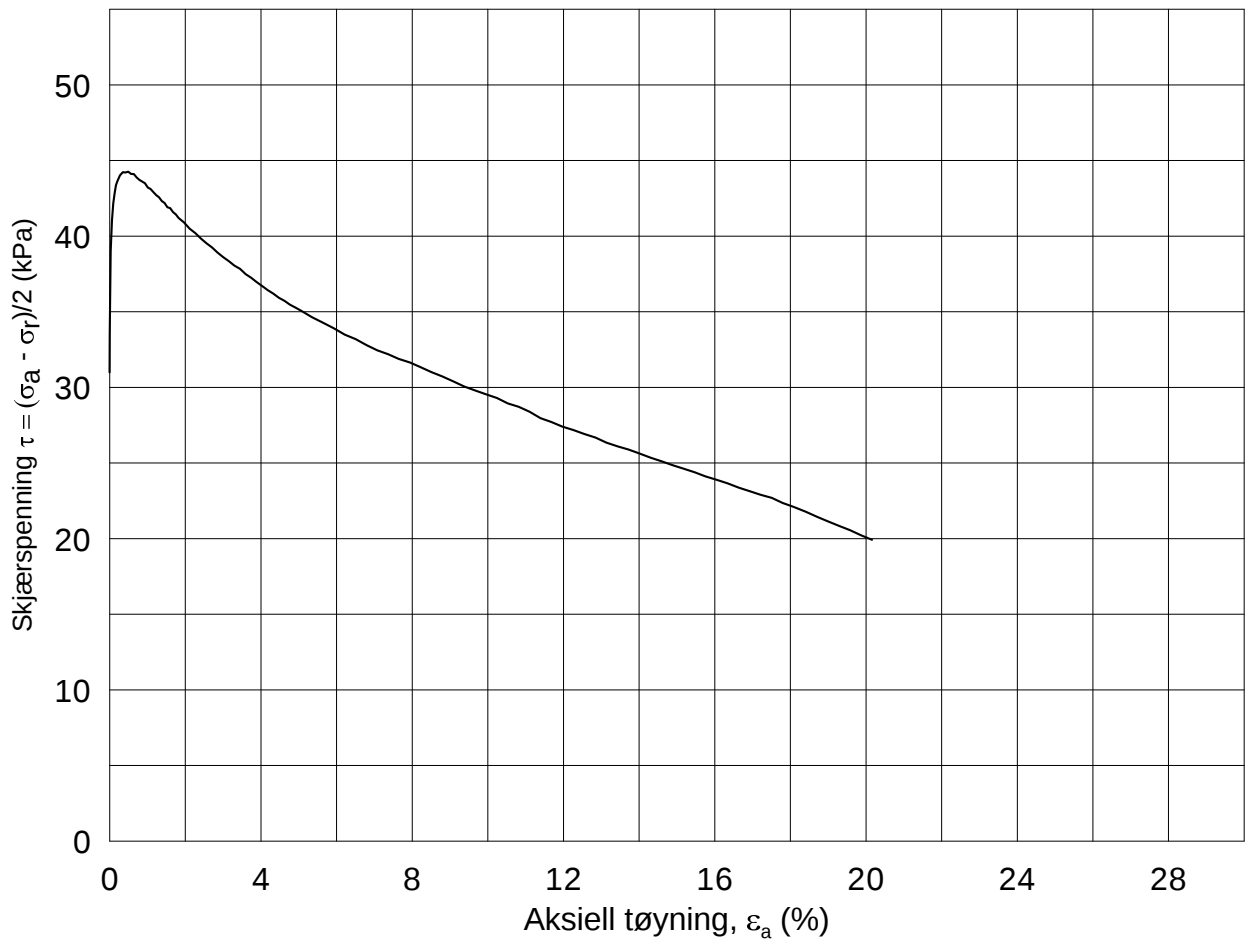




Date/Rev.: 2009-11-03/01

E16 Nybakk - Slomarka			Dokument nr. 20120491-02-R	
Treaksial forsøk: CAUP			Dato 2013-04-02	
Boring: 2275	Dybde = 9.47 m	Konsolidering-spenninger		
Sylinder: 7	$p_{o'}$ = 95.2 kPa	(kPa)	maks.	min.
Del: C	w_i = 38.2 %	σ_{ac}' =	-	-
Test: 1	w_c = 37.8 %	σ_{rc}' =	-	-
		endelig	95.2	
			66.6	
		Figur nr.	G114	
		Tegnet av	MAS	

2275-7-C-1.Plot2.grf



Date/Rev.: 2009-11-03/01

E16 Nybakk - Slomarka

Dokument nr.
20120491-02-R

Treaksial forsøk: **CAUA**

Dato
2013-04-10

Boring: **2275**

Dybde = **16.23** m

Konsolidering-spenninger

Sylinder: **14**

$p_{o'}$ = **156.1** kPa

(kPa) maks. min. endelig

Figur nr.
G115

Del: **B**

w_i = **38.9** %

σ_{ac}' = - - **155.6**

Tegnet av
MAS

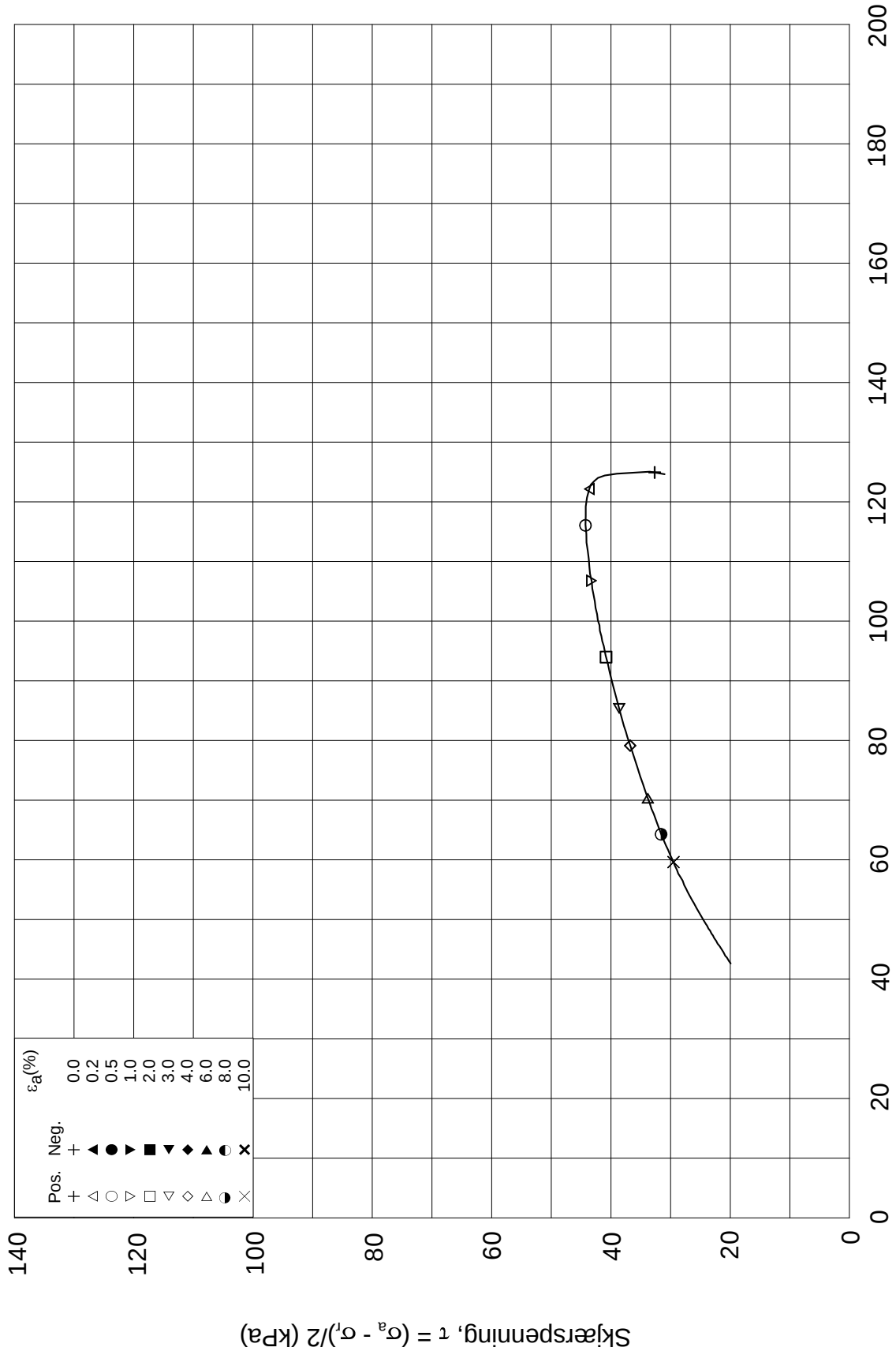
Test: **1**

w_c = **35.2** %

σ_{rc}' = - - **93.7**



Effektiv gjennomsnittsspenning, $p' = (\sigma_a' + \sigma_l')/2$ (kPa)

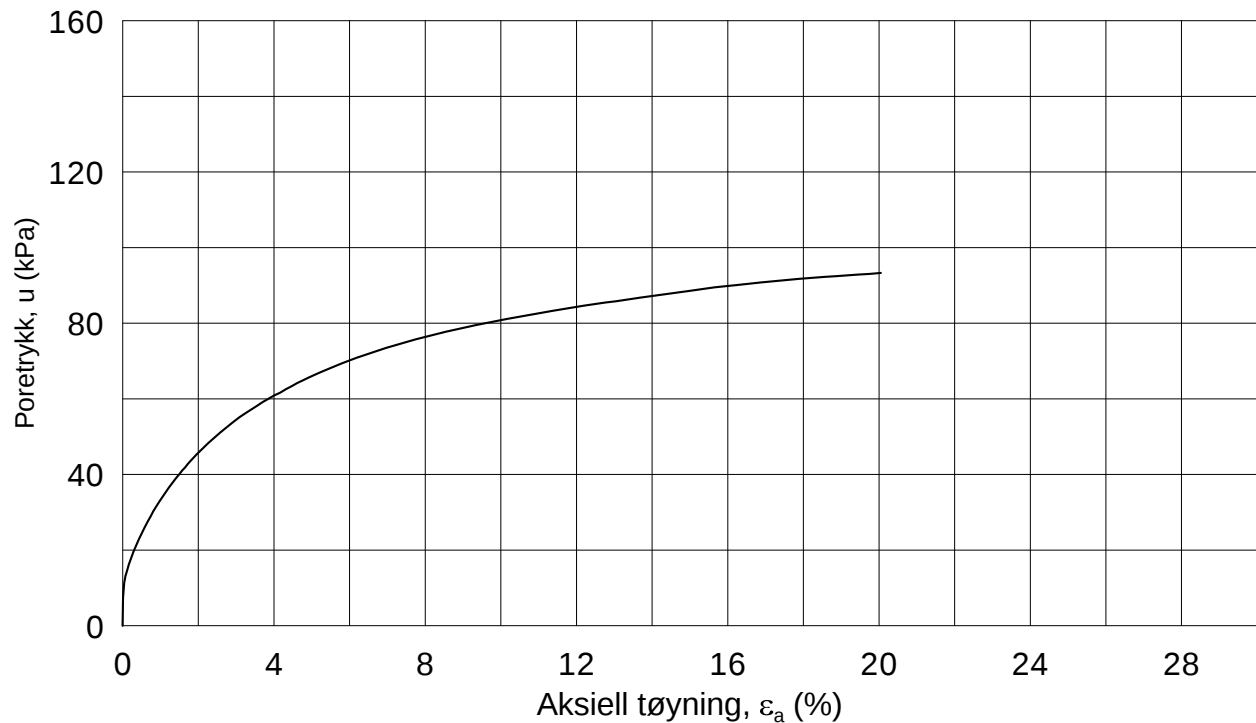
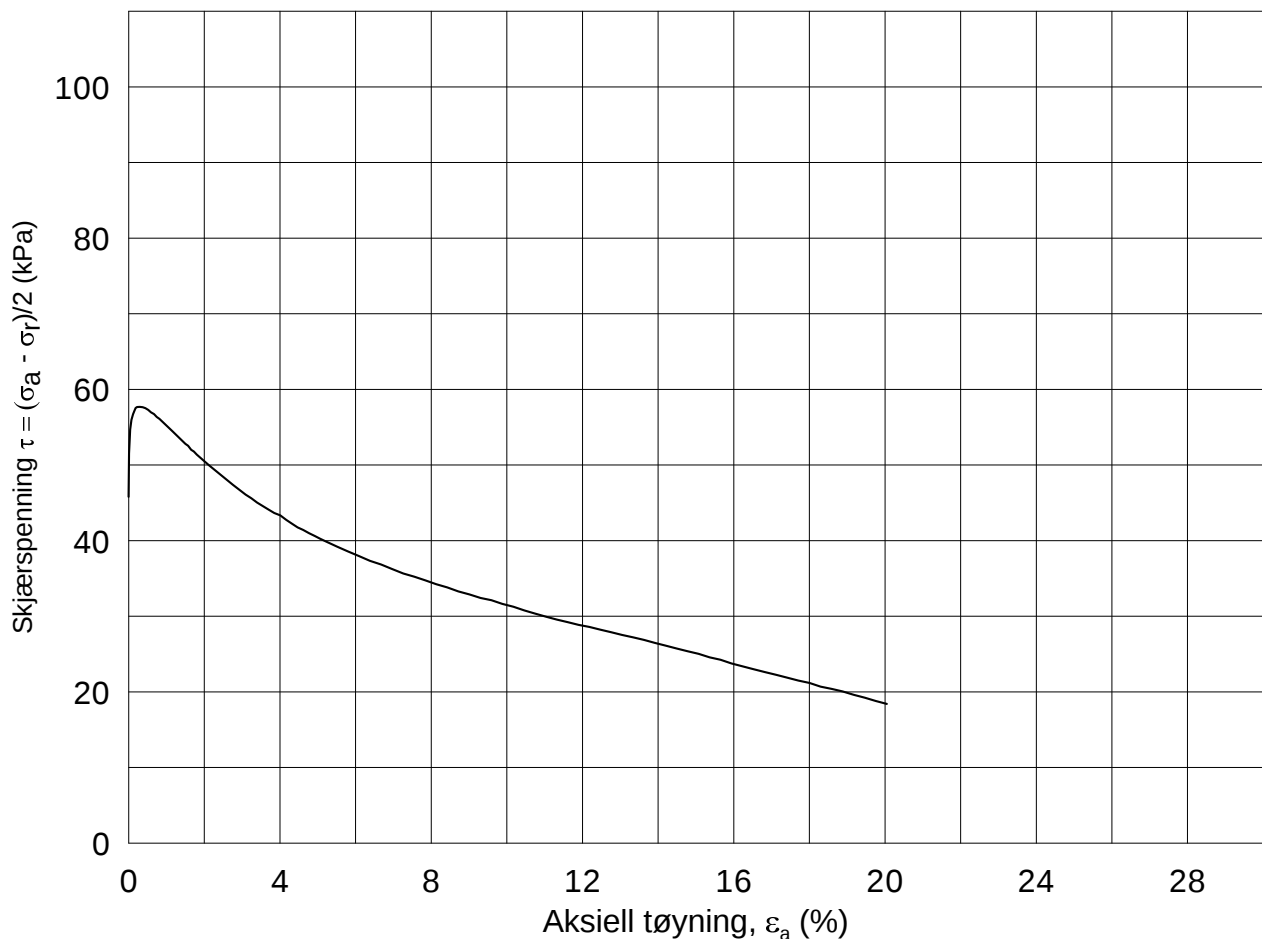


Date/Rev.: 2009-11-03/01

E16 Nybakk - Slomarka			Dokument nr. 20120491-02-R
Treaksial forsøk: CAUA			Dato 2013-04-10
Boring: 2275	Dybde = 16.23 m	Konsolidering-spenninger	
Sylinder: 14	$p_{o'}$ = 156.1 kPa	(kPa)	maks. min. endelig
Del: B	w_i = 38.9 %	$\sigma_{ac}' =$ - - 155.6	Figur nr. G116
Test: 1	w_c = 35.2 %	$\sigma_{rc}' =$ - - 93.7	Tegnet av MAS

2275-14-B-1-1.Plot2.grf





Date/Rev.: 2009-11-03/01

E16 Nybakk - Slomarka

Dokument nr.
20120491-02-R

Treaksial forsøk: CAUA

Dato
2013-04-19

Boring: 2275

Dybde = 21.55 m

Konsolidering-spenninger

Sylinder: 19

$p_{o'}$ = 204.0 kPa

(kPa)	maks.	min.	endelig
σ_{ac}'	-	-	203.2
σ_{rc}'	-	-	112.0

Del: C

w_i = 37.9 %

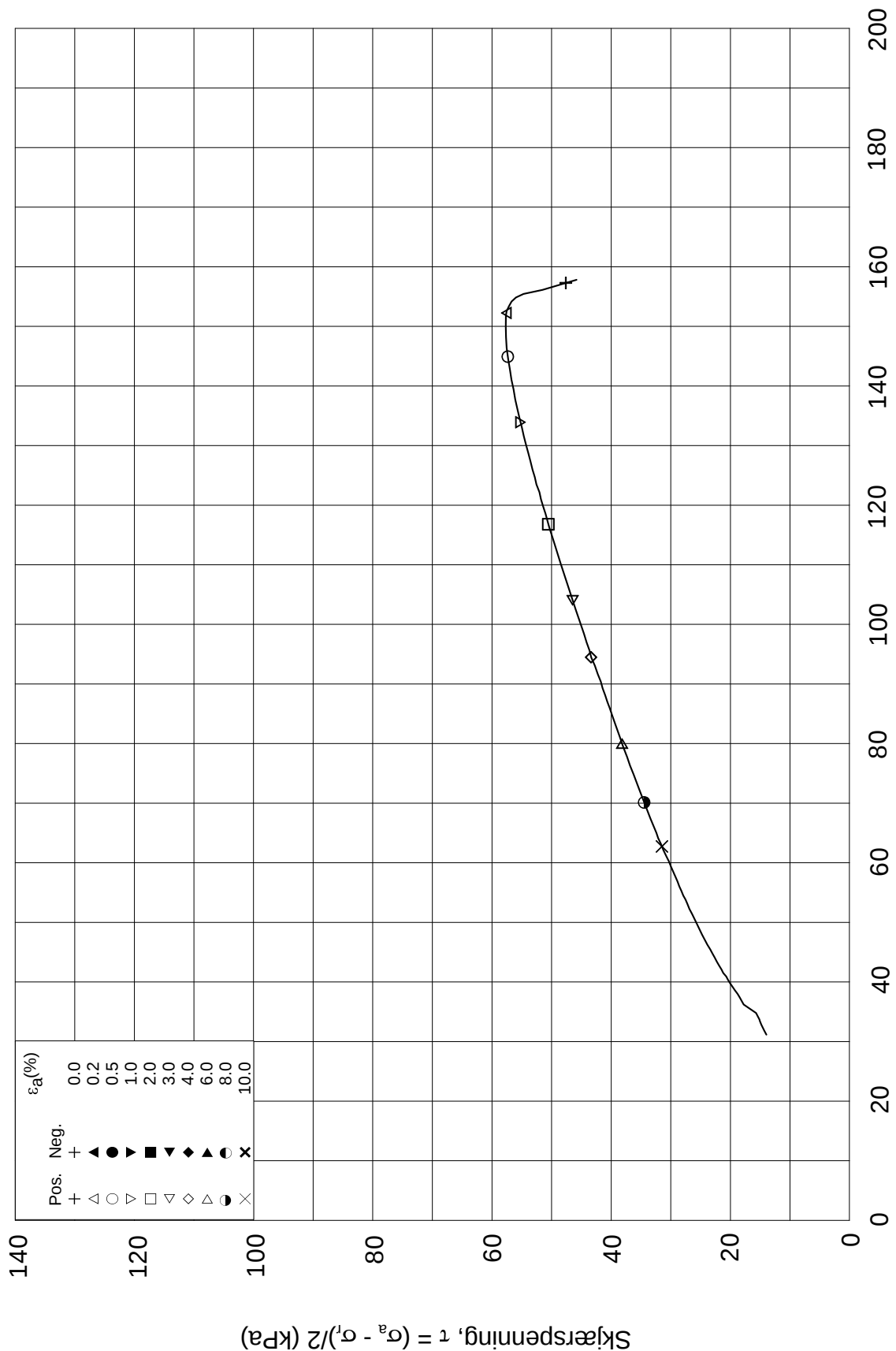
Figur nr.
G117

Test: 1

w_c = 34.8 %

Tegnet av
MAS





Date/Rev.: 2009-11-03/01

E16 Nybakk - Slomarka

Dokument nr.
20120491-02-R

Treaksial forsøk: CAUA

Dato
2013-04-19

Boring: 2275

Dybde = 21.55 m

Konsolidering-spenninger

Sylinder: 19

$p_{o'}$ = 204.0 kPa

(kPa)	maks.	min.	endelig
σ_{ac}' =	-	-	203.2
σ_{rc}' =	-	-	112.0

Del: C

w_i = 37.9 %

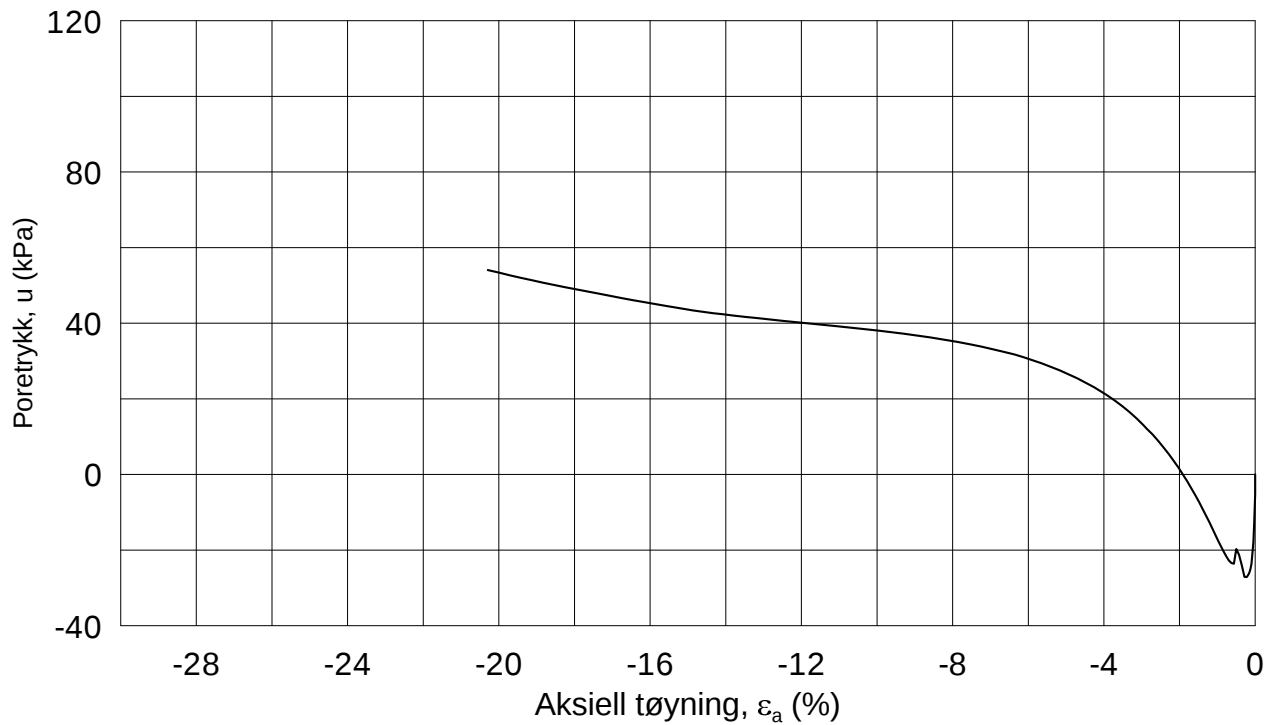
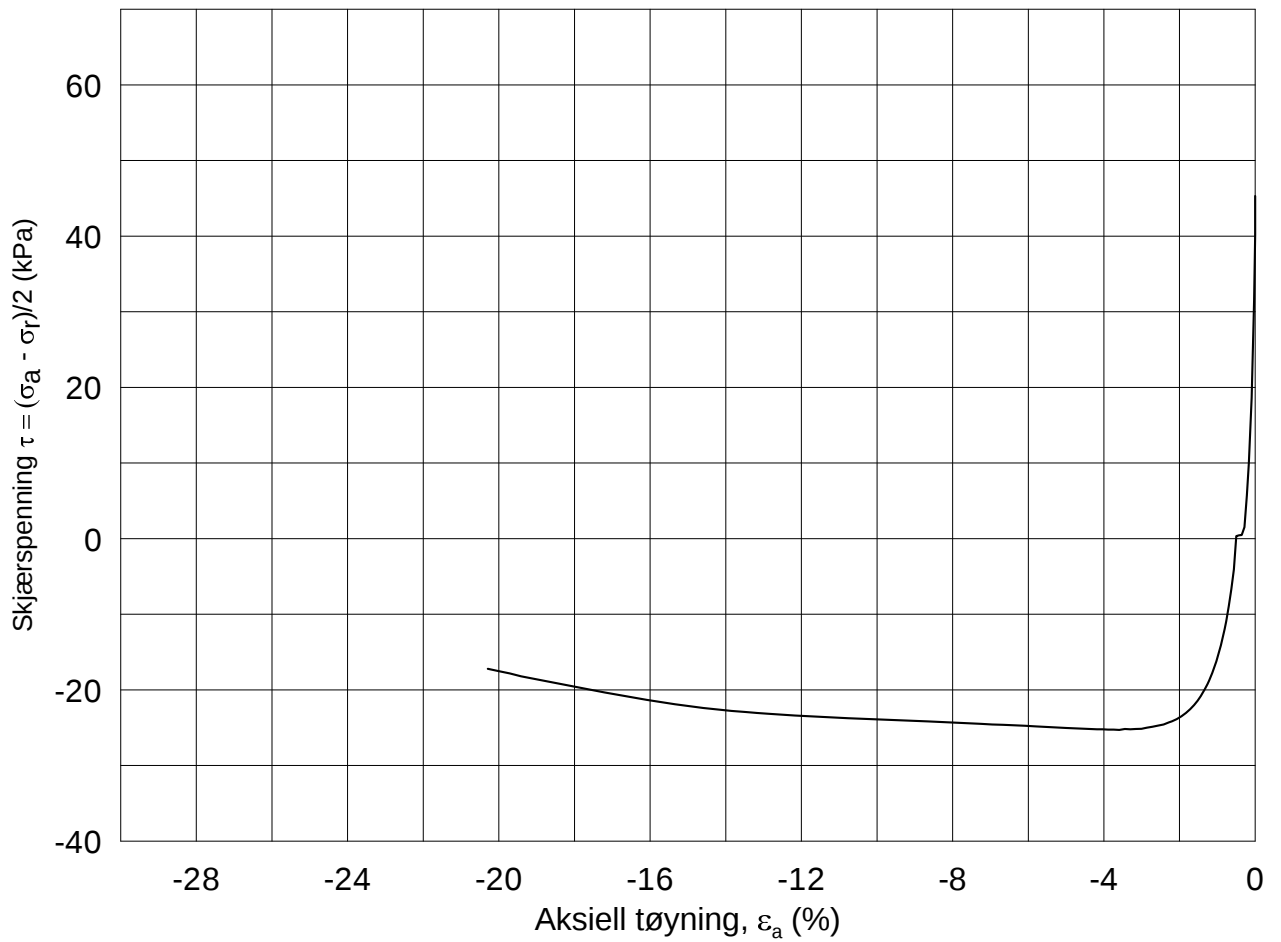
Figur nr.
G118

Test: 1

w_c = 34.8 %

Tegnet av
MAS





Date/Rev.: 2009-11-03/01

E16 Nybakk - Slomarka

Dokument nr.
20120491-02-R

Treaksial forsøk: **CAUP**

Dato
2013-04-19

Boring: **2275**

Dybde = **21.38** m

Konsolidering-spenninger

Sylinder: **19**

$p_{o'}$ = **202.4** kPa

(kPa) maks. min. endelig

Figur nr.
G119

Del: **B**

w_i = **38.6** %

σ_{ac}' = - - **201.7**

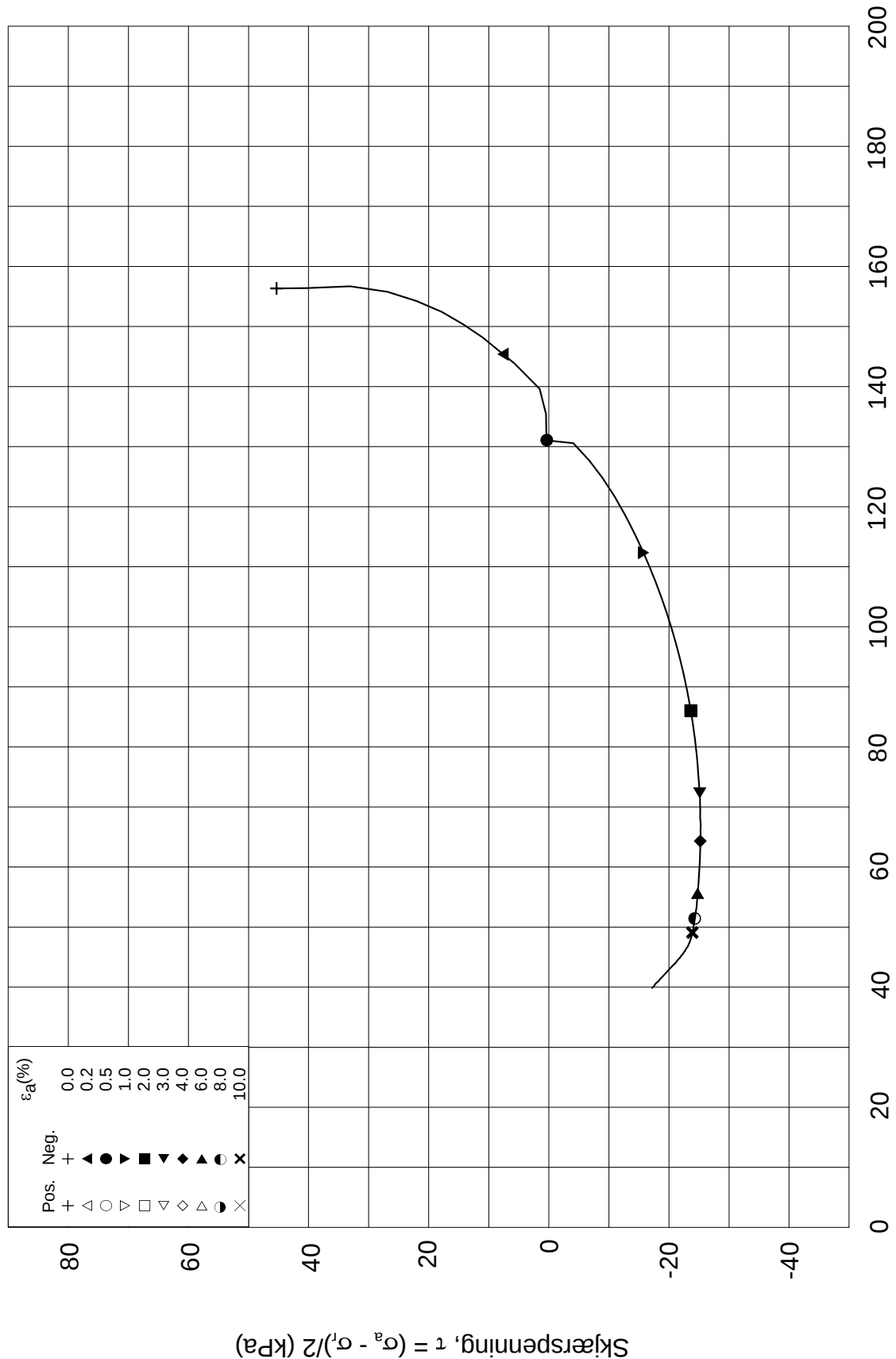
Tegnet av
MAS

Test: **1**

w_c = **35.0** %

σ_{rc}' = - - **111.0**





Date/Rev.: 2009-11-03/01

E16 Nybakk - Slomarka

Dokument nr.
20120491-02-R

Treaksial forsøk: **CAUP**

Dato
2013-04-19

Boring: **2275**

Dybde = **21.38** m

Konsolidering-spenninger

Sylinder: **19**

$p_{o'}$ = **202.4** kPa

(kPa) maks. min. endelig

Figur nr.
G120

Del: **B**

w_i = **38.6** %

σ_{ac}' = - - **201.7**

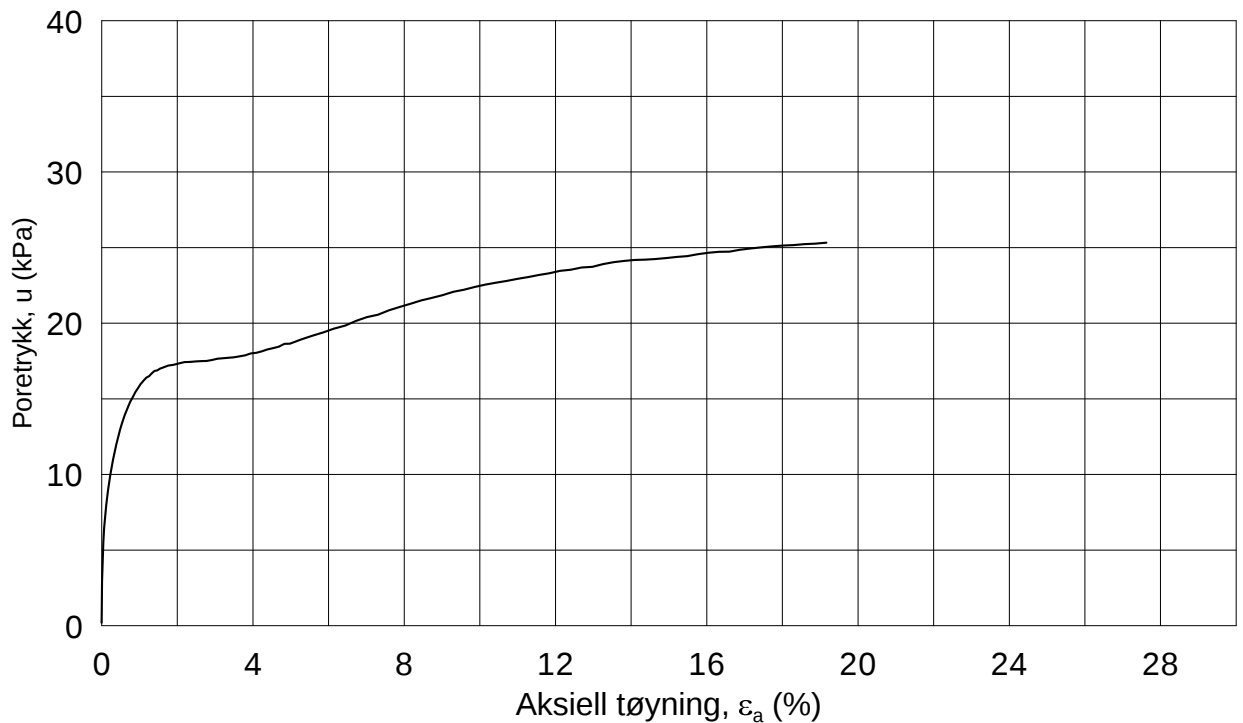
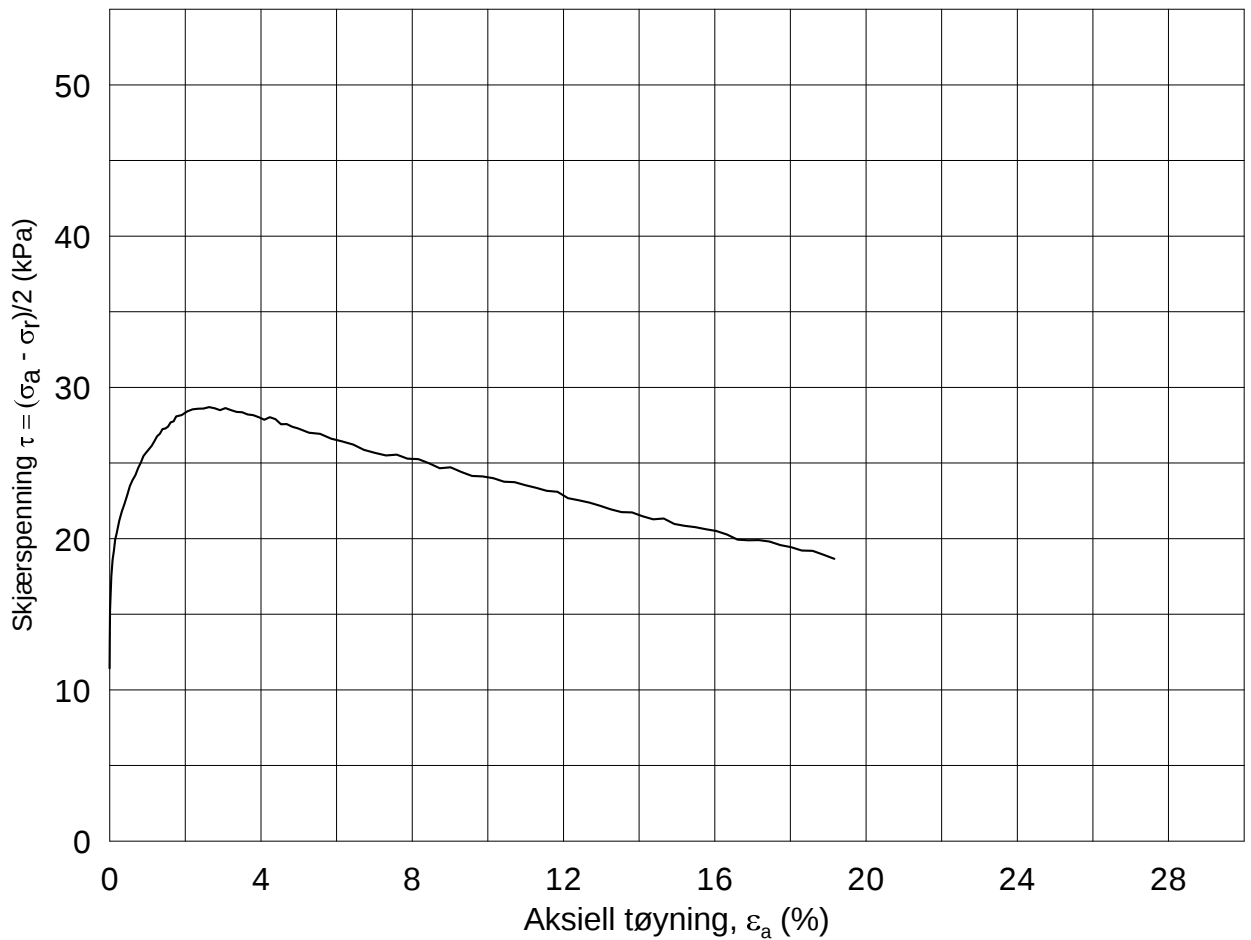
Tegnet av
MAS

Test: **1**

w_c = **35.0** %

σ_{rc}' = - - **111.0**





Date/Rev.: 2009-11-03/01

E16 Nybakk - Slomarka

Dokument nr.
20120491-02-R

Treaksial forsøk: **CAUA**

Dato
2013-04-19

Boring: **2284**

Dybde = **6.20** m

Konsolidering-spenninger

Sylinder: **6**

$p_{o'}$ = **65.8** kPa (maks. min. endelig)

Figur nr.
G121

Del: **A**

w_i = **41.1** % $\sigma_{ac}' = - - 65.7$

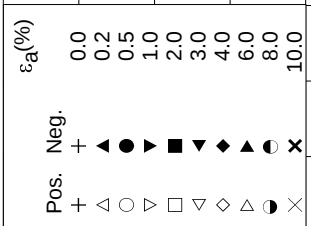
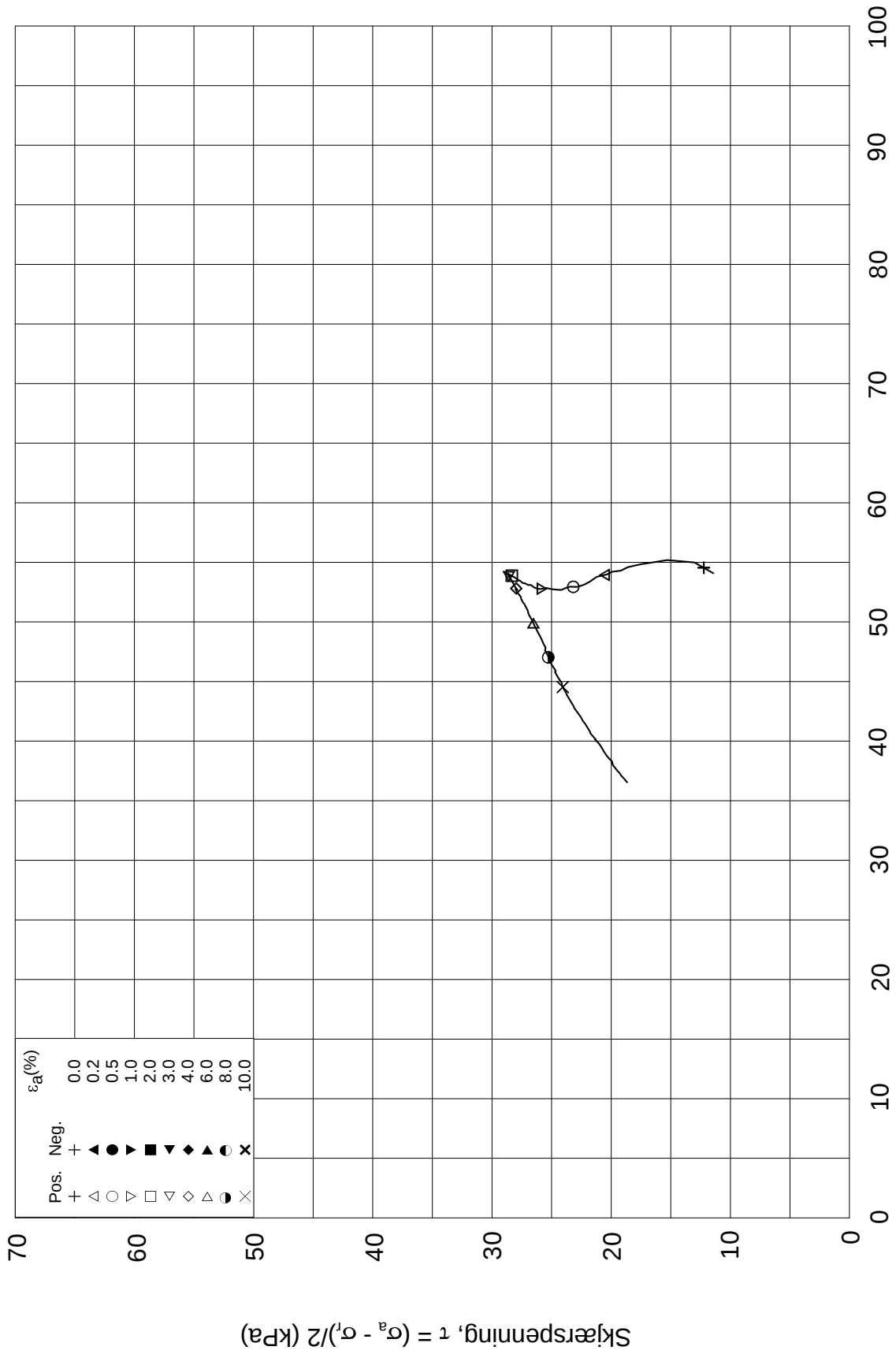
Tegnet av
MAS

Test: **1**

w_c = **40.4** % $\sigma_{rc}' = - - 42.8$



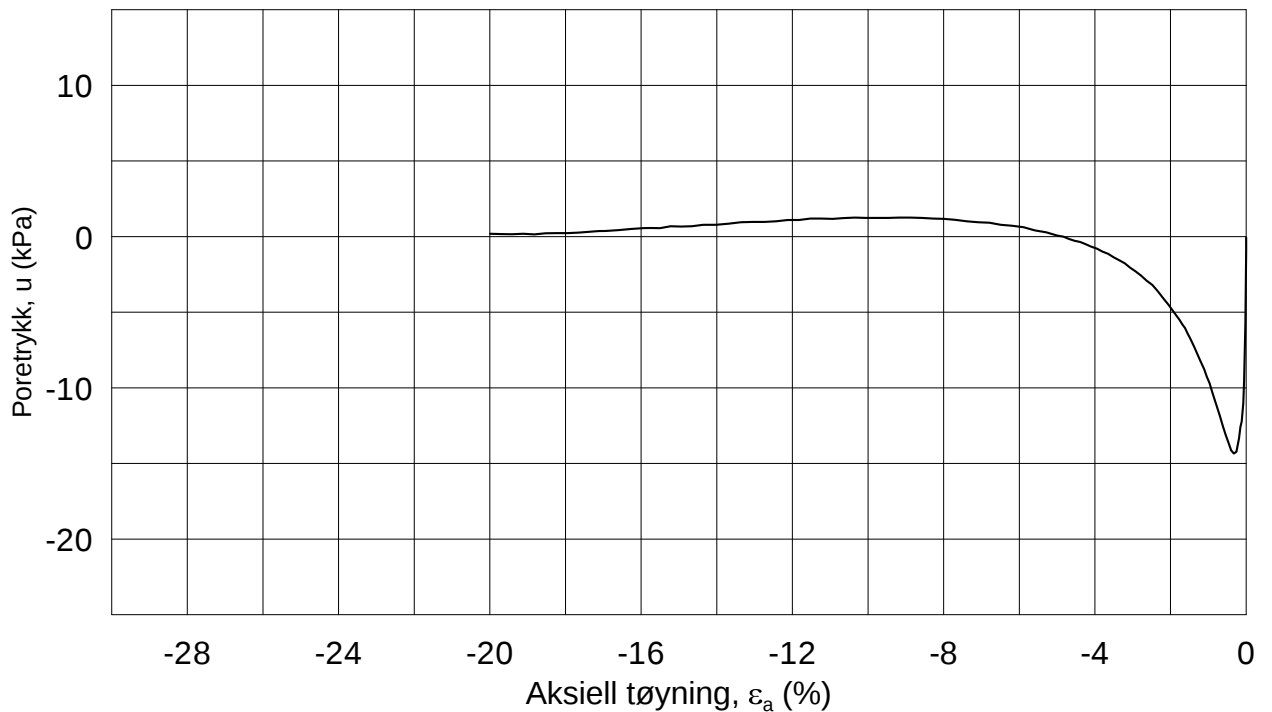
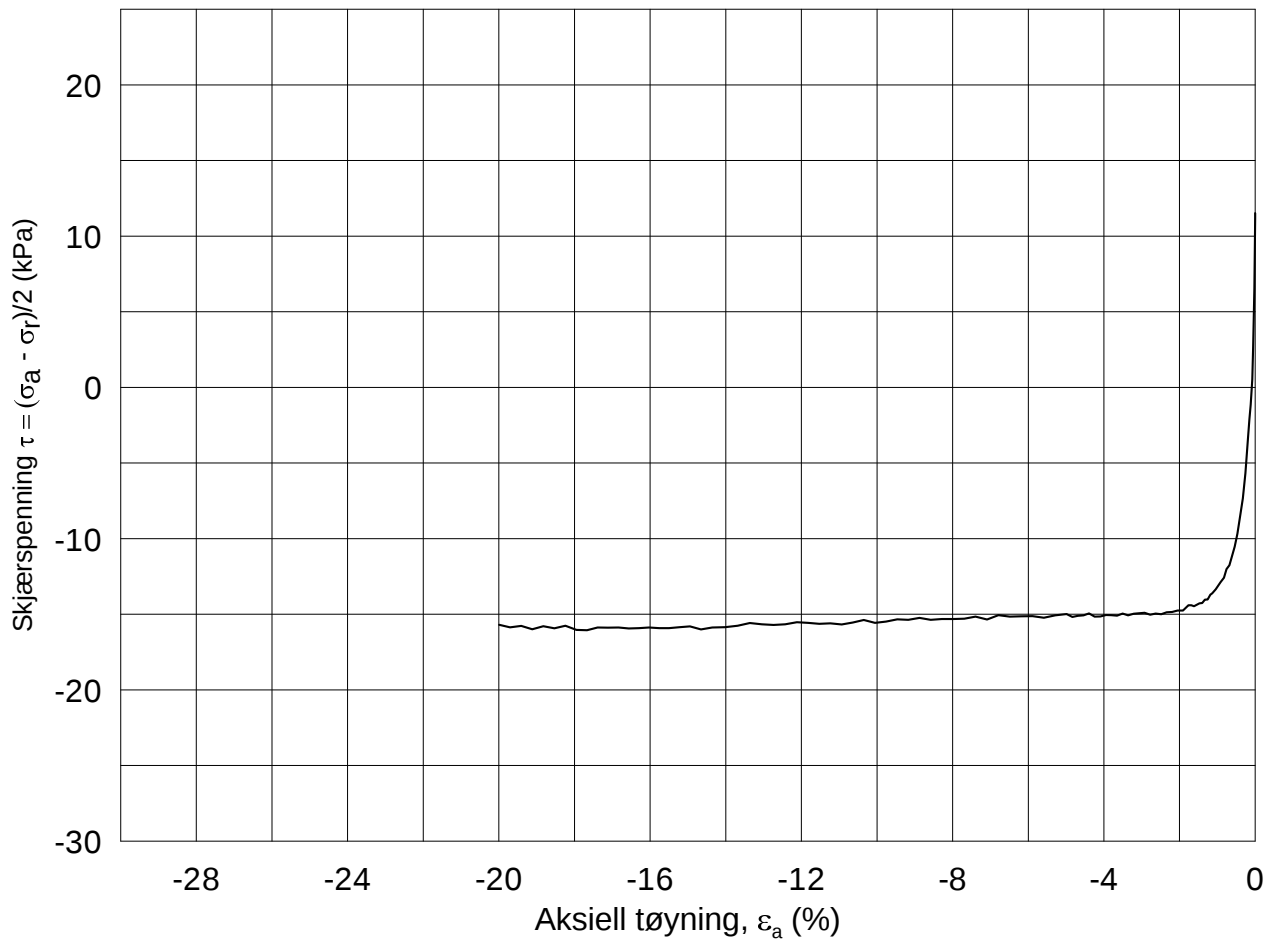
Effektiv gjennomsnittsspenning, $p' = (\sigma'_a + \sigma'_l)/2$ (kPa)



Date/Rev.: 2009-11-03/01

E16 Nybakk - Slomarka			Dokument nr. 20120491-02-R
Treaksial forsøk: CAUA			Dato 2013-04-19
Boring: 2284	Dybde = 6.20 m	Konsolidering-spenninger	
Sylinder: 6	$p_{o'}$ = 65.8 kPa	(kPa)	maks. min. endelig
Del: A	w_i = 41.1 %	σ_{ac}' = - - 65.7	Figur nr. G122
Test: 1	w_c = 40.4 %	σ_{rc}' = - - 42.8	Tegnet av MAS

2284-6-A-1.Plot2.grf



Date/Rev.: 2009-11-03/01

E16 Nybakk - Slomarka

Dokument nr.
20120491-02-R

Treaksial forsøk: **CAUP**

Dato
2013-04-22

Boring: **2284**

Dybde = **6.35** m Konsolidering-spenninger

Sylinder: **6**

$p_{o'}$ = **67.6** kPa (kPa) maks. min. endelig

Del: **B**

w_i = **40.3** % σ_{ac}' = - - **67.6**

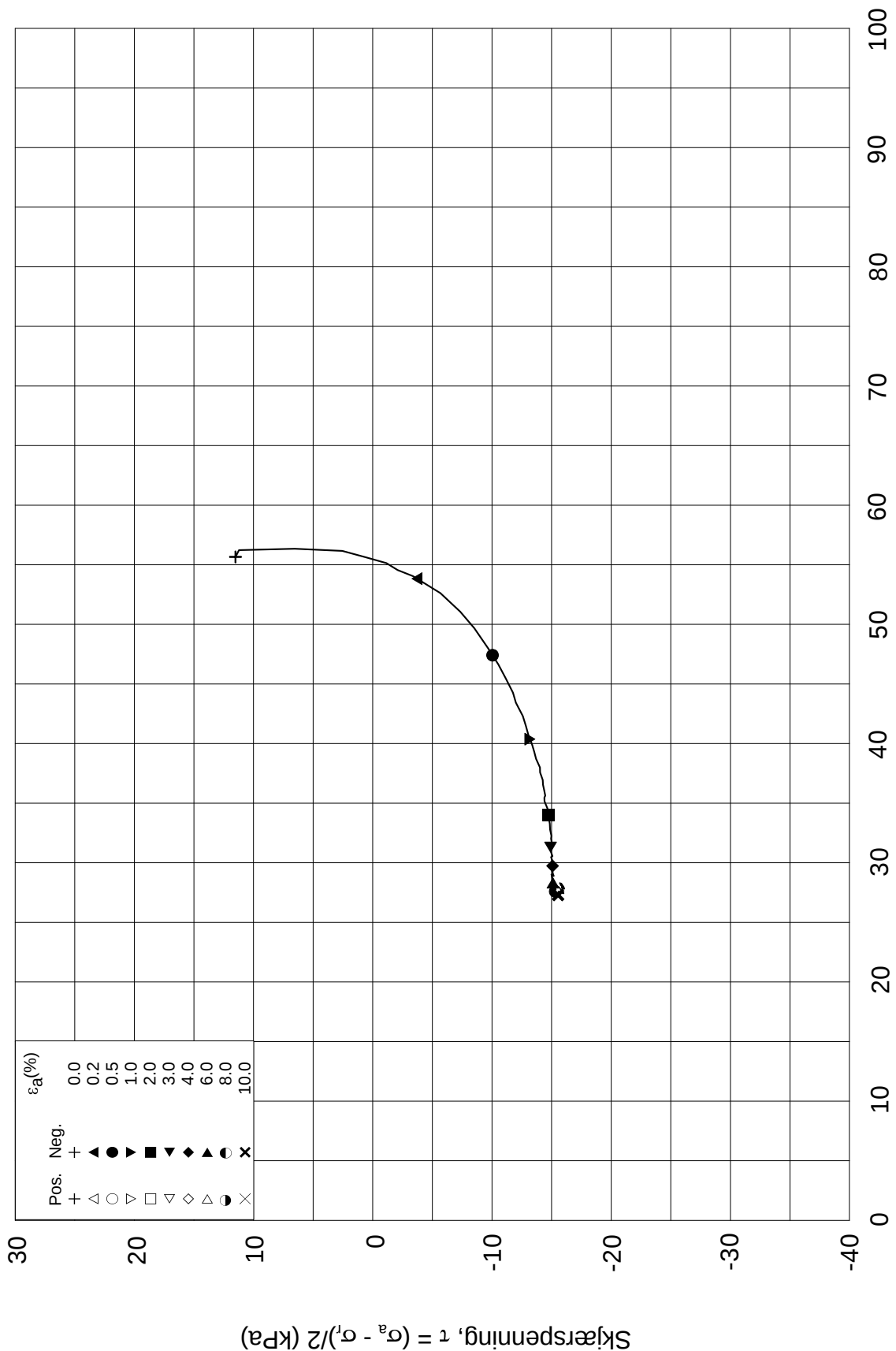
Test: **1**

w_c = **39.6** % σ_{rc}' = - - **44.0**

Figur nr.
G123

Tegnet av
MAS





Date/Rev.: 2009-11-03/01

E16 Nybakk - Slomarka

Dokument nr.
20120491-02-R

Treaksial forsøk: **CAUP**

Dato
2013-04-22

Boring: **2284**

Sylinder: **6**

Del: **B**

Test: **1**

Dybde = **6.35** m

$p_{o'}$ = **67.6** kPa

w_i = **40.3** %

w_c = **39.6** %

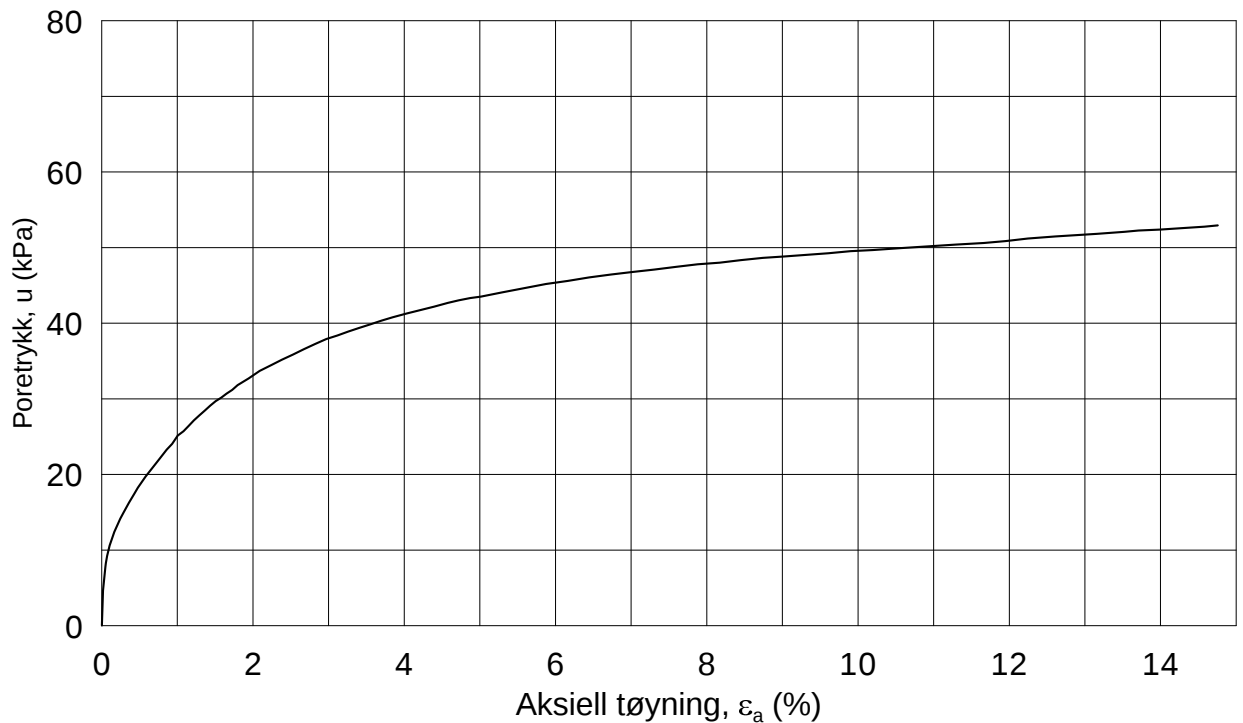
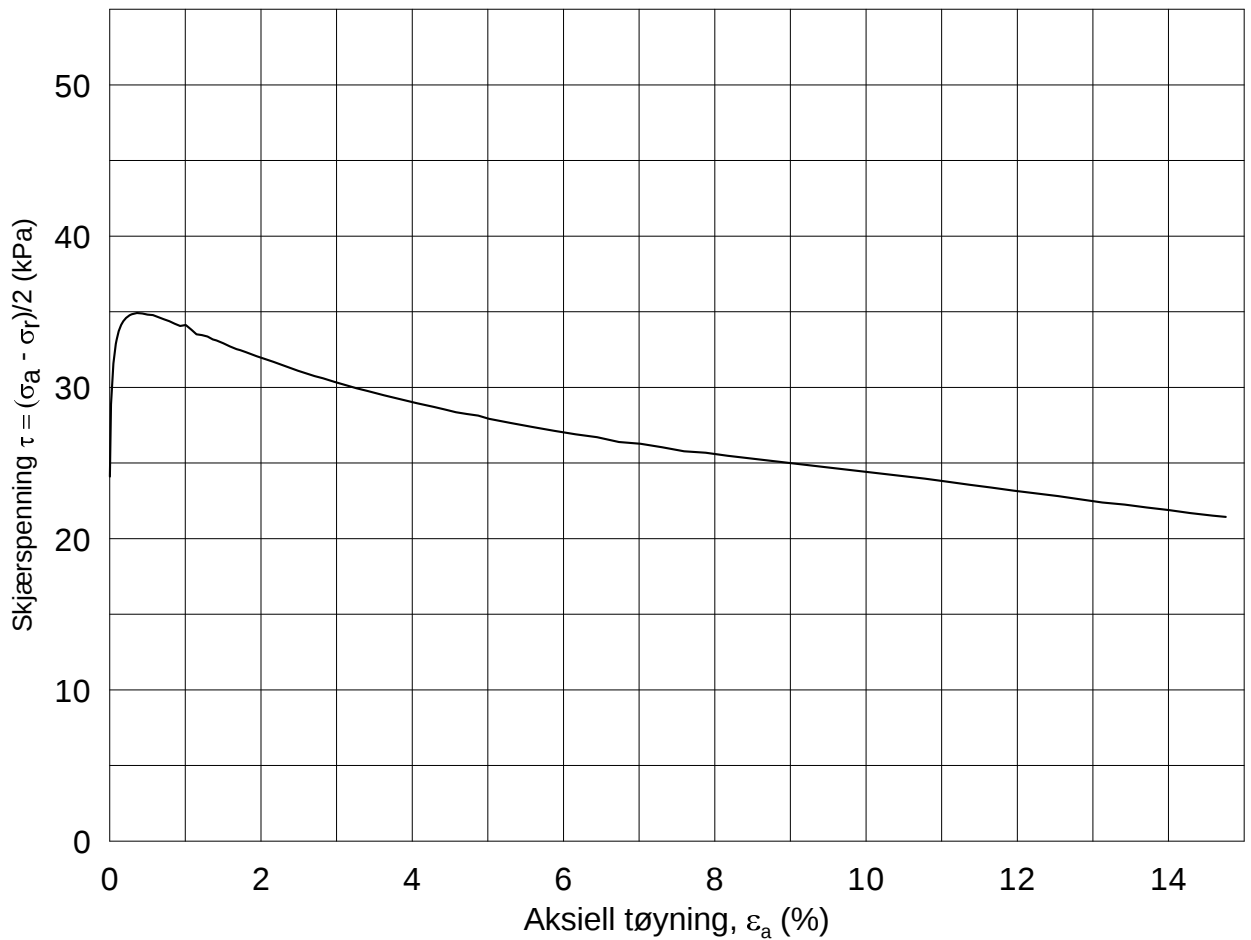
Konsolidering-spenninger

(kPa)	maks.	min.	endelig
σ_{ac}'	-	-	67.6
σ_{rc}'	-	-	44.0

Figur nr.
G124

Tegnet av
MAS





Date/Rev.: 2009-11-03/01

E16 Nybakk - Slomarka

Dokument nr.
20120491-02-R

Treaksial forsøk: **CAUA**

Dato
2013-04-22

Boring: **2284**

Dybde = **12.37** m

Konsolidering-spenninger

Sylinder: **12**

$p_{o'}$ = **121.3** kPa

(kPa) maks. min. endelig

Figur nr.
G125

Del: **B**

w_i = **44.0** %

σ_{ac}' = - - **121.1**

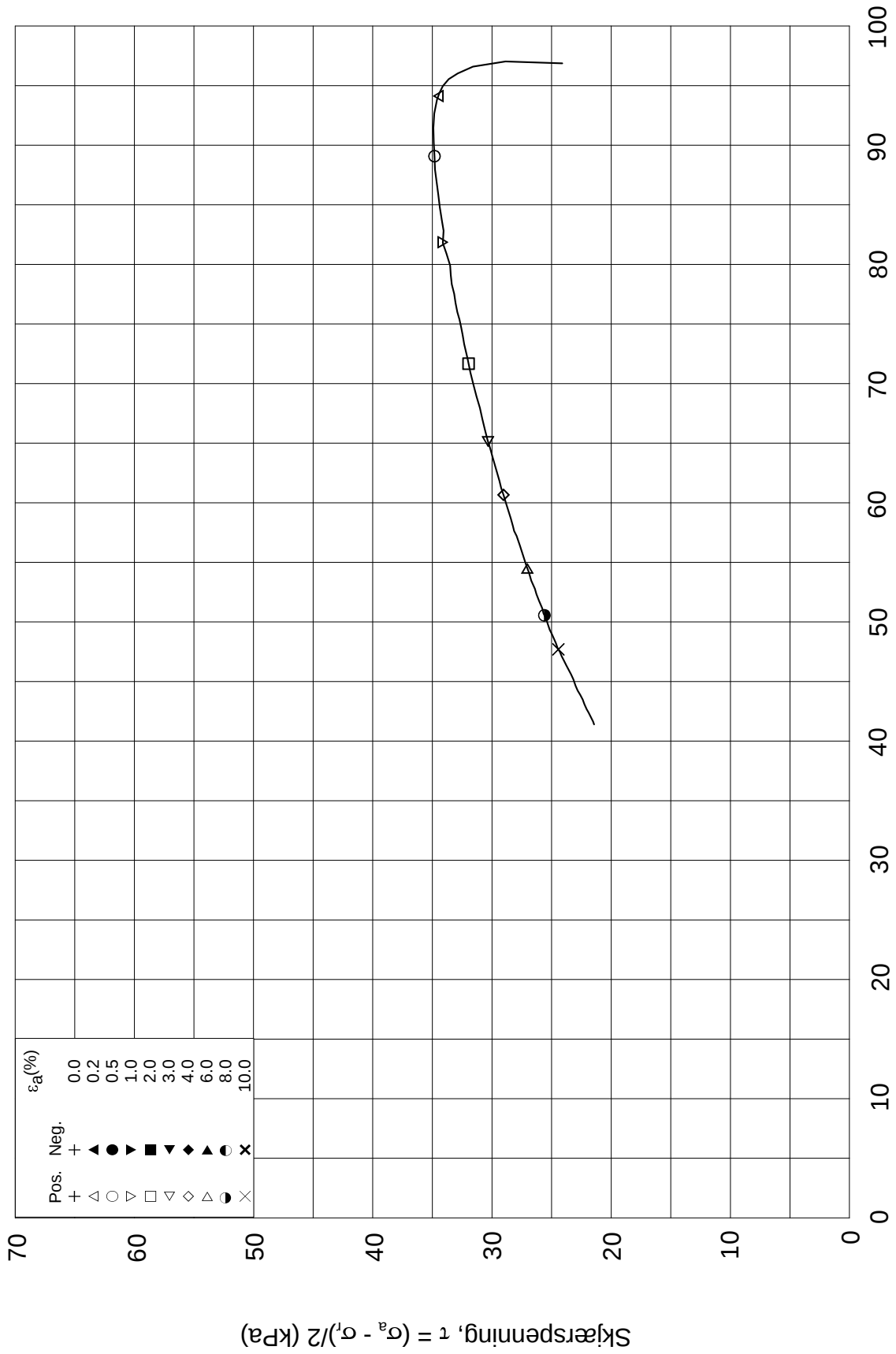
Tegnet av
MAS

Test: **1**

w_c = **39.7** %

σ_{rc}' = - - **72.8**






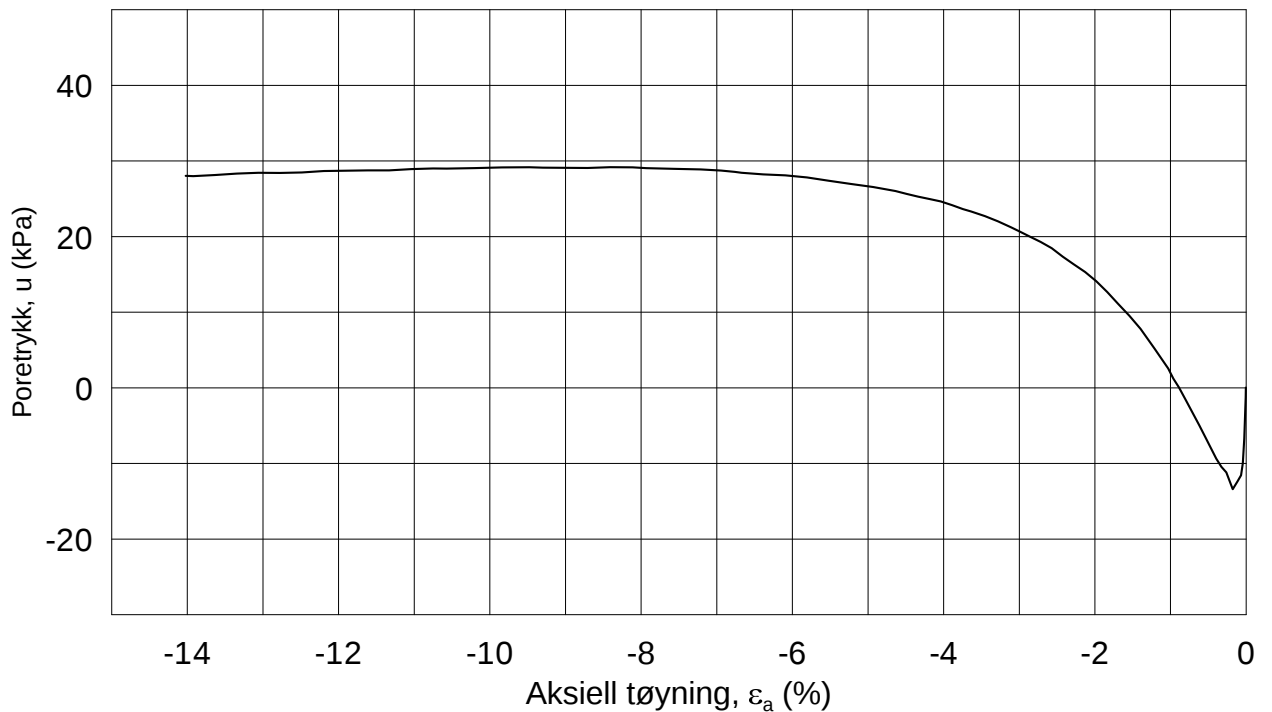
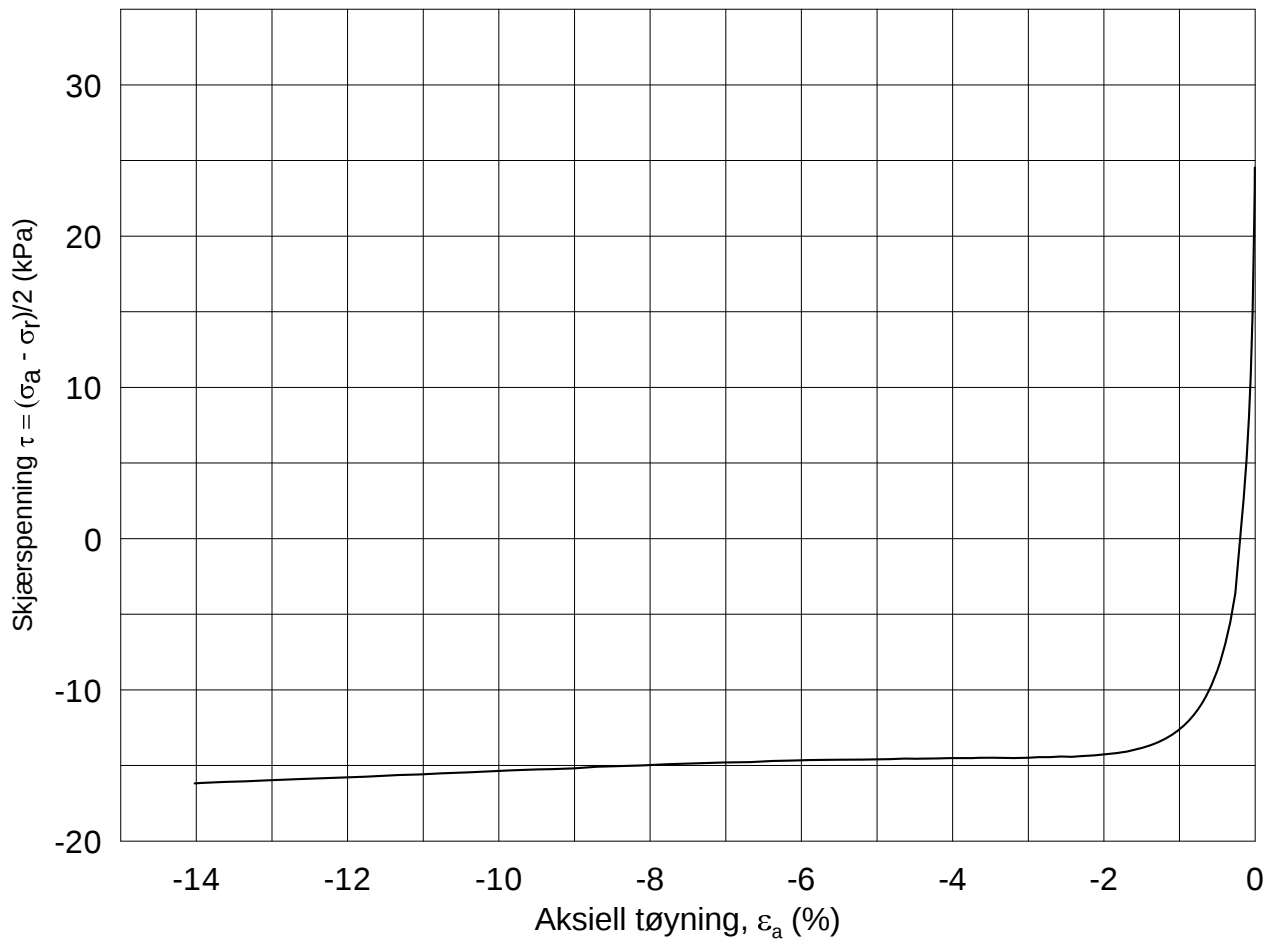
Effektiv gjennomsnittsspenning, p' = (σ_a' + σ_r')/2 (kPa)

ε _a (%)	0.0
	0.2
	0.5
	1.0
	2.0
	3.0
	4.0
	6.0
	8.0
	10.0
Pos.	+ ▲ ● ▽ ◆ ▲ ○ ×
Neg.	+ ▲ ● ▽ ◆ ▲ ○ ×

Date/Rev.: 2009-11-03/01

E16 Nybakk - Slomarka			Dokument nr. 20120491-02-R
Treaksial forsøk: CAUA			Dato 2013-04-22
Boring: 2284	Dybde = 12.37 m	Konsolidering-spenninger	
Sylinder: 12	p _o ' = 121.3 kPa	(kPa)	maks. min. endelig
Del: B	w _i = 44.0 %	σ _{ac} ' = - - 121.1	Figur nr. G126
Test: 1	w _c = 39.7 %	σ _{rc} ' = - - 72.8	Tegnet av MAS
			

2284-12-B-1-1.Plot2.grf



Date/Rev.: 2009-11-03/01

E16 Nybakk - Slomarka

Dokument nr.
20120491-02-R

Treaksial forsøk: **CAUP**

Dato
2013-04-22

Boring: **2284**

Dybde = **12.54** m

Konsolidering-spenninger

Sylinder: **12**

$p_{o'}$ = **122.9** kPa

(kPa) maks. min. endelig

Figur nr.
G127

Del: **C**

w_i = **41.0** %

σ_{ac}' = - - **122.7**

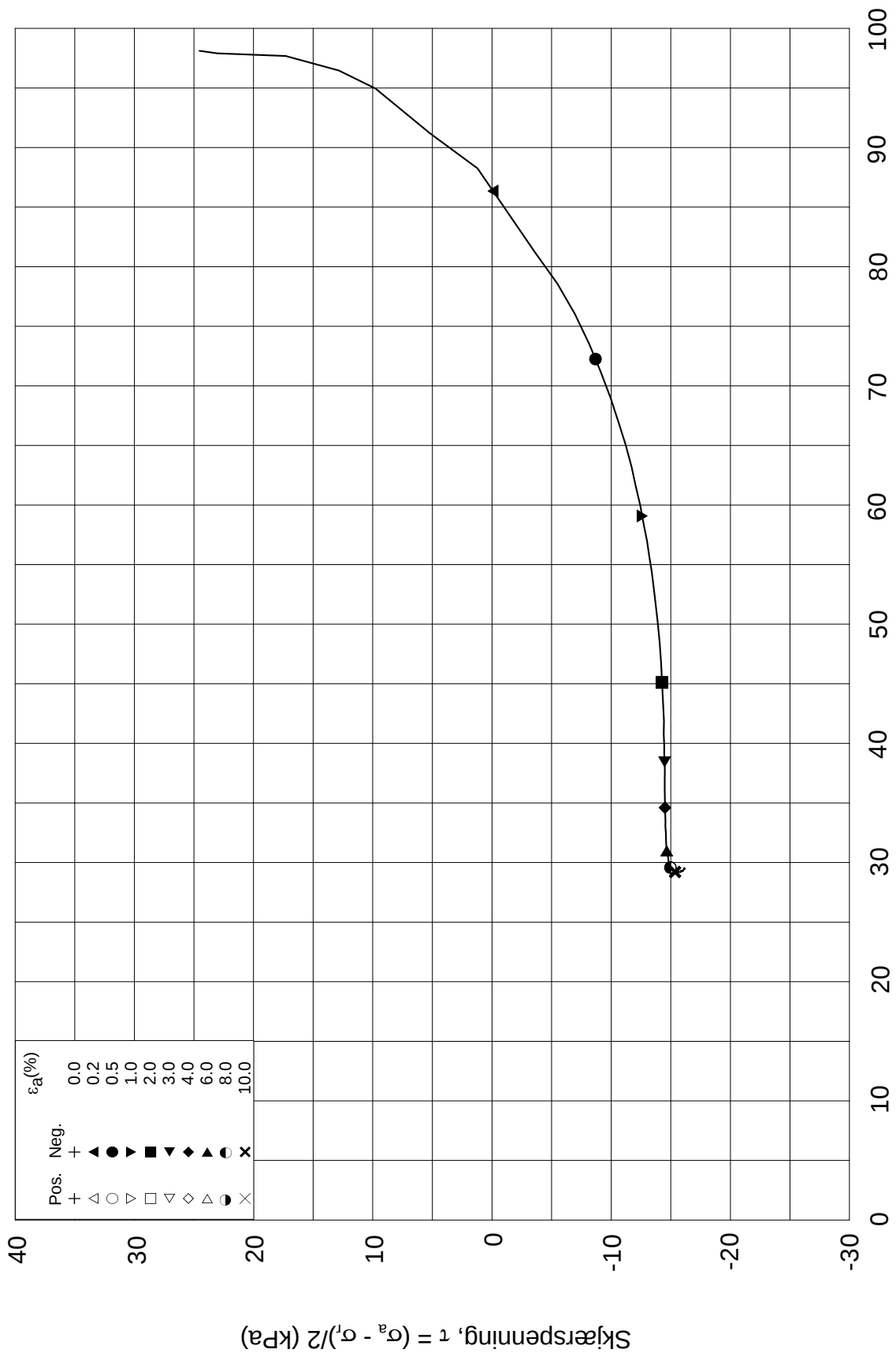
Tegnet av
MAS

Test: **1**

w_c = **37.0** %

σ_{rc}' = - - **73.6**

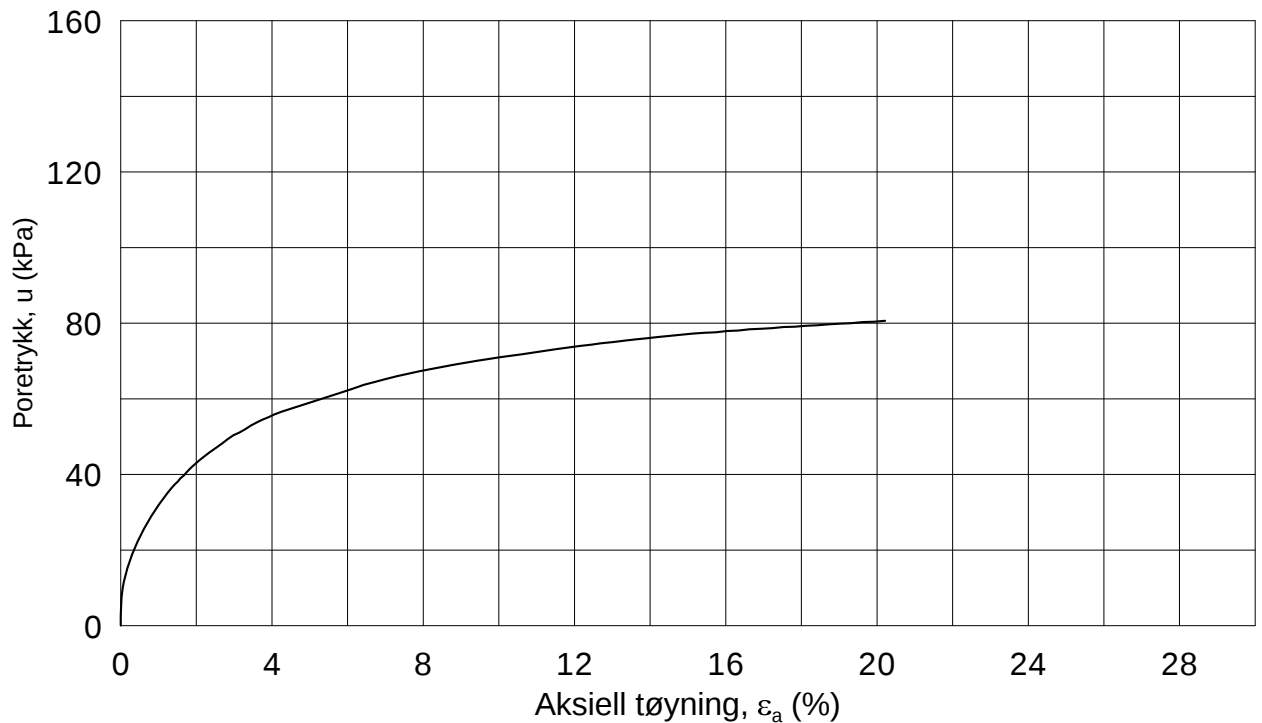
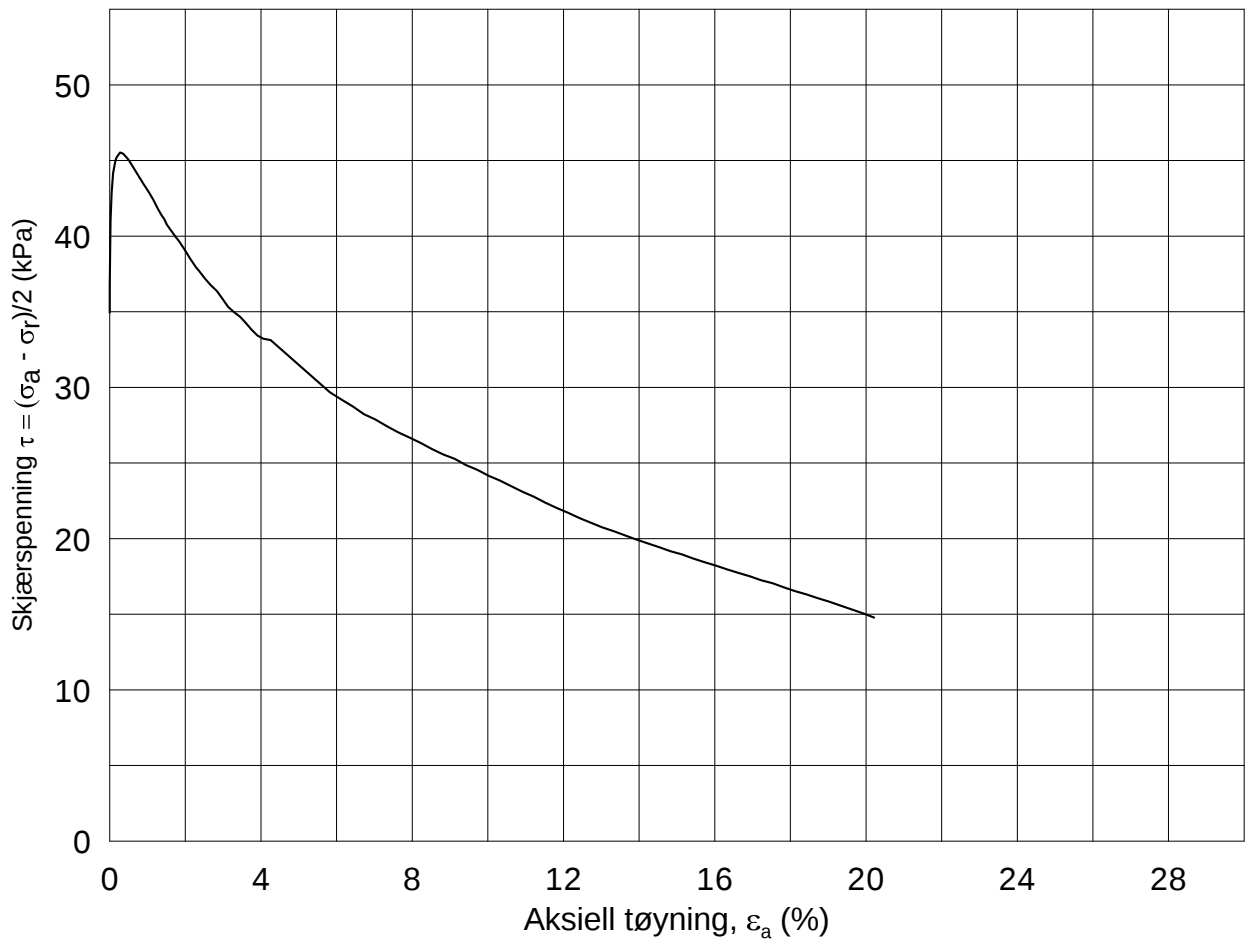




Date/Rev.: 2009-11-03/01

E16 Nybakk - Slomarka			Dokument nr. 20120491-02-R	
Treaksial forsøk: CAUP			Dato 2013-04-22	
Boring: 2284	Dybde = 12.54 m	Konsolidering-spenninger		
Sylinder: 12	$p_{o'}$ = 122.9 kPa	(kPa)	maks.	min.
Del: C	w_i = 41.0 %	σ_{ac}' =	-	-
Test: 1	w_c = 37.0 %	σ_{rc}' =	-	-
		endelig	122.7	
			73.6	
		Figur nr.	G128	
		Tegnet av	MAS	

2284-12-C-1-Plot2.grf



Date/Rev.: 2009-11-03/01

E16 Nybakk - Slomarka

Dokument nr.
20120491-02-R

Treaksial forsøk: CAUA

Dato
2013-04-23

Boring: 2284

Dybde = 17.40 m

Konsolidering-spenninger

Sylinder: 16

$p_{o'}$ = 166.6 kPa

(kPa) maks. min. endelig

Figur nr.
G129

Del: B

w_i = 41.4 %

σ_{ac}' = - - 166.6

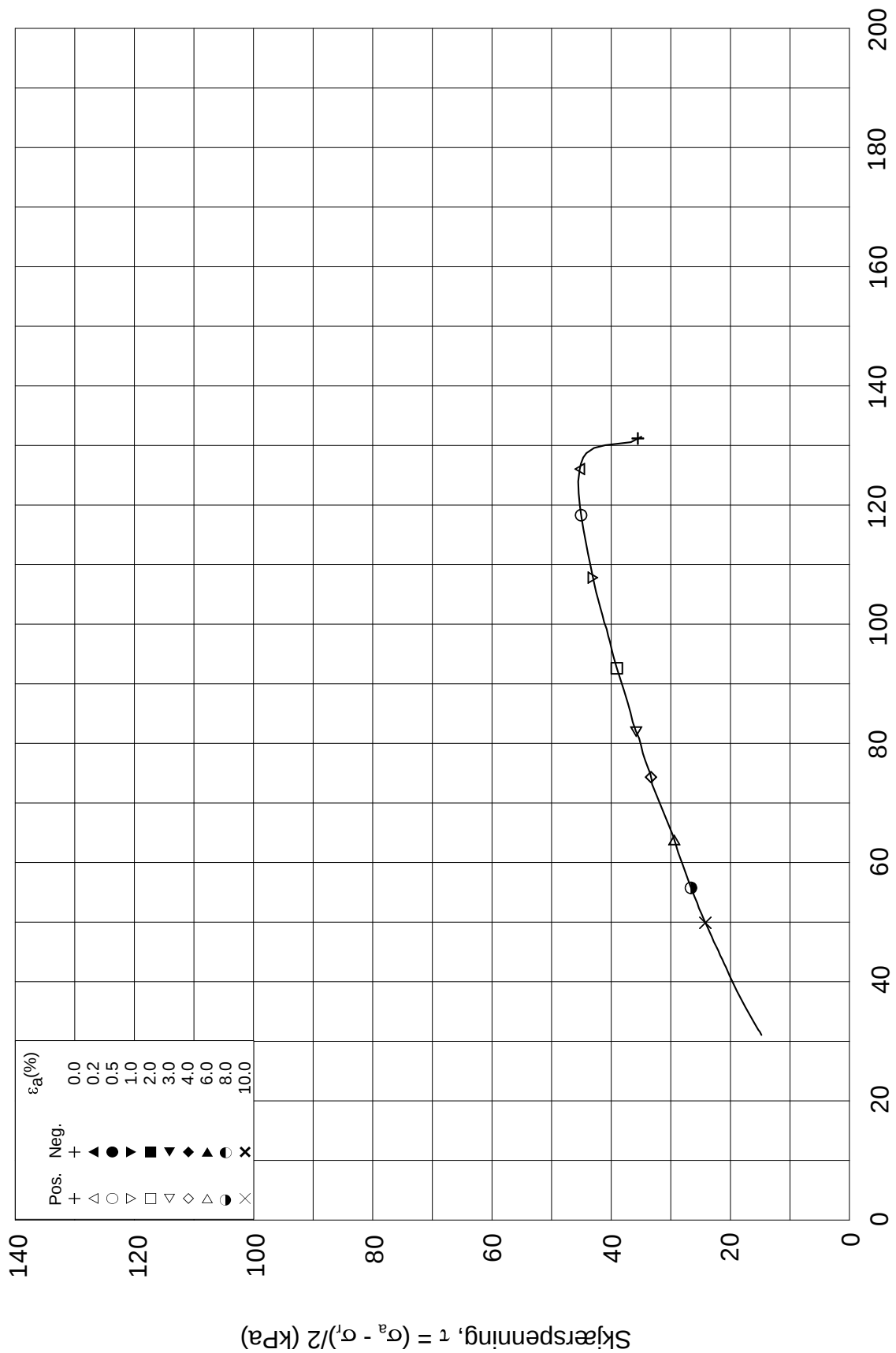
Tegnet av
MAS

Test: 1

w_c = 36.9 %

σ_{rc}' = - - 96.6





Date/Rev.: 2009-11-03/01

E16 Nybakk - Slomarka

Dokument nr.
20120491-02-R

Treaksial forsøk: **CAUA**

Dato
2013-04-23

Boring: **2284**

Dybde = **17.40** m

Konsolidering-spenninger

Sylinder: **16**

$p_{o'}$ = **166.6** kPa

(kPa) maks. min. endelig

Figur nr.
G130

Del: **B**

w_i = **41.4** %

σ_{ac}' = - - **166.6**

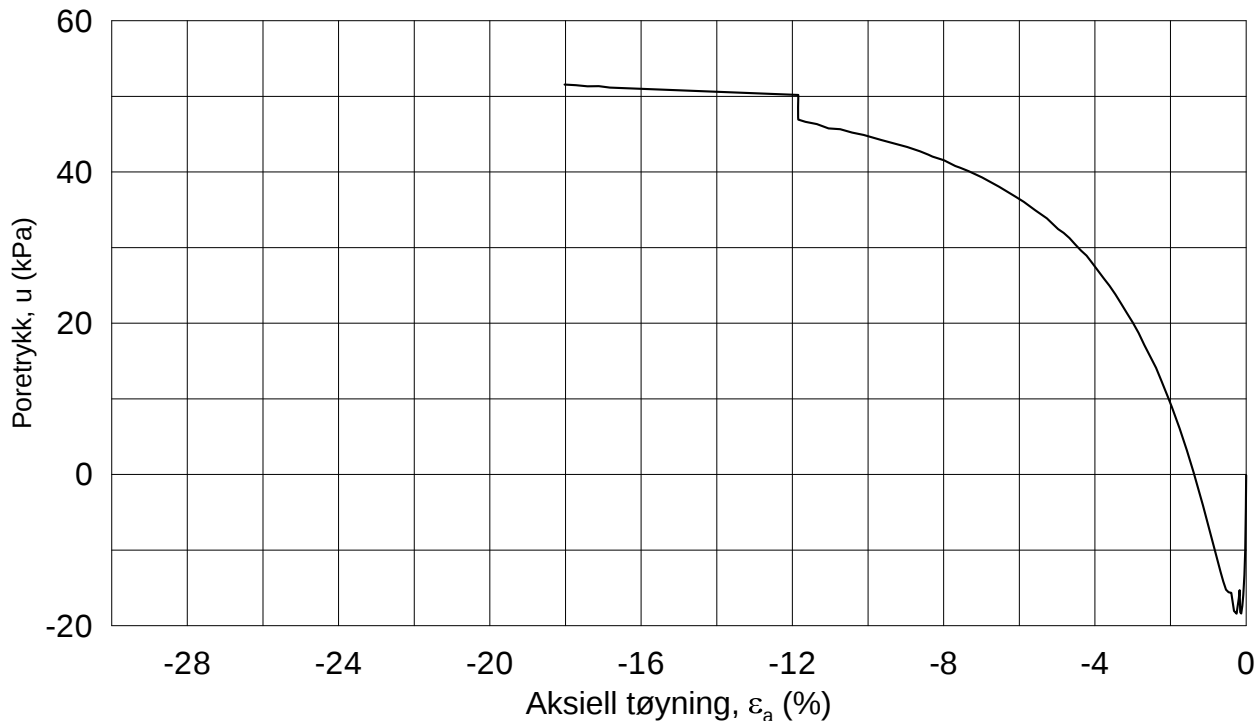
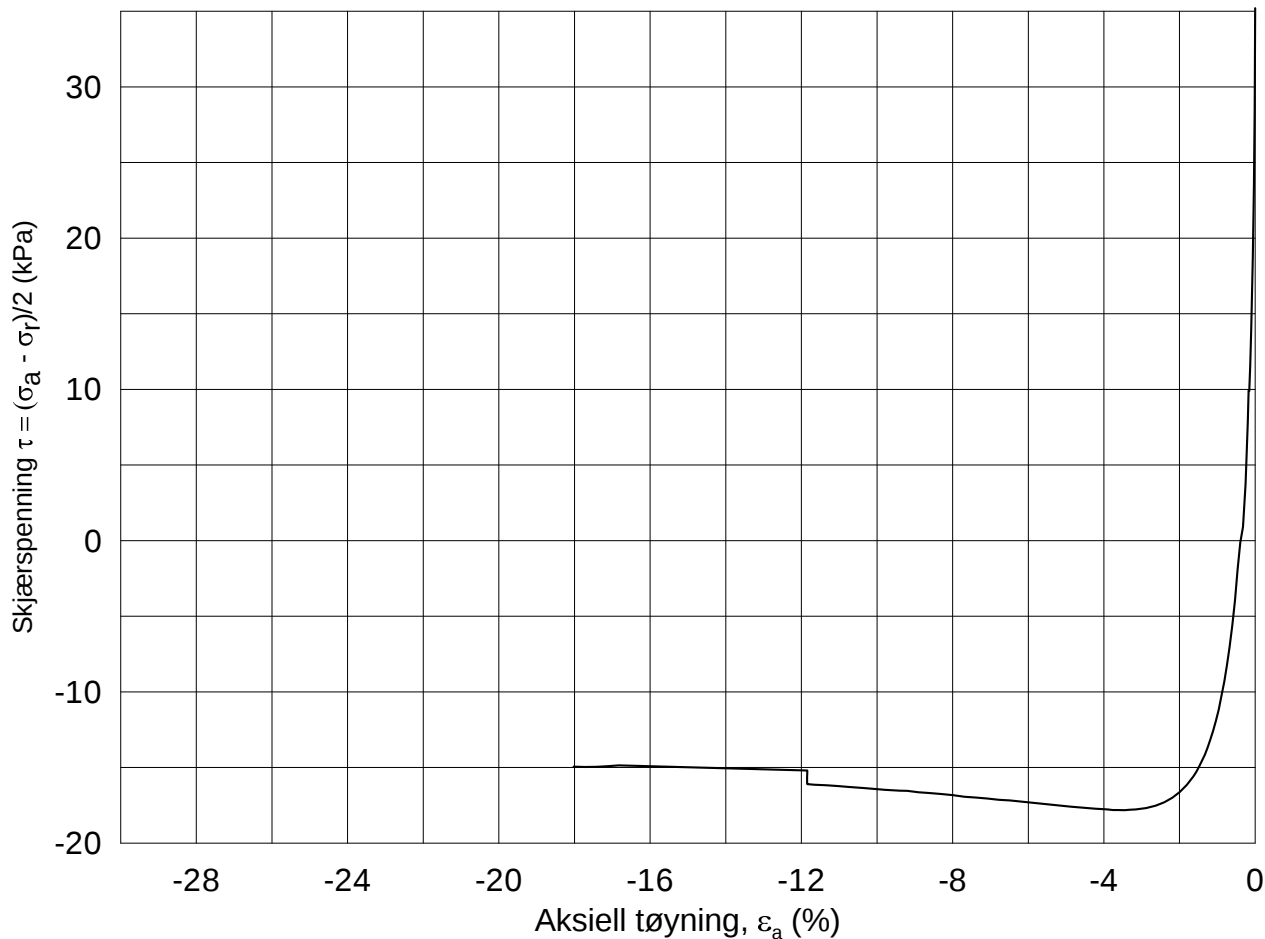
Tegnet av
MAS

Test: **1**

w_c = **36.9** %

σ_{rc}' = - - **96.6**





Date/Rev.: 2009-11-03/01

E16 Nybakk - Slomarka

Dokument nr.
20120491-02-R

Treaksial forsøk: **CAUP**

Dato
2013-05-15

Boring: **2284**

Dybde = **17.54** m

Konsolidering-spenninger

Sylinder: **16**

p_o' = **167.9** kPa

(kPa) maks. min. endelig

Figur nr.
G131

Del: **C**

w_i = **45.7** %

σ_{ac}' = - - **167.8**

Tegnet av
MAS

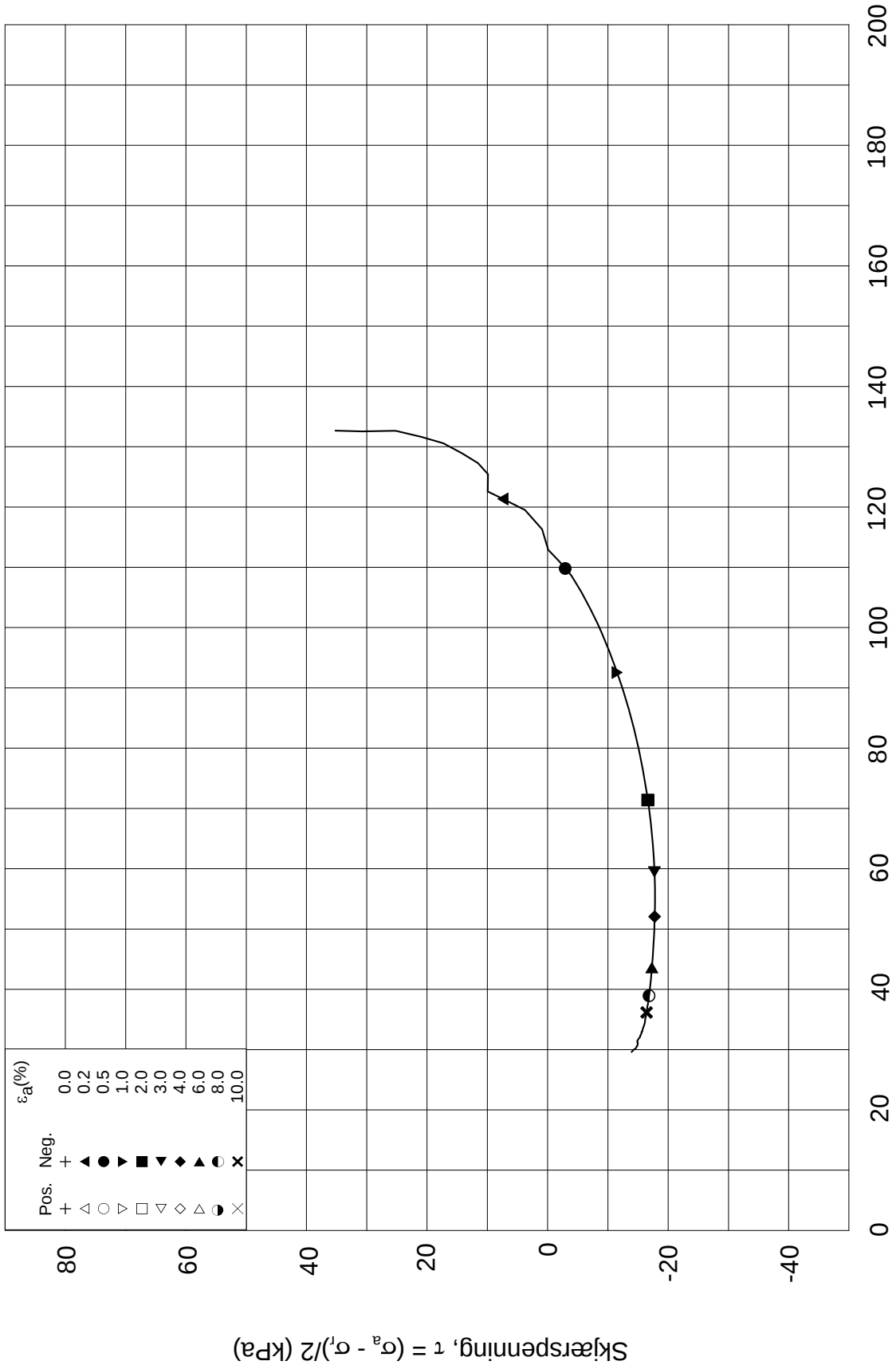
Test: **1**

w_c = **39.8** %

σ_{rc}' = - - **97.3**



Effektiv gjennomsnittsspenning, $p' = (\sigma'_a + \sigma'_l)/2$ (kPa)

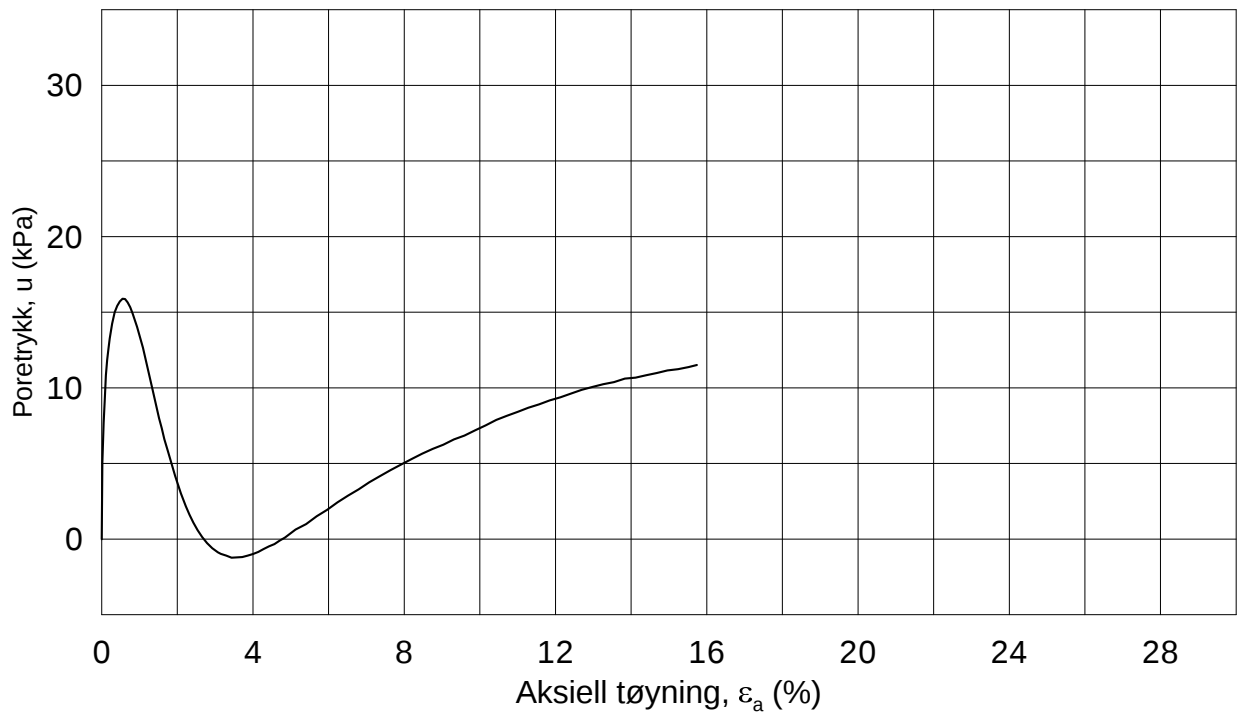
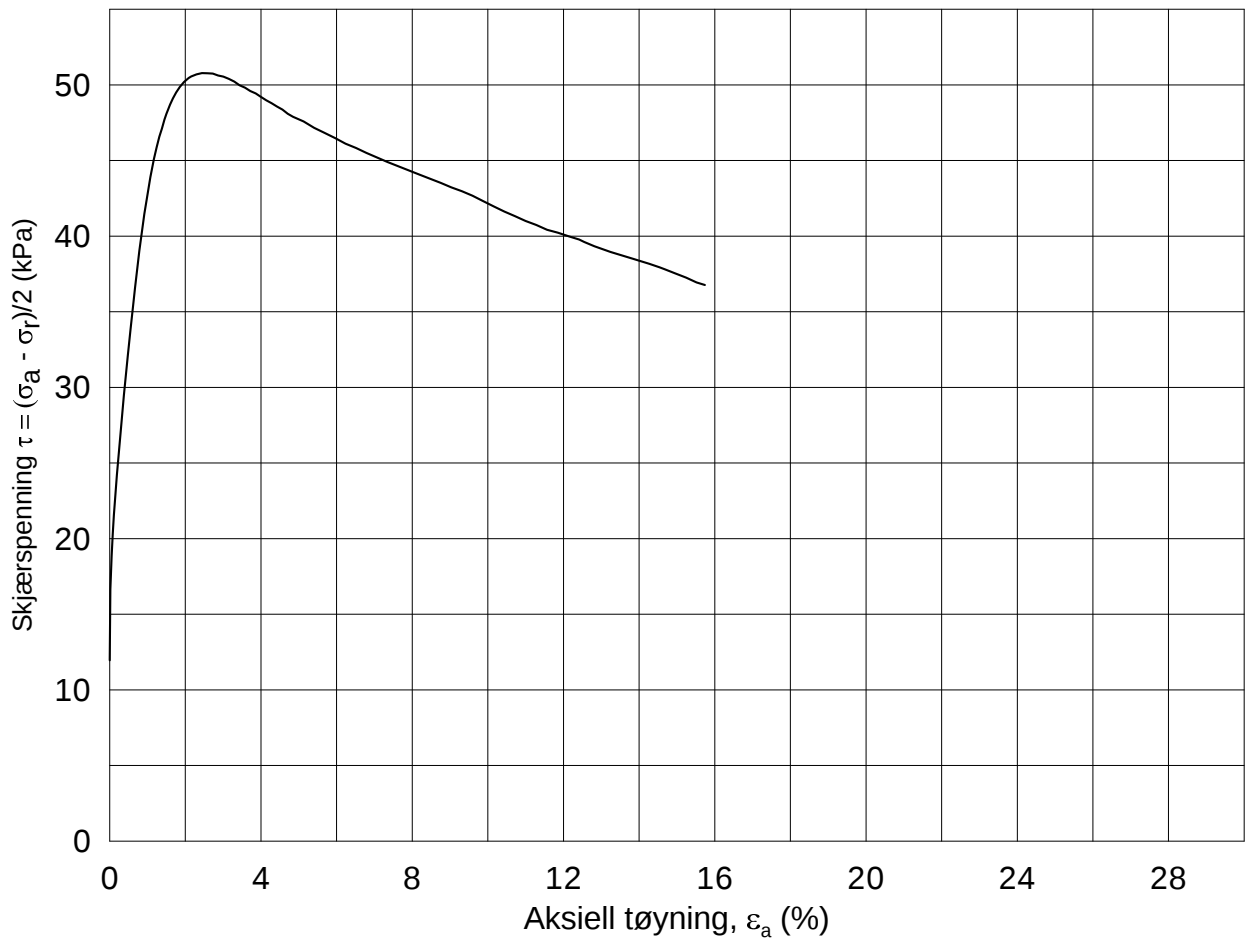


Date/Rev.: 2009-11-03/01

E16 Nybakk - Slomarka			Dokument nr. 20120491-02-R
Treaksial forsøk: CAUP			Dato 2013-05-15
Boring: 2284	Dybde = 17.54 m	Konsolidering-spenninger	
Sylinder: 16	$p_{o'}$ = 167.9 kPa	(kPa)	maks. min. endelig
Del: C	w_i = 45.7 %	$\sigma_{ac}' =$ - - 167.8	Figur nr. G132
Test: 1	w_c = 39.8 %	$\sigma_{rc}' =$ - - 97.3	Tegnet av MAS

2284-16-C-1-Plot2.grf





Date/Rev.: 2009-11-03/01

E16 Nybakk - Slomarka

Dokument nr.
20120491-02-R

Treaksial forsøk: **CAUA**

Dato
2013-03-04

Boring: **2293**

Dybde = **5.38** m

Konsolidering-spenninger

Sylinder: **4**

$p_{o'}$ = **68.6** kPa

(kPa) maks. min. endelig

Figur nr.
G133

Del: **B**

w_i = **39.0** %

σ_{ac}' = - - **68.6**

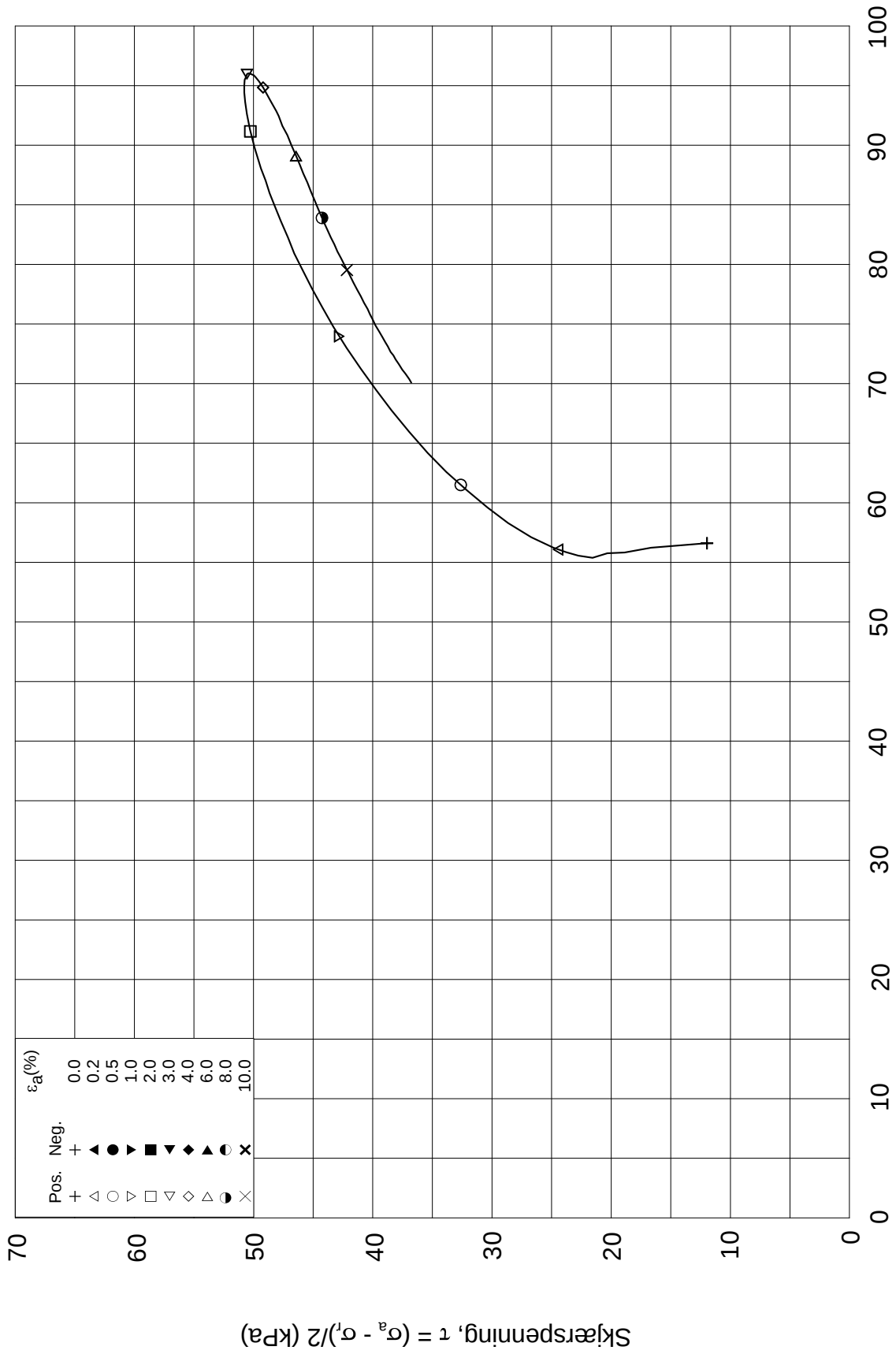
Tegnet av
MAS

Test: **1**

w_c = **38.7** %

σ_{rc}' = - - **44.6**

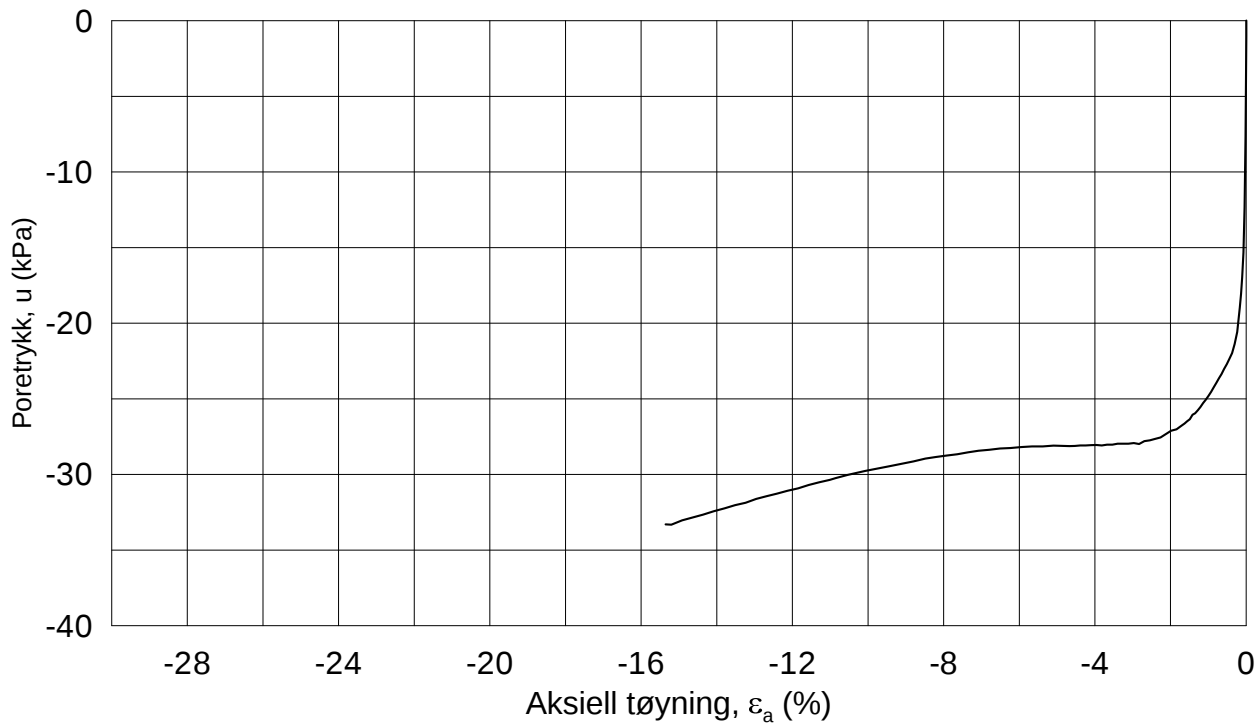
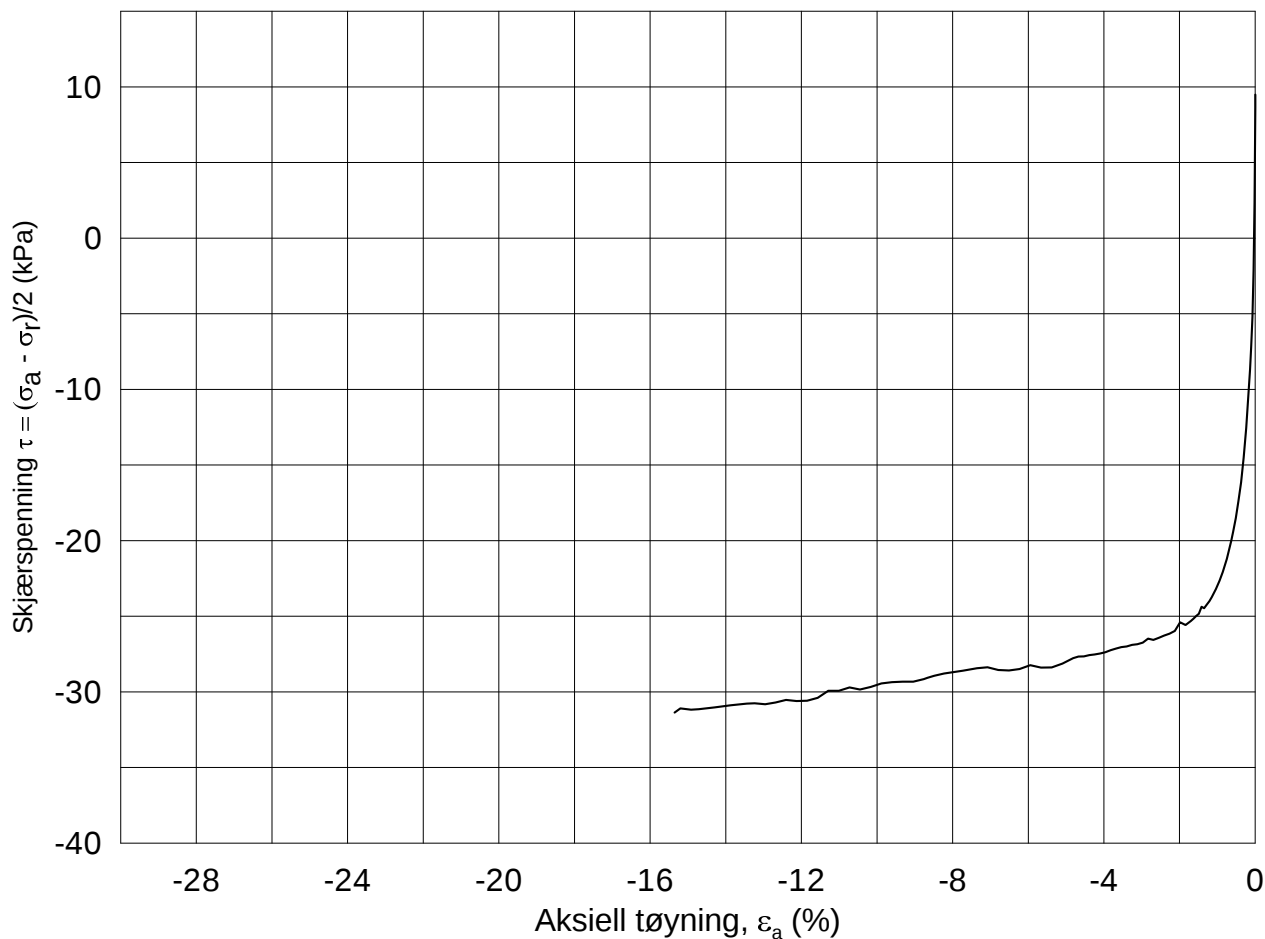




Effektiv gjennomsnittsspenning, $p' = (\sigma_a' + \sigma_r')/2$ (kPa)

Date/Rev.: 2009-11-03/01

E16 Nybakk - Slomarka			Dokument nr. 20120491-02-R	
Treaksial forsøk: CAUA			Dato 2013-03-04	
Boring: 2293	Dybde = 5.38 m	Konsolidering-spenninger		
Sylinder: 4	p_o' = 68.6 kPa	(kPa)	maks.	min.
Del: B	w_i = 39.0 %	$\sigma_{ac}' =$	-	-
Test: 1	w_c = 38.7 %	$\sigma_{rc}' =$	-	-
		endelig	68.6	
				44.6
		Figur nr.	G134	
		Tegnet av	MAS	



Date/Rev.: 2009-11-03/01

E16 Nybakk - Slomarka

Dokument nr.
20120491-02-R

Treaksial forsøk: **CAUP**

Dato
2013-03-11

Boring: **2293**

Dybde = **5.53** m Konsolidering-spenninger

Sylinder: **4**

p_o' = **69.6** kPa (kPa) maks. min. endelig

Del: **C**

w_i = **37.6** % σ_{ac}' = - - **69.6**

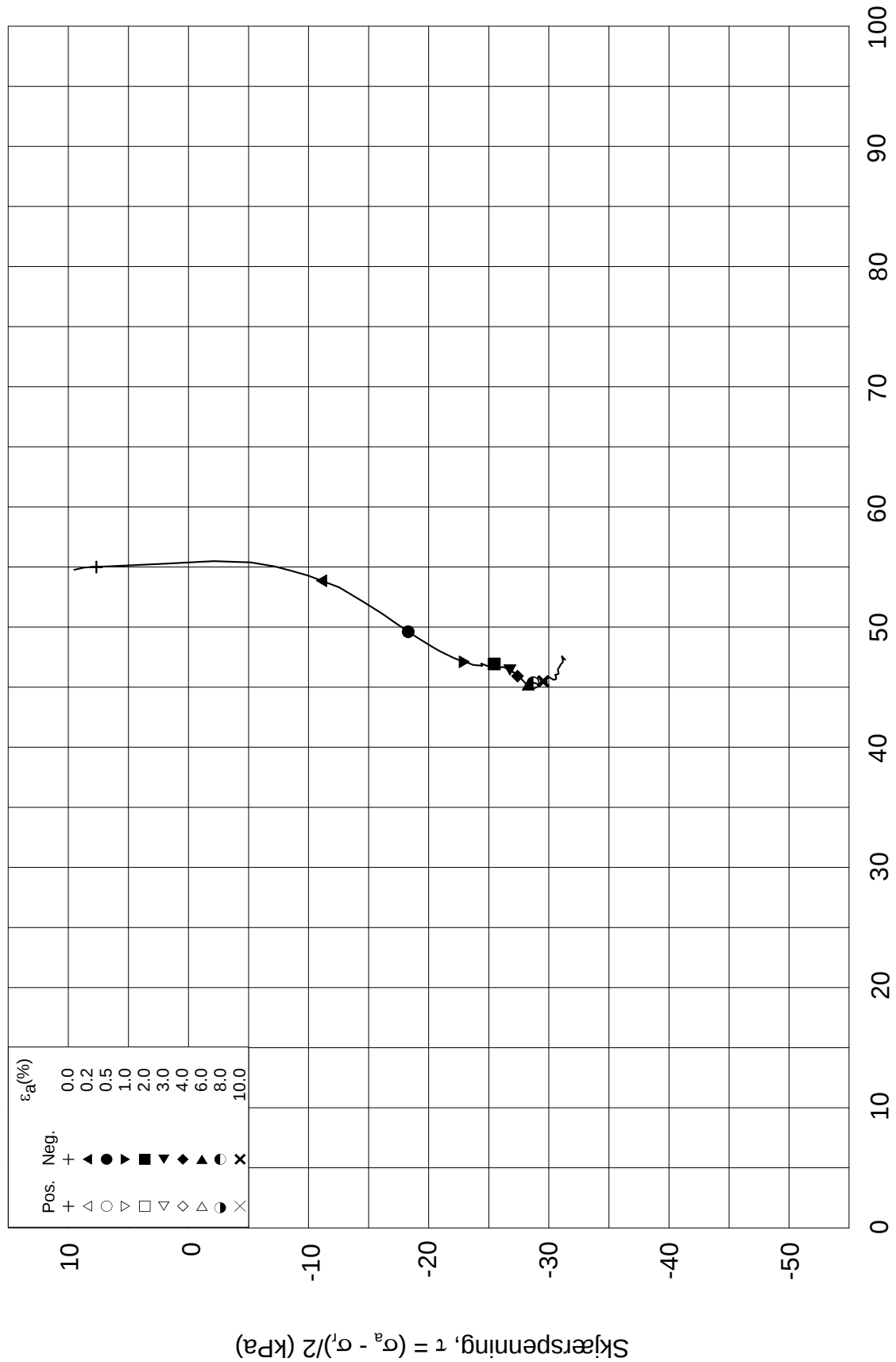
Test: **1**

w_c = **37.5** % σ_{rc}' = - - **45.2**


Figur nr.
G135

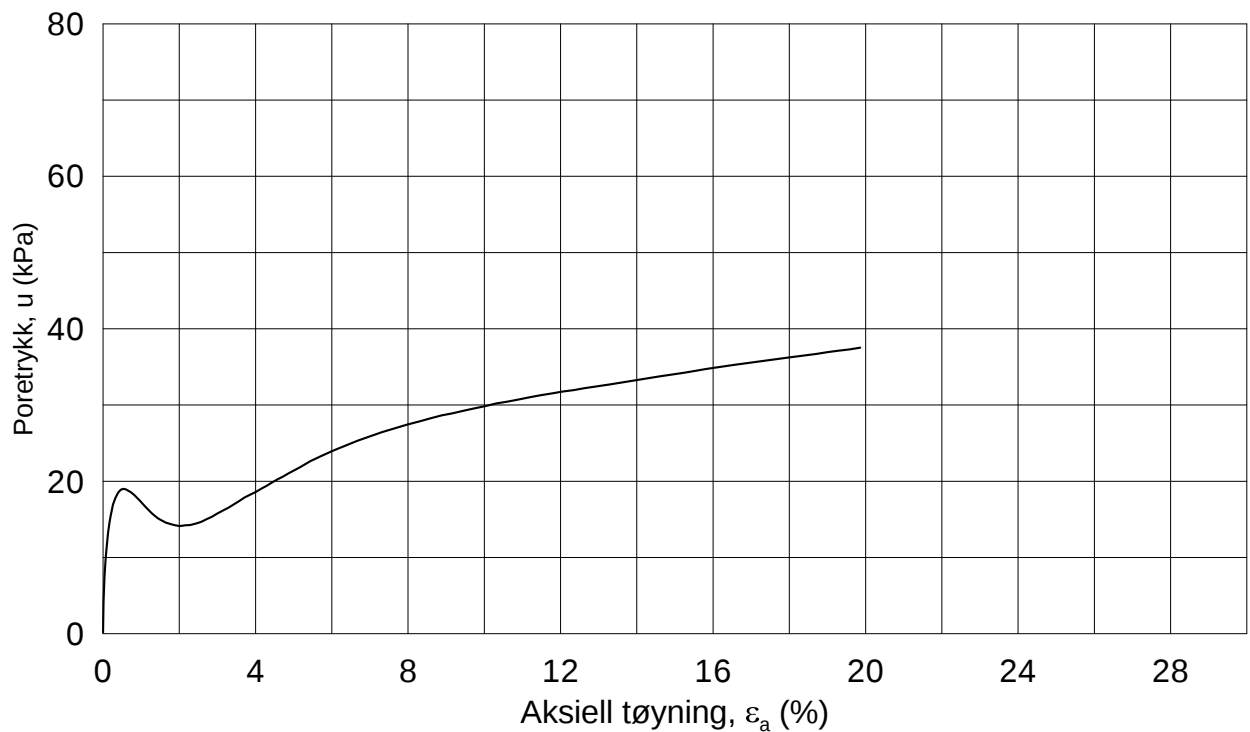
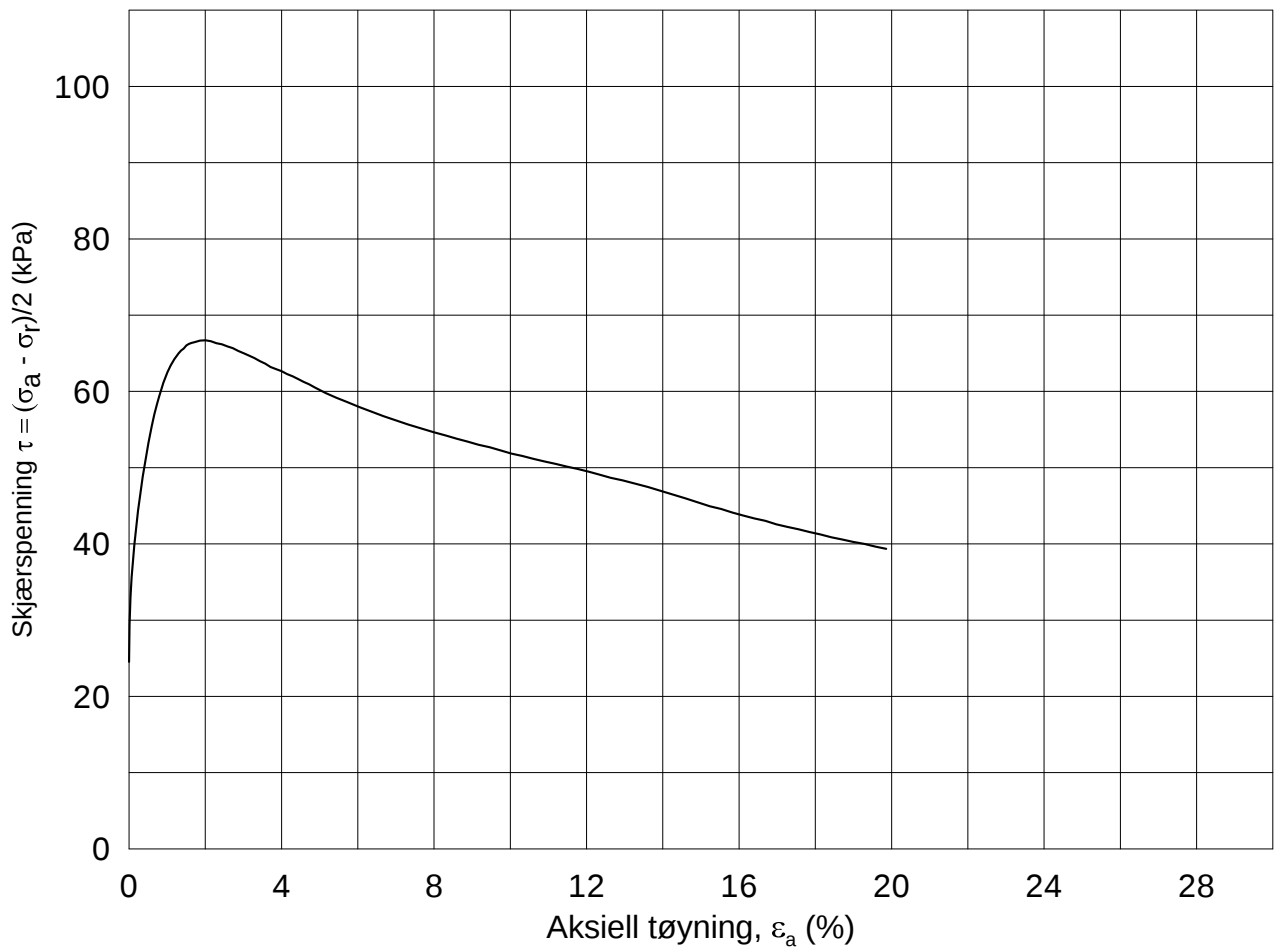
Tegnet av
MAS





Date/Rev.: 2009-11-03/01

E16 Nybakk - Slomarka				Dokument nr. 20120491-02-R	
Treaksial forsøk: CAUP				Dato 2013-03-11	
Boring: 2293	Dybde = 5.53 m	Konsolidering-spenninger			
Sylinder: 4	$p_{o'}$ = 69.6 kPa	(kPa)	maks.	min.	endelig
Del: C	w_i = 37.6 %	$\sigma_{ac}' =$	-	-	69.6
Test: 1	w_c = 37.5 %	$\sigma_{rc}' =$	-	-	45.2
				Figur nr. G136	
				Tegnet av MAS	
					



Date/Rev.: 2009-11-03/01

E16 Nybakk - Slomarka

Dokument nr.
20120491-02-R

Treaksial forsøk: **CAUA**

Dato
2013-03-20

Boring: **2293**

Dybde = **11.35** m

Konsolidering-spenninger

Sylinder: **10**

p_o' = **122.6** kPa

(kPa) maks. min. endelig

Figur nr.
G137

Del: **B**

w_i = **28.3** %

σ_{ac}' = - - **122.5**

Tegnet av

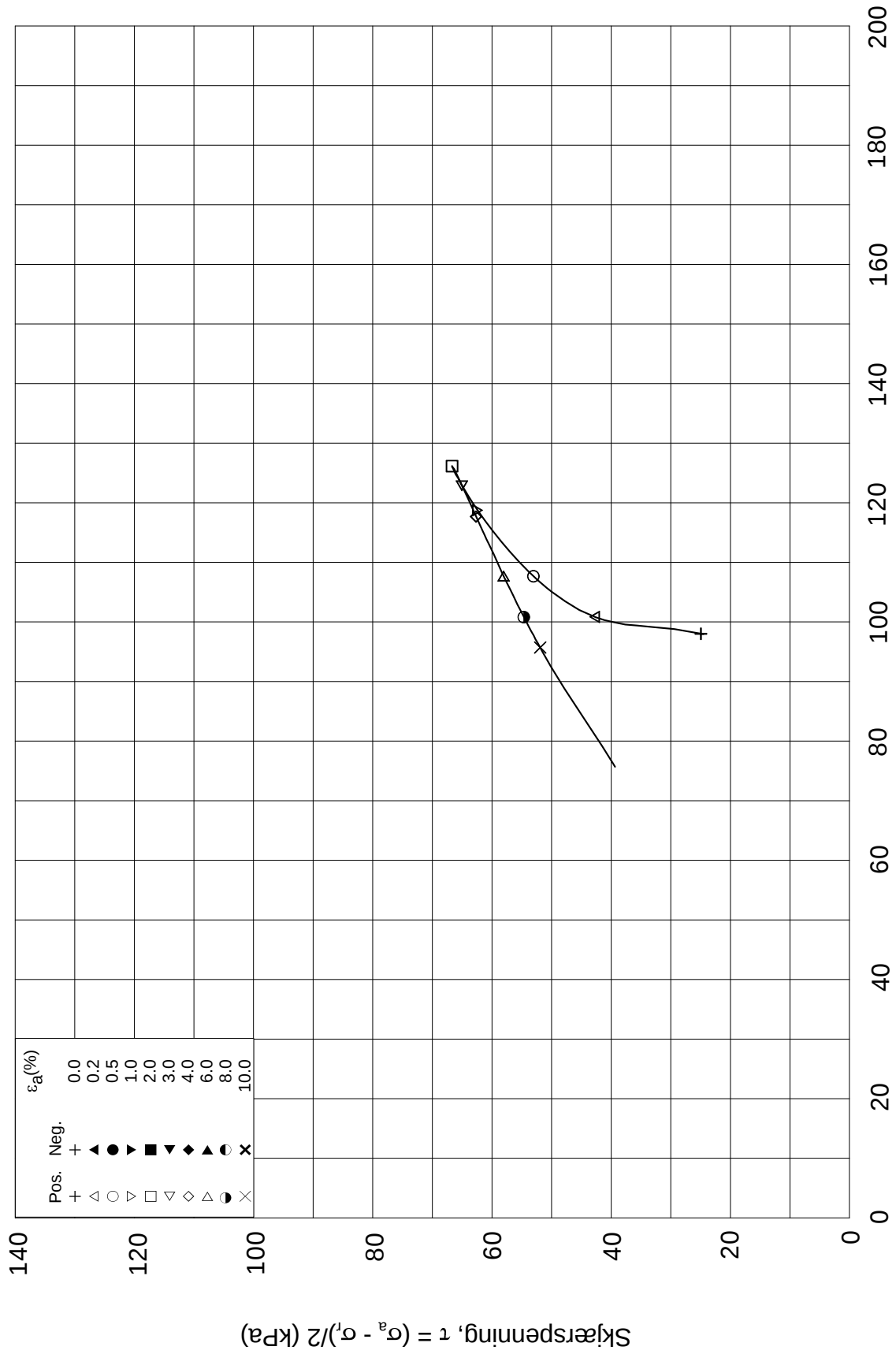
Test: **1**

w_c = **27.9** %

σ_{rc}' = - - **73.6**

MAS

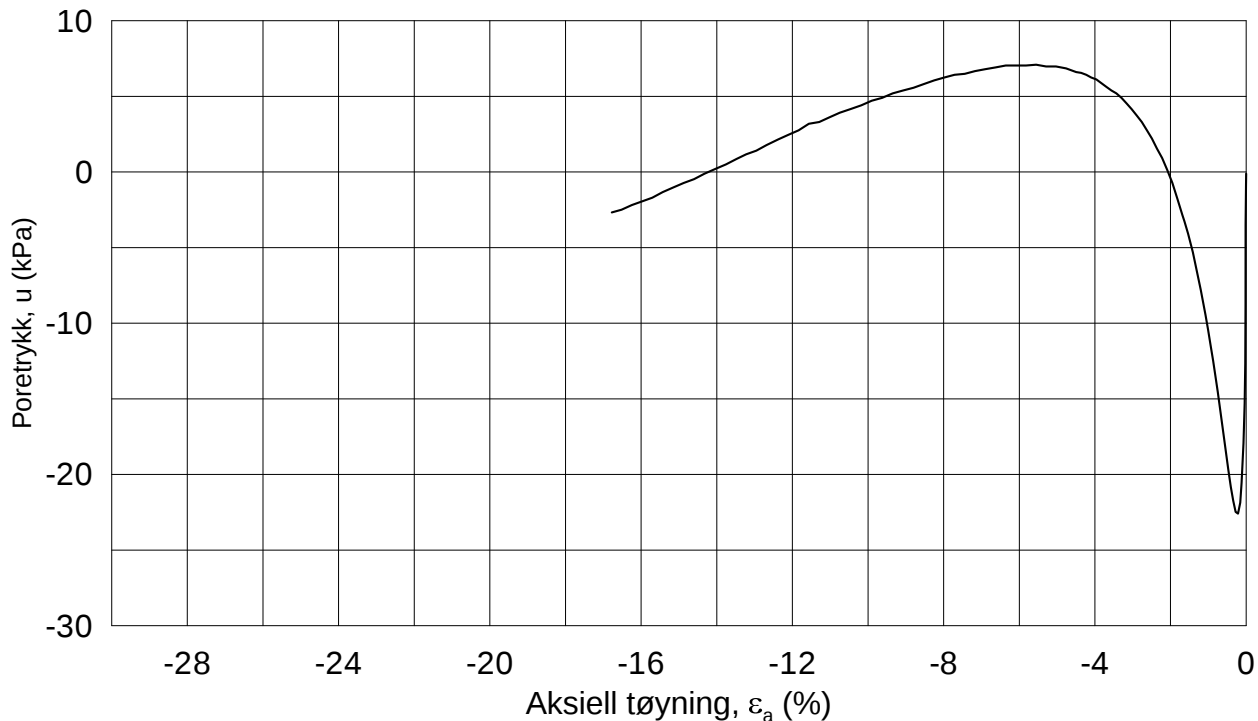
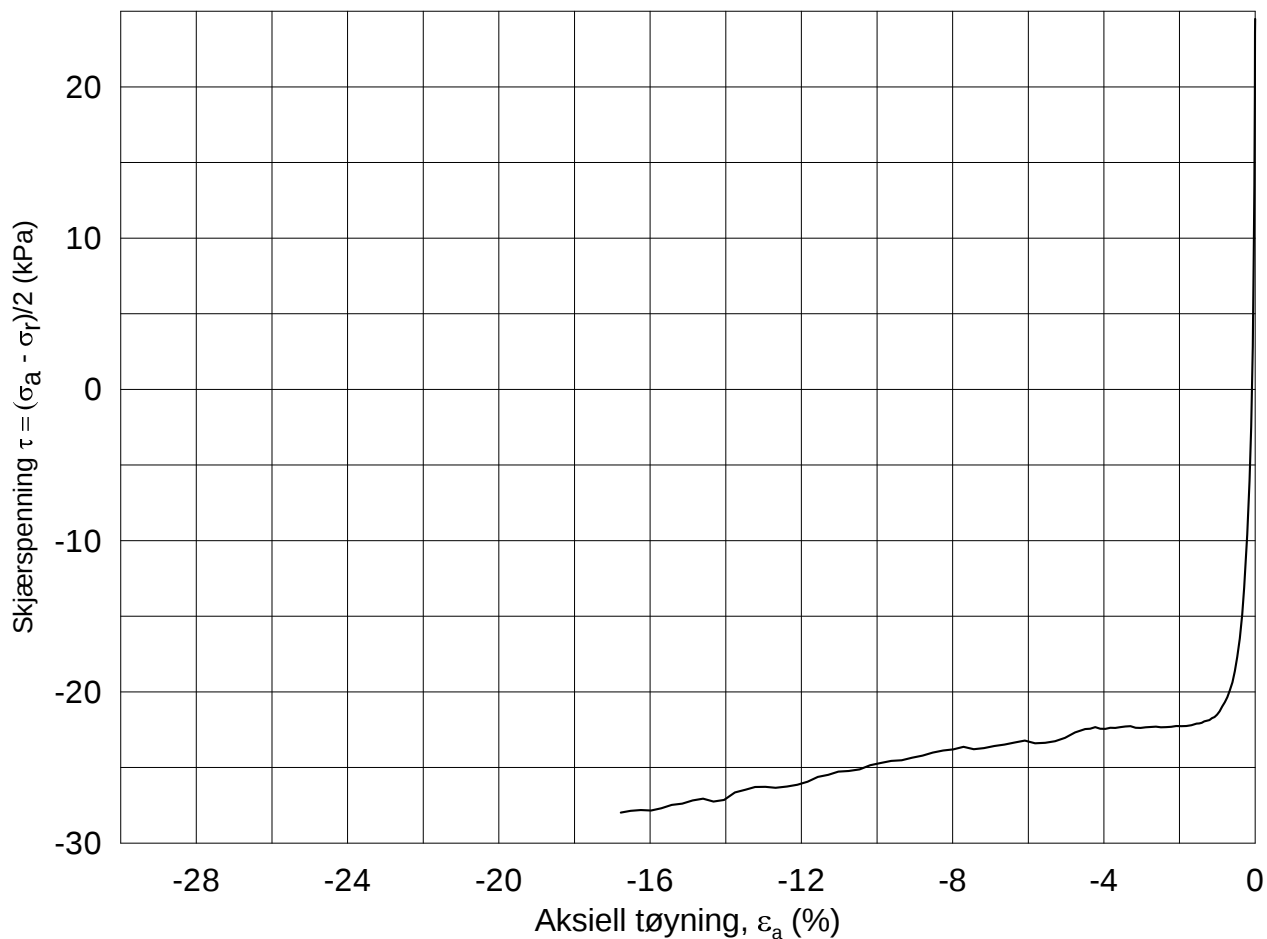




Date/Rev.: 2009-11-03/01

E16 Nybakk - Slomarka			Dokument nr. 20120491-02-R	
Treaksial forsøk: CAUA			Dato 2013-03-20	
Boring: 2293	Dybde = 11.35 m	Konsolidering-spenninger		
Sylinder: 10	$p_{o'}$ = 122.6 kPa	(kPa)	maks.	min.
Del: B	w_i = 28.3 %	σ_{ac}' =	-	-
Test: 1	w_c = 27.9 %	σ_{rc}' =	-	-
		endelig	122.5	
			73.6	
		Figur nr.	G138	
		Tegnet av	MAS	

2293-10-B-1-1.Plot2.grf



Date/Rev.: 2009-11-03/01

E16 Nybakk - Slomarka

Dokument nr.
20120491-02-R

Treaksial forsøk: **CAUP**

Dato
2013-03-20

Boring: **2293**

Dybde = **11.50** m

Konsolidering-spenninger

Sylinder: **10**

$p_{o'}$ = **122.6** kPa (kPa) maks. min. endelig

Figur nr.
G139

Del: **C**

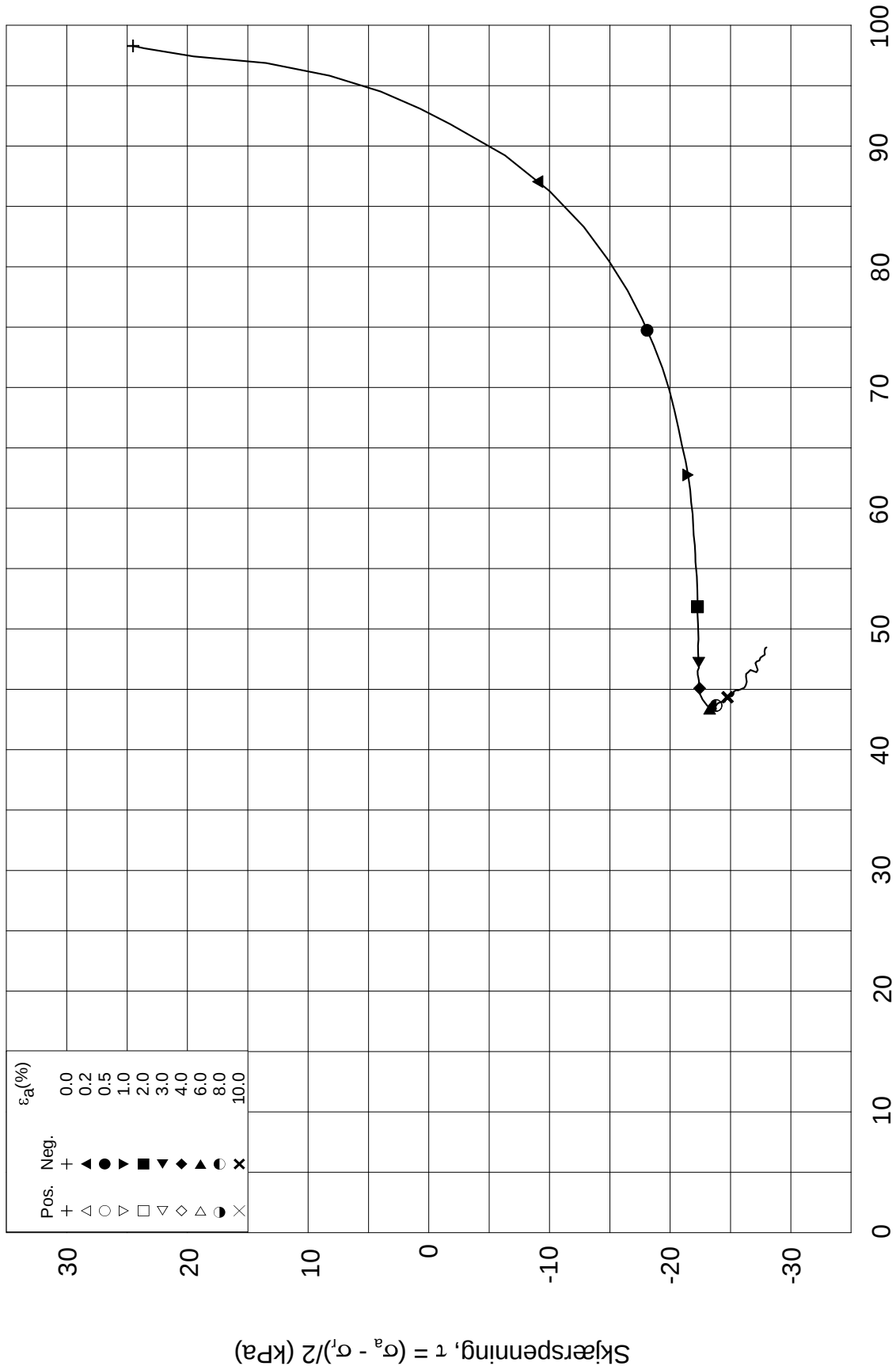
w_i = **29.7** % $\sigma_{ac}' = - - 122.6$

Tegnet av
MAS

Test: **1**

w_c = **29.3** % $\sigma_{rc}' = - - 73.6$





Date/Rev.: 2009-11-03/01

E16 Nybakk - Slomarka

Dokument nr.
20120491-02-R

Treaksial forsøk: **CAUP**

Dato
2013-03-20

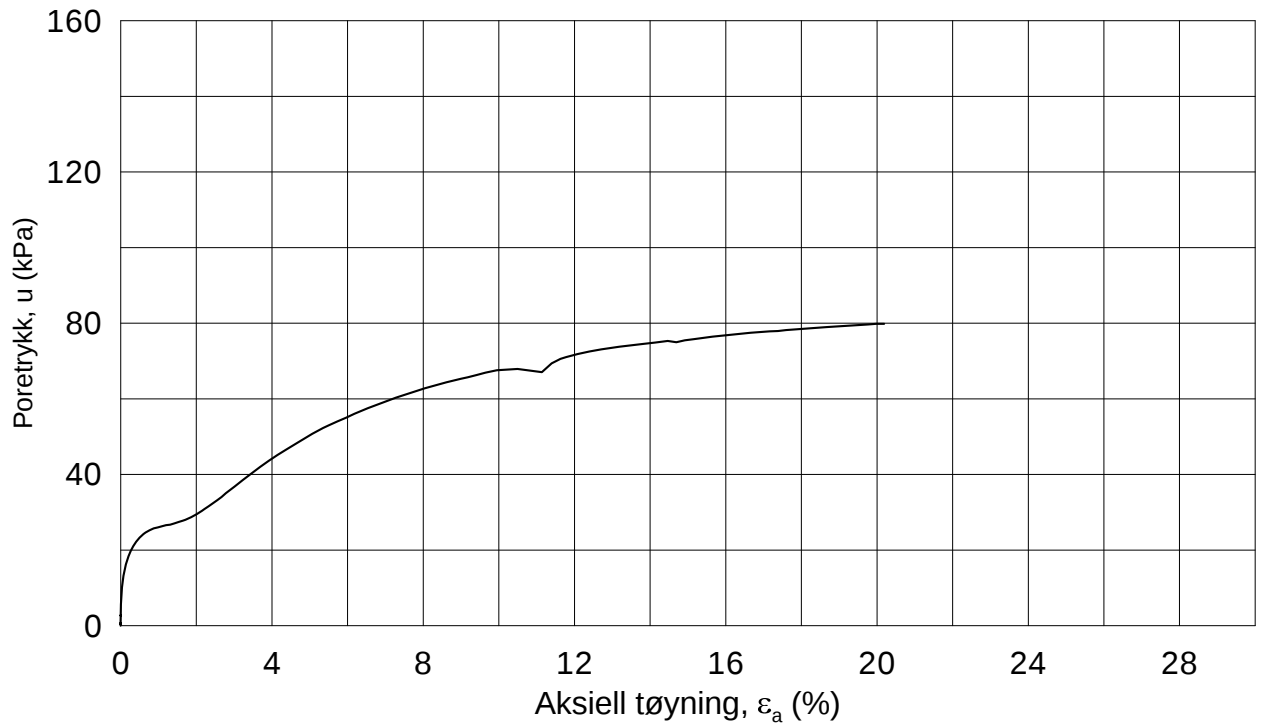
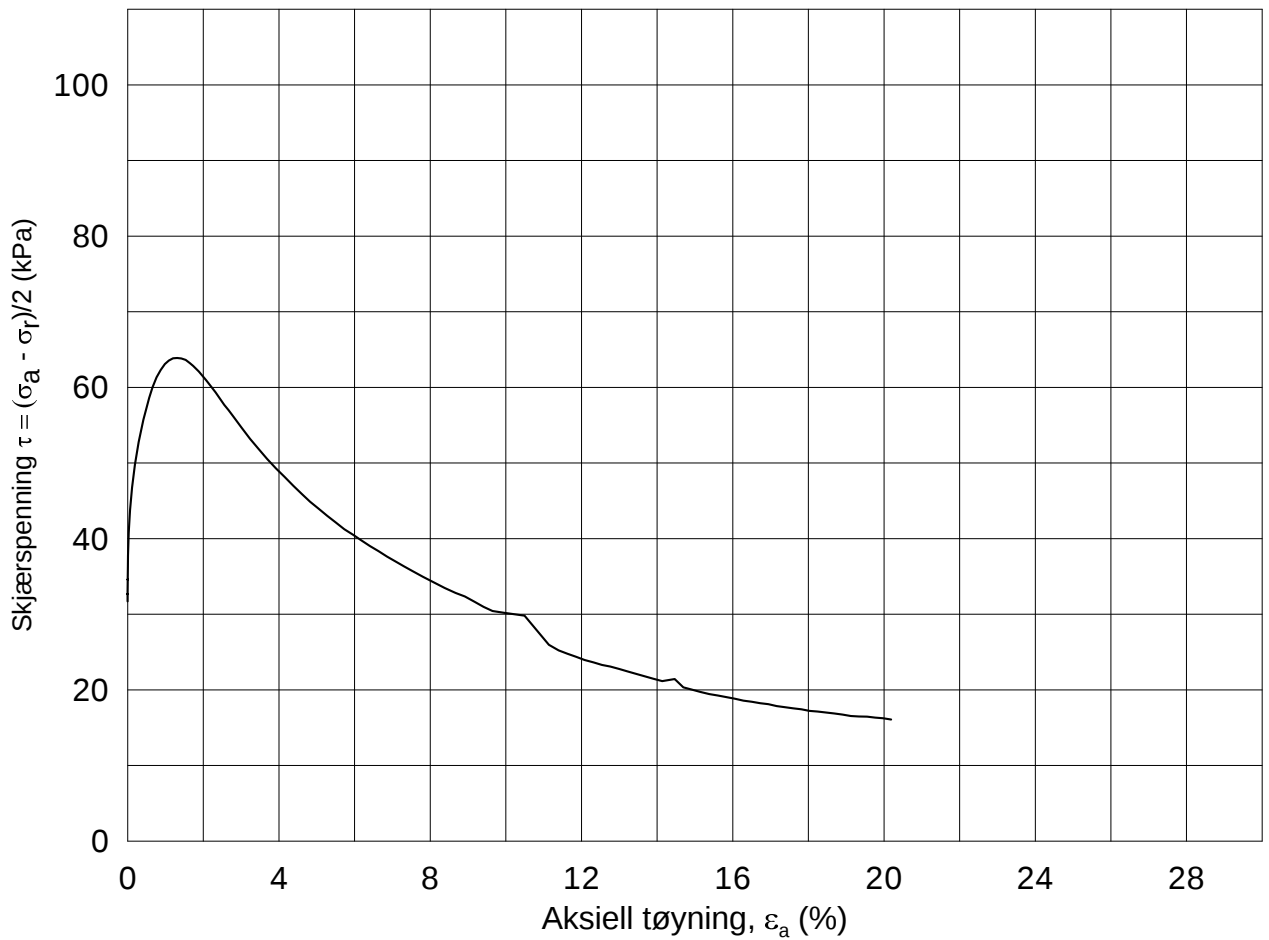
Boring: **2293**
 Sylinder: **10**
 Del: **C**
 Test: **1**

Dybde = **11.50** m
 $p_{o'}$ = **122.6** kPa
 w_i = **29.7** %
 w_c = **29.3** %

Konsolidering-spenninger
 (kPa) maks. min. endelig
 $\sigma_{ac}' =$ - - **122.6**
 $\sigma_{rc}' =$ - - **73.6**

Figur nr.
G140
 Tegnet av
MAS





Date/Rev.: 2009-11-03/01

E16 Nybakk - Slomarka

Dokument nr.
20120491-02-R

Treaksial forsøk: **CAUA**

Dato
2013-03-20

Boring: **2293**

Dybde = **15.38** m

Konsolidering-spenninger

Sylinder: **14**

$p_{o'}$ = **158.6** kPa

(kPa)	maks.	min.	endelig
σ_{ac}' =	-	-	158.5
σ_{rc}' =	-	-	95.2

Del: **B**

w_i = **34.3** %

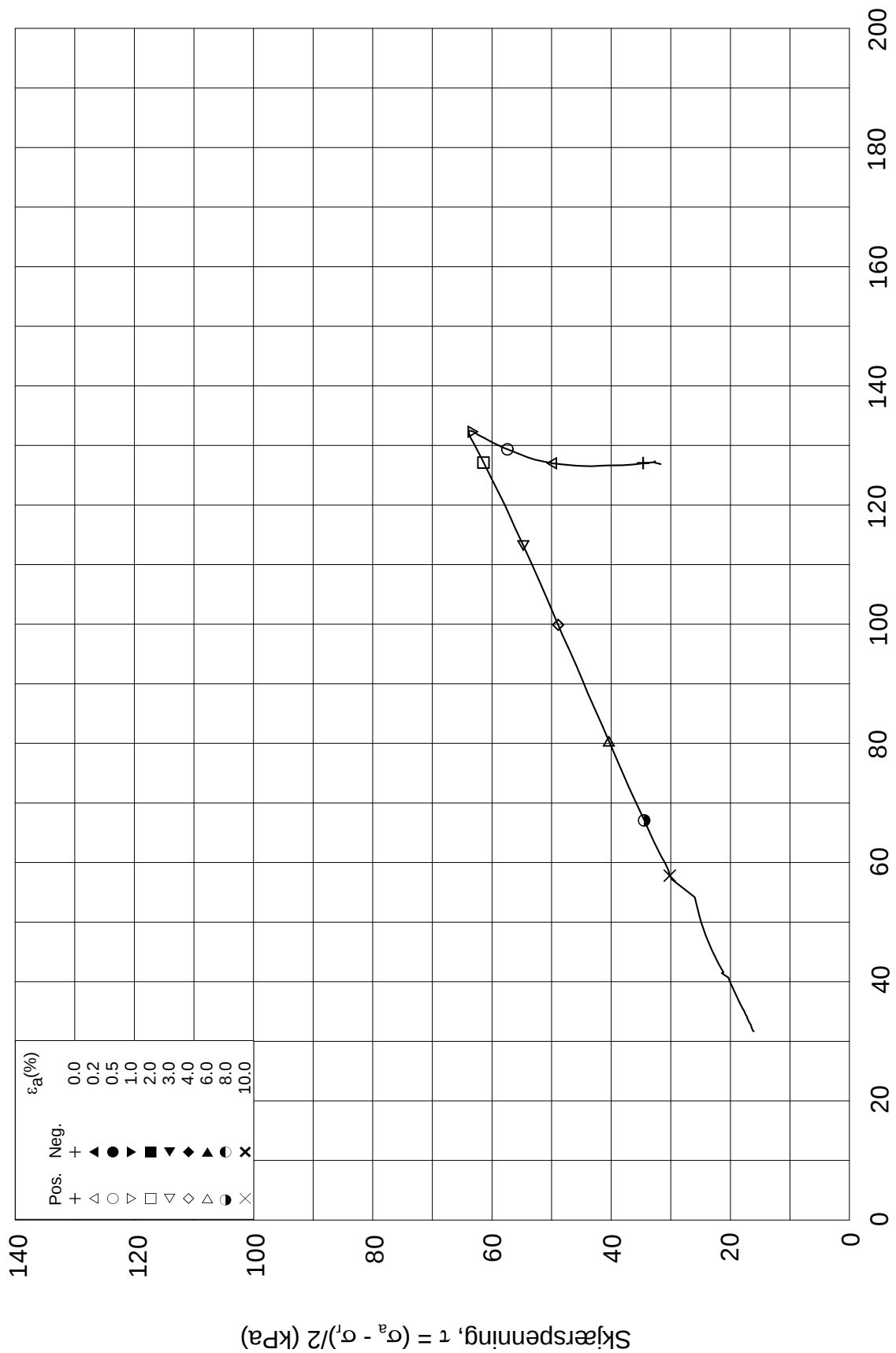
Figur nr. **G141**

Test: **1**

w_c = **33.3** %

Tegnet av **MAS**

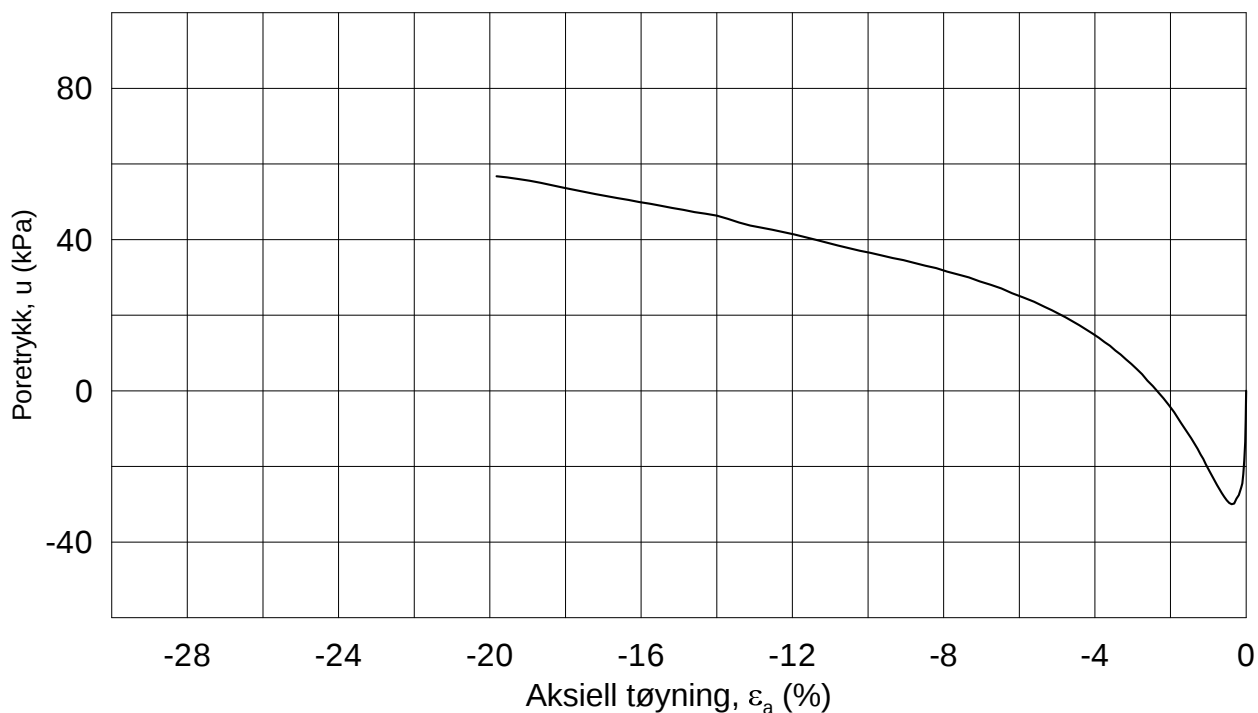
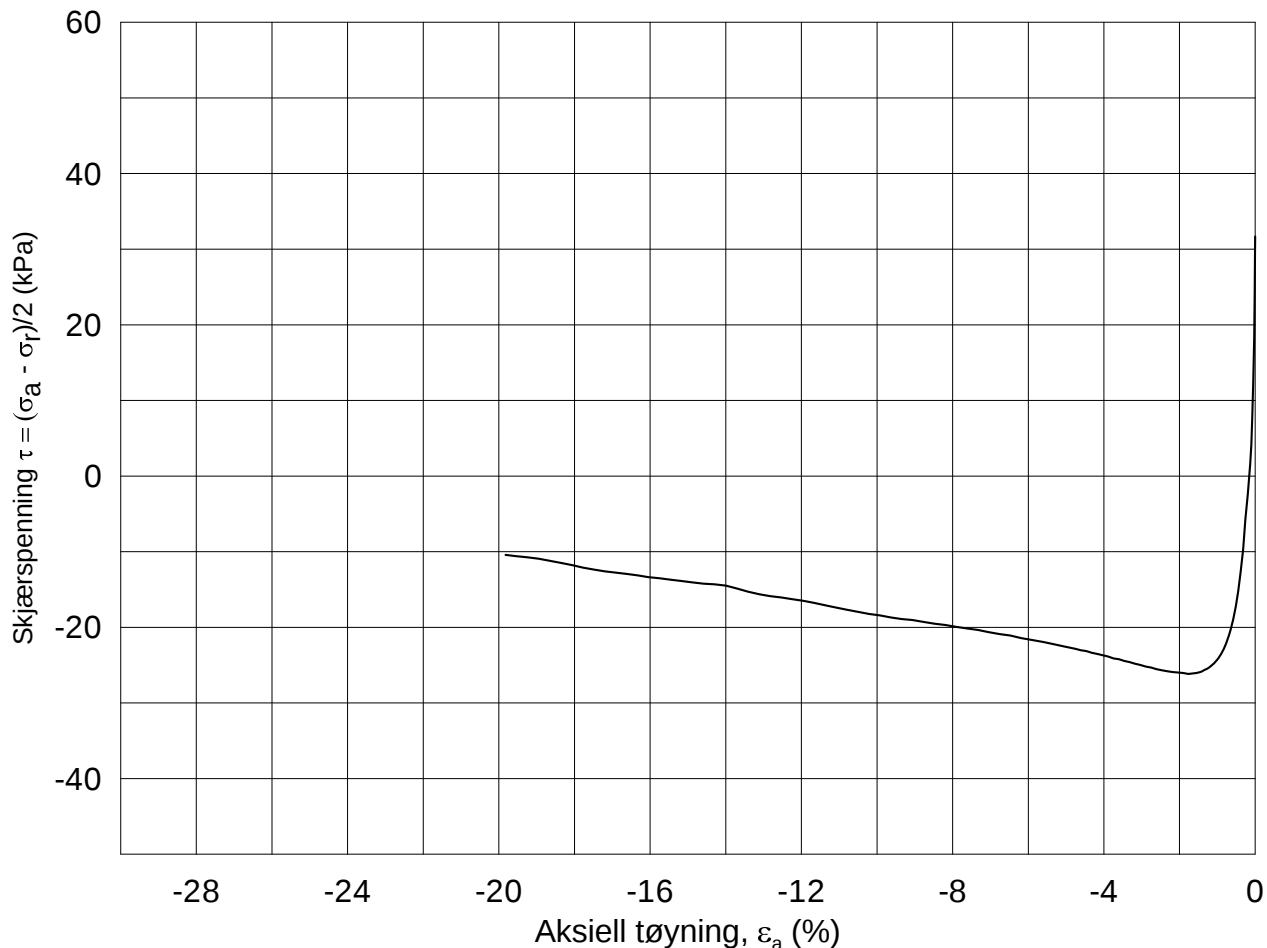




Date/Rev.: 2009-11-03/01

E16 Nybakk - Slomarka			Dokument nr. 20120491-02-R	
Treaksial forsøk: CAUA			Dato 2013-03-20	
Boring: 2293	Dybde = 15.38 m	Konsolidering-spenninger		
Sylinder: 14	$p_{o'}$ = 158.6 kPa	(kPa)	maks.	min.
Del: B	w_i = 34.3 %	σ_{ac}' =	-	-
Test: 1	w_c = 33.3 %	σ_{rc}' =	-	-
		endelig	158.5	
			95.2	
		Figur nr.	G142	
		Tegnet av	MAS	

2293-14-B-1-1.Plot2.grf



Date/Rev.: 2009-11-03/01

E16 Nybakk - Slomarka

Dokument nr.
20120491-02-R

Treaksial forsøk: **CAUP**

Dato
2013-03-20

Boring: **2293**

Dybde = **15.54** m

Konsolidering-spenninger

Sylinder: **14**

p_o' = **158.6** kPa

(kPa) maks. min. endelig

Figur nr.
G143

Del: **C**

w_i = **32.8** %

σ_{ac}' = - - **158.5**

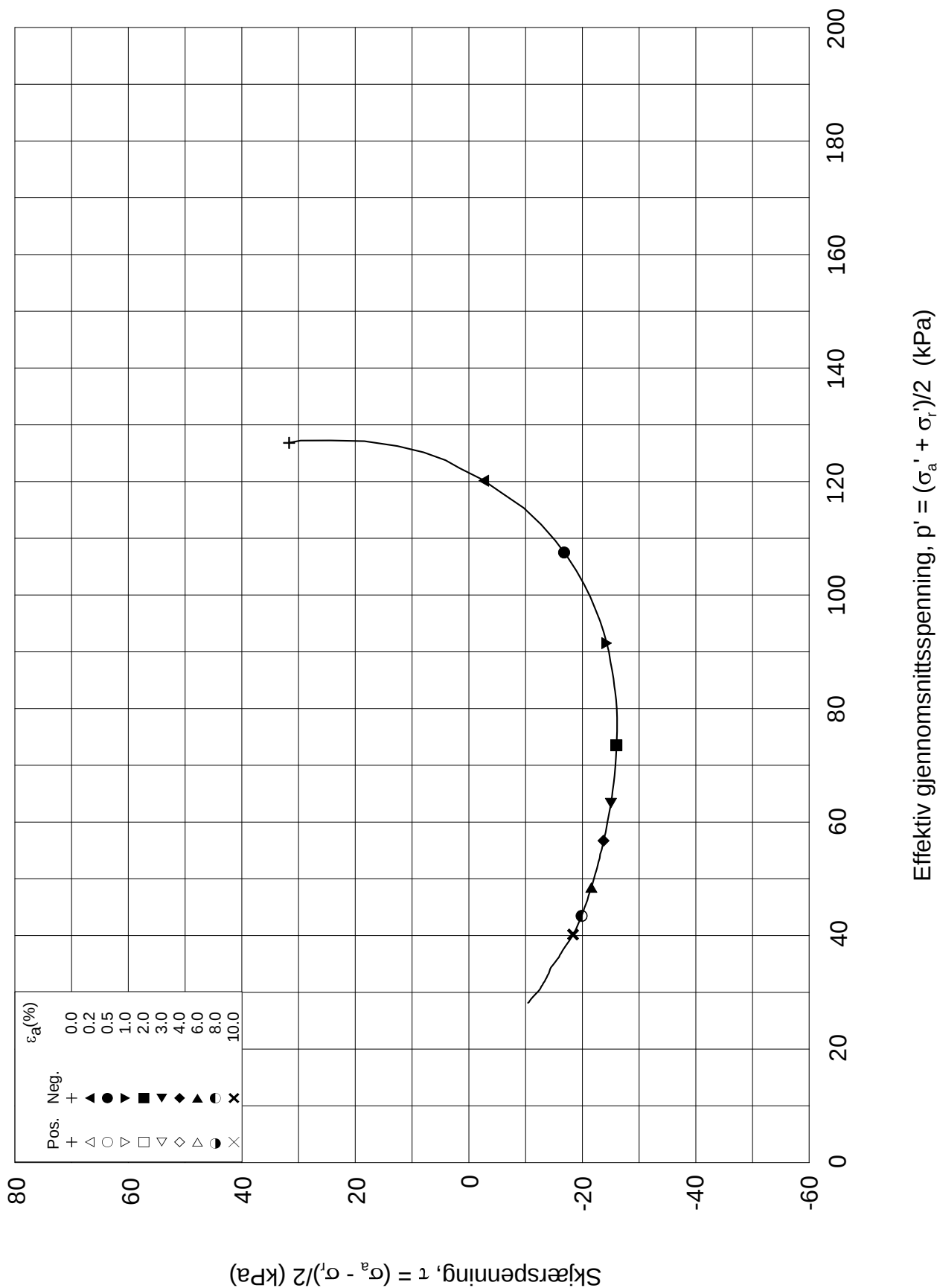
Tegnet av
MAS

Test: **1**

w_c = **31.7** %

σ_{rc}' = - - **95.2**





Date/Rev.: 2009-11-03/01

E16 Nybakk - Slomarka

Dokument nr.
20120491-02-R

Treksial forsøk: **CAUP**

Dato
2013-03-20

Boring: **2293**

Dybde = **15.54** m

Konsolidering-spenninger

Sylinder: **14**

$p_{o'}$ = **158.6** kPa

(kPa) maks. min. endelig

Figur nr.
G144

Del: **C**

w_i = **32.8** %

σ_{ac}' = - - **158.5**

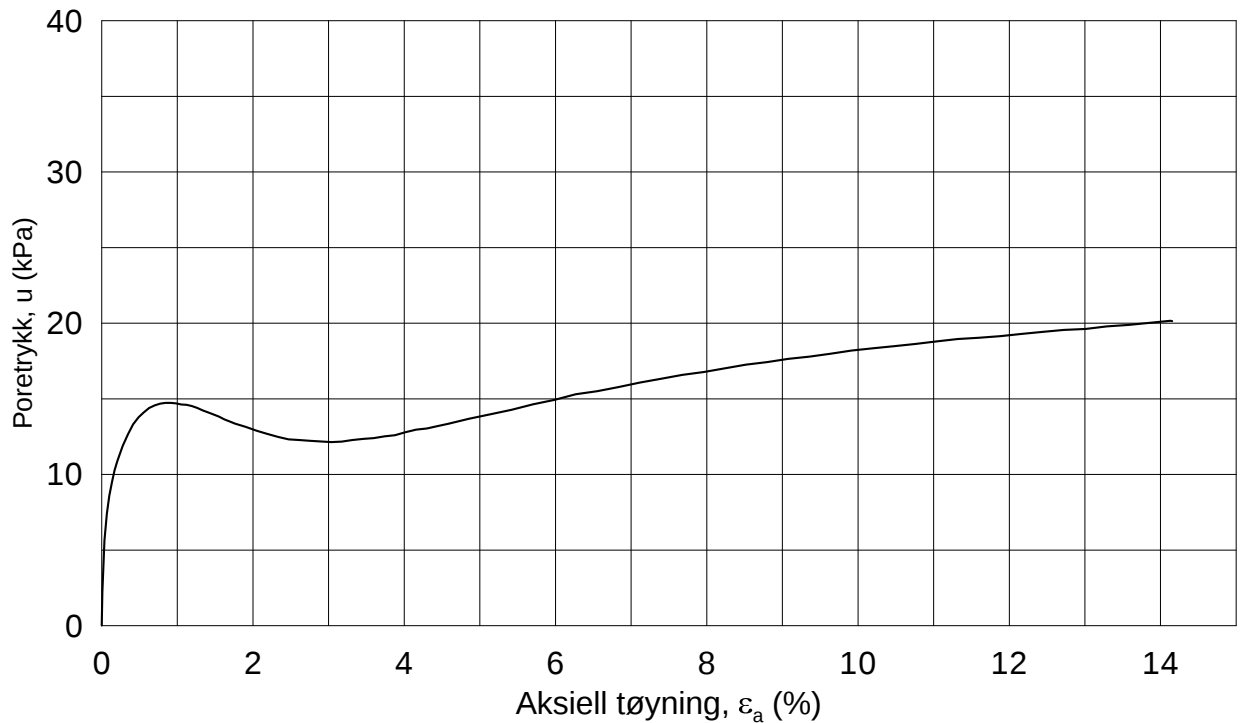
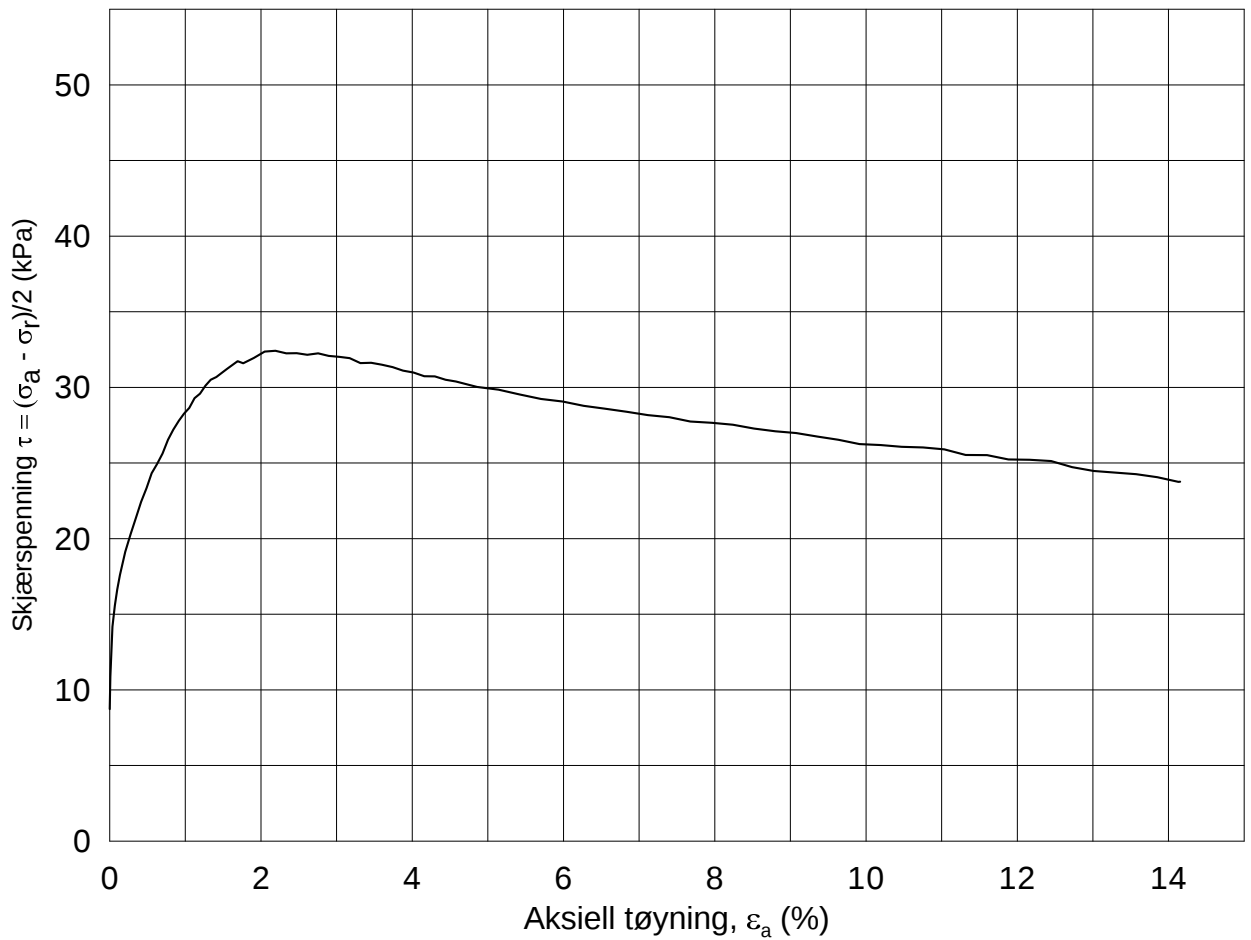
Tegnet av
MAS

Test: **1**

w_c = **31.7** %

σ_{rc}' = - - **95.2**





Date/Rev.: 2009-11-03/01

E16 Nybakk - Slomarka

Dokument nr.
20120491-02-R

Treaksial forsøk: **CAUA**

Dato
2013-06-12

Boring: **3006**

Dybde = **5.33** m

Konsolidering-spenninger

Sylinder: **5**

p_o' = **58.0** kPa

(kPa) maks. min. endelig

Figur nr.
G145

Del: **B**

w_i = **39.7** %

σ_{ac}' = - - **58.0**

Tegnet av
MAS

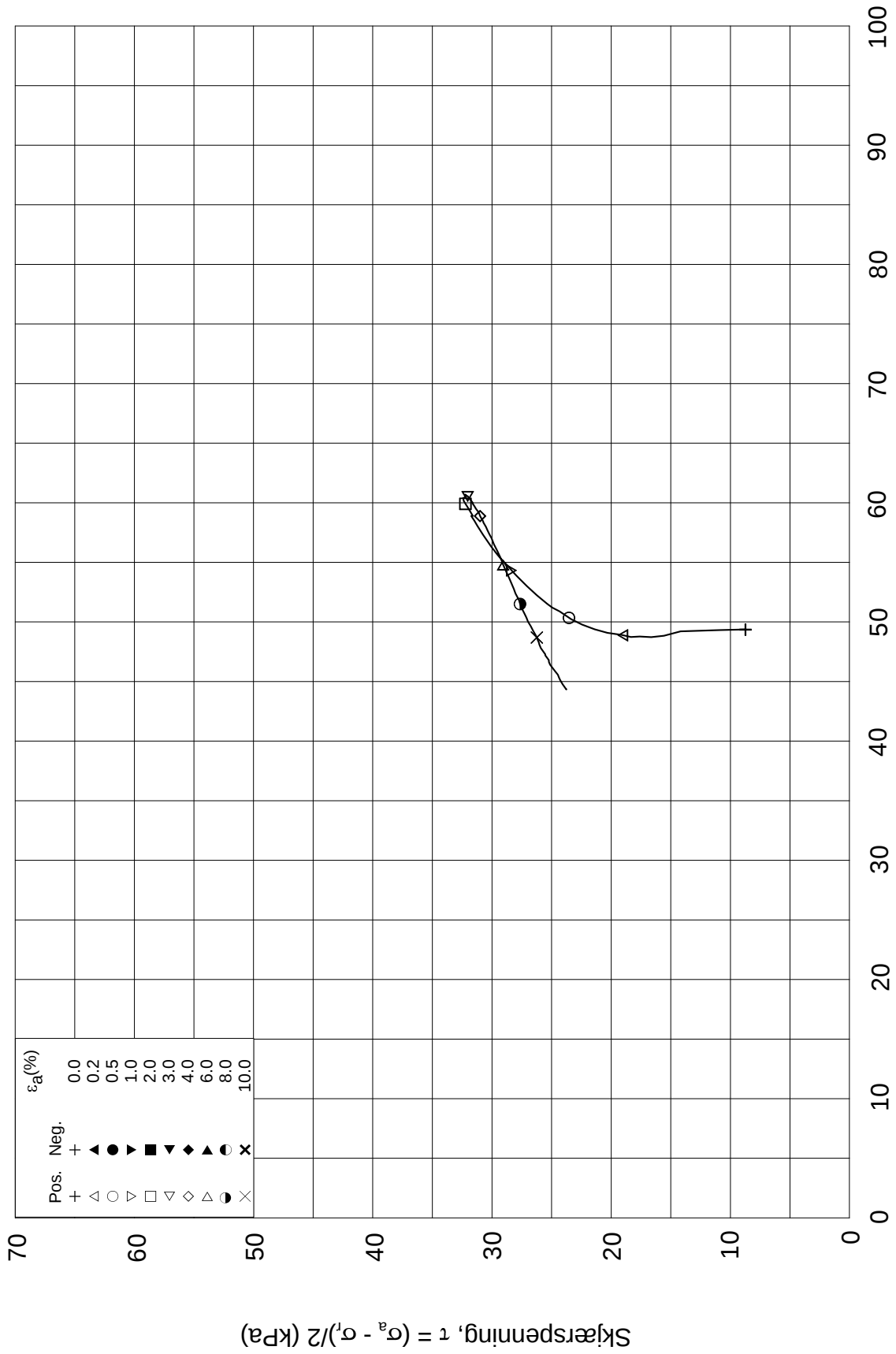
Test: **1**

w_c = **39.1** %


σ_{rc}' = - - **40.6**



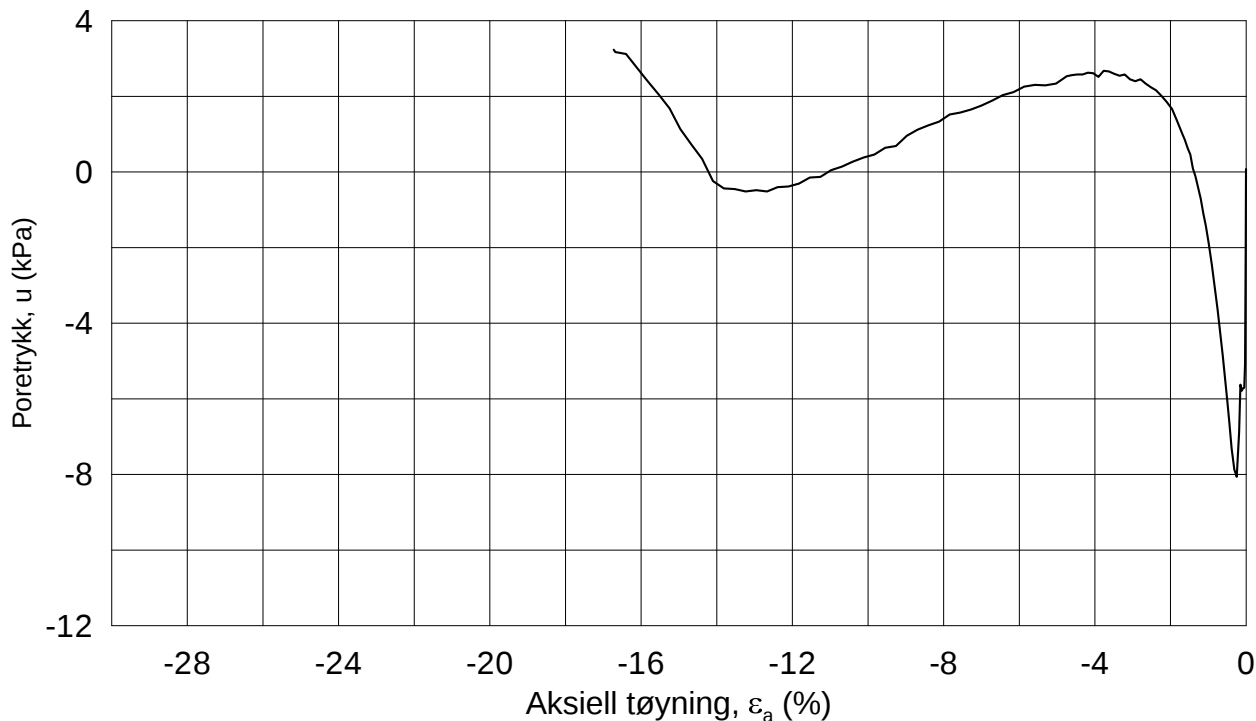
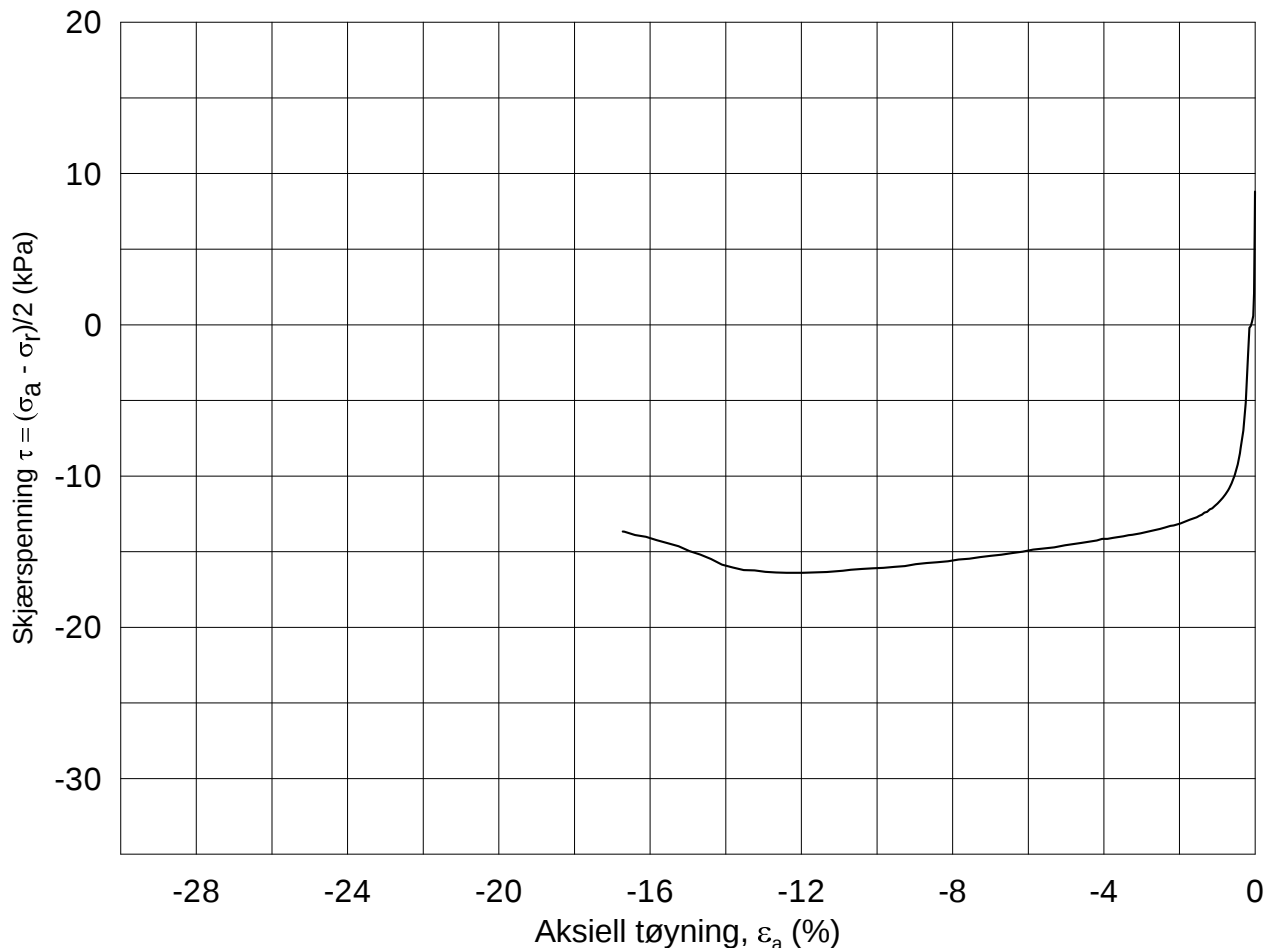
Effektiv gjennomsnittsspenning, $p' = (\sigma'_a + \sigma'_l)/2$ (kPa)



Date/Rev.: 2009-11-03/01

E16 Nybakk - Slomarka			Dokument nr. 20120491-02-R	
Treaksial forsøk: CAUA			Dato 2013-06-12	
Boring: 3006	Dybde = 5.33 m	Konsolidering-spenninger		
Sylinder: 5	$p_{o'}$ = 58.0 kPa	(kPa)	maks.	min.
Del: B	w_i = 39.7 %	σ_{ac}' =	-	-
Test: 1	w_c = 39.1 %	σ_{rc}' =	-	-
		endelig	58.0	
			40.6	
		Figur nr.	G146	
		Tegnet av	MAS	
				

3006-5-B-1.Plot2.grf



Date/Rev.: 2009-11-03/01

E16 Nybakk - Slomarka

Dokument nr.
20120491-02-R

Treaksial forsøk: **CAUP**

Dato
2013-06-11

Boring: **3006**

Dybde = **5.33** m

Konsolidering-spenninger

Sylinder: **5**

$p_{o'}$ = **58.6** kPa

(kPa) maks. min. endelig

Figur nr.
G147

Del: **C**

w_i = **35.4** %

σ_{ac}' = - - **59.2**

Tegnet av
MAS

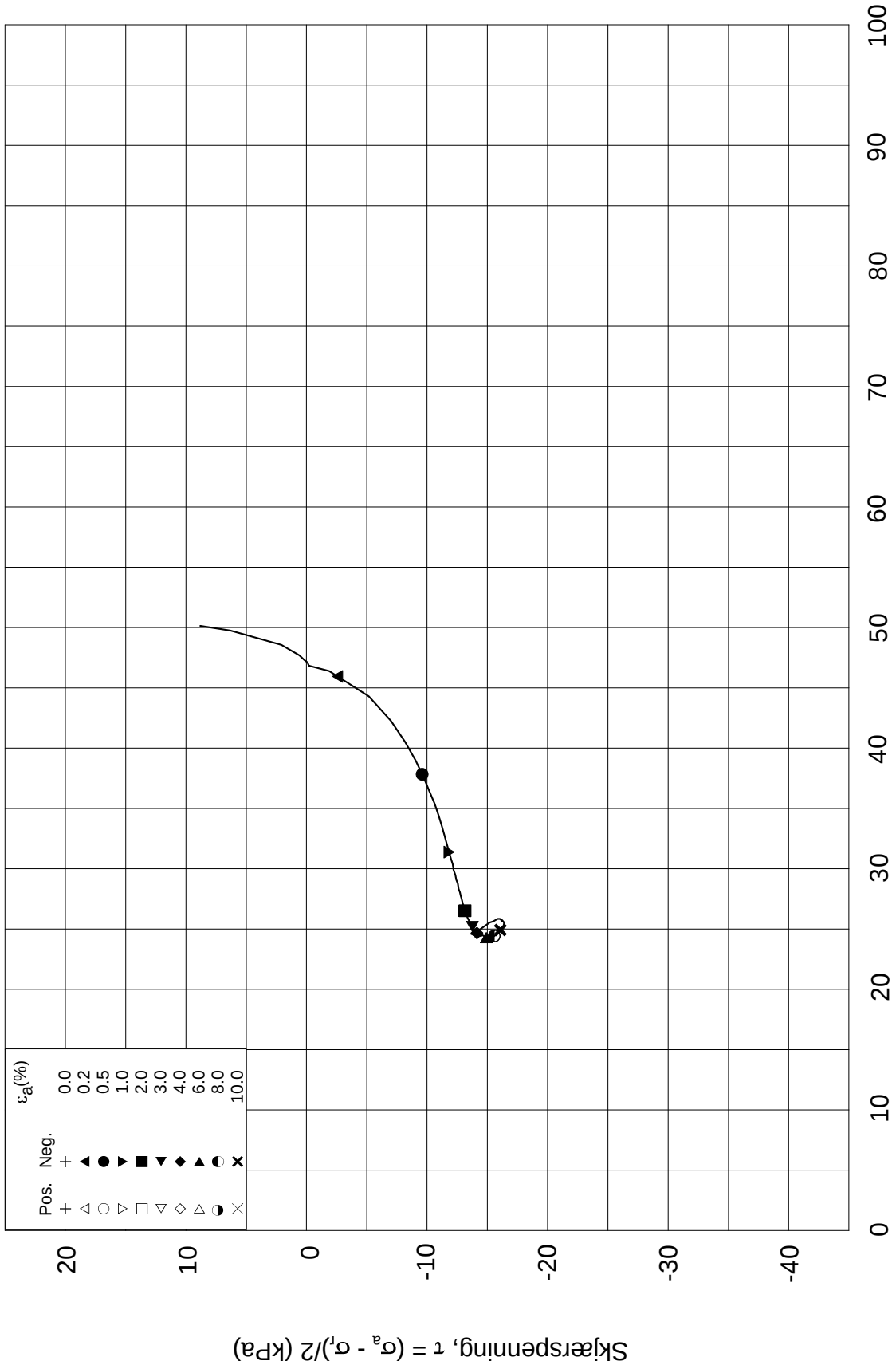
Test: **1**

w_c = **34.8** %

σ_{rc}' = - - **41.4**



Effektiv gjennomsnittsspenning, $p' = (\sigma'_a + \sigma'_l)/2$ (kPa)



Date/Rev.: 2009-11-03/01

E16 Nybakk - Slomarka

Dokument nr.
20120491-02-R

Treaksial forsøk: **CAUP**

Dato
2013-06-10

Boring: **3006**

Dybde = **5.33** m

Konsolidering-spenninger

Sylinder: **5**

$p_{o'}$ = **58.6** kPa

(kPa) maks. min. endelig

Figur nr.
G148

Del: **C**

w_i = **35.4** %

σ_{ac}' = - - **59.2**

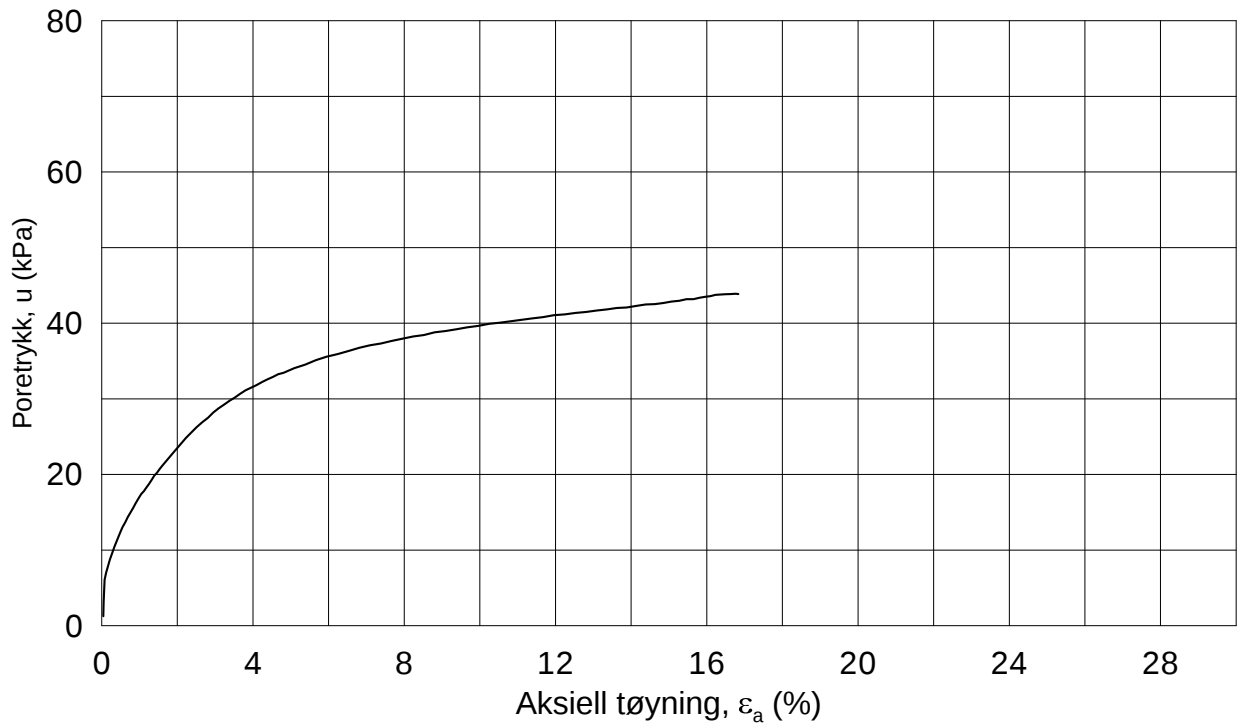
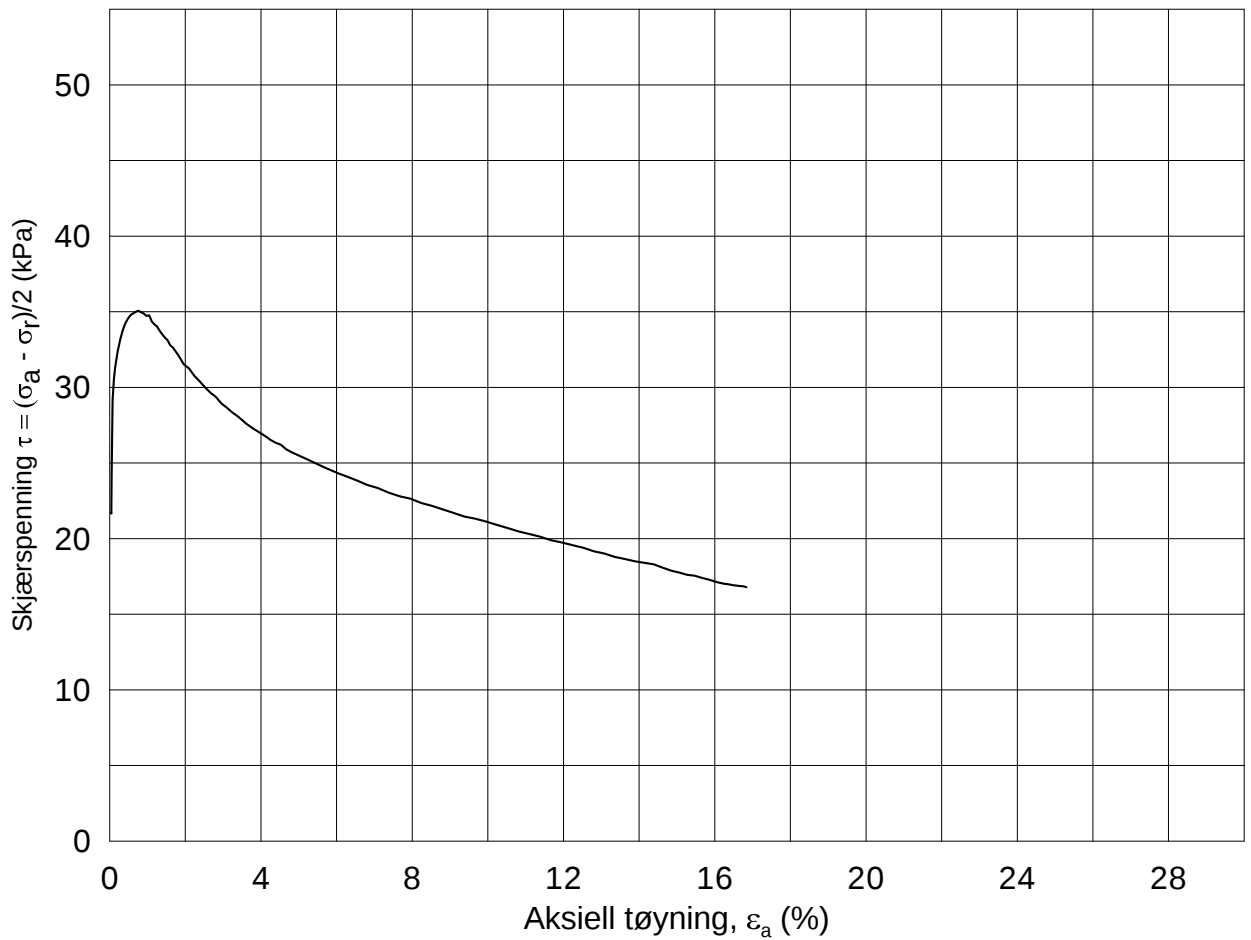
Tegnet av
MAS

Test: **1**

w_c = **34.8** %

σ_{rc}' = - - **41.4**





Date/Rev.: 2009-11-03/01

E16 Nybakk - Slomarka

Dokument nr.
20120491-02-R

Treaksial forsøk: **CAUA**

Dato
2013-06-11

Boring: **3006**

Dybde = **10.42** m

Konsolidering-spenninger

Sylinder: **10**

$p_{o'}$ = **103.6** kPa

(kPa) maks. min. endelig

Figur nr.
G149

Del: **C**

w_i = **39.7** %

σ_{ac}' = - - **103.0**

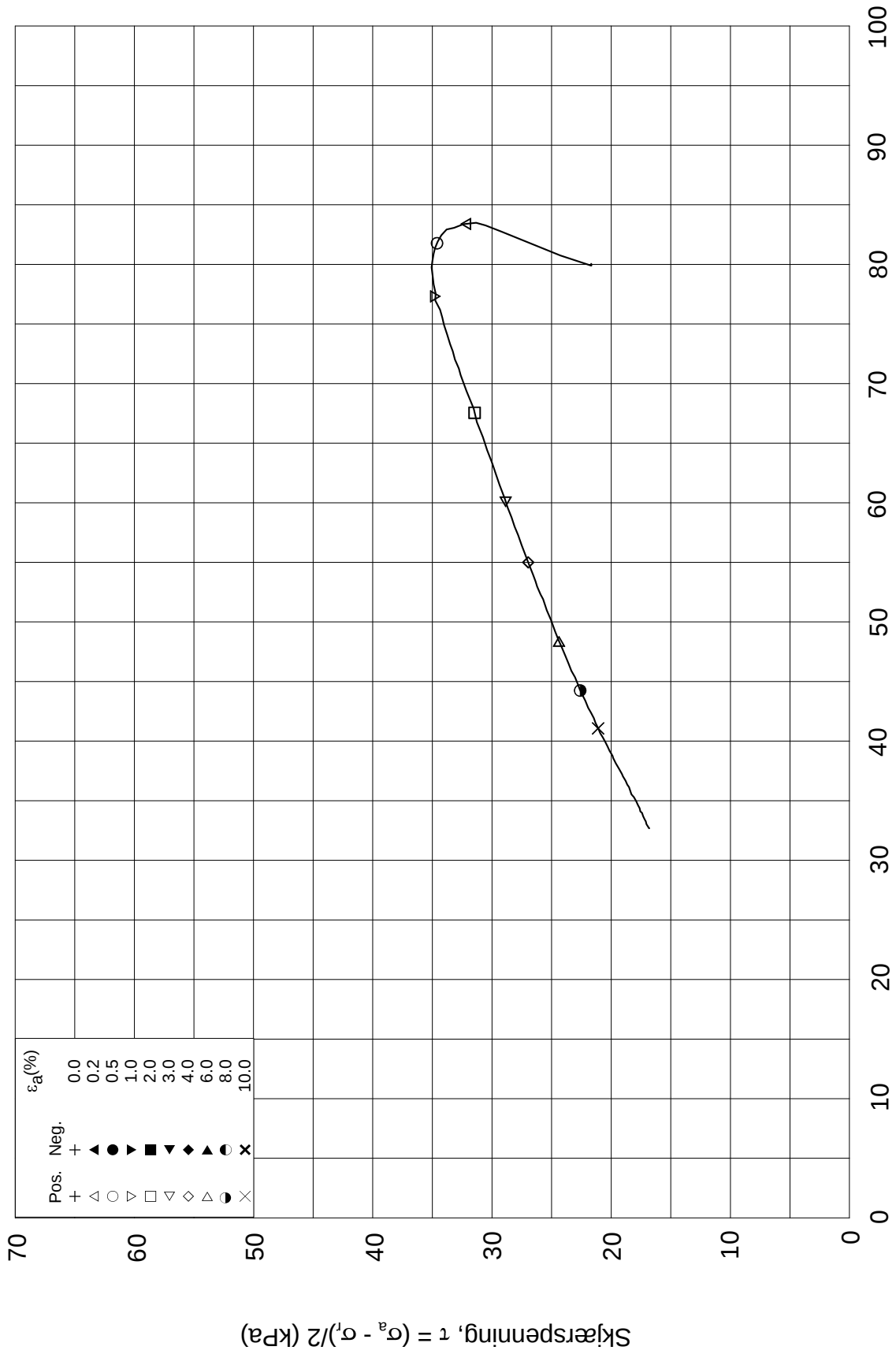
Tegnet av
MAS

Test: **1**

w_c = **38.5** %

σ_{rc}' = - - **59.6**

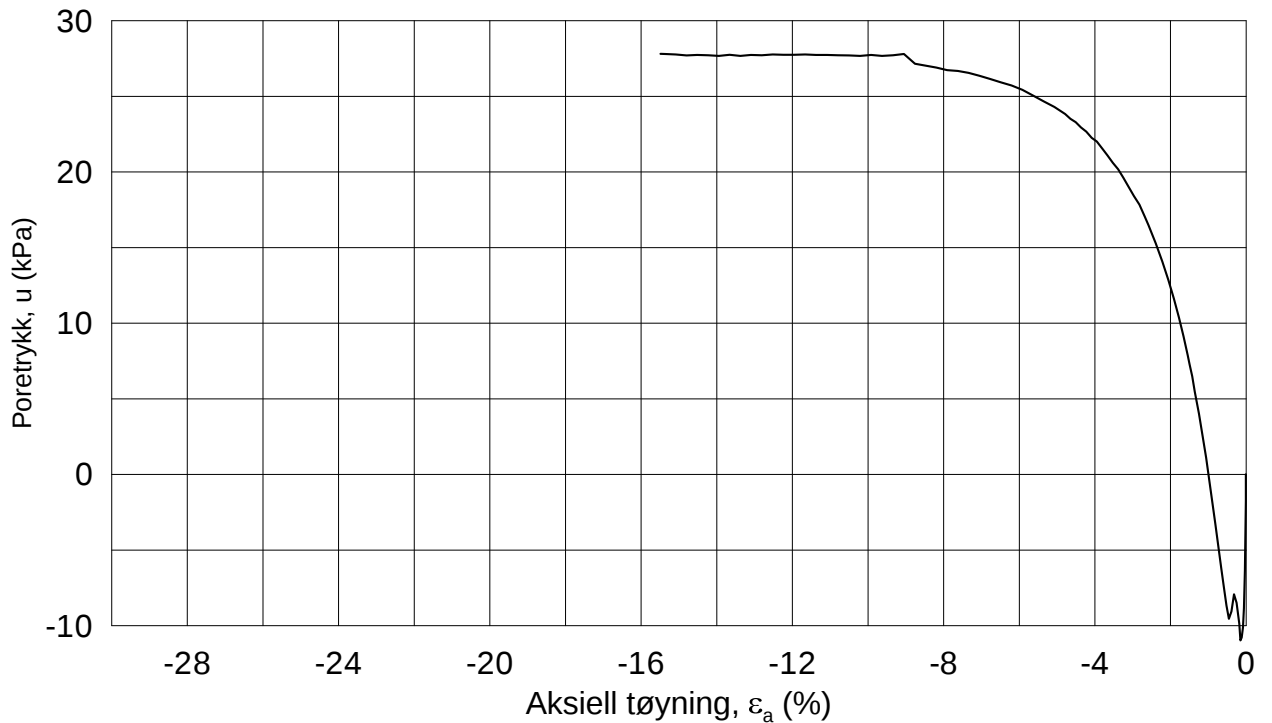
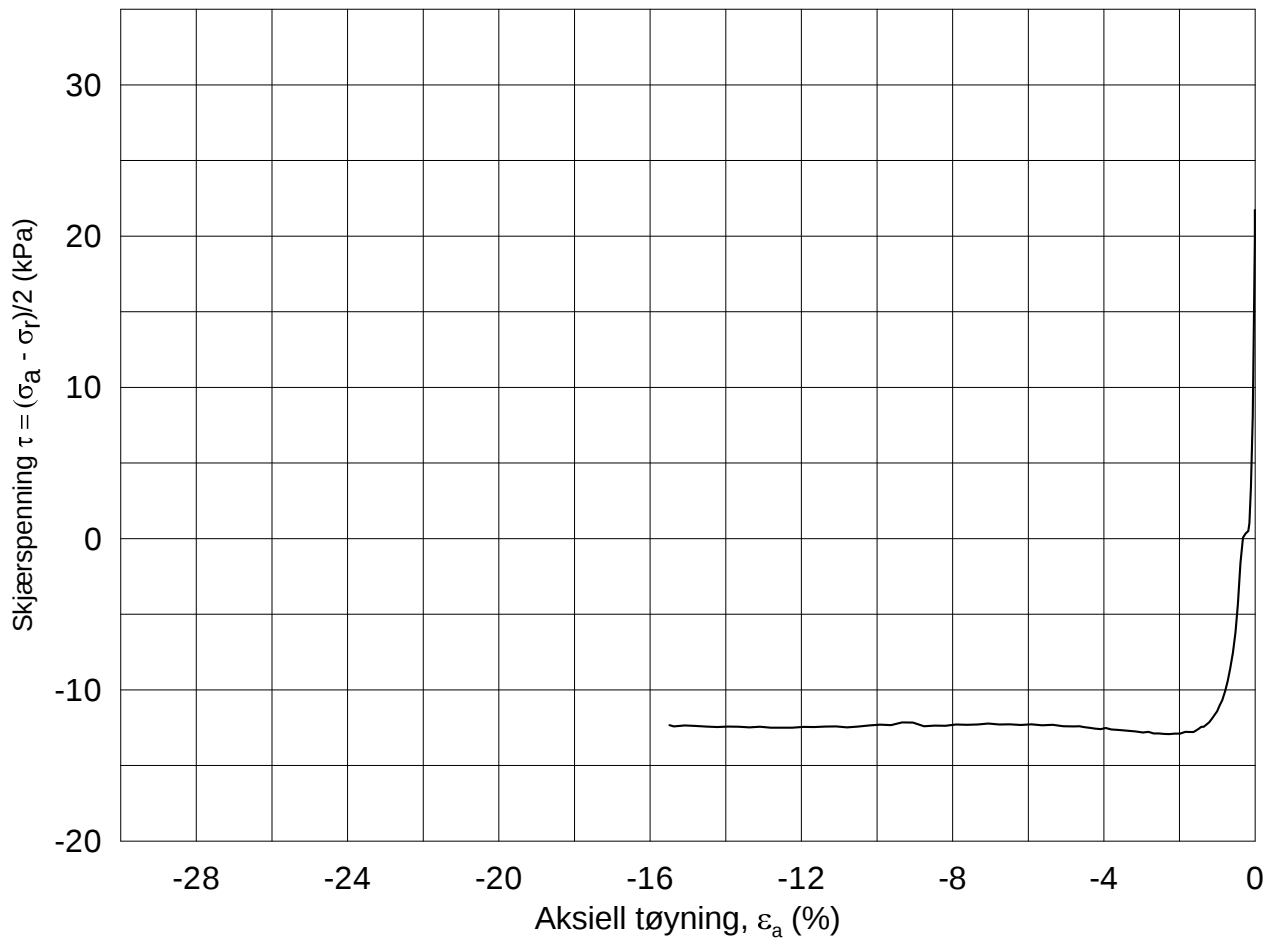




Date/Rev.: 2009-11-03/01

E16 Nybakk - Slomarka			Dokument nr. 20120491-02-R	
Treaksial forsøk: CAUA			Dato 2013-06-11	
Boring: 3006	Dybde = 10.42 m	Konsolidering-spenninger		
Sylinder: 10	p _o ' = 103.6 kPa	(kPa)	maks.	min.
Del: C	w _i = 39.7 %	σ _{ac} ' =	-	-
Test: 1	w _c = 38.5 %	σ _{rc} ' =	-	-
		endelig	103.0	
			59.6	
		Figur nr.	G150	
		Tegnet av	MAS	

3006-10-C-1-1.Plot2.grf



Date/Rev.: 2009-11-03/01

E16 Nybakk - Slomarka

Dokument nr.
20120491-02-R

Treaksial forsøk: **CAUP**

Dato
2013-06-10

Boring: **3006**

Dybde = **10.57** m

Konsolidering-spenninger

Sylinder: **10**

p_o' = **105.0** kPa

(kPa) maks. min. endelig

Figur nr.
G151

Del: **D**

w_i = **39.9** %

σ_{ac}' = - - **104.9**

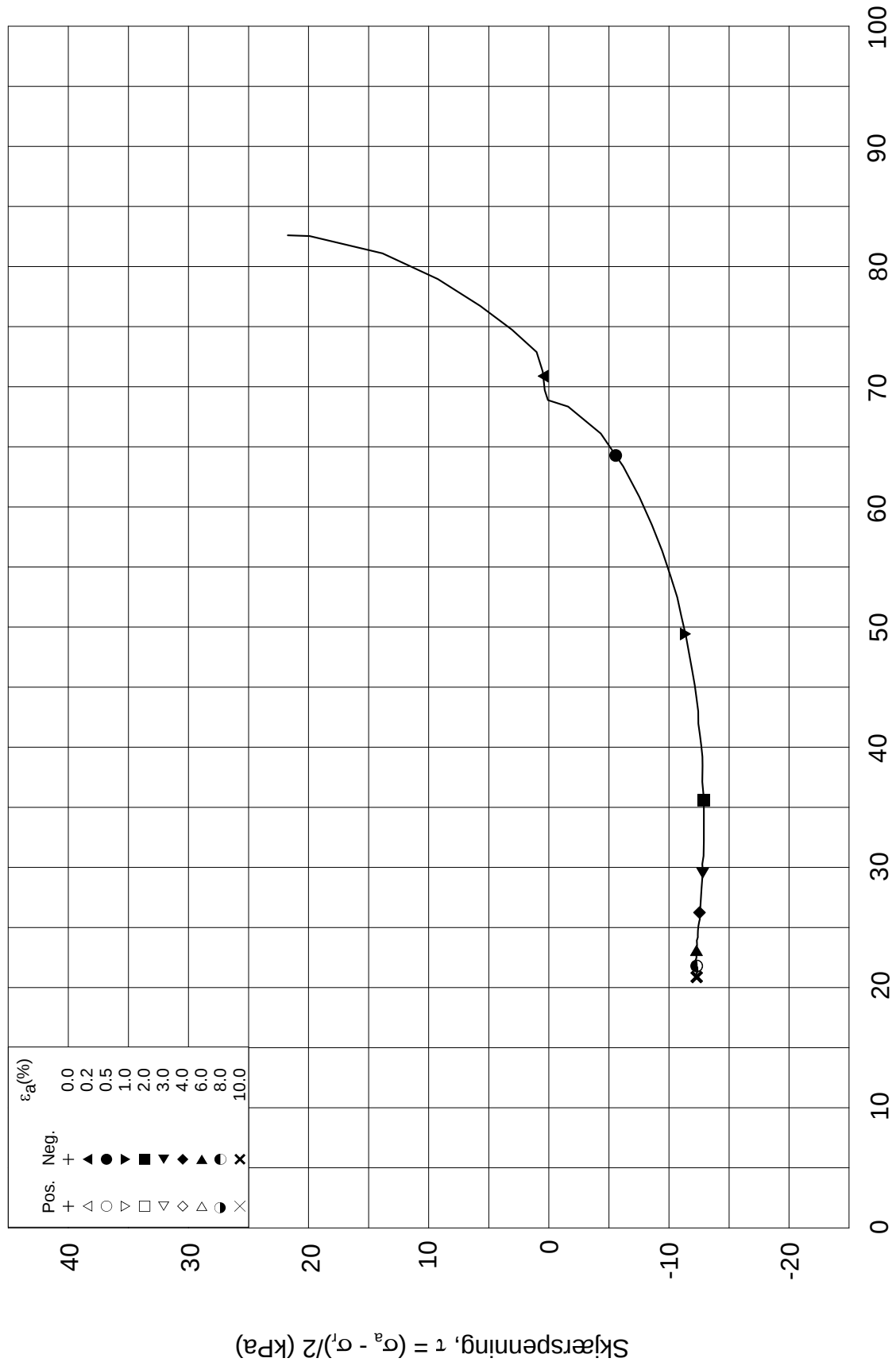
Tegnet av
MAS

Test: **1**

w_c = **38.9** %


σ_{rc}' = - - **60.9**



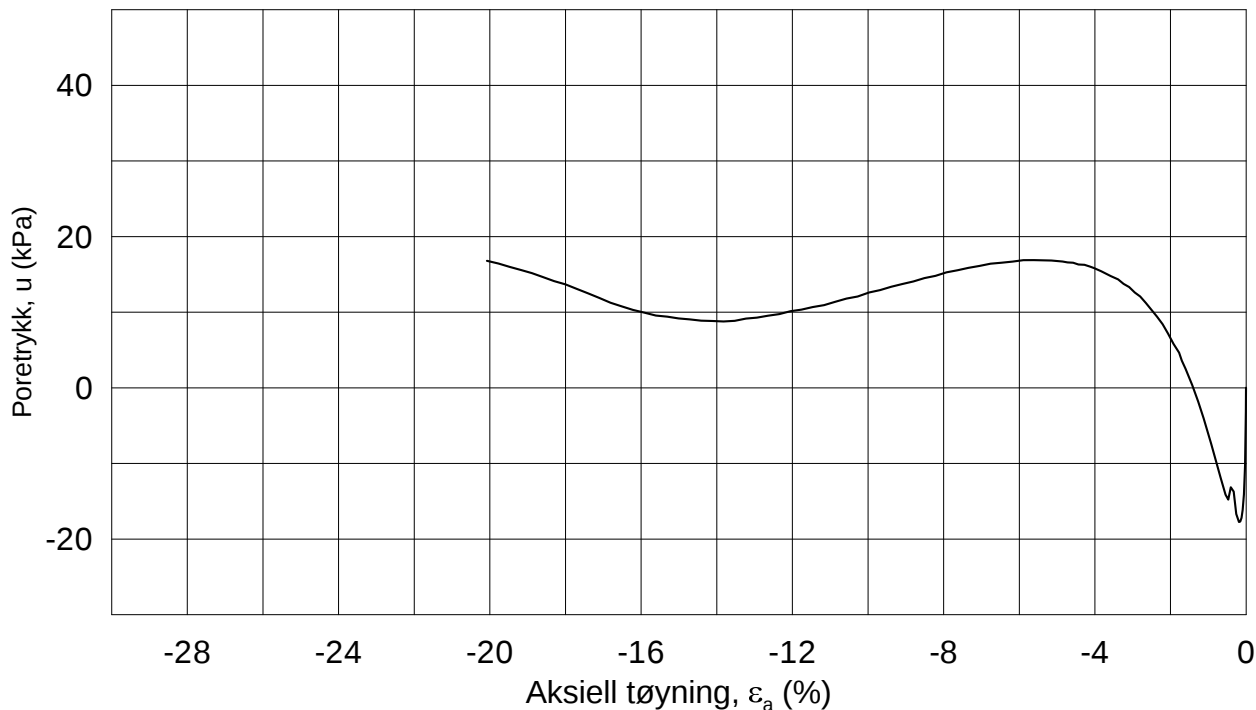
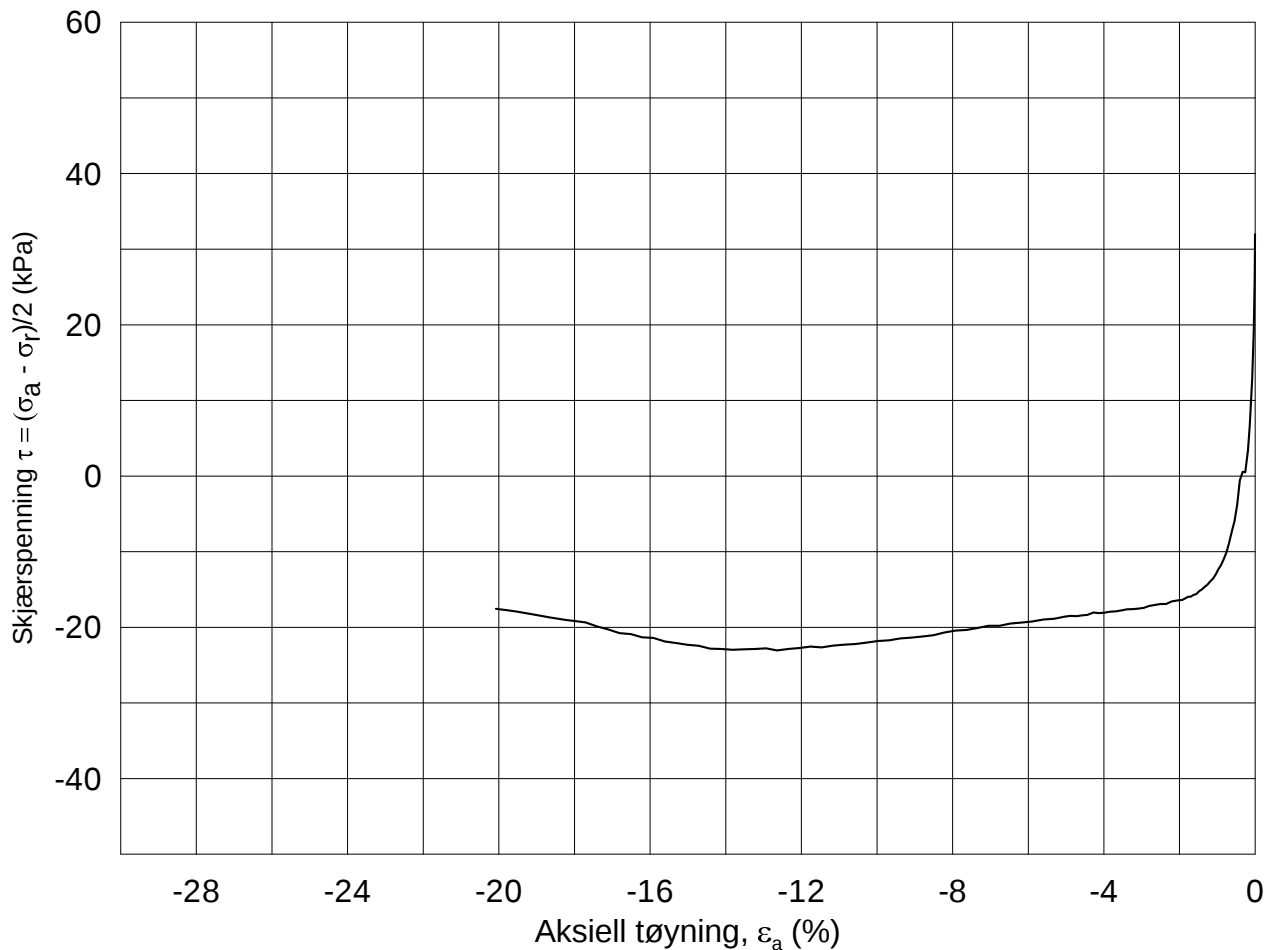


Effektiv gjennomsnittsspenning, p' = (σ_a' + σ_r')/2 (kPa)

Date/Rev.: 2009-11-03/01

E16 Nybakk - Slomarka			Dokument nr. 20120491-02-R
Treaksial forsøk: CAUP			Dato 2013-06-10
Boring: 3006	Dybde = 10.57 m	Konsolidering-spenninger	
Sylinder: 10	p ₀ ' = 105.0 kPa	(kPa)	maks. min. endelig
Del: D	w _i = 39.9 %	σ _{ac} ' = - - 104.9	Figur nr. G152
Test: 1	w _c = 38.9 %	σ _{rc} ' = - - 60.9	Tegnet av MAS
			

3006-10-D-1-Plot2.grf



Date/Rev.: 2009-11-03/01

E16 Nybakk - Slomarka

Dokument nr.
20120491-02-R

Treaksial forsøk: **CAUP**

Dato
2013-08-09

Boring: **3006**

Dybde = **14.43** m

Konsolidering-spenninger

Sylinder: **14**

$p_{o'}$ = **139.6** kPa

(kPa) maks. min. endelig

Figur nr.
G153

Del: **C**

w_i = **37.3** %

σ_{ac}' = - - **139.2**

Tegnet av
MAS

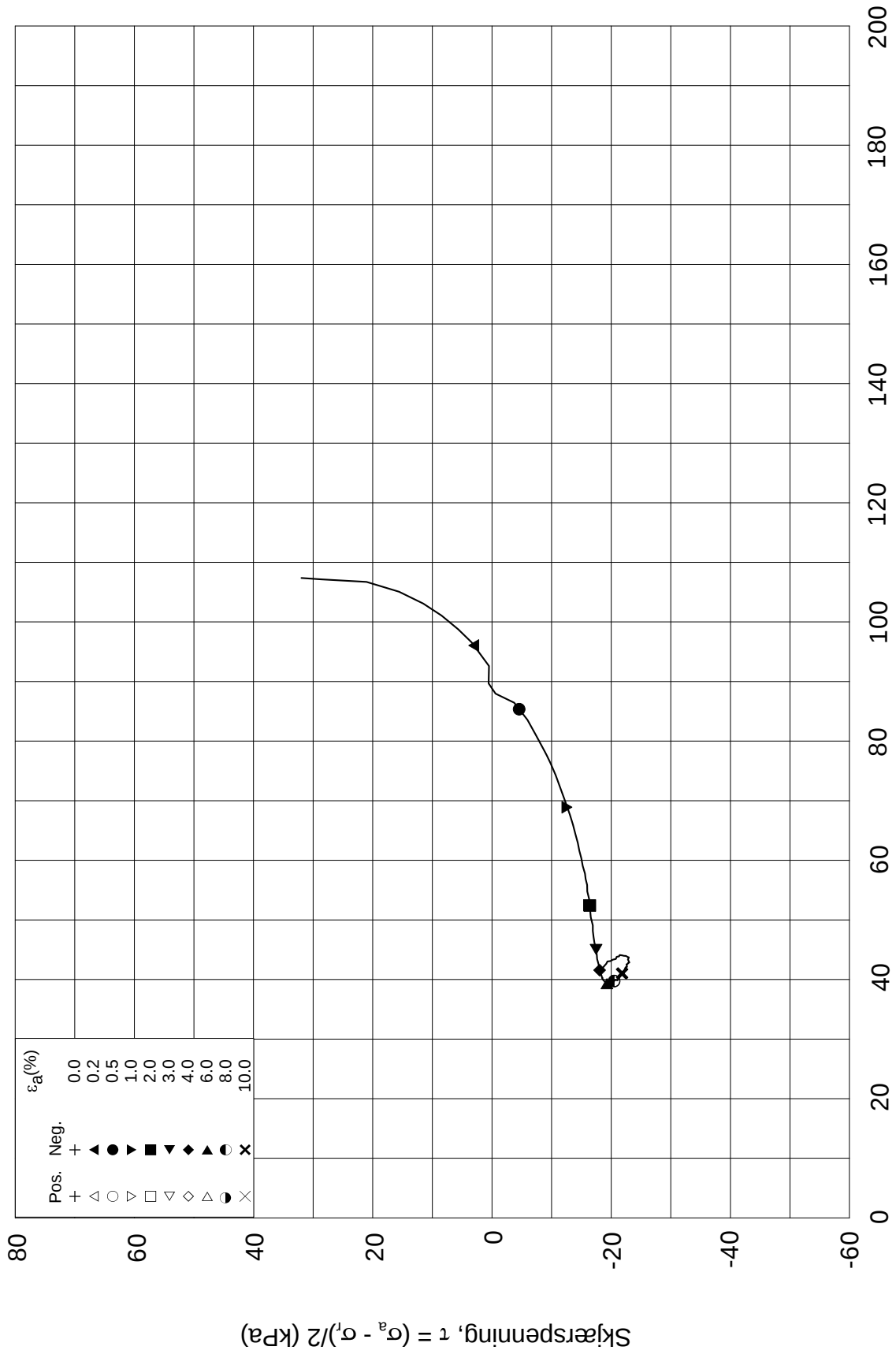
Test: **1**

w_c = **32.7** %


σ_{rc}' = - - **75.4**



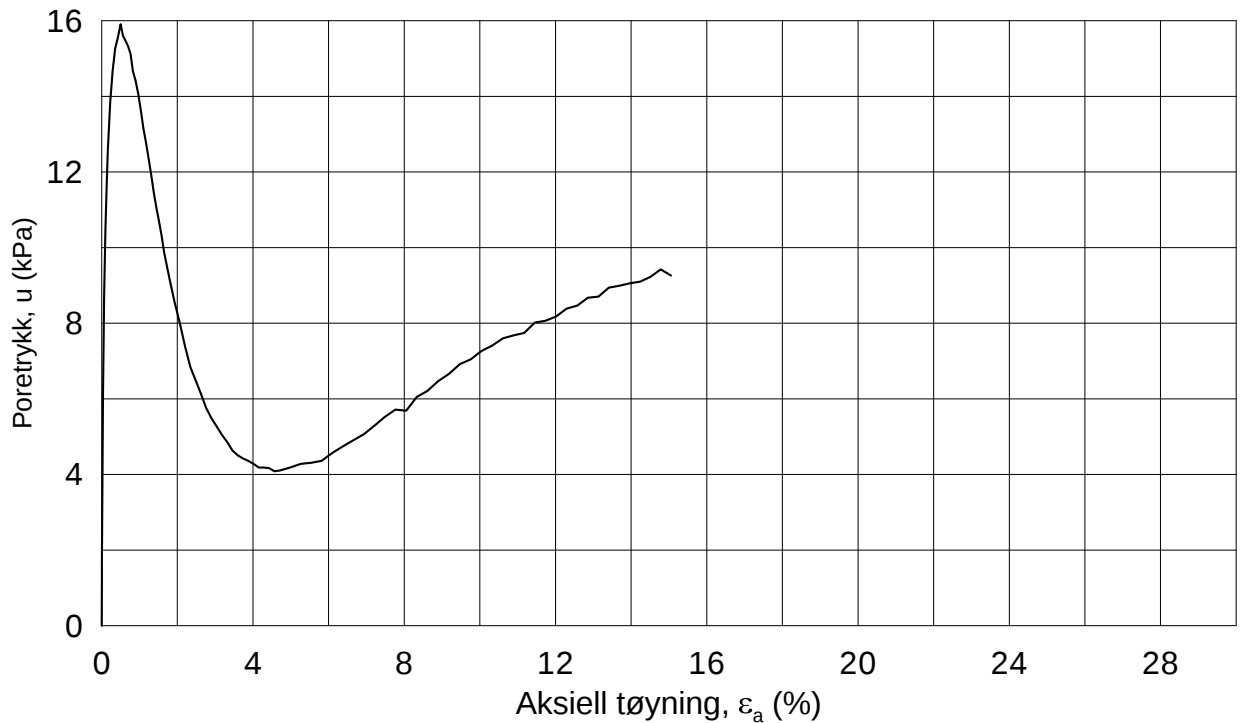
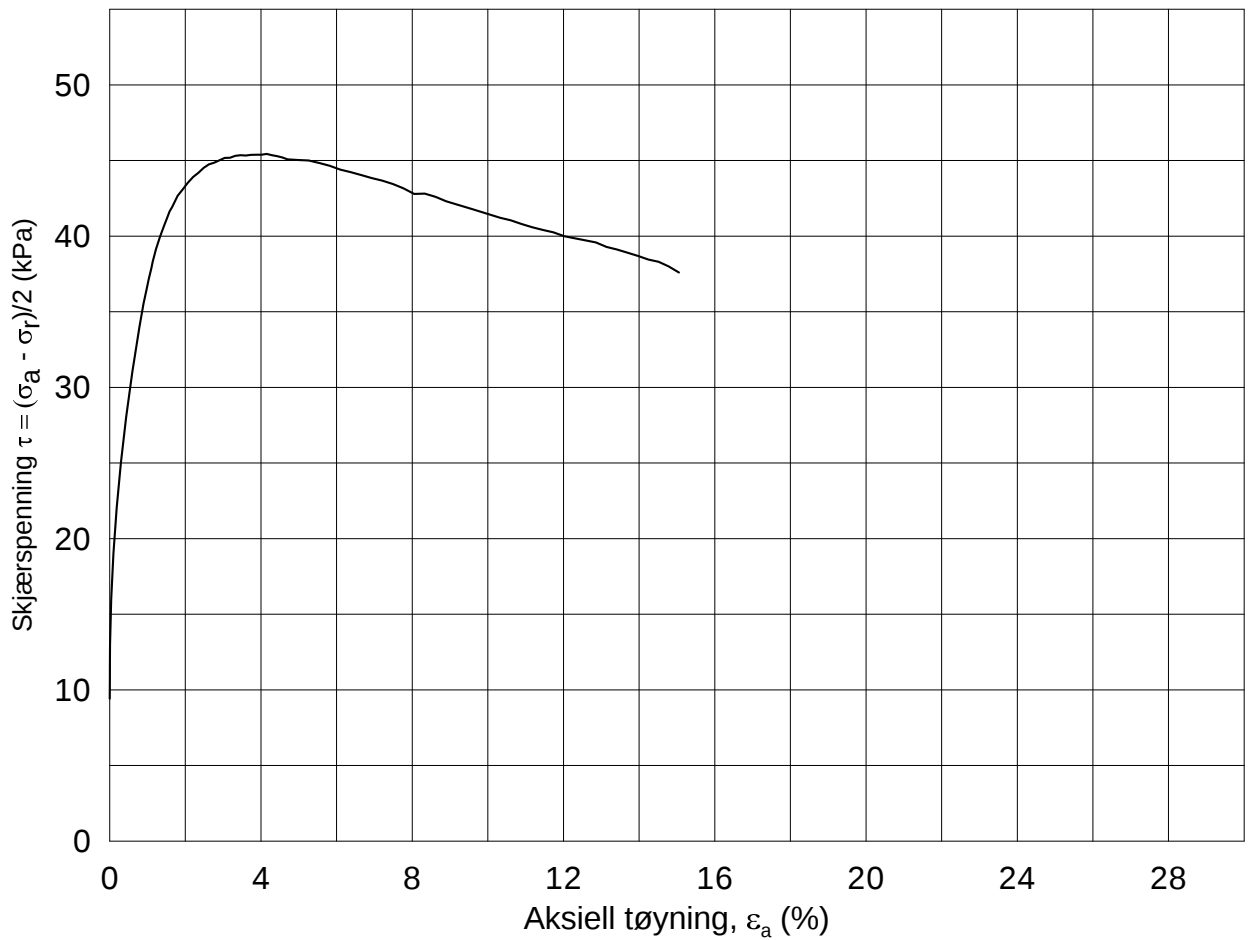
Effektiv gjennomsnittsspenning, $p' = (\sigma'_a + \sigma'_l)/2$ (kPa)



Date/Rev.: 2009-11-03/01

E16 Nybakk - Slomarka			Dokument nr. 20120491-02-R	
Treaksial forsøk: CAUP			Dato 2013-08-09	
Boring: 3006	Dybde = 14.43 m	Konsolidering-spenninger		
Sylinder: 14	$p_{o'}$ = 139.6 kPa	(kPa)	maks.	min.
Del: C	w_i = 37.3 %	σ_{ac}' =	-	-
Test: 1	w_c = 32.7 %	σ_{rc}' =	-	-
		endelig	139.2	
			75.4	
		Figur nr.	G154	
		Tegnet av	MAS	
				

3006-14-C-1-1.Plot2.grf



Date/Rev.: 2009-11-03/01

E16 Nybakk - Slomarka

Dokument nr.
20120491-02-R

Treaksial forsøk: **CAUA**

Dato
2013-06-14

Boring: **3019**

Dybde = **5.37** m

Konsolidering-spenninger

Sylinder: **5**

p_o' = **63.3** kPa

(kPa) maks. min. endelig

Figur nr.
G155

Del: **B**

w_i = **38.8** %

σ_{ac}' = - - **63.3**

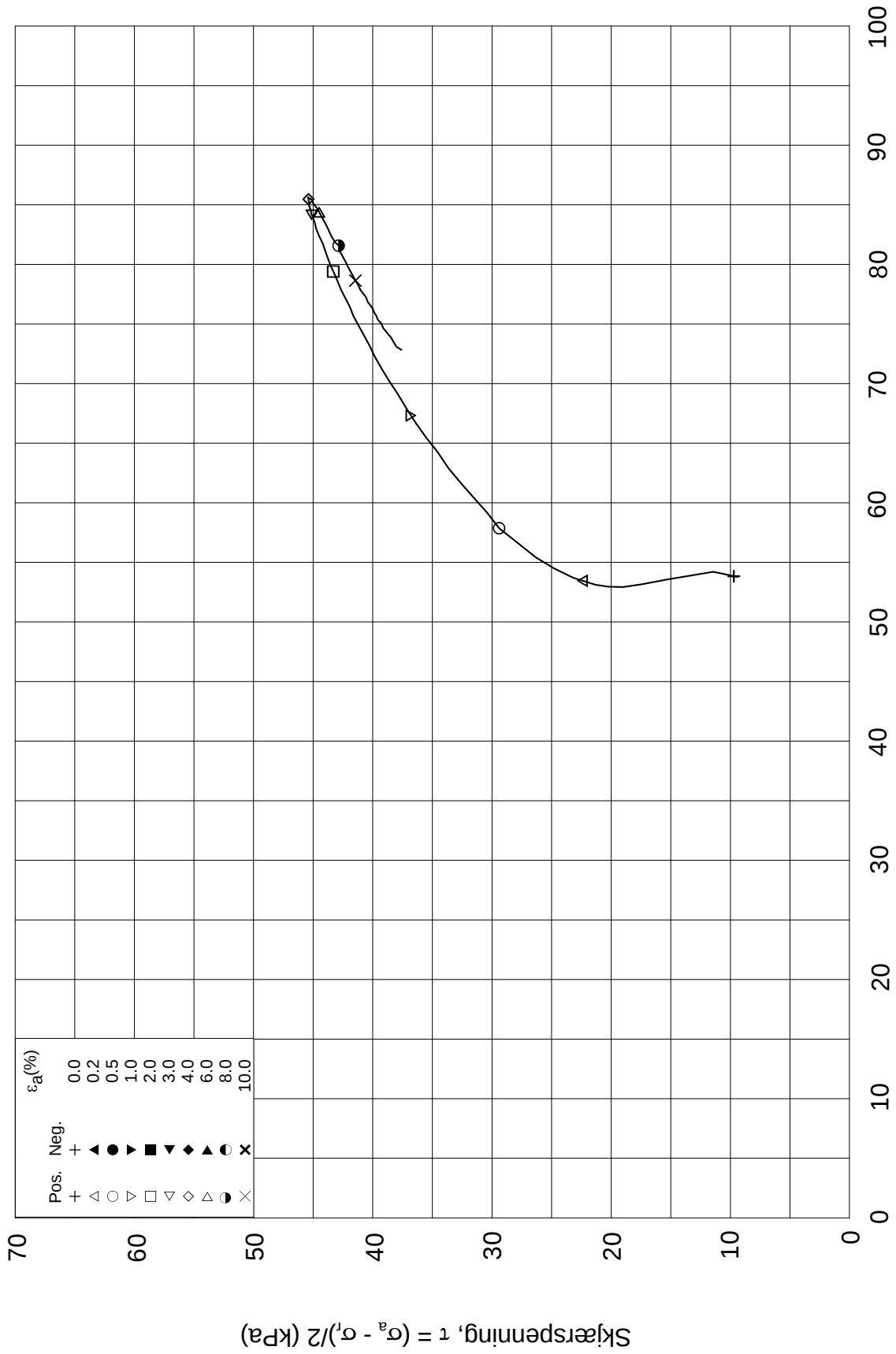
Tegnet av
MAS

Test: **1**

w_c = **38.5** %

σ_{rc}' = - - **44.3**



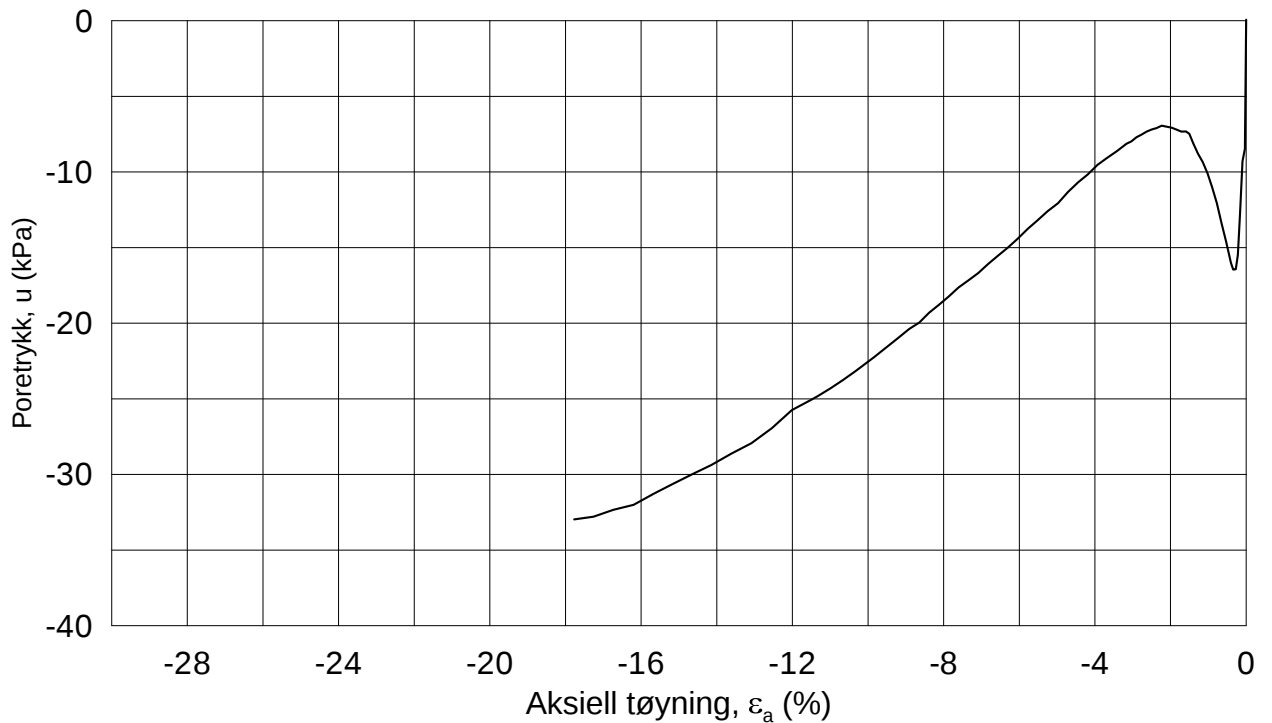
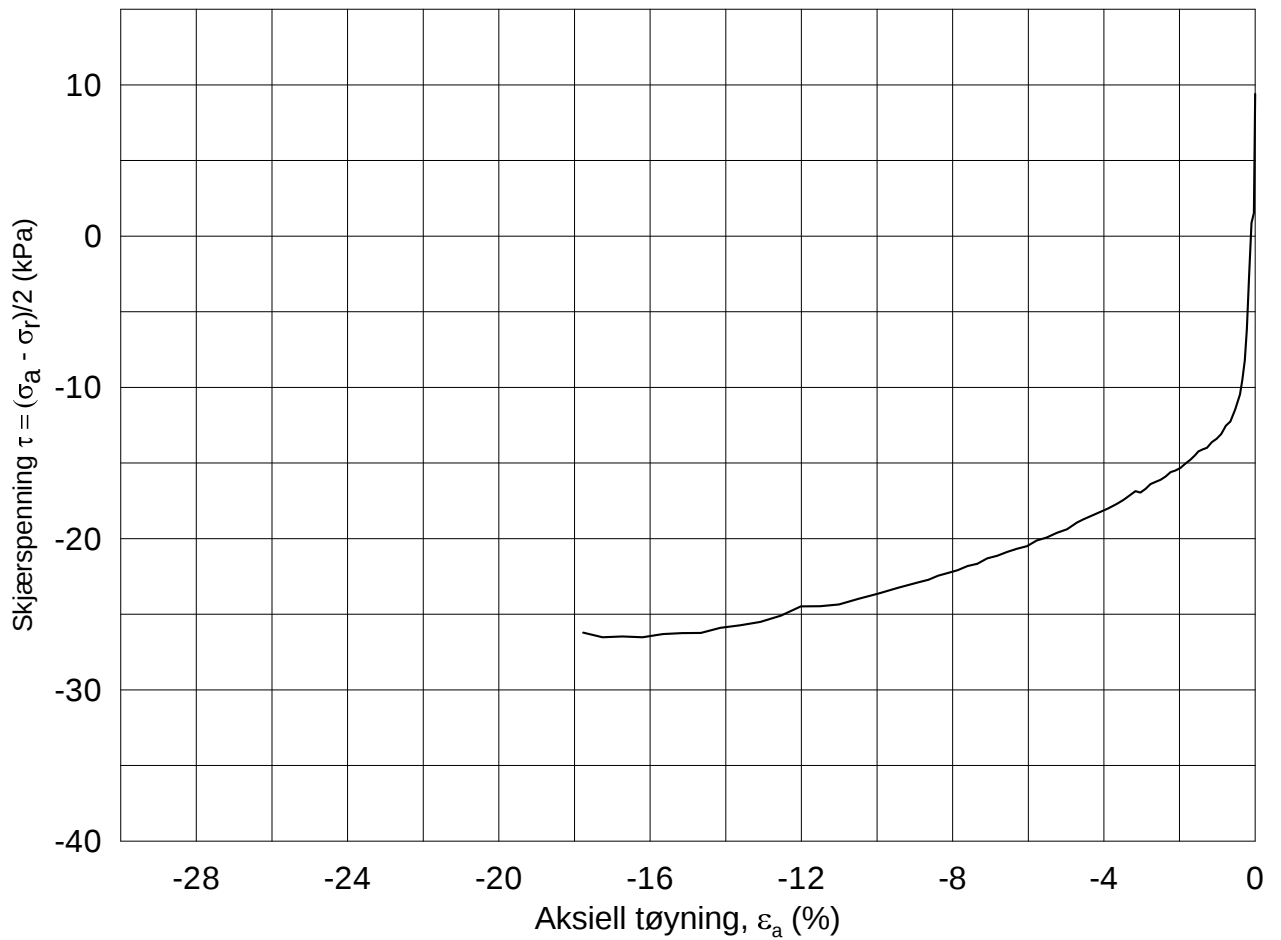


Effektiv gjennomsnittsspenning, $p' = (\sigma_a' + \sigma_r')/2$ (kPa)

Date/Rev.: 2009-11-03/01

E16 Nybakk - Slomarka			Dokument nr. 20120491-02-R	
Treaksial forsøk: CAUA			Dato 2013-06-14	
Boring: 3019	Dybde = 5.37 m	Konsolidering-spenninger		
Sylinder: 5	p_o' = 63.3 kPa	(kPa)	maks.	min.
Del: B	w_i = 38.8 %	$\sigma_{ac}' =$	-	-
Test: 1	w_c = 38.5 %	$\sigma_{rc}' =$	-	-
		endelig	63.3	
			44.3	
		Figur nr.	G156	
		Tegnet av	MAS	

3019-5-B-1.Plot2.grf



Date/Rev.: 2009-11-03/01

E16 Nybakk - Slomarka

Dokument nr.
20120491-02-R

Treaksial forsøk: **CAUP**

Dato
2013-06-24

Boring: **3019**

Dybde = **5.54** m

Konsolidering-spenninger

Sylinder: **5**

$p_{o'}$ = **64.7** kPa

(kPa) maks. min. endelig

Figur nr.
G157

Del: **C**

w_i = **34.2** %

σ_{ac}' = - - **64.5**

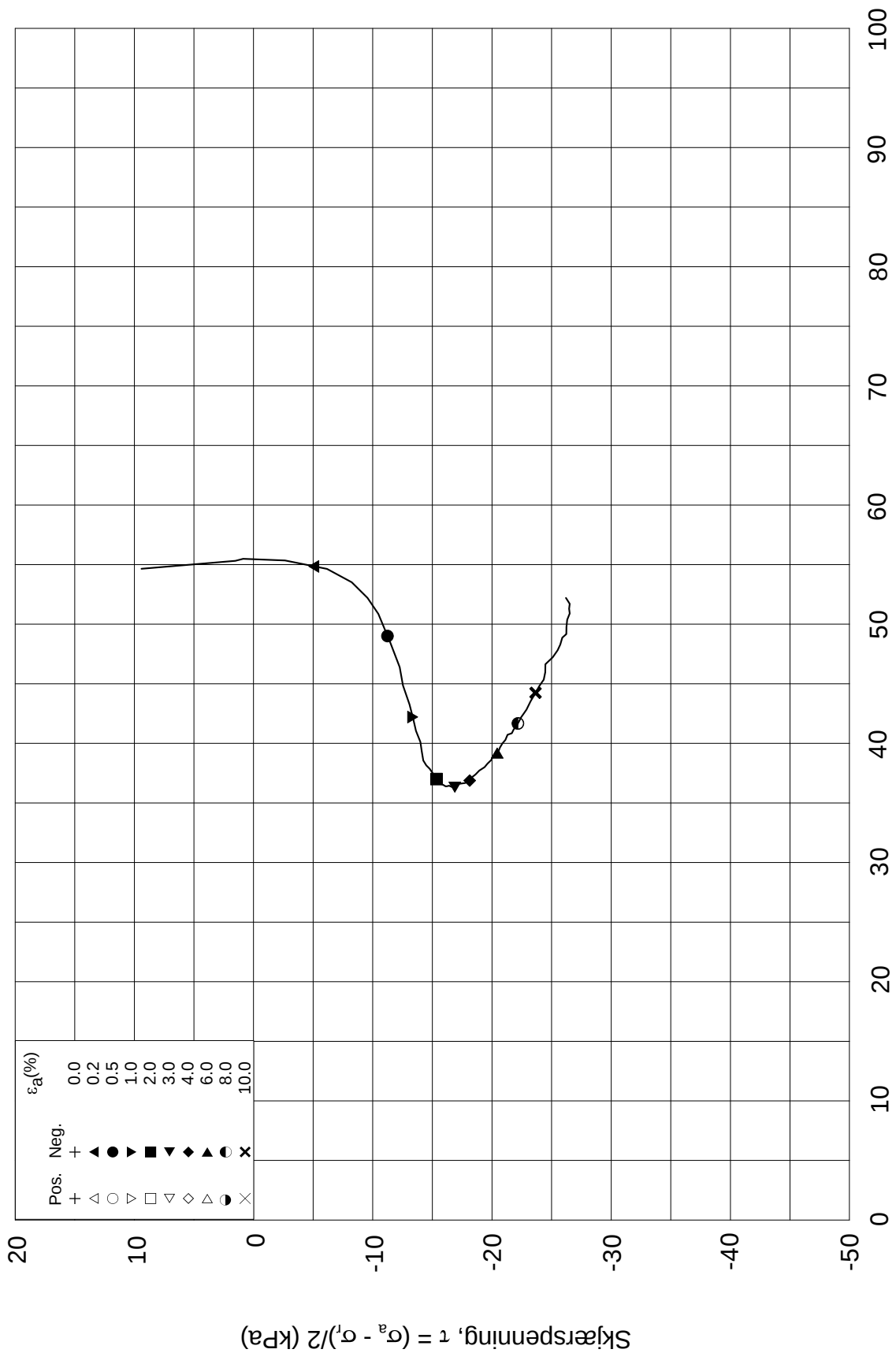
Tegnet av
MAS

Test: **1**

w_c = **34.1** %

σ_{rc}' = - - **45.3**





Date/Rev.: 2009-11-03/01

E16 Nybakk - Slomarka

Dokument nr.
20120491-02-R

Treaksial forsøk: **CAUP**

Dato
2013-06-24

Boring: **3019**

Sylinder: **5**

Del: **C**

Test: **1**

Dybde = **5.54** m

$p_{o'}$ = **64.7** kPa

w_i = **34.2** %

w_c = **34.1** %

Konsolidering-spenninger

(kPa) maks. min. endelig

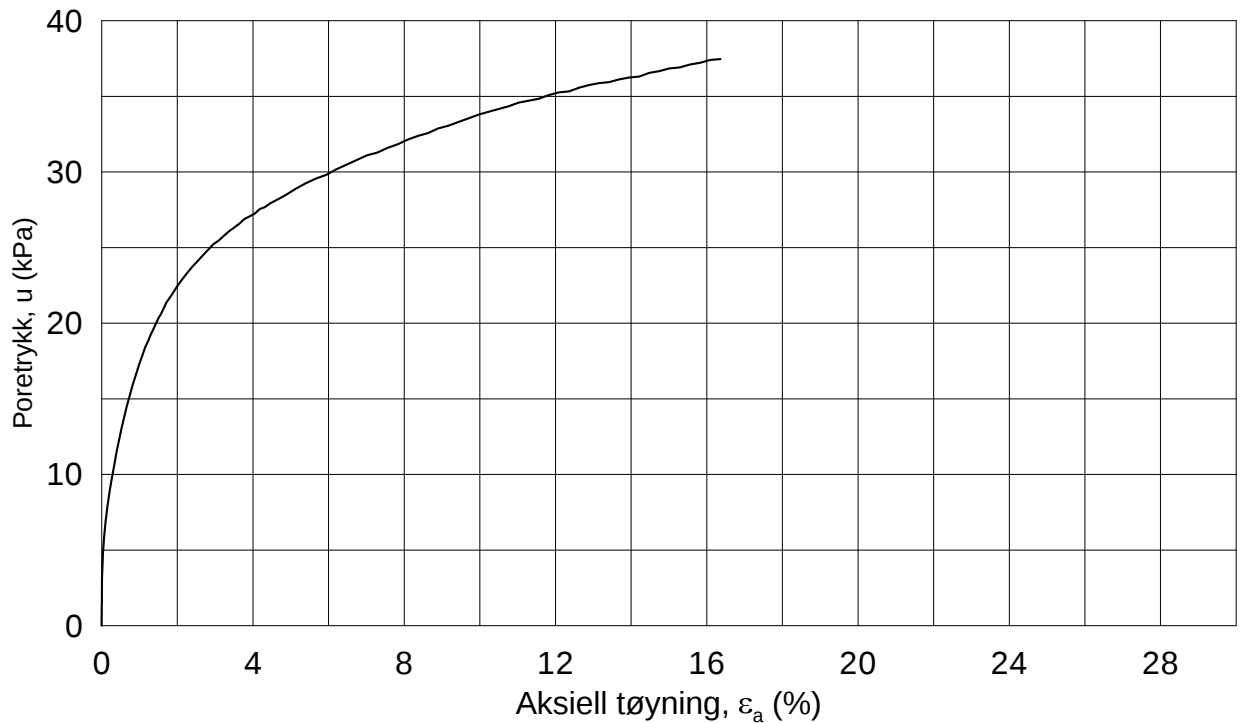
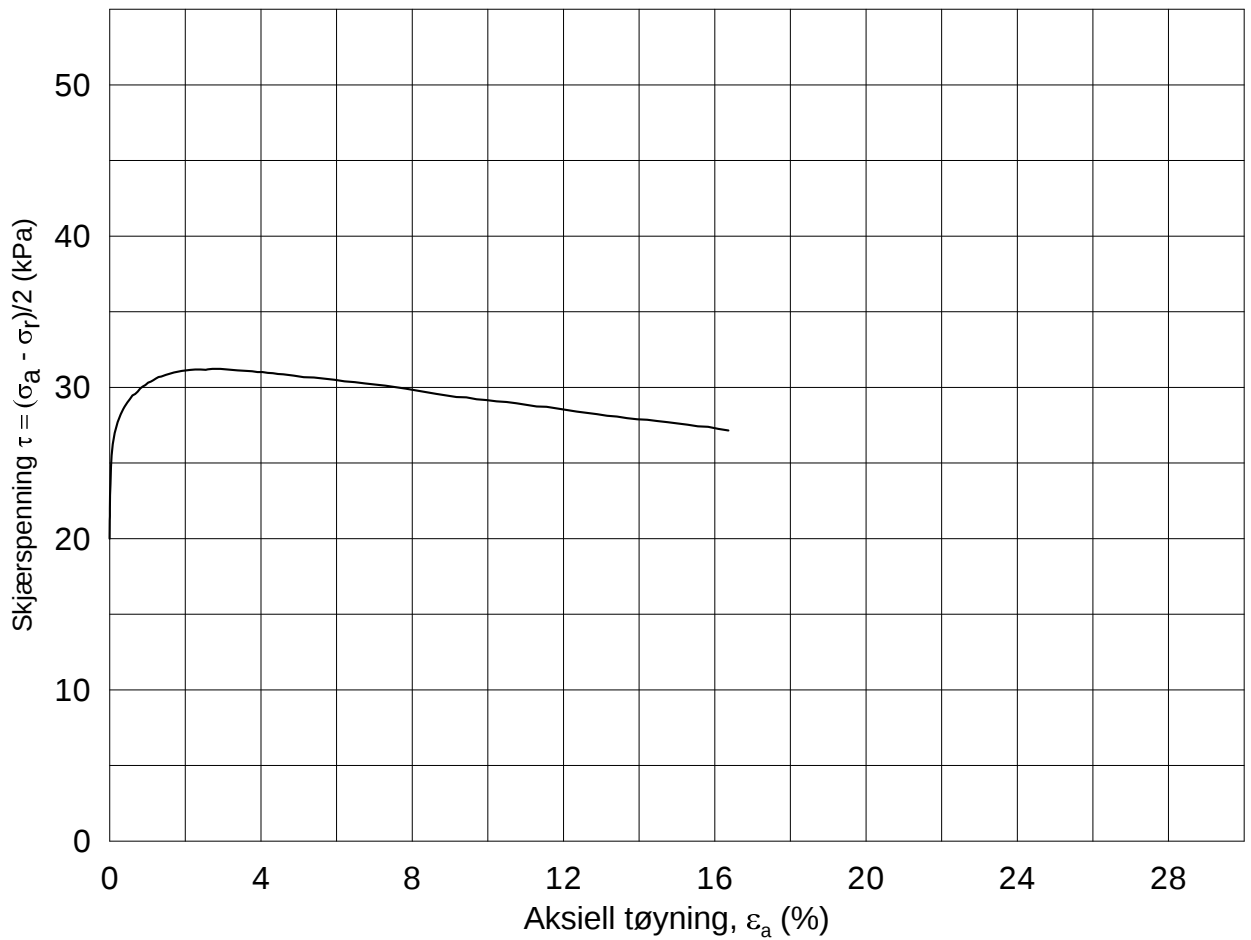
σ_{ac}' = - - **64.5**

σ_{rc}' = - - **45.3**

Figur nr.
G158

Tegnet av
MAS





Date/Rev.: 2009-11-03/01

E16 Nybakk - Slomarka

Dokument nr.
20120491-02-R

Treaksial forsøk: **CAUA**

Dato
2013-06-17

Boring: **3019**

Dybde = **9.36** m Konsolidering-spenninger

Sylinder: **9**

$p_{o'}$ = **99.6** kPa (kPa) maks. min. endelig

Del: **B**

w_i = **41.9** % σ_{ac}' = - - **99.6**

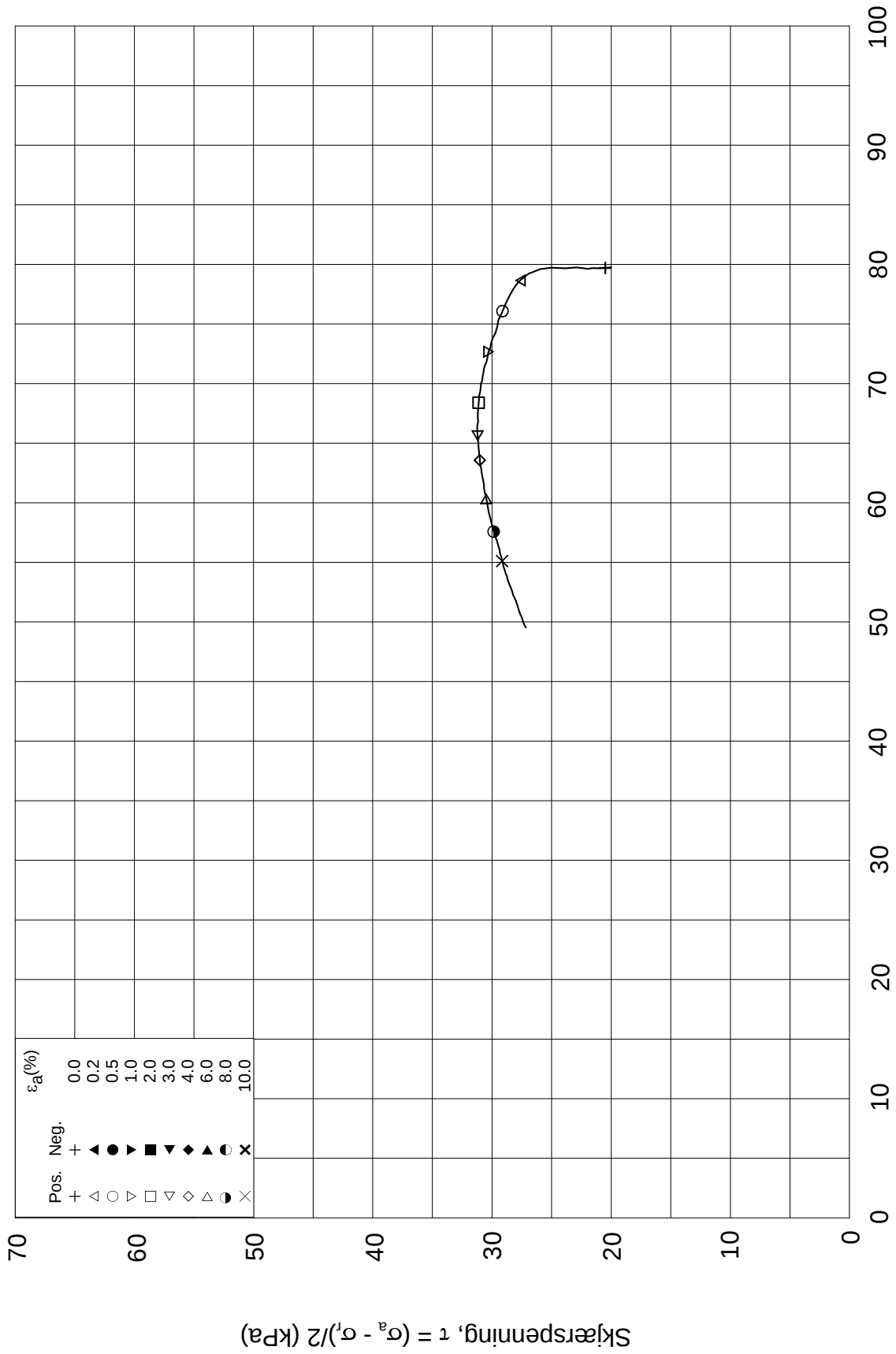
Test: **1**

w_c = **38.6** % σ_{rc}' = - - **59.7**

Figur nr.
G159

Tegnet av
MAS

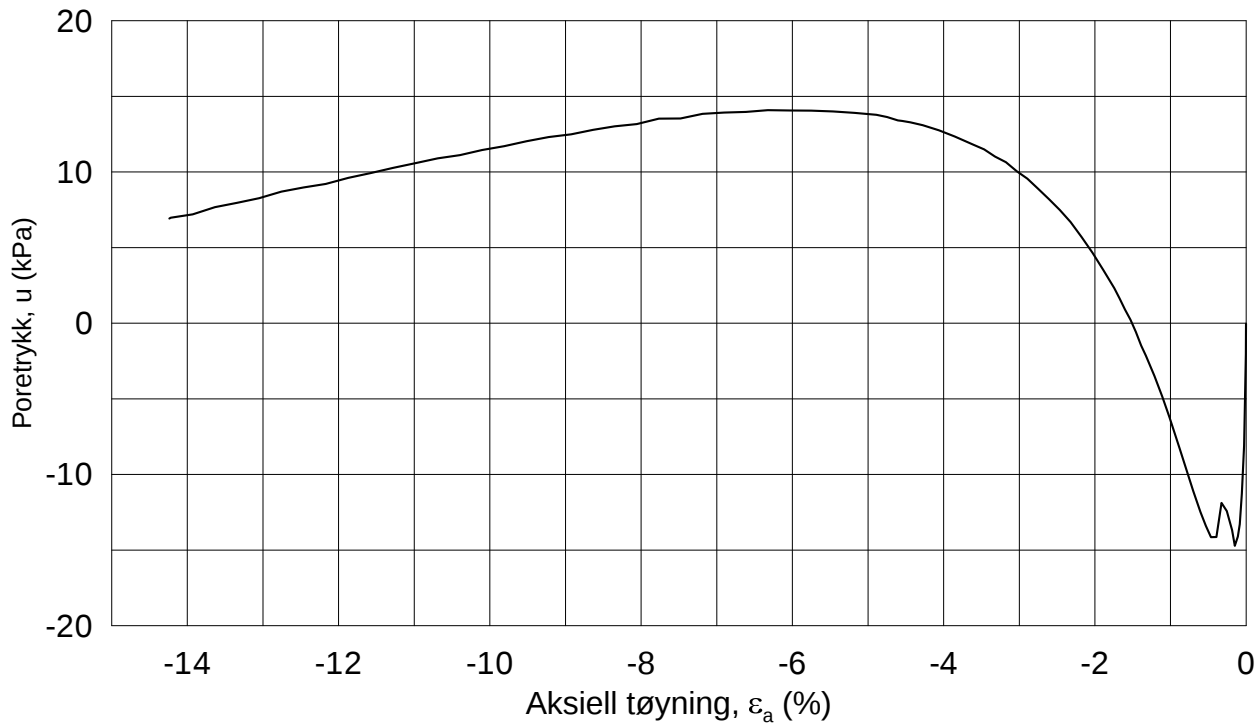
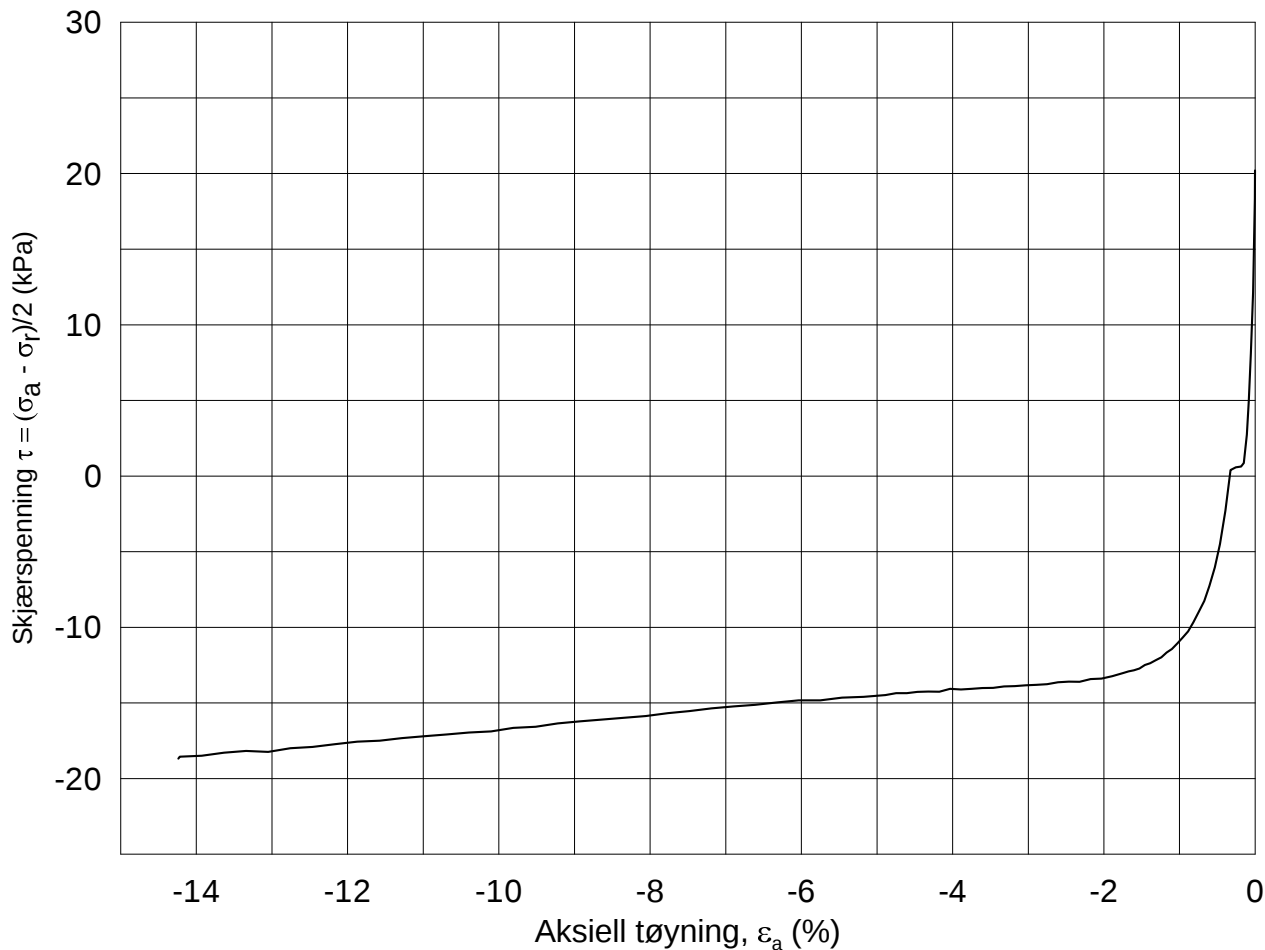




Date/Rev.: 2009-11-03/01

E16 Nybakk - Slomarka			Dokument nr. 20120491-02-R	
Treaksial forsøk: CAUA			Dato 2013-06-17	
Boring: 3019	Dybde = 9.36 m	Konsolidering-spenninger		
Sylinder: 9	p_o' = 99.6 kPa	(kPa)	maks.	min.
Del: B	w_i = 41.9 %	σ_{ac}' =	-	-
Test: 1	w_c = 38.6 %	σ_{rc}' =	-	-
				endelig 99.6
				59.7
				Figur nr. G160
				Tegnet av MAS

3019-9-B-1.Plot2.grf



Date/Rev.: 2009-11-03/01

E16 Nybakk - Slomarka

Dokument nr.
20120491-02-R

Treaksial forsøk: **CAUP**

Dato
2013-06-14

Boring: **3019**

Dybde = **9.54** m

Konsolidering-spenninger

Sylinder: **9**

p_o' = **100.7** kPa

(kPa)	maks.	min.	endelig
σ_{ac}' =	-	-	100.7
σ_{rc}' =	-	-	60.4

Del: **C**

w_i = **40.5** %

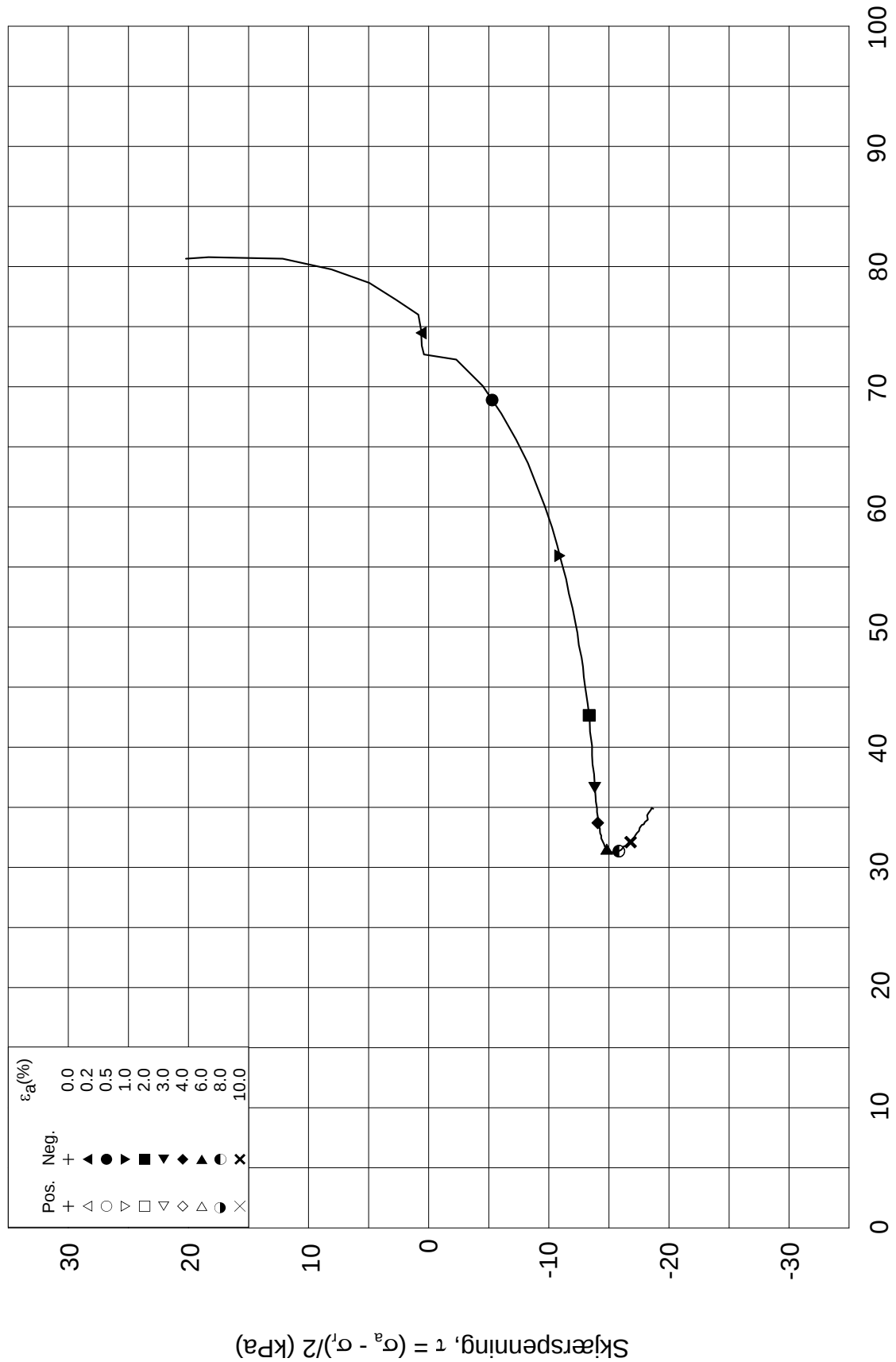
Figur nr. **G161**

Test: **1**

w_c = **37.5** %

Tegnet av **MAS**





Date/Rev.: 2009-11-03/01

E16 Nybakk - Slomarka

Dokument nr.
20120491-02-R

Treaksial forsøk: **CAUP**

Dato
2013-06-14

Boring: **3019**

Dybde = **9.54** m

Konsolidering-spenninger

Sylinder: **9**

$p_{o'}$ = **100.7** kPa

(kPa) maks. min. endelig

Figur nr.
G162

Del: **C**

w_i = **40.5** %

σ_{ac}' = - - **100.7**

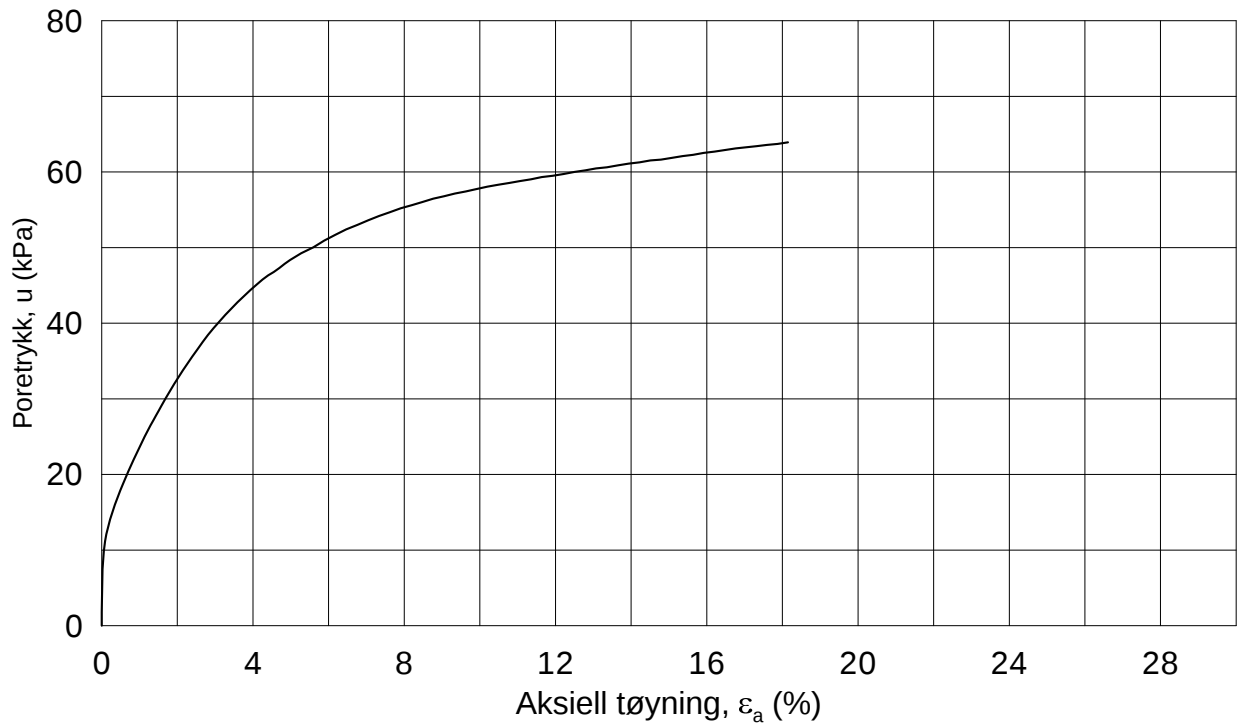
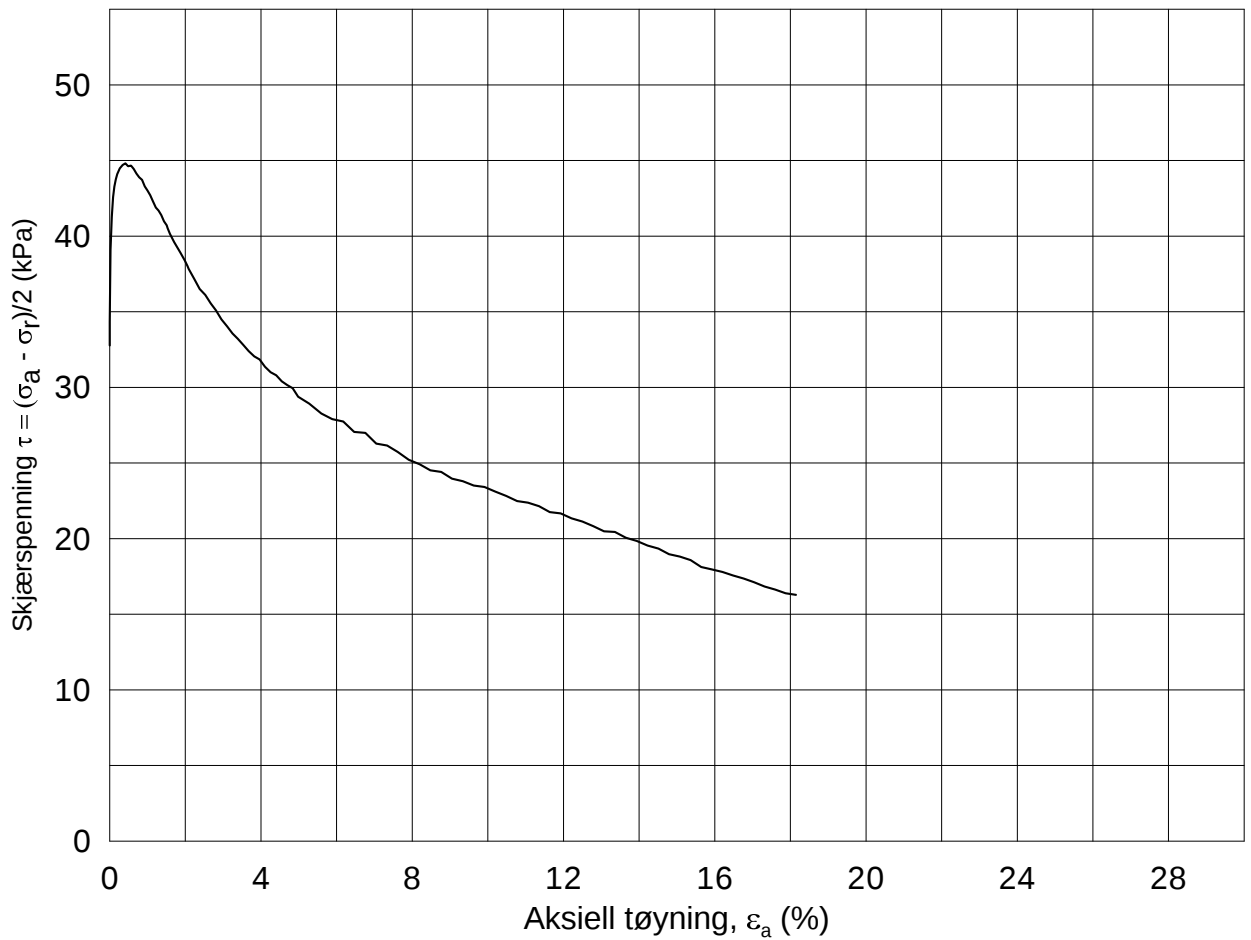
Tegnet av
MAS

Test: **1**

w_c = **37.5** %

σ_{rc}' = - - **60.4**





Date/Rev.: 2009-11-03/01

E16 Nybakk - Slomarka

Dokument nr.
20120491-02-R

Treaksial forsøk: CAUA

Dato
2013-06-24

Boring: 3019

Dybde = 14.55 m

Konsolidering-spenninger

Sylinder: 14

$p_{o'}$ = 145.8 kPa

(kPa) maks. min. endelig

Figur nr.
G163

Del: D

w_i = 45.5 %

σ_{ac}' = - - 145.7

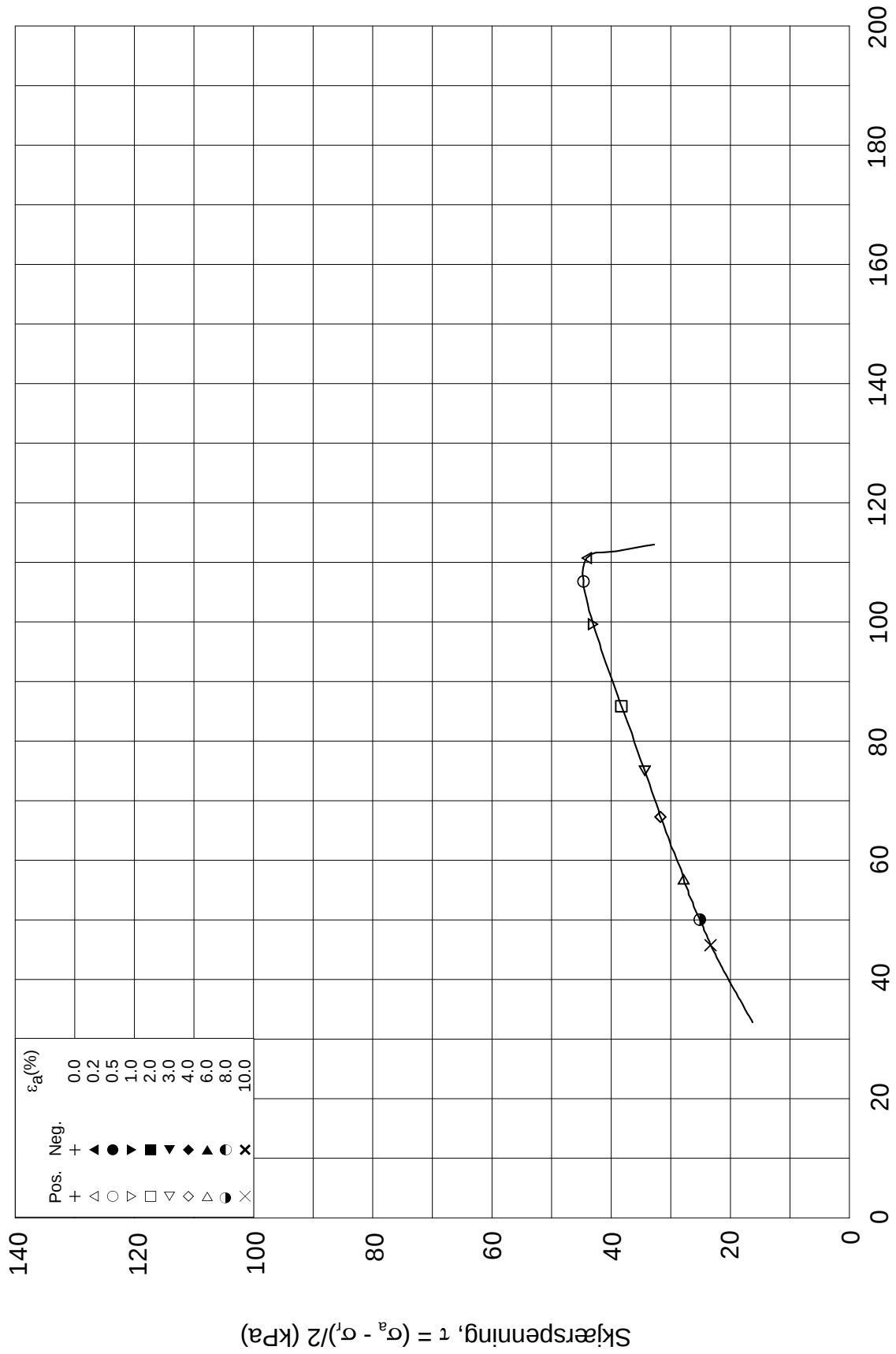
Tegnet av
MAS

Test: 1

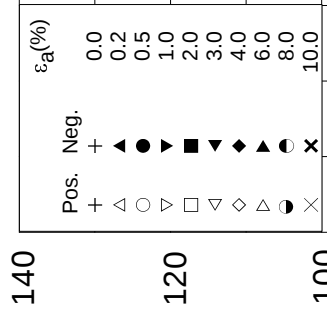
w_c = 42.4 %

σ_{rc}' = - - 80.2





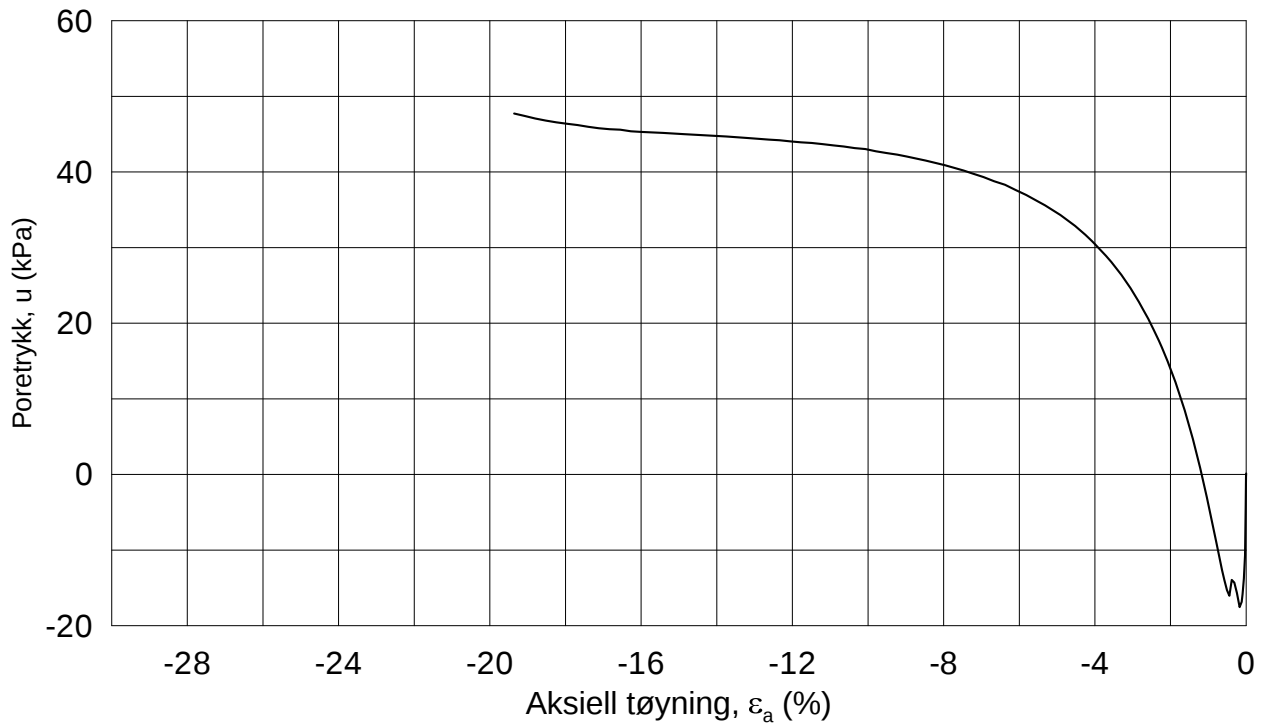
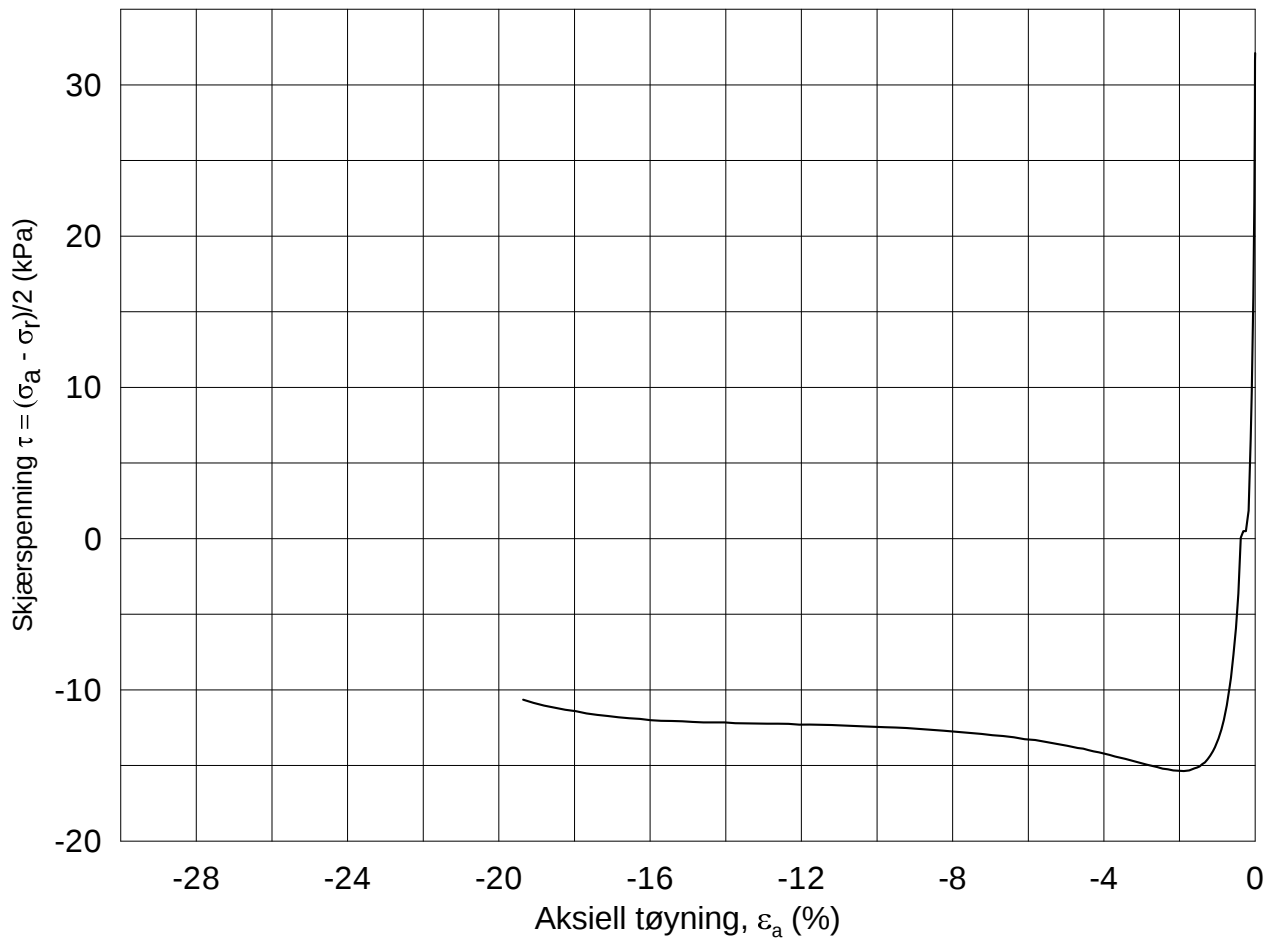
Effektiv gjennomsnittsspenning, p' = (σ_a' + σ_r')/2 (kPa)



Date/Rev.: 2009-11-03/01

E16 Nybakk - Slomarka			Dokument nr. 20120491-02-R	
Treaksial forsøk: CAUA			Dato 2013-06-24	
Boring: 3019	Dybde = 14.55 m	Konsolidering-spenninger		
Sylinder: 14	p _o ' = 145.8 kPa	(kPa)	maks.	min.
Del: D	w _i = 45.5 %	σ _{ac} ' =	-	-
Test: 1	w _c = 42.4 %	σ _{rc} ' =	-	-
		endelig	145.7	
			80.2	
		Figur nr.	G164	
		Tegnet av	MAS	

3019-14-D-1-Plot2.grf



Date/Rev.: 2009-11-03/01

E16 Nybakk - Slomarka

Dokument nr.
20120491-02-R

Treaksial forsøk: **CAUP**

Dato
2013-06-24

Boring: **3019**

Dybde = **14.20** m

Konsolidering-spenninger

Sylinder: **14**

p_o' = **143.0** kPa

(kPa) maks. min. endelig

Figur nr.
G165

Del: **A**

w_i = **36.7** %

σ_{ac}' = - - **143.0**

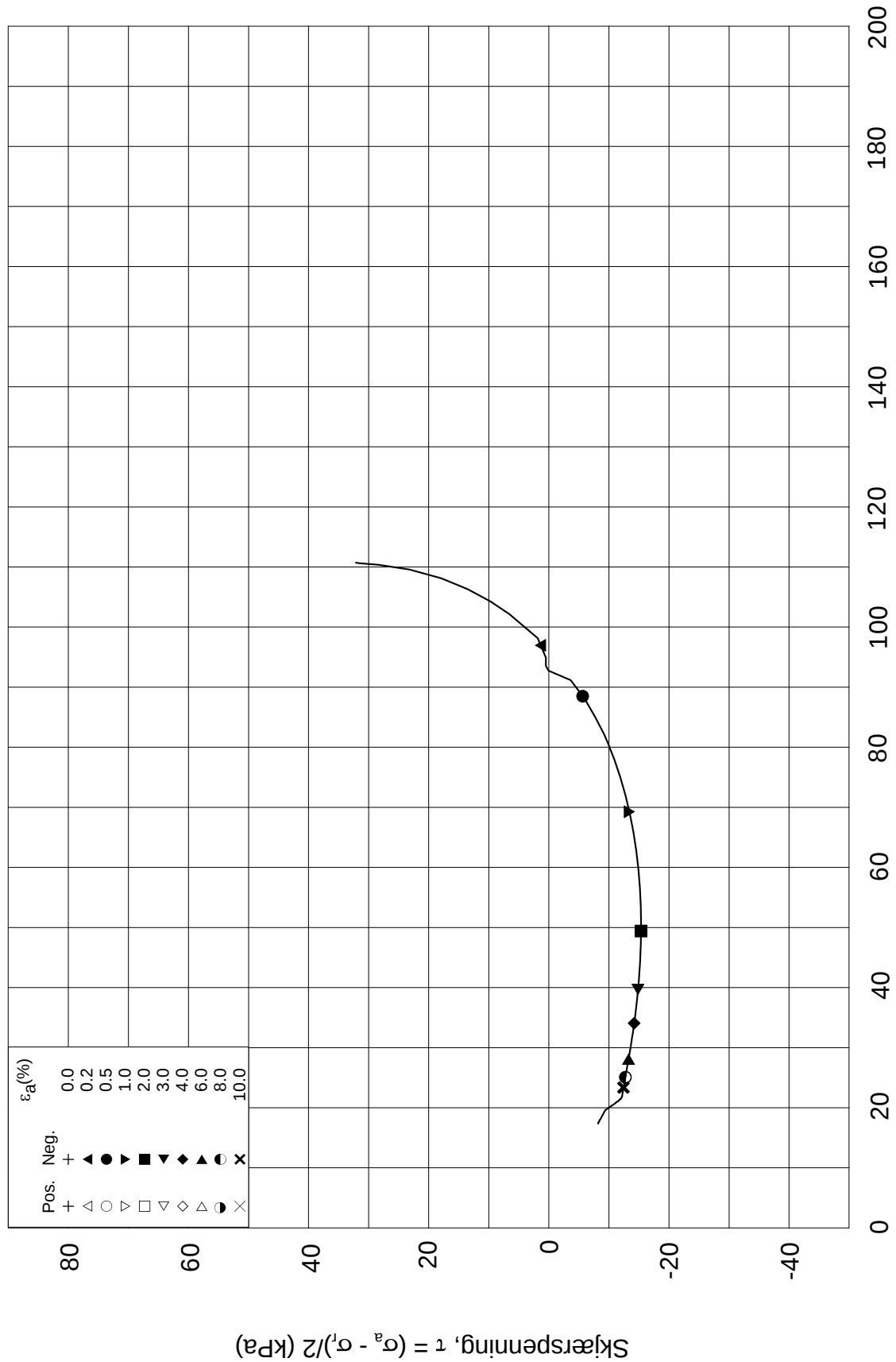
Tegnet av
MAS

Test: **1**

w_c = **35.6** %

σ_{rc}' = - - **78.7**





Date/Rev.: 2009-11-03/01

E16 Nybakk - Slomarka

Dokument nr.
20120491-02-R

Treaksial forsøk: **CAUP**

Dato
2013-06-24

Boring: **3019**

Dybde = **14.20** m

Konsolidering-spenninger

Sylinder: **14**

$p_{o'}$ = **143.0** kPa

(kPa) maks. min. endelig

Figur nr.
G166

Del: **A**

w_i = **36.7** %

σ_{ac}' = - - **143.0**

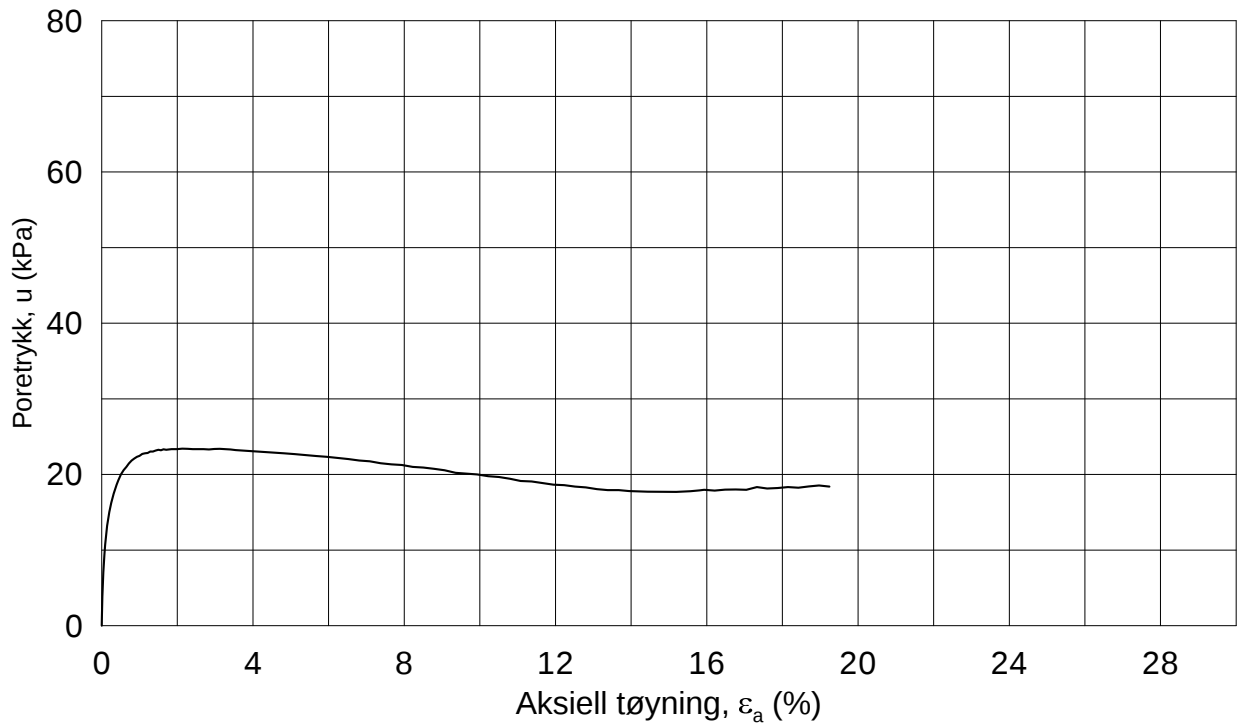
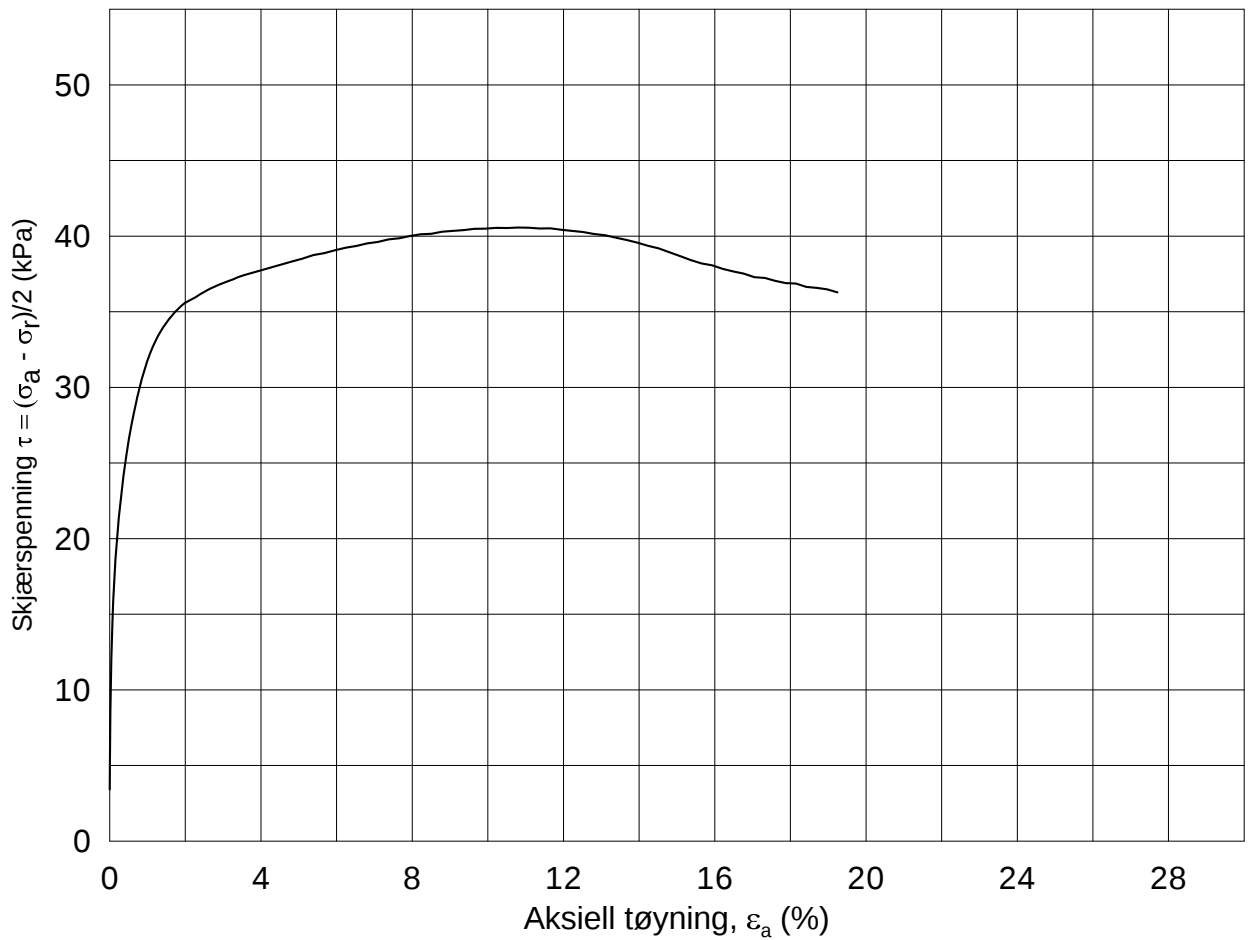
Tegnet av
MAS

Test: **1**

w_c = **35.6** %

σ_{rc}' = - - **78.7**





Date/Rev.: 2009-11-03/01

E16 Nybakk - Slomarka

Dokument nr.
20120491-02-R

Treaksial forsøk: **CAUA**

Dato
2013-08-09

Boring: **3029**

Dybde = **5.35** m Konsolidering-spenninger

Sylinder: **5**

p_o' = **68.2** kPa (kPa) maks. min. endelig

Del: **B**

w_i = **36.8** % $\sigma_{ac}' =$ - - **68.2**

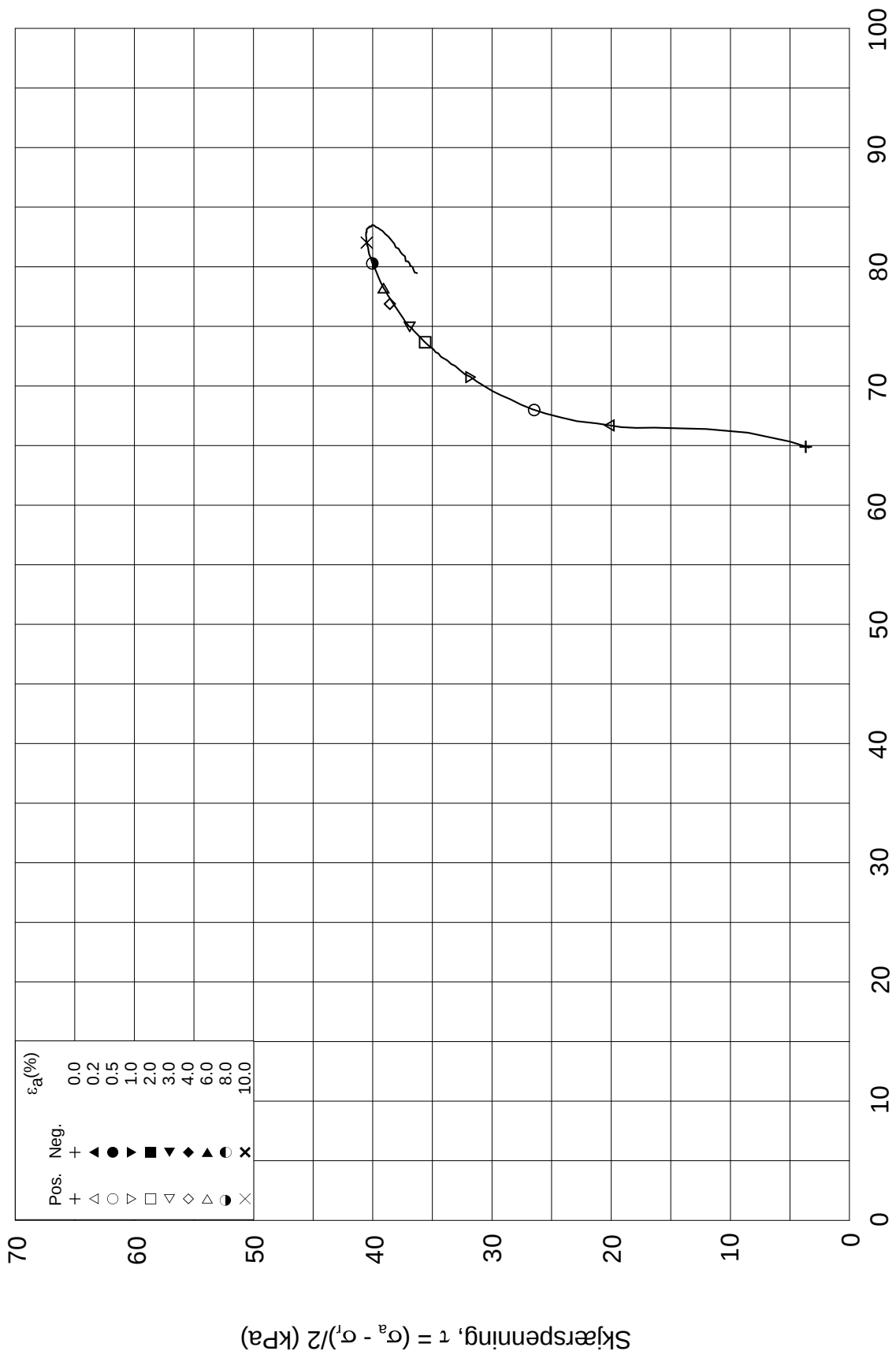
Test: **1**

w_c = **36.3** % $\sigma_{rc}' =$ - - **61.4**


Figur nr.
G167

Tegnet av
MAS

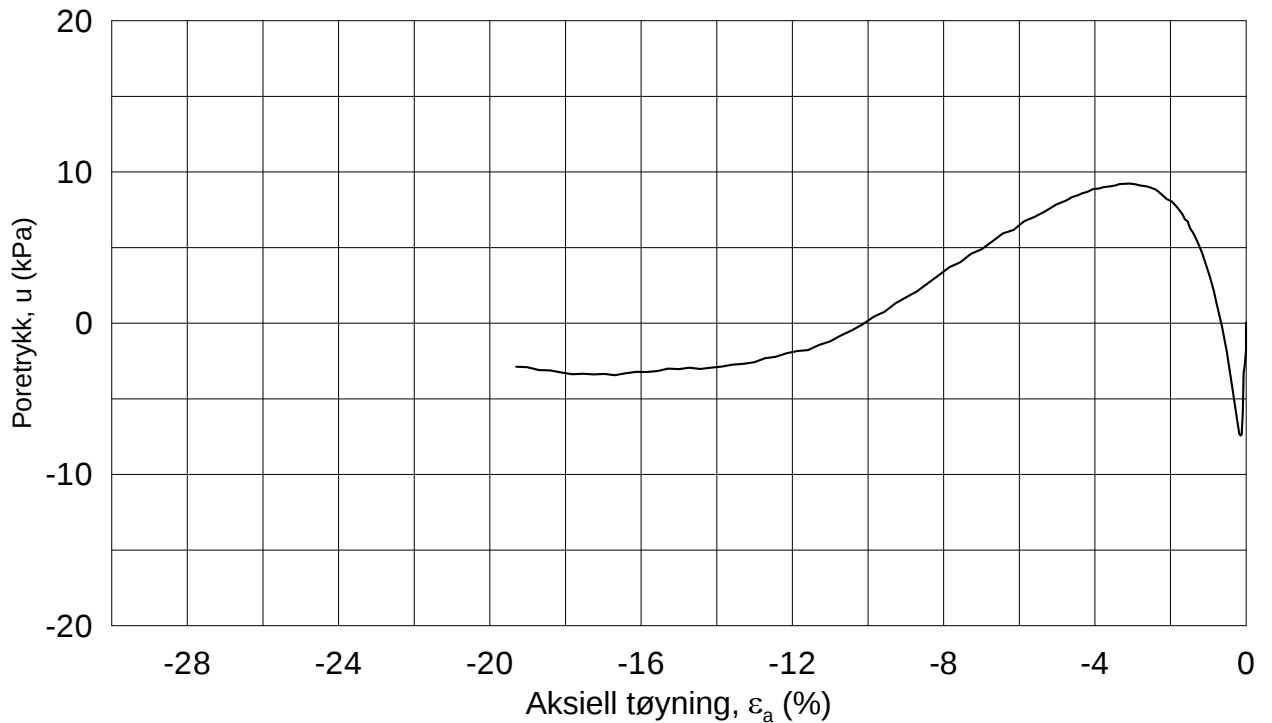
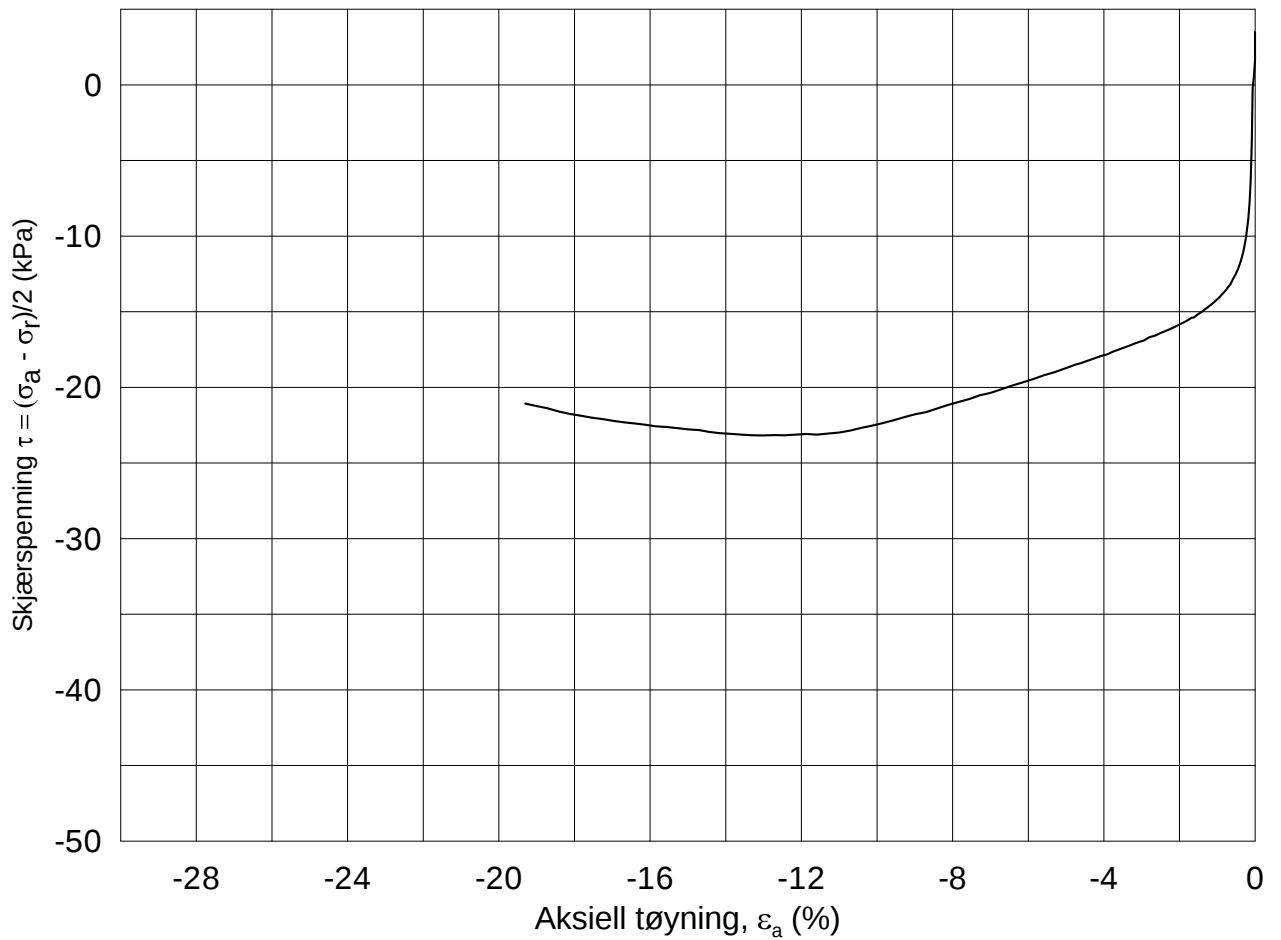




Date/Rev.: 2009-11-03/01

E16 Nybakk - Slomarka			Dokument nr. 20120491-02-R
Treaksial forsøk: CAUA			Dato 2013-08-09
Boring: 3029	Dybde = 5.35 m	Konsolidering-spenninger	
Sylinder: 5	p_o' = 68.2 kPa	(kPa)	maks. min. endelig
Del: B	w_i = 36.8 %	$\sigma_{ac}' =$ - - 68.2	Figur nr. G168
Test: 1	w_c = 36.3 %	$\sigma_{rc}' =$ - - 61.4	Tegnet av MAS
			

3029-5-B-1_Plot2.grf



Date/Rev.: 2009-11-03/01

E16 Nybakk - Slomarka

Dokument nr.
20120491-02-R

Treaksial forsøk: **CAUP**

Dato
2013-08-09

Boring: **3029**

Dybde = **5.52** m

Konsolidering-spenninger

Sylinder: **5**

p_o' = **69.6** kPa

(kPa) maks. min. endelig

Figur nr.
G169

Del: **C**

w_i = **34.2** %

σ_{ac}' = - - **69.6**

Tegnet av
MAS

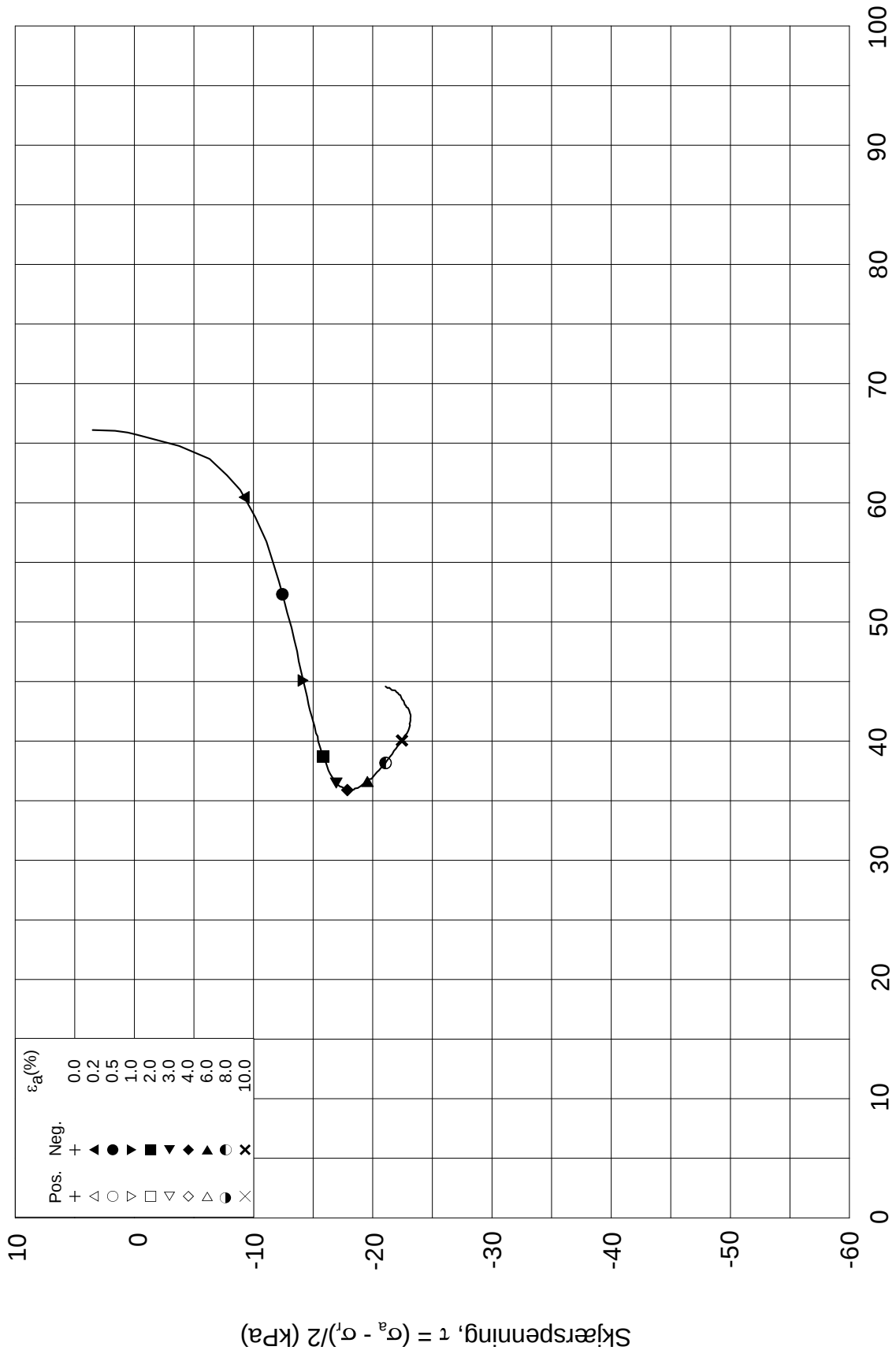
Test: **1**

w_c = **33.7** %

σ_{rc}' = - - **62.6**




Effektiv gjennomsnittsspenning, $p' = (\sigma'_a + \sigma'_i)/2$ (kPa)

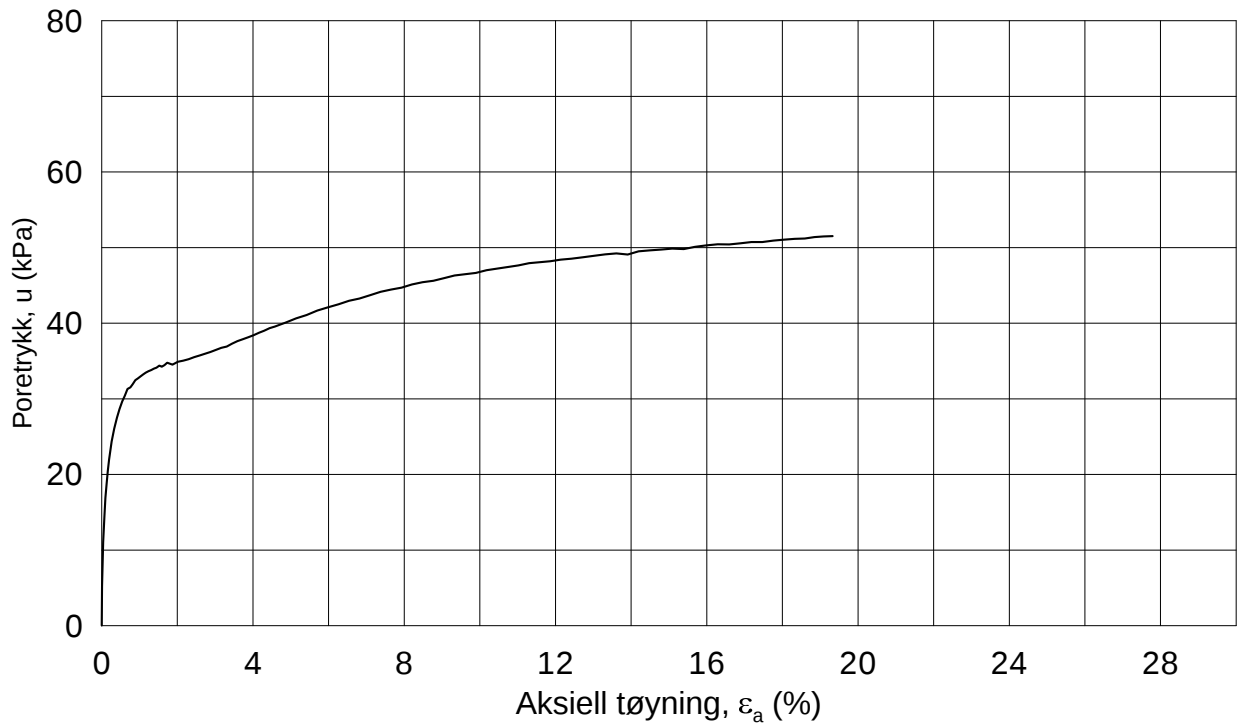
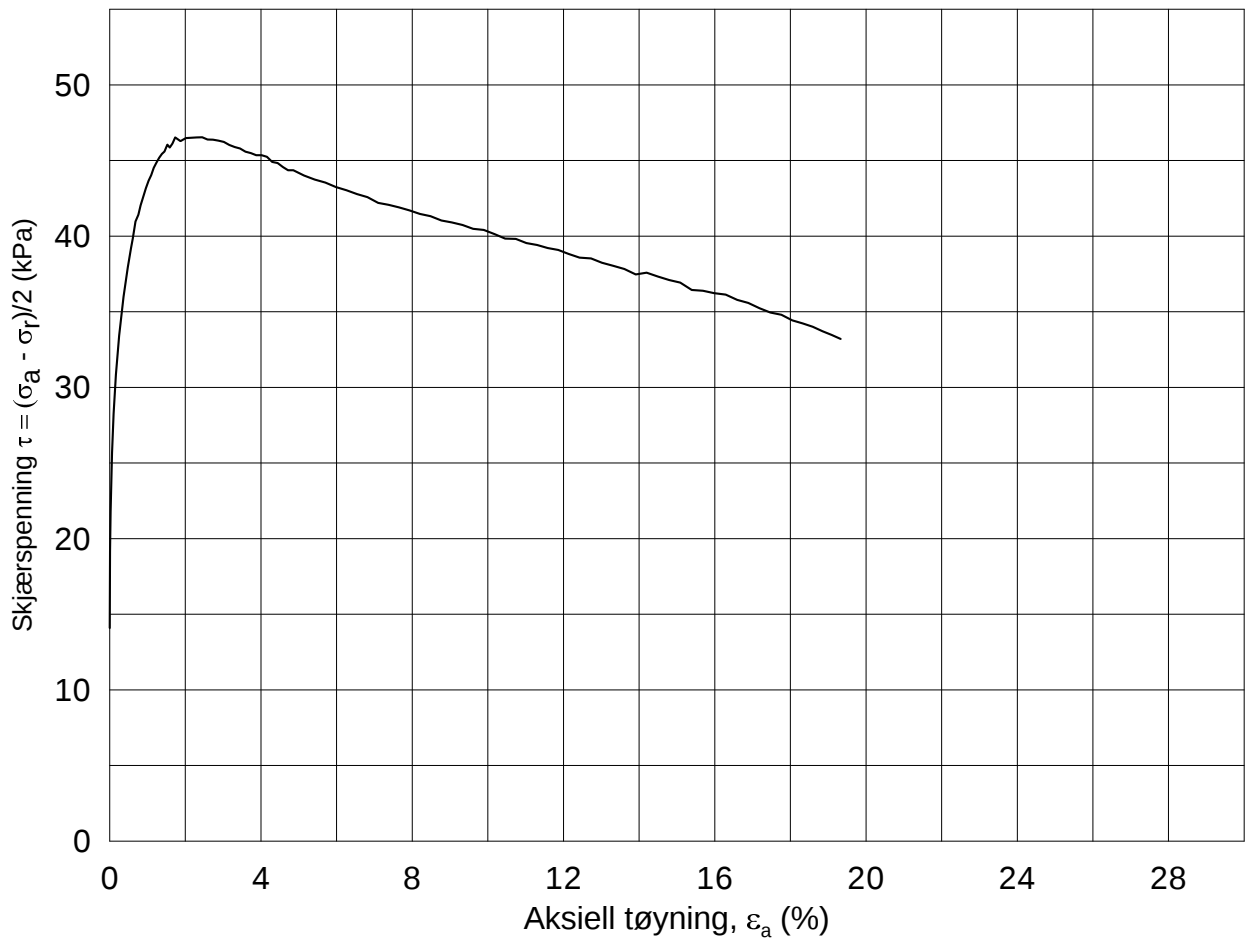


ε_a (%)	0.0	0.2	0.5	1.0	2.0	3.0	4.0	6.0	8.0	10.0
Pos.	+	△	○	▽	□	◇	△	●	○	×
Neg.	+	▲	●	▶	■	◆	▲	●	○	×

Date/Rev.: 2009-11-03/01

E16 Nybakk - Slomarka				Dokument nr. 20120491-02-R	
Treaksial forsøk: CAUP				Dato 2013-08-09	
Boring: 3029	Dybde = 5.52 m	Konsolidering-spenninger			
Sylinder: 5	$p_{o'}$ = 69.6 kPa	(kPa)	maks.	min.	endelig
Del: C	w_i = 34.2 %	σ_{ac}' =	-	-	69.6
Test: 1	w_c = 33.7 %	σ_{rc}' =	-	-	62.6
				Figur nr. G170	
				Tegnet av MAS	
					

3029-5-C-1_Plot2.grf



Date/Rev.: 2009-11-03/01

E16 Nybakk - Slomarka

Dokument nr.
20120491-02-R

Treaksial forsøk: **CAUA**

Dato
2013-08-09

Boring: **3029**

Dybde = **10.40** m

Konsolidering-spenninger

Sylinder: **9**

$p_{o'}$ = **113.6** kPa

(kPa) maks. min. endelig

Figur nr.
G171

Del: **C**

w_i = **40.4** %

σ_{ac}' = - - **113.5**

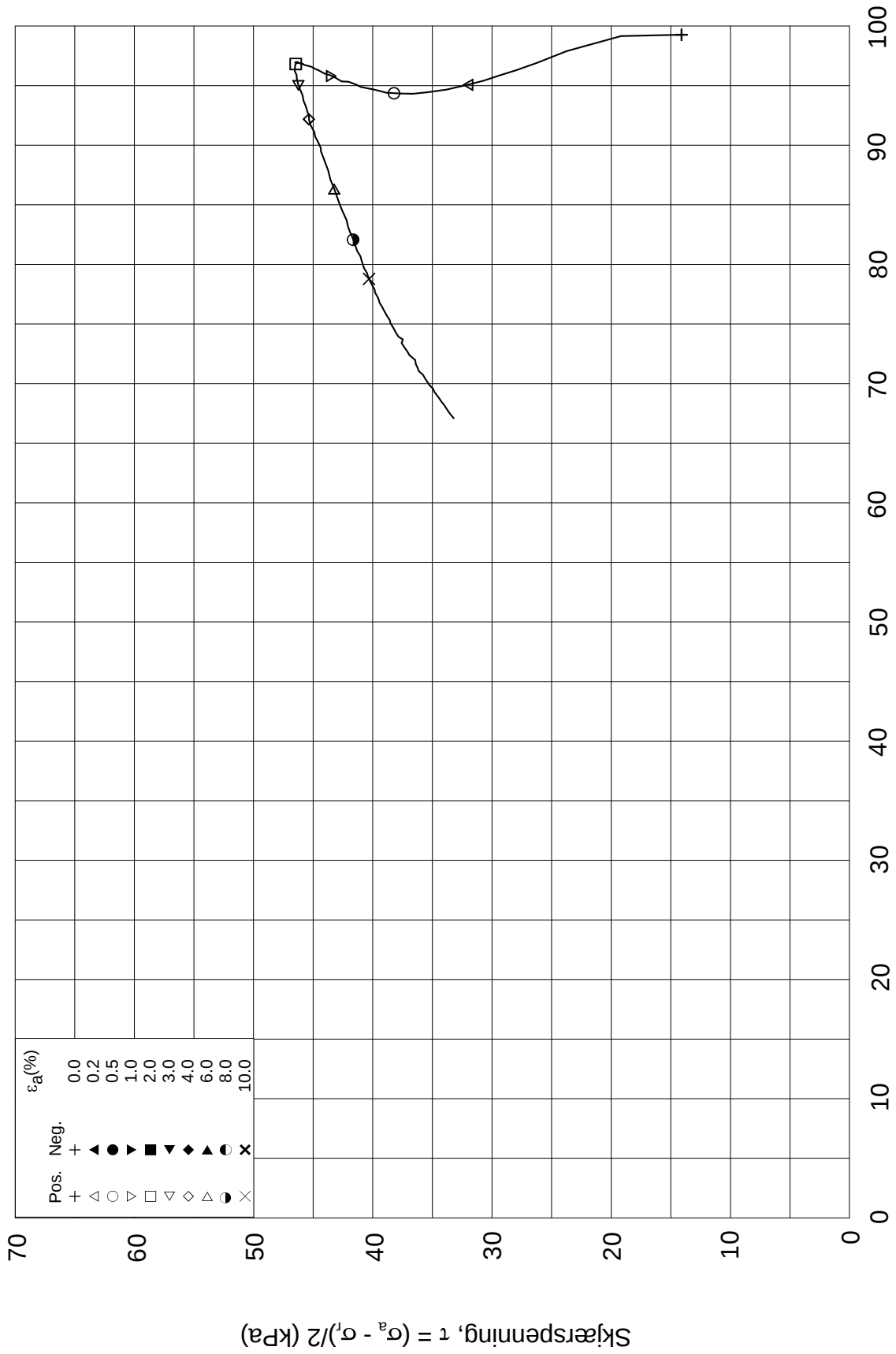
Tegnet av
MAS

Test: **1**

w_c = **40.1** %

σ_{rc}' = - - **85.2**



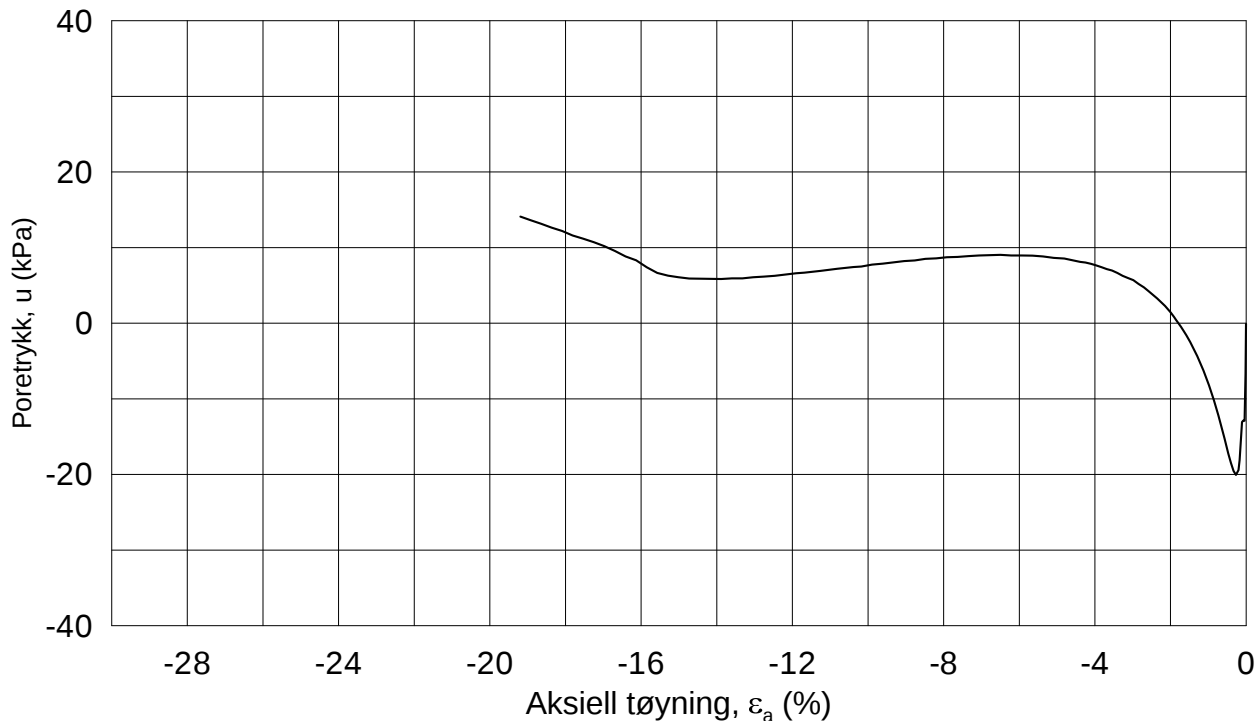
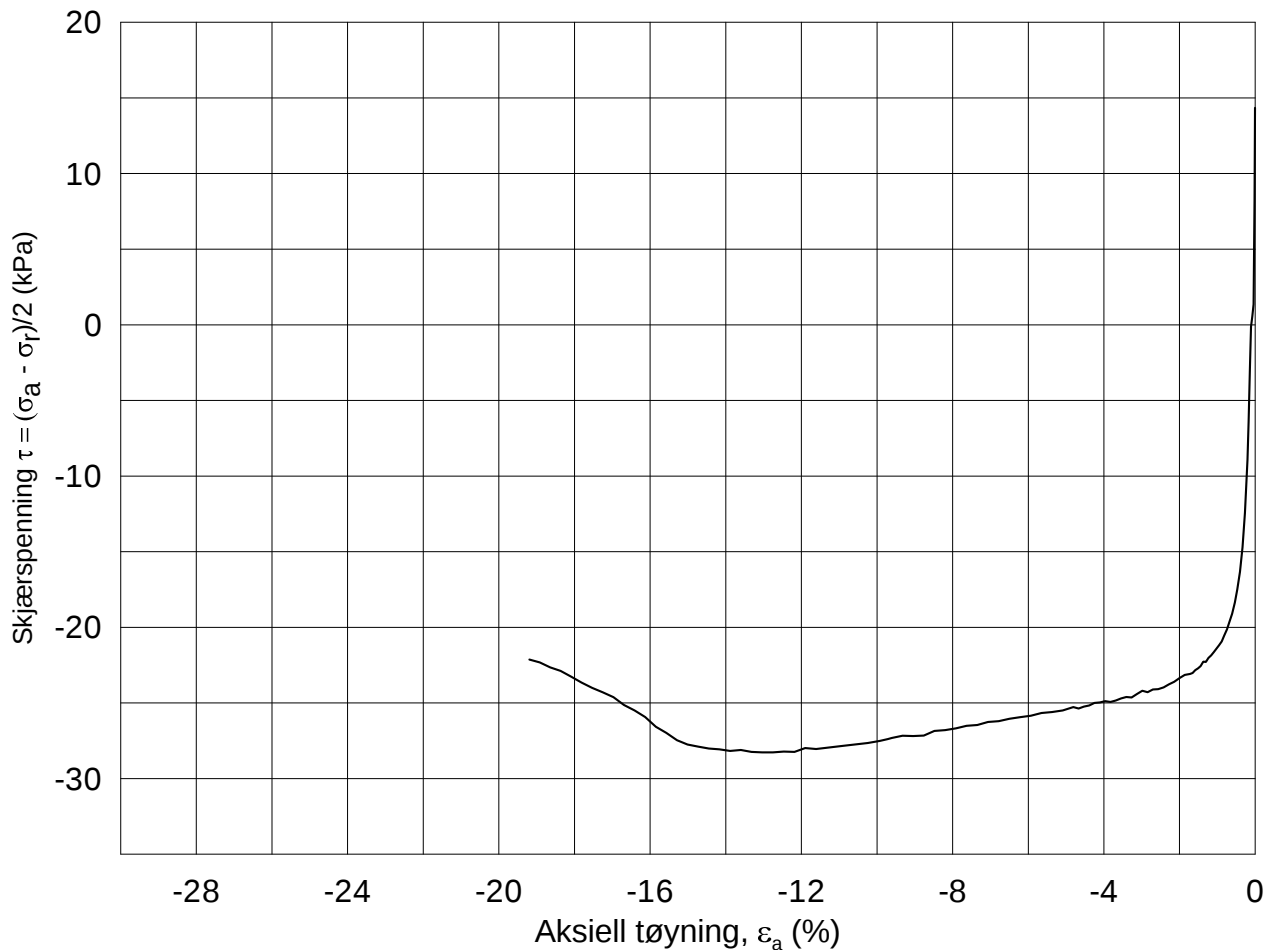


Date/Rev.: 2009-11-03/01

E16 Nybakk - Slomarka			Dokument nr. 20120491-02-R
Treaksial forsøk: CAUA			Dato 2013-08-09
Boring: 3029	Dybde = 10.40 m	Konsolidering-spenninger	
Sylinder: 9	$p_{o'}$ = 113.6 kPa	(kPa)	maks. min. endelig
Del: C	w_i = 40.4 %	$\sigma_{ac}' =$ - - 113.5	Figur nr. G172
Test: 1	w_c = 40.1 %	$\sigma_{rc}' =$ - - 85.2	Tegnet av MAS



3029-9-C-1_Plot2.grf



Date/Rev.: 2009-11-03/01

E16 Nybakk - Slomarka

Dokument nr.
20120491-02-R

Treaksial forsøk: **CAUP**

Dato
2013-08-09

Boring: **3029**

Dybde = **10.55** m Konsolidering-spenninger

Sylinder: **9**

p_o' = **114.8** kPa (kPa) maks. min. endelig

Del: **D**

w_i = **37.5** % σ_{ac}' = - - **114.8**

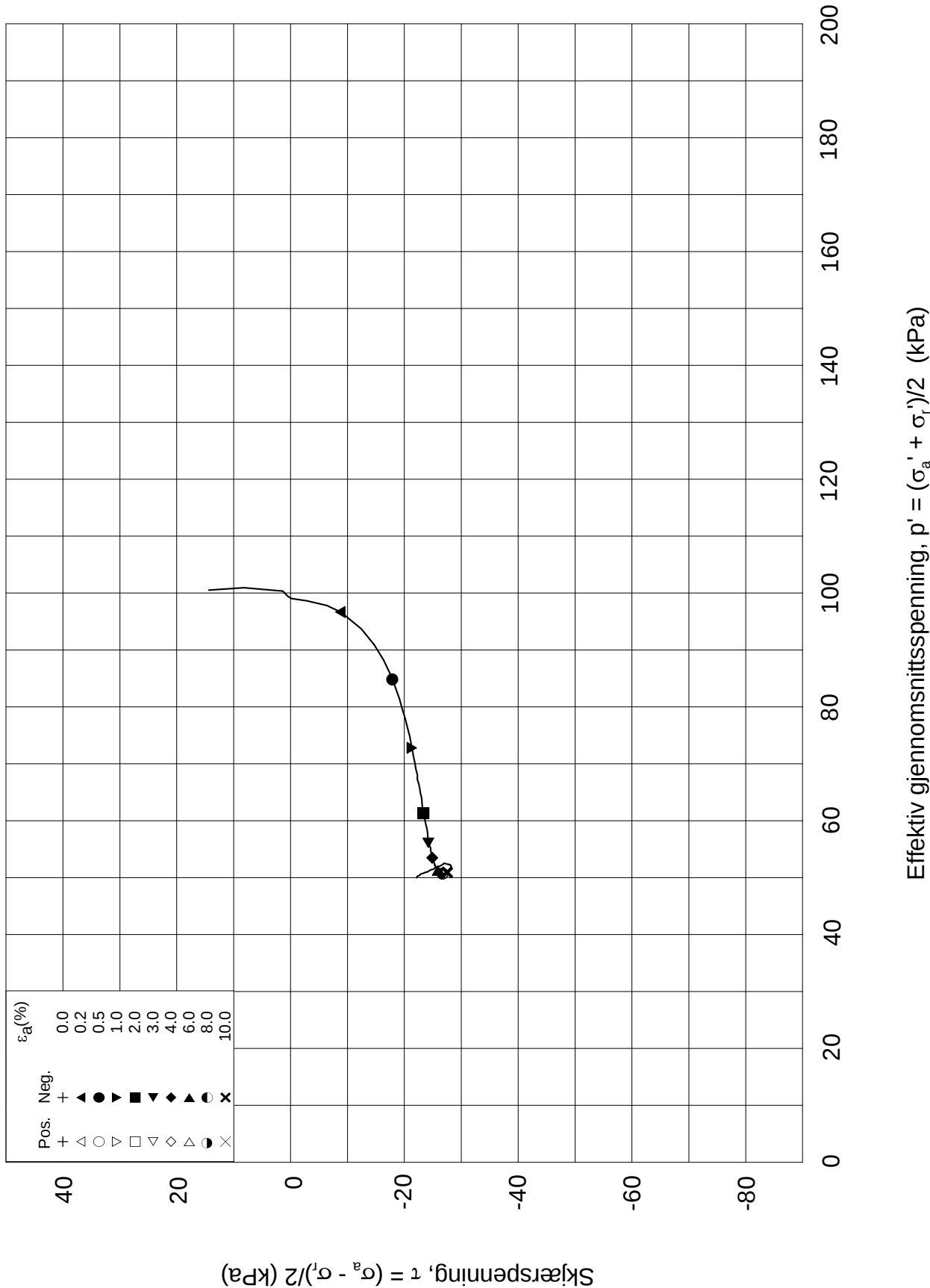
Test: **1**

w_c = **37.1** % σ_{rc}' = - - **86.1**

Figur nr.
G173

Tegnet av
MAS





Date/Rev.: 2009-11-03/01

E16 Nybakk - Slomarka

Dokument nr.
20120491-02-R

Treaksial forsøk: **CAUP**

Dato
2013-08-09

Boring: **3029**

Dybde = **10.55** m

Konsolidering-spenninger

Sylinder: **9**

$p_{o'}$ = **114.8** kPa

(kPa) maks. min. endelig

Figur nr.
G174

Del: **D**

w_i = **37.5** %

σ_{ac}' = - - **114.8**

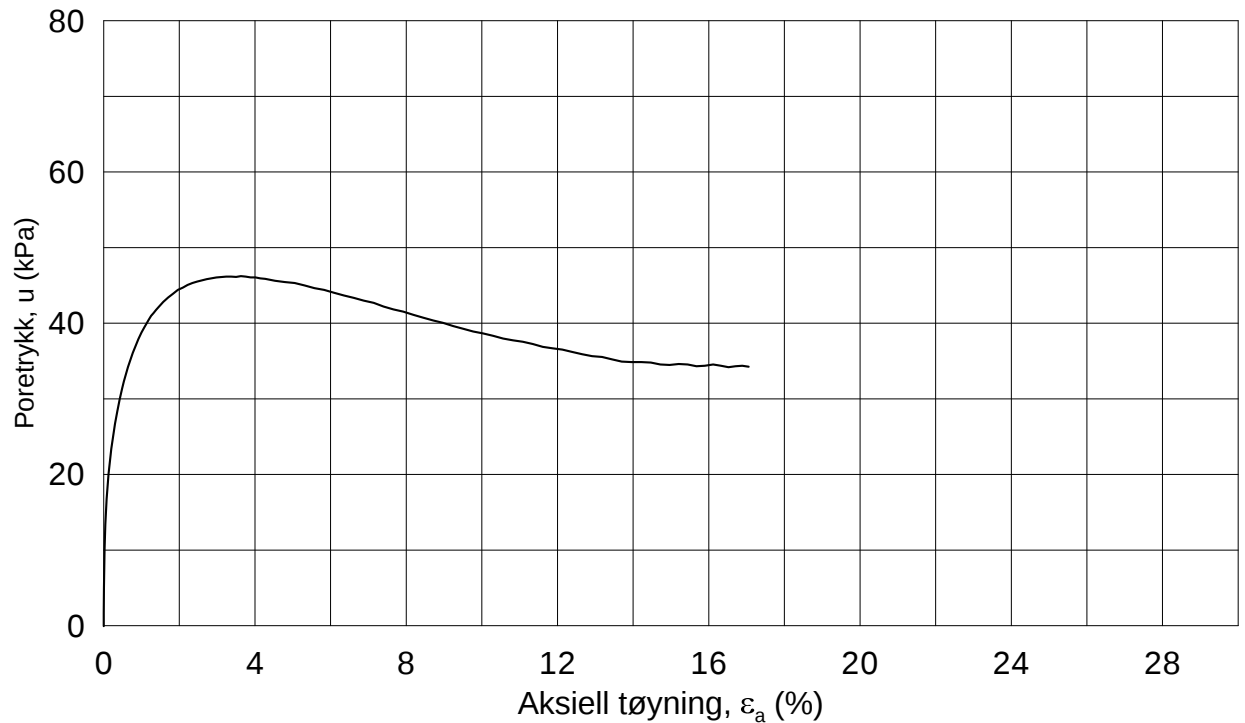
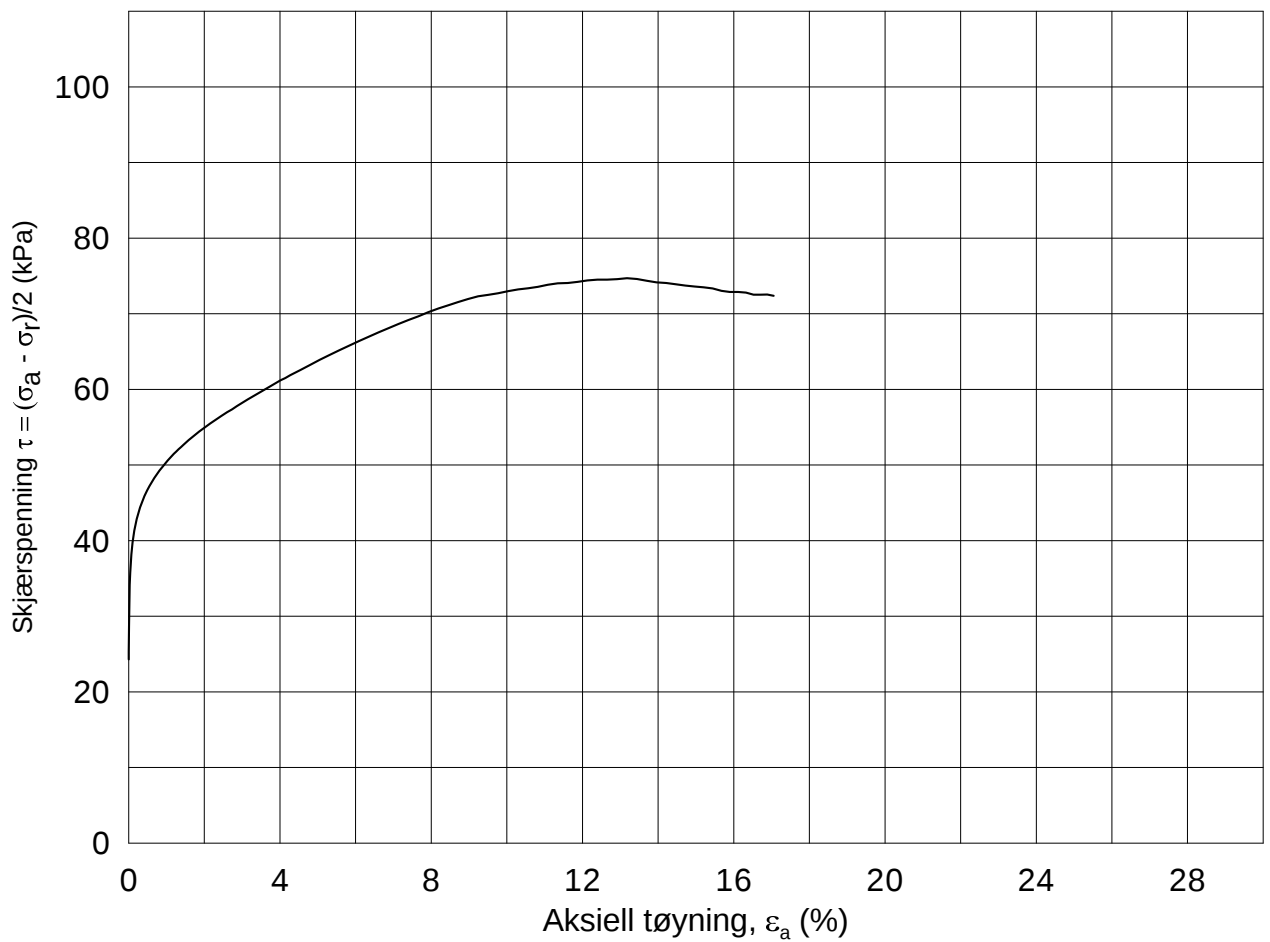
Tegnet av
MAS

Test: **1**

w_c = **37.1** %

σ_{rc}' = - - **86.1**





Date/Rev.: 2009-11-03/01

E16 Nybakk - Slomarka

Dokument nr.
20120491-02-R

Treaksial forsøk: **CAUA**

Dato
2013-08-09

Boring: **3029**

Dybde = **14.60** m

Konsolidering-spenninger

Sylinder: **13**

$p_{o'}$ = **151.2** kPa

(kPa) maks. min. endelig

Figur nr.
G175

Del: **D**

w_i = **31.5** %

σ_{ac}' = - - **151.3**

Tegnet av
MAS

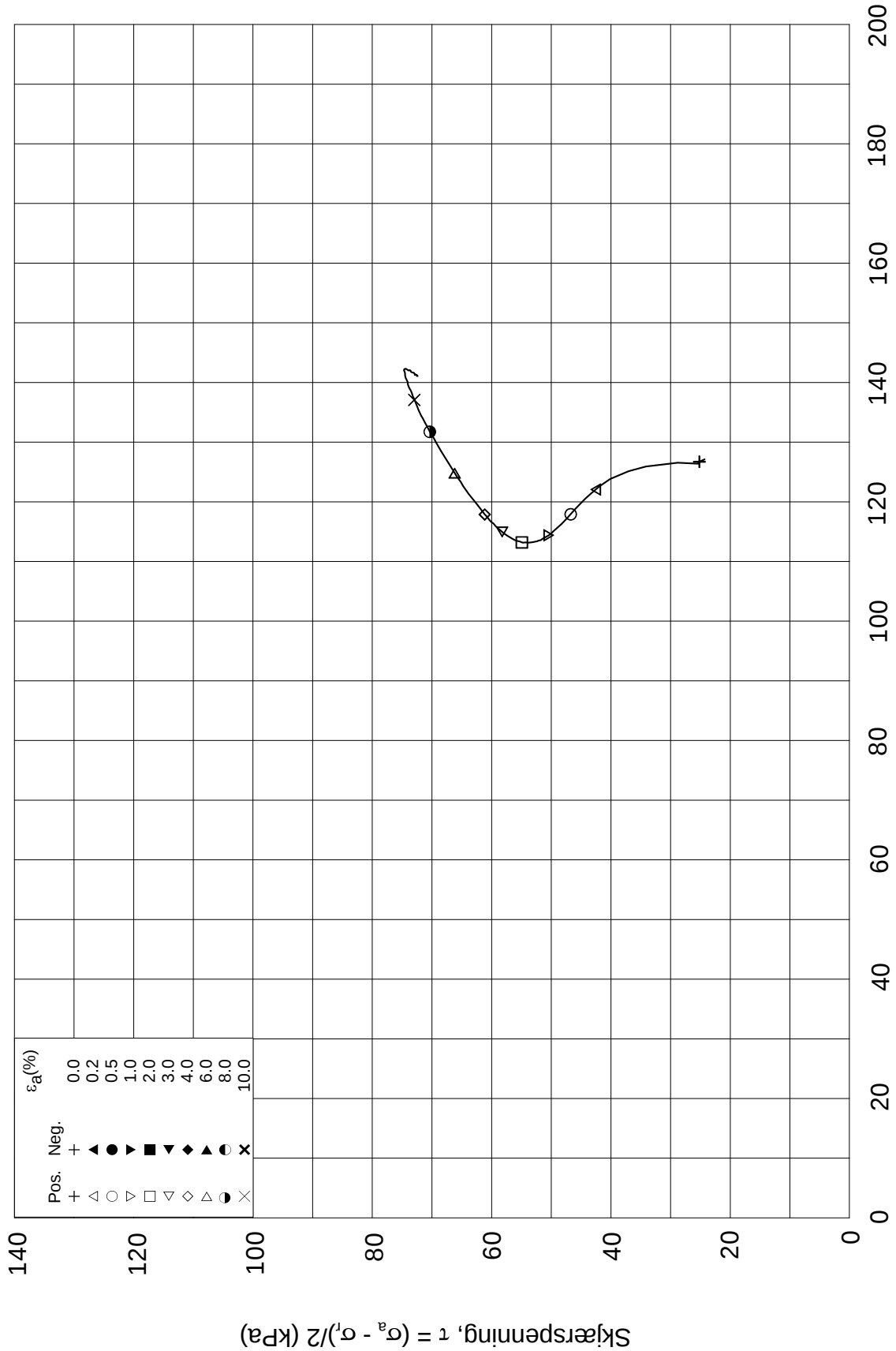
Test: **1**

w_c = **28.6** %

σ_{rc}' = - - **102.8**



Effektiv gjennomsnittsspenning, $p' = (\sigma'_a + \sigma'_i)/2$ (kPa)



Date/Rev.: 2009-11-03/01

E16 Nybakk - Slomarka

Dokument nr.
20120491-02-R

Treaksial forsøk: **CAUA**

Dato
2013-08-09

Boring: **3029**

Dybde = **14.60** m

Konsolidering-spenninger

Sylinder: **13**

$p_{o'}$ = **151.2** kPa

(kPa) maks. min. endelig

Figur nr.
G176

Del: **D**

w_i = **31.5** %

σ_{ac}' = - - **151.3**

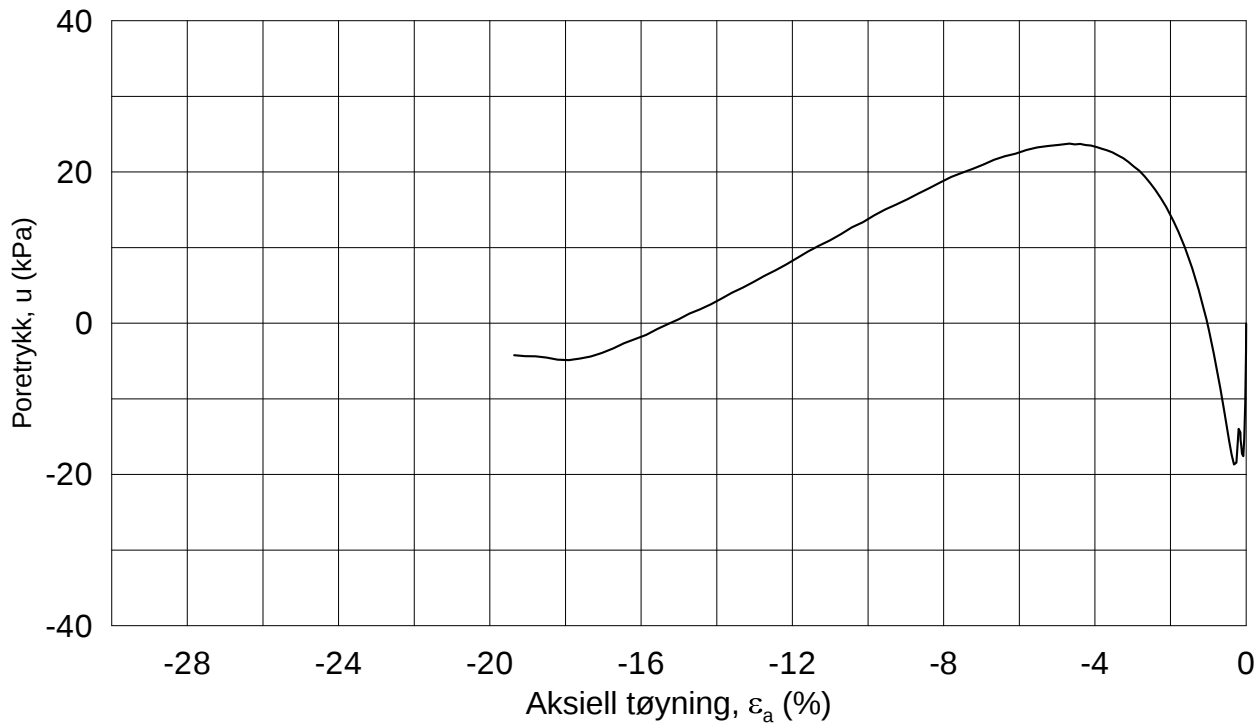
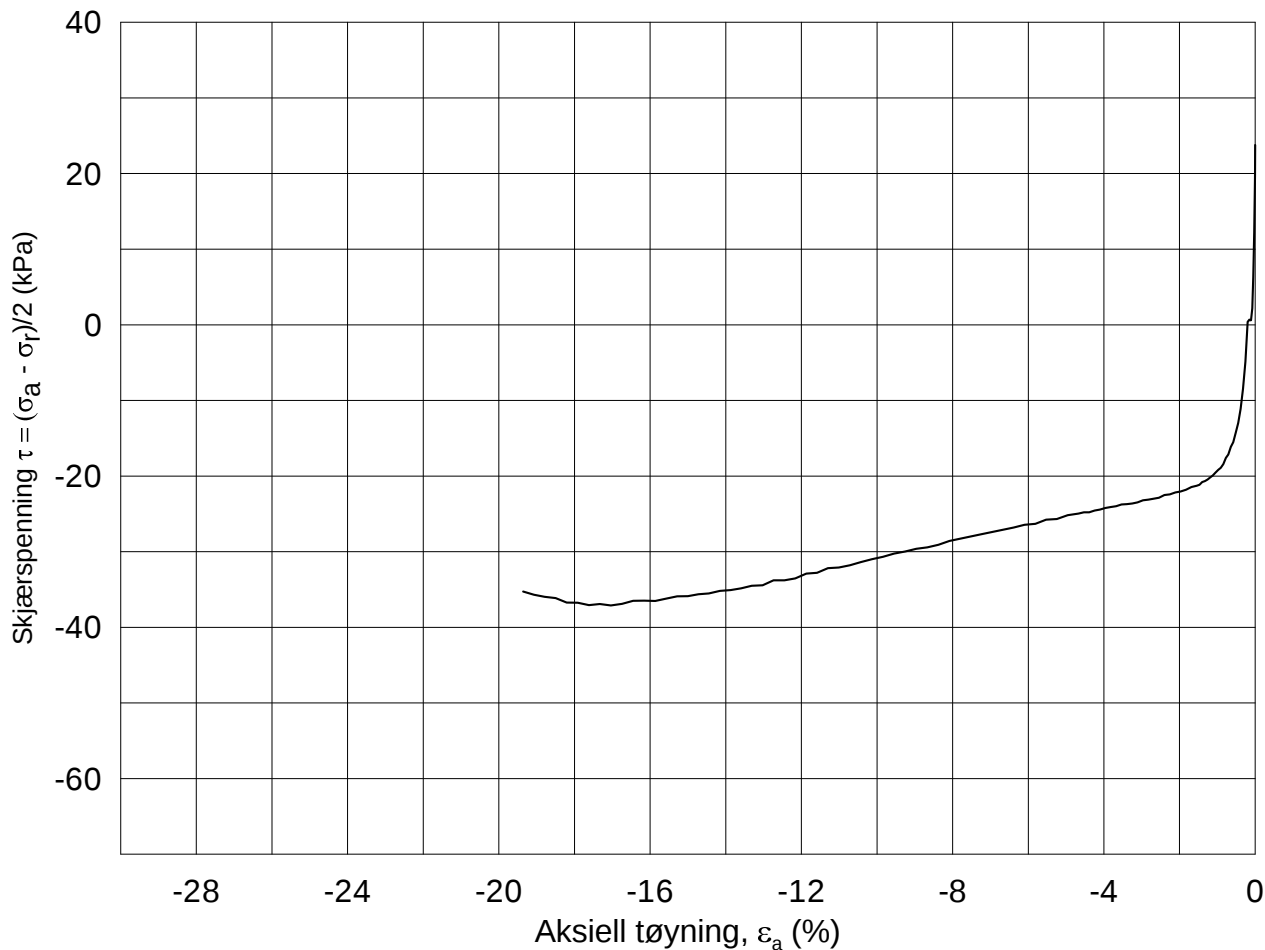
Tegnet av
MAS

Test: **1**

w_c = **28.6** %

σ_{rc}' = - - **102.8**





Date/Rev.: 2009-11-03/01

E16 Nybakk - Slomarka

Dokument nr.
20120491-02-R

Treaksial forsøk: **CAUP**

Dato
2013-08-09

Boring: **3029**

Dybde = **14.45** m Konsolidering-spenninger

Sylinder: **13**

$p_{o'}$ = **149.6** kPa (kPa) maks. min. endelig

Del: **C**

w_i = **36.9** % σ_{ac}' = - - **149.5**

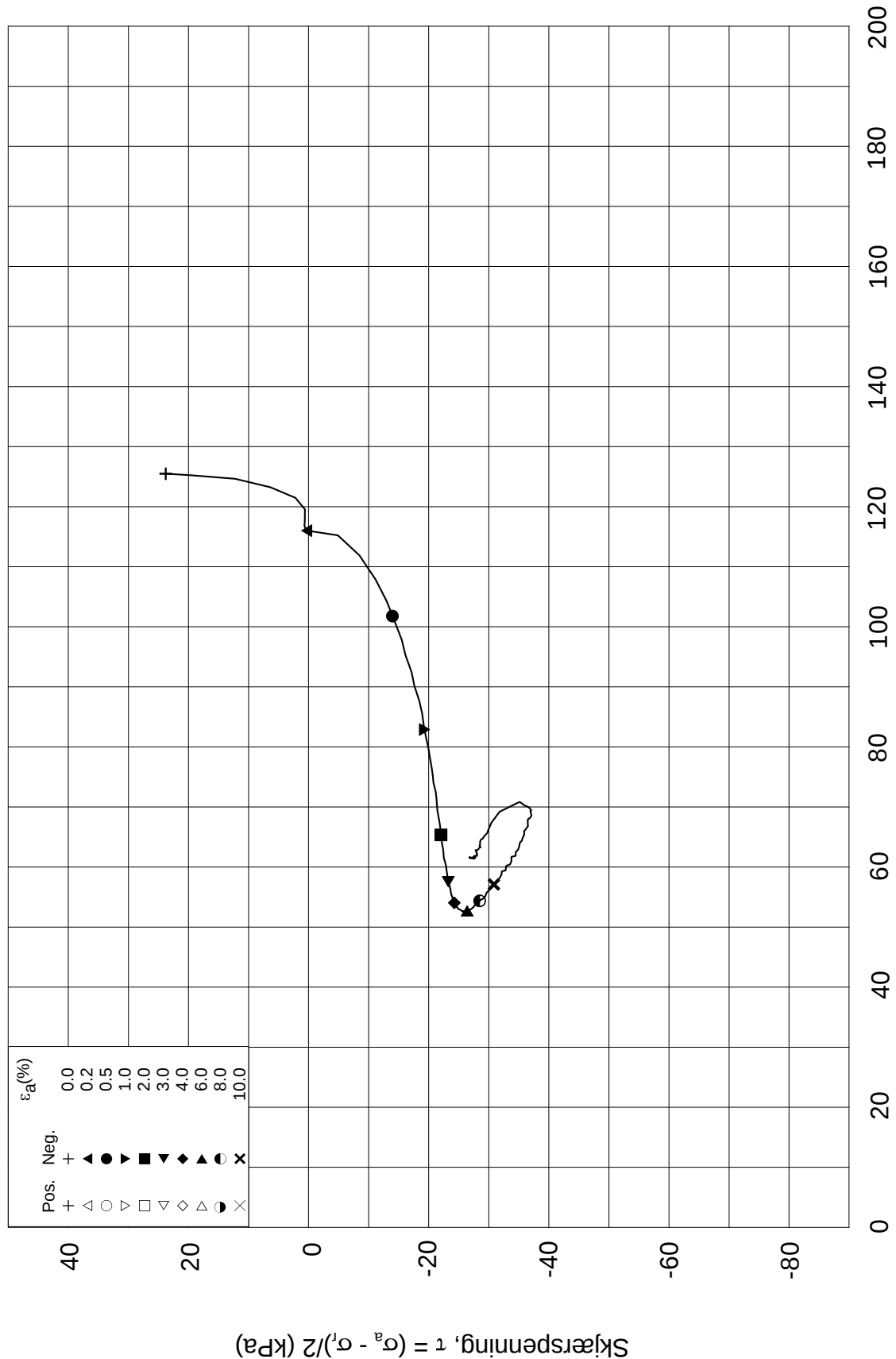
Test: **1**

w_c = **34.8** % σ_{rc}' = - - **101.6**

Figur nr.
G177

Tegnet av
MAS

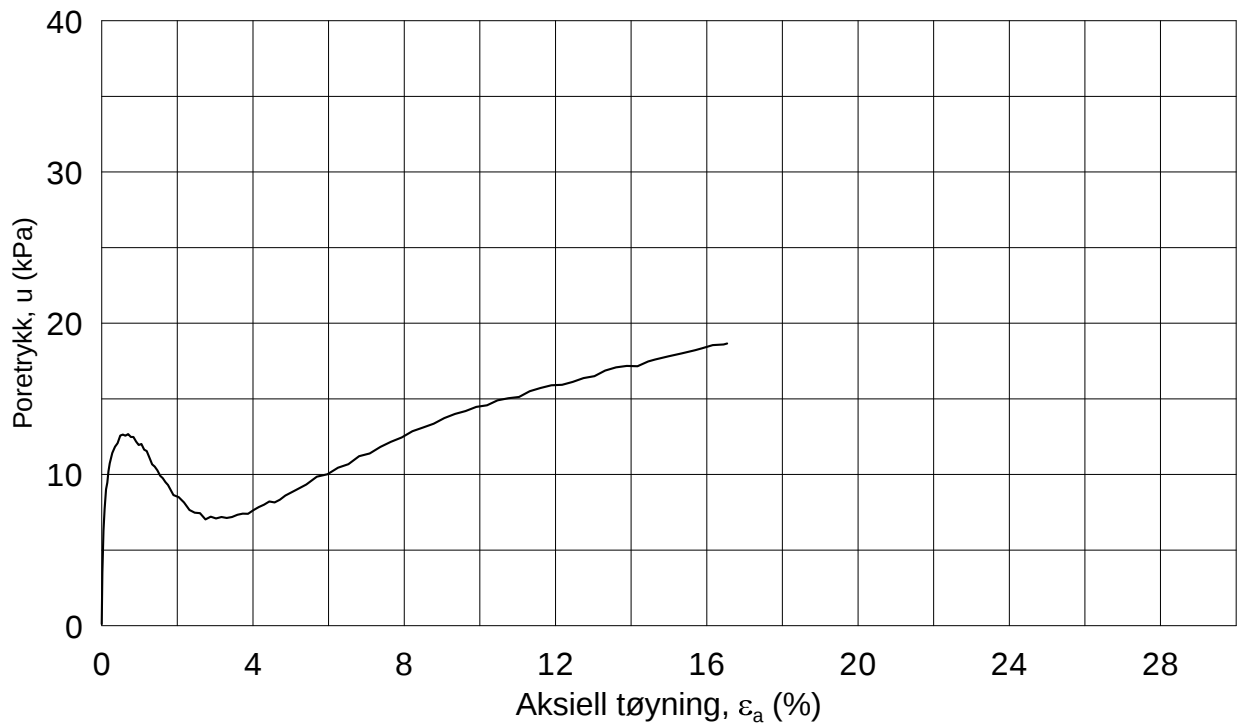
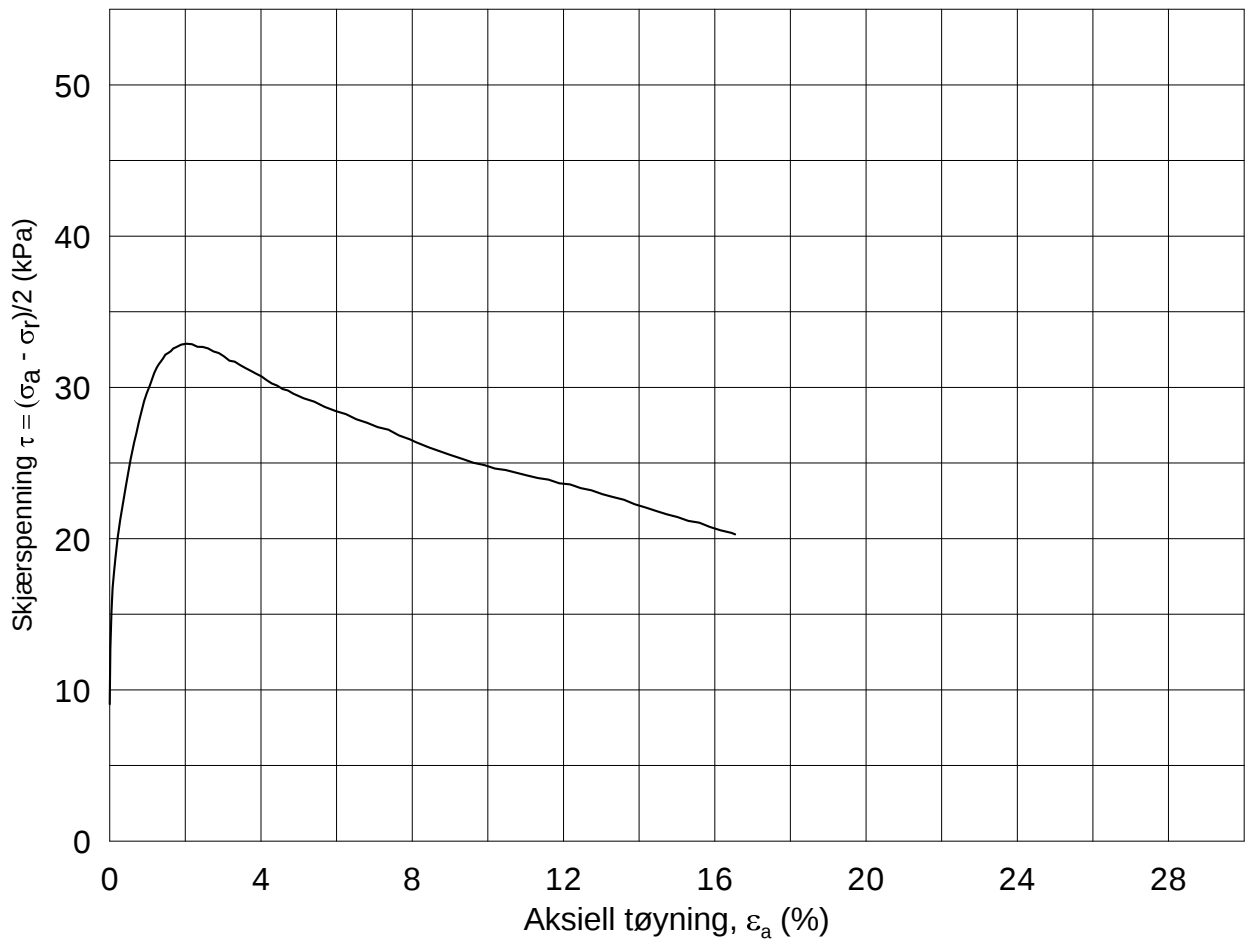




Date/Rev.: 2009-11-03/01

E16 Nybakk - Slomarka			Dokument nr. 20120491-02-R	
Treaksial forsøk: CAUP			Dato 2013-08-09	
Boring: 3029	Dybde = 14.45 m	Konsolidering-spenninger		
Sylinder: 13	$p_{o'}$ = 149.6 kPa	(kPa)	maks.	min.
Del: C	w_i = 36.9 %	$\sigma_{ac}' =$	-	-
Test: 1	w_c = 34.8 %	$\sigma_{rc}' =$	-	-
		endelig	149.5	
			101.6	
		Figur nr.	G178	
		Tegnet av	MAS	

3029-13-C-1-Plot2.grf



Date/Rev.: 2009-11-03/01

E16 Nybakk - Slomarka

Dokument nr.
20120491-02-R

Treaksial forsøk: **CAUA**

Dato
2013-05-22

Boring: **3043**

Dybde = **5.20** m

Konsolidering-spenninger

Sylinder: **5**

$p_{o'}$ = **52.0** kPa (maks. min. endelig)

Figur nr.
G179

Del: **A**

w_i = **40.3** % $\sigma_{ac}' = - - 52.1$

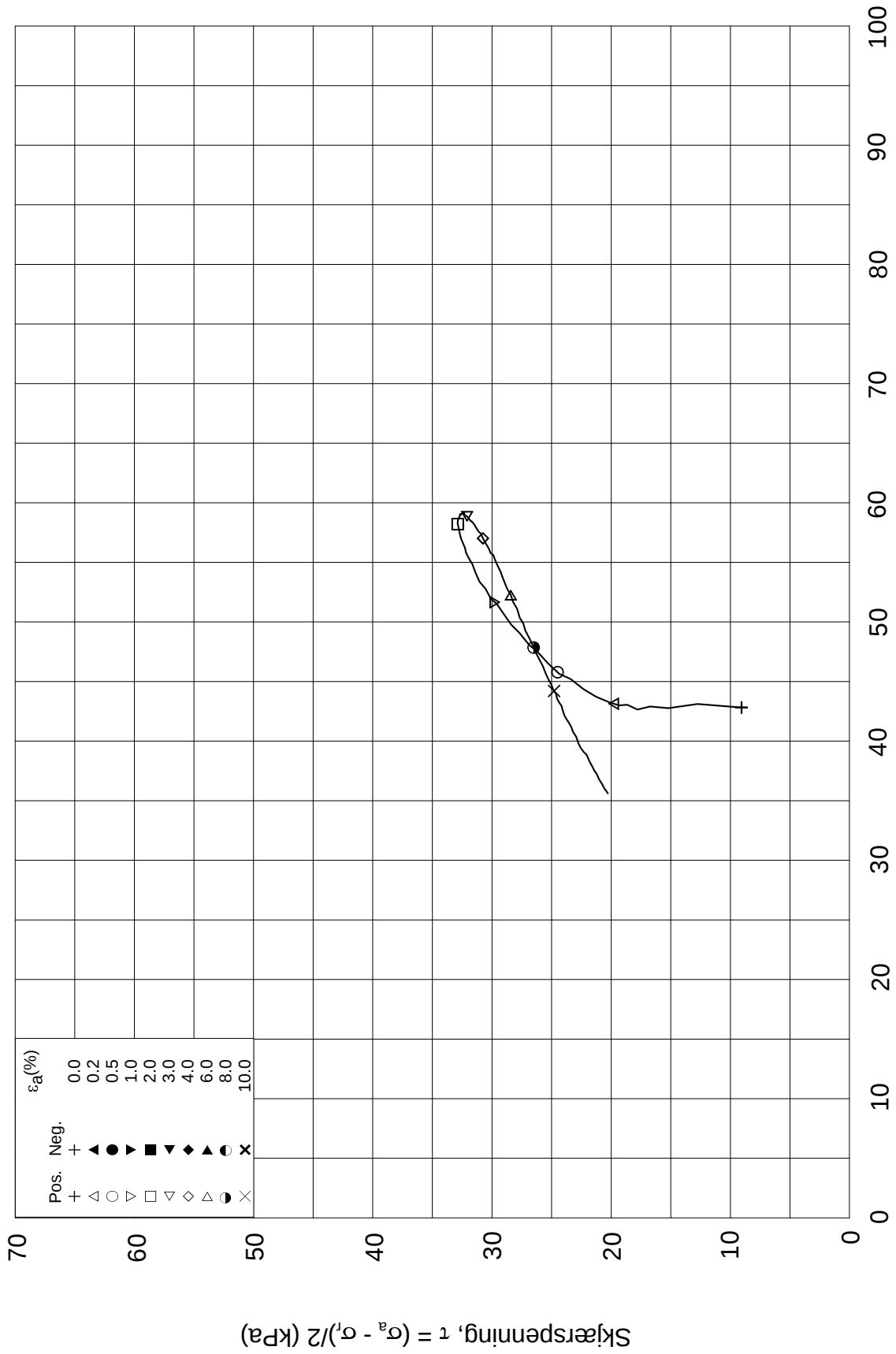
Tegnet av
MAS

Test: **1**


w_c = **39.9** % $\sigma_{rc}' = - - 33.9$



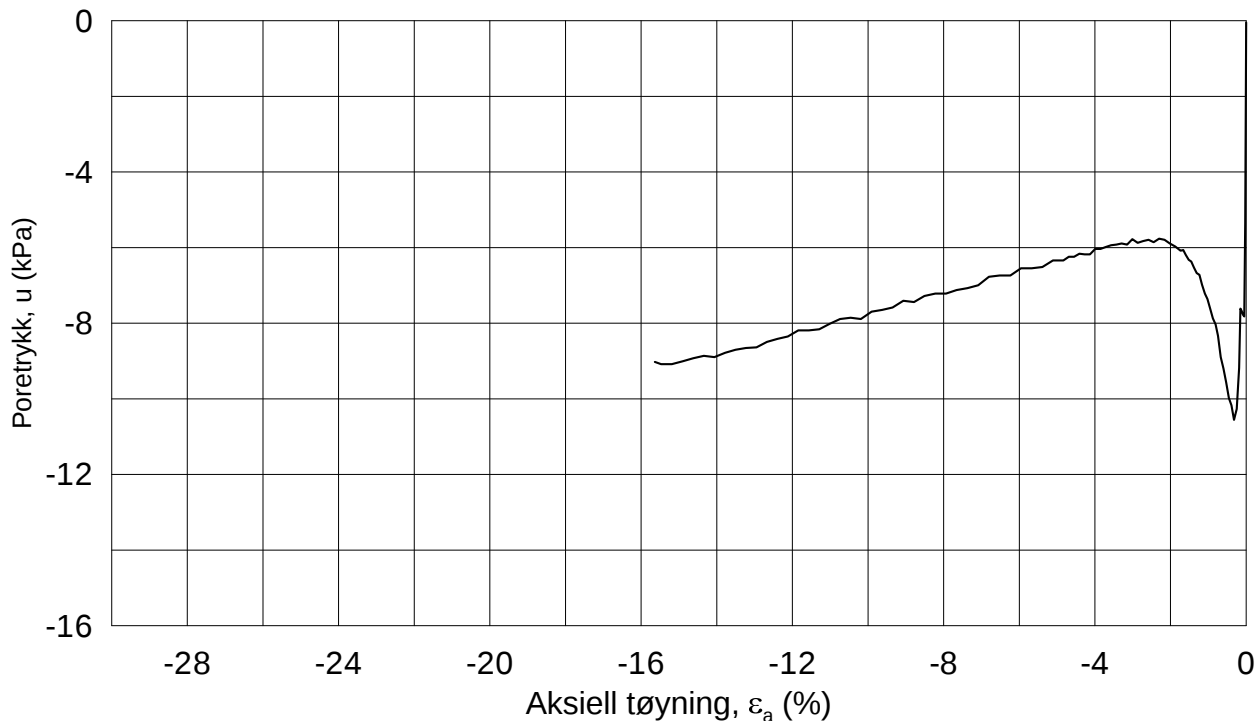
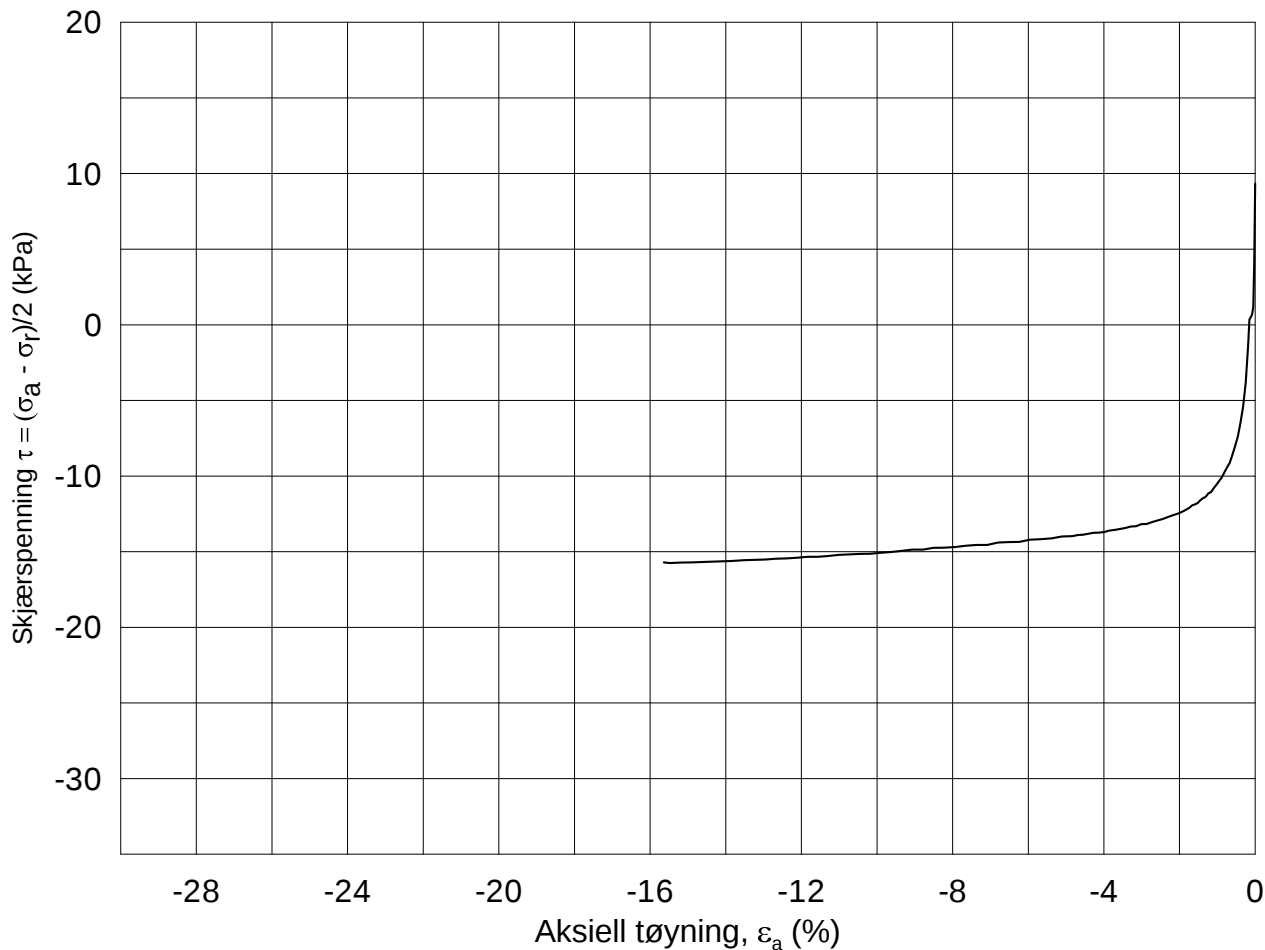
Effektiv gjennomsnittsspenning, $p' = (\sigma_a' + \sigma_r')/2$ (kPa)



Date/Rev.: 2009-11-03/01

E16 Nybakk - Slomarka			Dokument nr. 20120491-02-R
Treaksial forsøk: CAUA			Dato 2013-05-22
Boring: 3043	Dybde = 5.20 m	Konsolidering-spenninger	
Sylinder: 5	$p_{o'}$ = 52.0 kPa	(kPa)	maks. min. endelig
Del: A	w_i = 40.3 %	σ_{ac}' = - - 52.1	Figur nr. G180
Test: 1	w_c = 39.9 %	σ_{rc}' = - - 33.9	Tegnet av MAS
			

3043-5-A-1.Plot2.grf



Date/Rev.: 2009-11-03/01

E16 Nybakk - Slomarka

Dokument nr.
20120491-02-R

Treaksial forsøk: **CAUP**

Dato
2013-05-15

Boring: **3043**

Dybde = **5.35** m

Konsolidering-spenninger

Sylinder: **5**

p_o' = **53.2** kPa (kPa) maks. min. endelig

Figur nr.
G181

Del: **B**

w_i = **40.5** % $\sigma_{ac}' = - - 53.2$

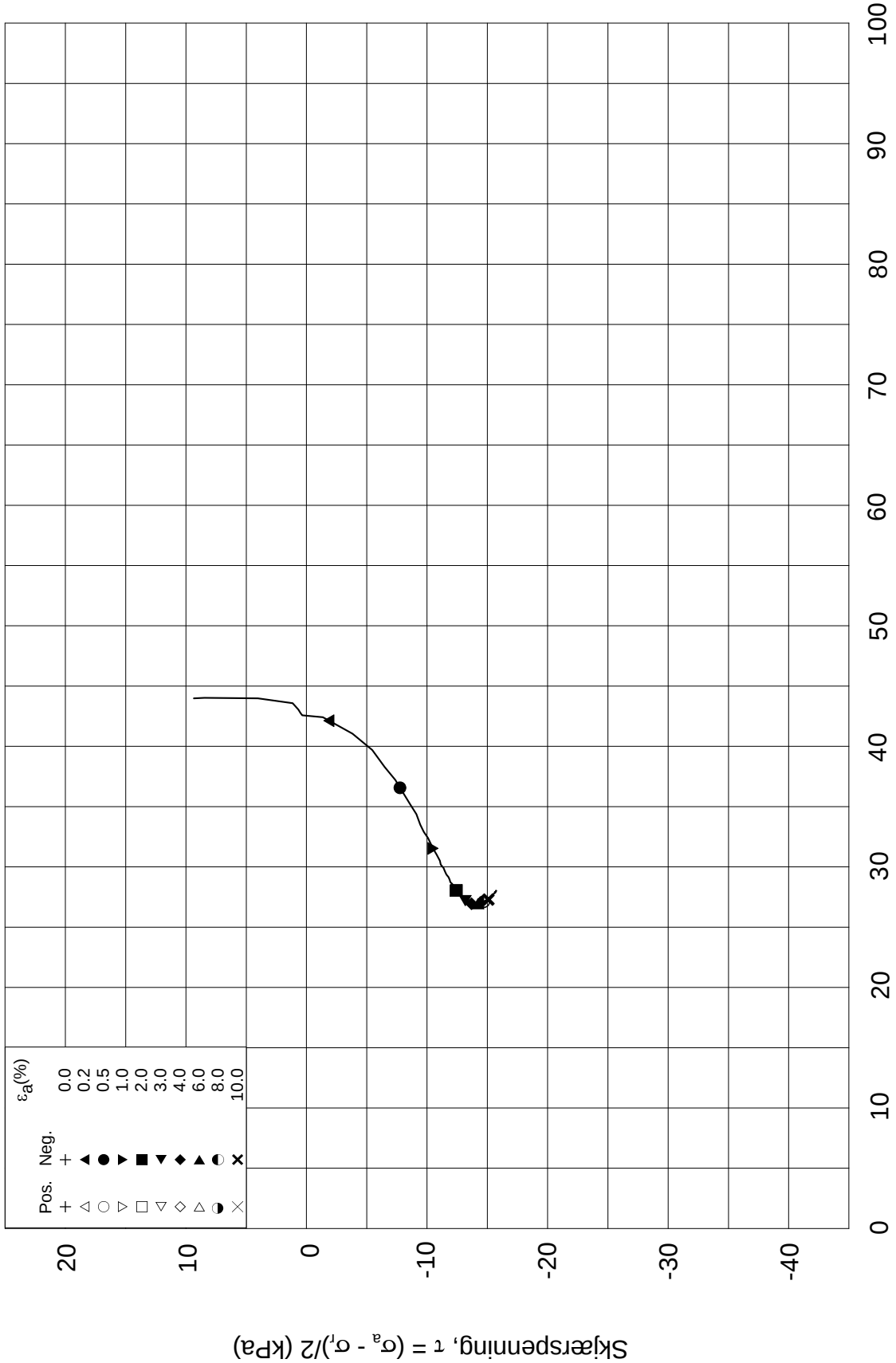
Tegnet av
MAS

Test: **1**

w_c = **39.9** % $\sigma_{rc}' = - - 34.6$



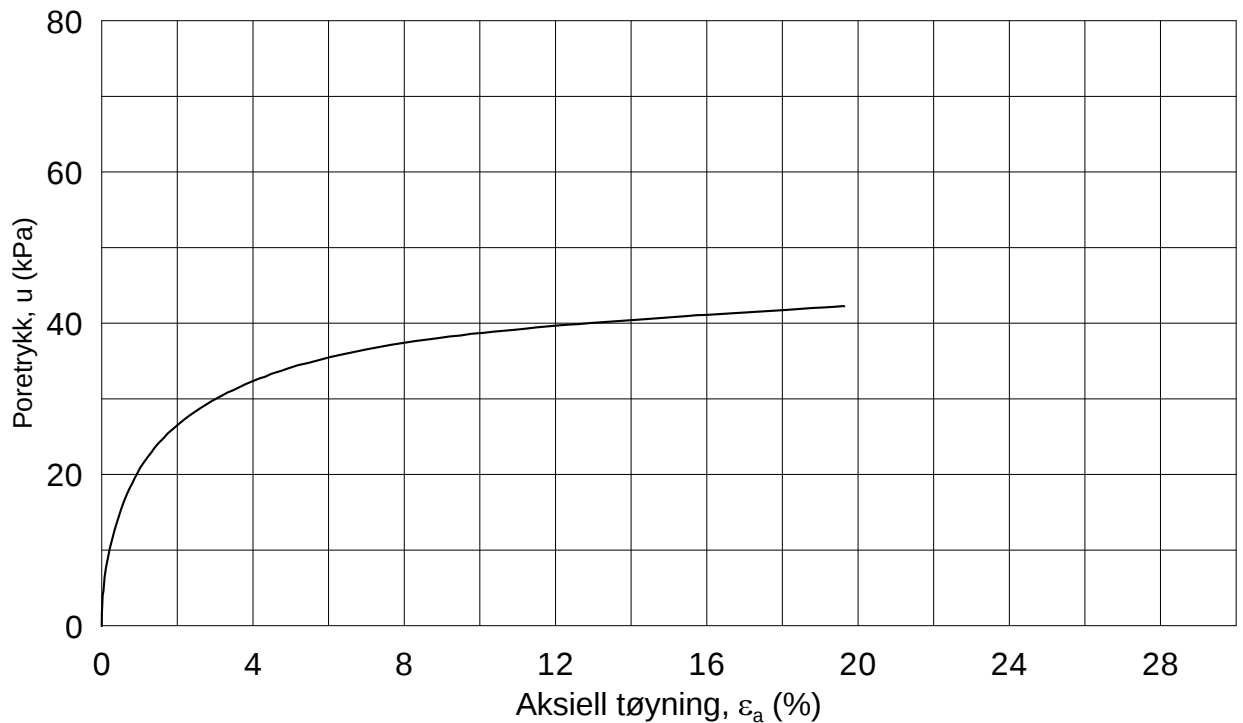
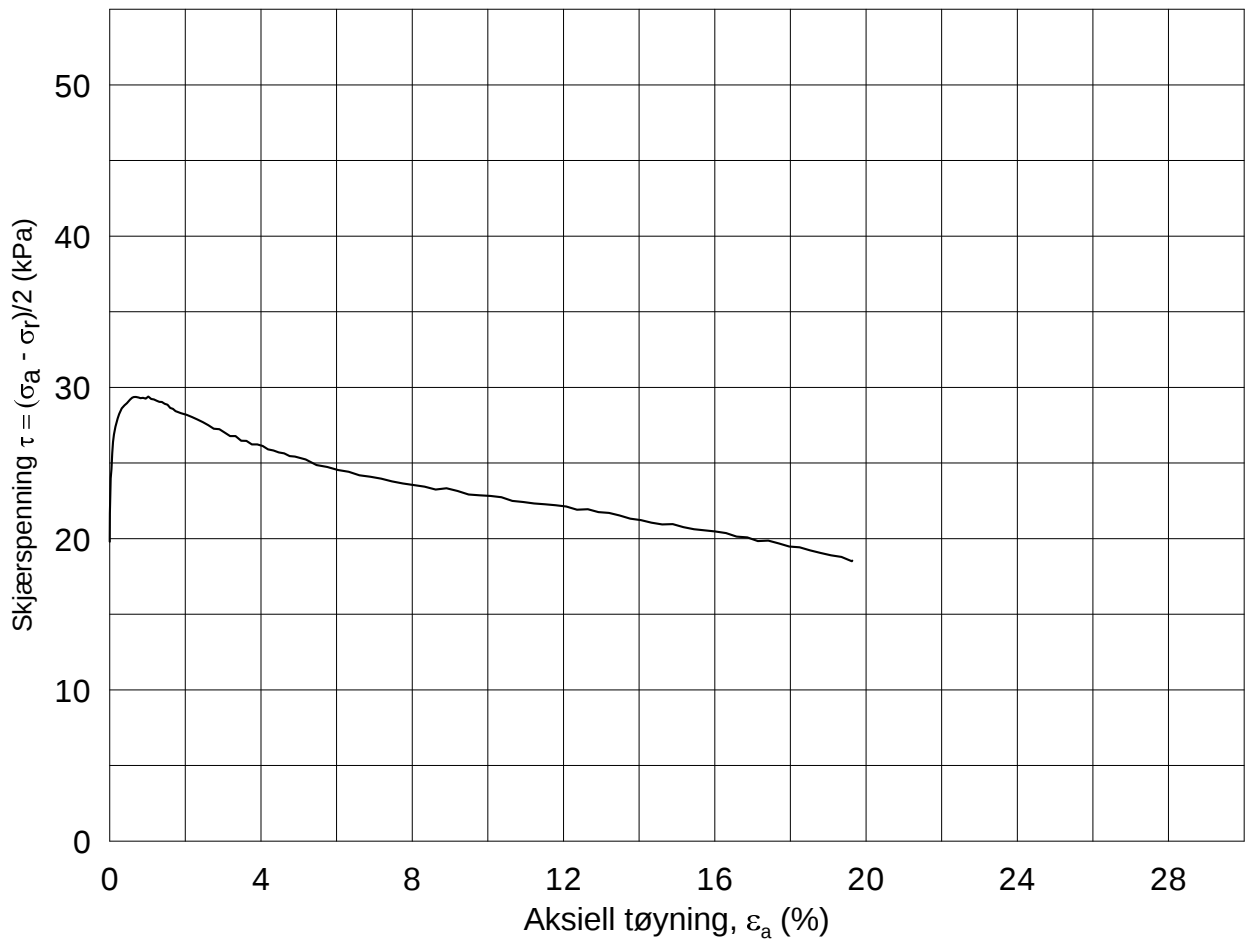
Effektiv gjennomsnittsspenning, $p' = (\sigma'_a + \sigma'_l)/2$ (kPa)



Date/Rev.: 2009-11-03/01

E16 Nybakk - Slomarka			Dokument nr. 20120491-02-R
Treaksial forsøk: CAUP			Dato 2013-05-15
Boring: 3043	Dybde = 5.35 m	Konsolidering-spenninger	
Sylinder: 5	$p_{o'}$ = 53.2 kPa	(kPa)	maks. min. endelig
Del: B	w_i = 40.5 %	$\sigma_{ac}' =$	- - 53.2
Test: 1	w_c = 39.9 %	$\sigma_{rc}' =$	- - 34.6
			Figur nr. G182
			Tegnet av MAS

3043-5-B-1.Plot2.grf



Date/Rev.: 2009-11-03/01

E16 Nybakk - Slomarka

Dokument nr.
20120491-02-R

Treaksial forsøk: CAUA

Dato
2013-05-22

Boring: 3043

Dybde = 10.36 m

Konsolidering-spenninger

Sylinder: 10

$p_{o'}$ = 98.6 kPa

(kPa) maks. min. endelig

Figur nr.
G183

Del: C

w_i = 40.2 %

σ_{ac}' = - - 98.6

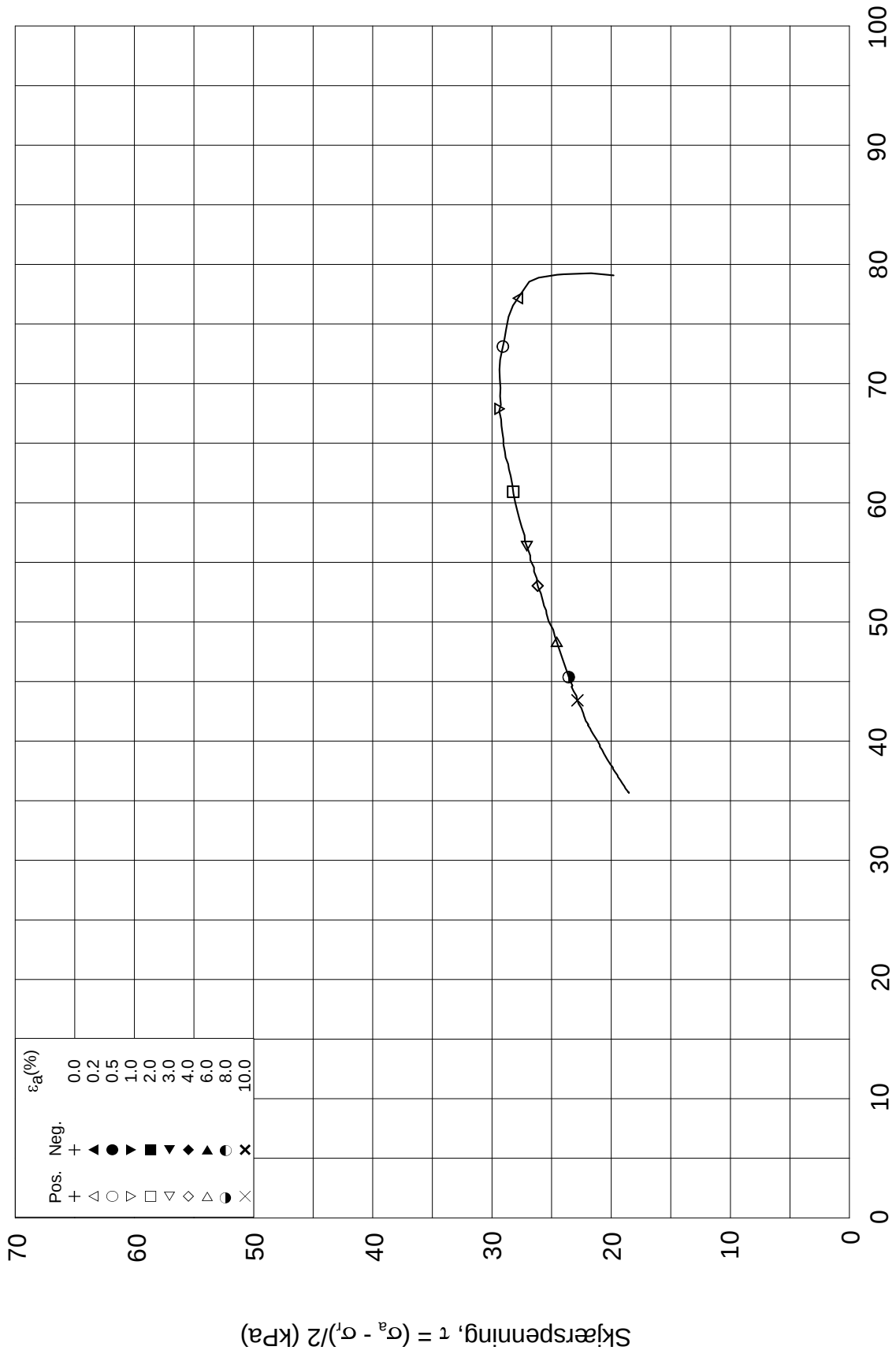
Tegnet av
MAS

Test: 1

w_c = 38.5 %


σ_{rc}' = - - 59.2



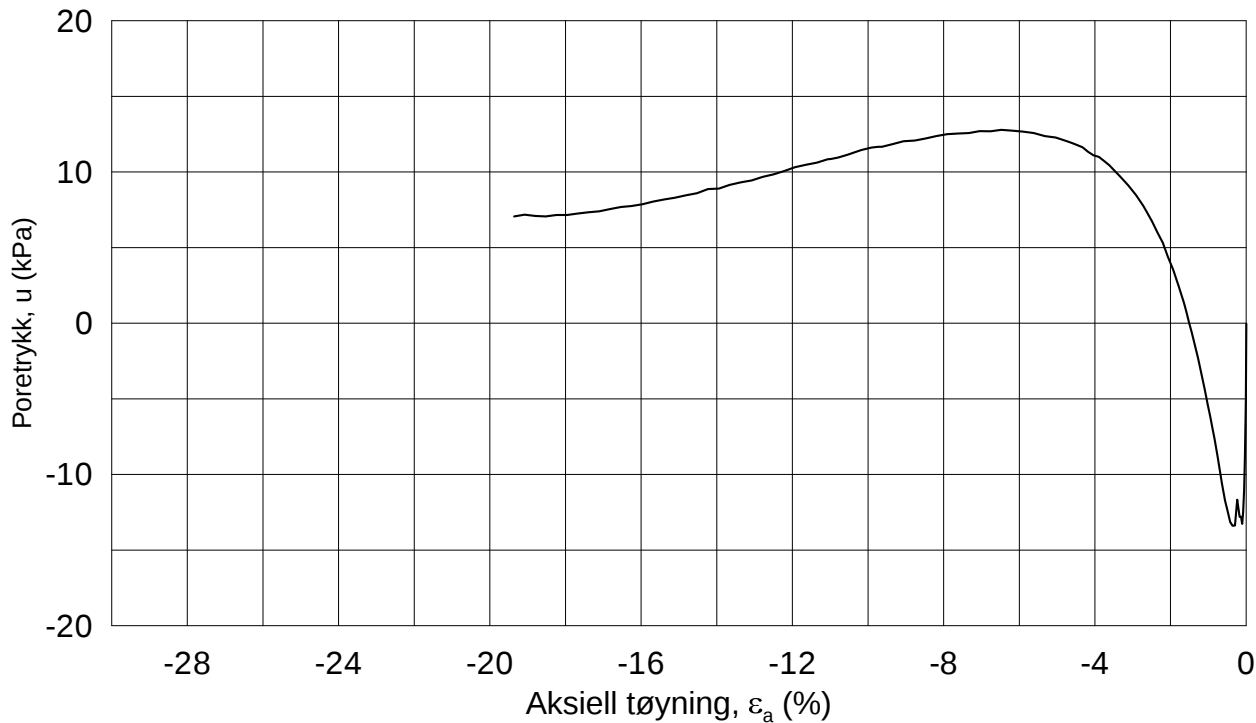
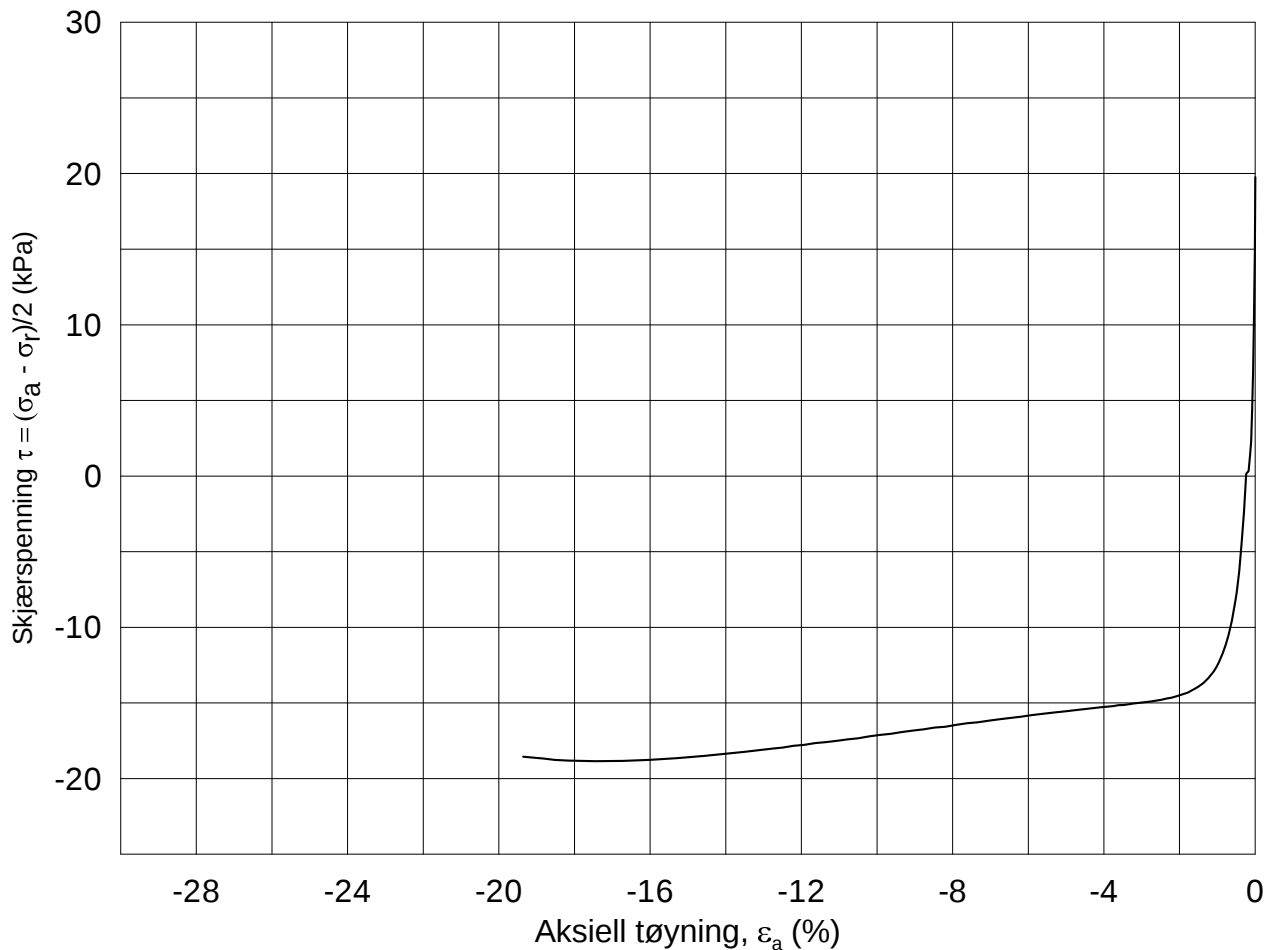


Effektiv gjennomsnittsspenning, $p' = (\sigma_a' + \sigma_r')/2$ (kPa)

Date/Rev.: 2009-11-03/01

E16 Nybakk - Slomarka			Dokument nr. 20120491-02-R
Treaksial forsøk: CAUA			Dato 2013-05-22
Boring: 3043	Dybde = 10.36 m	Konsolidering-spenninger	
Sylinder: 10	$p_{o'}$ = 98.6 kPa	(kPa)	maks. min. endelig
Del: C	w_i = 40.2 %	σ_{ac}' = - - 98.6	Figur nr. G184
Test: 1	w_c = 38.5 %	σ_{rc}' = - - 59.2	Tegnet av MAS
			

3043-10-C-1-Plot2.grf



Date/Rev.: 2009-11-03/01

E16 Nybakk - Slomarka

Dokument nr.
20120491-02-R

Treaksial forsøk: **CAUP**

Dato
2013-08-09

Boring: **3043**

Dybde = **10.52** m

Konsolidering-spenninger

Sylinder: **10**

$p_{o'}$ = **99.6** kPa

(kPa) maks. min. endelig

Figur nr.
G185

Del: **D**

w_i = **40.6** %

σ_{ac}' = - - **99.2**

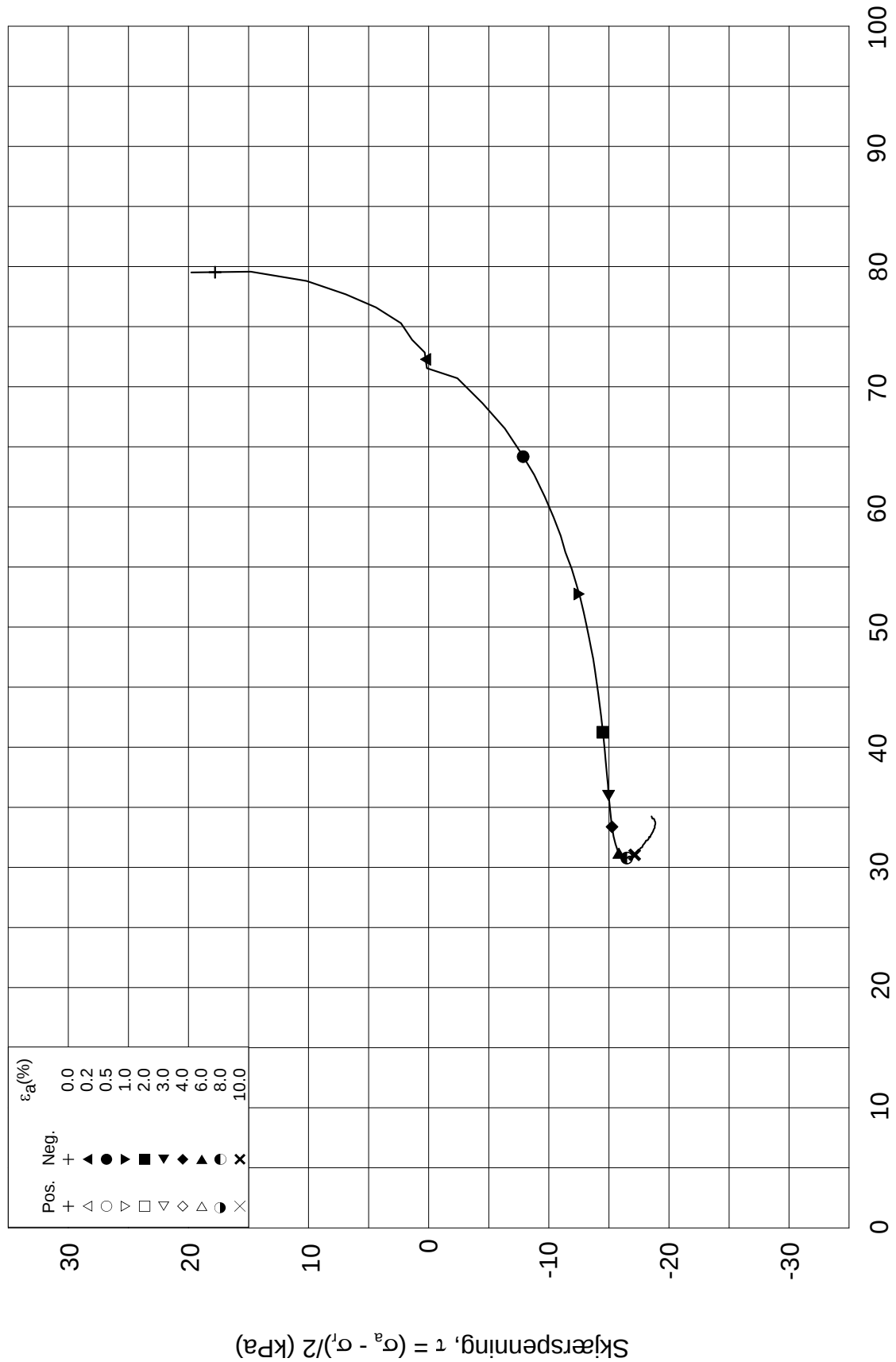
Tegnet av
MAS

Test: **1**

w_c = **38.2** %

σ_{rc}' = - - **59.7**





Date/Rev.: 2009-11-03/01

E16 Nybakk - Slomarka

Dokument nr.
20120491-02-R

Treaksial forsøk: **CAUP**

Dato
2013-08-09

Boring: **3043**

Dybde = **10.52** m

Konsolidering-spenninger

Sylinder: **10**

$p_{o'}$ = **99.6** kPa

(kPa) maks. min. endelig

Figur nr.
G186

Del: **D**

w_i = **40.6** %

σ_{ac}' = - - **99.2**

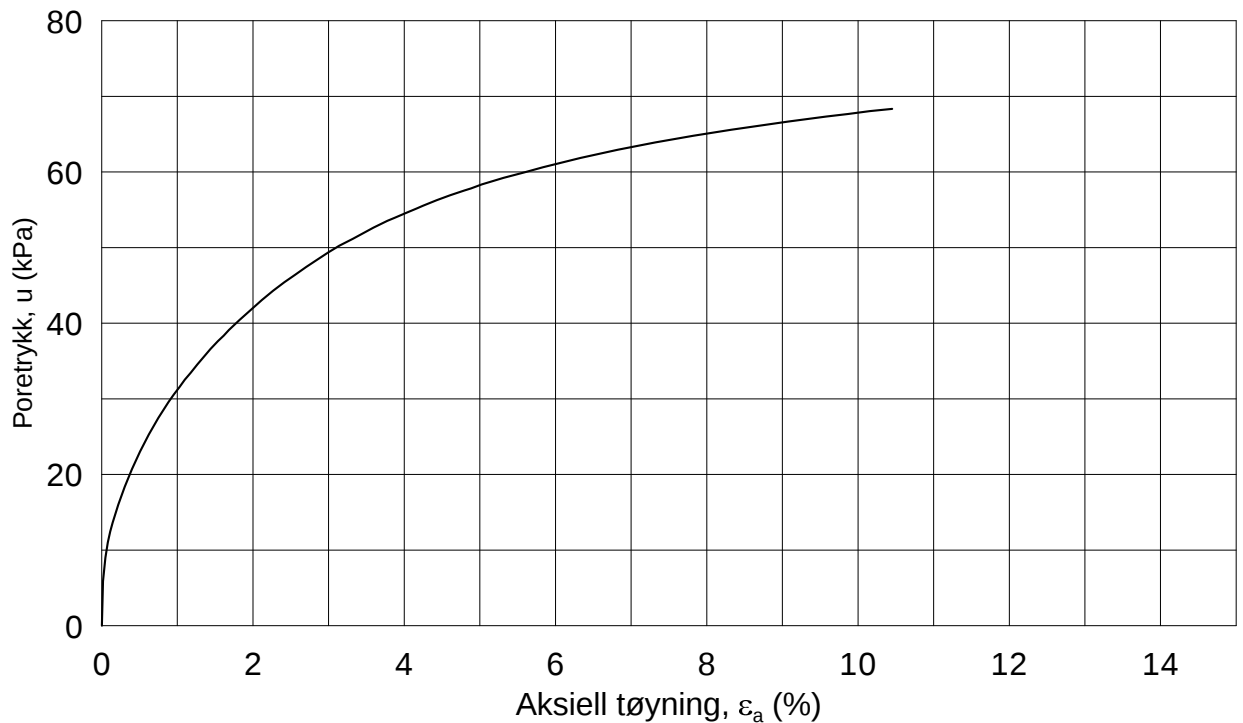
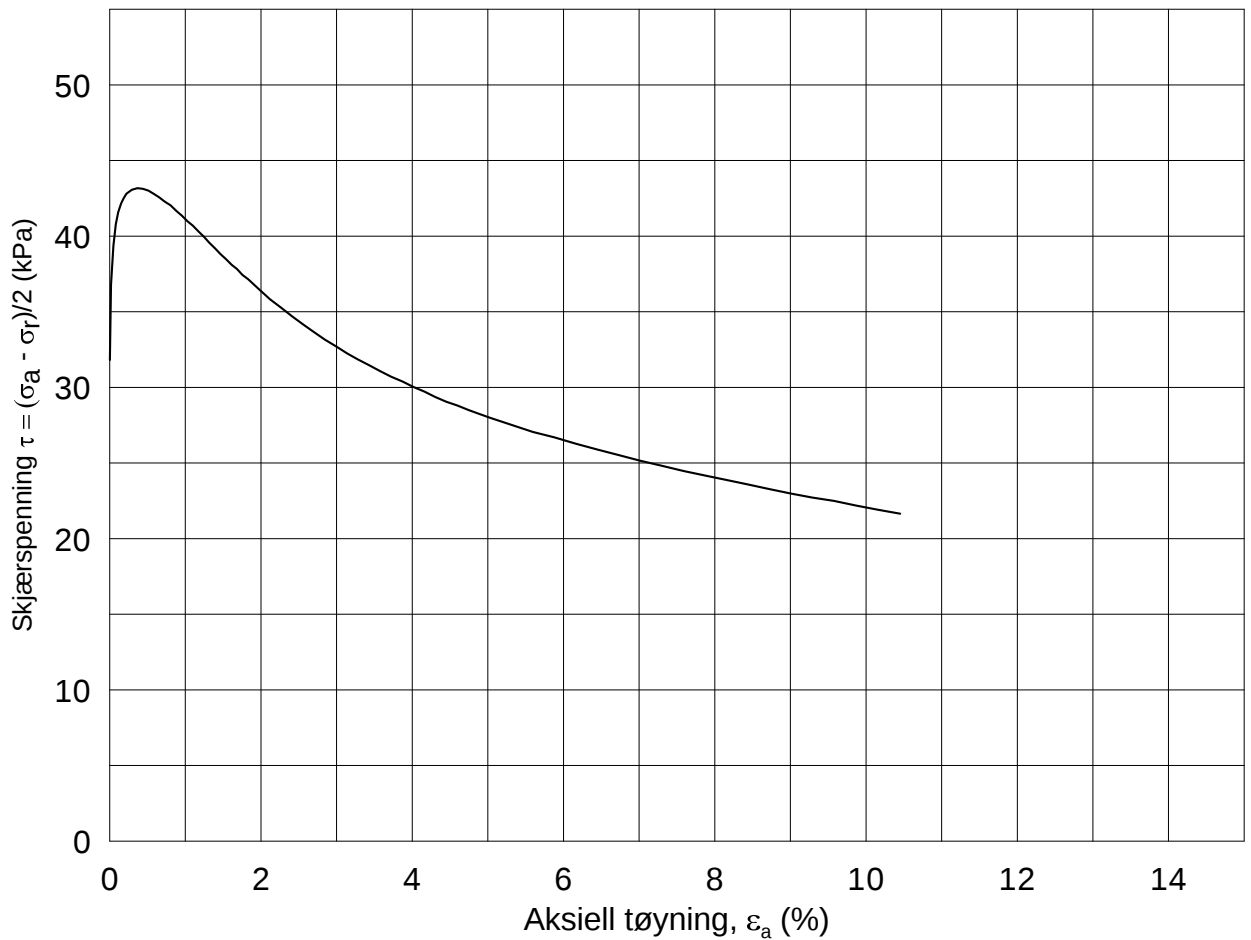
Tegnet av
MAS

Test: **1**

w_c = **38.2** %

σ_{rc}' = - - **59.7**





Date/Rev.: 2009-11-03/01

E16 Nybakk - Slomarka

Dokument nr.
20120491-02-R

Treaksial forsøk: **CAUA**

Dato
2013-05-22

Boring: **3043**

Dybde = **16.35** m

Konsolidering-spenninger

Sylinder: **15**

$p_{o'}$ = **152.6** kPa

(kPa) maks. min. endelig

Figur nr.
G187

Del: **B**

w_i = **37.6** %

σ_{ac}' = - - **152.3**

Tegnet av
MAS

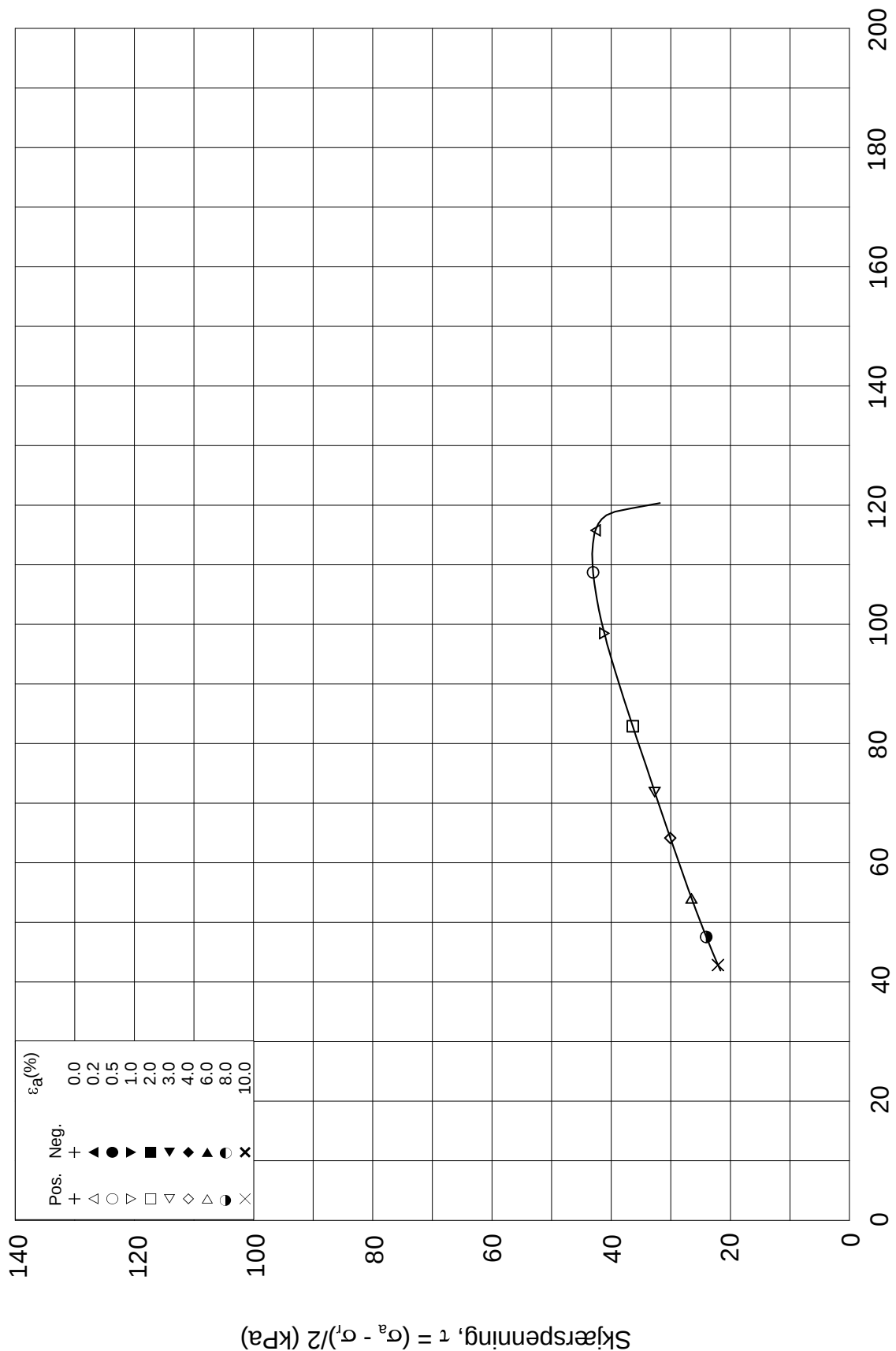
Test: **1**

w_c = **35.2** %

σ_{rc}' = - - **88.5**



3043-15-B-1-Plot1.grf



Date/Rev.: 2009-11-03/01

E16 Nybakk - Slomarka

Dokument nr.
20120491-02-R

Treaksial forsøk: **CAUA**

Dato
2013-05-22

Boring: **3043**

Sylinder: **15**

Del: **B**

Test: **1**

Dybde = **16.35** m

$p_{o'}$ = **152.6** kPa

w_i = **37.6** %

w_c = **35.2** %

Konsolidering-spenninger

(kPa) maks. min. endelig

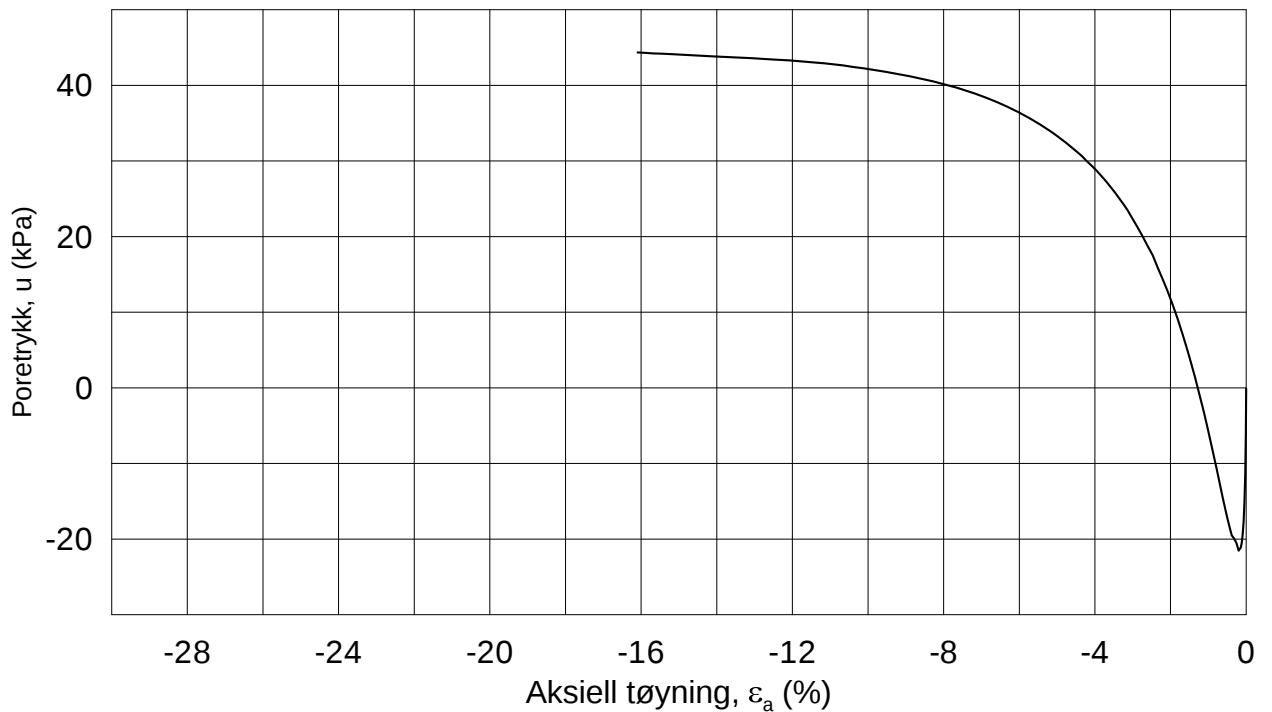
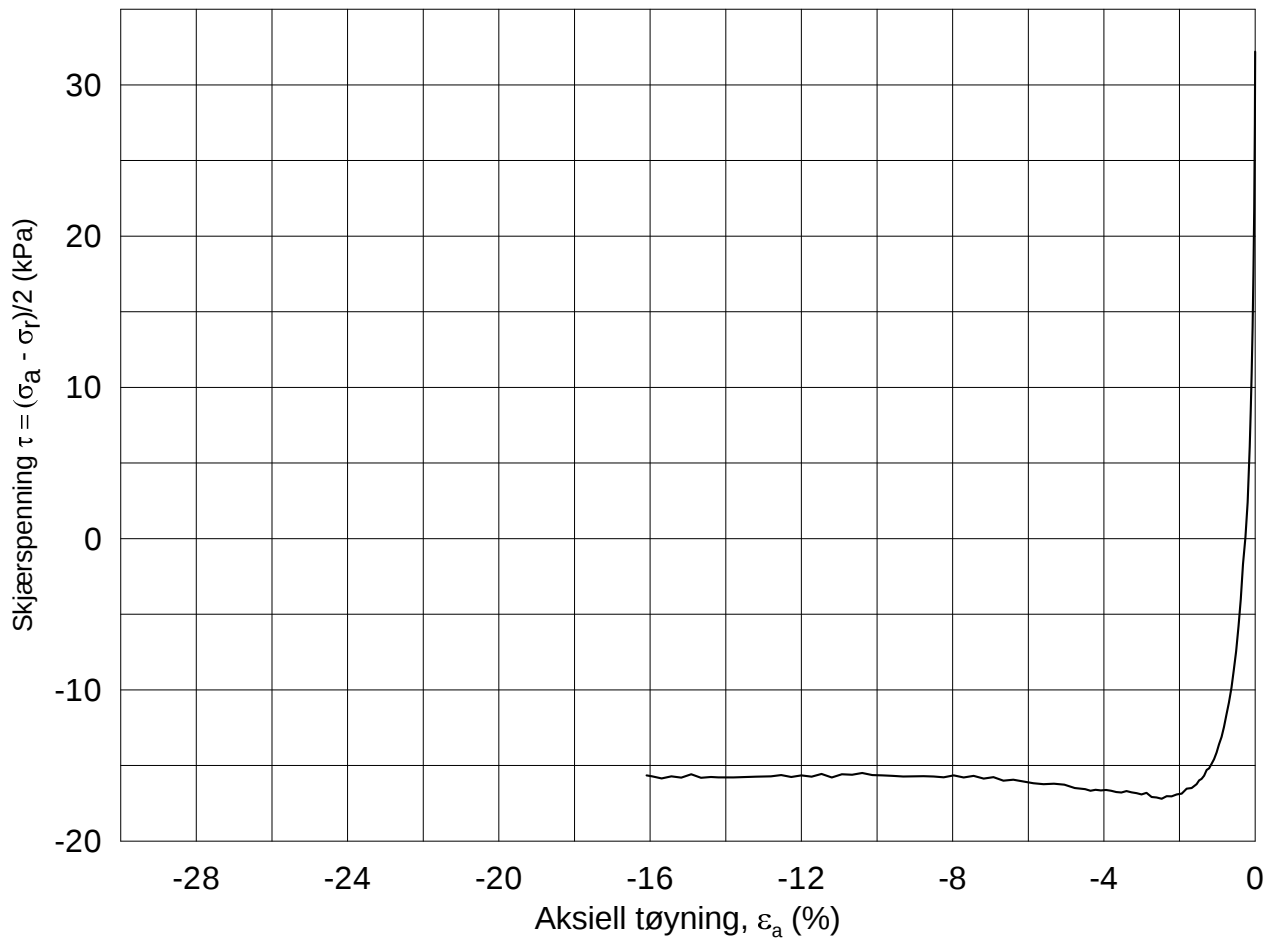
σ_{ac}' = - - **152.3**

σ_{rc}' = - - **88.5**

Figur nr.
G188

Tegnet av
MAS





Date/Rev.: 2009-11-03/01

E16 Nybakk - Slomarka

Dokument nr.
20120491-02-R

Treaksial forsøk: **CAUP**

Dato
2013-05-15

Boring: **3043**

Dybde = **16.50** m

Konsolidering-spenninger

Sylinder: **15**

p_o' = **153.4** kPa (kPa) maks. min. endelig

Figur nr.
G189

Del: **C**

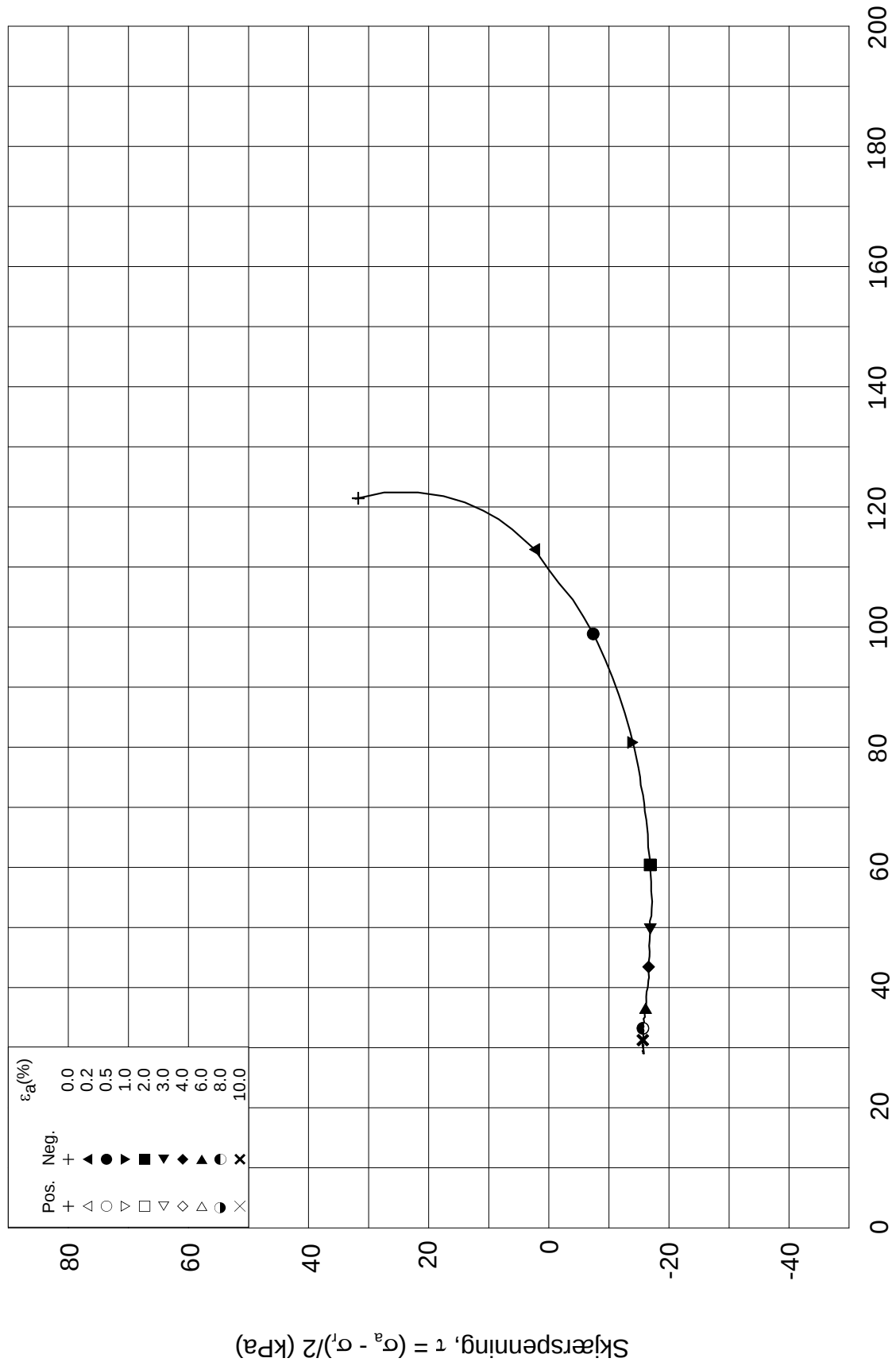
w_i = **42.6** % σ_{ac}' = - - **153.4**

Tegnet av
MAS

Test: **1**

w_c = **39.6** % σ_{rc}' = - - **89.0**





Date/Rev.: 2009-11-03/01

E16 Nybakk - Slomarka

Dokument nr.
20120491-02-R

Treaksial forsøk: **CAUP**

Dato
2013-05-15

Boring: **3043**

Dybde = **16.50** m

Konsolidering-spenninger

Sylinder: **15**

$p_{o'}$ = **153.4** kPa

(kPa) maks. min. endelig

Figur nr.
G190

Del: **C**

w_i = **42.6** %

σ_{ac}' = - - **153.4**

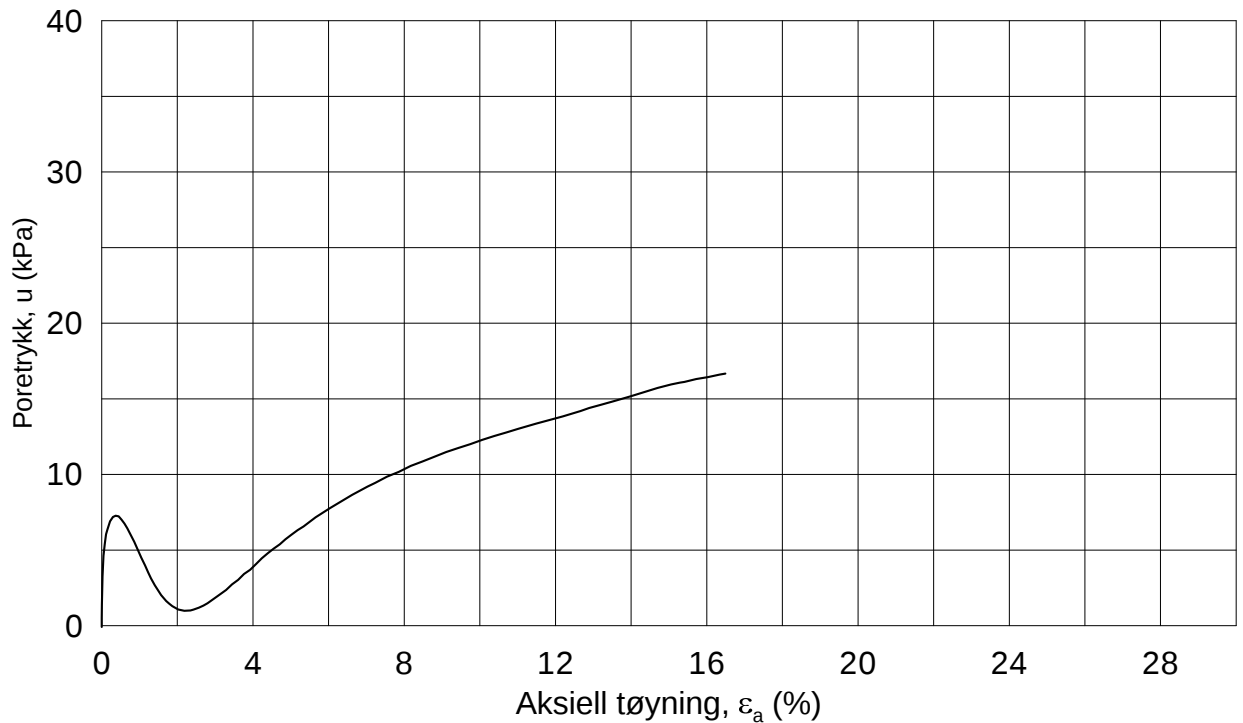
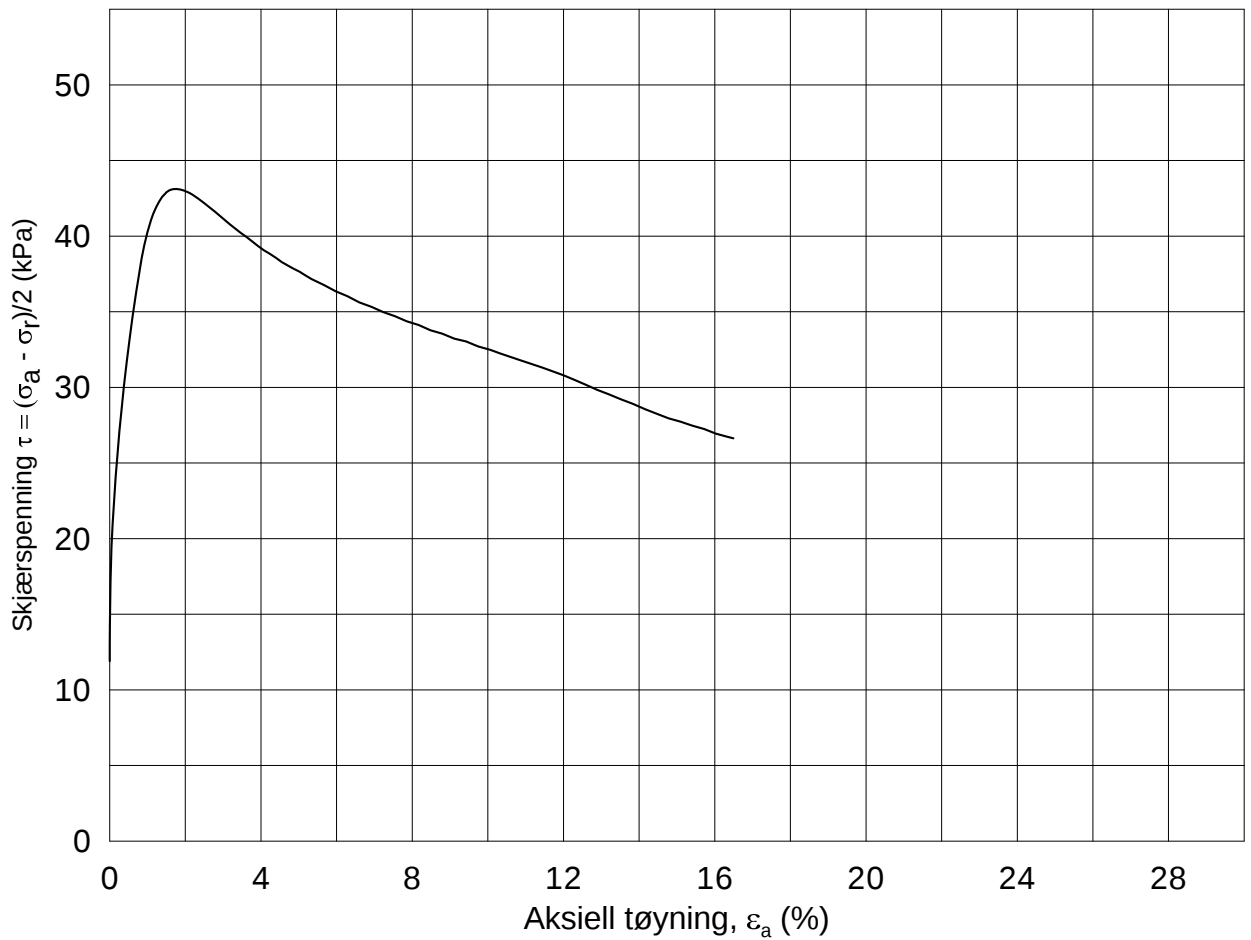
Tegnet av
MAS

Test: **1**

w_c = **39.6** %

σ_{rc}' = - - **89.0**





Date/Rev.: 2009-11-03/01

E16 Nybakk - Slomarka

Dokument nr.
20120491-02-R

Treaksial forsøk: CAUA

Dato
2013-06-11

Boring: 3059

Dybde = 5.37 m

Konsolidering-spenninger

Sylinder: 5

$p_{o'}$ = 68.6 kPa

(kPa)	maks.	min.	endelig
σ_{ac}' =	-	-	68.6
σ_{rc}' =	-	-	44.6

Del: B

w_i = 37.4 %

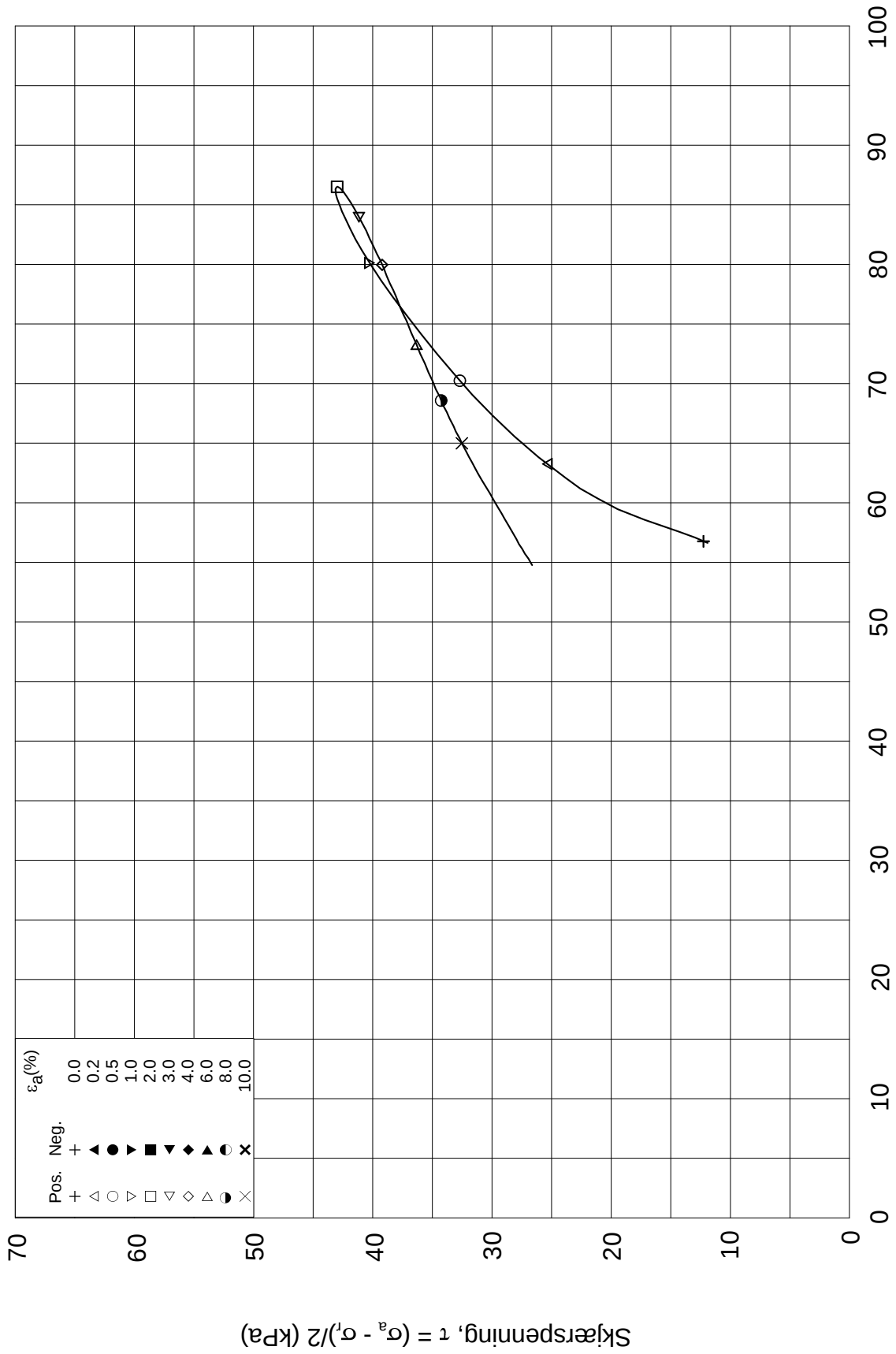
Test: 1

w_c = 37.2 %

Figur nr.
G191

Tegnet av
MAS



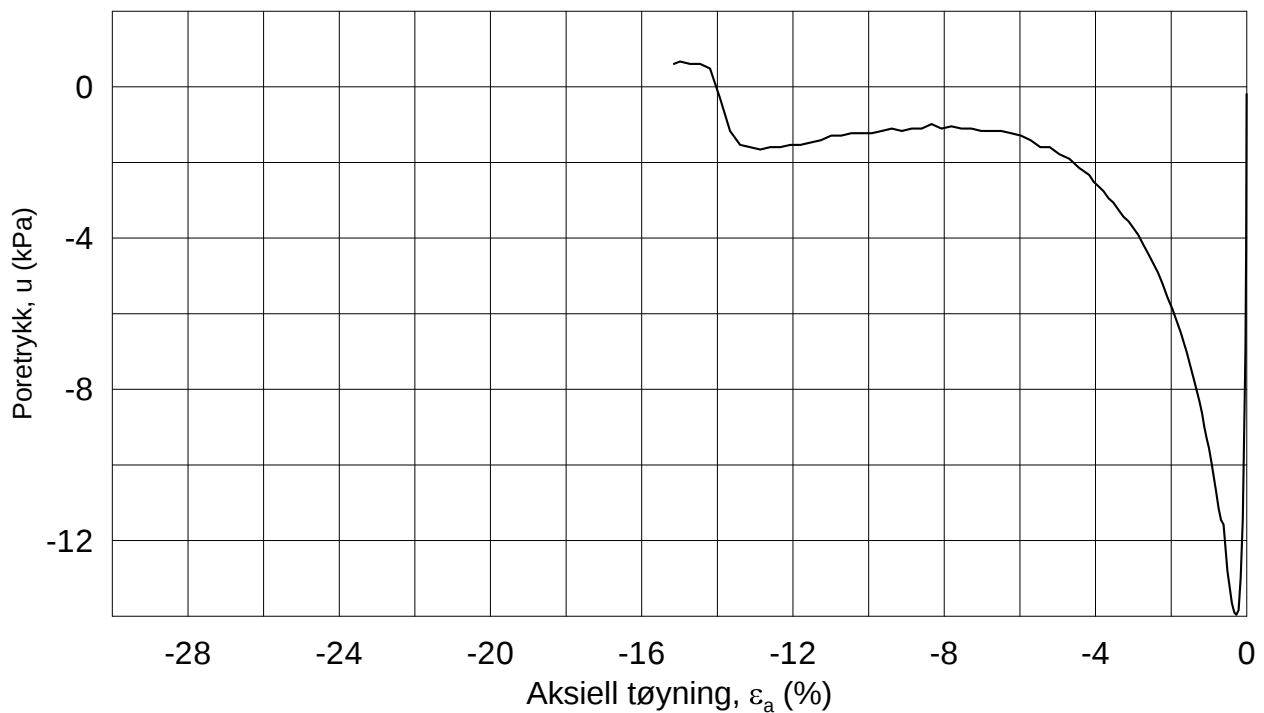
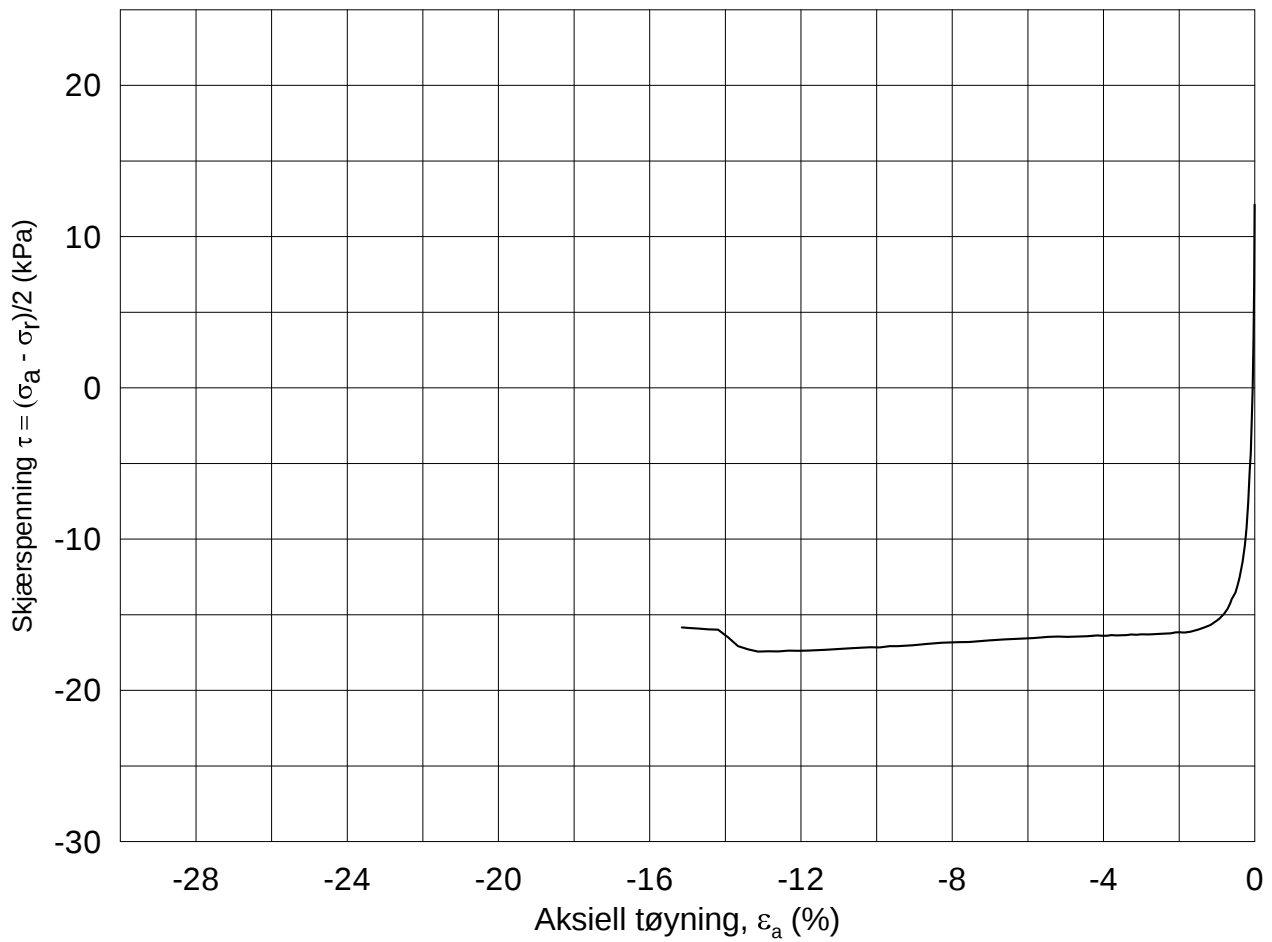


Effektiv gjennomsnittsspenning, $p' = (\sigma_a' + \sigma_r')/2$ (kPa)

Date/Rev.: 2009-11-03/01

E16 Nybakk - Slomarka			Dokument nr. 20120491-02-R
Treaksial forsøk: CAUA			Dato 2013-06-11
Boring: 3059	Dybde = 5.37 m	Konsolidering-spenninger	
Sylinder: 5	$p_{o'}$ = 68.6 kPa	(kPa)	maks. min. endelig
Del: B	w_i = 37.4 %	$\sigma_{ac}' =$	- - 68.6
Test: 1	w_c = 37.2 %	$\sigma_{rc}' =$	- - 44.6
			Figur nr. G192
			Tegnet av MAS

3059-5-B-1.Plot2.grf



Date/Rev.: 2009-11-03/01

E16 Nybakk - Slomarka

Dokument nr.
20120491-02-R

Treaksial forsøk: **CAUP**

Dato
2013-06-12

Boring: **3059**

Dybde = **5.55** m

Konsolidering-spenninger

Sylinder: **5**

p_o' = **69.8** kPa

(kPa) maks. min. endelig

Figur nr.
G193

Del: **D**

w_i = **39.4** %

σ_{ac}' = - - **69.8**

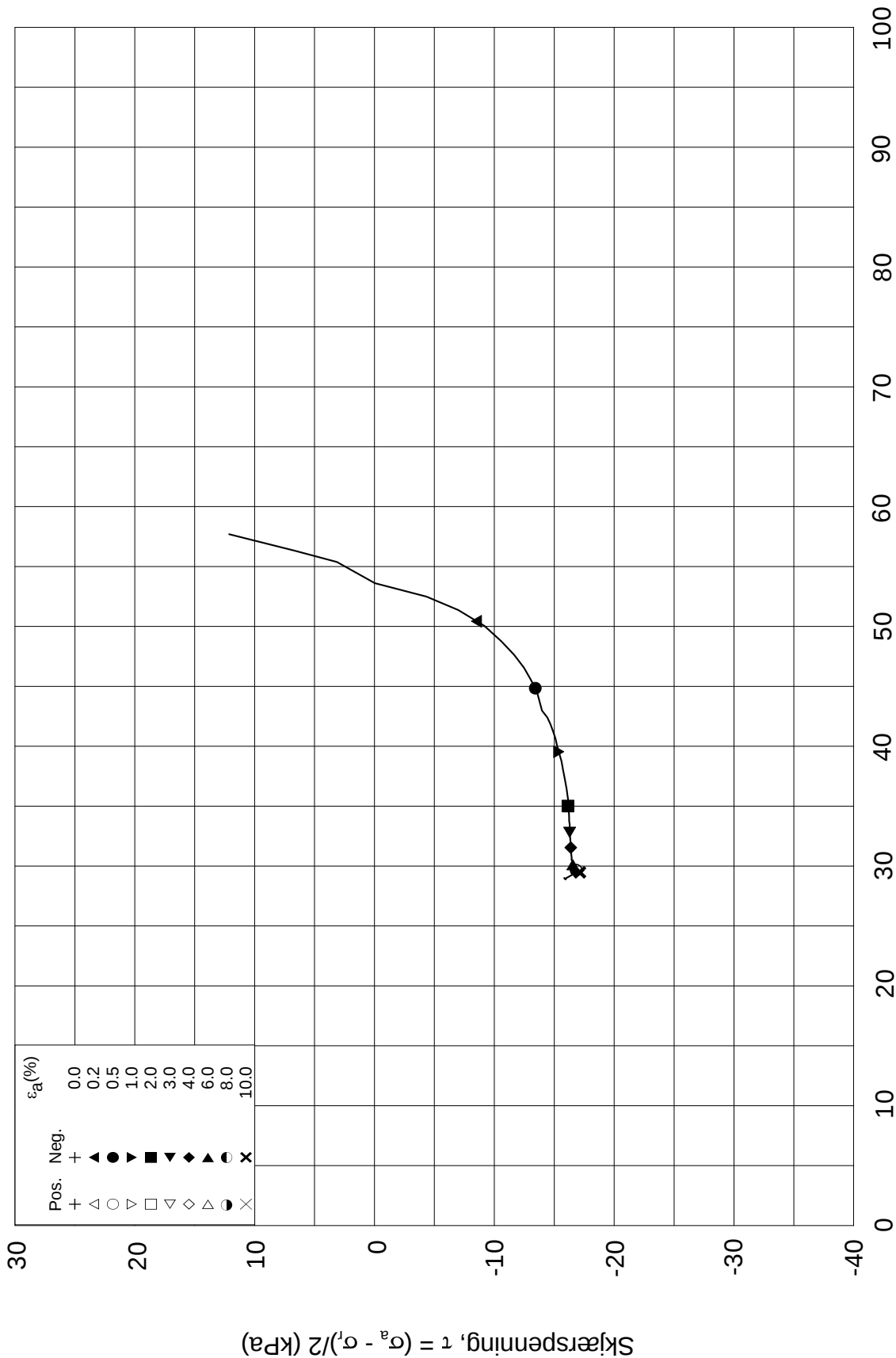
Tegnet av
MAS

Test: **1**

w_c = **39.2** %

σ_{rc}' = - - **45.4**





Date/Rev.: 2009-11-03/01

E16 Nybakk - Slomarka

Dokument nr.
20120491-02-R

Treaksial forsøk: **CAUP**

Dato
2013-06-12

Boring: **3059**

Dybde = **5.55** m

Konsolidering-spenninger

Sylinder: **5**

$p_{o'}$ = **69.8** kPa

(kPa) maks. min. endelig

Figur nr.
G194

Del: **D**

w_i = **39.4** %

σ_{ac}' = - - **69.8**

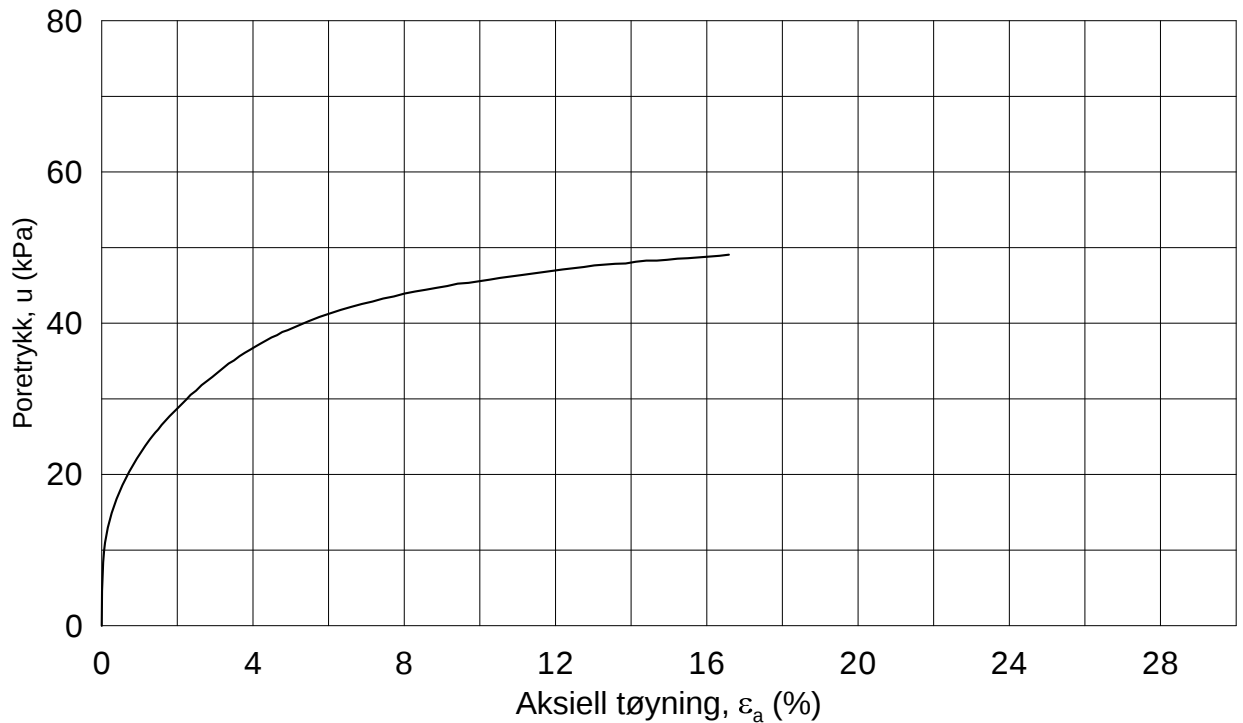
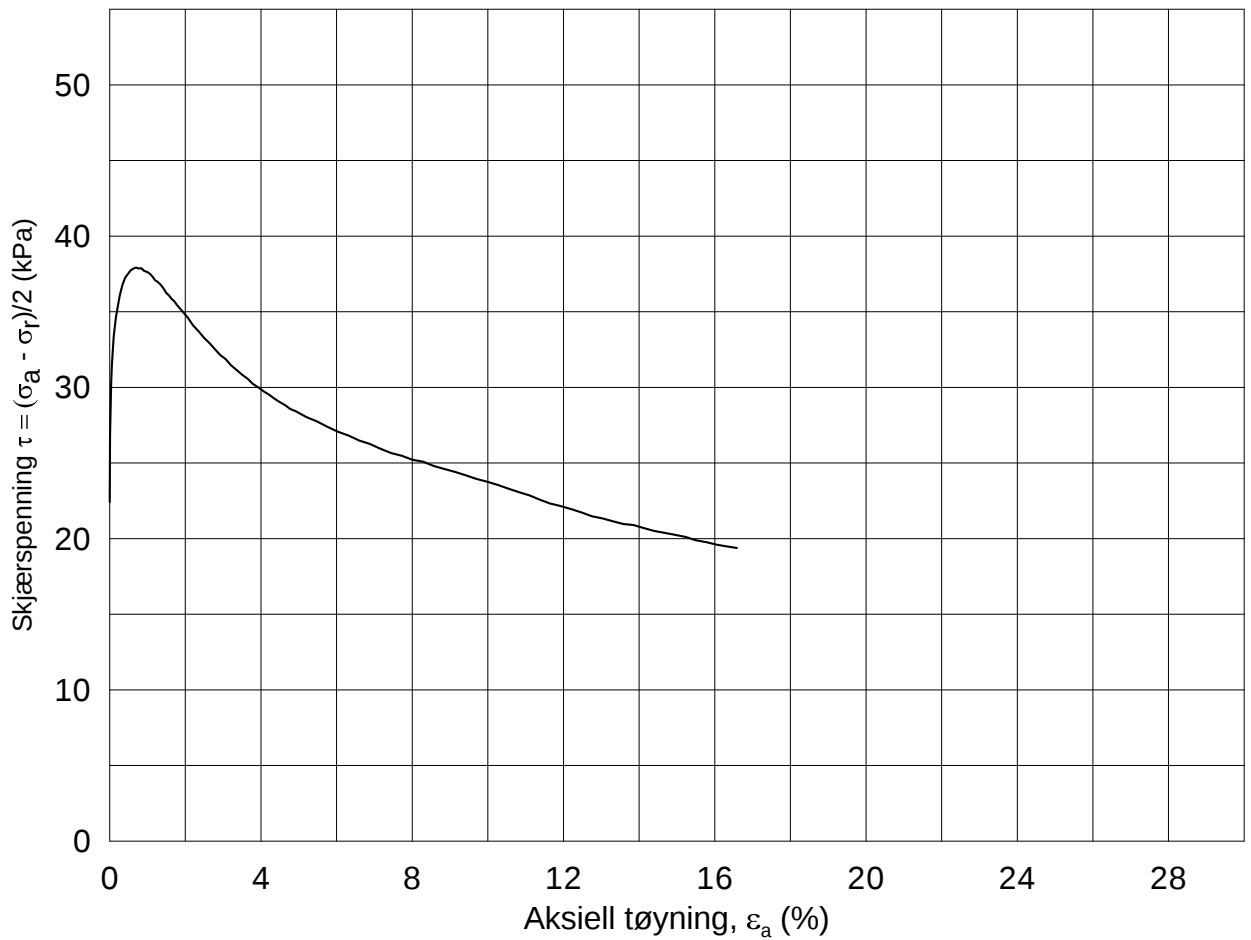
Tegnet av
MAS

Test: **1**

w_c = **39.2** %

σ_{rc}' = - - **45.4**





Date/Rev.: 2009-11-03/01

E16 Nybakk - Slomarka

Dokument nr.
20120491-02-R

Treaksial forsøk: **CAUA**

Dato
2013-06-13

Boring: **3059**

Dybde = **10.25** m

Konsolidering-spenninger

Sylinder: **10**

$p_{o'}$ = **112.4** kPa

(kPa) maks. min. endelig

Figur nr.
G195

Del: **A**

w_i = **45.0** %

σ_{ac}' = - - **112.3**

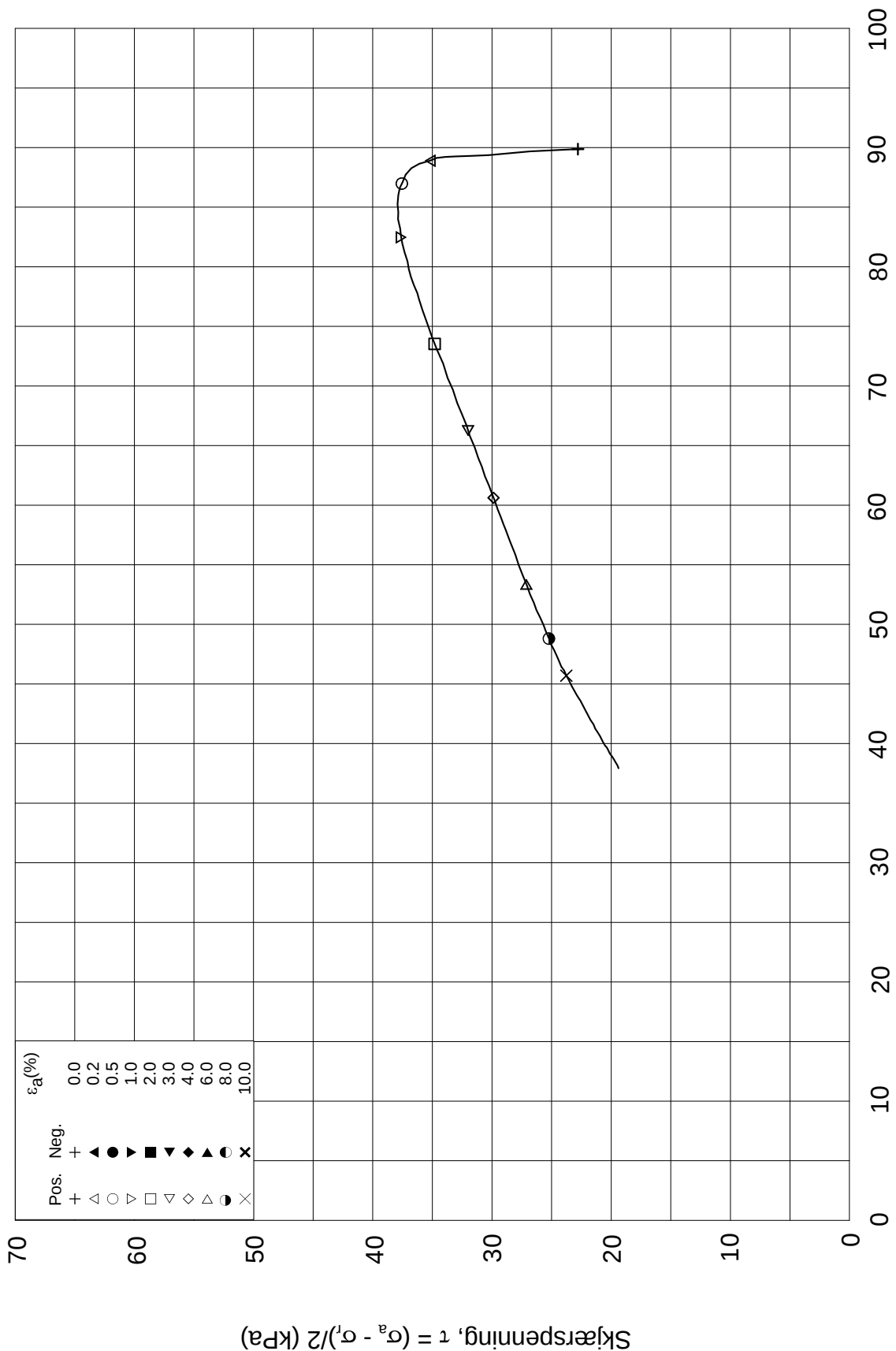
Tegnet av
MAS

Test: **1**

w_c = **43.9** %

σ_{rc}' = - - **67.4**

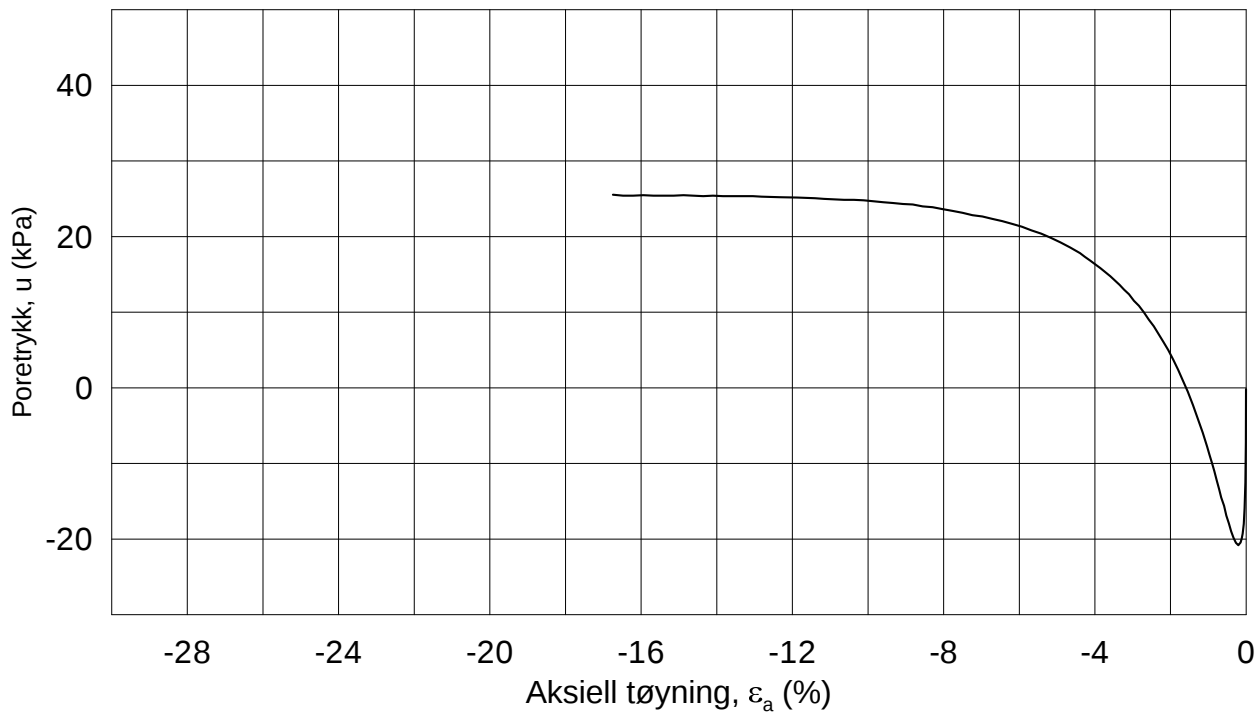
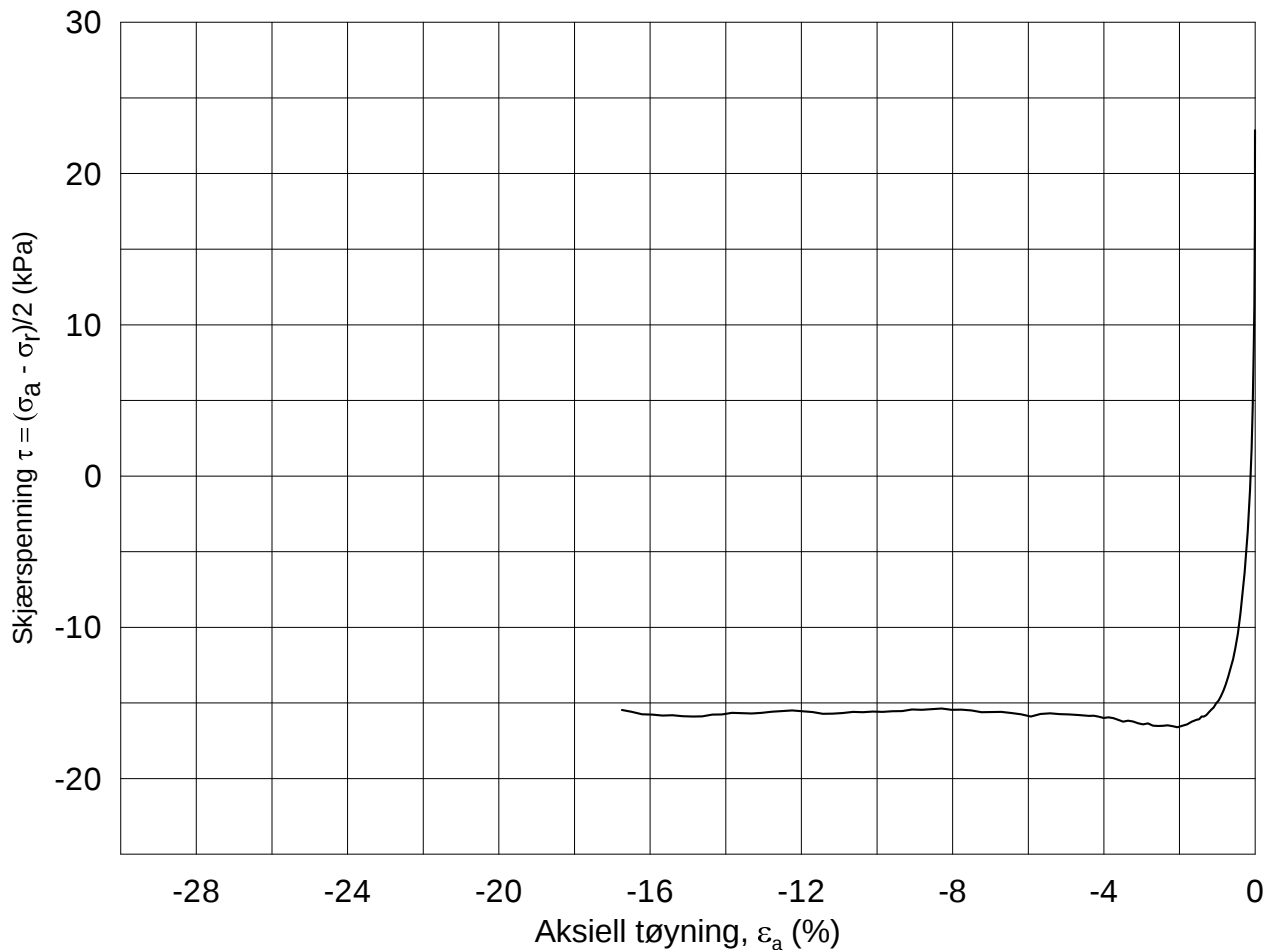




Date/Rev.: 2009-11-03/01

E16 Nybakk - Slomarka			Dokument nr. 20120491-02-R	
Treaksial forsøk: CAUA			Dato 2013-06-13	
Boring: 3059	Dybde = 10.25 m	Konsolidering-spenninger		
Sylinder: 10	$p_{o'}$ = 112.4 kPa	(kPa)	maks.	min.
Del: A	w_i = 45.0 %	σ_{ac}' =	-	-
Test: 1	w_c = 43.9 %	σ_{rc}' =	-	-
		endelig	112.3	
			67.4	
		Figur nr.	G196	
		Tegnet av	MAS	

3059-10-A-1-1.Plot2.grf



Date/Rev.: 2009-11-03/01

E16 Nybakk - Slomarka

Dokument nr.
20120491-02-R

Treaksial forsøk: **CAUP**

Dato
2013-06-14

Boring: **3059**

Dybde = **10.40** m

Konsolidering-spenninger

Sylinder: **10**

p_o' = **113.6** kPa (kPa) maks. min. endelig

Figur nr.
G197

Del: **B**

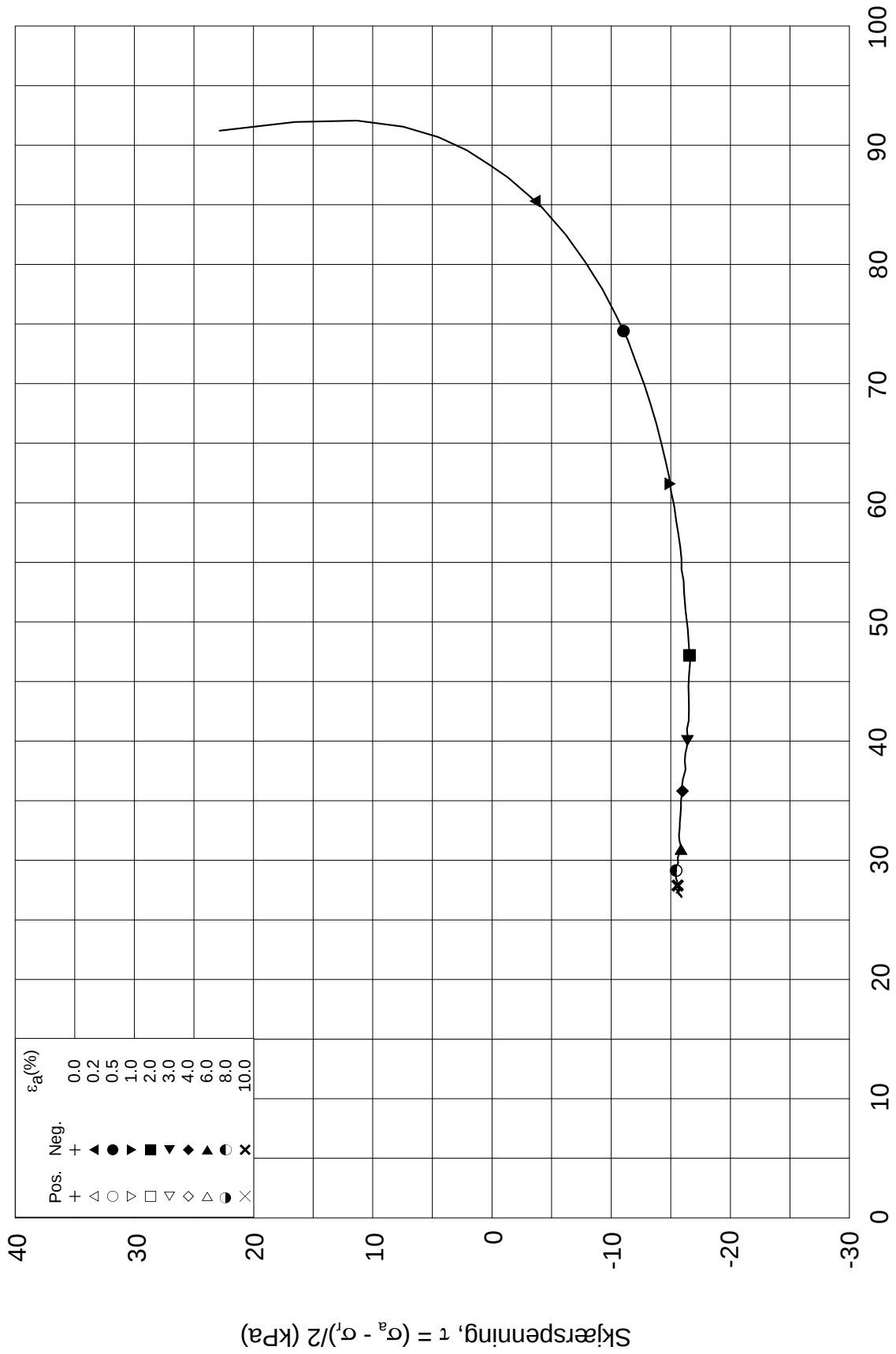
w_i = **45.1** % σ_{ac}' = - - **113.5**

Tegnet av
MAS

Test: **1**

w_c = **44.1** % σ_{rc}' = - - **68.1**



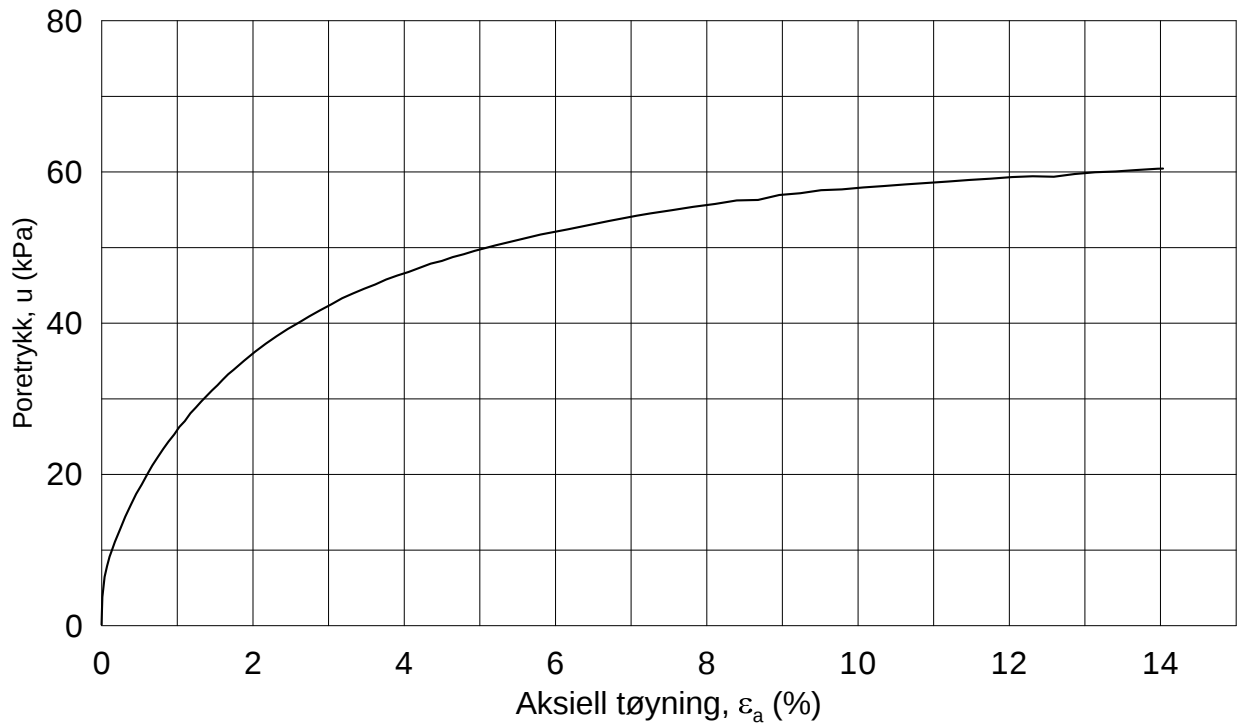
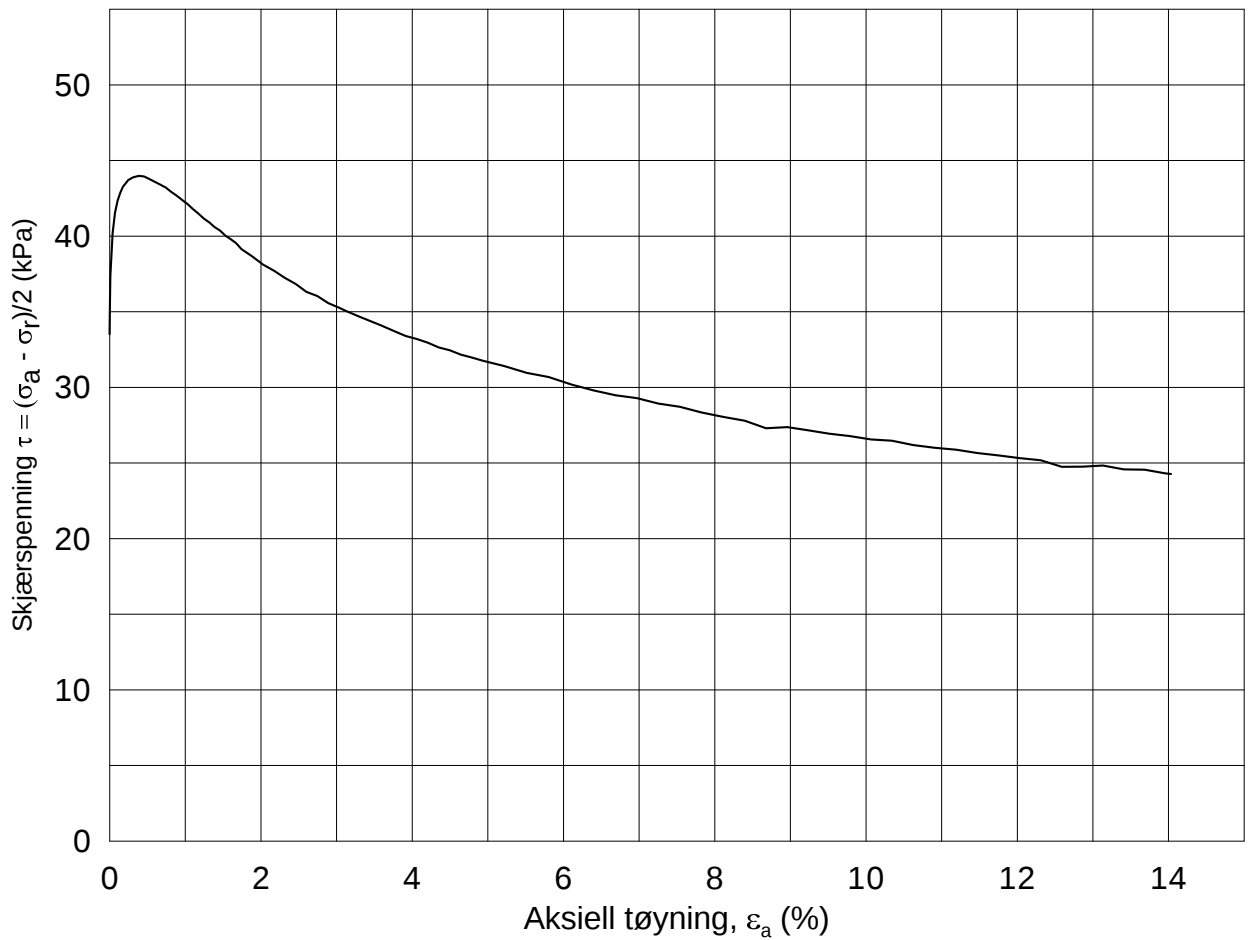


Effektiv gjennomsnittsspenning, $p' = (\sigma_a' + \sigma_1')/2$ (kPa)

Date/Rev.: 2009-11-03/01

E16 Nybakk - Slomarka			Dokument nr. 20120491-02-R	
Treaksial forsøk: CAUP			Dato 2013-06-14	
Boring: 3059	Dybde = 10.40 m	Konsolidering-spenninger		
Sylinder: 10	$p_{o'}$ = 113.6 kPa	(kPa)	maks.	min.
Del: B	w_i = 45.1 %	σ_{ac}' =	-	-
Test: 1	w_c = 44.1 %	σ_{rc}' =	-	-
				endelig 113.5
				68.1
				Figur nr. G198
				Tegnet av MAS

3059-10-B-1-1.Plot2.grf



Date/Rev.: 2009-11-03/01

E16 Nybakk - Slomarka

Dokument nr.
20120491-02-R

Treaksial forsøk: **CAUA**

Dato
2013-06-11

Boring: **3059**

Dybde = **14.40** m

Konsolidering-spenninger

Sylinder: **14**

$p_{o'}$ = **149.6** kPa

(kPa) maks. min. endelig

Figur nr.
G199

Del: **C**

w_i = **39.5** %

σ_{ac}' = - - **149.4**

Tegnet av
MAS

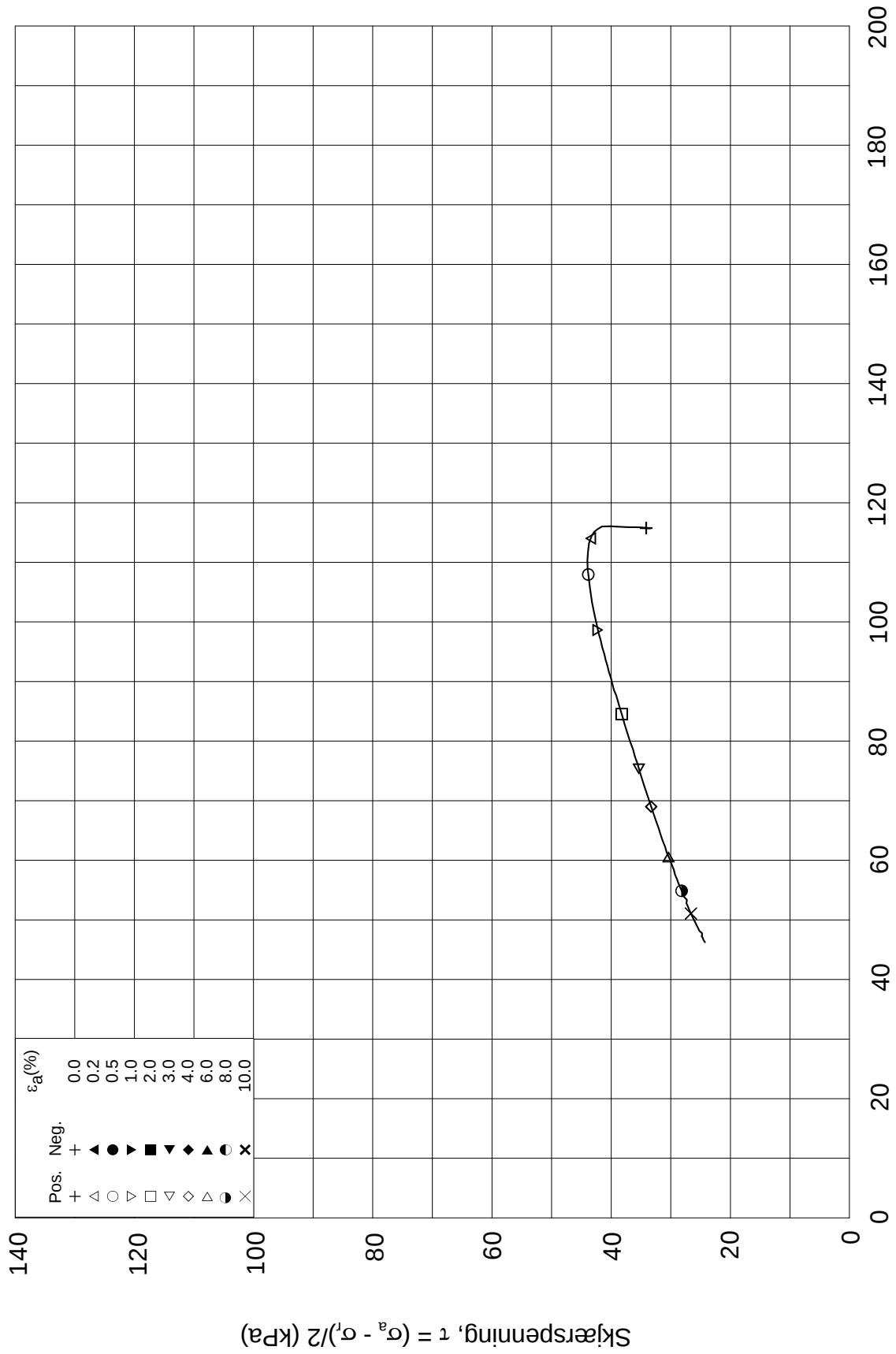
Test: **1**

w_c = **38.5** %

σ_{rc}' = - - **82.3**




Effektiv gjennomsnittsspenning, $p' = (\sigma'_a + \sigma'_l)/2$ (kPa)

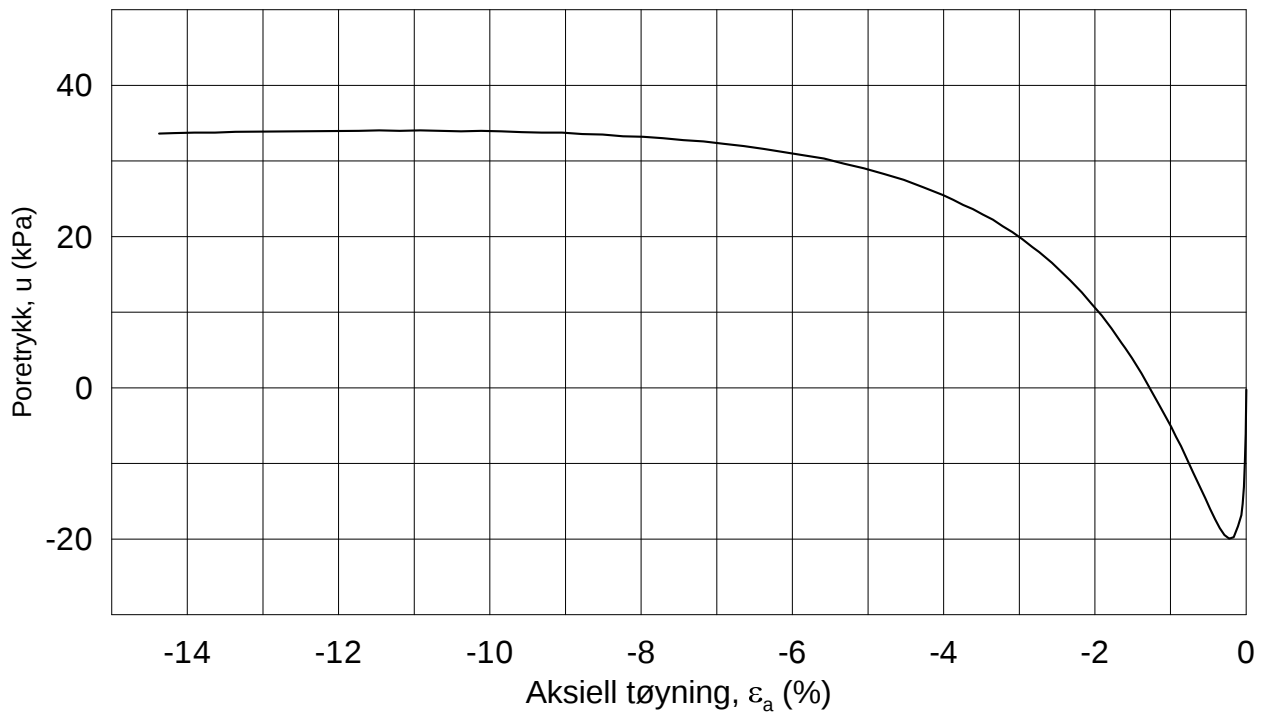
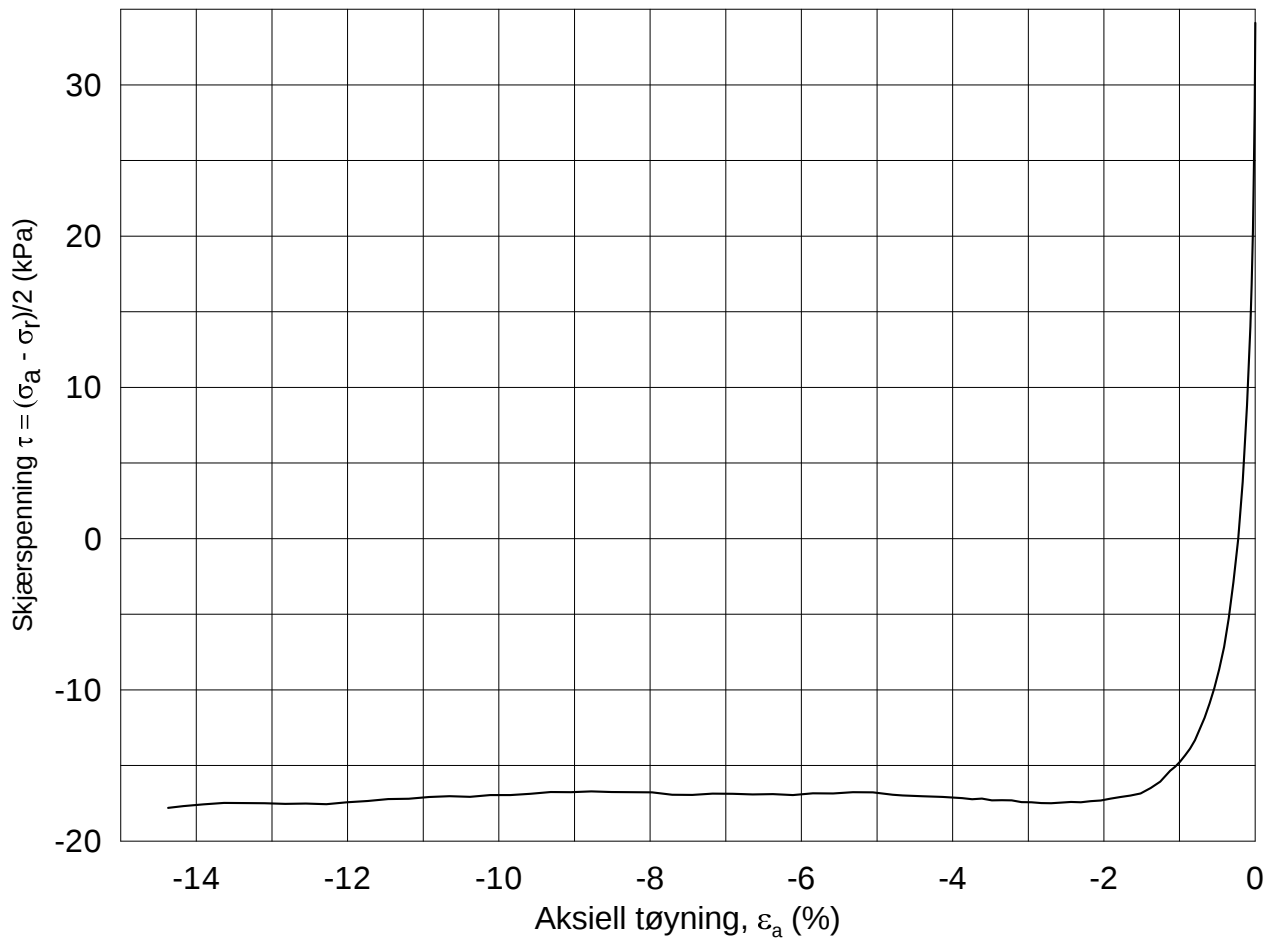


ε_a (%)	0.0
	0.2
	0.5
	1.0
	2.0
	3.0
	4.0
	6.0
	8.0
	10.0
Pos.	+ \triangle \circ ∇ \square \diamond \triangleleft \bullet \times
Neg.	+ \blacktriangle \bullet \blacktriangleright \blacksquare \blacklozenge \blacktriangleleft \bullet \times

Date/Rev.: 2009-11-03/01

E16 Nybakk - Slomarka			Dokument nr. 20120491-02-R
Treaksial forsøk: CAUA			Dato 2013-06-11
Boring: 3059	Dybde = 14.40 m	Konsolidering-spenninger	
Sylinder: 14	$p_{o'}$ = 149.6 kPa	(kPa)	maks. min. endelig
Del: C	w_i = 39.5 %	σ_{ac}' = - - 149.4	Figur nr. G200
Test: 1	w_c = 38.5 %	σ_{rc}' = - - 82.3	Tegnet av MAS
			

3059-14-C-1-Plot2.grf



Date/Rev.: 2009-11-03/01

E16 Nybakk - Slomarka

Dokument nr.
20120491-02-R

Treaksial forsøk: **CAUP**

Dato
2013-06-14

Boring: **3059**

Dybde = **14.55** m

Konsolidering-spenninger

Sylinder: **14**

$p_{o'}$ = **150.8** kPa

(kPa) maks. min. endelig

Figur nr.
G201

Del: **D**

w_i = **39.8** %

σ_{ac}' = - - **150.7**

Tegnet av
MAS

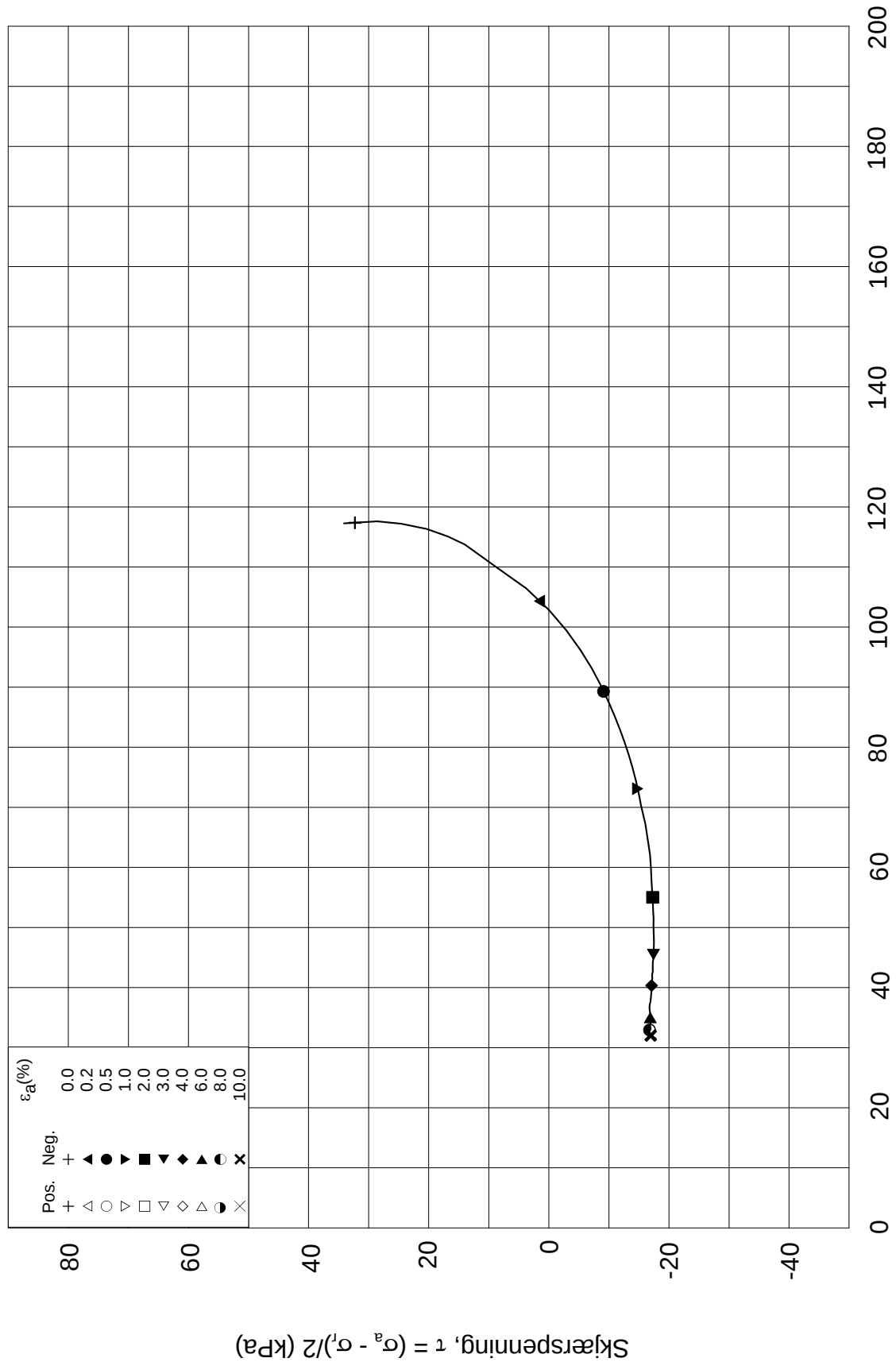
Test: **1**

w_c = **38.3** %

σ_{rc}' = - - **82.9**

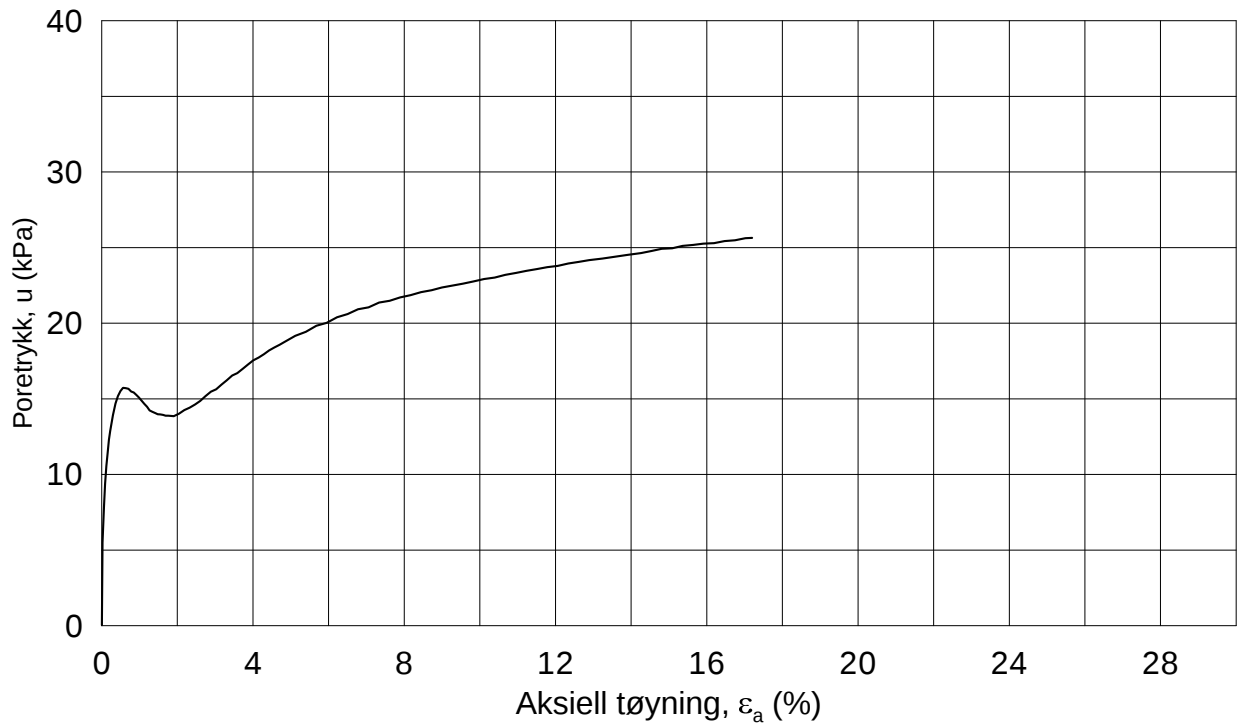
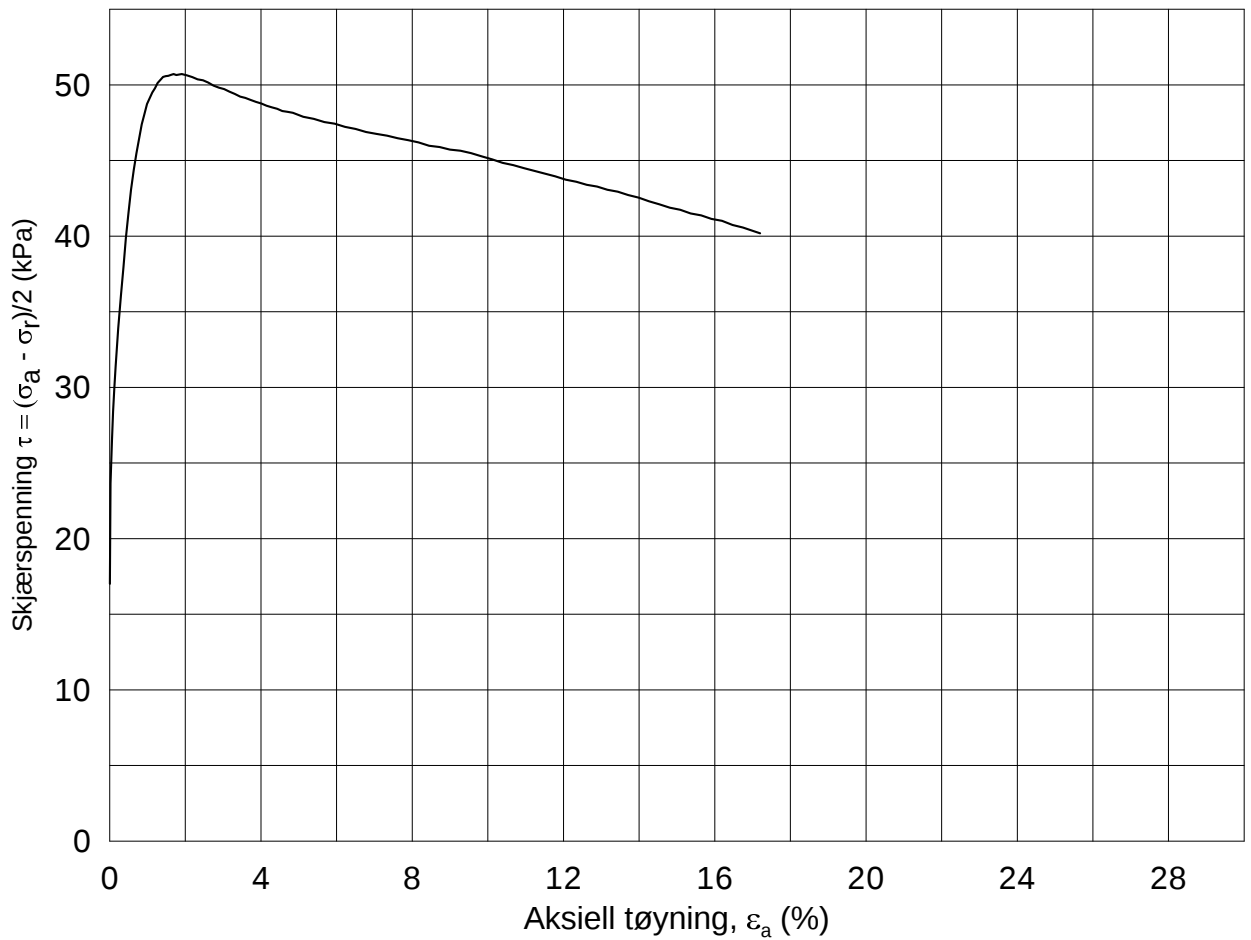


3059-14-D-1-Plot2.grf



Date/Rev.: 2009-11-03/01

E16 Nybakk - Slomarka			Dokument nr. 20120491-02-R
Treaksial forsøk: CAUP			Dato 2013-06-14
Boring: 3059	Dybde = 14.55 m	Konsolidering-spenninger	
Sylinder: 14	$p_{o'}$ = 150.8 kPa	(kPa)	maks. min. endelig
Del: D	w_i = 39.8 %	$\sigma_{ac}' =$ - - 150.7	Figur nr. G202
Test: 1	w_c = 38.3 %	$\sigma_{rc}' =$ - - 82.9	Tegnet av MAS



Date/Rev.: 2009-11-03/01

E16 Nybakk - Slomarka

Dokument nr.
20120491-02-R

Treaksial forsøk: **CAUA**

Dato
2013-06-07

Boring: **3070**

Dybde = **6.33** m Konsolidering-spenninger

Sylinder: **6**

$p_{o'}$ = **97.6** kPa (kPa) maks. min. endelig

Del: **B**

w_i = **30.2** % σ_{ac}' = - - **97.0**

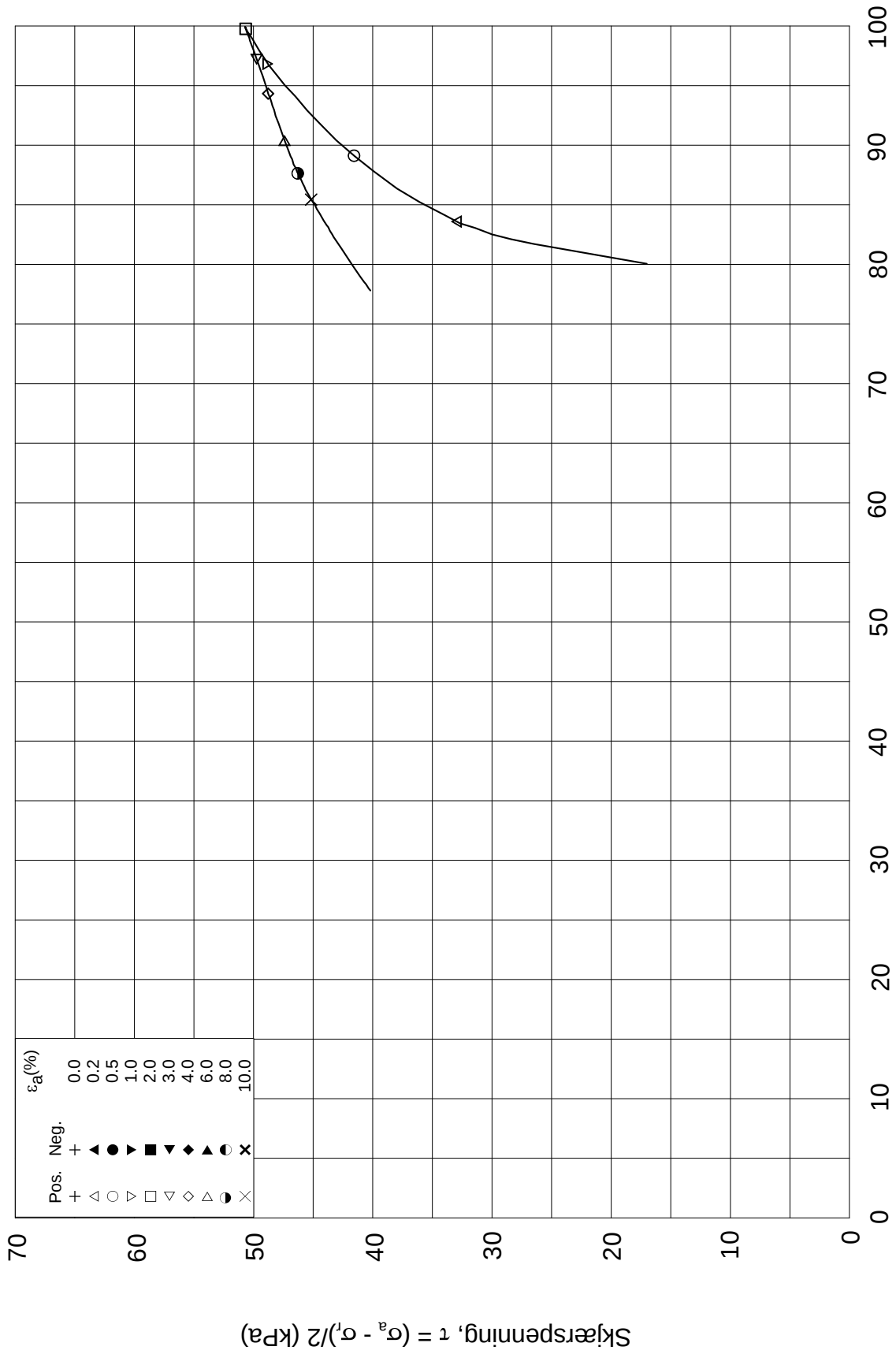
Test: **1**

w_c = **30.0** % σ_{rc}' = - - **63.0**


Figur nr.
G203

Tegnet av
MAS

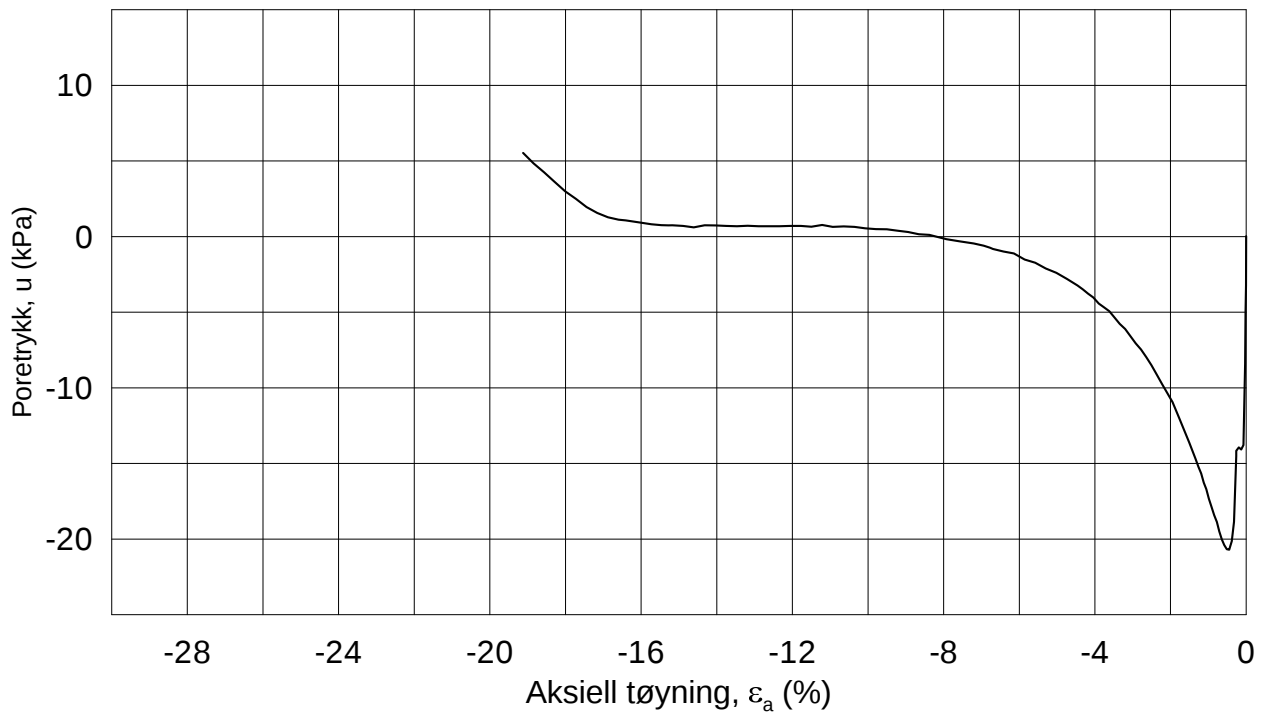
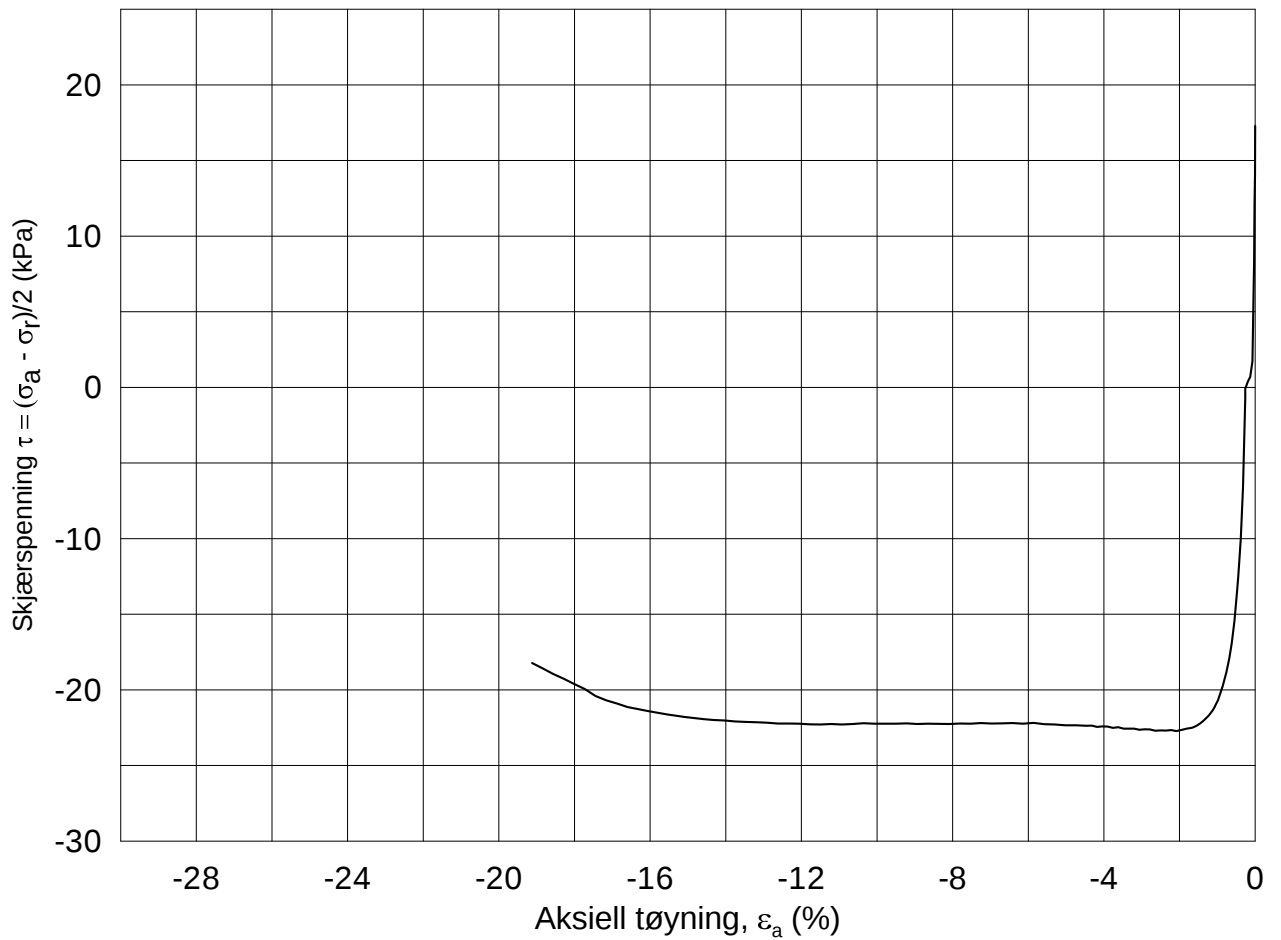




Date/Rev.: 2009-11-03/01

E16 Nybakk - Slomarka			Dokument nr. 20120491--02-R
Treaksial forsøk: CAUA			Dato 2013-06-07
Boring: 3070	Dybde = 6.33 m	Konsolidering-spenninger	
Sylinder: 6	$p_{o'}$ = 97.6 kPa	(kPa)	maks. min. endelig
Del: B	w_i = 30.2 %	$\sigma_{ac}' =$ - - 97.0	Figur nr. G204
Test: 1	w_c = 30.0 %	$\sigma_{rc}' =$ - - 63.0	Tegnet av MAS
			

3070-6-B-1.Plot2.grf



Date/Rev.: 2009-11-03/01

E16 Nybakk - Slomarka

Dokument nr.
20120491-02-R

Treaksial forsøk: **CAUP**

Dato
2013-08-09

Boring: **3070**

Dybde = **6.48** m Konsolidering-spenninger

Sylinder: **6**

p_o' = **98.2** kPa (kPa) maks. min. endelig

Del: **C**

w_i = **36.4** % σ_{ac}' = - - **98.1**

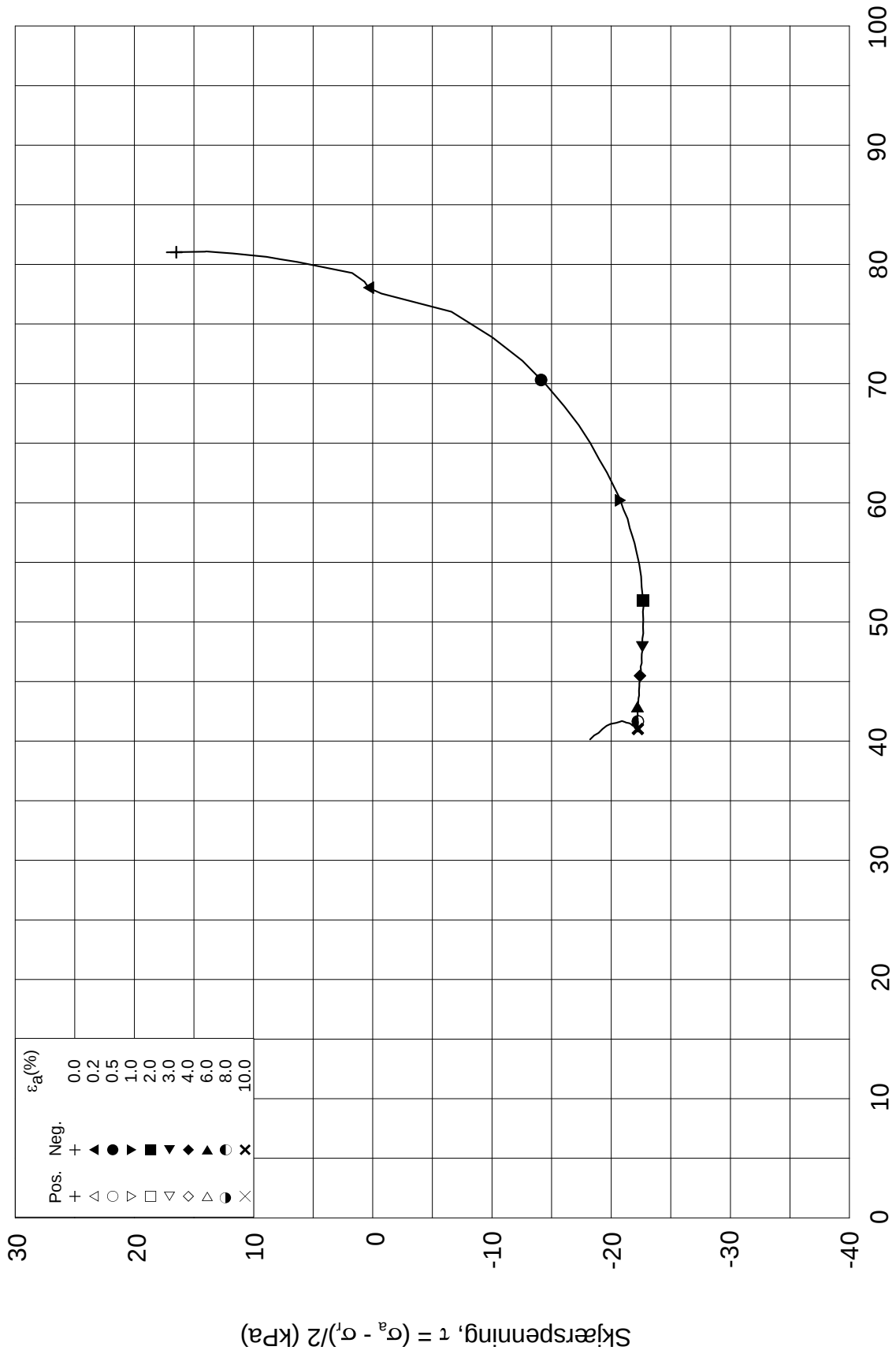
Test: **1**

w_c = **35.8** % σ_{rc}' = - - **63.8**

Figur nr.
G205

Tegnet av
MAS

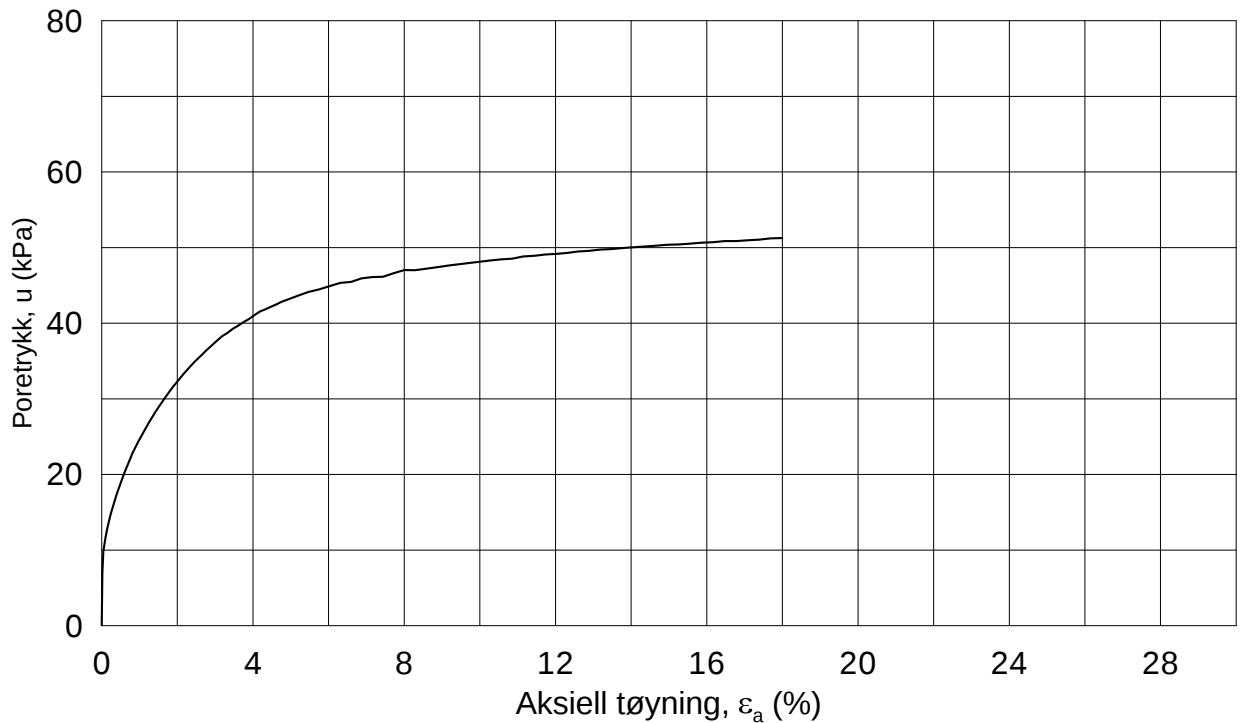
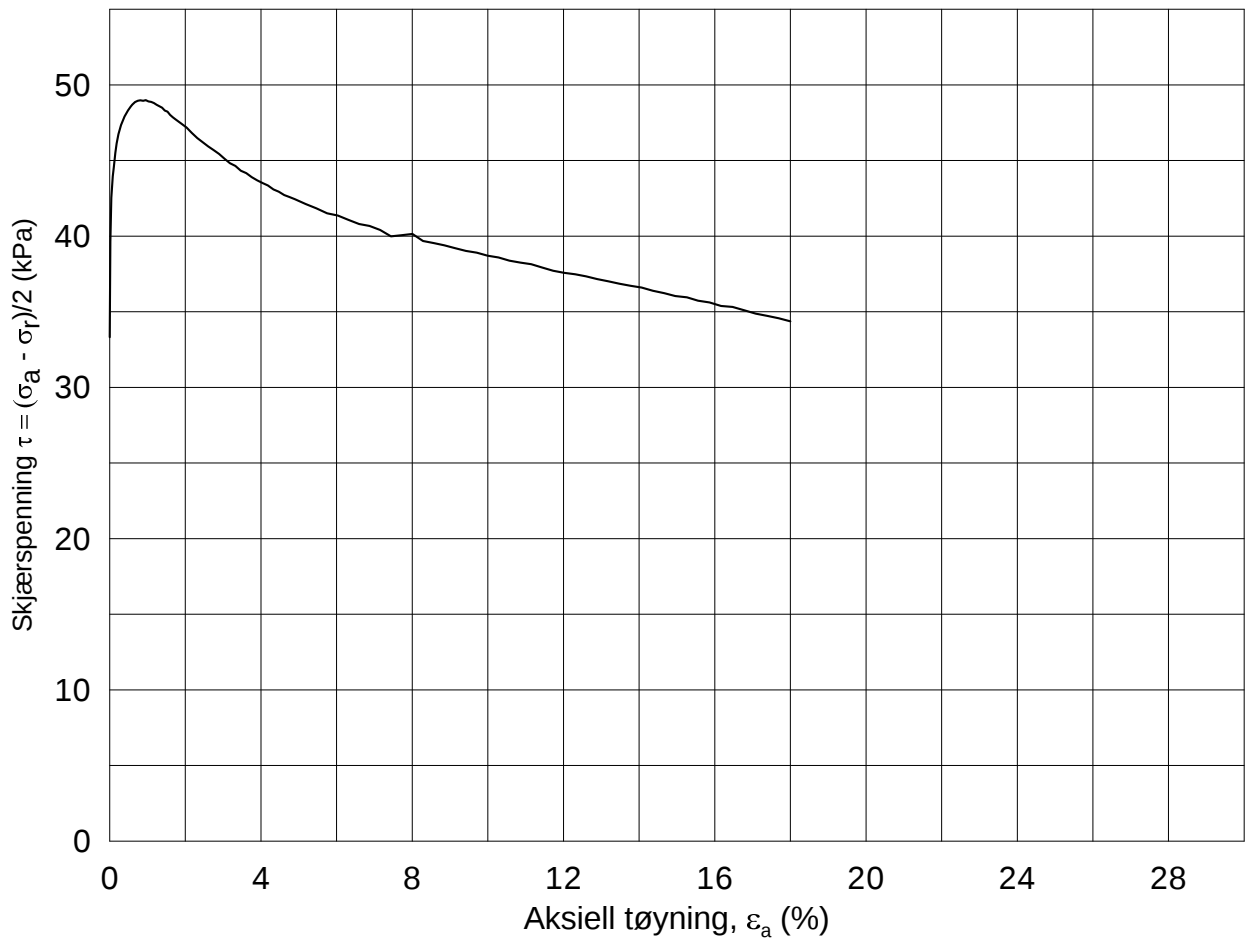




Date/Rev.: 2009-11-03/01

E16 Nybakk - Slomarka			Dokument nr. 20120491-02-R	
Treaksial forsøk: CAUP			Dato 2013-08-09	
Boring: 3070	Dybde = 6.48 m	Konsolidering-spenninger		
Sylinder: 6	$p_{o'}$ = 98.2 kPa	(kPa)	maks.	min.
Del: C	w_i = 36.4 %	σ_{ac}' =	-	-
Test: 1	w_c = 35.8 %	σ_{rc}' =	-	-
		endelig	98.1	
			63.8	
		Figur nr.	G206	
		Tegnet av	MAS	

3070-6-C-1.Plot2.grf



Date/Rev.: 2009-11-03/01

E16 Nybakk - Slomarka

Dokument nr.
20120491-02-R

Treaksial forsøk: CAUA

Dato
2013-08-09

Boring: 3070

Dybde = 14.43 m

Konsolidering-spenninger

Sylinder: 12

$p_{o'}$ = 151.6 kPa

(kPa) maks. min. endelig

Figur nr.
G207

Del: C

w_i = 40.6 %

σ_{ac}' = - - 151.5

Tegnet av
MAS

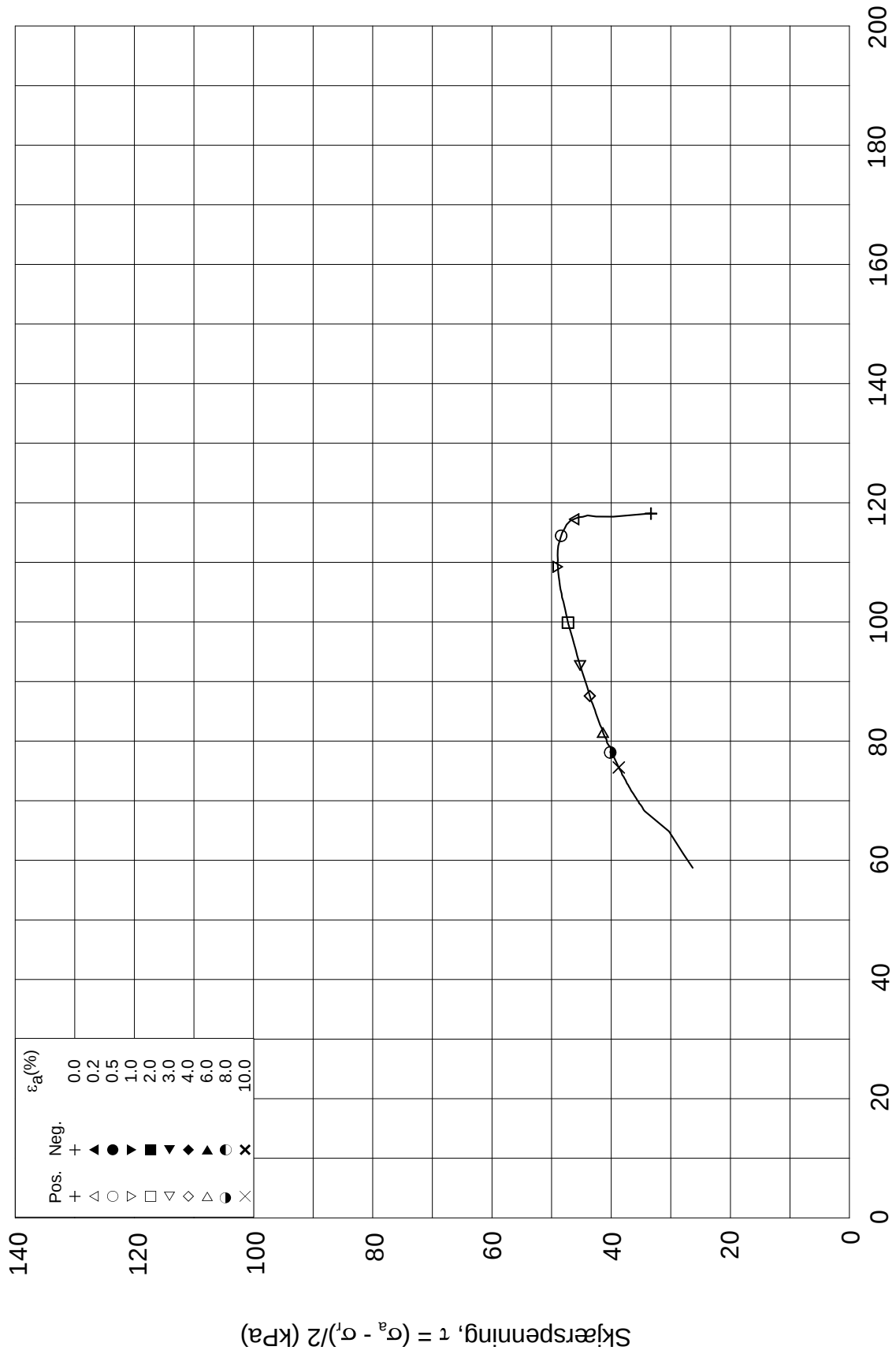
Test: 1

w_c = 38.8 %

σ_{rc}' = - - 84.9



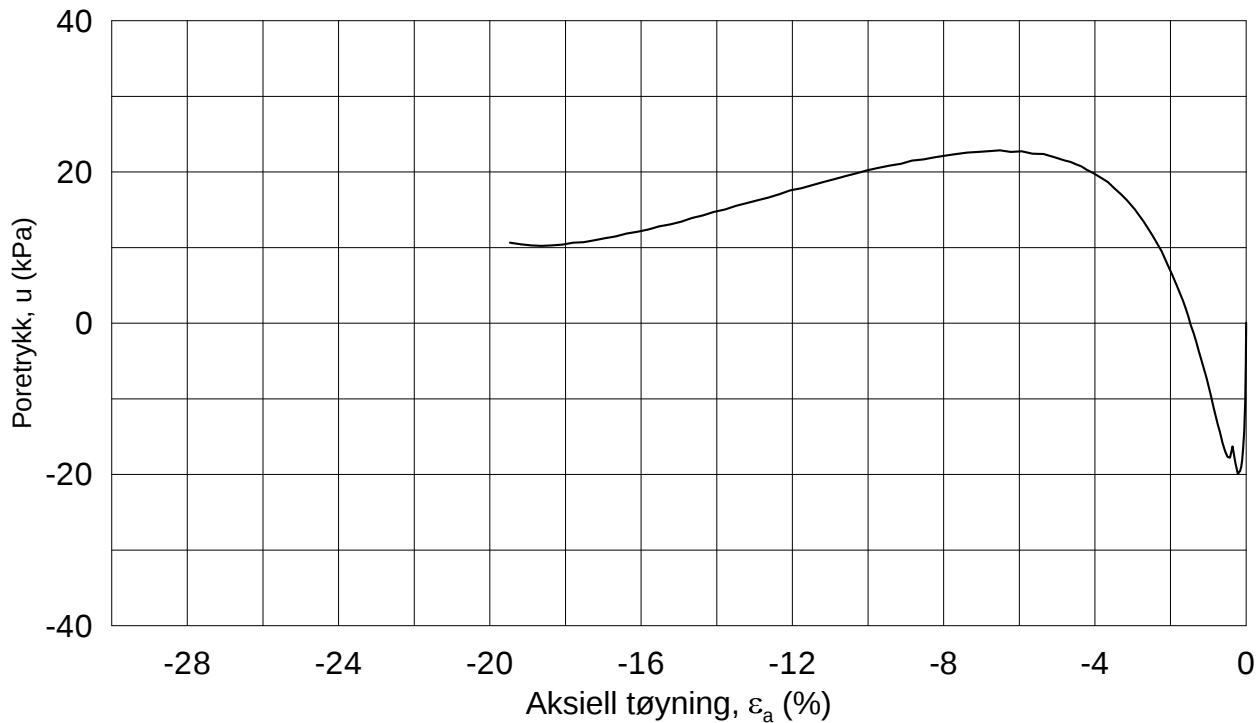
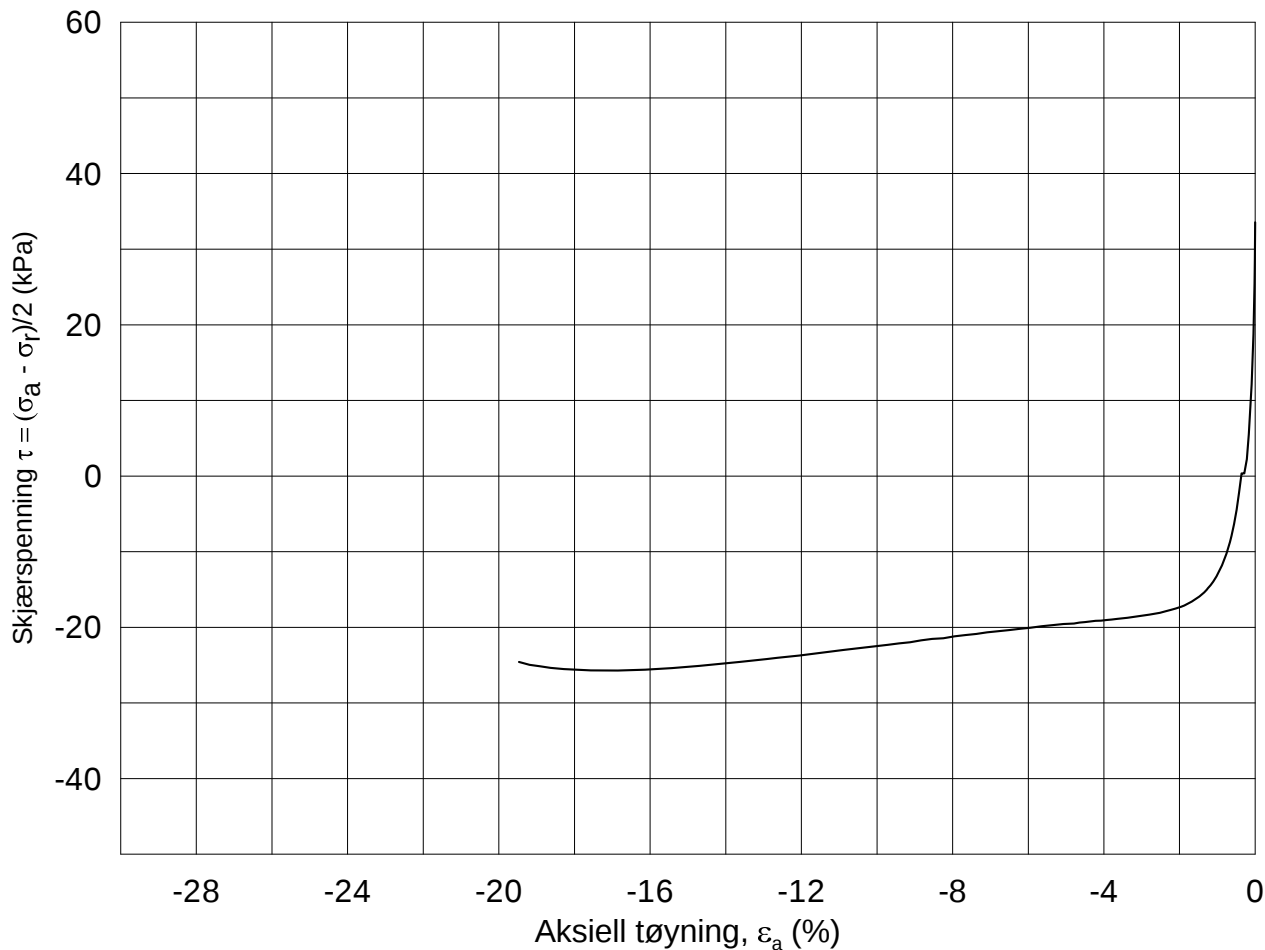
Effektiv gjennomsnittsspenning, $p' = (\sigma'_a + \sigma'_l)/2$ (kPa)



Date/Rev.: 2009-11-03/01

E16 Nybakk - Slomarka			Dokument nr. 20120491-02-R
Treaksial forsøk: CAUA			Dato 2013-08-09
Boring: 3070	Dybde = 14.43 m	Konsolidering-spenninger	
Sylinder: 12	$p_{o'}$ = 151.6 kPa	(kPa)	maks. min. endelig
Del: C	w_i = 40.6 %	σ_{ac}' = - - 151.5	Figur nr. G208
Test: 1	w_c = 38.8 %	σ_{rc}' = - - 84.9	Tegnet av MAS

3070-12-C-1-Plot2.grf



Date/Rev.: 2009-11-03/01

E16 Nybakk - Slomarka

Dokument nr.
20120491-02-R

Treaksial forsøk: **CAUP**

Dato
2013-08-09

Boring: **3070**

Dybde = **12.60** m

Konsolidering-spenninger

Sylinder: **12**

$p_{o'}$ = **153.2** kPa

(kPa) maks. min. endelig

Figur nr.
G209

Del: **D**

w_i = **38.7** %

σ_{ac}' = - - **152.9**

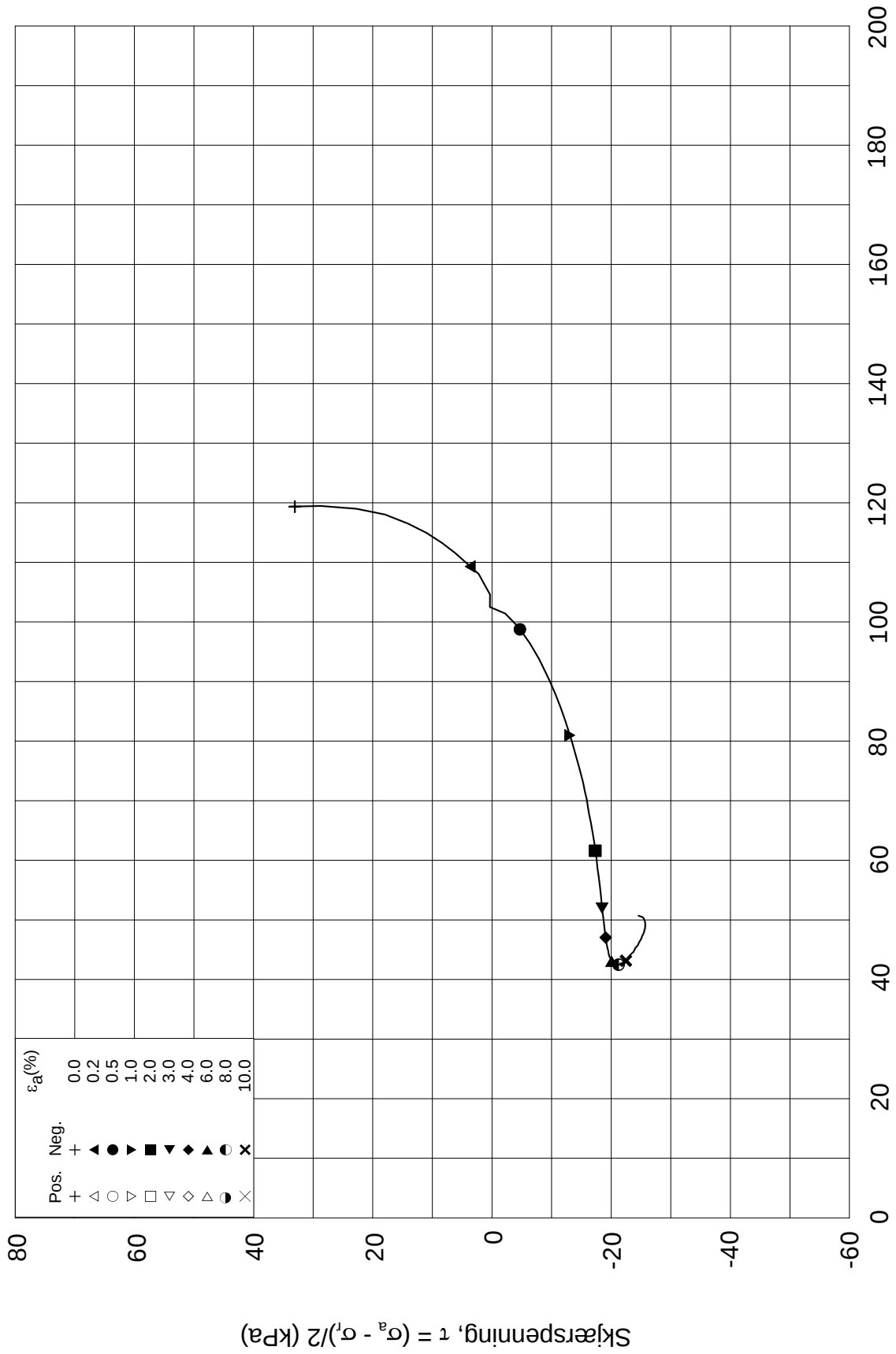
Tegnet av
MAS

Test: **1**


w_c = **35.9** %

σ_{rc}' = - - **85.8**

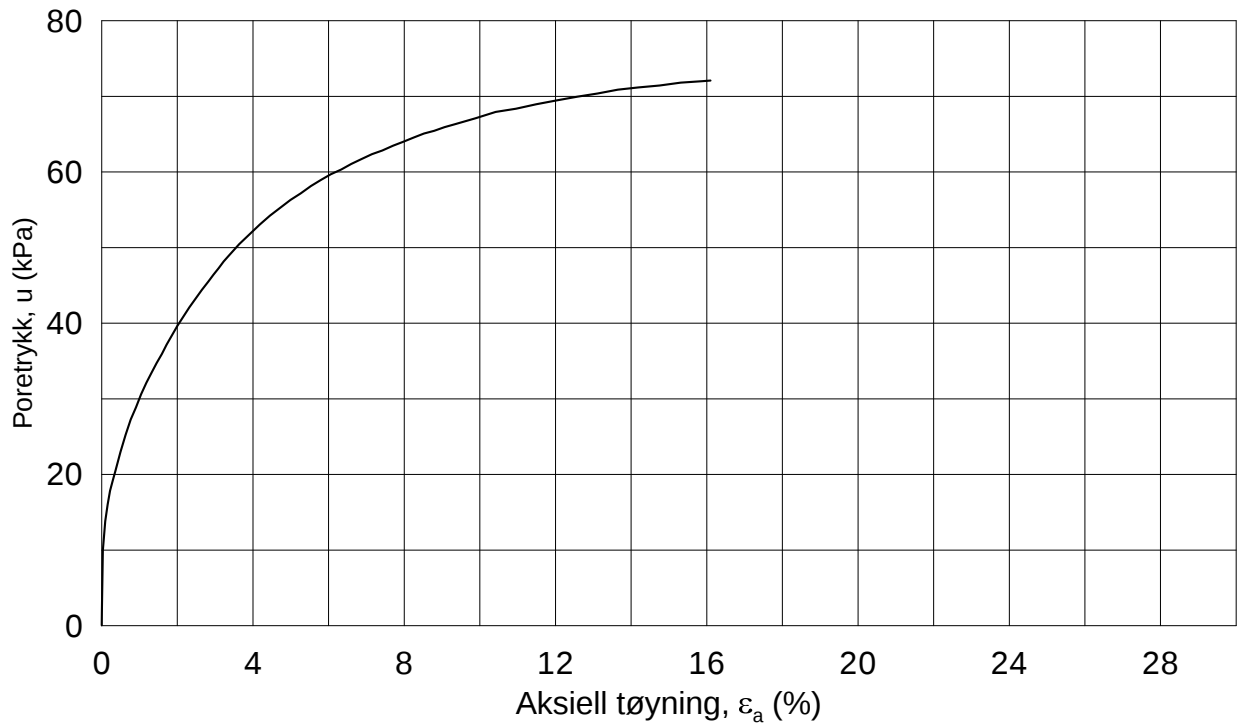
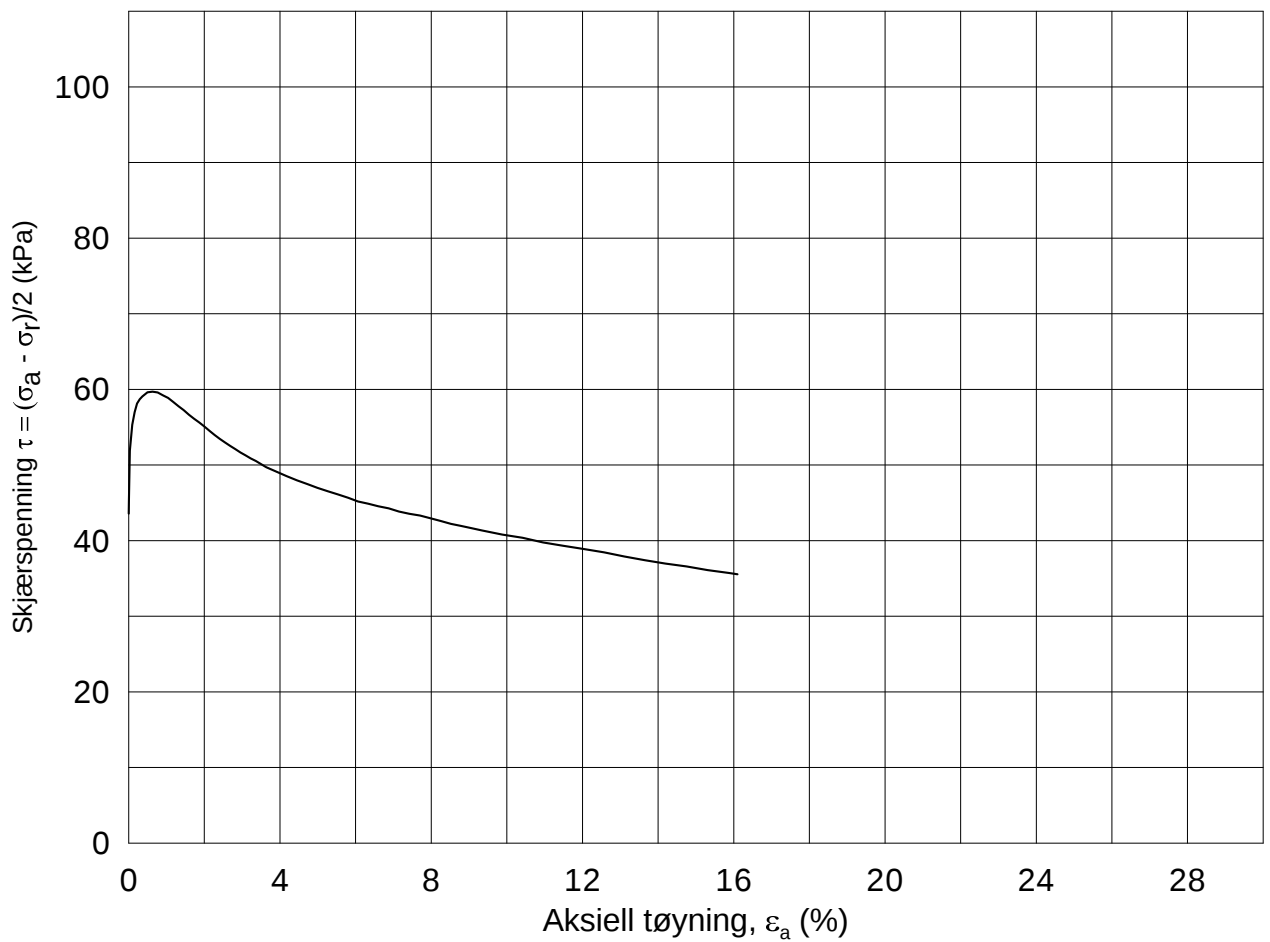




Date/Rev.: 2009-11-03/01

E16 Nybakk - Slomarka			Dokument nr. 20120491-02-R	
Treaksial forsøk: CAUP			Dato 2013-08-09	
Boring: 3070	Dybde = 12.60 m	Konsolidering-spenninger		
Sylinder: 12	$p_{o'}$ = 153.2 kPa	(kPa)	maks.	min.
Del: D	w_i = 38.7 %	σ_{ac}' =	-	-
Test: 1	w_c = 35.9 %	σ_{rc}' =	-	-
		endelig	152.9	
			85.8	
			Figur nr. G210	
			Tegnet av MAS	

3070-12-D-1-Plot2.grf



Date/Rev.: 2009-11-03/01

E16 Nybakk - Slomarka

Dokument nr.
20120491-02-R

Treaksial forsøk: **CAUA**

Dato
2013-06-10

Boring: **3070**

Dybde = **16.58** m

Konsolidering-spenninger

Sylinder: **15**

$p_{o'}$ = **189.0** kPa

(kPa) maks. min. endelig

Figur nr.
G211

Del: **D**

w_i = **40.1** %

σ_{ac}' = - - **188.9**

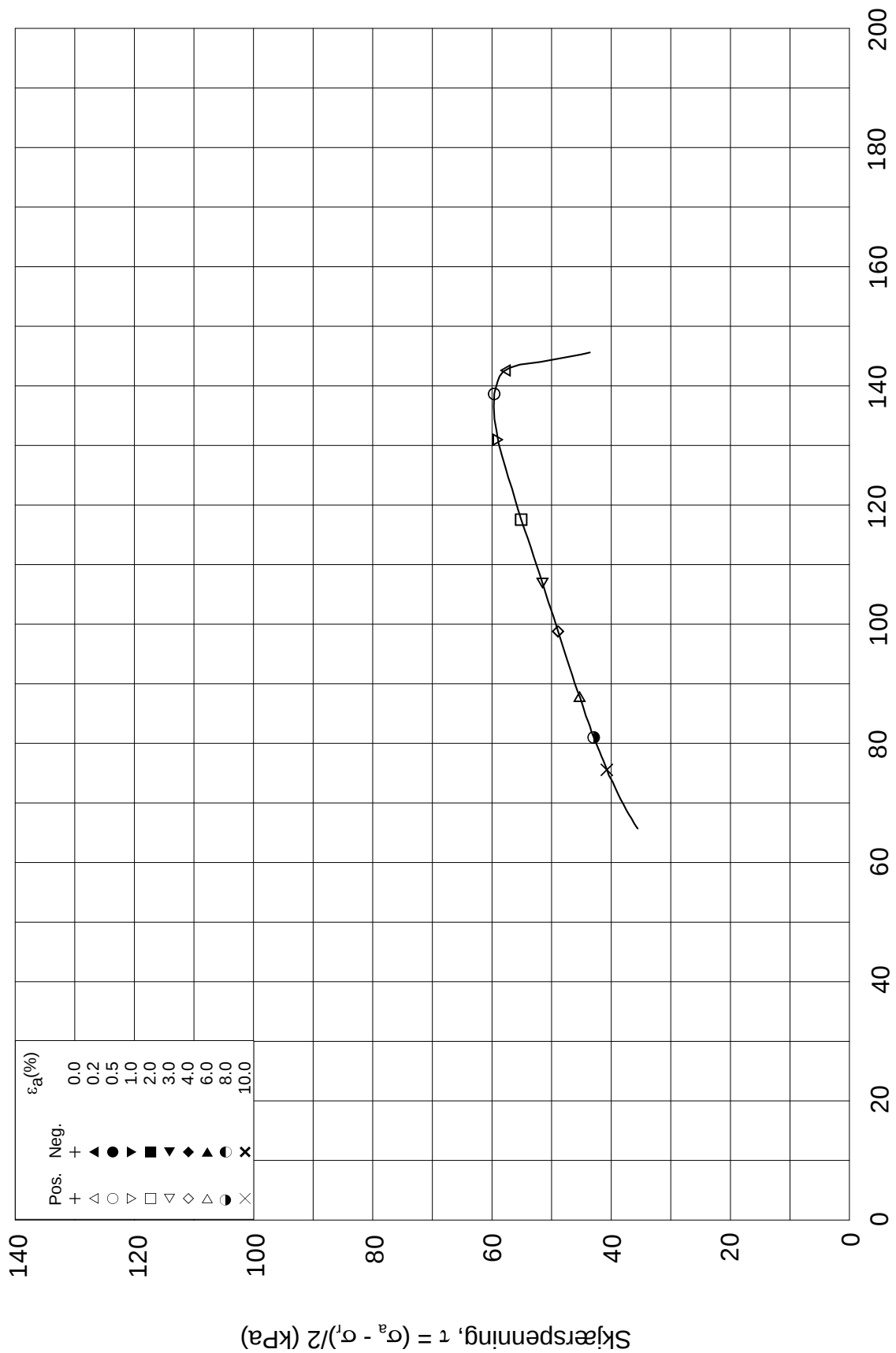
Tegnet av
MAS

Test: **1**

w_c = **39.0** %

σ_{rc}' = - - **102.1**





Date/Rev.: 2009-11-03/01

E16 Nybakk - Slomarka

Dokument nr.
20120491-02-R

Treaksial forsøk: **CAUA**

Dato
2013-06-10

Boring: **3070**

Dybde = **16.58** m

Konsolidering-spenninger

Sylinder: **15**

$p_{o'}$ = **189.0** kPa

(kPa) maks. min. endelig

Figur nr.
G212

Del: **D**

w_i = **40.1** %

σ_{ac}' = - - **188.9**

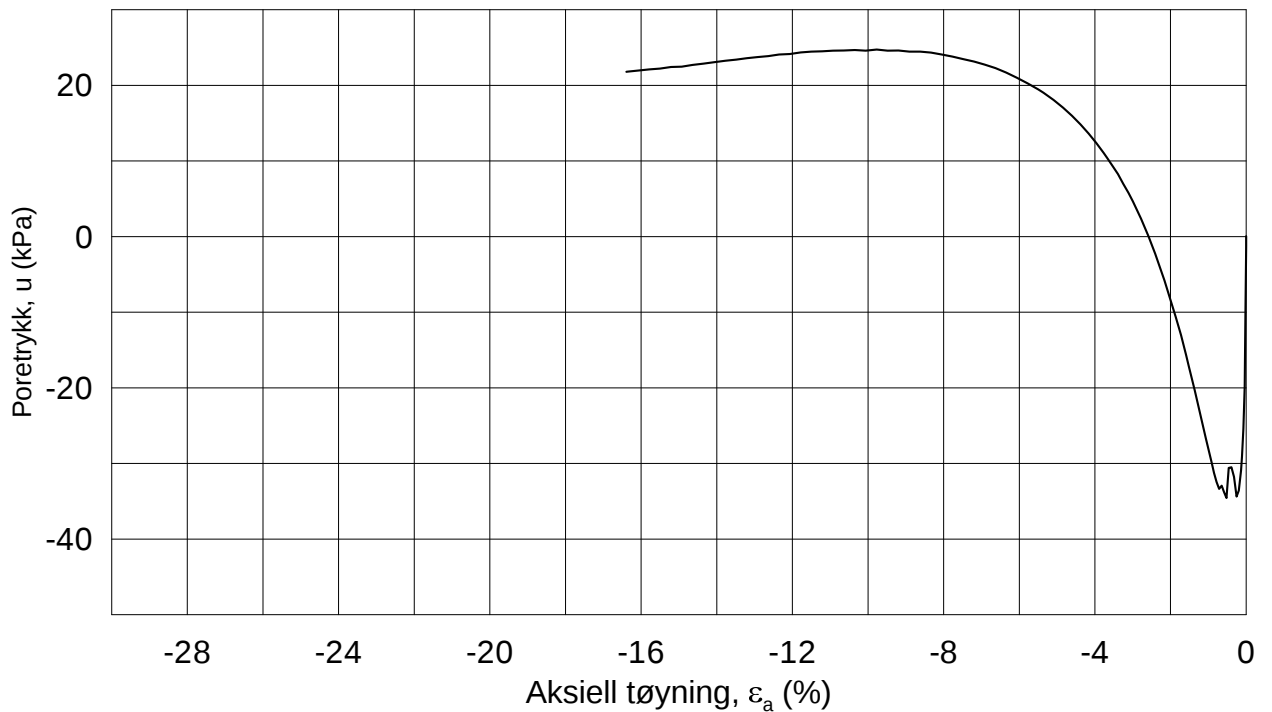
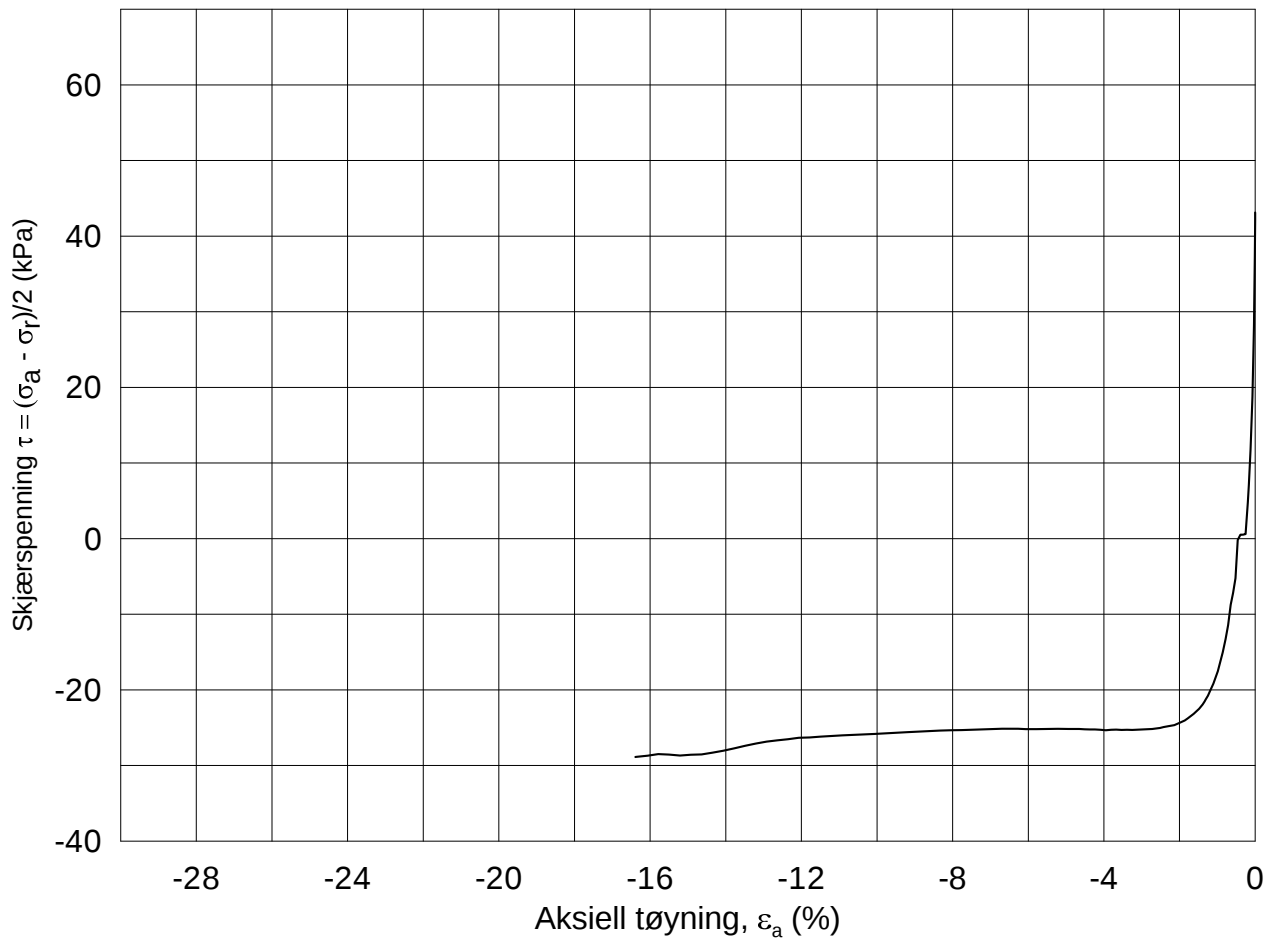
Tegnet av
MAS

Test: **1**

w_c = **39.0** %

σ_{rc}' = - - **102.1**





Date/Rev.: 2009-11-03/01

E16 Nybakk - Slomarka

Dokument nr.
20120491-02-R

Treaksial forsøk: **CAUP**

Dato
2013-06-07

Boring: **3070**

Dybde = **16.40** m

Konsolidering-spenninger

Sylinder: **15**

p_o' = **187.6** kPa

(kPa) maks. min. endelig

Figur nr.
G213

Del: **C**

w_i = **40.1** %

σ_{ac}' = - - **187.6**

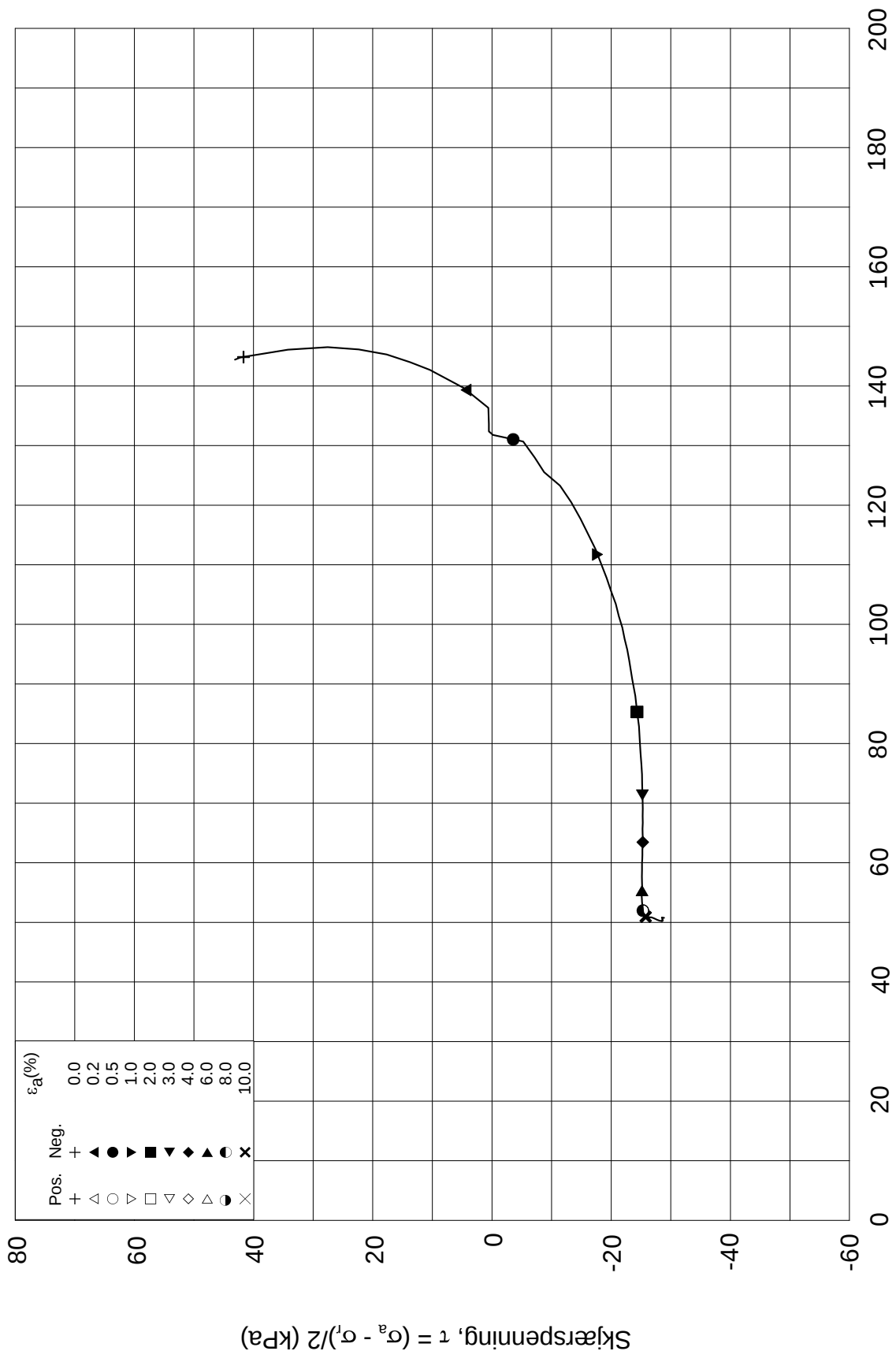
Tegnet av
MAS

Test: **1**

w_c = **39.3** %

σ_{rc}' = - - **101.3**





Date/Rev.: 2009-11-03/01

E16 Nybakk - Slomarka

Dokument nr.
20120491-02-R

Treaksial forsøk: **CAUP**

Dato
2013-06-07

Boring: **3070**

Dybde = **16.40** m

Konsolidering-spenninger

Sylinder: **15**

$p_{o'}$ = **187.6** kPa

(kPa) maks. min. endelig

Figur nr.
G214

Del: **C**

w_i = **40.1** %

σ_{ac}' = - - **187.6**

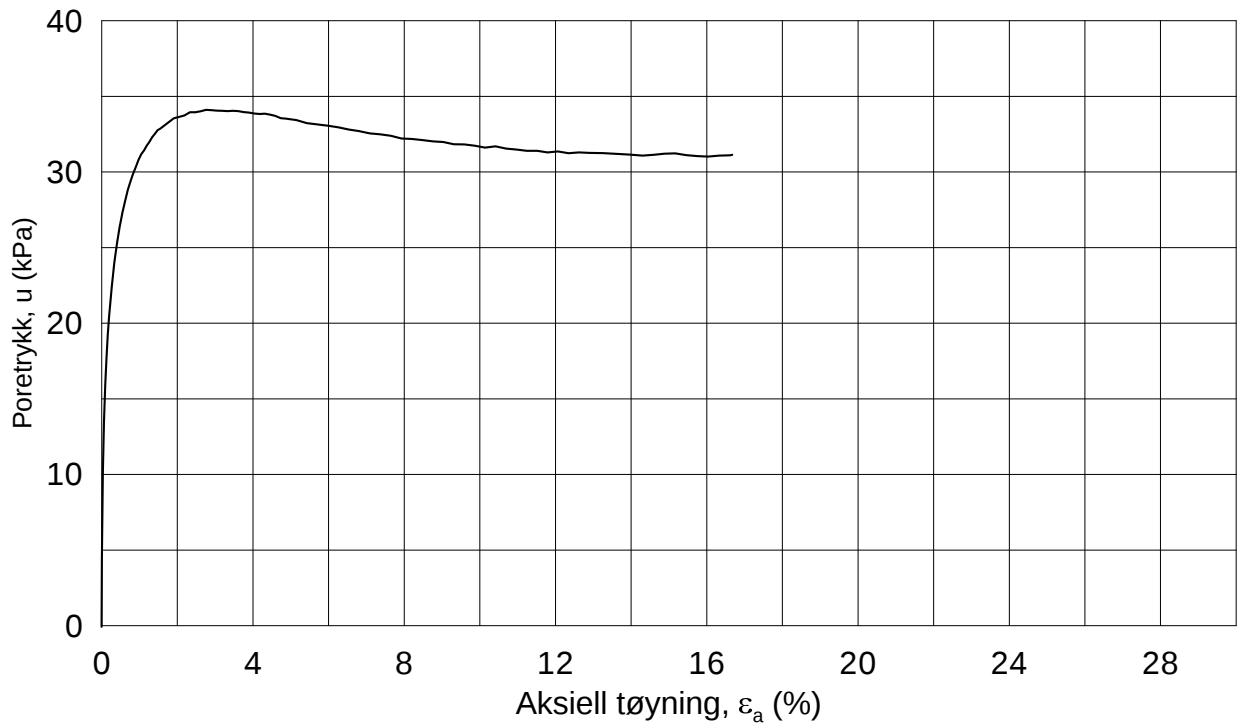
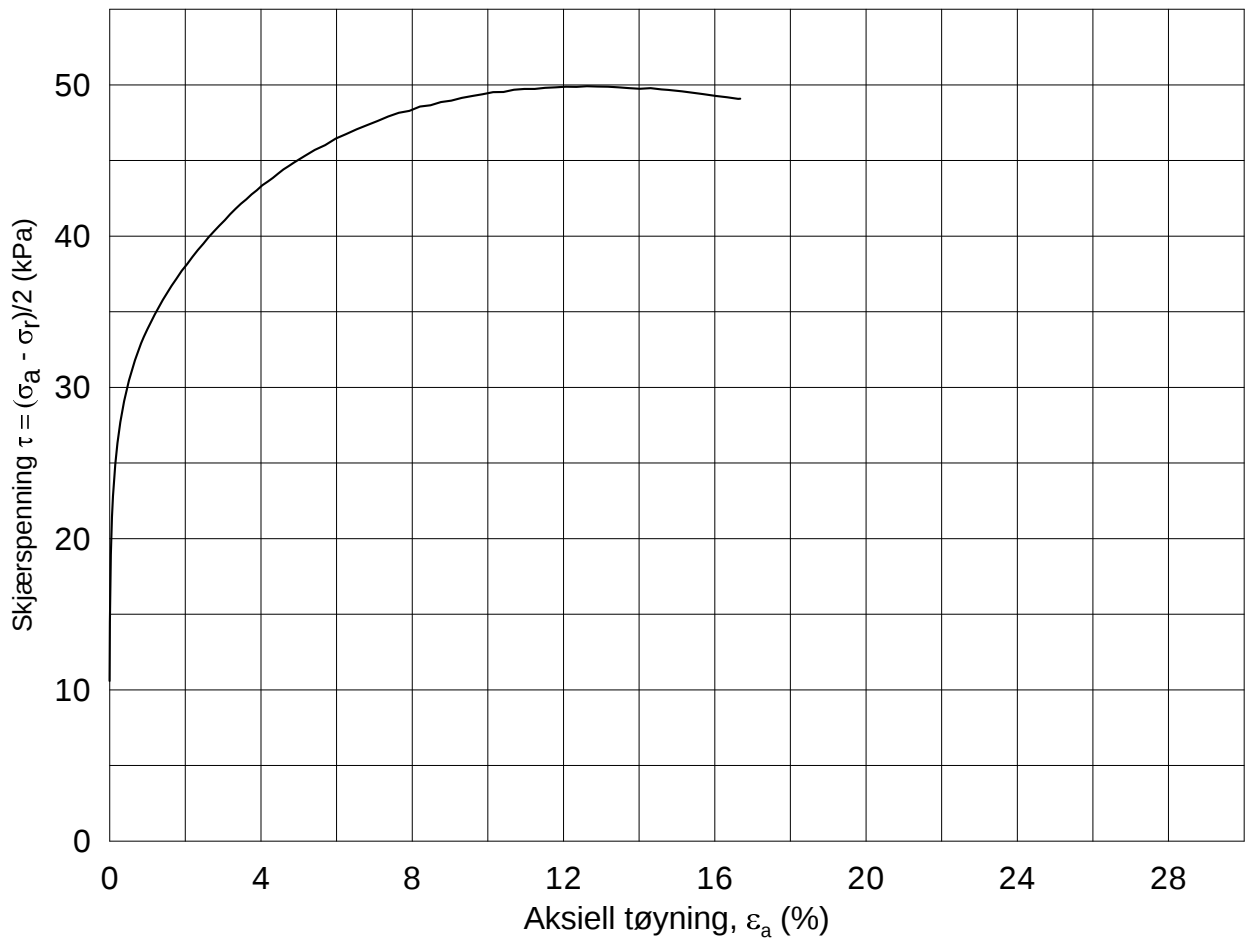
Tegnet av
MAS

Test: **1**

w_c = **39.3** %

σ_{rc}' = - - **101.3**





Date/Rev.: 2009-11-03/01

E16 Nybakk - Slomarka

Dokument nr.
20120491-02-R

Treaksial forsøk: **CAUA**

Dato
2013-01-21

Boring: **3091**

Dybde = **8.30** m Konsolidering-spenninger

Sylinder: **3**

p_o' = **95.0** kPa (kPa) maks. min. endelig

Del: **A**

w_i = **35.5** % σ_{ac}' = - - **95.0**

Test: **1**

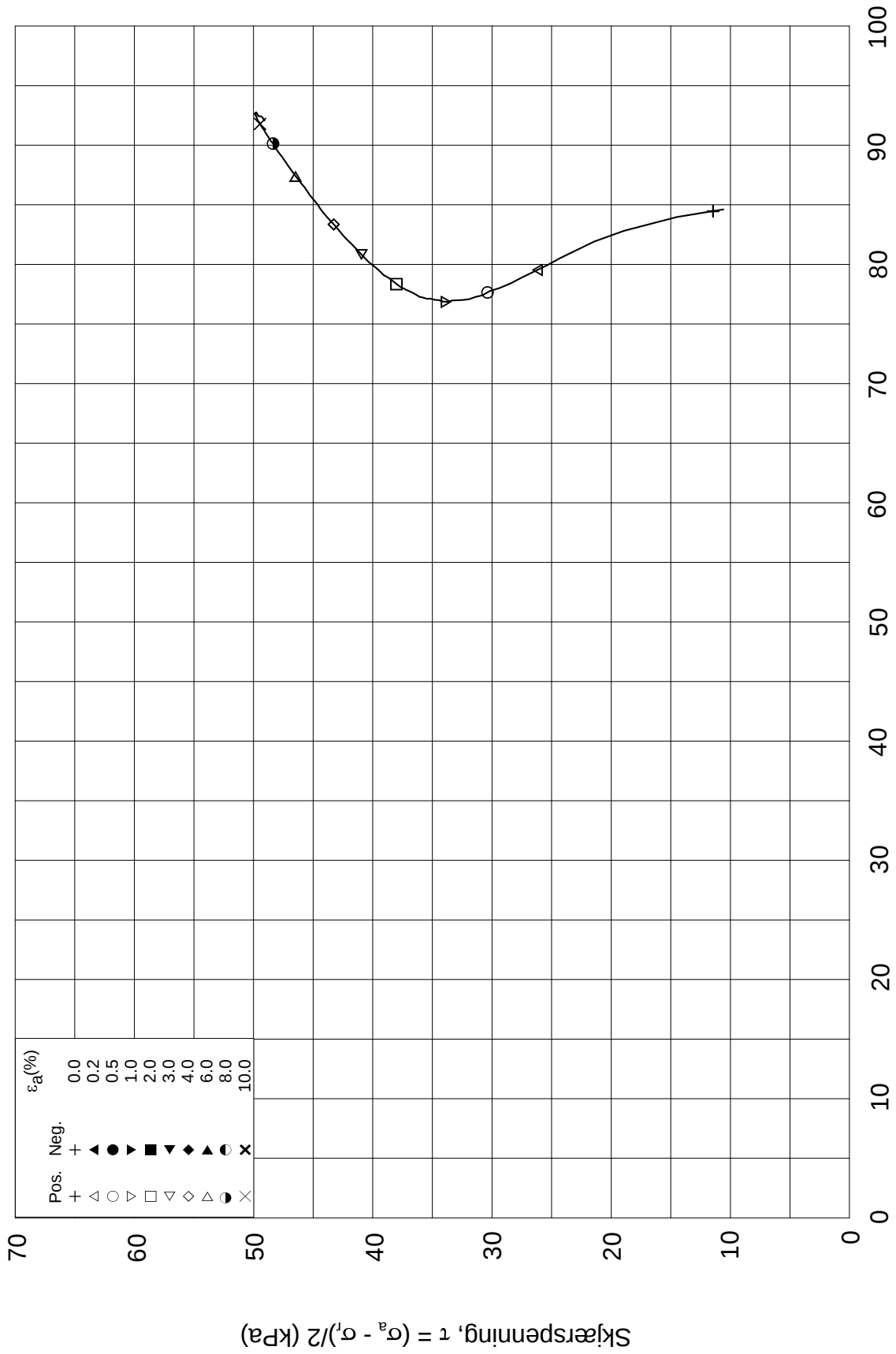
w_c = **34.5** % σ_{rc}' = - - **73.9**

Figur nr.
G215

Tegnet av
MAS




Effektiv gjennomsnittsspenning, $p' = (\sigma'_a + \sigma'_l)/2$ (kPa)

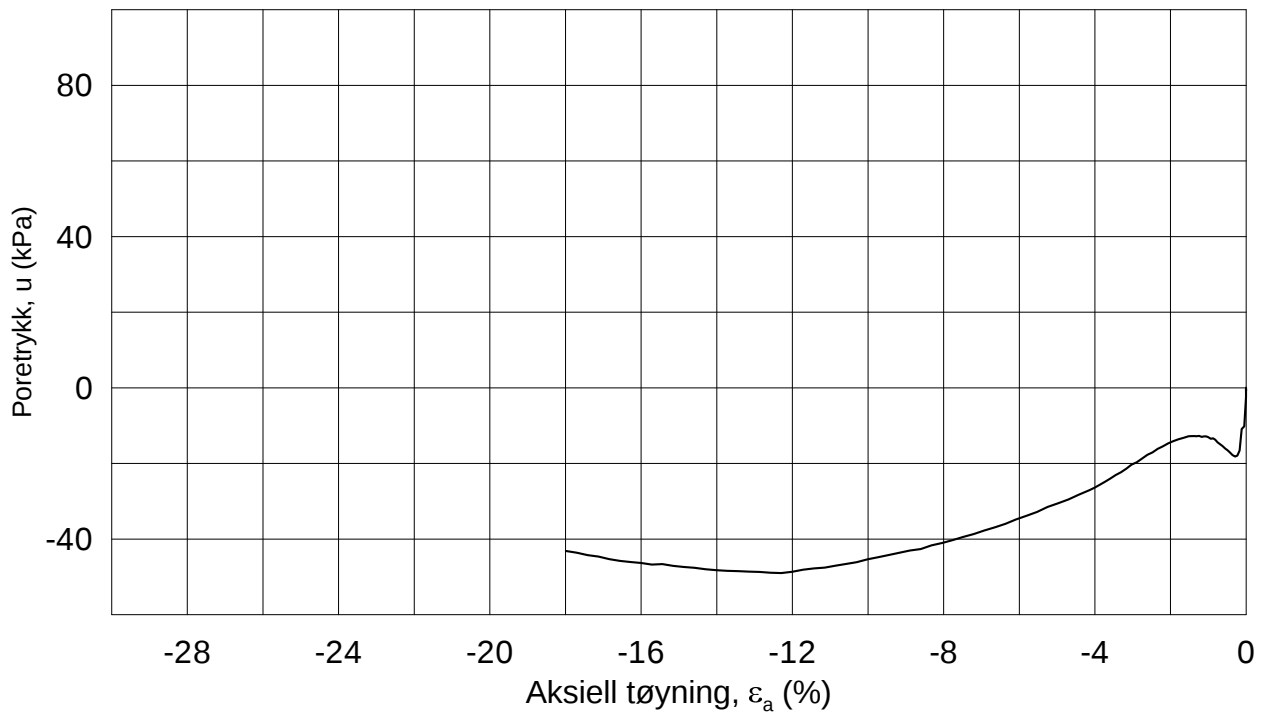
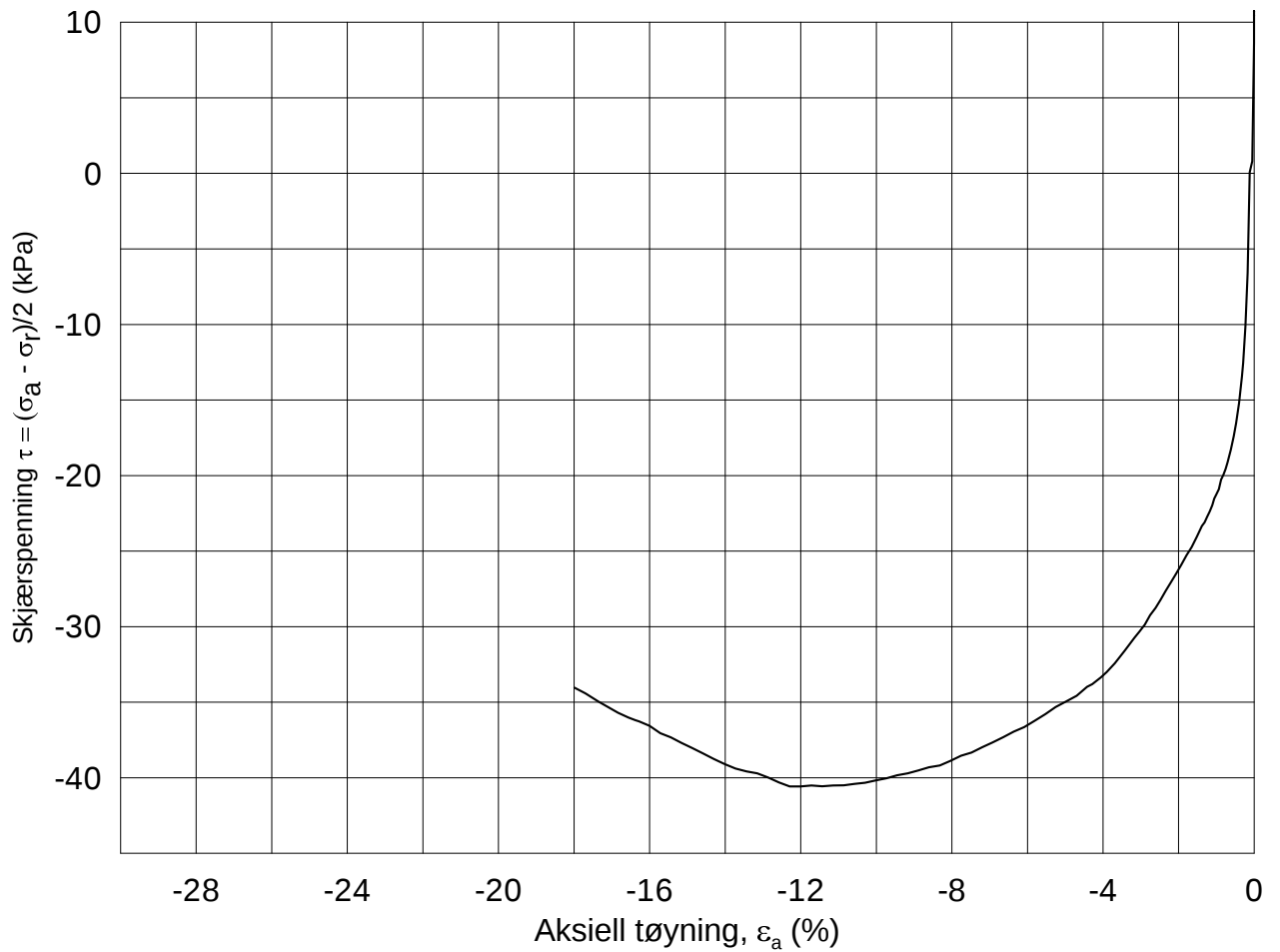


ε_a (%)	0.0
	0.2
	0.5
	1.0
	2.0
	3.0
	4.0
	6.0
	8.0
	10.0
Pos.	+ ◁ ○ ▷ ▢ ▽ ◇ △ ● ×
Neg.	+ ◀ ● ▶ ▣ ▤ ▥ ▦ ▧ ▨ ▩

Date/Rev.: 2009-11-03/01

E16 Nybakk - Slomarka			Dokument nr. 20120491-02-R
Treaksial forsøk: CAUA			Dato 2013-01-21
Boring: 3091	Dybde = 8.30 m	Konsolidering-spenninger	
Sylinder: 3	p_o' = 95.0 kPa	(kPa)	maks. min. endelig
Del: A	w_i = 35.5 %	σ_{ac}' = - - 95.0	Figur nr. G216
Test: 1	w_c = 34.5 %	σ_{rc}' = - - 73.9	Tegnet av MAS
			

3091-3-A-1.Plot2.grf



Date/Rev.: 2009-11-03/01

E16 Nybakk - Slomarka

Dokument nr.
20120491-02-R

Treaksial forsøk: **CAUP**

Dato
2013-01-21

Boring: **3091**

Dybde = **8.37** m

Konsolidering-spenninger

Sylinder: **3**

p_o' = **95.0** kPa (kPa) maks. min. endelig

Figur nr.
G217

Del: **C**

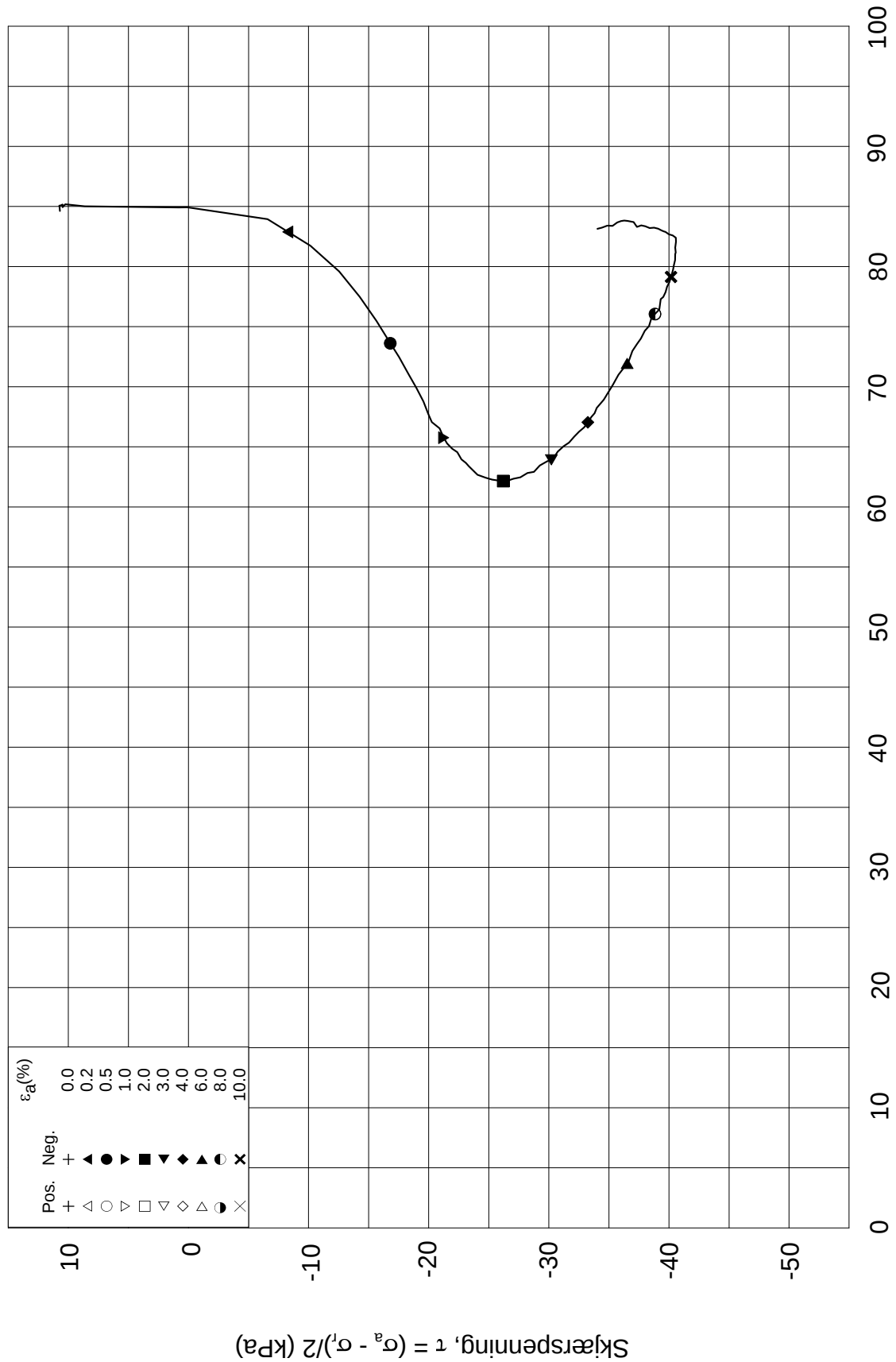
w_i = **32.7** % $\sigma_{ac}' = - - 95.0$

Tegnet av
MAS

Test: **1**

w_c = **31.6** % $\sigma_{rc}' = - - 73.9$





Date/Rev.: 2009-11-03/01

E16 Nybakk - Slomarka

Dokument nr.
20120491-02-R

Treaksial forsøk: **CAUP**

Dato
2013-01-21

Boring: **3091**

Dybde = **8.37** m

Konsolidering-spenninger

Sylinder: **3**

$p_{o'}$ = **95.0** kPa

(kPa) maks. min. endelig

Figur nr.
G218

Del: **C**

w_i = **32.7** %

σ_{ac}' = - - **95.0**

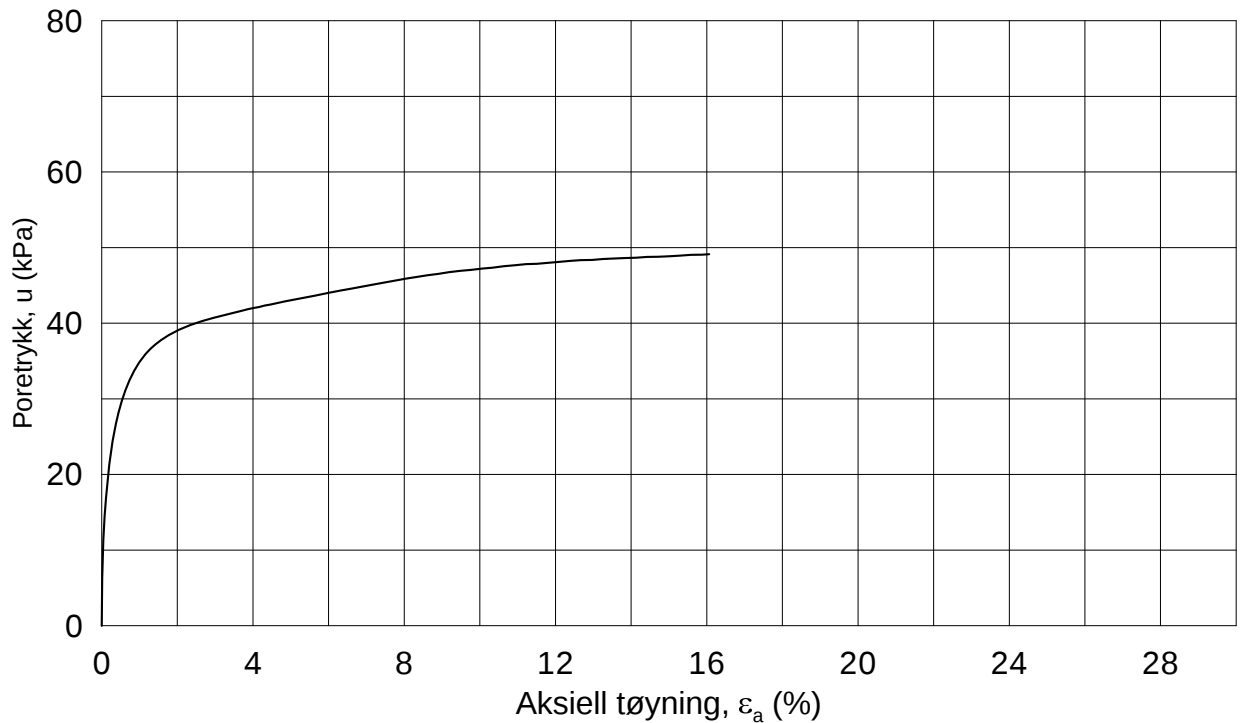
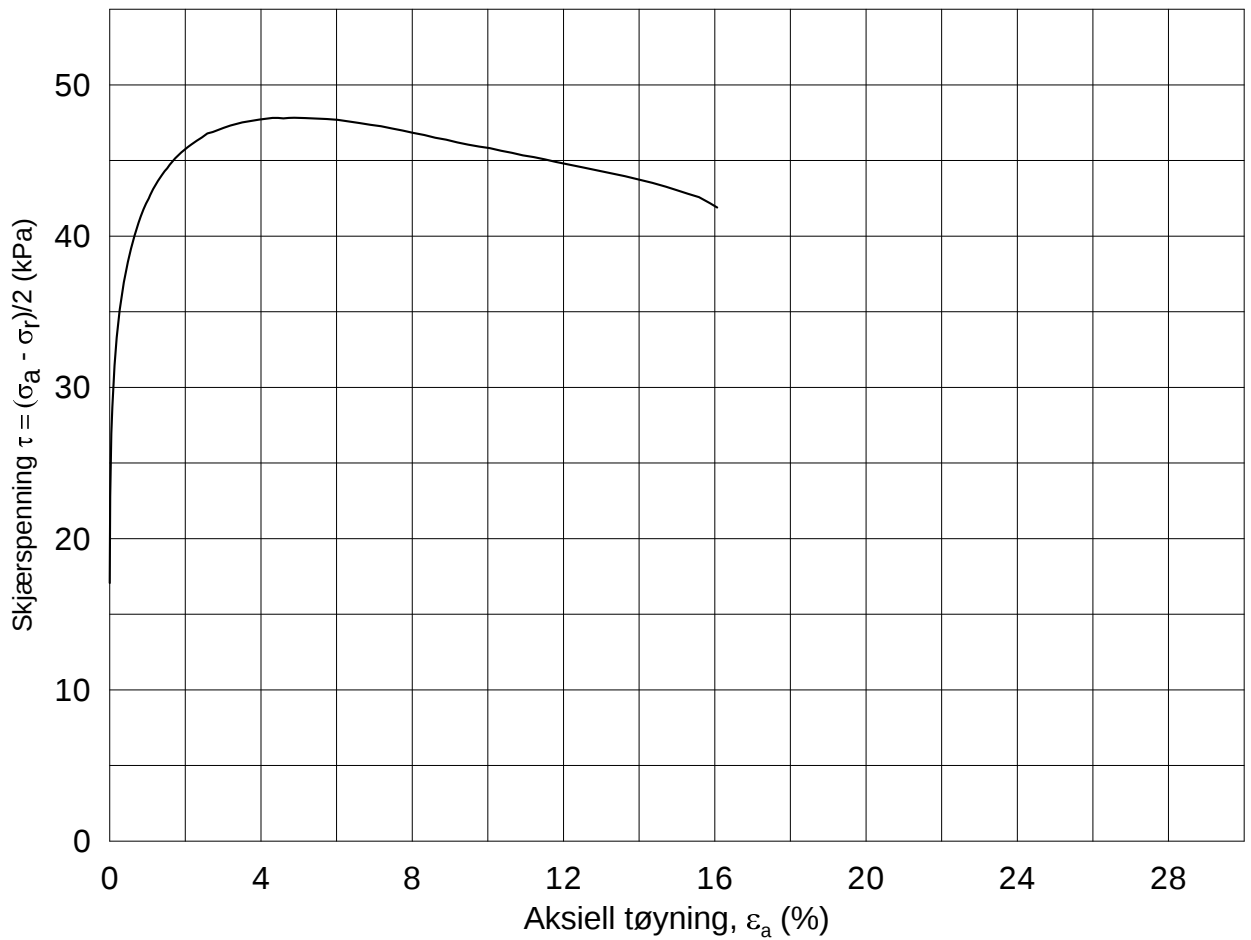
Tegnet av
MAS

Test: **1**

w_c = **31.6** %

σ_{rc}' = - - **73.9**





Date/Rev.: 2009-11-03/01

E16 Nybakk - Slomarka

Dokument nr.
20120491-02-R

Treaksial forsøk: **CAUA**

Dato
2013-01-21

Boring: **3091**

Dybde = **11.37** m

Konsolidering-spenninger

Sylinder: **5**

p_o' = **122.0** kPa (maks. min. endelig)

Figur nr.
G219

Del: **B**

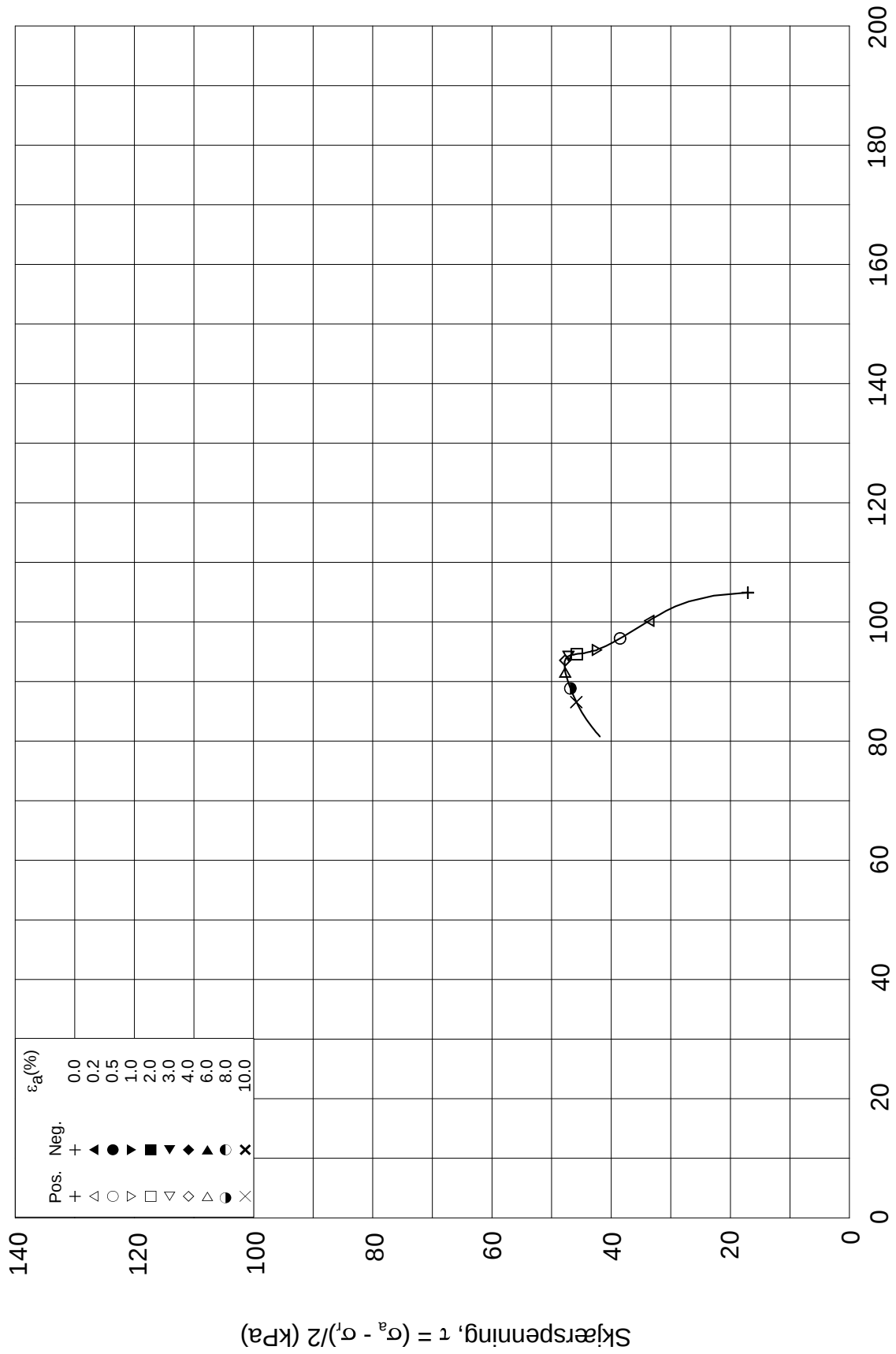
w_i = **36.0** % $\sigma_{ac}' = - - 122.0$

Tegnet av
MAS

Test: **1**

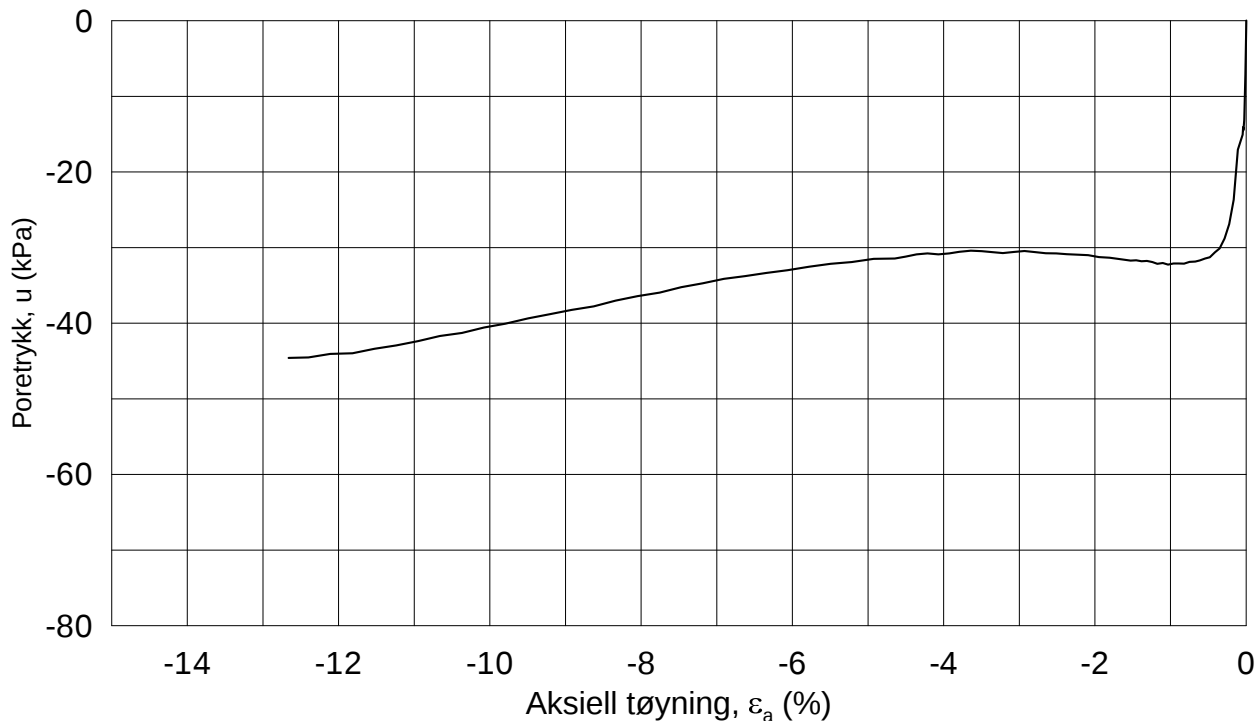
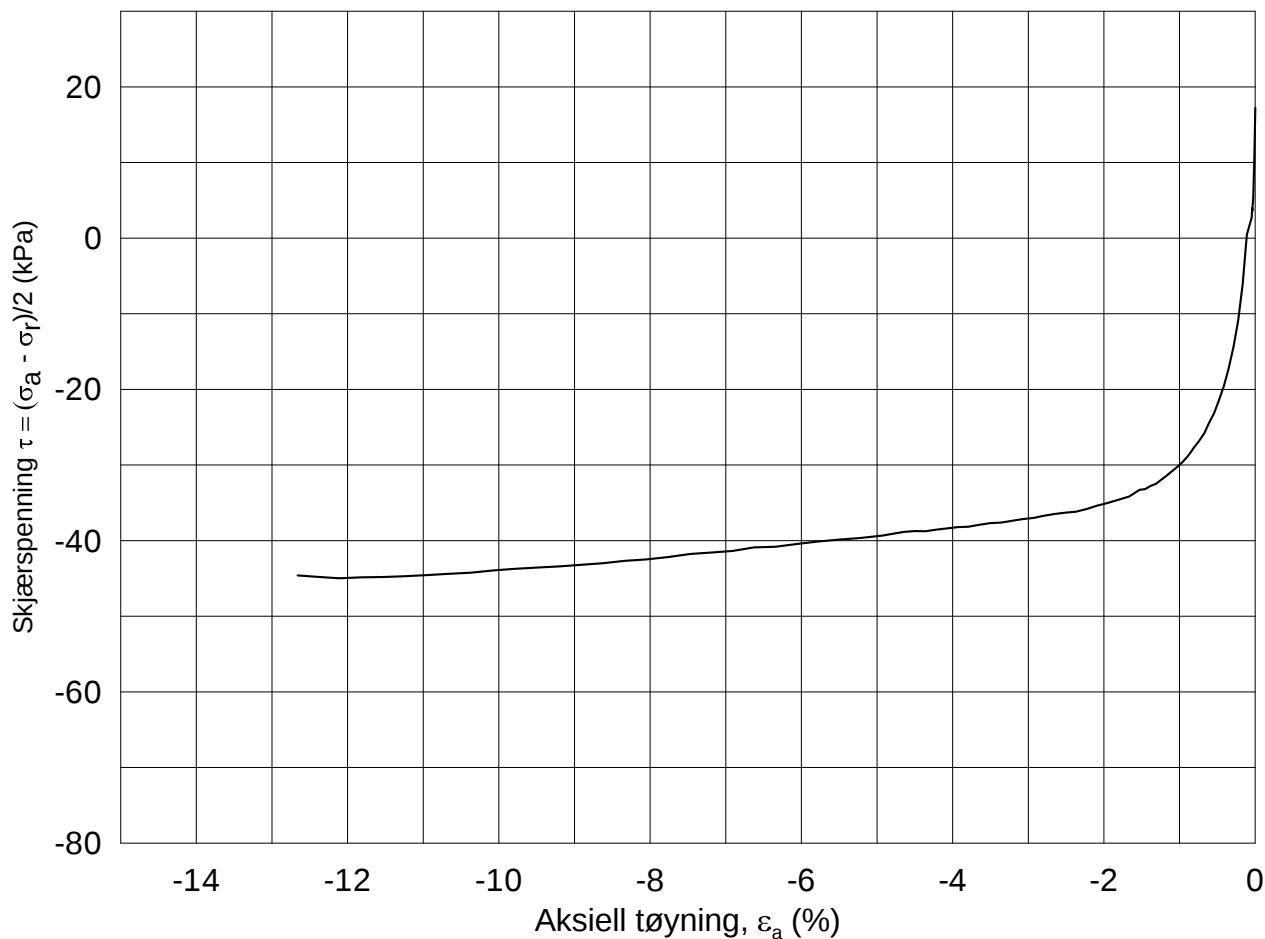
w_c = **34.8** % $\sigma_{rc}' = - - 87.8$





Date/Rev.: 2009-11-03/01

E16 Nybakk - Slomarka			Dokument nr. 20120491-02-R	
Treaksial forsøk: CAUA			Dato 2013-01-21	
Boring: 3091	Dybde = 11.37 m	Konsolidering-spenninger		
Sylinder: 5	$p_{o'}$ = 122.0 kPa	(kPa)	maks.	min.
Del: B	w_i = 36.0 %	σ_{ac}' =	-	-
Test: 1	w_c = 34.8 %	σ_{rc}' =	-	-
		endelig	122.0	
			87.8	
		Figur nr.	G220	
		Tegnet av	-	



Date/Rev.: 2009-11-03/01

E16 Nybakk - Slomarka

Dokument nr.
20120491-02-R

Treaksial forsøk: **CAUP**

Dato
2013-01-21

Boring: **3091**

Dybde = **11.21** m

Konsolidering-spenninger

Sylinder: **5**

p_o' = **122.0** kPa (kPa) maks. min. endelig

Figur nr.
G221

Del: **A**

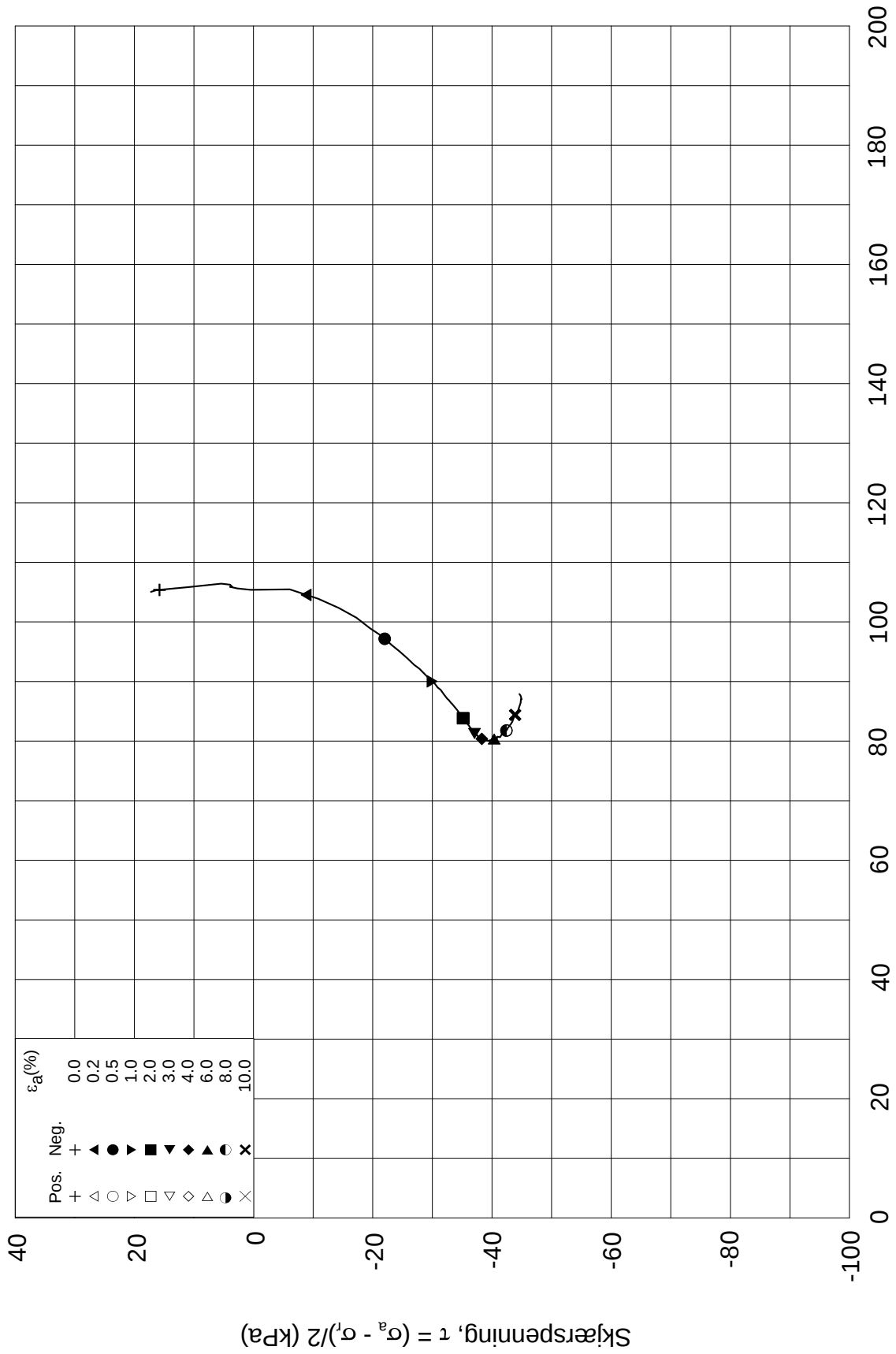
w_i = **35.8** % $\sigma_{ac}' =$ - - **121.9**

Tegnet av
MAS

Test: **1**

w_c = **34.6** % $\sigma_{rc}' =$ - - **87.8**





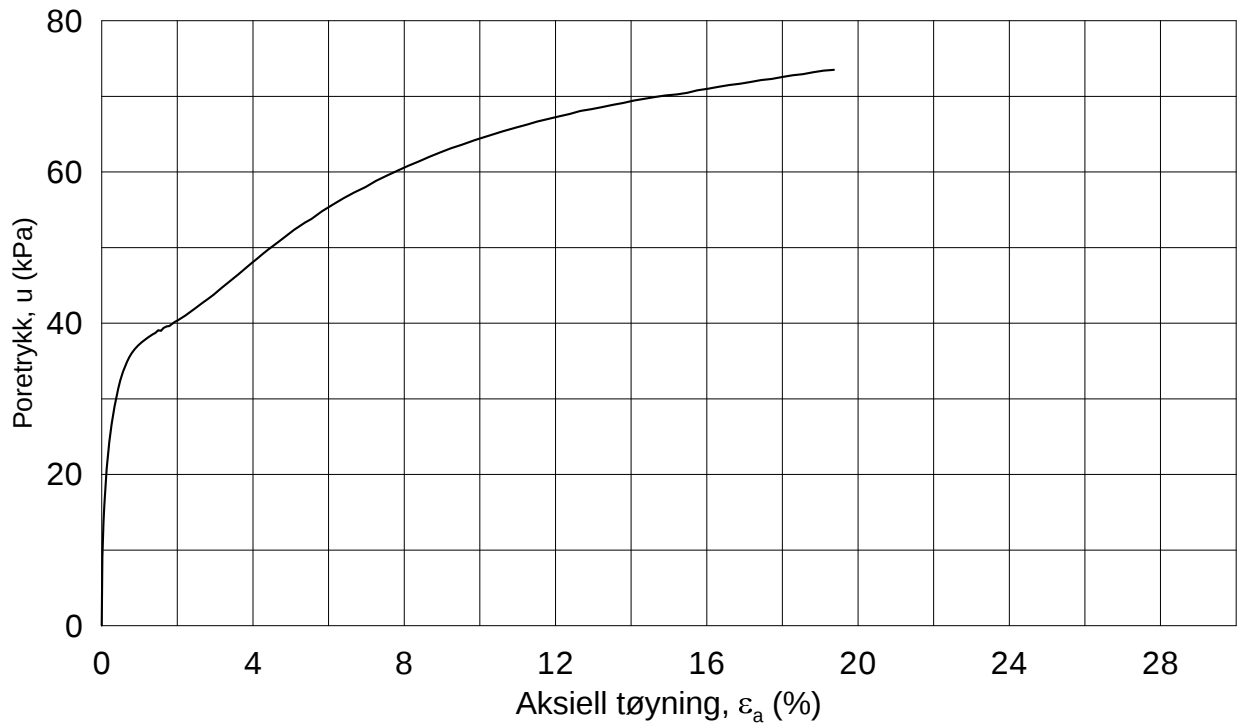
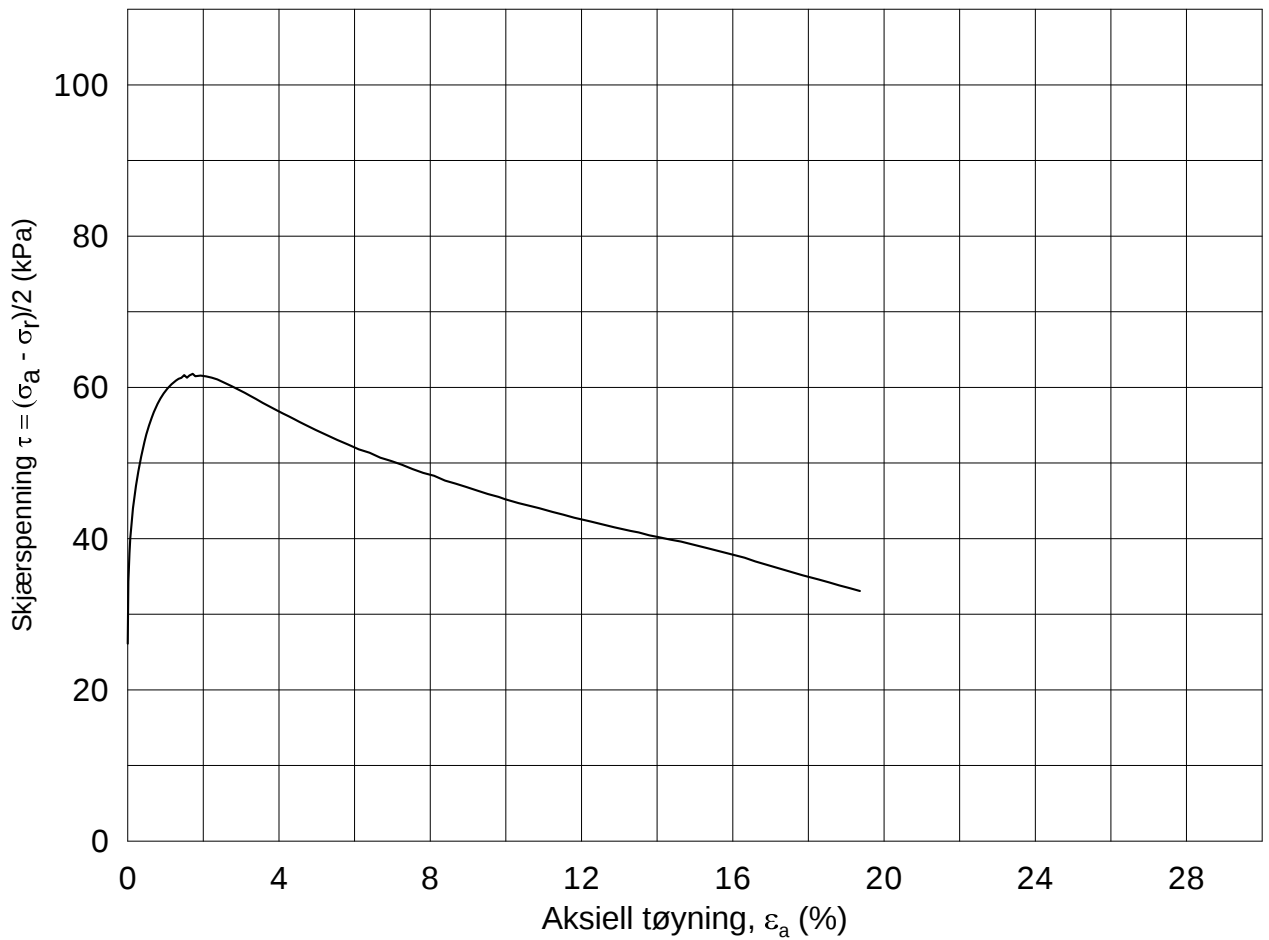
Effektiv gjennomsnittsspenning, $p' = (\sigma_a' + \sigma_r')/2$ (kPa)

Date/Rev.: 2009-11-03/01

E16 Nybakk - Slomarka			Dokument nr. 20120491-02-R
Treaksial forsøk: CAUP			Dato 2013-01-21
Boring: 3091	Dybde = 11.21 m	Konsolidering-spenninger	
Sylinder: 5	$p_{o'}$ = 122.0 kPa	(kPa)	maks. min. endelig
Del: A	w_i = 35.8 %	$\sigma_{ac}' =$ - - 121.9	Figur nr. G222
Test: 1	w_c = 34.6 %	$\sigma_{rc}' =$ - - 87.8	Tegnet av MAS

3091-5-A-1.Plot2.grf





Date/Rev.: 2009-11-03/01

E16 Nybakk - Slomarka

Dokument nr.
20120491-02-R

Treaksial forsøk: **CAUA**

Dato
2013-01-21

Boring: **3091**

Dybde = **15.49** m

Konsolidering-spenninger

Sylinder: **8**

$p_{o'}$ = **158.6** kPa

(kPa) maks. min. endelig

Figur nr.
G223

Del: **C**

w_i = **34.9** %

σ_{ac}' = - - **158.7**

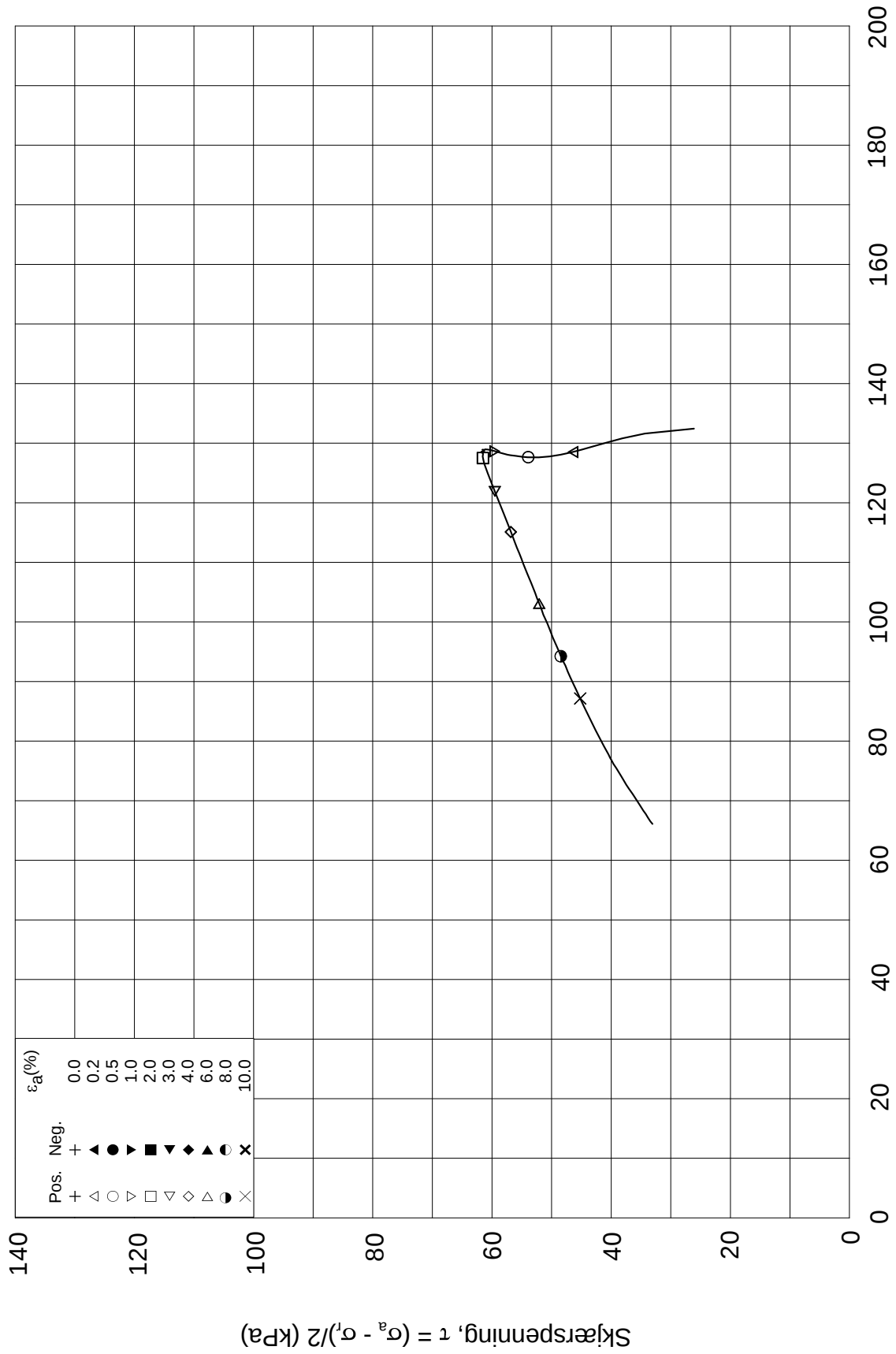
Tegnet av
MAS

Test: **1**

w_c = **33.9** %


σ_{rc}' = - - **106.3**



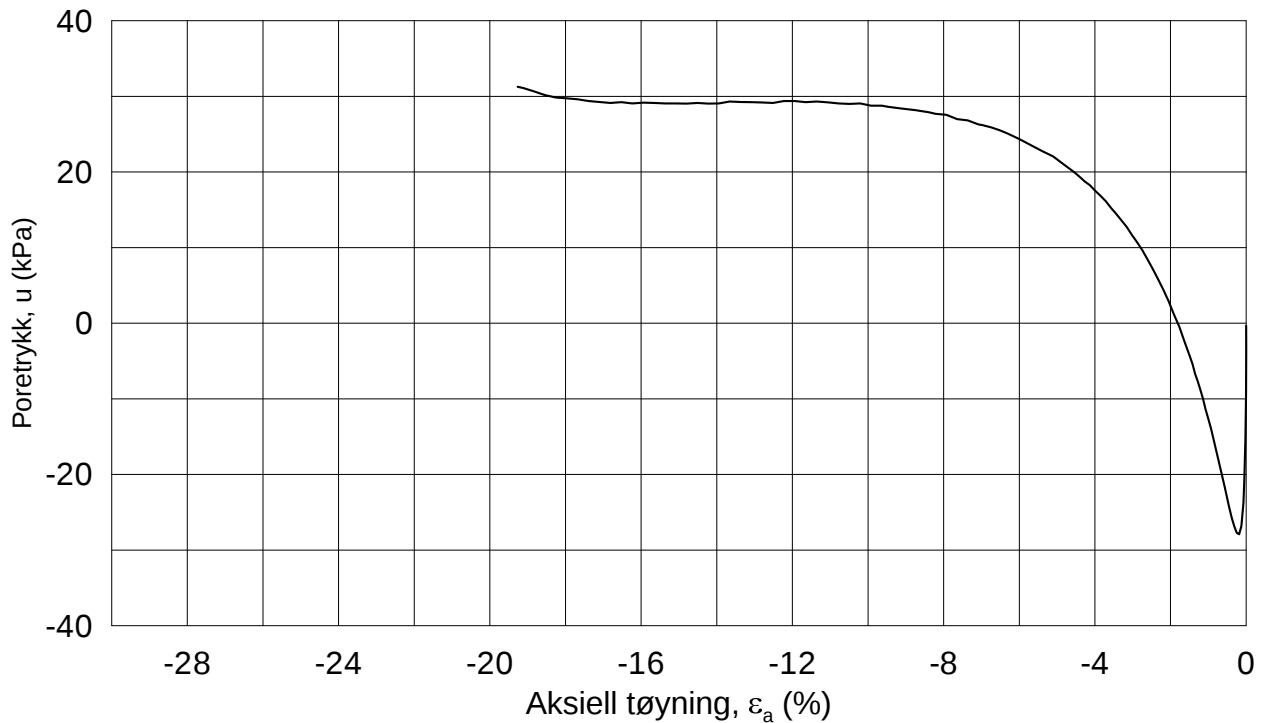
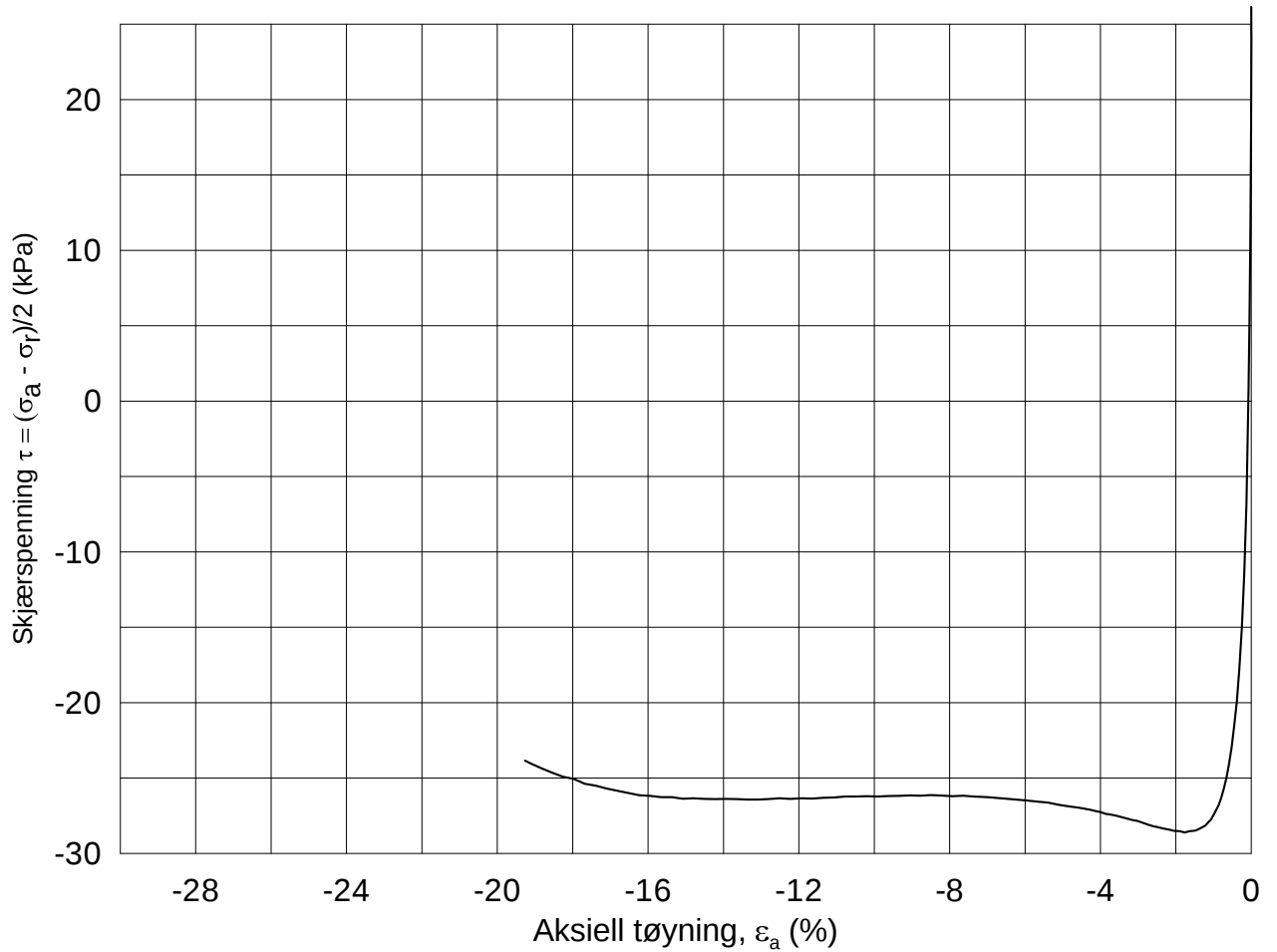


Effektiv gjennomsnittsspenning, $p' = (\sigma_a' + \sigma_l')/2$ (kPa)

Date/Rev.: 2009-11-03/01

E16 Nybakk - Slomarka			Dokument nr. 20120491-02-R	
Treaksial forsøk: CAUA			Dato 2013-01-21	
Boring: 3091	Dybde = 15.49 m	Konsolidering-spenninger		
Sylinder: 8	$p_{o'}$ = 158.6 kPa	(kPa)	maks.	min.
Del: C	w_i = 34.9 %	σ_{ac}' =	-	-
Test: 1	w_c = 33.9 %	σ_{rc}' =	-	-
		endelig	158.7	
			106.3	
		Figur nr.	G224	
		Tegnet av	MAS	
				

3091-8-C-1.Plot2.grf



Date/Rev.: 2009-11-03/01

E16 Nybakk - Slomarka

Dokument nr.
20120491-02-R

Treaksial forsøk: **CAUP**

Dato
2013-01-21

Boring: **3091**

Dybde = **15.32** m

Konsolidering-spenninger

Sylinder: **8**

p_o' = **158.6** kPa

(kPa) maks. min. endelig

Figur nr.
G225

Del: **B**

w_i = **34.1** %

σ_{ac}' = - - **158.6**

Tegnet av
MAS

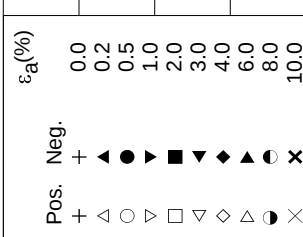
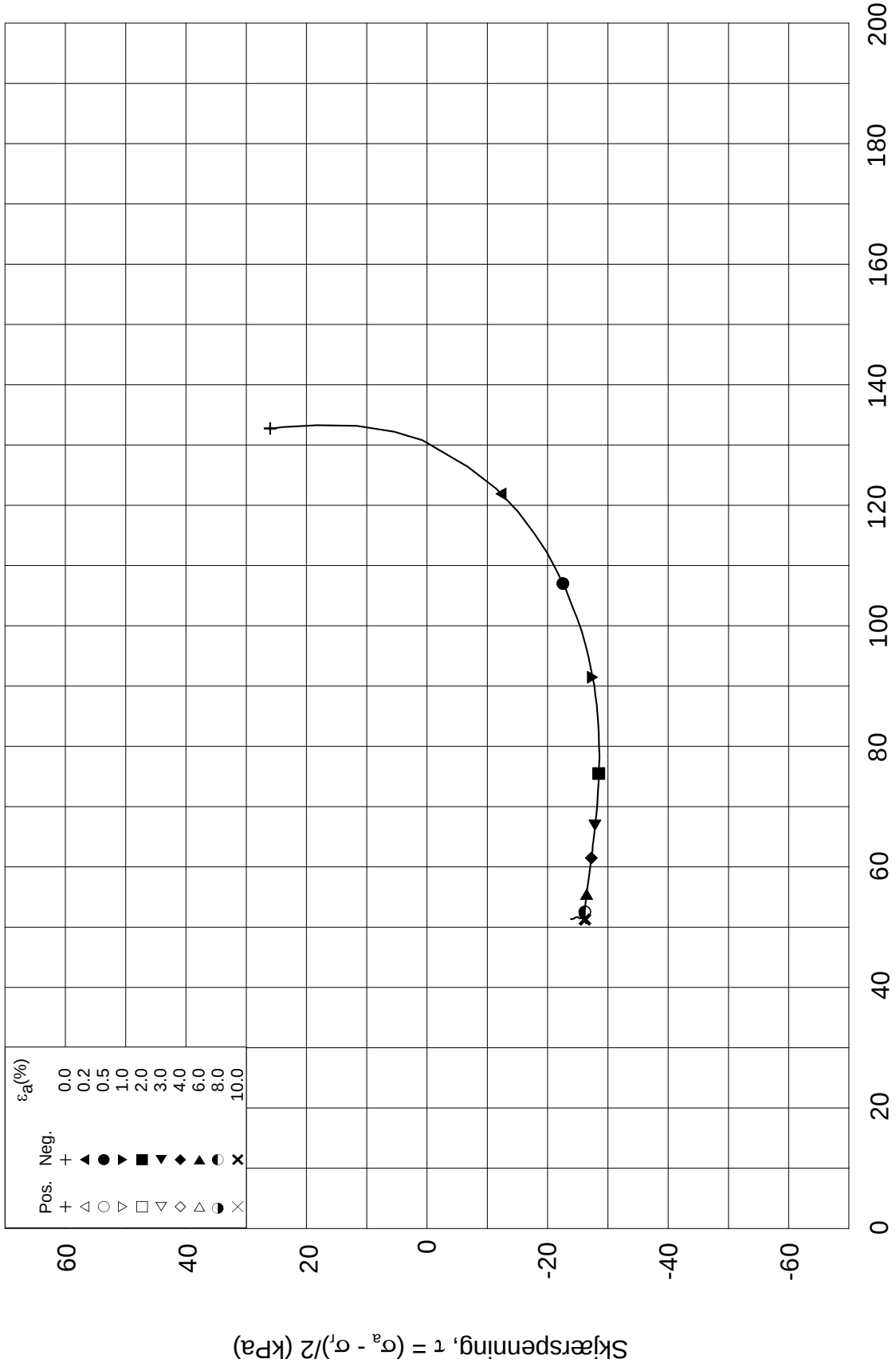
Test: **1**

w_c = **33.1** %

σ_{rc}' = - - **106.3**



Effektiv gjennomsnittsspenning, $p' = (\sigma'_a + \sigma'_l)/2$ (kPa)

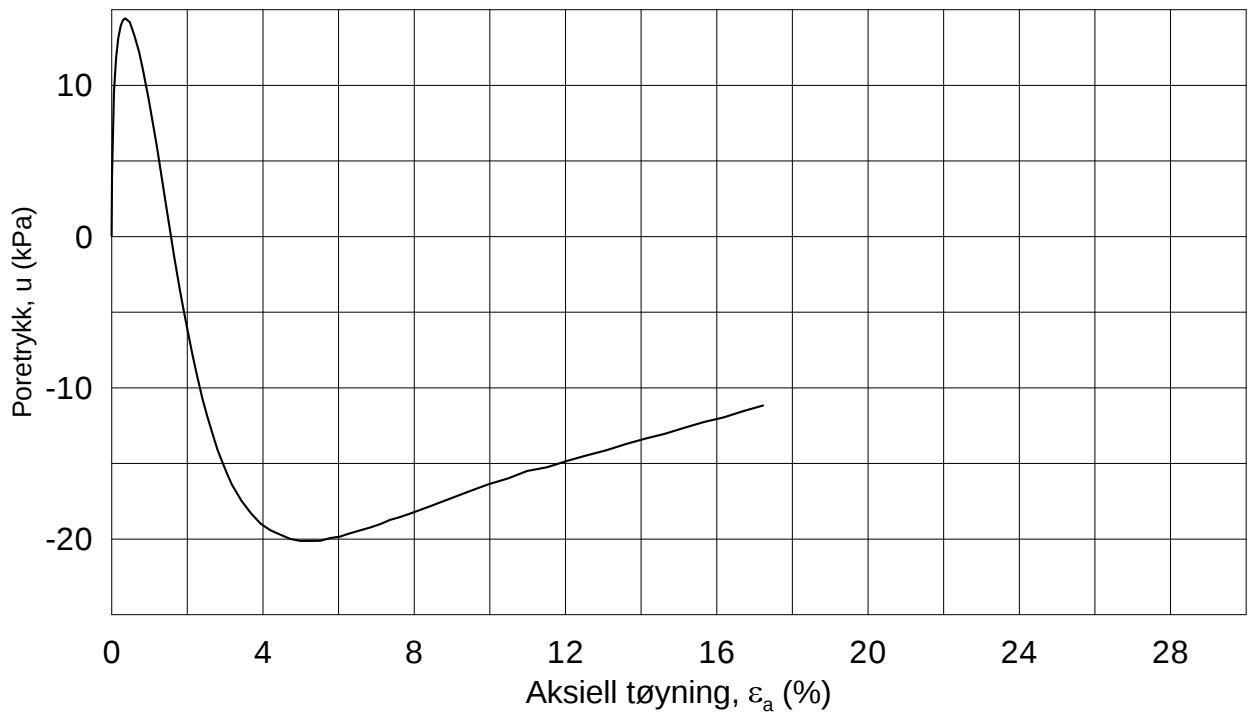
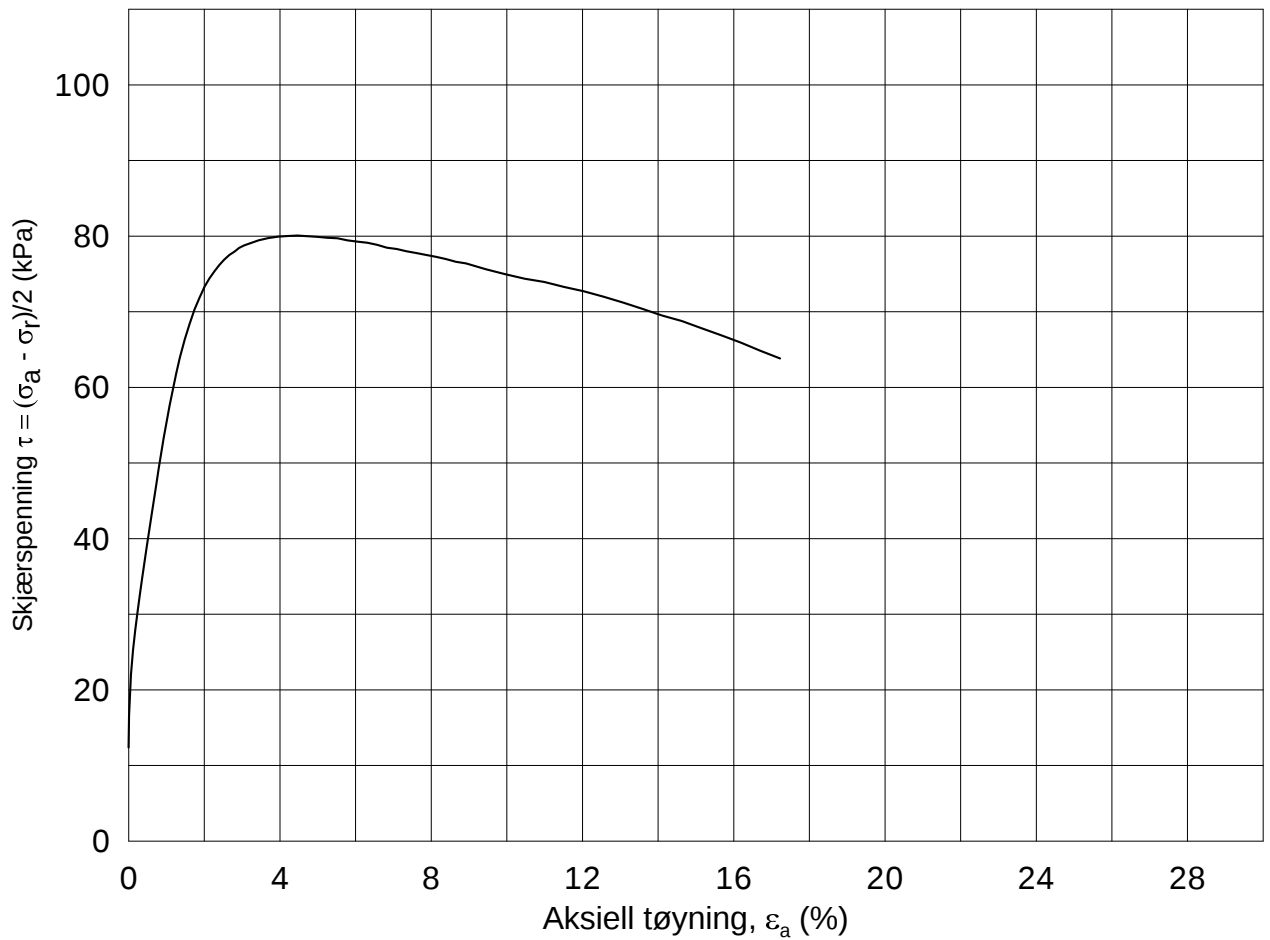


Date/Rev.: 2009-11-03/01

E16 Nybakk - Slomarka			Dokument nr. 20120491-02-R
Treaksial forsøk: CAUP			Dato 2013-01-21
Boring: 3091	Dybde = 15.32 m	Konsolidering-spenninger	
Sylinder: 8	$p_{o'}$ = 158.6 kPa	(kPa)	maks. min. endelig
Del: B	w_i = 34.1 %	σ_{ac}' = - - 158.6	Figur nr. G226
Test: 1	w_c = 33.1 %	σ_{rc}' = - - 106.3	Tegnet av MAS

3091-8-B-1.Plot2.grf





Date/Rev.: 2009-11-03/01

E16 Nybakk - Slomarka

Dokument nr.
20120491-02-R

Treaksial forsøk: **CAUA**

Dato
2013-08-09

Boring: **3107**

Dybde = **4.42** m

Konsolidering-spenninger

Sylinder: **4**

$p_{o'}$ = **72.4** kPa

(kPa) maks. min. endelig

Figur nr.
G227

Del: **C**

w_i = **33.8** %

σ_{ac}' = - - **72.3**

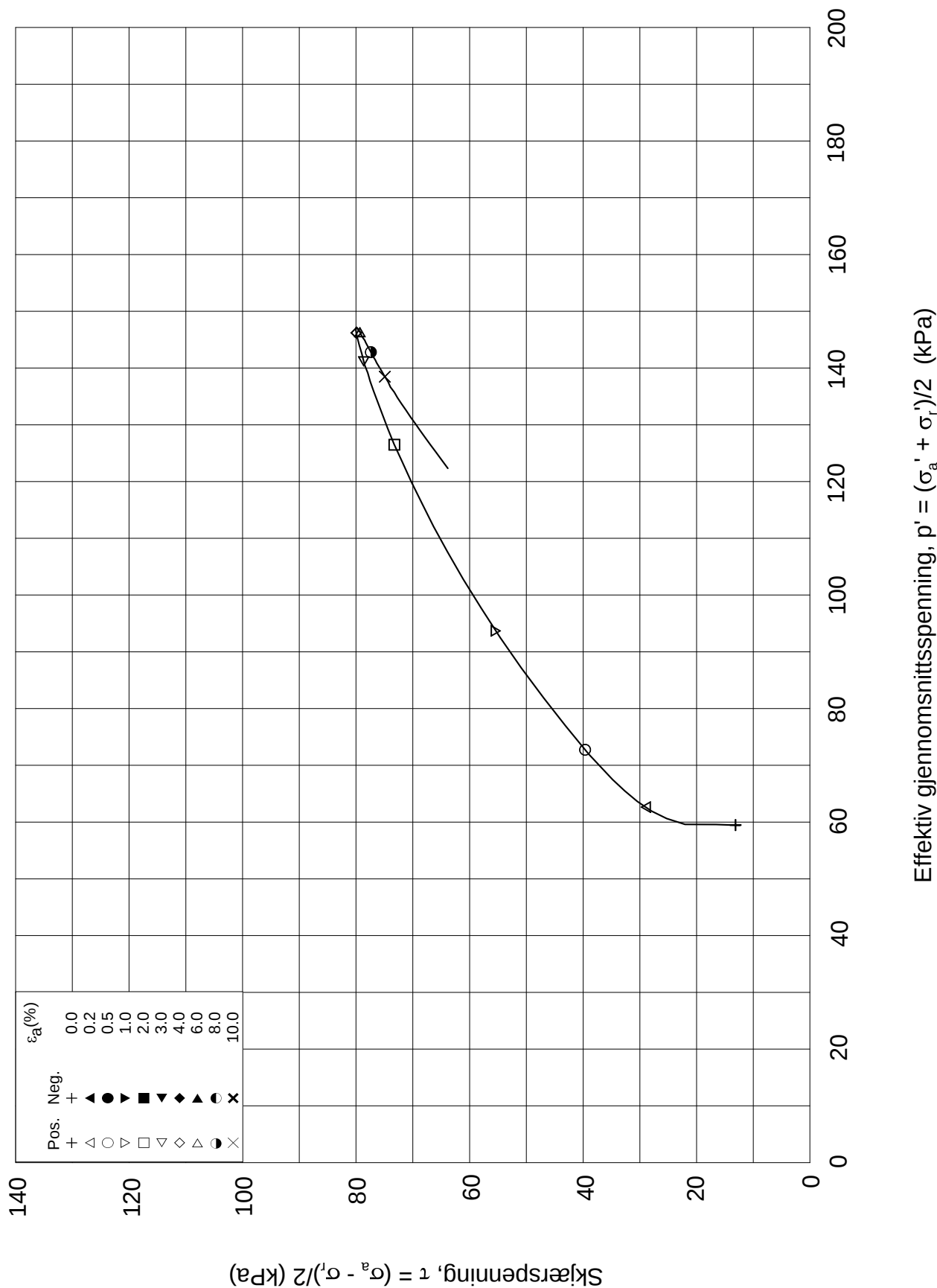
Tegnet av
MAS

Test: **1**

w_c = **33.8** %

σ_{rc}' = - - **47.1**





Date/Rev.: 2009-11-03/01

E16 Nybakk - Slomarka

Dokument nr.
20120491-02-R

Treaksial forsøk: CAUA

Dato
2013-11-21

Boring: 3107

Dybde = 4.42 m

Konsolidering-spenninger

Sylinder: 4

$p_{o'}$ = 72.4 kPa

(kPa) maks. min. endelig

Figur nr.
G228

Del: C

w_i = 33.8 %

$\sigma_{ac}' =$ - - 72.3

Tegnet av

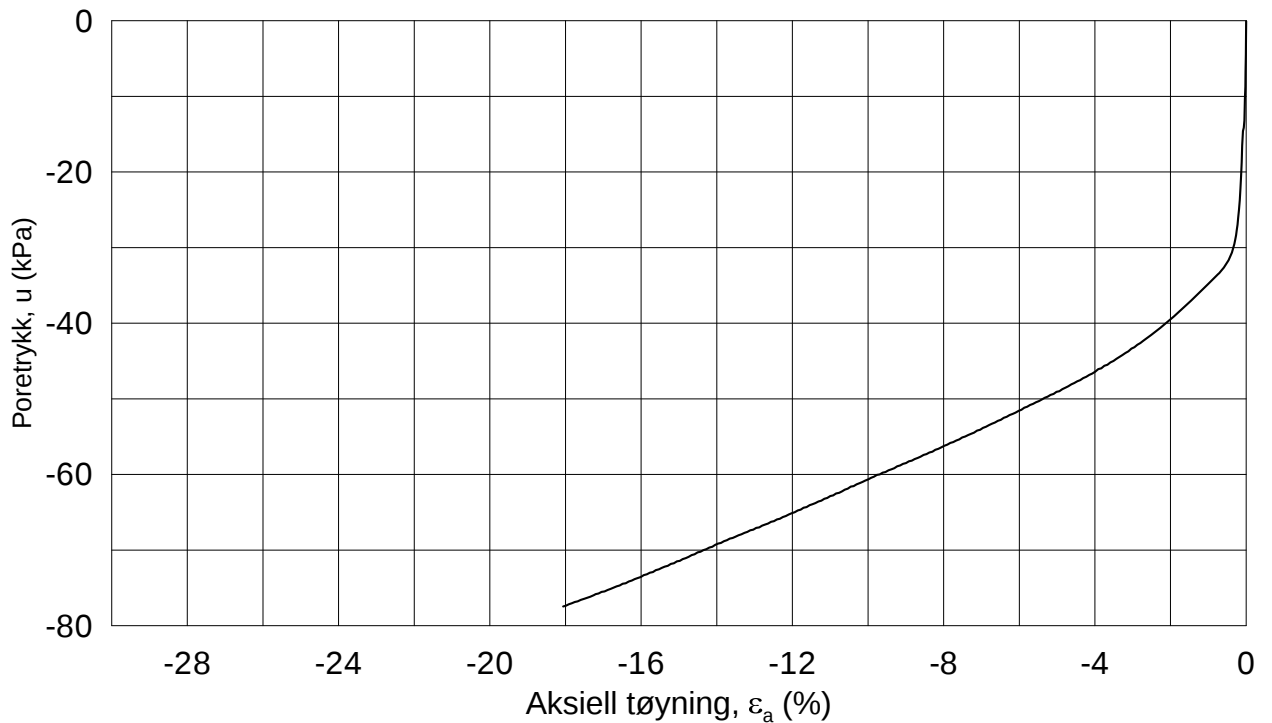
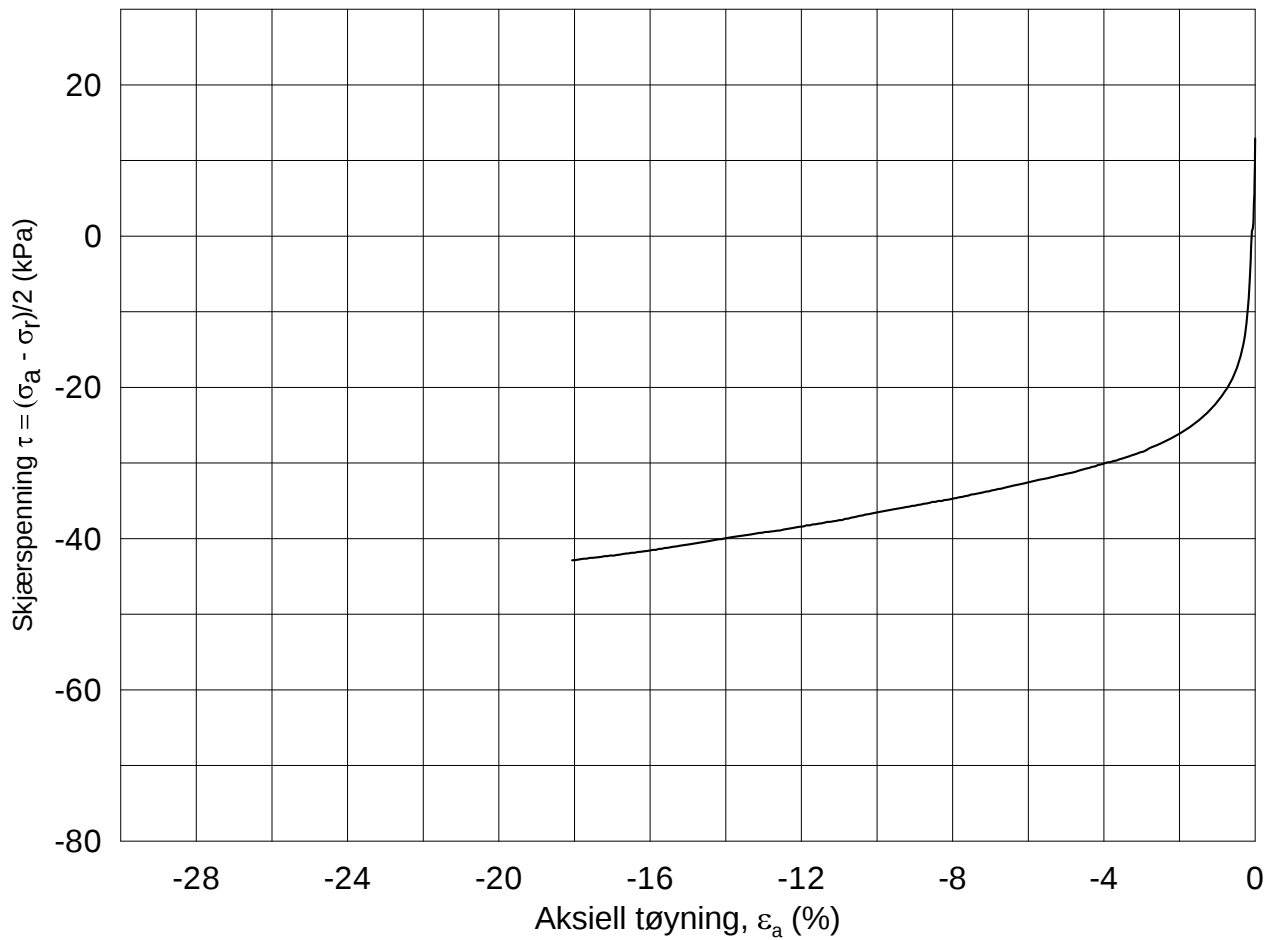
Test: 1

w_c = 33.8 %

$\sigma_{rc}' =$ - - 47.1

MAS





Date/Rev.: 2009-11-03/01

E16 Nybakk - Slomarka

Dokument nr.
20120491-02-R

Treaksial forsøk: **CAUP**

Dato
2013-08-09

Boring: **3107**

Dybde = **4.57** m

Konsolidering-spenninger

Sylinder: **4**

p_o' = **72.4** kPa

(kPa) maks. min. endelig

Figur nr.
G229

Del: **D**

w_i = **36.2** %

σ_{ac}' = - - **73.7**

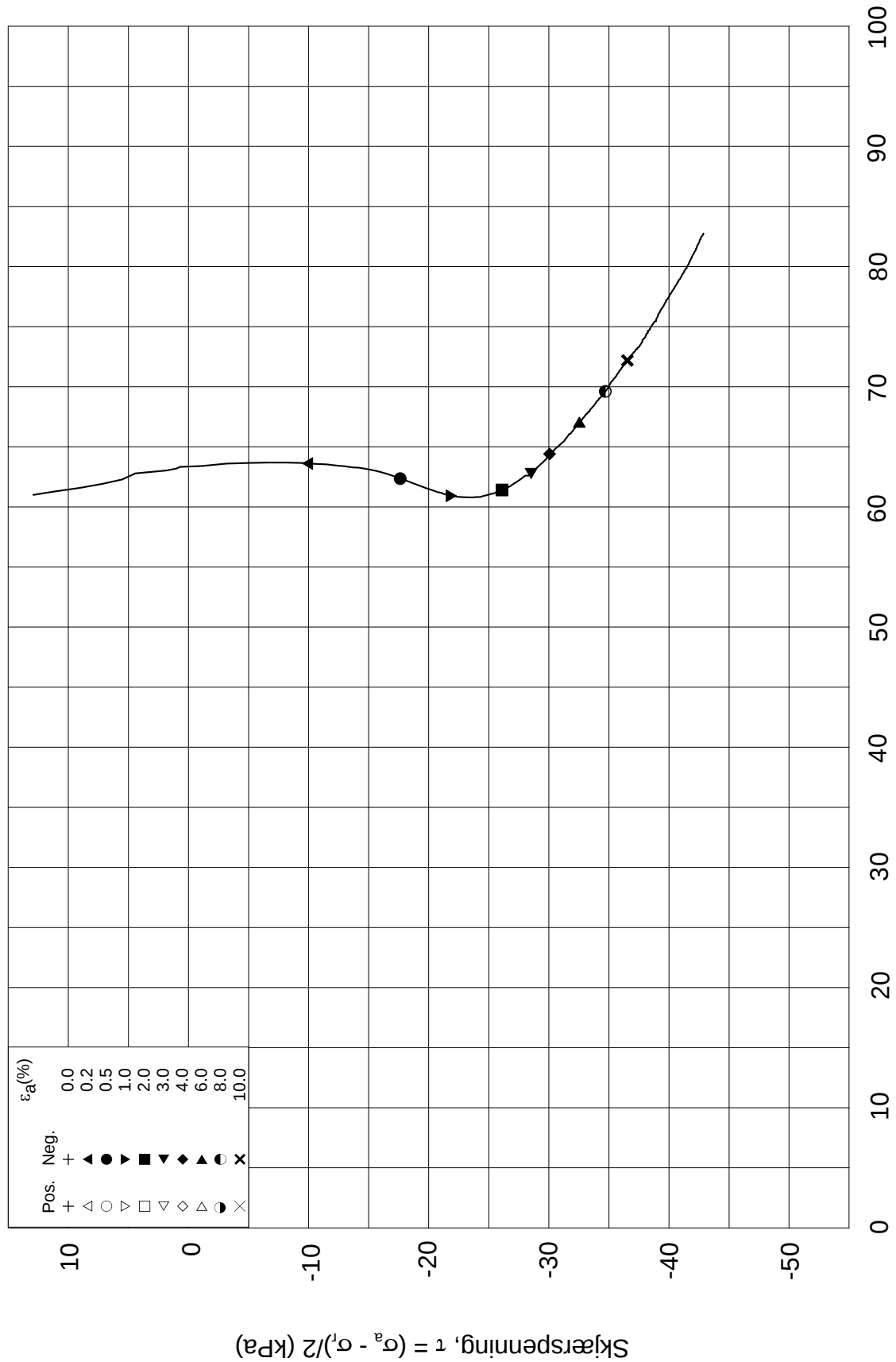
Tegnet av
MAS

Test: **1**

w_c = **35.8** %

σ_{rc}' = - - **48.0**





Effektiv gjennomsnittsspenning, $p' = (\sigma_a' + \sigma_r')/2$ (kPa)

Date/Rev.: 2009-11-03/01

E16 Nybakk - Slomarka

Dokument nr.
20120491-02-R

Treaksial forsøk: **CAUP**

Dato
2013-08-09

Boring: **3107**

Dybde = **4.57** m

Konsolidering-spenninger

Sylinder: **4**

$p_{o'}$ = **72.4** kPa

(kPa) maks. min. endelig

Figur nr.
G230

Del: **D**

w_i = **36.2** %

σ_{ac}' = - - **73.7**

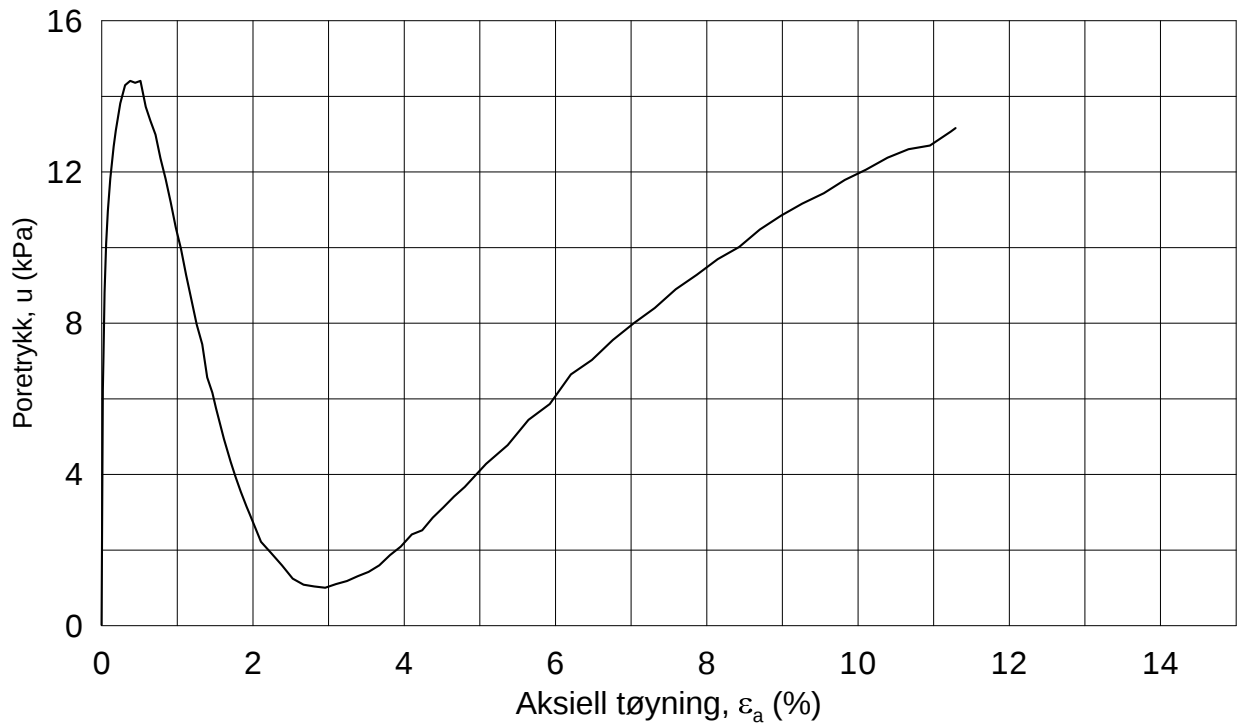
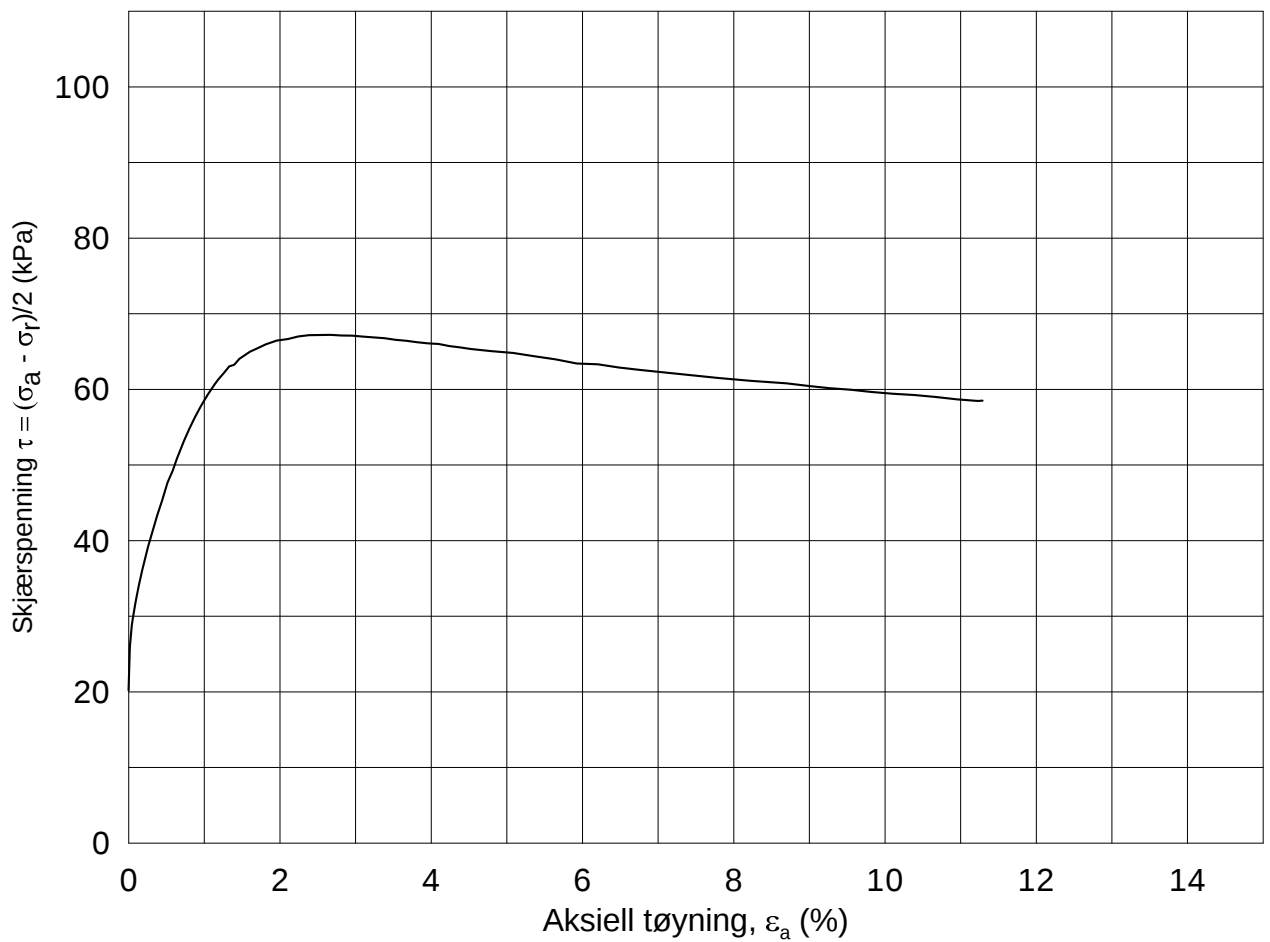
Tegnet av
MAS

Test: **1**

w_c = **35.8** %

σ_{rc}' = - - **48.0**





Date/Rev.: 2009-11-03/01

E16 Nybakk - Slomarka

Dokument nr.
20120491-02-R

Treaksial forsøk: **CAUA**

Dato
2013-08-09

Boring: **3107**

Dybde = **8.40** m

Konsolidering-spenninger

Sylinder: **8**

p_o' = **106.4** kPa

(kPa) maks. min. endelig

Figur nr.
G231

Del: **C**

w_i = **36.6** %

σ_{ac}' = - - **106.3**

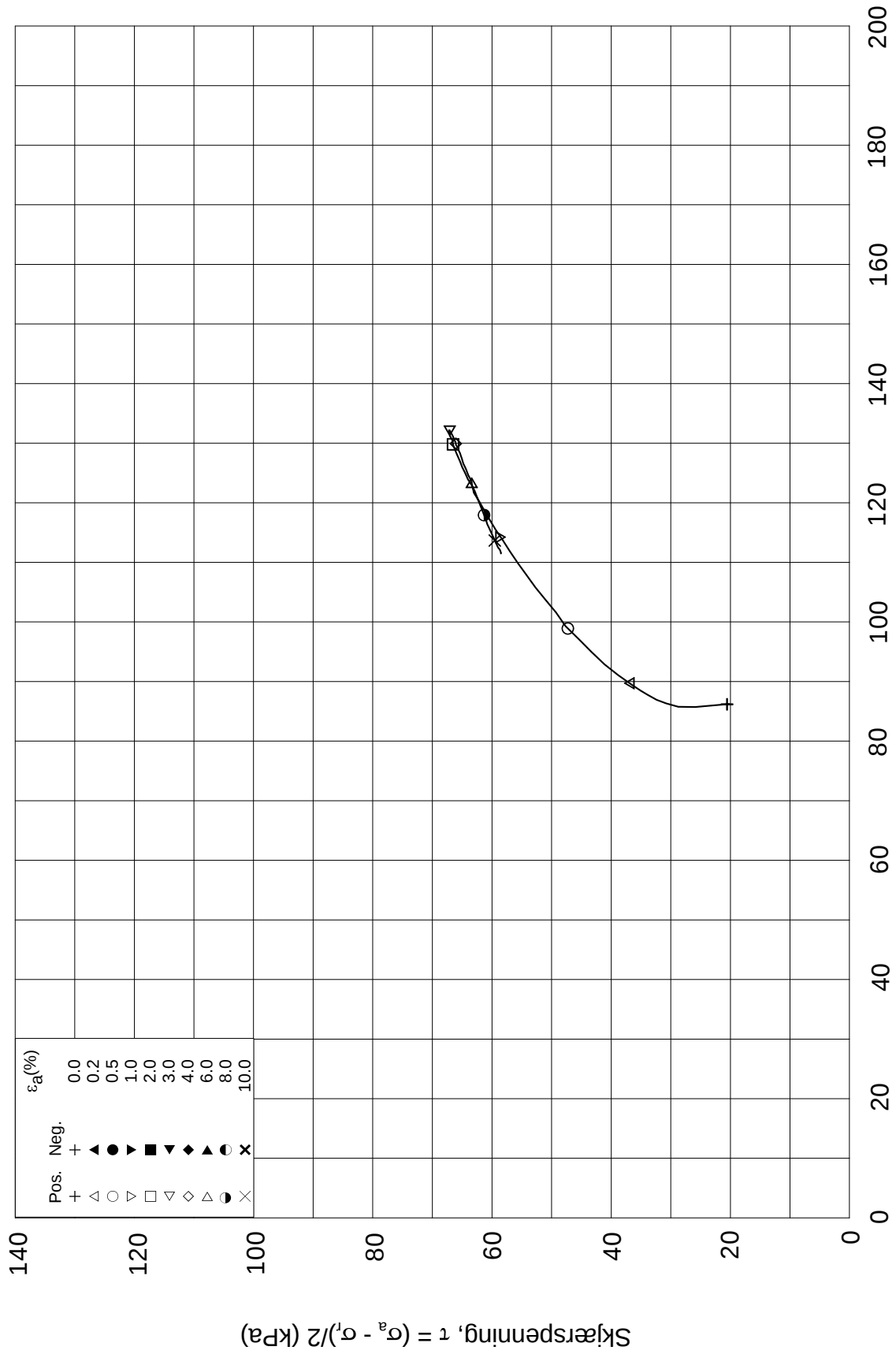
Tegnet av
MAS

Test: **1**

w_c = **36.8** %

σ_{rc}' = - - **66.0**

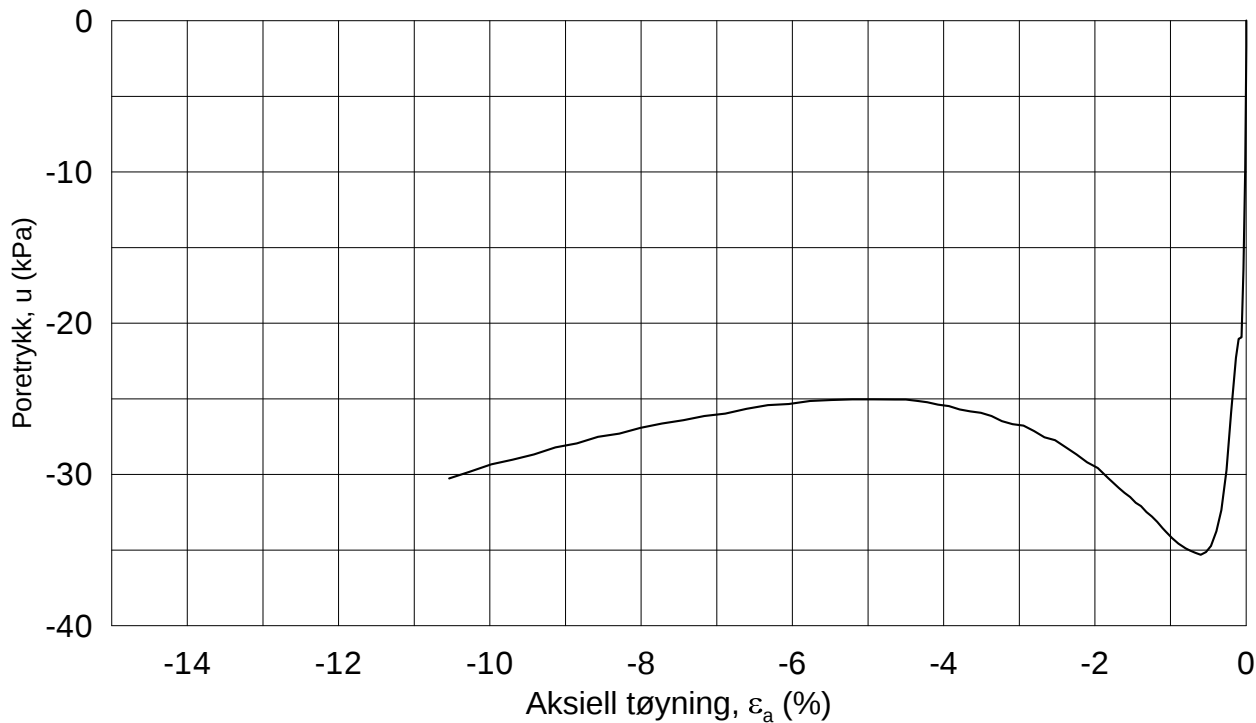
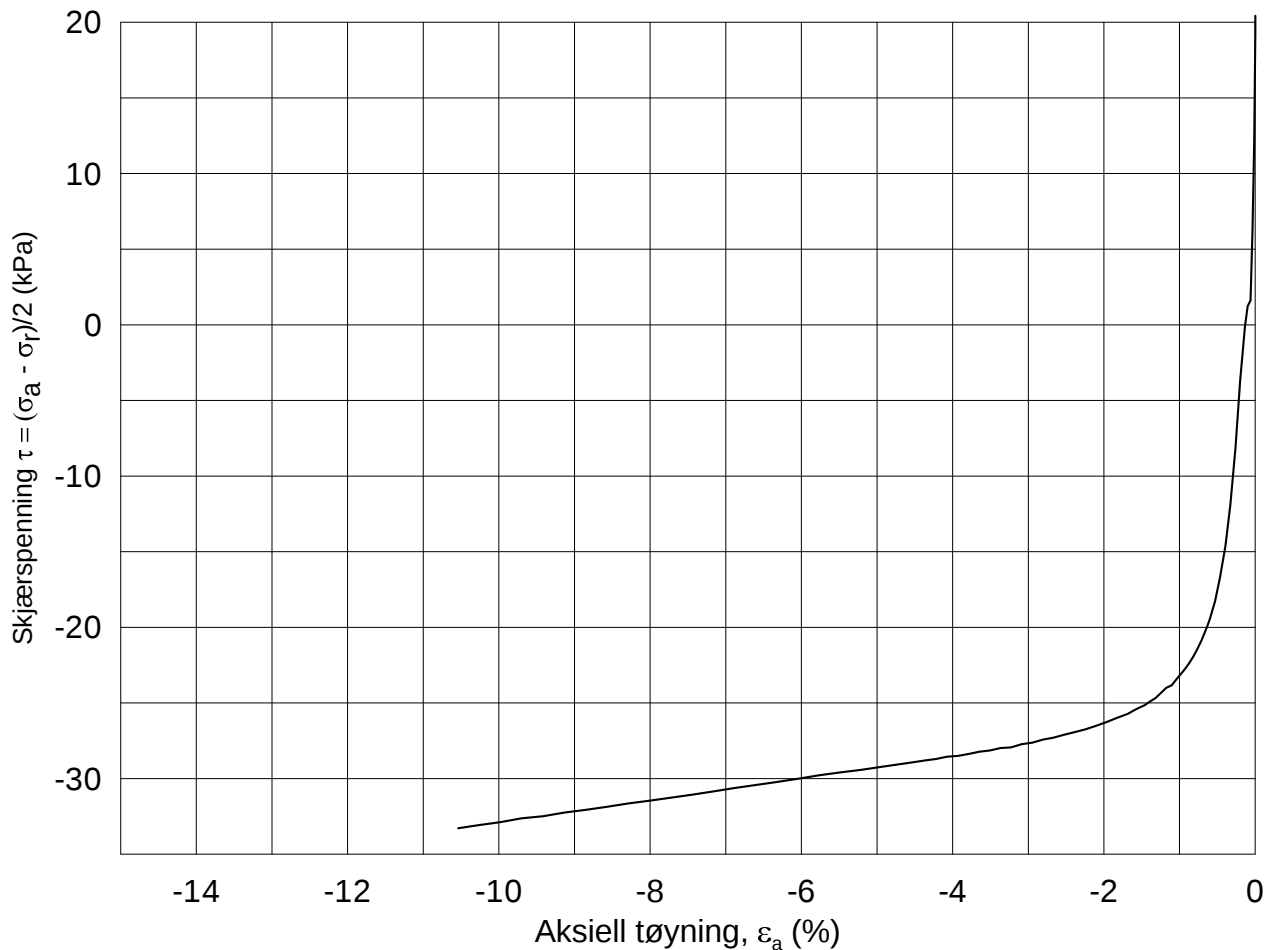




Date/Rev.: 2009-11-03/01

E16 Nybakk - Slomarka			Dokument nr. 20120491-02-R	
Treaksial forsøk: CAUA			Dato 2013-08-09	
Boring: 3107	Dybde = 8.40 m	Konsolidering-spenninger		
Sylinder: 8	$p_{o'}$ = 106.4 kPa	(kPa)	maks.	min.
Del: C	w_i = 36.6 %	σ_{ac}' =	-	-
Test: 1	w_c = 36.8 %	σ_{rc}' =	-	-
		endelig	106.3	
			66.0	
		Figur nr.	G232	
		Tegnet av	MAS	

3107-8-C-1.Plot2.grf



Date/Rev.: 2009-11-03/01

E16 Nybakk - Slomarka

Dokument nr.
20120491-02-R

Treaksial forsøk: **CAUP**

Dato
2013-08-09

Boring: **3107**

Dybde = **8.58** m

Konsolidering-spenninger

Sylinder: **8**

p_o' = **107.8** kPa (kPa) maks. min. endelig

Figur nr.
G233

Del: **D**

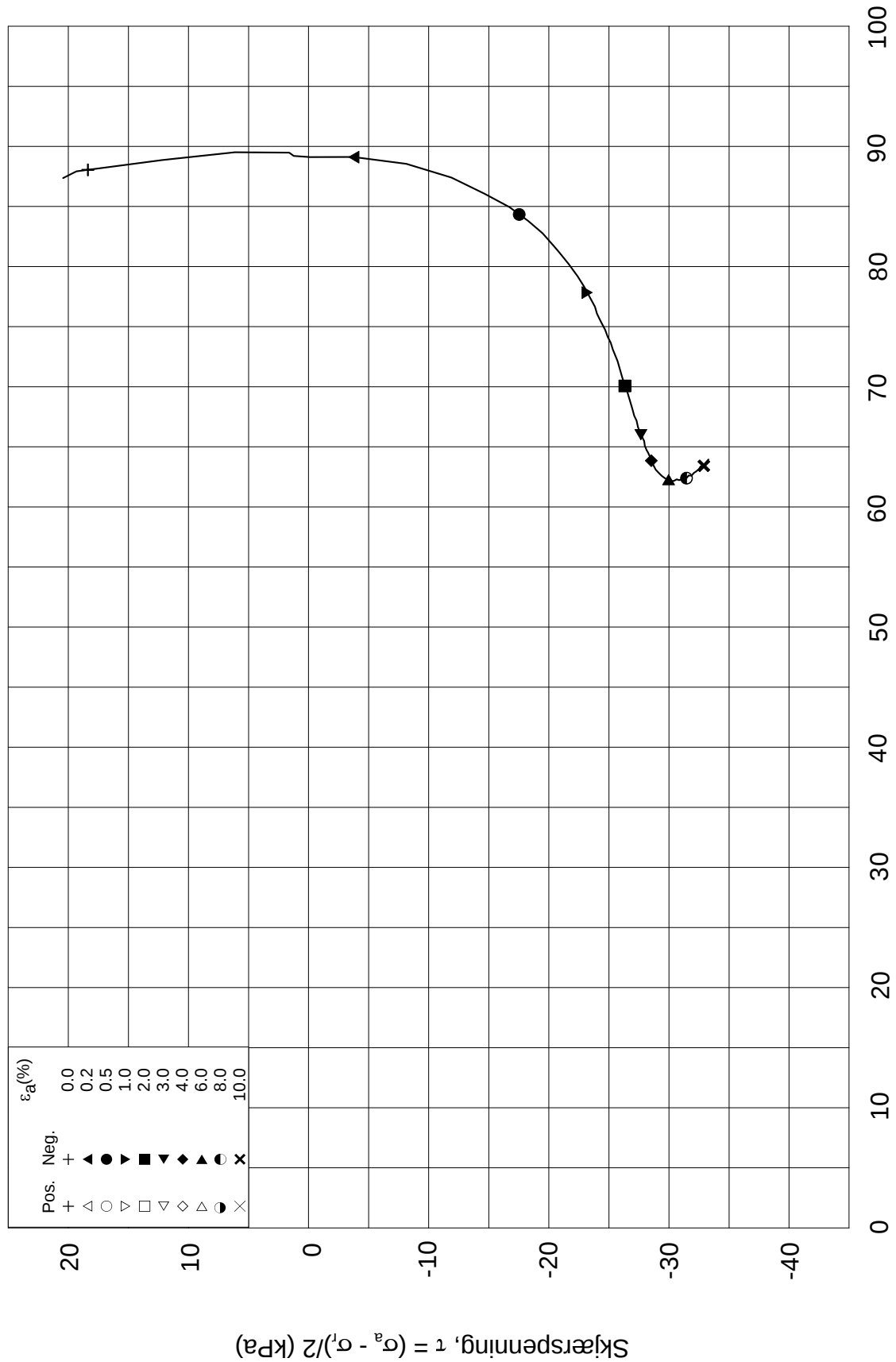
w_i = **36.0** % $\sigma_{ac}' = - - 107.8$

Tegnet av
MAS

Test: **1**

w_c = **35.7** % $\sigma_{rc}' = - - 66.9$





Date/Rev.: 2009-11-03/01

E16 Nybakk - Slomarka

Dokument nr.
20120491-02-R

Treaksial forsøk: **CAUP**

Dato
2013-08-09

Boring: **3107**

Dybde = **8.58** m

Konsolidering-spenninger

Sylinder: **8**

$p_{o'}$ = **107.8** kPa

(kPa) maks. min. endelig

Figur nr.
G234

Del: **D**

w_i = **36.0** %

σ_{ac}' = - - **107.8**

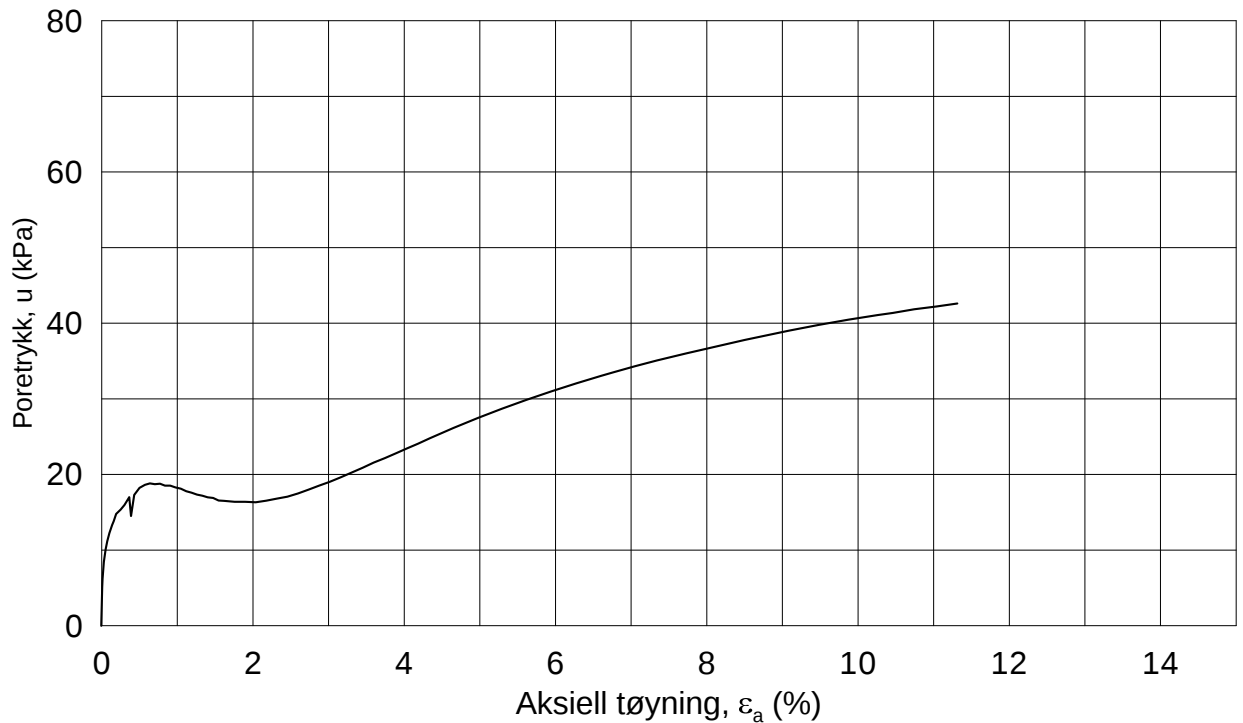
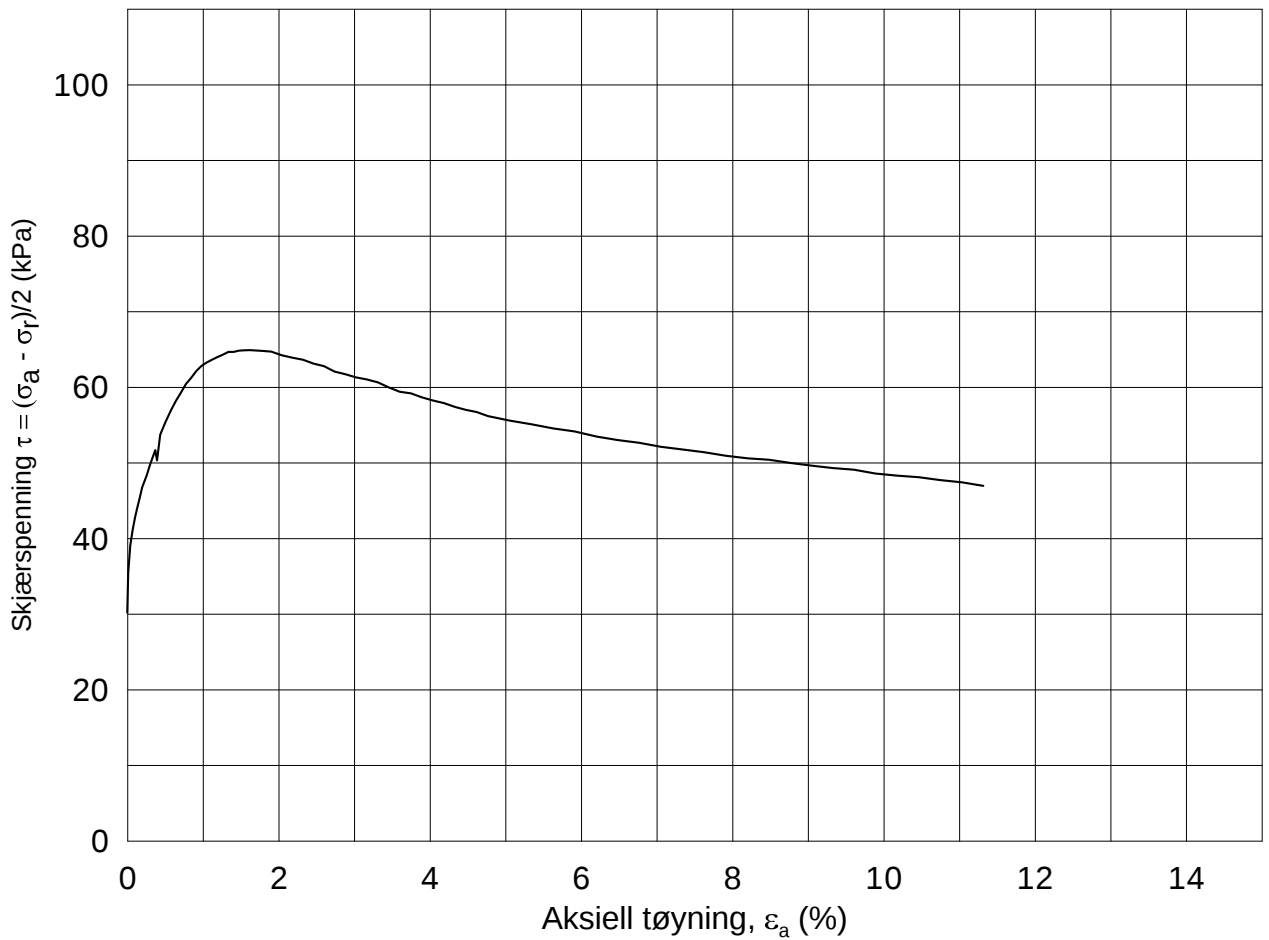
Tegnet av
MAS

Test: **1**

w_c = **35.7** %

σ_{rc}' = - - **66.9**





Date/Rev.: 2009-11-03/01

E16 Nybakk - Slomarka

Dokument nr.
20120491-02-R

Treaksial forsøk: **CAUA**

Dato
2013-08-22

Boring: **3107**

Dybde = **12.33** m

Konsolidering-spenninger

Sylinder: **12**

p_o' = **139.8** kPa

(kPa) maks. min. endelig

Figur nr.
G235

Del: **B**

w_i = **36.2** %

σ_{ac}' = - - **144.5**

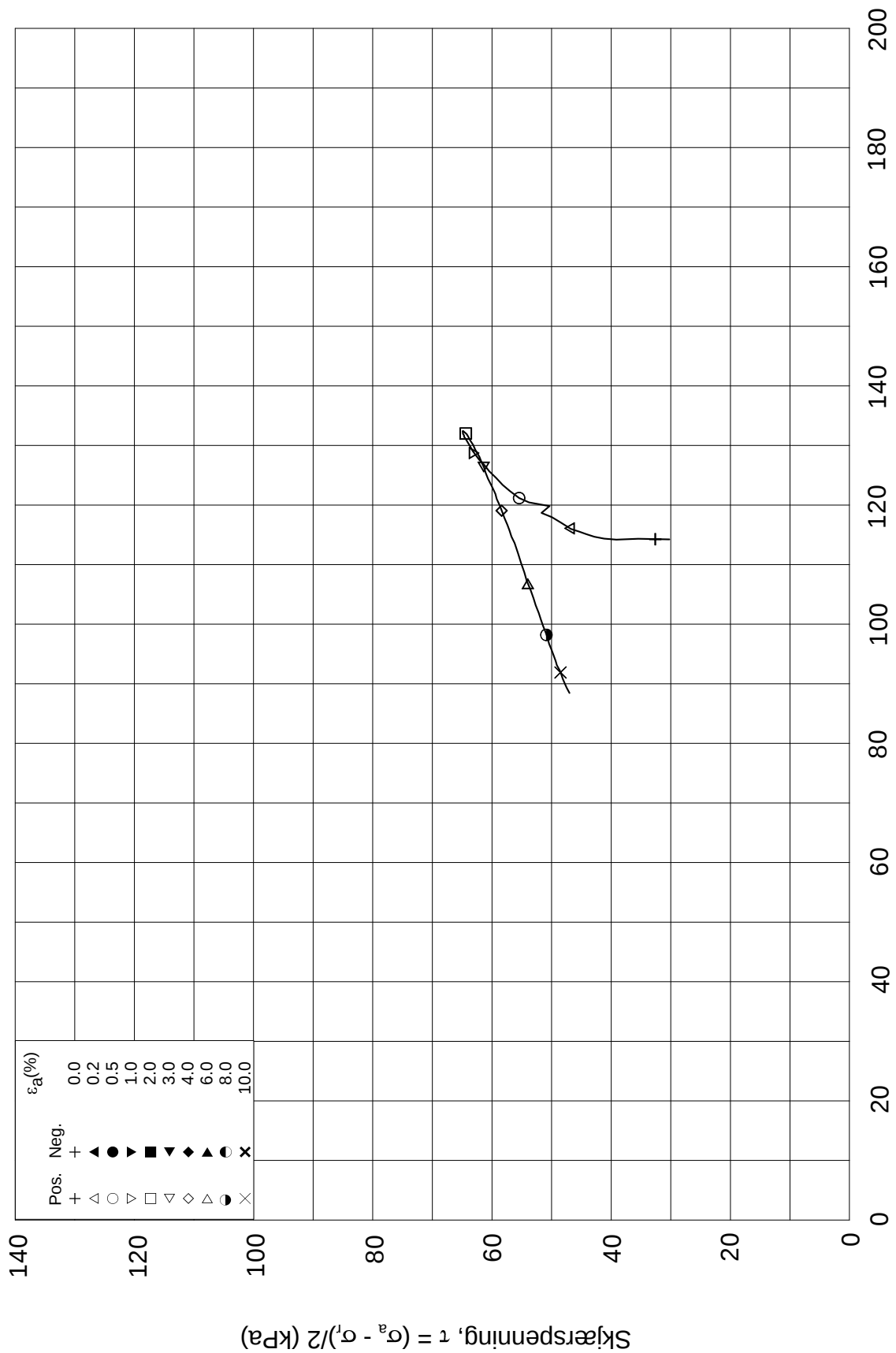
Tegnet av
MAS

Test: **1**

w_c = **36.1** %

σ_{rc}' = - - **83.9**





Date/Rev.: 2009-11-03/01

E16 Nybakk - Slomarka

Dokument nr.
20120491-02-R

Treaksial forsøk: **CAUA**

Dato
2013-08-22

Boring: **3107**

Dybde = **12.33** m

Konsolidering-spenninger

Sylinder: **12**

$p_{o'}$ = **139.8** kPa

(kPa) maks. min. endelig

Figur nr.
G236

Del: **B**

w_i = **36.2** %

σ_{ac}' = - - **144.5**

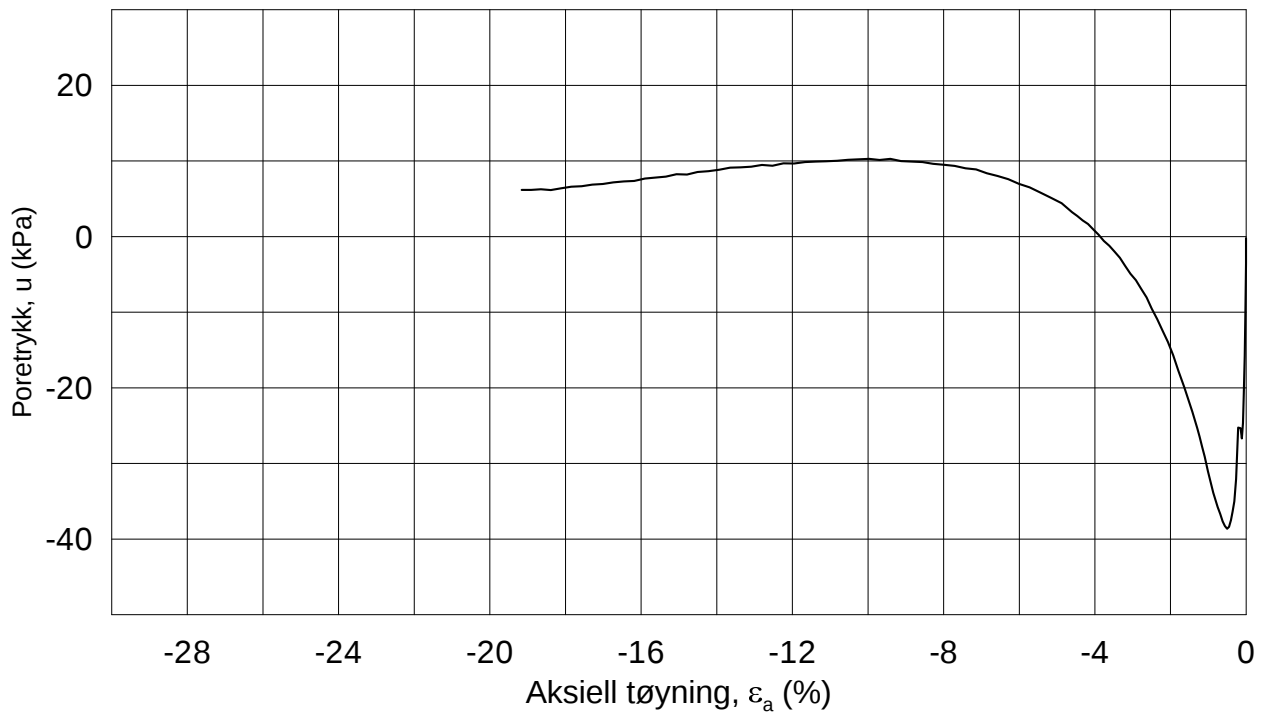
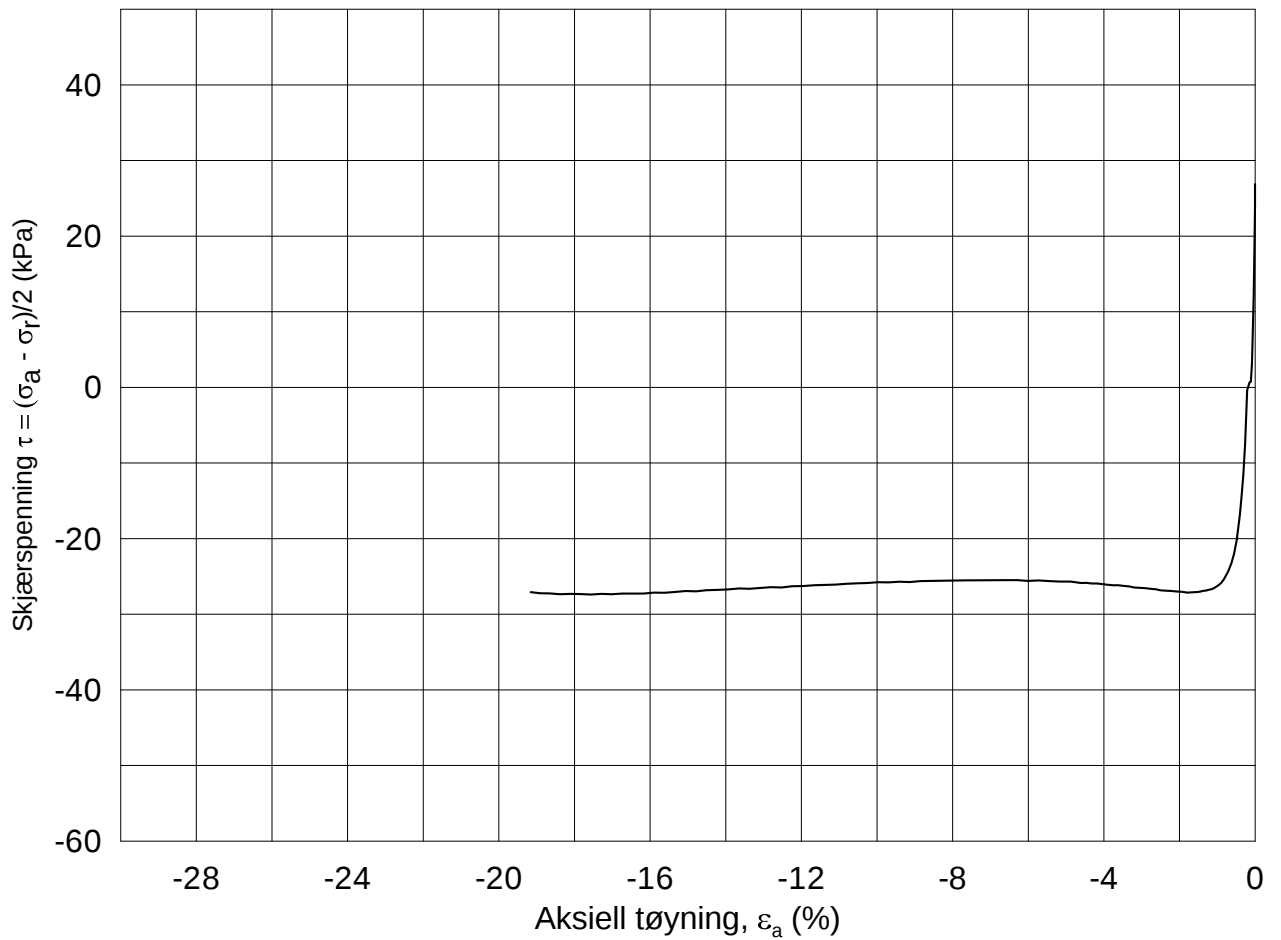
Tegnet av
MAS

Test: **1**

w_c = **36.1** %

σ_{rc}' = - - **83.9**





Date/Rev.: 2009-11-03/01

E16 Nybakk - Slomarka

Dokument nr.
20120491-02-R

Treaksial forsøk: **CAUP**

Dato
2013-08-16

Boring: **3107**

Dybde = **12.40** m

Konsolidering-spenninger

Sylinder: **12**

$p_{o'}$ = **140.4** kPa

(kPa) maks. min. endelig

Figur nr.
G237

Del: **C**

w_i = **35.9** %

σ_{ac}' = - - **140.9**

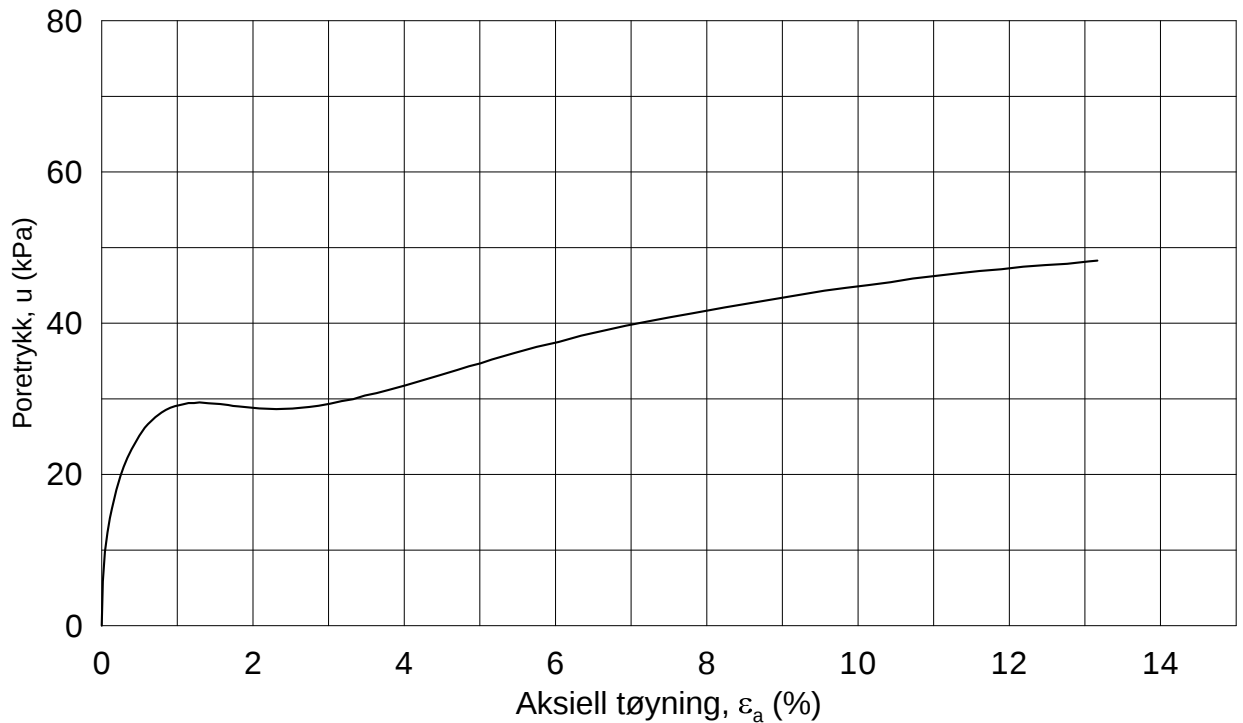
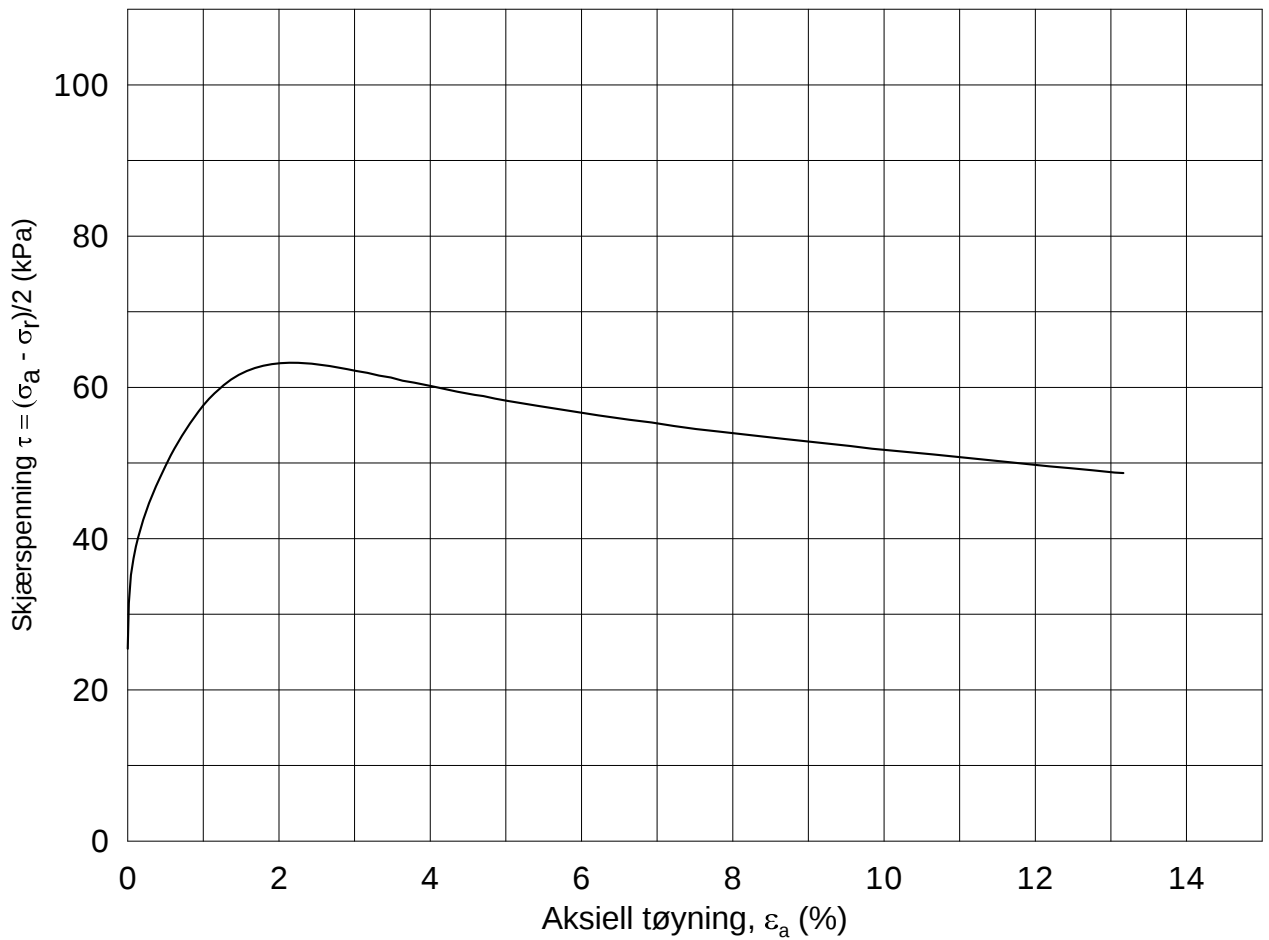
Tegnet av
MAS

Test: **1**

w_c = **34.8** %

σ_{rc}' = - - **84.5**





Date/Rev.: 2009-11-03/01

E16 Nybakk - Slomarka

Dokument nr.
20120491-02-R

Treaksial forsøk: **CAUA**

Dato
2013-01-07

Boring: **3137**

Dybde = **15.25** m

Konsolidering-spenninger

Sylinder: **1**

$p_{o'}$ = **147.0** kPa

(kPa) maks. min. endelig

Figur nr.
G239

Del: **A**

w_i = **32.2** %

σ_{ac}' = - - **147.0**

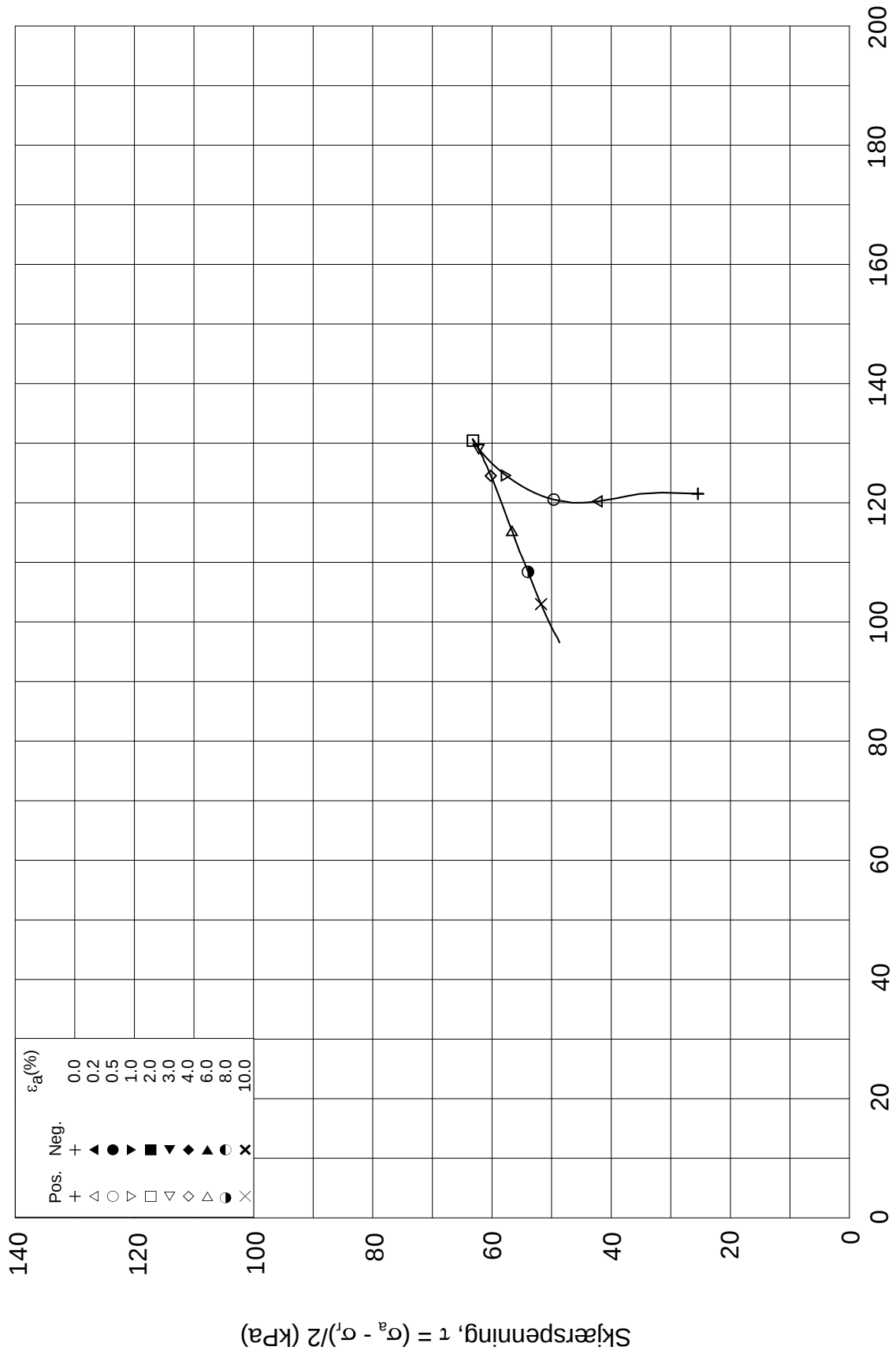
Tegnet av
MAS

Test: **1**

w_c = **30.6** %

σ_{rc}' = - - **96.0**

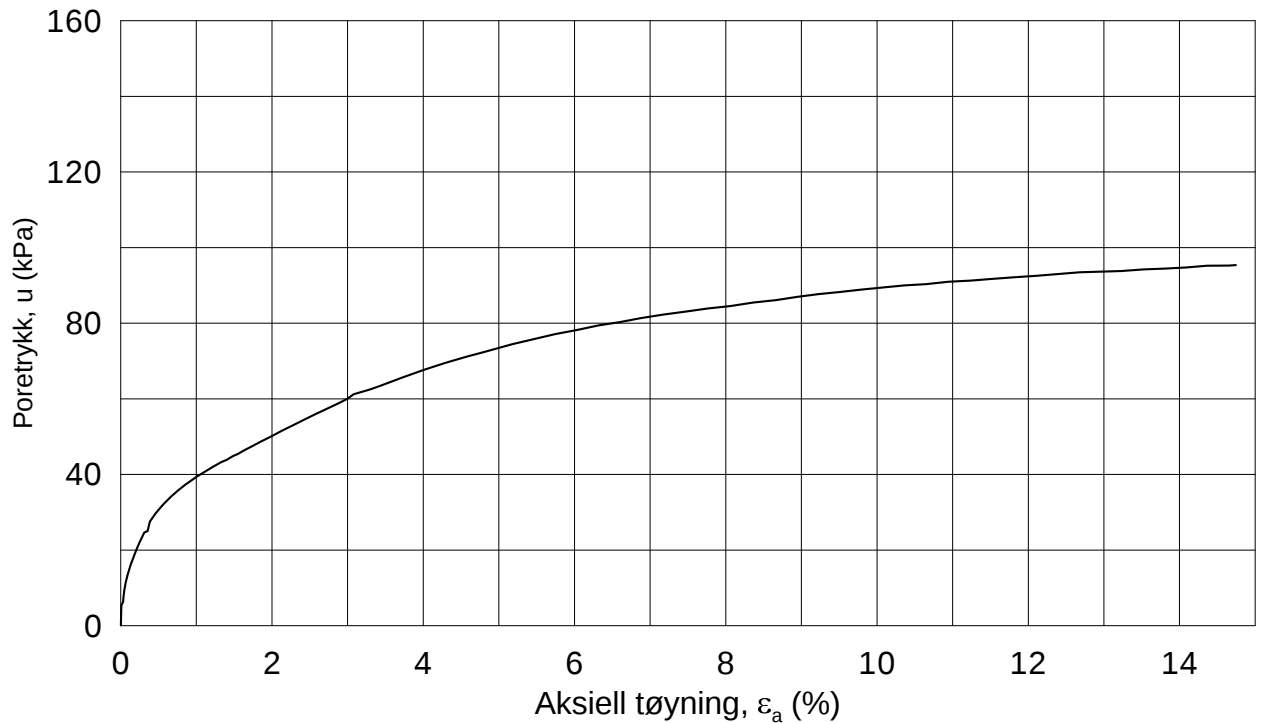
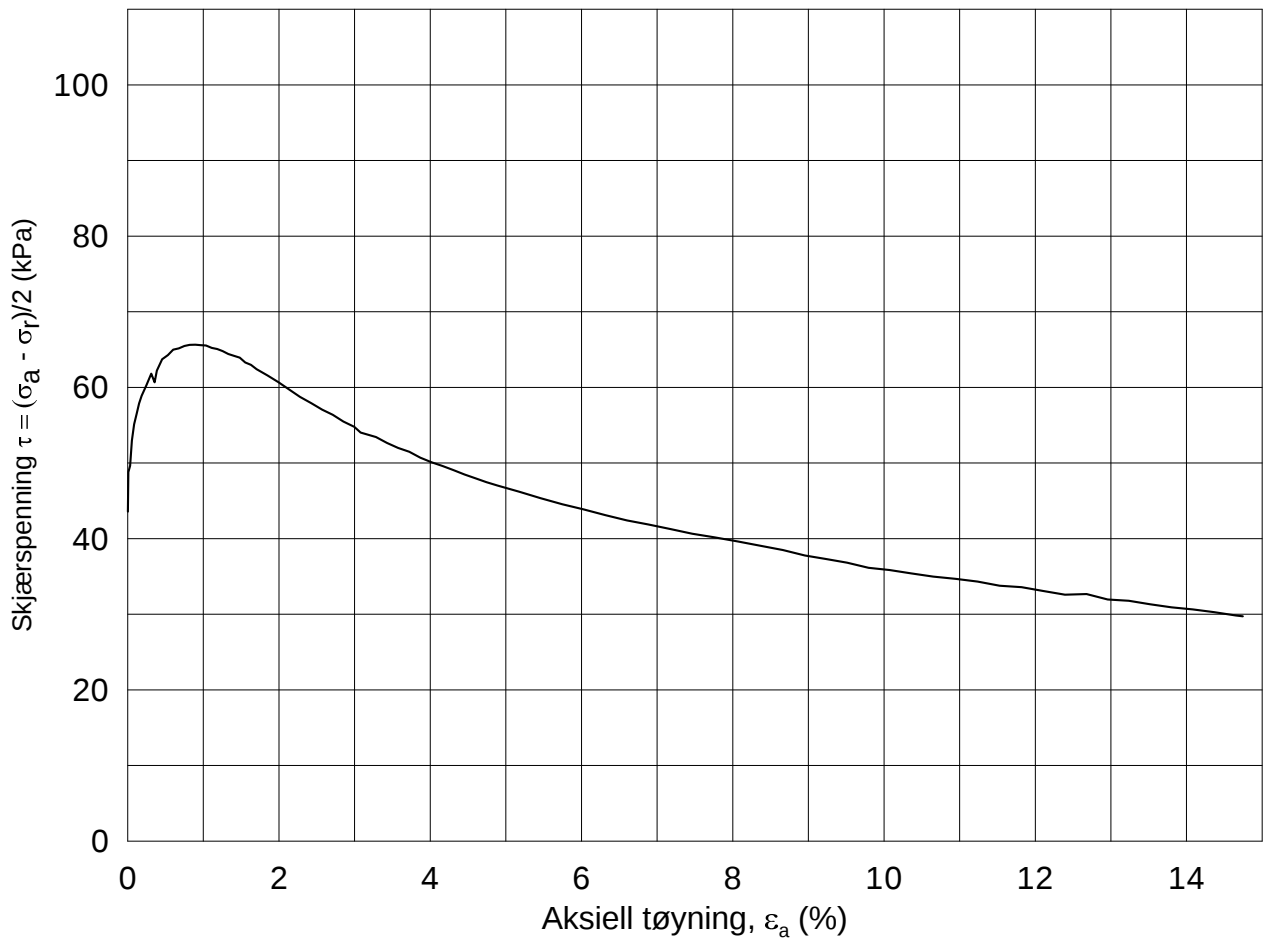




Date/Rev.: 2009-11-03/01

E16 Nybakk - Slomarka			Dokument nr. 20120491-02-R
Treaksial forsøk: CAUA			Dato 2013-01-07
Boring: 3137	Dybde = 15.25 m	Konsolidering-spenninger	
Sylinder: 1	$p_{o'}$ = 147.0 kPa	(kPa)	maks. min. endelig
Del: A	w_i = 32.2 %	σ_{ac}' = - - 147.0	Figur nr. G240
Test: 1	w_c = 30.6 %	σ_{rc}' = - - 96.0	Tegnet av MAS

3137-1-A-1.Plot2.grf



Date/Rev.: 2009-11-03/01

E16 Nybakk - Slomarka

Dokument nr.
20120491-02-R

Treaksial forsøk: **CAUA**

Dato
2013-01-07

Boring: **3137**

Dybde = **21.41** m

Konsolidering-spenninger

Sylinder: **4**

$p_{o'}$ = **212.6** kPa

(kPa) maks. min. endelig

Figur nr.
G241

Del: **B**

w_i = **37.2** %

σ_{ac}' = - - **212.6**

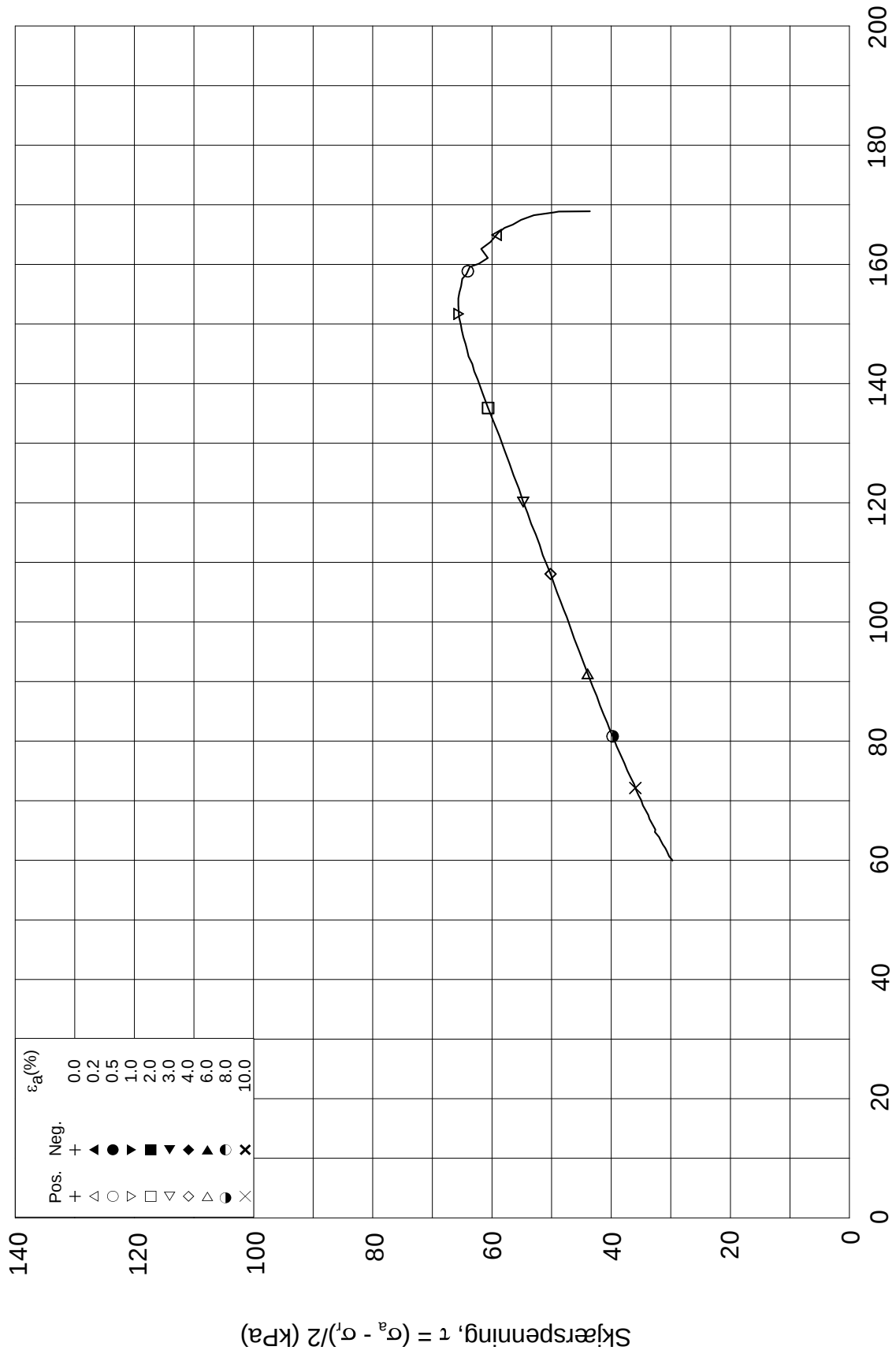
Tegnet av
MAS

Test: **1**

w_c = **35.3** %


σ_{rc}' = - - **125.4**



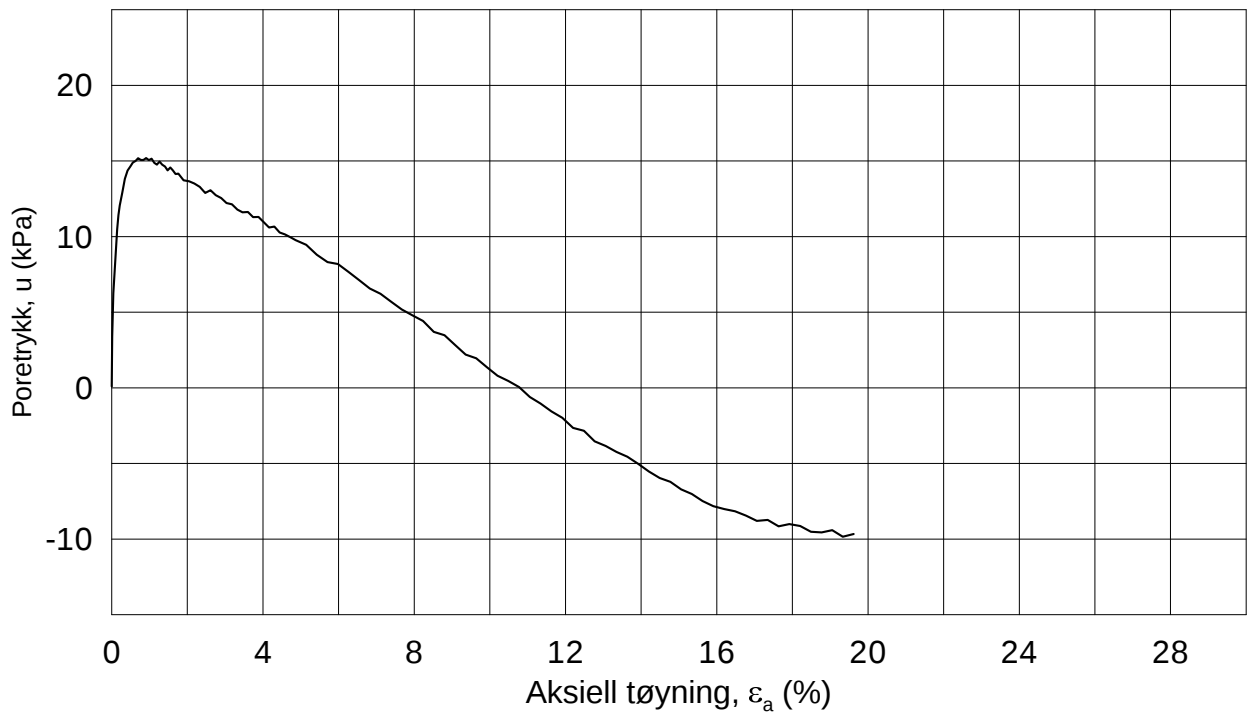
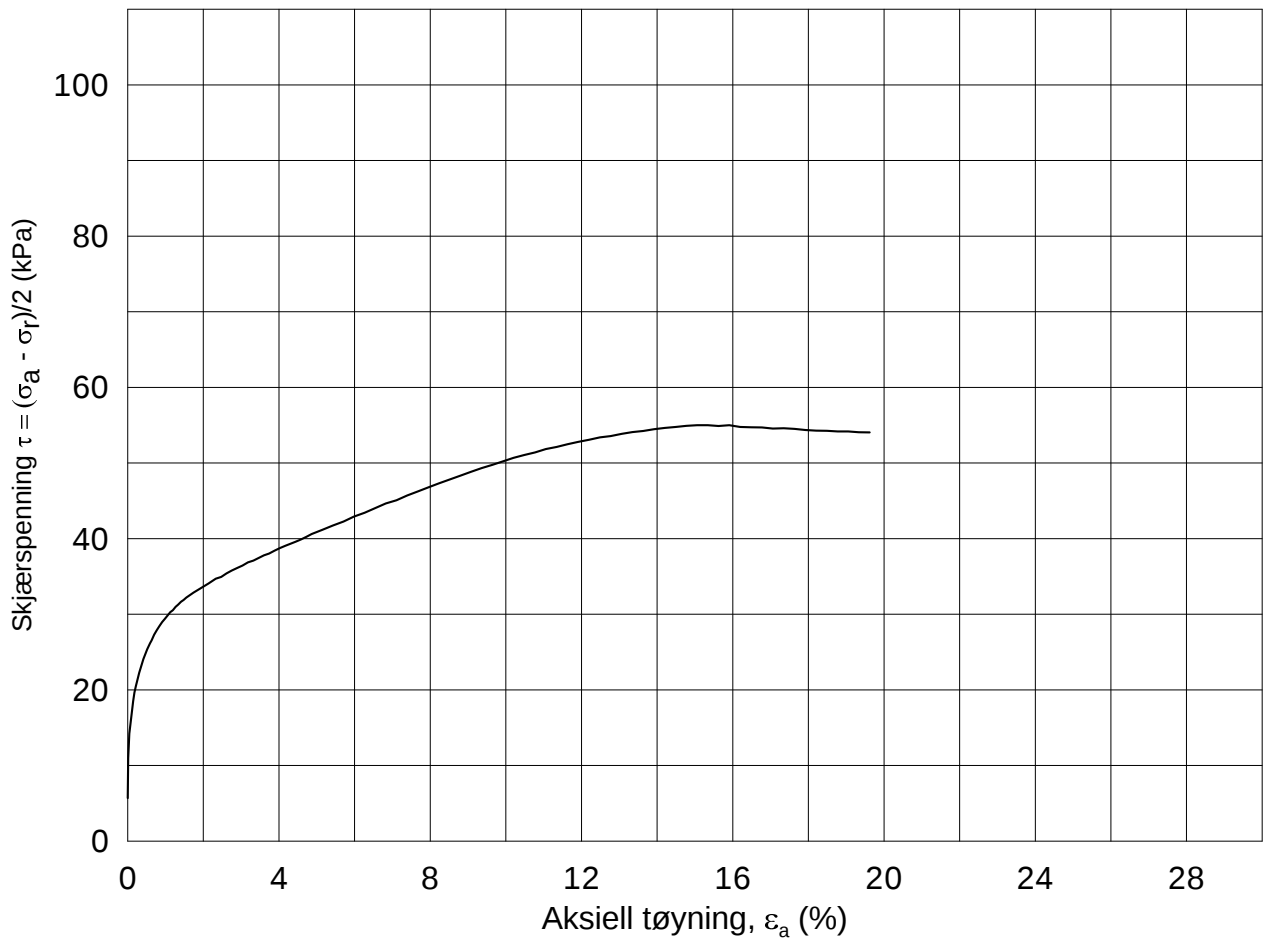


Effektiv gjennomsnittsspenning, $p' = (\sigma_a' + \sigma_1')/2$ (kPa)

Date/Rev.: 2009-11-03/01

E16 Nybakk - Slomarka			Dokument nr. 20120491-02-R
Treaksial forsøk: CAUA			Dato 2013-01-07
Boring: 3137	Dybde = 21.41 m	Konsolidering-spenninger	
Sylinder: 4	$p_{o'}$ = 212.6 kPa	(kPa)	maks. min. endelig
Del: B	w_i = 37.2 %	$\sigma_{ac}' =$ - - 212.6	Figur nr. G242
Test: 1	w_c = 35.3 %	$\sigma_{rc}' =$ - - 125.4	Tegnet av MAS
			

3137-4-B-1.Plot2.grf



Date/Rev.: 2009-11-03/01

E16 Nybakk - Slomarka

Dokument nr.
20120491-02-R

Treaksial forsøk: **CAUA**

Dato
2013-01-07

Boring: **3139**

Dybde = **5.24** m

Konsolidering-spenninger

Sylinder: **2**

$p_{o'}$ = **57.2** kPa

(kPa) maks. min. endelig

Figur nr.
G243

Del: **A**

w_i = **28.3** %

σ_{ac}' = - - **57.1**

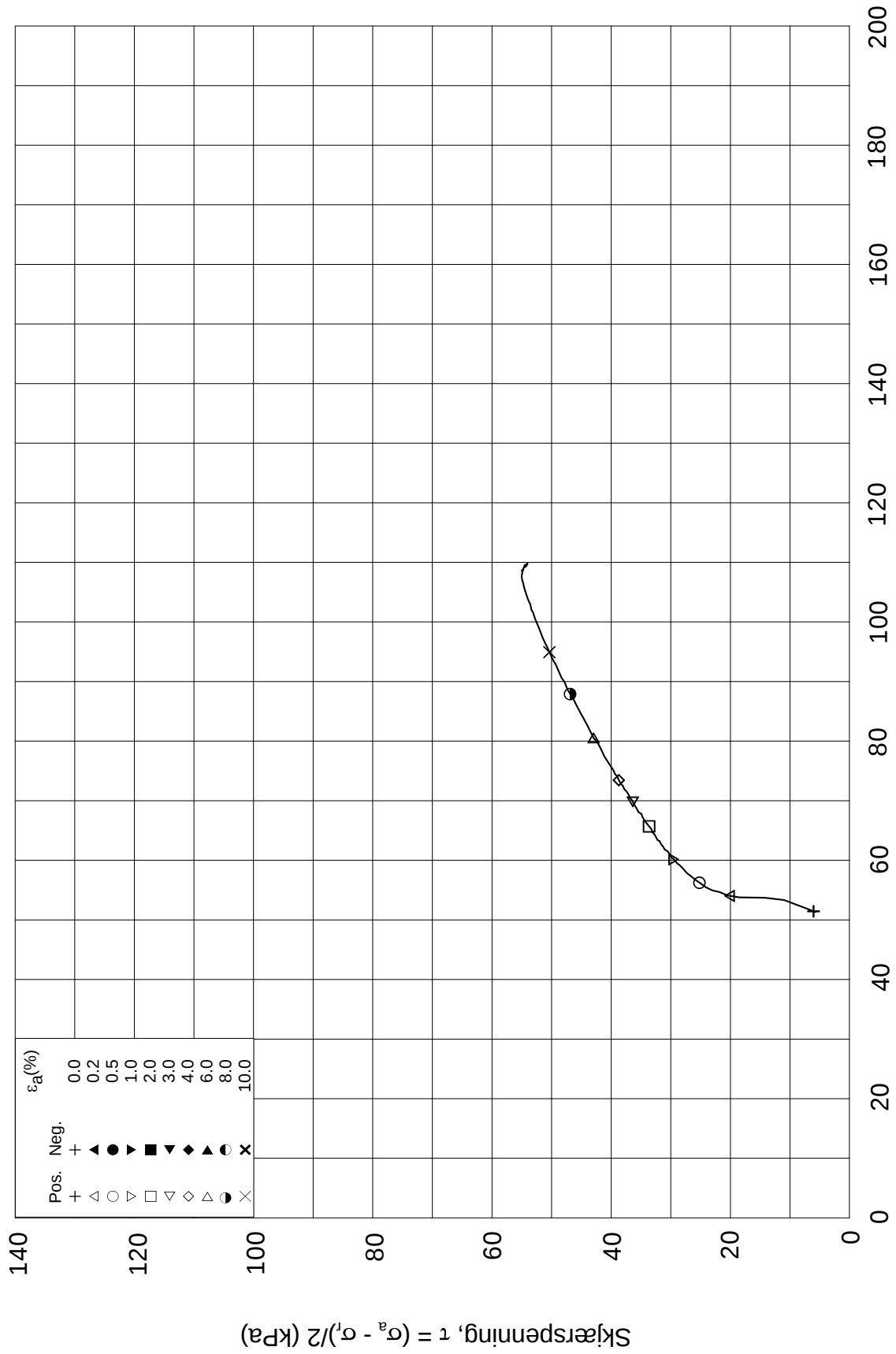
Tegnet av
MAS

Test: **1**

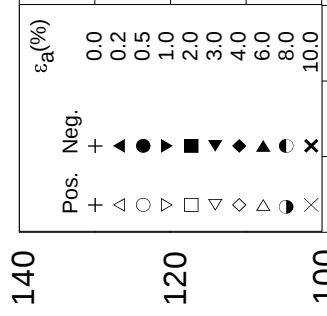
w_c = **27.3** %

σ_{rc}' = - - **45.7**





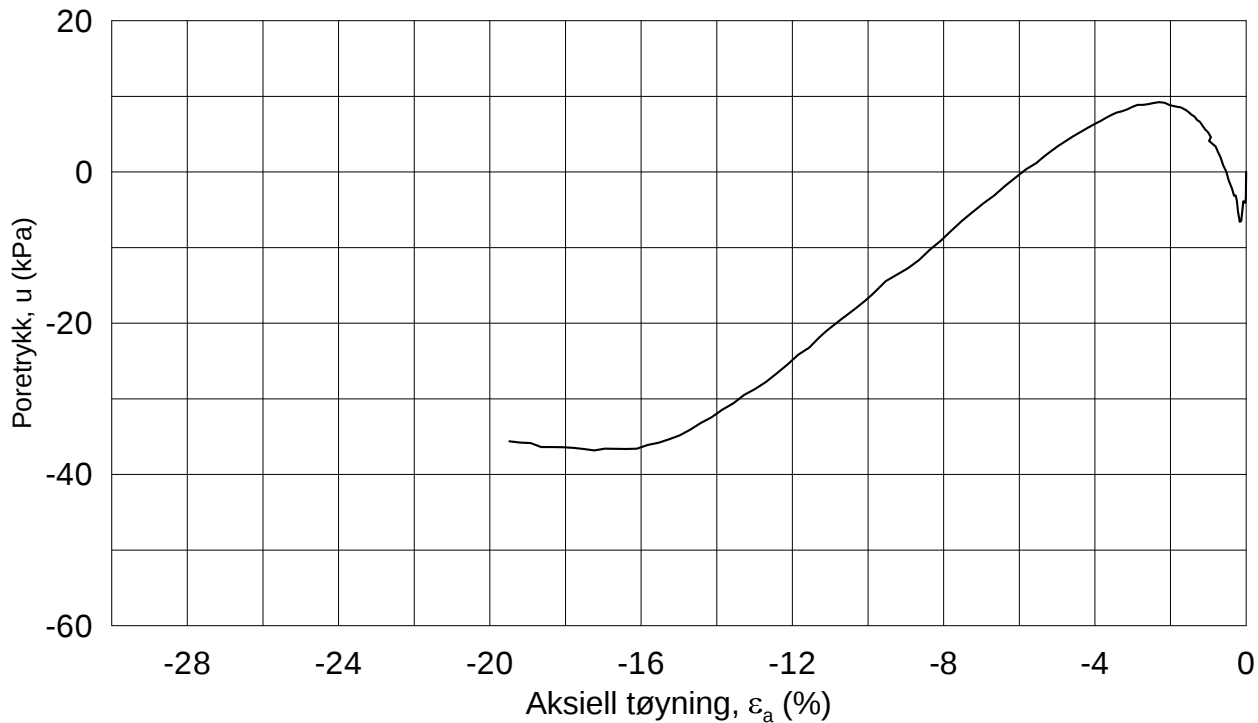
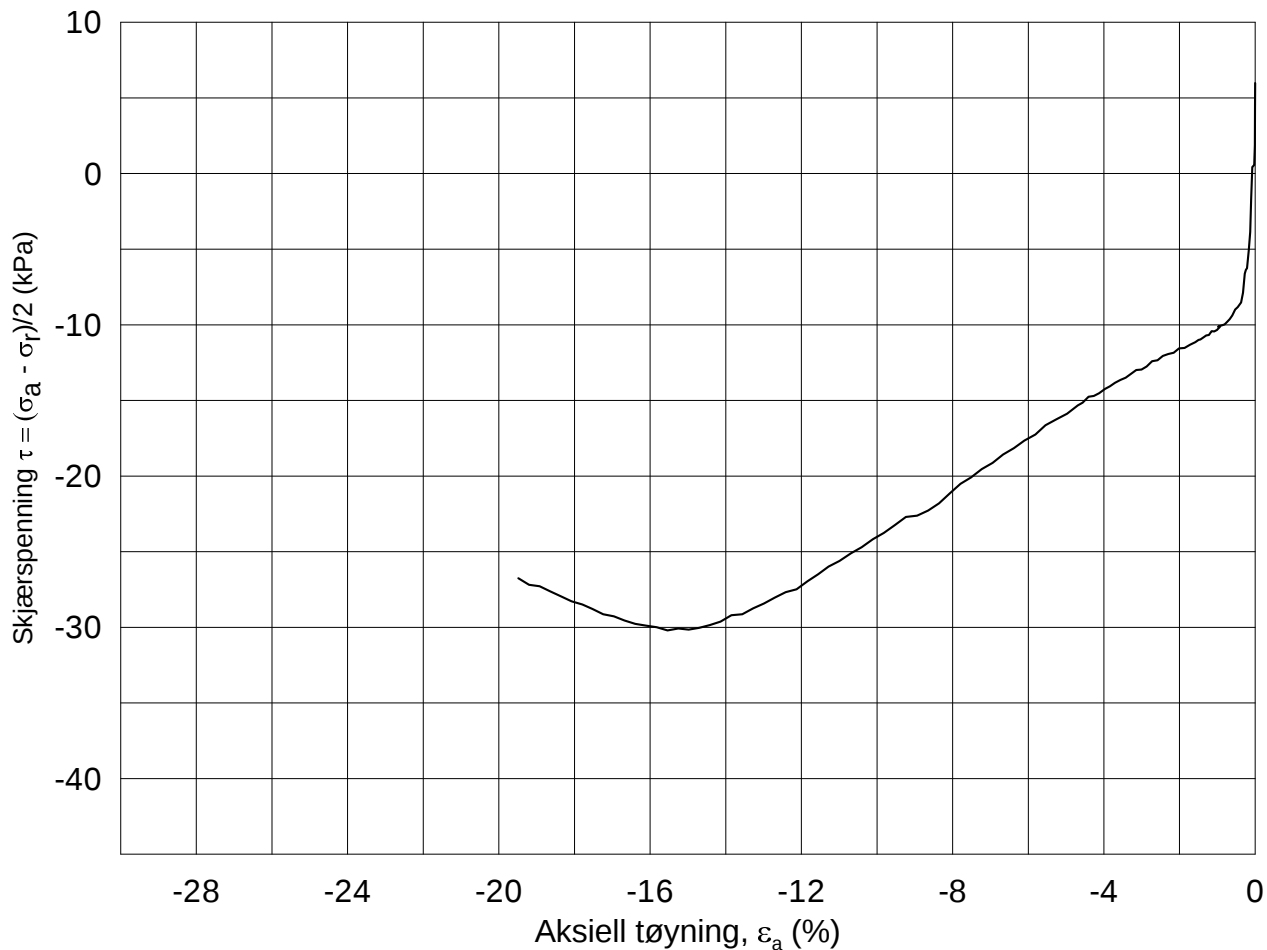
Effektiv gjennomsnittsspenning, p' = (σ_a' + σ_r')/2 (kPa)



Date/Rev.: 2009-11-03/01

E16 Nybakk - Slomarka			Dokument nr. 20120491-02-R	
Treaksial forsøk: CAUA			Dato 2013-01-07	
Boring: 3139	Dybde = 5.24 m	Konsolidering-spenninger		
Sylinder: 2	p _o ' = 57.2 kPa	(kPa)	maks.	min.
Del: A	w _i = 28.3 %	σ _{ac} ' =	-	-
Test: 1	w _c = 27.3 %	σ _{rc} ' =	-	-
		endelig	57.1	
			45.7	
		Figur nr.	G244	
		Tegnet av	MAS	

3139-2-A-1.Plot2.grf



Date/Rev.: 2009-11-03/01

E16 Nybakk - Slomarka

Dokument nr.
20120491-02-R

Treaksial forsøk: **CAUP**

Dato
2013-01-07

Boring: **3139**

Dybde = **5.37** m

Konsolidering-spenninger

Sylinder: **2**

$p_{o'}$ = **58.3** kPa

(kPa) maks. min. endelig

Figur nr.
G245

Del: **B**

w_i = **27.1** %

σ_{ac}' = - - **58.4**

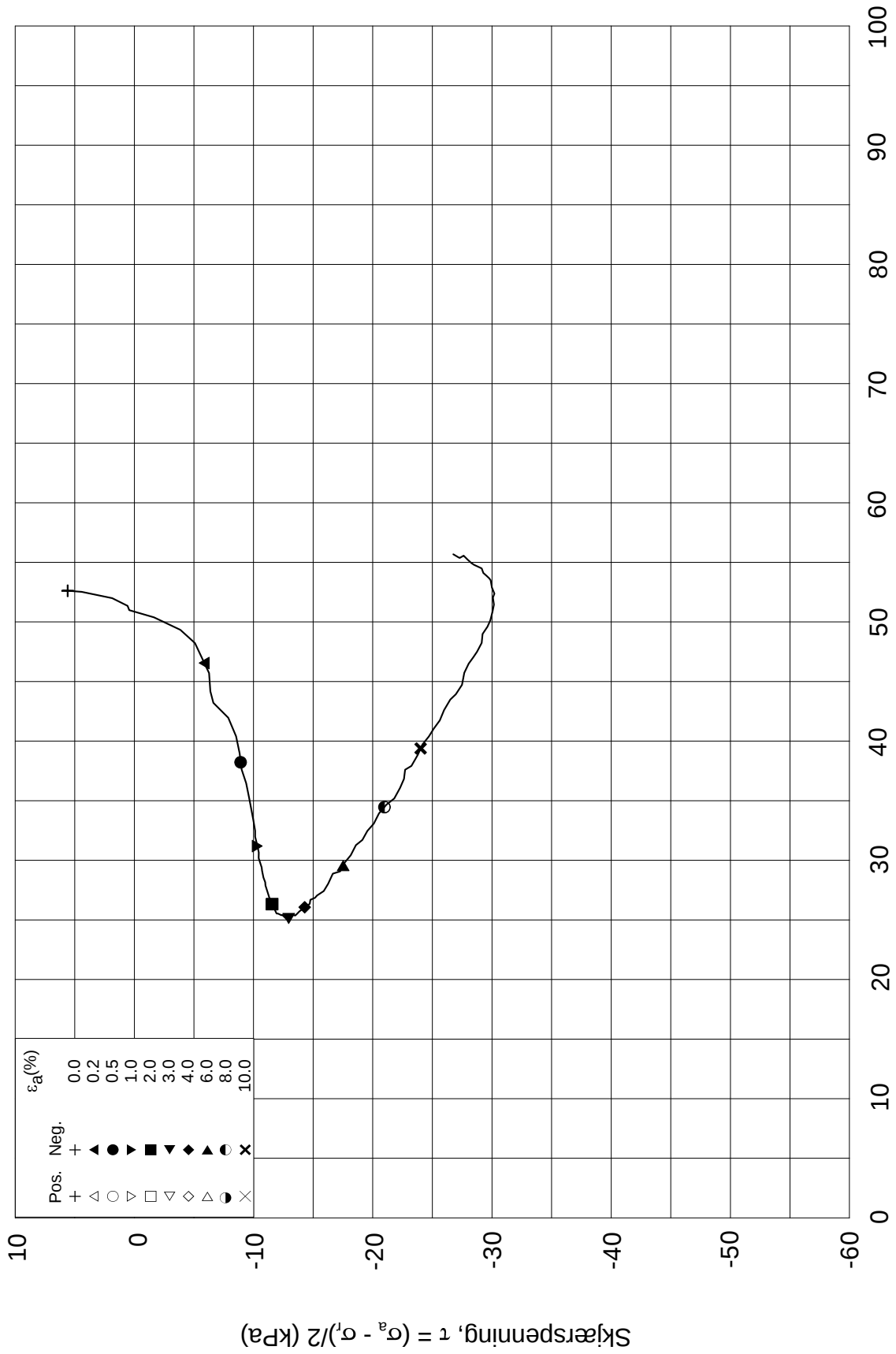
Tegnet av
MAS

Test: **1**

w_c = **26.4** %


σ_{rc}' = - - **46.7**



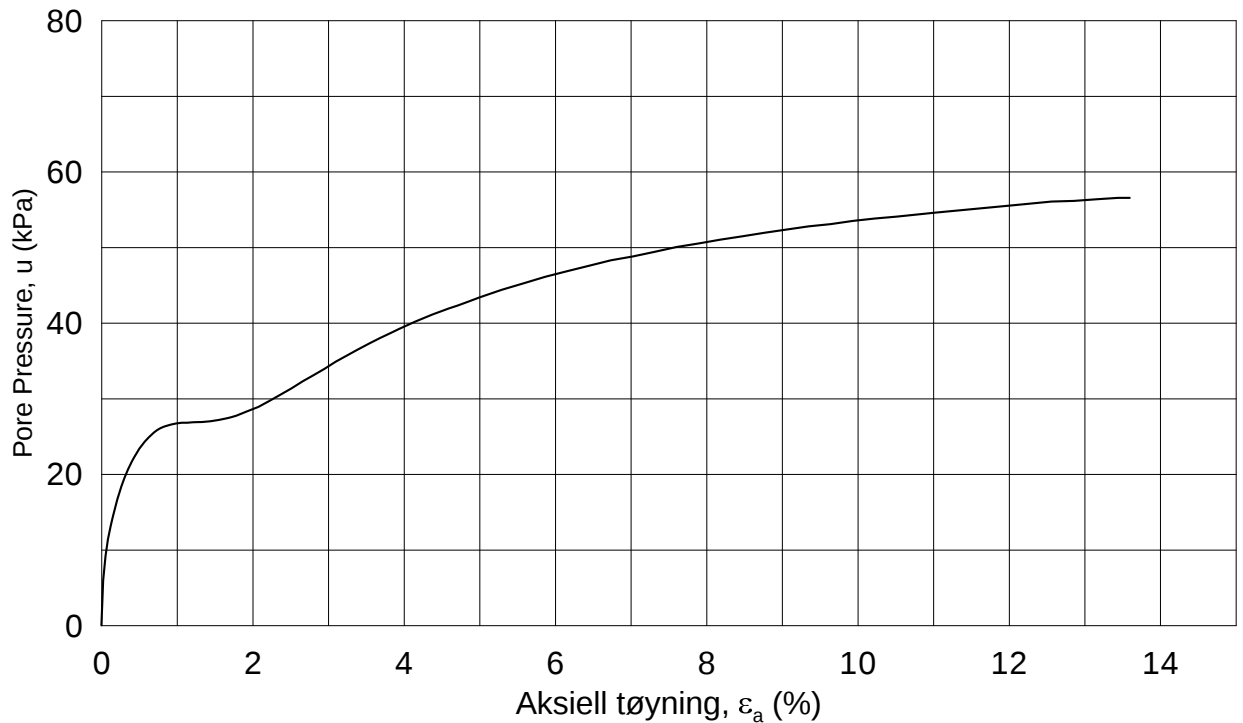
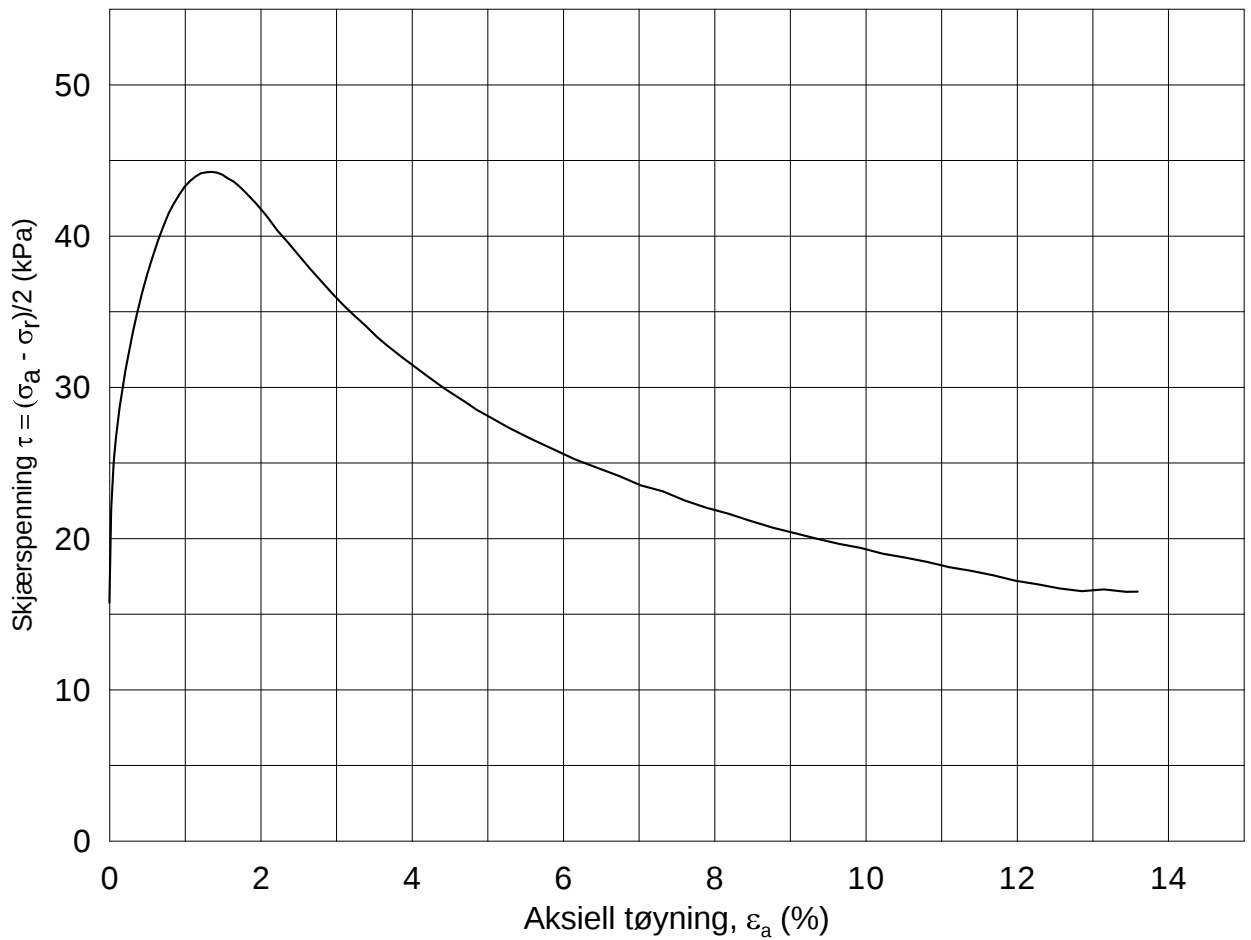


Effektiv gjennomsnittsspenning, $p' = (\sigma_a' + \sigma_r')/2$ (kPa)

Date/Rev.: 2009-11-03/01

E16 Nybakk - Slomarka			Dokument nr. 20120491-02-R	
Treaksial forsøk: CAUP			Dato 2013-01-07	
Boring: 3139	Dybde = 5.37 m	Konsolidering-spenninger		
Sylinder: 2	p_o' = 58.3 kPa	(kPa)	maks.	min.
Del: B	w_i = 27.1 %	$\sigma_{ac}' =$	-	-
Test: 1	w_c = 26.4 %	$\sigma_{rc}' =$	-	-
			58.4	46.7
			Figur nr. G246	
			Tegnet av MAS	

3139-2-B-1.Plot2.grf



Date/Rev.: 2009-11-03/01

E16 Nybakk - Slomarka

Dokument nr.
20120491-02-R

Treaksial forsøk: **CAUA**

Dato
2013-01-07

Boring: **3139**

Dybde = **10.40** m

Konsolidering-spenninger

Sylinder: **7**

p_o' = **104.0** kPa

(kPa)	maks.	min.	endelig
σ_{ac}' =	-	-	104.0
σ_{rc}' =	-	-	72.5

Figur nr.
G247

Del: **A**

w_i = **37.8** %

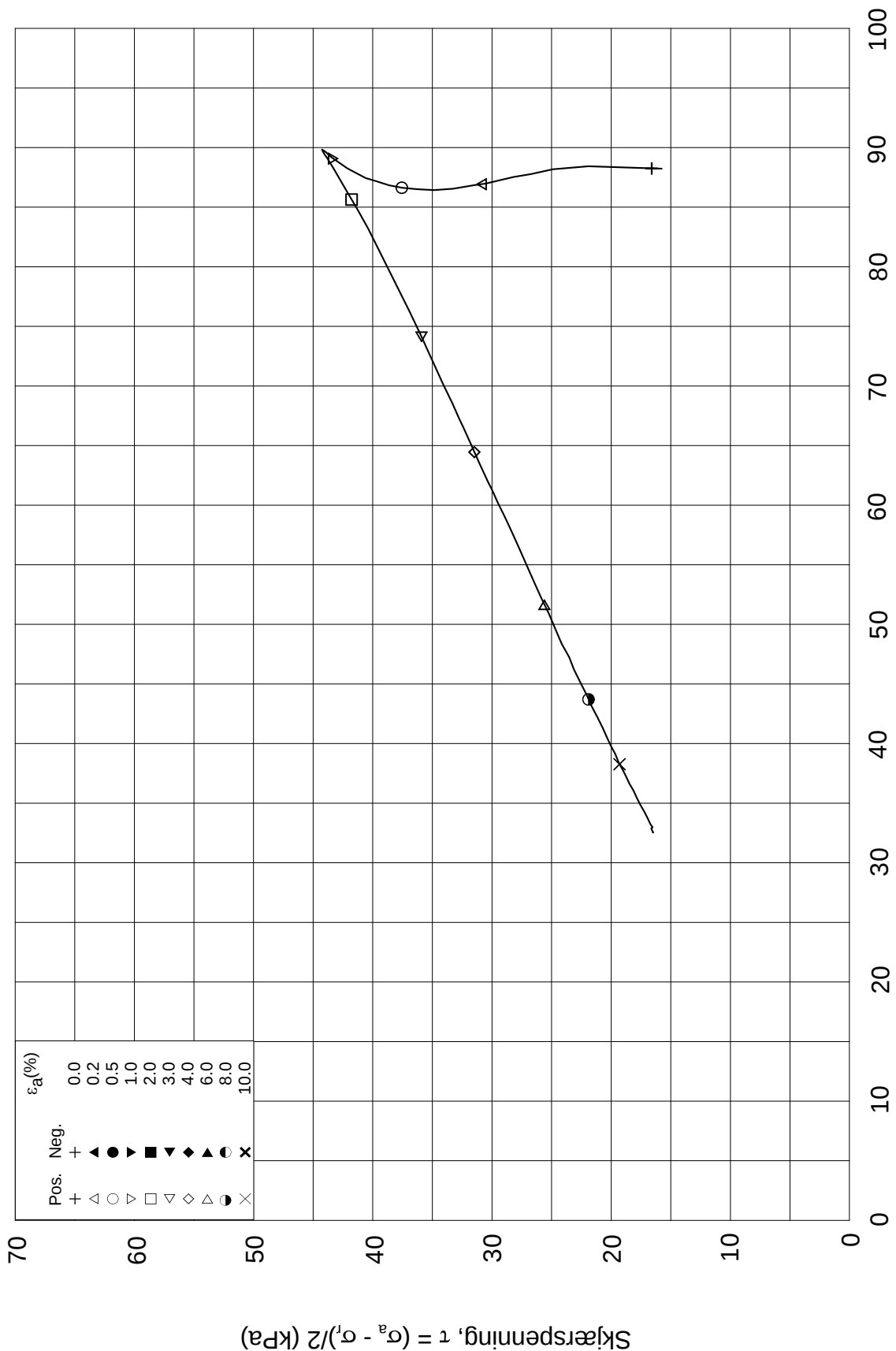
Tegnet av

Test: **1**

w_c = **36.4** %

-

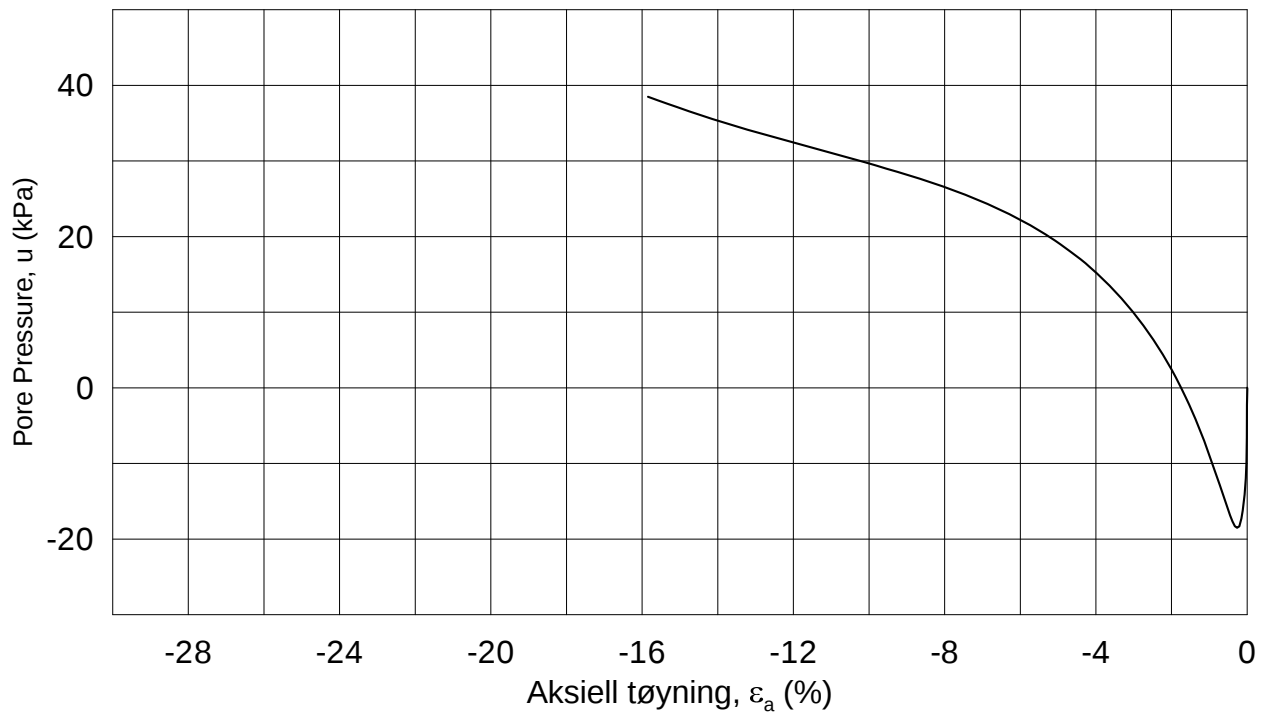
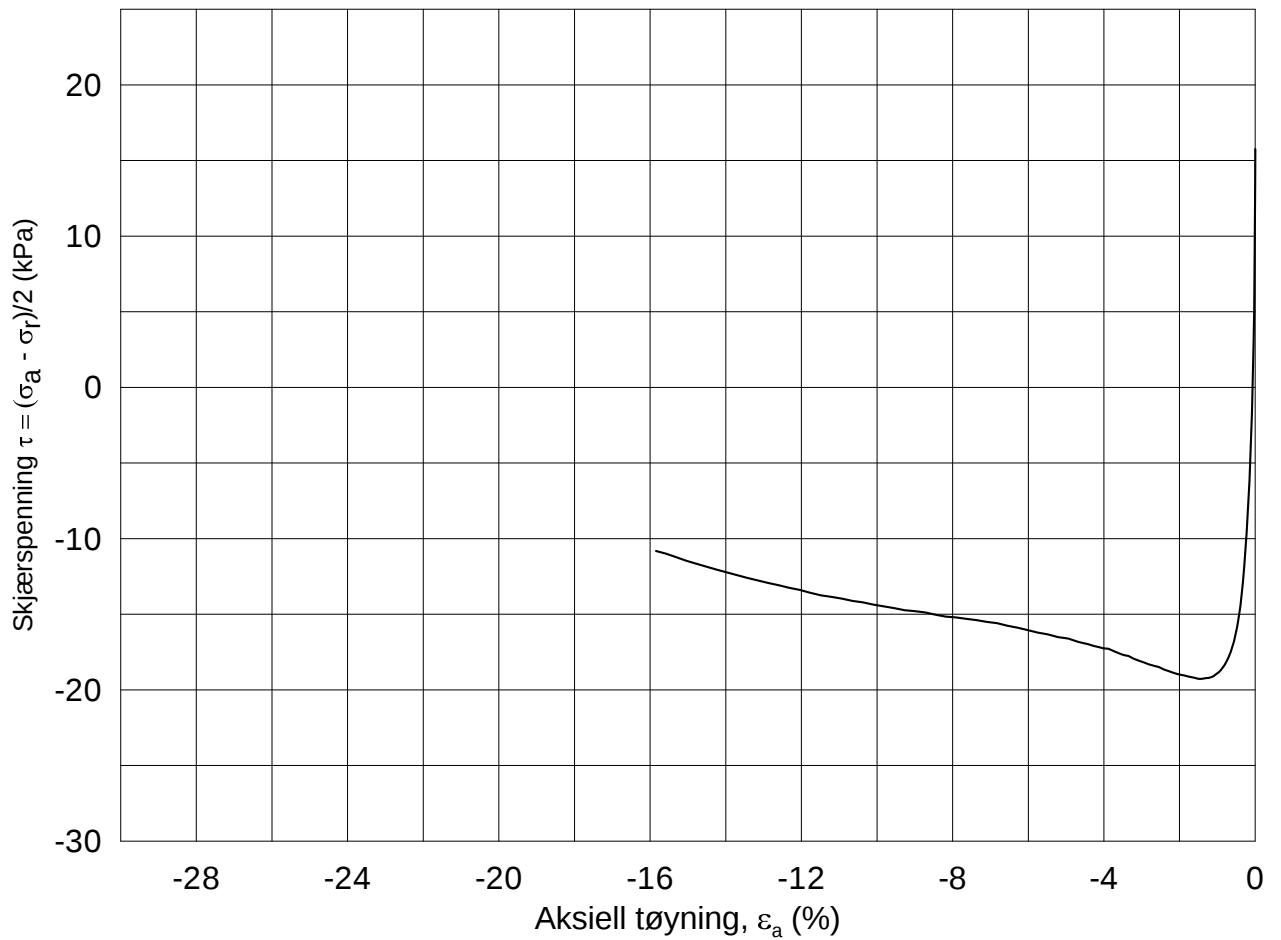




Date/Rev.: 2009-11-03/01

E16 Nybakk - Slomarka			Dokument nr. 20120491-02-R	
Treaksial forsøk: CAUA			Dato 2013-01-07	
Boring: 3139	Dybde = 10.40 m	Konsolidering-spenninger		
Sylinder: 7	$p_{o'}$ = 104.0 kPa	(kPa)	maks.	min.
Del: A	w_i = 37.8 %	σ_{ac}' =	-	-
Test: 1	w_c = 36.4 %	σ_{rc}' =	-	-
		endelig	104.0	
			72.5	
		Figur nr.	G248	
		Tegnet av	-	

3139-7-A-1.Plot2.grf



Date/Rev.: 2009-11-03/01

E16 Nybakk - Slomarka

Dokument nr.
20120491-02-R

Treaksial forsøk: **CAUP**

Dato
2013-01-07

Boring: **3139**

Dybde = **10.36** m

Konsolidering-spenninger

Sylinder: **7**

p_o' = **104.0** kPa

(kPa)	maks.	min.	endelig
σ_{ac}' =	-	-	104.0
σ_{rc}' =	-	-	72.5

Figur nr.
G249

Del: **B**

w_i = **36.8** %

σ_{ac}' = - - **104.0**

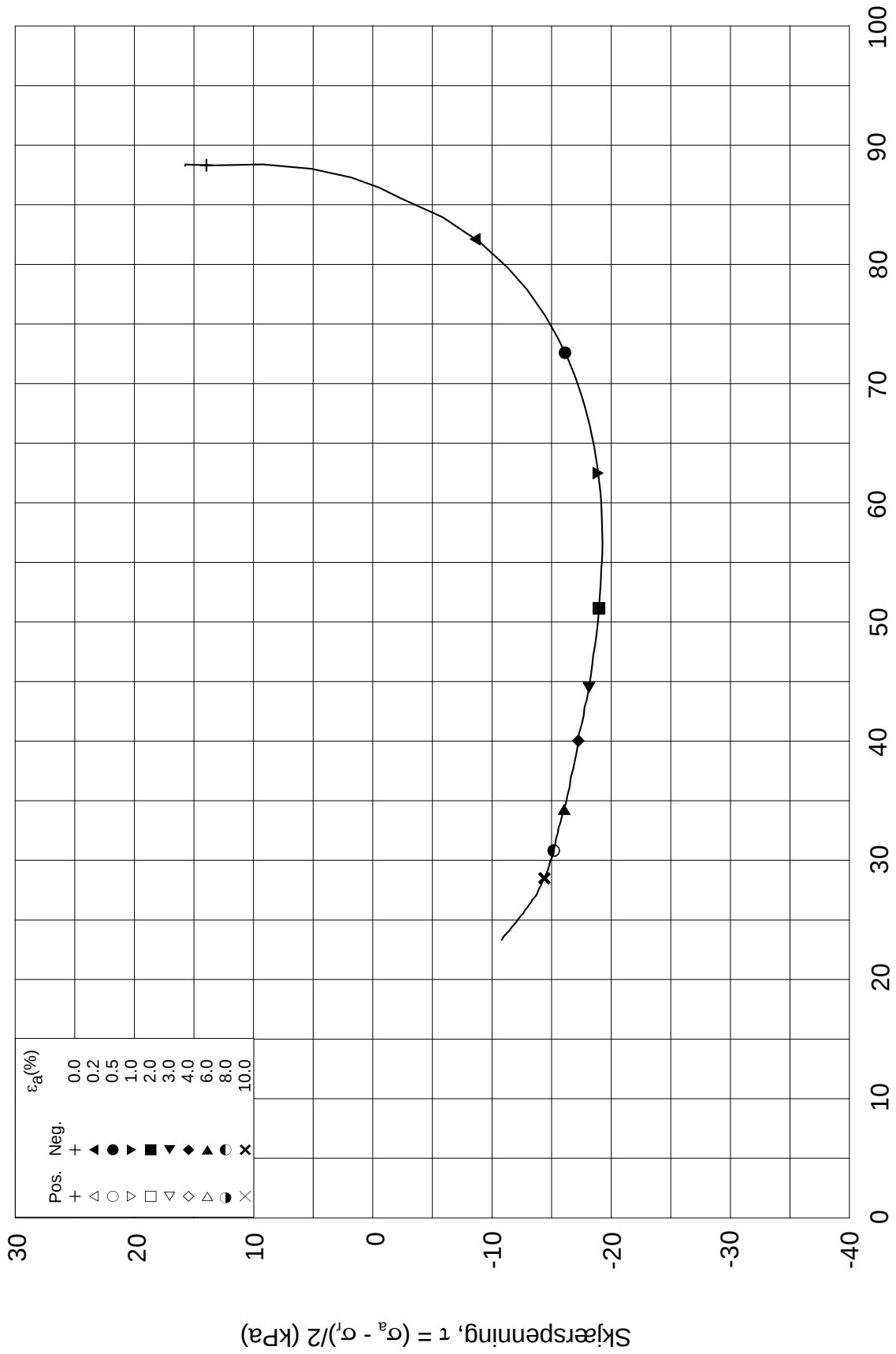
Tegnet av
MAS

Test: **2**


w_c = **35.9** %

σ_{rc}' = - - **72.5**

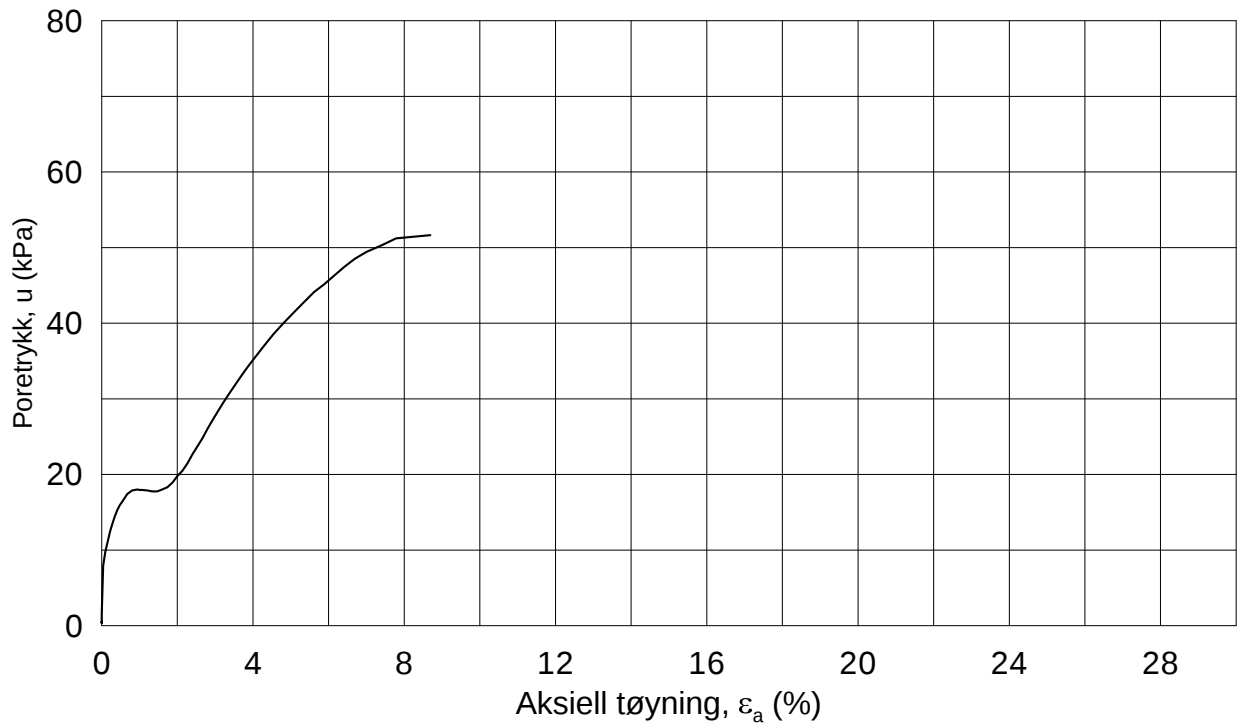
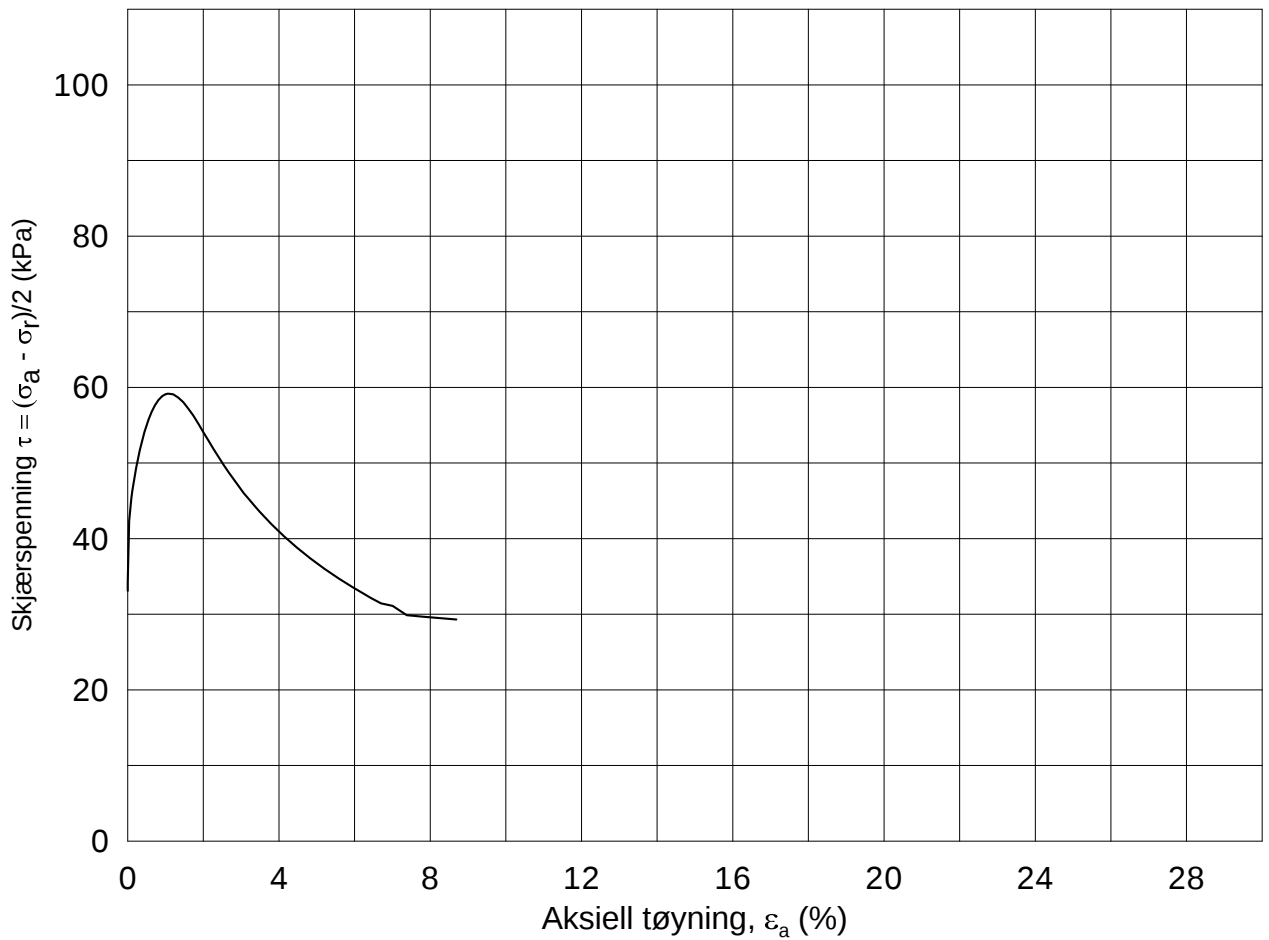




Date/Rev.: 2009-11-03/01

E16 Nybakk - Slomarka			Dokument nr. 20120491-02-R	
Treaksial forsøk: CAUP			Dato 2013-01-07	
Boring: 3139	Dybde = 10.36 m	Konsolidering-spenninger		
Sylinder: 7	p _{o'} = 104.0 kPa	(kPa)	maks.	min.
Del: B	w _i = 36.8 %	σ _{ac} ' =	-	-
Test: 2	w _c = 35.9 %	σ _{rc} ' =	-	104.0
				72.5
			Figur nr. G250	
			Tegnet av MAS	

3139-7-B-2.Plot2.grf



Date/Rev.: 2009-11-03/01

E16 Nybakk - Slomarka

Dokument nr.
20120491-02-R

Treaksial forsøk: **CAUA**

Dato
2013-01-07

Boring: **3139**

Dybde = **15.22** m

Konsolidering-spenninger

Sylinder: **12**

$p_{o'}$ = **147.0** kPa

(kPa) maks. min. endelig

Figur nr.
G251

Del: **A**

w_i = **37.3** %

σ_{ac}' = - - **147.2**

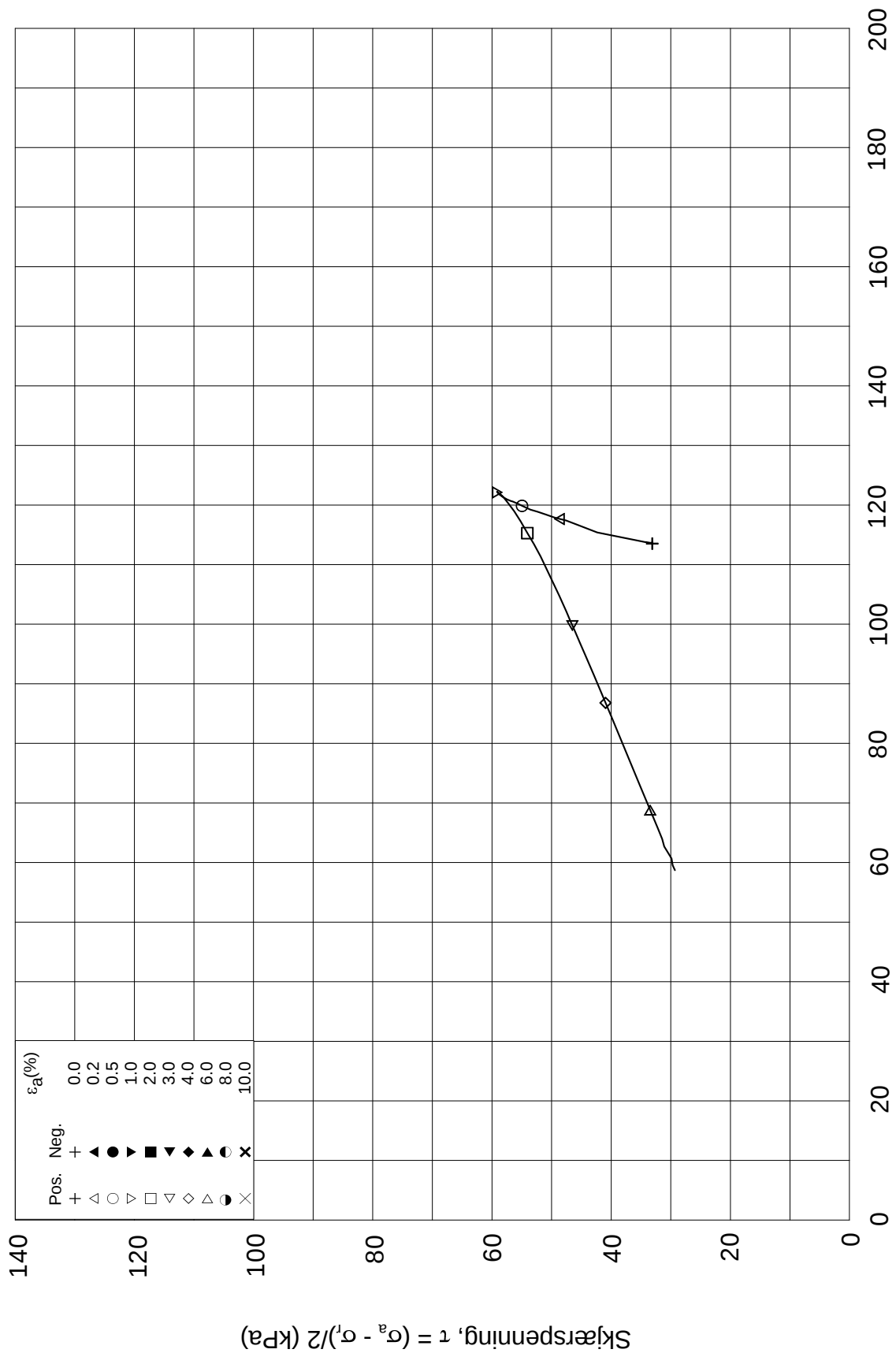
Tegnet av
MAS

Test: **1**

w_c = **35.9** %

σ_{rc}' = - - **81.0**





Date/Rev.: 2009-11-03/01

E16 Nybakk - Slomarka

Dokument nr.
20120491-02-R

Treaksial forsøk: **CAUA**

Dato
2013-01-07

Boring: **3139**

Dybde = **15.22** m

Konsolidering-spenninger

Sylinder: **12**

$p_{o'}$ = **147.0** kPa

(kPa) maks. min. endelig

Figur nr.
G252

Del: **A**

w_i = **37.3** %

σ_{ac}' = - - **147.2**

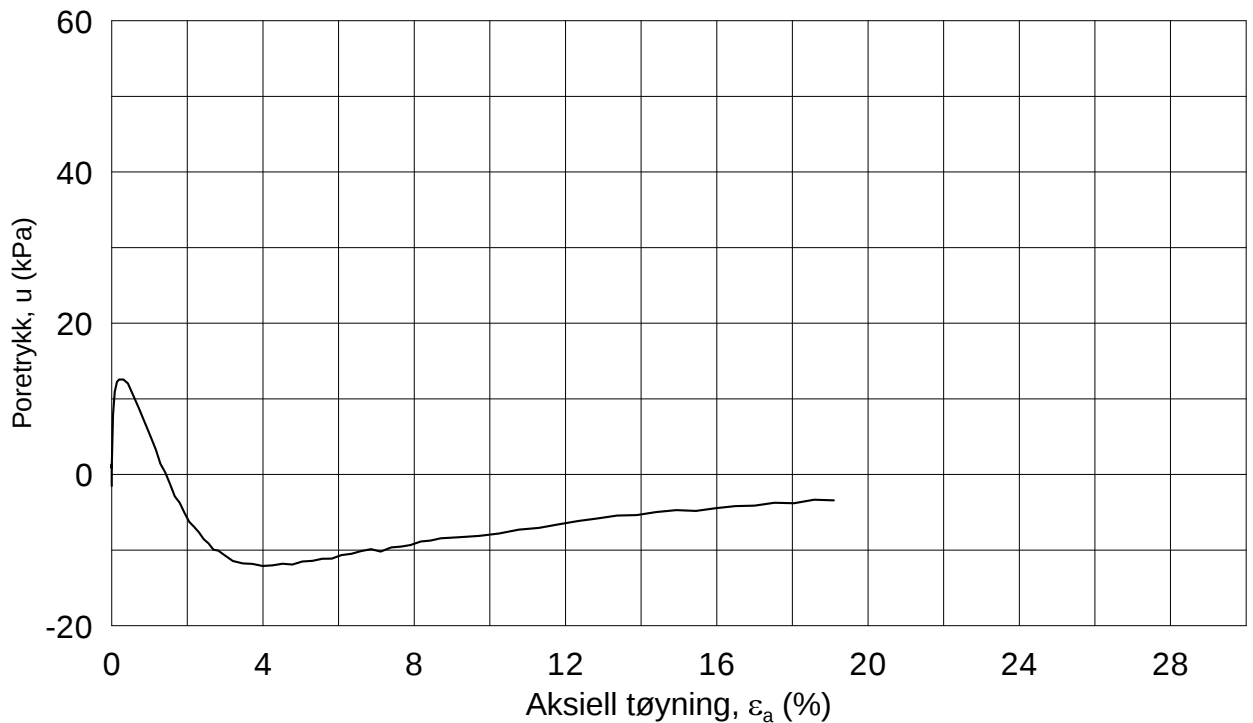
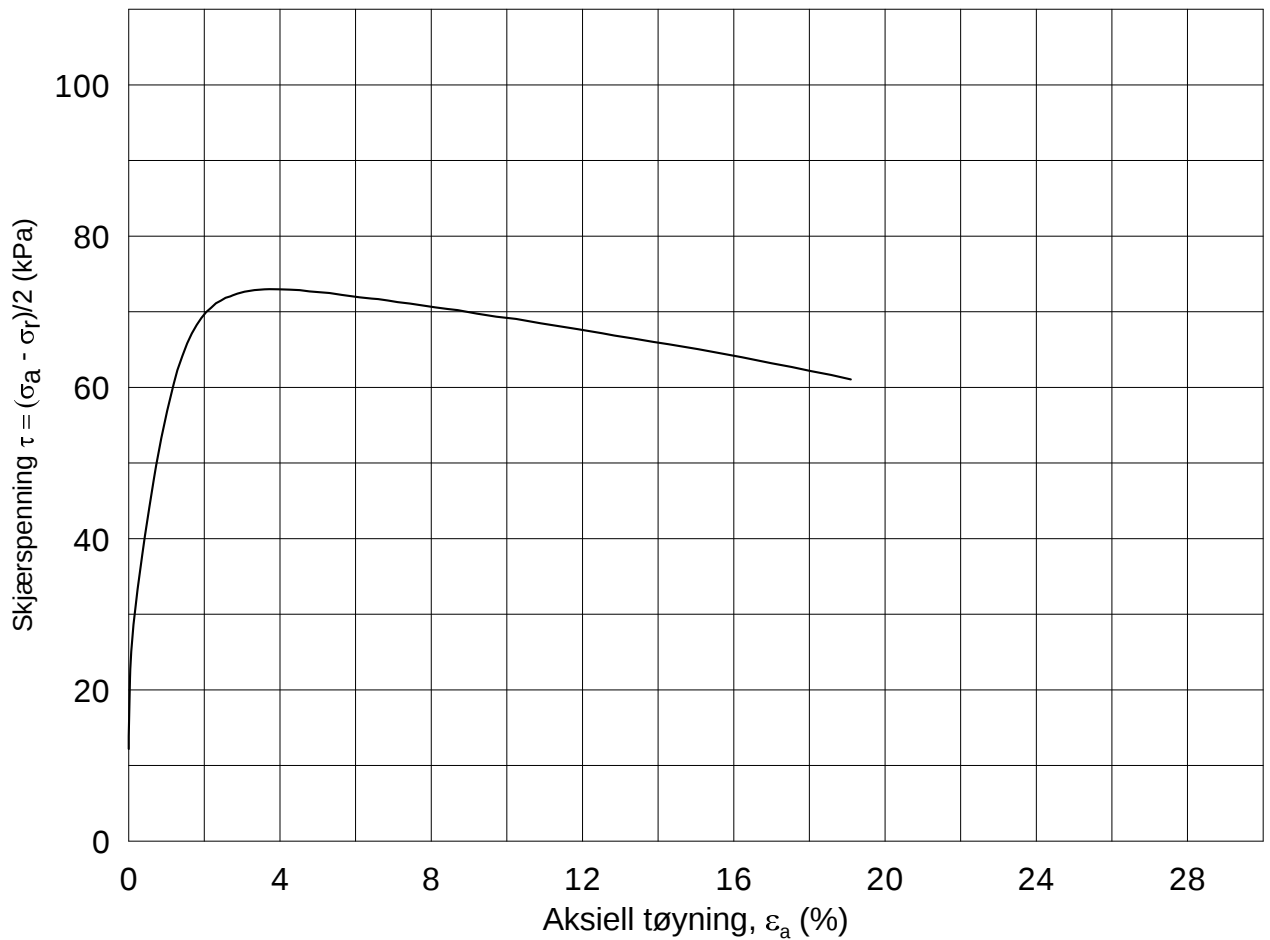
Tegnet av
MAS

Test: **1**

w_c = **35.9** %

σ_{rc}' = - - **81.0**





Date/Rev.: 2009-11-03/01

E16 Nybakk - Slomarka

Dokument nr.
20120491-02-R

Treaksial forsøk: **CAUA**

Dato
2013-09-19

Boring: **3148**

Dybde = **5.40** m

Konsolidering-spenninger

Sylinder: **5**

$p_{o'}$ = **80.9** kPa

(kPa) maks. min. endelig

Figur nr.
G253

Del: **B**

w_i = **31.9** %

σ_{ac}' = - - **80.9**

Tegnet av
MAS

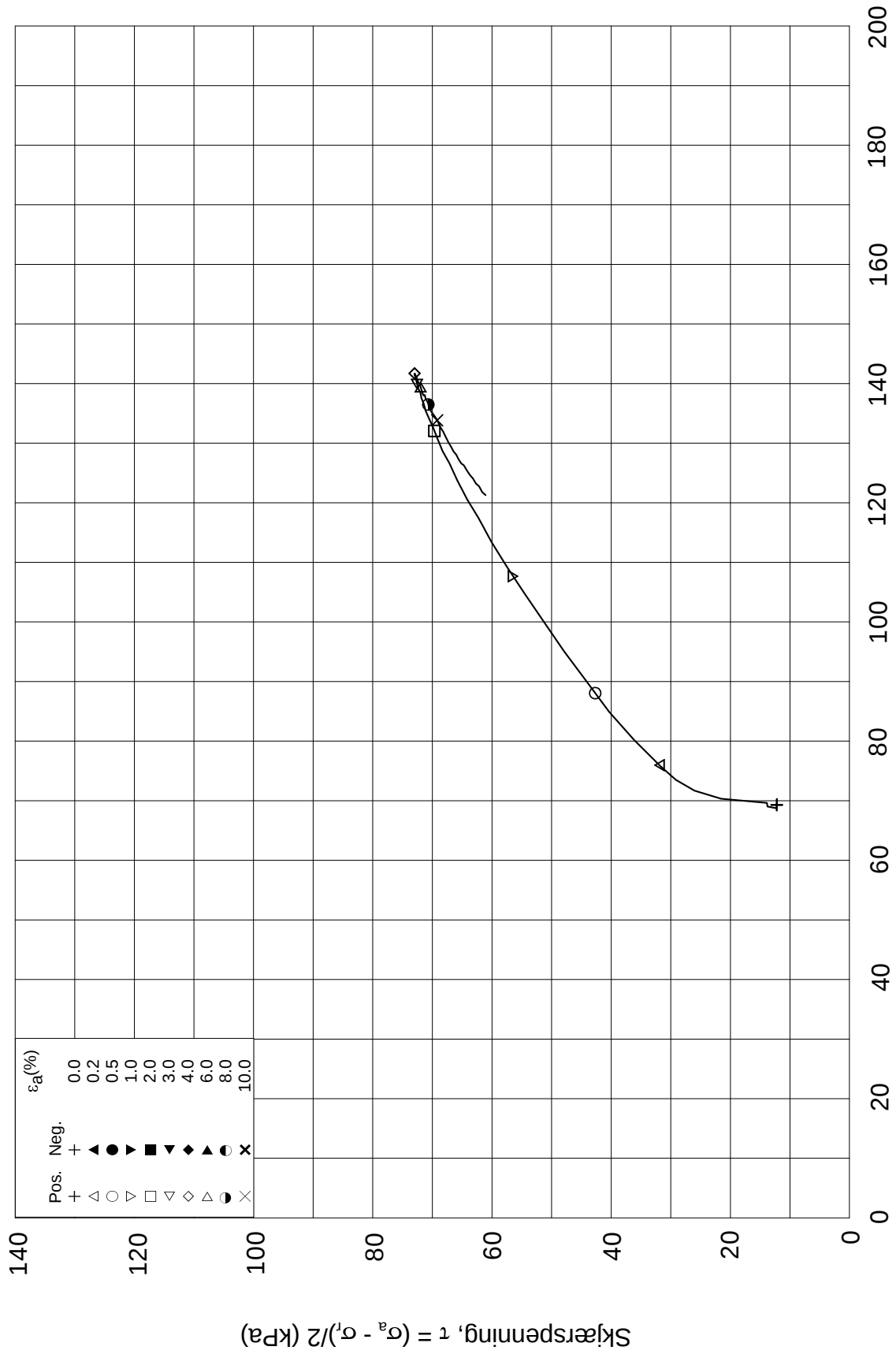
Test: **1**

w_c = **31.9** %

σ_{rc}' = - - **56.6**



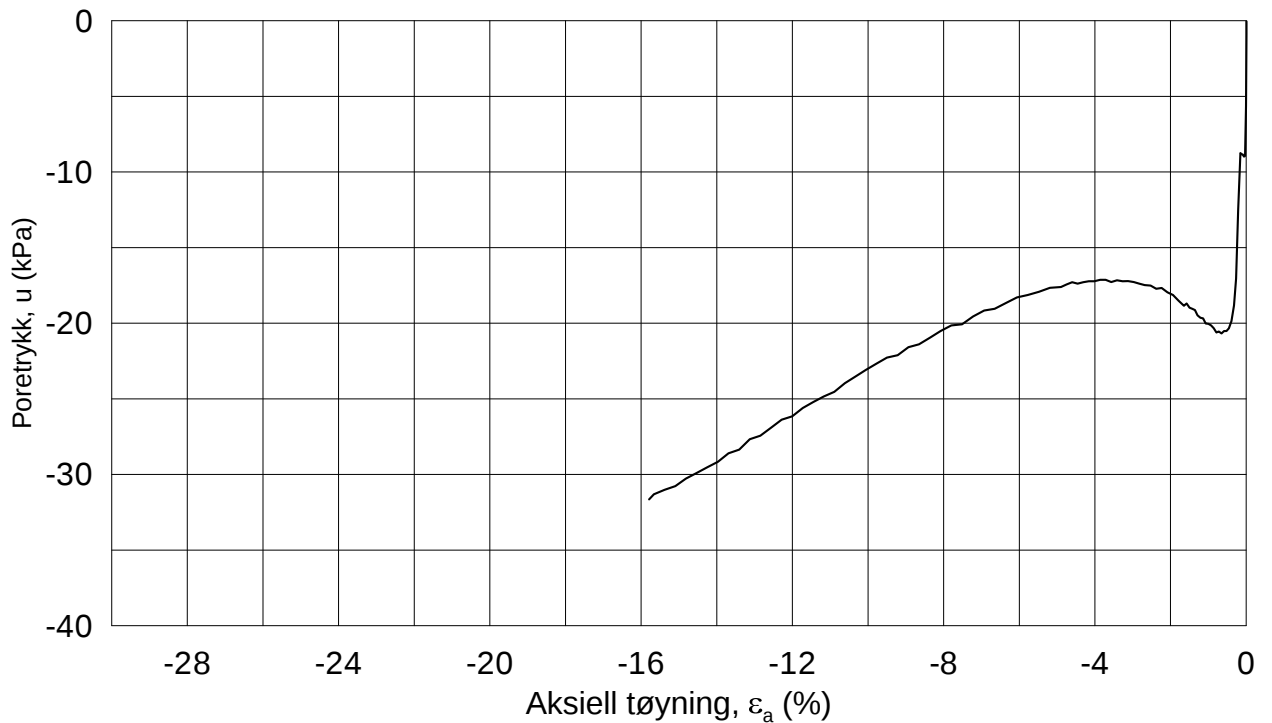
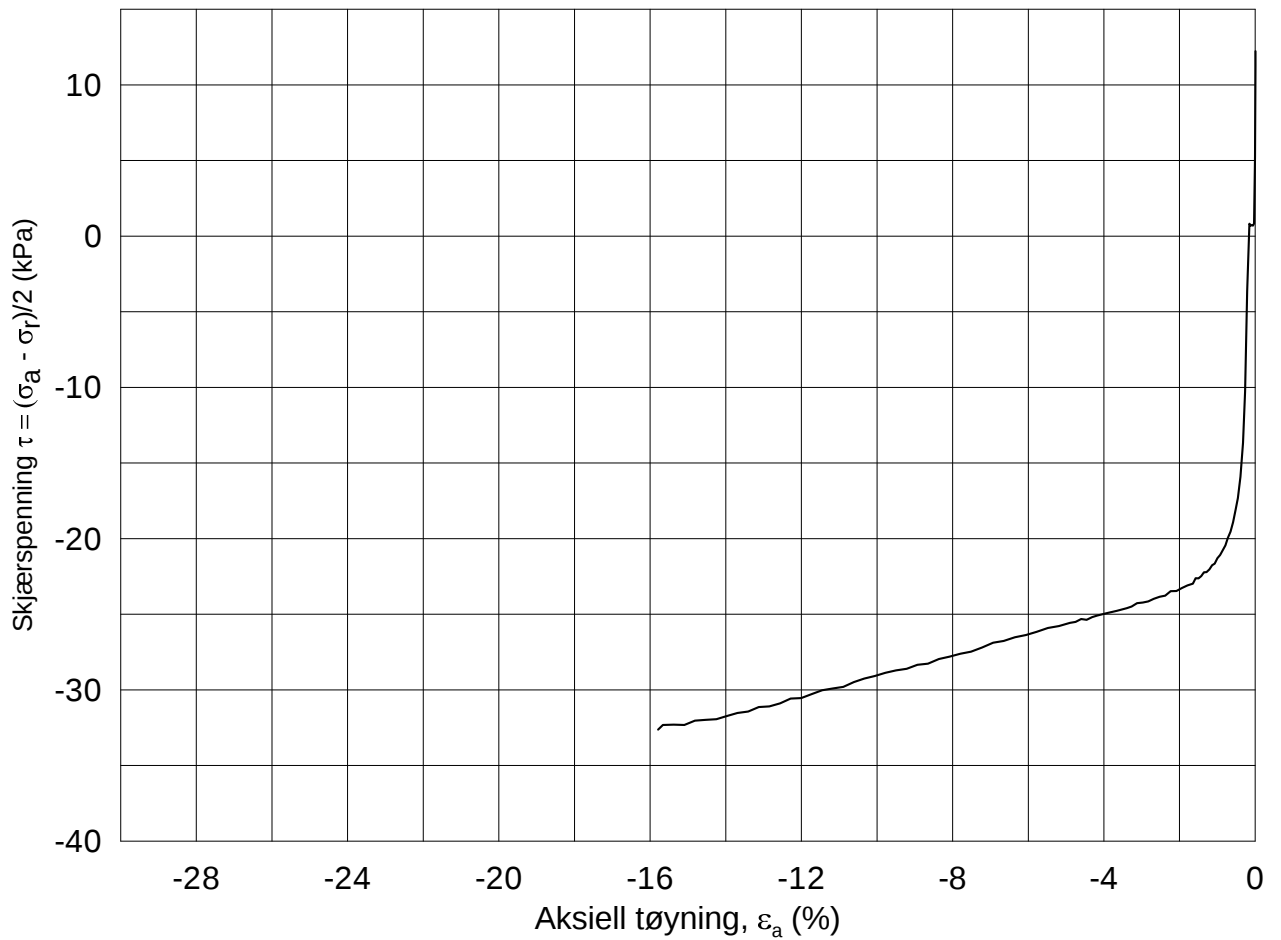
Effektiv gjennomsnittsspenning, $p' = (\sigma'_a + \sigma'_l)/2$ (kPa)



Date/Rev.: 2009-11-03/01

E16 Nybakk - Slomarka			Dokument nr. 20120491-02-R	
Treaksial forsøk: CAUA			Dato 2013-09-19	
Boring: 3148	Dybde = 5.40 m	Konsolidering-spenninger		
Sylinder: 5	$p_{o'}$ = 80.9 kPa	(kPa)	maks.	min.
Del: B	w_i = 31.9 %	σ_{ac}' =	-	-
Test: 1	w_c = 31.9 %	σ_{rc}' =	-	-
				endelig 80.9
				56.6
				Figur nr. G254
				Tegnet av MAS

3148-5-B-1.Plot2.grf



Date/Rev.: 2009-11-03/01

E16 Nybakk - Slomarka

Dokument nr.
20120491-02-R

Treaksial forsøk: **CAUP**

Dato
2013-08-22

Boring: **3148**

Dybde = **5.55** m

Konsolidering-spenninger

Sylinder: **5**

p_o' = **80.9** kPa (kPa) maks. min. endelig

Figur nr.
G255

Del: **C**

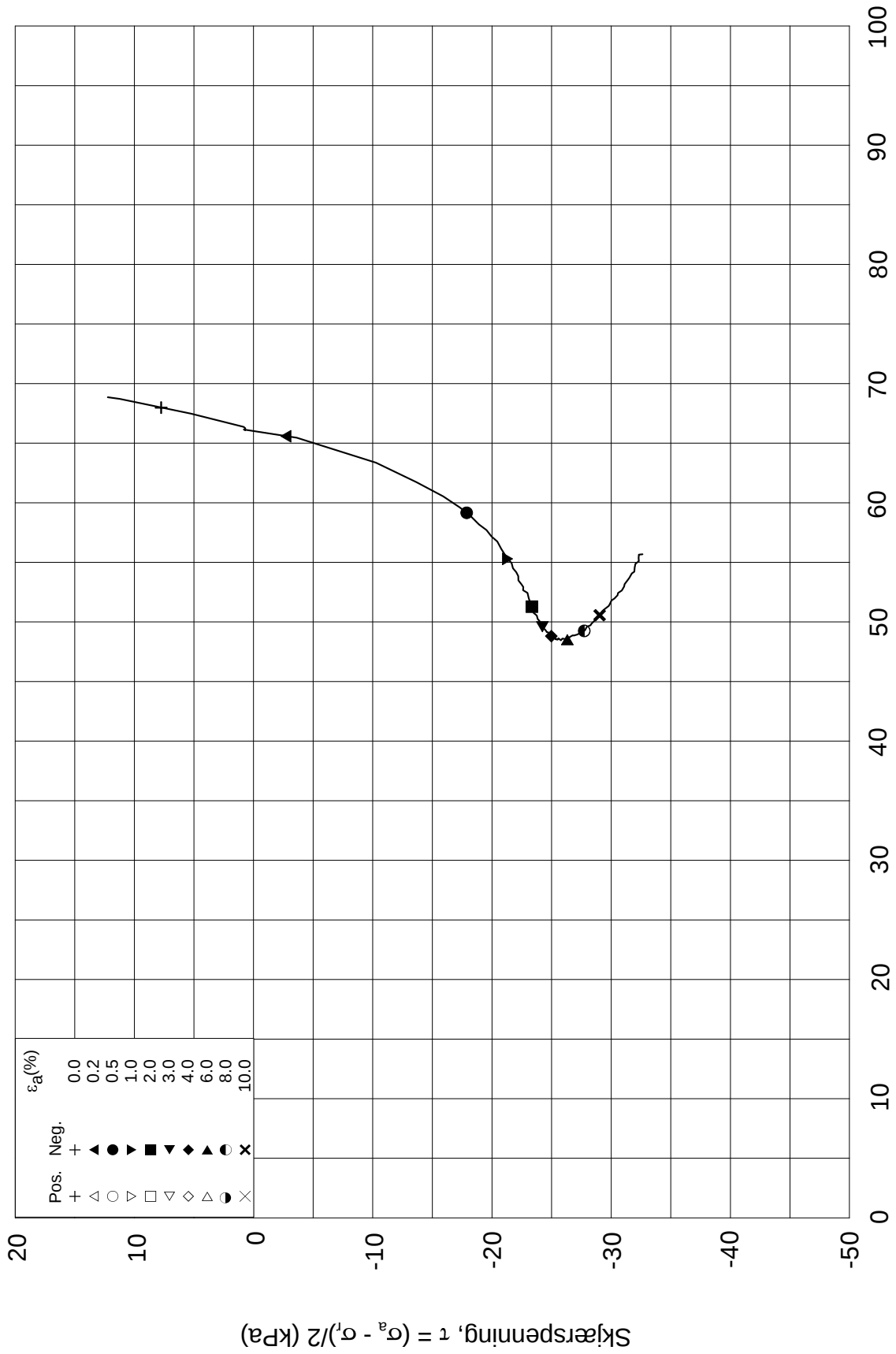
w_i = **31.6** % $\sigma_{ac}' = - - 80.9$

Tegnet av
MAS


Test: **1**

w_c = **31.5** % $\sigma_{rc}' = - - 56.6$

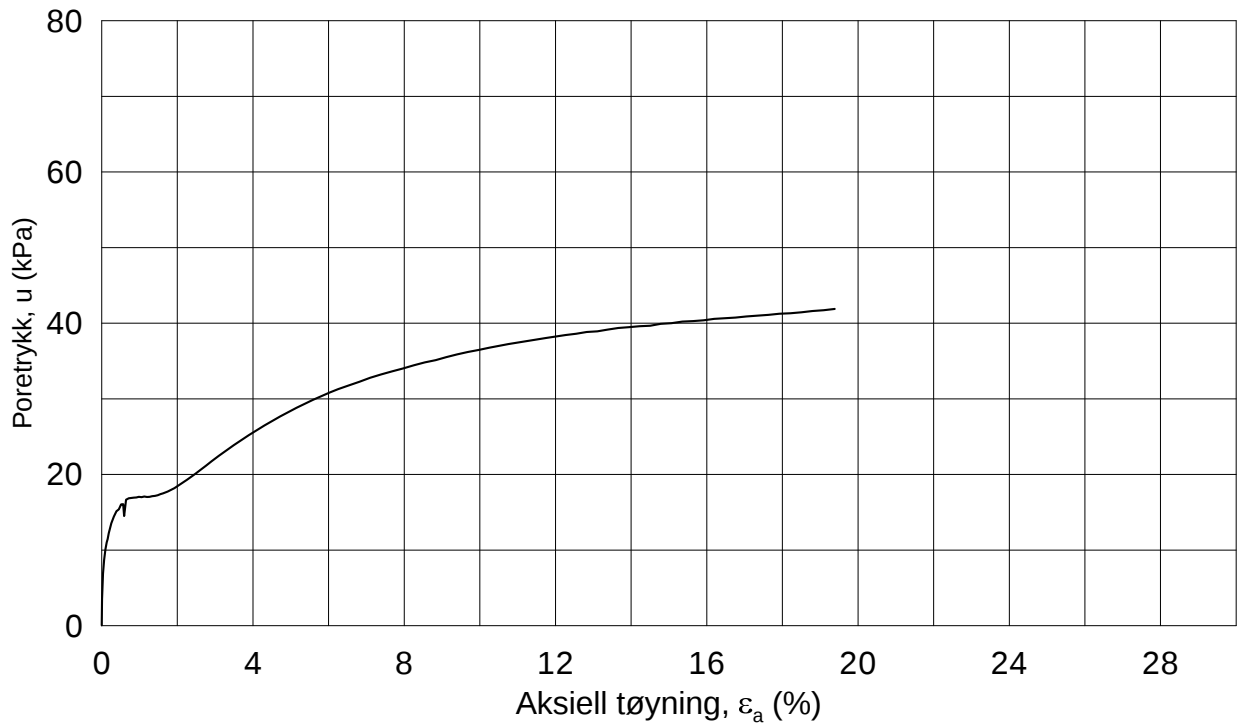
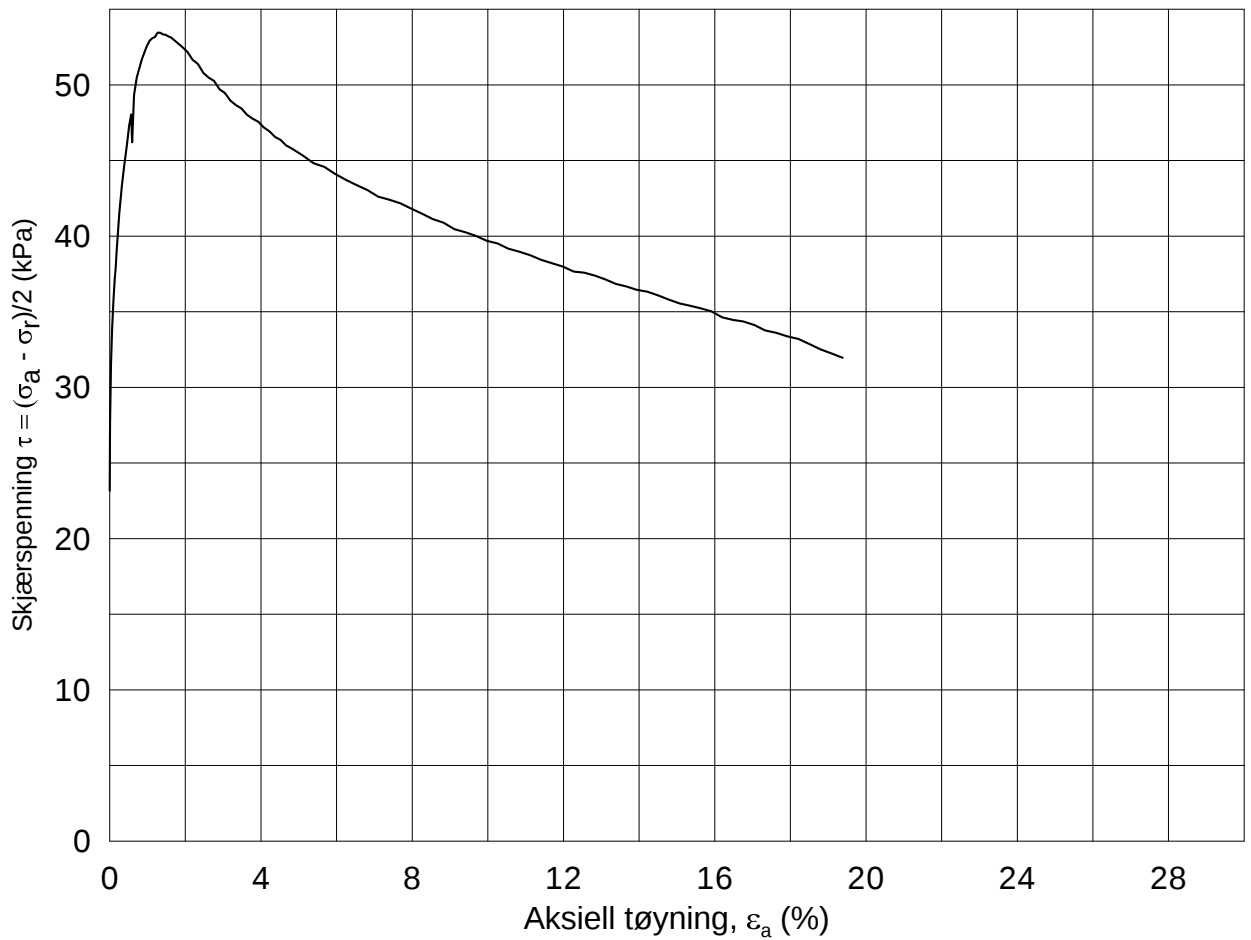




Date/Rev.: 2009-11-03/01

E16 Nybakk - Slomarka			Dokument nr. 20120491-02-R	
Treaksial forsøk: CAUP			Dato 2013-08-22	
Boring: 3148	Dybde = 5.55 m	Konsolidering-spenninger		
Sylinder: 5	$p_{o'}$ = 80.9 kPa	(kPa)	maks.	min.
Del: C	w_i = 31.6 %	σ_{ac}' =	-	-
Test: 1	w_c = 31.5 %	σ_{rc}' =	-	-
		endelig	80.9	
			56.6	
		Figur nr.	G256	
		Tegnet av	MAS	
				

3148-5-C-1.Plot2.grf



Date/Rev.: 2009-11-03/01

E16 Nybakk - Slomarka

Dokument nr.
20120491-02-R

Treaksial forsøk: **CAUA**

Dato
2013-08-21

Boring: **3148**

Dybde = **10.26** m

Konsolidering-spenninger

Sylinder: **10**

$p_{o'}$ = **122.3** kPa

(kPa) maks. min. endelig

Figur nr.
G257

Del: **B**

w_i = **36.0** %

σ_{ac}' = - - **122.2**

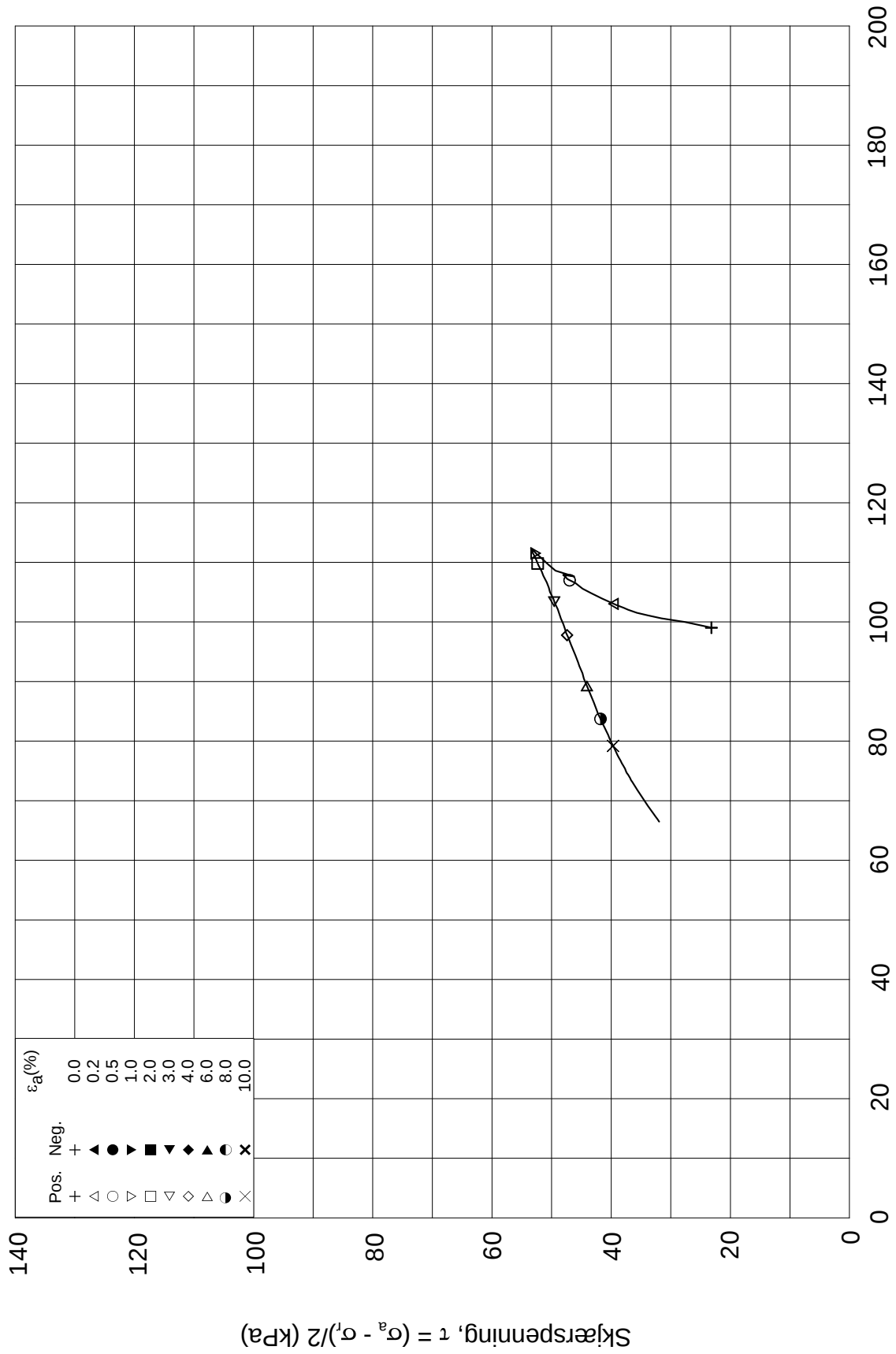
Tegnet av
MAS

Test: **1**


w_c = **35.7** %

σ_{rc}' = - - **75.8**

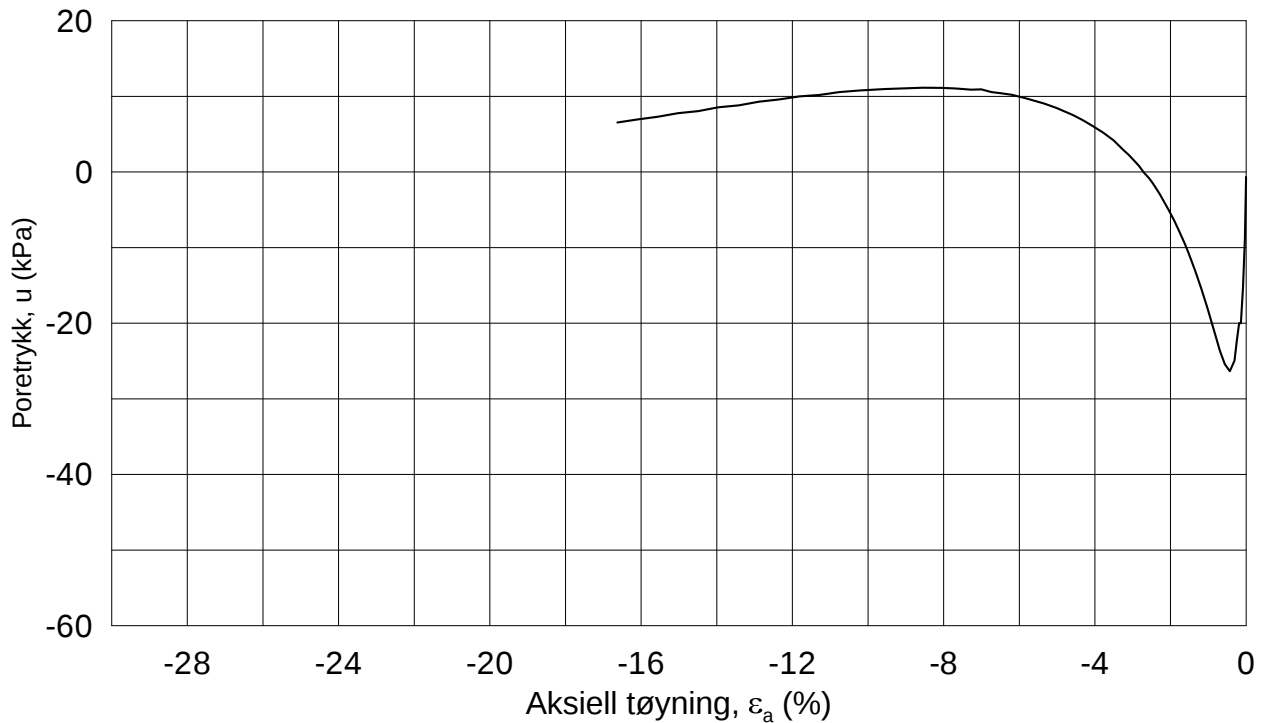
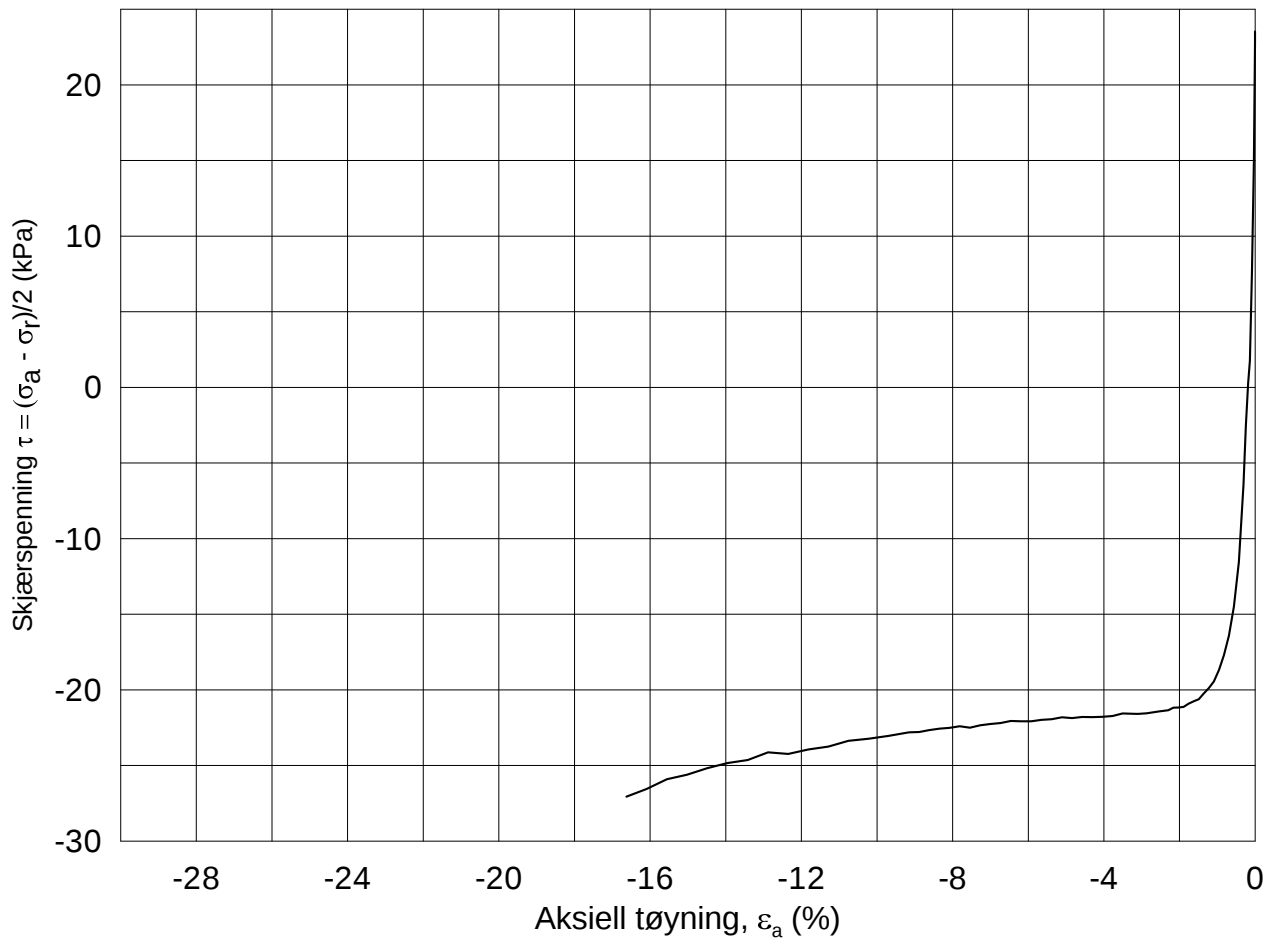




Date/Rev.: 2009-11-03/01

E16 Nybakk - Slomarka			Dokument nr. 20120491-02-R	
Treaksial forsøk: CAUA			Dato 2013-08-21	
Boring: 3148	Dybde = 10.26 m	Konsolidering-spenninger		
Sylinder: 10	p_o' = 122.3 kPa	(kPa)	maks.	min.
Del: B	w_i = 36.0 %	$\sigma_{ac}' =$	-	-
Test: 1	w_c = 35.7 %	$\sigma_{rc}' =$	-	-
			122.2	
			75.8	
			Figur nr. G258	
			Tegnet av MAS	

3148-10-B-1-1.Plot2.grf



Date/Rev.: 2009-11-03/01

E16 Nybakk - Slomarka

Dokument nr.
20120491-02-R

Treaksial forsøk: **CAUP**

Dato
2013-09-18

Boring: **3148**

Dybde = **10.40** m

Konsolidering-spenninger

Sylinder: **10**

p_o' = **123.4** kPa

(kPa) maks. min. endelig

Figur nr.
G259

Del: **C**

w_i = **36.1** %

σ_{ac}' = - - **123.3**

Tegnet av
MAS

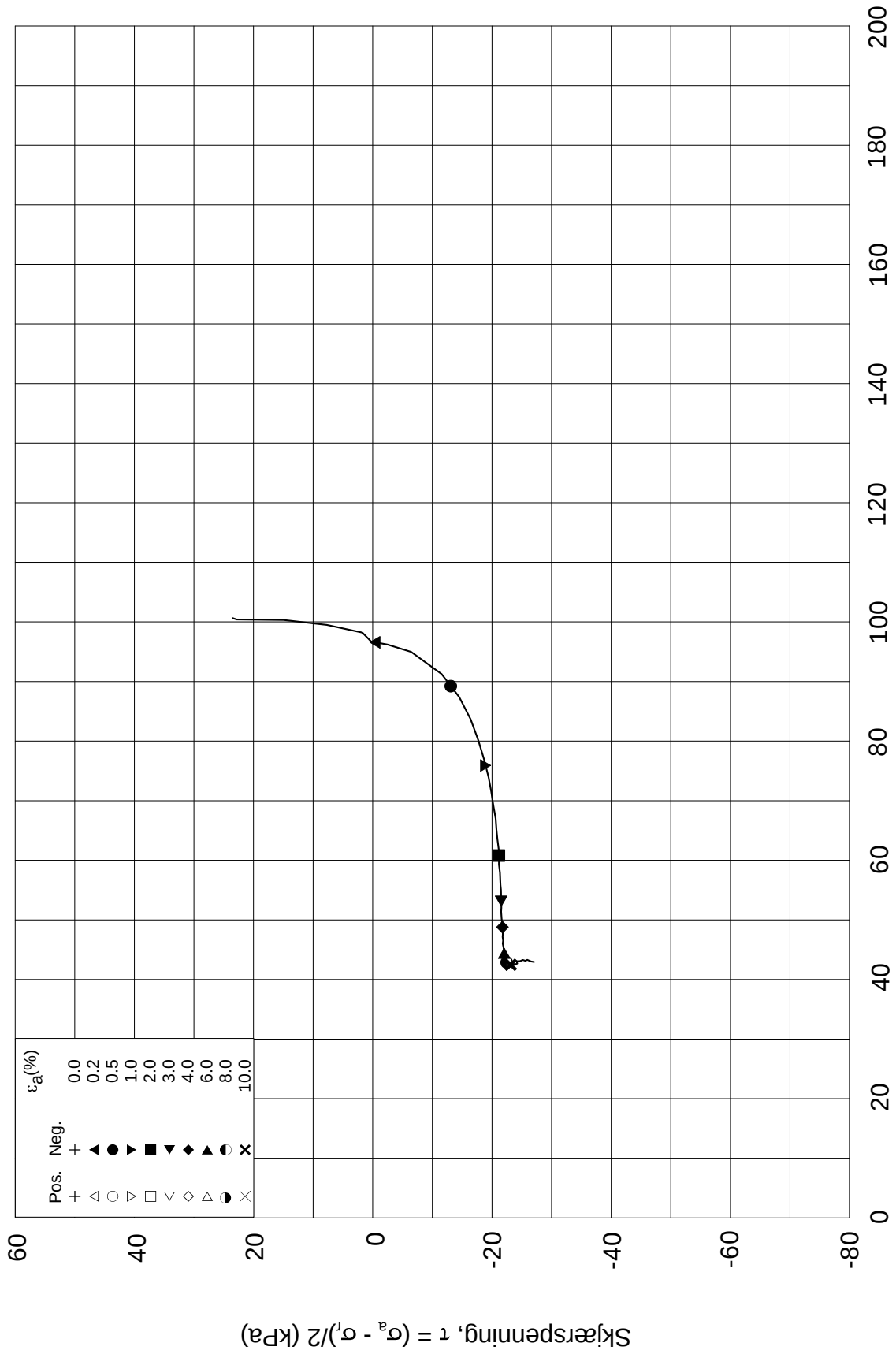
Test: **1**

w_c = **35.7** %

σ_{rc}' = - - **76.4**



Effektiv gjennomsnittsspenning, $p' = (\sigma'_a + \sigma'_l)/2$ (kPa)

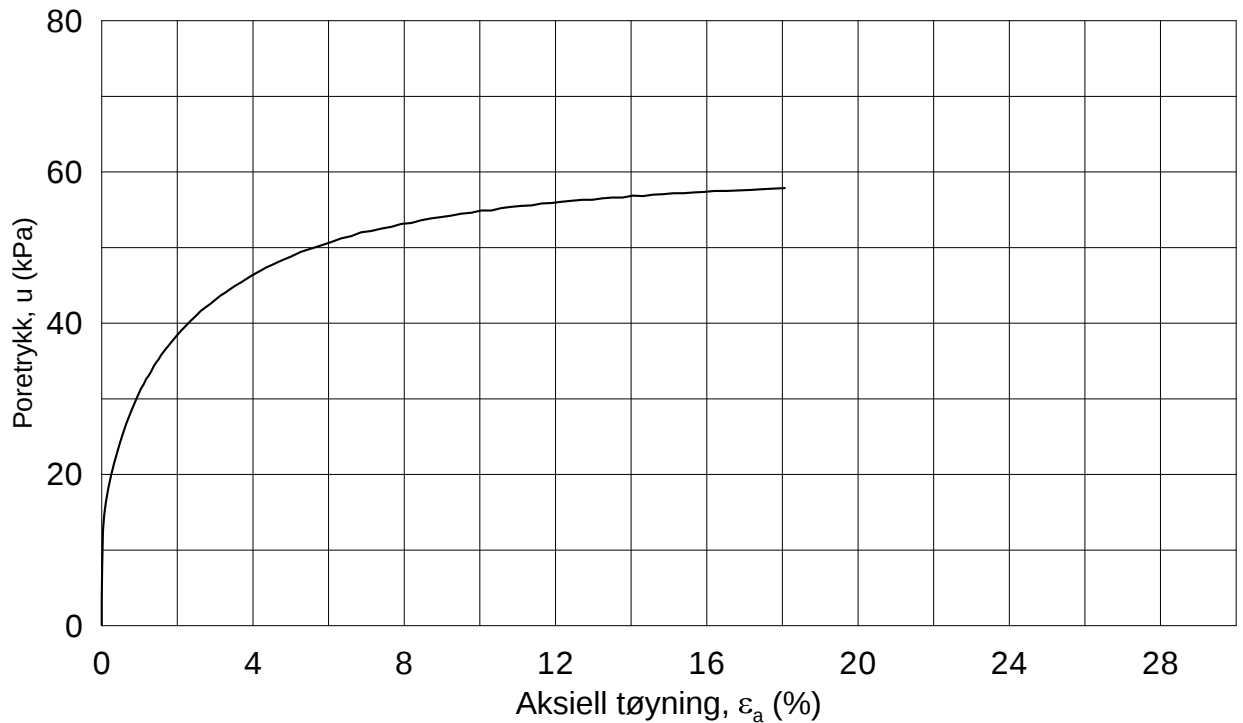
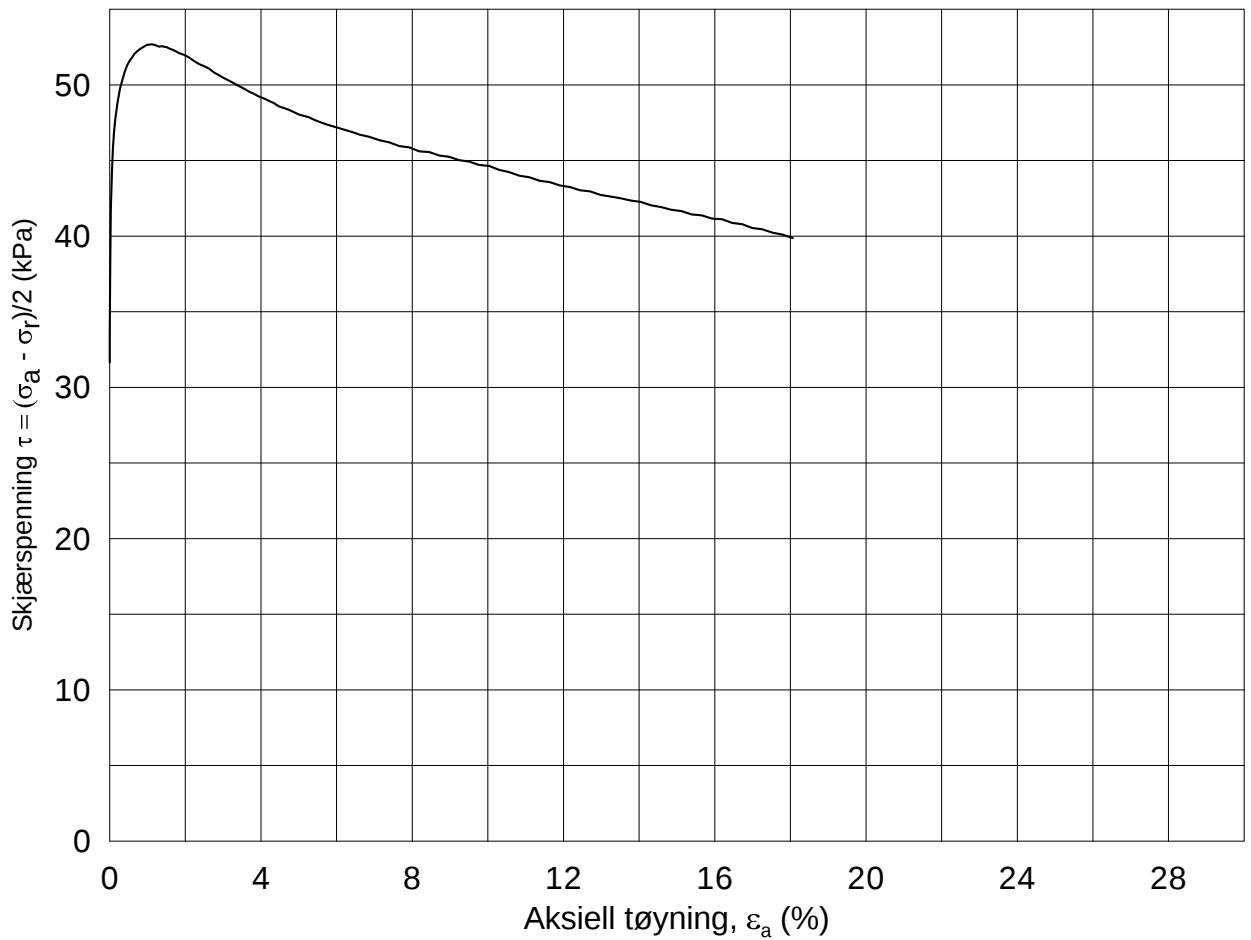


ε_a (%)	0.0	0.2	0.5	1.0	2.0	3.0	4.0	6.0	8.0	10.0
Pos.	+ ◁	○	▽	□	◇	△	●	×		
Neg.	+ ▷	●	▶	■	◆	▲	○	×		

Date/Rev.: 2009-11-03/01

E16 Nybakk - Slomarka			Dokument nr. 20120491-02-R	
Treaksial forsøk: CAUP			Dato 2013-09-18	
Boring: 3148	Dybde = 10.40 m	Konsolidering-spenninger		
Sylinder: 10	$p_{o'}$ = 123.4 kPa	(kPa)	maks.	min.
Del: C	w_i = 36.1 %	σ_{ac}' =	-	-
Test: 1	w_c = 35.7 %	σ_{rc}' =	-	-
		endelig	123.3	
			76.4	
		Figur nr.	G260	
		Tegnet av	MAS	

3148-10-C-1-1.Plot2.grf



Date/Rev.: 2009-11-03/01

E16 Nybakk - Slomarka

Dokument nr.
20120491-02-R

Treaksial forsøk: **CAUA**

Dato
2013-09-23

Boring: **3148**

Dybde = **14.40** m

Konsolidering-spenninger

Sylinder: **14**

$p_{o'}$ = **157.4** kPa

(kPa) maks. min. endelig

Figur nr.
G261

Del: **C**

w_i = **36.0** %

σ_{ac}' = - - **157.3**

Tegnet av
MAS

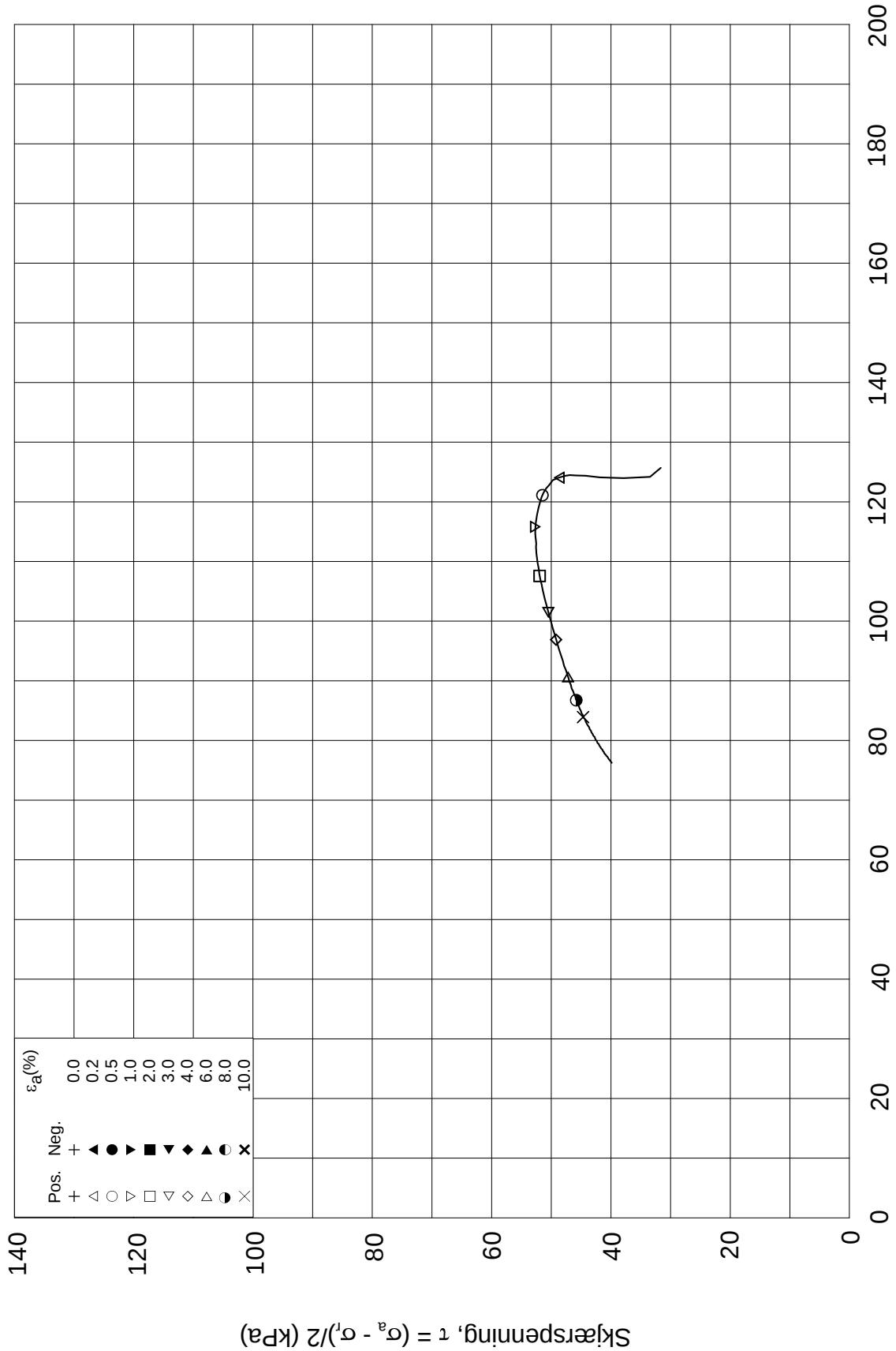
Test: **1**

w_c = **31.4** %

σ_{rc}' = - - **94.1**



Effektiv gjennomsnittsspenning, $p' = (\sigma'_a + \sigma'_l)/2$ (kPa)



Date/Rev.: 2009-11-03/01

E16 Nybakk - Slomarka

Dokument nr.
20120491-02-R

Treaksial forsøk: **CAUA**

Dato
2013-09-23

Boring: **3148**

Dybde = **14.40** m

Konsolidering-spenninger

Sylinder: **14**

$p_{o'}$ = **157.4** kPa

(kPa) maks. min. endelig

Figur nr.
G262

Del: **C**

w_i = **36.0** %

σ_{ac}' = - - **157.3**

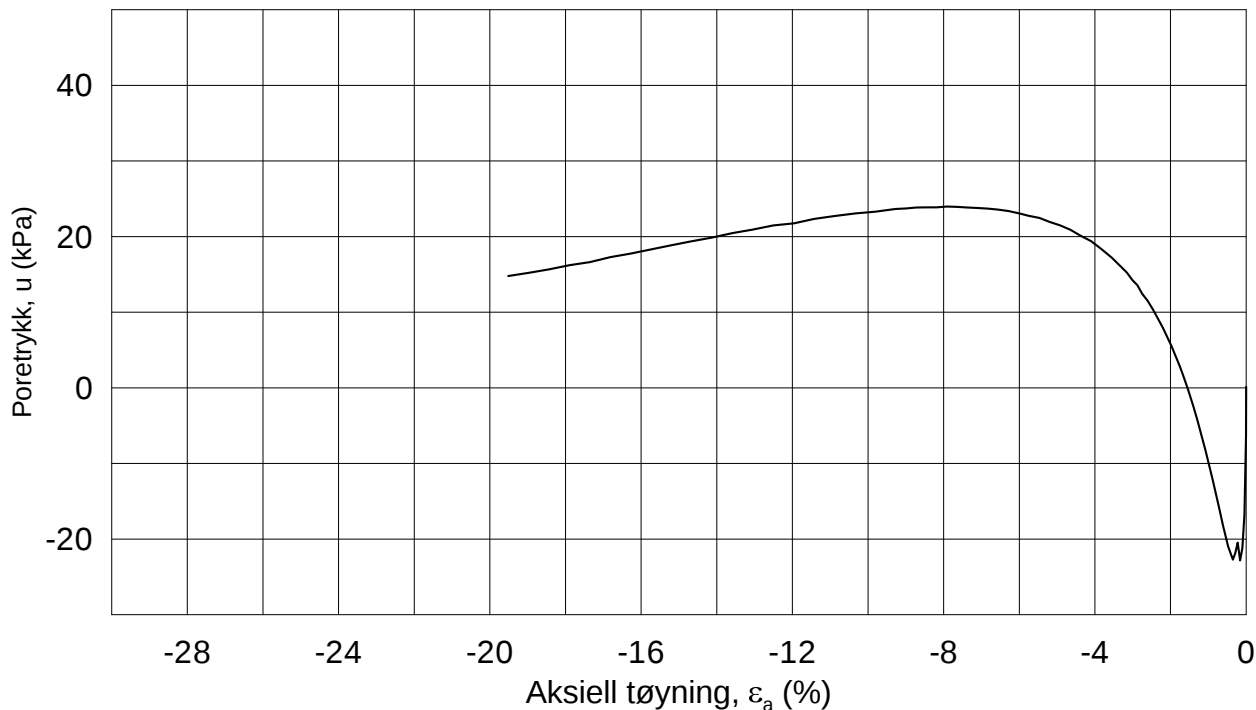
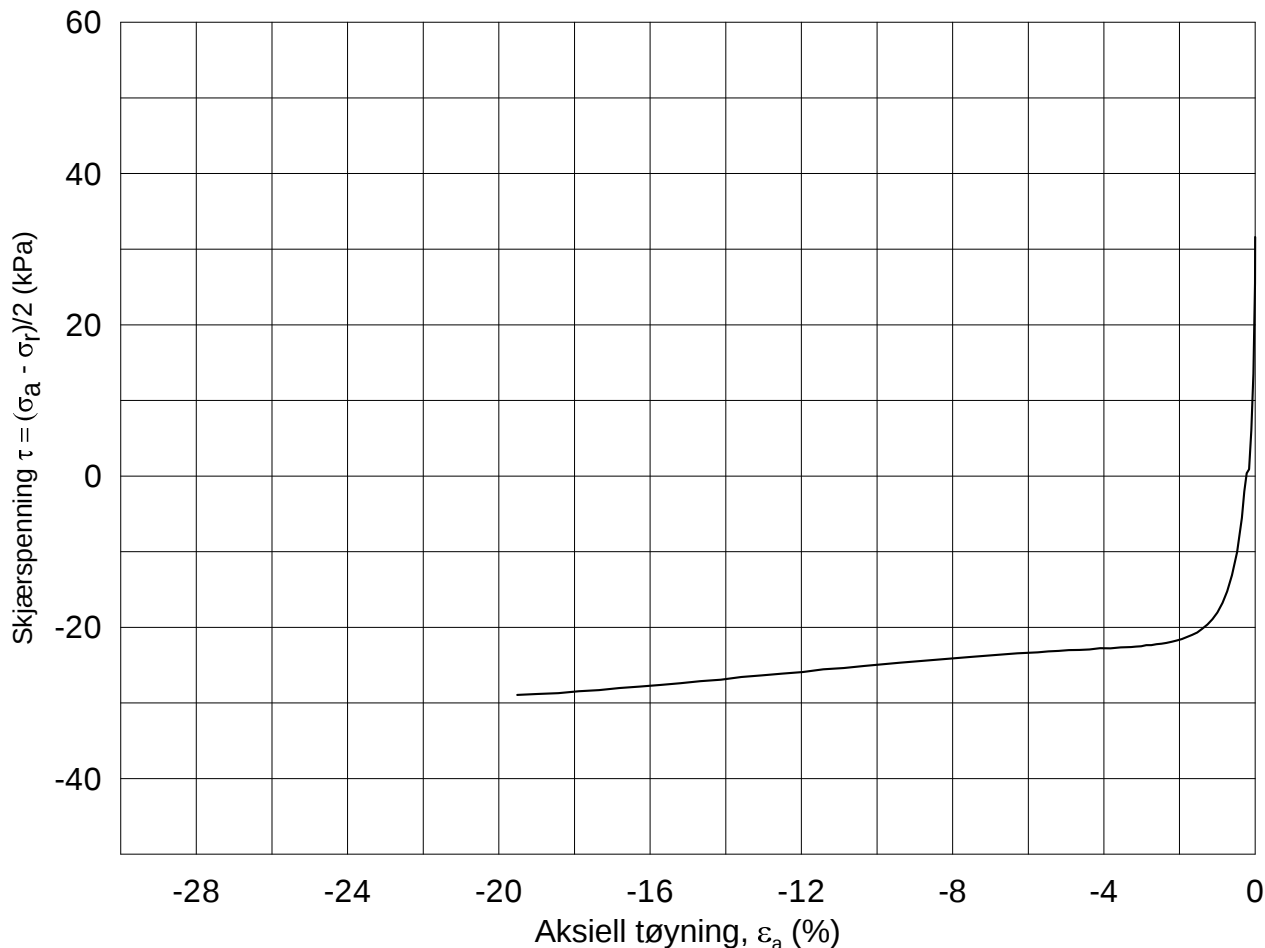
Tegnet av
MAS

Test: **1**

w_c = **31.4** %

σ_{rc}' = - - **94.1**





Date/Rev.: 2009-11-03/01

E16 Nybakk - Slomarka

Dokument nr.
20120491-02-R

Treaksial forsøk: **CAUP**

Dato
2013-08-21

Boring: **3148**

Dybde = **14.58** m

Konsolidering-spenninger

Sylinder: **14**

p_o' = **158.8** kPa

(kPa) maks. min. endelig

Figur nr.
G263

Del: **D**

w_i = **37.5** %

σ_{ac}' = - - **158.7**

Tegnet av
MAS

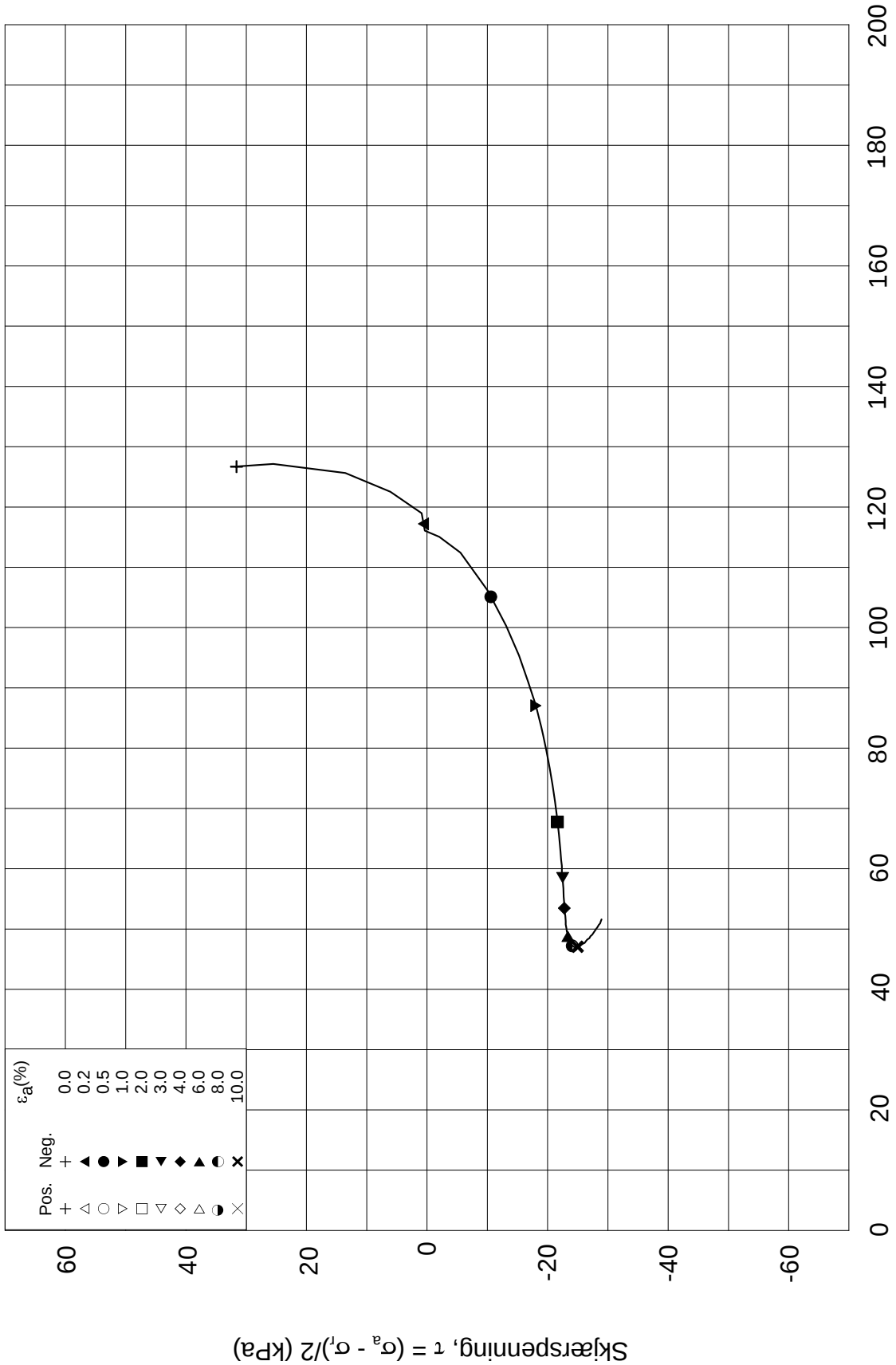
Test: **1**

w_c = **36.1** %

σ_{rc}' = - - **95.2**



Effektiv gjennomsnittsspenning, $p' = (\sigma'_a + \sigma'_l)/2$ (kPa)



Date/Rev.: 2009-11-03/01

E16 Nybakk - Slomarka

Dokument nr.
20120491-02-R

Treaksial forsøk: **CAUP**

Dato
2013-08-21

Boring: **3148**

Dybde = **14.58** m

Konsolidering-spenninger

Sylinder: **14**

$p_{o'}$ = **158.8** kPa

(kPa) maks. min. endelig

Figur nr.
G264

Del: **D**

w_i = **37.5** %

σ_{ac}' = - - **158.7**

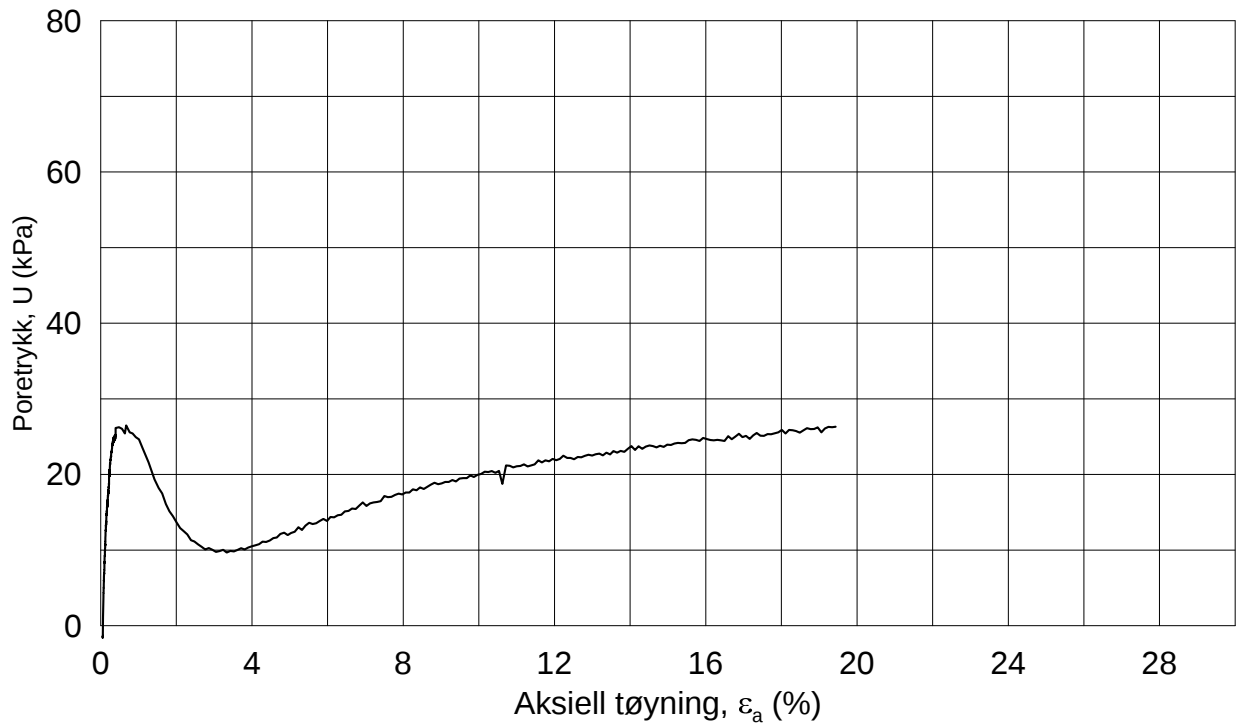
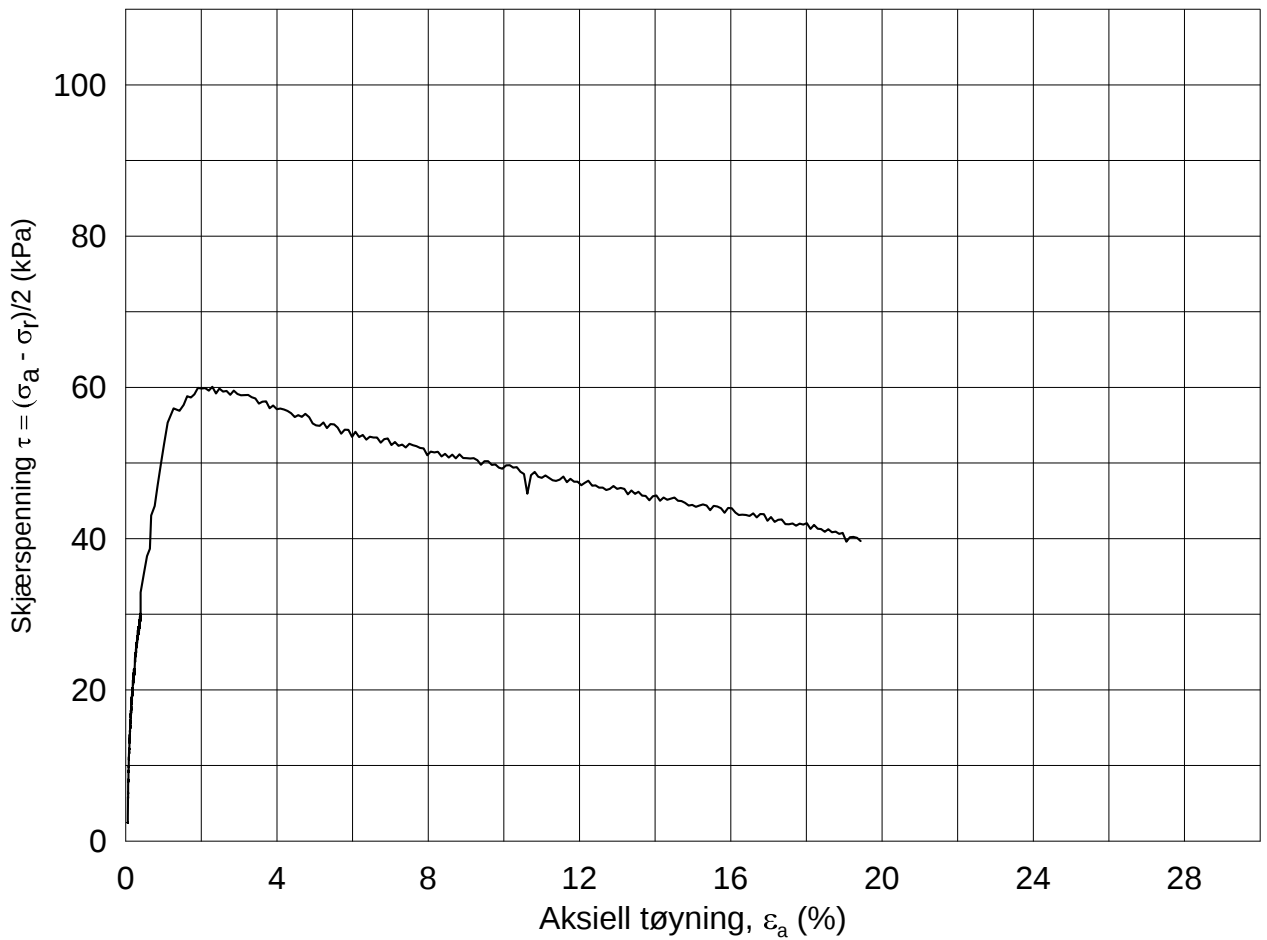
Tegnet av
MAS

Test: **1**

w_c = **36.1** %

σ_{rc}' = - - **95.2**





Date/Rev.: 2009-11-03/01

E16 Nybakk - Slomarka

Dokument nr.
20120491-02-R

Treaksial forsøk: **CAUA**

Leire

Dato
2014-05-29

Boring: **2312**

Dybde = **5.6** m

Konsolidering-spenninger

Sylinder: **5**

$p_{o'}$ = **69.3** kPa

(kPa) maks. min. endelig

Figur nr.
G265

Del: **A**

w_i = **36.19** %

σ_{ac}' = - - **69.6**

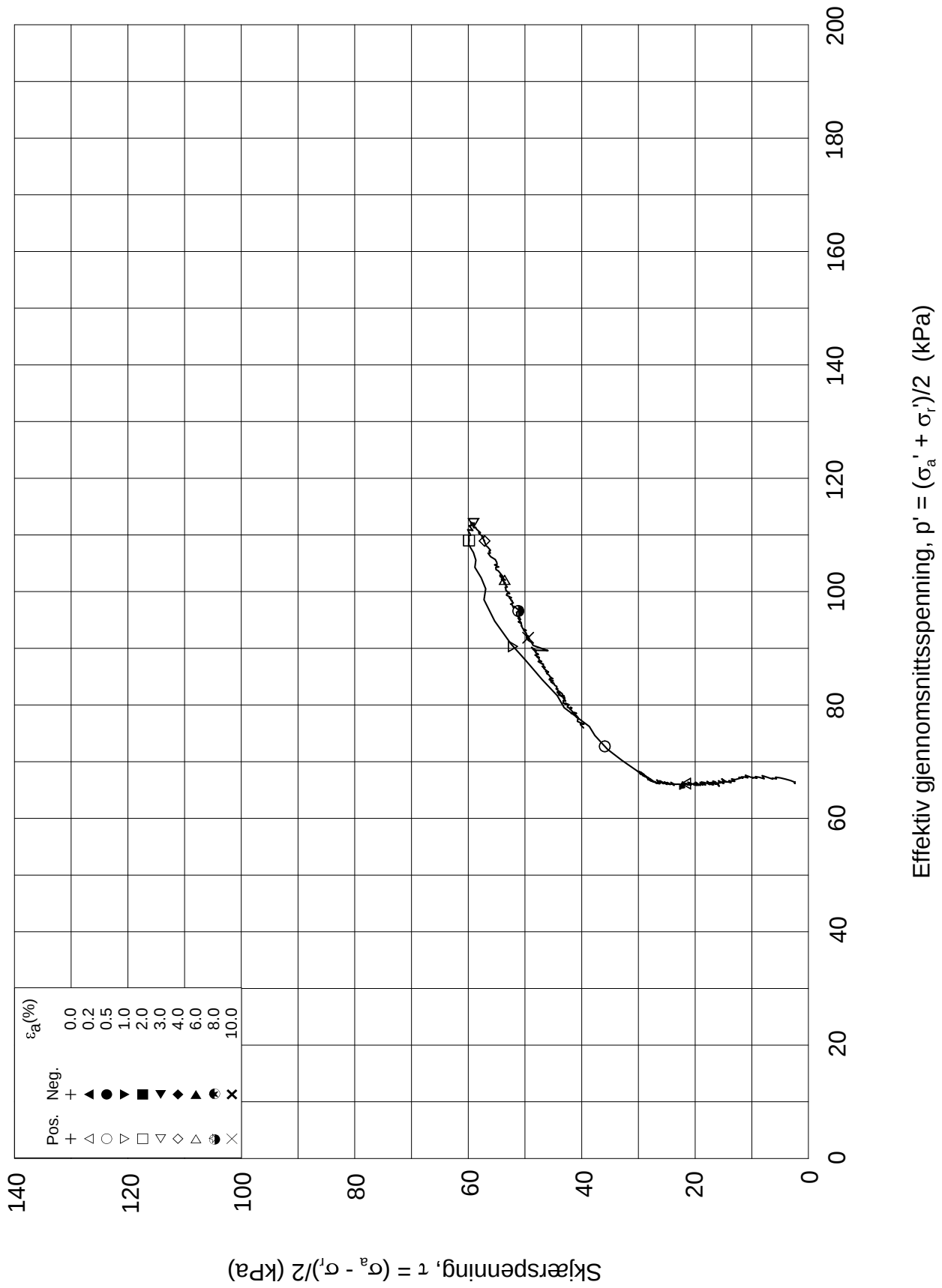
Tegnet av
MAS

Test: **4**


w_c = **35.87** %

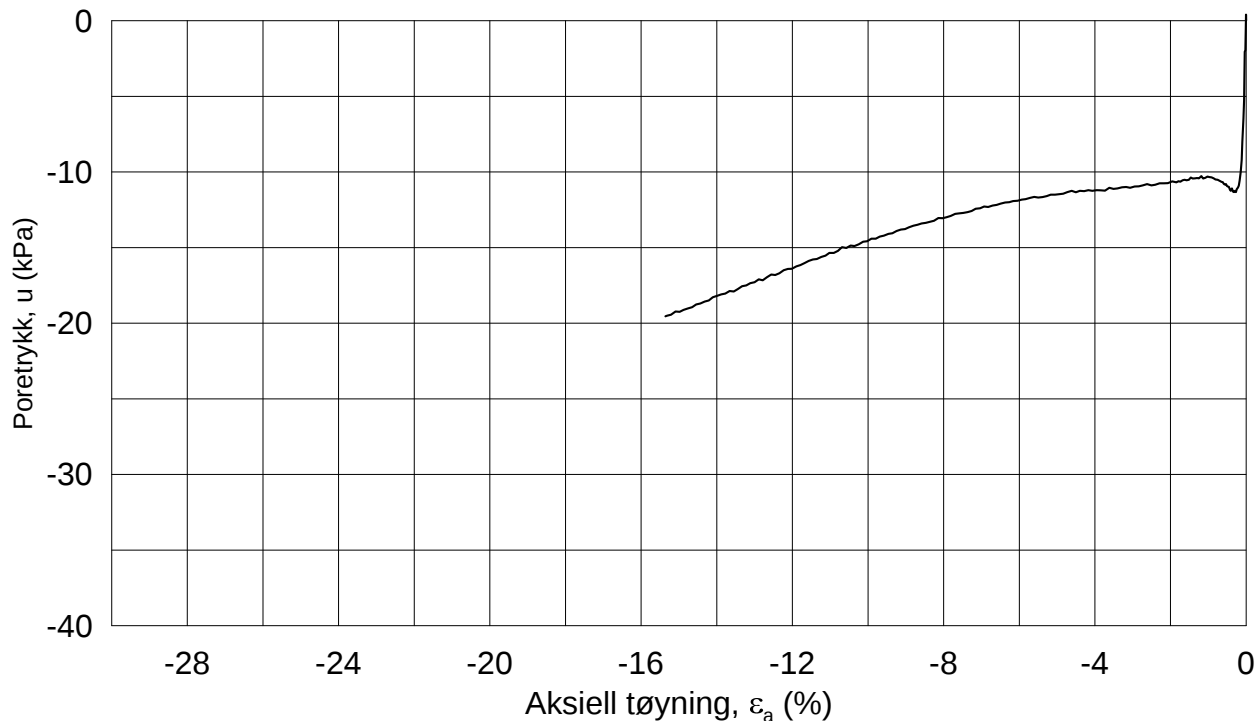
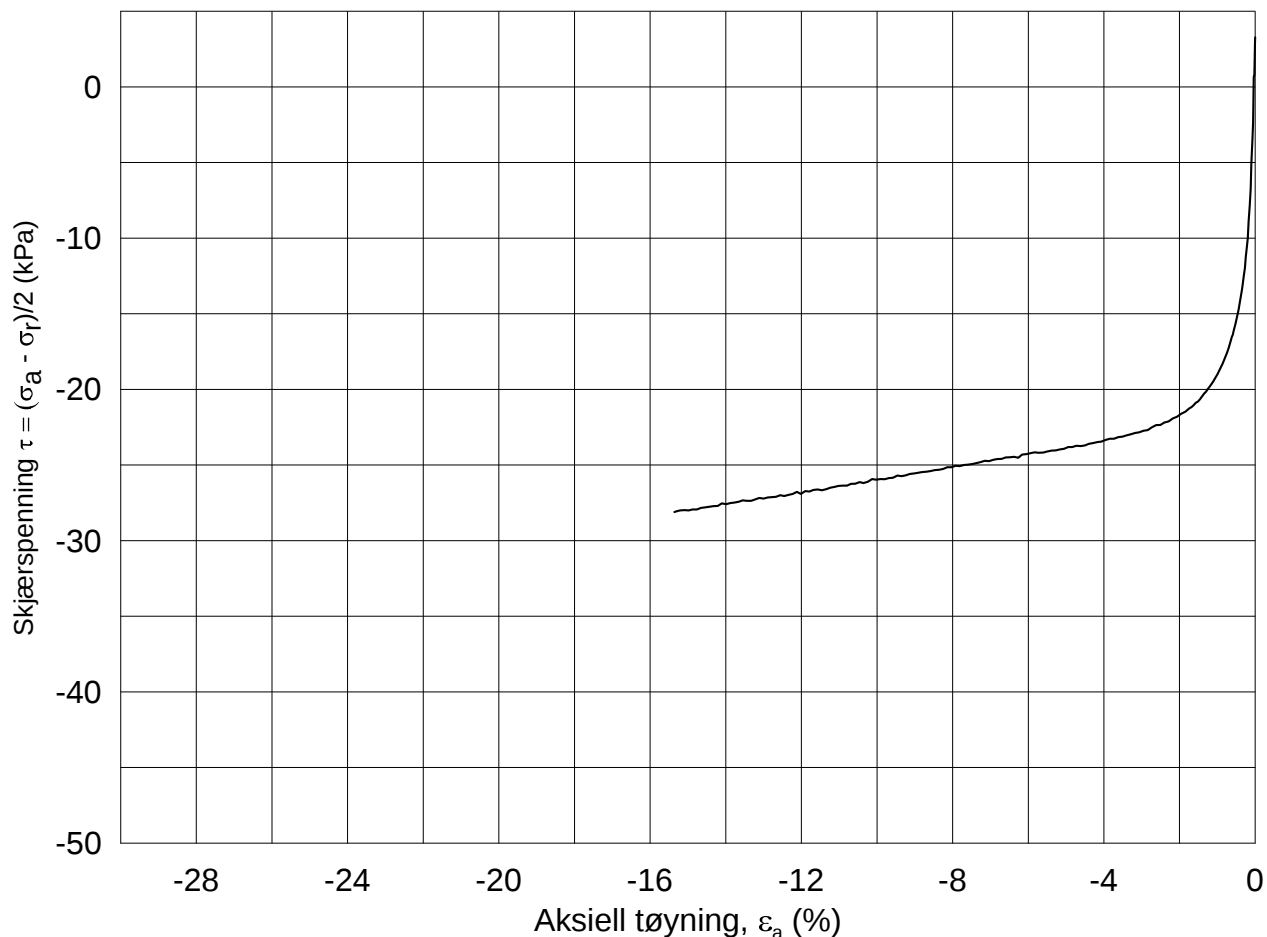
σ_{rc}' = - - **62.8**





Date/Rev.: 2009-11-03/01

E16 Nybakk - Slomarka			Dokument nr. 20120491-02-R	
Treaksial forsøk: CAUA	Leire		Dato 2014-05-30	
Boring: 2312	Dybde = 5.6 m	Konsolidering-spenninger		
Sylinder: 5	$p_{o'}$ = 69.3 kPa	(kPa)	maks.	min.
Del: A	w_i = 36.19 %	σ_{ac}' =	-	-
Test: 4	w_c = 35.87 %	σ_{rc}' =	-	-
		endelig	69.6	
			62.8	
		Figur nr.	G266	
		Tegnet av	MAS	
				



Date/Rev.: 2009-11-03/01

E16 Nybakk - Slomarka

Dokument nr.
20120491-02-R

Treaksial forsøk: **CAUP**

Dato
2014-04-07

Boring: **2312**

Dybde = **5.43** m

Konsolidering-spenninger

Sylinder: **5**

$p_{o'}$ = **67.7** kPa

(kPa) maks. min. endelig

Figur nr.
G267

Del: **A**

w_i = **36.2** %

σ_{ac}' = - - **67.7**

Tegnet av
MAS

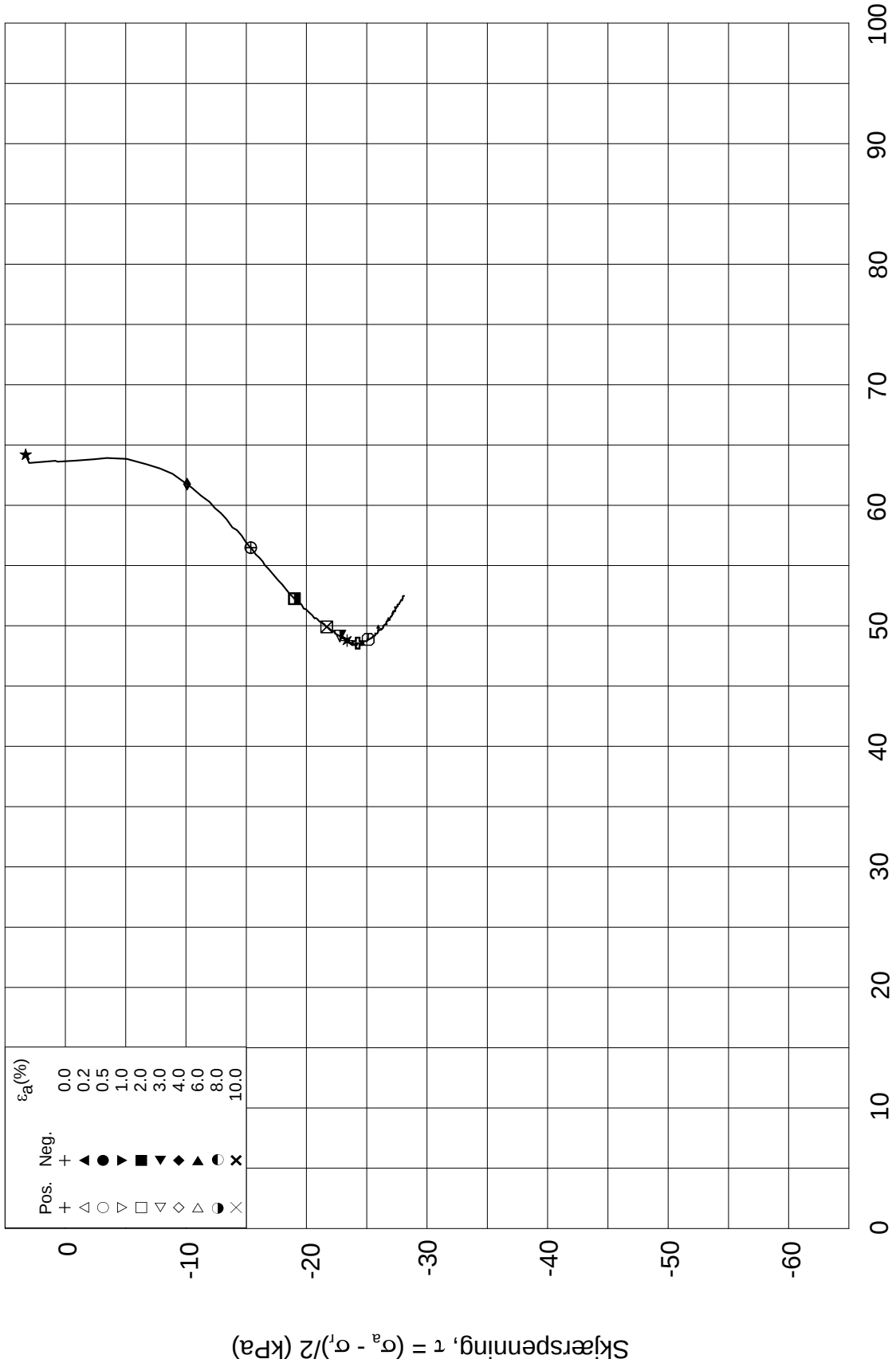
Test: **1**

w_c = **35.7** %

σ_{rc}' = - - **60.9**



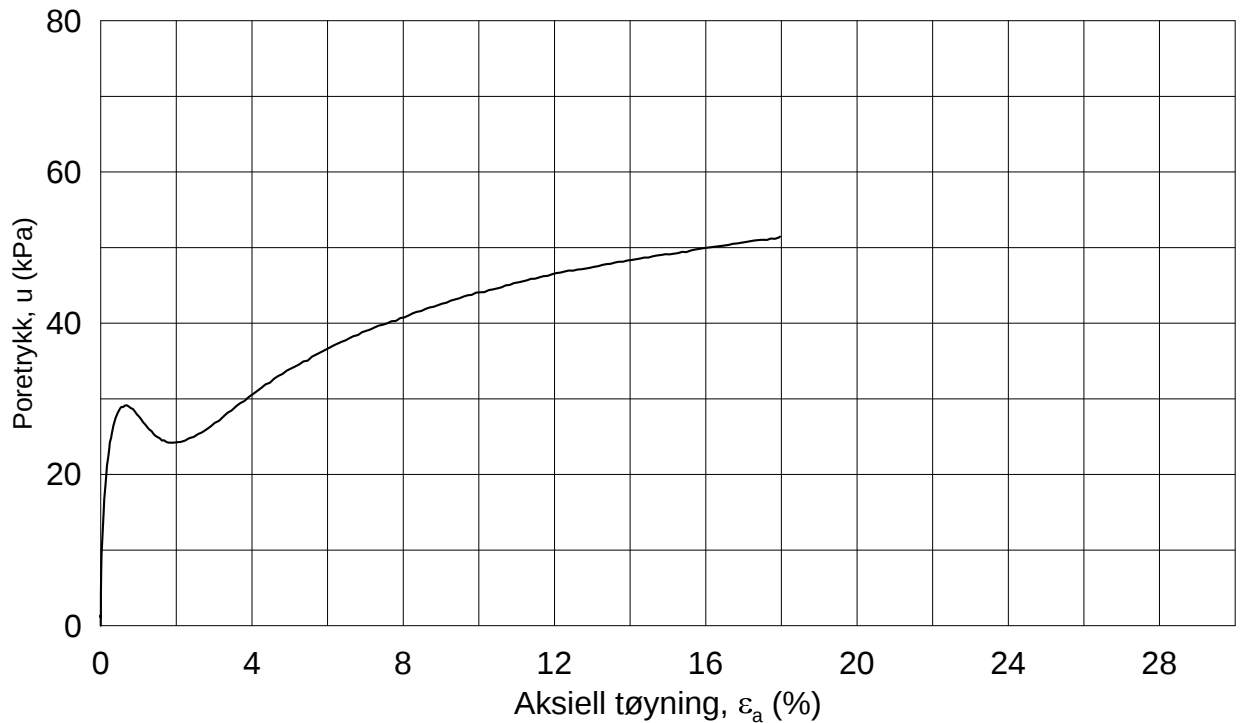
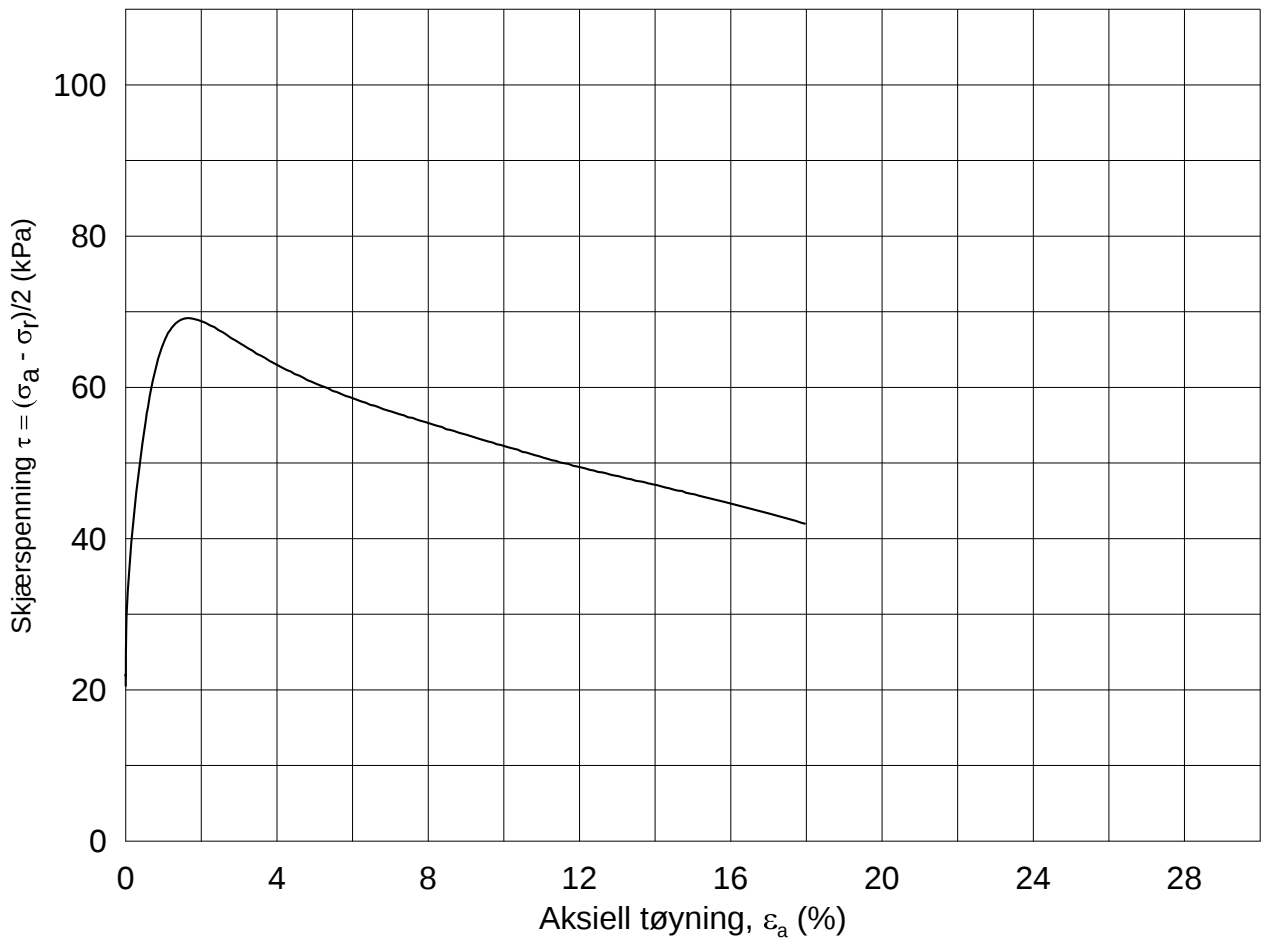
Effektiv gjennomsnittsspenning, $p' = (\sigma'_a + \sigma'_i)/2$ (kPa)



Date/Rev.: 2009-11-03/01

E16 Nybakk - Slomarka			Dokument nr. 20120491-02-R	
Treaksial forsøk: CAUP			Dato 2014-04-07	
Boring: 2312	Dybde = 5.43 m	Konsolidering-spenninger		
Sylinder: 5	$p_{o'}$ = 67.7 kPa	(kPa)	maks.	min.
Del: A	w_i = 36.2 %	$\sigma_{ac}' =$	-	-
Test: 1	w_c = 35.7 %	$\sigma_{rc}' =$	-	-
		endelig	67.7	
			60.9	
		Figur nr.	G268	
		Tegnet av	MAS	

2312-5-A-1.Plot2.grf



Date/Rev.: 2009-11-03/01

E16 Nybakk - Slomarka

Dokument nr.
20120491-02-R

Treaksial forsøk: **CAUa**

Dato
2014-04-14

Boring: **2312**

Dybde = **10.22** m

Konsolidering-spenninger

Sylinder: **10**

$p_{o'}$ = **132.2** kPa

(kPa) maks. min. endelig

Figur nr.
G269

Del: **A**

w_i = **31.8** %

σ_{ac}' = - - **132.3**

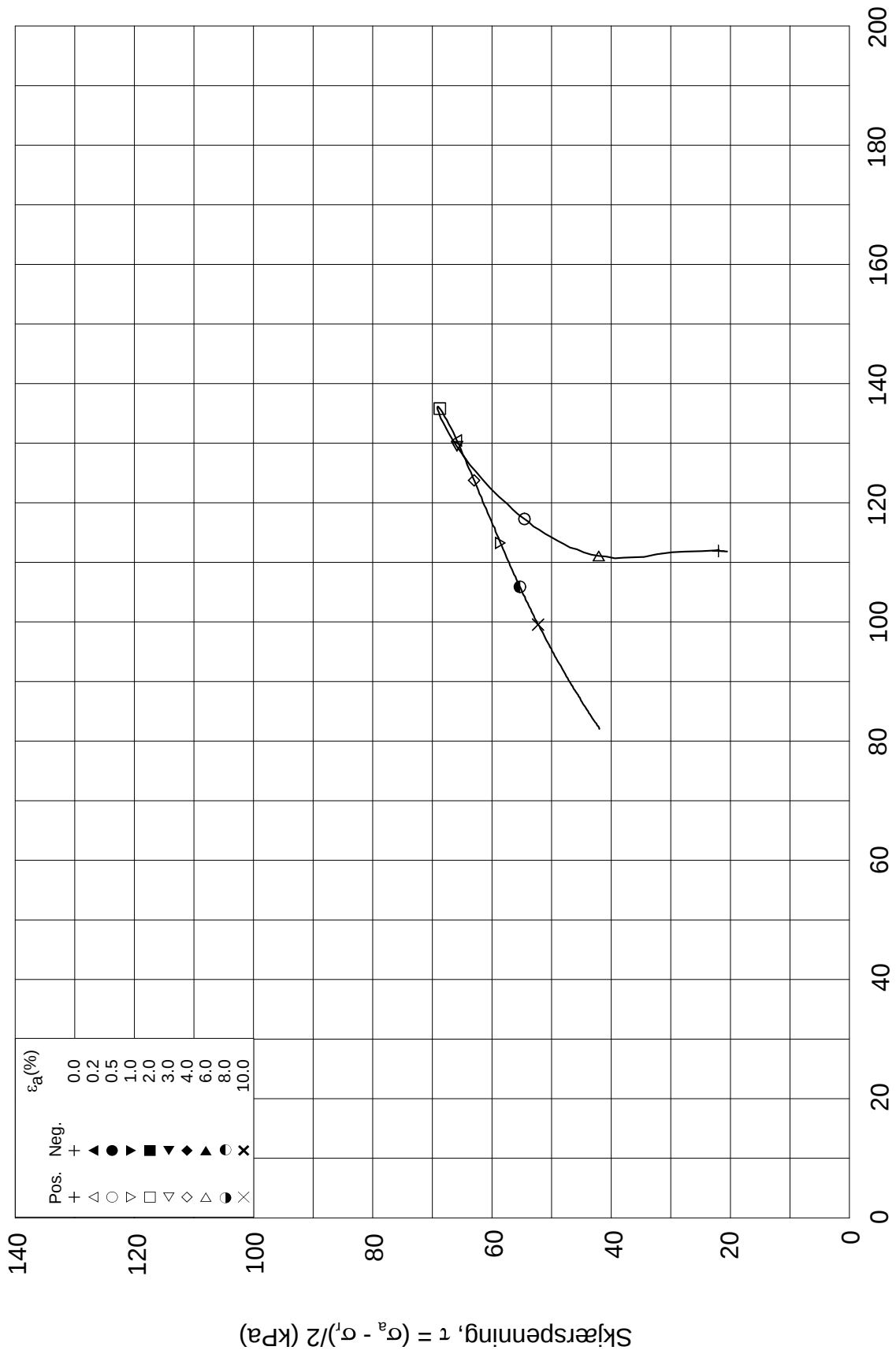
Tegnet av
MAS

Test: **1**

w_c = **30.9** %

σ_{rc}' = - - **91.2**

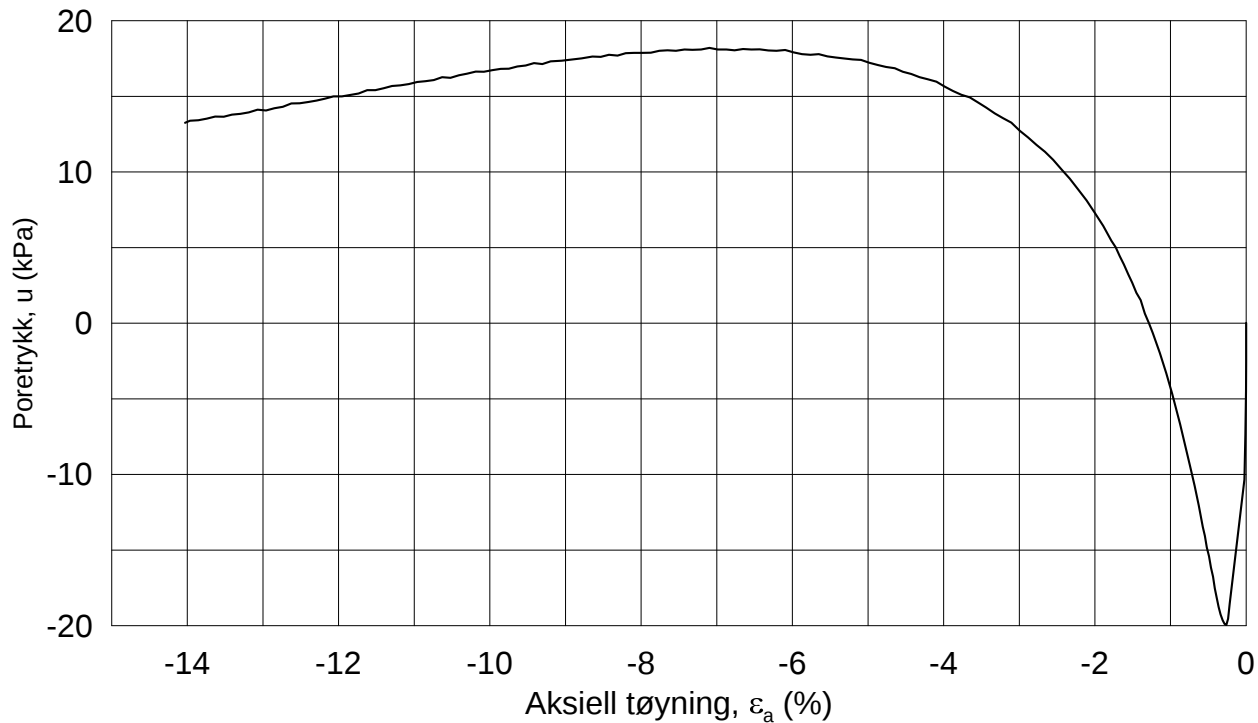
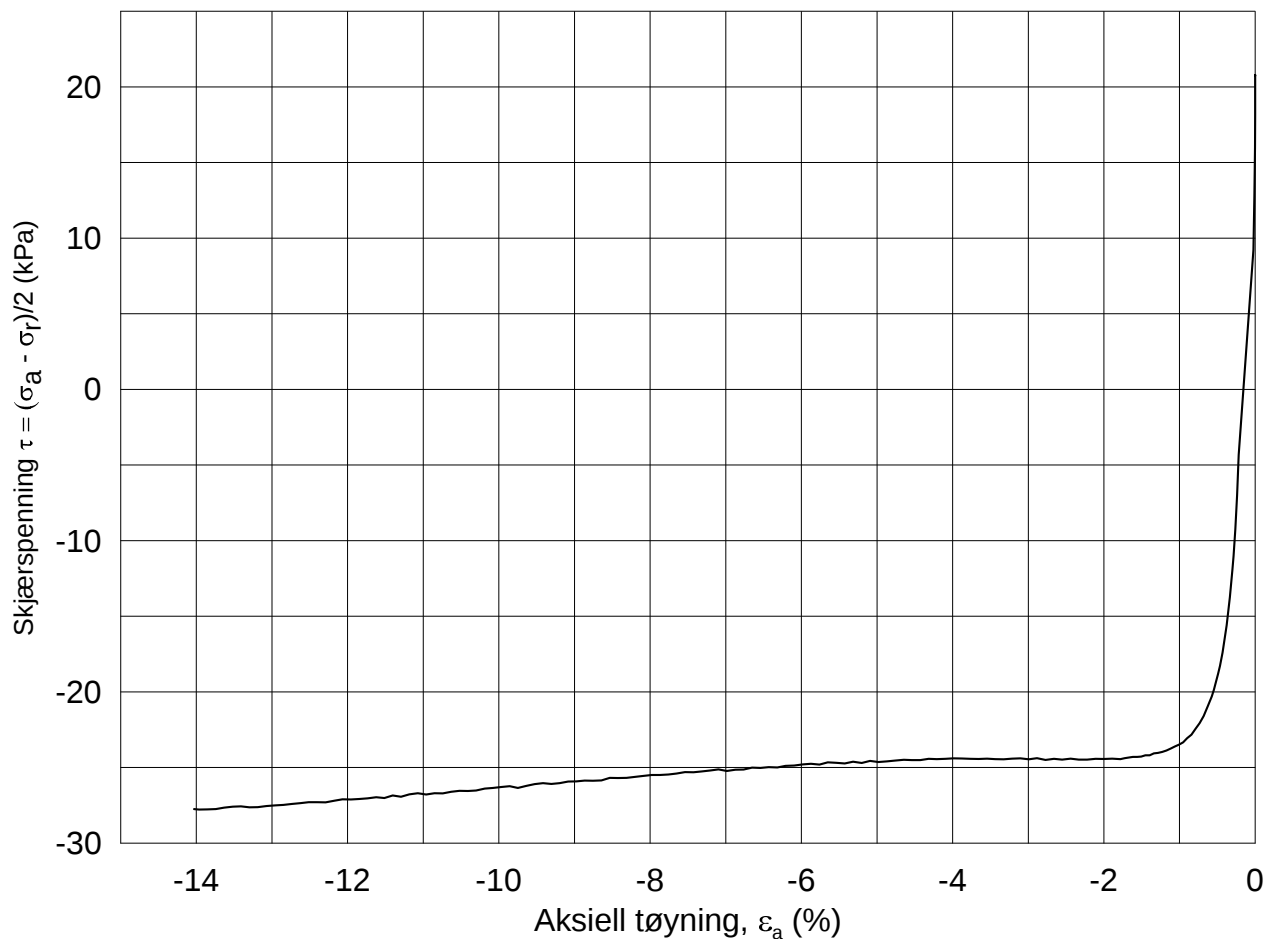




Date/Rev.: 2009-11-03/01

E16 Nybakk - Slomarka			Dokument nr. 20120491-02-R	
Treaksial forsøk: CAUa			Dato 2014-04-15	
Boring: 2312	Dybde = 10.22 m	Konsolidering-spenninger		
Sylinder: 10	$p_{o'}$ = 132.2 kPa	(kPa)	maks.	min.
Del: A	w_i = 31.8 %	σ_{ac}' =	-	-
Test: 1	w_c = 30.9 %	σ_{rc}' =	-	-
				endelig 132.3
				91.2
				Figur nr. G270
				Tegnet av MAS

2312-10-A-1-Plot2.grf



Date/Rev.: 2009-11-03/01

E16 Nybakk - Slomarka

Dokument nr.
20120491-02-R

Treaksial forsøk: **CAUP**

Dato
2014-04-14

Boring: **2312**

Dybde = **10.36** m

Konsolidering-spenninger

Sylinder: **10**

p_o' = **133.6** kPa

(kPa) maks. min. endelig

Figur nr.
G271

Del: **A**

w_i = **30.1** %

σ_{ac}' = - - **133.5**

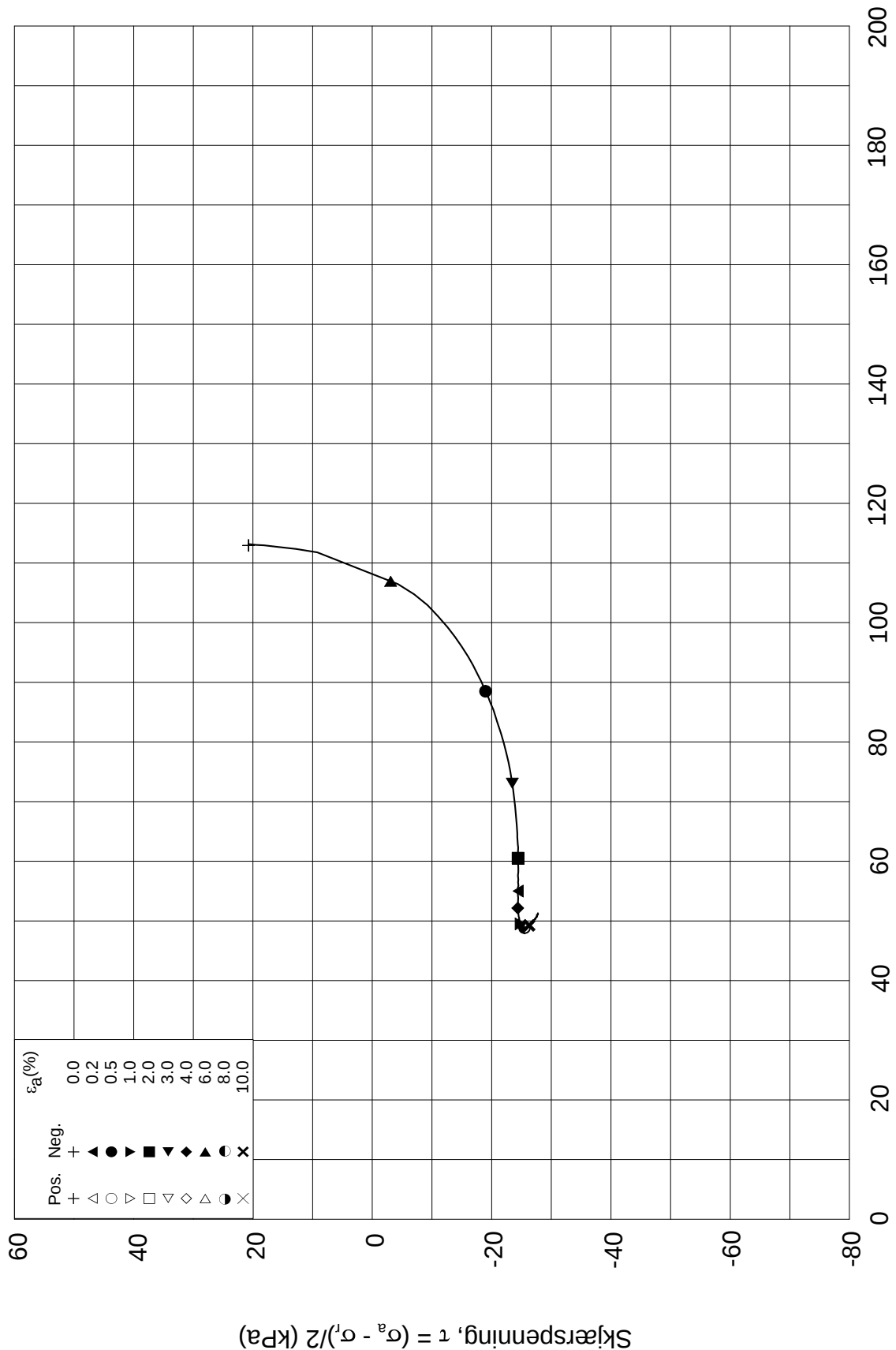
Tegnet av
MAS

Test: **2**

w_c = **29.5** %

σ_{rc}' = - - **92.2**





Date/Rev.: 2009-11-03/01

E16 Nybakk - Slomarka

Dokument nr.
20120491-02-R

Treaksial forsøk: **CAUP**

Dato
2014-04-15

Boring: **2312**

Dybde = **10.36** m

Konsolidering-spenninger

Sylinder: **10**

$p_{o'}$ = **133.6** kPa

(kPa) maks. min. endelig

Figur nr.
G272

Del: **A**

w_i = **30.1** %

σ_{ac}' = - - **133.5**

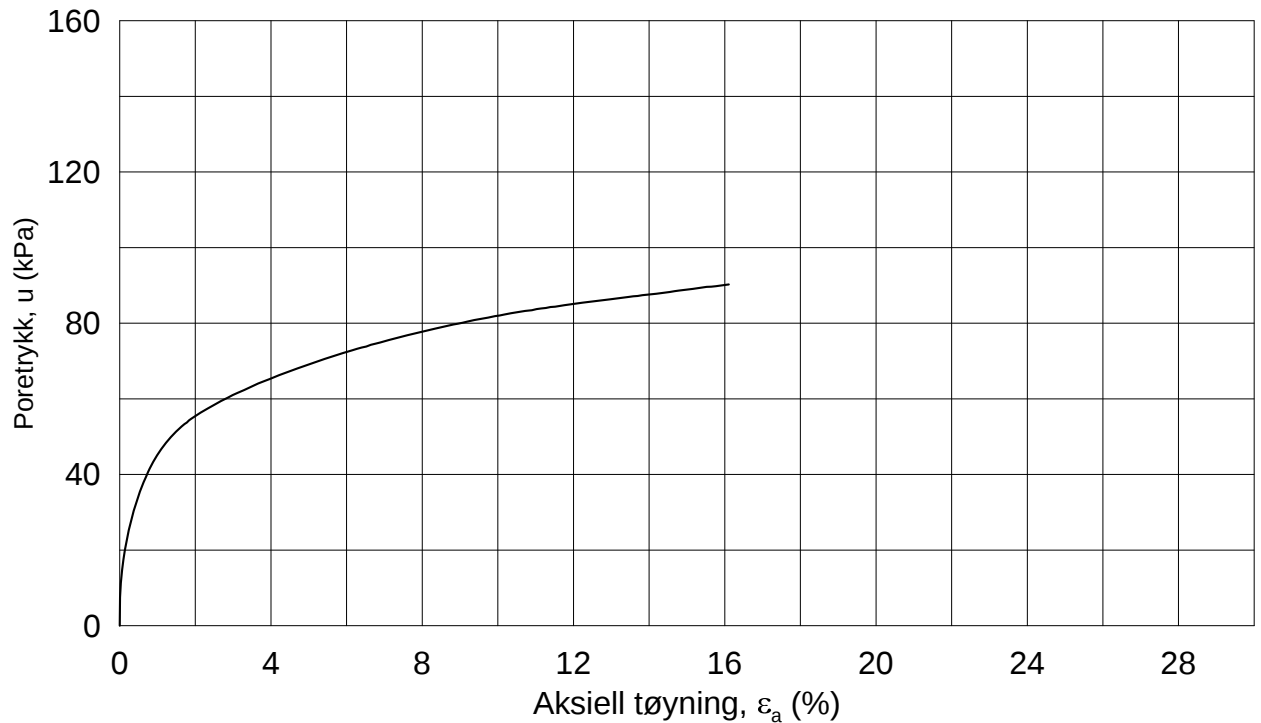
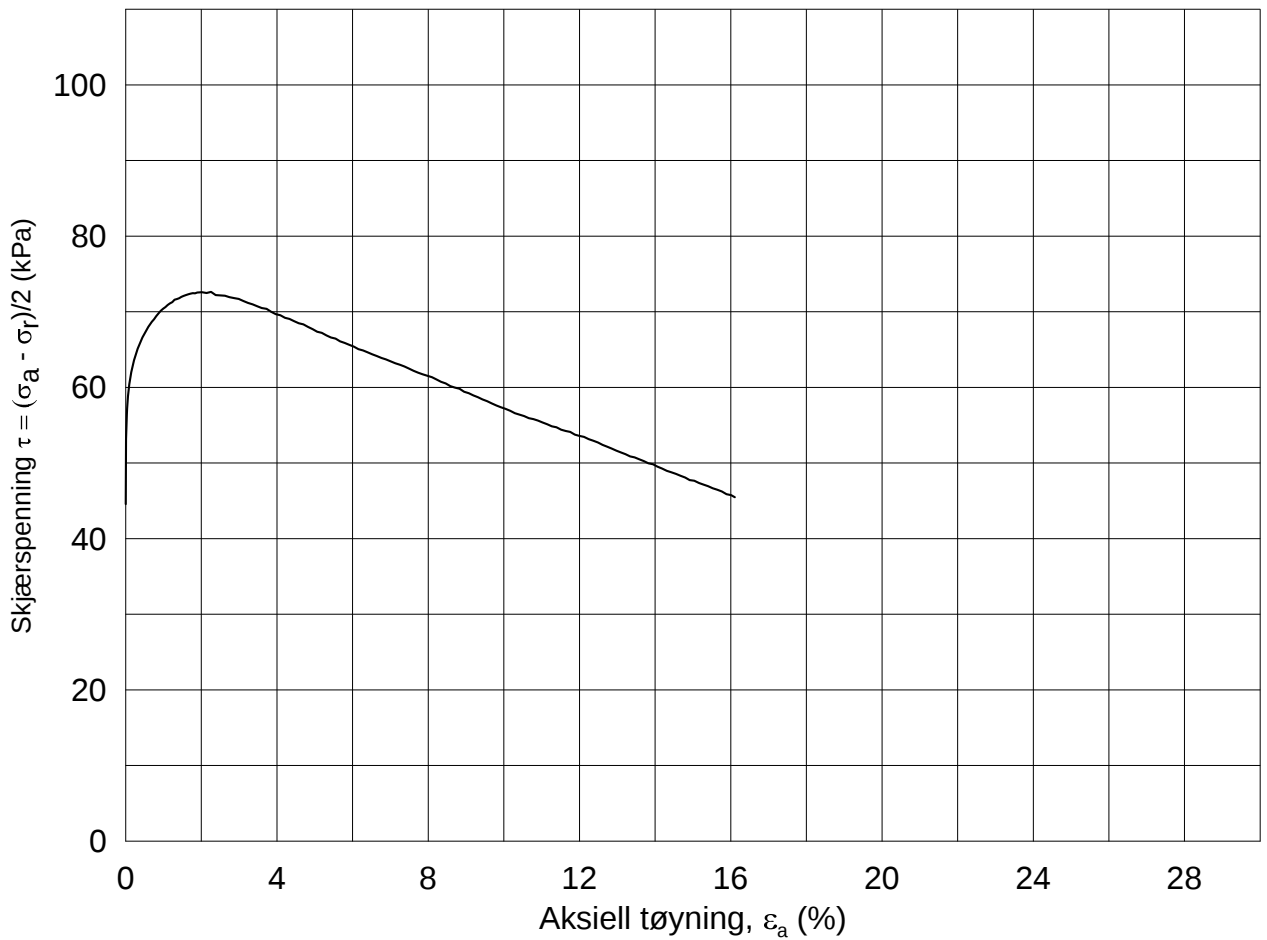
Tegnet av
MAS

Test: **2**

w_c = **29.5** %

σ_{rc}' = - - **92.2**





Date/Rev.: 2009-11-03/01

E16 Nybakk - Slomarka

Dokument nr.
20120491-02-R

Treaksial forsøk: **CAUA**

Dato
2014-05-09

Boring: **2312**

Dybde = **19.30** m

Konsolidering-spenninger

Sylinder: **16**

$p_{o'}$ = **255.1** kPa

(kPa) maks. min. endelig

Figur nr.
G273

Del: **A**

w_i = **33.6** %

σ_{ac}' = - - **224.5**

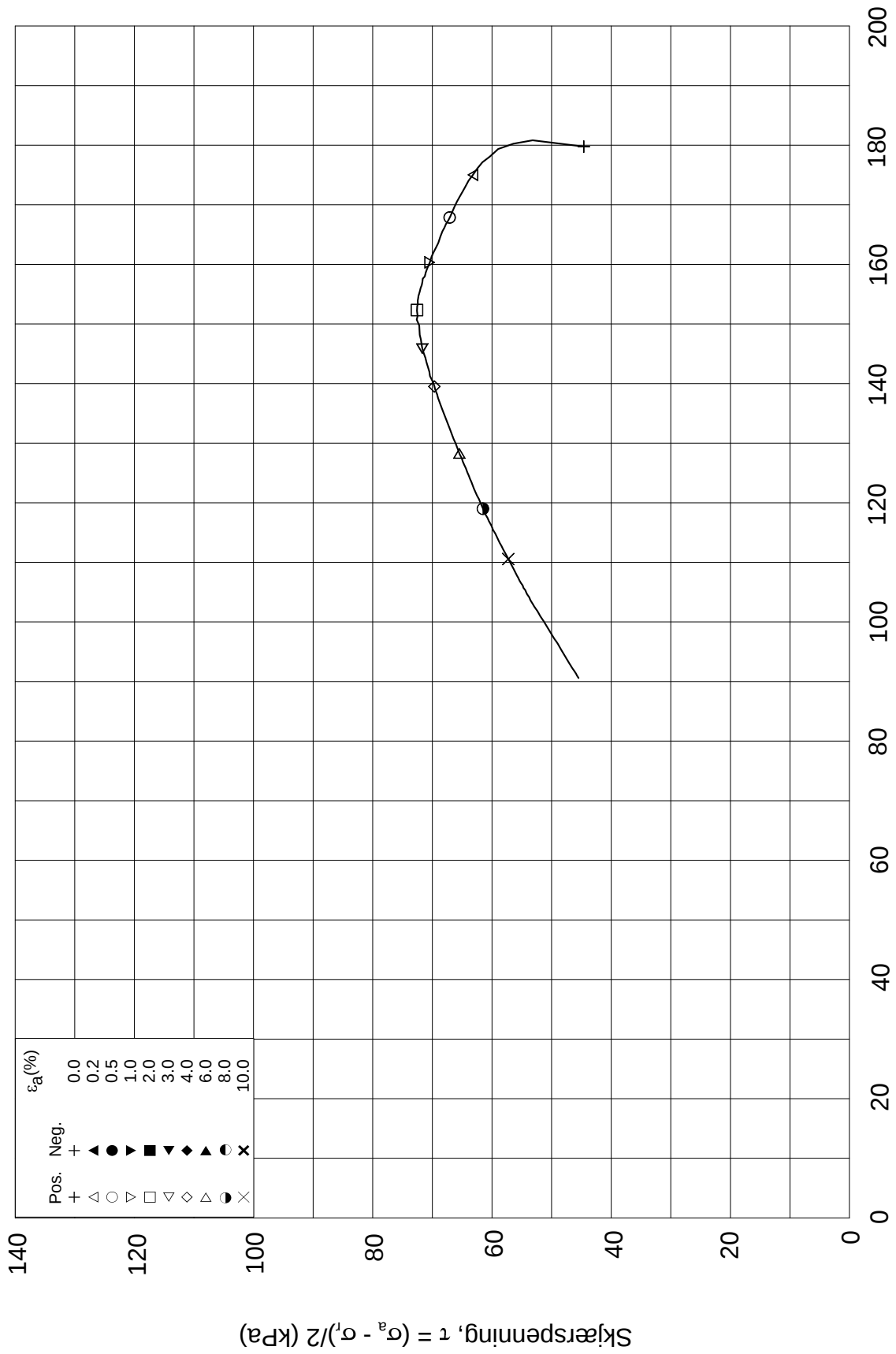
Tegnet av
MAS

Test: **1**

w_c = **31.2** %

σ_{rc}' = - - **135.2**



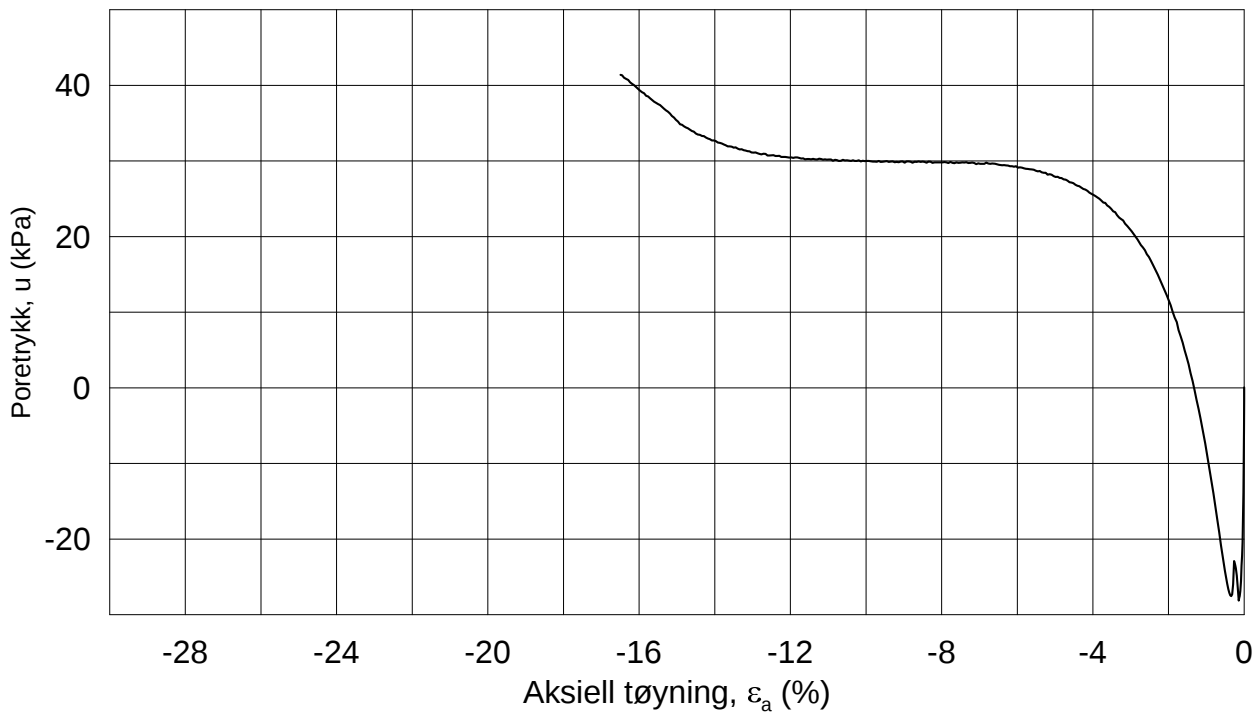
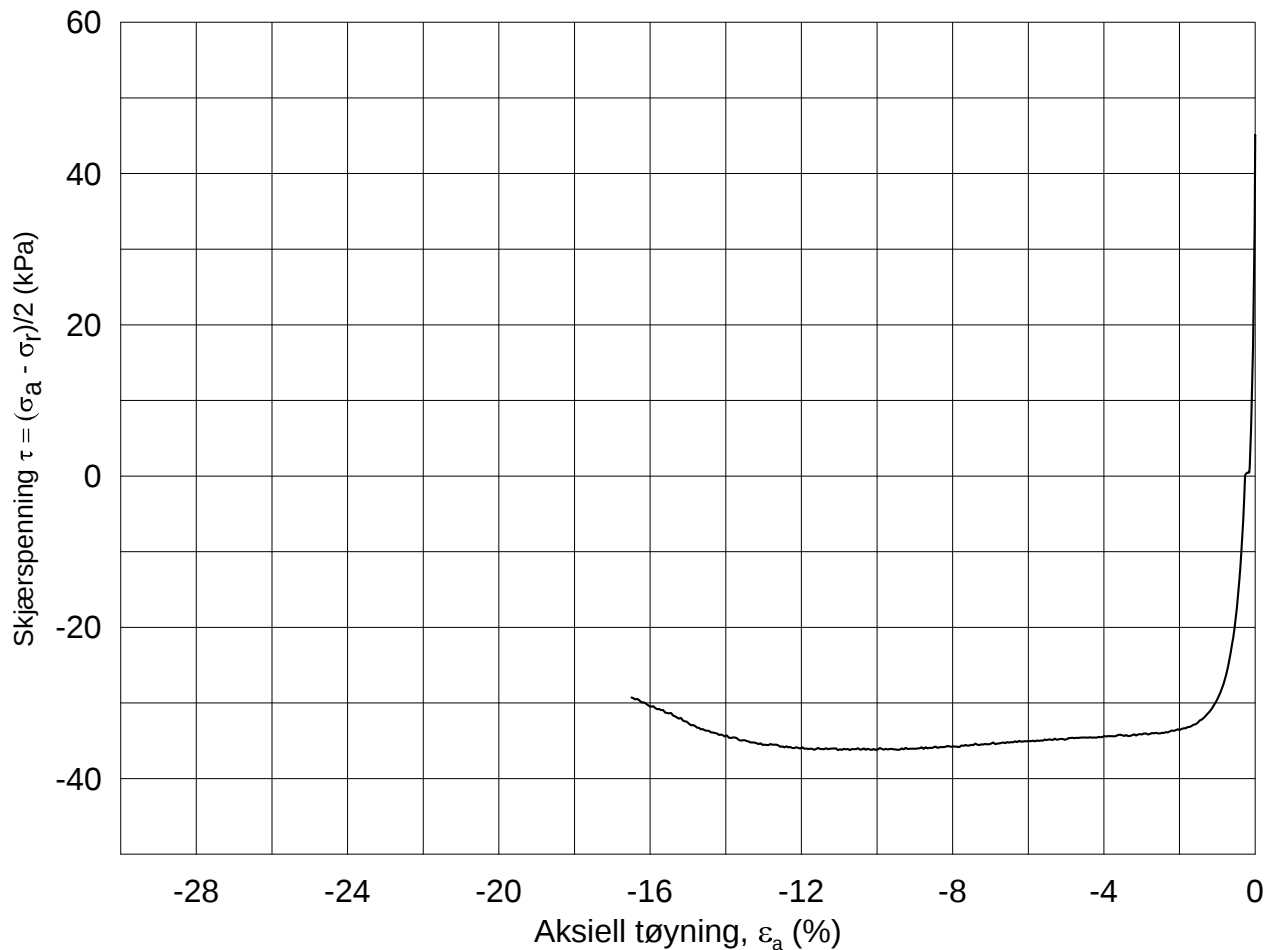


Effektiv gjennomsnittsspenning, $p' = (\sigma'_a + \sigma'_r)/2$ (kPa)

Date/Rev.: 2009-11-03/01

E16 Nybakk - Slomarka			Dokument nr. 20120491-02-R	
Treaksial forsøk: CAUA			Dato 2014-05-09	
Boring: 2312	Dybde = 19.30 m	Konsolidering-spenninger		
Sylinder: 16	$p_{o'}$ = 255.1 kPa	(kPa)	maks.	min.
Del: A	w_i = 33.6 %	σ_{ac}' =	-	-
Test: 1	w_c = 31.2 %	σ_{rc}' =	-	-
		endelig	224.5	
			135.2	
		Figur nr.	G274	
		Tegnet av	MAS	

2312-16-A-1-Plot2.grf



Date/Rev.: 2009-11-03/01

E16 Nybakk - Slomarka

Dokument nr.
20120491-02-R

Treaksial forsøk: **CAUP**

Dato
2014-05-09

Boring: **2312**

Dybde = **19.45** m

Konsolidering-spenninger

Sylinder: **16**

p_o' = **255.1** kPa

(kPa) maks. min. endelig

Figur nr.
G275

Del: **A**

w_i = **30.0** %

σ_{ac}' = - - **225.4**

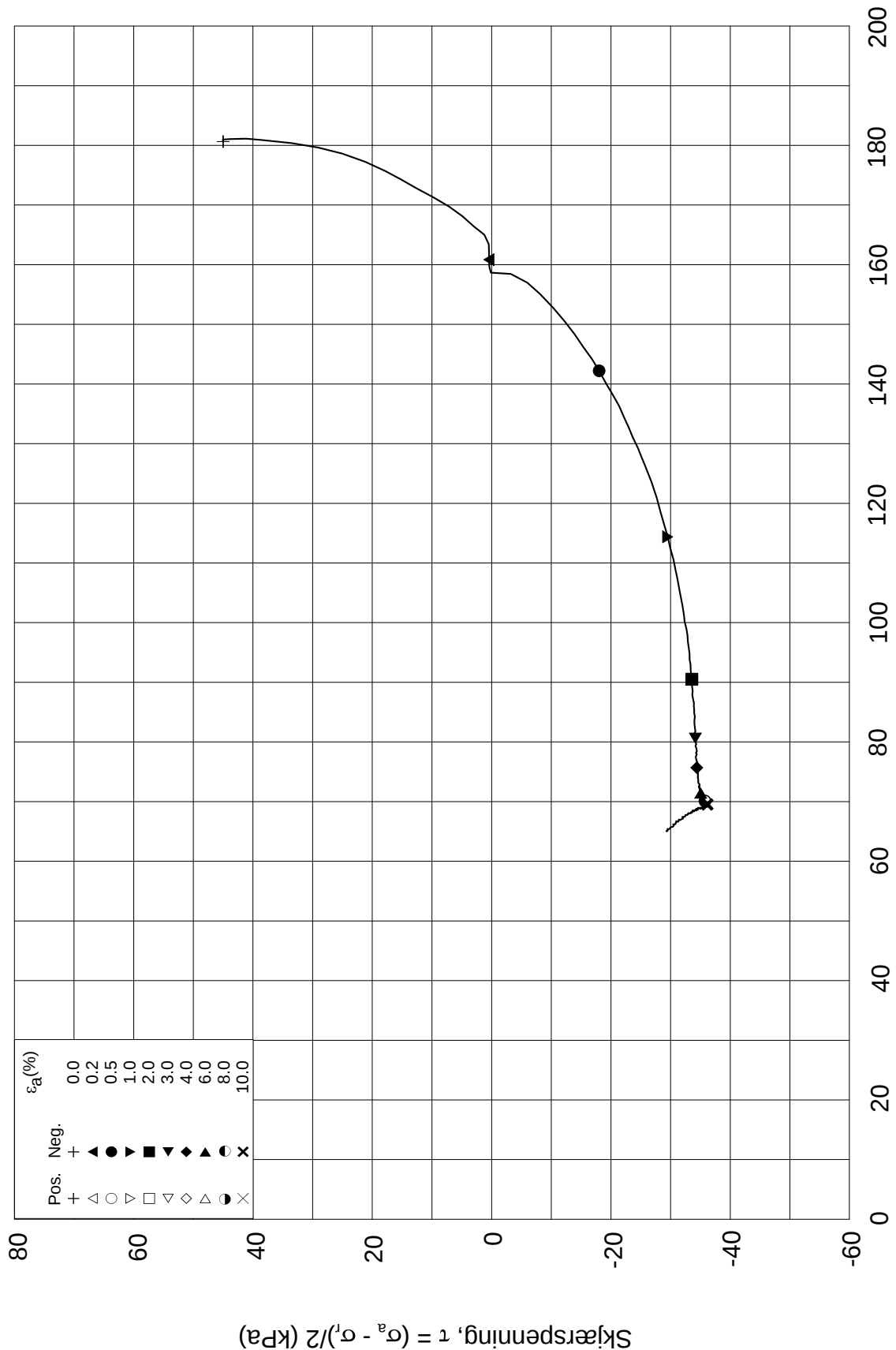
Tegnet av
MAS

Test: **2**

w_c = **27.9** %

σ_{rc}' = - - **135.6**





Date/Rev.: 2009-11-03/01

E16 Nybakk - Slomarka

Dokument nr.
20120491-02-R

Treaksial forsøk: **CAUP**

Dato
2014-05-09

Boring: **2312**

Dybde = **19.45** m

Konsolidering-spenninger

Sylinder: **16**

$p_{o'}$ = **255.1** kPa

(kPa)	maks.	min.	endelig
σ_{ac}' =	-	-	225.4
σ_{rc}' =	-	-	135.6

Del: **A**

w_i = **30.0** %

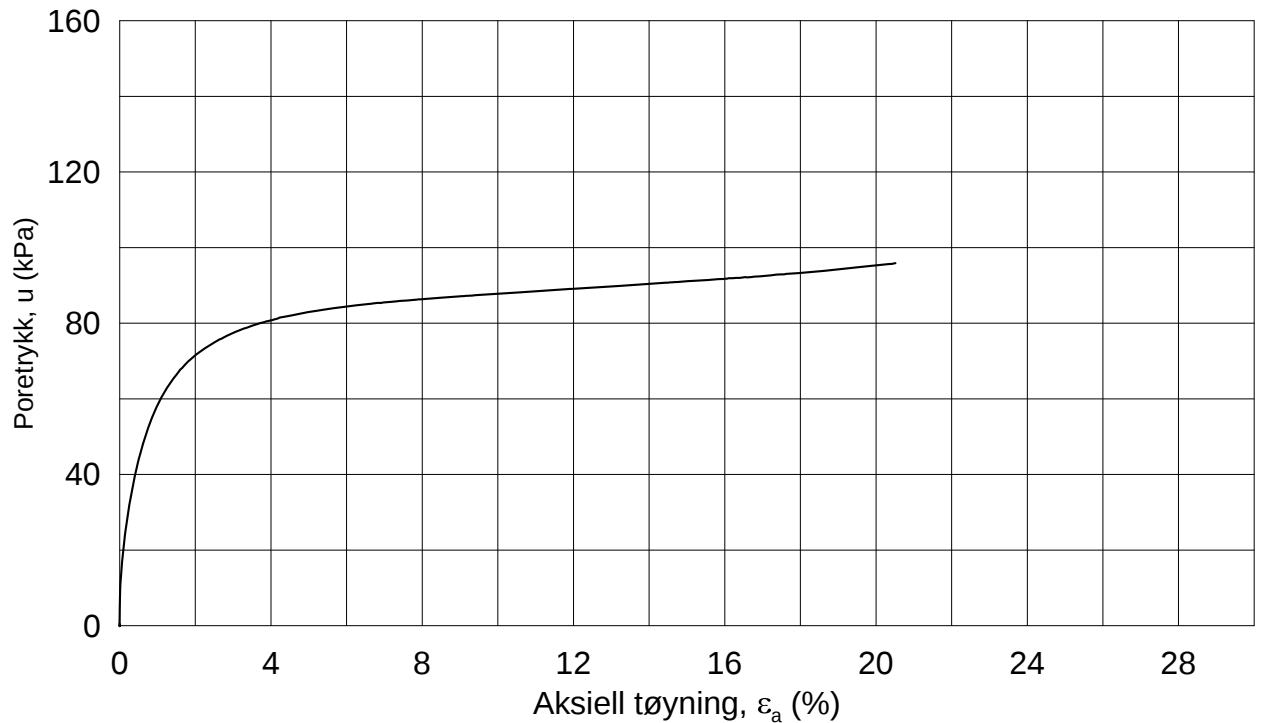
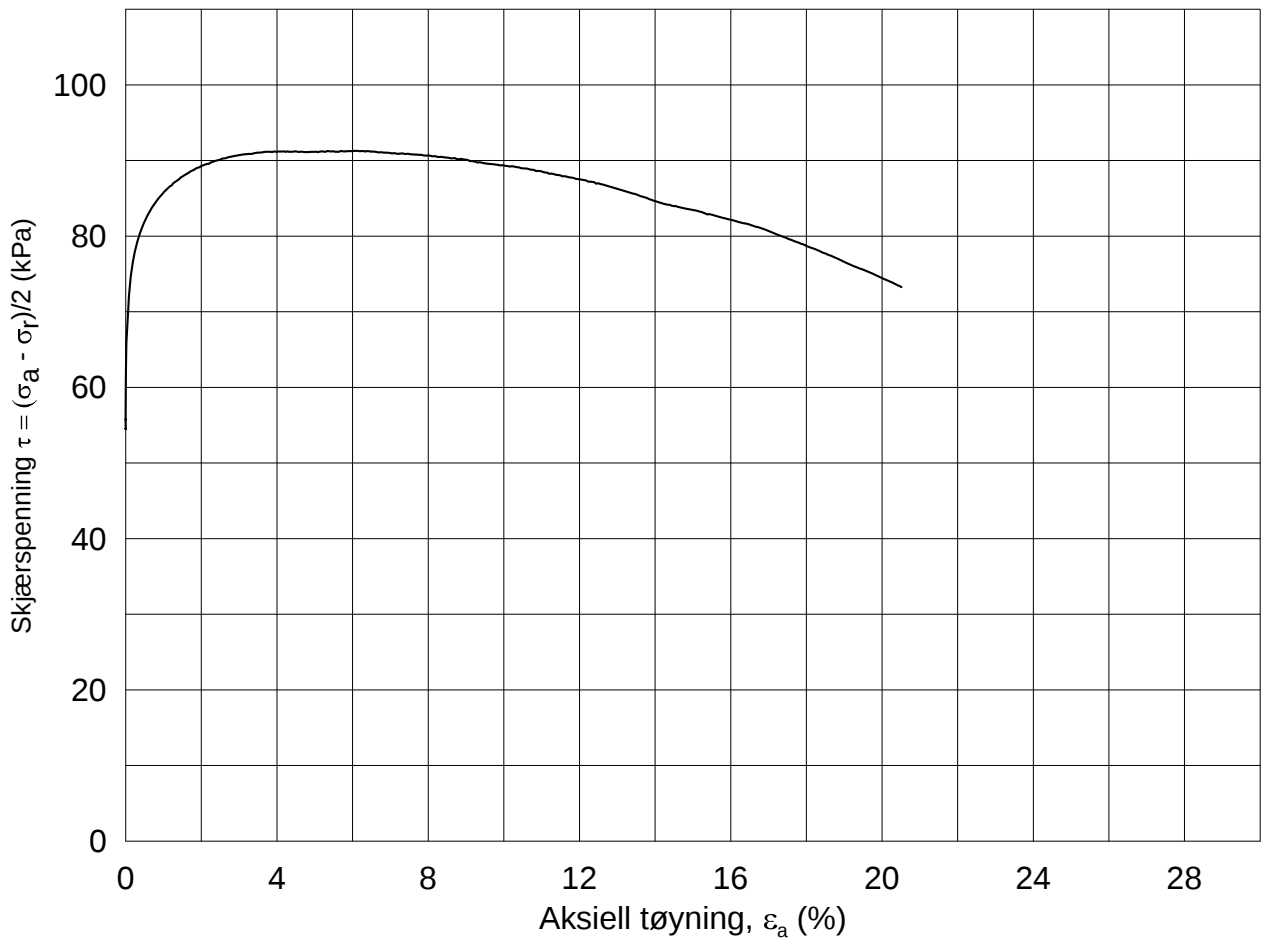
Figur nr.
G276

Test: **2**

w_c = **27.9** %

Tegnet av
MAS





Date/Rev.: 2009-11-03/01

E16 Nybakk - Slomarka

Dokument nr.
20120491-02-R

Treaksial forsøk: **CAUA**

Dato
2014-05-13

Boring: **2312**

Dybde = **24.43** m

Konsolidering-spenninger

Sylinder: **19**

$p_{o'}$ = **273.2** kPa

(kPa) maks. min. endelig

Figur nr.
G277

Del: **A**

w_i = **29.4** %

σ_{ac}' = - - **273.0**

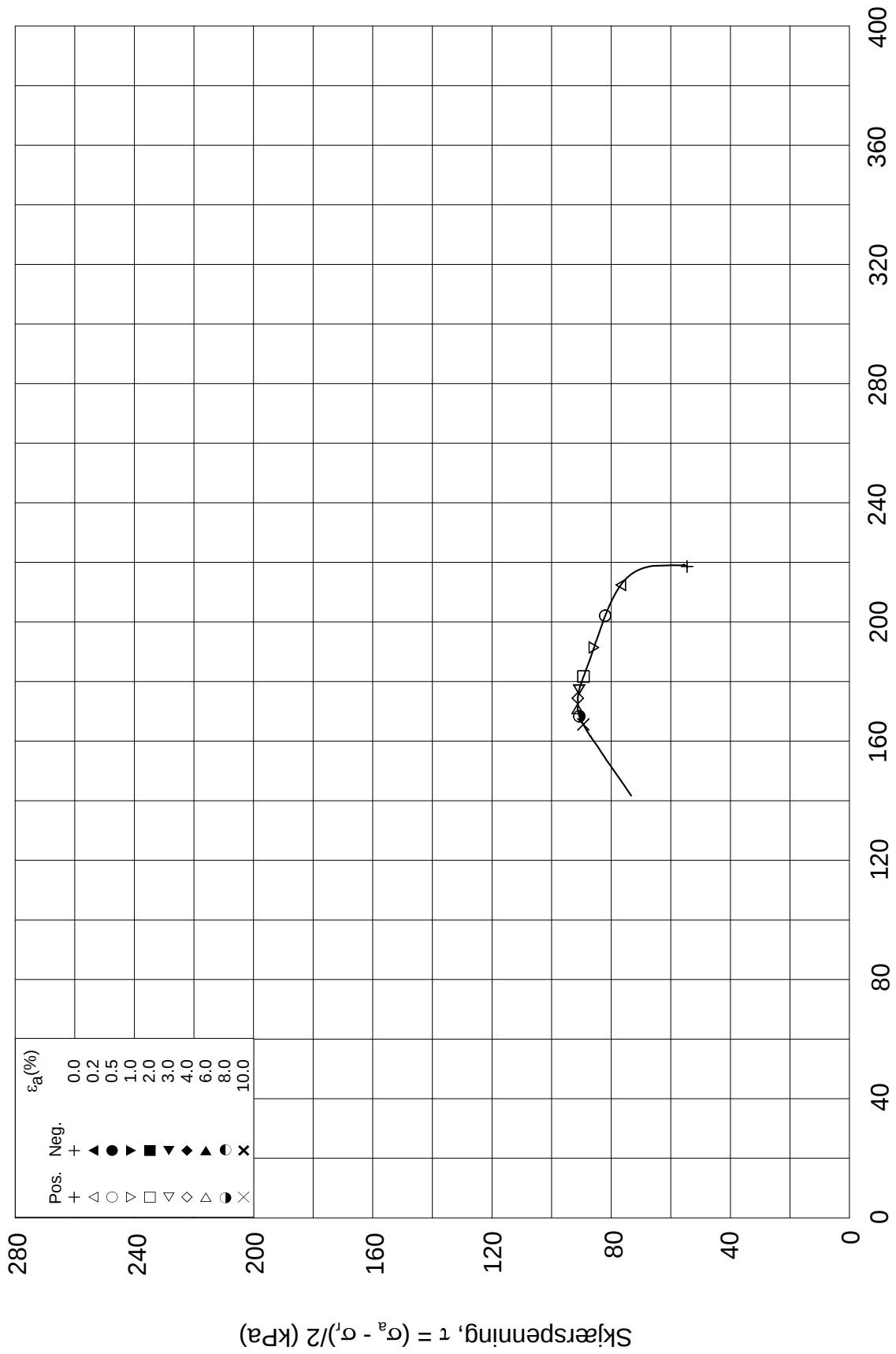
Tegnet av
MAS

Test: **1**

w_c = **26.0** %

σ_{rc}' = - - **163.9**

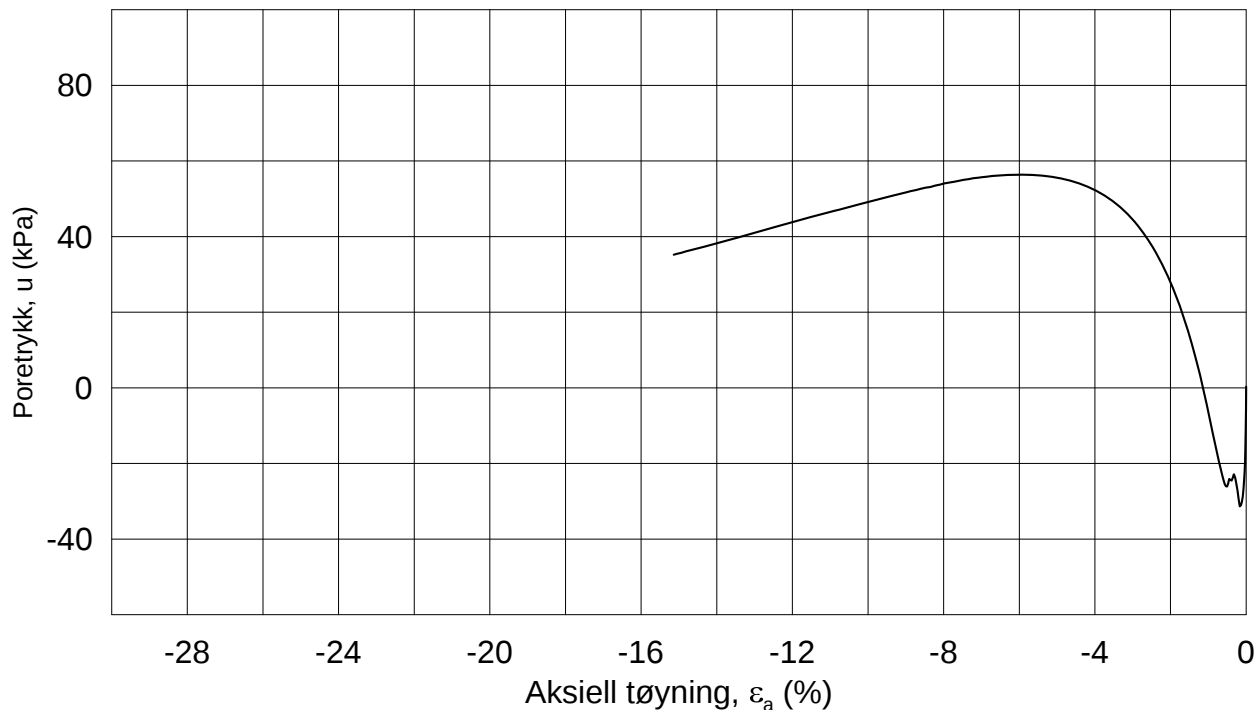
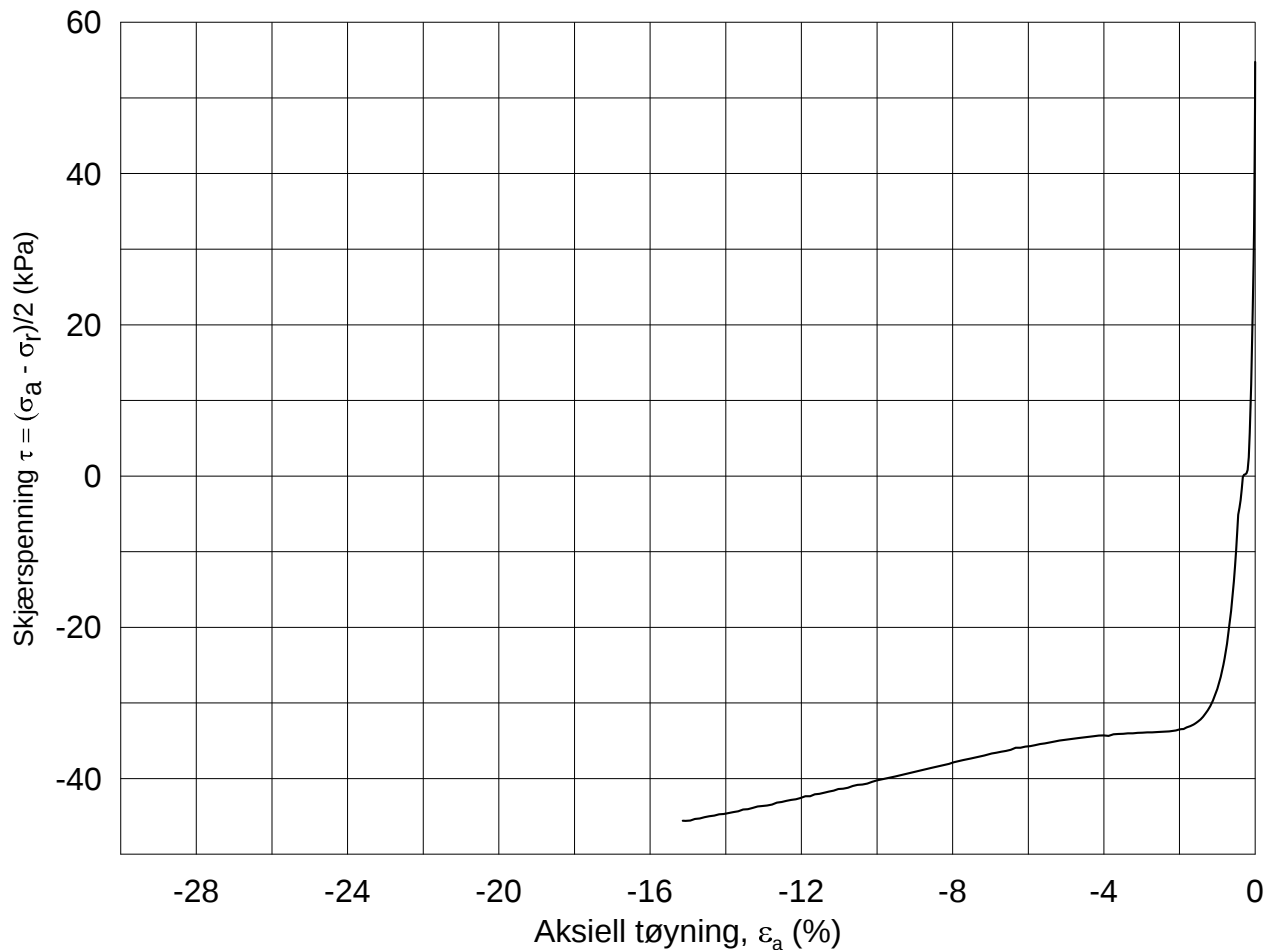




Date/Rev.: 2009-11-03/01

E16 Nybakk - Slomarka			Dokument nr. 20120491-02-R	
Treaksial forsøk: CAUA			Dato 2014-05-13	
Boring: 2312	Dybde = 24.43 m	Konsolidering-spenninger		
Sylinder: 19	$p_{o'}$ = 273.2 kPa	(kPa)	maks.	min.
Del: A	w_i = 29.4 %	σ_{ac}' =	-	-
Test: 1	w_c = 26.0 %	σ_{rc}' =	-	-
		endelig	273.0	
			163.9	
		Figur nr.	G278	
		Tegnet av	MAS	

2312-19-A-1-Plot2.grf



Date/Rev.: 2009-11-03/01

E16 Nybakk - Slomarka

Dokument nr.
20120491-02-R

Treaksial forsøk: **CAUP**

Dato
2014-05-09

Boring: **2312**

Dybde = **24.58** m

Konsolidering-spenninger

Sylinder: **19**

$p_{o'}$ = **274.6** kPa

(kPa) maks. min. endelig

Figur nr.
G279

Del: **A**

w_i = **29.4** %

σ_{ac}' = - - **274.1**

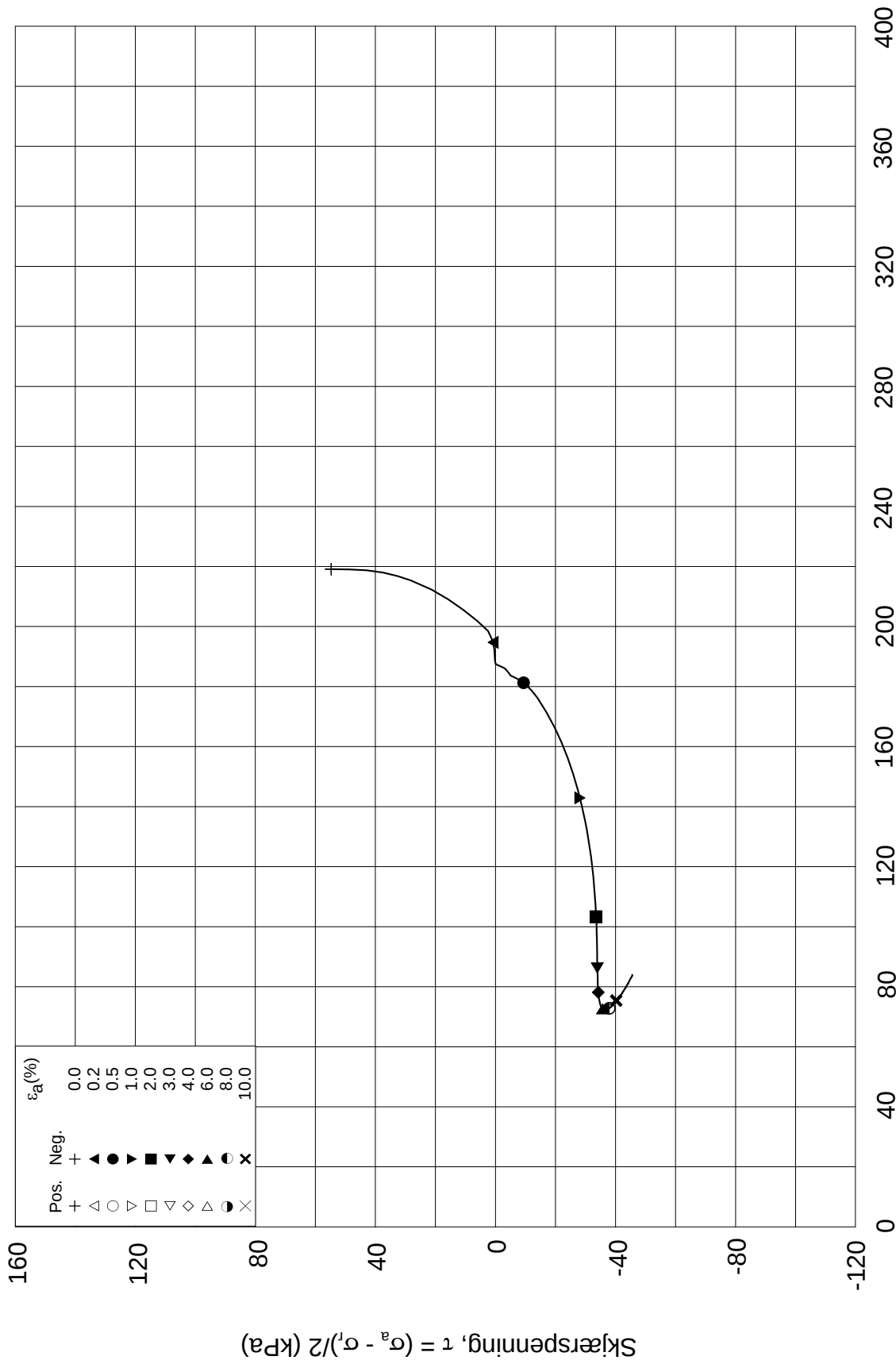
Tegnet av
MAS

Test: **2**


w_c = **25.8** %

σ_{rc}' = - - **164.7**

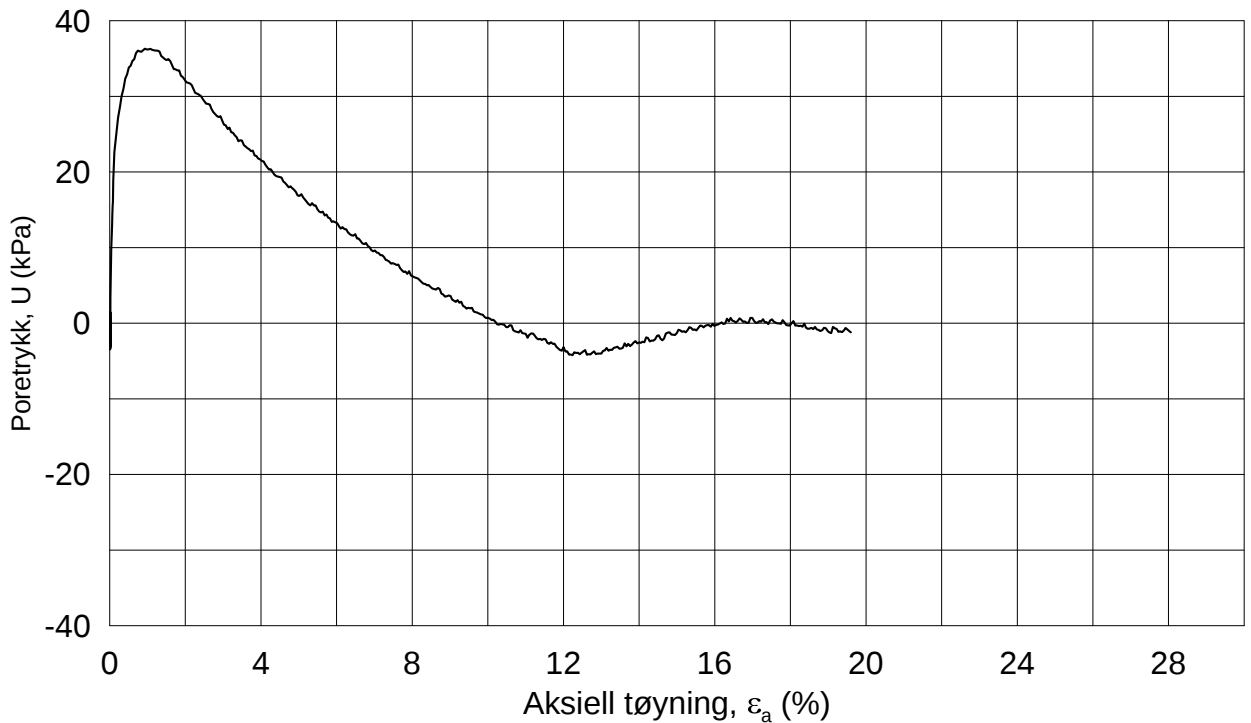
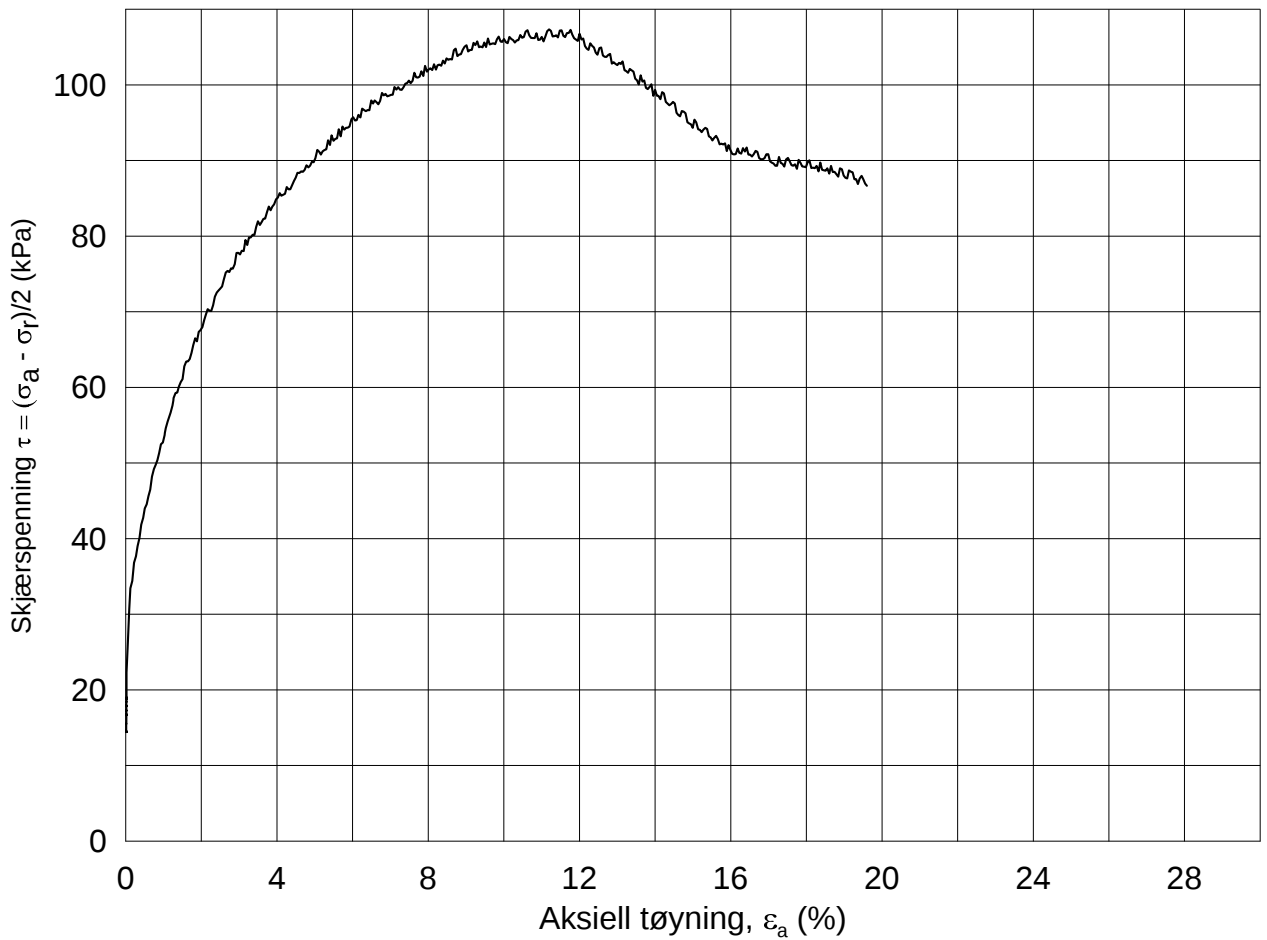




Date/Rev.: 2009-11-03/01

E16 Nybakk - Slomarka			Dokument nr. 20120491-02-R	
Treaksial forsøk: CAUP			Dato 2014-05-09	
Boring: 2312	Dybde = 24.58 m	Konsolidering-spenninger		
Sylinder: 19	$p_{o'}$ = 274.6 kPa	(kPa)	maks.	min.
Del: A	w_i = 29.4 %	σ_{ac}' =	-	-
Test: 2	w_c = 25.8 %	σ_{rc}' =	-	-
			274.1	164.7
			Figur nr. G280	Tegnet av MAS
				

2312-19-A-2.Plot2.grf



Date/Rev.: 2009-11-03/01

E16 Nybakk - Slomarka

Dokument nr.
20120491-02-R

Treaksial forsøk: **CAUA**

Leire

Dato
2014-05-29

Boring: **2322**

Dybde = **10.56** m

Konsolidering-spenninger

Sylinder: **10**

$p_{o'}$ = **106.5** kPa

(kPa) maks. min. endelig

Figur nr.
G281

Del: **A**

w_i = **26.12** %

σ_{ac}' = - - **106.5**

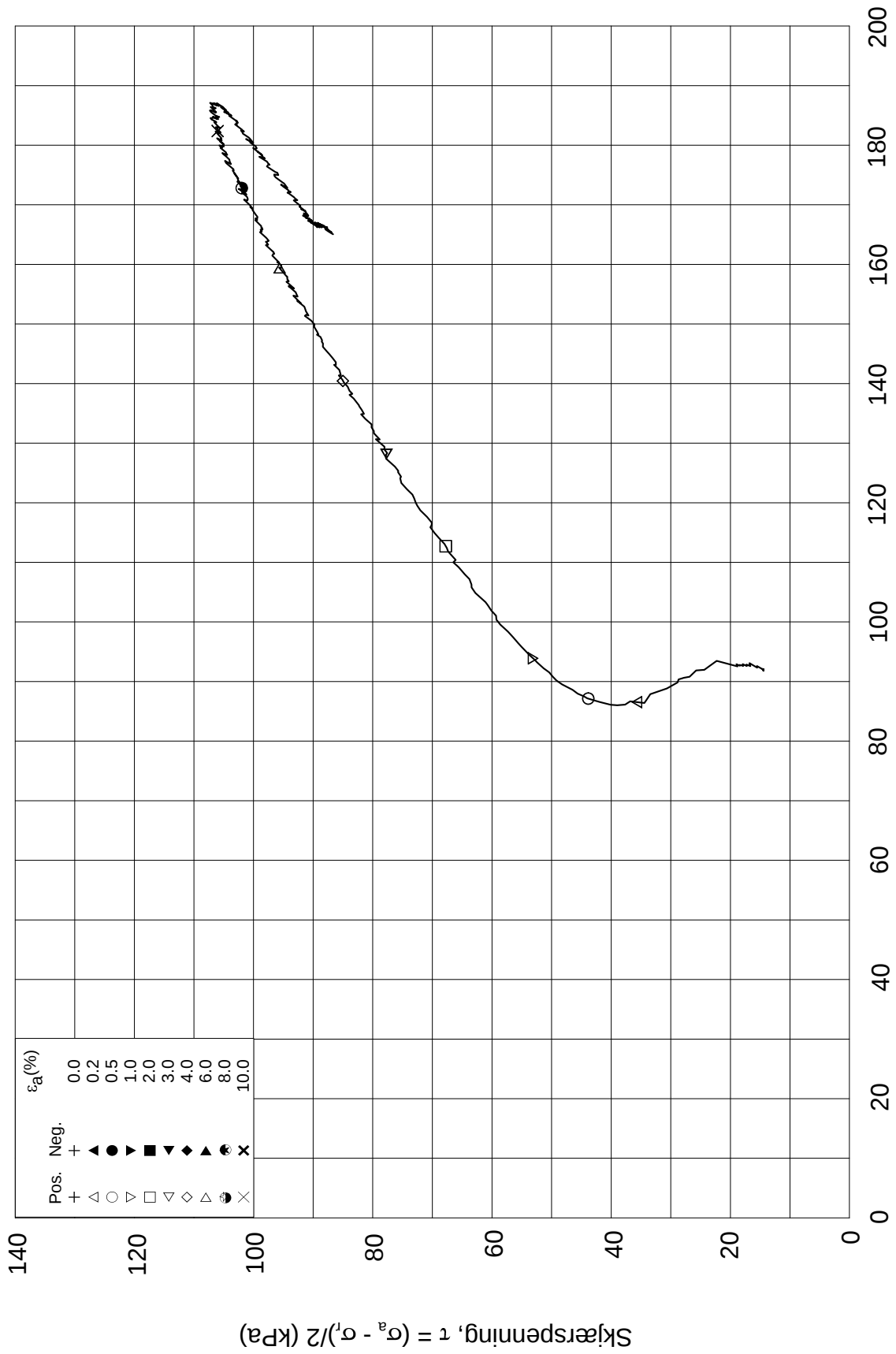
Tegnet av
MAS

Test: **4**


w_c = **25.47** %

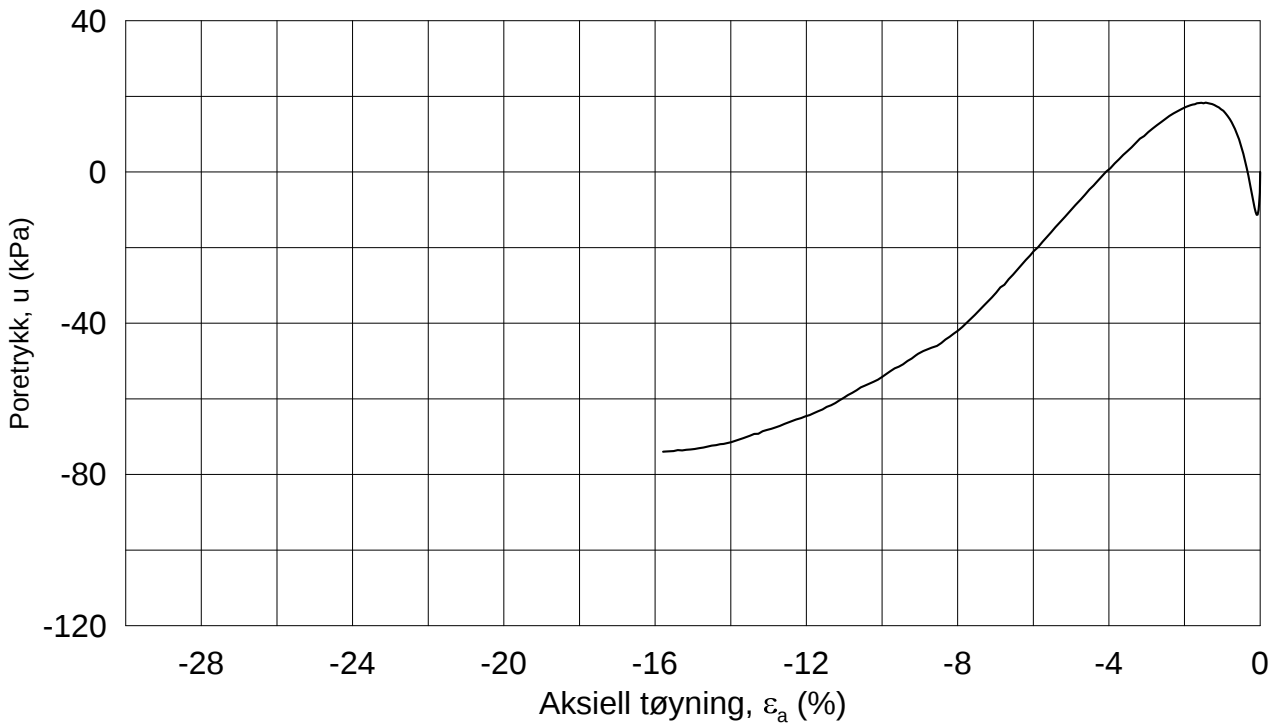
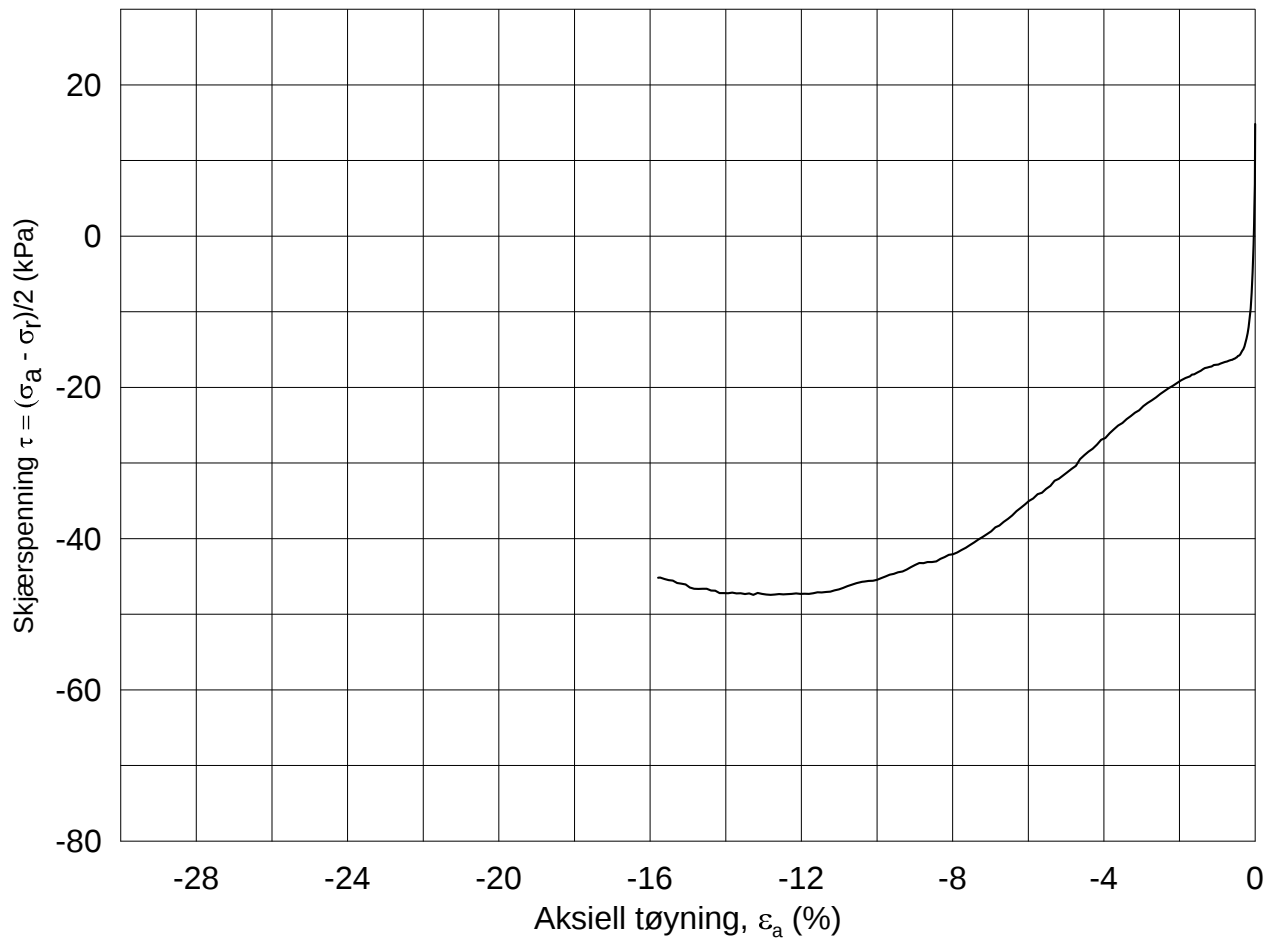
σ_{rc}' = - - **76.4**





Date/Rev.: 2009-11-03/01

E16 Nybakk - Slomarka			Dokument nr. 20120491-02-R	
Treaksial forsøk: CAUA	Leire		Dato 2014-05-29	
Boring: 2322	Dybde = 10.56 m	Konsolidering-spenninger		
Sylinder: 10	$p_{o'}$ = 106.5 kPa	(kPa)	maks.	min.
Del: A	w_i = 26.12 %	σ_{ac}' =	-	-
Test: 4	w_c = 25.47 %	σ_{rc}' =	-	-
			106.5	76.4
			Figur nr. G282	
			Tegnet av MAS	



Date/Rev.: 2009-11-03/01

E16 Nybakk - Slomarka

Dokument nr.
20120491-02-R

Treaksial forsøk: **CAUP**

Dato
2014-04-07

Boring: **2322**

Dybde = **10.41** m

Konsolidering-spenninger

Sylinder: **10**

$p_{o'}$ = **105.2** kPa

(kPa) maks. min. endelig

Figur nr.
G283

Del: **A**

w_i = **25.8** %

σ_{ac}' = - - **105.2**

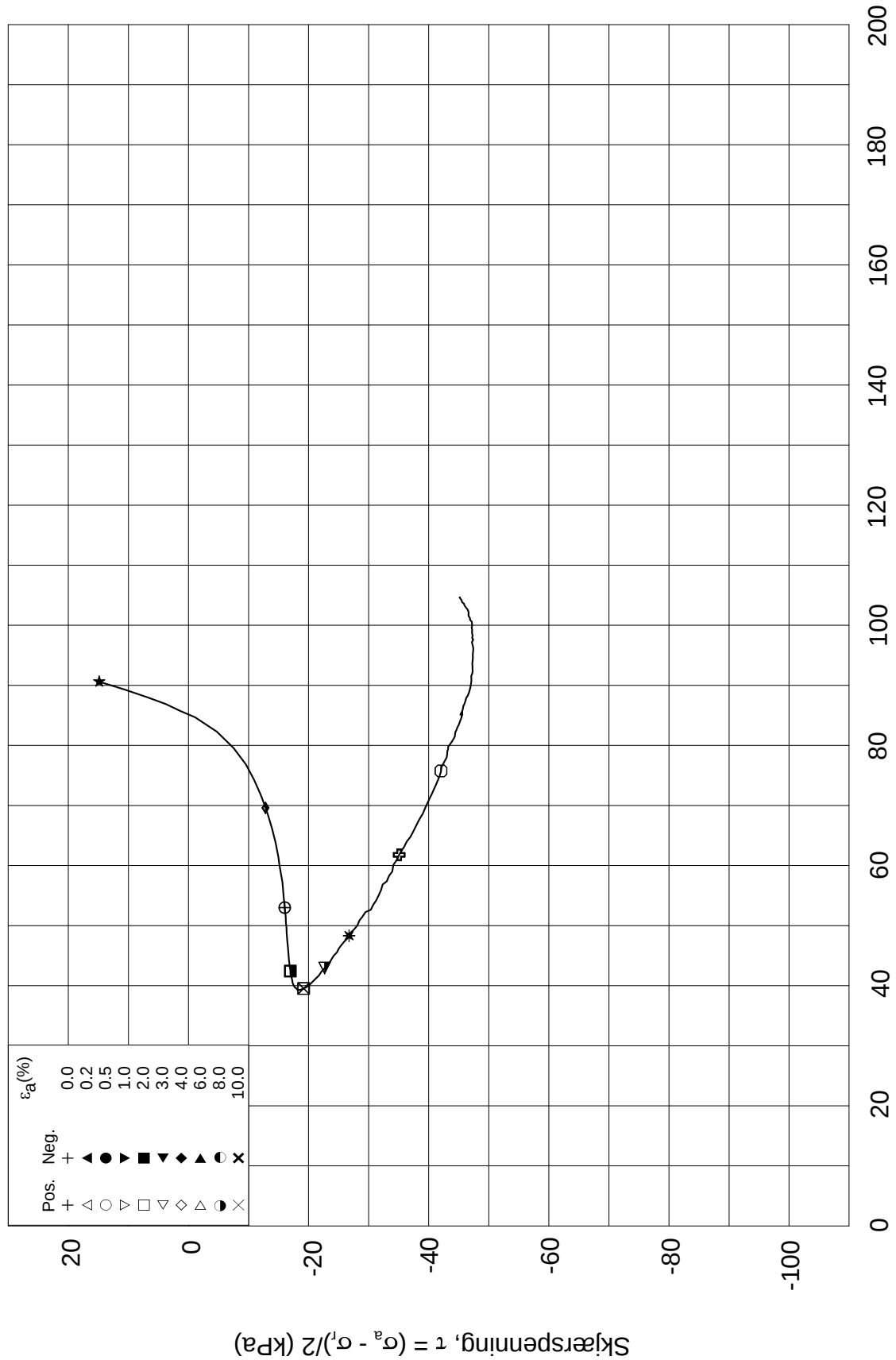
Tegnet av
MAS

Test: **3**

w_c = **24.8** %

σ_{rc}' = - - **75.7**





Date/Rev.: 2009-11-03/01

E16 Nybakk - Slomarka

Dokument nr.
20120491-02-R

Treaksial forsøk: **CAUP**

Dato
2014-04-07

Boring: **2322**

Dybde = **10.41** m

Konsolidering-spenninger

Sylinder: **10**

$p_{o'}$ = **105.2** kPa

(kPa) maks. min. endelig

Figur nr.
G284

Del: **A**

w_i = **25.8** %

σ_{ac}' = - - **105.2**

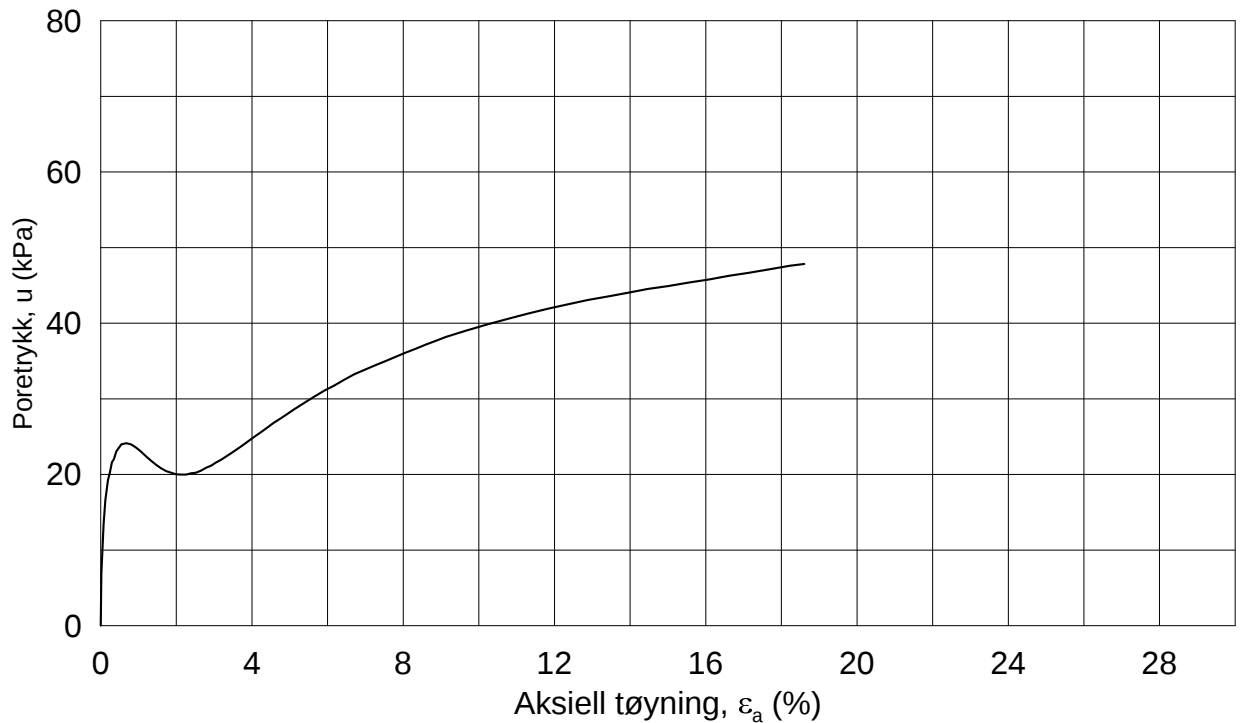
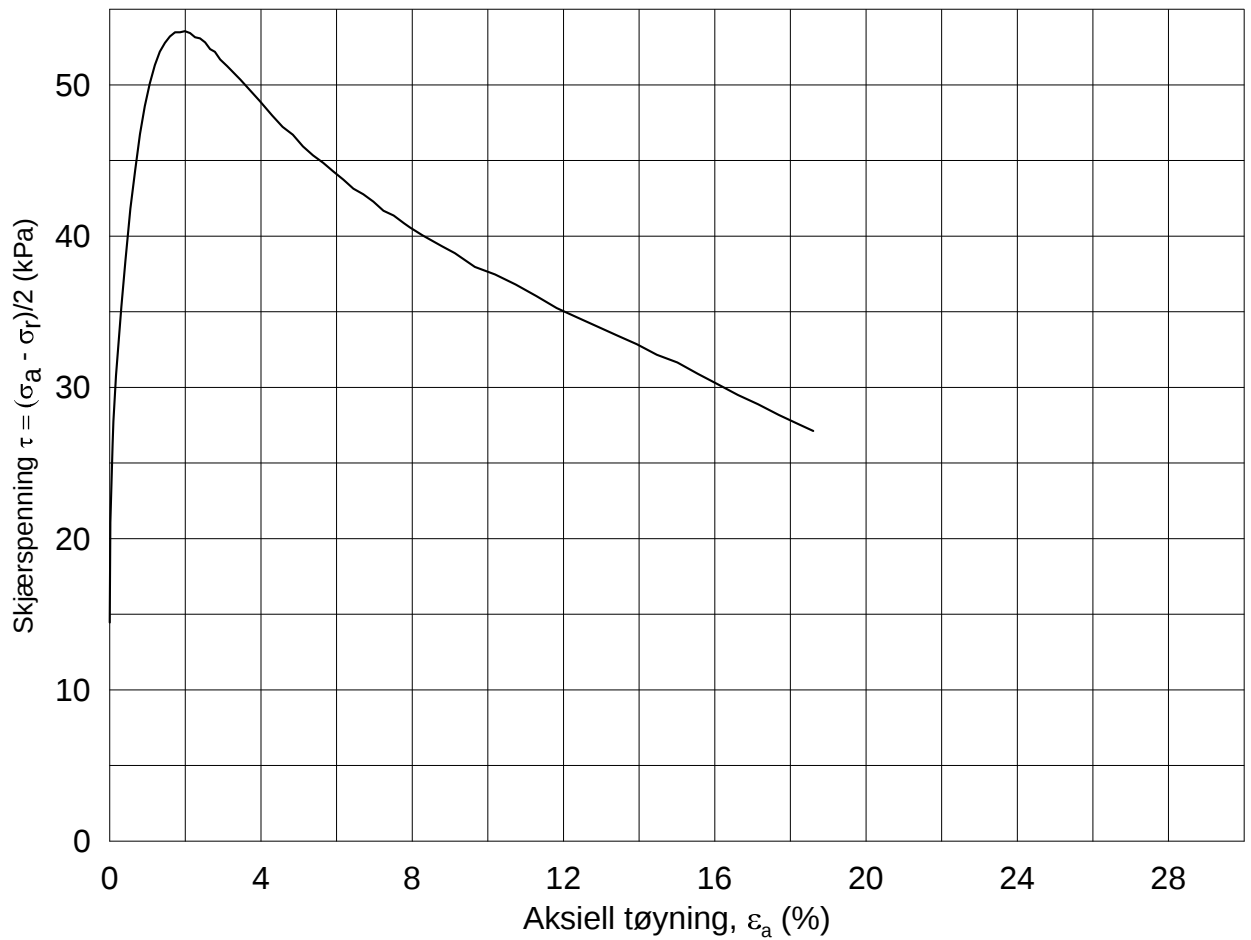
Tegnet av
MAS

Test: **3**

w_c = **24.8** %

σ_{rc}' = - - **75.7**





Date/Rev.: 2009-11-03/01

E16 Nybakk - Slomarka

Dokument nr.
20120491-02-R

Treaksial forsøk: **CAUA**

Dato
2014-04-14

Boring: **2325**

Dybde = **10.23** m

Konsolidering-spenninger

Sylinder: **10**

p_o' = **103.8** kPa

(kPa) maks. min. endelig

Figur nr.
G285

Del: **A**

w_i = **35.4** %

σ_{ac}' = - - **103.8**

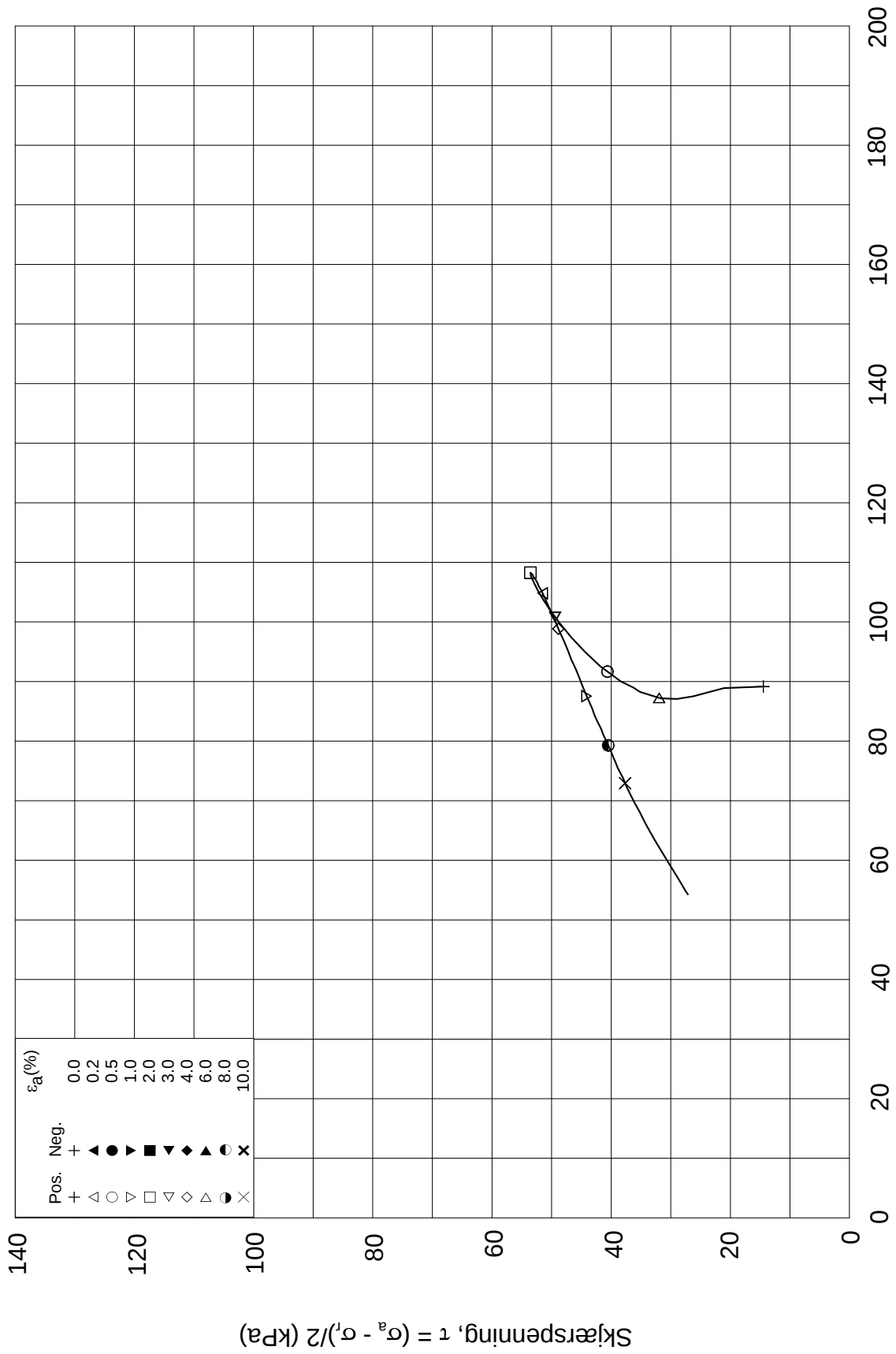
Tegnet av
MAS

Test: **1**

w_c = **34.8** %

σ_{rc}' = - - **74.7**



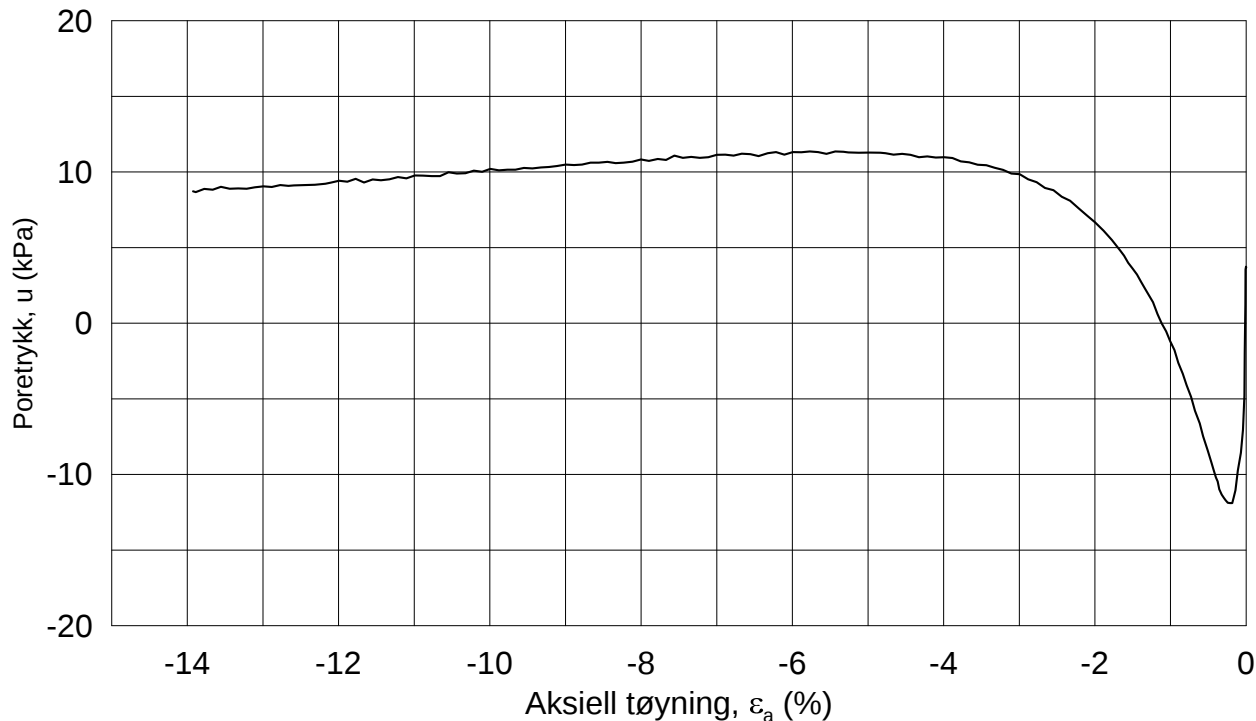
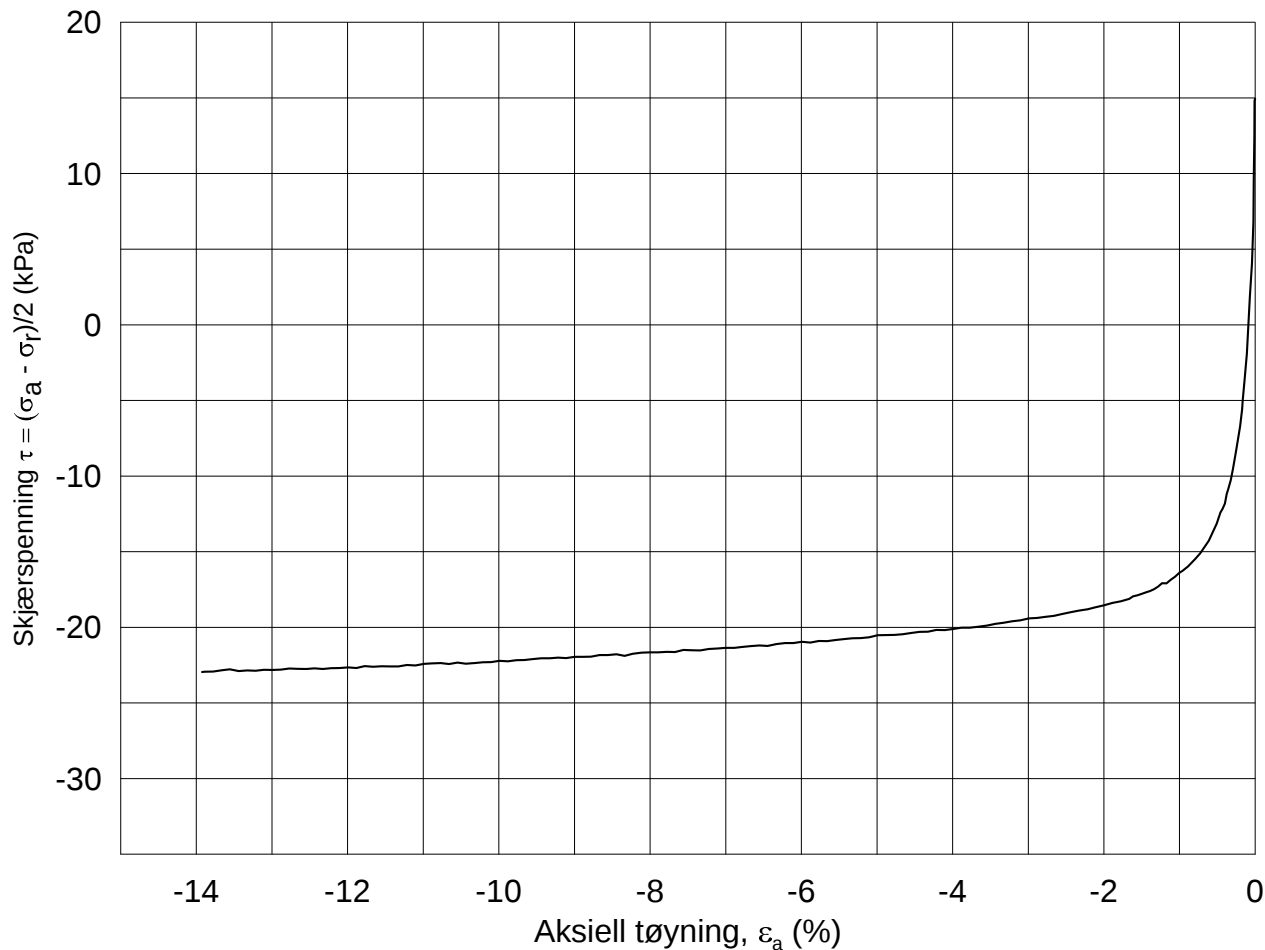


Effektiv gjennomsnittsspenning, $p' = (\sigma_a' + \sigma_r')/2$ (kPa)

Date/Rev.: 2009-11-03/01

E16 Nybakk - Slomarka			Dokument nr. 20120491-02-R	
Treaksial forsøk: CAUA			Dato 2014-04-22	
Boring: 2325	Dybde = 10.23 m	Konsolidering-spenninger		
Sylinder: 10	$p_{o'}$ = 103.8 kPa	(kPa)	maks.	min.
Del: A	w_i = 35.4 %	σ_{ac}' =	-	-
Test: 1	w_c = 34.8 %	σ_{rc}' =	-	-
			103.8	74.7
			Figur nr. G286	Tegnet av MAS

2325-10-A-1-1.Plot2.grf



Date/Rev.: 2009-11-03/01

E16 Nybakk - Slomarka

Dokument nr.
20120491-02-R

Treaksial forsøk: **CAUP**

Dato
2014-04-15

Boring: **2325**

Dybde = **10.38** m

Konsolidering-spenninger

Sylinder: **10**

$p_{o'}$ = **105.2** kPa

(kPa) maks. min. endelig

Figur nr.
G287

Del: **A**

w_i = **34.7** %

σ_{ac}' = - - **105.2**

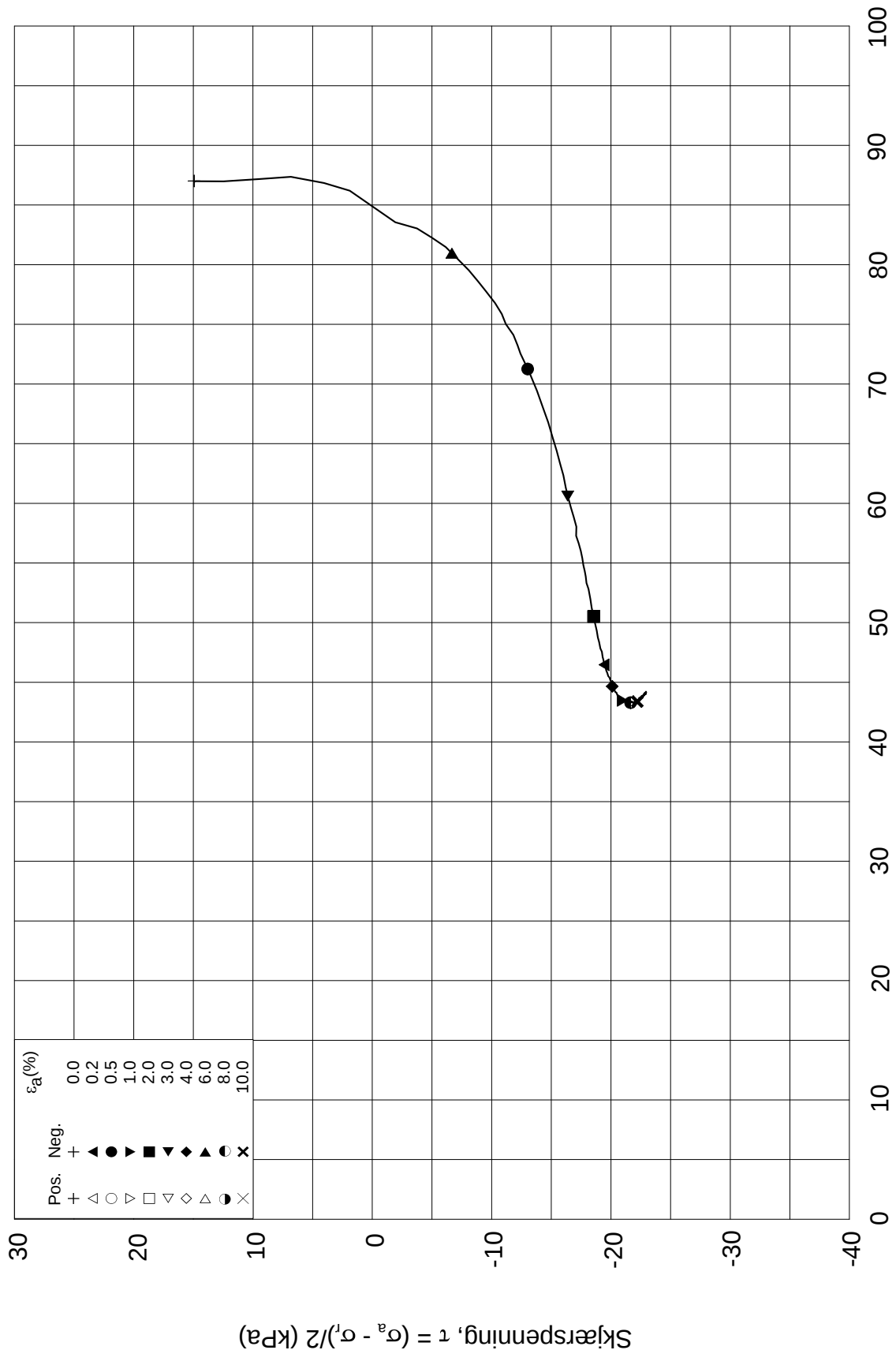
Tegnet av
MAS

Test: **2**

w_c = **33.5** %

σ_{rc}' = - - **75.7**





Date/Rev.: 2009-11-03/01

E16 Nybakk - Slomarka

Dokument nr.
20120491-02-R

Treaksial forsøk: **CAUP**

Dato
2014-04-15

Boring: **2325**

Dybde = **10.38** m

Konsolidering-spenninger

Sylinder: **10**

$p_{o'}$ = **105.2** kPa

(kPa)	maks.	min.	endelig
σ_{ac}'	-	-	105.2
σ_{rc}'	-	-	75.7

Del: **A**

w_i = **34.7** %

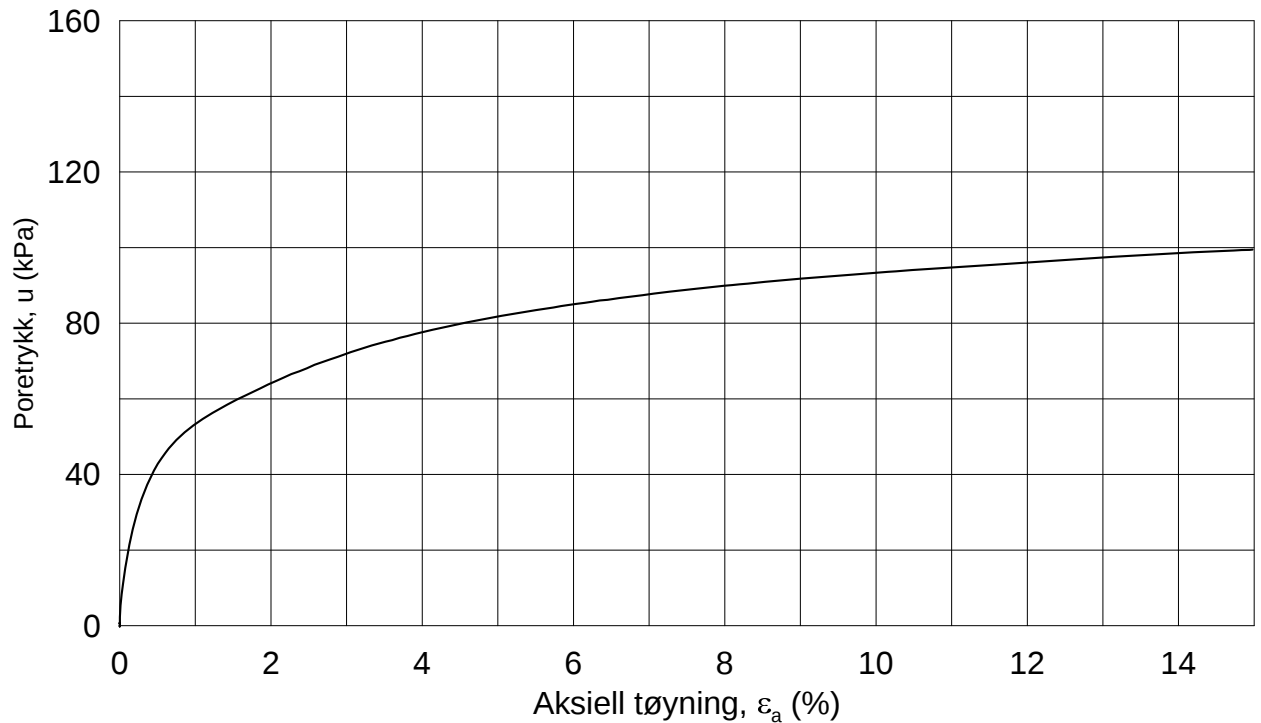
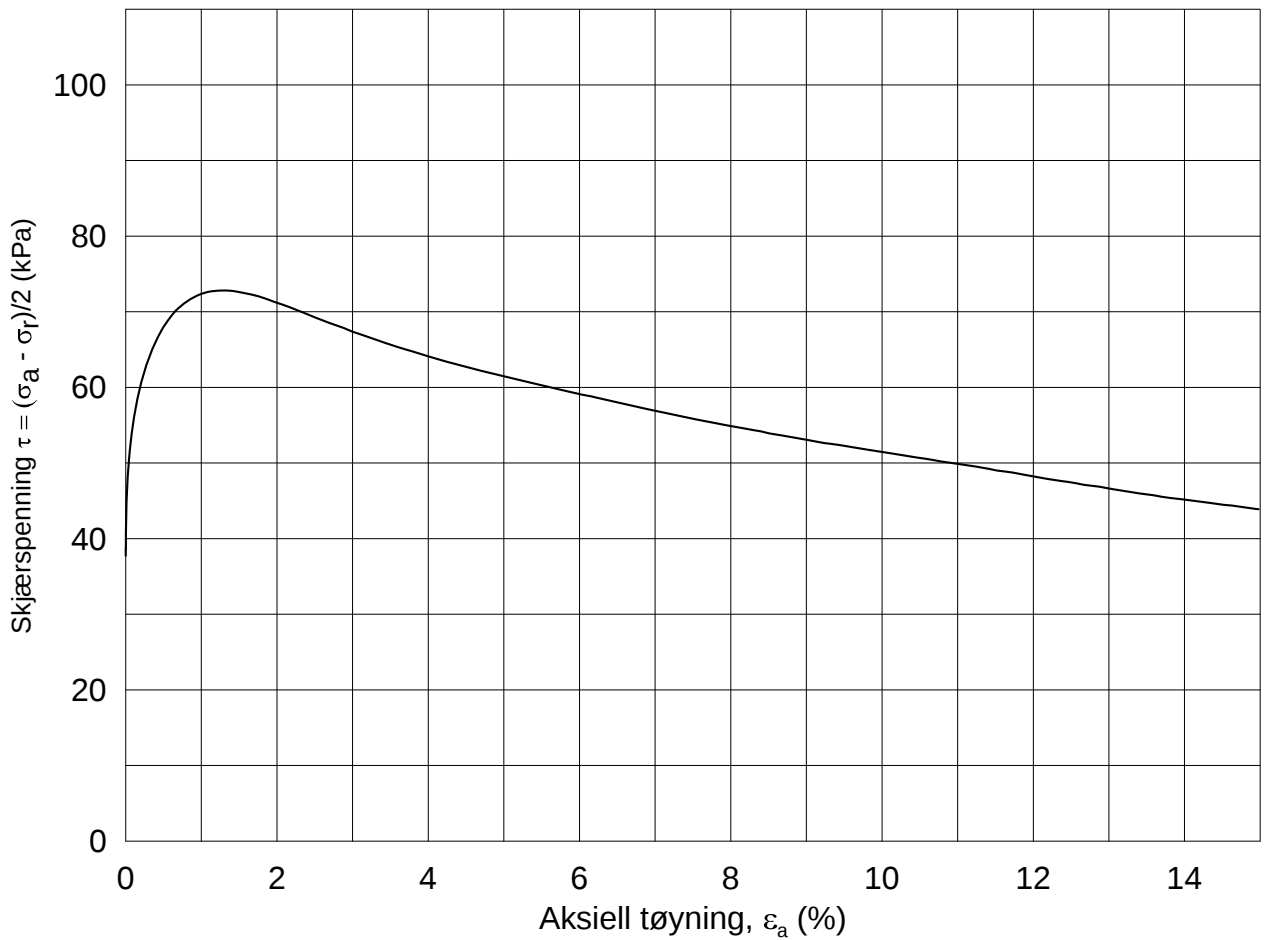
Tegnet av
MAS

Test: **2**

w_c = **33.5** %

Figur nr.
G288





Date/Rev.: 2009-11-03/01

E16 Nybakk - Slomarka

Dokument nr.
20120491-02-R

Treaksial forsøk: **CAUA**

Dato
2014-04-14

Boring: **2325**

Dybde = **20.35** m

Konsolidering-spenninger

Sylinder: **17**

$p_{o'}$ = **215.8** kPa

(kPa) maks. min. endelig

Figur nr.
G289

Del: **A**

w_i = **28.7** %

σ_{ac}' = - - **215.8**

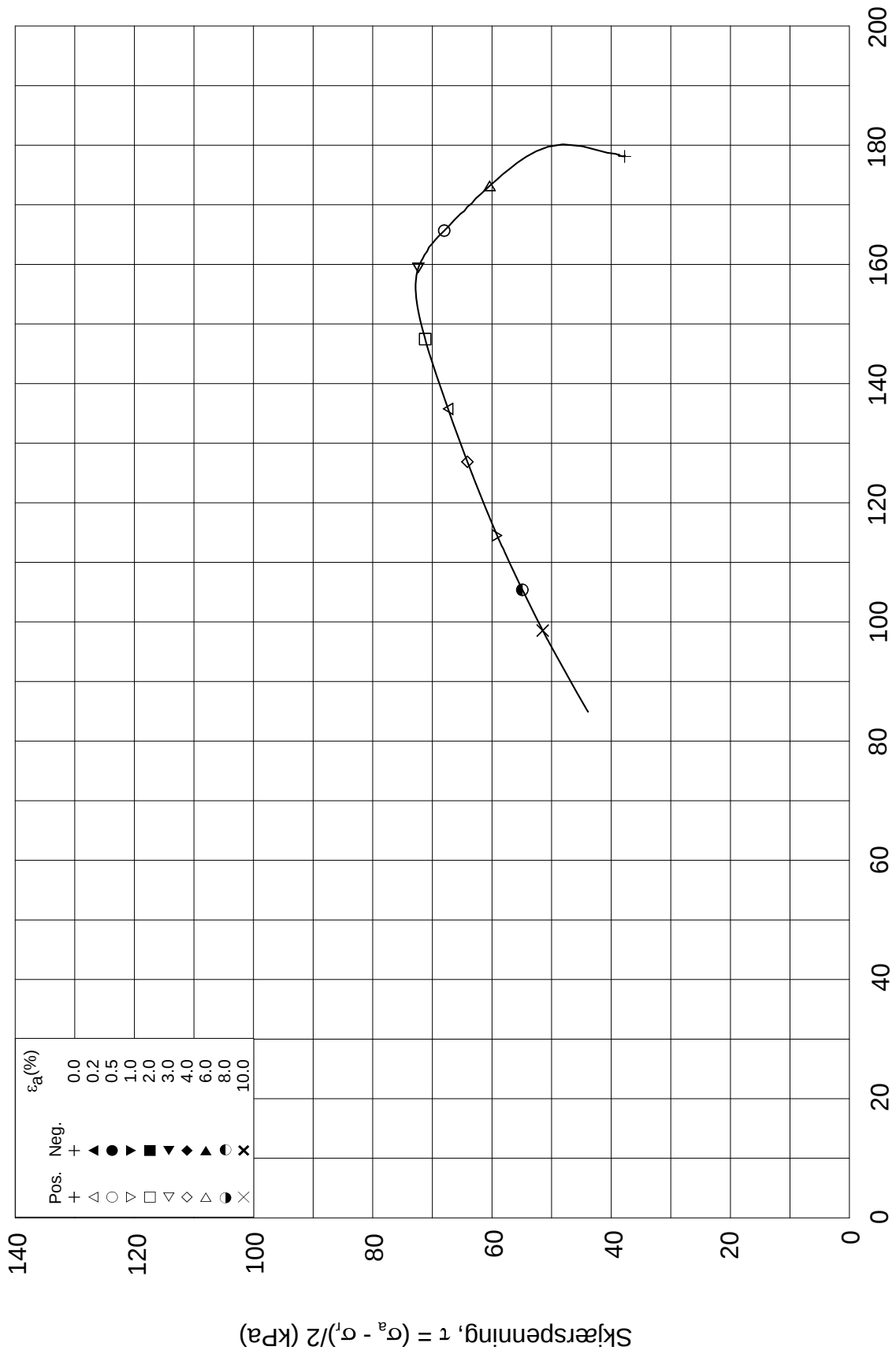
Tegnet av
MAS

Test: **1**

w_c = **27.3** %


σ_{rc}' = - - **140.3**



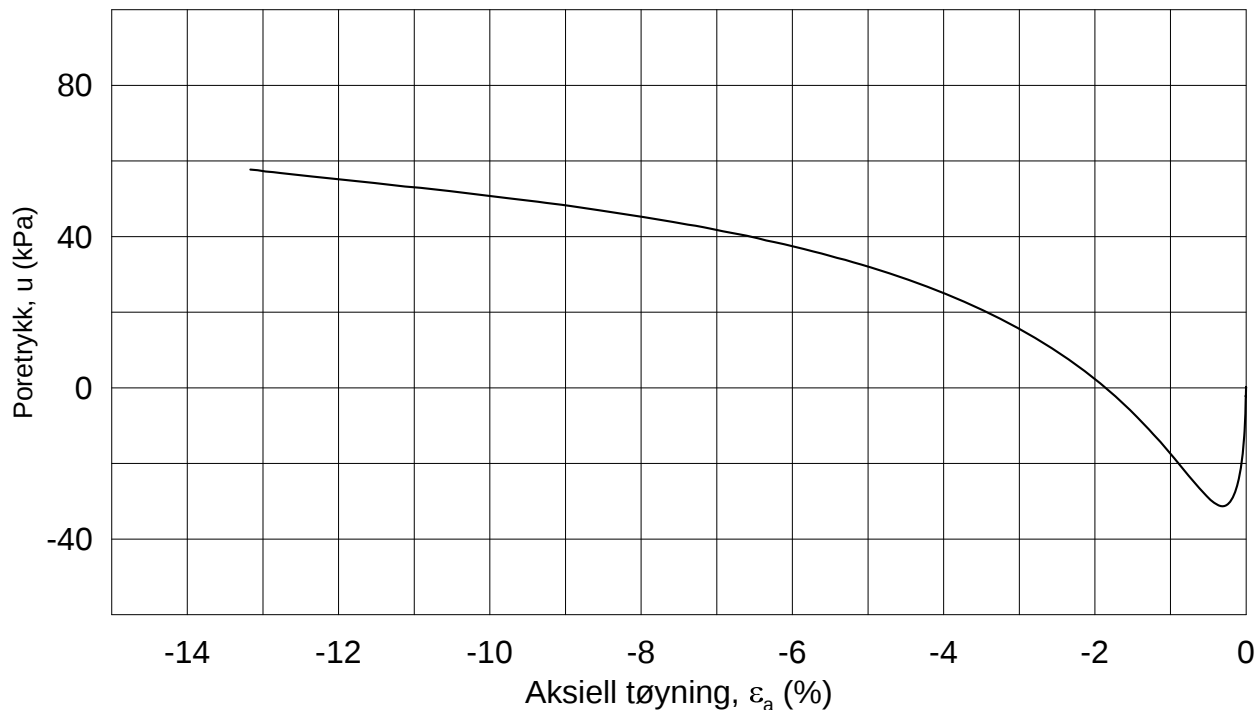
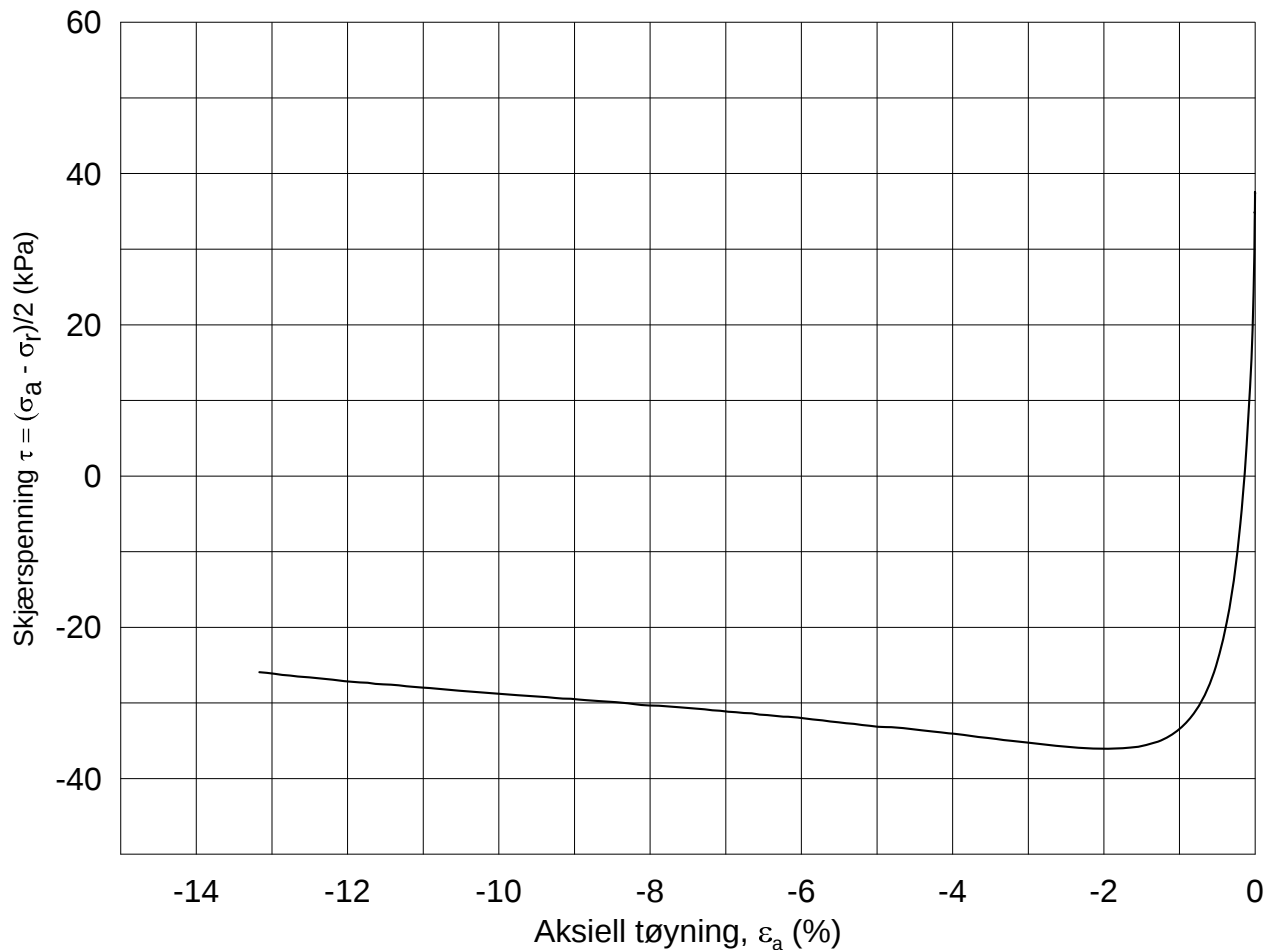


Effektiv gjennomsnittsspenning, p' = (σ_a' + σ_r')/2 (kPa)

Date/Rev.: 2009-11-03/01

E16 Nybakk - Slomarka			Dokument nr. 20120491-02-R
Treaksial forsøk: CAUA			Dato 2014-04-15
Boring: 2325	Dybde = 20.35 m	Konsolidering-spenninger	
Sylinder: 17	p _o ' = 215.8 kPa	(kPa)	maks. min. endelig
Del: A	w _i = 28.7 %	σ _{ac} ' = - - 215.8	Figur nr. G290
Test: 1	w _c = 27.3 %	σ _{rc} ' = - - 140.3	Tegnet av MAS
			

2325-17-A-1-Plot2.grf



Date/Rev.: 2009-11-03/01

E16 Nybakk - Slomarka

Dokument nr.
20120491-02-R

Treaksial forsøk: **CAUP**

Dato
2014-04-14

Boring: **2325**

Dybde = **20.20** m

Konsolidering-spenninger

Sylinder: **17**

$p_{o'}$ = **214.2** kPa

(kPa) maks. min. endelig

Figur nr.
G291

Del: **B**

w_i = **34.0** %

σ_{ac}' = - - **214.0**

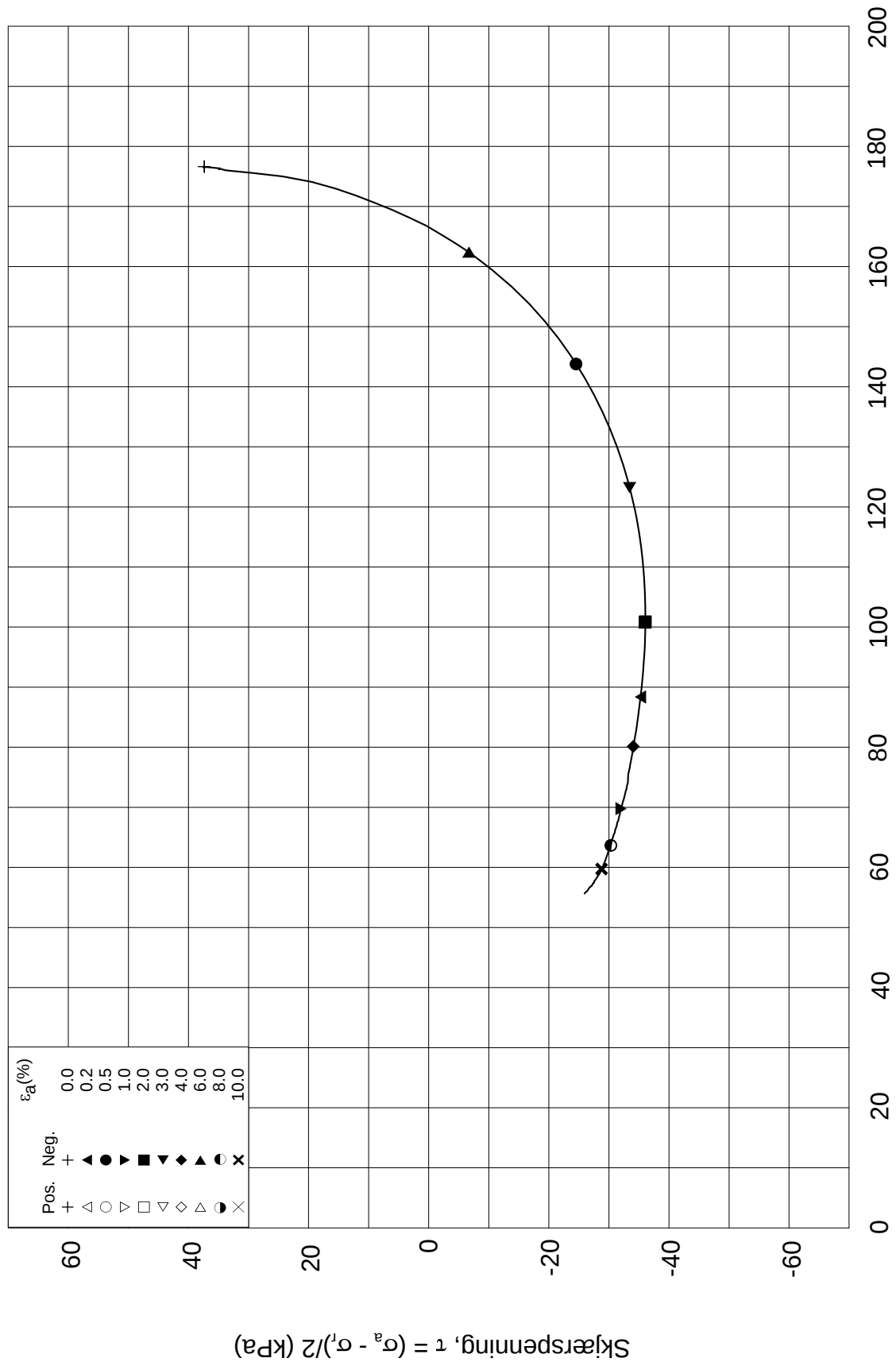
Tegnet av
MAS

Test: **1**

w_c = **32.1** %

σ_{rc}' = - - **139.2**





Date/Rev.: 2009-11-03/01

E16 Nybakk - Slomarka

Dokument nr.
20120491-02-R

Treaksial forsøk: **CAUP**

Dato
2014-04-15

Boring: **2325**

Dybde = **20.20** m

Konsolidering-spenninger

Sylinder: **17**

$p_{o'}$ = **214.2** kPa

(kPa) maks. min. endelig

Figur nr.
G292

Del: **B**

w_i = **34.0** %

σ_{ac}' = - - **214.0**

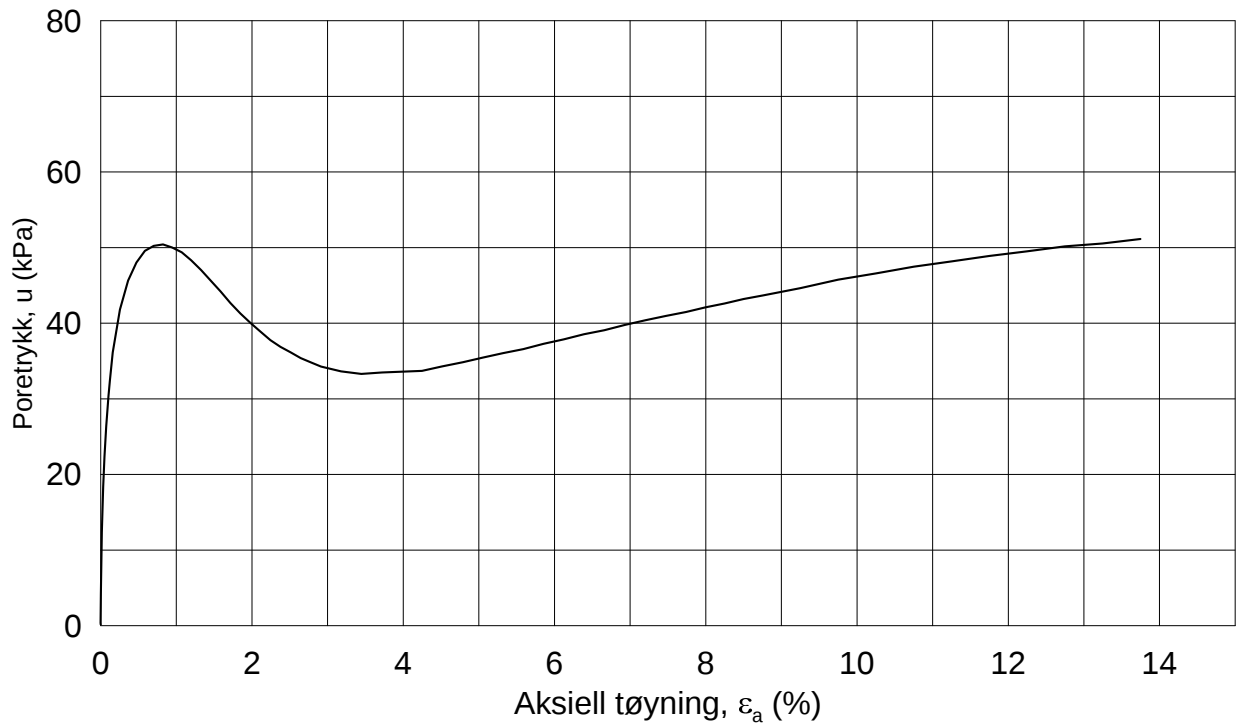
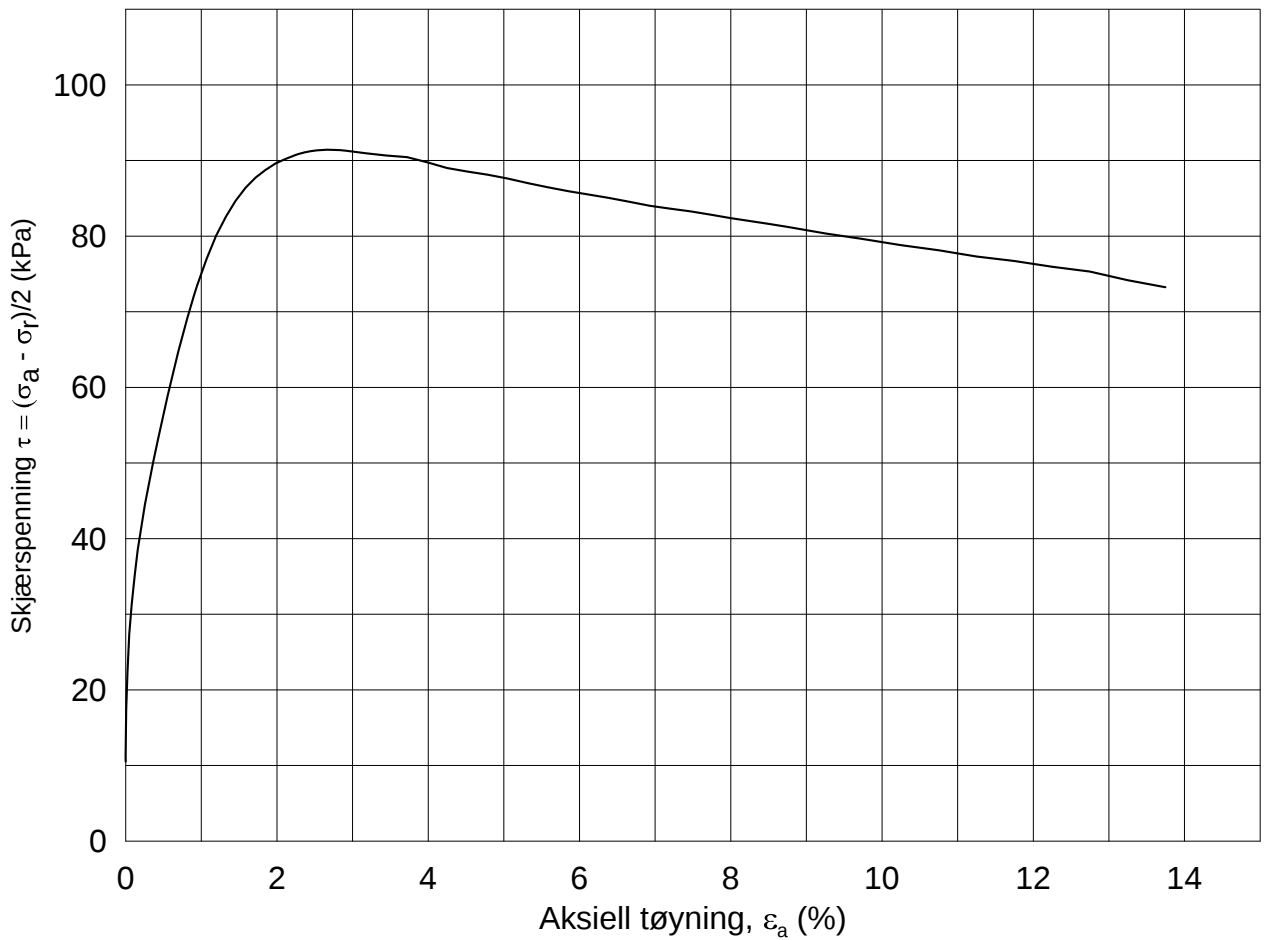
Tegnet av
MAS

Test: **1**

w_c = **32.1** %

σ_{rc}' = - - **139.2**





Date/Rev.: 2009-11-03/01

E16 Nybakk - Slomarka

Dokument nr.
20120491-02-R

Treaksial forsøk: **CAUA**

Dato
2014-04-08

Boring: **2330**

Dybde = **10.26** m

Konsolidering-spenninger

Sylinder: **10**

$p_{o'}$ = **137.9** kPa

(kPa) maks. min. endelig

Figur nr.
G293

Del: **A**

w_i = **35.4** %

σ_{ac}' = - - **138.2**

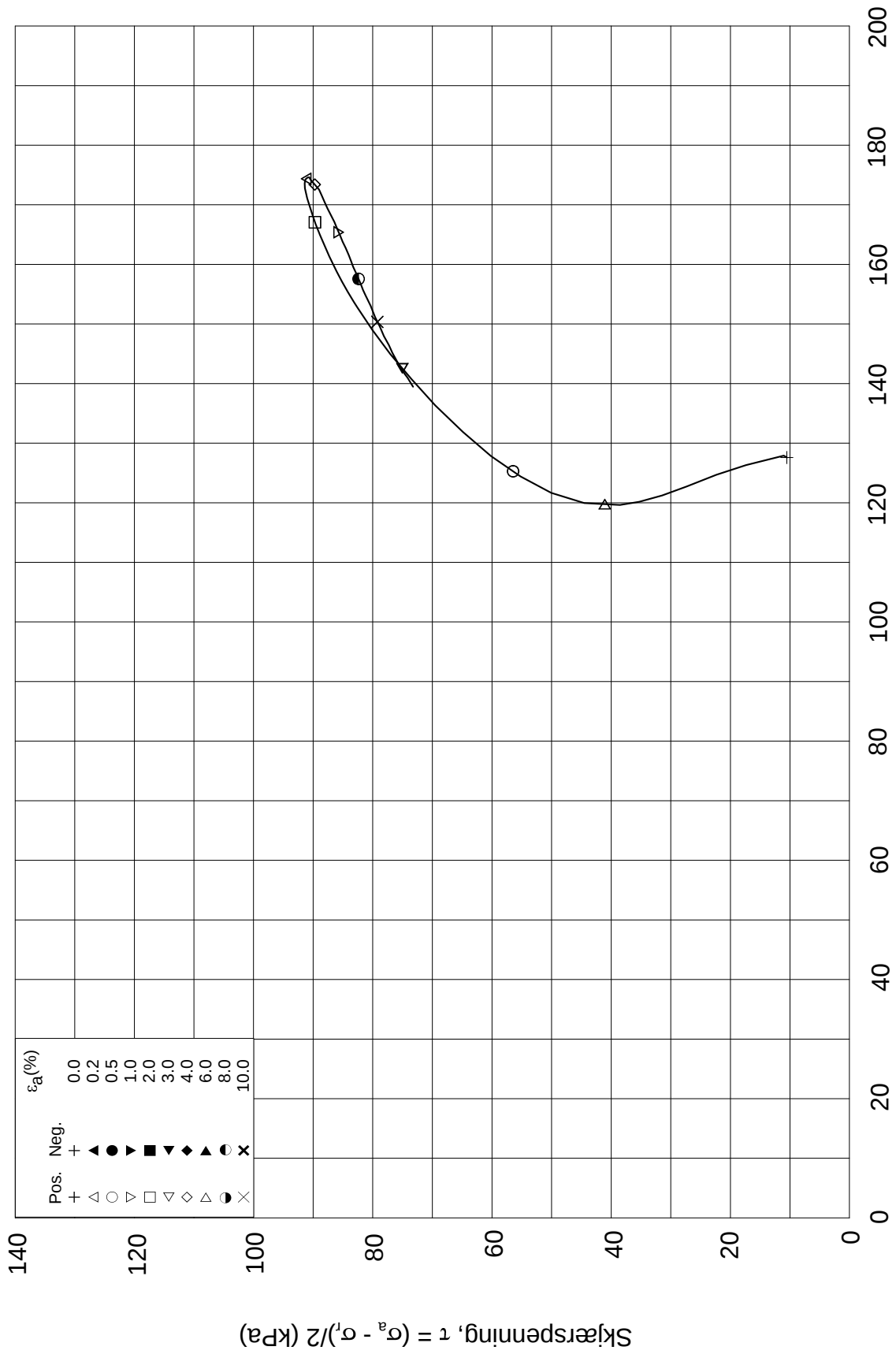
Tegnet av
MAS

Test: **1**

w_c = **34.4** %

σ_{rc}' = - - **117.2**



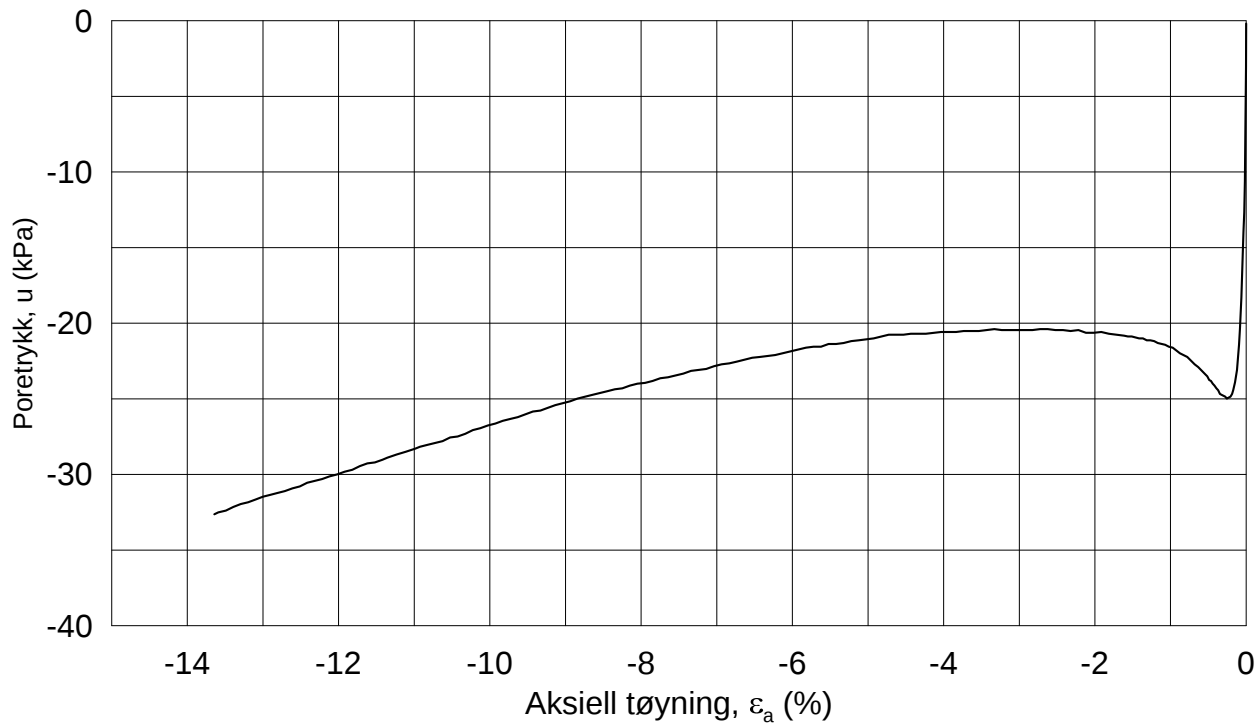
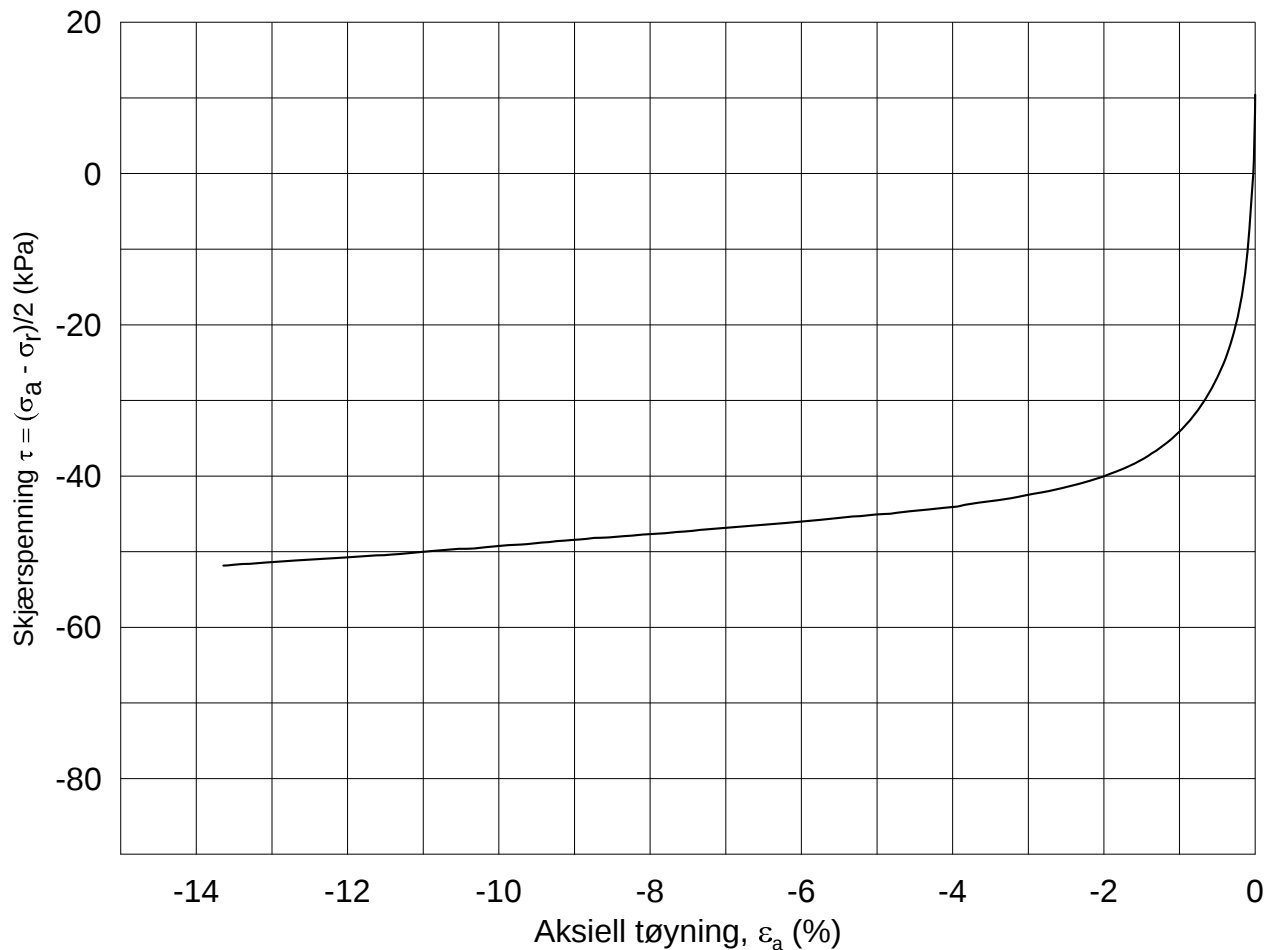


Effektiv gjennomsnittsspenning, $p' = (\sigma'_a + \sigma'_r)/2$ (kPa)

Date/Rev.: 2009-11-03/01

E16 Nybakk - Slomarka			Dokument nr. 20120491-02-R	
Treaksial forsøk: CAUA			Dato 2014-04-15	
Boring: 2330	Dybde = 10.26 m	Konsolidering-spenninger		
Sylinder: 10	$p_{o'}$ = 137.9 kPa	(kPa)	maks.	min.
Del: A	w_i = 35.4 %	$\sigma_{ac}' =$	-	-
Test: 1	w_c = 34.4 %	$\sigma_{rc}' =$	-	-
			138.2	117.2
		Figur nr.	G294	
		Tegnet av	MAS	

2330-10-A-1-Plot2.grf



Date/Rev.: 2009-11-03/01

E16 Nybakk - Slomarka

Dokument nr.
20120491-02-R

Treaksial forsøk: **CAUP**

Dato
2014-04-14

Boring: **2330**

Dybde = **10.41** m

Konsolidering-spenninger

Sylinder: **10**

p_o' = **139.0** kPa

(kPa)	maks.	min.	endelig
σ_{ac}' =	-	-	139.0
σ_{rc}' =	-	-	118.2

Figur nr.
G295

Del: **B**

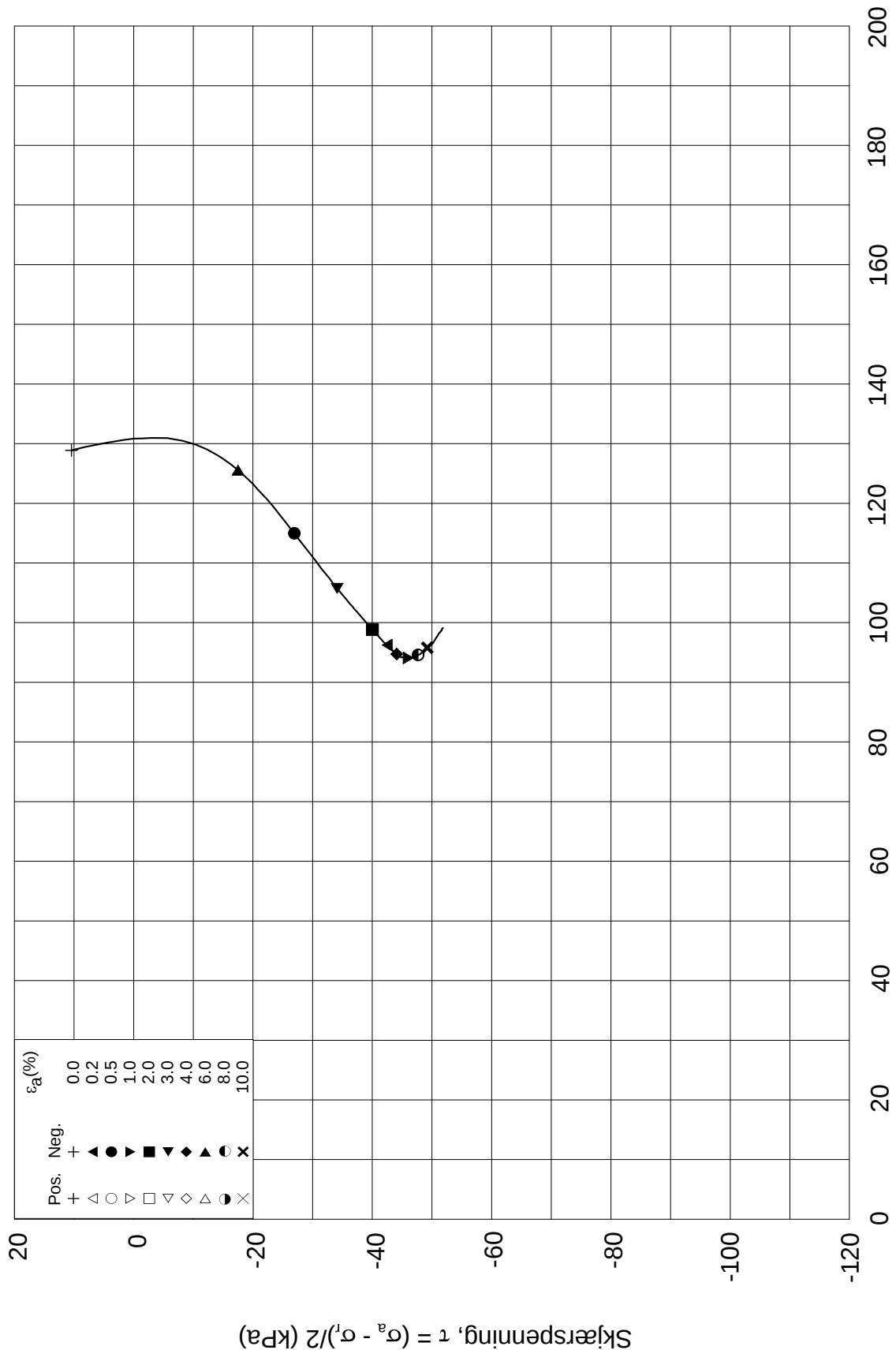
w_i = **36.6** %

Tegnet av
MAS

Test: **2**

w_c = **35.9** %





Effektiv gjennomsnittsspenning, $p' = (\sigma_a' + \sigma_r')/2$ (kPa)

Date/Rev.: 2009-11-03/01

E16 Nybakk - Slomarka

Dokument nr.
20120491-02-R

Treaksial forsøk: **CAUP**

Dato
2014-04-15

Boring: **2330**

Dybde = **10.26** m

Konsolidering-spenninger

Sylinder: **10**

p_o' = **137.9** kPa

(kPa) maks. min. endelig

Figur nr.
G296

Del: **B**

w_i = **36.6** %

σ_{ac}' = - - **139.0**

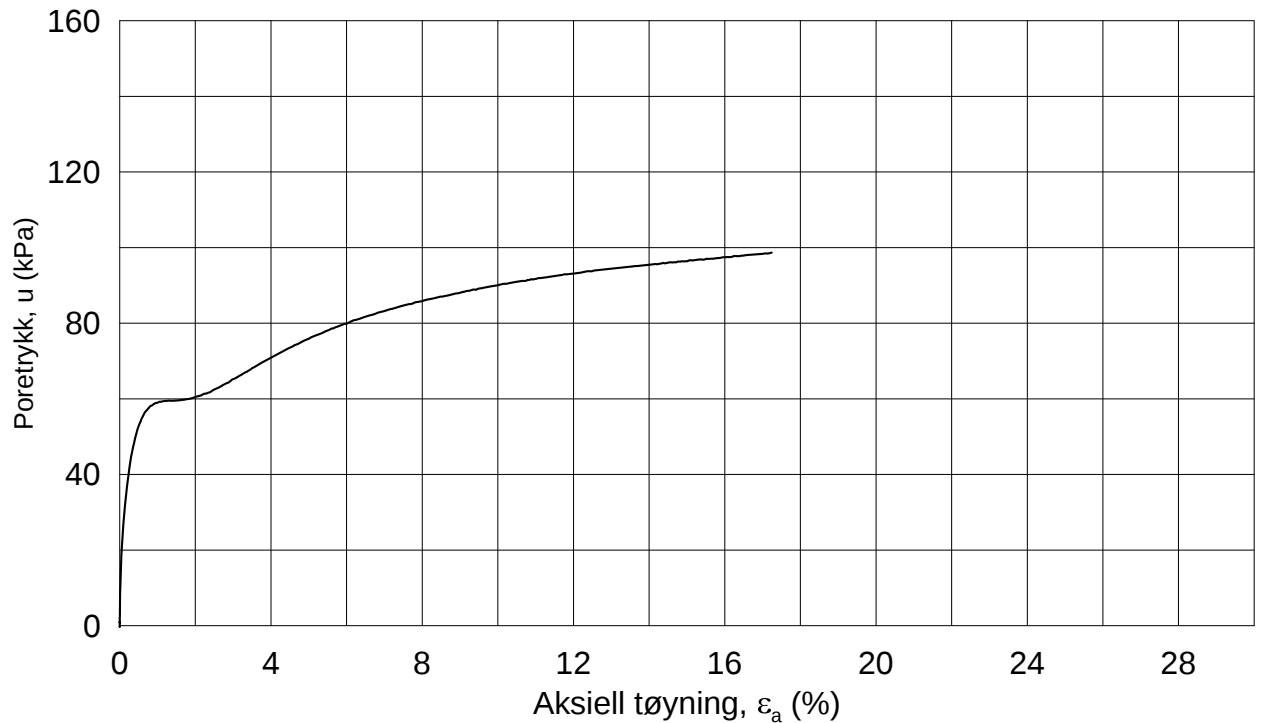
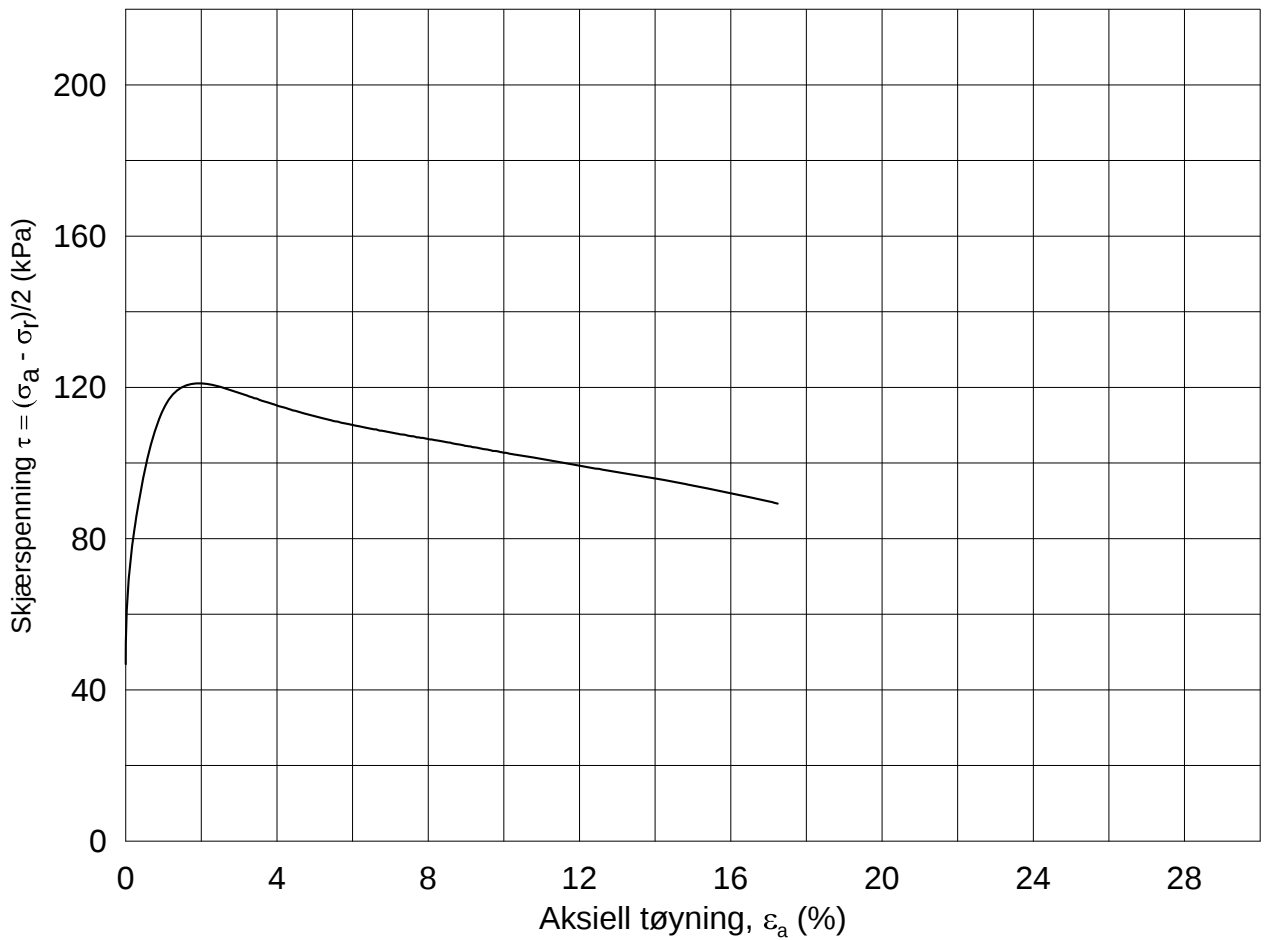
Tegnet av
MAS

Test: **2**

w_c = **35.9** %

σ_{rc}' = - - **118.2**





Date/Rev.: 2009-11-03/01

E16 Nybakk - Slomarka

Dokument nr.
20120491-02-R

Treaksial forsøk: **CAUA**

Dato
2014-04-24

Boring: **2330**

Dybde = **20.45** m

Konsolidering-spenninger

Sylinder: **17**

$p_{o'}$ = **275.0** kPa

(kPa) maks. min. endelig

Figur nr.
G297

Del: **A**

w_i = **29.7** %

σ_{ac}' = - - **275.1**

Tegnet av
MAS

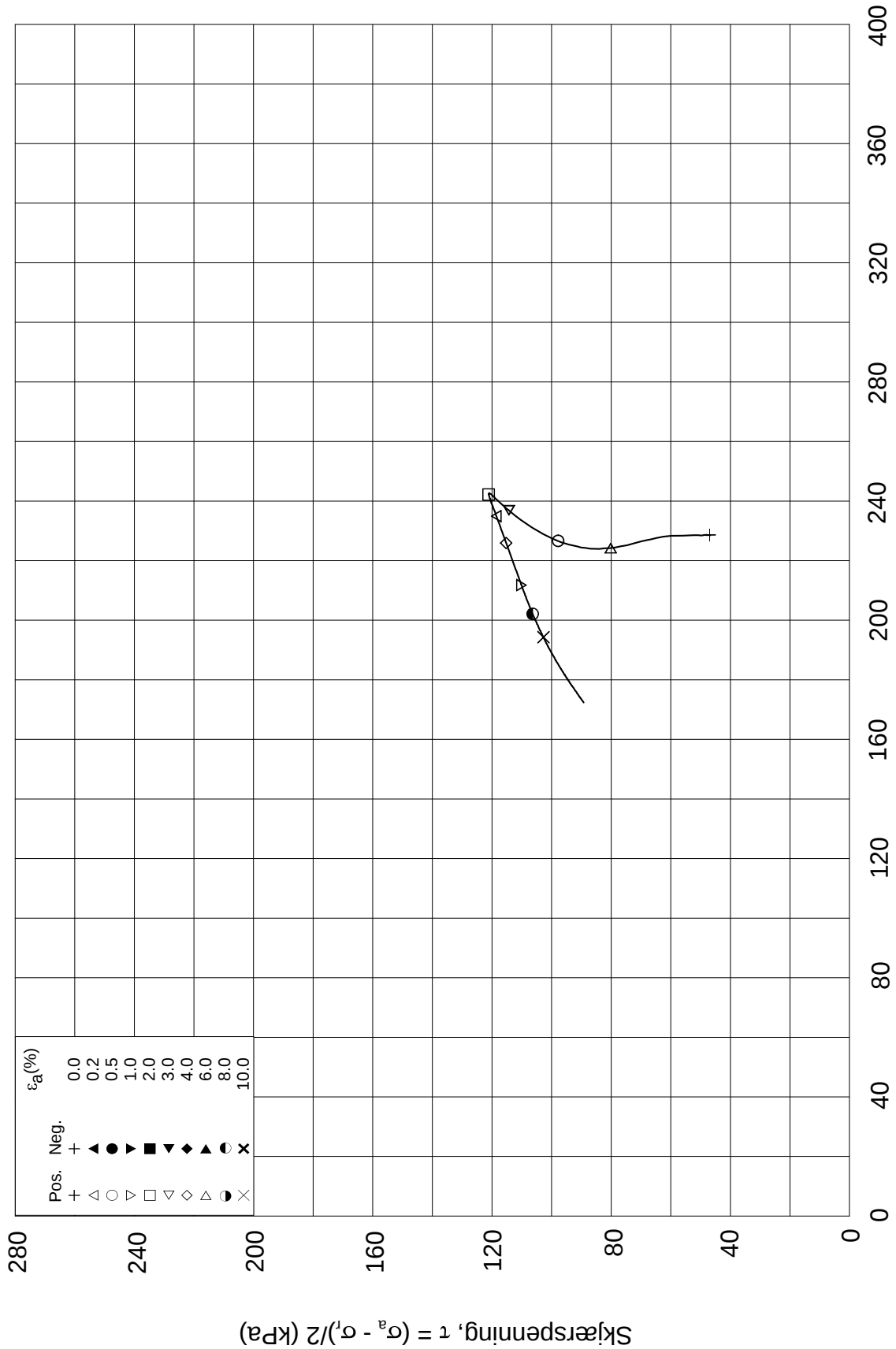
Test: **1**

w_c = **28.9** %

σ_{rc}' = - - **181.5**



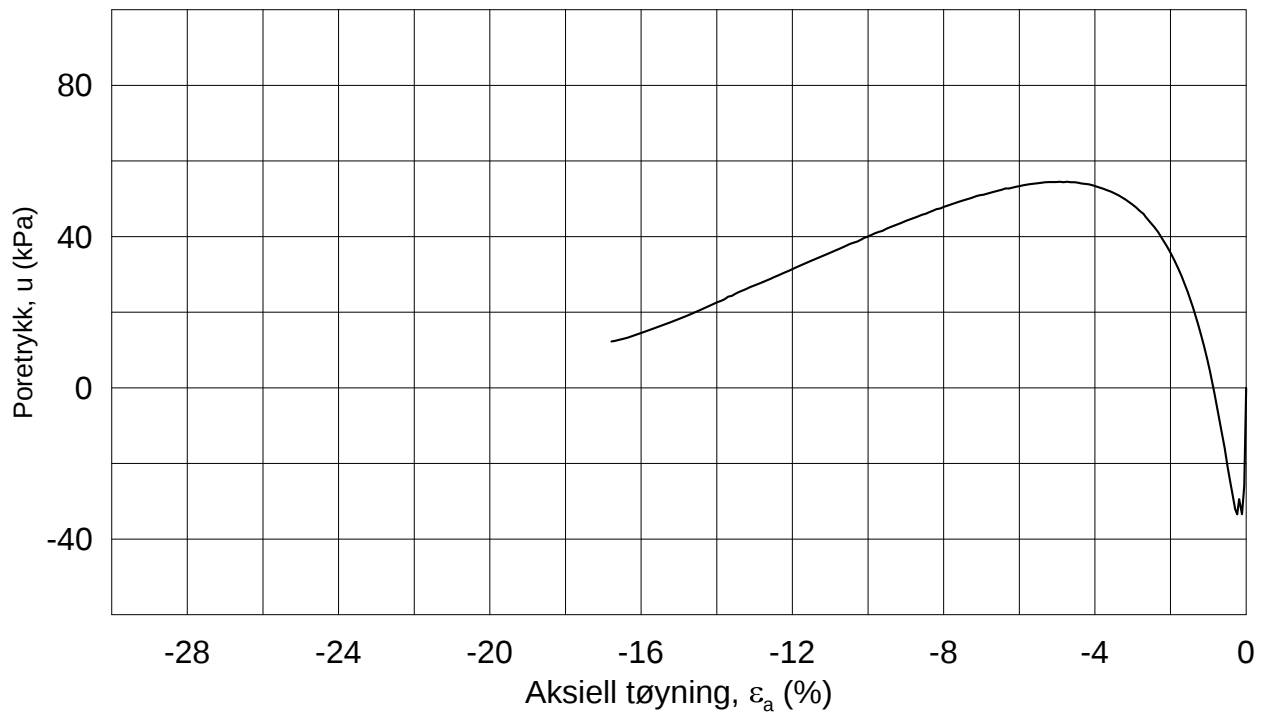
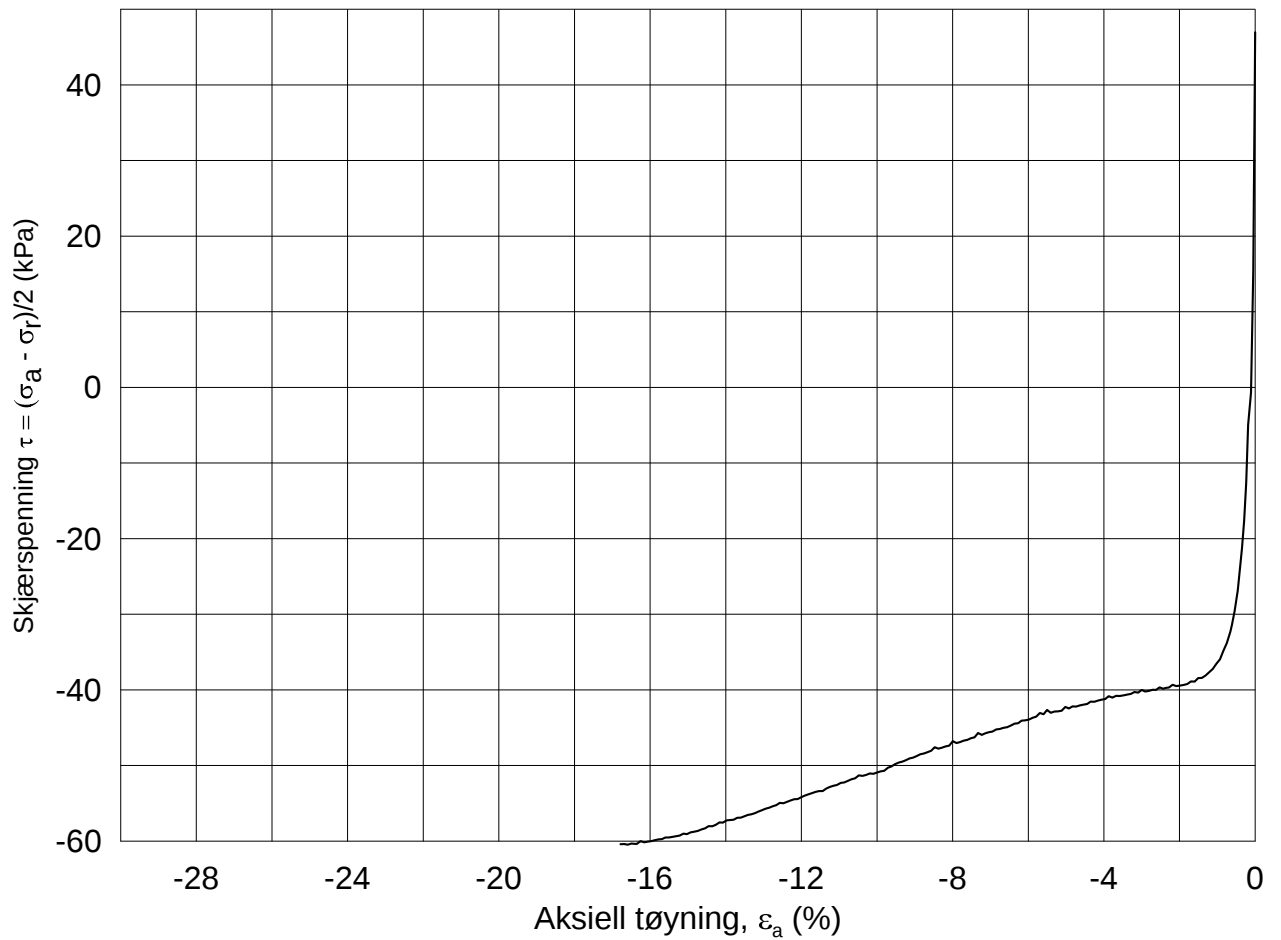
Effektiv gjennomsnittsspenning, $p' = (\sigma'_a + \sigma'_r)/2$ (kPa)



Date/Rev.: 2009-11-03/01

E16 Nybakk - Slomarka			Dokument nr. 20120491-02-R
Treaksial forsøk: CAUA			Dato 2014-04-24
Boring: 2330	Dybde = 20.45 m	Konsolidering-spenninger	
Sylinder: 17	$p_{o'}$ = 275.0 kPa	(kPa)	maks. min. endelig
Del: A	w_i = 29.7 %	$\sigma_{ac}' =$ - - 275.1	Figur nr. G298
Test: 1	w_c = 28.9 %	$\sigma_{rc}' =$ - - 181.5	Tegnet av MAS

2330-17-A-1-1.Plot2.grf



Date/Rev.: 2009-11-03/01

E16 Nybakk - Slomarka

Dokument nr.
20120491-02-R

Treaksial forsøk: **CAUP**

Dato
2014-04-07

Boring: **2330**

Dybde = **20.60** m

Konsolidering-spenninger

Sylinder: **17**

p_o' = **276.6** kPa

(kPa)	maks.	min.	endelig
σ_{ac}' =	-	-	276.5
σ_{rc}' =	-	-	182.6

Figur nr.
G299

Del: **A**

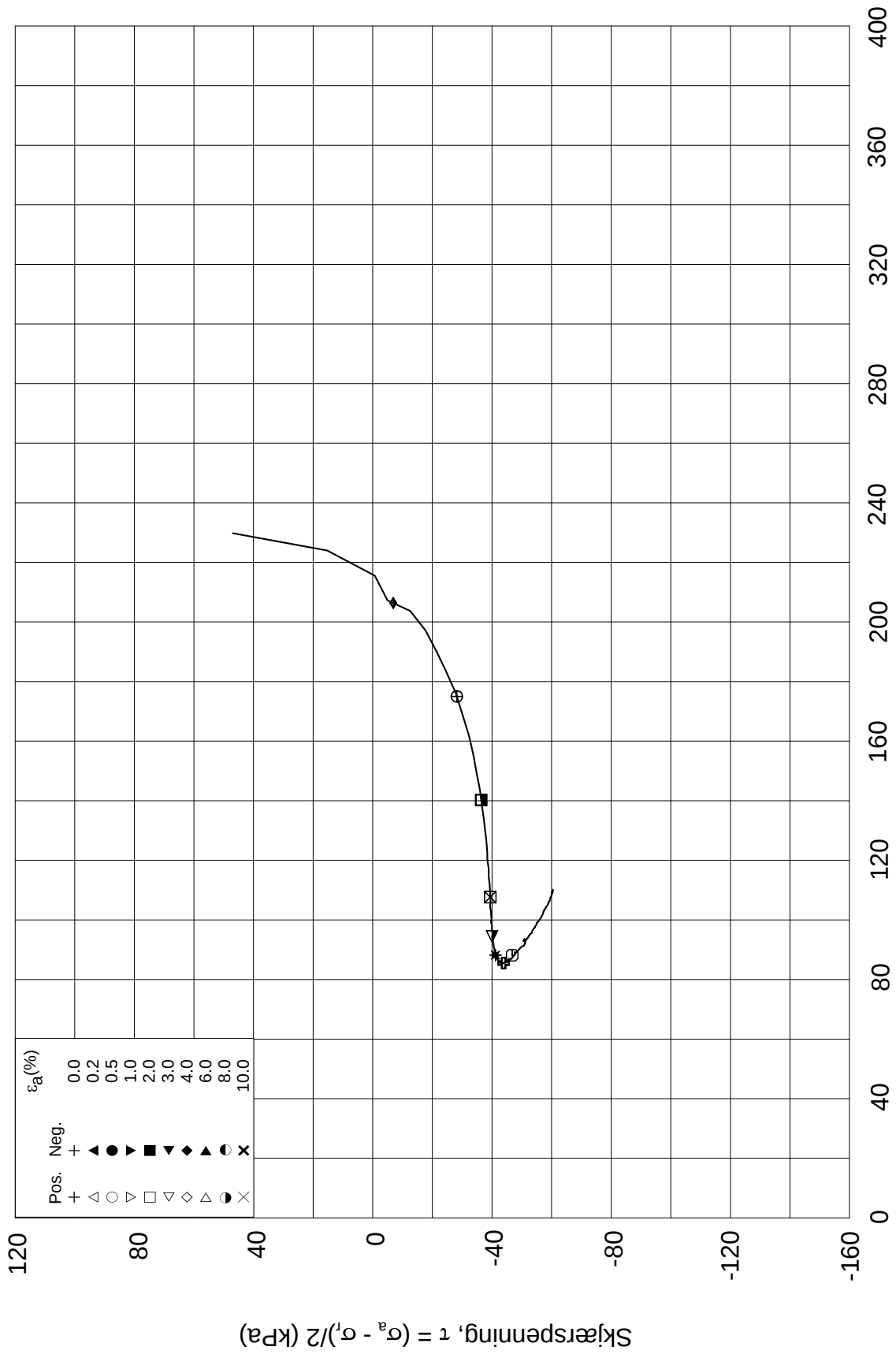
w_i = **29.3** %

Tegnet av
MAS

Test: **4**

w_c = **27.7** %

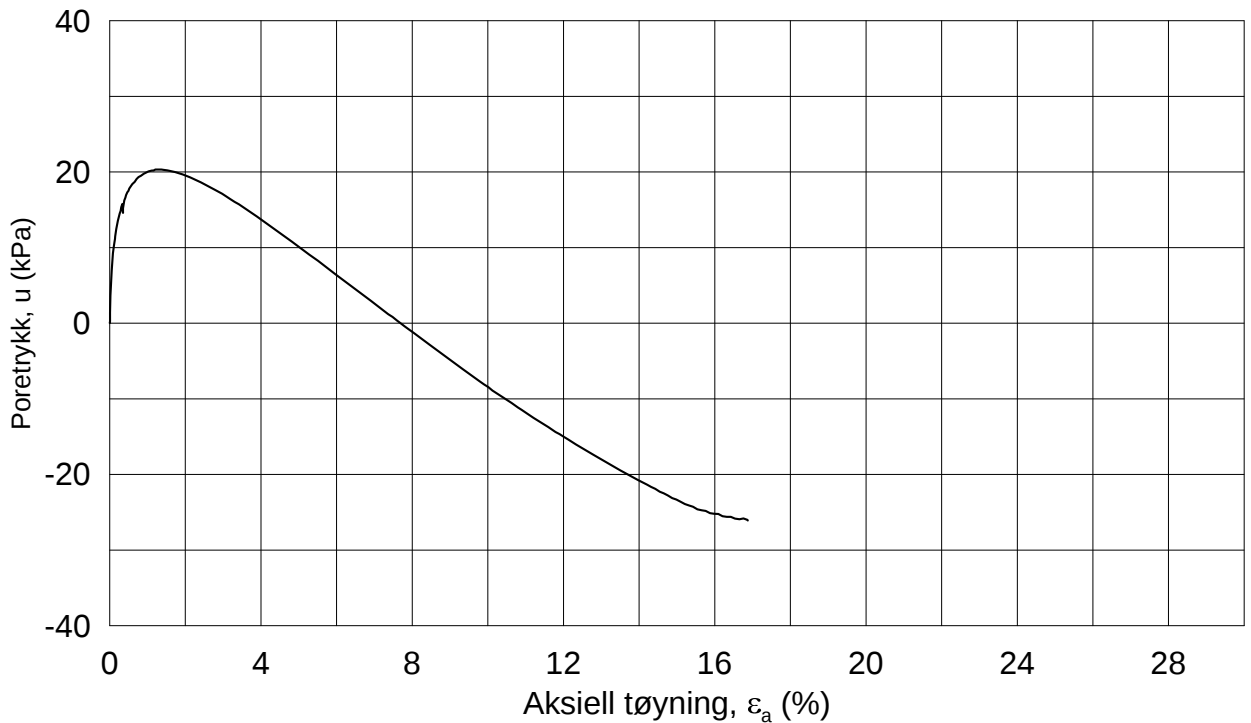
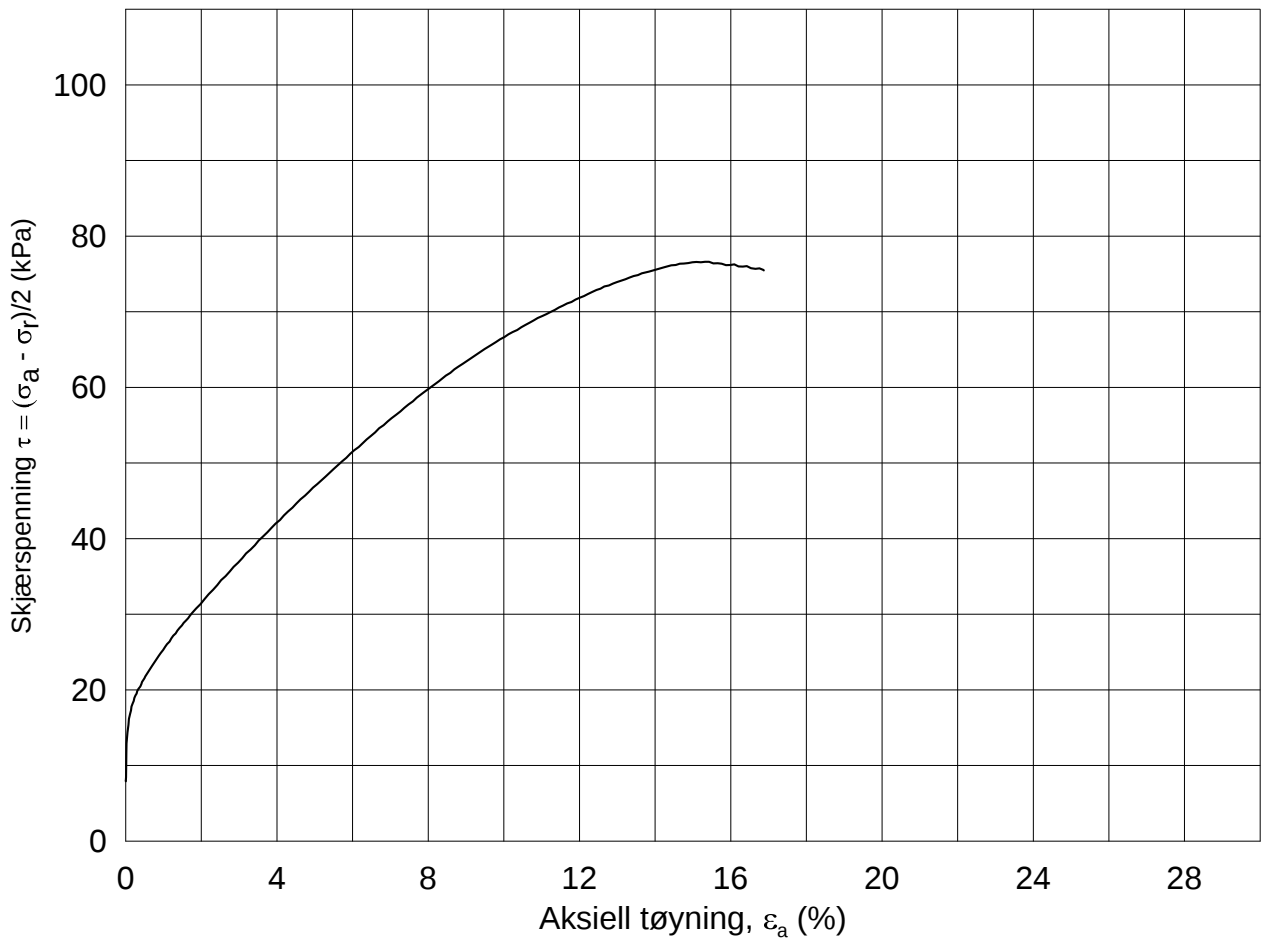




Date/Rev.: 2009-11-03/01

E16 Nybakk - Slomarka			Dokument nr. 20120491-02-R	
Treaksial forsøk: CAUP			Dato 2014-04-07	
Boring: 2330	Dybde = 20.60 m	Konsolidering-spenninger		
Sylinder: 17	$p_{o'}$ = 276.6 kPa	(kPa)	maks.	min.
Del: A	w_i = 29.3 %	σ_{ac}' =	-	-
Test: 4	w_c = 27.7 %	σ_{rc}' =	-	-
		endelig	276.5	
			182.6	
		Figur nr.	G300	
		Tegnet av	MAS	

2330-17-A-4.Plot2.grf



Date/Rev.: 2009-11-03/01

E16 Nybakk - Slomarka

Dokument nr.
20120491-02-R

Treaksial forsøk: **CAUA**

Dato
2014-04-14

Boring: **2332**

Dybde = **5.21** m

Konsolidering-spenninger

Sylinder: **5**

$p_{o'}$ = **63.2** kPa

(kPa) maks. min. endelig

Figur nr.
G301

Del: **A**

w_i = **30.2** %

σ_{ac}' = - - **63.2**

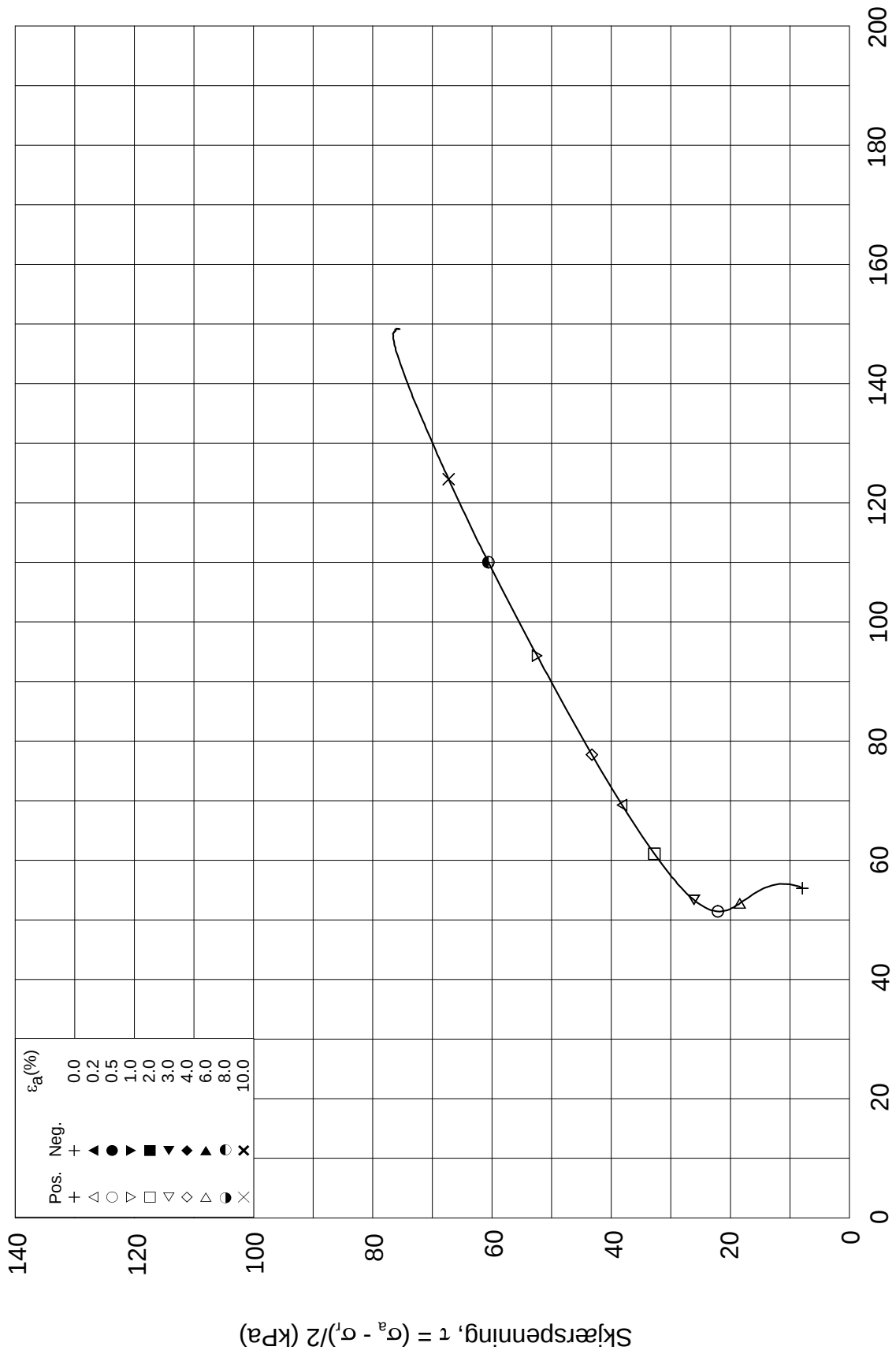
Tegnet av
MAS

Test: **1**

w_c = **29.5** %

σ_{rc}' = - - **47.4**

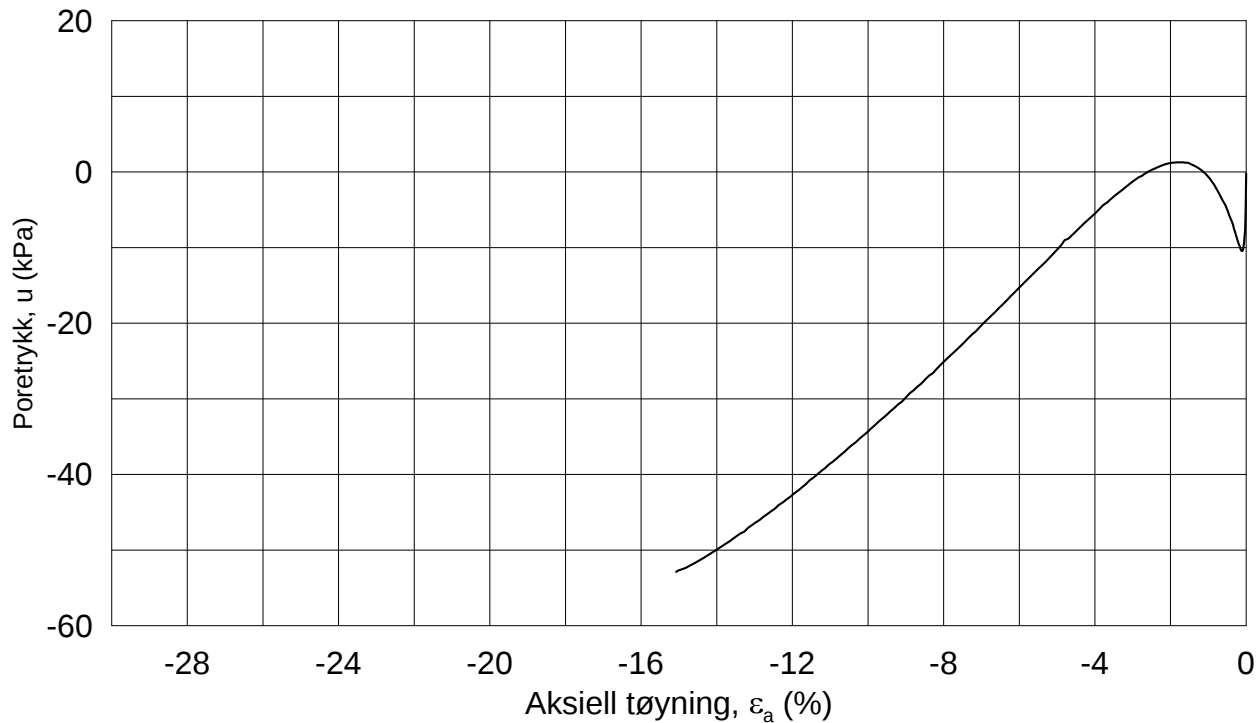
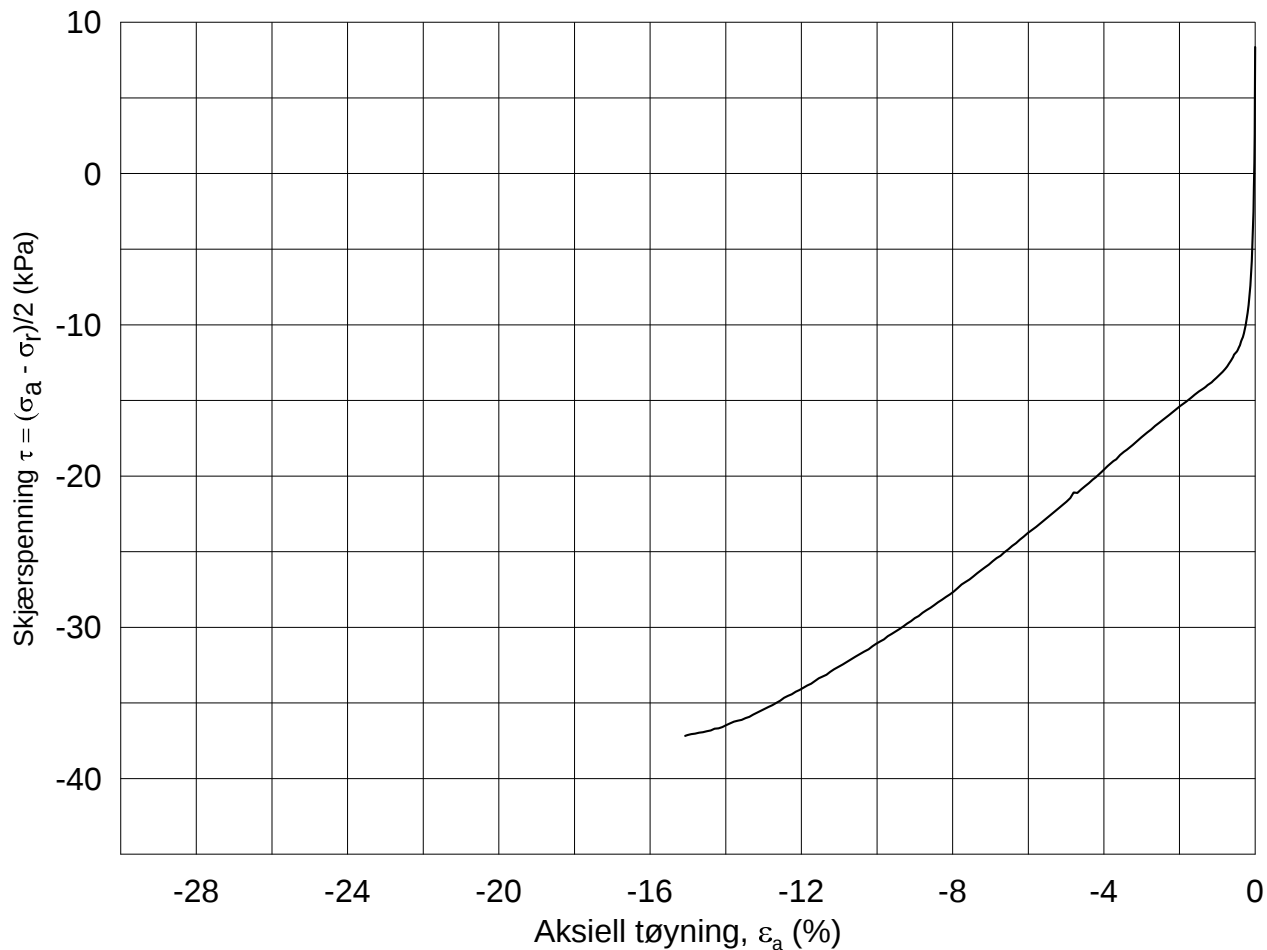




Date/Rev.: 2009-11-03/01

E16 Nybakk - Slomarka			Dokument nr. 20120491-02-R	
Treaksial forsøk: CAUA			Dato 2014-04-15	
Boring: 2332	Dybde = 5.21 m	Konsolidering-spenninger		
Sylinder: 5	p_o' = 63.2 kPa	(kPa)	maks.	min.
Del: A	w_i = 30.2 %	$\sigma_{ac}' =$	-	-
Test: 1	w_c = 29.5 %	$\sigma_{rc}' =$	-	-
		endelig	63.2	
			47.4	
		Figur nr.	G302	
		Tegnet av	MAS	

2332-5-A-1.Plot2.grf



Date/Rev.: 2009-11-03/01

E16 Nybakk - Slomarka

Dokument nr.
20120491-02-R

Treaksial forsøk: **CAUP**

Dato
2014-04-14

Boring: **2332**

Dybde = **5.57** m

Konsolidering-spenninger

Sylinder: **5**

$p_{o'}$ = **66.8** kPa

(kPa) maks. min. endelig

Figur nr.
G303

Del: **A**

w_i = **32.3** %

σ_{ac}' = - - **66.7**

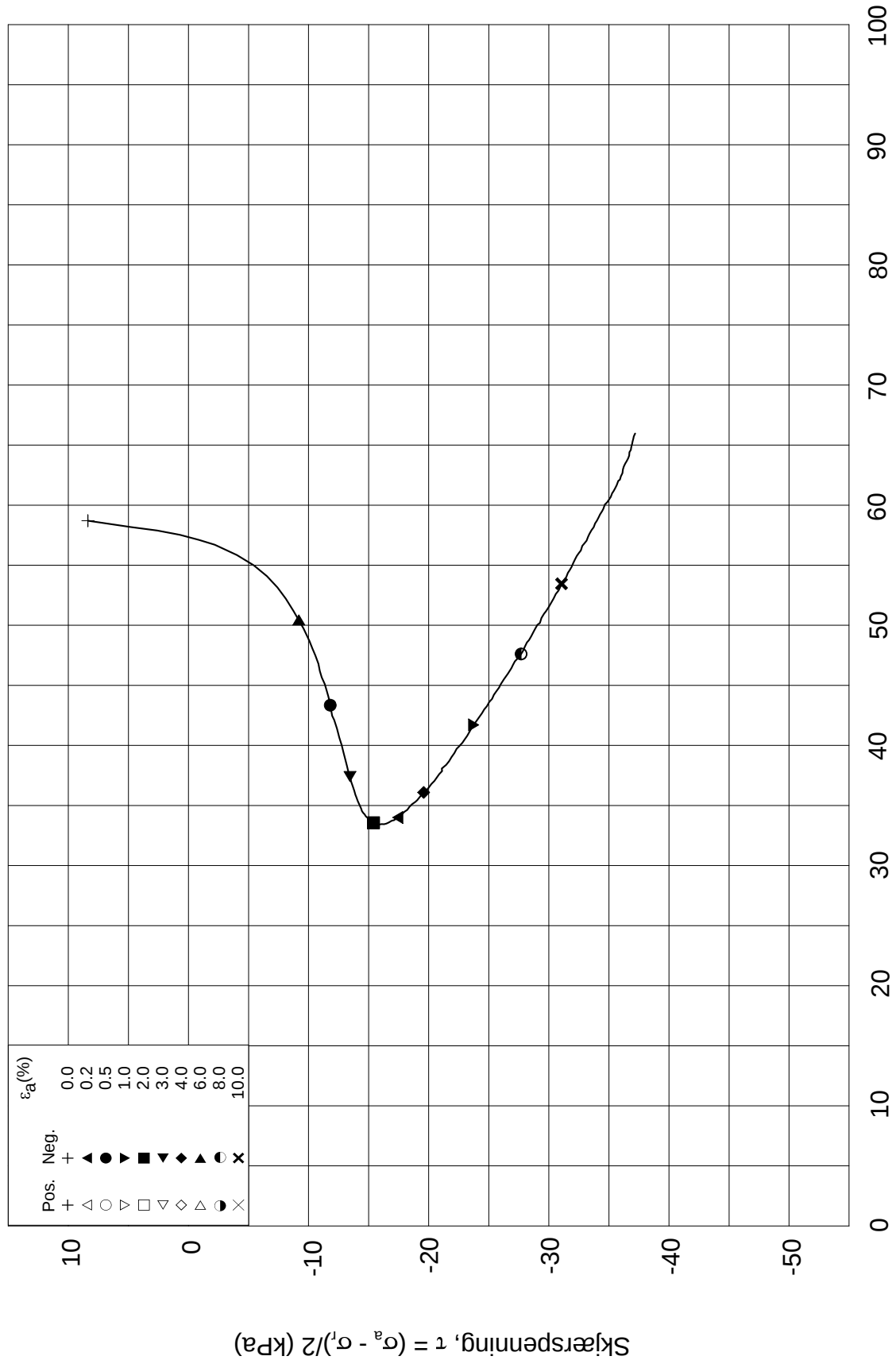
Tegnet av
MAS

Test: **4**

w_c = **31.0** %

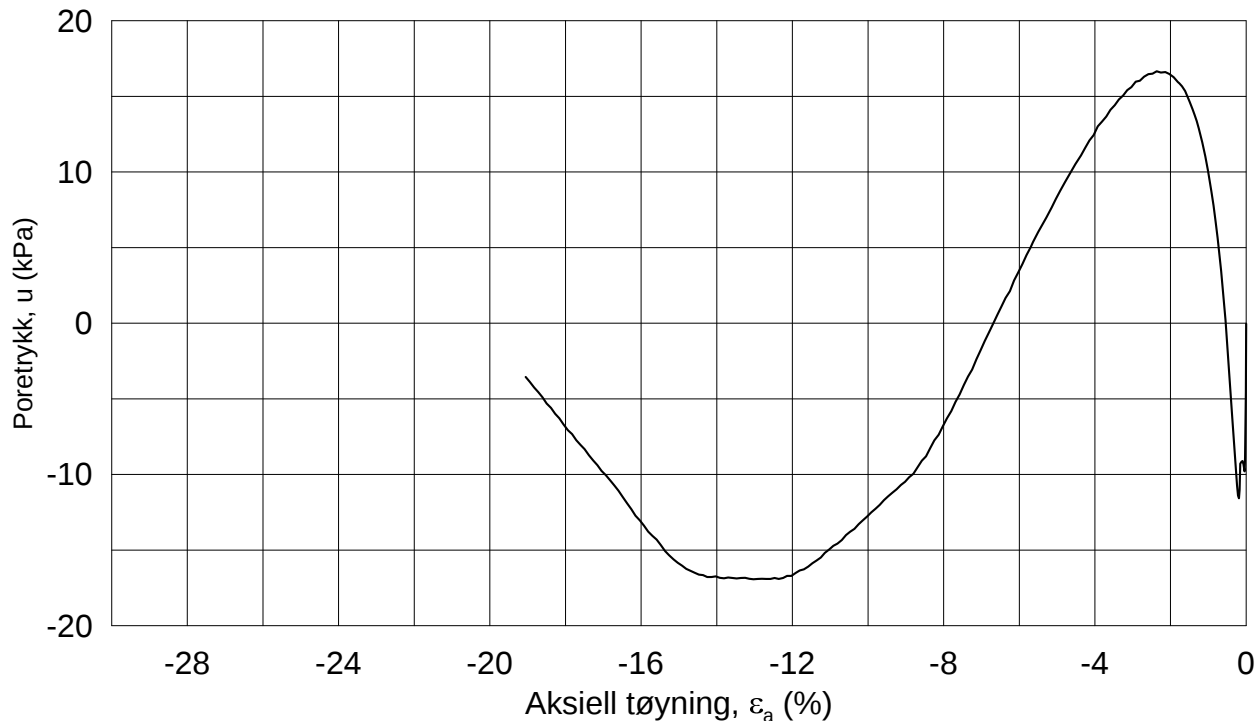
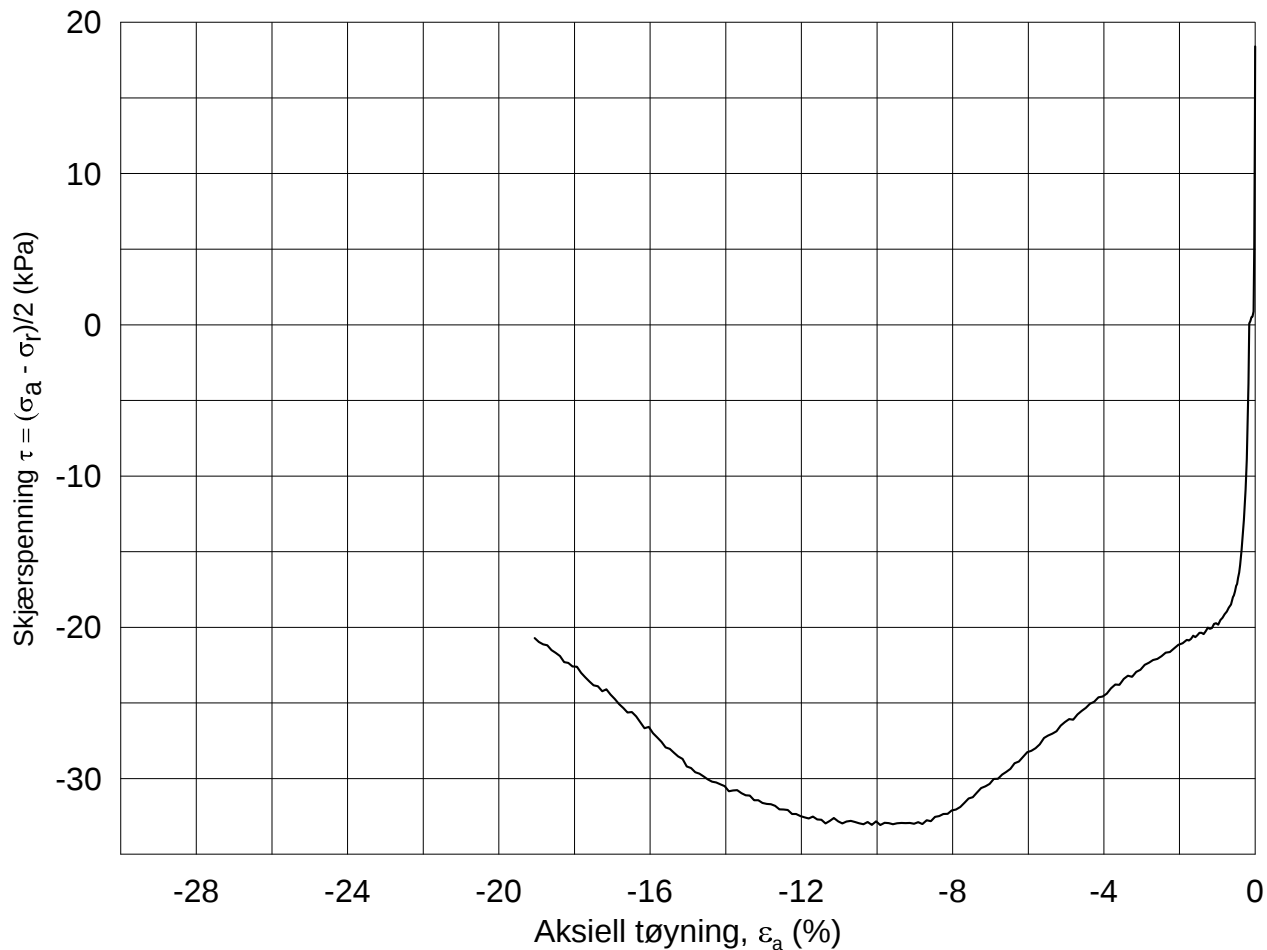
σ_{rc}' = - - **50.1**





Date/Rev.: 2009-11-03/01

E16 Nybakk - Slomarka		Dokument nr. 20120491-02-R	
Treaksial forsøk: CAUP		Dato 2014-04-15	
Boring: 2332	Dybde = 5.57 m	Konsolidering-spenninger	
Sylinder: 5	$p_{o'}$ = 66.8 kPa	(kPa)	maks. min. endelig
Del: A	w_i = 32.3 %	$\sigma_{ac}' =$	- - 66.7
Test: 4	w_c = 31.0 %	$\sigma_{rc}' =$	- - 50.1
		Figur nr.	G304
		Tegnet av	MAS



Date/Rev.: 2009-11-03/01

E16 Nybakk - Slomarka

Dokument nr.
20120491-02-R

Treaksial forsøk: **CAUP**

Dato
2014-05-09

Boring: **2332**

Dybde = **10.42** m

Konsolidering-spenninger

Sylinder: **10**

$p_{o'}$ = **121.2** kPa

(kPa) maks. min. endelig

Figur nr.
G305

Del: **A**

w_i = **29.1** %

σ_{ac}' = - - **121.2**

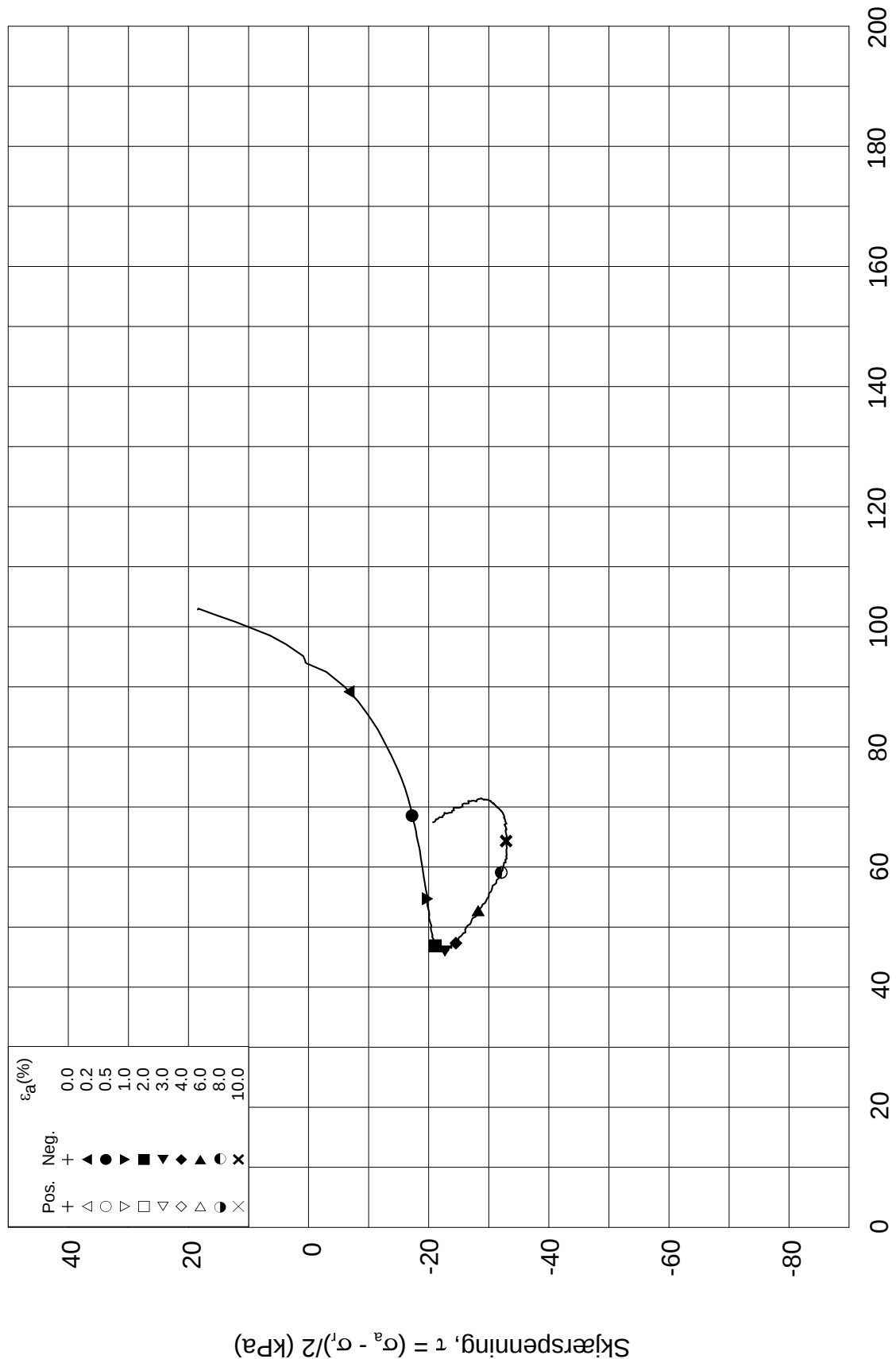
Tegnet av
MAS

Test: **1**

w_c = **28.1** %

σ_{rc}' = - - **84.4**





Date/Rev.: 2009-11-03/01

E16 Nybakk - Slomarka

Dokument nr.
20120491-02-R

Treaksial forsøk: **CAUP**

Dato
2014-05-09

Boring: **2332**

Dybde = **10.42** m

Konsolidering-spenninger

Sylinder: **10**

$p_{o'}$ = **121.2** kPa

(kPa) maks. min. endelig

Figur nr.
G306

Del: **A**

w_i = **29.1** %

σ_{ac}' = - - **121.2**

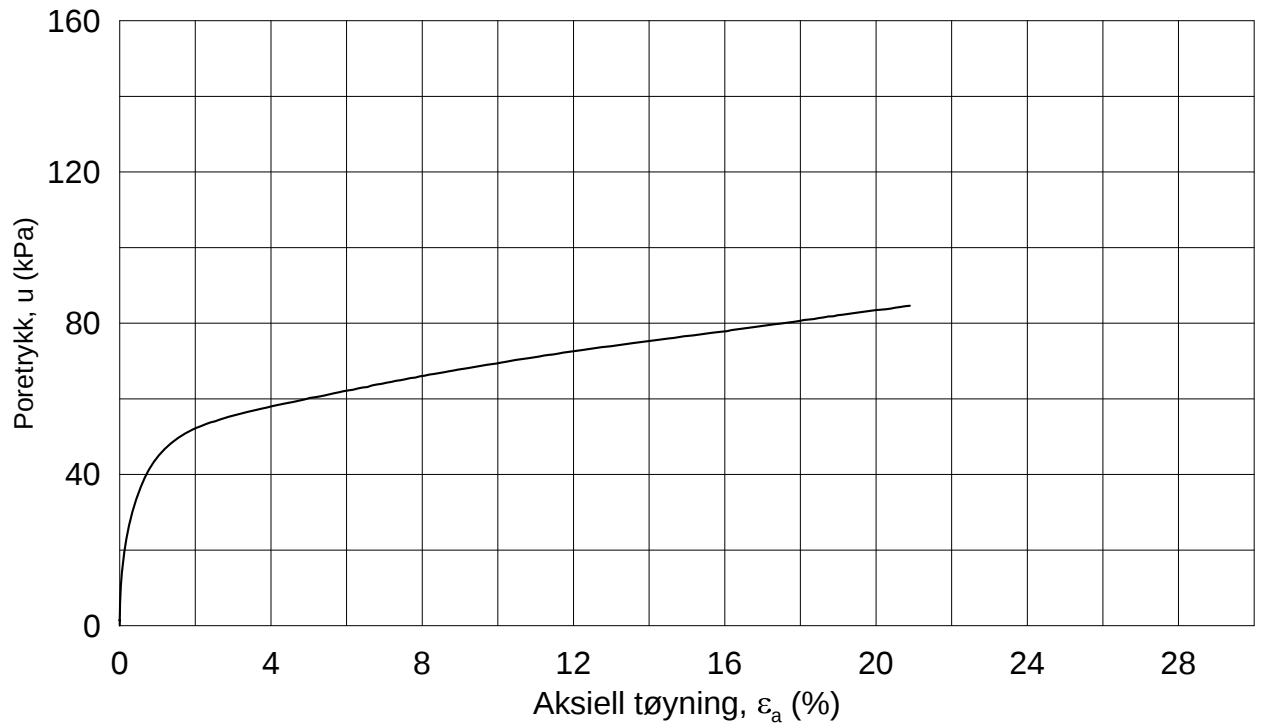
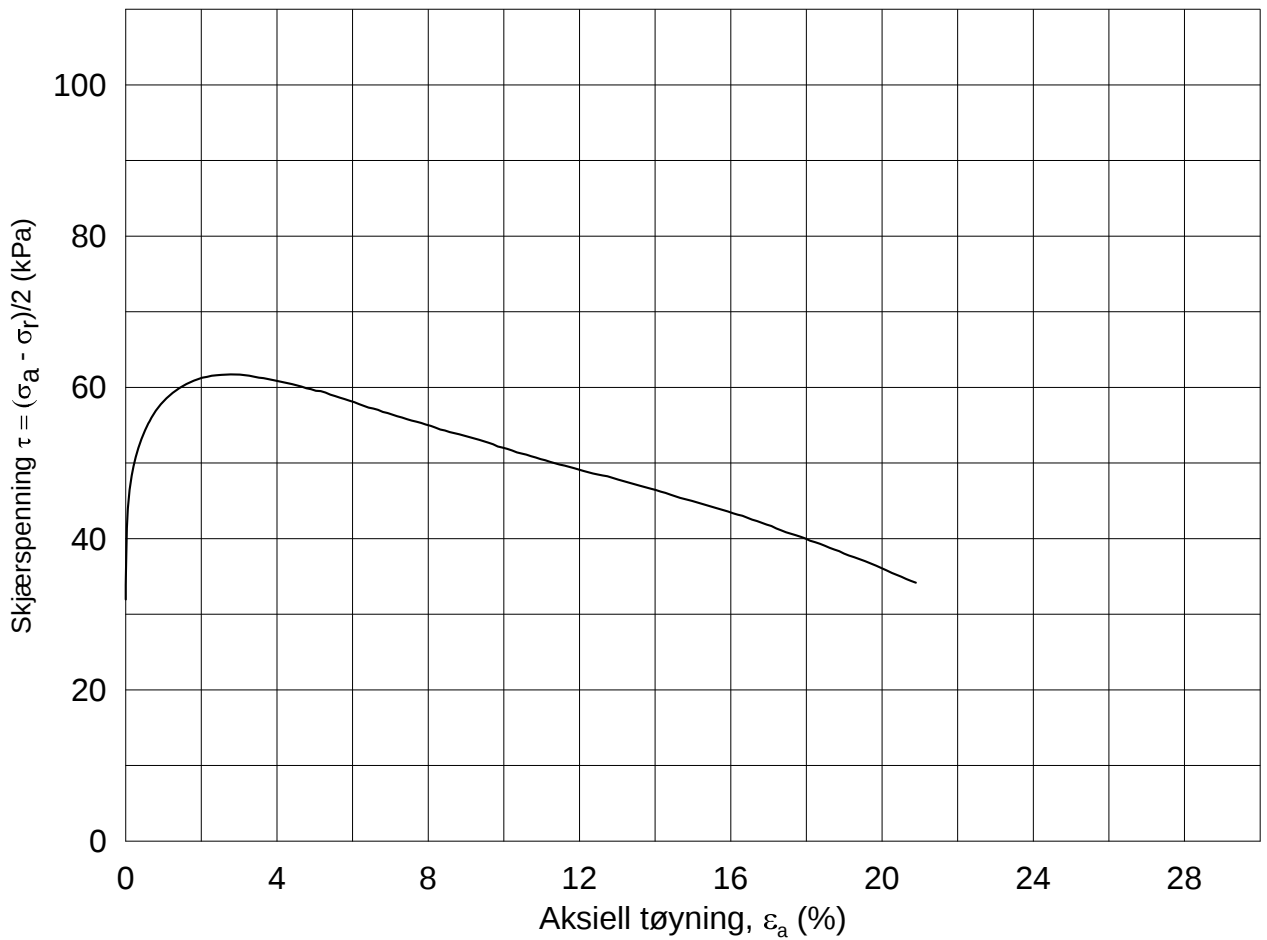
Tegnet av
MAS

Test: **1**

w_c = **28.1** %

σ_{rc}' = - - **84.4**





Date/Rev.: 2009-11-03/01

E16 Nybakk - Slomarka

Dokument nr.
20120491-02-R

Treaksial forsøk: **CAUA**

Dato
2014-04-24

Boring: **2332**

Dybde = **16.28** m

Konsolidering-spenninger

Sylinder: **15**

$p_{o'}$ = **182.9** kPa

(kPa) maks. min. endelig

Figur nr.
G307

Del: **A**

w_i = **33.5** %

σ_{ac}' = - - **182.8**

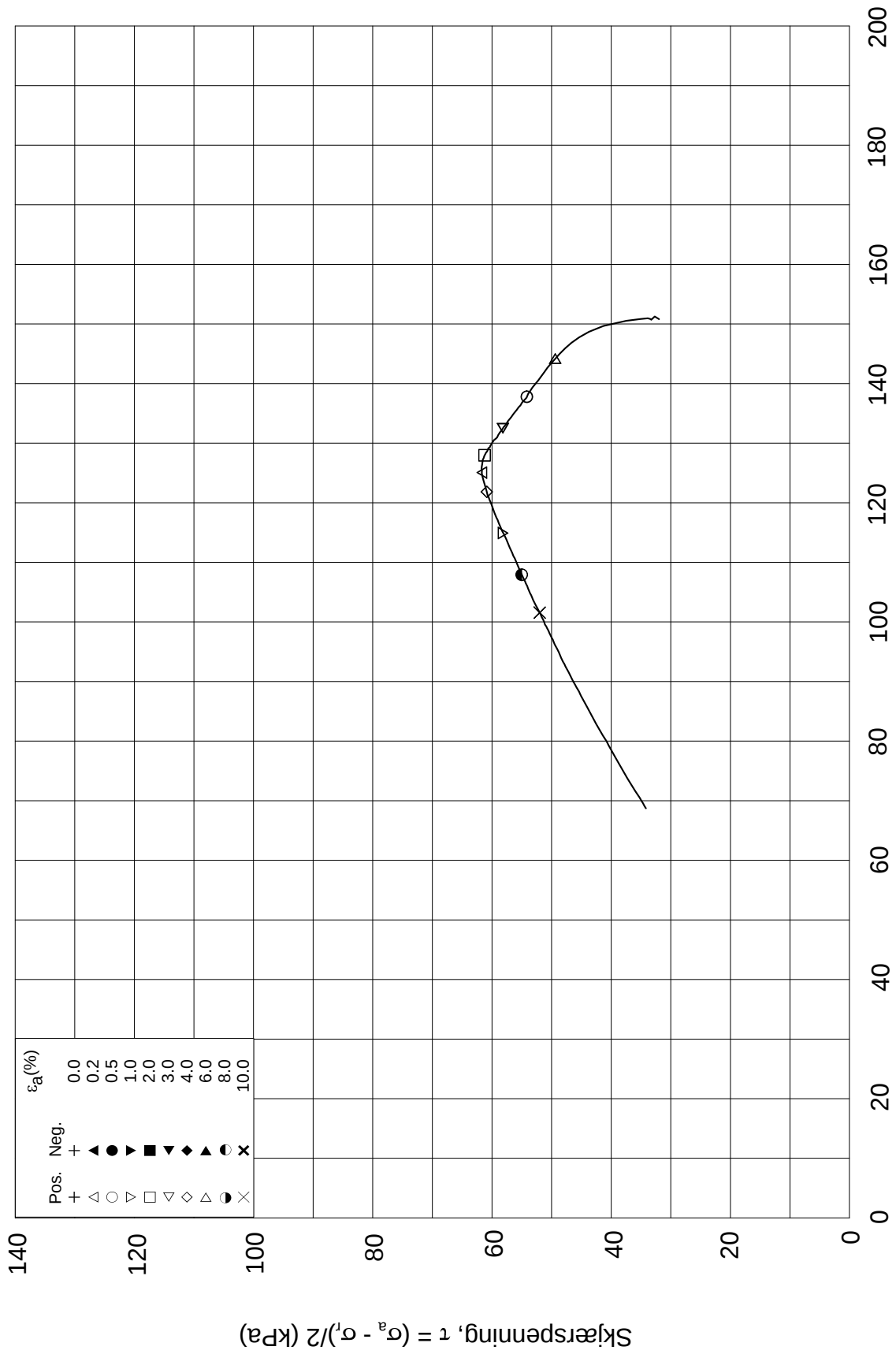
Tegnet av
MAS

Test: **1**

w_c = **31.0** %

σ_{rc}' = - - **118.9**

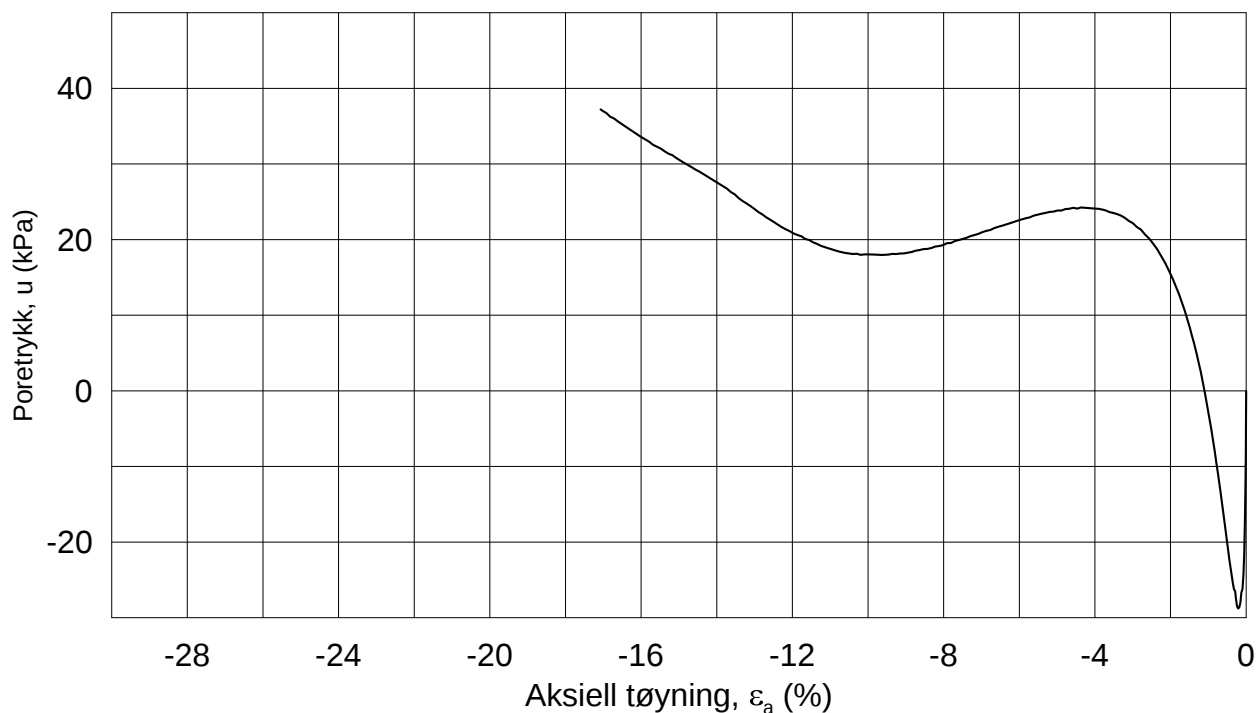
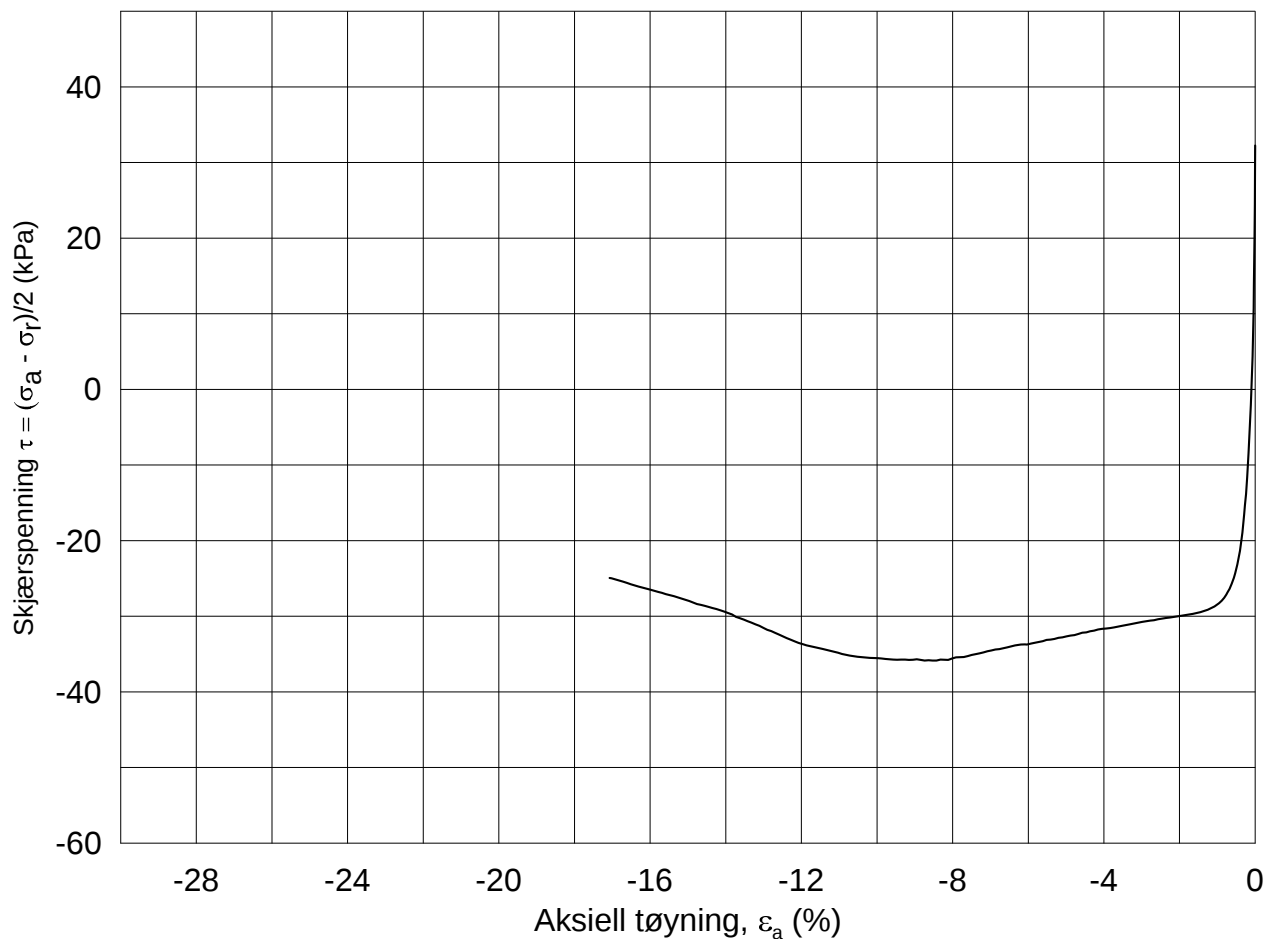




Date/Rev.: 2009-11-03/01

E16 Nybakk - Slomarka			Dokument nr. 20120491-02-R	
Treaksial forsøk: CAUA			Dato 2014-04-24	
Boring: 2332	Dybde = 16.28 m	Konsolidering-spenninger		
Sylinder: 15	$p_{o'}$ = 182.9 kPa	(kPa)	maks.	min.
Del: A	w_i = 33.5 %	σ_{ac}' =	-	-
Test: 1	w_c = 31.0 %	σ_{rc}' =	-	-
		endelig	182.8	
			118.9	
		Figur nr.	G308	
		Tegnet av	MAS	

2332-15-A-1-Plot2.grf



Date/Rev.: 2009-11-03/01

E16 Nybakk - Slomarka

Dokument nr.
20120491-02-R

Treaksial forsøk: **CAUP**

Dato
2014-05-09

Boring: **2332**

Dybde = **16.43** m

Konsolidering-spenninger

Sylinder: **15**

$p_{o'}$ = **184.0** kPa

(kPa) maks. min. endelig

Figur nr.
G309

Del: **B**

w_i = **28.3** %

σ_{ac}' = - - **184.1**

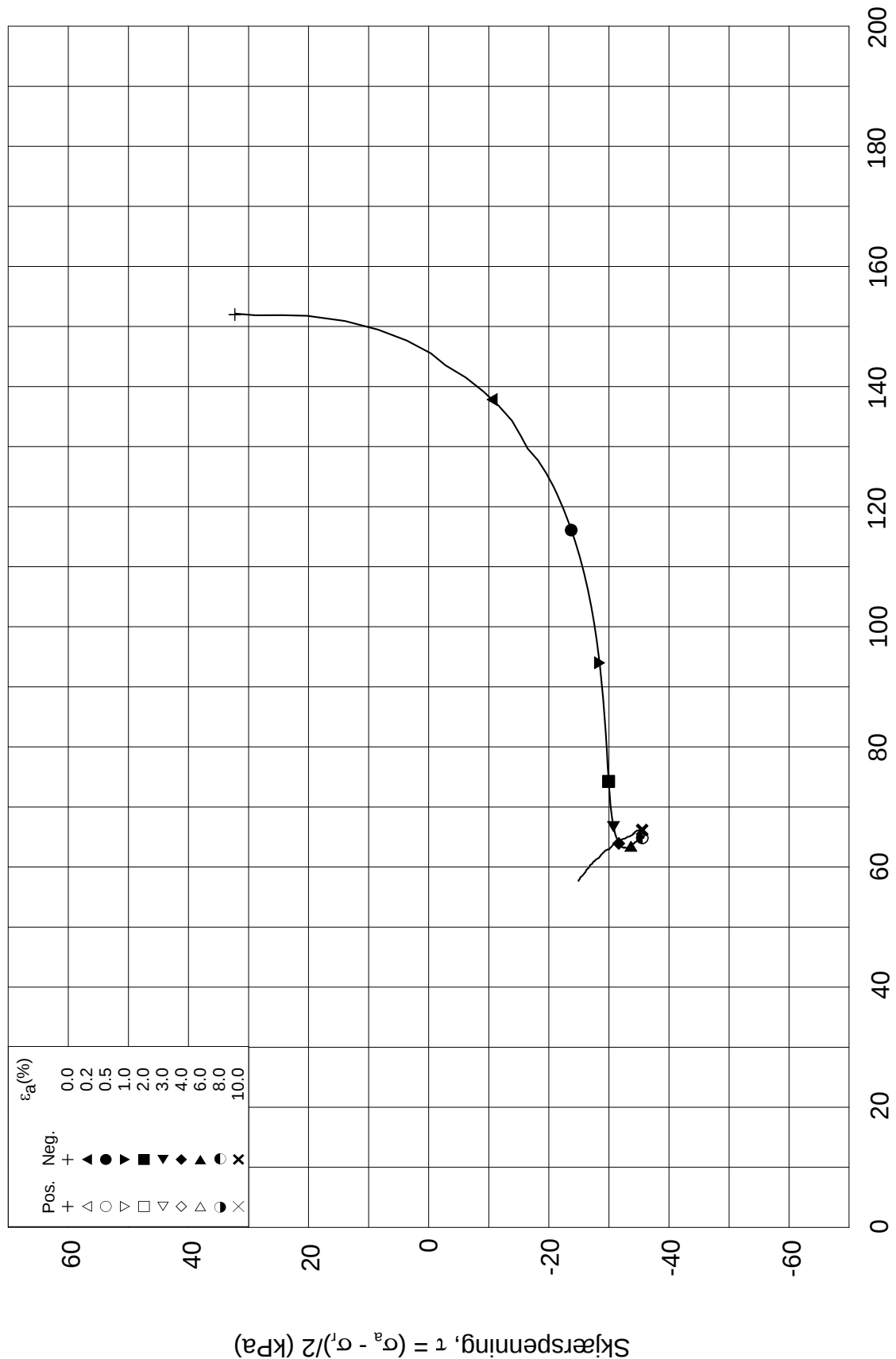
Tegnet av
MAS

Test: **1**


w_c = **24.6** %

σ_{rc}' = - - **119.7**

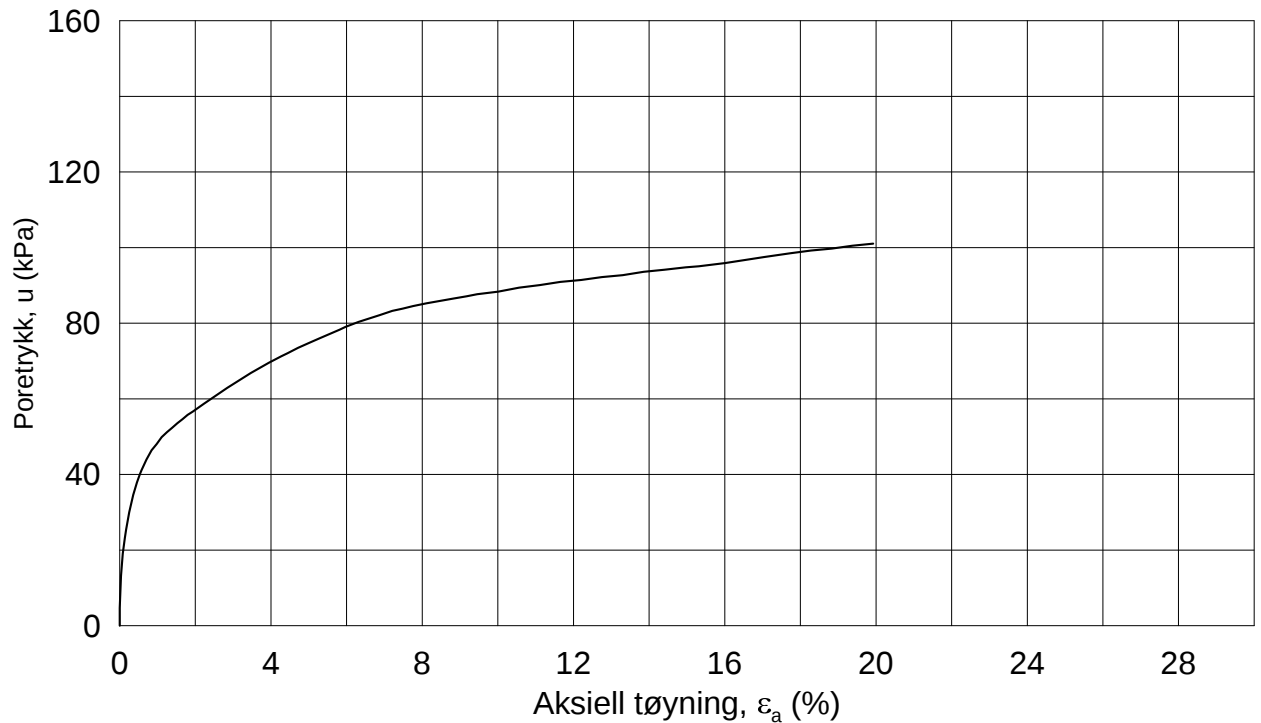
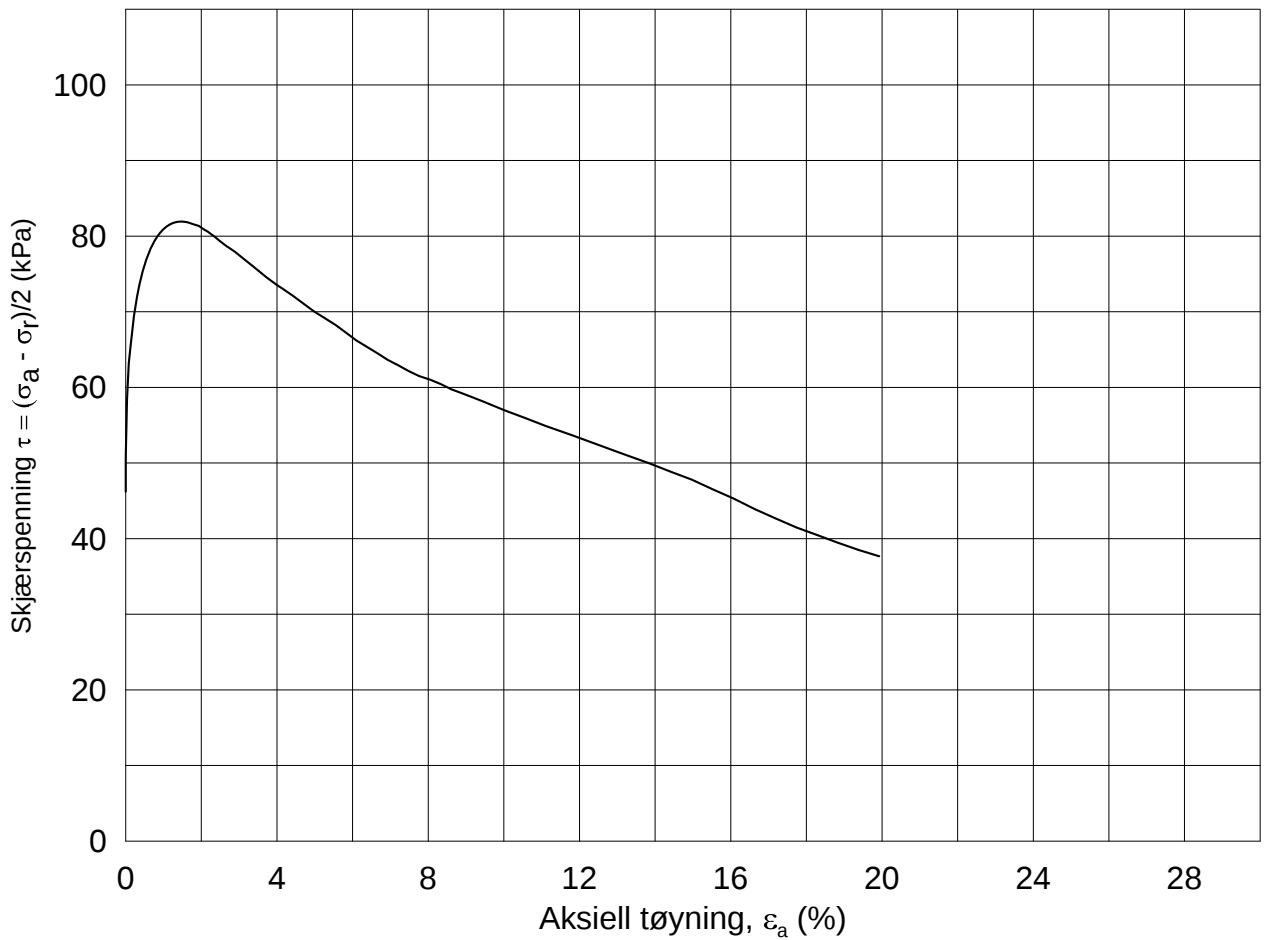




Date/Rev.: 2009-11-03/01

E16 Nybakk - Slomarka			Dokument nr. 20120491-02-R	
Treaksial forsøk: CAUP			Dato 2014-05-09	
Boring: 2332	Dybde = 16.43 m	Konsolidering-spenninger		
Sylinder: 15	$p_{o'}$ = 184.0 kPa	(kPa)	maks.	min.
Del: B	w_i = 28.3 %	σ_{ac}' =	-	-
Test: 1	w_c = 24.6 %	σ_{rc}' =	-	-
		endelig	184.1	
			119.7	
		Figur nr.	G310	
		Tegnet av	MAS	
				

2332-15-B-1-1.Plot2.grf



Date/Rev.: 2009-11-03/01

E16 Nybakk - Slomarka

Dokument nr.
20120491-02-R

Treaksial forsøk: **CAUA**

Dato
2014-05-09

Boring: **2332**

Dybde = **20.40** m

Konsolidering-spenninger

Sylinder: **17**

$p_{o'}$ = **230.8** kPa

(kPa) maks. min. endelig

Figur nr.
G311

Del: **A**

w_i = **32.7** %

σ_{ac}' = - - **229.2**

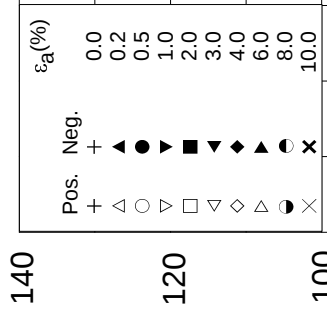
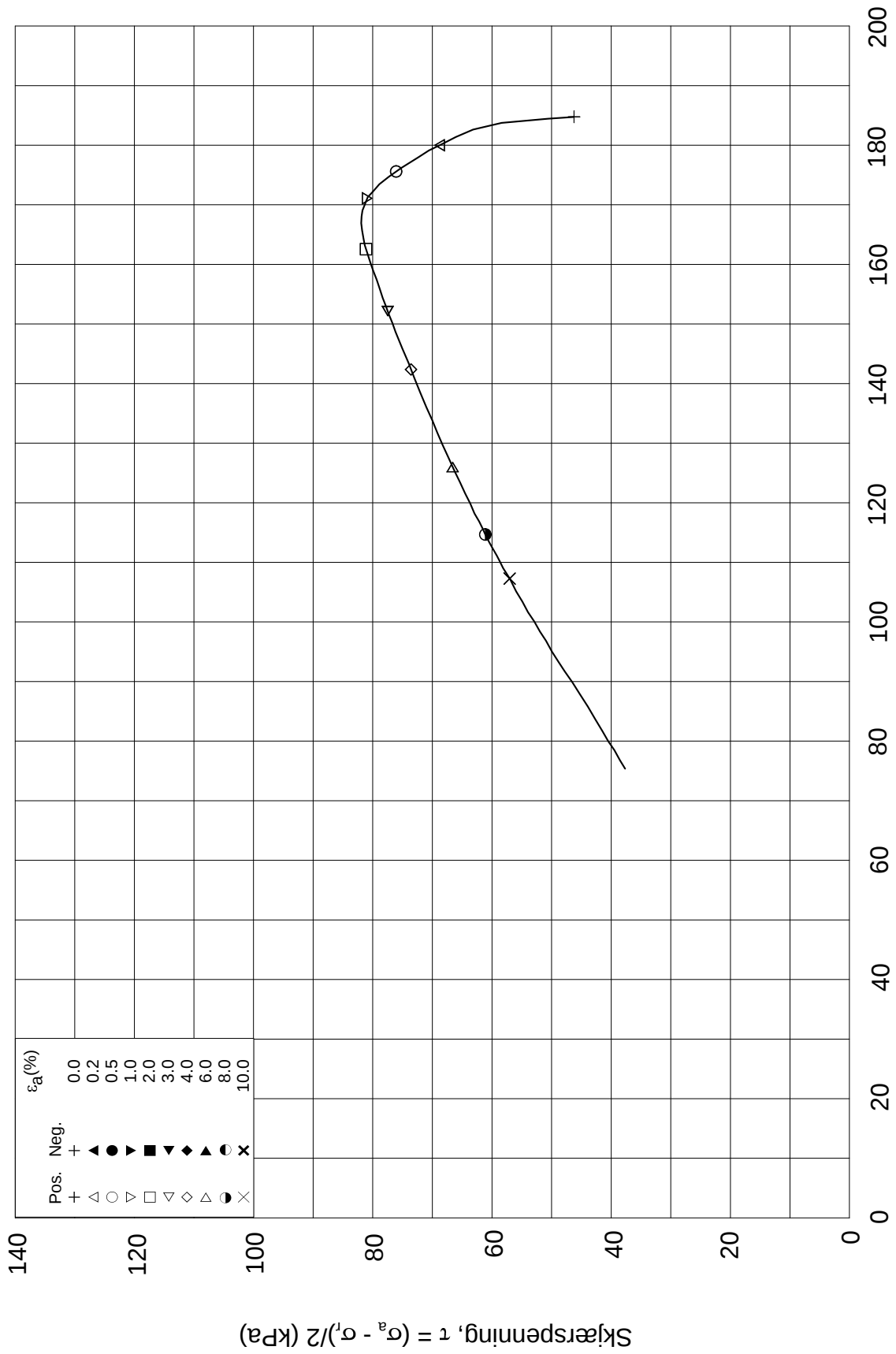
Tegnet av
MAS

Test: **1**

w_c = **30.1** %


σ_{rc}' = - - **138.6**



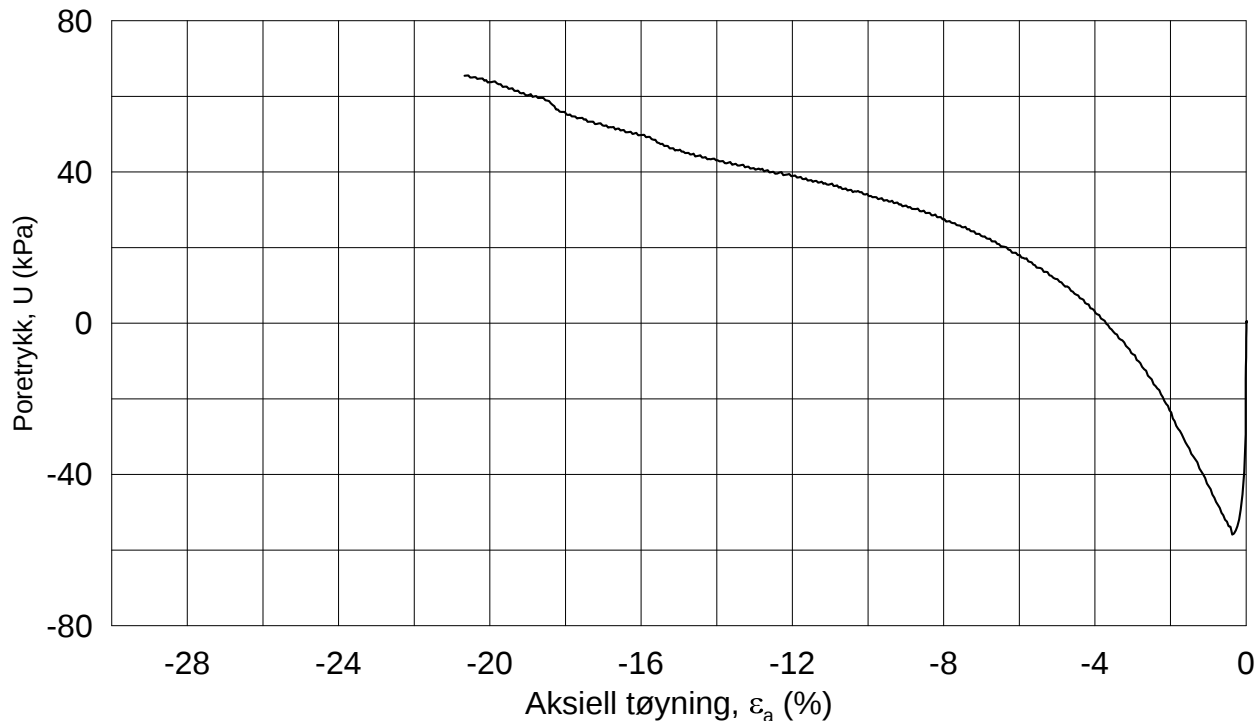
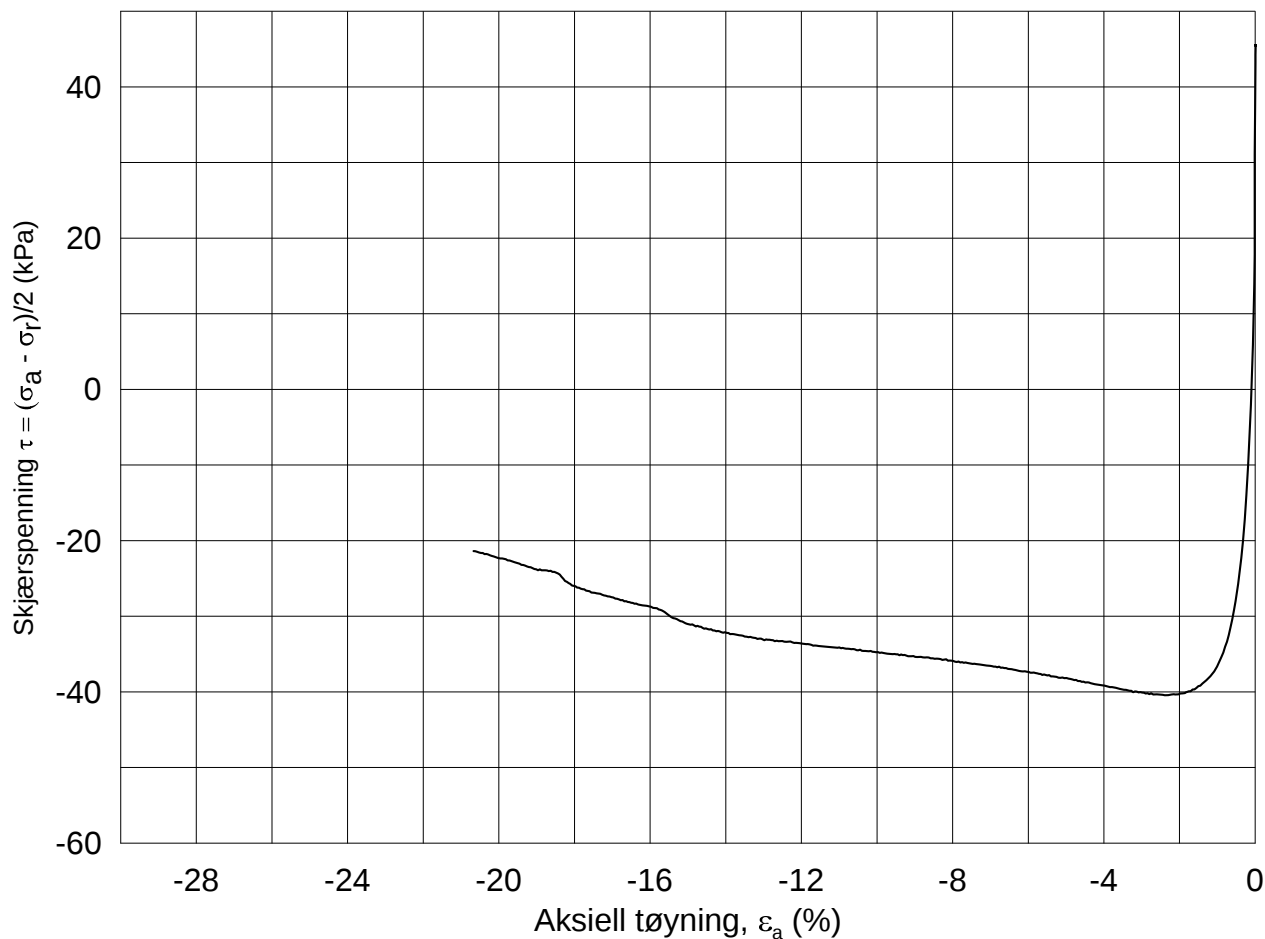


Effektiv gjennomsnittsspenning, $p' = (\sigma_a' + \sigma_r')/2$ (kPa)

Date/Rev.: 2009-11-03/01

E16 Nybakk - Slomarka			Dokument nr. 20120491-02-R	
Treaksial forsøk: CAUA			Dato 2014-05-09	
Boring: 2332	Dybde = 20.40 m	Konsolidering-spenninger		
Sylinder: 17	$p_{o'}$ = 230.8 kPa	(kPa)	maks.	min.
Del: A	w_i = 32.7 %	σ_{ac}' =	-	-
Test: 1	w_c = 30.1 %	σ_{rc}' =	-	-
		endelig	229.2	
			138.6	
		Figur nr.	G312	
		Tegnet av	MAS	
				

2332-17-A-1-1.Plot2.grf



Date/Rev.: 2009-11-03/01

E16 Nybakk - Slomarka

Dokument nr.
20120491-02-R

Treaksial forsøk: **CAUP**

Leire

Dato
2014-05-29

Boring: **2332**

Dybde = **20.25** m

Konsolidering-spenninger

Sylinder: **17**

p_o' = **229.6** kPa

(kPa)	maks.	min.	endelig
σ_{ac}' =	-	-	229.3
σ_{rc}' =	-	-	137.7

Figur nr.
G313

Del: **A**

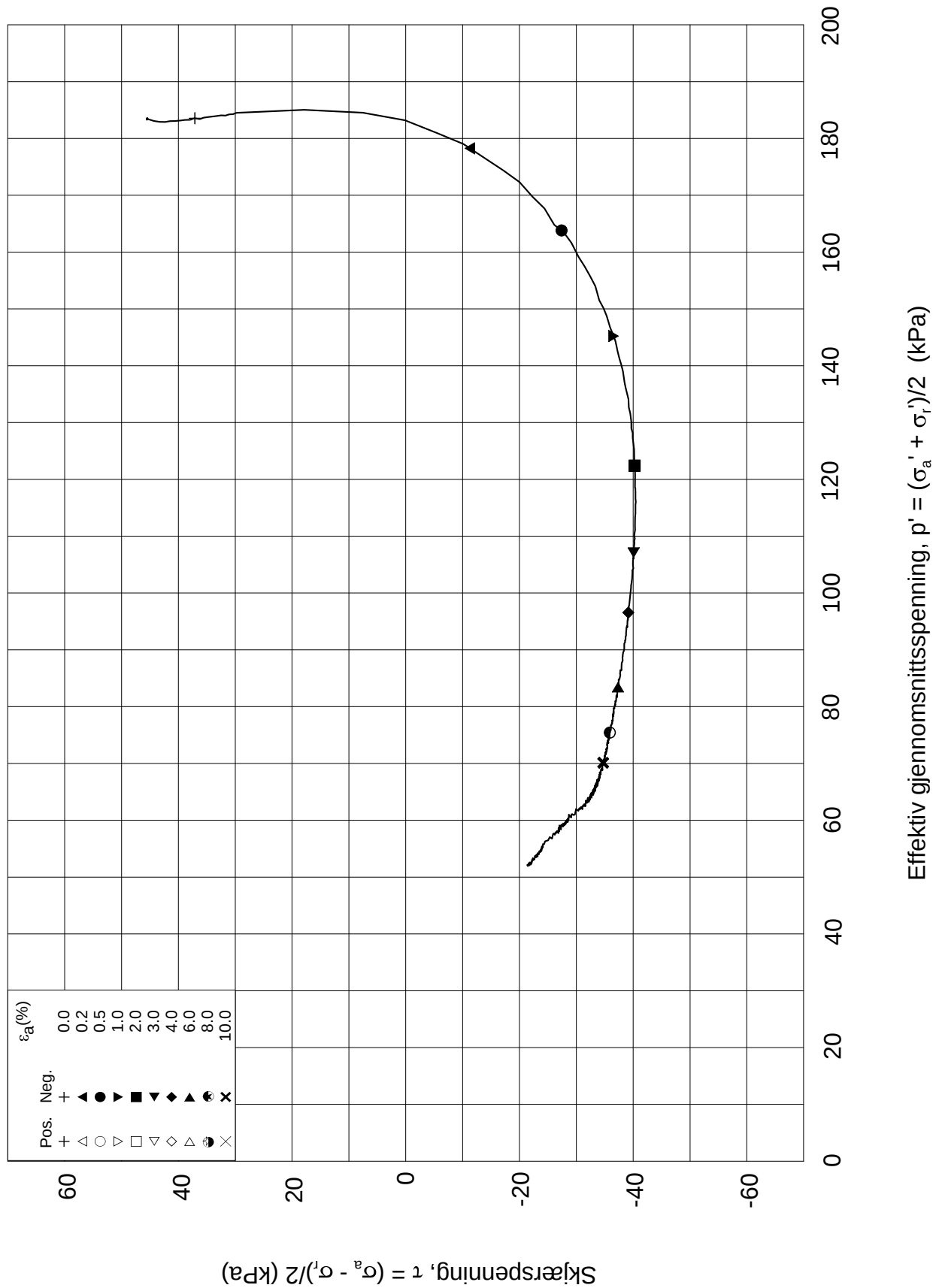
w_i = **34.02** %

Tegnet av
MAS

Test: **3**

w_c = **33.05** %





Date/Rev.: 2009-11-03/01

E16 Nybakk - Slomarka

Dokument nr.
20120491-02-R

Treaksial forsøk: **CAUA**

Leire

Dato
2014-05-29

Boring: **2332**

Dybde = **20.25** m

Konsolidering-spenninger

Figur nr.
G314

Sylinder: **17**

$p_{o'}$ = **229.6** kPa

(kPa)	maks.	min.	endelig
σ_{ac}'	-	-	229.3
σ_{rc}'	-	-	137.7

Tegnet av
MAS

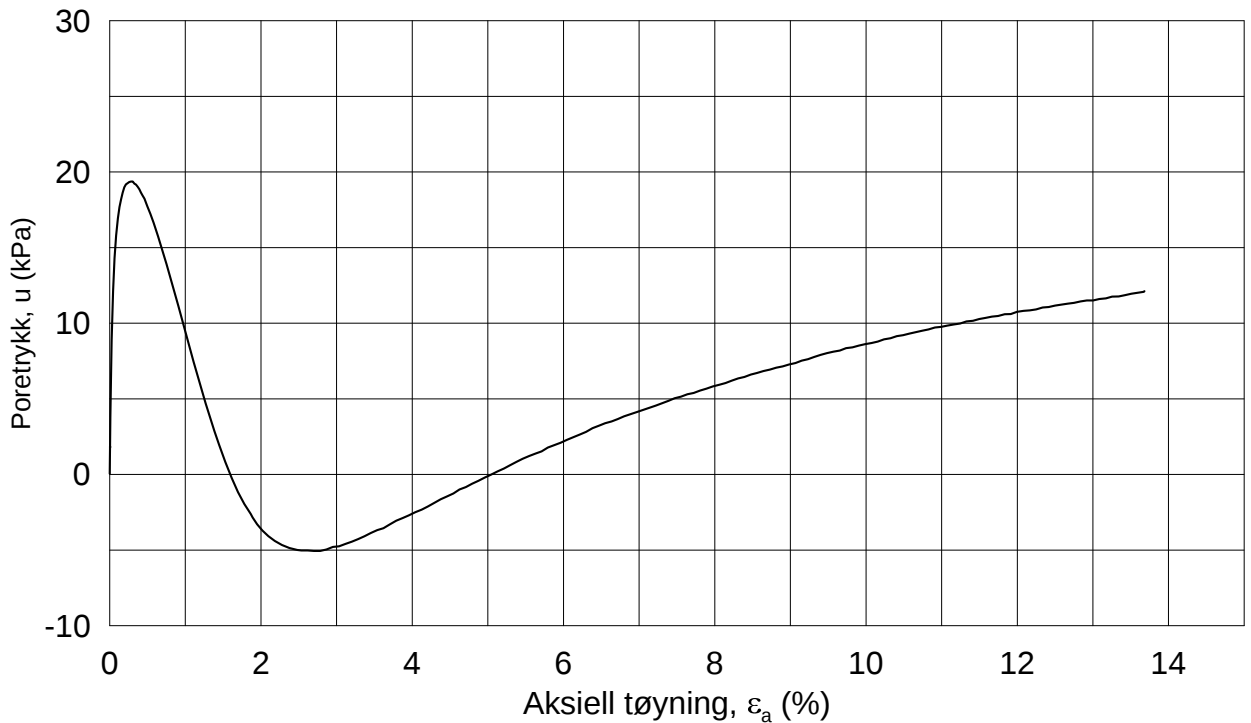
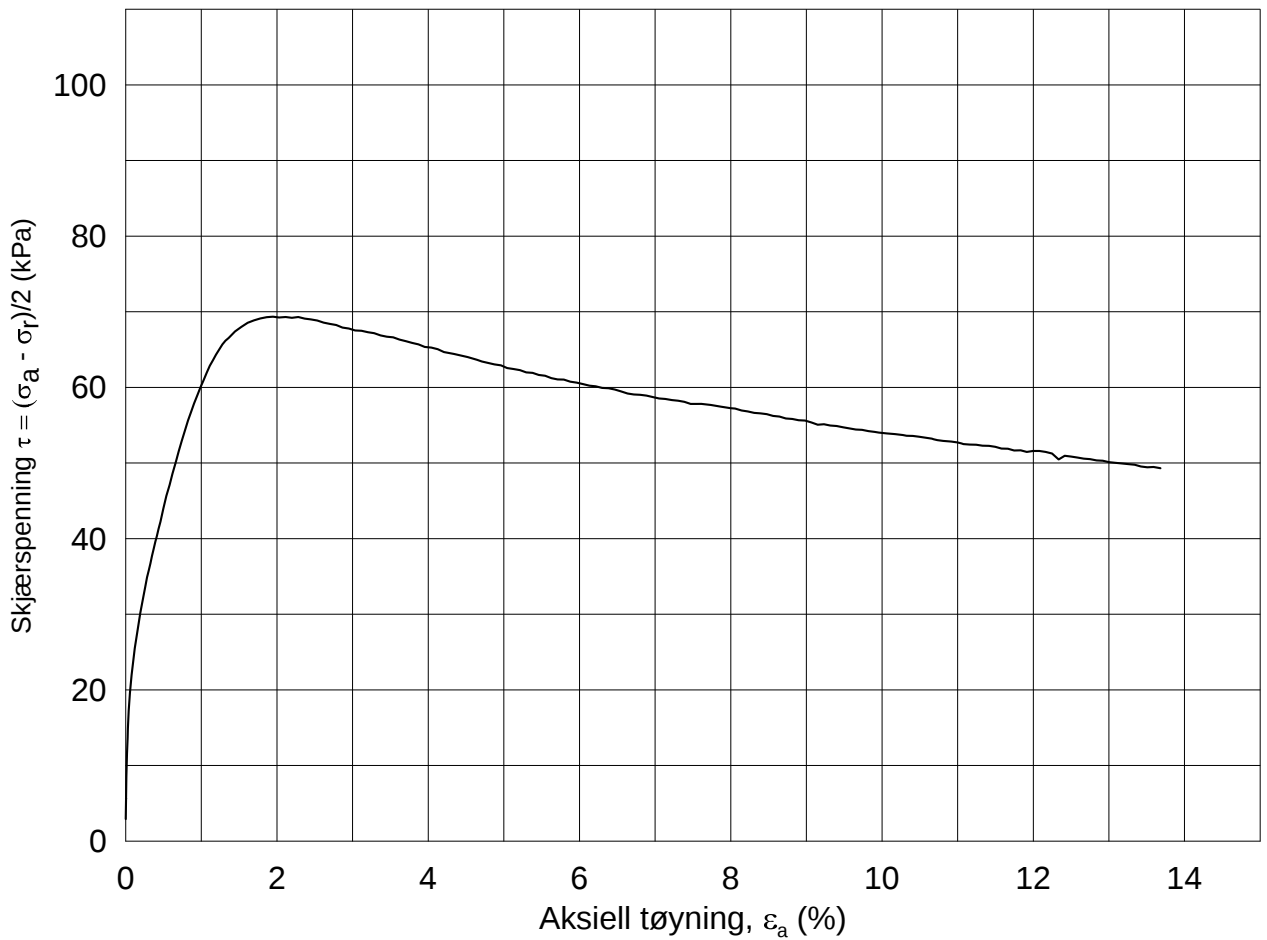
Del: **A**

w_i = **34.02** %

Test: **3**

w_c = **33.05** %





Date/Rev.: 2009-11-03/01

E16 Nybakk - Slomarka

Dokument nr.
20120491-02-R

Treaksial forsøk: **CAUa**

Dato
2014-08-08

Boring: **2344**

Dybde = **5.21** m

Konsolidering-spenninger

Sylinder: **5**

$p_{o'}$ = **67.0** kPa

(kPa) maks. min. endelig

Figur nr.
G315

Del: **A**

w_i = **34.0** %

σ_{ac}' = - - **67.0**

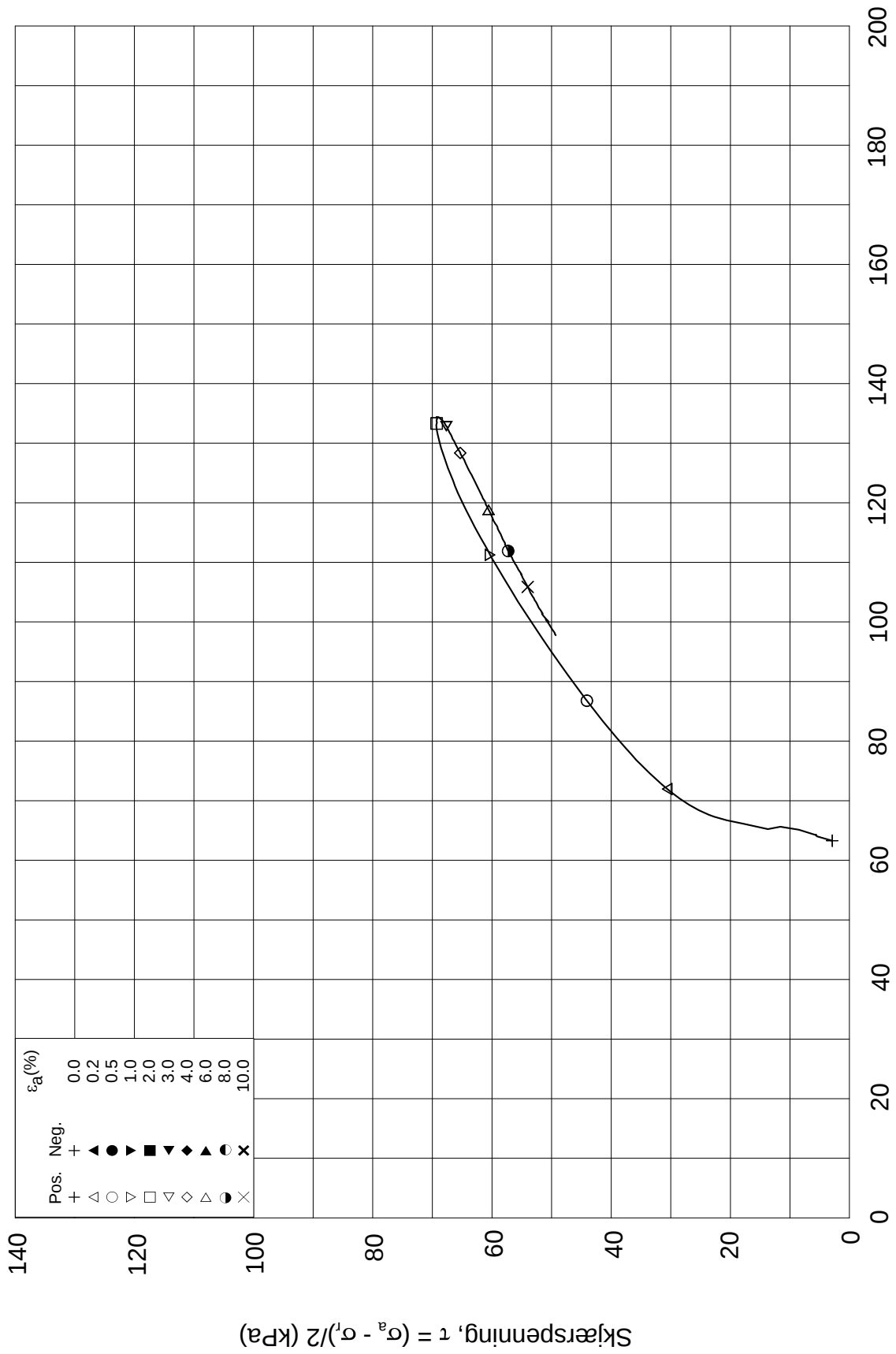
Tegnet av
MAS

Test: **1**

w_c = **34.0** %

σ_{rc}' = - - **60.3**

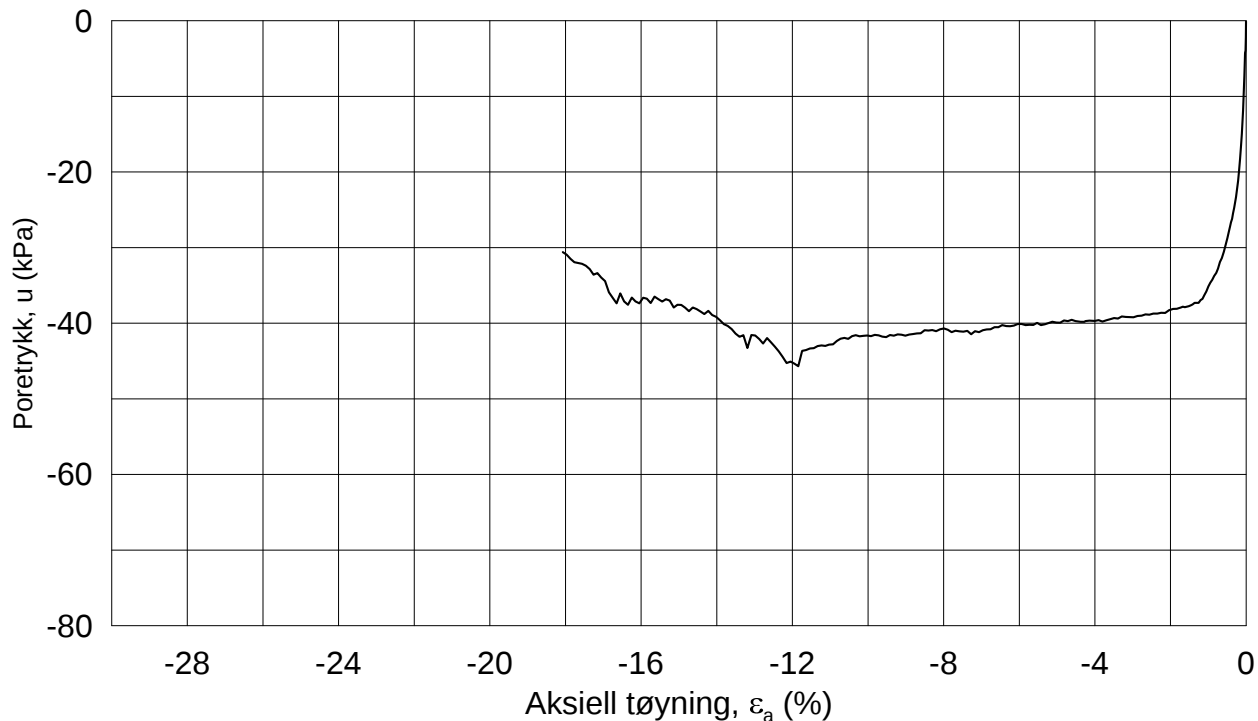
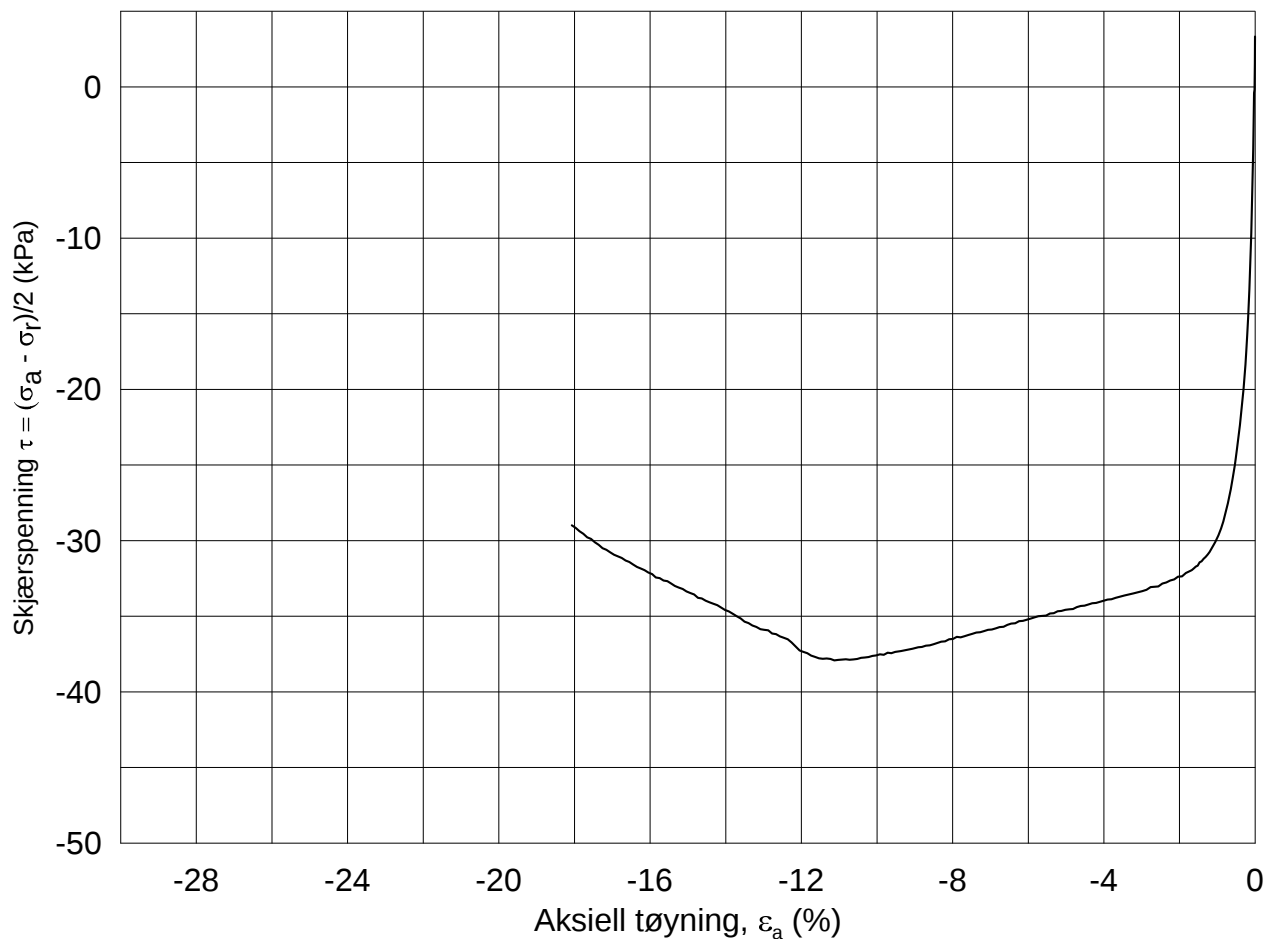




Date/Rev.: 2009-11-03/01

E16 Nybakk - Slomarka			Dokument nr. 20120491-02-R	
Treaksial forsøk: CAUa			Dato 2014-08-08	
Boring: 2344	Dybde = 5.21 m	Konsolidering-spenninger		
Sylinder: 5	p_o' = 67.0 kPa	(kPa)	maks.	min.
Del: A	w_i = 34.0 %	$\sigma_{ac}' =$	-	-
Test: 1	w_c = 34.0 %	$\sigma_{rc}' =$	-	-
				endelig 67.0
				60.3
				Figur nr. G316
				Tegnet av MAS

2344-5-A-1.Plot2.grf



Date/Rev.: 2009-11-03/01

E16 Nybakk - Slomarka

Dokument nr.
20120491-02-R

Treaksial forsøk: **CAUP**

Dato
2014-08-27

Boring: **2344**

Dybde = **5.40** m

Konsolidering-spenninger

Sylinder: **5**

p_o' = **68.5** kPa

(kPa) maks. min. endelig

Figur nr.
G317

Del: **A**

w_i = **30.1** %

σ_{ac}' = - - **68.5**

Tegnet av
MAS

Test: **2**

w_c = **30.0** %

σ_{rc}' = - - **61.6**



Effektiv gjennomsnittsspenning, $p' = (\sigma'_a + \sigma'_i)/2$ (kPa)



Date/Rev.: 2009-11-03/01

E16 Nybakk - Slomarka

Dokument nr.
20120491-02-R

Treaksial forsøk: **CAUP**

Dato
2014-08-27

Boring: **2344**

Dybde = **5.40** m

Konsolidering-spenninger

Sylinder: **5**

$p_{o'}$ = **68.5** kPa

(kPa) maks. min. endelig

Figur nr.
G318

Del: **A**

w_i = **30.1** %

σ_{ac}' = - - **68.5**

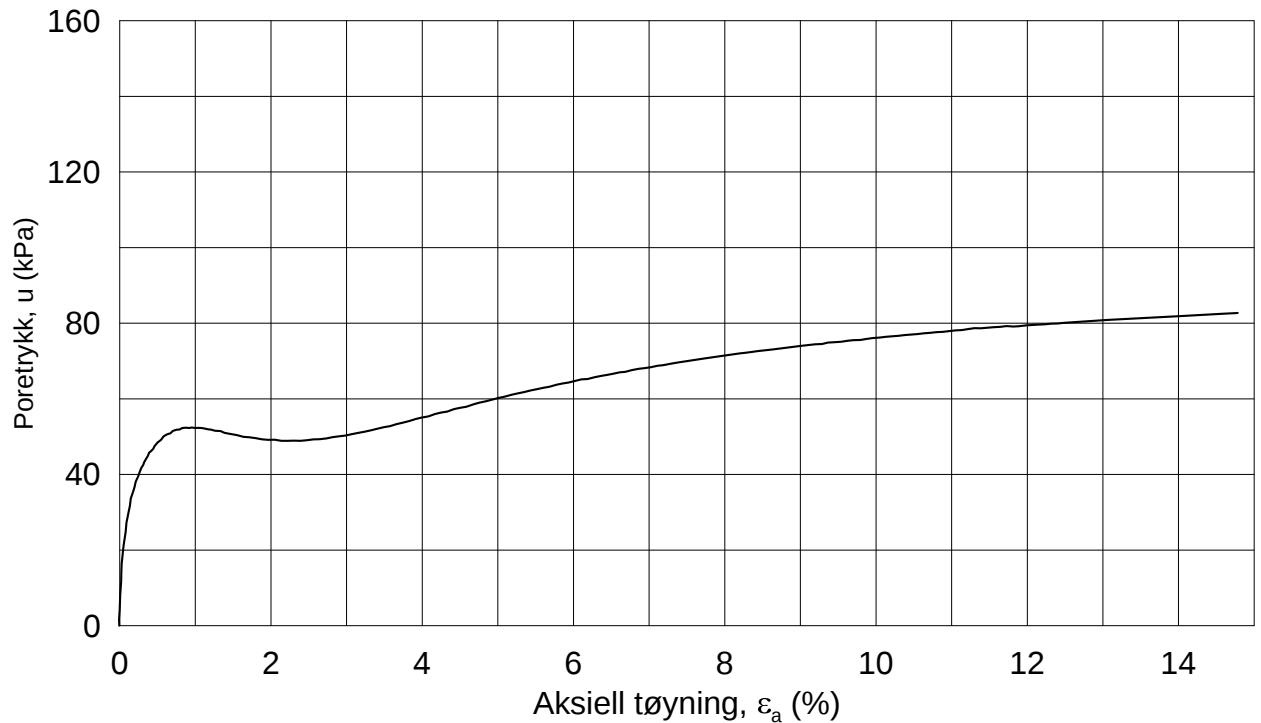
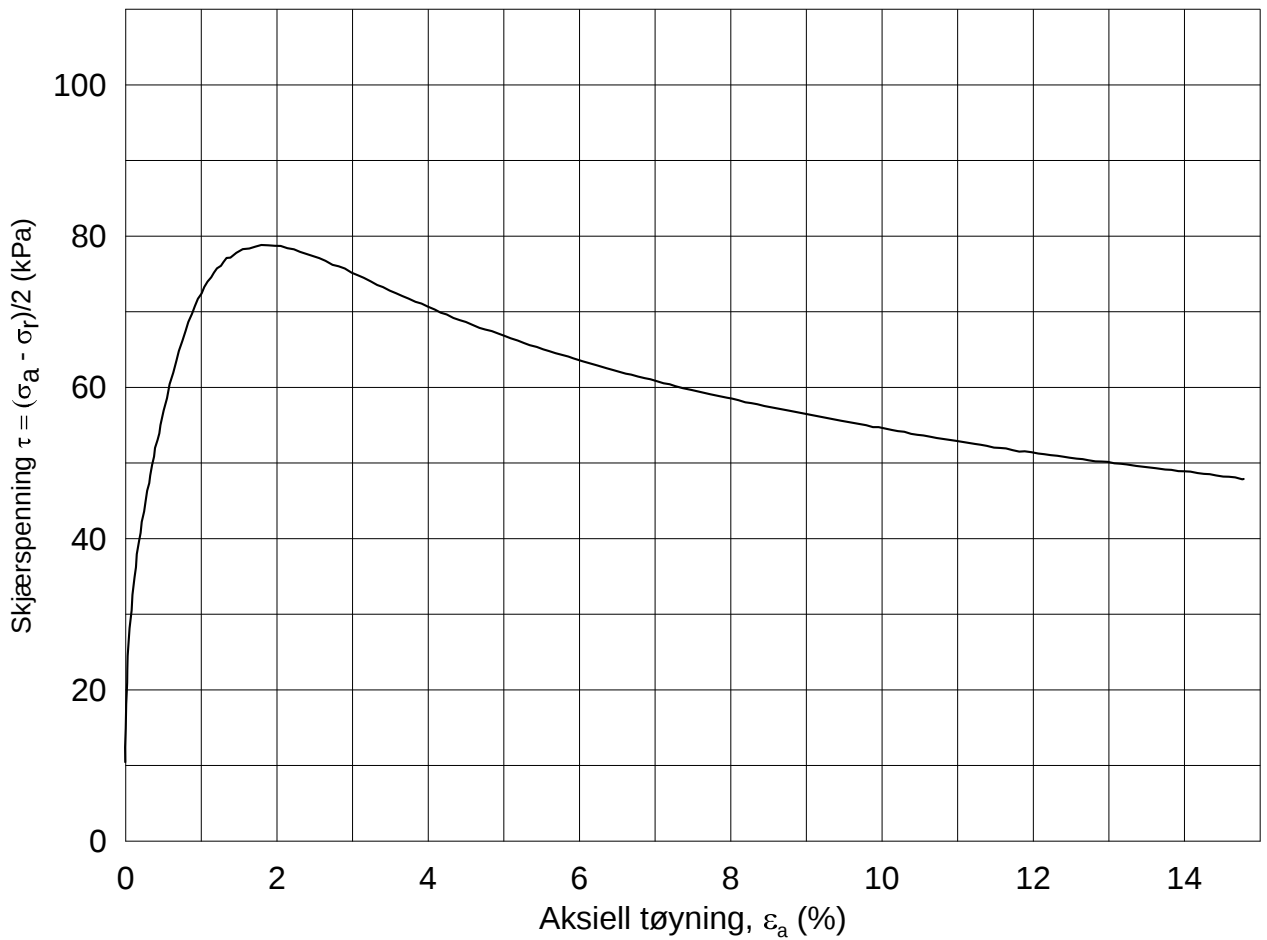
Tegnet av
MAS

Test: **2**

w_c = **30.0** %

σ_{rc}' = - - **61.6**





Date/Rev.: 2009-11-03/01

E16 Nybakk - Slomarka

Dokument nr.
20120491-02-R

Treaksial forsøk: **CAUA**

Dato
2014-08-08

Boring: **2344**

Dybde = **10.22** m

Konsolidering-spenninger

Sylinder: **10**

$p_{o'}$ = **151.4** kPa

(kPa) maks. min. endelig

Figur nr.
G319

Del: **A**

w_i = **40.1** %

σ_{ac}' = - - **151.2**

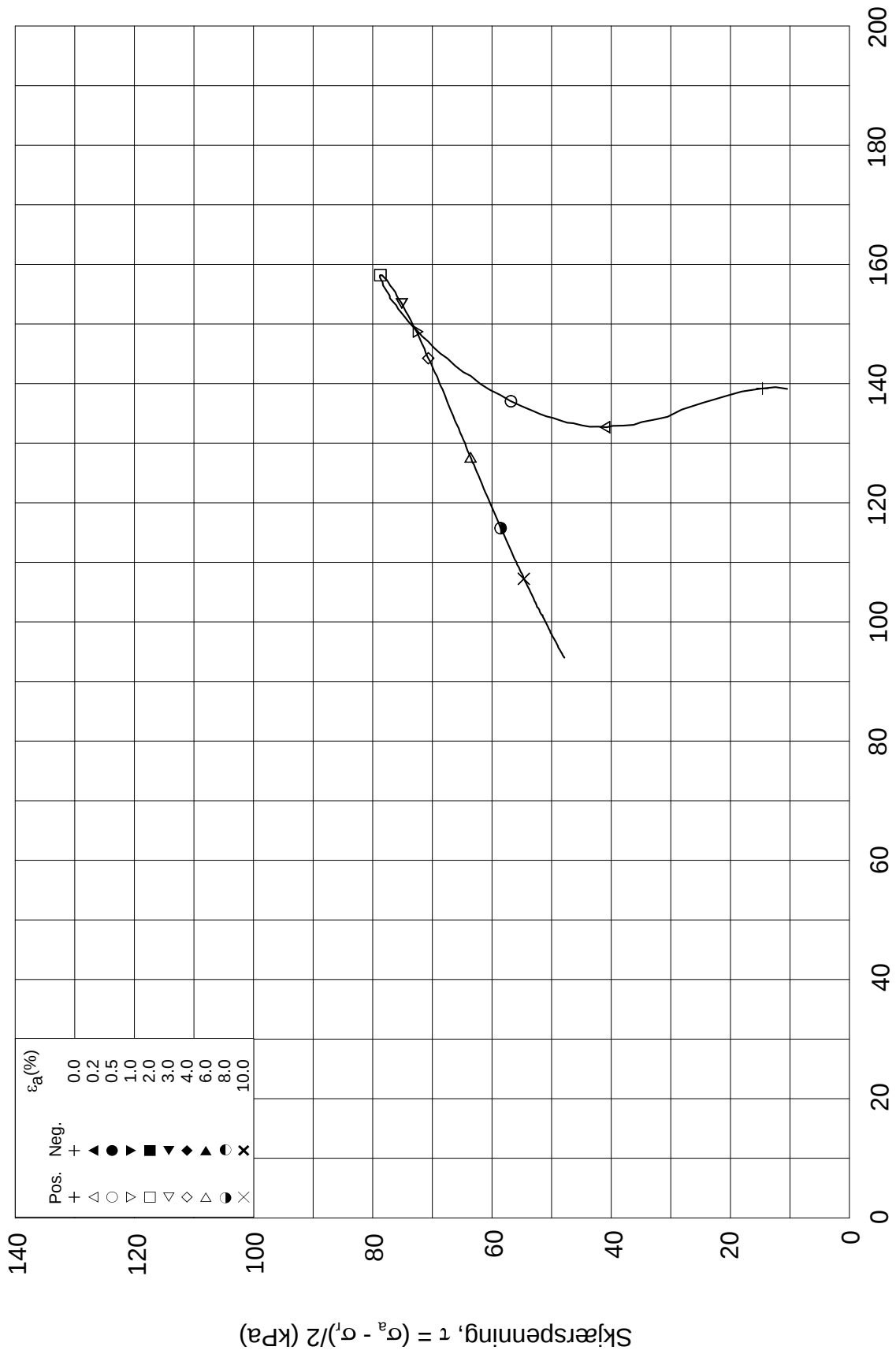
Tegnet av
MAS

Test: **1**

w_c = **39.1** %

σ_{rc}' = - - **128.5**

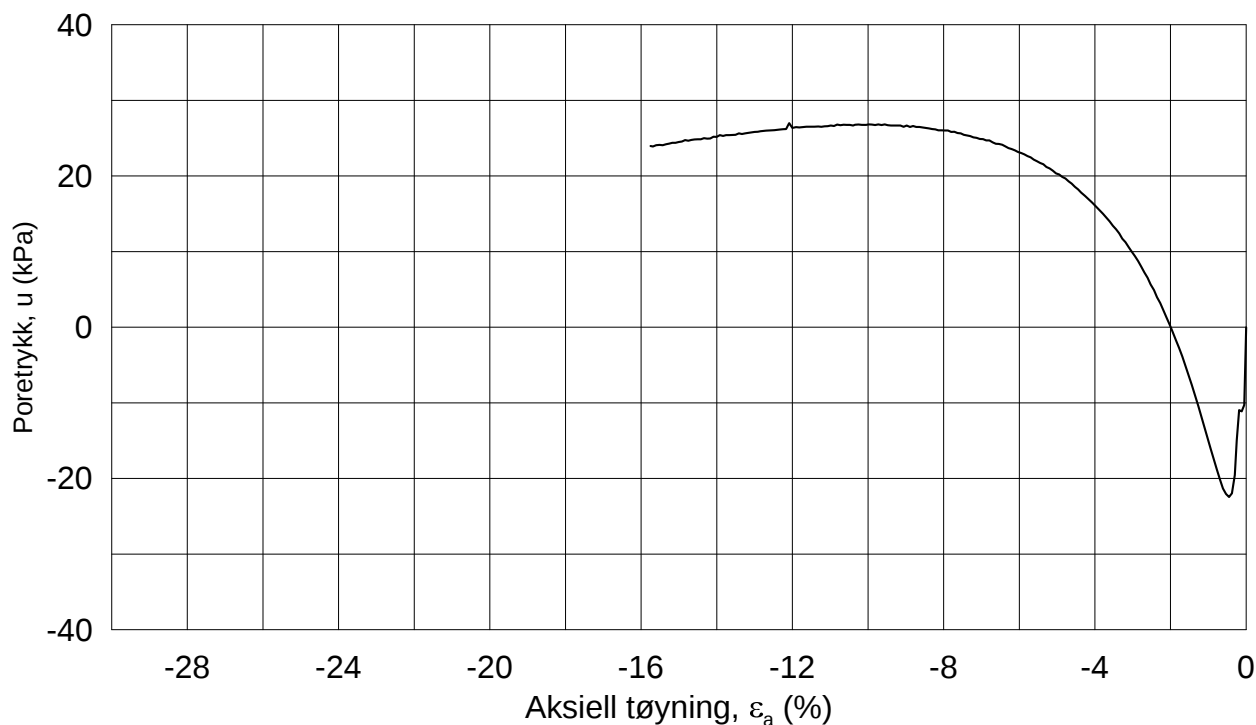
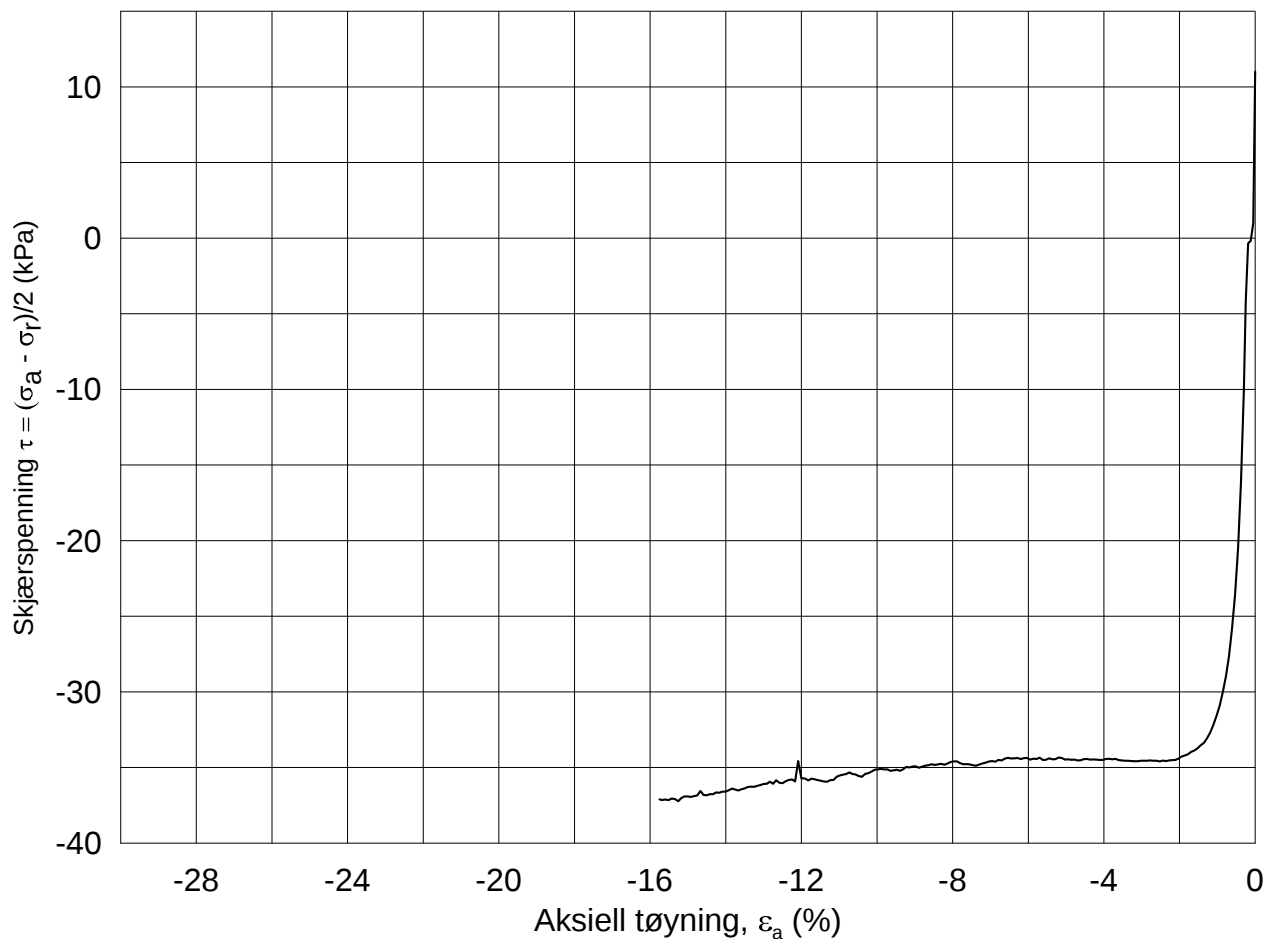




Date/Rev.: 2009-11-03/01

E16 Nybakk - Slomarka			Dokument nr. 20120491-02-R	
Treaksial forsøk: CAUA			Dato 2014-08-08	
Boring: 2344	Dybde = 10.22 m	Konsolidering-spenninger		
Sylinder: 10	$p_{o'}$ = 151.4 kPa	(kPa)	maks.	min.
Del: A	w_i = 40.1 %	σ_{ac}' =	-	-
Test: 1	w_c = 39.1 %	σ_{rc}' =	-	-
		endelig	151.2	
			128.5	
		Figur nr.	G320	
		Tegnet av	MAS	

2344-10-A-1-Plot2.grf



Date/Rev.: 2009-11-03/01

E16 Nybakk - Slomarka

Dokument nr.
20120491-02-R

Treaksial forsøk: **CAUP**

Dato
2014-08-19

Boring: **2344**

Dybde = **10.40** m

Konsolidering-spenninger

Sylinder: **10**

$p_{o'}$ = **151.4** kPa

(kPa) maks. min. endelig

Figur nr.
G321

Del: **A**

w_i = **37.0** %

σ_{ac}' = - - **151.3**

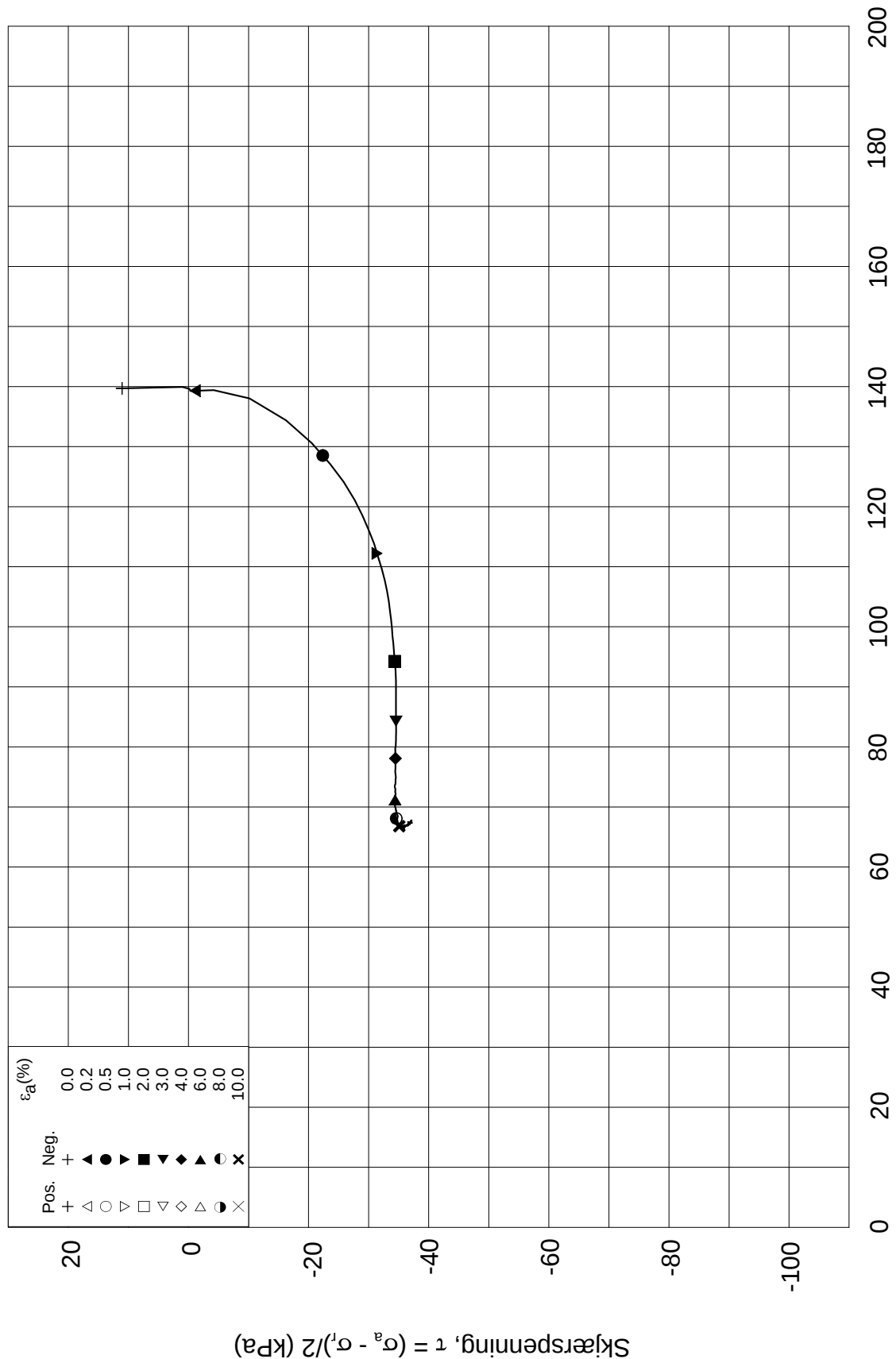
Tegnet av
MAS

Test: **2**

w_c = **35.1** %

σ_{rc}' = - - **128.6**





Effektiv gjennomsnittsspenning, $p' = (\sigma'_a + \sigma'_r)/2$ (kPa)

Date/Rev.: 2009-11-03/01

E16 Nybakk - Slomarka

Dokument nr.
20120491-02-R

Treaksial forsøk: **CAUP**

Dato
2014-08-19

Boring: **2344**

Dybde = **10.40** m

Konsolidering-spenninger

Sylinder: **10**

$p_{o'}$ = **151.4** kPa

(kPa) maks. min. endelig

Figur nr.
G322

Del: **A**

w_i = **37.0** %

σ_{ac}' = - - **151.3**

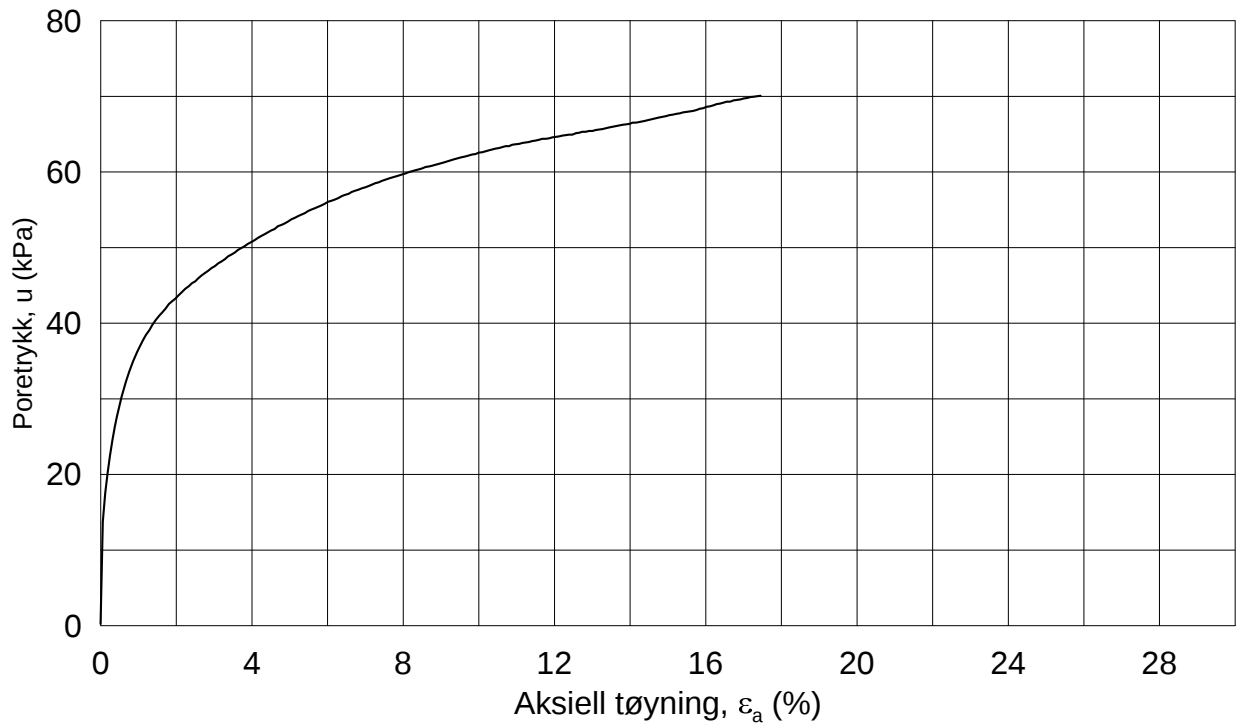
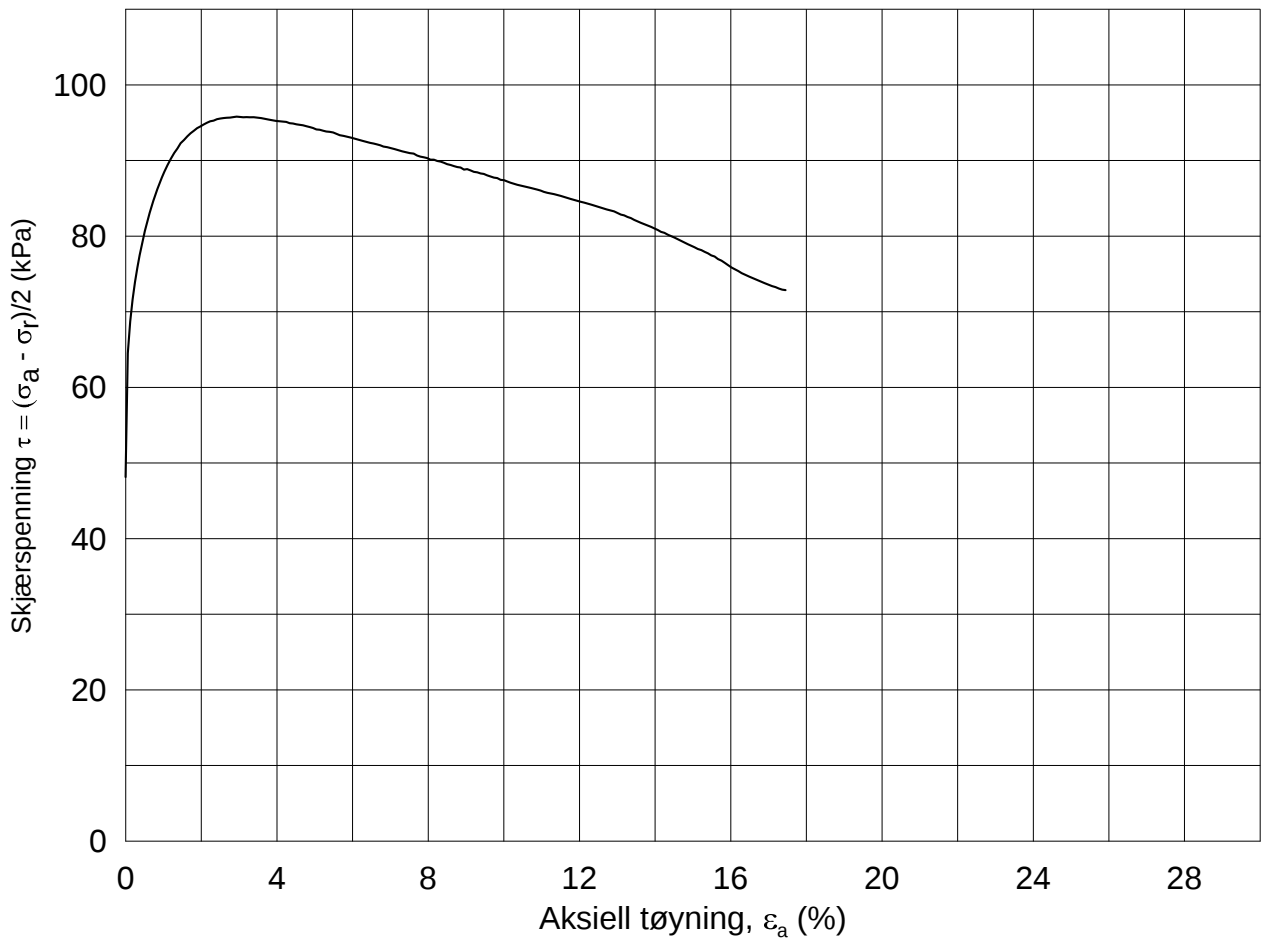
Tegnet av
MAS

Test: **2**

w_c = **35.1** %

σ_{rc}' = - - **128.6**





Date/Rev.: 2009-11-03/01

E16 Nybakk - Slomarka

Dokument nr.
20120491-02-R

Treaksial forsøk: **CAUC**

Dato
2014-08-08

Boring: **2344**

Dybde = **16.36** m

Konsolidering-spenninger

Sylinder: **14**

$p_{o'}$ = **241.3** kPa

(kPa) maks. min. endelig

Figur nr.
G323

Del: **A**

w_i = **31.6** %

σ_{ac}' = - - **240.9**

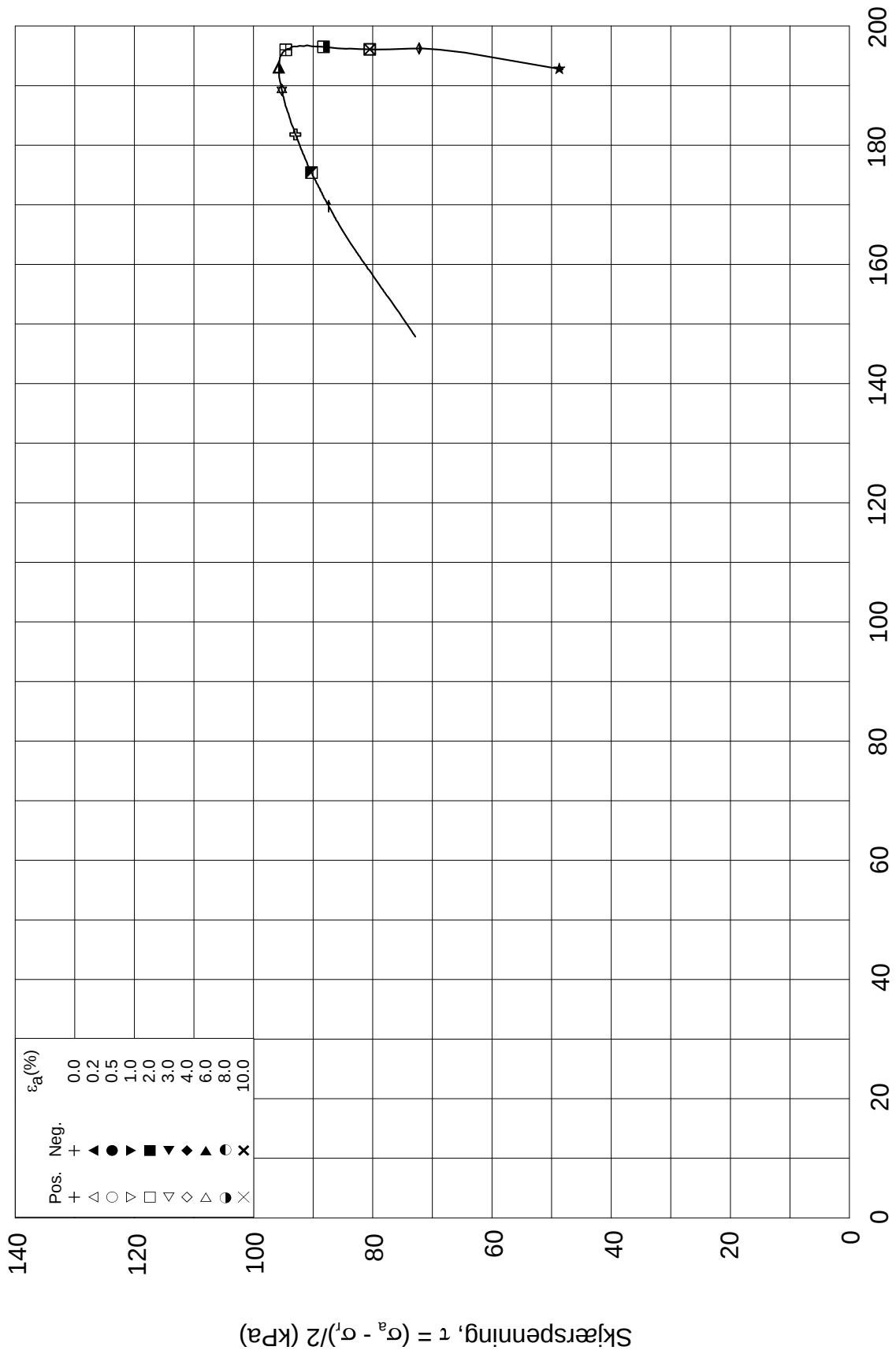
Tegnet av
MAS

Test: **2**

w_c = **29.7** %


σ_{rc}' = - - **144.7**



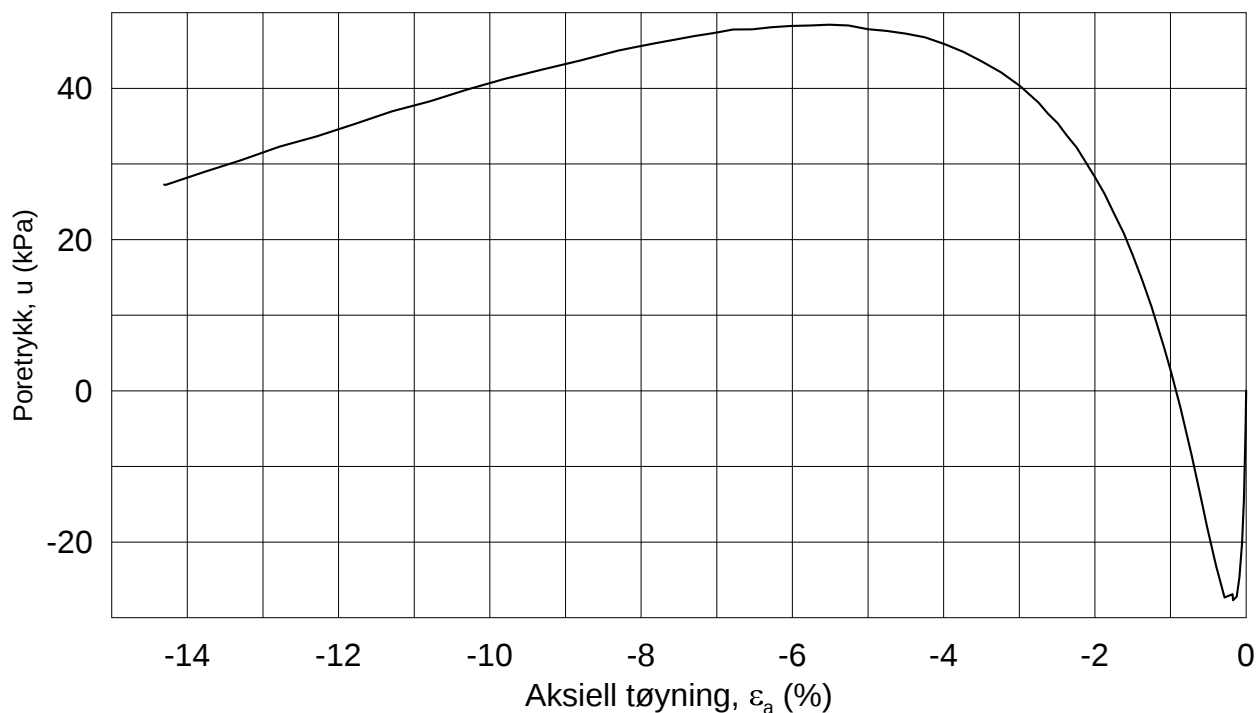
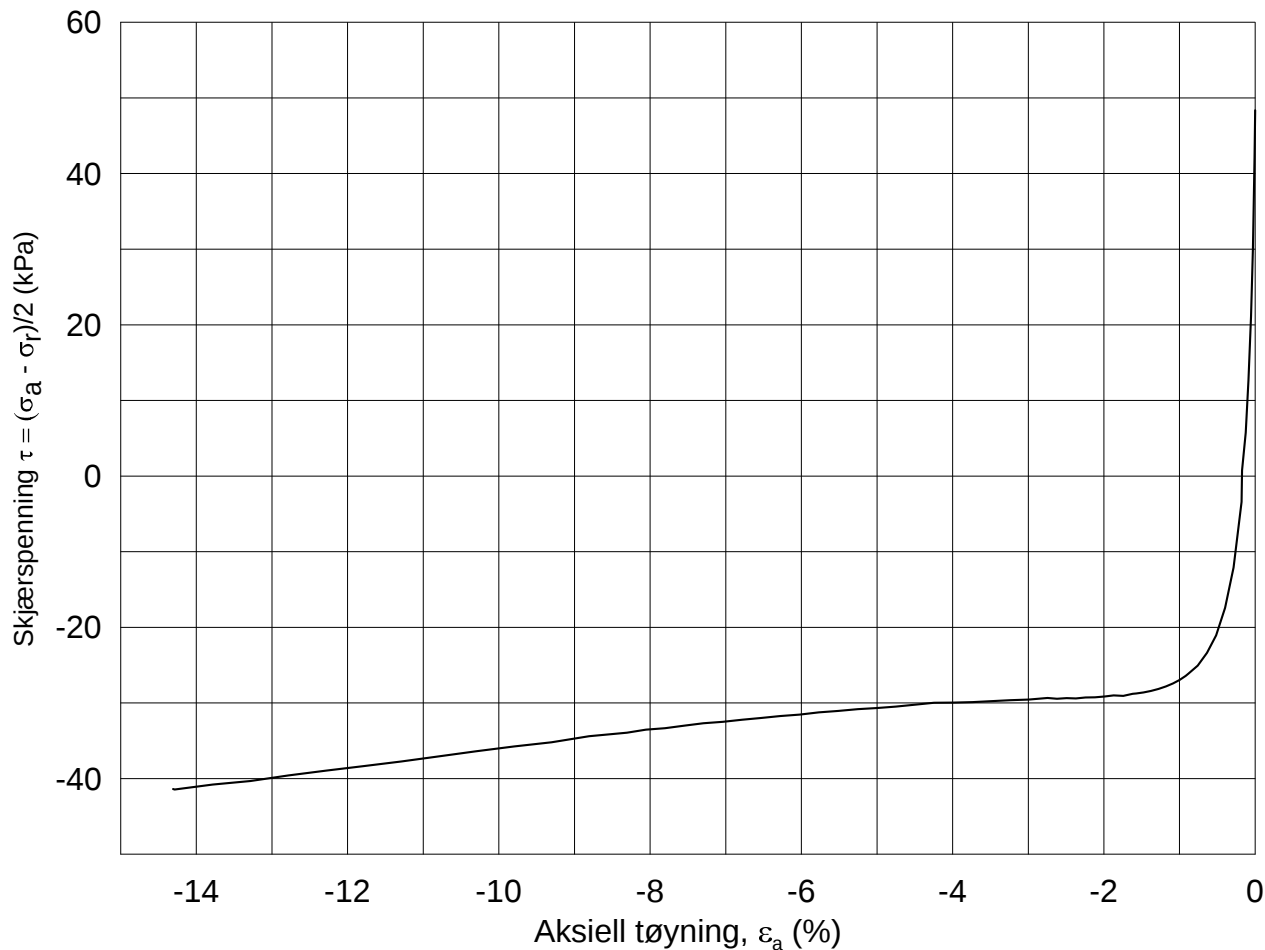


Effektiv gjennomsnittsspenning, $p' = (\sigma_a' + \sigma_r')/2$ (kPa)

Date/Rev.: 2009-11-03/01

E16 Nybakk - Slomarka			Dokument nr. 20120491-02-R	
Treaksial forsøk: CAUC			Dato 2014-08-08	
Boring: 2344	Dybde = 16.36 m	Konsolidering-spenninger		
Sylinder: 14	p_o' = 241.3 kPa	(kPa)	maks.	min.
Del: A	w_i = 31.6 %	$\sigma_{ac}' =$	-	-
Test: 2	w_c = 29.7 %	$\sigma_{rc}' =$	-	-
			240.9	144.7
			Figur nr. G324	
			Tegnet av MAS	

2344-14-A-2.Plot2.grf



Date/Rev.: 2009-11-03/01

E16 Nybakk - Slomarka

Dokument nr.
20120491-02-R

Treaksial forsøk: **CAUP**

Dato
2014-08-08

Boring: **2344**

Dybde = **16.51** m

Konsolidering-spenninger

Sylinder: **14**

$p_{o'}$ = **241.3** kPa

(kPa) maks. min. endelig

Figur nr.
G325

Del: **A**

w_i = **29.6** %

σ_{ac}' = - - **241.4**

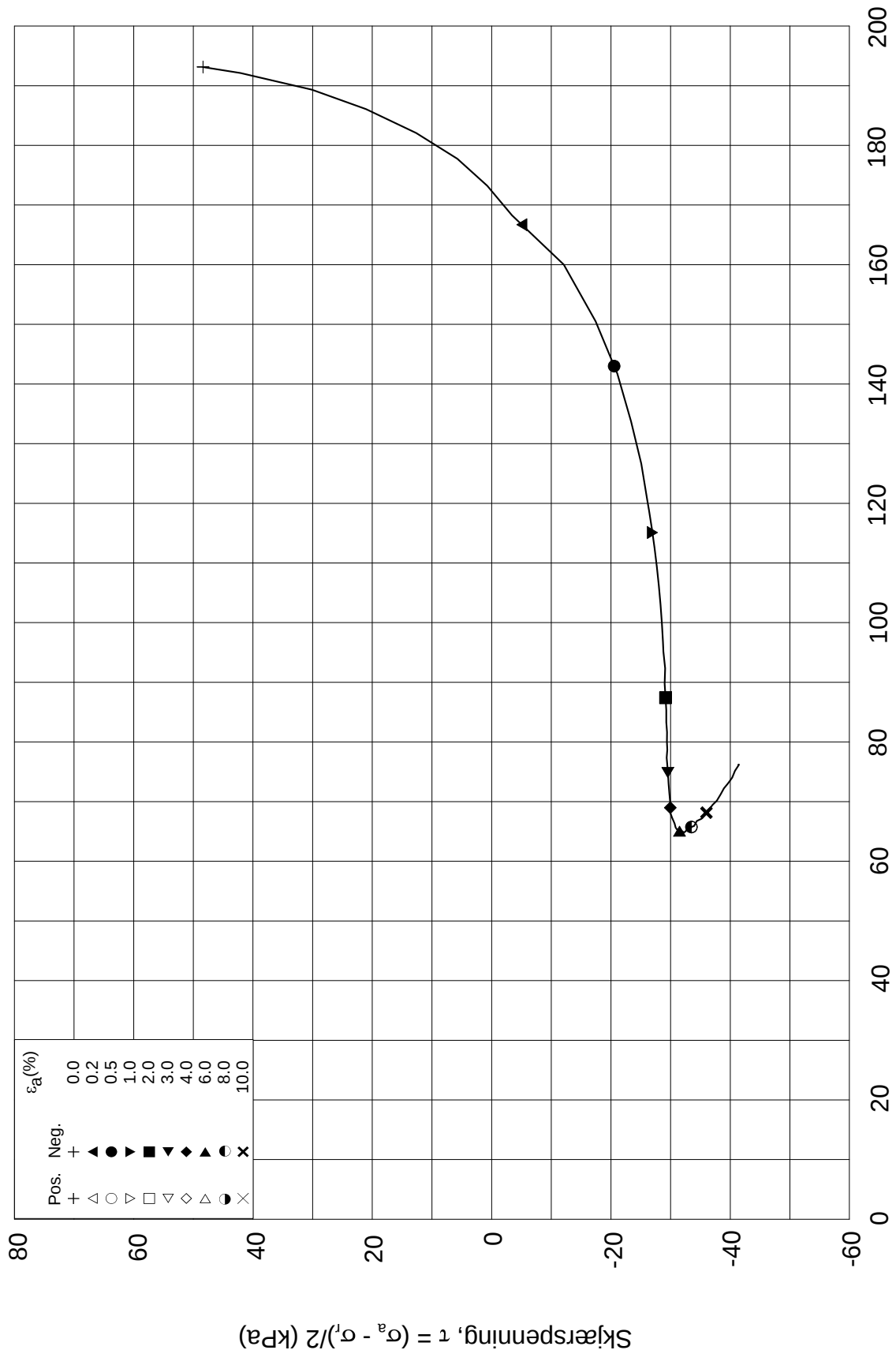
Tegnet av
MAS

Test: **3**

w_c = **27.8** %

σ_{rc}' = - - **144.7**





Date/Rev.: 2009-11-03/01

E16 Nybakk - Slomarka

Dokument nr.
20120491-02-R

Treaksial forsøk: **CAUP**

Dato
2014-08-08

Boring: **2344**

Dybde = **16.51** m

Konsolidering-spenninger

Sylinder: **14**

$p_{o'}$ = **241.3** kPa

(kPa) maks. min. endelig

Figur nr.
G326

Del: **A**

w_i = **29.6** %

σ_{ac}' = - - **241.4**

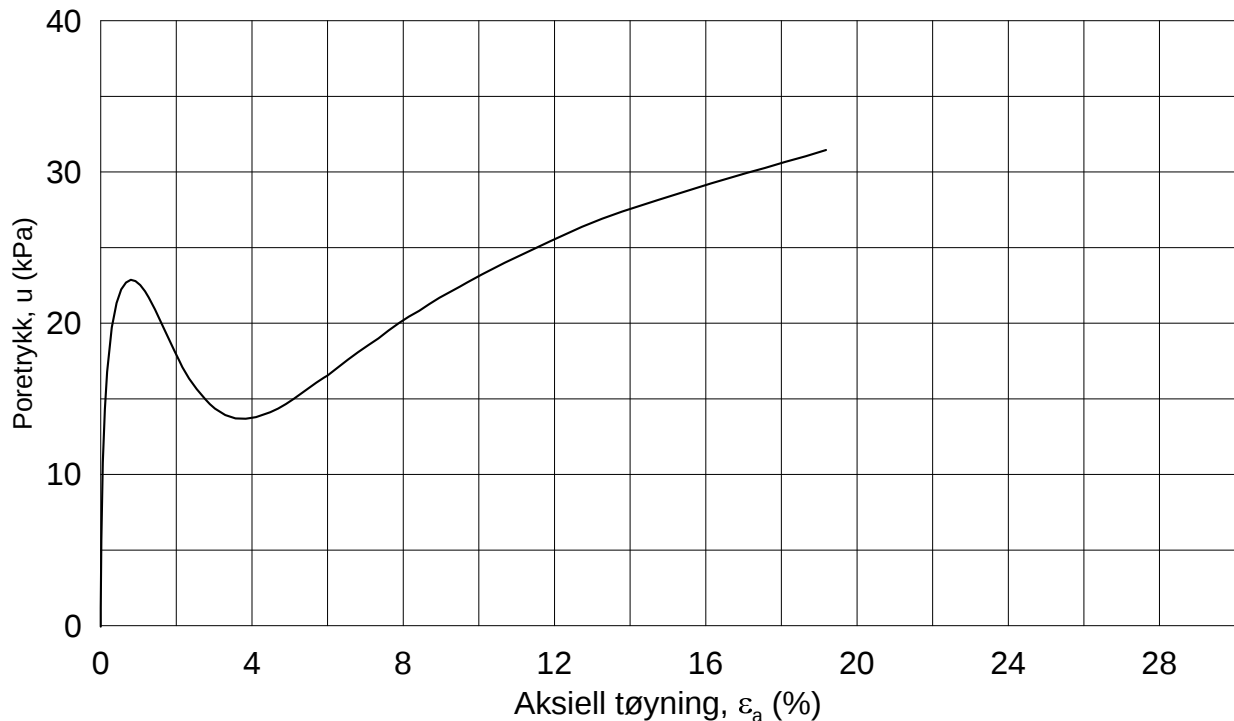
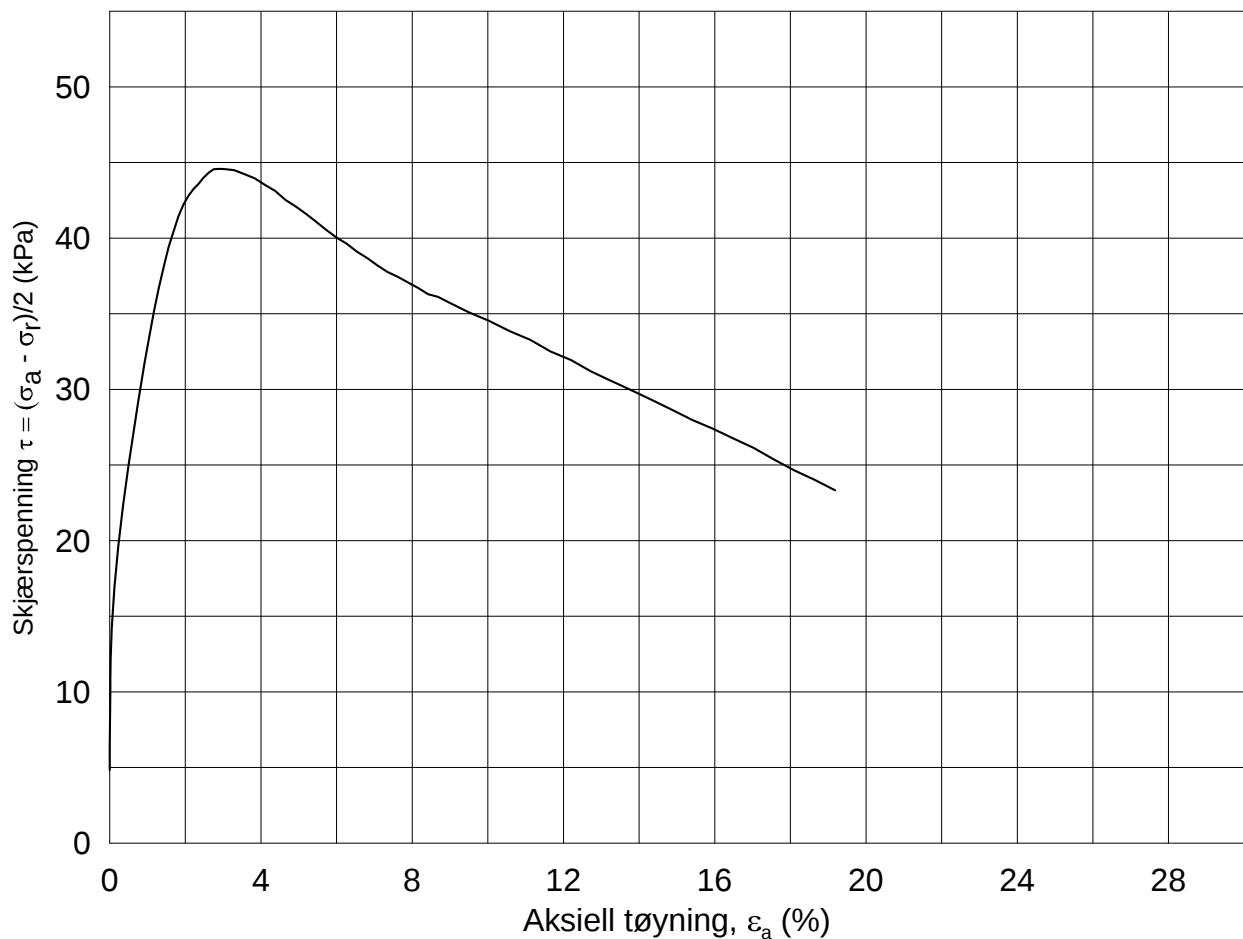
Tegnet av
MAS

Test: **3**

w_c = **27.8** %

σ_{rc}' = - - **144.7**





Date/Rev.: 2009-11-03/01

E16 Nybakk - Slomarka

Dokument nr.
20120491-02-R

Treaksial forsøk: **CAUA**

Dato
2014-04-15

Boring: **2366**

Dybde = **5.21** m

Konsolidering-spenninger

Sylinder: **5**

$p_{o'}$ = **63.9** kPa

(kPa) maks. min. endelig

Figur nr.
G327

Del: **A**

w_i = **35.2** %

σ_{ac}' = - - **63.9**

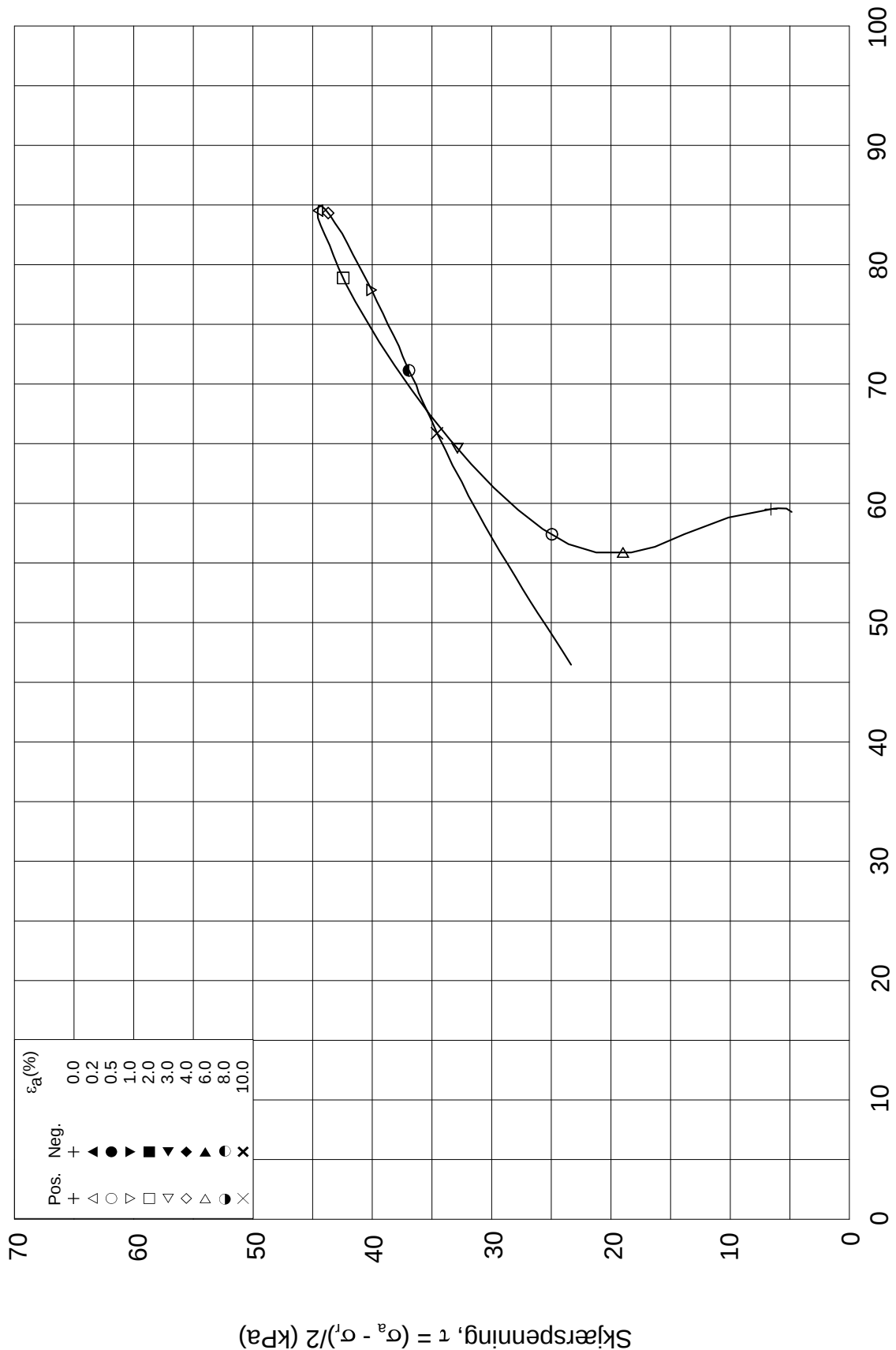
Tegnet av
MAS

Test: **1**

w_c = **34.1** %

σ_{rc}' = - - **54.3**





Date/Rev.: 2009-11-03/01

E16 Nybakk - Slomarka

Dokument nr.
20120491-02-R

Treaksial forsøk: **CAUA**

Dato
2014-04-24

Boring: **2366**

Dybde = **5.21** m

Konsolidering-spenninger

Sylinder: **5**

$p_{o'}$ = **63.9** kPa

(kPa) maks. min. endelig

Figur nr.
G328

Del: **A**

w_i = **35.2** %

σ_{ac}' = - - **63.9**

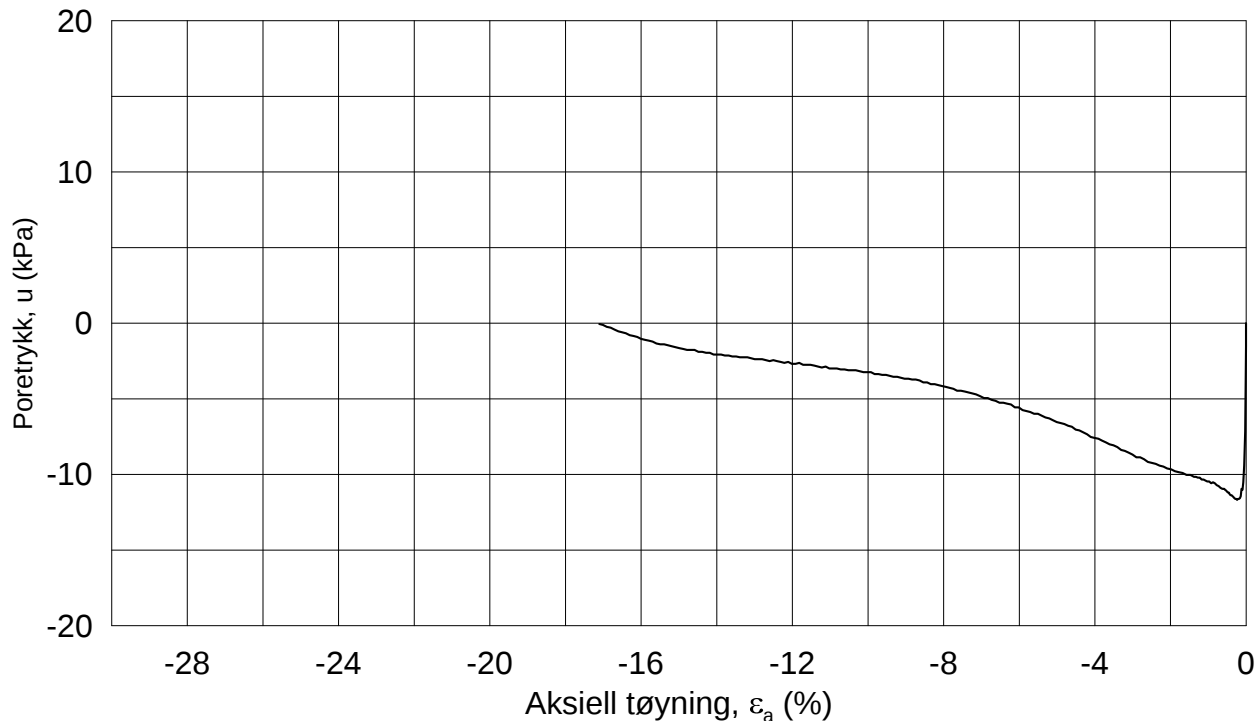
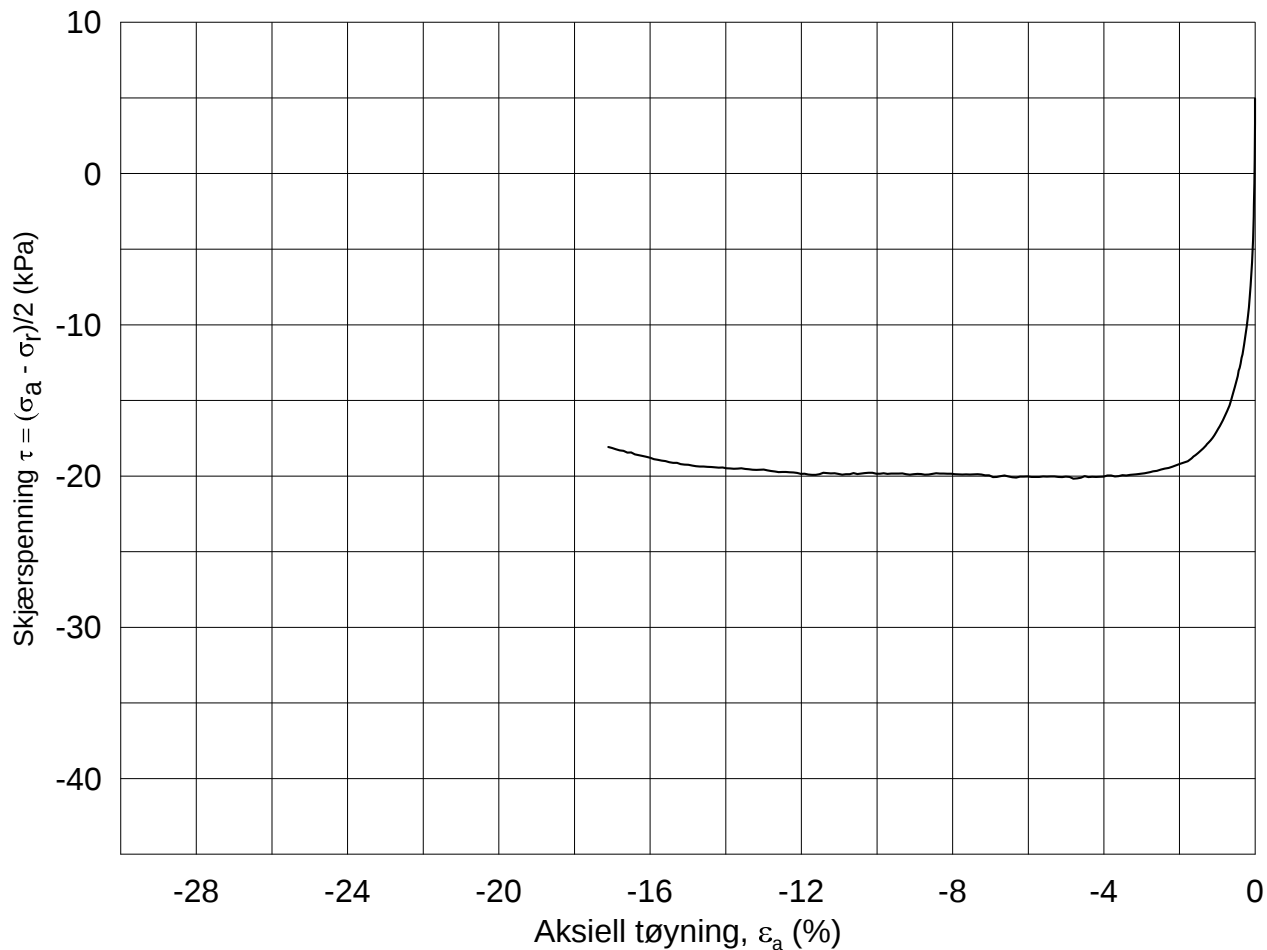
Tegnet av
MAS

Test: **1**

w_c = **34.1** %

σ_{rc}' = - - **54.3**





Date/Rev.: 2009-11-03/01

E16 Nybakk - Slomarka

Dokument nr.
20120491-02-R

Treaksial forsøk: **CAUP**

Dato
2014-04-24

Boring: **2366**

Dybde = **5.36** m

Konsolidering-spenninger

Sylinder: **5**

p_o' = **65.4** kPa

(kPa) maks. min. endelig

Figur nr.
G329

Del: **A**

w_i = **35.3** %

σ_{ac}' = - - **65.4**

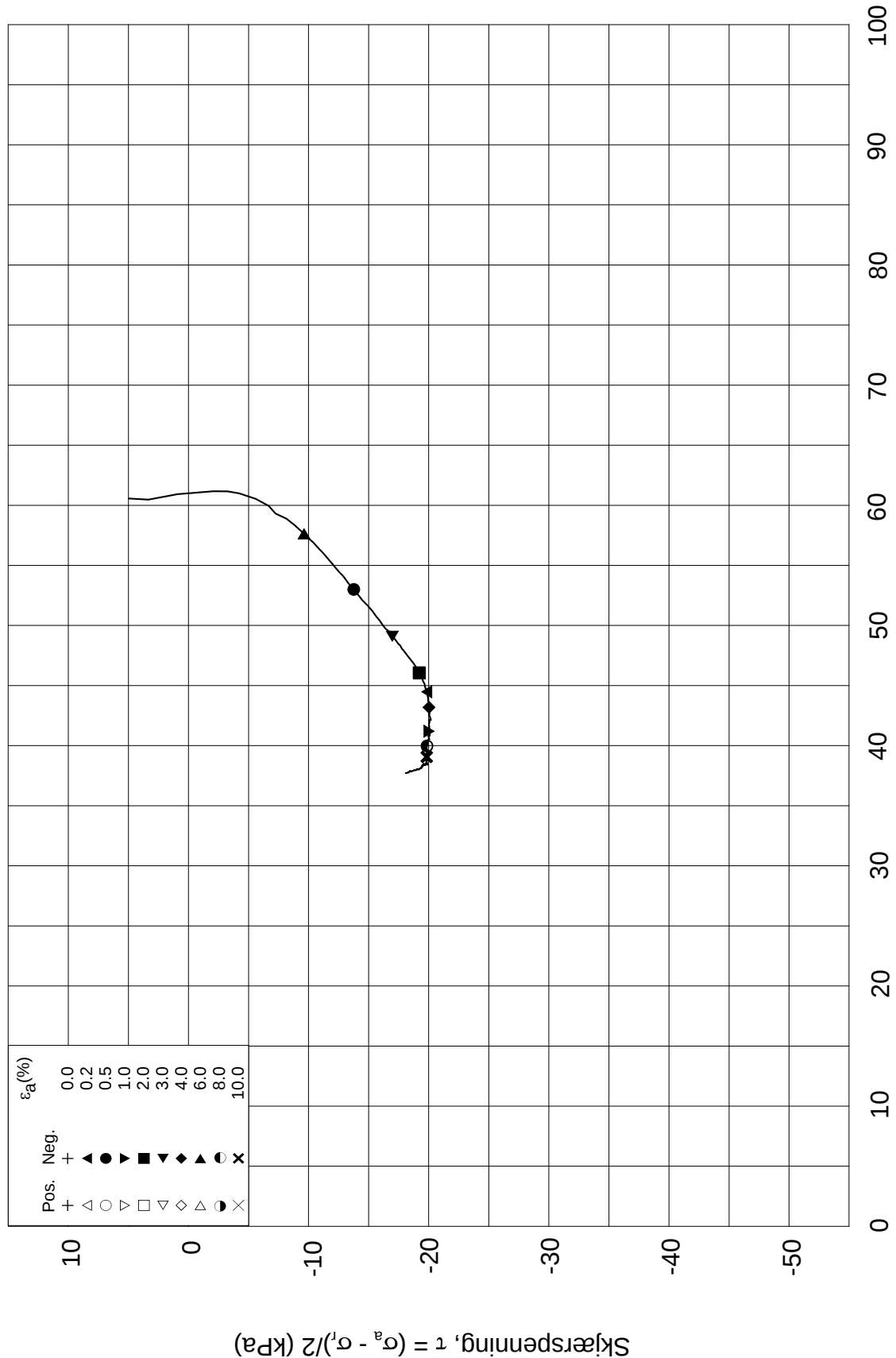
Tegnet av
MAS

Test: **2**


w_c = **34.7** %

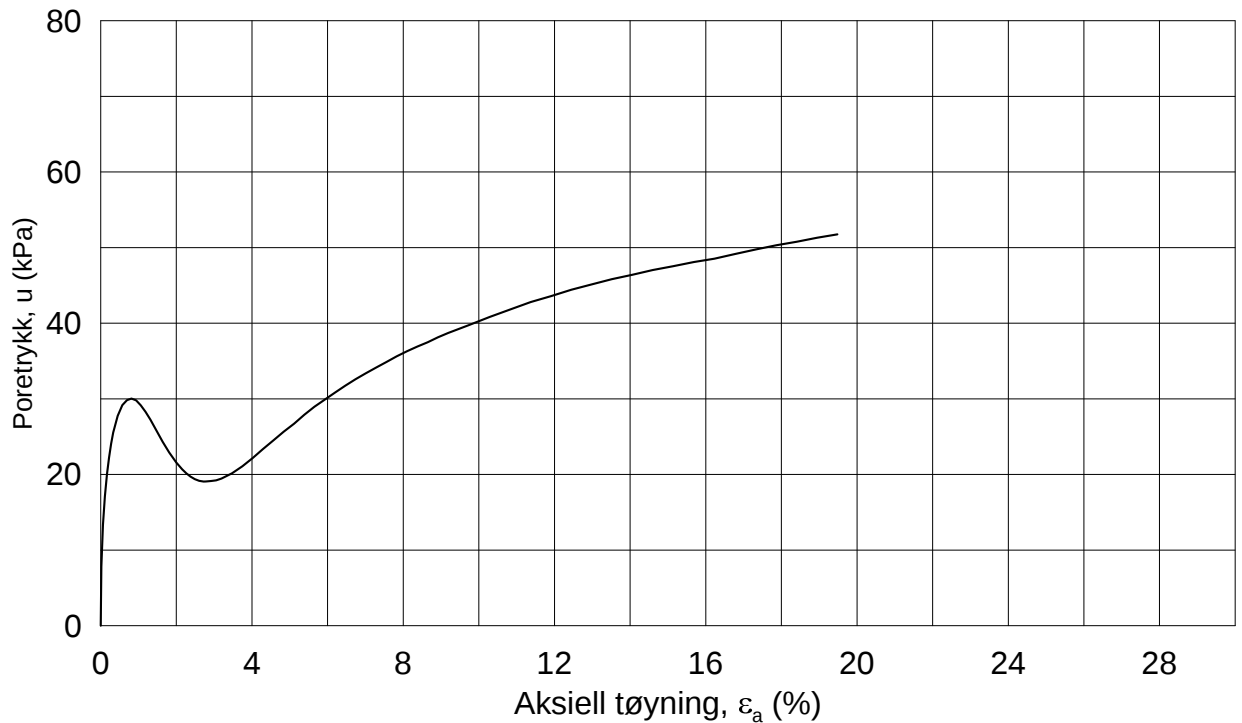
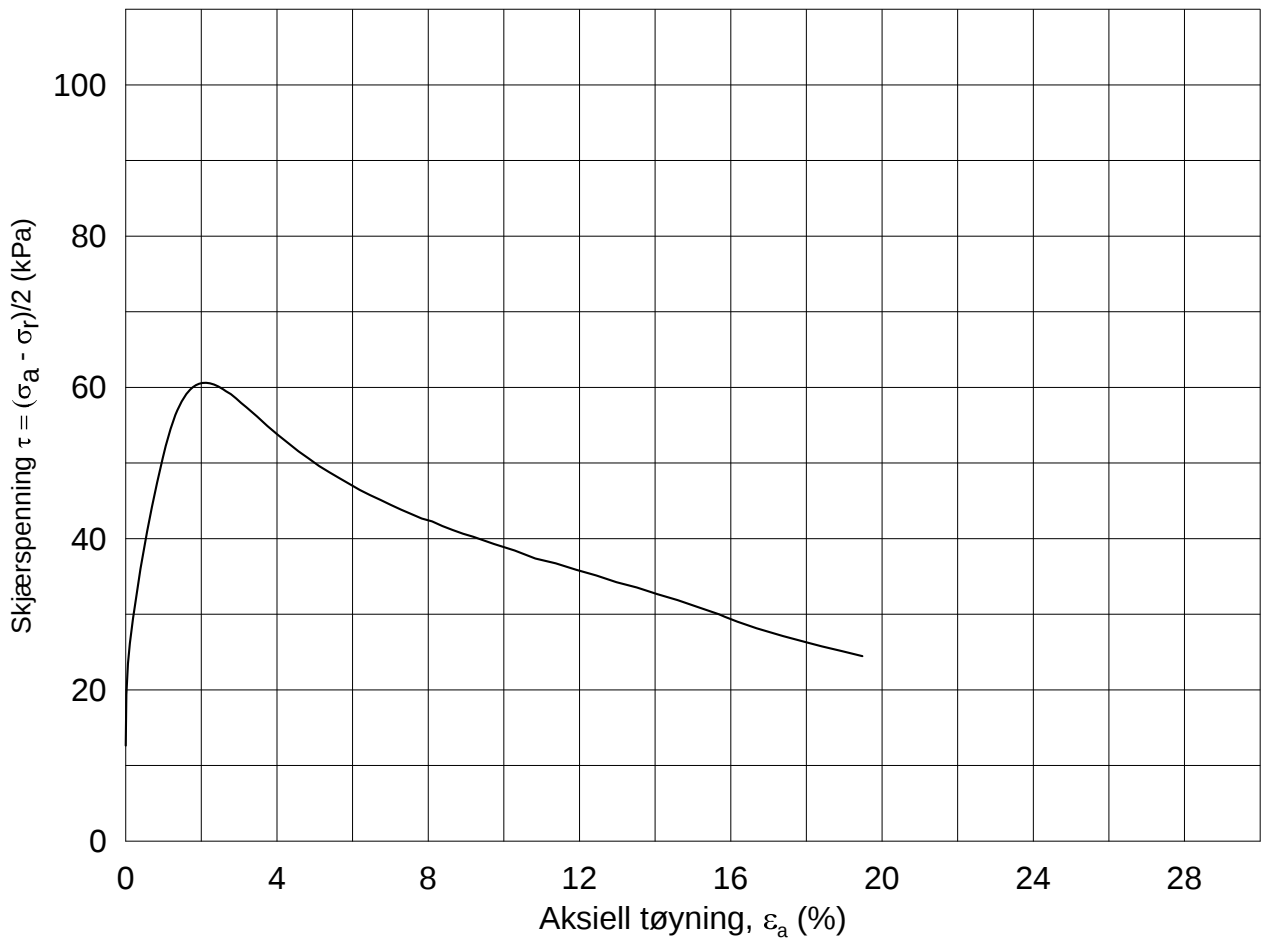
σ_{rc}' = - - **55.6**





Date/Rev.: 2009-11-03/01

E16 Nybakk - Slomarka			Dokument nr. 20120491-02-R	
Treaksial forsøk: CAUP			Dato 2014-04-24	
Boring: 2366	Dybde = 5.36 m	Konsolidering-spenninger		
Sylinder: 5	$p_{o'}$ = 65.4 kPa	(kPa)	maks.	min.
Del: A	w_i = 35.3 %	$\sigma_{ac}' =$	-	-
Test: 2	w_c = 34.7 %	$\sigma_{rc}' =$	-	-
			65.4	55.6
		Figur nr.	G330	
		Tegnet av	MAS	
				



Date/Rev.: 2009-11-03/01

E16 Nybakk - Slomarka

Dokument nr.
20120491-02-R

Treaksial forsøk: **CAUA**

Dato
2014-05-12

Boring: **2366**

Dybde = **10.20** m

Konsolidering-spenninger

Sylinder: **10**

$p_{o'}$ = **101.3** kPa

(kPa) maks. min. endelig

Figur nr.
G331

Del: **A**

w_i = **34.7** %

σ_{ac}' = - - **101.2**

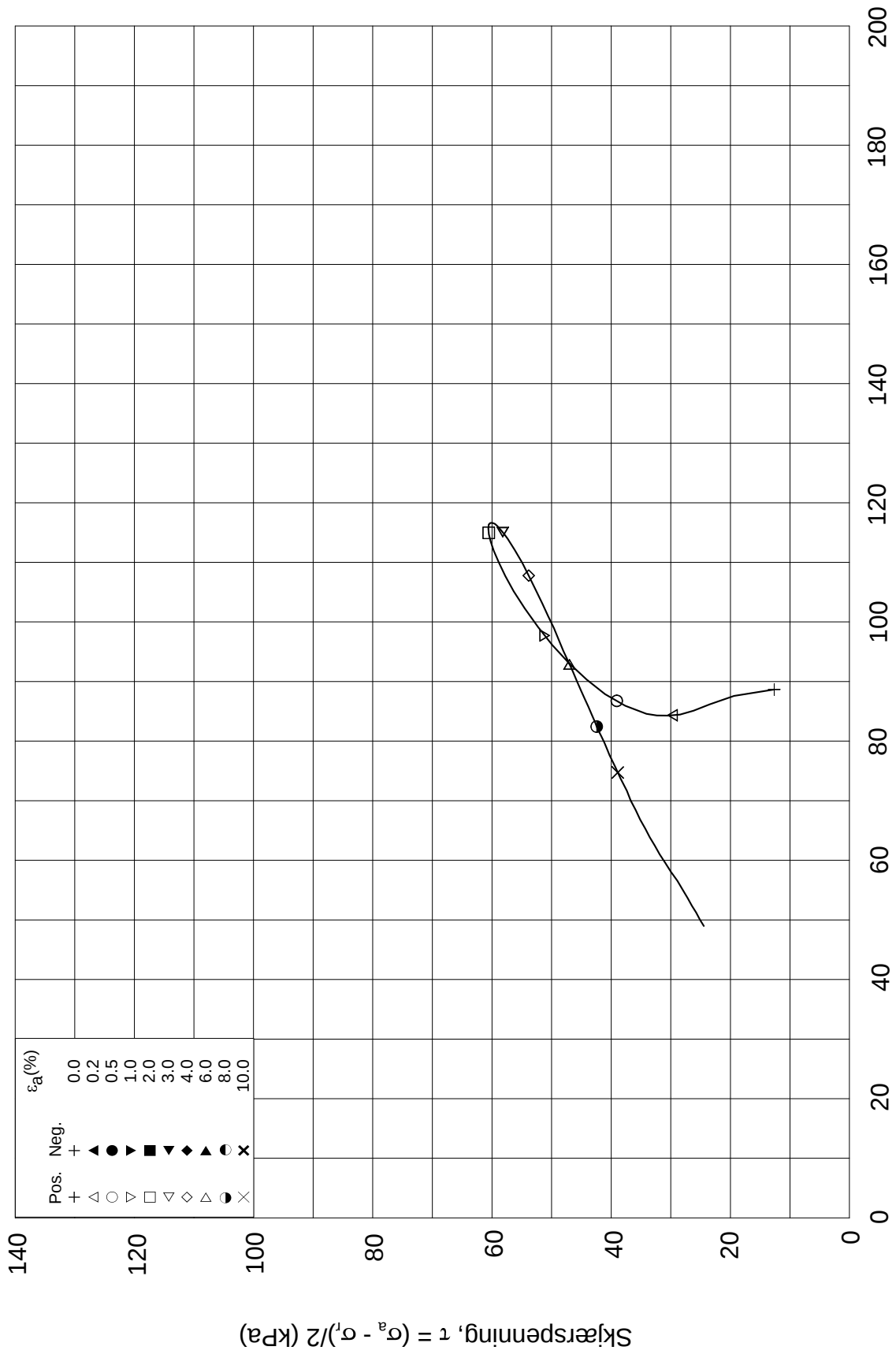
Tegnet av
MAS

Test: **1**

w_c = **33.5** %

σ_{rc}' = - - **76.0**



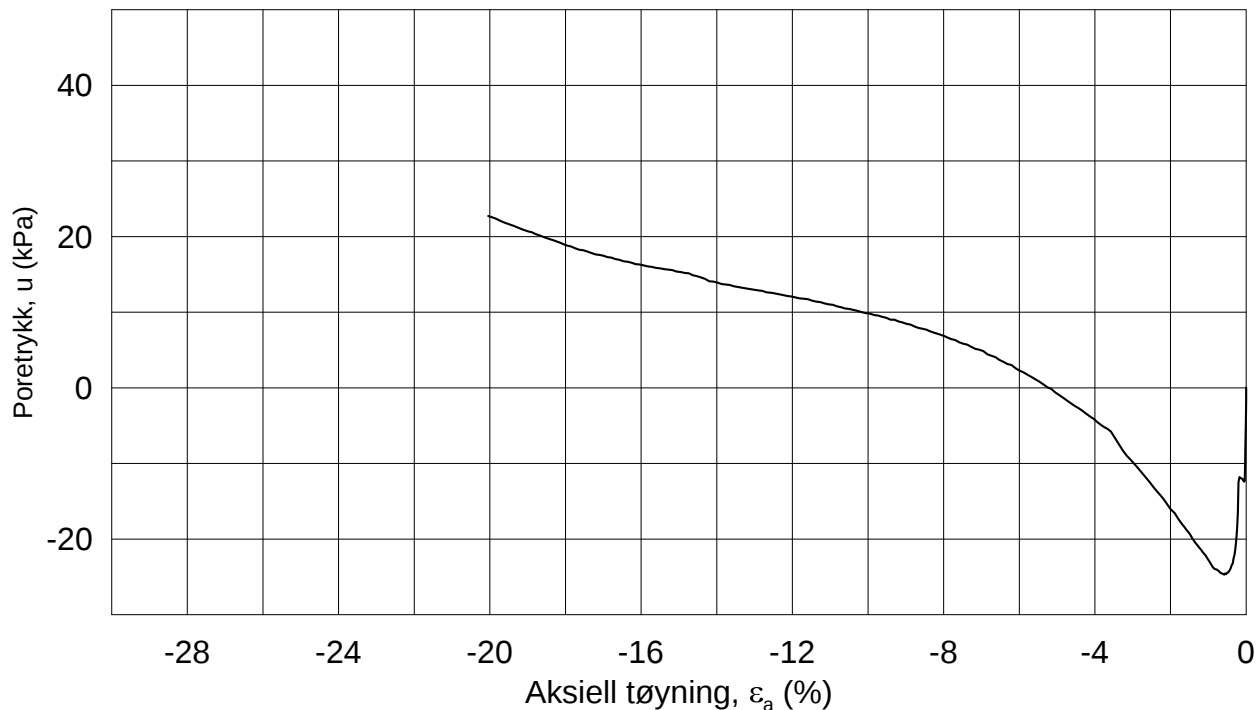
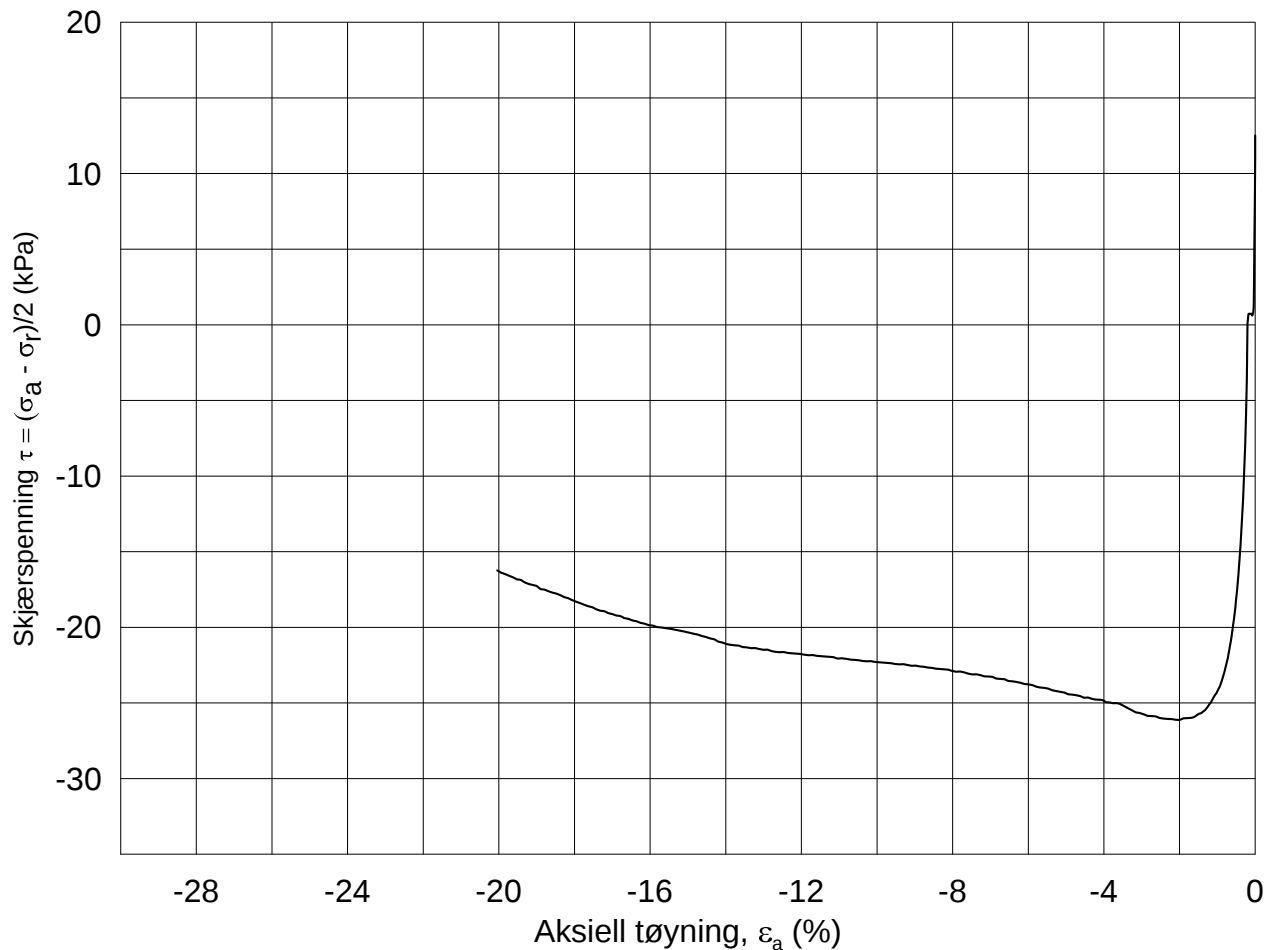


Effektiv gjennomsnittsspenning, $p' = (\sigma_a' + \sigma_r')/2$ (kPa)

Date/Rev.: 2009-11-03/01

E16 Nybakk - Slomarka			Dokument nr. 20120491-02-R	
Treaksial forsøk: CAUA			Dato 2014-05-12	
Boring: 2366	Dybde = 10.20 m	Konsolidering-spenninger		
Sylinder: 10	$p_{o'}$ = 101.3 kPa	(kPa)	maks.	min.
Del: A	w_i = 34.7 %	$\sigma_{ac}' =$	-	-
Test: 1	w_c = 33.5 %	$\sigma_{rc}' =$	-	-
		endelig	101.2	
			76.0	
		Figur nr.	G332	
		Tegnet av	MAS	

2366-10-A-1-1.Plot2.grf



Date/Rev.: 2009-11-03/01

E16 Nybakk - Slomarka

Dokument nr.
20120491-02-R

Treaksial forsøk: **CAUP**

Dato
2014-05-09

Boring: **2366**

Dybde = **10.35** m

Konsolidering-spenninger

Sylinder: **10**

p_o' = **103.3** kPa

(kPa) maks. min. endelig

Figur nr.
G333

Del: **A**

w_i = **33.1** %

σ_{ac}' = - - **103.2**

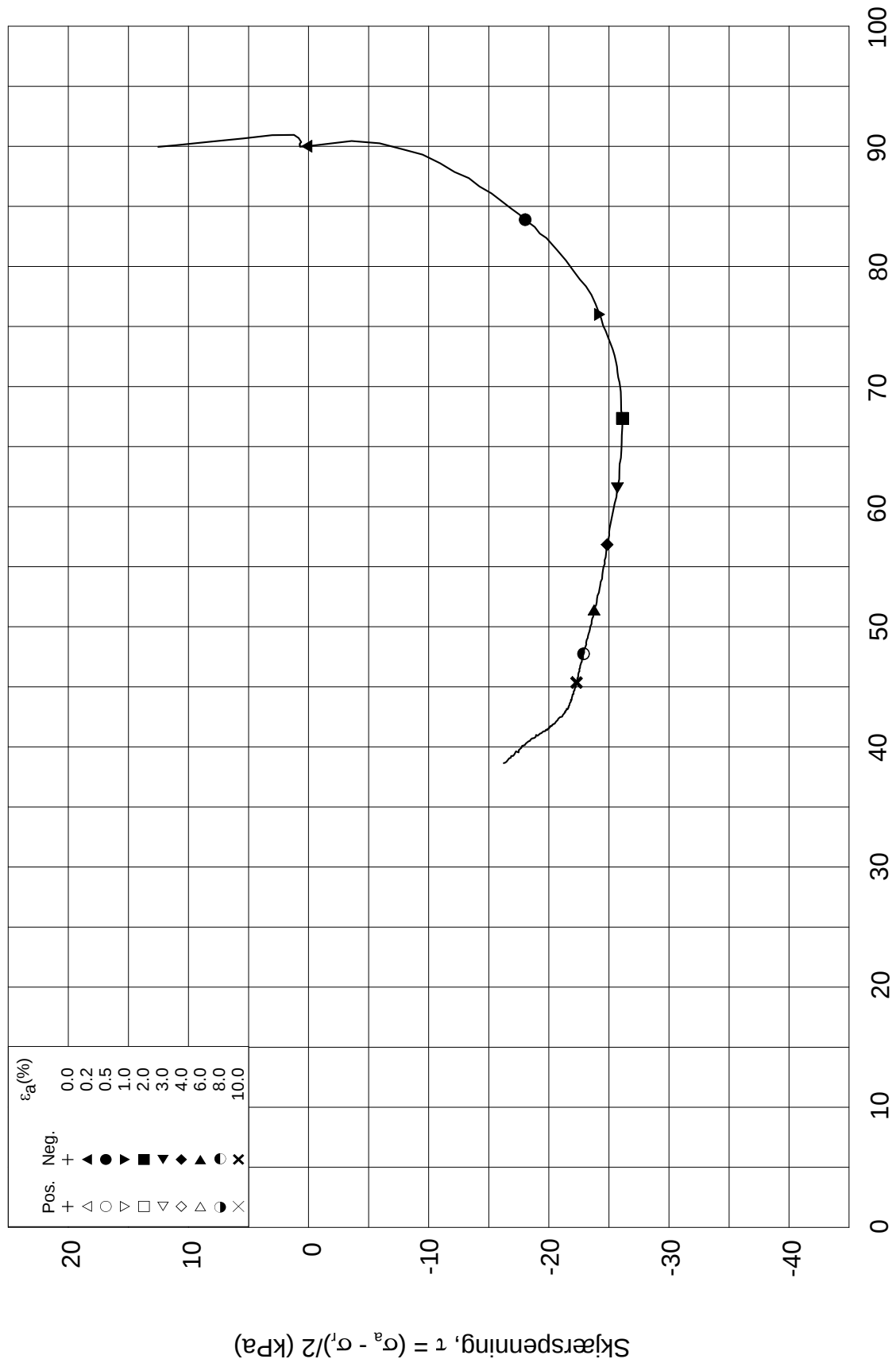
Tegnet av
MAS

Test: **2**

w_c = **32.4** %

σ_{rc}' = - - **77.4**





Effektiv gjennomsnittsspenning, $p' = (\sigma_a' + \sigma_r')/2$ (kPa)

Date/Rev.: 2009-11-03/01

E16 Nybakk - Slomarka

Dokument nr.
20120491-02-R

Treaksial forsøk: **CAUP**

Dato
2014-05-09

Boring: **2366**

Dybde = **10.35** m

Konsolidering-spenninger

Sylinder: **10**

$p_{o'}$ = **103.3** kPa

(kPa) maks. min. endelig

Figur nr.
G334

Del: **A**

w_i = **33.1** %

σ_{ac}' = - - **103.2**

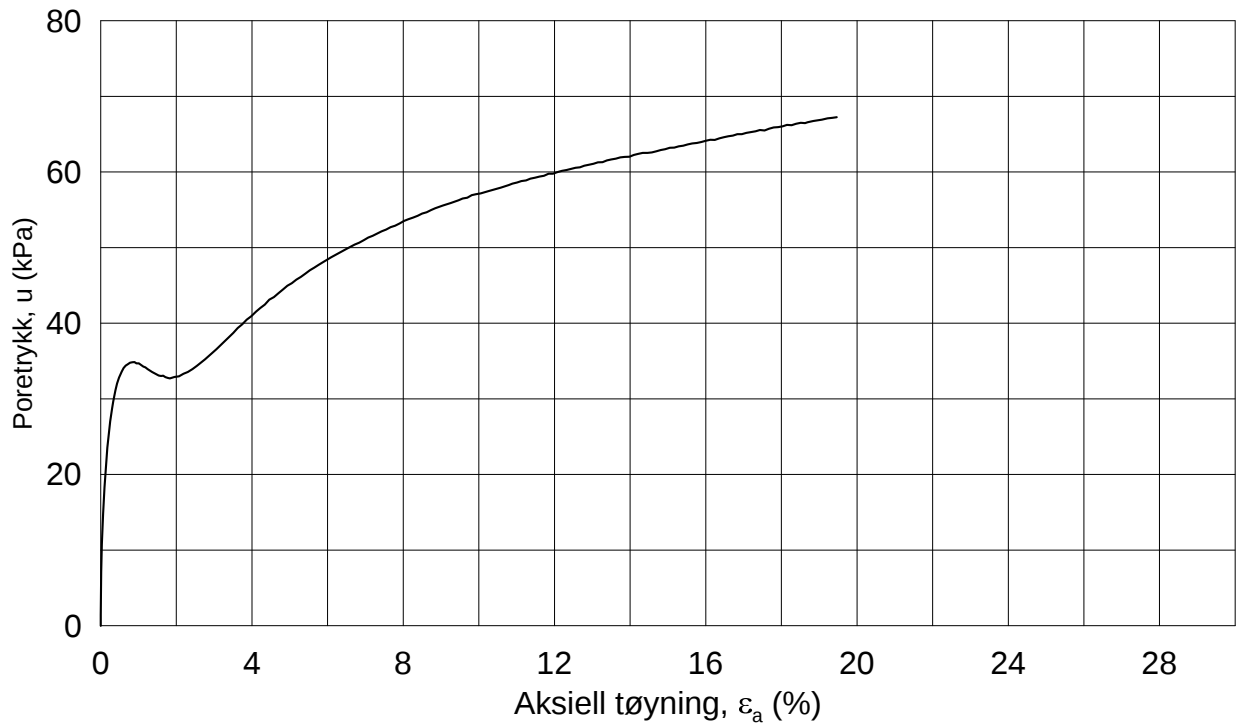
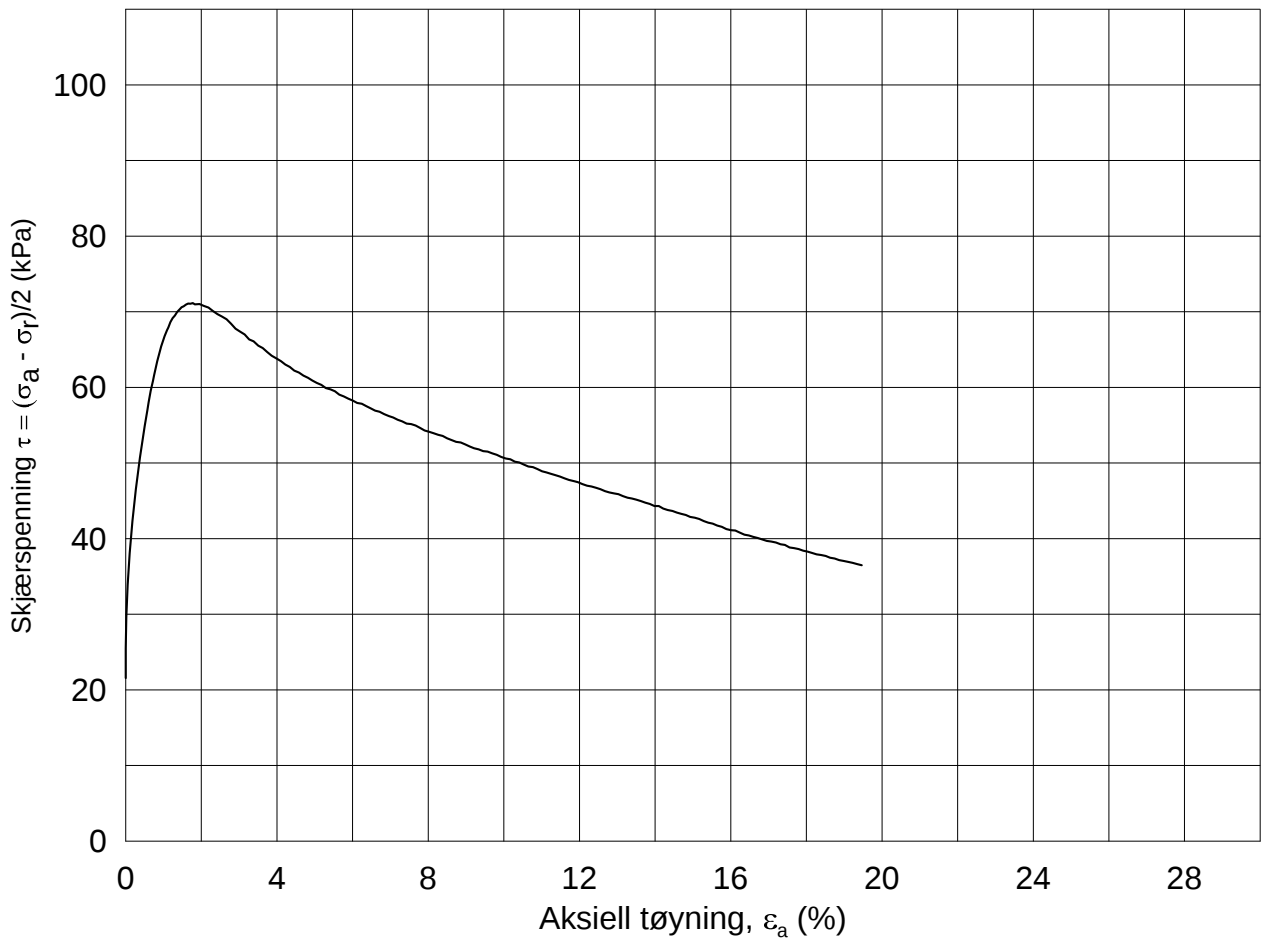
Tegnet av
MAS

Test: **2**

w_c = **32.4** %

σ_{rc}' = - - **77.4**





Date/Rev.: 2009-11-03/01

E16 Nybakk - Slomarka

Dokument nr.
20120491-02-R

Treaksial forsøk: **CAUA**

Dato
2014-05-09

Boring: **2366**

Dybde = **16.20** m

Konsolidering-spenninger

Sylinder: **15**

$p_{o'}$ = **143.8** kPa

(kPa) maks. min. endelig

Figur nr.
G335

Del: **A**

w_i = **27.9** %

σ_{ac}' = - - **143.8**

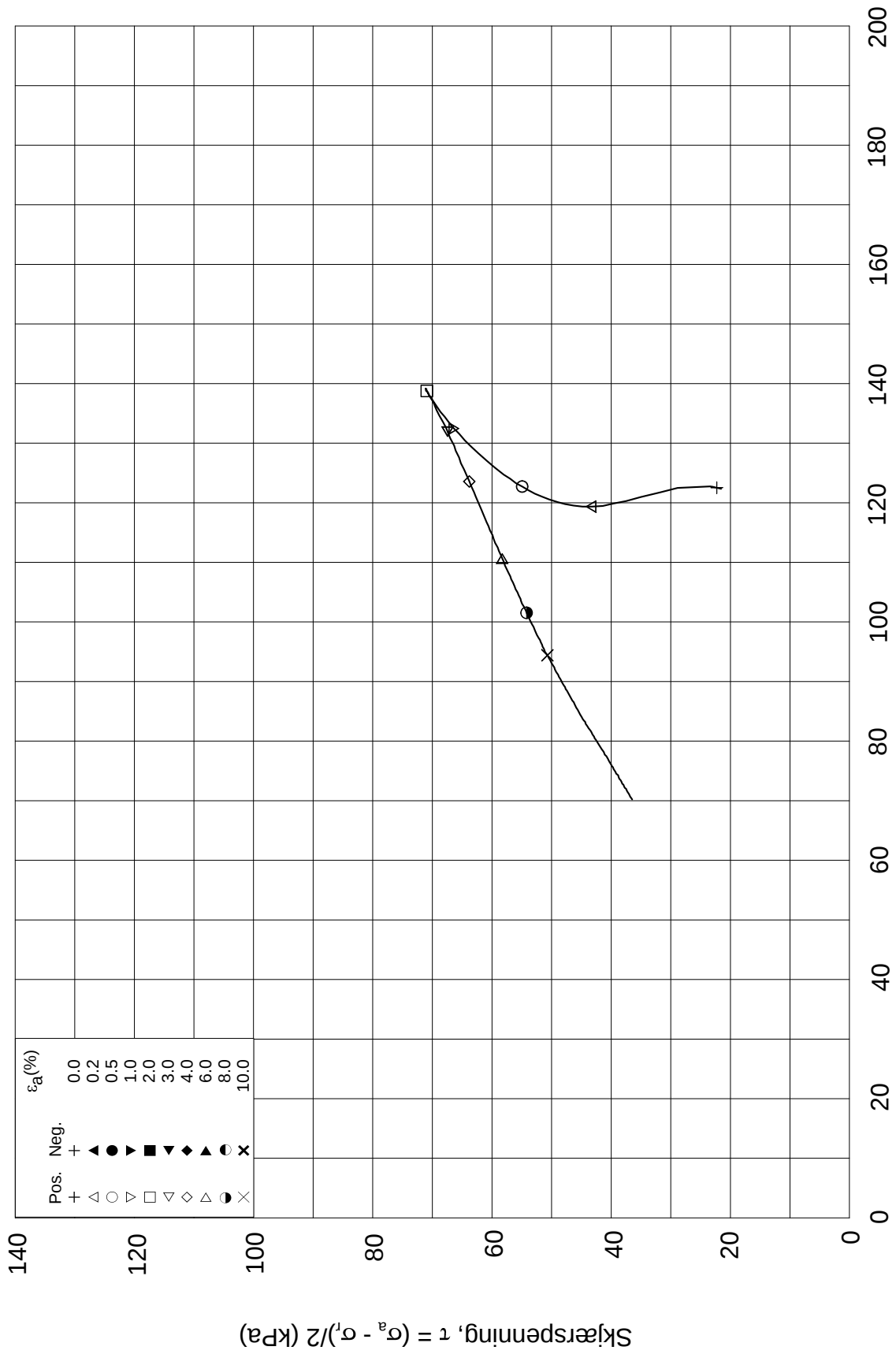
Tegnet av
MAS

Test: **1**

w_c = **27.0** %

σ_{rc}' = - - **100.7**



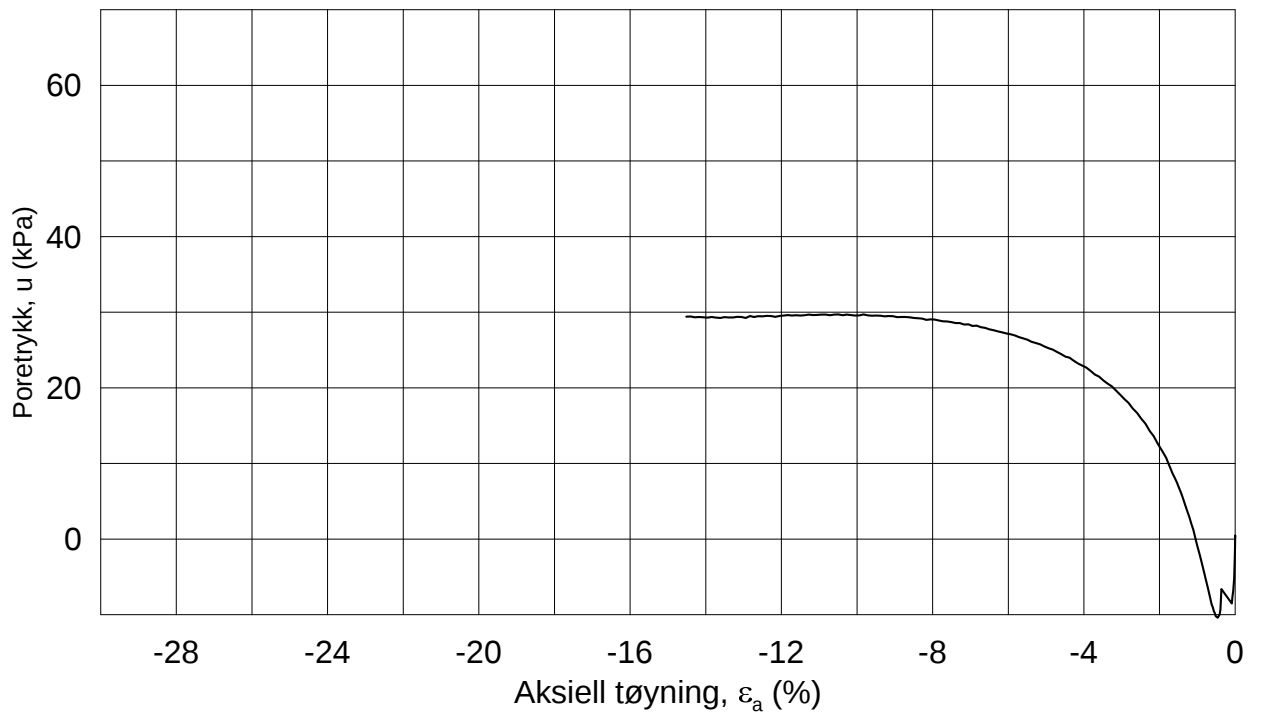
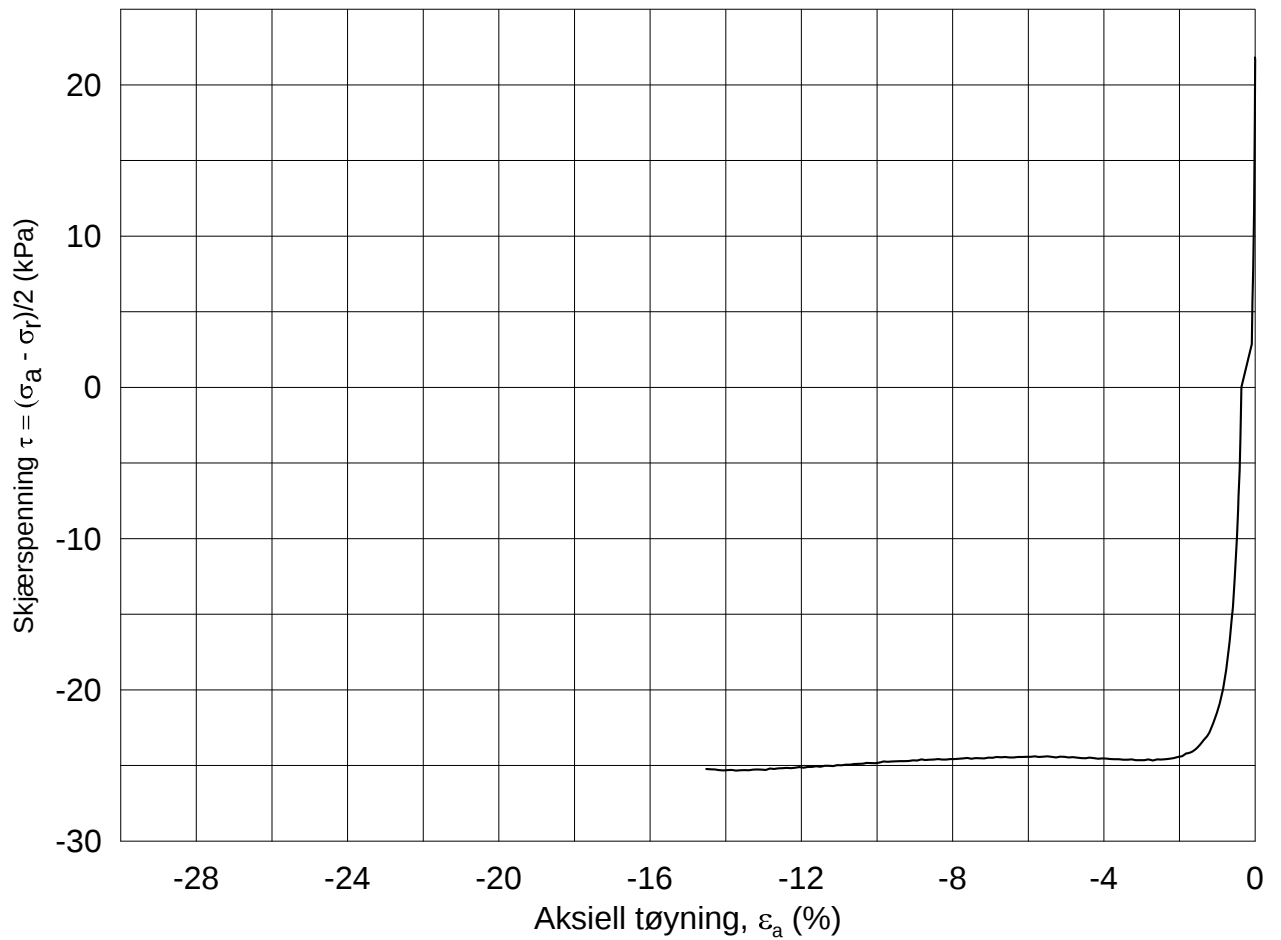


Effektiv gjennomsnittsspenning, $p' = (\sigma_a' + \sigma_r')/2$ (kPa)

Date/Rev.: 2009-11-03/01

E16 Nybakk - Slomarka			Dokument nr. 20120491-02-R
Treaksial forsøk: CAUA			Dato 2014-05-09
Boring: 2366	Dybde = 16.20 m	Konsolidering-spenninger	
Sylinder: 15	$p_{o'}$ = 143.8 kPa	(kPa)	maks. min. endelig
Del: A	w_i = 27.9 %	$\sigma_{ac}' =$ - - 143.8	Figur nr. G336
Test: 1	w_c = 27.0 %	$\sigma_{rc}' =$ - - 100.7	Tegnet av MAS

2366-15-A-1-1.Plot2.grf



Date/Rev.: 2009-11-03/01

E16 Nybakk - Slomarka

Dokument nr.
20120491-02-R

Treaksial forsøk: **CAUP**

Dato
2014-05-09

Boring: **2366**

Dybde = **16.35** m

Konsolidering-spenninger

Sylinder: **15**

p_o' = **145.1** kPa

(kPa) maks. min. endelig

Figur nr.
G337

Del: **A**

w_i = **28.6** %

σ_{ac}' = - - **145.0**

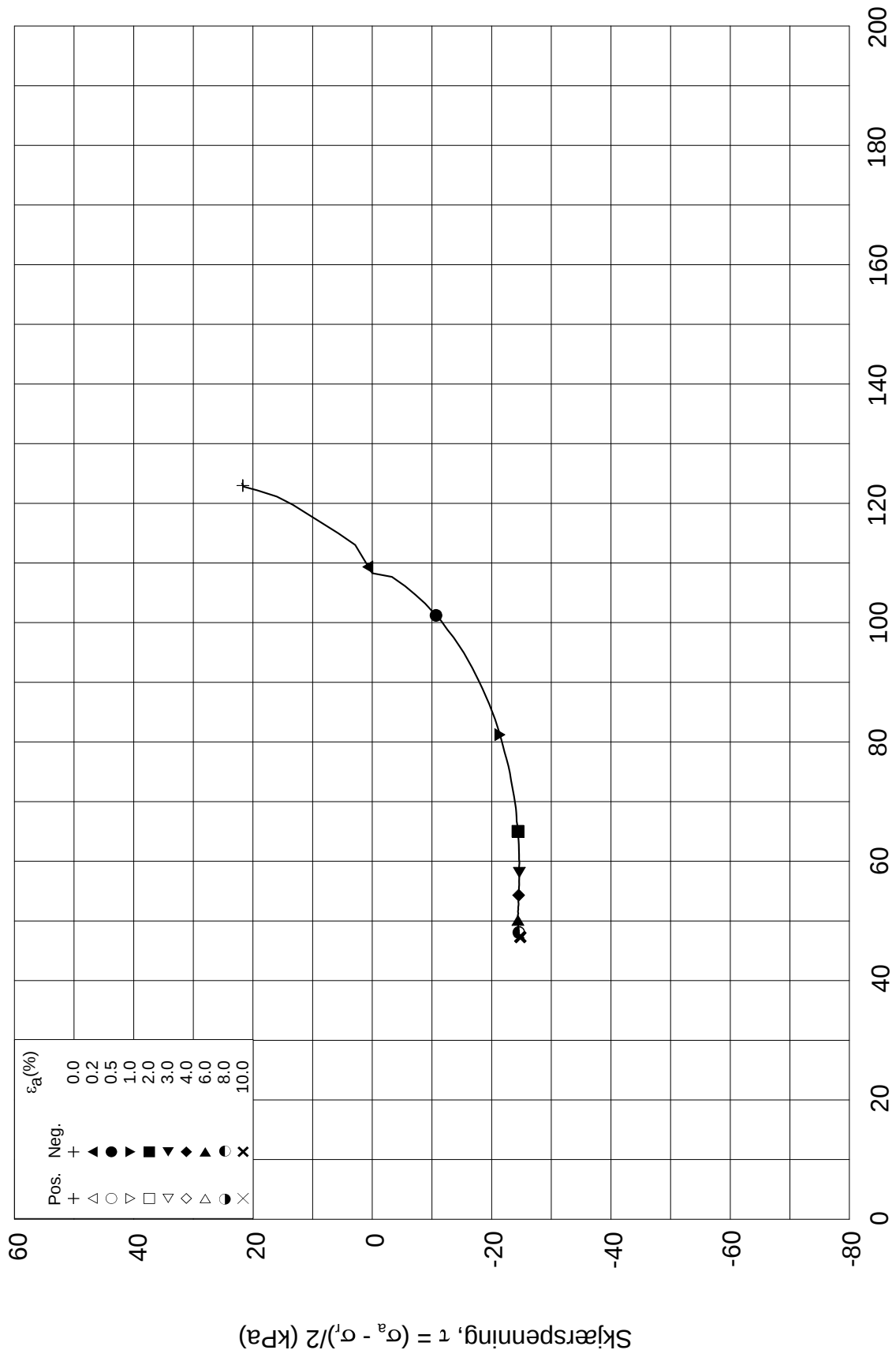
Tegnet av
MAS

Test: **2**

w_c = **27.6** %

σ_{rc}' = - - **101.6**





Effektiv gjennomsnittsspenning, $p' = (\sigma_a' + \sigma_r')/2$ (kPa)

Date/Rev.: 2009-11-03/01

E16 Nybakk - Slomarka

Dokument nr.
20120491-02-R

Treaksial forsøk: **CAUP**

Dato
2014-05-09

Boring: **2366**

Dybde = **16.35** m

Konsolidering-spenninger

Sylinder: **15**

$p_{o'}$ = **145.1** kPa

(kPa) maks. min. endelig

Figur nr.
G338

Del: **A**

w_i = **28.6** %

σ_{ac}' = - - **145.0**

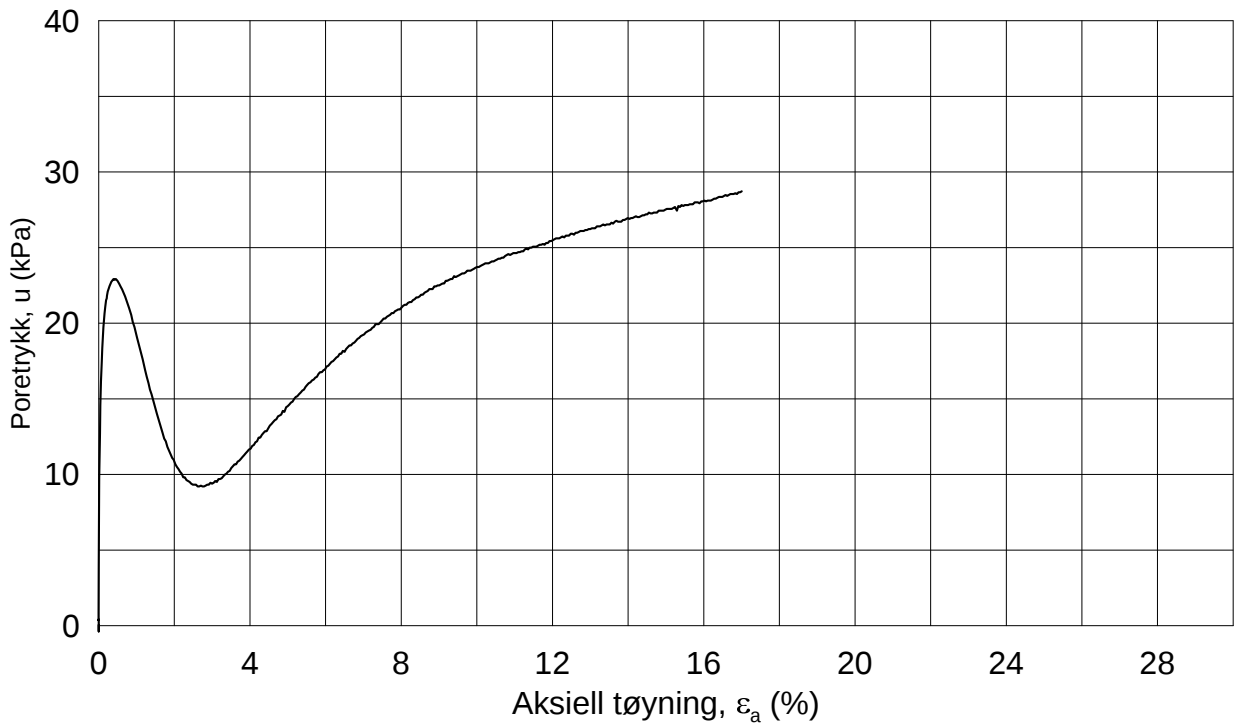
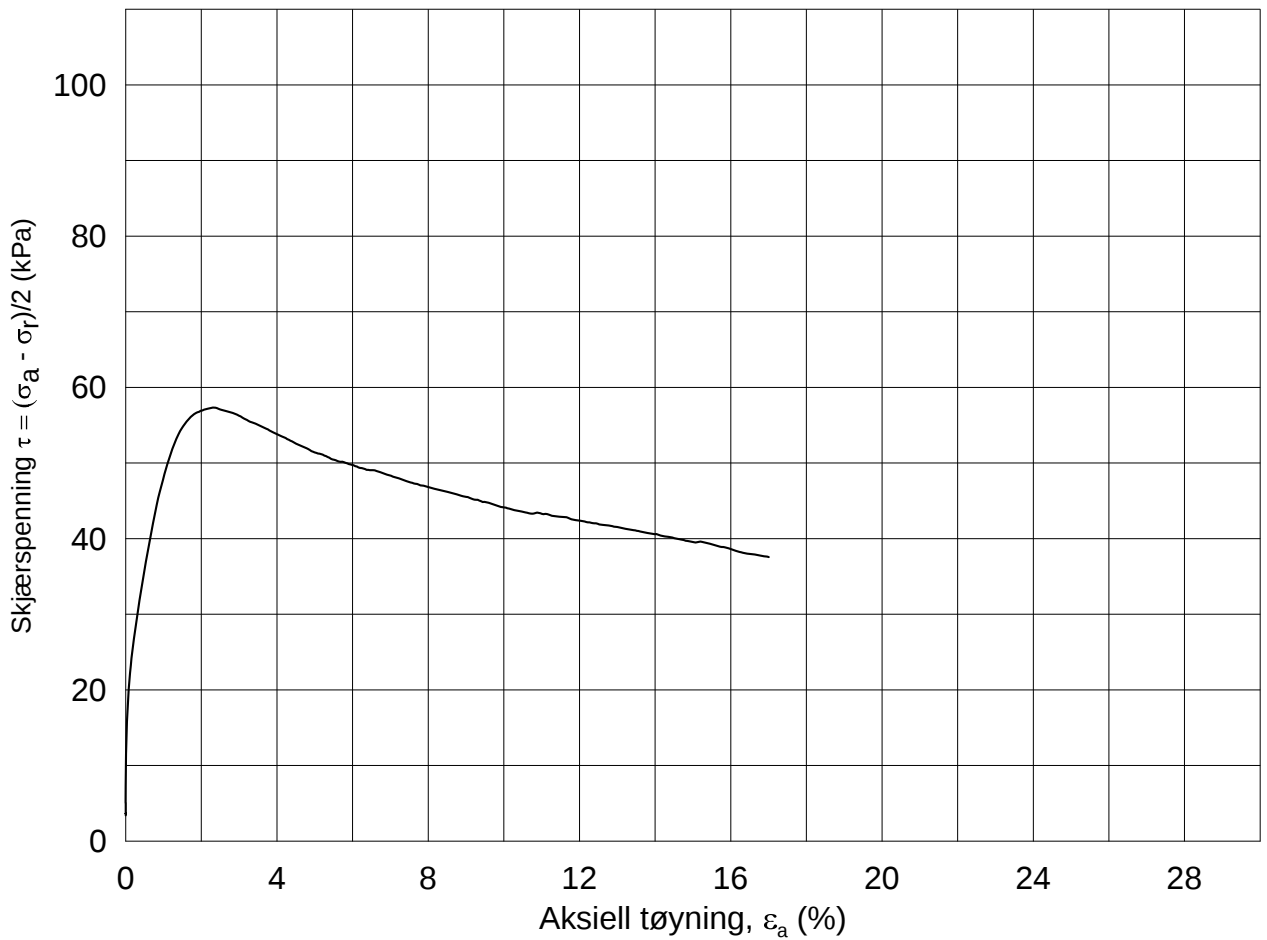
Tegnet av
MAS

Test: **2**

w_c = **27.6** %

σ_{rc}' = - - **101.6**





Date/Rev.: 2009-11-03/01

E16 Nybakk - Slomarka

Dokument nr.
20120491-02-R

Treaksial forsøk: **CAUA**

Dato
2014-08-08

Boring: **2371**

Dybde = **5.43** m Konsolidering-spenninger

Sylinder: **5**

p_o' = **68.7** kPa (kPa) maks. min. endelig

Del: **A**

w_i = **38.0** % σ_{ac}' = - - **68.6**

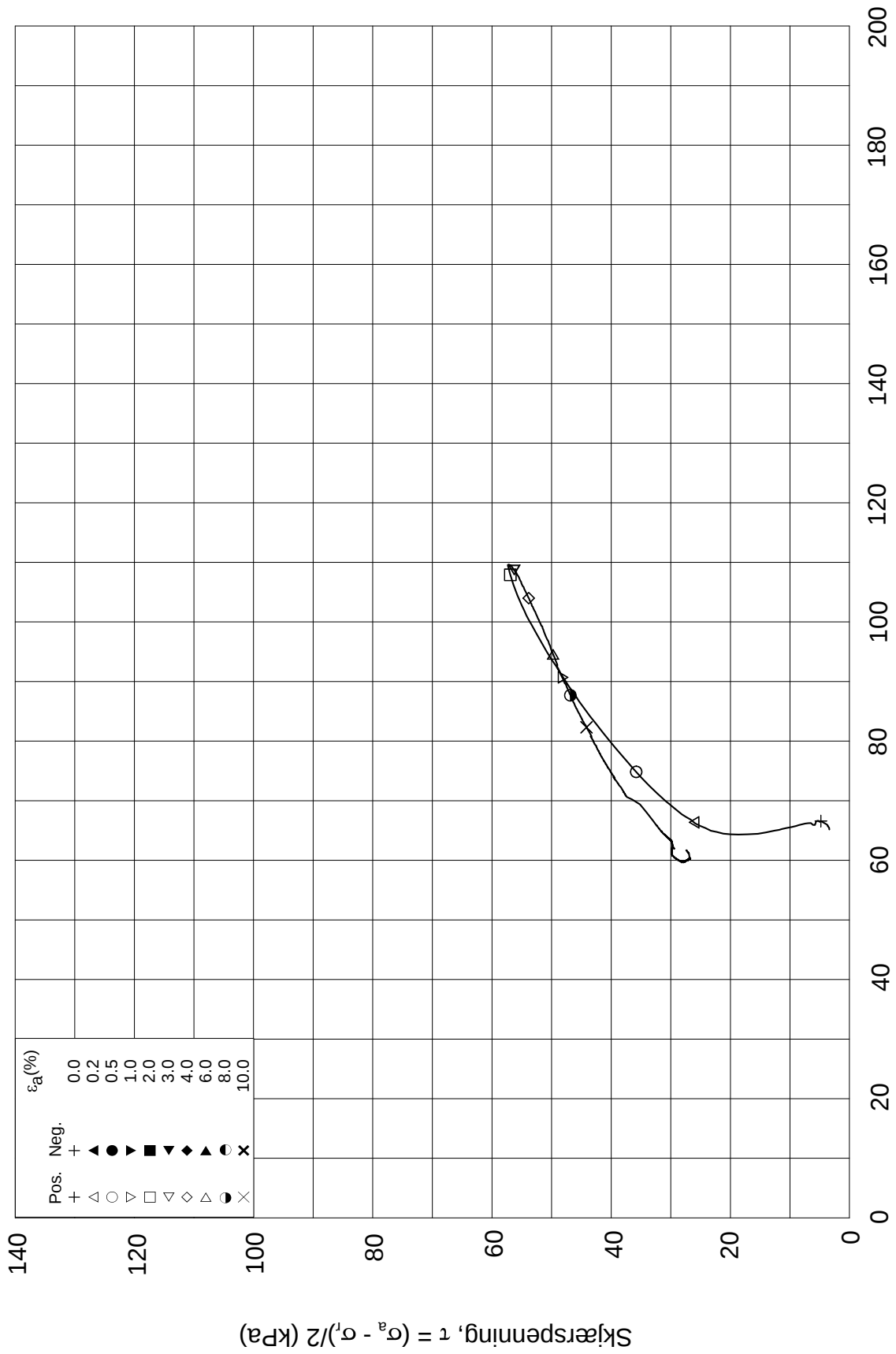
Test: **3**

w_c = **37.9** % σ_{rc}' = - - **61.8**

Figur nr.
G339

Tegnet av
MAS

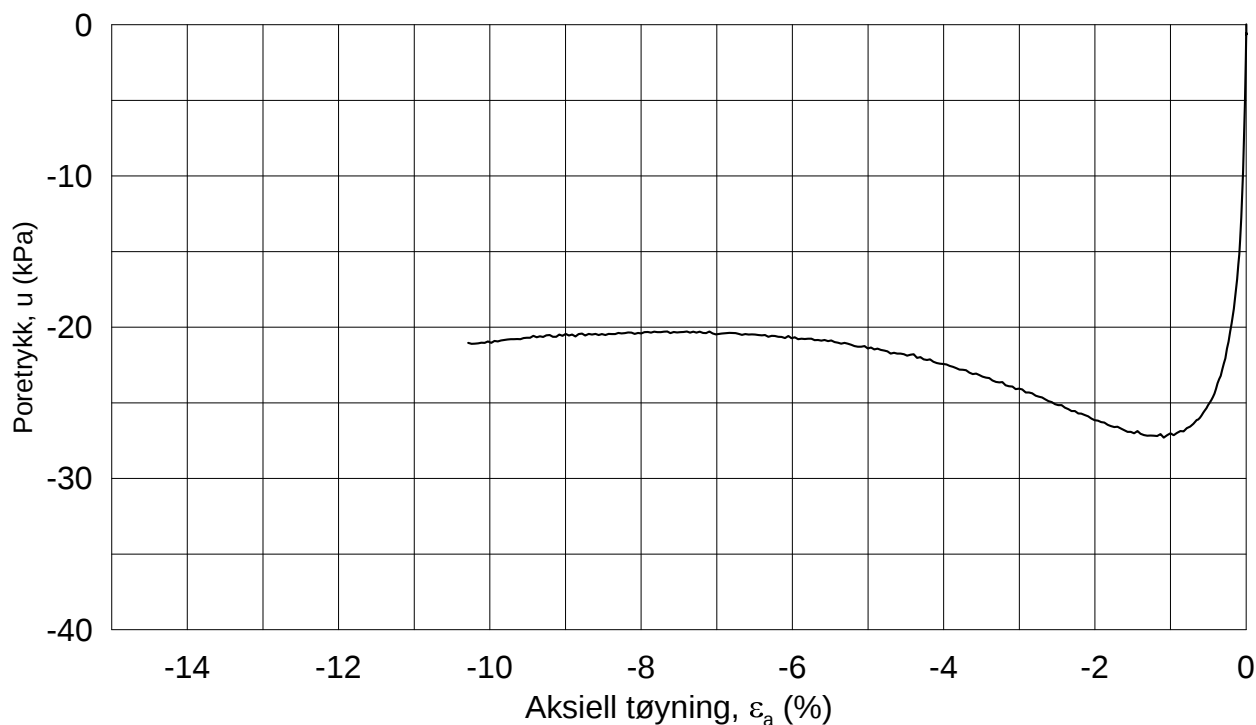
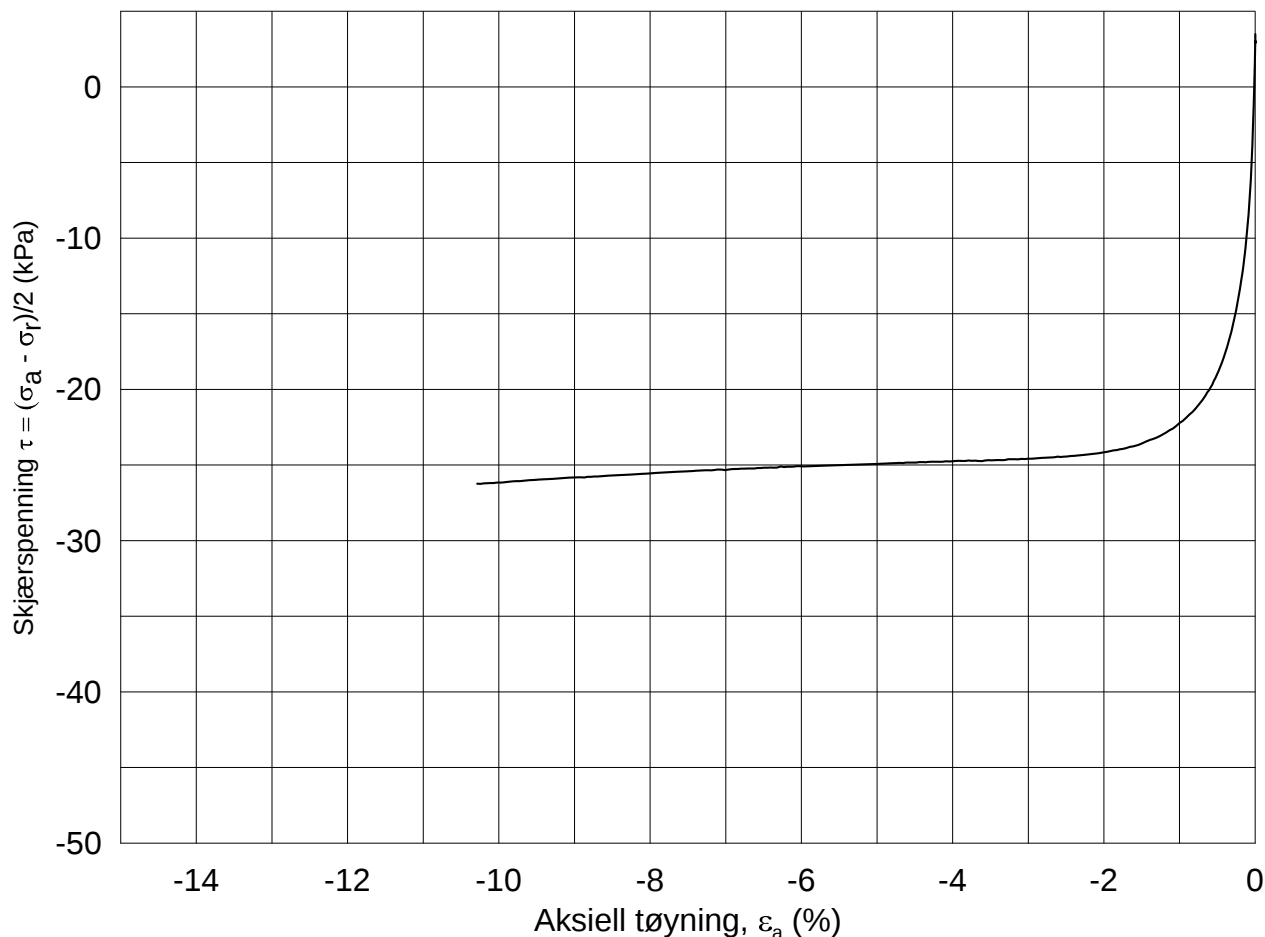




Date/Rev.: 2009-11-03/01

E16 Nybakk - Slomarka			Dokument nr. 20120491-02-R	
Treaksial forsøk: CAUA			Dato 2014-08-08	
Boring: 2371	Dybde = 5.43 m	Konsolidering-spenninger		
Sylinder: 5	$p_{o'}$ = 68.7 kPa	(kPa)	maks.	min.
Del: A	w_i = 38.0 %	σ_{ac}' =	-	-
Test: 3	w_c = 37.9 %	σ_{rc}' =	-	-
		endelig	68.6	
			61.8	
		Figur nr.	G340	
		Tegnet av	MAS	

2371-5-A-3.Plot2.grf



Date/Rev.: 2009-11-03/01

E16 Nybakk - Slomarka

Dokument nr.
20120491-02-R

Treaksial forsøk: **CAUP**

Dato
2014-08-08

Boring: **2371**

Dybde = **5.28** m

Konsolidering-spenninger

Sylinder: **5**

p_o' = **67.7** kPa (kPa) maks. min. endelig

Figur nr.
G341

Del: **A**

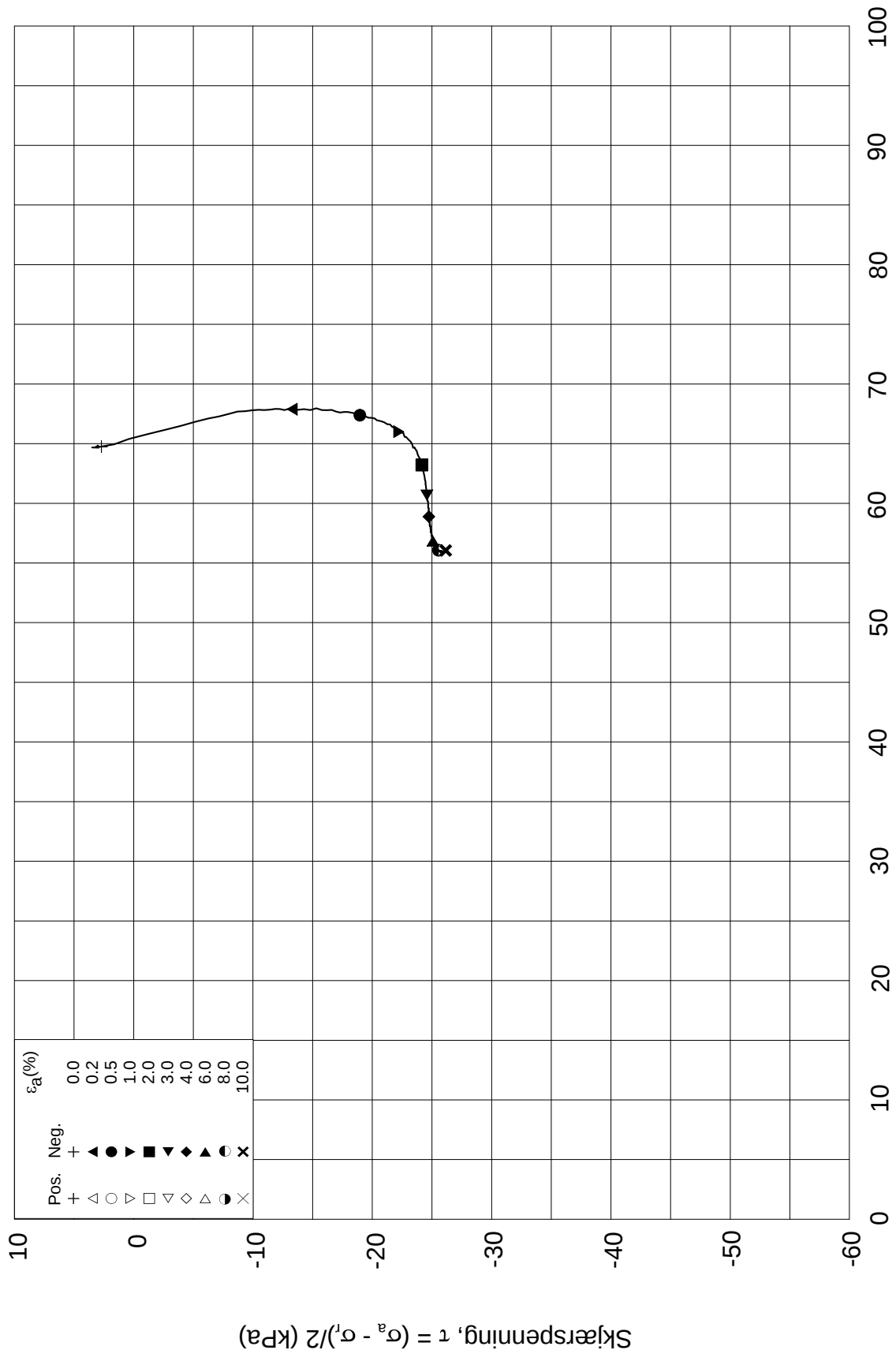
w_i = **38.5** % $\sigma_{ac}' = - - 67.8$

Tegnet av
MAS

Test: **2**

w_c = **38.3** % $\sigma_{rc}' = - - 60.9$





Date/Rev.: 2009-11-03/01

E16 Nybakk - Slomarka

Dokument nr.
20120491-02-R

Treaksial forsøk: **CAUP**

Dato
2014-08-08

Boring: **2371**

Dybde = **5.28** m

Konsolidering-spenninger

Sylinder: **5**

$p_{o'}$ = **67.7** kPa

(kPa) maks. min. endelig

Figur nr.
G342

Del: **A**

w_i = **38.5** %

σ_{ac}' = - - **67.8**

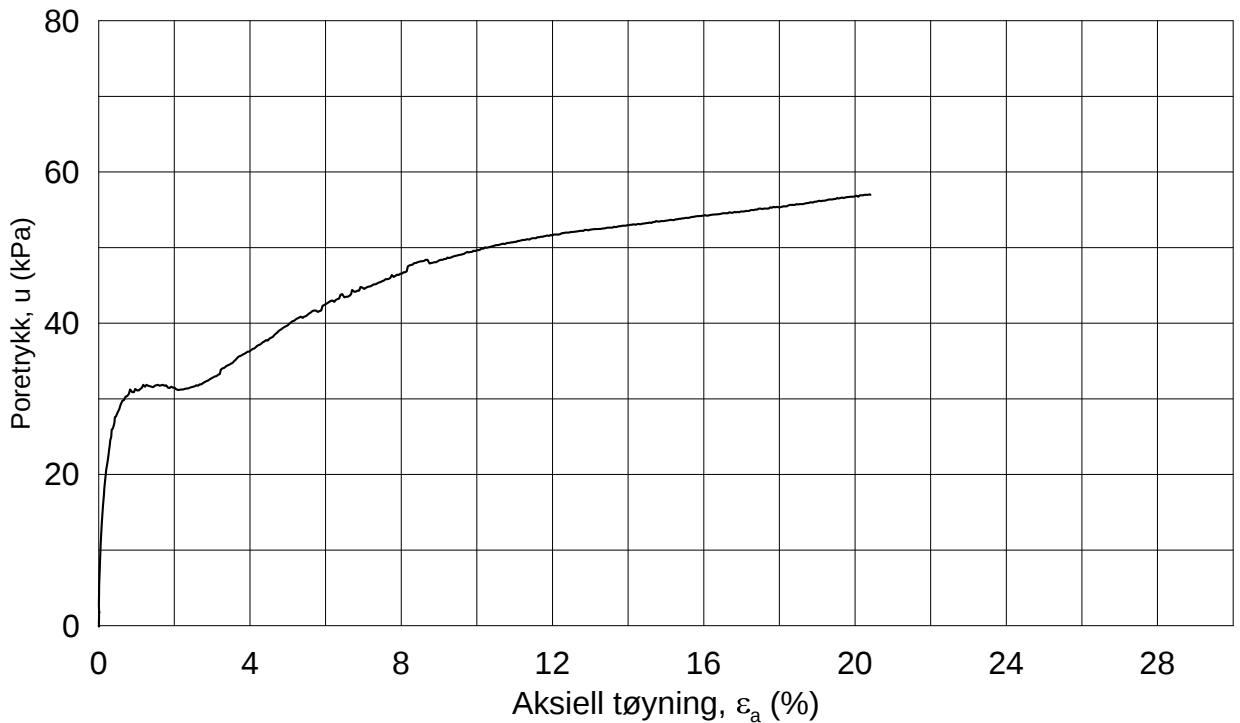
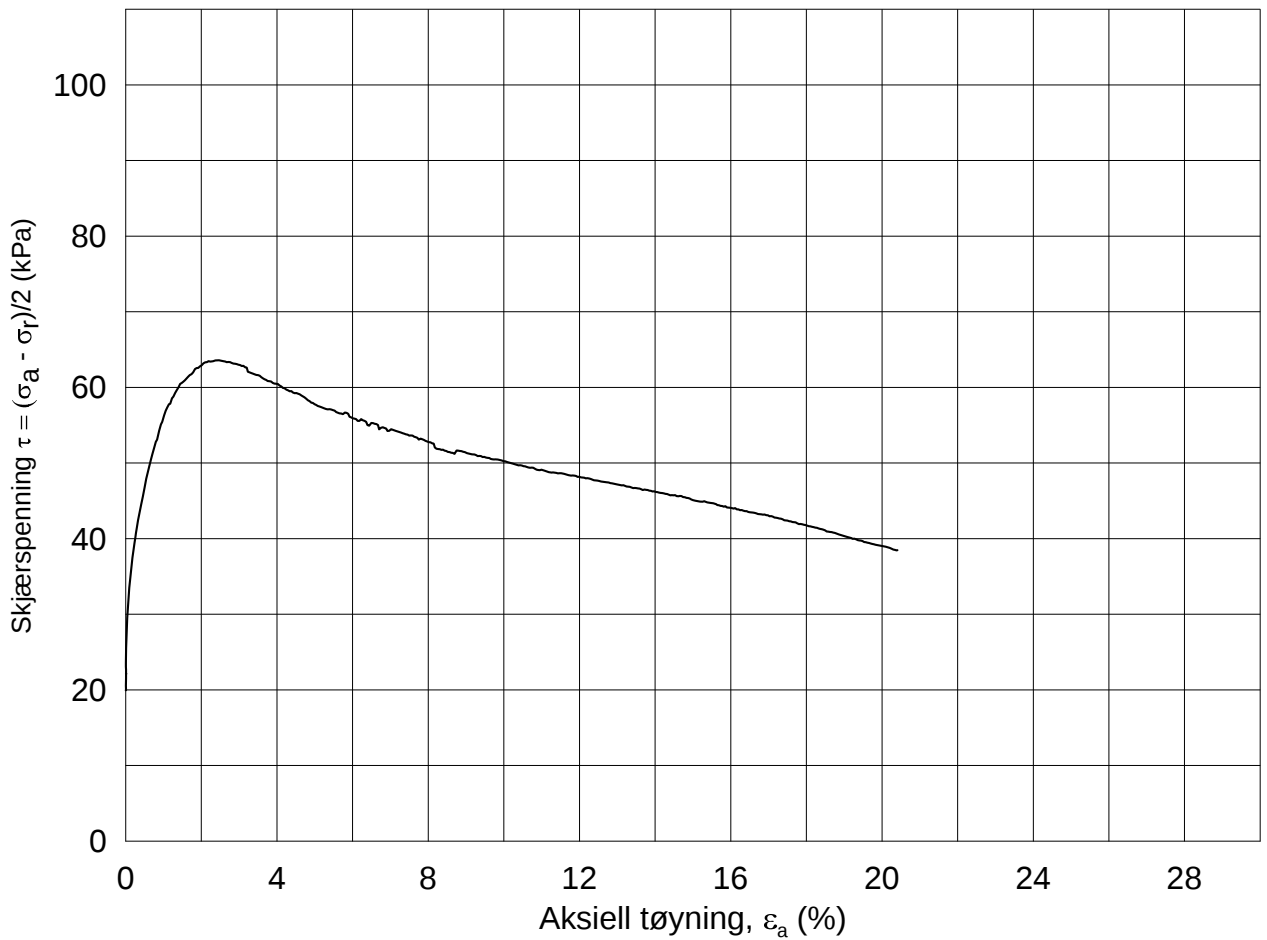
Tegnet av
MAS

Test: **2**

w_c = **38.3** %

σ_{rc}' = - - **60.9**





Date/Rev.: 2009-11-03/01

E16 Nybakk - Slomarka

Dokument nr.
20120491-02-R

Treaksial forsøk: **CAUA**

Dato
2014-08-19

Boring: **2371**

Dybde = **10.43** m

Konsolidering-spenninger

Sylinder: **10**

$p_{o'}$ = **131.5** kPa

(kPa) maks. min. endelig

Figur nr.
G343

Del: **A**

w_i = **31.0** %

σ_{ac}' = - - **131.4**

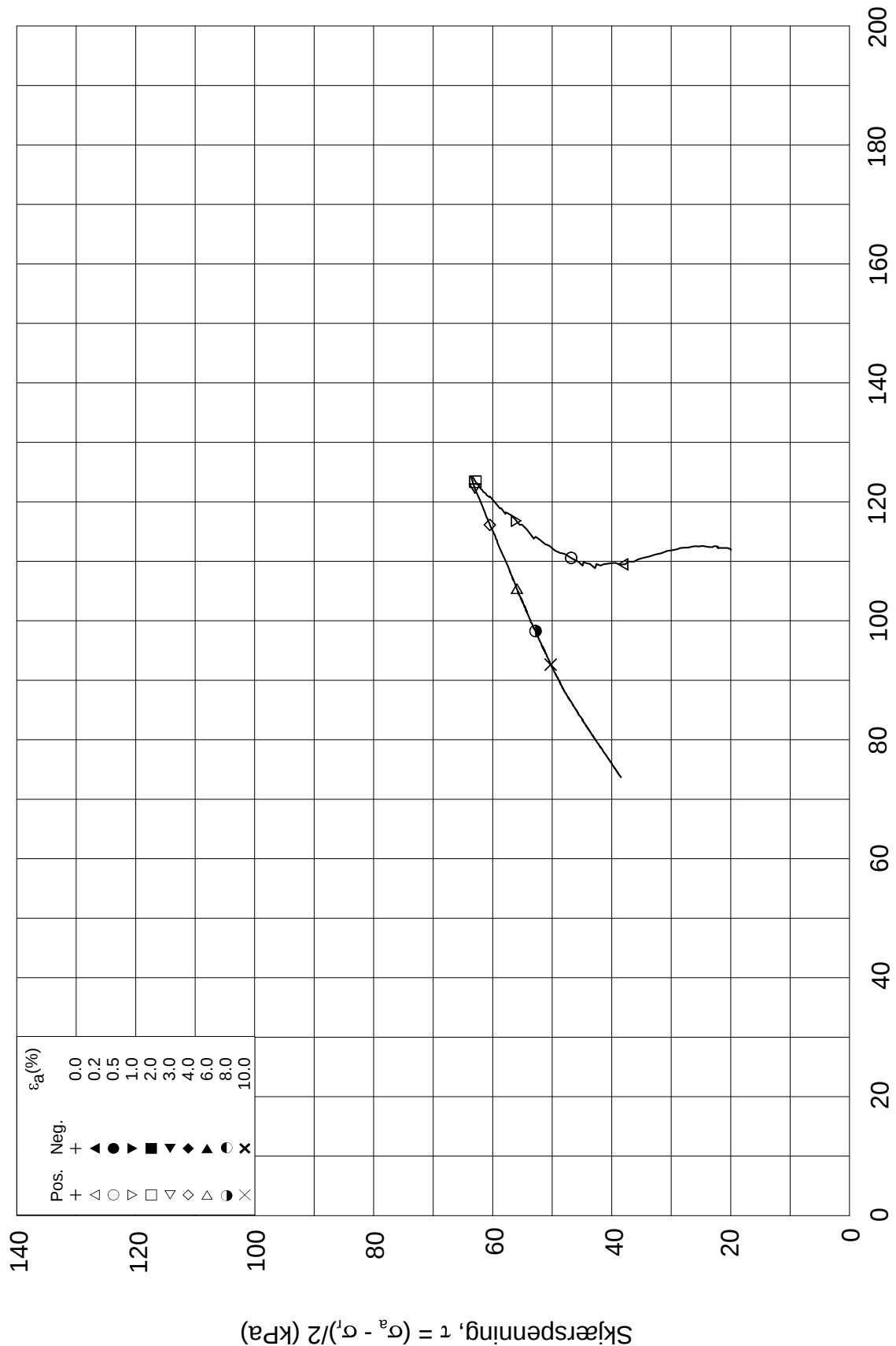
Tegnet av
MAS

Test: **3**

w_c = **30.3** %

σ_{rc}' = - - **91.9**

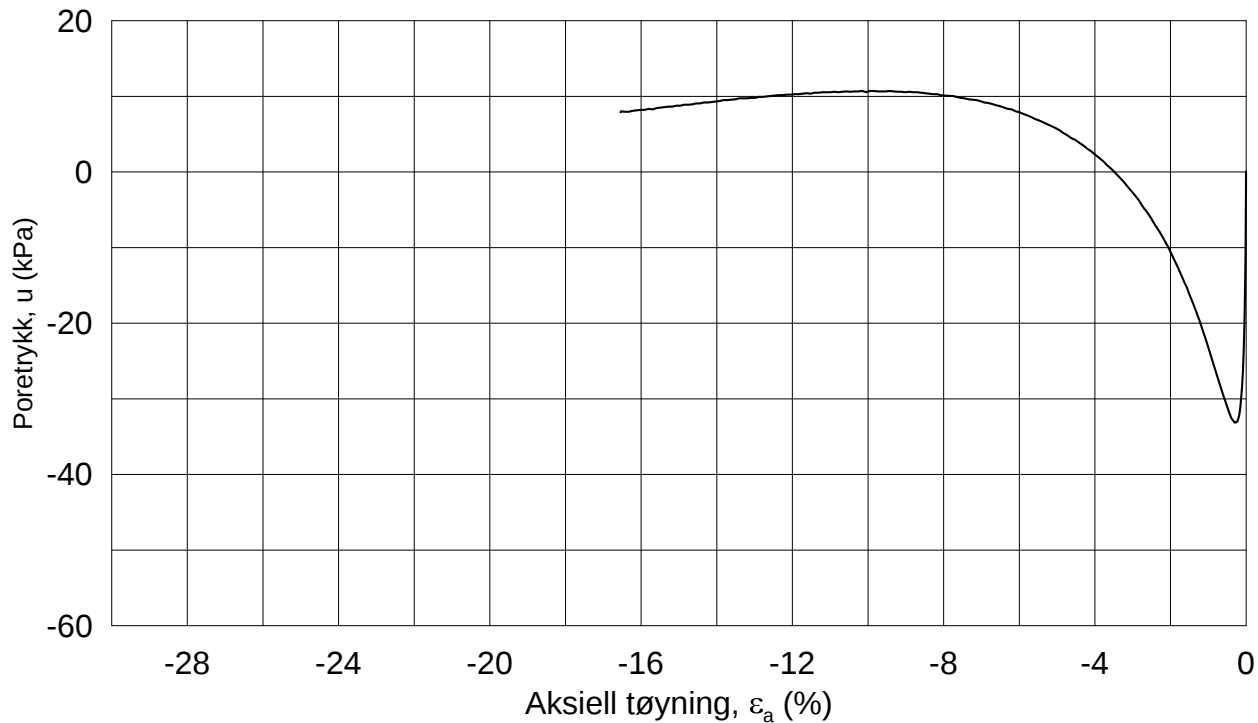
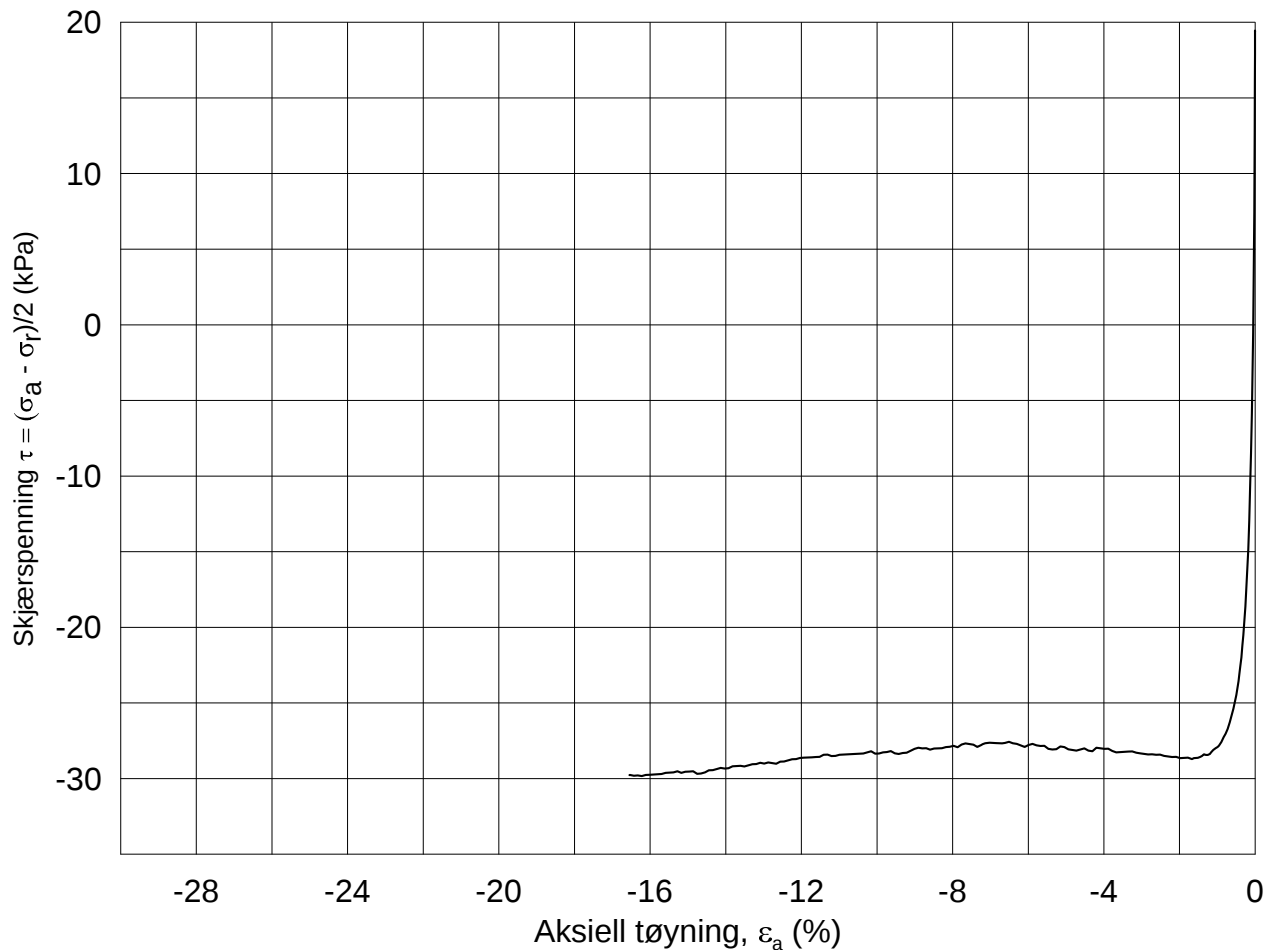




Date/Rev.: 2009-11-03/01

E16 Nybakk - Slomarka			Dokument nr. 20120491-02-R	
Treaksial forsøk: CAUA			Dato 2014-08-19	
Boring: 2371	Dybde = 10.43 m	Konsolidering-spenninger		
Sylinder: 10	$p_{o'}$ = 131.5 kPa	(kPa)	maks.	min.
Del: A	w_i = 31.0 %	σ_{ac}' =	-	-
Test: 3	w_c = 30.3 %	σ_{rc}' =	-	-
		endelig	131.4	
			91.9	
		Figur nr.	G344	
		Tegnet av	MAS	

2371-10-A-3.Plot2.grf



Date/Rev.: 2009-11-03/01

E16 Nybakk - Slomarka

Dokument nr.
20120491-02-R

Treaksial forsøk: **CAUP**

Dato
2014-08-28

Boring: **2371**

Dybde = **10.40** m

Konsolidering-spenninger

Sylinder: **10**

$p_{o'}$ = **131.5** kPa

(kPa) maks. min. endelig

Figur nr.
G345

Del: **A**

w_i = **33.5** %

σ_{ac}' = - - **130.3**

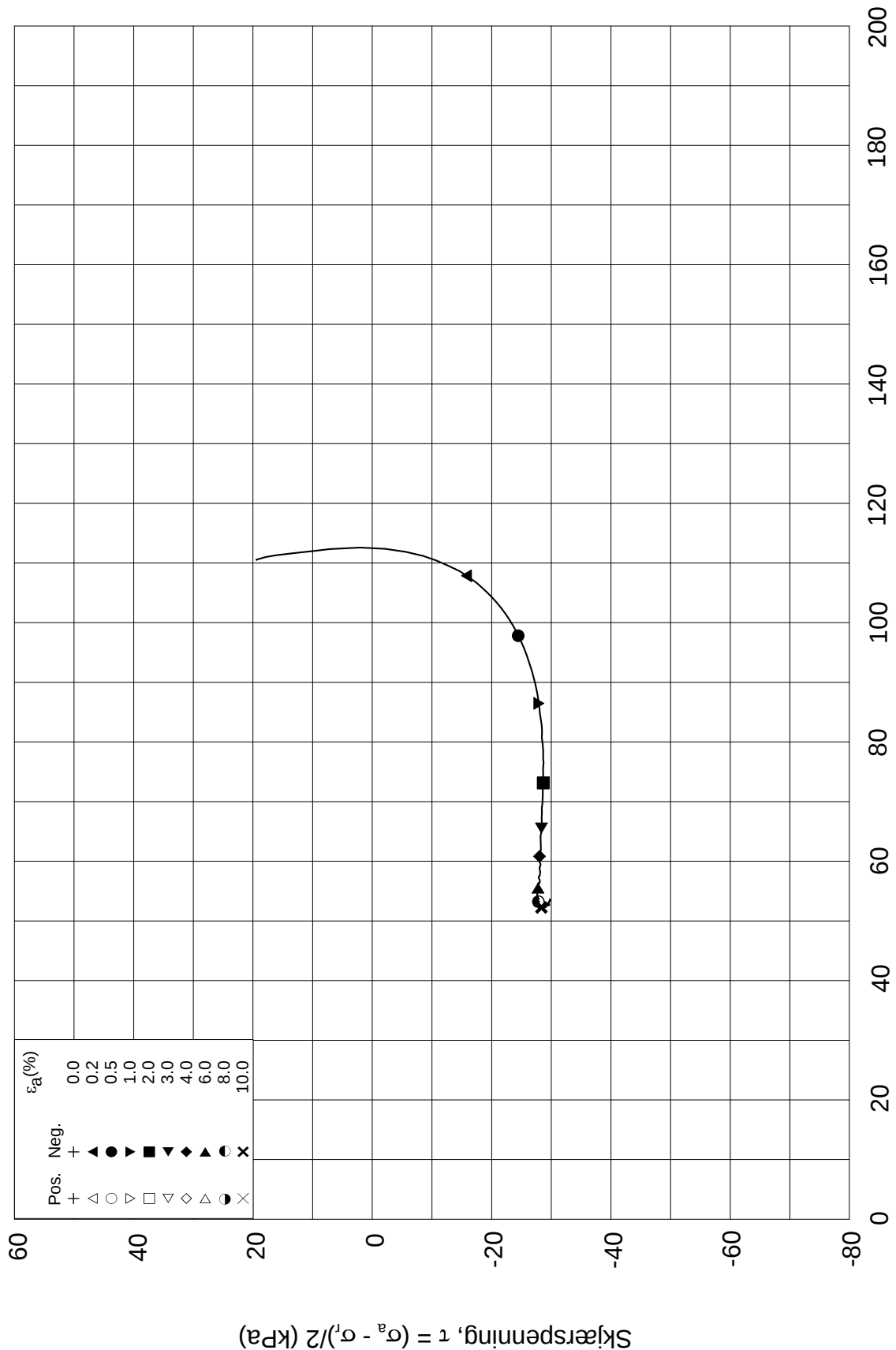
Tegnet av
MAS

Test: **1**

w_c = **32.7** %

σ_{rc}' = - - **91.1**





Date/Rev.: 2009-11-03/01

E16 Nybakk - Slomarka

Dokument nr.
20120491-02-R

Treaksial forsøk: **CAUP**

Dato
2014-08-28

Boring: **2371**

Dybde = **10.40** m

Konsolidering-spenninger

Sylinder: **10**

$p_{o'}$ = **131.5** kPa

(kPa) maks. min. endelig

Figur nr.
G346

Del: **A**

w_i = **33.5** %

σ_{ac}' = - - **130.3**

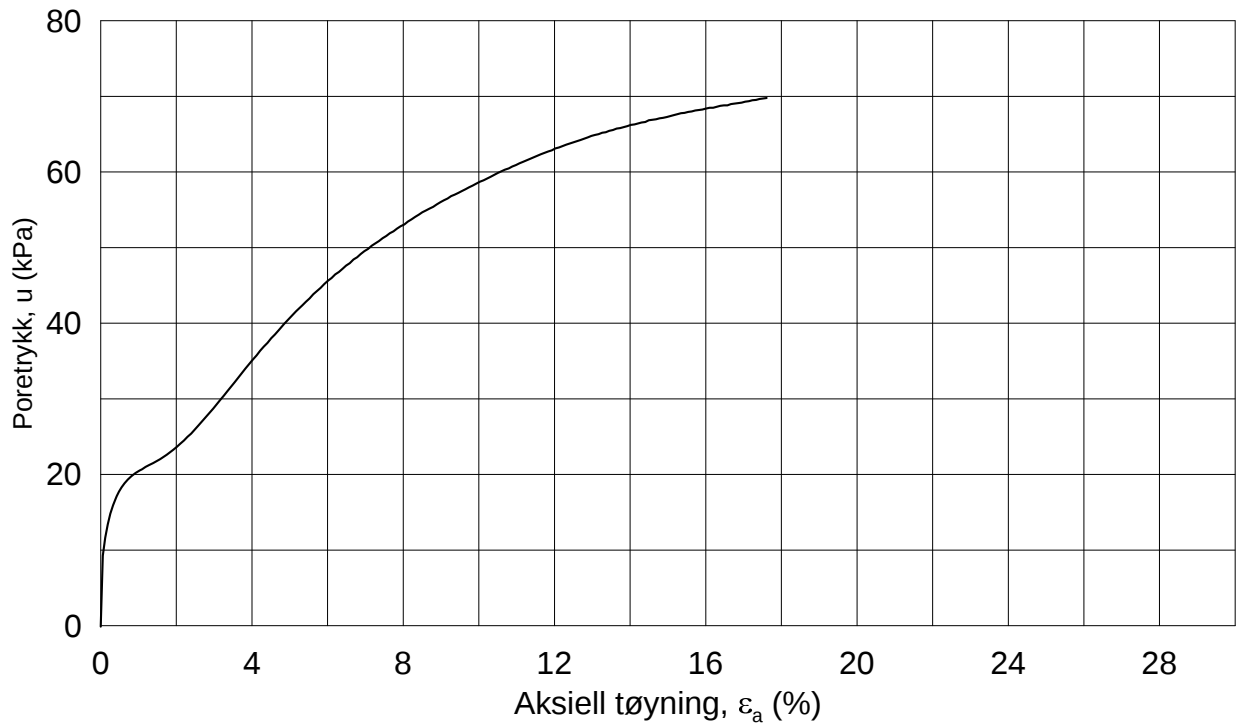
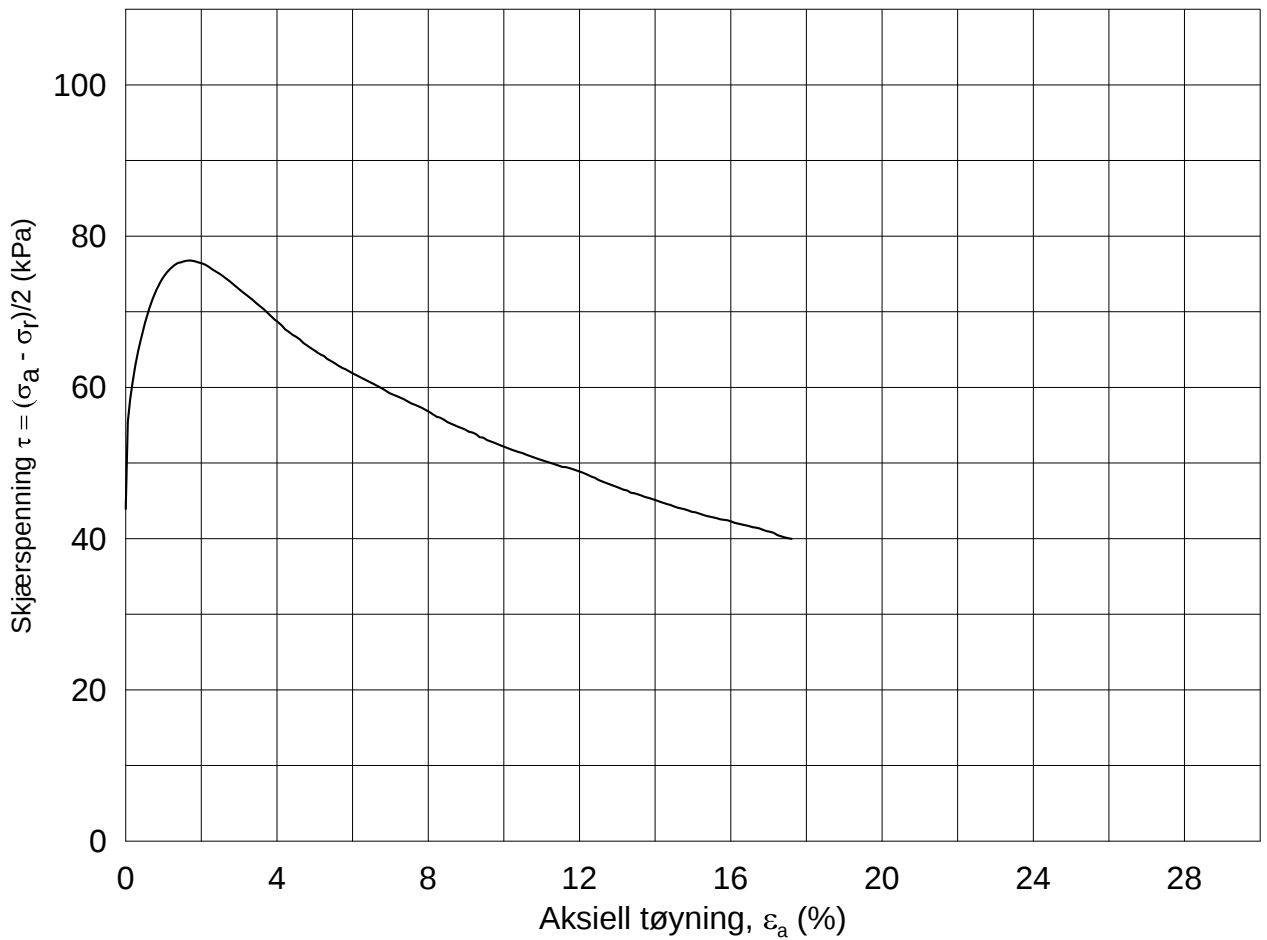
Tegnet av
MAS

Test: **1**

w_c = **32.7** %

σ_{rc}' = - - **91.1**





Date/Rev.: 2009-11-03/01

E16 Nybakk - Slomarka

Dokument nr.
20120491-02-R

Treaksial forsøk: **CAUA**

Dato
2014-08-19

Boring: **2371**

Dybde = **15.23** m

Konsolidering-spenninger

Sylinder: **15**

$p_{o'}$ = **194.9** kPa

(kPa) maks. min. endelig

Figur nr.
G347

Del: **A**

w_i = **33.6** %

σ_{ac}' = - - **195.0**

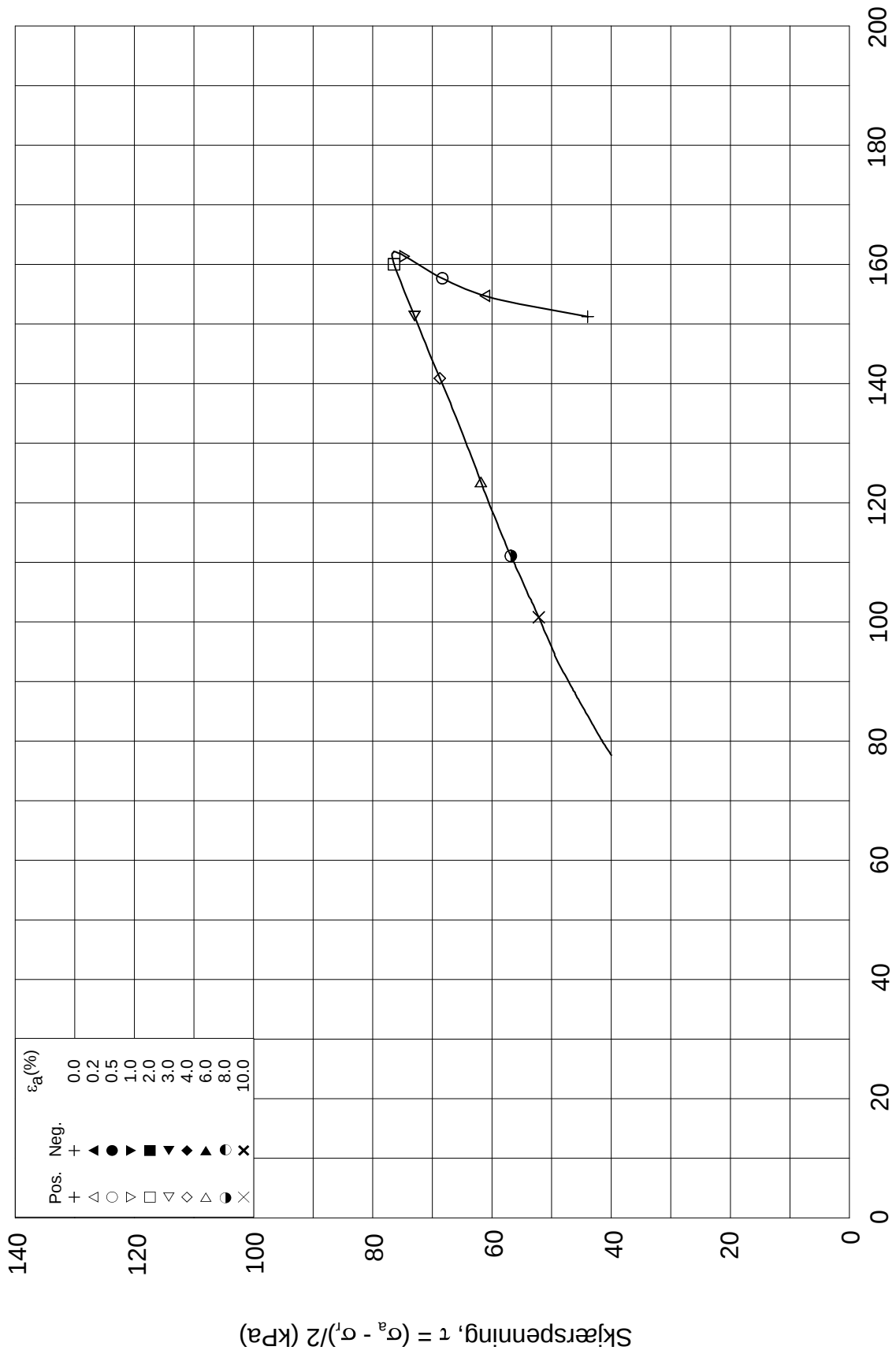
Tegnet av
MAS

Test: **1**


w_c = **32.3** %

σ_{rc}' = - - **107.1**

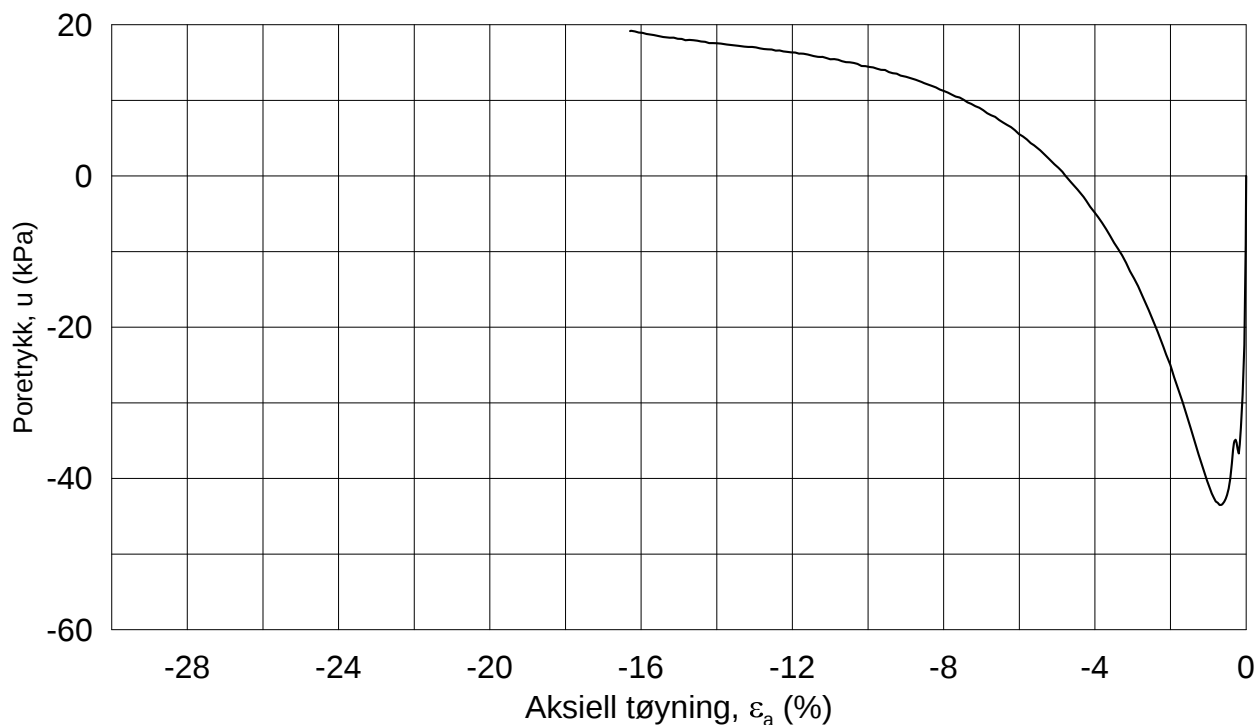
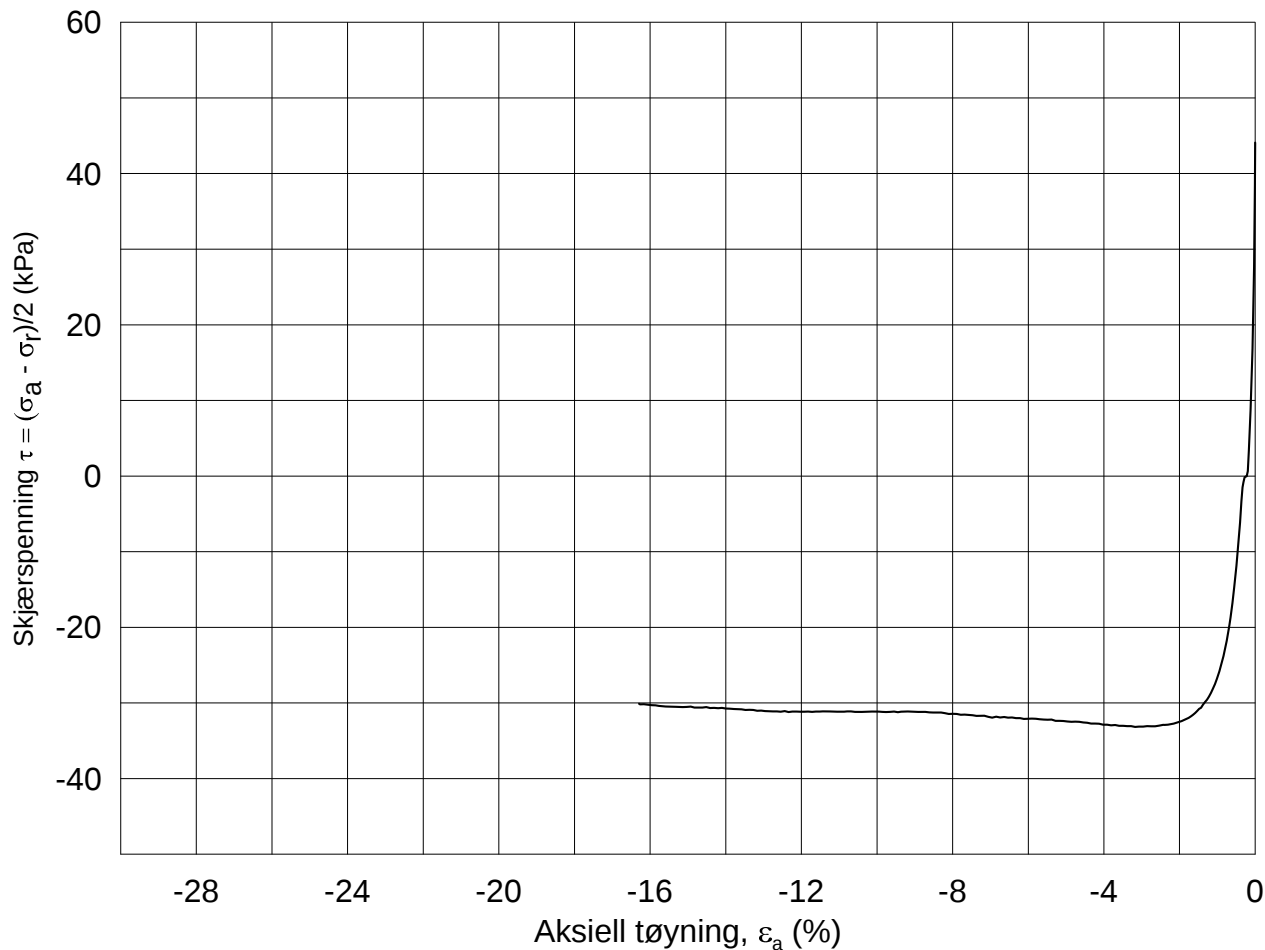




Date/Rev.: 2009-11-03/01

E16 Nybakk - Slomarka			Dokument nr. 20120491-02-R	
Treaksial forsøk: CAUA			Dato 2014-08-19	
Boring: 2371	Dybde = 15.23 m	Konsolidering-spenninger		
Sylinder: 15	$p_{o'}$ = 194.9 kPa	(kPa)	maks.	min.
Del: A	w_i = 33.6 %	σ_{ac}' =	-	-
Test: 1	w_c = 32.3 %	σ_{rc}' =	-	-
			195.0	
			107.1	
			Figur nr. G348	
			Tegnet av MAS	

2371-15-A-1-Plot2.grf



Date/Rev.: 2009-11-03/01

E16 Nybakk - Slomarka

Dokument nr.
20120491-02-R

Treaksial forsøk: **CAUP**

Dato
2014-08-28

Boring: **2371**

Dybde = **15.43** m

Konsolidering-spenninger

Sylinder: **15**

$p_{o'}$ = **196.3** kPa

(kPa) maks. min. endelig

Figur nr.
G349

Del: **A**

w_i = **34.0** %

σ_{ac}' = - - **196.0**

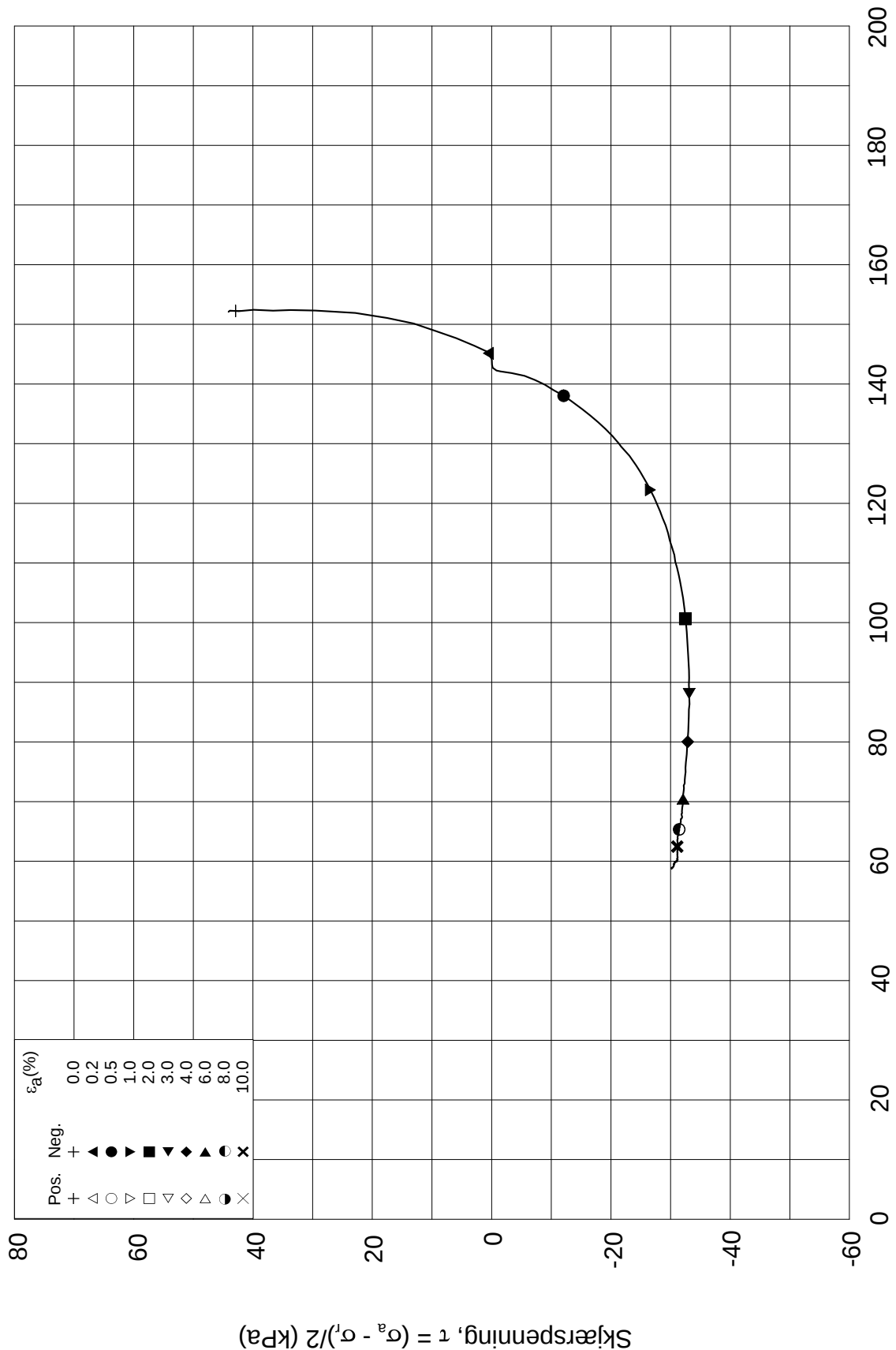
Tegnet av
MAS

Test: **3**

w_c = **33.1** %

σ_{rc}' = - - **107.9**





Date/Rev.: 2009-11-03/01

E16 Nybakk - Slomarka

Dokument nr.
20120491-02-R

Treaksial forsøk: **CAUP**

Dato
2014-08-28

Boring: **2371**

Dybde = **15.43** m

Konsolidering-spenninger

Sylinder: **15**

$p_{o'}$ = **196.3** kPa

(kPa) maks. min. endelig

Figur nr.
G350

Del: **A**

w_i = **34.0** %

σ_{ac}' = - - **196.0**

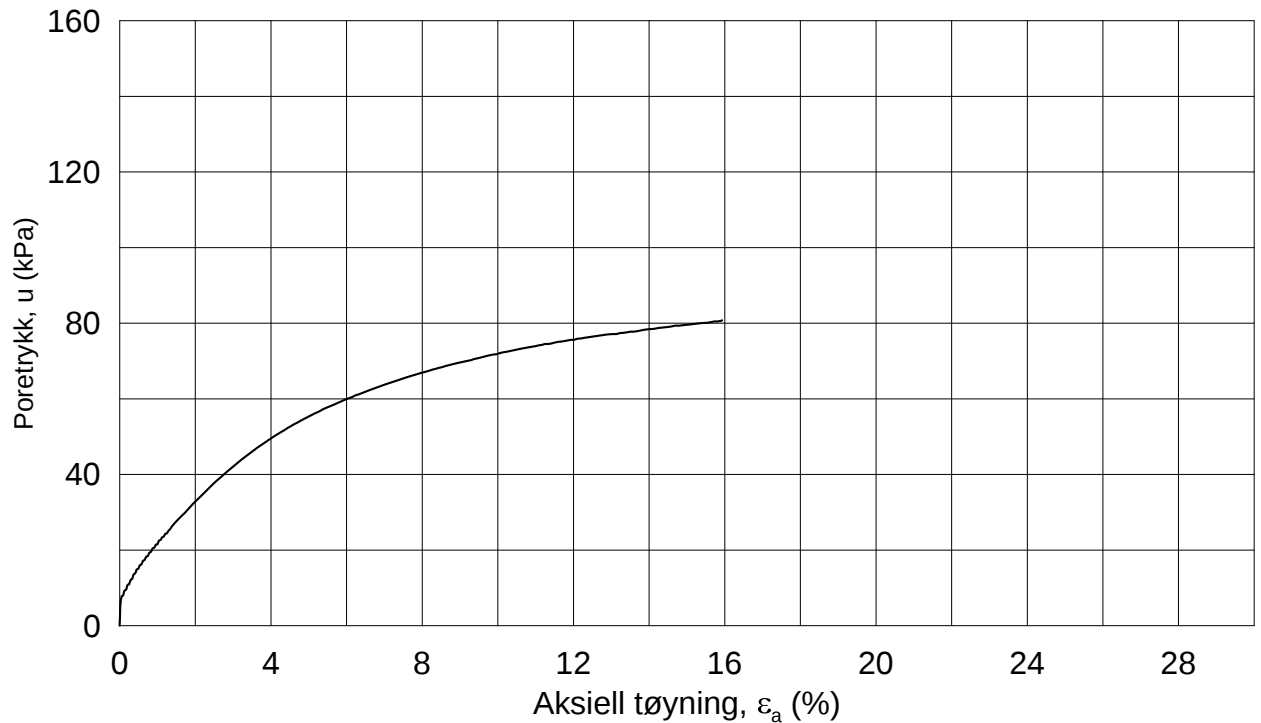
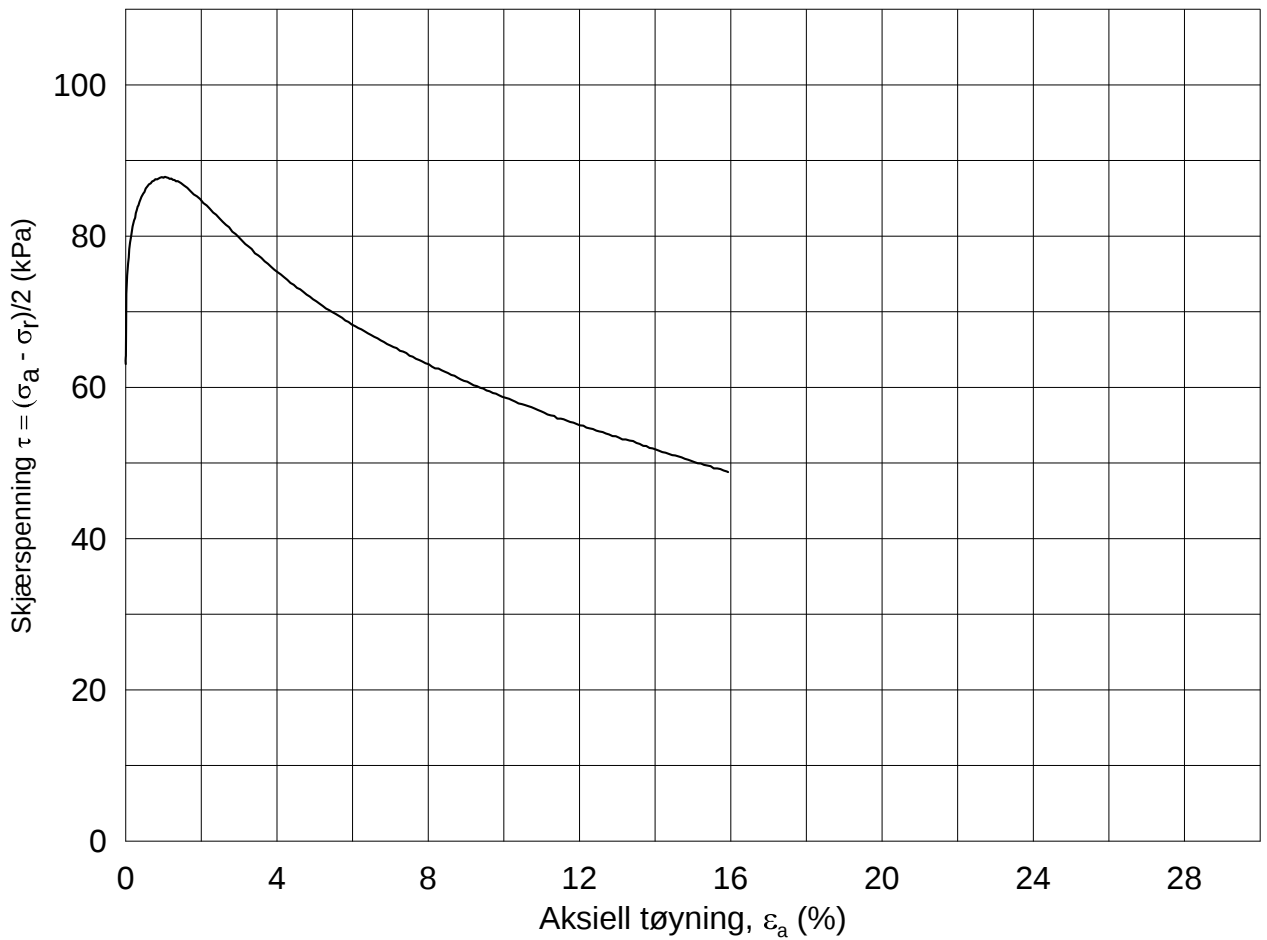
Tegnet av
MAS

Test: **3**

w_c = **33.1** %

σ_{rc}' = - - **107.9**





Date/Rev.: 2009-11-03/01

E16 Nybakk - Slomarka

Dokument nr.
20120491-02-R

Treaksial forsøk: **CAUA**

Dato
2014-08-27

Boring: **2371**

Dybde = **20.18** m

Konsolidering-spenninger

Sylinder: **17**

$p_{o'}$ = **253.3** kPa

(kPa) maks. min. endelig

Figur nr.
G351

Del: **A**

w_i = **27.8** %

σ_{ac}' = - - **252.7**

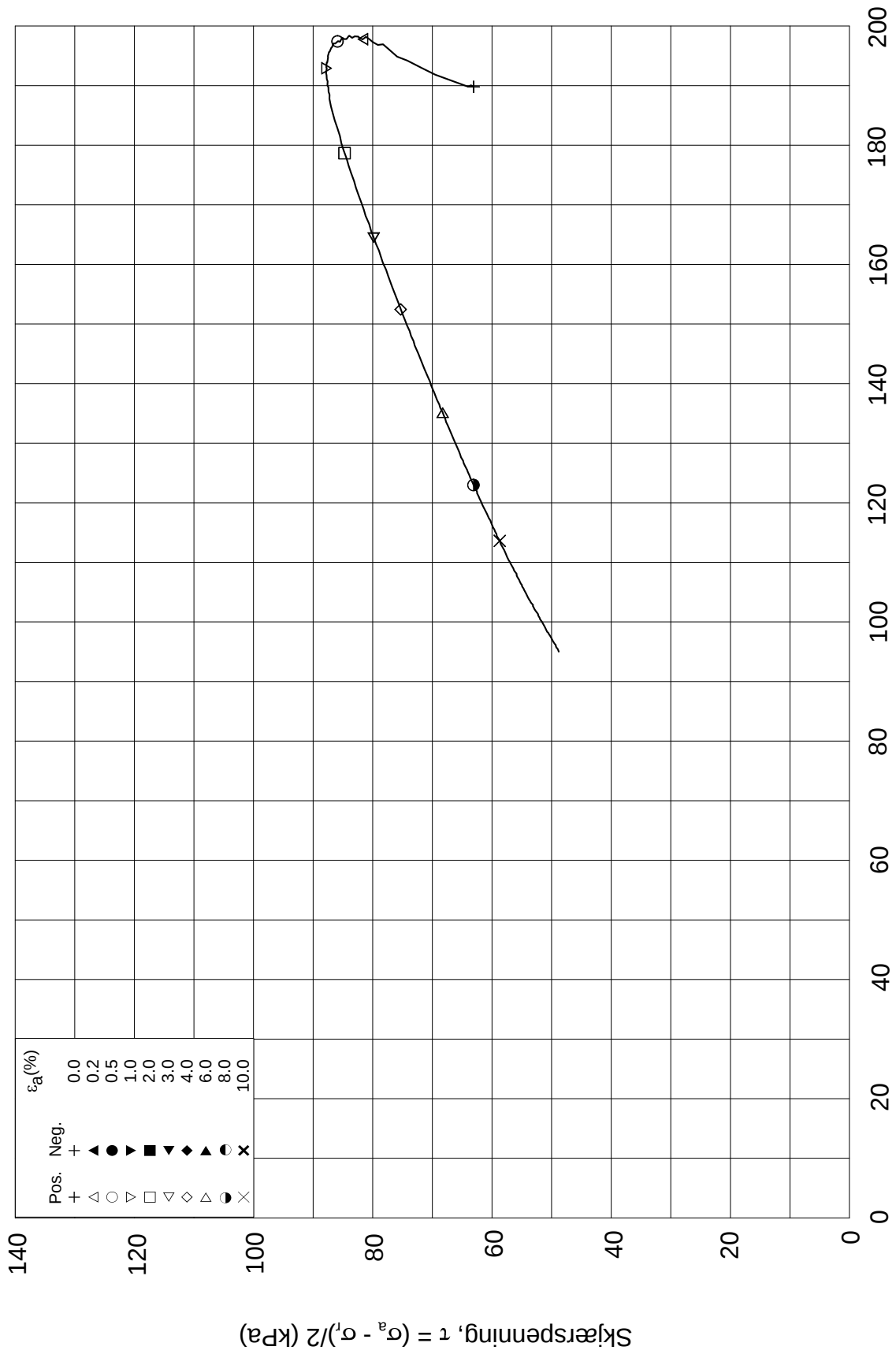
Tegnet av
MAS

Test: **1**

w_c = **27.0** %

σ_{rc}' = - - **126.7**





Date/Rev.: 2009-11-03/01

E16 Nybakk - Slomarka			Dokument nr. 20120491-02-R	
Treaksial forsøk: CAUA			Dato 2014-08-27	
Boring: 2371	Dybde = 20.18 m	Konsolidering-spenninger		
Sylinder: 17	$p_{o'}$ = 253.3 kPa	(kPa)	maks.	min.
Del: A	w_i = 27.8 %	$\sigma_{ac}' =$	-	-
Test: 1	w_c = 27.0 %	$\sigma_{rc}' =$	-	-
		endelig	252.7	126.7
		Figur nr.	G352	
		Tegnet av	MAS	

2371-17-A-1-Plot2.grf

Figur G353

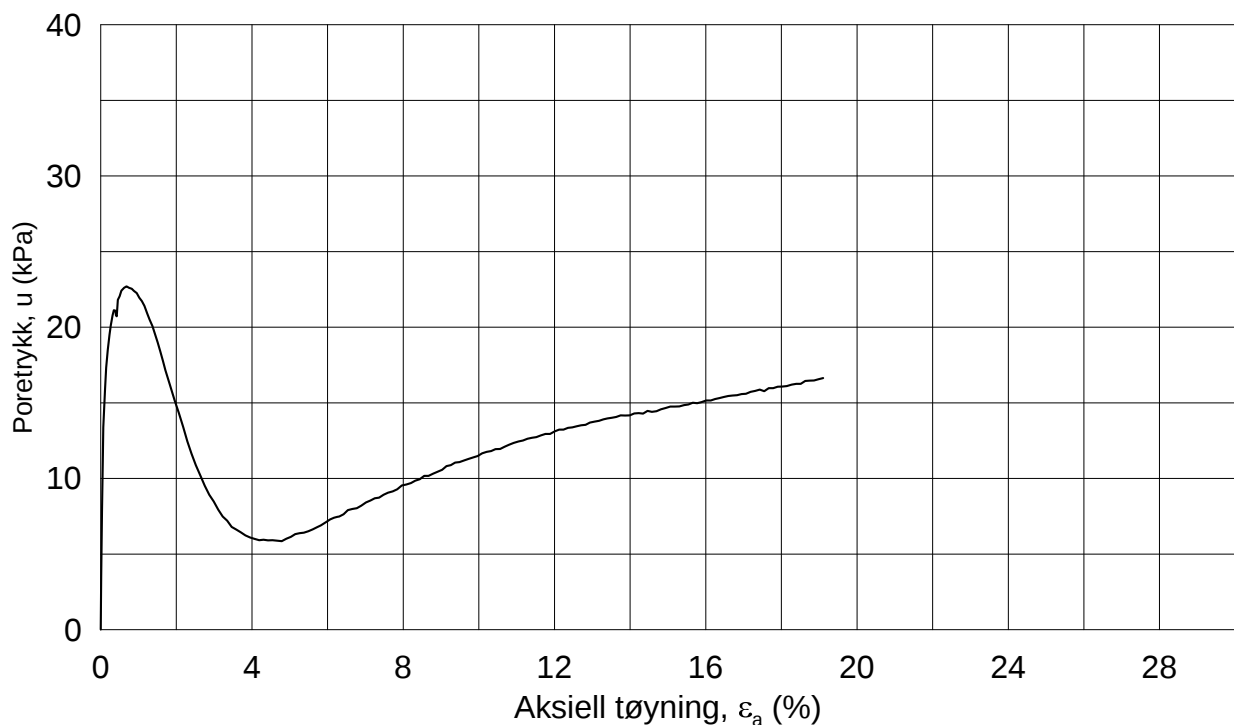
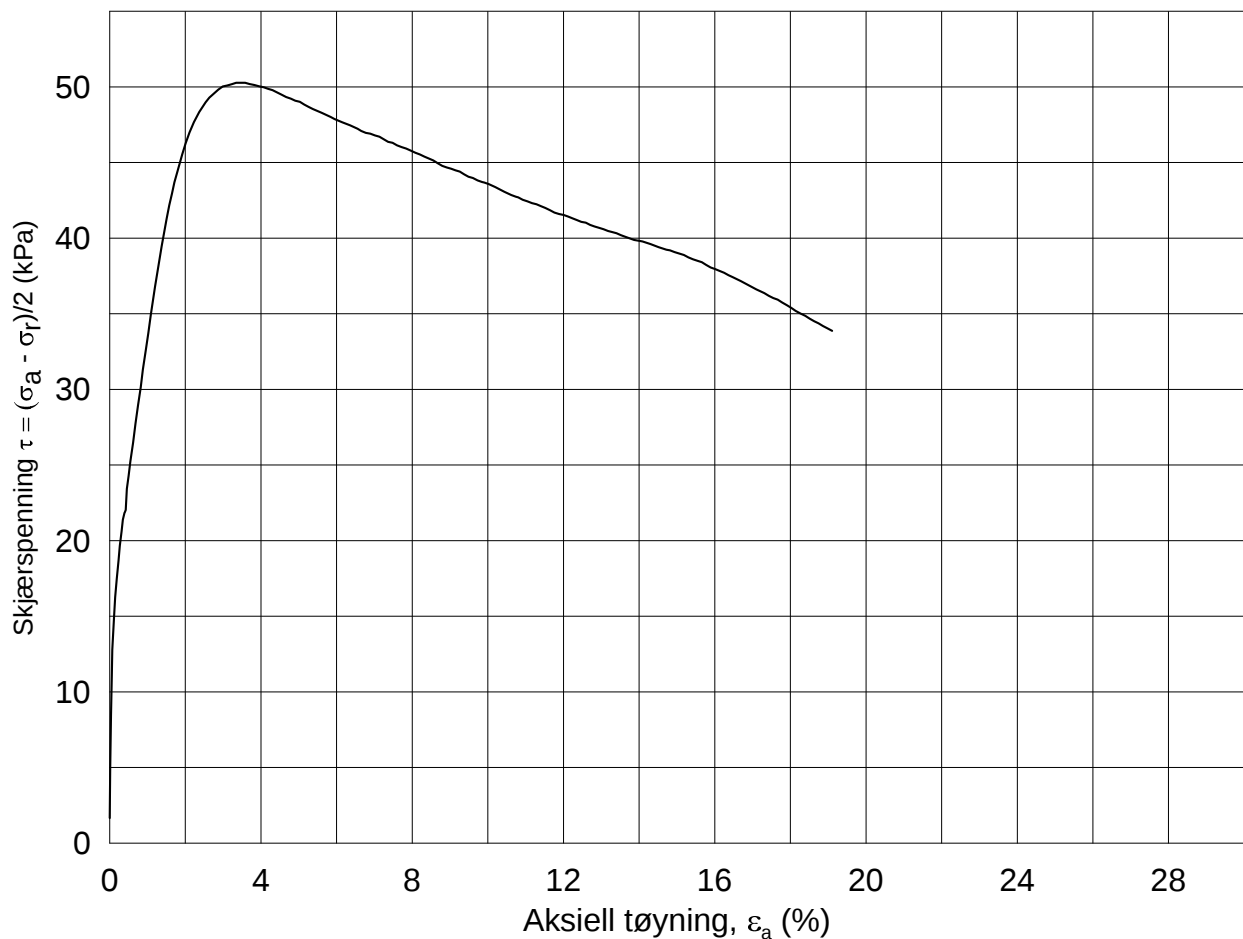
Treaksialforsøk 2371 CAUP, 20m

ETTERSENDES

Figur G354

Treaksialforsøk 2371 CAUP, 20m

ETTERSENDES



Date/Rev.: 2009-11-03/01

E16 Nybakk - Slomarka

Dokument nr.
20120491-02-R

Treaksial forsøk: **CAUA**

Dato
2014-06-06

Boring: **2379**

Dybde = **5.28** m

Konsolidering-spenninger

Sylinder: **5**

p_o' = **52.4** kPa

(kPa) maks. min. endelig

Figur nr.
G355

Del: **A**

w_i = **44.1** %

σ_{ac}' = - - **53.1**

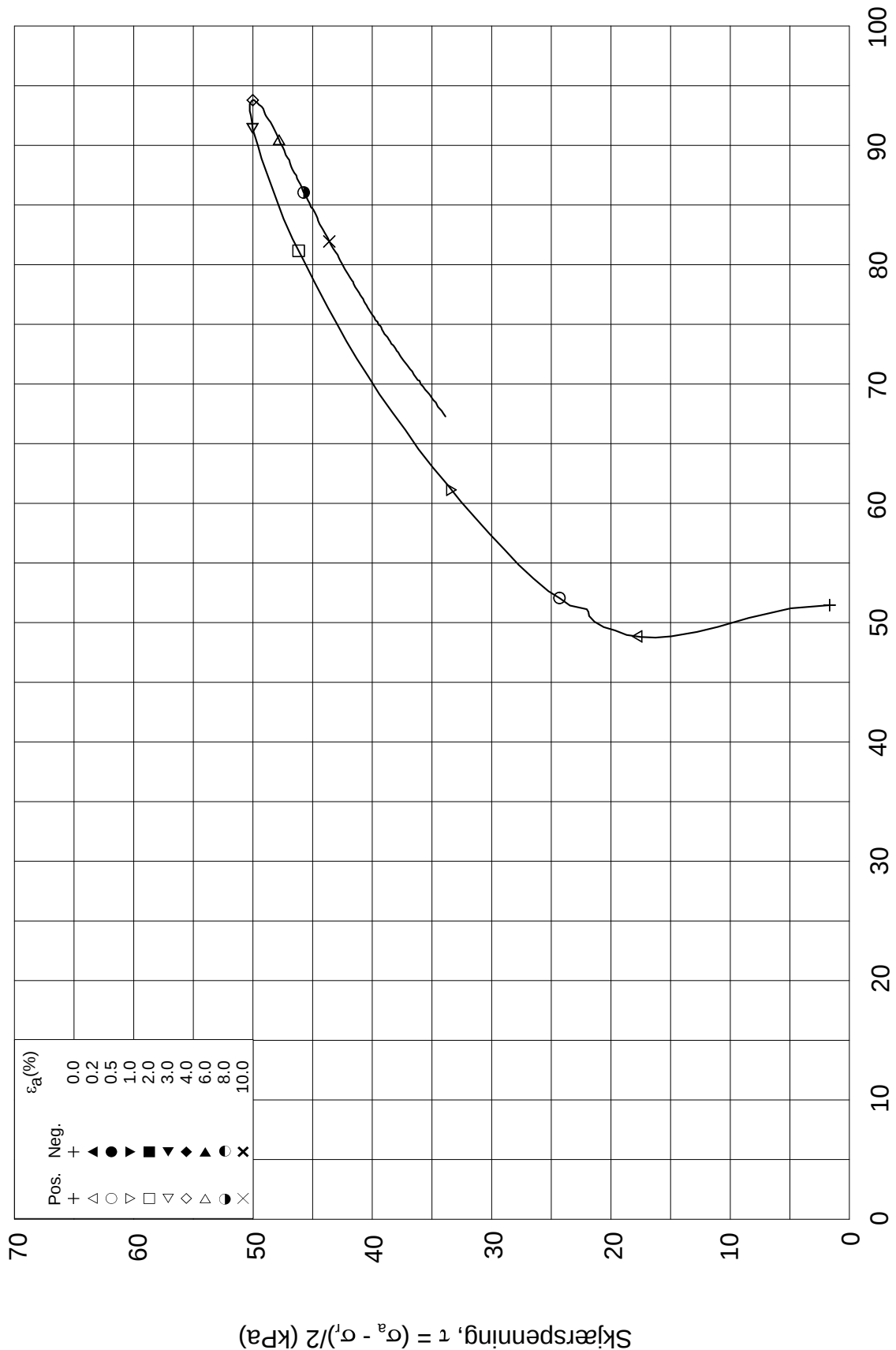
Tegnet av
MAS

Test: **2**


w_c = **43.8** %

σ_{rc}' = - - **49.8**

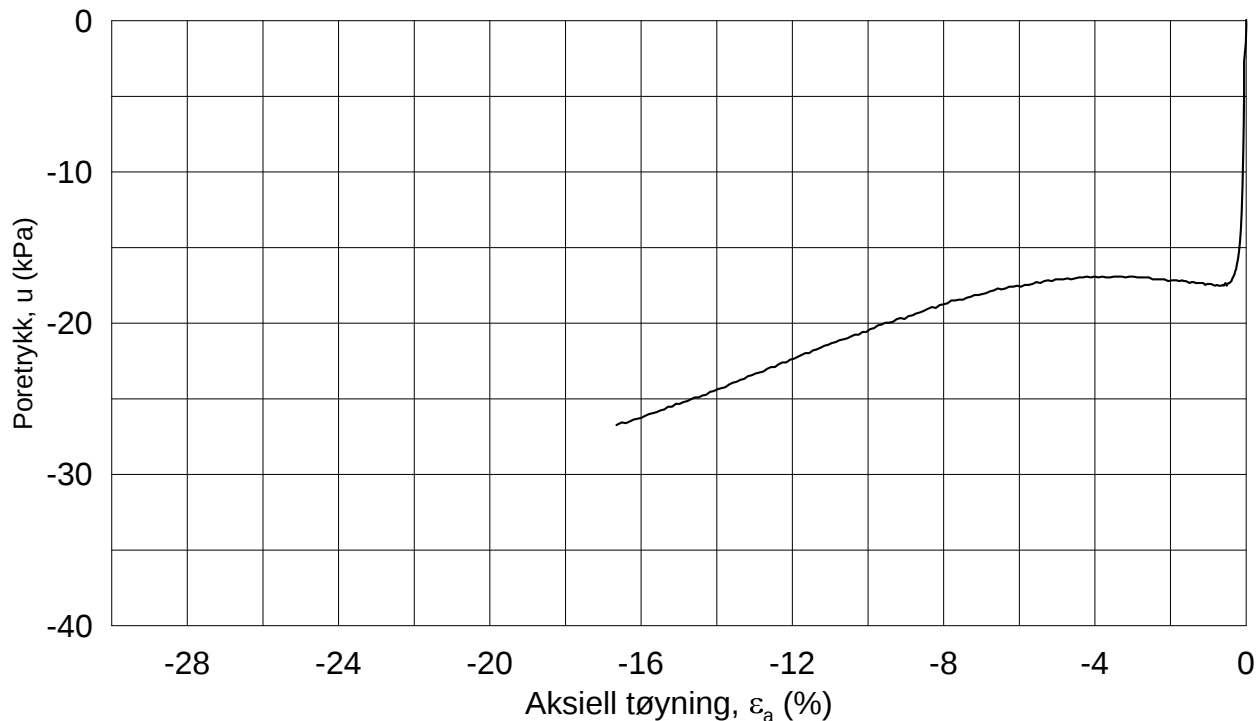
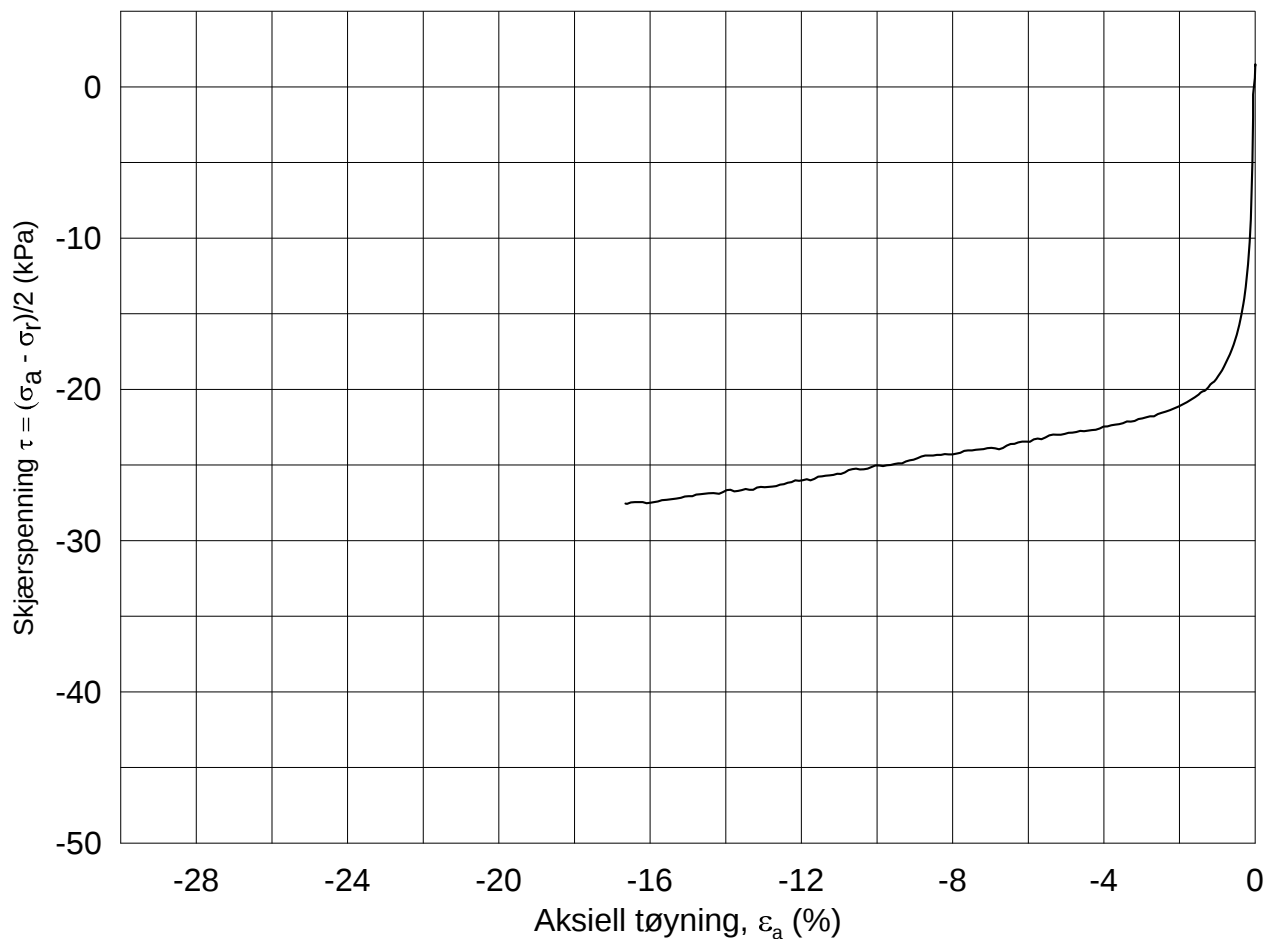




Date/Rev.: 2009-11-03/01

E16 Nybakk - Slomarka			Dokument nr. 20120491-02-R	
Treaksial forsøk: CAUA			Dato 2014-06-06	
Boring: 2379	Dybde = 5.28 m	Konsolidering-spenninger		
Sylinder: 5	p_o' = 52.4 kPa	(kPa)	maks.	min.
Del: A	w_i = 44.1 %	$\sigma_{ac}' =$	-	-
Test: 2	w_c = 43.8 %	$\sigma_{rc}' =$	-	-
		endelig	53.1	
			49.8	
		Figur nr.	G356	
		Tegnet av	MAS	
				

2379-5-A-2.Plot2.grf



Date/Rev.: 2009-11-03/01

E16 Nybakk - Slomarka

Dokument nr.
20120491-02-R

Treaksial forsøk: **CAUP**

Dato
2014-06-04

Boring: **2379**

Dybde = **5.43** m

Konsolidering-spenninger

Sylinder: **5**

p_o' = **53.6** kPa

(kPa) maks. min. endelig

Figur nr.
G357

Del: **A**

w_i = **37.5** %

σ_{ac}' = - - **53.6**

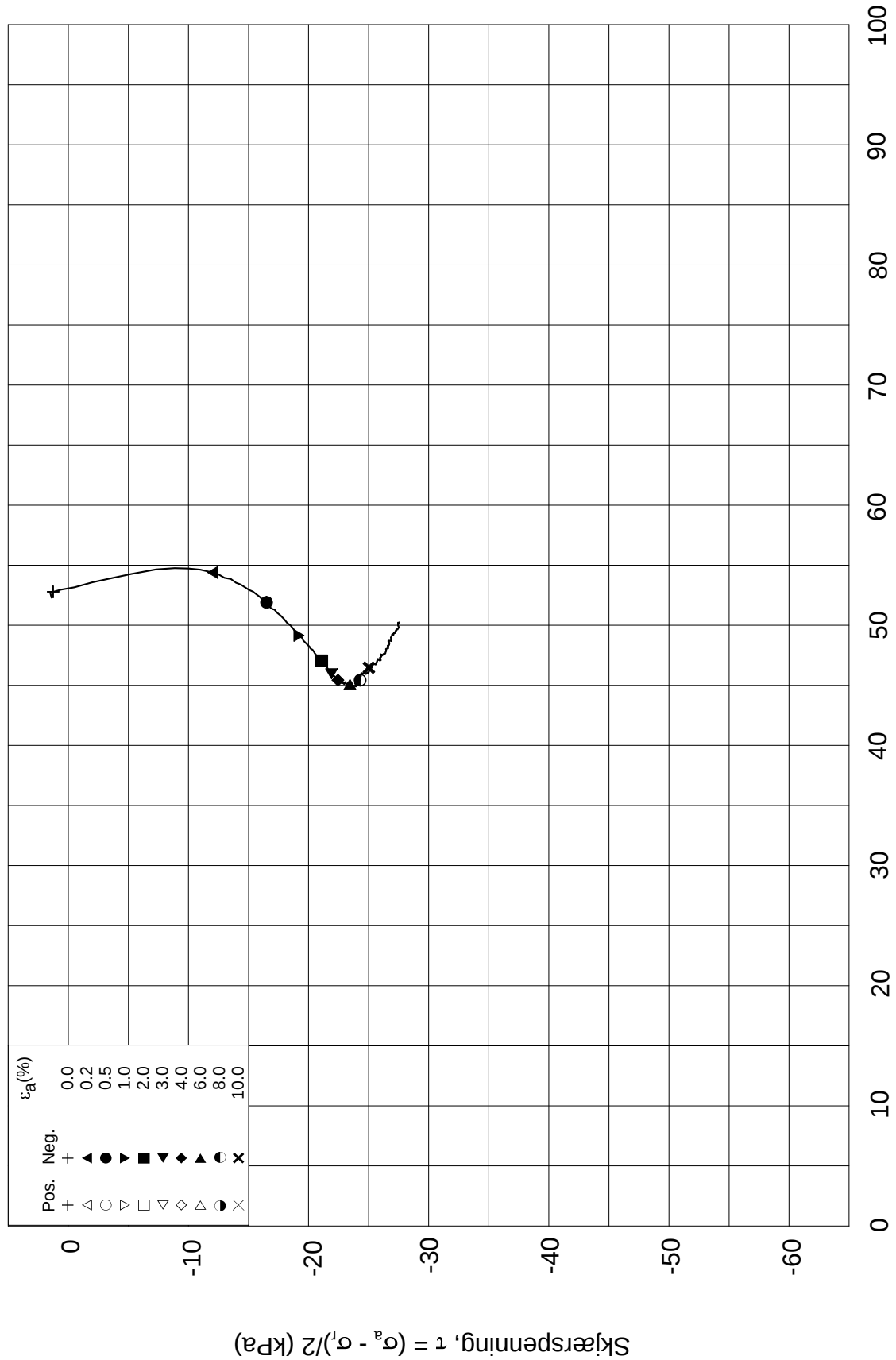
Tegnet av
MAS

Test: **3**

w_c = **37.3** %

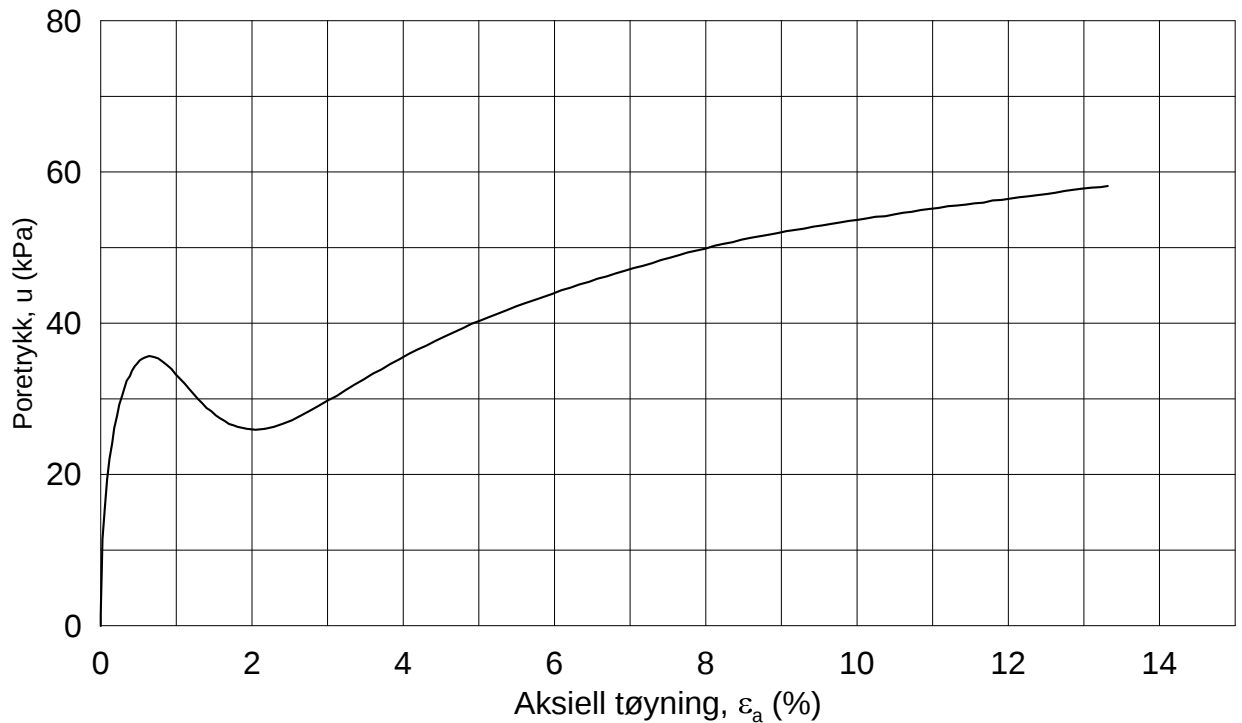
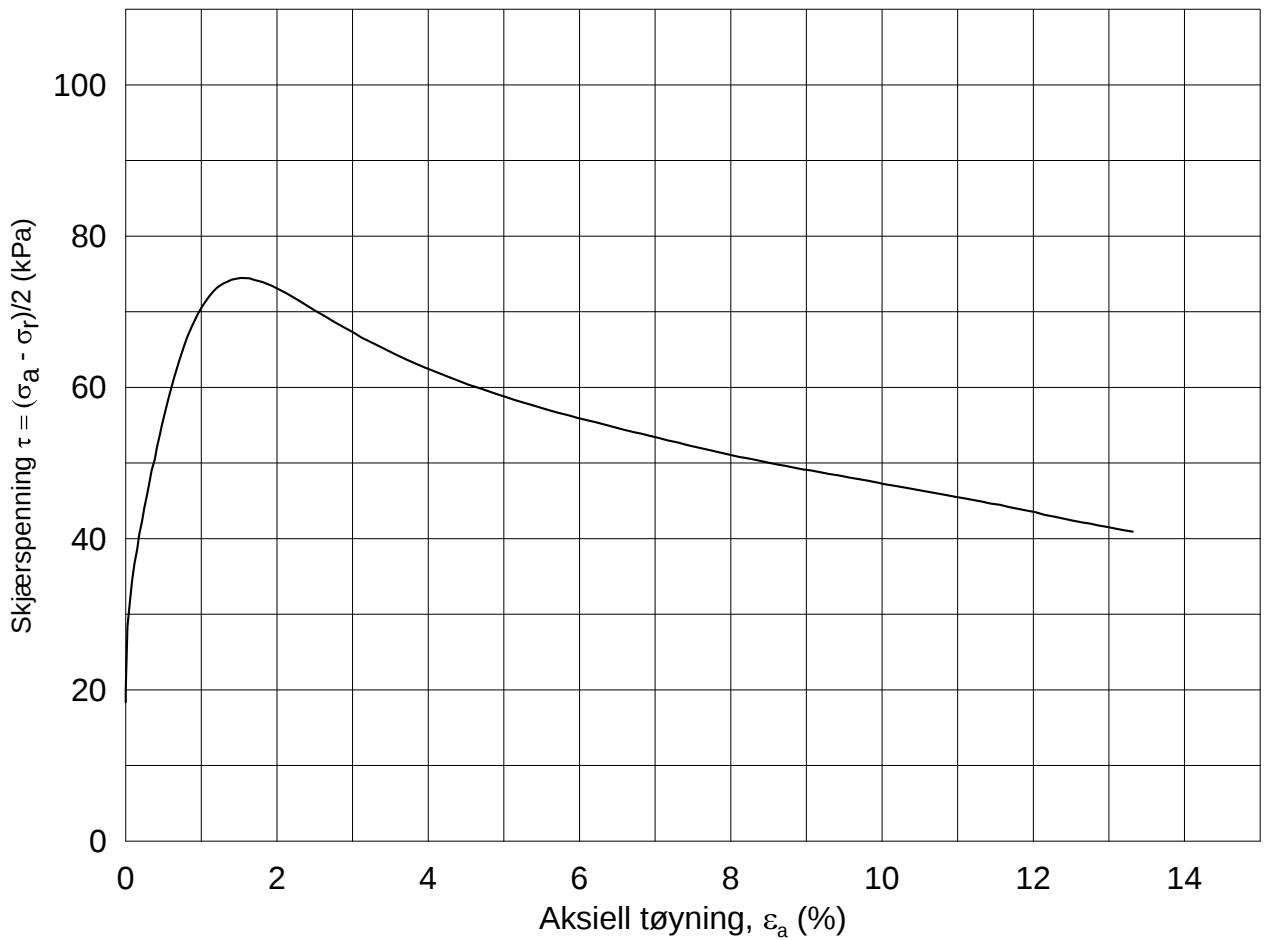
σ_{rc}' = - - **50.9**





Date/Rev.: 2009-11-03/01

E16 Nybakk - Slomarka			Dokument nr. 20120491-02-R	
Treaksial forsøk: CAUP			Dato 2014-06-04	
Boring: 2379	Dybde = 5.43 m	Konsolidering-spenninger		
Sylinder: 5	p_o' = 53.6 kPa	(kPa)	maks.	min.
Del: A	w_i = 37.5 %	$\sigma_{ac}' =$	-	-
Test: 3	w_c = 37.3 %	$\sigma_{rc}' =$	-	-
		endelig	53.6	50.9
		Figur nr.	G358	
		Tegnet av	MAS	



Date/Rev.: 2009-11-03/01

E16 Nybakk - Slomarka

Dokument nr.
20120491-02-R

Treaksial forsøk: **CAUA**

Dato
2014-06-06

Boring: **2379**

Dybde = **10.28** m

Konsolidering-spenninger

Sylinder: **10**

$p_{o'}$ = **130.9** kPa

(kPa) maks. min. endelig

Figur nr.
G359

Del: **A**

w_i = **32.2** %

σ_{ac}' = - - **131.0**

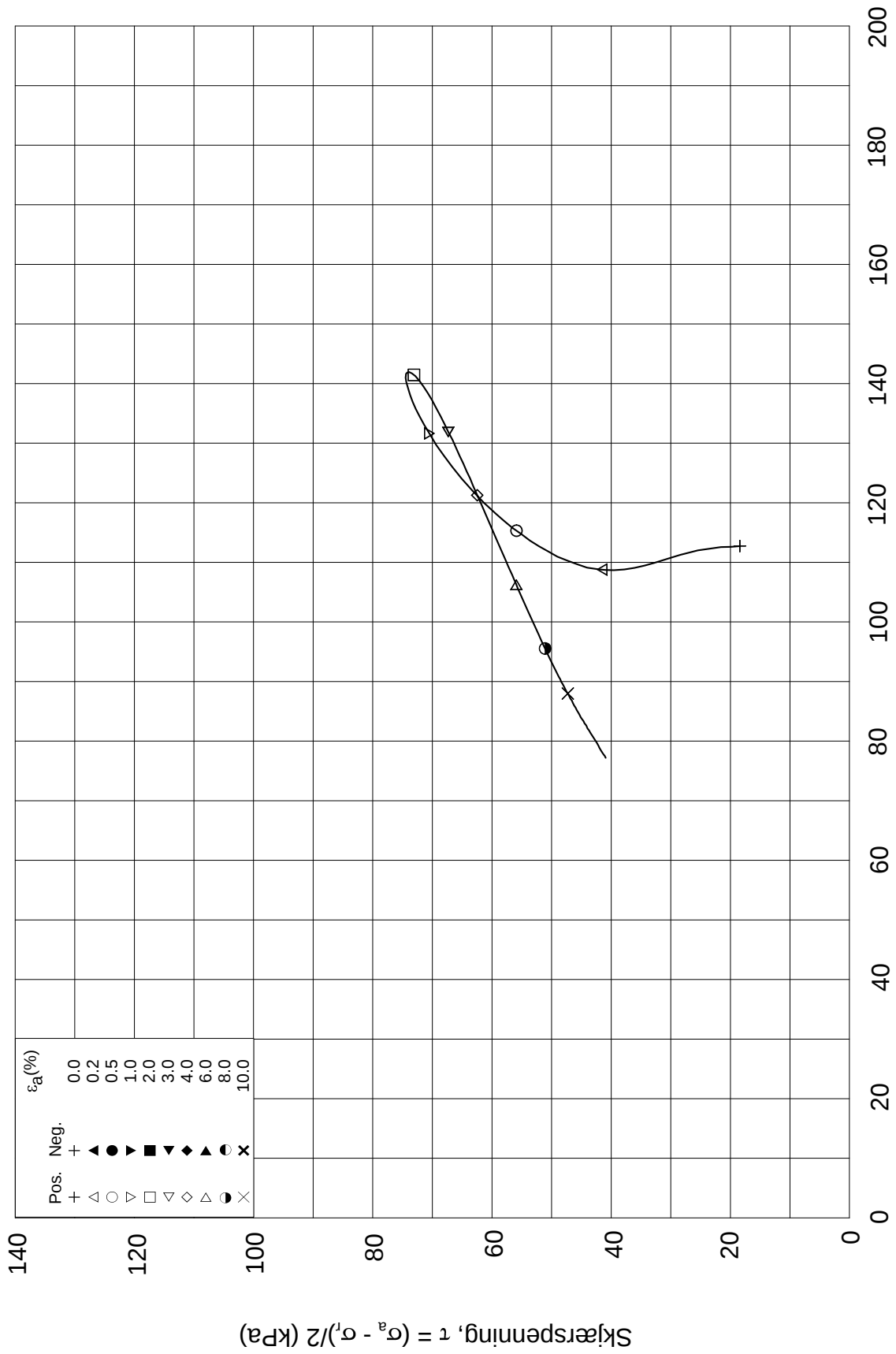
Tegnet av
MAS

Test: **2**

w_c = **31.6** %

σ_{rc}' = - - **94.3**



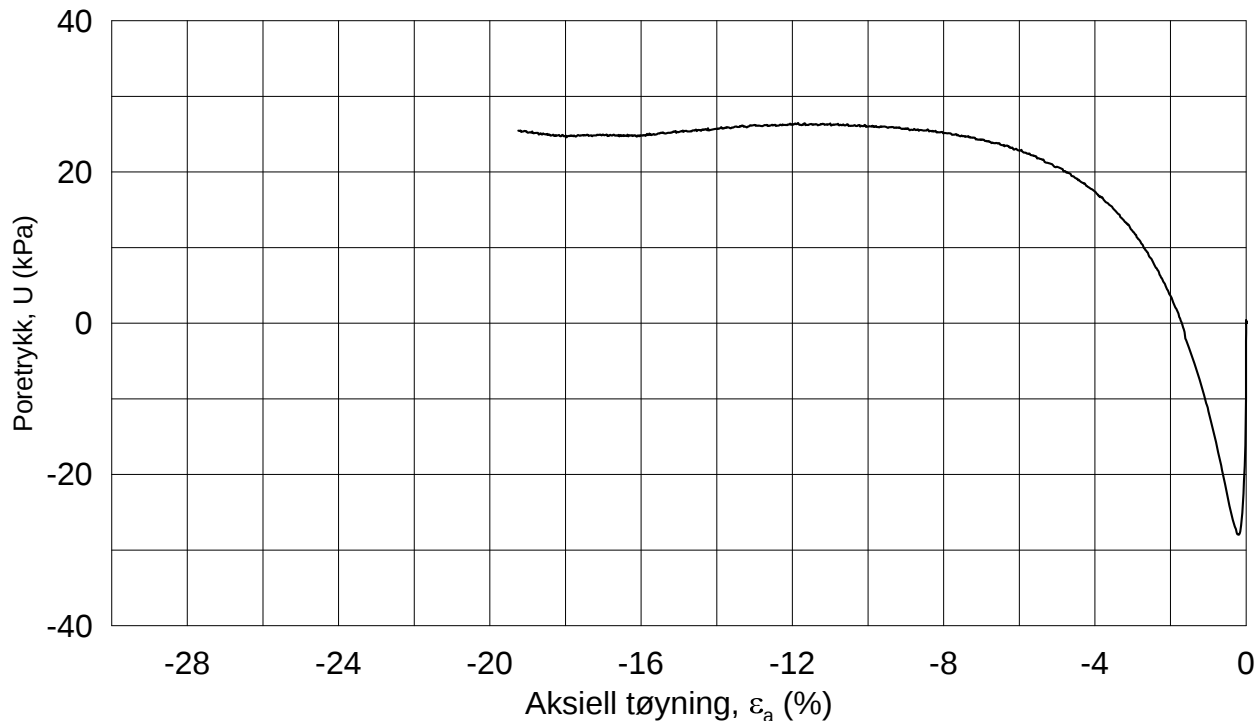
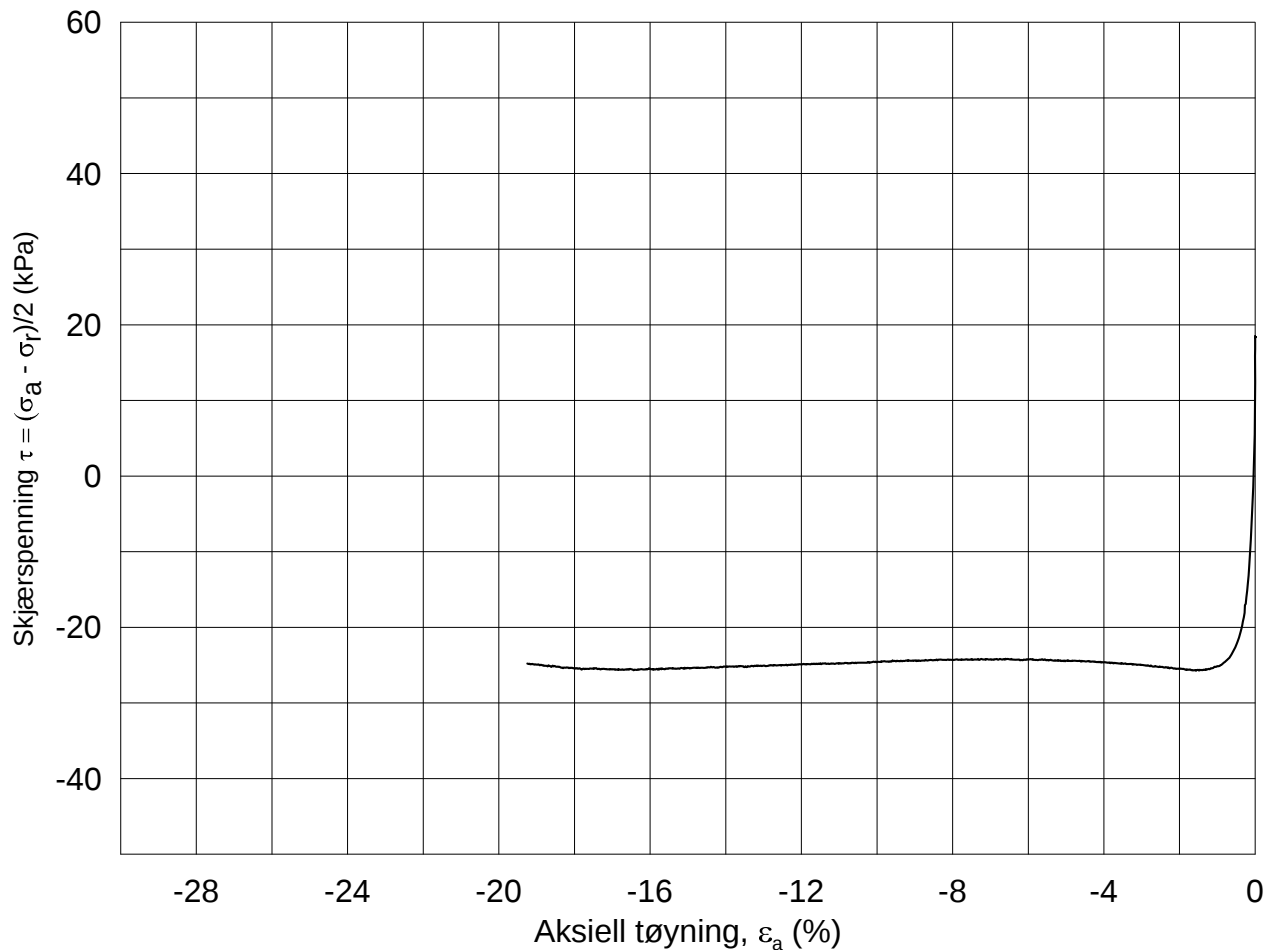


Effektiv gjennomsnittsspenning, $p' = (\sigma_a' + \sigma_r')/2$ (kPa)

Date/Rev.: 2009-11-03/01

E16 Nybakk - Slomarka			Dokument nr. 20120491-02-R	
Treaksial forsøk: CAUA			Dato 2014-06-06	
Boring: 2379	Dybde = 10.28 m	Konsolidering-spenninger		
Sylinder: 10	p_o' = 130.9 kPa	(kPa)	maks.	min.
Del: A	w_i = 32.2 %	σ_{ac}' =	-	-
Test: 2	w_c = 31.6 %	σ_{rc}' =	-	-
		endelig	131.0	
			94.3	
		Figur nr.	G360	
		Tegnet av	MAS	

2379-10-A-2.Plot2.grf



Date/Rev.: 2009-11-03/01

E16 Nybakk - Slomarka

Dokument nr.
20120491-02-R

Treaksial forsøk: -

CLAY

Dato
2014-08-29

Boring: **2379**

Dybde = **10.43** m

Konsolidering-spenninger

Sylinder: **10**

$p_{o'}$ = **131.9** kPa

(kPa) maks. min. endelig

Figur nr.
G361

Del: **A**

w_i = **32.60** %

σ_{ac}' = - - **131.9**

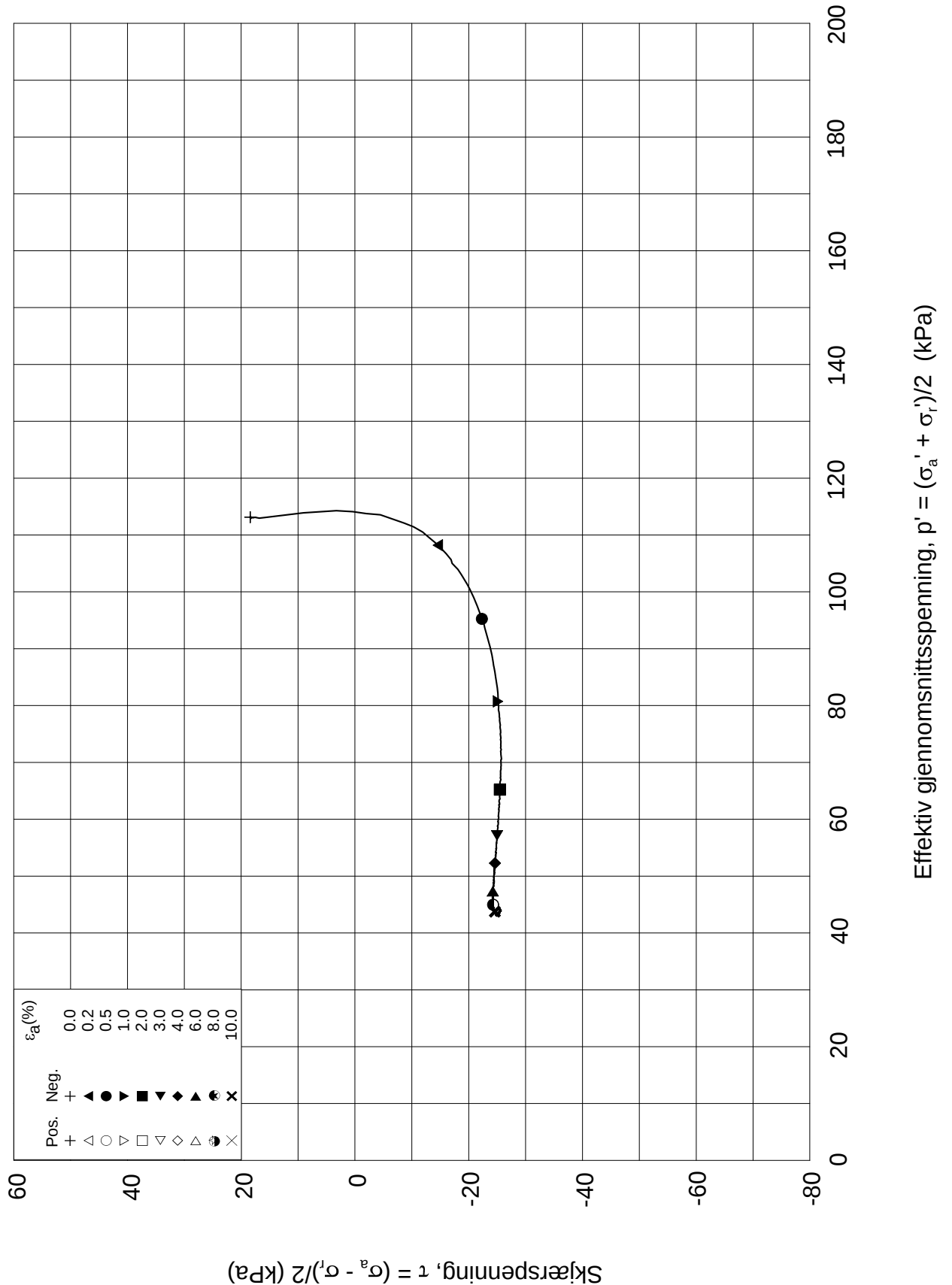
Tegnet av
MAS

Test: **3**


w_c = **31.96** %

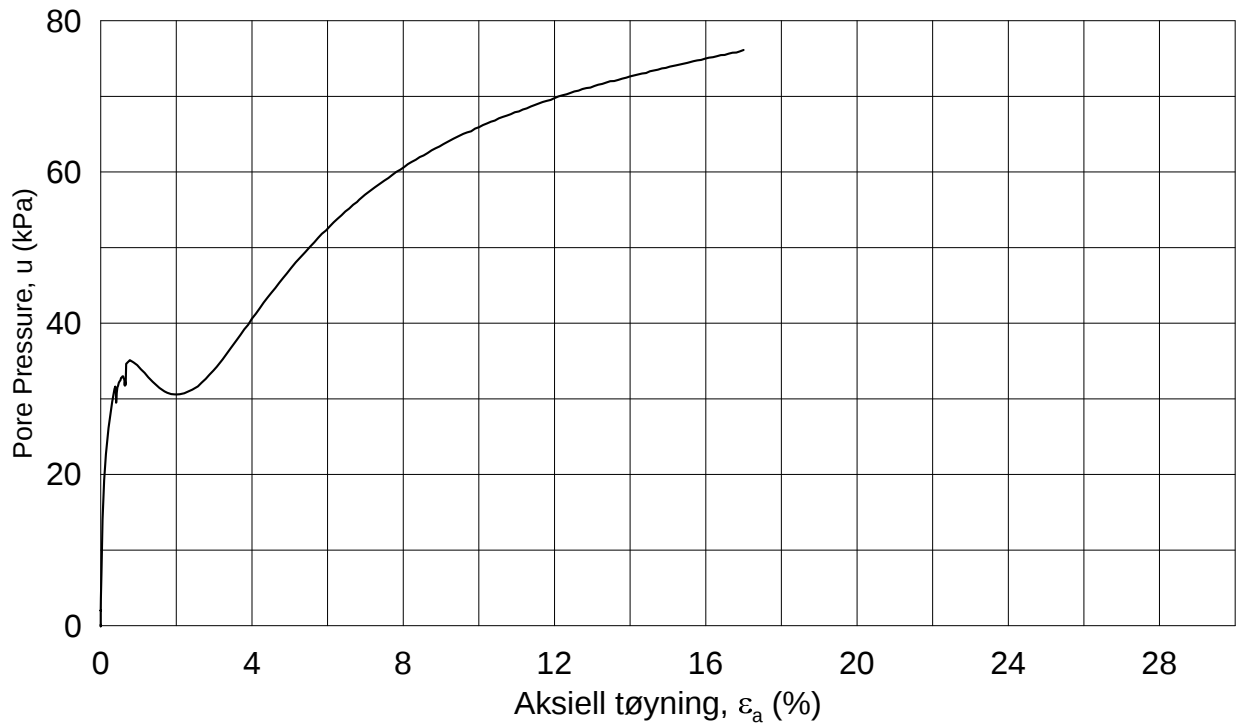
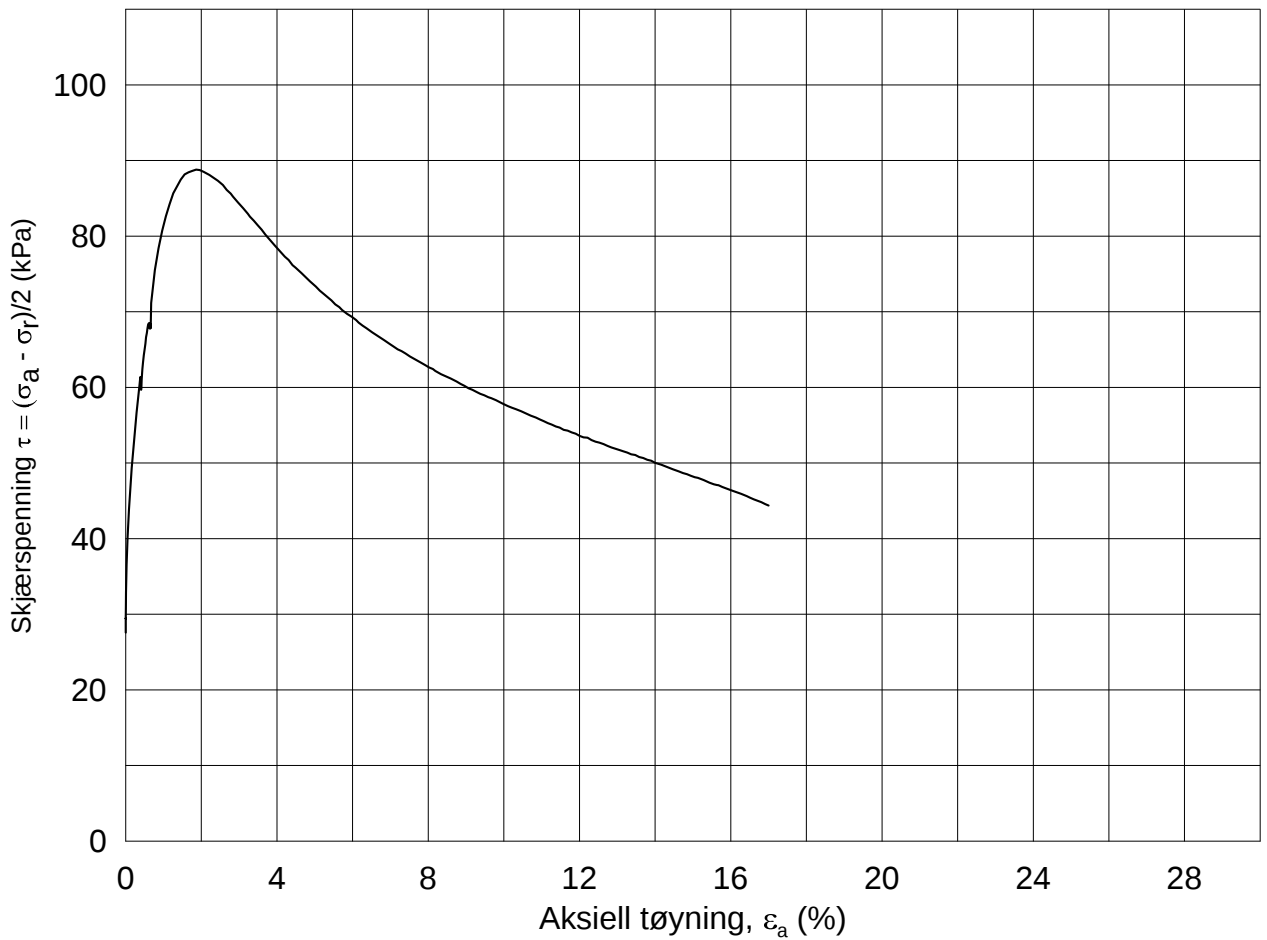
σ_{rc}' = - - **94.7**





Date/Rev.: 2009-11-03/01

E16 Nybakk - Slomarka			Dokument nr. 20120491-02-R	
Treaksial forsøk: CAUP	LEIRE		Dato 2014-08-29	
Boring: 2379	Dybde = 10.43 m	Konsolidering-spenninger		
Sylinder: 10	$p_{o'}$ = 131.9 kPa	(kPa)	maks.	min.
Del: A	w_i = 32.60 %	σ_{ac}' =	-	-
Test: 3	w_c = 31.96 %	σ_{rc}' =	-	-
			131.9	94.7
			Figur nr. G362	
			Tegnet av MAS	



Date/Rev.: 2009-11-03/01

E16 Nybakk - Slomarka

Dokument nr.
20120491-02-R

Treaksial forsøk: **CAUA**

Dato
2014-08-20

Boring: **2379**

Dybde = **14.36** m

Konsolidering-spenninger

Sylinder: **14**

$p_{o'}$ = **173.3** kPa

(kPa)	maks.	min.	endelig
σ_{ac}' =	-	-	173.4
σ_{rc}' =	-	-	118.5

Figur nr.
G363

Del: **A**

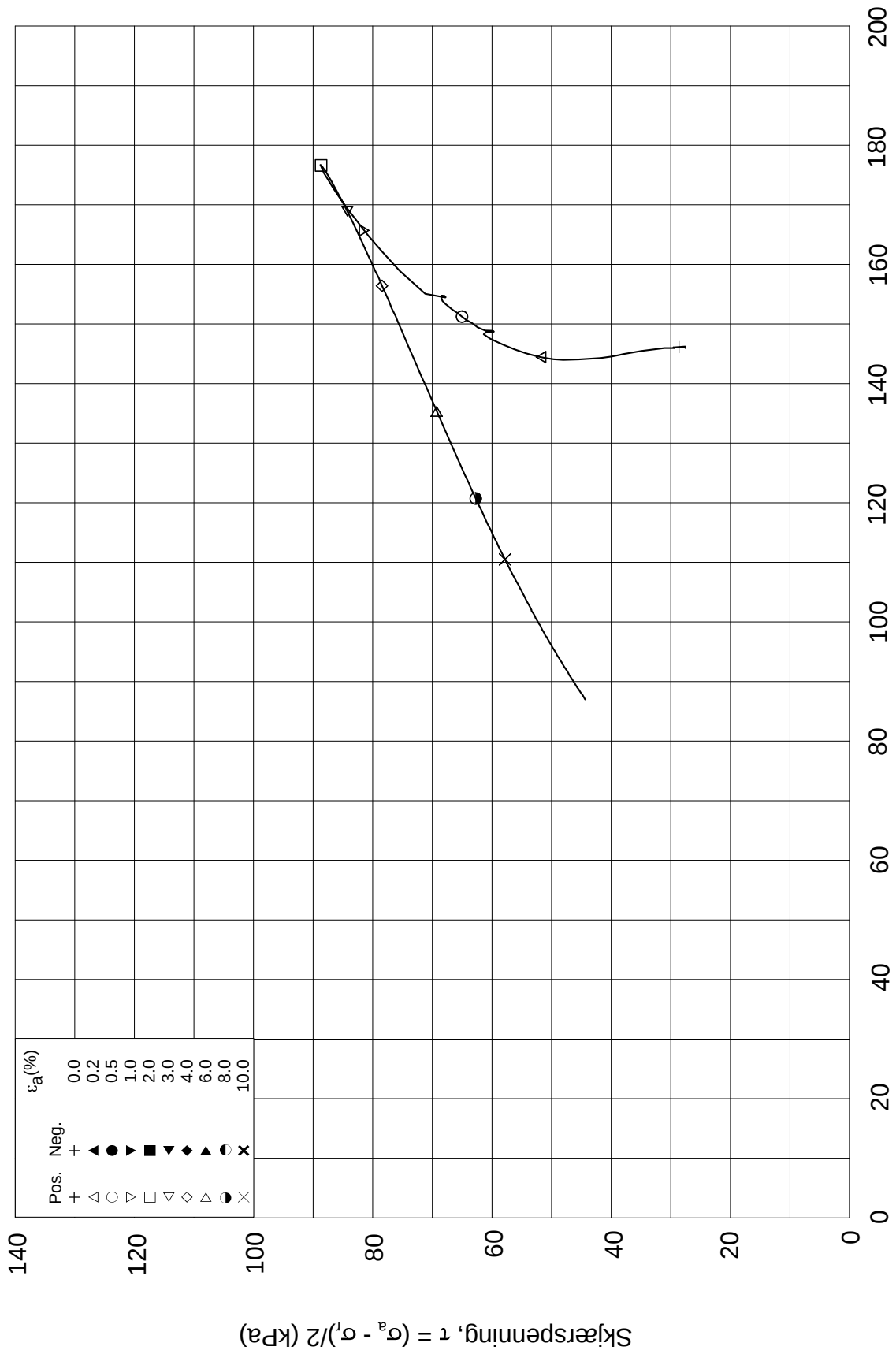
w_i = **34.1** %

Tegnet av
MAS


Test: **2**

w_c = **33.6** %

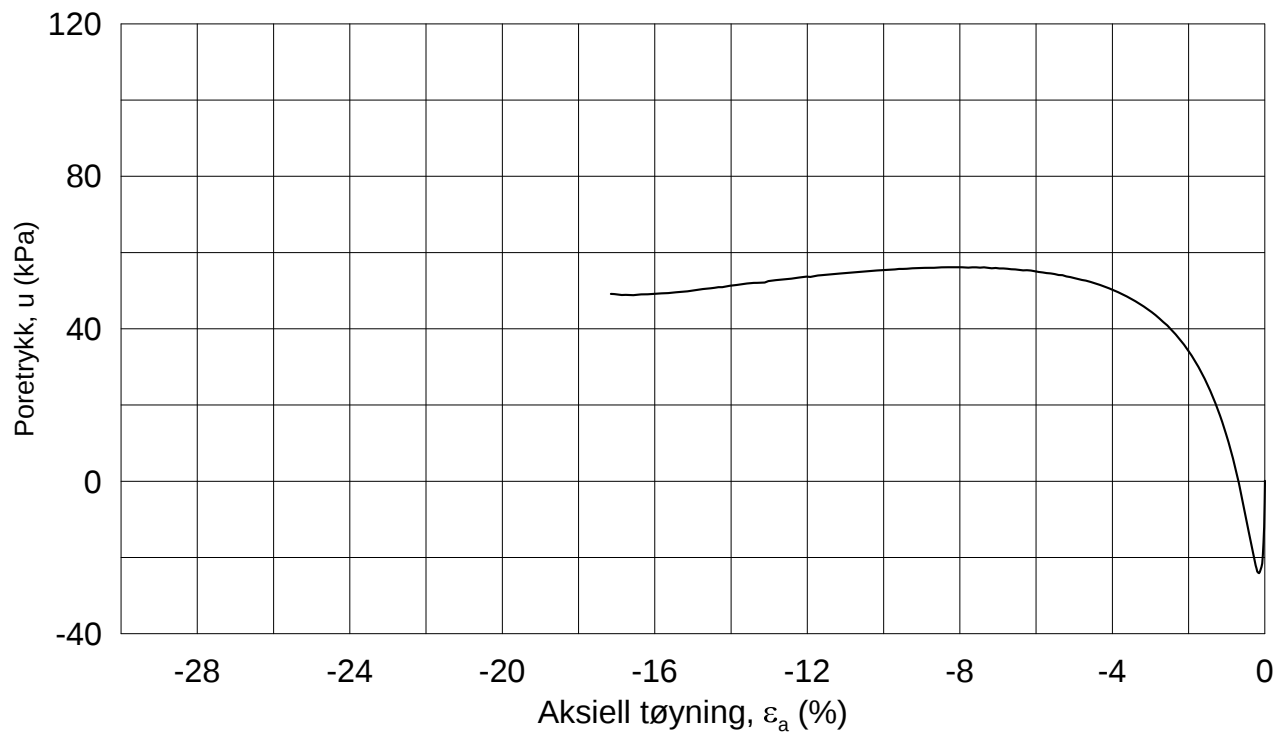
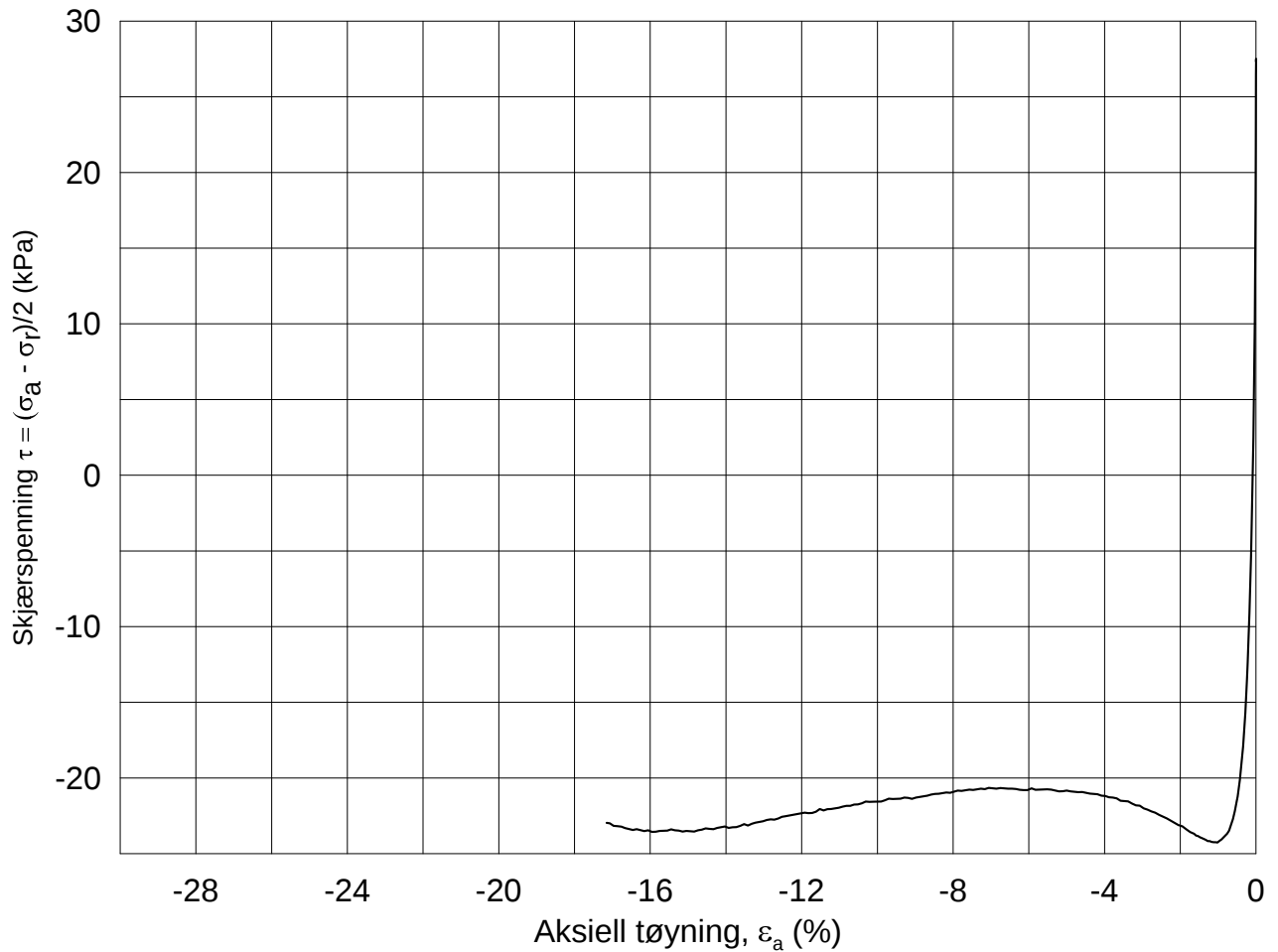




Date/Rev.: 2009-11-03/01

E16 Nybakk - Slomarka			Dokument nr. 20120491-02-R	
Treaksial forsøk: CAUA			Dato 2014-08-20	
Boring: 2379	Dybde = 14.36 m	Konsolidering-spenninger		
Sylinder: 14	$p_{o'}$ = 173.3 kPa	(kPa)	maks.	min.
Del: A	w_i = 34.1 %	σ_{ac}' =	-	-
Test: 2	w_c = 33.6 %	σ_{rc}' =	-	-
			173.4	118.5
			Figur nr. G364	
			Tegnet av MAS	

2379-14-A-2.Plot2.grf



Date/Rev.: 2009-11-03/01

E16 Nybakk - Slomarka

Dokument nr.
20120491-

Treaksial forsøk: **CAUP**

Dato
2014-08-28

Boring: **2379**

Dybde = **14.40** m

Konsolidering-spenninger

Sylinder: **14**

p_o' = **173.3** kPa

(kPa) maks. min. endelig

Figur nr.
G365

Del: **A**

w_i = **29.6** %

σ_{ac}' = - - **171.8**

Tegnet av

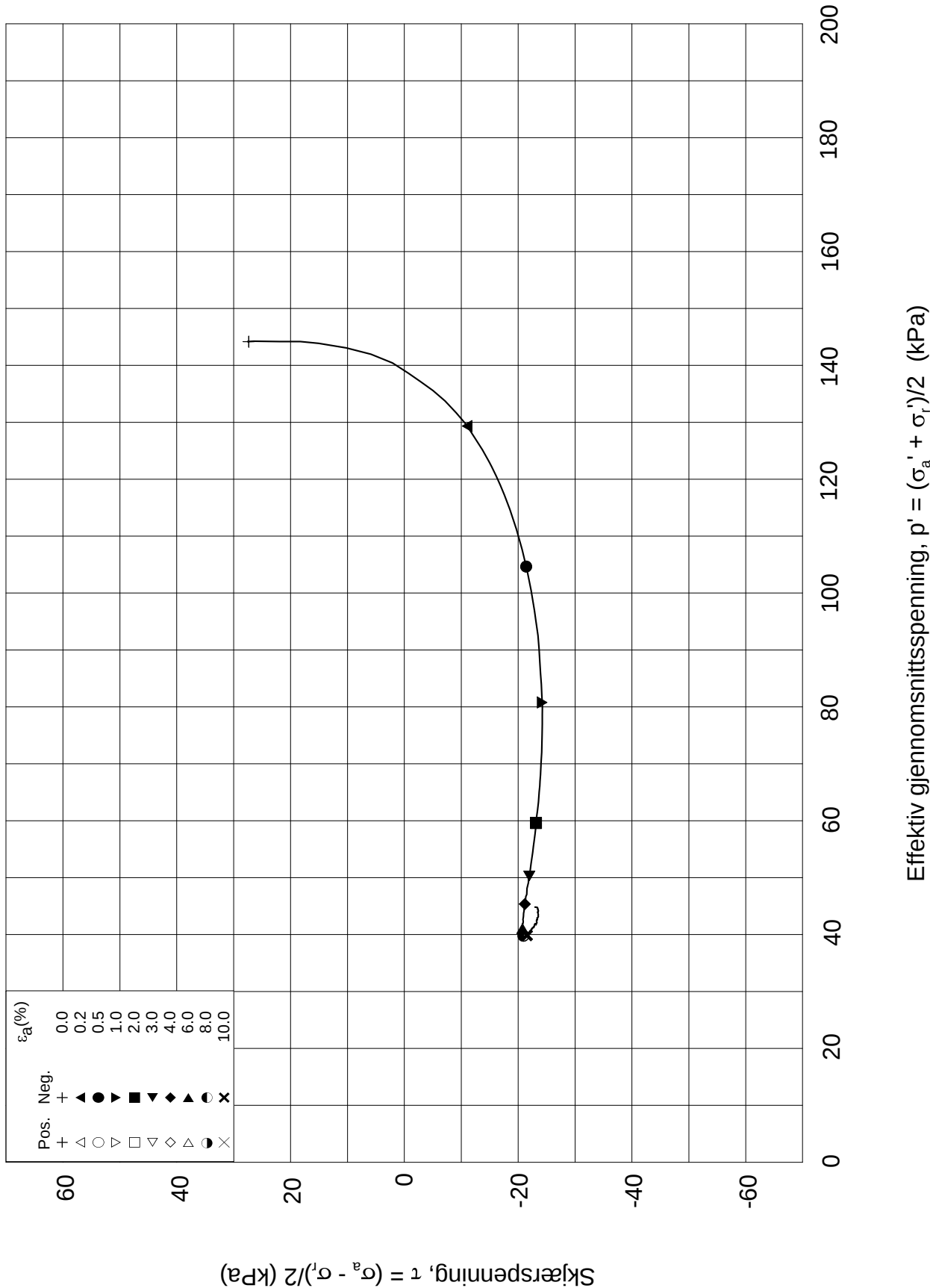
Test: **1**

w_c = **28.6** %

σ_{rc}' = - - **116.8**

MAS





Date/Rev.: 2009-11-03/01

E16 Nybakk - Slomarka

Dokument nr.
20120491-

Treaksial forsøk: **CAUP**

Dato
2014-08-28

Boring: **2379**

Dybde = **14.40** m

Konsolidering-spenninger

Sylinder: **14**

$p_{o'}$ = **173.3** kPa

(kPa)	maks.	min.	endelig
σ_{ac}' =	-	-	171.8
σ_{rc}' =	-	-	116.8

Del: **A**

w_i = **29.6** %

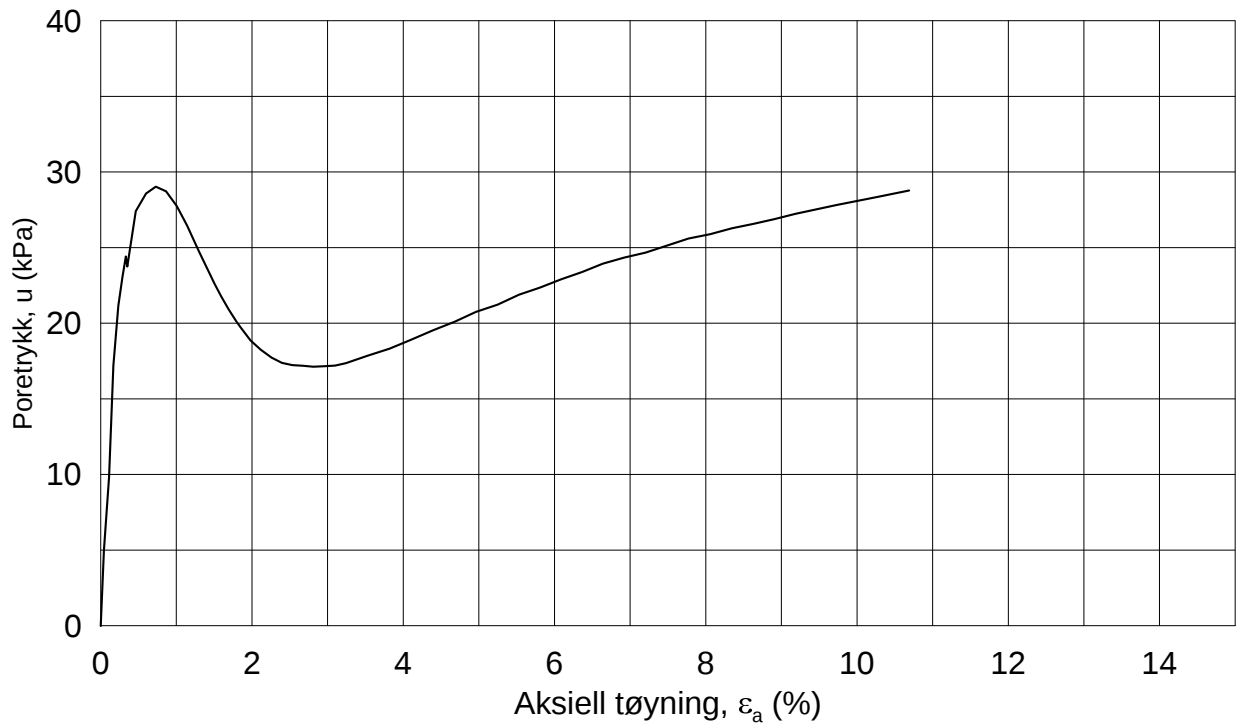
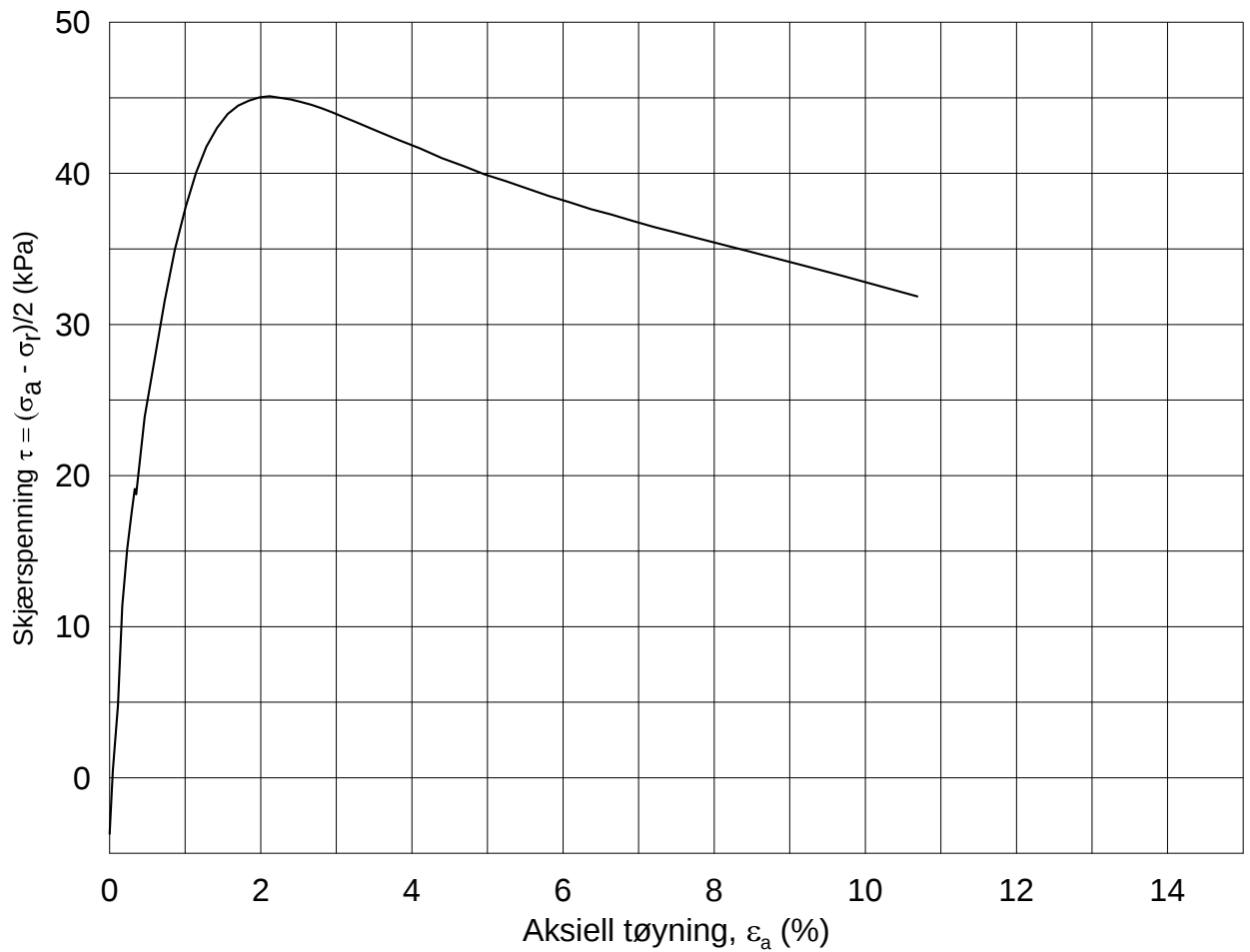
Figur nr.
G366

Test: **1**

w_c = **28.6** %

Tegnet av
MAS





Date/Rev.: 2009-11-03/01

E16 Nybakk - Slomarka

Dokument nr.
20120491-02-R

Treaksial forsøk: **CAUA**

Dato
2014-06-06

Boring: **2411**

Dybde = **6.21** m

Konsolidering-spenninger

Sylinder: **6**

$p_{o'}$ = **48.8** kPa

(kPa) maks. min. endelig

Figur nr.
G367

Del: **A**

w_i = **34.6** %

σ_{ac}' = - - **48.7**

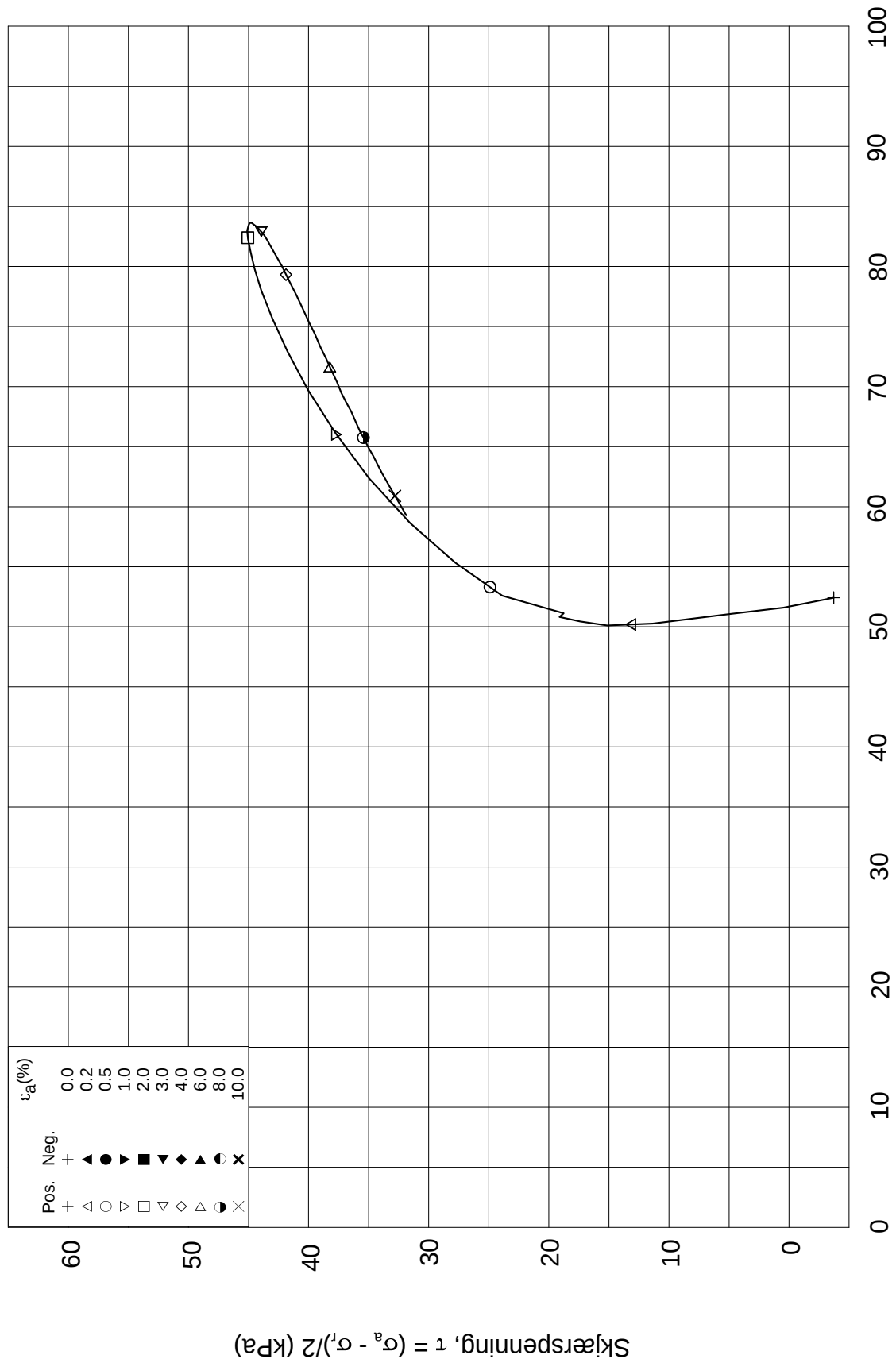
Tegnet av
MAS

Test: **1**

w_c = **34.5** %

σ_{rc}' = - - **56.1**





Date/Rev.: 2009-11-03/01

E16 Nybakk - Slomarka

Dokument nr.
20120491-02-R

Treaksial forsøk: **CAUA**

Dato
2014-06-06

Boring: **2411**

Dybde = **6.21** m

Konsolidering-spenninger

Sylinder: **6**

$p_{o'}$ = **48.8** kPa

(kPa) maks. min. endelig

Figur nr.
G368

Del: **A**

w_i = **34.6** %

σ_{ac}' = - - **48.7**

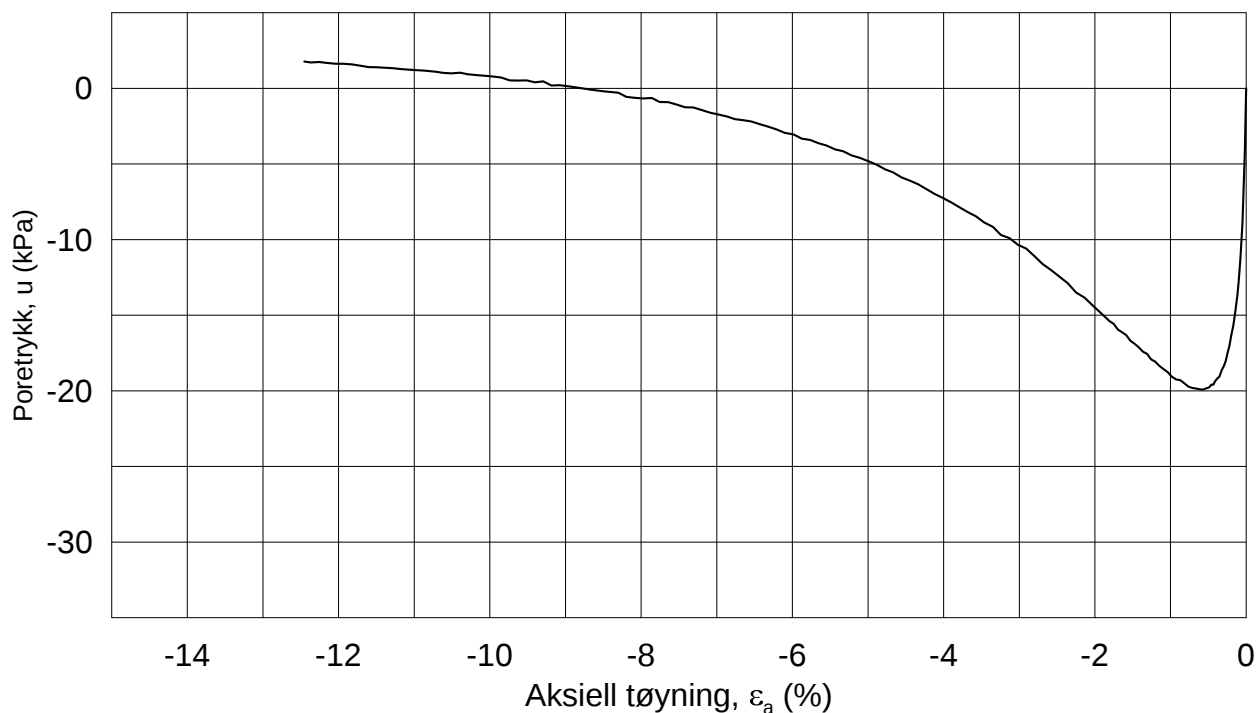
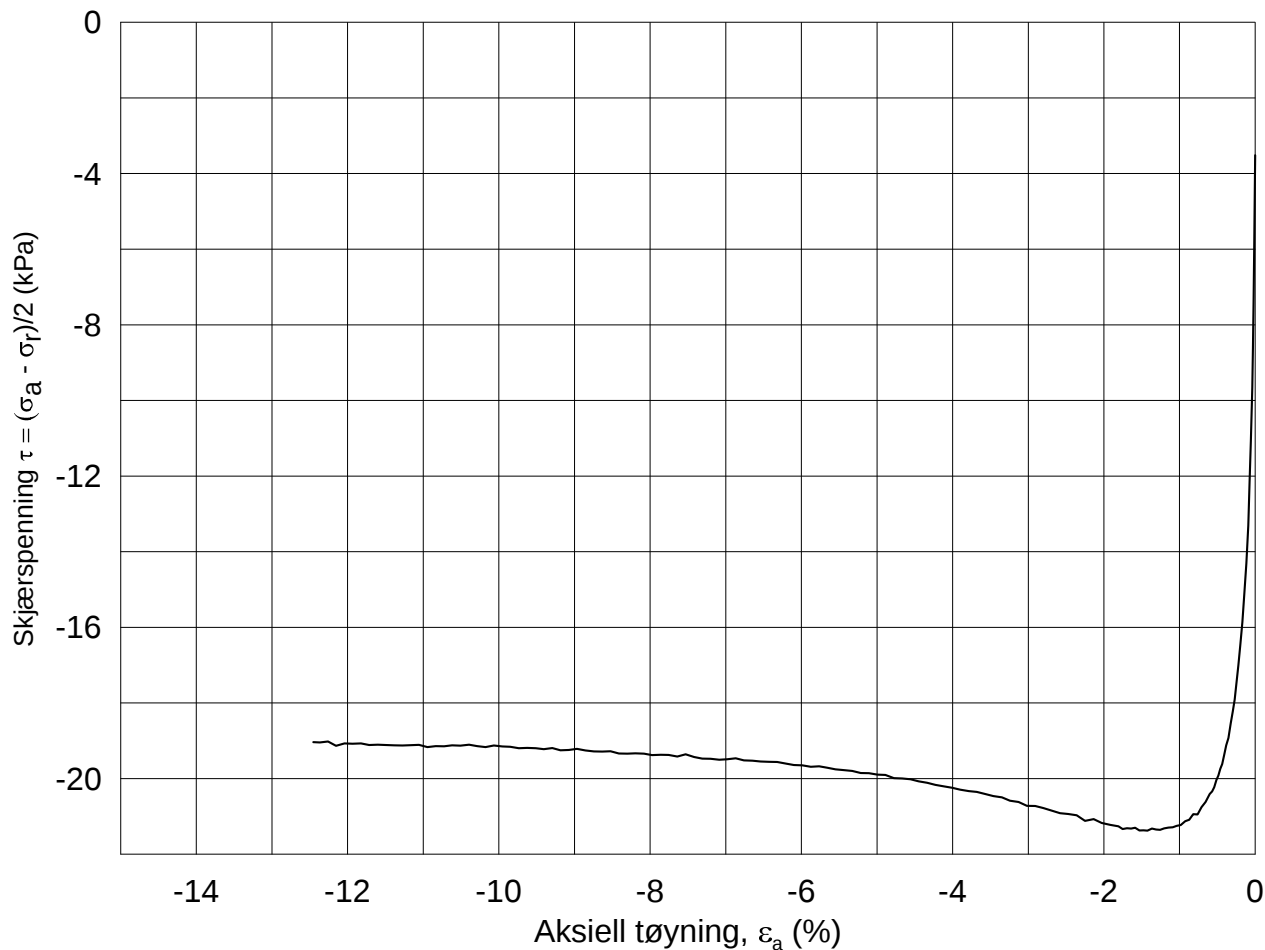
Tegnet av
MAS

Test: **1**

w_c = **34.5** %

σ_{rc}' = - - **56.1**





Date/Rev.: 2009-11-03/01

E16 Nybakk - Slomarka

Dokument nr.
20120491-02-R

Treaksial forsøk: **CAUP**

Dato
2014-06-06

Boring: **2411**

Dybde = **6.36** m

Konsolidering-spenninger

Sylinder: **6**

p_o' = **50.0** kPa

(kPa) maks. min. endelig

Figur nr.
G369

Del: **A**

w_i = **38.4** %

σ_{ac}' = - - **50.0**

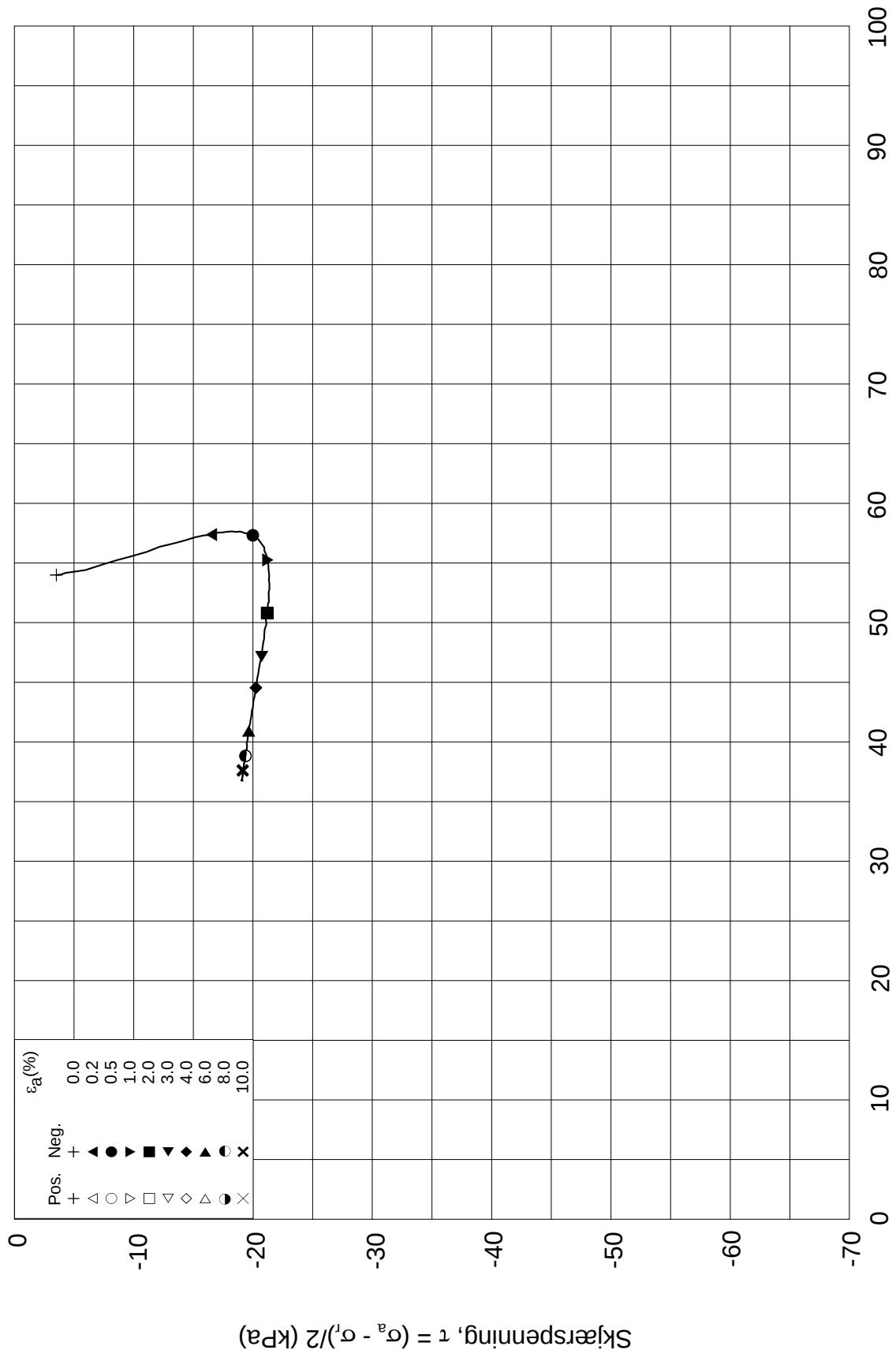
Tegnet av
MAS

Test: **2**

w_c = **38.4** %

σ_{rc}' = - - **57.5**





Date/Rev.: 2009-11-03/01

E16 Nybakk - Slomarka

Dokument nr.
20120491-02-R

Treaksial forsøk: **CAUP**

Dato
2014-06-06

Boring: **2411**

Dybde = **6.36** m

Konsolidering-spenninger

Sylinder: **6**

p_o' = **50.0** kPa

(kPa) maks. min. endelig

Figur nr.
G370

Del: **A**

w_i = **38.4** %

σ_{ac}' = - - **50.0**

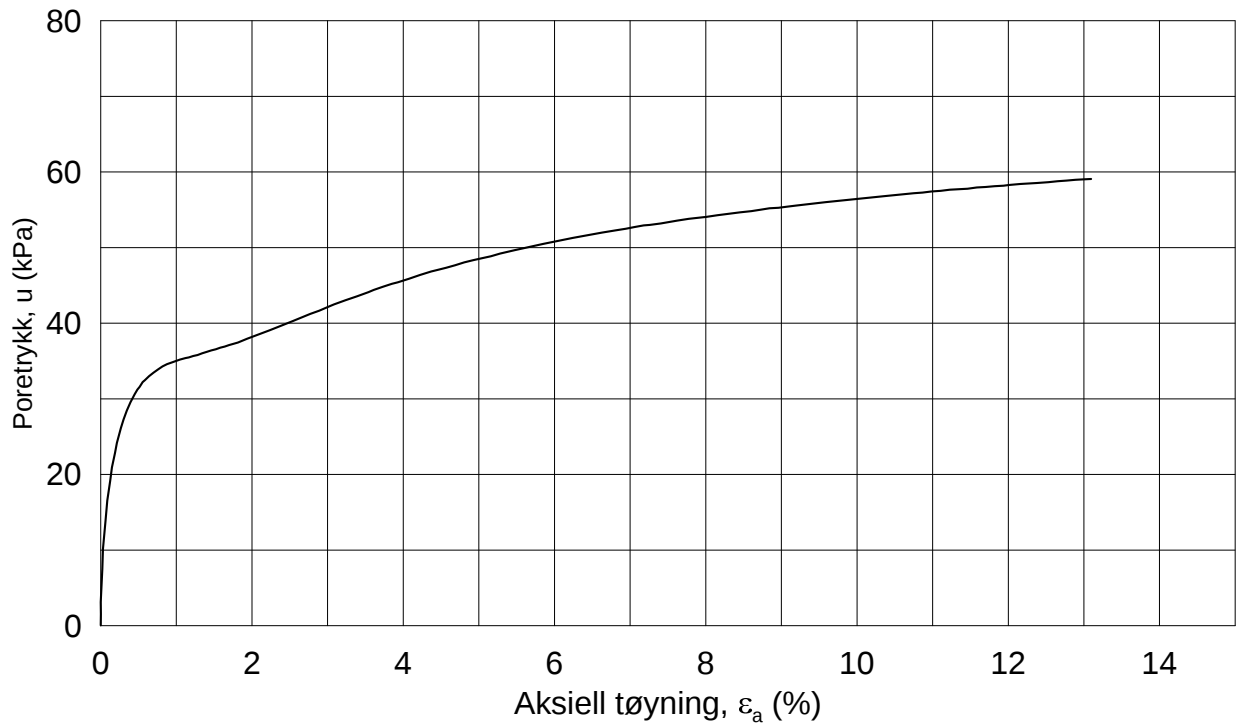
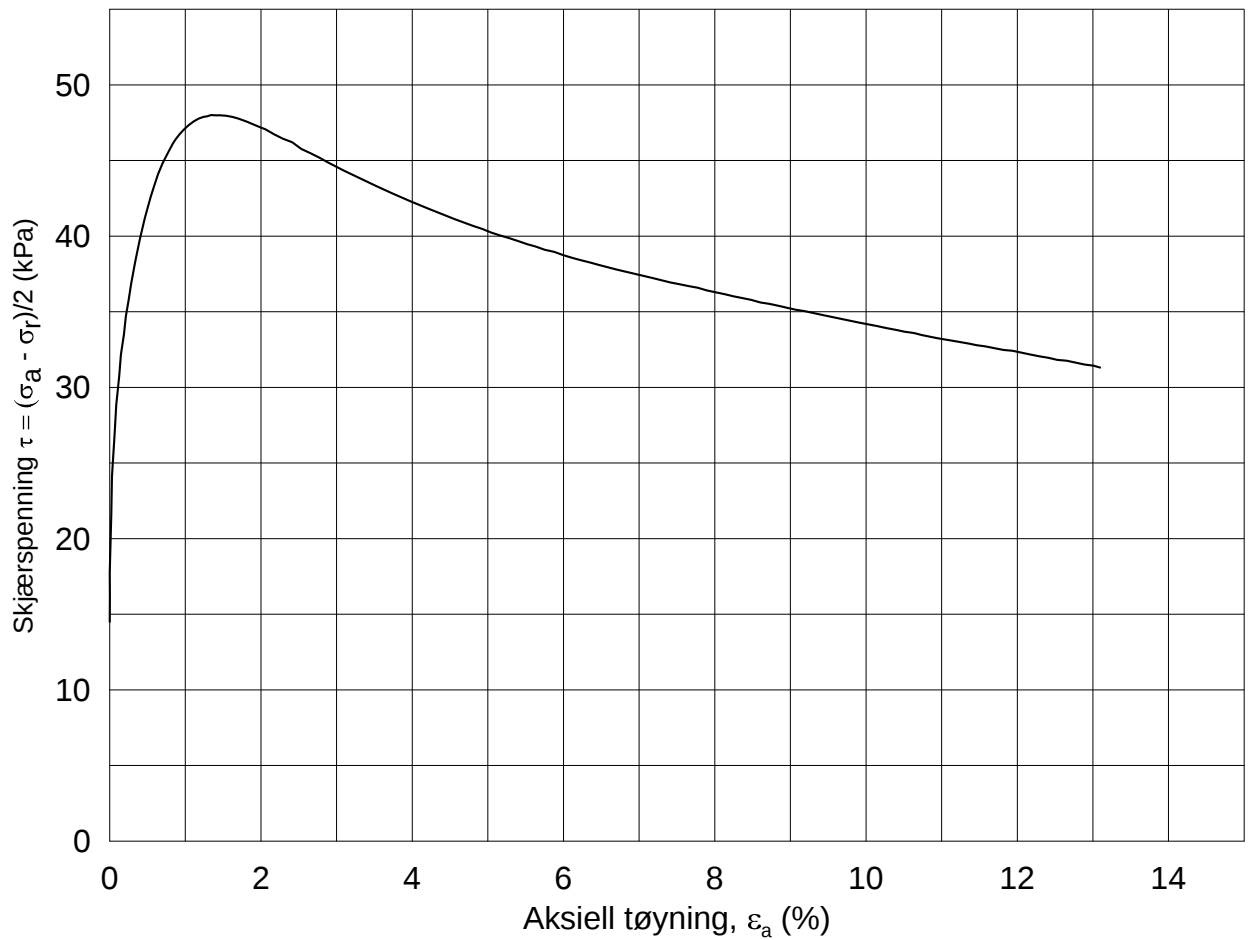
Tegnet av
MAS

Test: **2**

w_c = **38.4** %

σ_{rc}' = - - **57.5**





Date/Rev.: 2009-11-03/01

E16 Nybakk - Slomarka

Dokument nr.
20120491-02-R

Treaksial forsøk: **CAUA**

Dato
2014-06-06

Boring: **2411**

Dybde = **12.21** m

Konsolidering-spenninger

Sylinder: **12**

$p_{o'}$ = **116.1** kPa

(kPa) maks. min. endelig

Figur nr.
G371

Del: **A**

w_i = **30.4** %

σ_{ac}' = - - **116.0**

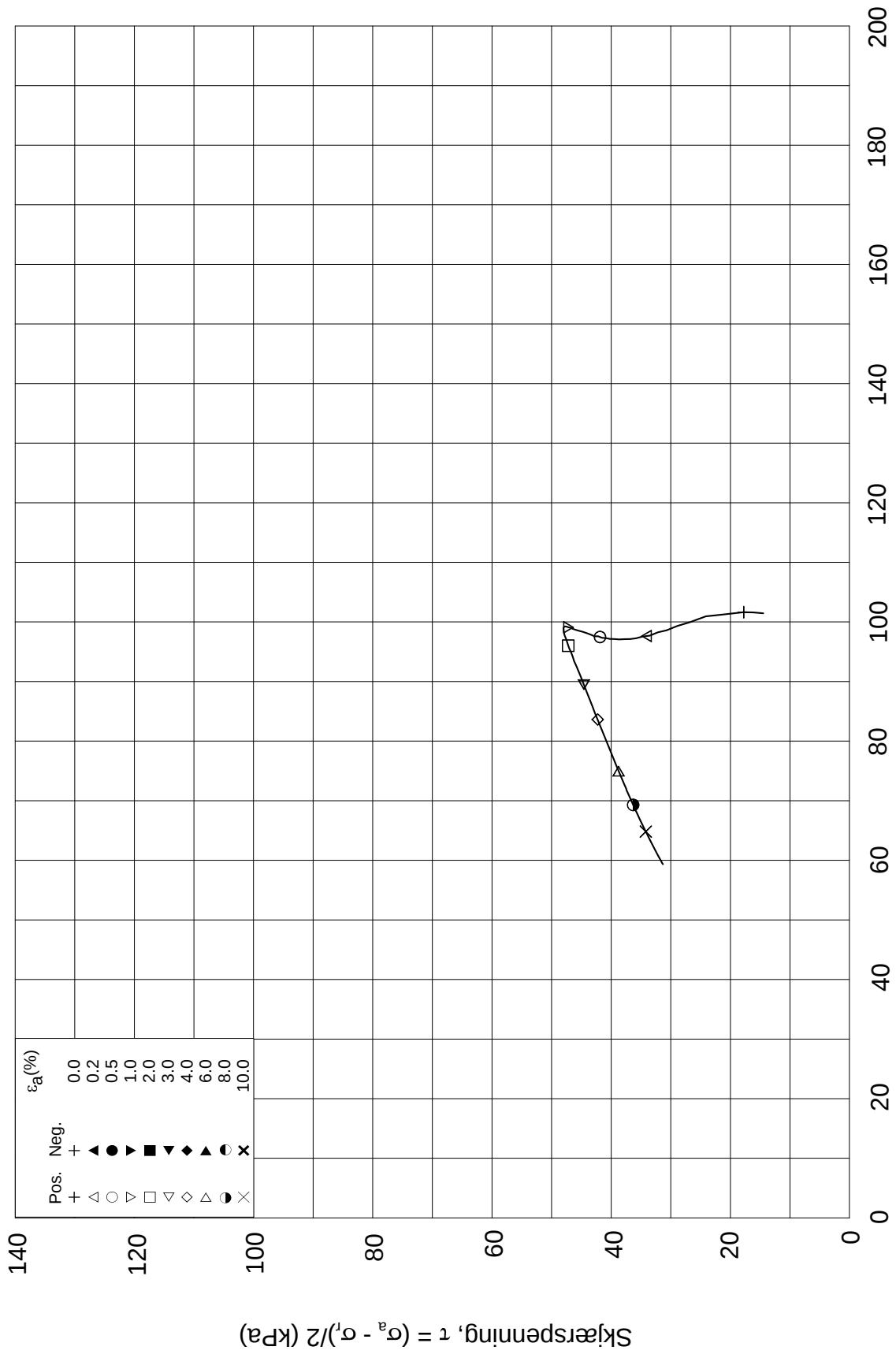
Tegnet av
MAS

Test: **1**

w_c = **29.4** %

σ_{rc}' = - - **87.0**

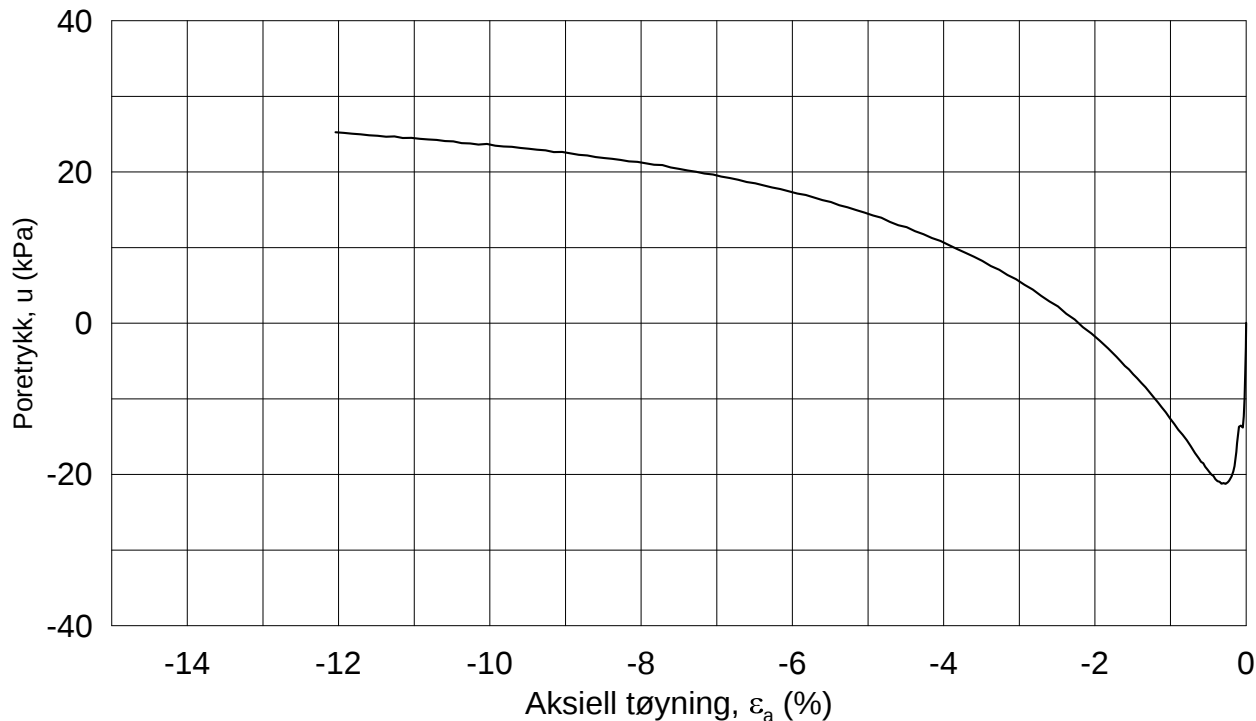
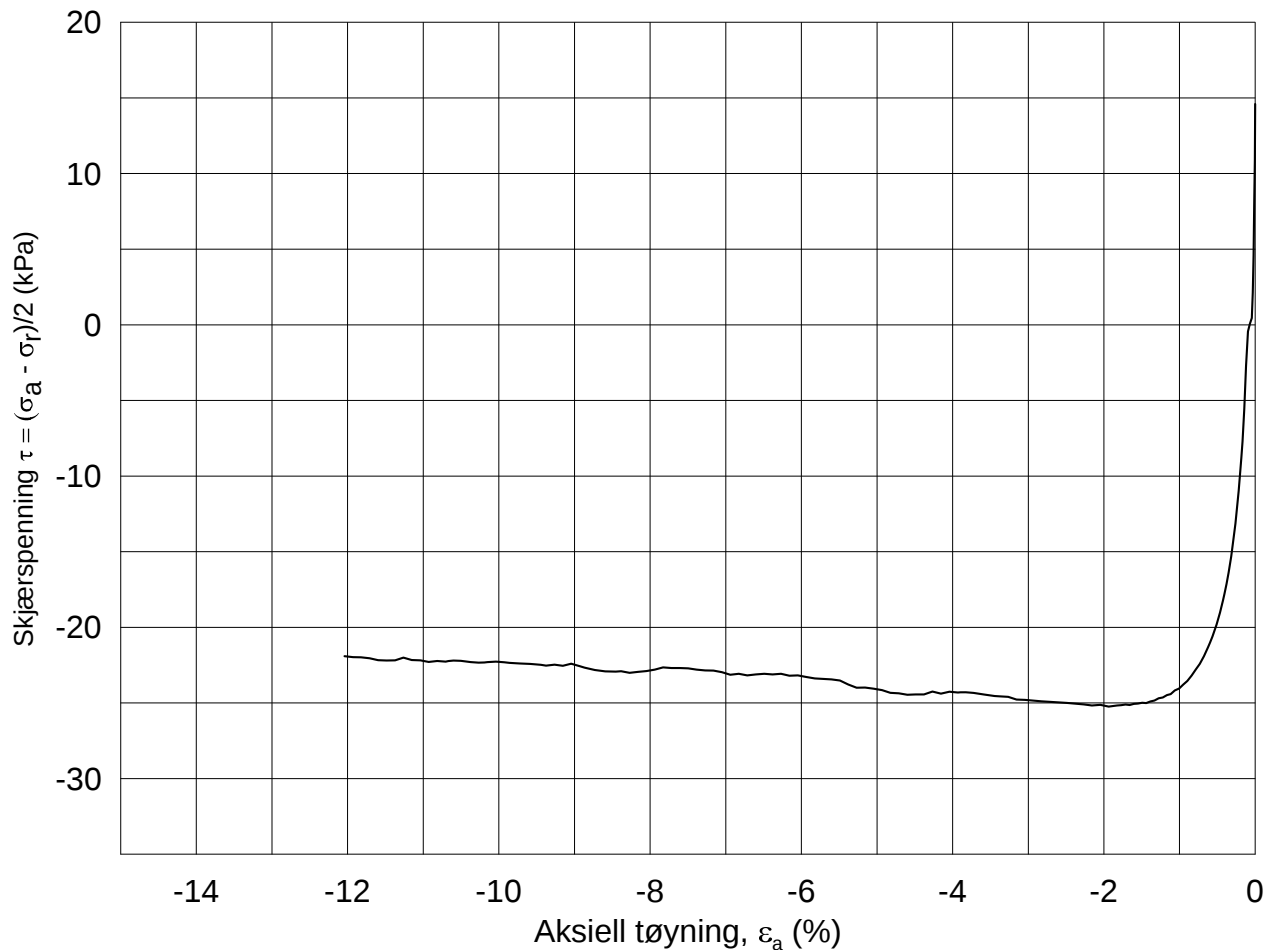




Date/Rev.: 2009-11-03/01

E16 Nybakk - Slomarka			Dokument nr. 20120491-02-R	
Treaksial forsøk: CAUA			Dato 2014-06-06	
Boring: 2411	Dybde = 12.21 m	Konsolidering-spenninger		
Sylinder: 12	$p_{o'}$ = 116.1 kPa	(kPa)	maks.	min.
Del: A	w_i = 30.4 %	σ_{ac}' =	-	-
Test: 1	w_c = 29.4 %	σ_{rc}' =	-	-
		endelig	116.0	
			87.0	
		Figur nr.	G372	
		Tegnet av	MAS	

2411-12-A-1-Plot2.grf



Date/Rev.: 2009-11-03/01

E16 Nybakk - Slomarka

Dokument nr.
20120491-02-R

Treaksial forsøk: **CAUP**

Dato
2014-06-06

Boring: **2411**

Dybde = **12.36** m

Konsolidering-spenninger

Sylinder: **12**

$p_{o'}$ = **117.5** kPa

(kPa)	maks.	min.	endelig
σ_{ac}' =	-	-	117.5
σ_{rc}' =	-	-	88.1

Figur nr.
G373

Del: **A**

w_i = **35.7** %

σ_{ac}' = - - **117.5**

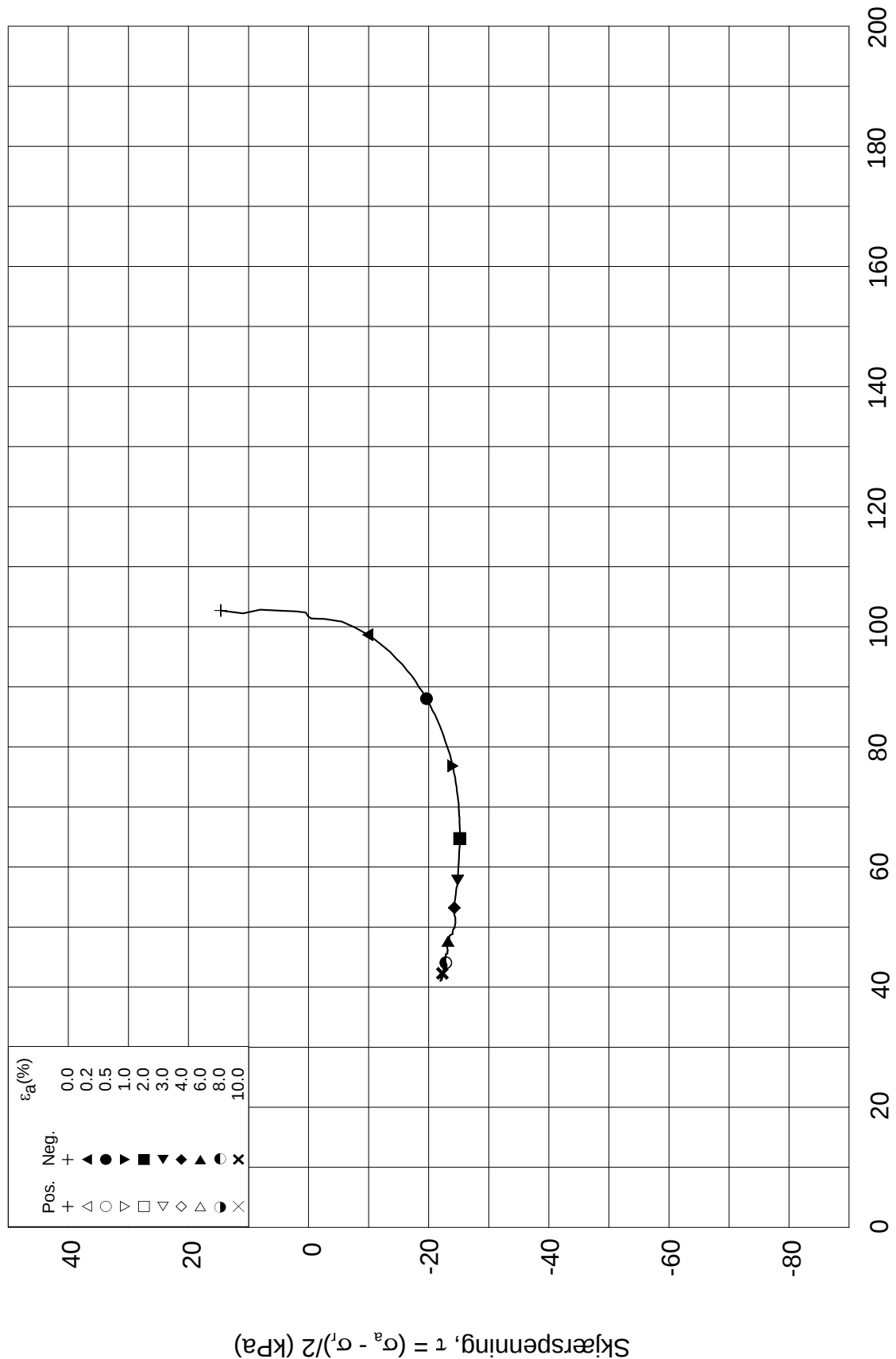
Tegnet av
MAS

Test: **2**

w_c = **34.5** %

σ_{rc}' = - - **88.1**





Date/Rev.: 2009-11-03/01

E16 Nybakk - Slomarka

Dokument nr.
20120491-02-R

Treaksial forsøk: **CAUP**

Dato
2014-06-06

Boring: **2411**

Dybde = **12.36** m

Konsolidering-spenninger

Sylinder: **12**

$p_{o'}$ = **117.5** kPa

(kPa) maks. min. endelig

Figur nr.
G374

Del: **A**

w_i = **35.7** %

σ_{ac}' = - - **117.5**

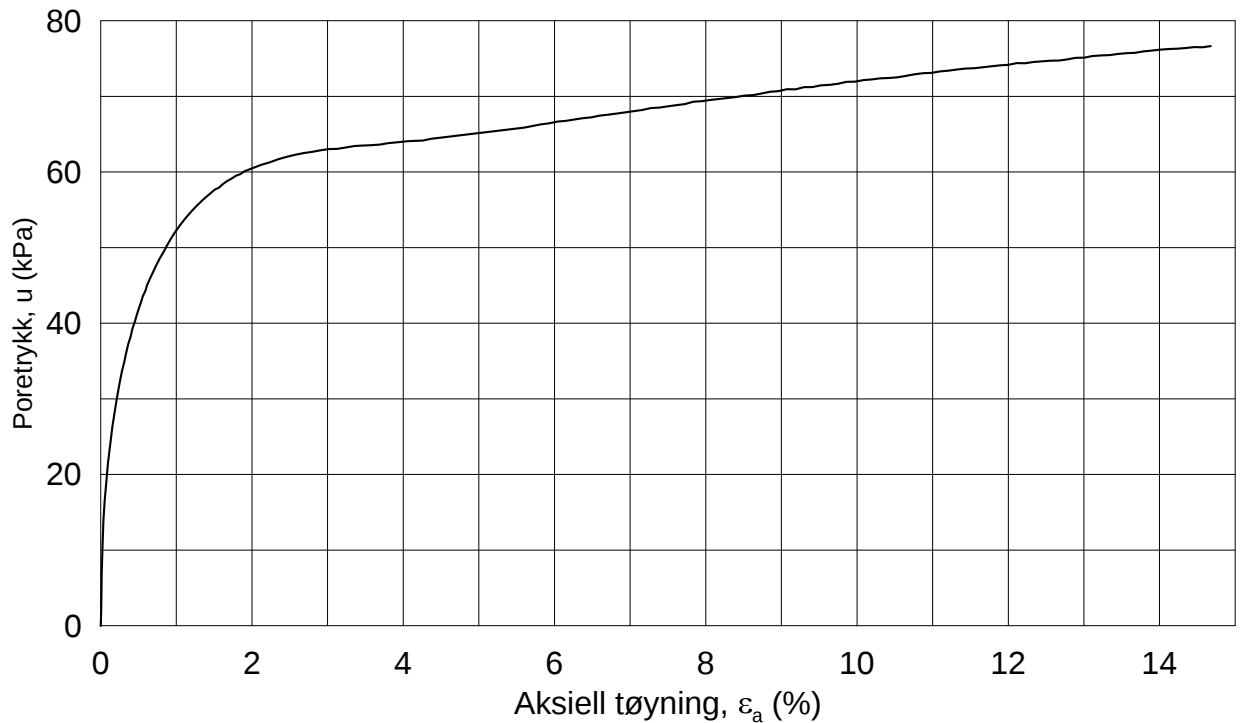
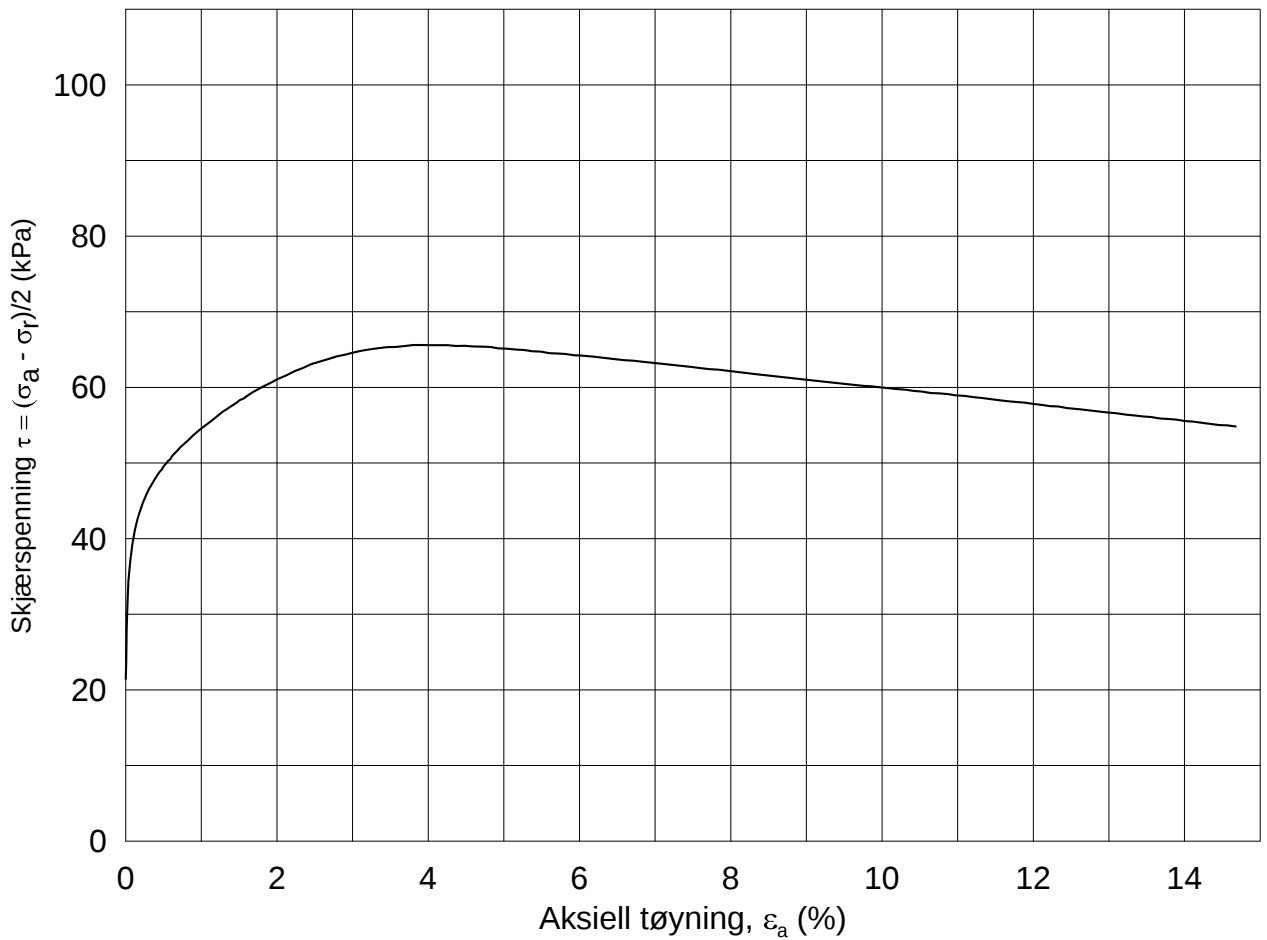
Tegnet av
MAS

Test: **2**

w_c = **34.5** %

σ_{rc}' = - - **88.1**





Date/Rev.: 2009-11-03/01

E16 Nybakk - Slomarka

Dokument nr.
20120491-02-R

Treaksial forsøk: **CAUA**

Dato
2014-05-29

Boring: **2411**

Dybde = **18.23** m

Konsolidering-spenninger

Sylinder: **16**

$p_{o'}$ = **171.3** kPa

(kPa) maks. min. endelig

Figur nr.
G375

Del: **A**

w_i = **32.2** %

σ_{ac}' = - - **171.2**

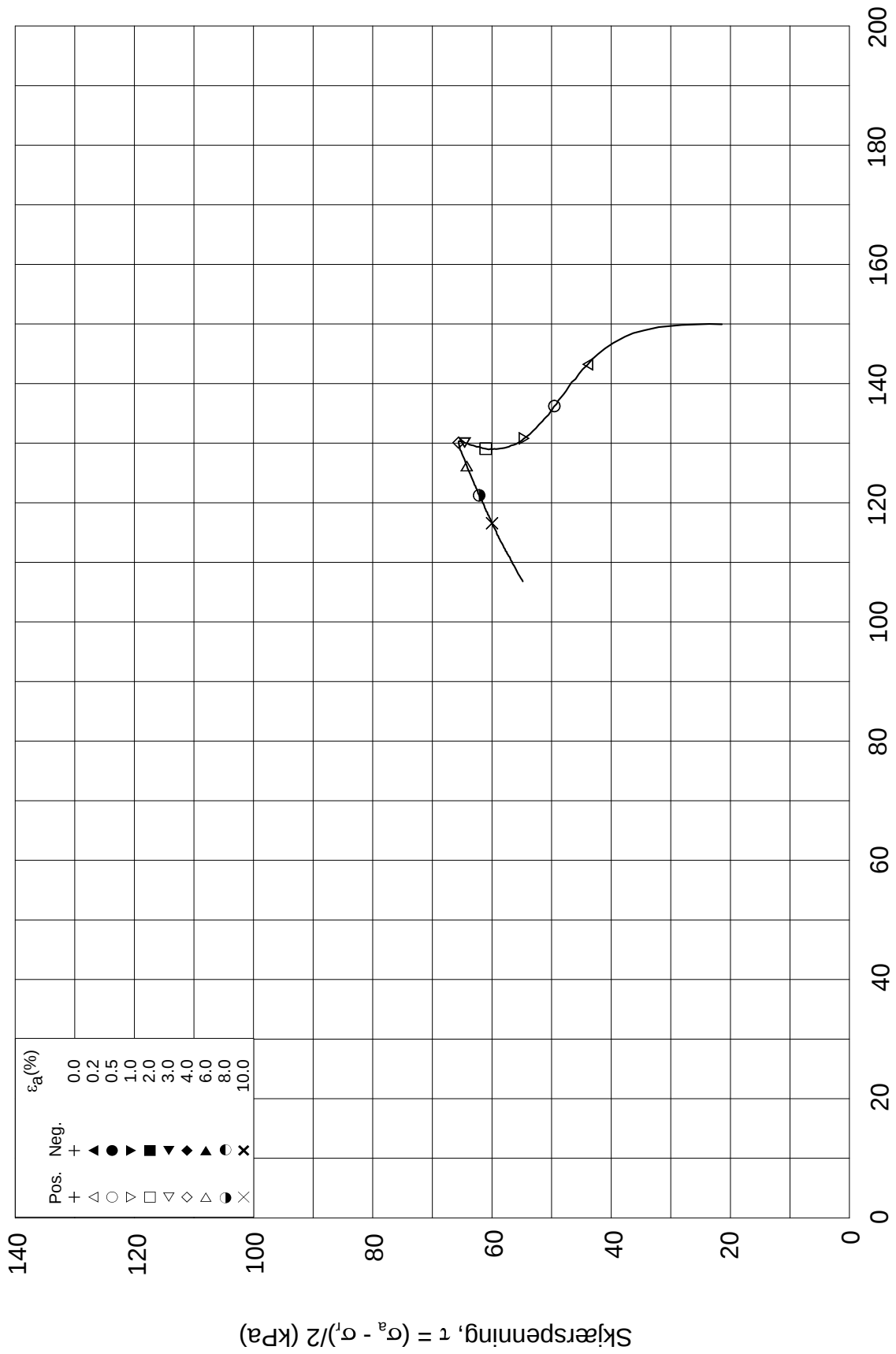
Tegnet av
MAS

Test: **1**

w_c = **29.7** %

σ_{rc}' = - - **128.5**



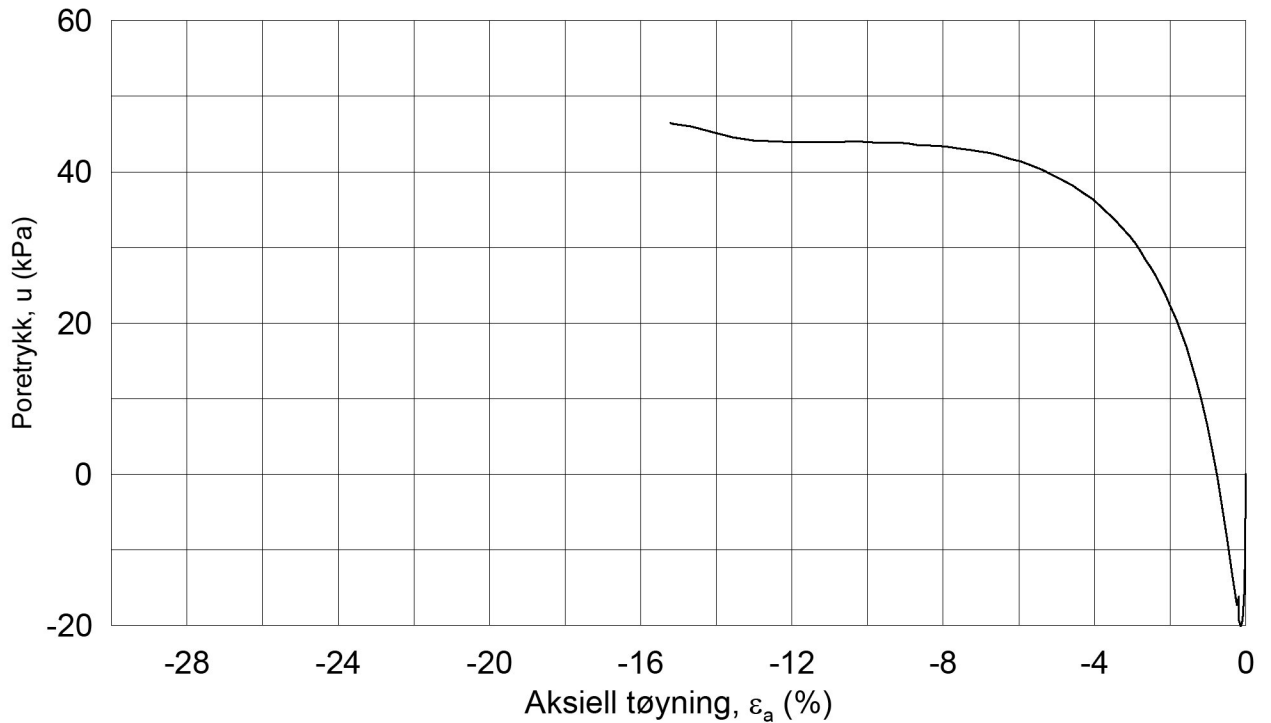
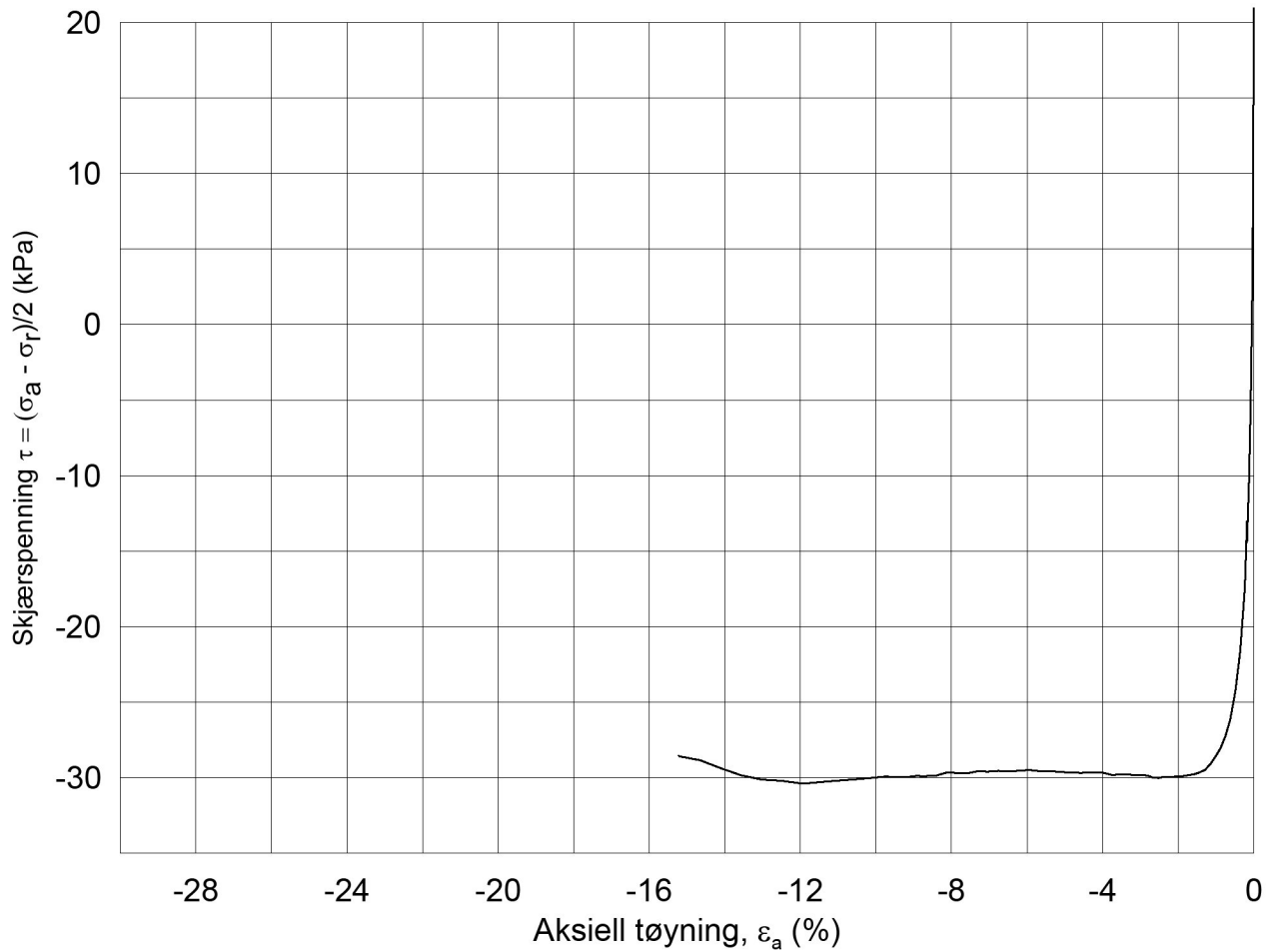


Effektiv gjennomsnittsspenning, $p' = (\sigma_a' + \sigma_r')/2$ (kPa)

Date/Rev.: 2009-11-03/01

E16 Nybakk - Slomarka			Dokument nr. 20120491-02-R	
Treaksial forsøk: CAUA			Dato 2014-05-29	
Boring: 2411	Dybde = 18.23 m	Konsolidering-spenninger		
Sylinder: 16	$p_{o'}$ = 171.3 kPa	(kPa)	maks.	min.
Del: A	w_i = 32.2 %	$\sigma_{ac}' =$	-	-
Test: 1	w_c = 29.7 %	$\sigma_{rc}' =$	-	-
		endelig	171.2	
			128.5	
		Figur nr.	G376	
		Tegnet av	MAS	

2411-16-A-1-Plot2.grf



Date/Rev.: 2009-11-03/01

E16 Nybakk - Slomarka

Dokument nr.
20120491-02-R

Treaksial forsøk: **CAUP**

Dato
2014-07-14

Boring: **2411**

Dybde = **18.38** m

Konsolidering-spenninger

Sylinder: **16**

p_o' = **172.9** kPa

(kPa)	maks.	min.	endelig
σ_{ac}' =	-	-	172.6
σ_{rc}' =	-	-	130.6

Figur nr.
G377

Del: **A**

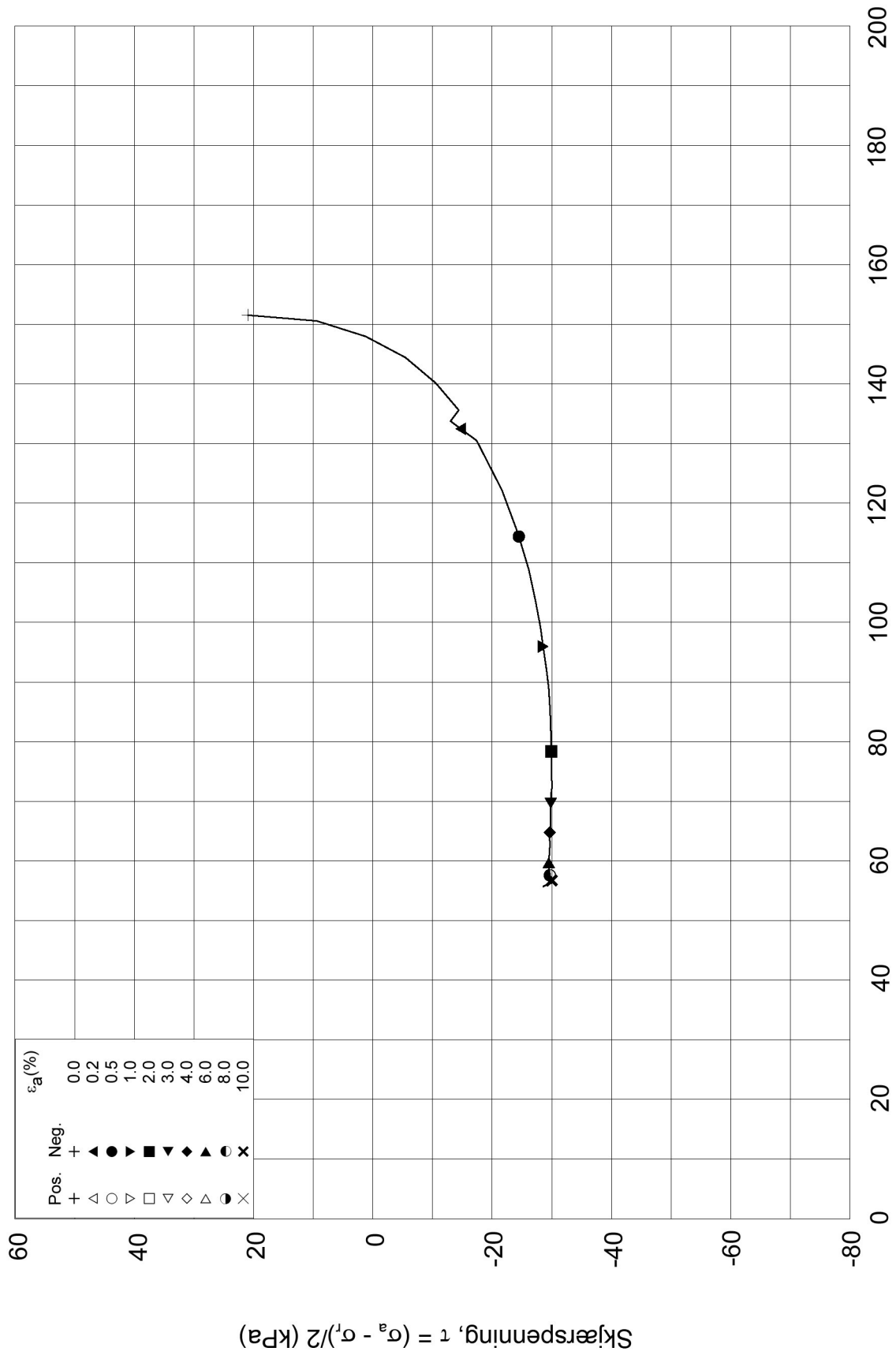
w_i = **31.9** %

Tegnet av
MAS

Test: **2**

w_c = **29.8** %

NGI

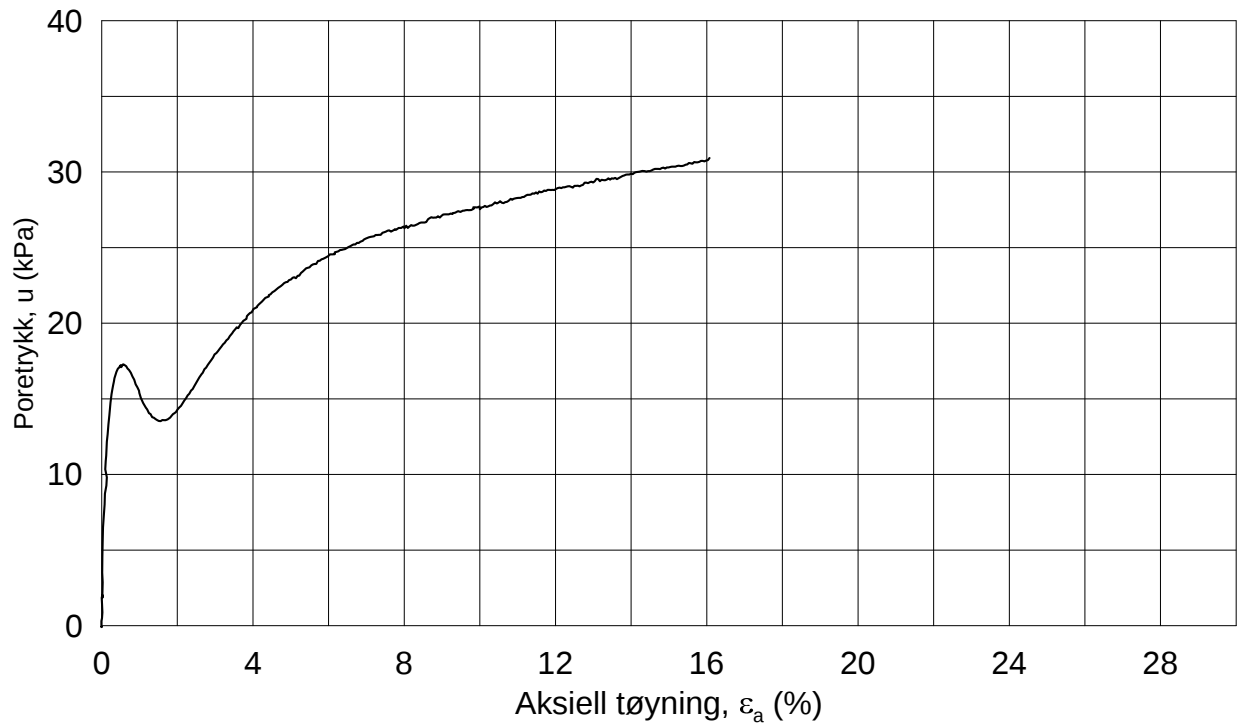
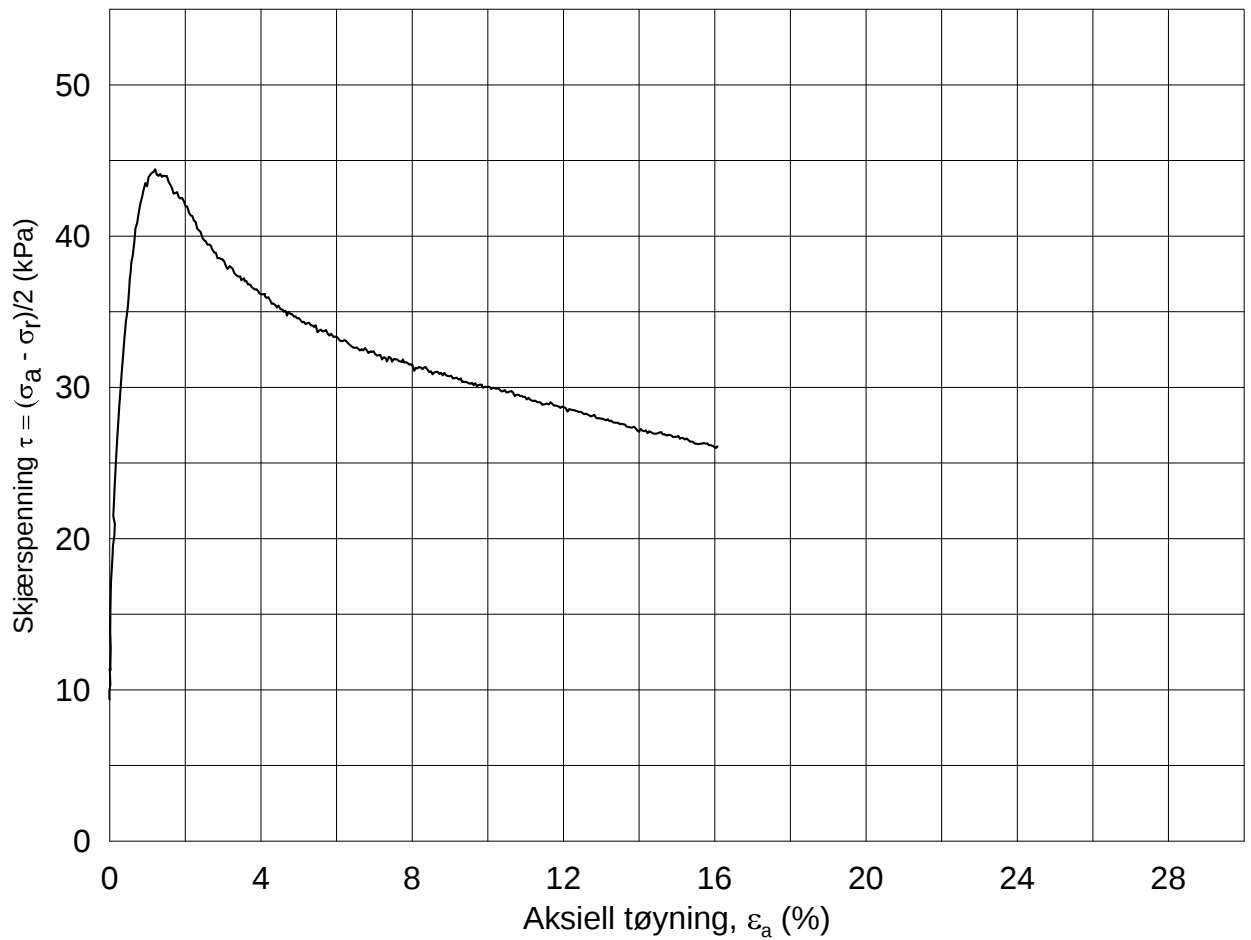


Date/Rev: 2009-11-03/01

E16 Nybakk - Slomarka			Dokument nr. 20120491-02-R
Treaksial forsøk: CAUP			Dato 2014-07-14
Boring: 2411	Dybde = 18.38 m	Konsolidering-spenninger	
Sylinder: 16	$p_{o'}$ = 172.9 kPa	(kPa)	maks. min. endelig
Del: A	w_i = 31.9 %	$\sigma_{ac}' =$ - - 172.6	Figur nr. G378
Test: 2	w_c = 29.8 %	$\sigma_{rc}' =$ - - 130.6	Tegnet av MAS

2411-16-A-2.Plot2.grf





Date/Rev.: 2009-11-03/01

E16 Nybakk - Slomarka

Dokument nr.
20120491-02-R

Treaksial forsøk: **CAUA**

Dato
2014-08-07

Boring: **2430**

Dybde = **6.40** m

Konsolidering-spenninger

Sylinder: **6**

$p_{o'}$ = **74.1** kPa

(kPa) maks. min. endelig

Figur nr.
G379

Del: **A**

w_i = **35.4** %

σ_{ac}' = - - **74.3**

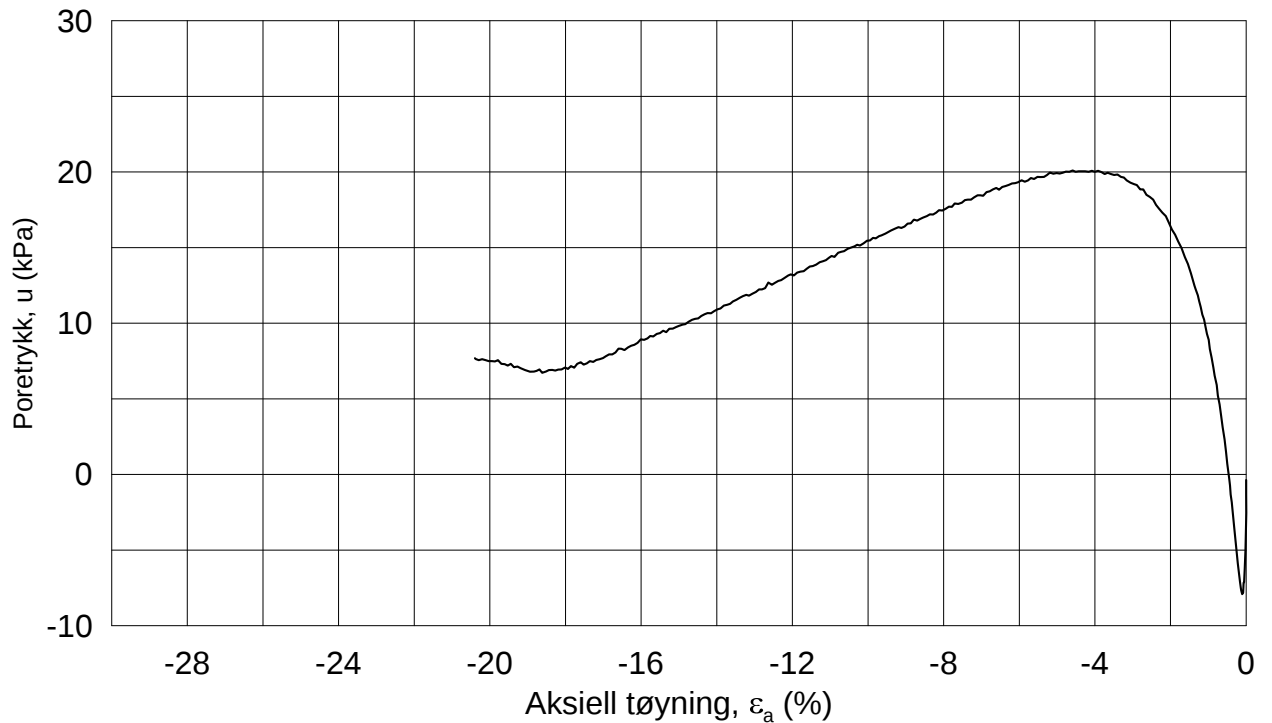
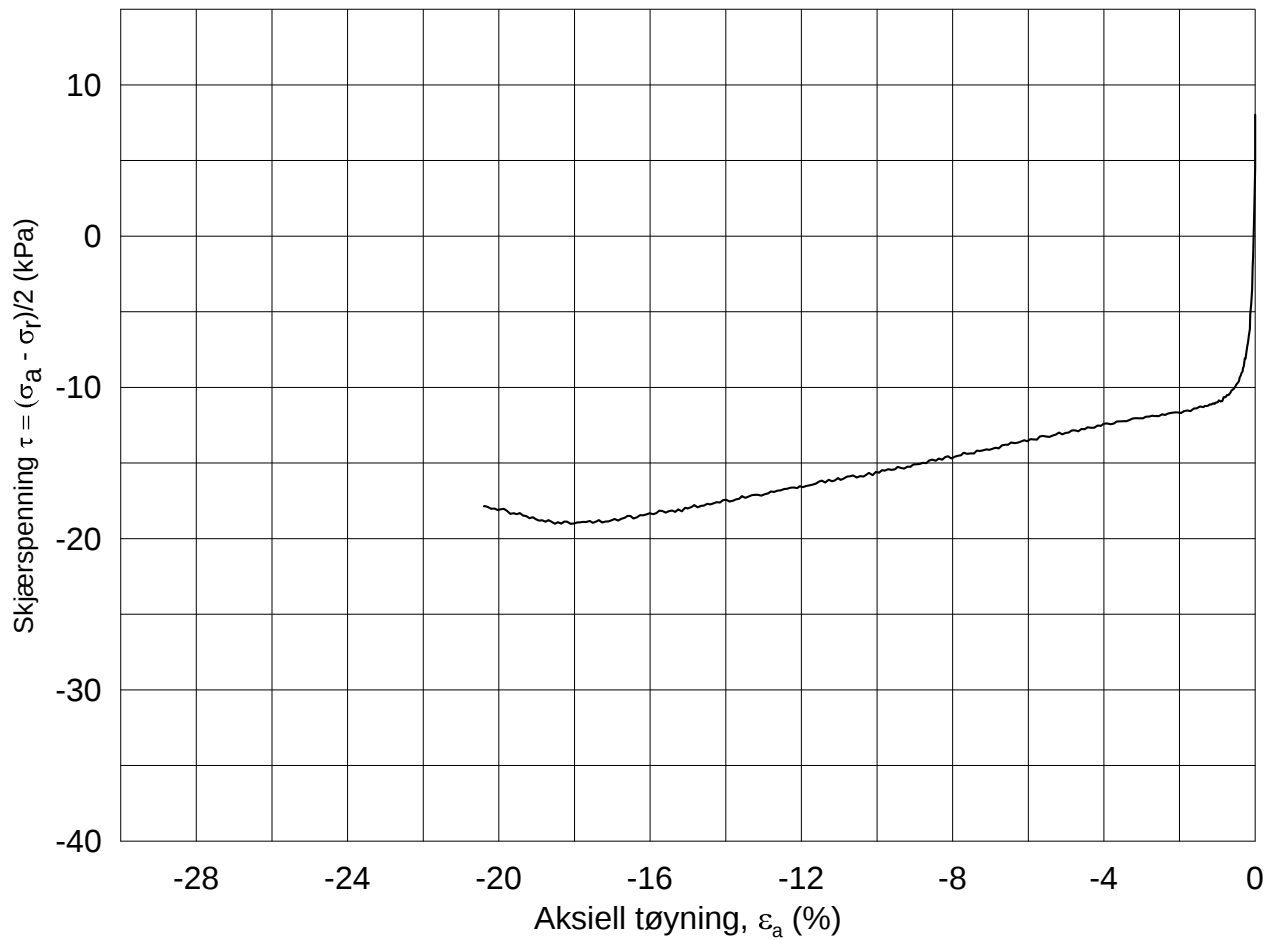
Tegnet av
MAS

Test: **2**

w_c = **35.0** %

σ_{rc}' = - - **55.6**





Date/Rev.: 2009-11-03/01

E16 Nybakk - Slomarka

Dokument nr.
20120491-02-R

Treaksial forsøk: **CAUP**

Dato
2014-08-07

Boring: **2430**

Dybde = **6.40** m

Konsolidering-spenninger

Sylinder: **6**

p_o' = **74.1** kPa

(kPa) maks. min. endelig

Figur nr.
G381

Del: **B**

w_i = **34.7** %

σ_{ac}' = - - **74.2**

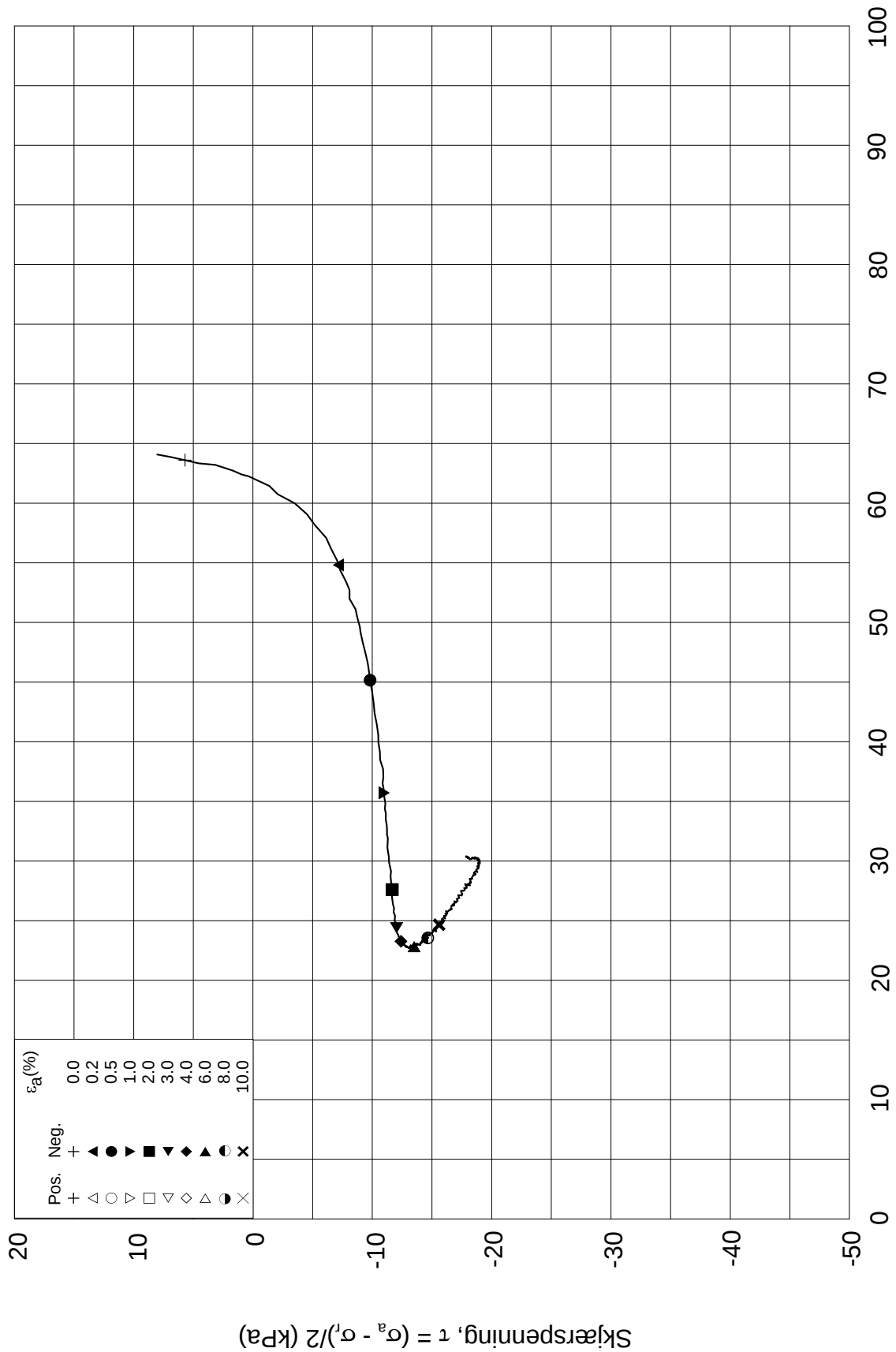
Tegnet av
MAS

Test: **1**

w_c = **33.6** %

σ_{rc}' = - - **55.6**





Date/Rev.: 2009-11-03/01

E16 Nybakk - Slomarka

Dokument nr.
20120491-02-R

Treaksial forsøk: **CAUP**

Dato
2014-08-07

Boring: **2430**

Dybde = **6.40** m

Konsolidering-spenninger

Sylinder: **6**

$p_{o'}$ = **74.1** kPa

(kPa) maks. min. endelig

Figur nr.
G382

Del: **B**

w_i = **34.7** %

σ_{ac}' = - - **74.2**

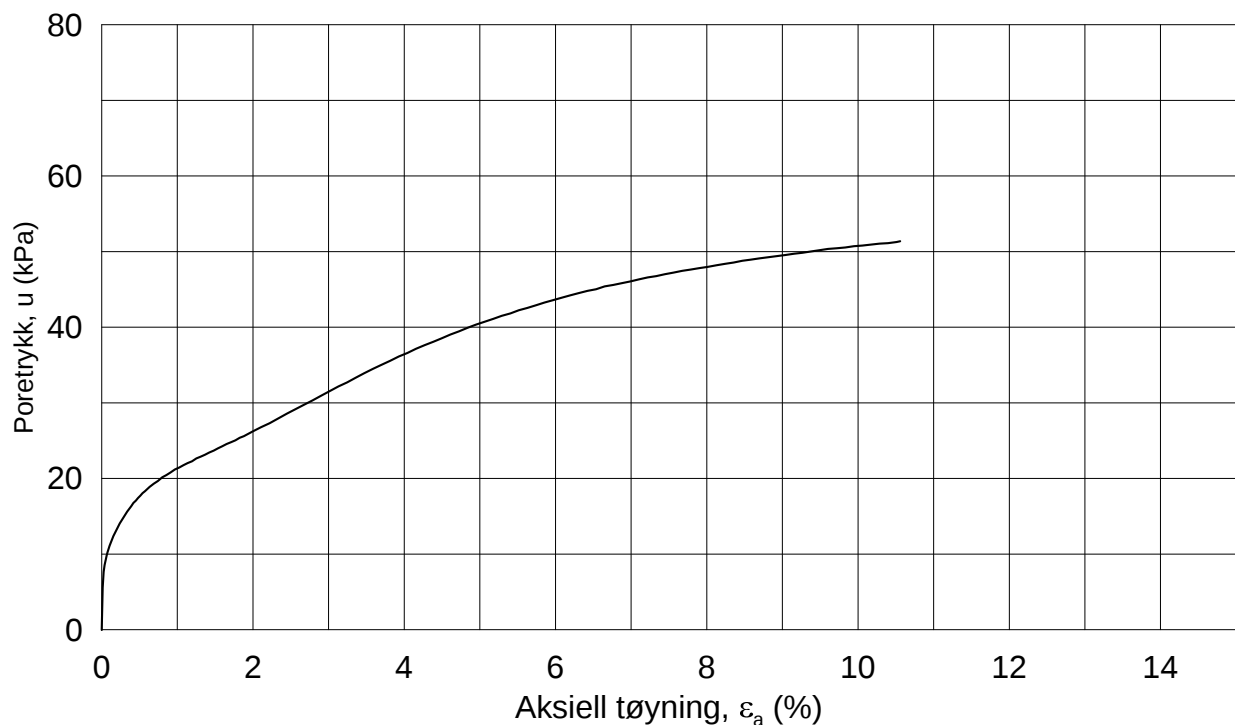
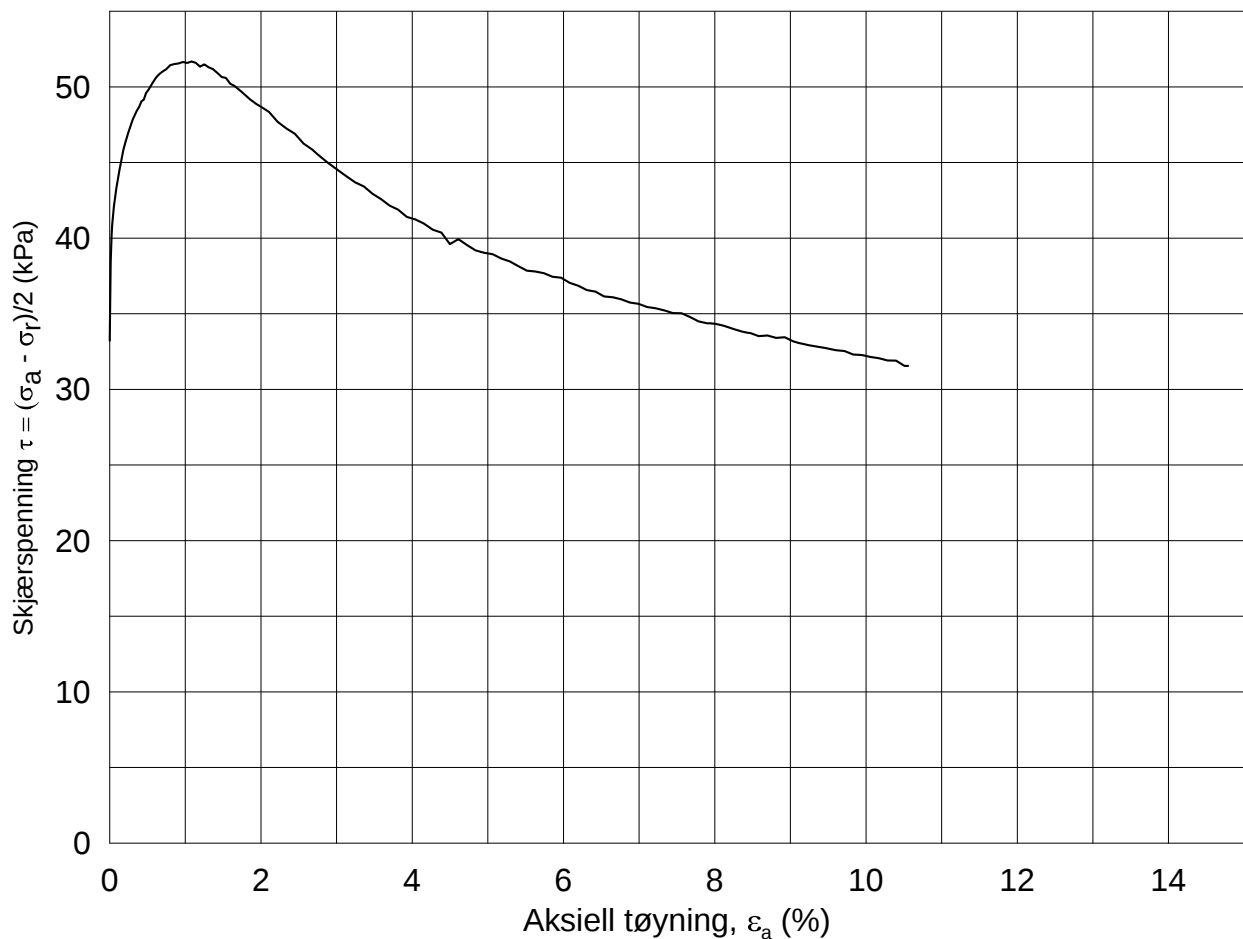
Tegnet av
MAS

Test: **1**

w_c = **33.6** %

σ_{rc}' = - - **55.6**





Date/Rev.: 2009-11-03/01

E16 Nybakk - Slomarka

Dokument nr.
20120491-02-R

Treaksial forsøk: **CAUA**

Dato
2014-08-07

Boring: **2430**

Dybde = **12.24** m

Konsolidering-spenninger

Sylinder: **12**

p_o' = **138.6** kPa

(kPa) maks. min. endelig

Figur nr.
G383

Del: **A**

w_i = **44.8** %

σ_{ac}' = - - **145.2**

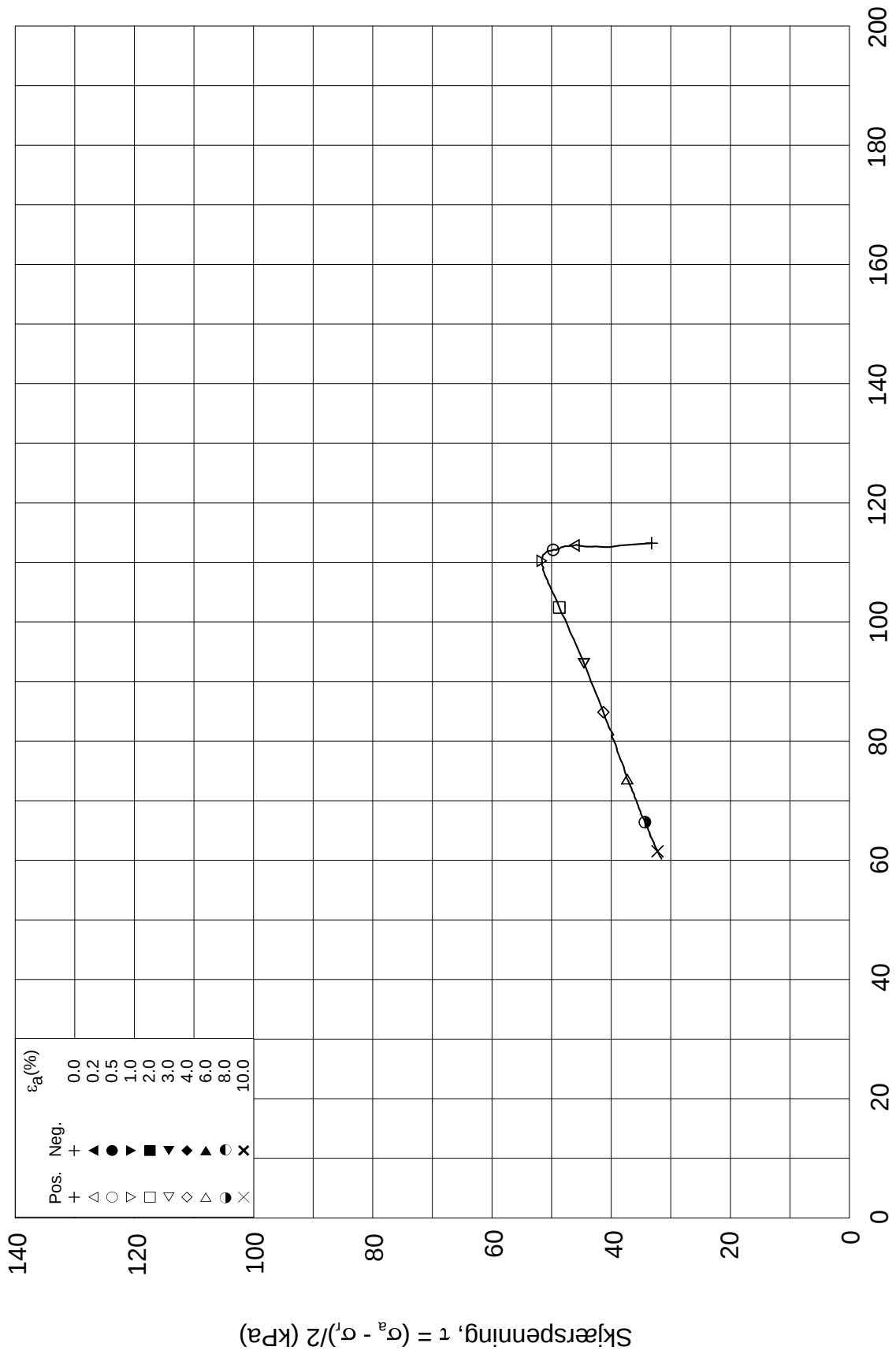
Tegnet av
MAS

Test: **1**

w_c = **43.4** %

σ_{rc}' = - - **79.9**

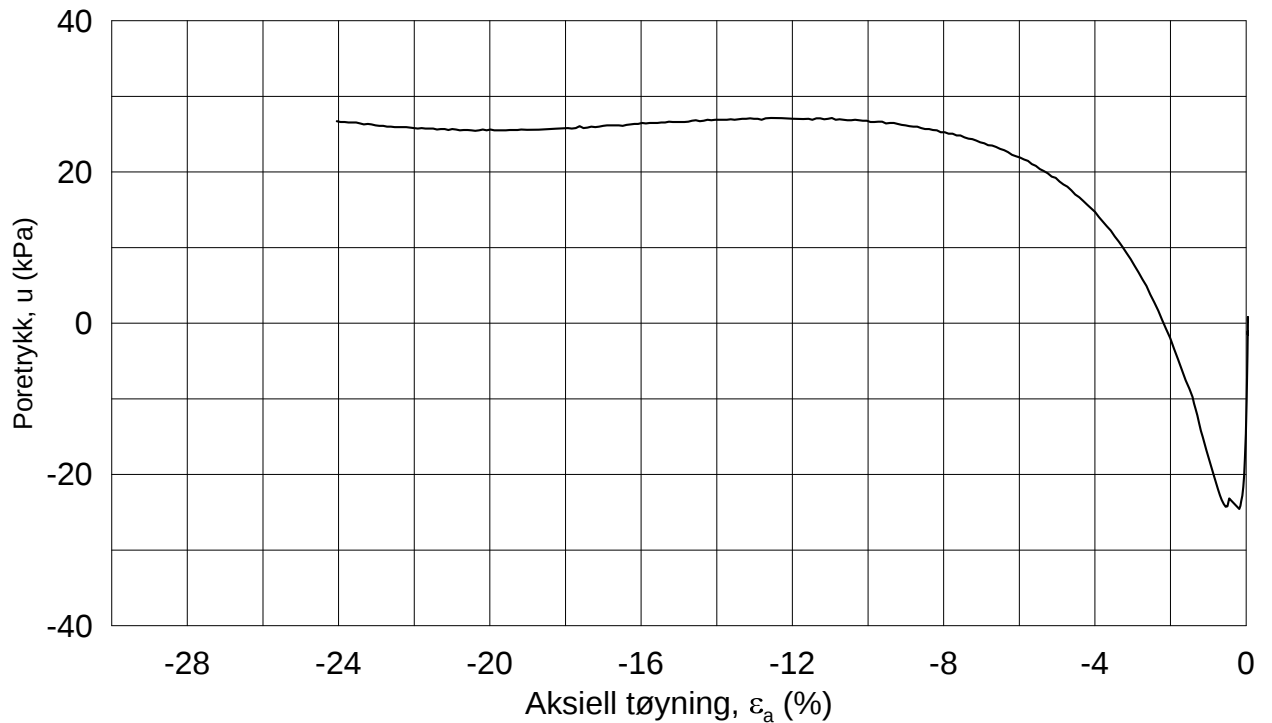
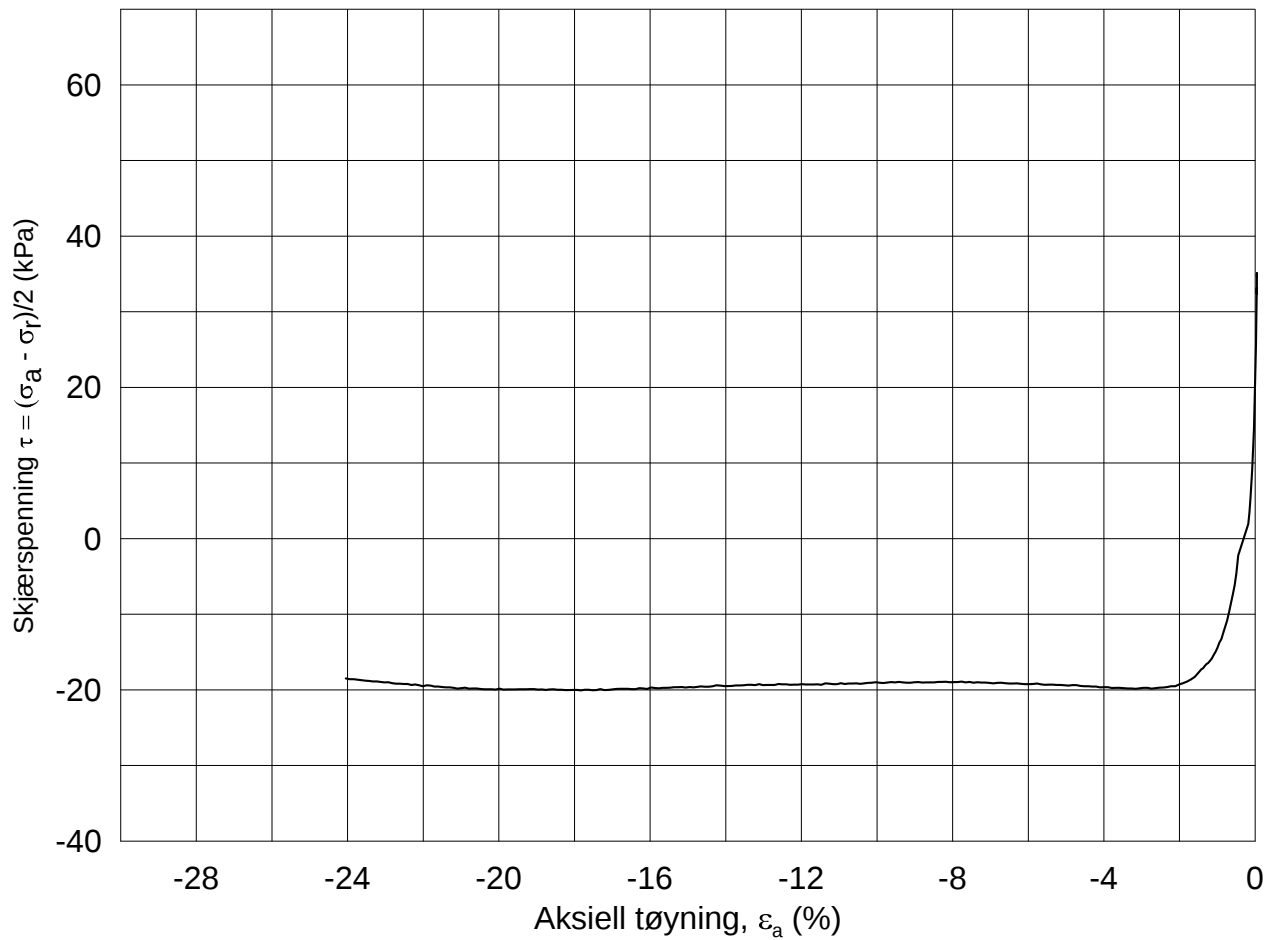




Date/Rev.: 2009-11-03/01

E16 Nybakk - Slomarka			Dokument nr. 20120491-02-R
Treaksial forsøk: CAUA			Dato 2014-08-07
Boring: 2430	Dybde = 12.24 m	Konsolidering-spenninger	
Sylinder: 12	$p_{o'}$ = 138.6 kPa	(kPa)	maks. min. endelig
Del: A	w_i = 44.8 %	$\sigma_{ac}' =$ - - 145.2	Figur nr. G384
Test: 1	w_c = 43.4 %	$\sigma_{rc}' =$ - - 79.9	Tegnet av MAS

2430-12-A-1-Plot2.grf



Date/Rev.: 2009-11-03/01

E16 Nybakk - Slomarka

Dokument nr.
20120491-02-R

Treaksial forsøk: **CAUP**

Dato
2014-08-08

Boring: **2430**

Dybde = **12.40** m

Konsolidering-spenninger

Sylinder: **12**

$p_{o'}$ = **145.3** kPa

(kPa) maks. min. endelig

Figur nr.
G385

Del: **A**

w_i = **42.1** %

σ_{ac}' = - - **145.5**

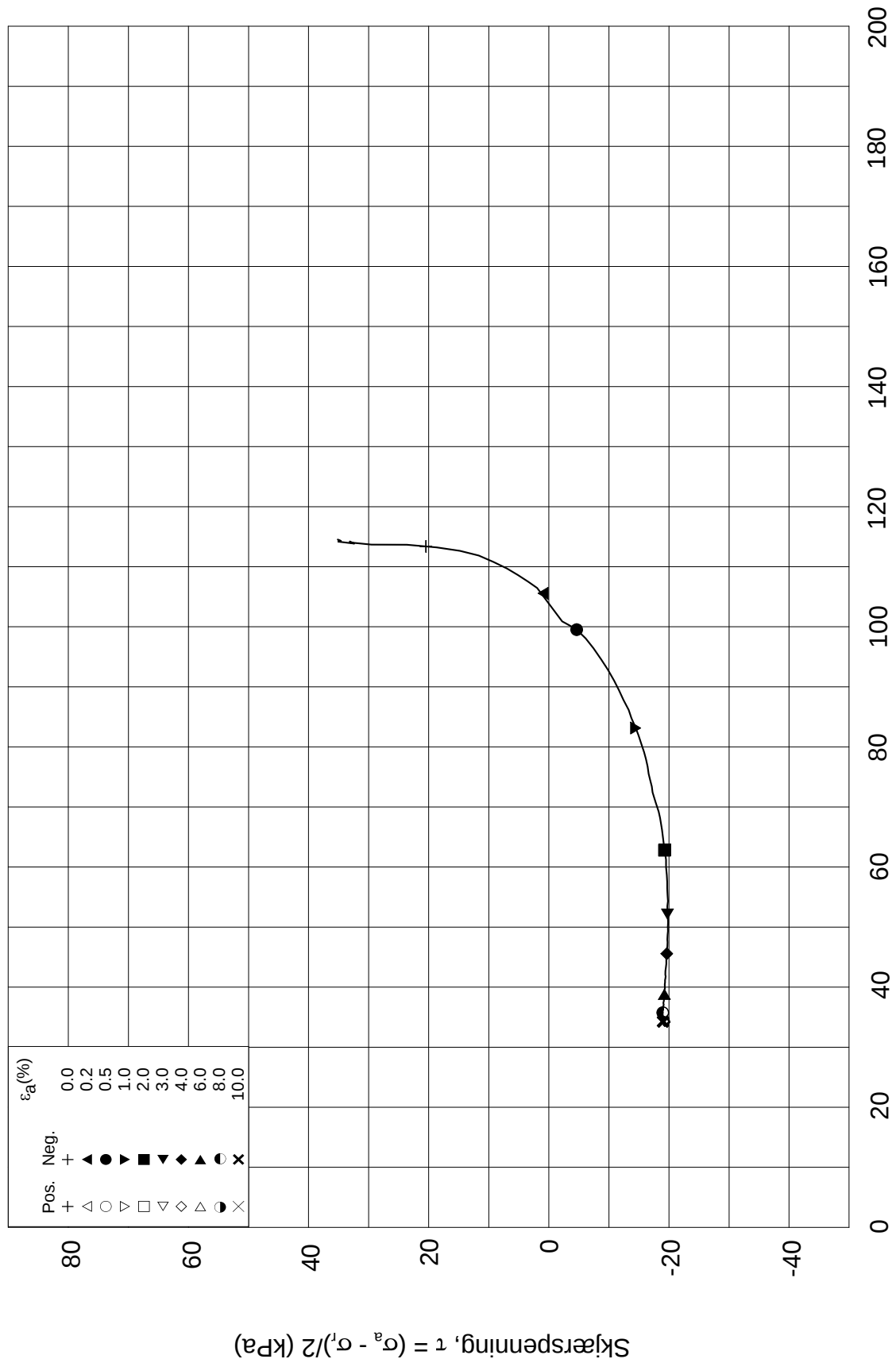
Tegnet av
MAS

Test: **2**

w_c = **40.9** %

σ_{rc}' = - - **79.9**





Date/Rev.: 2009-11-03/01

E16 Nybakk - Slomarka			Dokument nr. 20120491-02-R	
Treaksial forsøk: CAUP			Dato 2014-08-08	
Boring: 2430	Dybde = 12.40 m	Konsolidering-spenninger		
Sylinder: 12	$p_{o'}$ = 145.3 kPa	(kPa)	maks.	min.
Del: A	w_i = 42.1 %	σ_{ac}' =	-	-
Test: 2	w_c = 40.9 %	σ_{rc}' =	-	-
		endelig	145.5	
			79.9	
		Figur nr.	G386	
		Tegnet av	MAS	

2430-12-A-2.Plot2.grf

Kontroll- og referanseside/ Review and reference page



Dokumentinformasjon/Document information					
Dokumenttittel/Document title E16 Nybakk – Slomarka Datarapport Grunnundersøkelser, Vorma – Uåa Profil 8600 - 13500			Dokumentnr./Document No. 20120491-02-R		
Dokumenttype/Type of document Rapport/Report		Distribusjon/Distribution Begrenset/Limited		Dato/Date 22. november 2013	
Rev.nr.&dato/Rev.No.&date 1, 29. august 2014					
Oppdragsgiver/Client COWI AS v/ Frode Geir Bjørvik					
Emneord/Keywords Grunnundersøkelser, Dreietrykksondering, CPTU, CRS, CAUA, CAUP					
Stedfesting/Geographical information					
Land, fylke/Country, County Norge, Akershus			Havområde/Offshore area		
Kommune/Municipality Nes Kommune			Felt navn/Field name		
Sted/Location Vorma, Uåa			Sted/Location		
Kartblad/Map 1915 II og 2015 III			Felt, blokknr./Field, Block No.		
UTM-koordinater/UTM-coordinates					
Dokumentkontroll/Document control					
Kvalitetssikring i henhold til/Quality assurance according to NS-EN ISO9001					
Rev./Rev.	Revisjonsgrunnlag/Reason for revision	Egen-kontroll/ Self review av/by:	Sidemanns-kontroll/ Colleague review av/by:	Uavhengig kontroll/ Independent review av/by:	Tverrfaglig kontroll/ Inter- disciplinary review av/by:
0	Første utgave	TFS	StH		
1	Supplerende grunnundersøkelser 2014	TFS	KrK		
Dokument godkjent for utsendelse/ Document approved for release		Dato/Date 29. august 2014		Sign. Prosjektleder/Project Manager Steinar Herman	